

снижение доли времени T_6 .

При бурении неглубоких скважин (до 200–250 м) при прочих равных условиях в сравнении с КССК или ССК это не приведет к значительному росту стоимости метра бурения, но может отразиться на качестве керна и, соответственно, на стоимости бурения, если, например, для повышения сохранности керна при бурении потребуется несколько ограничить длину рейсовой проходки.

При проходке более глубоких скважин (250–300 м) затраты на бурение снарядом со съемным керноприемником будут значительно ниже, даже при большей длине керноприемной части колонкового набора. Например, если время бурения T_6 будет равно 3 ч, при длине колонковой трубы 6 м, то при сохранении значений всех остальных данных, использованных в первом расчете, стоимость метра бурения

$$C_{\text{м}} = \frac{32\,000 \cdot 1}{8} \cdot 4,5 + \frac{8-3}{6} \cdot \frac{5\,000}{50} = 4\,300 \text{ руб.}$$

Если для повышения сохранности керна в колонковой трубе потребуется ограничить длину рейсовой проходки, это приведет к еще более значительному росту стоимости метра бурения. Например, если длина рейсовой проходки будет равна рейсу при бурении КССК – 4,5 м, то стоимость метра бурения составит

$$C_{\text{м}} = \frac{32\,000 \cdot 1}{8} \cdot 4,5 + \frac{8-3}{4,5} \cdot \frac{5\,000}{50} = 5\,000 \text{ руб.}$$

При последних расчетах не учтено, то обстоятельство, что при проведении СПО, особенно в наклонных и искривленных скважинах, снижается ресурс как бурового снаряда, так и дорогостоящего бурового инструмента вследствие изнашивания о стенки скважины при подъеме и спуске. Опыт буровых работ показывает, что изнашивание буровых коронок и долот, расширителей, калибраторов в процессе спуска-подъема может быть очень велик. Другой эффект от применения снарядов со съемным керноприемником состоит в том, что при спуско-подъемных операциях перепады давления промывочной жидкости, вызванные перемещением снаряда вызывают разрушение стенок скважины и их обваливание, соответственно сокращение операций СПО способствует сохранению ствола скважины без каких-либо дополнительных технологических операций. По этим причинам расчетная стоимость метра бурения снарядом без съемного керноприемника может быть еще выше. Соответственно, будут еще более значительны аргументы в пользу выбора для производства работ снарядов со съемным керноприемником, особенно если учесть, что в настоящее время отечественными и зарубежными производителями предлагаются буровые коронки, ресурс которых может составлять не десятки, а сотни метров.

1.4. Разрушение горных пород буровым инструментом с резцами из твердого сплава

При вращательном бурении разрушение рыхлых, мягких и горных пород средней твердости, пластичных и упругопластичных успешно осуществляется резанием или резанием-скалыванием буровыми коронками или долотами, вооруженными твердосплавными резцами.

При разрушении горных пород реализуются:

- резание, т. е. непрерывное отделение пластичной породы или стружки кромкой прижатого к забою резца;
- скалывание, т.е. периодическое отделение осколков породы от забоя прижатым к породе с достаточным осевым усилием резцом или путем приложения ударного импульса к резцу;
- резание-скалывание, т. е. отделение крупных частей породы скалыванием или отрывом передней гранью резца с последующим срезанием мелких выступов до нового акта скалывания.

1.4.1. Твердые сплавы и их свойства

Твердосплавный породоразрушающий инструмент армируют главным образом спеченными твердыми сплавами различной формы и размеров.

Наплавочные твердые сплавы используют для повышения износостойкости лопастных долот режущего типа, шарошечных долот для бурения мягких горных пород и средней твердости, специальных коронок для вращательного бурения и башмаков обсадных колонн. Преимуществом наплавочных материалов является возможность многократного восстановления бурового инструмента. Основным материалом для наплавки – релит, который характеризуется невысокой, в сравнении со спеченными твердыми сплавами, твердостью и износостойкостью.

Для армирования бурового инструмента используют в основном спеченные вольфрамокобальтовые твердые сплавы типа ВК, которые имеют большую твердость, сочетающуюся с высокой износостойкостью при нагреве до 1000°. Сплавы ВК почти не подвергаются заметной деформации, имеют большую прочность на сжатие, но в то же время обладают невысокой прочностью на изгиб и растяжение, небольшой ударной вязкостью.

Спеченные твердые сплавы состоят из карбида вольфрама WC и кобальта Co в различных процентных отношениях. Карбид вольфрама придает сплаву значительную твердость и износостойкость. Он не магнитен, имеет высокую теплопроводность и весьма хрупок.

Кобальт – ковкий и вязкий металл, в расплавленном состоянии он хорошо смачивает зерна карбида вольфрама и при затверждении прочно связывает их.

Спеченный сплав типа ВК3, ВК6, ВК8, ВК10, ВК15, ВК20, ВК25 изготавливают из порошковой смеси карбида вольфрама и кобальта путем прессовки в специальных графитовых пресс-формах и спекания при температуре ниже температуры плавления карбидов.

Цифры в марке сплава соответствуют процентному содержанию кобальта, в зависимости от которого сплавы отличаются прежде всего прочностью на изгиб, плотностью и твердостью.

Прочность на изгиб у сплава ВК3 составляет 1 100 МПа (минимальная), у сплава ВК25 – 2 000 МПа (максимальная). При этом более твердым является сплав ВК6 – 90 МПа. Твердость сплава ВК25 – 82 МПа.

Твердость сплава возрастает с увеличением содержания карбида вольфрама и уменьшением размеров его зерен. По структуре сплавы разделяются на мелко-, средне- и крупнозернистые. Мелкозернистые сплавы с размером зерен 1 мкм имеют индекс «М», крупнозернистые с размером зерен до 3–5 мкм индекс «В», среднезернистые – зерно 1–2 мкм не имеют индекса.

При увеличении содержания кобальта и зернистости возрастает ударная вязкость сплава. Предел прочности резцов из твердых сплавов может быть существенно повышен упрочнением, например охлаждением в азоте или алмазным шлифованием. Алмазное шлифование удаляет с поверхности резцов дефектный слой, что существенно повышает предел прочности сплава на изгиб и ударную вязкость на 20–50 %, ударную дол-

говечность в 10 раз.

С учетом основных физико-механических свойств среднезернистые и крупнозернистые сплавы с малым содержанием кобальта применяют для армирования инструмента, работающего в условиях безударных нагрузок, т. е. бурового инструмента для вращательного бурения. Сплавы со средним и высоким содержанием кобальта используют для армирования инструмента, работающего в условиях ударных нагрузок, т. е. инструмента для ударно-вращательного бурения и шарошечных долот, предназначенных для бурения пород высокой твердости. Эти сплавы обладают наибольшей прочностью, но они менее износостойки.

Более высокие и сбалансированные характеристики имеют сплавы *DP* компании *Sandvik*. Они за счет слоистой структуры, при которой максимальной твердостью вставка обладает на поверхности и в центре, а средний слой характеризуется высокой вязкостью, сочетают высокую прочность, ударную вязкость и твердость поверхности.

Основной проблемой нанесения наплавочных твердых вольфрамкобальтовых сплавов является так называемая *температурная деградация*, которая заключается в значительном снижении твердости покрытия вследствие действия высоких температур.

Решение данной проблемы связано с применением тонких электродов, расплавляющихся при меньшей температуре и за меньший временной интервал, что в результате снижает температуру и время наплавления твердого сплава на поверхность бурового инструмента. В результате применения такой технологии уменьшается отрицательное влияние высокой температуры на качество и прочность твердого сплава.

Другим направлением повышения качества упрочнения поверхностей буровых инструментов твердыми сплавами является применение технологии порошковой металлургии. В этом случае достигается качество покрытия, соответствующее прочностным характеристикам твердосплавных вставок.

1.4.2. Основные типы бурового инструмента, вооруженного твердосплавными резцами

Твердосплавные коронки предназначены для колонкового вращательного бурения скважин в мягких и средней твердости горных породах подразделяются на три типа:

- для бурения мягких пород (ребристые, крупнорезцовые) – тип М;
- малоабразивных пород средней твердости (гладкостенные резцовые) – тип СМ;
- абразивных пород средней твердости (гладкостенные, микрорезцовые или самозатачивающиеся) – тип СА.

Эффективность работы коронки во многом зависит от угла заточки α переднего угла γ_p , угла поворота резцов, их числа и расположения резцов относительно друг друга.

Угол α выбирают в зависимости от характера проходимых пород: чем тверже порода, тем этот угол больше (см. рис. 1.15). Для пород средней твердости рациональным является прямой угол резания α , для мягких – 75–80°. Выход резцов за пределы наружного f_2 и внутреннего f_1 контура корпуса зависит от твердости пород: 0,75–1,0 мм – при бурении пород средней твердости и твердых и 3–6 мм для бурения мягких пород.

Размер резца (выступление резца над торцом коронки) также зависит от твердости горных пород и для горных пород средней твердости и твердых составляет 1,5–2,5 мм и 3–7 мм – мягких пород.

Разворот резцов относительно радиуса коронки на угол $\phi_p = 10\text{--}15^\circ$ повышает их сопротивляемость сколу вследствие динамических нагрузок, характерных для бурения трещиноватых, твердых горных пород и пород с включением обломков – брекчий и конгломератов. При этом внутренние резцы размещают с поворотом внутрь коронки, а наружные в направлении внешнего диаметра (рис. 1.15, б).

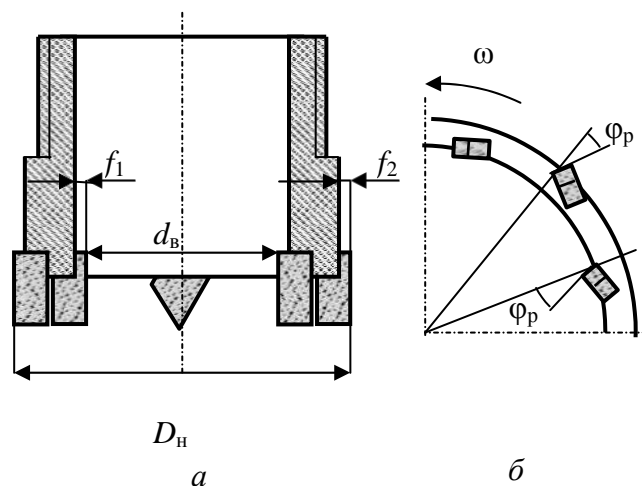


Рис. 1.15. Схема вооружения твердосплавной коронки: *a* – вид сбоку в разрезе; *б* – размерещение резцов на торце коронки с поворотом на угол φ_p в фронтальной плоскости резания-скалывания

Для бурения твердых и абразивных пород средней твердости применяют резцы с небольшой площадью сечения, которые в процессе работы самозатачиваются.

Эффективно работают резцы в коронке, конструкция которой обеспечивает ступенчатую форму разрушения забоя, так как наличие дополнительных обнаженных поверхностей забоя способствует более эффективному разрушению породы. Как следует из опытных данных, механическая скорость бурения при ступенчатом забое может быть в 1,9 раза выше, чем при плоском.

Коронка с плоскими поверхностями (рис. 1.16, *a*) используется с буровыми снарядами типа *GEOBOR S* для бурения в рыхлых породах. При бурении такими коронками разрушенная порода гранями резцов направляется в стороны, что, в свою очередь, приводит к снижению заклинивания керна.

Коронки с восьмигранными вставками (рис. 1.16, *б*) имеют угол наклона режущих поверхностей 10° . Вставки выполнены из износостойкого сплава ВК. В процессе эксплуатации они могут многократно затачиваться.

Коронка *Corborit* (рис. 1.16, *в*) имеет чрезвычайно шершавую многогранную рабочую поверхность, полученную при спекании матрицы, состоящей из зерен карбида вольфрама и специального сплава, который, расплавляясь, связывает зерна карбида W. Матрица коронки разделена промывочными каналами. Размер зерен карбида вольфрама от 2 до 5 мм. Матрица коронки разделена промывочными каналами. Размер зерен карбида вольфрама от 2 до 5 мм. Коронка предназначена для бурения мягких, средней твердости и твердых горных пород.

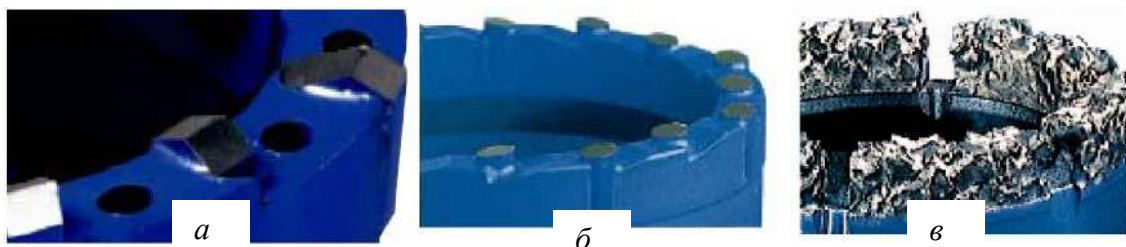


Рис. 1.16. Твердосплавные коронки компании *Atlas Copco*

В процессе бурения коронка с подобным вооружением обладает большим количеством режущих кромок, вступающих в контакт с породой, что позволяет снизить вибрирование в процессе резания-скалывания. Она может применяться для бурения горных пород средней твердости с пропластками твердых горных пород.

Лопастные долота предназначены для бурения в основном мягких и пластичных

горных пород. Лопастные долота подразделяются по количеству рабочих органов в виде лопастей: на одно-, двух-, трех-, четырех-, шести- и многолопастные.

Достоинствами лопастных долот является простота конструкции, отсутствие подшипниковых узлов, крайне уязвимых для абразива, сравнительно низкая стоимость долот при достаточно высоком ресурсе (в мягких породах сотни и тысячи метров).

Недостатки лопастных долот – это интенсивная потеря диаметра долота и износ режущих элементов, работающих при высокой температуре, а также необходимость приложения большого крутящего момента, что особенно сложно обеспечить при бурении забойными двигателями и большом диаметре долот.

Однолопастные долота подразделяются на долота типа Ц, Р и пикобуры.

Долота типа Ц предназначены для разбуривания цементных пробок после цементирования обсадных колонн.

Долота типа Р используют для расширения ствола скважины и его проработки.

Пикобуры для бурения неглубоких скважин в песчано-глинистых породах.

Двухлопастные долота – для бурения преимущественно пластичных и мягких горных пород при относительно небольшой мощности привода.

Долота этой разновидности изготавливаются обычно в малых размерах, диаметром от 93 до 165,1 мм.

Двухлопастные долота выпускают двух типов: М и МС.

Долото трехлопастной конструкции (рис. 1.17) наиболее широко используются при бурении и представлены в самом широком ассортименте.

Их применяют в скважинах различного назначения и с разными типами привода, как забойного, так и роторного (верхний привод). Трехлопастные долота могут выпускаться с обычными промывочными каналами (обычно тремя) и тремя каналами с гидромониторными насадками.

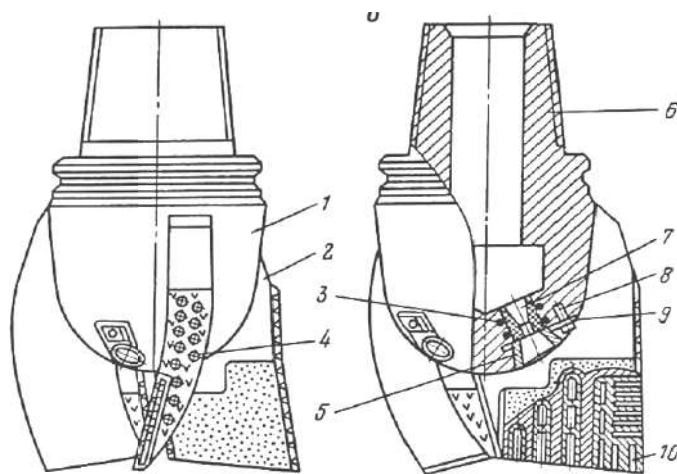


Рис. 1.17. Трехлопастное долото

Долото (рис. 1.17) имеет корпус 1, лопасти 2. Боковые поверхности лопастей 2 армируются твердосплавными штырями 3 и релитом, в проме

жутках между штырями. Сопло 7 гидромониторной насадки изготавливают из керамики и устанавливают, герметизируя уплотнительными резиновыми кольцами 4. Сопло 7 удерживается в гнезде шайбой 5, которая закрепляется стопорной шайбой 9 при помощи винта 8. Для соединения с колонной у долота выполняется ниппельная резьба 6. В лезвиях лопастей 2 имеются пазы 10, в которые укрепляются основные режущие элементы: твердосплавные пластины (долото типа М) или дробленые осколки (долото типа МС).

Долота типа М и МС в модификации с обычным промывочным каналом (пример обозначения ЗЛ-215,9 МС) выпускаются размером от 120,6 до 444,5 мм, а долота со струйной промывкой (пример обозначения ЗЛГ-244,5М) – диаметром от 190,5 до 444,5 мм.

1.4.3. Разрушение горных пород буровым инструментом с резами из композиционных алмазосодержащих и поликристаллических алмазов

Для создания бурового инструмента резового типа могут использоваться композиционные материалы, содержащие отдельные алмазные зерна в металлической и металлокерамической матрицах, к ним относится созданный в 1967 г. материал славутич.

Результаты испытаний показали, что с увеличением размеров алмазных зерен разрушающая нагрузка на них при бурении растет, а предел прочности резко снижается (рис. 1.18). Поэтому применение крупных алмазов, диаметр которых более 1,5 мм, может приводить к интенсивному разрушению резцов. Славутич представляет собой крупный алмазосодержащий резец, который обладает более высокой прочностью, чем крупный алмаз, так как состоит из мелких фракций алмаза, соединенных при спекании с порошковой шихтой твердосплавной основы.

Породоразрушающие вставки изготавливают формированием с последующим спеканием. На рис. 1.19, а показана отформованная композиция перед спеканием. Наружная оболочка вставки 1, окружающая алмазосодержащую композицию 2, не содержит алмазов. Спекание производится при температуре 1 400–1 460 °С.

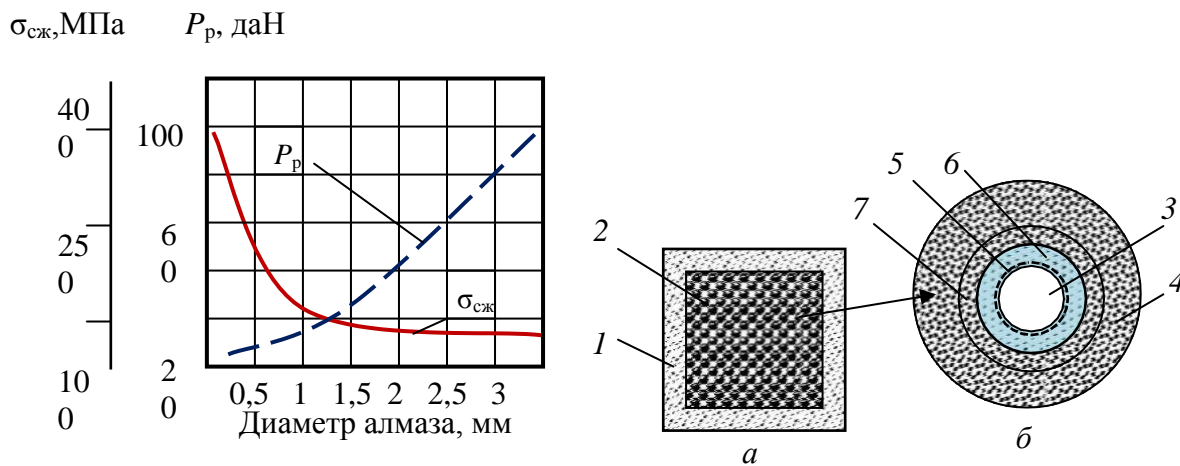


Рис. 1.18. Зависимости предела прочности на сжатие $\sigma_{сж}$ и разрушающей нагрузки P_p от размера алмазов

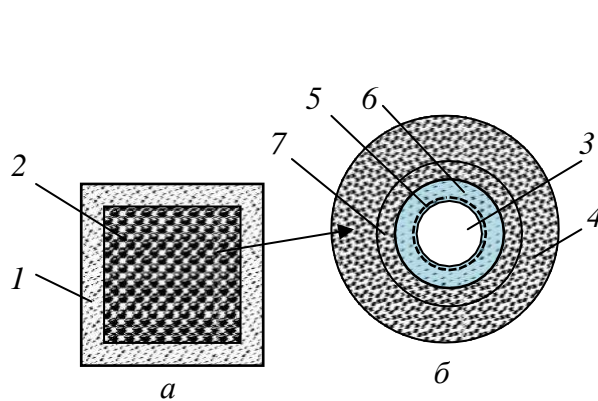


Рис. 1.19. Отформованная вставка славутича (а) и структура материала (б): 1 – твердосплавная оболочка; 2 – алмазосодержащая твердосплавная композиция; 3 – алмаз; 4 – твердый сплав; 5 – зона пластичного материала; 6 – зона контактного взаимодействия алмаза и твердого сплава; 7 – зона твердого сплава повышенной прочности

Выполненные исследования показали, что с увеличением температуры нагрева алмазы активно взаимодействуют с окружающими их металлами, образуя твердые растворы или карбиды. Поэтому при температуре спекания порошка твердого сплава 1, в котором равномерно распределены алмазы 3, образуется новая композиционная структура 2. Алмаз при спекании частично растворяется по контакту с порошком твердого сплава, что приводит к образованию зон контактного взаимодействия 6, пластичного материала 5 и твердого сплава повышенной прочности 7 (рис. 1.19, б). Благодаря этому достигается прочное соединение алмаза с твердым сплавом и, таким образом, образуется новый сверхтвердый материал. Данные микроанализа позволили установить, что толщина зоны контактного взаимодействия составляет 4–5 мкм.

Внедрению славутича в промышленность способствовали его высокие эксплуатационные качества, в сравнении с крупными природными алмазами. Не уступая крупным природным алмазам в износостойкости, славутич значительно превосходит их по прочности. Стоимость славутича значительно ниже, чем стоимость крупных природных алмазов. При этом, если применение крупных алмазов для создания бурового инструмента имеет свои ограничения, ввиду их прочности (рис.1.18) и стоимости, то изделия из славутича могут быть изготовлены любых форм и размеров.

Для оснащения бурового инструмента изготавливаются вставки цилиндрической формы с плоским, сферическим и клиновидным рабочими торцами (рис. 1.20). С целью более рационального использования славутича породоразрушающие вставки выполняются с подложкой из твердого сплава. К корпусу бурового инструмента вставки славутича крепятся припаиванием специально подобранным припоем, включающим цинк, фосфор, железо и медь. Пайка осуществляется путем высокочастотного нагрева аппаратом СВЧ.

Для бурения скважин на нефть и газ выпускается различный буровой инструмент типа ИСМ. Это долота режущего (для мягких пород) и микрорежущего типа (для твердых пород), колонковые долота, калибраторы-стабилизаторы, долота для направленного бурения.

На рис. 1.21 показано долото ИСМ для бурения скважин большого диаметра, предназначенное для зарезания нового направления ствола скважины с искусственного (цементного) забоя при многоствольном бурении. На рис. 1.21 обозначено: 1 – корпус долота; 2 – вставки типа «славутич»; 3, 4, 5 – промывочные отверстия и каналы.

Для бурения геологоразведочных скважин на твердые полезные ископаемые вставки из славутича могут использоваться в коронках для бурения твердых пород и средней твердости.

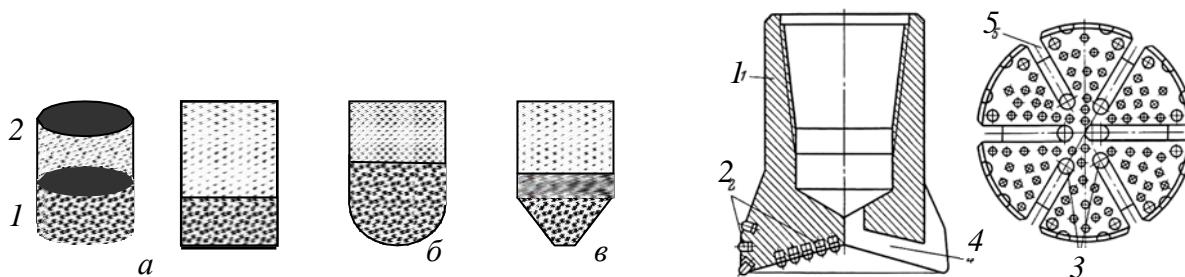


Рис. 1.20. Вставки из славутича:
a – цилиндрическая плоская,
б – сферическая и *в* – клиновидная;
 1 – слой славутича;
 2 – слой твердого сплава ВК.

Рис. 1.21. Долото ИСМ с резцами из
 твердосплавноалмазного композита
 типа «Славутич».

Коронки типа БСС и БСИ оснащены вставками славутича в подрезном слое на торце коронки, а коронки БС как в торцевом, так и подрезном слое.

Коронки БС различных типов применяются для бурения горных пород средней твердости и твердых.

Кроме коронок с использованием славутича изготавливают также долота и расширители.

При бурении горных пород средней твердости и мягких резцы внедряются в горную породу на глубину, существенно превышающую величину выпуска алмазов из вставки, и единичным резцом следует считать вставку из материала славутич в целом.

Параметры режима бурения буровыми инструментами с резцами славутич выбирают аналогично методикам выбора параметров режима бурения резцовым инструментом при бурении мягких и средней твердости горных пород и определения параметров бурения твердых горных пород алмазным инструментом. Основными данными при выборе параметров режима бурения в данном случае будут физико-механические свойства горных пород и их состояние, а именно: твердость, трещиноватость, слоистость, абразивность и другие признаки, несколько ограничивающие значения частот вращения и осевых нагрузок на инструмент.

1.4.4. Буровые инструменты с резцами из твердых материалов с поликристаллическими алмазами

Другой вариант изготовления алмазосодержащих твердых материалов состоит в создании спеканием либо прессованием поликристаллических алмазов, которые отличаются от композиционных алмазосодержащих материалов типа славутич наличием жесткого каркаса из сросшихся алмазных зерен. К таким материалам, получившим название *PDC (poli- crystalline diamond cutters)*, относится созданный в 1976 г. компанией *General Electric* (США) материал *Stratapax*. Компания *De Beers* (ЮАР) выпускает его под названием *Sindet*.

Эти материалы, как показали исследования, не уступают по эксплуатационным качествам крупным природным алмазам и получили широкое распространение. С применением сверхтвердых материалов изготавливаются долота, коронки, расширители, которые успешно заменяют шарошечные долота, твердосплавные коронки, традиционный алмазный инструмент с резцами из природных алмазов, обеспечивая высокий ресурс бурового инструмента. Резцы с пластинами *Stratapax* способны бурить как мягкие породы с высокой механической скоростью, так и твердые с удовлетворительными механической скоростью и стойкостью бурового инструмента. Именно поэтому буровые инструменты, армированные пластинами *Stratapax*, наиболее эффективны при бурении в разрезах, представленных породами перемежающейся твердости и при наличии высокоабразивных горных пород. Таким образом, с появлением резцов с пластинами *Stratapax* удалось получить универсальный буровой инструмент, удовлетворяющий достаточно противоречивым требованиям процесса разрушения мягких пород резанием и твердых пород резанием-скалыванием и раздавливанием. В бурении используются твердосплавные пластины *Stratapax* толщиной 3,5 мм с поликристаллическим покрытием алмазов 0,5 мм. Алмазный слой состоит из спеченных между собой кристаллов размером 60–150 мкм. Твердость пластин, измеренная на приборе ПМТ-3, составляет 50–80 ГПа. Твердосплавная подложка пластины состоит из твердосплавной шихты, содержащей 95 % карбида вольфрама и 5 % кобальта. Формование пластин осуществляется либо спеканием, либо прессованием.

Пластина *Stratapax* получается при совместной обработке отдельных заготовок поликристаллических алмазов и твердого сплава при температуре 1 500°, давлении 5 ГПа и выдержке 5–10 мин. В результате алмазный слой синтезируется в виде однородной поликристаллической массы, образующей целое с твердосплавной подложкой и

обладающей очень высокой твердостью, износостойкостью и ударной прочностью.

Фирма *De Beers* выпускает материал *Sindit* в виде двухслойных пластин, состоящих из алмазного слоя толщиной 1–1,5 мм и твердосплавной подложки. Специалисты ВНИИАлмаз (Россия) разработали несколько марок поликристаллических алмазов на подложке. Материал АТП (алмазные твердосплавные пластины) применяется преимущественно для оснащения бурового инструмента.

Сравнение эксплуатационных свойств *PDC*, природных алмазов и твердого сплава с содержанием кобальта 6 % свидетельствует о том, что основные свойства поликристаллических алмазов сопоставимы с природными.

Существенное колебание твердости природных алмазов объясняется анизотропией их структуры, тогда как кристаллы искусственных поликристаллических алмазов изотропны, т. е. физико-механические свойства кристаллов одинаковы во всех направлениях. Это способствует повышению прочности и износостойкости синтетических алмазов. По сравнению с твердым сплавом прочность синтетических поликристаллических алмазов на сжатие выше на 70 %, а твердость на 250 %. Износостойкость пластин *Stratapax* выше, чем природных алмазов, и в 100–150 раз превышает износостойкость твердого сплава. Основные характеристики пластин типа *Stratapax*, природных алмазов и твердого сплава ВК6 приведены в табл.1.2.

Таблица 1.2

Сравнительные данные физико-механических
и эксплуатационных свойств сверхтвердых материалов

Свойства материалов	Поликристаллический алмаз	Природный алмаз среднего размера	Твердый сплав ВК6
Модуль упругости, ГПа	841	964	630
Модуль жесткости, ГПа	345	400	250
Коэффициент Пуассона	0,32	0,2	0,2
Прочность на растяжение, ГПа	1,29	2,6	1,8
Прочность на сжатие, ГПа	7,61	8,68	4,5
Прочность на изгиб, ГПа	1,1	–	4,9
Твердость HRC, ГПа	50	30–80	20
Коэффициент относительной износостойкости	200–300	100–245	2

Резцы из поликристаллических алмазов состоят из слоя алмазов 1, твердосплавной подложки 2 и корпуса резца 3 (рис. 1.22). Для повышения прочности соединения алмазного слоя 1 с твердосплавной основой 2 последняя выполняется не плоской, а рифленой, с насечками, а для снижения скалывания края пластин, кромки выполняются скошенными.

При изготовлении резцов пластины *PDC* крепятся диффузионной сваркой при высоких температуре и давлении. Перед соединением поверхность пластинок покрывают тонким слоем никеля.

В буровом инструменте резцы с поликристаллическими пластинами устанавливают с отрицательным передним углом γ_n в пределах от -5° до -25° в зависимости от твердости горных пород. В инструментах, предназначенных для бурения более твердых горных пород, передний отрицательный угол задается большим, что позволяет снизить динамическую составляющую разрушения горной породы, возрастающую при резании-скалывании твердых горных пород.

В настоящее время долота со вставками *PDC* очень широко применяются при бурении скважин на нефтяных и газовых месторождениях всего мира, особенно при проходке вертикально-горизонтальных стволов по продуктивным горизонтам, бурении мягких и средней твердости горных пород с прослоями твердых.

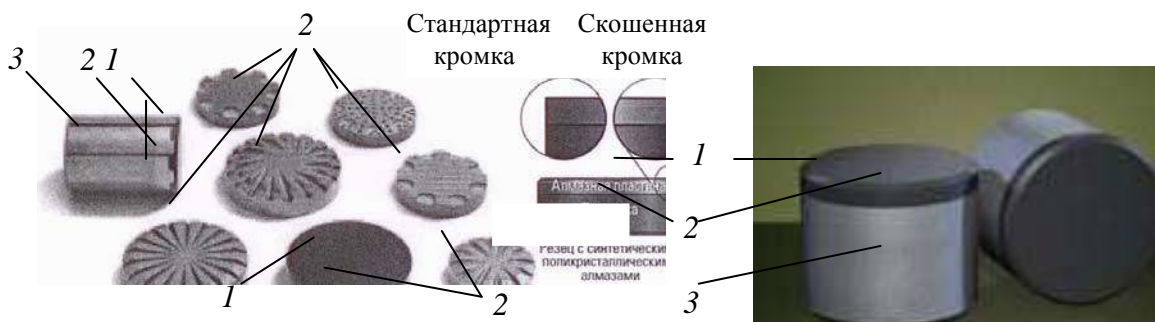


Рис. 1.22. Виды пластинок и резцов PDC и возможные формы:

1 – поликристаллические алмазы; 2 – подложка из твердого сплава; 3 – корпус резца

Примером наиболее современных среди созданных в настоящее время инструментов, являются долота компании *Tough-Drill™ Varel PDC*. Диаметр долот варьирует от 88,9 до 469,9 мм и они изготавливаются как в матричном исполнении, так и со стальным торцом (диаметр от 215,9 до 660,4 мм). Данные долота разработаны для бурения различных по твердости горных пород, в том числе и твердых. Они обеспечивают высокую скорость бурения и высокий ресурс в абразивных и твердых породах из-за высокоэффективных вставок PDC, улучшенной гидравлики очистки и охлаждения резцов долота. Улучшенные качества долот обеспечивают так же снижение износа, устраняется повторное перемалывание разрушенной породы, устраняются возможные зоны скопления шлама.

Для проектирования резцов и долот разработчиками используются современные компьютерные технологии инженерного проектирования на основе метода конечных элементов типа *Nastran, Patran, Ansys*.

Подразделение *Smith Bits* компании *SMITH* разработало интегрированную инженерно-аналитическую систему *IDEAS*, в которой рассматривается работа резца в динамической среде бурения с учетом влияния всех компонент буровой компоновки. Основной задачей *IDEAS* является производство оптимальных по эффективности конструкций долот и значительное сокращение времени цикла разработки инструмента.

Моделирование в системе *IDEAS* начинается с анализа показателей работы долота, геологических условий, условий бурения и износа долота. На основании этой информации разрабатываются и выполняются лабораторные испытания взаимодействия резцов с различными породами. По сравнению с другими системами проектирования долот, позволяющими оценить лишь взаимодействие резцов с породой, лабораторные данные из системы *IDEAS* представляют количественные параметры по фактическим усилиям на резцах и скоростям бурения. Информация используется для анализа конструкций долота с учетом литологических особенностей, аналогичных тем, для которых проектируется долото.

В результате получается буровое долото, обладающее динамической стабильностью при рабочих параметрах и условиях эксплуатации, для которых оно предназначено, что способствует увеличению срока службы и повышению скорости проходки. Оптимизированные параметры могут поддерживаться для обеспечения более быстрой и продолжительной работы долота при снижении нагрузки на компоновку и оборудование буровой установки.

Программа четырехмерного моделирования *i-Drill* как составная часть системы *IDEAS* при помощи метода конечных элементов и данных, полученных в ходе лабораторных исследований свойств горных пород с использованием сверхмощных вычислительных машин, позволяет прогнозировать поведение долота в скважине с учетом работы буровой компоновки.

Модель, построенная с помощью синхронизированного по времени моделирования с шестью степенями свободы, достаточно точно прогнозирует силы и вибрации, которые часто оказывают решающее воздействие на отклоняющее усилие на долоте, срок службы

забойных датчиков, целостность бурильной колонны и эффективность процесса бурения в целом.

Возможность выявления источника крутильных, осевых и поперечных колебаний позволяет специалистам по бурению и искривлению ствола скважины определить необходимые изменения в компоновке снаряда и оптимизировать режимы бурения. Программа *i-Drill* обеспечивает пометровую оценку прочности бурильной колонны, получаемую измерением момента на изгиб в двух осях. Направление отклоняющих усилий на долоте определяется силами, возникающими на долоте при взаимодействии с породой с учетом динамики всей бурильной колонны.

Компания *Smith Technologies* разработала программу моделирования гидравлики бурения и очистки ствола *Yield Point* с целью оптимизации выбора типа и свойств бурового раствора в соответствии с условиями бурения. После ввода исходных данных программа *Yield Point* выполняет графическое моделирование свойств бурового раствора, скорости движения промывочной жидкости, механической скорости проходки, а также площади сечения гидромониторных насадок, а затем позволяет оценить влияние соответствующих параметров на гидравлические характеристики долота и очистку ствола скважины.

База данных *Smith Bits (DRS)* содержит информацию о трех миллионах отработанных буровых долот практически со всех нефтяных и газовых месторождений мира. Помимо того что база данных используется для проектирования, она также позволяет системе оптимизации выбора буровых долот *DBOS* обеспечить правильный выбор долот для эффективного бурения конкретной породы.

Компанией *Varel* разработан собственный программный продукт под названием *SPOT™* для проектирования инструмента. Компьютерное моделирование позволяет оценивать качества долот, их ресурс и производительность в процессе компьютерного тестирования. Улучшенная система очистки забоя обеспечивается установкой направляющих насадок долота, ориентирующих поток жидкости в радиальном направлении горизонтально забоя вдоль линии расположения резцов (рис. 1.23). Горизонтальную струю жидкости создают насадки, установленные у центра долота, остальные насадки размещены ближе к периферии торца, направляя поток в направлении забоя. Такая комбинированная система размещения насадок на торце долота обеспечивает качественную очистку забоя и охлаждение резцов.



Рис. 1.23 . Долото компании *Varel* со вставками *PDC*

В компании *Smith bits* используют вычислительную гидродинамику (*CFD*) для моделирования взаимодействия бурового раствора с долотом и стволом скважины (рис. 1.24). Сложные алгоритмы дают возможность воспроизводить широкий диапазон забойных условий, а также позволяют осуществлять оценку влияния конфигурации лопастей и положения насадок на структуру потока с целью оптимизации работы долота и повышения эффективности бурения за счет максимально эффективного использования

имеющейся гидравлической энергии.

Одна из самых больших проблем применения долот *PDC* – это их недостаточно эффективное использование при бурении твердых пород. При бурении твердых пород возникают повреждения от ударного характера разрушения породы, перегрев и повышенный абразивный износ резцов, поэтому для проходки в твердых породах в основном используются шарошечные и алмазные долота.

Долота *Security DBS* серии *FM3000*™ компании *Varel* включают новый вариант износостойкого *PDC*. Эти долота успешно расширяют использование *PDC*-вооружения для бурения кристаллических пород, позволяют получить высокие результаты, как по скорости бурения, так и по ресурсу инструмента (рис. 1.25). Вооружение долота отличается тем, что часть резцов *PDC* выполнены эллипсовидными, а часть – круглыми. Эллипсовидные вставки располагаются на лопастях, занимая значительную часть размера лопасти, но на периферии лопасти резцы имеют круглую форму. Вставка в форме эллипса имеет более высокие значения контактных напряжений в породе по сравнению с круглым резцом и более значительное заглубление в породе. Удлиненная форма резца увеличивает ресурс вставки. В результате долота с эллипсовидными вставками *PDC* обеспечивают эффективное бурение более твердых горных пород при сравнительно более низких значениях осевого усилия.

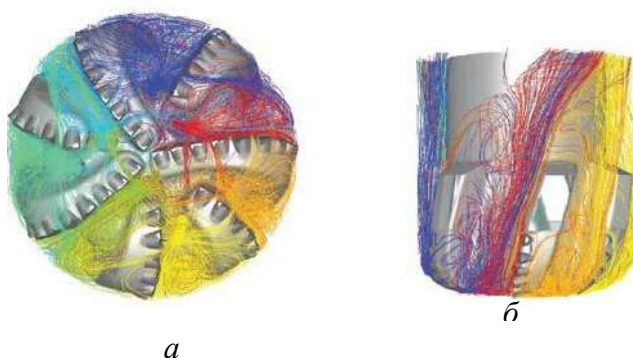


Рис. 1.24. Визуализация образа в системе анализа гидродинамики долот при компьютерном проектировании: *а* – вид с торца долота; *б* – вид сбоку

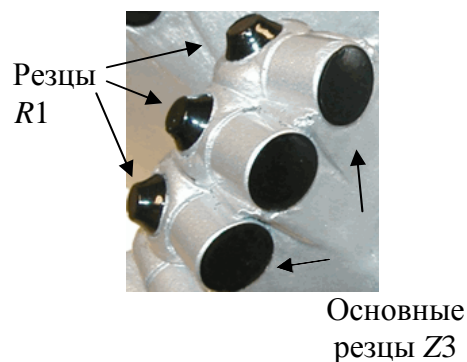


Рис.1.25. Вооружение долота *Security DBS* серии *FM3000*™

Долота *PDC* для бурения твердых пород разработаны с учетом динамики долота. Долота *FM3000* оснащены в качестве основного резца резцом типа *Z3*™. Резцы *Z3* опираются на вторичные *PDC* резцы *R1*, которые оптимизируют глубину резания основными резцами, ограничивая их чрезмерное заглубление в породе при переходе долота из более твердых пород к мягким породам, когда действующие осевые нагрузки оказываются чрезмерными.

Компания *Smiht Bits*, учитывая особенности износа пластин *PDC*, разработала долота с резцами *ONYX 360* и *ONYX II*, которые установлены в наиболее нагруженных частях торца долота с возможностью вращения в процессе бурения на 360° (рис. 1. 26). Бурение абразивного песчаника долотами *ONYX 360* показало рост ресурса долота на 57 %, а скорости бурения на 26 %.



Рис. 1.26. Резцы *ONYX 360*

Компанией Волгабурмаш (ВБМ) разработано и освоено производство долот *PDC* диаметром от 83 до 444,5 мм для бурения мягких, мягких с пропластками средних по твердости; средних и средних по твердости с пропластками твердых горных пород.

По области применения долота *PDC* компании ВБМ подразделяются на две линии:

FD – долота для бурения сплошным забоем вертикальных и наклонно-направленных скважин (рис. 1.27, *а, б, в*); *BD* – бицентричные долота для бурения с одновременным расширением ствола скважины (рис. 1.28).

Долота *PDC* обладают высокой износостойкостью, что по сравнению с трехшарошечными долотами обеспечивает кратное увеличение проходки при более высокой механической скорости бурения. Долота *PDC* компании ВБМ оснащены твердосплавными или комбинированными насадками, ориентированными так, чтобы максимально обеспечить баланс потоков бурового раствора для очистки долота и забоя.



Рис. 1.27. Долота *PDC* («Волгабурмаш») марки *FD* – конструктивные особенности – спиральная форма лопастей и установка зубков *PDC* на калибрующей части долота:
а – долота диаметром 214,3 мм – оснащены резцами обратной проработки; *б* – долото диаметром 215,9 мм – оснащены антивибрационной защитой долота



Рис. 1.28. Долото компании ВБМ марки *BD* для бурения с одновременным расширением ствола нефтяных и газовых вертикальных и наклонно- направленных скважин

Конструктивные особенности долот типа *FD* компании «Волгабурмаш» заключаются в следующих решениях (рис. 1.29):

- спиральная лопасть долота, что обеспечивает более высокую их прочность, большее число вставок на лопасти и позволяет обеспечивать более плавный режим работы долота и высокую управляемость при на правленном бурении (рис. 1.29, *а*);
- установка зубков *PDC* на калибрующей части лопастей, что обеспечивает более высокую износостойкость долот, сохранение диаметра скважины (рис. 1.29, *б*);
- антивибрационная защита долота обеспечивает плавный режим работы, повышение его ресурса (рис. 1.29, *в*);
- оснащение долот резцами обратной проработки обеспечивает при подъеме долота активную проработку и ствола скважины (рис. 1.29, *г*);
- устранение затяжек при сужении

- долото оснащается опорными вставками внутреннего конуса профиля долота, что снижает эффект «врезания» его в породу, дискретный рост крутящего момента и, как следствие, возникновение крутильных колебаний, повышается плавность хода при разрушении породы и управляемость при направленном бурении (рис. 1.29, д);

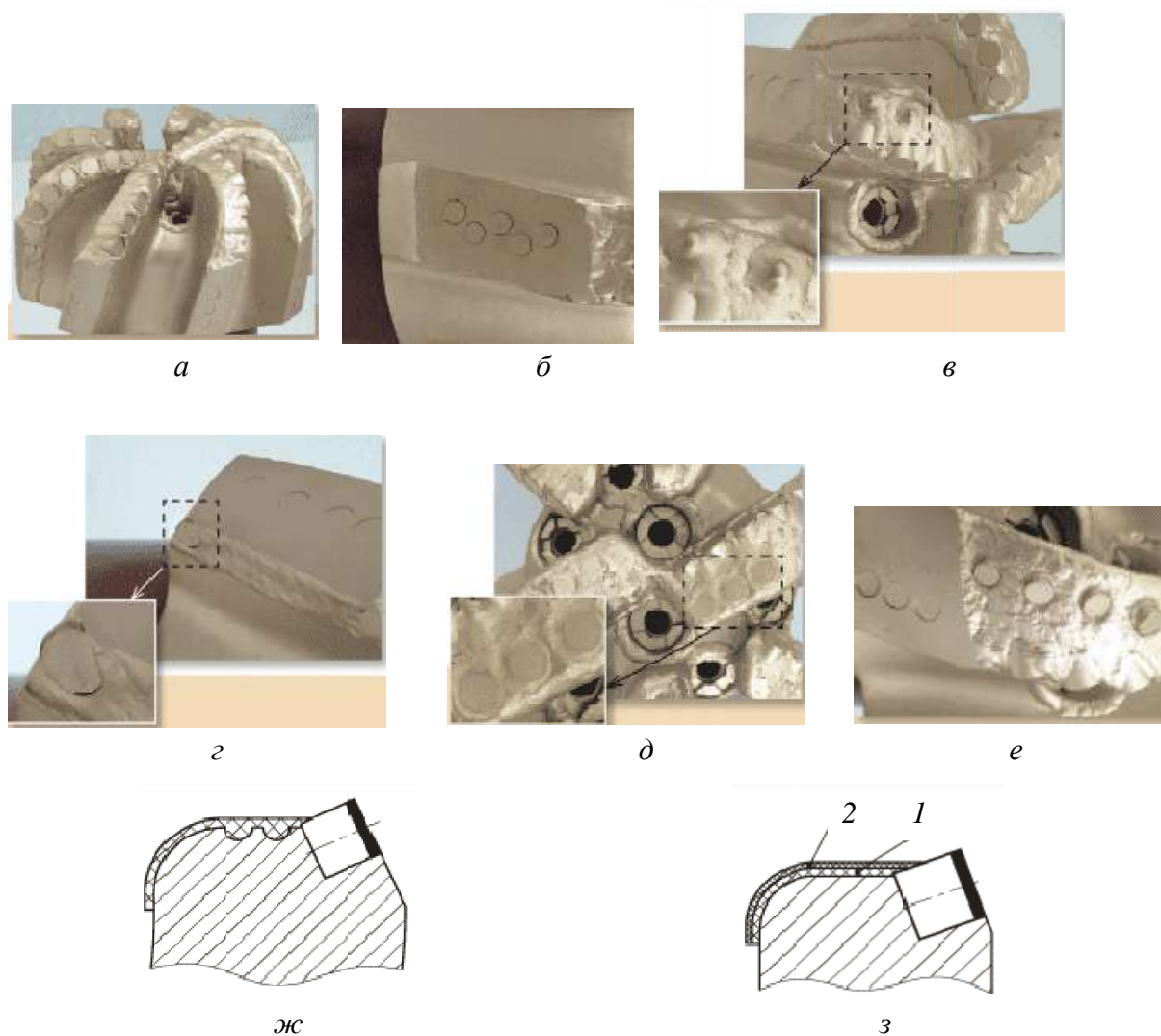


Рис. 1.29. Конструктивные особенности долот PDC конструкции компании «Волгабурмаш» (ВБМ)

- долото оснащается зубками предварительной деформации породы, которые устанавливаются позади основных резцов и ограничивают врезание этих резцов в породу, одновременно обеспечивают активное деформирование породы, ослабляют ее, что повышает плавность работы долота, его ресурс и управляемость при направленном бурении (рис. 1.98, е);

- усиленная наплавка на лопастях долота обеспечивает его высокий ресурс при бурении абразивных пород (рис. 1.29, ж);

- двухслойное покрытие корпуса долота дано на рис. 1.29, з, где 1 – защитное покрытие из плотной массы ультратвердых вольфрамовых карбидов; 2 – порошковое покрытие, имеющее гетерогенную смесь металлических порошков из пылеобразных матричных компонентов (карбидов вольфрама), выполненное методом газопламенного напыления с одновременным проплавлением, выполняет роль антивибрационного покрытия, обеспечивает сопротивление ударным нагрузкам (покрытие 1) и защищает долота от изнашивания и эрозии, в том числе и при высокой температуре (покрытие 2);

- упрочненный корпус долота за счет покрытия сплавом ВК;
- антисальниковое покрытие корпуса долота специальным сплавом снижает налипание породы на корпус и лопасти долота, что положительно сказывается на производительности бурения.

Для бурения мягких пород с целью снижения крутящего момента и улучшения их очистки на торцевой поверхности между основными резами выполняются концентрические проточки. Такие долота с резами *PDC* получили название *канавчатые*.

Долота с резами *PDC* применяют для бурения и с отбором керна (рис. 1.30).



Рис. 1.30. Колонковое долото с резами *PDC*

Показатели работы инструмента с пластинами *PDC* могут составлять в различных горногеологических условиях по механической скорости от 2,3 до 30 м/ч, а по стойкости от 200 до 1 000 м.

Таким образом, при бурении осадочных пород в сравнении с твердосплавным инструментом использование *PDC* позволяет повысить скорость бурения в 1,5–5 раз и стойкость в 5–15 раз. При использовании коронок, оснащенных пластинами *PDC*, при бурении песчаников получена скорость бурения 16 м/ч при стойкости 120–260 м против 3,6 м/ч и 30–60 м у твердосплавных коронок.

При бурении с отбором керна механическая скорость бурения увеличивается по сравнению с однослойными алмазными коронками в 4–5 раз, твердосплавными – до 10 раз.

Коронки с резами *PDC* способствуют повышению выхода керна. При бурении геологоразведочных скважин на твердые полезные ископаемые коронки, армированные пластинами с поликристаллическими алмазами, особенно перспективны в сочетании со снарядами со съемным керноприемником.

Компания *Atlas Copco* выпускает режущие коронки, вооруженные поликристаллическими алмазными вставками *Diapax* и *Tripax*.

Элемент *Diapax* выполнен в виде пластины с нанесенным слоем алмазов толщиной 0,5 мм, а *Tripax* в виде треугольных или квадратных блоков-режцов.

Коронки с пластинами *Diapax* (рис. 1.31) предназначены для бурения мягких, вязких глинистых, мерзлых грунтов, горных пород средней твердости. В подобных горных породах коронки с пластинами *Diapax* имеют очень высокий ресурс (до 1 000 м) и производительность. Недостатком таких коронок является низкая стойкость к ударным нагрузкам, что делает их непригодными для бурения массива с прослоями твердых горных пород.

При бурении пластины *PDC* изнашиваются по внешней режущей кромке, контактирующей с породой. Получившие односторонний износ пластины *Diapax* могут извлекаться из коронки и вновь устанавливаться с поворотом на некоторый угол, что позволяет восстанавливать инструмент 3–4 раза до полного изнашивания режущих кромок пластин. Суммарный объем бурения пластинами *Diapax* с учетом восстановления инструмента может, таким образом, составлять более 1 000 м.

Режим бурения коронками с пластинами *Diapax* предусматривает частоту вращения 50–80 мин⁻¹ и осевую нагрузку 10–20 кН.

Пластины *PDC* для бурения нефтяных и газовых скважин обеспечивают ресурс долот более 1000 м до первой реставрации.

Коронки с режущими вставками *Tripax* компании *Atlas Copco* состоят из поликристаллических алмазных компонентов, имеющих треугольную или квадратную форму (рис. 1.32, *а*, *б*). Масса вставки *Tripax* составляет 0,3–1,0 карат. Треугольная или квадратная форма создают хорошую режущую кромку и достаточно высокую прочность реза. Коронки со вставками *Tripax* применяются для бурения горных пород средней твердости и твердых. Их ресурс составляет от 50 до 250 м. В породах невысокой прочности ресурс коронок может составить около 1 000 м.

Коронками *Tripax* рекомендуется буриться частотой вращения 200–300 мин⁻¹ и осевым усилием 10–20 кН.

Механизм работы коронок с пластинами *Diapax* и вставками *Tripax* при бурении мягких и пластичных горных пород аналогичен механизму работы твердосплавных резцов с отрицательными передними углами. Отличие может определяться формой резцов, которые чаще всего изготавливаются в виде круглых пластин.

Коронки со вставками *Tripax*, в случае бурения твердых горных пород, разрушают их отдельными алмазами. При этом механизм разрушения близок к процессу разрушения горных пород мелкими резцами алмазного бурового инструмента.

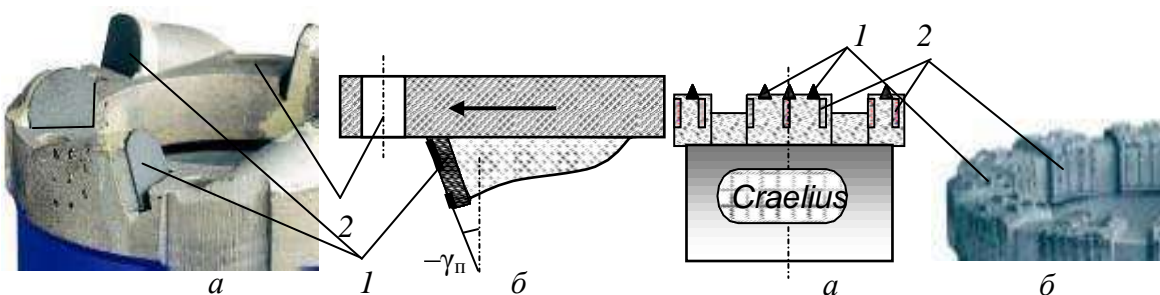


Рис. 1.31. Коронка с поликристаллическими вставками *Diapax* (*а*) и схема вставки (*б* – вид сбоку): 1 – вставка; 2 – отверстия для промывочной жидкости

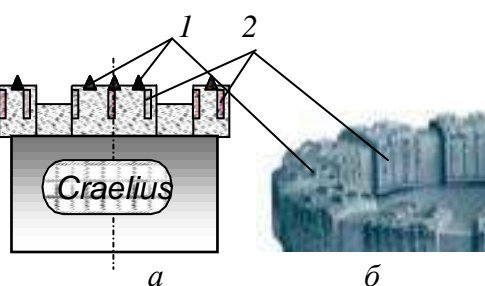


Рис. 1.32. Схема (*а*) и фото (*б*) коронок с элементами *Tripax*: 1 – вставки *Tripax*; 2 – подрезные вставки

Механизм работы резца, оснащенного *PDC* осуществляет разрушение пластичной породы путем резания с большим съемом породы. При этом механизм работы резцов *PDC* при бурении твердых горных пород отличается от механизма работы импрегнированного бурового инструмента, так как существенно зависит от формы и схемы расстановки резцов с пластинами *PDC* в коронке.

Например, исследования по оценке влияния угла поворота резцов *PDC* в фронтальной по отношению к торцу инструмента плоскости показали, что наиболее оптимальным углом поворота φ_p будет значение $5-10^\circ$. Причем поворот резцов, расположенных по наружной кромке торца, осуществляется в направлении наружного диаметра торца, а резцы, размещаемые по внутреннему периметру торца, поворачиваются внутрь торца коронки (рис. 1.33). При размещении резцов в инструменте с углом $\varphi_p = 0^\circ$ наблюдались заклинка керна и прижог пластин *PDC*. Это свидетельствует о накоплении разрушенной породы перед резцами и недостаточном их охлаждении, поскольку жидкость не попадает в зону контакта пластины *PDC* с горной породой. С целью удаления породы и более интенсивного охлаждения резцов коронки компании *Atlas Copco* (рис. 1.31) имеют фронтальные отверстия для подвода промывочного раствора непосредственно к резцам.

Установка резцов с углами поворота φ_p обеспечивает отвод разрушенной породы из забоя в направлении керна и стенки ствола скважины при бурении коронками и стенки скважины при бурении долотами.

С увеличением значений угла φ_p наблюдается повышение механической скорости бурения с одновременным снижением затрат мощности и вибрации инструмента (рис. 1.34).

При использовании бурового инструмента с резцами *PDC* особое значение имеет схема их размещения, которая существенно влияет на эффективность разрушения породы. Для повышения эффективности разрушения породы расстановка резцов должна максимально соответствовать условиям образования свободных поверхностей забоя скважины.

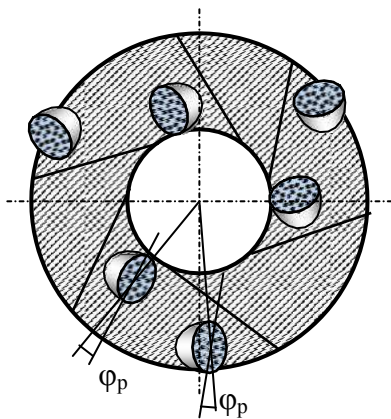


Рис. 1.33. Схема установки резцов с *PDC* на торце инструмента для обеспечения отрицательного угла резания со скважинно- и кernoобразующими боковыми поверхностями

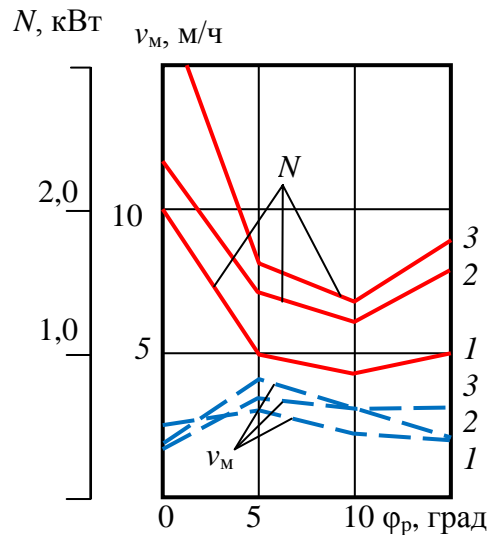


Рис. 1.34. Зависимость механической скорости бурения (v_M) и мощности на бурение (N) от величины угла φ_p : 1 – осевая нагрузка 500 даН; 2 – 750 даН; 3 – 1 000 даН

В работе приведены данные о стендовом бурении опытными долотами с тремя алмазными поликристаллическими пластинами *Stratapax*, установленными с передними углами -15 и -25° (угол φ_p), импрегнированной коронкой, вооруженной искусственными алмазами зернистостью 200–250 шт./карат и твердосплавной трехрезцовой коронкой, с передним отрицательным углом установки резцов -25° . Все коронки имели наружный диаметр 26 мм, внутренний – 14 мм.

В процессе эксперимента разбуривались три разновидности горных пород: гранит, известняк и доломит. Твердость гранита – $p_{ш} = 4,18$ ГПа, коэффициент пластичности $K_{п} = 1$; твердость известняка – 1,94 ГПа, $K_{п} = 1,8$; твердость доломита – 1 ГПа, $K_{п} = 4,3$.

Результаты бурения гранита тремя типами буровых инструментов приведены на графиках (рис. 1.35). Из полученных данных следует, что при более высоких и равных параметрах режима бурения механическая скорость бурения выше при бурении коронкой с *PDC* в сравнении с импрегнированной алмазной коронкой. Это объясняется тем, что контактные давления со стороны алмазов *PDC* существенно выше, чем со стороны алмазов импрегнированной коронки, так как последние равномерно распределены по всей поверхности матрицы, а у *PDC* расположены в пределах узких кромок боковых поверхностей пластин *PDC* (рис. 1.36).

В данном случае алмазы *PDC* работают в режиме эффективного объемного разрушения, при котором происходит скалывание, раздавливание и резание породы, тогда как алмазные резцы импрегнированной коронки могут работать при разрушении твердой породы в режиме поверхностного микроскалывания и истирания.

Подтверждением реализуемого механизма разрушения являются размеры борозд разрушения, оставленные на забое *PDC* и импрегнированной коронкой.

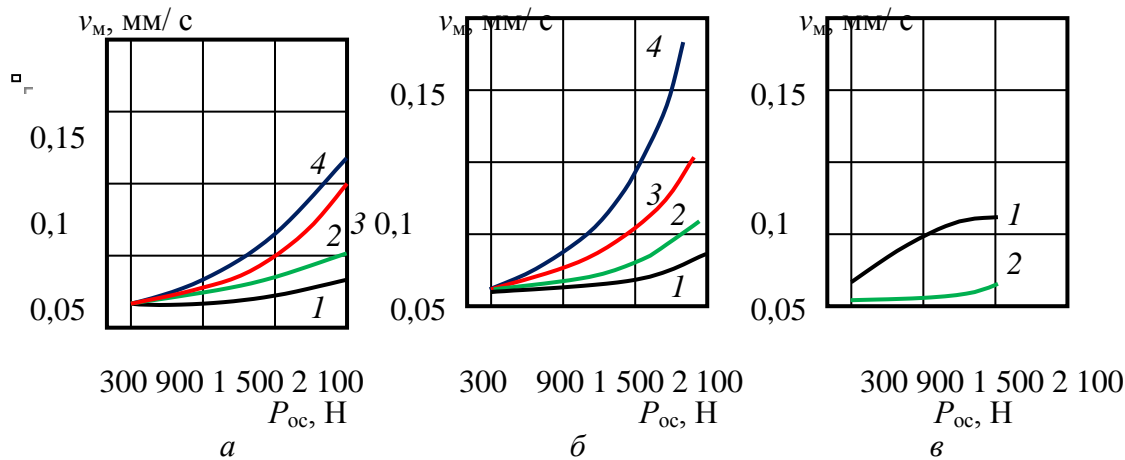


Рис. 1.35. Зависимость механической скорости бурения от параметров режима бурения гранита импрегнированной коронкой (а), коронкой с *PDC* (б) и твердосплавной коронкой (в): 1 – частота вращения $\omega = 170$ мин $^{-1}$; 2 – 425 мин $^{-1}$; 3 – 685 мин $^{-1}$; 4 – 960 мин $^{-1}$

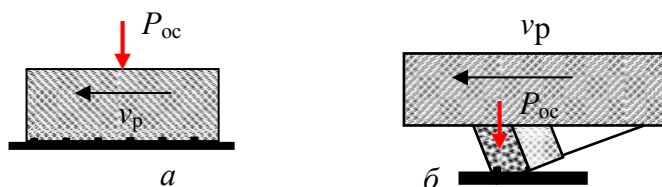


Рис. 1.36. Схема работы алмазных резцов импрегнированной коронки (а) и резца *PDC* (б)

При бурении импрегнированной коронкой ширина борозд разрушения 0,08 мм, глубина 0,02 мм, шлам существенно более мелкий 5 мкм в сравнении со шламом, который образуется при бурении коронкой с пластинами *PDC*.

При бурении гранита твердосплавными коронками видимых борозд на забое не образовывалось, шлам получен очень мелкий (не более 2 мкм). Эти признаки указывают на режим усталостно-поверхностного разрушения, при котором активно изнашиваются резцы коронки.

Данные, полученные при бурении гранита, известняка и доломита коронками с *PDC*, приведены в виде графиков на рис. 1.37.

Результаты эксперимента показали, что механическая скорость бурения доломитов в 6–8, а известняков в 7–14 раз превышает механическую скорость бурения гранита. При бурении доломита и известняков получены очень крупные частицы шлама.

Представленные данные позволяют установить [31], что при бурении известняков и доломитов резцы с *PDC* глубоко внедряются в породу, снимая слой разрушенной породы много больше размера алмазных зерен. Следует отметить, что буримость доломита оказалась ниже, чем у известняков, несмотря на то, что твердость известняка несколько выше. Очевидно, более значительные затраты энергии на разрушение доломита определены их повышенной пластичностью. Так, например, оказалось, что глубина борозд разрушения в доломите (0,04 мм) меньше в 3 раза глубины борозд разрушения в известняке (0,12 мм) при равной их ширине.

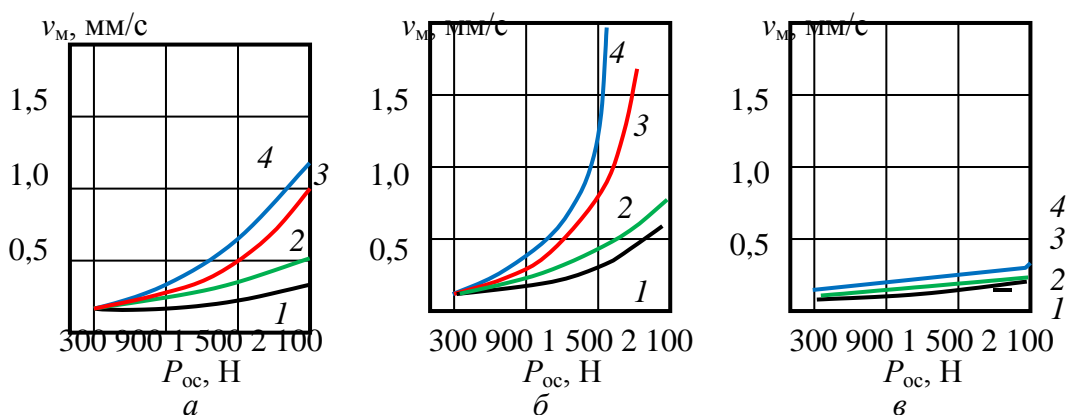


Рис. 1.37. Зависимость механической скорости бурения от параметров режима бурения коронкой с *PDC* доломита (а), известняка (б) и гранита (в): 1 – частота вращения ω – 170 мин⁻¹; 2 – 425 мин⁻¹; 3 – 685 мин⁻¹; 4 – 960 мин⁻¹

Таким образом, при бурении упругохрупких и хрупких твердых горных пород разрушение обнаженными алмазами резцов с *PDC* идет, главным образом, путем раздавливания и скалывания.

При бурении пластичных и пластично-хрупких пород разрушение происходит всем объемом алмазосодержащей пластины вдавливанием, пластическим резанием и скалыванием породы.

1.5. Разрушение горных пород алмазным буровым инструментом

1.5.1. Общие сведения об алмазном буровом инструменте

Производительность и работоспособность алмазного бурового инструмента во многом зависят от крупности, схемы размещения алмазов в матрице инструмента, ориентации их в направлениях к плоскости забоя и резания-скалывания по твердому вектору.

В 1939 г. в США ученые Краус и Лоусон установили для кристаллов алмаза грани и направления максимальной твердости, что позволило впоследствии изготавливать алмазный инструмент для бурения с ориентированной установкой алмазов. Производство алмазных коронок с ориентированной установкой алмазов в направлении разрушения горной породы впервые осуществлено в США в 1949 г. Опытное бурение показало, что достигается значительное снижение стоимости алмазного бурения (в 1,6 раза) и повышение проходки на коронку (в 1,37 раза).

Алмаз по шкале твердости минералов Мооса занимает максимальную 10 позицию (по шкале твердости М. М. Хрушова, микротвердость алмаза около 100000 МПа), а его твердость в 1000 раз превышает микротвердость кварца (7 позиция) и в 150 раз микротвердость корунда (9 позиция). Разница в твердости между алмазом и корундом значительно больше, чем между корундом и тальком, имеющим наименьшую твердость.

Величина алмаза с 1914 г. измеряется в каратах (0,2 грамма). Кристаллы алмаза крупнее 1 карата встречаются редко. Обычно вес их 0,2–0,4 карата.

Карат – мера веса драгоценных камней. Принята на Ближнем Востоке в средние века как вес зерна рожкового дерева.

Цвет алмазов определяется составом примесей и может быть от прозрачного до черного. Примеси в алмазах, например, металлы, являются причиной разрушения алмазного резца при бурении, поскольку примеси, имеют более значительный коэффициент теплового расширения по сравнению с алмазом, что может приводить при нагревании алмаза в процессе работы к его растрескиванию.

Для изготовления алмазного бурового инструмента применяют природные и искусственные алмазы.

Природные алмазы отличаются прочностью и износостойкостью, цветом и формой кристаллов (рис. 1.38).

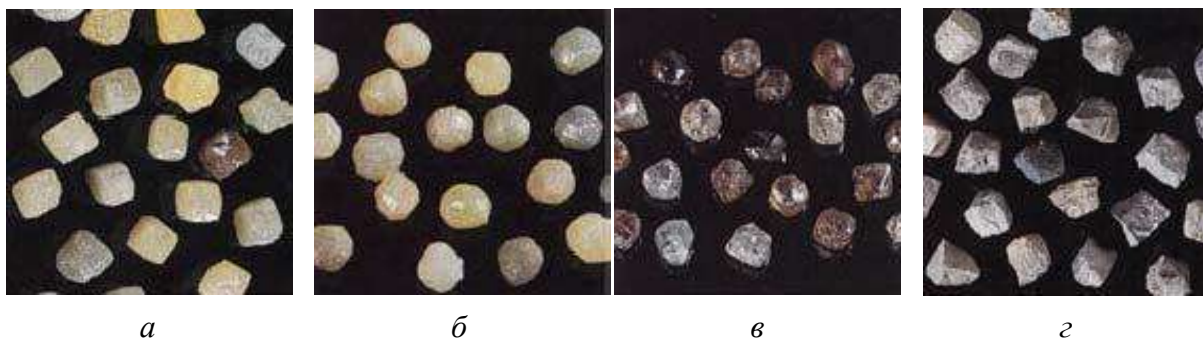


Рис. 1.38. Природные алмазы для изготовления алмазных долот: *а* – Конго кубической формы обладают средней износостойкостью и ударной прочностью; *б* – Конго сферические – стандартные монокристаллические алмазы сферической формы с шероховатой поверхностью обладают средней износостойкостью и хорошей ударной прочностью; *в* – Премиум двенадцатигранной формы обладают хорошей ударной прочностью и высокой износостойкостью; *г* – поликристаллические различной формы обладают высокой ударной прочностью и хорошей износостойкостью.

Широкое применение алмазный инструмент в практике бурения получил после открытия крупных месторождений в коренных горных породах – кимберлитах (от названия места – г. Кимберли, получила название алмазоносная площадь в ЮАР (Африка), которая открыта в 1871 г.).

В СССР первая кимберлитовая трубка «Зарница» открыта в 1954 г. в Якутии. С этих пор, после получения отечественного алмазного сырья, в стране начато производство алмазного инструмента и широкое развитие алмазного бурения взамен дробового.

Искусственные алмазы были получены в 1954 г. в США в лаборатории компании *General Electric* Г. Холлом и несколько позже одновременно в научно-исследовательских центрах Швеции, Японии, Бельгии и др. стран.

В СССР решением проблемы синтеза алмазов и организации их выпуска занимались Институт физики высоких давлений АН и Институт сверхтвердых материалов АН Украины, которыми промышленный выпуск алмазов осуществлен в 1960–1985 гг.

Буровой инструмент оснащается алмазами различной *зернистости*, измеряемой в количестве алмазов в карате (шт./кар.).

Основные размеры алмазов, применяемых в буровых инструментах, равны: 2–5 шт./кар. – диаметр зерна 3–4 мм; 10 шт./кар. – 2,5 мм; 15 шт./кар. – 2,0 мм; 20 шт./кар. – 1,8 мм; 50 шт./кар. – 1,3 мм; 90 шт./кар. – 1,1 мм; 150 шт./кар. – 0,9 мм.; 200–400 шт./кар. – 0,7–0,5 мм; менее 400 шт./кар. – менее 0,5 мм.



Рис. 1.39. Алмазные долота компании *Smith bits*.

В породах средней твердости наилучшие результаты показывают коронки, армированные алмазами зернистостью от 20 до 2 шт./кар., в твердых породах целесообразно использовать коронки с алмазами зернистостью от 200 – 20 шт./кар.) и в очень твердых породах – 600–150 шт./кар.

Для изготовления алмазных долот применяют алмазы зернистостью от 1 до 20 шт./кар. Конструкции алмазных долот показаны на рис. 1.39.

Долота, армированные природными алмазами, предлагаемые компанией *Smith Bits* (рис. 1.39), предназначены для бурения в различных породах – от средне-мягких до твердых. Долота отличаются профилями режущей структуры, системами промывки с зонами высокого и низкого давления жидкости или с радиальным потоком, а также имеют широкий выбор конфигурации алмазных вставок, что позволяет подобрать оптимальный тип долота для конкретных условий бурения.

При оснащении буровых инструментов, как правило, боковые – подрезные резцы изготавливают из более крупных алмазов, чем торцевые. Места перехода от торцевой к боковой части матрицы армируются также более крупными алмазами.

В связи с появлением таких сверхтвердых материалов, как *Stratapax*, крупные природные алмазы зернистостью 2–10 шт./кар. в буровом инструменте заменяются резцами *PDC*, потому что они отличаются большей прочностью и износостойкостью.

Величина выпуска алмазов из матрицы зависит от твердости буримых пород и размера алмазов. При бурении пород средней твердости она может быть до 30 % размера алмазов, твердых пород – до 20 %, а максимально твердых – до 10 %.

Различают коронки и долота без заданного выпуска алмазов, в которых он составляет 5–10 % размера алмаза, и с заданным выпуском алмазов, в котором выпуск резцов составляет 20–30 % их линейного размера.

Матрицы современного алмазного бурового инструмента изготавливают методом порошковой металлургии путём пропитки или горячего прессования. В первом случае матрица состоит из частиц тугоплавких металлов: карбида вольфрама, кобальта и пластичного связующего металла или сплава, например меди. Связующее вещество образует при спекании жидкую фазу, объединяющую при остывании все компоненты матрицы, в том числе и алмазы. Порошковые матрицы более износостойки, чем литые, и позволяют использовать очень мелкие алмазные зерна.

В каркас матриц, изготавливаемых методом пропитки, могут входить в различных соотношениях вольфрам, карбид вольфрама, кобальт, железо, никель. Пропитывающий состав делают обычно из меди, никеля, алюминия. Кроме того, в составе матрицы могут быть наполнители (до 30 %): зерна релита, гранулы твердого сплава типа ВК и др.

В матрицы, изготавливаемые способом горячего прессования, могут входить: бор, гидрид титана, медь, карбид вольфрама, кобальт, никель, олово, титан, железо, цезий, фосфор, цинк.

Матрицы отличаются твердостью – важнейшей характеристикой, определяющей во многом эффективность алмазного бурового инструмента. Твердость матрицы вычисляют по методу Роквелла. Она может быть: HRc 10–20 – очень мягкая; HRc 15–20 – мягкая; HRc 25–30 – средней твердости; HRc 30–35 – твердая; HRc 50–55 – очень твердая.

Твердые матрицы предназначены для бурения абразивных и менее твердых горных пород, мягкие для бурения более твердых и менее абразивных горных пород. Правильный выбор твердости матрицы задает темп её изнашивания и, соответственно, обнажение алмазных резцов при бурении, что в результате определяет эффективность бурового процесса. Чрезмерный темп изнашивания матрицы приводит к потере алмазных резцов, а замедленный износ – к изнашиванию самих алмазов – их заполированию (рис. 1.40, а, б).

Заполирование алмазов – образование на их поверхности площадок износа, ориентированных параллельно забою скважины и имеющих гладкую полированную поверхность.

В идеальном случае при бурении импрегнированным буровым инструментом износ матрицы и алмазов происходит с одинаковой скоростью.

Вооружение алмазного бурового инструмента во многом определяется насыщенностью матрицы алмазами – отношением объема алмазов к объему матрицы инструмента в процентах. Опыт бурения показывает, что этот показатель должен составлять в среднем 5–10 %. В ряде случаев ведущие фирмы выпускают инструмент с насыщенностью алмазами 15–25 %.

Насыщенность алмазами, равно как и качество алмазов, определяют ресурс бурового инструмента, его стойкость.

Расход алмазов без рекуперации для организаций Министерства Геологии СССР обычно составлял 0,6–0,9 карат/м в зависимости от твердости горных пород и совершенства применяемой технологии бурения.

*Рекуперация (лат. *recupertion* – возвращение, получение обратно) – извлечение сохранившихся алмазов из отработанного алмазного инструмента с целью их повторного использования.*

По расположению алмазных резцов в матрице буровые инструменты подразделяются на однослойные и импрегнированные (рис. 1.41, а, б).

Для бурения применяют однослойные алмазные буровые инструменты с зернистостью резцов в основном от 10 до 150 шт./кар., в которых алмазы располагаются

на торце в один наружный слой, и импрегнированные алмазные коронки с более мелкими алмазами, которые располагаются в несколько слоев (5–9). Число слоев алмазов в импрегнированных буровых инструментах определяется зернистостью алмазов: чем более мелкие алмазы, тем больше число алмазных слоев имеет коронка.

В однослойных буровых инструментах алмазы могут располагаться по следующим основным схемам (рис. 1.42): *a* – в шахматном порядке; *б* – по радиальным направлениям; *в* – по косым радиусам; *г* – по концентрически окружностям.

Возможны, естественно, и иные схемы размещения алмазов, в том числе ориентированная их установка с учетом направлений максимальной твердости алмазного зерна. Критериями эффективного расположения алмазов в матрице являются равномерное распределение на торце и перекрытие движущимися резцами всего забоя буримой скважины тем количеством алмазов, которое необходимо разместить в коронке.

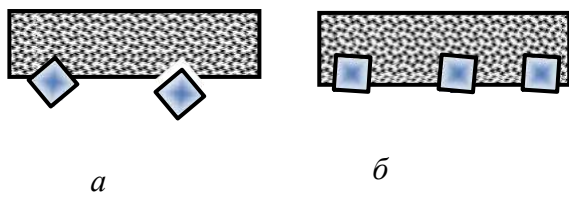


Рис. 1.40. Варианты аномального изнашивания матриц алмазных буровых инструментов:
a – интенсивный износ матрицы – потеря алмазных резцов; *б* – недостаточный износ матрицы – заполирование алмазных резцов

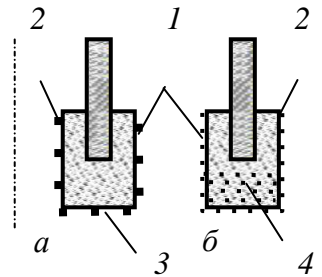


Рис. 1.41. Вооружение алмазных коронок и долот – однослойных (*a*) и импрегнированных (*б*):
1 – наружные подрезные резцы; *2* – внутренние подрезные резцы; *3* – торцевые резцы; *4* – слои алмазов

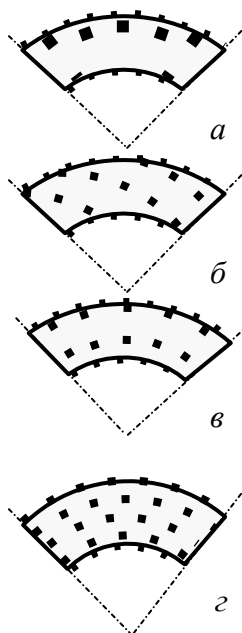


Рис. 1.42. Схема раскладки алмазов в коронках

Для повышения прочности соединения алмазов с матрицей применяют грануляцию алмазных зерен, которая состоит в покрытии алмаза металлом. Наиболее интересен вариант «металлизации» алмаза пористым хромом. В этом случае достигается не просто высокая адгезия зерна с матрицей, но и соединение за счет проникновения материала матрицы в поры оболочки из хрома.

Для бурения в основном применяют алмазы необработанные с острыми режущими гранями, овализованные и полированные.

Овализованные алмазы получают механической обработкой для придания им округлой формы.

Полирование овализованных алмазов производят для уменьшения силы их трения о породу при бурении. При овализации и последующем полировании алмазов удаляются их выступающие части, в результате образуются гладкие поверхности камней и округлая форма. Овализация и особенно полирование убирают с поверхности алмаза трещины и дефекты, что повышает прочность алмазного зерна.

Таким образом, алмазные резцы геометрически могут соответствовать форме многогранника (пирамида, пирамида с площадкой износа) или округлого резца, форма которого близка к шару.

Импрегнированные алмазные долота. Для бурения самых твердых и абразивных пород при реализации высоких значений частот вращения винтовыми забойными двигателями и турбобурами в настоящее время успешно используются импрегнированные алмазные долота с различной формой торцевой породоразрушающей части.

На рис. 1.43 показано долото *Kinetic* компании *Smith Bits* с удлиненной калибрующей поверхностью и развитой комбинированной системой импрегнированного алмазного вооружения.

В буровых долотах *Kinetic* компании *Smith Bits* используются комбинированные породоразрушающие элементы с алмазными резцами в виде импрегнированных лопастей 1, отдельных цилиндрических вставок *GHI* 2 и резцов из поликристаллических алмазов типа *TSP* 3 (рис. 1.44).



Рис. 1.43. Импрегнированные алмазные долота *Kinetic*

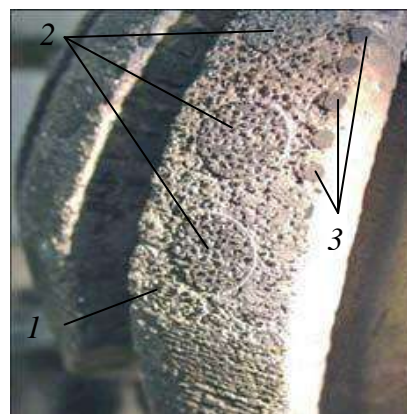


Рис. 1.44. Вооружение долота *Kinetic* с термостабильными поликристаллическими алмазными резцами (*TSP*) на режущей кромке лопастей: 1 – импрегнированная лопасть; 2 – вставки *GHI*; 3 – резцы *TSP*

Вставки *TSP* расположены на калибрующей поверхности с целью поддержания номинального диаметра скважины. При использовании в крайне абразивных породах они устанавливаются на периферийную часть профиля долота для увеличения прочности и износостойчивости на данном участке лопасти, испытывающей при бурении максимальные усилия и изнашивание. Конструкции буровых долот имеют увеличенные по высоте лопасти, что позволяет распределить больший объем алмазного материала и обеспечивает большую проходку, чем при использовании традиционных импрегнированных буровых долот. Буровые долота *Kinetic* также характеризуются индивидуальным подходом при конструировании для конкретного типа забойного двигателя, применяемого в данных условиях. Профиль долота подбирается в зависимости от того, используется ли оно с винтовым забойным двигателем или турбобуром. Долото *Kinetic* демонстрирует высокую производительность бурения в комплексе с турбобурами за счет высокой частоты вращения, реализуемой данными забойными двигателями. Увеличенная калибрующая поверхность в сочетании со стабильностью турбобура обеспечивает высокое качество ствола скважины, исключая его винтообразное искривление, характерное для долот с режцами *PDC*.

В долоте используется комбинация распределения центрального потока жидкости и точно размещенных промывочных отверстий для улучшения его охлаждения и обеспечения эффективной очистки. Конструкция бурового долота *Kinetic* позволяет производить эффективное бурение переслаивающихся пород при поддержании оптимальной механической скорости проходки, что исключает необходимость замены долота для бурения различных пород.

Долота *Kinetic* конструируют с использованием точно спроектированных горячепрессованных вставок *GHI* (рис. 1.45), алмазных резцов высшего качества, термостабильных поликристаллических алмазов (*TSP*) и матриц с импрегнированными алмазами. Компоненты *GHI* состоят из комбинации алмазных кристаллов и порошка карбидо-вольфрамовой матрицы, подобранной для обеспечения специальных свойств материалов, применяемых в конкретных условиях.



Рис. 1.45. Внешний вид горяче-прессованных вставок (*GHI*).

Для вставок *GHI* применяется гранулирование, обеспечивающее более равномерное распределение алмазного материала. Получаемый равномерный состав обладает большей прочностью, сохраняет форму и имеет высокую скорость бурения в течение более длительного периода.

При бурении вставки постоянно самозатачиваются путем стирания связующего материала и открытия новых алмазных резцов. Благодаря тому, что вставки *GHI* выступают над поверхностью лопастей, они обеспечивают высокий уровень контактных давлений на горную породу и режим эффективного разрушения самых твердых горных пород. В то же время импрегнированные долота *Kinetic* используются для бурения пород самой различной твердости за счет комбинированной системы вооружения,

которая позволяет реализовать резание лопастями мягких горных пород и резание-скалывание горных пород средней твердости, а также микрорезание и истирание алмазными резами горных пород высокой твердости (рис. 1.46, *а*, *б*). Гибридные долота *Kinetic*, обозначаемые буквой *H*, имеют комбинированное вооружение из *PDC*-резцов, природных алмазов и термостабильных поликристаллических алмазов. Долота *Kinetic* могут модифицироваться за счет использования разных связующих материалов и различных по размеру кристаллов в соответствии со свойствами буримой породы и типом забойного двигателя для идеальной эксплуатации при высоких частотах вращения, возникающих при использовании турбобуров. Выступ вставок *GHI* из корпуса долота повышает объем потока жидкости перед долотом, что позволяет использовать его для разбуривания оснастки обсадной колонны, увеличить механическую скорость и применять их при бурении на регрессии, когда работа шарошечных долот и долот *PDC* приводит к снижению механической скорости и проходки на долото.

На рис. 1.47 представлено импрегнированное алмазное долото компании *UniDrill* (ОАО «Универсальное бурение», Россия). Данные долота имеют матричный корпус, в режущую структуру которых входят сегменты различной формы с импрегнированными в них мелкозернистыми искусственными алмазами.

Состав матрицы подбирается в зависимости от породы с таким расчетом, чтобы её износ происходил немного быстрее, чем износ алмазов. Долота предназначены для бурения с помощью ротора или забойных двигателей в твердых и сильно абразивных породах.

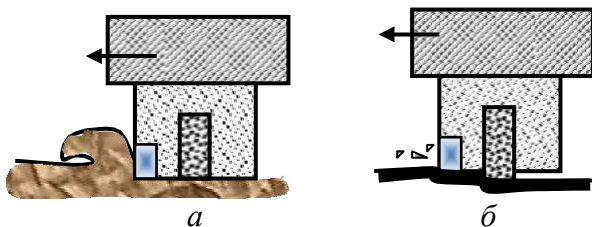


Рис. 1.46. Схемы, поясняющие принцип работы импрегнированных долот *Kinetic*: *а* – в мягких горных породах и породах средней твердости; *б* – в твердых горных породах



Рис. 1.47. Импрегнированное алмазное долото компании *UniDrill* типа *UI*

1.5.2. Разработки алмазных инструментов компаний Atlas Copco и Boart Longyear

В настоящее время значительный объем геологоразведочного бурения выполняется на оборудовании и инструментом таких ведущих мировых производителей, как компании *Atlas Copco* и *Boart Longyear*.

В соответствии с рекомендациями компании *Atlas Copco* выбор инструмента и технологии бурения производят на основании оценки абразивности, трещиноватости и твердости горных пород, которые сгруппированы и разбиты на пять категорий.

К первой группе относятся крупнозернистые, сильнотрещиноватые и сверхабразивные породы (сланец, аргиллит и известняк). Для их бурения рекомендуются импрегнированные коронки типа *Craelius* и *Hobic* с максимально твердыми матрицами.

Вторая группа пород характеризуется как трещиноватые и абразивные (песчаник, доломит, туф, кремнистый сланец). Для бурения этих пород рекомендуются коронки с менее твердыми матрицами.

Третья группа пород характеризуется как среднеабразивная (андезит, базальт, пегматит, диабаз, габбро, диорит). Коронки, рекомендуемые компанией, имеют еще менее твердые матрицы.

Четвертая группа пород – это крепкие слабоабразивные породы (гнейс, диорит, гранит, кварцит, порфир).

Пятая группа пород – очень крепкие и неабразивные породы (кварц, риолит, кремнистый известняк, таконит, лимонит, яшма). Для таких горных пород предлагается инструмент с наиболее мягкой матрицей.

Для изготовления импрегнированных коронок используют искусственные алмазы, однослойных коронок – природные алмазы зернистостью 30/50 или 20/25 шт./карат. Более крупные камни используются в коронках для бурения менее твердых, а более мелкие – более твердых горных пород. Алмазы в однослойных коронках применяются только группы *S*, в которую попадают обработанные и полированные алмазы повышенного качества.

Создаваемый буровой алмазный импрегнированный инструмент отличается не только формой торцевой части и промывочных каналов, но и высотой матриц. Например, коронки типа *Craelius* могут иметь матрицу высотой 6,5; 9,5; 12 и 16 мм. Коронки типа *Hobic* 6,5; 8; 10 мм. У коронок компании *Boart Longyear* типа *Alpha* высота матрицы может быть 9,5; 12 и даже более 25 мм.

Последняя из коронок имеет маркировку *Alpha Stage 3* (рис. 1.48). Её уникальность в наличии трех рабочих «этажей», располагаемых по вертикали, при этом каждый из них оснащен тремя промывочными каналами.

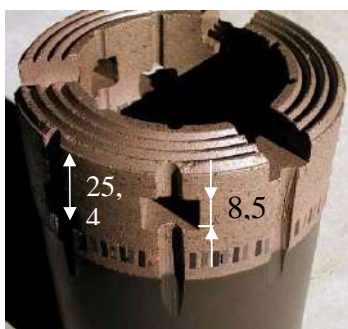


Рис. 1.48. Импрегнированная коронка компании *Boart Longyear* типа *Alpha Stage 3*

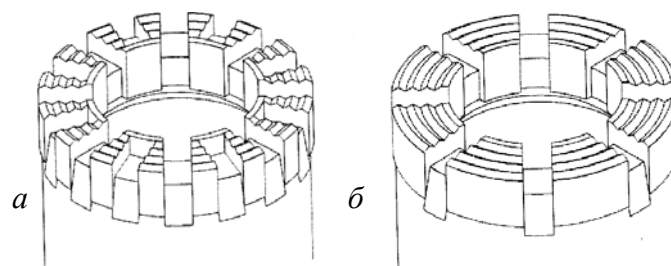


Рис. 1.49. Геометрия торца импрегнированных алмазных коронок *Alpha Bit* компании *Boart Longyear* типа *Express* с дополнительными каналами на торце (а) и стандартного типа (б)

На первом этапе работы коронки действуют все три «этажа» матрицы, пропуская жидкость. При этом нижние окна обеспечивают проход жидкости для удаления шлама с забоя скважины. По мере срабатывания матрицы площадь, а затем и число каналов уменьшаются, а на заключительном этапе, когда в работе находится только последний «этаж» матрицы, работают только три оставшиеся промывочные каналы.

Сравнительные испытания коронок типа *Alpha Stage3* и *Alpha Extended Crown* с высотой матрицы 12 мм показали, что интервал бурения первыми коронками в очень твердых породах составил 126–130 м, вторых 40–41 м. При бурении пород средней твердости соотношение длины проходки этими коронками составило соответственно 400–500/140–150 м.

Низкая (6,5, 8,0 мм) и стандартная (9,5 мм) высота матрицы используется для коронок, срок службы которых не влияет на количество операций спуска и подъема, а также если ожидается значительный износ коронки по диаметру. Для снарядов со съемным керноприемником обычно рекомендуются коронки с очень высокой матрицей (12 мм) и суперматрицей (16 и 25 мм).

Для импрегнированных коронок основным является W-профиль, эффективный за счет образования свободных поверхностей разрушения горной породы, что способствует ее разрушению.

Методика выбора коронок типа *Alpha* (рис. 1.49) компании *Boart Longyear* рассмотрена на рис. 1.50. Эти коронки выпускаются со значительным числом модификаций и оснащены алмазами в оболочке из хрома, что повышает прочность соединения их с матрицей и эксплуатационные показатели инструмента.

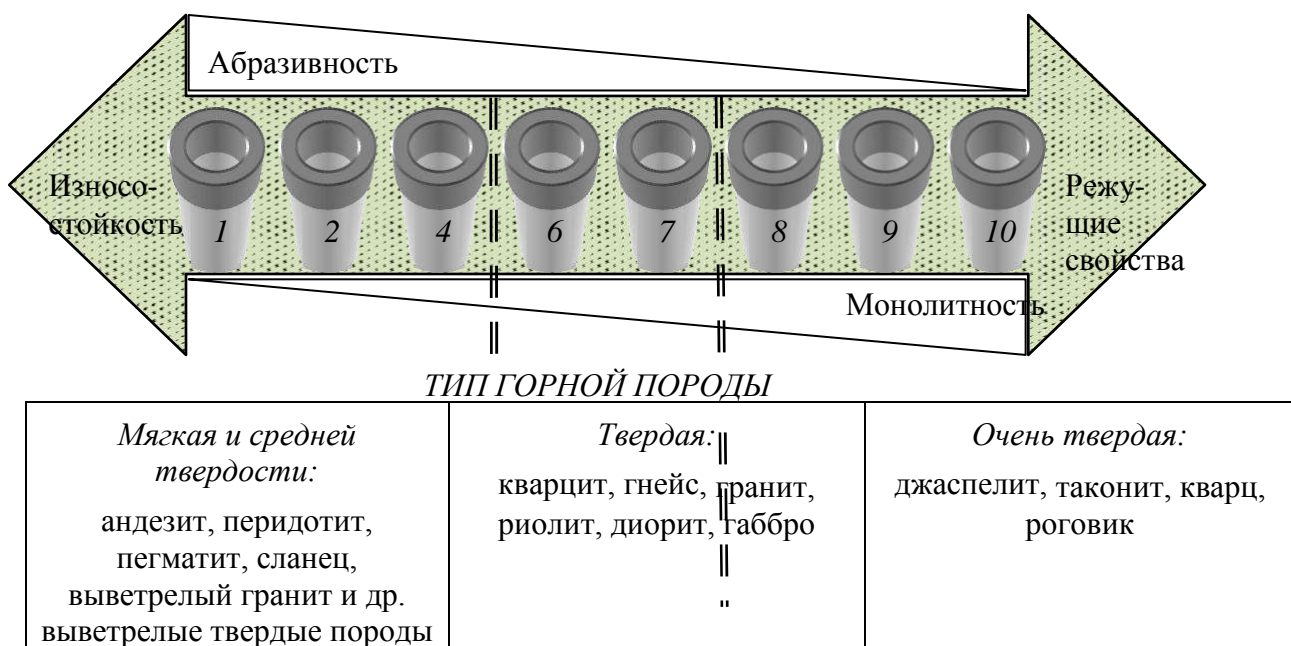


Рис. 1.50. Технологическая схема выбора алмазных импрегнированных коронок *Alpha Bit* компании *Boart Longyear*: 1) коронки с матрицами от 6 до 10 серии могут изготавливаться с дополнительными каналами на торце (*Express*) и увеличенной высотой матрицы (*Extended Crown*); 2) коронки могут изготавливаться с увеличенной шириной промывочных окон (*Super-Flush*) и дополнительными торцевыми промывочными отверстиями (*Face Discharge*); 3) для бурения твердых и одновременно абразивных, а также трещиноватых горных пород коронки стандартной серии 6,7 и 8 изготавливаются с более твердой и прочной матрицей в версии *Abrasive*; 4) для бурения очень твердых горных пород коронки стандартных серий 6, 7, 8, 9 и 10 изготавливаются в версии *Competent*.

Как следует из представленного (рис. 1.50) материала, методика выбора алмазной коронки компании *Boart Longyear* аналогична методике компании *Atlas Copco* и основывается на разделении горных пород по абразивности, монолитности (твердости) и трещиноватости.

При управлении процессом бурения для каждого типа коронки компаниями *Atlas Copco* и *Boart Longyear* рекомендуется рациональная частота вращения, выбор которой определяется по линейной скорости в пределах 2–5 м/с, и усилие подачи, которое должно обеспечить определенную скорость проходки. Критерием оптимального управления алмазным бурением является значение показателя *RPI* (число оборотов на сантиметр подачи).

Таблица 1.3.

Пример выбора параметров режима бурения в соответствии с управлением по методике рациональной *RPI*

Типоразмер коронки	Расход промывочной жидкости, л/мин	Частота вращения, мин ⁻¹	Скорость бурения см/мин при <i>RPI</i> , об/см		Осевая нагрузка, даН
			80	100	
<i>BQ</i> – 59,6 мм	23-30	1 700	22	17	900–2 300
		1 000	13	10	
		700	9	7	
<i>NQ</i> – 75,3 мм	30-38	1 350	17	14	1 400–2 700
		800	10	8	
<i>HQ</i> – 96,1 мм	38-45	1 000	13	10	1 800–3 600
		600	8	6	
<i>PQ</i> – 122,6 мм	68-87	800	10	8	2 300–4 500
		600	6	5	

В табл. 1.3. приведены рекомендуемые параметры режима бурения импрегнированными коронками компании *Boart Longyear*, выбираемые в соответствии с критерием *RPI*.

Например, при частоте вращения 1 200 мин⁻¹ и скорости проходки 6 дюймов (15 см) показатель *RPI* составит $1\,200/15 = 80$. Управление процессом бурения осуществляют, ориентируясь на *RPI* = 80–100, но считаются допустимыми и более высокие скорости проходки, для которых *RPI* = 60–50. В данном случае критерием выбора параметров режима бурения и скорости углубления является износостойкость инструмента.

1.5.3. Динамические нагрузки на алмазы в процессе разрушения горных пород

Повышенная хрупкость алмаза делает его очень чувствительным к вибрации. При сильной вибрации ресурс алмазного бурового инструмента может снижаться в десятки раз по сравнению с инструментом, отработанным без наложения вибрации.

Вибрации бурового инструмента возникают из-за неравномерности разрушения горной породы и несовершенств самого инструмента, например вследствие неперпендикулярности торца, несовпадения осей корпуса, матрицы, резьбы и др.

Как правило, колебания инструмента происходят с частотой, кратной частоте вращения снаряда. Так, при частоте вращения колонны 200–800 мин⁻¹ алмазная коронка претерпевает от 3,3 до 13,3 колебаний в секунду [14]. Колебания инструмента приводят к динамическим нагрузкам на алмазы. Исследования динамических усилий, возникающих при разрушении горной породы единичным алмазом, показали [12], что процесс разрушения горной

породы резанием-скалыванием происходит скачкообразно. Амплитуда как осевого, так и тангенциального усилий разрушения непрерывно меняется. Причем каждому импульсу силы на осциллограмме (рис. 1.51) соответствует единичный акт разрушения горной породы. Запись единичных актов разрушения при больших скоростях позволяет утверждать, что по внешнему виду осциллограмма единичного акта разрушения во многом сходна с графиком разрушения упругохрупкой породы индентором.

При этом рассмотрение каждого отдельного импульса на осциллограмме (рис. 1.51) показывает, что нагрузка на алмазе возрастает от минимальных до максимальных значений в сотые и тысячные доли секунды. По существу, каждый импульс на осциллограмме соответствует микроудару алмаза по горной породе.

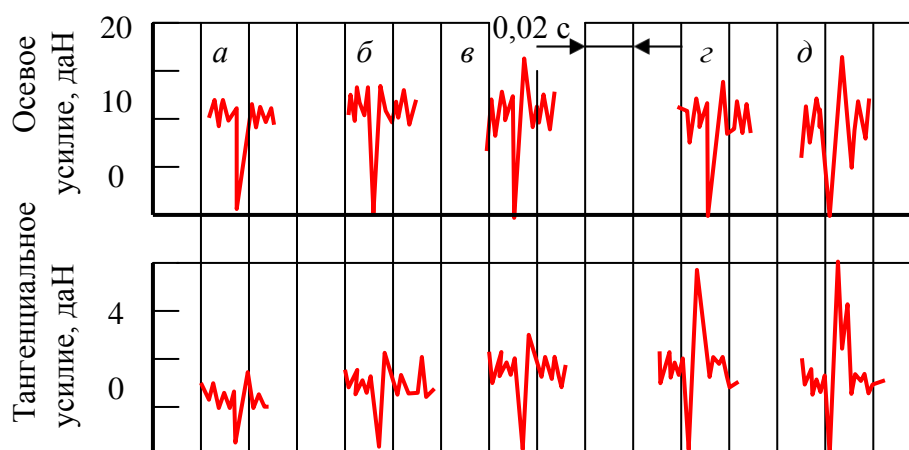


Рис. 1.51. Осциллограммы микроударов алмаза при пересечении трещины на различной глубине резания альбитофира (твердость 2 760 МПа, коэффициент пластичности 1,5), мм: а – 0,05; б – 0,75; в – 0,1; г – 0,13; д – 0,15.

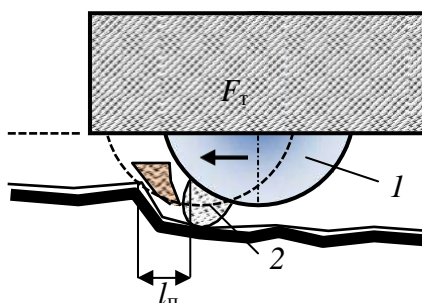


Рис. 1.52. Схема работы алмазного резца

Таким образом, в твердых упругохрупких и хрупких породах разрушение происходит циклически: микроудар – холостой ход – микроудар – холостой ход и т. д.

Динамический характер разрушения связан прежде всего с тем, что, производя скалывание породы передней гранью и создав относительно свободное пространство перед собой, алмаз определенный участок пути $l_{\text{п}}$ может пройти вхолостую, а затем, достигнув неразрушенной породы на пути своего движения, вновь столкнуться с породой, испытывая при этом динамические нагрузки (рис. 1.52).

В табл. 1.4. приведено соотношение динамических, тангенциальных и осевых усилий разрушения, а также импульс силы при разрушении хрупкого мигматита (твердость 3 000 МПа, коэффициент пластичности 1).

При проведении эксперимента наряду с микроударами при резании-скалывании монолитной породы фиксировался микроудар алмазного резца при пересечении открытой трещины.

Представленные данные показывают, что алмаз воспринимает в зависимости от частоты вращения инструмента от 300 до 700 микроударов в секунду, но с увеличением скорости перемещения резца количество микроударов на единицу пути уменьшается. Сила удара, воспринимаемого алмазом при пересечении трещины, зависит от твердости горных пород и глубины его внедрения в породу (рис. 1.52).

Таблица 1.4.

Зависимость изменения характеристик микроудара алмаза по горной породе от нагрузки и скорости резания.

Частота вращения, мин ⁻¹	Осевая нагрузка, даН			Тангенциальное усилие, даН			Импульс силы при пересечении трещины, даН		Продолжительность импульса, с
	min	max	Импульс силы, даН	min	max	Импульс силы, даН	Осевая сила, даН	Тангенциальное усилие, даН	
120	4,2	7,1	2,9	1,4	3,2	1,8	7,3	4,0	0,003
	4,9	7,9	3,0	2,0	4,0	2,0	6,25	4,25	0,003
	6,1	8,9	2,7	2,3	3,4	1,1	7,25	4,3	0,002
	6,9	12,2	5,3	2,1	4,5	2,4	9,5	5,4	0,004
	7,25	12,75	5,5	2,9	3,15	1,25	15,0	5,7	0,004
	8,5	11,2	2,7	2,5	3,5	1,0	9,5	5,0	0,004
375	4,5	7,0	2,5	1,5	3,1	1,6	7,25	4,7	0,002
	5,3	8,6	3,25	2,0	3,5	1,5	6,5	4,3	0,002
	5,5	8,0	2,5	2,1	3,1	1,0	5,6	3,25	0,0015
500	3,75	6,05	2,3	1,6	2,8	1,2	5,25	3,4	0,002
	5,5	7,0	1,5	1,6	3,0	1,4	5,75	3,8	0,002
	5,75	7,5	1,75	2,0	3,0	1,0	5,75	3,2	0,001
700	6,5	8,7	2,2	2,0	3,0	1,0	6,5	2,8	0,0016
	6,8	8,3	1,5	2,0	2,9	0,9	7,0	3,0	0,0016
	7,0	9,3	2,3	2,1	3,1	1,0	7,6	4,4	0,001

При ширине трещины, равной или несколько превышающей размер внедрившейся части алмаза, в момент пересечения трещины нагрузка на алмаз падает до нуля, а затем резко возрастает. С увеличением глубины внедрения алмаза в породу (повышение осевой нагрузки на резец) меняется амплитуда колебаний усилий до 1,5–2 раз. Отсюда следует, что максимальные динамические нагрузки на алмазный резец возникают при разрушении более твердого габбро, а при разрушении перидотита не наблюдается значительных колебаний осевого и тангенциального усилий.

Наличие трещины приводит к значительным перегрузкам на резец, которые особенно заметны на фоне незначительных динамических колебаний осевого и тангенциального усилий при разрушении перидотита.

Горная порода является диссипативной системой, что приводит к поглощению энергии ударного столкновения алмаза с ней. Влияние *диссипативных* свойств породы можно учесть через коэффициент внутреннего трения горной породы, который равен $\text{tg } \varphi_{\text{п}}$.

Диссипация (от лат. *dissipatio* – рассеяние) – явление рассеивания механической энергии при движении, деформировании с переходом кинетической энергии в тепловую.

Бурение в трещиноватых горных породах имеет ряд особенностей. Значительное влияние на процесс бурения в трещиноватых горных породах оказывает оптимальное сочетание режимных параметров, в первую очередь осевой нагрузки на буровой инструмент и частоты вращения.

Экспериментальными исследованиями и данными практики установлено, что осевая нагрузка на буровую коронку и частота вращения снаряда должны снижаться по мере увеличения степени трещиноватости пород до 50 % от значений, принятых для монолитных пород. Это связано с тем, что при появлении трещиноватости горных пород изменяется механизм их разрушения.

Трещины способствуют развитию деформаций в породе, возрастает объем разрушенной породы при подходе резца к трещине, увеличивается и размер разрушенных частиц породы (рис. 1.53). При подходе резца к трещине наблюдается расширение и углубление борозды разрушения в 1,5–2 раза.

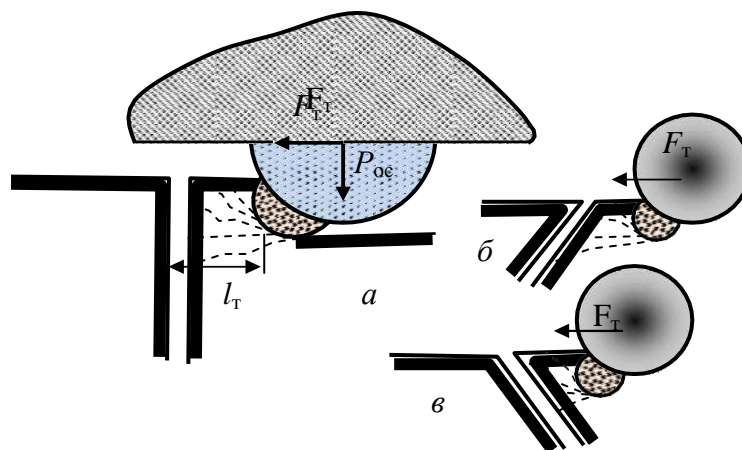


Рис. 1.53. Схемы, поясняющие процесс разрушения породы резцом перед трещиной

Таким образом, наличие трещин способствует разрушению горной породы. Степень понижения прочности забоя скважины определяется размером трещины, их количеством на единице площади забоя и ориентацией по отношению к забою скважины.

В то же время работа резца, пересекающего трещину, как уже отмечено выше, носит чрезвычайно динамический характер, так как скол породы при подходе к трещине обеспечивает резцу «пробег» на интервале l_T без какого-либо сопротивления до противоположного борта трещины (рис. 1.53, а), а при встрече резца с бортом трещины происходит удар, в результате которого может произойти слом резца.

Особенно чувствительны к подобным ударным нагрузкам буровые инструменты резцового типа – твердосплавные коронки, лопастные долота и алмазные буровые коронки.

Импульсный характер процесса бурения трещиноватых горных пород приводит к тому, что тангенциальное усилие на резце в момент пересечения им открытой трещины резко изменяется.

Наиболее значительные ударные нагрузки на резцы инструмента будут в случаях, при которых плоскость трещины или перпендикулярна направлению движения резца (рис. 1.53, а), или, если плоскость трещины наклонена по направлению движения резца (рис. 1.53, б). В случае если плоскость трещины ориентирована в направлении перемещения резца, динамический характер работы резца будет несколько снижен (рис. 1.53, в), поскольку он пересекает трещину по касательной.

С увеличением трещиноватости горных пород за счет снижения прочности забоя и увеличения количества ударов и энергии каждого удара начинает расти механическая скорость бурения, но одновременно с этим увеличивается и сила ударов по резцам, что может приводить к интенсивному износу алмазных коронок, сколам и выкрашиванию алмазных резцов. Снижение динамической нагрузки на резцы буровых коронок следует осуществлять прежде всего за счет уменьшения частоты их вращения. Снижение частот вращения, особенно при алмазном бурении, следует определять исходя из допустимой

энергии удара алмазов при пересечении ими трещин с учетом количества или размеров самих трещин.

1.6. Разрушение горных пород шарошечными долотами

1.6.1. Конструкции и вооружение шарошечных долот

Одним из наиболее распространенных буровых инструментов, предназначенных для бурения горных пород различной твердости – от мягких до самых твердых, без отбора керна и с отбором керна, являются шарошечные долота.

Шарошечное долото создано в конце XIX – начале XX в. Долото с коническими шарошками запатентовано Говардом Хьюзом (США) в 1909 г.

Шарошечное долото (рис. 1.54) состоит из корпуса с резьбой 1, лап 2 и шарошек 3, размещаемых на осях – цапфах 4. Шарошки 3 имеют вооружение в виде армированных зубьев 5. При вращении корпуса долота 1 с лапами 2 шарошки 3 вращаются вокруг цапф 4. Поэтому между шарошками 3 и цапфами 4 размещают шариковые или роликовые подшипники 6, а в долотах малого размера применяют подшипники скольжения. Очистной агент подается к забою по каналу 7. Отверстие 8 предназначено для доставки в канал между шарошкой 3 и цапфой 4 шариков подшипника 6, которые, выполняя функцию подшипника, служат также в качестве фиксаторов шарошки 3 на цапфе 4. После сборки долота канал 8 закрывают.

Уникальность этого инструмента состоит в сочетании ударного, раздавливающего и скалывающего действий, реализуемых одновременно, что позволяет успешно бурить как мягкие и пластичные, так и твердые и хрупкие горные породы.

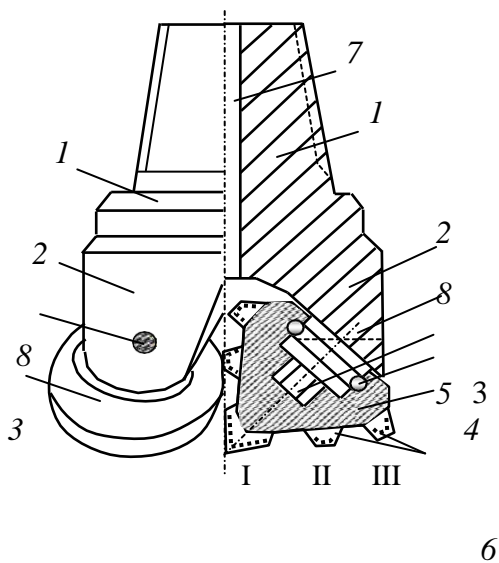


Рис. 1.54. Схема трехшарошечного долота с центральным промывочным каналом, зубчатым вооружением и опорой качения на подшипниках

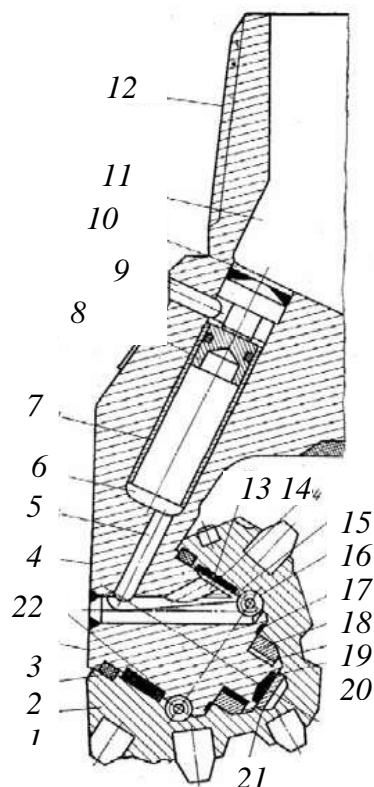


Рис. 1.55. Долото с герметизированной масломполненной опорой

При вращении долота шарошки перекатываются по забою, опираясь (каждая из них) на породу то одним, то двумя зубьями. Таким образом, одновременно в контакте с породой находятся несколько зубьев шарошки, а остальные остаются как бы в резерве. Если сопоставить вооружение шарошечного долота с инструментом режущего типа, например лопастным долотом, можно убедиться, что запас вооружения у шарошечного долота увеличивается в десятки раз, хотя удельное давление на забой при равной осевой нагрузке при этом остается прежним.

Зубья шарошечного долота находятся в контакте с горной породой весьма короткое время, а выйдя из контакта, интенсивно охлаждаются промывочной жидкостью. Это позволяет резко увеличить удельную мощность, реализуемую зубьями, по сравнению с режущими режуще-скалывающего инструмента, без опасности развития катастрофического изнашивания вооружения.

Ресурс шарошечных долот определяется довольно часто не стойкостью вооружения, а износостойкостью опор вращения шарошек. Для повышения ресурса шарошечных долот большого размера применяют герметизирующие подшипниковые узлы уплотнения, а также долота с маслonaполненными под давлением опорами.

На рис. 1.55 приведена схема долота с герметизированной маслonaполненной опорой серии *L* французской фирмы *Creusot-Loire*.

Долото имеет герметизированную опору благодаря наличию манжеты 2, перекрывающей зазор между шарошкой 1 и цапфой 3. В состав герметизированной системы, заполненной смазкой, входят просверленные в лапе 4 смазочный соединительный канал 5 и лубрикатор 6. В лубрикаторе 6 установлены гидроцилиндр 7 с поршнем 8, которые образуют компенсатор, обеспечивающий автономную подачу смазки из лубрикатора 6 и гидроцилиндра 7 через канал 5 к элементам опоры в процессе бурения под действием нисходящего потока промывочной жидкости. Для выравнивания давлений, действующих с одной стороны на манжету 2, а с другой – на поршень 8, просверлен отводной канал 9, сбрасывающий часть жидкости, поступающей в верхнюю часть 10 лубрикатора над поршнем из внутренней полости 11 резьбовой головки 12 долота. К фрикционным поверхностям 13 и 22 большого подшипника смазка подводится от соединенного канала 5 через канал 14, а к шариковому замковому подшипнику 16 через канал 15. Под шариковым подшипником 16 предусмотрен дополнительный торцевой подшипник 17 скольжения. Малый фрикционный узел со стороны шарошки выполнен вставной фрикционной втулкой 18, а со стороны цапфы 3 – поверхностью 19, армированной защитным покрытием таким же образом, как и в зоне большого подшипника, по нижнему нагруженному сегменту. Защитным покрытием армируется и концевой торец 20 цапфы, контактирующий с подпятником 21, запрессованным в шарошку.

Защита подшипниковых опор шарошечного долота является одной из важнейших задач при его работе в условиях высокой температуры и давления, воздействия коррозионных пластовых флюидов и промывочной жидкости.

Примером современного решения по созданию герметизированных опор шарошечных долот является двойное сальниковое уплотнение долот *Gemini R*, производимых компанией *Smith bits* (рис. 1.56).

Система двойного сальникового уплотнения *Gemini R* является наиболее долговечной и надежной среди подобных. Она состоит из первичного уплотнительного кольца для защиты подшипников и вторичного, обеспечивающего защиту первичного сальникового уплотнения. Первичное уплотнение новой конструкции усилено по динамическим поверхностям особым износостойким эластомером и новым энергоемким материалом, обладающим постоянным давлением в зоне соприкосновения. Первичное кольцо пулевидной формы имеет широкий поперечный профиль и обеспечивает максимальную защиту подшипника.

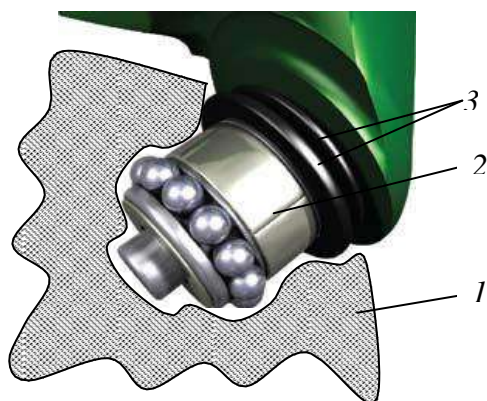


Рис. 1.56. Долото с двойным сальниковым уплотнением опоры качения:
 1 – шарошка; 2 – цапфа; 3 – сдвоенные сальники.

Вторичное уплотнительное кольцо также изготавливается из нескольких специально разработанных материалов и предназначено для защиты подшипникового уплотнительного кольца от абразивного воздействия твердых частиц, присутствующих в скважинных флюидах. Специально разработанный термостойкий материал *Kevlar* расположен на торцевой поверхности уплотнения в зоне контакта герметичного кольца и цапфы. Он обеспечивает повышенный уровень износостойкости, а также защиту от абразивного воздействия скважинных жидкостей.

Эластомерная матрица обеспечивает упругость и превосходные уплотняющие свойства. Хотя уплотнительные кольца функционируют независимо друг от друга, в паре они создают превосходную герметизацию подшипникового узла и надежную работу в условиях высокой частоты вращения инструмента, больших нагрузок на долото, при проходе участков со значительным искривлением ствола, повышенном содержании твердой фазы в буровом растворе и высоком забойном давлении. Долота могут иметь 1, 2, 3, 4 и более шарошек. Основными являются трехшарошечные долота (рис. 1.57).

По назначению шарошечные долота разделяются на следующие основные виды:

- для бескернового вращательного бурения;
- бурения с отбором керна (колонковые долота);
- бурения с продувкой;
- специального назначения.

Для производства буровых работ выпускаются бескерновые шарошечные долота следующих типов: М (для мягких пород), МЗ (для мягких абразивных), МС (для мягких пород с пропластками пород средней твердости), МСЗ (для мягких абразивных пород с пропластками пород средней твердости), С (для горных пород средней твердости), СЗ (для абразивных пород средней твердости), СТ (для горных пород средней твердости с пропластками твердых пород), Т (для твердых пород), ТЗ (для твердых абразивных пород), ТК (для твердых горных пород с пропластками крепких пород), ТКЗ (для абразивных твердых пород с пропластками крепких пород), К (для крепких пород), ОК (для очень крепких горных пород).

Все перечисленные долота подразделяются на две группы, которые отличаются как по характеру взаимодействия и разрушения горной породы на забое, так и конструктивному исполнению рабочих породоразрушающих органов – шарошек долота.



Рис. 1.57. Трехшарошечные долота: *а* – для бурения мягких горных пород с фрезерованными на шарошках зубьями; *б*, *в* – для бурения средних по твердости и твердых горных пород с твердосплавными по- родоразрушающими вставками; 1 – траектории движения венцов шарошек долота; 2 – сопло для выхода промывочной жидкости с боковым расположением; 3 – шарошки; 4 – лапы долота; 5 – резьба.

Первая группа – долота с зубчатыми шарошками, производящие раздавливающее-дробящее-скалывающее воздействие (долота типа М, МЗ, МС, МЗС, СЗ). Раздавливание, дробление и скалывание породы реализуется при качении шарошки по забою, а вследствие проскальзывания (поступательного движения шарошки без вращения на оси) осуществляется дополнительное резание-скалывание породы.

Как следует из характеристики процесса разрушения горной породы шарошечным долотом, статические формы разрушения (раздавливание) сочетаются с динамическими (скалывание), в том числе с ударными (дробление), что и делает шарошечные долота универсальными инструментами для бурения самых различных по твердости горных пород.

Разрушение горных пород шарошечными долотами может производиться при различных соотношениях режуще-скалывающего и дробящего воздействия. Чтобы создать долота, производящие на горную породу только ударные – дробящие нагрузки, необходимо придать шарошкам такую геометрическую форму, при которой последние осуществляли бы чистое качение. Этим условиям соответствует одноконусная шарошка с образующими, пересекающимися на оси долота. Любое отклонение от указанной геометрии приводит к проскальзыванию шарошек при вращении долота на забое.

Проскальзывание шарошек является важным показателем конструкции долота, который оценивается коэффициентом проскальзывания ($K_{пр}$) – отношением длины траектории проскальзывания зубца за один оборот долота на забое к длине концентрической окружности на забое скважины, по которой перемещается зубец при вращении долота. Проскальзывание достигается за счет формы шарошек и углового или продольного смещения осей вращения шарошек от оси долота. Например, для долот с

конусными шарошками $K_{пр} = 0$, для двух-, трех- конусных шарошек $K_{пр} = 0,05-0,1$, для бочкообразных $K_{пр} = 0,1-0,15$, для долот со смещением осей шарошек от оси долота коэффициент проскальзывания может достигать 0,3. Значит, в последнем случае почти треть пути по забою зубцы шарошек осуществляют поступательное перемещение как зубцы твердосплавных коронок и долот и только две трети пути по забою перекатываются, совершая дробяще-скалывающее и раздавливающее воздействие на горную породу.

Вооружение шарошек долот первой группы выполняется зубчатым. Зубцы фрезеруются непосредственно на шарошке и армируются наплавляемым твердым сплавом.

Долота, предназначенные для бурения абразивных пород, имеют вооружение в виде запрессованных в шарошки твердосплавных вставок с клиновидной формой рабочей поверхности.

Вторая группа – долота с увеличенным дробящим воздействием на породу и минимальным проскальзыванием шарошек (СТ, Т, ТЗ, ТКЗ, К, ОК). Именно поэтому у долот этого типа в основном одноконусные шарошки, установленные в долоте без смещения осей вращения. При этом шарошки долот типа СТ и Т выполняются зубчатыми, ТК, К, ОК армируются твердосплавными вставками со сферическими торцами, а шарошки долот типа ТЗ и ТКЗ имеют комбинированное вооружение – зубья чередуются с твердосплавными вставками.

Шарошечные долота могут оснащаться гидромониторными насадками, повышающими скорость истечения струй промывочной жидкости из центрального канала долота, для улучшения очистки забоя и шарошек от продуктов разрушения.

Как уже отмечено, породоразрушающими элементами шарошек могут быть зубья или твердосплавные вставки с клиновидной, шарообразной и др. формами рабочих поверхностей.

Зубья и вставки на шарошках долота располагают венцами. Венцы и зубья со вставками в них располагают таким образом, чтобы за один полный оборот долота вся поверхность забоя была покрыта зонами разрушения.

Зубья шарошек могут иметь различную геометрическую форму. Наиболее типичной является клиновидная с площадкой притупления на вершине зуба (рис. 1.58). Зубья шарошек характеризуются определенными параметрами: α – углом приострения зуба; a – шириной площадки притупления; b – длиной зуба; H – высотой зуба; S – шагом расстановки зубьев.

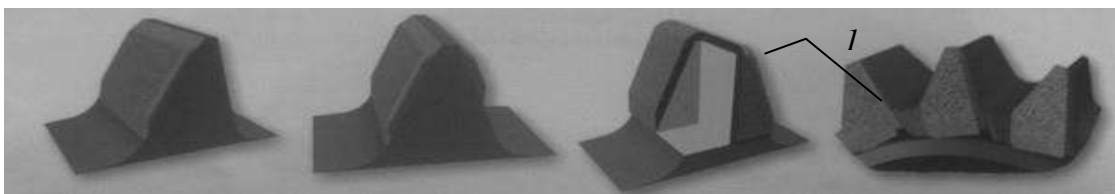


Рис. 1.58. Формы фрезерованных зубьев шарошечных долот:
I – наплавляемый твердый сплав

Элементы вооружения (зубья или вставные зубки-вставки) располагаются на шарошках таким образом, чтобы предотвратить образование «рейки» на забое и обеспечить полное перекрытие. Имеется вариант исполнения вооружения по самоочищающейся схеме, когда зубья соседних шарошек входят в бесконтактное зацепление, подобно двум шестерням в механической передаче, но без взаимодействия (рис. 1.59). Подобная схема выполняется с целью очистки шарошек и особенно пространства между зубьями от налипающей горной породы.

Долота оснащаются твердосплавными вставками, например разработанными компанией *Hughes Tool Company* (рис. 1.60). Каждая вставка имеет цилиндрическое основание со скошенной у нижнего торца фаской. Рабочая головка вставки может иметь

различную форму в зависимости от назначения вставки. Так, вставка с круглой (овоидальной) головкой (рис. 1.60, *а*) предназначена для скалывания и дробления породы, поэтому она применяется для оснащения долот при бурении очень твердых горных пород (ОК).

Зубок со сводчатой формой (рис. 1.60, *б*) используется в долотах, предназначенных для бурения твердых (Т) и крепких (К) горных пород. Высота головки несколько больше, чем у предыдущей вставки, поэтому при перекачивании шарошки зубок внедряется в породу на большую глубину, а это возможно в породах менее твердых, чем разрушаемые вставкой с круглой головкой. Воздействие на породу со стороны шарошки в этом случае так же дробяще-скалывающее.

Вставка со свдчато-черпаковидной головкой (рис. 1.60, *в*) характеризуется еще большей высотой. Кроме дробления-скалывания она благодаря черпаковидной выемке производит и механическое извлечение разрушенной породы из лунок забоя. Предназначена такая вставка для бурения горных пород средней (С) твердости.

Коническая рабочая головка вставки (рис. 1.60, *г*) способствует дробящему воздействию на породу, но она производит также и небольшое скребуще-режущее воздействие, а поэтому применяется для оснащения долот, предназначенных для бурения горных пород средней (С) твердости. Зубиловидная головка вставки (рис. 1.60, *д*) характеризуется пересечением граней под углом 90° . Она предназначена для разрушения горных пород средней (С) твердости дроблением и скалыванием.

Долотовидная вставка (рис. 1.60, *е*) с затуплением вершины предназначен для разрушения горных пород средней (С) твердости и мягких (М) и характеризуется наряду с дроблением-скалыванием также и скребущим действием.

Клиновидно-коническая вставка (рис. 1.60, *ж*) характеризуется весьма значительным закруглением вершины и может применяться для бурения горных пород средней твердости (С) и мягких (М).

Вставка с черпаковидной головкой и со смещением вершины (рис. 1.60, *з*) предназначена для разрушения преимущественно мягких (М) и рыхлых горных пород. Зубок обеспечивает фрезерующе-скребущее воздействие на породу и извлечение из лунок забоя разрушенных осколков породы, предотвращая их многократное перемалывание. Высота этого зубка максимальна.

Черпако-долотчатая вставка (рис. 1.60, *и*) обладает теми же свойствами, что и предыдущий, но характеризуется большим притуплением его вершины и меньшей высотой, что допускает возможность его применения для разрушения более плотных пород, т. е. средней (С) твердости.

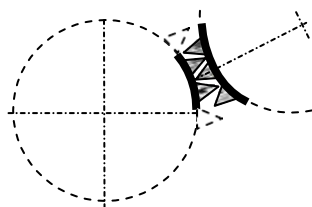


Рис. 1.59. Исполнение вооружения шарошек по самоочищающей схеме

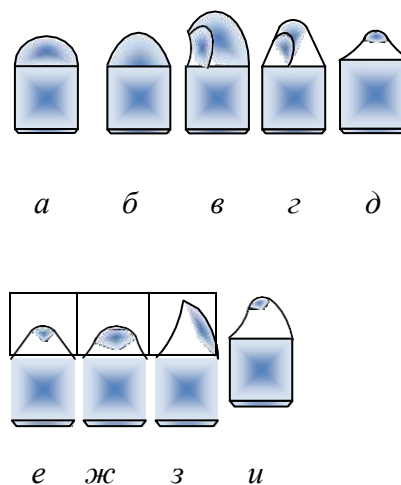


Рис. 1.60. Разновидности вставок, применяющихся в долотах

У долот фирмы *Hughes Tool Company* также выполняется усиление калибрующего вооружения твердосплавными вставками, преимущественно овоидальной формы, устанавливаемыми через один-два фрезерованных зуба. При этом вершина фрезерованного зуба срезается и в образуемой площадке ближе к тыльной стороне высверливается гнездо под вставку. Такое усиление называют «Heel Pac», т. е. упрочнение пяты – тыльной части шарошки (рис. 1.61).

Для повышения эффективности разрушения горных пород применяют долота с венцами, зубья которых имеют различную длину торцевых площадок. Такие долота получили название долот с волнообразными венцами. Ресурс этого долота и скорость бурения увеличены за счет скола зубьями более крупных частиц породы: более острые зубья *1* проникают в породу на большую глубину, а более широкие зубья *2* скалывают боковые поверхности лунок, образовавшихся от ударов острых зубьев *1* (рис. 1.62). Обязательным условием при конструировании шарошечных долот является создание достаточно долговечной опоры шарошек. С этой целью трущиеся детали долот выполняются из высококачественных сталей и подвергаются специальной термообработке. Особенно сложной представляется задача создания долговечных опор качения шарошек у долот диаметром 76, 59 и 46 мм в связи с резким снижением прочностных характеристик всех деталей и трудностью использования шариковых затворов шарошек, вызванными малыми размерами цапф, лап и низкой прочностью шариков приемлемых размеров.

В связи с этим для бурения скважин диаметром 76–46 мм в Среднеазиатском НИИ геологии и минерального сырья предложена оригинальная и эффективная конструктивная схема малогабаритного долота, получившего маркировку ДДА (долото двухшарошечное асимметричное). Долота ДДА-46, 59, 76 и 93 предназначены для бурения твердых и очень твердых горных пород.

Долото ДДА (рис. 1.63) состоит из корпуса с резьбой *1* из двух секций, соединенных сварными швами *2*. На цапфах *3* корпуса смонтированы шарошки *4* полусферической формы, армированные цилиндрическими зубками *5* из твердого сплава ВК8. Опора долот (цапфа *3*, шарошка *4*) представлена подшипником скольжения, что позволяет выполнить её конструктивно более прочной, так как не требуется размещение на опоре шариков и роликов подшипниковых узлов. Шарошки долота *4* закрепляются на лапах распорным V-образным пальцем *6* с упорными буртами, который своими концами вставляется в отверстия пустотелых цапф *3*, создавая, таким образом, дополнительную опору.



a



б

Рис. 1.61. Варианты усиления тыльной части шарошек долот: *a* – калибрующие вставки и один ряд вставок для защиты; *б* – два ряда вставок для защиты

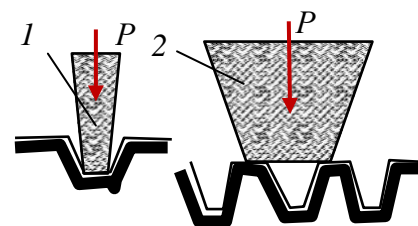


Рис. 1.62. Схема поражения забоя шарошечным долотом с зубьями в венце различной ширины

В этом случае шарошки 4 размещены в долоте не консольно, как это принято по основной схеме, а в пределах замкнутого контура «цапфа 1 – V-образный палец-лапа 2», что существенно повышает прочность долота и практически исключает отделение шарошек от корпуса при бурении. Угол наклона цапф 6 к оси долота 65° . Детали долота изготавливаются из легированной стали и подвергаются термообработке, цементации, закалке и отпуску.

Исследования, выполненные при создании конструкции долота ДДА, показали, что проскальзывание является одним из основных факторов, интенсифицирующих процесс разрушения при бурении не только мягких и пластичных пород, но и твердых горных пород.

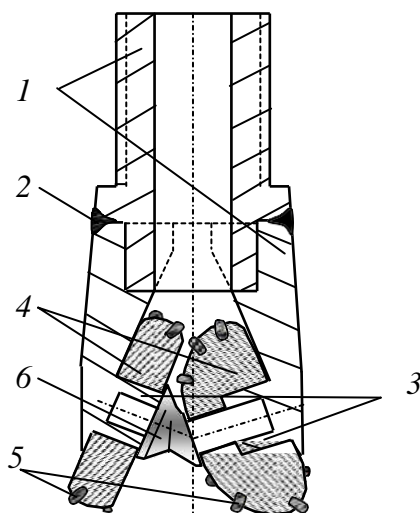


Рис. 1.63. Шарошечное долото ДДА

При бурении долотами типа ДДА достигается более высокая механическая скорость бурения при относительно равном ресурсе в сравнении с другими долотами, например трех- или двухшарошечными долотами типа К, конструкции СКБ Министерства геологии, которые выполнены по классической схеме.

1.6.2. Системы очистки забоя и интенсификация процесса разрушения при бурении шарошечными долотами

Поскольку при шарошечном бурении образуется большое количество продуктов разрушения (шлама), осколков и достаточно крупных обломков, эффективное разрушение горных пород шарошечными долотами возможно только при совершенной системе очистки забоя, под которой подразумевается система, обеспечивающая немедленное и полное удаление продуктов разрушения, образующихся в результате взаимодействия зубьев долота с породой из зоны породоразрушающего действия инструмента. Обломки породы, отделенные от забоя одним зубом, должны быть удалены до взаимодействия с породой следующего зуба таким образом, чтобы все породоразрушающие элементы долота постоянно контактировали только с породой забоя, не производя повторного измельчения разрушенной породы. В таком случае при определенном количестве затраченной на разрушение породы механической энергии скорость проходки будет максимальной. В другом случае часть энергии будет расходоваться бесполезно на разрушение уже образовавшихся, но не удаленных с забоя обломков породы.

Одной из причин уменьшения скорости бурения может быть зашламование долота, особенно при бурении пластичных пород. В шарошечных долотах шламом забивается пространство между зубьями и даже шарошками, а в алмазных инструментах – между

алмазными резцами и в каналах на торце.

Немедленное удаление шлама из призабойной зоны может быть достигнуто при обеспечении эффективной циркуляции промывочного раствора.

К факторам, определяющим эффективность циркуляции, относятся:

- расход жидкости;
 - скорость истечения струи из промывочного канала или гидромониторного сопла;
 - геометрия системы промывки долота: число и форма насадок (или отверстий), их расположение и расстояние до забоя;
 - характеристики промывочной жидкости: плотность, содержание твердой фазы, фильтрационная способность, вязкость, смачивающая способность и др.;
 - свойства разбуриваемых горных пород: прочность, проницаемость, пластовое давление.

Процесс промывки забоя можно условно разделить на три этапа:

- удаление обломков породы с поверхности забоя;
- вынос шлама из зоны действия зубьев долота в кольцевое пространство между буровым снарядом и стенкой скважины;
- транспортирование шлама по кольцевому пространству к устью скважины.

Достижение максимальных скоростей бурения возможно лишь при оптимизации всего процесса и параметров промывки, характеристик промывочной жидкости.

Определяющим для эффективной работы долота является этап быстрого удаления обломков после отделения их зубьями долота от массива породы. Эта задача решается применением той или иной системы промывки долот. В наиболее традиционных и часто применяемых для бурения трехшарошечных долотах используются три основные системы промывки: центральная, периферийная, комбинированная.

При центральной промывке буровой раствор поступает в призабойную зону через внутренний канал долота. Поток раствора омывает шарошки, очищая их от шлама, а затем достигает забоя, подхватывает шлам и через зазоры между лапами долота и стенкой скважины поступает в затрубное пространство. Часто вместо одного центрального канала создают три промывочных отверстия – одно для каждой шарошки долота. Скорость струй промывочной жидкости изменяется от 20–40 м/с.

При периферийной схеме промывки буровой раствор поступает в призабойную зону через отверстия между шарошками, причем струи направляются непосредственно на забой скважины. Здесь струи растекаются параллельно плоскости забоя, очищают поверхность забоя и зубья шарошек, после чего жидкость через зазор между долотом и стенкой скважины поступает в затрубное пространство. Обычно в промывочных отверстиях запрессованы сменные гидромониторные насадки (керамические или карбида вольфрама). Скорость струй раствора составляет 70–150 м/с. Комбинированная система промывки применяется в долотах большого диаметра. В данном случае сочетаются две первые схемы.

Примером комбинированной схемы промывки может быть гидродинамическая система долот компании *Smith bits*.

Для оценки потока жидкости в системе промывки *Typhoon* компании *Smith bits* применяется усовершенствованная расчетная модель гидродинамики жидкости (*CFD*), которая обеспечивает оптимизацию потока для более эффективной очистки шарошек, выноса бурового шлама, а также во избежание его повторного перемалывания. В системе промывки *Typhoon* используются как векторные (направленные) удлиненные насадки *VE* для очистки внешней части вооружения, так и насадки для очистки внутренней части вооружения *J3* (рис. 1.64).

Векторные удлиненные насадки для очистки внешней части вооружения *VE* точно направляют поток жидкости к передней кромке шарошек, в то время как насадки *J3* для очистки внутренней части вооружения распределяют потоки в пространство между шарошками. Совместное действие этих шести точно направленных насадок формирует режим потока, который улучшает путь прохождения и скорость бурового раствора. Это позволяет оптимизировать очистку резцов и вынос бурового шлама с забоя, что приводит к максимальному увеличению механической скорости бурения. В настоящее время система промывки *Typhoon* предлагается для долот с наружным диаметром 406 мм и более.

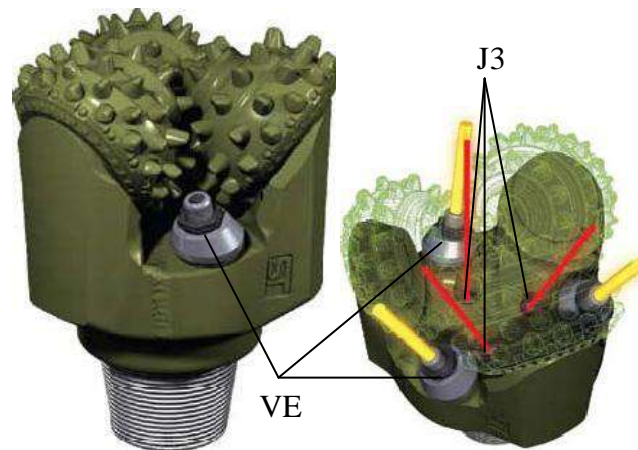


Рис. 1.64. Долота *Shamal Typhoon* компании *Smith bits* с тремя векторными насадками (*VE*) для очистки внешней части вооружения и тремя насадками для очистки внутренней части вооружения (*J3*).

Параметры, определяющие качество промывки забоя (средняя скорость струй, мощность, сила удара и динамическое давление струй, скорость параллельных забойных потоков), имеют максимальное значение при небольшом расстоянии между насадкой и забоем.

Поэтому один из путей улучшения характеристик долот с периферийной системой промывки состоит в приближении насадок к забою скважины на расстояние, которое меньше длины ядра струи (в котором скорость струи постоянна). Это расстояние будет равно $(4-6) d_0$, где d_0 – диаметр насадки в точке истечения раствора. Чаще всего расстояние размещения насадок составляет $(10-20) d_0$. Для размещения насадок используют специальные удлинители.

В долотах фирмы *Smit tul* расстояние от насадки до забоя составляет 38 мм – $(2,5-4) d_0$.

Другой способ повышения эффективности шарошечных долот заключается в применении асимметричной схемы промывки.

Например, известно применение долота (Бухарестский институт нефти и газа), в котором часть жидкости проходит через канал в одной из лап долота, через её цапфу и конус шарошки. Струя жидкости выходит почти параллельно плоскости забоя и при вращении долота смывает шлам из центральной зоны к периферии, откуда его легче удалять в затрубное пространство.

Во Франции разработано и испытано долото с двумя насадками (рис. 1.65), расположенными между шарошками, и одной, направленной вверх. Последняя, создает эжекционный эффект и ускоряет удаление шлама с забоя.

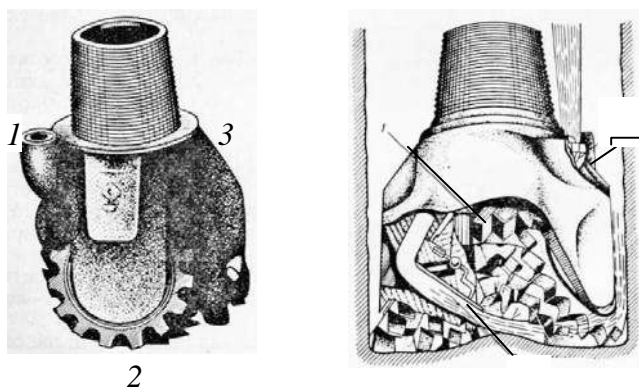


Рис. 1.65. Долота с гидродинамической насадкой, ориентированной вверх.

Эжектор (франц. *egoutteur* – выбрасывать) – *струйный насос*, в котором жидкость перемещается (циркулирует), увлекаемая потоком (струей) жидкости или газа.

Известно также применение долота с комбинированной асимметричной системой промывки: одна обычная периферийная насадка, один канал истечения струи через лапу и еще один промывочный канал, направленный вверх.

Результаты бурения долотами с асимметричной промывкой показали рост скорости проходки и ресурса вооружения и опор долота.

В малогабаритных долотах диаметром 112–46 мм традиционно применяется центральная система промывки забоя.

Гидромониторная струя жидкости, выходящая из сопла долота, распространяется в ограниченном пространстве. Расчет такой струи производится на основе теории затопленных струй.

Анализ показывает, что если струя жидкости к забою будет направлена по касательной, то её породоразрушающее действие может усилиться. В данном случае наибольший эффект может быть достигнут, если струя будет направлена по касательной непосредственно в зону работы зубца шарошечного долота.

Конструкция долот позволяет использовать удлиненные насадки и направлять струю под углом $15\text{--}25^\circ$ к забою в приконтактную зону зубьев шарошки с породой. В приконтактной зоне зуба долота с забоем порода деформирована зубьями, имеет выступы, которые образуются при внедрении в забой, и может быть легко разрушена струей жидкости.

При бурении более прочных пород – твердых и очень твердых, динамическое давление струи должно обеспечить сдвиг и отрыв от поверхности забоя частицы разрушенной породы.

При внедрении зуба шарошечного долота в породу на забое образуются магистральные трещины, направленные от ядра сжатия к поверхности забоя. Скалывание породы по направлениям развития магистральных трещин приводит к образованию лунок выкола. Препятствием этому является угнетающее давление, которое связано с действием гидростатического давления столба жидкости, пластового давления и динамического потока струй жидкости из промывочных каналов долота.

Для эффективного отделения (отслаивания) от забоя отколотых зубьями кусочков породы необходимо направить поток жидкости в зону разрушения по направлению именно в образующуюся трещину отрыва (рис. 1.66).

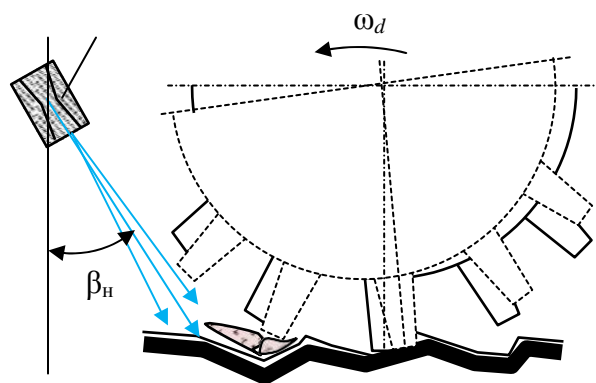


Рис. 1.66. Схема для определения рационального направления струи промывочного раствора из насадки .1

Представленная на рис. 1.66 модель интенсификации процесса разрушения твердой горной породы позволила повысить механическую скорость бурения на 30 %, а ресурс долот увеличить на 20 %.

1.7. Разрушение горных пород при вращательно-ударном, ударно-вращательном и ударном способах бурения

1.7.1. Разрушение горных пород при вращательно-ударном способе бурения

Эффективность вращательного бурения твердых горных пород алмазным и шарошечным буровым инструментом может быть существенно повышена за счет наложения высокочастотных ударных импульсов.

Вращательно-ударный способ бурения – это метод разрушения пород вследствие воздействия осевой нагрузки, крутящего момента, характерных для вращательного бурения, и динамической нагрузки, прилагаемой к буровому инструменту в режиме высокочастотных ударных импульсов малой и средней энергии.

Вследствие приложения высокочастотных ударных импульсов в горной породе развиваются дополнительные напряжения и формируются трещины. Особенно значительным становится эффект от ударных импульсов при бурении чрезвычайно твердых, хрупких и малоабразивных горных пород, поскольку применяемые осевые нагрузки на инструмент при вращательном бурении скважин диаметром 46, 59, 76 мм могут быть недостаточны для создания необходимых для объемного разрушения горных пород напряжений. При этом более вероятен недостаток разрушающих напряжений при алмазном бурении твердых и очень твердых горных пород коронками с увеличенной шириной матричного кольца (коронки для бурения снарядами со съёмным керноприемником – ССК) и бурении долотами, поскольку в данных случаях особенно проблематично создание достаточных для разрушения контактных напряжений из-за увеличенной площади торца буровых инструментов. Повышение же осевой нагрузки до определенных пределов при вращательном бурении твердых горных пород сдерживается ограниченной прочностью бурильных колонн (особенно колонн ССК), их деформируемостью и, соответственно, вибрацией при бурении, ограничением мощности привода буровых станков при бурении на близких к предельным, по мощности привода, глубинах, наличием кривизны ствола скважины и др. В этих случаях дополнительным силовым фактором, способным интенсифицировать процесс разрушения горной породы, является ударный импульс малой и средней мощности, передаваемый буровой компоновке и буровому инструменту с высокой частотой.

Немаловажным обстоятельством, определяющим повышение эффективности бурения при наложении высокочастотной вибрации на буровую компоновку, является снижение коэффициента трения между колонной и стенкой скважины, что приводит к значительному улучшению условий работы деформированной бурильной колонны.

Так, например, вибрационный, с наложением крутильных колебаний, вид движения бурильной колонны и бурового инструмента преобразуется в более равномерный, максимально соответствующий оптимальным условиям передачи к буровому инструменту осевой нагрузки и крутящего момента.

Рост показателей вращательно-ударного бурения связан со снижением подклинок керна в колонковом снаряде, что также является следствием продольного вибрирования бурового снаряда.

1.7.2. Разрушение горных пород алмазным инструментом в режиме вращательно-ударного бурения

Анализ условий работы алмазных резцов показывает, что стойкость алмазов при вращении обусловлена прежде всего изгибающими напряжениями, а не напряжениями на раздавливание. Таким образом, имеющийся значительный резерв прочностных свойств резцов на сжатие при вращательном бурении не реализуется, поскольку повышение осевого усилия приводит к скалыванию резцов, испытывающих значительные поперечные нагрузки, сопровождающиеся ударами, характерными для процесса скалывания твердых и хрупких горных пород. Реализовать резерв прочности резцов в осевом направлении возможно за счет импульсного приложения нагрузки в направлении перпендикулярном плоскости забоя. В этом случае, в результате кратковременности действия ударного импульса силы трения на границе резец – горная порода не успевают развиться и тангенциальная составляющая разрушения породы, несмотря на передачу дополнительной энергии, увеличивается незначительно. При этом важным обстоятельством является вибрирование инструмента и ударный характер нагрузок, что приводит к снижению коэффициента трения и способствует скалыванию и отделению кусочков породы от забоя.

Таким образом, прилагая нагрузку в виде кратковременных импульсов, направленных перпендикулярно к плоскости забоя, можно передавать для разрушения горной породы большую энергию и интенсифицировать процесс вращательного бурения. При этом более полно будет использован потенциал прочности породоразрушающих резцов бурового инструмента.

На рис. 1.67, в приведена схема работы алмазного резца при вращательном бурении. Из данной схемы следует, что приложение ударного импульса интенсифицирует разрушение породы за счет повышения осевой силовой составляющей, что приводит к росту глубины внедрения резца и дополнительному развитию трещин предразрушения забоя. При этом тангенциальное усилие возрастает в меньшей степени в сравнении с вращательным бурением, что незначительно увеличивает износ и сохраняет работоспособность резцов.

При приложении к алмазной коронке ударных импульсов алмазы внедряются в породу, а избыточный запас энергии удара воспринимает матрица коронки. Повышение контактных напряжений и увеличение глубины внедрения алмазов в породу приводит к увеличению объема слоя породы, разрушаемого за один оборот. В результате отмечается образование крупных частиц шлама, происходит интенсивный абразивный износ матрицы и более активное, в сравнении с вращательным бурением, обнажение алмазов. Таким образом, в меньшей степени проявляются условия, приводящие к заполированию алмазов.

Практика гидроударно-алмазного бурения подтверждает чрезвычайно редкие случаи заполирования алмазов [31], что позволяет рекомендовать вращательно-ударное бурение алмазным инструментом горных пород, склонных вызывать заполирование алмазов.

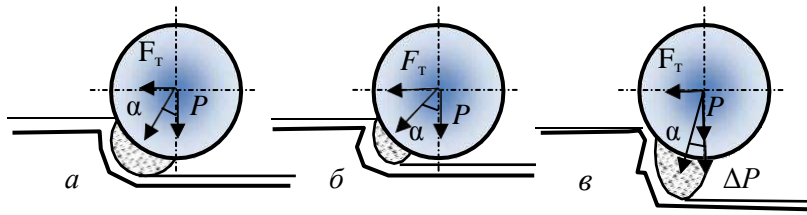


Рис. 1.67. Схемы для анализа процесса разрушения породы алмазным резцом при изменении усилия F_T в процессе вращательного бурения (а, б) и приложения ударного импульса ΔP (в).

На рис. 1.68 представлены результаты исследования влияния ударных импульсов на показатели бурения алмазными коронками диаметром 59 мм.

Как следует из графиков, зависимости изменения механической скорости бурения и проходки на коронку имеют оптимальное значение при 15–20 Дж. С увеличением твердости горных пород оптимальные значения величины энергии удара смещаются в сторону меньших значений энергии.

Осмотр алмазных коронок показал, что с увеличением твердости пород и энергии удара интенсивность износа алмазов увеличивается, что и приводит к снижению проходки на коронку.

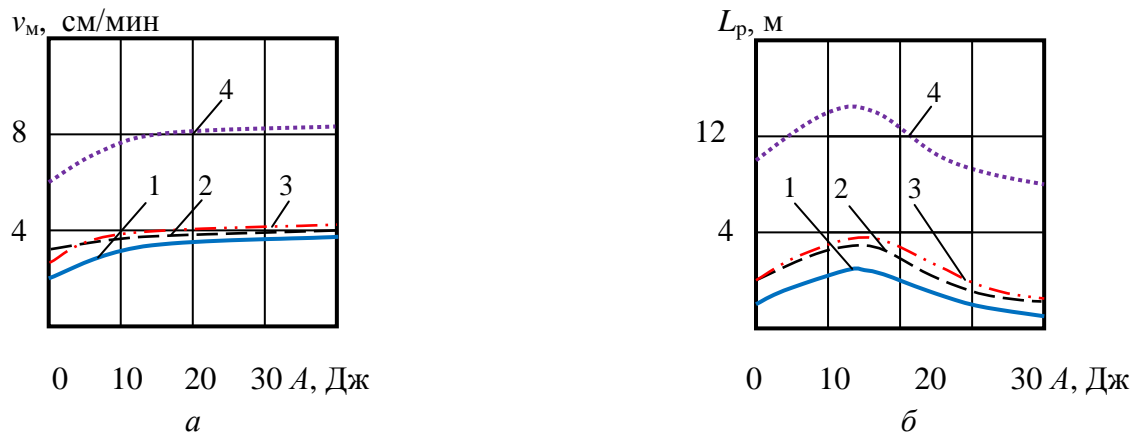


Рис. 1.68. Зависимости показателей бурения алмазной коронкой 01А3 от энергии удара A : а – механической скорости; б – проходки на коронку по породам: 1 – кварцит; 2 – гранит; 3 – лабрадорит; 4 – песчаник.

Рациональной для алмазных коронок диаметром 59 мм оказалась энергия удара 15 Дж, для коронок диаметром 76 мм – 20 Дж.

Оптимальная частота ударных импульсов $n_{уд}$, передаваемых породе, при вращательно-ударном бурении должна быть равна частоте циклов разрушения породы резцами.

Частота циклов разрушения породы за один оборот инструмента на забое $n_{ц}$ определится из соотношения длины периметра забоя радиусом R и интервала скола породы передней гранью резца $l_{ц}$ [12]:

$$n_{ц} = \frac{2\pi R}{l_{ц}}$$

Оптимальная частота ударных импульсов при принятом условии равенства частоте циклов разрушения породы резцами будет определяться из зависимости

$$n_{\text{уд}} = \frac{\omega n_{\text{ц}}}{n_{\text{р}}} = \frac{2\pi R \text{tg } \gamma_{\text{ск}}}{h_{\text{л}} n_{\text{р}}} \omega, \quad (1.2.)$$

где $h_{\text{л}}$ – глубина борозды разрушения резцом, м; $n_{\text{р}}$ – число активно работающих резцов в линии резания на торце коронки; $\gamma_{\text{ск}}$ – угол скалывания породы резцом, град.

Из формулы 1.2. следует, что оптимальная частота ударов по забою пропорциональна частоте вращения инструмента, а значит, при повышении частоты вращения бурового инструмента частота ударных импульсов должна повышаться в равной степени. Действительно, опыт вращательно-ударного бурения свидетельствует, что с увеличением частоты вращения инструмента при постоянной частоте ударов эффективность наложения ударных импульсов снижается: рост механической скорости бурения при частоте вращения 300 мин^{-1} составил 1,5–2,0 раза, а при частоте вращения $1\ 000 \text{ мин}^{-1}$ – только 1,1–1,3 раза.

Рациональная частота вращения бурового инструмента с учетом абсолютного значения механической скорости бурения и ресурса инструмента, возможно, заключена между приведенными значениями частот вращения 300 и $1\ 000 \text{ мин}^{-1}$.

При известной частоте ударов $n_{\text{уд}}$, реализуемой гидроударником, которая может варьировать в пределах $2\ 500$ – $3\ 500$ ударов в минуту, важно определить рациональную частоту вращения бурового инструмента. С учетом зависимости для расчета числа активно работающих резцов $n_{\text{р}}$ из зависимости 1.2. получим

$$\omega = \frac{n_{\text{уд}} N_0 h}{2\pi R \text{tg } \gamma_{\text{ск}}} \quad (1.3.)$$

где N_0 – число резцов в линии резания на торце коронки (средняя линия торца матрицы на расстоянии от центра торца, равном R); h – глубина внедрения резца в породу.

Из приведенной зависимости следует, что для эффективной реализации вращательно-ударного алмазного бурения на высоких частотах вращения бурового инструмента следует применять забойные ударные машины, реализующие максимально возможные частоты ударов. Резерв повышения эффективности определяется также повышением глубины внедрения резцов в породу. Поэтому лучшие результаты бурения могут быть получены при использовании алмазного инструмента с заданным увеличенным выпуском резцов. Более высокой оптимальная частота вращения будет при бурении импрегнированными коронками, так как существенно возрастает число работающих резцов.

Результаты алмазного вращательно-ударного бурения в ПГО «Севзапгеология» (данные И. С. Афанасьева и др.) свидетельствуют, что лучшие результаты по механической скорости бурения получены при частотах вращения 300–780 мин⁻¹, при этом интенсивность роста механической скорости бурения импрегнированными коронками оказалась выше, чем при бурении однослойными. В то же время эффект применения высокочастотных гидроударников ГВ-6 и Г-59В снижается при использовании однослойных коронок с более крупными алмазами.

Осевая нагрузка при вращательно-ударном бурении играет не меньшую роль, чем частота вращения, и должна подбираться наряду с частотой вращения. Для месторождений Северо-Запада по результатам буровых работ определено, что при частоте вращения инструмента 430 мин⁻¹ оптимальными для однослойных коронок будут осевые нагрузки 1 200–1 600 даН, а для импрегнированных – 1 100–1 800 даН.

При алмазном вращательно-ударном бурении на забой необходимо подавать пониженное количество промывочной жидкости, соответствующее требованиям бурения алмазным инструментом. В то же время для работы гидроударника требуется значительное количество промывочной жидкости, существенно превышающее нужное количество по условию эффективного разрушения породы алмазным инструментом.

Для уменьшения количества поступающей на забой промывочной жидкости в корпусе кернорвателя сверлят отверстия или применяют специальные делители потока промывочной жидкости.

Максимальный эффект от применения вращательно-ударного бурения в различных производственных организациях получен при бурении твердых, хрупких и малоабразивных горных пород, при разрушении которых алмазными коронками имеет место заполирование алмазов: механическая скорость возрастает на 30–40 %, углубление за рейс увеличивается на 15–25 %, ресурс коронок повышается на 35–50 %, выход керна возрастает с 70 до 80–90 %, снижается интенсивность естественного искривления скважин.

1.7.3. Разрушение горных пород шарошечными долотами в режиме вращательно-ударного бурения

Интенсификация процесса разрушения горных пород наложением ударных импульсов возможна и при бурении шарошечными долотами. Особенно оправдано применение ударных забойных машин при бурении достаточно твердых горных пород, для разрушения которых требуется значительная осевая нагрузка на долота.

Опыт применения (по данным А. Т. Киселева и В. Г. Кардыша) гидроударных забойных машин показал, что вследствие роста удельных контактных напряжений в породе при бурении горных пород VII–XII категорий по буримости при осевой нагрузке 15–20 кН и частоте вращения 280–430 мин⁻¹ средний ресурс двухшарошечных долот диаметром 76 мм возрос вследствие применения высокочастотных гидроударников с 11 до 19 м, а скорость бурения увеличилась с 3,4 до 4,8 м/ч.

При этом достигнут более значительный рост показателей при бурении трехшарошечными долотами в сравнении с двухшарошечными, что подтверждает вывод о влиянии на эффективность разрушения породы прежде всего контактного напряжения, которое существенно возрастает при наложении ударного импульса. У трехшарошечных долот, как известно, площадь контакта вставок с породой забоя несколько выше, чем у двухшарошечных, а значит, роль дополнительной ударной нагрузки оказалась более значительной.

Применение гидроударников при бурении шарошечными долотами позволяет бурить на пониженных осевых нагрузках, но с более высокой механической скоростью, что в результате и сказывается на ресурсе долот.

При бурении шарошечными долотами в режиме вращательно- ударного бурения отмечено, что с повышением частоты вращения бурового инструмента эффективность разрушения породы снижается, т. е. остается справедливой закономерность, отмеченная ранее для вращательно- ударного бурения алмазным инструментом.

В зависимости от диаметра долот рекомендуются для использования гидроударники с различной энергией удара: для бурения долотами диаметром 59 мм подходят высокочастотные ударные машины с энергией удара 15 Дж, для долот диаметром 76 мм гидроударники со средней частотой удара и энергией удара 60–80 Дж, а при бурении долотами диаметром 93 мм целесообразно использование гидроударников с высокой энергией и малой частотой ударного импульса.

Таким образом, для бурения долотами больших размеров более подходит ударно-вращательный способ бурения, при котором преобладает ударное разрушение горной породы над режимом вращательного бурения.

1.7.4. Разрушение горных пород при ударно-вращательном способе бурения

Ударно-вращательный способ бурения – способ разрушения горных пород ударными нагрузками, под действием которых происходит скалывание и дробление породы, а осевая нагрузка на инструмент и вращение бурового инструмента исполняют вспомогательную роль, обеспечивая процесс ударного разрушения породы.

Он применяется при бурении скважин погружными пневмоударниками и шпуров в твердых горных породах перфораторами.

Ударно-вращательный способ характеризуется высокими значениями энергии удара (не менее 40 Дж), малыми значениями частоты вращения бурового инструмента (10–60 мин⁻¹) и осевой нагрузки (300–600 даН на инструмент диаметром 59–105 мм).

Вращение инструмента в сочетании с частотой ударов обеспечивает определенную схему поражения забоя (расстояние между ударами вставок о породу), которая может быть эффективной только при определенном соотношении частот удара и вращения.

Привод вращения бурового инструмента при реализации ударно- вращательного бурения может быть:

- от бурового станка, т. е. за счет вращения всей бурильной колонны;
- поворотного механизма, обеспечивающего поворот долота во взаимодействии с циклом ударных нагрузок;
- возможно вращение колонны забойным гидродвигателем.

Осевая нагрузка при этом способе бурения носит вспомогательный характер и должна обеспечивать не внедрение резцов инструмента в породу, как это происходит при вращательном способе бурения, а постоянный контакт долота или коронки с забоем.

Результаты экспериментов, приведенные в, показывают, что при малых значениях энергии удара статическая осевая нагрузка способствует снижению энергоемкости разрушения, однако дальнейшее повышение энергии удара приводит к преобладающему влиянию на процесс разрушения динамической силы и влияние статической нагрузки становится несущественным (рис. 1.69).

Очевидно, что при ударно-вращательном бурении значительный недостаток осевого усилия приведет к отскакиванию долота от забоя и эффект передачи ударного импульса будет снижен.

Чрезмерная осевая нагрузка приводит к тому, что породоразрушающие вставки будут находиться в постоянно заглубленном в породу положении, а это не позволит реализовать задаваемую вращением инструмента эффективную схему поражения забоя между ударами. В то же время высокая осевая нагрузка и задавливание резцов в породу при наложении мощного ударного импульса приводят к разрушению породоразрушающих вставок.

При ударно-вращательном бурении крайне важна схема поражения забоя породоразрушающими вставками бурового инструмента.

В представлены результаты оценки влияния схемы нанесения ударов по забою клиновидными (острым и притупленным, рис. 1.70, *а*, *б*) инденторами. Эти исследования важны при обосновании параметров технологии ударно-вращательного бурения, в частности частоты вращения инструмента.

При рассмотрении трех схем поражения забоя (рис. 1.70, *а*, *б*, *в*) установлено, что минимальная энергоемкость разрушения достигается при реализации второй схемы поражения забоя острым индентором.

Результаты исследований приведены в табл. 5. Анализ данных показывает, что энергоемкость разрушения снижается при нанесении ударов по подготовленному и предварительно ослабленному забою. В этих условиях будут достаточно эффективны острые инденторы.

При радиальном равномерном размещении резцов на торце коронки или долота вторая схема поражения забоя (рис. 1.70) может рассматриваться как основная при обосновании параметров режима бурения.

Таблица 1.4.

Энергоемкость разрушения породы при различных схемах поражения забоя

Форма торца индентора	Энергоемкость разрушения, Дж/см ³		
	Схема поражения забоя на рис. 1.70, <i>а</i>	Схема поражения забоя на рис. 1.70, <i>б</i>	Схема поражения забоя на рис. 1.70, <i>в</i>
Притупленный клин	2 000	260	370
Острый клин	400	160	280

Обязательным условием осуществления рациональной схемы нанесения ударов является смещение (отставание) ударов от предыдущих на определенное расстояние. Это, прежде всего, связано с тем, что вследствие вращения инструмента удар по забою наносится не под прямым углом, а с некоторым отклонением (косой удар). Именно поэтому для рационального использования энергии удара следует обеспечивать некоторое смещение центра удара, а расстояние K от следа первого удара может составлять 0,6–0,75.

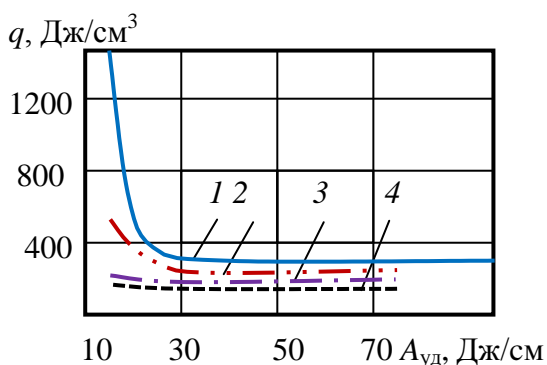


Рис. 1.69. Зависимости энергоемкости разрушения q притупленным клином от энергии удара $A_{уд}$ при различных значениях статической нагрузки: 1 – 0,1 кН/см; 2 – 1 кН/см; 3 – 3,3 кН/см; 4 – 6,7 кН/см

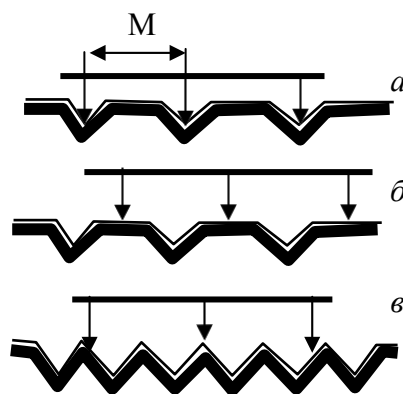


Рис. 1.70. Схемы нанесения ударов в плоскости забоя ($M = 16$ мм):
а – лунки не взаимодействуют друг с другом; *б* – повторные удары наносятся между лунками; *в* – удары по нарушенному забою

На рис. 1.71. дана зависимость механической скорости бурения при пневмоударном бурении долотами, вооруженными лезвиями с радиальным расположением от частоты вращения. Из графиков следует, что в диапазоне частот вращения 0–100 мин⁻¹ отмечается 2–3 экстремальных значения. Представленные графики подтверждают наличие рациональной схемы поражения забоя, которая определяется частотой вращения инструмента. Минимальная скорость бурения (точки 2, 2^I) получена при совпадении лунок разрушения с повторным нанесением ударов. Максимальная скорость бурения (точки 1, 1^I, 3, 3^I) получена при нанесении ударов по выступам, расположенным между лунками разрушения.

В случае если породоразрушающие вставки располагаются на торце инструмента не по радиальной схеме, зависимость механической скорости бурения от частоты вращения будет иной, отличной от представленной на рис. 1.72. Поперечное расположение лезвий на торце, а также применение сферических породоразрушающих вставок приводит к тому, что зависимость механической скорости бурения от частоты вращения инструмента получила форму параболы с одним максимумом (рис. 1.73).

При этом характерно, что для менее твердых пород максимум частоты вращения, при котором достигнута наиболее высокая механическая скорость бурения, смещен в сторону больших значений (~ 50 мин⁻¹), а при бурении твердых и крепких пород максимальная скорость бурения получена при малых значениях частоты вращения (~ 30 мин⁻¹). На рис. 1.73 эта закономерность отмечена восходящей стрелкой через вершины максимальных значений графиков скорости бурения.

Зависимость скорости ударно-вращательного бурения от осевой нагрузки определяется тем, что с ее увеличением в начале рейса механическая скорость бурения возрастает, но в течение рейса снижается и тем интенсивнее, чем она выше (рис. 1.74). Эти данные показывают, что чрезмерные осевые нагрузки при ударно-вращательном бурении приводят к более интенсивному разрушению породоразрушающих вставок.

Зависимость скорости бурения от давления сжатого воздуха показывает практически прямопропорциональный рост скорости бурения при повышении давления.

При этом повышение давления сжатого воздуха, например, при бурении бесклапанными пневмоударниками высокого давления фирмы *Atlas Copco* типа *Cop* до значений 2–2,5 МПа приводит к значительному росту механической скорости, предельные значения которой не установлены.

Более высокая скорость бурения достигается в более твердых гранитах в сравнении с существенно менее твердым известняком.

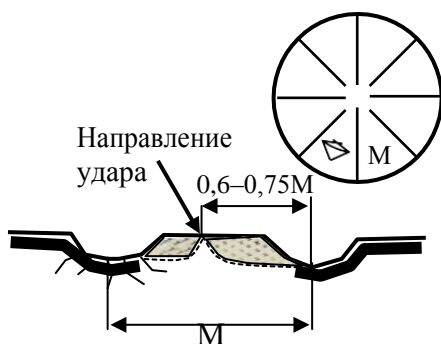


Рис. 1.71. Схема поражения забоя при ударно-вращательном бурении.

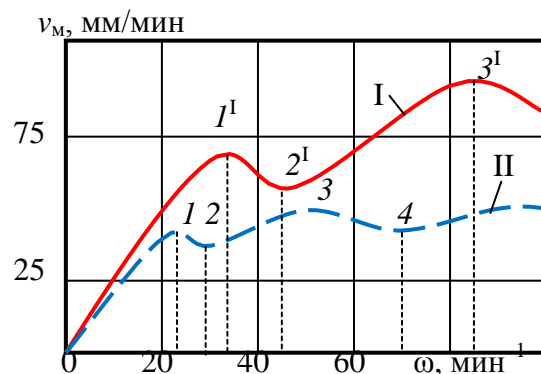


Рис. 1.72. Зависимость механической скорости бурения от частоты вращения: I – известняк VII категории по буримости; II – кварцит X категории по буримости

Пневмоударники типа *Cop 32*, *Cop 42*, *Cop 52*, *Cop 62* предназначены для бурения скважин диаметром 85–165 мм, в том числе по технологиям *OD*, *ODEX* и *DEPS*.

OD, *ODEX*, *DEPS* – системы ударно-вращательного бурения по валунно-галечникам с одновременным креплением ствола скважины обсадной колонной компании *Atlas Copco*: *OD* (*over drilling*) – погружной пневмоударник инициирует удары как по вращаемой обсадной колонне с породоразрушающим башмаком, так и внутренней бурильной колонне;

ODEX (*over drilling excentrics*) – усовершенствованная система *OD*, в которой происходит бурение расширенного ствола скважины специальным эксцентричным долотом и одновременное его крепление обсадной колонной;

DEPS – удары по обсадной и бурильной колонне наносятся двумя различными пневмоударниками, что удваивает ударную мощь системы и позволяет бурить более глубокие скважины.

Забойные ударные машины *Cop 32* работают при давлении воздуха 0,6–1,2 МПа с частотой 1 300–1 650 ударов в минуту и предназначены для бурения скважин диаметром 85–100 мм. Пневмоударники *Cop 42* работают при давлении 0,6–2,5 МПа с частотой ударов 1300–2100 ударов в минуту и предназначены для бурения скважин диаметром 105–125 мм.

В настоящее время ударно-вращательное бурение пневмоударниками высокого давления является наиболее производительным из всех существующих механических способов бурения.

Этот способ бурения становится все более популярным при выполнении геологоразведочных работ, что объясняется его более низкой стоимостью. В то же время шламовая проба не может по качеству быть сопоставима с керном, но в настоящее время техника бурения и техническое оснащение методов оценки пробы достаточно усовершенствованы и соответствуют требованиям геологической службы.

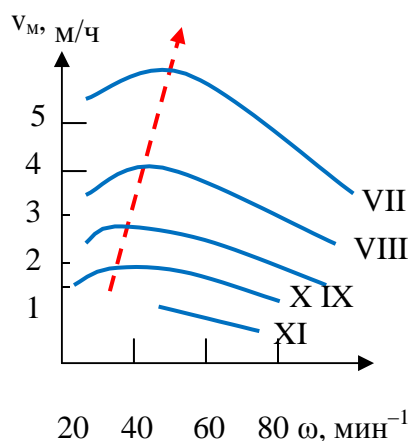


Рис. 1.73. Зависимость скорости бурения от частоты вращения снаряда в породах различной категории по буримости долотами с поперечно-радиальным расположением вставок на торце.

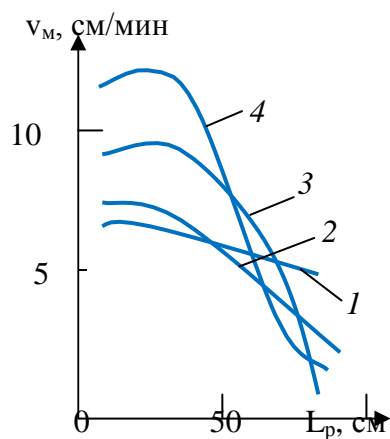


Рис. 1.74. Зависимость скорости бурения от длины рейса при частоте вращения снаряда 40 мин⁻¹ и различных осевых нагрузках: 1, 2, 3, 4 – осевая нагрузка 5, 10, 15 и 20 кН соответственно.

На сегодняшний день в таких странах, как США, ЮАР, Австралия, в силу сложившихся тенденций значительная часть скважин бурится с опробованием, которое основывается на комбинированном варианте: до рудной зоны бурение ведется с обратной циркуляцией очистного агента с отбором шламовой пробы, а по рудной зоне производится отбор керна.

Таким образом, ударно-вращательное бурение получает все большее распространение при проведении геологоразведочных работ, появляются новые мощные забойные машины и инструменты, совершенствуется технология бурения и методика опробования по шламу.

С повышением глубины скважины вследствие увеличения сопротивлений и давления воздуха скорость бурения снижается. Например, при повышении глубины скважины от 100 до 200 м скорость бурения снизилась на 35 %. Поэтому с глубиной снижается производительность бурения пневмоударниками, наблюдается намокание шлама и образование сальников, осложнены условия опробования вследствие влияния подземных вод.

При этом важно подчеркнуть, что эффективность пневмоударного бурения в слабообводненных породах снижается, если используется низкое давление воздуха в пределах 0,3–0,5 МПа. При бурении пневмоударниками высокого давления подобные проблемы могут возникнуть только при значительной (более 500 м) глубине скважин в связи со снижением давления подаваемого воздуха вследствие роста аэродинамических сопротивлений с глубиной скважины, что ведет к ухудшению выноса шлама, образованию сальников и осложнениям при подъеме инструмента.

Одним из средств борьбы с осложнениями в этих условиях является применение воздуха с добавками поверхностно-активных веществ (ПАВ).

В то же время известно, что применение смеси воздуха и ПАВ дает снижение механической скорости бурения вследствие падения ударной мощности забойной машины. Например, при расходе ПАВ в пределах 5–6 л/мин с изменением концентрации в растворе от 0,5 до 4 % скорость бурения понижается незначительно (в пределах 10 %), а при повышении концентрации ПАВ до 5 % и более ведет к снижению механической скорости на 25–35 %.

Других особенностей бурения с ПАВ, которые бы могли повлиять на выбор параметров режима бурения, в практике не отмечено.

1.7.5. Разрушение горных пород при ударном способе бурения

Ударный способ разрушения горных пород относится к наиболее древним. В настоящее время он реализуется при проведении геологоразведочных работ как ударно-канатный и ударно-забивной. Ударно-канатный способ бурения чаще всего применяют при разведочных работах на россыпных месторождениях, а ударно-забивной – при бурении всухую рыхлых и мягких пород с целью получения качественной пробы.

Различают также ударно-штанговое бурение, которое вместе с ударно-канатным относится к ударно-поворотному способу бурения.

Породоразрушающие инструменты, применяемые при ударно-канатном бурении имеют клиновидную форму рабочей торцевой поверхности (рис. 1.75, а, б, в). Основными элементами таких долот являются лезвие 1, щеки 2, корпус 3 и резьбовая головка 4 для присоединения к буровому снаряду.

Лезвие долота имеет следующие параметры:

- угол приострения α ;
- длину, которая определяет диаметр скважины;
- форму, которая может быть плоской (рис. 1.75, а), вогнутой (рис. 1.75.б) или дугообразной (рис. 1.75, в).

У долот может быть различным и количество лезвий: у плоских долот одно лезвие,

крестовых – два пересекающихся лезвия, двутавровых – одно основное и два дополнительных по краям и др.

Усилия, разрушающие породу при ударном бурении, носят динамический характер, а разрушение происходит за счет дробления, смятия и скалывания породы.

При внедрении лезвия долота в твердую хрупкую породу под его торцом она дробится, а разрушенная вытесняется из под торца долота. Разрушение породы определяется влиянием ряда факторов, таких как сила удара P_d , количество ударов m , наносимых по забою, величина угла поворота долота после каждого удара.

Внедрение бурового инструмента в породу сопровождается образованием четырех зон разрушения (рис. 1.76) [26]. Величина и соотношение этих зон зависят от свойств породы, определяющих ее способность разрушаться под действием ударного импульса, формы лезвий долота и их числа, величины ударного импульса и др.

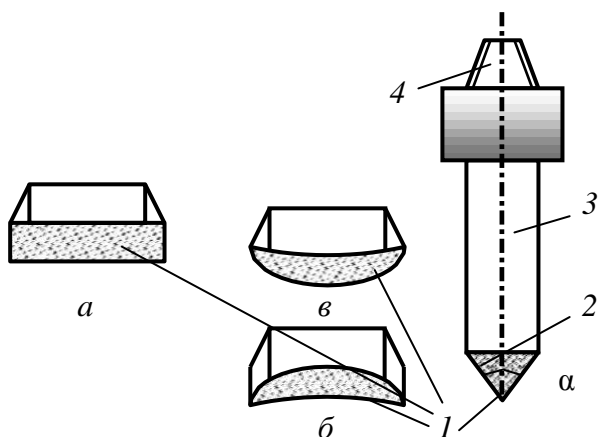


Рис. 1.75. Долото для ударного бурения:
a – плоское; *б* – вогнутое; *в* – дугообразное

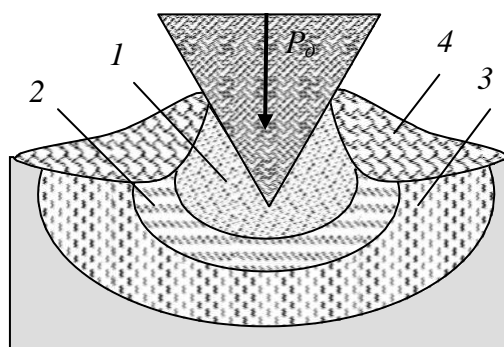


Рис. 1.76. Схема внедрения бурового инструмента в породу:
1 – зона дробления; *2* – зона разрушения;
3 – зона трещинообразования; *4* – зона скола.

1.8. Взрывное разрушение

1.8.1. Понятие о взрыве

Взрывные работы широко применяют в геологоразведочном деле и при добыче полезных ископаемых. Взрывным способом создают котлованы, дамбы, плотины, дороги и другие сооружения, при которых применяют взрывы на сброс или выброс. Особое место занимают взрывные работы при проведении горноразведочных работ.

В геологоразведке взрывные работы применяют при сейсморазведке для возбуждения упругих волн, по скорости распространения которых определяют свойства горных пород, выделяют геологические структуры и наличие залежей углеводородов и других полезных ископаемых.

Взрывным способом ликвидируют аварии при бурении скважин, повышают дебит газа и нефти за счет увеличения трещиноватости пластов. Взрывные работы используют при тушении пожаров.

При проведении горноразведочных горных выработок взрыванием обеспечивается формирование канав и разрушение породы (отбойка) в забое горной выработки.

Технология разрушения горных пород взрывом существенно усовершенствовалась при появлении короткозамедленного взрывания.

Взрывные работы характеризуются высокой производительностью и экономичностью, поэтому они нашли широкое применение при проведении горно-разведочных выработок, особенно для разрушения твердых горных пород.

Впервые задача физической сущности взрыва была исследована М. В. Ломоносовым, в работе «О природе и рождении селитры» в 1748 г. Им дано определение взрыва как очень быстрого выделения значительного количества энергии и большого объема газов.

В современной интерпретации взрыв – процесс сверхзвукового физического или химического превращения взрывчатого вещества за счет прохождения по нему детонационной волны, сопровождающейся переходом потенциальной энергии этого вещества или продуктов его превращения в кинетическую.

Взрывчатым веществом называют смеси и химические соединения, способные под влиянием внешнего воздействия (нагрева, удара, трения) взрываться, т. е. чрезвычайно быстро превращаться в другие соединения с образованием большого количества тепла и газов.

Таким образом, взрыв, взрывчатое превращение – это быстро протекающая в веществе химическая реакция, сопровождающаяся образованием большого количества газов и значительным выделением тепла, в результате чего газы нагреваются до высокой температуры, а в месте нахождения взрывчатого вещества развивается высокое давление. Взрывчатое вещество применяют в зарядах, под которыми понимают определенную массу вещества, подготовленную к взрыву.

Скорость взрывчатого разложения внутри заряда взрывчатого вещества может быть разной и в значительной степени определяет разрушительное действие взрыва на окружающую среду.

По характеру воздействия на горную породу взрывчатые вещества делятся на две группы:

- бризантные;
- метательные (пороха).

Среди бризантных взрывчатых веществ в особую группу выделяют обладающие высокой чувствительностью инициирующие вещества, которые применяют в качестве средств инициирования (детонаторы).

Промышленные взрывчатые вещества предназначаются для дробления, разрушения и перемещения горных пород.

Существуют три формы химических превращений взрывчатых веществ:

- медленное химическое превращение;
- горение;
- детонация.

Медленное химическое превращение протекает при низких температурах по всему объему вещества.

При горении передача тепла от слоя к слою происходит в результате теплопроводности. Скорость горения может быть от долей сантиметра до десятков метров в секунду.

Взрыв, распространяющийся с постоянной и высокой скоростью, называют детонацией. При детонации энергия по заряду взрывчатого вещества распространяется со скоростью 2–8 тысяч в секунду.

Быстрое химическое и физическое превращение вещества, сопровождается мгновенным переходом потенциальной энергии в тепловую, резким повышением давления на окружающую среду и звуковым эффектом. По своей природе взрывы делятся на:

- физические, которые приводят только к физическим преобразованиям веществ, например беспламенное взрывание с помощью сжатого воздуха;

- химические, при которых наблюдаются быстрые химические реакции с выделением тепла;
- ядерные, в основе которых реакции деления ядер вещества с образованием новых элементов.

При взрывных работах на горных предприятиях применяют химические взрывы.

Физическая сущность детонации. Ударная волна характеризуется резким скачкообразным изменением параметров вещества – давления, плотности, температуры и скорости. Поэтому детонационная волна от ударной отличается тем, что за фронтом ударной волны идет зона химической реакции, где выделяется энергия взрывчатого превращения, часть которой расходуется на поддержание устойчивого распространения детонации.

Промежуточным между горением и детонацией является взрывное горение, которое от основных форм отличается непостоянством скорости. Формы взрывчатого превращения в зависимости от условий могут переходить одна в другую (горение в детонацию и наоборот). Порохам присуще сравнительно медленное разложение в форме горения, поэтому они оказывают на внешнюю среду преимущественно метательное действие.

Ударная волна, проходящая по взрывчатому веществу, сжимает и разогревает его, вызывая химическую реакцию. Реакция сопровождается выделением большого количества тепла, которое трансформируется в энергию сжатых газов и передается в головную ударную волну, компенсируя потери ее энергии на сжатие вещества (рис. 1.77).

При этом начинается химическая реакция и давление достигает максимального значения p_{\max} при объеме V_{\min} . Реакция развивается с выделением тепла и расширением продуктов взрыва, давление при этом падает, а объем увеличивается. Заканчивается реакция в точке N на ударной диабате продуктов взрыва, называемой точкой Чепмена–Жуге, с параметрами $p_{\text{ж}}$ и $V_{\text{ж}}$. При этом прямая 2 соединяет параметры состояния исходного вещества с параметрами всплеска в состоянии максимального сжатия и завершения реакции.

Вещество в детонационной волне последовательно проходит все состояния по прямой ANM . Участок AN соответствует зоне сжатия в ударной волне, участок NM – зоне химических реакций.

По гидродинамической теории детонации взрывчатое вещество характеризуется ударной адиабатой 1, а конечные продукты – адиабатой 3. Продолжительность химической реакции в детонационной волне составляет 10^{-6} – 10^{-7} с.

Скорость детонации $\Omega_{\text{д}}$, скорость движения продуктов взрыва $\Omega_{\text{п}}$ и скорость звука в продуктах взрыва C связаны соотношением $\Omega_{\text{д}} = \Omega_{\text{п}} + C$.

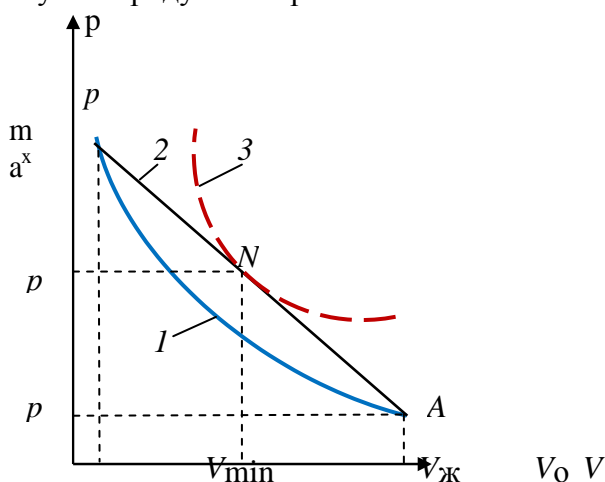


Рис. 1.77. Изменение состояния взрывчатого вещества в детонационной волне

1.8.2. Механизм разрушения пород взрывом

В результате взрывного разрушения за счет высокой скорости приложения нагрузки и деформирования среды образуется множество трещин в отличие от статического разрушения, для которого характерно образование единичных трещин.

В безграничной среде, где влияние свободной поверхности мало, взрывное разрушение протекает двустадийно.

Первичное разрушение происходит на динамическом фронте дробления – поверхности, где достигается предельное упругое состояние среды и образуются макротрещины по двум механизмам: сколом – при достижении предельных сдвиговых напряжений (в ближней к центру взрыва зоне, где напряжения сжимающие), отрывом – при достижении прочности на отрыв (в дальней зоне, где действуют растягивающие напряжения). Преобладающая масса среды на фронте дробления разрушается отрывом, так как прочность на сдвиг в хрупких средах и горных породах значительно превосходит прочность на отрыв. В результате образуется зона радиальных трещин.

Вторичное разрушение протекает при последующем сдвиговом деформировании нарушенной среды. Оно преобладает около взрывной полости, где деформации имеют наибольшее значение, являются основной причиной переизмельчения среды и бесполезных тепловых потерь энергии, обусловленных внутренним трением в разрушенной среде. Трещины при вторичном взрывном разрушении ориентированы беспорядочно. Это так называемая зона дробления. Влияние вторичного дробления растет с деформацией, поэтому его наибольший вклад будет в случае сильного взрыва (ядерного), когда степень деформирования существенно возрастает по сравнению с химическим взрывчатым веществом.

Размер зоны дробления R существенно зависит от интенсивности взрывного источника. Если начальное давление продуктов взрыва близко к прочности на сжатие, зона дробления может вообще отсутствовать. В этом случае преобладает разрушение отрывом, а зона радиальных трещин начинается от взрывной полости.

При взрыве вблизи свободной поверхности массива описанный механизм разрушения дополняется отколом – разрушением путем отрыва под действием растягивающих радиальных напряжений, возникающих при отражении взрывной волны от свободной поверхности (рис. 1.78). При отколе трещины ориентированы в основном параллельно свободной поверхности. Максимальная глубина зоны откольного разрушения не превышает половины длины фазы сжимающих напряжений взрывной волны.

Качество взрывного разрушения характеризуется распределением кусков по размеру. При взрыве в однородной среде (без начальной трещиноватости) установлена четкая корреляция между механизмом разрушения и гранулометрическим составом разрушенной среды. Первичное разрушение приводит к образованию в горной массе примерно равного количества кусков различного размера, при вторичном разрушении большая часть кусков имеет приблизительно одинаковый размер.

В реальных горных породах всегда существуют дефекты (неоднородности) различного масштаба – от естественной трещиноватости массива до дислокаций в зернах минералов, которые приводят к зарождению трещин и определяют гранулометрический состав разрушенной взрывом горной породы. Преимущественное влияние тех или иных неоднородностей зависит от величины действующих напряжений и проявляется дифференцированно в зависимости от расстояния от центра взрыва и интенсивности взрывного источника. Около взрывной полости, где действуют максимальные напряжения, разрушению могут подвергаться даже самые прочные минералы, входящие в горную породу. Наибольшее влияние на формирование гранулометрического состава оказывают макро- и микротрещиноватость и слоистость.

Например, при слабом взрыве в породе с четко выраженной блочной структурой

гранулометрический состав определяется в основном начальной системой трещин. На взрывное разрушение, т. е. на создание новых поверхностей в массиве, расходуется около 1 % от всей энергии взрыва.

Если взрыв производят в слоистых породах в направлении, перпендикулярно слоям, то сдвиг породы происходит вдоль слоев, а отрыв перпендикулярном к слоям. Так как предел прочности на сдвиг будет минимален в направлении вдоль слоев, то минимальная энергоёмкость разрушения будет тогда, когда сдвиг происходит вдоль слоистости.

Управление разрушающим действием взрыва состоит в возможном регулировании среднего размера куска и набора фракций. С этой целью применяют короткозамедленное и буферное взрывание.

Для разрушения горных пород взрывом в практике геологоразведочных работ используют шпуровые, скважинные, котловые, камерные и накладные заряды.

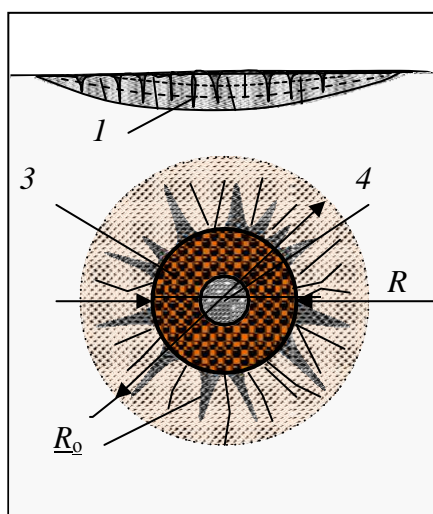


Рис. 1.78. Схема зон взрывного разрушения: 1 – откольного; 2 – радиальных трещин; 3 – дробления; 4 – полость.

Шпуровые заряды выполняют размещением взрывчатого вещества в шпуре (рис. 1.79.). Длина заряда может составлять до 2–3 м при диаметре 32 или 40 мм. Шпур заполняется на $\frac{2}{3}$ – $\frac{3}{4}$ длины взрывчатым веществом – патронированным или россыпным 1, а остальная часть забойкой 2 (специальной пробкой или породой). Иницирование взрыва осуществляют при помощи средств взрывания – электродетонаторов 3, соединяемых в схему электропроводом 4.

Для взрывания одиночных зарядов или группы из нескольких зарядов могут применяться огнепроводные шнуры, капсуля-детонаторы и детонирующие шнуры.

В большинстве случаев донные части шпуров после взрывания остаются неразрушенными. Эти части носят название «стаканов», а отношение полезной длины шпура к его полной длине называется коэффициентом использования шпура (КИШ). Величина этого коэффициента составляет 0,8–0,9.

Для повышения коэффициента полезного действия взрыва (КИШ) следует использовать наиболее плотную забойку шпура, а также иницировать взрыв в направлении от дна шпура (обратная схема иницирования), рис. 1.79.

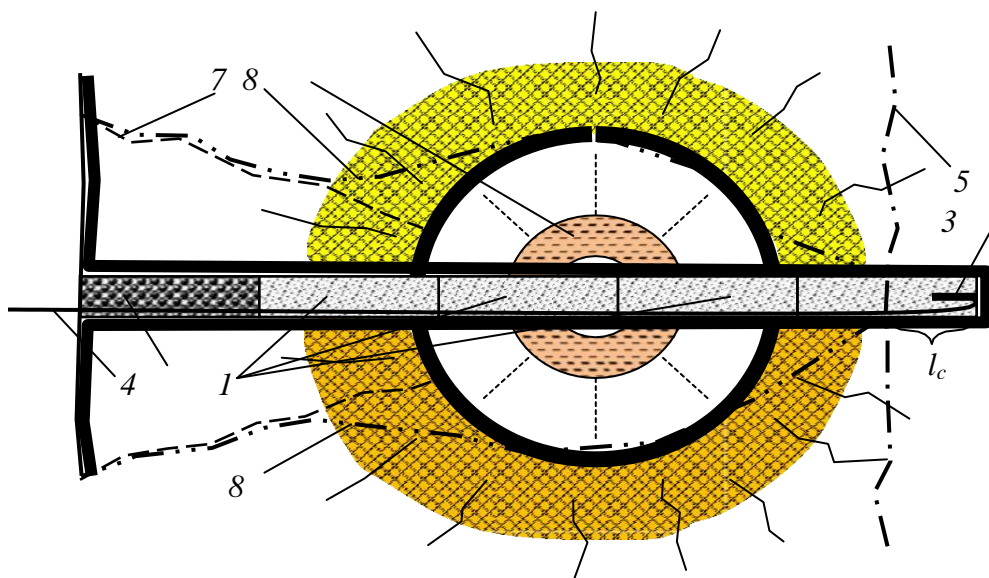


Рис. 1.79. Схема шпурового заряда и его действия при отбойке породы в забое горной выработки: 1 – патроны взрывчатого вещества; 2 – забойка шпура; 3 – электродетонатор; 4 – провод для соединения электродетонаторов; 5 – линия отрыва породы при взрыве группы шпуров в забое выработки; 6 – центр взрыва с расходящимися от центра зонами раздробленной и разбитой трещинами породы; 7 – линия отрыва породы; 8 – линия разрушенной породы в случае взрывания одного заряда; l_c – длина «стакана».

Действие взрыва приводит к дроблению и распространению трещин в породе в направлении от центра взрыва 6. Направление действия взрыва определяется наличием свободной поверхности, к которой распространяются трещины отрыва 7. При взрыве одного заряда образуется достаточно узкая полость, контур которой примерно соответствует линии 8. Взрыв всех шпуров, входящих в систему отбойки породы, приводит к отделению породы по линии 5.

Шпуровые заряды позволяют производить сравнительно равномерное дробление породы и применяются в самых разнообразных горно-геологических условиях.

Метод скважинных зарядов заключается в том, что во взрываемой породе бурят скважину (глубина более 5 м и диаметр более 75 мм), в которую помещают удлиненные заряды. Этот метод применяют при выполнении взрывных работ на карьерах, когда глубина шпуров недостаточна для размещения нужного количества взрывчатого вещества или если требуется получить большое количество равномерно раздробленной породы. При зарядании скважины для повышения эффективности взрыва более мощные взрывчатые вещества, если применяют взрывчатку различных сортов, рекомендуется помещать в нижней части скважины.

Метод котловых зарядов состоит в том, что шпур или скважину над забоем путем многократного взрывания в них небольших зарядов взрывчатых веществ расширяют до образования камеры, близкой по форме к шару. В эту камеру (котел) после очистки ее от разрушенной породы помещают расчетный заряд взрывчатого вещества для основного взрывания. Операции по получению котлов называют простреливанием шпуров или скважин, а шпур или скважину с котлом в призабойной части – котловым шпуром или котловой скважиной.

Метод котловых зарядов применяется тогда, когда расчетный заряд при заданных глубине шпура или скважины не может поместиться в шпуре или скважине и в тех случаях, если линия сопротивления породы (расстояние от центра заряда до поверхности)

настолько велика, что заряд взрывчатого вещества не в состоянии его преодолеть без концентрации заданного объема взрывчатки.

Метод камерных зарядов заключается в том, что отбойка породы производится путем взрывания сосредоточенных зарядов большой величины (до нескольких десятков и даже сотен тонн), которые помещают в специальные горные выработки, называемые зарядными камерами или просто камерами.

Накладные заряды применяют для разрушения крупных обломков, глыб, больших камней путем наложения взрывчатого вещества непосредственно на объект.

Кроме перечисленных методов взрывания различают еще взрывание на выброс, сброс и др.

Наиболее часто при проведении горноразведочных выработок для разрушения породы применяют шпуровые заряды. Принятые схемы расположения шпуров в забое должны обеспечить отрыв породы в забое выработки в соответствии с ее проектным контуром, а также равномерное дробление породы.

Эффективность буровзрывных работ зависит от количества и схемы расположения шпуров в забое. По назначению шпуры делятся на врубовые, вспомогательные, оконтуривающие.

Врубовые шпуры предназначены для предварительного образования вруба (углубления) с целью создания дополнительных плоскостей обнажения в массиве породы в пределах контура выработки. Врубовые шпуры взрываются первыми, создавая поверхность обнажения, в направлении которой отбивают породу вспомогательные, а затем и оконтуривающие шпуры. Вспомогательные шпуры служат для расширения выемки, образованной при взрывании врубовых шпуров. Применяются вспомогательные шпуры при проходке выработок большого поперечного сечения.

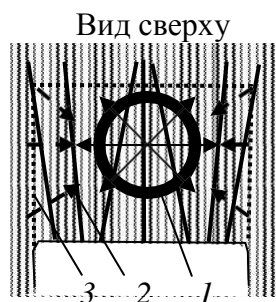


Рис. 1.80. Схема расположения шпуров с центральным клиновым врубом (шпуры 1–6): 1 – очаг взрыва врубовых шпуров; 2 – направление отбоя породы при взрыве оконтуривающих шпуров; 3 – контур отбитой, в результате взрывания шпуров, породы.

Оконтуривающие шпуры служат клиновым врубом, форма которого и расположение заданы с учетом условий залегания горных пород и отбоя породы до пределов проектного контура сечения выработки. Поэтому располагаются они по периметру выработки и взрываются с задержкой последними.

Схема расположения шпуров с центральным клиновым врубом (рис. 1.80) применяется при вертикальной слоистости горных пород, когда слои совпадают с направлением продвижения горной выработки или в случае разрушения равномернозернистой породы. Для образования клинового вруба бурят четное количество врубовых шпуров, которые располагают в двух вертикальных плоскостях, направленных под углом к центру выработки.

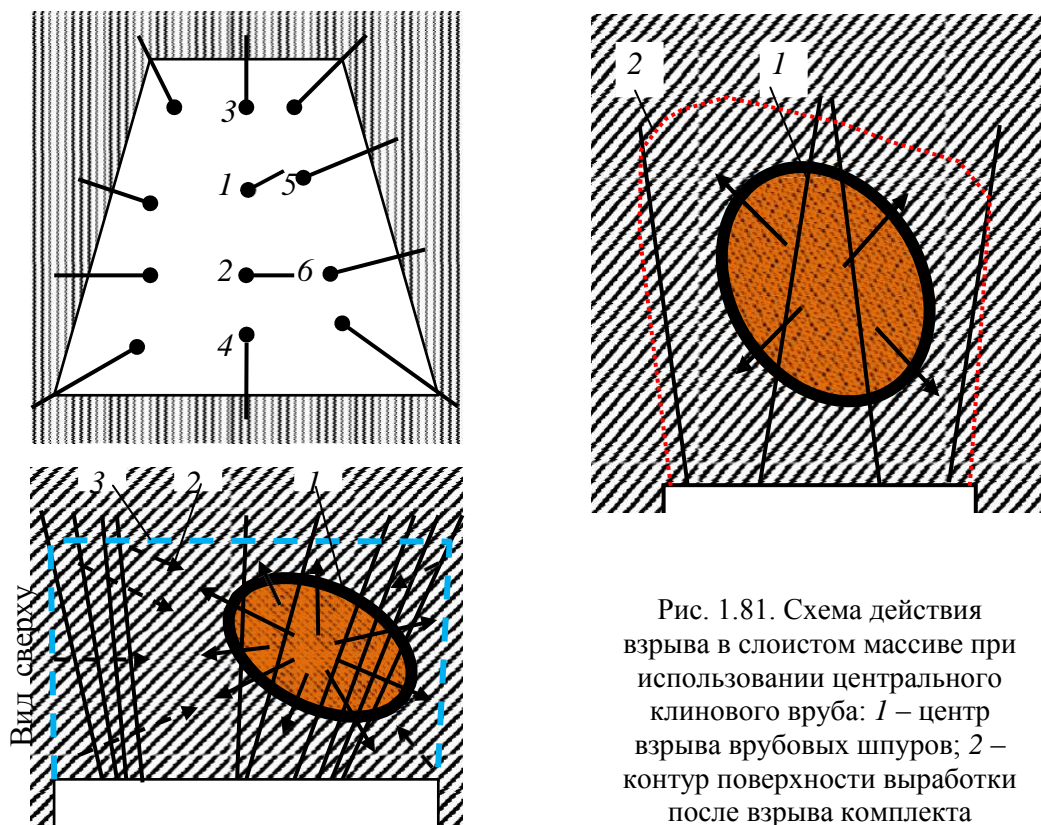


Рис. 1.81. Схема действия взрыва в слоистом массиве при использовании центрального клинового вруба: 1 – центр взрыва врубовых шпуров; 2 – контур поверхности выработки после взрыва комплекта шпуров.

При взрывании шпуров первыми приводят в действие врубовые шпуры, взрыв которых создает полость в центральной части массива породы 1 (рис. 1.81). Вслед за врубовыми шпурами с замедлением 0,1–0,2 сек. производят взрывание вспомогательных и оконтуривающих шпуров. При взрыве оконтуривающих шпуров порода отбивается в направлении центра взрыва врубовых шпуров 2. В результате взрывания всего комплекта шпуров образуется новая поверхность горной выработки 3.

В ряде случаев после взрывания врубовых шпуров и замедления взрывают вспомогательные шпуры и только после очередного микрозамедления – оконтуривающие. Последняя схема применяется в случае проходки горных выработок большого сечения.

В случае если при вертикальном расположении слоев горной породы они пересекают выработку под углом со стороны правой стенки, вруб направляется в сторону правой же стенки выработки, т. е. в направлении слоев горных пород. Данная схема расположения вруба позволяет направить энергию взрыва в массив породы с наибольшей прочностью, поскольку порода в этом случае более деформируема, активнее разрушается вкрест слоистости и менее податлива в направлении слоев.

Отмеченная закономерность предопределена анизотропией механических свойств слоистых горных пород, в которых деформации и разрушающие напряжения развиваются неравномерно, а преимущественно в направлении минимальной прочности.

При смещении врубовых шпуров от оси выработки вправо центр взрыва врубовых шпуров 1 смещается от оси выработки также вправо, а взрывание оконтуривающих шпуров с замедлением позволит добиться более равномерного и полного разрушения массива породы перед выработкой и создания новой поверхности выработки в соответствии с проектным контуром 3.

При симметричном же расположении шпуров горная порода со стороны, совпадающей с направлением слоев, будет разрушаться не в полной мере, а с противоположной стороны более интенсивно. В результате не будет сохранено прямолинейное проектное направление горной выработки и нарушена форма ее поперечного сечения.

2. БУРОВОЙ ПОРОДОРАЗРУШАЮЩИЙ ИНСТРУМЕНТ

2.1. Буровые коронки твердосплавные

Буровые коронки являются важнейшей частью бурового оборудования. По характеру рабочей поверхности они делятся на 2 типа: твердосплавные и алмазные. Они используются для вращательного бурения скважин сравнительно небольшого диаметра, например:

- геологоразведочных;
- взрывных;
- шпуров и т.д.

Коронки твердосплавные внешне представляют собой короткий цилиндр с твердосплавными пластинами с одной стороны и резьбой – с другой. Сама коронка изготавливается из стали, а пластины – специального высокопрочного сплава. Каждая коронка рассчитана на бурение породы определенной категории. Очистка забоя в большинстве случаев осуществляется с помощью промывочной жидкости.



Рис. 2.1. Коронка твердосплавная КТ-2 Ø 112.

Применяется при бурении мало абразивных пород V-VI категорий. Слабые песчаники, гипсы, песчаные сланцы, известняки, мягкие сульфиды без кварца, каменные соли, аргиллиты, мягкие сланцы и т.д. Диаметр колонковой трубы 108 мм.



Рис.2.2. Коронка твердосплавная КТ-2 Ø 132.

Применяется при бурении мало абразивных пород V-VI категорий. Слабые песчаники, гипсы, песчаные сланцы, известняки, мягкие сульфиды без кварца, каменные соли, аргиллиты, мягкие сланцы и т.д. Диаметр колонковой трубы 127 мм.



Рис.2.3. Коронка твердосплавная КТ-2 Ø 151.

Применяется при бурении мало абразивных пород V-VI категорий. Слабые песчаники, гипсы, песчаные сланцы, известняки, мягкие сульфиды без кварца, каменные соли, аргиллиты, мягкие сланцы и т.д. Диаметр колонковой трубы 146 мм.



Рис. 2.4. Коронка твердосплавная КТ-2 Ø 172.

Применяется при бурении мало абразивных пород V-VI категорий. Слабые песчаники, гипсы, песчаные сланцы, известняки, мягкие сульфиды без кварца, каменные соли, аргиллиты, мягкие сланцы и т.д. Диаметр колонковой трубы 168 мм.



Рис. 2.5. Коронка твердосплавная КТ-2 Ø 76.

Применяется при бурении мало абразивных пород V-VI категорий. Слабые песчаники, гипсы, песчаные сланцы, известняки, мягкие сульфиды без кварца, каменные соли, аргиллиты, мягкие сланцы и т.д. Диаметр колонковой трубы 73 мм.



Рис. 2.6. Коронка твердосплавная КТ-2 Ø 93.

Применяется при бурении мало абразивных пород V-VI категорий. Слабые песчаники, гипсы, песчаные сланцы, известняки, мягкие сульфиды без кварца, каменные соли, аргиллиты, мягкие сланцы и т.д. Диаметр колонковой трубы 89 мм.



Рис. 2.7. Коронка твердосплавная М-5 Ø 112.

Применяется при бурении мягких пород до IV категории. Глины, слабосцементированные песчаники, гипсы, ангидриды, глинистые сланцы с прослоями валунно-галечных отложений. Диаметр колонковой трубы 89мм.



Рис.2.8. Коронка твердосплавная СА-4 Ø 112.

Применяется при бурении абразивных, монолитных, слаботрещиноватых пород VI-VIII категорий. Габбро, пироксениты, порфириты, диориты, дациты, диопсидомагнетитовые и гранатовые скарны. Диаметр колонковой трубы 108мм.



Рис.2.9. Коронка твердосплавная СА-4 Ø 132.

Применяется при бурении абразивных, монолитных, слаботрещиноватых пород VI-VIII категорий. Габбро, пироксениты, порфириты, диориты, дациты, диопсидомагнетитовые и гранатовые скарны. Диаметр колонковой трубы 127 мм.



Рис. 2.10. Коронка твердосплавная СА-4 Ø 151.

Применяется при бурении абразивных, монолитных, слаботрещиноватых пород VI-VIII категорий. Габбро, пироксениты, порфириты, диориты, дациты, диопсидомагнетитовые и гранатовые скарны. Диаметр колонковой трубы 146 мм.



Рис. 2.11. Коронка твердосплавная СА-4 Ø 76.

Применяется при бурении абразивных, монолитных, слаботрещиноватых пород VI-VIII категорий. Габбро, пироксениты, порфириты, диориты, дациты, диопсидомагнетитовые и гранатовые скарны. Диаметр колонковой трубы 73 мм.



Рис. 2.12. Коронка твердосплавная СА-4 Ø 93.

Применяется при бурении абразивных, монокристаллических, слаботрешиноватых пород VI-VIII категорий. Габбро, пироксениты, порфириды, диориты, дациты, диопсидомагнетитовые и гранатовые скарны. Диаметр колонковой трубы 89 мм.



Рис. 2.13. Коронка твердосплавная СА-6 Ø 112.

Применяется при бурении абразивных пород VI-VIII категорий. Диаметр колонковой трубы 108 мм.



Рис. 2.14. Коронка твердосплавная СА-6 Ø 132.

Применяется при бурении абразивных пород VI-VIII категорий. Песчаники, алевролиты, габбро, диориты, порфириды, окварцованные известняки. Диаметр колонковой трубы 127 мм.



Рис. 2.15. Коронка твердосплавная СА-6 Ø 151.

Применяется при бурении абразивных пород VI-VIII категорий. Песчаники, алевролиты, габбро, диориты, порфириды, окварцованные известняки. Диаметр колонковой трубы 146 мм.



Рис.2. 16. Коронка твердосплавная СА-6 Ø 59.

Применяется при бурении абразивных пород VI-VIII категорий. Песчаники, алевролиты, габбро, диориты, порфириды, окварцованные известняки. Диаметр колонковой трубы 57 мм.



Рис. 2.17. Коронка твердосплавная СА-6 Ø 76.

Применяется при бурении абразивных пород VI-VIII категорий. Песчаники, алевролиты, габбро, диориты, порфириды, окварцованные известняки. Диаметр колонковой трубы 73 мм.



Рис.2. 18. Коронка твердосплавная СА-6 Ø 93.

Применяется при бурении абразивных пород VI-VIII категорий. Песчаники, алевролиты, габбро, диориты, порфириды, окварцованные известняки. Диаметр колонковой трубы 89 мм.



Рис.2. 19. Коронка твердосплавная CM-5 Ø 112.

Применяется при бурении абразивных, монолитных, слаботрещиноватых пород V-VI категорий. Доломиты, известняки, глинистые и песчаные сланцы, серпентиниты. Диаметр колонковой трубы 108 мм.



Рис. 2.20. Коронка твердосплавная СМ-5 Ø 132.

Применяется при бурении абразивных, монолитных, слаботрещиноватых пород V-VI категорий. Доломиты, известняки, глинистые и песчаные сланцы, серпентиниты. Диаметр колонковой трубы 127 мм.



Рис.2. 21. Коронка твердосплавная СМ-5 Ø 59.

Применяется при бурении абразивных, монолитных, слаботрещиноватых пород V-VI категорий. Доломиты, известняки, глинистые и песчаные сланцы, серпентиниты. Диаметр колонковой трубы 57 мм.



Рис. 2.22. Коронка твердосплавная СМ-5 Ø 93.

Применяется при бурении абразивных, монолитных, слаботрещиноватых пород V-VI категорий. Доломиты, известняки, глинистые и песчаные сланцы, серпентиниты. Диаметр колонковой трубы 89 мм.



Рис. 2.23. Коронка твердосплавная СМ-5 Ø 76.

Применяется при бурении абразивных, монолитных, слаботрещиноватых пород V-VI категорий. Доломиты, известняки, глинистые и песчаные сланцы, серпентиниты. Диаметр колонковой трубы 73 мм.



Рис. 2.24. Коронка твердосплавная СМ-6 Ø 151.

Применяется при бурении абразивных, монолитных, слаботрещиноватых пород V-VI категорий. Доломиты, известняки, серпентиниты, перидотиты. Диаметр колонковой трубы 146 мм.



Рис.2. 25. Резец РП-3 У 33.00.00.000.

Зуб бара предназначен для усиления твердосплавного вооружения при обсаживании скважины.

2.2. Коронки алмазные импрегнированные

Импрегированные алмазные коронки предназначены для бурения пород V111-X11 категорий и характеризуются равномерным распределением по всему объему матриц относительно мелких природных или синтетических алмазов. Подобное строение импрегнированной коронки обеспечивает ее эффективность при бурении по твердым породам.



Рис.2.26. Алмазная коронка 02ИЗ, 02И4.

Категория буримости пород V111- X11, малоабразивные, очень крепкие, плотные монолитные, тонкозернистые, скрытокристаллические, абразивные, мелко- и скрытозернистые. Диаметр бурения 36, 46, 59, 76, 93 мм. Бурение с отбором керна одинарными колонковыми трубами.



Рис.2.27. Импригнированная буровая коронка 08ИЗ.

Категория буримости пород 1Х-Х1, мало- и среднеабразивные, очень крепкие, плотные монолитные, тонкозернистые, скрытокристаллические, абразивные, мелко- и скрыто-зернистые. Диаметр бурения 46 мм. Бурение бескерновое многозабойное.



Рис. 2. 28. Импригнированная буровая коронка БИТ.

Категория буримости пород V11-Х, монолитные и среднетрещиноватые. Диаметр бурения 59, 76, 93, 112, 132 мм. Бурение с отбором керна одинарными колонковыми трубами.



Рис. 2.29. Импригнированная буровая коронка К-01-3.

Категория буримости пород Х-Х1, монолитные, слабо-трещиноватые, мало-абразивные и абразивные. Диаметр бурения 59 мм. Бурение с отбором керна с комплексом ССК-59.



Рис. 2.30. Импригнированная буровая коронка К- 08.

Категория буримости пород V111-X, плотные, средне-трещиноватые. Диаметр бурения 59 мм. Бурение с отбором керна с комплексом ССК-59.



Рис. 2.31. Импригнированная буровая коронка К-09И2Г.

Категория буримости пород 1X-X1, плотные, средне-трещиноватые. Диаметр бурения 59 мм. Бурение с отбором керна с комплексом ССК-59.



Рис. 2.32. Импригнированная буровая коронка 17ИЗ.

Категория буримости пород V11-X1, монолитные, плотные, среднетрещиноватые, мало- и среднеабразивные. Диаметр бурения 76 мм. Бурение с отбором керна с комплексом КССК-76.



Рис. 2.33. Импригнированная буровая коронка БИТ ССК 59.

Категория буримости пород V11-X, монолитные и среднетрещиноватые. Диаметр бурения 59 мм. Бурение с отбором керна с комплексом ССК-59.



Рис. 2.34. Импригнированная буровая коронка 21М3.

Категория буримости пород 1Х-Х1, твердые. Диаметр бурения 46, 59,76, 93, 112, 136, 172, 222 мм. Бурение с отбором керна одинарными колонковыми трубами.



Рис. 2.35. Импригнированная буровая коронка 23ИЗ.

Категория буримости пород V111-1Х, средне-твердые, твердые, слабо-абразивные и частично трещиноватые. Диаметр бурения 59,6; 75,3; 95,6; 122 мм. Бурение с отбором керна с комплексом ССК.



Рис. 2.36. Импригнированная буровая коронка 27ИЗ.

Категория буримости пород V111-1Х, средне-твердые, твердые, слабо-абразивные и частично трещиноватые. Диаметр бурения 59,6; 76 мм. Бурение с отбором керна с комплексом ССК.



Рис. 2.37. Импригнированная буровая коронка 28ИЗ.

Категория буримости пород V111-1Х, средне-твердые, слабо-абразивные и частично трещиноватые. Диаметр бурения 46, 59, 76, 93, 112 мм. Бурение с отбором керна одинарными колонковыми трубами.



Рис. 2.38. Импригнированная буровая коронка 28И4.

Категория буримости пород 1Х-Х11, различной твердости и абразивности. Диаметр бурения 46, 59, 76, 93, 112 мм. Бурение с отбором керна одинарными колонковыми трубами.



Рис. 2.39. Импригнированная буровая коронка 26И.

Категория буримости пород V11-Х11, абразивные и трещиноватые. Диаметр бурения 75,3/60,2; 91,8/76; 95,6/76; 117,5/100; 143,5/123,8 мм. Для забуривания или при установке обсадных труб.



Рис. 2. 40. Импригнированная буровая коронка 28И.

Категория буримости пород 1Х-Х11, различной твердости и абразивности. Диаметр бурения 46/31; 59/42; 76/58; 93/73; 112/92; 151/132 мм. Бурение с отбором керна одинарными колонковыми трубами.



Рис. 2.41. Импригнированная буровая коронка 29И.

Категория буримости пород 1X-X11, различной твердости и абразивности . Диаметр бурения 75,3/47,6; 95,6/63,5; 122/85 мм. Бурение с отбором керна с комплексом ССК.



Рис. 2.42. Импригнированная буровая коронка 30И.

Категория буримости пород 1X-X1, различной твердости и абразивности . Диаметр бурения 75,3 мм. Бурение сплошным забоем с комплексом ССК.



Рис. 2.43. Импригнированная буровая коронка 32И.

Категория буримости пород 1X-X11, различной твердости и абразивности . Диаметр бурения 75,3/47; 95,6/63,5 мм. Бурение с отбором керна комплексом ССК.



Рис. 2.44. Импригнированная буровая коронка 33И.

Категория буримости пород 1X-X11, различной твердости и абразивности . Диаметр бурения 46/31,7 66,8/50,4; 76/57; 76/57,5; 76/61,7; 56/45,2 мм. Бурение с отбором керна комплексом ССК.



Рис. 2.45. Импригнированная буровая коронка 36И.

Категория буримости пород 1Х-Х11, средней твердости до твердых, слабо абразивные, частично трещиноватые. Диаметр бурения 46/31,7 мм. Бурение с отбором керна одинарными колонковыми трубами.



Рис. 2.46. Импригнированная буровая коронка 37И.

Категория буримости пород 1Х-Х11, для крепких и очень крепких пород незначительно разрушенных. Диаметр бурения 59,6/36,4; 75,3/47,6; 95,6/63,5 мм. Бурение с отбором керна одинарными колонковыми трубами.



Рис. 2.47. Импригнированная буровая коронка 38И.

Категория буримости пород Х-Х1, для сложных горно-геологических условий, сильно раздробленные или трещиноватые породы. Диаметр бурения 59,6/36,4; 75,3/47,6; 95,6/63,5; 122 / 85 мм. Бурение с отбором керна одинарными колонковыми трубами.



Рис. 2.48. Импригнированная буровая коронка 34И КЛМ.

Категория буримости пород V11-Х1, для монолитных, слаботрещиноватых и трещиноватых пород. Диаметр бурения 75,3/40 мм. Бурение с обратной промывкой, гидротранспортом керна с комплексом ССК-НК.



Рис. 2.49. Импригнированная буровая коронка 23И.

Категория буримости пород 1X-X11, различной твердости и абразивности. Диаметр бурения 59,6/36,4; 75,3/47,6; 95,6/63,5; 122/85 мм. Бурение с отбором керна комплексом ССК.



Рис. 2.50. Импригнированная буровая коронка 27И.

Категория буримости пород V11-X11, различной твердости и абразивности. Диаметр бурения 46,5/30,3; 56,5/39; 59,6/42; 75,3/56 мм. Бурение с отбором керна комплексом ССК.



Рис. 2.51. Импригнированная буровая коронка K04 КП.

Категория буримости пород 1X-X11, различной твердости и абразивности. Диаметр бурения 76/48 мм. Бурение с отбором керна комплексом ССК.



Рис. 2.52. Импригнированная буровая коронка K04.

Категория буримости пород 1X-X11, различной твердости и абразивности. Диаметр бурения 59/35,4; 76 /48 мм. Бурение с отбором керна комплексом ССК.



Рис. 2.53. Импригнированная буровая коронка К-01-3.

Категория буримости порд V111-X1, монокристаллы, слабо трещиноватые и трещиноватые. Диаметр бурения 46, 59 мм. Бурение с отбором керна одинарными колонковыми трубами.

2.3. Коронки алмазные однослойные

Алмазы в однослойных коронках располагаются в верхнем слое матрицы. Используются крупные природные и синтетические алмазы, которые обеспечивают высокую скорость проходки и высокую эффективность буровых работ. Алмазы в однослойных коронках располагают по определенной схеме, которая меняется в зависимости от размеров используемых алмазов, что в значительной мере определяет ресурс коронки и скорость бурения.



Рис. 2.54. Однослойная буровая коронка 01A3, 01A4.

Категория буримости порд V11-1X, малоабразивные, монокристаллы, трещиноватые. Диаметр бурения 36, 46, 59, 76, 93, 112 мм. Бурение с отбором керна одинарными колонковыми трубами.



Рис. 2.55. Однослойная буровая коронка 08A3.

Категория буримости порд V11-1X, мало и средне абразивные. Диаметр бурения 46 мм. Бурение бескерновое многозабойное.



Рис. 2.56. Однослойная буровая коронка 09А3.

Категория буримости пород V11-1X, мало и средне абразивные. Диаметр бурения 59 мм. Бурение бескерновое многозабойное.



Рис. 2.57. Однослойная буровая коронка K16.

Категория буримости пород V1- V111, перемежающиеся. Диаметр бурения 76 мм. Бурение с отбором керна комплексом КССК-76.



Рис. 2.58 Однослойная буровая коронка K01.

Категория буримости пород V11- 1X, плотные слабо и средне трещиноватые. Диаметр бурения 59 мм. Бурение с отбором керна комплексом ССК-59.



Рис. 2.59. Однослойная буровая коронка K01-1.

Категория буримости пород V11- 1X, плотные. Диаметр бурения 59 мм. Бурение с отбором керна комплексом ССК-59.



Рис. 2.60. Однослойная буровая коронка K01-2.

Категория буримости пород V11- 1X, средне трещиноватые. Диаметр бурения 59 мм. Бурение с отбором керна комплексом ССК-59.



Рис. 2.61. Однослойная буровая коронка 01КС.

Категория буримости пород V-1X, абразивные, переслаивающиеся по твердости и абразивности. Диаметр бурения 59,76, 93, 112, 132, 151, 245/225 мм. Бурение с отбором керна одинарными колонковыми трубами.



Рис. 2.62. Однослойная буровая коронка 02КС.

Категория буримости пород V-1X, абразивные, переслаивающиеся по твердости и абразивности. Диаметр бурения 59,76, 93, 112, 132, 151 мм. Бурение с отбором керна одинарными колонковыми трубами.



Рис. 2.63. Однослойная буровая коронка 01А3СВ.

Категория буримости пород V111, монолитные и слабо трещиноватые. Диаметр бурения 46, 59,76, 93, 112 мм. Бурение с отбором керна одинарными колонковыми трубами.



Рис. 2.64. Однослойная буровая коронка 01A4CB.

Категория буримости порд V111, моноклитные и слабо трещиноватые. Диаметр бурения 46, 59,76, 93, 112 мм. Бурение с отбором керна одинарными колонковыми трубами.



Рис. 2.65. Однослойная буровая коронка 07KC.

Категория буримости порд V-1X, абразивные, переслаивающиеся по твердости и абразивности. Диаметр бурения 59,6/36,4; 75,3/47,6; 95,6/63,5; 122/83 мм. Бурение с отбором керна комплексом ССК.



Рис. 2.66. Однослойная буровая коронка 07KC2.

Категория буримости порд V-V111, абразивные, переслаивающиеся по твердости и абразивности. Диаметр бурения 59,6/36,4; 75,3/47,6; 95,6/63,5; 122/83 мм. Бурение с отбором керна комплексом ССК.



Рис. 2.67. Однослойная буровая коронка 07KC-0.

Категория буримости порд V-V111, абразивные, переслаивающиеся по твердости и абразивности. Диаметр бурения 59,6/36,4; 75,3/47,6; 95,6/63,5; 122/83 мм. Бурение с отбором керна комплексом ССК.



Рис. 2.68. Однослойная буровая коронка К-06.

Категория буримости пород V11-1X, плотные, слабо и средне трещиноватые. Диаметр бурения 75,3; 95,6 мм. Бурение с отбором керна комплексом ССК.



Рис. 2.69. Однослойная буровая коронка 07КС-2-0.

Категория буримости пород V11-1X, различной твердости и абразивности. Диаметр бурения 75,3/47,6; 95,6/63,5 мм. Бурение с отбором керна комплексом ССК.



Рис. 2.70. Однослойная буровая коронка 23А.

Категория буримости пород V111-X, малоабразивные, абразивные, плотные, монолитные, мелко и среднезернистые, трещиноватые. Диаметр бурения 59,6/36,4; 75,3/47,6; 95,6/63,5 мм. Бурение с отбором керна комплексом ССК.



Рис. 2.71. Однослойная буровая коронка 29А.

Категория буримости пород V111-1X, различной твердости и абразивности. Диаметр бурения 75,3/47,6; 95,6/63,5 мм. Бурение с отбором керна комплексом ССК.



Рис. 2.72. Однослойная буровая коронка 31А.

Категория буримости пород V111-X, различной твердости и абразивности. Диаметр бурения 93, 112 мм. Бурение сплошным зубом.



Рис. 2.73 Однослойная буровая коронка ГБА.

Категория буримости пород V1-V111, абразивные горные породы. Диаметр бурения 215,9/100 мм. Бурение с отбором керна.



Рис. 2.74. Однослойная буровая коронка Б-1.

Категория буримости пород V1-1X, резко перемежающиеся горные породы. Диаметр бурения 117,5/63,5 мм. Бурение с отбором керна комплексом ССК.

2.4. Алмазные расширители

Алмазные расширители предназначены для поддержания заданного диаметра скважины. В буровом снаряде расширитель устанавливается между коронкой и колонковой трубой. Расширители заменяются, когда их диаметр становится меньше диаметра новой коронки. Поэтому только самая последняя часть калибруется при установке новой коронки. Алмазный расширитель помогает стабилизировать колонковую трубу. Выпускаются расширители для всех типов колонковых труб и коронок. В расширителях для армирования секторов применяются специально отобранные природные или синтетические алмазы.



Рис. 2.75. Алмазный расширитель РСА.

Категория буримости пород 1X- X, мало и средне абразивные. Диаметр бурения 46,4; 59,4; 76,4; 93,4 мм.



Рис. 2.76. Алмазный расширитель РСА-1.

Категория буримости пород V11 - X, плотные, слабо и средне трещиноватые. Диаметр бурения 59,4 мм.



Рис. 2.77. Алмазный расширитель РЦК.

Категория буримости пород V1 - X, плотные, малообразивные и средне трещиноватые. Диаметр бурения 76,4 мм.



Рис. 2.78. Алмазный расширитель РСА 23П.

Категория буримости пород V11–X11, твердые, очень твердые, средне абразивные и трещиноватые. Диаметр бурения 60; 75,7; 96 мм.



Рис. 2.79. Алмазный расширитель РСА 27П.

Категория буримости пород V11–X1, плотные и слабо трещиноватые. Диаметр бурения 60 мм.



Рис. 2.80. Алмазный расширитель РСН.

Категория буримости пород V11–X11, твердые, очень твердые, среднеабразивные и трещиноватые, плотные. Диаметр бурения 46,4; 59,4; 76,4; 93,4 мм.



Рис. 2.81. Алмазный расширитель РАС.

Категория буримости пород V11–X, плотные, малоабразивные и средне трещиноватые. Диаметр бурения 112,4; 136,7; 172,7 мм.



Рис. 2.82. Алмазный расширитель РСА 33.

Категория буримости пород V111–X1, монолитные, слаботрещиноватые и трещиноватые. Диаметр бурения 76,4 мм.



Рис. 2.83. Переходник центратор ПЦ.

Переходник центратор ПЦ служит для центрирования верхнего конца колонковой трубы в скважине с целью снижения искривления скважины и вибрации снаряда, а так же для снижения износа колонковой трубы. Служит для соединения бурильных труб с колонковой трубой или шламовой трубой. Диаметр бурения 59,6; 75,3; 96; 122,6 мм.



импрегнированный башмак обсадной трубы

Рис. 2.84. Башмаки обсадных труб.

Башмаки обсадных труб применяются для забуривания или при установке обсадных труб в скважины. Изготавливаются стандартных и иных размеров.

2.5. Лопастные породоразрушающие инструменты

Лопастные породоразрушающие инструменты состоят из корпуса и лопастей (рис. 2.85.). В верхней части корпуса нарезается присоединительная резьба, а в нижней части просверливаются сквозные промывочные отверстия для подачи промывочной жидкости на забой. Боковые калибрующие и другие рабочие поверхности лопастей обычно покрывают релитом, чугуном или армируют порошкообразным карбидом вольфрама.

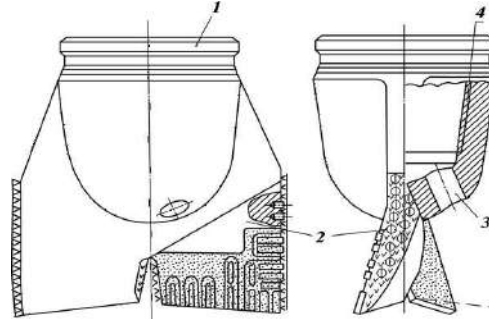


Рис. 2.85. Двухлопастное долото:
1 – корпус; 2 – лопасти; 3 – промывочные отверстия;
4 – присоединительная резьба.

Лопастные долота выпускаются следующих пяти разновидностей:
2Л – двухлопастные;
3Л – трехлопастные (рис. 2.86.);
ЗИР – трехлопастные истирающе-режущие;
БИР – шестилопастные истирающе-режущие;
П – пикообразные (однолопастные).

Лопастные породоразрушающие инструменты в соответствии с их назначением производятся четырех типов: М, МС, МСЗ и С.
Породоразрушающие инструменты разновидностей 2Л и 3Л выпускаются двух типов: М и МС.

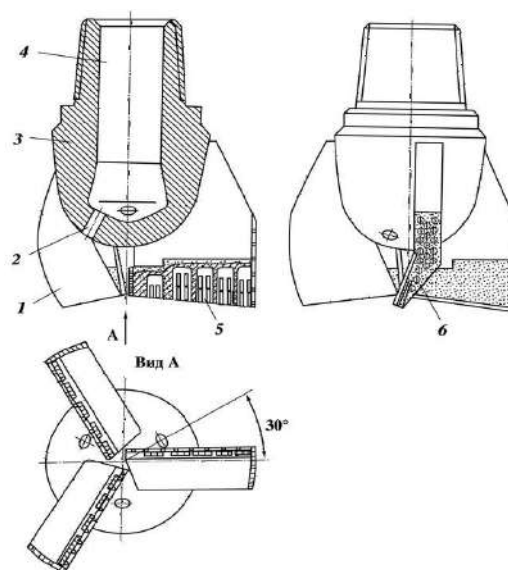


Рис. 2.86. Трехлопастное долото:
1 – лопасть; 2 – промывочное отверстие; 3 – корпус; 4 – присоединительная резьба;
5 – твердосплавные пластины; 6 – армирование торца лопасти.

Конструктивно породоразрушающие инструменты типа М отличаются от долот типа МС армированием передней поверхности зерновым релитом в пазах, прорезанных по определенной схеме с учетом характера износа лопастей и усилением с наружи чугуном. В породоразрушающих инструментах типа МС вместо релита в тех же пазах устанавливаются и припаиваются твердосплавные победитовые пластины прямоугольной формы. Породоразрушающие инструменты разновидности ЗИР относятся к типу МСЗ, а разновидности БИР – к типу С. Пикообразные породоразрушающие инструменты изготавливают двух типов: ПЦ – для разбуривания цементных пробок и металлических деталей низа обсадных колонн (рис. 3); ПР – для расширения ствола скважины.

Согласно ОСТ 26-02-1282-75 все лопастные породоразрушающие инструменты должны изготавливаться только с ниппельной присоединительной резьбой, выполненной соответствии с ГОСТ 20692-75, диаметром от 94,4 до 469,9 мм. По способу соединения корпуса с лопастями выделяются цельнокованные породоразрушающие инструменты и инструменты сварные, т.е. с приварными к корпусу лопастями. По конструкции промывочного устройства выделяются породоразрушающие инструменты с обычной и гидромониторной промывкой.

Примеры условной записи лопастных породоразрушающих инструментов (долот):
 2Л-76М: 2Л – двухлопастное; 76 – номинальный диаметр, мм; М – для мягких пород;
 3Л-161М: 3Л – трехлопастное; 161 – номинальный диаметр, мм; М – для мягких пород.

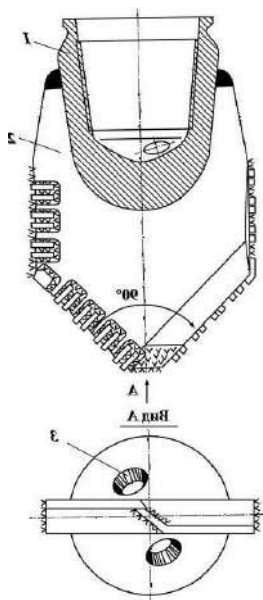


Рис.2.87. Пикообразное долото для разбуривания цементных стаканов в обсадной колонне:
 1 – корпус; 2 – лопасть; 3 – промывочные отверстия.

2.6. Шарошечные породоразрушающие инструменты

Впервые породоразрушающий шарошечный инструмент был изобретен и изготовлен в США предпринимателем Юзом в 1909 г.

Шарошечные породоразрушающие инструменты относятся к группе инструментов дробяще-скалывающего действия, за исключением одношарошечных. В настоящее время шарошечные породоразрушающие инструменты производят в двух-, трех- и многошарошечном исполнении. Свое название они получили по конструктивному элементу – зубчатому катку – шарошке, на которой кольцевыми рядами (венцами) располагаются элементы вооружения (зубцы), разрушающие горную породу.

Породоразрушающие инструменты в двух- и трехшарошечном исполнении

составляют группу инструментов, разрушающих породу сплошным забоем. Их называют буровыми шарошечными долотами.

Шарошечное долото (рис.2.88.) состоит из секций, сваренных между собой. Верхняя часть сваренных между собой секций образует корпус. На верхнем конце корпуса нарезается присоединительная резьба. Число секций равно числу шарошек. В шарошечных долотах выделяют:

- вооружение долота – совокупность всех зубцов на всех шарошках;
- опору долота – совокупность подшипников всех шарошек;
- систему промывки долота
- совокупность всех промывочных узлов долота.

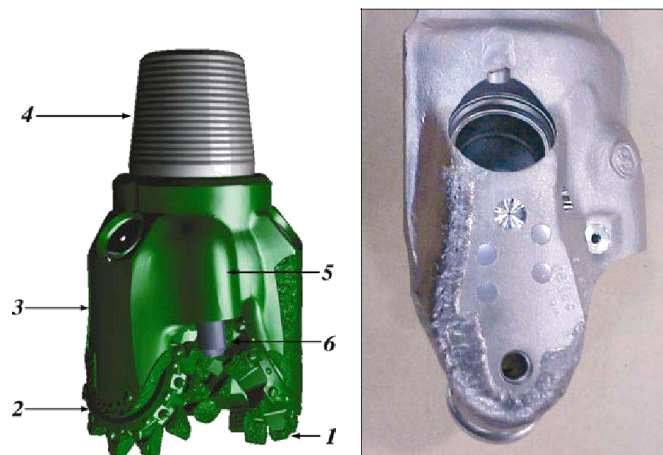


Рис.2.88. Общий вид трехшарошечного долота:
1 – шарошка; 2 – козырек лапы; 3 – лапа; 4 – присоединительная резьба;
5 – насадочный прилив; 6 – насадка.

Рис.2.89. Общий вид лапы.

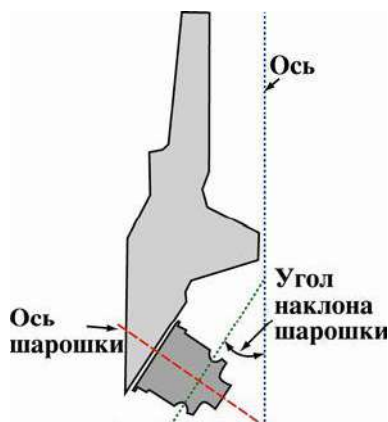


Рис.2.90. Основные элементы лапы

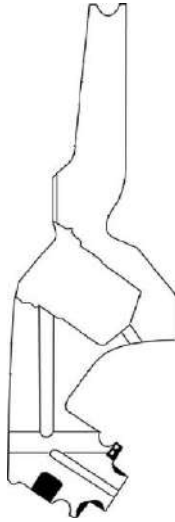


Рис. 2.91. Схема лапы с внутренними каналами.



Рис. 2.92. Общий вид цапфы.



Рис. 2.93. Общий вид шарошки с фрезерованным вооружением.

Собранная секция состоит из лапы (рис.2.89, 2.90, 2.91) заканчивающейся цапфой (рис.2.92.). На цапфе на подшипниках смонтирована свободно вращающаяся шарошка (рис.2.93.). Взаимная ориентация секций в долоте осуществляется с помощью двухгранного угла, фрезеруемого на каждой лапе, и сборочных штифтов.

Вооружение шарошечных породоразрушающих инструментов

Вооружение предназначено для разрушения горной породы. Шарошки, как правило, имеют коническую форму и могут быть одно- (рис.2.94, 2.95) и многоконусными. Тело одноконусной шарошки (рис 2.94) ограничено двумя коническими поверхностями. Конус 1 называется основным, а конус 2 – обратным.

Тело двухконусной шарошки (рис.2.96) ограничено тремя коническими поверхностями, а трехконусной – четырьмя. Конусы, расположенные между основным и обратным конусами, называются дополнительными. Вершины дополнительных конусов направлены к оси долота и их боковые поверхности взаимодействуют с забоем. Дополнительные конусы принято нумеровать, начиная от основного конуса в сторону обратного.

Шарошка характеризуется следующими геометрическими параметрами: диаметр $d_{ш}$, углы основного 2α и дополнительного $2\alpha_i$ конусов, высота $H_{ш}$.

Угол при вершине основного конуса определяет объем шарошки.

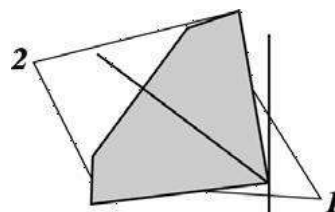


Рис.2.94. Тело одноконусной шарошки.

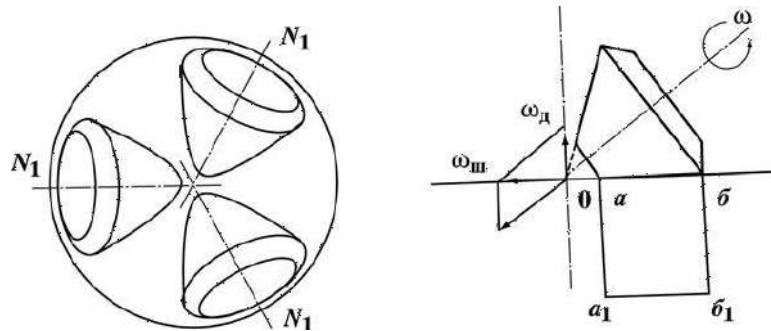


Рис. 2.95. Кинематика одноконусной шарошки:
 $\omega_{д}$ - угловая скорость вращения долота; $\omega_{ш}$ - угловая скорость шарошки;
 $a, a_1, б, б_1$ - проекция образующей корпуса шарошки на забой.

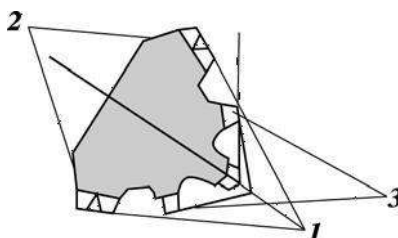


Рис. 2.96. Тело двухконусной шарошки:
 1 - основной конус; 2 - обратный конус;
 3 - дополнительный конус.

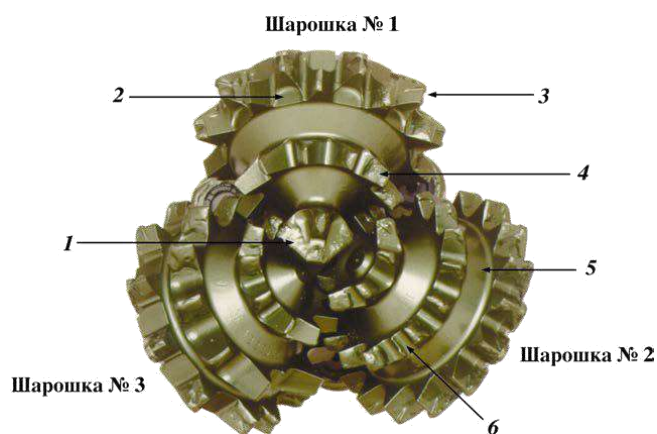


Рис.2.97. Основные элементы шарошек долота с твердосплавным вооружением:
 1 - внутренние венцы; 2 - пирамидальный резец внутреннего венца; 3 - зазор между
резцами; 4 - резцы калибрующего венца; 5 - межвенцовая канавка

Шарошки принято нумеровать в зависимости от того, какое место занимает первый венец по отношению к оси долота (рис.2.98, 2.99). Шарошке, у которой первый венец расположен в зоне оси долота и разрушает центральную часть забоя, присваивается

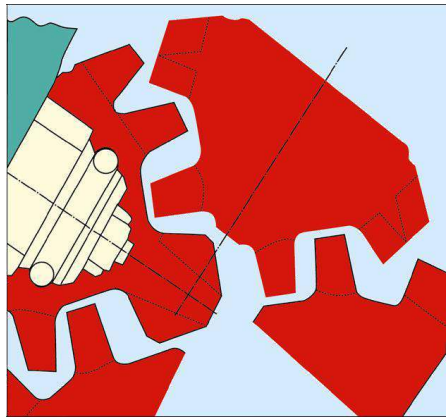


Рис.2.98. Смещение осей шарошек.

первый номер. Шарошка, первый венец которой разрушает кольцо, прилегающее к центральной части забоя, является второй.

Расположение шарошек относительно оси долота определяется следующими параметрами:

- углом наклона оси шарошки к оси долота β ;
- выносом вершины шарошки за ось долота, f ;
- величиной смещения осей шарошек в плане k .

Угол наклона оси шарошки к оси долота для современных серийных шарошечных долот лежит в пределах $51^{\circ} 57' 30''$ и определяется типом долота.

Величина выноса вершины шарошки за ось долота определяется типоразмером долота и лежит в пределах 0–12 мм.

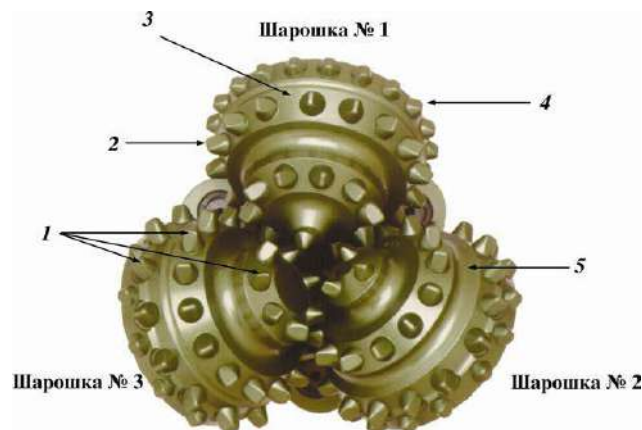


Рис. 2.99. Основные элементы шарошек долота с фрезерованным вооружением: 1 – центральная точка; 2 – уменьшенный зубец; 3 – зубцы калибрующего венца; 4 – защитное покрытие; 5 – межвенцовая канавка; 6 – зазор между зубцами.

В плане оси шарошек расположены относительно друг друга под углом 120° , а по отношению к оси долота возможны два варианта расположения:

- долота с несмещенными осями шарошек, оси которых пересекаются в одной точке на оси долота;
- долота со смещенными осями шарошек (рис.2.100).

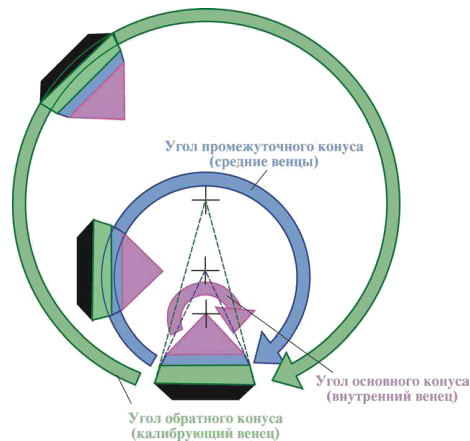


Рис.2.100. Схема смещения осей шарошки.

Оси смещаются в сторону вращения долота, и при этом смещение считается положительным. Величина смещения лежит в пределах 4–10 мм и определяется типоразмером долота. Долота считаются с несмещенными осями шарошек, если они имеют смещение, не превышающее 1,5 мм. Такое смещение называют технологическим. Оно гарантирует отсутствие отрицательного смещения шарошек, которое могло появиться в результате неблагоприятного сочетания допусков на размеры лап и неточностей сборки и сварки секций в корпус.

По расположению шарошек относительно друг друга следует различать два вида долот:

- долота с самоочищающимися шарошками, у которых центральные венцы каждой из шарошек входят в межвенцовое пространство соседних шарошек;
- долота с не самоочищающимися шарошками, у которых контуры соседних шарошек не пересекаются.

На венцах шарошек фрезеруются или крепятся элементы вооружения (зубцы), предназначенные для разрушения горной породы.

Совокупность всех зубцов на всех шарошках называют вооружением долота. Вооружение долот бывает трех видов:

- фрезерованное, армированное твердым сплавом;
- твердосплавное зубковое (штыревое);
- комбинированное (по спецзаказу) (рис.2.101).



Рис.2.101. Комбинированное вооружение.

В современных шарошечных долотах используются фрезерованные зубки разных форм для обеспечения лучшей породоразрушающей способности и долговечности (рис. 2.102).

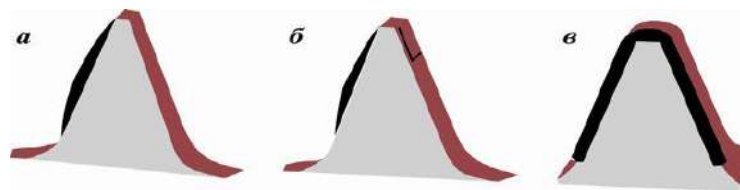


Рис.2.102. Типовые формы фрезерованных зубцов шарошечных долот производства ОАО «Волгабурмаш»:

а – тип 1, наплавляется только набегающая грань; б – тип 2, наплавляются набегающая грань и начало сбегающей грани; в – тип 3, наплавляются полностью все четыре грани и площадка притупления

Для обеспечения долговечности фрезерованного вооружения шарошки изготавливаются из малоуглеродистых легированных сталей (например, марок 17НЗМА, 18ХНЗМА, 20ХНЗА) с последующей их химико-термической обработкой. Химико-термическая обработка позволяет получить высокую твердость поверхностного цементированного слоя глубиной 0,6–2,4 мм в зависимости от диаметра долота (с увеличением диаметра глубина цементации возрастает), необходимую прочность и ударную выносливость сердцевины.

Боковые и торцовые грани зубцов, а также калибрующие поверхности обратных конусов шарошек направляются (армируются) твердым зерновым сплавом – релитом, представляющим измельченный литой карбид вольфрама.

Кроме того, в некоторых конструкциях долот в обратные конуса шарошек запрессовываются цилиндрические твердосплавные (сплав типа ВК11ВК) вставки с последующей наплавкой. Для улучшения охлаждения наплавленных поверхностей обратных конусов на них выполняются канавки.

В долотах некоторых типов в качестве элементов вооружения на центральных и периферийных венцах используются твердосплавные зубки, изготовленные из вольфрамокобальтового сплава типа ВК11ВК. Зубок имеет форму цилиндра, один торец которого плоский, а другой является рабочей головкой зубка, непосредственно воздействующий на горную породу (рис.2.103).

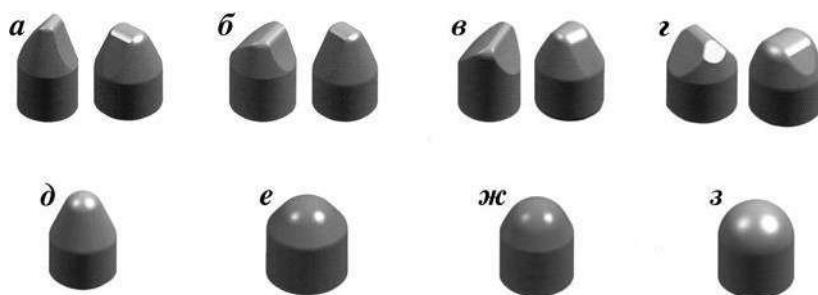


Рис. 2.103. Формы твердосплавных зубцов шарошечных долот производства ОАО «Волгабурмаш»:

а – для очень мягких пород; б – для мягких пород; в – для мягких пород, перемежающихся со средними; г – для средних пород; д – для средних пород, перемежающихся с твердыми; е – для твердых пород; ж – для твердых пород, перемежающихся с крепкими; з – для крепких пород

Важным геометрическим параметром вооружения шарошечного долота является коэффициент перекрытия забоя, который рассчитывается по формулам:
(для долот с фрезерованными зубцами)

$$\eta = \sum l_{ij} / R_d, \quad (2.1)$$

где η – коэффициент перекрытия забоя; l_{ij} – сумма длин зубцов по одному с каждого венца всех шарошек (i – номер шарошки, j – номер венца); R_d – радиус долота;
(для долот с твердосплавными зубками)

$$\eta = \sum d_{ij} / R_d, \quad (2.2)$$

где d_{ij} – сумма диаметров зубков по одному с каждого венца всех шарошек (i – номер шарошки, j – номер венца).

Системы очистки забоя и элементов вооружения шарошечных породоразрушающих инструментов

Система очистки забоя предназначена для формирования потоков промывочной жидкости или продувочного агента и направления его в нужную часть забоя. Она включает в себя внутреннюю полость долота 1, подводящий канал 2 (один или несколько), выходное отверстие 3 (одно или несколько) (рис.2.104).

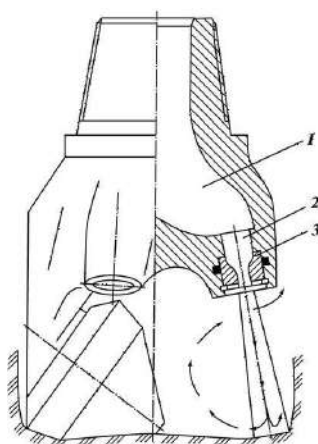


Рис. 2.104. Схема системы промывки шарошечных долот

В зависимости от направления струи промывочного агента долота подразделяются на долота:

- с центральной промывкой или продувкой (рис.2.105);
- с боковой гидромониторной промывкой или продувкой.

У первых долот струя направлена в центральную часть забоя на шарошки. Выходное отверстие выполнено в центре долота и имеет в большинстве случаев круглое сечение.

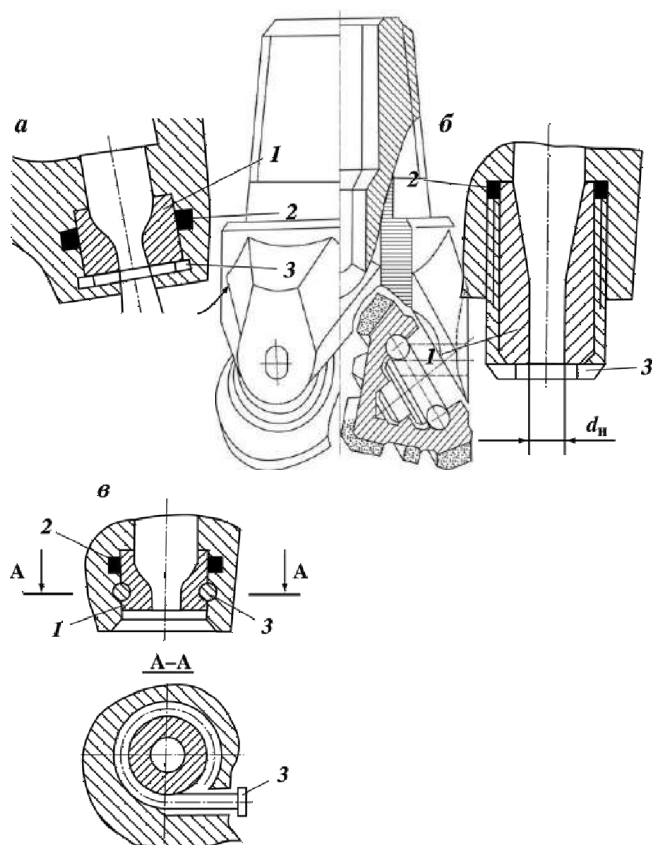


Рис.2.105. Схема долота с центральной системой промывки

У вторых долот выходные отверстия направляют струи жидкости между шарошками на периферийную часть забоя под некоторым углом к оси долота. Это обеспечивает направление струи одновременно к стенке скважины и в сторону, противоположную направлению вращения долота.

Струи непосредственно воздействуют на породу, интенсифицируя очистку забоя от шлама. Долота с такой системой промывки принято называть гидромониторными.

Для предотвращения размыва выходных отверстий в гидро-мониторных долотах устанавливаются гидромониторные насадки. Эти системы образуют гидромониторные узлы (ГМУ).

Рис. 2.106. Схемы ГМУ шарошечных долот:

а – крепление пружинным кольцом; б – крепление резьбовой втулкой; в – крепление гвоздем

Каждый ГМУ (рис.2.106.) включает три обязательных элемента: насадку 1, уплотнение 2, удерживающий замок 3. Насадка является сменной и изготавливается из твердого материала, способного противостоять эрозионному изнашиванию. Уплотнение 2 предназначено для герметизации зазора между насадкой 1 и корпусом. Переток промывочной жидкости по этому зазору приводит к интенсивному размыву отверстия в корпусе и выпадению из него насадки. Замок 3 предназначен для удержания насадки 1 в корпусе долота.

Герметизация зазора между насадкой 1 и корпусом во всех трех рассмотренных конструкциях осуществляется тороидальным резиновым кольцом 2.

Основной эксплуатационный параметр ГМУ – выходной диаметр d_n насадки.

Гидравлическая система современных долот позволяет выбирать схему промывки забоя и вооружения долота, обеспечивающую наилучший эффект их очистки в зависимости от свойств породы и условий бурения. Это достигается применением различных схем промывки центральной, периферийной или асимметричной.

Под асимметричной схемой промывки понимают работу двух или даже одной периферийной насадки вместо трех. В большом числе случаев весьма эффективны комбинированные схемы, когда одновременно работают центральная и периферийные насадки.

Для бурения скважин с продувкой забоя сжатым газом выпускаются долота с продувкой. Отличительной особенностью этих долот является наличие центрального продувочного канала уменьшенного сечения в корпусе долота и каналов в каждой лапе, которые подводят часть нагнетаемого газа в полости опор шарошек для их охлаждения и очистки от возможного попадания в них мелких выбуренных частиц породы и пыли (рис.2.107).

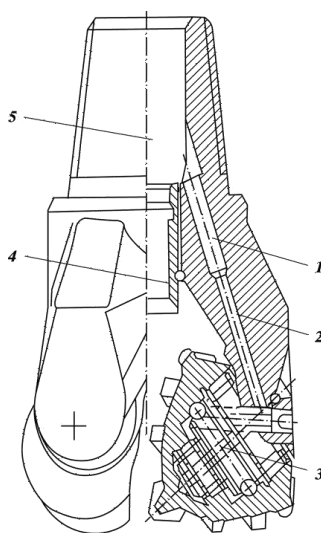


Рис.2.107. Схема ГМУ для продувки сжатым газом:

- 1, 2 – продувочные каналы в лапе долота; 3 – замковый подшипник;
4 – центральный промывочный узел; 5 – внутренняя полость в корпусе долота

2.7. Типы и основные размеры шарошечных долот по ГОСТ 20692—2003

ДОЛОТА ШАРОШЕЧНЫЕ

Технические условия

Roller bits. Specifications

Дата введения 2004—07—01

1 Область применения

Настоящий стандарт распространяется на шарошечные долота для сплошного бурения скважин.

Требования, изложенные в разделах 3—5 (кроме 5.2), разделах 6—8, являются обязательными. Обязательные требования, обеспечивающие безопасность работы с шарошечными долотами, изложены в 4.4—4.6.

2 Нормативные ссылки

В настоящем стандарте использованы ссылки на следующие стандарты:

- ГОСТ 9.032—74 Единая система защиты от коррозии и старения. Покрытия лакокрасочные. Группы, технические требования и обозначения
- ГОСТ 15.309—98 Система разработки и постановки продукции на производство. Испытания и приемка выпускаемой продукции. Основные положения
- ГОСТ 164—90 Штангенрейсмасы. Технические условия
- ГОСТ 577—68 Индикаторы часового типа с ценой деления 0,01 мм. Технические условия
- ГОСТ 3242—79 Соединения сварные. Методы контроля качества
- ГОСТ 7918—75 Замки для геолого-разведочных бурильных труб диаметром 50 мм. Технические условия
- ГОСТ 14192—96 Маркировка грузов
- ГОСТ 15150—69 Машины, приборы и другие технические изделия. Исполнения для различных климатических районов. Категории, условия эксплуатации, хранения и транспортирования в части воздействия климатических факторов внешней среды
- ГОСТ 28487—90 Резьба коническая замковая для элементов бурильных колонн. Профиль. Размеры. Допуски*

3 Классификация и основные размеры

3.1 Долота следует изготавливать следующих видов:

- I — одношарошечные;
- II — двухшарошечные;
- III — трехшарошечные.

* На территории Российской Федерации действует ГОСТ Р 50864—96 Резьба коническая замковая для элементов бурильных колонн. Профиль, размеры, технические требования.

3.2 Долота следует изготавливать следующих типов:

М — со стальными зубьями для бурения мягких пород;

МЗ — с твердосплавными зубками для бурения мягких абразивных пород;

МС — со стальными зубьями для бурения мягких пород с пропластками средней твердости;

МСЗ — с твердосплавными зубками для бурения мягких абразивных пород с пропластками средней твердости;

С — со стальными зубьями для бурения пород средней твердости;

СЗ — с твердосплавными зубками для бурения абразивных пород средней твердости;

СТ — со стальными зубьями для бурения пород средней твердости с пропластками твердых;

Т — со стальными зубьями для бурения твердых пород;

ТЗ — с твердосплавными зубками для бурения твердых абразивных пород;

ТК — со стальными зубьями и твердосплавными зубками для бурения твердых пород с пропластками крепких;

ТКЗ — с твердосплавными зубками для бурения твердых абразивных пород с пропластками крепких;

К — с твердосплавными зубками для бурения крепких пород;

ОК — с твердосплавными зубками для бурения очень крепких пород.

3.3 По расположению и конструкции промывочных и продувочных узлов (каналов) долота следует изготавливать с:

центральной промывкой — Ц;

боковой гидромониторной промывкой — Г;

комбинированной промывкой — ЦГ;

центральной продувкой — П;

боковой продувкой — ПГ.

3.4 Опоры шарошек следует изготавливать на:

подшипниках с телами качения и одним или более упорных подшипниках скольжения, или без упорных подшипников скольжения — В;

подшипниках с телами качения и одним или более упорных подшипниках скольжения и герметизацией опоры — ВУ;

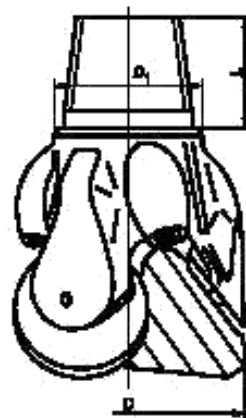
одном радиальном и одним или более упорных подшипниках скольжения (остальные подшипники с телами качения) — Н;

одном радиальном и одним или более упорных подшипниках скольжения (остальные подшипники с телами качения) и герметизацией опоры — НУ;

двух или более радиальных подшипниках скольжения с одним или более упорным подшипником скольжения — А;

двух или более радиальных подшипниках скольжения с одним или более упорным подшипником скольжения и герметизацией опоры — АУ.

3.5 Основные размеры долот и обозначения присоединительной резьбы должны соответствовать указанным на рисунке 1 и в таблице 1.



Примечание — Рисунок не определяет конструкцию долота

Рисунок 1

Таблица 1

Размеры в миллиметрах

Диаметр долота D		Диаметр упорного уступа D_1 $\pm 0,4$	Длина напилья L $- 4,8$	Обозначение присоединительной резьбы
Номи.	Пред. откл.			
76,0	+ 0,6	57,0	50	3-42
93,0	+ 0,8	65,0; 77,4; 78,18	76; (60)	3-50
95,3		77,4; 78,18; 83,0		3-63,5; 3-66
98,4			92,47	3-76
114,3		92,47; 105,17		3-76; 3-88
117,5			83,0; 105,17	3-63,5; 3-88
120,6		3-117		
127,0				3-121; 3-152
130,2		3-152; 3-171; 3-177		
132,0				3-171; 3-177; 3-201
139,7		3-171; 3-177; 3-201		
146,0				3-171; 3-177; 3-201
151,0		3-171; 3-177; 3-201		
161,0				3-171; 3-177; 3-201
165,1		3-171; 3-177; 3-201		
171,4			3-171; 3-177; 3-201	
187,3		3-171; 3-177; 3-201		
190,5			3-171; 3-177; 3-201	
200,0	3-171; 3-177; 3-201			
212,7		3-171; 3-177; 3-201		
215,9	3-171; 3-177; 3-201			
222,3		3-171; 3-177; 3-201		
238,1	3-171; 3-177; 3-201			
241,3		3-171; 3-177; 3-201		
244,5	3-171; 3-177; 3-201			
250,8		3-171; 3-177; 3-201		
269,9	3-171; 3-177; 3-201			
295,3		3-171; 3-177; 3-201		
304,8	3-171; 3-177; 3-201			
311,1		3-171; 3-177; 3-201		
320,0	3-171; 3-177; 3-201			
349,2		3-171; 3-177; 3-201		
365,1	3-171; 3-177; 3-201			
368,3		3-171; 3-177; 3-201		
371,5	3-171; 3-177; 3-201			
374,6		3-171; 3-177; 3-201		
393,7	3-171; 3-177; 3-201			
444,5		3-171; 3-177; 3-201		
469,9	3-171; 3-177; 3-201			
473,1		3-171; 3-177; 3-201		
490,0	3-171; 3-177; 3-201			
508,0		3-171; 3-177; 3-201		
<p>* Для корпусных долот с муфтовой присоединительной резьбой.</p> <p>Примечания</p> <p>1 Размеры в скобках указаны для долот с укороченной резьбой.</p> <p>2 По заказу потребителя допускается изготовление долот с размерами, отличными от указанных.</p> <p>3 Долота с опорами А и В следует изготавливать: с $D = 76^{+0,6}_{-0,3}$ мм, с D от $93^{+1,0}_{-0,3}$ мм до $320,0^{+1,0}_{-0,3}$ мм, с D от $(349,2 \pm 1,5)$ мм до $(393,7 \pm 1,5)$ мм; с $D \geq 444,5$ мм $\pm 2,0$ мм.</p>				

Пример условного обозначения трехшарошечного долота диаметром 215,9 мм для бурения абразивных пород средней твердости (СЗ), с боковой гидромониторной промывкой (Г), на двух или более радиальных подшипниках скольжения с одним или более упорным подшипником скольжения и герметизацией опоры (АУ):

Долото шарошечное III 215,9 СЗ-ГАУ ГОСТ 20692—2003

4 Технические требования

4.1 Долота следует изготавливать в соответствии с требованиями настоящего стандарта, по рабочим чертежам, утвержденным в установленном порядке.

4.2 Точность изготовления долот должна соответствовать значениям, указанным в таблице 2.

Таблица 2

Размеры в миллиметрах

Наименование параметра	Тип долота	Норма точности для долот диаметрами, не более							
		от 76,0 до 98,4 включ.	св. 98,4 до 171,4 включ.	св. 171,4 до 250,8 включ.	св. 250,8 до 311,1 включ.	св. 311,1 до 349,2 включ.	св. 349,2 до 393,7 включ.	св. 393,7 до 490,0 включ.	св. 490,0
Разновысотность шарошек относительно упорного уступа	М, МС, С, МЗ, МСЗ, СЗ	1,1	1,5	1,6		2,2	2,4	2,6	3,3
	СТ, Т, ТЗ, ТКЗ	0,9	1,3	1,6		2,0	2,4	2,6	3,3
	ОК, К	0,7	1,0	1,2		1,5	1,7	2,6	—
Радиальное биение шарошек относительно оси резьбы	М	1,0	1,1	1,4	2,0	2,3	2,8	3,0	3,8
	МС, С, МЗ, МСЗ, СЗ	1,0	1,1	1,4	1,6	2,0	2,5	3,0	3,8
	СТ, Т, ТЗ, ТКЗ	0,8	1,0	1,3	1,5	1,8	2,3	3,0	3,0
	ОК, К	0,6	0,8	1,2	1,4	1,5	1,8	3,0	—

4.3 Долота следует изготавливать с правой конической замковой резьбой.

Резьбы 3-42 и 3-63,5 — по техническому документу, утвержденному в установленном порядке.

Резьба 3-50 — по ГОСТ 7918.

Остальные резьбы (кроме величины натяга) — по ГОСТ 28487.

Соответствие обозначений присоединительной резьбы по настоящему стандарту и спецификации 7 Американского нефтяного института (API Spec 7) приведено в приложении А.

4.4 Натяг конической замковой резьбы должен быть:

10,35^{+0,4} мм — для ниппельной резьбы 3-42;

10,00^{+0,4} мм — для ниппельной резьбы 3-50;

16,00^{+0,4} мм — для ниппельной резьбы 3-63,5;

15,875^{+0,25}_{-0,80} мм — для ниппельных резьб 3-88, 3-117, 3-121, 3-152, 3-171, 3-177, 3-201;

0^{+0,35}_{-0,25} мм — для муфтовых резьб 3-88, 3-117, 3-121, 3-152, 3-171, 3-177, 3-201.

4.5 Система промывки гидромониторных долот диаметрами 190,5 мм и более должна быть герметична при давлении жидкости 7,85 МПа; диаметрами менее 190,5 мм — при давлении жидкости 5 МПа.

4.6 Насадки в гидромониторных долотах с боковой промывкой диаметрами 190,5 мм и более должны удерживаться при давлении жидкости 7,85 МПа; диаметрами менее 190,5 мм — при давлении жидкости 5 МПа. Насадки должны быть сменными.

4.7 В сварных швах на поверхностях упорного уступа ниппеля и на расстоянии 25 мм над упорным уступом ниппеля не допускаются дефекты сварки, на остальной резьбовой части ниппеля

допускаются единичные поры и раковины диаметром не более 1 мм в количестве не более 3 шт. на каждом шве. На резьбовой части корпусных долот допускаются единичные поры и раковины диаметром не более 2 мм в количестве до 5 шт.

4.8 Требования к материалам, химико-термической обработке, комплектующим, краскам, смазкам должны соответствовать нормативной и технической документации, утвержденной в установленном порядке.

4.9 Поверхность долот, кроме присоединительной резьбы, упорного уступа ниппеля (упорного торца муфты), торца ниппеля и заходной фаски должна быть покрыта ровным слоем краски. После высыхания краска должна прочно удерживаться на долоте. Класс покрытия VII — по ГОСТ 9.032.

4.10 Поры, вздутия, мелкие пузыри и выступания коррозии через краску, а также попадание краски на присоединительную резьбу, упорный уступ, клапаны, в отверстия крышек смазочных резервуаров, промывочные каналы гидромониторных долот не допускаются.

4.11 Присоединительная резьба должна быть покрыта антикоррозионной смазкой.

4.12 Опоры шарошек должны быть заполнены смазкой. Заполнение смазкой долот с опорой НУ следует проводить до появления смазки из-под манжеты. Долота с опорами АУ и ВУ перед заполнением смазкой вакуумируют.

4.13 Шарошки долот с опорами АУ, НУ, ВУ должны проворачиваться на опорах от руки со значительным усилием. Шарошки долот с опорами Н, В, А должны свободно и плавно проворачиваться на опорах от усилий руки.

Зацепление зубьев или зубков одной шарошки за зубья или зубки, а также за корпус другой шарошки не допускается.

4.14 Пружинное кольцо компенсационного узла долота должно заходить по всему периметру в канавку и не иметь повреждений, а крышка не должна проворачиваться от руки.

4.15 Требования надежности

4.15.1 Срок сохраняемости долот — не менее 18 мес со дня изготовления.

4.16 Комплектность

4.16.1 В комплект поставки входят: долото с установленными насадками и (или) клапанами, а также паспорт долота.

По согласованию с потребителем допускается поставка долот без насадок.

4.17 Маркировка

4.17.1 Маркировка долот должна быть четкой и сохраняться на протяжении срока службы долота.

4.17.2 На торце ниппеля (пояске муфты) маркируются:

- товарный знак предприятия-изготовителя;
- условное обозначение долота (допускается обозначение стандарта не маркировать);
- обозначение присоединительной резьбы (по требованию потребителя);
- порядковый номер долота по системе нумерации предприятия-изготовителя;
- дата изготовления (месяц, год);
- клеймо технического контроля.

Примечание — Допускается маркирование товарного знака предприятия-изготовителя на других поверхностях долота.

4.18 Упаковка

4.18.1 Поверхность присоединительной резьбы, включая упорный уступ ниппеля (упорный торец муфты), торец ниппеля и заходную фаску, должна быть полностью покрыта ровным слоем консервационной смазки по технической документации, утвержденной в установленном порядке.

4.18.2 Долота упаковывают в соответствии с технической документацией, утвержденной в установленном порядке.

По согласованию с потребителем допускается не упаковывать долота, при этом должна быть обеспечена защита присоединительной резьбы.

Каждое долото должно сопровождаться паспортом, содержащим:

- наименование продукции;
- наименование страны-изготовителя;
- наименование предприятия-изготовителя;
- область применения продукции;
- основные технические характеристики;
- изображение знака соответствия для сертифицированной продукции;
- юридический адрес предприятия-изготовителя (продавца);
- массу нетто;

2.8. Лицензионные шарошечные долота производства ОАО «Волгабурмаш»

В 1997 г. ОАО «Волгабурмаш» сертифицировало свою продукцию, выпускаемую по лицензии американской фирмы «Dresser», в Международной организации по стандартам (International Standards Organization – ISO) и Американском нефтяном институте (American Petroleum Institute – API) с получением сертификатов соответствия ISO 96-371 и API 7-0268. После этого выпускаемые ОАО «Волгабурмаш» долота классифицированы по международной системе IADC (I – International, A – Association, (of), D – Drilling, C – Contractors).

Система IADC базируется на четырехсимвольном коде, отражающем конструкцию долота и тип горной породы, для бурения которой оно предназначено.

Первые три символа кода – цифровые, а четвертый – буквенный.

Последовательность цифровых символов определяет: серию вооружения (породы) – тип вооружения (породы) – конструкцию опоры/калибрующих поверхностей.

Четвертый буквенный символ – дополнительные характеристики.

Первая цифра кода (1–8) – восемь серий вооружения, соответствующих восьми категориям разбуриваемых пород.

Серии 1–3 соответствуют долотам с фрезерованным вооружением.

Серии 4–8 соответствуют долотам с твердосплавным зубковым (штыревым) вооружением.

Вторая цифра кода характеризует тип вооружения (породу) внутри серии.

Каждая серия разделена на четыре типа пород по твердости. Чем больше цифра – тем выше твердость породы, для бурения которой предназначено долото.

Третья цифра характеризует конструкцию опоры и наличие (или отсутствие) дополнительной защиты калибрующих поверхностей (венцов шарошек) от износа по диаметру:

- 1 – открытая опора качения;
- 2 – открытая опора качения для бурения с продувкой воздухом;
- 3 – открытая опора качения + твердосплавные вставки на калибрующих поверхностях шарошек (обратных конусах шарошек);
- 4 – герметизированная опора качения;
- 5 – герметизированная опора качения + твердосплавные вставки на калибрующих поверхностях шарошек (обратных конусах шарошек);
- 6 – герметизированная опора на подшипниках скольжения;
- 7 – герметизированная опора на подшипниках скольжения + твердосплавные вставки на калибрующих поверхностях шарошек (обратных конусах шарошек);
- 8, 9 – резервные, для использования в будущем.

Некоторые зарубежные фирмы уже используют эти резервные обозначения. Так, например на фирме «Smith International, Inc.»:

8 – долота для бурения горизонтальных и наклонных скважин (L, XP);

9 – долота для геотермального бурения (G) и бурения забойными двигателями (M).

Четвертый буквенный символ кода – дополнительные характеристики – содержит 16 английских букв и используется для обозначения специальных конструкций вооружения, опор, систем промывки и защиты корпусов долот от износа, но он является необязательным для производителей долот:

A – для бурения с продувкой воздухом;

B – для высокооборотного бурения (> 450 об/мин); C – центральная насадка;

D – специальная конструкция вооружения, уменьшающая самопроизвольное искривление ствола скважины;

Примеры обозначения долота по продуктовым линиям

Твердосплавное вооружение	
76,0 A-C74ZR306	76,0 – диаметр долота, мм; А – продуктовая линия; С – центральная промывка; 74 – крепкие породы по IADC; Z – сферический зубок (отличный от клиновидного и конического); R306 – порядковый номер конструкции завода - изготовителя
215,9 V-NL63YR276	215,9 – диаметр долота, мм; V – продуктовая линия; N – удлиненные насадки; L – наплавка козырька и набегающей грани лапы; 63 – твердые абразивные породы по IADC; Y – конический зубок; R276 – порядковый номер конструкции завода-изготовителя
311,1 N-43XR102M	311,1 – диаметр долота, мм; N – продуктовая линия; 43 – очень мягкие абразивные породы по IADC; X – клиновидный зубок; R102M – порядковый номер конструкции завода-изготовителя
215,9 VU-LS43ZR206	215,9 – диаметр долота, мм; VU – продуктовая линия; L – наплавка козырька и набегающей грани лапы; S – армирование спинки лапы твердосплавными зубками; 43 – очень мягкие абразивные породы по IADC; Z – ковшеобразный зубок (отличный от клиновидного и конического); R206 – порядковый номер конструкции завода - изготовителя
215,9 NU-62XR05	215,9 – диаметр долота, мм; NU – продуктовая линия; 62 – твердые абразивные породы по IADC; X – клиновидный зубок; R05 – порядковый номер конструкции завода - изготовителя
165,1 AU-L51XR111	165,1 – диаметр долота, мм; AU – продуктовая линия; L – наплавка козырька и набегающей грани лапы; 51 – мягкие абразивные породы по IADC; X – клиновидный зубок; R111 – порядковый номер конструкции завода-изготовителя
124,0 AUPLS54XR413	124,0 – диаметр долота, мм; AUP – продуктовая линия; L – наплавка козырька и набегающей грани лапы; S – армирование спинки лапы твердосплавными зубками; 54 – средние абразивные породы по IADC; X – клиновидный зубок; R413 – порядковый номер конструкции завода - изготовителя
311,1 AULLS83Y R29	311,1 – диаметр долота, мм; AUL – продуктовая линия; L – наплавка козырька набегающей грани лапы; S – армирование спинки лапы твердосплавными зубками; 83 – очень крепкие породы по IADC; Y – конический зубок; R299 -порядковый номер конструкции завода-изготовителя
Фрезерованное вооружение	
93,0 A-C31R307	93,0 – диаметр долота, мм; А – продуктовая линия; С – центральная промывка; 31 – твердые породы по IADC; R306 – порядковый номер конструкции завода-изготовителя
444,5 V-K11TGR130	444,5 – диаметр долота, мм; V – продуктовая линия; К – комбинированная (боковая и центральная) промывка; 11 – мягкие породы по IADC; Т – усиленная объемная наплавка зубьев; G – дополнительное армирование твердосплавными зубками

	обратного конуса шарошки; R130 – порядковый номер конструкции завода-изготовителя
215,9 N-N21R163	215,9 – диаметр долота, мм; N – продуктовая линия; N – удлиненные насадки; 21 – средние породы по IADC; R163 – порядковый номер конструкции завода-изготовителя
215,9 VU-LS21R190	215,9 – диаметр долота, мм; VU – продуктовая линия; L – наплавка козырька и набегающей грани лапы; S – армирование спинки лапы твердосплавными зубками; 21 – средние породы по IADC; R190 – порядковый номер конструкции завода-изготовителя
215,9 NU-LS11TGR183	215,9 – диаметр долота, мм; NU – продуктовая линия; L – наплавка козырька и набегающей грани лапы; S – армирование спинки лапы твердосплавными зубками; 11 – мягкие породы по IADC; T – усиленная объемная наплавка зубьев; G – дополнительное армирование твердосплавными зубками обратного конуса шарошки; R183 – порядковый номер конструкции завода-изготовителя
200,0 AU-11TR133	200,0 – диаметр долота, мм; AU – продуктовая линия; 11 – мягкие породы по IADC; T – усиленная объемная наплавка зубьев; R133 – порядковый номер конструкции завода-изготовителя
215,9 AULLS13TGR415	215,9 – диаметр долота, мм; AUL – продуктовая линия; L – наплавка козырька и набегающей грани лапы; S – армирование спинки лапы твердосплавными зубками; 13 – мягкие средние породы по IADC; T – усиленная объемная наплавка зубьев; G – дополнительное армирование твердосплавными зубками обратного конуса шарошки; R415 – порядковый номер конструкции завода-изготовителя

2.9. Одношарошечные долота

Конструкционная схема одношарошечного долота показана на рис.2.109, а его общий вид приведен на рис. 2.110, 2.111. Сферическая шарошка оснащена твердосплавными штырями. Центр сферы располагается в точке пересечения осей. Ось шарошки наклонена под углом 30° к оси долота. Промывка осуществляется через отверстие в корпусе долота. Опора долота гораздо больше, чем в трехшарошечных долотах, и состоит из цапфы и трех подшипников: скольжения, шарикового и шарикового замкового.

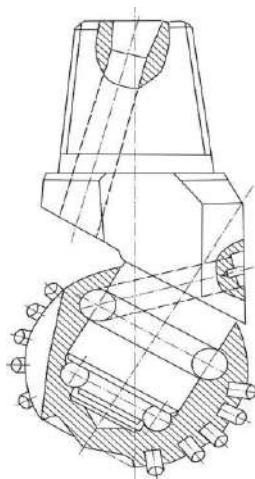


Рис.2.109. Схема одношарошечного долота

Одношарошечные долота выпускают диаметрами 138-216 мм. Они предназначены для низкооборотного бурения в породах средней твердости. Поскольку часть зубцов при бурении находится в постоянном контакте с породой, серийное одношарошечное долото относится к долотам режуще-скалывающего действия.

2.10. Система кодирования износа шарошечных долот, принятая в России

Система кодирования износа шарошечных долот, применяемая в России, разработана ВНИИБТ, бывшим главным научно-исследовательским институтом буровой техники в СССР. Система оценивает износ шарошечных долот по четырем направлениям: износу вооружения, износу опор, износу диаметра и аварийный износ.

Износ вооружения (хотя бы одного венца):

V1 – уменьшение высоты зубцов на 1/4;

V2 – уменьшение высоты зубцов на 1/2 (2/4);

V3 – уменьшение высоты зубцов на 3/4;

V4 – уменьшение высоты зубцов на 4/4 (полностью).

При наличии скола фрезерованных зубцов, скола и выпадения твердосплавных зубцов добавляется индекс С. Общее количество (в %) сколотых фрезерованных зубцов и выпавших твердосплавных зубцов записывается в скобках. Например: С(20).

При закруглении зубцов периферийных венцов добавляется индекс Р. Например: С(20)Р.



Рис.2.110. Общий вид одношарошечного долота с герметизированной маслonaполненной опорой



Рис.2.111. Общий вид одношарошечного долота с открытой опорой

Износ опоры (хотя бы одной шарошки):

П1 – износ небольшой: «качка» торца шарошки относительно оси цапфы невелика (например, до 2 мм для долота диаметром 190–214 мм; до 4 мм для долот диаметром 243–295 мм); тела качения не обнажены;

П2 – износ средний: «качка» торца шарошки большая (например, до 5 мм для долот диаметром 190–214 мм, до 8 мм для долот диаметром 243–295 мм); тела качения не обнажены;

П3 – износ большой: «качка» торца шарошки значительная (например, 5 мм для долот диаметром 190–214 мм; больше 8 мм для долот диаметром 243–295 мм); значительный износ или разрушение части тел качения; имеется опасность их выпадения; «заедание» шарошки при вращении от руки;

П4 – отказ (разрушение) опор: разрушение и поворот роликов; разрушение шариков, козырьков лап и тыльной части шарошек с выпадением тел качения; трещины и «лыски» на шарошках.

В случае повреждения узла герметизации маслonaполненной опоры (выход из строя уплотнения или его выпадение) добавляется индекс У, количество поврежденных узлов указывается в скобках. Например: У(2).

В случае заклинивания, шарошек добавляется индекс К, количество заклиненных шарошек указывается в скобках. Например: К(2).

В случае повреждения гидромониторного узла (разрыв гнезда, выпадение насадок) добавляется индекс Г, количество поврежденных узлов указывается в скобках. Например: Г(3).

Износ по диаметру. Уменьшение диаметра долота обозначается индексом Д и выражается в мм. Например: Дб.

Аварийный износ:

Ав – «оставление» вершин шарошек на забое;

Аш – «оставление» шарошек на забое;

Ас – «оставление» секций на забое;

Ац – «оставление» цапфы с шарошкой на забое.

Количество «оставленных» на забое лап, шарошек и их вершин указывается римскими цифрами в скобках. Например:

Ав(І); Аш(І, ІІ); Ас(І); Ац(ІІІ).

Примеры применения кода для оценки износа долот

1. Вооружение «сработано» на 10 %, опоры имеют средний износ, «заклинены» две шарошки, диаметр долота сохранился: В1П2К(2)Д0.

2. Вооружение изношено на 3/4, 50 % зубцов имеют сколы, калибрующие кромки зубцов периферийных венцов закруглены, опоры имеют большой износ, «качка» торца шарошки 10 мм, диаметр долота уменьшился на 7 мм: В3С(50)РПЗД7.

3. Вооружение «сработано» полностью, опора разрушена, часть тел качения выпала, первая шарошка «оставлена» на забое: В4П4Аш(І).

4. В скважине оставлены все шарошки: Аш(ІІІ).

Примеры записи износа долот с помощью кода в буровом журнале и суточном рапорте:

269,9 С-ГНУ № 8639 – В2С(30)РПЗД6Г(2)У3;

190,5 С-ГВ № 1642 – В1П1К(І)Ав(І)Д0;

215,9 С-ГВ № 2894 – В4П4Ас(ІІ);

244,5 Т-ЦВ № 6785 – В2П3Ац(І);

244,5 С-ГН № 9735 – В1П2К(2)Д3Г(1).

В современной России работают зарубежные фирмы, а наши буровые предприятия используют импортные буровые долота, чаще с инженерным сопровождением. В связи с этим возникла потребность в оценке износа по системе IADC, применяемой за рубежом.

Кодирование износа шарошечных породоразрушающих инструментов по кодам IADC

25 лет назад Международная ассоциация буровых подрядчиков (IADC) ввела стандартизованную систему описания износа породоразрушающих инструментов всех видов, в том числе и шарошечных долот.

За рубежом износ долот кодируют по трем параметрам: износ вооружения, износ опор, износ диаметра. Кроме того, в примечаниях приводятся повреждения других видов, причины подъема долота и прочие сведения (рис.2.112, 2.113.).

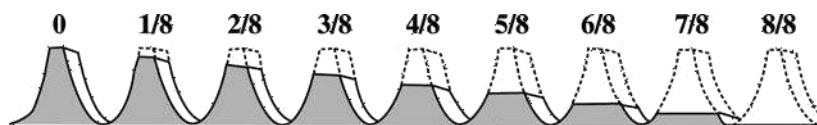


Рис.2.112. Структурная схема кодирования износа долот по IADC

Вооружение				Опора	Диаметр	Примечание	
Вооружение				Опора	Диаметр	Примечание	
Внут- ренние венцы	Наруж- ные венцы	Характер износа	Местона- хождение	Подшипник, уплотнение	Диаметр	Второсте- пенный износ	Причина подъема
(1)	(0)	(D)	(L)	(B)	(G)	(O)	(R)

Рис. 2.113. Схема оценки износа вооружения долот с фрезерованным вооружением

1. Износ вооружения:

- (1) – износ внутренних венцов;
- (0) – износ наружных венцов;
- (D) – характер износа;
- (L) – местонахождение.

Пример определения кода износа твердосплавного (штыревого) вооружения: $(\text{Пу} \cdot 8) + (\text{Пи} \cdot \text{Ки}) = \text{Кд}$, где Пу – количество сломанных и/или утерянных зубков, в долях; 8 – оценка их износа (8/8); Пи – количество изношенных (вследствие истирания) зубков в долях; Ки – оценка их износа, в восьмых долях высоты зубка; Кд – код износа.

Например, у долота отсутствует половина зубков вследствие слома или утери, тогда остальные зубки имеют 50%-ный износ по высоте (4/8) вследствие истирания, код износа такого долота равен шести (6), т.е. $(0,5 \cdot 8) + (0,5 \cdot 4) = 6$.

- D – харак те р износ а;
- BC – слом шарошки;
- CR – кернение долота;
- LN – потеря насадки;
- RO – кольцевой износ;
- BF – отлом алмаза, пластины;
- CT – скол зубков;
- LT – потеря зубков (резцов);
- SD – повреждение козырька;
- BT – скол зубков (резцов);
- ER – эрозия;
- OC – эксцентричный износ;
- SS – самозатачивание зубков;
- BU – образование сальника;
- FC – затупление вершины зубка;

PB – механическое повреждение при спуско-подъемных операциях (СПО);
 TR – трекинг;
 CC – трещина в шарошке;
 HC – трещины перегрева;
 PN – закупорка насадки;
 WO – промыв инструмента;
 CD – истирание заклиненной шарошки
 JD – металл на забое; (промывочного канала);
 WT – износ зубков (резцов);
 CI – взаимозацепление шарошек;
 LC – потеря шарошки;
 RG – износ по диаметру;
 NO – отсутствие износа.
 L – место нахождения износа:
 N – носовой венец (центральный);
 M – средние венцы;
 G – наружный венец;
 A – все венцы. Шарошка №: 1; 2; 3.

2. Износ опоры (B) – износ подшипников или уплотнений.

Открытая опора:

0 – ресурс опоры не использован;

8 – ресурс использован полностью (шарошка заклинена или утеряна).

Герметизированная опора:

E – работоспособная опора (уплотнение);

F – отказ уплотнений (разрушены, утеряны);

N – невозможность определения состояния опоры (уплотнения).

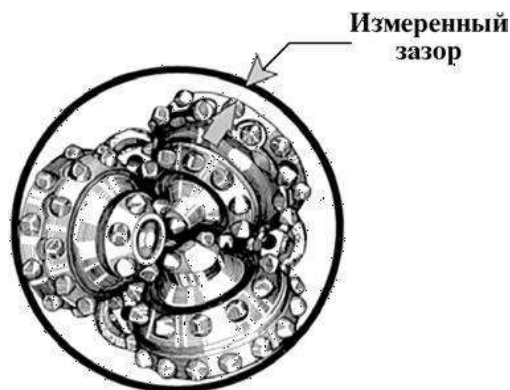


Рис. 2.114. Схема измерения износа по диаметру

3. Износ долота по диаметру:

G – уменьшение диаметра долота, в долях дюйма (1/16 (1,5875 мм)).

При оценке износа по диаметру применяют специальный шаблон (измерительный инструмент) и правило 2/3.

Износ по диаметру равен зазору, измеренному при помощи шаблона (рис.2.114) и умноженному на 2/3 (0,75).

4. Примечание:

O – второстепенный износ; описываются любые другие виды износа долота в дополнение к ранее приведенным в колонке D;

R – причина подъема долота:

ВНА – смена компоновки низа бурильной колонны (КНБК);

RIG – ремонт бурового оборудования;
HR – подъем по времени;
DST – пластовые испытания;
CM – обработка бурового раствора;
TD – проектный забой (колонна);
LIH – потеря инструмента на забое;
DTF – отказ инструмента;
CP – отбор керна;
TQ – рост момента;
LOG – геофизическое исследование скважин (ГИС);
FM – смена геологической обстановки;
PP – изменение давления на стояке;
TW – отворот инструмента (трубы);
DP – разбуривание цементного стакана;
HP – авария;
PR – падение механической скорости проходки;
WC – погодные условия;
DSF – повреждение бурильной колонны.

Приведем практические примеры описания износа шарошечных долот по кодам IADC.

Пример 1. Долото выглядит изношенным в процессе бурения пород тверже предела, на который это долото было рассчитано (рис.2.115). На этот факт указывают сильный износ зубков внутреннего ряда, а также подъем по причине падения механической скорости, вызванной сломом зубков при бурении слишком твердых для данного долота пород. Слишком высокая осевая нагрузка на долото также может привести к подобному внешнему виду долота после подъема. Правильным подбор долота был в случае, если долбление продолжалось не слишком долго, и при этом отсутствуют второстепенные характеристики износа, состояние уплотнения рабочее, и долото не изношено по диаметру. Однако если долбление продолжалось по времени меньше ожидаемого, подбор долота был ошибочным. Долото могло быть слишком «мягким» для пород данного типа, либо осевая нагрузка превышала допустимые значения. Далее приведена оценка его износа по коду IADC: 7.1.BT.M.E.I.WT.PR.



Рис.2.115. Общий вид отработанного долота, описанного в примере

Пример 2. Долото выглядит изношенным в процессе бурения пород тверже предела, на который это долото было рассчитано (рис.2.116). На этот факт указывают сильный износ зубков внутреннего ряда, а также подъем по причине падения механической скорости, вызванной сломом зубков при бурении слишком твердых для данного долота пород. Слишком высокая осевая нагрузка на долото также может привести к подобному

внешнему виду долота после подъема. Правильным подбор долота был в случае, если долбление продолжалось не слишком долго, и при этом отсутствуют второстепенные характеристики износа, состояние уплотнения рабочее, и долото не изношено по диаметру. Однако если долбление продолжалось по времени меньше ожидаемого, подбор долота был ошибочным. Долото могло быть слишком «мягким» для пород данного типа, либо осевая нагрузка превышала допустимые значения. Далее приведена оценка его износа по коду IADC: 5.8.WT.A.3.2.FC.HRS.



Рис.2.116. Общий вид отработанного долота, описанного в примере 2.

2.11. Алмазные долота, долота ИСМ и PDC

Главной особенностью алмазных (классических) долот является наличие в них алмазных режущих элементов (натуральных или искусственных алмазов). В буровых долотах обычно используют наименее ценную разновидность натуральных алмазов – борт, баллас и карбонадо. В производстве долот используют только карбонадо (бразильские технические алмазы) или черные алмазы.

Перед использованием в буровых долотах природные алмазы обычно окатывают путем трения алмаза об алмаз. В результате такой обработки получают более прочные овалитованные алмазы, подверженные раскалыванию в меньшей мере, чем остроугольные. Искусственные (синтетические) алмазы по прочности близки к естественным алмазам. Технические показатели алмазных долот во многом зависят от качества и размеров алмазов. Качество алмазов определяют группой и категорией. К высшим группе и категории относятся крупные алмазы диаметром 2–3 мм (от 3 до 12 зерен на карат) и мелкие (до 1000 зерен на карат). Карат равен 0,2 г.

Стальной корпус с присоединительной резьбой по всей поверхности контакта спаян с матрицей. Матрицы изготавливают из композиционного материала, называемого шихтой, состоящей из кобальта и зерен карбида вольфрама, являющегося основным износостойким компонентом. Промывочные отверстия в матрице выходят на торцовую часть долота и переходят в промывочные каналы. Последние делят поверхность матрицы на секторы. На рабочей и калибрующей поверхностях секторов матрицы по определенной схеме размещены и закреплены алмазы. Алмазы закрепляют в процессе изготовления матрицы методами порошковой металлургии. После изготовления долота вылет алмазов над рабочей поверхностью матрицы должен составлять 0,10–0,25 их диаметра.

По форме и направлению пазов, промывочных каналов, рабочих органов и всей рабочей части выделяют алмазные долота двух типов, производимых в России: долота спиральные (ДС) (см. рис. 2.117. а) и радиальные (ДР) (см. рис. 2.117., б).

По размещению алмазов в матрице различают долота с поверхностной вставкой алмазов (однослойные) (рис. 2.118.) и импрегнированные (рис. 2.119.).

Долота с поверхностной вставкой алмазов получают при однослойной укладке относительно крупных алмазов в специальную огнеупорную форму, а импрегнированные

– равномерным перемешиванием мелких и невысокого качества алмазов в поверхностном слое толщиной от 6 до 10 мм.

Диаметры алмазных долот несколько (примерно на 2 мм) меньше диаметров шарошечных долот.

По профилю рабочих поверхностей алмазные долота подразделяются на:

- долота с системой мелких торовидных выступов (ДР, ДИ) (см. рис. 2.117, д);
- долота с системой крупных торовидных выступов (ДК, ДИ, ДУ) (см. рис. 2.117., г);
- долота с гладким профилем рабочих поверхностей (ДР, ДО, ДЛС) (см. рис. 2.117.,

в).

По способу армирования изготавливаются алмазные долота трех модификаций:

- однослойные долота (ДЛ, ДР);
- импрегнированные долота (ДИ, ДКСИ);
- комбинированные долота с однослойным и импрегнированным армированием (ДУ,

ДУС). Долота с поверхностной вставкой алмазов получают при однослойной укладке относительно крупных алмазов в специальную огнеупорную форму, а импрегнированные – равномерным перемешиванием мелких и невысокого качества алмазов в поверхностном слое толщиной от 6 до 10 мм.

Диаметры алмазных долот несколько (примерно на 2 мм) меньше диаметров шарошечных долот.

По профилю рабочих поверхностей алмазные долота подразделяются на:

- долота с системой мелких торовидных выступов (ДР, ДИ) (см. рис. 2.117, д);
- долота с системой крупных торовидных выступов (ДК, ДИ, ДУ) (см. рис. 2.117, г);
- долота с гладким профилем рабочих поверхностей (ДР, ДО, ДЛС) (см. рис. 2.117.,

в).

По способу армирования изготавливаются алмазные долота трех модификаций:

- однослойные долота (ДЛ, ДР);
- импрегнированные долота (ДИ, ДКСИ);
- комбинированные долота с однослойным и импрегнированным армированием (ДУ,

ДУС).

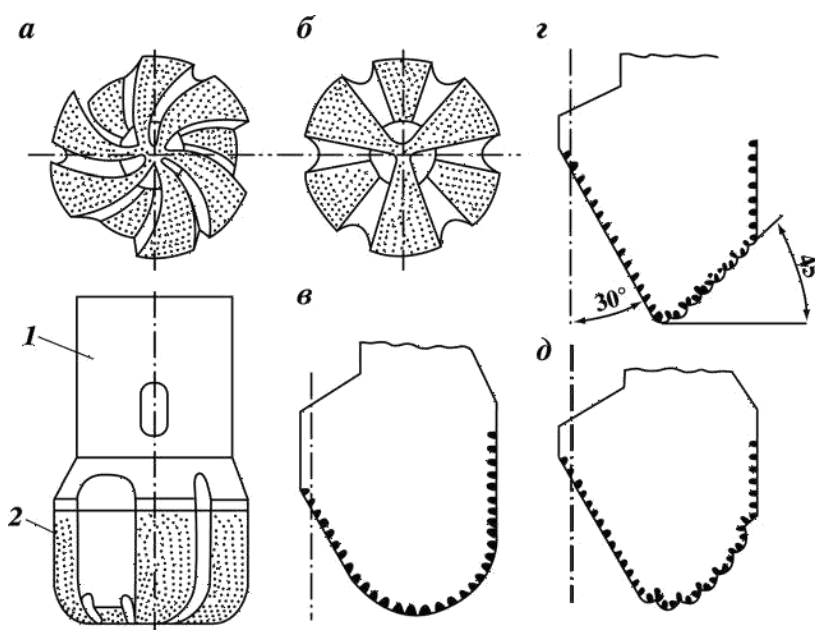


Рис. 2.117. Алмазные долота выпускаемые в России.



Рис. 2.118. Общий вид однослойного алмазного долота, оснащенного крупными натуральными алмазами



Рис. 2.119. Общий вид импрегнированного алмазного долота

Примеры условной записи (шифра) алмазных долот:

ДК-212М6:

Д – обозначение алмазного долота;

К – долото со ступенчатым профилем;

212 – номинальный диаметр, мм;

М – для мягких пород (выполняется однослойным);

6 – номер модели;

ДИ-188С6:

Д – обозначение алмазного долота;

И – импрегнированное долото;

188 – номинальный диаметр долота, мм;

С – для средних пород;

6 – номер модели;

ДР-159СТ1:

Д – обозначение алмазного долота;

Р – радиальное долото;

159 – номинальный диаметр, мм;

СТ – для среднетвердых пород (выполняются только однослойными);

1 – номер модели;

ДКС-138С:

Д – обозначение алмазного долота;

К – долото со ступенчатым профилем;

С – долото с синтетическими алмазами;

138 – номинальный диаметр, мм;

С – для средних пород;

ДЛС-267С1:

Д – обозначение алмазного долота;

Л – однослойное радиальное лопастное;

267 – номинальный диаметр, мм;

С – для средних пород;

1 – номер модели.

2.12. Кодирование износа алмазных (классических) долот

Кодирование износа проводится по системе, принятой в России (ВНИИБТ). Виды износа алмазных долот записывают буквой и цифрами, обозначающими расположение и размер выработки.

Буквами обозначают вид и форму износа:

О – обнажение алмазов;

Ц – выработка в центральной части долота;

Т – кольцевая выработка на торцевой рабочей поверхности;

П – выработка периферийной рабочей поверхности;

d – износ кернообразующего отведения бурильной головки;

D – износ по диаметру.

Результаты общего состояния долота записывают словами:

«в работе» или «отработано».

«В работе» – это значит, что долото после очередного рейса осталось работоспособным и может быть использовано повторно.

«Отработано» – долото непригодно для дальнейшего использования из-за:

– выработки в центральной части долота;

– кольцевой выработки в центральной, торцевой или периферийной частях долота;

– износа долота по диаметру более чем на 3 мм;

– выпадения алмазов в результате эрозионного износа матрицы долота;

– других видов износа.

Примеры записи видов износа алмазных долот:

Ц40 · 20 – выработка в центральной части долота диаметром 40 мм и глубиной 20 мм;

Т140 · 150 · 5 – кольцевая выработка на торцевой поверхности долота между диаметрами 140 и 150 мм глубиной 5 мм;

П208 · 35 – выработка периферийной части долота от края долота до диаметра 208 мм глубиной 35 мм;

О 1/2.Д212.d82 – обнажение зерен алмазов торцевой поверхности на 0,5 размера зерна, износ долота по диаметру до 212 мм, увеличение диаметра кернообразующего отверстия до 82 мм.

Примеры записи износа алмазных долот в буровом журнале: отработано, Д212Т140 · 150 · 5 – долото непригодно к дальнейшему использованию, долото по диаметру сработано до 212 мм (номинальный диаметр был 214,3 мм), на торцевой поверхности образовалась кольцевая выработка между диаметрами 140 и 150 мм глубиной 5 мм; в работе, Д214,3Т140 · 150 · 2Т70 · 80 · 1 – долото пригодно к дальнейшему использованию, диаметр долота не изменен, имеет две торцевые выработки: первую между диаметрами 140 и 150 мм глубиной 2 мм; вторую между диаметрами 70 и 80 мм глубиной 1 мм.

2.13. Долота ИСМ

Конструкция долота ИСМ, разработанного Украинским научно-исследовательским институтом сверхтвердых материалов, приведена на рис. 2.120, 2.121, 2.122.



Рис.2.120. Общий вид долота ИСМ радиального типа.



Рис.2.121. Общий вид долота ИСМ торцового типа.



Рис.2.122. Общий вид долота ИСМ секторного типа.

Стальной корпус с присоединительной замковой резьбой на торцевой профильной рабочей поверхности и калибрующей поверхности имеет вставки из сверхтвердого материала «Славутич», обладающего высокой износостойкостью. Вылет вставок над рабочей поверхностью корпуса составляет 3–5 мм. На калибрующей поверхности вставки утоплены, т.е. их вылет равен 0. Для оснащения долот применяют цилиндрические вставки диаметром 8–12 мм с плоскими, полусферическими и клиновыми рабочими торцами.

Рабочие элементы крепятся к стальному корпусу методом пайки.

На обратном конусе вставки размещены по спирали, на его поверхности проточена спиральная канавка для дополнительной циркуляции бурового раствора, выноса шлама и охлаждения вставок.

Буровой раствор из промывочных отверстий поступает в основные и дополнительные промывочные каналы. Основные промывочные каналы делят всю рабочую и калибрующую поверхность долота на секторы.

Долота ИСМ могут быть как с обычной промывкой (отверстия без насадок), так и гидромониторными (с насадками). При этом насадки изготавливаются из твердого сплава согласно ТУ 88 УССР ИСМ-472–75 и ГОСТ 3882–74. Их форма обычно такая же, как и форма насадок для шарошечных долот.

Долота ИСМ с обычной промывкой используют, как правило, при турбинном бурении, а гидромониторные – при роторном способе бурения.

Форма рабочей поверхности вставок марки «Славутич» и количество вставок

определяются физико-механическими свойствами горных пород.

Долота ИСМ выпускаются трех разновидностей: режущие, торцовые и истирающие.

Режущие долота ИСМ предназначены для бурения в мягких и средних пластичных породах. Количество вставок минимально возможное, обеспечивающее не более чем полутора кратное перекрытие забоя. Это позволяет при относительно небольших нагрузках на долото создавать значительные удельные нагрузки. Общее содержание вставок марки «Славутич» в долоте режущей разновидности в 6–10 раз меньше, чем в истирающем ИСМ. Оно возрастает от центра к периферии долота.

Форма рабочей части лопасти может быть либо выпуклой, либо выпукло-вогнутой.

Торцовые долота ИСМ предназначены для забуривания нового ствола при бурении направленных скважин, а также для ликвидации аварий. Кроме того, они применяются в среднемягких горных породах.

Истирающие долота ИСМ предназначены для бурения мягких и средних малоабразивных пород. Они могут быть либо радиальными, либо секторными. Первая конструкция применяется для турбинного бурения, вторая – для роторного и турбинного.

Секторные долота имеют комбинированное вооружение. Их наружный ступенчатый корпус оснащен вставками с клиновидной рабочей головкой, а внутренний – вставками с круглой рабочей головкой. Такое вооружение применяется в долотах, предназначенных для бурения пород перемежающейся твердости.

Примеры условной записи долот ИСМ:

ИСМ-188-РГ-10:

ИСМ – вид долота;
188 – номинальный диаметр, мм;
Р – режущее;
Г – гидромониторное;
10 – номер модели;

ИСМ-292-А-МС:

ИСМ – вид долота;
292 – номинальный диаметр, мм;
А – для аварийных работ;
МС – мягкие и средние породы.

ИСМ-267-МС-2:

ИСМ – вид долота;
267 – номинальный диаметр, мм;
МС – мягкие и средние породы;
2 – номер модели.

2.14. Долота PDC

Общий вид долота PDC (P – polycrystalline, D – diamond, C – cutter) представлен на рис. 2.123.. Долото состоит из корпуса с присоединительной замковой резьбой и рабочей части долота – матрицы с лопастями, оснащенными резцами. В матрице между лопастями в промывочных каналах смонтированы гидромониторные промывочные узлы.

Резцы долот PDC двухкомпонентные. Тело резца состоит из прессованного карбида вольфрама. Рабочая кромка резца упрочнена поликристаллическими синтетическими алмазами толщиной 0,5–0,7 мм.

Упрочнение резцов поликристаллическими алмазами повышает износостойкость резцов, а наличие карбидовольфрамового тела (подкладки) увеличивает пластичность резцов в целом (рис.2.124.).

Размеры резцов и их формы показаны на рис.2.125, 2.126.

Резцы вручную впаиваются в гнезда лопастей специальным припоем, как показано на

рис. 2.127., 2.128.

После оснащения лопастей резами проводят балансировку долота на специальном стенде, добиваясь минимального дисбаланса сил, действующих на долото при разрушении горной породы. При балансировке минимизируются вибрации долота, что приводит к увеличению скорости бурения, срока службы долота и достижению высокого экономического эффекта. Долота PDC изготавливают двух видов: долота с цельным стальным корпусом и матричные, с твердосплавной матрицей, припаянной к стальному корпусу.



Рис. 2.123. Общий вид долота PDC.

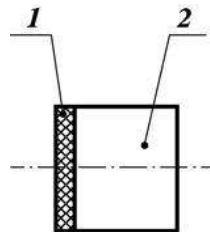


Рис. 2.124. Схема резца долота PDC:
1 – алмазный слой; 2 – твердосплавная основа.

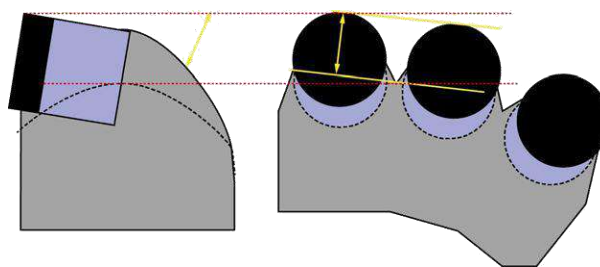


Рис. 2.125. Формы резцов долот PDC.

В долотах PDC первого вида цельковый корпус изготавливается резанием на специальных станках, там же высверливаются гнезда под резцы, в которые их впаивают по специальной технологии. При работе таких долот вместе с резами изнашивается корпус долота, который не подлежит реставрации.

В матричных долотах корпус с присоединительной резьбой изготавливается из стали резанием, а импрегнированная матрица – методом порошковой металлургии, т.е. в водородной печи шихта (смесь порошкообразного карбида вольфрама и кобальта) спекается при температуре 1300 °С.

В форму под матрицу (опоку) по шаблону в места, предназначенные под резцы,

вставляют графитовые стержни. После спекания матрицы стержни извлекают, а на их место впаивают резцы. Готовую матрицу по всей плоскости припаивают к стальному корпусу. После этого долото балансируется. При работе таких долот импрегнированная матрица не изнашивается.

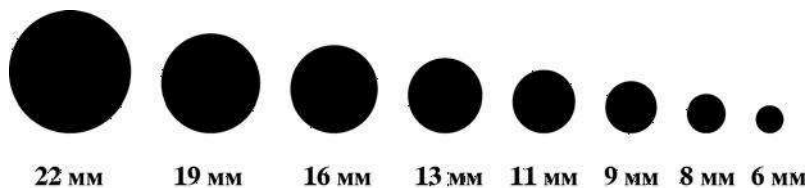


Рис. 2.126. Диаметры резцов долот PDC.

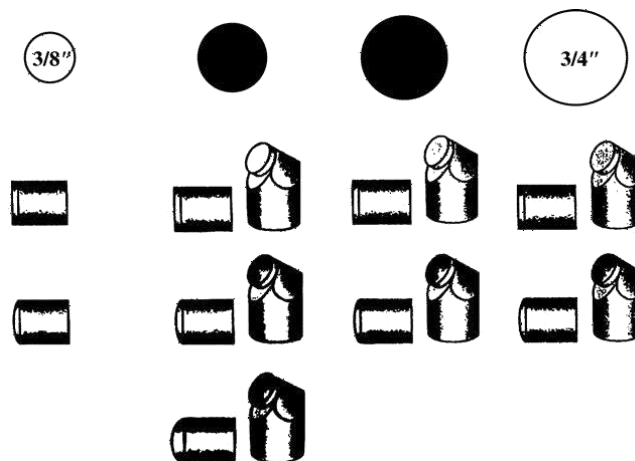


Рис. 2.127. Положение резца в лопасти долота PDC.



Рис. 2.128. Общий вид готового к работе долота PDC.

Изнашиваются в основном резцы. Поэтому такие долота подлежат реставрации. При реставрации изношенные резцы выпаивают, а на их место впаивают новые. За счет реставрации существенно снижается стоимость таких долот.

Особую группу долот PDC составляют бицентричные долота (рис. 2.129, 2.130).

Особенность работы бицентричных долот заключается в том, что при бурении они образуют новый ствол большего диаметра, чем проходной ствол.

Схемы спуска и бурения бицентричными буровыми долотами показаны на рис. 2.131, 2.132, 2.133, 2.134.



Рис. 2.129. Общий вид бицентричного долота



Рис. 2.130. Элементы бицентричного долота

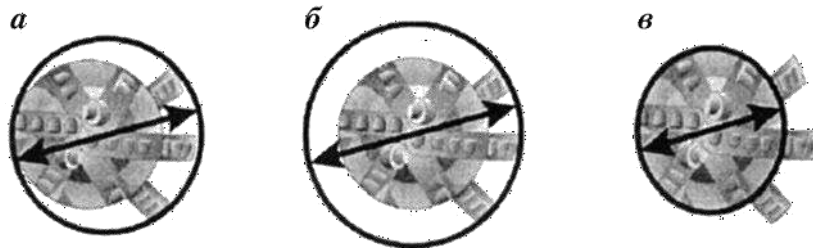


Рис.2.131. Схемы формирования диаметра скважины бицентричным долотом: а – проходной диаметр; б – разбурываемый диаметр; в – диаметр «пилота»



Рис. 2.132. Схема спуска бицентричного долота в скважину

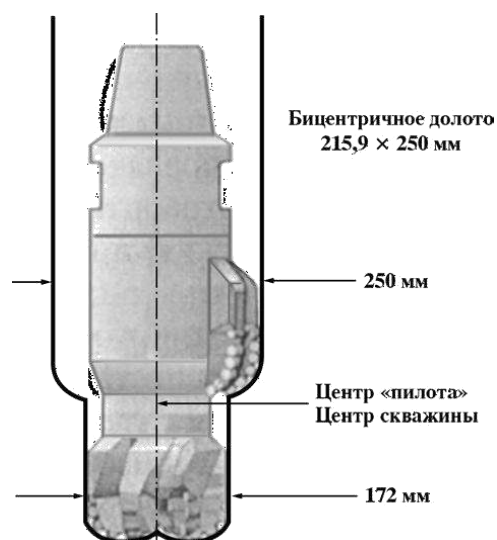


Рис.2.133. Схема бурения скважины бицентричным долотом

Бицентричные долота используют при бурении вторых стволов, при необходимости намывки гравийных фильтров в зоне продуктивного пласта.

В последние годы буровые долота PDC получили широкое применение во всем мире, в том числе и в России за счет их высокой стойкости (тысячи метров на долото) и высоких механических скоростей бурения. На сегодня в России имеется шесть производителей породоразрушающих инструментов PDC: ООО «Азимут», ООО НПП «Буринтех», ОАО НПП «Бурсервис», ОАО «Волга-бурмаш», ЗАО «Проммашсервис», СП ЗАО «Удол», что указывает на повышенный спрос данного инструмента.

Основными мировыми производителями породоразрушающих инструментов PDC являются фирмы США и Китая. Они же являются изготовителями шарошечных и алмазных (классических) породоразрушающих инструментов.

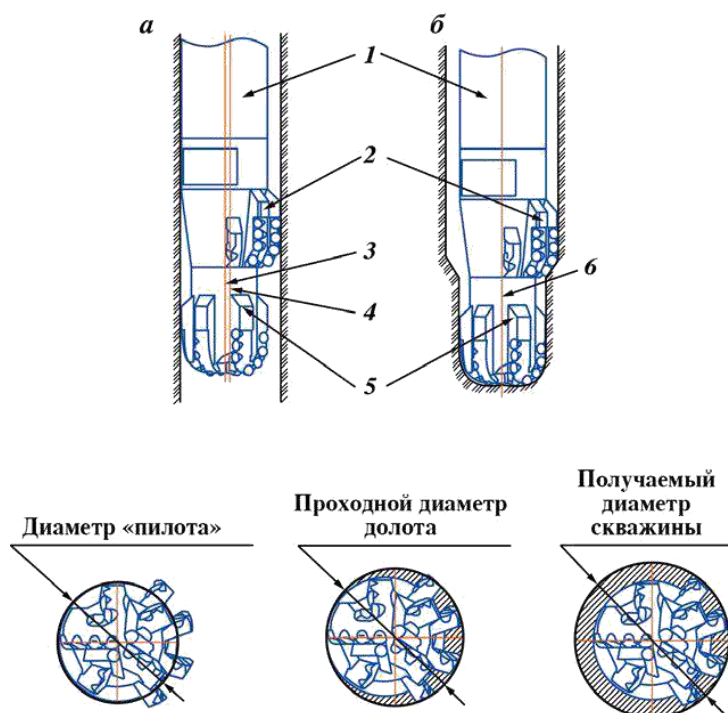


Рис. 2.134. Схема работы бицентричного долота:

а – при спуско-подъемных операциях; б – при бурении; 1 – гидравлический забойный двигатель; 2 – расширитель; 3 – ось «пилота»; 4 – ось скважины; 5 – «пилот»; 6 – оси «пилота» и скважины (совпадают)

Буровые долота PDC классифицируют по системе IADC (табл.2.2).

Пример условной записи долота PDC S121:

S – стальной корпус;

1 – для мягких пород;

2 – диаметр резцов 19 мм;

1 – короткий профиль.

Таблица 2.2.

Классификация долот PDC по коду IADC

Тип корпуса	Тип горных пород		Диаметр резцов, мм		Тип профиля долота	
			2	19		
M – матричный корпус	1	Очень мягкие	2	19	1 – короткий «рыбий хвост»	
			3	13		
			4	8		
	2	Мягкие	2	19		2 – короткий профиль
			3	13		
			4	8		
S – стальной корпус	3	Мягкие средние	2	19	3 – средний профиль	
			3	13		
	4	Средние	2	19		
			3	13		
		4	8			

В связи с широким применением буровых долот PDC в России приведем некоторые общие рекомендации по их эксплуатации:

по осевой нагрузке:

0,25–1,0 тс на 1 дюйм диаметра долота (но не более 1,1 тс) при бурении в мягких породах;

0,5–1,1 тс на 1 дюйм диаметра долота (но не более 1,4 тс) при бурении в породах средней твердости;

0,7–1,8 тс на 1 дюйм диаметра долота (но не более 2,0 тс) при бурении в твердых породах;

0,9–1,8 тс на 1 дюйм диаметра долота (но не более 2,0 тс) при бурении в крепких породах.

по частоте вращения:

100–180 об/мин в неабразивных породах; 60–80 об/мин в абразивных породах;

по гидравлической мощности, подводимой к долоту, на 1 дюйм² площади забоя скважины:

2–7 л/с на 1 дюйм² площади забоя при использовании бурового раствора на водной основе;

1–5 л/с на 1 дюйм² площади забоя при использовании бурового раствора на нефтяной основе.

В табл. 6 приведены рекомендуемые подачи бурового раствора для буровых долот различных диаметров.

Диаметр долота RDC, дюйм (мм)	Подача насоса, л/мин	Удельный расход на 1" диаметр долота, л/мин
17 1/2 (444,5)	3 000–4 000	170–230
12 1/4 (331,1)	2 300–2 800	190–230
8 1/2 (215,9)	1 200–1 500	140–180
6 (152,4)	600–800	100–135

2.15. Кодирование износа долот PDC

Очень важно ввести аналогичную систему описания износа и для долот с неподвижными резами, т.е. всех не шарошечных (безопорных).

В 1987 г. такая система была разработана подкомитетом по буровым долотам Международной ассоциации буровых подрядчиков. В 1991 г. система была отредактирована. Систему описания износа можно применять для не шарошечных долот всех типов, включая долота с природными поликристаллическими (PDC) и термостойкими поликристаллическими (TSP) алмазами, а также импрегнированные бурильные головки и долота безопорные, не оснащенные алмазным вооружением (ИСМ).

Система описания износа едина для буровых долот и бурильных головок всех конструкций. Таблица описания износа долот стандарта IADC включает коды для обозначения износа шарошечных долот и долот с неподвижными резами. Параметры износа вносятся в соответствующие восемь колонок.

Табл. 2.4. аналогична схеме кодирования износа шарошечных долот по системе IADC: колонки 1–4 – код износа вооружения («Вооружение»); колонка 5 (B) – код износа опоры («Подшипник, уплотнение»), так как в безопорных долотах (долотах с неподвижными резами) нет опор, в этой колонке всегда ставится знак «X»; колонка 6 (G) – износ долота по диаметру («Диаметр»); колонки 7 и 8 – второстепенный износ (или вторичные характеристики износа) и причина подъема («Второстепенный износ» и «Причина подъема»).

Таблица 2.4.

Кодирование износа безопорных долот по IADC

Таблица описания износа долот стандарта IADC							
Вооружение				B	G	Примечание	
Внутренние ряды	Наружные ряды	Описание износа	Местонахождение	Опора. Уплотнение	Диаметр 1/16"	Второстепенный износ	Причина подъема
2	6			X			

Степень износа внутренних и внешних рядов вооружения долота с поверхностно-вставленными алмазами определяется при помощи линейной шкалы от 0 до 8, аналогично шарошечным долотам. Цифры увеличиваются с ростом степени износа: 0 означает отсутствие износа, 8 – полный износ, 4 – 50%-ный износ.

Износ реза долота PDC определяется по линейной шкале от 1 до 8 от края до края алмазной пластины, независимо от формы, размера, типа или вылета реза.

Степень износа резцов схематично показана на рис. 2.135. Для определения степени износа записывают среднюю величину износа каждого сектора.

Как показано (см. рис. 2.135), 2/3 радиуса представлено внутренними рядами. Пять

резцов имеют степень износа «2».

Проведем расчет путем определения средней степени износа для каждого резца в группе из пяти:

$$(4 + 3 + 2 + 1 + 0) / 5 = 2.$$

Для сектора «Внешние ряды» степень износа рассчитывается аналогично:

$$(5 + 6 + 7) / 3 = 6.$$

Таким образом, степень износа внешних рядов – «6».

Цифры вносят в таблицу описания износа долот стандарта IADC (табл. 2.5).

В колонках 3 и 7 указывают характеристики износа, т.е. наиболее заметные изменения физического состояния применяемого долота по сравнению с новым, используя двухбуквенные коды (табл. 2.5) На рис. 2.136, 2.137. показаны характеристики износа.

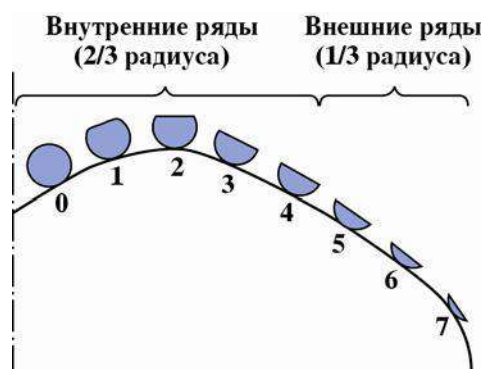


Рис. 2.135. Схема износа вооружения (внутренние и наружные венцы) (для бурильной головки осевая линия будет проходить по внутреннему диаметру).

Таблица 2.5.

Кодирование износа безопорных долот по IADC

Таблица описания износа долот стандарта IADC							
Вооружение				B	G	Примечание	
Внутренние ряды	Наружные ряды	Описание износа	Местонахождение	Опора. Уплотнение	Диаметр 1/16"	Второстепенный износ	Причина подъема
		WT		X		RO	
Примечания: 1. В колонке «Местонахождение» укажите номер (а) шарошки (шарошек). 2. При отсутствии износа поставьте Л/О в колонке «Описание износа». 3. При отсутствии второстепенного износа поставьте Л/О в колонке «Второстепенный износ»							

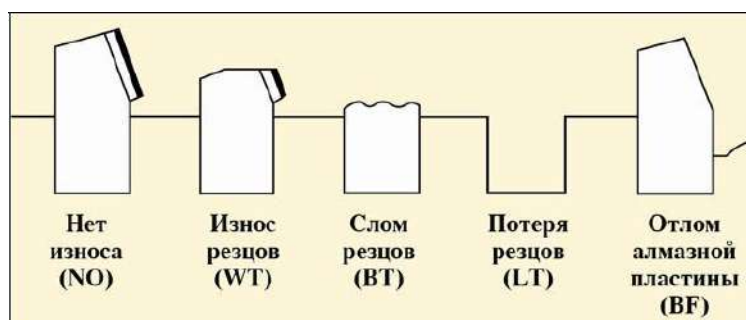


Рис. 2.136 Формы износа твердосплавных резцов, запрессованных в тело полости долота.

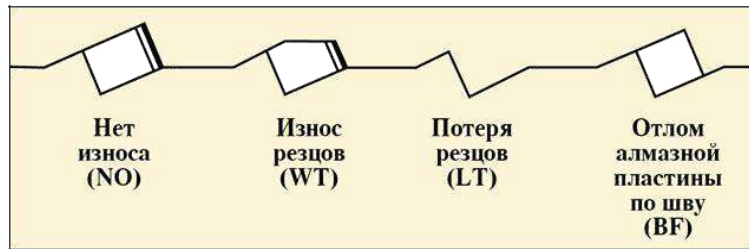


Рис. 2.137. Формы износа твердосплавных резцов

Кодовые обозначения типов второстепенного износа:

- *BC – слом шарошки;
 - CR – кернение долота;
 - LN – потеря насадки;
 - RO – кольцевой износ;
 - BF – отлом алмазной пластины по шву;
 - CT – скол зубков (резцов);
 - LT – потеря зубков (резцов);
 - SD – повреждение козырька;
 - BT – скол зубков (резцов);
 - ER – эрозия;
 - OC – эксцентричный износ;
 - SS – самозатачивание резцов;
 - BU – образование сальника;
 - FC – затупление верхушек резцов;
 - PB – механическое повреждение при СПО;
 - TR – трекинг;
 - *CC – трещина в шарошке;
 - HC – трещины перегрева;
 - PN – закупорка насадки;
 - WO – промыв инструмента;
 - *CD – истирание заклиненной шарошки (промывочного канала);
 - JD – металл на забое;
 - WT – износ зубков (резцов);
 - CI – взаимозацепление шарошек;
 - *LC – потеря шарошки;
 - RG – износ по диаметру;
 - NO – отсутствие износа;
 - RR – подлежит повторному спуску;
 - NR – не подлежит повторному спуску.
- Примеры описания износа долот PDC показаны на рис. 2.138, 2.139, 2.140.



Рис. 2.138. Износ резцов (WT)



Рис. 2.139. Скол резцов (BT)



Рис. 2.140 Кернение долота (CR)

В колонке «Местонахождение» указывается местоположение износа вооружения, описанного в колонке 3.

На рис. 2.141. показаны четыре существующих профиля долота с неподвижными резцами и коды для описания местоположения износа. Один (или больше) из этих кодов используют при указании местоположения характеристики износа.

В колонке G указывают износ диаметра долота по калибру. Буква I означает сохранение диаметра. Уменьшение наружного диаметра измеряется в 1/16".

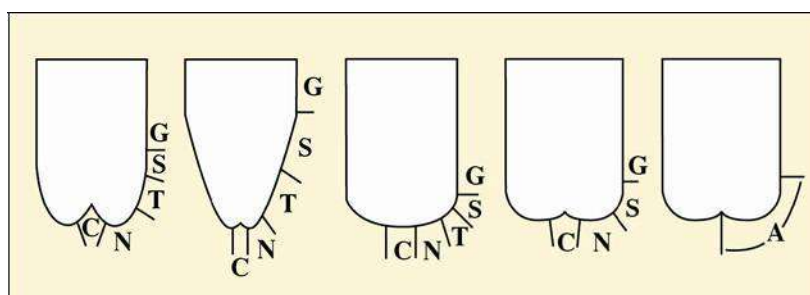


Рис. 2.141. Профили долот с неподвижными резцами:

C – конусный сектор; N – торцевой сектор; T – крыло; S – плечевой сектор; G – наружный диаметр; A – все участки

Приведем обозначения износа долот с фиксированными резцами:

I – сохранение диаметра;

1/16 – износ по диаметру до 1/16";

2/16 – износ по диаметру от 1/16" до 1/8";

3/16 – износ по диаметру от 1/8" до 3/16";

4/16 – износ по диаметру от 3/16" до 1/4".

Кодовые обозначения причин подъема долота:

- ВНА – смена КНБК;
- DMF – отказ забойного двигателя;
- DSF – повреждение бурильной колонны;
- DST – испытания пластов;
- DTF – отказ инструмента;
- LOG – ГИС (каротаж, инклинометр);
- RIG – ремонт бурового оборудования;
- CM – обработка бурового раствора;
- CP – отбор керна;
- DP – разбуривание цементного стакана;
- FM – смена геологической обстановки;
- HP – авария;
- HR – подъем по времени;
- PP – изменение давления на стояке;
- PR – падение скорости проходки;
- TD – проектный забой (колонна);
- TQ – рост крутящего момента;
- TW – отворот инструмента (трубы);
- WC – погодные условия;
- WO – промыв бурильной колонны.

Приведем практические примеры описания износа долот с фиксированными резцами.

Пример 1. Долото R437GN применялось для горизонтального бурения глинистых сланцев. КНБК включала забойный двигатель 6 3/4" Mach 1 с фиксированным углом перекоса. Во время первого долбления было пробурено 118 м за 8,5 ч. Долото поднято с глубины 1433 м. Механическая скорость бурения составляла 13,9 м/ч. При обследовании долота после подъема не было обнаружено признаков износа (рис.2.142.).



Рис.2.142. Общий вид долота после подъема. Спецификация долота: тип R437GN; размер 8,5"; общая площадь потока 0,6

Результаты обследования внесены в табл. 2.4.

Таблица 2.4.

Кодовое описание износа долота R437GN (пример 1)

Таблица описания износа долот стандарта IADC							
Вооружение				В	G	Примечание	
Внутренние ряды	Наружные ряды	Описание износа	Местонахождение	Опора. Уплотнение	Диаметр 1/16"	Второстепенный износ	Причина подъема
0	0	NO	A	X	I	NO	TD

Пример 2. Долото R437GN применялось при бурении интервала от хрупких до вязких глин и песчаника в горизонтальной скважине. Было пробурено 387 м за 29,5 ч со средней механической скоростью 13,1 м/ч.

КНБК включала забойный двигатель 6 3/4" Mach 1 с изменяемым углом перекоса. Долото поднято с глубины 1820 м по причине низкой механической скорости бурения. После поднятия долота выяснилось, что снижение механической скорости бурения произошло по причине кернения долота и потери всех четырех насадок, а на оставшихся резцах не было обнаружено значительных признаков износа (рис.2.143.).



Рис.2. 143. Общий вид долота. Спецификация долота: тип R437GN; размер 8,5"; общая площадь потока 0,6

Результаты обследования внесены в табл. 10.

Пример 3. В районе Северного моря долото R435SG применялось на протяжении четырех СПО. Всего было пробурено 977 м за 166,3 ч в основном в соленых и агидритных породах (цехштейн). В трех из четырех спусков КНБК включала забойный двигатель Mach 1 DTU (210–320 об/мин). При обследовании после двух первых спусков не было выявлено существенного износа вооружения.

Таблица 2.5.

Кодовое описание износа долота R437GN (пример 2)

Таблица описания износа долот стандарта IADC							
Вооружение				B	G	Примечание	
Внутренние ряды	Наружные ряды	Описание износа	Местонахождение	Опора. Уплотнение	Диаметр 1/16"	Второстепенный износ	Причина подъема
6	2	CR	C	X	T	LN	PR
Примечание. Хотя произошла потеря всех четырех насадок, в колонке «Описание износа» указано «Кернение долота» (CR), так как главной причиной потери насадок является кернение. Потеря насадок (LN) отмечена в колонке «Второстепенный износ».							

В колонке «Причина подъема» в обоих случаях было указано «Отказ инструмента» (DTF).

После третьего спуска (пробурено 389 м за 89,5 ч) долото было поднято по причине смены КНБК. При этом наблюдался равномерный износ ± 20 % внутренних и внешних рядов вооружения.

При обследовании долота после четвертого спуска было выявлено 50 % износа внутренних рядов и 60 % износа внешних рядов вооружения. Также наблюдались сильная эрозия и потеря резцов в секторе крыла (рис. 2.144).

Результаты обследования внесены в табл.2.6. Содержащуюся в описании износа

информацию можно использовать для нескольких целей. С ее помощью изготовители долот могут проанализировать прочность конструкции и область применения своей продукции.

Буровики могут усовершенствовать программы бурения. Систему оценки можно компьютеризировать и создать всемирную базу данных с целью повышения эффективности подбора долот для конкретных условий применения.



Рис. 2.144. Общий вид долота после четвертого спуска. Спецификация долота: тип R435SG; размер 12,25"; общая площадь потока 0,65– 1,60.

Таблица 2.6.

Кодовое описание отработанного долота R435SG (пример 3)

Таблица описания износа долот стандарта IADC							
Вооружение				B	G	Примечание	
Внутренние ряды	Наружные ряды	Описание износа	Местонахождение	Опора. Уплотнение	Диаметр 1/16"	Второстепенный износ	Причина подьема
0	0	NO	A	X	I	NO	DTF
<i>Спуск 1</i>							
0	0	NO	A	X	I	NO	DTF
<i>Спуск 2</i>							
0	0	NO	A	X	I	NO	DTF
<i>Спуск 3</i>							
0	0	NO	A	X	I	NO	DTF
<i>Спуск 4</i>							
0	0	NO	A	X	I	NO	DTF

Основной причиной введения единой системы оценки является необходимость стандартизации сведений о долоте, независимо от места и конкретных условий его применения.

2.16. Шарошечные и лопастные бурильные головки гост 21210–75

Породоразрушающий инструмент для бурения скважин кольцевым забоем называют бурильными головками.

Бурильные головки предназначены для бурения скважин с отбором керна. Они могут использоваться со стационарными либо съемными керноприемниками.

Бурильные головки могут быть шарошечными, лопастными, фрезерными, алмазными (классическими) ИСМ или PDC.

Шарошечные бурильные головки (рис. 2.145) выполняются с одной, тремя, четырьмя, пятью, шестью, восемью и более рабочими органами. Шарошки в бурильной головке могут быть:

- коническими;
- одно-, двух-, или трехконусными;
- в виде усеченного конуса;
- цилиндрическими;
- цилиндроконическими;
- сферическими;
- чечевицеобразными.

Число и конструкция подшипников в опоре каждой шарошки также могут быть различными в зависимости, главным образом, от формы исполнения, габаритных размеров шарошки и бурильной головки.

Лопастные бурильные головки предназначены для отбора керна в мягких породах роторным способом в комплекте с несъемным керноприемником (табл.2.7).

Промывочный узел состоит обычно из нескольких каналов, просверленных в лапах или корпусе бурильной головки. Выходные промывочные отверстия во избежание размыва керна располагаются между шарошками подальше от центра.

Важными параметрами конструкции бурильной головки являются высота и коэффициент керноприема.

Высотой керноприема принято называть расстояние от зоны образования керна до кернорвателя, а коэффициентом керноприема – отношение к этому расстоянию диаметра керна.



Рис.2.145. Общий вид шарошечных бурильных головок:
а – ТКЗ; б – СЗ; в – МСЗ; г – СТ

Таблица 2.7.

Типы, область применения бурильных головок и исполнение их рабочей части по ГОСТ 21210–75

Тип	Область применения	Исполнение рабочей части
М	Бурение мягких устойчивых пород	Лопастные со вставными твердосплавными зубцами, с наплавкой твердого сплава и без наплавки
МСЗ	Бурение мягких пород с пропластками пород средней твердости	Шарошки со вставными твердосплавными зубками
СЗ	Бурение пород средней твердости	
СТ	Бурение пород средней твердости с пропластками пород твердых	Шарошки со вставными твердосплавными зубками или фрезерованными зубцами с наплавкой или без наплавки твердым сплавом
ТЗ	Бурение твердых пород	Шарошки со вставными твердосплавными зубками
ТКЗ	Бурение твердых абразивных пород с пропластками пород крепких	

Пример условного обозначения бурильной головки для керноприемных устройств без съемного керноприемника (К) с наружным диаметром $D = 139,7$ мм, внутренним диаметром $d = 52$ мм для бурения мягких пород:

К 139,7/52 М ГОСТ 21210–75.

Пример условного обозначения бурильной головки для керноприемных устройств со съемным керноприемником (КС) с наружным диаметром $D = 187,3$ мм, внутренним диаметром $d = 40$ мм для бурения пород средней твердости:

КС 187,3/40 СЗ ГОСТ 21210–75.

2.17. Алмазные бурильные головки и бурильные головки ИСМ и PDC

Промышленностью выпускаются алмазные (классические) бурильные головки, оснащенные как природными, так и синтетическими алмазами (рис. 2.146, 2.147).

Бурильные головки первого класса изготавливаются трех разновидностей: однослойные радиальные, однослойные ступенчатые и импрегнированные.

Однослойные радиальные бурильные головки выпускаются серийно одного типа СТ двух модификаций в четырех моделях:



Рис.2.146. Общий вид импрегнированной алмазной бурильной головки

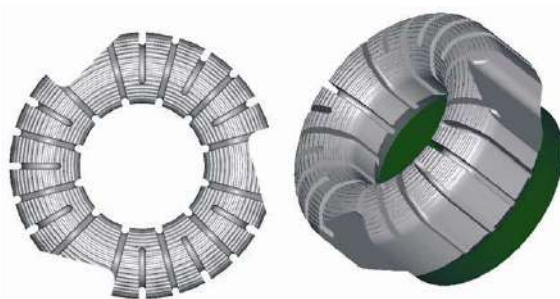


Рис. 2.148. Общий вид однослойной алмазной бурильной головки

КР 159/67 СТ2;

КР 188/80 СТ2;

КР 212/80 СТ2;

КР 188/40 СТ1.

В записи бурильных головок приняты следующие обозначения:

К – бурильная головка;

Р – радиальная разновидность;

159/67 – номинальный наружный диаметр бурильной головки/диаметр керноприемного отверстия, мм;

СТ – тип бурильной головки;

2 – порядковый номер модификации.

Однослойные ступенчатые бурильные головки выпускаются двух типов М и С:

тип М – одной модификации 2 в одной модели:

КТ 188/40 М2;

типа С – двух модификаций 3 и 5 в двух моделях:

КТ 138/52 С3;

КТ 138/45 С5.

Импрегнированные бурильные головки выпускаются только типа С модификации 3 в двух моделях:

КИ 188/80 С3;

КИ 212/80 С3.

В бурильных головках обеих моделей с твердосплавной матрицей перемешаны алмазы ХХХIV группы.

Бурильные головки второго класса с синтетическими алмазами изготавливаются двух разновидностей: однослойные и импрегнированные ступенчатые.

Они выпускаются только одного типа С и одной модификации 3.

Однослойные ступенчатые бурильные головки изготавливались в двух моделях:

КТС 188/80 С3; КТС 212/80 С3.

Импрегнированные – в трех моделях:

КТСИ 138/52 С3; КТСИ 188/8 С3;

КТСИ 212/80 С3.

Алмазные бурильные головки производятся в соответствии с отраслевым стандартом ОСТ 39.026–76.

Бурильные головки для колонковых снарядов со съёмным керноприемником изготавливаются с ниппельной наружной присоединительной резьбой, а бурильные головки для колонковых снарядов с несъёмным керноприемником – с муфтовой внутренней резьбой.

ОСТ 39.026–76 также предусмотрено выполнение бурильных головок для колонковых снарядов со съёмным керноприемником следующих семи размеров, мм:

185,7/40;

188,9/40;

211,1/60;

214,3/60;

242,1/60;

267,5/60;

292,9/60.

Бурильные головки размерами 185,7/40 и 188,9/40 выпускаются с ниппелем 3-147, размером 211,1/60 и 214,3/60 – с ниппелем 3-161, а остальные – с ниппелем 3-171. Бурильные головки для керноприемных снарядов с несъёмным керноприемником производятся следующих размеров, мм:

130,4/60;

211,1/80;

138,1/60;

214,3/80;

141,3/52;

220,7/80;

147,6/52;

242,1/100;

157,1/67;

267,5/100;

163,5/67;

292,9/100;

169,8/67;

308,7/100;

185,7/80;

317,6/100;

188,9/80;

346,8/100.

195,3/80;

Бурильные головки ИСМ, вооруженные вставками со сверхтвёрдым материалом «Славутич», выпускаются в настоящее время одной и той же разновидности (рис. 72) и одного типа МС.

Эти бурильные головки армируются вставками с материалом «Славутич» по

наружной рабочей поверхности шести лопастевидных рабочих органов, составляющих единое целое с продолговатым полым корпусом, а также по внутренней центральной части, обеспечивающей образование керна.

Изготовление таких бурильных головок проводится в соответствии с ТУ 88 УССР ИСМ 472–76. Этими техническими условиями предусматривается изготовление бурильных головок под общим шифром ИСМ трех типов: М, МС и С.

Общий вид бурильных головок ИСМ и PDC представлен на рис. 2.149, 2.150. Бурильные головки, как и буровые долота, имеют стальной корпус с присоединительной резьбой и рабочие органы в виде лопастей, оснащенные резцами из поликристаллических синтетических алмазов.

Бурильные головки могут быть цельнометаллические стальные и матричного типа, аналогично буровым долотам. Технология изготовления бурильных головок PDC аналогична технологии изготовления буровых долот.

Бурильные головки PDC применяют для бурения с отбором керна в породах от мягких до средней твердости.



Рис.2.149. Общий вид бурильных головок ИСМ

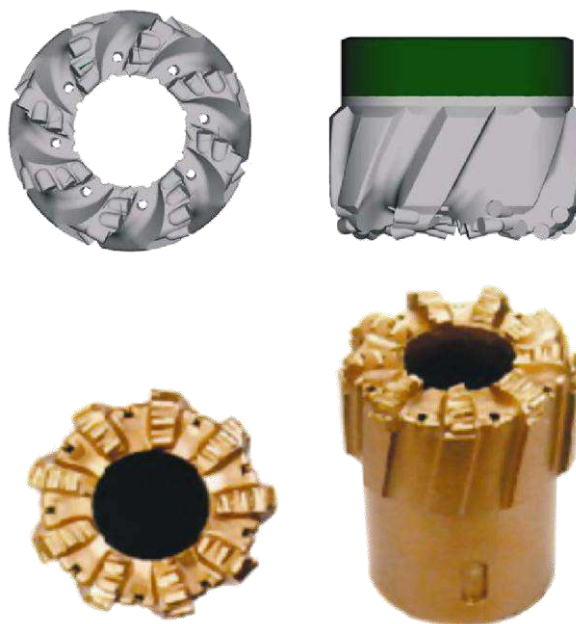


Рис.2.150. Общий вид бурильной головки PDC

МИНИСТЕРСТВО НАУКИ И ВЫСШЕГО ОБРАЗОВАНИЯ
РОССИЙСКОЙ ФЕДЕРАЦИИ
ФГБОУ ВО «Уральский государственный горный университет»

**КОНТРОЛЬНАЯ РАБОТА
ПО РАЗВЕДОЧНОЙ ГЕОФИЗИКЕ**

Специальность:

21.05.03 Технология геологической разведки

форма обучения: очная, заочная

Автор: Александрова Ж. Н.

Екатеринбург

2020



ФГБОУ ВО

**«Уральский государственный горный
университет»**

Ж. Н. Александрова

**КОНТРОЛЬНАЯ РАБОТА
ПО РАЗВЕДОЧНОЙ ГЕОФИЗИКЕ**

Руководство по выполнению контрольной работы
по дисциплине «Разведочная геофизика» для студентов
специальности 21.05.03 Технология геологической разведки
очной и заочной формы обучения

**Екатеринбург
2020**

ФГБОУ ВО
«Уральский государственный горный университет»

ОДОБРЕНО
методической комиссией
факультета геологии и геофизики
Председатель комиссии



В. И. Бондарев
«20» марта 2020 г.

Ж. Н. Александрова

КОНТРОЛЬНАЯ РАБОТА ПО РАЗВЕДОЧНОЙ ГЕОФИЗИКЕ

Руководство по выполнению контрольной работы
по дисциплине «Разведочная геофизика» для студентов
специальности 21.05.03 Технология геологической разведки
очной и заочной формы обучения

УДК 550.83

А46

Рецензент: Писецкий В.Б., д-р геол.-мин. наук, профессор,
заведующий кафедрой геоинформатики УГГУ

Александрова Ж.Н.

А46 Контрольная работа по разведочной геофизике: руководство по выполнению контрольной работы по дисциплине «Разведочная геофизика» для студентов специальности 21.05.03 Технология геологической разведки очной и заочной формы обучения. / Ж.Н. Александрова; Уральский гос. горный ун-т. – Екатеринбург: изд-во УГГУ, 2020. – 29 с.

Учебное пособие предназначено для студентов, обучающихся по специальности «Технология геологической разведки»

© Александрова Ж.Н., 2018

© Уральский государственный
горный университет, 2018

СОДЕРЖАНИЕ

1. Общие указания	5
2. Требования к содержанию и оформлению контрольной работы	6
3. Критерии оценки контрольной работы	8
4. Варианты заданий	9
5. Список рекомендованной литературы	29

1. Общие указания

Учебным планом специальности «Технология геологической разведки» предусматривается написание контрольной работы по дисциплине «Разведочная геофизика».

Перечень заданий разрабатывается преподавателем. Задание во всех вариантах направлено на выбор способа (способов) решения конкретной геологической задачи. В качестве исходных данных каждому студенту выдается краткое описание геологического строения месторождения полезного ископаемого, его геологический разрез и таблица физических свойств горных пород, слагающих разрез.

Формулировка задания:

для поиска месторождения указанного типа (согласно варианту), определения его размеров и глубины залегания

1. выбрать рациональный комплекс геофизических методов и привести его обоснование;
2. сформулировать задачи, которые будут решены выбранными методами и привести обоснование;
3. определить ориентировочный шаг съемки для каждого метода и привести расчеты;
4. выбрать аппаратуру для проведения измерений, обосновать ее выбор, представить краткое описание устройства и принципа действия приборов.

К выполнению контрольной работы можно приступить только тогда, когда будет усвоена определенная часть курса. Контрольная работа выполняется студентами исключительно самостоятельно, согласно настоящей методической инструкции. Ее выполнение способствует углубленному изучению пройденного материала.

Цель выполняемой работы:

проверка способности студентов использовать свои знания, умения и навыки для решения конкретных практических задач.

Основные задачи выполняемой работы:

- 1) закрепление полученных ранее теоретических знаний;
- 2) выработка навыков самостоятельной работы;
- 3) выяснение подготовленности студента к будущей практической работе.

Весь процесс написания контрольной работы можно условно разделить на следующие этапы:

- получение задания и составление предварительного плана работы;
- сбор научной информации, изучение литературы;
- анализ составных частей проблемы, выполнение расчетов;

- обработка материала в целом;
- письменное оформление работы.

Подготовку контрольной работы следует начинать с повторения соответствующего раздела учебника, учебных пособий по данной теме и конспектов лекций, прочитанных ранее. Приступать к выполнению работы без изучения основных положений и понятий дисциплины не следует, так как в этом случае студент, как правило, плохо ориентируется в материале, не может отграничить смежные вопросы и сосредоточить внимание на основных моментах предложенного задания.

После получения задания необходимо внимательно изучить методические рекомендации по выполнению контрольной работы, составить план работы.

2. Требования к содержанию и оформлению контрольной работы

Оформление текстовой части производится согласно ГОСТ 2.105–95 «Единая система конструкторской документации. Общие требования к текстовым документам».

Все иллюстрации нумеруются сквозной нумерацией (рис. 1, рис. 2, рис. 3 и т.д.). На все рисунки в тексте должны быть сделаны ссылки.

В содержании контрольной работы необходимо показать знание рекомендованной литературы по данной теме, но при этом следует правильно пользоваться первоисточниками, избегать чрезмерного цитирования. При использовании цитат необходимо указывать точные ссылки на используемый источник: указание автора (авторов), название работы, место и год издания, страницы.

Кроме рекомендованной специальной литературы, можно использовать любую дополнительную литературу, которая необходима для выполнения контрольной работы.

В конце контрольной работы приводится полный библиографический перечень использованных источников. Данный список условно можно подразделить на следующие части:

2. Учебники, учебные пособия, методические указания
3. Монографии.
4. Официальные интернет-источники.

Первоисточники даются по алфавиту. Список литературы оформляется согласно ГОСТ 7.1-2003. На все источники, указанные в списке литературы, в тексте должны быть сделаны ссылки. В списке литературы должны приводиться только опубликованные источники. *Не допускается указывать в списке литературы конспект лекций по предмету!*

Оформление библиографических ссылок осуществляется в следующем порядке:

1. Фамилия и инициалы автора (коллектив авторов) в именительном падеже. При наличии трех и более авторов допускается указывать фамилии и инициалы первых двух и добавить «и др.». Если книга написана авторским коллективом, то ссылка делается на название книги и её редактора. Фамилию и инициалы редактора помещают после названия книги.

2. Полное название первоисточника в именительном падеже.

3. Место издания.

4. Год издания.

5. Общее количество страниц в работе.

При использовании цитат необходимо правильно и точно делать внутритекстовые ссылки на первоисточник. Ссылки на используемые первоисточники можно делать в конце цитаты в квадратных скобках.

Структура контрольной работы должна выглядеть следующим образом:

1. Титульный лист.

2. Содержание.

3. Задание.

4. Пояснительная записка с разбивкой на подразделы (по выбору автора):

а) Введение.

б)

в)

г)

5. Выводы.

6. Список литературы.

Контрольная работа излагается логически последовательно, грамотно и разборчиво. Она обязательно должна иметь титульный лист. Он содержит название высшего учебного заведения, название темы, фамилию, инициалы, учёное звание и степень научного руководителя, фамилию, инициалы автора, номер группы.

На следующем листе приводится содержание контрольной работы с указанием страниц.

Введение должно быть кратким, не более 1 страницы. В нём необходимо отметить цель и задачи, которые ставятся в работе, значение полезного ископаемого, указанного в задании, области его использования, достижения геофизики в области поисков и разведки данного полезного ископаемого и т.д.

Изложение каждого подраздела пояснительной записки необходимо начать с написания заголовка, соответствующему оглавлению, который должен отражать содержание текста. Заголовки от текста следует отделять интервалами. Каждый заголовок обязательно должен предшествовать непосредственно своему тексту. В том случае, когда на очередной страни-

це остаётся место только для заголовка и отсутствует место хотя бы для одной строчки текста, заголовки нужно писать на следующей странице.

Излагая вопрос, каждый новый смысловый абзац необходимо начать с красной строки. Закончить изложение вопроса следует выводом, итогом по содержанию данного подраздела.

Изложение содержания всей контрольной работы должно быть завершено заключением, в котором необходимо дать выводы по написанию работы в целом.

Страницы контрольной работы должны иметь сквозную нумерацию. Номер страницы ставится снизу в правом углу. На титульном листе номер страницы не ставится. Оптимальный объём контрольной работы 8-10 страниц машинописного текста (размер шрифта 12-14) через полуторный интервал на стандартных листах формата А-4, поля: верхнее –20 мм, нижнее –20 мм, левое –30 мм, правое –10 мм.

В тексте контрольной работы не допускается произвольное сокращение слов, кроме общепринятых.

По всем возникшим вопросам студенту следует обращаться за консультацией к преподавателю.

Срок выполнения контрольной работы определяется преподавателем и она должна быть сдана не позднее, чем за неделю до экзамена.

3. Критерии оценки контрольной работы

По результатам проверки контрольная работа оценивается на 0 - 5 баллов.

Списывание контрольной работы даже при правильности ее написания и оформления оценивается на 0 баллов.

Критерий оценки	Количество баллов
Правильность выбора рационального комплекса геофизических методов и убедительность его обоснования	0 – 1 балл
Правильность формулировки перечня задач, которые будут решены выбранными методами и его обоснованность	0 – 1 балл
Правильность определения ориентировочного шага съемки для каждого метода	0 – 1 балл
Правильность выбора аппаратуры для проведения измерений, его обоснованность и краткое описание устройства и принципа действия приборов	0 – 1 балл
Оформление работы	0 – 1 балл

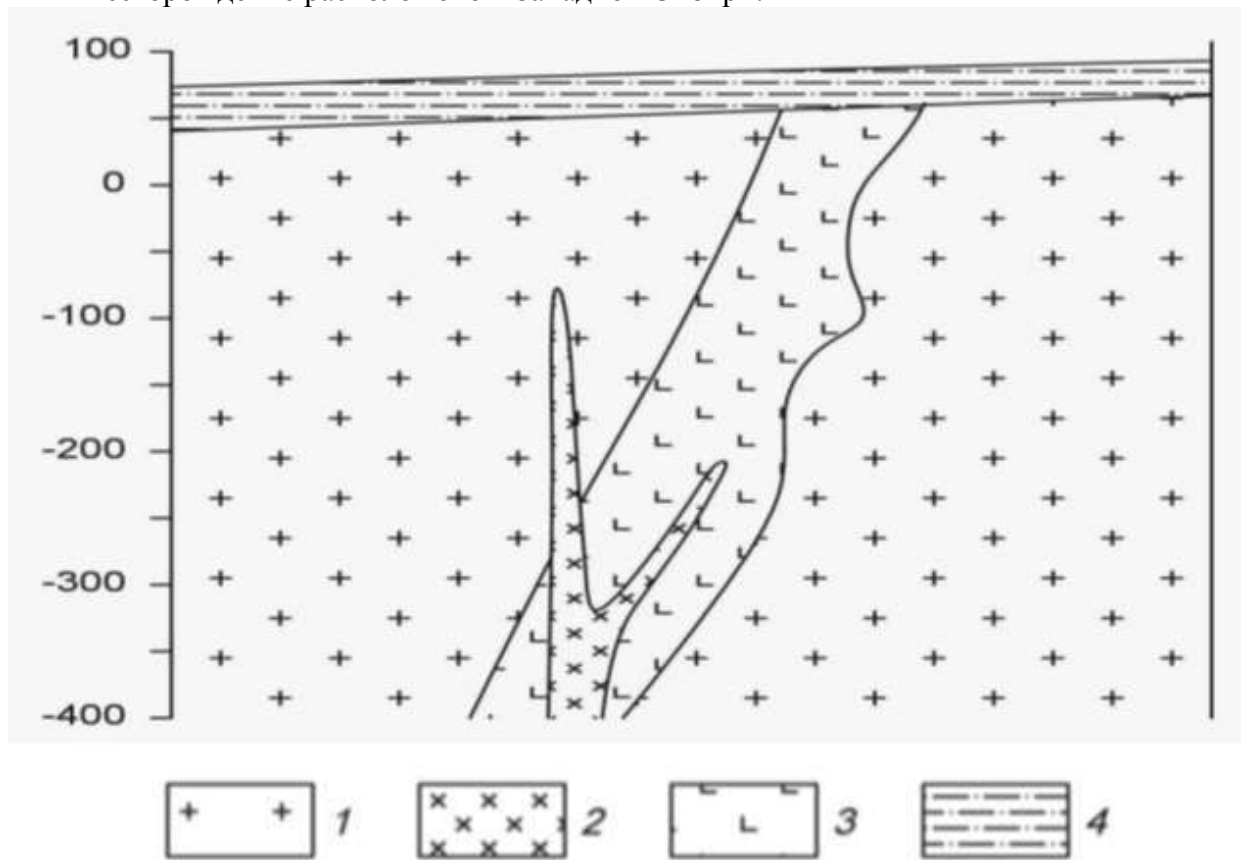
4. Варианты заданий

Вариант 1. Золото

Месторождение Красное приурочено к интрузивным образованиям раннего протерозоя, являющимся вмещающими породами для эксплозивных структур, выполненных жерловыми и субвулканическими фациями раннетриасового возраста (см. рис.).

Распределение полезных компонентов в ней имеет неравномерный, столбообразный, линзообразный и гнездовый характер, с наличием раздувов, пережимов и прослоев слабо золотоносных пород в контуре кондиционных руд. Наиболее богатые руды тяготеют к осевой части зоны метасоматитов, где они концентрируются в виде согласных полос. Четких геологических границ обогащенные участки не имеют и выделяются только по данным опробования.

Месторождение расположено в Западной Сибири.



Схематический геологический разрез золоторудного месторождения Красное.

1 – раннепротерозойский среднезернистые порфиroidные грани-тоиды, 2 – позднейюрские дайки диоритов, 3 – раннетриасовые гидротермально измененные эруптивные брекчии гранодирорит-порфиров, 4 – четвертичные отложения, представленные суглинками.

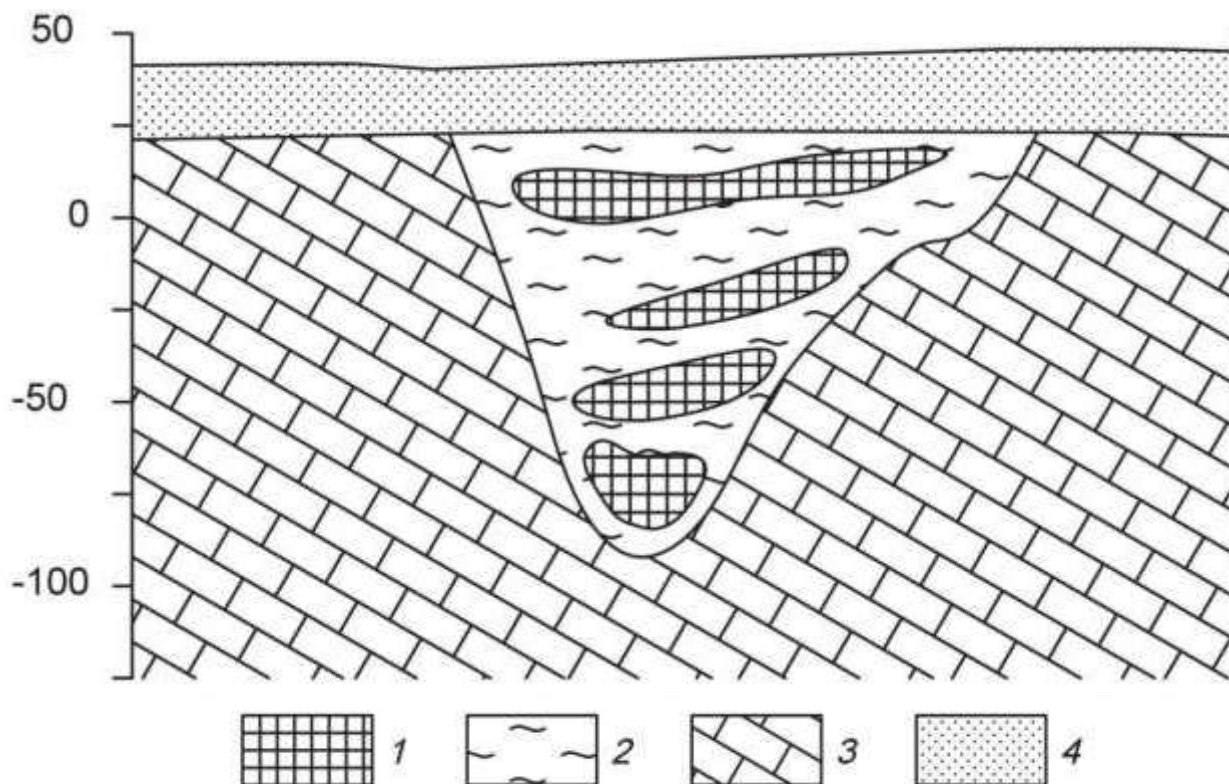
Петрофизические свойства

№ п/п	Разности пород	$\alpha, \times 10^{-5}$ ед.СИ	$\sigma, \text{г/см}^3$	$\rho, \text{Ом}\cdot\text{м}$
1.	Порфиroidные гранитоиды	200	2,69	3000
2.	Диориты	3000	2,81	4000
3.	Эруптивные брекчии гранодирорит-порфиров	350	2,45	100
4.	Суглинки	85	1,97	180

Вариант 2. Бокситы

Месторождение бокситов относится к карстовому типу. Тела бокситов приурочены к древним карстовым воронкам в карбонатных породах верхнего протерозоя, и состоят из нескольких разновидностей (см. рис.). Карстовые воронки заполнены рыхлыми и глинистыми бокситами, в которых встречаются каменистые разности. Каменистые бокситы имеют небольшие размеры и линзообразную, гнездовидную форму. Сверху залегают четвертичные перекрывающие отложения, представленные песками и супесями.

Месторождения данного типа развиты на Енисейском кряже.



Схематический геологический разрез месторождения бокситов.

1 – бокситы каменистые, 2 – глинистые бокситы, 3 – известняки, 4 – пески, супеси.

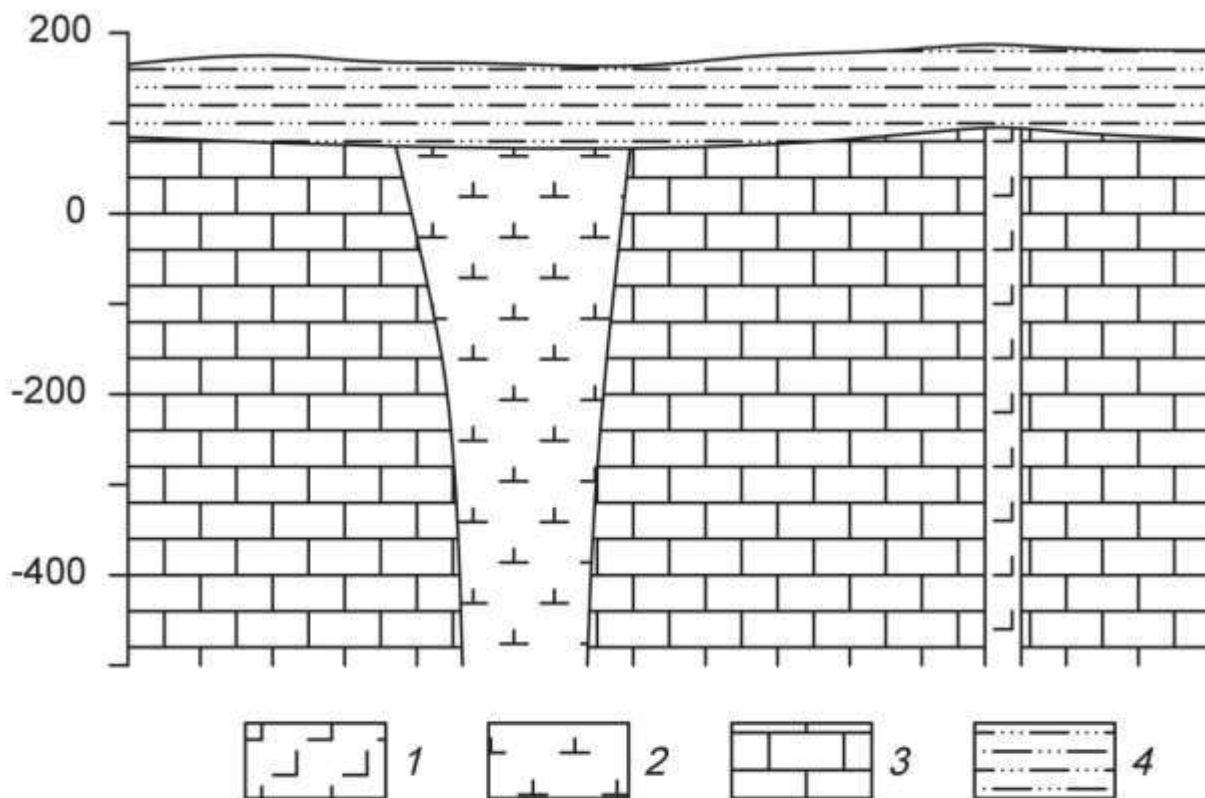
Петрофизические свойства

№ п/п	Разности пород	$\alpha, \times 10^{-5}$ ед.СИ	$\sigma, \text{г/см}^3$	$\rho, \text{Ом}\cdot\text{м}$
1.	Бокситы каменистые	200	3,1	240
2.	Бокситы глинистые	150	2,22	120
3.	Известняки	30	2,62	1000
4.	Пески, супеси	27	1,80	450

Вариант 3. Алмазы

Коренные месторождения алмазов связаны с кимберлитовыми трубками взрыва. Кимберлитовые тела локализуются в зонах растяжения, связанных с узлами пересечения разломов. Вмещающими для кимберлитов породами являются карбонатные отложения кембрия и ордовика (см. рис.). На площади широко распространены дайки долеритов. Кимберлиты и вмещающие породы перекрыты юрскими песчано-глинистыми отложениями.

Кимберлитовое тело находится в Мало-Ботуобинском алмазоносном районе на западе Якутии.



Схематический геологический разрез кимберлитовой трубки.

1 – долериты, 2 – кимберлиты, 3 – известняки, 4 – песчано-глинистые отложения.

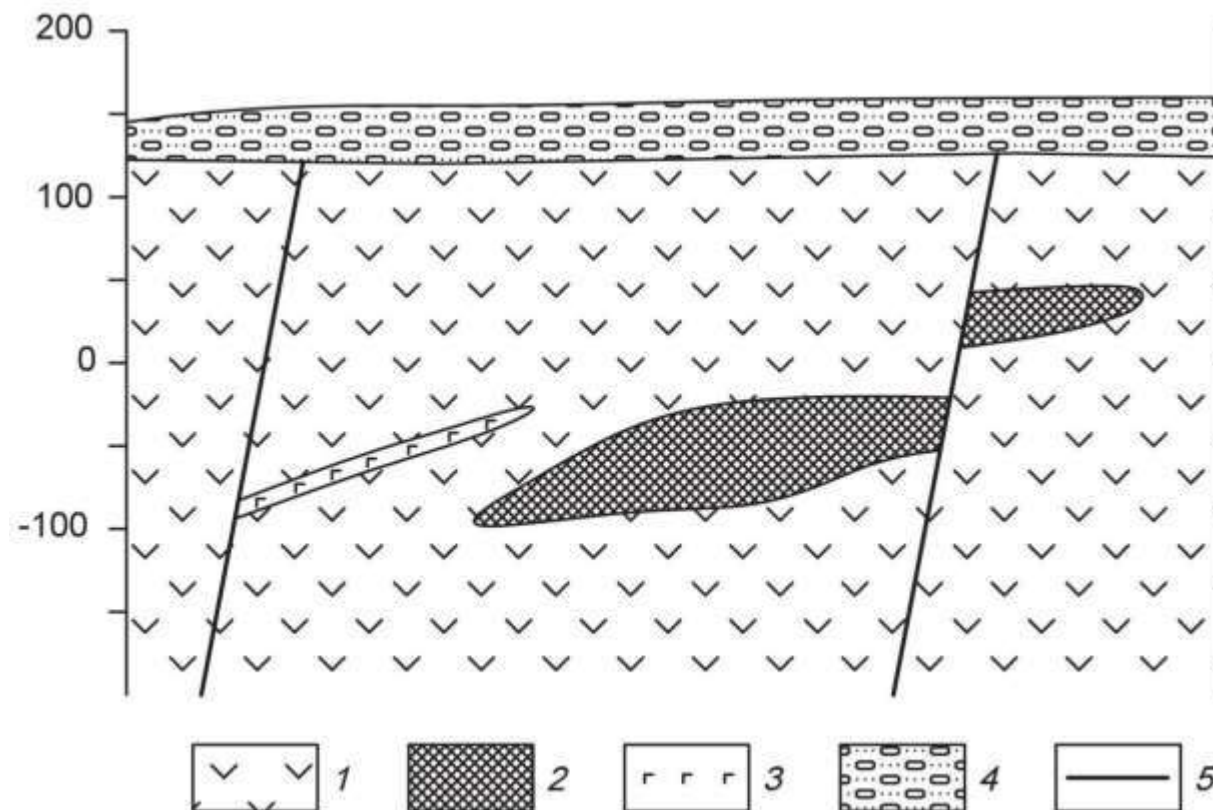
Петрофизические свойства

№ п/п	Разности пород	$\alpha, \times 10^{-5}$ ед.СИ	$\sigma, \text{г/см}^3$	$\rho, \text{Ом}\cdot\text{м}$
1.	Долериты	2800	2,95	8000
2.	Кимберлиты	90	2,40	200
3.	Известняки	20	2,60	2000
4.	Глины, суглинки	45	2,00	80

Вариант 4. Хром

Рудные тела сложены густовкрапленными, почти сплошными хромитами (см. рис.). Они имеют субмеридиональное простирание и пологое субгоризонтальное залегание. Тела пересекаются сбросовыми тектоническими нарушениями, круто падающими на юг и юго-запад под углами 70-80°. Амплитуда сбросов составляет 5 – 30 м. Непосредственно вмещающие породы представлены серпентинизированные дуниты или серпентиниты, развитые по дунитам. Контакты рудных тел с вмещающими породами резкие. Вмещающие породы и рудные тела перекрыты мезо-кайнозойскими конгломератами.

Месторождение приурочено к Кемпирсайскому хромитоносному массиву (Республика Казахстан).



Схематический геологический разрез хромитового месторождения.
1 – дуниты, 2 – хромитовые руды, 3 – габбро-диабазы, 4 – конгломераты.

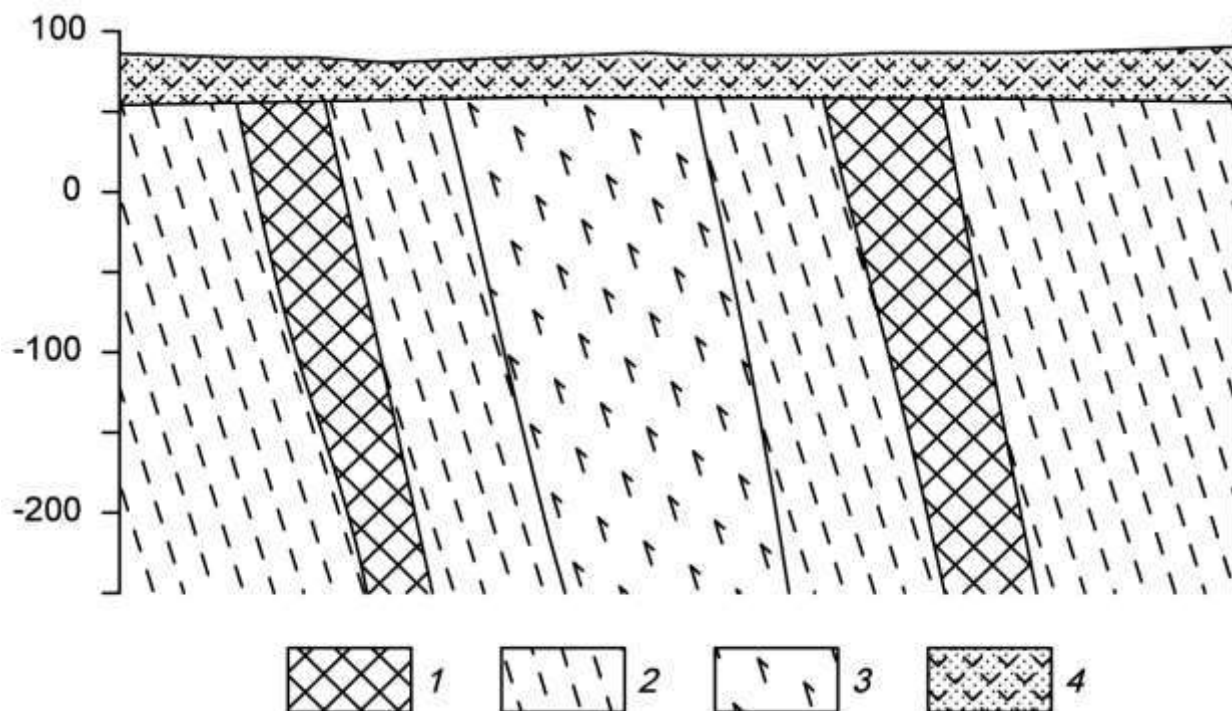
Петрофизические свойства

№ п/п	Разности пород	$\alpha, \times 10^{-5}$ ед.СИ	$\sigma, \text{г/см}^3$	$\rho, \text{Ом}\cdot\text{м}$
1.	Дуниты	900	2,96	980
2.	Хромитовые руды	270	3,80	300
3.	Габбро-диабазы	300	3,00	580
4.	Конгломераты	50	2,21	900

Вариант 5. Железо

Месторождение железных руд имеет моноклиналичную структуру (см. рис.). Рудная зона представлена двумя параллельными вытянутыми линзообразными телами железистых кварцитов, расположенных друг от друга на небольшом расстоянии. Простираение рудных тел и вмещающей их толщи гнейсов северо-восточное. Протяженность рудных тел по простиранию достигает 2 – 2,5 км. Перекрывающие отложения представлены туфо-песчаниками.

Месторождение находится на юге Якутии.



Схематический геологический разрез железорудного месторождения.
1 – железистые кварциты, 2 – гнейсы, 3 – амфиболиты, 4 – туфопесчаники.

Петрофизические свойства

№ п/п	Разности пород	$\alpha, \times 10^{-5}$ ед.СИ	$\sigma, \text{г/см}^3$	$\rho, \text{Ом}\cdot\text{м}$
1.	Железистые кварциты	10000	3,45	300
2.	Гнейсы	2150	2,72	1000
3.	Амфиболиты	1900	3,06	4000
4.	Туфопесчаники	900	2,15	500

Вариант 6. Медь

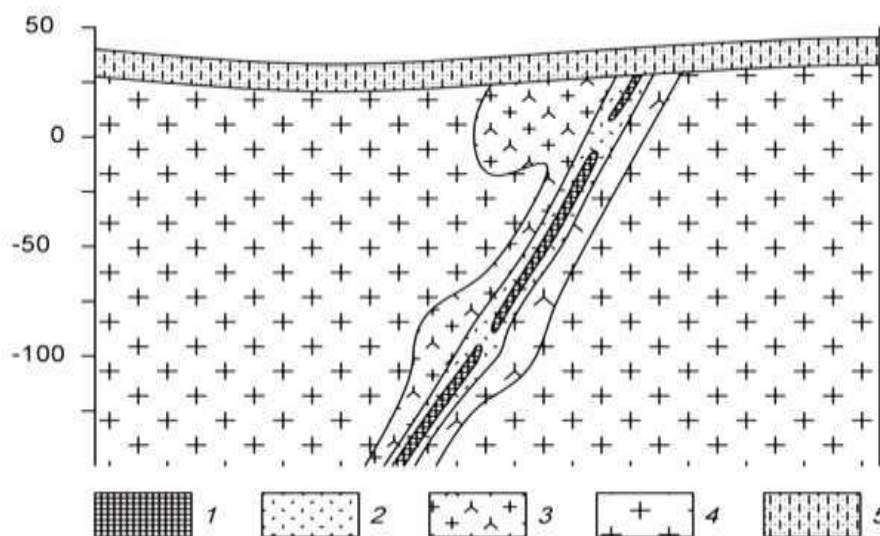
Кварц-сульфидное месторождение меди расположено в северо-западной части атиклинория, в эндоконтакте крупного батолита, сложенного гранитоидами. Основными структурными элементами месторождения являются, так называемые, рудные зоны – сложно построенные рудовмещающие трещинные структуры субмеридионального или северо-восточного простирания, секущие гранитоиды. Длина таких зон колеблется от нескольких сотен метров до первых километров.

Строение всех рудных зон однотипно. В осевой части проходит главный тектонический шов, выраженный милонитом мощностью от 5 – 10 см до 1 – 2 м. Шов состоит из ряда параллельных, часто кулисообразно расположенных трещин сложной формы.

Основные, наиболее крупные и выдержанные промышленные рудные тела располагаются вдоль главных швов рудных зон. Длина рудных тел по простиранию и падению колеблется от первых сотен метров до километра, мощность от первых до десятков метров.

Внутреннее строение рудных тел сложное. В пределах их выделяются жилы и линейные прожилково-вкрапленные зоны (см. рис.). В осевой части тел, как правило, располагаются жилы, сложенных кварц-магнетит-халькопиритовыми рудами, представляющими основную ценность. Жилы имеют четкие контакты, часто ветвятся и имеют раздувы и пережимы. Линейные прожилково-вкрапленные зоны представляют собой гидротермально измененные гранитоиды, разбитые густой сетью различно ориентированных кварц-кальцит-халькопиритовых и кварц-магнетит-халькопиритовых прожилков. В промежутках между прожилками наблюдается неравномерно распределенная вкрапленность.

Месторождение находится на юге Казахстана.



Схематический геологический разрез кварц-сульфидного медного месторождения.

1 – кварц-магнетит-халькопиритовые руды, 2 – прожилково-вкрапленные руды, 3 – гидротермально измененные граниты, 4 – биотитовые граниты, 5 – известковистые песчаники.

Петрофизические свойства

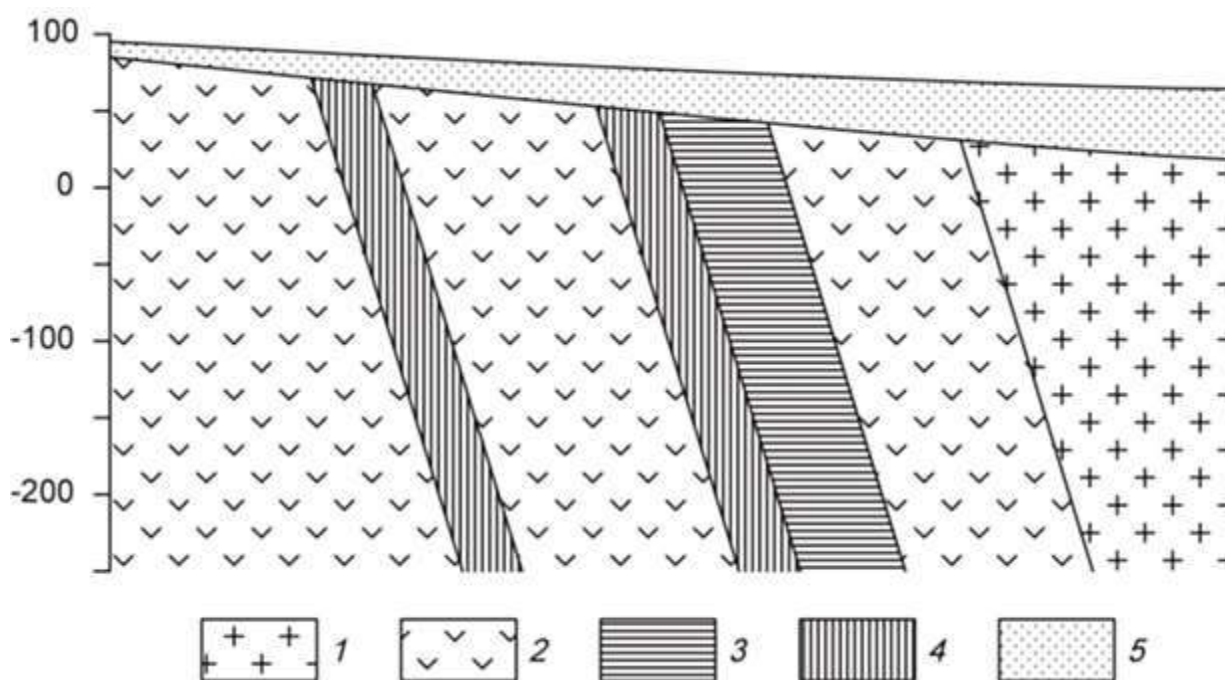
№ п/п	Разности пород	$\alpha, \times 10^{-5}$ ед.СИ	$\sigma, \text{г/см}^3$	$\rho, \text{Ом}\cdot\text{м}$
1.	Кварц-магнетит-халькопиритовые руды	1300	2,68	1000
2.	Прожилково-вкрапленные руды	500	2,60	1300
3.	Гидротермально измененные граниты	400	2,55	2300
4.	Биотитовые граниты	370	2,59	2500
5.	Известковистые песчаники	50	2,53	1300

Вариант 7. Титан

Месторождение титана магматического типа приурочено к массиву габбро северо-восточного простирания. Согласно с полосчатостью габбро залегают ильменитовые и титано-магнетитовые руды (см. рис.). Преобладают вкрапленные руды, для которых характерна сидеронитовая структура. Внутри зон вкрапленных руд встречаются линзочки сплошных. Границы рудных тел не четкие, переходы от рудных участков к безрудным – постепенные. Рудные тела и вмещающие породы перекрыты элювиальными отложениями песчано-глинистого состава.

Титаномагнетит в сплошных и вкрапленных рудах обогащен титаном (до 13,4 % TiO_2), также в нем встречаются пластинчатые включения ильменита. В сплошных рудах в основном присутствует титаномагнетит, а количество зерен ильменита не превышает 3-5%.

Месторождение расположено на Южном Урале.



Схематический геологический разрез месторождения титана.

1 – граниты, 2 – габбро мезо- и меланократовое, 3 – вкрапленные ильменитовые руды, 4 – вкрапленные титаномагнетитовые руды, 5 – элювиальные отложения.

Петрофизические свойства

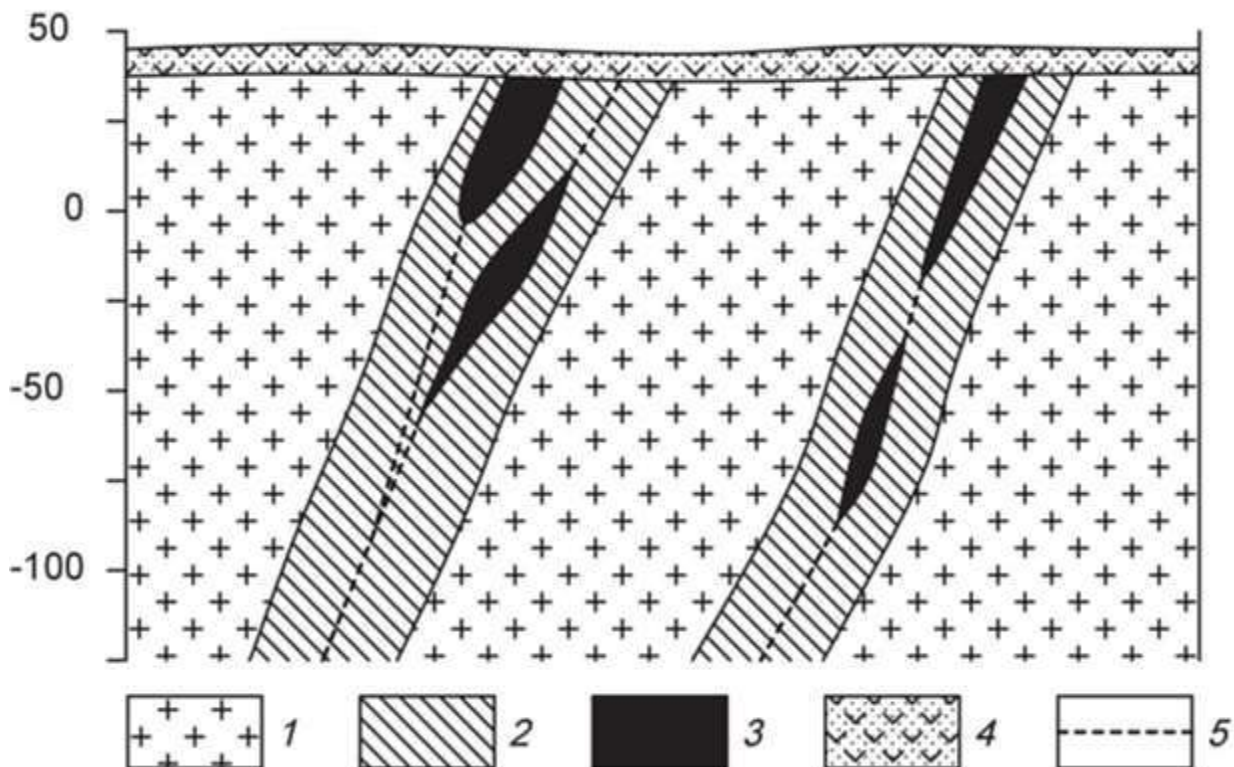
№ п/п	Разности пород	$\alpha, \times 10^{-5}$ ед.СИ	$\sigma, \text{г/см}^3$	$\rho, \text{Ом}\cdot\text{м}$
1.	Граниты	370	2,58	3000
2.	Габбро	1800	2,95	5000
3.	Вкрапленные ильменитовые руды	1900	3,51	2000
4.	Вкрапленные титаномагнетитовые руды	2400	3,45	1500
5.	Элювиальные отложения	120	2,00	800

Вариант 8. Вольфрам

Скарновое месторождение вольфрама приурочено к зонам альбитизации в гранодиоритах. Рудные тела представляют собой зоны метасоматически преобразованных силикатных пород (см. рис.). Альбитизация либо наложена на более ранние скарны, либо образует самостоятельные зоны. Рудные тела приурочены к системам крутопадающих минерализованных трещин, среди которых выделяется основной разлом и оперяющие нарушения.

Полезным компонентом в метасоматически преобразованных породах является шеелит. Шеелит образует неравномерную вкрапленность, прожилки и гнезда.

Месторождение находится в Таджикистане.



Схематический геологический разрез месторождения вольфрама.

1 – гранодиориты, 2 – зона интенсивной альбитизации, 3 – рудные тела, 4 – перекрывающие вулканогенно-осадочные толщи, 5 – тектонические нарушения.

Петрофизические свойства

№ п/п	Разности пород	$\alpha, \times 10^{-5}$ ед.СИ	$\sigma, \text{г/см}^3$	$\rho, \text{Ом}\cdot\text{м}$
1.	Гранодиориты	300	2,71	4000
2.	Скарноиды альбитизированные	270	2,65	3500
3.	Рудные тела	320	2,74	1500
4.	Вулканогенно-осадочные породы	320	2,35	1000

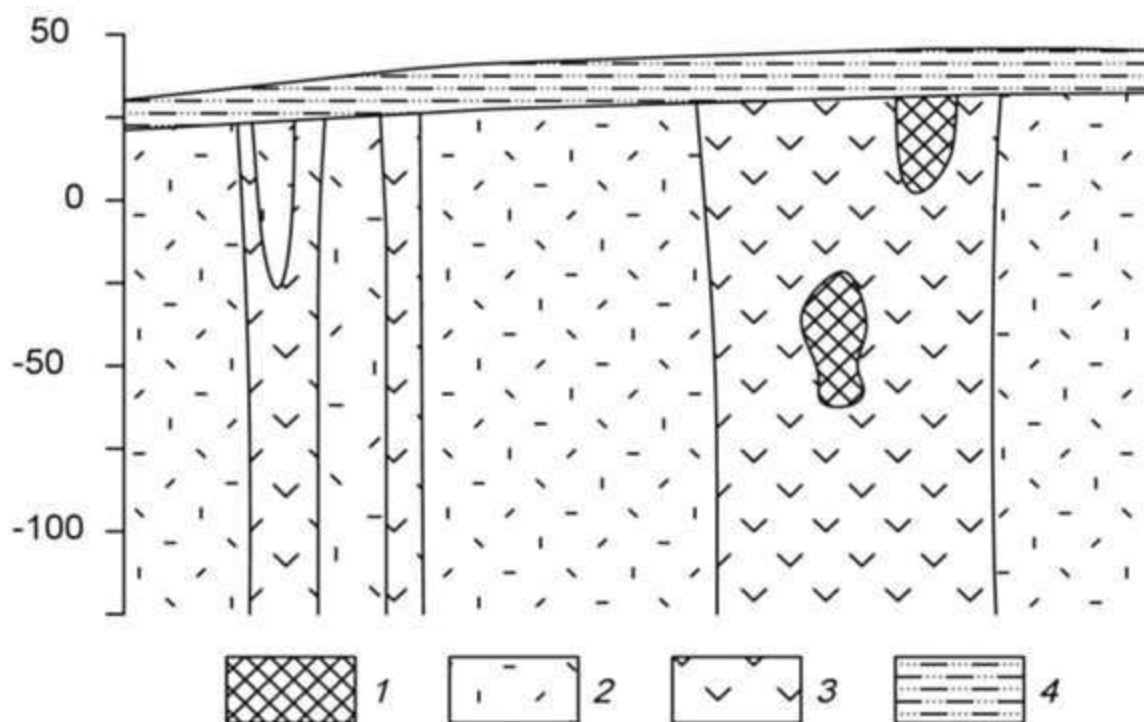
Вариант 9. Хром

Ультраосновной массив сложен разностями перидотитов, он вытянут в широтном направлении и имеет протяженность около 3 км. Массив сложен в главной массе гарцбургитами, среди которых обособляются неправильные линзообразные тела дунитов, вытянутые согласно простиранию массива. Каких либо закономерностей в размещении дунитовых обособлений среди гарцбургитов не устанавливается. Все ультраосновные породы массива в разной степени затронуты серпентинизацией (см. рис.).

Все хромитовые тела приурочены к обособлениям дунитов и, как правило, залегают согласно с ними. Рудные тела в основном субширотного простирания, обладают крутым северными или южным падением. Рудные тела имеют форму линз и гнезд.

Взаимоотношения рудных тел с смещающими дунитами различны. Известны постепенные переходы вкрапленных хромитовых руд к вмещающим дунитам, также рудные тела часто обладают резкими границами.

Месторождение находится в Армении.



Схематический геологический разрез хромитового месторождения.

1 – хромитовые руды, 2 – перидотиты, 3 – дуниты, 4 – песчано-глинистые отложения.

Петрофизические свойства

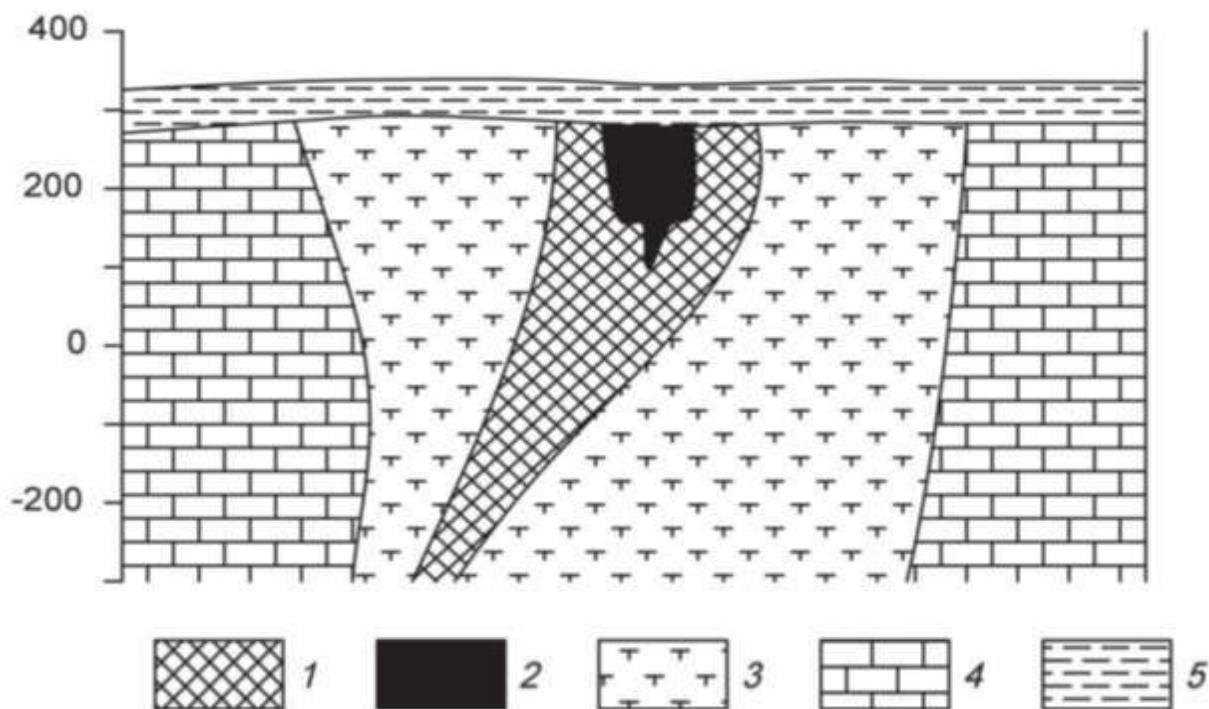
№ п/п	Разности пород	$\alpha, \times 10^{-5}$ ед.СИ	$\sigma, \text{г/см}^3$	$\rho, \text{Ом}\cdot\text{м}$
1.	Хромитовые руды	1050	4,11	1100
2.	Перидотиты	1500	3,22	2800
3.	Дуниты	1100	2,96	3400
4.	Суглинки, супеси	120	2,22	300

Вариант 10. Железо

Железорудное месторождение гидротермального типа локализовано в карбонатных породах нижнего кембрия, слагающих чехол платформы. Рудоносная трубкообразная структура сложена взрывными брекчиями (см. рис.). Взрывные брекчии превращены в метасоматиты различного состава. Среди метасоматитов преобладают хлорит-серпентин-кальцитовые и кальцитовые, реже встречаются скарноподобные метасоматиты гранатового и пироксенового состава.

Среди промышленных типов руд брекчиевидные, вкрапленные и массивные магнетитовые руды, в коре выветривания – глинистые и сыпучие марит-магнетитовые и гематит-гидрогетитовые.

Месторождение находится в Красноярском крае.



Схематический геологический разрез железорудного месторождения.

1 – магнетитовые руды с содержанием железа 20-50%, 2 – магнетитовые руды с содержанием железа более 50%, 3 – частично метасоматически измененные взрывные брекчии или метасоматиты, 4 – известняки, 5 – глинистые перекрывающие отложения.

Петрофизические свойства

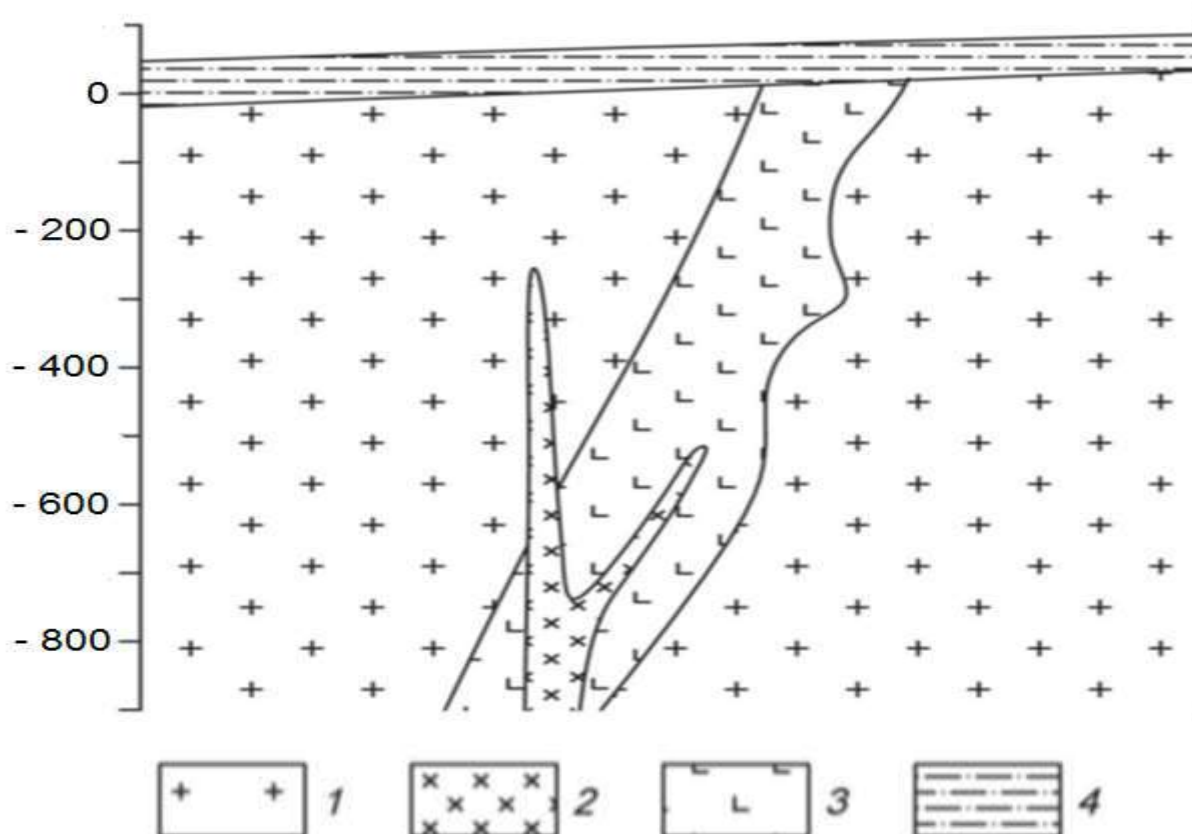
№ п/п	Разности пород	$\alpha, \times 10^{-5}$ ед. СИ	$\sigma, \text{г/см}^3$	$\rho, \text{Ом}\cdot\text{м}$
1.	Магнетитовые руды с содержанием железа 20-50%	8000	2,74	500
2.	Магнетитовые руды с содержанием железа более 50%	11000	2,91	300
3.	Метасоматически измененные взрывные брекчии или метасоматиты	340	2,51	1000
4.	Известняки	170	2,63	2300
5.	Глины	250	2,02	120

Вариант 11. Золото

Месторождение Вишневое приурочено к интрузивным образованиям раннего протерозоя, являющимся вмещающими породами для эксплозивных структур, выполненных жерловыми и субвулканическими фациями раннетриасового возраста (см. рис.).

Распределение полезных компонентов в ней имеет неравномерный, столбообразный, линзообразный и гнездовый характер, с наличием раздувов, пережимов и прослоев слабо золотоносных пород в контуре кондиционных руд. Наиболее богатые руды тяготеют к осевой части зоны метасоматитов, где они концентрируются в виде согласных полос. Четких геологических границ обогащенные участки не имеют и выделяются только по данным опробования.

Месторождение расположено в Западной Сибири.



Схематический геологический разрез золоторудного месторождения Красное.

1 – раннепротерозойские среднезернистые порфиоровидные гранитоиды, 2 – позднеюрские дайки диоритов, 3 – раннетриасовые гидротермально измененные эруптивные брекчии гранодирорит-порфиоров, 4 – четвертичные отложения, представленные суглинками.

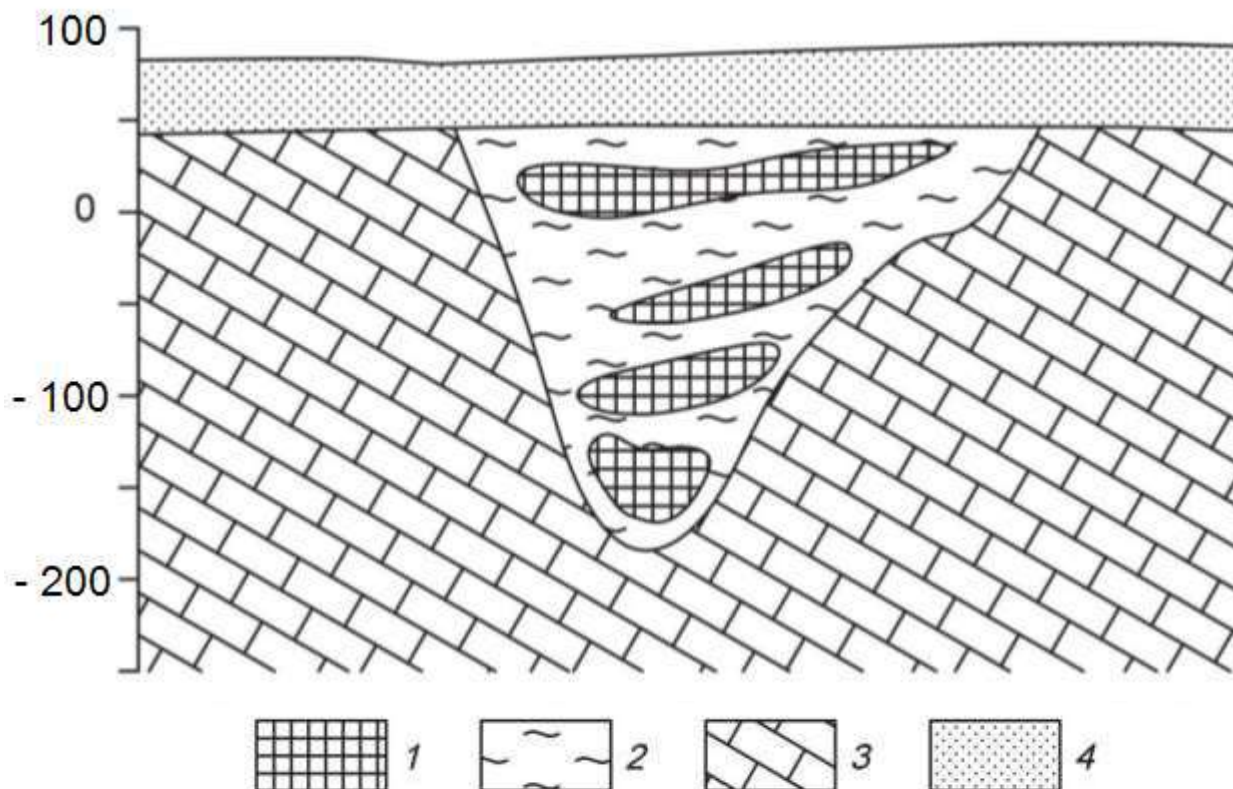
Петрофизические свойства

№ п/п	Разности пород	$\alpha, \times 10^{-5}$ ед.СИ	$\sigma, \text{г/см}^3$	$\rho, \text{Ом}\cdot\text{м}$
1.	Порфиоровидные гранитоиды	150	2,68	2200
2.	Диориты	2500	2,75	5000
3.	Эруптивные брекчии гранодирорит-порфиоров	480	2,57	1500
4.	Суглинки	70	1,95	200

Вариант 12. Бокситы

Месторождение бокситов относится к карстовому типу. Тела бокситов приурочены к древним карстовым воронкам в карбонатных породах верхнего протерозоя, и состоят из нескольких разностей (см. рис.). Карстовые воронки заполнены рыхлыми и глинистыми бокситами, в которых встречаются каменистые разности. Каменистые бокситы имеют небольшие размеры и линзообразную, гнездовидную форму. Сверху залегают четвертичные перекрывающие отложения, представленные песками и супесями.

Месторождения данного типа развиты на Енисейском кряже.



Схематический геологический разрез месторождения бокситов.

1 – бокситы каменистые, 2 – глинистые бокситы, 3 – известняки, 4 – пески, супеси.

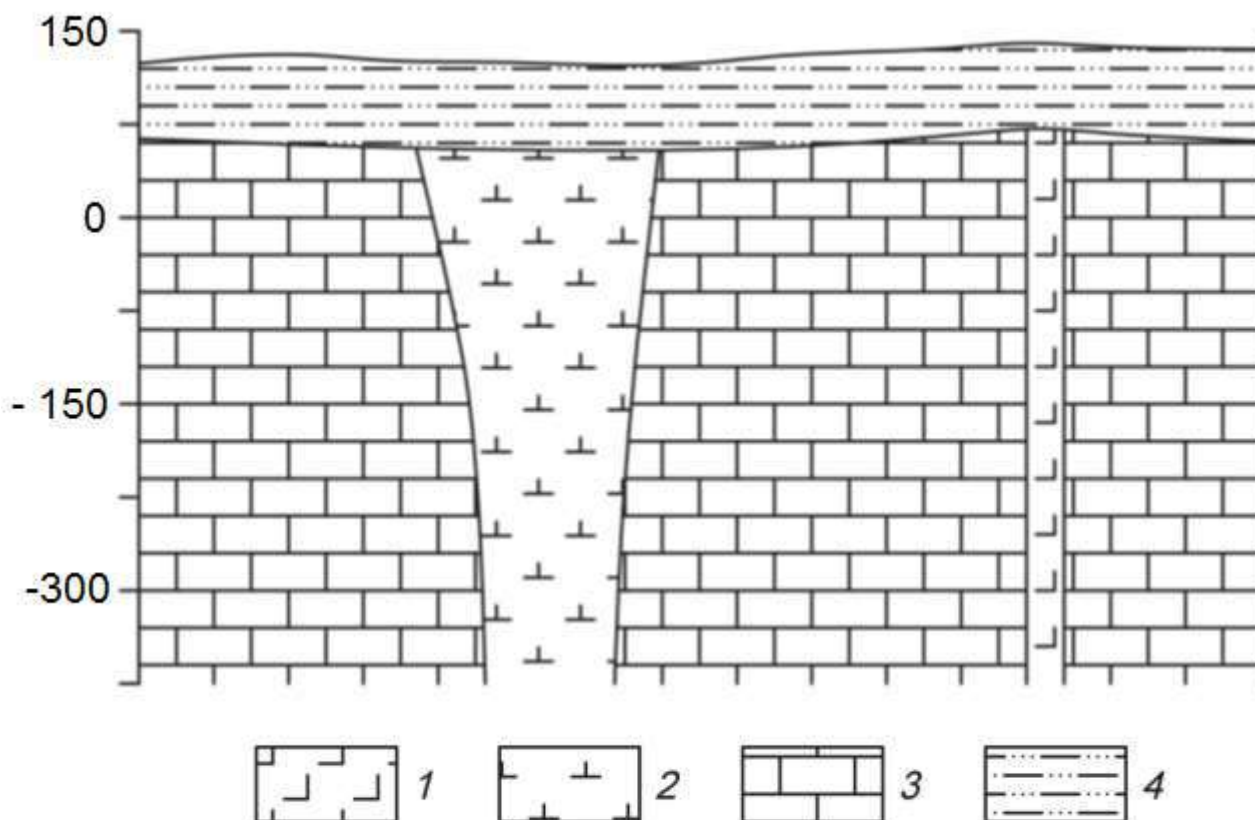
Петрофизические свойства

№ п/п	Разности пород	$\alpha, \times 10^{-5}$ ед.СИ	$\sigma, \text{г/см}^3$	$\rho, \text{Ом}\cdot\text{м}$
1.	Бокситы каменистые	300	3,0	280
2.	Бокситы глинистые	189	2,27	290
3.	Известняки	400	2,68	2000
4.	Пески, супеси	100	1,81	500

Вариант 13. Алмазы

Коренные месторождения алмазов связаны с кимберлитовыми трубками взрыва. Кимберлитовые тела локализируются в зонах растяжения, связанными с узлами пересечения разломов. Вмещающими для кимберлитов породами являются карбонатные отложения кембрия и ордовика (см. рис.). На площади широко распространены дайки долеритов. Кимберлиты и вмещающие породы перекрыты юрскими песчано-глинистыми отложениями.

Кимберлитовое тело находится в Мало-Ботуобинском алмазоносном районе на западе Якутии.



Схематический геологический разрез кимберлитовой трубки.
1 – долериты, 2 – кимберлиты, 3 – известняки, 4 – песчано-глинистые отложения.

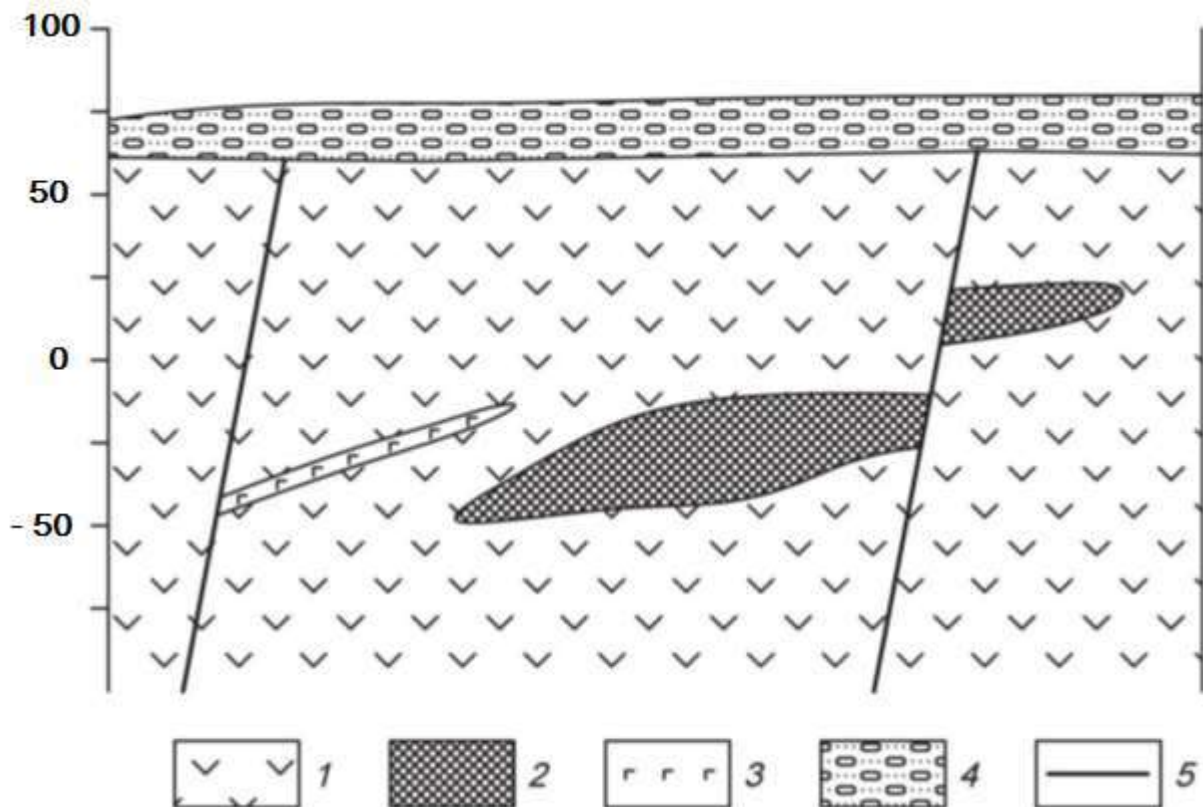
Петрофизические свойства

№ п/п	Разности пород	$\alpha, \times 10^{-5}$ ед.СИ	$\sigma, \text{г/см}^3$	$\rho, \text{Ом}\cdot\text{м}$
1.	Долериты	2500	2,92	16000
2.	Кимберлиты	300	2,35	120
3.	Известняки	20	2,68	900
4.	Глины, суглинки	30	2,09	150

Вариант 14. Хром

Рудные тела сложены густокрапленными, почти сплошными хромитами (см. рис.). Они имеют субмеридиональное простирание и пологое субгоризонтальное залегание. Тела пересекаются сбросовыми тектоническими нарушениями, круто падающими на юг и юго-запад под углами 70-80°. Непосредственно вмещающие породы представлены серпентинизированные дуниты или серпентиниты, развитые по дунитам. Контакты рудных тел со вмещающими породами резкие. Вмещающие породы и рудные тела перекрыты мезокайнозойскими конгломератами.

Месторождение приурочено к Кемпирсайскому хромитоносному массиву (Республика Казахстан).



Схематический геологический разрез хромитового месторождения.
1 – дуниты, 2 – хромитовые руды, 3 – габбро-диабазы, 4 – конгломераты.

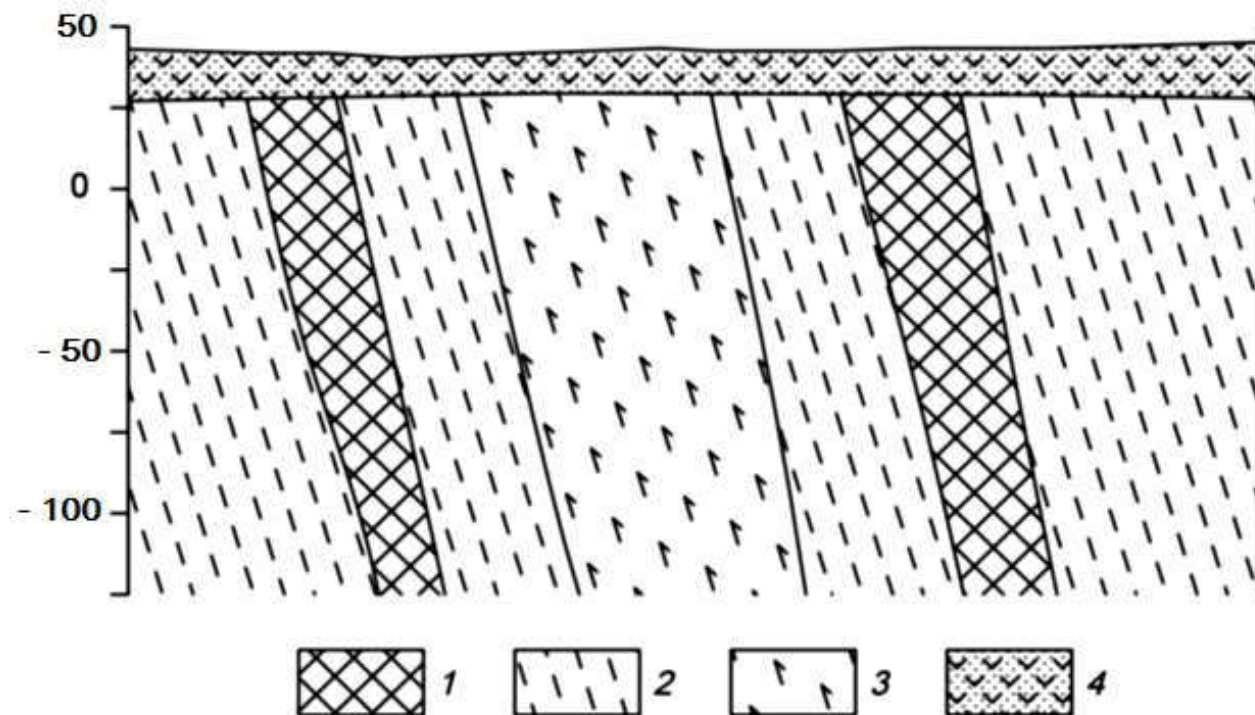
Петрофизические свойства

№ п/п	Разности пород	$\alpha, \times 10^{-5}$ ед.СИ	$\sigma, \text{г/см}^3$	$\rho, \text{Ом}\cdot\text{м}$
1.	Дуниты	700	3,04	1000
2.	Хромитовые руды	140	3,90	200
3.	Габбро-диабазы	800	2,94	1000
4.	Конгломераты	90	2,03	1000

Вариант 15. Железо

Месторождение железных руд имеет моноклиналичную структуру (см. рис.). Рудная зона представлена двумя параллельными вытянутыми линзообразными телами железистых кварцитов, расположенных друг от друга на небольшом расстоянии. Простираение рудных тел и вмещающей их толщи гнейсов северо-восточное. Протяженность рудных тел по простиранию достигает 2 – 2,5 км. Перекрывающие отложения представлены туфо-песчаниками.

Месторождение находится на юге Якутии.



Схематический геологический разрез железорудного месторождения.
1 – железистые кварциты, 2 – гнейсы, 3 – амфиболиты, 4 – туфопесчаники.

Петрофизические свойства

№ п/п	Разности пород	$\alpha, \times 10^{-5}$ ед.СИ	$\sigma, \text{г/см}^3$	$\rho, \text{Ом}\cdot\text{м}$
1.	Железистые кварциты	9000	3,84	500
2.	Гнейсы	1600	2,68	1500
3.	Амфиболиты	1500	2,88	2000
4.	Туфопесчаники	450	2,10	200

Вариант 16. Медь

Кварц-сульфидное месторождение меди расположено в северо-западной части антиклинория, в эндоконтакте крупного батолита, сложенного гранитоидами. Основными структурными элементами месторождения являются, так называемые, рудные зоны – сложно построенные рудовмещающие трещинные структуры субмеридионального или северо-восточного простирания, секущие гранитоиды. Длина таких зон колеблется от нескольких сотен метров до первых километров.

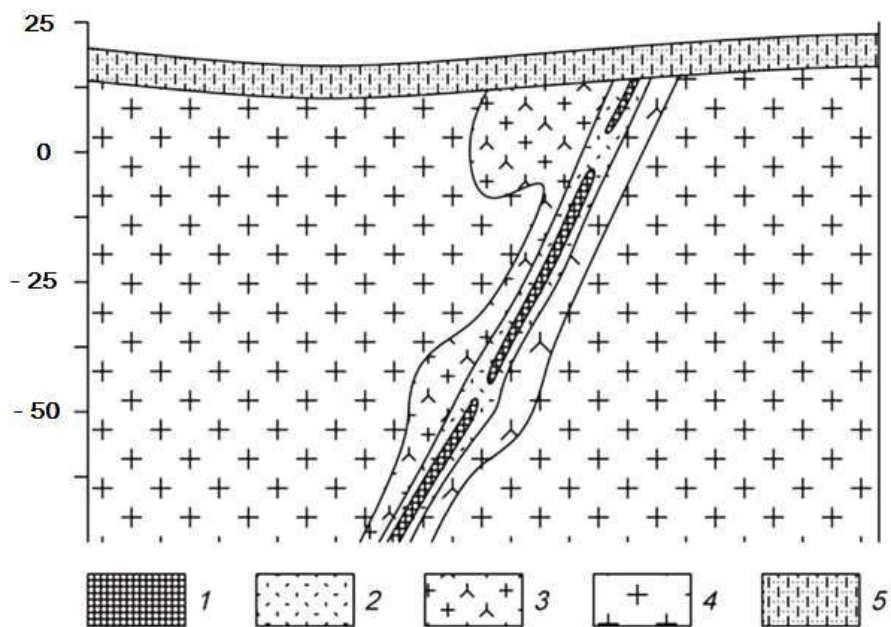
Строение всех рудных зон однотипно. В осевой части проходит главной тектонической шов, выраженный милонитом мощностью от 5 – 10 см, до 1 – 2 м. Шов состоит из ряда параллельных, часто кулисообразно расположенных трещин сложной формы.

Основные, наиболее крупные и выдержанные промышленные рудные тела располагаются вдоль главных швов рудных зон. Длина рудных тел по простиранию и падению колеблется от первых сотен метров до километра, мощность от первых до десятков метров.

Внутреннее строение рудных тел сложное. В пределах их выделяются жилы и линейные прожилково-вкрапленные зоны (см. рис.). В осевой части тел, как правило, располагаются жилы, сложенных кварц-магнетит-халькопиритовыми рудами, представляющими основную ценность. Жилы имеют четкие контакты, часто ветвятся и имеют раздувы и пережимы.

Линейные прожилково-вкрапленные зоны представляют собой гидротермально измененные гранитоиды, разбитые густой сетью различно ориентированных кварц-кальцит-халькопиритовых и кварц-магнетит-халькопиритовых прожилков. В промежутках между прожилками наблюдается неравномерно распределенная вкрапленность.

Месторождение находится на юге Казахстана.



Схематический геологический разрез кварц-сульфидного медного месторождения.

1 – кварц-магнетит-халькопиритовые руды, 2 – прожилково-вкрапленные руды, 3 – гидротермально измененные граниты, 4 – биотитовые граниты, 5 – известковистые песчаники.

Петрофизические свойства

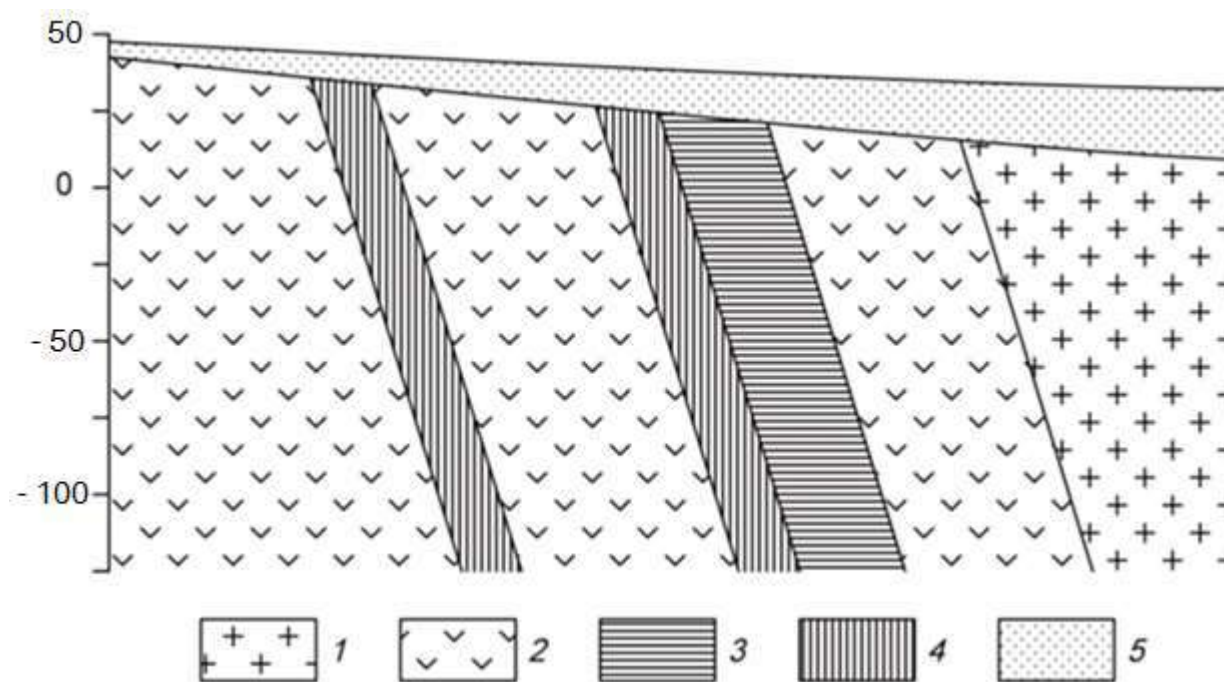
№ п/п	Разности пород	$\alpha, \times 10^{-5}$ ед.СИ	$\sigma, \text{г/см}^3$	$\rho, \text{Ом}\cdot\text{м}$
1.	Кварц-магнетит-халькопиритовые руды	1870	2,71	1100
2.	Прожилково-вкрапленные руды	1000	2,61	1300
3.	Гидротермально измененные граниты	700	2,62	2500
4.	Биотитовые граниты	890	2,57	2800
5.	Известковистые песчаники	70	2,48	1000

Вариант 17. Титан

Месторождение титана магматического типа приурочено к массиву габбро северо-восточного простирания. Согласно с полосчатостью габбро залегают ильменитовые и титано-магнетитовые руды (см. рис.). Преобладают вкрапленные руды, для которых характерна сидеронитовая структура. Внутри зон вкрапленных руд встречаются линзочки сплошных. Границы рудных тел не четкие, переходы от рудных участков к безрудным – постепенные. Рудные тела и вмещающие породы перекрыты элювиальными отложениями песчано-глинистого состава.

Титаномагнетит в сплошных и вкрапленных рудах обогащен титаном (до 13,4 % TiO_2), также в нем встречаются пластинчатые включения ильменита. В сплошных рудах в основном присутствует титаномагнетит, а количество зерен ильменита не превышает 3-5%.

Месторождение расположено на Южном Урале.



Схематический геологический разрез месторождения титана.

1 – граниты, 2 – габбро мезо- и меланократовое, 3 – вкрапленные ильменитовые руды, 4 – вкрапленные титаномагнетитовые руды, 5 – элювиальные отложения.

Петрофизические свойства

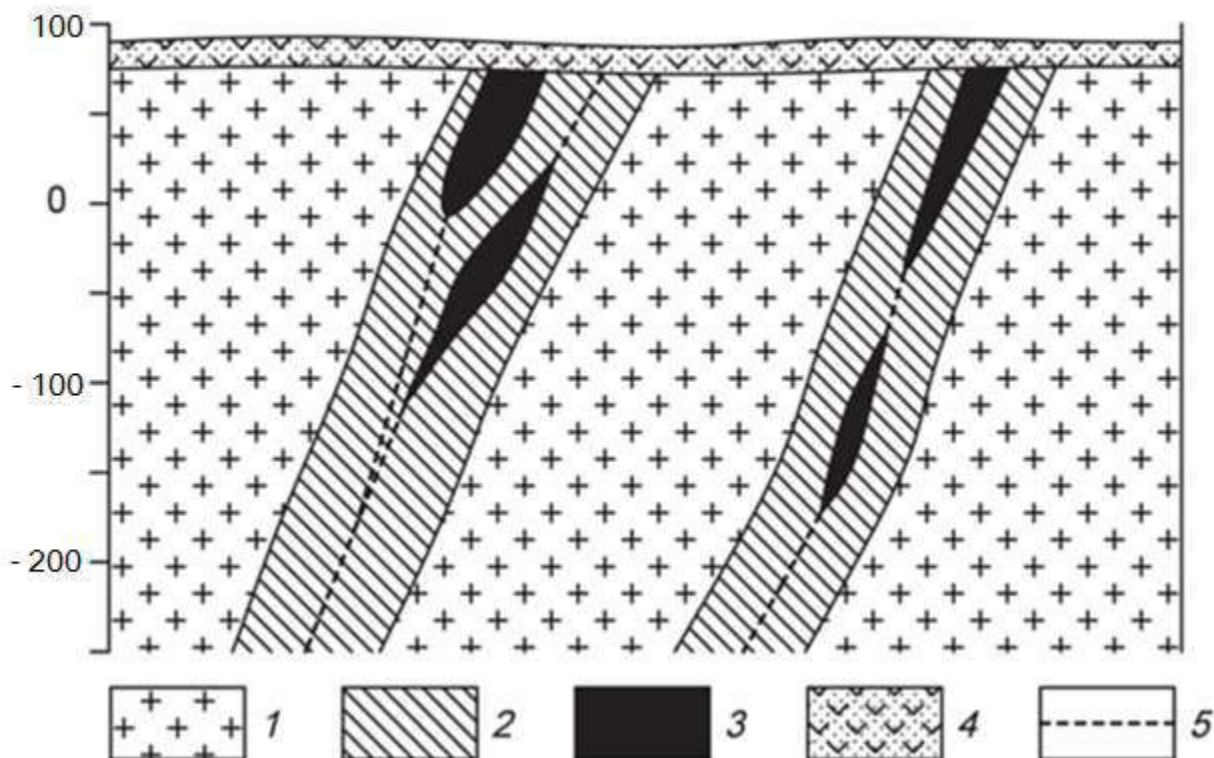
№ п/п	Разности пород	$\alpha, \times 10^{-5}$ ед.СИ	$\sigma, \text{г/см}^3$	$\rho, \text{Ом}\cdot\text{м}$
1.	Граниты	250	2,55	4000
2.	Габбро	1300	2,93	6000
3.	Вкрапленные ильменитовые руды	1500	3,60	2500
4.	Вкрапленные титаномагнетитовые руды	2500	3,37	1900
5.	Элювиальные отложения	200	1,93	1000

Вариант 18. Вольфрам

Скарновое месторождение вольфрама приурочено к зонам альбитизации в гранодиоритах. Рудные тела представляют собой зоны метасоматически преобразованных силикатных пород (см. рис.). Альбитизация либо наложена на более ранние скарны, либо образует самостоятельные зоны. Рудные тела приурочены к системам крутопадающих минерализованных трещин, среди которых выделяется основной разлом и оперяющие нарушения.

Полезным компонентом в метасоматически преобразованных породах является шеелит. Шеелит образует неравномерную вкрапленность, прожилки и гнезда.

Месторождение находится в Таджикистане.



Схематический геологический разрез месторождения вольфрама.

1 – гранодиориты, 2 – зона интенсивной альбитизации, 3 – рудные тела, 4 – перекрывающие вулканогенно-осадочные толщи, 5 – тектонические нарушения.

Петрофизические свойства

№ п/п	Разности пород	$\alpha, \times 10^{-5}$ ед.СИ	$\sigma, \text{г/см}^3$	$\rho, \text{Ом}\cdot\text{м}$
1.	Гранодиориты	300	2,68	3000
2.	Скарноиды альбитизированные	270	2,58	3200
3.	Рудные тела	310	2,92	1200
4.	Вулканогенно-осадочные породы	340	2,29	900

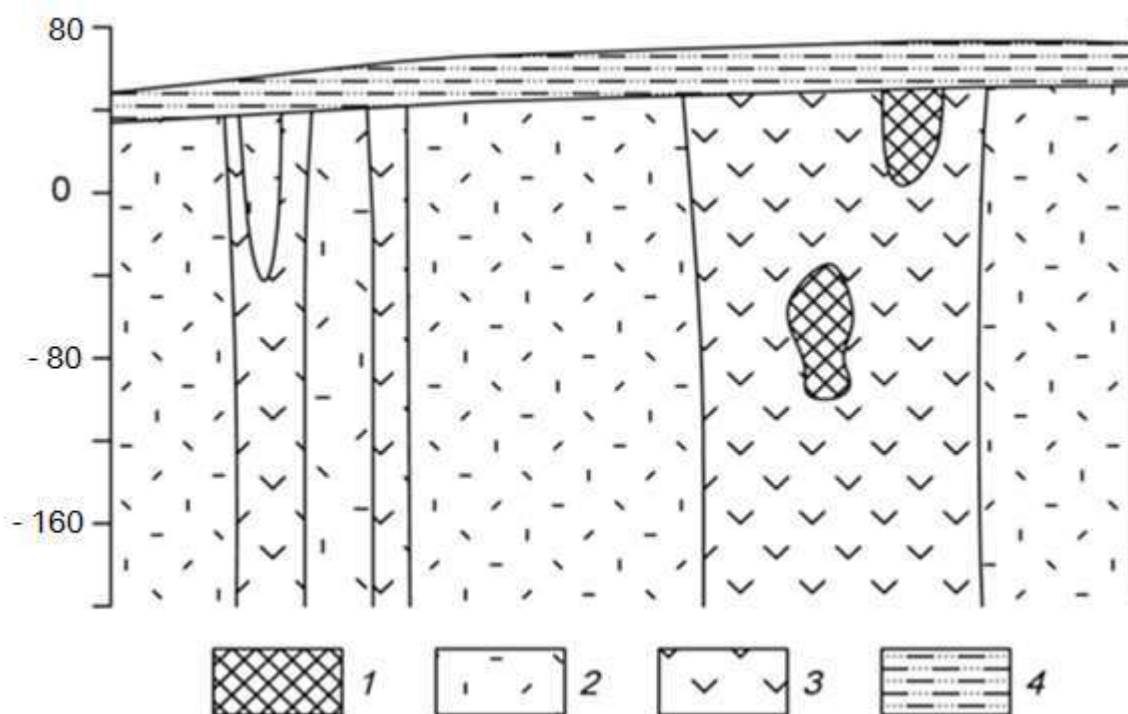
Вариант 19. Хром

Ультраосновной массив сложен разностями перидотитов, он вытянут в широтном направлении и имеет протяженность около 3 км. Массив сложен в главной массе гарцбургитами, среди которых обособляются неправильные линзообразные тела дунитов, вытянутые согласно простиранию массива. Каких либо закономерностей в размещении дунитовых обособлений среди гарцбургитов не устанавливается. Все ультраосновные породы массива в разной степени затронуты серпентинизацией (см. рис.).

Все хромитовые тела приурочены к обособлениям дунитов и, как правило, залегают согласно с ними. Рудные тела в основном субширотного простирания, обладают крутым северными или южным падением. Рудные тела имеют форму линз и гнезд.

Взаимоотношения рудных тел с смещающими дунитами различны. Известны постепенные переходы вкрапленных хромитовых руд к вмещающим дунитам, также рудные тела часто обладают резкими границами.

Месторождение находится в Армении.



Схематический геологический разрез хромитового месторождения.

1 – хромитовые руды, 2 – перидотиты, 3 – дуниты, 4 – песчано-глинистые отложения.

Петрофизические свойства

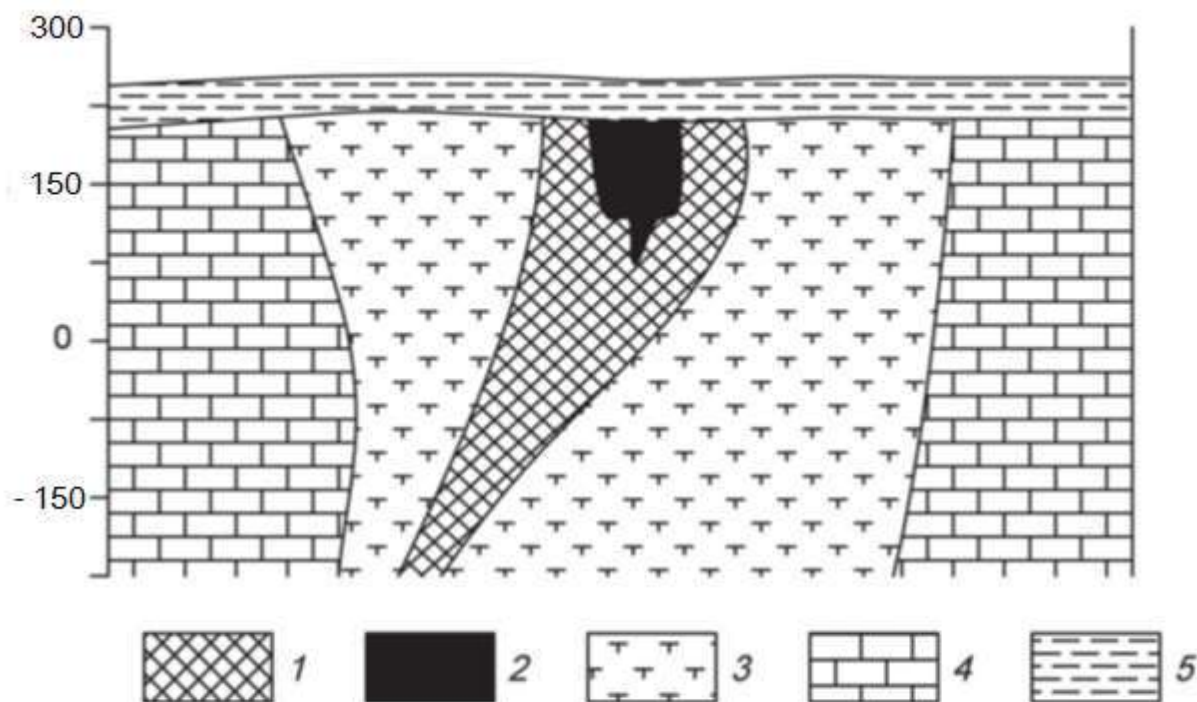
№ п/п	Разности пород	$\alpha, \times 10^{-5}$ ед. СИ	$\sigma, \text{г/см}^3$	$\rho, \text{Ом}\cdot\text{м}$
1.	Хромитовые руды	1300	4,30	900
2.	Перидотиты	2100	3,27	3200
3.	Дуниты	1200	2,84	3000
4.	Суглинки, супеси	200	2,15	280

Вариант 20. Железо

Железорудное месторождение гидротермального типа локализовано в карбонатных породах нижнего кембрия, слагающих чехол платформы. Рудоносная трубкообразная структура сложена взрывными брекчиями (см. рис.). Взрывные брекчии превращены в метасоматиты различного состава. Среди метасоматитов преобладают хлорит-серпентин-кальцитовые и кальцитовые, реже встречаются скарноподобные метасоматиты гранатового и пироксенового состава.

Среди промышленных типов руд брекчиевидные, вкрапленные и мас-сивные магнетитовые руды, в коре выветривания – глинистые и сыпучие ма-рит-магнетитовые и гематит-гидрогетитовые.

Месторождение находится в Красноярском крае.



Схематический геологический разрез железорудного месторождения.

1 – магнетитовые руды с содержанием железа 20-50%, 2 – магнетитовые руды с содержанием железа более 50%, 3 – частично метасоматически измененные взрывные брекчии или метасоматиты, 4 – известняки, 5 – глинистые перекрывающие отложения.

Петрофизические свойства

№ п/п	Разности пород	$\alpha, \times 10^{-5}$ ед. СИ	$\sigma, \text{г/см}^3$	$\rho, \text{Ом}\cdot\text{м}$
1.	Магнетитовые руды с содержанием железа 20-50%	6500	2,78	400
2.	Магнетитовые руды с содержанием железа более 50%	12000	3,05	200
3.	Метасоматически измененные взрывные брекчии или метасоматиты	210	2,64	900
4.	Известняки	120	2,71	2000
5.	Глины	270	1,98	180

5. Список рекомендованной литературы

Основная литература:

№ п/п	Наименование	Кол-во экз. в библиотеке
1.	<i>Соколов А.Г.</i> Полевая геофизика: учебное пособие / А.Г. Соколов, О.В. Попова, Т.М. Кечина. — Электрон. текстовые данные. — Оренбург: Оренбургский государственный университет, ЭБС АСВ, 2015. — 160 с. — 978-5-7410-1182-9. — Режим доступа: http://www.iprbookshop.ru/33649.html	Электронный ресурс
2.	<i>Хмелевской В.К.</i> Основы геофизических методов: учебник для вузов / В.К. Хмелевской, В.И. Костицын; Перм. ун-т. — Пермь, 2010. — 400 с.: ил. SBN 978-5-7944-1428-8. — Режим доступа: http://www.psu.ru/nauka/elektronnye-publikatsii/uchebnye-posobiya-i-metodicheskie-materialy/v-k-khmelevskoj-v-i-kostitsyn-osnovy-geofizicheskikh-metodov	Электронный ресурс
3.	<i>Соколенко Е.В.</i> Общий курс полевой геофизики. Часть 1: лабораторный практикум / Е.В. Соколенко, А.-Г.Г. Керимов. — Электрон. текстовые данные. — Ставрополь: Северо-Кавказский федеральный университет, 2015. — 107 с. — 2227-8397. — Режим доступа: http://www.iprbookshop.ru/63108.html	Электронный ресурс

Дополнительная литература:

№ п/п	Наименование	Кол-во экз. в библиотеке
1.	Полевая геофизика: учебник для вузов / <i>Ю. Н. Воскресенский</i> ; РГУ нефти и газа им. И.М. Губкина. - Москва: Недра, 2010. - 479 с.	10
2.	Геофизика: учебник / В. А. Богословский [и др.]; ред. В. К. Хмелевской. - Москва: КДУ, 2007. - 320 с.	15
3.	Геофизические методы исследования: учебное пособие / <i>В.К. Хмелевской, М.Г. Попов, А.В. Калинин</i> . - Москва: Недра, 1988. - 396 с	18
4.	Разведочная геофизика: лабораторный практикум / <i>Ю.Б. Давыдов, Н.В. Блинкова</i> ; Уральский государственный горный университет. - Екатеринбург: УГГУ, 2011. - 170 с.	20
5.	Электроразведка: учебное пособие. Ч. 1. Электроразведка постоянным током. Поляризация методы электроразведки / <i>А. А. Редозубов</i> ; Уральский государственный горный университет. - Екатеринбург: УГГУ, 2007. - 328 с.	98
6.	Электроразведка: учебное пособие. Ч. 2. Электроразведка переменным током / <i>А.А.Редозубов</i> ; Уральский государственный горный университет. - Екатеринбург: УГГУ, 2008. - 188 с.	97
7.	<i>Возжеников Г. С., Бельшиев Ю. В.</i> Радиометрия и ядерная геофизика: Учеб. пособие. – Екатеринбург: Изд-во УГГГУ, 2011. – 406 с.	12
8.	<i>Бондарев В.И., Крылатков С.М.</i> Сейсморазведка: учебник для вузов. Издание второе. В двух томах. - Екатеринбург, Изд-во УГГУ, 2011.	10
9.	Гравиразведка: справочник геофизика / под ред.: <i>Е.А. Мудрецовоой, К.Е. Веселова</i> . - 2-е изд., испр. и доп. - Москва : Недра, 1990. - 607 с.	50
	Магниторазведка : учебник / Уральская государственная горно-геологическая академия. - Екатеринбург : УГГГА, 2001. - 308 с.	2

Учебное издание

Александрова Жанна Николаевна

**КОНТРОЛЬНАЯ РАБОТА
ПО РАЗВЕДОЧНОЙ ГЕОФИЗИКЕ**

Руководство по выполнению контрольной работы
по дисциплине «Разведочная геофизика» для студентов
специальности 21.05.03 – «Технология геологической разведки»
очной и заочной формы обучения

Редактор _____
Компьютерная верстка автора

Подписано в печать ____ . ____ . 2018 г.
Бумага писчая. Формат 60 x 84 1/16.
Гарнитура Times New Roman. Печать на ризографе.
Печ. л. _____. Уч.-изд. л. _____. Тираж 100. Заказ _____

Издательство УГГУ
620144, г. Екатеринбург, ул. Куйбышева, 30
Уральский государственный горный университет
Отпечатано с оригинал-макета
в лаборатории множительной техники УГГУ

МИНИСТЕРСТВО НАУКИ И ВЫСШЕГО ОБРАЗОВАНИЯ
РОССИЙСКОЙ ФЕДЕРАЦИИ
ФГБОУ ВО «Уральский государственный горный университет»

**ЛАБОРАТОРНЫЙ ПРАКТИКУМ
ПО РАЗВЕДОЧНОЙ ГЕОФИЗИКЕ**

Специальность:

21.05.03 Технология геологической разведки

форма обучения: очная, заочная

Автор: Александрова Ж. Н.

Екатеринбург

2020



ФГБОУ ВО

**«Уральский государственный горный
университет»**

Ж. Н. Александрова

**ПРАКТИКУМ
ПО РАЗВЕДОЧНОЙ ГЕОФИЗИКЕ**

Руководство по выполнению практических работ
по дисциплине «Разведочная геофизика» для студентов
специальности 21.05.03 Технология геологической разведки
очной и заочной формы обучения

Часть 1

**Екатеринбург
2020**

ФГБОУ ВО
«Уральский государственный горный университет»

ОДОБРЕНО
методической комиссией
факультета геологии и геофизики
Председатель комиссии



В. И. Бондарев
«20» марта 2020 г.

Ж. Н. Александрова

ПРАКТИКУМ ПО РАЗВЕДОЧНОЙ ГЕОФИЗИКЕ

Руководство по выполнению практических работ
по дисциплине «Разведочной геофизике» для студентов
специальности 21.05.03 – «Технология геологической разведки»
очной и заочной формы обучения

Часть 1

УДК 550.83

А46

Рецензент: Писецкий В.Б., д-р геол.-мин. наук, профессор,
заведующий кафедрой геоинформатики УГГУ

Александрова Ж.Н.

А46 Практикум по разведочной геофизике: руководство по выполнению лабораторных работ по дисциплине «Разведочная геофизика» для студентов специальности 21.05.03 Технология геологической разведки очной и заочной формы обучения. Часть 1 / Ж.Н. Александрова; Уральский гос. горный ун-т. – Екатеринбург: изд-во УГГУ, 2020. – 54 с.

Учебное пособие предназначено для студентов, обучающихся по специальности «Технология геологической разведки»

© Александрова Ж.Н., 2020
© Уральский государственный
горный университет, 2020

СОДЕРЖАНИЕ

1. Геофизические методы и физические поля, физические свойства горных пород и минералов.....	5
2. Решение прямой задачи гравиразведки: расчет аномалии силы тяжести над сбросом.....	7
3. Палеточный способ решения прямых задач гравиразведки.....	9
4. Решение обратной задачи гравиразведки: определение параметров залегания шарообразного тела по измеренному полю.....	11
5. Изучение гравиметра.....	13
6. Решение прямой задачи магниторазведки для шара.....	15
7. Решение прямой задачи магниторазведки для тонкого вертикального стержня.....	17
8. Количественная интерпретация данных магниторазведки.....	19
9. Измерение вариаций геомагнитного поля.....	23
10. Изучение детекторов гамма-излучения.....	25
11. Расчет интенсивности гамма-излучения над контактом пород...	28
12. Решение прямой задачи аэро-гамма-съемки.....	31
13. Решение обратной задачи аэро-гамма-съемки.....	34
14. Интерпретация диаграмм гамма-каротажа.....	37
15. Оценка качества радиометрической съемки.....	41
16. Вертикальные электрические зондирования на модели.....	50
17. Симметричное электропрофилирование на модели.....	54
18. Изучение геологического разреза по данным СЭП.....	57
19. Интерпретация результатов полевых наблюдений методом заряженного тела.....	61

ГЕОФИЗИЧЕСКИЕ МЕТОДЫ И ФИЗИЧЕСКИЕ ПОЛЯ, ФИЗИЧЕСКИЕ СВОЙСТВА ГОРНЫХ ПОРОД И МИНЕРАЛОВ

1.1. Цель работы: ознакомление с основами геофизических методов – изучаемыми в них физическими полями и дифференциацией соответствующих физических свойств горных пород и минералов.

1.2. Содержание работы

Принципиальная возможность изучения геологического строения Земли по результатам измерения геофизических полей заключается в существенном различии (дифференциации) горных пород по физическим свойствам.

Метод гравиметрии основан на изучении *поля силы тяжести*, которое характеризует *плотностную неоднородность* геологического разреза.

С помощью магнитометрии изучают особенности *стационарного геомагнитного поля*, связанные с различной намагниченностью и *магнитной восприимчивостью* горных пород и минералов.

Сейсмометрия позволяет определять строение Земли, изучая *поле упругих колебаний*, основными параметрами которого являются *скорость упругих волн и их поглощение* в горных породах.

Методами электрометрии изучают *электромагнитное поле*, возникающее в горных породах при прохождении через них электрического тока. Характер этих процессов зависит от *удельного сопротивления и других электрических и магнитных свойств* горных пород.

Наглядное представление о возможностях разведочной геофизики дает систематизация геофизических методов по изучаемым полям и дифференциации определяющих их физических свойств для распространенных горных пород и минералов – в форме таблиц и диаграмм.

1.3. Порядок выполнения работы

1. Перепишите в рабочую тетрадь по указанной форме (табл. 1.1) сведения о физических свойствах горных пород и минералов.

2. Запишите в ячейках под названием физических свойств размерность их единиц измерения.

3. Определите и запишите в нижних ячейках таблицы диапазон изменения каждого физического свойства для всех указанных горных пород и минералов.

4. Выберите подходящие типы (линейный или логарифмический) и масштабы шкал для построения прямоугольных диаграмм изменения указанных в таблице физических свойств горных пород и минералов.

5. Постройте диаграммы. В заголовках диаграмм укажите названия соответствующего геофизического метода и изучаемого в нем физического поля. Выделите соответствующей заливкой основные литологические различия: осадочные, метаморфические и магматические.

Таблица 1.1. Физические свойства некоторых горных пород и минералов

№ пп	Горные породы и минералов	Плотность	Магнитная восприимчивость	Скорость продольных волн	Электрическое сопротивление
1	Базальт	2,22...2,85	$1,25 \cdot 10^{-4} \dots 1,55 \cdot 10^{-2}$	5,6	$10^3 \dots 10^5$
2	Габбро	2,85...3,05	$10^{-3} \dots 7,5 \cdot 10^{-3}$	6,10...7,80	$10^3 \dots 10^5$
3	Глина	1,06...2,47	$2 \cdot 10^{-6} \dots 10^{-4}$	1,0...2,00	$10^0 \dots 10^2$
4	Глинистый сланец	2,56...2,85	$10^{-5} \dots 10^{-4}$	2,3...4,7	$10^2 \dots 10^3$
5	Гнейсы	2,58...2,90	$10^{-5} \dots 10^{-4}$	5,45...6,25	$10^2 \dots 10^5$
6	Гранит	2,52...2,81	$0 \dots 4,5 \cdot 10^{-5}$	3,70...6,00	$10^3 \dots 10^5$
7	Диорит	2,72...2,96	$2 \cdot 10^{-4} \dots 2 \cdot 10^{-3}$	5,60...6,10	$10^4 \dots 10^5$
8	Известняк	1,51...2,65	$5 \cdot 10^{-6} \dots 10^{-5}$	1,00...5,50	$10^2 \dots 10^3$
9	Магнетит	4,97...5,18	$7 \cdot 10^{-1} \dots 2 \cdot 10^0$	7,4	$10^4 \dots 10^2$
10	Мел, мергель	1,52...2,22	$0 \dots 8,5 \cdot 10^{-4}$	2,00...3,50	$10^0 \dots 10^3$
11	Перидотит	3,15...3,29	$4 \cdot 10^{-4} \dots 7,3 \cdot 10^{-2}$	7,85...8,7	$10^5 \dots 10^6$
12	Песок	1,37...2,15	$10^{-5} \dots 10^{-4}$	0,3...1,6	$6 \cdot 10^1 \dots 4 \cdot 10^2$
13	Песчаник	1,6...2,77	$2 \cdot 10^{-6} \dots 5 \cdot 10^{-5}$	0,8...4,5	$10^2 \dots 10^3$
14	Пирит	4,91...5,02	$2 \cdot 10^{-5} \dots 1,6 \cdot 10^{-4}$	7,90...8,05	$10^4 \dots 10^2$
15	Сиенит	2,63...2,90	$0 \dots 6,5 \cdot 10^{-3}$	5,8...6,45	$10^2 \dots 10^5$
	Диапазон изменения физических свойств				

Пример диаграммы магнитной восприимчивости, оформленной в приложениях Microsoft Word и Excel, показан на рис.1.1.

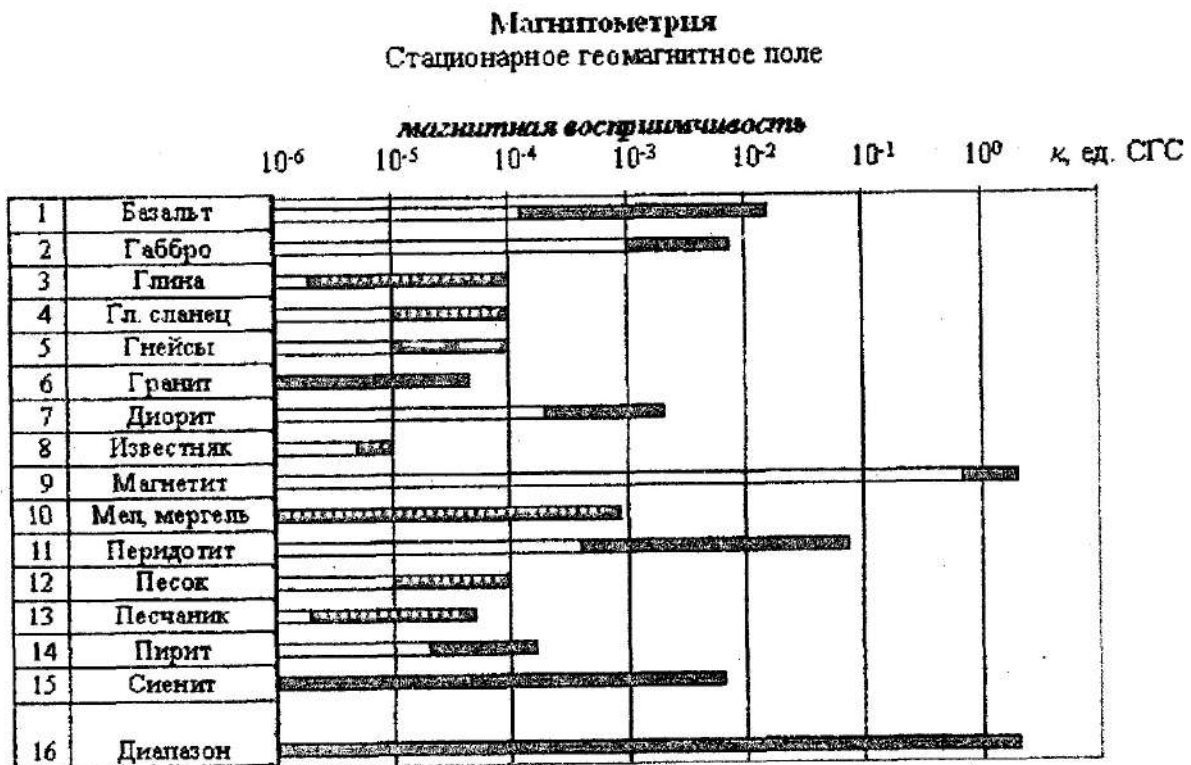


Рис 1.1. Диаграмма магнитной восприимчивости горных пород и минералов

Лабораторная работа № 2

Решение прямой задачи гравиразведки: расчет аномалии силы тяжести над сбросом

Задание:

Рассчитать аномалию силы тяжести для объекта, представляющего собой вертикальный сброс магматических горных пород, перекрытый рыхлыми отложениями (рис 1).

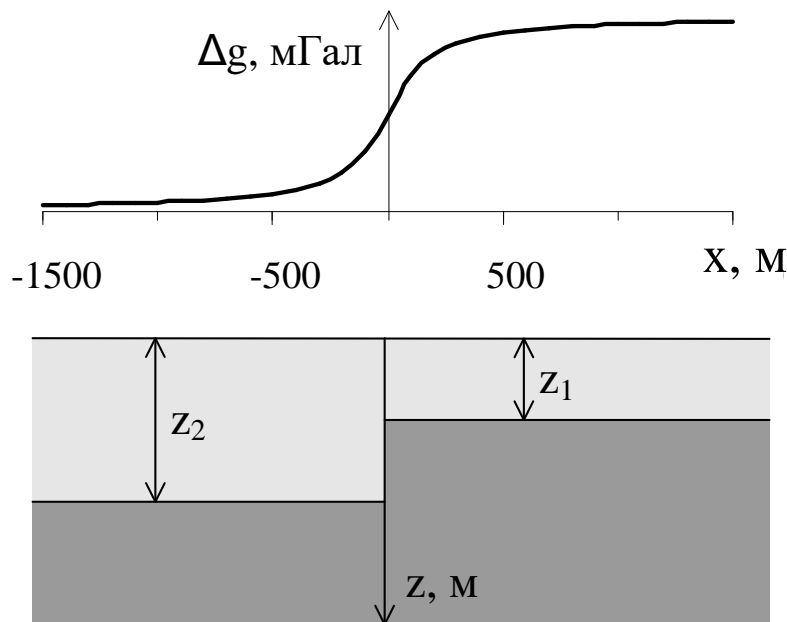


Рис. 1. Гравитационное поле над вертикальным уступом

Исходными данными для расчета являются глубина залегания верхней кромки уступа Z_1 в м, глубина залегания нижней кромки уступа Z_2 в м и избыточная плотность пород уступа $\Delta = \delta_1 - \delta_2$ в г/см³ (таблица 1).

Расчет выполнить аналитическим способом, используя выражение

$$\Delta g = G\Delta \left[\pi(z_2 - z_1) + 2z_2 \arctg \frac{x}{z_2} - 2z_1 \arctg \frac{x}{z_1} + x \ln \frac{x^2 + z_2^2}{x^2 + z_1^2} \right],$$

где $G = 6,673 \cdot 10^{-11}$ Нм²/кг² - гравитационная постоянная (постоянная тяготения), широко используемая в физике, механике, геофизике и астрономии, x – координата точки наблюдения по профилю.

При расчетах избыточную плотность Δ перевести из г/см³ в кг/м³, x изменять с шагом 100 м от -1000 м до 1000 м, дополнительно

рассчитать Δg для $x = -50$ м и 50 м. Рассчитанные значения Δg перевести из м/с^2 в мГал, учитывая, что $1 \text{ мГал} = 10^{-5} \text{ м/с}^2$.

Результаты расчета представить в графическом виде над геологическим разрезом, как это изображено на рис 1.

Таблица 1

Вариант	Z_1 , м	Z_2 , м	Δ , г/см^3
№ 1	50	100	0,4
№ 2	50	100	0,5
№ 3	50	150	0,2
№ 4	50	150	0,3
№ 5	100	200	0,4
№ 6	100	200	0,5
№ 7	150	250	0,5
№ 8	150	250	0,6
№ 9	200	350	0,5
№ 10	200	400	0,6

Палеточный способ решения прямых задач гравиразведки

Для вытянутых тел сложного сечения и постоянной избыточной плотности расчет Δg можно проводить с помощью палетки Гамбурцева. Палетка приведена на рис.1.

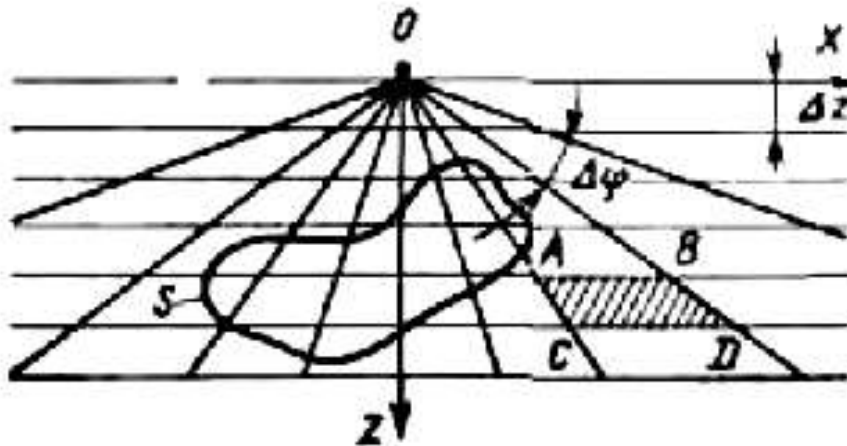


Рис.1. Палетка Гамбурцева для вычисления притяжения двумерными телами с контуром сечения двумерного тела S

Здесь из точки O через один и тот же угол $\Delta\varphi$ проведены радиусы, а через равные расстояния Δz — параллельные линии. Оказывается, что значения силы тяжести Δg в точке O за счет притяжения одной бесконечной по оси Y горизонтальной призмой сечением в виде трапеции ABCD одинаково для любой из таких призм и

$$\Delta g_n = 2G\Delta\sigma_n\Delta\varphi\Delta z. \quad (1)$$

Если на поперечное сечение исследуемого тела приходится m таких элементарных трапеций палетки, то

$$\Delta g(0) = m \cdot \Delta g_n. \quad (2)$$

Параметр Δg_n представляет собой цену деления палетки и определяется заранее по заданным параметрам разреза, причем $\Delta\varphi$ и Δz подбирают так, чтобы цена деления имела какое-либо удобное для расчета постоянное значение, например, 0,1 мГал.

При переходе с одного разреза на другой могут измениться масштаб (и, следовательно, Δz на палетке) и значение избыточной плотности. Чтобы воспользоваться этой же палеткой, необходимо ввести масштабный коэффициент.

Таким образом, аномалию над двумерным телом с помощью палетки Гамбурцева рассчитывают по формуле

$$\Delta g = m \cdot \Delta g_n \quad (3)$$

Точность расчета Δg палеточным методом зависит от точности аппроксимации поперечного сечения плотностных масс элементарными ячейками па-

летки и может быть повышена путем уменьшения цены деления палетки. Существуют и другие пале-точные способы решения прямых задач гравirazведки, в том числе и трехмерных.

Задание:

1) Рассчитать цену деления палетки Гамбурцева по формуле 1, учитывая, что
 $G = 6,67 \cdot 10^{-11} \text{ м}^3 \text{ кг}^{-1} \text{ с}^{-2}$;
 $\Delta z = 50 \text{ м}$;
 $\Delta \varphi = 5^\circ = \pi/36 = 0,087$;
 $\Delta \sigma_n = 0,4 \text{ г/см}^3 = 400 \text{ кг/м}^3$.

2) Отметить пикеты на профиле через 100 м.

3) Совмещая начало координат палетки с пикетом, сосчитать количество трапеций палетки, попадающих в контур тела.

4) Процедуру подсчета повторить на всех пикетах.

5) Вычислить $\Delta g(x)$ на каждом пикете, используя выражение (1).

6) Построить график $\Delta g(x)$ в мГал (рис. 2).

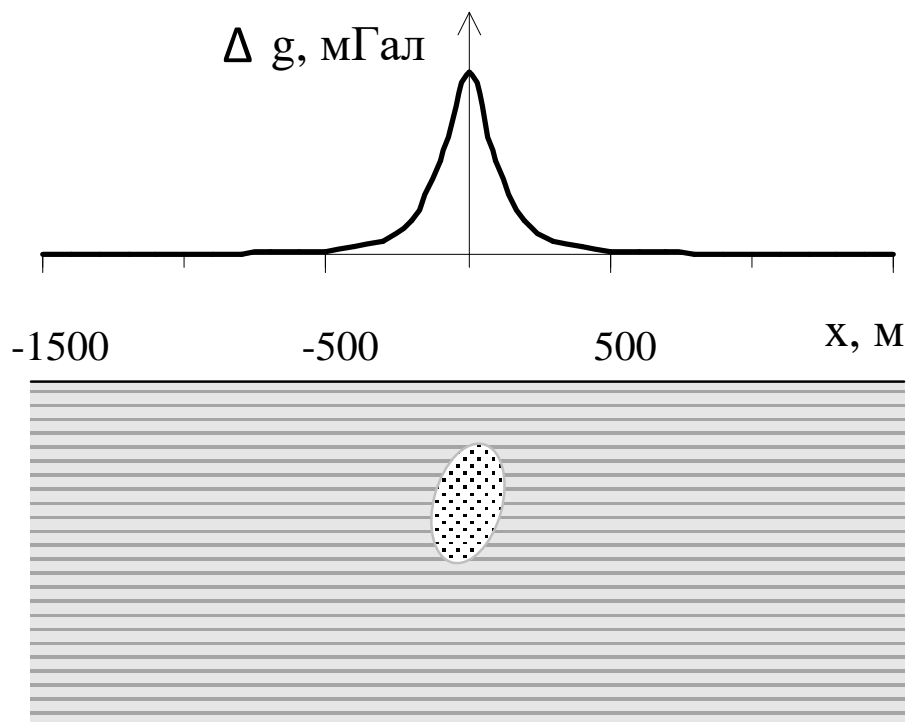


Рис.2. Результат определения аномалии силы тяжести палеточным способом

Лабораторная работа № 4

Решение обратной задачи гравиразведки: определение параметров залегания шарообразного тела по измеренному полю

Задание:

1. Скопировать выданный преподавателем вариант графика Δg .
2. На графике Δg отметить точки, в которых аномалия силы тяжести равна максимальному значению Δg_{\max} и половине максимального значения $1/2\Delta g_{\max}$.
3. Определить координаты этих точек на профиле в м.
4. Вычислить глубину залегания шарообразного тела.
5. Вычислить аномальную массу шара и его радиус
6. Построить геологический разрез в удобном масштабе.

Форму шара или близкую к нему могут иметь рудные залежи, куполовидные нефтегазоносные структуры, соляные купола, карстовые пустоты и др.

Пусть однородный шар радиусом r , объемом V , с избыточной плотностью $\Delta\sigma$ расположен на оси Z на глубине h (рис. 1).

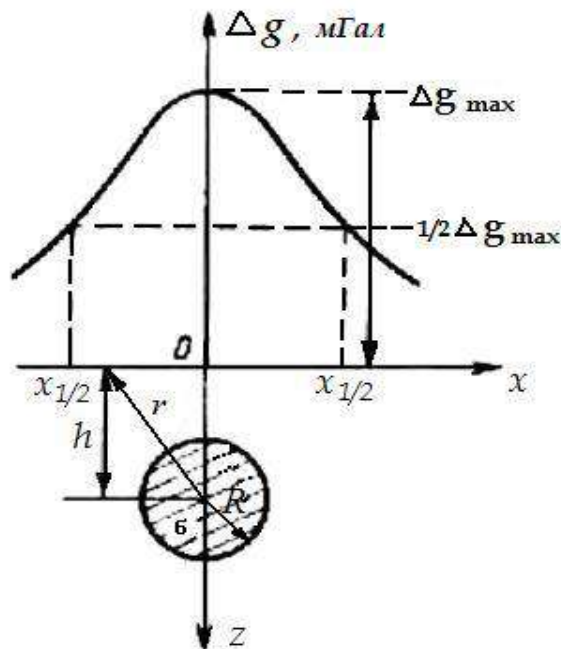


Рис. 1. Гравитационное поле над шаром

По закону всемирного тяготения шар притягивается с такой же силой, как точечная масса, сосредоточенная в его центре. Аномалию над шаром $\Delta g_{ш}$ можно получить, считая, что аномалия силы тяжести над шаром и аномалия точечной массы, помещенной в его центре, совпадают:

$$\Delta g_{ш} = \Delta g_1 = G \cdot \Delta\sigma \cdot V \cdot h / r^3 = G \cdot M \cdot h / (x^2 + h^2)^{3/2}$$

График аномалии силы тяжести над шаром приведен на рис 1. Определе-

ние параметров залегания шара выполняют по характерным точкам графика. Используют точки, в которых значение аномалии максимально, а также равно половине максимального значения: Δg_{\max} и $1/2\Delta g_{\max}$.

Найдем координату x точки, в которой значение поля равно максимальному значению Δg_{\max} .

Максимальное значение поля наблюдается над центром шара, при этом $x=0$ и $r=h$. Тогда

$$\Delta g_{\max} = GM / h^2.$$

Найдем координату x точки, в которой значение поля равно половине максимального значения $1/2\Delta g_{\max}$.

$$\frac{1}{2} \frac{GM}{h^2} = \frac{GMh}{(x^2 + h^2)^{3/2}},$$

$$\frac{1}{2h^2} = \frac{h}{(x^2 + h^2)^{3/2}}.$$

Разделим обе части уравнения на h :

$$\frac{1}{2h^3} = \frac{1}{(x^2 + h^2)^{3/2}}.$$

Тогда

$$2h^3 = (x^2 + h^2)^{3/2}.$$

Запишем

$$(2^{1/3} h)^3 = ((x^2 + h^2)^{1/2})^3.$$

Тогда

$$2^{1/3} h = (x^2 + h^2)^{1/2}.$$

Возведем в квадрат обе части уравнения:

$$2^{2/3} h^2 = x^2 + h^2.$$

Выразим x :

$$x = \sqrt{(2^{2/3} - 1)h^2},$$

Откуда $x=0,766h$, а $h=1,31x$.

Таким образом, глубину залегания шара можно определить, зная координату x , в которой аномалия силы тяжести равна половине ее максимального значения.

Аномальную массу шара можно найти по формуле:

$$M = \Delta g_{\max} h^2 / G$$

Если известна избыточная плотность шара, то можно рассчитать его объем V и радиус R :

$$M = V\sigma = 4\pi R^3 \sigma / 3,$$

Откуда

$$R = \sqrt[3]{\frac{3M}{4\pi\sigma}}$$

Глубина залегания верхней кромки шара будет равна $H=h-R$.

Изучение гравиметра

В практике гравиразведки широкое применение получил относительный способ измерения силы тяжести, т. е. измерения приращений в двух точках с помощью гравиметров — приборов, в которых сила тяжести сравнивается с силой деформации упругих материалов. Большинство гравиметров построено по принципу пружинных весов.

В качестве уравнивающей силы в гравиметрах используют силу кручения горизонтальной нити, на которой укреплен рычаг - маятник с массой m (рис. 1).

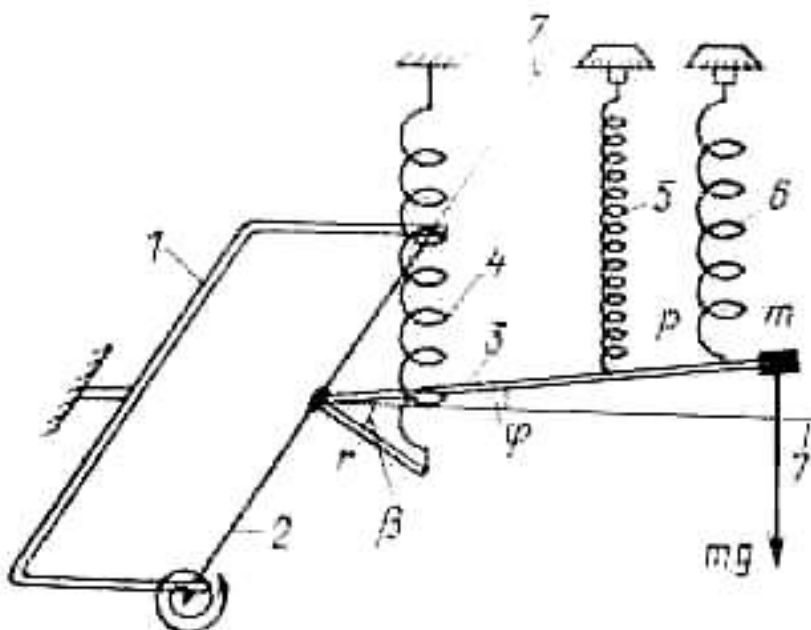


Рис. 1. Принципиальная схема чувствительной системы гравиметра: 1 — рамка; 2 — упругая нить; 3 — рычаг с грузиком; 4 — главная пружина; 5 — измерительная пружина; 6 — диапазонная пружина; 7 — линия горизонта

В точке наблюдения момент силы тяжести уравнивается моментом сил кручения, рычаг отклоняется от горизонта на угол φ и при определенных условиях основное уравнение равновесия упругой системы будет иметь вид (без учета пружин 5 и 6)

$$m \cdot g \cdot l \cdot \cos \varphi = \tau \cdot (\alpha_0 + \varphi) - k \cdot r \cdot \cos (\beta - \varphi)$$

где l — длина рычага; τ — крутильная жесткость его нитей подвеса; α_0 — начальный угол закручивания нитей; k — коэффициент линейной жесткости главной пружины; r — длина рычага крепления главной пружины; β — угол между рычагами.

Из этого уравнения получается зависимость между изменением угла наклона рычага $\Delta\varphi$ и пропорциональных изменений отсчетов по шкале микрометрического винта гравиметра Δn и приращением Δg :

$$\Delta g = C' \cdot \Delta\varphi = C \cdot \Delta n$$

где C' и C — цены деления гравиметра.

При измерении силы тяжести используют компенсационный метод отсчета, при котором микрометрическим винтом меняют натяжение измерительной пружины 5 таким образом, чтобы привести рычаг-маятник 3 в горизонтальное положение. Число оборотов микрометрического винта Δn определяют по специальной шкале с помощью оптической системы. С помощью диапазонного винта и соответствующей пружины 6 перестраивают диапазон прибора, что позволяет расширить интервал измерения в 10 раз и более.

Чувствительная система основных отечественных гравиметров выполнена из плавленого кварца, хотя некоторые, в основном зарубежные, гравиметры имеют металлическую пружину.

Материал пружин подбирают таким, чтобы колебания температуры и другие факторы мало сказывались на величине отсчета. Несмотря на специально принимаемые меры по термостатированию чувствительной системы (помещение ее в сосуд Дюара, изоляция от внешней среды и т. д.), влияние внешних факторов, как и внутренние процессы в упругих элементах системы, приводит к изменению показаний прибора во времени. Поэтому все гравиметры характеризуются дрейфом, или смещением нуля-пункта прибора. Он может достигать нескольких миллигал в сутки.

Время установки и измерения с помощью гравиметра при наземной съемке составляет 2—5 мин. Погрешность измерений Δg разными типами гравиметров составляет 0,01—0,5 мГал.

Задание:

1. Изучить устройство гравиметра и принцип взятия отсчетов.
2. Произвести замеры Δg на 1-ом и 5-ом этажах учебного здания. - Δg_{h1} и Δg_{h5} .
3. Используя выражение для поправки за высоту (поправки Фая)

$$\Delta g_h = -0,3086h$$

вычислить расстояние между 1-ым и 5-ым этажами здания:

$$\Delta g_{h1} = -0,3086h_1,$$

$$\Delta g_{h5} = -0,3086h_5,$$

$$\Delta h = h_5 - h_1 = (\Delta g_{h1} - \Delta g_{h5})/0,3086.$$

Решение прямой задачи магниторазведки для шара

Прямая задача магниторазведки состоит в вычислении магнитных аномалий по заданному распределению магнитных масс, занимающих объем некоторого тела правильной формы (шара). Предполагается, что известны вертикальная намагниченность J , форма, положение и размеры тела. Требуется найти значения полной напряженности магнитного поля T_a , а также вертикальную Z_a и горизонтальную H_a составляющие магнитного поля на дневной поверхности вдоль профиля x .

Значения Z_a и H_a – компонент магнитного поля от вертикально намагниченного шара вдоль профиля, проходящего над центром шара, определяются по формулам:

$$Z_a = M \frac{2h^2 - x^2}{(h^2 + x^2)^{5/2}}, \quad (1)$$

$$H_a = M \frac{3hx}{(h^2 + x^2)^{5/2}}, \quad (2)$$

где $M = V \cdot J = (4\pi R^3 J)/3$ - магнитный момент шара в $A \cdot m^2$; V - объем шара в m^3 ; R - радиус шара в м; J - намагниченность шара в A/m ; h - глубина до центра шара в м; x - расстояние от начала координат до точки наблюдения в м.

Полная напряженность магнитного поля:

$$T_a = \frac{M(4h^2 + x^2)^{1/2}}{(h^2 + x^2)^2}. \quad (3)$$

Значения Z_a и H_a определяются в системе СИ в A/m и переводятся в гаммы (γ) и нТл следующим образом:

$$\begin{aligned} 1 \text{ A/m} &= 10^3 \text{ СГС}, \\ 1 \text{ A/m} &= 4\pi 10^3 \gamma, \\ 1 \text{ Э} &= 79,6 \text{ A/m}, \\ 1 \text{ Э} &= 10^5 \gamma, \\ 1 \text{ нТл} &= 1 \gamma \text{ (для воздуха)}. \end{aligned}$$

Задание.

1. Вычислить значение T_a , Z_a и H_a компонент магнитного поля для вертикально намагниченного шара, используя выражения (1), (2) и (3). Параметры шара, то есть значения R , h , J , выбираются из таблицы 1, согласно заданному варианту.

Значения T_a , Z_a и H_a необходимо рассчитать в следующих точках профиля x : 0 м, ± 5 м, ± 10 м, ± 20 м, ± 40 м, ± 60 м, ± 80 м, ± 100 м, ± 200 м, ± 400 м, ± 800 м.

Рассчитанные поля T_a , Z_a и H_a необходимо перевести в нТл. Вычисления произвести с точностью до целых единиц нТл и представить в виде таблицы.

2. Результаты расчетов изобразить в виде графиков вдоль профиля с соблюдением всех правил построения графиков. Под графиками привести геологический разрез в масштабе. Образец оформления результатов приведен на рис. 1.

Исходные данные

Вариант	h , м	R , м	J , А/м	Вариант	h , м	R , м	J , А/м
1	40	30	0,2	16	50	30	0,22
2	40	50	0,2	17	50	35	0,22
3	50	40	0,2	18	60	40	0,22
4	100	40	0,2	19	55	40	0,22
5	40	30	0,25	20	55	40	0,20
6	70	30	0,2	21	65	45	0,22
7	50	45	0,22	22	60	45	0,24
8	55	45	0,18	23	65	45	0,20
9	50	45	0,19	24	60	45	0,21
10	40	35	0,19	25	50	35	0,21
11	35	30	0,18	26	45	30	0,21
12	45	35	0,18	27	55	35	0,20
13	55	40	0,2	28	55	40	0,20
14	50	40	0,21	29	60	40	0,20
15	50	40	0,21	30	60	40	0,23

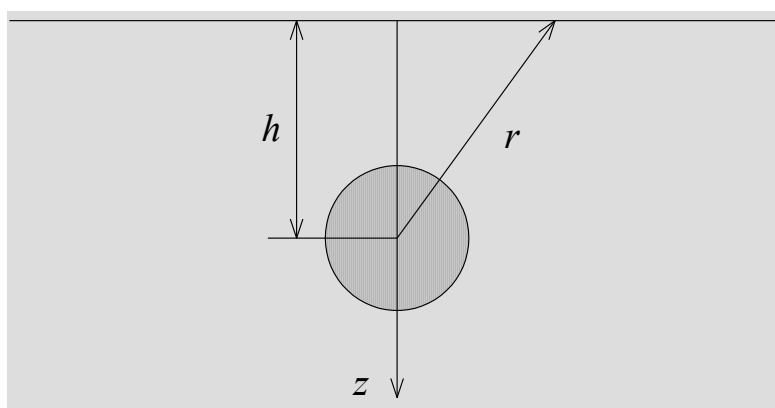
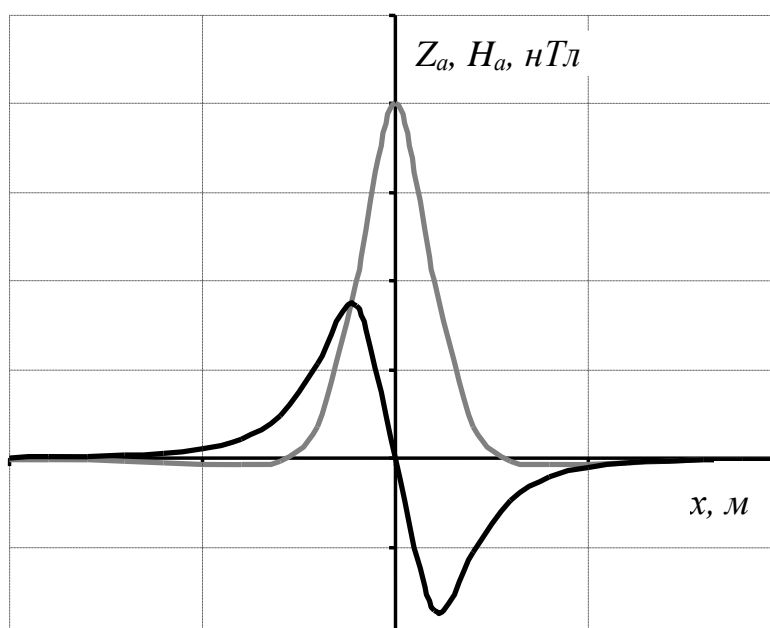


Рис. 1. Магнитное поле над шарообразным телом

**Решение прямой задачи магниторазведки
для тонкого вертикального стержня**

Под "тонким" стержнем понимается геологическое тело, имеющее малый диаметр d по сравнению с глубиной залегания h верхнего конца стержня. Соотношение d/h должно быть не больше 0,1-0,2 или глубина залегания должна быть в 10-20 раз больше диаметра тела. Длина тела бесконечно большая, так что нижний конец располагается на большой глубине и его влиянием на магнитную аномалию пренебрегают.

К аномалиям над бескончным вертикальным стержнем в природных условиях относятся аномалии над кимберлитовыми трубками небольших размеров, над апофизами основной магмы, над мелкими отдельными геологическими образованиями вертикального падения с малой площадью поперечного сечения.

При однородной и вертикальной намагниченности магнитные массы будут располагаться на концах стержня. Модуль полного вектора T от такого источника по закону Кулона будет:

$$T = \frac{m}{r^2} = \frac{m}{h^2 + x^2} \quad (1)$$

где h – глубина залегания верхнего конца стержня; x – расстояние от проекции конца стержня на дневную поверхность до точки наблюдения.

Уравнения для вертикальной составляющей Z_a и горизонтальной составляющей H_a аномального магнитного поля по профилю, проходящему через центр стержня, будут иметь вид:

$$Z_a = \frac{m}{r^2} \sin \theta = \frac{mh}{(h^2 + x^2)^{3/2}}, \quad (2)$$

$$H_a = \frac{m}{r^2} \cos \theta = \frac{-mx}{(h^2 + x^2)^{3/2}}, \quad (3)$$

где θ - угол, отсчитываемый от положительного направления оси x по часовой стрелке до радиуса-вектора r ; m – магнитная масса, сосредоточенная на верхнем конце стержня.

Значения Z_a и H_a определяются в системе СИ в А/м и переводятся в гаммы (γ) и нТл следующим образом:

$$1 \text{ А/м} = 10^3 \text{ СГС},$$

$$1 \text{ А/м} = 4\pi 10^3 \gamma,$$

$$1 \text{ Э} = 79,6 \text{ А/м},$$

$$1 \text{ Э} = 10^5 \gamma.$$

$$1 \text{ нТл (для воздуха)} = 1 \gamma.$$

Кривая Z_a (рис. 1) положительная, имеет максимум при $x=0$ ($\theta=90^\circ$). Магнитное поле над стержнем для вертикальной составляющей Z_a в силу осевой симметрии будет иметь в плане изометричную форму - в виде концентрических окружностей. Горизонтальная составляющая H_a слева от стержня положи-

тельная, т.е. по направлению совпадает с осью OX ; справа от стержня - отрицательная. Над стержнем при $x=0$ $H_a=0$ и меняет знак.

Задание:

1. Вычислить значения T_a , Z_a и H_a - компонент магнитного поля для тонкого вертикального стержня, который намагничен вертикально. Исходные данные приведены в таблице 1. Расчет выполнить для $x = 0$ м, ± 5 м, ± 10 м, ± 20 м, ± 40 м, ± 60 м, ± 80 м, ± 100 м, ± 200 м, ± 400 м, ± 600 , ± 800 м.

Таблица 1

Вариант	h , м	m , А·м	Вариант	h , м	m , А·м
1	40	10	8	110	80
2	50	20	9	120	90
3	60	30	10	130	100
4	70	40	11	140	110
5	80	50	12	150	120
6	90	60	13	160	130
7	100	70	14	170	140

2. Результаты расчетов представить в виде графиков по профилю, проходящему над стержнем. Под графиками привести геологический разрез в масштабе. Образец оформления результатов приведен на рис 1.

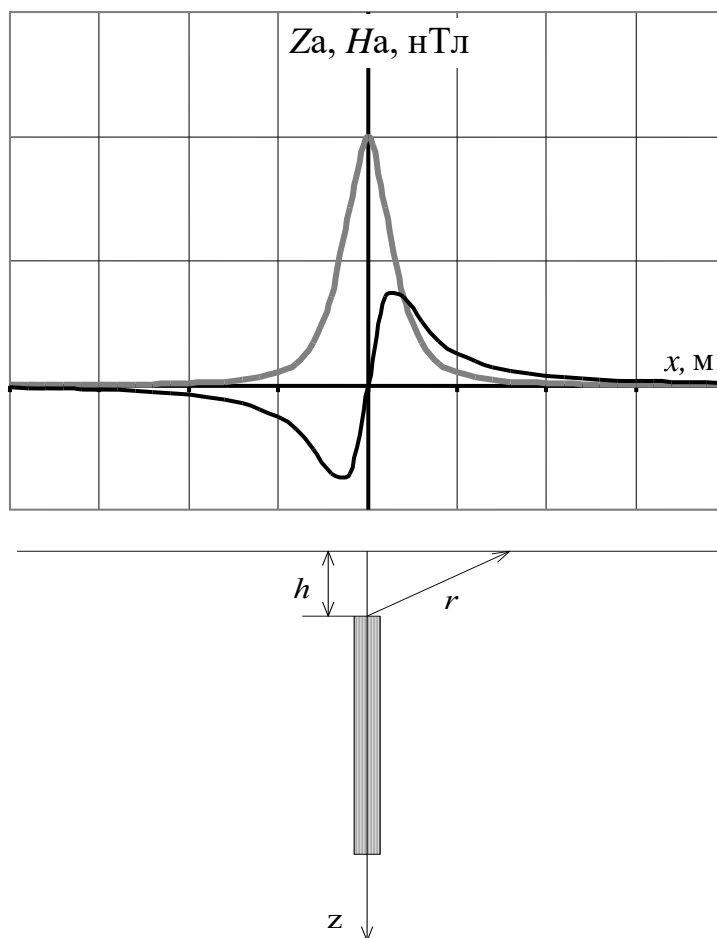


Рис.1. Магнитное поле над вертикальным стержнем

Количественная интерпретация данных магниторазведки

При магниторазведочных работах выполняют измерения вертикальной (Z) и горизонтальной (H) составляющих магнитного поля. Результаты представляют в виде план-графиков и карт.

Изучаемые объекты могут проявляться как положительными, так и отрицательными аномалиями, поскольку их намагничение является двухполярным. Оказывают влияние также направление вектора намагничивающего поля Земли и наличие остаточной намагниченности пород.

Интерпретация материалов магниторазведки может быть количественной и качественной.

Качественная интерпретация позволяет получать информацию о местоположении пород с различными магнитными свойствами, форме аномалиеобразующих объектов, примерном положении их относительно профилей измерений.

Количественная интерпретация дает возможность определить размеры и глубину залегания геологического объекта. Для этого разработаны аналитические, графические и палеточные способы.

В аналитических способах по графикам определяют абсциссы характерных точек: X_{max} , X_{min} , $X_{1/2}$, $X_{1/4}$, X_0 , где аномалии равны, соответственно, максимальному и минимальному значениям, половине максимума, одной четверти максимума или нулю (рис. 1).

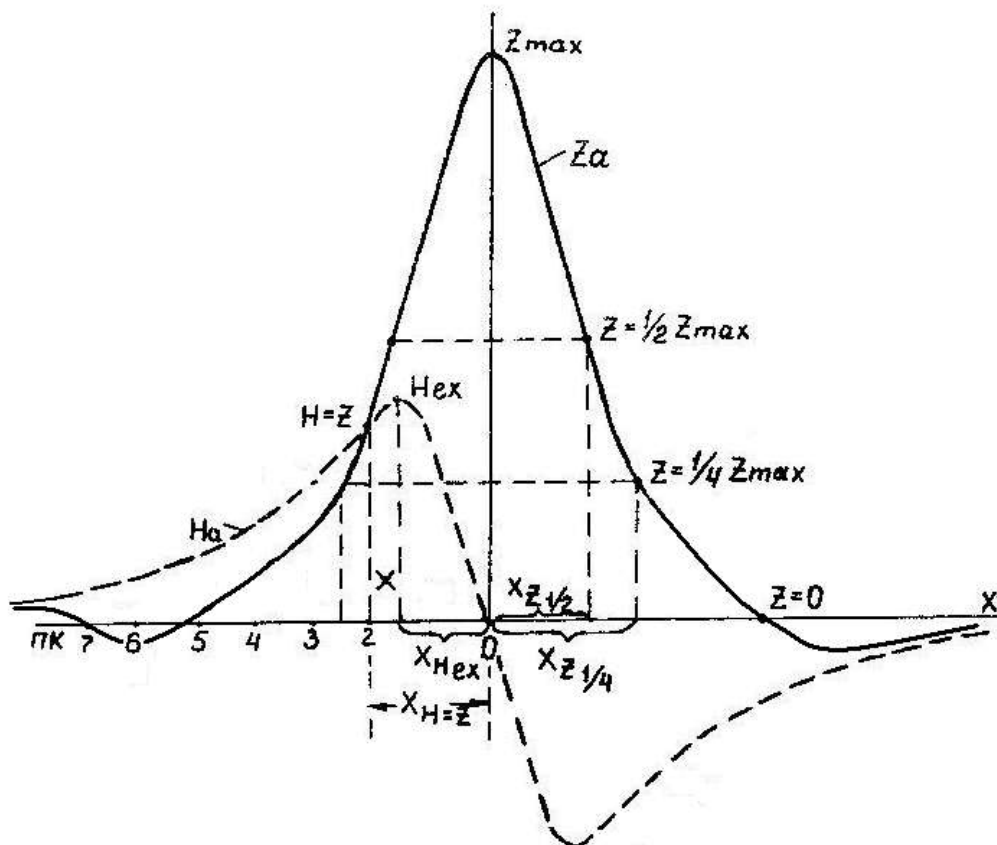


Рис. 1. Интерпретация кривых Z_a и H_a способом характерных точек

Значения абсцисс характерных точек подставляют в формулы, полученные при решении прямых задач. Вычисляют глубину залегания верхней кромки h , для объектов "бесконечно" глубоко уходящих вниз, или глубину залегания центра масс H для тел ограниченного распространения по глубине. Средняя относительная погрешность определения глубины составляет 20-30%. Ниже показано применение метода характерных точек для интерпретации магнитных аномалий над объектами простой геометрической формы.

Вертикальный пласт ограниченного распространения на глубину.

По характерным точкам графиков Z_a и H_a можно рассчитать следующие элементы: глубину залегания центра пласта h_y , вертикальный размер сечения пласта $2l$, глубину залегания верхней $h_y - l$ и нижней $h_y + l$ кромок пласта.

1. Для определения h_y по графику Z_a определяют абсциссы точек $x_0 (Z_a = 0)$ и $x_{0,5} (Z_a = 0,5 \cdot Z_{a \max})$. Тогда

$$h_y = \sqrt{\frac{x_0^4 - x_{0,5}^4}{4x_{0,5}^2}}.$$

2. Если на кривой Z_a точка, где $Z_a = Z_{a \min}$ с абсциссой x_{\min} выражена достаточно четко, то

$$h_y = \frac{x_{\min}^2 - x_0^2}{2x_0}.$$

3. Величину l вычисляют по абсциссе точки $x_{Z=H}$, в которой $Z_a = H_a$, т.е.

$$l = \sqrt{h_y^2 - 2h_y \cdot x_{Z=H} - x_{Z=H}^2}.$$

Горизонтальный круговой цилиндр.

Определение глубины залегания центра поперечного сечения цилиндра h_y выполняют по характерным точкам на кривых H_a и Z_a :

- 1) по абсциссе точки, в которой $Z_a = 0$, $h_y = x_{Z=0}$
- 2) по абсциссе точки $x_y = H$, в которой $Z_a = H_a$, $h_y = \frac{x_{Z=H}}{0,7}$
- 3) по абсциссе точки x_{Hex} , в которой $H_a = H_{aex}$, $h_y = \frac{x_{Hex}}{0,58}$
- 4) по абсциссе точки $x_{z \min}$, в которой $Z_a = Z_{a \min}$, $h_y = \frac{x_{z \min}}{1,73}$
- 5) по абсциссе x_i i -х точек графиков Z_a и H_a ,

$$h_y = x_i \left(\left(\frac{Z_a}{H_a} \right)_i + \sqrt{\left(\frac{Z_a}{H_a} \right)_i^2 + 1} \right).$$

В графических способах наиболее широкое применение находит метод касательных, который заключается в проведении на аномалиях графиков Z_a касательных, параллельных оси X в точках максимума и минимума, а также в точках перегиба (точках максимальных градиентов) (рис. 2).

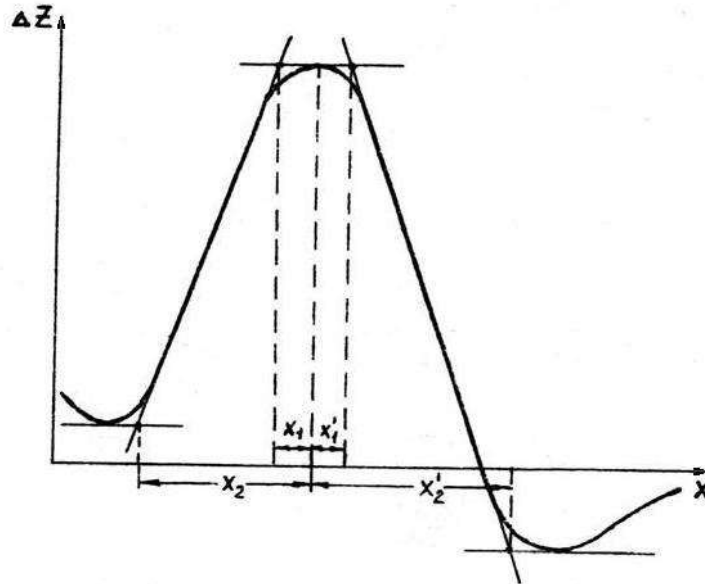


Рис. 2. Интерпретация кривой Z_a способом касательных

Для точек пересечения всех касательных определяют их абсциссы X_1, X_2, X_1', X_2' . Приближенную глубину залегания верхней кромки пласта, создавшего аномалию, рассчитывают по формулам:

$$h = \frac{x_2 - x_1}{2} \quad \text{и} \quad h' = \frac{x_2' - x_1'}{2}.$$

Среднее из полученных значений h и h' является оценочной глубиной залегания верхней кромки пласта. При этом, глубина залегания h , вычисленная методом касательных, может отличаться от истинной в зависимости от формы и размеров исследуемых объектов. Поэтому в расчетные формулы вводятся поправочные коэффициенты, которые получены для разных соотношений размеров и глубин залегания тех или иных объектов. Значения этих коэффициентов применительно к примерам задания приведены для каждого варианта в расшифровке выполнения задания.

Задание:

Вариант 1. Способом характерных точек и касательных определить элементы залегания вертикального пласта "бесконечного" простирания и ограниченного распространения на глубину:

а) По данным табл. 1 на миллиметровке построить графики H_a и Z_a в масштабах: вертикальный 1 см - 0,025 Гс, горизонтальный 1 см - 20 м.

б) Вычислить элементы залегания вертикального пласта способами для вертикального пласта ограниченного распространения на глубину.

в) При вычислении глубины залегания пласта по способу касательных ввести повышающий поправочный коэффициент 0,7.

Вариант 2. Способом характерных точек и касательных определить элементы залегания горизонтально залегающего цилиндра "бесконечного" простираения:

а) По данным табл.2 на миллиметровке построить графики H_a и Z_a . Расстояние X (в метрах) наносят на ось абсцисс от нулевой точки (которая принимается за начало координат) влево и вправо через 10 м в масштабе 1 см - 20 м. Значения H_a и Z_a откладывают по оси ординат в масштабе 1 см - 0,1 Гс.

б) Вычислить глубину залегания центра поперечного сечения цилиндра h_y способами, описанными для горизонтального кругового цилиндра.

в) При вычислении глубины h_y по способу касательных ввести повышающий поправочный коэффициент 0,52.

Таблица 1

$X, м$	$Z_a, Гс$	$H_a, Гс$
0	0,280	0
± 10	0,254	∓ 0,068
± 20	0,212	∓ 0,120
± 30	0,170	∓ 0,152
± 40	0,119	∓ 0,162
± 50	0,080	∓ 0,160
± 60	0,044	∓ 0,150
± 70	0,026	∓ 0,139
± 80	0,008	∓ 0,125
± 90	-0,005	∓ 0,112
± 100	-0,012	∓ 0,098
± 110	-0,017	∓ 0,086
± 120	-0,022	∓ 0,070
± 130	-0,025	∓ 0,067
± 140	-0,026	∓ 0,060
± 150	-0,025	∓ 0,054
± 160	-0,022	∓ 0,047
± 170	-0,019	∓ 0,042
± 180	-0,014	∓ 0,037

Таблица 2

$X, м$	$Z_a, Гс$	$H_a, Гс$
0	1,20	0
± 10	1,16	∓ 0,33
± 20	1,08	∓ 0,59
± 30	0,96	∓ 0,74
± 40	0,72	∓ 0,78
± 50	0,46	∓ 0,75
± 60	0,20	∓ 0,69
± 70	0	∓ 0,62
± 80	-0,18	∓ 0,52
± 90	-0,20	∓ 0,44
± 100	-0,18	∓ 0,37
± 110	-0,14	∓ 0,28
± 120	-0,10	∓ 0,24
± 130	-0,09	∓ 0,22
± 140	-0,08	∓ 0,20
± 150	-0,07	∓ 0,16
± 160	-0,06	∓ 0,12
± 170	-0,05	∓ 0,10
± 180	-0,04	∓ 0,09

Измерение вариаций геомагнитного поля

Содержание работы : С помощью оптико-механического магнитометра М-27 провести измерение вариаций вертикальной составляющей (z-составляющей) МПЗ в течение 5 минут с интервалом времени 5-10 секунд и результаты измерений записать в журнал.

Обработка результатов измерений.

1. Значения отсчетов по шкале магнитометра умножить на цену деления (10 нТл/дел).
2. Построить вариограмму(рис.1).

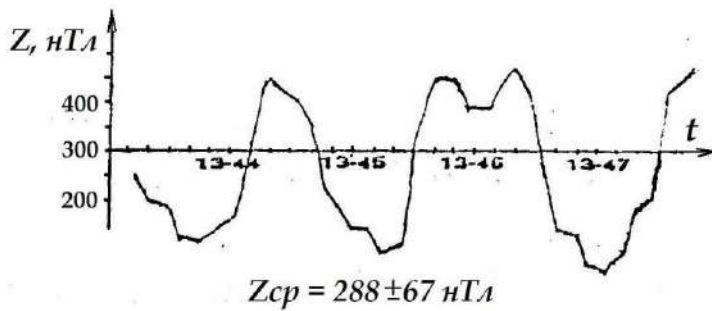


Рис. 1. Вариограмма значений вертикальной составляющей МПЗ (время местное)

$$Z_{cp} = \frac{\sum_{i=1}^N Z_i}{N} \quad \sigma = \sqrt{\frac{\sum_{i=1}^N (Z_i - Z_{cp})^2}{N - 1}}$$

3. Рассчитать среднее значение напряженности магнитного поля за время наблюдения и среднее квадратичное отклонение.
4. Оценить интенсивность вариаций в баллах (см. табл.1), осреднив максимальные значения отклонения Δz в течение минуты от общего среднего.

Таблица 1

Шкала балльности вариаций МПЗ

Амплитуда изменения МПЗ, нТл	0 -5.5	11	22	44	77	132	220	363	550	>550
Баллы	0	1	2	3	4	5	6	7	8	9
Оценка	Норма			Возмущение			Буря			

Журнал измерений Z

t	n	Z	$Z-Z_{cp}$	$(Z-Z_{cp})^2$

t	n	Z	$Z-Z_{cp}$	$(Z-Z_{cp})^2$

Изучение детекторов гамма-излучения

Любой радиометрический прибор имеет в качестве основной части детектор (счетчик), подающий в усилительно-измерительную схему сигналы о поступлении ионизирующих частиц или гамма-квантов.

Существуют различные способы детектирования (регистрации) радиоактивных излучений. Все они основаны на эффектах, прямо или косвенно связанных с ионизацией или возбуждением атомов, возникающих при взаимодействии излучений с веществом. Наиболее широкое распространение получили детекторы, в которых энергия излучения тем или иным способом преобразуется в электрическую.

В настоящее время применение нашли три типа детекторов:

1) **ионизационные детекторы и газоразрядные счетчики;**

Принцип их работы основан на ионизирующем действии излучения на газы.

Ионизационная камера (рис. 1) представляет собой воздушный конденсатор, состоящий из двух металлических пластин, расположенных на некотором расстоянии друг от друга, к которым приложена разность потенциалов. В сеть включен гальванометр. В отсутствие радиации тока в цепи не будет, поскольку воздух является изолятором. Радиоактивные частицы, попав внутрь конденсатора, ионизируют воздух, превращая его в проводник электричества. Сила тока измеряется гальванометром. По силе тока определяется интенсивность излучения.

Счетчик Гейгера-Мюллера представляет собой герметичный баллон (трубку), заполненный газовой смесью из аргона и спирта с добавкой галоидов (рис.2). По оси трубки натянута нить, служащая в качестве анода. Катодом является внутреннее металлическое покрытие баллона. На электроды подается высокое напряжение постоянного тока (400÷1000 В). При попадании внутрь баллона бета-частиц или электронов, выбитых из стенок счетчика гамма-лучами, происходит ионизация газа. В результате между электродами возникает лавина ионов и происходит кратковременный электрический разряд. В цепи счетчика регистрируется импульс напряжения. Чувствительность счетчиков зависит в первую очередь от материала катода, из которого гамма-лучи выбивают электроны

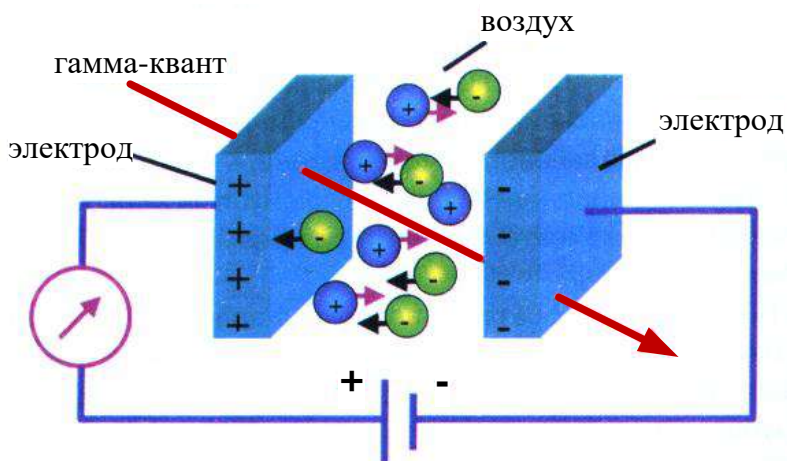


Рис. 1. Устройство ионизационной камеры

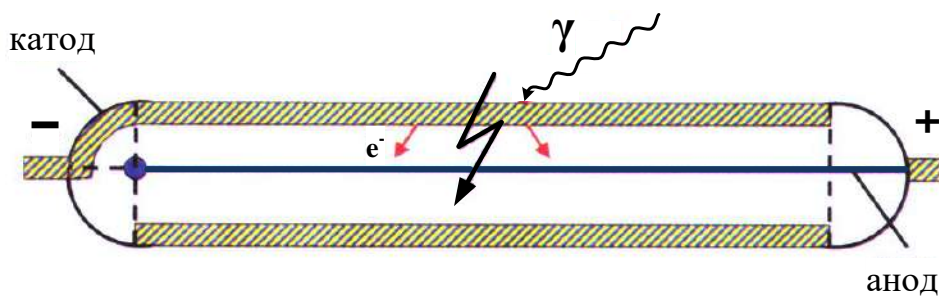


Рис. 2. Устройство газоразрядного счетчика

2) **полупроводниковые детекторы;**

Они сходны с ионизационными детекторами, но роль ионизационной камеры в этом случае выполняют твердые полупроводники.

Полупроводники - это кристаллические вещества, электропроводность которых при обычной температуре имеет промежуточное значение между электропроводностью металлов ($10^6-10^4 \text{ Ом}^{-1}\text{см}^{-1}$) и диэлектриков ($10^{-10}-10^{-12} \text{ Ом}^{-1}\text{см}^{-1}$). Под действием радиоактивных частиц в полупроводниковых детекторах происходит переход электронов из валентной зоны в зону проводимости (рис. 3). В результате образуются свободные носители зарядов: электроны (*n*-проводимость) и дырки (*p*-проводимость). Под действием внешнего электрического поля, приложенного к полупроводнику, электроны и дырки притягиваются к соответствующим электродам, обуславливая накопление заряда. Последний дает импульс напряжения, который подается в усилительно-измерительную схему прибора.

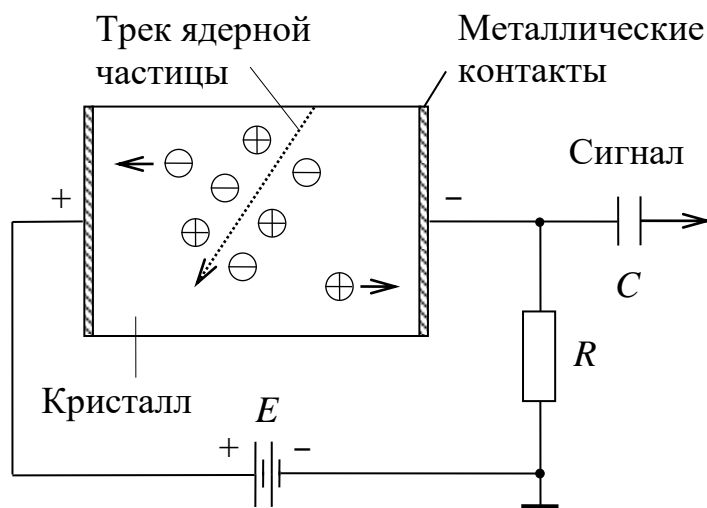


Рис. 3. Принцип работы полупроводникового детектора

В качестве полупроводника в радиометрических приборах чаще всего применяют монокристаллы германия. С его помощью регистрируют высокоэнергетические гамма- и бета-лучи. Для регистрации альфа-частиц, низкоэнергетических гамма-квантов и рентгеновских лучей используют кремниевые детекторы (монокристаллы кремния).

В противоположность металлам, у которых электропроводность умень-

шается с ростом температуры, у полупроводников с увеличением этого параметра электропроводность резко возрастает. Поэтому многие из полупроводниковых материалов требуют сильного охлаждения при работе, что усложняет устройство приборов, их эксплуатацию и удорожает их стоимость. Исследователи находятся в постоянном поиске новых полупроводников, которые могут работать при обычных температурах. К таким материалам относятся теллурид кадмия, арсенид галлия и йодид ртути, которые уже используются в самых современных радиометрах и спектрометрах. Поскольку плотность полупроводниковых материалов намного выше плотности газов, то энергия поглощаемых частиц в них используется полнее, чем в ионизационных камерах. Поэтому полупроводниковые детекторы обладают очень высокой разрешающей способностью.

3) *сцинтилляционные детекторы;*

Сущность работы сцинтилляционного счетчика заключается в регистрации вспышек *люминесценции*, возникающих в некоторых кристаллах, органических жидкостях или пластмассах при попадании в них заряженных частиц или гамма-квантов.

Вспышки в кристалле фиксируются *фотокатодом*, и в цепи возникает импульс электрического тока (рис.4).

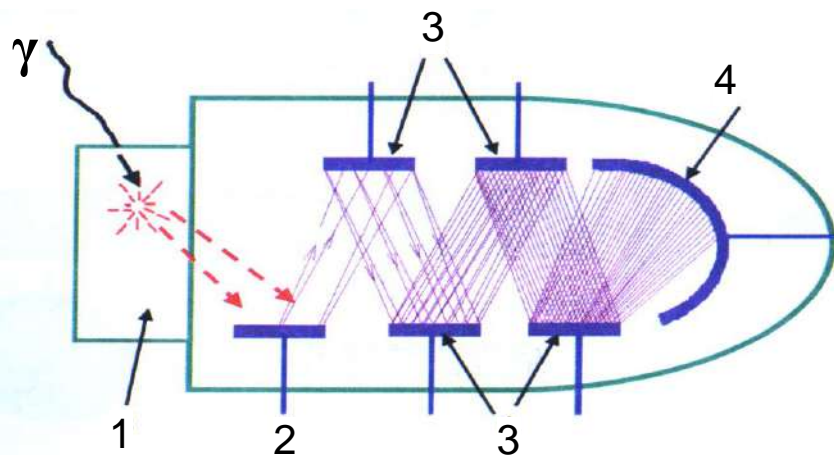


Рис. 4. Сцинтилляционный детектор: 1 - сцинтиллятор, 2 - фокусирующий электрод, 3 - система динодов, 4 - анод ФЭУ

Однако сами по себе вспышки могут быть очень слабыми. Для их фиксации применяются *фотоэлектронные умножители* (ФЭУ). Они представляют собой вакуумные электронные приборы с системой умножения электронов, выбитых световой вспышкой с поверхности фотокатода (рис.4). Умножительная система состоит из нескольких последовательно расположенных *динодов* (эмиттеров), покрытых специальным слоем. Электроны, бомбардирующие диноды, выбивают из них вторичные электроны, количество которых минимум в 2 раза превышает число первичных электронов. Таким образом, каждый последующий динод увеличивает количество электронов. С последнего динода в усилительно-измерительную схему прибора поступает лавина электронов. Благодаря ФЭУ сцинтилляционные счетчики обладают гораздо большей чувствительностью по сравнению с газонаполненными счетчиками.

Лабораторная работа № 11

Расчет интенсивности гамма-излучения над радиоактивным пластом, выходящим на дневную поверхность

Допустим, что вертикальный активный пласт мощности ΔH выходит на дневную поверхность. Найдем распределение γ -поля по профилю x на высоте h от границы раздела земля-воздух.

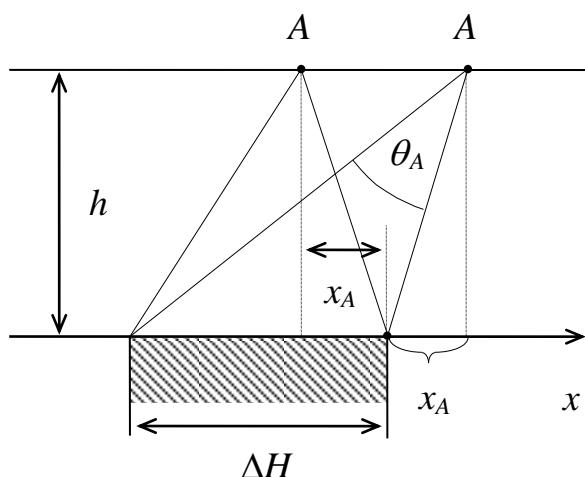


Рис. 1.

Начало координат поместим на границу раздела пласт-вмещающая неактивная среда. При рассмотрении этой задачи ограничимся расчетом γ -поля в произвольной точке A профиля x (рис.1). Если высота h такая, что можно пренебречь ослаблением γ -лучей в воздухе, то формула расчета поля через телесный угол будет выглядеть следующим образом:

$$I_A = K\sigma_0\omega_A \quad (1)$$

где ω_A – телесный угол, под которым видна излучающая поверхность однородно-активного пласта из точки наблюдения A , K – пересчетный коэффициент радиометра в $((\text{мкР/ч}) \cdot \text{см}^2)/\text{г}$, σ_0 – эквивалентная поверхностная плотность источников гамма-излучения в $\text{гУ}/\text{см}^2$.

Эквивалентная поверхностная плотность источников гамма-излучения σ_0 зависит от содержания радиоактивного элемента Q и массового коэффициента поглощения гамма-излучения $\bar{\mu}$:

$$\sigma_0 = \frac{Q \cdot 10^{-2}}{\bar{\mu}}. \quad (2)$$

Для уран-радиевого ряда $\bar{\mu} = 0,032 \text{ см}^2/\text{г}$.

Если простираение пласта бесконечно, а съемочный профиль проложен вкрест простираения, то можно показать, что телесный угол ω_A будет равен двум плоским углам θ_A (рис. 1), т.е.

$$I_A = 2K\sigma_0\theta_A, \quad (3)$$

Поскольку

$$\theta_A = \operatorname{arctg} \frac{x_A + \Delta H}{h} - \operatorname{arctg} \frac{x_A}{h},$$

то

$$I_A = 2K\sigma_0 \left(\operatorname{arctg} \frac{x_A + \Delta H}{h} - \operatorname{arctg} \frac{x_A}{h} \right). \quad (4)$$

Таким образом, расчет γ -поля по съемочному профилю в данном случае сводится к расчету плоских углов θ_i , которые легко находятся в любой точке с заданными параметрами ΔH , h и x_i .

Задание.

1. Используя выражение (4), рассчитать интенсивность гамма-излучения над радиоактивным пластом, выходящим на дневную поверхность.
2. Координату x менять от 0 до 100 м с шагом $\Delta x = 5$ м. Начало координат поместить на правую границу пласта.
3. Пересчетный коэффициент радиометра K принять равным 2860 ((мкР/ч)·см²)/г.
4. Высоту точки измерения h и содержание урана Q_U взять согласно заданному варианту (табл. 1).

Таблица 1

вариант данные	1	2	3	4	5	6	7
$Q_U, \%$	0,001	0,002	0,003	0,004	0,005	0,006	0,007
$h, м$	0,5	1	1,5	2	2,5	3	0,5
$\Delta H, м$	40	40	40	50	50	50	60

продолжение табл. 1

вариант данные	8	9	10	11	12	13	14
$Q_U, \%$	0,008	0,009	0,01	0,02	0,03	0,04	0,05
$h, м$	1	1,5	2	2,5	3	1	2
$\Delta H, м$	60	60	50	50	50	40	40

4. Результаты расчета привести в виде графика, под которым поместить разрез в соответствующем масштабе (рис. 2).

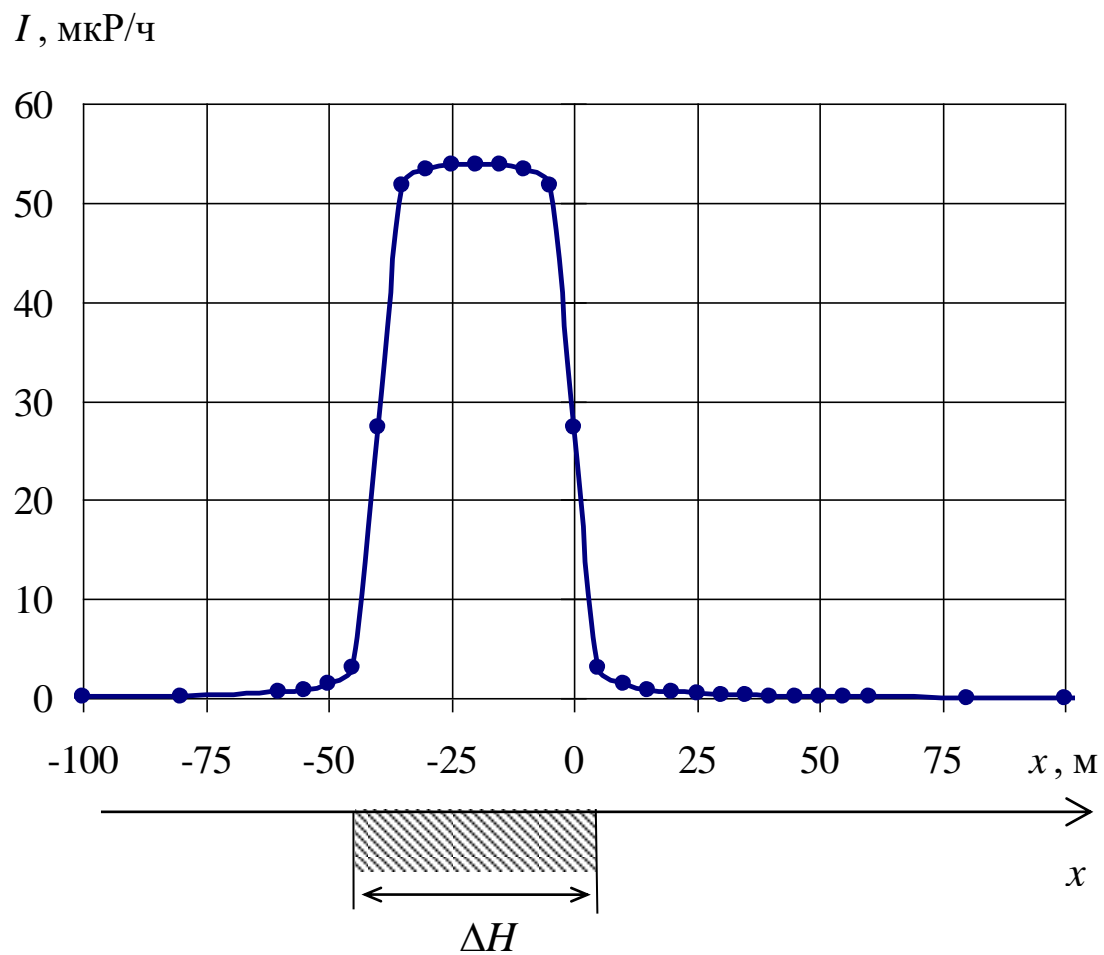


Рис. 2. Интенсивность гамма-излучения над радиоактивным пластом, выходящим на дневную поверхность

Лабораторная работа № 12

Изучение характера инерционных искажений при аэро-гамма-съемке

Радиометры для регистрации гамма-поля обладают инерционностью, т.е. запаздыванием показаний прибора во времени. Инерционность обусловлена наличием в усилительно-регистрирующей схеме интегрирующего контура – RC-цепочки. При неподвижном радиометре, например при пешеходной гамма-съемке, это обстоятельство не влияет на показание прибора. Однако при съемке в движении (авто-, аэро-гамма-съемка) записанная кривая интенсивности искажается – она смещается в сторону движения радиометра, а максимум уменьшается по амплитуде. Поэтому записанная кривая не соответствует фактической интенсивности. При авто-гамма-съемке искажениями обычно пренебрегают из-за невысокой скорости перемещения радиометра, зато при аэро-гамма-съемке искажения необходимо учитывать.

Для выяснения характера инерционных искажений необходимо перестроить теоретически рассчитанную кривую в кривую, которую записал бы аэро-гамма-радиометр при съемке.

Расчет теоретической кривой интенсивности точечного источника для высоты h производится по формуле

$$I_i^{\text{теор}} = I_o \frac{e^{-\mu_v \sqrt{h^2 + x_i^2}}}{h^2 + x_i^2}, \quad (1)$$

где I_o – интенсивность гамма-поля на поверхности земли, μ_v – коэффициент ослабления гамма-излучения в воздухе, x_i – координата i -ой точки по профилю.

Записанная интенсивность гамма-излучения в i -ой точке профиля:

$$I_i^{\text{зап}} = (1 - e^{-\frac{\Delta t}{\tau}}) \cdot I_i^{\text{теор}} + e^{-\frac{\Delta t}{\tau}} \cdot I_{i-1}^{\text{зап}}, \quad (2)$$

где $I_i^{\text{теор}}$ – теоретическая интенсивность гамма-излучения в i -ой точке профиля; $I_{i-1}^{\text{зап}}$ – записанная интенсивность гамма-излучения в предыдущей точке, т.е. в точке с номером $i-1$; τ – постоянная времени радиометра, определяемая произведением R на C ; Δt – интервал времени между соседними отсчетами интенсивности гамма-излучения.

Интервал времени Δt между соседними отсчетами интенсивности гамма-излучения можно найти, зная расстояние Δx между соседними отсчетами в м и скорость движения самолета v в м/с:

$$\Delta t = \frac{\Delta x}{v}. \quad (3)$$

Задание

1) Рассчитать по формуле (1) и построить с шагом $\Delta x=50$ м теоретическую кривую интенсивности гамма-поля точечного источника, находящегося на дневной поверхности. Расчет кривой провести для точек с координатами x , из-

меняющимися от -300 до 300 м.

2) По формуле (2) перестроить полученную кривую в записанную, приняв $\tau=2$ с, $v=180$ км/ч, $\Delta x=50$ м. При вычислении первого значения $I_i^{\text{зап}}$ $I_{i-1}^{\text{зап}}$ принять равной нулю.

3) Результаты вычисления $I_i^{\text{теор}}$ и $I_i^{\text{зап}}$ привести на графике (рис 1, 2).

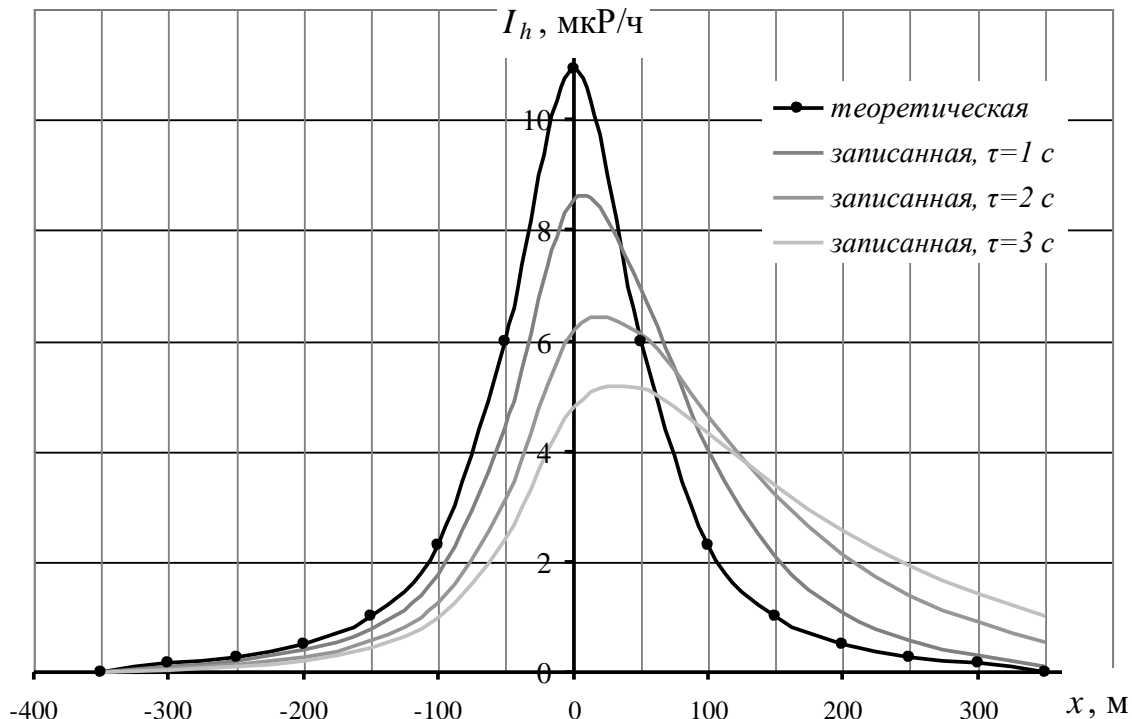


Рис. 1. Теоретическая кривая интенсивности гамма-поля точечного источника, находящегося на дневной поверхности, и записанная при аэро-гамма-съемке со скоростью самолета 180 км/ч

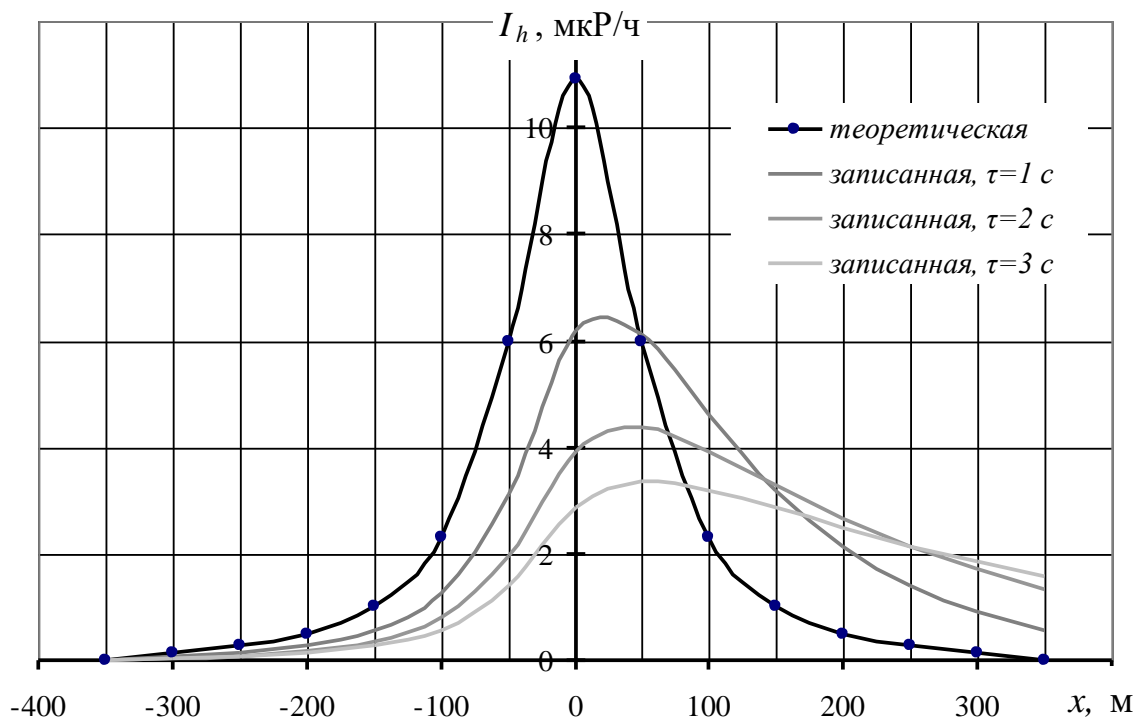


Рис. 2. Теоретическая кривая интенсивности гамма-поля точечного источника, находящегося на дневной поверхности, и записанная при аэро-гамма-съемке со скоростью самолета 360 км/ч

4) Определить коэффициент инерционных искажений Q радиометра по формуле

$$Q = \frac{I_{\max}^{\text{ист}}}{I_{\max}^{\text{зап}}} . \quad (4)$$

таблица 1

Условия расчета:

вариант	Вариант 1	Вариант 2	Вариант 3	Вариант 4	Вариант 5	Вариант 6	Вариант 7	Вариант 8	Вариант 9	Вариант 10
параметр										
I_0 , мкР/ч	$6 \cdot 10^4$	$5 \cdot 10^4$	$4 \cdot 10^4$	$3 \cdot 10^4$	$2 \cdot 10^4$	$5 \cdot 10^4$	$4 \cdot 10^4$	$3 \cdot 10^4$	$2 \cdot 10^4$	$1 \cdot 10^4$
μ_B , М ⁻¹	$4 \cdot 10^{-3}$									
h , м	70	60	50	40	30	70	60	50	40	30

Лабораторная работа № 13

Обработка результатов аэро-гамма-съемки

Вследствие инерционности радиометрической аппаратуры кривые изменения интенсивности гамма-излучения, регистрируемые при движении самолета, искажаются. Форма аномалии сглаживается и растягивается в направлении движения, максимальные амплитуды уменьшаются. Особенно велико влияние инерционности для измерений гамма-поля на мало-мощных активных участках.

При обработке результатов аэро-гамма-съемки необходимо вводить поправки за инерционные искажения, то есть восстанавливать действительный вид кривой.

Действительные значения интенсивности гамма-излучения можно вычислить по записанным данным в движении следующим образом:

$$I_i^{\text{действ}} = \frac{I_i^{\text{зап}} - e^{-\frac{\Delta t}{\tau}} \cdot I_{i-1}^{\text{зап}}}{1 - e^{-\frac{\Delta t}{\tau}}} \quad (1)$$

где $I_i^{\text{зап}}$ – записанная интенсивность гамма-излучения в i -ой точке профиля; $I_{i-1}^{\text{зап}}$ – записанная интенсивность гамма-излучения в предыдущей точке, т.е. в точке с номером $i-1$; τ – постоянная времени радиометра, определяемая произведением R на C ; Δt – интервал времени между соседними отсчетами интенсивности гамма-излучения.

Интервал времени Δt между соседними отсчетами интенсивности гамма-излучения можно найти, зная расстояние Δx между соседними отсчетами в м и скорость движения самолета v в м/с:

$$\Delta t = \frac{\Delta x}{v} . \quad (2)$$

Задание

В таблице 1 приведены результаты измерения интенсивности гамма-излучения над вертикальным радиоактивным пластом, выходящим на дневную поверхность, записанные при аэро-гамма-съемке. При этом скорость движения самолета v соответствовала 180 км/час, расстояние между соседними отсчетами Δx соответствовало 50 м, постоянная времени прибора τ соответствовала 2 с.

1) По заданному варианту зарегистрированной при аэро-гамма-съемке кривой (таблица 1) восстановить действительные значения интенсивности гамма-излучения над пластом, используя формулу (1).

2) Построить графики $I_i^{\text{зап}}$ и $I_i^{\text{действ}}$, как показано на рис 1.

таблица 1

№ варианта	1	2	3	4	5	6	7	8	9	10	11	12	13	14
x, м	$I_{\text{зап}}$, МКР/ч													
0	2	2	2	2	2	2	2	1	1	2	2	1	1	1
50	2	2	2	2	2	2	2	1	1	2	2	1	1	1
100	3	4	3	3	3	3	3	2	2	3	3	2	2	2
150	3	5	4	4	4	4	3	3	3	4	4	2	2	2
200	4	5	5	4	4	5	4	3	3	4	5	3	3	3
250	4	6	5	5	5	5	4	4	3	5	5	3	3	3
300	4	6	6	5	5	5	5	5	4	5	5	3	3	3
350	4	7	7	5	5	6	6	7	5	6	6	3	3	4
400	4	7	7	5	6	7	8	11	7	6	8	3	4	5
450	5	8	9	6	6	7	9	20	12	6	9	3	4	6
500	5	8	10	7	6	8	13	122	62	7	14	3	4	7
550	5	9	13	17	7	10	21	279	141	8	64	4	5	9
600	5	11	22	33	8	13	122	380	192	10	143	4	6	15
650	6	13	123	43	9	21	279	444	224	15	193	4	7	85
700	7	21	279	49	12	122	380	483	243	75	225	5	12	195
750	9	121	380	53	19	278	443	507	255	169	245	6	72	265
800	16	277	442	55	119	378	481	521	262	229	256	9	165	309
850	114	376	479	56	272	439	503	527	265	265	262	58	225	335
900	262	431	495	57	366	470	510	525	264	284	263	132	258	346
950	263	370	410	47	329	394	418	428	215	238	215	133	221	286
1000	170	238	262	32	212	252	267	273	138	153	139	86	142	183
1050	108	151	166	22	134	160	169	172	88	98	89	55	90	116
1100	69	97	106	16	86	102	107	109	56	63	58	36	57	74
1150	45	63	68	12	56	66	69	70	36	41	38	23	37	47
1200	29	42	45	9	37	43	45	45	24	28	26	16	24	31
1250	20	29	30	8	25	29	30	30	17	20	18	11	17	21
1300	14	20	21	7	18	21	21	21	12	14	14	8	12	14
1350	11	15	16	6	13	15	15	15	9	11	11	6	9	10
1400	8	12	12	6	10	12	11	11	7	9	9	5	7	8
1450	7	10	10	6	9	10	9	8	6	8	8	4	5	6
1500	6	9	8	5	7	8	8	7	5	7	7	4	5	5
1550	5	8	7	5	7	7	7	6	4	6	6	4	4	5
1600	5	7	7	5	6	7	6	5	4	6	6	3	4	4
1650	5	7	6	5	6	6	5	4	4	6	6	3	4	4
1700	4	7	6	5	6	6	5	4	4	5	5	3	3	4
1750	4	6	6	5	5	6	5	4	3	5	5	3	3	3
1800	4	6	5	5	5	5	4	4	3	5	5	3	3	3
1850	4	6	5	5	5	5	4	3	3	5	5	3	3	3
1900	4	6	5	5	5	5	4	3	3	5	5	3	3	3

3) Определить координаты границ пласта x_1 и x_2 в м по половине максимального значения интенсивности гамма-излучения I_{max} над пластом.

4) Определить мощность пласта в м: $h = x_2 - x_1$.

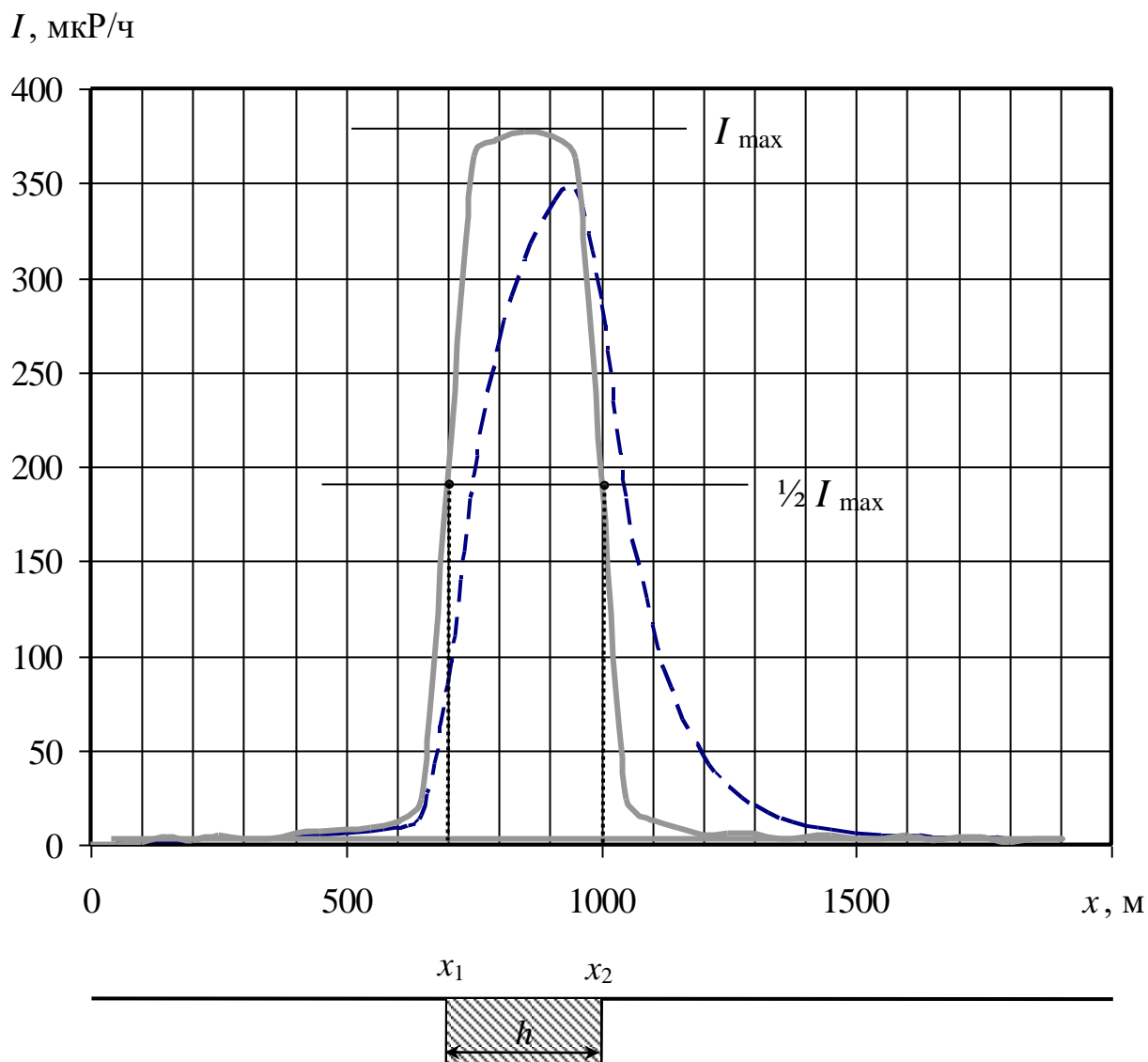


Рис.1. Интенсивность гамма-излучения над радиоактивным пластом, зарегистрированная при аэро-гамма-съемке (пунктирная линия), и действительная (сплошная линия)

Лабораторная работа № 14

Интерпретация диаграмм гамма-каротажа (ГК) скважин графическим способом

При количественной интерпретации диаграмм гамма-каротажа определяют два параметра:

- положение границ радиоактивного пласта и его видимую мощность $h_{в}$;
- концентрацию радиоактивного элемента Q_U .

Во всех известных способах интерпретации используется пропорциональная зависимость между интенсивностью гамма-излучения и концентрацией радиоактивного вещества.

Способ определения границ пласта зависит от того, резкие или нерезкие у него границы.

Резкость границ пласта оценивают по величине проекции на ось глубин «прямолинейного» участка крыла графика гамма-аномалии p , продолженного до пересечения с уровнем фона (рис. 1).

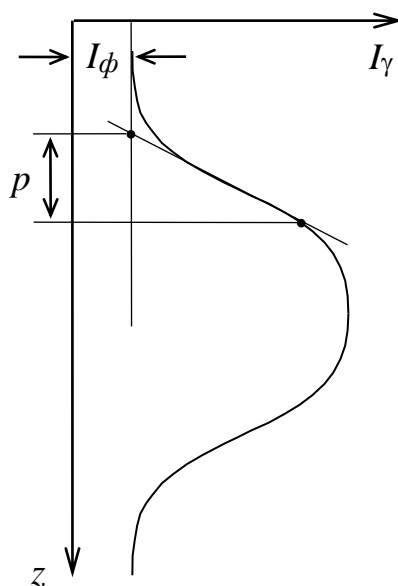


Рис. 1. Определение резкости границ пласта

Если величина отрезка $p < 100/\delta$ (где δ - плотность руды в $г/см^3$), то граница пласта резкая, если величина отрезка $p \geq 100/\delta$, то граница пласта нерезкая.

В зависимости от того, резкие или нерезкие границы у пласта, насыщен ли пласт по гамма-излучению или нет, для определения его мощности используют один из трех способов.

Если пласт имеет резкие границы, т.е. когда концентрация радиоактивного элемента от вмещающих пород к руде меняется резко или скачком, то используют один из следующих способов:

1) Способ « $1/2 I_{max}$ », если пласт насыщен по гамма-излучению, т.е. если ширина аномалии ГК на ее полувывсоте $Z_{1/2} \geq 50$ см;

2) Способ « $4/5 I_{max}$ », если пласт не насыщен по гамма-излучению, т.е. если ширина аномалии ГК на ее полувывсоте $Z_{1/2} < 50$ см.

Суть способа « $1/2 I_{max}$ » проиллюстрирована на рис. 2, где приведены примеры определения мощности для случая, когда фоновое гамма-излучение со стороны кровли и подошвы пласта одинаково (а) и разное (б).

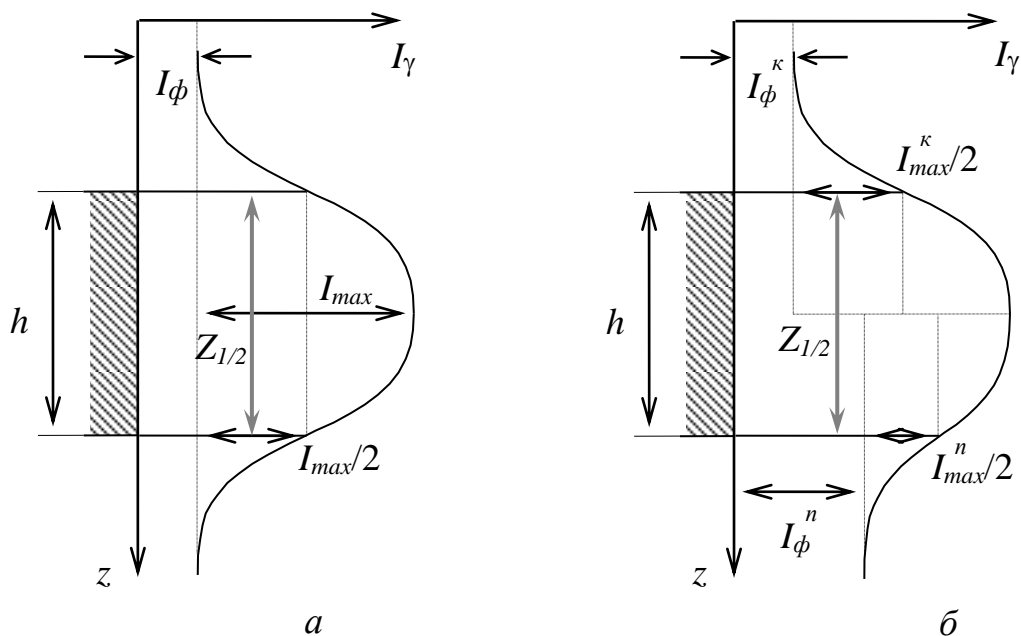


Рис. 2. Определение границ пласта и его мощности по способу « $1/2 I_{max}$ »

Суть способа « $4/5 I_{max}$ » проиллюстрирована на рис. 3., где приведены примеры определения мощности для случая, когда фоновое гамма-излучение со стороны кровли и подошвы пласта одинаково (а) и разное (б).

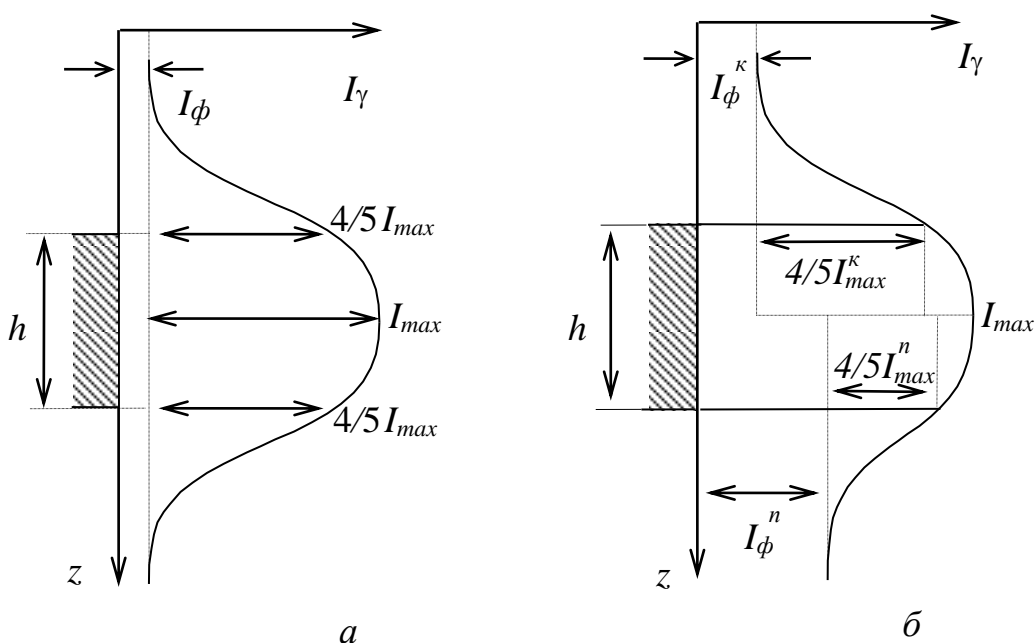


Рис. 3. Определение границ пласта и его мощности по способу « $4/5 I_{max}$ »

Если пласт имеет нерезкие границы, т.е. когда концентрация радиоактивного элемента от вмещающих пород к руде меняется постепенно, то используют способ «заданной интенсивности»:

3) Способ « $I_{\text{зад}}$ ».

По способу « $I_{\text{зад}}$ » границы рудных интервалов находят по проекциям на ось глубин точек диаграммы, в которых интенсивность гамма-излучения равна заданной. Заданная интенсивность определяется бортовым (заданным) содержанием урана:

$$I_{\text{зад}} = 100 \cdot K_0 \cdot Q_U^{\text{зад}} \quad (1)$$

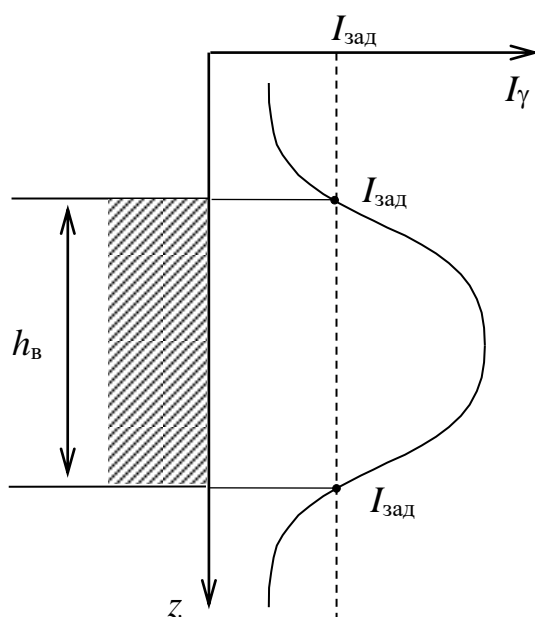


Рис. 4. Определение границ пласта и его мощности по способу « $I_{\text{зад}}$ »

Если скважина, в которой проводилась запись диаграммы ГК, не обсажена и не заполнена промывочной жидкостью, то содержание урана Q_U в пласте вычисляют по формуле:

$$Q_U = \frac{S}{100 \cdot K_0 \cdot h_{\text{в}}}, \quad (2)$$

где S – площадь гамма-аномалии на диаграмме ГК в см·мкР/ч; K_0 - пересчитанный коэффициент прибора в (мкР/ч)/0,01 % U; $h_{\text{в}}$ - видимая мощность пласта в см.

На рис. 4 приведены примеры определения площади аномалии по диаграмме ГК для случая одинаковых (а) и разных величин (б) фонового гамма-излучения со стороны кровли и подошвы пласта.

Площадь гамма-аномалии S определяется путем подсчета количества клеточек N внутри аномалии и умножением полученного значения на масштаб диаграммы по оси глубин C_z и и масштаб диаграммы по оси интенсивности C_I :

$$S = N \cdot C_Z \cdot C_I \quad (2)$$

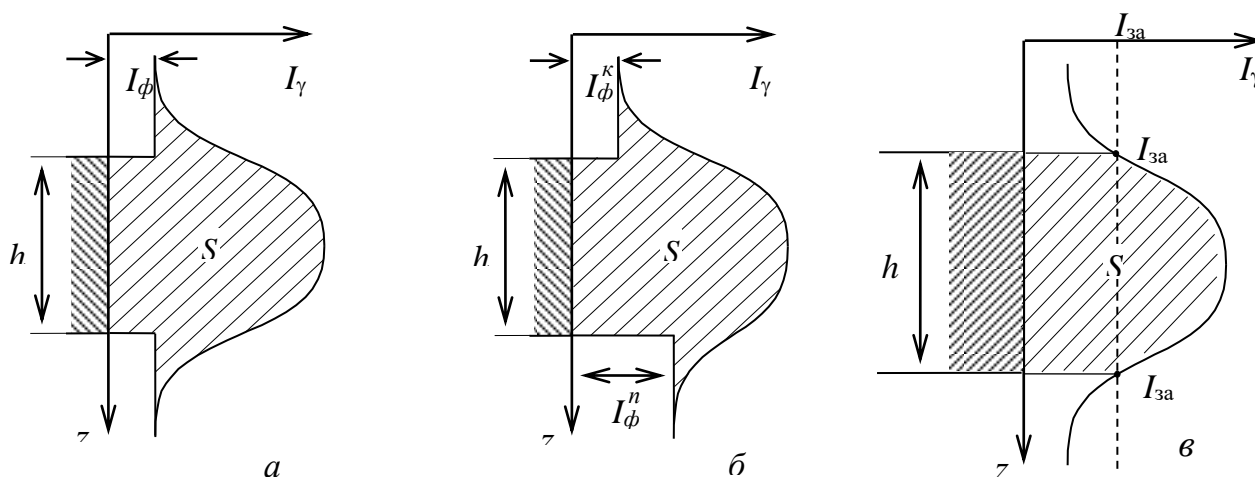


Рис. 5. Определение площади гамма-аномалии от радиоактивного пласта: *а* – с резкими границами и одинаковым уровнем фона со стороны кровли и со стороны подошвы пласта, *б* – с резкими границами и разным уровнем фона со стороны кровли и со стороны подошвы пласта, *в* – с нерезкими границами

Задание

По выданной преподавателем диаграмме ГК, зарегистрированной в сухой необсаженной скважине на одном из урановых месторождений, определить:

1) резкость границ пласта со стороны кровли и подошвы, как показано на рис. 1, сравнив величину отрезка p с величиной $100/\delta$ (где δ - плотность руды в г/см^3 указана на диаграмме ГК);

2) по величине отрезка $Z_{1/2}$ (рис. 2) определить, насыщен ли пласт по гамма-излучению;

3) в зависимости от того, резкие или нерезкие границы у пласта, насыщен ли пласт по гамма-излучению или нет, определить его границы и мощность h , правильно выбрав способ определения;

4) используя формулу (2), вычислить содержание урана в пласте Q_U и сравнить его со средним содержанием урана в земной коре ($3 \cdot 10^{-4} \%$). Сделать выводы.

Лабораторная работа №15

Оценка качества радиометрической съемки

Цель работы: получить практические навыки выявления грубых, систематических и случайных ошибок наблюдений при анализе результатов полевой гамма-съемки (γ -съемки).

Надежность, а иногда и принципиальная возможность изучения тех или иных особенностей геологического строения, зависит от того, с какой погрешностью выявлены физические поля, несущие геологическую информацию. Эта погрешность может возникать как за счет неточности самих измерений, так и за счет того, что результаты измерений содержат составляющие, не связанные с геологическим строением, которые не удастся полностью исключить при обработке наблюдений. Поэтому при проектировании и оценке выполненных геофизических работ всегда обсуждается вопрос о допустимой погрешности измерений.

Погрешностью измерения называется отклонение результата измерения от истинного значения измеряемой величины. Погрешности измерений обуславливаются различными факторами. При радиометрических и ядерно-геофизических измерениях они включают:

- 1) ошибки, связанные со статистической природой радиоактивности (статистика счета);
- 2) аппаратные ошибки, связанные с нестабильностью работы отдельных блоков аппаратуры (инструментальные ошибки);
- 3) методические ошибки, связанные с эталонированием, непостоянством вещественного состава, плотности и других характеристик горных пород, руд, наличием «мешающего» фона;
- 4) ошибки, связанные с отбором и подготовкой проб;
- 5) ошибки оператора, включая ошибки округления при взятии показаний прибора.

Изучение всех возможных источников ошибок и закономерностей их возникновения позволяет разделить все ошибки на три вида: *грубые, систематические* и *случайные*.

Грубые ошибки возникают чаще всего из-за неопытности наблюдателя. Это неправильно взятые отсчеты, ошибки при записи, описки и т.д. Такие ошибки подлежат исключению и в дальнейшем не рассматриваются.

Систематические ошибки возникают главным образом из-за неправильных показаний прибора или ошибок, допущенных при градуировании радиометров и т.д. Примером таких ошибок являются ошибки, возникающие при измерениях неправильно проградуированным прибором или при пользовании загрязненных или разубоженных эталонов (разубоживание - снижение содержания радиоактивных элементов в эталоне за счет смеше-

ния с пустой породой). Систематические ошибки необходимо выявить. Причины их возникновения должны быть устранены.

Существует несколько способов выявления систематических ошибок путем анализа результатов основных и повторных измерений (число повторных измерений обычно составляет 5-10 % от общего числа наблюдений).

1. Корреляционный способ. Сущность этого способа сводится к сравнению результатов основных и контрольных измерений. Для этого на координатную сетку (рис. 1) наносятся результаты основных x_o и контрольного x_k измерений.

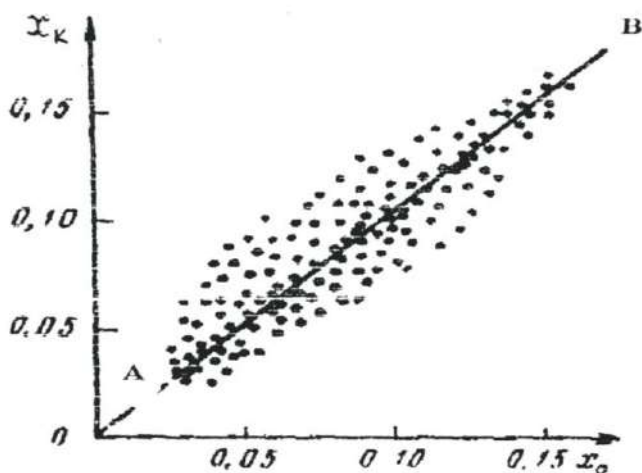


Рис.1. Корреляционный способ выявления систематической ошибки измерений

Через совокупность точек проводится линия AB так, чтобы точки располагались симметрично относительно этой линии. Если линия AB проходит через начало координат под углом 45° , систематическая ошибка отсутствует. Другие случаи будут свидетельствовать о ее наличии.

2. Способ вариационной кривой. В этом способе расхождения между первичным и повторным наблюдениями принимают за величину ошибки каждого измерения. Затем подсчитывают количество случаев, когда ошибка лежит в определенном интервале, и определяют процент случаев от общего числа повторных наблюдений:

$$n = \frac{n_i}{N} \cdot 100\% ,$$

где n_i – число случаев в i -м интервале; N – число повторных наблюдений. Результаты вычислений изображают графически в виде вариационной кривой (рис. 2).

При наличии систематических ошибок максимум кривой может сместиться с нуля. По величине смещения максимума можно определить величину систематической ошибки.

Случайные погрешности измерений по абсолютной величине невелики и связаны с различными факторами при производстве работы. По характеру распределения случайных ошибок удастся объективно оценить качество проведенных измерений.

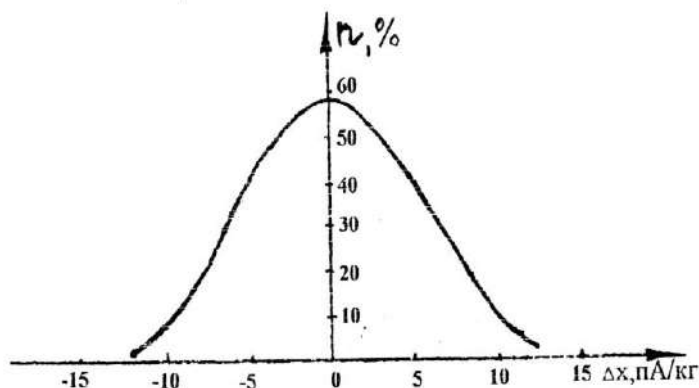


Рис. 2. Вариационная кривая ошибок измерения

Оценка случайных погрешностей производится при обработке измерений. Математическая теория погрешностей опирается на следующие свойства случайных ошибок:

- появление ошибок со знаком «+» и со знаком «-» равновероятно;
- появление ошибок больших (по абсолютной величине) менее вероятно, чем появление малых ошибок;
- сумма всех ошибок (с учетом знака) при числе измерений $n \rightarrow \infty$ равна 0.

Случайные ошибки имеют нормальное распределение при $n \rightarrow \infty$ и графически выражаются колоколообразной кривой, характер которой оценивается либо дисперсией, либо средним квадратическим значением.

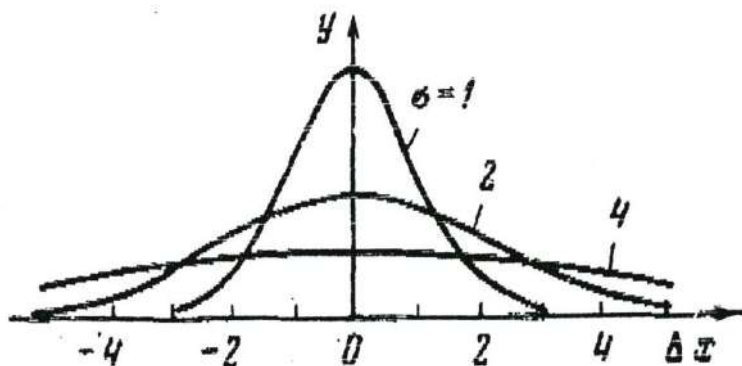


Рис. 3. Кривая нормального распределения случайных ошибок измерений

На рис. 3 показан характер распределения ошибок в виде вариационных кривых, построенных с различной степенью достоверности.

Как видно из рисунка, распределение погрешностей симметрично относительно Δx по оси абсцисс с центром в точке 0, а качество измерений определяется величиной дисперсии σ – чем она меньше, тем качество измерений выше, т.к. наибольшая часть ошибок приходится на малые значения σ .

Для определения закона распределения параметра и степени надежности такого распределения пользуются понятием доверительного интервала от $X + \Delta X$ до $X - \Delta X$, в который попадает истинное значение величины X . Надежность такого определения (α) зависит от числа измерений n и от величины доверительного интервала (табл. 1).

Таблица 1

При обработке полевых материалов радиометрических методов доверительный интервал выбирается в пределах от $(\chi - 3\sigma)$ до $(\chi + 3\sigma)$.

Доверительный интервал	Надежность α , %
От $(\chi - \sigma)$ до $(\chi + \sigma)$	68,3
От $(\chi - 2\sigma)$ до $(\chi + 2\sigma)$	95,0
От $(\chi - 3\sigma)$ до $(\chi + 3\sigma)$	99,7

Достоверность приведенных радиометрических съемок оценивают путем расчета средней квадратической погрешности съемки по результатам контрольных наблюдений

$$\sigma = \pm \sqrt{\frac{\sum_{i=1}^n (x_{i_1} - x_{i_2})^2}{2n - 1}}$$

где x_{i_1}, x_{i_2} — соответственно рядовое и контрольное измерение гамма-поля; n — число контрольных измерений.

Точность съемки считается удовлетворительной, если $\sigma \leq P$, где P — точность используемого прибора.

Задание

1. Из полевого журнала (прил. 1) выписать в табл. 2. результаты основных P_1 и контрольных P_2 измерений гамма-поля.

Таблица 2

Результаты измерений гамма-поля

№ замера	P_1 , пА/кг	P_2 , пА/кг	$\Delta = P_1 - P_2$, пА/кг	Δ^2 , пА/кг
1.				
2.				
....				
				$\sum_{i=1}^n \Delta^2$

2. Вычислить расхождение значений гамма-поля между основными P_1 и контрольными P_2 замерами с соответствующими знаками $\Delta = P_1 - P_2$

3. По величине расхождения выявить наличие грубых ошибок и исключить их из дальнейшей обработки.

4. Оценить наличие систематической погрешности одним из описанных способов (корреляционный способ, способ вариационной кривой).

6. Вычислить среднюю квадратическую погрешность:

$$\sigma = \sqrt{\frac{\sum_{i=1}^n \Delta^2}{2n - 1}}$$

7. Оценить качество выполненной гамма-съемки.

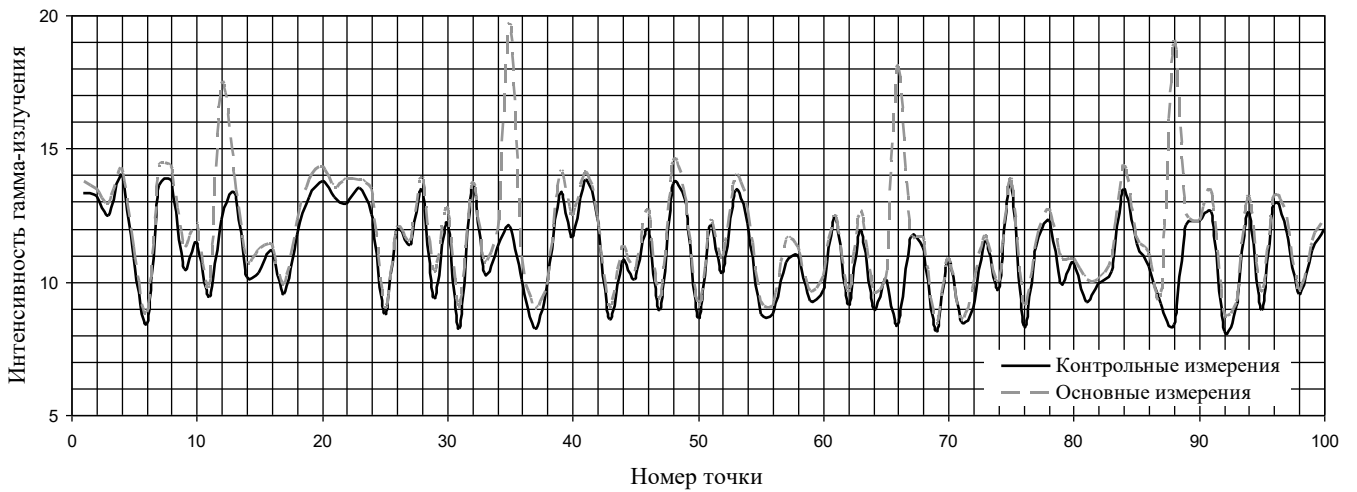


Рис 4. Графики основных и контрольных измерений

На рис. 4 хорошо видны 4 грубые ошибки – на пикете 12, 35, 66, 88. Эти значения при обработке результатов подлежат исключению.

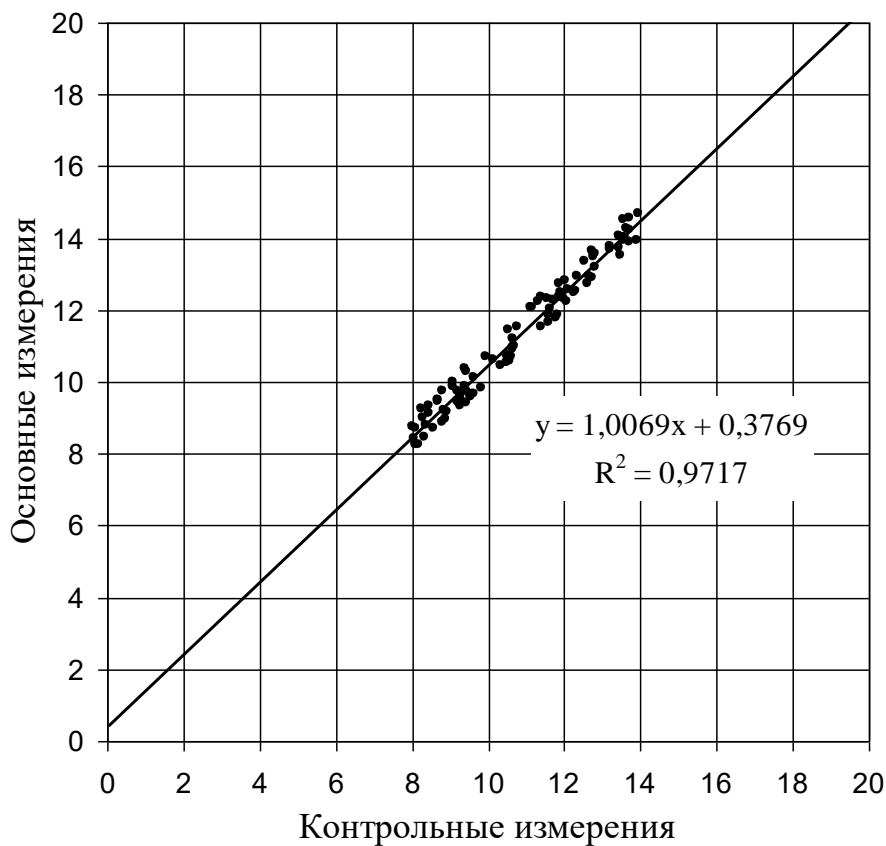


Рис. 5. Корреляция между основными и контрольными измерениями

На рис. 5 линия тренда не выходит из начала координат и угол ее наклона отличается от 45° . Это означает, что в результатах измерений гамма-поля присутствует систематическая ошибка. Это видно и на рис.4 – все точки графика контрольных наблюдений лежат ниже точек основных наблюдений, т.е. основные наблюдения завышены по сравнению с контрольными наблюдениями. Свободный член в уравнении регрессии (0,38) указывает на величину завышения показаний при основных измерениях.

Вариант 1					
№ П/П	P ₁	P ₂	№ П/П	P ₁	P ₂
1	2	3	1	2	3
1	11,7	12,1	51	13,1	14,0
2	11,6	11,7	52	11,9	12,5
3	12,2	12,8	53	10,4	10,9
4	9,7	9,7	54	12,2	12,5
5	9,0	9,3	55	12,0	12,3
6	9,2	9,2	56	12,2	13,1
7	13,1	13,3	57	12,6	12,9
8	8,7	9,3	58	11,3	11,6
9	11,7	12,0	59	14,0	14,8
10	13,0	13,9	60	11,3	11,4
11	12,8	13,3	61	12,5	13,4
12	11,3	17,4	62	13,9	14,0
13	8,0	8,9	63	10,7	10,8
14	13,5	13,5	64	13,5	14,5
15	12,8	12,9	65	12,4	12,8
16	11,3	12,0	66	9,6	18,1
17	10,3	10,4	67	9,8	9,8
18	10,3	11,1	68	13,1	13,4
19	12,9	13,8	69	11,3	11,6
20	9,5	10,0	70	11,9	11,9
21	13,8	14,0	71	11,0	11,2
22	11,7	12,5	72	11,2	12,0
23	11,8	11,8	73	8,4	9,3
24	9,6	10,4	74	11,1	11,2
25	8,2	8,4	75	9,5	10,1
26	8,4	9,0	76	11,0	11,9
27	11,3	12,1	77	9,5	10,2
28	10,3	10,7	78	12,2	13,0
29	11,4	12,0	79	11,7	11,9
30	10,5	10,5	80	10,7	11,3
31	12,7	13,2	81	12,3	12,4
32	8,1	8,6	82	8,9	9,0
33	10,5	10,7	83	11,7	12,2
34	11,6	12,0	84	10,5	11,4
35	8,1	19,7	85	8,2	8,9
36	12,3	12,8	86	13,0	13,5
37	11,3	11,5	87	9,6	10,3
38	13,2	13,4	88	11,5	20,0
39	11,3	11,8	89	9,8	10,1
40	12,2	12,9	90	8,6	9,1
41	10,3	11,2	91	11,4	11,5
42	9,4	9,6	92	8,2	8,4
43	12,7	13,1	93	9,4	9,9
44	9,3	9,4	94	10,9	11,0
45	11,6	12,3	95	12,4	12,8
46	11,2	11,5	96	13,2	14,2
47	11,8	12,2	97	12,6	13,1
48	13,7	14,5	98	8,9	9,5
49	9,8	10,8	99	10,2	10,9
50	11,7	12,1	100	8,8	8,8

Вариант 2					
№ П/П	P ₁	P ₂	№ П/П	P ₁	P ₂
1	2	3	1	2	3
1	10,5	12	51	10,4	11,7
2	11,8	12,8	52	11	10,5
3	13,5	12,6	53	12,2	9,75
4	12,8	12	54	10,8	11,25
5	11,7	11	55	13,3	12,5
6	11,8	11,4	56	11	12,5
7	14	12,5	57	12,5	14,5
8	12,3	13,4	58	11,2	10
9	12	11,75	59	10	11,5
10	10,8	13,5	60	10,2	8,75
11	12,1	12,5	61	9,8	10,25
12	12,5	12,5	62	10,3	10,25
13	10,7	11,75	63	9,5	8,75
14	14,2	14	64	11	9,8
15	11,5	14,5	65	10,5	11,25
16	11,3	10,5	66	9,5	10
17	12	11,5	67	12	11,25
18	10,5	12	68	13	12
19	12,2	11,25	69	9,5	10
20	11,5	12,2	70	11	9,5
21	10,3	13,5	71	9,5	10,5
22	11,3	10,2	72	9,8	9,25
23	12	13	73	9,5	8,75
24	12,5	12	74	10,2	12
25	12,5	13,3	75	11,8	12,5
26	21,3	12,5	76	10,5	11,5
27	10,7	11,5	77	11	11,25
28	9,3	10,5	78	10	12,25
29	10,7	9,5	79	11	10,75
30	11,3	12,5	80	10,3	11
31	11,2	13,5	81	10,5	11,25
32	12,5	13,2	82	9,5	10,5
33	14,5	12,5	83	9,6	10,75
34	13,8	11,5	84	10,2	11,5
35	10,5	11,5	85	9,5	11,25
36	11	10,5	86	10,5	12,5
37	12,6	12	87	10,2	11,25
38	11,7	10,5	88	9,5	11,25
39	12,5	13,5	89	10,3	12
40	10	10,7	90	11	12,5
41	10	11,2	91	10	11,5
42	11,3	10	92	11,3	14,25
43	12,5	11,2	93	11,3	14,25
44	11,8	11,5	94	10,8	13,25
45	11,3	12,5	95	10	11,5
46	9,5	11,2	96	10,3	11
47	10	10,75	97	7,9	9,25
48	9,5	11,2	98	9,2	11
49	11,8	12	99	11,3	12
50	12,2	12,5	100	10,3	13,5

Вариант 3					
№ п/п	P ₁	P ₂	№ п/п	P ₁	P ₂
1			1	2	3
1	13,4	13,4	51	19,5	20,0
2	19,4	19,5	52	19,1	20,0
3	15,5	16,3	53	16,4	16,5
4	17,5	18,1	54	15,6	15,6
5	19,7	19,9	55	14,5	15,3
6	14,7	15,4	56	14,9	15,9
7	17,0	22,2	57	13,6	13,8
8	13,0	13,9	58	15,2	15,9
9	14,7	15,2	59	14,2	15,0
10	14,6	15,2	60	19,1	19,8
11	17,8	18,3	61	15,0	15,1
12	16,7	17,4	62	14,1	14,1
13	15,9	16,4	63	15,5	15,9
14	18,7	19,3	64	15,7	15,8
15	16,7	16,8	65	18,0	18,4
16	16,6	16,9	66	18,9	18,1
17	15,0	15,1	67	17,5	18,3
18	17,7	18,2	68	18,7	18,7
19	17,5	17,9	69	14,9	15,2
20	19,1	20,1	70	14,2	14,8
21	15,9	16,8	71	19,1	23,5
22	13,2	13,4	72	19,7	20,0
23	16,7	17,6	73	16,0	16,6
24	15,8	16,4	74	13,1	13,5
25	16,0	16,1	75	14,8	15,3
26	16,5	16,7	76	13,6	14,1
27	18,6	18,9	77	13,4	13,5
28	16,0	16,5	78	19,2	19,5
29	14,3	15,1	79	15,5	16,0
30	13,5	14,5	80	17,8	18,6
31	13,8	14,2	81	14,9	15,7
32	13,6	14,3	82	14,6	15,6
33	18,0	26,1	83	16,1	16,2
34	18,0	18,2	84	14,5	15,5
35	13,4	19,7	85	14,7	15,5
36	16,1	16,9	86	14,5	15,4
37	16,0	16,1	87	13,3	13,5
38	14,7	15,1	88	17,9	20,0
39	17,2	17,6	89	16,3	16,5
40	18,9	19,0	90	18,6	19,6
41	19,3	19,9	91	19,7	20,2
42	13,5	14,3	92	14,7	15,0
43	18,2	18,5	93	19,2	20,2
44	17,6	17,9	94	19,3	20,1
45	17,3	17,8	95	16,3	17,0
46	16,2	16,4	96	17,0	17,6
47	13,1	13,7	97	17,5	31,4
48	17,2	17,9	98	13,4	13,8
49	15,7	15,9	99	15,6	16,1
50	14,3	15,3	100	19,3	20,2

Вариант 4					
№ п/п	P ₁	P ₂	№ п/п	P ₁	P ₂
1	2	3	1	2	3
1	15,9	16,6	51	11,4	10,2
2	15,1	15,6	52	15,8	16,8
3	16,5	17,3	53	11,0	11,6
4	17,5	17,9	54	11,3	11,4
5	17,6	15,6	55	13,5	13,6
6	13,3	12,0	56	15,4	16,3
7	16,9	15,6	57	11,8	12,3
8	14,4	12,7	58	12,5	12,5
9	15,6	13,8	59	17,7	18,3
10	13,0	11,1	60	11,9	12,7
11	17,0	15,5	61	12,5	11,1
12	13,7	14,4	62	16,4	15,2
13	16,0	16,5	63	17,1	7,4
14	16,4	26,1	64	12,5	10,7
15	14,7	15,6	65	17,7	15,8
16	17,1	17,9	66	14,5	12,6
17	14,8	15,0	67	11,2	9,5
18	13,6	13,9	68	16,3	15,3
19	15,3	15,3	69	13,3	14,2
20	18,0	18,1	70	14,7	15,3
21	13,9	14,2	71	11,7	23,5
22	12,7	13,0	72	14,2	14,5
23	14,2	12,8	73	14,4	14,7
24	14,0	12,0	74	11,8	12,5
25	11,8	10,3	75	15,9	16,1
26	14,1	13,0	76	12,0	12,4
27	13,9	12,3	77	11,8	12,3
28	13,4	11,9	78	14,6	15,3
29	11,8	12,0	79	14,9	15,5
30	14,8	15,3	80	11,2	12,0
31	13,3	24,7	81	14,8	15,8
32	12,6	12,6	82	14,7	14,7
33	13,7	26,1	83	15,8	14,7
34	13,9	13,9	84	15,1	13,5
35	12,8	19,7	85	11,9	10,3
36	15,4	16,1	86	15,1	13,2
37	18,0	18,7	87	12,9	11,5
38	15,1	15,1	88	17,6	16,5
39	13,8	14,0	89	13,8	14,7
40	12,8	13,7	90	14,8	24,9
41	16,7	16,9	91	17,6	17,8
42	13,2	13,4	92	17,3	17,5
43	16,4	16,6	93	12,6	13,1
44	12,6	13,2	94	11,2	11,9
45	15,6	13,8	95	12,8	13,3
46	15,1	13,5	96	11,3	11,3
47	13,7	11,9	97	13,5	31,4
48	13,1	11,9	98	14,0	14,1
49	17,4	16,3	99	11,0	11,3
50	15,8	14,1	100	16,7	17,3

Вариант 5					
№ п/п	P ₁	P ₂	№ п/п	P ₁	P ₂
1	2	3	1	2	3
1	23,2	23,3	51	16,7	15,6
2	15,4	16,4	52	14,1	14,5
3	16,7	17,0	53	13,1	13,6
4	14,4	15,2	54	12,0	12,7
5	13,8	12,6	55	14,7	15,4
6	17,2	15,6	56	14,6	15,5
7	14,7	12,8	57	15,0	15,9
8	15,6	13,8	58	14,9	15,0
9	11,3	9,5	59	14,6	14,9
10	11,3	10,0	60	13,8	14,3
11	16,8	15,5	61	17,8	16,5
12	15,6	15,7	62	13,5	12,0
13	12,8	13,6	63	14,4	13,2
14	15,8	16,3	64	15,4	14,3
15	14,2	24,6	65	15,0	13,1
16	14,5	14,7	66	12,9	11,2
17	15,3	15,8	67	14,7	13,0
18	11,2	11,7	68	13,2	11,3
19	12,6	13,1	69	12,7	13,6
20	14,2	14,4	70	15,7	19,6
21	17,8	17,8	71	13,4	23,5
22	14,1	14,7	72	17,6	18,2
23	16,4	14,5	73	14,1	14,9
24	11,8	10,1	74	14,5	15,1
25	15,3	14,1	75	16,9	17,7
26	14,0	12,7	76	13,1	13,2
27	12,7	11,2	77	17,5	17,8
28	17,5	15,9	78	14,9	15,9
29	16,9	17,1	79	11,1	11,2
30	17,6	18,0	80	12,3	12,6
31	11,3	11,7	81	17,5	17,8
32	16,2	16,3	82	14,0	14,8
33	14,1	26,1	83	14,1	13,0
34	11,5	12,1	84	12,1	10,6
35	12,1	19,7	85	11,1	9,9
36	18,0	18,2	86	12,3	11,0
37	13,7	14,0	87	18,0	16,0
38	17,4	18,0	88	15,2	13,3
39	11,2	11,2	89	17,3	18,1
40	13,1	13,9	90	17,6	17,6
41	14,7	15,2	91	15,8	16,5
42	13,8	14,6	92	16,6	17,1
43	12,6	12,9	93	16,4	17,4
44	12,1	12,2	94	11,7	12,2
45	17,3	16,2	95	18,0	18,8
46	14,3	12,8	96	14,9	15,5
47	17,9	16,6	97	13,3	31,4
48	13,6	12,3	98	12,1	13,0
49	15,4	22,8	99	11,7	12,0
50	11,9	10,6	100	17,0	17,5

Вариант 6					
№ п/п	P ₁	P ₂	№ п/п	P ₁	P ₂
1	2	3	1	2	3
1	16,3	15,7	51	35,3	36,6
2	28,0	27,7	52	35,8	37,8
3	33,6	33,9	53	36,5	37,0
4	21,9	22,8	54	25,7	26,3
5	30,9	30,4	55	24,7	24,7
6	42,6	42,0	56	33,7	34,5
7	17,9	17,2	57	32,3	32,7
8	49,9	50,1	58	48,1	47,4
9	33,7	34,6	59	28,3	28,6
10	39,6	38,7	60	31,3	31,0
11	46,5	46,3	61	43,8	44,4
12	30,4	30,5	62	42,2	43,0
13	22,7	22,2	63	47,6	46,8
14	37,5	37,1	64	38,4	37,6
15	18,5	20,9	65	39,9	40,2
16	21,5	24,5	66	44,4	43,9
17	28,9	30,8	67	18,2	18,9
18	42,1	42,3	68	46,0	45,2
19	19,3	19,4	69	21,4	21,9
20	29,6	30,0	70	47,5	46,7
21	44,5	44,1	71	29,6	29,0
22	35,2	35,6	72	33,2	32,4
23	40,4	39,7	73	49,4	48,8
24	23,0	24,3	74	35,7	35,3
25	40,2	42,3	75	19,5	19,4
26	25,8	27,0	76	24,2	23,9
27	38,5	41,5	77	42,1	42,8
28	44,4	44,2	78	26,7	26,7
29	24,7	23,8	79	31,4	31,7
30	39,3	39,7	80	37,2	36,6
31	43,5	43,8	81	34,4	34,1
32	27,2	27,5	82	37,8	37,1
33	24,5	23,9	83	20,5	19,6
34	47,6	46,6	84	26,7	27,2
35	15,3	15,6	85	18,8	19,1
36	21,0	21,6	86	45,0	44,7
37	46,3	47,8	87	39,9	40,8
38	39,0	40,2	88	49,5	50,3
39	27,9	30,4	89	27,8	28,7
40	46,5	47,7	90	40,6	41,4
41	18,7	20,0	91	49,7	50,0
42	31,8	32,5	92	16,9	17,0
43	34,1	34,0	93	46,9	46,1
44	23,9	24,4	94	46,2	45,2
45	33,2	34,0	95	16,4	15,8
46	49,6	50,3	96	35,5	36,5
47	46,5	46,2	97	46,9	47,4
48	38,8	40,6	98	31,4	30,5
49	26,2	27,2	99	15,2	15,9
50	16,3	15,7	100	27,7	27,2

Вариант 7					
№ п/п	P ₁	P ₂	№ п/п	P ₁	P ₂
1	2	3	1	2	3
1	6,4	6,7	51	17,9	19,4
2	16,6	16,7	52	11,6	14,6
3	14,6	13,9	53	15,8	15,6
4	13,1	13,4	54	11,2	11,5
5	13,5	12,8	55	19,9	20,3
6	14,9	15,1	56	7,5	8,2
7	16,7	16,6	57	11,4	11,4
8	15,0	15,3	58	19,2	19,6
9	17,1	17,0	59	13,8	12,9
10	18,5	18,4	60	19,8	19,8
11	16,2	15,7	61	15,7	14,9
12	6,3	7,1	62	14,3	14,1
13	17,6	17,4	63	16,7	15,7
14	19,8	20,8	64	18,0	18,0
15	11,7	12,8	65	12,6	12,6
16	9,5	10,9	66	17,9	17,3
17	19,1	20,4	67	9,9	10,0
18	7,6	7,5	68	19,6	19,4
19	16,5	15,7	69	19,9	20,7
20	18,9	19,0	70	17,2	16,8
21	7,5	7,7	71	9,0	9,3
22	7,7	7,8	72	10,0	9,0
23	6,5	7,4	73	6,3	6,1
24	6,4	9,3	74	17,1	18,4
25	7,1	24,1	75	6,9	7,1
26	10,7	11,8	76	11,8	11,4
27	6,9	8,7	77	7,3	6,8
28	9,0	8,1	78	15,5	15,4
29	15,9	15,8	79	10,0	10,9
30	11,8	11,4	80	14,1	15,0
31	18,1	18,9	81	17,6	17,8
32	17,5	18,3	82	8,2	7,9
33	17,0	17,4	83	19,5	20,5
34	16,3	15,4	84	13,7	14,6
35	9,3	9,2	85	18,9	19,5
36	17,2	17,5	86	18,1	18,3
37	18,2	20,8	87	10,8	10,8
38	9,5	10,9	88	11,9	12,8
39	14,0	15,0	89	12,6	12,9
40	15,9	18,3	90	15,9	15,6
41	20,0	21,0	91	16,2	16,6
42	10,0	9,9	92	18,6	19,5
43	10,5	10,1	93	13,5	14,4
44	13,6	13,0	94	15,3	29,0
45	17,9	17,7	95	9,9	9,6
46	16,3	16,9	96	19,6	20,2
47	9,5	10,0	97	11,1	11,4
48	19,4	20,6	98	6,5	6,7
49	14,2	16,6	99	19,4	20,3
50	7,8	20,7	100	18,6	18,8

Вариант 8					
№ п/п	P ₁	P ₂	№ п/п	P ₁	P ₂
1	2	3	1	2	3
1	9,5	9,7	51	23,8	26,3
2	17,4	18,4	52	6,0	8,4
3	6,3	6,9	53	24,4	25,1
4	16,8	17,4	54	6,5	5,9
5	16,6	17,2	55	23,5	22,0
6	20,3	20,2	56	18,3	18,1
7	19,1	18,6	57	11,0	10,2
8	22,2	22,3	58	19,3	18,4
9	23,4	24,0	59	12,8	12,6
10	8,6	8,1	60	21,3	21,4
11	17,5	17,8	61	17,3	18,1
12	10,4	11,1	62	12,8	12,8
13	17,9	18,9	63	16,0	15,5
14	12,1	12,2	64	20,5	21,0
15	14,4	16,0	65	18,1	18,7
16	12,1	13,6	66	22,3	22,2
17	20,1	21,7	67	7,1	6,2
18	16,2	16,6	68	21,5	22,3
19	23,5	23,1	69	12,7	13,0
20	17,0	17,4	70	8,3	9,3
21	5,6	4,9	71	22,9	23,7
22	17,2	17,3	72	21,2	21,9
23	11,5	11,9	73	15,9	15,5
24	6,6	9,5	74	20,7	18,4
25	22,7	24,1	75	9,7	10,3
26	13,2	14,3	76	6,3	7,2
27	9,5	11,1	77	19,8	20,1
28	21,1	20,9	78	6,9	6,9
29	13,7	13,2	79	24,9	24,7
30	23,8	24,4	80	6,8	6,9
31	7,7	8,6	81	13,4	13,7
32	21,1	20,4	82	21,7	21,0
33	17,1	16,5	83	22,0	21,1
34	18,0	18,7	84	8,3	7,7
35	23,0	23,1	85	23,1	30,2
36	15,7	15,7	86	21,4	21,6
37	16,0	17,2	87	10,2	9,7
38	22,9	25,8	88	10,4	9,7
39	20,5	23,2	89	24,9	25,4
40	6,8	9,2	90	11,5	10,9
41	20,2	22,2	91	14,6	13,9
42	19,4	16,2	92	6,5	6,8
43	19,2	20,0	93	25,0	24,5
44	25,0	25,2	94	12,2	29,0
45	8,8	9,0	95	18,6	18,4
46	23,3	23,8	96	24,1	24,9
47	9,8	9,6	97	17,6	16,7
48	10,9	12,0	98	10,9	10,8
49	23,1	25,4	99	11,5	21,0
50	7,4	20,7	100	18,5	18,2

Вертикальное электрическое зондирование на модели

В электрическом зондировании изучается изменение удельного сопротивления горных пород по вертикальному направлению. Чтобы получить такую информацию необходимо в точке зондирования выполнить измерения при различной глубине проникновения электрического тока в землю. В электроразведке постоянным и низкочастотным током это достигается путем изменения расстояния между источником поля и точкой наблюдений. Такое зондирование называется *геометрическим* или *дистанционным*. По результатам измерений для каждого размера установки рассчитывается кажущееся сопротивление ρ_k . Изменение ρ_k при увеличении размера установки отражает изменение удельного сопротивления среды с глубиной.

Основная область применения электрического зондирования – изучение разрезов с пологими границами раздела. Но метод применяется и при изучении разрезов с локальными объектами.

Существует несколько модификаций электрического зондирования, различающихся типом используемых установок. Чаще всего применяется зондирование с симметричной установкой $AMNB$. Эта модификация называется *вертикальным электрическим зондированием* (ВЭЗ). При проведении измерений по методу ВЭЗ приемная линия MN располагается симметрично относительно точки зондирования O , к которой относятся результаты измерений. Питающие заземления A и B также располагаются симметрично относительно этой точки (рис. 1, *а*). В процессе работы расстояние между питающими заземлениями увеличивается примерно в геометрической прогрессии с коэффициентом 1,5 и при каждом разносе AB измеряется ρ_k .

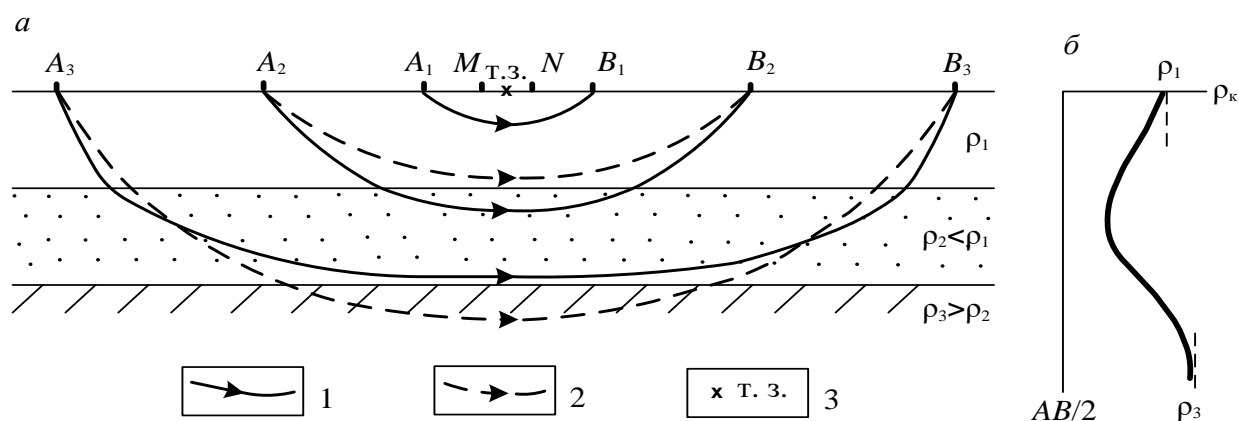


Рис. 1. К пояснению принципа электрического зондирования:

- а* – распределение тока в слоистом разрезе; *б* – кривая зондирования;
 1 – токовые линии в слоистой среде; 2 – то же в однородном полупространстве;
 3 – точка зондирования

Порядок измерений

Моделирование метода ВЭЗ в лабораторных условиях предлагается выполнить в ванне, заполненной влажным песком. Так как дно ванны является изолято-

ром, модель геоэлектрического разреза представляет собой двухслойную среду с нижним слоем бесконечного сопротивления. Латунные электроды устанавливаются в нужном положении на рейке. Для этого в рейке сделаны отверстия. Глубина погружения электродов в песок не должна превышать 2–3 мм (рис. 2).

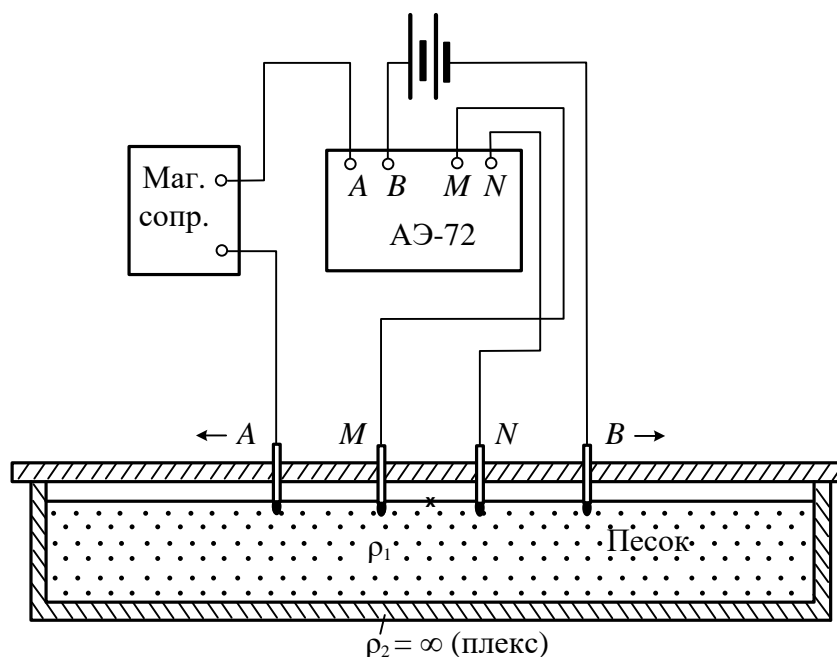


Рис. 2. Схема лабораторной установки

Измерения можно выполнять с любой аппаратурой постоянного или низкочастотного тока. На рис. 2 показана схема измерений с автокомпенсатором АЭ-72 и источником постоянного тока. В качестве источника тока можно использовать батарею гальванических элементов или аккумуляторов. Магазин сопротивлений включен в питающую линию для того, чтобы если при малых разностях AB разность потенциалов ΔU на приемных электродах превысит 1000 мВ (это максимальная величина, которую может измерить АЭ-72), можно было уменьшить силу тока и таким образом понизить измеряемую ΔU . Аналогичную схему можно собрать с любым другим измерителем постоянного тока.

Если измерения производятся с аппаратурой низкочастотного переменного тока, например, с АНЧ-3 или ЭРА-В-ЗНАК, генератор включается в линию AB , а измеритель – в линию MN . В этом случае генератор и измеритель автономны и не соединяются между собой.

Собрав схему, устанавливают минимальные разности электродов AB и MN и выполняют измерения ΔU и I . Результаты измерений записывают в журнал и вычисляют кажущееся сопротивление по формуле

$$\rho_k = K \frac{\Delta U}{I} = \pi \frac{(AB/2)^2 - (MN/2)^2}{MN} \cdot \frac{\Delta U}{I}. \quad (1.2)$$

Коэффициенты установки K для всех разностей целесообразно вычислить заранее. Рассчитывать коэффициенты установки удобнее в сантиметрах, а потом перевести в метры. Если измерения выполняются с АЭ-72, следует помнить, что с этой аппаратурой ΔU измеряется в милливольтгах, а I – в сантиамперах.

Затем устанавливают следующий разнос AB и снова измеряют ΔU и I и

вычисляют ρ_k и т. д.

Так как при увеличении разноса питающих заземлений разность потенциалов ΔU быстро уменьшается (обратно пропорционально квадрату AB), начиная с некоторого размера питающей линии, увеличивают и разнос электродов MN . При одном разносе AB измерения выполняются с обоими разносами MN . Это делается для того, чтобы можно было учесть изменение удельного сопротивления ρ_{MN} среды между приемными заземлениями, пропорционально которому изменяется ρ_k . Измерения с двумя разносами электродов MN делают при двух соседних размерах линии AB . Так как отношение ρ_{M1N1}/ρ_{M2N2} для обоих разносов AB одинаково, одинаково и отношение $\rho_{kM1N1}/\rho_{kM2N2}$. Поэтому в логарифмическом масштабе отрезки кривой, построенные для первого и второго разносов MN , должны быть параллельны. Параллельность перекрывающихся отрезков кривой зондирования является одним из критериев оценки качества работ.

Когда достигается разнос электродов AB , при котором изменяется разнос MN , целесообразно выполнить все измерения с первым разносом приемных электродов, а потом вернуть электроды AB в предыдущее положение и продолжить измерения с новым разносом электродов MN . Такая методика более целесообразна, потому что в лабораторных условиях из-за малой длины приемной линии трудно точно восстановить положение электродов MN .

Одновременно с измерениями строится кривая зондирования – размер установки изменяется только после того, как на кривую нанесен результат измерения ρ_k . В случае резкого изменения хода кривой необходимо выполнить повторное измерение. Если второй результат отличается от первого более, чем на 5 %, производится третье измерение и принимаются два сходящихся результата. Результаты повторных измерений записываются в отдельные строчки журнала, а в графе "примечания" указывается, что это повторные измерения.

Рекомендуемая схема разносов питающей и приемной линий:

$AB/2$, см 1,5; 2,0; 3,0; 4,5; 4,5; 7,0; 7,0; 10,0; 15,0.

$MN/2$, см 0,5; 0,5; 0,5; 0,5; 1,5; 0,5; 1,5; 1,5; 1,5.

После окончания зондирования выполняют контрольные измерения на двух разносах AB . Эти измерения следует выполнить другому оператору. Результаты контрольных измерений записываются в отдельных строках журнала, с отметкой в графе "примечания", что это контрольные измерения. Необходимо понимать разницу между повторными и контрольными измерениями. Повторные измерения – это внутренний контроль, при котором оператор сам контролирует себя. Контрольные измерения – это объективный внешний контроль, при котором учитываются все факторы, которые могут вызвать погрешности измерений. Такими факторами могут быть погрешности установки электродов, индивидуальные особенности оператора и т. д. Для оценки качества работ используются только контрольные измерения.

Порядок обработки и интерпретации результатов

Так как зондирование выполнялось при двух разносах MN , кривая состоит из двух отрезков, смещенных один относительно другого. Перед интерпретацией необходимо выполнить монтаж кривой. Для этого один из отрезков

принимают за базовый, а другой переносят параллельно самому себе, так чтобы получилась цельная кривая (рис. 3).

Так как дно ванны имеет практически бесконечное сопротивление, конечная асимптота кривой зондирования представляет собой прямую линию, наклоненную к осям координат под углом 45° . Начальной асимптотой кривой является прямая, параллельная оси разносов, $\rho_k = \rho_1$.

Интерпретация таких кривых очень проста: точка пересечения асимптот имеет координаты, равные мощности верхнего слоя h_1 и его удельному сопротивлению ρ_1 (см. рис. 3).

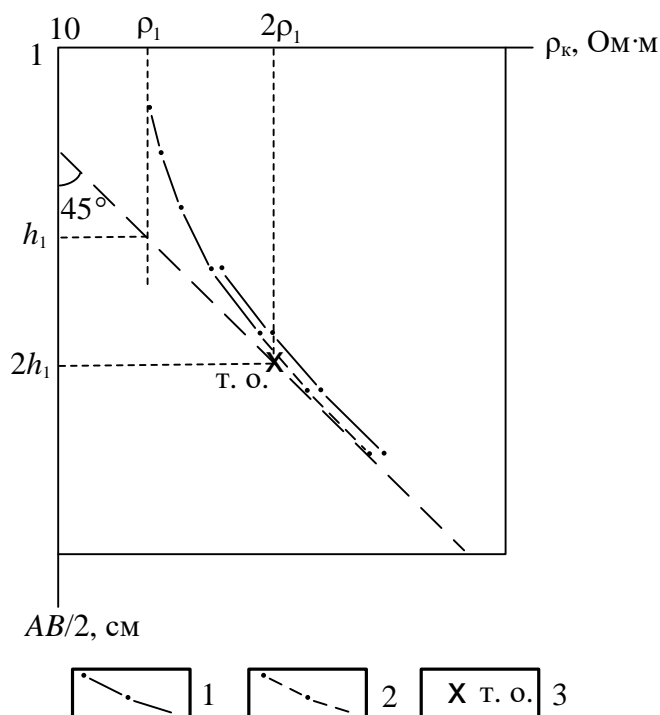


Рис. 3 Пример интерпретации двухслойной кривой ВЭЗ ($\rho_k = \infty$):
 1 – измеренная кривая ВЭЗ; 2 – перемещенный при монтаже отрезок кривой;
 3 – точка отрыва

Другим простым способом является интерпретация по точке отрыва. Это точка, в которой кривая отрывается от своей конечной асимптоты. Координаты точки отрыва $AB/2 \approx 2h_1$, $\rho_k \approx 2\rho_1$ (см. рис. 3).

Задание:

- 1) Собрать установку ВЭЗ.
- 2) Выполнить измерения ΔU и I для следующих разносов питающей и приемной линий:

$AB/2$, см : 1,5; 2,0; 3,0; 4,5; 4,5; 7,0; 7,0; 10,0; 15,0.

$MN/2$, см : 0,5; 0,5; 0,5; 0,5; 1,5; 0,5; 1,5; 1,5; 1,5.

Одновременно с измерениями построить кривую зондирования.

- 3) Выполнить монтаж кривой зондирования.
- 4) По кривой зондирования определить сопротивление верхнего слоя ρ_1 и его мощность h_1 двумя способами: по точке пересечения асимптот и по точке отрыва.

Симметричное электрическое профилирование на модели

В электрическом профилировании измерения выполняются с установкой одинакового размера, перемещающейся по пикетам профиля. В этом случае глубина исследования в разных точках примерно одинакова. Результаты измерений позволяют получить информацию об изменении удельного сопротивления горных пород вдоль профиля. По результатам измерений в каждой точке вычисляется кажущееся сопротивление ρ_k , а затем строится график ρ_k по профилю.

Область применения электропрофилирования – геологическое картирование и поиски локальных объектов, отличающихся от вмещающей среды по удельному сопротивлению. Наиболее благоприятными для поисков являются крутопадающие пластообразные и линзообразные тела. Иногда электропрофилирование применяют в структурной геофизике для изучения рельефа кровли опорного горизонта.

Существует больше десятка модификаций электропрофилирования, различающихся типом применяющихся установок. Одной из самых простых модификаций по технологии проведения полевых работ и интерпретации результатов является симметричное профилирование. В СЭП, как следует из его названия, используется симметричная установка. В этой установке питающие заземления А и В и приемные электроды М и N располагаются симметрично относительно центра О. Результаты измерений относятся к центру установки, который является точкой записи. Симметричное профилирование может применяться как с одним размером установки, так и с двумя, а иногда и с тремя разносами питающих заземлений. Результаты измерений с несколькими разносами питающих электродов при благоприятных условиях позволяют разделить выявленные аномалии по относительной глубине залегания вызвавших их объектов (получается минизондирование) (рис. 1).

Порядок измерений

В лабораторной работе предлагается выполнить моделирование симметричного профилирования с двумя разносами питающей линии в ванне, заполненной влажным песком. В песке помещены модели проводящих и плохо проводящих объектов, расположенных на различной глубине. На перемещающейся по направляющей рейке каретке установлены две пары питающих электродов (линии АВ и А'В') и электроды общей приемной линии MN (рис. 2). Результаты измерений относятся к центру приемной линии. Для привязки точек измерений на рейке нанесены деления – "пикеты".

Для измерений можно использовать любую аппаратуру постоянного или низкочастотного переменного тока. На рис. 2 показана схема измерений с аппаратурой АНЧ-3. Чтобы избежать переключения генератора на каждой точке с одной питающей линии на другую, в лабораторных условиях целесообразно выполнить измерения по всему профилю сначала с одним, а затем с другим разносом питающих электродов.

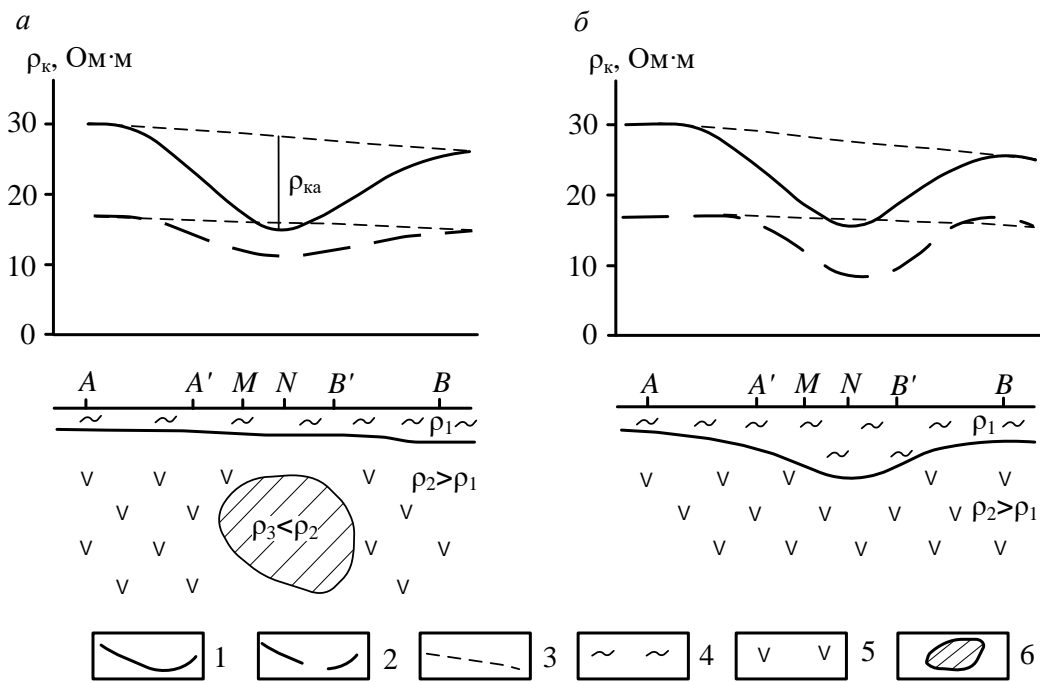


Рис. 1. Вид аномалий ρ_k в двухразном профилировании над глубинным проводящим объектом (а) и карманом наносов (б): 1 – графики ρ_k для установки $AMNB$; 2 – то же для установки $A'MNB'$; 3 – графики ρ_k нормального поля (фоновые); 4 – рыхлые отложения; 5 – коренные породы; 6 – локальный проводящий объект

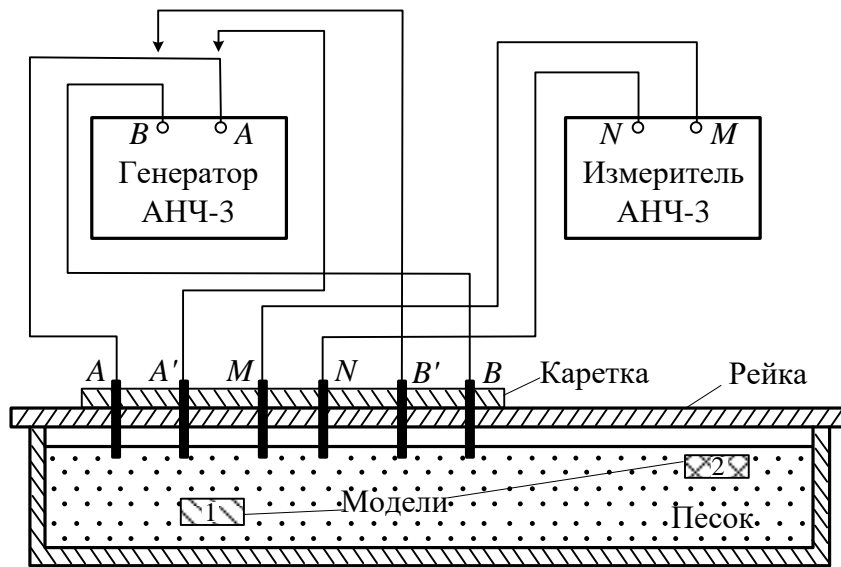


Рис. 2 Схема лабораторной установки по методу СЭП

Если используется аппаратура ЭРА-В-ЗНАК или другая подобная аппаратура переменного тока, схема измерений аналогична схеме с АНЧ-3. Схема измерений с аппаратурой постоянного тока приведена на рис. 2.

Поставив установку на начальную точку профиля, измеряют разность потенциалов ΔU для разноса, к которому подключен генератор. Сила тока I генератора АНЧ-3 стабилизирована, поэтому измерять ее не нужно. Если используется аппаратура, ток которой не стабилизирован, измеряют силу тока в питающей линии.

Выполнив измерения на точке, рассчитывают кажущееся сопротивление:

$$\rho_k = K \frac{\Delta U}{I} = \pi \frac{(AB/2)^2 - (MN/2)^2}{MN} \cdot \frac{\Delta U}{I}. \quad (1)$$

Затем перемещают установку на следующую точку и снова выполняют измерения. Закончив измерения с одной установкой, переключают генератор на другую питающую линию и повторяют измерения по профилю.

Если в процессе измерений наблюдаются резкие незакономерные изменения ρ_k , выполняют повторные измерения. В случае расхождения результата второго измерения с первым более, чем на 5%, выполняют третье измерение и принимают среднее значение из двух сходящихся результатов. Результаты повторных измерений записывают в отдельных строках журнала, отмечая в графе "примечания", что это повторные измерения.

После окончания измерений на 2–3 точках, расположенных в разных частях профиля, выполняют контрольные измерения. Результаты контрольных измерений записывают в отдельных строках журнала с отметкой в графе "примечания", что это контрольные измерения.

Порядок обработки и интерпретации результатов

Результаты измерений представляются в виде графиков кажущегося сопротивления по профилю. Для обоих размеров установки графики следует строить в одной системе координат в одинаковом масштабе.

По графикам ρ_k выделяют аномалии от локальных объектов. По знаку аномалий определяют сопротивление объектов по отношению к вмещающей среде. Приближенное положение контактов объектов определяют по полумаксимуму ρ_k .

Задание:

- 5) Собрать установку СЭП.
- 6) Выполнить измерения ΔU на точках профиля.
- 7) Рассчитать ρ_k для каждой точки профиля и построить кривую ρ_k .
- 8) По кривой ρ_k определить положение объектов различного сопротивления и глубину их залегания.
- 9) С помощью щупа определите реальное положение объектов и глубину их залегания. Фактическое положение объектов покажите под графиками ρ_k и сравните его с результатами интерпретации.

Изучение геологического разреза по данным симметричного электропрофилирования на двух разносах

Симметричное электрическое профилирование (СЭП) представляет собой одну из наиболее простых и распространенных модификаций электроразведки постоянным током. Для работ методом СЭП применяется 4-х электродная симметричная установка $AMNB$, состоящая из двух питающих электродов A и B и двух приемных M и N , расположенных по одной линии симметрично относительно центра установки. В процессе измерений расстояние между электродами не меняется, а вся установка переносится по профилю на определенный интервал, называемый шагом профилирования. Шаг профилирования чаще всего берут кратным MN .

Установка $AA'MNB'B$ состоит из двух четырехэлектродных установок $AMNB$ и $A'MNB'$, имеющих один разнос приемных электродов MN . Наличие второй пары питающих электродов позволяет на каждой точке профиля получать значение ρ_k для двух разных глубин. Это дает возможность делать заключение не только об изменении ρ_k по горизонтальному направлению, но и по вертикали.

Влияние двух геологических структур в разрезе на особенности распределения сопротивления, полученного установкой $AA'MNB'B$ показано на рис. 1. Одна структура типа синклинали заполнена хорошо проводящими породами, другая (антиклиналь) имеет хорошо проводящие породы в ядре.

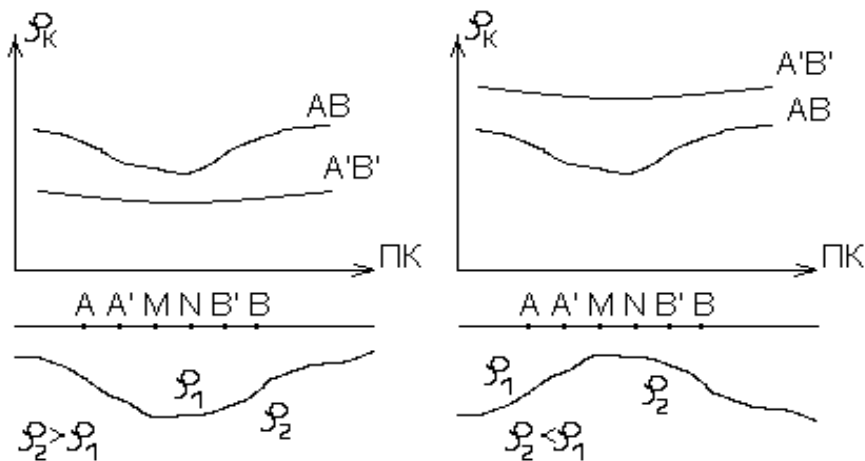


Рис. 1. Графики электропрофилирования установкой $AA'MNB'B$ над синклиналью и антиклиналью

Над этими структурами графики ρ_k , полученные установкой $AMNB$ (сплошная линия) одинаковы. Местоположение синклинали и антиклинали отмечаются минимумами ρ_k . Эта неоднозначность решения обратной задачи исчезает, если провести профилирование с установкой $AA'MNB'B$. Над синклиналью значение ρ_k для малого разноса $A'B'$ будут меньше ρ_k для большого разноса AB . Над антиклиналью будет отмечаться обратное соотношение величин ρ_k для

разносов $A'B'$ и AB . Таким образом, применение установки с двумя разносами питающей линии в данном случае исключает неоднозначность интерпретации результатов профилирования.

Задание

Вариант 1

Исходные данные

На одном из участков выполнено симметричное электрическое профилирование $AA'MNB'B$. Разнос питающих электродов A, B большой установки равен 1000 м, разнос электродов A' и B' малой установки равен 200 м. Шаг наблюдения по профилю – 50 м. Протяженность профиля 2,5 км. Линия профиля проходит в направлении предполагаемой антиклинальной структуры, сложенной известняками. Предполагается, что профиль пересекает погребенную долину, выполненную аллювием. Эта долина обнаружена на соседнем участке с мощностью аллювия до 60 м. Верхняя часть разреза представлена суглинками и глинами. Удельное сопротивление этих пород, полученное по данным параметрических измерений, составляет 20-30 Ом*м. Результаты измерений с установкой $AA'MNB'B$ представлены в таблице 1.

Таблица 1

Значения ρ_k . при $AB = 1000$ м и $A'B' = 200$ м

Номера пикетов	ρ_k , Ом*м.		Номера пикетов	ρ_k , Ом*м.	
	$AB = 1000$ м	$A'B' = 200$ м		$AB = 1000$ м	$A'B' = 200$ м
0	25	23	26	25	28
1	26	25	27	25	27
2	27	24	28	23	26
3	27	28	29	26	26
4	29	30	30	31	27
5	28	26	31	37	35
6	30	28	32	57	56
7	32	30	33	95	78
8	37	36	34	122	105
9	41	48	35	158	114
10	47	65	36	190	139
11	60	100	37	212	147
12	88	124	38	214	150
13	105	139	39	206	142
14	121	165	40	175	130
15	127	195	41	155	89
16	115	188	42	125	64
17	100	128	43	105	48
18	92	100	44	80	40
19	81	70	45	50	35
20	60	55	46	32	28
21	40	37	47	26	26
22	35	32	48	26	25
23	32	30	49	25	24
24	30	28	50	26	26
25	28	25			

Требуется *определить* геологическую природу выявленных аномалий и построить схематический разрез вдоль профиля.

Порядок выполнения задачи

1. По данным табл. 1 построить на миллиметровке графики ρ_k для разноса $AB = 1000$ м (сплошная линия) и $A'B' = 200$ м (пунктирная линия). Масштаб построения графиков: горизонтальный 1:10000, вертикальный 1 см – 20 Ом*м.
2. Определить соответствие аномалий на графиках ρ_k геологическим особенностям строения разреза (переуглубление с аллювием или антиклинальное поднятие, выполненное известняками).
3. Построить под графиком схематический геологический разрез.

Вариант 2

Исходные данные.

В пределах одного участка, сложенного карбонатными породами (известняки, доломиты) предполагается наличие в разрезе двух геологических объектов. Первый из них связан с поверхностными карстовыми проявлениями. В этом случае в карбонатных породах образуются депрессии, заполненные рыхлыми отложениями (пески, глины, суглинки). Второй – подземные карстовые полости, залегающие на глубинах 20-30 м, заполненные обводненным глинистым материалом с обломками карбонатных пород.

Проведенные работы методом электропрофилирования по схеме $AMNB$ показали, что оба объекта отмечаются на графиках минимума ρ_k . Для однозначной геологической интерпретации аномалий были выполнены измерения установкой $AA'MNB'V$ с разносами питающих линий $AB = 100$ м, $A'B' = 20$ м. Шаг наблюдения по профилю – 10 м.

Удельное сопротивление карбонатных пород, полученное по данным бокового каротажного зондирования, изменяется от 1000 до 2000 Ом*м. Удельное сопротивление пород, заполняющих карстовые полости варьируется от 100 до 200 Ом*м. Результаты измерений с установкой $AA'MNB'V$ представлены в таблице 2.

Требуется *определить* геологическую природу выявленных аномалий и построить схематический разрез вдоль профиля.

Порядок выполнения задачи

1. По данным табл. 4 построить на миллиметровке графики ρ_k для разноса $AB = 100$ м и $A'B' = 20$ м. Масштаб построения графиков: горизонтальный 1:2000, вертикальный 1 см – 200 Ом*м.
2. Определить, какие из выявленных аномалий обусловлены погребенной карстовой полостью и какие – поверхностными карстовыми образованиями.
3. Построить под графиком схематический геологический разрез.

Значения ρ_k . при $AB = 1000$ м и $A'B' = 200$ м

Номера пикетов	ρ_k , Ом*м.		Номера пикетов	ρ_k , Ом*м.	
	AB = 100 м	A'B' = 20 м		AB = 100 м	A'B' = 20 м
0	1700	1600	26	1680	1550
1	1650	1590	27	1740	1690
2	1680	1610	28	1700	1600
3	1700	1600	29	1650	1600
4	1720	1650	30	1700	1650
5	1730	1690	31	1800	1750
6	1690	1700	32	1750	1700
7	1750	1750	33	1700	1600
8	1650	1700	34	1650	1400
9	1200	1450	35	1500	1200
10	1000	1400	36	1490	900
11	970	1350	37	1400	730
12	900	1300	38	1200	700
13	850	1200	39	1070	650
14	800	1180	40	1100	780
15	830	1000	41	1150	800
16	840	1050	42	1300	980
17	800	1100	43	1450	1200
18	900	1200	44	1600	1450
19	1000	1400	45	1580	1600
20	1100	1430	46	1650	1550
21	1180	1500	47	1700	1600
22	1600	1600	48	1700	1650
23	1700	1650			
24	1700	1650			
25	1600	1580			

Интерпретация результатов полевых наблюдений по методу заряженного тела

Метод заряженного тела (МЗТ) основан на изучении потенциала или градиента потенциала постоянного (или низкочастотного) поля, создаваемого точечным источником, заземленным в скважине или горной выработке.

Метод применяется для прослеживания и оконтуривания ранее выявленных хорошо проводящих рудных объектов, а также для решения гидрогеологических задач.

Гидрогеологический вариант метода предназначен для определения направления и скорости движения подземных вод при наличии одной скважины. Данные полевых наблюдений в этом случае представляются в виде плана изолиний потенциала, полученного в результате измерений вдоль лучевых профилей над скважиной, в которую до водоносного горизонта опущен один из питающих электродов с электролитом. Пример плана изолиний показан на рис. 1.

Определение направления движения подземного потока и его скорости производится следующим образом:

1) По плану изолиний определяется направление (азимут) максимального смещения изолиний. Для этого можно построить график, по оси абсцисс которого откладывается азимут в градусах, а по оси ординат – приращение радиусов изолиний в метрах (ΔR) по отношению к исходной изолинии, наблюдаемой непосредственно после засоления скважины и представляющей собой, как правило, фигуру, близкую к окружности. Число кривых ΔR соответствует числу наблюдаемых изолиний. Пример такого графика приведен на рис. 2. Азимут направления движения подземного потока определяется как средняя абсцисса для максимумов кривых ΔR .

2) Для определения скорости подземного потока V вычисляется отношение максимального смещения изолинии ΔR_{\max} по направлению пото-

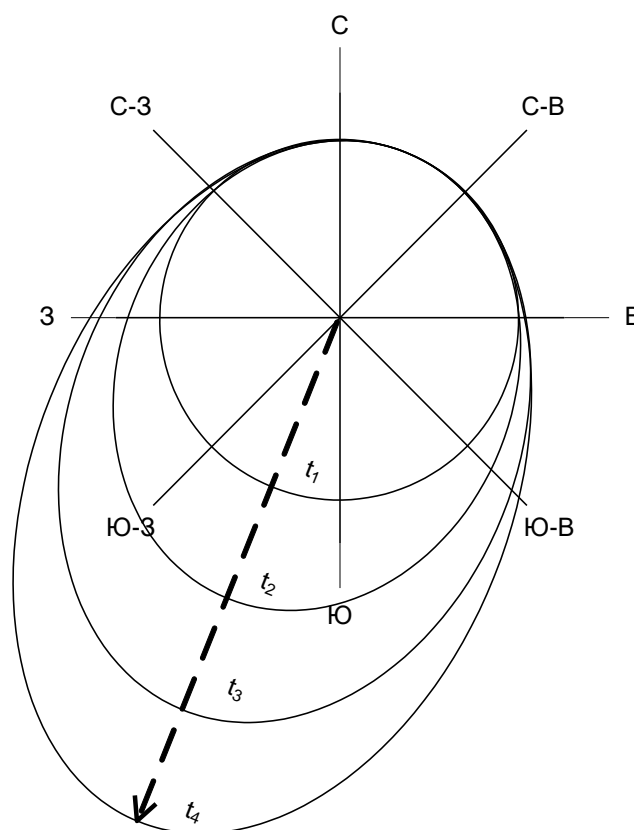


Рис. 1. План изолиний потенциала над засоленной скважиной

ка ко времени Δt , за которое это смещение произошло:

$$V = \Delta R / \Delta t \quad (1)$$

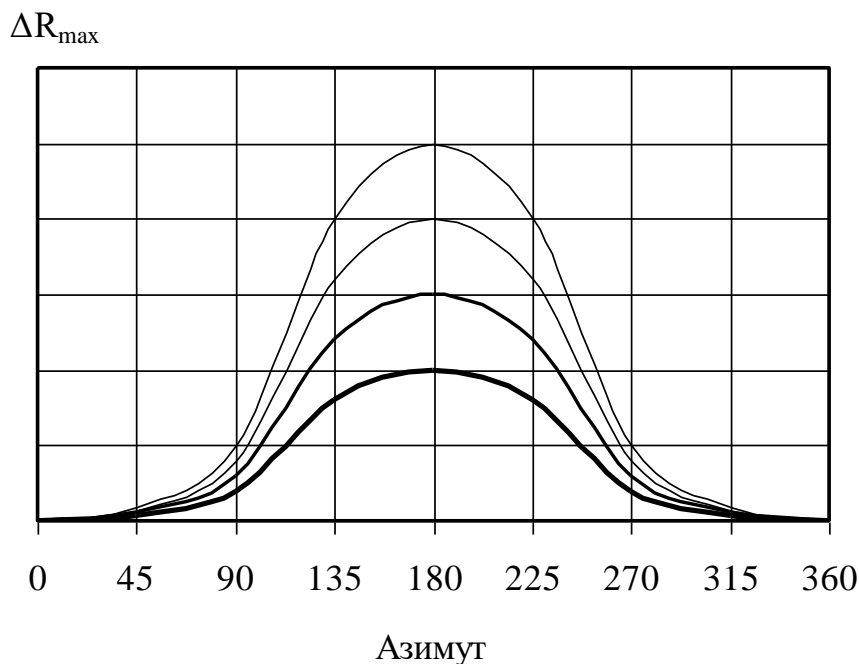


Рис.2. Графики смещения изолиний ΔR в зависимости от азимута профиля наблюдений

Среднее значение V можно получить, построив график зависимости ΔR_{\max} от времени t . При малых временах ΔR_{\max} меняется в зависимости от времени не линейно, возрастая с увеличением t , что объясняется постепенностью растворения соли в воде. При больших временах график зависимости ΔR_{\max} от времени выходит на линейную асимптоту, соответствующую скорости переноса засоленной области потоком подземных вод. Эту часть графика и используют для расчета скорости по формуле (1).

Задание

По выданным преподавателем результатам полевых наблюдений методом заряженного тела над засоленной скважиной определить в соответствии с вышеизложенной методикой направление и скорость движения подземного потока.

Построить график смещения изолиний в зависимости от азимута профиля наблюдений (рис. 2).

Интервал времени между измерениями Δt принять равным 2 часа.

Масштаб плана изолиний потенциала над засоленной скважиной 1:2000.

Учебное издание

Александрова Жанна Николаевна

ПРАКТИКУМ ПО РАЗВЕДОЧНОЙ ГЕОФИЗИКЕ

Руководство по выполнению практических работ
по дисциплине «Разведочная геофизика» для студентов
специальности 21.05.03 – «Технология геологической разведки»
очной и заочной формы обучения

Часть 1

Редактор _____
Компьютерная верстка автора

Подписано в печать ____ . ____ . 2018 г.

Бумага писчая. Формат 60 x 84 1/16.

Гарнитура Times New Roman. Печать на ризографе.

Печ. л. _____. Уч.-изд. л. _____. Тираж 100. Заказ _____

Издательство УГГУ

620144, г. Екатеринбург, ул. Куйбышева, 30

Уральский государственный горный университет

Отпечатано с оригинал-макета

в лаборатории множительной техники УГГУ

**МИНИСТЕРСТВО НАУКИ И ВЫСШЕГО ОБРАЗОВАНИЯ
РОССИЙСКОЙ ФЕДЕРАЦИИ**

ФГБОУ ВО «Уральский государственный горный университет»

**МЕТОДИЧЕСКИЕ УКАЗАНИЯ
ДЛЯ ВЫПОЛНЕНИЯ КОНТРОЛЬНОЙ
РАБОТЫ ПО ДИСЦИПЛИНЕ
«ОСНОВЫ СЕЙСМОРАЗВЕДКИ»**

Специальность
21.05.03 Технология геологической разведки

специализация
Сейсморазведка

Автор: Крылевская А.Н.

Екатеринбург
2022

Контрольная работа включает в себя 3 блока

1. Построение и анализ геосейсмической модели слоисто-однородной среды с горизонтальными границами раздела
2. Однородно-слоистая модель среды: годографы ВСП проходящих и отраженных волн; потери энергии, связанные с отражением и преломлением
3. Расчет годографов отраженных волн (ОВ) и головных волн (ГВ) в многослойной модели среды с горизонтальными границами раздела

Исходные данные моделирования:

1. Минимальная частота в спектре сейсмических волн: $f=20$ Гц,
2. Максимальная частота в спектре сейсмических волн: $f=90$ Гц,
3. Для каждого слоя (задается по вариантам):
 - индекс отражающего горизонта на подошве слоя,
 - глубина до подошвы слоя, (z, м),
 - скорость распространения продольных волн в слое, (V_p , м/с),
 - плотность горных пород в слое, ρ , г/см³

Индекс волны	Литологический состав	Глубина, км	Пластовая скорость, м/с	Плотность, г/см ³
1	2	3	4	5
Г	Подошва кузнецовской свиты	1,9	2100	1,5
М	Кошайская пачка глин алымской свиты	2,6	2700	2,2
Б	Кровля баженовской свиты	2,9	2900	2,1
Н	Неокомские отложения ахской свиты	3,0	3800	2,4
Т	Кровля тюменской свиты	3,5	4000	2,4
А	Подошва чехла		4200	2,5

Вариант №2

Индекс волны	Литологический состав	Глубина, км	Пластовая скорость, м/с	Плотность, г/см ³
1	2	3	4	5
С	Верхний мел	0,9	1700	1,9
Г	Кровля покурловской свиты	1,1	1900	2,1
М1	Кровля викуловской свиты	1,7	2000	2,3
М	Кровля фроловской свиты	2,0	2500	2,4

Б	Баженовская свита	3,5	3300	2,6
T2	Среднеюрские отложения тюменской свиты		4000	2,7

Вариант №3

Индекс волны	Литологический состав	Глубина, км	Пластовая скорость, м/с	Плотность, г/см ³
1	2	3	4	5
Г	Подошва кузнецовской свиты	1,1	2200	2,2
М	Подошва кошайской пачки	1,9	2900	2,3
Н	Кровля мегионской свиты	2,6	3450	2,4
Б	Кровля баженовской свиты	2,9	3500	2,3
Т	Кровля тюменской свиты	3,1	3700	2,5
А	Подошва платформенного чехла		4000	2,7

Вариант №4

Индекс волны	Литологический состав	Глубина, км	Пластовая скорость, м/с	Плотность, г/см ³
1	2	3	4	5
Г	Подошва кузнецовской свиты	1,00	2600	2,3
М	Подошва кошайской пачки	1,8	3200	2,4
Н	Кровля мегионской свиты	2,2	3450	2,4
Б	Кровля баженовской свиты	2,8	3600	2,3
Т	Кровля тюменской свиты	3	3700	2,5
А	Подошва платформенного чехла		4000	2,6

Вариант №5

Индекс волны	Литологический состав	Глубина, км	Пластовая скорость, м/с	Плотность, г/см ³
1	2	3	4	5
К	Подошва талицкой свиты	1,1	1800	1,6
Г	Подошва кузнецовской свиты	1,9	2100	1,5
М	Кошайская пачка глин алымской свиты	2,6	2600	2,2
Б	Кровля баженовской свиты	2,9	2900	2,1

Т	Кровля тюменской свиты	3,3	3400	2,4
А	Подошва чехла		3600	2,5

Вариант №6

Индекс волны	Литологический состав	Глубина, км	Пластовая скорость, м/с	Плотность, г/см ³
1	2	3	4	5
К	Кровля ганькинской свиты	0,9	1600	1,6
Г	Кровля покурской свиты	1,1	2000	1,8
М	Подошва кошайской свиты	1,9	2500	2,4
БВ8	Кровля песчанного пласта БВ8, вандейская свита	2,4	3100	2,2
Б	Кровля баженовской свиты	2,9	3700	2,4
А	Подошва осадочного чехла		3950	2,5

Вариант №7

Индекс волны	Литологический состав	Глубина, км	Пластовая скорость, м/с	Плотность, г/см ³
1	2	3	4	5
С	Кровля березовской свиты	0,5	1900	1,9
Г	Кровля уватской свиты	1,1	2200	2,1
М1	Кровля викуловской свиты	1,4	2500	2,2
М	Кровля фроловской свиты	1,8	2700	2,3
Б	Кровля тюменской свиты	2,4	3000	2,5
А	Подошва осадочного чехла		3200	2,8

Вариант №8

Индекс волны	Литологический состав	Глубина, км	Пластовая скорость, м/с	Плотность, г/см ³
1	2	3	4	5
Г	Верхний мел, кровля уватской свиты	1,1	2400	2
М	Нижний мел, кровля пласта АС 1	2,0	3400	2,1
НАС10	Нижний мел, кровля пласта АС 10	2,4	4100	2,2
НБС4,1	Нижний мел, кровля пласта БС4,1	2,8	4350	2,3
Б	Верхняя юра, кровля баженовской свиты	3,6	4380	2,3
А	Подшва осадочного чехла		4400	2,4

Вариант №9

Индекс волны	Литологический состав	Глубина, км	Пластовая скорость, м/с	Плотность, г/см ³
1	2	3	4	5
Г	Кровля сеноманского яруса	0,8	1600	2,1
М	Поздне сеноманское отложение	1,5	2100	2,2
Н	Поздне валанжин-ранеапский ярус	2,3	3200	2,4
Б	Верхняя юра	3,1	3600	2,3
Т	Средняя и нижняя юра	3,7	3900	2,2
А	Подшва осадочного чехла		4200	2,5

Вариант №10

Индекс волны	Литологический состав	Глубина, км	Пластовая скорость, м/с	Плотность, г/см ³
1	2	3	4	5
С	Кровля березовской свиты	1,0	1500	2,1
Г	Кровля покурской свиты	1,3	2200	2,2
М	Нижний мел	2,1	2550	2,2
Б	Кровля баженовской свиты	2,7	2900	2,4
Т	Кровля васюганской свиты	2,8	3400	2,3
А	Подшва чехла		4000	2,7

Вариант №11

Индекс волны	Литологический состав	Глубина, км	Пластовая скорость, м/с	Плотность, г/см ³
1	2	3	4	5
С	Кровля березовской свиты	1,0	2100	2,0
Г	Кровля покурской свиты	1,3	1800	2,1
М	Кровля алымской свиты	2,1	2200	2,2
Б	Кровля баженовской свиты	2,9	3500	2,4
Т	Тюменская свита	3,3	3700	2,9
А	Подошва чехла		4200	3,1

Вариант №12

Индекс волны	Литологический состав	Глубина, км	Пластовая скорость, м/с	Плотность, г/см ³
1	2	3	4	5
Г	Подошва кузнецовской свиты	1,0	2800	2,3
М	Подошва кошайской пачки	1,8	3300	2,4
Н	Кровля мегионской свиты	2,3	3800	2,4
Б	Кровля баженовской свиты	2,8	4000	2,5
Т	Кровля тюменской свиты	3	4300	2,4
А	Подошва чехла		4500	2,6

Вариант №13

Индекс волны	Литологический состав	Глубина, км	Пластовая скорость, м/с	Плотность, г/см ³
1	2	3	4	5
Г	Кровля покурской свиты	0,9	2300	2,3
М	Подощва алымской свиты	1,7	2800	2,3
Д	Кровля мегионской свиты	2,3	2900	2,3
Б	Кровля баженовской свиты	2,6	3500	2,5
Т	Граница в верхней части тюменской свиты	3,2	3900	2,4

A	Подошва чехла		4200	2,8
---	---------------	--	------	-----

Вариант №14

Индекс волны	Литологический состав	Глубина, км	Пластовая скорость, м/с	Плотность, г/см ³
1	2	3	4	5
Г	Уватская свита	1,1	1800	1,8
М	Подошва кошайской свиты	1,9	2700	2,2
Б1	Кровля баженовской свиты	2,8	3300	2,4
Тю2	Кровля тюменской свиты	2,9	4200	2,4
Тю4	Верхняя часть тюменской свиты	3,5	3200	2,4
A	Подошва чехла		3500	2,6

Вариант №15

Индекс волны	Литологический состав	Глубина, км	Пластовая скорость, м/с	Плотность, г/см ³
1	2	3	4	5
С	Кровля нижнемелового комплекса	0,9	1500	2,1
М	Низы покурской свиты	1,8	2100	2,2
Б	Баженовская свита	2,9	2700	2,3
Т1	Кровля среднеюрских отложений	3,1	3100	2,3
Т2	Нижняя юра	3,4	3100	2,4
A	Подошва чехла		3200	2,6

Вариант №16

Индекс волны	Литологический состав	Глубина, км	Пластовая скорость, м/с	Плотность, г/см ³
1	2	3	4	5
Г	Кровля уватской свиты	0,9	1800	2
М	Кровля фроловской свиты	1,8	2700	2,3
Б	Баженовская свита	2,5	3000	2,4
Т2	Среднеюрские отложения тюменской свиты	2,7	3100	2,5
Т3	Граница тюменской свиты	3,5	3400	2,5
A	Подошва чехла		3700	2,6

Вариант №17

Индекс волны	Литологический состав	Глубина, км	Пластовая скорость, м/с	Плотность, г/см ³
1	2	3	4	5
Г	Подошва кузнецовской свиты	1,0	1800	1,5
М	Кошайская пачка глин алымской свиты	1,4	2700	2,2
Б	Кровля баженовской свиты	1,8	2900	2,1
Н	Неокомские отложения ахской свиты	2,7	3400	2,4
Т	Кровля тюменской свиты	3,1	3800	2,4
А	Подошва чехла		4200	2,5

Вариант №18

Индекс волны	Литологический состав	Глубина, км	Пластовая скорость, м/с	Плотность, г/см ³
1	2	3	4	5
С	Верхний мел	0,9	1700	1,9
Г	Кровля покурдовской свиты	1,1	2300	2,1
М1	Кровля викуловской свиты	1,9	2600	2,3
М	Кровля фроловской свиты	2,5	2800	2,4
Б	Баженовская свита	3,5	3300	2,6
Т2	Среднеюрские отложения тюменской свиты		3500	2,7

Вариант №19

Индекс волны	Литологический состав	Глубина, км	Пластовая скорость, м/с	Плотность, г/см ³
1	2	3	4	5
Г	Подошва кузнецовской свиты	0,9	1500	2,2
М	Подошва кошайской пачки	1,9	1800	2,3
Н	Кровля мегионской свиты	2,6	2000	2,4
Б	Кровля баженовской свиты	2,9	2500	2,3
Т	Кровля тюменской свиты	3,1	3100	2,5
А	Подошва платформенного чехла		3800	2,7

Вариант №20

Индекс волны	Литологический состав	Глубина, км	Пластовая скорость, м/с	Плотность, г/см ³
1	2	3	4	5
Г	Подошва кузнецовской свиты	1,00	1600	2,3
М	Подошва кошайской пачки	1,8	2500	2,4
Н	Кровля мегионской свиты	2,2	3000	2,4
Б	Кровля баженовской свиты	2,8	3300	2,3
Т	Кровля тюменской свиты	3	3700	2,5
А	Подошва платформенного чехла		4000	2,6

МЕТОДИЧЕСКИЕ УКАЗАНИЯ ДЛЯ ВЫПОЛНЕНИЯ КОНТРОЛЬНОЙ РАБОТЫ ПО ДИСЦИПЛИНЕ «ОСНОВЫ СЕЙСМОРАЗВЕДКИ»

«Построение и анализ геосейсмической модели слоисто-однородной среды с горизонтальными границами раздела»

Введение

Геосейсмическая модель - это геолого-геофизическая модель разреза, в которой в качестве геофизических параметров выступают упругие параметры среды. Цель построения такой модели – оценить возможности сейсмической разведки при изучении геологического разреза заданного строения. Оценивается возможность образования целевых сейсмических волн (отраженных, головных и т.д.) от границ, интересующих исследователя, определяется интенсивность этих волн по амплитуде, рассчитывается разрешающая способность сейсморазведки по горизонтали и по вертикали. Рассчитываются теоретические годографы сейсмических волн, по которым определяется область прослеживания волн от изучаемых границ - расстояния от источника и соответствующие им времена прихода волн. Определяются возможные волны-помехи и амплитудные отношение сигнал/помеха. Рассчитывается требуемый динамический диапазон для регистрации полезных волн.

Вся информация, полученная при анализе геосейсмической модели, служит для определения параметров системы наблюдения.

В предлагаемой работе используется однородно-слоистая модель среды с плоскими горизонтальными границами раздела. В этом случае упругие параметры меняются только в вертикальном направлении, то есть по глубине. В пределах одного и того же слоя упругие параметры являются постоянными.

Исходные данные моделирования:

1. Минимальная частота в спектре сейсмических волн: $f=20$ Гц,
2. Максимальная частота в спектре сейсмических волн: $f=90$ Гц,
3. Для каждого слоя (задается по вариантам):
 - индекс отражающего горизонта на подошве слоя,
 - глубина до подошвы слоя, (z , м),
 - скорость распространения продольных волн в слое, (V_p , м/с),
 - плотность горных пород в слое, ρ , г/см³

Задание:

1. Рассчитать и занести в таблицу :
 - акустические жесткости $\rho [м/с^2/см^3 \text{ или } км/с^2*кг/м^3]$,
 - коэффициенты отражения от границы (при нормальном падении) R ,
 - отношение скоростей на границе V_1/V_2 ,
 - доминирующую частоту сейсмических волн в слое, $f[Гц]$;
 - преобладающий период, $T[с]$
 - длины волн $\lambda[м]$,
 - разрешающую способность сейсморазведки по вертикали $h_{min}[м]$;
 - разрешающую способность сейсморазведки по горизонтали $L[м]$;
 - среднюю скорость в интервале поверхность земли – отражающий горизонт $V_{cp}[м/с]$;
 - эффективную скорость в интервале глубин от поверхности земли до каждого отражающего горизонта $V_{эф}[м/с]$;
 - вертикальное время прохождения пласта $t_b[с]$;
 - вертикальное время в интервале поверхность земли – отражающий горизонт $t_b[с]$;
 - двойное время пробега поверхность земли – отражающий горизонт $to[с]$

Таблица 1. Расчет параметров геосейсмической модели среды

Индекс границы	Геометрия		Упругие параметры			Динамическая характеристика				Разрешающая способность		
	Глубина, (z), м	Мощность, (h), м	Скорость, (V), м/с	Плотность, (ρ), г/куб.см	Акустическая жесткость, (γ), м/с г/куб.см	Коэффициент отражения, (R)	Отношение скоростей V_1/V_2	Частота, (f), Гц	Период, (T), с	Длина волны, (λ), м	Вертикальная, (h_{min}), м	Горизонтальная, (L), м

Таблица 2. Расчет эффективных параметров

Индекс границы	Глубина, (z), м	Мощность, (h), м	Скорость, (V), м/с	Вертикальное время прохождения пласта $t\theta = h/V, c$	Вертикальное время в интервале поверхности земли – отражающий горизонт $\square t\theta, c$	Двойное время пробега поверхность земли – отражающий горизонт $t\theta = (2 * \square t\theta), c$	Средняя скорость, $V_{cp} = z / \square t\theta, м/с$	Эффективная скорость $V_{эф} [м/с]$

2. Построить исходную сейсмическую модель в виде графиков:
 - пластовых ($V_{пл}$), средних (V_{cp}) и эффективных ($V_{эф}$) скоростей (в одних осях координат),
 - пластовых плотностей ρ в слоях по глубине,
 - акустических жесткостей γ , в слоях по глубине,
 - коэффициентов отражения R.
3. Проанализировать полученные результаты, касающиеся: качества отражающих и преломляющих границ, разрешающей способности сейсморазведки по горизонтали (L), разрешающей способности по вертикали (h_{min}). Выявить наличие слабых отражающих границ и тонких пластов.

Методические указания и формулы

Название параметра	Расчетные формулы
Акустическая жесткость	$\gamma = V_{пл} \cdot \rho$, где $V_{пл}$ – пластовая скорость, ρ – пластовая плотность
Коэффициенты отражения (при нормальном)	$R = \frac{\gamma_2 - \gamma_1}{\gamma_2 + \gamma_1}$, где \square_1 и \square_2 - соответственно акустические

падении)	жесткости в слоях выше и ниже отражающей границы
Длина волны на глубине залегания сейсмической границы	$\square = V_{пл} / f_{дом}$, где $V_{пл}$ - пластовая скорость в слое выше сейсмической границы, $f_{дом}$ - доминирующая частота

Классификация отражающих границ в зависимости от коэффициента отражения R

Сильные	$R > 0.5$
Средние	$0.1 \leq R \leq 0.5$
Слабые	$R < 0.1$

Классификация преломляющих границ в зависимости от отношения скоростей V_1/V_2

Сильные	$V_1/V_2 < 0.5$
Средние	$0.5 \leq V_1/V_2 \leq 0.8$
Слабые	$V_1/V_2 > 0.8$

Для вычисления средней скорости до подошвы пласта с номером N используется следующая формула:

$$V_{cpN} = \frac{\sum_{i=1}^N h_i}{\sum_{i=1}^N \frac{h_i}{V_i}} = \frac{H_N}{t_{BN}}$$

где h_i - мощность i-го пласта, V_i - скорость в i-ом пласте, H_N - суммарная мощность пачки из N пластов или глубина до отражающего горизонта с номером N (Z_N), t_{BN} - время пробега волны до подошвы N-го пласта по вертикали.

Предельная эффективная скорость на глубине подошвы пачки из n однородных слоёв с горизонтальными границами раздела рассчитывается по формуле:

$$V_{эф}^n = \sqrt{\frac{\sum_{i=1}^n h_i V_i}{\sum_{i=1}^n \frac{h_i}{V_i}}}$$

Под горизонтальной разрешающей способностью сейсморазведки понимают минимальный горизонтальный размер объекта, который однозначно опознается на сейсмических записях. Горизонтальная разрешающая способность связана с понятием первой зоны Френеля. Известно, что на характер передачи энергии от источника к точке наблюдения активно влияет область среды с размерами, равными диаметру первой зоны Френеля. Все объекты, имеющие размеры меньше, чем зона Френеля, будут слабее видны на сейсмических записях (иметь низкие амплитуды). Сложившаяся в сейсморазведке практика оценивает горизонтальную разрешающую способность как величину равную диаметру первой зоны Френеля:

$$L_N = D_{fN} = \sqrt{\lambda_N \cdot Z_N}$$

где Z_N - глубина до отражающей границы с номером N.

Считается, что объект с размерами меньше, чем L практически не будет однозначно опознаваться на сейсмических материалах.

Под вертикальной разрешающей способностью сейсморазведки понимают минимальную мощность горизонтально расположенного пласта, кровля и подошва которого однозначно опознаются на сейсмических записях. Вертикальная разрешающая способность связана с длиной сейсмических волн \square . Для волн, образующихся на подошве и кровле тонких пластов, будет наблюдаться интерференция сейсмических волн. Если мощность пласта во много раз меньше длины волны, то сигнал от тонкого пласта будет таким же, как от одиночной сейсмической границы. На практике оценивают

вертикальную разрешающую способность величиной, равной четверти длины волны: $h_{min} = \lambda/4$ (более оптимистичная оценка - $\lambda/8$, пессимистичная - $\lambda/2$).

Однородно-слоистая модель среды: годографы ВСП проходящих и отраженных волн; потери энергии, связанные с отражением и преломлением

Исходные данные: геосейсмическая модель

Формулировка задания

1. Дайте определения: коэффициент отражения; коэффициент прохождения (преломления).

Поясните что такое линейный, поверхностный, продольный, непродольный годографы. Проиллюстрируйте это графическими схемами. Ответьте на вопрос, к каким из этих типов годографов относятся годографы ВСП.

2. Выпишите формулы для: относительной энергии отраженной волны; проходящей волны.

3. Для однородно-слоистой модели среды рассчитайте годографы ВСП и построите их графики для следующих типов волн:

- проходящих,
- отраженных,
- кратно отраженных (полнократных),
- кратно отраженных (неполнократных).

4. В точке приема, расположенной на поверхности земли у устья скважины, определите относительные потери амплитуд (энергии), связанные с процессами отражения и преломления сейсмических волн на границах пластов, а также в связи с расхождением и поглощением.

Рассмотрите потери энергии для всех видов отраженных волн, для которых построены годографы в пункте 3.

Сравните потери энергии

а) однократно отраженных волн для мелко и глубоко залегающих границ,

б) однократно и кратно отраженных волн.

5. Считая в качестве полезного сигнала однократно отраженные волны, а в качестве помех кратные волны всех типов, определите для каждой однократно отраженной волны возможные помехи.

Кратную волну будем считать помехой, если время ее выхода на поверхность земли близко ко времени полезной волны.

Для каждой однократно отраженной волны составить таблицу со столбцами:

- индекс однократно отраженной волны (полезной),
- индекс кратной волны (помехи),
- отношение сигнал/помеха на поверхности земли.

Отношение сигнал/помеха представляет собой отношение амплитуды сигнала к амплитуде (или суммарной амплитуде) помех. **Проанализируйте полученные результаты.**

Методические указания по расчету годографов.

Под годографом ВСП (вертикального сейсмопрофилирования) понимается зависимость времени прихода волны от координат приемников, которые располагаются на разной глубине в вертикальной скважине и находятся на одной линии с пунктом возбуждения сейсмических волн, расположенным на дневной поверхности непосредственно у устья скважины.

В однородно-слоистой модели среды при распространении сейсмических волн вдоль ствола скважины (вертикального профиля) мы имеем дело с нормальным падением сейсмических волн на границы раздела между слоями. Если из источника распространяется продольная волна (Р), то могут образоваться следующие типы

монотипных продольных волн: прямые (проходящие), отраженные под углом 0° : однократные, кратно-отраженные (полнократные и неполнократные). Следует учесть, что согласно закону Снеллиуса обменные волны при нормальном падении не образуются.

В рассматриваемых условиях прямая волна распространяется вдоль вертикального профиля и, следовательно, время ее прихода в ту или иную точку профиля зависит от скорости на тех участках профиля, через которые она проходит.

Таким образом, чтобы рассчитать годограф ВСП прямой (проходящей) волны необходимо определить координаты точек излома. Начальная точка годографа при условии, что источник и приемник расположены в устье скважины, имеет координаты $z=0, t=0$. Первая точка излома располагается на границе между первым и вторым слоями на глубине $z_1=h_1$, а время прихода волны в эту точку равно $t_1=h_1/V_1$, вторая точка имеет координаты: $z_2=z_1+h_2, t_2=t_1+h_2/V_2$ и так далее.

Отраженные волны будут повторять путь прямой волны в обратном направлении. Начальная точка годографа отраженной волны будет иметь координаты, соответствующие приходу волны на отражающую границу. Остальная часть годографа представляет собой линию, симметричную относительно этой начальной точки. Таким образом, специальных расчетов для годографа отраженных волн не требуется, он легко составляется из соображений симметрии. При рассмотрении кратно отраженных волн в модель может быть включена граница земля-воздух. Расчет годографов для второго и последующих актов отражения выполняется по аналогии с расчетом годографа однократно отраженных волн.

Методические указания по расчету относительных потерь энергии за счет процессов отражения и прохождения сейсмических волн.

Следует воспользоваться материалом лекции 3 [1], раздел 3.2 «Перераспределение энергии сейсмических волн в процессе отражения и преломления»

Расчет годографов отраженных волн (ОВ) и головных волн (ГВ) в многослойной модели среды с горизонтальными границами раздела

Исходные данные: упрощенная геосейсмическая модель среды по вариантам

Формулировка задания

1. Для отражающей границы выполнить расчеты линейных продольных наземных годографов $t(x)$.

- однократно отраженной волны
- головной волны
- прямой волны

Принять следующую систему наблюдений: длина приёмной расстановки в четыре раза больше глубины до отражающей границы z_1 ; источник сейсмических волн находится в середине расстановки сейсмоприёмников.

Система координат и параметры расчета:

- начало системы координат совпадает с положением источника,
- длина расстановки $4 \cdot z_{\max}$;
- количество точек расчёта $t(x)$ по 10-15 с каждой стороны от источника;
- точность расчета 1 миллисекунда (мс).

2. Построить:

- годографы отраженных волн (для всех границ), годограф прямой волны, головной волны (для первой границы)

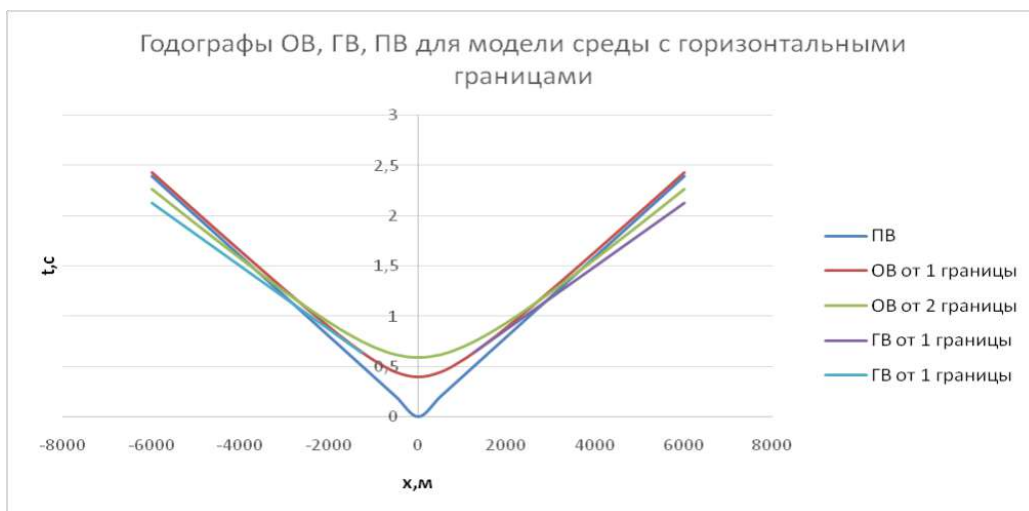
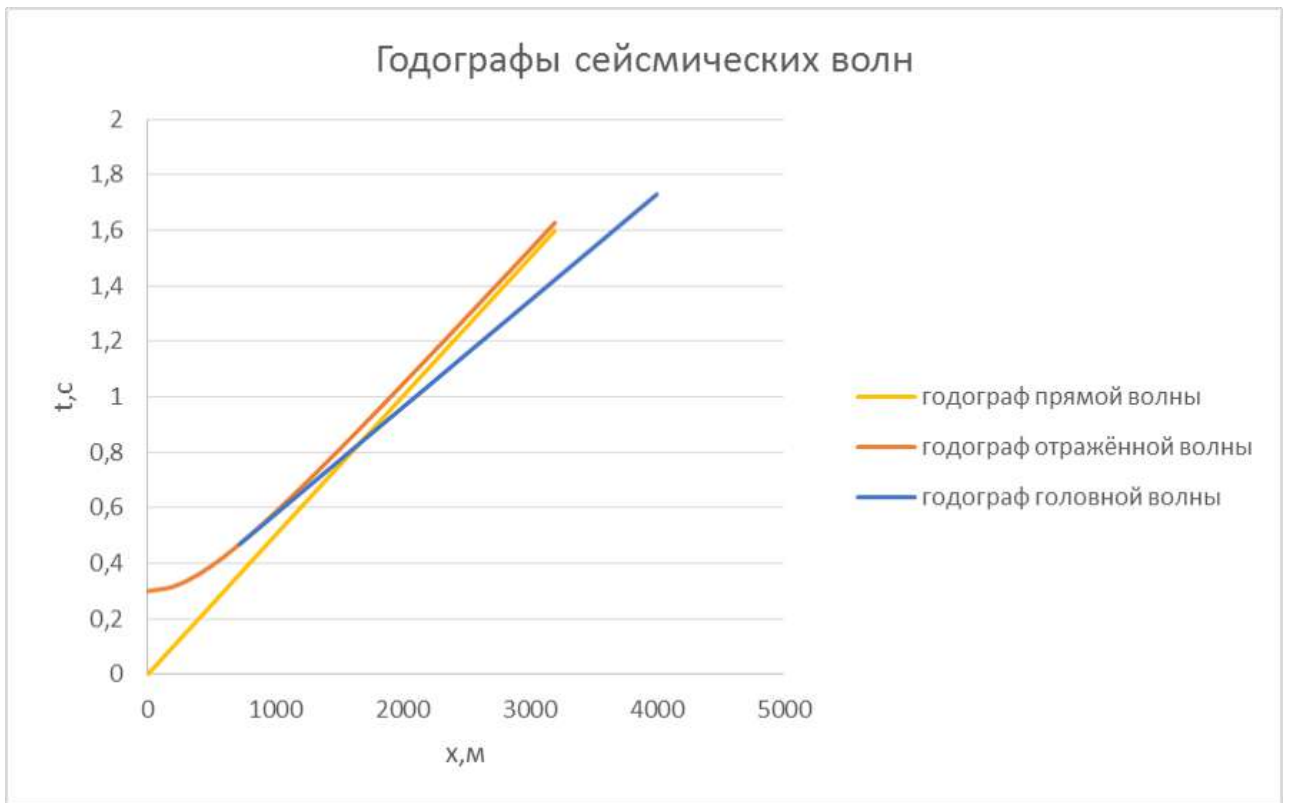
Расчетная формула для годографа прямой волны:	$t(x) = x/V_1$ $V_1 - \text{скорость волны в первом слое}$
---	--

Расчетная формула для годографа ОВ:	$t(x) = \sqrt{t_0^2 + \frac{x^2}{V_{эф}^2}}$ $V_{эф} - \text{эффективная скорость (взять из первой работы)}$ $t_0 - \text{вертикальное время пробега волны до границы и обратно (взять из первой работы)}$
-------------------------------------	--

Расчетная формула для годографа ГВ для первой границы:	$t(x) = t_0 + \frac{x \cdot \sin i}{V_1}$ $t_0 = \frac{2 \cdot h_1 \cdot \cos i}{V_1}$ $i - \text{критический угол } \sin(i) = \frac{V_1}{V_2}$
Координаты начальной точки годографа ГВ:	$x_n = 2 \cdot h_1 \cdot \operatorname{tgi} \quad t_n = t(x_n)$
<p>где x- расстояние между источником и приёмником; V_1- скорость продольных волн в слое, покрывающем отражающую границу, h_1- минимальное расстояние от источника до границы (глубина первой границы)</p>	

Ответить на вопросы:

- отметить интервал прослеживания отражённых волн по времени;
- определить координату x точки, где головные волны приходят к приемникам в первых вступлениях;
- определить интервал значений x , где головные волны приходят во вторых вступлениях.



Литература:

1. Бондарев В.И. Основы сейсморазведки: Учебное пособие для вузов. Екатеринбург, издательство УГГГА, 2011
2. Ермаков А.П. Введение в сейсморазведку

МИНОБРНАУКИ РОССИИ

ФГБОУ ВО «Уральский государственный горный университет»

**МЕТОДИЧЕСКИЕ РЕКОМЕНДАЦИИ К САМОСТОЯТЕЛЬНОЙ
РАБОТЕ ПО ДИСЦИПЛИНЕ**

Б1.О.20 ОСНОВЫ СЕЙСМОРАЗВЕДКИ

Специальность

21.05.03 Технология геологической разведки

Екатеринбург

Введение	3
Лабораторная работа №1. Решение уравнения механического сейсмоприемника.	4
Изучение амплитудной и фазовой частотной характеристик наземных сейсмоприемников	
Лабораторная работа №2. Основы цифровой регистрации сейсмической информации	8
Лабораторная работа №3. Моделирование процесса преобразования вибротрассы в сейсмотрассу	13
Лабораторная работа №4. Линейные и телеметрические сейсмостанции	16
Лабораторная работа №5. Группирование сейсмоприемников и источников	17
Лабораторная работа №6. Расчет параметров системы наблюдений МОГТ 2D	22
Лабораторная работа №7. Знакомство с параметрами пространственной системы наблюдений МОГТ 3D и ее графическое изображение	28
Лабораторная работа №8 Амплитудно-частотная характеристика суммирования по ОГТ	31
Приложение 1 Обработывающая система SPS_PC	35
Список литературы	44

Введение

Настоящее пособие «Методика и техника полевых сейсморазведочных работ. Лабораторный практикум» представляет собой методические указания для выполнения лабораторных работ по дисциплине Б1.Б.2.04 «Методика и техника полевых сейсморазведочных работ» входит в цикл дисциплин учебного специализации «Сейсморазведка» специальности 21.05.03 «Технологии геологической разведки». Цель выполнения работ - закрепление лекционного материала, освоение основных методических приемов полевых сейсморазведочных данных, знакомство с аппаратурой и оборудованием этих работ, их техническими параметрами и принципами работы. А также получение навыков и умений в области расчета параметров систем наблюдений, группирования и т.п., применяемых в сейсморазведке.

Практикум включает описания лабораторных работ, методические указания по их выполнению, необходимый теоретический материал и требования к отчётам по дисциплине.

Лабораторная работа №1. Решение уравнения механического сейсмоприемника.

Изучение амплитудной и фазовой частотной характеристик наземных сейсмоприемников

Краткая теория.

Начальным приемным элементом сейморазведочного тракта является **сейсмоприемник** – устройство, способное воспринять механические колебания среды и преобразовать их в достаточный для регистрации электрический сигнал, адекватный механическим колебаниям среды.

Смещение во времени подвижной системы сейсмоприемника $X(t)$ относительно корпуса определяется тремя видами движения:

- ускорением - $M \cdot X''(t)$, где M – масса подвижной системы сейсмоприемника,
- затуханием - $H \cdot X'(t)$, где H – коэффициент пропорциональности,
- движением, связанным с жесткостью пружины $K - K \cdot X(t)$.

Учитывая все перечисленные компоненты, дифференциальное уравнение движения подвижной части механического сейсмоприемника можно записать в виде:

$$X''(t) + 2hX'(t) + n_0^2 X(t) = -\nu \cdot \xi''(t), \quad (1)$$

где $h = H/2M$ – коэффициент затухания; $n_0^2 = K/M$ – круговая частота собственных колебаний подвижной системы сейсмоприемника; ν – коэффициент механического усиления сейсмоприемника – чувствительность; $\xi(t)$ – величина смещения корпуса сейсмоприемника жестко сцепленного с почвой, в которую он установлен.

Результат решения приведенного дифференциального уравнения описывает реакцию сейсмоприемника на пришедшие сейсмические колебания. Предположим, что эти колебания вызывают гармонические колебания корпуса прибора, тогда $\xi(t) = \xi_0 \cdot e^{-i\omega t}$, а дифференциальное уравнение (1) имеет вид:

$$X''(t) + 2hX'(t) + n_0^2 X(t) = \nu \cdot \omega^2 \cdot \xi_0 \cdot e^{-i\omega t} \quad (2)$$

Для определения собственных колебаний подвижной системы сейсмоприемника уравнение (2) решают при условии, что сигнал на входе равен нулю $\xi(t) = 0$. Это решение имеет три варианта при различных соотношениях h и n_0 :

1. $h = n_0$, $X(t) = e^{-ht}(C_1 t + C_2)$,
2. $h > n_0$, $n_2^2 = h^2 - n_0^2$ $X(t) = e^{-ht}(C_3 e^{n_2 t} + C_4 e^{-n_2 t})$,
3. $h < n_0$, $n_1^2 = n_0^2 - h^2$ $X(t) = e^{-ht}[C_5 \cos(n_1 t) + C_6 \sin(n_1 t)]$

где $C_1 - C_6$ – коэффициенты, определяемые из начальных условий, когда скорость смещения в начальный момент времени равна нулю $X'/_{t=0} = 0$; а смещение $X/_{t=0} = X_0$.

Для определения вынужденных колебаний подвижной системы сейсмоприемника уравнение (2) решают при условии, что сигнал на входе отличен от нуля. Это решение определяет качество воспроизведения сейсмоприемником регистрируемых сигналов. Анализ качества производится по **амплитудно-частотной** и **фазово-частотной характеристикам** сейсмоприемника.

Амплитудно-частотная характеристика (АЧХ) сейсмоприемника определяется как зависимость от частоты ω отношения величин смещения подвижной системы и смещения корпуса прибора:

$$AЧХ(\omega) = \frac{X(t)}{\xi(t)} = \frac{v \cdot \omega^2}{\sqrt{(n_0^2 - \omega^2)^2 + 4\omega^2 h^2}}$$

Анализ АЧХ показывает, что она имеет один максимум на частоте:

$$\omega_0 = \frac{n_0^2}{\sqrt{n_0^2 - 2 \cdot h^2}} \quad (3)$$

Частота ω_0 – частота механического резонанса сейсмоприемника. Для того, чтобы сейсмоприемник в рабочей полосе частот не имел резонансного максимума, а переходный процесс был бы наиболее коротким, величину затухания h подбирают такой, чтобы максимум АЧХ находился бы в бесконечности (знаменатель выражения (3) стремится к 0). Из выражения (3) следует, что это будет наблюдаться в том случае, если затухание будет определяться формулой:

$$h_{opt} = n_0 / \sqrt{2}$$

Эту величину затухания принято называть **оптимальной**. Используемые на практике сейсмоприемники настраивают, как правило, на оптимальное затухание.

Фазово-частотная характеристика (ФЧХ) при этом будет определяться как зависимость от частоты ω разности фаз между колебаниями подвижной системы и колебаниями корпуса:

$$\PhiЧХ(\omega) = \arctg[(-2h\omega)/(n_0^2 - \omega^2)]$$

Цель работы: Освоить теорию механического сейсмоприемника. Научиться рассчитывать амплитудную и фазовую характеристику сейсмоприемника по известным техническим характеристикам. Изучить переходные процессы свободных колебаний сейсмоприемника при различных значениях коэффициента затухания.

Порядок выполнения работы.

Теоретическая часть

1. Найти все решения уравнения собственных колебаний подвижной системы сейсмоприемника. Определить константы $C_1 - C_6$.
2. Используя уравнение вынужденных колебаний подвижной части сейсмоприемника, вывести уравнения АЧХ и ФЧХ.
3. Вывести уравнение максимума АЧХ.

Практическая часть

4. Для заданных технических параметров сейсмоприемника собственной частоты f_0 и чувствительности ν рассчитать и построить графики АЧХ и ФЧХ с различной степенью затухания $C_h = 0,1; 0,5; 0,7; 1; 2$, учитывая, что собственная круговая частота равна $n_0 = 2\pi f_0$, а коэффициент затухания $h = C_h n_0$, где C_h – степень затухания
5. Сделать выводы о характере зависимости АЧХ и ФЧХ от степени затухания.
6. Рассчитать и построить графики переходных процессов сейсмоприемника $X(t)$ для различных коэффициентов затухания h . Описать результаты и сделать выводы о чувствительности сейсмоприемника при различном затухании.

Литература:

1. Бондарев В.И. 2007, Сейсморазведка. Изд-во УГГУ, стр.143-146.
2. Боганик Г.Н., Гурвич И.И., 2006, Сейсморазведка. Тверь: Издательство АИС, стр.251-261.
3. Справочник геофизика. Том четвертый. Сейсморазведка. 1966.

Исходные данные по вариантам

Сейсмоприемники наземные

	Название сейсмоприемника	Собственная частота f_0 , Гц	Чувствительность сейсмоприемника ν , В/м/с ⁻²
1	СВ-5	5	32
2	GS-20DX	10	27.6
3	СВ-20П	20	20
4	СВ-30П	30	14,4
5	СГ-10	10	20
6	СВ2-10Ц	10	21
7	СВ3-60Ц	60	60
8	СВ3-100Ц	100	42

9	GS-32DX	10	27,5
10	20DG14	14	28
11	20DG28	28	50
12	20DG35	35	50
13	20DG40	40	38
14	BC1313	900	2

$n_0 = 2\pi f_0$, $h = C_n n_0$, где C_n – степень затухания

Лабораторная работа №2. Основы цифровой регистрации сейсмической информации.

Краткая теория

В цифровых сейсморазведочных станциях аналоговый электрический сигнал, регистрируемый сейсмоприемниками, до записи его на магнитный носитель подвергается численному измерению. Для оцифровки амплитуды сейсмических сигналов A в сеймостанциях используется двоичная система исчисления. В этой системе целое число представляется в виде:

$$A = \pm(a_n 2^n + a_{n-1} 2^{n-1} + \dots + a_1 2^1 + a_0 2^0),$$

где a_i принимает значение 0 или 1; n - число используемых разрядов.

Цифровые форматы, используемые в современной сейсморазведочной аппаратуре, базируются на экспоненциальной форме представления двоичных чисел, соответствующих действительным числам:

$$A = (-1)^{SIGN} \times 2^{EXPONENT} \times 0.FRACTION, \text{ где}$$

SIGN	одноразрядное двоичное число, определяющее знак числа	0 - плюс 1 - минус
EXPONENT	показатель степени числа 2 равен числу разрядов в целой части числа A в двоичном коде	Число в двоичном коде
FRACTION	мантисса двоичного числа, в которой указываются подряд только значащие цифры без концевых нулей	Число в двоичном коде

Например, для числа 4.5 значение в двоичной системе равно 100.1, а в экспоненциальной форме:

$$SIGN=0, EXPONENT=11, FRACTION=1001.$$

Непрерывный аналоговый сигнал в сеймостанции представляется в виде дискретной временной последовательности отсчетов (квантов). Например, для 1 сейсмической трассы зарегистрированной в течение 4 секунд при шаге квантования по времени 2 мс количество отсчетов составит 2000.

Точность представления аналоговых сигналов в дискретной форме тем выше, чем меньше интервал квантования. Слишком малый интервал квантования обеспечивает высокую точность представления сигнала, но приводит к появлению избыточной информации, увеличению объема памяти для ее размещения и, следовательно, к удорожанию процесса записи и обработки данных.

Исходя из этого, при проектировании методики регистрации сейсмических данных выбирают шаг квантования по времени Δt с учетом теоремы В. А. Котельникова.

Согласно этой теореме для однозначной передачи по линии связи непрерывной функции с ограниченным спектром частот с максимальной частотой f_{max} достаточно передавать ее отдельными значениями, взятыми с интервалом Δt :

$$\Delta t = \frac{0.5}{f_{max}} = \frac{1}{2f_{max}}$$

Дискретизация, которая осуществляется с шагом Δt , позволяет сохранить в кодируемом сигнале все гармонические составляющие, частоты которых меньше половины **частоты квантования**

$$f_{KB} = 1/\Delta t.$$

Частота, равная половине частоты квантования, называется **частотой Найквиста**

$$f_N = 0.5 \times f_{KB}.$$

Помимо теоремы Котельникова принимают во внимание погрешность кусочно-линейной аппроксимации амплитуды между соседними отсчетами сейсмических сигналов. При разрешенном уровне допустимых амплитудных искажений 10% **практическую частоту квантования** выбирают в четыре раза выше максимальной частоты спектра регистрируемых колебаний:

$$F_{KB} > 4 f_{max}.$$

Если в спектре квантуемого сигнала имеются гармоники волн-помех с более высокой частотой, чем частота Найквиста:

$$F_{ПОМЕХИ} = (f_N + \Delta f),$$

то при квантовании по времени они воспринимаются как гармоники более низкой частоты с ложной частотой:

$$F_{ложная} = (f_N - \Delta f).$$

Для устранения помех, связанных с явлением зеркальных (ложных) частот, во всех сейсморазведочных станциях предусмотрены фильтры низкой частоты (ФНЧ), называемые также антиаляйсинг-фильтрами. Эти фильтры должны иметь **граничную частоту**, соответствующую **практической частоте квантования** F_{KB} .

Процесс измерения амплитуды выборки аналогового сигнала и представление измеренного значения в виде двоичного кода называется квантованием сигнала по уровню (амплитуде). Это операция осуществляется преобразователем аналог-код (ПАК). Принцип оцифровки амплитуд выборки легче понять на примере ранее использовавшегося в сейсмостанциях метода поразрядного взвешивания. Набор эталонных напряжений, N-

разрядного ПАК имеет вид: $U_1, U_2, \dots, U_{N-2}, U_{N-1}, U_N$, где каждое следующее напряжение меньше предыдущего в 2 раза. Такой набор эталонных напряжений позволяет ПАК измерять напряжения в диапазоне значений от $-2U_N$ до $+2U_N$. В ПАК с поразрядным взвешиванием измеряемый сигнал будет уравниваться суммой эталонов напряжений в соответствии с формулой:

$$U_{изм} = \pm(k_1 U_1 + k_2 U_2 + \dots + k_i U_i + \dots + k_N U_N)$$

При этом коэффициенты k_i принимают лишь два значения: при отключенном уровне напряжения - 0, при включенном уровне - 1. Например, для 6-разрядного ПАК с эталонными напряжениями 64, 32, 16, 8, 4, 2 измеренное напряжение в 115 условных единиц можно записать:

$$U_{изм} = 1 \times 64 + 1 \times 32 + 1 \times 16 + 0 \times 8 + 0 \times 4 + 1 \times 2$$

Чем больше разрядность ПАК, тем выше его разрешающая способность. Число разрядов ПАК определяет теоретический динамический диапазон сейсмостанции, дБ

$$D = 20 \lg \frac{A_{\max}}{A_{\min}} = 20 \lg \frac{U_0}{U_0 / 2^n} = 20 \lg 2^n \approx 6n$$

где A_{\max} и A_{\min} - максимальный и минимальный сигналы, которые может регистрировать сейсмостанция, а n - разрядность ПАК.

После оцифровки данные форматируются в соответствии с принятыми стандартами записи сейсмических данных. В настоящее время в основном используются 4-байтные демультимплексные форматы SEG-D 8048 и 8058, а также SEG-Y. Отформатированные данные записываются на магнитные носители.

Справочная информация о форматах

Формат	Двоичная форма представления отсчета
SEG-D 8048	$A = (-1)^S \cdot 0.Q_1 Q_2 \dots Q_{23} \cdot 16^{C_6 C_5 C_4 C_3 C_2 C_1 C_0 - 64}$
SEG-D 8048	$A = (-1)^S \cdot 1.Q_1 Q_2 \dots Q_{23} \cdot 2^{C_7 C_6 C_5 C_4 C_3 C_2 C_1 C_0 - 127}$

Структура выделения памяти для одной сейсмограммы в формате SEG-Y:

- текстовый заголовок сейсмограммы - 3200 байт
- бинарный заголовок сейсмограммы - 400 байт
- заголовок трассы - 240 байт
- длина сейсмического слова - 4 байта

Цель работы:

Ознакомиться с основными понятиями цифровой регистрации сейсмических сигналов.

Постановка задачи.

Выполнить расчеты, по представленным ниже заданиям. Числовые значения для вычислений брать из таблицы вариантов. Номер столбца таблицы соответствует номеру варианта.

1. Записать в экспоненциальной форме амплитуду двух отсчетов сигнала: на времени $t_1=0,25T$ и $t_2=0,75T$, где T – период сигнала, частота которого f . Шаг квантования по времени выбрать таким образом, чтобы частота и амплитуда не искажались. Минимальный уровень входного сигнала U_0 .

Форма сигнала, представляет собой импульс Пузырева:

$$S(t) = a_0 * \exp(-b^2 t) \sin(2\pi f t)$$

где t – время регистрации, a_0 – амплитуда сигнала при $t=0$, b – коэффициент затухания

2. Известно, что спектр полезных волн ограничен частотой f_{max} . Определить ложные частоты для волны-помехи со спектром $F1 - F3$. Оценить, какова должна быть в этом случае граничная частота антиаляйсинг-фильтра (ФНЧ).

3. По заданным значениям максимального A_{max} и минимального A_{min} сигналов, которые может регистрировать сейсмостанция, определить ее теоретический динамический диапазон D .

4. Записать величину амплитуды отсчета, полученного в 1 задании, в двоичной форме в форматах SEG-D 8048 и SEG-D 8058.

5. Рассчитать объем памяти для хранения результатов работы полевого сезона сейсмической партии. Число зарегистрированных сейсмограмм NS , число трасс в каждой сейсмограмме - NC , длина записи $t_{зан}$, шаг квантования Δt . Запись производится в формате **SEG-Y**.

Литература:

1. Бондарев В.И. 2007, Сейсморазведка. Учебник для вузов. Екатеринбург: Изд-во УГГУ. С. 165-168, 178-180.

Варианты расчета к лабораторной работе №1 (основы цифровой регистрации)

№	Вар.	1	2	3	4	5	6	7	8	9
1	a_0 , мВ	1500	1000	800	1500	2000	1500	1200	800	1800
	b	30	50	40	40	30	150	50	50	50
	f , Гц	50	80	50	60	40	50	80	70	90
	U_0 , мкВ	10	2	5	20	10	1	2	1	4
2	f_{max} ,	125	250	180	270	150	160	110	120	240
	$F1$,	300-	560-	200-	1200-	280-	300-	200-	2050-	2500-
	$F2$, Гц	400	670	400	1500	300	550	250	2550	2750
3	A_{max}	2400	2600	3000	2500	3500	2200	3400	2400	3000
	A_{min} , мВ	2	4	10	0,01	0,002	0,02	0,04	0,001	0,001
5	NS	10000	15000	20000	18000	8000	30000	9000	7000	16000
	NC	120	144	200	100	1200	96	1600	1120	192
	$t_{зап}$, с	4	5	3	4	5	6	3	14	10
	Δt , мс	1	2	1	2	1	2	1	2	2

Лабораторная работа №3. Моделирование процесса преобразования вибротрассы в сейсмотрассу

Исходные данные моделирования:

1. Параметры вибросигнала в источнике:

- начальная частота развертки, Гц – f_1
- конечная частота развертки, Гц – f_2
- фазовый сдвиг, радианы - φ
- амплитуда сигнала - A
- длительность виброимпульса, сек – T
- форма свип-сигнала ЛЧМ

$$S(t) = A \cos \left[f_1 \cdot t + (f_2 - f_1) \cdot \frac{t^2}{2 \cdot T} + \varphi \right]$$

- количество накоплений, N (могут складываться синфазные сигналы, когда значение φ одинаково или со сдвигом по фазе - φ различны у суммируемых свипов)

2. Параметры геологического разреза:

Номер границы	Время t_0 , сек	Коэффициент отражения
1	t_{01}	R_1
2	t_{02}	R_2
3	t_{03}	R_3

3. Параметры регистрации в сеймостанции:

- длительность записи, мсек - T_{zap}
- шаг дискретизации по времени, мсек - Δt

Цель работы: изучить влияние параметров источника на разрешающую способность вибрационной сейсморазведки. Предлагается изучить:

А) влияние диапазона полосы частот f_1 - f_2 для одиночного свип-сигнала

Б) влияние сдвига по фазе φ между двумя отдельными свип-сигналами при суммировании сигналов

Порядок работы:

1. Используя параметры геологического разреза, времена t_0 и значения коэффициента отражения для сейсмических границ, сформировать трассу коэффициентов отражения длиной T_{zap} , с шагом дискретизации $\Delta t = SR(t)$, построить ее график.
2. Используя формулу, задающую форму свипа, число накоплений и наличие сдвига по фазе между суммируемыми сигналами, сформировать сигнал в источнике длиной T с шагом дискретизации $\Delta t = SV(t)$, построить его график.
3. Сформировать вибротрассу $VT(t)$, выполнив операцию свертки трассы коэффициентов отражения $SR(t)$ со свип-сигналом $SV(t)$ и построить ее график. Длительность полученной вибротрассы должна быть равна $T+T_{zap}$.
4. Получить сеймотрассу $ST(t)$ из вибротрассы $VT(t)$ вычислив функцию взаимной корреляции между вибротрассой $VT(t)$ и свип-сигналом $SV(t)$, построить ее график.
5. Сравнить графики $ST(t)$ и $SR(t)$, сделать заключение о наличии информации о положении отражающих горизонтов на сеймотрассе..
6. Пункты 1-5 выполнить для различных частотных параметров: при фиксированной средней частоте $f_{cp}=(f_1+f_2)/2$ ширину полосу частот взять равной 0,5, 1.5, 3 октавам. Выбрать свип с наибольшей разрешающей способностью для дальнейших модельных расчетов.
7. Смоделировать геологический разрез, в котором разница времен между 1 и 2 отражениями близка по величине к четверти среднего периода модельного свипа (см. пункт 6). Сделать выводы о разрешающей способности сейморазведки для этого случая. Повторить расчеты, изменив знак коэффициента отражения для 1 границы. Сравнить разрешающую способность для рассмотренных геологических разрезов.
8. Изучить влияние разности фаз между суммируемыми свип-сигналами (рекомендуемые сдвиги – 90, 180 градусов) на сейсмические изображения границ. В качестве модельного использовать исходный
9. Самостоятельно выполнить расчеты графиков АКФ ЛЧМ-свилов, изображенных на рис.12.3 стр.125, см. учебник Бондарев В.И., 2007, Сейморазведка,

Справочный материал:

- а. .Бондарев В.И. 2007, Сейсморазведка. Изд-во УГГУ, стр.122-126.
- б. Гурвич И.И., Боганик Г.Н. 2006, Сейсморазведка. Тверь АИС стр..288-289, 326-335
- с. Файл с демонстрационными расчетами в формате MATHCAD

Исходные данные по вариантам:

	1	2	3	4	5	6	7	8	9
f1,Гц	10	15	20	30	8	16	32	12	24
f2,Гц	40	60	80	120	32	64	128	48	96
A	1	1	1	1	1	1	1	1	1
T,с	1	2	3	4	2	3	4	3	4
N	2	2	2	2	2	2	2	2	2
to1,с	1	1.42	1.5	1	1.42	1.5	1	1.42	1.5
to2,с	1.2	1.45	1.61	1.2	1.45	1.61	1.2	1.45	1.61
to3,с	1.24	1.8	1.64	1.24	1.8	1.64	1.24	1.8	1.64
R1	0.1	0.1	0.1	0.1	0.1	0.1	0.1	0.1	0.1
R2	0.1	-0.1	0.1	-0.1	0.1	-0.1	0.1	-0.1	0.1
R3	-0.1	0.1	-0.1	0.1	-0.1	0.1	-0.1	0.1	-0.1
Tzap,с	2	2	2	2	2	2	2	2	2
det, мс	2	2	2	2	2	2	2	2	2

Лабораторная работа №4. Линейные и телеметрические сейсмостанции

Описание сейсмостанций

1. Линейной - Интромарин L2
2. Телеметрической – Sercel 408-UL

Ознакомьтесь с презентациями по сейсмостанциям и сформировать отчет с их описанием.

План описания

1. Назначение
2. Состав и устройство системы
3. Прохождение сейсмических сигналов
4. Технические характеристики системы
5. Функции ПО системы

Минимальный перечень технических характеристик

Максимальное число активных каналов

Количество подключаемых каналов

Количество вспомогательных каналов

Разрядность АЦП

Период квантования, мс

Максимальное время регистрации

Общий динамический диапазон

Коэффициент гармоник, %

Подавление синфазной составляющей, Дб

Усилители, Дб

Неидентичность усиления каналов, %

Взаимные влияния между каналами, Дб

Напряжение питания, В

Максимальный входной сигнал, В

Минимальный входной сигнал, мкВ

Справочный материал:

1. Б
2. Презентации: 408UL2006.ppt, Интромарин.ppt.

н

д

а

р

е

в

Лабораторная работа №5. Группирование сейсмоприемников и источников

Краткая теория

Группирование сейсмоприемников и источников относится интерференционным системам (ИС), которые реализуют физически в полевых условиях на стадии регистрации сейсмических колебаний. Такое группирование используется в сейсморазведке достаточно широко для подавления поверхностных волн, характеризующихся низкие значения кажущихся скоростей и частот. Оно позволяет существенно повысить соотношение сигнал/помеха и, тем самым, улучшить прослеживание полезных колебаний.

Наиболее простыми являются расчеты ИС, когда суммирование и регистрация сейсмических волн выполняется на малых базах наблюдений. В этом случае криволинейностью наблюдаемых годографов можно пренебречь, сейсмические волны считать плоскими, а их кажущиеся скорости в пределах базы суммирования – постоянными.

Постановка задачи

Пусть к прямолинейному профилю наблюдений одновременно приходят две волны: отраженная и поверхностная. При этом отраженная, полезная волна, приходит вертикально снизу и должна быть зарегистрирована с минимальными искажениями. Поверхностная волна-помеха распространяется вдоль профиля по горизонтали и ее необходимо максимально подавить.

Рассмотрим группу, состоящую из n приемников, расположенных на одной линии вдоль профиля с равным шагом Δx на поверхности земли. Пусть эта линейная продольная группа соединена с одним регистрирующим каналом, так что в него поступает суммарный сигнал.

При кажущейся скорости поверхностной волны $V_{нов}$ разность времен прихода этой волны на k -ый элемент группы по сравнению с первым элементом будет составлять $(k-1) \Delta x / V_{нов}$.

Наклон линии суммирования отраженных волн характеризуется кажущейся скоростью $V_{отр}$. Для этих волн временной сдвиг между k -ым и первым элементом группы будет равен $(k-1) \Delta x / V_{отр}$.

Отклонение годографа поверхностной волны от линии суммирования отраженных волн будет характеризоваться временной задержкой

$$\Delta t_k = (k - 1) \cdot \Delta x \cdot (1/V_{нов} - 1/V_{отр}) .$$

Поскольку в рассматриваемой задаче отраженные волны имеют бесконечную кажущуюся скорость суммирования из-за вертикальности лучей подхода к приемникам, то эту формулу можно записать:

$$\Delta t_k = (k - 1) \cdot \Delta x \cdot K_{нов} / (2 \cdot \pi \cdot f),$$

где $K_{нов} = 2 \cdot \pi \cdot f / V_{нов}$ – волновое число, характеризующее помехи.

Учитывая то, что элементы интерференционной группы одинаковы, и выбирая начало отсчета в центре базы группы, амплитудно-частотную характеристику группы можно записать в виде:

$$H(K) = \sum_{k=1}^n \exp(-i(k-1) \cdot \Delta x \cdot K).$$

Далее вычисляя сумму ряда, как сумму геометрической прогрессии, получим расчетную формулу:

$$H(K) = \frac{\sin(0.5 \cdot n \cdot \Delta x \cdot K)}{\sin(0.5 \cdot \Delta x \cdot K)}. \quad (1)$$

Функция $H(K)$ зависит от двух параметров n и Δx , имеет период $T = 2\pi/\Delta x$ и при $K=0$ достигает максимума $H_{max}(0) = n$.

Для изучения свойств амплитудно-частотной характеристики линейной группы строится и анализируется график относительной функции:

$$|H(K \cdot \Delta x) / H(0)| = |H(K \cdot \Delta x) / n|. \quad (1a)$$

Если в качестве аргумента этой функции взять произведение $K \cdot \Delta x$, являющееся безразмерной величиной, то период функции будет равен 2π , а ее максимальное значение 1. Для примера на рис.1 показана относительная характеристика ИС, состоящей из 12 элементов. На характеристике ИС можно выделить две области – область пропускания и область подавления сигнала.

Областью пропускания условно считают интервал волновых чисел от главного максимума ($K=0$) до первого нулевого значения характеристики. Если волна попадает в главный максимум характеристики, то она усиливается в n раз.

К области подавления относят интервал волновых чисел, который расположен между главными максимумами.левой границей интервала подавления является первое нулевое значение характеристики. Оно соответствует волновому числу

$$K_{сп1} = 2\pi / (n \cdot \Delta x). \quad (2)$$

Правой границей интервала подавления является волновое число

$$K_{сп2} = 2\pi(n-1) / (n \cdot \Delta x). \quad (3)$$

Волна, которая по своим характеристикам попадает в область подавления, будет ослаблена ИС. Уровень подавления помех в децибелах определяется по формуле:

$$K_n = 20 \cdot \lg(H(K \cdot \Delta x) / H(0)). \quad (4)$$

Чем больше элементов содержится в группе, тем существеннее ослабляются поверхностные волны.

Помимо эффекта направленности линейные группы обладают статистическим эффектом суммирования, равным \sqrt{n} . Имеет место также такой положительный эффект как усреднение условий приема колебаний.

Расчет параметров группы

Важной задачей выбора методики полевых работ является расчет параметров группы сейсмоприемников (их числа и расстояния между ними).

Для такого расчета необходимо знать возможные диапазоны частот $f_{min} - f_{max}$ и кажущихся скоростей $V_{min} - V_{max}$ поверхностных волн-помех. По этим данным определяются пространственные частоты помех – волновые числа K , которые будут заключены в интервале от K_{min} до K_{max} :

$$K_{min} = 2\pi f_{min} / V_{max}; \quad K_{max} = 2\pi f_{max} / V_{min} \quad (5)$$

Искомая линейная группа сейсмоприемников подавит волны-помехи, если диапазон их волновых чисел окажется в области подавления характеристики направленности. Приравнявая K_{gp1} к K_{min} , а K_{gp2} к K_{max} , получим формулы для расчета числа сейсмоприемников в группе n и расстояния между ними Δx :

$$n = (K_{max} / K_{min}) + 1; \quad \Delta x = 2\pi / (K_{max} + K_{min}). \quad (6)$$

Линейные группы сейсмоприемников обычно содержат от 5 до 30 элементов. Расстояние между приемниками находится в интервале от 2 до 10 метров, что обеспечивает отсутствие корреляции нерегулярных (случайных) помех. База группы – расстояние от 1-го до n -го элемента определяется по формуле

$$L = (n - 1) \cdot \Delta x. \quad (7)$$

При расчетах следует проверять, не превышает ли величина базы группы L расстояние между соседними группами RI , то есть группа должна удовлетворять условию:

$$RI > L_{gp}.$$

Выполнение этого условия обеспечивает отсутствие нежелательного эффекта - перекрытия групп сейсмоприемников (смещения сигналов проходящих к соседним каналам).

Если помехи имеют широкий диапазон кажущихся скоростей, то указанное условие может не выполняться. В таком случае в дополнение к группе приемников применяют

группирование источников. Для расчета групп диапазон волн-помех делят на два диапазона. Группу источников рассчитывают на базе интервала помех с наиболее высокими скоростями и высокими частотами. Оставшаяся часть диапазона помех подавляется группой сейсмоприемников. При совместном группировании источников и приемников результирующая характеристика направленности равна произведению соответствующих функций характеристик направленности обеих интерференционных систем.

Группы источников, как правило, имеют не более 6 элементов. Ограничение на длину базы группы источников связано только с линейностью годографа отраженных волн в пределах базы группы.

Задание

Рассчитать параметры линейной продольной группы сейсмоприемников и, при необходимости, источников. Рассчитать характеристику направленности для полученной группы. Построить график характеристики. Анализируя график, охарактеризовать свойства полученной группы. Подобрать группу с большим числом элементов.

Исходными данными для расчета являются шаг пикетов приема RI и характеристики поверхностных волн-помех: диапазоны частот $f_{min} - f_{max}$ и кажущихся скоростей $V_{min} - V_{max}$.

Порядок выполнения работы

1. Рассчитать диапазон пространственных частот поверхностных волн-помех K по формулам 5.
2. Рассчитать параметры группы сейсмоприемников по формулам 6,7.
3. Сравнить базу группы с заданным расстоянием между группами RI , сделать вывод о возможности применения группы. При необходимости рассчитать группу источников и группу приемников.
4. Рассчитать и построить график характеристики направленности группы, используя формулы 1 и 1а.
5. Определить средний коэффициент подавления помех в децибелах (формула 4) в интервале подавления.
6. Подобрать группу с большим числом элементов в пределах имеющейся базы группы.

Отчетность

Текстовая часть отчета должна содержать краткую теорию, параметры рассчитанной группы, заключение о способности этой ИС подавлять волны-помехи с заданными характеристиками.

Графическая часть должна быть представлена графиком характеристики направленности для рассчитанной ИС, с нанесенными на нее областями подавления, пропускания и диапазона $K \cdot \Delta x$, соответствующего волнам-помехам.

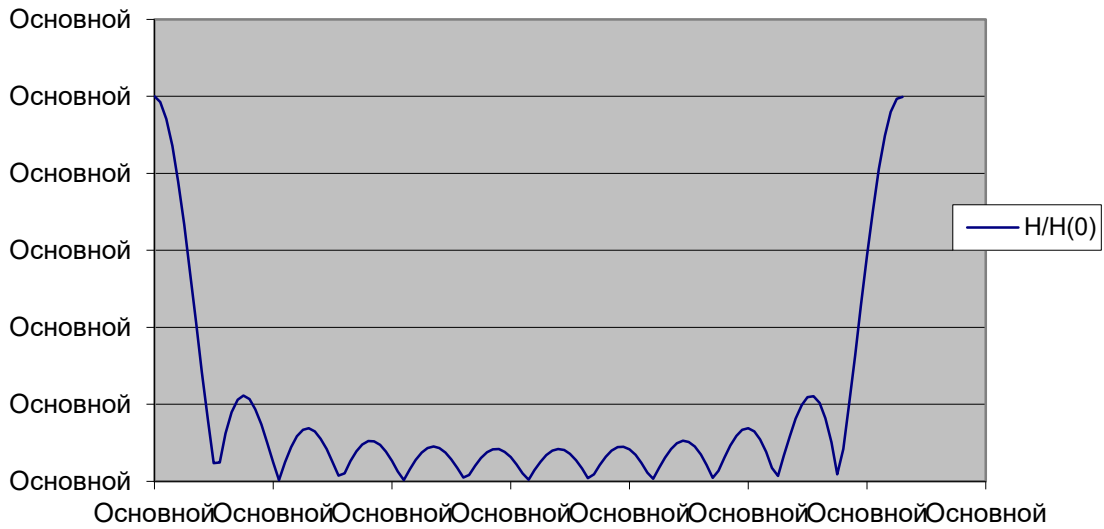


Рис. 1 Амплитудно-частотная характеристика

Лабораторная работа №6. Расчет параметров системы наблюдений МОГТ 2D

Краткая теория

Современные системы МОГТ 2D представляют собой профильные наблюдения, выполняемые методом многократных перекрытий. Они реализуют регистрацию сейсмических сигналов, возбуждаемых источником упругих волн, с помощью многоканальной линейной расстановки приемных устройств. При этом в полевых условиях получают сейсмограммы общей точки возбуждения (ОТВ).

Для этих систем характерно продольное профилирование, когда источник и приемники расположены на одной прямой линии (прямолинейном профиле). В зависимости от положения источника в пределах расстановки различают фланговые и центральные системы наблюдений. Во фланговых системах источник расположен вблизи первого или последнего приемника расстановки (рис.1). В центральных системах – вблизи центра расстановки или с некоторым смещением от центра (рис.2).



Рис.1. Фланговая расстановка: ПВ – красный треугольник, ПП - белые треугольники

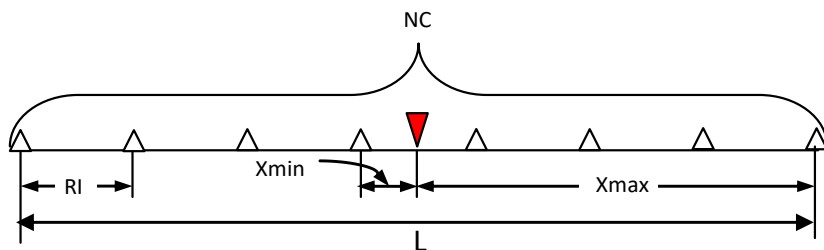


Рис. 2 Центральная расстановка и ее параметры:
NC – количество активных каналов,
RI – интервал между пикетами приема,
Xmin - минимальное удаление источник- приемник,
Xmax - максимальное удаление источник-приемник,
L - длина регистрирующей расстановки

Параметрами систем наблюдений МОГТ 2D являются:

1. Длина регистрирующей расстановки (база регистрации) – L
2. Количество каналов в активной (регистрирующей) расстановке – NC
3. Шаг (интервал) между каналами – RI
4. Шаг (интервал) возбуждения источников – SI
5. Кратность перекрытий – F_{2D}
6. Шаг точек ОГТ – V_{2D}
7. Минимальное удаление источник – приемник (минимальный вынос) - X_{min}
8. Максимальное удаление источник – приемник (максимальный вынос) - X_{max}

Для достижения высокой кратности перекрытий шаг между источниками SI равен шагу между приемниками RI или в целое число раз больше его (обычно не более, чем в 2 раза). Параметры систем наблюдений МОГТ 2D связаны между собой следующими соотношениями:

$$SI = n \cdot RI, \text{ где } n - \text{целое число}; \quad B_{2D} = RI / 2;$$

$$L = (NC - 1) \cdot RI; \quad F_{2D} = (L/2) / SI.$$

Показанные на рисунках 1 и 2 конфигурации приемных расстановок и положение в их пределах пункта возбуждения являются шаблонами, которые при обработке профиля смещают по профилю с шагом источников SI. Малый шаг перемещения шаблонов по профилю обеспечивает высокую кратность их перекрытий (рис.3). Это позволяет из полевых сейсмограмм ОТВ формировать сейсмограммы ОГТ из сейсмических трасс, для которых расстояние от источника до пикета ОГТ и расстояние от приемника до пикета ОГТ равны. Пример формирования сейсмограммы ОГТ показан на рис.3. Для точки профиля, положение которой отмечено красной линией, показана серия из 6 трасс, удовлетворяющих принципу сортировки по ОГТ (голубая линия).

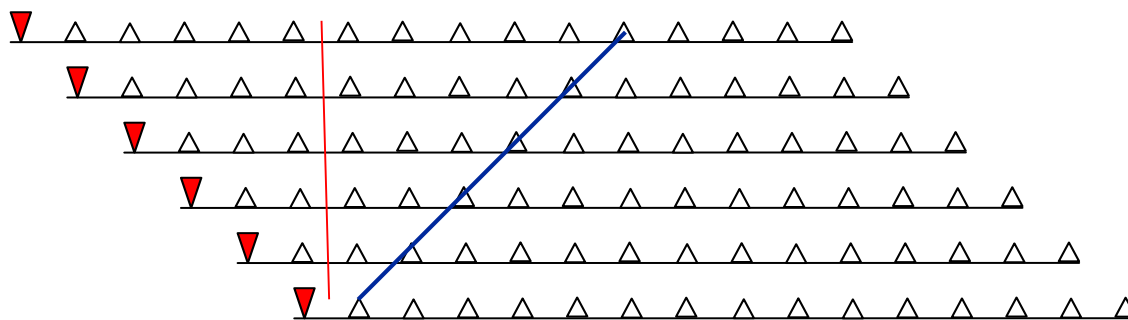


Рис.3. Схема перемещения шаблонов по профилю (фланговая система наблюдений)

В каждом шаблоне участок, на котором располагаются точки ОГТ, занимает половину приемной расстановки $L/2$ (см. рис. 4). Следовательно, чтобы определить кратность перекрытий точек ОГТ, нужно знать сколько раз в $L/2$ укладывается шаг смещения шаблонов по профилю (шаг источников – SI): $F_{2D} = (L/2) / SI$.

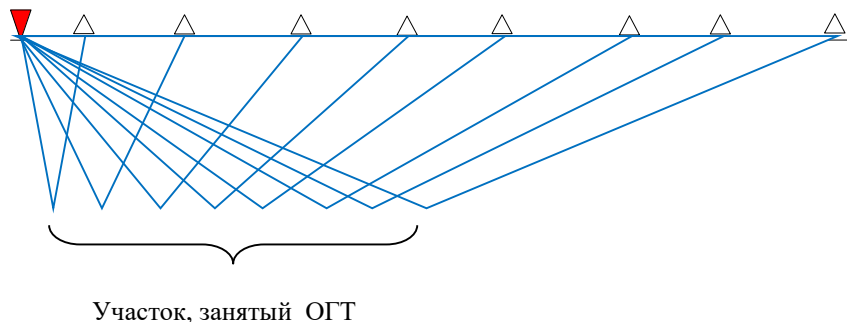


Рис.4. Схема шаблона, лучи отраженных волн для горизонтальной отражающей границы (синие линии) и участок, занятый точками ОГТ

Параметры системы наблюдения зависят от геологических задач, которые предстоит решить с помощью сейсморазведки. В качестве исходной информации для определения этих параметров выступают следующие характеристики:

- масштаб исследований и соответствующая плотность съемки,
- конфигурация и размеры площади исследований,
- предполагаемые размеры локальных структур $L_{об}$, их простирание,
- предполагаемые максимальные углы падения отражающих границ φ ,
- максимальная глубина до целевых отражающих границ Z_{max} ,
- частотный состав сейсмических колебаний (максимальная f_{max} и доминирующая или средняя частота $f_{дом}$),

- результаты геосейсмического моделирования (средние скорости $V_{ср}$, соотношение сигнал/помеха для кратных волн-помех S/N , кажущиеся скорости для целевых отражений $V_{каж}$, участки прослеживания полезных отражений, свободные от интерференции, максимально возможное время регистрации полезных волн и волн-помех t_{max}).

Рассмотрим пример расчета параметров системы наблюдений.

В качестве исходных данных расчета берутся:

- плотность съемки P , соответствующая ее масштабу и задаче подготовки структуры к глубокому бурению, при 1:50000 – $P=1.5$ погонный км на 1 кв. км
- площадь съемки $S=500$ кв км,
- размеры структур: 2-3 км вкрест простирания и 5-6 км по простиранию
- максимальная глубина исследования* - 3000 км,
- средняя скорость до целевого горизонта* - 3000 м/с,
- кажущаяся скорость по целевому годографу* - 4000 м/с
- доминирующая частота 40 Гц, максимальная 90 Гц,
- максимальный угол наклона 15 градусов,
- максимальное время регистрации отраженных волн – 2, 4 сек
- отношение сигнал – помеха $S/N=0,3$
- требуемое отношение сигнал помеха $S/NT=6$.

Порядок определения параметров:

1. Общая длина профилей на площади исследований:

$$LP = S \cdot P = 500 \text{ кв. км} \cdot 1.5 \text{ км} / \text{кв. км} = 750 \text{ пог. км}$$

2. Расстояние между профилями: выбирается так, чтобы структура была пересечена профилями не менее 2 раз, а соотношение расстояний между основными и связующими профилями было бы близко к соотношению продольных и поперечных размеров структур. Кроме того, должна быть обеспечена необходимая плотность профилирования $P \geq 1.5$ погонный км на 1 кв. км. (см. стр.258, Бондарев В.И. Сейсморазведка, 2007) В рассматриваемом примере расстояние между основными профилями составит 2 км, между связующими 4 км.

3. Максимальное удаление источник – приемник должно находиться в интервале

$$X_{\max} = Z_{\max} \cdot (0.8 \div 1.2), \text{ откуда получаем } X_{\max} = 3000 \cdot (0.8 \div 1.2) = 2400 \div 3600 \text{ м}$$

4. Длина регистрирующей расстановки (база регистрации) для центральной системы наблюдений равна $L = 2 \cdot X_{\max}$, в нашем случае имеем $L = 4800 \div 7200$ м

5. Доминирующая длина волны отвечает за разрешающую способность сейсморазведки по вертикали и по горизонтали:

$$\lambda = V_{\text{ср}} / f_{\text{дом.}} = 3000 \text{ (м/с)} / 40 \text{ (Гц)} = 75 \text{ м}$$

Откуда разрешающая способность по вертикали равна $\frac{1}{4} \lambda$, в нашем случае будет определяться мощностью слоя $75/4 \approx 19$ м, а по горизонтали размерами объекта сопоставимого с первой зоной Френеля $\frac{1}{2} \cdot (Z_{\max} \cdot \lambda)^{1/2}$, в рассматриваемой ситуации $\frac{1}{2} (3000 \cdot 75) \approx 237$ м

6. Расстояние между точками приема определяется по качеству прослеживания целевых волн на сейсмическом волновом поле:

$$RI \leq V_{\text{каж}} / (2 \cdot f_{\text{дом}}), \text{ откуда получаем } RI \leq 4000 \text{ (м/с)} / (2 \cdot 40 \text{ (Гц)}) = 50 \text{ м, (расстояние берется кратным 5 или 10 метрам.)}$$

7. Кратность перекрытий по ОГТ:

- по соотношению сигнал-помеха $F_{2D} \geq (6 \div 10) / (S/N)$, откуда имеем

$$F_{2D} \geq (6 \div 10) / 0.3 = 20 \div 33$$

- по требуемому соотношению сигнал-помеха $F_{2D} = SNT^2 = 6^2 = 36$

Берется максимальное значение из рассчитанных – 36

8. Шаг между пикетами возбуждения выбирается кратным шагу пикетов приема:

$$SI = (1 \div 2) RI, \text{ получаем } SI = (1 \div 2) \cdot 50 = 50 \div 100 \text{ м}$$

9. Поскольку большинство параметров определены в виде набора возможных значений, то необходимо выбрать удовлетворяющий всем необходимым требованиям вариант. Окончательный выбор параметров:

Пусть $SI=100$ м, тогда база регистрации равна $L=F_{2D} \cdot SI \cdot 2=36 \cdot 100 \cdot 2=7200$ м

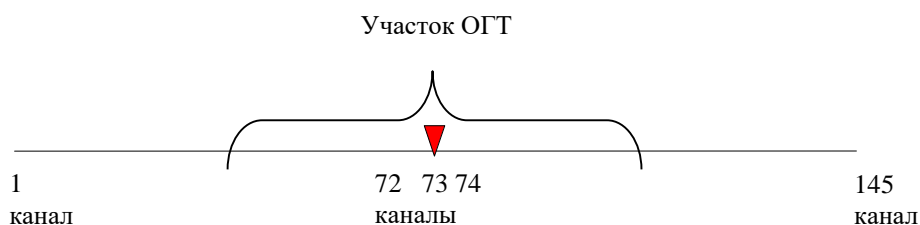
Пусть $SI=50$ м, тогда база регистрации равна $L=F_{2D} \cdot SI \cdot 2=36 \cdot 50 \cdot 2=3600$ м

Выбирается вариант с $SI=100$, так как в варианте $SI=50$ м база регистрации L меньше допустимых размеров см. пункт 4.

10. Количество каналов в расстановке:

$NC=L/RI+1$, получаем $NC=7200/50+1=145$

11. Схема шаблона:



12. Время записи

А) Максимальное время регистрации отраженных волн снимается с годографов отраженных волн в точке X_{max} . В рассматриваемом задании оно равно $T_{max} OB = 2.4$ с.

Б) Для учета увеличения времен прослеживания отраженных волн для наклонной границы рассчитывается время в направлении ее падения:

$$t(x_{max}) = \frac{\sqrt{(x_{max} + 2 \cdot z_{max} \cdot \sin\varphi)^2 + (2 \cdot z_{max} \cdot \cos\varphi)^2}}{V_{cp}} = 2.6 \text{ с}$$

В) Для подавления дифрагированных волн, являющихся помехами при прослеживании отражающих горизонтов, требуется знание времен их выхода на поверхность регистрации в 30-градусном конусе вокруг точки дифракции. Максимальное время регистрации дифрагированных волн от объектов, расположенных на максимальной глубине исследования равно

$$t_{max} = \frac{2 \cdot z_{max}}{V_{cp} \cos 30^\circ} = 2.4 \text{ с.}$$

Окончательно максимальное время регистрации выбирается из рассчитанных для случаев А, Б, В, в нашем случае оно равно 2.6 с

К этому времени добавляются аппаратурная поправка (работа фильтров и системы синхронизации) – в среднем 0.2 с и статическая поправка (учет влияния зоны малых скоростей) – в среднем 0.1 с, полученное значение округляется в большую сторону до целого числа: $t_{записи}=2.6+0.2+0.1\approx 3$ с.

13. Шаг дискретизации по времени. Определяется по максимальной частоте в спектре сигнала f_{max} :

$$\Delta t = \frac{1}{4 \cdot f_{max}} \approx 2.5 \text{ мс}$$

Полученное значение округляется до целого числа в меньшую сторону $\Delta t=2$ мс.

14. Количество физических наблюдений на площади.

За одно физическое наблюдение в сейсморазведке МОГТ 2D, как правило, принимают запись сейсмограммы ОТВ от одного источника возбуждения. Следовательно, количество физических наблюдений определяется количеством пунктов возбуждения, определяемым путем деления общей длины всех профилей, имеющих на площади LP, на шаг между пикетами возбуждения SI: $N_{ф.н.}=LP/SI=600\ 000/100=7500$ ф.н.

Сводная таблица параметров системы наблюдений

Площадь исследований, кв. км	500
Общая длина профилей, км	600
Плотность профилирования, км/кв. км	1.5
Количество физических наблюдений	7500
База регистрации, м	7200
Максимальный вынос, м	3600
Минимальный вынос, м	0
Шаг приема, м	50
Шаг возбуждения, м	100
Количество активных каналов	145
Кратность перекрытий	36
Время записи, с	3
Шаг дискретизации по времени, мс	2

Лабораторная работа №7. Знакомство с параметрами пространственной системы наблюдений МОГТ 3D и ее графическое изображение

Задание:

1. Используя данные, указанные в таблице вариантов, рассчитать параметры прямоугольной расстановки (шаблона) типа «крест»

Название параметра	Обозначение	Расчетная формула
Размер бина в направлении линий приема (in line) по оси OY, м	Bx	*****
Размер бина в направлении линий возбуждения (cross line) по оси OX, м	By	*****
Расстояние между пикетами приема, м	RI	$RI=2 \cdot Bx$
Расстояние между пикетами возбуждения, м	SI	$SI=2 \cdot By$
Расстояние между линиями приема, м	RLI	*****
Расстояние между линиями возбуждения, м	SLI	*****
Количество активных каналов	NC	*****
Количество линий приема	NCy	*****
Количество каналов на одной линии приема	NCx	$NCx=NC/NCy$
Длина шаблона по оси OX, м	Lx	$Lx=NCx \cdot RI$
Длина шаблона по оси OY, м	Ly	$Ly=NCy \cdot RLI$
Полная кратность съемки	Fold	*****
Кратность по оси OX	Foldx	$Foldx = Lx/(2 \cdot SLI)$
Кратность по оси OY	Foldy	$Foldy = NCy/2$
Количество интервалов перекрытия в направлении оси OY (cross line)	m	*****
Количество пунктов возбуждения в шаблоне	ny	$ny=(n-m) \cdot RLI/ SI$

2. В системе проектирования систем наблюдения МОГТ 3D (MEZA) изобразить графически расстановку типа «крест» и площадь, занятую ОГТ при отработке всех ПВ расстановки.

3. Выполнить виртуальный отстрел при одном смещении по оси OX и при одном смещении по оси OY.

4. Выполнить виртуальный отстрел всех пунктов возбуждения в пределах заданного участка $LX = \underline{\quad}$ км и $LY = \underline{\quad}$ км. Рассчитать и построить карту кратности.
5. На площади заданных размеров $LX = \underline{\quad}$ км и $LY = \underline{\quad}$ км рассчитать:
- количество профилей приема $NY = LY / SLI$
 - количество профилей возбуждения $NX = LX / RLI$
 - общую длину профилей приема $SLX = NY * LX$,
 - общую длину профилей взрыва $SLY = NX * LY$,
 - количество полос при обработке площади $N_{п} = SLY / (m * Ly) - 1$,
 - количество сейсмограмм $N_s = SLY / SI$,
 - количество точек ОГТ (бинов) $N_b = (LX * LY) / (B_x * B_y)$,
 - количество трасс ОГТ $N_{огт} = N_b * N$.
6. Оформить краткий отчет, содержащий описание системы наблюдений МОГТ 3D, расчеты по варианту задания, порядок работы в рамках системы проектирования (MEZA).

Таблица вариантов

Параметр	1	2	3	4	5	6	7	8	9	10	11	12
B_x	25	25	25	25	25	25	25	50	25	50	50	50
B_y	50	50	25	25	25	50	50	50	50	50	50	100
RLI	300	400	300	250	300	400	600	450	200	400	500	600
SLI	500	400	300	300	400	400	600	500	300	400	500	600
NC	1440	1536	1728	960	2048	768	1728	1600	1152	960	960	964
NC _y	12	16	16	10	16	8	12	20	12	12	12	12
Fold	36	48	72	40	64	48	36	80	48	60	48	36
m	11	15	15	9	15	7	11	19	11	11	11	11
LY	14	12	15	15	12	12	18	14	12	16	14	18
LX	12	16	15	14	18	16	12	18	10	16	15	18

Лабораторная работа №8 Амплитудно-частотная характеристика суммирования по ОГТ

Краткая теория

Суммирование отраженных волн по сейсмограммам ОГТ является наиболее распространенным видом криволинейного суммирования. Оно используется для подавления волн-помех кратно отраженного типа.

Для того, чтобы выполнить суммирование сейсмических волн по ОГТ, необходимо иметь сейсмограммы ОТВ, полученные по технологии многократных перекрытий по ОГТ с заданной кратностью перекрытий. Далее трассы этих сейсмограмм должны быть отсортированы по ОГТ, после чего выполняется ввод кинематических поправок и операция суммирования.

Если используются большие базы приема, то при построении ИС, связанной с суммированием по ОГТ, приходится учитывать реальную кривизну годографов отраженных волн. В этом случае вывод расчетных формул удобно производить, полагая, что функция запаздывания между годографами кратно отраженных волн и однократно отраженных волн представляет собой квадратичную параболу. Это предположение вполне допустимо, после введения кинематических поправок.

Суммирование по ОГТ обычно выполняют с равными весами для всех трасс. Комплексная характеристика такой ИС имеет вид:

$$H(\omega) = \sum_{k=1}^n \exp(-i\omega\theta_k), \quad (1)$$

где ω - круговая частота, n - число элементов суммирования (кратность), k - номер суммируемой сейсмической трассы ОГТ, θ_k - отклонение годографа кратно отраженной волны от линии суммирования по времени на k - ой трассе (функция запаздывания). С учетом ранее сказанного функция запаздывания равна:

$$\theta_k = \frac{(k-1)^2}{(n-1)^2} \cdot \theta_L^{\max},$$

где θ_L - максимальное запаздывание кратно отраженной волны относительно линии суммирования на конце базы приема $L=(n-1) \cdot \Delta x$. Подставляя функцию запаздывания θ_k в формулу 1, преобразуем комплексную характеристику к виду:

$$H(\omega \cdot \theta_L^{\max}) = \sum_{k=1}^n \exp(-i \cdot \frac{(k-1)^2}{(n-1)^2} \omega \theta_L^{\max}). \quad (2)$$

На основе формулы 2, запишем амплитудные и фазовые характеристики для ИС этого типа суммирования:

$$|H(\omega\theta_L^{\max})| = \sqrt{A^2(\omega\theta_L^{\max}) + B^2(\omega\theta_L^{\max})}, \quad (3)$$

$$A(\omega\theta_L^{\max}) = \sum_{k=1}^n \cos\left(\frac{(k-1)^2}{(n-1)^2} \cdot \omega \cdot \theta_L^{\max}\right), \quad (4)$$

$$B(\omega\theta_L^{\max}) = \sum_{k=1}^n \sin\left(\frac{(k-1)^2}{(n-1)^2} \cdot \omega \cdot \theta_L^{\max}\right), \quad (5)$$

$$\Phi(\omega\theta_L^{\max}) = \arctg \frac{B(\omega\theta_L^{\max})}{A(\omega\theta_L^{\max})} \quad (6)$$

Характеристика направленности криволинейного суммирования является периодической функцией обобщенного аргумента $\omega \cdot \theta_L$ с периодом повторения $2 \cdot \pi(n-1)^2$. В рассматриваемой ИС синфазно суммируемые волны с $\theta_L = 0$ усиливаются до уровня $H(0) = n$, подобно всем однородным ИС. Для анализа характеристики направленности строят график функции

$$|H(\omega \cdot \theta_L)| / H(0) = |H(\omega \cdot \theta_L)| / n. \quad (7)$$

На рис.1 показана амплитудно-частотная характеристика для кратности суммирования по ОГТ равной 24. Областью пропускания характеристики направленности считают интервал от основного максимума до первого минимума функции. Далее начинается область подавления. Из-за нелинейности функции запаздывания θ_k в области подавления не происходит столь значительного ослабления колебаний, как это имеет место в случае суммирования плоских волн.

Зная величину обобщенного аргумента в точке первого минимума $(\omega \cdot \theta_L)_{min1}$ для известного диапазона частот отраженных волн-помех, можно рассчитать θ_L , которое обеспечит попадание помех в область подавления. Это обстоятельство используется при проектировании, когда выбирается максимальное удаление источник-приемник L . На этапе проектирования рассчитываются теоретические годографы отраженных волн от целевых горизонтов и годографы кратно отраженных волн (рис. 2). Расчет ведется при условии, что времена t_0 для обоих типов годографов совпадают, источник и приемники расположены на одной прямой линии на поверхности земли. Далее времена функции запаздывания $\theta(x)$ сравниваются с найденным ранее значением θ_L . Удаление источник-приемник X , начиная с которого выполняется неравенство $\theta(x) > \theta_L$, выбирается в качестве величины, формирующей одно из условий для выбора базы наблюдений $L: L > X$.

Как и любая интерференционная система, криволинейное суммирование обладает значительным статистическим эффектом. Этот эффект напрямую зависит от кратности суммирования по ОГТ - n и равен \sqrt{n} .

Задание.

1. Используя формулы 3, 4, 5 и 7, рассчитать и построить график характеристики направленности суммирования по ОГТ. Изучить, как влияет кратность суммирования по ОГТ на положение границы области подавления, на уровень подавления. Составить таблицу зависимости $(\omega \cdot \theta_L)_{\min 1}$ от n и от уровня подавления.

2. Определить кратность суммирования по ОГТ, которая обеспечит эффективное подавление кратно отраженных волн, если известны кинематические параметры однократно и кратно отраженных волн t_0 , $V_{эф}$, отношение сигнал/помеха, частотный диапазон отраженных волн $f_{\min} - f_{\max}$. Построить характеристику направленности для выбранной кратности. Определить уровень подавления волн-помех в дБ.

Работа выполняется с помощью программы Mathcad.

Порядок выполнения работы.

1. Задать: кратность $n=6$, средним значением функции запаздывания на конце базы наблюдений $\theta_L=0,05$, максимально возможную частоту для отраженных волн $f_{\max}=80$, диапазон обобщенного аргумента от 0 до $2 \cdot \pi \cdot f_{\max} \cdot \theta_L$, с шагом 0,1. Рассчитать характеристику направленности. Построить ее график. В режиме трассировки (приблизенно) определить нижнюю границу области подавления помех и уровень их подавления. Повторить эту операцию для кратности равной 12, 18, 24, 30, 36, 48, 60. Сделать вывод о влиянии параметра n на положение нижней границы области подавления и уровень подавления.

2. А) Определить по известному соотношению сигнал/помеха диапазон возможных значений кратности. Для этой цели использовать неравенство, применяемое для оценки кратности при проектировании системы наблюдений МОГТ:

$$n \geq (6 \div 10) \cdot \frac{A_{кр}}{A_{одн}}, \text{ где } A_{кр}/A_{одн} - \text{отношение помеха/сигнал.}$$

Б) Для выбранной кратности n , зная величину $(\omega \cdot \theta_L)_{\min 1}$ и частотный диапазон отраженных волн $f_{\min} = 20 \text{ Гц}$, $f_{\max} = 80 \text{ Гц}$ определить минимально возможное значение параметра θ_L , которое обеспечит подавление волн помех:

$$\theta_L = \frac{(\omega \theta_L)_{\min}}{2 \cdot \pi \cdot f_{\min}}$$

В) Рассчитать и построить годографы однократно и кратно отраженных волн по известным значениям t_0 и $V_{эф}$:

$$t(x) = \sqrt{t_0^2 + \frac{x^2}{V_{эф}^2}},$$

Удаление источник-приемник x меняется от 0 до 3000 метров с шагом 50 метров. Найти функцию запаздывания $\theta(x) = t(x)_{одн} - t(x)_{кр}$. Определить такое X , начиная с которого выполняется неравенство $\theta(x) > \theta_L$.

Г) Вычислить диапазон значений обобщенного аргумента, соответствующий волнам-помехам, при заданном диапазоне частот $f_{min} - f_{max}$ и определенной ранее максимальной задержке θ_L : $2\pi f_{min} \cdot \theta_L$ и $2\pi f_{max} \cdot \theta_L$. Найти приближенно в рассчитанном интервале уровень подавления волн-помех в дБ.

Отчетность.

Текстовая часть отчета должна содержать: краткую теорию, формулировку цели работы, описание результатов изучения характеристики направленности по каждому пункту задания. Графическая часть должна быть представлена: графиками годографов отраженных волн с указанием минимально возможной задержки θ_L и соответствующего удаления X , графиком характеристики направленности для выбранной в ходе выполнения работы кратности.

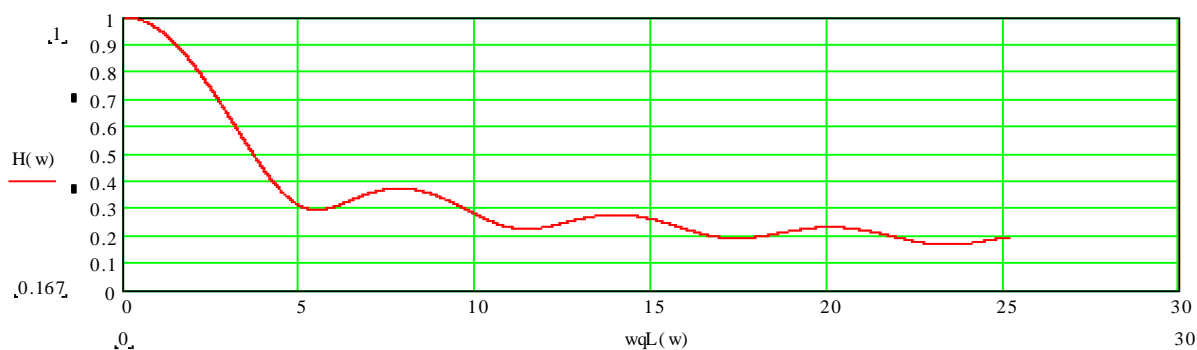


Рис.1 Характеристика направленности суммирования по ОГТ при $n=24$

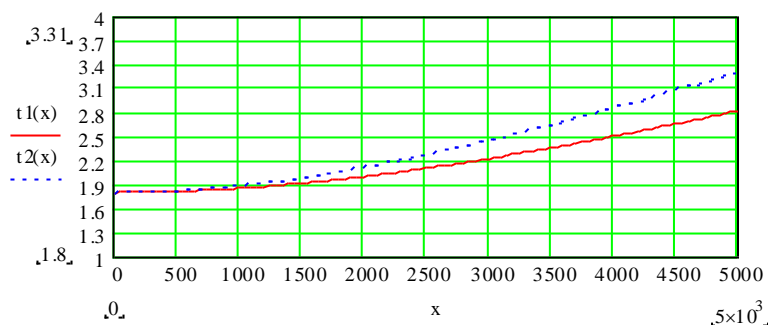


Рис. 2 Годографы однократно и кратно отраженных волн

Приложение 1

Обрабатывающая система SPS_PC

Обрабатывающая система SPS_PC разработана Николаем Голярчиком в 1992-1996 г., на основе ранее разработанных программ для машин, типа СЦС-3. Эта система может работать в современных обрабатывающих системах:

- Windows-NT
- Windows-95 на компьютерах с процессорами Intel.

В настоящее время SPS_PC используется ОАО Норильск Таймыр Геофизика.

Система является доступной в изучении и не требует, как-то дополнительных знаний в программировании. Она имеет русский интерфейс, что легко пользоваться подсказками на любом этапе обработки.

Для работы с SPS_PC предъявляются следующие требования к аппаратуре:

процессор - Pentium;

- оперативная память - не менее 16 Мбайт;
- дисковая память - менее 1 Гбайта;
- монитор - 256 цветов с разрешением не менее 1024*756.

Система имеет ограничения на сейсмические данные:

- длина сейсмотрассы - не более 32000 дискретов;
- временной интервал сейсмотрассы - от 0 до 32000 мс;
- дискрет записи - от 0.125 до 64 мс;
- количество каналов в сейсмограмме - не более 8000;
- количество сейсмограмм на одном ПВ - не более 255;
- количество трасс в одном профиле или в 3D наблюдениях не более 240000000;
- размер файла сейсмическими данными - не более 2⁶⁴;
- количество файлов в одном сейсмическом наборе - не более 20.

Возможности обрабатывающей системы SPS_PC

Система SPS_PC позволяет выполнять следующие процедуры:

1. Выбор профиля обработки и определение пользователя.
2. Предварительная обработка и описание схем наблюдения.
3. Обработка сейсмотрасс до стадии суммирования.
4. Цифровая обработка суммотрасс.
5. Редактировать служебные и сервисные программы SPS_PC.
6. Ведение геолого-геофизического банка данных.

7. Построение геофизических карт.
8. Обработка данных сейсмокартажа.
9. Обработка данных преломленных волн.

1. В этом пункте производится выбор профиля исследований и пользователя, который обрабатывает этот профиль. Это связано с тем, что программа предусматривает, как обработку нескольких профилей у каждого пользователя. Но и использование этой системы несколькими пользователями независимо от того какие они выполняют работы.

2. В данном пункте выполняются следующие операции:

- демультимплексация полевых сейсмограмм формата, здесь из форматов SEG-B и SEG-D записи сейсмической информации должны быть переписаны на диск отдельным файлом.

- описание схемы наблюдений и схем обработки профиля 2D, в этом пункте описываются произвольные двумерные схемы наблюдений для продольных и не продольных профилей, создается паспорт профиля.

- планирование и расчет систем наблюдений 3D, осуществляется в несколько этапов, описание площади исследования, расчет основных параметров системы наблюдений, определение и расчет системы наблюдения, расчет коммутации каналов, просмотр и редактирование систем наблюдения, трассирование средних точек (биннинг), заполнение данных о ВЧР, формирование файлов заданий для полевых работ.

- работа с паспортами профиля 2D и 3D – обеспечивает формирование стандартных паспортов СЦС-3.

3. В этом разделе производится различное редактирование сеймотрасс в зависимости, от того что мы хотим получить.

4. Программа предназначена для обработки временных сейсмических разрезов и кубов данных 3D.

5. Включает следующие процедуры: просмотр и редактирование заголовков трасс, преобразование данных формата SEG-Y, объединение временных разрезов, вывод временных разрезов на плоттер, обработка горизонтов, формирование истории обработки, редактирование протокола редакции.

6. Здесь храниться информация о более ранних обработанных и полученных данных.

7. Строятся различные карты, которые за тем можно вывести на плоттер.

8. Программа коррелирует по совокупности скважин в рамках определенного проекта.

9. Программа реализует корреляцию годографов преломленных волн на сейсмотрассах, интерактивную обработку годографов преломленных волн, построение модели ВЧР, расчет статических поправок в методе ОГТ.

Место процедур проектирования 2D и 3D съемок в SPS_PC

Процедуры 2D и 3D в системе SPS_PC занимает одну из первых процедур, так как без описания схем наблюдения исходной отработки профиля 2D и планирование расчетов системы наблюдения 3D невозможно перейти к другим стадиям обработки. В этих процедурах мы строим площадь исследования и системы наблюдения, от этих важных параметров в последующем зависит вид обработки сейсмических данных.

3. Проектирование 2D сейморазведочных работ

с помощью SPS_PC

3.1. Порядок проектирования 2D наблюдений в обрабатывающей системе SPS_PC

Входные параметры: координаты площади, имя пользователя, название профиля, название площади исследований, тип профиля, тип источника.

Выходные данные: графическое изображение профиля.

Запуск проектирования 2D наблюдений производится из главного меню программы.

В главном меню выполняются:

- Выбор пользователя, (если ранее производились работы и пользователь уже есть, то выбирается нужный пользователь щелчком мыши на соответствующем пользователе).
- Определение профиля (выбирается профиль из существующих или создается новый).
- Определение площади исследований.

Вторым этапом являются операции по построению профиля и площади, которые выполняются в специальном окне (описание профиля и площади).

В окне описание профиля и площади исследований указываются:

- координаты площади X, Y, в пределах которой расположен профиль (ось X ориентирована на север, ось Y на восток), если уже определены профили приема и возбуждения, то появляется возможность автоматического определения размеров площади

- тип профиля - нужно выбрать один из трех предложенных профилей: нелинейный профиль, непродольный профиль либо широкий профиль,

- тип источника возбуждения - возможны четыре варианта: взрывной, вибросейсм, импульсный, импульсно-взрывной.

- максимально возможное абсолютное значение выноса приемника от проекции источника на профиль наблюдения (для продольных профилей).

- для профилей приема и профиля наблюдений указываются в метрах с учетом делителя расстояний:

- максимальный пикет;

- минимальный пикет;

- шаг пикетажа.

Третий этап заключается в определении стандартных параметров расстановки. В этом окне производится выбор следующих параметров:

- максимально возможное количество магнитограмм, отработанных от одного пункта возбуждения (не более 255);

- количество трасс в одной магнитограмме (канальность сейсмостанции);

- номер канала сейсмостанции на котором заканчивается первый регулярный шаг пунктов приема;

- максимально возможное абсолютное значение выноса приемника от проекции источника на профиль наблюдения.

Четвертый этап обработки - описание профиля, выполняемое в два приема.

1. Описание положения профиля приема на местности в декартовых координатах. При обработке широкого профиля описывается центральный базовый профиль. Остальные профили должны быть параллельными ему.

2. Описание магнитограмм на профиле по рапортам оператора. Только при полном описании профиля возможна работа с профилем с другими процедурами системы SPS-PC.

При описании магнитограмм направления профиля возбуждения и профиля приема могут быть различными.

Программа контролирует правильность соответствия пикетов и координат. С точки зрения геодезии диагональ пикетов не должна отличаться от диагонали координат более чем на $1/200$. При выходе из режима программа проверяет правильность описания профилей с точностью, заданной ранее. О встреченных ошибках выдается предупреждение.

3.2. Проектирование фланговой системы наблюдения

Пусть на основании ряда расчетов на стадии проектирования мы решили использовать фланговую систему наблюдений без выноса со следующими количественными параметрами:

- кратность наблюдений $N=24$
- канальность используемой аппаратуры $S=48$
- интервал возбуждения упругих волн $\Delta l=100$ м.
- шаг между каналами $\Delta x=50$ м.
- вынос $R=0$

В соответствии с принятыми параметрами выполним построение площади.

Вначале выполняется предварительная обработка. В предварительную обработку входит построение площади и профиля исследований. Для входа в эту программу необходимо щелкнуть кнопкой мыши на значке описание профиля и площади исследований. После открытия программы построение площади и профиля исследований первым делом заполняется, так называемый паспорт профиля. В этом окне необходимо заполнить:

- имя профилю (MODELK),
- название площади (Synthetic records),
- название полевой партии (DEMO_2D),
- имя обработчика (Sergey)
- комментарий (SPS-PC Processing system).

Далее в окнах с декартовыми координатами определяющими геометрию профиля указываются:

- начало и конец профиля по оси X (север) в нашем случае от -500 до 2500,
- начало и конец профиля по оси Y (восток) от -500 до 10500.

После необходимо указать тип источника (взрывной).

Определить максимально возможное абсолютное значение выноса приемника от проекции источника на профиль наблюдения. Затем идет окно в котором заполняем

минимальный пикет (0, 0), максимальный пикет (10000, 10000) и шаг пикетажа (50, 100) для профилей приема и профилей возбуждения. Остается только проставить все делители, для простоты понимания и наглядности принимаем все делители равными 1.

Следующим важным этапом идет описание стандартной расстановки, в которой заполняем такие данные:

- максимально возможное количество магнитограмм, отработанных от одного пункта возбуждения – 2.
- количество трасс в одной магнитограмме – 48.
- номер канала сейсмостанции, на котором заканчивается первый регулярный шаг пунктов приема – 48.
- номер канала сейсмостанции, с которого начинается второй регулярный шаг пунктов приема – 0.
- номер канала сейсмостанции, на котором заканчивается второй регулярный шаг пунктов приема – 0.

Также к каждому значению необходимо определить расстояние этого канала от первого канала сейсмостанции.

Следующим этапом является расчет схемы наблюдения.

Профиль приема должен быть описан на местности триадами значений в точках излома.

Picket - Пикет точки излома профиля возбуждения

X-координата точки излома профиля приема

Y-координата точки излома профиля приема

По крайней мере две точки излома всегда должны быть указаны (начало и конец профиля)

Пикетаж профиля не должен выходить за пределы указанных при определении профиля и площади.

Программа контролирует правильность соответствия пикетов и координат. С точки зрения геодезии диагональ пикетов не должна отличаться от диагонали координат более чем на 1/200.

Описание магнитограмм представляет собой таблицу, в которую заносится каждая магнитограмма (запись одной сеймостанции от одного ПВ):

- полевой номер магнитограммы должен быть уникальным для каждой МГ.
- пикет точки возбуждения на профиле возбуждения.
- пикет первого канала расстановки на профиле приема.
- поперечный вынос точки возбуждения от профиля возбуждения со знаком.
- альтитуда рельефа в точке возбуждения.
- глубина погружения заряда.
- вертикальное время.
- номер канала сеймостанции, на котором заканчивается первый регулярный шаг пунктов приема.
- расстояние канала от первого канала сеймостанции.
- номер канала сеймостанции, с которого начинается второй регулярный шаг пунктов приема.
- расстояние этого канала от первого канала сеймостанции.
- номер канала сеймостанции, на котором заканчивается второй регулярный шаг пунктов приема.
- расстояние этого канала от первого канала сеймостанции.

Конечный результат, получаемый по окончанию этих операций является площадь исследований с изображенными на ней профилями (см рис. 9).

3.3. Проектирование изогнутого профиля с фланговой системы наблюдения

Пусть на основании ряда расчетов на стадии проектирования мы решили использовать фланговую систему наблюдений без выноса со следующими количественными параметрами:

- кратность наблюдений $N=24$
- канальность используемой аппаратуры $S=48$
- интервал возбуждения упругих волн $\Delta l=100$ м.
- шаг между каналами $\Delta x=50$ м.
- вынос $R=0$

В соответствии с принятыми параметрами выполним построение площади.

Вначале выполняется предварительная обработка. В предварительную обработку входит построение площади и профиля исследований. Для входа в эту программу необходимо щелкнуть кнопкой мыши на значке описание профиля и площади исследований. После открытия программы построение площади и профиля

исследований первым делом заполняется, так называемый паспорт профиля. В этом окне необходимо заполнить:

- имя профилю (MODELK-1),
- название площади (Synthetic records),
- название полевой партии (DEMO_2D),
- имя обработчика (Sergey)
- комментарий (SPS-PC Processing system).

Далее в окнах с декартовыми координатами определяющими геометрию профиля указываются:

- начало и конец профиля по оси X (север) в нашем случае от -500 до 2500,
- начало и конец профиля по оси Y (восток) от -500 до 10500.

После необходимо указать тип источника (взрывной).

Определить максимально возможное абсолютное значение выноса приемника от проекции источника на профиль наблюдения. Затем идет окно, в котором заполняем минимальный пикет (0, 0), максимальный пикет (10000, 10000) и шаг пикетажа (50, 100) для профилей приема и профилей возбуждения. Остается только проставить все делители, для простоты понимания и наглядности принимаем все делители равными 1.

Следующим важным этапом идет описание стандартной расстановки, в которой заполняем такие данные:

- максимально возможное количество магнитограмм, обработанных от одного пункта возбуждения – 2.

- количество трасс в одной магнитограмме – 48.

- номер канала сейсмостанции, на котором заканчивается первый регулярный шаг пунктов приема – 48.

- номер канала сейсмостанции, с которого начинается второй регулярный шаг пунктов приема – 0.

- номер канала сейсмостанции, на котором заканчивается второй регулярный шаг пунктов приема – 0.

Также к каждому значению необходимо определить расстояние этого канала от первого канала сейсмостанции.

Следующим этапом является расчет схемы наблюдения.

Профиль приема должен быть описан на местности триадами значений в точках излома.

Picket - Пикет точки излома профиля возбуждения

X=1500, Y=2500,

X=1500, Y=7000,

X=1000, Y=1000.

Программа контролирует правильность соответствия пикетов и координат. С точки зрения геодезии диагональ пикетов не должна отличаться от диагонали координат более чем на 1/200.

Описание магнитограмм представляет собой таблицу в которую заносится каждая магнитограмма (запись одной сейсмостанции от одного ПВ).

- полевой номер магнитограммы должен быть уникальным для каждой МГ.
- пикет точки возбуждения на профиле возбуждения.
- пикет первого канала расстановки на профиле приема.
- поперечный вынос точки возбуждения от профиля возбуждения со знаком.
- альтитуда рельефа в точке возбуждения.
- глубина погружения заряда.
- вертикальное время.
- номер канала сейсмостанции, на котором заканчивается первый регулярный шаг пунктов приема.
- расстояние канала от первого канала сейсмостанции.
- номер канала сейсмостанции, с которого начинается второй регулярный шаг пунктов приема.
- расстояние этого канала от первого канала сейсмостанции.
- номер канала сейсмостанции, на котором заканчивается второй регулярный шаг пунктов приема.
- расстояние этого канала от первого канала сейсмостанции.

По завершению всех процедур программа отстраивает данный профиль исследований рис.10.

Рис. 9. Пример построения профиля с фланговой системой наблюдения. Профиль возбуждения – красный, профиль приема – зеленый, профиль обработки ОГТ – синий.

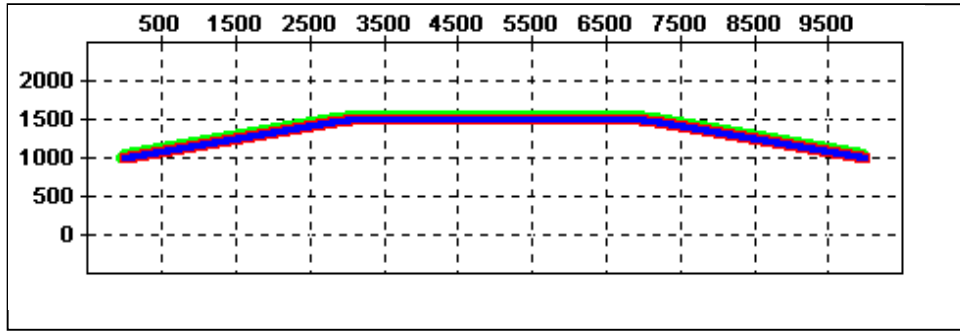


Рис. 10. Пример построения изогнутого профиля с фланговой системой наблюдения. Профиль возбуждения – красный, профиль приема – зеленый, профиль обработки ОГТ – синий.

Список литературы

1. Бондарев В.И. Сейсморазведка: Учебник для вузов. Издание второе, исправленное и дополненное. В двух томах. Т.1, Екатеринбург: Изд-во УГГУ, 2010. 402 с.
2. Алелюхин Н.П., Насыбулин Е.Х., Оменцов Ф.И., Асан-Джалалов О.А., Гридин П.А., 2007, Источники сейсмических сигналов СВ-30/150Б. Приборы и системы разведочной геофизики, № 2, 18-20с.
3. Анкушев В.В. и др., 2004. Импульсный санный электромагнитный источник «Геотон»: особенности выбора основных силовых параметров, конструкция и применение. Геофизика, Специальный выпуск к 40 - летию «Тюменнефтегеофизики», Тверь: Изд-во ГЕРС, 120 -122с.
4. Бадиков Н.В., Захаров Н.В. и др., 2003. Пневматические источники сейсмического волнового поля. Приборы и системы разведочной геофизики, № 1, Саратов: Изд-во Саратовского отделения ЕАГО, 30-31с.
5. Бескорвайный В.Л., Гнатюк А.И., и др., 2003. Телеметрическая сейсморегирующая система «ПРОГРЕСС-Т2». Приборы и системы разведочной геофизики, № 2, Саратов: Изд-во Саратовского отделения ЕАГО, 11-13с.
6. Бескорвайный В.Л., Гнатюк А.И., Тарасов Н.В., 2005. Новые возможности телеметрической сейсморегирующей системы «ПРОГРЕСС-Т2». Приборы и системы разведочной геофизики, № 3, Саратов: Изд-во Саратовского отделения ЕАГО, 13-14с.
7. Беспятов В.И., 1972. Методические основы повышения эффективности сейсморазведки методом отраженных волн. Труды НВНИИГГ, вып.16. Саратов, изд-во Саратовского ун-та, 124 с.
8. Богданов А.И. 1982. Сейсморазведка методом отраженных волн. - М.: Недра, - 279 с.
9. Бондарев В. И., 1974. Рекомендации по применению сейсморазведки для изучения физико-механических свойств рыхлых грунтов для строительных целей. М.: Стройиздат, 142 с.
10. Бондарев В.И., Рычков С.А, 1994. Полевые сейсморазведочные комплексы. Учебное пособие. - Екатеринбург: Изд. – во УГГА, Ч.1. - 85 с., Ч.2., - 95 с
11. Бондарев В.И. 1997. Сейсмический метод определения физико – механических свойств нескальных грунтов. - Екатеринбург: Изд. - во УГГА, 220 с
12. Бондарев В.И., Крылатков С.М. 1998. Исследование эффективности интерференционных систем приема сейсморазведке.- Екатеринбург: Изд. - во УГГА, 116 с.
13. Бондарев В.И., Крылатков С.М. 2002. Линейные сейсморазведочные станции: вчера, сегодня, завтра. Приборы и системы разведочной геофизики. № 1. Саратов: Изд.– во Саратовского отделения ЕАГО, 9-16с.
14. Бондарев В.И., 2003. Основы сейсморазведки, Екатеринбург: Изд. - во УГГА, 334 с.
15. Бондарев В.И., Крылатков С.М., 2007. Сейсмоприемники: история только начинается. Приборы и системы разведочной геофизики. № 1. Саратов: Изд.– во Саратовского отделения ЕАГО, 14-18с.
16. Волков Г.В. и др., 2004. Источник «Геотон» - новый инструмент при скважинных сейсмических исследованиях в Западной Сибири. Геофизика, Специальный выпуск к 40 - летию «Тюменнефтегеофизики» Тверь: Изд-во ГЕРС, 100-107с
17. Гамбурцев Г.А., 1937, 1938. Сейсмические методы разведки ч.1, ч.2, М.-Л. ОНТИ
18. Гамбурцев Г.А, Резниченко Ю.В. и др., 1952. Корреляционный метод преломленных волн, Изд-во АН СССР, 200 с.
19. Гамбурцев Г, А., 1959. Основы сейсморазведки. М: Гостоптехиздат, 378с.
20. Гальперин Е.И., 1971. Вертикальное сейсмическое профилирование. М.: Недра, 263 с.
21. Гальперин Е.И., 1977. Поляризационный метод сейсмических исследований. - М.: Недра, 319 с.
22. Гальперин Е.И., 1994. Вертикальное сейсмическое профилирование. М.: Наука, 320 с.
23. Геофизики России, 2001. Информационно-биографический сборник. М.:ЕАГО. 553с

24. Геофизики России, 2005. Информационно-биографический сборник. М.: ЕАГО. 884с.
25. Глумов И.Ф., 1986. Автоматизированные геофизические комплексы для изучения геологии и минеральных ресурсов Мирового океана. М.: Недра, 344 с.
26. Гольдин С.В., Смирнов М.Ю., Поздняков В.А., Черверда В.А., 2004. Построение сейсмических изображений в рассеянных волнах как средство детализации сейсмического разреза. Геофизика, Специальный выпуск к 40-летию «Тюменнефтегеофизики» Тверь: Изд-во ГЕРС, 23-29с.
27. Гурвич И.И., 1960. Сейсмическая разведка. Учебник для вузов, М.: Гостоптехиздат: 440с.
28. Детков В.А., 2005. Почему геофизическая компания занялась созданием аппаратуры? Приборы и системы разведочной геофизики, Ежеквартальное официальное издание Саратовского отделения Евро-Азиатского геофизического общества, №2, 6-7с.
29. Единые правила безопасности при взрывных работах, Сборник нормативных документов, 2001. Утверждены Госгортехнадзором России; М.: Корпорация “Трансстрой”, 180с.
30. Жгенти С.А., Смирнов Д.Н., Перегудов Ю.Л., 2003. Новейшее оборудование И/О делает наземную 3-х компонентную сейсморазведку высокопроизводительной и надежной. Приборы и системы разведочной геофизики, № 3, Саратов: Изд-во Саратовского отделения ЕАГО, 21-23с.
31. Жгенти С.А., Перегудов Ю.Л., Кузнецов В.М., 2003. Многоволновая сейсморазведка.- Приборы и системы разведочной геофизики, № 3, Саратов: Изд-во Саратовского отделения ЕАГО, 5-8с.
32. Жгенти С.А., 2005. Сбор сейсмических данных и телеметрия переходных зон. Приборы и системы разведочной геофизики, № 3, Саратов: Изд-во Саратовского отделения ЕАГО, 10-12с.
33. Завьялов В.Д., 1957. Сейсморазведочные работы методикой массовых пространственных зондирований. Прикладная геофизика, выпуск 17. М.: Гостоптехиздат.
34. Запорожец Б.В., Крутов А.И. 2002. Интромарин - L2 - второе поколение сейсмостанций серии “Интромарин”, Приборы и системы разведочной геофизики, № 1, Саратов: Изд-во Саратовского отделения ЕАГО, 22-25с.
35. Зиновьев В.И. 2007. Уфимские сейсмоприемники: параметры, конструкция, надежность. Приборы и системы разведочной геофизики. № 1. Саратов: Изд.– во Саратовского отделения ЕАГО, 25-27с.
36. Ивашин В.В., Иванников Н.А., 2005. Импульсные электромагнитные источники: особенности и перспективы совершенствования, Ежеквартальное официальное издание Саратовского отделения Евро-Азиатского геофизического общества, №2, 9-13с.
37. Инструкция по сейсморазведке. 1986. - Л.: Недра, 80 с.
38. Караев Н.А., Рабинович Г.Я. 2000. Рудная сейсморазведка. – М.: ЗАО ”Геоинформмарк “. 366 с.
39. Карасевич А.М., Земцова Д.П., Никитин А.А., 2008. Сейсморазведка при изучении метано-угольного разреза, М.: ООО “Центр информационных технологий и недропользования”. 164 с.
40. Кастанов А.С., 2003. Разработки Армавирского Специального конструкторского бюро испытательных машин. Приборы и системы разведочной геофизики, Ежеквартальное официальное издание Саратовского отделения Евро-Азиатского геофизического общества, №1, .33с.
41. Качагин А.А. 2007. Новые изделия ОЙО - ГЕО Импульс. Приборы и системы разведочной геофизики. № 1. Саратов: Изд.– во Саратовского отделения ЕАГО, 31с.
42. Колосов Б.М., 2004. Сопоставление источников сейсмического волнового поля по тротиловому эквиваленту. Приборы и системы разведочной геофизики, №4, Саратов: Изд-во Саратовского отделения ЕАГО, 26-28с.
43. Кострыгин Ю.П., 1991. Сейсморазведка на сложных зондирующих сигналах, М.: Недра. 176с.
44. Кострыгин Ю.П., 2002. Сейсморазведка на сложных сигналах, Тверь: Издательство ГЕРС. 416с.

45. Кузнецов В.И., 1990. Способ пространственной сейсморазведки. Авторское свидетельство СССР №1603319, Бюл. №40.
46. Кузнецов В.И., 1993. Патент российской Федерации № 1603319 от 30 мая 1988г. Способ пространственной сейсморазведки. Государственный реестр изобретений.
47. Кузнецов В.И., Межаков В.М. 1997. Экологически щадящая 3D сейсморазведка в Западной Сибири. Геофизика, № 1.
48. Кузнецов В.И., 2004. Элементы объемной сейсморазведки. Тюмень: Изд-во «Тюмень», 272 с.
49. Кузнецов И.М., 2003. Эволюция наземных телеметрических систем регистрации сейсмических данных. Приборы и системы разведочной геофизики, № 2, Саратов: Изд-во Саратовского отделения ЕАГО, 7-10с.
50. Кузнецов О.Л. Курьянов Ю.А., Чиркин И.А., Шленкин С.И., 2004. Сейсмический локатор бокового обзора. Геофизика, Специальный выпуск к 40-летию «Тюменнефтегеофизики» Тверь: Изд-во ГЕРС, 17-22с.
51. Курьянов Ю.А., Кокшаров В.З., Чиркин И.А., Смирнов М. И., 2004. Трещиноватость геосреды и ее изучение сейсмоакустическими методами: Геофизика. Специальный выпуск к 40 - летию ОАО «Тюменнефтегеофизика», Тверь: Изд-во ГЕРС, 5-17с.
52. Клиначев Н.В., 2005. Модель сигма-дельта АЦП или о том, как Попугаю проглотить 38 Удавов + один удавский хвостик, который можно и не считать. <http://www.vissim.nm.ru/>, 2005
53. Методическое руководство на способ ОГТ МПВ, 1990. Ознобихин Ю.В., Голошубин Г.М., Куников В.Н., Изд –во ЗапСибНИИГеофизика.
54. Мешбей В. И., 1985. Методика многократных перекрытий в сейсморазведке. М.: Недра. 264с.
55. Методические рекомендации по применению пространственной сейсморазведки 3D на разных этапах геологоразведочных работ на нефть и газ. - М.: ЦГЭ, 2000. 64 с.
56. Морская сейсморазведка, 2004. / Под редакцией Телегина А.Н. - М.:ООО "Геоинформмарк", 237с.
57. Милашин В.А., Храпов К.Н., Мещерякова Л.Н., 1981. Методика трехмерной сейсморазведки с применением пространственных квазирегулярных систем наблюдения, Нефтегазовая геология и геофизика, вып. 4, Москва., ВНИИОЭНГ.
58. Mongenot Denis, 2003. 3С Акселерометры на базе MEMS для Наземной Сейсмической Разведки. Пришло ли их время? Приборы и системы разведочной геофизики, № 2 Саратов: Изд-во Саратовского отделения ЕАГО, 25-3 0с.
59. Mongenot Denis, 2004. Высокопроизводительный ВиброСейс. Приборы и системы разведочной геофизики, № 3, Саратов: Изд-во Саратовского отделения ЕАГО, 9-11с.
60. Никитин В.Н., 1981. Основы инженерной сейсморазведки. М.: Изд-во МГУ, 175 с.
61. Онищенко С.А., Цыганенко П.В., 2007. Некоторые аспекты практического применения вибрационных источников в условиях северных широт. Приборы и системы разведочной геофизики, № 3 Саратов: Изд-во Саратовского отделения ЕАГО, 37-39с.
62. Поздняков В.А., Сафонов Д. В., Чеверда В.А., 2000. Оптимизация параметров фокусирующих преобразований с использованием численного моделирования: Геология и геофизика, 41, 6, 930-938с.
63. Поздняков В.А, Сафонов Д.В., Ледяев А.И., 2004. Примеры объектно-ориентированного фокусирующего преобразования сейсмических данных. Сейсмические исследования земной коры: Сборник докладов Международной научной конференции. Новосибирск: Изд-во СО РАН, 2004, 172-176с.
64. Полшков М.К., 1973. Теория аналоговой и цифровой сейсморазведочной аппаратуры. М.: Недра. 200 с.
65. Полшков М.К., Козлов Е.А., Мешбей В.И. и др., 1984. Системы регистрации и обработки данных сейсморазведки. М.: Недра. 381 с.
66. Потапов О.А., 1987. Технология полевых сейсморазведочных работ. М.: Недра, 309 с.
67. Потапов О.А., 1989. Организация и технические средства сейсморазведочных работ. М.: Недра, 260с.
68. Проспект фирмы OYO-GEO IMPULSE, Ltd, 2003.

69. Притчетт У. 1999. Получение надежных данных сейсморазведки: Пер. с англ., М.: Изд - во Мир-448с.
70. Пузырев Н. Н., 1997. Методы и объекты сейсмических исследований. Новосибирск: Издательство СО РАН. 301с.
71. Рекламный проспект ЗАО ГЕОСВИП, 2007.
72. Ростовщиков В.Б., Кадочников А.А. 2005. Телеметрическая система ARAM-ARIES – возможности применения. Приборы и системы разведочной геофизики, № 3, Саратов: Изд-во Саратовского отделения ЕАГО, 7-8с.
73. Рыжов А.В., 2007. К теории электродинамического сейсмоприемника. Приборы и системы разведочной геофизики. № 1. Саратов: Изд.– во Саратовского отделения ЕАГО, 19-24с.
74. Савостьяов Н.А., 2007. К истории создания ООО “ОЙО - ГЕО Импульс Интернэшнл“. Приборы и системы разведочной геофизики. № 1. Саратов: Изд.– во Саратовского отделения ЕАГО, 6-8с.
75. Сайт - www.seg.org /2005.
76. Сайт - www.sercel.com /2005.
77. Сайт - www.i-o.com /2005.
78. Сайт - www.intromarin.ru /2005.
79. Сайт - www.aram.com /2005
80. Сайт - www.sibgeodevice.ru /2005.
81. Сайт - www.smnggeophysics.com /2005.
82. Сайт - www.smng.murmansk /2005.
83. Сайт- www.sngeo.ru/93/
84. Сайт - www.analog.com
85. Сайт - www.geophone.com
86. Сайт - micromachine.stanford.edu
87. Сайт- bp.com/2007
88. Савич А.И., Коптев В.И. 1969. Сейсмоакустические методы изучения массивов скальных пород. - М.: Недра, 227 с.
89. Савич А.И., Ященко З.Г., 1979. Исследования упругих и деформационных свойств пород сейсмоакустическими методами. М.: Недра, 214 с.
90. Савич А.И., Куинджич Б.Д., Коптев В.И. и др. 1990. Комплексные инженерно – геофизические исследования при строительстве гидротехнических сооружений. - М.: Недра, 449 с.
91. Сагайдачная О.М., Сагайдачный А.В., Шмыков А.Н., 2003. Опыт построения российских многоканальных телеметрических станций для сейсмических исследований (СТС-24 – СТС-24Р – РОСА) Приборы и системы разведочной геофизики, № 2, Саратов: Изд-во Саратовского отделения ЕАГО, 14-18с.
92. Сейсморазведка: Справочник геофизика, 1990/Под ред. В. П. Номоконова. М.: Недра, Т. 1. 336 с. Т.2- 400с.
93. Селезнев В.А., Матвеев В.В., Циммерман В.В. ,2007. Опыт использования вибрационных источников KZ-23 на территории Саратовской области. Приборы и системы разведочной геофизики. № 2. Саратов: Изд.– во Саратовского отделения ЕАГО, 26-27с.
94. Силаев В. А., 2002. Скважинная сейсморазведка. Пермь: Изд-во Пермского государственного университета. 204 с.
95. Спасский Б.А., 1978. Цифровая сейсморазведочная аппаратура. Пермь. Изд. - во Пермского государственного университета, 54 с.
96. Спасский Б.А. 1986. Основы цифровой обработки данных сейсморазведки. - Пермь: Изд-во ПГУ, 96 с.
97. Слуцковский А.И., 1970. Сейсморазведочная аппаратура, М.: Недра. 344с.

98. Смирнов В.П., 2003. Электромагнитные источники сейсмических колебаний ряда “Енисей СЭМ, КЭМ”. Приборы и системы разведочной геофизики, № 1, Саратов: Изд-во Саратовского отделения ЕАГО, 21-25с.
99. Стакло А.В. 2007. Что есть геофон? Приборы и системы разведочной геофизики. № 1. Саратов: Изд.- во Саратовского отделения ЕАГО, 9-13с.
100. Станция сейсморазведочная Прогресс Л, 2001. Руководство по эксплуатации, Изд-во СО ЕАГО, Саратов, 63с.
101. Тарасов Ю.В., 1968. Некоторые вопросы теории и приложений фокусировки падающих волн: Прикладная геофизика, 51/52, 23-41с.
102. Телегин А.Н., 1991. Методика сейсморазведочных работ МОВ и обработка материалов. –Л.: Недра, 239 с.
103. Телегин А.Н., 2004. Сейсморазведка методом преломленных волн. – СПб.: Издательство.- Петерб.университета, 187 с.
104. Теория и практика наземной невзрывной сейсморазведки, 1998. / Под редакцией М.Б. Шнеерсона, - М.: ОАО Изд-во Недра, 527 с.
105. Теплицкий В.А., 1973. Применение скважинной сейсморазведки для изучения структур в нефтегазовых районах, М.: Недра, 119 с.
106. Техническая инструкция по наземной сейсморазведке при проведении работ на нефть и газ. – М.: Министерство природных ресурсов РФ, 1999. 115 с. Проект.
107. Тимошин Ю.В., 1972. Основы дифракционного преобразования сейсмических записей. М.: Недра, 250 с.
108. Турлов П.А., Ямпольский А.М., Гольдштейн В.П., 1986. Эксплуатация цифровых сейсморазведочных станций «Прогресс», /Под ред. Б.Л. Лернера, М.: Недра, 200 с.
109. Турлов П.А., 2002. Вступительное слово редактора. Приборы и системы разведочной геофизики. № 1. Саратов: Изд.- во Саратовского отделения ЕАГО, 9-16с.
110. Урупов А.К., 2004. Основы трехмерной сейсморазведки. М.: Изд-во “Нефть и газ“ РГУ нефти и газа им. И.М. Губкина, 584с.
111. Цветаев А.А., 1953. Методы группирования в сейсморазведке. М.: Гостоптехиздат, 65 с.
112. Цифровая обработка сейсмических данных. 1973. / Е.А. Козлов, Г.Н. Гогоненков, Б.Л. Лернер и др. - М.: Недра, 312 с.
113. Чичинин И.С., 1984. Вибрационное излучение сейсмических волн. М.: Недра, 224 с.
114. Шевченко А.А., 2002. Скважинная сейсморазведка. М.: РГУ нефти и газа. 129 с.
115. Шнеерсон М.Б., Майоров В.В., 1980. Наземная невзрывная сейсморазведка с невзрывными источниками колебаний. М.: Недра, 205 с.
116. Шнеерсон М.Б., Майоров В.В., 1988. Наземная невзрывная сейсморазведка. М.: Недра, 237 с.
117. Шнеерсон М.Б., Потапов О.А. и др., 1990. Вибрационная сейсморазведка, М.: Недра. 240с.
118. Шнеерсон М.Б., Жуков А.П., 2004. Наземная невзрывная сейсморазведка XXI века., Приборы и системы разведочной геофизики, № 3, Саратов: Изд-во Саратовского отделения ЕАГО, 5-8с.
119. Шнеерсон М.Б., Жуков А.П., Белоусов А.В., 2009. Техника и методика пространственной сейсморазведки. М.: ООО “Издательство Спектр“ ,112с.
120. Cordsen A., Galbraith M., Peirce J., 2000. Planning Land 3-D Seismic Surveys. Tulsa, Society of Exploration Geophysicists, 204p.;
121. Domenico N., 1996. The Mintrop mechanical seismograph.- The Leading Edge, pp. 1049-1052

122. Evans Brian J. A , 1997. Handbook for seismic data acquisition in exploration. Tulsa, Society of Exploration Geophysicists, 305p.
123. Gijs J. O. Vermeer, 2002. 3-D Seismic Survey Design. Tulsa, Society of Exploration Geophysicists, 205p.
124. Kosonocky S. & Xiao, P. 1999. "Analog-to-Digital Conversion Architectures" Digital Signal Processing Handbook Ed. Vijay K. Madisetti and Douglas B. Williams, Boca Raton: CRC Press LLC,
125. Mayne W.H.,1950. Seismic surveying. U.S. Patent. No.2732906100.
126. Lawyer Lee, Charles C. Bates, Robert B. Rice, 2001. Geophysics in the Affairs of Mankind: Personalized History of Exploration Geophysics, Tulsa, PennWell Books, 506 p.
127. Reservoir Geophysics. Investigation in Geophysics, 1997. № 7. Edited by Robert E Sheriff. - Tulsa, Society of Exploration Geophysicists,. - 400 p.
128. Schriever W., 1952. Reflection seismograph prospecting - how it started, The Oklahoma Quarterly, University of Oklahoma Association, Vol. I, No. 4, (July 1952), pp. 27-30.
129. Seismic atlas of structural and stratigraphic features, 1991. Edited by Goudswaard W., And Jenyon M., K. Zeist, European Association of Exploration Geophysicists.
130. Schmidt Victor, 2003. Consolidation and change continue. Offshore N3, P. 46-51.
131. Sheriff Robert E, 1991. Encyclopedic Dictionary of Exploration Geophysics. - Third Edition, p.250.
132. Training Course Manual SN-388, 1998. Материалы фирмы Sercel.



**МИНОБРНАУКИ РФ
ФГБОУ ВО**

**«Уральский государственный
горный университет»**

И. Г. Сквородников

***ИЗМЕРИТЕЛЬНЫЕ ПРЕОБРАЗОВАТЕЛИ В
ГЕОФИЗИЧЕСКОЙ АППАРАТУРЕ***

**Екатеринбург
2020**

ОГЛАВЛЕНИЕ

Предисловие.....	5
1. Назначение первичных преобразователей, их характеристики и классификация.....	5
Контрольные вопросы.....	11
2. Преобразователи параметрического типа.....	12
2.1. Резистивные преобразователи.....	12
2.1.1. Контактные преобразователи.....	12
2.1.2. Реостатные преобразователи.....	13
2.1.3. Тензометрические преобразователи.....	16
2.1.4. Электролитические преобразователи.....	19
2.1.5. Терморезистивные преобразователи.....	21
2.1.6. Магниторезистивные преобразователи.....	23
2.1.7. Фотоэлектрические преобразователи.....	25
2.2. Индуктивные преобразователи.....	26
2.2.1. Индуктивные преобразователи с изменяемым воздушным зазором.....	27
2.2.2. Магнитоупругие преобразователи.....	29
2.2.3. Магнитомодуляционные преобразователи.....	30
2.3. Емкостные преобразователи.....	34
Контрольные вопросы.....	35
3. Преобразователи генераторного типа	36
3.1. Преобразователи индукционной э.д.с.....	36
3.1.1. Преобразователи индукционной э.д.с. со взаимным перемещением магнита и катушки индуктивности.....	36
3.1.2. Преобразователи индукционной э.д.с. со стационарным размещением магнита и катушки индуктивности.....	38
3.2. Преобразователи гальваномагнитной э.д.с.....	41
3.2.1. Преобразователи Холла.....	41
3.2.2. Преобразователи Виганда.....	42

3.3. Преобразователи пьезоэ.д.с.....	44
3.4. Преобразователи термоэ.д.с.....	45
3.5. Преобразователи фотоэ.д.с.....	46
Контрольные вопросы.....	49
4. Радиационные преобразователи.....	49
4.1. Газоразрядные детекторы.....	50
4.2. Сцинтилляционные детекторы.....	53
4.3. Полупроводниковые детекторы.....	56
Контрольные вопросы.....	56
Литература.....	57

ПРЕДИСЛОВИЕ

Цель данного пособия – познакомить студентов с применением различных электрических датчиков в геофизической аппаратуре, облегчить им усвоение соответствующих разделов курса «Геофизическая аппаратура» и выполнение курсового проектирования по нему.

Необходимость издания пособия обусловлена тем, что в опубликованных работах по первичным преобразователям рассматриваются датчики общетехнического применения, в то время, как датчики разнообразной геофизической аппаратуры имеют ряд особенностей, связанных со спецификой условий их эксплуатации.

В пособии рассмотрены физические основы и устройство датчиков всех типов, входные и выходные параметры, указаны их достоинства и недостатки и приведены примеры применения в конкретной геофизической аппаратуре.

В качестве примеров в ряде случаев использованы оригинальные разработки автора.

В конце каждой главы приведен перечень контрольных вопросов для самостоятельной проверки усвоения материала студентами.

1. НАЗНАЧЕНИЕ ПЕРВИЧНЫХ ПРЕОБРАЗОВАТЕЛЕЙ, ИХ ХАРАКТЕРИСТИКИ И КЛАССИФИКАЦИЯ

Первичные преобразователи в геофизической аппаратуре (ГА) являются теми элементами, которые вырабатывают сигнал информации об измеряемой величине. По этой причине первичные преобразователи ГА называются также измерительными преобразователями. Другими синонимами термина «первичный преобразователь» являются «датчик», «детектор», «чувствительный элемент», «сенсор», «трансмиттер» [4,15,23]. Правда, в специальной литературе существуют различные толкования термина «датчик», наиболее распространенного из перечисленных терминов. Так, например, в монографии К. Бриндли [4], датчик рассматривается как пассивный преобразователь, т.е. преобразователь получающий энергию для своей работы от измеряемой величины. В других источниках [1,16] под датчиком понимается конструктивно законченное устройство, которое, кроме первичного преобразователя, может содержать и другие элементы (усилитель сигнала, источник питания и т.п.) и которое устанавливается на удалении от наблюдателя. В данном пособии, как и в большей части специальной литературы, термин «датчик» будет использоваться как синоним первичного или измерительного преобразователя.

Важнейшими характеристиками датчиков служат: чувствительность, точность (достоверность) информации об измеряемой величине, надежность и долговечность, стабильность работы при изменении внешних условий, быстродействие, вид зависимости выходного сигнала от измеряемой величины (линейная, нелинейная, реверсивная, нереверсивная и т.п.).

Поясним некоторые из перечисленных характеристик.

Чувствительность преобразователя, которую также называют **коэффициентом передачи**, представляет собой отношение изменения

выходного сигнала y , к изменению входного сигнала x . Различают три вида коэффициентов передачи: статический, относительный и дифференциальный.

Статический коэффициент передачи используется для определения свойств преобразователей с линейной характеристикой: $K_{ст} = y/x$.

Дифференциальный коэффициент передачи применяется для датчиков с нелинейной характеристикой: $K_{диф} = \lim \Delta y / \Delta x \approx dy/dx$. Значение этого коэффициента непостоянно и зависит от величины входного сигнала x .

Относительный коэффициент передачи равен отношению относительного изменения сигнала на выходе датчика к относительному изменению сигнала на его вход $K_{отн} = (\Delta y/y) / (\Delta x/x)$. Этот коэффициент является величиной безразмерной и удобен для сравнения свойств преобразователей, различных по принципу действия и конструкции.

У некоторых измерительных преобразователей вследствие трения покоя, шумов измерительной схемы, гистерезиса и др. причин изменение выходного сигнала появляется только тогда, когда измеряемая величина достигает определенного уровня. Этот уровень называется порогом **чувствительности x_n** .

Во время работы первичного преобразователя на него, кроме измеряемой величины, воздействуют и другие сигналы – помехи, например, изменения температуры, внешнего давления, вибрации, изменения напряжения питания и пр. Результаты воздействия помех проявляются в виде погрешностей измерений: абсолютных, относительных, приведенных.

Абсолютная погрешность – это разность между измеренным y и действительным (расчетным) значениями выходной величины y_0 : $\Delta y = y_{изм} - y_0$.

Относительная погрешность – это отношение абсолютной погрешности к действительному значению выходной величины в процентах: $\delta = (\Delta y/y_0) \cdot 100$.

Приведённая погрешность – это отношение абсолютной погрешности к наибольшему действительному значению выходной величины: $\varepsilon = \Delta y/y_{max}$. Для измерительных приборов приведенная погрешность определяет их класс точности.

В зависимости от режима, для которого определяется абсолютная или относительная погрешность, различаются **статические** и **динамические** погрешности (ошибки). Приведенная погрешность определяется только для установившегося (статического) режима [10].

Характер зависимости выходного сигнала от измеряемой величины $y=f(x)$ в установившемся режиме называется **статической** характеристикой преобразователя.

Наиболее удобными в работе и потому наиболее распространенными являются датчики, имеющие линейную характеристику. Если характеристика датчика нелинейна, то для формирования выходного сигнала могут применяться системы линеаризации. В некоторых случаях, например, если измеряемая величина изменяется нелинейным образом, удобнее использовать преобразователи с нелинейной статической характеристикой.

В зависимости от того, как на выходную величину влияет изменение знака измеряемой величины, статические характеристики бывают: **неревверсивными** (когда знак выходного сигнала остается постоянным во всем диапазоне измерений) и **реверсивными** (когда выходной сигнал изменяет свой знак вслед за измеряемой величиной).

Следует упомянуть еще одну из характеристик измерительных преобразователей – **гистерезис**, который проявляется в несовпадении значений выходного сигнала при одном и том же значении измеряемой величины в зависимости от уменьшения или увеличения последней в момент измерения.

Надежность преобразователя – это способность работать в течение определенного периода времени при заданных условиях эксплуатации.

Надежность преобразователей, так же, как надежность, сложных электронных или механических устройств вообще, характеризуется вероятностью безотказной работы, средним временем безотказной работы и интенсивностью отказов – отношением числа отказавших устройств в определяемый промежуток времени к числу работоспособных в начале этого промежутка.

График зависимости интенсивности отказов от времени эксплуатации имеет характерную корытообразную форму. Первый участок графика ($0 - t_1$) называется "временем приработки", в этот период интенсивность отказов велика из-за того, что здесь проявляются дефекты сборки, выходят из строя некондиционные детали и т. п. Второй участок $t_1 - t_2$ называется "периодом условной долговечности», здесь отказы могут быть связаны, в основном, со случайными причинами. Третий участок $t_2 - \infty$ называется "периодом старе-

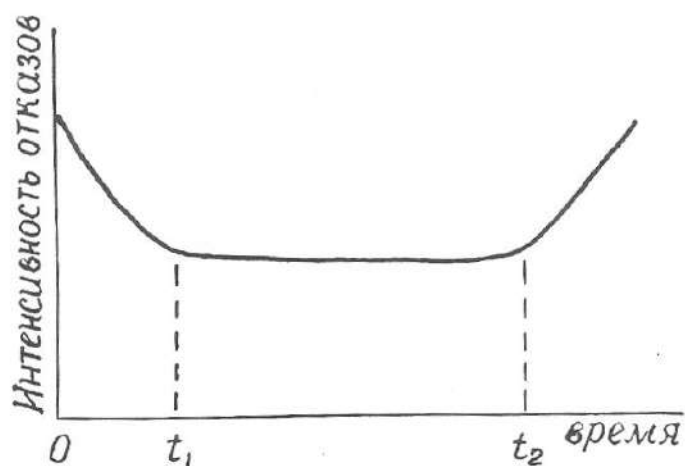


Рис. 1.1. Зависимость и интенсивности отказов от времени эксплуатации преобразователя

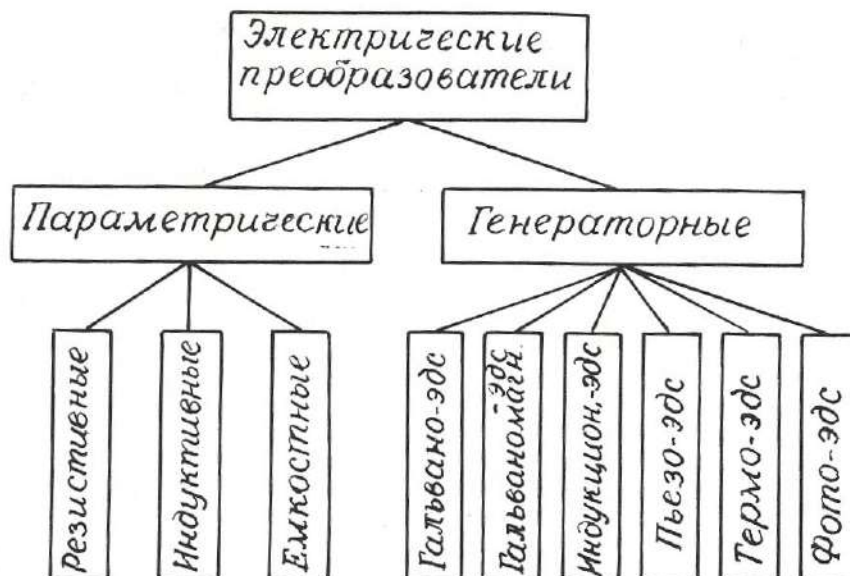


Рис. 1.2. Классификация электрических преобразователей

ния», здесь интенсивность отказов растет из-за того, что детали преобразователя вырабатывают свой ресурс (рис. 1.1).

Пути повышения надежности преобразователей – это упрощение их устройства, использование элементов с большой вероятностью безотказной работы, «разгруженный» режим эксплуатации.

подавляющее большинство датчиков геофизической аппаратуры преобразуют измеряемую величину в электрический сигнал, хотя имеются датчики, например, в гравиразведочных приборах, выходная величина которых не является электрической.

Электрические преобразователи, применяемые в геофизической аппаратуре, крайне разнообразны по принципу действия и конструкции.

Основными признаками, позволяющими классифицировать датчики, являются: назначение, принцип действия, вид входного и выходного сигналов, наличие или отсутствие источников питания.

По назначению электрические датчики делятся на преобразователи неэлектрических величин в электрические и преобразователи одних электри-

ческих величин в другие. Соответственно входные величины измерительных преобразователей могут иметь как электрическую, так и неэлектрическую природу. Это могут быть характеристики различных физических полей (например, магнитная индукция, температура, сила тяжести, э.д.с. естественных электрических полей), разнообразные свойства горных пород, руд и растворов (плотность, электрическое сопротивление, магнитная восприимчивость, радиоактивность), геометрические и технические параметры буровых скважин (их диаметр, углы искривления), скорость перемещения, механические усилия и т. д.

Выходными величинами электрических датчиков могут, быть: э.д.с., сила тока, частота тока, импульсы тока или комбинации импульсов различной длительности и амплитуды, а также сопротивление, емкость или индуктивность электрической цепи.

По принципу действия электрические преобразователи делятся на **параметрические**, изменяющие пассивные элементы электрической цепи (сопротивление, емкость, индуктивность), и **генераторные**, вырабатывающие э.д.с. различной физической природы. В свою очередь, среди параметрических датчиков выделяются: резистивные, емкостные и индуктивные, а среди генераторных: датчики гальванической, гальваномагнитной, индукционной, фото-, пьезо- и термоэ.д.с. (рис. 1.2).

Особняком стоят радиационные преобразователи (детекторы радиоактивных излучений), которые имеет сложную структуру.

Каждый из видов датчиков, изображенных на рис. 1.1, имеет свои разновидности, отличающиеся по конструктивному исполнению.

По наличию или отсутствию специальных источников питания датчики подразделяются на **пассивные**, получающие энергию от измеряемой величины, и **активные**, питающиеся от внешнего источника.

В следующих разделах пособия будут рассмотрены физические свойства, особенности конструкции, достоинства и недостатки, а также примеры

применения в конкретных образцах геофизической аппаратуры всех видов датчиков, представленных на рис. 1.2.

Контрольные вопросы

1. Дайте определение измерительного преобразователя.
2. Какие синонимы существуют у термина «измерительный преобразователь»?
3. Что такое чувствительность преобразователя?
4. Назовите виды коэффициентов передачи датчика.
5. Назовите виды погрешностей преобразователей, укажите, какие причины их вызывают.
6. Что такое статическая характеристика преобразователя?
7. Что такое надежность преобразователя?
8. Поясните график зависимости интенсивности отказов от времени (рис. 1.1).
9. По каким признакам производят классификацию электрических преобразователей?
10. Назовите входные и выходные величины электрических преобразователей в геофизической аппаратуре.
11. На какие две большие группы делятся электрические преобразователи по принципу действия?
12. Поясните классификацию преобразователей, приведенную на рис. 1.2.

2. ПРЕОБРАЗОВАТЕЛИ ПАРАМЕТРИЧЕСКОГО ТИПА

2.1. Резистивные преобразователи

В преобразователях этого вида изменения измеряемого параметра преобразуются в изменения **активного сопротивления** электрической цепи.

В соответствии с выражением $R = \rho \cdot l / S$ (2.1) изменения сопротивления R могут происходить за счет изменения геометрических размеров проводника (длины l и поперечного сечения S) или его удельного сопротивления ρ . К

преобразователям с изменяемыми размерами относятся контактные, реостатные, потенциометрические, тензометрические, угольные и электролитические датчики. К преобразователям с изменяемым удельным сопротивлением – электролитические, терморезистивные и некоторые фотоэлектрические датчики.

2.1.1. Контактные преобразователи

Контактные преобразователи представляют собой простейшую разновидность преобразователей резистивного типа. В одном крайнем положении их сопротивление равно бесконечности, в другом близко к нулю. Работой контактных преобразователей могут управлять механические (линейное или угловое перемещение) или различные физические параметры (температура, магнитное поле, электрический ток).

Контактные преобразователи составляют основу большинства реле, широко применяемых в системах автоматического управления [8,11]. В последнее время широкое распространение получили **герконы** – миниатюрные герметизированные контактные преобразователи, управляемые магнитным полем.

Достоинства контактных преобразователей составляют их простота и малая стоимость, универсальность (они могут работать в цепях как постоянного, так и переменного тока); недостатки – искрение и «дребезг» контактов, возможность ложных срабатываний контактов от тряски.

В геофизической аппаратуре контактные преобразователи используются в различных измерителях постоянных напряжений для преобразования этих напряжений в переменные, которые потом подвергаются усилению на электронных усилителях. Примером могут служить электроразведочные измерители ЭСК-1, АТ-72, самопишущие каротажные потенциометры ПАСК-8 и ПАСК-9. Контактные преобразователи используются также в схемах

управления многочисленных скважинных приборов (в пластовом наклонном НП-3, расходомерах с раскрывающимся пакером и др.).

Герконы используются в скважинных расходомерах РСМ, РГД, ДГД и др. [21].

2.1.2. Реостатные преобразователи

Простейший реостатный преобразователь – это переменный резистор, подвижный контакт которого перемещается вследствие изменения измеряемой величины – линейного перемещения, давления, угла наклона, направления магнитного поля и т.п.

Реостатный преобразователь (рис. 2.1, а) может быть включен по потенцио-метрической схеме (рис. 2.1, б), в этом случае он должен быть отнесен к преобразователям генераторного типа.

Как правило, реостатные преобразователи выполняют в виде намотки из изолированной проволоки высокого сопротивления (из манганина, константана, вольфрама) на каркасе из изоляционного материала. Форма каркаса может быть различной: прямоугольной, кольцевой или более сложной конфигурации в зависимости от входного параметра и необходимой зависимости $R = f(x)$.

Проволочные реостатные преобразователи являются дискретными, т.к. непрерывному изменению входной величины x соответствует скачкообразное изменение сопротивления R определяемое переходом подвижного контакта с одного витка провода на другой. Это обуславливает и погрешность измерений, которая уменьшается с уменьшением диаметра проволоки и увеличением числа витков W . Статический коэффициент передачи реостатного датчика $K_{ст} = z \cdot W/l$, где z – сопротивление одного витка, l – длина намотки.

Обычная относительная погрешность датчиков $\delta = 0,2 - 0,5 \%$.

Преимущества реостатных датчиков: простота конструкции, малый вес и габариты, возможность включения в цепь как постоянного, так и переменного тока, возможность получения необходимой статической характеристики

$R=f(x)$, недостатки: наличие подвижного механического контакта, что уменьшает надежность датчика, необходимость какого-то усилия для перемещения этого контакта, влияние температуры.

Благодаря своей простоте и универсальности реостатные преобразователи широко используются в геофизической аппаратуре для исследования скважин: в каверномерах (КФ, КМ, СКП-1 и др.), в инклинометрах (ИК-1, ИК-2, МИР-36, ИГ-36 и др.) [2,9,12], в датчиках натяжения кабеля, в некоторых уровнемерах. Так, например, в скважинном уровнемере конструкции УГИ [18,26], изменение уровня жидкости над прибором, точнее, гидростатическое давление столба жидкости над ним преобразуется в изменение уровня токопроводящей жидкост-

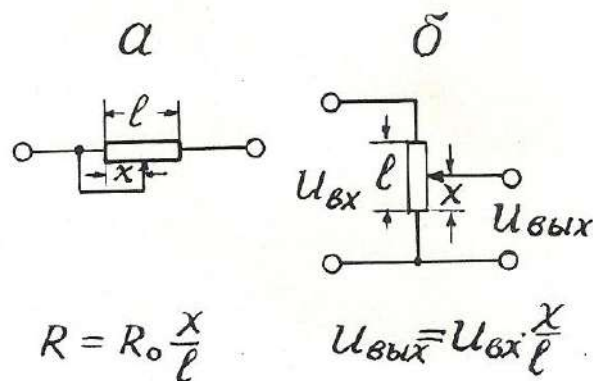


Рис. 2.1. Реостатный преобразователь (а) и его включение по потенциметрической схеме (б).

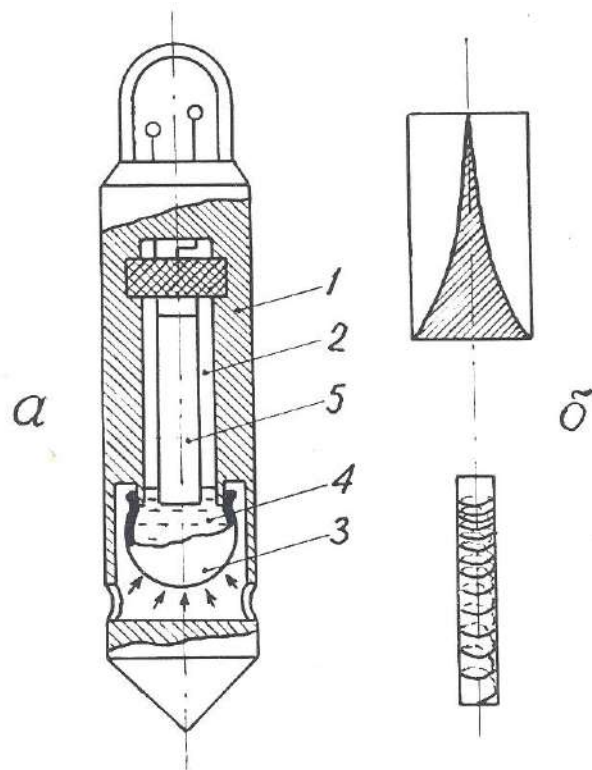


Рис. 1.2. Пример применения реостатного преобразователя в скважинном уровнемере с линейной входной характеристикой: а – конструкция уровнемера; б – варианты выполнения реостата; 1 – корпус уровнемера; 2 – измерительная камера; 3 – гибкий резервуар; 4 – токопроводящая жидкость; 5 – реостат.

ти в измерительной камере, отделенной от внешней среды гибкой оболочкой (рис. 2.2). Вдоль продольной оси камеры располагается реостатный преобразователь, подвижным контактом которого служит токопроводящая жидкость. Поскольку давление P в измерительной камере и ее объем V при постоянной температуре связаны соотношением $PV = \text{const}$ [7], то одинаковые приращения давления P (уровня жидкости) вызывают неодинаковые перемещения уровня токопроводящей жидкости в измерительной камере. Для получения линейной статической характеристики реостатный преобразователь в данном уровнемере выполнен в виде неравномерной намотки или высокоомной пленки переменной ширины таким образом, чтобы приращение сопротивления реостата было обратно пропорционально квадрату перемещения подвижного контакта, т.е. уровня токопроводящей жидкости.

2.1.3. Тензометрические преобразователи

Действие тензопреобразователей основано на изменении сопротивления проводников и полупроводников при их растяжении или сжатии [15].

Тензоэлементы (или тензорезисторы) состоят из тонкой проволоки или фольги, сложенной несколько раз в форме меандра и вклеенной между эластичными бумажными, пленочными или фетровыми подкладками. Толщина проволоки (или фольги) от 0,02 до 0,05 мм. Основные конструктивные формы тензоэлементов представлены на рис. 2.3.

Изменение электрического сопротивления тензоэлемента пропорционально относительной деформации детали в месте наклейки последнего. Относительный коэффициент передачи тензодатчика $K_{отн} = (\Delta R/R)/(\Delta l/l)$. Материал для тензоэлементов должен характеризоваться возможно большей тензочувствительностью и возможно меньшим температурным коэффициентом. Обычно используются сплавы: константан, манганин, нихром, а также чистые металлы: никель, висмут. Очень высокую тензочувствительность, в 60-80 раз выше, чем у металлов, имеют полупроводники: германий, кремний и др. Полупроводниковые тензоэлементы получают выращиванием кристаллов полупроводника на мембране из диэлектрического металла (например, датчики «кремний на сапфире»).

Достоинства тензорезисторных преобразователей: простота конструкций, малые габариты, высокая точность, безинерционность; недостатки: невысокая чувствительность, зависимость сопротивления от температуры.

Низкая чувствительность тензорезисторных преобразователей требует применения усилителей выходного сигнала, а термозависимость – применения специальных мер для устранения влияния температуры.

Тензопреобразователи находят применение в датчиках силы натяжения каротажного кабеля с подвесным роликом ДНТ-033 ($\delta \leq 1,5\%$ при усилии до 500 Н) [2,17], в некоторых опробователях пластов в качестве измерителей

пластового давления (например, в ОПД-7-10), в некоторых скважинных уровнемерах типа погружных манометров [2].

Автором тензорезисторный преобразователь применен в расходомере РГЖ-1, не содержащем вращающихся деталей [19]. Чувствительным элементом этого прибора служат две гибкие пластины, установленные вдоль измеряемого потока. Поскольку давление в движущемся флюиде понижается, пластины прогибаются навстречу друг другу тем больше, чем выше скорость потока (рис. 2.4). Прогиб пластин преобразуется в электрический сигнал с помощью наклеенных на них тензоэлементов. Для устранения влияния температуры на пластине наклеены 4 тензоэлемента (2 вдоль нее и 2 поперек), соединенные по мостовой схеме. В одну диагональ моста подается переменный ток питания (частота 1 кГц), к другой диагонали подключен усилитель. Чувствительность описанного расходомера составляет 0,05 л/с.

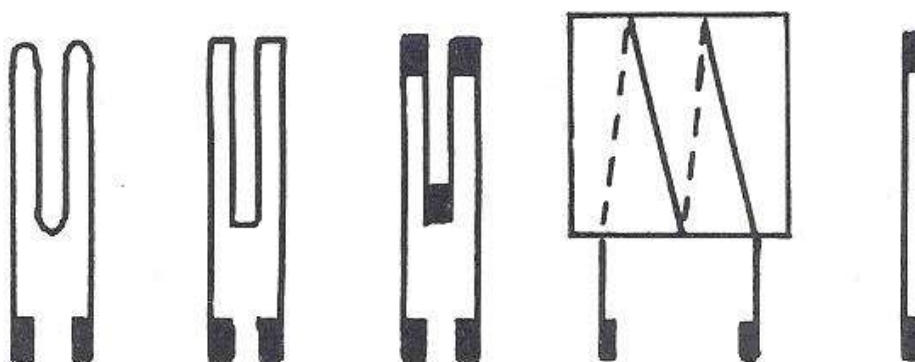


Рис. 2.3. Разновидности тензорезисторов

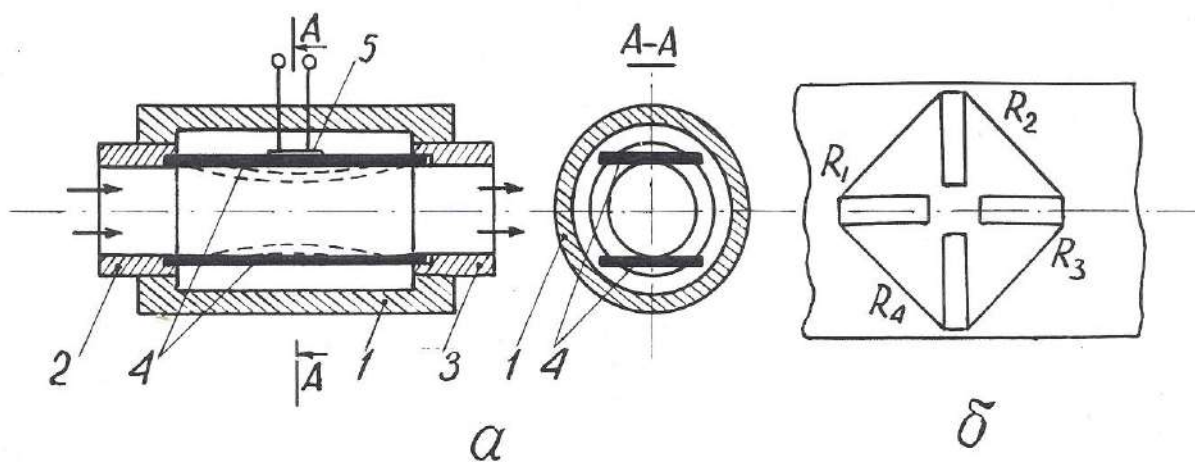


Рис. 2.4. Принцип действия расходомера РГЖ-1 (а) и размещение тензорезисторов на упругой пластине (б): 1 – корпус расходомера; 2 – входной канал; 3 – выходной канал; 4 – упругие пластины; 5 – тензометрический преобразователь прогиба пластины в электрический сигнал

2.1.4. Электролитические преобразователи

Преобразователи этого типа основаны на изменении электрического сопротивления между помещенными в электролит электродами в зависимости от расстояния между ними, площади соприкосновения с электролитом или проводимости последнего (2.1). Электролитические датчики используются для измерения угловых и линейных перемещений, а также для определения сопротивления электролита. Во избежание погрешностей, связанных с электролизом и электродной поляризацией, их включают, как правило, в цепь переменного тока.

Достоинства датчиков этого типа заключаются в простоте конструкции и способности пропускать большие токи; недостатки – в зависимости сопротивления электролита от температуры (при изменении последней на 1° электропроводность растворов изменяется на 1,5-2,5%).

В геофизической аппаратуре электролитические датчики используются в резистивиметрах всех видов: скважинных и переносных (например, в приборе ПР-1).

Еще один пример применения датчик этого типа устройство для определения направления и скорости потока подземных вод [20]. Это устройство содержит цилиндрическую измерительную камеру с перфорированными стенками, по окружности которой размещены радиальные электроды а в середине – центральный (рис. 2.5). Каждый из электродов подсоединен к своей жиле многожильного каротажного кабеля (например, кабеля КГ17-60-180ШМ. Внутри камеры располагается также магнитная стрелка с экраном из изоляционного материала на северном конце. Измерительная камера закрывается крышкой и заполняется электролитом через специальные отверстия в ней. Затем устройство опускают в скважину и устанавливают напротив исследуемого водоносного горизонта. По кабелю

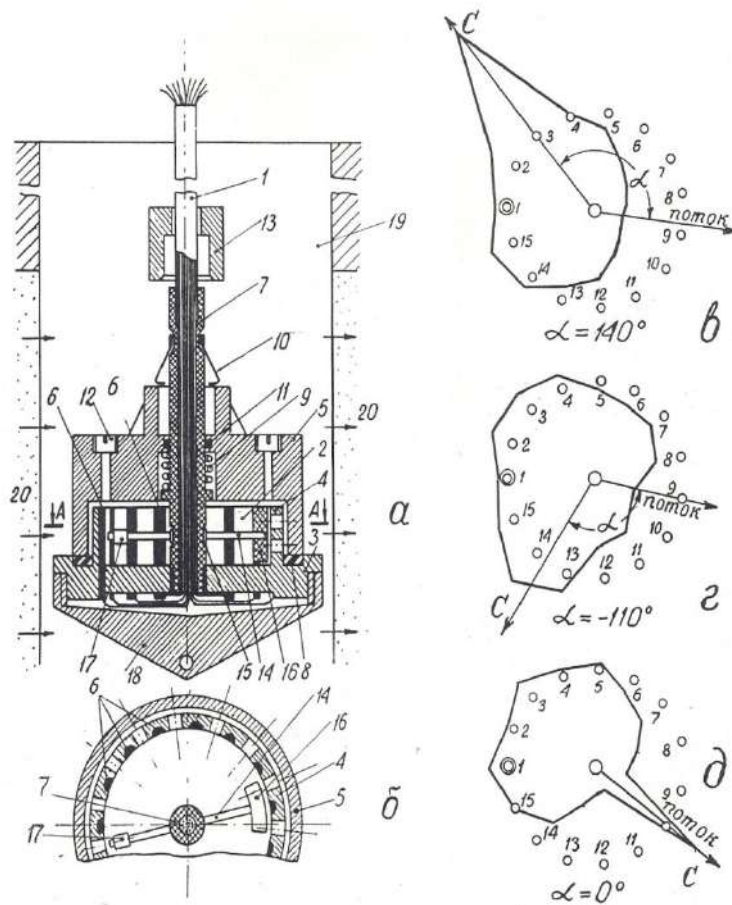


Рис. 2.5. Устройство для определения направления и скорости потока (а, б) и результаты измерений магнитного азимута потока (в-д): 1 – многожильный каротажный кабель; 2 – измерительная камера; 3 – изоляционный диск; 4 – перфорированные стенки камеры; 5 – крышка; 6 – радиальные электроды; 7 – центральный электрод; 8 – резиновая прокладка; 9 – сжатая спиральная пружина; 10 – пружинные защелки; 11 – резиновое кольцо; 12 – заливная пробка; 13 – сбивающий грузик; 14 – магнитная стрелка; 15 – скользящий подшипник; 16 – изоляционный экран; 17 – противовес; 18 – нижний наконечник.

опускают сбивающий грузик, который приводит в действие пружину, отбрасывающую крышку вверх по кабелю. Движением подземных вод электролит из измерительной камеры вымывается по направлению потока через перфорацию в стенках. Магнитная стрелка ориентируется по направлению магнитного меридиана, а экран на ее северном конце перекрывает один из

радиальных электродов. На поверхности производят измерения электрического сопротивления между центральным и каждым из радиальных электродов. Минимальное сопротивление указывает направление потока подземных вод, а максимальное – направление на север. Скорость потока определяют по скорости вымывания электролита из измерительной камеры, повторяя измерения через определенные интервалы времени. При использовании 17-жильного кабеля устройство обеспечивает абсолютную погрешность в измерении направления потока, не превышающую $\pm 12^\circ$.

2.1.5. Терморезистивные преобразователи

Терморезистивные преобразователи основаны на свойстве металлов и полупроводников изменять свое сопротивление под действием температуры T .

Зависимость сопротивления металлов от температуры в общем случае нелинейна, однако, для ограниченных интервалов температур ее можно представить в виде линейной двучленной функции $R_T = R_0[1 + \alpha(T - T_0)]$, где R_0 – сопротивление при начальной температуре T_0 , а α – температурный коэффициент сопротивления для интервала $T - T_0$.

Основным материалом для терморезисторов являются чистые металлы: платина, медь, никель, которые обладают в интервале от 0 до 100°C положительным $\alpha = 0,0030 - 0,0068$ (град.С) $^{-1}$.

Известны также объемные полупроводниковые терморезисторы (термисторы). Их сопротивление уменьшается с повышением температуры по экспоненте, в среднем для них $\alpha = 0,03 - 0,04$ (град. С) $^{-1}$, но значение α сильно зависит от температуры. Чувствительность (статический коэффициент передачи) терморезисторов $K_{ст} = \Delta R / \Delta T = \alpha R_0$.

Достоинства терморезистивных преобразователей: простота конструкции, малые габариты, возможность установки в труднодоступных местах. Однако им присущи и важные недостатки. Во-первых, это постоянство α лишь в ограниченном диапазоне температур и, во-вторых, инерционность, приводящая

к большим динамическим погрешностям. Как известно, термопреобразователь приобретает температуру среды по закону $\Delta T = \Delta T_0 \cdot e^{-t/\tau}$ где ΔT_0 - начальная разность температур, t – время, τ – постоянная времени преобразователя, зависящая от его конструкции и теплопроводности, а также тепловых свойств среды.

В геофизическом приборостроении преобразователи этого типа находят применение в скважинных термометрах электрических (СТС-2, ЭТМИ-55 и др.) и электронных (ТЭГ-36, ТЭГ-60 и др.).

Чувствительный элемент всех скважинных термометров представляет собой тонкую (0,02-0,03 мм) медную проволочку, сложенную в несколько раз и помещенную в тонкостенную медную трубку длиной около 30 см, омываемую скважинным флюидом [9].

Точно так же устроен чувствительный элемент скважинных расходомеров типа термоанемометров СТД-2, СТД-4 [2]. Этот термоэлемент включается в мостовую измерительную схему и нагревается до температуры, превышающей температуру исследуемого потока. Мостовая схема балансируется при размещении чувствительного элемента в неподвижной жидкости. Когда жидкость приходит в движение, она охлаждает нагретый термоэлемент, тем сильнее, чем выше скорость ее движения.

В газокаротажных станциях (АГКС-64, АГКС-4 и др. для определения суммарного газосодержания в газозудушной смеси эта смесь подается на термочувствительный элемент в виде тонкой платиновой проволочки, нагретой до 850° С и включенной в сбалансированную мостовую схему. Если в анализируемой смеси имеются углеводородные газы, то при 850°С они сгорают, выделяющееся тепло повышает температуру проволочки, увеличивая ее сопротивление и нарушая баланс мостовой схемы [17].

Аналогичным образом действуют приборы для определения содержания СО в выхлопных газах автомобиля [6].

Известны также устройства для определения направления потока подземных вод [24], содержащие нагреватель и расположенные вокруг него

термисторы. По измерениям температуры последних определяют, в каком направлении идет перенос тепла, т.е. происходит движение подземных вод.

2.1.6. Магниторезистивные преобразователи

Эти преобразователи основаны на свойстве некоторых материалов изменять свое электрическое сопротивление под действием магнитного поля (эффект Гаусса). Таким свойством обладает, например, сплав пермаллой (80% никеля, 20% железа). Степень изменения сопротивления магниторезистора зависит от магнитной индукции поля B и угла θ между ее направлением и направлением тока [6,16,22].

Магниторезисторы изготавливаются по тонкопленочной технологии в форме меандров (рис. 2.6).

Еще большим магнитоэлектрическим эффектом, чем сплавы металлов, обладают полупроводники (антимонид индия InSb и арсенид индия InAs).

Увеличение сопротивления магниторезисторов объясняется увеличением пути движения электронов и дырок под действием силы Лоренца.

Чувствительность магниторезистивных датчиков $K_{\text{диф}} = \Delta R / \Delta B$ зависит от величины магнитной индукции: $\Delta R = R_0 \cdot A (\nu B)^n$, где A – так называемый «коэффициент формы», ν – подвижность электронов; n – постоянный коэффициент ($n=1-2$), зависящий от B .

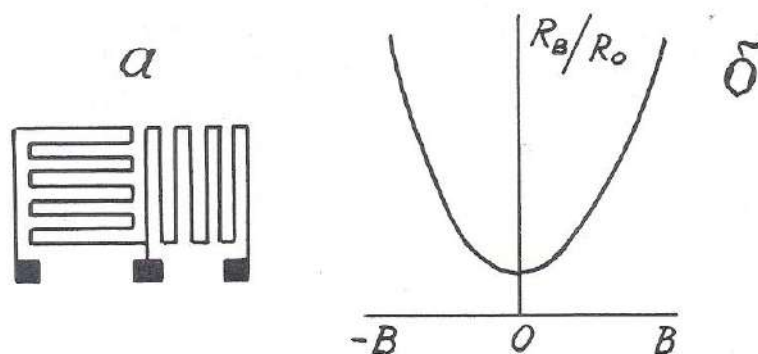


Рис. 2.6. Форма магниторезистора (а) и зависимость приращения его сопротивления от магнитной индукции (б)

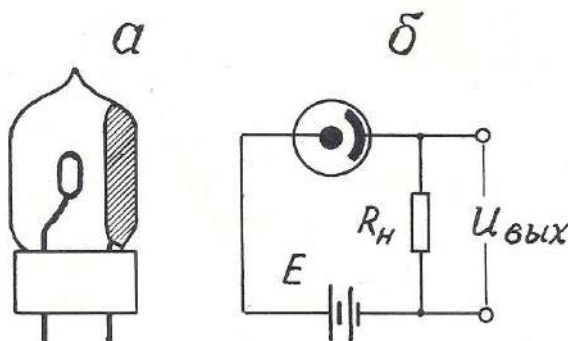


Рис. 2.7. Конструкция фотоэлемента с внешним эффектом (а) и включение его в измерительную схему (б)

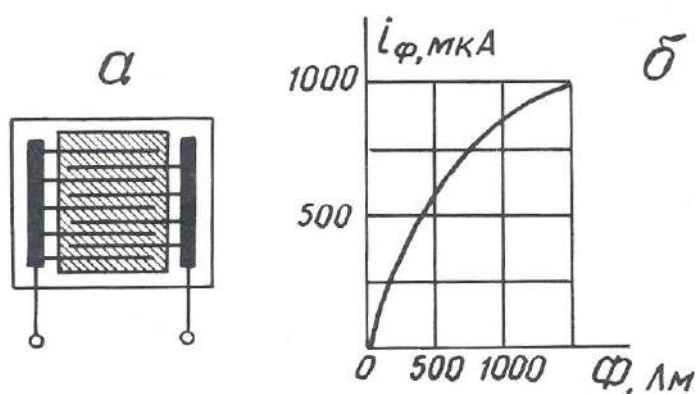


Рис. 2.8. Конструкция фотоэлемента с внутренним фотоэффектом (а) и зависимость фототока от светового потока (б)

При больших B значение $n=1$, поэтому при использовании магниторезисторов применяют магнитное смещение, помещая их в поле электромагнита с $B=0,3 - 0,5$ Тл.

Недостатки магниторезисторов: наличие температурного влияния и потребность в сильных магнитных полях.

Магниторезисторы в геофизике могут быть использованы в скважинных расходомерах и магнитных меткоуловителях каротажных станций.

2.1.7. Фотоэлектрические преобразователи

Фотоэлектрические преобразователи (фотоэлементы) основаны на явлении внешнего (электровакуумные и газонаполненные) или внутреннего (полупроводниковые) фотоэффекта.

Фотоэлемент с внешним фотоэффектом представляет собой электронную лампу с двумя электродами, один из которых (фотокатод) покрыт светочувствительным слоем (рис. 2.7). Возрастание фототока при увеличении приложенного напряжения происходит до величины тока насыщения, при котором все электроны, испускаемые фотокатодом под действием светового потока, достигают анода.

Фотоэлемент с внутренним фотоэффектом (фоторезистор) состоит из стеклянной пластины, на которой вытравлены входящие друг в друга гребневидные системы штрихов, заполненные электропроводным веществом (платина, золото). Пластина покрывается тонким слоем полупроводникового светочувствительного материала (рис. 2.8).

Чувствительность фотоэлементов $K_{\text{диф}} = \Delta R / \Delta \Phi$ непостоянна и нелинейно зависит от светового потока Φ . Кроме того, фотоэлементы обладают еще и спектральной избирательностью» т.е. чувствительностью к световому излучению определенной длины волны.

Фотоэлементы могут быть использованы и в режиме источников тока, т.е. как генераторные преобразователи фотоэ.д.с.

Фотопреобразователи находят применение в приборах фотокаротажа, предназначенных для дифференциации разрезов скважин по цвету пород, в скважинных расходомерах (например, в ТСП-70Ф) в некоторых инклинометрах. Так, автором совместно с профессором. А.В.Давыдовым предложен датчик угла наклона буровой скважины для непрерывных измерений [27]. Этот датчик содержит измерительную камеру 1, частично заполненную жидкостью 2 с высоким коэффициентом поверхностного отражения, например, ртутью или сплавом Вуда, а над жидкостью соосно размещены источник света 3 и кольцевой фотопреобразователь 4 (рис. 2.9). При вертикальном положении датчика весь свет источника, отраженный от поверхности жидкости, попадает

на фотопреобразователь, и сигнал на его выходе максимален. При отклонении датчика от вертикали поверхность жидкости наклоняется относительно оси камеры, и часть отраженного света уходит за пределы фотопреобразователя. Выходной сигнал уменьшается тем сильнее, чем больше зенитный угол скважины.

2.2. Индуктивные преобразователи

Принцип действия индуктивных преобразователей основан на изменении электрического сопротивления z катушки индуктивности при изменении магнитного сопротивления ее сердечника. В свою очередь, магнитное сопротивление сердечника может быть изменено либо за счет изменения величины воздушного зазора в нем, либо за счёт изменения магнитных свойств материала, из которого он состоит.

2.2.1. Индуктивные преобразователи с изменяемым воздушным зазором

Входной величиной преобразователей этого типа обычно служат линейные или угловые перемещения. Чувствительность датчика $K_{\text{диф}} = \Delta z / \Delta x$.

Конструкции датчиков весьма разнообразны, некоторые из них, наиболее распространенные, представлены на рис. 2.10.

Независимо от конструкции датчика, его индуктивное сопротивление $z = j \omega L$, где ω – круговая частота тока в катушке; L – ее индуктивность. $L = W^2 / R_\mu$, где W – число витков в катушке; R_μ – магнитное сопротивление сердечника. $R_\mu = R_{\text{ж}} + R_{\text{в}}$, где $R_{\text{ж}}$ – магнитное сопротивление железа сердечника; $R_{\text{в}}$ – магнитное сопротивление воздушного зазора. $R_{\text{в}} \gg R_{\text{ж}}$. $R_{\text{в}} = \delta / (\mu_0 \cdot S)$, где δ – длина воздушного зазора; S – его площадь; μ_0 – абсо-

лутная магнитная проницаемость воздуха. Таким образом, $z = -j \omega W^2 \mu_0 S / \delta$, т.е. z обратно пропорционально δ и зависимость $z = f(\delta)$ нелинейна.

Линеаризовать эту зависимость удастся в конструкции так называемых «дифференциальных» индуктивных преобразователей (рис. 2.11). В этих преобразователях, используются, две катушки индуктивности, включенные в мостовую схему и расположенные таким образом, что, когда индуктивное сопротивление одной увеличивается, сопротивление другой падает.

Достоинства индуктивных: преобразователей: отсутствие открытых электрических контактов, большая мощность вырабатываемого сигнала; недостаток – наличие электромагнитного взаимодействия между катушкой и сердечником (или его подвижной частью), отсюда – так называемая «реакция преобразователя».

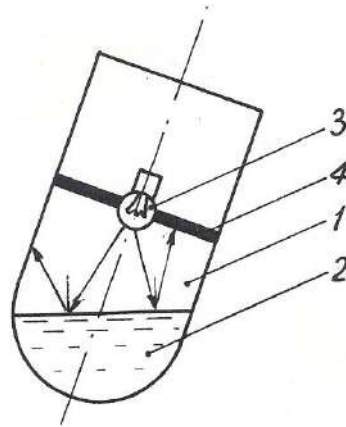


Рис. 2.9. Датчик угла наклона буровой скважины: 1 – измерительная камера; 2 – жидкость с высоким коэффициентом поверхностного отражения; 3 – источник света; 4 – кольцевой фотоприемник

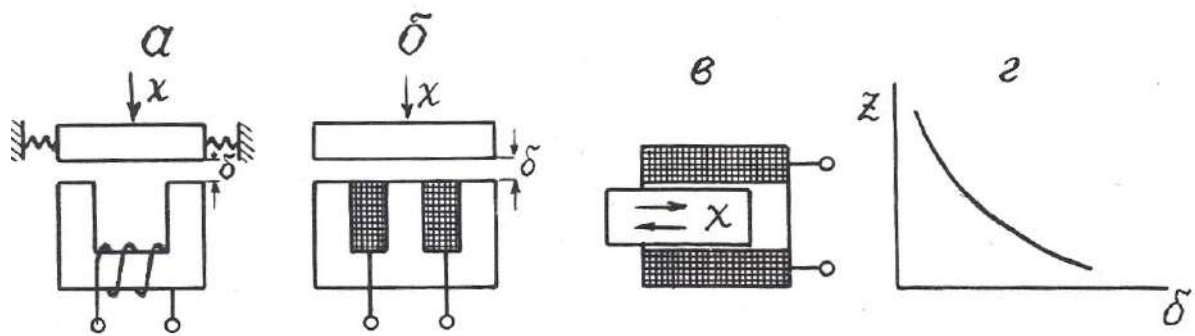


Рис. 2.10. Варианты выполнения индуктивных преобразователей с изменяемым воздушным зазором (а-в) и их статическая характеристика (г).

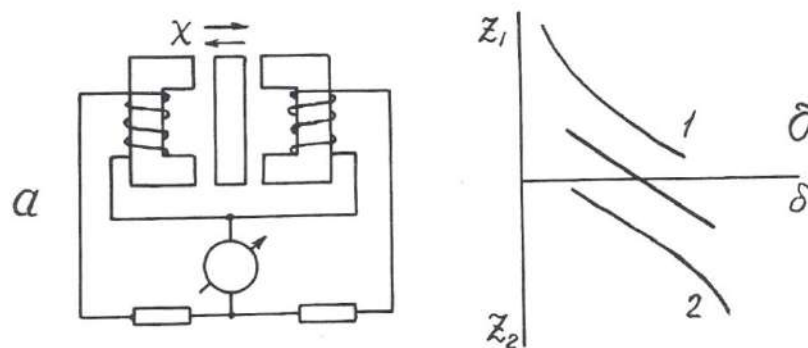


Рис. 2.11. Дифференциальный индуктивный преобразователь (а) и его статическая характеристика (б)

В геофизической аппаратуре индуктивные преобразователи находят применение в некоторых каверномерах и профилемерах (например, в профилемере ПМ-50) [2], в скважинных расходомерах ДАУ-3, РСИ-3 и ГЕО-В-600 (последний венгерского производства) [21], в индуктивных дефектомерах обсадных колонн.

2.2.2. Магнитоупругие преобразователи

Эти преобразователи основаны на взаимосвязи между магнитным и механическим состоянием ферромагнитных материалов.

Различают собственно **магнитоупругий эффект**, т.е. изменение магнитных свойств, в частности, магнитной проницаемости под воздействием меха-

нических деформаций, и обратное явление – **магнитострикционный эффект**, т.е. изменение формы и размеров ферромагнитных тел под воздействием внешнего магнитного поля.

В качестве материала для изготовления магнитоупругих датчиков используют сплавы: пермаллой, пермендюр, альсифер, ферриты, а также чистые металлы, например, никель. Конструкции преобразователей изображены на рис. 2.12.

Относительный коэффициент передачи магнитоупругого датчика $K_{отн}=(\Delta\mu/\mu)/(\Delta l/l)$ составляет около 200 и не остается постоянным при изменении размеров датчика (см. рис. 2.12, д).

Достоинства магнитоупругих датчиков: простота конструкции, прочность, удобство герметизации; недостатки: нелинейная статическая характеристика, наличие резонансной частоты.

Для стержневых датчиков (см. рис. 2.12, а, б) резонансная частота $f_0=V/2l$, где V – скорость упругих волн в материале сердечника, l – его длина; для кольцевого (см. рис. 2.12, в) – $f_0=V/2d$, где d – диаметр датчика.

Магнитоупругие преобразователи находят применение в аппаратуре акустического каротажа в качестве источников (магнито-стрикционные излучатели) упругих волн [12,17], в некоторых прихватаоопределителях, а также в буровой технике – в измерителях нагрузки МКМ-2 буровых станков и в измерителях давления промывочной жидкости МИД-1, МИД-1А [5].

2.2.3. Магнитомодуляционные преобразователи

Эти преобразователи основаны на изменении магнитных свойств ферромагнитных материалов под действием магнитного поля.

Сердечники магнитомодуляционных преобразователей изготавливают в форме стержня с большим отношением длины l к диаметру d : $l/d > 100$. При этом условии коэффициент размагничивания сердечника $N=0$ и даже в слабом магнитном поле, направленном вдоль его оси, сердечник намагничивается до

насыщения. При этом его относительная магнитная проницаемость падает до 1, хотя при ненасыщенном состоянии она очень велика – до 10000. Для того, чтобы намагнитить сердечник до насыщения, на него наносят обмотку возбуждения, по которой пропускают переменный ток.

В моменты как падения магнитной проницаемости (при возрастании намагничивающего поля до H_s), так и восстановления ее (при уменьшении намагничивающего поля ниже H_s) в обмотке индуцируются пики э.д.с. самоиндукции противоположных знаков. Частота этих пиков вдвое превышает частоту возбуждающего тока, как это можно видеть по рис.2.13.

При воздействии на датчик внешнего постоянного магнитного поля, направленного вдоль его оси, в один из полупериодов это поле складывается с магнитным полем катушки возбуждения, и сердечник доходит до насыщения быстрее, чем вне внешнего магнитного поля, в другой полупериод внешнее поле вычитается из поля катушки возбуждения, и сердечник не доходит до

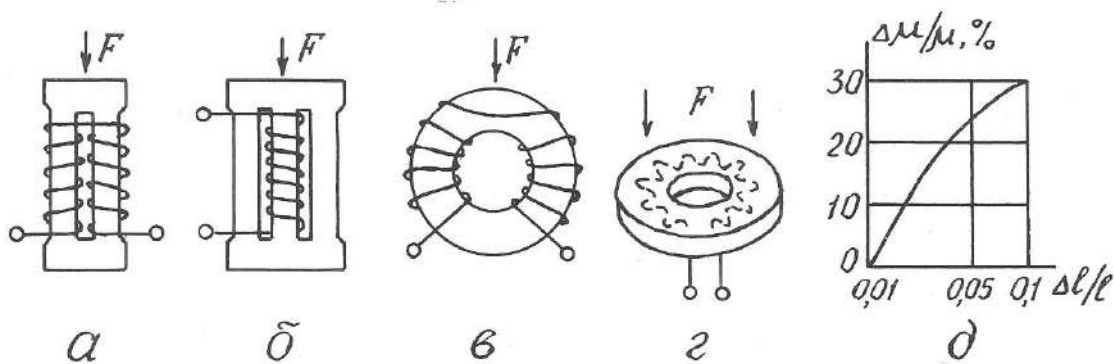


Рис. 2.12. Разновидности магнитоупругих преобразователей (а-г) и зависимость изменения магнитной проницаемости от изменения размеров преобразователя (д)

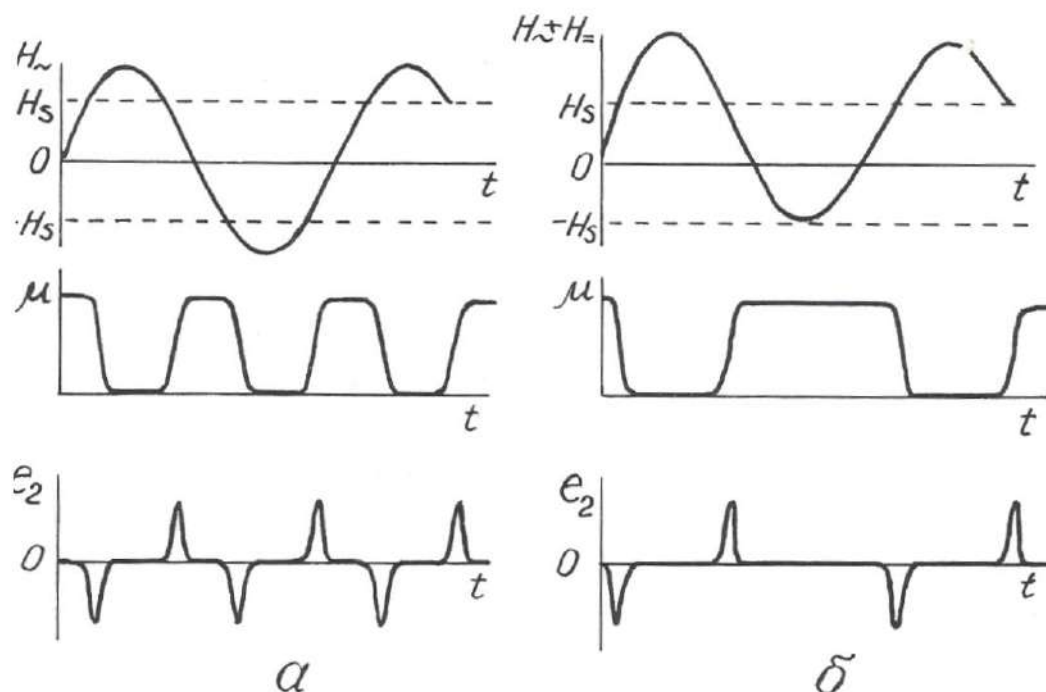


Рис. 2.13. Возникновение э.д.с. второй гармоники в магнитомодуляционном преобразователе в отсутствие (а) и при наличии (б) внешнего магнитного поля

магнитного насыщения, и нарушается симметрия перемагничивания сердечника.

Существуют 2-элементная и 1-элементная конструкции магнитомодуляционных датчиков (рис. 2.14). В 2-элементной имеются 2 параллельных сердечника, обмотки возбуждения на которых намотаны в противоположных направлениях и потому их магнитное поле имеет противоположное направление, а пики э.д.с. второй гармоники противоположны по знаку. По этой причине в сигнальной обмотке, охватывающей оба стержня, при отсутствии внешнего магнитного поля выходной сигнал равен 0. При наличии внешнего магнитного поля в один полупериод исчезает пара импульсов э.д.с. второй гармоники в одной обмотке, когда ее стержень не доходит до насыщения, в другой полупериод – не возникает такая же пара

импульсов в другой обмотке возбуждения и потому на выходе сигнальной обмотки будет существовать э.д.с. второй гармоники, имеющая частоту, удвоенную по сравнению с током возбуждения. Амплитуда этой э.д.с. пропорциональна напряженности внешнего магнитного поля, а фаза определяется направлением последнего.

В одноэлементных датчиках э.д.с. второй гармоники выделяется не с помощью дополнительной сигнальной обмотки, а с помощью фильтров, настроенных на ее частоту.

Достоинства магнитомодуляционных датчиков: простота, надежность, отсутствие открытых электрических контактов, высокая чувствительность; недостаток – необходимость в сложной измерительной схеме, обеспечивающей питание датчика переменным током, а также выделение и усиление сигнала второй гармоники. Дополнительный недостаток 2-элементных датчиков – большое количество выводов.

Магнитомодуляционные преобразователи находят широкое применение в магнитометрической аппаратуре – 2-элементные в полевых (М-17) и аэромагнитометрах (АММ-13, АСГМ-46) [3], 1-элементные – в скважинных

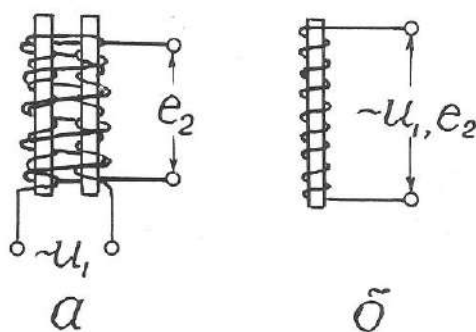


Рис. 2.14. Конструкция 2-элементного (а) и 1-элементного (б) магнитомодуляционного преобразователя

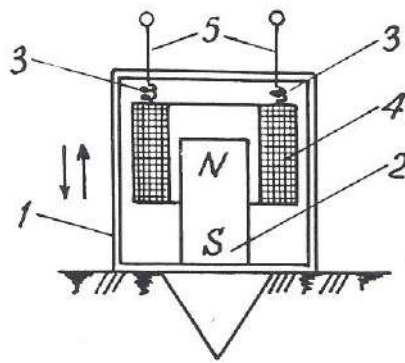


Рис. 3.1. Сейсмоприемник магнитоэлектрического типа: 1 – корпус; 2 – постоянный магнит; 3 – пружинки; 4 – катушка индуктивности; 5 – электрические выводы

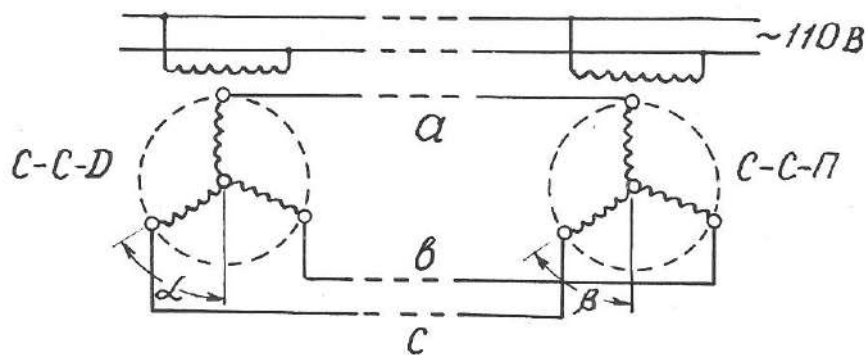


Рис. 3.2. Электрическая схема сельсинной передачи магнитометрах ТСМ-3, ТСМК-40, ТСМК-30, КСМ-38 и др. [12,17]. Они используются также в скважинных расходомерах РЭТС-2 и магнитных меткоуловителях каротажных станций.

2.3. Емкостные преобразователи

Преобразователи этого вида основаны на изменении емкости C конденсатора под действием измеряемой величины.

Как известно, $C = \epsilon S / \delta$ (2.2), где S – площадь обкладок конденсатора; δ – расстояние между ними; ϵ – диэлектрическая проницаемость среды между

обкладками. Следовательно, изменять емкость можно путем воздействия измеряемой величины либо на геометрические размеры датчика, либо на его диэлектрическую проницаемость. При этом очевидно, что датчики с изменяемыми параметрами S и ϵ имеют линейную статическую характеристику, а датчики с изменяемой величиной δ – нелинейную. В последнем случае для линейризации характеристики возможно применение дифференциальных емкостных преобразователей, аналогичных по конструкции дифференциальным индуктивным датчикам.

Входными величинами емкостных датчиков могут быть линейные и угловые перемещения, механические усилия, деформации, изменение состава вещества.

Достоинства емкостных датчиков: высокая чувствительность, безинерционность, стабильность; недостаток – малая выходная мощность.

Датчики этого вида используются в аппаратуре диэлектрического каротажа ДК-1. Чувствительный элемент этой аппаратуры представляет собой цилиндрический конденсатор больших размеров, емкость которого зависит от диэлектрической проницаемости окружающих горных пород [2].

В так называемых «аквамерах» – приборах для определения количества воды в смесях «вода-нефть», откачиваемых из буровых скважин, также применяется емкостной датчик. Действие этого прибора основано на том, что у воды $\epsilon=81$, а у нефти $\epsilon=2,5$ отн.ед.(при температуре 18^0C)

В некоторых скважинных термометрах используются в качестве частотоподающего элемента в схеме RC -генератора конденсаторы, емкость которых зависит от температуры.

Кроме того, известны скважинные емкостные измерители зенитного угла [25]. Их чувствительный элемент – конденсатор, одна обкладка которого представляет собой металлическую изолированную полусферу, установленную перпендикулярно оси прибора, а другая обкладка – залитую в эту сферу ртуть. При вертикальном расположении датчика емкость его максимальна, при наклоне – уменьшается.

Контрольные вопросы

1. Назовите основные характеристики контактных преобразователей и приведите примеры их применения в геофизической аппаратуре (ГА).
2. Назовите основные характеристики реостатных преобразователей, приведите примеры их применения в ГА.
3. Назовите основные характеристики тензометрических преобразователей и приведите примеры их применения.
4. Назовите основные характеристики электролитических преобразователей и приведите примеры их применения в ГА.
5. Назовите основные характеристики терморезистивных преобразователей и приведите примеры их применения в ГА.
6. Назовите разновидности и основные характеристики фоторезистивных преобразователей, приведите примеры применения их в ГА.
7. Назовите разновидности индуктивных преобразователей.
8. Поясните принцип действия индуктивных преобразователей с изменяемым воздушным зазором, приведите примеры их применения в ГА.
9. Поясните принцип действия магнитоупругих преобразователей, приведите примеры их применения в ГА.
10. Поясните принцип действия магнитомодуляционных преобразователей, приведите примеры их применения.
11. Назовите основные характеристики емкостных преобразователей и приведите примеры их применения.

3. ПРЕОБРАЗОВАТЕЛИ ГЕНЕРАТОРНОГО ТИПА

Во всех генераторных преобразователях выходной величиной является э.д.с., появляющаяся в результате воздействия измеряемой величины.

3.1. Преобразователи индукционной э.д.с.

Эти преобразователи основаны на явлении электромагнитной индукции, возникающей при воздействии на проводник переменного магнитного поля.

Изменение магнитного поля, воздействующего на проводник или, точнее, на катушку индуктивности, достигается либо за счет перемещения катушки относительно постоянного магнита, либо за счет изменения магнитного поля при неизменном расположении магнита и катушки индуктивности.

3.1.1 Преобразователи индукционной э.д.с, со взаимным перемещением магнита и катушки индуктивности

Э.д.с., возникающая в катушке индуктивности, зависит от следующих факторов: $e = BVlW \sin \alpha$, где B – магнитная индукция; V – относительная скорость перемещения; α – угол между векторами V и B , l – длина витка и W – число витков в катушке.

Преобразователи этого вида широко используются в геофизической аппаратуре. Примером могут служить сейсмоприемники магнито-электрического типа (С210, СВ1-30 и др.), принцип действия которых иллюстрируется рис. 3.1 [3]. С корпусом приемника 1 жестко скреплен постоянный магнит 2. Над магнитом на пружинках 3 подвешена катушка индуктивности 4 с электрическими выводами 5. При колебаниях поверхности, на которой установлен сейсмоприемник, происходят взаимные перемещения магнита 2 и катушки индуктивности 4, и в последней наводится э.д.с.

Другой пример использования датчиков этого вида – автосинная (или сельсинная) передача, которая применяется в каротажных станциях для синхронизации движения носителя записи (диаграммной или магнитной ленты) с перемещением зонда по скважине [12]. Принципиальная схема сельсинной передачи представлена на рис. 3.2. Передача содержит, по меньшей мере, две идентичных электрических машины, у которых статор имеет однофазную обмотку с явно выраженными полюсами, а ротор – трехфазную обмотку с неявно выраженными полюсами. Одна машина, называемая сельсином-

датчиком (ССД), устанавливается на блок-балансе, через который в скважину опускается кабель со скважинным снарядом. При движении кабеля по скважине блок-баланс через зубчатую передачу приводит во вращение ротор сельсина-датчика. Другая машина, называемая сельсином-приемником (ССП), устанавливается в регистрирующем приборе каротажной станции и играет роль привода его лентопротяжного механизма. Обмотки роторов ССД и ССП включены навстречу друг другу, а обмотки статоров питаются переменным током промышленной частоты от одного и того же источника. Переменный ток создает в обмотках статоров пульсирующие магнитные потоки, которые индуцируют в роторных обмотках э.д.с., зависящие от угла поворота ротора относительно статора. Если эти углы у роторов ССД и ССП одинаковы ($\alpha=\beta$), то э.д.с., в их обмотках равны и взаимно компенсируют друг друга. Токи в каждой роторной цепи равны нулю. Если эти углы не равны ($\alpha\neq\beta$), баланс э.д.с. нарушается, и в роторных обмотках возникают токи, которые создают в них магнитные поля, стремящиеся повернуть роторы до положения $\alpha=\beta$. Поскольку ротор ССД механически связан с роликом блок-баланса, находящегося под большой нагрузкой, то поворачивается все время ротор ССП, нагрузка на который меньше и который перемещает носитель записи синхронно с движением скважинного прибора. С одним и тем же ССД могут быть соединены несколько ССП, например, один в регистрирующем приборе, другой на панели лебедчика в блоке счетчика глубин.

Еще один пример применения датчиков этого вида – тахогенераторы – приборы для измерения скорости вращения [5]. В этих приборах ротор генератора вращается в поле постоянного магнита или электромагнита, а индуцируемая в нем э.д.с. выпрямляется и измеряется стрелочным или цифровым прибором. Такие тахогенераторы также используются в каротажных станциях для измерения скорости движения скважинного снаряда. Приводом ротора тахогенератора служит один из сельсинов-приемников автосинной передачи.

3.1.2. Преобразователи индукционной э.д.с. со стационарным размещением магнита и катушки индуктивности

В преобразователях этого вида изменение магнитного поля достигается за счет перемещения ферромагнитных масс в воздушном зазоре между магнитом и катушкой индуктивности. В общем случае э.д.с. индукции пропорциональна скорости изменения магнитного потока Φ и числу витков в катушке:

$$e = -w d\Phi / dt.$$

На рис. 3.3 представлено несколько примеров применения преобразователей этого вида в геофизической аппаратуре.

В скважинном каппаметре Н. А. Иванова (рис. 3.3, а) датчик представляет собой катушку индуктивности с большим количеством витков, намотанную на постоянном стержневом магните. Когда такой датчик перемещается по стволу скважины мимо горных пород с повышенными магнитными свойствами, это вызывает изменение магнитного потока через катушку индуктивности, и в ней

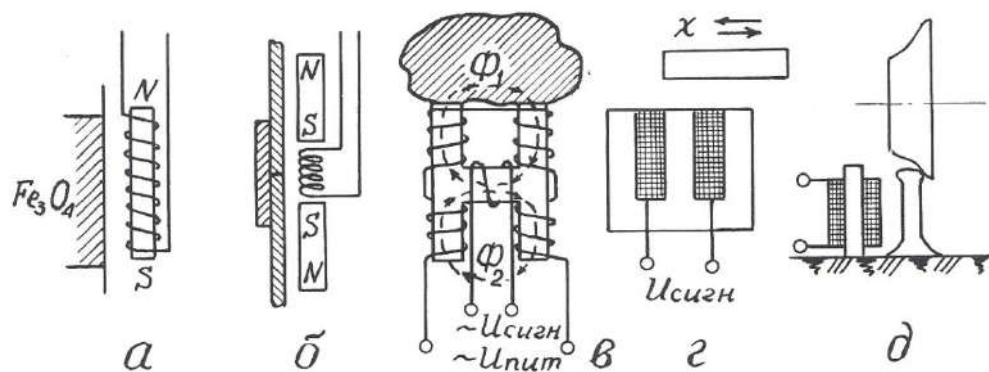


Рис. 3.3. Примеры применения преобразователей индукционной э.д.с.: а – скважинный каппаметр Н. А. Иванова; б – локатор муфт; в – лабораторный измеритель магнитной восприимчивости; г – счетчик количества; д – счетчик вагонеток

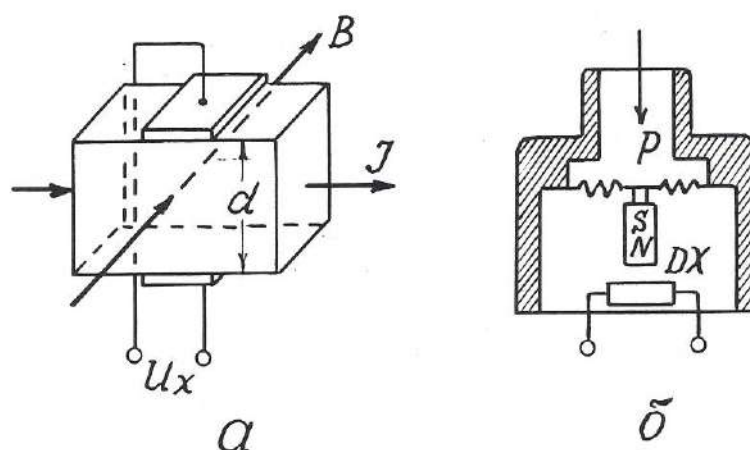


Рис. 3.4. Принцип действия преобразователя Холла (а) и его применение в манометре мембранного типа (б)

возникает э.д.с., пропорциональная магнитной восприимчивости горных пород. В наземном измерительном пульте эта э.д.с., усиливается, выпрямляется и выводится на регистрирующий прибор.

В 50-60 годах каппаметры Н. А. Иванова успешно применялись для исследования скважин на железорудных месторождениях Урала, но потом были заменены более совершенными приборами, поскольку описанный датчик имеет один явный недостаток – сигнал на его выходе зависит не только от магнитных свойств среды, но и от скорости перемещения датчика.

До настоящего времени при исследованиях обсаженных скважин применяются так называемые «локаторы муфт» – приборы, предназначенные для определения положения соединительных муфт обсадных колонн в скважинах [17].

Локатор муфт (рис. 3.3, б) содержит катушку индуктивности и два идентичных постоянных магнита, размещенных выше и ниже нее навстречу друг другу одноименными полюсами. Когда такой прибор перемещается по стальной трубе, имеющей постоянную толщину стенок, магнитные потоки верхнего и нижнего магнитов равны и в области расположения катушки

индуктивности компенсируют друг друга. Когда же прибор проходит через соединительную муфту, то из-за увеличения толщины стали сначала усиливается магнитный поток одного (верхнего), а затем другого (нижнего) магнита. В результате в катушке возникает пара разнополярных импульсов э.д.с., которые и регистрируются на диаграммной ленте.

Еще один пример применения преобразователей данного вида – измерители магнитной восприимчивости образцов горных пород (прибор ИМВ-2) [3]. Датчик измерителя (рис. 3.3, в) представляет собой «Н» – образный сердечник с четырьмя обмотками возбуждения на концах сердечника и одной измерительной обмоткой на его «перекладине». Обмотки возбуждения подключены к источнику переменного тока и соединены таким образом, чтобы магнитные потоки, создаваемые ими в «перекладине» сердечника, были направлены навстречу друг другу. Когда датчик находится в воздухе, эти потоки взаимно компенсируются, и сигнал в измерительной обмотке равен нулю. Когда к рабочей поверхности датчика прикладывается образец с повышенной магнитной восприимчивостью, магнитный поток, проходящий через него, увеличивается, и в измерительной обмотке наводится э.д.с., которая затем усиливается и измеряется.

Датчики данного вида находят также применение в технике как счетчики металлических предметов (рис. 3.3, г), счетчики вагонеток (рис. 3.3, д) и т.п. [5].

Общими достоинствами преобразователей индукционной э.д.с. является большая мощность выходного сигнала и отсутствие открытых электрических контактов, недостатком – наличие электромагнитного взаимодействия между магнитом и катушкой индуктивности.

3.2. Преобразователя гальваномагнитной э.д.с.

3.2.1. Преобразователи Холла

Преобразователи этого вида основаны на эффекте Холла, наблюдаемом в полупроводниках. Этот эффект проявляется в возникновении разности потенциалов U_x на обкладках датчика, по которому протекает ток I , при помещении его в магнитное поле, направленное перпендикулярно току. Принцип действия преобразователя Холла поясняется рис. 3.4.

$U_x = K_x \cdot IB/d$, где B – магнитная индукция; d – толщина датчика; K_x – коэффициент Холла, зависящий от характеристики материала и размеров датчика. Эффект Холла наблюдается в таких полупроводниковых материалах, как антимонид индия (InSb), арсенид индия (InAs), арсенид галлия (GaAs), арсенид-фосфат индия (InAs_{0,8}P_{0,2}) и др. Чистые полупроводники германий и кремний имеют очень высокое значение коэффициента Холла, но весьма чувствительны к режиму работы.

Датчики Холла используются для измерения перемещений, давления, числа оборотов и скорости вращения.

Достоинство датчиков: высокая чувствительность; недостатки: потребность во внешнем источнике питания, высокое выходное сопротивление и необходимость в высоком внутреннем сопротивлении источника питания, наличие четырех выводов.

В геофизической аппаратуре датчики Холла могут быть использованы для улавливания магнитных меток на каротажном кабеле (патент США № 4709208) или для измерения давления (рис. 3.4, б).

Отечественная приборостроительная промышленность выпускает микросхемы серии К1116 с датчиками Холла для магнитного управления электрическими цепями [16].

3.2.2. Преобразователи Виганда

Магнитобистабильный преобразователь Виганда состоит из специально обработанной проволоки из сплава викаллой (ванадий-10%, кобальт-52%, железо-38%) небольшого диаметра (около 0,3 мм), на которую нанесена

обмотка индуктивности (рис. 3.5). При помещении датчика в магнитное поле в момент превышения напряженностью поля определенного порога направление намагниченности сердечника катушки спонтанно меняется, и в катушке возникает импульс напряжения длительностью около 20 мкс. При длине датчика 15 мм и числе витков $w=1300$ выходное напряжение достигает 2,5 В [6].

Достоинства датчиков Виганда: большой выходной сигнал, отсутствие внешнего питания, широкий температурный диапазон (от -196 до $+175^{\circ}\text{C}$), искробезопасность.

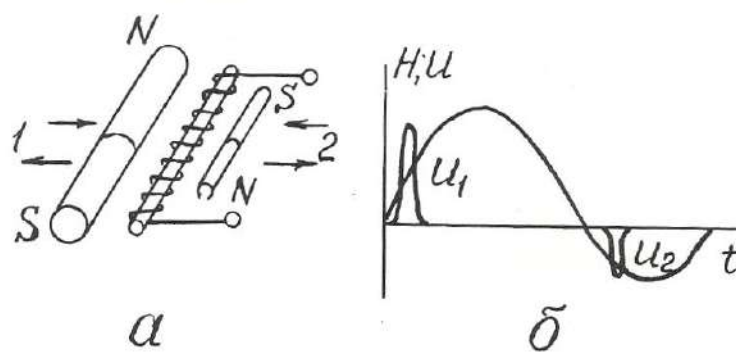


Рис. 3.5. Устройство преобразователя Виганда (а) и осциллограмма его выходного сигнала (б)

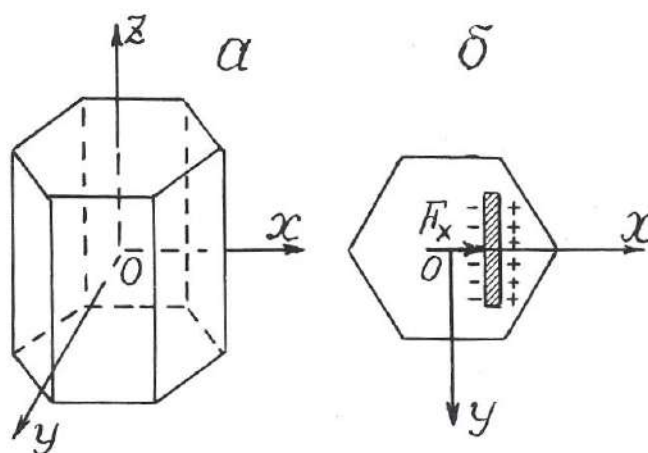


Рис. 3.6. Основные оси кристалла кварца (а) и возникновение пьезоэ.д.с. на кварцевой пластине (б)

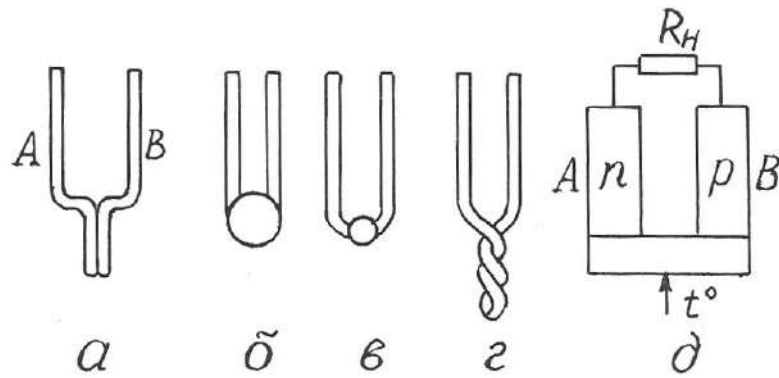


Рис. 3.7. Преобразователи термоэ.д.с. металлические (а-г) и полупроводниковые (д)

Ввиду того, что датчики Виганда были разработаны сравнительно недавно, в конце 80-х годов, они пока еще не используются в геофизической аппаратуре, хотя и могли бы найти применение, например, в магнитных меткоуловителях, устройствах блокировки, каротажных станций и других приборах.

3.3. Преобразователи пьезоэ.д.с.

Действие пьезопреобразователей основано на пьезоэлектрическом эффекте, который возникает в результате взаимосвязи между механическим и электрическим состоянием некоторых диэлектрических материалов, называемых **пьезоэлектриками**.

Различают **прямой пьезоэффект**, заключающийся в возникновении электрических зарядов на гранях кристаллов пьезоэлектриков под действием механических напряжений и исчезновении их после снятия нагрузки, и **обратный пьезоэффект**, проявляющийся в изменении формы и размеров пьезоэлектриков под действием электрического поля.

Способность к пьезоэффекту характеризуется пьезоэлектрической постоянной (пьезомодулем), величина которой определяется электрическим зарядом в Кл, возникающим под действием внешней силы в 1 Н: $K_{пэ} = Q/F$.

Наиболее сильно пьезоэффект выражен у сегнетоэлектриков – веществ с аномально высокой диэлектрической проницаемостью. К ним относятся сегнетовая соль, кварц, турмалин, титанат бария и некоторые другие вещества.

Самая высокая пьезоэлектрическая постоянная у сегнетовой соли ($C_4H_4O_6KNa$): $K_{пэ}=300 \cdot 10^{-12}$ Кл/Н; у титана бария ($BaTiO_3$) $K_{пэ}= 100 \cdot 10^{-12}$ Кл/Н; у кварца $K_{пэ}=2,1 \cdot 10^{-12}$ Кл/Н.

Основные свойства пьезоэлектрических датчиков рассмотрим на примере кварца. Кристалл кварц имеет главную оптическую ось z , нейтральную или механическую ось y , и электрическую ось x (рис.3.6). Максимальный пьезоэффект наблюдается при воздействии механических нагрузок вдоль электрической оси x , поэтому пластины для пьезопреобразователей вырезают из кристаллов кварца перпендикулярно оси x .

Возникновение пьезоэффекта объясняется тем, что под действием механических сил происходит смещение электрических зарядов – одна область кристалла заряжается положительно, другая – отрицательно.

Достоинства преобразователей этого вида: безынерционность, линейная статическая характеристика, высокая собственная частота, малые габариты; недостатки: утечка зарядов с течением времени, необходимость гидроизоляции.

Применяются пьезопреобразователи для измерения динамических нагрузок, деформаций, перемещений.

В геофизической аппаратуре пьезопреобразователи используются в качестве приемников упругих колебаний в скважинных приборах акустического каротажа (СПАК-2, СПАК-4, СПАК-6 и др.). Такой пьезоэлектрический сейсмоприемник изготавливается в виде полый сферы из пьезокерамики, внутренняя и внешняя поверхности которой имеют серебряное покрытие для облегчения снятия с них электрических зарядов. От промывочной жидкости в скважине сейсмоприемник отделен слоем резины [2,17].

В полевой геофизике существует сейсмоэлектрический метод разведки, который заключается в возбуждении с помощью взрыва пьезоэффекта на

кристаллах естественных пьезоэлектриков в условиях их коренного залегания и в измерении этого эффекта с помощью системы электродов [3].

В быту пьезопреобразователи используются в качестве звукоснимателей в электропроигрывателях, в зажигалках для газовых плит (прямой пьезоэффект), в звукоизлучателях электронных часов и ПЭВМ (обратный пьезоэффект) [22].

3.4. Преобразователи термоэ.д.с.

Преобразователи этого вида основаны на термоэлектрическом эффекте, заключающемся в том, что в цепи из двух разнородных проводников при поддержании разных температур в точках их соединения возникает э.д.с., пропорциональная разнице этих температур (эффект Зеебека) [22].

Термоэлектрические преобразователи называют термопарами а проводники А и В, из которых они состоят – термоэлементами (рис. 3.7).

Один **чувствительный спай** термоэлементов подвергают воздействию измеряемой температуры, температуру другого, **опорного**, поддерживают постоянной.

Чувствительность термопреобразователей составляет от 5 до 60 мкВ/К.

Наибольшую чувствительность имеют термопары, составленные из двух полупроводников с различной (электронной и дырочной) природой проводимости.

Достоинства термопреобразователей: отсутствие источников питания, линейная статическая характеристика, большой диапазон измеряемых температур; недостаток: малая мощность сигнала отдельной термопары.

В геофизике используются металлические термопреобразователи в качестве термометров для исследования скважин на месторождениях парогидротерм, полупроводниковые – в качестве датчиков в полевой терморазведке.

В технике термопары используются в системах автоматического регулирования температуры в различных металлургических процессах. В годы

Великой Отечественной войны выпускались батареи полупроводниковых термопреобразователей, которые надевались на стекло керосиновой лампы и вырабатывали электроэнергию, достаточную для питания лампового приемника или рации.

3.5. Преобразователи фотоэ.д.с.

В этих преобразователях используются два полупроводника с разным характером проводимости (рис. 3.8, а). На их контакте происходит взаимная диффузия электронов в p -полупроводник, дырок – в n -полупроводник. Дырки рекомбинируют с электронами, в результате на контакте полупроводников образуется тонкий запирающий слой – « p - n -переход». Такие преобразователи могут работать в режиме источника тока и фотодиода.

При отсутствии светового облучения через такой преобразователь проходит очень небольшой, так называемый «темновой ток», соответствующий обратному току диода. При световом облучении p - n -перехода кванты света образуют добавочные носители тока.

Под действием разности потенциалов потенциального барьера p - n -перехода электроны перемещаются в зону n -полупроводника, а дырки – в зону p -полупроводника, создавая фотоэ.д.с., на выводах прибора. На рис. 3.8, а электроны и дырки, прошедшие через p - n -переход в результате диффузии и создавшие потенциальный барьер p - n -перехода, условно обозначены как «+» и «-» без кружочков. Добавочные дырки и электроны, возникшие под действием облучения, показаны как «+» и «-» в кружочках. Стрелками показано направление действующих на них сил поля p - n -перехода.

На рис. 3.8, б показан разрез германиевого фотодиода, состоящего из пластины германия 1 с проводимостью n -типа, которая сплавлена с индием 2 (проводимость p -типа). Толщина слоя германия над индием настолько мала, что кванты света свободно проникают через него в зону p - n -перехода. Корпус 3 выполнен из оргстекла и залит компаундом 4.

Спектральные характеристики фотопреобразователей зависят от используемых в них материалов.

Интегральная чувствительность германиевых фотопреобразователей имеет наибольшее значение $K_{\text{диф}} = \Delta I / \Delta \Phi = 20$ мА/лм. Э.д.с. фотогенераторов не превышает 0,12-0,5 В.

Преобразователи фотоэ.д.с. изготавливаются из кремния, селена, сернистого таллия и сернистого серебра. Достоинством селеновых фотопреобра-

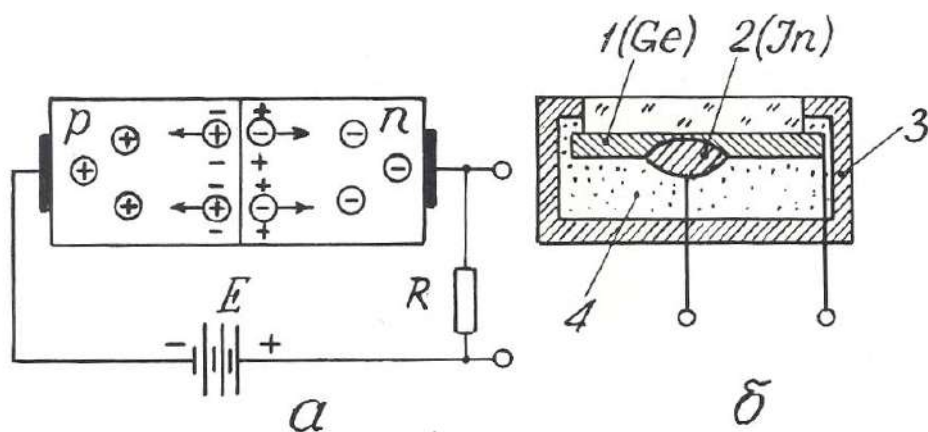


Рис. 3.8. Преобразователь фотоэ.д.с.: принцип действия (а) и конструкция (б)

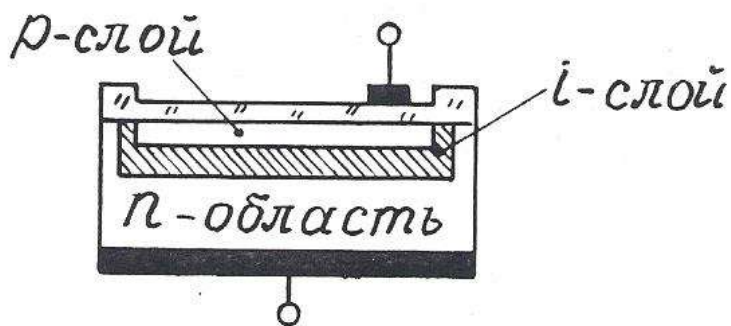


Рис. 3.9. Структура pin-диода

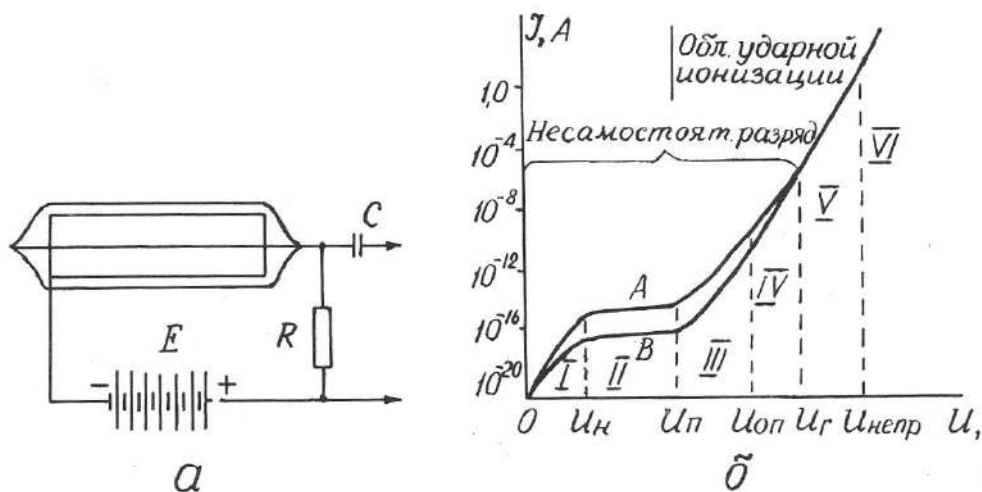


Рис. 4.1. Устройство газоразрядного счетчика (а) и его вольт-амперная характеристика (б):

A – β -частица; B – γ -квант

зователей является их спектральная чувствительность, близкая к чувствительности человеческого глаза.

Для увеличения количества дополнительных носителей, образующихся в p - n -переходе под действием светового облучения, между p и n -полупроводниками располагают дополнительный слой нелегированного высокоомного кремния (i -слой) – рис. 3.9. Такие фотоэлектрические приборы носят название pin -диодов. Область применения их в геофизической аппаратуре та же, что и фоторезистивных датчиков (см. раздел 2.1.7).

Контрольные вопросы

1. Назовите основные характеристики преобразователей индукционной э.д.с., их разновидности и приведите примеры их применения в технике и геофизической аппаратуре (ГА).
2. Поясните принцип действия датчика Холла и объясните его устройство (рис. 3.4, а).
3. Поясните принцип действия и устройство датчика Виганда (рис. 3.5).
4. Поясните принцип действия преобразователей пьезоэ.д.с. и приведите примеры их применения в ГА.
5. Поясните принцип действия преобразователей термоэ.д.с. и приведите примеры их применения в технике и ГА.

б. Поясните принцип действия преобразователей фотоэ.д.с. и приведите примеры их применения.

4. РАДИАЦИОННЫЕ ПРЕОБРАЗОВАТЕЛИ

В настоящем пособии будут рассмотрены только те радиационные преобразователи, которые преобразуют энергию ядерного излучения в электрический сигнал. Эти преобразователи называются также детекторами радиоактивных излучений. Они бывают трех видов: газоразрядные, сцинтилляционные и полупроводниковые.

4.1. Газоразрядные детекторы

В газоразрядном детекторе происходит непосредственное преобразование энергии радиоактивного излучения в электрические импульсы.

Газоразрядный детектор представляет собой металлический цилиндр, по оси которого натянута тонкая металлическая нить. Цилиндр играет роль катода и подключается к «минусу» источника постоянного напряжения, нить (анод) – к «плюсу». И нить, и цилиндр могут быть помещены в стеклянный баллон (рис. 4.1, а). Полость детектора заполнена газом под низким давлением (примерно – $1,5 \cdot 10^4$ Па). При прохождении через детектор нейтроны и гамма-кванты взаимодействуют с атомами вещества его катода и газового наполнителя, вызывая ионизацию газа и, как следствие, прохождение кратковременного импульса тока, сила I которого зависит от напряжения U между электродами. При схеме включения детектора, изображенной на рис. 4.1, а, на нагрузочном сопротивлении R импульс тока создает отрицательный импульс напряжения, который через разделительный конденсатор C подается на усилительно-регистрирующую схему [13].

Зависимость $I=f(U)$ или вольт-амперная характеристика счетчика приведена на рис. 4.1, б. В ней выделяются шесть областей, отличающихся по механизму переноса ионов в электрическом поле счетчика. В области I при

малых напряжениях на электродах ток возрастает пропорционально напряжению, т.к. с ростом напряжения уменьшается количество рекомбинирующих ионов и все большее их количество достигает электродов счетчика. Эта область (от 0 до U_n) называется **омической**. Начиная с некоторого значения U_n , ток достигает насыщения (все ионы долетают до анода и катода) и перестает возрастать. Величина ионизационного тока во II области (от U_n до U_p) определяется только количеством ионов, образующихся в единицу времени. Преобразователи, работающие в этой области, носят название **ионизационных камер**. При дальнейшем, свыше U_p росте напряжения, несмотря на постоянство начальной ионизации, происходит рост тока в импульсе. Это связано с возникновением ударной ионизации, при которой электроны, образующиеся при первоначальном воздействии радиации, ускоряются электрическим полем счетчика настолько, что начинают ионизировать молекулы газового наполнителя. Отношение числа ионов, достигших анода счетчика, к числу первичных ионов, созданных регистрируемой частицей (или гамма-квантом), называется **коэффициентом газового усиления**. Величина его зависит от приложенного напряжения.

С возникновением ударной ионизации вначале ток возрастает пропорционально напряжению на электродах (область пропорциональности III от U_p до $U_{оп}$), здесь отмечается относительно невысокий коэффициент газового усиления (до 10^4), а при дальнейшем увеличении U пропорциональность нарушается и от $U_{оп}$ до U_T следует IV область – **ограниченной пропорциональности**. За ней идет область Гейгера (V), в которой амплитуда импульса не зависит от начальной ионизации. Коэффициент газового усиления достигает 10^8 - 10^9 и продолжает увеличиваться с ростом напряжения. За областью Гейгера следует область **непрерывного разряда** (VI), для возникновения которого не нужна первичная ионизация, достаточно к электродам счетчика приложить напряжение, превышающее $U_{непр}$.

Области V и VI – это области самостоятельного разряда, который не требует для своего поддержания внешних источников ионизации.

Газоразрядные детекторы, применяемые в геофизической аппаратуре, работают либо в пропорциональной области (пропорциональные счетчики), либо в области Гейгера (счетчики Гейгера-Мюллера).

Пропорциональные счетчики используются для измерения плотности потока тепловых нейтронов. Баллон счетчика заполняется трехфтористым бором (BF_3), обогащенным до 96 % изотопом В-10, имеющим большое сечение захвата тепловых нейтронов. При захвате нейтрона происходит реакция $\text{B}(n, \alpha) \text{Li}$, α – частица производит первичную ионизацию в объеме счетчика. Для измерений нейтронов надтепловых энергий счетчик окружают сначала слоем водородсодержащего вещества, например, парафина, а затем тонким (около 0,5 мм) слоем кадмия. Кадмий поглощает тепловые нейтроны, а надтепловые в парафине замедляются до тепловых энергий и затем фиксируются счетчиком.

Счетчик Гейгера-Мюллера применяется для регистрации гамма-квантов. Он заполняется инертным газом (аргоном или гелием) с добавкой паров высокомолекулярных органических соединений (этилового спирта или этилового эфира) или галогенов (хлора, брома). Такая добавка способствует гашению непрерывного разряда, т.к. положительные ионы, образовавшиеся из молекул инертного газа, нейтрализуются при столкновениях с молекулами высокомолекулярного соединения или галогена и не вызывают вторичной электронной эмиссии с катода.

После регистрации каждой ионизирующей частицы газоразрядный счетчик не способен в течение некоторого «мертвого времени» τ_m (порядка 10^{-4} с) отмечать попадание следующей частицы или реагирует на нее образованием импульса пониженной амплитуды («время восстановления» – τ_B). Величина «мертвого времени» и «времени восстановления» определяет разрешающую способность и эффективность преобразователя.

Разрешающей способностью преобразователя называют максимальное количество ионизирующих частиц N_{max} , которые могут быть уверенно зафиксированы преобразователем $N_{max} = I / (\tau_m + \tau_B)$.

Под **эффективностью счетчика** понимают отношение числа частиц, зарегистрированных счетчиком, к общему числу частиц, прошедших через объем счетчика. Эффективность газоразрядных счетчиков зависит от их конструкции, размеров и материала катода и обычно не превышает нескольких процентов.

Основной рабочей характеристикой газоразрядного преобразователя является его **счетная характеристика** – зависимость числа импульсов на его выходе от напряжения на электродах при постоянной интенсивности ионизирующего облучения (рис. 4.2). Участок *ав* в пределах которого выбирается рабочее напряжение счетчика $U_{\text{раб}}$, называется **плато**. Протяженность плато составляет от 200 до 300 В, а наклон – от 3 до 15 % на 100 В.

Достоинства газоразрядных детекторов: большая амплитуда сигнала, малая потребляемая мощность, широкий температурный диапазон; недостатки: потребность в источнике питания с высоким напряжением, ограниченный ресурс, для счетчиков Гейгера-Мюллера – независимость амплитуды выходного сигнала от энергии ионизирующего излучения.

Газоразрядные счетчики очень широко применялись во всех разновидностях геофизических радиометров: полевых, каротажных, автомобильных и самолетных [3,12]. В последнее время они в значительной мере вытеснены более эффективными сцинтилляционными детекторами.

4.2 Сцинтилляционные детекторы

Сцинтилляционный радиационный преобразователь (рис. 4.3) состоит из люминофора 1 (оптически прозрачного вещества, люминесцирующего под действием ядерного излучения), и фотоэлектронного умножителя 2 (ФЭУ).

В результате действия попавшей в сцинтиллятор элементарной частицы (или гамма-кванта) часть атомов сцинтиллятора переходит в возбужденное состояние. Обратный переход их в нормальное состояние сопровождается кратковременной (порядка 10^{-7} - 10^{-9} с) световой вспышкой. Фотоны света

преобразуются в электрический сигнал с помощью ФЭУ, который представляет собой комбинацию фотоэлемента с электронным усилителем. Фотоны из сцинтиллятора 1 выбивают из фотокатода ФЭУ 3 электроны, которые под действием электрического поля устремляются к ближнему диноду 4, имеющему положительный потенциал. Вследствие вторичной электронной

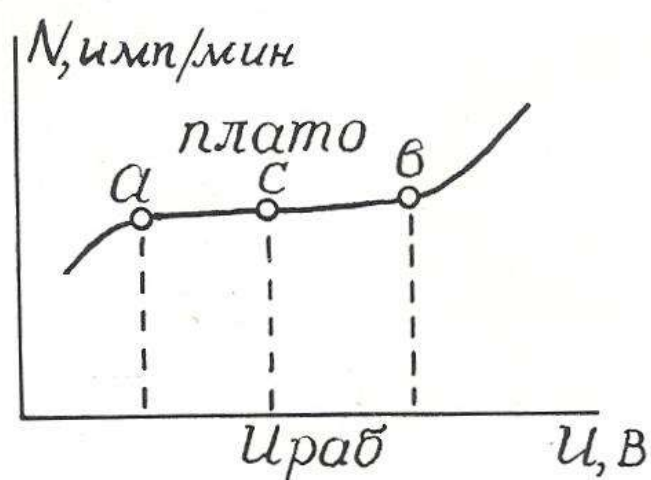


Рис. 4.2. Счетная характеристика газоразрядного счетчика Гейгера – Мюллера

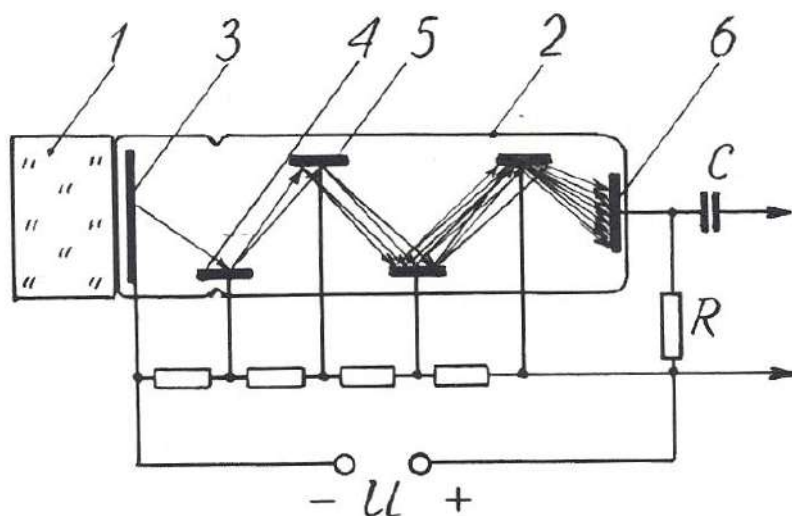


Рис. 4.3. Устройство сцинтиляционного преобразователя: 1 – кристалл-сцинтиллятор; 2 – фотоэлектронный умножитель (ФЭУ); 3 – фотокатод; 4 – первый динод; 5 – второй динод; 6 – анод (ФЭУ)

эмиссии каждый электрон "выбивает из динода вторичные электроны, которые притягиваются следующим динодом 5, имеющим более высокий потенциал, и также вызывают вторичную электронную эмиссию. Процесс развивается лавинообразно, в результате попаданию каждой ионизирующей частицы в кристалл-сцинтиллятор соответствует прохождение импульса тока между анодом 6 и катодом 1 ФЭУ, причем амплитуда этого импульса пропорциональна энергии ионизирующей частицы.

Эффективность сцинтиляционных детекторов намного выше, чем у газоразрядных, и достигает 20 %.

В качестве сцинтилляторов для регистрации гамма-квантов в геофизической аппаратуре используют монокристаллы соединений NaI, CsI, KI, активированных таллием (Tl), а для регистрации нейтронов – кристаллы сернистого цинка ZnS с добавками серебра или меди. Примесь активатора (Tl, Ag, Cu) в люминофоре способствует созданию в решетках кристаллов-сцинтилляторов дополнительных центров люминесценции [13].

Счетная характеристика сцинтилляционных преобразователей имеет плато очень небольшой протяженности, вследствие чего эти преобразователи требуют питания высокостабилизированным напряжением.

Преимущества сцинтилляционных преобразователей перед газоразрядными: высокая эффективность, большая разрешающая способность, зависимость амплитуды выходного сигнала от энергии ионизирующего излучения, что позволяет изучать энергетический спектр последнего.

Эти преимущества обеспечивают широкое распространение детекторов этого вида в разнообразных радиометрах: полевых (СРП-68-02), скважинных (ДРСТ-3, Кура-2м и др.), самолетных (АСГМ-46 и др.).

К недостаткам сцинтилляционных детекторов можно отнести низкую термостойкость и термостабильность, что требует их термостатирования в скважинных радиометрах [9].

4.3. Полупроводниковые детекторы

Полупроводниковые детекторы (ППД) устроены и действуют совершенно аналогично преобразователям фотоэ.д.с., рассмотренным в разделе 3.5. Отличие заключается только в том, что в ППД образование свободных носителей в зоне p - n -перехода происходит за счет действия не фотонов света, а ионизирующего ядерного излучения.

Амплитуда импульса на выходе ППД пропорциональна числу носителей зарядов, образованных ионизирующей частицей, а следовательно, ее энергии, что дает возможность изучать энергетический спектр излучения.

Для создания i -слоя в ППД используют литий, обладающий высоким коэффициентом диффузии, который добавляют в торец полупроводника с p -проводимостью.

Преимущества полупроводниковых детекторов: экономичность питания, весьма малые размеры и хорошее амплитудное разрешение (в 20-30 раз лучше, чем у сцинтилляционных преобразователей).

Однако их распространение ограничено. Это связано, во-первых, со сравнительно небольшими размерами чувствительной части детектора, и во-вторых, с необходимостью охлаждения детектора до низких температур (от -100 до -196°), которое повышает их эффективность.

Контрольные вопросы

1. Какие существуют преобразователи ядерных излучений в электрический сигнал?
2. Объясните устройство газоразрядного преобразователя.
3. Объясните вольт-амперную характеристику (рис. 4.1, б) газоразрядного детектора.
4. Чем отличаются счетчики Гейгера-Мюллера от пропорциональных счетчиков?
5. Объясните устройство и работу сцинтилляционного детектора.
6. Назовите преимущества сцинтилляционных детекторов перед газоразрядными.
7. Объясните устройство и работу полупроводникового детектора, укажите его достоинства и недостатки.

ЛИТЕРАТУРА

1. Алиев Т. М., Тер-Хачатуров А. А. Измерительная техника: Учебн. пособие для техн. вузов. – М.: Высшая школа, 1991. – 384 с.
2. Аппаратура и оборудование для геофизических исследований нефтяных и газовых скважин: Справочник /А. А.Молчанов, В. В. Лаптев, В. М. Моисеев, Р. С.Челохьян. – М.: Недра, 1987. – 263 с.
3. Бондаренко В. М., Демура Г. В., Ларионов А. М. Общий курс геофизических методов разведки: Учебн. пособие для техникумов. – П.: Недра, 1986. – 453 с.
4. Бриндли К. Измерительные преобразователи: Справочное пособие / Пер.с англ. – М.:Энергоатомиздат, 1991. – 144 с.

5. *Бухгольц В. П.* Датчики и реле автоматического контроля в горной промышленности. – М.: Недра, 1971. – 224 с.
6. *Виглеб Г.* Датчики / Пер. с нем. – М.: Мир, 1989. – 196 с.
7. *Енохович А. С.* Краткий справочник по физике. – М.: Высшая школа, 1976. – 288 с.
8. *Зачиевский Т., Мальзахер С., Квещинский А.* Промышленная электроника / Пер.с польского. – М.; Энергия, 1976. – 640 с.
9. *Зельцман П. А.* Конструирование аппаратуры для геофизических исследований скважин. – М.: Недра, 1968. – 180 с.
10. *Зимодро А. Ф., Скибинский Г. Л.* Основы автоматики. – Л.: Энергоатомиздат, 1984. – 160 с.
11. *Квартин М. И.* Электромеханические и магнитные устройства автоматики и их расчет. – М.: Высшая школа, 1973. – 344 с.
12. *Кривко Н. Н., Шароварин В. Д., Широков В. Н.* Промыслово-геофизическая аппаратура и оборудование: Учебн. пособие для вузов. – М.: Недра, 1981. – 280 с.
13. *Ларионов В. В.* Радиометрия скважин. – М.: Недра, 1969. – 327 с.
14. *Левшина Е. С., Новицкий П. В.* Электрические измерения физических величин. Измерительные преобразователи. – Л.: Энергоатомиздат, 1983.
15. *Литвак В. И.* Тензореле. Расчет, конструирование, применение. – М.: Машиностроение, 1989. – 160 с.
16. *Логинов В. И.* Электрические измерения механических величин / Изд. 2-е, доп. – М.: Энергия, 1976. – 104 с.
17. *Померанц Л. И., Белоконь Д. В., Козяр В. Ф.* Аппаратура и оборудование геофизических методов исследования скважин: Учебн. пособие для техникумов. – М.: Недра, 1985. – 271 с.
18. *Сковородников И. Г., Калашиников В. Н.* Дистанционный уровнемер для испытательных скважин // Геофизическая аппаратура. Вып.89. – Недра, 1988. – С. 98-103.

19. *Сковородников И. Г., Макаров Л. В., Калашников В. Н.* Газожидкостный расходомер РГЖ-Г: Техническое описание. – Свердловск: СГИ, 1988. – 15 с.
20. *Сковородников И. Г., Макаров Л. В., Калашников В. Н.* Изучение скорости и направления движения подземных вод // Гидрогеология и инж. геология: Обзор / ВНИИ экон. минер. сырья и геологоразв. работ. – М., 1987. – 33 с.
21. *Сковородников И. Г., Макаров Л. В., Калашников В. Н.* Скважинные тахометрические расходомеры / СГИ. – Свердловск, 1989. – 65 с. – Деп. в ВИНТИ, №7609-В89, 1989.
22. *Справочник по средствам автоматики* / Под ред. В. Э. Низэ, И.В.Антика. – М.: Энергоиздат, 1983. – 504 с.
23. *Электрические измерения неэлектрических величин* / А. М. Туричин, П. В. Новицкий, Е. С. Левшина и др.; Изд. 5-е, перераб. и доп. – Л.: Энергия, 1975. – 676 с.
24. А. с. 491895. Зонд для измерения направления и скорости движения грунтовых вод /Б. Н. Халтурин, В. С. Лившиц // Бюл. изобр. – 1975, №42.
25. А. с. 1063990. Емкостной датчик зенитного угла / О. В.Фомин // Бюл. изобр. – 1983, № 48.
26. А. с. 1158750. Скважинный уровнемер (его варианты) / В. Н. Калашников, И. Г.Сковородников // Бюл. изобр. – 1985, № .20.
27. А. с. 1509518. Датчик угла наклона буровой скважины / А. В. Давыдов, И. Г. Сковородников // Бюл. изобр. – 1989, № 35.

МИНОБРНАУКИ РФ
УРАЛЬСКИЙ ГОСУДАРСТВЕННЫЙ ГОРНЫЙ УНИВЕРСИТЕТ

МИНЕРАЛОГИЯ И ПЕТРОГРАФИЯ

Учебно-методическое пособие
по дисциплине для студентов специальности 21.05.03 Технология
геологической разведки

Суставов О. А. Минералогия и петрография. Учебно-методическое пособие по дисциплине для студентов специальности 21.05.03 Технология геологической разведки

Екатеринбург: Изд-во УГГУ

В пособии даются сведения о морфологии, химическом составе и свойствам наиболее распространенных минералов, рассматриваются главные магматические, осадочные и метаморфические горные породы. В связи с нефтегазовым профилем специализаций НФ, ГИС, ГИН, РФ, ТТР особое внимание уделено осадочным породам и условиям их образования. Излагаются данные, необходимые для макроскопической диагностики наиболее распространенных минералов и горных пород. Приводится рекомендуемая литература, контрольные задания и контрольные вопросы по рассматриваемой дисциплине. Пособие может быть использовано при проведении аудиторных лабораторных занятий и для самостоятельной работы студентов.

Рецензент – Е. В. Коророва, ст. преподаватель кафедры литологии и геологии горючих ископаемых УГГУ

© Суставов О. А.
© Уральский
государственный
горный университет

ОГЛАВЛЕНИЕ

МИНЕРАЛОГИЯ	4
КРИСТАЛЛЫ МИНЕРАЛОВ И МИНЕРАЛЬНЫЕ АГРЕГАТЫ.....	4
ХИМИЧЕСКИЙ СОСТАВ МИНЕРАЛОВ	6
СВОЙСТВА МИНЕРАЛОВ	6
СИСТЕМАТИКА МИНЕРАЛОВ	12
Простые вещества	12
Сернистые соединения	13
Оксиды и гидроксиды	13
Галоиды.....	13
Соли кислородных кислот	13
Силикаты	13
НЕКОТОРЫЕ ДИАГНОСТИЧЕСКИЕ ПРИЗНАКИ МИНЕРАЛОВ .	15
Литература	211
Контрольные задания.....	21
Контрольные вопросы	Ошибка! Залкада не определена. 2
ПЕТРОГРАФИЯ	23
1. МАГМАТИЧЕСКИЕ ПОРОДЫ	244
Плутонические (интрузивные) породы	288
Вулканические (эффузивные) породы	29
Плотность магматических пород.....	32
Литература	33
Контрольные вопросы	33
2. ОСАДОЧНЫЕ ПОРОДЫ	344
Стадии образования осадочных пород	344
Обломочные породы	39
Глинистые породы	422
Хемогенные и биогенные породы	455
Осадочные фации и формации	49
Словарь.....	53
Литература	54
Контрольные вопросы	54
3. МЕТАМОРФИЧЕСКИЕ ПОРОДЫ	55
Регионально-метаморфические породы.....	55
Метасоматические породы.....	59
Литература	60
Контрольные вопросы	60
ПРЕДМЕТНЫЙ УКАЗАТЕЛЬ	62

МИНЕРАЛОГИЯ

Минералогия занимается изучением свойств, состава и условий образования минералов. Минерал – химический элемент или химическое соединение, обычно кристаллическое, которое образуется в результате геологических процессов. Именно из минералов состоят объекты исследования геологов и геофизиков. Это одна из старейших и главных наук геологического цикла. Она тесно связана с кристаллографией, физикой и химией. Из них минералогия черпает основные представления о внутреннем атомарном строении минералов, о законах роста и ограничения кристаллов, о химических реакциях, возможных при образовании минералов.

КРИСТАЛЛЫ МИНЕРАЛОВ И МИНЕРАЛЬНЫЕ АГРЕГАТЫ

Кристаллы – твердые тела, обладающие упорядоченной атомной структурой и имеющие вследствие этого при определенных условиях форму многогранников.

Признаки кристаллического вещества

Однородность – в любых участках кристаллического вещества все его свойства тождественны.

Анизотропия – зависимость свойств от направления. В кристаллах свойства неодинаковы в непараллельных направлениях (и одинаковы по параллельным направлениям). Например, твердость одной и той же грани в разных направлениях различна. В некоторых случаях это различие можно заметить, царапая в разных направлениях грань кристалла (дистен). Кроме того, неодинакова и твердость разных граней и срезов одного и того же кристалла.

Симметрия – закономерная повторяемость в расположении отдельных частей кристалла на плоскости или в пространстве.

Образование кристаллов

Кристаллы минералов могут возникать в газовой, жидкой и твердой среде.

Жидкие среды минералообразования: *магма* – высокотемпературный раствор-расплав, *водные растворы* – гидротермальные и поверхностные (грунтовые, карстовые, почвенные, озерные, морские воды).

Кристаллы зарождаются и начинают расти при достижении критического пересыщения среды веществом будущих кристаллов. Это часто происходит в результате падения температуры (кристаллизация магматических расплавов) или за счет испарения растворителя (при испарении рассолов в озерах и лагунах кристаллизуются галит, сильвин, гипс, ангидрит). Примером

кристаллизации в твердой среде является рост ограненных кристаллов пирита и других минералов внутри горных пород.

После своего возникновения кристаллы минералов в ходе геологической истории могут подвергаться различным преобразованиям, в том числе:

механическим деформациям (хрупким – дроблению с образованием обломков кристаллов, или пластическим – например, сплющиванию, изгибанию и т. п.);

химическим изменениям – например, на месте пирита FeS_2 при выветривании может возникать лимонит $\text{Fe}_2\text{O}_3 \cdot n\text{H}_2\text{O}$;

радиоогенным изменениям – например, кварц под действием радиоактивного облучения нередко приобретает дымчатую окраску.

Облик кристаллов

Облик – общий вид кристалла минерала; характеризует развитие кристалла (ограненного или неограненного) по трем взаимно перпендикулярным направлениям:

1) *изометрический* - примерно одинаковые размеры по трем взаимно перпендикулярным направлениям (кристаллы пирита, граната);

2) *вытянутый по двум направлениям* - таблитчатый, пластинчатый, чешуйчатый (кристаллы слюды);

3) *вытянутый в одном направлении* - столбчатый, призматический, игольчатый, волокнистый, шестоватый (кристаллы актинолита, турмалина).

Строение минеральных агрегатов

Минералы чаще встречаются не отдельными кристаллами, а образуют различные скопления, называемые минеральными агрегатами.

По величине зерен агрегаты подразделяются на *плотные* (зерна на глаз неразличимы), *мелкозернистые* (зерна менее 1 мм, но различимы на глаз), *среднезернистые* (1-5 мм), *крупнозернистые* (5-20 мм), *гигантозернистые* (зерна крупнее 20 мм в поперечнике).

По форме выделяют *чешуйчатые, игольчатые, шестоватые, волокнистые* агрегаты. Шестоватые агрегаты состоят из вытянутых кристаллов, расположенных параллельно или почти параллельно друг другу.

Кроме того, выделяют:

друзы - совокупности кристаллов, прикрепленных к общему основанию;

конкреции - образования округлой формы, иногда радиально-лучистого строения, рост которых происходил от центра к периферии;

жеоды (например, жеода лимонита у входа в ИГГ);

натечные агрегаты - образуются за счет обволакивания стенок пустот минеральным веществом с образованием гроздьевидных, сталактитовых, почковидных форм.

ХИМИЧЕСКИЙ СОСТАВ МИНЕРАЛОВ

Минералы не являются химически чистыми веществами. В них всегда входят различные структурные химические примеси. В некоторых минералах количество таких примесей незначительно – их называют минералами постоянного состава (например, кварц, пирит, галит), тогда как в большинстве минералов содержание примесей достаточно высокое и непостоянное – это минералы переменного состава.

Изоморфизм – способность химических элементов (атомов, ионов) замещать друг друга в минералах.

Изовалентный изоморфизм – взаимное замещение ионов одинаковой валентности.

Например, в кристаллической структуре оливина $(\text{Mg, Fe})_2[\text{SiO}_4]$ ионы Mg^{2+} могут замещаться на ионы Fe^{2+} . Здесь замещение Mg^{2+} на Fe^{2+} происходит в любых количественных соотношениях – *совершенный*, или *неограниченный* изоморфизм. Минерал оливин можно представить как *изоморфную смесь* $\text{Mg}_2[\text{SiO}_4]$ и $\text{Fe}_2[\text{SiO}_4]$.

При *ограниченном* изоморфизме (например, в рубине – разновидности корунда Al_2O_3 , в которой 0,05 % ионов Al^{3+} замещено на Cr^{3+}) замещающий элемент (в данном случае Cr) называется *изоморфной примесью*.

От вхождения изоморфных примесей зависят свойства минералов: например, чистый сфалерит ZnS прозрачен и бесцветен, а при частичном замещении Zn^{2+} на Fe^{2+} минерал приобретает бурый цвет. В сфалерите могут быть различные изоморфные примеси, в том числе, например, нередко имеется изоморфная примесь индия. Поэтому при обнаружении сфалеритовых руд их нужно опробовать на индий, который из этих руд в основном и добывается.

Гетеровалентный изоморфизм – взаимное замещение ионов разной валентности. Осуществляется с сохранением электронейтральности (сумма зарядов замещаемых ионов должна быть равна сумме зарядов замещающих ионов). Например, в плагиоклазах имеет место совершенный гетеровалентный изоморфизм с замещением $\text{Na}^{1+} + \text{Si}^{4+}$ на $\text{Ca}^{2+} + \text{Al}^{3+}$. В связи с этим плагиоклазы представляют собой изоморфные смеси альбита $\text{Na}[\text{AlSi}_3\text{O}_8]$ и анортита $\text{Ca}[\text{Al}_2\text{Si}_2\text{O}_8]$.

Аметист – разновидность кварца SiO_2 , в котором доли процента атомов Si^{4+} замещены на $\text{Fe}^{3+} + \text{K}^{1+}$ (несовершенный гетеровалентный изоморфизм).

СВОЙСТВА МИНЕРАЛОВ

Плотность

Чем больше атомные веса химических элементов, слагающих минерал, тем обычно больше плотность минерала – тяжелые минералы состоят из элементов, располагающихся в нижней части таблицы Д. И. Менделеева.

Грубая оценка плотности состоит в отнесении минерала к одной из категорий - легких (плотность менее $2,5 \text{ г/см}^3$), средних ($2,5-4 \text{ г/см}^3$) или тяжелых (более 4 г/см^3). Такое определение требует навыка и производится прикидкой на руке тяжести данного минерала по сравнению с каким-либо известным. Для этого нужно, чтобы образец был достаточно крупным и состоял в значительной своей части из испытуемого минерала.

Определение плотности крупных образцов минералов может проводиться методом гидростатического взвешивания. При этом образец подвешивается к коромыслу весов на тонкой нити и производится определение массы образца на воздухе и в воде (образец на нити опускается в емкость с водой). Величина плотности минерала вычисляется как отношение массы образца на воздухе к разности масс на воздухе и в воде.

Минералы переменного состава имеют непостоянную плотность. Например, плотность плагиоклазов изменяется от $2,61$ (альбит $\text{Na}[\text{AlSi}_3\text{O}_8]$) до $2,77 \text{ г/см}^3$ (анортит $\text{Ca}[\text{Al}_2\text{Si}_2\text{O}_8]$). Возрастание плотности происходит строго пропорционально увеличению количества анортитового компонента в плагиоклазе.

Входящие в состав минералов анионы (ОН, F) и молекулы воды понижают плотность минералов.

Минералы одинакового состава с разной степенью компактности кристаллической структуры имеют разную плотность: например, алмаз - $3,5$, графит - $2,2 \text{ г/см}^3$.

Спайность

Спайность - способность минералов раскалываться по определенным кристаллографическим направлениям с образованием плоских зеркальных поверхностей (плоскостей спайности - рис. 1, 2).

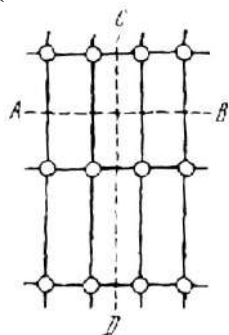


Рис. 1. Спайность по AB проявлена в кристаллической решетке сильнее, чем по CD (по А. Г. Булаху)

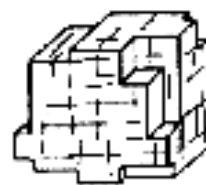


Рис. 2. Спайность по кубу у галенита (по А. Г. Булаху)

Выделяют следующие виды спайности:

весьма совершенная - кристалл легко расщепляется на тонкие гладкие листочки, его трудно разделить в другом направлении (слюды, тальк);

совершенная - поверхности менее гладкие, образуются при большом механическом усилии (раскалывании); наряду со спайными поверхностями может наблюдаться излом (ортоклаз, кальцит);

несовершенная - поверхности спайности отсутствуют или обнаруживаются с трудом (кварц, нефелин).

От естественных граней кристаллов плоскости спайности отличаются тем, что естественную грань можно отбить и она не повторится, а плоскости спайности можно получать многократно - раскалывая кристалл, пока позволяют его размеры. Плоскости спайности более гладкие и совершенные, чем естественные грани (последние могут иметь штриховку, следы растворения и т. д.).

Спайность может быть проявлена по одному (слюда, гипс), двум (ортоклаз, амфиболы, пироксены), трем (галит, галенит, кальцит) и большему числу направлений.

Твердость

Твердость определяется в единицах шкалы Мооса (1822):

- | | |
|-------------------|--------------------|
| <i>1. Тальк</i> | <i>6. Ортоклаз</i> |
| <i>2. Гипс</i> | <i>7. Кварц</i> |
| <i>3. Кальцит</i> | <i>8. Топаз</i> |
| <i>4. Флюорит</i> | <i>9. Корунд</i> |
| <i>5. Апатит</i> | <i>10. Алмаз</i> |

В дополнение к минералам шкалы Мооса при определении твердости можно использовать ноготь, твердость которого немного выше 2, и стекло - 5,5. Минералы с твердостью 1 пишат по бумаге, не царапая ее.

Твердость определяется методом царапания: более твердый минерал оставляет царапину на более мягком (отличать царапину от порошковатого следа, который дает менее твердый минерал на более твердом - в отличие от царапины такой след легко стереть).

Сначала образец минерала царапают стеклом и устанавливают его примерную твердость. Затем берется эталонный минерал из шкалы Мооса, имеющий твердость, близкую к предполагаемой. При равенстве твердости минерала и эталона они оставляют царапины друг на друге. Если минерал на одном из соседних эталонов оставляет царапину, а на другом нет, то твердость минерала считается по менее твердому эталону с добавлением 0,5 (например, если минералом можно царапать гипс и нельзя кальцит, то его твердость 2,5).

При некотором навыке твердость можно определять с помощью только стекла - сопоставляя глубину царапины и прилагаемую силу.

Хрупкость, ковкость

Хрупким называется минерал, который крошится при проведении царапины на его поверхности. Под ковкостью понимается притупление острых

краев минерала при ударе молотком. При царапании ковкого минерала на его поверхности получается гладкий блестящий след. Наиболее ярко ковкость проявлена у самородных металлов, например, у золота, зерна которого на наковальне расплющиваются молотком в тонкие пластинки.

Магнитные свойства

Магнитные свойства минералов определяются магнитными свойствами атомов и магнитной структурой минералов (расположением и взаимодействием атомов). Особенно четко магнитность, т. е. способность намагничиваться в магнитном поле, проявлена у ионов Fe^{3+} , Mn^{2+} , Fe^{2+} и некоторых других.

Диамagnetные минералы обладают незначительной отрицательной магнитной восприимчивостью, слегка отталкиваются магнитом (кальцит, галит).

Парамагнитные минералы характеризуются положительной магнитной восприимчивостью, притягиваются мощными электромагнитами (биотит, пироксены и другие минералы, особенно железосодержащие).

Ферромагнитные минералы имеют наиболее высокую магнитную восприимчивость (на несколько порядков выше, чем у парамагнитных минералов) и в мелких обломках притягиваются подковообразным магнитом (магнетит $\text{FeO}\cdot\text{Fe}_2\text{O}_3$, пирротин FeS , слабее ильменит FeTiO_3 , гематит Fe_2O_3). Магнетит в древности использовался в необработанном виде как компас.

При испытании на магнитность кусочек испытуемого минерала измельчают ударом молотка, после чего к полученному порошку подводят магнит. О магнитности судят по тому, притягиваются или не притягиваются зерна минерала к магниту. Обычным подковообразным магнитом притягиваются зерна наиболее сильно магнитных минералов - магнетита, пирротина. Кроме того, образцы этих минералов отклоняют стрелку поднесенного к ним компаса.

Электрические свойства

Электропроводность минералов изменяется в широких пределах – от лучших проводников (серебро) до лучших изоляторов (мусковит). Удельное электрическое сопротивление зависит от направления в кристалле (например, у кварца в одном направлении $2\cdot 10^{14}$, а в другом – $2\cdot 10^{16}$ ом/см) и от наличия примесей (например, в связи с этим светлоокрашенный касситерит не проводит электричества, а темный – проводит).

Деление минералов по электропроводности:

проводники – минералы с металлической связью, например, самородная медь, самородное железо;

полупроводники – некоторые сульфиды и оксиды, преимущественно с ковалентной химической связью; в некоторых полупроводниках повышение температуры на 100° увеличивает электропроводность до 50 раз;

диэлектрики – большинство минералов (например, кварц, полевые шпаты и др.), в том числе минералы с ионной химической связью.

Пьезоэлектрический эффект – электризация кристалла при сжатии или растяжении (кварц). У кварца сжатие кристалла в определенном направлении приводит к смещению ионов Si^{4+} и O^{2-} с появлением разноименных зарядов на поверхности, перпендикулярной направлению сжатия (рис. 3).

Имеется и обратный пьезоэлектрический эффект – кристалл, помещенный в электрическое поле, сжимается или растягивается (в переменном электрическом поле – вибрирует). Наличие пьезоэлектрического эффекта и почти совершенная упругость кварца (кристалл кварца может совершать до 10^5 колебаний в секунду) позволяют использовать этот минерал для стабилизации частот в радиоаппаратуре (пьезокварц). При этом природный кварц используется в наиболее ответственных радиотехнических устройствах, а в рядовых случаях применяются имеющие несколько более низкое качество кристаллы синтетического кварца (ежегодно в мире для этой цели выращивается более 1000 т кристаллов искусственного кварца).

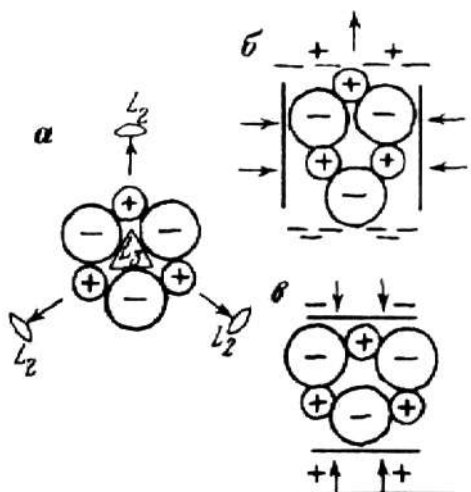


Рис. 3. Схема структуры кварца (а) и возникновения пьезоэлектрического эффекта (б, в); по А. Г. Булаху

Блеск

Термин "блеск" относится к виду поверхности минерала в отраженном свете. Выделяют два главных различимых на глаз вида блеска - металлический и неметаллический.

Минералы, поверхность которых отражает наибольшее количество света, имеют металлический блеск. Такие минералы непрозрачны и дают черную или очень темную черту (галенит, пирит, халькопирит).

Неметаллический блеск подразделяется по мере уменьшения количества отражаемого света:

- а) алмазный - очень сильный, например, у сфалерита;
- б) стеклянный - подобный отражению света от стекла, например, у кварца;
- в) жирный - менее интенсивный, чем стеклянный: минерал выглядит, как будто его поверхность покрыта тонким слоем масла; возникает при рассеянии света микроскопическими неровностями поверхности, например, у талька;
- г) матовый - главным образом у землистых минералов, например, у каолинита.

Минералы со стеклянным блеском в целом светлоокрашены и относительно прозрачны, по крайней мере в тонких сколах; черта минералов со стеклянным блеском светлоокрашенная.

Цвет, черта

Цвет минералов определяется их химическим составом, кристаллической структурой и примесями.

Некоторые ионы, придающие минералам определенный цвет: Fe^{3+} - бурый (лимонит), Fe^{2+} - зеленый (актинолит), $\text{Fe}^{2+}+\text{Fe}^{3+}$ - черный (магнетит), Cu^{2+} - зеленый (малахит), синий (азурит), Cr^{3+} - красный (рубин), зеленый (изумруд).

Минералам с неметаллическим блеском часто свойственна переменная окраска - например, флюорит бывает бесцветным, желтым, розовым, зеленым, фиолетовым. Окраска таких минералов может быть обусловлена как химическим составом, так и дефектами кристаллической структуры (фиолетовый флюорит, синий галит, дымчатый и черный кварц). Так, синяя окраска галита возникает при замещении в его кристаллической решетке части ионов Na^{1+} на нейтральные атомы Na.

Цвет минерала, имеющего металлический блеск, следует определять на поверхности свежего излома - такие минералы на воздухе нередко покрываются тончайшей пленкой продуктов окисления (так называемой побежалостью), имеющей иную окраску, чем сам минерал.

На окраску минерала оказывает влияние степень его дисперсности: пирит в достаточно крупных кристаллах соломенно-желтый, в порошке - черный; гематит в крупных зернах черный, в порошке - вишнево-красный. Цвет порошка минерала определяется путем прочерчивания минералом по неглазированной фарфоровой пластинке (по «черте» минерала). Фарфор употребляется потому, что он имеет сравнительно большую твердость (около 6), шероховатую поверхность, на которой остается порошок минерала, и белый цвет - фон, на котором хорошо различимы цветовые оттенки. Цвет черты, как правило, более постоянен, чем цвет самого минерала, и поэтому является важным признаком при идентификации.

Минералы с металлическим блеском дают черную или темноокрашенную черту, а минералы без металлического блеска - белую или светлоокрашенную черту. Землистые и тонкозернистые разновидности минералов имеют цвет, сходный с цветом черты.

Люминесценция

Люминесценция - это способность кристаллов светиться при нагревании (флюорит), под действием ультрафиолетовых (шеелит, кальцит), рентгеновских (алмаз - люминесцирует ярким голубым или желтым цветом, на чем основан способ его выявления в массе дробленной породы на ленте транспортера на обогатительных фабриках) и других лучей.

СИСТЕМАТИКА МИНЕРАЛОВ

В настоящее время известно более 4000 минералов и каждый год открывается несколько десятков новых минералов. Точная диагностика минералов производится с использованием химического и спектрального анализов, лазерного и рентгеноспектрального микроанализов, рентгеноструктурного и ряда других методов.

В основу классификации минералов положены их химический состав и кристаллическая структура.

Простые вещества

Золото, платина, алмаз, графит, сера.

Золото. Пробность (проба) золота – содержание чистого Au, в ‰ (в десятых долях процента). Наиболее распространенная примесь в золоте – серебро. Чем выше пробность, тем золото имеет более желтый оттенок окраски. Характерным признаком золота является его ковкость – стальная игла оставляет на золоте блестящую царапину.

Старейшее в России коренное месторождение золота – Березовское (к востоку от Екатеринбурга, открыто в 1745 г.); за время эксплуатации на нем добыто около 130 тонн золота. На этом месторождении золото преимущественно невидимое на глаз – оно находится главным образом в приуроченных к кварцевым жилам сульфидах (чаще всего в пирите) в виде зерен размерами в сотые доли миллиметра. На обогатительной фабрике из руды получают обогащенный сульфидами концентрат, из которого золото извлекается химическим путем. В настоящее время эксплуатация ведется на глубине 314 – 512 метров, а промышленное оруденение прослежено до глубины 1,1 – 1,2 км.

Всего в мире в 2000 г. добыто 2544 т золота. Самое крупное в мире месторождение золота – Витватерсранд (Южная Африка).

В России в настоящее время золото добывается преимущественно из россыпей (промывкой рыхлых отложений, главным образом песков).

Алмаз. Является одним из самых дорогих драгоценных камней, а также используется в технических целях - для изготовления буровых коронок, сверл, абразивных материалов и т. п. Технические алмазы составляют 75-80 % от общей добычи алмазов. На технические цели обычно идут непригодные для ювелирного дела алмазы, а также искусственные алмазы, которые в достаточно больших количествах производят во многих странах.

К настоящему времени в мире добыто более 500 т алмазов, из них около трети – за последние 25 лет. 10 % кристаллов алмазов имеют форму правильных многогранников, а остальные представляют собой кристаллы несовершенной формы и обломки.

Наиболее крупные месторождения алмазов находятся в Южной Африке. В России начало открытию коренных месторождений алмазов было положено в 1940 г., когда геолог В. С. Соболев установил, что территория Западной Якутии сходна по геологическому строению с Южно-Африканской платформой и сделал вывод, что алмазы следует искать именно здесь.

Планомерное изучение территории Западной Якутии на алмазы началось с 1945 г. При этом обычные методы поисков долгое время не приводили к обнаружению месторождений алмазов. В 1953 г. молодой геолог Л. Попугаева в ходе проведения поисковых работ нашла кристаллики красного минерала - граната на дне у берега одного из ручьев. Во время камеральной обработки их случайно увидел минералог, профессор Ленинградского университета А. А. Кухаренко. Он сразу определил, что это пироп -

разновидность гранатов, являющаяся в Южной Африке спутником алмазов. То есть по нему нужно искать алмазы и в Якутии.

В 1954 г. Л. Попугаева промывала пески в ручьях, ориентируясь на пироп. В одном из ручьев этот минерал привел ее к косе, где была найдена галька зеленоватой породы с кристаллами пироба, а затем выше по склону, на водоразделе – содержащие алмазы коренные выходы подобной породы. Так было обнаружено первое местонахождение алмазов (алмазная трубка). После этого поиски алмазов по пиропу (минералогический метод поисков) стали общепринятыми и таким путем были обнаружены десятки алмазных трубок. Из геофизических методов при поисках алмазов начали использовать методы магниторазведки.

Наряду с якутскими месторождениями алмазов, в 1979 г. была выявлена Архангельская алмазоносная провинция. Она была открыта на основании находки при промывке песков в реках и ручьях на обширной изученной территории всего лишь двух зерен пироба. Вокруг мест находки каждого из этих зерен на карте описали круг радиусом 11 км (при переносе с речным песком на 10 км зерна пироба полностью истираются, т. е. коренной источник не может быть удален от места находки пироба на расстояние более 10 км), и внутри каждого круга провели очень детальную и чувствительную магнитную съемку, которая и выявила ряд алмазных трубок.

Сернистые соединения

Пирит, арсенопирит, пирротин, халькопирит, галенит, антимонит, сфалерит, киноварь.

Оксиды и гидроксиды

Магнетит, гематит, хромит, пиролюзит, рутил, корунд, лимонит.

Галоиды

Галит, сильвин, флюорит.

Соли кислородных кислот

А) карбонаты: *кальцит, доломит, магнезит, сидерит, малахит.*

Б) фосфаты: *апатит.*

В) сульфаты: *гипс, ангидрит, барит.*

Г) вольфраматы: *вольфрамит, шеелит.*

Галоиды, сульфаты, карбонаты легко растворимы и определяют солевой состав подземных вод и наличие ряда примесей в нефти.

Силикаты

Силикаты - это наиболее многочисленный класс минералов - на их долю приходится около половины всех известных минералов. Силикаты составляют до 95 % объема земной коры.

Рентгеноструктурным анализом (Брэгг, 1937) показано, что основой кристаллической структуры силикатов является кремнекислородный тетраэдр $[\text{SiO}_4]^{4-}$. Силикаты, в которых часть Si^{4+} в кремнекислородных тетраэдрах замещена на Al^{3+} , – алюмосиликаты.

Островные силикаты – с изолированными кремнекислородными тетраэдрами в кристаллической структуре: *оливин, гранаты, топаз, эпидот, циркон, берилл, турмалин.*

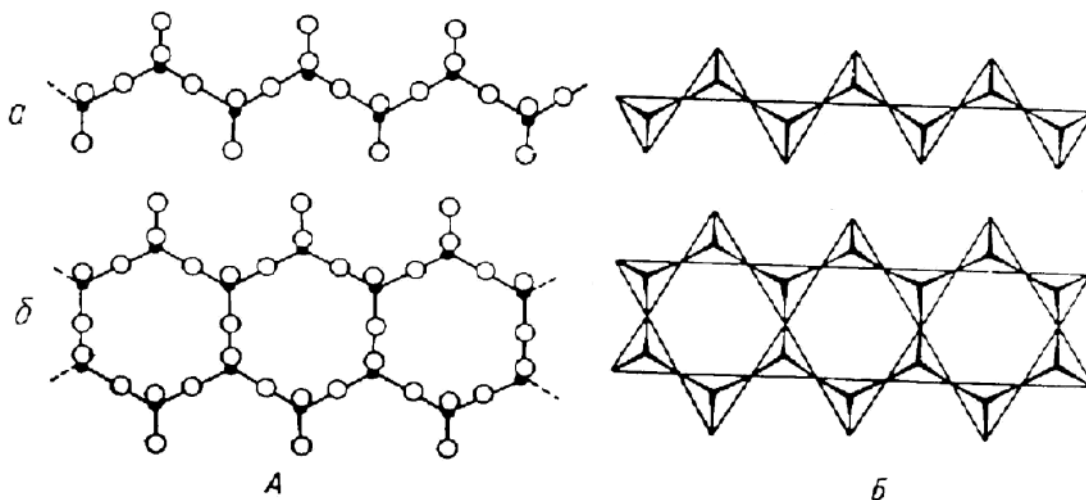


Рис. 4. Одинарная кремнекислородная цепочка $[\text{Si}_2\text{O}_6]^{4-}$ (а, пироксены) и двойная кремнекислородная цепочка $[\text{Si}_4\text{O}_{11}]^{6-}$ (б, амфиболы). А – разреженная модель, Б – модель из кремнекислородных тетраэдров

Цепочечные силикаты: пироксены, амфиболы (актинолит, роговая обманка).

Слоистые силикаты: тальк, слюды (мусковит, биотит, серицит), хлорит, серпентин (хризотил-асбест), глинистые минералы (каолинит, гидрослюда, монтмориллонит).

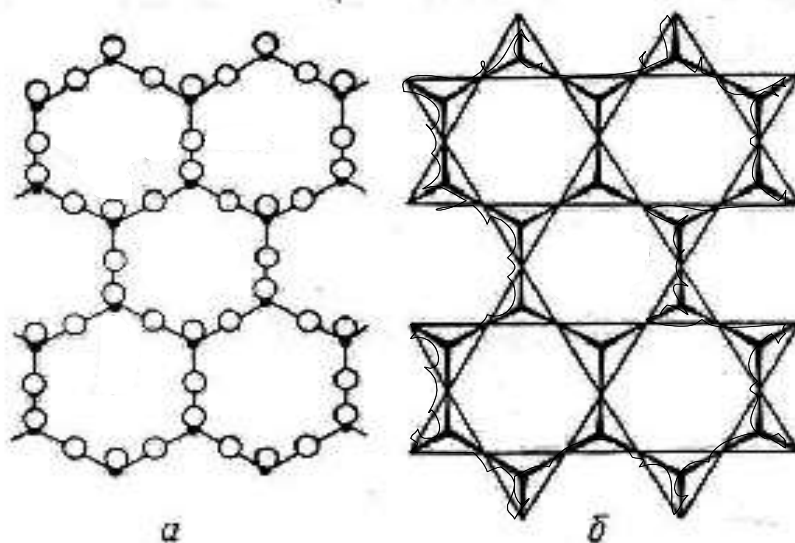


Рис. 5. Кремнекислородный лист $[\text{Si}_4\text{O}_{10}]^{4-}$: а – разреженная модель; б – в тетраэдрах

Каркасные силикаты – кремнекислородные тетраэдры в кристаллической решетке соединены друг с другом общими вершинными атомами кислорода, образуя трехмерную структуру (каркас) с достаточно большими пустотами. *Кварц, халцедон. Полевые шпаты - калиевые (ортоклаз, микроклин) и плагиоклазы (альбит, анортит), нефелин.*

НЕКОТОРЫЕ ДИАГНОСТИЧЕСКИЕ ПРИЗНАКИ МИНЕРАЛОВ

Название минерала, химическая формула	Цвет	Твердость	Плотность	Другие свойства
Простые вещества				
Золото Au	Желтый	2,5-3	19,3-19,4	Ковкость
Платина Pt	Серый	4-4,5	21,4-21,9	Ковкость
Алмаз C	Бесцветный	10	3,5-3,6	Люминесцирует в ультрафиолетовых и рентгеновских лучах
Графит C	Серый	1	2,1-2,2	Жирный на ощупь, пачкает руки, пишет на бумаге
Сера S	Желтый	1,5-2	2,0-2,1	Хрупкость
Сернистые соединения				
Молибденит MoS ₂	Светло-серый	1	4,7-4,8	Чешуйчатый
Антимонит Sb ₂ S ₃	Серый	2		Игольчатый
Галенит PbS	Серый	2,5-3	7,4-7,6	Спайность совершенная
Арсенопирит FeAsS	Серый	5,5-6,0		
Халькопирит CuFeS ₂	Латунно-желтый	3-4		
Пирротин FeS	Бронзово-желтый	3,5-4,5		Магнитен
Пирит FeS ₂	Светло-желтый	6-6,5		Черта черная, нередко кристаллы в форме куба
Сфалерит ZnS	Бурый и др.	3,5-4,0		Черта бурая
Кинноварь HgS	Красный	2,5	8,1	

Название минерала, химическая формула	Облик кристаллов, строение агрегата	Цвет	Черта	Твердость	Другие свойства
Оксиды и гидроксиды					
Пирролюзит MnO_2	Землистый Плотный	Черный	Черная		Землистые разности пачкают руки
Магнетит $FeO \cdot Fe_2O_3$		Черный	Черная	5-6	Магнитен
Ильменит $FeTiO_3$		Черный	Черная бурая	5-6	
Лимонит (полиминеральная смесь примерного состава $Fe_2O_3 \cdot nH_2O$)	Плотный, натечный, охристый	Бурый, черный	Бурая	1-5,0	
Гематит Fe_2O_3	Пластинчатый, плотный	Черный, серый	Красно- бурая	5,5-6	
Хромит $FeCr_2O_4$		Черный	Бурая	5,5- 7,5	
Опал $SiO_2 \cdot nH_2O$	Плотный, натечный	Белый и др.		5-6	
Рутил TiO_2	Игольчатый	Красный Черный		6,5	
Корунд Al_2O_3		Серый		9	
Галоиды					
Галит $NaCl$		Бесцветный		2-2,5	Растворяется в воде, соленый на вкус
Сильвин KCl		Белый		2,0	Растворяется в воде, горьковатый на вкус
Флюорит CaF_2		Бесцветный, фиолетовый, зеленый		4	

Название минерала, химическая формула	Цвет	Твердость	Спайность	Другие свойства
Соли кислородных кислот:				
а) карбонаты				
Кальцит CaCO ₃	Бесцветный, белый	3,0	Совершенная	Вскипает от капли соляной кислоты
Доломит CaMg(CO ₃) ₂	Бесцветный, белый, серый	3,5-4	Совершенная	Реагирует с соляной кислотой в порошке
Магнезит MgCO ₃	Бесцветный, белый, серый	4-4,5	Совершенная	Не реагирует с холодной соляной кислотой
Сидерит FeCO ₃	Бурый, серый	3,5-4,5	Совершенная	Плотность 3,9
Малахит Cu(CO ₃)·Cu(OH) ₂	Зеленый	3,5		Вскипает от капли соляной кислоты
б) фосфаты				
Апатит Ca ₅ [PO ₄] ₃ (F,Cl)	Бесцветный, зеленый, голубой	5	Несовершенная	Призматический
в) сульфаты				
Гипс Ca[SO ₄]·2H ₂ O	Бесцветный, белый	2	Весьма совершенная	Плотность 2,3
Ангидрит CaSO ₄	Голубовато-серый	3,5	Совершенная	
Барит BaSO ₄	Белый	3-3,5	Совершенная	Плотность 4,5
г) вольфраматы				
Вольфрамит (Fe, Mn)WO ₄	Черный, бурый	4,5-5,5	Совершенная	Плотность 6,7-7,5 черта бурая

Название минерала, химическая формула	Облик кристаллов Строение агрегата	Цвет	Твердость	Спайность	Другие свойства
Силикаты: а) островные					
Оливин (Mg, Fe) ₂ [SiO ₄]	Зернистый	Зеленый черный	6,5-7	Несовершенная	Бурая корка выветривания
Гранаты T ₃ R ₂ [SiO ₄] ₃ (T=Mg, Fe, Ca R=Al, Fe, Cr)	Изометрический	Бурый	6,5-7,5	Отсутствует	
Топаз Al ₂ [SiO ₄](F, OH) ₂		Бесцветный	8	Совершенная	
Эпидот Ca ₃ (Al,Fe) ₂ [SiO ₄] · [Si ₂ O ₇] O(OH)	Призматический	Желтовато-зеленый	6-6,5	Совершенная	
Циркон Zr[SiO ₄]	Призматический	Бурый	7-7,5		Иногда радиоактивен
Берилл Be ₃ Al ₂ [Si ₆ O ₁₈]	Призматический	Зеленоватый, желтоватый	7,5-8	Несовершенная	Шестиугольная форма сечений кристаллов
Турмалин NaFe ₃ Al ₆ [Si ₆ O ₁₈]· [BO ₃] ₃ (OH) ₄	Игольчатый	Черный	7-7,5	Отсутствует	
б) цепочечные					
Пироксены R ₂ [Si ₂ O ₆] (R=Mg, Fe, Ca, Na, Al)	Призматический (часто короткопризматический)	Темно-зеленый, черный	5-6,5	Совершенная по 2 направлениям под углом 87°	

Название минерала, химическая формула	Облик кристал- лов, строение агрегата	Цвет	Твер- дость	Спайность	Другие свойства
Амфиболы: $R_7[Si_4O_{11}]_2(OH)_2$ (R=Na, Mg, Ca, Fe) актинолит роговая обманка	Призма- тические	Зеленый Черный	5,5-6	Совершен- ная по 2 направле- ниям под углом 124°	Игольчатый
в) слоистые					
Тальк $Mg_3[Si_4O_{10}](OH)_2$	Чешуй- чатый	Белый светло- зеленый	1	Весьма совер- шенная	Жирный наощупь
Слюды: мусковит $KAl_2[AlSi_3O_{10}](OH)_2$ биотит $K(Mg, Fe)_3[AlSi_3O_{10}](OH)_2$	Чешуйча- тый	Бесцвет- ный Черный, бурый	2-2,5 2,5-3	Весьма совер- шенная	
Хлорит $R_n[T_2O_5](OH)_8$ (R=Mg, Al, Fe, T=Si, Al, Fe)	Чешуй- чатый	Зеленый	2-2,5	Весьма совер- шенная	
Серпентин $Mg_6[Si_4O_{10}](OH)_8$ Хризотил-асбест $Mg_6[Si_4O_{10}](OH)_8$	Волок- нистый	Зеленый Белый, зеленый	3-4 2,5		Жирный блеск Расщепляет- ся на тонкие волокна

Название минерала, химическая формула	Облик кристал- лов, строение агрегата	Цвет	Твер- дость	Спайность	Другие свойства
Глинистые минералы: каолинит $Al_2[Si_2O_5](OH)_4$ монтмориллонит $(Al,Mg)_2[Si_4O_{10}]$ $(OH)_2 \cdot nH_2O$ гидрослюда $K_{0,65}Al_2$ $[Al_{0,65}Si_{3,35}O_{10}](OH)_2$	Земли- стые, плотные, с водой стано- вятся пластич- ными	Белый и др.	2-2,5		При смачивании водой увеличивает- ся в объеме
г) каркасные					
Кварц SiO_2	Зернис- тый	Белый и др.	7	Отсутст- вует	Плотность 2,6
Халцедон SiO_2	Скрыто- зернис- тый	Белый и др.	7	Отсутст- вует	Полосчатый - агат
Полевые шпаты: калиевые (ортоклаз, микроклин) $K[AlSi_3O_8]$ плагноклазы (альбит $Na[AlSi_3O_8]$, анортит $Ca[Al_2Si_2O_8]$)	Зернис- тый	Белый, серый, буро- красный	6	Совершен- ная по 2 направле- ниям под прямым углом	Плотность 2,6-2,8
Нефелин $Na_3K[AlSiO_4]$		Серый, серо- зеленый	5,5-6	Отсутст- вует	

ЛИТЕРАТУРА

Основная:

Миловский А. В. Минералогия и петрография. М., Недра, 1979.

Булах А. Г. Минералогия с основами кристаллографии. М., Недра, 1989.

Дополнительная:

Булах А. Г. Общая минералогия. Изд. СПб ун-та, 1999.

Лазаренко Е. К. Курс минералогии. М., Высшая школа. 1971.

КОНТРОЛЬНЫЕ ЗАДАНИЯ

Студентами заочной формы обучения содержание дисциплины осваивается путем самостоятельной проработки рекомендованной литературы и изучения коллекционного материала на кафедре и в экспозиции геологического музея.

До приезда на сессию студент-заочник должен выполнить домашнее задание по составлению конспекта свойств перечисленных выше (выделены курсивом) минералов (форма конспекта – табл. 1). Конспект свойств составляется по рекомендованной учебной литературе.

Таблица 1

Форма конспекта свойств минералов

Название минерала, химическая формула	Сингония	Облик кристаллов	Строение агрегата	Спайность	Цвет, черта
1	2	3	4	5	6

Блеск	Твердость	Плотность	Особые свойства	Сходные минералы	Месторождения	Применение
7	8	9	10	11	12	13

При составлении конспекта следует обратить внимание на химический состав минералов, наиболее важные диагностические признаки и на применение минералов.

Успешное овладение минералогией невозможно без практической работы с минералами. При самостоятельном изучении предмета полезно использование коллекций минералов геологических объектов, на которых работает студент-заочник, а также ознакомление с экспозицией ближайшего геологического или краеведческого музея.

Студент, занимающийся по индивидуальному плану, перед изучением дисциплины может получить на кафедре для изучения в межсессионный

период шкалу твердости и коллекцию минералов (в последующем возвращаются на кафедру).

Занимаясь со шкалой твердости, следует научиться определять твердость, царапая одним минералом по другому, а также царапая минералом по стеклу или стеклом по минералу, запомнить каждый минерал шкалы и значение его твердости. При изучении спайности следует заполнить в табл. 2 колонки, описывающие спайность ряда минералов шкалы твердости (при этом можно контролировать себя по характеристике спайности этих минералов в конспекте свойств минералов)

Используя составленный конспект свойств минералов, следует изучить полученную на кафедре коллекцию минералов с тем, чтобы запомнить и научиться определять эти минералы.

Таблица 2

Спайность минералов шкалы твердости

Твердость	Минерал	Спайность		
		Вид (степень совершенства)	Число направлений спайности	Угол между плоскостями спайности (прямой или косой)
1	Тальк			
2	Гипс			
3	Кальцит			
4	Флюорит			
6	Ортоклаз			
7	Кварц			
8	Топаз			

КОНТРОЛЬНЫЕ ВОПРОСЫ

1. Назовите разновидности минеральных агрегатов.
2. Что такое изоморфизм? Приведите примеры изоморфизма.
3. Охарактеризуйте зависимость удельного веса от химического состава и структуры кристаллов.
4. Перечислите минералы шкалы твердости.
5. Охарактеризуйте спайность минералов шкалы твердости.
6. Электрические и магнитные свойства минералов.
7. Окраска и люминесценция минералов.

8. Сернистые соединения.
9. Назовите минералы - руды свинца, цинка, меди.
10. Назовите минералы, в состав которых входят: мышьяк, ртуть, сурьма.
11. Охарактеризуйте сульфиды, содержащие железо.
12. Дайте характеристику оксидов и гидроксидов.
13. Назовите минералы - руды железа и марганца.
14. Назовите минералы, в состав которых входят: титан, хром, марганец.
15. Галоиды.
16. Сульфаты.
17. Перечислите минералы из группы карбонатов. Охарактеризуйте их диагностические признаки.
18. Кристаллические структуры силикатов.
19. Назовите силикаты, содержащие: натрий, магний.
20. Приведите химические формулы островных силикатов.
21. Охарактеризуйте химический состав и диагностические признаки цепочечных силикатов.
22. Слоистые силикаты.
23. Глинистые минералы.
24. Каркасные силикаты.
25. Кварц и его применение.
26. Калинатровые полевые шпаты и плагиоклазы.

ПЕТРОГРАФИЯ

Петрография изучает горные породы – минеральные агрегаты, сложенные одним или несколькими минералами и занимающие значительные участки земной коры.

Как самостоятельная наука петрография начала развиваться после того, как для изучения горных пород был использован микроскоп (Сорби, 1858). До введения микроскопа породы изучались при помощи лупы и химического анализа. С появлением микроскопа стало возможным значительно более точное определение породообразующих минералов и их взаимоотношений.

С 20-х годов XX века эксперименты по образованию горных пород в лабораторных условиях положили начало аналитическому этапу в развитии петрографии. Применение большого числа разнообразных точных методов исследования и экспериментальных данных сделало петрографию точной наукой (петрология).

Новый этап развития петрографии начался в 60-х годах XX века в связи с внедрением рентгеноспектрального микроанализатора (электронного микронзонда), позволившего с большой точностью изучать химический состав отдельных зерен минералов в горных породах.

Горные породы подразделяются на магматические, осадочные и метаморфические. Земная кора на 95 % сложена магматическими и метаморфическими породами; однако выходы этих пород занимают лишь 25 % поверхности суши (остальные 75 % поверхности суши заняты распространяющимися на относительно небольшую глубину осадочными породами).

1. МАГМАТИЧЕСКИЕ ПОРОДЫ

Магматические породы образуются из флюидно-силикатных расплавов (магм). Магмы являются продуктами частичного плавления вещества мантии и континентальной земной коры на глубинах от 200-300 до 10-20 км, и могут подниматься из глубин в верхние части земной коры и на земную поверхность.

При застывании магмы на глубине возникают интрузивные породы (плутонические и жильные), а на земной поверхности (на суше или в море) – вулканические породы (эффузивные и вулканогенно-обломочные). Вулканогенно-обломочные породы образуются, когда магмы выбрасываются взрывами в атмосферу в виде обломков - вулканических бомб, лапиллей, пепловых частиц. Многие обломки образуются при разрушении твердеющих лав, особенно подводных.

Химический состав

Химический состав положен в основу общей классификации магматических пород.

90 % объема земной коры (47 % по весу) приходится на кислород – в земной коре преобладают кислородсодержащие минералы. Результаты химических анализов горных пород представляют в форме процентного содержания оксидов.

Породообразующие оксиды (в сумме составляют 97 весовых % от среднего состава магматических пород): SiO_2 (*кремнезем, кремнекислота*), Al_2O_3 (*глинозем*), Fe_2O_3 , FeO (*окись и закись железа*), MgO , CaO (*основания*), Na_2O , K_2O (*щелочи*).

По химическому составу магматические породы разделяются на группы:

ультраосновные породы - 30-44 % SiO_2 (дуниты, перидотиты, кимберлиты);

основные породы - 44-53 % SiO_2 (базальты, габбро);

средние породы - 53-64 % SiO_2 (андезиты, диориты, трахиты, сиениты);

кислые породы - 64-78 % SiO_2 (риолиты, граниты).

Кроме перечисленных выше главных химических элементов, в породах имеются элементы-примеси: в ультраосновных и основных породах - Cr, Co, Ni и др., в кислых породах - Li, Be, Zr и др. Радиоактивные элементы (U, Th) в минимальном количестве содержатся в ультраосновных породах, а в максимальном – в кислых породах (гранитах). В связи с этим в районах

развития гранитов уровень γ -радиации в 3-4 раза выше фонового значения. В современных домах при использовании в качестве наполнителя бетона гранитного щебня уровень радиации в несколько раз выше, чем в деревянных домах, и при использовании в качестве наполнителя бетона щебня основных и ультраосновных пород.

Минеральный состав

По количественному значению минералы магматических пород разделяются на главные - присутствуют в породе в количестве более 5 %, и второстепенные - менее 5 %. Главные минералы делятся на светлые (салические) и темноцветные (фемические).

Светлые минералы:

кварц
полевые шпаты (плагиоклазы,
каликатровые полевые шпаты)

Темноцветные минералы:

биотит
пироксены
амфиболы
оливин

Второстепенными могут быть как перечисленные, так и более редкие специфические (акцессорные) минералы, например, хромит, магнетит, апатит, сфен, циркон (из этих минералов циркон содержит наибольшее количество радиоактивных элементов-примесей).

Кварц SiO_2 распознается по отсутствию спайности, стеклянному блеску, раковистому излому, высокой твердости (его зерна легко царапают стекло), изометричной форме зерен; в породах встречается как бесцветный, так серый и черный кварц.

Полевые шпаты (плагиоклазы и каликатровые полевые шпаты) обладают твердостью 6 (свежие) и спайностью по двум направлениям под углом около 90° . Цвет белый, серый, розовый, редко светло-зеленый. В неизмененных вулканических породах они прозрачны и напоминают кварц, отличаясь от него удлиненной формой зерен и наличием спайности.

Плагиоклазы - минералы переменного состава, представляют собой изоморфные смеси альбита $\text{Na}[\text{AlSi}_3\text{O}_8]$ и анортита $\text{Ca}[\text{Al}_2\text{Si}_2\text{O}_8]$; процентное содержание анортита в плагиоклазе называется номером плагиоклаза.

Номер плагиоклаза

0 - 10	альбит	кислый плагиоклаз
10 - 30	олигоклаз	"
30 - 50	андезин	средний плагиоклаз
50 - 70	лабрадор	основной плагиоклаз
70 - 90	битовнит	"
90 - 100	анортит	"

Отличить плагиоклаз от калинатрового полевого шпата $K[AlSi_3O_8]$ макроскопически часто затруднительно, в этом случае следует пользоваться общим названием "полевой шпат".

Биотит $K(Mg, Fe)_3(OH, F)_2[AlSi_3O_{10}]$. Из всех породообразующих минералов биотит может концентрировать в себе наибольшее количество изоморфных примесей редких элементов – Ba, Sr, Rb, Cs, Rb, Ge, U, Th и др.

Характерны черный цвет, пластинчатая форма зерен, весьма совершенная спайность (чешуйки расщепляются по плоскостям спайности), низкая твердость.

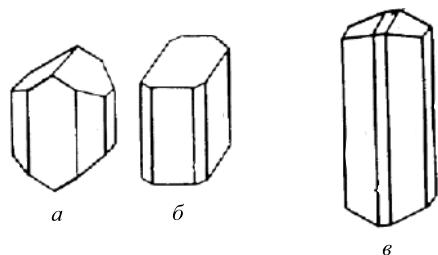


Рис. 6. Форма кристаллов пироксенов (а – авгит; б – диопсид) и амфиболов (в – роговая обманка)

Пироксены и амфиболы внешне сходны друг с другом и нередко трудно различимы, особенно при мелких размерах зерен. Для отличия пироксенов и амфиболов (роговой обманки) могут быть использованы следующие признаки:

1) те и другие минералы имеют спайность по двум направлениям, но угол спайности у пироксенов - около 90° , а у амфиболов - около 120° ;

2) облик кристаллов пироксенов обычно короткопризматический (кроме эгирина $NaFe[Si_2O_6]$, который образует длиннопризматические кристаллы), а амфиболов - длиннопризматический (рис. 6);

3) окраска роговой обманки черная, пироксенов - как черная, так с серыми и зелеными оттенками.

Оливин $(Mg, Fe)_2[SiO_4]$ встречается в виде изометричных зерен с несовершенной спайностью. В свежем виде имеет зеленый цвет и стеклянный блеск. Легко подвергается серпентинизации, приобретая матовый блеск и черную окраску. При выветривании буреет (на поверхности образца возникает характерная бурая корка выветривания) .

Структуры

Понятие "структура" охватывает особенности строения горной породы, которые обуславливаются размерами, формой и взаимоотношениями минералов и вулканического стекла.

Равнозернистые структуры:

гигантозернистая - более 20 мм

крупнозернистая - 5-20 мм

среднезернистая - 1-5 мм

мелкозернистая - менее 1 мм, но зерна видны невооруженным глазом

афанитовая - зернистость обнаруживается лишь под микроскопом

Неравнозернистые структуры:

порфировая - заметные невооруженным глазом зерна (вкрапленники) располагаются среди стекловатой, афанитовой или очень мелкозернистой основной массы; порфировая структура характерна для эффузивных пород (рис. 7).

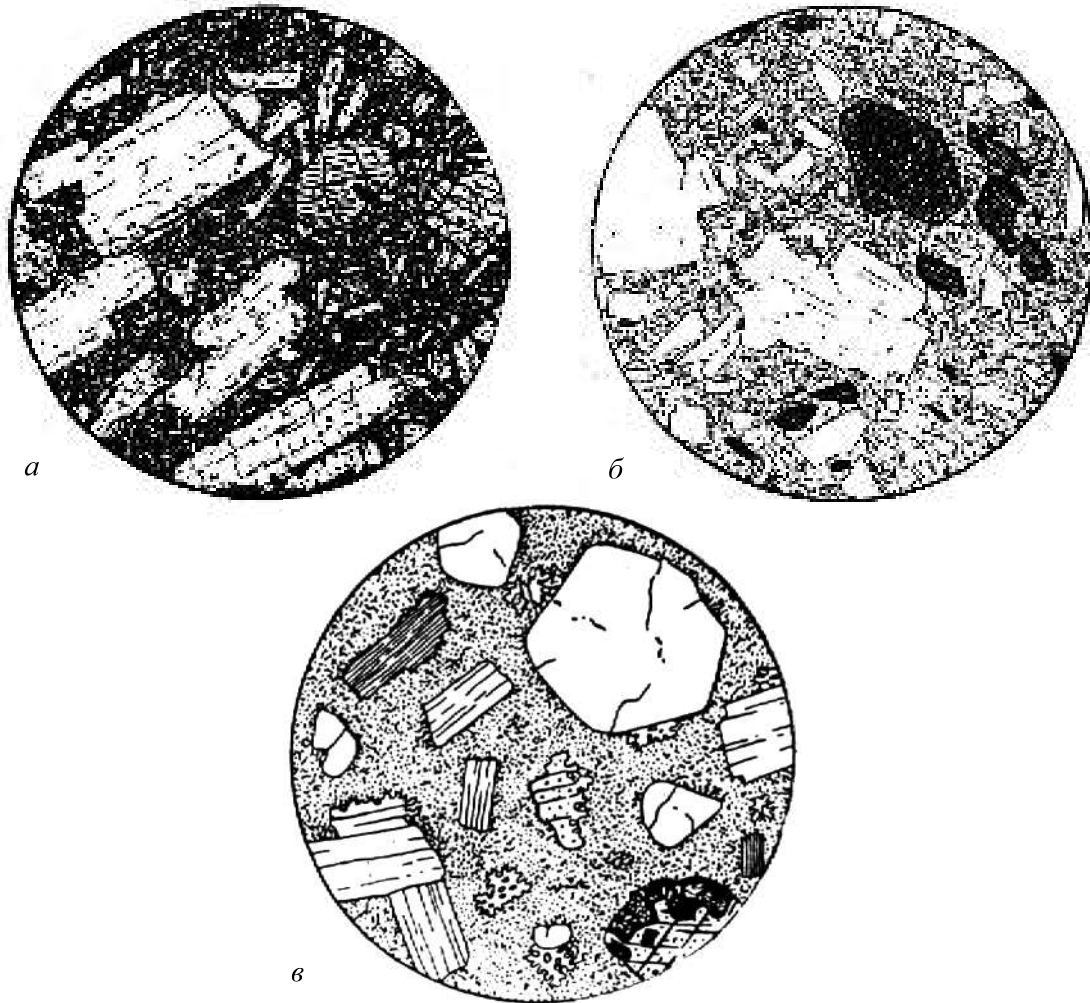


Рис. 7. Эффузивные породы порфировой структуры (по А. Н. Заварицкому и Х. Вильямсу):

а - плагиоклазовый **базальт** (вкрапленники - плагиоклаз, пироксен, оливин);

б - роговообманковый **андезит** (вкрапленники - роговая обманка, плагиоклаз; в основной массе преобладает вулканическое стекло);

в - **риолит** (вкрапленники - кварц, калинастровый полевой шпат, олигоклаз, биотит; основная масса афанитовой структуры).

Диаметр поля зрения: *а* - 5,3 мм, *б* - 3,4 мм, *в* - 4 мм

Текстуры

Текстуры определяются ориентировкой, относительным расположением составных частей породы и характером заполнения ими пространства:

однородная (массивная) – состав и структура породы в любом направлении одинаковы, ориентировка минералов изотропна; возникают при спокойной кристаллизации магмы;

- пятнистая (пятна образованы группами зерен);

- шаровая, подушечная – в эффузивах основного состава образуются при подводном излиянии лав;

- полосчатая (рис. 7);

- директивная – плоскостная или линейная ориентировка каких-либо зерен (преимущественная ориентировка оливина в мантийных перидотитах - причина сейсмической анизотропии мантии);

- пористая – в эффузивных породах (поры - газовые пузырьки, образующиеся при кипении лавы);

- миндалекаменная – поры в эффузивных породах заполнены более поздними минералами.



Рис. 8. Габбро полосчатой текстуры с Денежкина Камня на Урале (по Ф.Ю.Левинсон-Лессингу)



Рис. 9. Гранит. Плаггиоклаз, калиевый полевой шпат, кварц и биотит; акцессорный магнетит; диаметр поля зрения 4,3 мм (по А. Н. Заварицкому)

Плутонические (интрузивные) породы

Плутонические породы образовались при длительной кристаллизации магматических расплавов в земной коре.

Они имеют яснозернистую, большей частью средне- или крупнозернистую, реже гиганто- или мелкозернистую структуру; обычно не бывает порфировой структуры.

Минеральный состав плутонических пород:

Дунит - оливин (> 90 %)

Перидотит - оливин (>40 %), пироксен

Габбро - основной плагиоклаз (35-65 %), темноцветный минерал (пироксен, реже роговая обманка, оливин)

Диорит - средний плагиоклаз (>60 %), темноцветный минерал (пироксен, реже роговая обманка, оливин)

Сиенит - калинатровый полевой шпат, плагиоклаз (не всегда), темноцветный минерал (часто биотит) - 20-30 %

Гранит - кварц (25-40 %), полевые шпаты (50-65 %), темноцветные минералы (биотит, мусковит, роговая обманка) - 3-10 %

Вулканические (эффузивные) породы

Вулканические (эффузивные) породы – продукты кристаллизации магмы, вышедшей на земную поверхность по вулканическим каналам и быстро застывшей на суше или в подводных условиях.

Структуры: порфировая, мелкозернистая, афанитовая, стекловатая; текстуры: массивная, пористая, миндалекаменная.

Минеральный состав вулканических пород отвечает минеральному составу соответствующих plutonic аналогов (табл. 3; породы, находящиеся в таблице в одной строке, имеют одинаковый минеральный состав: риолит имеет состав гранита, трахит - сиенита и т. д.). Макроскопическая диагностика вулканических пород ведется по составу порфировых вкрапленников; минеральный состав основной массы на глаз не определяется.

Таблица 3

Вулканические аналоги plutonic пород

Плутонические породы	Вулканические породы
габбро (диорит)	базальт
сиенит	андезит
гранит	трахит
	риолит

Окраска базальтов и андезитов темно-серая до черной (между собой базальты и андезиты нередко различимы лишь под микроскопом), а трахиты и риолиты имеют более светлую окраску. Иногда трахиты внешне сходны с андезитами - те и другие породы могут иметь одинаковую серую окраску. Измененным (палеотипным) эффузивным породам свойственны буроватая, красноватая, зеленоватая окраска (последняя особенно характерна для основных и средних эффузивных пород).

Измененные (палеотипные) разности вулканических пород обозначают приставкой "мета-": например, метабазальты (ранее называемые базальтовыми

порфиритами), метаандезиты (андезитовые порфиры), метатрахиты (бескварцевые порфиры), метариолиты (кварцевые порфиры).

Наиболее распространенные эффузивные породы – базальты. В пределах континентов их количество (объем) в 5 раз превышает все остальные вместе взятые эффузивные породы. Вторыми по распространенности эффузивами являются андезиты. В отличие от базальтов, которые широко развиты на океаническом дне, андезиты распространены на островных дугах и в окраинно-континентальных вулканических поясах (например, в обрамлении Тихого океана).

Одной из разновидностей **вулканогенно-обломочных** пород являются *вулканические туфы* – породы, состоящие из обломков вулканического материала и цементирующей обломки массы. По размерам обломки разделяются на вулканические бомбы (более 50 мм), лапилли (2-50 мм) и вулканический пепел (менее 2 мм).

Если обломки образованы породами (андезитом, риолитом и т.д.), туфы называются литокластическими; если обломки образованы отдельными минералами – кристаллокластическими, а если обломки сложены вулканическим стеклом – витрокластическими.

При наличии обломков различного типа даются смешанные названия - например, при совместном присутствии обломков кристаллов и большего количества обломков пород - кристаллолитокластический туф (первым упоминается тот компонент, которого в породе меньше).

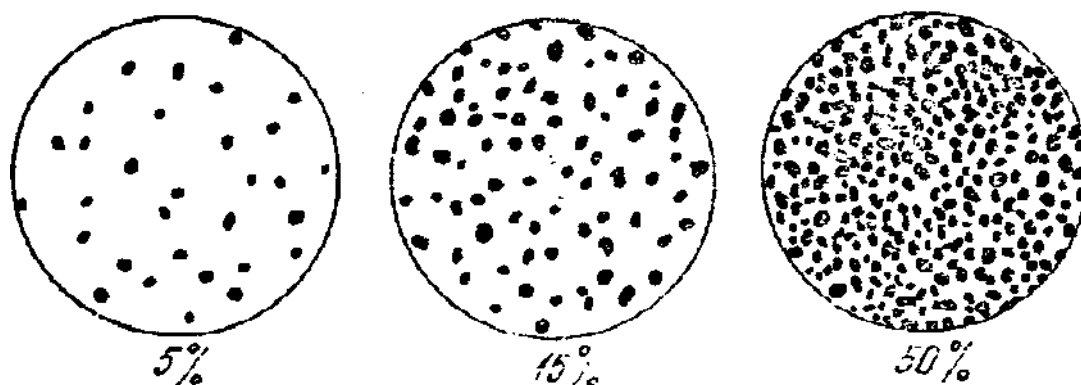
Геолог в поле изучает и картирует геологические тела, обычно образованные той или иной совокупностью (ассоциацией) горных пород. Устойчивые ассоциации магматических пород, которые, закономерно повторяясь в разных регионах, всюду формируются в сходных геологических условиях, называются магматическими формациями. Например, дунит-перидотитовая формация, габбро-пироксенит-дунитовая формация (к последней относится, например, Уктусский массив), базальт-риолитовая формация (в том числе в районе Сухоложской геологической практики), трапповая формация (наземные излияния базальтов на громадных площадях, в том числе на Сибирской платформе) и др.

Описание образцов

План описания образца магматической породы:

- название, текстура, структура, окраска породы;
- минеральный состав, в процентах (точность 5-10 %; для пород порфировой структуры указывается процентное содержание порфировых вкрапленников и основной массы);
- характеристика каждого минерала породы - размеры зерен, диагностические признаки (цвет, спайность, форма зерен и др.).

Трафареты для визуального определения процентного содержания минералов



Примеры описания образцов плутонической (А) и вулканической (Б) пород (по Л. И. Кравцовой, М. Н. Чукашевой, с изменениями).

А) Роговообманковый кварцевый диорит. Массивная среднезернистая порода серой окраски, состоящая из плагиоклаза (60-65 %), темноцветного минерала (20-25 %) и кварца (около 15 %).

Плагиоклаз зеленоватой окраски, со спайностью, образует прямоугольные в изломе зерна размером до 5-6 мм.

Кварц серого цвета, с раковистым изломом, в виде изометричных зерен размерами 2-3 мм, выполняющих промежутки между зернами плагиоклаза.

Темноцветный минерал представлен роговой обманкой – черная, с блестящими плоскостями спайности (по двум направлениям под косым углом), образует вытянутые призматические зерна шириной до 1-2 мм, длиной до 5-6 мм.

Б) Биотитовый риолит. Массивная порода порфировой структуры с вкрапленниками кварца, полевого шпата, биотита и буровато-серой афанитовой основной массой. Вкрапленники составляют третью часть породы и сложены на 70 % полевым шпатом, 20 % - кварцем, 10 % - биотитом.

Вкрапленники полевого шпата имеют размер от 3 до 6 мм, правильную форму и хорошо выраженную спайность. По окраске выделяются два вида полевых шпатов - белый, местами слегка зеленоватый, по-видимому, плагиоклаз, и розоватый, очевидно, калинатровый полевой шпат.

Вкрапленники кварца имеют округлую форму, их размеры колеблются от 3 до 5 мм, обладают дымчато-серым цветом, стекляннным блеском и раковистым изломом.

Биотит образует шестиугольные блестящие чешуйки черного цвета размерами 1-2 мм.

Плотность магматических пород

Плотность светлых (салических) минералов (калиевый полевой шпат 2,55, кварц 2,65, альбит 2,61, анортит 2,76 г/см³) ниже плотности темноцветных (мафических) минералов (3,2-3,3 г/см³).

Плотность plutonic пород находится в строгом соответствии с их минеральным и химическим составом и повышается по мере перехода от кислых к средним и далее к основным и ультраосновным породам (средние значения плотности гранитов 2,58, гранодиоритов - 2,69, габбро - 2,95, дунитов – более 3,2 г/см³). Уменьшение содержания кремнезема на 20 % соответствует увеличению плотности на 0,37 г/см³.

Плотность вулканических пород в целом ниже, чем соответствующих plutonic пород (из-за пористости, наличия стекла и других особенностей вулканических пород), но также возрастает по мере перехода от кислых к средним, основным и ультраосновным вулканическим породам. Из-за большего разнообразия структур и текстур диапазон изменения плотности вулканических пород шире, чем у plutonic пород. За счет отсутствия значительной пористости измененные (палеотипные) вулканические породы обычно имеют более высокую плотность, чем свежие (кайнотипные) вулканические породы того же состава.

Плотность plutonic пород при вторичных изменениях обычно уменьшается. Например, плотность ультраосновных пород при их серпентинизации (при замещении оливина и пироксена серпентином – рис. 10) уменьшается (плотность серпентина ниже, чем плотность замещаемых им оливина и пироксена). В массиве Рай-Из (Полярный Урал) слабо- (5 %) серпентинизированные перидотиты имеют плотность (объемный вес)

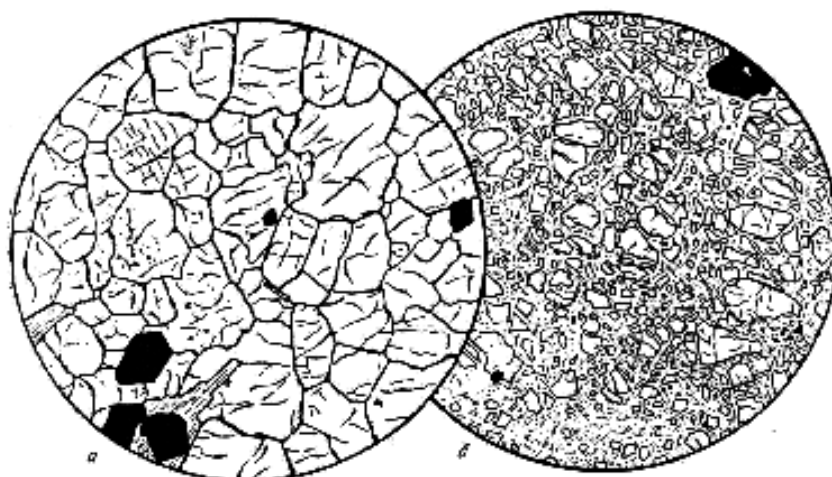


Рис. 10. Дунит: *а* – свежий (оливин, отдельные зерна хромита);
б - серпентинизированный (остатки оливина в в массе серпентина);
диаметр поля зрения: *а* – 4,7 мм, *б* – 4,0 мм (по А. Н. Заварицкому).

3,06 г/см³, средне- (40 %) серпентинизированные – 2,91 г/см³, сильно- (70 %) серпентинизированные – 2,70 г/см³.

При выветривании плотность пород также уменьшается (до 20-25 %) – за счет минеральных превращений (например, образования глинистых минералов) и особенно за счет увеличения пористости (которая в результате выветривания может достигать 25 %).

ЛИТЕРАТУРА

Основная:

Белоусова О. Н., Михина В. В. Общий курс петрографии. М., Недра, 1972.

Миловский А. В. Минералогия и петрография. М., Недра, 1979.

Дополнительная:

Петрография и петрология магматических, метаморфических и метасоматических пород. М., Логос, 2001.

Петрографический кодекс. Л., Недра, 1995.

КОНТРОЛЬНЫЕ ВОПРОСЫ

В процессе изучения дисциплины необходимо подготовить ответы на эти вопросы в письменном виде.

1. Химический состав магматических пород
2. Ультраосновные магматические породы
3. Минеральный состав базальтов, андезитов, риолитов
4. Назвать разновидности структур плутонических и вулканических пород
5. Магматические породы основного состава
6. Светлые минералы магматических пород
7. Плотность плутонических и вулканических пород
8. Кислые магматические породы
9. Структуры и текстуры магматических пород
10. Плутонические породы основного и среднего состава
11. Структуры и текстуры эффузивных пород
12. Темноцветные минералы магматических пород

2. ОСАДОЧНЫЕ ПОРОДЫ

Наука об осадочных породах - литология. Это одна из наиболее молодых наук геологического цикла - как геохимия и геофизика, она обязана своим развитием XX веку. Задачей литологии является всестороннее изучение осадочных пород и условий их образования.

Особое значение осадочных пород состоит в том, что они занимают 75 % поверхности суши (мощность осадочной оболочки 0-24 км) и вмещают около 70 % всех извлекаемых человеком полезных ископаемых – уголь, нефть, газ, руды Al, Fe, Mn, U, соли, фосфориты, полезные ископаемые россыпей и др., а также вмещают основную массу подземных вод.

Осадочная порода – геологическое тело, образованное из продуктов физического и химического выветривания литосферы в результате их механического, химического или биологического переноса и осаждения.

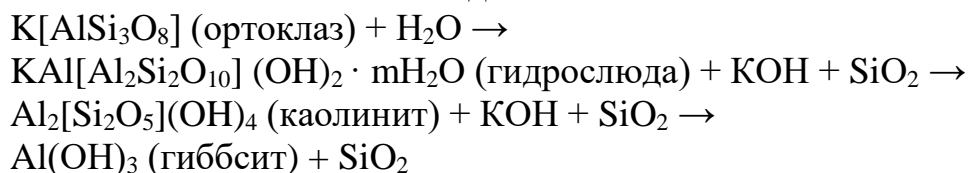
Стадии образования осадочных пород

Гипергенез

Гипергенез - это образование исходного материала для осадочных пород – физическое и химическое выветривание более древних горных пород.

Физическое выветривание приводит к преобразованию массивной породы в совокупность обломков (глыбы, щебень, песок). В аридных областях (например, пустынях и полупустынях), в полярных и холодных горных странах развито преимущественно только физическое выветривание.

Химическое выветривание сопровождается разложением исходных минералов выветривающейся породы и образованием новых минералов. При этом происходят различные химические реакции, главной из которых является гидролиз – реакция взаимодействия между минералом и водой. В результате гидролиза наиболее распространенные минералы – полевые шпаты - преобразуются в такие глинистые минералы, как *гидрослюда* и *каолинит*; при этом кремнезем из полевых шпатов частично переходит в воду, а Na, K, Ca полевых шпатов полностью выносятся водой:



Для обеспечения процесса гидролиза нужна интенсивная циркуляция воды, которая уносит с собой растворимые продукты выветривания (в данном случае KOH и SiO₂).

Рассмотренное выше образование каолинита и гиббсита на месте полевых шпатов происходит *во влажном тропическом климате*. В этом климате в каолинит, гидроксиды Fe, Al и растворенные ионы K¹⁺, Na¹⁺, Ca²⁺, Mg²⁺ преобразуются все минералы, кроме кварца. *В умеренном климате* химическое

выветривание проявлено слабее и сопровождается образованием на месте минералов магматических пород таких глинистых минералов, как гидрослюда и монтмориллонит.

Седиментогенез

Седиментогенез - это перенос осадков с места их образования при физическом и химическом выветривании главным образом в морские бассейны; он осуществляется преимущественно реками. Обломки минералов и горных пород переносятся реками преимущественно волочением по дну, глинистые минералы – в виде тонкой взвеси; K^{1+} , Na^{1+} , Ca^{2+} , Mg^{2+} и другие ионы – в виде растворов.

Осаждение в морских бассейнах

При впадении рек в морские бассейны материал, принесенный речной водой, осаждается на дне моря.

Механическое осаждение. Скорость осаждения частиц в воде пропорциональна квадрату размера частиц, поэтому крупные частицы осаждаются быстро, а мелкие – значительно медленнее, т. е. могут переноситься водами на большее расстояние от берега. В связи с этим достаточно крупнообломочный материал (галька, песок) захороняется в прибрежной зоне. По мере увеличения глубин и расстояния от суши на дне моря происходит отложение все более мелких частиц. Например, песок на дне Черного моря отлагается на глубинах до 20-30 м. Еще более мелкие алевритовые и пелитовые (глинистые) частицы, переносимые в виде взвеси, осаждаются на более значительных глубинах.

Глубоководный шельф и материковый склон в морских бассейнах покрыты главным образом алевропелитовыми осадками, а главная часть ложа океана является областью развития глубоководной глины и биогенных илов. Хотя иногда мутьевыми (суспензионными) потоками по подводным каньонам, которые прорезают шельф и материковый склон, мелководный грубый материал достигает и ложа океана.

В осадках водных бассейнов почти всегда присутствует органическое вещество. В глинистых отложениях его значительно больше, чем в алевритовых и песчаных осадках.

Химическое осаждение. Воды морей и океанов, особенно на глубинах до 100 м, периодически насыщены и пересыщены бикарбонатами кальция, что приводит к осаждению из морской воды кальцита:



Повышение температуры увеличивает летучесть CO_2 и смещает реакцию вправо. Поэтому карбонатные осадки образуются преимущественно в теплых морях, причем особенно на малых глубинах в зоне действия волн. Часто образование карбонатных осадков связано с жизнедеятельностью организмов (биохимическое осаждение).

При жарком аридном климате и повышенной солености морской воды в прибрежно-морских условиях (в лагунах и заливах) происходит осаждение солей (рис. 11). Они выпадают из морской воды в следующей последовательности: гипс (ангидрит) – галит – сильвин – карналлит.

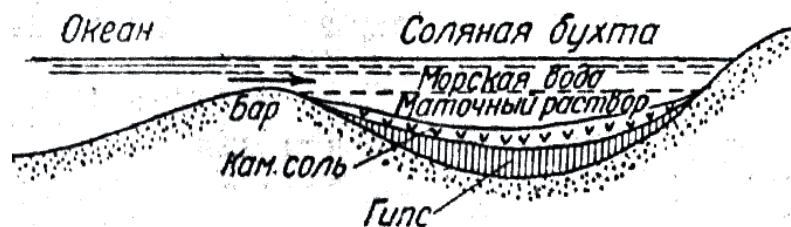
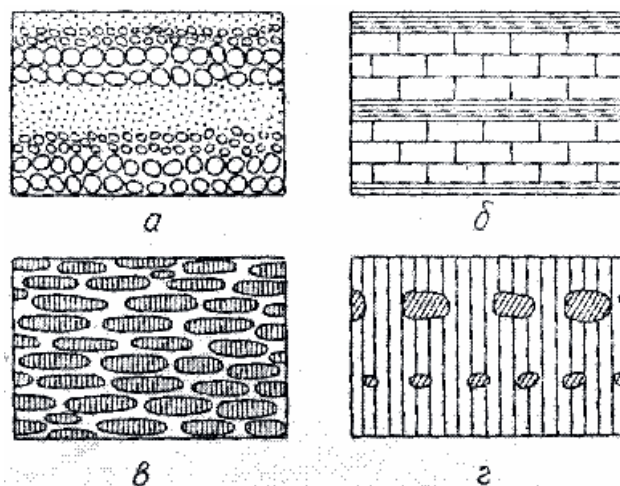


Рис. 11. Схема осаждения солей (по Оксениусу)

Слоистость - характерная особенность строения осадочных пород. Слои обособляются друг от друга или вследствие различия в составе или благодаря наличию поверхностей напластования, являющихся следствием пауз в седиментации (рис. 12). Одна из основных причин слоистого строения осадочных толщ, чередования в разрезе пород различного состава – тектонические колебательные движения при осадкообразовании.

Рис. 12. Слоистость, обусловленная:

а – изменением крупности зерна;
б – чередованием слоев разного состава;
в – горизонтальной ориентировкой частиц;
г – расположением в одной плоскости какого-либо материала (конкреций, валунов и т.п.); по Л. В. Пустовалову



Отдельные слои могут состоять из мелких (мощностью от долей миллиметра до первых сантиметров) *слоёв* (слоистость); слои, в отличие от слоев, не имеют какой-либо внутренней структуры и образуются за значительно меньший период времени, в связи с колебаниями факторов седиментации. Граничные поверхности слоя или слойка могут быть параллельными и непараллельными, волнистыми и изогнутыми.

Слоистая текстура породы часто определяет анизотропию коллекторских свойств породы – перпендикулярно слоистости проницаемость пород значительно меньше, чем вдоль слоистости.

Горизонтальная слоистость может быть свойственна различным - аллювиальным, озерным, пролювиальным, водно-ледниковым, лагунным и морским - отложениям. Например, она наблюдается в алевритовых и пелитовых

осадках, которые образуются из частиц, переносимых в виде взвеси и медленно осаждающихся в спокойной воде. Горизонтальная слоистость озерных отложений нередко характеризуется чередованием песчаных слойков, возникших в период весеннего снеготаяния и дождевых периодов, когда в озеро поступает большое количество обломочного материала, и глинистых слойков, возникающих в зимнее время.

Косая (по отношению к горизонтальной плоскости) слоистость – элементарные слойки располагаются под углом к плоскостям наложения. В большинстве случаев образуется в перемещающихся осадках (прибрежно-морская, дельтовая, речная косая слоистость); встречается в песчаниках, алевролитах, карбонатных породах.

Градационная слоистость – от подошвы к кровле слоя размерность осадочного материала изменяется (например, снизу вверх галька в слое сменяется песком, а затем глиной – рис. 12, а); обычно образуется в толщах флишевого типа при отложении осадков из мутьевых (суспензионных) потоков.

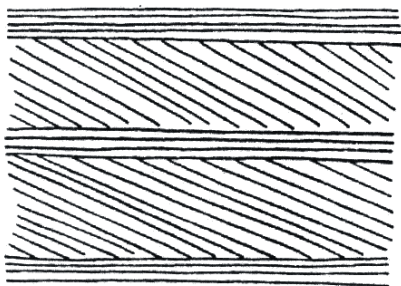


Рис. 13. Поточковая слоистость (по Н.В. Логвиненко)

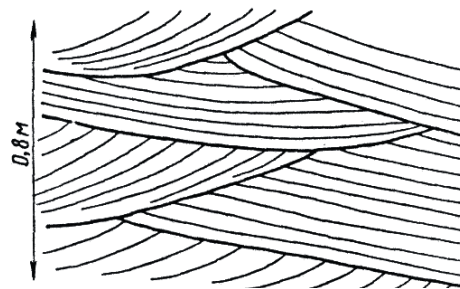


Рис. 14. Диагональная слоистость прибрежно-морского типа

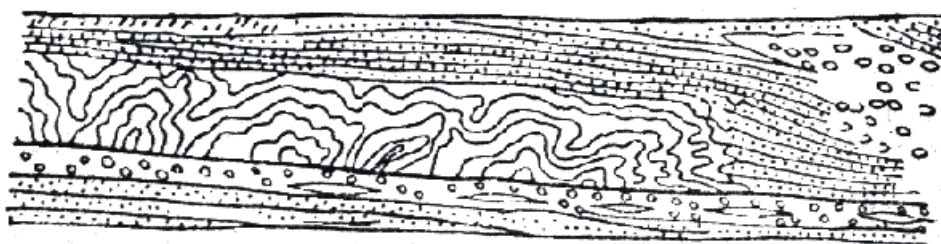
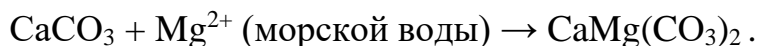


Рис. 15. Подводный оползень в артинских отложениях на западном склоне Урала (по А. А. Иванову)

Диагенез

Свежевыпавший осадок представляет собой рыхлую массу, состоящую из обломков, химически осажденных компонентов и органического вещества, в том числе бактерий. Изменения, происходящие в осадке после его образования, называются диагенезом. В водных бассейнах эти изменения определяются стремлением к достижению химического равновесия между осадком и наддонной водой.

- В морских осадках при высокой солености воды и теплом климате происходит образование доломита на месте первоначально выпавшего кальцита:



- Характерная особенность осадка, образовавшегося в водной среде – обилие микроорганизмов. Они развиваются в осадке за счет органического вещества. Чем выше дисперсность осадка и меньше глубина погружения осадка, тем больше в нем микроорганизмов.

Сульфатвосстанавливающие бактерии, присутствующие на дне водных бассейнов в восстановительной обстановке, окисляют органическое вещество, отнимая кислород из сульфат-иона наддонной воды. Для бактерий эта реакция играет роль дыхательного акта. Окисленный углерод выделяется при этом в виде углекислого газа CO_2 , а восстановленная сера - в форме сероводорода H_2S .

Сероводород может взаимодействовать в осадке с оксидами железа с образованием сульфидов железа, в том числе пирита FeS_2 . Пирита образуется тем больше, чем больше в осадке органического вещества, за счет которого развиваются микроорганизмы. В результате пестроты физико-химических условий в разных участках осадка пирит, как и другие диагенетические минералы, может перераспределяться, уходя из одних мест и создавая в других местах сгущения: пятна, линзы, конкреции.

Катагенез

Катагенез - изменения осадков при их погружении на глубину более нескольких десятков метров. Отложения в зоне катагенеза называют не осадками, а осадочными породами.

Зона катагенеза - область развития подземных вод. Нижняя граница зоны катагенеза находится в области прекращения свободного перемещения растворов при почти полном исчезновении пористости пород. Температура при катагенезе может достигать $200\text{ }^\circ\text{C}$, давление – 200 МПа .

- По мере увеличения глубины залегания пород их пористость и проницаемость понижаются, а плотность и хрупкость возрастают (катагенез глинистых пород – см. ниже).

- При разложении присутствующего в осадочных породах органического вещества на глубинах 2-4 км при температуре $60\text{-}150\text{ }^\circ\text{C}$ в осадочных бассейнах образуются нефть и газ (по некоторым авторам, нефть образуется на глубинах 1,8-3,5 км, газ – 3,5-5 км).

- При взаимодействии карбонатов с водой (при температуре выше $75\text{ }^\circ\text{C}$) может происходить их гидролиз, сопровождающийся выделением CO_2 . Гидролиз карбонатов происходит в том случае, если CO_2 может удаляться с места реакции, т. е. при достаточной проницаемости вышележащих пород. Растворение CO_2 в воде приводит к образованию углекислых водных

растворов, из которых при катагенезе может происходить отложение карбонатов в трещинах пород и в виде цемента песчаников.

• В результате процессов растворения под давлением происходит снижение пористости обломочных пород и образование стилолитовых швов (рис. 16).



Рис. 16. Стилолитовые швы в известняке, пересекающие стебли кораллов и прожилок кальцита. Верхняя юра, Крым; $\frac{1}{2}$ нат. вел. (по Г. И. Бушинскому)

При более высоких температурах и давлении катагенез сменяется метаморфизмом. В связи с этим ниже осадочных пород часто залегают метаморфические породы, являющиеся в значительной своей части продуктом преобразования осадочных пород. Кроме того, осадочные породы иногда залегают на коре выветривания магматических, метаморфических или более древних осадочных пород.

Обломочные породы

Грубообломочные породы

Псефитовая (грубообломочная) структура - обломки имеют размеры более 2 мм.

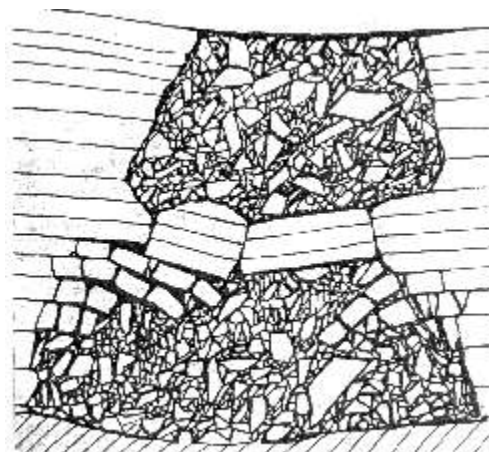


Рис. 17. Доломитовая брекчия, образовавшаяся в результате обрушения слоистых доломитов в полости карстовой пустоты. Среднее Поволжье, $\frac{1}{20}$ нат. вел.

Сцементированные породы:

конгломераты (обломки окатаны), брекчии (обломки не окатаны – рис. 17)

Несцементированные породы:

(окатанные)	(не скатанные)	(размер обломков)
<i>валуны</i>	<i>глыбы</i>	> 200 мм
<i>галька</i>	<i>щебень</i>	20-200 мм
<i>гравий</i>	<i>дресва</i>	2-20 мм

Песчаные породы

Песчаные породы составляют около 15 % общего объема осадочных пород. Псаммитовая (песчаная) структура - обломки имеют размеры 0,05-2,0 мм:

пески (несцементированные) и *песчаники* (сцементированные)

По размеру обломков пески и песчаники разделяются на крупнозернистые (0,5-2,0 мм), среднезернистые (0,25-0,5 мм), мелкозернистые (0,1-0,25 мм) и тонкозернистые (0,05-0,1 мм).

По составу обломков (определяют с помощью лупы) пески и песчаники разделяются на *кварцевые* и *полимиктовые* (среди обломков наряду с кварцем присутствуют и другие минералы). Среди полимиктовых песчаников выделяют *аркозовые* (светло-серые, розовые - состоят из кварца, полевого шпата, мусковита) и *граувакковые* (темные зеленовато-серые /«грау» - серый/, состоят из кварца, полевого шпата, темных обломков пород).

Граувакковые песчаники – наиболее широко распространенные песчаные породы. Они образуют мощные толщи в складчатых областях. Подавляющее большинство современных континентальных и шельфовых песков также представлено граувакками.

Типы цемента в песчаниках:

базальный – зерна не соприкасаются друг с другом (*a* на рис. 18);

поровый – зерна соприкасаются друг с другом (*б* на рис. 18);

пленочный – цемент покрывает поверхность зерен пленкой (*в* на рис. 18);

контактный – локальный, только в местах контактов зерен (*г* на рис. 18).

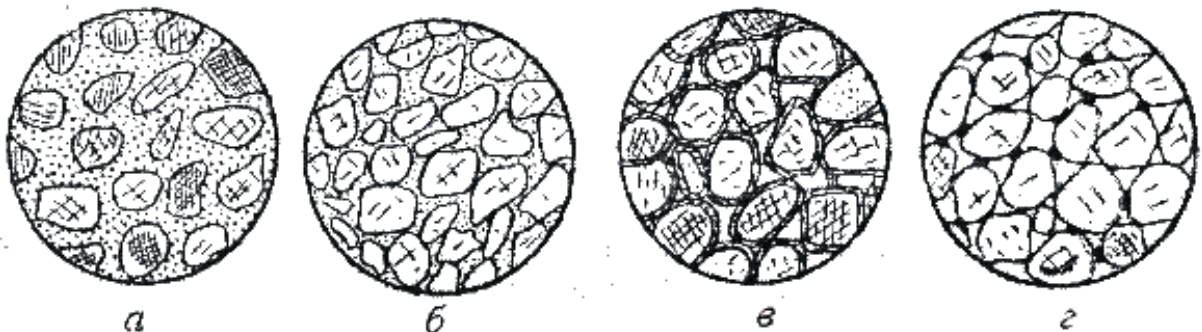


Рис. 18. Типы цемента обломочных пород

По составу цемент в песчаниках может быть глинистым, карбонатным, опаловым, кварцевым и др. Наличие в цементе песчаника карбонатов (кальцита, доломита) устанавливается реакцией с соляной кислотой.

Фациальные разновидности песчаных пород

Прибрежно-морские песчаные породы - преимущественно средне- и мелкозернистые.

Морские песчаные породы - образуют значительные по размерам геологические тела, имеющие форму пластов с постепенно возрастающей в сторону моря мощностью. Встречаются и локальные песчаные тела – бары (протягиваются в море параллельно берегу валами протяженностью до десятков километров при ширине 2-5 км и мощности несколько метров).

Окраска морских песчаников обычно серая, близ поверхности из-за проникновения по порам и трещинам поверхностных вод - серовато-желтая. Цемент морских песчаников часто глинистый или кальцитовый.

Речные песчаные породы - дают геологические тела протяженностью в сотни и тысячи километров при относительно небольшой ширине, мощность – единицы метров.

Дельтовые песчаные породы - образуют тела сложной формы и резко меняющейся мощности. По мере удаления от берега в дельтовых песчаных отложениях возрастает роль алевритового и глинистого материала. При этом из-за повышения содержания органического материала песчаники приобретают все более темную окраску.

Эоловые песчаные породы – в пустынях, полупустынях, на островах и прибрежных частях суши (дюны).

Алевритовые породы

Алевритовая (пылеватая) структура - обломки имеют размеры 0,005-0,05 мм: *лёсс* (несцементированный), *алевролит* (сцементированный).

Пористость обломочных пород

Обломочные породы – одни из самых распространенных коллекторов нефти, газа, подземных вод. Из обломочных пород-коллекторов добывается более половины общего мирового объема добываемых углеводородов, в России и США – это главные породы-коллекторы.

Чаще всего коллекторами являются морские песчаные и алевритовые образования шельфа, прилегающие к континентам морей, дельтовые, речные и эоловые отложения. Типичные представители обломочных пород-коллекторов – мелкозернистые пески и песчаники, крупнозернистые алевриты и алевролиты, песчано-алеваитовые породы, реже среднезернистые песчаники. Грубообломочные породы, крупнозернистые пески и песчаники, мелкозернистые алевриты и пелиты редко бывают коллекторами.

Одним из основных факторов, определяющих фильтрационную способность обломочных пород и продуктивность нефтегазоносных пластов, является размер пор в породах. Поровое пространство в обломочных породах представляет собой систему извилистых каналов изменяющегося сечения. Основные пути фильтрации флюидов - самые крупные поры в породе и соединяющие их каналы. Мелкие поры (менее 1-2 мкм) заполнены физически связанной водой и практически непроницаемы.

Размеры межзерновых пор тем больше, чем крупнее и однороднее по размеру обломочные зерна. Поэтому чем больше размер обломочных частиц, тем проницаемость пород выше. Породы, сложенные окатанными частицами, более проницаемы, чем сложенные неокатанными частицами.

Чем однороднее частицы по размерам, тем выше пористость и проницаемость пород (и несколько ниже их плотность). При слабой отсортированности мелкие обломочные частицы заполняют пространство между крупными частицами и снижают пропускную способность поровых каналов.

Песчано-алевритовые породы с большим количеством слюды, чешуйки которой ориентированы параллельно слоистости, отличаются сильной анизотропией проницаемости. В направлении, перпендикулярном ориентировке чешуек слюды, она резко понижена по сравнению с направлением параллельно ориентировке слюды.

Межзерновые поры могут быть первичными – образовавшимися при седиментогенезе, и вторичными – образовавшимися при катагенезе. Кроме межзерновых пор в обломочных породах могут быть и трещинные поры (зияющие трещины).

Пористость во многом определяется характером цемента обломочных пород. При базальном и поровом типах цемента межзерновая пористость очень низка или отсутствует. В песчаниках с карбонатным (кальцитовым) цементом иногда отмечается частичное растворение цемента при катагенезе; это приводит к повышению пористости пород. Например, в мезозойских песчаных и алеритовых породах Прикаспийской впадины при погружении на 2-2,5 км растворяется до 60 % кальцита, в результате чего пористость пород на этих глубинах возрастает до 20-25 % (в целом пористость песчаных пород изменяется от долей процента до 50 %).

Глинистые породы

Глинистые породы - это наиболее распространенные осадочные породы, на них приходится около 70 % от общего объема осадочных пород. Глинистые породы характеризуются высоким содержанием (20-50 %) Al_2O_3 (глинозема).

Глины - тонкодисперсные породы особого минерального состава, размокающие в воде. По мере насыщения водой мельчайшие частицы глинистых минералов покрываются водной оболочкой, в результате чего глины в смеси с водой дают вязкое тесто и становятся пластичными.

Минеральный состав глин (каолинитовые, монтмориллонитовые, гидрослюдистые) может быть макроскопически определен лишь в отдельных случаях для некоторых чистых глин. Многие каолинитовые глины - белые, светло-серые, в воде не разбухают. Монтмориллонитовые глины - светло-серые с желтовато-зеленоватыми оттенками, разбухают или "мылятся" в воде. Гидрослюдистые глины - различной окраски, в воде не разбухают. Точное определение минерального состава глин производится рентгеновским и другими специальными методами.

Каолинитовые глины образуются при химическом выветривании горных пород во влажном тропическом климате. Попадая в море, каолинит преобразуется в гидрослюды.

Гидрослюдистые глины образуются при более слабом химическом выветривании, в том числе в холодном и умеренном климате; это наиболее распространенные глины, к ним относится большинство четвертичных глин России.

Монтмориллонитовые глины – наиболее пластичные и наименее водопроницаемые глинистые породы. Нередко монтмориллонит присутствует в некоторых гидрослюдистых глинах. Иногда среди морских глин встречаются почти мономинеральные протяженные пласты монтмориллонитовых глин (мощностью в единицы или десятки см), которые образуются за счет морского подводного химического разложения вулканического пепла. Это светлые кремовые, светло-зеленые или желтовато-серые породы.

Морские глинистые породы из-за примеси тонкодисперсного органического вещества имеют серую или черную окраску (последнюю придает породе 3-4 % органического вещества). Глинистые породы с тонкодисперсным органическим веществом часто содержат повышенные концентрации U, V, Mo, Ni, Co, Cu.

Глины морского происхождения, состоящие почти исключительно из глинистых частиц, имеют *пелитовую* структуру (размер глинистых частиц менее 0,005 мм), в то время как глины континентального происхождения обычно содержат примесь алевритового или псаммитового материала - имеют алевропелитовую или псаммопелитовую структуру.

Катагенез глинистых пород

В ходе катагенеза пористость глинистых пород уменьшается: на глубине до 1 км пористость морских глин составляет десятки процентов, а на глубине 3-5 км - первые проценты (рис. 19). Седиментогенные воды, заполняющие поры в глинистых породах, при катагенезе отжимаются из этих пор в смежные более жесткие пласты (сложенные, например, песчаниками), где еще сохраняется достаточно высокая пористость.

При температуре 100-140 °С (на глубине 1-3,5 км) монтмориллонит начинает превращаться в глинистых породах в гидрослюду. В ходе этого

процесса из 1 м³ глины в окружающие породы выделяется до 100-110 л воды, которая находилась в монтмориллоните в химически связанном состоянии.

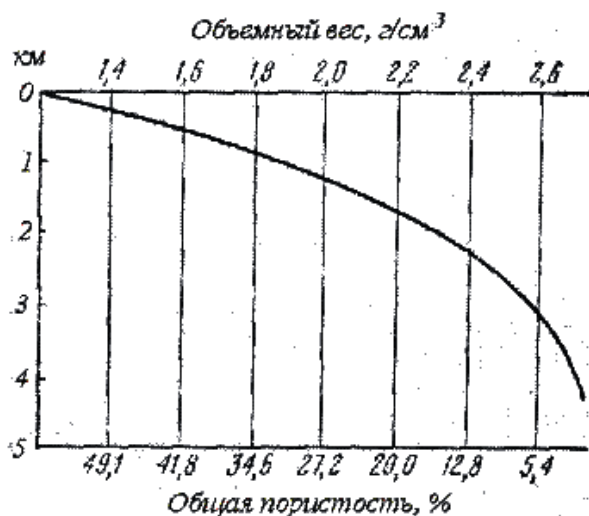


Рис. 19. Зависимость пористости и объемного веса глинистых пород от глубины их погружения (по Белоусовой и Михиной)

Каолинит при повышении температуры в присутствии К также начинает превращаться в гидрослюда, а в присутствии Mg (который может поставляться в раствор при гидрослюдизации монтмориллонита) – в хлорит. В связи с этим глинистые породы преобразуются при катагенезе в хлорит-гидрослюдистые глинистые породы, которые не размокают в воде, не пластичны, имеют пористость 1-2 % – *аргиллиты* (массивной текстуры) или *глинистые сланцы* (раскалываются на тонкие плитки).

Глинистые породы на месторождениях углеводородов

Хотя глинистые породы – флюидоупоры, в некоторых случаях в них может содержаться нефть – в трещинах, образовавшихся после уплотнения глинистых пород. То есть глинистые породы иногда могут быть трещинными и каверново-трещинными коллекторами.

В баженовской свите верхней юры Западной Сибири черные битуминозные гидрослюдистые глины с тонкими прослоями и линзочками алевритистых, кремнистых и карбонатных разностей являются нефтепродуцирующей толщей. В этих глинах наряду с преобладающими гидрослюдами широко развиты смешанослойные минералы (гидрослюда-монтмориллонит), имеются примеси каолинита и хлорита. Темная окраска глин обусловлена примесью органического вещества. Генерируемая нефть накапливается в глинах в микротрещинах длиной 0,01-0,03 мкм и по плоскостям наслоения.

Отложения баженовской свиты образовались в морских и прибрежно-морских условиях. При этом в центральных частях морского бассейна отлагались наиболее битуминозные глины, а в прибрежных частях морских бассейнов в глинах появляются прослойки песчаников и алевролитов. В результате периодического поступления в морской бассейн холодных

арктических вод и массовой гибелью в связи с этим теплолюбивых морских организмов, в глинистых осадках накапливалось большое количество органического вещества, за счет которого при катагенезе генерировалась нефть.

Хемогенные и биогенные породы

Хемогенные породы образуются в результате выделения из морской воды тех или иных минералов без участия организмов, а биогенные – при участии организмов. Оба вида пород рассматриваются вместе, так как могут иметь одинаковый химический и минеральный состав, часто встречаются совместно и не всегда различимы между собой.

Карбонатные породы

Карбонатные породы составляют 20 % от всех осадочных пород, образуются в теплых мелководных морях, по способу осаждения в основном биогенные.

Обычно имеют светлую окраску, но в случае присутствия органического вещества (обычно являющегося спутником глинистой примеси) могут иметь темно-серую окраску, а нефтеносные карбонатные породы могут быть черными или буровато-черными.

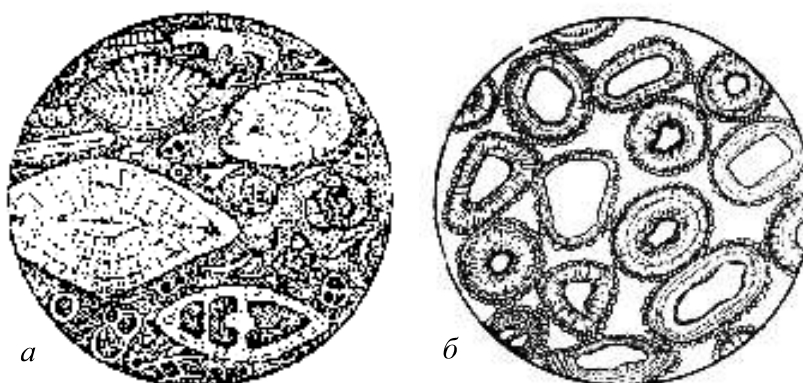


Рис. 20. Известняки под микроскопом: *а* – органогенный (раковины фораминифер находятся в связующей массе, состоящей из микрокристаллического кальцита); *б* – оолитовый (оолиты состоят из обломочных зерен кварца, окруженных каемкой карбоната). Диаметр 3 мм (по Х. Вильямсу)

Известняк - состоит из кальцита CaCO_3 , вскипает при взаимодействии с разбавленной (2-5 %) соляной кислотой:

- органогенный (цельнораковинный и детритовый - состоящий из обломков раковин);
- оолитовый (оолиты - шарики концентрического строения размерами до 1-2 мм);
- пелитоморфный (зерна менее 0,005 мм);
- перекристаллизованный: микрозернистый 0,005-0,05 мм
мелкозернистый 0,05-0,25 мм

среднезернистый	0,25-0,5 мм
крупнозернистый	0,5-1,0 мм
грубозернистый	>1,0 мм

(те же названия структур используются и для других приводимых ниже осадочных пород).

Цельнораковинные органогенные известняки могут быть рифовыми и ракушняковыми.

Рифы – подводные или надводные известковые постройки, сложенные скелетами организмов в их прижизненном положении. В период своего образования риф возвышался над дном моря и организмы жили вблизи поверхности воды (рифы образуются в зоне прогибания морских бассейнов).

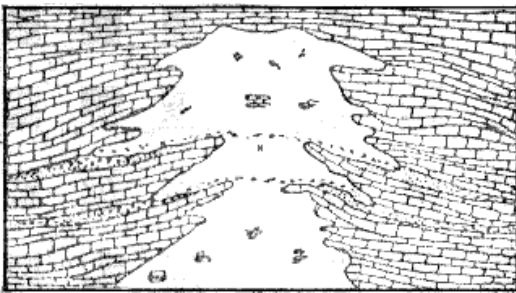


Рис. 21. Коралловый риф
(по У. Твенхофелу)

Рифовые известняки могут состоять из скелетов известковых водорослей, кораллов, мшанок и др. Карбонат выпадает на поверхностях, а иногда и внутри клеток водорослей в результате поглощения ими CO_2 из морской воды и практически сразу становится твердым; последнее объясняет каркасообразующую роль водорослевых известняков в теле рифа. В современных морях главные рифообразующие организмы

– кораллы, коралловые водоросли и фораминиферы.

Ракушняковые известняки образуются на отмелях.

Пелитоморфные известняки могут иметь хомогенное и биогенное происхождение. Писчий мел - одна из разновидностей пелитоморфных известняков – сложен главным образом мельчайшими известковыми фрагментами водорослей.

Мергель близок к писчему мелу, но содержит до 50% глинистой примеси. С глинистой примесью часто ассоциирует органическое вещество, придающее породам серый и черный цвет. Так как мергель представляет собой смесь кальцита и глинистого вещества, под действием разбавленной соляной кислоты он вскипает и на месте капли кислоты остается грязное глинистое пятно.

Доломит $\text{CaMg}(\text{CO}_3)_2$ - под действием разбавленной соляной кислоты не вскипает или вскипает значительно слабее, чем известняк (доломит вскипает в порошке, который можно получить, поцарапав породу куском стекла).

Коллекторские свойства карбонатных пород

Карбонатные породы обладают достаточно высокой пористостью (средняя пористость известняков 5,3 %). Иногда пористость даже на больших глубинах (более 8 км) достигает 20 %. Поры сообщаются между собой и

жидкость через них может фильтроваться. Таким характером пористости во многом объясняется как сильная обводненность карбонатных пород, так и приуроченность к карбонатным породам значительной части мировых промышленных запасов нефти.

Поры в карбонатных породах разделяются на первичные (образуются на стадии седиментогенеза) и вторичные (образуются на стадии катагенеза и при гипергенезе). Поры располагаются между зернами карбонатов, между раковинами, их обломками, между оолитами, внутри раковин (фораминифер, кораллов и др.). Наиболее высокая пористость и наиболее благоприятные коллекторские свойства - у биогенных, органогенно-детритовых и обломочных известняков. Микрозернистые и пелитоморфные известняки и доломиты имеют низкую пористость и проницаемость.

Состоящие из раковин карбонатные породы из-за жесткого каркаса раковин при погружении практически не уплотняются и пористость в них поэтому не сокращается, тогда как пелитоморфные и микрозернистые карбонатные породы при погружении значительно уплотняются и их пористость в связи с этим уменьшается.

В связи с растворимостью карбонатов в воде (растворимость кальцита в воде при наличии CO_2 может достигать 1 г/л) в карбонатных породах могут образовываться вторичные поры. Вода, попадая в первичные поры и трещины карбонатных пород, частично растворяет (выщелачивает) карбонат, что приводит к увеличению размеров пор и возрастанию пористости.

Подобное выщелачивание происходит в первично-пористых и исходно-трещиноватых карбонатных породах, в которые может проникать и через которые может фильтроваться вода. В пелитоморфных и микрозернистых карбонатных породах, которые обладают низкой исходной пористостью, вторичные пустоты выщелачивания возникают преимущественно лишь вдоль трещин в породах.

Соляные породы (эвапориты)

Каменная соль - состоит из галита NaCl (бесцветный, красноватый, синий; соленый на вкус).

Образует мощные (от сотен метров до 1-2 км) толщи однородной породы, на флангах переслаивающиеся с другими соляными породами, доломитами и известняками, а также с глинами. Каменной соли свойственны высокие экранирующие свойства – она обладает высокой пластичностью и поэтому, в отличие от других осадочных пород, обычно не содержит трещин, по которым могла бы происходить фильтрация жидкости или газа.

Сильвинит - смесь галита NaCl и сильвина KCl (сильвин молочно-белый с буро-красными оторочками, горько-соленый на вкус).

Гипс $\text{CaSO}_4 \cdot 2\text{H}_2\text{O}$ - белый, серый, твердость 2. Гипс растворяется в воде в 10-20 раз сильнее, чем карбонаты: его растворимость в воде достигает 2,6 г/л.

Ангидрит CaSO_4 - серый, реже белый, красноватый, твердость 3,5. Нередко возникает при дегидратации гипса на глубинах 100-200 м и более.

Кремнистые породы



Рис. 22.Схема залегания кремня в известняке (по Теодоровичу)

Кремнистые породы, сложенные **опалом** $\text{SiO}_2 \cdot n\text{H}_2\text{O}$: *диатомит* (сложен скорлупками диатомовых водорослей), *трепел* (состоит из комочков опала, возникает при преобразовании диатомитов) - легкие, светлые, рыхлые;

опока (наиболее глинистая разновидность опаловых кремнистых пород, в которой отдельные комочки опала в той или иной степени сцементированы между собой) - серая, белая, очень легкая, хрупкая, с раковистым изломом, тонкопористая (прилипает к языку).

Кремнистые породы, сложенные **халцедоном и кварцем**:

кремни - серые, черные, нередко встречаются в виде конкреций в карбонатных породах;

яшмы - бурые, красные, серые, зеленые, темносерые, черные; образуются в результате преобразования кремнистых илов, содержащих

органические остатки, при осаждении кремнезема в местах подводной вулканической деятельности и др.

Глиноземистые породы

Бокситы (содержание глинозема Al_2O_3 более 46 %) - внешне разнообразны: от белых глиноподобных пород до очень плотных темно-серых, почти черных зернистых пород; часто красно-коричневый цвет, бобовая и оолитовая структура.

Каустобиолиты

Торф - полуразложившиеся растительные остатки от бурого до почти черного цвета (содержание углерода до 57-59 %). Образуется при избытке влаги и отсутствии или слабом доступе кислорода (в восстановительных условиях).

Сапропель - ил, содержащий большое количество органических веществ (до 60-70 % углерода), - образуется на дне болот и озер, часто вместе с торфом.

Горючие сланцы - глинистые или известковистые породы, содержащие 20-60 % органического вещества, загораются от спички; образуются в озерах, лагунах, морях.

При катагенезе под влиянием давления вышележащих осадков и повышения температуры торф превращается в ископаемый уголь. Сначала образуется *бурый уголь* (рыхлый землистый бурого цвета или плотный черного

цвета), затем *каменный уголь* (содержание углерода до 82 %). Наиболее высокой степенью углефикации отличаются *антрациты*, состоящие из почти чистого углерода.

Осадочные фации и формации

Важная задача литологии – определение условий образования осадочных пород на основе их детального изучения (литолого-фациальный анализ). Фация – комплекс отложений, отличающийся составом и физико-географическими условиями образования от соседних отложений того же стратиграфического интервала. Фация характеризует обстановку образования породы.

Морские фации

Являются наиболее широко распространенными среди осадочных пород. Морским фациям свойственно постоянство состава пород на обширных территориях и обилие органических остатков животного происхождения.

Фации прибрежных частей шельфа (глубина моря до 30 м). Здесь образуются песчаники с незначительной примесью глинистых частиц, окатанными зернами и характерной разнонаправленной косо́й слоистостью; алевролиты и глины с примесью песка; оолитовые, органогенно-обломочные и обломочные известняки (пористость возникающих здесь карбонатных пород достигает 20-30 %).

Пляжевые отложения образованы береговыми валами, сложенными хорошо отсортированными осадками с различными косослоистыми текстурами (углы наклона косых слоев до 15°). Пляжевые отложения образуются за счет песков, выбрасываемых морем.

В прибрежных частях шельфа встречаются бары – песчаные валы, выходящие гребнем на поверхность моря, которые образуются за счет перемещения обломочного материала волнами со стороны моря к суше. Они располагаются параллельно берегу моря, имеют плоское основание и выпуклую верхнюю поверхность. Длина отдельных баров более 100 км при ширине 10-16 км.

Коллекторами в прибрежно-морских фациях могут быть терригенные (подводные валы и гряды, бары, отложения пляжа, береговых дюн), терригенно-карбонатные и карбонатные породы. Среди этих отложений практически нет флюидоупоров - глинистых пород (они более глубоководные). Поэтому прибрежно-морские фации обычно перспективны на нефть и газ лишь в случае их перекрытия трансгрессивными глинистыми отложениями более глубоководных частей морских бассейнов.

Фации мелководных частей шельфа (глубина моря 30-100 м). Образованы главным образом мелкозернистыми и среднезернистыми песчаниками, алевролитами. Глинистых пород мало (присутствуют в отдельных впадинах), они обычно содержат примесь обломочного материала. Встречаются известняки, в том числе рифовые. Характерна горизонтальная и

пологоволнистая слоистость. Условия для накопления органического вещества лучше, чем в прибрежных фациях, но из-за преобладания окислительной геохимической обстановки все же малоблагоприятны.

К мелководно-морским фациям в нефтегазоносных провинциях часто приурочены основные скопления углеводородов (коллекторы - терригенные и карбонатные породы). Среди карбонатных пород наибольшее промышленное значение имеют рифовые известняки (пористость 25-35 %), меньшее – органогенные, органогенно-обломочные и обломочные карбонатные породы (пористость 17-25 %), образовавшиеся в мелководных морях со значительной гидродинамической активностью.

Из-за примеси песчано-алевритового материала глинистые отложения мелководно-морских фаций дают покрышки невысокого качества.

Фации умеренно-глубоководных частей шельфа (глубина моря 100-200 м, реже до 400 м). Характерны слабые течения и бедный органический мир.

Здесь образуются гидрослюдистые и монтмориллонитовые глины, отмученные, без примеси песчаных частиц. В зонах донных течений присутствуют песчаники. Имеются как планктоногенные органогенные породы – фораминиферовые известняки, диатомиты, опоки, так биохемотрогенные и хемотрогенные породы. Наблюдается тонкая горизонтальная слоистость.

Эти отложения благоприятны для накопления органического вещества (планктона). Горючие сланцы доманиковского горизонта и баженовской свиты, являющиеся генераторами нефти в Волго-Уральской и Западно-Сибирской нефтегазоносных провинциях, накопились в этих частях морских бассейнов.

В образовавшихся в зонах морских течений песчано-алевритовых и грубообломочных породах, изолированных глинами, могут быть нефть и газ. Мощные чисто глинистые толщи умеренно-глубоководной фации являются региональными глинистыми покрышками высокого качества.

Глубоководные фации (глубина более 400 м). В современных глубоководных отложениях 60% составляют глины, 25 % - пески, 10 % - галька и гравий, 5 % - раковины и оолиты. Осадочный материал привносится морскими течениями и подводными мутьевыми потоками по каньонам, пересекающим материковый склон от шельфа до абиссальных глубин. Отложения мутьевых потоков встречаются на глубинах до 10 км.

Глубоководные фации благоприятны для образования глинистых флюидоупоров высокого качества. В периферических частях глубоководных областей накапливается планктоногенный органический материал, а центральные наиболее глубоководные части этих областей резко обеднены органической жизнью и неблагоприятны для образования потенциально нефтегазоматеринских толщ.

Фации, переходные от морских к континентальным

Для этих фаций характерны пестрота состава, невыдержанность его по площади и разрезу, наличие органических остатков.

Лагунные фации (лагуны - мелководные части морских бассейнов, отделенные от основного моря песчаными косами, пересыпями или барами). Сложены мелкозернистыми песками, алевритами, глинами.

В условиях влажного климата лагуны опресняются и постепенно превращаются в торфяные болота, происходит образование лагунных угленосных песчано-глинистых толщ. В теплом климате в лагунах может также накапливаться сапропелевое органическое вещество, за счет которого происходит образование природного газа.

В сухом и жарком климате происходит засоление лагун и отложение в них эвапоритов (см. рис. 11), которые являются регионально выдержанными флюидоупорами - некоторые соленосные лагуны занимали в прошлом громадные территории и в них могли накапливаться скопления солей мощностью более 1,5 км.

Дельтовые фации (в устьях рек и в прилегающих прибрежных зонах морских бассейнов или озер). Отложения дельт могут занимать площади во многие тысячи км², мощность дельтовых отложений может достигать нескольких километров.

Эти фации образованы преимущественно тонкозернистыми аллювиальными отложениями русловых потоков, часто меняющих свое положение, а также отложениями озер и болот, периодически возникающих на месте дельт, прибрежно-морскими образованиями. Доля песчаных пород составляет около 25 %. Характерно широкое развитие косослоистых текстур.

Дельтовые отложения являются нефтегазоматеринскими – из-за смешения вод различной солености и температуры в дельтах происходит массовая гибель планктона и в большом количестве накапливаются органические остатки. Из-за резкой фациальной изменчивости в дельтовых отложениях имеются многочисленные литологические ловушки нефти и газа; их покрывками служат глинистые дельтовые отложения.

Континентальные фации

Элювиальные фации (коры выветривания). При длительных перерывах осадконакопления на породах нередко образуются коры выветривания мощностью до нескольких десятков метров. Они представляют собой коллекторы с высокой пористостью (особенно нижние части кор выветривания). Залежи нефти и газа известны, например, в корах выветривания доюрских отложений Западной Сибири и в корах выветривания фундамента Русской платформы.

Аллювиальные фации. Русловые песчаные и алевритовые отложения узкими извилистыми полосами (с линзовидным поперечным сечением) прослеживаются среди пойменных отложений, преимущественно глинистых. Характерна направленная вниз по течению реки косая слоистость. Потенциальными коллекторами являются наиболее грубозернистые русловые аллювиальные фации (пористость русловых песчаников 3-20 %).

Озерные и болотные фации. Озерные фации гумидного климата благоприятны для накопления органического вещества сапропелевого типа (особенно в неглубоких хорошо проветриваемых озерах с восстановительной обстановкой в придонном слое). В болотных фациях накапливаются громадные массы органического вещества преимущественно гумусового типа, в дальнейшем преобразующегося в каменные угли.

Осадочные формации

Осадочные формации – литологически однородные крупные геологические тела, образующиеся в определенных палеотектонических и палеогеографических условиях и соответствующие по своему стратиграфическому объему ярусу или отделу, реже – нескольким отделам или части яруса. Осадочные формации – это комплексы фаций, сформировавшихся в постоянных или слабо изменяющихся тектонических и климатических условиях. Например, песчано-глинистые угленосные формации состоят из прибрежно-морских, лагунных, дельтовых, аллювиальных, озерных и болотных фаций, возникавших в гумидном климате при существенной дифференциации тектонических движений. Смена формаций обусловлена существенным изменением тектонического режима и (или) климата.

Для формаций платформ характерна относительно небольшая мощность при обширных площадях распространения. Образование этих формаций происходило преимущественно в мелководно-морских, переходных и континентальных условиях при небольшой скорости осадконакопления (метры, первые десятки метров за 1 миллион лет). Формации складчатых областей имеют огромные мощности, измеряемые километрами, полосовидное распространение.

Формации, благоприятные для формирования скоплений нефти и газа:

- песчано-глинистые и карбонатные (для древних платформ);
- песчано-глинистые угленосные, песчано-глинистые глауконитовые, карбонатные и карбонатно-терригенные (для молодых платформ);
- угленосные, карбонатные, терригенно-карбонатные, терригенно-туффито-кремнистые, тонкая моласса, флиш (для геосинклинальных и переходных областей).

Среди терригенно-карбонатных нефтегазоносных формаций выделяются доманиковые формации – с аномально высоким содержанием рассеянного органического вещества преимущественно сапропелевого типа. Характерна тонкодисперсность и повышенная кремнистость терригенных пород, тонкая слоистость. Доманиковая субформация баженовской свиты Западной Сибири на 80 % сложена глинами (см. выше).

В Апшеронской нефтегазоносной области развита тонкая молассовая формация – переслаивание глин, алевролитов, песчаников, гравеллитов и конгломератов общей мощностью более 4 км (речные, дельтовые, озерные фации). На глинистые породы приходится 50-60 % от общего количества пород.

Коллекторами являются песчаники и алевролиты. Образование формации происходило в условиях пресноводного мелководного бассейна озерного типа, куда реками сносился обильный обломочный материал с окружающей суши (большое значение имеют отложения палеodelьты Волги).

Флиш – мощная серия морских осадочных отложений с регулярным чередованием не менее трех разновидностей пород, зернистость которых уменьшается вверх по разрезу (градационная слоистость – рис. 12, а). Характерен полимиктовый состав песчано-алевритового материала и малое количество органических остатков.

Флиш образуется в узких морских бассейнах глубиной до 1 км (например, Кавказский флишевый бассейн – прогиб длиной в несколько сотен километров при ширине 50-150 км). Осадки отлагаются на значительной глубине у подножья крутых склонов из мутьевых потоков, которые возникают в результате подводных оползней при землетрясениях или при сильных паводках рек (некоторые потоки перемещаются на расстояние до 1000 км со скоростью до сотен километров в час).

СЛОВАРЬ

Аридный климат – жаркий засушливый, с малыми годовыми суммами осадков при очень сильном солнечном нагреве.

Глауконит – зеленый минерал из группы гидрослюд, встречающийся в морских осадках.

Гравеллит – сцементированный гравий.

Гумидный климат – влажный, с резким преобладанием количества осадков над испарением.

Коллектор – пористая, проницаемая порода, в которой возможно перемещение воды и углеводородов.

Покрышки – непроницаемые породы, перекрывающие залежи углеводородов.

Пролювий – отложения селевых потоков горных рек или других временных потоков, возникающих в периоды интенсивного выпадения осадков или таяния снега и ледников в горах.

Терригенные осадки – состоящие в основном из твердых продуктов денудации суши (обломков пород, минералов, глинистых частиц).

Трансгрессия – наступание моря на сушу.

Туффит – осадочно-вулканогенная порода, состоящая из осадочного и вулканогенного материала (последнего не менее 50%).

Флюидоупор – порода, непроницаемая или мало проницаемая для углеводородов и воды.

ЛИТЕРАТУРА

Основная:

Прошляков В. К., Кузнецов В. Г. Литология. М., Недра, 1991.

Логвиненко Н. В. Петрография осадочных пород. М., Недра, 1974.

Дополнительная:

Фролов В. Т. Литология. М., Изд. МГУ, 1992 (кн. 1), 1993 (кн. 2), 1995 (кн.

3).

Логвиненко Н. В., Сергеева Э. И. Методы определения осадочных пород. М., Недра, 1986.

КОНТРОЛЬНЫЕ ВОПРОСЫ

1. Чем отличается физическое и химическое выветривание в условиях разного климата?
2. Механическое и химическое осаждение осадков в морских водоемах.
3. Типы слоистости осадочных пород.
4. Охарактеризуйте процессы диагенеза и катагенеза.
5. Приведите классификацию обломочных пород.
6. Назовите разновидности песчаников по размеру обломков и по минеральному составу.
7. Фациальные разновидности песчаных пород.
8. Условия образования и применение каолиновых, гидрослюдистых и монтмориллонитовых глин.
9. Катагенез глинистых пород и переход воды из химически связанного в свободное состояние.
10. Разновидности карбонатных пород и условия их образования.
11. Пористость, прочность и растворимость карбонатных пород.
12. Коллекторские свойства песчаных и карбонатных пород.
13. Охарактеризуйте соляные породы и условия их образования.
14. Фации морских отложений.
15. Лагунные и дельтовые фации.
16. Континентальные фации.
17. Приведите примеры осадочных формаций, с которыми могут быть связаны месторождения нефти и газа.

3. МЕТАМОРФИЧЕСКИЕ ПОРОДЫ

Метаморфизм – изменение структуры и состава породы, происходящее при повышении температуры и давления, при участии растворов, без расплавления породы. Например, при метаморфизме на месте глинистой породы может образоваться гранат-мусковит-кварцевый сланец. Метаморфизму подвергаются осадочные, магматические и ранее образованные метаморфические породы. Температура метаморфизма – от 100-200 °С до температуры частичного плавления пород (650-1000 °С).

Изохимический метаморфизм – не сопровождающийся изменением химического состава породы.

Текстуры метаморфических пород

Выделяются следующие разновидности текстур метаморфических пород:

- *сланцеватая* - параллельное расположение чешуек слоистых силикатов, из-за чего порода раскалывается на тонкие плитки; породы сланцеватой текстуры называются сланцами;

- *гнейсовидная* - менее строгая параллельность чешуек слоистых силикатов и их меньшее содержание, чем в сланцах; при раскалывании порода гнейсовидной текстуры дает, в отличие от сланцеватой текстуры, плитки толщиной не менее нескольких сантиметров;

- *линейная* – призматические минералы ориентированы в одном направлении (линейность);

- *полосчатая*;

- *массивная*.

Метаморфические породы разделяются на 5 классов: 1) регионально-метаморфические; 2) контактово-метаморфические; 3) ультраметаморфические; 4) тектоно-метаморфические; 5) метасоматические.

Регионально-метаморфические породы

Регионально-метаморфические породы - это наиболее распространенные метаморфические породы, которые развиты на обширных площадях в областях складчатости и гранитообразования. В не подвергшихся складчатости прогибах, несмотря на значительное (до 25 км) погружение толщ, региональный метаморфизм не проявляется.

Метаморфическая фация – совокупность горных пород, образовавшихся при определенных температурах и давлении.

Зеленосланцевая фация (350-450 °С)

В породах присутствуют хлорит, серицит, тальк, серпентин и др. Зерна минералов нередко очень мелкие.

Филлиты - тонкозернистые сланцеватые породы с шелковистым блеском плоскостей сланцеватости (из-за параллельного расположения обычно не различимых на глаз чешуек серицита и хлорита) и низкой твердостью. В связи с примесью углеродистого вещества часто имеют окраску от темно-серой до черной. Образуются при метаморфизме глинистых пород (метапелиты).

Зеленые сланцы - тонкозернистые породы, содержат хлорит, а также более твердые минералы (актинолит, эпидот, альбит и др.), из-за чего царапают стекло. Образуются при метаморфизме основных магматических пород, главным образом базальтов (метабазиты).

Серпентиниты – состоят из серпентина (иногда содержат хризотил-асбест), образуются по ультраосновным магматическим породам (дунитам, перидотитам).

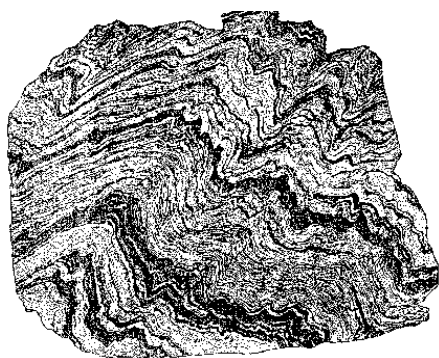


Рис. 23. Зеленый сланец плейчатой текстуры (по Ю. И. Половинкиной)

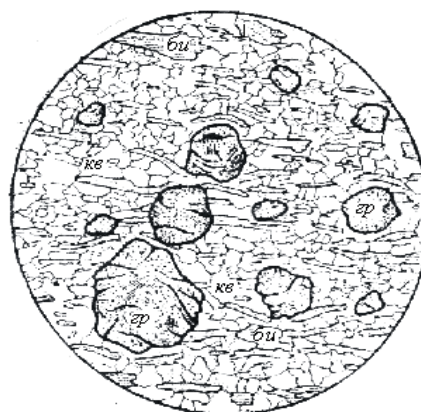


Рис. 24. Гранат (gr)-кварц (kv)-биотитовый (би) сланец

Амфиболитовая фация (550-750 °С, 400-800 МПа)

Зерна минералов достаточно крупные, различимы макроскопически. Названия породам даются путем перечисления минералов в порядке возрастания их количества: например, гранат-биотитовый сланец, мусковит-кварцевый сланец и т. п.

Кристаллические сланцы (кристаллосланцы) - содержат гранат, биотит, мусковит, кварц и др. минералы; полевых шпатов не более 20 % (рис. 24). Образуются при метаморфизме глинистых пород.

Гнейсы - гнейсовидная текстура, более 20 % полевых шпатов. Образуются при метаморфизме кварц-полевошпатовых магматических (граниты) и осадочных (песчаники) пород.

Амфиболиты - содержат в значительных количествах роговую обманку; в зависимости от сопутствующих минералов выделяются плагиоклазовые, гранатовые, эпидотовые и другие амфиболиты. Образуются при метаморфизме основных магматических пород, преимущественно базальтов.

Гранулитовая фация (700-800 °С, высокое давление)

Гранулиты - пироксеновые гнейсы (кварц, полевые шпаты, пироксен, гранат).

Большинство пород гранулитовой фации образуется в докембрии. Они обычно находятся в пределах щитов, но иногда присутствуют и в фанерозойских орогенических поясах (например, на Урале) в виде поднятых блоков докембрийского фундамента.

Эклогитовая фация (700 °С, 1300 МПа)

Эклогиты - содержат красно-бурый гранат и зеленый пироксен.

Во всех фациях метаморфизма встречаются:

- *кварциты* - состоят из зерен кварца, отличаются от исходных кварцевых песчаников тем, что раскалываются с разрывом кварцевых зерен и образованием ровной поверхности скола;

- *мраморы* - состоят из зерен карбонатов (кальцита, доломита), отличаются от исходных карбонатных осадочных пород (например, известняков) более крупной зернистостью.

Таблица 4

Некоторые метабазиты и метапелиты

Исходные породы	Фация зеленых сланцев	Амфиболитовая фация	Эклогитовая и гранулитовая фации
Магматические породы основного состава	Зеленые сланцы	Амфиболиты	Эклогиты
Глинистые и кварц-полевошпатовые породы	Филлиты	Кристаллические сланцы и гнейсы	Гранулиты

С повышением степени метаморфизма плотность метаморфических пород возрастает: зеленые сланцы – 2,6-2,7 г/см³, амфиболиты – 2,9-3,3 г/см³, эклогиты – 3,3-3,6 г/см³.

Ультраматаморфические породы

Ультраматаморфические породы образуются в условиях начинающегося плавления пород (550-670 °С). *Мигматиты* - кристаллические сланцы и гнейсы с многочисленными возникающими в результате начинающегося плавления гранитными, аплитовыми или пегматитовыми выделениями.

Наиболее широко развиты полосчатые мигматиты. Присутствующий в них жильный материал гранитного состава в виде параллельных полос прослеживается иногда на десятки метров и первые километры.

Контактово-метаморфические породы

Контактово-метаморфические породы образуются на относительно небольших глубинах (до 1-3 км) вокруг массивов интрузивных пород. Температуры контактового метаморфизма 300-800 °С, давление до 100-300 МПа. Магма, нагретая до 800 °С и застывающая на глубине 1-2 км от земной поверхности, может прогреть породы у контакта до 550 °С. Продукты контактового метаморфизма – *контактовые роговики* - нередко имеют очень мелкозернистую структуру.

Динамометаморфические породы (тектониты)

Динамометаморфические породы образуются главным образом в зонах разломов.

Тектонические брекчии – остроугольные обломки исходных пород сцементированы мелкодробленой массой (рис. 13, а).

Катаклазиты – продукты начальной стадии дробления (рис. 13, б).

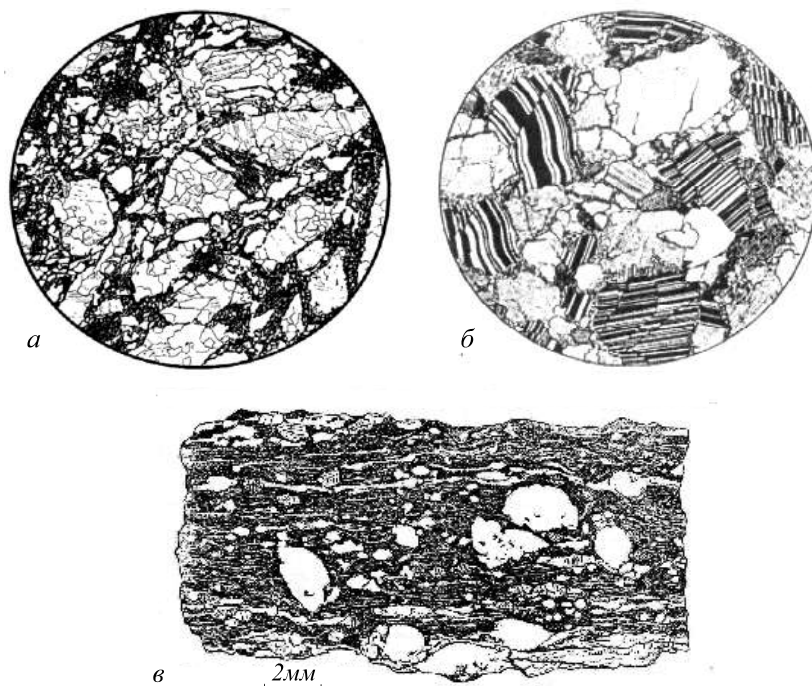


Рис. 25. Динамометаморфические породы: *а- брекчия* гранита; гранит разбит на угловатые обломки, связанные тонкоперетертым материалом того же гранита; *б – катаклазированный* гранит (ув. 30); *в – милонитизированный* гранит; обломки зерен полевых шпатов в тонко «истертой» породе; текстура породы параллельная, сланцеватая и очковая (по Ю. И. Половинкиной)

Милониты – результат самой сильной деформации, сложены более, чем на 50 % новообразованным мелкозернистым агрегатом. В отличие от катаклазитов, им свойственны сланцеватые и полосчатые текстуры. В мелкозернистой массе имеются реликты минералов исходной породы (рис. 13, в).

Метасоматические породы

Метасоматоз – метаморфизм с изменением химического состава породы (сопровождается привнесом и выносом компонентов).

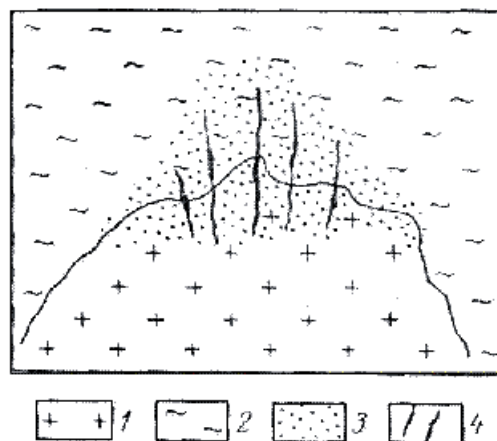
При метасоматических изменениях пористость пород часто увеличивается, объемный вес и предел прочности пород на сжатие нередко уменьшается.

А) Кислотные метасоматиты

Образуются под действием кислых растворов (кислотность обусловлена высокой концентрацией в растворах CO_2 , Cl^- , F^-).

Грейзены - кварц, мусковит (крупные чешуйки), иногда флюорит, турмалин, топаз и др. Образуются по породам кислого состава. Температура образования грейзенов (грейзенизации) 350-450 град. Часто встречаются на месторождениях олова и вольфрама (рис. 26).

Рис. 26. Схема пространственных соотношений гранитов (1) и вмещающих их сланцев и гнейсов (2) с грейзенизированными породами (3) и рудными жилами (4); по Б. И. Омеляненко.



Березиты - кварц, серицит (очень мелкая белая слюда), пирит, карбонат. Образуются по породам кислого и среднего состава (рис. 27). Температура березитизации менее 350°C. Встречаются на месторождениях золота (например, на Березовском месторождении золота, по которому и дано название породы), урана и др.

Лиственины - железисто-магнезиальный карбонат (не вскипает под действием разбавленной соляной кислоты), кварц, зеленая хромовая слюда. Возникают по ультраосновным породам. Встречаются на месторождениях золота (Березовское) и др.

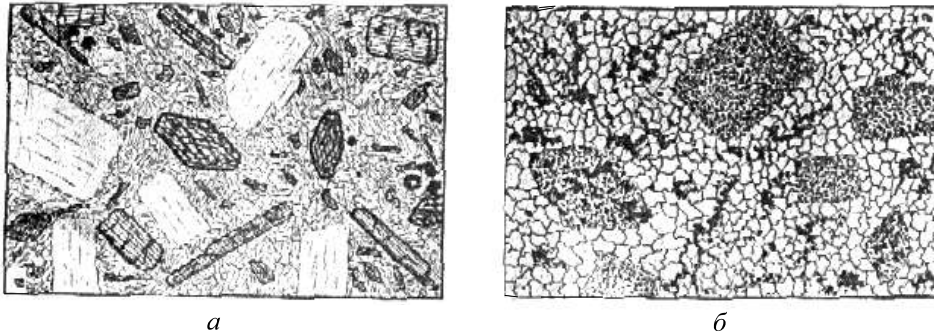


Рис. 27. Березитизация диоритового порфирита (по Б. И. Омеляненко):

а – неизменная порода: порфировые вкрапленники плагиоклаза и роговой обманки в мелкозернистой основной массе; *б* – березитизированная порода (внутренняя зона березитизации): вкрапленники плагиоклаза и роговой обманки замещены мелкозернистым пирит-кварц-серицитовым, а основная масса – пирит-кварцевым агрегатом (пирит – черное)

Тальк- и хлорит-карбонатные породы - образуются по ультраосновным породам (например, на Шабровском месторождении талька).

Б) Скарны

Известковые скарны - *высокотемпературные* (гранат-андрадит, пироксен, магнетит и др.) и *низкотемпературные* (эпидот, амфиболы, кальцит, халькопирит и др.). Образуются преимущественно на контактах карбонатных пород с гранитами.

В) Щелочные метасоматиты

К щелочным метасоматитам относятся, например, *альбитизированные породы* и *калиевые метасоматиты*

ЛИТЕРАТУРА

Основная:

Белоусова О. Н., Михина В. В. Общий курс петрографии. М., Недра, 1972.

Миловский А. В. Минералогия и петрография. М., Недра, 1979.

Дополнительная:

Петрография и петрология магматических, метаморфических и метасоматических пород. М., Логос, 2001.

Петрографический кодекс. Л., Недра, 1995.

КОНТРОЛЬНЫЕ ВОПРОСЫ

1. Назовите факторы метаморфизма.
2. Охарактеризуйте текстуры метаморфических пород и условия их образования.
3. Назовите минеральный состав пород зеленосланцевой и амфиболитовой фаций регионального метаморфизма.
4. Продукты метаморфизма глинистых пород.

5. Продукты метаморфизма основных пород.
6. Приведите примеры метасоматических пород, возникших по
а) кислым, б) ультраосновным магматическим породам.
7. Минеральный состав и условия образования скарнов.
8. Охарактеризуйте метасоматические изменения пород под действием кислых растворов.
9. Изменения плотности и пористости горных пород при регионально-метаморфических и метасоматических изменениях.

ПРЕДМЕТНЫЙ УКАЗАТЕЛЬ

(Минералы, породы, термины)

Актинолит	19	Горючие сланцы.....	48
Акцессорные минералы.....	25	Гравеллит.....	53
Алевритовая структура.....	41	Гравий	39
Алевролит	41	Гранаты.....	18
Аллювиальные фации.....	51	Гранит	29
Алмаз	12, 15	Гранулит	56
Альбит	20	Графит.....	15
Алюмосиликаты	13	Грейзен.....	59
Аметист	6	Гумидный климат	53
Амфиболит.....	56	Дельтовые фации	41, 51
Амфиболы.....	19, 26	Диаманитные минералы	9
Ангидрит.....	17, 47	Диатомит.....	48
Андезит	29	Диорит.....	29
Анизотропия.....	4	Доломит	17, 38, 46
Анортит	20	Доманиковые формации	52
Антимонит	15	Дресва	39
Апатит	17	Друза	5
Аргиллит	44	Дунит.....	28, 32
Аридный климат	53	Зеленый сланец	55
Арсенопирит.....	15	Золото.....	12, 15
Афанитовая структура.....	26	Известняк	45
Базальт	29, 30	Ильменит	16
Барит.....	17	Калиевый полевой шпат	20
Бар.....	41, 49	Кальцит	17
Берилл	18	Каменная соль	47
Биотит.....	19, 25	Каолинит.....	20, 34,
Биохимическое осаждение	35	Катаклазит	58
Боксит.....	48	Кварц.....	20, 25
Болотные фации	51	Кварцевый диорит	31
Брекчия.....	40	Кварцит	56
Вольфрамит	17	Киноварь.....	15
Вулканический туф.....	30	Кислые породы	24
Вулканоогенно-обломочные породы ..	24, 30	Коллектор	53
Габбро	29	Конгломерат	40
Галенит.....	15	Конкреция.....	5, 38
Галит.....	16	Корунд	16
Гематит.....	16	Кремнекислота	24
Гиббсит	34	Кремень.....	48
Гидрослюда.....	20, 34	Кристаллические сланцы	56
Гипс	17, 47	Лагунные фации	50
Глауконит.....	53	Лапилли	30
Глинистый сланец.....	44	Лесс	41
Глинозем	24	Лимонит.....	16
Глина	42	Линейная текстура.....	55
Гнейс	56	Лиственит	59
Гнейсовидная текстура.....	55	Магматическая формация	30

Магнезит	17	Риф	46
Магнетит	16	Роговая обманка	19
Малахит	17	Рубин	6
Мёргель	46	Рутил	16
Метаморфическая фация	55	Сапропель	48, 51
Метасоматоз	58	Сера	15
Мигматит	57	Серпентин	19
Микроклин	20	Серпентинизация	33
Милонит	58	Серпентинит	55
Молассовая формация	52	Сидерит	17
Молибденит	15	Сиенит	29
Монтмориллонит	20	Сильвин	16
Морские фации	41, 49	Сильвинит	47
Мрамор	57	Скарн	60
Мусковит	19	Сланцеватая текстура	55
Мутьевые потоки	35, 37, 53	Слоистость	36
Натечные агрегаты	5	Слойчатость	36
Нефелин	20	Слюды	19
Озерные фации	51	Средние породы	24
Оливин	18, 26	Стилолитовый шов	39
Оолит	45	Сфалерит	6, 15
Опал	16	Тальк-	19, 59
Опока	48	Тектоническая брекчия	58
Ортоклаз	20	Терригенные осадки	53
Осадочная формация	52	Топаз	18
Основные породы	24	Торф	48
Парамагнитные минералы	9	Трансгрессия	53
Пелитовая	43	Трапповая формация	30
Пелитоморфный известняк	45, 46	Трахит	29
Перидотит	28	Трепел	48
Песчаник	40	Турмалин	18
Пирит	15, 38	Туффит	53
Пироксены	18, 26	Ультраосновные породы	24
Пиролюзит	16	Фация осадочная	49
Пироп	12	Ферромагнитные минералы	9
Пирротин	15	Филлит	55
Плагиоклазы	6, 7, 20, 25	Флиш	53
Платина	15	Флюидоупор	53
Побежалость	11	Флюорит	16
Покрышки	53	Халцедон	20
Полевые шпаты	20, 25	Халькопирит	15
Порфи́ровая структура	27	Хлорит	19
Прибрежно-морские фации	41	Хлорит-карбонатные породы	59
Пролувий	53	Хризотил-асбест	19
Псаммитовая структура	40	Хромит	16
Псефитовая структура	39	Циркон	18
Пьезоэлектрический эффект	9	Эклогит	56
Растворения под давлением	39	Элювиальные фации	51
Речные фации	41	Эоловые фации	41
Риолит	29, 31	Эпидот	18

Олег Анатольевич Суставов

МИНЕРАЛОГИЯ И ПЕТРОГРАФИЯ

Учебно-методическое пособие

по дисциплине для студентов специальностей 080400 - «Геофизические методы поисков и разведки МПИ» (РФ) и 080900 - «Геофизические методы исследования скважин» (ГИС)

Корректурa кафедры минералогии, петрографии и геохимии

Подписано в печать

Бумага писчая. Формат 60x84 1/16. Печать на ризографе.

Печ .л. 4,0. Уч.-изд. л. 3,6. Тираж 100 экз. Заказ №

Издательство УГГУ

620144, г. Екатеринбург, Куйбышева, 30

Уральский государственный горный университет

Лаборатория множительной техники

Министерство науки и высшего образования РФ
Федеральное государственное бюджетное образовательное учреждение
высшего образования
«Уральский государственный горный университет»



В. В. Сынбулатов, Д. В. Прищепа

Взрывные работы при разведке и разработке

*Учебно-методическое пособие к самостоятельной работе,
выполнению контрольных и практических работ по дисциплине
«Взрывные работы при разведке и разработке»
для студентов специальности
21.05.03 «Технология геологической разведки»*

Екатеринбург

Министерство науки и высшего образования РФ
Федеральное государственное бюджетное образовательное учреждение
высшего образования
«Уральский государственный горный университет»

В. В. Сынбулатов, Д. В. Прищепа

Взрывные работы при разведке и разработке

*Учебно-методическое пособие к самостоятельной работе, выполнению
контрольных и практических работ по дисциплине
«Взрывные работы при разведке и разработке»
для студентов специальности
21.05.03 «Технология геологической разведки»*

*Рецензенты: Лель Ю. И., зав. кафедрой РМОС УГГУ, профессор,
д-р техн. наук.*

Печатается по решению Редакционно-издательского совета
Уральского государственного горного университета

Учебно-методическое пособие к самостоятельной работе, выполнению контрольных и практических работ по дисциплине «Взрывные работы при разведке и разработке» для студентов специальности 21.05.03 «Технология геологической разведки» / В. В. Сынбулатов, Д. В. Прищепа

Материал пособия охватывает все раздела дисциплины.

Пособие предназначено для организации самостоятельной работы студентов, выполнению контрольных и практических заданий всех специализаций специальности 21.05.03 «Технология геологической разведки» по курсу «Взрывные работы при разведке и разработке».

© Уральский государственный
горный университет
©Сынбулатов В.В., Прищепа Д. В.

Оглавление

ВВЕДЕНИЕ	5
1. МЕТОДИЧЕСКИЕ УКАЗАНИЯ К ОРГАНИЗАЦИИ САМОСТОЯТЕЛЬНОЙ РАБОТЫ СТУДЕНТА.....	6
2. СОДЕРЖАНИЕ КУРСА, КОНТРОЛЬНЫЕ ВОПРОСЫ	7
3. ПРАКТИКО-ОРИЕНТИРОВАННЫЕ ЗАДАНИЯ.....	19
Практико-ориентированное задание №1	19
Практико-ориентированное задание №2	23
Практико-ориентированное задание №3	26
Практико-ориентированное задание №4	30
Практико-ориентированное задание №5	32

ВВЕДЕНИЕ

Самостоятельная работа студента является важнейшей составной частью образовательной программы подготовки дипломированного специалиста. В соответствии с Государственным образовательным стандартом высшего профессионального образования объем учебной нагрузки студента составляет 144 часов или 4 зачетных единиц.

По курсу «Буровзрывные работы» обязательная самостоятельная работа студента осуществляется в следующих направлениях – *освоение материалов по отдельным темам, входящим в Рабочую учебную программу дисциплины; подготовка, оформление, защита практико-ориентированных заданий; подготовка и защита контрольной работы*. Дополнительная самостоятельная работа связана с углубленным изучением отдельных разделов курса на основе научно-исследовательской работы студента (НИРС).

Данное учебно-методическое пособие предназначено для организации самостоятельной работы студентов – освоения отдельных тем дисциплины.

1. МЕТОДИЧЕСКИЕ УКАЗАНИЯ К ОРГАНИЗАЦИИ САМОСТОЯТЕЛЬНОЙ РАБОТЫ СТУДЕНТА

В следующем разделе пособия приведена развернутая программа дисциплины «Технология и безопасность взрывных работ». Она содержит названия 30 основных тем с указанием основных вопросов и разделов каждой темы. Каждая тема является основой вопросов в экзаменационном билете. При чтении лекций по курсу преподаватель указывает те темы дисциплины, которые выносятся на самостоятельную проработку студентами. Причем в экзаменационный билет может включаться один из вопросов по такой теме. Основной объем информации по каждой теме содержится в учебнике по курсу [1].

При освоении указанных ниже тем *рекомендуется следующий порядок самостоятельной работы студента:*

1. Ознакомьтесь со структурой темы.
2. По учебнику [1] освоите каждый структурный элемент темы. Во всех темах указаны разделы и страницы учебника, содержащие данный материал.
3. При необходимости используйте указанную дополнительную литературу. Консультацию по использованию дополнительной литературы Вы можете получить у преподавателя.
4. Ответьте на контрольные вопросы. При затруднениях в ответах на вопросы вернитесь к изучению рекомендованной литературы.
5. Законспектируйте материал. При этом конспект может быть написан в виде ответов на контрольные вопросы.

При самостоятельной работе над указанными темами рекомендуется вести записи в конспектах, формируемых на лекционных занятиях по курсу, и в том порядке, в котором данные темы следуют по учебной программе.

2. СОДЕРЖАНИЕ КУРСА, КОНТРОЛЬНЫЕ ВОПРОСЫ

Тема 1. Краткая история развития взрывных работ.

Значение взрывных работ в горнодобывающей промышленности и в строительстве. История развития взрывных работ.

Литература: [1]

Контрольные вопросы:

1. Охарактеризуйте основные вехи развития взрывных работ.
2. Опишите первую технологию ведения взрывных работ в горном деле.
3. Назовите первое нитроглицериновое взрывчатое вещество.
4. Опишите историю развития средств инициирования.

Тема 2. Современные виды взрывных работ.

Современные виды взрывных работ в промышленности. Основные виды взрывных работ. Специальные виды взрывных работ.

Литература: [1]

Контрольные вопросы:

1. Назовите современные виды взрывных работ.
2. Назовите современные виды специальных взрывных работ.

Тема 2. Способы бурения шпуров и скважин.

Классификация способов бурения шпуров и скважин. Механическое бурение и его виды. Термическое бурение и его виды. Специальные виды бурения шпуров и скважин.

Литература: [1, 5]

Контрольные вопросы:

1. Приведите классификацию способов бурения шпуров и скважин.
2. Опишите суть механических видов бурения шпуров и скважин.
3. Опишите суть термических видов бурения шпуров и скважин.
4. Опишите суть специальных видов бурения шпуров и скважин.
5. Укажите рациональные области применения механических, термических и специальных видов бурения шпуров и скважин.

Тема 3. Ударно-поворотный способ бурения.

Механизм разрушения горных пород при ударно-поворотном бурении. Механизмы скола и выкола. Зависимость скорости ударно-поворотного бурения от осевого усилия, частоты вращения. Оборудование.

Литература: [1, 5]

Контрольные вопросы:

1. Укажите рациональную область применения ударно-поворотного бурения.

2. Охарактеризуйте механизмы скола и выкола.
3. Опишите механизм разрушения горных пород при ударном внедрении инструмента.
4. Укажите бурильные машины ударно-поворотного бурения.
5. Отметьте факторы, которые повышают энергоемкость ударного бурения по сравнению с другими способами.
6. Укажите последовательность процессов, происходящих при разрушении породы при ударном бурении.

Тема 4. Вращательный способ бурения.

Технические средства вращательного бурения. Работа ядра уплотнения при резании пород. Зависимость объема разрушения от толщины стружки. Режимы самозаточки и затупления режущей грани сверла. Оборудование.

Литература: [1, 5]

Контрольные вопросы:

1. Назовите преимущества вращательного бурения.
2. Укажите бурильные машины вращательного бурения.
3. Охарактеризуйте основные механизмы износа и затупления бурового инструмента при вращательном бурении.
4. Опишите механизм разрушения горных пород при вращательном бурении.

Тема 5. Ударно-вращательный и вращательно-ударный способ бурения.

Технические средства бурения. Совместное действие механизмов удара и резания. Зависимость энергоемкости бурения от усилий подачи на инструмент.

Литература: [1, 5]

Контрольные вопросы:

1. Укажите область применения вращательно-ударного бурения.
2. Укажите область применения ударно-вращательного бурения.
3. Назовите преимущества вращательно-ударного бурения.
4. Охарактеризуйте зависимость энергоемкости бурения от усилия подачи.
5. Назовите машины и механизмы, реализующие ударно-вращательный способ бурения.
6. Назовите машины и механизмы, реализующие вращательно-ударный способ бурения.

Тема 6. Шарошечное бурение.

Технические средства бурения. Механизм шарошечного бурения. Режимы бурения в зависимости от осевого усилия. Контактная прочность пород как критерий буримости.

Литература: [1, 5]

Контрольные вопросы:

1. Назовите особенности шарошечного бурения.
2. Опишите зависимость скорости бурения от величины осевого усилия.
3. Назовите машины и механизмы, реализующие шарошечное бурение.
4. Укажите область применения шарошечного бурения.

Тема 7. Основы теории взрыва и взрывчатых веществ.

Виды взрыва: механический, тепловой, электрический, ядерный, химический. Необходимые условия химического взрыва. Взрывчатое вещество. Классификация взрывчатых систем по физическому состоянию.

Литература: [1, 3]

Контрольные вопросы:

1. Дайте определение понятию взрыв.
2. Приведите пример механического взрыва.
3. Приведите пример Теплового взрыва.
4. Приведите примеры тепловых взрывов.
5. Охарактеризуйте химический взрыв.
6. Назовите необходимые условия химического взрыва.

Тема 8. Свойства взрывчатых веществ.

Классификация свойств взрывчатых веществ. Технологические свойства взрывчатых веществ. Специальные свойства взрывчатых веществ.

Литература: [1, 2]

Контрольные вопросы:

1. Приведите классификацию свойств взрывчатых веществ.
2. Назовите основные технологические свойства взрывчатых веществ.
3. Что такое кислородный баланс.
4. Назовите виды кислородного баланса.
5. Какие газы выделяются при положительном кислородном балансе.
6. При каком кислородном балансе образуется окись углерода (CO)?

Тема 9. Начальный импульс и чувствительность взрывчатых веществ.

Начальный импульс. Виды начального импульса. Иницирование. Чувствительность взрывчатых веществ. Способы изменения чувствительности.

Литература: [1]

Контрольные вопросы:

1. Дайте определение понятию «Начальный импульс».
2. Охарактеризуйте тепловой начальный импульс.
3. Какой вид начального импульса является основным для горного дела?
4. Перечислите пробы на чувствительность.
5. Что такое сенсбилизатор?
6. Приведите пример веществ вводимых в состав взрывчатых веществ для флегматизации.

Тема 10. Формы химического превращения взрывчатых веществ.

Основные формы химического превращения взрывчатых веществ. Режимы химического превращения: термический распад, горение, конвективное горение, детонация

Литература: [1, 2, 3]

Контрольные вопросы:

1. Перечислите основные формы химического превращения.
2. Дайте характеристику горению как форме химического превращения.
3. Дайте характеристику детонации как форме химического превращения.

Тема 11. Основные положения теории детонации.

Механизм детонации. Графическая интерпретация процесса детонации – адиабата Гюгонио. Количественная оценка характеристик процесса детонации.

Литература: [1, 3]

Контрольные вопросы:

1. Перечислите особенности детонационной волны.
2. Дайте определение понятию «Детонация».
3. Приведите основные детонационные характеристики взрывчатых веществ.

Тема 12. Экспериментальные методы определения скорости детонации.

Классификация методов определения скорости детонации взрывчатых веществ. Метод Дотриша. Осциллографический метод. Метод скоростной фотосъемки. Реостатный метод.

Литература: [1, 3]

Контрольные вопросы:

1. Охарактеризуйте метод Дотриша, для определения скорости детонации взрывчатых веществ.
2. Назовите отличительные особенности осциллографического метода для определения скорости детонации взрывчатых веществ.

3. Опишите процедуру измерения скорости детонации используя реостатный метод.

Тема 13. Факторы, влияющие на скорость и устойчивость детонации.

Группы факторов влияющие на скорость и устойчивости детонации.

Влияние внутреннего состава и строения на скорость и устойчивость детонации.

Влияние условий взрывания на скорость детонации.

Литература: [1, 3]

Контрольные вопросы:

1. Как влияет дисперсность взрывчатого вещества на скорость и устойчивость детонации?
2. Как влияет плотность взрывчатого веществ на скорость детонации?
3. Дайте определение понятию «критический диаметр детонации».
4. Как влияет на скорость и устойчивость детонации наличие плотной оболочки на заряде взрывчатого вещества.
5. Влияние величины начального импульса на устойчивость детонации.

Тема 14. Работа взрыва.

Работа взрыва: баланс энергии при взрыве. Потери при переходе потенциальной энергии взрывчатого вещества в механическую работу взрыва. Полезная работа взрыва. Бризантность и фугасность. Пробы на бризантность и фугасность.

Литература: [1, 3]

Контрольные вопросы:

1. Опишите переход потенциальной энергии взрывчатого вещества в механическую работу взрыва.
2. Чем обусловлены химические потери при взрыве?
3. Чем обусловлены тепловые потери при взрыве?
4. Охарактеризуйте бесполезные формы работы взрыва.
5. Что такое бризантность взрывчатых веществ.
6. Назовите формы проявления фугасной работы взрыва.

Тема 15. Основные положения теории предохранительных взрывчатых веществ.

Необходимость применения предохранительных взрывчатых веществ. Теории предохранительных взрывчатых веществ. Методы испытаний предохранительных взрывчатых веществ.

Литература: [1, 2]

Контрольные вопросы:

1. Дайте определение понятию пламегаситель.
2. Дайте определение понятию ингибитор.
3. Перечислите основные гипотезы воспламенения горючих шахтных сред.
4. Перечислите возможные пути предотвращения воспламенения горючих шахтных сред.
5. Охарактеризуйте методы испытаний предохранительных взрывчатых веществ.

Тема 16. Заряд взрывчатого вещества.

Заряды взрывчатых веществ. Классификация. Воронка взрыва и ее элементы. Показатель действия взрыва.

Литература: [1, 3]

Контрольные вопросы:

1. По каким признакам классифицируются заряды взрывчатых веществ.
2. Перечислите элементы воронки взрыва.
3. Что такое показатель действия взрыва.
4. Как классифицируются заряды взрывчатых веществ по показателю действия взрыва.

Тема 17. Действие взрыва.

Действие сосредоточенного заряда в твердой однородной безграничной среде и при наличии обнаженной поверхности. Стадии разрушения: образование газовой полости, зоны дробления, зона радиальных и кольцевых трещин, откольные явления. Соотношение бризантного и фугасного действия взрыва в зависимости от акустической жесткости разрушаемых пород.

Литература: [1, 3]

Контрольные вопросы:

1. Отразите последовательность развития взрыва в горных породах.
2. Отметьте области действия взрыва, образующие зону регулируемого дробления.
3. Какие трещины образуются в горной породе при падении давления и обратной деформации пород в сторону зарядной полости?
4. Какие трещины образуются при отражении волны сжатия от свободной поверхности горной породы?

Тема 18. Классификации промышленных взрывчатых веществ.

Классификация ВВ: по характеру воздействия на окружающую среду, по чувствительности к простым формам начального импульса, физическому состоянию. Классификация по химическому составу – индивидуальные ВВ и взрывчатые смеси. Классы ВВ по условиям применения.

Литература: [1, 2, 4, 6]

Контрольные вопросы:

1. К какой группе относятся взрывчатые вещества, имеющие скорость детонации 4000 м/с?
2. Какие классы промышленных ВВ выделяют по химическому составу?
3. К какому классу промышленных ВВ по химическому составу относится тротил, детонит?
4. Какие ВВ можно использовать только при взрывных работах на поверхности, в шахтах опасных по газу и пыли? Укажите номер класса и цвет оболочки.
5. Какой цвет имеют патроны предохранительных ВВ?
6. По какому характерному признаку выделяют первичные и вторичные ВВ?

Тема 19. Непредохранительные взрывчатые вещества I класса по условиям применения.

Предъявляемые требования. Нитросоединения: свойства, ассортимент, область применения. Аммиачно-селитренные взрывчатые вещества: свойства, ассортимент, область применения. Эмульсионные взрывчатые вещества: свойства, ассортимент, область применения.

Литература: [1, 2, 7]

Контрольные вопросы:

1. Назовите основные свойства гранулола.
2. Особенности аммиачно-селитренных взрывчатых веществ.
3. Бестротилловые взрывчатые вещества: особенности, свойства.
4. Назовите отличительные особенности эмульсионных взрывчатых веществ.

Тема 20. Непредохранительные взрывчатые вещества II класса по условиям применения.

Предъявляемые требования. Аммиачно-селитренные взрывчатые вещества: свойства, ассортимент, область применения. Эмульсионные взрывчатые вещества: свойства, ассортимент, область применения. Порошкообразные ВВ – аммониты и аммоналы. Свойства и область применения.

Литература: [1, 2, 7]

Контрольные вопросы:

1. Назовите основные свойства граммонита 79/21.
2. Особенности аммиачно-селитренных взрывчатых веществ, применяемых в подземных условиях.
3. Назовите отличительные особенности патронированных аммонитов.
4. Назовите отличительные особенности эмульсионных взрывчатых веществ, применяемых в подземных условиях.

Тема 21. Предохранительные взрывчатые вещества III – VII классов по условиям применения.

Требования к энергетическим и детонационным характеристикам предохранительных ВВ. Требования к кислородному балансу. Требования к составу и строению зарядов.

Литература: [1, 2, 7]

Контрольные вопросы:

1. Перечислите названию взрывчатых веществ III класса по условиям применения.
2. Какие добавки вводят в состав предохранительных взрывчатых веществ?
3. Укажите требования, предъявляемые к предохранительным ВВ.

Тема 22. Методы производства взрывных работ.

Классификация методов производства взрывных работ. Метод шпуровых зарядов. Метод скважинных зарядов. Метод камерных зарядов. Метод наружных зарядов. Область применения, достоинства и недостатки методов.

Литература: [1, 3]

Контрольные вопросы:

1. Укажите области применения метода шпуровых зарядов в подземных условиях.
2. Укажите область применения метода шпуровых зарядов при открытой разработке месторождений.
3. Укажите область применения метода скважинных зарядов.
4. Укажите область применения метода наружных зарядов.

Тема 23. Метод шпуровых зарядов при проведении подземных горных выработок.

Состав проходческого цикла. Коэффициент использования шпуров (КИШ). Коэффициент излишка сечения (КИС). Врубовые, отбойные и оконтуривающие шпуры. Очередность взрывания. Конструкции шпуровых зарядов. Размер и качество забойки. Прямое и обратное инициирование зарядов.

Назначение и типы врубов. Конструкции наклонных врубов; их достоинства и недостатки. Конструкции прямых врубов; их достоинства и недостатки. Комбинированные врубы. Принципы расчета параметров буровзрывных работ.

Литература: [1, 3]

Контрольные вопросы:

1. Укажите типы шпуров при проходке выработки.
2. Укажите очередность взрывания шпуров в типовой технологии проходки выработок.
3. Укажите условия, соответствующие обратному инициированию заряда.
4. Отметьте достоинства прямого инициирования заряда ВВ по сравнению с обратным.
5. Отметьте достоинства обратного инициирования заряда ВВ по сравнению с прямым.

Тема 24. Метод шпуровых зарядов при подземной разработке месторождений полезных ископаемых.

Технология шпуровой отбойки при разработке рудных месторождений. Расчет параметров БВР. Технология шпуровой отбойки угля. Правила безопасности при использовании метода шпуровой отбойки.

Литература: [1, 3]

Контрольные вопросы:

1. Опишите существо метода шпуровых зарядов при добыче полезных ископаемых подземным способом.
2. Укажите классы ВВ допущенные к применению при шпуровой отбойке по углю.
3. Какой способ взрывания допущен к применению при шпуровой отбойке угля?
4. Какова допустимая величина уходки (м) при добыче угля методом шпуровых зарядов?
5. Какова величина предельного содержания метана в забое (в %), при котором разрешена отбойка угля методом шпуровых зарядов?

Тема 25. Метод скважинных зарядов при подземной разработке месторождений полезных ископаемых.

Отбойка вертикальными и горизонтальными слоями. Параллельное и веерное расположение скважин – преимущества и недостатки. Схемы отбойки руды в блоке. Расчет параметров скважинной отбойки. Бурение, зарядание и взрывание скважин. Правила безопасности при скважинной отбойке.

Литература: [1, 3]

Контрольные вопросы:

1. Укажите преимущества параллельного расположения скважин при подземной отбойке руды (по сравнению с веерным расположением скважин).
2. Укажите преимущества веерного расположения скважин при подземной отбойке руды (по сравнению с параллельным расположением скважин).
3. Укажите способы бурения скважин при отбойке руды в подземных условиях.
4. Какой тип ВВ обычно применяют при механизированном зарядании скважин?
5. Укажите показатели, входящие в формулу определения удельного расхода ВВ при скважинной отбойке руды в подземных условиях.

Тема 26. Метод скважинных зарядов при открытой разработке месторождений полезных ископаемых.

Расположение скважин на уступе и их бурение. Принципы расчета параметров буровзрывных работ. Схемы взрывания скважинных зарядов при однорядном и многорядном взрывании скважин.

Литература: [1, 3]

Контрольные вопросы:

1. Укажите рациональные способы бурения скважин при открытой разработке месторождений.
2. Удельный расход ВВ на карьерах определяется по эталонному $q_э$ с учетом поправочных коэффициентов. Укажите факторы, определяющие величину данных коэффициентов.
3. Укажите основные способы взрывания зарядов взрывчатых веществ, используемых на земной поверхности.
4. Перечислите основные взрывчатые вещества, используемые при ведении взрывных работ на земной поверхности.

Тема 27. Метод камерных зарядов.

Расположение выработок при использовании камерных зарядов. Камерные заряды рыхления и их расчет. Камерные заряды выброса и их расчет. Камерные заряды на сброс и их расчет.

Литература: [1, 3]

Контрольные вопросы:

1. В каких случаях целесообразно использовать метод камерных зарядов при открытой разработке месторождений?
2. Назовите достоинства и недостатки метода камерных зарядов.

Тема 28. Взрывное разрушение негабарита.

Характеристики, область применения, достоинства и недостатки различных способов разделки негабарита: наружными, шпуровыми, кумулятивными зарядами, гидровзрывание.

Литература: [1, 3]

Контрольные вопросы:

1. Укажите достоинства и недостатки способа разделки негабарита накладными зарядами.
2. Укажите достоинства и недостатки способа разделки негабарита шпуровыми зарядами.
3. Укажите способы взрывного дробления негабарита при открытой разработке месторождений.

Тема 29. Техническая документация для производства взрывных работ.

Необходимая техническая документация для производства взрывных работ: типовой проект взрывных работ, проект массового взрыва, паспорт буровзрывных работ, схема взрывных работ.

Литература: [1, 4, 6, 8]

Контрольные вопросы:

1. Что входит в состав типового проекта взрывных работ?
2. Опишите процедуру составления и утверждения паспорта буровзрывных работ.
3. Для каких работ составляется схема взрывных работ.
4. В каких случаях составляется проект массового взрыва?

Тема 30. Персонал для взрывных работ.

Требования к лицам, допущенным к ведению взрывных работ: руководитель взрывных работ, мастер-взрывник, заведующий складом ВМ, раздатчики ВМ и лаборанты складов ВМ.

Литература: [1, 4, 6, 8]

Контрольные вопросы:

1. Какие требования предъявляются к руководителям взрывных работ?
2. Какие требования предъявляются к взрывникам?

3. В течение какого периода времени проходит стажировка взрывника?
4. Требования в заведующему склада взрывчатых материалов.

3. ПРАКТИКО-ОРИЕНТИРОВАННЫЕ ЗАДАНИЯ

Практико-ориентированное задание №1

Расчет кислородного баланса и составление рецептов промышленных взрывчатых веществ.

Цель: овладение методикой расчета кислородного баланса взрывчатых веществ и принципами составления рецептов промышленных взрывчатых веществ.

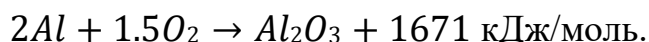
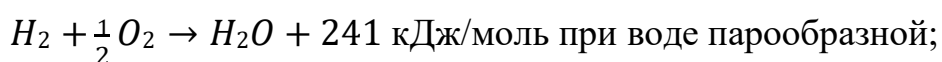
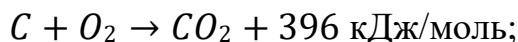
Краткая теория

Определение кислородного баланса

Кислородным балансом называется отношение избытка или недостатка кислорода во взрывчатом веществе (ВВ) для полного окисления горючих элементов (водорода, углерода, металлов и т. п.), выраженное в грамм-атомах, к грамм-молекулярной массе ВВ. Кислородный баланс выражается в долях или процентах.

Под полным окислением понимается окисление водорода в воду, а углерода в углекислый газ. При этом выделяется также молекулярный азот и кислород. Если в составе ВВ находится металл, то образуется его высший окисел.

Реакции полного окисления:



Следовательно, если ВВ имеет состав в виде $C_aH_bN_cO_d$, то кислородный баланс (%)

$$K_6 = \frac{[d - (2a + \frac{b}{2})] \cdot 16}{M_{ВВ}} 100\%, \quad (1.1)$$

где 16 – относительный атомная масса кислорода; $M_{ВВ}$ – молекулярная масса ВВ.

При

$$d > 2a + \frac{b}{2} \quad (1.2)$$

имеет положительный кислородный баланс;

при

$$d = 2a + \frac{b}{2} \quad (1.3)$$

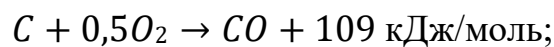
нулевой кислородный баланс;
при

$$d < 2a + \frac{b}{2} \quad (1.4)$$

отрицательный кислородный баланс.

Взрывчатые вещества с нулевым кислородным балансом выделяют максимальное количество энергии и минимальное количество ядовитых газов.

При взрыве ВВ с отрицательным кислородным балансом в зависимости от относительного количества кислорода образуются либо ядовитая окись углерода (угарный газ) с меньшим выделением тепла, чем при образовании углекислоты, т. е.



либо чистый углерод в виде сажи, резко снижающий образование газов.

При положительном кислородном балансе уменьшается выделение энергии, так как образуется ядовитая окись азота с поглощением тепла по реакции



Пример 1. Определить кислородный баланс тротила $C_7H_5(NO_2)_3$, относительная молекулярная масса которого 227.

Для полного окисления необходимо $2a + b/2$ или $2 \cdot 7 + 5/2 = 16,5$ атомов кислорода.

В наличии имеется 6 атомов кислорода.

Следовательно,

$$K_6 = \frac{[6 - (2 \cdot 7 + \frac{5}{2})] \cdot 16}{227} 100\% = -74\%.$$

Пример 2. Определить кислородный баланс граммонита 30/70. Граммонит 30/70 состоит из 30% аммиачной селитры NH_4NO_3 и 70% тротила.

Кислородный баланс аммиачной селитры АС, определенный вышеуказанным способом, равен +20%.

Кислородный баланс граммонита 30/70:

$$0,3 \cdot 20 + 0,7 \cdot -74 = -45,5\%.$$

Составление рецептуры промышленных ВВ

При изготовлении промышленных ВВ обычно состав подбирается таким, чтобы был нулевой кислородный баланс. Для изготовления патронированных ВВ принимается небольшой положительный кислородный баланс для окисления материала оболочки патронов. Для подземных работ при взрыве 1 кг ВВ должно выделяться не более 40 л ядовитых газов в пересчете на условную окись углерода. Если образуются окислы азота и сернистый газ, то для перевода их к условной окиси углерода принимается поправочный коэффициент соответственно 6,5 и 2,5.

Для открытых горных работ, особенно для ВВ, применяемых в обводненных условиях, требования к кислородному балансу ВВ не такие жесткие.

Пример 1. Составить рецептуру игданита с нулевым кислородным балансом на основе аммиачной селитры и дизельного топлива (ДТ) с кислородным балансом – 320%.

Количество весовых частей аммиачной селитры для окисления одной части дизельного топлива равно

$$n = \frac{[КБ_{ДТ}]}{[КБ_{АС}]},$$

где $КБ_{ДТ}$ – кислородный баланс дизельного топлива;

$КБ_{АС}$ – кислородный баланс аммиачной селитры.

$$n = \frac{320}{20} = 16.$$

Содержание дизельного топлива во взрывчатом веществе:

$$x = \frac{100}{1+n}$$
$$x = \frac{100}{1+16} = 5,9 \%$$

Соответственно содержание аммиачной селитры

$$100 - x = 100 - 5,9 = 94,1\%.$$

Следовательно, формула игданита:

94,1% аммиачной селитры; 5,9% дизельного топлива.

Пример 2. Определить рецептуру ВВ с пулевым кислородным балансом на основе аммиачной селитры (NH_4NO_3) и тротила ($\text{C}_7\text{H}_5(\text{NO}_2)_3$).

Кислородный баланс тротила -74% , относительная молекулярная масса 227. Кислородный баланс аммиачной селитры $+20\%$, относительная молекулярная масса 80.

Состав смеси должен отвечать условию:

$$x(-74\%) + (100 - x) 20\% = 0,$$

где x – содержание в смеси тротила, %.

Решение данного уравнения показывает, что $x \approx 21\%$ и $(100 - x) = 79\%$. Такому составу смеси отвечают граммонит 79/21 и аммонит 6ЖВ.

Обозначим число молей аммиачной селитры через y , число молей тротила через z . Тогда из соотношения

$$\frac{y \cdot 80}{x \cdot 227} = \frac{79}{21},$$

получим

$$y = \frac{79 \cdot z \cdot 227}{21 \cdot 80} = 10,7z.$$

Приняв $z = 1$, получим $y = 10,7$.

Следовательно, молекулярное уравнение граммонита имеет вид



Пример 3. Определить молекулярную формулу гранулита АС-8, имеющего следующий состав: 89% аммиачной селитры NH_4NO_3 ; 3% солярового масла $\text{C}_{16}\text{H}_{34}$ (относительная молекулярная масса 226); 8% алюминиевой пудры А1 (относительная молекулярная масса — 27).

Обозначив число молей солярового масла x , аммиачной селитры y , алюминиевой пудры z , можно написать химическую формулу в виде

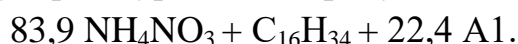


В соответствии с весовым составом можно записать следующие соотношения

$$\frac{y \cdot 80}{x \cdot 226} = \frac{89}{3}; \quad \frac{z \cdot 27}{x \cdot 226} = \frac{8}{3},$$

Отсюда $y = 83,9x$; $z = 22,4x$.

Примем $x = 1$, тогда молекулярное уравнение гранулита АС-8 имеет вид



Практико-ориентированное задание №2

Определение работоспособности взрывчатых веществ и работы взрыва.

Цель: овладение методикой определения работоспособности взрывчатых веществ и работы взрыва.

Краткая теория

Расчет идеальной работоспособности ВВ

Из первого закона термодинамики следует, что изменение внутренней энергии газов равно количеству тепла, сообщенного окружающей среде и произведенной работе:

$$-dE = dQ + pdV. \quad (2.1)$$

Если техническим назначением взрыва ВВ является производство механической работы, то затраты на теплообмен продуктов взрыва (ПВ) с окружающей средой являются энергетическими потерями (dQ). Эти потери называются термодинамическими.

Идеальным с точки зрения отсутствия термодинамических потерь является адиабатический процесс расширения ПВ, т.е. $dQ = 0$. В этом случае изменение внутренней энергии ПВ равно количеству работы, совершаемой газами, т.е.

$$-dE = pdV = dA. \quad (2.2)$$

В реальных условиях взрывания наиболее близким к адиабатическому процессу является взрыв ПВ в воздушной среде, а, например, в горных породах термодинамические потери возрастают. Они существенно выше в пористых, хрупких, легко дробимых породах и минимальны в пластичных средах типа глин.

Мерой идеальной работоспособности ВВ может служить максимальная работа, которую совершают ПВ при своем адиабатическом расширении до давления окружающей среды (воздушной, водной, горной), т.е. когда остаточное давление ПВ уравнивается противодавлением среды атмосферным, гидростатическим или горным давлением.

Идеальная работоспособность ВВ является одной из важнейших энергетических характеристик ВВ. Она дополняет теплоту взрыва, показывая теоретическую возможность реализации энергетического потенциала ВВ в механическую работу.

Идеальную работоспособность (полную идеальную работу взрыва) можно определить, как разность между значениями внутренней энергии ПВ в момент их образования и к концу расширения:

$$A_{и} = \int dE = \int_{T_1}^{T_2} \overline{C}_V dT = \overline{C}_V^* (T_1 - T_2) = \overline{C}_V T_1 (1 - \frac{T_2}{T_1}) = Q_{взр} (1 - \frac{T_2}{T_1}) \quad (2.3)$$

где \overline{C}_V - средняя теплоемкость продуктов взрыва в интервалах изменения температуры взрыва от T_1 до T_2 ;

T_1 - начальная температура взрыва;

T_2 - конечная температура ПВ.

Для газовых взрывааемых систем, расширение ПВ которых происходит вдоль изоэнтропы вида $pV^y = \text{const}$, пользуясь уравнением Клайперона ($PV'=RT$), получаем

$$\frac{T_2}{T_1} = \left(\frac{V_1}{V_2}\right)^{y-1} = \left(\frac{P_2}{P_1}\right)^{\frac{y-1}{y}} \quad (2.4)$$

Окончательно получаем

$$A_u = Q_{взр} \left(1 - \frac{T_2}{T_1}\right); \quad (2.5)$$

$$A_u = Q_{взр} \left(1 - \left(\frac{V_1}{V_2}\right)^{y-1}\right); \quad (2.6)$$

$$A_u = Q_{взр} \left(1 - \left(\frac{P_2}{P_1}\right)^{\frac{y-1}{y}}\right); \quad (2.7)$$

где $Q_{взр}$ - потенциальная энергия ВВ (полная тепловая энергия), кДж/кг;

V_1 и V_2 - начальный и конечный удельные объемы ПВ, м³/кг;

P_1 и P_2 - начальное и конечное давление ПВ, Па;

$y = C_p/C_v$ – показатель адиабаты.

Эти же формулы могут быть использованы для расчета A_u конденсированных ВВ.

При взрыве в воздухе ($P_2 = 1,01 \cdot 10^5$ Па) полная идеальная работа взрыва определяется

$$A_u = Q_{взр} \left(1 - \left(\frac{1,01 \cdot 10^5}{P_{пв}}\right)^{\frac{y-1}{y}}\right), \text{ кДж/кг.} \quad (2.8)$$

Расчет полного термодинамического КПД взрыва

Вышеприведенную формулу (2.8) можно представить в виде

$$A_u = Q_{взр} - q_T \quad (2.9)$$

Здесь величина $q_T = Q_{\text{взр}} - A_u = C_{v2} * T_2$ - термодинамические потери энергии ВВ в продуктах взрыва по достижении ими атмосферного давления. Это остаточное тепло идет на свечение ПВ после их расширения.

Отношение идеальной работоспособности к выделившейся тепловой энергии взрыва называется идеальным термодинамическим КПД взрыва

$$\eta = \frac{A_u}{Q_{\text{взр}}}, \quad (2.10)$$

или с учетом формулы (2.7)

$$\eta = 1 - \left(\frac{P_2}{P_1}\right)^{\frac{y-1}{y}}, \quad (2.11)$$

Идеальный термодинамический КПД взрыва определяет часть тепловой энергии, которая может быть использована для совершения механической работы взрыва.

Величины идеальной работоспособности (A_u) и полного термодинамического КПД (Π) существенно зависят от свойств продуктов взрыва, влияющих на показатель адиабаты, $y = C_p/C_v$. Если в ПВ содержится 2/3 молекул двухатомных газов и 1/3 — одноатомных (гексоген), то $y = 1,25$. Если в ПВ содержится 2/3 трехатомных газов и 1/3 двухатомных (нитроглицерин), то $y = 1,2$. Величина y снижается (соответственно снижается A_u и η), если в ПВ содержатся четырех и пятиатомные газы, а также твердые продукты (NaCl, Al_2O_3 и др.). В этих случаях $y = 1,15$, и $1,05$.

Пример 1. Определить полную идеальную работоспособность и термодинамический КПД аммонита 6ЖВ при плотности заряжания 900 кг/м^3 и следующих параметрах взрывного превращения:

$$V_{\text{нв}} = 0,86 \text{ м}^3/\text{кг},$$

$$Q_{\text{взр}} = 4300 \text{ кДж/кг};$$

$$T_{\text{взр}} = 2600^\circ \text{ К}.$$

Для расчета показатель адиабаты принимается $y=1,25$. Определение давления ПВ при взрыве аммонита 6ЖВ:

$$P = \frac{1,01 \cdot 10^5 \cdot 0,86 \cdot 2600 \cdot 900}{273 \cdot (1 - 0,001 \cdot 0,86 \cdot 900)} = 3,3 \cdot 10^9,$$

Откуда полная идеальная работоспособность

$$A_u = Q_{\text{взр}} \left(1 - \left(\frac{1,01 \cdot 10^5}{P_{\text{пв}}}\right)^{\frac{y-1}{y}}\right) = 4300 \cdot \left(1 - \left(\frac{1,01 \cdot 10^5}{3,3 \cdot 10^9}\right)^{\frac{1,25-1}{1,25}}\right) = 3762,2 \frac{\text{кДж}}{\text{кг}}.$$

Полный термодинамический КПД взрыва

$$\eta = \frac{A_u}{Q_{\text{взр}}} = \frac{3762,2}{4300} = 0,875$$

или $\eta = 87,5\%$

Практико-ориентированное задание №3

Расчет скважинного заряда при уступной отбойке на карьере

Цель работы – овладение методикой расчета параметров буровзрывных работ при использовании скважинной отбойки при открытой разработке месторождений полезных ископаемых.

Краткая теория

При разработке месторождений открытым способом (на карьерах и разрезах) используют в основном метод скважинных зарядов. В слабых породах используют вращательное (шнековое) бурение. В более прочных породах преобладает шарошечное бурение. В крепчайших породах с коэффициентом крепости $f > 14-16$ наиболее эффективно термическое бурение скважин. Скважины на уступе карьера располагают в один или несколько рядов по различным схемам в зависимости от свойств разрушаемых пород и требуемой конфигурации забоя. Расположение скважин на уступе характеризуют следующими показателями (рис. 1):

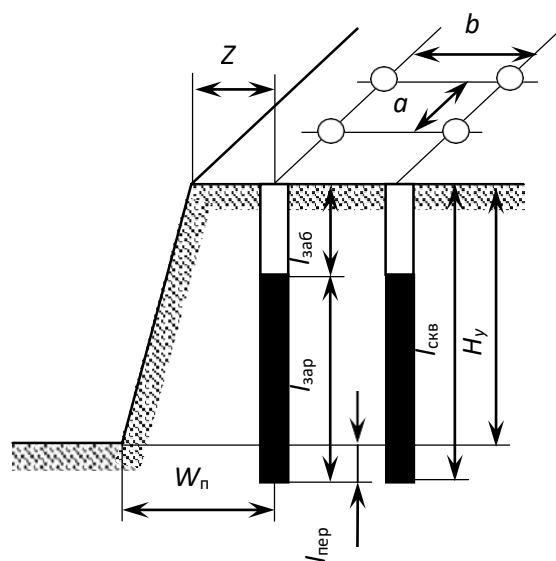


Рис. 3.1. Схема расположения скважин на уступе

H_y – высота уступа, м;

W_p – линия сопротивления по подошве (ЛСПП);

a – расстояние между скважинами, м;

b – расстояние между рядами скважин, м;

Z – безопасное расстояние от оси скважины до верхней бровки уступа, м;

$l_{зар}$ – длина заряда, м;

$l_{пер}$ – длина перебура, м;

$l_{заб}$ – длина забойки, м;

$l_{скв}$ – длина (глубина) скважины, м;

α – угол откоса уступа.

Характеристики и расположение скважин в первую очередь зависят от удельного расхода ВВ. Оптимальная величина удельного расхода ВВ определяется множеством факторов. При этом определяющую роль играют свойства разрушаемого массива, размеры его блоков (расстояние между трещинами), степень и качество заполнения трещин, их расположение относительно вектора смещения породы и т. п. Учесть все эти факторы в единой теоретической модели не представляется возможным. Поэтому во многом оптимальные параметры процесса определяются путем опытного взрывания и интерпретации его результатов на основе общефизических представлений.

Удельный расход «эталонного» ВВ ($q_э$) может быть определен по данным таблицы 1.

Таблица 3.1

Эталонный удельный расход ВВ, кг/м³

Категория пород по степени трещиноватости	Коэффициент крепости горных пород f по шкале проф. М. М. Протоdjeяконова			
	2 - 6	6 - 10	10 - 14	более 14
I	0,2	0,25	0,3	0,35
II	0,3	0,35	0,4	0,45
III	0,45	0,5	0,6	0,67
IV	0,67	0,75	0,8	0,9
V	0,9	1,0	1,1	1,2

Реальный удельный расход ВВ рекомендуется определять путем введения серии поправочных коэффициентов, учитывающих тип ВВ, конструкцию заряда, наличие свободных поверхностей, заданную степень дробления и др:

$$q_p = q_э \cdot e \cdot k_d \cdot \frac{\rho_{гп}}{2,6}, \quad (3.1)$$

где $q_э$ – эталонный расход Граммонита 79/21, кг/м³;

e – коэффициент относительной работоспособности ВВ, определяемый по формуле

$$e = A_{эт} / A_{ВВ}, \quad (3.2)$$

$A_{эт} = 3560$ кДж/кг - идеальная работа взрыва эталонного ВВ (Граммонит 79/21);

$A_{ВВ}$ – идеальная работа взрыва принятого ВВ, кДж/кг;

k_d - поправочный коэффициент на кондиционный размер куска;

$\rho_{гп}$ – плотность горных пород, т/м³.

Таблица 3.2

Значения поправочного коэффициента на кондиционный размер куска k_d

Допустимый размер крупных кусков, мм	250	500	750	1000	1250	1500
k_d	1,3	1,0	0,85	0,75	0,7	0,65

Диаметр заряда определяется диаметром рабочего органа буровой машины (долота, коронки или резца) $d_{\text{СКВ}}$ с учетом характеристик разрабатываемых пород:

$$d_{\text{зар}} = k_p d_{\text{СКВ}}, \quad (3.3)$$

где $k_p = 1,06 - (f - 2) 0,003$ – коэффициент расширения скважин.

Удельная вместимость 1 м скважины:

$$P = 0,785 \cdot d_{\text{зар}}^2 \cdot \Delta, \quad (3.4)$$

где Δ , кг/м³ – плотность заряда в скважине.

Линия сопротивления по подошве (ЛСПП) для одиночной скважины:

$$W_{\text{п}} = 0,9 \cdot \sqrt{\frac{P}{q_p}}, \quad (3.5)$$

В соответствии с правилами безопасности при бурении первого ряда скважин станок располагается перпендикулярно верхней бровке уступа, за призмой обрушения, но не ближе 2 м от верхней бровки уступа, поэтому минимально допустимая по условиям безопасного расположения бурового станка линия сопротивления по подошве (W_{min}) для вертикальных скважин рассчитывается из соотношения

$$W_{\text{min}} = H_y \text{ctg} \alpha + Z, \quad (3.6)$$

где α – угол откоса рабочего уступа, град;

Z – ширина призмы обрушения, $Z \geq 2$ м.

Величина принимаемой при расчетах линии сопротивления по подошве ($W_{\text{п}}$) должна удовлетворять соотношению:

$$W_{\text{min}} < W_{\text{п}}. \quad (3.7)$$

Если значения $W_{\text{min}} > W_{\text{п}}$, это означает, что принятые параметры скважин и характеристики ВВ не обеспечивают проработку подошвы уступа. В этом случае следует изменить диаметр скважины, тип применяемого ВВ или перейти к наклонным скважинам.

Глубина перебура:

$$l_{\text{пер}} = (10 \div 15) \cdot d_{\text{СКВ}} \quad (3.8)$$

Глубина забойки:

$$l_{\text{заб}} = (20 \div 35) \cdot d_{\text{скв}} \quad (3.9)$$

Глубина скважины:

$$l_{\text{скв}} = H_y + l_{\text{пер}} \quad (3.10)$$

Расстояние между скважинами в ряду:

$$a = mW_{\text{п}}, \quad (3.11)$$

где $m = 0,8 - 1,4$ - коэффициент сближения скважин; меньшее значение m принимается для крепких пород.

Расстояние между рядами скважин:

$$b = (0,9-1,0)W_{\text{п}}. \quad (3.12)$$

Масса заряда в скважине:

$$Q = q_p \cdot a \cdot W_{\text{п}} \cdot H_y \quad (3.13)$$

Длина заряда:

$$l_{\text{зар}} = \frac{Q}{P}. \quad (3.14)$$

Задание: рассчитать параметры буровзрывных работ при скважинной отбойке в условиях открытой разработки месторождений полезных ископаемых.

Практико-ориентированное задание №4

Расчёт безопасных расстояний по разлету кусков породы при взрывании скважинных зарядов

Цель работы – овладение методикой расчета безопасных расстояний по разлету кусков породы при взрывании скважинных зарядов.

При определении зон, опасных по разлету отдельных кусков породы при взрывании скважинных зарядов на земной поверхности, следует выделять и отдельно рассчитывать безопасные расстояния для людей зданий и сооружений, машин и механизмов.

При взрывании скважинных зарядов рыхления (дробления) расстояние опасное для людей, рассчитывается по формуле:

$$r_{\text{разл}} = 1250 \cdot h_3 \cdot \sqrt{\frac{f}{1 + h_{\text{заб}}} \cdot \frac{d}{a}} \quad (4.1)$$

где h_3 – коэффициент заполнения скважины взрывчатым веществом, определяемый по формуле

$$h_3 = \frac{l_{\text{зар}}}{l_c} \quad (4.2)$$

$l_{\text{зар}}$ – длина заряда ВВ, м;

$l_{\text{зар}}$ – глубина скважины, м;

f – коэффициент крепости горных пород;

h_3 – коэффициент заполнения скважины забойкой:

$$h_3 = \frac{l_{\text{заб}}}{l_n} \quad (4.3)$$

$l_{\text{зар}}$ – длина забойки, м;

l_n – длина свободной от заряда верхней части скважины, м;

d – диаметр взрывающей скважины, м;

a – расстояние между скважинами в ряду или между рядами, м.

Расчётные значения радиусов разлета осколков округляются в большую сторону до значения, кратного 50 м. Окончательно принимаемое безопасное расстояние не должно быть меньше указанных в табл. 4.1.

**Минимально допустимые безопасные расстояния для людей при
взрывных работах**

№ п/п	Методы взрывных работ	Минимально допустимые радиусы опасных зон, м
1.	Наружных зарядов, в том числе кумулятивных	300 (по проекту)
2.	Шпуровых зарядов	200
3.	Котловых шпуров	200
4.	Малокамерных зарядов (рукавов)	200*
5.	Скважинных зарядов	Не менее 200**
6.	Котловых скважин	Не менее 300
7.	Камерных зарядов	Не менее 300

* - при взрывании на косогорах в направлении вниз по склону величина радиуса опасной зоны должна приниматься не менее 300 м.

** - радиус опасной зоны указан для взрывания зарядов с забойкой.

Практико-ориентированное задание №5

Составление паспорта буровзрывных работ на проведение горизонтальной горной выработки.

Цель работы – овладение методикой расчета параметров буровзрывных работ (БВР) при проведении подземных горных выработок и составления паспорта БВР.

Краткая теория

Проведение горных выработок буровзрывным способом осуществляется по паспортам буровзрывных работ (БВР). Паспорта утверждаются руководителем того предприятия, которое ведёт взрывные работы. С паспортом БВР ознакомляется весь персонал, осуществляющий буровзрывные работы в данной выработке.

Паспорт составляется для каждого забоя выработки на основании расчетов и утверждается с учётом результатов не менее трёх опытных взрываний. По разрешению руководителя предприятия (шахты, рудника) допускается вместо опытных взрываний использовать результаты взрывов, проведённых в аналогичных условиях.

Расчёт, необходимый для составления паспорта, сводится к выбору и определению основных параметров буровзрывных работ для проведения выработки. К основным параметрам относятся: тип взрывчатого вещества (ВВ) и средства инициирования (СИ), диаметр и глубина шпуров, тип вруба, удельный заряд ВВ, количество шпуров и конструкции зарядов, расход взрывчатых материалов.

Общие положения

Буровзрывной комплекс работ занимает от 30 до 60 % общего времени проходческого цикла в зависимости от горнотехнических условий.

При проведении горных выработок буровзрывные работы должны обеспечить заданные размеры и форму поперечного сечения выработки, точное оконтуривание её профиля, качественное дробление породы и сосредоточенное размещение её в забое, нормативную величину коэффициента излишка сечения (КИС), высокий коэффициент использования шпуров (КИШ).

Эти требования соблюдаются при условии правильного выбора параметров буровзрывных работ: типа ВВ, типа и параметров вруба, величины и конструкции заряда в шпуре, диаметра и глубины шпуров, числа и расположения

их в забое, способа и очередности взрывания зарядов, типа бурового оборудования, качества буровых работ, организации проходческих работ и т. д.

Определение параметров буровзрывных работ

Выбор взрывчатых материалов

При выборе взрывчатых материалов (ВМ) руководствуются требованиями безопасного производства взрывных работ, регламентированных «Правилами безопасности при взрывных работах» [6] с учетом физико-механических свойств горных пород и горнотехнических условий.

Рекомендуемые взрывчатые вещества (ВВ) [7] в зависимости от условий работ, обводнённости и крепости пород, способа заряжания представлены в табл. 5.1.

В шахтах, не опасных по газу или пыли, при проведении горизонтальных выработок допускается применение электрического взрывания и систем неэлектрического взрывания с низкоэнергетическими волноводами.

Таблица 5.1

Рекомендуемые ВВ

Условия взрывных работ	Условия размещения зарядов	Коэффициент крепости пород f	Тип ВВ	Способ заряжания
Выработки, не опасные по взрыву газа или пыли	Сухие шпуры	до 12	Гранулит М Граммонит 79/21 Гранулит АС-4В Гранулит-игданит	Механизированный
			Аммонит № 6ЖВ	Ручной
		более 12	Гранулит АС-8В	Механизированный
			Аммонал М-10 Детонит М Аммонал скальный № 1	Ручной
	Обводнённые шпуры	до 12	Аммонит № 6ЖВ	Ручной
		более 12	Аммонал М-10 Детонит М Аммонал скальный № 1	
Выработки, опасные по взрыву газа и пыли	Сухие и обводнённые шпуры	Для взрывания по породе	Аммонит АП-5ЖВ	Ручной
		Для взрывания по углю с учетом степени опасности	IV кл. Аммонит Т-19 Аммонит ПЖВ-20 V кл. Угленит Э-6 VI кл. Угленит 12ЦБ	
	Для водораспыления	Открытый заряд	Ионит	

На угольных шахтах, опасных по газу или пыли, разрешается только взрывание с применением электродетонаторов. При полном отсутствии в забоях проходимых выработок метана или угольной пыли, допускается применение непридохранительных ВВ II класса и электродетонаторов мгновенного, короткозамедленного и замедленного действия со временем замедления до 2 с без ограничения количества приёмов и пропускаемых серий замедлений.

Основные характеристики ВВ, применяемых при проходке подземных горных выработок, приведены в табл. 5.2.

Таблица 5.2

Характеристики ВВ

Наименование ВВ	Идеальная работа взрыва, кДж/кг	Плотность в патронах или насыпаная, кг/м ³	Удельная объемная энергия взрыва при средней плотности, кДж/кг	Коэффициент взрывной эффективности при плотности ВВ 1000 кг/м ³	Расстояние передачи детонации между патронами, см		Диаметр патронов, мм	Масса патрона, кг	Длина патрона, мм
					Сухие	После выдержки в воде			
Аммонит № 6ЖВ	3561	1000- 1100	3917	1,0	5-9	3-6	32 36	0,2 0,25	250 250
Аммонал М-10	4410	950- 1100	4520	1,15	4	3	32	0,2	250
Детонит М	4316	1000- 1200	4963	1,27	8-18	5-15	32 36	0,2 0,25	250 250
Аммонал скальный № 1	4420	1000- 1100	4641	1,18	8-14	5-10	32 36	0,2 0,25	250 250
Аммонит АП-5ЖВ	2991	1000- 1150	3215	0,82	5-10	2-7	36	0,3	250
Аммонит Т-19	2564	1000- 1200	2820	0,72	7-12	4-8	36	0,3	240
Угленит Э-6	1946	1100- 1250	2289	0,58	5-12	3-10	36	0,3	240
Угленит 12 ЦБ	1770	1200- 1350	2256	0,58	4	2	36	0,3	240
Ионит	1482	1000- 1200	1704	0,44	–	–	36	0,3	240
Гранулит М	3163	780- 820 (1000- 1150)*	3384	0,86					
Гранулит АС-4В	3645	800- 850 (1100- 1200)*	4192	1,07					
Гранулит АС-8В	3997	800- 850 (1100- 1200)*	4597	1,17					
Гранулит- игданит	3150	800- 850 (1100- 1200)*	3760	0,85					

* Плотность при механизированном зарядании

Технические характеристики электродетонаторов, применяемых при проведении горных выработок, приведены в табл. 5.3. Все электродетонаторы являются водостойчивыми.

Таблица 5.3

Электродетонаторы для шахт и рудников

Тип электродетонаторов	Кол-во серий	Интервалы замедления, мс (с)	Безопасный ток, А	Гарантийный ток, А	Сопротивление, Ом	Примечание
ЭД-8Ж(Э)	1	0	0,2	1,0	1,8-3,6	Электродетонаторы непригодные для нормальной чувствительности
ЭД-3-Н	36	20, 40, 60, 80, 100, 125, 150, 175, 200, 250, 300, 350, 400, 450, 500, 600, 700, 800, 900, 1000, 1250, 1500, 1750, 2000, 2500, 3000, 3500, 4000, 4500 мс 5,6,7,8,9,10 с				
ЭД-1-8-Т	1	0	1,0	5,0	0,5-0,75	Электродетонаторы непригодные для пониженной чувствительности к блуждающим токам
ЭД-3-Т	36	20, 40, 60, 80, 100, 125, 150, 175, 200, 250, 300, 350, 400, 450, 500, 600, 700, 800, 900, 1000, 1250, 1500, 1750, 2000, 2500, 3000, 3500, 4000, 4500 мс 5,6,7,8,9,10 с				
ЭДКЗ-ОП	1	0	0,2	1,0	1,8-3,6	Электродетонаторы предохранительные нормальной чувствительности
ЭДКЗ-П	5	25, 50, 75, 100, 125 мс	0,2	1,0	1,8-3,6	
ЭДКЗ-ПМ	7	15, 30, 45, 60, 80, 100, 120 мс	0,2	1,0	1,8-3,6	
ЭД-КЗ-ПКМ	9	4, 20, 60, 80, 100, 125, 150, 175, 200 мс	0,2	1,0	1,8-3,6	

Детонирующие шнуры ДША, ДШВ и ДШЭ-12 и др. применяют при необходимости одновременного взрывания врубовых, нижних подошвенных шпуров, а также в рассредоточенных зарядах с целью передачи детонации всем частям шпурового заряда.

В последние годы на подземных взрывных работах получил широкое распространение новый способ инициирования зарядов ВВ – система неэлектрического взрывания различных модификаций: Нонель (Швеция), СИНВ, Эдилин (Россия) и др.

В табл. 3.4 представлены характеристики систем СИНВ и ДБИ для взрывных работ в рудниках и угольных шахтах, где допущено применение непригодных взрывчатых веществ II класса.

Устройства СИНВ-Ш и ДБИЗ служат для трансляции инициирующего сигнала и инициирования боевиков шпуровых зарядов с заданной временной задержкой. В боевике каждого шпурового заряда размещается КД устройства СИНВ-Ш или ДБИЗ заданного интервала замедления.

Таблица 5.4

Характеристики систем неэлектрического инициирования

Устройство	Интервал замедления, мс	Назначение
СИНВ-Ш	0, 25, 42, 55, 67, 109, 125, 150, 176, 200, 250, 300, 350, 400, 450, 500, 600, 700, 800, 900, 1000, 2000, 3000, 4000, 5000, 6000, 7000, 8000, 9000, 10000	Изготовление патронов-боевиков
ДБИЗ	0, 17, 25, 42, 55, 67, 109, 125, 150, 176, 200, 250, 300, 350, 400, 450, 500, 600, 700, 800, 900, 1000, 2000, 3000, 4000, 5000, 6000, 7000, 8000, 9000, 10000	

Примечание. Интервалы замедлений приведены при длине ударно-волновой трубки (УВТ) 1 м. Добавление каждого метра длины УВТ увеличивает время замедления на 0,5 мс.

УВТ, выходящие из шпуров, инициируются одновременно от устройств СИНВ-П мгновенного действия (СИНВ-П-0), смонтированных в единую сеть. Длина УВТ стартового устройства (магистральной части сети) выбирается из условия безопасного подрыва и может составлять несколько сот метров.

При проходке подземных выработок обычно применяется следующая схема: УВТ, выходящие из шпуров, собираются в связки (пучки), которые соединяются в единую сеть детонирующим шнуром. Детонирующий шнур обвязывается вокруг связки двойной петлей. Количество УВТ в одной связке не должно превышать 15 шт. Иницирование сети из детонирующего шнура производится электродетонатором или электрозажигательной трубкой.

Выбор типа вруба и глубины шпуров

Расположение шпуров в забое, величина заходки и показатели взрыва во многом определяются типом вруба. Врубы по характеру действия делятся на две группы:

- врубы с наклонными к оси выработки шпурами – наклонные врубы;
- врубы с параллельными к оси выработки шпурами – прямые врубы.

Тип вруба и глубину шпуров с учетом горнотехнических условий следует принимать по данным табл. 5.5.

Таблица 5.5

Тип вруба и глубина шпуров

Тип буровой техники	Сечение выработки, м ²	
	менее 6	более 6
Переносные перфораторы, ручные электросвёрла и пневмосвёрла	Прямые врубы при глубине шпуров более 1,5 м	Наклонные врубы при глубине шпуров не более (0,35–0,5) ширины выработки; прямые врубы при глубине шпуров до 2–2,5 м
Установки механизированного бурения	–	Прямые врубы с максимальной возможной глубиной по технической характеристике машины

Из наклонных врубов наибольшее распространение имеет вертикальный клиновой вруб. Другие врубы с наклонными шпурами (пирамидальный, горизонтальный клиновой и его разновидности, веерный и т. д.) не получили достаточно широкого распространения из-за сложности обустройства и узкой рекомендуемой области применения (забои, проводимые по пласту угля при малой его мощности, при наличии слабых прослоек пород по забою, при ярко выраженном контакте слабых пород с более крепкими вмещающими породами и т. д.).

Высокая эффективность врубов с наклонными шпурами и преимущества их по сравнению с прямыми врубами достигаются только при ограниченной глубине шпуров и определенном сечении выработки. При проходке выработок в крепких породах ($f > 12$) с применением вертикального клинового вруба длина заходки не превышает обычно 0,35 ширины выработки (B) из-за технической невозможности бурения врубовых шпуров под углом наклона, обеспечивающим эффективную работу вруба. При глубине шпуров более 0,5 B , применении буровых кареток, а также в выработках малого сечения (менее 6 м²) наиболее эффективны прямые врубы, глубина которых ограничивается точностью бурения в зависимости от типа буровой техники.

При глубине шпуров, принятой по рекомендациям табл. 5.5, проектную величину КИШ следует принимать равной 0,85–0,95 с учётом крепости горных пород.

Выбор конструкции и параметров врубов

Вертикальный клиновой вруб

При ограниченной глубине шпуров (1,2–2,0 м) наибольшее распространение имеет вертикальный клиновой вруб. Параметры вертикального клинового вруба в зависимости от крепости пород применительно к аммониту № 6ЖВ в патронах диаметром 32 мм в шпурах диаметром 42 мм ориентировочно по данным практики можно принять по данным табл. 5.6.

Таблица 5.6

Параметры вертикального клинового вруба

Группа крепости пород по СНиП	Коэффициент крепости пород f	Расстояние по вертикали между парами шпуров, мм	Количество шпуров во врубе при сечении выработки (м ²)		Угол наклона шпуров к плоскости забоя α , град.
			до 12	более 12	
IV-V	1-6	500	4	4-6	75-70
VI	6-8	450	4-6	6-8	68
VII	8-10	400	6-8	8-10	65
VIII	10-13	350	8-10	10-12	63
IX	13-16	300	10-12	12-14	60
X	16-18	300	10-12	12-14	58
XI	20	250	10-12	12-14	55

При применении другого типа ВВ и изменении диаметра шпуров расстояние между парами врубовых шпуров определяется с учётом поправочного коэффициента по формуле:

$$k = 1,25 \sqrt{e} \cdot d_3/d, \quad (5.1)$$

где e – коэффициент взрывной эффективности (см. табл. 5.2),

d_3 – диаметр заряда,

d – диаметр заряжаемой полости (шпура или скважины).

С увеличением коэффициента крепости пород (см. табл. 5.6) угол наклона врубовых шпуров к плоскости забоя уменьшается. Поэтому предельную глубину вертикального клинового вруба (рис. 5.1) при бурении шпуров ручными перфораторами в зависимости от коэффициента крепости пород и ширины выработки рекомендуется принимать по табл. 5.7 или по формуле:

$$h_{вр} = 0,25B \operatorname{tg} \frac{\alpha}{2} - 0,3, \quad (5.2)$$

где B – ширина выработки, м

α – угол наклона шпуров к плоскости забоя, град. (см. рис. 3.1).

Предельная глубина вертикального клинового вруба $h_{вр}$, м

Ширина выработки, м	Коэффициент крепости пород f						
	2-5	6-7	8-9	10-12	13-15	16-17	18-20
2,0	1,3	1,2	1,1	1,0	0,9	0,8	0,7
2,5	1,7	1,6	1,4	1,3	1,2	1,1	1,0
3,0	2,1	1,9	1,7	1,6	1,4	1,3	1,2
3,5	2,4	2,2	1,9	1,7	1,6	1,5	1,4
4,0	2,8	2,6	2,2	2,1	1,9	1,8	1,7
4,5	3,2	2,9	2,5	2,4	2,3	2,0	1,9
5,0	3,5	3,1	2,9	2,7	2,4	2,2	2,1

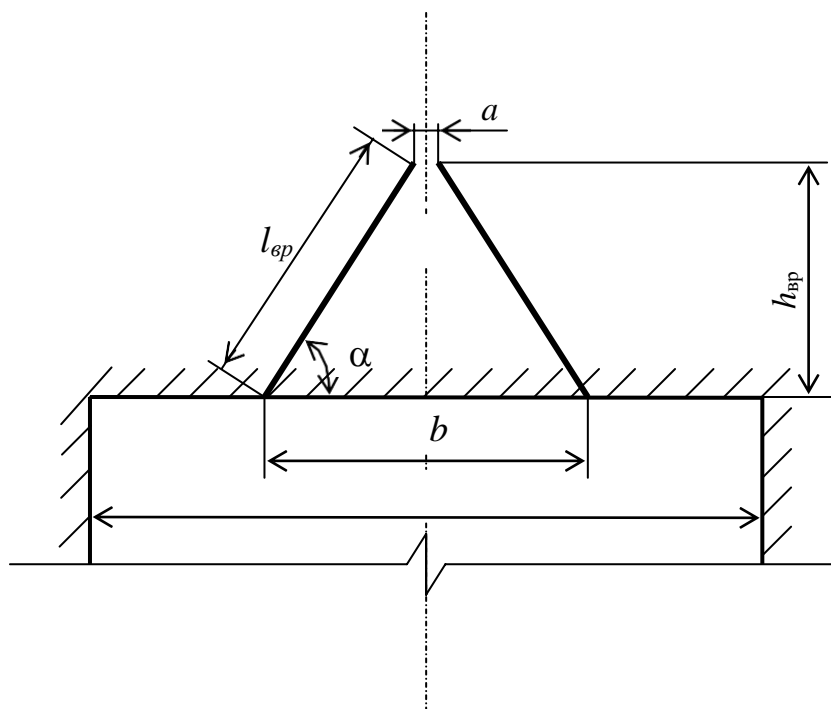


Рис. 5.1. Схема вертикального клинового вруба

Глубину врубовых шпуров следует принимать на 0,1-0,2 м больше длины вспомогательных и оконтуривающих шпуров:

$$h_{вр} = h_{шп} + (0,1 \div 0,2), \quad (5.3)$$

где $h_{шп}$ – глубина (длина) вспомогательных и оконтуривающих шпуров, м.

Длину шпуров клинового вруба определяют с учетом угла их наклона:

$$l_{вр} = h_{вр} / \sin \alpha, \quad (5.4)$$

где α – угол наклона шпуров к плоскости забоя, град.

Расстояние между устьями в паре шпуров клинового вруба определяют по зависимости:

$$b = 2 h_{вр} / \operatorname{tg} \alpha + a, \quad (5.5)$$

где a – расстояние между забоями пары сходящихся шпуров клинового вруба, м (в зависимости от коэффициента крепости пород $a = 0,15-0,2$ м).

После расчета основных параметров вруба следует проверить графическим способом техническую возможность обуривания вертикального клинового вруба с учетом принятого бурового оборудования. С этой целью в масштабе 1:20 – 1:50 вычерчивается план забоя (вид сверху) с наложением пары врубовых шпуров и обязательного соблюдения принятого угла наклона шпуров α .

Если ширина выработки не позволяет с учётом габаритов бурильной машины (см. рис. 3.1) обурить рассчитанный вруб, то следует уменьшить глубину врубовых шпуров или принять другой тип вруба. При применении бурильных установок стрела автоподатчика должна свободно размещаться при заданном угле наклона врубовых шпуров между точкой забуривания врубового шпура и стенкой выработки. При бурении переносными перфораторами или ручными электросвёрлами врубовые шпуры могут буриться в 2-3 приёма комплектом штанг различной длины (например: 0,5 м; 1,2 м; 2,0 м).

Прямые врубы

Из прямых врубов (рис. 5.2) наиболее широкое распространение получили следующие конструкции: призматический симметричный a ; щелевой b ; спиральный c и двойной спиральный z .

Прямые врубы представляют собой комбинацию параллельных заряженных шпуров, взрыв которых работает на компенсационную полость, создаваемую холостым шпуrom (системой холостых шпуров) или скважиной. Взрыв последующих шпуров расширяет врубовую полость до размеров, достаточных для последующей отбойки вспомогательными (отбойными) шпурами с постоянной, предельной для конкретных горнотехнических условий линией сопротивления.

Параметры прямых врубов принимаются в зависимости от конструкции вруба, крепости пород, диаметра компенсационной полости (шпура или скважины, их количества). Наиболее ответственными являются первый шпур или серия шпуров, взрываемых на компенсационную полость. Поэтому для повышения эффективности взрыва целесообразно в качестве компенсационной полости использовать шпур увеличенного диаметра, систему холостых шпуров или скважину.

Расстояние между компенсационной полостью и первым взрываемым шпуrom или серией шпуров (пробивное расстояние W_1) рекомендуется принимать для шпуров диаметром 42 мм при использовании аммонита № 6 ЖВ в патронах диаметром 32 мм по табл. 5.8.

При применении другого типа ВВ или другой конструкции заряда пробивное расстояние W_1 , определенное по табл. 1.7, умножается на поправочный коэффициент, рассчитанный по формуле (5.1).

Пробивные расстояния W_1 учитывают возможное отклонение шпуров от заданного направления. С увеличением глубины шпуров растет их отклонение, поэтому при глубине шпуров до 2,5 м достаточно принимать диаметр первона-

чальной компенсационной полости не более 50-60 мм; при шпурах глубиной до 3 м – 70-105 мм и при шпурах до 4 м – 105-125 мм, что позволит сохранить КИШ в пределах 0,85-0,9.

Пробивные расстояния для шпуров, взрывааемых вторыми и последующими во врубе (W_1, W_2, W_3 и т. д.), принимаются равными 0,8 от ширины (наибольшего размера) ранее образованной врубовой полости.

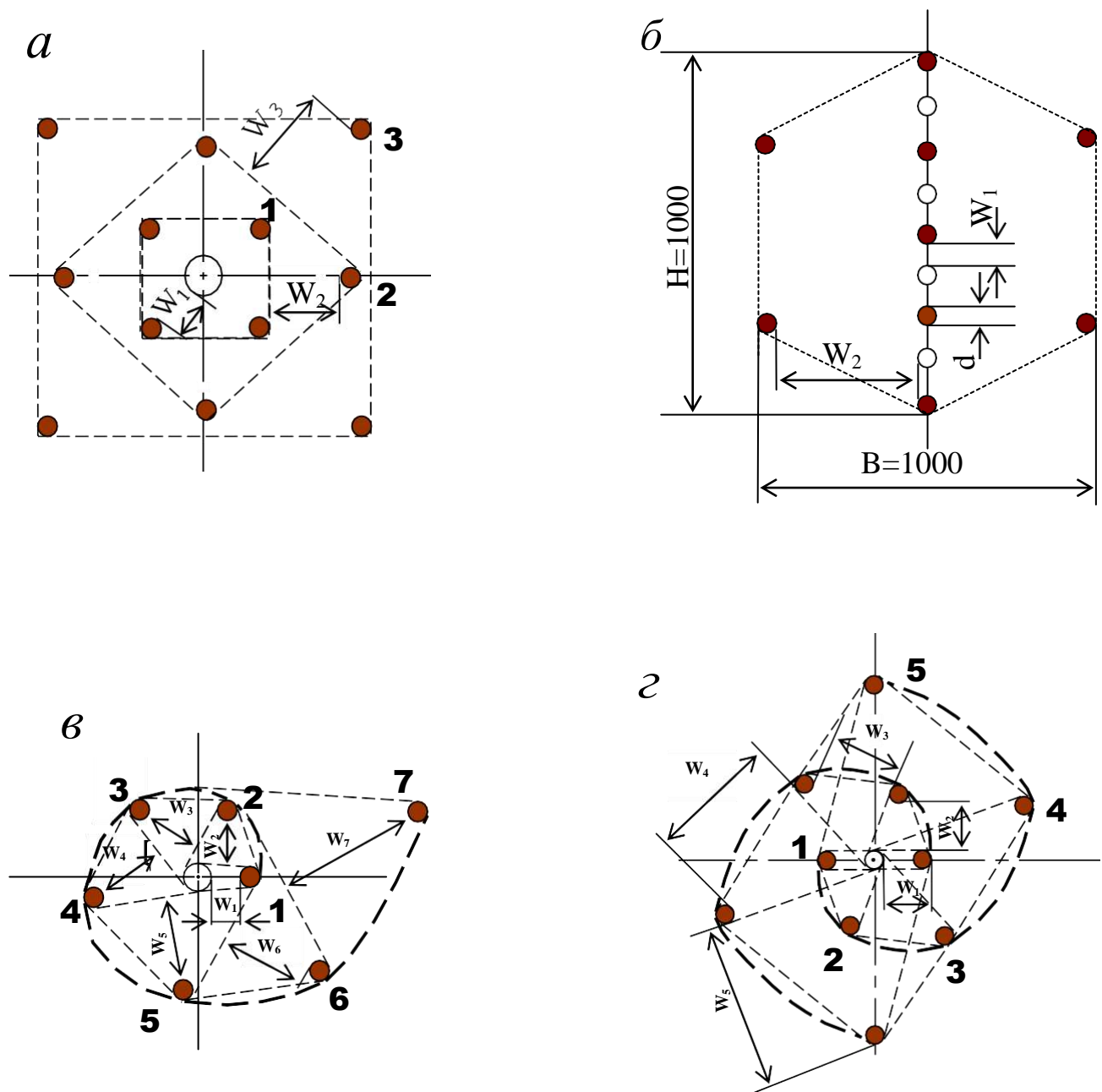


Рис. 5.2. Конструкции прямых врубов:
а – призматический симметричный; *б* – щелевой; *в* – спиральный;
г – двойной спиральный

Пробивные расстояния W_1 , мм

Диаметр холостого шпура или скважины D_x , мм	Коэффициент крепости пород f						
	2-5	6-7	8-9	10-12	13-15	16-17	18-20
42	115	100	90	80	60	60	55
51	125	110	100	90	80	70	65
56	150	130	110	95	90	85	75
75	170	150	130	105	100	95	85
105	190	170	150	120	110	105	95
125	230	200	170	140	120	110	100

Например, пробивное расстояние для шпуров спирального вруба, взрывае-
мых вторыми, т. е. на обнаженную поверхность, образованную взрывом перво-
го шпура, определяют по данным табл. 3.9 или по зависимости, мм:

$$W_2 = 0,8 \cdot (W_1 + D_x + d), \quad (5.6)$$

где W_1 – пробивное расстояние для первого шпура (см. табл. 5.7);

D_x – диаметр компенсационной полости (холостого шпура или скважины);

d – диаметр заряженных шпуров.

Пробивные расстояния (W_2 , W_3 и т. д.) для любого типа вруба могут быть
определены графически путем последовательного построения расширяющейся
врубной полости (см. рис. 5.2) в масштабе 1:5.

Таблица 5.9

Пробивные расстояния W_2 , мм

Диаметр холостого шпура или скважины D_x , мм	Коэффициент крепости пород f						
	2-5	6-7	8-9	10-12	13-15	16-17	18-20
42	170	150	140	130	120	115	110
51	180	160	150	140	130	120	115
56	210	180	170	160	150	140	130
75	260	210	200	185	170	150	140
105	300	260	240	215	200	185	175
125	340	300	270	250	230	220	215

Расчёты и построения выполняются до тех пор, пока не образуется врубо-
вая полость размером в пределах от 0,9×0,9 до 1,2×1,2 м. Такой размер врубо-
вой полости является достаточным и позволяет в дальнейшем производить от-
бойку породы вспомогательными и оконтуривающими шпурами уже с посто-
янной линией наименьшего сопротивления, которая соответствует предельному
пробивному расстоянию шпурового заряда при взрывании его на неограничен-
ную свободную поверхность.

Предельные пробивные расстояния для вспомогательных и оконтуривающих шпуров при их диаметре 42 мм, заряженных аммонитом № 6ЖВ в патронах диаметром 32 мм, приведены в табл. 5.10.

Таблица 5.10

**Предельные пробивные расстояния
для вспомогательных и оконтуривающих шпуров, мм**

Диаметр шпуров, мм	Коэффициент крепости пород f						
	2-5	6-7	8-9	10-12	13-15	16-17	18-20
42	1000-900	800	700	650	600	550	500

Опыт работы и расчёты показывают, что для образования врубовой полости сечением 0,8-1,4 м² необходимо принять 8-12 шпуров в зависимости от диаметра компенсационной полости и коэффициента крепости пород.

При применении щелевого вруба пробивное расстояние между заряжаемыми и холостыми шпурами принимается по данным табл. 5.8. Количество заряжаемых N_z и холостых N_x шпуров в щелевом врубе при их одинаковом диаметре определяют по формулам:

$$N_z = \frac{H}{2(W_1 + d)} + 1, \quad (5.7)$$

$$N_x = \frac{H}{2(W_1 + d)}, \quad (5.8)$$

где H – высота вруба, мм;

W_1 – пробивное расстояние, мм;

d – диаметр шпуров, мм.

Щелевой вруб (рис. 5.2, б) высотой 1000 мм с последующим расширением полости четырьмя шпурами дает высокие показатели в породах любой крепости и в выработках любого сечения. Пробивное расстояние W_2 для шпуров, взрывааемых во вторую очередь, принимается равным 500 мм, а расстояние между шпурами по вертикали 700–800 мм в породах любой крепости.

Могут быть приняты другие конструкции прямых врубов, но принцип расчета их параметров будет аналогичен.

После расчета параметров принятого прямого вруба (пробивных расстояний и числа шпуров во врубе) определяется площадь вруба по забою выработки, что необходимо для определения количества остальных шпуров.

Глубина (длина) холостых и заряжаемых шпуров прямого вруба должна приниматься больше на 10 % по сравнению с глубиной вспомогательных и оконтуривающих шпуров.

При ведении взрывных работ на угольных шахтах, опасных по газу или пыли, при определении расстояний между смежными шпурами следует придерживаться дополнительных требований ЕПБ.

Расстояние от заряда ВВ до ближайшей поверхности должно быть не менее 0,5 м по углю и не менее 0,3 м по породе, в том числе и при взрывании зарядов в породном негабарите. В случае применения ВВ VI класса при взрывании по углю это расстояние допускается уменьшать до 0,3 м.

Минимально допустимые расстояния между смежными (взрываемыми последовательно) шпуровыми зарядами должны соответствовать данным табл. 5.11.

В породах с $f > 10$ расстояние между смежными шпуровыми зарядами должно определяться нормативами, разработанными по согласованию с организацией-экспертом по безопасности работ.

Поскольку при применении прямых врубов с незаряжаемыми шпурами (см. рис. 3.2) данные требования, как правило, невыполнимы, то в угольных шахтах, опасных по газу или пыли, применяются прямые врубы, работающие по принципу воронкообразования.

Таблица 5.11

Минимально допустимые расстояния между смежными шпуровыми зарядами

Условия взрывания	Класса ВВ			
	II	III-IV	V	VI
По углю	0,6	0,6	0,5	0,4
По породе:				
при $f < 7$	0,5	0,45	0,3	0,25
при $f > 10$	0,4	0,3	–	–

В породах с коэффициентом крепости $f < 6$ обычно применяется прямой призматический вруб из 4–6 шпуров, которые располагаются по контуру окружности или периметру прямоугольника и взрываются одновременно в один приём. Расстояние между врубовыми шпурами следует принимать в соответствии с рекомендациями табл. 5.11. При проведении выработок в более крепких породах целесообразно использовать двойной призматический вруб из 6–8 шпуров с соблюдением тех же требований, которые взрываются короткозамедленно и последовательно в два приёма.

Определение удельного заряда ВВ

Величина удельного заряда ВВ, т. е. количество ВВ, необходимое для заряжания в шпуры единицы объёма обуренного массива (с учетом эффективного разрушения), зависит от крепости пород, сечения выработки, типа ВВ и условий взрывания (наличия обнажённой поверхности, структуры породы, плотности ВВ при заряжании, типа вруба).

Удельный заряд **при врубах с наклонными шпурами** рекомендуется определять по видоизменённой формуле Н. М. Покровского:

$$q = 0,1 \cdot f \cdot f_1 \cdot v / e, \quad (5.9)$$

где q – удельный заряд ВВ, кг/м³;

f – коэффициент крепости по М. М. Протоdjяконову. В породах с $f > 16$ в формуле (5.9) принимать 0,08 вместо 0,1;

f_1 – коэффициент структуры породы;

ν – коэффициент зажима породы, зависящий от площади поперечного сечения выработки и количества обнажённых поверхностей;

e – коэффициент взрывной эффективности заряда ВВ.

Коэффициент относительной эффективности заряда ВВ определяется из выражения

$$e = \frac{Q_{\text{ид}} \cdot \rho}{Q_{\text{ид.э}} \cdot \rho_{\text{э}}}, \quad (5.10)$$

где $Q_{\text{ид}}$, $Q_{\text{ид.э}}$ – идеальная работа взрыва принятого и эталонного ВВ, кДж/кг;

ρ , $\rho_{\text{э}}$ – плотность заряда принятого и эталонного ВВ, кг/м³.

Необходимые данные для расчета величины e принимают из табл. 5.2. При средней плотности заряда ВВ значение коэффициента взрывной эффективности можно принять из этой же таблицы. В качестве эталонного ВВ в формуле (5.10) и в табл. 5.2 принят аммонит № 6ЖВ.

Значение коэффициента структуры породы f_1 принимается из табл. 5.12.

Таблица 5.12

Коэффициент структуры породы f_1

Характеристика пород	Категория пород	Коэффициент структуры породы f_1
Монолитные, крепкие, вязкие, упругие	I	1,6
Трещиноватые, крепкие	II	1,2-1,4
Массивно-хрупкие	III	1,1
Сильнотрещиноватые, мелкослоистые, большинство пород угольных бассейнов	IV	0,8-0,9

Коэффициент зажима породы при одной обнаженной поверхности в забоях горизонтальных и наклонных выработок определяется из выражения

$$\nu = \frac{6,5}{\sqrt{S_{\text{вч}}}}, \quad (5.11)$$

где $S_{\text{вч}}$ – площадь поперечного сечения вчерне, м².

При двух обнаженных поверхностях коэффициент зажима принимается в пределах $\nu = 1,1-1,4$ (меньшие значения – для больших сечений выработок).

При щелевом врубе на полную высоту выработки для определения удельного заряда для шпуров по забою, кроме врубовых, в формуле (5.9) следует принимать коэффициент зажима породы $\nu = 1,4$.

Прямые (дробящие) врубы требуют повышенного удельного заряда ВВ. По формуле (5.9) при применении прямых врубов определяют удельный заряд только для вспомогательных и оконтуривающих шпуров с коэффициентом зажима породы $\nu = 1,1-1,4$.

Выбор диаметра шпура

Диаметр шпуров выбирается в зависимости от стандартного диаметра патрона принятого типа ВВ. В табл. 5.2 указаны стандартные диаметры патронов промышленных ВВ. При выпуске ВВ в патронах различных диаметров следует принимать диаметр патрона с учётом сечения выработки и типа буровой техники. При использовании мощных бурильных машин и при больших сечениях выработки принимают патроны с большим диаметром или механизированное зарядание гранулированными ВВ.

При применении метода контурного взрывания в оконтуривающих шпурах следует уменьшить линейную плотность заряжения. С этой целью рекомендуется применять, например, специальные патроны типа ЗКВК из аммонита № 6ЖВ диаметром 26 мм длиной 360 мм в полиэтиленовых оболочках. Эти патроны имеют соединительные муфты с лепестками, позволяющими стыковать их и центрировать по оси шпура с созданием воздушного промежутка между патронами и стенками шпура.

Диаметр шпуров при использовании патронированных ВВ принимается не менее чем на 5 мм больше диаметра патрона. При применении машин ударно-поворотного и вращательного-ударного бурения и патронированных ВВ диаметр шпуров обычно составляет 38–42 мм. При механизированном зарядании шпуров гранулированными ВВ в горнорудной промышленности диаметр шпуров принимается в пределах от 38 до 52 мм в зависимости от сечения выработки, детонационной способности ВВ и взрываемости пород.

При бурении по углю и породам угольной формации используются шпуры диаметром 37–46 мм.

Определение количества шпуров

Количество шпуров в забое зависит от физико-механических свойств пород, поперечного сечения выработки, параметров зарядов и типа принятого вруба.

Количество шпуров на забой **при врубах с наклонными шпурами** определяют по формуле проф. Н. М. Покровского

$$N = q \cdot S_{вч} / \gamma, \quad (5.12)$$

где q – удельный заряд ВВ, определяемый по формуле (1.9), кг/м³;

$S_{вч}$ – площадь сечения выработки вчерне, м²;

γ – весовое количество ВВ (вместимость), приходящееся на 1 м шпура, кг/м.

$$\gamma = 3,14 d^2 \rho \alpha / 4, \quad (5.13)$$

где d – диаметр заряда (патрона ВВ или шпура), м;

ρ – плотность ВВ в заряде, кг/м³;

α – коэффициент заполнения шпуров.

При ручном зарядании без уплотнения ВВ в шпуре используется параметр «диаметр патрона», а параметр «диаметр шпура» – при уплотнении патронов вручную с разрезанием оболочки или при механизированном зарядании.

При разрезании оболочки патронов плотность ВВ в шпуре принимается равной 0,9 от плотности ВВ в патроне (см. табл. 5.2). При механизированном зарядании шпуров гранулированными ВВ плотность ВВ в шпуре составляет 1150–1200 кг/м³.

Коэффициент заполнения шпуров в выработках шахт, не опасных по взрыву газа или пыли, проходимых в крепких породах, принимается максимальным (0,7-0,9).

В выработках шахт, опасных по газу или пыли и в породах с $f = 2-8$ – коэффициент заполнения принимается 0,35-0,55; в более крепких породах – 0,5-0,6. При этом при ведении взрывных работ на угольных шахтах, опасных по взрыву газа или пыли, величина забойки должна быть не менее 0,5 м.

Во всех случаях с увеличением длины шпуров коэффициент заполнения шпуров увеличивается.

Полученное по формуле (5.12) количество шпуров является ориентировочным (см. табл. 5.13) и может быть изменено при необходимости на 10–15 %. Окончательно число шпуров принимается после вычерчивания схемы расположения шпуров в сечении выработки (рекомендуемый масштаб – 1:50-1:20), и только затем возобновляется расчёт.

Таблица 5.13

Ориентировочное количество шпуров на забой в зависимости от коэффициента крепости пород и сечения выработок

Коэффициент крепости пород f	Сечение выработки вчерне, м ²						
	4	6	8	10	12	14	16
2-4	8-11	12-16	17-21	22-27	28-33	34-38	35-42
5-7	12-16	17-21	22-27	28-33	34-38	39-42	43-46
8-10	16-20	21-26	27-32	33-37	38-42	42-46	47-50
12-14	20-24	26-30	32-36	37-42	42-46	46-50	50-54
более 14	26-28	32-36	36-40	44-48	48-52	52-54	56-60

При вычерчивании схемы расположения шпуров при любом типе вруба среднее расстояние между рядами вспомогательных шпуров, между вспомогательными и оконтуривающими и между шпурами в рядах должно быть примерно одинаковым и приниматься в соответствии с рекомендациями табл. 1.10 или определяться из выражения

$$a = \sqrt{\frac{S_{вч} - S_{вр}}{N - N_{вр}}}, \quad (5.14)$$

где $S_{вч}$ – площадь сечения выработки вчерне, m^2 ;

$S_{вр}$ – площадь сечения врубовой полости (для вертикального клинового вруба принимается равной половине площади прямоугольника, образованного устьями врубовых шпуров на плоскости забоя), m^2 ;

$N, N_{вр}$ – общее число на забой и число врубовых шпуров.

Оконтуривающие шпуры располагают с наклоном $85-87^\circ$ к плоскости забоя с таким расчетом, чтобы их концы вышли за проектный контур сечения выработки вчерне только за линией уходки. Забуриваются оконтуривающие шпуры на минимальном расстоянии (150–200 мм) от проектного контура выработки с учётом принятой буровой техники.

При применении прямых врубов количество шпуров определяется по формуле

$$N = N_{вр} + q \cdot (S_{вч} - S_{вр}) / \gamma, \quad (5.15)$$

где $N_{вр}$ – количество врубовых шпуров (см. раздел 1.2.3.2);

$S_{вр}$ – площадь поперечного сечения прямого вруба, m^2 .

При контурном взрывании число оконтуривающих шпуров необходимо увеличивать. При этом параметры зарядов в оконтуривающих шпурах (удельный заряд, расстояние между шпурами и др.) рассчитываются по специальным методикам ([3] и др.).

3.2.7. Определение расхода взрывчатых материалов

Количество ВВ (кг) на цикл при **врубках с наклонными шпурами**

$$Q = q \cdot S_{вч} \cdot l_{шп}, \quad (5.16)$$

где $l_{шп}$ – глубина заходки, равная глубине вспомогательных и оконтуривающих шпуров, м.

Средняя величина заряда (кг) на один шпур

$$q'_{ср} = Q / N. \quad (3.17)$$

Количество ВВ (кг) на цикл **при врубах с прямыми шпурами** (кг)

$$Q = Q_{вр} + q \cdot (S_{вч} - S_{вр}) \cdot l_{шп}, \quad (5.18)$$

где $Q_{вр}$ – количество ВВ во врубовых шпурах, принимается как сумма зарядов врубовых шпуров. Величина заряда (кг) во врубовый шпур принимается

$$q'_{вр} = 0,785 \cdot d^2 \cdot \rho \cdot \alpha \cdot l_{вр}, \quad (5.19)$$

где d – диаметр патрона ВВ или шпура, в зависимости от способа заряжания, м;

ρ – плотность ВВ в заряде, $кг/м^3$;

α – коэффициент заполнения врубового шпура, 0,7–0,95 (в зависимости от длины шпуров и крепости пород);

$l_{вр}$ – длина врубовых шпуров, м (принимается на 10 % больше длины вспомогательных и оконтуривающих шпуров).

Средняя величина заряда (кг) на один вспомогательный и оконтуривающий шпур **при прямых врубах**

$$q'_{ср} = \frac{q \cdot (S_{вч} - S_{вр}) \cdot l_{шп}}{N - N_{вр}} . \quad (5.20)$$

При распределении ВВ по шпурам величину заряда во врубовые шпуры **при наклонных врубах** следует принимать на 10-20 % больше средней величины $q'_{ср}$ (кг)

$$q^*_{вр} = (1,1 \div 1,2) q'_{ср} . \quad (5.21)$$

В оконтуривающих шпурах, кроме почвенных, при любых типах врубов величину заряда следует уменьшать на 10-20 % по сравнению со средней величиной $q'_{ср}$ (кг)

$$q^*_{ок} = (0,9 \div 0,8) q'_{ср} . \quad (5.22)$$

Обычно в практике взрывных работ величина заряда во вспомогательных шпурах принимается равной средней величине заряда в шпурах $q'_{ср}$:

$$q^*_{всп} = q'_{ср} . \quad (5.23)$$

Полученные величины зарядов во врубовых, вспомогательных и оконтуривающих шпурах при ручном зарядании патронированными ВВ принимают **кратными массе патронов ВВ.**

При механизированном зарядании заряд ВВ в шпуре состоит из патрона-боевика (0,2 или 0,25 кг) и собственно заряда гранулированного ВВ, масса которого принимается кратной 0,1 кг.

После определения величин зарядов ВВ в шпурах каждой группы следует проверить возможность размещения их в шпурах, учитывая длину и массу патронов, а также линейную плотность зарядания при применении гранулированных ВВ.

Фактический расход ВВ (кг) на цикл

$$Q_{ф} = \sum q^*_{вр} + \sum q^*_{всп} + \sum q^*_{ок} . \quad (5.24)$$

Расход ВВ (кг) на погонный метр выработки

$$Q_{м} = Q_{ф} / (l_{шп} \eta) , \quad (5.25)$$

где η – КИШ (принимается равным 0,85-0,95 в зависимости от крепости пород).

Объём горной массы за взрыв

$$Q_{гм} = S_{пр} l_{шп} \eta , \quad (5.26)$$

где $S_{пр} = S_{вч} \cdot \text{КИС}$ – сечение выработки в проходке, м^2 , которое следует определять в соответствии с рекомендациями таблицы 5.14.

Удельный расход ВВ (кг) на 1 м^3 взорванной породы

$$q_p = Q_{\phi} / Q_{\text{гм}}. \quad (5.27)$$

Таблица 5.14

Допустимое нормативное увеличение (в %) поперечного сечения горизонтальных горных выработок при проходке буровзрывным способом

Поперечное сечение горных выработок вчере (по проекту), м^2	Коэффициент крепости пород f		
	1–2	2–9	10–20
до 8	5*	10	12
от 8 до 15	4	8	10
более 15	3	5	7

*Коэффициент излишка сечения: $\text{КИС} = 1 + \Delta = 1 + 5/100 = 1,05$.

Расход ЭД, КД (систем неэлектрического взрывания) определяется по числу взрывааемых зарядов.

Расход ЭД, КД на 1 метр выработки:

$$N_m = N_{\text{кд}} / (l_{\text{шт}} \eta). \quad (5.28)$$

Удельный расход ЭД, КД на 1 м^3 взорванной породы:

$$N_p = N_{\text{кд}} / (S_{\text{пр}} l_{\text{шт}} \eta). \quad (5.29)$$

Заводы-изготовители производят неэлектрические системы инициирования с длинами волноводов, определяемыми заказами потребителей.

Длина УВТ ориентировочно определяется по формуле:

$$L_{\text{увт}} = l_{\text{шт}} + B / 4 + 0,5, \quad (5.30)$$

где B – ширина выработки, м;

0,5 – длина УВТ для сборки пучков, м.

РАСЧЕТ ЭЛЕКТРОВЗРЫВНОЙ СЕТИ

При расчете электровзрывной сети определяют её сопротивление и сопротивление её отдельных ветвей. Для проверки обеспечения безотказности взрывания всех электродетонаторов, включённых в сеть, при известном напряжении (принятом источнике тока) выполняется проверочный расчет, при котором определяют общую величину тока в сети и величину тока, поступающего в каждый электродетонатор.

Если необходимо выбрать источник тока, определяют общее сопротивление сети и минимальную силу тока в цепи, обеспечивающую безотказное взры-

вание всех электродетонаторов, после чего находят необходимое напряжение и подбирают источник тока (табл. 5.15).

Сопrotивление магистральных и соединительных проводов, а также участков, если они имеются при конкретной схеме взрывания, принимается по табличным данным или вычисляется по формуле

$$R = \rho (l/S), \quad (5.31)$$

где R – сопротивление проводов, Ом;

ρ – удельное сопротивление материала проводов, которое принимается для медных проводов $0,0172 \cdot 10^{-6}$, для алюминиевых $0,0286 \cdot 10^{-6}$ и для стальных $0,12 \cdot 10^{-6}$ Ом·м;

l – длина проводов, м. Длину проводов принимают на 10 % больше расчётной, учитывая изгибы и сростки;

S – сечение проводов, м².

Сопrotивление электродетонаторов при расчёте сети принимается по табличным данным с учётом длины выводных проводов (см. табл. 5.3). Сопротивление электродетонаторов нормальной чувствительности в зависимости от длины выводных медных проводов с диаметром жилы 0,5 мм составляет от 1,8 до 3,6 Ом. При расчёте величину сопротивления электродетонаторов нормальной чувствительности обычно принимают равной 3 Ом.

Таблица 5.15

Взрывные приборы и машинки

Наименование прибора (исполнение)	Напряжение, В	Масса, кг	Максимальное сопротивление электровзрывной сети, Ом	Назначение и область применения
Конденсаторный взрывной прибор КВП-1/100М (РВ)	600	2	320	Взрывание ЭД нормальной чувствительности на поверхности и в шахтах, опасных и не опасных по взрыву газа или пыли
КВП-2/200М (РН)	1700	2,5	1700	
Конденсаторный взрывной прибор ПИВ-100М (РВ)	610	2,7	320	Взрывание ЭД нормальной чувствительности на поверхности и в шахтах, не опасных по взрыву газа или пыли
Конденсаторная взрывная машинка КПМ-3 (РН)	1600	3,0	200	

При электрическом способе взрывания в каждый электродетонатор нормальной чувствительности должен поступать постоянный гарантийный ток силой не менее $I_{\text{гар}} = 1$ А при числе ЭД до 100 штук и не менее $I_{\text{гар}} = 1,3$ А при числе ЭД более 100 штук, или переменный ток силой не менее $I_{\text{гар}} = 2,5$ А.

Для электродетонаторов пониженной чувствительности к блуждающим токам (ЭД-1-8-Т, ЭД-1-3-Т) гарантийный ток следует принимать не менее 5 А.

Проверочный расчёт электровзрывной сети производится по следующим формулам в зависимости от схемы соединения:

а) при последовательном соединении

$$I = \frac{E}{R + rn}, \quad i = I \geq I_{\text{гар}}, \quad (5.32)$$

б) при параллельном соединении

$$I = \frac{E}{R + r/n}, \quad i = I/n \geq I_{\text{гар}}, \quad (5.33)$$

в) при смешанном последовательно-параллельном соединении

$$I = \frac{E}{R + rn/m}, \quad i = I/m \geq I_{\text{гар}}, \quad (5.34)$$

г) при смешанном параллельно-последовательном соединении

$$I = \frac{E}{R + rm/n}, \quad i = I/m \geq I_{\text{гар}}, \quad (5.35)$$

где I – сила тока в электровзрывной сети, А;

E – электродвижущая сила источника тока или напряжение на клеммах, В;

R – сопротивление всех проводов (магистральных, соединительных, участковых) и внутреннее сопротивление источника, Ом;

n – число последовательно соединённых электродетонаторов в сети или группе;

m – число параллельно включённых групп электродетонаторов при смешанном соединении;

i – сила тока, поступающего в каждый электродетонатор, А;

$I_{\text{гар}}$ – гарантийная сила тока, необходимая для безотказного взрывания электродетонаторов, А;

r – сопротивление электродетонатора, Ом.

При проведении горизонтальных выработок обычно применяется последовательная схема соединения электродетонаторов во взрывной сети. В этом случае общее сопротивление взрывной сети можно определить по формуле:

$$R_{\text{общ}} = r_n + r_c L_c + r_m L_m, \quad (5.36)$$

где r_c , r_m – сопротивление соответственно 1 м соединительных и магистральных проводов, Ом (принимается по данным табл. 3.16 или рассчитывается по формуле (5.31));

L_c , L_m – длина соответственно соединительных и магистральных проводов, м.

Характеристики проводов для электровзрывания

Обозначение	Назначение	Диаметр жилы, мм	Площадь сечения, мм ²	Сопротивление 1 м провода, Ом/м
ВП-05	соединительные	0,5	0,196	0,090
ВП-08	магистральные	0,8	0,502	0,034
ВП-07x2	магистральные	0,7x2	0,769	0,024

Магистральные провода (постоянная взрывная магистраль) подключаются обычно на расстоянии не ближе 30 м от забоя и могут отставать от места взрыва не более чем на 100 м. Место укрытия взрывника при проходке горизонтальных выработок должно находиться не ближе 150 м от забоя. Электровзрывная сеть должна быть двухпроводной.

В шахтах (рудниках), опасных по газу или пыли, должны применяться электродетонаторы только с медными проводами. Это требование также распространяется на соединительные и магистральные провода (кабели) электровзрывной сети.

Если проверочный расчет показывает неприменимость последовательной схемы соединения электродетонаторов (ввиду того, что $i < I_{\text{гар}}$), следует принимать последовательно-параллельную схему соединения. Тогда число последовательно включённых электродетонаторов в сети или группе и число групп, включённых параллельно, определяют по формулам

$$n = \frac{E}{2I_{\text{гар}} + R}, \quad (5.37)$$

$$m = \frac{E}{2I_{\text{гар}} + r}. \quad (5.38)$$

Если общее число электродетонаторов, подлежащих взрыванию, равно $M = n \cdot m$, то, определив один из множителей, вычисляют другой.

ВЫБОР БУРОВОГО ОБОРУДОВАНИЯ

Тип бурильной машины выбирается в зависимости от коэффициента крепости горных пород, глубины шпуров и необходимой производительности машины при выполняемом объёме буровых работ.

Бурение шпуров производится ручными, колонковыми электро- и пневмосвёрлами, переносными перфораторами и бурильными установками.

Выбор типа бурильной машины и установочного приспособления в зависимости от крепости пород ориентировочно можно производить по табл. 3.1.

Ручные электросвёрла ЭР14Д-2М, ЭР18Д-2М, СЭР-19М применяются для бурения шпуров диаметром 36-44 мм и глубиной до 3 м по углю и породам с коэффициентом крепости до 4.

При бурении по крепким углям и породам средней крепости применяются электросвёрла ЭРП18Д-2М и СРП-1 с принудительной подачей.

Ручные пневматические свёрла СР-3, СР-3М, СПР-8 применяются на шахтах, опасных по газу или пыли, для бурения шпуров диаметром 36 мм и глубиной до 3 м при проведении выработок по углю и породам с коэффициентом крепости до 4. Свёрло СГ-3Б с применением пневмоподдержки применяются для бурения шпуров в породах с коэффициентом крепости до 6.

При проведении горизонтальных и наклонных выработок при бурении шпуров диаметром 40-46 мм и глубиной до 5 м в крепких и средней крепости с коэффициентом более 5 применяют переносные перфораторы ПП36В, ПП54В, ПП54ВБ, ПП63В, ПП63ВБ, ПП63П, ПП63С, ПП63СВП массой 24-33 кг с энергией удара от 36 до 63 Дж. Обычно глубина шпуров при бурении переносными перфораторами составляет 1,5-2,5 м.

Таблица 5.17

**Область применения бурильных машин
и установочных приспособлений**

Коэффициент крепости пород	Тип бурильных машин и установочных приспособлений
1,5–3	Ручные электросвёрла и пневмосвёрла, лёгкие перфораторы на пневмоподдержках
4–6	Бурильные установки вращательного действия, перфораторы лёгкого и среднего веса на пневмоподдержках, колонковые или длинноходовые электросвёрла на манипуляторах
7–9	Бурильные установки вращательно-ударного действия, перфораторы среднего веса и тяжёлые на пневмоподдержках, колонковые или длинноходовые электросвёрла на манипуляторах
10–20	Бурильные установки вращательно-ударного действия, тяжёлые перфораторы на пневмоподдержках, колонковые перфораторы на распорных колонках или манипуляторах

Телескопные перфораторы ПТ-29М, ПТ36М, ПТ38, ПТ48 применяются при проведении восстающих выработок и для бурения шпуров в крепких породах под анкерную (штанговую) крепь.

Для облегчения труда бурильщиков и повышения скорости бурения применяются колонковые электросвёрла, электросвёрла на манипуляторах и колонковые перфораторы.

Колонковые электросвёрла применяются при бурении шпуров диаметром 36-50 мм в породах с коэффициентом крепости 5-10. Промышленностью выпускаются колонковые электросвёрла ЭБГП-1, ЭБГП-2У5, которые устанавливаются на распорных колонках или на манипуляторах бурильных установок.

Съёмные бурильные машины типа БУЭ вращательного действия применяют на бурильных установках при бурении шпуров диаметром 42 мм, длиной до 3 м в породах с $f < 8$.

Колонковые перфораторы, более мощные чем ручные, применяются для бурения шпуров с колонок, манипуляторов и буровых кареток при проведении выработок в крепких и очень крепких породах.

В горнодобывающей промышленности применяют колонковые перфораторы ПК-50, ПК-65, ПК-75, ПК-120, ПК-150. Применение колонковых перфораторов и электросвёрл на распорных колонках при проходке выработок ограничено из-за значительных затрат времени на монтаж, демонтаж и переустановку колонок. Поэтому чистое время бурения составляет 20-35 % от общих затрат времени на бурения шпуров.

Механизированное бурение шпуров производят бурильными установками (каретками) и навесным оборудованием, смонтированным на погрузочных машинах.

Отечественной промышленностью выпускаются бурильные установки (каретки) вращательного бурения с колонковыми электросверлами БУЭ-1м, БУЭ-2, вращательно-ударного и ударно-поворотного бурения БУ-1, БУР-2, СБУ-2м, СБУ-2К, УБШ.

В угольной промышленности наибольшее распространение получили установки БУ-1, БУР-2, БУЭ-1 и БУЭ-2. С использованием этих установок производят около 50 % выработок.

Установки вращательного бурения применяют при проведении выработок в породах с $f < 8$; ударно вращательного действия с машинами БГА-1 в породах с $f = 6-10$, с машинами БГА-1М, БГА-2М в породах с $f = 10-14$; ударно-поворотного действия в породах с $f = 10-20$.

Технические характеристики бурильных установок приведены в табл. 5.2 – 5.3.

При определении бурильного оборудования следует принимать один перфоратор (сверло) не менее чем на 2 м² площади забоя горизонтальной или наклонной выработки; на каждые три рабочие машины одну резервную.

Одну бурильную установку принимают не менее чем на 9 м² площади забоя горизонтальной выработки. На каждую работающую в забое установку – рабочий и резервный комплекты инструмента.

Таблица 5.18

Характеристики отечественных бурильных установок для бурения шпуров при проходке горизонтальных выработок

Характеристики	Тип бурильной установки					
	УБШ-204 (БУЭ-1М)	УБШ-214А	УБШ-308У (1СБУ-2)	УБШ-303 (1БУР-2)	УБШ-254	УБШ-332Д
Коэффициент крепости пород f	4-8	4-16	8-14	4-16	8-14	8-14
Диаметр шпуров, мм	42	42-52	42-52	42-52	42-52	42-52
Длина шпуров, м	2,75	2,75	2,8	2,8	2,4	3,0

Зона бурения, м ²		6-12	4,2-12	до 20	до 20	до 12	8-22
Бурильная машина	тип	БУЭ	М2 (БГА-2М)	М2 (БГА-2М)	М2 (БГА-2М)	«Норит-1» (гидравл.)	М2 (БГА-2М)
	кол-во	1	1	2	2	1	2
Тип платформы		рельс.	рельс.	гусен.	рельс.	гусен.	пневм.
Размеры (м) в транспортном положении: длина		8,2	6,0	7,8	7,1	7,2	11,0
	ширина	1,3	1,0	1,6	1,15	1,4	1,75
	высота	0,9	1,5	1,7	1,65	1,8	2,3
Масса, т		5,4	4	8,6	5	7,2	12

Таблица 5.19

Характеристики зарубежных бурильных установок для бурения шпуров при проходке горизонтальных выработок

Характеристики	Тип бурильной установки					
	Minimatic 205-40	Mini 206-60	Paramatic 305-60	Rocket Bomer 104S	Rocket Bomer 282S	
Коэффициент крепости пород f	8-20	8-20	8-20	8-20	8-20	
Диаметр шпуров, мм	32-50	32-50	32-50	32-50	32-50	
Длина шпуров, м	3,4	3,4	3,4	4,0	4,0	
Высота обуривания, м	6,0	6,4	7,1	4,7	6,3	
Ширина обуривания, м	8,8	9,8	10,4	4,7	8,7	
Зона бурения, м ²	8-49	8-60	12-68	до 20	до 45	
Бурильная машина	тип	HL 510S-45 гидравл.	HL 510S-45 гидравл.	HL 510S-45 гидравл.	COP 1838 ME пневмат.	COP 1838 ME пневмат.
	кол-во	2	2	3	1	2
Тип платформы	пневм.	пневм.	пневм.	пневм.	пневм.	
Размеры (м) в транспортном положении:						
	длина	12,3	12,7	5,3	9,8	12,1
	ширина	1,98	2,24	2,5	2,0	2,0
высота	2,35	2,35	2,8	2,6	3,1	
Масса, т	19	20	36	14	18	

При применении бурильных установок глубина шпуров изменяется от 2 до 3,75 м. В этом случае необходимо использование прямых врубов, так как обуривание вертикального клинового вруба в большинстве случаев технически неосуществимо из-за невозможности соблюдения требуемого угла наклона врубовых шпуров.

При ручном бурении шпуров площадь забоя, приходящаяся на одну бурильную машину, изменяется в широких пределах – от 2 до 5 м².

СОСТАВЛЕНИЕ ПАСПОРТА БУРОВЗРЫВНЫХ РАБОТ

На основании выполненных расчетов составляется паспорт буровзрывных работ, который включает в себя: характеристику выработки; характеристику пород; схему расположения шпуров в трёх проекциях; наименования ВМ; способ взрывания; данные о способе заряжания, числе шпуров, их глубине и диаметре, массе и конструкции зарядов, последовательности и количестве приёмов взрывания зарядов, материале забойке и её длине, длинах ударно-волновых трубок систем неэлектрического взрывания; схему монтажа взрывной (электро-взрывной) сети с указанием длины (сопротивления), замедлений, схемы и времени проветривания забоя.

Дополнительно указывается величина радиуса опасной зоны, места укрытий взрывника и рабочих, установки постов охраны и предупредительных знаков.

В шахтах, опасных по взрыву газа или пыли, в паспорте должны быть указаны количество и схема расположения специальных средств по предотвращению взрывов газа (пыли), а также режим взрывных работ.

Пример оформления графической части:

Паспорт буровзрывных работ на проведение

_____ *(наименование выработки)*

1. Характеристика выработки

Форма сечения выработки _____

Площадь поперечного сечения выработки вчерне, м² _____

Размеры сечения выработки - высота, м _____

- ширина, м _____

Категория шахты по газу или пыли _____

2. Характеристика пород

Наименование пород _____

Коэффициент крепости пород по шкале М. М. Протоdjяконова _____

Трещиноватость пород _____

Обводнённость пород _____

3. Исходные данные

Наименование ВВ и средств инициирования _____

Способ взрывания _____

Диаметры - шпуров, мм _____

- патронов, мм _____

Тип вруба _____

Материал забойки _____

Схема соединения электродетонаторов _____

Источник электрического тока _____

4. Расчётные данные по шпурам

№№ шпуров	Наименование шпуров по назначению	Глубина шпура, м	Угол наклона шпура, град.	Расстояние между шпурами, м	Величина заряда в шпуре, кг	Длина заряда, м	Длина забойки в шпуре, м	Очередность взрывания, интервал замедления, мс	Примечания
1	2	3	4	5	6	7	8	9	10

5. Схема расположения шпуров

Схема расположения вычерчивается в масштабе 1:50 или 1:20 в трёх проекциях (см. Приложение 3). При применении прямых врубов дополнительно в масштабе 1:20 или 1:10 приводится схема вруба.

6. Конструкции зарядов

В схемах конструкций врубовых, вспомогательных (отбойных) и оконтуривающих зарядов указывается место установки патронов-боевиков, количество патронов, длина заряда и забойки.

7. Основные показатели буровзрывных работ

№ п/п	Показатели	Единица измерения	Количество
1	Коэффициент использования шпуров	-	
2	Подвигание забоя за взрыв	-	
3	Объём горной массы за взрыв	м ³	
4	Количество шпуров на цикл	шт.	
5	Количество шпурометров на цикл	м	
6	Количество шпурометров на 1 погонный метр выработки	м шп./м	
7	Количество шпурометров на 1 м ³ взорванной породы	м шп./м ³	
8	Расход ВВ на цикл	кг	
9	Расход ВВ на 1 метр выработки	кг/м	
10	Расход ВВ на 1 м ³ взорванной породы	кг/м ³	
11	Расход средств инициирования на цикл: ЭД КД (СИНВ-Ш) детонирующего шнура	шт. шт. м	
12	Расход средств инициирования на 1 метр выработки: ЭД КД (СИНВ-Ш) детонирующего шнура	шт. шт. м	

8. Меры безопасности

Место укрытия взрывника и рабочих на момент взрыва _____

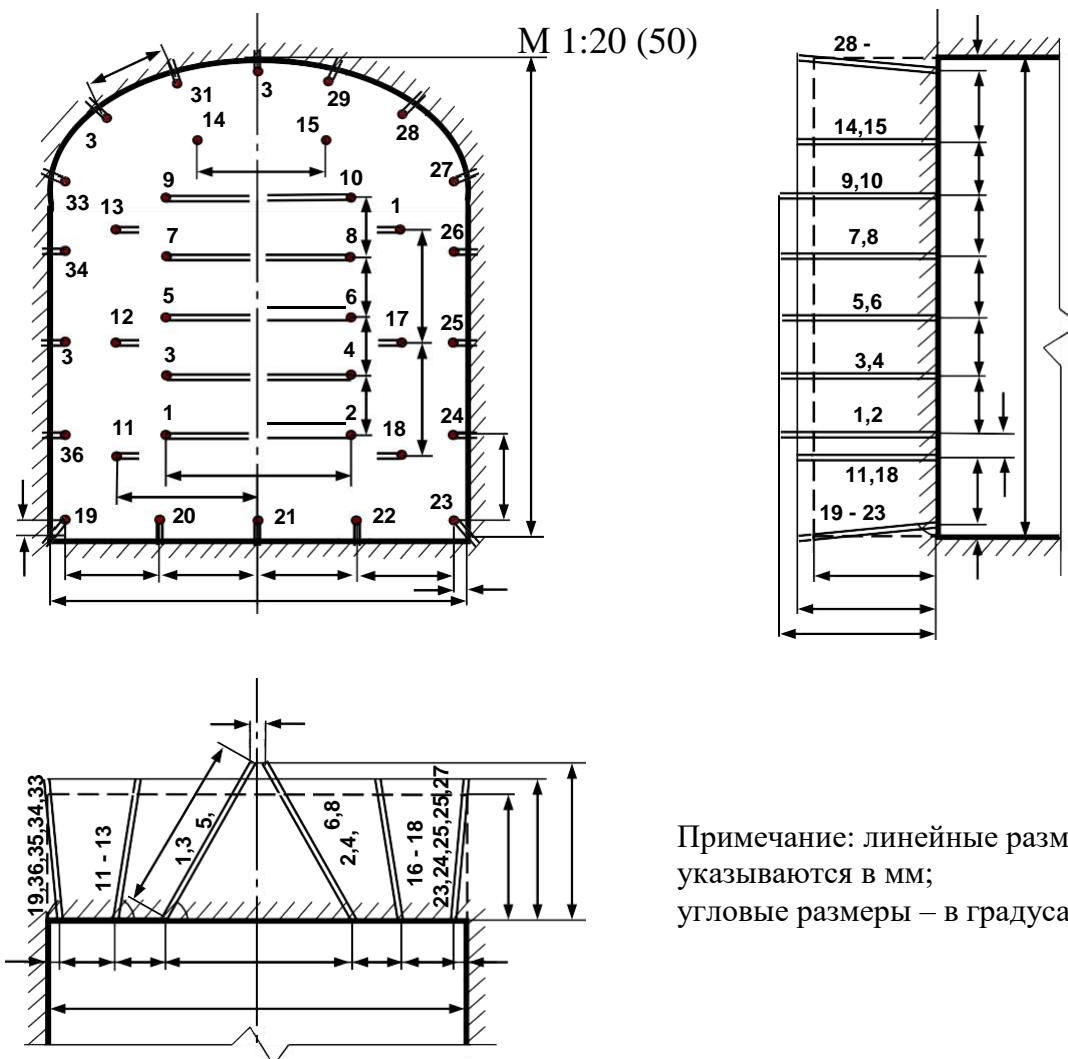
Место выставления постов _____

Время проветривания после взрыва _____

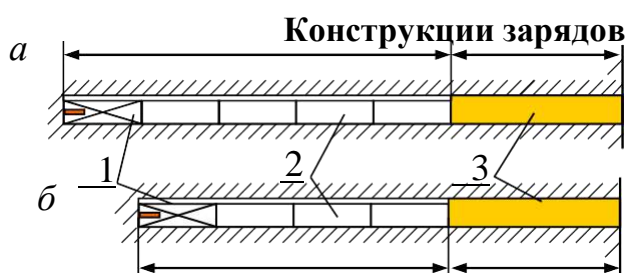
Мероприятия по подавлению пыли _____

Другие дополнительные меры безопасности _____

Схема расположения шпуров



Примечание: линейные размеры указываются в мм; угловые размеры – в градусах.



- а* – врубовые шпуров;
б – вспомогательные (отбойные) и оконтуривающие шпуров;
 1 – патрон-боевик (аммонит № 6ЖВ);
 2 – патроны ВВ (аммонит № 6ЖВ);
 3 – забойка (песчано-глиняная, водяная)

Примечание. В шахтах, не опасных по взрыву газа или пыли, допускается взрывание зарядов без забойки (устанавливается руководителем предприятия и указывается в паспорте БВР).

Формы поперечного сечения горизонтальных выработок

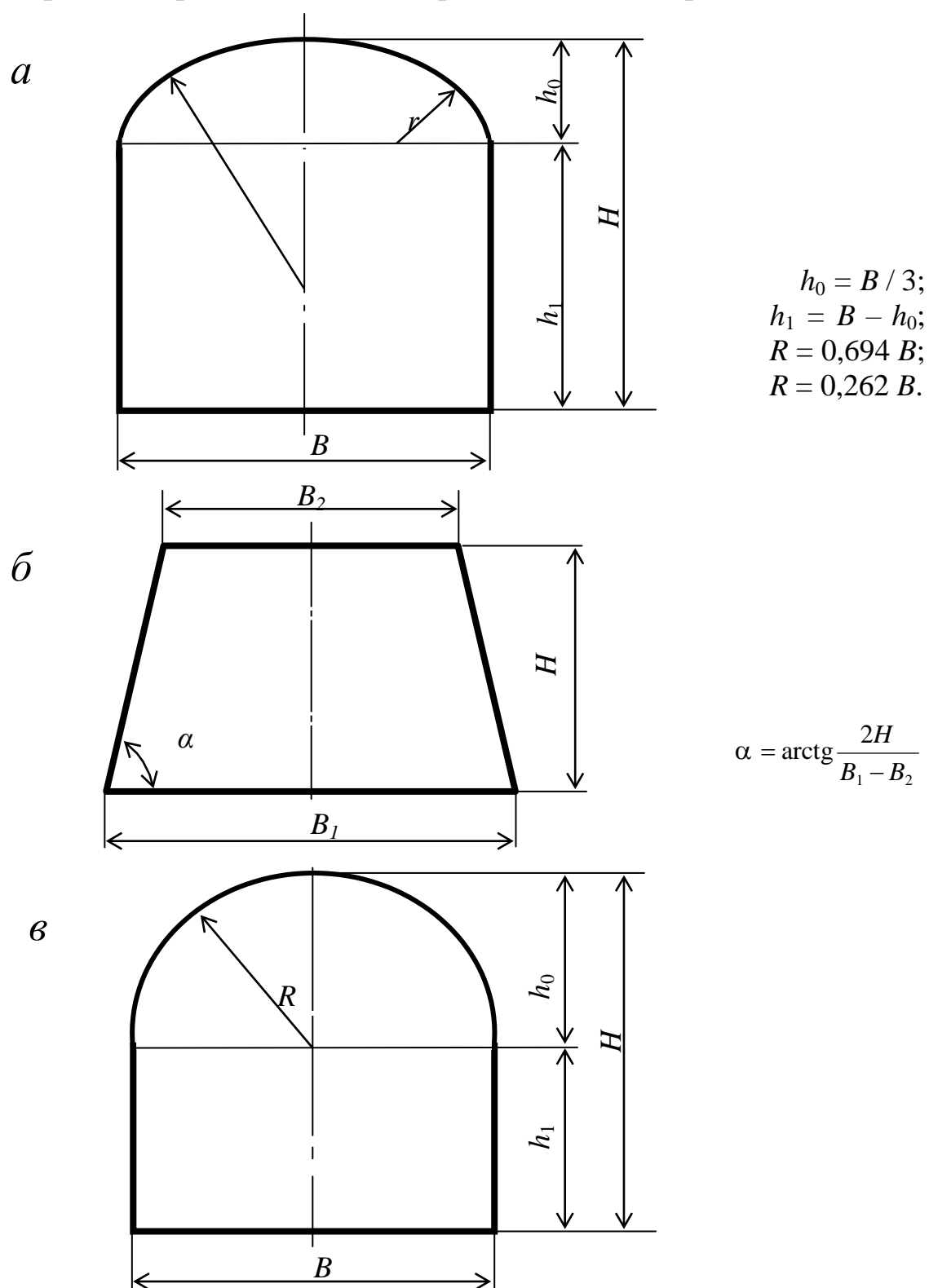


Рис. П4.1. Формы поперечного сечения горизонтальных выработок:
a – сводчатая с трёхциркульным (коробовым) сводом;
б – трапецевидная;
в – арочная с полуциркульным сводом

Формулы для вычисления площади поперечного сечения и периметра выработок:

Форма поперечного сечения выработки	Площадь поперечного сечения	Периметр
Сводчатая с коробовым сводом	$B \cdot (h_1 + 0,26 \cdot B)$	$2 \cdot h_1 + 2,33 \cdot B$
Трапецевидная	$\frac{B_1 + B_2}{2} \cdot H$	$B_1 + B_2 + \frac{2H}{\cos \alpha}$
Арочная с полуциркульным сводом	$B \cdot (h_1 + 0,39 \cdot B)$	$2 \cdot h_1 + 2,57 \cdot B$

Рекомендуемая литература

1. Корнилков М.В. Разрушение горных пород взрывом: конспект лекций. - Урал. гос. горный ун-т. - Екатеринбург: Изд-во УГГУ, 2008. - 202 с.
2. Латышев О.Г., Петрушин А.Г., Азанов М.А. Промышленные взрывчатые материалы: учебное пособие. - Урал. гос. горный ун-т. - Екатеринбург: Изд-во УГГУ, 2009. - 221 с.
3. Кутузов Б.Н. Методы ведения взрывных работ. Часть 1. Разрушение горных пород взрывом: Учебник. – М.: Изд. МГГУ, 2007. – 345 с.
4. Кутузов Б.Н. Безопасность взрывных работ в горном деле и промышленности. – М.: Горная книга, 2009. – 670 с.
5. Латышев О.Г. Физика разрушения горных пород при бурении и взрывании: Учебное пособие. Екатеринбург: Изд. УГГУ, 2004. – 201 с.
6. Правила безопасности при взрывных работах (утверждены приказом Ростехнадзора от 16.12.2013 г. № 605; в редакции приказа Ростехнадзора от 30.11.2017 г. № 518). – М., 2018.
7. Взрывчатые вещества и средства инициирования. Каталог. М.: ГосНИП «РАСЧЕТ», 2003. 269 с.
8. Справочник взрывника / Под общей редакцией Б. Н. Кутузова. М.: Недра, 1988. 511 с.

Учебное издание

Сынбулатов Владимир Владимирович
Прищепа Дмитрий Вячеславович

БУРОВЗРЫВНЫЕ РАБОТЫ

Учебно-методическое пособие к самостоятельной работе, выполнению
контрольных и практических работ по дисциплине
«Буровзрывные работы»
для студентов специальности 21.05.03 «Технология геологической разведки»

Редактор *Д. В. Прищепа*

Подписано в печать «__»_____2019 г. Бумага писчая. Формат 60 × 84 1/16.
Гарнитура Times New Roman. Печать на ризографе.
Печ. л. 3,68. Уч.-изд. л. 5,4. Тираж 100. Заказ №

Издательство УГГУ
620144, Екатеринбург, ул. Куйбышева, 30
Уральский государственный горный университет
Отпечатано с оригинал-макета
в лаборатории множительной техники УГГУ

МИНИСТЕРСТВО НАУКИ И ВЫСШЕГО ОБРАЗОВАНИЯ РОССИЙСКОЙ ФЕДЕРАЦИИ
ФГБОУ ВО «Уральский государственный горный университет»

МЕТОДИЧЕСКИЕ УКАЗАНИЯ ПО САМОСТОЯТЕЛЬНОЙ РАБОТЕ СТУДЕНТОВ

Б1.О. 25.01. РАЗВИТИЕ НАВЫКОВ КРИТИЧЕСКОГО МЫШЛЕНИЯ

Специальность

21.05.03 Технология геологической разведки

Специализация

Сейсморазведка

форма обучения: **очная, заочная**

Автор: Гладкова И. В., доцент, к. ф. н.

Екатеринбург

СОДЕРЖАНИЕ

	Введение	3
1	Методические рекомендации по работе с текстом лекций	5
2	Методические рекомендации по подготовке к опросу	7
3	Методические рекомендации по подготовке доклада (презентации)	9
4	Методические рекомендации по написанию эссе	11
5	Методические рекомендации по подготовке к семинарским занятиям	14
6	Методические рекомендации по подготовке к дискуссии	15
7	Методические рекомендации по подготовке к сдаче экзаменов и зачетов	17
	Заключение	20
	Список использованных источников	21

ВВЕДЕНИЕ

Инициативная самостоятельная работа студента есть неотъемлемая составная часть учебы в вузе. В современном формате высшего образования значительно возрастает роль самостоятельной работы студента. Правильно спланированная и организованная самостоятельная работа обеспечивает достижение высоких результатов в учебе.

Самостоятельная работа студента (СРС) - это планируемая учебная, учебно-исследовательская, научно-исследовательская работа студентов, выполняемая во внеаудиторное (аудиторное) время по заданию и при методическом руководстве преподавателя, но без его непосредственного участия, при сохранении ведущей роли студентов.

Целью СРС является овладение фундаментальными знаниями, профессиональными умениями и навыками по профилю будущей специальности, опытом творческой, исследовательской деятельности, развитие самостоятельности. Ответственности и организованности, творческого подхода к решению проблем учебного и профессионального уровней. Самостоятельная работа студента – важнейшая составная часть учебного процесса, обязательная для каждого студента, объем которой определяется учебным планом. Методологическую основу СРС составляет деятельностный подход, при котором цели обучения ориентированы на формирование умений решать типовые и нетиповые задачи, т. е. на реальные ситуации, в которых студентам надо проявить знание конкретной дисциплины. Предметно и содержательно СРС определяется государственным образовательным стандартом, действующими учебными планами и образовательными программами различных форм обучения, рабочими программами учебных дисциплин, средствами обеспечения СРС: учебниками, учебными пособиями и методическими руководствами, учебно-программными комплексами и т.д.

Самостоятельная работа студентов может рассматриваться как организационная форма обучения - система педагогических условий, обеспечивающих управление учебной деятельностью студентов по освоению знаний и умений в области учебной и научной деятельности без посторонней помощи.

Самостоятельная работа студентов проводится с целью:

- систематизации и закрепления полученных теоретических знаний и практических умений студентов;
- углубления и расширения теоретических знаний;
- формирования умений использовать нормативную, правовую, справочную документацию и специальную литературу;
- развития познавательных способностей и активности студентов: творческой инициативы, самостоятельности, ответственности и организованности;
- формирования самостоятельности мышления, способностей к саморазвитию, самосовершенствованию и самореализации;
- формирования практических (общеучебных и профессиональных) умений и навыков;
- развития исследовательских умений;
- получения навыков эффективной самостоятельной профессиональной (практической и научно-теоретической) деятельности.

Самостоятельная работа студента - это особым образом организованная деятельность, включающая в свою структуру такие компоненты, как:

- уяснение цели и поставленной учебной задачи;
- четкое и системное планирование самостоятельной работы;
- поиск необходимой учебной и научной информации;
- освоение информации и ее логическая переработка;
- использование методов исследовательской, научно-исследовательской работы для решения поставленных задач;
- выработка собственной позиции по поводу полученной задачи;
- представление, обоснование и защита полученного решения;

- проведение самоанализа и самоконтроля.

В учебном процессе выделяют два вида самостоятельной работы: аудиторная и внеаудиторная.

Аудиторная самостоятельная работа по дисциплине выполняется на учебных занятиях под непосредственным руководством преподавателя и по его заданию: текущие консультации, коллоквиум, прием и разбор домашних заданий и другие.

Внеаудиторная самостоятельная работа - планируемая учебная, учебно-исследовательская, научно-исследовательская работа студентов, выполняемая во внеаудиторное время по заданию и при методическом руководстве преподавателя, но без его непосредственного участия: подготовка презентаций, составление глоссария, подготовка к практическим занятиям, подготовка рецензий, аннотаций на статью, подготовка к дискуссиям, круглым столам.

СРС может включать следующие формы работ:

- изучение лекционного материала;
- работа с источниками литературы: поиск, подбор и обзор литературы и электронных источников информации по заданной проблеме курса;
- выполнение домашних заданий, выдаваемых на практических занятиях: тестов, докладов, контрольных работ и других форм текущего контроля;
- изучение материала, вынесенного на самостоятельное изучение; подготовка к практическим занятиям;
- подготовка к контрольной работе или коллоквиуму;
- подготовка к зачету, экзамену, другим аттестациям;
- написание реферата, эссе по заданной проблеме;
- выполнение расчетно-графической работы;
- выполнение курсовой работы или проекта;
- анализ научной публикации по определенной преподавателем теме, ее реферирование;
- исследовательская работа и участие в научных студенческих конференциях, семинарах и олимпиадах.

Особенностью организации самостоятельной работы студентов является необходимость не только подготовиться к сдаче зачета /экзамена, но и собрать, обобщить, систематизировать, проанализировать информацию по темам дисциплины.

Технология организации самостоятельной работы студентов включает использование информационных и материально-технических ресурсов образовательного учреждения. Для более эффективного выполнения самостоятельной работы по дисциплине преподаватель рекомендует студентам источники и учебно-методические пособия для работы, характеризует наиболее рациональную методику самостоятельной работы.

Самостоятельная работа может осуществляться индивидуально или группами студентов online и на занятиях в зависимости от цели, объема, конкретной тематики самостоятельной работы, уровня сложности, уровня умений студентов.

Подготовка к самостоятельной работе, не предусмотренная образовательной программой, учебным планом и учебно-методическими материалами, раскрывающими и конкретизирующими их содержание, осуществляется студентами инициативно, с целью реализации собственных учебных и научных интересов.

В качестве форм и методов контроля внеаудиторной самостоятельной работы студентов могут быть использованы обмен информационными файлами, семинарские занятия, тестирование, опрос, доклад, реферат, самоотчеты, контрольные работы, защита творческих работ и электронных презентаций и др.

1. Методические рекомендации по работе с текстом лекций

На лекционных занятиях необходимо конспектировать учебный материал. Обращать внимание на формулировки, определения, раскрывающие содержание тех или иных понятий, научные выводы и практические рекомендации, положительный опыт в ораторском мастерстве. Внимательное слушание и конспектирование лекций предполагает интенсивную умственную деятельность студента, и помогает усвоить учебный материал.

Желательно оставлять в рабочих конспектах поля, на которых делать пометки, дополняющие материал прослушанной лекции, а также подчеркивающие особую важность тех или иных теоретических положений, фиксировать вопросы, вызывающие личный интерес, варианты ответов на них, сомнения, проблемы, спорные положения. Рекомендуется вести записи на одной стороне листа, оставляя вторую сторону для размышлений, разборов, вопросов, ответов на них, для фиксирования деталей темы или связанных с ней фактов, которые припоминаются самим студентом в ходе слушания.

Слушание лекций - сложный вид интеллектуальной деятельности, успех которой обусловлен *умением слушать*, и стремлением воспринимать материал, нужно записывая в тетрадь. Запись лекции помогает сосредоточить внимание на главном, в ходе самой лекции продумать и осмыслить услышанное, осознать план и логику изложения материала преподавателем.

Такая работа нередко вызывает трудности у студентов: некоторые стремятся записывать все дословно, другие пишут отрывочно, хаотично. Чтобы избежать этих ошибок, целесообразно придерживаться ряда правил.

1. После записи ориентирующих и направляющих внимание данных (тема, цель, план лекции, рекомендованная литература) важно попытаться проследить, как они раскрываются в содержании, подкрепляются формулировками, доказательствами, а затем и выводами.

2. Записывать следует основные положения и доказывающие их аргументы, наиболее яркие примеры и факты, поставленные преподавателем вопросы для самостоятельной проработки.

3. Стремиться к четкости записи, ее последовательности, выделяя темы, подтемы, вопросы и подвопросы, используя цифровую и буквенную нумерацию (римские и арабские цифры, большие и малые буквы), красные строки, выделение абзацев, подчеркивание главного и т.д.

Форма записи материала может быть различной - в зависимости от специфики изучаемого предмета. Это может быть стиль учебной программы (назывные предложения), уместны и свои краткие пояснения к записям.

Студентам не следует подробно записывать на лекции «все подряд», но обязательно фиксировать то, что преподаватели диктуют – это базовый конспект, содержащий основные положения лекции: определения, выводы, параметры, критерии, аксиомы, постулаты, парадигмы, концепции, ситуации, а также мысли-маяки (ими часто являются афоризмы, цитаты, остроумные изречения). Запись лекции лучше вести в сжатой форме, короткими и четкими фразами. Каждому студенту полезно выработать свою систему сокращений, в которой он мог бы разобраться легко и безошибочно.

Даже отлично записанная лекция предполагает дальнейшую самостоятельную работу над ней (осмысление ее содержания, логической структуры, выводов). С целью доработки конспекта лекции необходимо в первую очередь прочитать записи, восстановить текст в памяти, а также исправить опiski, расшифровать не принятые ранее сокращения, заполнить пропущенные места, понять текст, вникнуть в его смысл. Далее прочитать материал по рекомендуемой литературе, разрешая в ходе чтения возникшие ранее затруднения, вопросы, а также дополняя и исправляя свои записи. В ходе доработки конспекта углубляются, расширяются и закрепляются знания, а также дополняется, исправляется и совершенствуется конспект. Доработанный конспект и рекомендуемая

литература используется при подготовке к практическому занятию. Знание лекционного материала при подготовке к практическому занятию обязательно.

Особенно важно в процессе самостоятельной работы над лекцией выделить новый понятийный аппарат, уяснить суть новых понятий, при необходимости обратиться к словарям и другим источникам, заодно устранив неточности в записях. Главное - вести конспект аккуратно и регулярно, только в этом случае он сможет стать подспорьем в изучении дисциплины.

Работа над лекцией стимулирует самостоятельный поиск ответов на самые различные вопросы: над какими понятиями следует поработать, какие обобщения сделать, какой дополнительный материал привлечь.

Важным средством, направляющим самообразование, является выполнение различных заданий по тексту лекции, например, составление ее развернутого плана или тезисов; ответы на вопросы проблемного характера, (скажем, об основных тенденциях развития той или иной проблемы); составление проверочных тестов по проблеме, написание по ней реферата, составление графических схем.

По своим задачам лекции могут быть разных жанров: *установочная лекция* вводит в изучение курса, предмета, проблем (что и как изучать), а *обобщающая лекция* позволяет подвести итог (зачем изучать), выделить главное, усвоить законы развития знания, преемственности, новаторства, чтобы применить обобщенный позитивный опыт к решению современных практических задач. Обобщающая лекция ориентирует в истории и современном состоянии научной проблемы.

В процессе освоения материалов обобщающих лекций студенты могут выполнять задания разного уровня. Например: задания *репродуктивного* уровня (составить развернутый план обобщающей лекции, составить тезисы по материалам лекции); задания *продуктивного* уровня (ответить на вопросы проблемного характера, составить опорный конспект по схеме, выявить основные тенденции развития проблемы); задания *творческого* уровня (составить проверочные тесты по теме, защитить реферат и графические темы по данной проблеме). Обращение к ранее изученному материалу не только помогает восстановить в памяти известные положения, выводы, но и приводит разрозненные знания в систему, углубляет и расширяет их. Каждый возврат к старому материалу позволяет найти в нем что-то новое, переосмыслить его с иных позиций, определить для него наиболее подходящее место в уже имеющейся системе знаний.

2. Методические указания по подготовке к опросу

Самостоятельная работа обучающихся включает подготовку к устному или письменному опросу на семинарских занятиях. Для этого обучающийся изучает лекции, основную и дополнительную литературу, публикации, информацию из Интернет-ресурсов. Темы и вопросы к семинарским занятиям, вопросы для самоконтроля приведены в методических указаниях по разделам и доводятся до обучающихся заранее.

Письменный опрос

Письменный опрос является одной из форм текущего контроля успеваемости студента. При изучении материала студент должен убедиться, что хорошо понимает основную терминологию темы, умеет ее использовать в нужном контексте. Желательно составить краткий конспект ответа на предполагаемые вопросы письменной работы, чтобы убедиться в том, что студент владеет материалом и может аргументировано, логично и грамотно письменно изложить ответ на вопрос. Следует обратить особое внимание на написание профессиональных терминов, чтобы избежать грамматических ошибок в работе. При изучении новой для студента терминологии рекомендуется изготовить карточки, которые содержат новый термин и его расшифровку, что значительно облегчит работу над материалом.

Устный опрос

Целью устного собеседования являются обобщение и закрепление изученного курса. Студентам предлагаются для освещения сквозные концептуальные проблемы. При подготовке следует использовать лекционный материал и учебную литературу. Для более глубокого постижения курса и более основательной подготовки рекомендуется познакомиться с указанной дополнительной литературой. Готовясь к семинару, студент должен, прежде всего, ознакомиться с общим планом семинарского занятия. Следует внимательно прочесть свой конспект лекции по изучаемой теме и рекомендуемую к теме семинара литературу. С незнакомыми терминами и понятиями следует ознакомиться в предлагаемом глоссарии, словаре или энциклопедии ¹.

Критерии качества устного ответа.

1. Правильность ответа по содержанию.
2. Полнота и глубина ответа.
3. Сознательность ответа (учитывается понимание излагаемого материала).
4. Логика изложения материала (учитывается умение строить целостный, последовательный рассказ, грамотно пользоваться профессиональной терминологией).
5. Рациональность использованных приемов и способов решения поставленной учебной задачи (учитывается умение использовать наиболее прогрессивные и эффективные способы достижения цели).
6. Своевременность и эффективность использования наглядных пособий и технических средств при ответе (учитывается грамотно и с пользой применять наглядность и демонстрационный опыт при устном ответе).
7. Использование дополнительного материала (приветствуется, но не обязательно для всех студентов).
8. Рациональность использования времени, отведенного на задание (не одобряется затянутость выполнения задания, устного ответа во времени, с учетом индивидуальных особенностей студентов)².

¹ Методические рекомендации для студентов [Электронный ресурс]: Режим доступа:

http://lesgaft.spb.ru/sites/default/files/u57/metod.rekomendacii_dlya_studentov_21.pdf

² Методические рекомендации для студентов [Электронный ресурс]:

http://priab.ru/images/metod_agro/Metod_Inostran_yazyk_35.03.04_Agro_15.01.2016.pdf

Ответ на каждый вопрос из плана семинарского занятия должен быть содержательным и аргументированным. Для этого следует использовать документы, монографическую, учебную и справочную литературу.

Для успешной подготовки к устному опросу, студент должен законспектировать рекомендуемую литературу, внимательно осмыслить лекционный материал и сделать выводы. Объем времени на подготовку к устному опросу зависит от сложности темы и особенностей организации обучающимся своей самостоятельной работы.

3. Методические рекомендации по подготовке доклада (презентации)

Доклад – публичное сообщение по заданной теме, представляющее собой развернутое изложение на определенную тему, вид самостоятельной работы, который используется в учебных и внеаудиторных занятиях и способствует формированию навыков исследовательской работы, освоению методов научного познания, приобретению навыков публичного выступления, расширяет познавательные интересы, приучает критически мыслить.

При подготовке доклада используется дополнительная литература, систематизируется материал. Работа над докладом не только позволяет учащемуся приобрести новые знания, но и способствует формированию важных научно-исследовательских навыков самостоятельной работы с научной литературой, что повышает познавательный интерес к научному познанию.

Приветствуется использование мультимедийных технологий, подготовка докладов-презентаций.

Доклад должен соответствовать следующим требованиям:

- тема доклада должна быть согласована с преподавателем и соответствовать теме занятия;
- иллюстрации (слайды в презентации) должны быть достаточными, но не чрезмерными;
- материалы, которыми пользуется студент при подготовке доклада-презентации, должны соответствовать научно-методическим требованиям ВУЗа и быть указаны в докладе;
- необходимо соблюдать регламент: 7-10 минут выступления.

Преподаватель может дать тему сразу нескольким студентам одной группы, по принципу: докладчик и оппонент. Студенты могут подготовить два выступления с противоположными точками зрения и устроить дискуссию по проблемной теме. Докладчики и содокладчики во многом определяют содержание, стиль, активность данного занятия, для этого необходимо:

- использовать технические средства;
- знать и хорошо ориентироваться в теме всей презентации (семинара);
- уметь дискутировать и быстро отвечать на вопросы;
- четко выполнять установленный регламент: докладчик - 7-10 мин.; содокладчик - 5 мин.; дискуссия - 10 мин;
- иметь представление о композиционной структуре доклада.

После выступления докладчик и содокладчик, должны ответить на вопросы слушателей.

В подготовке доклада выделяют следующие этапы:

1. Определение цели доклада: информировать, объяснить, обсудить что-то (проблему, решение, ситуацию и т. п.)
2. Подбор литературы, иллюстративных примеров.
3. Составление плана доклада, систематизация материала, композиционное оформление доклада в виде печатного /рукописного текста и электронной презентации.

Общая структура доклада

Построение доклада включает три части: вступление, основную часть и заключение.

Вступление.

Вступление должно содержать:

- название презентации (доклада);
- сообщение основной идеи;
- обоснование актуальности обсуждаемого вопроса;
- современную оценку предмета изложения;
- краткое перечисление рассматриваемых вопросов;

- живую интересную форму изложения;
- акцентирование оригинальности подхода.

Основная часть.

Основная часть состоит из нескольких разделов, постепенно раскрывающих тему. Возможно использование иллюстрации (графики, диаграммы, фотографии, карты, рисунки) Если необходимо, для обоснования темы используется ссылка на источники с доказательствами, взятыми из литературы (цитирование авторов, указание цифр, фактов, определений). Изложение материала должно быть связным, последовательным, доказательным.

Задача основной части - представить достаточно данных для того, чтобы слушатели и заинтересовались темой и захотели ознакомиться с материалами. При этом логическая структура теоретического блока не должны даваться без наглядных пособий, аудио-визуальных и визуальных материалов.

Заключение.

Заключение - это ясное четкое обобщение, в котором подводятся итоги, формулируются главные выводы, подчеркивается значение рассмотренной проблемы, предлагаются самые важные практические рекомендации. Требования к оформлению доклада. Объем машинописного текста доклада должен быть рассчитан на произнесение доклада в течение 7 -10 минут (3-5 машинописных листа текста с докладом).

Доклад оценивается по следующим критериям:

<i>Критерии оценки доклада, сообщения</i>	<i>Количество баллов</i>
Содержательность, информационная насыщенность доклада	1
Наличие аргументов	1
Наличие выводов	1
Наличие презентации доклада	1
Владение профессиональной лексикой	1
Итого:	5

Электронные презентации выполняются в программе MS PowerPoint в виде слайдов в следующем порядке: • титульный лист с заголовком темы и автором исполнения презентации; • план презентации (5-6 пунктов - это максимум); • основная часть (не более 10 слайдов); • заключение (вывод). Общие требования к стилевому оформлению презентации: • дизайн должен быть простым и лаконичным; • основная цель - читаемость, а не субъективная красота; цветовая гамма должна состоять не более чем из двух-трех цветов; • всегда должно быть два типа слайдов: для титульных и для основного текста; • размер шрифта должен быть: 24–54 пункта (заголовок), 18–36 пунктов (обычный текст); • текст должен быть свернут до ключевых слов и фраз. Полные развернутые предложения на слайдах таких презентаций используются только при цитировании; каждый слайд должен

4. Методические рекомендации по написанию эссе

Эссе - это самостоятельная письменная работа на тему, предложенную преподавателем. Цель эссе состоит в развитии навыков самостоятельного творческого мышления и письменного изложения собственных мыслей. Писать эссе чрезвычайно полезно, поскольку это позволяет автору научиться четко и грамотно формулировать мысли, структурировать информацию, использовать основные категории анализа, выделять причинно-следственные связи, иллюстрировать понятия соответствующими примерами, аргументировать свои выводы; овладеть научным стилем речи.

Эссе должно содержать: четкое изложение сути поставленной проблемы, включать самостоятельно проведенный анализ этой проблемы с использованием концепций и аналитического инструментария, рассматриваемого в рамках дисциплины, выводы, обобщающие авторскую позицию по поставленной проблеме. В зависимости от специфики дисциплины формы эссе могут значительно дифференцироваться. В некоторых случаях это может быть анализ имеющихся статистических данных по изучаемой проблеме, анализ материалов из средств массовой информации и использованием изучаемых моделей, подробный разбор предложенной задачи с развернутыми мнениями, подбор и детальный анализ примеров, иллюстрирующих проблему и т.д.

Построение эссе - это ответ на вопрос или раскрытие темы, которое основано на классической системе доказательств.

Структура эссе

1. *Титульный лист* (заполняется по единой форме);
2. *Введение* - суть и обоснование выбора данной темы, состоит из ряда компонентов, связанных логически и стилистически.

На этом этапе очень важно правильно *сформулировать вопрос, на который вы собираетесь найти ответ в ходе своего исследования.*

3. *Основная часть* - теоретические основы выбранной проблемы и изложение основного вопроса.

Данная часть предполагает развитие аргументации и анализа, а также обоснование их, исходя из имеющихся данных, других аргументов и позиций по этому вопросу. В этом заключается основное содержание эссе и это представляет собой главную трудность. Поэтому важное значение имеют подзаголовки, на основе которых осуществляется структурирование аргументации; именно здесь необходимо обосновать (логически, используя данные или строгие рассуждения) предлагаемую аргументацию/анализ. Там, где это необходимо, в качестве аналитического инструмента можно использовать графики, диаграммы и таблицы.

В зависимости от поставленного вопроса анализ проводится на основе следующих категорий:

Причина - следствие, общее - особенное, форма - содержание, часть - целое, постоянство - изменчивость.

В процессе построения эссе необходимо помнить, что один параграф должен содержать только одно утверждение и соответствующее доказательство, подкрепленное графическим и иллюстративным материалом. Следовательно, наполняя содержанием разделы аргументацией (соответствующей подзаголовкам), необходимо в пределах параграфа ограничить себя рассмотрением одной главной мысли.

Хорошо проверенный (и для большинства — совершенно необходимый) способ построения любого эссе - использование подзаголовков для обозначения ключевых моментов аргументированного изложения: это помогает посмотреть на то, что предполагается сделать (и ответить на вопрос, хорош ли замысел). Такой подход поможет следовать точно определенной цели в данном исследовании. Эффективное использование подзаголовков - не только обозначение основных пунктов, которые необходимо осветить.

Их последовательность может также свидетельствовать о наличии или отсутствии логичности в освещении темы.

4. *Заключение* - обобщения и аргументированные выводы по теме с указанием области ее применения и т.д. Подытоживает эссе или еще раз вносит пояснения, подкрепляет смысл и значение изложенного в основной части. Методы, рекомендуемые для составления заключения: повторение, иллюстрация, цитата, впечатляющее утверждение. Заключение может содержать такой очень важный, дополняющий эссе элемент, как указание на применение (импликацию) исследования, не исключая взаимосвязи с другими проблемами.

Структура аппарата доказательств, необходимых для написания эссе

Доказательство - это совокупность логических приемов обоснования истинности какого-либо суждения с помощью других истинных и связанных с ним суждений. Оно связано с убеждением, но не тождественно ему: аргументация или доказательство должны основываться на данных науки и общественно-исторической практики, убеждения же могут быть основаны на предрассудках, неосведомленности людей в вопросах экономики и политики, видимости доказательности. Другими словами, доказательство или аргументация - это рассуждение, использующее факты, истинные суждения, научные данные и убеждающее нас в истинности того, о чем идет речь.

Структура любого доказательства включает в себя три составляющие: тезис, аргументы и выводы или оценочные суждения.

Тезис - это положение (суждение), которое требуется доказать. *Аргументы* - это категории, которыми пользуются при доказательстве истинности тезиса. *Вывод* - это мнение, основанное на анализе фактов. *Оценочные суждения* - это мнения, основанные на наших убеждениях, верованиях или взглядах. *Аргументы* обычно делятся на следующие группы:

1. *Удостоверенные факты* — фактический материал (или статистические данные).
2. *Определения* в процессе аргументации используются как описание понятий, связанных с тезисом.
3. *Законы* науки и ранее доказанные теоремы тоже могут использоваться как аргументы доказательства.

Требования к фактическим данным и другим источникам

При написании эссе чрезвычайно важно то, как используются эмпирические данные и другие источники (особенно качество чтения). Все (фактические) данные соотносятся с конкретным временем и местом, поэтому прежде, чем их использовать, необходимо убедиться в том, что они соответствуют необходимому для исследований времени и месту. Соответствующая спецификация данных по времени и месту — один из способов, который может предотвратить чрезмерное обобщение, результатом которого может, например, стать предположение о том, что все страны по некоторым важным аспектам одинаковы (если вы так полагаете, тогда это должно быть доказано, а не быть голословным утверждением).

Всегда можно избежать чрезмерного обобщения, если помнить, что в рамках эссе используемые данные являются иллюстративным материалом, а не заключительным актом, т.е. они подтверждают аргументы и рассуждения и свидетельствуют о том, что автор умеет использовать данные должным образом. Нельзя забывать также, что данные, касающиеся спорных вопросов, всегда подвергаются сомнению. От автора не ждут определенного или окончательного ответа. Необходимо понять сущность фактического материала, связанного с этим вопросом (соответствующие индикаторы? насколько надежны данные для построения таких индикаторов? к какому заключению можно прийти на основании имеющихся данных и индикаторов относительно причин и следствий? и т.д.), и продемонстрировать это в эссе. Нельзя ссылаться на работы, которые автор эссе не читал сам.

Как подготовить и написать эссе?

Качество любого эссе зависит от трех взаимосвязанных составляющих, таких как:

1. Исходный материал, который будет использован (конспекты прочитанной литературы, лекций, записи результатов дискуссий, собственные соображения и накопленный опыт по данной проблеме).

2. Качество обработки имеющегося исходного материала (его организация, аргументация и доводы).

3. Аргументация (насколько точно она соотносится с поднятыми в эссе проблемами).

Процесс написания эссе можно разбить на несколько стадий: обдумывание - планирование - написание - проверка - правка.

Планирование - определение цели, основных идей, источников информации, сроков окончания и представления работы.

Цель должна определять действия.

Идеи, как и цели, могут быть конкретными и общими, более абстрактными. Мысли, чувства, взгляды и представления могут быть выражены в форме аналогий, ассоциации, предположений, рассуждений, суждений, аргументов, доводов и т.д.

Аналогии - выявление идеи и создание представлений, связь элементов значений.

Ассоциации - отражение взаимосвязей предметов и явлений действительности в форме закономерной связи между нервно - психическими явлениями (в ответ на тот или иной словесный стимул выдать «первую пришедшую в голову» реакцию).

Предположения - утверждение, не подтвержденное никакими доказательствами.

Рассуждения - формулировка и доказательство мнений.

Аргументация - ряд связанных между собой суждений, которые высказываются для того, чтобы убедить читателя (слушателя) в верности (истинности) тезиса, точки зрения, позиции.

Суждение - фраза или предложение, для которого имеет смысл вопрос: истинно или ложно?

Доводы - обоснование того, что заключение верно абсолютно или с какой-либо долей вероятности. В качестве доводов используются факты, ссылки на авторитеты, заведомо истинные суждения (законы, аксиомы и т.п.), доказательства (прямые, косвенные, «от противного», «методом исключения») и т.д.

Перечень, который получится в результате перечисления идей, поможет определить, какие из них нуждаются в особенной аргументации.

Источники. Тема эссе подскажет, где искать нужный материал. Обычно пользуются библиотекой, Интернет-ресурсами, словарями, справочниками. Пересмотр означает редактирование текста с ориентацией на качество и эффективность.

Качество текста складывается из четырех основных компонентов: ясности мысли, внятности, грамотности и корректности.

Мысль - это содержание написанного. Необходимо четко и ясно сформулировать идеи, которые хотите выразить, в противном случае вам не удастся донести эти идеи и сведения до окружающих.

Внятность - это доступность текста для понимания. Легче всего ее можно достичь, пользуясь логично и последовательно тщательно выбранными словами, фразами и взаимосвязанными абзацами, раскрывающими тему.

Грамотность отражает соблюдение норм грамматики и правописания. Если в чем-то сомневаетесь, загляните в учебник, справьтесь в словаре или руководстве по стилистике или дайте прочитать написанное человеку, чья манера писать вам нравится.

Корректность — это стиль написанного. Стиль определяется жанром, структурой работы, целями, которые ставит перед собой пишущий, читателями, к которым он обращается.

5. Методические рекомендации по подготовке семинарским занятиям

Семинар представляет собой комплексную форму и завершающее звено в изучении определенных тем, предусмотренных программой учебной дисциплины. Комплексность данной формы занятий определяется тем, что в ходе её проведения сочетаются выступления обучающихся и преподавателя: рассмотрение обсуждаемой проблемы и анализ различных, часто дискуссионных позиций; обсуждение мнений обучающихся и разъяснение (консультация) преподавателя; углубленное изучение теории и приобретение навыков умения ее использовать в практической работе.

По своему назначению семинар, в процессе которого обсуждается та или иная научная проблема, способствует:

- углубленному изучению определенного раздела учебной дисциплины, закреплению знаний;
- отработке методологии и методических приемов познания;
- выработке аналитических способностей, умения обобщения и формулирования выводов;
- приобретению навыков использования научных знаний в практической деятельности;
- выработке умения кратко, аргументированно и ясно излагать обсуждаемые вопросы;
- осуществлению контроля преподавателя за ходом обучения.

Семинары представляет собой *дискуссию* в пределах обсуждаемой темы (проблемы). Дискуссия помогает участникам семинара приобрести более совершенные знания, проникнуть в суть изучаемых проблем. Выработать методологию, овладеть методами анализа социально-экономических процессов. Обсуждение должно носить творческий характер с четкой и убедительной аргументацией.

По своей структуре семинар начинается со вступительного слова преподавателя, в котором кратко излагаются место и значение обсуждаемой темы (проблемы) в данной дисциплине, напоминаются порядок и направления ее обсуждения. Конкретизируется ранее известный обучающимся план проведения занятия. После этого начинается процесс обсуждения вопросов обучающимися. Завершается занятие подведением итогов обсуждения, заключительным словом преподавателя.

Проведение семинарских занятий в рамках учебной группы (20 - 25 человек) позволяет обеспечить активное участие в обсуждении проблемы всех присутствующих.

По ходу обсуждения темы помните, что изучение теории должно быть связано с определением (выработкой) средств, путей применения теоретических положений в практической деятельности, например, при выполнении функций государственного служащего. В то же время важно не свести обсуждение научной проблемы только к пересказу случаев из практики работы, к критике имеющих место недостатков. Дискуссии имеют важное значение: учат дисциплине ума, умению выступать по существу, мыслить логически, выделяя главное, критически оценивать выступления участников семинара.

В процессе проведения семинара обучающиеся могут использовать разнообразные по своей форме и характеру пособия, демонстрируя фактический, в том числе статистический материал, убедительно подтверждающий теоретические выводы и положения. В завершение обсудите результаты работы семинара и сделайте выводы, что хорошо усвоено, а над чем следует дополнительно поработать.

В целях эффективности семинарских занятий необходима обстоятельная подготовка к их проведению. В начале семестра (учебного года) возьмите в библиотеке необходимые методические материалы для своевременной подготовки к семинарам. Готовясь к конкретной теме занятия следует ознакомиться с новыми официальными документами, статьями в периодических журналах, вновь вышедшими монографиями.

6. Методические рекомендации по подготовке к дискуссии

Современная практика предлагает широкий круг типов семинарских занятий. Среди них особое место занимает *семинар-дискуссия*, где в диалоге хорошо усваивается новая информация, видны убеждения студента, обсуждаются противоречия (явные и скрытые) и недостатки. Для обсуждения берутся конкретные актуальные вопросы, с которыми студенты предварительно ознакомлены. Дискуссия является одной из наиболее эффективных технологий группового взаимодействия, обладающей особыми возможностями в обучении, развитии и воспитании будущего специалиста.

Дискуссия (от лат. discussio - рассмотрение, исследование) - способ организации совместной деятельности с целью интенсификации процесса принятия решений в группе посредством обсуждения какого-либо вопроса или проблемы.

Дискуссия обеспечивает активное включение студентов в поиск истины; создает условия для открытого выражения ими своих мыслей, позиций, отношений к обсуждаемой теме и обладает особой возможностью воздействия на установки ее участников в процессе группового взаимодействия. Дискуссию можно рассматривать как *метод интерактивного обучения* и как особую технологию, включающую в себя другие методы и приемы обучения: «мозговой штурм», «анализ ситуаций» и т.д.

Обучающий эффект дискуссии определяется предоставляемой участнику возможностью получить разнообразную информацию от собеседников, продемонстрировать и повысить свою компетентность, проверить и уточнить свои представления и взгляды на обсуждаемую проблему, применить имеющиеся знания в процессе совместного решения учебных и профессиональных задач.

Развивающая функция дискуссии связана со стимулированием творчества обучающихся, развитием их способности к анализу информации и аргументированному, логически выстроенному доказательству своих идей и взглядов, с повышением коммуникативной активности студентов, их эмоциональной включенности в учебный процесс.

Влияние дискуссии на личностное становление студента обусловливается ее целостно - ориентирующей направленностью, созданием благоприятных условий для проявления индивидуальности, самоопределения в существующих точках зрения на определенную проблему, выбора своей позиции; для формирования умения взаимодействовать с другими, слушать и слышать окружающих, уважать чужие убеждения, принимать оппонента, находить точки соприкосновения, соотносить и согласовывать свою позицию с позициями других участников обсуждения.

Безусловно, наличие оппонентов, противоположных точек зрения всегда обостряет дискуссию, повышает ее продуктивность, позволяет создавать с их помощью конструктивный конфликт для более эффективного решения обсуждаемых проблем.

Существует несколько видов дискуссий, использование того или иного типа дискуссии зависит от характера обсуждаемой проблемы и целей дискуссии.

Дискуссия- диалог чаще всего применяется для совместного обсуждения учебных и производственных проблем, решение которых может быть достигнуто путем взаимодополнения, группового взаимодействия по принципу «индивидуальных вкладов» или на основе согласования различных точек зрения, достижения консенсуса.

Дискуссия - спор используется для всестороннего рассмотрения сложных проблем, не имеющих однозначного решения даже в науке, социальной, политической жизни, производственной практике и т.д. Она построена на принципе «позиционного противостояния» и ее цель - не столько решить проблему, сколько побудить участников дискуссии задуматься над проблемой, уточнить и определить свою позицию; научить аргументировано отстаивать свою точку зрения и в то же время осознать право других иметь свой взгляд на эту проблему, быть индивидуальностью.

Условия эффективного проведения дискуссии:

- информированность и подготовленность студентов к дискуссии,
- свободное владение материалом, привлечение различных источников для аргументации отстаиваемых положений;
- правильное употребление понятий, используемых в дискуссии, их единообразное понимание;
- корректность поведения, недопустимость высказываний, задевающих личность оппонента; установление регламента выступления участников;
- полная включенность группы в дискуссию, участие каждого студента в ней.

Подготовка студентов к дискуссии: если тема объявлена заранее, то следует ознакомиться с указанной литературой, необходимыми справочными материалами, продумать свою позицию, четко сформулировать аргументацию, выписать цитаты, мнения специалистов.

В проведении дискуссии выделяется несколько этапов.

Этап 1-й, введение в дискуссию: формулирование проблемы и целей дискуссии; определение значимости проблемы, совместная выработка правил дискуссии; выяснение однозначности понимания темы дискуссии, используемых в ней терминов, понятий.

Этап 2-й, обсуждение проблемы: обмен участниками мнениями по каждому вопросу. Цель этапа - собрать максимум мнений, идей, предложений, соотнося их друг с другом.

Этап 3-й, подведение итогов обсуждения: выработка студентами согласованного мнения и принятие группового решения.

Далее подводятся итоги дискуссии, заслушиваются и защищаются проектные задания. После этого проводится "мозговой штурм" по нерешенным проблемам дискуссии, а также выявляются прикладные аспекты, которые можно рекомендовать для включения в курсовые и дипломные работы или в апробацию на практике.

Семинары-дискуссии проводятся с целью выявления мнения студентов по актуальным и проблемным вопросам.

7. Методические рекомендации по подготовке к сдаче экзаменов и зачетов

Экзамен - одна из важнейших частей учебного процесса, имеющая огромное значение.

Во-первых, готовясь к экзамену, студент приводит в систему знания, полученные на лекциях, семинарах, практических и лабораторных занятиях, разбирается в том, что осталось непонятным, и тогда изучаемая им дисциплина может быть воспринята в полном объеме с присущей ей строгостью и логичностью, ее практической направленностью. А это чрезвычайно важно для будущего специалиста.

Во-вторых, каждый хочет быть волевым и сообразительным., выдержанным и целеустремленным, иметь хорошую память, научиться быстро находить наиболее рациональное решение в трудных ситуациях. Очевидно, что все эти качества не только украшают человека, но и делают его наиболее действенным членом коллектива. Подготовка и сдача экзамена помогают студенту глубже усвоить изучаемые дисциплины, приобрести навыки и качества, необходимые хорошему специалисту.

Конечно, успех на экзамене во многом обусловлен тем, насколько систематически и глубоко работал студент в течение семестра. Совершенно очевидно, что серьезно продумать и усвоить содержание изучаемых дисциплин за несколько дней подготовки к экзамену просто невозможно даже для очень способного студента. И, кроме того, хорошо известно, что быстро выученные на память разделы учебной дисциплины так же быстро забываются после сдачи экзамена.

При подготовке к экзамену студенты не только повторяют и дорабатывают материал дисциплины, которую они изучали в течение семестра, они обобщают полученные знания, осмысливают методологию предмета, его систему, выделяют в нем основное и главное, воспроизводят общую картину с тем, чтобы яснее понять связь между отдельными элементами дисциплины. Вся эта обобщающая работа проходит в условиях напряжения воли и сознания, при значительном отвлечении от повседневной жизни, т. е. в условиях, благоприятствующих пониманию и запоминанию.

Подготовка к экзаменам состоит в приведении в порядок своих знаний. Даже самые способные студенты не в состоянии в короткий период зачетно-экзаменационной сессии усвоить материал целого семестра, если они над ним не работали в свое время. Для тех, кто мало занимался в семестре, экзамены принесут мало пользы: что быстро пройдено, то быстро и забудется. И хотя в некоторых случаях студент может «проскочить» через экзаменационный барьер, в его подготовке останется серьезный пробел, трудно восполняемый впоследствии.

Определив назначение и роль экзаменов в процессе обучения, попытаемся на этой основе пояснить, как лучше готовиться к ним.

Экзаменам, как правило, предшествует защита курсовых работ (проектов) и сдача зачетов. К экзаменам допускаются только студенты, защитившие все курсовые работы (проекты) и сдавшие все зачеты. В вузе сдача зачетов организована так, что при систематической работе в течение семестра, своевременной и успешной сдаче всех текущих работ, предусмотренных графиком учебного процесса, большая часть зачетов не вызывает повышенной трудности у студента. Студенты, работавшие в семестре по плану, подходят к экзаменационной сессии без напряжения, без излишней затраты сил в последнюю, «зачетную» неделю.

Подготовку к экзамену следует начинать с первого дня изучения дисциплины. Как правило, на лекциях подчеркиваются наиболее важные и трудные вопросы или разделы дисциплины, требующие внимательного изучения и обдумывания. Нужно эти вопросы выделить и обязательно постараться разобраться в них, не дожидаясь экзамена, проработать их, готовясь к семинарам, практическим или лабораторным занятиям, попробовать самостоятельно решить несколько типовых задач. И если, несмотря на это, часть материала осталась неувоенной, ни в коем случае нельзя успокаиваться, надеясь

на то, что это не попадет на экзамене. Факты говорят об обратном; если те или другие вопросы учебной дисциплины не вошли в экзаменационный билет, преподаватель может их задать (и часто задает) в виде дополнительных вопросов.

Точно такое же отношение должно быть выработано к вопросам и задачам, перечисленным в программе учебной дисциплины, выдаваемой студентам в начале семестра. Обычно эти же вопросы и аналогичные задачи содержатся в экзаменационных билетах. Не следует оставлять без внимания ни одного раздела дисциплины: если не удалось в чем-то разобраться самому, нужно обратиться к товарищам; если и это не помогло выяснить какой-либо вопрос до конца, нужно обязательно задать этот вопрос преподавателю на предэкзаменационной консультации. Чрезвычайно важно приучить себя к умению самостоятельно мыслить, учиться думать, понимать суть дела. Очень полезно после проработки каждого раздела восстановить в памяти содержание изученного материала, кратко записав это на листе бумаги, создать карту памяти (умственную карту), изобразить необходимые схемы и чертежи (логико-графические схемы), например, отобразить последовательность вывода теоремы или формулы. Если этого не сделать, то большая часть материала останется не понятой, а лишь формально заученной, и при первом же вопросе экзаменатора студент убедится в том, насколько поверхностно он усвоил материал.

В период экзаменационной сессии происходит резкое изменение режима работы, отсутствует посещение занятий по расписанию. При всяком изменении режима работы очень важно скорее приспособиться к новым условиям. Поэтому нужно сразу выбрать такой режим работы, который сохранился бы в течение всей сессии, т. е. почти на месяц. Необходимо составить для себя новый распорядок дня, чередуя занятия с отдыхом. Для того чтобы сократить потерю времени на включение в работу, рабочие периоды целесообразно делать длительными, разделив день примерно на три части: с утра до обеда, с обеда до ужина и от ужина до сна.

Каждый рабочий период дня надо заканчивать отдыхом. Наилучший отдых в период экзаменационной сессии - прогулка, кратковременная пробежка или какой-либо неусттомительный физический труд.

При подготовке к экзаменам основное направление дают программа учебной дисциплины и студенческий конспект, которые указывают, что наиболее важно знать и уметь делать. Основной материал должен прорабатываться по учебнику (если такой имеется) и учебным пособиям, так как конспекта далеко недостаточно для изучения дисциплины. Учебник должен быть изучен в течение семестра, а перед экзаменом сосредоточьте внимание на основных, наиболее сложных разделах. Подготовку по каждому разделу следует заканчивать восстановлением по памяти его краткого содержания в логической последовательности.

За один - два дня до экзамена назначается консультация. Если ее правильно использовать, она принесет большую пользу. Во время консультации студент имеет полную возможность получить ответ на нее ни ясные ему вопросы. А для этого он должен проработать до консультации все темы дисциплины. Кроме того, преподаватель будет отвечать на вопросы других студентов, что будет для вас повторением и закреплением знаний. И еще очень важное обстоятельство: преподаватель на консультации, как правило, обращает внимание на те вопросы, по которым на предыдущих экзаменах ответы были неудовлетворительными, а также фиксирует внимание на наиболее трудных темах дисциплины. Некоторые студенты не приходят на консультации либо потому, что считают, что у них нет вопросов к преподавателю, либо полагают, что у них и так мало времени и лучше самому прочитать материал в конспекте или в учебнике. Это глубокое заблуждение. Никакая другая работа не сможет принести столь значительного эффекта накануне экзамена, как консультация преподавателя.

Но консультация не может возместить отсутствия длительной работы в течение семестра и помочь за несколько часов освоить материал, требующийся к экзамену. На

консультации студент получает ответы на трудные или оставшиеся неясными вопросы и, следовательно, дорабатывается материал. Консультации рекомендуется посещать, подготовив к ним все вопросы, вызывающие сомнения. Если студент придет на консультацию, не проработав всего материала, польза от такой консультации будет невелика.

Итак, *основные советы* для подготовки к сдаче зачетов и экзаменов состоят в следующем:

- лучшая подготовка к зачетам и экзаменам - равномерная работа в течение всего семестра;
- используйте программы учебных дисциплин - это организует вашу подготовку к зачетам и экзаменам;
- учитывайте, что для полноценного изучения учебной дисциплины необходимо время;
- составляйте планы работы во времени;
- работайте равномерно и ритмично;
- курсовые работы (проекты) желательно защищать за одну - две недели до начала зачетно-экзаменационной сессии;
- все зачеты необходимо сдавать до начала экзаменационной сессии;
- помните, что конспект не заменяет учебник и учебные пособия, а помогает выбрать из него основные вопросы и ответы;
- при подготовке наибольшее внимание и время уделяйте трудным и непонятным вопросам учебной дисциплины;
- грамотно используйте консультации;
- соблюдайте правильный режим труда и отдыха во время сессии, это сохранит работоспособность и даст хорошие результаты;
- учитесь владеть собой на зачете и экзамене;
- учитесь точно и кратко передавать свои мысли, поясняя их, если нужно, логико-графическими схемами.

Очень важным условием для правильного режима работы в период экзаменационной сессии является нормальный сон, иначе в день экзамена не будет чувства бодрости и уверенности.

ЗАКЛЮЧЕНИЕ

Методические указания по выполнению самостоятельной работы обучающихся являются неотъемлемой частью процесса обучения в вузе. Правильная организация самостоятельной работы позволяет обучающимся развивать умения и навыки в усвоении и систематизации приобретаемых знаний, обеспечивает высокий уровень успеваемости в период обучения, способствует формированию навыков совершенствования профессионального мастерства. Также внеаудиторное время включает в себя подготовку к аудиторным занятиям и изучение отдельных тем, расширяющих и углубляющих представления обучающихся по разделам изучаемой дисциплины.

Таким образом, обучающийся используя методические указания может в достаточном объеме усвоить и успешно реализовать конкретные знания, умения, навыки и получить опыт при выполнении следующих условий:

- 1) систематическая самостоятельная работа по закреплению полученных знаний и навыков;
- 2) добросовестное выполнение заданий;
- 3) выяснение и уточнение отдельных предпосылок, умозаключений и выводов, содержащихся в учебном курсе;
- 4) сопоставление точек зрения различных авторов по затрагиваемым в учебном курсе проблемам; выявление неточностей и некорректного изложения материала в периодической и специальной литературе;
- 5) периодическое ознакомление с последними теоретическими и практическими достижениями в области управления персоналом;
- 6) проведение собственных научных и практических исследований по одной или нескольким актуальным проблемам для *HR*;
- 7) подготовка научных статей для опубликования в периодической печати, выступление на научно-практических конференциях, участие в работе студенческих научных обществ, круглых столах и диспутах по проблемам управления персоналом.

Контроль результатов внеаудиторной самостоятельной работы студентов осуществляется в пределах времени, отведенного на обязательные учебные занятия по дисциплине.

СПИСОК ИСПОЛЬЗОВАННЫХ ИСТОЧНИКОВ

1. Долгоруков А. Метод case-study как современная технология профессионально - ориентированного обучения [Электронный ресурс]. Режим доступа: <http://evolkov.net/case/case.study.html/>
2. Методические рекомендации по написанию реферата. [Электронный ресурс]. Режим доступа: <http://www.hse.spb.ru/edu/recommendations/method-referat-2005.phtml>
3. Фролова Н. А. Реферирование и аннотирование текстов по специальности (на материале немецкого языка): Учеб. пособие / ВолгГТУ, Волгоград, 2006. - С.5.

МИНОБРНАУКИ РОССИИ
ФГБОУ ВО «Уральский государственный горный университет»



УТВЕРЖДАЮ
Проректор по учебно-методическому
комплексу С.А.Упоров

Ветошкина Т.А., канд. филос. наук, доцент

МЕТОДИЧЕСКИЕ УКАЗАНИЯ ПО САМОСТОЯТЕЛЬНОЙ РАБОТЕ СТУДЕНТОВ

Б1.О.25.02 УПРАВЛЕНИЕ КОЛЛЕКТИВОМ

Специальность

21.05.03 Технология геологической разведки

Екатеринбург

СОДЕРЖАНИЕ

	Введение	3
1	Методические рекомендации по решению практико-ориентированных заданий	5
2	Методические рекомендации по составлению тестовых заданий	9
3	Методические рекомендации к опросу	11
4	Методические рекомендации по подготовке к практическим занятиям	13
5	Методические рекомендации по подготовке семинарским занятиям	15
6	Методические рекомендации по подготовке к сдаче экзаменов и зачетов	17
7	Заключение	19
	Список использованных источников	22

ВВЕДЕНИЕ

Самостоятельная работа студентов может рассматриваться как организационная форма обучения - система педагогических условий, обеспечивающих управление учебной деятельностью студентов по освоению знаний и умений в области учебной и научной деятельности без посторонней помощи.

Самостоятельная работа студентов проводится с целью:

- систематизации и закрепления полученных теоретических знаний и практических умений студентов;
- углубления и расширения теоретических знаний;
- формирования умений использовать нормативную, правовую, справочную документацию и специальную литературу;
- развития познавательных способностей и активности студентов: творческой инициативы, самостоятельности, ответственности и организованности;
- формирования самостоятельности мышления, способностей к саморазвитию, самосовершенствованию и самореализации;
- формирования практических (общеучебных и профессиональных) умений и навыков;
- развития исследовательских умений;
- получения навыков эффективной самостоятельной профессиональной (практической и научно-теоретической) деятельности.

В учебном процессе выделяют два вида самостоятельной работы:

- аудиторная;
- внеаудиторная.

Аудиторная самостоятельная работа по дисциплине выполняется на учебных занятиях под непосредственным руководством преподавателя и по его заданию.

Внеаудиторная самостоятельная работа - планируемая учебная, учебно-исследовательская, научно-исследовательская работа студентов, выполняемая во внеаудиторное время по заданию и при методическом руководстве преподавателя, но без его непосредственного участия.

Самостоятельная работа, не предусмотренная образовательной программой, учебным планом и учебно-методическими материалами, раскрывающими и конкретизирующими их содержание, осуществляется студентами инициативно, с целью реализации собственных учебных и научных интересов.

Для более эффективного выполнения самостоятельной работы по дисциплине преподаватель рекомендует студентам источники и учебно-методические пособия для работы, характеризует наиболее рациональную методику самостоятельной работы, демонстрирует ранее выполненные студентами работы и т. п.

Подразумевается несколько категорий видов самостоятельной работы студентов, значительная часть которых нашла отражения в данных методических рекомендациях:

- работа с источниками литературы и официальными документами (*использование библиотечно-информационной системы*);
- выполнение заданий для самостоятельной работы в рамках учебных дисциплин (*рефераты, эссе, домашние задания, решения практико-ориентированных заданий*);
- реализация элементов научно-педагогической практики (*разработка методических материалов, тестов, тематических портфолио*);
- реализация элементов научно-исследовательской практики (*подготовка текстов докладов, участие в исследованиях*).

Особенностью организации самостоятельной работы студентов является необходимость не только подготовиться к сдаче зачета /экзамена, но и собрать, обобщить, систематизировать, проанализировать информацию по темам дисциплины.

Технология организации самостоятельной работы студентов включает использование информационных и материально-технических ресурсов образовательного учреждения.

Самостоятельная работа может осуществляться индивидуально или группами студентов online и на занятиях в зависимости от цели, объема, конкретной тематики самостоятельной работы, уровня сложности, уровня умений студентов.

В качестве форм и методов контроля внеаудиторной самостоятельной работы студентов могут быть использованы обмен информационными файлами, семинарские занятия, тестирование, опрос, доклад, реферат, самоотчеты, контрольные работы, защита творческих работ и электронных презентаций и др.

Контроль результатов внеаудиторной самостоятельной работы студентов осуществляется в пределах времени, отведенного на обязательные учебные занятия по дисциплине.

1. Методические рекомендации по решению практико-ориентированных заданий

Практико-ориентированные задания - метод анализа ситуаций. Суть его заключается в том, что студентам предлагают осмыслить реальную жизненную ситуацию, описание которой одновременно отражает не только какую-либо практическую проблему, но и актуализирует определенный комплекс знаний, который необходимо усвоить при разрешении данной проблемы. При этом сама проблема не имеет однозначных решений.

Использование метода практико-ориентированного задания как образовательной технологии профессионально-ориентированного обучения представляет собой сложный процесс, плохо поддающийся алгоритмизации¹. Формально можно выделить следующие этапы:

- ознакомление студентов с текстом;
- анализ практико-ориентированного задания;
- организация обсуждения практико-ориентированного задания, дискуссии, презентации;
- оценивание участников дискуссии;
- подведение итогов дискуссии.

Ознакомление студентов с текстом практико-ориентированного задания и последующий анализ практико-ориентированного задания чаще всего осуществляются за несколько дней до его обсуждения и реализуются как самостоятельная работа студентов; при этом время, отводимое на подготовку, определяется видом практико-ориентированного задания, его объемом и сложностью.

Общая схема работы с практико-ориентированное заданием на данном этапе может быть представлена следующим образом: в первую очередь следует выявить ключевые проблемы практико-ориентированного задания и понять, какие именно из представленных данных важны для решения; войти в ситуационный контекст практико-ориентированного задания, определить, кто его главные действующие лица, отобрать факты и понятия, необходимые для анализа, понять, какие трудности могут возникнуть при решении задачи; следующим этапом является выбор метода исследования.

Знакомство с небольшими практико-ориентированного заданиями и их обсуждение может быть организовано непосредственно на занятиях. Принципиально важным в этом случае является то, чтобы часть теоретического курса, на которой базируется практико-ориентированное задание, была бы прочитана и проработана студентами.

Максимальная польза из работы над практико-ориентированного заданиями будет извлечена в том случае, если аспиранты при предварительном знакомстве с ними будут придерживаться систематического подхода к их анализу, основные шаги которого представлены ниже:

1. Выпишите из соответствующих разделов учебной дисциплины ключевые идеи, для того, чтобы освежить в памяти теоретические концепции и подходы, которые Вам предстоит использовать при анализе практико-ориентированного задания.
2. Бегло прочтите практико-ориентированное задание, чтобы составить о нем общее представление.
3. Внимательно прочтите вопросы к практико-ориентированное задание и убедитесь в том, что Вы хорошо поняли, что Вас просят сделать.
4. Вновь прочтите текст практико-ориентированного задания, внимательно фиксируя все факторы или проблемы, имеющие отношение к поставленным вопросам.
5. Прикиньте, какие идеи и концепции соотносятся с проблемами, которые Вам предлагается рассмотреть при работе с практико-ориентированное заданием.

¹ Долгоруков А. Метод case-study как современная технология профессионально -ориентированного обучения [Электронный ресурс]. Режим доступа: <http://evolkov.net/case/case.study.html/>

Организация обсуждения практико-ориентированного задания предполагает формулирование перед студентами вопросов, включение их в дискуссию. Вопросы обычно подготавливаются заранее и предлагают студентам вместе с текстом практико-ориентированного задания. При разборе учебной ситуации преподаватель может занимать активную или пассивную позицию, иногда он «дирижирует» разбором, а иногда ограничивается подведением итогов дискуссии.

Организация обсуждения практико-ориентированных заданий обычно основывается на двух методах. Первый из них носит название традиционного Гарвардского метода - открытая дискуссия. Альтернативным методом является метод, связанный с индивидуальным или групповым опросом, в ходе которого аспиранты делают формальную устную оценку ситуации и предлагают анализ представленного практико-ориентированного задания, свои решения и рекомендации, т.е. делают презентацию. Этот метод позволяет некоторым студентам минимизировать их учебные усилия, поскольку каждый аспирант опрашивается один-два раза за занятие. Метод развивает у студентов коммуникативные навыки, учит их четко выражать свои мысли. Однако, этот метод менее динамичен, чем Гарвардский метод. В открытой дискуссии организация и контроль участников более сложен.

Дискуссия занимает центральное место в методе. Ее целесообразно использовать в том случае, когда аспиранты обладают значительной степенью зрелости и самостоятельности мышления, умеют аргументировать, доказывать и обосновывать свою точку зрения. Важнейшей характеристикой дискуссии является уровень ее компетентности, который складывается из компетентности ее участников. Неподготовленность студентов к дискуссии делает ее формальной, превращает в процесс вытаскивания ими информации у преподавателя, а не самостоятельное ее добывание.

Особое место в организации дискуссии при обсуждении и анализе практико-ориентированного задания принадлежит использованию метода генерации идей, получившего название «мозговой атаки» или «мозгового штурма».

Метод «мозговой атаки» или «мозгового штурма» был предложен в 30-х годах прошлого столетия А. Осборном как групповой метод решения проблем. К концу XX столетия этот метод приобрел особую популярность в практике управления и обучения не только как самостоятельный метод, но и как использование в процессе деятельности с целью усиления ее продуктивности. В процессе обучения «мозговая атака» выступает в качестве важнейшего средства развития творческой активности студентов. «Мозговая атака» включает в себя три фазы.

Первая фаза представляет собой вхождение в психологическую раскованность, отказ от стереотипности, страха показаться смешным и неудачником; достигается созданием благоприятной психологической обстановки и взаимного доверия, когда идеи теряют авторство, становятся общими. Основная задача этой фазы - успокоиться и расковаться.

Вторая фаза - это собственно атака; задача этой фазы - породить поток, лавину идей. «Мозговая атака» в этой фазе осуществляется по следующим принципам:

- есть идея, - говорю, нет идеи, - не молчу;
- поощряется самое необузданное ассоциирование, чем более дикой покажется идея, тем лучше;
- количество предложенных идей должно быть как можно большим;
- высказанные идеи разрешается заимствовать и как угодно комбинировать, а также видоизменять и улучшать;
- исключается критика, можно высказывать любые мысли без боязни, что их признают плохими, критикующих лишают слова;
- не имеют никакого значения социальные статусы участников; это абсолютная демократия и одновременно авторитаризм сумасшедшей идеи;
- все идеи записываются в протокольный список идей;

- время высказываний - не более 1-2 минут.

Третья фаза представляет собой творческий анализ идей с целью поиска конструктивного решения проблемы по следующим правилам:

- анализировать все идеи без дискриминации какой-либо из них;
- найти место идее в системе и найти систему под идею;
- не умножать сущностей без надобности;
- не должна нарушаться красота и изящество полученного результата;
- должно быть принципиально новое видение;
- ищи «жемчужину в навозе».

В методе мозговая атака применяется при возникновении у группы реальных затруднений в осмыслении ситуации, является средством повышения активности студентов. В этом смысле мозговая атака представляется не как инструмент поиска новых решений, хотя и такая ее роль не исключена, а как своеобразное «подталкивание» к познавательной активности.

Презентация, или представление результатов анализа практико-ориентированного задания, выступает очень важным аспектом метода *case-study*. Умение публично представить интеллектуальный продукт, хорошо его рекламировать, показать его достоинства и возможные направления эффективного использования, а также выстоять под шквалом критики, является очень ценным интегральным качеством современного специалиста. Презентация оттачивает многие глубинные качества личности: волю, убежденность, целенаправленность, достоинство и т.п.; она вырабатывает навыки публичного общения, формирования своего собственного имиджа.

Публичная (устная) презентация предполагает представление решений практико-ориентированного задания группе, она максимально вырабатывает навыки публичной деятельности и участия в дискуссии. Устная презентация обладает свойством кратковременного воздействия на студентов и, поэтому, трудна для восприятия и запоминания. Степень подготовленности выступающего проявляется в спровоцированной им дискуссии: для этого необязательно делать все заявления очевидными и неопровержимыми. Такая подача материала при анализе практико-ориентированного задания может послужить началом дискуссии. При устной презентации необходимо учитывать эмоциональный настрой выступающего: отношение и эмоции говорящего вносят существенный вклад в сообщение. Одним из преимуществ публичной (устной) презентации является ее гибкость. Оратор может откликаться на изменения окружающей обстановки, адаптировать свой стиль и материал, чувствуя настроение аудитории.

Непубличная презентация менее эффективна, но обучающая роль ее весьма велика. Чаще всего непубличная презентация выступает в виде подготовки отчета по выполнению задания, при этом стимулируются такие качества, как умение подготовить текст, точно и аккуратно составить отчет, не допустить ошибки в расчетах и т.д. Подготовка письменного анализа практико-ориентированного задания аналогична подготовке устного, с той разницей, что письменные отчеты-презентации обычно более структурированы и детализированы. Основное правило письменного анализа практико-ориентированного задания заключается в том, чтобы избежать простого повторения информации из текста, информация должна быть представлена в переработанном виде. Самым важным при этом является собственный анализ представленного материала, его соответствующая интерпретация и сделанные предложения. Письменный отчет - презентация может сдаваться по истечении некоторого времени после устной презентации, что позволяет студентам более тщательно проанализировать всю информацию, полученную в ходе дискуссии.

Как письменная, так и устная презентация результатов анализа практико-ориентированного задания может быть групповой и индивидуальной. Отчет может быть индивидуальным или групповым в зависимости от сложности и объема задания.

Индивидуальная презентация формирует ответственность, собранность, волю; групповая - аналитические способности, умение обобщать материал, системно видеть проект.

Оценивание участников дискуссии является важнейшей проблемой обучения посредством метода практико-ориентированного задания. При этом выделяются следующие требования к оцениванию:

- объективность - создание условий, в которых бы максимально точно выявлялись знания обучаемых, предъявление к ним единых требований, справедливое отношение к каждому;
- обоснованность оценок - их аргументация;
- систематичность - важнейший психологический фактор, организующий и дисциплинирующий студентов, формирующий настойчивость и устремленность в достижении цели;
- всесторонность и оптимальность.

Оценивание участников дискуссии предполагает оценивание не столько набора определенных знаний, сколько умения студентов анализировать конкретную ситуацию, принимать решение, логически мыслить.

Следует отметить, что оценивается содержательная активность студента в дискуссии или публичной (устной) презентации, которая включает в себя следующие составляющие:

- выступление, которое характеризует попытку серьезного предварительного анализа (правильность предложений, подготовленность, аргументированность и т.д.);
- обращение внимания на определенный круг вопросов, которые требуют углубленного обсуждения;
- владение категориальным аппаратом, стремление давать определения, выявлять содержание понятий;
- демонстрация умения логически мыслить, если точки зрения, высказанные раньше, подытоживаются и приводят к логическим выводам;
- предложение альтернатив, которые раньше оставались без внимания;
- предложение определенного плана действий или плана воплощения решения;
- определение существенных элементов, которые должны учитываться при анализе практико-ориентированного задания;
- заметное участие в обработке количественных данных, проведении расчетов;
- подведение итогов обсуждения.

При оценивании анализа практико-ориентированного задания, данного студентами при непубличной (письменной) презентации учитывается:

- формулировка и анализ большинства проблем, имеющих в практико-ориентированное задание;
- формулировка собственных выводов на основании информации о практико-ориентированное задание, которые отличаются от выводов других студентов;
- демонстрация адекватных аналитических методов для обработки информации;
- соответствие приведенных в итоге анализа аргументов ранее выявленным проблемам, сделанным выводам, оценкам и использованным аналитическим методам.

2. Методические рекомендации по составлению тестовых заданий

Требования к составлению тестовых заданий

Тестовое задание (ТЗ) - варьирующаяся по элементам содержания и по трудности единица контрольного материала, сформулированная в утвердительной форме предложения с неизвестным. Подстановка правильного ответа вместо неизвестного компонента превращает задание в истинное высказывание, подстановка неправильного ответа приводит к образованию ложного высказывания, что свидетельствует о незнании студентом данного учебного материала.

Для правильного составления ТЗ необходимо выполнить следующие *требования*:

1. Содержание каждого ТЗ должно охватывать какую-либо одну смысловую единицу, то есть должно оценивать что-то одно.
2. Ориентация ТЗ на получение *однозначного* заключения.
3. Формулировка содержания ТЗ в виде свернутых кратких суждений. Рекомендуемое количество слов в задании не более 15. В тексте не должно быть преднамеренных подсказок и сленга, а также оценочных суждений автора ТЗ. Формулировка ТЗ должна быть в повествовательной форме (не в форме вопроса). По возможности, текст ТЗ не должен содержать сложноподчиненные конструкции, повелительного наклонения («выберите», «вычислите», «укажите» и т.д). Специфический признак (ключевое слово) выносится в начало ТЗ. Не рекомендуется начинать ТЗ с предлога, союза, частицы.
4. Соблюдение единого стиля оформления ТЗ.

Требования к формам ТЗ

ТЗ может быть представлено в одной из четырех стандартизованных форм:

- закрытой (с выбором одного или нескольких заключений);
- открытой;
- на установление правильной последовательности;
- на установление соответствия.

Выбор формы ТЗ зависит от того, какой вид знаний следует проверить. Так, для оценки фактологических знаний (знаний конкретных фактов, названий, имён, дат, понятий) лучше использовать тестовые задания закрытой или открытой формы.

Ассоциативных знаний (знаний о взаимосвязи определений и фактов, авторов и их теорий, сущности и явления, о соотношении между различными предметами, законами, датами) - заданий на установление соответствия. Процессуальных знаний (знаний правильной последовательности различных действий, процессов) - заданий на определение правильной последовательности.

Тестовое задание закрытой формы

Если к заданиям даются готовые ответы на выбор (обычно один правильный и остальные неправильные), то такие задания называются заданиями с выбором одного правильного ответа или с единичным выбором.

При использовании этой формы следует руководствоваться правилом: в каждом задании с выбором одного правильного ответа правильный ответ должен быть.

Помимо этого, бывают задания с выбором нескольких правильных ответов или с множественным выбором. Подобная форма заданий не допускает наличия в общем перечне ответов следующих вариантов: «все ответы верны» или «нет правильного ответа».

Вариантов выбора (дистракторов) должно быть не менее 4 и не более 7. Если дистракторов мало, то возрастает вероятность угадывания правильного ответа, если слишком много, то делает задание громоздким. Кроме того, дистракторы в большом

количестве часто бывают неоднородными, и тестируемый сразу исключает их, что также способствует угадыванию.

Дистракторы должны быть приблизительно одной длины. Не допускается наличие повторяющихся фраз (слов) в дистракторах.

Тестовое задание открытой формы

В заданиях открытой формы готовые ответы с выбором не даются. Требуется сформулированное самим тестируемым заключение. Задания открытой формы имеют вид неполного утверждения, в котором отсутствует один или несколько ключевых элементов. В качестве ключевых элементов могут быть: число, буква, слово или словосочетание. При формулировке задания на месте ключевого элемента, необходимо поставить прочерк или многоточие. Утверждение превращается в истинное высказывание, если ответ правильный и в ложное высказывание, если ответ неправильный. Необходимо предусмотреть наличие всех возможных вариантов правильного ответа и отразить их в ключе, поскольку отклонения от эталона (правильного ответа) могут быть зафиксированы проверяющим как неверные.

Тестовые задания на установление правильной последовательности

Такое задание состоит из однородных элементов некоторой группы и четкой формулировки критерия упорядочения этих элементов.

Задание начинается со слова: «Последовательность».

Тестовые задания на установление соответствия

Такое задание состоит из двух групп элементов и четкой формулировки критерия выбора соответствия между ними.

Соответствие устанавливается по принципу 1:1 (одному элементу первой группы соответствует только один элемент второй группы) или 1:М (одному элементу первой группы соответствуют М элементов второй группы). Внутри каждой группы элементы должны быть однородными. Количество элементов второй группы должно превышать количество элементов первой группы. Максимальное количество элементов второй группы должно быть не более 10, первой группы - не менее 2.

Задание начинается со слова: «Соответствие». Номера и буквы используются как идентификаторы (метки) элементов. Арабские цифры являются идентификаторами первой группы, заглавные буквы русского алфавита - второй. Номера и буквы отделяются от содержания столбцов круглой скобкой.

3. Методические указания по подготовке к опросу

Самостоятельная работа обучающихся включает подготовку к устному или письменному опросу на семинарских занятиях. Для этого обучающийся изучает лекции, основную и дополнительную литературу, публикации, информацию из Интернет-ресурсов. Темы и вопросы к семинарским занятиям, вопросы для самоконтроля приведены в методических указаниях по разделам и доводятся до обучающихся заранее.

Письменный опрос

В соответствии с технологической картой письменный опрос является одной из форм текущего контроля успеваемости студента по данной дисциплине. При подготовке к письменному опросу студент должен внимательно изучать лекции, основную и дополнительную литературу, публикации, информацию из Интернет-ресурсов. Темы и вопросы к семинарским занятиям, вопросы для самоконтроля приведены в методических указаниях по разделам и доводятся до обучающихся заранее.

При изучении материала студент должен убедиться, что хорошо понимает основную терминологию темы, умеет ее использовать в нужном контексте. Желательно составить краткий конспект ответа на предполагаемые вопросы письменной работы, чтобы убедиться в том, что студент владеет материалом и может аргументировано, логично и грамотно письменно изложить ответ на вопрос. Следует обратить особое внимание на написание профессиональных терминов, чтобы избегать грамматических ошибок в работе. При изучении новой для студента терминологии рекомендуется изготовить карточки, которые содержат новый термин и его расшифровку, что значительно облегчит работу над материалом.

Устный опрос

Целью устного собеседования являются обобщение и закрепление изученного курса. Студентам предлагаются для освещения сквозные концептуальные проблемы. При подготовке следует использовать лекционный материал и учебную литературу. Для более глубокого постижения курса и более основательной подготовки рекомендуется познакомиться с указанной дополнительной литературой. Готовясь к семинару, студент должен, прежде всего, ознакомиться с общим планом семинарского занятия. Следует внимательно прочесть свой конспект лекции по изучаемой теме и рекомендуемую к теме семинара литературу. С незнакомыми терминами и понятиями следует ознакомиться в предлагаемом глоссарии, словаре или энциклопедии ².

Критерии качества устного ответа.

1. Правильность ответа по содержанию.
2. Полнота и глубина ответа.
3. Сознательность ответа (учитывается понимание излагаемого материала).
4. Логика изложения материала (учитывается умение строить целостный, последовательный рассказ, грамотно пользоваться профессиональной терминологией).
5. Рациональность использованных приемов и способов решения поставленной учебной задачи (учитывается умение использовать наиболее прогрессивные и эффективные способы достижения цели).
6. Своевременность и эффективность использования наглядных пособий и технических средств при ответе (учитывается грамотно и с пользой применять наглядность и демонстрационный опыт при устном ответе).
7. Использование дополнительного материала (приветствуется, но не обязательно для всех студентов).

² Методические рекомендации для студентов [Электронный ресурс]: Режим доступа: http://lesgaft.spb.ru/sites/default/files/u57/metod.rekomendacii_dlya_studentov_21.pdf

8. Рациональность использования времени, отведенного на задание (не одобряется затянутость выполнения задания, устного ответа во времени, с учетом индивидуальных особенностей студентов)³.

Ответ на каждый вопрос из плана семинарского занятия должен быть содержательным и аргументированным. Для этого следует использовать документы, монографическую, учебную и справочную литературу.

Для успешной подготовки к устному опросу, студент должен законспектировать рекомендуемую литературу, внимательно осмыслить лекционный материал и сделать выводы. В среднем, подготовка к устному опросу по одному семинарскому занятию занимает от 2 до 4 часов в зависимости от сложности темы и особенностей организации обучающимся своей самостоятельной работы.

³Методические рекомендации для студентов [Электронный ресурс]:
http://priab.ru/images/metod_agro/Metod_Inostran_yazyk_35.03.04_Agro_15.01.2016.pdf

4. Методические рекомендации по подготовке к практическим занятиям

На практических занятиях необходимо стремиться к самостоятельному решению задач, находя для этого более эффективные методы. При этом студентам надо приучить себя доводить решения задач до конечного «идеального» ответа. Это очень важно для будущих специалистов. Практические занятия вырабатывают навыки самостоятельной творческой работы, развивают мыслительные способности.

Практическое занятие – активная форма учебного процесса, дополняющая теоретический курс или лекционную часть учебной дисциплины и призванная помочь обучающимся освоиться в «пространстве» (тематике) дисциплины, самостоятельно прооперировать теоретическими знаниями на конкретном учебном материале.

Продолжительность одного практического занятия – от 2 до 4 академических часов. Общая доля практических занятий в учебном времени на дисциплину – от 10 до 20 процентов (при условии, что все активные формы займут в учебном времени на дисциплину от 40 до 60 процентов).

Для практического занятия в качестве темы выбирается обычно такая учебная задача, которая предполагает не существенные эвристические и аналитические напряжения и продвижения, а потребность обучающегося «потрогать» материал, опознать в конкретном то общее, о чем говорилось в лекции. Например, при рассмотрении вопросов оплаты труда, мотивации труда и проблем безработицы в России имеет смысл провести практические занятия со следующими сюжетами заданий: «Расчет заработной платы работников предприятия». «Разработка механизма мотивации труда на предприятии N». «В чем причины и особенности безработицы в России?». Последняя тема предполагает уже некоторую аналитическую составляющую. Основная задача первой из этих тем - самим посчитать заработную плату для различных групп работников на примере заданных параметров для конкретного предприятия, т. е. сделать расчеты «как на практике»; второй – дать собственный вариант мотивационной политики для предприятия, учитывая особенности данного объекта, отрасли и т.д.; третьей – опираясь на теоретические знания в области проблем занятости и безработицы, а также статистические материалы, сделать авторские выводы о видах безработицы, характерных для России, и их причинах, а также предложить меры по минимизации безработицы.

Перед проведением занятия должен быть подготовлен специальный материал – тот объект, которым обучающиеся станут оперировать, активизируя свои теоретические (общие) знания и тем самым, приобретая навыки выработки уверенных суждений и осуществления конкретных действий.

Дополнительный материал для практического занятия лучше получить у преподавателя заранее, чтобы у студентов была возможность просмотреть его и подготовить вопросы.

Условия должны быть такими, чтобы каждый мог работать самостоятельно от начала до конца. В аудитории должны быть «под рукой» необходимые справочники и тексты законов и нормативных актов по тематике занятия. Чтобы сделать практическое занятие максимально эффективным, надо заранее подготовить и изучить материал по наиболее интересным и практически важным темам.

Особенности практического занятия с использованием компьютера

Для того чтобы повысить эффективность проведения практического занятия, может использоваться компьютер по следующим направлениям:

- поиск информации в Интернете по поставленной проблеме: в этом случае преподаватель представляет обучающимся перечень рекомендуемых для посещения Интернет-сайтов;
- использование прикладных обучающих программ;
- выполнение заданий с использованием обучающимися заранее установленных преподавателем программ;

- использование программного обеспечения при проведении занятий, связанных с моделированием социально-экономических процессов.

5. Методические рекомендации по подготовке семинарским занятиям

Семинар представляет собой комплексную форму и завершающее звено в изучении определенных тем, предусмотренных программой учебной дисциплины. Комплексность данной формы занятий определяется тем, что в ходе её проведения сочетаются выступления обучающихся и преподавателя: рассмотрение обсуждаемой проблемы и анализ различных, часто дискуссионных позиций; обсуждение мнений обучающихся и разъяснение (консультация) преподавателя; углубленное изучение теории и приобретение навыков умения ее использовать в практической работе.

По своему назначению семинар, в процессе которого обсуждается та или иная научная проблема, способствует:

- углубленному изучению определенного раздела учебной дисциплины, закреплению знаний;
- отработке методологии и методических приемов познания;
- выработке аналитических способностей, умения обобщения и формулирования выводов;
- приобретению навыков использования научных знаний в практической деятельности;
- выработке умения кратко, аргументированно и ясно излагать обсуждаемые вопросы;
- осуществлению контроля преподавателя за ходом обучения.

Семинары представляет собой дискуссию в пределах обсуждаемой темы (проблемы). Дискуссия помогает участникам семинара приобрести более совершенные знания, проникнуть в суть изучаемых проблем. Выработать методологию, овладеть методами анализа социально-экономических процессов. Обсуждение должно носить творческий характер с четкой и убедительной аргументацией.

По своей структуре семинар начинается со вступительного слова преподавателя, в котором кратко излагаются место и значение обсуждаемой темы (проблемы) в данной дисциплине, напоминаются порядок и направления ее обсуждения. Конкретизируется ранее известный обучающимся план проведения занятия. После этого начинается процесс обсуждения вопросов обучающимися. Завершается занятие заключительным словом преподавателя.

Проведение семинарских занятий в рамках учебной группы (20 - 25 человек) позволяет обеспечить активное участие в обсуждении проблемы всех присутствующих.

По ходу обсуждения темы помните, что изучение теории должно быть связано с определением (выработкой) средств, путей применения теоретических положений в практической деятельности, например, при выполнении функций государственного служащего. В то же время важно не свести обсуждение научной проблемы только к пересказу случаев из практики работы, к критике имеющих место недостатков. Дискуссии имеют важное значение: учат дисциплине ума, умению выступать по существу, мыслить логически, выделяя главное, критически оценивать выступления участников семинара.

В процессе проведения семинара обучающиеся могут использовать разнообразные по своей форме и характеру пособия (от доски смелом до самых современных технических средств), демонстрируя фактический, в том числе статистический материал, убедительно подтверждающий теоретические выводы и положения. В завершение обсудите результаты работы семинара и сделайте выводы, что хорошо усвоено, а над чем следует дополнительно поработать.

В целях эффективности семинарских занятий необходима обстоятельная подготовка к их проведению. В начале семестра (учебного года) возьмите в библиотеке необходимые методические материалы для своевременной подготовки к семинарам. Во время лекций, связанных с темой семинарского занятия, следует обращать внимание на то, что

необходимо дополнительно изучить при подготовке к семинару (новые официальные документы, статьи в периодических журналах, вновь вышедшие монографии и т.д.).

6. Методические рекомендации по подготовке к сдаче экзаменов и зачетов

Экзамен - одна из важнейших частей учебного процесса, имеющая огромное значение.

Во-первых, готовясь к экзамену, студент приводит в систему знания, полученные на лекциях, семинарах, практических и лабораторных занятиях, разбирается в том, что осталось непонятным, и тогда изучаемая им дисциплина может быть воспринята в полном объеме с присущей ей строгостью и логичностью, ее практической направленностью. А это чрезвычайно важно для будущего специалиста.

Во-вторых, каждый хочет быть волевым и сообразительным., выдержанным и целеустремленным, иметь хорошую память, научиться быстро находить наиболее рациональное решение в трудных ситуациях. Очевидно, что все эти качества не только украшают человека, но и делают его наиболее действенным членом коллектива. Подготовка и сдача экзамена помогают студенту глубже усвоить изучаемые дисциплины, приобрести навыки и качества, необходимые хорошему специалисту.

Конечно, успех на экзамене во многом обусловлен тем, насколько систематически и глубоко работал студент в течение семестра. Совершенно очевидно, что серьезно продумать и усвоить содержание изучаемых дисциплин за несколько дней подготовки к экзамену просто невозможно даже для очень способного студента. И, кроме того, хорошо известно, что быстро выученные на память разделы учебной дисциплины так же быстро забываются после сдачи экзамена.

При подготовке к экзамену студенты не только повторяют и дорабатывают материал дисциплины, которую они изучали в течение семестра, они обобщают полученные знания, осмысливают методологию предмета, его систему, выделяют в нем основное и главное, воспроизводят общую картину с тем, чтобы яснее понять связь между отдельными элементами дисциплины. Вся эта обобщающая работа проходит в условиях напряжения воли и сознания, при значительном отвлечении от повседневной жизни, т. е. в условиях, благоприятствующих пониманию и запоминанию.

Подготовка к экзаменам состоит в приведении в порядок своих знаний. Даже самые способные студенты не в состоянии в короткий период зачетно-экзаменационной сессии усвоить материал целого семестра, если они над ним не работали в свое время. Для тех, кто мало занимался в семестре, экзамены принесут мало пользы: что быстро пройдено, то быстро и забудется. И хотя в некоторых случаях студент может «проскочить» через экзаменационный барьер, в его подготовке останется серьезный пробел, трудно восполняемый впоследствии.

Определив назначение и роль экзаменов в процессе обучения, попытаемся на этой основе пояснить, как лучше готовиться к ним.

Экзаменам, как правило, предшествует защита курсовых работ (проектов) и сдача зачетов. К экзаменам допускаются только студенты, защитившие все курсовые работы (проекты) и сдавшие все зачеты. В вузе сдача зачетов организована так, что при систематической работе в течение семестра, своевременной и успешной сдаче всех текущих работ, предусмотренных графиком учебного процесса, большая часть зачетов не вызывает повышенной трудности у студента. Студенты, работавшие в семестре по плану, подходят к экзаменационной сессии без напряжения, без излишней затраты сил в последнюю, «зачетную» неделю.

Подготовку к экзамену следует начинать с первого дня изучения дисциплины. Как правило, на лекциях подчеркиваются наиболее важные и трудные вопросы или разделы дисциплины, требующие внимательного изучения и обдумывания. Нужно эти вопросы выделить и обязательно постараться разобраться в них, не дожидаясь экзамена, проработать их, готовясь к семинарам, практическим или лабораторным занятиям, попробовать самостоятельно решить несколько типовых задач. И если, несмотря на это, часть материала осталась неувоенной, ни в коем случае нельзя успокаиваться, надеясь на то, что это не

попадется на экзамене. Факты говорят об обратном; если те или другие вопросы учебной дисциплины не вошли в экзаменационный билет, преподаватель может их задать (и часто задает) в виде дополнительных вопросов.

Точно такое же отношение должно быть выработано к вопросам и задачам, перечисленным в программе учебной дисциплины, выдаваемой студентам в начале семестра. Обычно эти же вопросы и аналогичные задачи содержатся в экзаменационных билетах. Не следует оставлять без внимания ни одного раздела дисциплины: если не удалось в чем-то разобраться самому, нужно обратиться к товарищам; если и это не помогло выяснить какой-либо вопрос до конца, нужно обязательно задать этот вопрос преподавателю на предэкзаменационной консультации. Чрезвычайно важно приучить себя к умению самостоятельно мыслить, учиться думать, понимать суть дела. Очень полезно после проработки каждого раздела восстановить в памяти содержание изученного материала, кратко записав это на листе бумаги, создать карту памяти (умственную карту), изобразить необходимые схемы и чертежи (логико-графические схемы), например, отобразить последовательность вывода теоремы или формулы. Если этого не сделать, то большая часть материала останется не понятой, а лишь формально заученной, и при первом же вопросе экзаменатора студент убедится в том, насколько поверхностно он усвоил материал.

В период экзаменационной сессии происходит резкое изменение режима работы, отсутствует посещение занятий по расписанию. При всяком изменении режима работы очень важно скорее приспособиться к новым условиям. Поэтому нужно сразу выбрать такой режим работы, который сохранился бы в течение всей сессии, т. е. почти на месяц. Необходимо составить для себя новый распорядок дня, чередуя занятия с отдыхом. Для того чтобы сократить потерю времени на включение в работу, рабочие периоды целесообразно делать длительными, разделив день примерно на три части: с утра до обеда, с обеда до ужина и от ужина до сна.

Каждый рабочий период дня надо заканчивать отдыхом. Наилучший отдых в период экзаменационной сессии - прогулка, кратковременная пробежка или какой-либо неустойчивый физический труд.

При подготовке к экзаменам основное направление дают программа учебной дисциплины и студенческий конспект, которые указывают, что наиболее важно знать и уметь делать. Основной материал должен прорабатываться по учебнику (если такой имеется) и учебным пособиям, так как конспекта далеко недостаточно для изучения дисциплины. Учебник должен быть изучен в течение семестра, а перед экзаменом сосредоточьте внимание на основных, наиболее сложных разделах. Подготовку по каждому разделу следует заканчивать восстановлением по памяти его краткого содержания в логической последовательности.

За один - два дня до экзамена назначается консультация. Если ее правильно использовать, она принесет большую пользу. Во время консультации студент имеет полную возможность получить ответ на нее и ясные ему вопросы. А для этого он должен проработать до консультации все темы дисциплины. Кроме того, преподаватель будет отвечать на вопросы других студентов, что будет для вас повторением и закреплением знаний. И еще очень важное обстоятельство: преподаватель на консультации, как правило, обращает внимание на те вопросы, по которым на предыдущих экзаменах ответы были неудовлетворительными, а также фиксирует внимание на наиболее трудных темах дисциплины. Некоторые студенты не приходят на консультации либо потому, что считают, что у них нет вопросов к преподавателю, либо полагают, что у них и так мало времени и лучше самому прочитать материал в конспекте или в учебнике. Это глубокое заблуждение. Никакая другая работа не сможет принести столь значительного эффекта накануне экзамена, как консультация преподавателя.

Но консультация не может возместить отсутствия длительной работы в течение семестра и помочь за несколько часов освоить материал, требующийся к экзамену. На

консультации студент получает ответы на трудные или оставшиеся неясными вопросы и, следовательно, дорабатывается материал. Консультации рекомендуется посещать, подготовив к ним все вопросы, вызывающие сомнения. Если студент придет на консультацию, не проработав всего материала, польза от такой консультации будет невелика.

Очень важным условием для правильного режима работы в период экзаменационной сессии является нормальный сон. Подготовка к экзамену не должна идти в ущерб сну, иначе в день экзамена не будет чувства свежести и бодрости, необходимых для хороших ответов. Вечер накануне экзамена рекомендуем закончить небольшой прогулкой.

Итак, *основные советы* для подготовки к сдаче зачетов и экзаменов состоят в следующем:

- лучшая подготовка к зачетам и экзаменам - равномерная работа в течение всего семестра;
- используйте программы учебных дисциплин - это организует вашу подготовку к зачетам и экзаменам;
- учитывайте, что для полноценного изучения учебной дисциплины необходимо время;
- составляйте планы работы во времени;
- работайте равномерно и ритмично;
- курсовые работы (проекты) желательно защищать за одну - две недели до начала зачетно-экзаменационной сессии;
- все зачеты необходимо сдавать до начала экзаменационной сессии;
- помните, что конспект не заменяет учебник и учебные пособия, а помогает выбрать из него основные вопросы и ответы;
- при подготовке наибольшее внимание и время уделяйте трудным и непонятным вопросам учебной дисциплины;
- грамотно используйте консультации;
- соблюдайте правильный режим труда и отдыха во время сессии, это сохранит работоспособность и даст хорошие результаты;
- учитесь владеть собой на зачете и экзамене;
- учитесь точно и кратко передавать свои мысли, поясняя их, если нужно, логико-графическими схемами.

ЗАКЛЮЧЕНИЕ

Методические указания по выполнению самостоятельной работы обучающихся являются неотъемлемой частью процесса обучения в вузе. Правильная организация самостоятельной работы позволяет обучающимся развивать умения и навыки в усвоении и систематизации приобретаемых знаний, обеспечивает высокий уровень успеваемости в период обучения, способствует формированию навыков совершенствования профессионального мастерства. Также внеаудиторное время включает в себя подготовку к аудиторным занятиям и изучение отдельных тем, расширяющих и углубляющих представления обучающихся по разделам изучаемой дисциплины.

Таким образом, обучающийся используя методические указания может в достаточном объеме усвоить и успешно реализовать конкретные знания, умения, навыки и получить опыт при выполнении следующих условий:

- 1) систематическая самостоятельная работа по закреплению полученных знаний и навыков;
- 2) добросовестное выполнение заданий;
- 3) выяснение и уточнение отдельных предпосылок, умозаключений и выводов, содержащихся в учебном курсе;
- 4) сопоставление точек зрения различных авторов по затрагиваемым в учебном курсе проблемам; выявление неточностей и некорректного изложения материала в периодической и специальной литературе;
- 5) периодическое ознакомление с последними теоретическими и практическими достижениями;
- 6) проведение собственных научных и практических исследований по одной или нескольким актуальным проблемам;
- 7) подготовка научных статей для опубликования в периодической печати, выступление на научно-практических конференциях, участие в работе студенческих научных обществ, круглых столах и диспутах.

СПИСОК ИСПОЛЬЗОВАННЫХ ИСТОЧНИКОВ

1. Брандес М. П. Немецкий язык. Переводческое реферирование: практикум. М.: КДУ, 2008. – 368 с.
2. Долгоруков А. Метод case-study как современная технология профессионально - ориентированного обучения [Электронный ресурс]. Режим доступа: <http://evolkov.net/case/case.study.html/>
3. Методические рекомендации по написанию реферата. [Электронный ресурс]. Режим доступа: <http://www.hse.spb.ru/edu/recommendations/method-referat-2005.phtml>
4. Фролова Н. А. Реферирование и аннотирование текстов по специальности (на материале немецкого языка): Учеб. пособие / ВолГТУ, Волгоград, 2006. - С.5.

Минобрнауки России
ФГБОУ ВО «Уральский государственный горный университет»

**МЕТОДИЧЕСКИЕ УКАЗАНИЯ ПО ОРГАНИЗАЦИИ
САМОСТОЯТЕЛЬНОЙ РАБОТЫ И ЗАДАНИЯ ДЛЯ
ОБУЧАЮЩИХСЯ**

ОСНОВЫ ПРАВОВЫХ ЗНАНИЙ

Специальность
21.05.03. Технология геологической разведки

Автор: Балашова Ю.В.

Екатеринбург
2021

СОДЕРЖАНИЕ

ВВЕДЕНИЕ.....	3
ВОПРОСЫ ДЛЯ САМОПРОВЕРКИ.....	6
ОСНОВНЫЕ КАТЕГОРИИ ДИСЦИПЛИНЫ.....	10
САМООРГАНИЗАЦИЯ РАБОТЫ С ЛИТЕРАТУРОЙ.....	14
ПОДГОТОВКА К ПРАКТИКО-ОРИЕНТИРОВАННЫМ ЗАДАНИЯМ.....	18
ПОДГОТОВКА К ТЕСТИРОВАНИЮ.....	20
ПОДГОТОВКА К ПРОМЕЖУТОЧНОЙ АТТЕСТАЦИИ.....	21

ВВЕДЕНИЕ

Самостоятельная работа в высшем учебном заведении - это часть учебного процесса, метод обучения, прием учебно-познавательной деятельности, комплексная целевая стандартизованная учебная деятельность с запланированными видом, типом, формами контроля.

Самостоятельная работа представляет собой плановую деятельность обучающихся по поручению и под методическим руководством преподавателя.

Целью самостоятельной работы студентов является закрепление тех знаний, которые они получили на аудиторных занятиях, а также способствование развитию у студентов творческих навыков, инициативы, умению организовать свое время.

Самостоятельная работа реализует следующие задачи:

- предполагает освоение курса дисциплины;
- помогает освоению навыков учебной и научной работы;
- способствует осознанию ответственности процесса познания;
- способствует углублению и пополнению знаний студентов, освоению ими навыков и умений;
- формирует интерес к познавательным действиям, освоению методов и приемов познавательного процесса,
- создает условия для творческой и научной деятельности обучающихся;
- способствует развитию у студентов таких личных качеств, как целеустремленность, заинтересованность, исследование нового.

Самостоятельная работа обучающегося выполняет следующие функции:

- развивающую (повышение культуры умственного труда, приобщение к творческим видам деятельности, обогащение интеллектуальных способностей студентов);
- информационно-обучающую (учебная деятельность студентов на аудиторных занятиях, неподкрепленная самостоятельной работой, становится мало результативной);
- ориентирующую и стимулирующую (процессу обучения придается ускорение и мотивация);
- воспитательную (формируются и развиваются профессиональные качества бакалавра и гражданина);
- исследовательскую (новый уровень профессионально-творческого мышления).

Организация самостоятельной работы студентов должна опираться на определенные требования, а, именно:

- сложность осваиваемых знаний должна соответствовать уровню развития студентов;
- стандартизация заданий в соответствии с логической системой курса дисциплины;
- объем задания должен соответствовать уровню студента;
- задания должны быть адаптированными к уровню студентов.

Содержание самостоятельной работы студентов представляет собой, с одной стороны, совокупность теоретических и практических учебных заданий, которые должен выполнить студент в процессе обучения, объект его деятельности; с другой стороны - это способ деятельности студента по выполнению соответствующего теоретического или практического учебного задания.

Свое внешнее выражение содержание самостоятельной работы студентов находит во всех организационных формах аудиторной и внеаудиторной деятельности, в ходе самостоятельного выполнения различных заданий.

Функциональное предназначение самостоятельной работы студентов в процессе лекций, практических занятий по овладению специальными знаниями заключается в самостоятельном прочтении, просмотре, прослушивании, наблюдении, конспектировании, осмыслении, запоминании и воспроизведении определенной информации. Цель и планирование самостоятельной работы студента определяет преподаватель. Вся информация осуществляется на основе ее воспроизведения.

Так как самостоятельная работа тесно связана с учебным процессом, ее необходимо рассматривать в двух аспектах:

1. аудиторная самостоятельная работа - лекционные, практические занятия;
2. внеаудиторная самостоятельная работа – дополнение лекционных материалов, подготовка к практическим занятиям, подготовка к участию в дискуссиях, выполнение тестовых и практико-ориентированных заданий и др.

Основные формы организации самостоятельной работы студентов определяются следующими параметрами:

- содержание учебной дисциплины;
- уровень образования и степень подготовленности студентов;
- необходимость упорядочения нагрузки студентов при самостоятельной работе.

Таким образом, самостоятельная работа студентов является важнейшей составной частью процесса обучения.

Методические указания по организации самостоятельной работы и задания для обучающихся по дисциплине *«Основы правовых знаний»* обращают внимание студента на главное, существенное в изучаемой дисциплине, помогают выработать умение анализировать явления и факты, связывать теоретические положения с практикой, а также облегчают подготовку к выполнению *тестовых и практико-ориентированных заданий* и сдаче зачета.

Настоящие методические указания позволят студентам самостоятельно овладеть фундаментальными знаниями, профессиональными умениями и навыками деятельности по профилю подготовки, опытом творческой и исследовательской деятельности, направлены на формирование компетенций, предусмотренных учебным планом поданному профилю.

Видами самостоятельной работы обучающихся по дисциплине *«Основы правовых знаний»* являются:

- повторение материала лекций;

- самостоятельное изучение тем курса (в т.ч. рассмотрение основных категорий дисциплины, работа с литературой);
- ответы на вопросы для самопроверки (самоконтроля);
- подготовка к практическим (семинарским) занятиям (в т.ч. подготовка к выполнению практико-ориентированного задания);
- подготовка к тестированию;
- подготовка к зачету.

В методических указаниях представлены материалы для самостоятельной работы и рекомендации по организации отдельных её видов.

ВОПРОСЫ ДЛЯ САМОПРОВЕРКИ

Тема 1. Основы теории государства и права

1. Чем объясняется множественность теорий происхождения государства?
2. Что такое государство? Какие основные признаки присущи современному государству?
3. Охарактеризуйте внутренние функции государства. Охарактеризуйте внешние функции государства. Чем различаются правовые и неправовые формы осуществления функций государства?
4. Понятие формы государства. Что влияет на форму конкретного государства?
5. Понятие и виды монархии. Понятие и виды республик. Раскройте сущность и назначение государства.
6. Определение, признаки механизма государства. Что включает в себя структура механизма государства. Каковы виды государственных органов.
7. Проблемы совершенствования механизма Российского государства. Основные теории происхождения права. Причины и закономерности происхождения права.
8. Основные подходы к правопониманию.
9. Признаки права, отличающие его от социальных норм первобытного общества.
10. Что понимается под предметом правового регулирования?
11. Дайте характеристику централизованному и децентрализованному методу правового регулирования.
12. Каковы способы правового регулирования? Каковы типы правового регулирования?
13. Раскройте особенности индивидуального и нормативного регулирования.
14. Каковы критерии эффективности правового регулирования? Понятие и элементы механизма правового регулирования.
15. В чем проблема обеспечения эффективности правового регулирования отношений?

Тема 2. Основы конституционного права

1. Понятие, сущность и юридическая природа основных (конституционных) прав, свобод и обязанностей граждан.
2. Классификация (виды) прав и свобод граждан. Механизм и гарантии реализации основных прав и свобод граждан.
3. Роль органов внутренних дел в обеспечении конституционных прав, свобод и обязанностей граждан.
4. Россия как федеративное государство: юридическая природа, принципы построения, особенности.
5. Предметы ведения РФ, их соотношение с компетенцией.

6. Субъекты РФ, их конституционно правовой статус.
7. Сколько и каких значений имеет термин конституционное право?
8. Каковы источники конституционного права как отрасли права?
9. Каковы функции Конституции РФ?
10. Какие виды конституций вам известны?
11. Что понимается в конституции под социальным государством?
12. Что означает принцип разделения властей, и какие ветви власти выделяются в РФ?
13. Какие личные права и свободы установлены в Конституции РФ?
14. Какие судебные гарантии соблюдения прав и свобод человека содержит Конституция РФ?
15. Чем отличается федерация от унитарного государства?
16. В чем особенности федерации в России?
17. Каковы полномочия Президента РФ в отношении законодательной и исполнительной ветвей власти?
18. Каковы полномочия Государственной Думы и Совета Федерации?

Тема 3. Основы гражданского права

1. Действие гражданского законодательства во времени, пространстве и по кругу лиц. Аналогия закона и аналогия права.
2. Правоспособность граждан: понятие, черты и содержание. Дееспособность граждан. Дифференциация граждан по объему их дееспособности. Эмансипация граждан.
3. Понятие и признаки юридического лица. Виды и организационно-правовые формы юридических лиц.
4. Форма сделок. Правовые последствия нарушения формы сделок.
5. Сроки в гражданском праве: понятие, виды и значение для гражданско-правового регулирования общественных отношений.
6. Понятие права собственности. Формы и виды права собственности. Содержание субъективного права собственности.
7. Виды обязательств со множественностью лиц: долевые, солидарные, субсидиарные.
8. Обеспечение исполнения обязательств. Понятие и виды (способы) обеспечения исполнения обязательств.
9. Договор как юридический факт и как средство регулирования отношений его участников. Свобода договора и договорная дисциплина в условиях рыночной экономики.
10. Публичный договор. Договор присоединения. Предварительный договор.
11. Ответственность за вред, причиненный жизни и здоровью гражданина.
12. Определение договорной и внедоговорной ответственности

Тема 4. Основы трудового права

1. Функции трудового права. Понятие принципов трудового права.
2. Соотношение федерального и регионального законодательства.

3. Понятие трудовой правосубъектности.
4. Порядок заключения трудовых договоров. Обязательные и факультативные условия трудового договора.
5. Нормативные акты, регулирующие вопросы трудовой дисциплины. Виды дисциплинарных взысканий.
6. Понятие материальной ответственности по трудовому праву, отличие ответственности по гражданскому праву.
7. Перечислите основные источники трудового права.
8. Назовите понятие и виды трудовых договоров.
9. Отметьте порядок заключения трудового договора.
10. Выделите особенности расторжения трудового договора: по инициативе работника, по инициативе работодателя.
11. Дайте понятие рабочего времени.
12. Укажите время отдыха: понятие и виды.
13. Охарактеризуйте понятие и систему заработной платы по российскому трудовому законодательству.
14. Назовите понятие трудовой дисциплины.
15. Перечислите виды дисциплинарных взысканий: порядок их наложения и снятия.
16. Кажите особенности материальная ответственность по российскому трудовому праву.

Тема 5. Основы семейного права

1. Предмет российского семейного права. Отношения, регулируемые российским семейным правом.
2. Семейный кодекс РФ как источник семейного права, его роль и место в системе семейного права.
3. Форма брака по российскому семейному праву. Порядок заключения брака. Признание фактических брачных отношений, возникших до 8 июля 1944 г.
4. Недействительность брака: понятие, основания, порядок и правовые последствия признания брака недействительным.
5. Понятие и основания прекращения брака. Расторжение брака в органах ЗАГС.
6. Семейно-правовое алиментное обязательство: понятие, черты, содержание, основания возникновения и прекращения, юридическая природа.
7. Что относится к источникам семейного права России?
8. Что следует понимать под категорией «брак» в семейном праве?
9. Какими правилами обладают супруги по семейному законодательству Российской Федерации?
10. Что следует понимать под презумпцией отцовства?
11. Каков размер алиментных обязательств на содержание несовершеннолетних детей в случае развода родителей?
12. Каковы особенности усыновления в России?

Тема 6. Основы административного права

1. Дайте понятие предмета, метода, системы и источников административного права.
2. Раскройте содержание административно-правового статуса органов исполнительной власти Российской Федерации и субъектов Российской Федерации
3. Сформулируйте понятие и назовите виды государственной службы.
4. Назовите понятие и виды форм государственного управления.
5. Раскройте понятие и особенности административной ответственности.
6. Назовите понятие и признаки административного правонарушения
7. Охарактеризуйте понятие и элементы состава административного правонарушения.
8. Назовите виды административных наказаний. Раскройте понятие, содержание и особенности их применения.
9. Сформулируйте общую характеристику производства по делам об административных правонарушениях.
10. Раскройте особенности административной ответственности за отдельные виды правонарушений, подведомственные органам внутренних дел.
11. Процессуальная правосубъектность отдельных видов участников производства. Подведомственность дел об административных правонарушениях органам внутренних дел.
12. Особенности применения мер обеспечения производства по делам об административных правонарушениях, совершенных сотрудниками ОВД.
13. Протокол об административном правонарушении, сроки его составления и требования, предъявляемые к нему. Должностные лица, уполномоченные составлять протокол.
14. Рассмотрение дела об административном правонарушении. Процессуальные действия, совершаемые на этой стадии. Место и сроки рассмотрения дела об административном правонарушении.
15. Пересмотр постановлений и решений по делам об административных правонарушениях. Процессуальные действия, совершаемые на этой стадии.
16. Пересмотр вступивших в законную силу постановлений по делу об административном правонарушении, решений по результатам рассмотрения жалоб, протестов.

Тема 7. Основы уголовного права

1. Сформулируйте понятие уголовного права как отрасли права.
2. Назовите задачи и принципы уголовного права.
3. Дайте понятие и перечислите признаки преступления.
4. Что является основанием уголовной ответственности.
5. Дайте определение соучастия в преступлении.
6. Как представлена система наказаний в действующем уголовном законодательстве.

7. Какими группами преступлений представлена Особенная часть Уголовного кодекса РФ.

8. Как законодатель сформулировал понятие преступления в Уголовном кодексе РФ? Назовите признаки преступления.

9. Что понимается под квалификацией преступлений?

10. Какое из понятий шире по объему: «преступление» или «состав преступления»?

11. Какие виды наказаний существуют в соответствии с УК РФ?

12. В чем состоит отличие обстоятельств, исключающих уголовную ответственность от оснований освобождения от уголовного наказания.

13. Какие виды мер государственного принуждения уголовного характера существуют в УК РФ?

14. Судимость: понятие, сущность.

Тема 8. Основы экологического права

1. Дайте понятие экологической политики.

2. Сформулируйте понятие «экологическое право».

3. В чем заключается отличие экологического права от других отраслей права России?

4. Что является предметом экологического права?

5. Что относится к источникам экологического права?

6. Какова роль России в деятельности международных организаций, обеспечивающих экологическую безопасность?

Тема 9. Правовые основы защиты государственной, служебной и коммерческой тайн

1. Дайте понятие информации.

2. Определите виды информации.

3. Какая информация относится к информации требующей защиты?

4. Сформулируйте понятия государственной и коммерческой тайны.

5. Какую информацию недопустимо относить к сведениям, составляющим государственную и коммерческую тайны?

6. Что является правовой основой защиты компьютерной информации?

ОСНОВНЫЕ КАТЕГОРИИ ДИСЦИПЛИНЫ

Тема 1. Основы теории государства и права

- Государство и право
- Форма государственного устройства
- Форма государственного правления
- Форма права
- Форма государства
- Функции государства

- Функции права
- Система права
- Норма права
- Политический (государственный) режим

Тема 2. Основы конституционного права

- Конституционное право
- Конституция
- Верховенство
- Прямое действие
- Высшая юридическая сила
- Конституционный суд
- Правовой статус личности
- Федеративное устройство
- Система органов государственной власти местного самоуправления
- Основы конституционного строя

Тема 3. Основы гражданского права

- Гражданское право
- Имущественные отношения
- Не имущественные отношения
- Юридическое лицо
- Правосубъектность
- Правоспособность
- Дееспособность
- Деликтоспособность
- Право собственности
- Объекты гражданских прав

Тема 4. Основы трудового права

- Трудовое право
- Заработная плата
- Трудовой договор
- Работодатель
- Работник
- Трудовая дисциплина
- Рабочее время
- Дисциплинарные взыскания
- Испытательный срок
- Время отдыха

Тема 5. Основы семейного права

- Семейное право
- Брак
- Брачный возраст
- Брачный договор
- Недействительность брака
- Прекращение брака
- Презумпция отцовства
- Алиментные обязательства
- Усыновление /удочерение
- Опека/попечительство

Тема 6. Основы административного права

- Административное право
- Административное правонарушение
- Административно-правовой статус органов исполнительной власти Российской Федерации и субъектов Российской Федерации
- Государственная служба
- Государственное управление
- Административная ответственность
- Административное наказание
- Производство по делам об административных правонарушениях

Тема 7. Основы уголовного права

- Уголовное право
- Уголовные наказания
- Уголовная ответственность
- Преступление
- Виновность
- Общественная опасность
- Противоправность
- Состав преступления
- Обстоятельства, исключающие преступность деяния
- Рецидив

Тема 8. Основы экологического права

- Экологическое право
- Экологическая политика
- Экологическая безопасность
- Природный объект
- Природно-антропогенный объект
- Экологическая культура
- Экологические правонарушения

- Международные экологические организации

Тема 9. Правовые основы защиты государственной, служебной и коммерческой тайн

- Информация
- Государственная тайна
- Коммерческая тайна
- Служебная тайна
- Информационная безопасность
- Сведения конфиденциального характера
- Право интеллектуальной собственности
- Защита информации

САМООРГАНИЗАЦИЯ РАБОТЫ С ЛИТЕРАТУРОЙ

Самостоятельное изучение тем курса осуществляется на основе списка рекомендуемой литературы к дисциплине. При работе с книгой необходимо научиться правильно ее читать, вести записи. Самостоятельная работа с учебными и научными изданиями профессиональной и общекультурной тематики – это важнейшее условие формирования научного способа познания.

Основные приемы работы с литературой можно свести к следующим:

- составить перечень книг, с которыми следует познакомиться;
- перечень должен быть систематизированным;
- обязательно выписывать все выходные данные по каждой книге;
- определить, какие книги (или какие главы книг) следует прочитать более внимательно, а какие – просто просмотреть;
- при составлении перечней литературы следует посоветоваться с преподавателями, которые помогут сориентироваться, на что стоит обратить большее внимание, а на что вообще не стоит тратить время;
- все прочитанные монографии, учебники и научные статьи следует конспектировать, но это не означает, что надо конспектировать «все подряд»: можно выписывать кратко основные идеи автора и иногда приводить наиболее яркие и показательные цитаты (с указанием страниц);
- если книга – собственная, то допускается делать на полях книги краткие пометки или же в конце книги, на пустых страницах просто сделать свой «предметный указатель», где отмечаются наиболее интересные мысли и обязательно указываются страницы в тексте автора;
- следует выработать способность «воспринимать» сложные тексты; для этого лучший прием – научиться «читать медленно», когда понятно каждое прочитанное слово (а если слово незнакомое, то либо с помощью словаря, либо с помощью преподавателя обязательно его узнать). Таким образом, чтение текста является частью познавательной деятельности. Ее цель – извлечение из текста необходимой информации.

От того, насколько осознанна читающим собственная внутренняя установка при обращении к печатному слову (найти нужные сведения, усвоить информацию полностью или частично, критически проанализировать материал и т.п.) во многом зависит эффективность осуществляемого действия. Грамотная работа с книгой, особенно если речь идет о научной литературе, предполагает соблюдение ряда правил, для овладения которыми необходимо настойчиво учиться. Это серьезный, кропотливый труд. Прежде всего, при такой работе невозможен формальный, поверхностный подход. Не механическое заучивание, не простое накопление цитат, выдержек, а сознательное усвоение прочитанного, осмысление его, стремление дойти до сути – вот главное правило. Другое правило – соблюдение при работе над книгой определенной последовательности. Вначале следует ознакомиться с оглавлением, содержанием предисловия или введения. Это дает общую ориентировку, представление о структуре и вопросах, которые рассматриваются в книге.

Следующий этап – чтение. Первый раз целесообразно прочитать книгу с начала до конца, чтобы получить о ней цельное представление. При повторном чтении происходит постепенное глубокое осмысление каждой главы, критического материала и позитивного изложения; выделение основных идей, системы аргументов, наиболее ярких примеров и т.д. Непременным правилом чтения должно быть выяснение незнакомых слов, терминов, выражений, неизвестных имен, названий. Студентам с этой целью рекомендуется заводить специальные тетради или блокноты. Важная роль в связи с этим принадлежит библиографической подготовке студентов. Она включает в себя умение активно, быстро пользоваться научным аппаратом книги, справочными изданиями, каталогами, умение вести поиск необходимой информации, обрабатывать и систематизировать ее.

Выделяют четыре основные установки в чтении текста:

- информационно-поисковая (задача – найти, выделить искомую информацию);
- усваивающая (усилия читателя направлены на то, чтобы как можно полнее осознать и запомнить, как сами сведения, излагаемые автором, так и всю логику его рассуждений);
- аналитико-критическая (читатель стремится критически осмыслить материал, проанализировав его, определив свое отношение к нему);
- творческая (создает у читателя готовность в том или ином виде – как отправной пункт для своих рассуждений, как образ для действия по аналогии и т.п. – использовать суждения автора, ход его мыслей, результат наблюдения, разработанную методику, дополнить их, подвергнуть новой проверке).

С наличием различных установок обращения к тексту связано существование и нескольких видов чтения:

- библиографическое – просматривание карточек каталога, рекомендательных списков, сводных списков журналов и статей за год и т.п.;
- просмотрное – используется для поиска материалов, содержащих нужную информацию, обычно к нему прибегают сразу после работы со списками литературы и каталогами, в результате такого просмотра читатель устанавливает, какие из источников будут использованы в дальнейшей работе;
- ознакомительное – подразумевает сплошное, достаточно подробное прочтение отобранных статей, глав, отдельных страниц; цель – познакомиться с характером информации, узнать, какие вопросы вынесены автором на рассмотрение, провести сортировку материала;
- изучающее – предполагает доскональное освоение материала; в ходе такого чтения проявляется доверие читателя к автору, готовность принять изложенную информацию, реализуется установка на предельно полное понимание материала;
- аналитико-критическое и творческое чтение – два вида чтения близкие между собой тем, что участвуют в решении исследовательских задач.

Первый из них предполагает направленный критический анализ, как самой информации, так и способов ее получения и подачи автором; второе –

поиск тех суждений, фактов, по которым, или, в связи с которыми, читатель считает нужным высказать собственные мысли.

Из всех рассмотренных видов чтения основным для студентов является изучающее – именно оно позволяет в работе с учебной и научной литературой накапливать знания в различных областях. Вот почему именно этот вид чтения в рамках образовательной деятельности должен быть освоен в первую очередь. Кроме того, при овладении данным видом чтения формируются основные приемы, повышающие эффективность работы с текстом. Научная методика работы с литературой предусматривает также ведение записи прочитанного. Это позволяет привести в систему знания, полученные при чтении, сосредоточить внимание на главных положениях, зафиксировать, закрепить их в памяти, а при необходимости вновь обратиться к ним.

Основные виды систематизированной записи прочитанного:

Аннотирование – предельно краткое связное описание просмотренной или прочитанной книги (статьи), ее содержания, источников, характера и назначения.

Планирование – краткая логическая организация текста, раскрывающая содержание и структуру изучаемого материала.

Тезирование – лаконичное воспроизведение основных утверждений автора без привлечения фактического материала.

Цитирование – дословное выписывание из текста выдержек, извлечений, наиболее существенно отражающих ту или иную мысль автора.

Конспектирование – краткое и последовательное изложение содержания прочитанного. Конспект – сложный способ изложения содержания книги или статьи в логической последовательности. Конспект аккумулирует в себе предыдущие виды записи, позволяет всесторонне охватить содержание книги, статьи. Поэтому умение составлять план, тезисы, делать выписки и другие записи определяет и технологию составления конспекта.

Как правильно составлять конспект? Внимательно прочитайте текст. Уточните в справочной литературе непонятные слова. При записи не забудьте вынести справочные данные на поля конспекта. Выделите главное, составьте план, представляющий собой перечень заголовков, подзаголовков, вопросов, последовательно раскрываемых затем в конспекте. Это первый элемент конспекта. Вторым элементом конспекта являются тезисы. Тезис - это кратко сформулированное положение. Для лучшего усвоения и запоминания материала следует записывать тезисы своими словами. Тезисы, выдвигаемые в конспекте, нужно доказывать. Поэтому третий элемент конспекта - основные доводы, доказывающие истинность рассматриваемого тезиса. В конспекте могут быть положения и примеры. Законспектируйте материал, четко следуя пунктам плана. При конспектировании старайтесь выразить мысль своими словами. Записи следует вести четко, ясно. Грамотно записывайте цитаты. Цитируя, учитывайте лаконичность, значимость мысли. При оформлении конспекта необходимо стремиться к емкости каждого предложения. Мысли автора книги следует излагать кратко, заботясь о стиле и выразительности

написанного. Число дополнительных элементов конспекта должно быть логически обоснованным, записи должны распределяться в определенной последовательности, отвечающей логической структуре произведения. Для уточнения и дополнения необходимо оставлять поля.

Конспектирование - наиболее сложный этап работы. Овладение навыками конспектирования требует от студента целеустремленности, повседневной самостоятельной работы. Конспект ускоряет повторение материала, экономит время при повторном, после определенного перерыва, обращении к уже знакомой работе. Учитывая индивидуальные особенности каждого студента, можно дать лишь некоторые, наиболее оправдавшие себя общие правила, с которыми преподаватель и обязан познакомить студентов:

1. Главное в конспекте не объем, а содержание. В нем должны быть отражены основные принципиальные положения источника, то новое, что внес его автор, основные методологические положения работы. Умение излагать мысли автора сжато, кратко и собственными словами приходит с опытом и знаниями. Но их накоплению помогает соблюдение одного важного правила – не торопиться записывать при первом же чтении, вносить в конспект лишь то, что стало ясным.

2. Форма ведения конспекта может быть самой разнообразной, она может изменяться, совершенствоваться. Но начинаться конспект всегда должен с указания полного наименования работы, фамилии автора, года и места издания; цитаты берутся в кавычки с обязательной ссылкой на страницу книги.

3. Конспект не должен быть «слепым», безликим, состоящим из сплошного текста. Особо важные места, яркие примеры выделяются цветным подчеркиванием, взятием в рамочку, оттенением, пометками на полях специальными знаками, чтобы можно было быстро найти нужное положение. Дополнительные материалы из других источников можно давать на полях, где записываются свои суждения, мысли, появившиеся уже после составления конспекта.

Практико-ориентированные задания выступают средством формирования у студентов системы интегрированных умений и навыков, необходимых для освоения профессиональных компетенций. Это могут быть ситуации, требующие применения умений и навыков, специфичных для соответствующего профиля обучения (знания содержания предмета), ситуации, требующие организации деятельности, выбора её оптимальной структуры личностно-ориентированных ситуаций (нахождение нестандартного способа решения).

Кроме этого, они выступают средством формирования у студентов умений определять, разрабатывать и применять оптимальные методы решения профессиональных задач. Они строятся на основе ситуаций, возникающих на различных уровнях осуществления практики и формулируются в виде производственных поручений (заданий).

Под практико-ориентированными заданиями понимают задачи из окружающей действительности, связанные с формированием практических навыков, необходимых в повседневной жизни, в том числе с использованием элементов производственных процессов.

Цель практико-ориентированных заданий – приобретение умений и навыков практической деятельности по изучаемой дисциплине.

Задачи практико-ориентированных заданий:

- закрепление, углубление, расширение и детализация знаний студентов при решении конкретных задач;
- развитие познавательных способностей, самостоятельности мышления, творческой активности;
- овладение новыми методами и методиками изучения конкретной учебной дисциплины;
- обучение приемам решения практических задач;
- выработка способности логического осмысления полученных знаний для выполнения заданий;
- обеспечение рационального сочетания коллективной и индивидуальной форм обучения.

Важными отличительными особенностями практико-ориентированных заданий от стандартных задач (предметных, межпредметных, прикладных) являются:

- значимость (познавательная, профессиональная, общекультурная, социальная) получаемого результата, что обеспечивает познавательную мотивацию обучающегося;
- условие задания сформулировано как сюжет, ситуация или проблема, для разрешения которой необходимо использовать знания из разных разделов основного предмета, из другого предмета или из жизни, на которые нет явного указания в тексте задания;

- информация и данные в задании могут быть представлены в различной форме (рисунок, таблица, схема, диаграмма, график и т.д.), что потребует распознавания объектов;

- указание (явное или неявное) области применения результата, полученного при решении задания.

Кроме выделенных четырех характеристик, практико-ориентированные задания имеют следующие:

1. по структуре эти задания – нестандартные, т.е. в структуре задания не все его компоненты полностью определены;

2. наличие избыточных, недостающих или противоречивых данных в условии задания, что приводит к объемной формулировке условия;

3. наличие нескольких способов решения (различная степень рациональности), причем данные способы могут быть неизвестны учащимся, и их требуется сконструировать.

При выполнении практико-ориентированных заданий следует руководствоваться следующими общими рекомендациями:

- для выполнения практико-ориентированного задания необходимо внимательно прочитать задание, повторить лекционный материал по соответствующей теме, изучить рекомендуемую литературу, в т.ч. дополнительную;

- выполнение практико-ориентированного задания включает постановку задачи, выбор способа решения задания, разработку алгоритма практических действий, программы, рекомендаций, сценария и т. п.;

- если практико-ориентированное задание выдается по вариантам, то получить номер варианта исходных данных у преподавателя; если нет вариантов, то нужно подобрать исходные данные самостоятельно, используя различные источники информации;

- для выполнения практико-ориентированного задания может использоваться метод малых групп. Работа в малых группах предполагает решение определенных образовательных задач в рамках небольших групп с последующим обсуждением полученных результатов. Этот метод развивает навыки сотрудничества, достижения компромиссного решения, аналитические способности.

ПОДГОТОВКА К ТЕСТИРОВАНИЮ

Тесты – это вопросы или задания, предусматривающие конкретный, краткий, четкий ответ на имеющиеся эталоны ответов. При самостоятельной подготовке к тестированию студенту необходимо:

1. готовясь к тестированию, проработать информационный материал по дисциплине; проконсультироваться с преподавателем по вопросу выбора учебной литературы;

2. четко выяснить все условия тестирования заранее. Студент должен знать, сколько тестов ему будет предложено, сколько времени отводится на тестирование, какова система оценки результатов и т. д.;

3. приступая к работе с тестами, внимательно и до конца нужно прочитать вопрос и предлагаемые варианты ответов; выбрать правильные (их может быть несколько); на отдельном листке ответов вписать цифру вопроса и буквы, соответствующие правильным ответам;

- в процессе решения желательно применять несколько подходов в решении задания. Это позволяет максимально гибко оперировать методами решения, находя каждый раз оптимальный вариант;

- не нужно тратить слишком много времени на трудный вопрос, нужно переходить к другим тестовым заданиям; к трудному вопросу можно обратиться в конце;

- обязательно необходимо оставить время для проверки ответов, чтобы избежать механических ошибок.

ПОДГОТОВКА К ПРОМЕЖУТОЧНОЙ АТТЕСТАЦИИ

При подготовке к *зачету* по дисциплине «*Основы правовых знаний*» обучающемуся рекомендуется:

1. повторить пройденный материал и ответить на вопросы, используя конспект и материалы лекций. Если по каким-либо вопросам у студента недостаточно информации в лекционных материалах, то необходимо получить информацию из раздаточных материалов и/или учебников (литературы), рекомендованных для изучения дисциплины «*Основы правовых знаний*».

Целесообразно также дополнить конспект лекций наиболее существенными и важными тезисами для рассматриваемого вопроса;

2. при изучении основных и дополнительных источников информации в рамках выполнения заданий на *зачете* особое внимание необходимо уделять схемам, рисункам, графикам и другим иллюстрациям, так как подобные графические материалы, как правило, в наглядной форме отражают главное содержание изучаемого вопроса;

3. при изучении основных и дополнительных источников информации в рамках выполнения заданий на *зачете* (в случаях, когда отсутствует иллюстративный материал) особое внимание необходимо обращать на наличие в тексте словосочетаний вида «во-первых», «во-вторых» и т.д., а также дефисов и перечислений (цифровых или буквенных), так как эти признаки, как правило, позволяют структурировать ответ на предложенное задание.

Подобную текстовую структуризацию материала слушатель может трансформировать в рисунки, схемы и т. п. для более краткого, наглядного и удобного восприятия (иллюстрации целесообразно отразить в конспекте лекций – это позволит оперативно и быстро найти, в случае необходимости, соответствующую информацию);

4. следует также обращать внимание при изучении материала для подготовки к *зачету* на словосочетания вида «таким образом», «подводя итог сказанному» и т.п., так как это признаки выражения главных мыслей и выводов по изучаемому вопросу (пункту, разделу). В отдельных случаях выводы по теме (разделу, главе) позволяют полностью построить (восстановить, воссоздать) ответ на поставленный вопрос (задание), так как содержат в себе основные мысли и тезисы для ответа.

МИНОБРНАУКИ РОССИИ

ФГБОУ ВО «Уральский государственный горный университет»

Авторы: Дроздова И.В., доцент, к.э.н., Моор И.А. доцент, к.э.н.,
Гензель О.В., ст. преподаватель

**МЕТОДИЧЕСКИЕ УКАЗАНИЯ
ПО ОРГАНИЗАЦИИ САМОСТОЯТЕЛЬНОЙ РАБОТЫ
И ЗАДАНИЯ ДЛЯ ОБУЧАЮЩИХСЯ**

ОСНОВЫ ПРОЕКТНОЙ ДЕЯТЕЛЬНОСТИ

Специальность

21.05.03 Технология геологической разведки

Екатеринбург
2022

ВВЕДЕНИЕ.....	3
ВОПРОСЫ ДЛЯ САМОПРОВЕРКИ.....	6
ОСНОВНЫЕ КАТЕГОРИИ ДИСЦИПЛИНЫ.....	8
САМООРГАНИЗАЦИЯ РАБОТЫ С ЛИТЕРАТУРОЙ.....	11
ПОДГОТОВКА К ДОКЛАДУ С ПРЕЗЕНТАЦИЕЙ.....	15
ПОДГОТОВКА К ПРАКТИКО-ОРИЕНТИРОВАННЫМ ЗАДАНИЯМ.....	20
ПОДГОТОВКА К ДИСКУССИИ.....	22
ПОДГОТОВКА К ПРОМЕЖУТОЧНОЙ АТТЕСТАЦИИ.....	24

ВВЕДЕНИЕ

Самостоятельная работа в высшем учебном заведении – это часть учебного процесса, метод обучения, прием учебно-познавательной деятельности, комплексная целевая стандартизованная учебная деятельность с запланированными видом, типом, формами контроля.

Самостоятельная работа представляет собой плановую деятельность обучающихся по поручению и под методическим руководством преподавателя.

Целью самостоятельной работы студентов является закрепление тех знаний, которые они получили на аудиторных занятиях, а также способствование развитию у студентов творческих навыков, инициативы, умению организовать свое время.

Самостоятельная работа реализует следующие задачи:

- предполагает освоение курса дисциплины;
- помогает освоению навыков учебной и научной работы;
- способствует осознанию ответственности процесса познания;
- способствует углублению и пополнению знаний студентов, освоению ими навыков и умений;
- формирует интерес к познавательным действиям, освоению методов и приемов познавательного процесса,
- создает условия для творческой и научной деятельности обучающихся;
- способствует развитию у студентов таких личных качеств, как целеустремленность, заинтересованность, исследование нового.

Самостоятельная работа обучающегося выполняет следующие функции:

- развивающую (повышение культуры умственного труда, приобщение к творческим видам деятельности, обогащение интеллектуальных способностей студентов);
- информационно-обучающую (учебная деятельность студентов на аудиторных занятиях, неподкрепленная самостоятельной работой, становится мало результативной);
- ориентирующую и стимулирующую (процессу обучения придается ускорение и мотивация);
- воспитательную (формируются и развиваются профессиональные качества бакалавра и гражданина);
- исследовательскую (новый уровень профессионально-творческого мышления).

Организация самостоятельной работы студентов должна опираться на определенные требования, а, именно:

- сложность осваиваемых знаний должна соответствовать уровню развития студентов;
- стандартизация заданий в соответствии с логической системой курса дисциплины;
- объем задания должен соответствовать уровню студента;
- задания должны быть адаптированными к уровню студентов.

Содержание самостоятельной работы студентов представляет собой, с одной стороны, совокупность теоретических и практических учебных заданий, которые должен выполнить студент в процессе обучения, объект его деятельности; с другой стороны – это способ деятельности студента по выполнению соответствующего теоретического или практического учебного задания.

Свое внешнее выражение содержание самостоятельной работы студентов находит во всех организационных формах аудиторной и внеаудиторной деятельности, в ходе самостоятельного выполнения различных заданий.

Функциональное предназначение самостоятельной работы студентов в процессе практических занятий по овладению специальными знаниями заключается в самостоятельном прочтении, просмотре, прослушивании, наблюдении, конспектировании, осмыслении, запоминании и воспроизведении определенной информации. Цель и планирование самостоятельной работы студента определяет преподаватель. Вся информация осуществляется на основе ее воспроизведения.

Так как самостоятельная работа тесно связана с учебным процессом, ее необходимо рассматривать в двух аспектах:

1. аудиторная самостоятельная работа – практические занятия;
2. внеаудиторная самостоятельная работа – подготовка к практическим занятиям, подготовка к устному опросу, участию в дискуссиях, решению практико-ориентированных задач и др.

Основные формы организации самостоятельной работы студентов определяются следующими параметрами:

- содержание учебной дисциплины;
- уровень образования и степень подготовленности студентов;
- необходимость упорядочения нагрузки студентов при самостоятельной работе.

Таким образом, самостоятельная работа студентов является важнейшей составной частью процесса обучения.

Методические указания по организации самостоятельной работы и задания для обучающихся по дисциплине «*Основы проектной деятельности*» обращают внимание студента на главное, существенное в изучаемой дисциплине, помогают выработать умение анализировать явления и факты, связывать теоретические положения с практикой, а также облегчают подготовку к сдаче экзамена.

Настоящие методические указания позволят студентам самостоятельно овладеть фундаментальными знаниями, профессиональными умениями и навыками деятельности по профилю подготовки, опытом творческой и исследовательской деятельности, и направлены на формирование компетенций, предусмотренных учебным планом поданному профилю.

Видами самостоятельной работы обучающихся по дисциплине «*Основы проектной деятельности*» являются:

- самостоятельное изучение тем курса (в т.ч. рассмотрение основных категорий дисциплины, работа с литературой);
- подготовка к практическим занятиям (в т.ч. ответы на вопросы для самопроверки (самоконтроля), ответы на тестовые задания);
- выполнение самостоятельного письменного домашнего задания (практико-ориентированного задания);
- выполнение курсового проекта;
- подготовка к зачету.

В методических указаниях представлены материалы для самостоятельной работы и рекомендации по организации отдельных её видов.

ВОПРОСЫ ДЛЯ САМОПРОВЕРКИ

Тема 1. Введение в управление проектами

1. В чем заключается суть концепции управления проектами?
2. Что представляет собой проект как процесс точки зрения системного подхода?
3. Назовите основные элементы проекта.
4. Перечислите этапы развития методов управления проектами (УП).
5. В чем сущность УП как методологии?
6. Охарактеризуйте проект как совокупность процессов.
7. В чем заключается взаимосвязь УП и управления инвестициями?
8. Какова взаимосвязь между управлением проектами и функциональным менеджментом.
9. Назовите предпосылки (факторы) развития методов УП.
10. Каковы перспективы развития УП?
11. Определите задачи и этапы перехода к проектному управлению.
12. Перечислите и определите базовые понятия УП.
13. Приведите принципы классификации типов проектов.

Тема 2. Система стандартов и сертификации в области управления проектами

1. Сделайте обзор стандартов в области УП.
2. Какие группы стандартов применяются к отдельным объектам управления проектами (проект, программа, портфель проектов)?
3. Дайте характеристику группе стандартов, определяющих требования к квалификации участников УП (менеджеры проектов, участники команд УП).
4. Какие стандарты, применяются к системе УП организации в целом и позволяющие оценить уровень зрелости организационной системы проектного менеджмента?
5. Каковы основы и принципы Международной сертификации по УП?
6. В чем заключается сертификация по стандартам IPMA, PMI?

Тема 3. Жизненный цикл проекта и его фазы

1. Каковы основные понятия, подходы к определению и структуре проектного цикла?
2. Назовите этапы реализации, состав основных предпроектных документов предынвестиционной фазы.
3. В чем заключается проектный анализ и оценка жизнеспособности и финансовой реализуемости в рамках предынвестиционной фазы?
4. Каково содержание инвестиционной и эксплуатационной фаз жизненного цикла проекта?
5. Охарактеризуйте состав и этапы разработки проектной документации строительной фазы проекта.
6. Каково содержание завершения инвестиционно - строительного этапа проекта.
7. Назовите этапы эксплуатационной фазы, в чем ее содержание, как определяется период оценки?

Тема 4. Процессы и методы управления проектами

1. В чем заключается сущность планирования проекта?
2. Каковы могут быть основные цели и задачи проекта?
3. Каковы требования к информационному обеспечению планирования?
4. Назовите основные методы планирования.
5. В чем сущность методов управления проектом: диаграммы Ганта; сетевого графика?

6. Каковы цели и содержание контроля и регулирования проекта?
7. Как осуществляются: мониторинг работ по проекту; измерение процесса выполнения работ и анализ результатов, внесение корректив; принятие решений; управление изменениями?
8. В чем заключается управление стоимостью проекта, каковы основные принципы; методы оценки?
9. Какова сущность бюджетирования проекта и контроля стоимости?
10. Дайте характеристику процесса управления работами по проекту: взаимосвязью объектов, продолжительностью и стоимостью работ.
11. Каковы принципы эффективного управления временем?
12. Назовите формы контроля производительности труда.
13. Какова роль и сущность менеджмента качества в проектном управлении?
14. В чем заключается процесс управления ресурсами проекта?
15. Назовите процессы, принципы управления ресурсами в проекте - управления закупками и запасами?
16. Как осуществляется правовое регулирование закупок и поставок, проектная логистика?
17. В чем заключается управление командой проекта?
18. Определите основные понятия, принципы, организационные аспекты создания команды.
19. Как осуществляется управление взаимоотношениями в проекте?
20. В чем особенности формирования организационной культуры?

Тема 5. Информационное обеспечение проектного управления

1. В чем сущность управления коммуникациями проекта?
2. Что собой представляет информационная система управления проектами и каковы ее элементы?
3. Приведите ключевые определения и потребности ИСУП.
4. Какова структура ИСУП?
5. Проведите обзор рынка программного обеспечения управления проектами.
6. Каковы требования к информационному обеспечению на разных уровнях управления?

ОСНОВНЫЕ КАТЕГОРИИ ДИСЦИПЛИНЫ

Тема 1. Концепция управления проектами

- Проект
- Проектное управление.
- Проект как совокупность процессов.
- Переход к проектному управлению.
- Модель управления проектами (УП).
- Структуризация (декомпозиции) проекта.
- Фазы, функции и подсистемы УП.
- Классификационные признаки и виды проектов.
- Цель и стратегия проекта.
- Сценарии и стратегии развития проектного комплекса.
- Результат проекта.
- Управление параметрами проекта.
- Окружение проектов.
- Проектный цикл.
- Методы управления проектами.
- Организационные структуры УП.
- Участники проектов.

Тема 2. Международные стандарты и сертификация в области проектного управления

- Стандартизация и сертификация в проектном управлении
- Группы стандартов
- Международная сертификация по УП.
- Обзор стандартов проектного управления

Тема 3. Жизненный цикл проекта и его фазы

- Жизненный цикл проекта.
- Фазы, этапы разработки и осуществления инвестиционного проекта.
- Предынвестиционная фаза проекта.
- Состав основных предпроектных документов.
- Инвестиционная фаза проекта.

- Этапы разработки проектной документации.
- ТЭО проекта.
- Организации СМР.
- Эксплуатационная фаза проекта.

Тема 4. Процессы и методы управления проектами

- Планирования проекта
- Информационное обеспечение планирования
- Методы планирования.
- Диаграмма Гантта
- Сетевой график
- Контроль и регулирование проекта
- Мониторинг работ по проекту
- Управление изменениями
- Управление стоимостью проекта
- Бюджетирование проекта
- Управление работами по проекту
- Эффективное управление временем
- Менеджмента качества в проектном управлении
- Управление ресурсами проекта
- Управление закупками и запасами
- Правовое регулирование проекта
- Проектная логистика
- Управление командой проекта
- Управление взаимоотношениями в проекте
- Формирование организационной культуры

Тема 5. Инвестиционный проект как объект управления

- Инвестиции
- Инвестиционный проект
- Бизнес-план
- Источники и способы финансирования инвестиционных проектов
- Жизненный цикл инвестиционного проекта

- Предпроектные документы
- Оценка жизнеспособности и финансовой реализуемости проекта
- ТЭО проекта
- Организации СМР
- Денежный поток инвестиционного проекта
- Финансовый анализ инвестиционного проекта
- Система показателей финансовой состоятельности проекта
- Система показателей оценки экономической эффективности
- Ставка дисконтирования
- Коэффициент дисконтирования
- Чистый дисконтированный доход (ЧДД)
- Индекс доходности (ИД)
- Срок окупаемости
- Внутренняя норма доходности (ВНД)
- Запас финансовой устойчивости (ЗФУ)
- Методы учета инфляции

Тема 6. Информационное обеспечение проектного управления

- Управления коммуникациями проекта
- Информационная система управления проектами
- Структура ИСУП
- Рынок программного обеспечения управления проектами.
- Информационное обеспечение управления проектами

САМООРГАНИЗАЦИЯ РАБОТЫ С ЛИТЕРАТУРОЙ

Самостоятельное изучение тем курса осуществляется на основе списка рекомендуемой литературы к дисциплине. При работе с книгой необходимо научиться правильно ее читать, вести записи. Самостоятельная работа с учебными и научными изданиями профессиональной и общекультурной тематики – это важнейшее условие формирования научного способа познания.

Основные приемы работы с литературой можно свести к следующим:

- составить перечень книг, с которыми следует познакомиться;
- перечень должен быть систематизированным (что необходимо для семинаров, что для экзаменов, что пригодится для написания курсовых и выпускных квалификационных работ (ВКР), а что выходит за рамки официальной учебной деятельности, и расширяет общую культуру);
- обязательно выписывать все выходные данные по каждой книге (при написании курсовых и выпускных квалификационных работ это позволит экономить время);
- определить, какие книги (или какие главы книг) следует прочитать более внимательно, а какие – просто просмотреть;
- при составлении перечней литературы следует посоветоваться с преподавателями и руководителями ВКР, которые помогут сориентироваться, на что стоит обратить большее внимание, а на что вообще не стоит тратить время;
- все прочитанные монографии, учебники и научные статьи следует конспектировать, но это не означает, что надо конспектировать «все подряд»: можно выписывать кратко основные идеи автора и иногда приводить наиболее яркие и показательные цитаты (с указанием страниц);
- если книга – собственная, то допускается делать на полях книги краткие пометки или же в конце книги, на пустых страницах просто сделать свой «предметный указатель», где отмечаются наиболее интересные мысли и обязательно указываются страницы в тексте автора;
- следует выработать способность «воспринимать» сложные тексты; для этого лучший прием – научиться «читать медленно», когда понятно каждое прочитанное слово (а если слово незнакомое, то либо с помощью словаря, либо с помощью преподавателя обязательно его узнать). Таким образом, чтение текста является частью познавательной деятельности. Ее цель – извлечение из текста необходимой информации.

От того, насколько осознанна читающим собственная внутренняя установка при обращении к печатному слову (найти нужные сведения, усвоить информацию полностью или частично, критически проанализировать материал и т.п.) во многом зависит эффективность осуществляемого действия. Грамотная работа с книгой, особенно если речь идет о научной литературе, предполагает соблюдение ряда правил, для овладения которыми необходимо настойчиво учиться. Это серьезный, кропотливый труд. Прежде всего, при такой работе невозможен формальный, поверхностный подход. Не механическое заучивание, не простое накопление цитат, выдержек, а

сознательное усвоение прочитанного, осмысление его, стремление дойти до сути – вот главное правило. Другое правило – соблюдение при работе над книгой определенной последовательности. Вначале следует ознакомиться с оглавлением, содержанием предисловия или введения. Это дает общую ориентировку, представление о структуре и вопросах, которые рассматриваются в книге.

Следующий этап – чтение. Первый раз целесообразно прочитать книгу с начала до конца, чтобы получить о ней цельное представление. При повторном чтении происходит постепенное глубокое осмысление каждой главы, критического материала и позитивного изложения; выделение основных идей, системы аргументов, наиболее ярких примеров и т.д. Непременным правилом чтения должно быть выяснение незнакомых слов, терминов, выражений, неизвестных имен, названий. Студентам с этой целью рекомендуется заводить специальные тетради или блокноты. Важная роль в связи с этим принадлежит библиографической подготовке студентов. Она включает в себя умение активно, быстро пользоваться научным аппаратом книги, справочными изданиями, каталогами, умение вести поиск необходимой информации, обрабатывать и систематизировать ее.

Выделяют четыре основные установки в чтении текста:

- информационно-поисковая (задача – найти, выделить искомую информацию);
- усваивающая (усилия читателя направлены на то, чтобы как можно полнее осознать и запомнить, как сами сведения, излагаемые автором, так и всю логику его рассуждений);
- аналитико-критическая (читатель стремится критически осмыслить материал, проанализировав его, определив свое отношение к нему);
- творческая (создает у читателя готовность в том или ином виде – как отправной пункт для своих рассуждений, как образ для действия по аналогии и т.п. – использовать суждения автора, ход его мыслей, результат наблюдения, разработанную методику, дополнить их, подвергнуть новой проверке).

С наличием различных установок обращения к тексту связано существование и нескольких видов чтения:

- библиографическое – просматривание карточек каталога, рекомендательных списков, сводных списков журналов и статей за год и т.п.;
- просмотровое – используется для поиска материалов, содержащих нужную информацию, обычно к нему прибегают сразу после работы со списками литературы и каталогами, в результате такого просмотра читатель устанавливает, какие из источников будут использованы в дальнейшей работе;
- ознакомительное – подразумевает сплошное, достаточно подробное прочтение отобранных статей, глав, отдельных страниц; цель – познакомиться с характером информации, узнать, какие вопросы вынесены автором на рассмотрение, провести сортировку материала;
- изучающее – предполагает доскональное освоение материала; в ходе такого чтения проявляется доверие читателя к автору, готовность принять

изложенную информацию, реализуется установка на предельно полное понимание материала;

- аналитико-критическое и творческое чтение – два вида чтения близкие между собой тем, что участвуют в решении исследовательских задач.

Первый из них предполагает направленный критический анализ, как самой информации, так и способов ее получения и подачи автором; второе – поиск тех суждений, фактов, по которым, или, в связи с которыми, читатель считает нужным высказать собственные мысли.

Из всех рассмотренных видов чтения основным для студентов является изучающее – именно оно позволяет в работе с учебной и научной литературой накапливать знания в различных областях. Вот почему именно этот вид чтения в рамках образовательной деятельности должен быть освоен в первую очередь. Кроме того, при овладении данным видом чтения формируются основные приемы, повышающие эффективность работы с текстом. Научная методика работы с литературой предусматривает также ведение записи прочитанного. Это позволяет привести в систему знания, полученные при чтении, сосредоточить внимание на главных положениях, зафиксировать, закрепить их в памяти, а при необходимости вновь обратиться к ним.

Основные виды систематизированной записи прочитанного:

Аннотирование – предельно краткое связное описание просмотренной или прочитанной книги (статьи), ее содержания, источников, характера и назначения.

Планирование – краткая логическая организация текста, раскрывающая содержание и структуру изучаемого материала.

Тезирование – лаконичное воспроизведение основных утверждений автора без привлечения фактического материала.

Цитирование – дословное выписывание из текста выдержек, извлечений, наиболее существенно отражающих ту или иную мысль автора.

Конспектирование – краткое и последовательное изложение содержания прочитанного. Конспект – сложный способ изложения содержания книги или статьи в логической последовательности. Конспект аккумулирует в себе предыдущие виды записи, позволяет всесторонне охватить содержание книги, статьи. Поэтому умение составлять план, тезисы, делать выписки и другие записи определяет и технологию составления конспекта.

Как правильно составлять конспект? Внимательно прочитайте текст. Уточните в справочной литературе непонятные слова. При записи не забудьте вынести справочные данные на поля конспекта. Выделите главное, составьте план, представляющий собой перечень заголовков, подзаголовков, вопросов, последовательно раскрываемых затем в конспекте. Это первый элемент конспекта. Вторым элементом конспекта являются тезисы. Тезис - это кратко сформулированное положение. Для лучшего усвоения и запоминания материала следует записывать тезисы своими словами. Тезисы, выдвигаемые в конспекте, нужно доказывать. Поэтому третий элемент конспекта - основные доводы, доказывающие истинность рассматриваемого тезиса. В конспекте

могут быть положения и примеры. Законспектируйте материал, четко следуя пунктам плана. При конспектировании старайтесь выразить мысль своими словами. Записи следует вести четко, ясно. Грамотно записывайте цитаты. Цитируя, учитывайте лаконичность, значимость мысли. При оформлении конспекта необходимо стремиться к емкости каждого предложения. Мысли автора книги следует излагать кратко, заботясь о стиле и выразительности написанного. Число дополнительных элементов конспекта должно быть логически обоснованным, записи должны распределяться в определенной последовательности, отвечающей логической структуре произведения. Для уточнения и дополнения необходимо оставлять поля.

Конспектирование - наиболее сложный этап работы. Овладение навыками конспектирования требует от студента целеустремленности, повседневной самостоятельной работы. Конспект ускоряет повторение материала, экономит время при повторном, после определенного перерыва, обращении к уже знакомой работе. Учитывая индивидуальные особенности каждого студента, можно дать лишь некоторые, наиболее оправдавшие себя общие правила, с которыми преподаватель и обязан познакомить студентов:

1. Главное в конспекте не объем, а содержание. В нем должны быть отражены основные принципиальные положения источника, то новое, что внес его автор, основные методологические положения работы. Умение излагать мысли автора сжато, кратко и собственными словами приходит с опытом и знаниями. Но их накоплению помогает соблюдение одного важного правила – не торопиться записывать при первом же чтении, вносить в конспект лишь то, что стало ясным.

2. Форма ведения конспекта может быть самой разнообразной, она может изменяться, совершенствоваться. Но начинаться конспект всегда должен с указания полного наименования работы, фамилии автора, года и места издания; цитаты берутся в кавычки с обязательной ссылкой на страницу книги.

3. Конспект не должен быть «слепым», безликим, состоящим из сплошного текста. Особо важные места, яркие примеры выделяются цветным подчеркиванием, взятием в рамочку, оттенением, пометками на полях специальными знаками, чтобы можно было быстро найти нужное положение. Дополнительные материалы из других источников можно давать на полях, где записываются свои суждения, мысли, появившиеся уже после составления конспекта.

ПОДГОТОВКА ДОКЛАДА С ПРЕЗЕНТАЦИЕЙ

Одной из форм текущего контроля является доклад с презентацией, который представляет собой продукт самостоятельной работы студента.

Доклад с презентацией - это публичное выступление по представлению полученных результатов решения определенной учебно-практической, учебно-исследовательской или научной темы.

Как правило, в основу доклада ложится анализ литературы по проблеме. Он должен носить характер краткого, но в то же время глубоко аргументированного устного сообщения. В нем студент должен, по возможности, полно осветить различные точки зрения на проблему, выразить собственное мнение, сделать критический анализ теоретического и практического материала.

Подготовка доклада с презентацией является обязательной для обучающихся, если доклад презентацией указан в перечне форм текущего контроля успеваемости в рабочей программе дисциплины.

Доклад должен быть рассчитан на 7-10 минут.

Презентация (от англ. «presentation» - представление) - это набор цветных слайдов на определенную тему, который хранится в файле специального формата с расширением PP.

Целью презентации - донести до целевой аудитории полноценную информацию об объекте презентации, изложенной в докладе, в удобной форме.

Перечень примерных тем докладов с презентацией представлен в рабочей программе дисциплины, он выдается обучающимся заблаговременно вместе с методическими указаниями по подготовке. Темы могут распределяться студентами самостоятельно (по желанию), а также закрепляться преподавателем дисциплины.

При подготовке доклада с презентацией обучающийся должен продемонстрировать умение самостоятельного изучения отдельных вопросов, структурирования основных положений рассматриваемых проблем, публичного выступления, позиционирования себя перед коллективом, навыки работы с библиографическими источниками и оформления научных текстов.

В ходе подготовки к докладу с презентацией обучающемуся необходимо:

- выбрать тему и определить цель выступления.

Для этого, остановитесь на теме, которая вызывает у Вас больший интерес; определите цель выступления; подумайте, достаточно ли вы знаете по выбранной теме или проблеме и сможете ли найти необходимый материал;

- осуществить сбор материала к выступлению.

Начинайте подготовку к докладу заранее; обращайтесь к справочникам, энциклопедиям, научной литературе по данной проблеме; записывайте необходимую информацию на отдельных листах или тетради;

- организовать работу с литературой.

При подборе литературы по интересующей теме определить конкретную цель поиска: что известно по данной теме? что хотелось бы узнать? для

чего нужна эта информация? как ее можно использовать в практической работе?

- во время изучения литературы следует: записывать вопросы, которые возникают по мере ознакомления с источником, а также ключевые слова, мысли, суждения; представлять наглядные примеры из практики;

- обработать материал.

Учитывайте подготовку и интересы слушателей; излагайте правдивую информацию; все мысли должны быть взаимосвязаны между собой.

При подготовке доклада с презентацией особо необходимо обратить внимание на следующее:

- подготовка доклада начинается с изучения источников, рекомендованных к соответствующему разделу дисциплины, а также специальной литературы для докладчика, список которой можно получить у преподавателя;

- важно также ознакомиться с имеющимися по данной теме монографиями, учебными пособиями, научными информационными статьями, опубликованными в периодической печати.

Относительно небольшой объем текста доклада, лимит времени, отведенного для публичного выступления, обуславливает потребность в тщательном отборе материала, умелом выделении главных положений в содержании доклада, использовании наиболее доказательных фактов и убедительных примеров, исключении повторов и многословия.

Решить эти задачи помогает составление развернутого плана.

План доклада должен содержать следующие главные компоненты: краткое вступление, вопросы и их основные тезисы, заключение, список литературы.

После составления плана можно приступить к написанию текста. Во вступлении важно показать актуальность проблемы, ее практическую значимость. При изложении вопросов темы раскрываются ее основные положения. Материал содержания вопросов полезно располагать в таком порядке: тезис; доказательство тезиса; вывод и т. д.

Тезис - это главное основополагающее утверждение. Он обосновывается путем привлечения необходимых цитат, цифрового материала, ссылок на статьи. При изложении содержания вопросов особое внимание должно быть обращено на раскрытие причинно-следственных связей, логическую последовательность тезисов, а также на формулирование окончательных выводов. Выводы должны быть краткими, точными, достаточно аргументированными всем содержанием доклада.

В процессе подготовки доклада студент может получить консультацию у преподавателя, а в случае необходимости уточнить отдельные положения.

Выступление

При подготовке к докладу перед аудиторией необходимо выбрать способ выступления:

- устное изложение с опорой на конспект (опорой могут также служить заранее подготовленные слайды);
- чтение подготовленного текста.

Чтение заранее написанного текста значительно уменьшает влияние выступления на аудиторию. Запоминание написанного текста заметно сковывает выступающего и привязывает к заранее составленному плану, не давая возможности откликаться на реакцию аудитории.

Короткие фразы легче воспринимаются на слух, чем длинные.

Необходимо избегать сложных предложений, причастных и деепричастных оборотов. Излагая сложный вопрос, нужно постараться передать информацию по частям.

Слова в речи надо произносить четко и понятно, не надо говорить слишком быстро или, наоборот, растягивать слова. Надо произнести четко особенно ударную гласную, что оказывает наибольшее влияние на разборчивость речи.

Пауза в устной речи выполняет ту же роль, что знаки препинания в письменной. После сложных выводов или длинных предложений необходимо сделать паузу, чтобы слушатели могли вдуматься в сказанное или правильно понять сделанные выводы. Если выступающий хочет, чтобы его понимали, то не следует говорить без паузы дольше, чем пять с половиной секунд.

Особое место в выступлении занимает обращение к аудитории. Известно, что обращение к собеседнику по имени создает более доверительный контекст деловой беседы. При публичном выступлении также можно использовать подобные приемы. Так, косвенными обращениями могут служить такие выражения, как «Как Вам известно», «Уверен, что Вас это не оставит равнодушными». Выступающий показывает, что слушатели интересны ему, а это самый простой путь достижения взаимопонимания.

Во время выступления важно постоянно контролировать реакцию слушателей. Внимательность и наблюдательность в сочетании с опытом позволяют оратору уловить настроение публики. Возможно, рассмотрение некоторых вопросов придется сократить или вовсе отказаться от них.

После выступления нужно быть готовым к ответам на возникшие у аудитории вопросы.

Стоит обратить внимание на вербальные и невербальные составляющие общения. Небрежность в жестах недопустима. Жесты могут быть приглашающими, отрицающими, вопросительными, они могут подчеркнуть нюансы выступления.

Презентация

Презентация наглядно сопровождает выступление.

Этапы работы над презентацией могут быть следующими:

- осмыслите тему, выделите вопросы, которые должны быть освещены в рамках данной темы;
- составьте тезисы собранного материала. Подумайте, какая часть информации может быть подкреплена или полностью заменена изображениями, какую информацию можно представить в виде схем;
- подберите иллюстративный материал к презентации: фотографии, рисунки, фрагменты художественных и документальных фильмов, материалы кинохроники, разработайте необходимые схемы;
- подготовленный материал систематизируйте и «упакуйте» в отдельные блоки, которые будут состоять из собственно текста (небольшого по объему), схем, графиков, таблиц и т.д.;
- создайте слайды презентации в соответствии с необходимыми требованиями;
- просмотрите презентацию, оцените ее наглядность, доступность, соответствие языковым нормам.

Требования к оформлению презентации

Компьютерную презентацию, сопровождающую выступление докладчика, удобнее всего подготовить в программе MS PowerPoint.

Презентация как документ представляет собой последовательность сменяющих друг друга слайдов. Чаще всего демонстрация презентации проецируется на большом экране, реже – раздается собравшимся как печатный материал.

Количество слайдов должно быть пропорционально содержанию и продолжительности выступления (например, для 5-минутного выступления рекомендуется использовать не более 10 слайдов).

На первом слайде обязательно представляется тема выступления и сведения об авторах.

Следующие слайды можно подготовить, используя две различные стратегии их подготовки:

1-я стратегия: на слайды выносятся опорный конспект выступления и ключевые слова с тем, чтобы пользоваться ими как планом для выступления. В этом случае к слайдам предъявляются следующие требования:

- объем текста на слайде – не больше 7 строк;
- маркированный/нумерованный список содержит не более 7 элементов;
- отсутствуют знаки пунктуации в конце строк в маркированных и нумерованных списках;
- значимая информация выделяется с помощью цвета, кегля, эффектов анимации.

Особо внимательно необходимо проверить текст на отсутствие ошибок и опечаток. Основная ошибка при выборе данной стратегии состоит в том, что выступающие заменяют свою речь чтением текста со слайдов.

2-я стратегия: на слайды помещается фактический материал (таблицы, графики, фотографии и пр.), который является уместным и достаточным средством наглядности, помогает в раскрытии стержневой идеи выступления. В этом случае к слайдам предъявляются следующие требования:

- выбранные средства визуализации информации (таблицы, схемы, графики и т. д.) соответствуют содержанию;
- использованы иллюстрации хорошего качества (высокого разрешения), с четким изображением (как правило, никто из присутствующих не заинтересован вчитываться в текст на ваших слайдах и всматриваться в мелкие иллюстрации).

Максимальное количество графической информации на одном слайде – 2 рисунка (фотографии, схемы и т.д.) с текстовыми комментариями (не более 2 строк к каждому). Наиболее важная информация должна располагаться в центре экрана.

Обычный слайд, без эффектов анимации, должен демонстрироваться на экране не менее 10 - 15 секунд. За меньшее время аудитория не успеет осознать содержание слайда.

Слайд с анимацией в среднем должен находиться на экране не меньше 40 – 60 секунд (без учета времени на случайно возникшее обсуждение). В связи с этим лучше настроить презентацию не на автоматический показ, а на смену слайдов самим докладчиком.

Особо тщательно необходимо отнестись к оформлению презентации. Для всех слайдов презентации по возможности необходимо использовать один и тот же шаблон оформления, кегль – для заголовков - не меньше 24 пунктов, для информации - не менее 18.

В презентациях не принято ставить переносы в словах.

Наилучшей цветовой гаммой для презентации являются контрастные цвета фона и текста (белый фон – черный текст; темно-синий фон – светло-желтый текст и т. д.).

Лучше не смешивать разные типы шрифтов в одной презентации.

Рекомендуется не злоупотреблять прописными буквами (они читаются хуже).

ПОДГОТОВКА К ПРАКТИКО-ОРИЕНТИРОВАННЫМ ЗАДАНИЯМ

Практико-ориентированные задания выступают средством формирования у студентов системы интегрированных умений и навыков, необходимых для освоения профессиональных компетенций. Это могут быть ситуации, требующие применения умений и навыков, специфичных для соответствующего профиля обучения (знания содержания предмета), ситуации, требующие организации деятельности, выбора её оптимальной структуры личностно-ориентированных ситуаций (нахождение нестандартного способа решения).

Кроме этого, они выступают средством формирования у студентов умений определять, разрабатывать и применять оптимальные методы решения профессиональных задач. Они строятся на основе ситуаций, возникающих на различных уровнях осуществления практики и формулируются в виде производственных поручений (заданий).

Под практико-ориентированными заданиями понимают задачи из окружающей действительности, связанные с формированием практических навыков, необходимых в повседневной жизни, в том числе с использованием элементов производственных процессов.

Цель практико-ориентированных заданий – приобретение умений и навыков практической деятельности по изучаемой дисциплине.

Задачи практико-ориентированных заданий:

- закрепление, углубление, расширение и детализация знаний студентов при решении конкретных задач;
- развитие познавательных способностей, самостоятельности мышления, творческой активности;
- овладение новыми методами и методиками изучения конкретной учебной дисциплины;
- обучение приемам решения практических задач;
- выработка способности логического осмысления полученных знаний для выполнения заданий;
- обеспечение рационального сочетания коллективной и индивидуальной форм обучения.

Важными отличительными особенностями практико-ориентированных задания от стандартных задач (предметных, межпредметных, прикладных) являются:

- значимость (познавательная, профессиональная, общекультурная, социальная) получаемого результата, что обеспечивает познавательную мотивацию обучающегося;
- условие задания сформулировано как сюжет, ситуация или проблема, для разрешения которой необходимо использовать знания из разных разделов основного предмета, из другого предмета или из жизни, на которые нет явного указания в тексте задания;

- информация и данные в задании могут быть представлены в различной форме (рисунок, таблица, схема, диаграмма, график и т.д.), что потребует распознавания объектов;

- указание (явное или неявное) области применения результата, полученного при решении задания.

Кроме выделенных четырех характеристик, практико-ориентированные задания имеют следующие:

1. по структуре эти задания – нестандартные, т.е. в структуре задания не все его компоненты полностью определены;

2. наличие избыточных, недостающих или противоречивых данных в условии задания, что приводит к объемной формулировке условия;

3. наличие нескольких способов решения (различная степень рациональности), причем данные способы могут быть неизвестны учащимся, и их требуется сконструировать.

При выполнении практико-ориентированных заданий следует руководствоваться следующими общими рекомендациями:

- для выполнения практико-ориентированного задания необходимо внимательно прочитать задание, повторить лекционный материал по соответствующей теме, изучить рекомендуемую литературу, в т.ч. дополнительную;

- выполнение практико-ориентированного задания включает постановку задачи, выбор способа решения задания, разработку алгоритма практических действий, программы, рекомендаций, сценария и т. п.;

- если практико-ориентированное задание выдается по вариантам, то получить номер варианта исходных данных у преподавателя; если нет вариантов, то нужно подобрать исходные данные самостоятельно, используя различные источники информации;

- для выполнения практико-ориентированного задания может использоваться метод малых групп. Работа в малых группах предполагает решение определенных образовательных задач в рамках небольших групп с последующим обсуждением полученных результатов. Этот метод развивает навыки сотрудничества, достижения компромиссного решения, аналитические способности.

ПОДГОТОВКА К ДИСКУССИИ

Современная практика предлагает широкий круг типов практических занятий. Среди них особое место занимает *дискуссия*, где в диалоге хорошо усваивается новая информация, видны убеждения студента, обсуждаются противоречия (явные и скрытые) и недостатки. Для обсуждения берутся конкретные актуальные вопросы, с которыми студенты предварительно ознакомлены. Дискуссия является одной из наиболее эффективных технологий группового взаимодействия, обладающей особыми возможностями в обучении, развитии и воспитании будущего специалиста.

Дискуссия (от лат. *discussio* - рассмотрение, исследование) - способ организации совместной деятельности с целью интенсификации процесса принятия решений в группе посредством обсуждения какого-либо вопроса или проблемы.

Дискуссия обеспечивает активное включение студентов в поиск истины; создает условия для открытого выражения ими своих мыслей, позиций, отношений к обсуждаемой теме и обладает особой возможностью воздействия на установки ее участников в процессе группового взаимодействия. Дискуссию можно рассматривать как *метод интерактивного обучения* и как особую технологию, включающую в себя другие методы и приемы обучения: «мозговой штурм», «анализ ситуаций» и т.д.

Обучающий эффект дискуссии определяется предоставляемой участнику возможностью получить разнообразную информацию от собеседников, продемонстрировать и повысить свою компетентность, проверить и уточнить свои представления и взгляды на обсуждаемую проблему, применить имеющиеся знания в процессе совместного решения учебных и профессиональных задач.

Развивающая функция дискуссии связана со стимулированием творчества обучающихся, развитием их способности к анализу информации и аргументированному, логически выстроенному доказательству своих идей и взглядов, с повышением коммуникативной активности студентов, их эмоциональной включенности в учебный процесс.

Влияние дискуссии на личностное становление студента обуславливается ее целостно - ориентирующей направленностью, созданием благоприятных условий для проявления индивидуальности, самоопределения в существующих точках зрения на определенную проблему, выбора своей позиции; для формирования умения взаимодействовать с другими, слушать и слышать окружающих, уважать чужие убеждения, принимать оппонента, находить точки соприкосновения, соотносить и согласовывать свою позицию с позициями других участников обсуждения.

Безусловно, наличие оппонентов, противоположных точек зрения всегда обостряет дискуссию, повышает ее продуктивность, позволяет создавать с их помощью конструктивный конфликт для более эффективного решения обсуждаемых проблем.

Существует несколько видов дискуссий, использование того или иного типа дискуссии зависит от характера обсуждаемой проблемы и целей дискуссии.

Условия эффективного проведения дискуссии:

- информированность и подготовленность студентов к дискуссии,
- свободное владение материалом, привлечение различных источников для аргументации отстаиваемых положений;
- правильное употребление понятий, используемых в дискуссии, их единообразное понимание;
- корректность поведения, недопустимость высказываний, задевающих личность оппонента; установление регламента выступления участников;
- полная включенность группы в дискуссию, участие каждого студента в ней.

Подготовка студентов к дискуссии: если тема объявлена заранее, то следует ознакомиться с указанной литературой, необходимыми справочными материалами, продумать свою позицию, четко сформулировать аргументацию, выписать цитаты, мнения специалистов.

В проведении дискуссии выделяется несколько этапов.

Этап 1-й, введение в дискуссию: формулирование проблемы и целей дискуссии; определение значимости проблемы, совместная выработка правил дискуссии; выяснение однозначности понимания темы дискуссии, используемых в ней терминов, понятий.

Этап 2-й, обсуждение проблемы: обмен участниками мнениями по каждому вопросу. Цель этапа - собрать максимум мнений, идей, предложений, соотнося их друг с другом.

Этап 3-й, подведение итогов обсуждения: выработка студентами согласованного мнения и принятие группового решения.

Далее подводятся итоги дискуссии, заслушиваются и защищаются проектные задания. После этого проводится "мозговой штурм" по нерешенным проблемам дискуссии, а также выявляются прикладные аспекты, которые можно рекомендовать для включения в курсовые и дипломные работы или в апробацию на практике.

Семинары-дискуссии проводятся с целью выявления мнения студентов по актуальным и проблемным вопросам.

ПОДГОТОВКА К ПРОМЕЖУТОЧНОЙ АТТЕСТАЦИИ

При подготовке к зачету по дисциплине «*Основы проектной деятельности*» обучающемуся рекомендуется:

1. повторить пройденный материал и ответить на вопросы, используя конспект и материалы лекций. Если по каким-либо вопросам у студента недостаточно информации в лекционных материалах, то необходимо получить информацию из раздаточных материалов и/или учебников (литературы), рекомендованных для изучения дисциплины «*Основы проектной деятельности*».

Целесообразно также дополнить конспект лекций наиболее существенными и важными тезисами для рассматриваемого вопроса;

2. при изучении основных и дополнительных источников информации в рамках выполнения заданий на зачете особое внимание необходимо уделять схемам, рисункам, графикам и другим иллюстрациям, так как подобные графические материалы, как правило, в наглядной форме отражают главное содержание изучаемого вопроса;

3. при изучении основных и дополнительных источников информации в рамках выполнения заданий на зачете (в случаях, когда отсутствует иллюстративный материал) особое внимание необходимо обращать на наличие в тексте словосочетаний вида «во-первых», «во-вторых» и т.д., а также дефисов и перечислений (цифровых или буквенных), так как эти признаки, как правило, позволяют структурировать ответ на предложенное задание.

Подобную текстовую структуризацию материала слушатель может трансформировать в рисунки, схемы и т. п. для более краткого, наглядного и удобного восприятия (иллюстрации целесообразно отразить в конспекте лекций – это позволит оперативно и быстро найти, в случае необходимости, соответствующую информацию);

4. следует также обращать внимание при изучении материала для подготовки к зачету на словосочетания вида «таким образом», «подводя итог сказанному» и т.п., так как это признаки выражения главных мыслей и выводов по изучаемому вопросу (пункту, разделу). В отдельных случаях выводы по теме (разделу, главе) позволяют полностью построить (восстановить, воссоздать) ответ на поставленный вопрос (задание), так как содержат в себе основные мысли и тезисы для ответа.



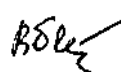
Министерство науки и высшего образования РФ
ФГБОУ ВО
«Уральский государственный горный университет»

ОДОБРЕНО

Методической комиссией
горно-механического факультета

«__» _____ 2018 г.

Председатель комиссии

 проф. В. П. Барановский

Брагин В. Г., Волков Е. Б., Казаков Ю. М.

ТЕОРЕТИЧЕСКАЯ МЕХАНИКА

Учебное пособие

УДК 531
Б 87

Рецензент: *Н. М. Суслов*, д-р техн. наук, заведующий кафедрой ГМК
Уральского государственного горного университета.

Учебное пособие рассмотрено на заседании кафедры технической механики от «07» июня 2018 г. (протокол № 7) и рекомендовано для издания в УГГУ.

Печатается по решению Учебно-методического совета Уральского государственного горного университета.

Брагин В. Г., Волков Е. Б., Казаков Ю. М.

Б 87 ТЕОРЕТИЧЕСКАЯ МЕХАНИКА: Учебное пособие / Ю. М. Казаков, В. Г. Брагин, Е. Б. Волков. – Екатеринбург: Изд-во УГГУ, 2018. – 250 с.
ISBN 978-5-8019-0460-3

Учебное пособие содержит краткие методические указания, примеры решений задач и упражнения для самостоятельной работы по основным темам курса теоретической механики: статика, кинематика точки и простейшие движения твёрдых тел, сложное движение точки, динамика точки и механической системы. Учебное пособие для студентов всех специальностей очной и заочной форм обучения.

ISBN 978-5-8019-0460-3

©Брагин В. Г., Волков Е. Б.,
Казаков Ю. М., 2018

©Уральский государственный горный
университет, 2018

ОГЛАВЛЕНИЕ

1. СТАТИКА.....	4
1.1. Основные понятия статики	4
1.2. Система сходящихся сил. Условия равновесия	9
1.3. Произвольная плоская система сил.....	16
1.4. Равновесие систем тел	26
1.5. Произвольная пространственная система сил	34
1.6. Равновесие тел при наличии сил трения.....	44
2. КИНЕМАТИКА ТОЧКИ И ТВЁРДОГО ТЕЛА.....	55
2.1. Криволинейное движение точки	55
2.2. Поступательное движение и вращение твердого тела	62
вокруг неподвижной оси	62
2.3. Скорости точек при плоскопараллельном движении твёрдого тела	73
2.4. Ускорения точек при плоскопараллельном движении твёрдого тела	84
3. СЛОЖНОЕ ДВИЖЕНИЕ ТОЧКИ	100
3.1. Основные понятия и определения сложного движения точки.....	100
4. ДИНАМИКА ТОЧКИ	114
4.1. Дифференциальные уравнения движения точки	114
4.2. Колебания материальной точки.....	124
4.3. Теорема об изменении кинетической энергии точки.....	134
5. ОБЩИЕ ТЕОРЕМЫ ДИНАМИКИ СИСТЕМЫ.....	146
5.1. Теорема о движении центра масс системы	146
5.2. Теорема об изменении кинетического момента системы относительно оси.....	148
5.3. Теорема об изменении кинетической энергии системы	153
5.4. Применение общих теорем динамики системы к описанию движений твёрдого тела	162
6. ПРИНЦИПЫ МЕХАНИКИ	177
6.1. Принцип Даламбера для системы	177
6.2. Принцип возможных перемещений	182
6.3. Общее уравнение динамики.....	189
6.4. Уравнения Лагранжа II рода	201
7. ОТВЕТЫ И КРАТКИЕ ПОЯСНЕНИЯ.....	220
7.1. Ответы к упражнениям главы 1	220
7.2. Ответы к упражнениям главы 2	226
7.3. Ответы к упражнениям главы 3	231
7.4. Ответы к упражнениям главы 4	233
7.5. Ответы к упражнениям главы 5	236
7.6. Ответы к упражнениям главы 6	241
СПИСОК РЕКОМЕНДУЕМОЙ ЛИТЕРАТУРЫ	249

1. СТАТИКА

1.1. Основные понятия статики

Статика представляет раздел теоретической механики, в котором освещаются условия равновесия тел под действием систем сил.

Материальной точкой называют простейшую модель материального тела, размерами которого можно пренебречь и которое можно принять за геометрическую точку, имеющую массу, равную массе тела. Совокупность материальных точек называется **системой материальных точек**. Если система материальных точек такова, что движение каждой точки зависит от положения и движения остальных точек системы, то система называется **механической системой материальных точек**. Любое материальное тело представляет собой механическую систему материальных точек. Если точки системы связаны между собой так, что расстояния между любыми двумя точками не изменяются, то система называется **неизменяемой системой**, а тело – **абсолютно твердым телом**.

Силой в механике называют меру механического действия одного материального объекта (например, твердого тела) на другой. Единицей измерения силы в системе СИ является ньютон (Н). Совокупность сил, действующих на механическую систему (в частности, на твердое тело), называют **системой сил**.

Если система сил, приложенная к твердому телу, оставляет его в состоянии покоя или равномерного прямолинейного движения, то такая система сил называется **уравновешенной**, или **системой сил, эквивалентной нулю**.

Если одну систему сил, действующих на твердое тело или материальную точку, можно заменить другой системой, не изменяя при этом состояния покоя или движения, в котором находится тело или материальная точка, то такие две системы сил называются **эквивалентными**. Если система сил эквивалентна одной силе, то эта сила называется **равнодействующей** данной системы сил.

Основные виды связей и их реакции

Всякое твердое тело, которое может занимать произвольное положение в пространстве, называется свободным. Если на тело наложены внешние связи, стесняющие (ограничивающие) свободу его перемещений, то тело является несвободным. Сила, с которой данная связь действует на тело, препятствуя его перемещениям, называется **реакцией связи**. Всякое несвободное твердое тело можно рассматривать как свободное, если освободить тело от связей и заменить действие связей их реакциями. **Реакция связи направлена в сторону, противоположную тому направлению, вдоль которого связь препятствует перемещению тела.**

Опора тела на гладкую плоскость (поверхность) без трения. Реакция \vec{R} абсолютно гладкой поверхности приложена в точке касания и направлена перпендикулярно к общей касательной соприкасающихся поверхностей (рис. 1.1, *a*). Такая реакция называется **нормальной реакцией**.

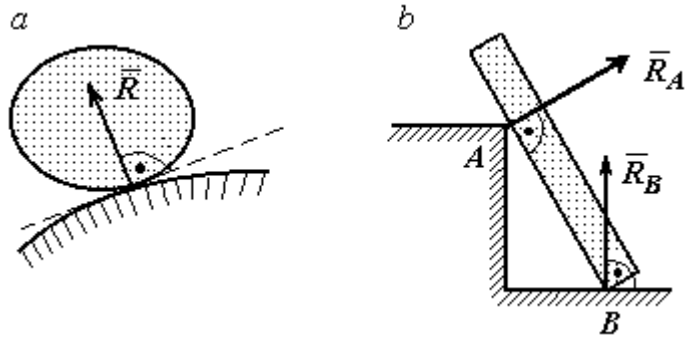


Рис. 1.1. Реакция опоры:

Брус с гладкой поверхностью (рис. 1.1, *b*), опирающийся в точке *B* на гладкий пол и в точке *A* на ребро (точечную опору), имеет реакциями опор \vec{R}_B – реакцию пола и \vec{R}_A – реакцию ребра (точечной опоры). Реакции приложены к брусу и направлены по нормальям к поверхности пола и поверхности бруса.

Цилиндрический шарнир и подвижная опора (каток). Цилиндрический шарнир (на рис. 1.2, *a* обозначен буквой *A*) представляет собой устройство, которое допускает поворот тела в плоскости, перпендикулярной оси шарнира (например, цилиндрическая втулка, надетая на неподвижный цилиндр).

Реакция цилиндрического шарнира \vec{R}_A лежит в плоскости, перпендикулярной оси шарнира. При решении задач неизвестную по величине и направлению реакцию цилиндрического шарнира представляют в виде составляющих, \vec{X}_A, \vec{Y}_A , направленных вдоль координатных осей (см. рис. 1.2, *a*). Величина реакции \vec{R}_A определяется по формуле: $R_A = \sqrt{X_A^2 + Y_A^2}$, где \vec{X}_A, \vec{Y}_A – составляющие реакции.

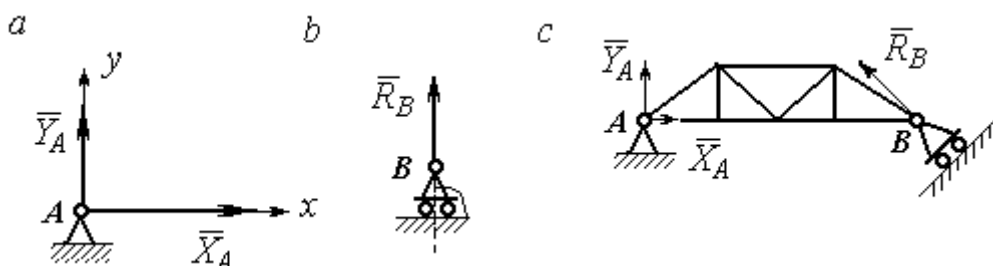


Рис. 1.2. Реакции шарнирных опор:
a – цилиндрический шарнир; *b* – каток; *c* – мостовая конструкция с цилиндрической шарнирной опорой и опорой на каток

Реакция \vec{R}_B опоры на каток (подвижной опоры) (рис. 1.2, *b*) перпендикулярна опорной поверхности.

На рис. 1.2, *c* показаны реакции связей мостовой конструкции с цилиндрической шарнирной опорой и подвижной опорой (катком). Реакция цилиндрического шарнира в точке *A* изображена в виде разложения на взаимно перпендикулярные составляющие \vec{X}_A, \vec{Y}_A , реакция \vec{R}_B катка в точке *B* перпендикулярна наклонной плоскости, на которой стоит каток.

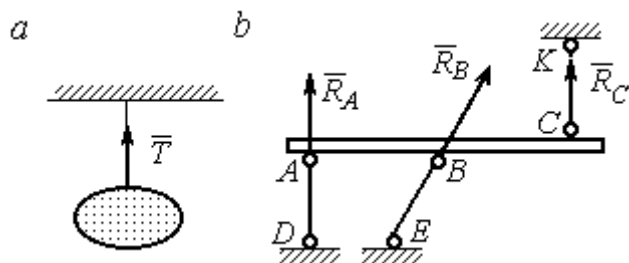


Рис. 1.3. Реакция гибкой нити и невесомого стержня

Гибкая связь и жесткий невесомый стержень. Связь в виде гибкой нерастяжимой нити (каната, троса) препятствует удалению тела от точки подвеса. (рис. 1.3, *a*). Реакция связи \vec{T} ,

равная натяжению нити, приложена к телу и направлена вдоль нити в сторону противоположную направлению, вдоль которого нить препятствует перемещению тела

Если опорой тела служит невесомый стержень с шарнирами на концах, то реакция прямолинейного стержня приложена к телу и направлена вдоль стержня. Направление реакции стержня противоположно направлению, по которому стержень препятствует перемещению тела.

Реакции невесомых стержней, удерживающих балку, изображённую на рис. 1.3, *b*, направлены исходя из предположения, что балка может перемещаться вниз. При этом стержни *AD* и *BE* сжаты, а стержень *CK* растянут.

Сферический шарнир. Связь в виде сферического шарнира не позволяет перемещать тело в пространстве, но допускает поворот в пространстве вокруг неподвижной точки. Реакция сферического шарнира может иметь любое направление в пространстве. При решении задач реакцию изображают ее составляющими. На рис. 1.4 реакция \vec{R}_A сферического шарнира *A* разложена на составляющие $\vec{X}_A, \vec{Y}_A, \vec{Z}_A$ по направлениям координатных осей. Величина реакции сферического шарнира определяется по формуле:

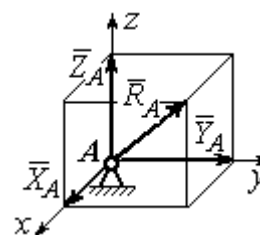


Рис. 1.4. Реакция сферического шарнира

$$R_A = \sqrt{X_A^2 + Y_A^2 + Z_A^2}.$$

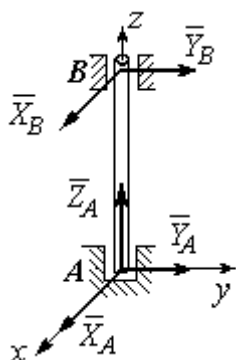


Рис. 1.5. Реакции подшипника и подпятника

Подшипник и подпятник. Подшипник представляет собой цилиндрический шарнир (рис. 1.5, подшипник *B*). Его реакция может иметь любое направление в плоскости, перпендикулярной оси шарнира. При решении задач реакция подшипника раскладывается на две составляющие. Например, на рис. 1.5 реакция \vec{R}_B подшип-

ника B разложена на составляющие \vec{X}_B, \vec{Y}_B , параллельные координатным осям.

Величина реакции подшипника определяется по формуле: $R_B = \sqrt{X_B^2 + Y_B^2}$.

Подпятник является цилиндрическим шарниром с упором. В задачах реакция подпятника обычно изображается векторами $\vec{X}_A, \vec{Y}_A, \vec{Z}_A$, представляющими разложение силы реакции подпятника по заданным направлениям координатных осей (см. рис. 1.5, подпятник A). Величина реакции подпятника

определяется по формуле: $R_A = \sqrt{X_A^2 + Y_A^2 + Z_A^2}$.

Проекция силы на ось и на плоскость

Проекция силы на ось есть алгебраическая величина, равная произведению модуля силы на косинус угла между силой и положительным направлением оси. Если этот угол острый, проекция положительна, если тупой – отрицательна. Если сила перпендикулярна оси, её проекция на ось равна нулю.

Проекции сил $\vec{F}, \vec{Q}, \vec{P}$, изображённых на рис. 1.6, a , на ось x :

$$F_x = F \cos \alpha, \quad Q_x = Q \cos \alpha_1 = -Q \cos \varphi, \quad P_x = P \cos 90^\circ = 0.$$

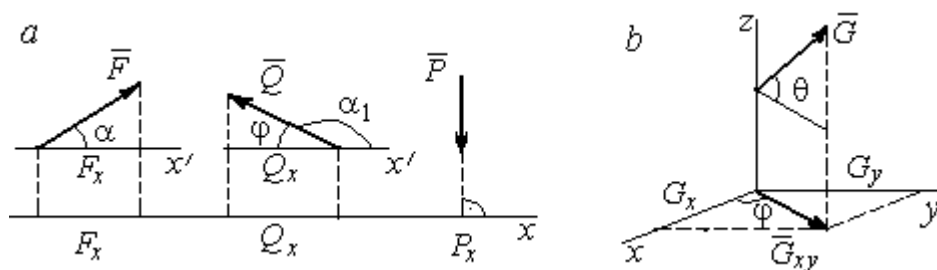


Рис. 1.6. Проекция силы на ось и на плоскость:
 a – проекция силы на ось; b – проекция силы на плоскость

Проекцией силы на плоскость называется вектор, заключённый между проекциями начала и конца силы \vec{G} на эту плоскость.

На рис. 1.6, b вектор \vec{G}_{xy} является проекцией силы \vec{G} на плоскость xy . По величине $G_{xy} = G \cos \theta$, где θ – угол между направлением силы \vec{G} и её проек-

ции \vec{G}_{xy} . Проекции силы \vec{G} на оси xyz : $G_x = G_{xy} \cos \varphi = G \cos \theta \cos \varphi$,
 $G_y = G_{xy} \sin \varphi = G \cos \theta \sin \varphi$, $G_z = G \sin \theta$.

1.2. Система сходящихся сил. Условия равновесия

Для равновесия **пространственной системы сходящихся сил** необходимо и достаточно, чтобы суммы проекций всех сил на каждую из трёх осей прямоугольной системы координат были равны нулю:

$$\sum F_{kx} = 0, \sum F_{ky} = 0, \sum F_{kz} = 0,$$

где F_{kx}, F_{ky}, F_{kz} – проекции всех сил на координатные оси.

Для равновесия **плоской системы сходящихся сил** необходимо и достаточно, чтобы суммы проекций всех сил на каждую из двух осей прямоугольной системы координат, расположенной в плоскости действия сил, были равны нулю: $\sum F_{kx} = 0, \sum F_{ky} = 0$, где F_{kx}, F_{ky} – проекции всех сил на координатные оси.

Примеры решения задач на равновесие сходящейся системы сил

Задача 1. Каток весом 20 кН удерживается на гладкой наклонной плоскости тросом, который одним концом закреплён на поверхности шара, а другим – на вертикальной стене (рис. 1.7). Угол наклона троса к вертикальной стене $\beta = 120^\circ$. Угол наклона плоскости к горизонту $\alpha = 45^\circ$. Определить силу давления катка на плоскость и натяжение троса.

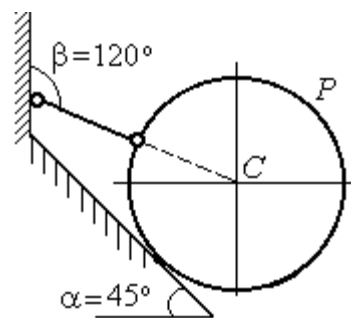


Рис. 1.7. Равновесие шара

Решение

При равновесии на каток действуют сила тяжести \vec{P} , реакция троса \vec{N} и реакция опоры \vec{R} . Линии действия всех сил находятся в одной плоскости и пересекаются в центре шара. Направления реакций показаны на рис. 1.8.

Условия равновесия плоской сходящейся системы сил:

$$\sum F_{kx} = 0, \sum F_{ky} = 0.$$

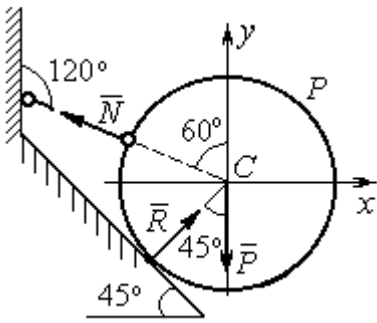


Рис. 1.8. Силы, действующие на каток, при его равновесии

Проведя оси координат, как показано на рис. 1.8, выразим условия равновесия в виде системы уравнений:

$$\sum F_{kx} = -N \cos 30^\circ + R \cos 45^\circ = 0;$$

$$\sum F_{ky} = N \cos 60^\circ + R \cos 45^\circ - P = 0.$$

Подставляя в уравнения исходные данные задачи,

найдем: $N = 14,64$ кН, $R = 17,93$ кН.

Натяжение троса равно модулю его реакции. Сила давления катка на плоскость равна реакции опоры гладкой плоскости, но направлена в противоположную сторону.

Задача 2. Кронштейн состоит из невесомых стержней AC и BC , скрепленных друг с другом и с вертикальной стеной шарнирами, как показано на рис. 1.9. Стержень BC горизонтален, стержень AC составляет с горизонталью угол $\beta = 60^\circ$. К шарниру C прикреплены два троса, удерживающие грузы 1 и 2 весом $G_1 = 10$ кН и $G_2 = 12$ кН. Трос, удерживающий груз 1, вертикален, а другой перекинут через блок D так, что угол наклона участка троса CD к вертикали $\alpha = 60^\circ$. Определить реакции стержней BC и AC .

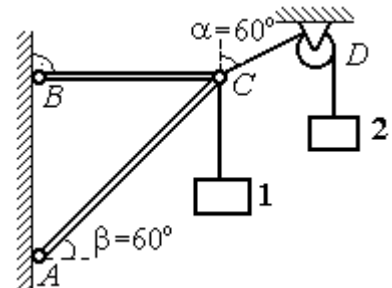


Рис. 1.9. Равновесие кронштейна

Решение

Рассмотрим равновесие узла C , в котором закреплены стержни и тросы. На узел C действуют реакции \vec{T}_1 и \vec{T}_2 тросов, натянутых грузами 1 и 2, и реакции \vec{N}_1 и \vec{N}_2 стержней BC и AC (рис. 1.10). Модули реакций тросов \vec{T}_1 и \vec{T}_2 равны весу грузов: $T_1 = G_1$, $T_2 = G_2$.

Плоская система сил ($\vec{T}_1, \vec{T}_2, \vec{N}_1, \vec{N}_2$) является сходящейся. Условия равновесия: $\sum F_{kx} = 0, \sum F_{ky} = 0$. Проведя оси координат xCy , как показано на рис. 1.10, и определяя проекции сил на оси, получим систему уравнений:

$$N_1 + N_2 \cos 60^\circ - T_2 \cos 30^\circ = 0;$$

$$N_2 \cos 30^\circ + T_1 - T_2 \cos 60^\circ = 0.$$

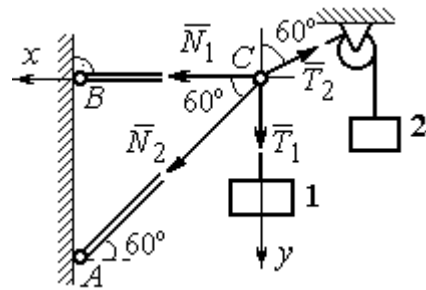


Рис. 1.10. Силы, действующие на узел C при его равновесии

Подставим в уравнения исходные данные задачи. С учётом того, что $T_1 = G_1 = 10$ кН, $T_2 = G_2 = 12$ кН, найдём значения реакций: $N_1 = 12,7$ кН, $N_2 = -4,62$ кН. Отрицательная величина N_2 означает, что вектор \vec{N}_2 реакции стержня AC направлен в противоположную сторону.

Задача 3. Груз весом $P = 20$ кН поднимается стержневым краном ABC

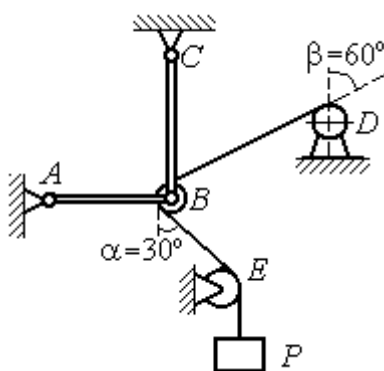


Рис. 1.11. Равновесие стержневой конструкции

посредством каната, перекинутого через блоки B и D (рис. 1.11). Блок B установлен в месте шарнирного соединения невесомых стержней AB и BC , блок D укреплен так, что участок троса DB составляет с вертикалью угол $\beta = 60^\circ$. Стержни AB и BC соединены со стенками шарнирами. Конец троса, несущий груз P , переброшен через блок E и на отрезке BE составляет с вертикалью угол $\alpha = 30^\circ$. Пренебрегая трением в блоке и размерами блока B , определить усилия в стержнях AB и BC при равновесии груза.

Решение

Рассмотрим равновесие блока B вместе с отрезками нити BE и BD . Освободим блок B от связей и заменим их реакциями.

Рассматривая блок и отрезок нити как одно целое, можно не учитывать

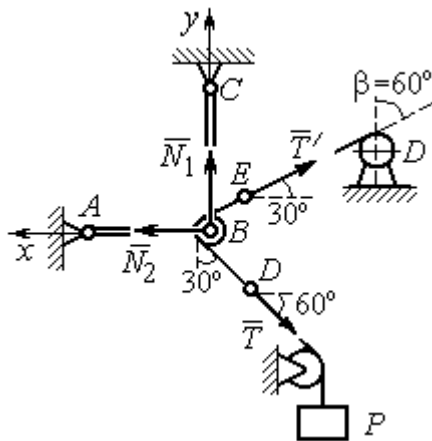


Рис. 1.12. Силы, действующие на блок B , при его равновесии

силы взаимного давления нити и блока. На блок действует реакция \vec{T} нити BD , приложенная в точке D , численно равная весу груза P , реакция \vec{T}' нити BE , приложенная в точке E и также численно равная весу груза P и реакции стержней \vec{N}_1, \vec{N}_2 (см. рис. 1.12).

Пренебрегая размерами блока, можно считать систему сил сходящейся. Проведём координатные оси, как показано на рис. 1.12, и

выразим условия равновесия плоской сходящейся системы сил в виде системы уравнений:

$$\sum F_{kx} = N_2 - T' \cos 30^\circ - T \cos 60^\circ = 0; \quad \sum F_{ky} = N_1 + T' \cos 60^\circ - T \cos 30^\circ = 0.$$

Решая полученную систему уравнений с учётом, что $T' = T = P = 20$ кН, получим: $N_1 = 7,32$ кН, $N_2 = 27,32$ кН.

Задача 4. Шахта ориентируется в вертикальной плоскости с помощью несвободного проволочного отвеса $CBDP$, натянутого грузом весом $P = 50$ Н (рис. 1.13).

Определить натяжения частей отвеса CB, BD, DP и натяжения оттяжек BA и DE , если угол отклонения оттяжки BC от горизонтали $\alpha = 60^\circ$, а отклонение средней части отвеса BD от вертикали $\beta = 4^\circ$. Весом проволоки отвеса пренебречь.

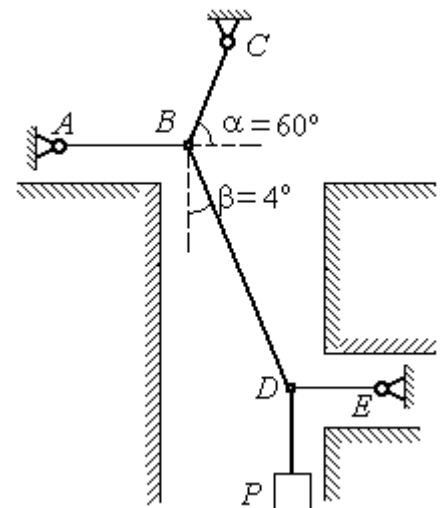


Рис. 1.13. Схема отвеса

Решение

Рассмотрим равновесие узла D , в котором сходятся три силы – реакция \vec{S} средней части отвеса, реакция \vec{T}_E оттяжки DE и реакция \vec{T}_P отвеса на участке

DP , равная весу груза $T_P = P$ (рис. 1.14). Выберем оси координат xDu , как показано на рис. 1.14, и составим уравнения равновесия узла D :

$$\sum F_{kx} = S \cos 86^\circ - T_E = 0; \quad \sum F_{ky} = S \cos 4^\circ - T_P = 0.$$

Из второго уравнения с учётом, что натяжение отвеса на участке DP $T_P = P = 50$ Н, находим натяжение S на сред-

нем участке отвеса: $S = \frac{T_P}{\cos 4^\circ} = 50,12$ Н. Из

первого уравнения находим натяжение $T_E = S \cos 86^\circ = 3,49$ Н.

Теперь рассмотрим равновесие узла B , на который действуют реакция \vec{T}_A оттяжки BA , реакция \vec{T}_C верхней части отвеса BC и реакция \vec{S}' средней части отвеса. Вектор силы \vec{S}' противоположен направлению вектора \vec{S} : $\vec{S}' = -\vec{S}$,

а численно (по принципу равенства действия и противодействия) они равны $S' = S$ (см. рис. 1.14). Выберем оси координат xBy , как показано на рис. 1.14, и составим уравнения равновесия узла B :

$$\sum F_{kx} = T_C \cos 60^\circ + S' \cos 86^\circ - T_A = 0; \quad \sum F_{ky} = T_C \cos 30^\circ - S' \cos 4^\circ = 0.$$

Находим натяжение отвеса на верхнем участке BC и натяжение T_A оттяжки BA : $T_C = \frac{S' \cos 4^\circ}{\cos 30^\circ} = 57,73$ Н; $T_A = T_C \cos 60^\circ + S' \cos 86^\circ = 32,36$ Н.

Задача 5. Груз $P = 20$ кН удерживается двумя стержнями AC , AD одинаковой длины и цепью AB , скреплённых в точке A , так, что плоскость треугольника ADC горизонтальна (рис. 1.15). Цепь BA отклонена от вертикальной стены на угол $\beta = 60^\circ$ и расстояние $CE = ED$. Трос закреплён одним концом в точке A , а другой его конец, несущий груз, переброшен через блок K так, что отрезок

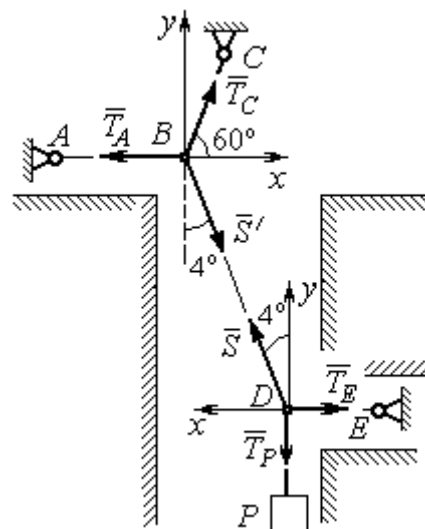


Рис.1.14. Силы, действующие в узлах B и D при равновесии отвеса

троса AK находится в плоскости, параллельной плоскости стены, и составляет с

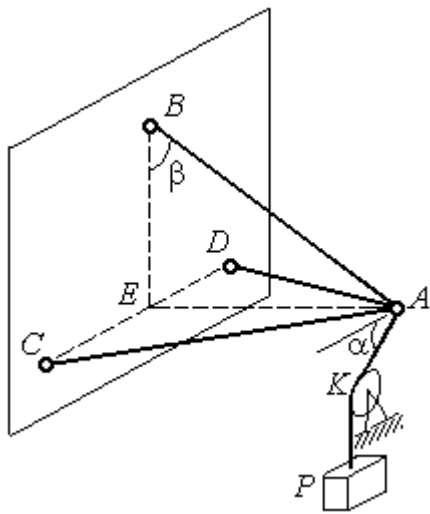


Рис. 1.15. Конструкция пространственного кронштейна

горизонтом угол $\alpha = 30^\circ$. Крепления стержней шарнирные. Углы у оснований стержней $\angle DCA = \angle CDA = 60^\circ$. Определить реакции стержней и натяжение цепи. Весами стержней пренебречь.

Решение

Рассмотрим равновесие узла A . Освобождаем узел от связей, заменяя действие связей реакциями. Реакции стержней \vec{S}_D и \vec{S}_C направлены по стержням,

реакция цепи \vec{S}_B направлена вдоль линии натянутой цепи (рис. 1.16). Реакция троса \vec{T} направлена вдоль троса по линии AK и численно равна весу груза: $T = P$. Направления реакций выбраны в предположении, что стержни и цепь растянуты.

Выберем систему координат, как показано на рис. 1.16. На узел A действует пространственная сходящаяся система сил.

Условия равновесия пространственной сходящейся системы сил $\sum F_{kx} = 0$, $\sum F_{ky} = 0$, $\sum F_{kz} = 0$, где F_{kx}, F_{ky}, F_{kz} — проекции всех сил на координатные оси. Составляем уравнения равновесия:

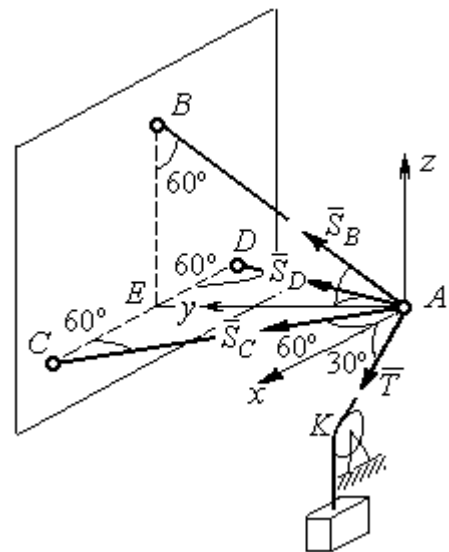


Рис. 1.16. Силы, действующие на узел A , при его равновесии

$$\sum F_{kx} = S_C \cos 60^\circ - S_D \cos 60^\circ + T \cos 30^\circ = 0;$$

$$\sum F_{ky} = S_C \cos 30^\circ + S_D \cos 30^\circ + S_B \cos 30^\circ = 0; \quad \sum F_{kz} = S_B \cos 60^\circ - T \cos 60^\circ = 0.$$

Решая эту систему, находим $S_B = T = P = 20$ кН; $S_C = -27,32$ кН; $S_D = 7,32$ кН. Знак минус величины S_C показывает, что реакция стержня AC имеет обратное направление. Натяжение цепи равно модулю реакции \vec{S}_B .

Задача 6. Подъёмное устройство (рис. 1.17) состоит из двух стержневых опор DB и DA и растяжки DC , соединённых в точке D . В точке D к устройству прикреплена вертикальная нить, удерживающая груз весом $P = 50$ кН.

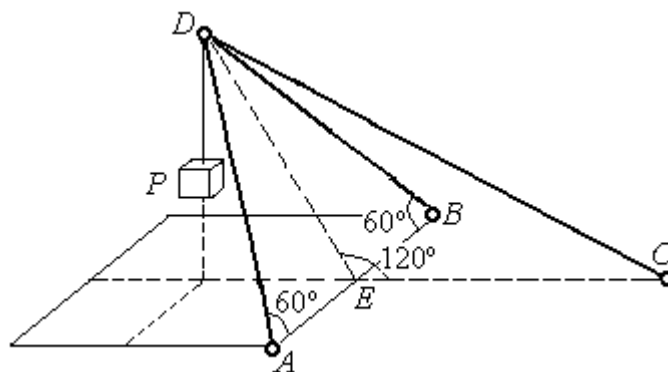


Рис. 1.17. Конструкция подъёмного устройства

Определить реакцию стержневых опор и усилие в растяжке подъёмного устройства, если

крепления стержней шарнирные, угол $\angle DEC = 120^\circ$, $AE = EB$, $DE = EC$, а углы в основании опор $\angle DAB = \angle DBA = 60^\circ$.

Решение

Рассматриваем равновесие узла D . Освобождаем узел от связей, заменяя действие связей реакциями. Реакции стержней \vec{S}_A , \vec{S}_B , \vec{S}_C направлены по

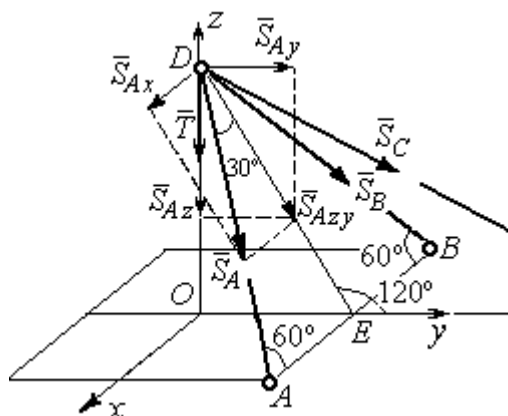


Рис. 1.18. Силы, действующие на узел D , при его равновесии

стержням, реакция нити \vec{T} , численно равная весу тела, направлена вдоль нити (рис. 1.18). Направление реакций выбрано в предположении, что все стержни растянуты.

На узел D действует пространственная сходящаяся система сил. Выберем систему координат $Oxyz$, как показано на рис. 1.18, и

составим уравнения равновесия. Заметим, что при определении проекции си-

лы \vec{S}_A на оси координат следует вначале получить её проекции \vec{S}_{Ax} на ось Ox и \vec{S}_{Azy} – на плоскость Oyz , а затем найти проекции силы \vec{S}_{Azy} на оси Oy и Oz .

На рис. 1.18 показана последовательность вычисления проекций силы \vec{S}_A на оси координат: $S_{Ax} = S_A \cos 60^\circ$, $S_{Ay} = S_{Azy} \cos 60^\circ = S_A \cos 30^\circ \cos 60^\circ$, $S_{Az} = -S_{Azy} \cos 30^\circ = -S_A \cos^2 30^\circ$. Определение проекций силы \vec{S}_B производится аналогично. Сила \vec{S}_C расположена в плоскости Oyz и имеет своими проекциями $S_{Cy} = S_C \cos 30^\circ$, $S_{Cz} = -S_C \cos 60^\circ$. В результате уравнения равновесия узла D принимают вид

$$\sum F_{ky} = S_A \cos 30^\circ \cos 60^\circ + S_B \cos 30^\circ \cos 60^\circ + S_C \cos 30^\circ = 0;$$

$$\sum F_{kx} = S_A \cos 60^\circ - S_B \cos 60^\circ = 0;$$

$$\sum F_{kz} = -S_A \cos^2 30^\circ - S_B \cos^2 30^\circ - S_C \cos 60^\circ - T = 0.$$

Решая систему, получим: $S_A = S_B = -50$ кН, $S_C = 50$ кН.

Отрицательные значения S_A и S_B означают, что реакций стержней AD и DB направлены в противоположную сторону. В результате стержни AD и DB сжаты, а стержень DC растянут.

1.3. Произвольная плоская система сил

Система сил, расположенных в одной плоскости, называется **плоской системой сил**.

Алгебраическим моментом $M_O(\vec{F})$ силы \vec{F} относительно центра O , или просто **моментом силы \vec{F}** относительно центра, называют взятое с соответствующим знаком произведение модуля силы \vec{F} и кратчайшего расстояния h от центра до линии действия силы (рис. 1.19, а): $M_O(\vec{F}) = \pm Fh$. Величину h называют **плечом силы**. Единица измерения момента – Н·м. Момент считается положительным, если сила \vec{F} стремится повернуть тело вокруг центра в

направлении против хода часовой стрелки, и отрицательным – в обратном случае.

На рис. 1.19, *b* показаны знаки моментов сил \vec{F} и \vec{Q} относительно центра O : $M_O(\vec{F}) = +Fh_2$, $M_O(\vec{Q}) = -Qh_1$. Момент силы \vec{R} относительно центра O равен нулю: $M_O(\vec{R}) = 0$, так как плечо силы равно нулю.

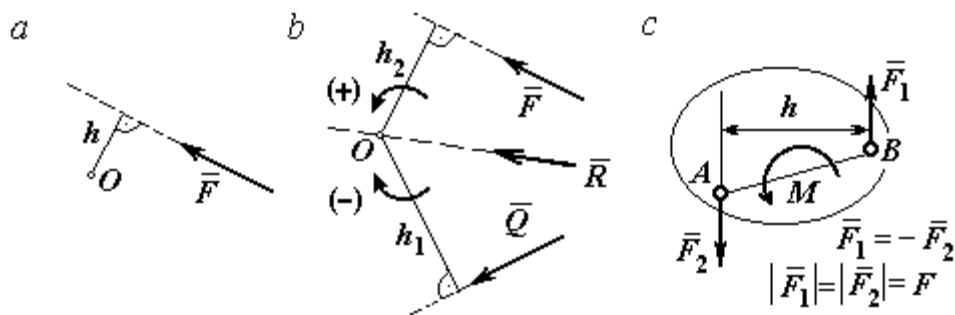


Рис. 1.19. Схемы к вычислению момента силы:
a, b – момент силы относительно центра; *c* – момент пары сил

Парой сил, или просто парой (рис.1.19, *c*), называют систему двух равных по модулю сил, параллельных, направленных в противоположные стороны и не лежащих на одной прямой. **Плечом пары** называют кратчайшее расстояние между линиями действия ее сил. Алгебраическим моментом пары сил, или **моментом пары**, называют взятое со знаком плюс или минус произведение модуля одной из сил пары и плеча пары. Правило знаков такое же, как и для момента силы. Пара сил, показанная на рис. 1.19, *c*, имеет плечо h и момент M : $M = F_1h = F_2h$. Поскольку пара сил характеризуется только ее моментом, на схемах пару часто изображают дуговой стрелкой, показывающей направление поворота твердого тела под действием пары (см. M на рис. 1.19, *c*).

Жесткая заделка. Такая связь (рис. 1.20) препятствует не только линейным перемещениям тела, но и повороту. Реакция жесткой заделки состоит из силы

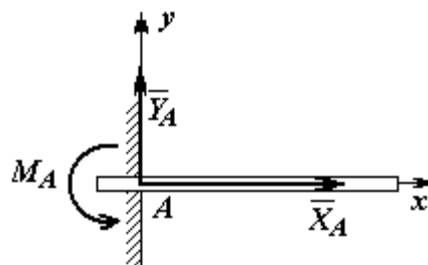


Рис. 1.20. Реакция жесткой заделки

реакции \vec{R}_A и пары сил с моментом M_A . Силу реакции жесткой заделки \vec{R}_A изображают ее составляющими \vec{X}_A и \vec{Y}_A , направленными вдоль координатных осей (см. рис. 1.20). Величина силы реакции \vec{R}_A определяется по формуле: $R_A = \sqrt{X_A^2 + Y_A^2}$.

При вычислении моментов сил часто применяют **теорему Вариньона** о том, что момент равнодействующей системы сил относительно любого центра равен сумме моментов всех сил этой системы относительно того же центра. На

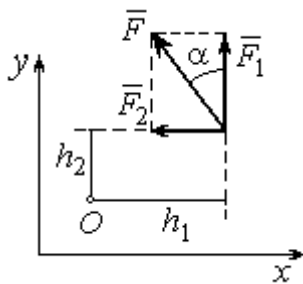


Рис.1.21. Применение теоремы Вариньона

рис. 1.21 показана схема применения теоремы Вариньона. Силу \vec{F} раскладываем на составляющие \vec{F}_1 , \vec{F}_2 , направленные вдоль координатных осей так, что имеет место равенство $\vec{F} = \vec{F}_1 + \vec{F}_2$. Численно составляющие \vec{F}_1 и \vec{F}_2 равны проекциям силы \vec{F} на координатные оси: $F_1 = F \cos \alpha$, $F_2 = F \sin \alpha$. Для каждой из составляющих находим плечи h_1 и h_2 относительно

центра O . Тогда (с учётом знаков) момент силы \vec{F} относительно центра O : $M_O(\vec{F}) = M_O(\vec{F}_1) + M_O(\vec{F}_2) = F_1 h_1 + F_2 h_2$.

Распределённая нагрузка. Силы, приложенные непрерывно вдоль некоторой поверхности, называются **распределёнными**. Распределённая нагрузка характеризуется интенсивностью q . Интенсивность нагрузки, равномерно распределённой вдоль прямой, измеряется в Н/м. На рис. 1.22 приведена плоская система сил, равномерно распределённых вдоль прямой. Равнодействующая \vec{Q} сил, равномерно распределённых вдоль прямой, приложена в середине отрезка действия распределённой нагрузки и по модулю равна про-

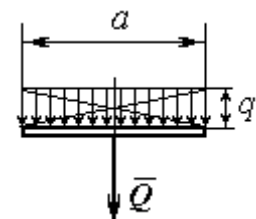


Рис. 1.22. Нагрузка, равномерно распределённая по прямой

и по модулю равна про-

изведению интенсивности нагрузки на длину её действия: $Q = qa$, где a – длина отрезка действия распределённой нагрузки.

Основная форма условий равновесия плоской системы сил. Для равновесия плоской системы сил необходимо и достаточно, чтобы суммы проекций всех сил на каждую из двух осей прямоугольной системы координат, расположенной в плоскости действия сил, были равны нулю и сумма моментов сил относительно любого центра, находящегося в плоскости действия сил, была равна нулю:

$$\sum F_{kx} = 0, \quad \sum F_{ky} = 0, \quad \sum M_A(\vec{F}_k) = 0,$$

где F_{kx}, F_{ky} – проекции всех сил на координатные оси; $M_A(\vec{F}_k)$ – моменты всех сил относительно произвольно выбранного центра A .

Примеры решения задач на равновесие произвольной плоской системы сил

Задача 7. Однородная балка AB весом $P = 100$ кН прикреплена к стене шарниром A (рис.1.23). Балка удерживается под углом 60° к вертикали при помощи троса, прикреплённого к балке в точке B , перекинутого через блок D и несущего груз Q . Участок троса DB образует с вертикалью угол 30° . В точке C к балке подвешен груз G весом $G = 200$ кН. Определить вес груза Q , удерживающий балку в равновесии, и реакцию шарнира A , пренебрегая трением в блоке, если расстояние $BC = 0,25BA$.

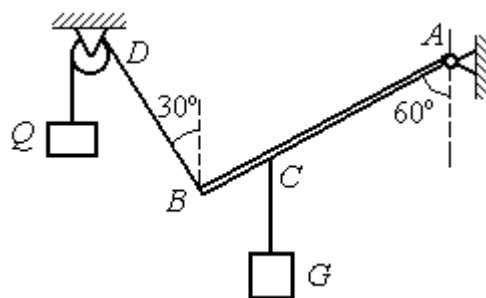


Рис. 1.23. Равновесие балки

Решение

Объектом равновесия является балка AB . На балку действуют сила тяжести \vec{P} , приложенная в середине отрезка AB , реакция шарнира A , представлен-

ная в виде двух составляющих \vec{X}_A и \vec{Y}_A , направленных вдоль координатных осей, реакция \vec{T}_1 нити, удерживающей груз Q , и реакция \vec{T}_2 нити, удерживающей груз G . Направления сил и реакций связей показаны на рис. 1.24.

Силы – \vec{T}_1 , \vec{T}_2 , \vec{P} , \vec{X}_A , \vec{Y}_A , действующие на балку, составляют произвольную плоскую систему. Условия равновесия произвольной плоской системы сил:

$$\sum F_{kx} = 0; \sum F_{ky} = 0; \sum M_A(\vec{F}_k) = 0.$$

Выберем систему координат xAy , как показано на рис. 1.24.

Первые два уравнения равновесия

имеют вид

$$\sum F_{kx} = X_A + T_1 \cos 60^\circ = 0;$$

$$\sum F_{ky} = Y_A + T_1 \cos 30^\circ - T_2 - P = 0.$$

Выберем центром точку A и будем вычислять моменты сил относительно этого центра. Обозначим (для удобства записи) длину $AB = \ell$. Условие равновесия балки в форме равенства нулю суммы моментов сил относительно центра A имеет вид

$$\sum M_A(\vec{F}_k) = -T_1 \ell + T_2 \frac{3}{4} \ell \cos 30^\circ + P \frac{1}{2} \ell \cos 30^\circ = 0.$$

Подставим данные из условия задачи, с учётом, что реакция нити, удерживающей груз Q , по модулю равна весу этого груза: $T_1 = Q$, а реакция нити, удерживающей груз G , численно равна весу груза G : $T_2 = G$.

Получим систему уравнений:

$$X_A + Q \cdot 0,5 = 0, \quad Y_A + Q \cdot 0,866 - 300 = 0, \quad -Q + 173,2 = 0.$$

Решая систему, найдём $Q = 173,2$ кН, $X_A = -86,6$ кН, $Y_A = 150,01$ кН.

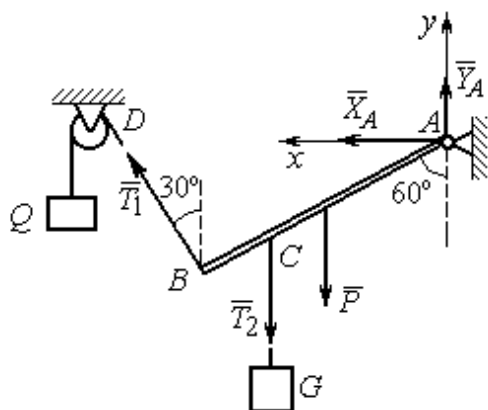


Рис. 1.24. Внешние силы и реакции связей при равновесии балки

Задача 8. Рама ACE (рис. 1.25, a) в точке A закреплена на цилиндрической шарнирной опоре, а в точке B поддерживается вертикальным невесомым стержнем BK . На раму действуют: пара сил с моментом $M = 8 \text{ кН}\cdot\text{м}$, сила \vec{F} , равная по модулю $F = 10 \text{ кН}$, приложенная в точке D под углом 60° к раме, и равномерно распределенная на отрезке AB нагрузка интенсивностью $q = 2 \text{ кН/м}$. В точке E под прямым углом к отрезку CE рамы прикреплен трос, переброшенный через блок и несущий груз $P = 20 \text{ кН}$.

Пренебрегая весом балки, определить реакцию шарнира A и реакцию стержневой опоры BK , если $a = 2 \text{ м}$.

Решение

Рассмотрим равновесие рамы ACE . Выбираем систему координат xAy , например, как показано на рис. 1.25, b .

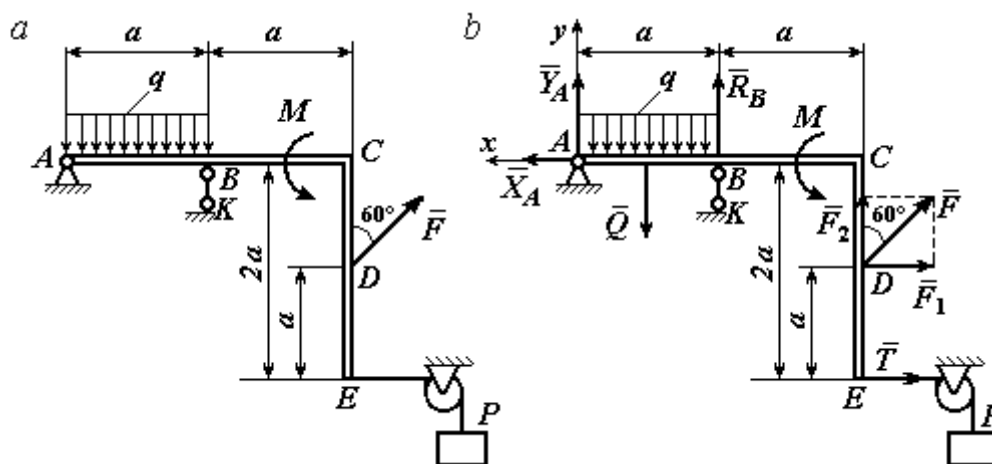


Рис. 1.25. Равновесие рамы:
 a – конструкция и нагрузка рамы; b – внешние силы и реакции связей при равновесии рамы

Заменяем действие связей их реакциями. Изображаем реакцию \vec{R}_A шарнира A двумя ее составляющими \vec{X}_A и \vec{Y}_A , направленными, соответственно, вдоль горизонтальной оси Ax и вертикальной Ay . Реакция \vec{R}_B невесомой стержневой опоры BK приложена в точке B и направлена вдоль стержня BK . Действие груза P на раму изображается реакцией троса \vec{T} , модуль которой ра-

вен весу груза $T = P$. Заменяем распределенную нагрузку её равнодействующей \vec{Q} . Сила \vec{Q} приложена в середине отрезка AB и численно равна: $Q = qa = 2 \cdot 2 = 4$ кН. На рис. 1.25, b показано направление внешних сил и реакций при равновесии рамы. Направление реакции стержневой опоры BK выбрано в предположении, что стержень сжимается.

При равновесии рамы ACE действующие на неё силы составляют уравновешенную произвольную плоскую систему сил $(\vec{Q}, \vec{F}, \vec{X}_A, \vec{Y}_A, \vec{R}_B, \vec{T}, M) \sim 0$. Условия равновесия имеют вид $\sum F_{kx} = 0$; $\sum F_{ky} = 0$; $\sum M_A(\vec{F}_k) = 0$. Вычисляя проекции сил на оси Ax, Ay , первые два уравнения из условий равновесия получим в виде:

$$\sum F_{kx} = X_A - F \cos 30^\circ - T = 0; \quad \sum F_{ky} = Y_A - Q + R_B + F \cos 60^\circ = 0. \quad (1.1)$$

При составлении третьего уравнения моменты сил будем вычислять относительно центра A . В этом случае линии действия сил \vec{X}_A и \vec{Y}_A , составляющих реакцию шарнира A , проходят через центр A , плечи сил равны нулю, и, следовательно, моменты этих сил относительно данного центра равны нулю: $M_A(\vec{X}_A) = 0$, $M_A(\vec{Y}_A) = 0$.

При определении момента силы \vec{F} удобнее воспользоваться теоремой Вариньона. С этой целью представим вектор силы \vec{F} как равнодействующую двух сил \vec{F}_1 и \vec{F}_2 , параллельных осям Ax и Ay : $\vec{F} = \vec{F}_1 + \vec{F}_2$ (см. рис. 1.25, b). Величины сил \vec{F}_1 и \vec{F}_2 определяются как проекции силы F на оси координат: $F_1 = F \cos 30^\circ$, $F_2 = F \cos 60^\circ$. По теореме Вариньона момент силы \vec{F} относительно центра A равен сумме моментов сил \vec{F}_1 и \vec{F}_2 относительно того же центра A : $M_A(\vec{F}) = M_A(\vec{F}_1) + M_A(\vec{F}_2) = F_1 \cdot a + F_2 \cdot 2a$.

В результате уравнение равновесия в форме моментов имеет вид

$$\sum M_A(\vec{F}_k) = -Q \cdot 0,5a + R_B a + M + F \cos 60^\circ \cdot 2a + F \cos 30^\circ \cdot a + T 2a = 0. \quad (1.2)$$

Подставляя в уравнения равновесия (1.1), (1.2) численные значения из условий задачи, получим систему уравнений относительно неизвестных X_A, Y_A, R_B . Решая эту систему, найдем: $X_A = 28,66$ кН; $Y_A = 59,66$ кН; $R_B = -60,66$ кН.

Отрицательное значение величины R_B означает, что фактическое направление реакции \vec{R}_B стержневой опоры BK противоположно направлению, показанному на рис. 1.25, *b*, т. е. стержень BK растягивается. Реакция шарнирной опоры A – сила \vec{R}_A – находится как геометрическая (векторная) сумма сил \vec{X}_A и \vec{Y}_A .

Величина реакции $R_A = \sqrt{X_A^2 + Y_A^2} = \sqrt{28,66^2 + 59,66^2} = 66,18$ кН.

Задача 9. Прямоугольная рама $ABCED$

(рис. 1.26) в точке A закреплена жёсткой заделкой. В точке E к раме прикреплена нить, составляющая угол 60° к горизонту. Другой конец нити, переброшенный через невесомый блок, несёт груз весом $P = 15$ кН. На раму

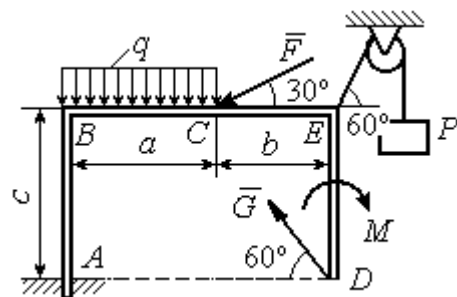


Рис. 1.26. Конструкция рамы

действуют: пара сил с моментом $M = 12$ кН·м, сила \vec{F} , равная по модулю $F = 10$ кН, приложенная в точке C под углом 30° к горизонтальному участку рамы BE , и равномерно распределенная на отрезке BC нагрузка интенсивностью $q = 2$ кН/м. В точке D под углом 60° к горизонту на раму действует сила \vec{G} , численно равная 20 кН.

Пренебрегая весом рамы, определить реакцию жесткой заделки в точке A , если размеры рамы: $a = 2$ м, $b = 1$ м, $c = 5$ м.

Решение

Объектом равновесия является рама $ABCED$. Связями в данной конструкции являются жесткая заделка рамы в точке A и нить, натянутая грузом P . Заменяем действие связей их реакциями. Изображаем реакцию жесткой заделки в точке A в виде силы, которую представим двумя ее составляющими $-\vec{X}_A$ и

\vec{Y}_A , и парой сил с моментом M_A (рис. 1.27). Реакция нити \vec{T} , приложенная к раме в точке E , направлена вдоль нити и численно равна весу груза $T = P$. За-

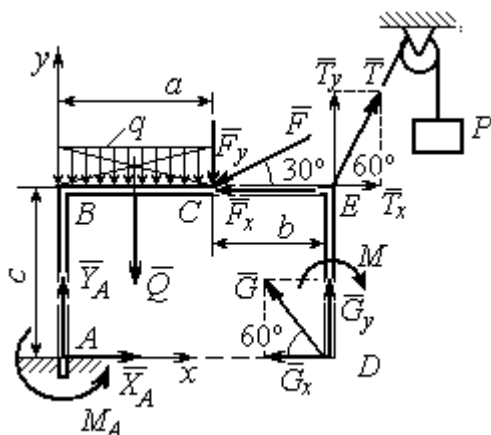


Рис. 1.27. Внешние силы и реакции связей при равновесии рамы

меняем распределенную нагрузку её равнодействующей \vec{Q} . Сила \vec{Q} приложена в середине отрезка AB и численно равна: $Q = qa = 4$ кН.

Действующие на раму силы составляют уравновешенную произвольную плоскую систему сил: $(\vec{Q}, \vec{F}, \vec{X}_A, \vec{Y}_A, \vec{G}, \vec{T}, M) \sim 0$.

Условия равновесия для такой системы

сил: $\sum F_{kx} = 0$; $\sum F_{ky} = 0$; $\sum M_A(\vec{F}_k) = 0$.

Выбираем систему координат xAy , например, как показано на рис. 1.27, и составляем уравнения равновесия:

$$\sum F_{kx} = X_A - F \cos 30^\circ + T \cos 60^\circ - G \cos 60^\circ = 0; \quad (3)$$

$$\sum F_{ky} = Y_A - Q - F \cos 60^\circ + T \cos 30^\circ + G \cos 30^\circ = 0. \quad (4)$$

Моменты сил будем вычислять относительно центра A . В этом случае моменты сил \vec{X}_A и \vec{Y}_A равны нулю: $M_A(\vec{X}_A) = 0$; $M_A(\vec{Y}_A) = 0$.

При определении момента силы \vec{F} удобно воспользоваться теоремой Вариньона. С этой целью представим вектор силы \vec{F} как равнодействующую двух сил \vec{F}_x и \vec{F}_y , параллельных осям Ax и Ay : $\vec{F} = \vec{F}_x + \vec{F}_y$ (см. рис. 1.27). Величины сил \vec{F}_x и \vec{F}_y определяются как проекции силы \vec{F} на оси координат: $F_x = F \cos 30^\circ$, $F_y = F \cos 60^\circ$. Плечо вектора силы \vec{F}_x относительно центра A равно c (как длина перпендикуляра, проведённого из центра A на линию действия силы \vec{F}_x), плечом силы \vec{F}_y является расстояние a . По теореме Вариньона

момент силы \vec{F} относительно центра A равен алгебраической сумме моментов сил \vec{F}_x и \vec{F}_y относительно того же центра:

$$M_A(\vec{F}) = M_A(\vec{F}_x) + M_A(\vec{F}_y) = F_x \cdot c - F_y \cdot a = F \cos 30^\circ \cdot c - F \cos 60^\circ \cdot a.$$

Аналогично вычисляем моменты сил \vec{G} и \vec{T} : $M_A(\vec{G}) = G \cos 30^\circ \cdot (a + b)$;

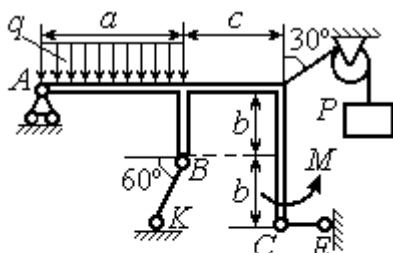
$M_A(\vec{T}) = -T \cos 60^\circ \cdot c + T \cos 30^\circ \cdot (a + b)$. В результате уравнение моментов имеет вид:

$$\begin{aligned} \sum M_A(\vec{F}_k) = & F \cos 30^\circ \cdot c - F \cos 60^\circ \cdot a - T \cos 60^\circ \cdot c + T \cos 30^\circ \cdot (a + b) + \\ & + G \cos 30^\circ \cdot (a + b) - Q \frac{a}{2} - M + M_A = 0. \end{aligned} \quad (1.5)$$

Подставляя в уравнения равновесия (1.3) – (1.5) численные значения из условий задачи, получим систему уравнений относительно неизвестных X_A, Y_A, M_A , откуда найдём значения реакций: $X_A = 11,16$ кН; $Y_A = -21,31$ кН; $M_A = -70,73$ Н·м. Знаки показывают, что составляющая \vec{Y}_A силы реакции жёсткой заделки и момент реакции M_A направлены в противоположную сторону. Величина силы реакции жёсткой заделки $R_A = \sqrt{X_A^2 + Y_A^2} = 24,05$ кН.

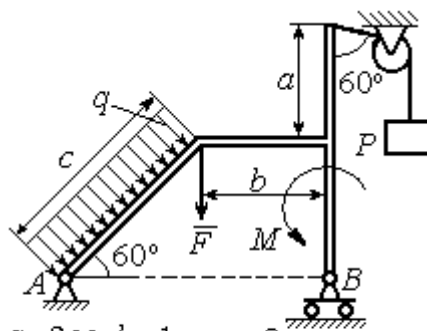
Упражнения

Упражнение 1.1



$a = 3$ м, $b = 1$ м, $c = 2$ м,
 $P = 15$ кН, $M = 3$ кНм, $q = 5$ кН/м.
 Найти реакцию стержней BK, CE
 и реакцию шарнира A

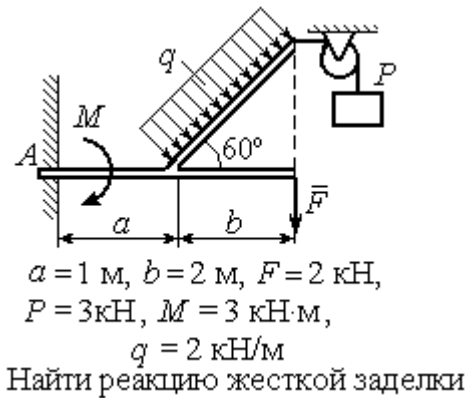
Упражнение 1.2



$a = 2$ м, $b = 1$ м, $c = 3$ м,
 $M = 3$ кНм, $q = 3$ кН/м,
 $P = 2$ кН, $F = 4$ кН.
 Найти реакцию шарниров A и B

Рис. 1.28. Задания для самостоятельного решения. Упражнения 1.1, 1.2

Упражнение 1.3



Упражнение 1.4

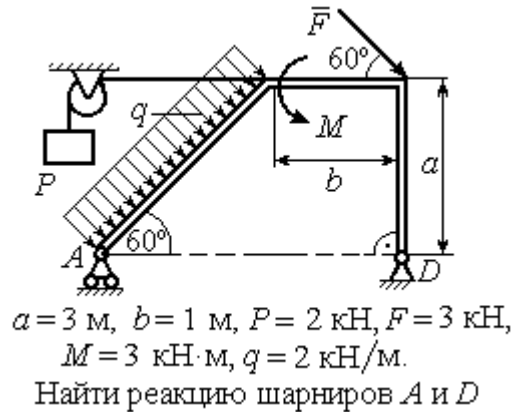


Рис. 1.29. Задания для самостоятельного решения. Упражнения 1.3, 1.4

1.4. Равновесие систем тел

Связи, соединяющие части конструкции, называются **внутренними** в отличие от **внешних** связей, скрепляющих конструкцию с внешними телами, не входящими в данную конструкцию.

Одним из способов решения задач на равновесие сил, действующих на сочленённую конструкцию, является **разбиение конструкции на отдельные тела** и составление уравнений равновесия для каждого из тел, входящих в конструкцию. В уравнения равновесия будут входить только силы, непосредственно приложенные к телу, равновесие которого рассматривается. **При этом реакции внутренних связей, приложенные к разным телам, будут попарно равны по модулю и противоположны по направлению.**

Примеры решения задач на равновесие систем тел

Задача 10. Диск весом $Q = 100 \text{ кН}$ опирается на вертикальную стенку и на наклонную балку AB . На диск действует сила \vec{F} , равная по величине 50 кН (рис. 1.30). Линия действия силы \vec{F} проходит через центр диска под углом 30° к его вертикальному диаметру.

Однородная балка AB весом $G = 80$ кН закреплена в точке A шарнирно и удерживается под углом 60° к стене при помощи вертикального троса, один конец которого закреплён на балке в точке B , а другой – переброшен через блок и несёт груз весом P . Определить давление диска на стенку и на балку, реакцию шарнира A и вес груза P , удерживающий конструкцию в равновесии, если длина балки AB $\ell = 6$ м, радиус диска $r = 1$ м.

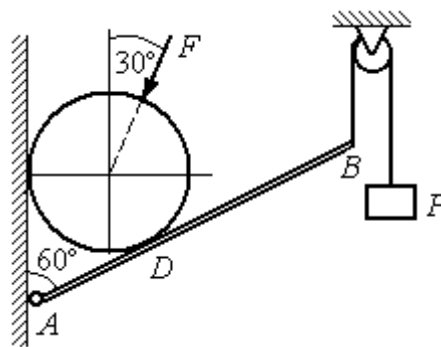


Рис. 1.30. Равновесие составной конструкции

Решение

Объект равновесия включает балку и диск и представляет собой составную конструкцию. Опора диска на балку в точке D является внутренней связью конструкции. Рассмотрим равновесие диска и балки отдельно.

Освобождаем диск от связей. На диск действует сила веса \vec{Q} , сила \vec{F} и

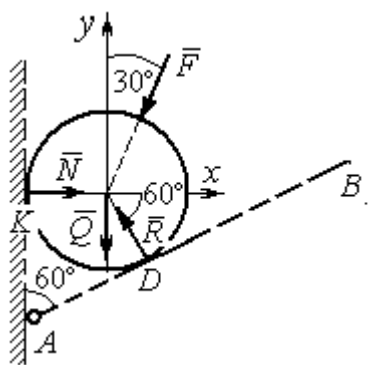


Рис. 1.31. Внешние силы и реакции связей при равновесии диска

реакции \vec{N} и \vec{R} опор диска на стену в точке K и на балку в точке D (рис. 1.31). Силы, приложенные к диску, составляют плоскую систему сходящихся сил. Выберем систему координат, как показано на рис. 1.31, и составим уравнения равновесия:

$$\sum F_{kx} = -F\cos 60^\circ - R\cos 60^\circ + N = 0; \quad (1.6)$$

$$\sum F_{ky} = -F\cos 30^\circ + R\cos 30^\circ - Q = 0. \quad (1.7)$$

Рассмотрим равновесие балки AB (рис. 1.32).

На балку действуют сила тяжести \vec{G} , реакция шарнира A , (на рис. 1.32 показано её разложение на составляющие \vec{X}_A и \vec{Y}_A), реакция нити \vec{T} , численно равная весу груза P , и сила \vec{R}' давления диска на балку. Сила давления \vec{R}' про-

тнвоположна реакции \vec{R} опоры диска на балку и численно равна ей. Система сил ($\vec{X}_A, \vec{Y}_A, \vec{G}, \vec{T}, \vec{R}'$), действующих на

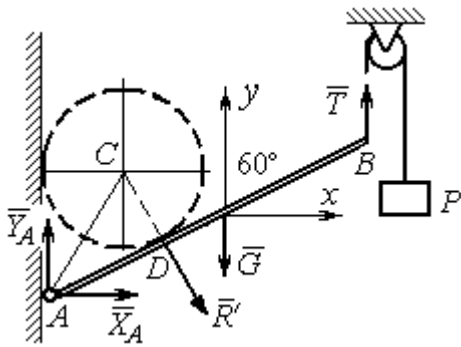


Рис. 1.32. Силы, действующие на балку, при равновесии

балку, является произвольной плоской. Условия равновесия такой системы сил: $\sum F_{kx} = 0$; $\sum F_{ky} = 0$; $\sum M_A(\vec{F}_k) = 0$.

Выберем оси, как показано на рис. 1.32, и составим уравнения равновесия, полагая точку A центром, относительно которого производятся вычисления моментов сил:

$$\sum F_{kx} = X_A + R' \cos 60^\circ = 0, \quad (1.8)$$

$$\sum F_{ky} = Y_A - R' \cos 30^\circ - G + T = 0, \quad (1.9)$$

$$\sum M_A(\vec{F}_k) = -R' \cdot AD - G \cdot \frac{\ell}{2} \cos 30^\circ + T \ell \cos 30^\circ = 0. \quad (1.10)$$

Добавив к уравнениям (1.8) – (1.10) равновесия балки AB уравнения (1.6), (1.7) равновесия диска с учётом, что $R' = R$, получим систему пяти уравнений с пятью неизвестными. Подставляя данные из условия задачи и решая совместную систему, найдём: $R = 165,47$ кН; $N = 107,74$ кН; $P = 95,26$ кН; $X_A = -82,73$ кН; $Y_A = 128,03$ кН.

Сила давления диска на стену равна модулю реакции опоры \vec{N} и направлена в противоположную сторону, сила давления диска на балку равна \vec{R}' .

Задача 11. Кронштейн состоит из горизонтальной балки AD, прикрепленной к вертикальной стене в точке A, и откоса BC, соединённого с балкой AD в точке C под углом

60° и прикреплённого к вертикальной стене в точке B (рис. 1.33). Все соедине-

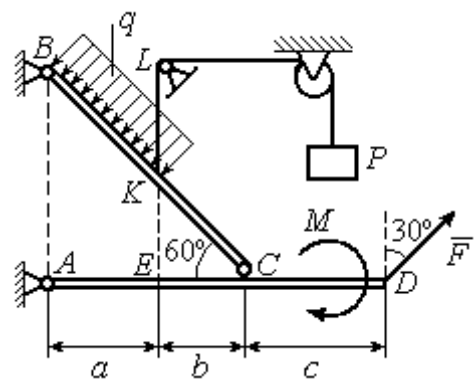


Рис.1.33. Равновесие кронштейна как сочленённой конструкции

ния шарнирные. На конструкцию действуют сила \vec{F} , приложенная в точке D под углом 30° к вертикали и равная по модулю $F=10$ кН, пара сил с моментом $M=8$ кН·м и равномерно распределенная на отрезке BK нагрузка интенсивностью $q=3$ кН/м. В точке K к балке BC прикреплена нить, другой конец которой, переброшенный через невесомые блоки, несёт груз весом $P=5$ кН (см. рис. 1.33).

Определить реакции шарниров A , B и C , если $a=2$ м, $b=1$ м, $c=3$ м, а на отрезке KL нить натянута вертикально.

Решение

Рассмотрим равновесие каждой из составных частей конструкции – балки BC и балки AD . Освобождаем балки от связей и заменяем их реакциями (рис. 1.34).

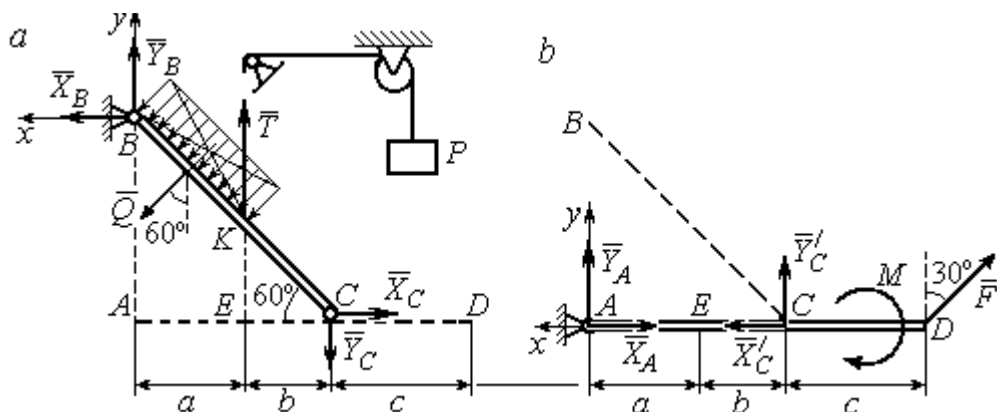


Рис. 1.34. Равновесие элементов конструкции кранштейна:
 а - силы, действующие на балку BC ; б - силы, действующие на балку AD

На рис. 1.34, а показаны реакции внешних и внутренних связей балки BC : реакция \vec{R}_B шарнира B , реакция нити \vec{T} , равная по величине весу груза, $T=P$ и реакция \vec{R}_C внутреннего шарнира C . Реакции шарниров B и C представлены в виде разложения на составляющие \vec{X}_B , \vec{Y}_B и \vec{X}_C , \vec{Y}_C . Заменяем равномерную нагрузку равнодействующей силой \vec{Q} , приложенной в середине отрезка BK (см. рис. 1.34, а) и численно равной $Q=q \cdot BK = q \cdot \frac{a}{\cos 60^\circ} = q \cdot 2a$.

Система сил $(\vec{Q}, \vec{X}_B, \vec{Y}_B, \vec{X}_C, \vec{Y}_C, \vec{T})$, действующая на балку BC , является произвольной плоской уравновешенной системой сил. Выберем оси координат xBy , как показано на рис. 1.34, a , и составим уравнения равновесия. При этом моменты сил будем вычислять относительно центра C :

$$\sum F_{kx} = X_B + Q\cos 30^\circ - X_C = 0; \quad (1.11)$$

$$\sum F_{ky} = Y_B - Q\cos 60^\circ + T - Y_C = 0; \quad (1.12)$$

$$\sum M_C(\vec{F}_k) = X_B \cdot AB - Y_B(a+b) - Tb + Q\left(CK + \frac{1}{2}BK\right) = 0, \quad (1.13)$$

где $AB = (a+b)\operatorname{tg}60^\circ$; $CK = 2b$; $\frac{1}{2}BK = a$.

Рассмотрим равновесие балки AD (рис. 1.34, b).

На балку действует сила \vec{F} , реакция \vec{R}_A шарнира A и реакция \vec{R}'_C внутреннего шарнира C . Реакция \vec{R}'_C равна по величине и противоположна по направлению реакции \vec{R}_C . На рис. 1.34, b реакция \vec{R}_A представлена составляющими \vec{X}_A и \vec{Y}_A , реакция \vec{R}'_C – составляющими \vec{X}'_C и \vec{Y}'_C . При этом следует отметить: $\vec{X}'_C = -\vec{X}_C$; $\vec{Y}'_C = -\vec{Y}_C$.

Выберем оси координат xAy как показано на рис. 1.34, b , и составим уравнения равновесия балки AD , вычисляя моменты сил относительно центра C :

$$\sum F_{kx} = -X_A + X'_C - F\cos 60^\circ = 0; \quad (1.14)$$

$$\sum F_{ky} = Y_A + Y'_C + F\cos 30^\circ = 0; \quad (1.15)$$

$$\sum M_C(\vec{F}_k) = -Y_A(a+b) + F\cos 30^\circ \cdot c - M = 0. \quad (1.16)$$

Решая совместно систему уравнений (1.11) – (1.16) с учётом исходных данных задачи и равенства модулей сил $X_C = X'_C$ и $Y_C = Y'_C$, находим:

$$X_A = 5,99 \text{ кН}, Y_A = 5,99 \text{ кН}, X_C = 10,99 \text{ кН}, Y_C = -14,65 \text{ кН};$$

$$X_B = 0,6 \text{ кН}, Y_B = -13,65 \text{ кН},$$

$$R_A = \sqrt{X_A^2 + Y_A^2} = 8,47 \text{ кН}, \quad R_C = \sqrt{X_C^2 + Y_C^2} = 18,31 \text{ кН},$$

$$R_B = \sqrt{X_B^2 + Y_B^2} = 13,65 \text{ кН}.$$

Задача 12. Вертикальная балка AB с горизонтальной переключиной LC

закреплена в точке A с помощью жесткой заделки (рис. 1.35). Наклонная балка EC с углом наклона к горизонту 60° в точке C шарнирно прикреплена к горизонтальной переключиной LC балки AB , а в точке E опирается на каток установленный на горизонтальной поверхности. На конструкцию действуют равномерно распределенная на отрезках BL и DE нагрузка с одинаковой интенсивностью $q = 2 \text{ кН/м}$, сила \vec{F} , приложенная в точке D перпендикулярно балке EC и равная по величине $F = 10 \text{ кН}$, и пара сил с моментом $M = 5 \text{ кН}\cdot\text{м}$. Определить реакцию жесткой заделки A и реакции шарниров C и E , если параметр a , определяющий размеры конструкции, равен $a = 2 \text{ м}$.

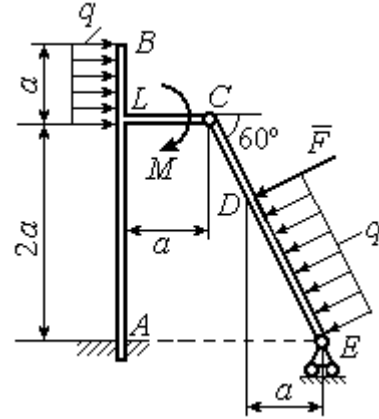


Рис. 1.35. Равновесие сочленённой конструкции

Решение

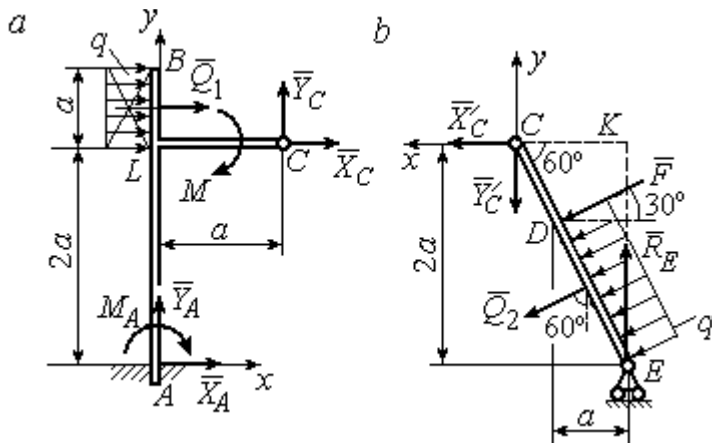


Рис. 1.36. Равновесие элементов конструкции:
 а - силы и реакции связей, действующие на балку AB ;
 б - силы и реакции связей, действующие на балку CE

но равной $Q_1 = qa = 4 \text{ кН}$. На балку действует сила \vec{Q}_1 , пара сил с моментом M и реакции связей – жёсткой заделки в точке A и шарнира C .

Разделим систему на две части по шарниру C и рассмотрим равновесие балок ABC и EC отдельно.

Рассмотрим балку ABC (рис. 1.36, а). Заменяем распределенную нагрузку эквивалентной силой \vec{Q}_1 , числен-

На рис. 1.36, *a* изображена реакция жесткой заделки в точке *A* в виде силы, разложенной на составляющие \vec{X}_A, \vec{Y}_A , и пары с моментом M_A . Реакция \vec{R}_C шарнира *C* показана разложением на составляющие \vec{X}_C, \vec{Y}_C . Силы образуют произвольную плоскую систему.

Введём систему координат, как показано на рис. 1.36, *a*, и составим уравнения равновесия балки, выбрав центром вычисления моментов сил точку *A*.

Имеем систему

$$\sum F_{kx} = X_A + Q_1 + X_C = 0; \quad \sum F_{ky} = Y_A + Y_C = 0; \quad (1.17)$$

$$\sum M_A(\vec{F}_k) = -M_A - Q_1 \cdot \left(2a + \frac{a}{2}\right) - M + Y_C a - X_C 2a = 0. \quad (1.18)$$

Рассмотрим теперь равновесие балки *EC* (рис. 1.36, *b*). Заменяем распределённую нагрузку эквивалентной силой \vec{Q}_2 , приложенной в середине отрезка *ED* и равной $Q_2 = \frac{qa}{\cos 60^\circ} = q \cdot 2a = 8 \text{ кН}$. На балку действуют силы \vec{Q}_2, \vec{F} , реакция \vec{R}_E подвижной опоры – катка *E* и реакция \vec{R}'_C шарнира *C*. На рис. 1.36, *b* реакция \vec{R}'_C показана в виде разложения на составляющие \vec{X}'_C, \vec{Y}'_C . При этом силы \vec{X}'_C, \vec{Y}'_C направлены противоположно силам \vec{X}_C, \vec{Y}_C и равны им по модулю: $X_C = X'_C$; $Y_C = Y'_C$ (см. рис. 1.36, *a, b*).

Действующие на балку *EC* силы образуют уравновешенную произвольную плоскую систему сил. Выберем систему координат, как показано на рис. 1.36, *b*, и составим уравнения равновесия, вычисляя моменты сил относительно центра *C*. Получим:

$$\sum F_{kx} = Q_2 \sin 60^\circ + F \cos 30^\circ + \vec{X}'_C = 0, \quad (1.19)$$

$$\sum F_{ky} = R_E - Q_2 \cos 60^\circ - F \sin 30^\circ - Y'_C = 0, \quad (1.20)$$

$$\sum M_C(\vec{F}_k) = -F \cdot \left(\frac{2a}{\cos 30^\circ} - 2a\right) - Q_2 \cdot \left(\frac{2a}{\cos 30^\circ} - a\right) + R_E \cdot 2a \tan 30^\circ = 0. \quad (1.21)$$

Подставим в совместную систему (1.17) – (1.21) исходные данные задачи и, воспользовавшись тем, что модули сил \vec{X}_C , \vec{Y}_C и \vec{X}'_C , \vec{Y}'_C равны, найдём:

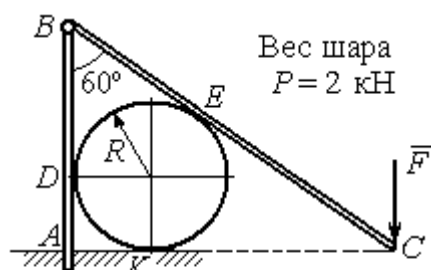
$$X_A = 11,59 \text{ кН}; \quad Y_A = -2,76 \text{ кН}; \quad M_A = 42,87 \text{ кН}\cdot\text{м};$$

$$X_C = -15,59 \text{ кН}; \quad Y_C = 2,76 \text{ кН}; \quad R_E = 11,76 \text{ кН}.$$

Полные величины сил реакции жесткой заделки и взаимного давления в шарнире C : $R_A = \sqrt{X_A^2 + Y_A^2} = 11,91 \text{ кН}$; $R_C = \sqrt{X_C^2 + Y_C^2} = 15,83 \text{ кН}$.

Упражнения

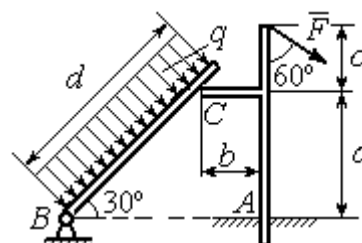
Упражнение 1.5



$$R = 1 \text{ м}, \quad F = 8 \text{ кН}.$$

Найти реакцию жесткой заделки в точке A , реакцию шарнира B , реакцию опоры шара в точках D, K, E

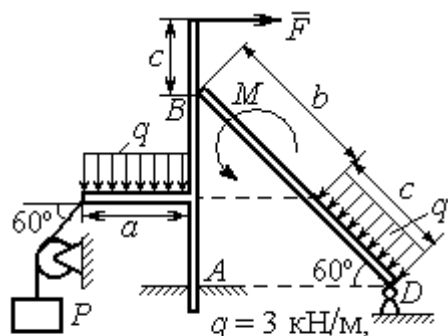
Упражнение 1.6



$$a = 2 \text{ м}, \quad b = 1 \text{ м}, \quad c = 1 \text{ м}, \quad d = 5 \text{ м}, \\ q = 3 \text{ кН/м}, \quad F = 4 \text{ кН}.$$

Найти реакцию жесткой заделки в точке A , реакцию шарнира B и реакцию опоры в точке C

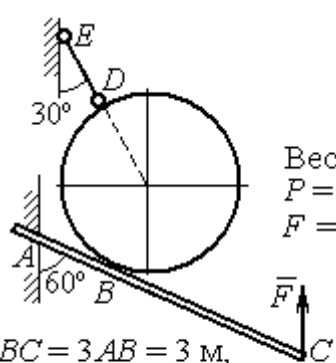
Упражнение 1.7



$$q = 3 \text{ кН/м}, \\ F = 4 \text{ кН}, \quad P = 3 \text{ кН}, \quad M = 2 \text{ кН}\cdot\text{м}, \\ a = 2 \text{ м}, \quad b = 3 \text{ м}, \quad c = 1 \text{ м}$$

Найти реакцию заделки A , шарнира D и реакцию опоры B

Упражнение 1.8



$$\text{Вес шара} \\ P = 10 \text{ Н}, \\ F = 5 \text{ Н}.$$

$$BC = 3AB = 3 \text{ м},$$

Найти реакцию жесткой заделки A , реакцию стержня DE и реакцию опоры в точке B

Рис. 1.37. Задания для самостоятельного решения. Упражнения 1.5 – 1.8

1.5. Произвольная пространственная система сил

Моментом силы относительно оси называют момент вектора проекции этой силы на плоскость, перпендикулярную оси, относительно точки пересечения

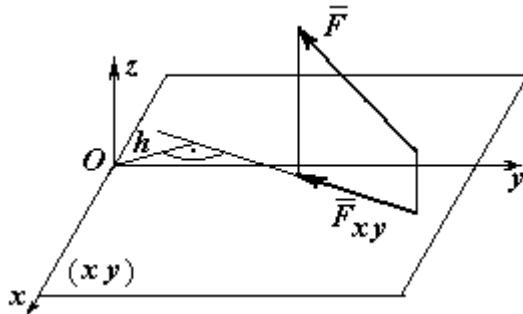


Рис. 1.38. Момент силы относительно оси

оси с плоскостью. На рис. 1.38 показано вычисление момента силы \vec{F} относительно оси z :

$$M_z(\vec{F}) = M_O(\vec{F}_{xy}) = F_{xy}h,$$

где O – точка пересечения оси z с плоскостью xy , перпендикулярной оси z ;

\vec{F}_{xy} – вектор проекции силы \vec{F} на плос-

кость xy ; h – плечо силы \vec{F}_{xy} относительно центра O . Момент силы относительно оси считается положительным, если при взгляде с положительного направления оси он создаёт вращение против хода часовой стрелки.

Равновесие пространственной системы сил. Для равновесия пространственной системы сил необходимо и достаточно, чтобы суммы проекций всех сил на оси прямоугольной системы координат x, y, z были равны нулю и суммы моментов всех сил относительно тех же осей также были равны нулю:

$$\sum F_{kx} = 0; \sum F_{ky} = 0; \sum F_{kz} = 0;$$

$$\sum M_x(\vec{F}_k) = 0; \sum M_y(\vec{F}_k) = 0; \sum M_z(\vec{F}_k) = 0,$$

где F_{kx}, F_{ky}, F_{kz} – проекции всех сил на координатные оси; $M_x(\vec{F}_k), M_y(\vec{F}_k), M_z(\vec{F}_k)$ – моменты всех сил относительно выбранных осей, $k = 1, 2, \dots$

Примеры решения задач на равновесие пространственных систем сил

Задача 13. Горизонтальный вал (рис. 1.39) закреплен в подпятнике C и подшипнике K . Вал имеет шкив B радиуса R и шкив D радиуса r .

Оба шкива перпендикулярны оси вала. Рукоять AE параллельна оси Cx .

Нить, удерживающая груз Q , сходит со шкива D по касательной в точке L параллельно плоскости zCx , так что радиус шкива D , проведенный в точку схода нити, составляет с вертикальным диаметром угол 30° .

На вал действуют силы: \vec{F} , \vec{P} и пара сил с моментом M . Сила \vec{F} находится в плоскости, параллельной zCy , и составляет угол 60° с направлением оси Cy . Сила \vec{P} приложена в нижней точке шкива B , параллельна плоскости zCx и составляет угол 60° с направлением оси Cx . Определить вес удерживаемого груза Q и реакции подшипника и подпятника, если $P = 4$ кН; $F = 2$ кН; $M = 3$ кН·м; $R = 0,6$ м; $r = 0,3$ м; $a = 0,8$ м; $b = 0,4$ м.

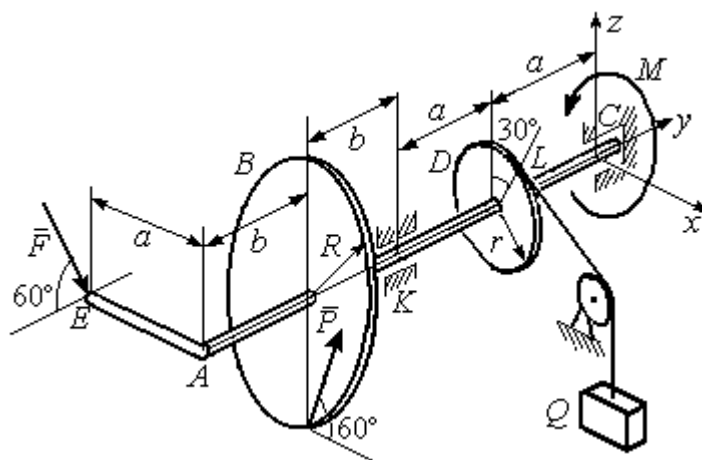


Рис. 1 39. Равновесие вала

Решение

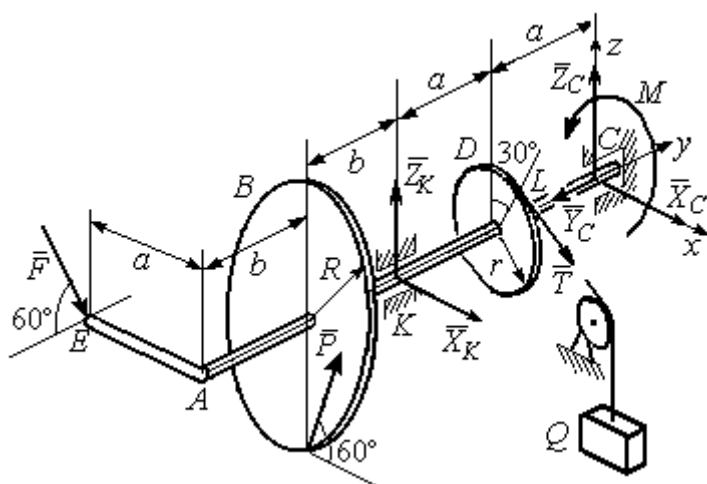


Рис. 1.40. Активные силы и реакции связей, действующие на вал, при его равновесии

Рассмотрим равновесие вала. На вал действуют активные силы \vec{F} , \vec{P} , пара с моментом M и реакции связей. Связями являются нить, натянутая грузом Q , подпятник C и подшипник K . Освобождаем вал от связей, заменяя их действие реакциями. Реакцию \vec{R}_C подпятника C рас-

кладываем на три составляющие: \vec{X}_C , \vec{Y}_C , \vec{Z}_C , направленные вдоль координатных осей (рис. 1.40). Реакция \vec{R}_K подшипника K лежит в плоскости, пер-

пендикулярной оси вала, и ее составляющими будут вектора \vec{X}_K, \vec{Z}_K , направленные вдоль координатных осей x, z . Реакция нити \vec{T} направлена вдоль нити от точки L и по модулю равна весу груза Q .

Активные силы и реакции связей составляют произвольную пространственную уравновешенную систему сил. При составлении уравнений равновесия изобразим вал вместе с действующими на него силами в проекциях на координатные плоскости (рис. 1.41).

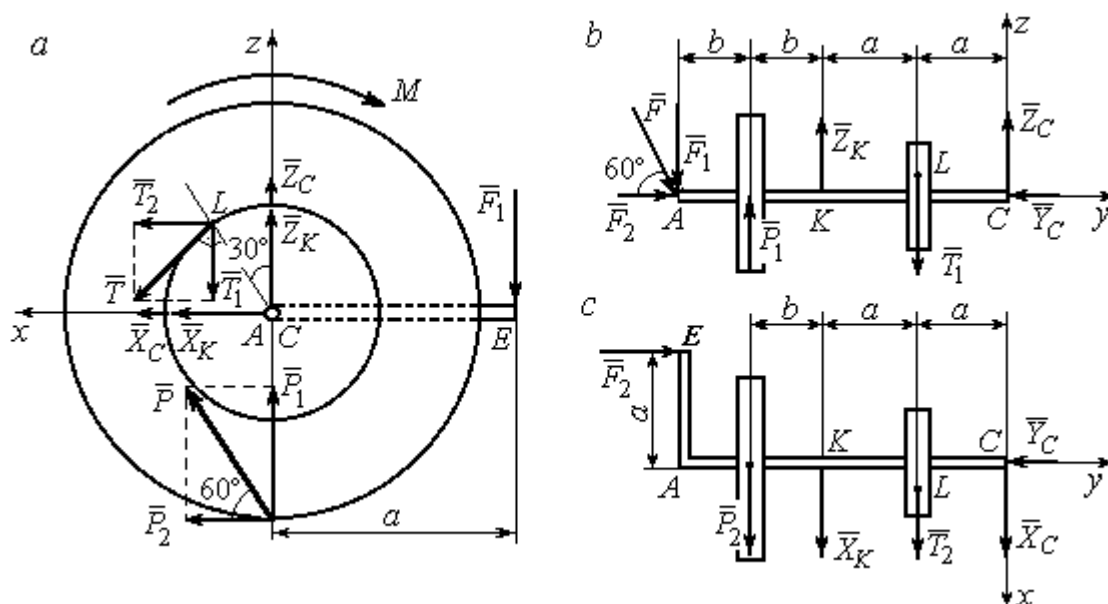


Рис. 1.41. Вал и действующие на него силы в проекциях на координатные плоскости:

- a – вид вала в проекции на плоскость zCx с положительного конца оси y ;
- b – вид вала в проекции на плоскость zCy с положительного конца оси x ;
- c – вид вала в проекции на плоскость xCy с положительного конца оси z

На рис. 1.41, a показаны проекции вала и всех сил на плоскость zCx . Вычисляя моменты проекций сил относительно точки C , получим значения моментов этих сил относительно оси y . При вычислении моментов сил относительно оси x достаточно вычислить моменты проекций сил на плоскость zCy относительно точки C (рис. 1.41, b), а вычисляя моменты проекций сил на

плоскость xCy относительно точки C , получим значения моментов сил относительно оси z (рис. 1.41, c).

Величины проекций сил определяются равенствами: $P_1 = P\cos 30^\circ$;

$$P_2 = P\cos 60^\circ; \quad T_1 = T\cos 60^\circ; \quad T_2 = T\cos 30^\circ; \quad F_1 = F\cos 30^\circ; \quad F_2 = F\cos 60^\circ.$$

Составляем уравнения равновесия:

$$\sum F_{kx} = P\cos 60^\circ + X_K + T\cos 30^\circ + X_C = 0; \quad \sum F_{ky} = F\cos 60^\circ - Y_C = 0;$$

$$\sum F_{kz} = P\cos 30^\circ + Z_K - T\cos 60^\circ + Z_C - F\cos 30^\circ = 0;$$

$$\sum M_x(\vec{F}_k) = T\cos 60^\circ \cdot a - Z_K \cdot 2a - P\cos 30^\circ \cdot (2a + b) + \\ + F\cos 30^\circ \cdot (2a + 2b) = 0;$$

$$\sum M_y(\vec{F}_k) = -F\cos 30^\circ \cdot a - P\cos 60^\circ \cdot R + T \cdot r - M = 0;$$

$$\sum M_z(\vec{F}_k) = T\cos 30^\circ \cdot a + X_K \cdot 2a + P\cos 60^\circ \cdot (2a + b) - F\cos 60^\circ \cdot a = 0.$$

Подставляя исходные данные задачи, получим систему шести уравнений с шестью неизвестными, решая которую, найдём:

$$X_C = -8,09 \text{ кН}, \quad Y_C = 1 \text{ кН}, \quad Z_C = 4,65 \text{ кН}, \quad Z_K = 2,92 \text{ кН};$$

$$X_K = -10,02 \text{ кН}, \quad T = 18,6 \text{ кН}.$$

Реакции подпятника и подшипника:

$$R_C = \sqrt{X_C^2 + Y_C^2 + Z_C^2} = 9,4 \text{ кН}, \quad R_K = \sqrt{X_K^2 + Z_K^2} = 10,44 \text{ кН}.$$

Вес удерживаемого груза Q равен реакции нити T .

Задача 14. Однородная прямоугольная плита (рис. 1.42) веса 25 кН прикреплена к полу при помощи шарового шарнира A , подшипника B и удерживается в вертикальном положении стержнем CO , лежащим в плоскости, перпендикулярной плоскости плиты так, что $\angle COB = 60^\circ$. В плоскости плиты на неё действуют пара сил с моментом $M = 6 \text{ кН}\cdot\text{м}$, сила \vec{F}_1 , равная $F_1 = 10 \text{ кН}$, приложенная на верхней стороне плиты в точке H под углом 30° к линии EC , и сила \vec{F}_2 , равная $F_2 = 5 \text{ кН}$, приложенная в точке D параллельно стороне AB .

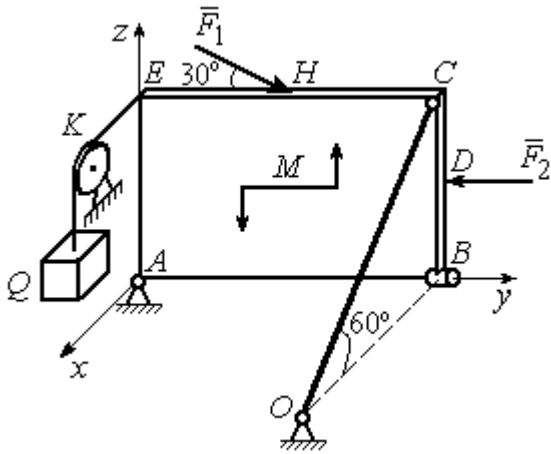


Рис. 1.42. Равновесие плиты

В точке E к плите прикреплен трос, на другом конце которого, перекинутым через блок K , подвешен груз весом $Q = 20$ кН. Отрезок троса EK перпендикулярен плоскости плиты.

Определить реакции шарнира A , подшипника B и реакцию стержня CO , если ширина плиты $AB = 3$ м; высота $AE = 2$ м; $EH = HC$, $CD = DB$.

Решение

Рассмотрим равновесие плиты $ABCE$. На плиту действуют активные силы \vec{F}_1 , \vec{F}_2 , сила тяжести плиты \vec{P} , пара сил с моментом M и реакции связей. Связями являются пространственный шарнир A , нить, натянутая грузом Q , подшипник B и невесомый стержень CO .

Выберем систему координат, как показано на рис. 1.43. Освобождаем плиту от связей, заменяя их действие реакциями. Реакцию \vec{R}_A шарнира A раскладываем на три составляющие: \vec{X}_A , \vec{Y}_A , \vec{Z}_A , направленные вдоль координатных осей. Реакция нити \vec{T} направлена вдоль нити параллельно оси Ax и равна весу груза $T = Q$, реакция \vec{R}_B подшипника B расположена в плоскости, перпендикулярной оси Ay , и представлена в виде двух своих составляющих \vec{X}_B , \vec{Z}_B , реакция \vec{S} невесомого стержня CO направлена вдоль стержня. Направления активных сил и реакций связей показаны на рис. 1.43.

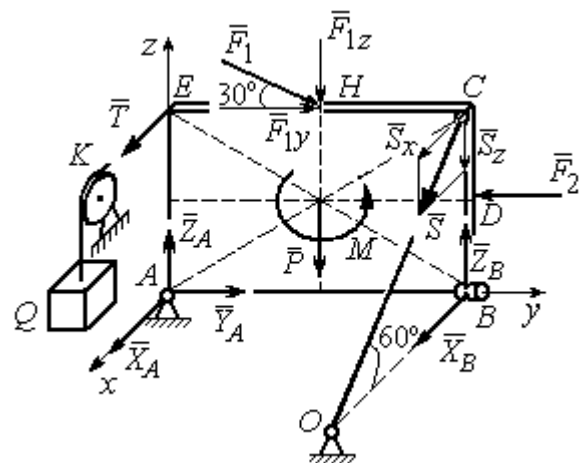


Рис. 1.43. Силы, действующие на плиту, при её равновесии

Силы, действующие на плиту, и реакции связей составляют пространственную уравновешенную систему сил. Составим уравнения равновесия:

$$\sum F_{kx} = X_A + T + X_B + S \cos 60^\circ = 0;$$

$$\sum F_{ky} = Y_A - F_2 + F_1 \cos 30^\circ = 0;$$

$$\sum F_{kz} = Z_A - F_1 \cos 60^\circ - P + Z_B - S \cos 30^\circ = 0;$$

$$\sum M_x(\vec{F}_k) = -F_1 \cos 60^\circ \cdot 0,5 \cdot AB - F_1 \cos 30^\circ \cdot AE - P \cdot 0,5 \cdot AB +$$

$$+ F_2 \cdot BD + Z_B \cdot AB - S \cos 30^\circ \cdot AB + M = 0;$$

$$\sum M_y(\vec{F}_k) = T \cdot AE + S \cos 60^\circ \cdot CB = 0;$$

$$\sum M_z(\vec{F}_k) = -X_B \cdot AB + S \cos 60^\circ \cdot EC = 0.$$

Подставляя исходные данные задачи, получим систему уравнений, решая которую, найдём значения реакций: $S = -40$ кН; $X_B = -20$ кН; $Z_B = -17,53$ кН; $X_A = 20$ кН; $Y_A = -3,66$ кН; $Z_A = 12,89$ кН.

Задача 15. Прямоугольная фрамуга $ACEB$ весом $P = 50$ Н, закрепленная в точках A и B цилиндрическими шарнирами, открыта на угол 60° (рис. 1.44). На фрамуге в точке H закреплена верёвка, другой конец которой, переброшенный через невесомый блок K , несёт груз Q . При этом линия верёвки HK параллельна прямой ED . На фрамугу действует сила \vec{F} , приложенная в верхнем углу в точке C перпендикулярно плоскости фрамуги и равная по величине $F = 15$ Н.

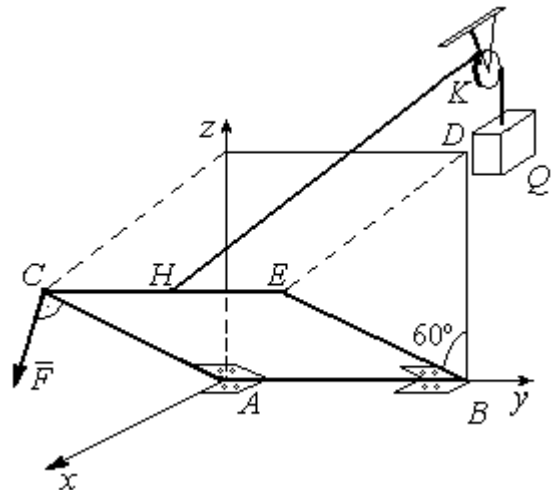


Рис. 1.44. Равновесие фрамуги

Определить вес груза Q , необходимый для удержания фрамуги в равновесии и реакции цилиндрических шарниров A и B , если размеры фрамуги $BE = BD = 2$ м; $AB = 3$ м; $CH = HE$.

Решение

Рассмотрим равновесие фрамуги $ABCE$. Изображаем внешние активные

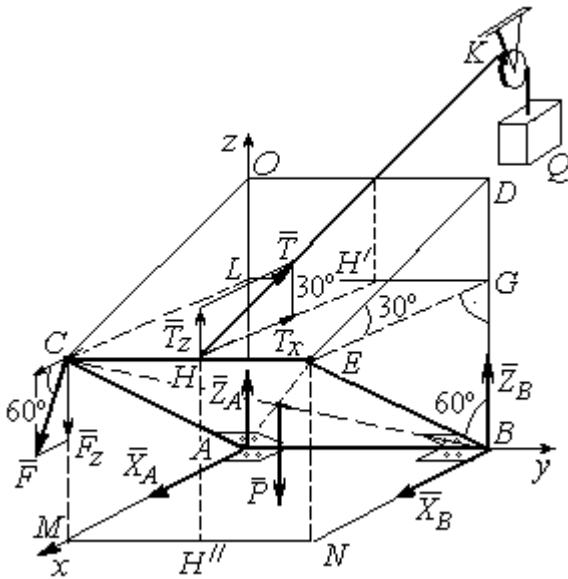


Рис. 1.45. Активные силы и реакции при равновесии фрамуги

силы: силу \vec{F} , силу тяжести фрамуги \vec{P} , а также реакции связей. Связями являются два цилиндрических шарнира A и B (связь, аналогичная подшипнику) и нить, натянутая грузом Q . Выберем систему координат $Axyz$, как показано на рис. 1.45. Освобождаем фрамугу от связей, заменяя их действие реакциями. Реакции \vec{R}_A и \vec{R}_B шарниров A и B раскладываем на взаимно перпендикулярные составляющие: \vec{X}_A , \vec{Z}_A и \vec{X}_B , \vec{Z}_B в

плоскостях, перпендикулярных оси вращения фрамуги (ось Ay), реакция нити \vec{T} направлена вдоль нити и равна весу груза $T = Q$. Направления активных сил и реакций связей показаны на рис. 1.45.

Силы, действующие на фрамугу, составляют уравновешенную пространственную систему сил.

Составим уравнения равновесия. При этом для удобства вычисления моментов сил относительно осей изобразим плоскости, перпендикулярные этим осям, с проекциями на них сил, действующих на фрамугу (рис. 1.46). Тогда моменты сил, действующих на фрамугу, например, относительно оси Ax определяются как моменты векторов проекций этих сил на плоскость zAy относительно точки A – пересечения оси Ax и перпендикулярной ей плоскости zAy (см. рис. 1.46, a). Аналогично при вычислении моментов сил относительно оси Az достаточно вычислить моменты векторов проекций сил на плоскость xAy относительно точки A (см. рис. 1.46, b).

Значения моментов сил относительно оси Ay получим, вычисляя моменты векторов проекций сил на плоскость zAx относительно точки A (см. рис. 1.46, c).

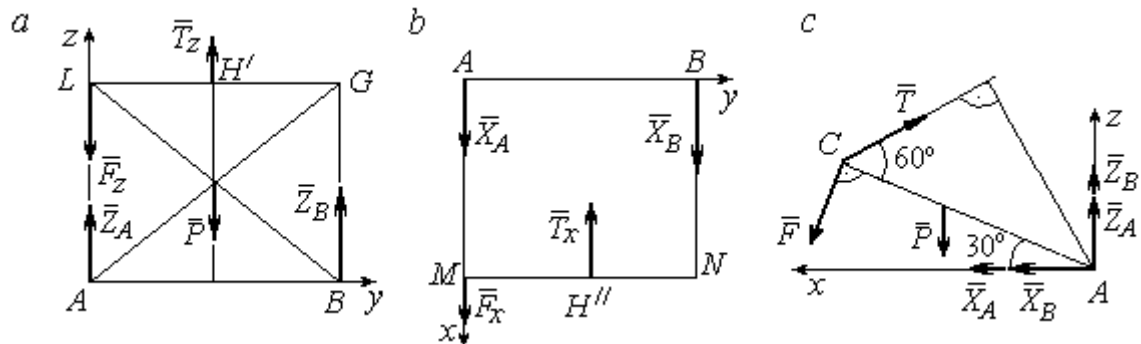


Рис. 1.46. Фрамуга и действующие на неё силы в проекциях на координатные плоскости:

- a – проекция на плоскость zAy со стороны положительного направления оси x ;
- b – проекция на плоскость xAy со стороны положительного направления оси z ;
- c – проекция на плоскость zAx со стороны положительного направления оси y

Уравнения равновесия фрамуги имеют вид:

$$X_A + X_B + F \cos 60^\circ - T \cos 30^\circ = 0;$$

$$Z_A + Z_B - P - F \cos 30^\circ + T \cos 60^\circ = 0;$$

$$\begin{aligned} \sum M_x(\vec{F}_k) &= T_z \cdot 0,5 \cdot AB - P \cdot 0,5 \cdot AB + Z_B \cdot AB = \\ &= T \cos 60^\circ \cdot 0,5 \cdot AB - P \cdot 0,5 \cdot AB + Z_B \cdot AB = 0; \end{aligned}$$

$$\sum M_y(\vec{F}_k) = P \cdot 0,5 \cdot AC \cos 30^\circ + F \cdot AC - T \cdot AC \sin 60^\circ = 0;$$

$$\sum M_z(\vec{F}_k) = -X_B \cdot AB + T_x \cdot 0,5 \cdot AB = -X_B \cdot AB + T \cos 30^\circ \cdot 0,5 \cdot AB = 0.$$

Подставляя исходные данные из условия задачи и решая систему, найдём реакции шарниров фрамуги:

$$X_B = 18,22 \text{ Н}, Z_B = 14,41 \text{ Н}, R_B = \sqrt{X_B^2 + Z_B^2} = 23,31 \text{ Н};$$

$$X_A = 10,83 \text{ Н}, Z_A = 27,41 \text{ Н}, R_A = \sqrt{X_A^2 + Z_A^2} = 29,47 \text{ Н}.$$

Вес груза, удерживающий фрамугу в равновесии, численно равен реакции верёвки: $Q = T = 42,37 \text{ Н}$.

Задача 16. Горизонтальный коленчатый вал AD (рис. 1.47) закреплен в подпятнике A и подшипнике C . Вал имеет шкив радиуса r и рукоять DH , перпендикулярные оси вала. Рукоять DH образует угол 30° к направлению оси Ax . Колено вала расположено в горизонтальной плоскости xAy . Нить, удерживающая груз Q , намотана на шкив и сходит с него вертикально вниз. На вал действуют силы \vec{F} , \vec{P} , \vec{G} и пара сил с моментом M . Сила \vec{F} приложена в верхней точке вертикального диаметра шкива под углом 30° к направлению оси Ay и находится в плоскости zAy . Сила \vec{P} приложена в нижней точке H рукояти параллельно оси Az . Сила \vec{G} приложена в крайней точке K стойки колена вала под углом 60° к стойке и находится в плоскости, перпендикулярной оси вала. Пара сил с моментом M создаёт вращение вала вокруг оси Ay .

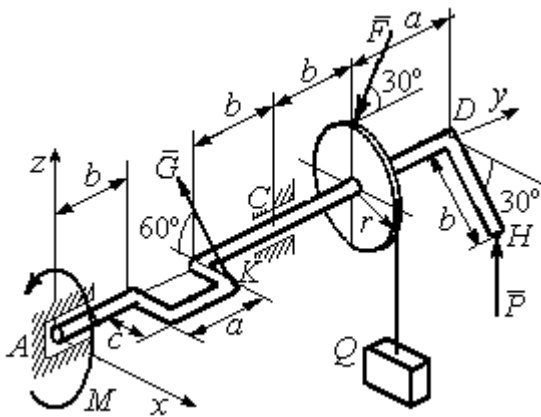


Рис. 1.47. Равновесие вала

Определить вес удерживаемого груза Q и реакции подшипника и подпятника, если: $P = 10$ кН; $F = 12$ кН; $G = 6$ кН; $M = 3$ кН·м; $r = 0,3$ м; $a = 0,8$ м; $b = 0,4$ м; $c = 0,2$ м.

Решение

Рассмотрим равновесие вала. На вал действуют активные силы – \vec{F} , \vec{P} , \vec{G} , пара сил с моментом M и реакции связей. Связями являются нить, натянутая грузом Q , подпятник A и подшипник C .

Освобождаем вал от связей, заменяя их действие реакциями.

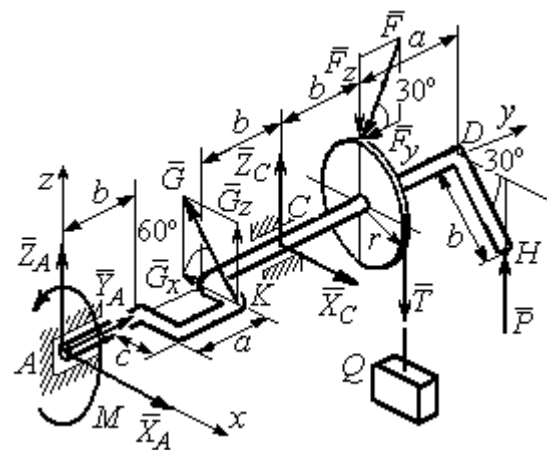


Рис. 1.48. Силы и реакции, действующие на вал при равновесии

Реакцию подпятника A раскладываем на три составляющие: $\vec{X}_A, \vec{Y}_A, \vec{Z}_A$, направленные вдоль координатных осей. Реакция подшипника C лежит в плоскости, перпендикулярной оси вала, и также может быть разложена на составляющие \vec{X}_C, \vec{Z}_C , направленные вдоль координатных осей Ax, Az . Реакция нити \vec{T} направлена вдоль нити и по модулю равна весу груза, $T = Q$. Действие на вал активных сил и реакций связи показано на рис. 1.48.

Указанные силы составляют произвольную пространственную уравновешенную систему сил.

Составим уравнения равновесия:

$$\sum F_{kx} = X_A - G \cos 60^\circ + X_C = 0;$$

$$\sum F_{ky} = Y_A - F \cos 30^\circ = 0;$$

$$\sum F_{kz} = Z_A + G \cos 30^\circ + Z_C - F \cos 60^\circ - T + P = 0.$$

$$\begin{aligned} \sum M_x(\vec{F}_k) = G_z(b+a) + Z_C(b+a+b) - F_z(b+a+b+b) + F_y r - \\ - T(b+a+b+b) + P(b+a+b+b+a) = 0; \end{aligned}$$

$$\sum M_y(\vec{F}_k) = -G_z c + Tr - P b \cos 30^\circ - M = 0;$$

$$\sum M_z(\vec{F}_k) = G_x(b+a) - X_C(b+a+b) = 0,$$

где значения проекций сил на оси $G_z = G \cos 30^\circ$; $G_x = G \cos 60^\circ$; $F_z = F \cos 60^\circ$; $F_y = F \cos 30^\circ$.

Подставляя исходные данные и решая систему, получим значения реакций:

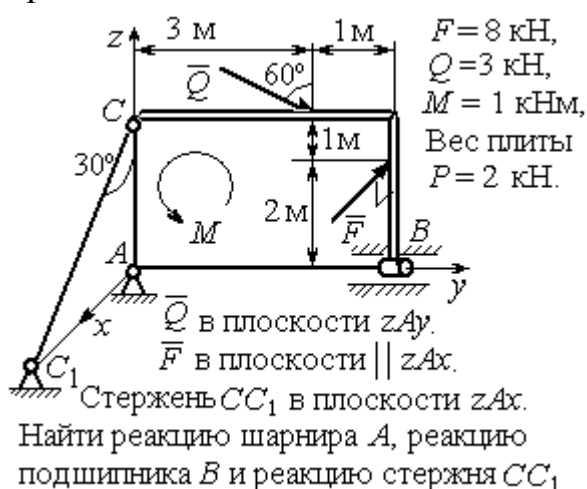
$$X_C = 2,25 \text{ кН}; Z_C = 13,57 \text{ кН}; R_C = \sqrt{X_C^2 + Z_C^2} = 15,58 \text{ кН};$$

$$Z_A = 0,39 \text{ кН}; Y_A = 10,39 \text{ кН}; X_A = 0,75 \text{ кН}; R_A = \sqrt{X_A^2 + Y_A^2 + Z_A^2} = 10,42 \text{ кН}.$$

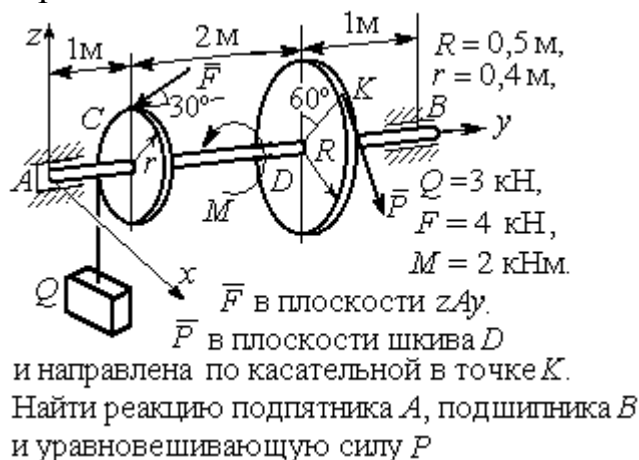
Вес удерживаемого груза равен реакции нити $Q = T = 25,03 \text{ кН}$.

Упражнения

Упражнение 1.9



Упражнение 1.10



Упражнение 1.11



Упражнение 1.12

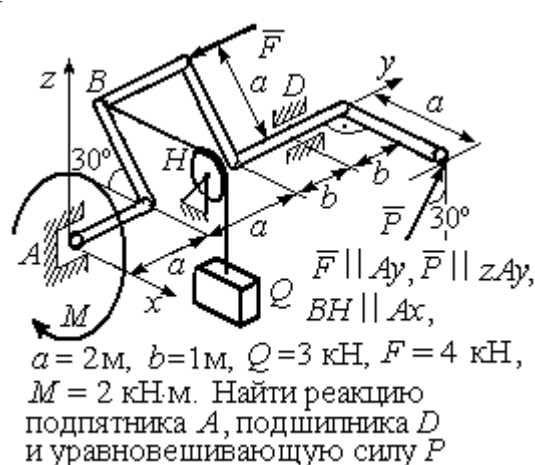


Рис. 1.49. Задания для самостоятельного решения. Упражнения 1.9 – 1.12

1.6. Равновесие тел при наличии сил трения

Трение скольжения. При наличии трения скольжения полная реакция \vec{R} шероховатой опоры раскладывается на нормальную составляющую \vec{N} опоры и

силу $\vec{F}_{\text{тр с}}$ трения скольжения, направленную по касательной к поверхности в точке опоры.

В покое сила трения скольжения может принимать любые значения от нуля до некоторого предельного значения $F_{\text{тр с}}$, называемого **предельной силой трения скольжения** (рис. 1.50).

Наибольший угол φ_0 , который полная реакция шероховатой поверхности образует с нормалью к поверхности, называется **предельным углом трения**. Предельная сила трения численно равна произведению коэффициента трения на величину нормальной реакции опоры тела на поверхность: $F_{\text{тр с}} = f \cdot N$, где f – безразмерный коэффициент трения, определяемый экспериментально.

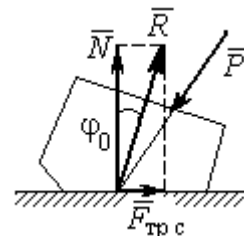


Рис. 1.50. Реакция опоры с трением скольжения

Изучение равновесия тел с учетом сил трения сводится к рассмотрению предельного равновесия, когда сила трения принимает предельное значение.

Трением качения называется сопротивление, возникающее при качении одного тела по шероховатой поверхности другого. Реакция шероховатой опоры раскладывается на нормальную составляющую \vec{N} и силу трения качения $\vec{F}_{\text{тр к}}$, направленную по касательной к поверхности качения. При этом за счёт небольшого вдавливания в поверхность качения нормальная реакция опоры \vec{N}

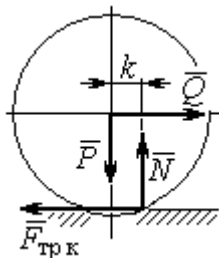


Рис. 1.51. Реакция опоры с трением качения

смещена в сторону от линии действия силы тяжести \vec{P} так, что вместе с ней образует пару, противодействующую качению (рис. 1.51). В предельном положении равновесия тела смещение нормальной реакции опоры максимально. Величина максимального смещения k называется **коэффициентом трения качения**, измеряемого в единицах длины. Момент,

создаваемый парой (\vec{N}, \vec{P}) , называется **моментом трения качения** $M_{\text{трк}} = kN$. Максимальная сила трения качения $\vec{F}_{\text{трк}}$ определяется из условия, что в предельном положении равновесия момент трения качения равен моменту качения, создаваемого парой $(\vec{F}_{\text{трк}}, \vec{Q})$ (рис. 1.51).

Если максимальная сила трения качения меньше предельной силы трения скольжения, движение представляет качение без скольжения.

Примеры решения задач на равновесие тел с трением

Задача 17. Груз Q весом 50 Н удерживается нитью на шероховатой наклонной плоскости (рис.1.52). Один конец нити закреплен на грузе Q , а к

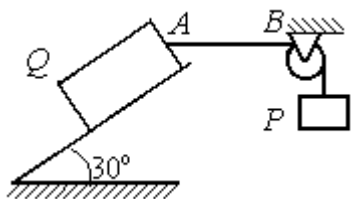


Рис.1.52. Равновесие груза на наклонной плоскости с трением

другому, перекинута через невесомый блок, подвешен груз весом P . Отрезок нити AB горизонтальный. Угол наклона плоскости составляет 30° к горизонту. Определить максимальное и минимальное значения веса груза P , при которых груз Q может начать скольжение по плос-

кости без опрокидывания, если коэффициент трения скольжения между грузом Q и наклонной плоскостью $f = 0,4$.

Решение

Рассмотрим равновесие груза Q при минимальном значении веса груза P . На груз действуют сила тяжести \vec{Q} , реакция нити \vec{T}_{min} и реакция шероховатой поверхности наклонной плоскости, состоящая из нормальной реакции наклонной плоскости \vec{N} и силы трения $\vec{F}_{\text{тр1}}$ (рис. 1.53, а). Особенностью задач на равновесие призм является то, что точка приложения нормальной реакции не определена. В случае необходимости она находится из уравнений равновесия.

Определим направление силы трения. Если вес уравнивающего груза P имеет минимальное значение P_{\min} , то при его дальнейшем уменьшении груз Q начнёт двигаться вниз по наклонной плоскости. Таким образом, предельная сила трения $\vec{F}_{\text{тр}1}$, обеспечивающая равновесие при минимальном значении веса груза P , направлена вверх по наклонной плоскости (см. рис. 1.53, a).

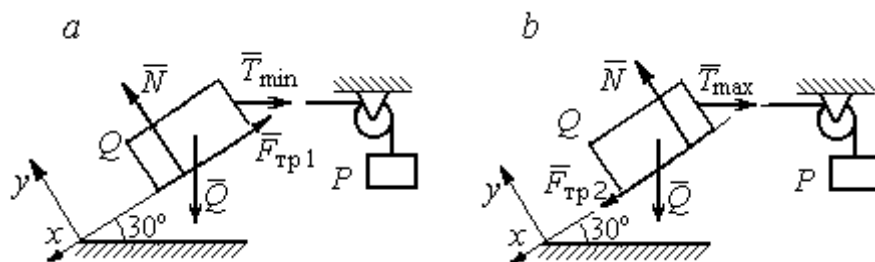


Рис. 1.53. Силы, действующие на груз при равновесии:
 a – минимальный вес уравнивающего груза;
 b – максимальный вес уравнивающего груза

Выберем систему координат, как показано на рис. 1.53, и составим уравнения равновесия в виде проекций сил:

$$\sum F_{kx} = Q \cos 60^\circ - T_{\min} \cos 30^\circ - F_{\text{тр}} = 0;$$

$$\sum F_{ky} = -Q \cos 30^\circ + N - T_{\min} \cos 60^\circ = 0.$$

Полагая в первом уравнении $F_{\text{тр}1} = fN$, решаем систему и находим реакцию нити $T_{\min} = 7,21$ Н. Минимальное значение веса уравнивающего груза равно реакции нити: $P_{\min} = T_{\min} = 7,21$ Н.

Рассмотрим равновесие груза Q при максимальном P_{\max} значении веса груза P . На груз действует сила тяжести \vec{Q} , реакция нити \vec{T}_{\max} и реакция шероховатой поверхности наклонной плоскости, состоящая, как и в первом случае, из нормальной реакции наклонной плоскости \vec{N} и силы трения $\vec{F}_{\text{тр}2}$ (см. рис. 1.53, b).

При определении направления силы трения заметим, что увеличение веса груза P больше максимального вызывает движение груза Q вверх по наклонной плоскости. Тогда предельная сила трения $\vec{F}_{\text{тр}2}$, действующая против возможного движения, должна быть направлена вниз по наклонной плоскости (см. рис. 1.53, *b*). Уравнения равновесия груза Q :

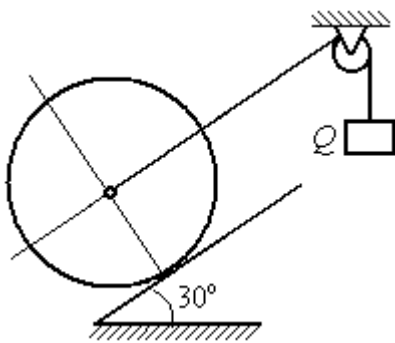
$$\sum F_{kx} = Q \cos 60^\circ - T_{\text{max}} \cos 30^\circ + F_{\text{тр}2} = 0;$$

$$\sum F_{ky} = -Q \cos 30^\circ + N - T_{\text{max}} \cos 60^\circ = 0.$$

Решаем систему, подставляя вместо силы трения её значение $F_{\text{тр}2} = fN$, и находим максимальное значение веса груза P : $P_{\text{max}} = T_{\text{max}} = 63,54 \text{ Н}$.

Таким образом, груз Q будет находиться в равновесии на наклонной плоскости, если вес уравновешивающего груза находится в пределах $8,87 < P < 48,87 \text{ Н}$.

Задача 18. Цилиндрический каток радиуса $r = 0,5 \text{ м}$, весом $P = 50 \text{ Н}$ удерживается в равновесии на наклонной плоскости нитью, один конец кото-



рой закреплён в центре катка, а другой перекинут через блок и несёт груз весом Q (рис. 1.54). Коэффициент трения качения катка $f_k = 0,02$. Наклонная плоскость составляет угол 30° с горизонтом.

Рис. 1.54. Равновесие катка

Определить наименьшую и наибольшую величину веса Q , при которых каток будет в равновесии.

Найти наименьшее значение коэффициента трения скольжения f_c , при котором в случае движения каток будет катиться без скольжения.

Решение

Рассмотрим равновесие катка при минимальном значении веса груза Q . На каток действует сила тяжести \vec{P} , реакции нити \vec{Q}_{min} и реакция шероховатой

поверхности наклонной плоскости \vec{R} , имеющая своими составляющими нормальную реакцию поверхности \vec{N} и силу трения качения $\vec{F}_{\text{тр1к}}$ (рис. 1.55, *a*).

Минимальный вес груза Q_{min} удерживает каток от качения вниз по наклонной плоскости. В этом случае составляющие реакции шероховатой поверхности наклонной плоскости приложены в точке K_1 , слева от нормально-

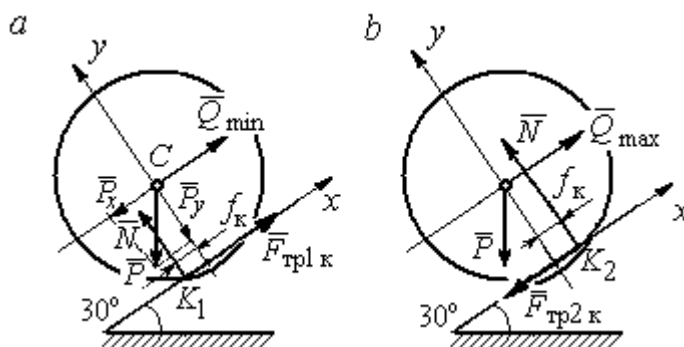


Рис. 1.55. Силы, действующие на каток, при равновесии:
a – минимальный вес груза; *b* – максимальный вес груза

го к плоскости диаметра катка (см. рис. 1.55, *a*). Выбор точки приложения реакции шероховатой поверхности основан на том, что пара (\vec{N}, \vec{P}_y) должна создавать момент трения качения, противодействующий предполагаемому движению.

На каток действует плоская уравновешенная система сил $(\vec{Q}_{\text{min}}, \vec{F}_{\text{тр1к}}, \vec{N}, \vec{P}) \infty 0$. Выберем систему координат, как показано на рис. 1.55, *a*, и составим уравнения равновесия катка, где уравнение моментов сил составлено относительно точки K_1 :

$$\sum F_{kx} = -P \cos 60^\circ + Q_{\text{min}} + F_{\text{тр1к}} = 0;$$

$$\sum F_{ky} = -P \cos 30^\circ + N = 0;$$

$$\sum M_{K_1}(\vec{F}_k) = P \cos 60^\circ \cdot r - Q_{\text{min}} r - P \cos 30^\circ \cdot f_k = 0.$$

Подставляем данные задачи и находим минимальное значение веса груза, при котором каток находится в равновесии $Q_{\text{min}} = 7,68$ Н, величину нормальной реакции наклонной плоскости $N = 43,3$ Н и значение силы трения качения, удерживающей каток в равновесии, $F_{\text{тр1к}} = 17,32$ Н.

Рассмотрим равновесие катка при максимальном значении веса груза Q_{\max} . Здесь нарушение предельного равновесия при увеличении веса груза Q вызывает движение катка вверх по наклонной плоскости. В таком случае точка приложения реакции опоры шероховатой поверхности (точка K_2) расположена справа от нормального к плоскости качения диаметра катка (рис. 1.55, *b*).

На каток действует плоская уравновешенная система сил $(\vec{Q}_{\max}, \vec{F}_{\text{тр}2\text{к}}, \vec{N}, \vec{P}) \infty 0$. Выберем систему координат, как показано на рис. 1.55, *b*. Уравнения равновесия катка, где уравнение моментов сил составлено относительно точки K_2 имеют вид:

$$\sum F_{kx} = -P \cos 60^\circ + Q_{\max} - F_{\text{тр}2\text{к}} = 0;$$

$$\sum F_{ky} = -P \cos 30^\circ + N = 0;$$

$$\sum M_{K_2}(\vec{F}_k) = -P \cos 60^\circ \cdot r + Q_{\max} r - P \cos 30^\circ \cdot f_k = 0.$$

Решая систему, получим: $Q_{\max} = 42,32 \text{ Н}$; $N = 43,3 \text{ Н}$; $F_{\text{тр}2\text{к}} = 17,32 \text{ Н}$.

Таким образом, на шероховатой поверхности каток находится в равновесии, если вес уравновешивающего груза выбран в пределах $7,68 \leq Q \leq 42,32 \text{ Н}$.

При любом движении (вверх или вниз) качение катка будет без скольжения, если предельная сила трения скольжения $F_{\text{тр}c}$ больше аналогичной силы трения качения: $F_{\text{тр}c} > F_{\text{тр}к}$. Величина силы трения скольжения не зависит от направления движения: $F_{\text{тр}c} = f_c N = 43,3 f_c$, где f_c – коэффициент трения скольжения. Величина силы трения качения также не зависит от направления движения: $F_{\text{тр}к} = F_{\text{тр}1\text{к}} = F_{\text{тр}2\text{к}} = 17,32 \text{ Н}$. Таким образом, для определения требуемого коэффициента скольжения имеет место неравенство $43,3 f > 17,32$, откуда $f > 0,4$.

Задача 19. Для подъёма и опускания грузов в выработках используется ступенчатый ворот с тормозом, изображённый на рис. 1.56. Радиусы большой и малой ступенек барабана ворота $R = 0,5$ м и $r = 0,2$ м. Ворот тормозят, надавливая на конец A рычага AB , соединённого цепью CD с

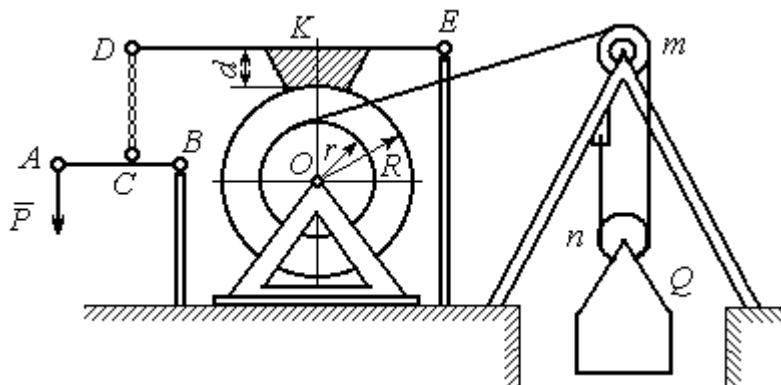


Рис. 1.56. Ворот с колодочным тормозом

концом D тормозного рычага ED с расположенной на нём тормозной колодкой. Коэффициент трения между тормозной колодкой и барабаном ворота $f = 0,4$. На малой ступеньке барабана ворота навита верёвка, другой конец которой, переброшенный через невесомые неподвижный блок m и подвижный блок n , удерживает груз Q весом 1 кН (см. рис. 1.56). Угол наклона к горизонту участка верёвки, соединяющей барабан с неподвижным блоком m , составляет 30° .

Определить величину силы \vec{P} , уравнивающей груз Q , и реакции шарниров O и E , если вес ворота $G = 140$ Н, высота тормозной колодки $d = 0,1$ м, расстояния $AB = 1$ м, $BC = 0,1$ м; $ED = 1,2$ м; $EK = 0,6$ м.

Решение

Рассмотрим отдельно равновесие барабана ворота, тормозного рычага DE и рычага AB (рис. 1.57).

Для того; чтобы определить силу натяжения верёвки, прикреплённой к барабану, рассмотрим равновесие груза вместе с подвижным блоком n (см. рис. 1.57, а). На объект равновесия действует сила тяжести груза \vec{Q} и реакции \vec{T}' и \vec{T}'' двух ветвей верёвки, огибающей снизу блок n .

Уравнения равновесия такой системы сил:

$$T' + T'' - Q = 0; \quad T''r_{\text{бл}} = T'r_{\text{бл}},$$

где моменты сил вычислены относительно центра блока; $r_{\text{бл}}$ – радиус блока n .

Решая систему уравнений, получим: $T' = T'' = 0,5Q = 500 \text{ Н}$.

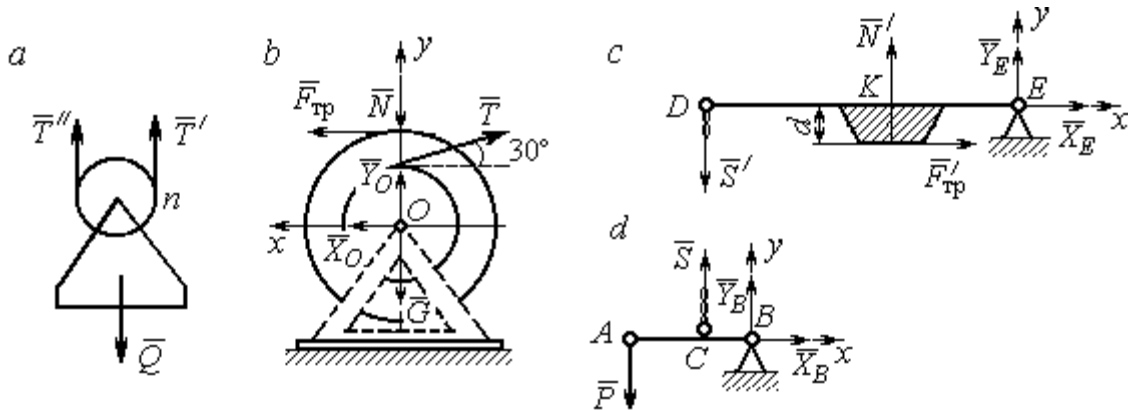


Рис. 1.57. Равновесие элементов конструкции ворота:
a – равновесие груза; *b* – силы, действующие на барабан; *c* – силы, действующие на тормозной рычаг *DE*; *d* – силы, действующие на рычаг *AB*

Рассмотрим равновесие барабана. На барабан действуют: сила веса барабана \vec{G} , сила давления \vec{N} со стороны рычага, направленная по радиусу барабана, сила трения $\vec{F}_{\text{тр}}$, действующая по касательной к барабану в сторону, противоположную движению барабана при опускании груза, реакция \vec{R}_O шарнира O , представленная двумя составляющими \vec{X}_O, \vec{Y}_O , и реакция верёвки \vec{T} , численно равная модулю силы \vec{T}' (см. рис. 1.57, *b*).

Силы, действующие на барабан, составляют уравновешенную произвольную плоскую систему сил $(\vec{G}, \vec{X}_O, \vec{Y}_O, \vec{T}, \vec{N}, \vec{F}_{\text{тр}}) \sim 0$. Составим уравнение моментов относительно точки O :

$$-Tr + F_{\text{тр}}R = 0, \text{ откуда с учётом } T = T' \quad F_{\text{тр}} = 200 \text{ Н.}$$

Величина силы \vec{N} давления рычага на барабан находится из вида зависимости силы трения $F_{\text{тр}} = fN$, тогда $N = \frac{F_{\text{тр}}}{f} = 500 \text{ Н}$.

Составим уравнения равновесия барабана в виде проекций сил на оси, выбранные, как показано на рис. 1.57, *b*:

$$\sum F_{kx} = X_O + F_{\text{тр}} - T \cos 30^\circ = 0;$$

$$\sum F_{ky} = Y_O + T \cos 60^\circ - N - G = 0.$$

Решая систему, найдём реакцию шарнира O :

$$X_O = 233 \text{ Н}; Y_O = 390 \text{ Н}; R_O = \sqrt{X_O^2 + Y_O^2} = 454,3 \text{ Н}.$$

Рассмотрим теперь равновесие тормозного рычага DE (см. рис. 1.57, *c*).

На рычаг действуют сила \vec{N}' давления со стороны барабана и сила трения $\vec{F}'_{\text{тр}}$, приложенные в точке касания тормозной колодки с барабаном, равные по величине и противоположные по направлению, соответственно, силам \vec{N} и $\vec{F}_{\text{тр}}$. Кроме того, в точке D на рычаг действует сила \vec{S}' , под действием которой рычаг прижимается к барабану, и реакция шарнира E , разложенная на составляющие \vec{X}_E, \vec{Y}_E вдоль осей x, y . Уравнения равновесия рычага имеют вид:

$$\sum F_{kx} = X_E + F'_{\text{тр}} = 0; \quad \sum F_{ky} = Y_E + N' - S' = 0;$$

$$\sum M_E(\vec{F}_k) = S' \cdot DE - N' \cdot EK + F'_{\text{тр}} d = 0.$$

Подставляя в систему данные из условия задачи, с учётом найденных значений $F'_{\text{тр}} = F_{\text{тр}} = 200 \text{ Н}$, $N' = N = 500 \text{ Н}$, определим усилие S' , с которым тормозной рычаг прижимается к барабану, и реакцию шарнира E :

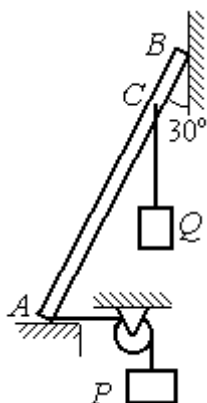
$$S' = 233,33 \text{ Н}; X_E = -200 \text{ Н}; Y_E = -266,67 \text{ Н}; R_E = \sqrt{X_E^2 + Y_E^2} = 333,34 \text{ Н}.$$

Силу \vec{P} , необходимую для уравновешивания груза Q , найдём рассматривая равновесие рычага AB (см. рис. 1.57, *d*). На рычаг действуют сила \vec{P} , реакция цепи \vec{S} и реакция шарнира B , показанная на рис. 1.57, *d* составляющими \vec{X}_B, \vec{Y}_B .

Составим уравнение равновесия рычага в форме равенства нулю суммы моментов сил относительно точки B : $P \cdot AB - S \cdot CB = 0$. С учётом того, что модули сил \vec{S} и \vec{S}' равны, найдём $P = 23,3 \text{ Н}$.

Упражнения

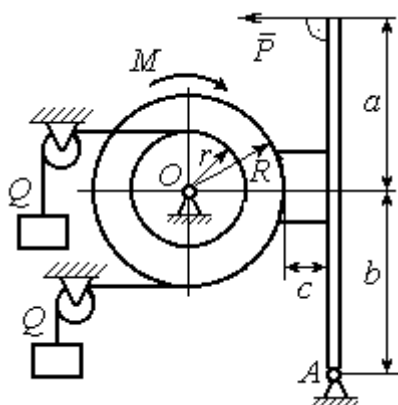
Упражнение 1.13



Невесомый стержень AB опирается в точках A и B на шероховатые поверхности – горизонтальный пол и вертикальную стену. Коэффициент трения между стержнем и полом и между стержнем и стеной $f = 0,2$. Угол наклона стержня к вертикальной стене 30° . В точке C к стержню подвешен груз Q . Стержень удерживается в равновесии горизонтальной нитью, прикреплённой в точке A и перекинутой через блок. К другому концу нити подвешен груз P . В каких границах можно изменять вес груза P , не нарушая равновесия стержня?

$$AB = 3 \text{ м}, AC = 2 \text{ м}, Q = 200 \text{ Н}.$$

Упражнение 1.14



Шкив O состоит из двух барабанов радиусов R и r . На барабаны навиты верёвки, натянутые одинаковыми грузами Q . К шкиву приложена пара сил с моментом M . Шкив затормаживается с помощью рычажного тормоза. Коэффициент трения между тормозной колодкой и шкивом $f = 0,4$. Определить силу \vec{P} , приложенную к рычагу тормозной колодки и уравнивающую шкив. Найти реакцию шарнира A .

$$a = b = 1 \text{ м}; c = 0,1 \text{ м}; Q = 100 \text{ Н}; M = 120 \text{ Н}\cdot\text{м}; \\ R = 0,6 \text{ м}; r = 0,2 \text{ м}.$$

Рис. 1.58. Задания для самостоятельного решения. Упражнения № 1.13, 1.14

2. КИНЕМАТИКА ТОЧКИ И ТВЁРДОГО ТЕЛА

2.1. Криволинейное движение точки

Кривая, которую описывает движущаяся точка, называется **траекторией** точки. Движение точки может быть задано **векторным, координатным** или **естественным** способами.

Координатный способ задания движения точки основан на том, что положение точки определяется ее координатами, заданными для каждого момента времени (рис. 2.1): $x = x(t)$, $y = y(t)$,
 $z = z(t)$.

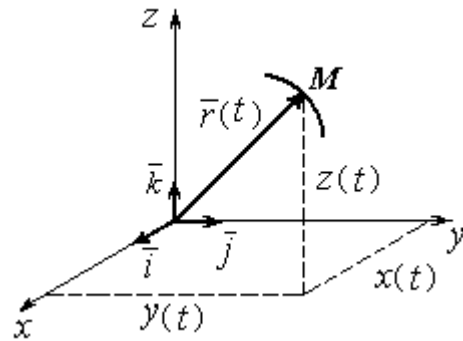


Рис. 2.1. Векторный и координатный способы задания движения точки

Мгновенная скорость, или скорость точки в данный момент времени, является векторной величиной и определяется как производная по времени от радиус-вектора точки: $\vec{V} = \frac{d\vec{r}}{dt}$. **Вектор**

скорости точки \vec{V} всегда направлен по касательной к траектории в сторону движения точки. Величины V_x , V_y , V_z проекций вектора скорости \vec{V} на координатные оси определяются как производные по времени от соответствующих координат: $V_x = \frac{dx}{dt} = \dot{x}$; $V_y = \frac{dy}{dt} = \dot{y}$; $V_z = \frac{dz}{dt} = \dot{z}$. Модуль вектора скорости:

$$V = \sqrt{V_x^2 + V_y^2 + V_z^2}.$$

Мгновенное ускорение точки, или ускорение в данный момент времени, является векторной величиной и определяется как производная по времени от вектора скорости точки или как вторая производная от радиус-вектора точки:

$$\vec{a} = \frac{d\vec{V}}{dt} = \frac{d^2\vec{r}}{dt^2}. \text{ Величины } a_x, a_y, a_z \text{ проекций вектора ускорения на координатные оси определяются как производные по времени от соответствующих проекций вектора скорости: } a_x = \frac{dV_x}{dt} = \ddot{x}; a_y = \frac{dV_y}{dt} = \ddot{y}; a_z = \frac{dV_z}{dt} = \ddot{z}.$$

натные оси определяются равенствами: $a_x = \frac{dV_x}{dt} = \dot{V}_x = \ddot{x}$; $a_y = \frac{dV_y}{dt} = \dot{V}_y = \ddot{y}$;

$a_z = \frac{dV_z}{dt} = \dot{V}_z = \ddot{z}$. Модуль вектора ускорения: $a = \sqrt{a_x^2 + a_y^2 + a_z^2}$.

Естественный способ задания движения используется, если траектория движения точки заранее известна. Тогда положение точки однозначно определяется длиной дуги $OM = S(t)$, отсчитываемой от

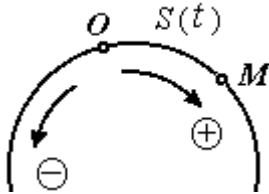


Рис. 2.2. Естественный способ задания движения точки

любой фиксированной точки O , принятой за начало отсчета (рис. 2.2). При этом заранее устанавливаются положительное и отрицательное направления отсчета дуговой координаты.

При естественном способе задания движения вектор скорости точки определяется равенством: $\vec{V} = \dot{S}\vec{\tau} = V_\tau\vec{\tau}$, где S – дуговая координата; $\vec{\tau}$ – единичный вектор касательной к траектории движения, направленный в сторону положительного направления дуговой координаты. Величина $V_\tau = \dot{S}$ называется алгебраической скоростью точки и представляет собой проекцию вектора скорости точки на касательную к траектории.

Вектор ускорения точки \vec{a} раскладывается на составляющие по направлениям естественных осей – касательную (ось τ) и перпендикулярную к ней нормальную (ось n):

$$\vec{a} = a_\tau\vec{\tau} + a_n\vec{n} \text{ или } \vec{a} = \vec{a}_\tau + \vec{a}_n,$$

где $\vec{\tau}$ – единичный направляющий вектор касательной; \vec{n} – единичный направляющий вектор нормали траектории; a_τ – проекция ускорения точки на касательную называется **касательным ускорением**; a_n – проекция вектора ускорения точки на нормаль называется **нормальным ускорением** (рис. 2.3). Касательная составляющая ускорения характеризует изменение величины скорости точки, нормальная – изменение направления вектора скорости.

Если проекции V_τ и a_τ имеют одинаковые знаки (направлены в одну сторону), движение будет ускоренным, если разных знаков (разнонаправлены) – замедленным (см. рис. 2.3, *a*, *b*).

Проекции ускорения на естественные оси и модуль вектора ускорения вычисляются по формулам:

$$a_\tau = \ddot{S} = \dot{V}_\tau, \quad a_n = \frac{V^2}{\rho};$$

$$a = \sqrt{a_n^2 + a_\tau^2},$$

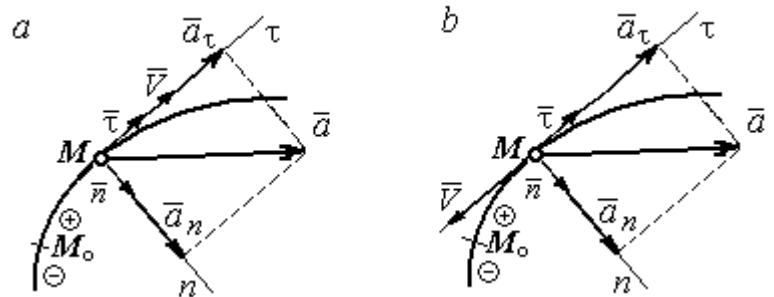


Рис. 2.3. Скорость и ускорение точки. Разложение ускорения на нормальную и касательную составляющие:
a – ускоренное движение; *b* – замедленное движение

где ρ – радиус кривизны траектории. Иногда при вычислении касательной составляющей ускорения удобнее пользоваться формулой $a_\tau = \frac{a_x V_x + a_y V_y}{V_\tau}$.

Вектор нормальной составляющей ускорения \vec{a}_n всегда направлен к центру кривизны траектории. Вектор касательной составляющей ускорения \vec{a}_τ направлен в сторону положительного направления касательной (по направлению единичного вектора $\vec{\tau}$), если $\ddot{S} > 0$, и в противоположную сторону – при $\ddot{S} < 0$.

Криволинейное движение точки называется **равномерным**, если проекция вектора скорости на касательную – постоянная величина: $V_\tau = \text{const}$.

Криволинейное движение точки называется **равнопеременным**, если постоянна проекция вектора ускорения на касательную: $a_\tau = \text{const}$.

Примеры решения задач на криволинейное движение точки

Задача 20. Движение точки задано координатным способом уравнениями $x(t) = 2\sin\pi t$, $y(t) = \cos 2\pi t$, где x, y – в сантиметрах, t – в секундах.

Найти траекторию точки, величину и направление скорости и ускорения в моменты времени $t_1 = 0,25$ с, $t_2 = 0,75$ с. Определить участки ускоренного и замедленного движений точки.

Решение

Определяем траекторию точки. Из уравнений движения находим $y = \cos 2\pi t = \cos^2 \pi t - \sin^2 \pi t = 1 - 2\sin^2 \pi t = 1 - \frac{x^2}{2}$. Траекторией точки является парабола $y = 1 - \frac{x^2}{2}$ (рис. 2.4). Однако не вся парабола будет траекторией движения, а только та её часть, точки которой согласно уравнениям движения удовлетворяют неравенствам: $-2 \leq x \leq 2$, $-1 \leq y \leq 1$.

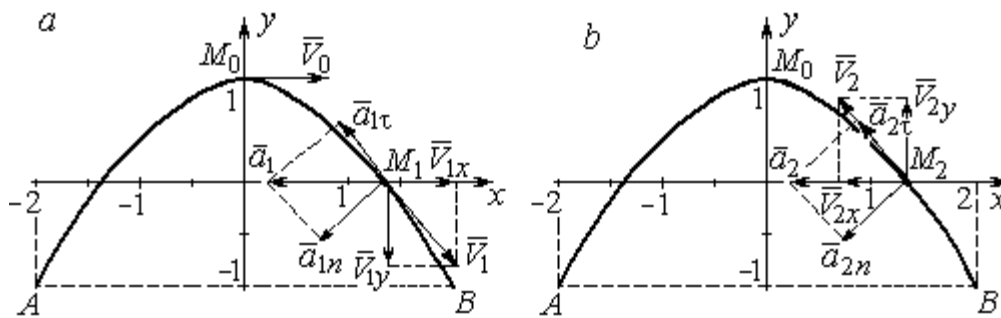


Рис. 2.4. Траектория движения точки:

a – замедленное движение точки на участке от M_0 к B ;
b – ускоренное движение точки на участке от B к M_0

Определяем параметры движения точки в момент времени $t_1 = 0,25$ с.

Находим координаты x_1, y_1 положения точки M_1 :

$$x_1 = x(0,25) = 2\sin \frac{\pi}{4} = \sqrt{2} \text{ см}, \quad y_1 = y(0,25) = \cos \frac{\pi}{2} = 0.$$

Находим проекции V_{1x}, V_{1y} вектора \vec{V}_1 скорости точки на оси системы координат:

$$V_x(t) = \dot{x} = 2\pi \cos \pi t; \quad V_y(t) = \dot{y} = -2\pi \sin 2\pi t;$$

$$V_{1x} = V_x(0,25) = 2\pi \cos \frac{\pi}{4} = \pi\sqrt{2} \text{ см/с}; \quad V_{1y} = V_y(0,25) = -2\pi \sin \frac{\pi}{2} = -2\pi \text{ см/с}.$$

Модуль скорости $V_1 = \sqrt{V_{1x}^2 + V_{1y}^2} = \pi\sqrt{6}$ см/с.

Находим проекции a_{1x} , a_{1y} вектора \vec{a}_1 ускорения точки на оси системы координат:

$$a_x(t) = \dot{V}_x = -2\pi^2 \sin \pi t; \quad a_y(t) = \dot{V}_y = -4\pi^2 \cos 2\pi t;$$

$$a_{1x} = a_x(0,25) = -2\pi^2 \sin \frac{\pi}{4} = -\pi^2 \sqrt{2} \text{ см/с}^2; \quad a_{1y} = a_y(0,25) = -4\pi^2 \cos \frac{\pi}{2} = 0.$$

Модуль вектора ускорения $a_1 = \sqrt{a_{1x}^2 + a_{1y}^2} = \pi^2 \sqrt{2}$ см/с.

Положение точки M_1 в момент времени $t_1 = 0,25$ с, построение векторов скорости \vec{V}_1 и ускорения \vec{a}_1 по их проекциям показано на рис. 2.4, а.

Для того чтобы определить характер движения точки в положении M_1 – ускоренное или замедленное, найдём направление касательного ускорения. С этой целью разложим известный уже вектор ускорения \vec{a}_1 на нормальную и касательную составляющие согласно равенству $\vec{a}_1 = \vec{a}_{1\tau} + \vec{a}_{1n}$. При этом направление касательной совпадает с направлением вектора скорости \vec{V}_1 , а направление нормали – перпендикулярно ему. Касательное ускорение $\vec{a}_{1\tau}$ оказалось направленным противоположно вектору скорости \vec{V}_1 (см. рис. 2.4, а). Следовательно, точка в рассматриваемый момент движется замедленно.

В момент времени $t_2 = 0,75$ с положение M_2 совпадает с положением M_1 :

$$x_2 = x(0,75) = 2\sin \frac{3\pi}{4} = \sqrt{2} \text{ см}; \quad y_2 = y(0,75) = \cos 2\pi \frac{3}{4} = 0.$$

Проекции векторов скорости \vec{V}_2 и ускорения \vec{a}_2 точки на оси координат:

$$V_{2x} = V_x(0,75) = 2\pi \cos \frac{3\pi}{4} = -\pi\sqrt{2} \text{ см/с}; \quad V_{2y} = V_y(0,75) = -2\pi \sin 2\pi \frac{3}{4} = 2\pi \text{ см/с};$$

$$a_{2x} = a_x(0,75) = -2\pi^2 \sin \frac{3\pi}{4} = -\pi^2 \sqrt{2} \text{ см/с}^2; \quad a_{2y} = a_y(0,75) = -4\pi^2 \cos 2\pi \frac{3}{4} = 0.$$

Модули скорости и ускорения точки в момент времени $t_2 = 0,75$ с:

$$V_2 = \sqrt{V_{2x}^2 + V_{2y}^2} = \pi\sqrt{6} \text{ см/с}; \quad a_2 = |a_{2x}| = \pi^2\sqrt{2} \text{ см/с}^2.$$

Положение точки M_2 в момент времени $t_2 = 0,75$ с, построение векторов скорости \vec{V}_2 и ускорения \vec{a}_2 по их проекциям, а также разложение вектора ускорения \vec{a}_2 на составляющие \vec{a}_{2n} и $\vec{a}_{2\tau}$ показано на рис. 2.4, *b*. В данном случае вектор касательного ускорения совпадает по направлению с вектором скорости (см. рис. 2.4, *b*), поэтому движение ускоренное.

В целом движение точки по траектории происходит следующим образом. Из начального положения M_0 ($t_0 = 0$) точка с замедлением перемещается по правой ветви параболы. Достигнув положения B на траектории ($t_B = 0,5$ с), точка совершает мгновенную остановку и начинает обратное ускоренное движение. Достигнув положения M_0 ($t_{M_0} = 1$ с), точка переходит на левую часть параболы, где движется аналогично.

Задача 21. Рудничный поезд выходит на закруглённый участок пути радиуса $R = 1$ км с начальной скоростью 54 км/ч. Считая движение поезда равнопеременным, определить его скорость и ускорение в конце 10-й секунды движения по закруглённому участку, если за это время поезд прошёл путь 500 м.

Решение

Примем за начало отсчёта расстояния точку M_0 , где поезд выходит на за-

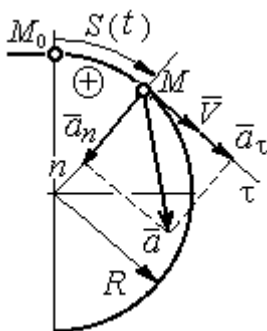


Рис. 2.5. Скорость и ускорение поезда

круглённый участок пути (рис. 2.5). Предположим, движение поезда равноускоренное и происходит в сторону возрастания дуговой координаты S . В этом случае вектор скорости и вектор касательного ускорения направлены в положительную сторону касательной.

При равнопеременном движении проекция вектора ускорения на касательную постоянна: $a_\tau = \text{const}$. Так как

$a_\tau = \frac{dV_\tau}{dt}$, то $V_\tau = a_\tau t + C_1$, где V_τ – проекция вектора скорости на касательную

ось. Далее, поскольку $V_\tau = \frac{dS}{dt}$, имеем $S = \frac{a_\tau t^2}{2} + C_1 t + C_2$. Константы интегрирования C_1 и C_2 находятся из начальных условий: при $t = 0$ $S = 0$ и $V_\tau = V_0 = 54 \text{ км/ч} = 15 \text{ м/с}$. Подставив эти условия в уравнения движения, найдём константы интегрирования: $C_1 = 15 \text{ м/с}$; $C_2 = 0$.

В результате получена система уравнений:

$$V_\tau = a_\tau t + 15; \quad S = \frac{a_\tau t^2}{2} + 15t.$$

По условию задачи через 10 с от начала движения по закруглённому участку поезд прошёл по дуге путь $S = 500 \text{ м}$. Подставляя это условие во второе уравнение, получим $a_\tau = 7 \text{ м/с}^2$. Скорость поезда в конце пройденного пути с учётом известной величины касательного ускорения найдём из первого уравнения $V_\tau = 85 \text{ м/с}$. Следует заметить, что при указанном движении поезда проекция вектора скорости на касательную ось положительна и равна его модулю: $V_\tau = V$.

Нормальное ускорение поезда при движении по дуге окружности радиуса $R = 1000 \text{ м}$ в момент времени $t = 10 \text{ с}$ равно $a_n = \frac{V_\tau^2}{R} = 7,23 \text{ м/с}^2$. Величина (модуль) полного ускорения поезда $a = \sqrt{a_n^2 + a_\tau^2} = 10,06 \text{ м/с}^2$. Разложение вектора ускорения поезда на нормальную и касательную составляющие показано на рис. 2.5.

Задача 22. Вагонетка движется равнопеременно по дуге окружности радиуса $R = 80 \text{ м}$. За время движения скорость вагонетки изменилась от начальной $V_0 = 18 \text{ км/ч}$ до конечной $V_1 = 9 \text{ км/ч}$.

Определить характер движения – ускоренное или замедленное. Найти ускорение вагонетки в начале и в конце участка движения, если за это время она прошла путь $S = 60 \text{ м}$.

Решение

Выберем некоторую точку на траектории в качестве начальной, а направление положительного отсчёта расстояний – в сторону движения вагонетки.

Уравнения равнопеременного движения точки при начальных условиях: $t = 0$; $S = 0$ и $V_\tau = V_0 = 5$ м/с имеют вид:

$$V_\tau = 5 + a_\tau t; \quad S = 5t + \frac{a_\tau t^2}{2}.$$

Подставим в уравнения параметры движения в момент времени $t = t_1$, когда скорость вагонетки стала $V_{1\tau} = 2,5$ м/с, а пройденный ею путь составил 60 м.

Получим систему:

$$-2,5 = a_\tau t_1; \quad 60 = 5t_1 + \frac{a_\tau t_1^2}{2},$$

откуда найдём касательное ускорение: $a_\tau = -0,16$ м/с².

Отрицательная величина означает, что вектор касательного ускорения направлен в сторону, противоположную направлению вектора скорости, и движение равнозамедленное.

Нормальное ускорение вагонетки в начале движения $a_{n0} = \frac{V_0^2}{R} = 0,31$ м/с².

Полное ускорение $a_0 = \sqrt{a_{n0}^2 + a_\tau^2} = 0,35$ м/с². В конце движения нормальное

ускорение $a_{n1} = \frac{V_1^2}{R} = 0,08$ м/с². Полное ускорение $a_1 = \sqrt{a_{n1}^2 + a_\tau^2} = 0,18$ м/с².

2.2. Поступательное движение и вращение твёрдого тела вокруг неподвижной оси

Движение твёрдого тела называется **поступательным**, если любой произвольный отрезок, связанный с телом, остаётся в процессе движения параллельным самому себе. При **поступательном** движении твёрдого тела все его

точки движутся по одинаковым траекториям, имеют равные скорости и ускорения.

Вращением твёрдого тела вокруг неподвижной оси называется такое его движение, при котором две точки тела остаются неподвижными в течение всего времени движения. Прямая, проходящая через неподвижные точки, называется **осью вращения** тела.

Положение вращающегося тела определяется углом поворота $\varphi = \varphi(t)$ относительно какой-либо системы отсчёта, например, относительно неподвижной плоскости, проходящей через ось вращения.

Вектор угловой скорости вращения тела $\vec{\omega}$ лежит на оси вращения и направлен в сторону, откуда вращение тела видно против хода часовой стрелки. **Алгебраическим значением угловой скорости** вращения тела называют проекцию вектора угловой скорости на ось вращения (ось z) $\omega_z = \dot{\varphi}$. При $\dot{\varphi} > 0$ тело вращается в сторону положительного направления отсчёта угла φ , при $\dot{\varphi} < 0$ – в обратную сторону. Направление угловой скорости обычно показывают дуговой стрелкой вокруг оси вращения. Модуль алгебраического значения угловой скорости вращения тела называется угловой скоростью $\omega = |\omega_z| = |\dot{\varphi}|$.

Алгебраическим значением **углового ускорения** вращающегося тела называют проекцию вектора углового ускорения на ось вращения (ось z) $\varepsilon_z = \dot{\omega}_z = \ddot{\varphi}$. Модуль алгебраического значения углового ускорения вращения тела называется угловым ускорением: $\varepsilon = |\varepsilon_z| = |\dot{\omega}_z| = |\ddot{\varphi}|$.

Вектор углового ускорения направлен вдоль оси вращения. Если $\varepsilon_z \omega_z > 0$ (вектора угловой скорости и углового ускорения сонаправлены), движение ускоренное, если $\varepsilon_z \omega_z < 0$ (векторы угловой скорости и углового ускорения противоположны по направлению), – замедленное.

При равномерном вращении угловая скорость тела (алгебраическое значение) – постоянная величина: $\omega_z = \text{const}$. Угол поворота тела изменяется по линейному закону $\varphi = \varphi_0 + \omega_z t$, где φ_0 – начальный угол поворота тела.

При равнопеременном вращении постоянной величиной является алгебраическое значение углового ускорения: $\varepsilon_z = \text{const}$. В этом случае справедливы уравнения движения: $\omega_z = \omega_{z0} + \varepsilon_z t$; $\varphi = \varphi_0 + \omega_{z0} t + \frac{\varepsilon_z t^2}{2}$.

При вращательном движении тела все его точки движутся по окружностям, радиусы которых равны расстояниям от выбранной точки до неподвижной оси. **Скорость точки** вращающегося твердого тела (в отличие от угловой скорости тела) называют **линейной**, или **окружной скоростью** точки. Модуль скорости точки рассчитывается по формуле: $V = \omega h$, где ω – угловая скорость тела; h – расстояние от точки до оси вращения. Вектор скорости направлен по

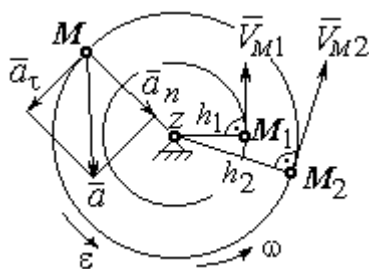


Рис. 2.6. Скорость и ускорение точек вращающегося тела

касательной к описываемой точкой окружности в сторону вращения тела.

При вращении тела отношение скоростей двух точек тела равно отношению расстояний от

этих точек до оси вращения: $\frac{V_{M_1}}{V_{M_2}} = \frac{h_1}{h_2}$ (рис. 2.6).

Ускорение точки вращающегося твердого

тела рассчитывается как ускорение точки при естественном способе задания движения в виде суммы векторов касательного и нормального ускорений

(см. рис. 2.6): $\vec{a} = \vec{a}_\tau + \vec{a}_n$, где модули векторов $a_\tau = \varepsilon h$, $a_n = \omega^2 h$;

$a = \sqrt{a_\tau^2 + a_n^2}$; ω , ε – угловая скорость и угловое ускорение тела, $\varepsilon = |\varepsilon_z|$; h –

расстояние от точки до оси вращения. **Вектор касательного ускорения точки** \vec{a}_τ направлен по касательной к описываемой точкой окружности в сторону движения точки, если вращение тела ускоренное, и в противоположную сторо-

ну, если движение тела замедленное. **Вектор нормального ускорения точки** \vec{a}_n направлен вдоль радиуса описываемой точкой окружности к её центру.

При **передаче вращения** одного тела другому без проскальзывания соотношения между угловыми скоростями и угловыми ускорениями выражаются из равенства скоростей и касательных ускорений в точке

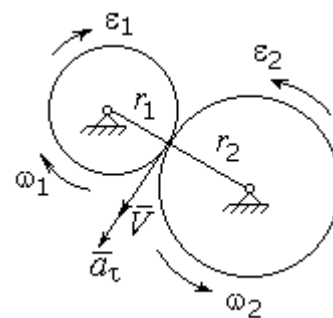


Рис. 2.7. Передача вращения одного тела другому

ке контакта: $\frac{\omega_1}{\omega_2} = \frac{r_2}{r_1}$; $\frac{\varepsilon_1}{\varepsilon_2} = \frac{r_2}{r_1}$ (рис. 2.7).

Примеры решения задач на вращательное движение тел

Задача 23. Вал, начиная вращаться равноускоренно из состояния покоя, за первые 2 мин. сделал 3600 оборотов. Определить угловую скорость вала в конце 2-й минуты и угловое ускорение вала.

Решение

Допустим, вращение вала вокруг оси z происходит в сторону положительного направления отсчёта угла. Тогда алгебраические значения угловой скорости и углового ускорения равны модулям соответствующих векторов $\omega_z = \omega$; $\varepsilon_z = \varepsilon$.

Воспользуемся уравнениями равнопеременного вращения вала с нулевыми начальными условиями (начальный угол поворота $\varphi_0 = 0$ и начальная угловая скорость вала $\omega_0 = 0$). Имеем $\omega = \varepsilon t$; $\varphi = \frac{\varepsilon t^2}{2}$.

Подставим в уравнения параметры движения вала в момент времени $t = t_1 = 2 \text{ мин} = 120 \text{ с}$; $\varphi_1 = 3600 \text{ об} = 7200\pi \text{ рад}$. Получим систему:

$$\omega_1 = \varepsilon \cdot 120, \quad 7200\pi = \frac{\varepsilon \cdot 120^2}{2}, \text{ откуда } \varepsilon = \pi \text{ с}^{-2}; \quad \omega_1 = 120\pi \text{ с}^{-1}.$$

Задача 24. В механизме стрелочного индикатора (рис. 2.8) движение от рейки мерительного штифта 1 передаётся шестерне 2, скреплённой на одной

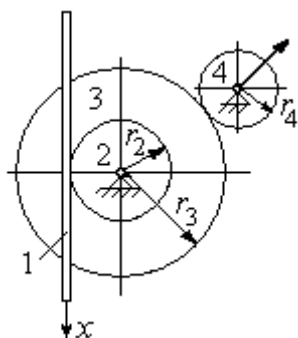


Рис. 2.8. Механизм стрелочного индикатора

оси с зубчатым колесом 3. Колесо 3 сцепляется, в свою очередь, с шестернёй 4, несущей стрелку-индикатор. Определить угловую скорость стрелки, если движение штифта задаётся уравнением $x = 4\sin\pi t$ и радиусы зубчатых колёс: $r_2 = 6$ см, $r_3 = 10$ см, $r_4 = 4$ см.

Решение

Мерительный штифт движется поступательно вдоль оси x (см. рис. 2.8). Проекция скорости любой точки штифта на ось x $V_{1x} = \dot{x} = 4\pi\cos\pi t$ см/с. Такую же скорость имеет и точка касания штифта с шестернёй 2.

Полагая, что точка касания штифта с шестернёй 2 принадлежит и шестерне, найдём алгебраическое значение угловой скорости шестерни 2:

$$\omega_{2z} = \frac{V_{1x}}{r_2} = \frac{4\pi\cos\pi t}{6} = \frac{2\pi}{3}\cos\pi t \text{ рад/с.}$$

Зубчатое колесо 3 скреплено с шестернёй 2 на одной оси и имеет ту же угловую скорость $\omega_{3z} = \omega_{2z}$. Вращение колеса 3 через точку зацепления передаётся шестерне 4. Выразим соотношение между алгебраическими значениями угловых скоростей при передаче вращения одно-

го тела другому: $\frac{\omega_{3z}}{\omega_{4z}} = \frac{r_4}{r_3}$. Отсюда получим: $\omega_{4z} = \frac{V_{1x}r_3}{r_2r_4} = \frac{5\pi}{3}\cos\pi t \text{ с}^{-1}$.

Угловая скорость стрелки равна угловой скорости шестерни 4.

Задача 25. Ведущее колесо 1 подъёмного устройства (рис. 2.9) передаёт движение шестерне 2. На одной оси с шестернёй 2 расположен шкив 3, жёстко скреплённый с шестернёй. Шкив 3 соединяется со шкивом 4 бесконечным

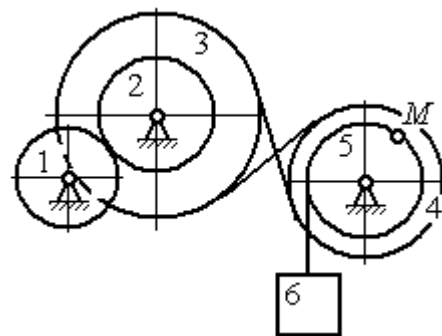


Рис. 2.9. Схема механизма подъёмного устройства

перекрёстным ремнём. Барабан 5 скреплён со шкивом 4 и находится с ним на одной оси. На барабан намотана нить, удерживающая груз 6. По заданному уравнению движения колеса 1 определить скорость, нормальное, касательное и полное ускорения точки M на ободу барабана 5 в момент времени $t_1 = 1$ с, а также скорость и ускорение груза 6. Скольжение между звеньями механизма отсутствует.

Значения радиусов колёса, шкивов и барабана механизма: $r_1 = 20$ см, $r_2 = 10$ см, $r_3 = 40$ см, $r_4 = 16$ см, $r_5 = 8$ см. Уравнение вращения колеса 1: $\varphi_1 = 2t^2 - 5t$ рад.

Решение

Ведущим звеном в механизме является колесо 1. Выберем положительное направление отсчёта угла поворота колеса 1 в сторону, противоположную

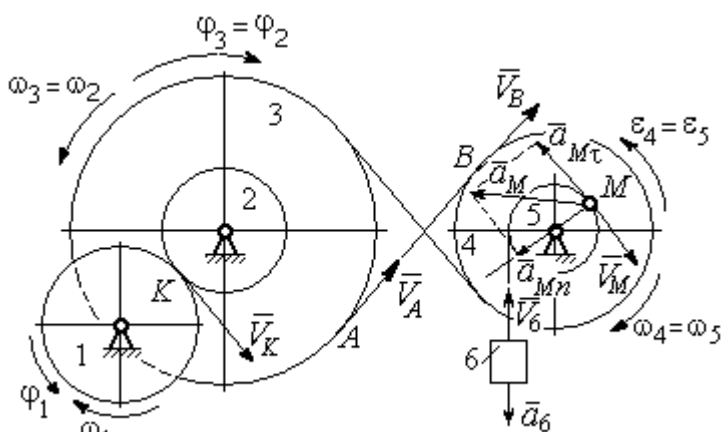


Рис. 2.10. Расчётная схема механизма

направлению вращения часовой стрелки. На рис. 2.10 это направление показано дуговой стрелкой φ_1 .

Продифференцировав по времени уравнение движения колеса 1, получим алгебраическое значение его угловой

скорости: $\omega_{1z} = \dot{\varphi}_1 = 4t - 5$ рад/с. В момент времени $t_1 = 1$ с алгебраическое значение угловой скорости колеса 1 отрицательно: $\dot{\varphi}_1(1) = -1$ рад/с. Это означает, что в данный момент времени колесо 1 вращается в сторону, противоположную положительному направлению отсчёта угла φ_1 . Угловая скорость колеса 1 равна модулю: $\omega_1 = |\omega_{1z}| = 1$ рад/с. Направление угловой скорости ω_1 колеса 1 в момент времени $t_1 = 1$ с показано дуговой стрелкой ω_1 .

Вращение колеса 1 передаётся шестерне 2 через точку контакта K . Из соотношения $\frac{\omega_1}{\omega_2} = \frac{r_2}{r_1}$ найдём угловую скорость шестерни 2: $\omega_2 = \frac{\omega_1 r_1}{r_2}$. Шкив 3, закреплённый на одной оси с шестернёй 2 имеет такую же угловую скорость, $\omega_3 = \omega_2$. Направление угловых скоростей шестерни 2 и шкива 3 показано на рис. 2.10 дуговой стрелкой ω_2 .

Передача движения шкива 3 шкиву 4 производится с помощью ремённой передачи. На участке от точки A , где ремень сходит со шкива 3, и до точки B , где ремень набегаёт на шкив 4, ремень движется поступательно, поэтому скорости точек A и B равны: $V_A = V_B$. Выразив скорости точек через угловые скорости тел, имеем равенство $\omega_3 r_3 = \omega_4 r_4$, откуда с учётом, что $\omega_3 = \omega_2$, найдём угловую скорость шкива 4: $\omega_4 = \frac{\omega_3 r_3}{r_4} = \frac{\omega_1 r_1 r_3}{r_2 r_4}$. Угловая скорость барабана 5 равна угловой скорости шкива 4, $\omega_5 = \omega_4$. Направление угловых скоростей шкива 4 и барабана 5 показано на рис. 2.10 дуговой стрелкой ω_4 .

Величина (модуль) скорости точки M рассчитывается по формуле:

$$V_M = \omega_5 r_5. \text{ В момент времени } t_1 = 1 \text{ с } \omega_5 = \frac{\omega_1 r_1 r_3}{r_2 r_4} = 5 \text{ рад/с и } V_M = 20 \text{ см/с.}$$

Вектор скорости \vec{V}_M направлен по касательной к ободу барабана в точке M и направлен в сторону вращения барабана 5 (см. рис. 2.10).

Нить, несущая груз 6, сматываясь с обода барабана, имеет скорость, равную скорости точек обода барабана, и, следовательно, равна скорости точки M : $V_6 = V_M$. Направление скорости груза 6 определяется направлением вращения барабана 5. При $t_1 = 1$ с груз поднимается со скоростью $V_6 = 20$ см/с.

Определим ускорение точки M . Вектор ускорения точки M равен сумме векторов: $\vec{a}_M = \vec{a}_M^\tau + \vec{a}_M^n$, где \vec{a}_M^τ , \vec{a}_M^n — касательная и нормальная составляющие ускорения.

Найдём алгебраическое значение угловой скорости барабана 5:

$$\omega_{5z} = \frac{\omega_{1z} r_1 r_3}{r_2 r_4} = 20t - 25 \text{ рад/с.}$$

Алгебраическое значение углового ускорения барабана 5 ε_{5z} равно производной $\varepsilon_{5z} = \dot{\omega}_{5z} = 20 \text{ рад/с}^2$. Так как в момент времени $t_1 = 1 \text{ с}$ знаки алгебраических значений угловой скорости барабана и его углового ускорения разные ($\omega_{5z} = -5 \text{ рад/с}$, $\vec{a}_M = \vec{a}_M^\tau + \vec{a}_M^n$, $\varepsilon_{5z} = +20 \text{ рад/с}^2$), угловое ускорение (по величине равное модулю $\varepsilon_5 = |\varepsilon_{5z}|$) направлено в сторону, противоположную угловой скорости. На рис. 2.10 направление углового ускорения барабана 5 показано дуговой стрелкой ε_5 .

Касательное ускорение точки: $a_{M\tau} = \varepsilon_5 r_5 = 80 \text{ см/с}^2$. Вектор $\vec{a}_{M\tau}$ касательного ускорения точки M направлен по касательной к траектории в точке M в сторону углового ускорения ε_5 (см. рис. 2.10).

Нормальное ускорение точки M рассчитывается как $a_M^n = \omega_5^2 r_5$, где угловая скорость барабана $\omega_5 = |\omega_{5z}|$. В момент времени $t_1 = 1 \text{ с}$ $\omega_5 = 5 \text{ рад/с}$ и величина нормального ускорения: $\vec{a}_M^n = 100 \text{ см/с}^2$. Вектор нормального ускорения \vec{a}_M^n направлен по радиусу к центру барабана 5.

Модуль полного ускорения точки M в заданный момент времени: $a_M = \sqrt{(a_M^\tau)^2 + (a_M^n)^2} = 128,06 \text{ см/с}^2$. Вектор ускорения \vec{a}_M направлен по диагонали прямоугольника, построенного на векторах \vec{a}_M^n и \vec{a}_M^τ (см. рис. 2.10).

Ускорение a_6 груза 6 находится из условия, что груз движется прямолинейно. При прямолинейном движении нормальная составляющая ускорения равна нулю. В результате, ускорение груза 6 $a_6 = a_6^\tau = \dot{V}_6 = \dot{V}_M = a_M^\tau = \varepsilon_5 r_5 = 80 \text{ см/с}^2$. Направление вектора ускорения груза 6 определяется направлением углового ускорения барабана 5. На рис. 2.10 направление ускорения груза 6 показано вектором \vec{a}_6 .

Задача 26. По заданному уравнению поступательного движения звена 1 механизма (рис. 2.11, *a*) определить скорость, нормальное, касательное и полное ускорения точки M диска 3 в момент времени $t_1 = 1$ с, а также скорость и ускорение звена 4. Скольжение между звеньями механизма отсутствует. Значения радиусов колес механизма и закон движения звена 1: $R_2 = 20$ см, $r_2 = 5$ см, $R_3 = 8$ см, $r_3 = 4$ см, $x_1 = \cos \pi t + \sin \pi t$ см.

Решение

Звено 1 движется поступательно вдоль оси x . Положительное направление движения задаётся направлением оси x (рис. 2.11, *a*). Продифференцировав по времени уравнение движения звена 1, получим его алгебраическое значение скорости: $V_{1x}(t) = \dot{x}_1 = -\pi \sin \pi t + \pi \cos \pi t$.

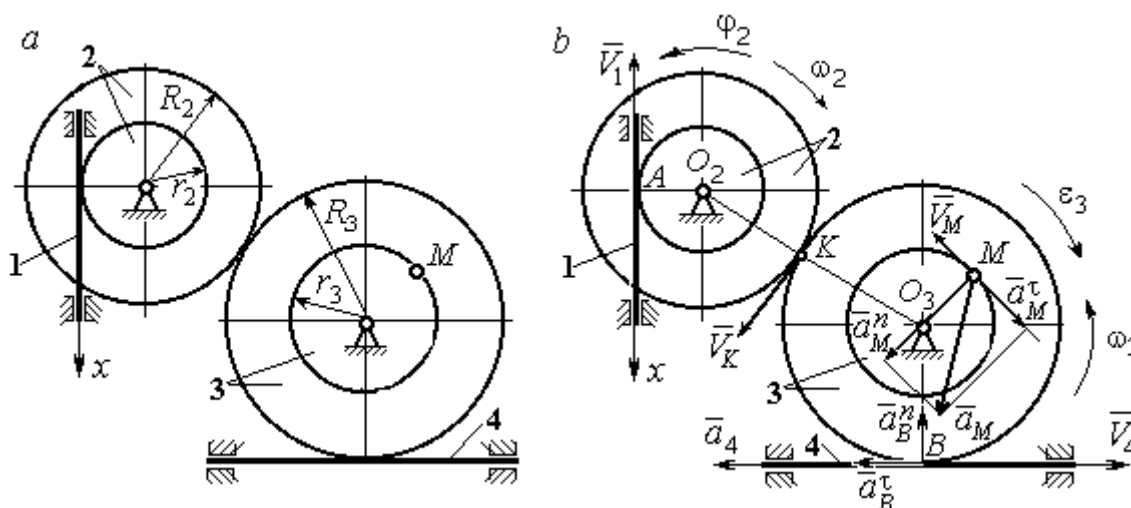


Рис. 2.11. Кинематика поступательного и вращательного движений твердого тела: *a* – схема механизма; *b* – расчетная схема для определения скоростей и ускорений точек механизма

В момент времени $t_1 = 1$ с алгебраическое значение скорости звена 1 отрицательное: $V_{1x}(1) = -\pi$ см/с. Это показывает, что в данный момент времени звено 1 движется в сторону, противоположную положительному направлению оси x . Скорость звена 1 равна модулю производной $V_1(1) = |\dot{x}_1| = \pi$ см/с. На рис. 2.11, *b* показано направление вектора скорости \vec{V}_1 .

Точка A соприкосновения звена 1 с диском 2 имеет ту же скорость, что и звено 1. Угловая скорость диска 2 определяется из равенства $\omega_2 = \frac{V_1}{r_2}$ рад/с.

Направление угловой скорости вращения диска 2 показано на рис. 2.11, b дуговой стрелкой ω_2 .

Передача вращения диска 2 диску 3 происходит в точке K . Из соотношения $\frac{\omega_3}{\omega_2} = \frac{R_2}{R_3}$ находим угловую скорость диска 3: $\omega_3 = \frac{V_1 R_2}{r_2 R_3} = \frac{\pi}{2}$. Направление угловой скорости диска 3 показано на рис. 2.11, b дуговой стрелкой ω_3 .

Модуль скорости точки M $V_M = \omega_3 r_3 = 2\pi$ см/с. Вектор скорости \vec{V}_M направлен по касательной к траектории движения точки M в сторону вращения диска 3 (см. рис. 2.11, b).

Звено 4 движется поступательно. Величина и направление скорости звена 4 совпадают с величиной и направлением скорости точки B касания звена 4 с диском 3: $V_4 = V_B = \omega_3 R_3$. В момент времени $t_1 = 1$ с $V_4 = 4\pi$ см/с. Направление вектора скорости \vec{V}_4 определяется направлением вращения диска 3.

Определим ускорение точки M . Найдём алгебраическое значение ω_{3z} угловой скорости диска 3: $\omega_{3z} = \frac{V_{1x} R_2}{r_2 R_3} = \frac{\pi}{2}(-\sin\pi t + \cos\pi t)$. Алгебраическое значение

углового ускорения диска 3: $\varepsilon_{3z} = \dot{\omega}_{3z} = -\frac{\pi^2}{2}(\cos\pi t + \sin\pi t)$ и в момент времени $t_1 = 1$ с $\varepsilon_{3z} = \frac{\pi^2}{2}$.

Разные знаки алгебраических значений угловой скорости и углового ускорения диска 3 ($\omega_{3z} = -\frac{\pi}{2}$; $\varepsilon_{3z} = +\frac{\pi^2}{2}$) показывают, что

угловое ускорение направлено в сторону, противоположную угловой скорости. На рис 2.11, b направление углового ускорения диска 3 показано дуговой стрелкой ε_3 .

Касательное ускорение точки M рассчитывается по формуле $a_M^\tau = \varepsilon_3 r_3$, где угловое ускорение $\varepsilon_3 = |\varepsilon_{3z}|$. В момент времени $t_1 = 1$ с $a_M^\tau = 2\pi^2$ см/с². Вектор касательного ускорения точки M \vec{a}_M^τ направлен по касательной к траектории точки M в сторону углового ускорения ε_3 (см. рис. 2.11, б).

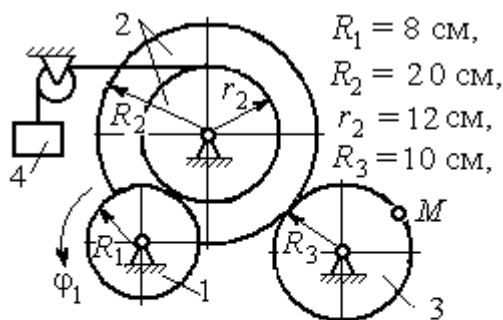
Нормальное ускорение точки M рассчитывается как $a_M^n = \omega_3^2 r_3$. В момент времени $t_1 = 1$ с величина нормального ускорения $a_M^n = \pi^2$ см/с². Вектор нормального ускорения \vec{a}_M^n направлен по радиусу к центру диска 3.

Модуль полного ускорения точки M : $a_M = \sqrt{(a_M^n)^2 + (a_M^\tau)^2} = \pi^2 \sqrt{5}$ см/с². Вектор полного ускорения \vec{a}_M направлен по диагонали прямоугольника, построенного на векторах \vec{a}_M^n и \vec{a}_M^τ .

Звено 4 движется поступательно и прямолинейно. Ускорение звена 4 равно проекции ускорения точки B (касания диска 3 со звеном 4) на линию движения звена 4: $a_4 = a_B^\tau = \varepsilon_3 R_3 = 4\pi^2$ см/с². Направление ускорения звена 4 совпадает с касательным ускорением точки B .

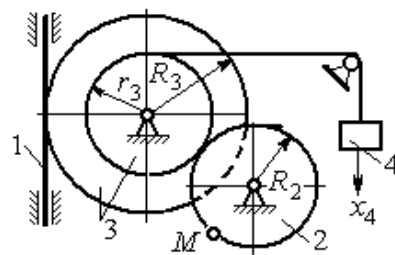
Упражнения

Упражнение 2.1



$\varphi_1 = 3t + 2 \sin \frac{\pi t}{2}$ рад,
 Найти скорость и ускорение точки M и груза 4 в момент $t = 1$ с

Упражнение 2.2



$R_2 = 0,2$ м, $R_3 = 0,4$ м, $r_3 = 0,3$ м,

$x_4 = t - 1 - \sin \frac{\pi t}{3} + \cos \frac{\pi t}{3}$ м.

Найти скорость и ускорение точки M и звена 1 в момент $t = t_1 = 3$ с.

Рис. 2.12. Задания для самостоятельного решения. Упражнения 2.1, 2.2

2.3. Скорости точек при плоскопараллельном движении твёрдого тела

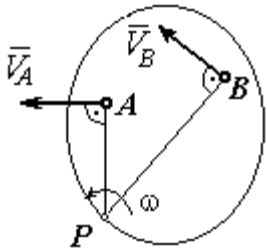
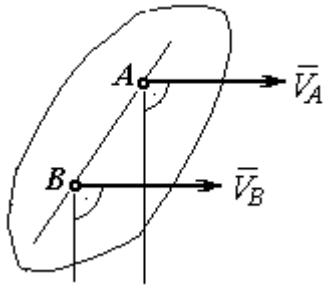
Плоскопараллельным, или **плоским** движением твёрдого тела, называется такое движение, при котором все точки тела движутся параллельно некоторой неподвижной (основной) плоскости.

Для скоростей \vec{V}_A и \vec{V}_M двух точек A и M тела, совершающего плоское движение, справедливо утверждение: **проекции скоростей двух точек твёрдого тела на ось, проходящую через эти точки, равны друг другу:** $V_A \cos \alpha = V_M \cos \beta$, где α, β – углы между векторами скорости \vec{V}_A и \vec{V}_M и осью, проходящей через точки A и M .

Мгновенным центром скоростей (МЦС) называется точка P плоской фигуры, скорость которой в данный момент времени равна нулю. При известном положении МЦС скорость любой точки плоской фигуры находят так, как если бы движение фигуры было мгновенно вращательным вокруг мгновенного центра скоростей с угловой скоростью, равной угловой скорости плоской фигуры. Способы построения мгновенного центра скоростей приведены в табл. 2.1.

Таблица 2.1

Способы построения мгновенного центра скоростей

<p>1. Если известны направления скоростей \vec{V}_A и \vec{V}_B каких-нибудь двух точек A и B плоской фигуры, то мгновенный центр скоростей P находится в точке пересечения перпендикуляров, восстановленных из этих точек к векторам скоростей.</p>	
<p>2. Если скорости двух точек \vec{V}_A и \vec{V}_B параллельны, но точки A и B не лежат на общем перпендикуляре к скоростям, то, как видно из рисунка, мгновенный центр P бесконечно удалён. В этом случае угловая скорость $\omega = 0$ и тело в данный момент движется поступательно (движение является мгновенным поступательным). При таком движении скорость любой точки тела равна \vec{V}_A.</p>	

<p>3. Если скорости двух точек \vec{V}_A и \vec{V}_B параллельны, а точки A и B лежат на общем перпендикуляре к скоростям, то мгновенный центр скоростей P находится как пересечение прямой, соединяющей точки A и B и линии, проходящей через концы векторов, изображающих скорости \vec{V}_A и \vec{V}_B.</p>	
<p>4. Если плоскопараллельное движение осуществляется путем качения без скольжения одного тела по неподвижной поверхности другого, то мгновенный центр скоростей P расположен в точке касания катящегося тела с неподвижной поверхностью.</p>	

Примеры решения задач на плоскопараллельное движение тела

Задача 27. Приводной механизм насоса находится в положении, показанном на рис. 2.13. Кривошип O_1C вращается с постоянной угловой скоростью

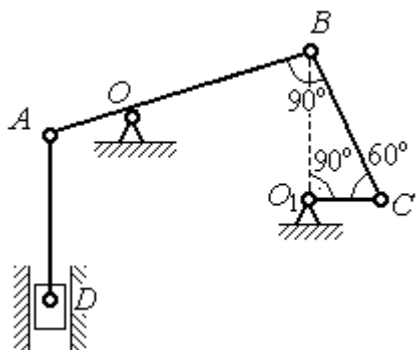


Рис. 2.13. Приводной механизм насоса

$\omega_{O_1C} = 2$ рад/с вокруг оси, проходящей через точку O_1 перпендикулярно плоскости чертежа. Определить скорость поршня D и угловые скорости шатуна BC , коромысла AB и штока AD , если $O_1C = 20$ см, $OB = 2 \cdot OA = 40$ см, $AD = 60$ см.

Решение

Предположим для определённости, что кривошип O_1C вращается в направлении по ходу часовой стрелки. Вектор \vec{V}_C скорости точки C направлен

перпендикулярно кривошипу O_1C , в сторону его вращения (рис. 2.14). Модуль скорости $V_C = \omega_{O_1C} \cdot O_1C = 40$ см/с.

Коромысло AB качается (вращается) вокруг оси, проходящей через точку O , параллельно оси вращения кривошипа.

Скорость точки B направлена перпендикулярно коромыслу AB

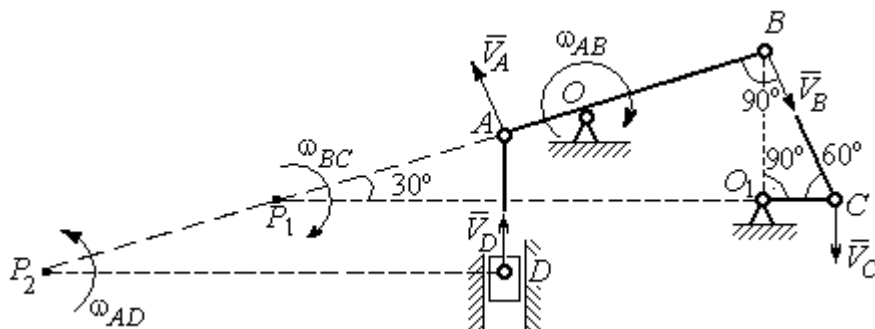


Рис. 2.14. Расчётная кинематическая схема механизма привода насоса

вдоль шатуна BC (рис. 2.14).

Шатун BC совершает плоскопараллельное движение. Мгновенный центр скоростей шатуна P_1 расположен в точке пересечения перпендикуляров к скоростям \vec{V}_C и \vec{V}_B точек C и B шатуна. Находим $P_1C = 4O_1C = 80$ см. Угловая скорость вращения шатуна BC $\omega_{BC} = \frac{V_C}{CP_1} = 0,5$ рад/с. Направление угловой скорости вращения шатуна BC определяется направлением вращения кривошипа O_1C и на рис. 2.14 показано дуговой стрелкой ω_{BC} .

Скорость V_B найдём по теореме о проекциях скоростей. Спроектируем вектора скоростей \vec{V}_C и \vec{V}_B точек C и B на линию BC . Получим $V_B \cos 0^\circ = V_C \cos 30^\circ$. Отсюда $V_B = 20\sqrt{3}$ см/с.

Угловая скорость коромысла AB $\omega_{AB} = \frac{V_B}{OB} = \frac{\sqrt{3}}{2}$ рад/с. Направление угловой скорости коромысла определяется направлением вектора скорости \vec{V}_B и показано дуговой стрелкой ω_{AB} .

Скорость точки A коромысла равна половине скорости точки B :
 $V_A = \frac{1}{2}V_B = 10\sqrt{3}$ см/с. Вектор скорости \vec{V}_A направлен перпендикулярно коромыслу AB в сторону его вращения.

Точка P_2 пересечения перпендикуляров к скоростям \vec{V}_A и \vec{V}_D является мгновенным центром скоростей штока AD . Тогда угловая скорость штока
 $\omega_{AD} = \frac{V_A}{AP_2} = \frac{\sqrt{3}}{12}$ рад/с. Направление угловой скорости штока определяется по направлению скорости точки A и на рис. 2.14 показано дуговой стрелкой ω_{AD} .

Скорость поршня $V_D = \omega_{AD} \cdot P_2D = 15$ см/с.

Задача 28. Механизм качалки (рис. 2.15) состоит из кривошипа OA ,

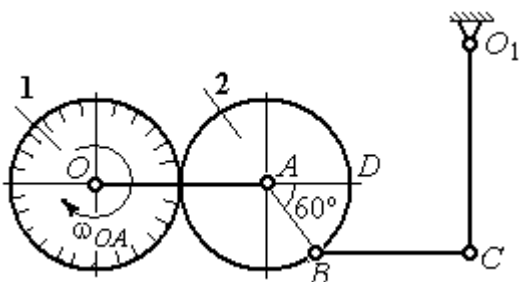


Рис. 2.15. Схема механизма качалки

вращающегося вокруг оси O и несущего в точке A ось подвижной шестерни 2, которая катится по неподвижной шестерне 1. Вращение кривошипа происходит с угловой скоростью $\omega_{OA} = 2$ рад/с. Радиусы шестерён $r_1 = r_2 = 6$ см. К ободу шестерни 2 в

точке B шарнирно прикреплен шатун BC длиной $BC = 8$ см, который в точке C передаёт движение коромыслу CO_1 длиной $CO_1 = 16$ см.

Определить угловые скорости шестерни 2, шатуна BC , коромысла CO_1 , а также скорости точек A, B, C, D в момент, когда кривошип OA и шатун BC горизонтальны и угол $\angle DAB = 60^\circ$.

Решение

Найдём скорость точки A кривошипа: $V_A = \omega_{OA} \cdot OA = 24$ см/с. Вектор скорости точки \vec{V}_A расположен перпендикулярно кривошипу OA и направлен в сторону вращения кривошипа (рис. 2.16).

Мгновенный центр скоростей P_2 шестерни 2 находится в точке касания с неподвижной поверхностью шестерни 1. Угловая скорость шестерни 2

$$\omega_2 = \frac{V_A}{AP_2} = 4 \text{ рад/с.}$$

Направление угловой скорости шестерни 2 определяется направлением вектора скорости \vec{V}_A и на рис. 2.16 показано дуговой стрелкой ω_2 .

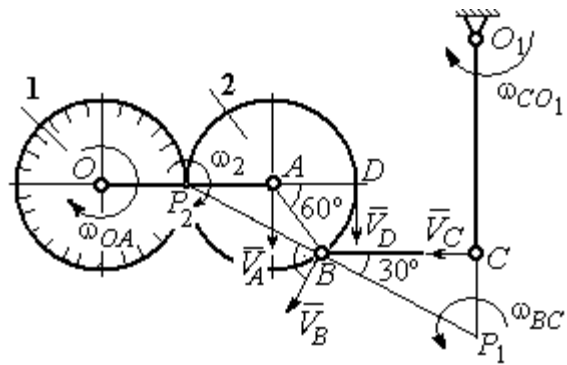


Рис.2.16. Расчётная кинематическая схема механизма качалки

Найдём расстояние P_2B из равнобедренного треугольника P_2AB по

теореме косинусов: $P_2B = \sqrt{r^2 + r^2 - 2r^2 \cos 120^\circ} = 6\sqrt{3}$ см. Скорость точки B $V_B = \omega_2 \cdot P_2B = 24\sqrt{3}$ см/с. Вектор скорости \vec{V}_B перпендикулярен линии P_2B и направлен в сторону вращения шестерни 2.

Скорость точки D : $V_D = \omega_2 \cdot P_2D = 48$ см/с. Вектор скорости \vec{V}_D перпендикулярен линии P_2D и направлен в ту же сторону (см. рис. 2.16).

Скорость точки C перпендикулярна линии CO_1 . Восстанавливая перпендикуляры к скоростям \vec{V}_B и \vec{V}_C , получим точку пересечения P_1 , которая будет мгновенным центром скоростей шатуна BC . Расстояние $P_1B = \frac{BC}{\cos 30^\circ} = \frac{16}{\sqrt{3}}$ см.

Угловая скорость шатуна $\omega_{BC} = \frac{V_B}{P_1B} = \frac{9}{2}$ рад/с. Направление угловой скорости определяется по направлению скорости \vec{V}_B и показано дуговой стрелкой ω_{BC} .

Скорость точки C : $V_C = \omega_{BC} \cdot P_1C = \frac{36}{\sqrt{3}}$ см/с. Направление вектора скорости определяется направлением вращения шатуна BC .

$$\text{Угловая скорость коромысла } CO_1: \omega_{CO_1} = \frac{V_C}{O_1C} = \frac{9}{4\sqrt{3}} \text{ рад/с.}$$

Задача 29. В планетарном механизме (рис. 2.17) кривошип OA длиной

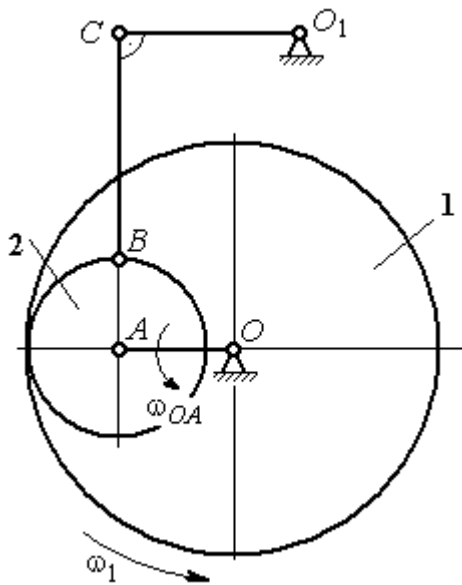


Рис. 2.17. Планетарный механизм

$OA = 25$ см вращается вокруг неподвижной оси O , перпендикулярной плоскости рисунка, с угловой скоростью $\omega_{OA} = 3,6$ рад/с. На конец A кривошипа насажена шестерёнка 2, находящаяся во внутреннем зацеплении с колесом 1 радиуса $r_1 = 45$ см, соосным с кривошипом OA и вращающимся с угловой скоростью $\omega_1 = 1$ рад/с. Шатун BC , шарнирно соединённый с шестерёнкой 2 на её ободе в точке B , приводит в движение кривошип CO_1 . Определить угловые скорости шестерёнки 2, шатуна BC и кривошипа CO_1 . Определить угловые скорости шестерёнки 2, шатуна BC и кривошипа CO_1 , скорости точек A, B, C в положении, показанном на рис.2.17, если длина шатуна $BC = 100$ см, длина кривошипа $CO_1 = 50$ см.

Решение

Найдём скорости точек A и D

$$V_A = \omega_{OA} \cdot OA = 90 \text{ см/с}; \quad V_D = \omega_1 \cdot r_1 = 45 \text{ см/с}.$$

Вектор скорости \vec{V}_A направлен перпендикулярно кривошипу OA в сторону его вращения. Вектор скорости \vec{V}_D перпендикулярен радиусу OD колеса 1 и направлен в сторону вращения колеса (рис. 2.18).

Мгновенный центр скоростей P_2 шестерни 2 находится на пересечении прямой, соединяющей точки A и D , и линии, проходящей через концы векторов \vec{V}_A и \vec{V}_D , изображающих скорости точек A и D . Расстояние P_2D от центра скоростей до точки D находится из пропорции $\frac{V_A}{V_D} = \frac{AP_2}{DP_2} = \frac{DP_2 + 20}{DP_2}$, откуда $P_2D = 20$ см.

Угловая скорость шестерёнки 2 $\omega_2 = \frac{V_D}{P_2D} = 2,25$ рад/с. Направление уг-

ловой скорости ω_2 показано на рис. 2.18 дуговой стрелкой ω_2 .

Скорость точки B , которая находится на ободе шестеренки, $V_B = \omega_2 \cdot P_2B = 45\sqrt{5}$ см/с. Вектор скорости \vec{V}_B перпендикулярен линии P_2B и направлен в сторону вращения шестерни 2.

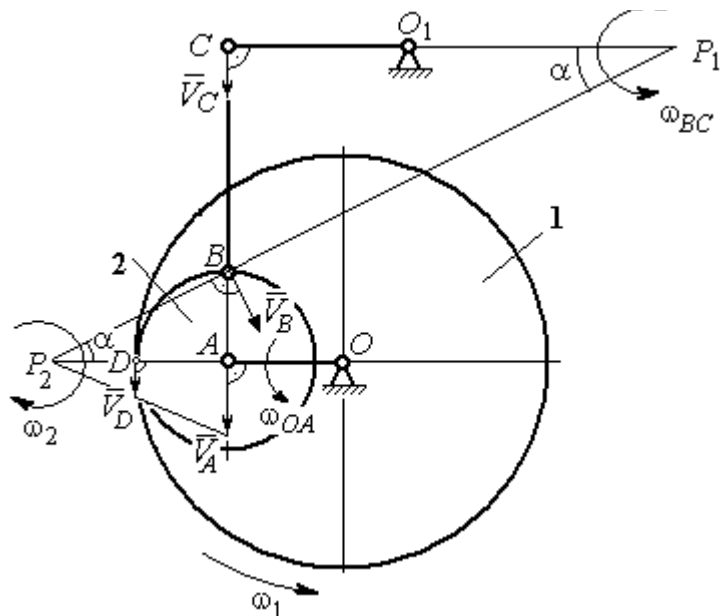


Рис. 2.18. Расчётная кинематическая схема планетарного механизма

Направим вектор скорости \vec{V}_C перпендикулярно кривошипу CO_1 и восстановим перпендикуляры к скоростям \vec{V}_C и \vec{V}_B . Точка P_1 пересечения перпендикуляров является мгновенным центром скоростей шатуна BC . Расстояние

P_1B найдём из треугольника P_1BC : $P_1B = \frac{BC}{\sin\alpha}$, где $\sin\alpha = \frac{AB}{P_2B} = \frac{1}{\sqrt{5}}$. Тогда

$P_1B = 100\sqrt{5}$ см. Угловая скорость шатуна $\omega_{BC} = \frac{V_B}{P_1B} = 0,45$ рад/с. Скорость

точки C шатуна BC найдём по теореме о проекциях скоростей. Спроектируем скорости \vec{V}_C и \vec{V}_B точек C и B на линию, проходящую через эти точки. Имеем:

$V_C \cos 0^\circ = V_B \cos\alpha$, откуда $V_C = 90$ см/с.

Угловая скорость кривошипа CO_1 $\omega_{CO_1} = \frac{V_C}{O_1C} = 1,8$ рад/с.

Задача 30. В плоском механизме (рис. 2.19) кривошип OA вращается вокруг оси O с угловой скоростью ω_{OA} . На конец A кривошипа насажена шестерня 2, находящаяся во внешнем зацеплении с неподвижным колесом 1. Радиусы колеса и шестерни r_1 и r_2 . Шестерня 2 соединяется с колесом 3 шатуном BC , закреплённым на шестерне в точке B и на колесе в точке C . Колесо 3 катится без скольжения по горизонтальной поверхности. Все соединения шарнирные. Качение шестерни 2 по неподвижному колесу 1 без проскальзывания. Для положения механизма, изображенного на рис. 2.19, определить скорости точек A , B , C и угловые скорости шатуна BC , шестерни 2 и колеса 3, если $\omega_{OA} = 4$ рад/с; $r_1 = 4$ см; $r_2 = r_3 = 8$ см.

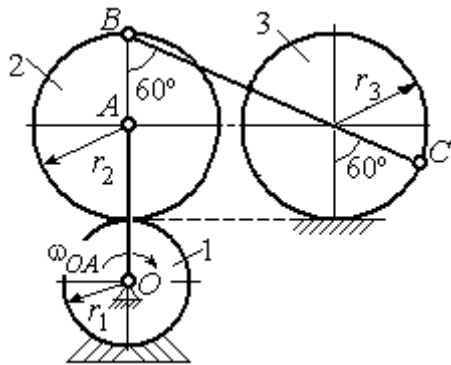


Рис. 2.19. Схема движения плоского механизма

На конец A кривошипа насажена шестерня 2, находящаяся во внешнем зацеплении с неподвижным колесом 1. Радиусы колеса и шестерни r_1 и r_2 . Шестерня 2 соединяется с колесом 3 шатуном BC , закреплённым на шестерне в точке B и на колесе в точке C . Колесо 3 катится без скольжения по горизонтальной поверхности. Все соединения шарнирные. Качение шестерни 2 по неподвижному колесу 1 без проскальзывания. Для положения механизма, изображенного на рис. 2.19, определить скорости точек A , B , C и угловые скорости шатуна BC , шестерни 2 и колеса 3, если $\omega_{OA} = 4$ рад/с; $r_1 = 4$ см; $r_2 = r_3 = 8$ см.

без скольжения по горизонтальной поверхности. Все соединения шарнирные. Качение шестерни 2 по неподвижному колесу 1 без проскальзывания. Для положения механизма, изображенного на рис. 2.19, определить скорости точек A , B , C и угловые скорости шатуна BC , шестерни 2 и колеса 3, если $\omega_{OA} = 4$ рад/с; $r_1 = 4$ см; $r_2 = r_3 = 8$ см.

Решение

Рассмотрим вращательное движение кривошипа OA . Скорость точки A кривошипа: $V_A = \omega_{OA} \cdot OA = 48$ см/с. Вектор скорости \vec{V}_A направлен перпендикулярно кривошипу OA в сторону его вращения (рис. 2.20).

При качении шестерни 2 по неподвижной поверхности колеса 1 точка их соприкосновения P_2 является мгновенным центром скоростей шестерни.

Угловая скорость шестерни 2

$$\omega_2 = \frac{V_A}{AP_2} = 6 \text{ рад/с.}$$

Скорость точки B шестерни 2 $V_B = \omega_2 \cdot BP_2 = 96$ см/с.

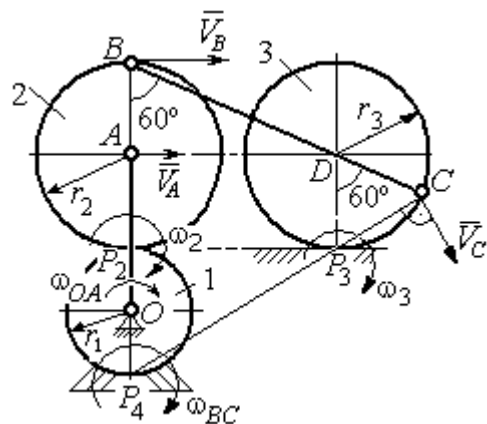


Рис. 2.20. Расчетная схема для определения угловых скоростей звеньев механизма

Точка P_3 касания колеса 3 с неподвижной поверхностью является его мгновенным центром скоростей. Вектор \vec{V}_C скорости точки C колеса 3 перпендикулярен линии P_3C и направлен в сторону качения колеса (см. рис. 2.20).

Мгновенный центр скоростей шатуна BC – точка P_4 находится на пересечении перпендикуляров, восстановленных к скоростям точек B и C . По построению $BP_4 = BC = BD + DC = 2r_2 + r_3 = 24$ см. Угловая скорость шатуна BC

$$\omega_{BC} = \frac{V_B}{BP_4} = 4 \text{ рад/с. Так как } BP_4 = CP_4, \text{ скорости точек } C \text{ и } B \text{ } V_C = 96 \text{ см/с.}$$

$$\text{Угловая скорость колеса 3 } \omega_3 = \frac{V_C}{CP_3} = 12 \text{ рад/с.}$$

Задача 31. В плоском механизме (рис. 2.21) кривошип OC , вращаясь вокруг неподвижной оси O , приводит в движение два шатуна CD и CE , присоединённых к кривошипу в точке C . Шатун CE

прикреплён в точке E к ободу цилиндрического выступа диска 1, который катится без проскальзывания своим выступом по неподвижному горизонтальному рельсу. К другому шатуну CD в точке D прикреплён ползун, перемещающийся вдоль направления вертикального диаметра диска 1. Все соединения шарнирные. Радиусы диска и цилиндрического выступа $R_1 = 3$ см, $r_1 = 2$ см. Длина шатуна $CE = 4$ см. В заданном положении механизма (см. рис. 2.21) шатун CE горизонтален.

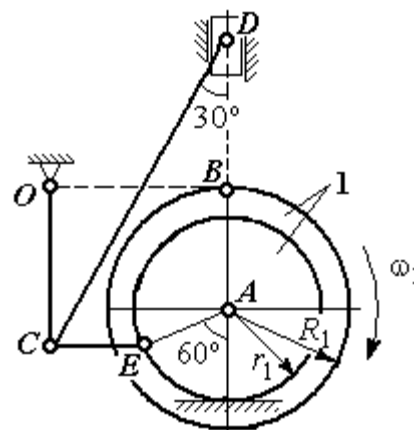


Рис. 2.21. Схема движения плоского механизма

прикреплён в точке E к ободу цилиндрического выступа диска 1, который катится без проскальзывания своим выступом по неподвижному горизонтальному рельсу. К другому шатуну CD в точке D прикреплён ползун, перемещающийся вдоль направления вертикального диаметра диска 1. Все соединения шарнирные. Радиусы диска и цилиндрического выступа $R_1 = 3$ см, $r_1 = 2$ см. Длина шатуна $CE = 4$ см. В заданном положении механизма (см. рис. 2.21) шатун CE горизонтален.

Определить скорости точек A , E , C , D и угловые скорости диска 1, шатунов CE , CD и кривошипа CO , если известна скорость точки B на ободу диска 1 $V_B = 10$ см/с и направление ω_1 угловой скорости диска.

Решение

Изобразим вектор скорости точки B диска 1 в соответствии с заданным направлением его движения. При качении диска 1 по неподвижной поверхности

рельса точка P_1 касания обода выступа с поверхностью рельса является его мгновенным центром скоростей (рис. 2.22).

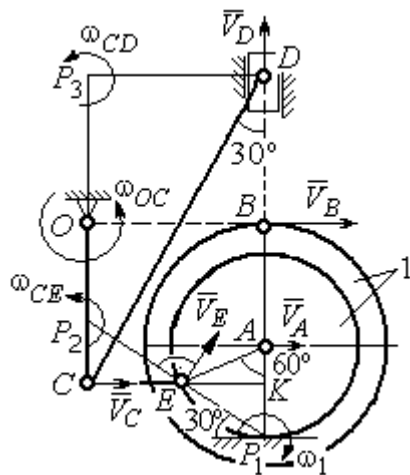


Рис. 2.22. Расчётная схема для определения скоростей точек и угловых скоростей звеньев механизма

Угловая скорость диска 1

$$\omega_1 = \frac{V_B}{BP_1} = 2 \text{ рад/с.}$$

$$V_A = \omega_1 \cdot AP_1 = 4 \text{ см/с.}$$

$$V_E = \omega_1 \cdot EP_1 = 4 \text{ см/с.}$$

Вектор скорости \vec{V}_A и вектор скорости \vec{V}_E перпендикулярны,

соответственно, линиям AP_1 EP_1 и направлены в сторону вращения диска.

Шатун CE совершает плоскопараллельное движение. Скорость точки C шатуна неизвестна по величине, но известно, что вектор скорости \vec{V}_C перпендикулярен кривошипу OC и направлен вдоль CE в сторону точки E . Мгновенный центр скоростей P_2 шатуна CE находится на пересечении перпендикуляров, восстановленных к скоростям \vec{V}_E и \vec{V}_C (см. рис. 2.22).

$$\text{Расстояние } EP_2 = \frac{EC}{\cos 30^\circ} = 4,62 \text{ см.}$$

$$\omega_{CE} = \frac{V_E}{EP_2} = 0,86 \text{ рад/с.}$$

Направление угловой скорости шатуна, определяемое по направлению скорости точки E , на рис. 2.22 показано дуговой стрелкой

$$\omega_{CE}. \text{ Скорость точки } C \text{ шатуна } CE \ V_C = \omega_{CE} \cdot CP_2 = \frac{V_E}{2} = 2 \text{ см/с.}$$

Длина кривошипа $OC = BK = R_1 + r_1 \sin 30^\circ = 4$ см. Угловая скорость кривошипа $\omega_{OC} = \frac{V_C}{OC} = 0,5$ рад/с.

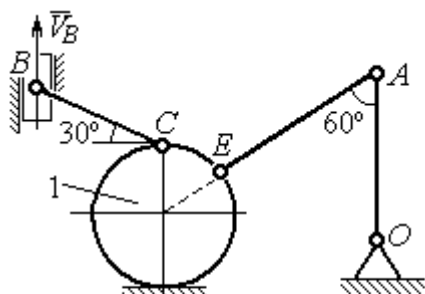
Для шатуна CD известны величина и направление вектора \vec{V}_C скорости точки C и направление вектора \vec{V}_D скорости точки D . Мгновенный центр скоростей шатуна CD находится в точке P_3 , полученной на пересечении перпендикуляров, восстановленных к скоростям \vec{V}_C и \vec{V}_D .

Расстояние $CP_3 = DK = (CE + r_1 \cos 30^\circ) \operatorname{ctg} 30^\circ = 9,92$ см (см. рис. 2.22). Угловая скорость шатуна CD : $\omega_{CD} = \frac{V_C}{CP_3} = 0,21$ рад/с.

Скорость ползуна D : $V_D = \omega_{CD} DP_3 = \omega_{CD} (CE + r_1 \cos 30^\circ) = 1,2$ см/с.

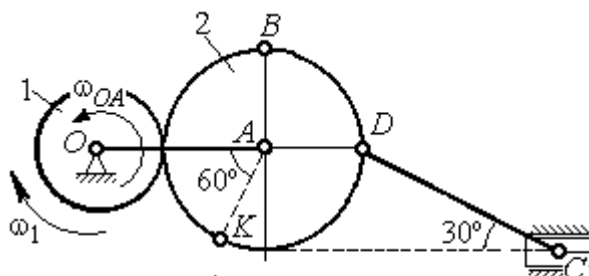
Упражнения

Упражнение 2.3



$R_1 = 2$ см, $OA = AE = 6$ см,
 $BC = 5$ см, $V_B = 5$ см/с.
 Найти: ω_{OA} , ω_{AE} , ω_{CB} , ω_1 , V_C , V_A , V_E

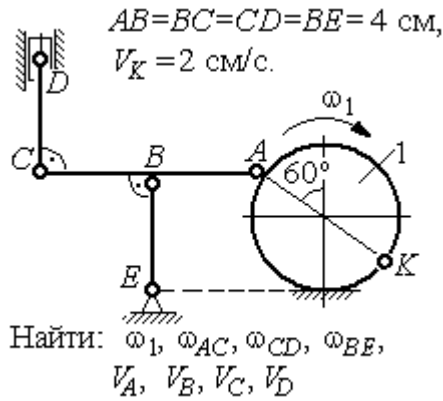
Упражнение 2.4



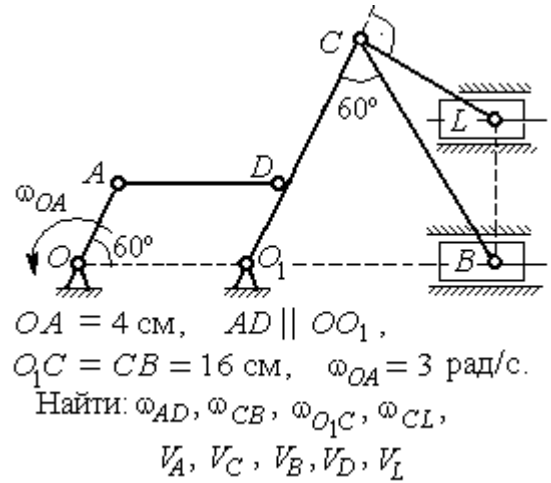
$\omega_{OA} = 2$ рад/с, $\omega_1 = 6$ рад/с,
 $r_1 = 3$ см, $r_2 = 6$ см.
 Найти: ω_2 , ω_{DC} , V_B , V_K , V_D , V_C

Рис. 2.23. Задания для самостоятельного решения. Упражнения 2.3, 2.4

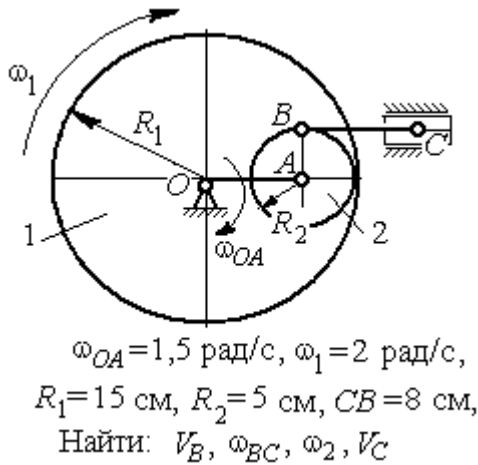
Упражнение 2.5



Упражнение 2.6



Упражнение 2.7



Упражнение 2.8

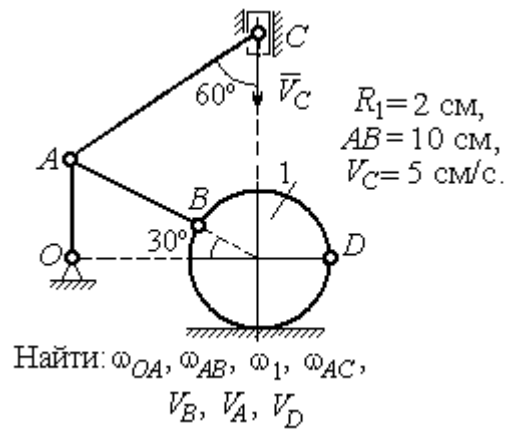


Рис. 2.24. Задания для самостоятельного решения. Упражнения 2.5 – 2.8

2.4. Ускорения точек при плоскопараллельном движении твёрдого тела

Ускорение любой точки M плоской фигуры при плоскопараллельном движении твердого тела представляется как сумма векторов $\vec{a}_M = \vec{a}_A + \vec{a}_{MA}^\tau + \vec{a}_{MA}^n$, где \vec{a}_A – ускорение полюса A ; $\vec{a}_{MA}^\tau, \vec{a}_{MA}^n$ – касательная и

нормальная составляющие ускорения точки M при вращении фигуры вокруг полюса A (рис. 2.25).

Вектор нормального ускорения \vec{a}_{MA}^n всегда направлен от точки M к полюсу A . Вектор касательного ускорения \vec{a}_{MA}^τ направлен перпендикулярно отрезку AM в сторону вращения, если оно ускоренное (см. рис. 2.25, a), и против вращения, если оно замедленное (см. рис. 2.25, b). Величины касательного и нормального составляющих ускорения точки M определяются по формулам:

$a_{MA}^\tau = \varepsilon \cdot AM$; $a_{MA}^n = \omega^2 \cdot AM$, где ω , ε – угловая скорость и угловое ускорение тела (плоской фигуры); AM – расстояние от точки M до полюса A .

Если при движении плоской фигуры известны траектории движения полюса A и точки M , то для определения ускорения точки M используется векторное равенство $\vec{a}_M^\tau + \vec{a}_M^n = \vec{a}_A^\tau + \vec{a}_A^n + \vec{a}_{MA}^\tau + \vec{a}_{MA}^n$, где \vec{a}_M^τ , \vec{a}_M^n , \vec{a}_A^τ , \vec{a}_A^n – касательная и нормальная составляющие ускорения точки M и полюса A при движении их по заданным траекториям.

Примеры решения задач на определение ускорений точек

Задача 32. Поршень D гидравлического пресса приводится в движение шарнирно-рычажным механизмом $OABD$. В положении механизма, указанном на рис. 2.26, точка L рычага имеет скорость $V_L = 0,6$ м/с и ускорение $a_L = 0,5$ м/с². Длина рычага $OA = 2 \cdot AL = 0,6$ м, длина звена $AB = 0,4$ м. Определить скорость и ускорение поршня D , угловую скорость и ускорение звена AB .

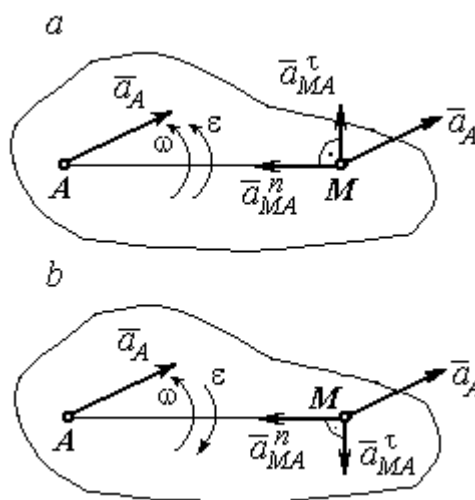


Рис. 2.25. Ускорение точки плоской фигуры:
 a – ускоренное движение;
 b – замедленное движение

Решение

Найдём угловую скорость рычага OL : $\omega_{OL} = \frac{V_L}{OL} = \frac{2}{3}$ рад/с.

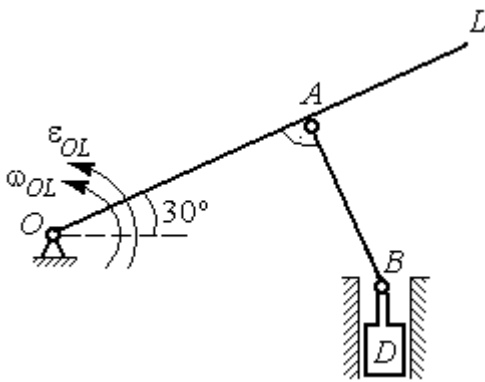


Рис. 2.26. Шарнирно-рычажный механизм гидравлического прессы

Ускорение точки L представляется в виде суммы векторов нормального и касательного ускорений: $\vec{a}_L = \vec{a}_L^\tau + \vec{a}_L^n$ (рис. 2.27). Модуль нормального ускорения точки L $a_L^n = \omega_{OL}^2 \cdot OL = 0,4$ м/с². Модуль её касательного ускорения и угловое ускорение рычага, соответственно, равны:

$$a_L^\tau = \sqrt{a_L^2 - (a_L^n)^2} = 0,3 \text{ м/с}^2, \quad \varepsilon_{OL} = \frac{a_L^\tau}{OL} = \frac{1}{3} \text{ рад/с}^2.$$

Скорость \vec{V}_A точки A перпендикулярна рычагу OL и направлена в сторону вращения рычага. Её модуль $V_A = \omega_{OL} \cdot OA = 0,4$ м/с. Скорость \vec{V}_B точки B направлена вертикально вверх вдоль линии движения поршня. Направления векторов скоростей \vec{V}_A и \vec{V}_B показаны на рис. 2.27. Точка P_1 – пересечения перпендикуляров, восстановленных к векторам скоростей \vec{V}_A и \vec{V}_B - определяет положение мгновенного центра скоростей звена AB . Расстояние $AP_1 = P_1B \cdot \cos 30^\circ = 0,4\sqrt{3}$ м.

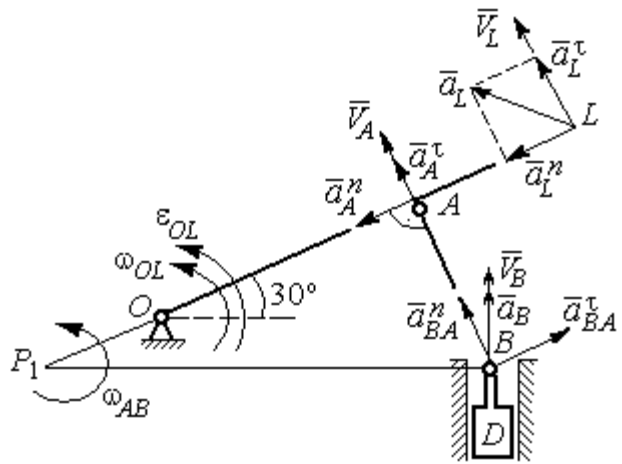


Рис. 2.27. Расчётная кинематическая схема механизма

Угловая скорость звена AB $\omega_{AB} = \frac{V_A}{P_1A} = \frac{1}{\sqrt{3}}$ рад/с.

Представим ускорение точки B через полюс A : $\vec{a}_B = \vec{a}_A + \vec{a}_{BA}^\tau + \vec{a}_{BA}^n$, где \vec{a}_A – ускорение полюса A ; \vec{a}_{BA}^τ , \vec{a}_{BA}^n – касательная и нормальная составляющие ускорения точки B при вращении звена AB вокруг полюса A . Так как траекторией точки A является окружность с центром в точке O , ускорение этой точки может быть разложено на две составляющие: $\vec{a}_A = \vec{a}_A^\tau + \vec{a}_A^n$. В результате ускорение точки B представляется в виде векторной суммы $\vec{a}_B = \vec{a}_A^\tau + \vec{a}_A^n + \vec{a}_{BA}^\tau + \vec{a}_{BA}^n$. Направления векторов ускорений показаны на рис. 2.27.

Модули ускорений:

$$a_A^n = \omega_{OL}^2 \cdot OA = 0,27 \text{ см/с}^2; \quad a_{BA}^n = \omega_{AB}^2 \cdot AB = 0,13 \text{ см/с}^2;$$

$$a_A^\tau = \varepsilon_{OL} \cdot OA = 0,2 \text{ см/с}^2.$$

Ускорение $a_{BA}^\tau = \varepsilon_{AB} \cdot AB$ остаётся неизвестной величиной, так как угловое ускорение ε_{AB} звена AB неизвестно.

Спроектируем векторное равенство ускорения точки B на оси x, y , где ось x проходит вдоль линии звена AB , ось y – перпендикулярна ей (рис. 2.28). Получим равенства:

$$a_B \cdot \cos 30^\circ = a_A^\tau + a_{BA}^n; \quad a_B \cdot \cos 60^\circ = -a_A^n + a_{BA}^\tau.$$

Решая систему уравнений, находим модуль ускорения точки B : $a_B = 0,38 \text{ см/с}^2$ и величину касательного ускорения: $a_{BA}^\tau = 0,46 \text{ см/с}^2$. Угловое ускорение стержня AB

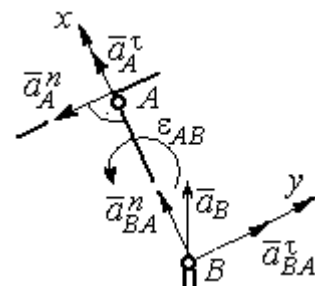


Рис. 2.28. Вычисление проекций векторов ускорений

$\varepsilon_{AB} = \frac{a_{BA}^\tau}{AB} = 1,15 \text{ рад/с}^2$. Направление углового ускорения ε_{AB} звена AB определяется направлением вектора \vec{a}_{BA}^τ касательного ускорения точки B при вращении звена вокруг полюса A (см. рис. 2.28).

Ускорение поршня D равно ускорению точки B : $a_D = a_B = 0,38 \text{ см/с}^2$.

Задача 34. Колесо 1 радиуса $r_1 = 0,6$ м катится без скольжения по прямой

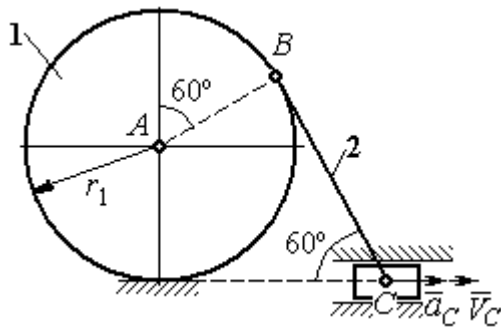


Рис. 2.29. Механизм, связывающий качение колеса с поступательным движением ползуна

участку пути и приводит в движение шатун 2, соединённый шарнирно с колесом в точке B на его ободе. На другом конце шатуна в точке C к нему присоединён ползун, перемещающийся горизонтально (рис. 2.29).

В положении механизма, показанном на рис. 2.29, найти ускорение центра

A колеса 1, его угловое ускорение, а также угловое ускорение шатуна 2, если заданы скорость и ускорение ползуна C : $V_C = 9$ м/с; $a_C = 4$ м/с².

Решение

При качении диска 1 по неподвижной поверхности точка P_1 касания его с поверхностью является мгновенным центром скоростей диска. Вектор скорости \vec{V}_B перпендикулярен линии P_1B . Восстановим перпендикуляры к скоростям \vec{V}_B и \vec{V}_C . Их пересечение в точке P_2 определяет положение мгновенного центра скоростей шатуна 2 (рис. 2.30).

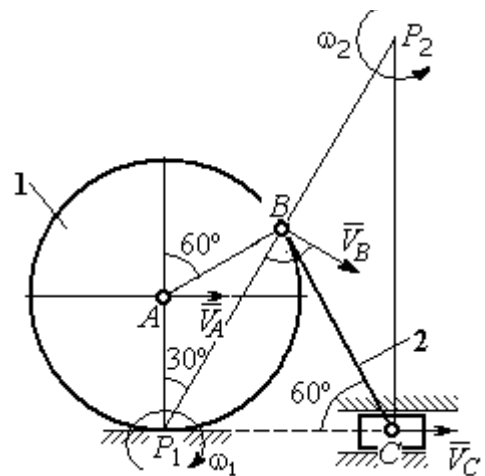


Рис. 2.30. Расчётная схема механизма для определения скоростей точек

Вычислим необходимые расстояния.

Расстояние P_1B (см. рис. 2.30) найдём из треугольника P_1AB по теореме косинусов:

$P_1B = r_1\sqrt{3} = 1,04$ м. Из построения мгновенных центров скоростей P_1 и P_2 следует: $P_1B = BP_2 = BC$. Расстояние P_2C определяется из треугольника P_1P_2C : $P_2C = P_1P_2 \cdot \cos 30^\circ = 1,8$ м.

Угловая скорость шатуна 2 $\omega_2 = \frac{V_C}{P_2C} = 5 \text{ рад/с}$. Направление угловой скорости ω_2 определяется направлением скорости \vec{V}_C .

Скорость точки B найдём по формуле $V_B = \omega_2 \cdot P_2B = 5,2 \text{ м/с}$.

Угловая скорость диска 1 $\omega_1 = \frac{V_B}{P_1B} = 5 \text{ рад/с}$. Скорость центра колеса 1

$V_A = \omega_1 \cdot P_1A = 3 \text{ м/с}$.

Найдём ускорение точки A .

Примем точку B за полюс и выразим ускорение точки A через полюс B :

$\vec{a}_A = \vec{a}_B + \vec{a}_{AB}^\tau + \vec{a}_{AB}^n$, где \vec{a}_B – ускорение полюса B ; \vec{a}_{AB}^τ , \vec{a}_{AB}^n – касательная и нормальная составляющие ускорения точки A при вращении диска 1 вокруг полюса B (рис. 2.31). Направления ускорения точки \vec{a}_A и касательной составляющей ускорения \vec{a}_{AB}^τ точки A выбраны в предположении ускоренного движения диска.

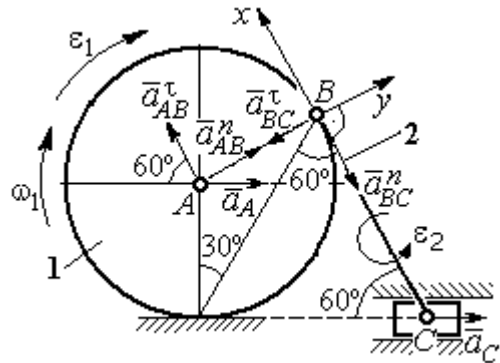


Рис. 2.31. Расчётная схема механизма для определения ускорений точек

Ускорение полюса B выразим через полюс C : $\vec{a}_B = \vec{a}_C + \vec{a}_{BC}^\tau + \vec{a}_{BC}^n$, где \vec{a}_C – ускорение полюса C ; \vec{a}_{BC}^τ , \vec{a}_{BC}^n – касательная и нормальная составляющие ускорения точки B при вращении шатуна 2 вокруг полюса C .

Направление касательной составляющей ускорения \vec{a}_{BC}^τ точки B выбрано в направлении вращения шатуна 2 (см. рис. 2.30) исходя из предположения его ускоренного движения. В результате ускорение точки A выражается векторной суммой:

$$\vec{a}_A = \vec{a}_{AB}^\tau + \vec{a}_{AB}^n + \vec{a}_{BC}^\tau + \vec{a}_{BC}^n + \vec{a}_C.$$

Направления векторов ускорений показаны на рис. 2.31.

Заметим, что в любой момент времени движения колеса 1 расстояние от точки A до мгновенного центра скоростей колеса P_1 остаётся постоянным, равным радиусу колеса. Дифференцируем выражение $V_A = \omega_1 \cdot P_1A = \omega_1 \cdot r_1$. Получим $\frac{dV_A}{dt} = \frac{d\omega_1}{dt} r_1 = \varepsilon_1 \cdot r_1$, откуда с учётом $\frac{dV_A}{dt} = a_A$ (прямолинейное движение точки A) угловое ускорение диска 1 $\varepsilon_1 = \frac{a_A}{r_1}$. В результате, касательное ускорение a_{AB}^τ точки A при вращении диска 1 вокруг полюса B $a_{AB}^\tau = \varepsilon_1 \cdot AB = a_A$.

Найдём модули векторов ускорений:

$$a_{AB}^n = \omega_1^2 \cdot AB = 15 \text{ м/с}^2; \quad a_{BC}^n = \omega_2^2 \cdot BC = 26 \text{ м/с}^2.$$

Ускорение $a_{BC}^\tau = \varepsilon_2 \cdot BC$ остаётся неизвестным. Применить здесь способ дифференцирования выражения $V_C = \omega_2 \cdot P_2C$ для определения углового ускорения ε_2 невозможно, так как расстояние P_2C от мгновенного центра скоростей P_2 шатуна 2 до точки C меняется во время движения механизма неизвестным образом.

Спроектируем векторное равенство ускорения точки A на оси x , y , выбранные, как показано на рис. 2.31. Получим систему уравнений:

$$\text{проекция на ось } x: -a_A \cos 60^\circ = a_{AB}^\tau - a_{BC}^n - a_C \cos 60^\circ;$$

$$\text{проекция на ось } y: a_A \cos 30^\circ = a_{AB}^n - a_{BC}^\tau + a_C \cos 30^\circ.$$

Из первого уравнения с учётом того, что $a_{AB}^\tau = a_A$, найдём ускорение точки A : $a_A = 18,67 \text{ м/с}^2$. Положительное значение ускорения точки A означает, что вектор \vec{a}_A направлен так, как показано на рис. 2.31, – в сторону направления вектора скорости \vec{V}_A . Из этого следует, что диск 1 движется ускоренно и угловое ускорение направлено в сторону его угловой скорости.

Из второго уравнения получим: $a_{BC}^\tau = 2,29 \text{ м/с}^2$. Угловое ускорение шатуна 2: $\varepsilon_2 = \frac{|a_{BC}^\tau|}{BC} = 2,2 \text{ рад/с}^2$. Из того, что касательное ускорение a_{BC}^τ положительно, следует, что направление вектора \vec{a}_{BC}^τ совпадает с направлением, указанным на рис. 2.31. Это, в свою очередь, означает, что в данном положении механизма угловое ускорение шатуна 2 направлено так, как показано на рис. 2.31, – по направлению его угловой скорости, то есть шатун 2 вращается ускоренно.

Задача 35. По неподвижной шестерне 1 радиуса r_1 обкатывается шестерня 2 радиуса r_2 , насаженная в центре на кривошип OA (рис. 2.32). Кривошип OA вращается вокруг оси O с угловой скоростью ω_{OA} и угловым ускорением ε_{OA} . На ободе шестерни 2 в точке B шарнирно прикреплен стержень BC , соединенный другим концом с центром C диска 3, катящегося без скольжения вдоль горизонтальной прямой. Радиус диска 3 равен радиусу шестерни 2: $r_3 = r_2$. Для положения механизма, изображенного на рис. 2.32, определить ускорение точки D и угловое ускорение стержня BC , если $r_1 = 0,2 \text{ м}$, $r_2 = 0,4 \text{ м}$, $\omega_{OA} = 4 \text{ рад/с}$, $\varepsilon_{OA} = 2 \text{ рад/с}^2$. Длина стержня $BC = 1 \text{ м}$.

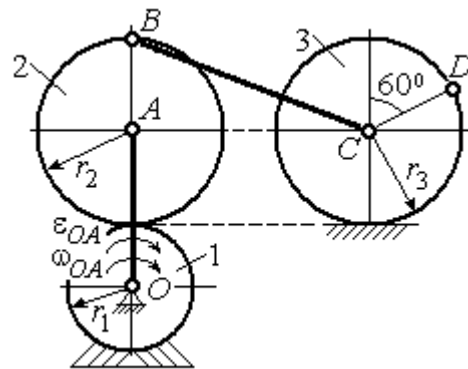


Рис. 2.32. Схема движения плоского механизма

Решение

Найдём угловые скорости звеньев механизма.

Рассмотрим вращательное движение кривошипа OA . Скорость его точки A : $V_A = \omega_{OA} \cdot OA = 2,4 \text{ м/с}$. Вектор скорости \vec{V}_A направлен перпендикулярно кривошипу OA в сторону его вращения (рис. 2.33).

При качении подвижной шестерни 2 по неподвижной 1, точка их соприкосновения P_2 является мгновенным центром скоростей шестерни 2. Угловая скорость шестерни 2: $\omega_2 = \frac{V_A}{AP_2} = 6$ рад/с. Скорость точки B шестерни 2:

$$V_B = \omega_2 \cdot BP_2 = 4,8 \text{ м/с.}$$

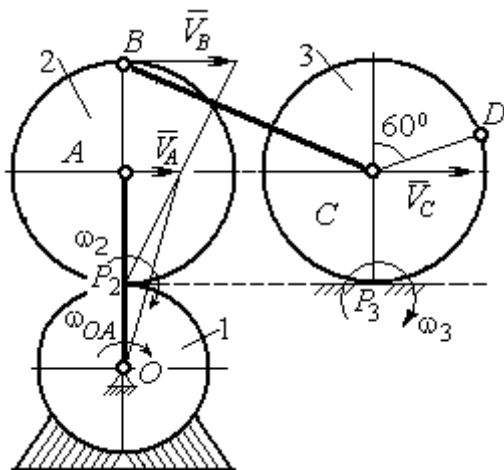


Рис. 2.33. Расчетная схема для определения угловых скоростей звеньев механизма

Для определения угловой скорости стержня BC заметим, что скорости двух точек стержня \vec{V}_B и \vec{V}_C параллельны, но точки B и C не лежат на общем перпендикуляре к скоростям. В этом случае мгновенный центр скоростей стержня BC отсутствует (или бесконечно удалён), угловая скорость стержня равна нулю и стержень совершает мгновенное поступательное движение.

При таком движении мгновенные скорости всех точек стержня BC одинаковы по величине и направлению. Таким образом, $\omega_{BC} = 0$; $V_C = V_B = 4,8$ м/с.

При качении диска 3 по неподвижной поверхности без проскальзывания точка P_3 касания диска с поверхностью является его мгновенным центром скоростей. Угловая скорость диска 3: $\omega_3 = \frac{V_C}{CP_3} = 12$ рад/с. Направление угловой скорости ω_3 определяется направлением вектора \vec{V}_C .

Найдём ускорения точек и угловые ускорения звеньев механизма.

Выразим ускорение \vec{a}_C точки C , направленное вдоль линии движения центра колеса 3, через полюс B . Ускорение представляется векторной суммой: $\vec{a}_C = \vec{a}_B + \vec{a}_{CB}^n + \vec{a}_{CB}^t$, где \vec{a}_B – вектор ускорения полюса B ; \vec{a}_{CB}^n , \vec{a}_{CB}^t – нормальная и касательная составляющие ускорения точки C при вращении

стержня BC вокруг полюса B . Вектор \vec{a}_{CB}^n направлен вдоль стержня от точки C к полюсу B , вектор \vec{a}_{CB}^τ перпендикулярен стержню BC . Направление вектора \vec{a}_{CB}^τ выбрано по предполагаемому угловому ускорению стержня BC , показанному на рис. 2.34 дуговой стрелкой ε_{CB} .

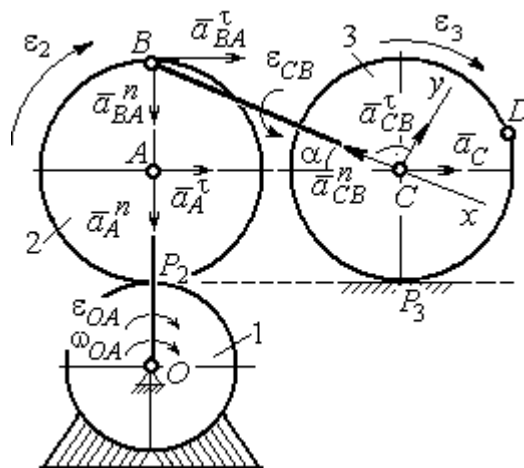


Рис. 2.34. Расчетная схема для определения ускорений точек механизма и угловых ускорений его звеньев

Рассмотрим плоскопараллельное движение шестерни 2 и выразим ускорение точки B через полюс A в виде векторного равенства: $\vec{a}_B = \vec{a}_A + \vec{a}_{BA}^n + \vec{a}_{BA}^\tau$, где \vec{a}_A – ускорение полюса A ; \vec{a}_{BA}^n , \vec{a}_{BA}^τ – нормальная и касательная составляющие ускорения точки B при вращении шестерни 2 вокруг полюса A . Вектор \vec{a}_{BA}^n направлен вдоль радиуса шестерни от точки B к полюсу A , вектор \vec{a}_{BA}^τ перпендикулярен линии BA . Направление вектора \vec{a}_{BA}^τ соответствует ускоренному вращению шестерни 2.

Рассмотрим вращение кривошипа OA . Вектор ускорения точки A кривошипа при вращении его вокруг неподвижной оси O представляется в виде суммы: $\vec{a}_A = \vec{a}_A^n + \vec{a}_A^\tau$, где \vec{a}_A^n и \vec{a}_A^τ – вектора нормальной и касательной составляющих ускорения точки A . Вектор \vec{a}_A^n направлен вдоль кривошипа по направлению к оси вращения, вектор \vec{a}_A^τ перпендикулярен кривошипу и направлен в сторону углового ускорения ε_{OA} вращения кривошипа.

В результате для определения ускорения точки C имеем векторное равенство:

$$\vec{a}_C = \vec{a}_A^n + \vec{a}_A^\tau + \vec{a}_{BA}^n + \vec{a}_{BA}^\tau + \vec{a}_{CB}^n + \vec{a}_{CB}^\tau.$$

Направления всех векторов ускорений показаны на рис. 2.34.

Вычислим модули векторов, составляющих векторную сумму:

$$a_A^n = \omega_{OA}^2 \cdot OA = 9,6 \text{ м/с}^2; \quad a_A^\tau = \varepsilon_{OA} \cdot OA = 1,2 \text{ м/с}^2;$$

$$a_{BA}^n = \omega_2^2 \cdot BA = 14,4 \text{ м/с}^2; \quad a_{CB}^n = \omega_{BC}^2 \cdot BC = 0.$$

Заметим, что во время движения шестерни 2 расстояние AP_2 остается постоянным, равным r_2 . Дифференцируя равенство $V_A = \omega_2 \cdot AP_2 = \omega_2 r_2$, получим: $\frac{dV_A}{dt} = \frac{d\omega_2}{dt} r_2$. При криволинейном движении точки A производная от скорости

равна касательному ускорению: $\frac{dV_A}{dt} = a_A^\tau$. С учётом, что $\frac{d\omega_2}{dt} = \varepsilon_2$, по-

лучим: $a_A^\tau = \varepsilon_2 r_2$, откуда $\varepsilon_2 = \frac{a_A^\tau}{r_2} = 3 \text{ рад/с}^2$ и $a_{BA}^\tau = \varepsilon_2 \cdot BA = 1,2 \text{ м/с}^2$.

Выберем оси Cx , Cy , как показано на рис. 2.34, – вдоль отрезка BC и перпендикулярно ему и спроектируем на них векторное равенство ускорения точки C . Получим систему уравнений:

$$a_C \cos \alpha = a_A^n \sin \alpha + a_A^\tau \cos \alpha + a_{BA}^n \sin \alpha + a_{BA}^\tau \cos \alpha - a_{CB}^n;$$

$$a_C \sin \alpha = -a_A^n \cos \alpha + a_A^\tau \sin \alpha - a_{BA}^n \cos \alpha + a_{BA}^\tau \sin \alpha + a_{CB}^\tau,$$

где α – угол между стержнем BC и линией центров AC , $\sin \alpha = \frac{AB}{BC} = 0,4$; $\cos \alpha = 0,92$.

Находим из первого уравнения ускорение точки C : $a_C = 12,83 \text{ м/с}^2$, из второго – касательное ускорение точки C при вращении стержня BC вокруг полюса B : $a_{CB}^\tau = 33,95 \text{ м/с}^2$. Величина углового ускорения стержня BC :

$\varepsilon_{CB} = \frac{|a_{CB}^\tau|}{BC} = 33,95 \text{ рад/с}^2$. Положительное значение a_{CB}^τ означает, что вектор

касательного ускорения \vec{a}_{CB}^τ направлен так, как показано на рис. 2.34. Тогда и

направление углового ускорения ε_{CB} стержня BC совпадает с направлением, показанным дуговой стрелкой на рис. 2.34.

При качении диска 3 точка C движется по прямой и расстояние CP_3 остается постоянным, равным радиусу диска 3. В этом случае равенство $V_C = \omega_3 \cdot CP_3 = \omega_3 r_3$ можно продифференцировать

по времени. Получим: $\frac{dV_C}{dt} = \frac{d\omega_3}{dt} r_3$. Так как дви-

жение точки C является прямолинейным, производная от скорости точки C

равна ускорению этой точки: $\frac{dV_C}{dt} = a_C$. Тогда с учётом $\frac{d\omega_3}{dt} = \varepsilon_3$ имеем равен-

ство $a_C = \varepsilon_3 r_3$. Угловое ускорение диска 3: $\varepsilon_3 = \frac{a_C}{r_3} = 32,07 \text{ рад/с}^2$.

Выразим ускорение точки D через полюс C , ускорение которого известно и по величине, и по направлению: $\vec{a}_D = \vec{a}_C + \vec{a}_{DC}^n + \vec{a}_{DC}^\tau$, где \vec{a}_C – ускорение точки C ; \vec{a}_{DC}^n , \vec{a}_{DC}^τ – нормальное и касательное составляющие ускорения точки D при вращении диска 3 вокруг полюса C . Модули ускорений

$$a_C = 12,83 \text{ м/с}^2; a_{DC}^n = \omega_3^2 DC = 57,6 \text{ м/с}^2; a_{DC}^\tau = \varepsilon_3 DC = 12,83 \text{ м/с}^2.$$

Проведём оси Dx и Dy , как показано на рис. 2.34, и спроектируем векторное равенство ускорения точки D на оси. Получим систему уравнений:

$$a_{Dx} = -a_C \cos 30^\circ + a_{DC}^n; \quad a_{Dy} = a_C \cos 60^\circ + a_{DC}^\tau.$$

Подставляя в уравнения проекций значения модулей ускорений, найдём: $a_{Dx} = 46,49 \text{ м/с}^2$; $a_{Dy} = 19,25 \text{ м/с}^2$.

$$\text{Величина ускорения точки } D: a_D = \sqrt{a_{Dx}^2 + a_{Dy}^2} = 50,32 \text{ м/с}^2.$$

Заметим, что для определения ускорения точки D невозможно было сразу использовать приём с последовательным выражением ускорения точки D через

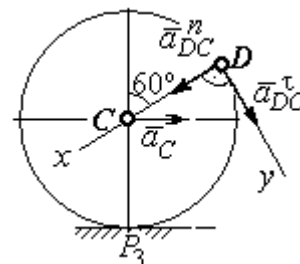


Рис.2.35. Расчетная схема для определения ускорения точки D

ускорения полюсов C , B и A , так как в полученной в результате проекций системе двух уравнений будет три неизвестных величины - a_{Dx} , a_{Dy} и величина ускорения a_{CB}^{τ} .

Задача 36. Механизм качалки (рис. 2.36) включает в себя кривошип OA , вращающийся вокруг неподвижной оси O , шестерню 1 радиуса r_1 , насаженную

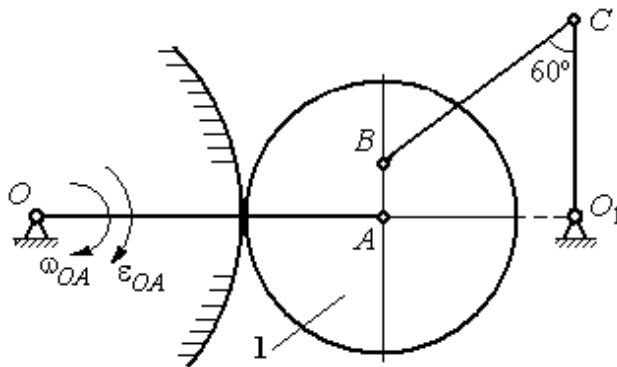


Рис. 2.36. Механизм качалки

на кривошип в точке A и обкатывающуюся по неподвижной цилиндрической поверхности, и шатун BC , присоединённый одним концом в точке B к шестерне, а другим – в точке C к коромыслу CO_1 . В положении,

указанном на рис. 2.36, определить угловую скорость и угловое ускорение коромысла CO_1 , если $\omega_{OA} = 2$ рад/с; $\epsilon_{OA} = 4$ рад/с²; $OA = 0,8$ м; $r_1 = 0,4$ м; $AB = 0,2$ м; $BC = 0,6$ м. Для этого же положения определить ускорение точки C .

Решение

Найдём угловые скорости звеньев механизма.

Скорость точки A кривошипа $V_A = \omega_{OA} \cdot OA = 1,6$ м/с. Вращаясь, кривошип передаёт движение шестерне 1, которая катится по неподвижной поверхности. Точка касания P_1 шестерни с неподвижной поверхностью является мгновенным центром скоростей шестерни. Тогда её угловая скорость $\omega_1 = \frac{V_A}{AP_1} = 4$ рад/с. Направление угловой скорости показано на рис. 2.37 дуговой стрелкой ω_1 .

Расстояние от мгновенного центра скоростей шестерни до её точки B $P_1B = 0,45$ м. Скорость точки B : $V_B = \omega_1 \cdot P_1B = 1,8$ м/с. Вектор скорости \vec{V}_B перпендикулярен линии P_1B и направлен в сторону вращения шестерни.

При вращении коромысла CO_1 вокруг неподвижной оси O_1 вектор скорости \vec{V}_C перпендикулярен коромыслу. Точка P_2 , лежащая на пересечении перпендикуляров, восстановленных к векторам \vec{V}_B и \vec{V}_C – скоростей точек B и C , является мгновенным центром скоростей шатуна BC (рис. 2.37). Расстояние

$$BK = BC \cos 30^\circ = 0,52 \text{ м}; \quad \cos \alpha = \frac{AP_1}{BP_1} = 0,89; \quad P_2B = \frac{BK}{\cos \alpha} = 0,58 \text{ м.}$$

Угловая скорость шатуна $\omega_{BC} = \frac{V_B}{BP_2} = 3,1 \text{ рад/с.}$

Направление угловой скорости шатуна показано на рис. 2.37 дуговой стрелкой ω_{BC} .

Расстояние

$$P_2C = BC \cdot \sin 30^\circ - P_2B \cdot \sin \alpha = 0,04 \text{ м.}$$

Скорость точки C шатуна BC :

$$V_C = \omega_{BC} \cdot P_2C = 0,12 \text{ м/с.}$$

Длина коромысла $CO_1 = CK + KO_1 = 0,5 \text{ м}$, угловая

скорость коромысла $\omega_{CO_1} = \frac{V_C}{CO_1} = 0,24 \text{ рад/с.}$

Найдём ускорения звеньев механизма.

Считая, что точка C принадлежит шатуну BC , выразим ускорение точки C через полюс B : $\vec{a}_C = \vec{a}_B + \vec{a}_{CB}^n + \vec{a}_{CB}^\tau$, где \vec{a}_B – ускорение полюса B ; \vec{a}_{CB}^n , \vec{a}_{CB}^τ – нормальная и касательная составляющие вектора ускорения точки C при вращении шатуна вокруг полюса B .

Полагая, что точка B принадлежит шестерне 1, выразим её ускорение через полюс A : $\vec{a}_B = \vec{a}_A + \vec{a}_{BA}^n + \vec{a}_{BA}^\tau$, где \vec{a}_A – ускорение точки A шестерни; \vec{a}_{BA}^n , \vec{a}_{BA}^τ – нормальная и касательная составляющие вектора ускорения точки B при вращении шестерни вокруг полюса A .

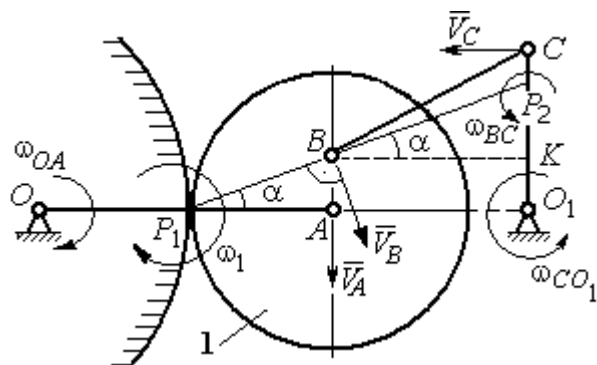


Рис. 2.37. Расчётная схема для определения угловых скоростей звеньев механизма

Поскольку точка A принадлежит и кривошипу OA , а точка C – коромыслу CO_1 , вращающихся вокруг своих неподвижных осей, вектора ускорений этих

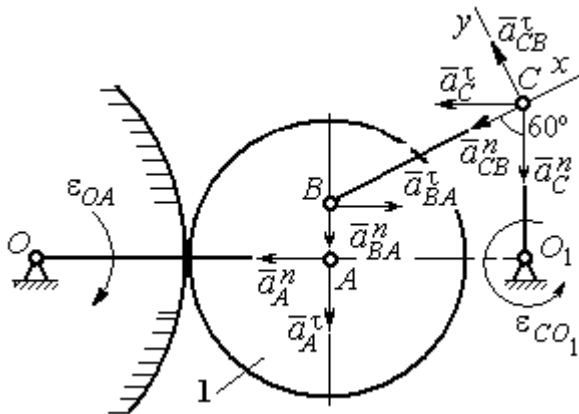


Рис. 2.38. Расчётная схема для определения ускорений точек механизма

точек можно представить в виде сумм векторов:

$$\vec{a}_A = \vec{a}_A^n + \vec{a}_A^\tau, \quad \vec{a}_C = \vec{a}_C^n + \vec{a}_C^\tau,$$

где \vec{a}_A^n , \vec{a}_A^τ – нормальная и касательная составляющие вектора ускорения точки A при вращении кривошипа вокруг оси O ; \vec{a}_C^n , \vec{a}_C^τ – нормальная и касательная составляющие вектора ускорения точки C при вращении коромысла вокруг оси O_1 .

В результате подстановок получим полное векторное равенство, связывающее ускорения точек механизма:

$$\vec{a}_C^n + \vec{a}_C^\tau = \vec{a}_{CB}^n + \vec{a}_{CB}^\tau + \vec{a}_{BA}^n + \vec{a}_{BA}^\tau + \vec{a}_A^n + \vec{a}_A^\tau.$$

Направления векторов ускорений показаны на рис. 2.38.

Модули векторов ускорений:

$$a_C^n = \omega_{CO_1}^2 \cdot CO_1 = 0,03 \text{ м/с}^2; \quad a_{CB}^n = \omega_{CB}^2 \cdot CB = 5,77 \text{ м/с}^2,$$

$$a_A^n = \omega_{OA}^2 \cdot OA = 3,2 \text{ м/с}^2; \quad a_A^\tau = \varepsilon_{OA} \cdot OA = 3,2 \text{ м/с}^2,$$

$$a_{BA}^n = \omega_1^2 \cdot BA = 3,2 \text{ м/с}^2; \quad a_{BA}^\tau = \varepsilon_1 \cdot BA.$$

Для определения ε_1 углового ускорения шестерни 1 продифференцируем

равенство $V_A = \omega_1 \cdot AP_1 = \omega_1 r_1$. Получим: $a_A^\tau = \varepsilon_1 r_1$, откуда $\varepsilon_1 = \frac{a_A^\tau}{r_1} = 8 \text{ рад/с}^2$.

Тогда $a_{BA}^\tau = 1,6 \text{ м/с}^2$.

Неизвестными в векторном равенстве ускорений остаются модули векторов \vec{a}_{CB}^{τ} и \vec{a}_C^{τ} . Выберем ось x вдоль шатуна BC , как показано на рис. 2.38, и спроектируем на неё полное векторное равенство.

Получим уравнение:

$$-a_C^n \cos 60^\circ - \vec{a}_C^{\tau} \cos 30^\circ = -a_{CB}^n - a_{BA}^n \cos 60^\circ + a_{BA}^{\tau} \cos 30^\circ - a_A^n \cos 30^\circ - a_A^{\tau} \cos 60^\circ,$$

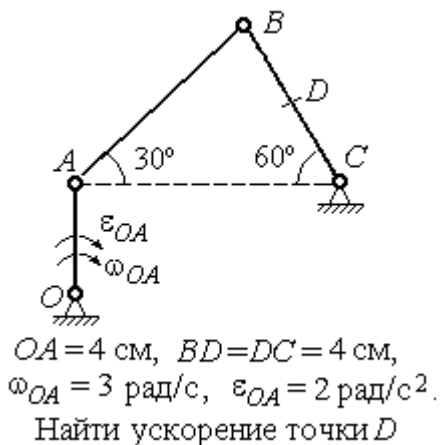
откуда найдём ускорение $a_C^{\tau} = 11,94 \text{ м/с}^2$. Угловое ускорение качалки

$$\varepsilon_{CO_1} = \frac{|a_C^{\tau}|}{CO_1} = 23,88 \text{ рад/с}^2.$$

Положительное значение касательного ускорения a_C^{τ} свидетельствует о том, что направление вектора ускорения \vec{a}_C^{τ} совпадает с направлением, показанным на рис. 2.38. В эту же сторону направлена и скорость \vec{V}_C точки C (см. рис. 2.37). Следовательно, в данном положении движение качалки ускоренное и угловое ускорение направлено в сторону угловой скорости.

Упражнения

Упражнения 2.9



Упражнения 2.10

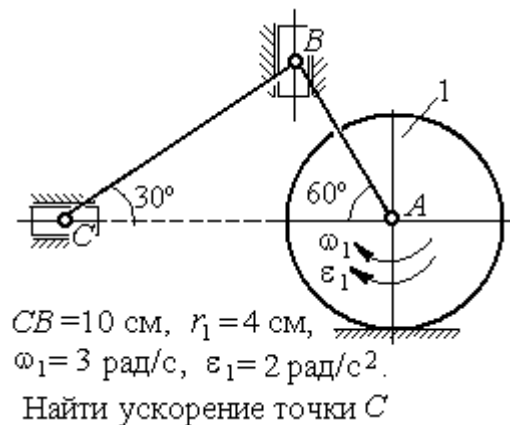


Рис. 2.39. Задания для самостоятельного решения. Упражнения 2.9, 2.10

3. СЛОЖНОЕ ДВИЖЕНИЕ ТОЧКИ

3.1. Основные понятия и определения сложного движения точки

Рассматривается подвижное твердое тело и точка, перемещающаяся относительно тела.

Неподвижная система координат, относительно которой определяются движения точки и тела, называется **основной**. Связанная с телом и движущаяся вместе с ним система координат называется **подвижной**.

Движение точки относительно подвижной системы координат (фактически движение точки относительно тела) называется **относительным**. **Переносным** движением называют движение, которое совершает точка вместе с подвижной системой координат (фактически вместе с телом). Движение точки относительно основной (неподвижной) системы координат называется **абсолютным**.

Скорость точки относительно подвижной системы координат называют **относительной скоростью**, ускорение – **относительным ускорением**.

Переносной скоростью точки и **переносным ускорением** называют скорость и ускорение той точки тела, с которой в данный момент совпадает движущаяся точка.

Скорость и ускорение точки относительно основной системы называют **абсолютной скоростью и абсолютным ускорением**.

При вычислении абсолютной скорости используется теорема о сложении скоростей: **скорость абсолютного движения точки равна векторной сумме переносной и относительной скоростей**: $\vec{V} = \vec{V}_e + \vec{V}_r$, где \vec{V} , \vec{V}_e , \vec{V}_r – вектора абсолютной, переносной и относительной скоростей точки.

При вычислении абсолютного ускорения используется теорема Кориолиса о сложении ускорений: **абсолютное ускорение точки равно векторной сумме трех ускорений – относительного, переносного и ускорения Кориолиса**: $\vec{a} = \vec{a}_e + \vec{a}_r + \vec{a}_k$, где \vec{a} – вектор абсолютного ускорения точки; \vec{a}_e, \vec{a}_r –

вектора соответственно переносного и относительного ускорений точки; \vec{a}_k – вектор ускорения Кориолиса.

Вектор ускорения Кориолиса определяется векторным произведением: $\vec{a}_k = 2(\vec{\omega}_e \times \vec{V}_r)$, где $\vec{\omega}_e$ – вектор угловой скорости переносного движения; \vec{V}_r – вектор относительной скорости точки. Модуль ускорения Кориолиса: $|\vec{a}_k| = 2|\vec{\omega}_e| \cdot |\vec{V}_r| \sin\alpha$, где α – угол между вектором угловой скорости переносного движения $\vec{\omega}_e$ и вектором относительной скорости точки \vec{V}_r (рис. 3.1).

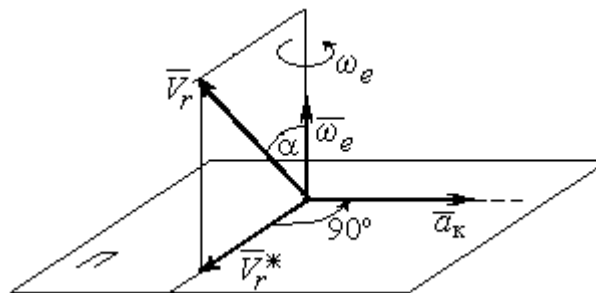


Рис. 3.1. Определение ускорения Кориолиса по правилу Жуковского

На рис. 3.1 показан способ определения вектора ускорения Кориолиса по правилу Н. Е. Жуковского. Правило состоит в следующем. Построим плоскость Π , перпендикулярную вектору угловой скорости $\vec{\omega}_e$, и спроектируем вектор относительной скорости \vec{V}_r на эту плоскость. Проекцию обозначим \vec{V}_r^* (см. рис. 3.1). Чтобы получить направление ускорения Кориолиса, следует вектор проекции относительной скорости \vec{V}_r^* повернуть на 90° в плоскости Π вокруг оси переносного вращения в направлении этого вращения.

Если сложное движение точки происходит в плоскости, перпендикулярной оси переносного вращения, направление ускорения Кориолиса можно получить простым поворотом вектора относительной скорости на угол 90° вокруг оси переносного вращения в направлении этого вращения. При этом модуль ускорения Кориолиса $a_k = 2|\omega_e| \cdot |V_r| \sin 90^\circ = 2\omega_e V_r$.

Примеры решения задач на сложное движение точки

Задача 37. Компрессор с криволинейными каналами (рис. 3.2) вращается с постоянной угловой скоростью $\omega = 10$ рад/с вокруг оси O , перпендикулярной

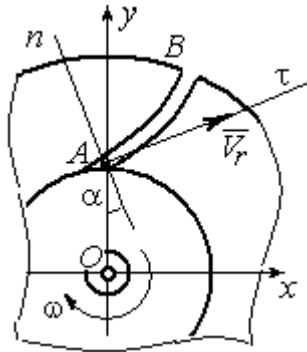


Рис.3.2. Движение воздуха по каналу компрессора

плоскости рисунка. Воздух перемещается по каналу AB с постоянной относительной скоростью $V_r = 4$ м/с. Найти ускорение частицы воздуха в начале канала в точке A и проекции этого ускорения на оси неподвижной системы координат xOy , если радиус $OA = 0,5$ м, радиус кривизны канала в точке A $\rho = 0,8$ м, угол между нормалью n к кривой AB в точке A и радиусом OA $\alpha = 30^\circ$.

Решение

Переносным движением для частицы воздуха будет вращательное движение компрессора, а скорость точки A компрессора, где по условию находится частица воздуха, будет её переносной скоростью: $V_e = \omega \cdot OA = 5$ м/с. Вектор \vec{V}_e переносной скорости частицы перпендикулярен радиусу OA и направлен в сторону угловой скорости вращения компрессора (рис. 3.3).

Вектор \vec{V}_r относительной скорости частицы воздуха направлен вдоль касательной к кривой AB (стенки канала) в точке A .

Вектор абсолютной скорости частицы воздуха равен геометрической сумме векторов относительной и переносной скоростей:

$\vec{V} = \vec{V}_r + \vec{V}_e$ (см. рис. 3.3). Спроектируем это векторное равенство на оси x, y . Получим систему уравнений:

$$V_x = V_e + V_r \cos 30^\circ = 8,46 \text{ м/с}; V_y = V_r \cos 60^\circ = 2 \text{ м/с}.$$

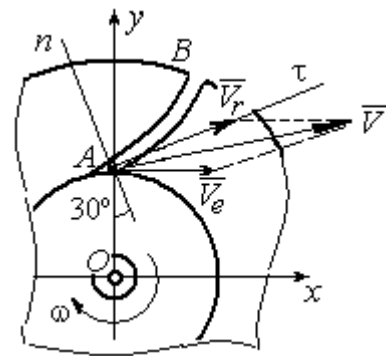


Рис. 3.3. Построение вектора абсолютной скорости частицы

Модуль абсолютной скорости $V = \sqrt{V_x^2 + V_y^2} = 8,69$ м/с.

Найдём ускорение частицы воздуха.

Абсолютное ускорение частицы определяется по теореме сложения ускорений:

$$\vec{a} = \vec{a}_r + \vec{a}_e + \vec{a}_k.$$

В относительном движении частица движется между стенками канала по криволинейной траектории, и её ускорение \vec{a}_r представляется суммой: $\vec{a}_r = \vec{a}_r^n + \vec{a}_r^\tau$, где \vec{a}_r^n , \vec{a}_r^τ – вектора нормальной и касательной составляющих относительного ускорения частицы.

Переносное ускорение частицы \vec{a}_e есть ускорение точки A вращающегося компрессора, которое выражается суммой $\vec{a}_e = \vec{a}_e^n + \vec{a}_e^\tau$, где \vec{a}_e^n , \vec{a}_e^τ – вектора нормальной и касательной составляющих переносного ускорения частицы.

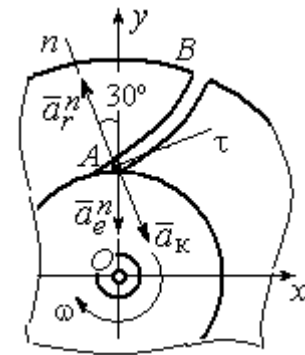


Рис. 3.4. Составляющие ускорения частицы в сложном движении

В результате абсолютное ускорение частицы воздуха в точке A выражается векторной суммой:

$$\vec{a} = \vec{a}_r^n + \vec{a}_r^\tau + \vec{a}_e^n + \vec{a}_e^\tau + \vec{a}_k.$$

Вычислим модули ускорений:

$$a_r^\tau = \dot{V}_r = 0, \quad a_r^n = \frac{V_r^2}{\rho} = 20 \text{ м/с}^2; \quad a_e^\tau = \varepsilon \cdot OA = \dot{\omega} \cdot OA = 0,$$

$$a_e^n = \omega^2 r = 50 \text{ м/с}^2; \quad a_k = 2\omega V_r = 80 \text{ м/с}^2.$$

Направление ускорения Кориолиса определяется простым поворотом вектора относительной скорости на угол 90° вокруг оси переносного вращения в направлении этого вращения. Вектора ускорений показаны на рис. 3.4.

Спроектируем векторное равенство ускорения частицы на оси неподвижной системы координат xOy . Получим:

$$a_x = -a_r^n \cos 60^\circ + a_k \cos 60^\circ = 30 \text{ м/с}^2 ;$$

$$a_y = a_r^n \cos 30^\circ - a_e^n - a_k \cos 30^\circ = -101,96 \text{ м/с}^2.$$

$$\text{Модуль ускорения } a = \sqrt{a_x^2 + a_y^2} = 106,28 \text{ м/с}^2.$$

Задача 38. При совмещении работы механизмов подъёма груза и поворота крана (рис. 3.5) груз A перемещается в горизонтальном и вертикальном направлениях. На участке разгона барабан B радиуса $r_1 = 0,5$ м, на который навит канат, поддерживающий груз, вращается с постоянным угловым ускорением $\varepsilon_1 = 3 \text{ рад/с}^2$, а кран разворачивается вокруг оси O_1O_2 с угловым ускорением $\varepsilon_2 = 0,5 \text{ рад/с}^2$.

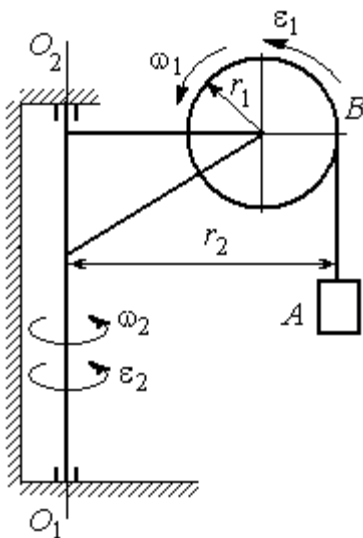


Рис. 3.5. Механизм поворотного крана

Пренебрегая отклонением каната от вертикали, определить скорость и ускорение груза в момент времени $t_1 = 1$ с, если вылет стрелы крана до линии подвеса груза $r_2 = 10$ м.

Пренебрегая отклонением каната от вертикали, определить скорость и ускорение груза в момент времени $t_1 = 1$ с, если вылет стрелы крана до линии подвеса груза $r_2 = 10$ м.

подвеса груза $r_2 = 10$ м.

Решение

Подъём груза A на канате является для груза относительным движением, а вращение крана – переносным. Вектор абсолютной скорости груза равен сумме $\vec{V} = \vec{V}_r + \vec{V}_e$, где вектора относительной \vec{V}_r и переносной \vec{V}_e скоростей.

При равноускоренном вращении барабана B из состояния покоя его угловая скорость $\omega_1 = \varepsilon_1 t$. В момент времени $t_1 = 1$ с $\omega_1 = 3 \text{ рад/с}$. Скорость подъёма груза A в этот момент $V_r(1) = \omega_1(1)r_1 = 1,5 \text{ м/с}$. Вектор относительной скорости \vec{V}_r направлен вдоль линии движения груза, в сторону его подъёма (рис. 3.6).

Угловая скорость крана при постоянном угловом ускорении $\omega_2 = \varepsilon_2 t$.

При $t_1 = 1$ с $\omega_2 = 0,5$ рад/с. Переносная скорость груза A равна скорости груза, движущегося вместе со стрелой крана по окружности радиуса r_2 : $V_e = \omega_2 r_2 = 5$ м/с. Вектор переносной скорости груза \vec{V}_e направлен по касательной к траектории переносного движения груза в сторону угловой скорости вращения крана (см. рис. 3.6).

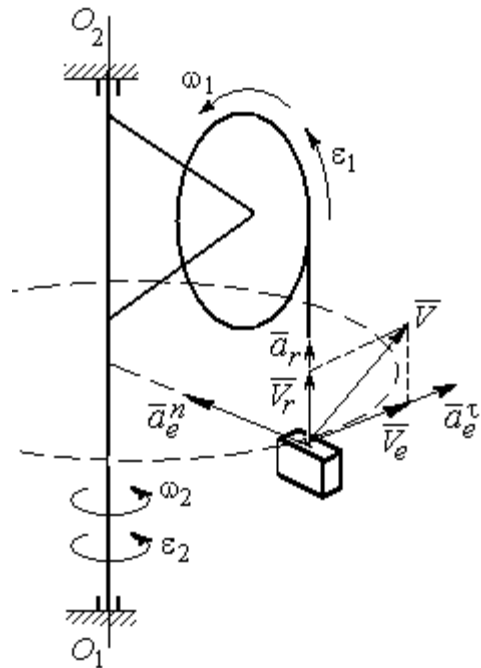


Рис. 3.6. Расчётная схема для определения скорости и ускорения груза на поворотном кране

Так как вектора относительной и переносной скоростей груза взаимно перпендикулярны, модуль абсолютной скорости $V = \sqrt{V_r^2 + V_e^2} = 5,22$ м/с.

Найдём абсолютное ускорение груза.

Теорема сложения ускорений имеет вид векторной суммы:

$\vec{a} = \vec{a}_r + \vec{a}_e + \vec{a}_k = \vec{a}_r^n + \vec{a}_r^\tau + \vec{a}_e^n + \vec{a}_e^\tau + \vec{a}_k$, где \vec{a}_r^n , \vec{a}_r^τ , \vec{a}_e^n , \vec{a}_e^τ , \vec{a}_k – вектора нормального и касательного ускорений груза в относительном и переносном движениях и ускорение Кориолиса. Найдём модули векторов ускорений.

Нормальное относительное ускорение a_r^n груза, движущегося прямолинейно, равно нулю: $a_r^n = 0$, а касательное a_r^τ равно по величине касательному ускорению точки на поверхности барабана: $a_r^\tau = \varepsilon_1 r_1 = 1,5$ м/с². Направление вектора \vec{a}_r^τ относительного касательного ускорения груза определяется направлением углового ускорения барабана.

Переносные нормальное a_e^n и касательное a_e^τ ускорения груза: $a_e^n = \omega_2^2 r_2 = 2,5 \text{ м/с}^2$; $a_e^\tau = \varepsilon_2 r_2 = 5 \text{ м/с}^2$. Вектор касательного ускорения \vec{a}_e^τ направлен в сторону углового ускорения вращения крана.

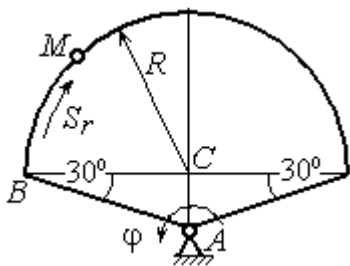
Ускорение Кориолиса a_k равно нулю, так как вектор \vec{V}_r параллелен вектору $\vec{\omega}_2$: $a_k = 0$.

Направления векторов ускорений, модули которых отличны от нуля, показаны на рис. 3.6. В результате вектор абсолютного ускорения груза представлен в виде разложения на три взаимно перпендикулярных вектора:

$$\vec{a} = \vec{a}_e^n + \vec{a}_e^\tau + \vec{a}_r^\tau, \quad \text{поэтому модуль абсолютного ускорения груза}$$

$$a = \sqrt{(a_e^n)^2 + (a_e^\tau)^2 + (a_r^\tau)^2} = 5,79 \text{ м/с}^2.$$

Задача 39. Фигура, состоящая из половины диска и построенного на его диаметре равнобедренного треугольника (рис. 3.7), вращается вокруг оси, перпендикулярной плоскости фигуры и проходящей



через вершину A треугольника, по закону $\varphi_e = 5t - 2t^2$ рад. Положительное направление вращения отмечено на схеме дуговой стрелкой φ .

Рис. 3.7. Схема сложного движения точки

По ободу диска из начального положения B движется точка M . Уравнение движения точки:

$B\ddot{M} = S_r = 9\pi t^2$, см.. Положительное направление отсчёта дуги BM показано дуговой стрелкой S_r (см. рис. 3.7). Радиус диска $R = 9$ см. Найти абсолютную скорость и абсолютное ускорение точки M в момент времени $t_1 = 1$ с.

Решение

Переносным движением точки M является вращение фигуры вокруг оси A , относительным – её движение по окружности обода диска.

Положение точки M на окружности определяется центральным углом: $\alpha = \frac{S_r}{R}$, где S_r – длина дуги окружности, пройденная точкой. В момент времени $t_1 = 1$ с $S_r = 9\pi$ см и $\alpha = \pi$. Расчётное положение точки M на рис. 3.8 обозначено M_1 .

Угловая скорость вращения фигуры равна модулю производной $\omega_e = |\dot{\varphi}_e| = |5 - 4t|$. При $t_1 = 1$ с $\omega_e(1) = 1$ рад/с. Направление угловой скорости определяется знаком производной $\dot{\varphi}_e$. Положительная на данный момент времени величина производной ($\dot{\varphi}_e = 1$) показывает, что вращение фигуры происходит в положительном направлении отсчёта угла φ_e и отмечено на рис. 3.8 дуговой стрелкой ω_e .

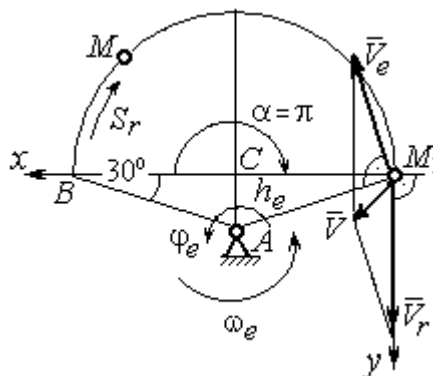


Рис. 3.8. Расчётная схема для вычисления абсолютной скорости точки

Переносная скорость точки V_e – это скорость расчётного положения точки M вращающейся фигуры: $V_e = \omega_e h_e = \omega_e AM_1 = \frac{\omega_e R}{\cos 30^\circ} = 10,39$ см/с. Вектор переносной скорости точки \vec{V}_e перпендикулярен отрезку AM_1 и направлен в сторону вращения фигуры (см. рис. 3.8).

Скорость точки в относительном движении определяется как модуль производной: $V_r = |\dot{S}_r| = |18\pi t|$. При $t_1 = 1$ с $V_r = 56,5$ см/с. Положительное значение производной $\dot{S}_r = 18\pi > 0$ указывает, что в этот момент времени относительное движение точки происходит в положительном направлении отсчёта дуги окружности, по которой движется точка. Вектор \vec{V}_r относительной скорости точки перпендикулярен отрезку CM_1 и направлен в сторону её движения.

Абсолютная скорость точки равна сумме векторов переносной и относительной скоростей $\vec{V} = \vec{V}_e + \vec{V}_r$. Для того чтобы найти абсолютную скорость

точки, выберем оси координат M_1x, M_1y , как показано на рис. 3.8, и спроектируем обе части векторного равенства теоремы сложения скоростей на эти оси:

$$V_x = V_e \cos 60^\circ = 5,2 \text{ см/с}, \quad V_y = -V_e \cos 30^\circ + V_r = 47,5 \text{ см/с}.$$

Модуль абсолютной скорости: $V = \sqrt{V_x^2 + V_y^2} = 47,8 \text{ см/с}.$

Абсолютное ускорение точки определяется по теореме сложения ускорений: $\vec{a} = \vec{a}_e + \vec{a}_r + \vec{a}_k.$

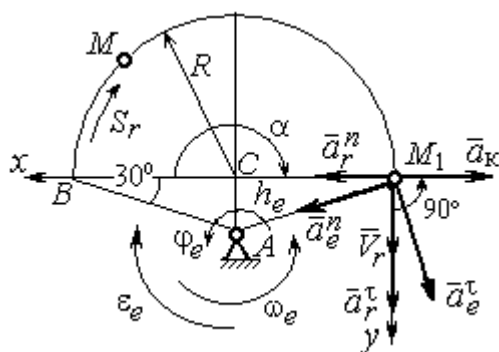


Рис. 3.9. Расчетная схема для определения абсолютного ускорения точки

Переносное ускорение точки представляется в виде суммы: $\vec{a}_e = \vec{a}_e^\tau + \vec{a}_e^n$, где \vec{a}_e^τ и \vec{a}_e^n – переносные касательное и нормальное ускорения. В относительном движении точки (по дуге окружности) ускорение также может быть разложено на две составляющие – относительные касательное и нормальное ускорения: $\vec{a}_r = \vec{a}_r^\tau + \vec{a}_r^n$. В результате теорема о сложении ускорений приобретает вид: $\vec{a} = \vec{a}_r^\tau + \vec{a}_r^n + \vec{a}_e^\tau + \vec{a}_e^n + \vec{a}_k.$

ма о сложении ускорений приобретает вид: $\vec{a} = \vec{a}_r^\tau + \vec{a}_r^n + \vec{a}_e^\tau + \vec{a}_e^n + \vec{a}_k.$

Вычислим модули и направления векторов ускорений в расчётном положении точки M_1 .

Относительное касательное ускорение a_r^τ вычисляется по формуле:

$$a_r^\tau = |\ddot{S}_r|, \quad \text{где } \ddot{S}_r = 18\pi = 56,5 \text{ см/с}^2. \quad \text{Так как значение второй производной } \ddot{S}_r$$

положительно, вектор ускорения \vec{a}_r^τ направлен по касательной в сторону положительного отсчёта траектории относительного движения. Относительное нормальное ускорение точки a_r^n вычисляется по формуле: $a_r^n = \frac{V_r^2}{R}$ и в момент

$$t_1 = 1 \text{ с равно } 355,3 \text{ см/с}^2. \quad \text{Вектор ускорения } \vec{a}_r^n \text{ направлен по радиусу диска к центру } C \text{ (рис. 3.9).}$$

Вектор ускорения \vec{a}_r^n направлен по радиусу диска к центру C (рис. 3.9).

Угловое ускорение фигуры в момент времени $t_1 = 1$ с, $\varepsilon_e = |\ddot{\phi}_e| = 4$ рад/с². Поскольку значение второй производной угла поворота отрицательное ($\ddot{\phi}_e = -4$ рад/с²), то угловое ускорение направлено в сторону, противоположную положительному направлению отсчёта угла поворота фигуры, как показано на рис. 3.9 дуговой стрелкой ε_e . Модуль переносного касательного ускорения a_e^τ определяется по формуле $a_e^\tau = \varepsilon_e h_e = \varepsilon_e \cdot AM_1$ и в момент времени $t_1 = 1$ с равен 41,6 см/с². Вектор переносного касательного ускорения точки \vec{a}_e^τ перпендикулярен AM_1 и направлен в сторону углового ускорения фигуры ε_e (см. рис. 3.9). Переносное нормальное ускорение вычисляется по формуле $a_e^n = \omega_e^2 h_e = \omega_e^2 \cdot AM_1$ и на момент времени $t_1 = 1$ с: $a_e^n = 10,4$ см/с². Вектор переносного нормального ускорения \vec{a}_e^n направлен вдоль отрезка M_1A к оси вращения тела (см. рис. 3.9).

Модуль ускорения Кориолиса в момент времени $t_1 = 1$ с $a_k = 2\omega V_r = 113,1$ см/с². По условию задачи вектор \vec{V}_r скорости относительного движения точки перпендикулярен вектору $\vec{\omega}_e$ угловой скорости переносного движения. В этом случае для определения направления ускорения Кориолиса достаточно повернуть вектор относительной скорости \vec{V}_r на 90° в сторону переносного движения (см. рис. 3.9).

Для определения абсолютного ускорения точки выберем оси M_1x и M_1y , как показано на рис. 3.9, и спроектируем обе части векторного равенства теоремы сложения ускорений на эти оси. Получим:

$$a_x = -a_e^\tau \cos 60^\circ + a_e^n \cos 30^\circ + a_r^n - a_k = 230,4 \text{ см/с}^2;$$

$$a_y = a_e^\tau \cos 30^\circ + a_e^n \cos 60^\circ + a_r^\tau = 97,9 \text{ см/с}^2.$$

Модуль абсолютного ускорения

$$a = \sqrt{a_x^2 + a_y^2} = 250,3 \text{ см/с}^2.$$

Задача 40. Диск (рис. 3.10) вращается вокруг оси O_1O_2 , проходящей вдоль вертикального диаметра, с угловой скоростью $\omega = 2t^2 + 4\cos\pi t$ рад/с. Положительное направление отсчёта угла поворота диска отмечено на схеме дуговой стрелкой φ . Вдоль другого диаметра диска, наклоненного под углом 30° к вертикальному, движется точка M по закону $CM = S_r = (4t - 1)^2 - 1$ см. Расстояние отсчитывается от точки C на краю диска. Положительное направление движения точки M показано стрелкой S_r . Радиус диска $R = 4$ см. Найти абсолютную скорость и абсолютное ускорение точки M

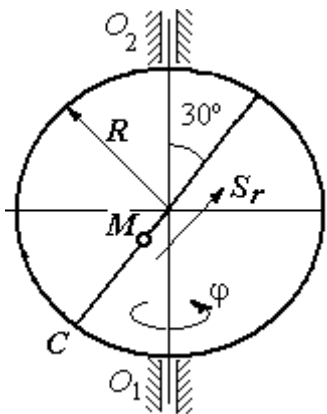


Рис. 3.10. Схема сложного движения точки

в момент времени $t_1 = 1$ с.

Решение

Переносным движением точки M является вращение диска вокруг вертикального диаметра, относительным – её прямолинейное движение вдоль наклонного диаметра диска.

Расстояние S_r , пройденное точкой, к моменту времени $t_1 = 1$ с равно 8 см. При радиусе диска $R = 4$ см точка M в данный момент времени находится на противоположном от точки C конце диаметра. На рис. 3.11 это положение обозначено буквой M_1 .

Угловая скорость диска равна модулю производной: $\omega = |\dot{\varphi}| = |2 + 4\cos\pi t|$ и при $t_1 = 1$ с $\omega = 2$ рад/с. Направление угловой скорости определяется по знаку производной $\dot{\varphi}$. В данном случае производная имеет отрицательное значение ($\dot{\varphi} = -2$ рад/с). Это означает, что вращение диска происходит в сторону, противоположную положительному направлению отсчёта угла поворота. Направление угловой скорости диска в данный момент времени отмечено на рис. 3.11 дуговой стрелкой ω .

Переносная скорость точки V_e – это скорость точки M_1 на вращающемся диске: $V_e = \omega h_e = \omega \cdot KM_1$, где $KM_1 = h_e$ – расстояние от оси вращения диска до точки M_1 . Очевидно, $KM_1 = 0,5R = 2$ см. При $t_1 = 1$ с величина переносной скорости $V_e = 4$ см/с. Вектор переносной скорости \vec{V}_e перпендикулярен плоскости диска $O_1M_1O_2$ и направлен в сторону вращения диска (рис. 3.11, a).

(На рис. 3.11, a символ \odot рядом с вектором означает, что данный вектор направлен перпендикулярно плоскости рисунка «к нам», символ \oplus – «от нас».)

Относительная скорость точки равна модулю

$$\text{производной: } V_r = \left| \dot{S}_r \right| =$$

$= |8(4t - 1)|$. При $t_1 = 1$ с $V_r = 24$ см/с. Положительное значение самой производной \dot{S}_r указывает, что относительное движение точки в данный момент времени происходит в положительном направлении. Вектор \vec{V}_r относительной скорости точки в положении M_1 направлен вдоль диаметра диска CM_1 в сторону движения.

Абсолютная скорость точки равна сумме векторов переносной и относительной скоростей: $\vec{V} = \vec{V}_e + \vec{V}_r$. Так как векторы \vec{V}_e и \vec{V}_r взаимно перпендикулярны, модуль абсолютной скорости $V = \sqrt{V_e^2 + V_r^2} = 24,33$ см/с. Вектор абсолютной скорости на рис. 3.11 не показан.

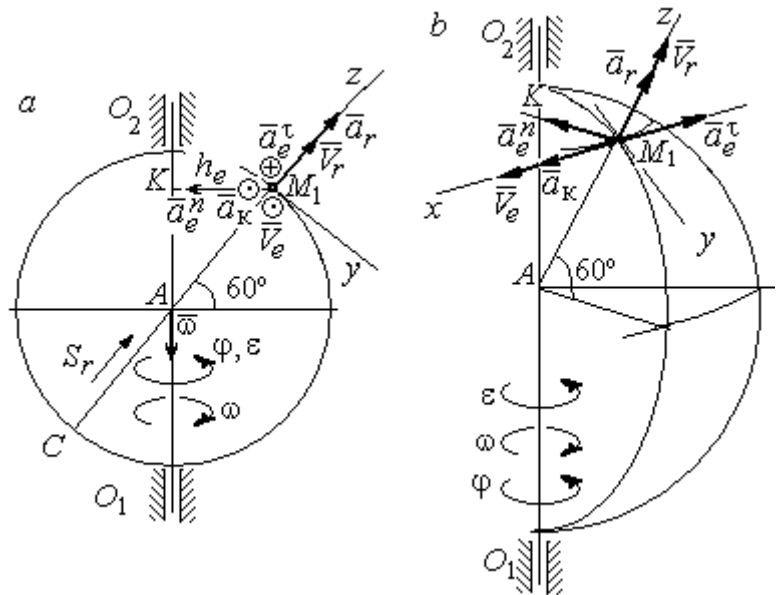


Рис. 3.11. Расчётная схема определения абсолютной скорости и ускорения точки:
a – плоская модель движения;
b – пространственная модель движения

Абсолютное ускорение точки определяется векторной суммой, которая при прямолинейном относительном и вращательном переносном движениях представляется в виде: $\vec{a} = \vec{a}_r + \vec{a}_e^\tau + \vec{a}_e^n + \vec{a}_k$.

Относительное ускорение точки $a_r = |\ddot{S}_r| = 32 \text{ см/с}^2$. Так как значение второй производной \ddot{S}_r положительно, вектор ускорения \vec{a}_r в точке M_1 направлен по линии движения точки в сторону положительного направления (см. рис. 3.11).

Угловое ускорение диска $\varepsilon = |\dot{\omega}| = |4t - 4\pi \sin \pi t|$. В момент времени $t_1 = 1 \text{ с}$ $\varepsilon = 4 \text{ рад/с}^2$. Положительное значение производной в данный момент времени ($\dot{\omega} = 4 \text{ рад/с}^2$) означает, что угловое ускорение ε направлено в сторону положительного направления отсчёта угла поворота диска. Направление углового ускорения показано на рис. 3.11 дуговой стрелкой ε . Модуль переносного касательного ускорения a_e^τ определяется по формуле $a_e^\tau = \varepsilon h_e$, и при $t_1 = 1 \text{ с}$ $a_e^\tau = 8 \text{ см/с}^2$. Вектор ускорения \vec{a}_e^τ перпендикулярен плоскости диска $O_1M_1O_2$ в точке M_1 и направлен в сторону углового ускорения (противоположно вектору скорости).

Переносное нормальное ускорение a_e^n рассчитывается по формуле $a_e^n = \omega^2 h_e = \omega^2 \cdot KM_1$, и при $t_1 = 1 \text{ с}$ $a_e^n = 8 \text{ см/с}^2$. Вектор переносного нормального ускорения \vec{a}_e^n направлен вдоль отрезка M_1K к оси вращения диска (см. рис. 3.11).

Вектор скорости относительного движения точки \vec{V}_r составляет с вектором угловой скорости переносного движения $\vec{\omega}$ угол 150° . Модуль ускорения Кориолиса на момент времени $t_1 = 1 \text{ с}$ $a_k = 2|\omega||V_r|\sin 150^\circ = 48 \text{ см/с}^2$. Направление вектора ускорения Кориолиса определяем по правилу Жуковского. Так, вектор относительной скорости точки \vec{V}_r проектируем на плоскость, перпенди-

кулярную вектору $\vec{\omega}$ (т. е. на плоскость, перпендикулярную оси вращения тела). На рис 3.11, a это будет проекция на линию KM_1 . Далее следует повернуть вектор проекции относительной скорости вокруг оси вращения на 90° в сторону угловой скорости вращения диска. На рис 1.11, a вектор ускорения Кориолиса перпендикулярен плоскости рисунка в точке M_1 и направлен «на нас».

Для определения абсолютного ускорения точки выберем оси координат M_1x , M_1y и M_1z , как показано на рис. 3.11 (на рис. 3.11, a ось M_1x направлена перпендикулярно рисунку «к нам» и на рисунке не показана). Спроектируем обе части векторного равенства теоремы сложения ускорений на оси

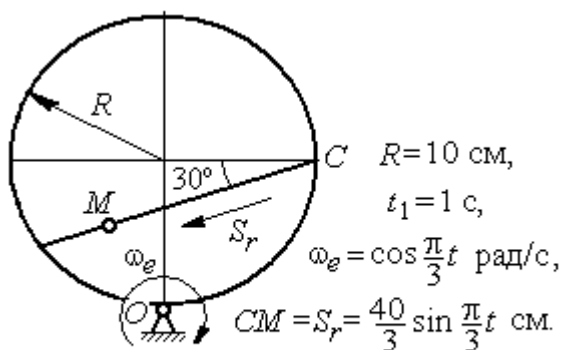
$$a_x = -a_e^t + a_k = 40 \text{ см/с}^2; \quad a_y = -a_e^n \cos 30^\circ = 6,93 \text{ см/с}^2;$$

$$a_z = a_r - a_e^n \cos 60^\circ = 28 \text{ см/с}^2.$$

$$\text{Модуль абсолютного ускорения } a = \sqrt{a_x^2 + a_y^2 + a_z^2} = 49,32 \text{ см/с}^2.$$

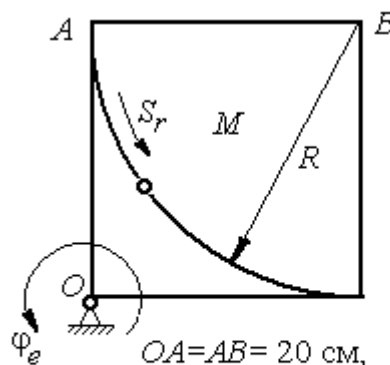
Упражнения

Упражнение 3.1



Найти скорость и ускорение точки M в момент $t = t_1$

Упражнение 3.2



Найти скорость и ускорение точки M в момент $t = t_1 = 1 \text{ с}$

Рис. 3.12. Задания для самостоятельного решения. Упражнения 3.1, 3.2

4. ДИНАМИКА ТОЧКИ

4.1. Дифференциальные уравнения движения точки

Движение материальной точки под действием системы сил $\vec{F}_1, \vec{F}_2, \dots, \vec{F}_K$ в прямоугольной декартовой системе координат $Oxyz$ описывается **дифференциальными уравнениями**:

$$m \frac{d^2x}{dt^2} = \sum F_{kx}, \quad m \frac{d^2y}{dt^2} = \sum F_{ky}, \quad m \frac{d^2z}{dt^2} = \sum F_{kz}.$$

Обозначая вторые производные от координат по времени двумя точками, уравнения движения можно записать в виде:

$$m\ddot{x} = \sum F_{kx}; \quad m\ddot{y} = \sum F_{ky}; \quad m\ddot{z} = \sum F_{kz},$$

где m – масса точки; x, y, z – текущие координаты точки; $\ddot{x}, \ddot{y}, \ddot{z}$ – проекции вектора ускорения точки на оси координат; $\sum F_{kx}, \sum F_{ky}, \sum F_{kz}$ – алгебраические суммы проекций всех сил на оси координат.

Для удобства интегрирования дифференциальные уравнения движения иногда представляют в виде:

$$m \frac{dV_x}{dt} = \sum F_{kx}; \quad m \frac{dV_y}{dt} = \sum F_{ky}; \quad m \frac{dV_z}{dt} = \sum F_{kz},$$

где $V_x = \dot{x}, V_y = \dot{y}, V_z = \dot{z}$ – проекции вектора скорости точки на оси координат.

В естественной системе координат движение материальной точки описывается уравнениями в естественной форме:

$$m \frac{dV}{dt} = \sum F_{k\tau}; \quad m \frac{V^2}{\rho} = \sum F_{kn}; \quad 0 = \sum F_{kb},$$

где ρ – радиус кривизны траектории; τ, n, b – оси естественного трехгранника – касательная, нормаль и бинормаль.

В общем случае правые части дифференциальных уравнений зависят от времени, положения и скорости точки. Интегрирование дифференциальных

уравнений производится в зависимости от их вида методами, известными из курса математики.

Примеры решения задач на интегрирование уравнений движения

Задача 41. При обогащении по трению разделение частиц производится следующим образом. Барабанный питатель (рис. 4.1) сообщает частице в точке A сортировочного стола AB начальную скорость V_0 , направленную вдоль поверхности стола, наклоненного под углом α к горизонту. Нижний край стола в точке B поднят на высоту h над уровнем пола. Частица скользит по столу, испытывая силу трения скольжения с коэффициентом трения f . Дойдя до края стола в точке B , частица отрывается от него и совершает свободное падение с высоты h . На каком расстоянии $CK = \ell$ на полу нужно установить стенку приёмного устройства, чтобы частицы с коэффициентом трения меньше заданного $f < f_1$ перелетали за точку C и попадали в приёмник, а с большим коэффициентом $f > f_1$ – не долетали до него.

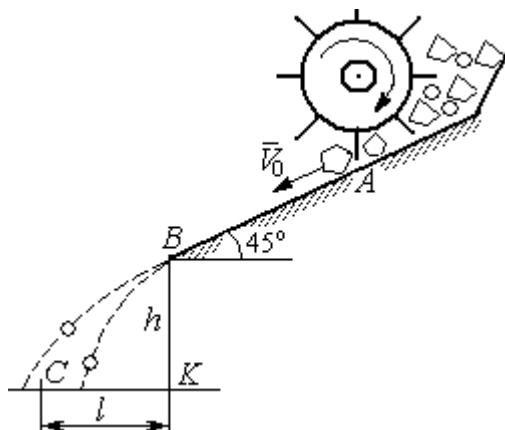


Рис. 4.1. Разделение частиц по трению

Начальная скорость частицы $V_0 = 1$ м/с, длина сортировочного стола $AB = S = 1,2$ м, угол наклона $\alpha = 45^\circ$, высота точки отрыва $BK = h = 1,5$ м, заданный коэффициент трения для разделения частиц $f_1 = 0,4$.

Решение

Из условия задачи следует, что частица с коэффициентом трения, равным заданному, $f = f_1$ в конце своего движения (скольжение по столу + свободное падение) должна попасть ровно в точку C (см. рис. 4.1).

Рассмотрим первый участок движения такой частицы – прямолинейное движение по шероховатой поверхности наклонного стола. На частицу действуют сила тяжести \vec{P} , реакция опоры \vec{N} и сила трения $\vec{F}_{\text{тр}}$. Выберем систему координат xAy , направив ось x вдоль линии движения, а ось y – перпендикулярно ей (рис. 4.2). Движение частицы описывается уравнениями:

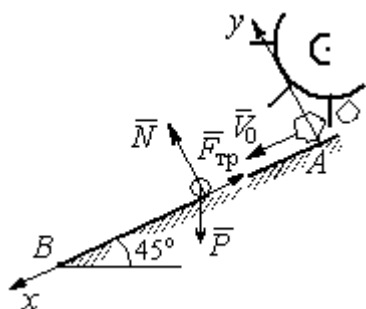


Рис. 4.2. Движение частицы по наклонной плоскости

$$m\ddot{x} = \sum F_{kx} = P\cos 45^\circ - F_{\text{тр}};$$

$$m\ddot{y} = \sum F_{ky} = -P\cos 45^\circ + N.$$

Поскольку вдоль оси y частица не перемещается, то $\ddot{y} = 0$. Тогда второе уравнение движения представляется в виде: $-P\cos 45^\circ + N = 0$, откуда реакция опоры частицы $N = mg\cos 45^\circ$. Сила трения,

которую испытывает частица, двигаясь по сортировочному столу: $F_{\text{тр}} = fN = fmg\cos 45^\circ$, где f – коэффициент трения.

Подставляя в уравнение движения частицы, выражение силы трения и полагая ускорение $\ddot{x} = \frac{dV_x}{dt}$, получим дифференциальное уравнение

$$\frac{dV_x}{dt} = g(1 - f)\cos 45^\circ \text{ или при } f = f_1 = 0,4: \frac{dV_x}{dt} = 4,18.$$

После интегрирования найдём скорость и закон движения частицы как функции времени: $V_x = 4,18t + C_1$; $x = 2,09t^2 + C_1t + C_2$.

Константы интегрирования C_1, C_2 находятся из начальных условий движения. Подставляя начальные условия $x(0) = 0$, $\dot{x}(0) = V_x(0) = V_0$ в уравнение движения частицы, найдём $C_2 = 0$, $C_1 = V_0$.

Окончательно движение частицы на прямолинейном участке AB сортировочного стола описывается системой уравнений: $V_x = 4,18t + 1$; $x = 2,09t^2 + t$.

Допустим частица достигает края стола B в момент времени $t = t_B$. Её координата равна длине сортировочного стола: $x(t_B) = S$, а скорость равна скорости отрыва её от стола: $V_x(t_B) = V_B$. Подставим эти условия в уравнения движения, получим систему: $V_B = 4,18t_B + 1$, $S = 2,09t_B^2 + t_B$, откуда скорость частицы в точке отрыва её от стола $V_B = \sqrt{1 + 8,36S}$. При длине стола $S = 1,2$ м скорость отрыва $V_B = 3,32$ м/с.

Рассмотрим участок BC свободного падения частицы, брошенной с высоты h с начальной скоростью V_B , направленной под углом 45° к горизонту (рис. 4.3). В полёте на частицу действует только сила тяжести \vec{P} . Выберем прямоугольную систему координат xKy с началом координат в точке K (см. рис. 4.3). Дифференциальные уравнения движения точки

$$m\ddot{x} = 0; m\ddot{y} = -P = -mg \text{ или } \ddot{x} = 0, \ddot{y} = -g.$$

Интегрируя первое уравнение, получим, что движение частицы вдоль оси x описывается уравнениями

$\dot{x} = C_3$; $x = C_3t + C_4$. Константы интегрирования C_3 и C_4 определяются из начальных условий движения: при $t = 0$, $x(0) = 0$, $\dot{x}(0) = V_{Bx}$, где V_{Bx} – проекция вектора скорости \vec{V}_B на ось x , $V_{Bx} = V_B \cos 45^\circ = 2,35$ м/с. После подстановки начальных условий в уравнение движения частицы получим: $C_4 = 0$, $C_3 = 2,35$. В результате, движение частицы вдоль оси x при её свободном падении описывается уравнением $x = 2,35t$.

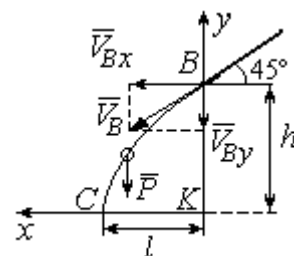


Рис. 4.3. Свободное падение частицы

Проинтегрируем уравнение движения частицы в направлении оси y . Получим: $\dot{y} = -gt + C_5$ и $y = -g\frac{t^2}{2} + C_5t + C_6$. Начальные условия движения частицы вдоль оси y : при $t = 0$, $y(0) = h = 1,5$ м, $\dot{y}(0) = V_{By} = -V_B \cos 45^\circ = -2,35$ м/с, где V_{By} – проекция вектора скорости \vec{V}_B на ось y . Подставляя начальные

условия в уравнение движения, найдём: $C_6 = h$; $C_5 = V_{By} = -2,35$. Таким образом, движение частицы вдоль оси y при её свободном падении описывается уравнением $y = -4,91t^2 - 2,35t + 1,5$.

В момент $t = t_{\text{п}}$ падения частицы на пол её вертикальная координата обращается в нуль: $y = 0$, а горизонтальная – равна дальности полёта: $x = \ell$. Подставляя эти условия в уравнения движения частицы, получим систему:

$$\ell = 2,35t_{\text{п}}, \quad 0 = -4,91t_{\text{п}}^2 - 2,35t_{\text{п}} + 1,5.$$

Исключая в системе время $t_{\text{п}}$, выразим уравнение для определения дальности горизонтального полёта: $\ell^2 + 1,12\ell - 1,68 = 0$. Отсюда находим: $\ell = 0,85$ м.

Таким образом, частицы с коэффициентом трения $f = 0,4$ в конце своего движения падают на горизонтальную поверхность на расстоянии 0,85 м от края стола. Очевидно, именно здесь необходимо установить разделительную стенку приёмного устройства. Частицы с меньшим коэффициентом трения ($f < 0,4$) будут улетать за стенку, а при большем ($f > 0,4$) – не долетать. К примеру, длина горизонтального полёта частицы с коэффициентом трения $f = 0,3$ составляет 0,89 м, а при $f = 0,5$ равна 0,61 м.

Задача 42. Материальная точка массой $m = 1$ кг движется прямолинейно

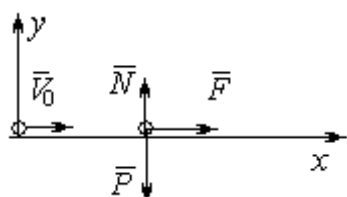


Рис. 4.4. Прямолинейное движение точки

по горизонтальной поверхности под действием силы $F = 10 - kt$ Н, где k – коэффициент пропорциональности; $k = \text{const}$; t – время в секундах. Определить величину коэффициента k , при котором скорость точки за первую секунду от начала движения

увеличится от начального значения $V_0 = 2$ м/с до величины $V_1 = 10$ м/с, а также путь, пройденный точкой до остановки.

Решение

Для описания движения точки выберем прямоугольную систему координат x, y с началом в том месте, откуда точка начала движение (рис. 4.4).

На точку действуют сила тяжести \vec{P} , реакция опоры \vec{N} и заданная сила \vec{F} . Направление силы \vec{F} на рис. 4.4 соответствует начальному этапу движения, когда проекция силы на ось x положительная. Движение точки описывается уравнением $m\ddot{x} = F_x = 10 - kt$.

Положим $\ddot{x} = \frac{dV}{dt}$. Здесь в силу того, что движение происходит только вдоль одной координаты, индекс x у скорости опущен. Учитывая массу точки, получим уравнение $\frac{dV}{dt} = 10 - kt$. Разделив переменные и проинтегрировав по-

лученное уравнение, найдём закон изменения скорости точки

$V = 10t - k\frac{t^2}{2} + C_1$. Выражая скорость через производную от координаты

$V = \frac{dx}{dt}$, получим дифференциальное уравнение $\frac{dx}{dt} = 10t - k\frac{t^2}{2} + C_1$, интегрируя

которое, найдём уравнение движения точки $x = 5t^2 - k\frac{t^3}{6} + C_1t + C_2$.

Подставляя начальные условия (при $t = 0$, $V = V_0 = 2$ м/с, $x = 0$) в уравнения, получим: $C_1 = 2$, $C_2 = 0$. Окончательно движение точки описывается системой уравнений:

$$V = 10t - k\frac{t^2}{2} + 2; \quad x = 5t^2 - k\frac{t^3}{6} + 2t.$$

Известно, что через 1 с от начала движения точка приобрела скорость $V_1 = 10$ м/с. Подставляя это условие в первое уравнение, найдём $k = 4$.

В момент t_1 точка остановилась и её скорость обращается в нуль: $V(t_1) = 0$, а координата равна пройденному пути: $x(t_1) = S$. Подставляя эти условия в уравнения движения с учетом вычисленного значения коэффициента

k , получим систему: $0 = 10t_1 - 2t_1^2 + 2$; $S = 5t_1^2 - \frac{2}{3}t_1^3 + 2t_1$, откуда находим путь,

пройденный точкой до остановки: $S = 51,86$ м.

Задача 43. Материальная точка массой $m = 1$ кг, находясь на высоте $h_1 = 2$ м над уровнем Земли, подброшена вертикально вверх (ось x) с начальной скоростью $V_0 = 4$ м/с (рис. 4.5, *a*). При движении на точку действует сила сопротивления, пропорциональная квадрату скорости, так, что проекция её на вертикаль направлена в сторону, противоположную движению, $R_x = -0,5mV^2$ Н, где V – скорость точки. Определить, на какой высоте h_2 от уровня Земли скорость падающей обратно точки достигнет значения начальной стартовой скорости.

Решение

Решение задачи осуществляется в два этапа. На первом этапе рассматривается движение точки вверх с высоты h_1

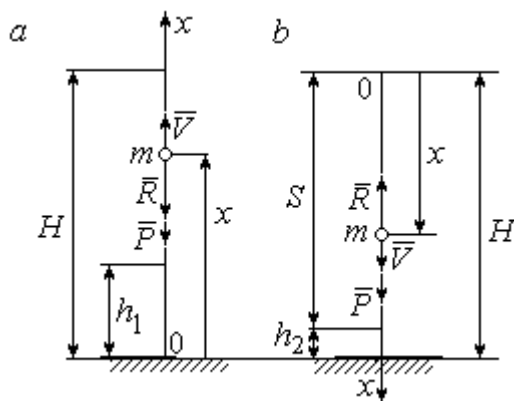


Рис. 4.5. Силы, действующие на точку в полёте:
a – движение точки вверх;
b – движение точки вниз

с начальной скоростью V_0 и определение максимальной высоты полёта H , на втором этапе – падение точки вниз с высоты H без начальной скорости (рис. 4.5, *b*).

Рассмотрим первый этап движения и найдём максимальную высоту подъёма точки. На рис. 4.5, *a* показаны силы, действующие на точку в полёте: сила тяжести \vec{P} и сила сопротивления \vec{R} . Ось x , вдоль

которой происходит движение точки, выбрана по направлению движения, начало координат – на уровне Земли (см. рис. 4.5, *a*).

Дифференциальное уравнение движения точки в проекции на ось x : $m\ddot{x} = \sum F_x = P_x + R_x$, где проекции сил тяжести и сопротивления на ось x :

$P_x = -P = -mg$; $R_x = -0,5mV^2$. Полагая $\dot{x} = \frac{dV}{dt}$, получим уравнение движения

точки в виде: $\frac{dV}{dt} = -(g + 0,5V^2)$.

Учитывая, что $\frac{dV}{dt} = \frac{dV}{dx} \frac{dx}{dt} = V \frac{dV}{dx} = \frac{dV^2}{2dx}$, исходное уравнение движения

представляется в виде, удобном для интегрирования: $\frac{dV^2}{g + 0,5V^2} = -2dx$.

Проинтегрировав это уравнение, находим: $\ln(g + 0,5V^2) = -x + C$.

В начальном положении, т. е. при $t = 0$, точка находилась на высоте $x = h_1$, а скорость её $V = V_0$. Подставив эти значения в проинтегрированное уравнение, получим: $C = h_1 + \ln(g + 0,5V_0^2)$. Окончательно положение точки в полёте

определяется выражением $x = h_1 + \ln\left(\frac{g + 0,5V_0^2}{g + 0,5V^2}\right)$.

При максимальном подъёме точки, т. е. при $x = H$, её скорость обращается в нуль: $V = 0$. Подставляя H , получим: $H = h_1 + \ln\left(1 + \frac{V_0^2}{2g}\right)$. При начальной скорости $V_0 = 4$ м/с, с учётом высоты точки старта $h_1 = 2$ м, высота подъёма точки относительно уровня Земли $H = 2,6$ м.

Рассмотрим второй этап решения задачи – движение точки вниз с максимальной высоты H без начальной скорости. Выберем ось x по направлению движения и поместим начало координат в точке, откуда началось движение вниз (рис. 4.5, *b*). Дифференциальное уравнение движения падающей точки:

$m \frac{dV}{dt} = P_x + R_x = mg - 0,5mV^2$, которое, как и в предыдущем случае, приво-

дится к виду: $\frac{dV^2}{g - 0,5V^2} = 2dx$.

Проинтегрировав это уравнение, находим: $\ln(g - 0,5V^2) = -x + C_1$.

В начальном положении, т. е. при $t = 0$, координата точки и скорость равны нулю: $x = 0$, $V = 0$. Подставив эти значения, находим: $C_1 = \ln g$.

Окончательно положение падающей точки определяется выражением

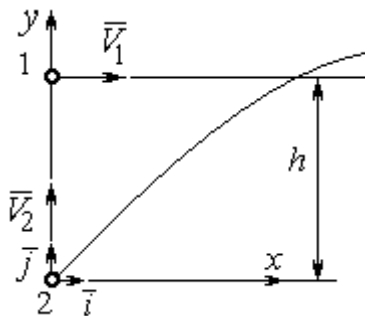
$$x = \ln\left(\frac{g}{g - 0,5V^2}\right).$$

Расстояние S , которое пролетела точка с высоты H , приобретя скорость,

$$V_0: S = \ln\left(\frac{g}{g - 0,5V_0^2}\right). \text{ Высота } h_2 \text{ этого положения от уровня Земли: } h_2 = H - S$$

(см. рис. 4.5, *b*). С учётом величины начальной скорости $V_0 = 4$ м/с, максимальной высоты подъёма точки $H = 2,6$ м высота $h_2 = 0,91$ м.

Задача 44. Точка 1 движется горизонтально с постоянной скоростью V_1



на высоте h . Точка 2 массой m_2 находится в начале координат (рис. 4.6).

В момент, когда обе точки находились на одной вертикали y , точка 2 стартовала вертикально вверх со скоростью V_2 . В полёте на точку 2 действует отклоняющая сила \vec{F}_2 , которая представлена в виде разложения по единичным векторам \vec{i} ,

\vec{j} системы координат xu : $\vec{F}_2 = p\vec{i} + q\vec{j}$, где $p, q - \text{const}$. С какой скоростью V_2 должна стартовать точка 2, чтобы обе точки встретились.

Решение

Рассмотрим движение точки 2. На точку действует сила тяжести \vec{P}_2 и сила \vec{F}_2 , проекции которой на оси x, y : $F_{2x} = p$, $F_{2y} = q$ (рис. 4.7).

Уравнения движения точки в проекциях на оси xu имеют вид:

$$m_2\ddot{x} = p, \quad m_2\ddot{y} = q - m_2g.$$

Дважды интегрируя первое уравнение, полу-

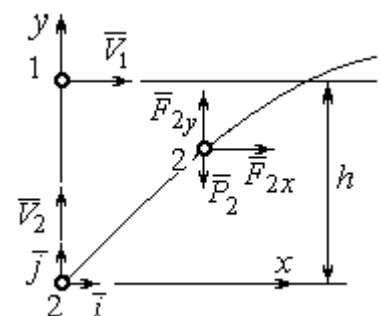


Рис. 4.7. Расчётная схема встречи точек

чим: $\dot{x} = \frac{p}{m_2}t + C_1$; $x = \frac{p}{2m_2}t^2 + C_1t + C_2$. Константы интегрирования найдём из условия, что в начальный момент вторая точка стартовала из начала координат вертикально, то есть при $t = 0$ $x = 0$ и $\dot{x} = V_{2x} = 0$. Подставляя начальные условия в уравнения движения, получим: $C_1 = 0$, $C_2 = 0$. Таким образом, движение точки 2 вдоль оси x описывается уравнением $x = \frac{p}{2m_2}t^2$.

Аналогично, дважды интегрируя второе уравнение движения, получим зависимость скорости движения точки 2 от времени и закон её движения вдоль оси y : $\dot{y} = \left(\frac{q}{m_2} - g\right)t + C_3$; $y = \left(\frac{q}{m_2} - g\right)\frac{t^2}{2} + C_3t + C_4$. Из начальных условий: при $t = 0$ $y = 0$, $\dot{y} = V_{2y} = V_2$ следует: $C_3 = V_2$, $C_4 = 0$.

В результате закон движения точки 2 вдоль оси y : $y = \left(\frac{q}{m_2} - g\right)\frac{t^2}{2} + V_2t$.

Обозначим t_1 – время движения точек до встречи. В момент встречи высота точки 2 $y(t_1) = h$, а расстояние по горизонтали, которое прошла точка 2 до встречи, должно быть равно расстоянию, пройденному точкой 1 за это же время. Подставляя условия встречи в уравнения движения, получим систему:

$$V_1t_1 = \frac{p}{2m_2}t_1^2; \quad h = \left(\frac{q}{m_2} - g\right)\frac{t_1^2}{2} + V_2t_1,$$

откуда найдём: $V_2 = \frac{h}{t_1} - \left(\frac{q}{m_2} - g\right)\frac{t_1}{2}$, где $t_1 = \frac{2V_1m_2}{p}$.

Упражнения

Упражнение 4.1. Тело массы $m = 2$ кг поднимается по прямой по шероховатой поверхности, составляющей угол 30° с горизонтом. Коэффициент трения $f = 0,4$. На тело действует сила $F = kt + 0,5P$, направленная в сторону движения, параллельно плоскости. Определить величину коэффициента k и начальную скорость тела, направленную вверх по наклонной плоскости, если за первую секунду тело прошло путь $S = 2$ м, а скорость увеличилась вдвое относительно начальной.

Упражнение 4.2. Материальную точку массы $m = 1$ кг, находящуюся на высоте $H = 10$ м над уровнем Земли, бросили под углом $\varphi = 30^\circ$ к горизонту с начальной скоростью V_0 . Свободное движение точки происходит в вертикальной плоскости. Определить начальную скорость V_0 и горизонтальную дальность полета l при падении точки на Землю, если высоту $h = 7$ м она пересекла через 1 с от начала движения.

4.2. Колебания материальной точки

Если материальная точка массой m движется вдоль оси Ox под действием линейной восстанавливающей силы, равной $F = cx$, где c – постоянный коэффициент, x – отклонение точки от положения равновесия, куда поместили начало координат, то дифференциальное уравнение свободных прямолинейных колебаний имеет вид:

$$m\ddot{x} + cx = 0, \text{ или } \ddot{x} + \omega^2 x = 0, \omega^2 = \frac{c}{m},$$

где ω – угловая частота колебаний.

Решение дифференциального уравнения свободных колебаний представляется в виде $x = C_1 \cos \omega t + C_2 \sin \omega t$. Постоянные интегрирования C_1 и C_2 находятся из начальных условий.

Если кроме восстанавливающей силы на материальную точку действует переменная возмущающая сила, колебания точки называются **вынужденными**. В случае гармонического возмущения $Q = H \sin pt$, где H , p – амплитуда и угловая частота возмущающей силы, дифференциальное уравнение вынужденных колебаний материальной точки относительно положения равновесия

$$m\ddot{x} + cx = H \sin pt, \text{ или } \ddot{x} + \omega^2 x = h \sin pt, \omega^2 = \frac{c}{m}, h = \frac{H}{m}$$

где ω – угловая частота собственных колебаний; h – относительная амплитуда возмущающей силы.

Общее решение неоднородного дифференциального уравнения вынужденных колебаний при отсутствии резонанса (частота собственных колебаний точки не совпадает с частотой возмущающей силы $p \neq \omega$) имеет вид:

$x = C_1 \cos \omega t + C_2 \sin \omega t + \frac{h}{\omega^2 - p^2} \sin pt$, а в случае возникновения резонанса

($p = \omega$) определяется формулой: $x = C_1 \cos \omega t + C_2 \sin \omega t - \frac{ht}{2p} \cos pt$. Значения

произвольных постоянных C_1 и C_2 находятся с учётом начальных условий движения.

Колебания груза на двух параллельных пружинах с жесткостью c_1 и c_2 можно рассматривать как колебания груза на одной пружине с эквивалентной жесткостью $c_{\text{ЭКВ}} = c_1 + c_2$, где $c_{\text{ЭКВ}}$ – жесткость эквивалентной пружины. При последовательном соединении пружин коэффициент жесткости эквивалентной

пружины $c_{\text{ЭКВ}} = \frac{c_1 c_2}{c_1 + c_2}$.

Примеры решения задач на колебания точки

Задача 45. Подъёмное устройство (рис. 4.8) опускает груз Q массой $m = 400$ кг в шахту при помощи упругого троса с коэффициентом жесткости $c = 8 \cdot 10^4$ Н/м с постоянной скоростью $V = 10$ м/с. В некоторый момент во время спуска трос защемило в блоке. Пренебрегая массой троса, определить дальнейшее движение груза и найти максимальную силу натяжения троса.

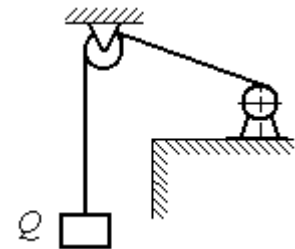


Рис. 4.8. Подъёмное устройство

Решение

После того как произошло защемление троса в обойме блока, вертикальную часть троса длиной ℓ_0 можно рассматривать как пружину с закреплённым верхним концом, а груз – материальной точкой.

Расчетная схема колебаний груза Q на пружине показана на рис. 4.9.

Ось Ox , вдоль которой происходят колебания груза, направлена вертикально вниз. Начало отсчёта координаты x (точка O) выбрано в положении нерастянутой пружины.

На рис. 4.9, *a* положение нерастянутой пружины соответствует положению груза на тросе в момент его заземления.

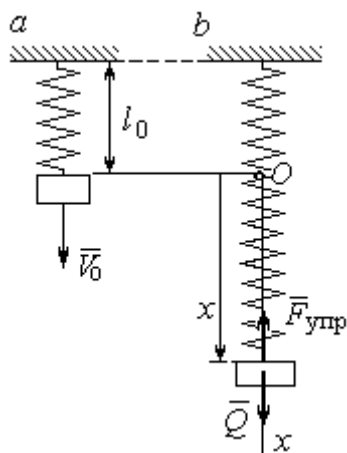


Рис. 4.9. Расчётная схема колебаний груза:
a – положение груза на начало колебаний; *b* – положение груза в произвольный момент времени

В произвольном положении груза (рис. 4.9, *b*), обозначенном координатой x , к нему приложены две силы: сила тяжести \vec{Q} и сила упругости пружины $\vec{F}_{\text{упр}}$. Проекция силы упругости пружины на ось Ox : $F_{\text{упр}x} = -c\Delta\ell = -cx$, где $\Delta\ell$ – удлинение пружины. Дифференциальное уравнение движения груза в проекции на ось Ox имеет вид: $m\ddot{x} = Q - cx$. В результате получаем не-

однородное дифференциальное уравнение колебаний:

$$m\ddot{x} + cx = mg \text{ или } \ddot{x} + \omega^2 x = g,$$

где ω – угловая частота собственных колебаний, $\omega = \sqrt{\frac{c}{m}} = 14,14$ рад/с.

Решение неоднородного дифференциального уравнения представляется в виде $x = C_1 \cos \omega t + C_2 \sin \omega t + \frac{g}{\omega^2}$, где первые два слагаемых представляют общее решения однородного уравнения, последнее – частное решение неоднородного

Для определения произвольных постоянных C_1 и C_2 используем начальные условия движения: при $t = 0$ груз находился в положении $x = 0$, а его скорость равнялась скорости груза $\dot{x} = V_0 = 10$ м/с. Подставляя значение координаты начального положения груза в общее решение уравнения колебаний, полу-

чим: $C_1 = -\frac{g}{\omega^2} = -0,69$ м. Для определения второй константы вычислим скорость груза: $\dot{x} = -C_1\omega\sin\omega t + C_2\omega\cos\omega t$. Подставив начальное значение скорости груза при $t = 0$, получим: $C_2 = \frac{V_0}{\omega} = 0,71$ м. Окончательно, движение груза после заземления троса в обойме блока описывается уравнением

$$x = -0,69\cos 14,14t + 0,71\sin 14,14t + 0,69.$$

Представим уравнение колебаний в виде $x = A\sin(\omega t + \alpha) + \frac{g}{\omega^2}$, где A – амплитуда собственных колебаний груза $A = \sqrt{C_1^2 + C_2^2}$, α – фаза колебаний; $\operatorname{tg}\alpha = \frac{C_1}{C_2}$. Максимальное растяжение троса равно максимальному значению координаты груза: $x_{\max} = \max\left[A\sin(\omega t + \alpha) + \frac{g}{\omega^2}\right] = A + \frac{g}{\omega^2} = 1,68$ м. Соответственно, максимальное усилие в тросе равно значению силы упругости при максимальном растяжении: $F_{\text{упр max}} = cx_{\max} = 134,4$ кН.

Задача 46. Рабочий орган вибрационной машины представляет собой массивное тело, расположенное на гладкой наклонной плоскости между двумя пружинами (см. рис. 4.10). Угол наклона плоскости к горизонту 60° . Масса груза $m = 9$ кг. Пружины, зажимающие груз, имеют коэффициенты жесткости $c_1 = 300$ Н/м и $c_2 = 600$ Н/м.

В начальный момент груз, когда пружины не деформированы, груз оттягивают вниз по наклонной плоскости на расстояние $\Delta\ell = 0,12$ м и отпускают без начальной скорости.

Найти период колебаний, амплитуду и уравнение движения груза.

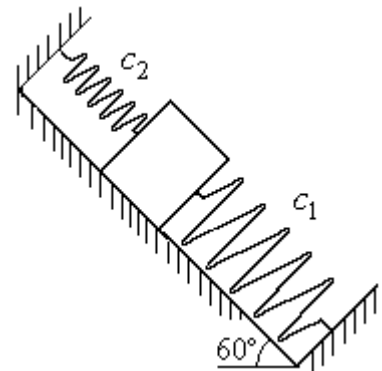


Рис. 4.10. Колебания груза на наклонной плоскости

Решение

Колебания груза, зажатого между двумя пружинами, представим как колебания груза, прикрепленного к одной пружине эквивалентной жёсткости: $c_3 = c_1 + c_2 = 900 \text{ Н/м}$ (рис. 4.11). Ось, вдоль которой происходят колебания, направим вниз по наклонной плоскости. Начало отсчёта координаты груза x

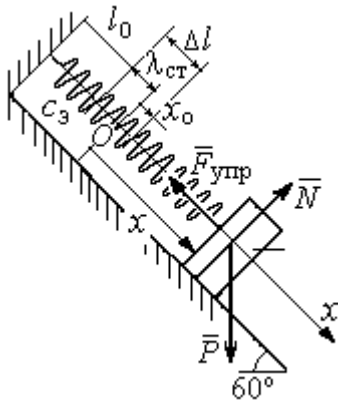


Рис. 4.11. Схема колебаний груза на эквивалентной пружине

выберем в положении его статического равновесия (точка O) (см. рис. 4.11).

Дифференциальное уравнение движения груза в проекции на ось Ox : $m\ddot{x} = P_x - F_{\text{упр}x}$.

Проекция силы упругости пружины на ось Ox :

$$F_{\text{упр}x} = -c_3 \Delta l, \text{ где } \Delta l = (x + \lambda_{\text{ст}}) - \text{удлинение}$$

пружины, включающее её растяжение $\lambda_{\text{ст}}$ относительно положения нерастянутой пружины и

растяжение x относительно начала координат.

Удлинение пружины $\lambda_{\text{ст}}$ определяется из условия равновесия груза на наклонной плоскости в положении статического равновесия:

$$P \cos 30^\circ - F_{\text{упр}} = 0,87mg - c_3 \lambda_{\text{ст}} = 0.$$

Находим $\lambda_{\text{ст}} = \frac{0,87mg}{c_3} = 0,085 \text{ м}.$

Подставляя выражение силы упругости, с учётом условия статического равновесия груза ($0,87mg = c_3 \lambda_{\text{ст}}$), получим дифференциальное уравнение колебаний:

$m\ddot{x} = -c_3 x$ или $\ddot{x} + \omega^2 x = 0$, где ω – угловая частота собственных колебаний груза,

$$\omega = \sqrt{\frac{c_3}{m}} = 10 \text{ рад/с}.$$

Общее решение уравнения колебаний $x = C_1 \cos \omega t + C_2 \sin \omega t$.

Для определения произвольных постоянных C_1 и C_2 вычислим начальные условия движения груза.

Координата начального положения груза на оси Ox (см. рис. 4.11) $x_0 = \Delta\ell - \lambda_{ст} = 0,035$ м. Подставляя значение координаты начального положения груза в общее решение уравнения колебаний при $t = 0$, получим: $C_1 = x_0 = 0,035$ м. Для определения второй константы вычислим скорость груза: $\dot{x} = -C_1\omega_2\sin\omega_2t + C_2\omega_2\cos\omega_2t$. Подставив начальное значение скорости груза: при $t = 0$ $\dot{x} = V_0 = 0$, получим $C_2 = 0$. Окончательно уравнение движения груза относительно его положения статического равновесия $x(t) = 0,035\cos 10t$ м. Амплитуда колебаний $A = 0,035$ м. Период колебаний $T = \frac{2\pi}{\omega} = 0,63$ с.

Задача 47. Пружинный амортизатор состоит из двух одинаковых вертикально стоящих пружин, к верхним концам которых прикреплена невесомая горизонтальная площадка (рис. 4.12). Жёсткость каждой пружины $c = 350$ Н/м. Груз массой $m = 5$ кг падает с высоты $h = 0,3$ м.

Коснувшись площадки, груз начинает двигаться вместе с ней. Определить максимальную осадку амортизатора и уравнение движения груза.

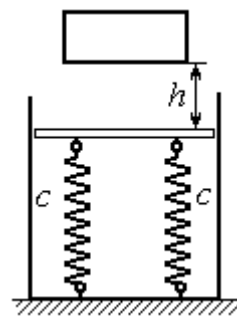


Рис. 4.12. Пружинный амортизатор

Решение

Заменяем две пружины амортизатора одной с жесткостью, эквивалентной двум пружинам: $c_э = 2c = 700$ Н/м. Расчётная схема колебаний груза показана на рис. 4.13. Начало координат оси x (точка O), вдоль которой происходят колебания, выбрано на уровне статического равновесия груза.

При движении (на рис. 4.13, s предполагается движение груза вниз) на груз действуют сила упругости $\vec{F}_{упр}$ и сила тяжести \vec{P} . Уравнение движения груза в проекции на ось x : $m\ddot{x} = P - F_{упр} = P - c_э\Delta\ell$, где $\Delta\ell$ – удлинение (или сжатие) пружины относительно недеформированного состояния.

В произвольном положении груза, обозначенном координатой x (см. рис. 4.13, c), сжатие пружины относительно её недеформированного состояния

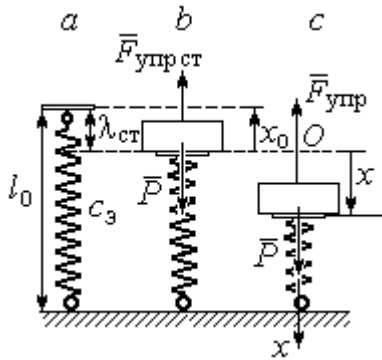


Рис. 4.13. Расчётная схема колебаний на эквивалентной пружине:
 a – недеформированная пружина;
 b – положение статического равновесия груза; c – произвольное положение

(см. рис. 4.13, a) составляет величину: $\Delta l = x + \lambda_{ст}$. Величина $\lambda_{ст}$ находится из условия статического равновесия груза, которое выражается равенством (рис. 4.13, b): $P - F_{упр ст} = P - c_3 \lambda_{ст} = 0$.

Подставляя это условие в уравнение движения груза, получим дифференциальное уравнение колебаний:

$$m\ddot{x} + c_3 x = 0 \quad \text{или} \quad m\ddot{x} + \omega^2 x = 0, \quad \text{где}$$

$$\omega = \sqrt{\frac{c_3}{m}} = 11,83 \text{ рад/с} - \text{угловая частота колебаний.}$$

Общее решение однородного уравнения колебаний представляется в виде $x = C_1 \cos \omega t + C_2 \sin \omega t$, где C_1 и C_2 – произвольные постоянные, вычисляемые по начальным условиям движения груза.

По условию задачи груз падает на площадку, установленную на недеформированных пружинах. Это означает, что начальная координата груза при его движении на пружинах соответствует положению недеформированной пружины: $x_0 = -\lambda_{ст} = -\frac{mg}{c_3} = -0,07 \text{ м}$.

Начальная скорость колебаний груза равна скорости груза при падении его с высоты 1 м. Интегрируя уравнение движения груза во время падения $m\ddot{s} = mg$, где s – путь, пройденный телом, получим зависимость скорости от пройденного пути: $V^2 = 2gs$. Полагая $s = 0,3$, найдём скорость груза при его встрече с площадкой: $V = 2,43 \text{ м/с}$. Проекция начальной скорости колебаний груза на ось x положительна: $V_{0x} = V = 2,43 \text{ м/с}$.

Подставив начальные условия в общее решение уравнения колебаний, получим: $C_1 = x_0 = -0,07$ м; $C_2 = \frac{V_{0x}}{\omega} = 0,2$ м. Окончательно уравнение колебаний груза на амортизаторе $x = -0,07\cos 11,83t + 0,2\sin 11,83t$. Амплитуда колебаний $A = \sqrt{C_1^2 + C_2^2} = 0,21$ м. Проседание амортизатора H отсчитывается от положения нерастянутых пружин: $H = A + \lambda_{ст} = 0,28$ м.

Задача 48. Для регистрации (записи) вертикальных колебаний тяжёлых платформ используется пружинный виброграф (рис. 4.14). Схема действия прибора состоит в следующем. Массивная платформа A совершает вертикальные гармонические колебания по закону $\xi = \xi(t)$. На платформе установлена вертикальная стойка с горизонтальной перекладиной, к которой прикреплена пружина жесткостью c . К нижнему концу пружины подвешен груз P массой m с индикаторной стрелкой B (см. рис. 4.14). Вертикальная шкала индикаторной стрелки закреплена на платформе A . В начальный момент груз на пружине находился в покое в положении статического равновесия. Определить закон колебаний стрелки B вдоль шкалы, если масса груза $m = 1$ кг, жесткость пружины $c = 10$ Н/м, платформа совершает вертикальные колебания по закону $\xi = a\sin pt$ см, где амплитуда $a = 0,02$ м, частота колебаний платформы $p = 7$ рад/с.

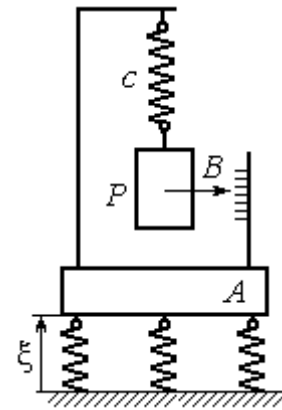


Рис.4.14. Регистратор вертикальных колебаний

Решение

Выберем неподвижную ось x , связанную, например, с неподвижной поверхностью, на которой стоит платформа. Начало координат – точку O выберем на уровне статического равновесия груза на пружине при неподвижной платформе. Произвольное положение груза отмечено координатой x (рис. 4.15).

Растяжение пружины при неподвижной платформе составляет величину $x + \lambda_{ст}$, где $\lambda_{ст}$ – удлинение пружины в положении статического равновесия

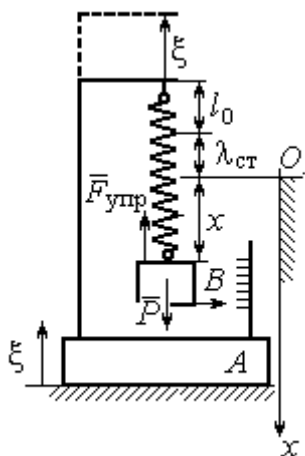


Рис. 4.15. Расчётная схема колебаний груза

груза, определяемое из условия $P - c\lambda_{ст} = 0$.

Вместе с тем колебание платформы вызывает аналогичное смещение точки подвеса пружины.

В результате растяжение пружины при произвольном положении груза равно сумме:

$$\Delta l = (x + \lambda_{ст} + \xi).$$

На груз действуют сила тяжести \vec{P} и сила упругости пружины $\vec{F}_{упр}$. Дифференциальное

уравнение движения груза в проекции на ось Ox :

$$m\ddot{x} = P_x + F_{упр,x}, \text{ где проекции } P_x = P, F_{упр,x} = -c\Delta l = -c(x + \lambda_{ст} + \xi).$$

Расчётная схема колебаний груза показана на рис. 4.15.

С учётом условия статического равновесия груза $P - c\lambda_{ст} = 0$ получим дифференциальное уравнение вынужденных колебаний груза в виде:

$$\ddot{x} + \omega^2 x = -h \sin pt,$$

где ω – угловая частота собственных колебаний груза, $\omega = \sqrt{\frac{c}{m}} = 3,16$ рад/с;

h – относительная амплитуда вынужденных колебаний, $h = \frac{ca}{m} = 0,2$ м/с²;

p – угловая частота вынужденных колебаний, $p = 7$ рад/с.

Решение уравнения вынужденных колебаний представляется суммой $x = x_1 + x_2$, где x_1 является общим решением однородного уравнения

$\ddot{x}_1 + \omega^2 x_1 = 0$, а x_2 – частное решение уравнения вынужденных колебаний:

$$\ddot{x}_2 + \omega^2 x_2 = -h \sin pt.$$

Решив однородное уравнение, находим: $x_1 = C_1 \cos \omega t + C_2 \sin \omega t$.

При отсутствии резонанса (а в данном случае частота вынужденных колебаний груза не совпадает с частотой собственных $\omega \neq p$) частное решение уравнения вынужденных колебаний ищем в виде $x_2 = b \sin pt$. Подставляя частное решение в уравнение вынужденных колебаний, получим уравнение $-bp^2 \sin pt + \omega^2 b \sin pt = -h \sin pt$, откуда находим коэффициент: $b = \frac{h}{p^2 - \omega^2}$.

В результате общее решение уравнения колебаний принимает вид:

$$x = x_1 + x_2 = C_1 \cos \omega t + C_2 \sin \omega t + \frac{h}{p^2 - \omega^2} \sin pt,$$

где константы C_1 и C_2 подлежат определению.

В начальный момент груз находился на пружине в положении статического равновесия, и потому его начальная координата и скорость равны нулю. Подставляя значение координаты начального положения груза в общее решение уравнения вынужденных колебаний при $t = 0$, получим $C_1 = 0$. Для определения второй константы вычислим скорость груза в произвольный момент времени: $\dot{x} = -C_1 \omega \sin \omega t + C_2 \omega \cos \omega t + \frac{hp}{p^2 - \omega^2} \cos pt$. Подставив начальное значение скорости груза, найдём $C_2 = -\frac{hp}{\omega(p^2 - \omega^2)} = -0,01$ м.

Таким образом, колебания груза относительно неподвижной системы координат описываются уравнением $x = -0,01 \sin 3,16t + 0,05 \sin 7t$ и представляют абсолютное движение груза. Для того чтобы найти закон движения груза относительно платформы – относительное движение, нужно из его абсолютного движения исключить переносное – колебания платформы. Поскольку стрелка прибора закреплена на грузе, а шкала – на платформе, то закон движения стрелки относительно шкалы:

Таким образом, колебания груза относительно неподвижной системы координат описываются уравнением $x = -0,01 \sin 3,16t + 0,05 \sin 7t$ и представляют абсолютное движение груза. Для того чтобы найти закон движения груза относительно платформы – относительное движение, нужно из его абсолютного движения исключить переносное – колебания платформы. Поскольку стрелка прибора закреплена на грузе, а шкала – на платформе, то закон движения стрелки относительно шкалы:

$$x_r = x - \xi = -0,01 \sin 3,16t + 0,05 \sin 7t - 0,02 \sin 7t = -0,01 \sin 3,16t + 0,03 \sin 7t.$$

Упражнения

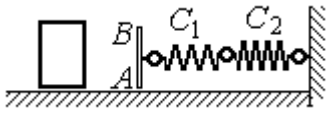


Рис. 4.16. Схема движения груза

Упражнение 4.3. Груз массы $m = 0,5$ кг, получив начальную скорость $V_0 = 6$ м/с, движется по горизонтальной поверхности, испытывая силу сопротивления, равную по величине $F = kV$ и направленную в сторону, противоположную движению. Через 1 с груз соединяется с невесомой вертикальной площадкой AB и продолжает движение вместе с ней, уже без сопротивления. К площадке прикреплены две горизонтальные последовательно соединённые пружины жёсткостью $C_1 = 120$ и $C_2 = 40$ Н/м (рис. 4.16).

Найти величину максимального сжатия пружины, если $k = 0,5$ Н/м/с. Определить закон движения груза.

Упражнение 4.4. Груз массы $m = 1$ кг прикреплен к конструкции, состоящей из трёх вертикальных пружин одинаковой жёсткости $C = 160$ Н/м (рис. 4.17), и находится в равновесии. В некоторый момент времени грузу сообщают скорость $V = 4$ м/с, направленную вверх.

Найти амплитуду и частоту колебаний груза.

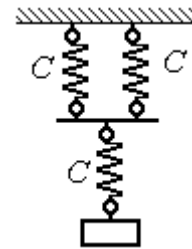


Рис. 4.17. Схема крепления груза на пружинах

4.3. Теорема об изменении кинетической энергии точки

Работой постоянной по величине и направлению силы \vec{F} на прямолинейном перемещении точки приложения силы M (рис. 4.18) называется ска-

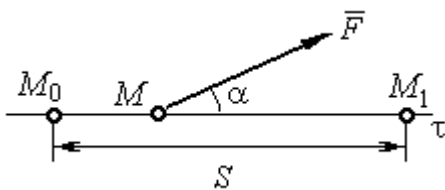


Рис. 4.18. Работа постоянной силы на прямолинейном участке

лярная величина $A(\vec{F}) = FS \cos \alpha$, где F – модуль силы; S – конечное перемещение точки приложения силы; α – угол между направлением вектора силы и направлением перемещения точки приложения силы.

Работа силы тяжести материальной точки при перемещении её из положения M_0 в положение M_1 равна произведению $A_{(M_0M_1)} = \pm Ph$, где P – величина силы тяжести точки; h – вертикальное перемещение точки (рис. 4.19).

Работа силы тяжести положительна, если начальная точка движения выше конечной (см. рис. 4.19, *a*), и отрицательна, если начальная точка ниже конечной (см. рис. 4.19, *b*).

Работа силы упругости пружины при перемещении вдоль линии действия силы из положения недеформированной пружины на

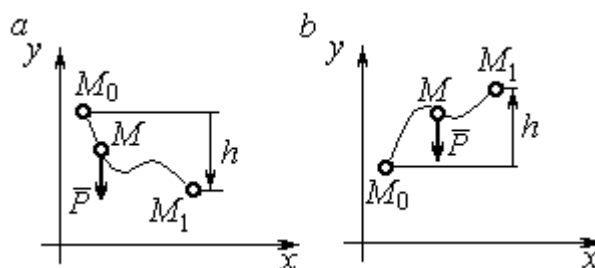


Рис. 4.19. Работа силы тяжести:
a – перемещение точки сверху вниз;
b – перемещение точки снизу вверх

расстояние h определяется формулой $A(\vec{F}_{\text{упр}}) = -\frac{ch^2}{2}$, где c – коэффициент жесткости (или жёсткость) пружины.

Кинетической энергией материальной точки называется скалярная величина $T = \frac{1}{2}mV^2$, где m – масса точки; V – её скорость.

Теорема об изменении кинетической энергии точки. Изменение кинетической энергии материальной точки при переходе её из начального положения в текущее равно алгебраической сумме работ всех действующих на неё сил:

сил: $\frac{mV_1^2}{2} - \frac{mV_0^2}{2} = \sum A_{(M_0M_1)}$, где V_0, V_1 – скорость точки в начальном положении M_0 и в положении M_1 ; $\sum A_{(M_0M_1)}$ – сумма работ всех сил, действующих на точку, при перемещении её из положения M_0 в положение M_1 . При несвободном движении точки в сумму работ сил войдёт и работа реакций связи.

Для определения реакций связи при несвободном движении точки используются уравнения движения в проекциях на оси естественной системы координат – касательную и нормальную:

$m \frac{dV}{dt} = \sum F_\tau$, $m \frac{V^2}{\rho} = \sum F_n$, где $\sum F_\tau$,

$\sum F_n$ – суммы проекций сил на касательную и нормальную оси естественной системы координат, ρ – радиус кривизны траектории точки.

Примеры решения задач с использованием теоремы об изменении кинетической энергии точки

Задача 49. Подъёмное устройство в шахте опускает груз массой 500 кг с постоянной скоростью $V_0 = 6$ м/с. После обрыва каната подъёмника срабатывает предохранительное устройство, которое создаёт силу трения между лифтом подъёмного устройства и стенками шахты. Какую силу трения, считая её постоянной, должно создать предохранительное устройство, чтобы остановить лифт на протяжении пути 10 м.

Решение

Рассмотрим падение груза после обрыва каната подъёмника. На груз действуют сила тяжести \vec{P} и сила трения $\vec{F}_{\text{тр}}$, направленная в сторону, противоположную движению. Считая груз материальной точкой, составим уравнение теоремы об изменении кинетической энергии точки. Получим выражение

$$\frac{mV^2}{2} - \frac{mV_0^2}{2} = Ps - F_{\text{тр}}s, \text{ где } V_0, V - \text{ скорость груза в начале движения (сразу}$$

после обрыва каната) и в конце; s – путь, проходимый грузом за время движения. В конце движения груз должен остановиться, то есть $V = 0$. Тогда уравнение теоремы об изменении кинетической энергии точки принимает вид:

$$-\frac{mV_0^2}{2} = (P - F_{\text{тр}})s, \text{ откуда находим требуемую для остановки груза силу тре-}$$

ния: $F_{\text{тр}} = P + \frac{mV_0^2}{2s}$. Подставляя условия задачи, получим: $F_{\text{тр}} = 5,81$ кН

Задача 50. Тонкий стержень, расположенный в вертикальной плоскости, состоит из двух дуг сопряженных окружностей радиусов $R = 1$ м и $r = 0,5$ м (рис. 4.20). Линия OO_1 , соединяющая центры окружностей, составляет с горизонтом угол 30° . На стержень надет шарик весом $P = 10$ Н. В точке A , положение которой на дуге радиуса R определяется углом $\alpha = 60^\circ$, шарик сообщают начальную скорость V_0 , после чего он скользит по стержню без трения. Опре-

делить значение начальной скорости, при которой шарик достигнет наивысшей точки B со скоростью, равной половине начальной. При найденном значении начальной скорости рассчитать давление шарика на стержень в точке C , положение которой на дуге радиуса r определяется углом $\beta = 90^\circ$ относительно линии центров.

Решение

При движении шарика по стержню без трения на него действуют сила тяжести \vec{P} и реакция опоры \vec{N} . При этом работу совершает только сила тяжести шарика. Реакция гладкой поверхности стержня в любой момент времени перпендикулярна поверхности стержня и потому её работа равна нулю.

По теореме об изменении кинетической энергии точки при движении её

из начального положения A в положение B имеем равенство:

$$\frac{mV_B^2}{2} - \frac{mV_A^2}{2} = A(P) = -Ph_{(AB)},$$

где $h_{(AB)}$ – перепад высот точек B и A ,

$$h_{(AB)} = R + DO + r = \frac{3}{2}(R + r) \text{ (см. рис. 4.21);}$$

V_A, V_B – скорость шарика в точках A и B , причём $V_A = V_0, V_B = 0,5V_0$.

В результате уравнение, составленное на основании теоремы об изменении

кинетической энергии, принимает вид: $\frac{3V_0^2}{8} = g \frac{3}{2}(R + r)$, откуда

$$V_0 = 2\sqrt{(R + r)g} = 7,67 \text{ м/с.}$$

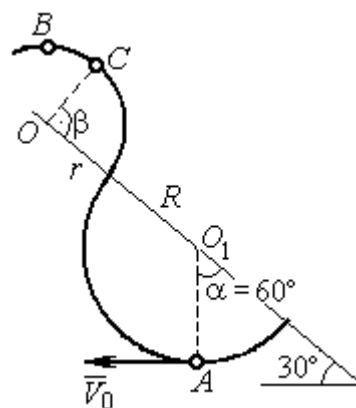


Рис. 4.20. Движение шарика по изогнутому стержню

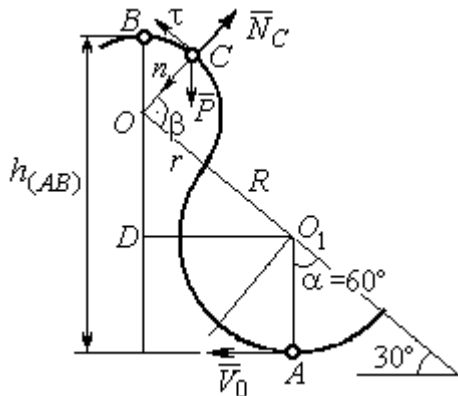


Рис. 4.21. Расчётная схема движения шарика

На рис. 4.21 показаны силы, приложенные к шарик, в момент, когда он находится в точке C . Проведём в точке C оси естественной системы координат – касательную Ct и нормаль Cn . Уравнение движения шарика в проекции на нормальную ось имеет вид: $m \frac{V_C^2}{r} = P \cos 30^\circ - N_C$, откуда найдём реакцию N_C .

Для определения скорости шарика в точке C воспользуемся теоремой об изменении кинетической энергии точки при движении шарика из положения C в положение B . Получим равенство $\frac{mV_B^2}{2} - \frac{mV_C^2}{2} = -Ph_{(CB)}$, где $h_{(CB)}$ – перепад высот при движении шарика из начального положения C в положение B . С учётом известных значений $V_B = 0,5V_0 = 3,84$ м/с и $h_{(CB)} = r \cos 30^\circ = 0,43$ м получим: $V_C = \sqrt{V_B^2 + 2gh_{(CB)}} = 4,82$ м/с.

Из уравнения движения шарика находим реакцию опоры $N_C = P \cos 30^\circ - m \frac{V_C^2}{r} = -38,7$ Н.

Отрицательное значение реакции опоры шарика показывает, что фактическое направление реакции противоположно тому, как показано на рис. 4.21. Искомое давление шарика на трубку равно модулю реакции опоры.

Задача 51. Желоб состоит из шероховатой наклонной прямой AB и гладкой дуги окружности радиуса $r = 0,8$ м, сопряжённых в точке B так, что прямая

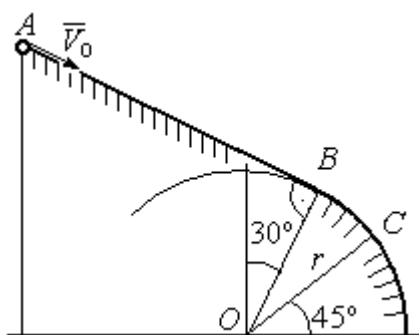


Рис. 4.22. Движение точки по составному желобу

AB является касательной к окружности в точке B (рис. 4.22). Положение точки B на дуге задаётся углом 30° относительно вертикального диаметра окружности. Тяжёлый шарик массой $m = 0,5$ кг начинает движение из точки A со скоростью $V_0 = 0,2$ м/с.

Какой длины S должен быть желоб AB ,

чтобы шарик оторвался от окружности в точке C , определяемой углом 45° относительно горизонтального диаметра, если при движении по прямой AB шарик испытывает сопротивление скольжения с коэффициентом трения $f = 0,4$.

Решение

Рассмотрим движение шарика по дуге окружности. Проведём в точке C оси естественной системы координат – касательную $C\tau$ и нормаль Cn (рис. 4.23). На шарик действуют сила тяжести \vec{P} , реакция \vec{N}_C опоры в точке C . Уравнение движения шарика в проекции на ось Cn имеет вид:

$m \frac{V_C^2}{r} = P \cos 45^\circ - N_C$, где V_C – скорость шарика в точке C . Реакция опоры

$$N_C = P \cos 45^\circ - m \frac{V_C^2}{r}.$$

В момент отрыва шарика в точке C реакция опоры обращается в ноль: $N_C = 0$. В результате получаем уравнение $V_C^2 = rg \cos 45^\circ$, из которого находим скорость шарика в момент его отрыва от опоры: $V_C = 2,36$ м/с.

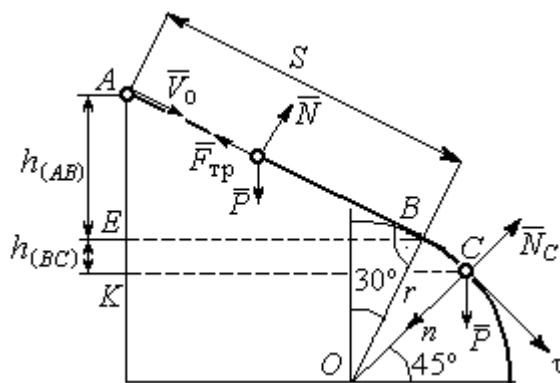


Рис. 4.23. Расчётная схема движения точки

Рассмотрим движение шарика из начального положения A в положение C . На шарик действуют сила тяжести \vec{P} , нормальная реакция опоры \vec{N} и, при движении по наклонной прямой AB , сила трения $\vec{F}_{тр}$ (см. рис. 4.23). Работу совершают сила тяжести шарика и сила трения. Реакция опоры \vec{N} и в том и другом случае перпендикулярна траектории движения, и её работа равна нулю.

Составим уравнение теоремы об изменении кинетической энергии точки

$\frac{mV_C^2}{2} - \frac{mV_A^2}{2} = Ph_{(AC)} - F_{тр}S$, где S – длина участка AB ; $h_{(AC)}$ – перепад высот на участке AC (см. рис. 4.23); $h_{(AC)} = h_{(AB)} + h_{(BC)} = S \sin 30^\circ + r(\cos 30^\circ - \cos 45^\circ)$.

Модуль силы трения: $F_{\text{тр}} = fN$. Для того чтобы найти реакцию N опоры шарика на наклонную поверхность желоба AB , составим проекцию уравнения движения шарика на ось y , перпендикулярную AB (на рис. 4.23 не показана). Получим: $m\ddot{y} = N - P\cos 30^\circ = 0$. Отсюда $N = P\cos 30^\circ$ и сила трения $F_{\text{тр}} = fP\cos 30^\circ$.

Из уравнения теоремы об изменении кинетической энергии точки найдём выражение для определения длины S участка AB :

$$\frac{V_C^2 - V_A^2}{2g} = S\sin 30^\circ + r(\cos 30^\circ - \cos 45^\circ) - fPS\cos 30^\circ,$$

откуда получим $S = 1$ м.

Задача 52. Груз подвешен на нити длиной $l = 1$ м, закреплённой в неподвижной точке O (рис. 4.24). В начальный момент груз находился в положении A , при котором линия OA составляет с вертикалью угол 60° . В этом положении грузу сообщают начальную скорость \vec{V}_0 , перпендикулярно нити. Достигнув горизонтального положения, нить, натянутая грузом, встречает препятствие в виде тонкой проволоки в точке O_1 , расположенной на середине длины нити, и дальше навивается на неё.

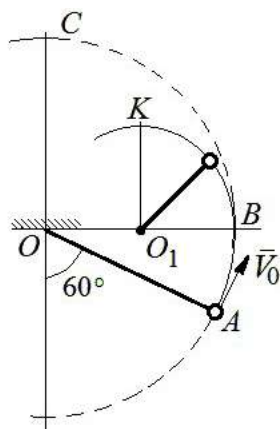


Рис. 4.24. Схема движения груза на нити

навивается на неё.

Какую минимальную начальную скорость нужно сообщить грузу в точке A , чтобы после встречи нити с проволокой в O_1 груз проскочил верхнюю точку траектории K . На какую максимальную высоту (относительно горизонтального диаметра OB) поднимется груз, двигаясь из той же точки A и с той же начальной скоростью, если нить будет двигаться беспрепятственно. Определить скачок натяжения нити в точке B при переходе груза с одной траектории на другую.

Решение

Построим оси естественной системы координат $nK\tau$ в точке K траектории – окружности радиуса $0,5l$ с центром O_1 (рис. 4.25, *a*). Во время движения на груз действуют сила тяжести и реакция нити. Уравнение движения груза в проекции на ось Kn имеет вид:

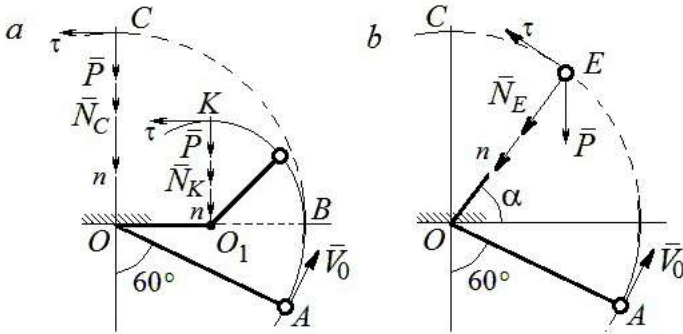


Рис. 4.25. Расчётная схема движения груза:
a – нить навивается на препятствие;
b – свободное движение

Уравнение движения груза в проекции на ось Kn имеет вид:

$$m \frac{V_K^2}{r} = P + N_K, \text{ где } V_K \text{ – скорость}$$

груза в точке K ; N_K – реакция нити; r – радиус окружности движения груза;

$r = 0,5l$. Из уравнения движения находим реакцию нити: $N_K = m \frac{2V_K^2}{l} - P$.

Так как нить представляет собой гибкую связь, то условием достижимости грузом точки K является требование, что при движении нить должна быть натянута, иначе говоря, всюду во время движения должно выполняться неравенство $N_K \geq 0$. С учётом уравнения движения груза это приводит к неравенству, выражающему требование к скорости в конечной точке: $V_K^2 \geq \frac{1}{2}gl$.

Скорость груза в точке K найдём на основании теоремы об изменении кинетической энергии точки при движении груза из положения A в положение K . Имеем равенство $\frac{mV_K^2}{2} - \frac{mV_0^2}{2} = -Ph_{(AK)}$, где $h_{(AK)}$ – перепад высот точек A и K ; $h_{(AK)} = l$ (см. рис. 4.25, *a*). Решая полученное уравнение, найдём зависимость скорости груза в точке K от начальной: $V_K^2 = V_0^2 - 2gl$. С учётом выполнения неравенства натяжения нити получим: $V_0 \geq \sqrt{\frac{5}{2}gl}$.

При минимальной начальной скорости $V_0 = \sqrt{\frac{5}{2}gl}$ груз достигает верхней точки K . Однако, натяжение нити в точке K обращается в нуль: $N_K = 0$ и нить в этом месте перестаёт быть натянутой. Груз продолжает движение, но уже в виде свободного падения с начальной скоростью $V_K = \sqrt{\frac{1}{2}gl}$.

Определим, на какую высоту поднимется груз из положения A с минимальной начальной скоростью $V_0 = \sqrt{\frac{5}{2}gl}$, если нить движется беспрепятственно (см. рис. 4.25, b). Построим в точке E оси естественной системы координат $nE\tau$ аналогично тому, как это было сделано в точке K . Уравнение движения груза в проекции на ось En имеет вид: $m\frac{V_E^2}{l} = P\sin\alpha + N_E$, где V_E – скорость груза в точке E ; N_E – проекция реакции нити на нормальную ось.

Для определения скорости груза в точке E составим уравнение теоремы об изменении кинетической энергии точки при движении груза из начального положения A в положение E . Получим: $\frac{mV_E^2}{2} - \frac{mV_0^2}{2} = -Ph_{(AE)}$, где $h_{(AE)}$ – перепад высот точек A и E ; $h_{(AE)} = \frac{l}{2} + l\sin\alpha$ (см. рис. 4.25, b). Решая полученное уравнение относительно скорости V_E при заданной начальной скорости $V_0 = \sqrt{\frac{5}{2}gl}$, найдём: $mV_E^2 = \frac{3}{2}mgl - 2mgl\sin\alpha$. С другой стороны, из уравнения движения груза (учитывая, что в точке E натяжение нити равно нулю: $N_E = 0$) получим: $mV_E^2 = Pl\sin\alpha$. Приравнявая выражения, получим $\sin\alpha = \frac{1}{2}$. Высота подъёма относительно горизонтального радиуса составляет $\frac{1}{2}l$.

Для определения скачка натяжения нити при переходе груза в точке B с окружности радиуса l на окружность радиуса $\frac{1}{2}l$, т. е. в момент, когда нить начинает навиваться на проволоку, напишем проекции уравнения движения груза на нормальную ось в точке B . Получим для малой окружности $\frac{2mV_B^2}{l} = N_B$ и для большой $\frac{mV_B^2}{l} = N'_B$, где N_B и N'_B – проекции реакции нити в точке B при движении груза по окружности радиусов $\frac{1}{2}l$ и l . Из уравнений видно, что переход груза с большой окружности на малую вызывает двукратное увеличение натяжения нити: $N'_B = \frac{3}{2}mg$, $N_B = 3mg$.

Задача 53. Шарик массой $m = 0,5$ кг движется в вертикальной плоскости из положения A внутри трубки, которая состоит из полуокружности AB радиуса $R = 0,6$ м и прямолинейного участка BD , сопряжённого в точке B с окружностью (рис. 4.26). Диаметр полуокружности AB составляет с горизонталью угол 60° . Начальная скорость шарика $V_0 = 5$ м/с. В конце кругового участка в точке B шарик упирается в недеформированную пружину жесткостью $c = 100$ Н/м. Найти величину S максимального сжатия пружины.

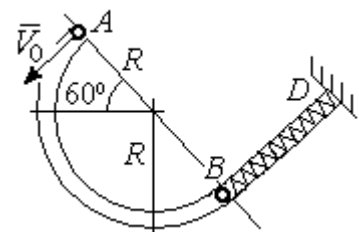


Рис. 4.26. Схема движения шарика

Решение

Найдём скорость шарика в точке B . Для этого составим уравнение теоремы об изменении кинетической энергии точки при движении шарика из начального положения A в положение B . Получим:

$$\frac{mV_B^2}{2} - \frac{mV_A^2}{2} = A(P) = Ph_{(AB)}, \quad \text{где } h_{(AB)} - \text{ перепад высот точек } A \text{ и } B,$$

$$h_{(AB)} = 2R \sin 60^\circ = 1,04 \text{ м (рис. 4.27).}$$

Решая уравнение, найдём скорость шарика в точке B :

$$V_B = \sqrt{V_A^2 + 2gh_{(AB)}} = 6,74 \text{ м/с.}$$

Для того, чтобы найти величину максимального сжатия пружины, рассмотрим движение шарика на прямолинейном отрезке трубки BD . На этом отрезке работу совершают сила тяжести шарика и сила упругости пружины, приложенные к шарiku (см. рис. 4.27).

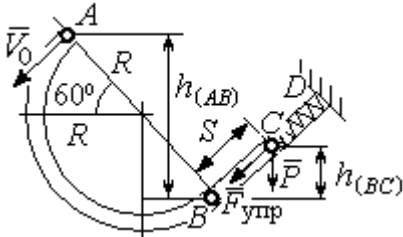


Рис. 4.27. Расчетная схема движения шарика

Обозначим S – максимальное сжатие пружины, равное BC . На основании теоремы об изменении кинетической энергии точки, применённой к движению шарика на отрезке BC , имеем уравнение

$$\frac{mV_C^2}{2} - \frac{mV_B^2}{2} = A(P) + A(F_{\text{упр}}) = -Ph_{(BC)} - \frac{cS^2}{2},$$

где $h_{(BC)}$ – перепад высот точек B и C ; $h_{(BC)} = S \sin 30^\circ = 0,5S$ (см. рис. 4.27).

В точке C максимального сжатия пружины скорость шарика обращается в нуль: $V_C = 0$. Подставляя это условие, с учётом $V_B = 6,74$ м/с, получим уравнение для определения величины максимального сжатия пружины: $S^2 + 0,05S - 0,23 = 0$.

Выбирая положительный корень уравнения, находим: $S = 0,45$ м.

Упражнения

Упражнение 4.5. Лётчик в самолёте пикирует из точки A по прямой, составляющей с горизонтом угол φ , с начальной скоростью V_0 . Пройдя расстояние $AB = l$, самолёт продолжает движение по дуге окружности радиуса R , сопряженной с прямой AB в точке B (рис. 4.28).

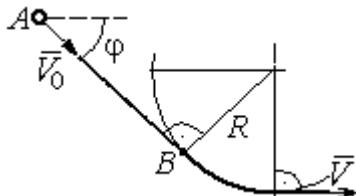


Рис. 4.28. Схема движения самолёта

Каким должен быть радиус окружности, чтобы в точке C – выхода самолёта на горизонтальный полёт – сила давления человека на корпус самолёта не превосходила его тройной вес.

Упражнение 4.6. Пружина жесткостью $C = 100 \text{ Н/м}$, сжатая из недеформированного состояния на расстояние $KA = a = 0,3 \text{ м}$, выталкивает шарик массой $m = 0,5 \text{ кг}$, который отделяется от неё в точке K и продолжает движение в трубке по дуге KCB , окружности радиуса $R = 1 \text{ м}$, затем – по горизонтальному участку BD . Определить давление шарика на трубку в точке C . Какой путь пройдёт шарик до остановки по прямой BD , если здесь на него действует сила трения с коэффициентом $f = 0,4$.

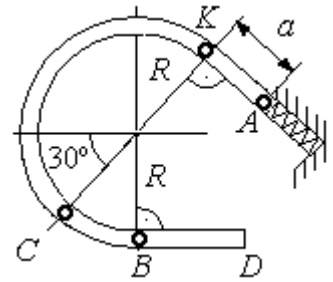


Рис. 4.29. Схема движения шарика в трубке

5. ОБЩИЕ ТЕОРЕМЫ ДИНАМИКИ СИСТЕМЫ

5.1. Теорема о движении центра масс системы

Центром масс системы материальных точек называют точку C , координаты которой x_C, y_C, z_C удовлетворяют равенствам:

$$mx_C = \sum m_k x_k, \quad my_C = \sum m_k y_k, \quad mz_C = \sum m_k z_k,$$

где m – масса системы: $m = \sum m_k$; m_k, x_k, y_k, z_k – массы и координаты материальных точек системы.

Теорема о движении центра масс системы. Центр масс механической системы движется как материальная точка с массой, равной массе системы, и к которой приложены внешние силы, действующие на систему: $m\vec{a}_C = \sum \vec{F}_k^e$, где \vec{a}_C – вектор ускорения центра масс системы; $\sum \vec{F}_k^e$ – сумма всех внешних сил, действующих на систему.

Пример решения задач на применение теоремы о движении центра масс

Задача 54. Груз 1, находящийся на верхнем основании прямоугольной пирамиды $ABCD$, соединен с грузом 2 нерастяжимой нитью, перекинутой через

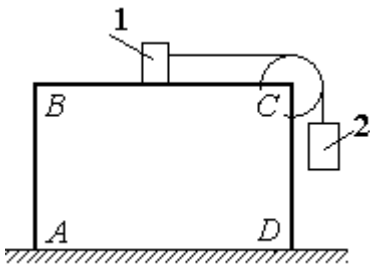


Рис. 5.1. Пирамида с системой подвижных грузов

блок C (рис. 5.1). Определить перемещение пирамиды, если груз 2 опустился на высоту 1 м. Масса груза 1 $m_1 = 15$ кг, груза 2 $m_2 = 20$ кг, пирамиды $m = 50$ кг. Трение при движении груза 1 по пирамиде и пирамиды по горизонтальной поверхности не учитывать.

Решение

Рассматриваем механическую систему, состоящую из двух грузов, соединённых нерастяжимой нитью, блока C и пирамиды $ABCD$.

Внешние силы, приложенные к системе: силы тяжести грузов и пирамиды – $\vec{P}_1, \vec{P}_2, \vec{P}$ и нормальная реакция \vec{N} опоры поверхности, на которой стоит пирамида. Направления векторов внешних сил показаны на рис. 5.2.

Выберем неподвижную систему координат Axy , как показано на рис. 5.2. Все внешние силы, действующие на механическую систему, вертикальны, поэтому дифференциальное уравнение, составленное на основании теоремы о движении центра масс механической системы в проекции на ось Ax , имеет вид:

$$(m + m_1 + m_2)\ddot{x}_C = P_{1x} + P_{2x} + P_x + N_x = 0$$

$$\text{или } \ddot{x}_C = 0,$$

где x_C – координата центра масс системы.

Проинтегрировав его дважды, получим закон движения центра масс системы: $x_C = C_1 t + C_2$, где константы интегрирования C_1 и C_2 находятся из начальных условий. Предположим, в начальный момент движение в механической системе отсутствовало и координата центра масс системы была равна x_{C0} (на рис. 5.2, a не показана), то есть при $t = 0$ $x_C(0) = x_{C0}$ и $\dot{x}_C(0) = 0$. Подставляя начальные

условия, получим: $C_1 = 0$, $C_2 = x_{C0}$. В результате закон движения центра масс системы имеет вид: $x_C = x_{C0}$. Последнее означает, что при любом перемещении тел в системе координата центра масс системы на оси Ax остаётся постоянной, равной своему начальному значению.

Предположим, в начальный момент времени груз 1 находился у левого края призмы, как показано на рис. 5.2, a .

Начальная координата x_{C0} центра масс системы находится из равенства $(m_1 + m_2 + m)x_{C0} = \sum m_k x_k = m_1 \cdot 0 + m_2 l_2 + ml$, где l_2 – расстояние от начала координат до линии действия силы тяжести груза 2 (координата центра масс гру-

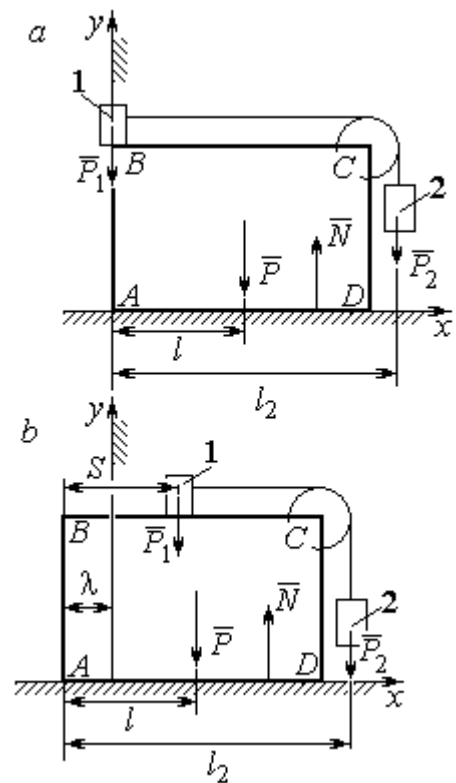


Рис. 5.2. Расчётная схема перемещения пирамиды: a – начальное положение; b – положение пирамиды при перемещении грузов на расстояние S

за 2 на оси Ax); l – аналогичное расстояние до линии действия силы тяжести пирамиды (см. рис. 5.2, a). Тогда начальная координата центра масс системы:

$$x_{C0} = \frac{m_2 l_2 + ml}{(m_1 + m_2 + m)}.$$

Положение грузов в системе, после того как груз 1 переместился на расстояние S , и положение призмы показано на рис. 5.2, b . На рисунке отмечено, что при перемещении груза 1 вправо на расстояние S призма $ABCD$ сместилась влево на расстояние λ . Координата x_{C1} центра масс для нового положения системы определяется из равенства:

$$(m_1 + m_2 + m)x_{C1} = m_1(S - \lambda) + m_2(l_2 - \lambda) + m(l - \lambda).$$

Выражая отсюда координату x_{C1} и приравнивая её начальному значению координаты центра масс $x_{C0} = x_{C1}$, найдём перемещение пирамиды

$$\lambda = \frac{m_1 S}{(m_1 + m_2 + m)}. \text{ Подставляя данные задачи, получим } \lambda = 0,18 \text{ м.}$$

5.2. Теорема об изменении кинетического момента системы относительно оси

Момент инерции однородного диска радиусом R , массой m относительно оси z , проходящей через центр масс перпендикулярно плоскости диска:

$J_z = \frac{1}{2} mR^2$. Для неоднородных тел момент инерции относительно оси z вы-

числяется по формуле: $J_z = mi_z^2$, где i_z – радиус инерции тела.

Кинетическим моментом (моментом количества движения) системы относительно неподвижной оси z называется величина, равная сумме моментов количеств движения точек относительно этой оси $\vec{L}_z = \sum M_z(m_k \vec{V}_k)$.

Для твёрдого тела, вращающегося вокруг неподвижной оси z , кинетический момент: $L_z = J_z \omega$, где J_z и ω – момент инерции и угловая скорость

тела. **Теорема об изменении кинетического момента системы относительно оси.** Производная по времени от кинетического момента системы относительно неподвижной оси z равна сумме моментов внешних сил относительно той же

$$\text{оси: } \frac{dL_z}{dt} = \sum M_z(\vec{F}_k^e).$$

Примеры решения задач на применение теоремы об изменении кинетического момента системы

Задача 55. Для подъёма груза используется лебёдка со ступенчатым барабаном и противовесом. Груз 1 массой m_1 поднимается на канате, навитом на барабан 2 массой m_2 радиуса R . Противовес 3 массой m_3 прикреплён к канату, который навит на малую ступень барабана радиуса r (рис. 5.3). Радиус инерции барабана относительно оси вращения i_z . На барабан действует постоянный момент сил сопротивления $M_c = 60 \text{ Н}\cdot\text{м}$. В начале движения к барабану лебёдки прикладывается вращающий момент, пропорциональный времени: $M_{\text{вр}} = 620 + 30t \text{ Н}\cdot\text{м}$, который через 2 с отключается. Определить, на какую высоту поднимется груз, если движение началось из состояния покоя. Массы грузов и барабана: $m_1 = 100 \text{ кг}$, $m_2 = 50 \text{ кг}$, $m_3 = 20 \text{ кг}$. Радиусы ступеней барабана и радиус инерции: $R = 0,6 \text{ м}$; $r = 0,4 \text{ м}$; $i_z = 0,5 \text{ м}$.

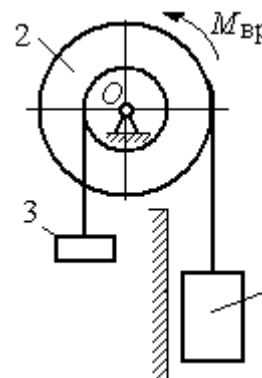


Рис. 5.3. Барабан лебёдки с грузом и противовесом

Решение

Решение следует рассматривать на двух этапах. На первом груз поднимается под действием вращающего момента, на втором – по инерции.

Рассмотрим механическую систему, состоящую из груза 1, барабана 2 и противовеса 3. На систему действуют силы тяжести груза \vec{P}_1 , барабана \vec{P}_2 , противовеса \vec{P}_3 , реакция шарнира \vec{R} , пара сил с моментом, равным моменту вра-

щения $M_{вр}$, и пара сил с моментом сопротивления M_c . Направления векторов

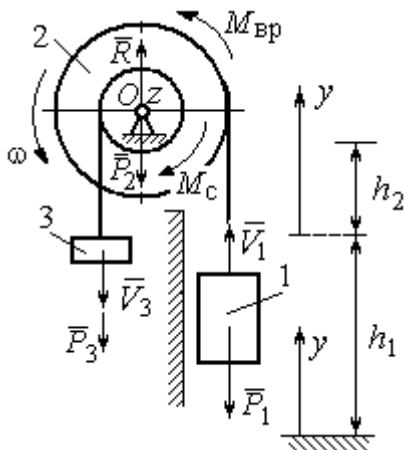


Рис. 5.4. Силы, действующие на систему во время движения

сил и моментов показаны на рис. 5.4. Выберем начало оси y , вдоль которой поднимается груз на первом участке движения, в точке начала движения (см. рис. 5.4).

Воспользуемся теоремой об изменении кинетического момента системы относительно оси z , проходящей через центр O :

$$\frac{dL_z}{dt} = \sum M_z(\vec{F}_k^e).$$

Кинетический момент системы относительно оси z равен сумме кинетических моментов барабана, груза

и противовеса: $L_z = L_z^{бар} + L_z^{гр} + L_z^{пр}$. Кинетический момент барабана, вращающегося

вокруг неподвижной оси z : $L_z^{бар} = J_z \omega$, где J_z – момент инерции барабана

относительно оси z , $J_z = m_2 i_z^2$; ω – угловая скорость барабана. Рассматривая

груз и противовес как материальные точки, найдём их кинетические моменты

относительно оси z : $L_z^{гр} = M_z(m_1 \vec{V}_1) = m_1 V_1 R$; $L_z^{пр} = M_z(m_3 \vec{V}_3) = m_3 V_3 r$.

Суммарный кинетический момент системы:

$$L_z = L_z^{бар} + L_z^{гр} + L_z^{пр} = m_2 i_z^2 \omega + m_1 V_1 R + m_3 V_3 r.$$

Выразим скорости груза 1 и противовеса 3 через угловую скорость барабана: $V_1 = \omega R$, $V_3 = \omega r$ – и подставим их в выражение кинетического момента.

$$\text{Получим } L_z = (m_2 i_z^2 + m_1 R^2 + m_3 r^2) \omega = (m_2 i_z^2 + m_1 R^2 + m_3 r^2) \frac{V_1}{R}.$$

Суммарный момент внешних сил относительно оси z

$$\sum M_z(\vec{F}_k^e) = M_{вр} - M_c - P_1 R + P_3 r.$$

Дифференциальное уравнение движения груза:

$$(m_2 i_z^2 + m_1 R^2 + m_3 r^2) \frac{dV_1}{dt} = (M_{вр} - M_c - P_1 R + P_3 r) R,$$

или с учётом данных задачи $\frac{dV_1}{dt} = 0,58 + 0,35t$.

Дважды интегрируя это уравнение с нулевыми начальными условиями, найдём скорость груза V_1 и проходимый им путь y как функции времени:

$$V_1(t) = 0,58t + 0,175t^2; \quad y(t) = 0,29t^2 + 0,058t^3.$$

Из уравнений движения найдём: при $t = 2$ с (конец первого участка) груз поднялся на высоту $h_1 = y(2) = 1,62$ м и имел скорость $V_1 = V_1(2) = 1,86$ м/с.

На втором участке движения груз продолжает подниматься вверх. Уравнение движения груза здесь аналогично первому участку, за исключением вращающего момента (см. рис. 5.4):

$$(m_2 i_z^2 + m_1 R^2 + m_3 r^2) \frac{dV_1}{dt} = (-M_c - P_1 R + P_3 r) R, \text{ или } \frac{dV_1}{dt} = -6,61.$$

Представим ускорение груза в виде: $\frac{dV_1}{dt} = \frac{dV_1 dy}{dy dt} = V_1 \frac{dV_1}{dy}$. Теперь урав-

нение движения груза на втором участке имеет вид: $V_1 \frac{dV_1}{dy} = -6,61$. Интегрируя

его, получим зависимость скорости груза от пройденного пути

$\frac{V_1^2}{2} = -6,61y + C_3$. Выберем начало второго участка на высоте h_1 . Из началь-

ных условий движения груза: при $t = 0$, $y = 0$, $V_1 = 1,86$ м/с, получим: $C_3 = 1,73$.

Максимальную высоту h_2 , на которую поднялся груз на втором участке, определим из условия, что в этой точке скорость груза обращается в нуль. Имеем $0 = -6,61h_2 + 1,73$, откуда $h_2 = 0,26$ м. Максимальная высота подъёма груза $H = h_1 + h_2 = 1,88$ м.

Задача 56. Тележка C поворотного подъёмного крана (рис. 5.5) движется с постоянной относительно стрелы скоростью $V = 0,5$ м/с. Длина стрелы

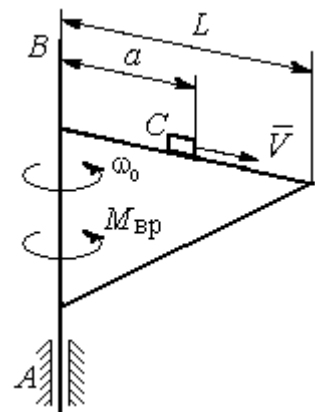


Рис. 5.5. Поворотный кран

$L = 10$ м, масса тележки с грузом $m_1 = 100$ кг, момент инерции крана относительно оси вращения AB без учёта тележки и груза $J = 1800$ кг·м². Двигатель крана создаёт постоянный вращающий момент $M_{вр} = 400$ Н·м. Определить угловую скорость крана в момент, когда тележка достигнет края стрелы, если в начальный момент конструкция вращалась с угловой скоростью $\omega_0 = 2$ рад/с, а тележка находилась на расстоянии $a = 1$ м от оси вращения.

Решение

На систему действуют внешние силы: \vec{P}_1 – сила тяжести тележки с грузом,

\vec{P}_2 – сила тяжести поворотного крана

(на рис. 5.6 показана в условном центре тяжести крана); \vec{R}_x, \vec{R}_y – составляющие реакции подшипника A и пара сил с моментом,

равным вращающему моменту $M_{вр}$ (см. рис. 5.6). Применим к описанию движения системы теорему об изменении кинетического момента системы относительно оси вращения z , направленной вдоль линии AB .

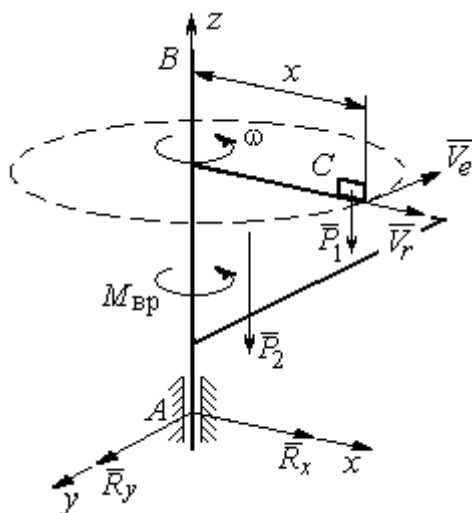


Рис. 5.6. Внешние силы, действующие на кран при его движении

Поскольку силы тяжести параллельны оси вращения крана, а составляющие реакции шарнира A пересекают её, то моменты этих сил относительно оси z равны нулю и теорема об изменении кинетического момента системы принимает вид:

$\frac{dL_z}{dt} = M_{вр}$. Интегрируя это уравнение при постоянном вращающем моменте, получим равенство:

$L_z - L_{z0} = M_{вр}t$, где L_z, L_{z0} – кинетический момент системы в текущий и начальный моменты времени.

Кинетический момент системы L_z равен сумме: $L_z = L_z^{кран} + L_z^{груз}$. Кинетический момент крана как твёрдого тела, вращающегося вокруг неподвижной

оси: $L_z^{\text{кран}} = J\omega$. Полагая тележку с грузом материальной точкой, определим её кинетический момент $L_z^{\text{груз}}$, как момент вектора количества движения тележки относительно оси z . Тележка с грузом участвует в сложном движении. Вектор абсолютной скорости тележки $\vec{V}_{\text{абс}}$ равен сумме $\vec{V}_{\text{абс}} = \vec{V}_r + \vec{V}_e$, где \vec{V}_r – относительная скорость тележки (перемещение по стреле крана); \vec{V}_e – переносная скорость (движение вместе с краном). Воспользовавшись теоремой Вариньона при вычислении момента количества движения тележки с грузом, получим:

$$L_z^{\text{груз}} = M_z(m_1\vec{V}_{\text{абс}}) = M_z(m_1\vec{V}_e + m_1\vec{V}_r) = M_z(m_1\vec{V}_e) = m_1V_e x = m_1\omega x^2.$$

В результате суммарный кинетический момент системы в текущий момент времени $L_z = L_z^{\text{кран}} + L_z^{\text{груз}} = (J + m_1x^2)\omega$. Тогда начальный кинетический момент систем: $L_{z0} = (J + m_1a^2)\omega_0$.

Подставляя выражения начального и текущего кинетического моментов в уравнение движения, получим: $(J + m_1x^2)\omega - (J + m_1a^2)\omega_0 = M_{\text{вр}}t$, откуда закон изменения угловой скорости крана $\omega = \frac{M_{\text{вр}}t + (J + m_1a^2)\omega_0}{(J + m_1x^2)}$. Момент времени $t_{\text{к}}$, когда тележка достигнет края стрелы ($x = L$), найдём из условия движения тележки по стреле с постоянной скоростью: $Vt_{\text{к}} = L - a$. С учётом данных задачи угловая скорость крана в этот момент $\omega(t_{\text{к}}) = 0,93$ рад/с.

5.3. Теорема об изменении кинетической энергии системы

Кинетическая энергия тела при поступательном движении

$T = \frac{1}{2}mV_C^2$, где m – масса тела; V_C – скорость центра масс тела; **при враща-**

тельном движении вокруг неподвижной оси z : $T = \frac{1}{2}J_z\omega^2$, где J_z – момент

инерции тела относительно оси z ; ω – угловая скорость тела; **при плоскопа-**

раллельном движении: $T = \frac{1}{2}mV_C^2 + \frac{1}{2}J_{zC}\omega^2$, где m – масса тела; V_C , ω – скорость центра масс и угловая скорость тела; J_{zC} – момент инерции тела относительно оси z , проходящей через центр масс перпендикулярно плоскости движения.

Работа постоянной силы F при прямолинейном перемещении точки приложения силы $A = FS\cos\alpha$, где S – перемещение точки; α – постоянный угол между перемещением и направлением силы. **Работа пары сил с постоянным моментом M** при повороте тела на конечный угол φ вычисляется по формуле: $A = \pm M\varphi$, где φ – угол поворота тела. Работа считается положительной, если пара сил стремится повернуть тело в направлении его вращения, и отрицательной – в противном случае.

Мощностью силы F называют величину, равную скалярному произведению силы на скорость точки её приложения: $N = \vec{F} \cdot \vec{V}$, где V – скорость точки приложения силы. При плоском движении тела мощность силы равна сумме скалярных произведений: $N = \vec{F} \cdot \vec{V}_O + \vec{M}_O \cdot \vec{\omega}$, где V_O – скорость точки, выбранной полюсом; ω – угловая скорость тела; $\vec{M}_O = M_O(\vec{F})$ – момент силы относительно полюса. Если в качестве полюса выбрать точку K – мгновенный центр скоростей, то мощность силы $N(\vec{F}) = \vec{M}_K(\vec{F}) \cdot \vec{\omega}$, где $M_K(\vec{F})$ – момент силы относительно мгновенного центра скоростей.

Теорема об изменении кинетической энергии системы в дифференциальной форме. Производная по времени от кинетической энергии системы равна сумме мощностей внешних и внутренних сил $\frac{dT}{dt} = \sum N(\vec{F}_k^e) + \sum N(\vec{F}_k^i)$.

Теорема об изменении кинетической энергии системы на конечном перемещении. Изменение кинетической энергии системы при перемещении её

из начального состояния в текущее равно сумме работ внешних и внутренних сил, действующих на систему: $T - T_0 = \sum A(\vec{F}_k^e) + \sum A(\vec{F}_k^i)$.

Механические системы, состоящие из абсолютно твердых тел, соединенных гибкими нерастяжимыми нитями, называются **неизменяемыми**. В неизменяемых системах сумма работ и сумма мощностей внутренних сил равны нулю: $\sum A(\vec{F}_k^i) = 0$.

Примеры решения задач на применение теоремы об изменении кинетической энергии системы

Задача 57. Планетарный механизм, позволяющий получать повышенные передаточные отношения угловых скоростей, состоит из трех одинаковых колёс, соединённых кривошипом OA (рис. 5.7). Колесо 1 неподвижно, кривошип OA вращается с угловой скоростью ω_{OA} и приводит в движение колёса 2 и 3. Полагая массы колёс и их радиусы одинаковыми, равными m и r , и пренебрегая массой кривошипа, найти кинетическую энергию механизма.

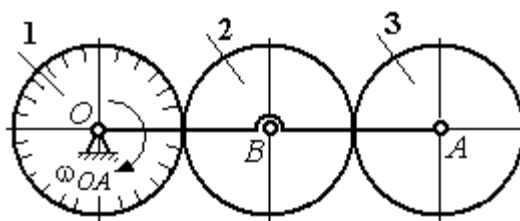


Рис. 5.7. Планетарный механизм

Решение

Кинетическая энергия механизма T равна сумме энергий колёс 2 и 3:

$T = T_2 + T_3$. Энергия колеса 1 равна нулю потому, что оно неподвижно, а энергия кривошипа равна нулю, так как массой кривошипа пренебрегаем. При движении механизма колесо 2, увлекаемое кривошипом, катится по неподвижной поверхности первого колеса. Энергия колеса 2:

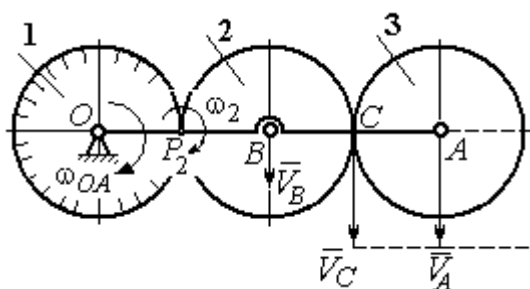


Рис. 5.8. Расчётная схема вычисления энергии механизма

$T_2 = \frac{mV_B^2}{2} + \frac{J_{2B}\omega_2^2}{2}$, где V_B – скорость центра масс колеса 2, J_{2B} – момент инерции колеса 2 относительно оси, проходящей через центр масс перпендикулярно плоскости колеса, $J_{2B} = \frac{mr^2}{2}$.

Выразим кинетическую энергию колеса 2 через угловую скорость ω_{OA} кривошипа OA .

Скорость точки B , лежащей на кривошипе OA : $V_B = \omega_{OA} \cdot OB = \omega_{OA} 2r$.

Так как точка P_2 касания колёс 1 и 2 является мгновенным центром скоростей колеса 2 (рис. 5.8), угловая скорость колеса 2 $\omega_2 = \frac{V_B}{BP_2}$. В результате получим: $\omega_2 = 2\omega_{OA}$. Подставив зависимости V_B и ω_2 в выражение кинетической энергии колеса 2, найдём:

$$T_2 = \frac{m(\omega_{OA} 2r)^2}{2} + \frac{mr^2}{2} \cdot \frac{(2\omega_{OA})^2}{2} = 3m\omega_{OA}^2 r^2.$$

Вычислим кинетическую энергию колеса 3. Найдём скорость точки C , считая, что она принадлежит колесу 2: $V_C = \omega_2 \cdot P_2C = 4\omega_{OA}r$. Скорость точки A – центра колеса 3 определим, полагая, что точка A лежит и на кривошипе: $V_A = \omega_{OA} \cdot OA = 4\omega_{OA}r$. Скорости двух точек A и C колеса 3 равны и параллельны, причём линия AC перпендикулярна векторам скоростей \vec{V}_A и \vec{V}_C (см. рис. 5.8). В этом случае мгновенный центр скоростей отсутствует и колесо 3 совершает мгновенно-поступательное движение. Энергия поступательного

движения колеса 3: $T_3 = \frac{mV_A^2}{2} = \frac{m(4\omega_{OA}r)^2}{2} = 8m\omega_{OA}^2 r^2$.

Окончательно, энергия механизма: $T = T_2 + T_3 = 11m\omega_{OA}^2 r^2$.

Задача 58. Горизонтальный желоб DE опирается на блок 1 и на каток 3 одинакового радиуса r (рис. 5.9). Блок 1 весом P_1 вращается вокруг неподвиж-

ной оси O_1 . Каток 3 катится по горизонтальному рельсу без проскальзывания. На одной оси с катком 3 жестко связано колесо 2 радиуса R . Их общий вес равен Q , а общий радиус инерции относительно оси z , проходящей через центр масс C перпендикулярно плоскости катка, равен i_z . Система движется в вертикальной плоскости под действием сил тяжести, силы \vec{F} и пары сил с моментом M . Массой желоба пренебрегаем. Скольжение между желобом и блоком 1, а также катком 3 отсутствует. Определить ускорение центра масс колеса 2 и катка 3 и угловое ускорение блока 1, если: $P_1 = 40$ Н, $Q = 60$ Н, $F = 50$ Н, $M = 45$ Н·м, $R = 0,8$ м, $r = 0,6$ м, $i_z = 0,4$ м.

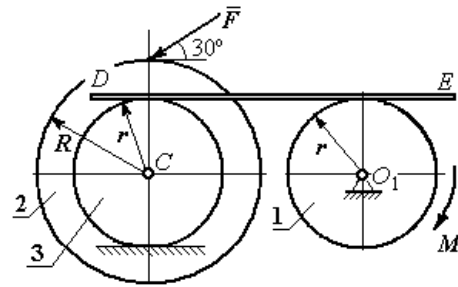


Рис. 5.9. Схема движения механической системы

Решение

Для решения задачи воспользуемся теоремой об изменении кинетической энергии для неизменяемых механических систем: $\frac{dT}{dt} = \sum N(\vec{F}_k^e)$, где T – энергия системы в её текущем положении; $\sum N(\vec{F}_k^e)$ – суммарная мощность внешних сил.

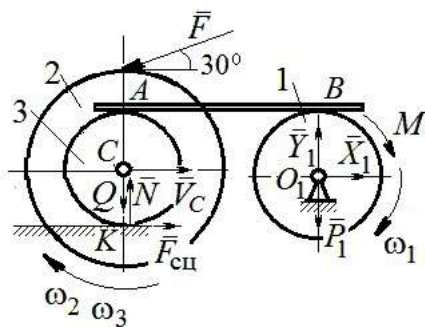


Рис. 5.10. Расчетная схема для исследования движения системы

них сил.

Предположим, во время движения системы блок 1 вращается по ходу часовой стрелки.

Угловые скорости ω_1 , ω_2 блока 1, катка 3 и скорость \vec{V}_C центра масс катка 3 показаны на рис. 5.10. Угловая скорость колеса 2 и катка 3 равны: $\omega_3 = \omega_2$.

Кинетическая энергия вращательного движения блока 1 $T_1 = \frac{1}{2} J_{zO_1} \omega_1^2$,

где J_{zO_1} – осевой момент инерции блока, $J_{zO_1} = \frac{m_1 r^2}{2}$.

Фигура, состоящая из катка 3 и колеса 2, движется плоскопараллельно.

Кинетическая энергия фигуры определяется по формуле:

$T_2 = \frac{1}{2} m V_C^2 + \frac{1}{2} J_{zC} \omega_2^2$, где m – общая масса катка и колеса, $m = \frac{Q}{g}$, J_{zC} – мо-

мент инерции фигуры относительно оси z , проходящей через центр масс перпендикулярно плоскости диска, $J_{zC} = m i_z^2$,

У катка 3 мгновенный центр скоростей находится в точке касания его с неподвижной поверхностью (точка K на рис. 5.10). Тогда $\omega_3 = \frac{V_C}{r}$. Скорость

точки A катка $V_A = \omega_3 2r = 2V_C$. Приравнивая скорость точки A на катке 2 к скорости точки B на блоке 1, получим $\omega_1 = \frac{2V_C}{r}$.

Найдём кинетическую энергию системы, выраженную через скорость центра масс катка 3:

$$T = T_1 + T_2 = \frac{P_1}{g} V_C^2 + \frac{Q}{2g} \left(1 + \frac{i_z^2}{r^2} \right) V_C^2 = \frac{V_C^2}{2g} \left[2P_1 + Q \left(1 + \frac{i_z^2}{r^2} \right) \right].$$

Найдём сумму мощностей внешних сил.

На блок 1 действуют: сила тяжести \vec{P}_1 , пара сил с моментом M и реакция шарнира O_1 , разложенная на составляющие \vec{X}_1 , \vec{Y}_1 (рис. 5.10). Мощности силы тяжести \vec{P}_1 и сил реакции \vec{X}_1 , \vec{Y}_1 подшипника O_1 равны нулю, так как нет перемещения точек приложения этих сил. Момент M направлен в сторону вращения блока 1, его мощность $N(M) = M \omega_1 = M \frac{2V_C}{r}$.

На каток 3 (вместе с жестко связанным с ним колесом 2) действуют: сила \vec{F} , сила тяжести \vec{Q} катка и колеса, нормальная реакция опоры \vec{N} и сила сцепления $\vec{F}_{\text{сц}}$ катка 3 с поверхностью.

Мощности сил \vec{N} и $\vec{F}_{\text{сц}}$ равны нулю, так как точкой приложения этих сил является мгновенный центр скоростей катка 3, скорость которого равна нулю. Мощность силы тяжести \vec{Q} равна нулю, так как угол между вектором силы и вектором скорости точки C равен 90° .

Для определения мощности силы \vec{F} , приложенной к колесу, выберем в качестве полюса точку K – мгновенный центр скоростей диска 2. С учётом того, что скорость $V_K = 0$, получим:

$$\begin{aligned} N(\vec{F}) &= \vec{F} \cdot \vec{V}_K + \vec{M}_K(\vec{F}) \cdot \vec{\omega}_2 = \vec{M}_K(\vec{F}) \vec{\omega}_2 = \\ &= -F(r+R)\omega_2 \cos 30^\circ = -FV_C \left(1 + \frac{R}{r}\right) \cos 30^\circ. \end{aligned}$$

Поскольку вращение, создаваемое моментом силы \vec{F} относительно центра K , противоположно выбранному направлению угловой скорости катка, мощность силы \vec{F} отрицательная.

Суммарная мощность внешних сил:

$$\sum N(F^e) = -FV_C \left(1 + \frac{R}{r}\right) \cos 30^\circ + M \frac{2V_C}{r}.$$

Составляем уравнение теоремы об изменении кинетической энергии системы. Находим производную по времени от кинетической энергии системы

$\frac{dT}{dt} = \frac{V_C}{g} a_C \left[2P_1 + Q \left(1 + \frac{i_z^2}{r^2} \right) \right]$ и приравниваем суммарной мощности внешних

сил. Получим:

$$\frac{1}{g} a_C \left[2P_1 + Q \left(1 + \frac{i_z^2}{r^2} \right) \right] = -F \left(1 + \frac{R}{r} \right) \cos 30^\circ + \frac{2M}{r},$$

откуда с учётом исходных данных задачи ускорение центра масс диска 2 $a_C = 2,88 \text{ м/с}^2$. Для определения углового ускорения блока 1 продифференцируем по времени равенство $\omega_1 = \frac{2V_C}{r}$. Получим: $\varepsilon_1 = \frac{2a_C}{r} = 9,6 \text{ рад/с}^2$.

Задача 59. Каток радиуса r , весом P закатывают вверх по наклонной

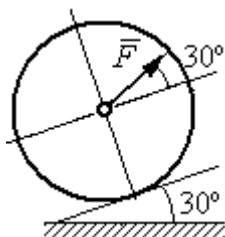


Рис. 5.11. Движение катка на наклонной плоскости

плоскости приложив в центре катка силу \vec{F} под углом 30° к наклонной плоскости (рис. 5.11). Сама плоскость наклонена под углом 30° к горизонту. Величина силы $F = 2P$. В начальном положении центр катка имел скорость V_0 .

На какое расстояние S переместился центр катка,

если в конце перемещения его скорость удвоилась.

Решение

Применим теорему об изменении кинетической энергии на конечном перемещении системы: $T - T_0 = \sum A(F_k)$. На каток действует сила тяжести \vec{P} , сила \vec{F} , нормальная реакция опоры \vec{N} и сила $\vec{F}_{\text{сц}}$ сцепления диска с наклонной плоскостью (рис. 5.12). При перемещении центра катка на расстояние S вдоль наклонной плоскости работу совершают только сила \vec{F} : $A(\vec{F}) = F \cos 30^\circ S$ и сила тяжести:

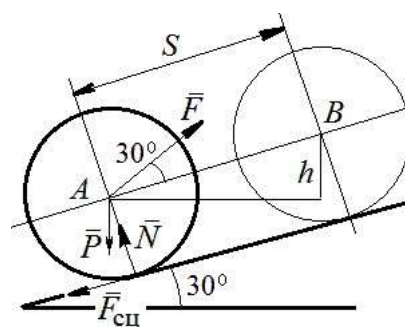


Рис. 5.12. Расчётная схема движения катка

$A(\vec{P}) = -Ph$, где h – перепад высот при перемещении центра масс катка. Работа реакции опоры и силы сцепления равна нулю.

Кинетическая энергия катка $T = \frac{1}{2} m V_A^2 + \frac{1}{2} J_{zA} \omega^2$, где J_{zA} – момент инерции фигуры относительно оси z , проходящей через центр масс перпендикулярно плоскости диска, $J_{zA} = \frac{mr^2}{2}$. Выражая угловую скорость катка через

скорость центра масс $\omega = \frac{V_A}{r}$, с учётом выражения момента инерции катка, по-

лучим энергию катка в виде: $T = \frac{3}{4}mV_A^2$.

Составим уравнение теоремы об изменении кинетической энергии при перемещении центра катка на расстояние S : $\frac{3}{4}mV_B^2 - \frac{3}{4}mV_A^2 = F\cos 30^\circ S - Ph$,

где $V_A = V_0$, $V_B = 2V_0$, $F = 2P$, $h = S\sin 30^\circ$.

Найдём искомое перемещение: $S = \frac{9V_0^2}{4g(2\cos 30^\circ - \sin 30^\circ)}$.

Упражнения

Упражнение 5.1. Крановая тележка массы m_1 может перемещаться по горизонтальной балке без трения (рис. 5.13). В центре масс тележки закреплён трос длиной l , на другом конце которого привязан груз массы m_2 . Трос может совершать колебательные движения в вертикальной плоскости. В начальный момент трос был в вертикальном положении. Определить горизонтальное перемещение тележки в зависимости от угла наклона троса. Весом троса пренебречь.

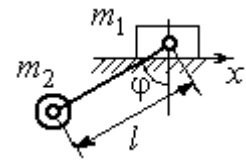


Рис. 5.13. Движение крановой тележки

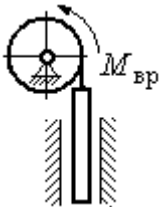


Рис. 5.14. Схема механизма лебёдки

Упражнение 5.2. К барабану лебёдки, поднимающей штангу, приложен вращающий момент, пропорциональный времени $M_{вр} = kt$ (рис. 5.14). Штанга массы m_1 поднимается посредством каната, навитого на барабан массы m_2 и радиуса r . В начальный момент система находилась в покое. Определить угловую скорость барабана, считая его однородным диском.

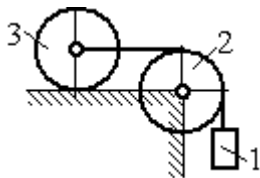


Рис. 5.15. Схема движения системы
приложен момент M .

Упражнение 5.3. Груз 1 массы m_1 подвешен на нерастяжимом тросе, другой конец которого переброшен через блок 2 и закреплён в центре масс катка 3 (рис. 5.15). Каток 3 катится по горизонтальной поверхности без проскальзывания. Блок 2 и каток 3 – однородные диски массы m_2 и m_3 , радиуса r . В начальный момент система находилась в покое. Определить скорость груза, когда он опустится на высоту h , если к катку 3 приложен момент M .

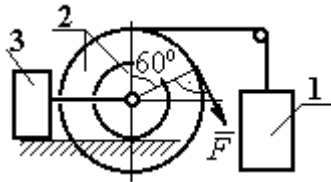


Рис. 5.16. Схема механизма катка

Упражнение 5.4. Механическая система включает два груза 1 и 3 одинакового веса P и каток 2 весом $2P$, радиусом $R = 2r$ с цилиндрическим выступом радиусом r (рис. 5.16). Каток катится выступом по неподвижной поверхности без проскальзывания. К катку по касательной к окружности приложена сила $F = 2P$. Найти ускорение центра масс катка, если его радиус инерции относительно оси, проходящей через центр масс перпендикулярно

плоскости движения: $i_{zC} = r\sqrt{2}$.

5.4. Применение общих теорем динамики системы к описанию движений твёрдого тела

Поступательное движение твёрдого тела описывается дифференциальными уравнениями: $m\ddot{x} = \sum F_{kx}^e$, $m\ddot{y} = \sum F_{ky}^e$, $m\ddot{z} = \sum F_{kz}^e$ - или в алгебраической форме $ma_{Cx} = \sum F_{kx}^e$, $ma_{Cy} = \sum F_{ky}^e$, $ma_{Cz} = \sum F_{kz}^e$, где m – масса тела; $\ddot{x} = a_{Cx}$, $\ddot{y} = a_{Cy}$, $\ddot{z} = a_{Cz}$ – проекции ускорения центра масс тела на координатные оси; F_{kx}^e , F_{ky}^e , F_{kz}^e – проекции внешних сил.

Вращательное движение твёрдого тела относительно неподвижной оси z описывается дифференциальным уравнением: $J_z \frac{d\omega}{dt} = \sum M_z(\vec{F}_k^e)$ или алгебраическим уравнением: $J_z \varepsilon = \sum M_z(\vec{F}_k^e)$, где ω , ε – угловая скорость и угловое ускорение тела; $\sum M_z(\vec{F}_k^e)$ – сумма моментов внешних сил относительно оси z ; J_z – момент инерции тела относительно оси z .

Плоскопараллельное движение твёрдого тела описывается уравнениями движения центра масс и вращательного движения тела относительно оси, проходящей через центр масс перпендикулярно плоскости движения.

В проекции на координатные оси уравнения плоскопараллельного движения тела имеют вид:

$$ma_{Cx} = \sum F_{kx}^e; ma_{Cy} = \sum F_{ky}^e; J_{zC}\varepsilon = \sum M_{zC}(\vec{F}_k^e),$$

где a_{Cx} , a_{Cy} – проекции ускорения центра масс тела; F_{kx}^e , F_{ky}^e – проекции на оси координат внешних сил, действующих на тело; J_{zC} – момент инерции тела относительно оси z , проходящей через центр масс перпендикулярно плоскости движения; ε – угловое ускорение тела; $M_{zC}(\vec{F}_k^e)$ – моменты внешних сил относительно оси, проходящей через центр масс.

Проводя динамический расчет механической системы, следует рассматривать движение каждого тела системы в отдельности, предварительно освободив его от связей и заменив их действие реакциями.

Примеры решения задач на составление уравнений движения твердых тел

Задача 59. Лебедка поднимает груз 1 массы $m_1 = 50$ кг посредством троса, переброшенного через блок 3 и навитого на барабан 2 массы $m_2 = 20$ кг, радиуса $r = 0,8$ м (рис. 5.17). К барабану приложен постоянный вращающий момент $M_{вр} = 480$ Н·м. Определить ускорение груза, натяжение троса и реакцию шарнира барабана 2. Весом троса и массой блока 3 пренебречь, барабан считать сплошным цилиндром.

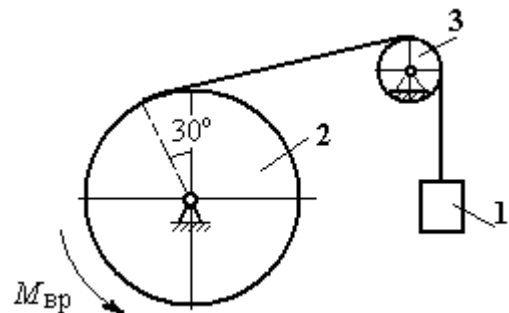


Рис. 5.17. Механизм лебёдки

Решение

Составим уравнение движения груза 1. Для этого освобождаем груз от связей, заменив действие троса реакцией. На груз действует сила тяжести \vec{P}_1 и реакция троса \vec{H}_1 (рис. 5.18). Выберем ось x по направлению движения груза. Уравнение движения груза в проекции на ось x : $m_1 a_1 = H_1 - P_1$.

Рассмотрим движение барабана 2. Освободим барабан от связей и заменим их действие реакциями.

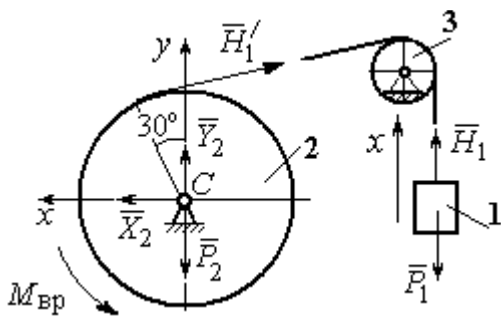


Рис. 5.18. Внешние силы и реакции, действующие на груз и барабан при движении системы

На барабан действует сила тяжести \vec{P}_2 , пара сил с моментом вращения $M_{вр}$, реакция троса \vec{H}_1' и реакция шарнира (на рис. 5.18 разложена на составляющие \vec{X}_2 , \vec{Y}_2). Так как массой блока 3 пренебрегаем, то модули сил \vec{H}_1 и \vec{H}_1' равны. Направления действия сил и момента показаны на рис. 5.18.

казаны на рис. 5.18.

Уравнение вращательного движения барабана относительно оси z :

$$J_z \varepsilon_2 = \sum M_z(F_k) = M_{вр} - H_1' r, \text{ где момент инерции барабана } J_z = \frac{m_2 r^2}{2}.$$

Продифференцируем по времени равенство $V_1 = \omega_2 r$ и выразим угловое ускорение барабана через ускорение груза 1. Получим $\varepsilon_2 = \frac{a_1}{r}$. Подставляя выражение углового ускорения в уравнение вращательного движения барабана с учётом равенства модулей сил \vec{H}_1 и \vec{H}_1' , напишем уравнения движения барабана и груза в виде системы уравнений:

$$m_1 a_1 = H_1 - P_1, \quad m_2 a_1 = \frac{2M_{вр}}{r} - 2H_1,$$

откуда находим $a_1 = 1,82 \text{ м/с}^2$, $H_1 = 581,8 \text{ Н}$. Натяжение троса численно равно реакции.

Для определения реакции шарнира составим (формально) уравнение движения центра масс блока 2 в проекциях на оси x, y (см. рис. 5.18):

$$m_2 a_{Cx} = X_2 - H_1' \cos 30^\circ = 0, \quad m_2 a_{Cy} = Y_2 + H_1' \cos 60^\circ - P_2 = 0.$$

Отсюда $X_2 = 503,84 \text{ Н}$, $Y_2 = -94,7 \text{ Н}$, $R_2 = \sqrt{X_2^2 + Y_2^2} = 512,66 \text{ Н}$.

Задача 60. Барабан весом G , радиусом R имеет цилиндрический выступ радиусом r (рис. 5.19). Барабан скатывается по наклонной плоскости с углом наклона 30° , опираясь на неё поверхностью выступа. К барабану приложены постоянные силы \vec{F}_1 и \vec{F}_2 . Сила \vec{F}_1 направлена по касательной к поверхности барабана. Сила \vec{F}_2 действует под углом 30° к диаметру барабана, перпендикулярному наклонной плоскости. В начальный момент времени барабан приведён в равновесие парой сил с моментом M .

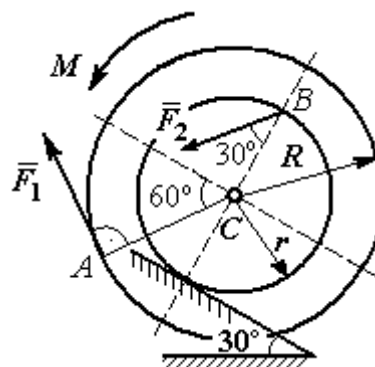


Рис. 5.19. Схема движения барабана по наклонной плоскости

Определить угловое ускорение барабана и закон движения центра масс, если в положении равновесия величину уравнивающего момента увеличить в 1,2 раза. Исходные данные для решения задачи: $R = 0,6 \text{ м}$, $r = 0,2 \text{ м}$, $G = 100 \text{ Н}$, $F_1 = 60 \text{ Н}$, $F_2 = 25 \text{ Н}$, радиус инерции барабана $i_z = 0,4 \text{ м}$.

Решение

На барабан действуют силы \vec{F}_1 , \vec{F}_2 , сила тяжести \vec{G} , пара сил с неизвестным моментом M , нормальная реакция опоры \vec{N} и сила $\vec{F}_{\text{сц}}$ сцепления барабана с поверхностью.

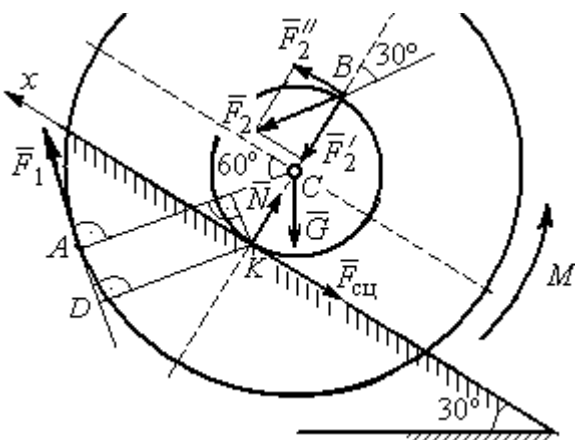


Рис. 5.20. Силы, действующие на барабан, во время движения

Сила сцепления приложена в точке K касания выступа барабана с наклонной плоскостью и направлена вдоль неё (рис. 5.20).

Для определения момента M , приводящего барабан в равновесие, запишем уравнение равно-

весия в виде равенства нулю моментов сил $\sum M_K(\vec{F}_k^e) = 0$ относительно точки K . Точка K выбрана с той целью, что в уравнение не будет входить момент неизвестной силы сцепления.

На рис. 5.20 показано разложение силы \vec{F}_2 : $\vec{F}_2 = \vec{F}_2' + \vec{F}_2''$. Значения составляющих определяются как проекции: $F_2' = F_2 \cos 30^\circ$, $F_2'' = F_2 \sin 30^\circ$.

Применяя теорему Вариньона, вычислим момент силы \vec{F}_2 относительно точки K : $M_K(\vec{F}_2) = M_K(\vec{F}_2') + M_K(\vec{F}_2'') = F_2 \sin 30^\circ \cdot 2r$.

Момент силы \vec{F}_1 относительно точки K :

$$M_K(\vec{F}_1) = -F_1 \cdot KD = -F_1(R - r \cos 30^\circ).$$

В результате уравнение моментов сил при равновесии барабана принимает вид

$$\sum M_K(\vec{F}_k^e) = -F_1(R - r \cos 30^\circ) + F_2 \sin 30^\circ \cdot 2r - Gr \sin 30^\circ + M = 0.$$

Подставляя сюда исходные данные задачи, находим величину удерживающего момента $M = 30,61$ Н·м. Направление момента показано дуговой стрелкой на рис. 5.20.

Увеличим значение момента M , удерживающего барабан в равновесии, в 1,2 раза: $M_1 = 1,2M$. Возникшее после этого качение барабана вверх по наклонной плоскости представляет собой плоскопараллельное движение, которое описывается с применением теорем о движении центра масс и об изменении кинетического момента.

Уравнение движения центра масс барабана в проекции на ось x , направленную вверх по наклонной плоскости, имеет вид:

$$m\ddot{x}_C = F_1 \cos 30^\circ + F_2 \cos 60^\circ - G \cos 60^\circ - F_{\text{сц}},$$

где x_C – координата центра масс барабана.

Применив теорему об изменении кинетического момента барабана относительно оси z , проходящей через центр масс перпендикулярно плоскости

движения и считая моменты сил положительными, если они создают вращение в сторону движущегося вверх барабана, выразим уравнение вращательного движения барабана вокруг оси z в виде:

$$J_{zC}\ddot{\varphi} = -F_1R + F_2r\cos 60^\circ + F_{\text{сц}}r + M_1,$$

где φ – угол поворота барабана; J_{zC} – момент инерции барабана, $J_{zC} = mi_z^2$;

i_z – радиус инерции. С учётом соотношения $\ddot{\varphi} = \frac{\ddot{x}_C}{r}$ получим уравнение:

$$m\ddot{x}_C \left(1 + \frac{i_z^2}{r^2} \right) = -F_1 \left(\frac{R}{r} - \cos 30^\circ \right) + 2F_2 \cos 60^\circ - G \cos 60^\circ + \frac{M_1}{r}.$$

После подстановки данных задачи находим дифференциальное уравнение движения центра масс: $\ddot{x}_C = 0,6$. Дважды интегрируя его с нулевыми начальными условиями (так как движение началось из состояния покоя), находим закон движения центра масс: $x_C = 0,3t^2$ м. Из уравнения следует, что барабан движется в сторону положительного направления оси x .

$$\text{Угловое ускорение барабана } \varepsilon = \ddot{\varphi} = \frac{\ddot{x}_C}{r} = 3 \text{ рад/с}^2.$$

Задача 61. Механизм

(рис. 5.21) включает в себя груз 1, каток 2 и ступенчатый барабан 3, соединённых нерастяжимыми нитями. Движение механизма происходит из состояния покоя в вертикальной плоскости под действием сил тяжести \vec{P}_1 , \vec{P}_2 , \vec{P}_3 , силы

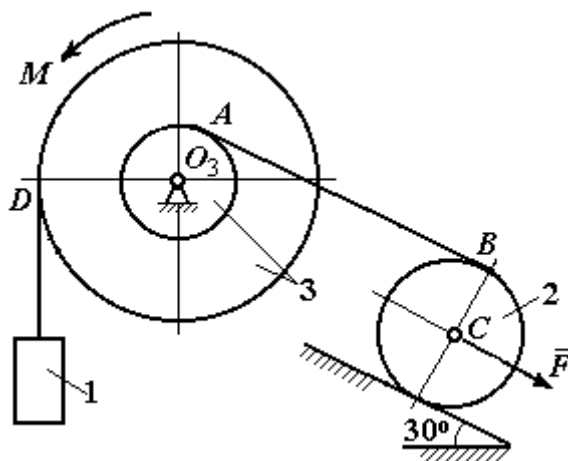


Рис. 5.21. Конструкция механической системы

\vec{F} , приложенной в центре масс катка 2, и пары сил с моментом M , приложенной к барабану 3. Качение катка 2 по наклонной плоскости с углом наклона к горизонту 30° происходит без проскальзывания.

Каток 2 считать однородным диском радиуса R_2 . Радиусы ступеней барабана 3: R_3 , r_3 , радиус инерции барабана i_3 .

Найти ускорение груза 1, силы натяжения нитей и динамическую реакцию шарнира барабана 3, если $P_1 = P_2 = 2P$; $P_3 = 3P$, $F = 3P$; $M = Pr$, $R_2 = 2r$; $R_3 = 3r$; $r_3 = r$; $i_3 = r\sqrt{3}$.

Решение

Рассмотрим движение каждого тела системы отдельно, предварительно освободив тела от связей и заменив их действие реакциями. На рис. 5.22 изображены силы, действующие на тела системы, после освобождения их от связей и направление движения каждого тела.

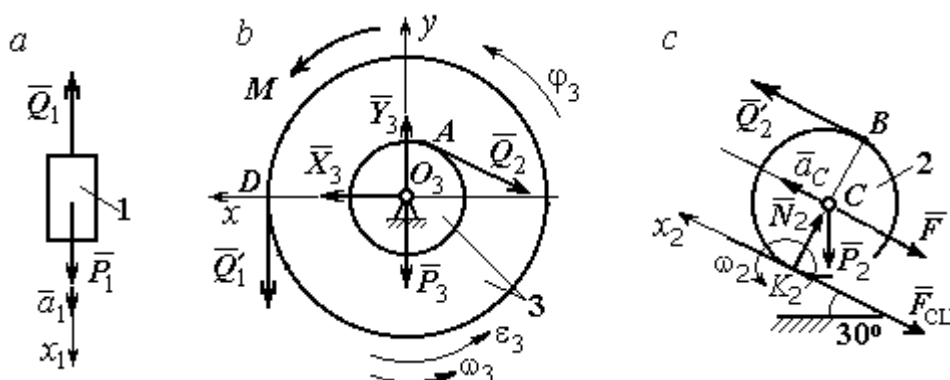


Рис. 5.22. Расчетные схемы для описания движения тел, входящих в систему

Допустим, груз движется вниз со скоростью V_1 , ускорением a_1 . К нему приложена сила тяжести \vec{P}_1 и реакция нити \vec{Q}_1 (рис. 5.22, *a*). Направим ось x_1 в сторону движения груза. Уравнение движения груза вдоль оси x_1 имеет вид:

$$m_1 a_1 = \sum F_{kx} = P_1 - Q_1 = 2P - Q_1.$$

Барабан 3 вращается вокруг неподвижной оси z , проходящей через центр масс O_3 . На диск 3 действует сила тяжести \vec{P}_3 , реакция подшипника \vec{R}_3 (на

рис. 5.22, *b* показано разложение реакции на составляющие \vec{X}_3, \vec{Y}_3), пара сил с моментом M и реакции нитей \vec{Q}'_1 и \vec{Q}_2 .

При составлении уравнения вращательного движения барабана моменты сил относительно оси считаем положительными, если они создают поворот в сторону вращения барабана. Уравнение вращения барабана 3 имеет вид:

$$J_{zO_3} \varepsilon_3 = \sum M_{zO_3} (F_k) = Q'_1 R_3 + M - Q_2 r_3 = Q'_1 3r + Pr - Q_2 r,$$

Момент инерции барабана относительно оси z : $J_{zO_3} = m_3 i_3^2 = \frac{9Pr^2}{g}$;

Каток 2 совершает плоскопараллельное движение. К нему приложена сила тяжести \vec{P}_2 , сила \vec{F} , реакция нити \vec{Q}'_2 , нормальная реакция \vec{N}_2 наклонной плоскости и сила $\vec{F}_{\text{сц}}$ сцепления диска с поверхностью (рис. 5.22, *c*).

Выберем ось x_2 по направлению движения центра масс катка 2. Плоскопараллельное движение катка описывается уравнениями движения его центра масс в проекции на ось x_2 и вращения вокруг оси, проходящей через центр масс перпендикулярно плоскости диска:

$$m_2 a_C = Q'_2 - F - F_{\text{сц}} - P_2 \cos 60^\circ = Q'_2 - 3P - F_{\text{сц}} - P;$$

$$J_C \varepsilon_2 = Q'_2 R_2 + F_{\text{сц}} R_2 = Q'_2 2r + F_{\text{сц}} 2r, \quad J_C = \frac{m_2 R_2^2}{2}.$$

При составлении второго уравнения момент силы считается положительным, если он создаёт поворот в сторону вращения катка.

К системе четырех уравнений, описывающих движения тел в системе, необходимо добавить уравнения связей между ускорениями точек и угловыми ускорениями тел. Предположим, скорость центра масс катка 2 равна V_C (см.

рис. 5.22, *c*). Угловая скорость катка $\omega_2 = \frac{V_C}{CK_2} = \frac{V_C}{R_2}$, где CK_2 – расстояние от

центра масс катка 2 до его мгновенного центра скоростей. Продифференцировав по времени последнее равенство, получим: $\varepsilon_2 = \dot{\omega}_2 = \frac{\dot{V}_C}{R_2} = \frac{a_C}{2r}$.

Скорость точки B катка 2 $V_B = \omega_2 \cdot BK_2 = 2V_C$. Приравняв скорость точки A к скорости точки B (см. рис. 5.21), получим: $2V_C = V_B = V_A = \omega_3 r_3 = \omega_3 r$, откуда $\omega_3 = \frac{2V_C}{r}$. После дифференцирования найдём: $\varepsilon_3 = \frac{2a_C}{r}$.

Скорость груза 1 связана со скоростью центра масс катка 2 следующим образом: $V_1 = V_D = \omega_3 R_3 = \frac{2V_C}{r} 3r = 6V_C$. Тогда ускорение груза 1 $a_1 = 6a_C$.

После подстановки уравнений связи в уравнения движения с учётом равенства модулей сил \vec{Q}'_1 и \vec{Q}_1 , а также \vec{Q}_2 и \vec{Q}'_2 получим систему:

$$\begin{aligned} \frac{12P}{g} a_C &= 2P - Q_1; & \frac{18P}{g} a_C &= 3Q_1 + P - Q_2, \\ \frac{2P}{g} a_C &= Q_2 - 4P - F_{\text{сц}}; & \frac{P}{g} a_C &= Q_2 + F_{\text{сц}}, \end{aligned}$$

откуда находим: $a_C = 0,09g$, $Q_1 = 0,92P$, $Q_2 = 2,14P$.

Динамические реакции \vec{X}_3 , \vec{Y}_3 , действующие на ось вращающегося барабана 3 (рис. 5.22, b), определяются из уравнений, которые можно получить, формально применив к барабану теорему о движении центра масс. Так как центр масс барабана 3 неподвижен, его ускорение равно нулю, $a_{O_3} = 0$. Тогда уравнения движения его центра масс в проекциях на оси x , y имеют вид:

$$m_3 a_{O_3, x} = X_3 - Q_2 \cos 30^\circ = 0;$$

$$m_3 a_{O_3, y} = Y_3 - Q_1 - P_3 - Q_2 \cos 60^\circ = 0.$$

Подставляя значения $Q_1 = 0,92P$ и $Q_2 = 2,14P$, находим составляющие реакции оси барабана 3: $X_3 = Q_2 \cos 30^\circ = 1,85P$, $Y_3 = Q_1 + P_3 + Q_2 \cos 60^\circ = 4,98P$.

Полная величина реакции оси барабана 3: $R_3 = \sqrt{X_3^2 + Y_3^2} = 5,31P$.

Задача 62. Подъёмное устройство (рис. 5.23) состоит из однородного диска 1 массой m_1 , радиусом r_1 , ступенчатого диска 2 массой $m_2 = 3m_1$, радиусом $R_2 = 4r_1$ и радиусом ступеньки $r_2 = r_1$ и груза 3 массой $m_3 = 2m_1$. Система движется из состояния покоя в вертикальной плоскости под действием сил тяжести и пары сил с моментом $M = m_1gr_1$, приложенной к диску 1. Определить ускорение груза 3 и натяжение нити груза 3, если радиус инерции ступенчатого диска относительно оси, проходящей через центр масс, перпендикулярно плоскости диска 2, $i_{2C} = 2r_1$.

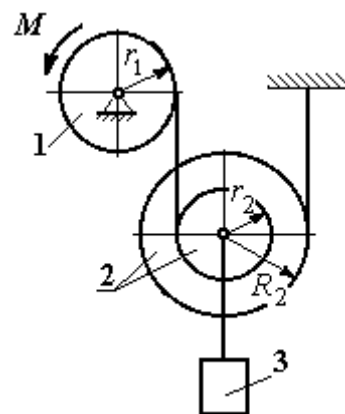


Рис. 5.23. Конструкция подъёмного устройства

Решение задачи осуществить с применением теоремы об изменении кинетической энергии системы и проверить его методом динамического расчёта, составляя уравнения движения тел, входящих в систему.

Решение

1. Для неизменяемой системы (состоящей из абсолютно твёрдых тел, соединённых нерастяжимыми нитями), движущейся из состояния покоя, теорема об изменении кинетической энергии на конечном перемещении имеет вид $T = \sum A(\vec{F}_k^e)$. Схема движения механизма в предположении, что груз 3 опускается, показана на рис. 5.24.

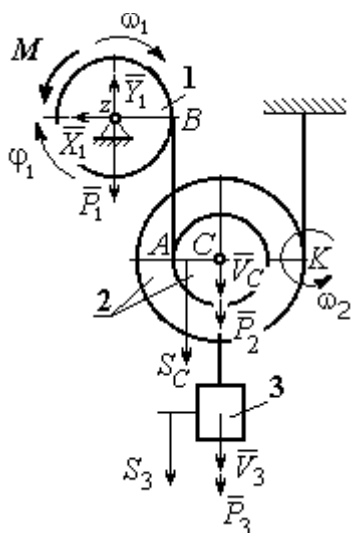


Рис. 5.24. Схема движения механизма

Диск 1 вращается вокруг неподвижной оси z . Кинетическая энергия диска 1: $T_1 = \frac{J_{1z}\omega_1^2}{2}$, где момент инерции диска $J_{1z} = \frac{m_1r_1^2}{2}$.

Диск 1 вращается вокруг неподвижной оси z . Кинетическая энергия диска 1: $T_1 = \frac{J_{1z}\omega_1^2}{2}$, где

момент инерции диска $J_{1z} = \frac{m_1r_1^2}{2}$.

момент инерции диска $J_{1z} = \frac{m_1r_1^2}{2}$.

У диска 2 плоскопараллельное движение. Кинетическая энергия диска 2:

$T_2 = \frac{m_2 V_C^2}{2} + \frac{J_{2C} \omega_2^2}{2}$, где V_C – скорость центра масс диска 2. Момент инерции диска 2 относительно оси, проходящей через центр масс перпендикулярно движению диска, $J_{2C} = m_2 i_{2C}^2$.

Кинетическая энергия груза 3: $T_3 = \frac{m_3 V_3^2}{2}$.

Энергия механизма равна сумме энергий тел, входящих в систему:

$$T = T_1 + T_2 + T_3 = \frac{J_{1z} \omega_1^2}{2} + \frac{m_2 V_C^2}{2} + \frac{J_{2C} \omega_2^2}{2} + \frac{m_3 V_3^2}{2}.$$

Выразим угловые скорости дисков 1 и 2 и скорость центра масс диска 2 через скорость груза 3.

Скорость центра масс диска 2 равна скорости груза 3, $V_C = V_3$. Угловая скорость диска 2 $\omega_2 = \frac{V_C}{CK} = \frac{V_3}{R_2}$, где CK – расстояние от центра диска 2 до его мгновенного центра скоростей.

Скорость точки B нити равна скорости точки A . Из равенства $\omega_1 r_1 = \omega_2 (R_2 + r_2)$ найдём: $\omega_1 = \frac{(r_2 + R_2)}{r_1} \omega_2 = \frac{(r_2 + R_2)}{r_1} \frac{V_3}{R_2}$.

Подставляя найденные зависимости в выражение энергии системы, получим кинетическую энергию механизма:

$$T = \frac{V_3^2}{2} \left[\frac{m_1}{2} \left(1 + \frac{r_2}{R_2} \right)^2 + m_2 \left(1 + \frac{i_{2C}^2}{R_2^2} \right) + m_3 \right] = \frac{209}{64} m_1 V_3^2.$$

Во время движения механизма работу совершают силы тяжести \vec{P}_2 , \vec{P}_3 и пара сил с моментом M . Перемещения S_C и S_3 точек приложения сил \vec{P}_2 , \vec{P}_3 и угол φ_1 поворота диска 1 показаны на рис. 5.24.

Сумма работ сил $\sum A(\vec{F}_k^e) = P_3 S_3 + P_2 S_C - M\varphi_1$. Работа момента отрицательная, так как заданное направление момента противоположно выбранному направлению вращения колеса 1.

Выразим перемещение центра масс диска 2 и угол поворота диска 1 через перемещение груза 3. Проинтегрировав равенство скоростей $V_3 = V_C$, получим равенство перемещений: $S_3 = S_C$. Аналогично, из равенства $\omega_1 = \frac{(r_2 + R_2)}{r_1} \frac{V_3}{R_2}$

следует соотношение $\varphi_1 = \frac{(r_2 + R_2)}{r_1} \frac{S_3}{R_2}$.

В итоге суммарная работа внешних сил в механизме:

$$\sum A(\vec{F}_k^e) = \left[P_3 + P_2 - M \frac{(r_2 + R_2)}{r_1 R_2} \right] S_3 = \frac{15}{4} m_1 g S_3.$$

Составляя уравнение теоремы об изменении кинетической энергии системы, получим равенство:

$$\frac{209}{64} m_1 V_3^2 = \frac{15}{4} m_1 g S_3 \text{ или } V_3^2 = \frac{240}{209} g S_3.$$

Продифференцируем последнее равенство. Получим: $2V_3 \frac{dV_3}{dt} = \frac{240}{209} g \frac{dS_3}{dt}$.

Так как $\frac{dS_3}{dt} = V_3$, а $\frac{dV_3}{dt} = a_3$, находим ускорение груза 3: $a_3 = \frac{120}{209} g \text{ м/с}^2$.

Для того чтобы найти натяжение нити груза 3, необходимо написать уравнение его движения. Выделим груз 3 из системы, заменив действие нити её реакцией H_3 . Выберем ось x по направлению движения груза. Применим к описанию движения груза теорему о движении центра масс, написав её проекцию на ось x : $m_3 a_3 = P_3 - H_3$, где H_3 – реакция нити. При известном ускорении a_3 находим реакцию нити $H_3 = \frac{178}{209} m_1 g$. Натяжение нити численно равно реакции, но направлено в противоположную сторону.

2. Для решения задачи вторым способом – путём составления уравнений движения тел, входящих в состав механизма, освободим тела от связей и заменим их реакциями. На рис. 5.25 изображены силы и реакции, действующие на

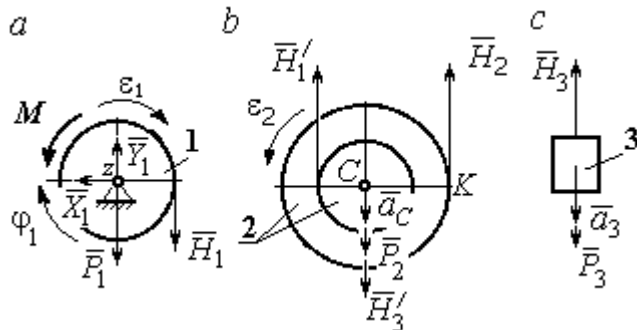


Рис. 5.25. Внешние силы и реакции связей, действующие на тела системы

каждое тело, после освобождения его от связей, а также направления угловых ускорений тел и ускорения центров масс.

Диск 1 вращается вокруг неподвижной оси z . На диск действует сила тяжести \vec{P}_1 , реакция

подшипника \vec{X}_1, \vec{Y}_1 , пара сил с моментом M и реакция нити \vec{H}_1 . Вращение диска описывается уравнением: $J_{1z}\epsilon_1 = \sum M_z(F_k) = H_1 r_1 - M$. Момент инерции

диска 1 относительно оси z , $J_{1z} = \frac{m_1 r_1^2}{2}$.

Диск 2 (рис. 5.25, b) совершает плоскопараллельное движение. К нему приложена сила тяжести \vec{P}_2 и реакции нитей \vec{H}_1', \vec{H}_2 и \vec{H}_3' . Плоскопараллельное движение диска 2 описывается уравнением движения его центра масс в проекции на вертикальную ось и уравнением вращения диска вокруг оси, проходящей через центр масс перпендикулярно плоскости диска:

$$m_2 a_C = P_2 - H_1' - H_2 + H_3'; \quad J_{2C} \epsilon_2 = H_2 R_2 - H_1' r_2.$$

Момент инерции диска 2 $J_{2C} = m_2 i_{2C}^2$. При составлении уравнения вращательного движения диска 2 момент силы считается положительным, если он создаёт поворот в сторону вращения диска.

Груз 3 совершает поступательное движение. К нему приложены сила тяжести \vec{P}_3 и реакция нити \vec{H}_3 (рис. 5.25, c). Уравнение движения груза 3 в проекции на вертикальную ось, направленную в сторону его движения, имеет вид:

$$m_3 a_3 = P_3 - H_3,$$

Выразим угловые ускорения дисков 1 и 2 и ускорение центра масс диска 2 через ускорение груза 3. Для этого нужно продифференцировать соответствующие кинематические соотношения между скоростями. Так, из найденных ранее выражений: $V_3 = V_C$, $\omega_2 = \frac{V_3}{R_2}$, $\omega_1 = \frac{(r_2 + R_2)}{r_1} \frac{V_3}{R_2}$ следует: $a_3 = a_C$,

$$\varepsilon_2 = \frac{a_3}{R_2}, \quad \varepsilon_1 = \frac{(r_2 + R_2)}{r_1} \frac{a_3}{R_2}.$$

Подставляя кинематические соотношения между ускорениями в уравнения движения тел с учётом равенства модулей сил \vec{H}_1 и \vec{H}'_1 , а также \vec{H}_3 и \vec{H}'_3 , получим систему уравнений, описывающих движение звеньев механизма:

$$\frac{5}{8} m_1 a_3 = H_1 - m_1 g; \quad 3m_1 a_3 = 3m_1 g - H_1 - H_2 + H_3;$$

$$3m_1 a_3 = 4H_2 - H_1; \quad 2m_1 a_3 = 2m_1 g - H_3.$$

Решая систему, найдём $a_3 = \frac{120}{209} g$ м/с², $H_3 = \frac{178}{209} m_1 g$. Выражения ускорения a_3 груза 3 и натяжения нити H_3 совпадают с аналогичными выражениями, полученными в пункте 1 при решении данной задачи с применением теоремы об изменении кинетической энергии.

Упражнения

Упражнение 5.5. Система состоит из двух катков 1 и 2, соединённых невесомым стержнем (рис. 5.26). Каток 1 весом P , радиуса r . Каток 2 весом $2P$, радиуса $3r$ имеет цилиндрический выступ радиуса r . Невесомый стержень, параллельный плоскости качения катков, закреплён в центре катка 1 и передаёт движение катка 1 катку 2 в верхней точке вертикального диаметра цилиндрического выступа без проскальзывания. Качение катков без скольжения. К катку 1 приложена пара сил с моментом $M = 4Pr$. В центре масс катка 2 приложена сила $F = 2P$. Радиус инерции катка 2 относительно оси, проходящей через центр катка перпендикулярно плоскости движения, $i_2 = r\sqrt{2}$. Найти ускорение центра масс катка 1 и реакцию стержня.

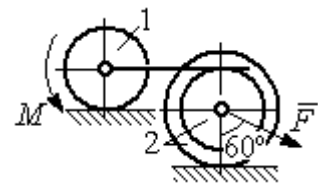


Рис. 5.26. Система катков

Упражнение 5.6. С помощью подъёмного устройства (рис. 5.27) производится подъём груза 1.

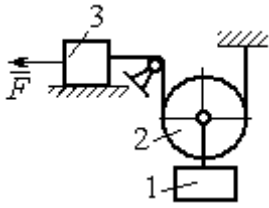


Рис. 5.27. Подъёмное устройство

Нить, закреплённая одним концом на неподвижной поверхности, спускается, охватывает снизу блок 2 массы $m_2 = m$, радиуса r , затем поднимается и проходит параллельно горизонтальной плоскости, где к концу её привязан груз 3 массы $m_3 = m$, передвигающийся по плоскости под действием силы $F = 2,5mg$. Нити, удерживающие блок 2, вертикальны. Груз 1 массы $m_1 = 3m$ прикреплен к оси блока 2.

Найти ускорение груза 1 и натяжения нитей, удерживающих блок 2.

Упражнение 5.7. Груз 1 массы $m_1 = m$, спускается вниз по наклонной плоскости без трения (рис. 5.28).

Нить, прикрепленная к грузу 1, другим своим концом намотана на барабан катка 2 радиуса $R = 2r$ и при движении груза заставляет барабан катиться по горизонтальной поверхности цилиндрическим выступом радиуса r . Качение происходит без проскальзывания. К центру катка привязана другая нить, посредством которой каток тащит за собой груз 3 массы $m_3 = 2m$, скользящий по горизонтальной поверхности без трения. Масса катка $m_2 = 3m$, радиус инерции катка относительно оси, проходящей через его центр масс перпендикулярно плоскости движения $i_2 = r\sqrt{3}$. По касательной к ободу катка 2 приложена сила $F = mg$ (точка приложения силы см. рис. 5.28). Определить ускорение груза 1 и натяжения нитей.

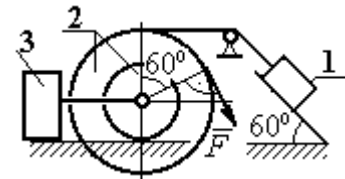


Рис. 5.28. Схема движения механической системы

Масса катка $m_2 = 3m$, радиус инерции катка относительно оси, проходящей через его центр масс перпендикулярно плоскости движения $i_2 = r\sqrt{3}$. По касательной к ободу катка 2 приложена сила $F = mg$ (точка приложения силы см. рис. 5.28). Определить ускорение груза 1 и натяжения нитей.

6. ПРИНЦИПЫ МЕХАНИКИ

6.1. Принцип Даламбера для системы

Силой инерции материальной точки называют векторную величину, модуль которой равен произведению массы точки на модуль её ускорения. Направлен вектор силы инерции точки в сторону, противоположную ускорению $\vec{R}^И = -m\vec{a}$, где m – масса точки; \vec{a} – вектор ускорения точки.

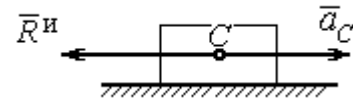


Рис. 6.1. Главный вектор сил инерции при поступательном движении твердого тела

При поступательном движении тела с ускорением центра масс \vec{a}_C главный вектор сил инерции $\vec{R}^И$ по модулю $R^И = ma_C$, приложен в центре масс тела и направлен в сторону, противоположную ускорению \vec{a}_C (рис. 6.1).

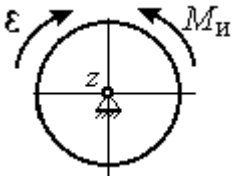


Рис. 6.2. Главный момент сил инерции при вращении тела вокруг оси, проходящей через центр масс

При вращении тела вокруг неподвижной оси z , проходящей через центр масс, главный вектор сил инерции обращается в нуль. Главный момент $\vec{M}^И$, сил инерции относительно оси вращения равен по величине $M^И = J_z \epsilon$, где J_z – момент инерции тела относительно оси z ; ϵ – угловое ускорение тела. Направлен главный момент сил инерции в сторону, противоположную угловому ускорению (рис. 6.2).

При плоскопараллельном движении тела с ускорением центра масс \vec{a}_C и угловым ускорением ϵ главный вектор сил инерции $\vec{R}^И$ равен по модулю $R^И = ma_C$, приложен в центре масс тела и направлен в сторону, противоположную ускорению центра масс \vec{a}_C (рис. 6.3). Главный момент сил инерции $\vec{M}^И$ относи-

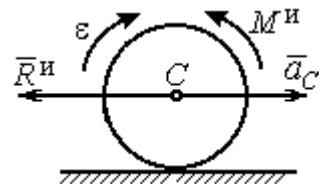


Рис. 6.3. Главный вектор и главный момент сил инерции при плоскопараллельном движении твердого тела

тельно оси, проходящей через центр масс тела перпендикулярно плоскости движения: $M^и = J_C \varepsilon$, где J_C – момент инерции тела относительно оси вращения, и направлен в сторону, противоположную угловому ускорению.

Если в любой момент времени к каждой из точек системы кроме действующих на нее внешних сил присоединить соответствующие силы инерции, то полученная система сил будет уравновешенной.

Принцип Даламбера даёт возможность составлять уравнения движения механической системы в виде уравнений равновесия (метод кинестатики):

$$\sum \vec{F}_k^e + \vec{R}^и = 0, \quad \sum \vec{M}_O(\vec{F}_k^e) + \vec{M}_O^и = 0,$$

где \vec{F}_k^e – внешние силы, действующие на систему; $\vec{R}^и$ – главный вектор сил инерции; $\vec{M}_O(\vec{F}_k^e)$, $\vec{M}_O^и$ – моменты внешних сил и главный момент сил инерции относительно произвольного центра O .

Примеры решения задач на применение принципа Даламбера

Задача 63. Груз 1 массы $m_1 = 10$ кг спускается вниз по наклонной грани клина, образующей угол 60° с горизонтом, и посредством нити, переброшенной

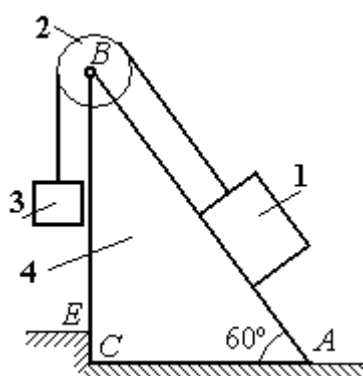


Рис. 6.4. Клин с грузами

через блок 2, укрепленный в верхней точке клина, приводит в движение груз 3 массы $m_3 = 5$ кг (рис. 6.4). Клин ABC массы $m_4 = 15$ кг стоит гранью AC на горизонтальной гладкой поверхности и упирается в выступ E .

Найти давление клина на выступ. Массой блока 2 и нити пренебречь.

Решение

Выберем систему, состоящую из клина ABC , блока 2, грузов 1 и 3 и нити, соединяющей грузы. Внешние силы, действующие на систему, – силы тяжести \vec{P}_1 , \vec{P}_3 и \vec{P}_4 грузов 1, 3 и клина 4, горизонтальная реакция \vec{R}_x упора клина в вы-

ступ и вертикальная реакция \vec{R}_y опоры на горизонтальную поверхность. Реакция нити, реакция опоры груза 1 на наклонную поверхность клина и реакция шарнира B блока 2 для данной системы являются внутренними.

Допустим, груз 1 движется вниз, груз 3 – вверх. Приложим силы инерции. Направления ускорений грузов и сил инерции показаны на рис. 6.5.

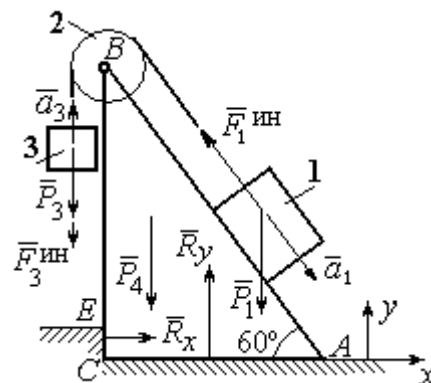


Рис. 6.5. Внешние силы и силы инерции, действующие на систему

В соответствии с принципом Даламбера, полученная система сил находится в равновесии. Условие равновесия: $\sum \vec{F}_k^e + \vec{F}_1^{\text{ин}} + \vec{F}_3^{\text{ин}} = 0$.

Выберем оси xu , как показано на рис. 6.5, и спроектируем векторное равенство на ось x . Получим: $R_x - F_1^{\text{ин}} \cos 60^\circ = 0$, где модуль силы инерции $F_1^{\text{ин}} = m_1 a_1$.

Найдём ускорение груза 1. С этой целью рассмотрим отдельно движение грузов 1 и 3 (рис. 6.6 *a, b*).

Рассматривая груз 1 как отдельную систему, изобразим внешние силы:

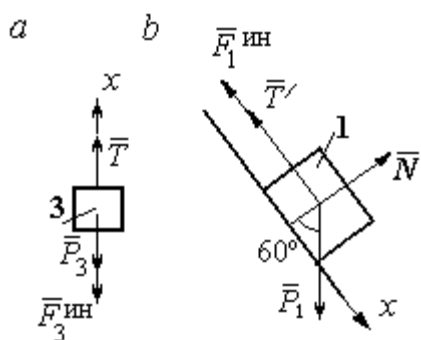


Рис. 6.6. Равновесие грузов

силу тяжести \vec{P}_1 , реакцию нити \vec{T}' и реакцию опоры \vec{N} (см. рис. 6.6, *b*). Присоединим силу инерции $\vec{F}_1^{\text{ин}}$ и составим уравнение равновесия полученной системы сил в проекции на ось x , расположенную вдоль наклонной грани клина: $P_1 \sin 60^\circ - T' - F_1^{\text{ин}} = 0$, где $F_1^{\text{ин}} = m_1 a_1$.

Для груза 3 внешними силами будут сила тяжести \vec{P}_3 и реакция нити \vec{T} . Присоединим к грузу 3 силу инерции $\vec{F}_3^{\text{ин}}$ (см. рис. 6.6, *a*) и составим уравне-

ние равновесия системы сил в проекции на ось x , выбранную по направлению движения груза 3: $T - P_3 - F_3^{\text{ин}} = 0$, где модуль силы инерции $F_3^{\text{ин}} = m_3 a_3$.

Решая полученную систему с учётом, что модули реакций нити и модули ускорений грузов равны: $T = T'$ и $a_1 = a_3$, находим ускорение грузов. Получим:

$$a_1 = a_3 = \frac{(m_1 \sin 60^\circ - m_3)g}{m_1 + m_3}. \text{ Тогда давление клина на уступ:}$$

$$R_x = F_1^{\text{ин}} \cos 60^\circ = m_1 g \frac{(m_1 \sin 60^\circ - m_3)}{(m_1 + m_3)} \cos 60^\circ.$$

Подставляя данные из условия задачи, найдём $R_x = 11,97 \text{ Н}$.

Задача 64. Для подъёма грузов используется лебёдка со ступенчатым воротом, изображённая на рис. 6.7. Радиусы большой и малой ступенек барабана ворота r_1 и r_2 , радиус инерции барабана относительно оси вращения i_3 . Лебёдка установлена на горизонтальной балке AB , которая закреплена в точке A на неподвижном цилиндрическом шарнире и опирается на каток в точке B . Груз 1 поднимается на верёвке, навитой на большую ступеньку ворота. На малой ступеньке барабана ворота закреплена другая верёвка, удерживающая противовес 2. К барабану лебёдки приложен постоянный вращающий момент $M_{\text{вр}}$.

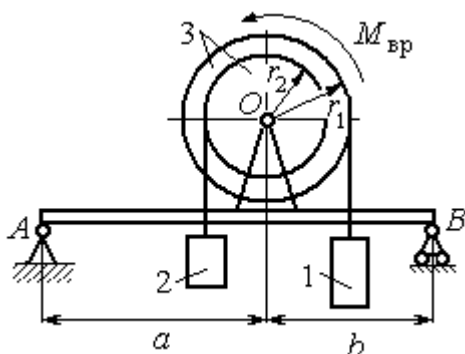


Рис. 6.7. Лебёдка на балке

Найти реакции опор балки во время движения груза, если радиусы ступенек барабана $r_1 = 0,8 \text{ м}$, $r_2 = 0,2 \text{ м}$, радиус инерции барабана относительно оси вращения $i_3 = 0,6 \text{ м}$, масса груза 1 $m_1 = 100 \text{ кг}$, противовеса 2 $m_2 = 30 \text{ кг}$, масса барабана $m_3 = 50 \text{ кг}$, величина вращающего момента $M_{\text{вр}} = 1050 \text{ Н}\cdot\text{м}$, расстояния от крайних точек балки A и B до линии вертикального диаметра барабана $a = 2 \text{ м}$, $b = 1 \text{ м}$.

Решение

Выберем систему, включающую только барабан 3, грузы 1 и 2 и нити, связывающие грузы с барабаном (рис. 6.8). Внешние силы, действующие на эту систему, – пара сил, создающая вращающий момент $M_{вр}$, силы тяжести $\vec{P}_1, \vec{P}_2, \vec{P}_3$ грузов 1, 2 и барабана 3 и реакция \vec{R}_O опоры барабана на шарнир в точке O . Натяжения нитей для данной системы являются внутренними и на рис. 6.8 не показаны.

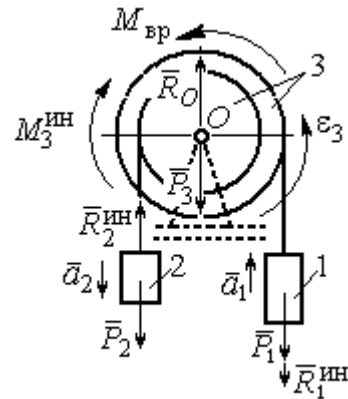


Рис. 6.8. Расчётная схема равновесия барабана

Приложим силы инерции. Направления главных векторов сил инерции $\vec{R}_1^{ин}, \vec{R}_2^{ин}$ и момента сил инерции $M_3^{ин}$ показаны на рис. 6.8.

Согласно принципу Даламбера, полученная система внешних сил и сил инерции является уравновешенной. Составим уравнения равновесия:

$$R_O + R_2^{ин} - P_2 - P_3 - P_1 - R_1^{ин} = 0; \quad M_{вр} - M_3^{ин} - R_2^{ин}r_2 + P_2r_2 - P_1r_1 - R_1^{ин}r_1 = 0,$$

где $R_1^{ин} = m_1a_1, R_2^{ин} = m_2a_2, M_3^{ин} = J_{3O}\varepsilon_3, J_{3O} = m_3i_3^2$.

Из второго уравнения с учётом кинематических соотношений: $\varepsilon_3 = \frac{a_1}{r_1}$ и

$$a_2 = \frac{r_2}{r_1}a_1, \text{ найдём ускорение груза 1: } a_1 = \frac{r_1(M_{вр} + P_2r_2 - P_1r_1)}{m_3i_3^2 + m_2r_2^2 + m_1r_1^2}. \text{ Подставляя}$$

данные задачи, получим $a_1 = 3,49 \text{ м/с}^2$.

Вычислим модули сил инерции $R_1^{ин} = m_1a_1 = 349 \text{ Н}; R_2^{ин} = m_2a_2 = 26,17 \text{ Н}$.

Подставляя модули сил инерции в первое уравнение условий равновесия, найдём реакцию опоры барабана на шарнир O :

$$R_O = -R_2^{ин} + P_2 + P_3 + P_1 + R_1^{ин} = 2088,63 \text{ Н}.$$

Для определения реакций опор балки AB выберем объектом равновесия

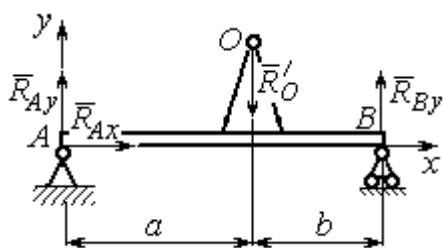


Рис. 6.9. Равновесие балки

саму балку (рис. 6.9). На балку действуют сила \vec{R}'_O давления со стороны шарнира O , реакция шарнира в точке A (на рис. 6.9 разложенная на составляющие \vec{R}_{Ax} , \vec{R}_{Ay}) и реакция \vec{R}_{By} опоры балки на шарнир в точке B . Составим уравне-

ния равновесия балки:

$$\sum F_x = R_{Ax} = 0, \quad \sum F_y = R_{Ay} - R'_O + R_{By} = 0,$$

$$\sum M_A(F) = R_{By}(a + b) - R'_O a = 0.$$

Решая систему с учётом того, что модули сил \vec{R}'_O и \vec{R}_O равны, найдём ре-

акции опор балки: $R_{By} = R_O \frac{a}{a + b} = 1392,42 \text{ Н}$; $R_{Ay} = R_O - R_{By} = 696,21 \text{ Н}$.

Для сравнения реакции опор балки при неподвижном барабане $R_{By} = 1419,18 \text{ Н}$, $R_{Ay} = 346,62 \text{ Н}$.

Упражнение

Упражнение 6.1. Груз 1 соединён с грузом 2 нерастяжимой нитью, переброшенной через неподвижный блок (рис. 6.10). Опускаясь вниз, груз 2 перемещает груз 1 по горизонтальной поверхности призмы 3 без трения. Призма стоит на горизонтальной гладкой поверхности и упирается левым краем в выступ. Определить силу давления призмы на пол, если массы грузов 1, 2 и призмы 3 одинаковы и равны m . Массой нити и блока пренебречь.

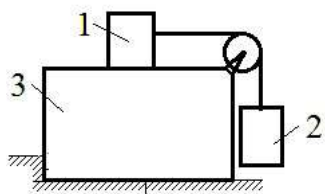


Рис. 6.10. Схема движения грузов в системе

6.2. Принцип возможных перемещений

Возможными перемещениями механической системы называют любую совокупность элементарных (бесконечно малых) перемещений точек системы из занимаемого в данный момент времени положения, которые допускаются всеми наложенными на систему связями.

Идеальными связями в механической системе называют такие связи, для которых сумма элементарных работ их реакций на любом возможном перемещении равна нулю.

Принцип возможных перемещений.

Если все приложенные к точкам системы внешние и внутренние силы разделить на **активные силы** и **реакции связей**, то для равновесия механической системы с идеальными связями необходимо и достаточно, чтобы сумма элементарных работ всех активных сил была равна нулю на любом возможном перемещении системы: $\sum \delta A(\vec{F}_k^{\text{акт}}) = 0$.

Примеры решения задач на применение принципа возможных перемещений

Задача 65. В талевом механизме барабан 1 состоит из двух соосных жестко связанных валов (рис. 6.11). При поднятии груза верхний трос барабана 1 наматывается на вал большего радиуса R_1 , нижний – смотывается с вала меньшего радиуса r_1 .

Какой вращающий момент M , постоянный по величине, нужно приложить к барабану, чтобы уравновесить груз весом P , прикрепленный в центре блока 4. Массами блоков и троса пренебречь.

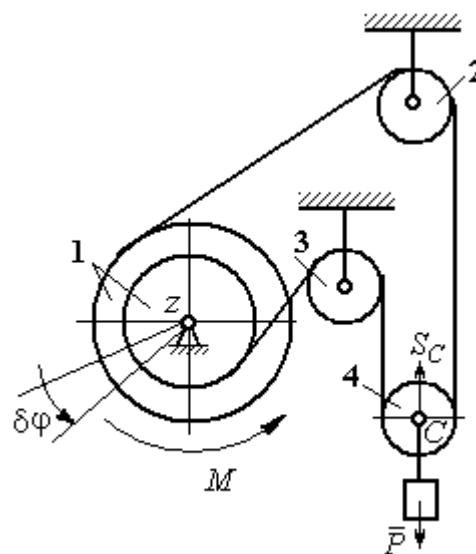


Рис. 6.11. Уравновешивание талевого механизма

Решение

Активными силами в системе являются сила тяжести груза \vec{P} и уравновешивающий момент M . По принципу возможных перемещений для равновесия системы необходимо и достаточно выполнения условия:

$$\delta A(M) + \delta A(\vec{P}) = 0, \text{ или } M\delta\varphi_1 - P\delta S_C = 0.$$

где $\delta\varphi_1$ и δS_C – возможные перемещения барабана и груза.

Найдём связь между перемещениями $\delta\varphi_1$ и δS_C . Предположим, в механизме осуществляется подъём груза. На рис. 6.12

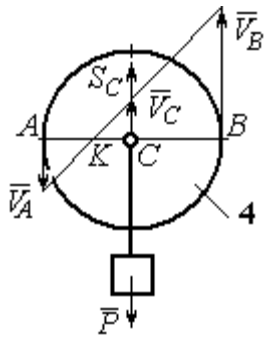


Рис. 6.12. Распределение скоростей точек блока 4

показано построение мгновенного центра скоростей блока 4 – точки K . Здесь скорость точки A блока 4 (рис. 6.12) равна скорости точек обода малого вала барабана 1, а скорость точки B – скорости точек обода большого вала. Составим пропорцию

$$\frac{V_B}{V_A} = \frac{BK}{AK} = \frac{r_4 + CK}{r_4 - CK}, \text{ где } r_4 \text{ – радиус блока 4 (см.}$$

рис.6.12). Подставляя выражения для скоростей точек A и B $V_A = \omega_1 r_1$,

$$V_B = \omega_1 R_1, \text{ найдём расстояние: } CK = \frac{(R_1 - r_1)r_4}{R_1 + r_1}.$$

Угловая скорость блока 4 $\omega_4 = \frac{V_B}{r_4 + CK} = \frac{\omega_1(R_1 + r_1)}{2r_4}$. Скорость его цен-

тра: $V_C = \omega_4 \cdot CK = \frac{\omega_1(R_1 - r_1)}{2}$. Выразим соотношение между скоростью точки

C и угловой скоростью барабана 1 в дифференциальной форме:

$$dS_C = d\varphi_1 \frac{(R_1 - r_1)}{2}. \text{ Поскольку действительное перемещение является одним из}$$

возможных (т. е. $ds = \delta s$, $d\varphi = \delta\varphi$), получим связь между возможными переме-

$$\text{щениями барабана 1 и груза: } \delta S_C = \frac{\delta\varphi_1(R_1 - r_1)}{2}.$$

Подставляя найденное соотношение в уравнение принципа возможных

$$\text{перемещений, представим его в окончательном виде: } M\delta\varphi_1 - P \frac{\delta\varphi_1(R_1 - r_1)}{2} = 0,$$

$$\text{откуда найдём значение уравновешивающего момента: } M = \frac{P(R_1 - r_1)}{2}.$$

Задача 66. Брус 1 весом $P_1 = P$ лежит на цилиндрическом катке 2 и на блоке 3 одинаковых радиусов r , и одинакового веса $P_2 = P_3 = 2P$ (рис. 6.13). Каток 2 катится без проскальзывания по наклонной плоскости с углом наклона 30° к горизонту. Блок 3 вращается вокруг неподвижной оси z и к нему приложена пара сил с моментом $M = Pr$. Каток и блок расположены так, что брус 1 параллелен наклонной плоскости.

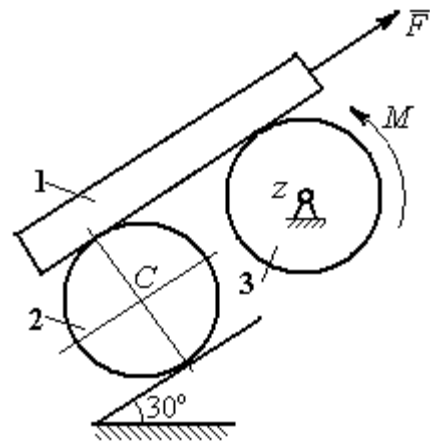


Рис. 6.13. Равновесие механической системы

Какую силу F , параллельную наклонной плоскости, нужно приложить к брусу 1, чтобы удержать его в равновесии. Скольжение между бруском и катком, бруском и блоком отсутствует.

Решение

Рассмотрим механизм, состоящий из бруса 1, катка 2 и блока 3. Активными силами, действующими на механизм, являются силы тяжести \vec{P}_1 , \vec{P}_2 и

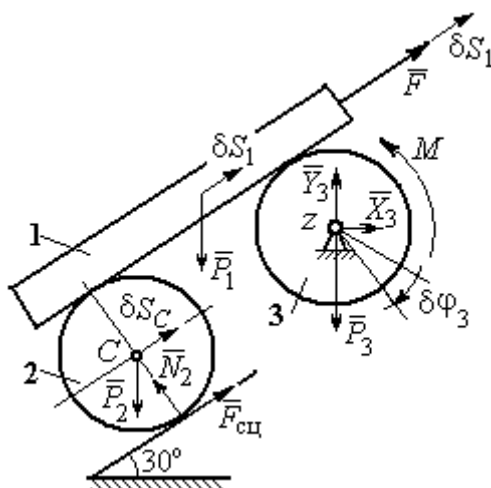


Рис. 6.14. Расчётная схема применения принципа возможных перемещений

\vec{P}_3 бруса, катка и блока, пара сил с моментом M , приложенная к блоку 3, и сила \vec{F} , приложенная к брусу. Связи в механизме идеальные, так как работа реакции \vec{N}_2 опоры катка 2 на плоскость, работа силы $\vec{F}_{сц}$ сцепления катка с плоскостью и работа реакции шарнира блока 3 при любом перемещении системы равны нулю. Направления векторов сил в системе показаны на рис. 6.14.

Придадим системе возможное перемещение, сдвинув брус 1 на расстояние δS_1 вдоль линии действия силы \vec{F} , вверх по наклонной плоскости. Тогда

центр катка 2 переместится на расстояние δS_C , а блок 3 повернётся на элементарный угол $\delta\varphi_3$ (см. рис. 6.14).

Для определения условий равновесия применим к системе принцип возможных перемещений. Получим уравнение:

$$-P_1\delta S_1\cos 60^\circ - P_2\delta S_C\cos 60^\circ - M\delta\varphi_3 + F\delta S_1 = 0.$$

Выразим все перемещения через перемещение бруса δS_1 . Допустим, скорость бруса равна V_1 . Тогда $V_C = \frac{V_1}{2}$, и, следовательно, $\delta S_C = \frac{\delta S_1}{2}$.

Угловая скорость блока 3 $\omega_3 = \frac{V_1}{r}$, отсюда $\delta\varphi_3 = \frac{\delta S_1}{r}$.

Подставляя найденные соотношения в уравнение принципа возможных перемещений с учётом данных задачи, находим $F = 2P$.

Задача 67. Уравновешивание роликового катка 3 с противовесом 1 осуществляется с помощью пары сил с моментом M , приложенных к блоку 2.

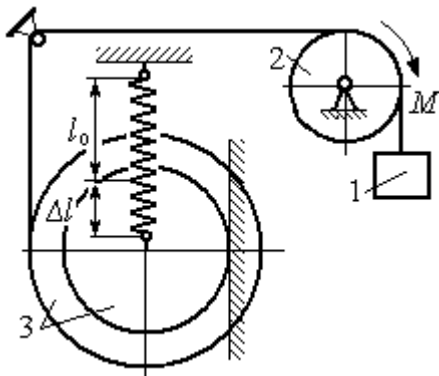


Рис. 6.15. Уравновешивание роликового катка

Каток состоит из двух соосных жестко связанных дисков (рис. 6.15) радиусов r и $R = 2r$ с общей массой $3m$. Масса груза 1 равна m . При движении каток катится без скольжения по вертикальной поверхности, касаясь её диском меньшего радиуса. Вертикальная пружина с закреплённым верхним концом своим нижним концом удерживает каток за центр масс. Жесткость пружины $c = mg / r$.

Какой величины уравновешивающий момент M приложен к блоку 2, если при равновесии катка пружина растянулась относительно недеформированного состояния на величину $\Delta l = r$.

Решение

Рассмотрим механическую систему, состоящую из груза 1, блока 2 и катка 3. Активными силами, действующими на механизм, являются силы тяжести \vec{P}_1 , \vec{P}_2 и \vec{P}_3 – груза, блока и катка, пара сил с моментом M , приложенная к блоку 2, и сила $\vec{F}_{\text{упр}}$ упругости пружины, приложенная к центру катка. Реакциями связей в механизме являются: сила $\vec{F}_{\text{сц}}$ сцепления катка с плоскостью и реакция \vec{R}_2 шарнира блока 2. Реакция \vec{N}_2 опоры катка 2 на вертикальную плоскость равна нулю (на рис. 6.16 не показана).

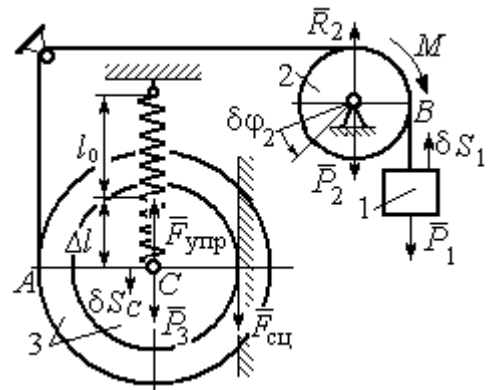


Рис. 6.16. Расчётная схема уравнивания ролика

Допустим, система находится в равновесии. Дадим центру катка возможное перемещение δS_C , направленное вертикально вниз. При этом блок 2 повернётся на угол $\delta\varphi_2$, а груз 1 получит бесконечно малое перемещение δS_1 . Направления возможных перемещений показаны на рис. 6.16.

Составим уравнение принципа возможных перемещений:

$$P_3\delta S_C - F_{\text{упр}}\delta S_C + M\delta\varphi_2 - P_1\delta S_1 = 0,$$

где сила упругости в положении равновесия системы $F_{\text{упр}} = c\Delta l$.

Выразим перемещения $\delta\varphi_2$, δS_1 блока 2 и груза 1 через перемещение центра катка δS_C . Предположим, при возможном перемещении скорость центра масс катка равна V_C . Скорость груза 1 равна скорости точки A на ободу большого диска катка: $V_1 = V_A = \frac{R+r}{r}V_C$. Здесь учтено, что точка касания катка

с вертикальной поверхностью является его мгновенным центром скоростей.

$$\text{Угловая скорость блока 2 } \omega_2 = \frac{V_A}{r} = \frac{R+r}{r^2} V_C.$$

Представляя кинематические соотношения в дифференциальном виде, получим необходимые связи между возможными перемещениями:

$$\delta S_1 = \frac{R+r}{r} \delta S_C = 3\delta S_C; \quad \delta \varphi_2 = \frac{R+r}{r^2} \delta S_C = \frac{3\delta S_C}{r}.$$

Окончательно уравнение принципа возможных перемещений выражается в виде: $P_3 \delta S_C - c \Delta l \delta S_C + M \frac{3\delta S_C}{r} - P_1 3\delta S_C = 0$. Величина уравнивающего

$$\text{момента } M = \frac{1}{3} mgr.$$

Упражнения

Упражнение 6.2. Штамповка деталей осуществляется при помощи рычажного пресса (рис. 6.17). Найти соотношение между силой F , приложенной к внешнему рычагу, и силой Q , сжимающей деталь A вдоль центральной оси.

Длины рычагов a, b, c, d показаны на рис. 6.17.

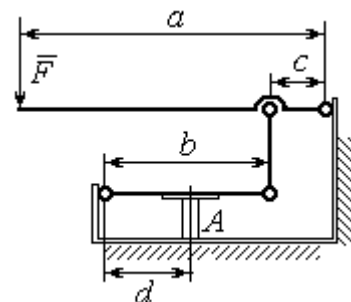


Рис. 6.17. Рычажный пресс

Упражнение 6.3. Конструкция состоит из двух валов, находящихся во внешнем зацеплении, и двух грузов, удерживающихся нитями, намотанными на валы (рис. 6.18).

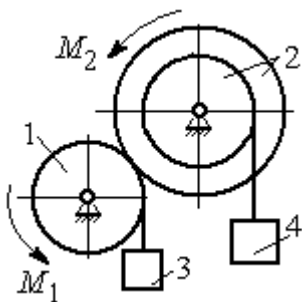


Рис. 6.18. Схема уравнивания валов

грузов, удерживающихся нитями, намотанными на валы (рис. 6.18).

Радиус вала 1 $R_1 = r$. Вал 2 состоит из двух барабанов, жестко скрепленных на одной оси. Радиусы барабанов: $R_2 = 3r, r_2 = r$.

Найти величину уравнивающего момента M_2 , приложенного к валу 2, если к валу 1 приложена пара сил с моментом $M_1 = 2Pr$, а грузы 3 и 4 одинакового веса P .

6.3. Общее уравнение динамики

При движении механической системы с идеальными связями в каждый момент времени сумма элементарных работ активных сил и сил инерции на любом возможном перемещении равна нулю:

$$\sum \delta A(\vec{F}_k^{\text{акт}}) + \sum \delta A(\vec{R}_k^{\text{и}}) = 0,$$

где $\delta A(\vec{F}_k^{\text{акт}})$, $\delta A(\vec{R}_k^{\text{и}})$ – элементарные работы активных сил и сил инерции, приложенных к точкам системы на её возможном перемещении.

При вычислении элементарных работ активных сил и сил инерции используют обычные формулы для вычисления работы сил на элементарном перемещении точек их приложения.

Примеры решения задач на применение общего уравнения динамики

Задача 68. Механическая система включает груз 1, ступенчатый диск 2 (каток), катящийся ступенькой по неподвижному рельсу, и однородный диск 3 (блок), вращающийся вокруг неподвижной оси, соединённых нерастяжимыми нитями (рис. 6.19). Качение ступенчатого диска происходит без скольжения. К грузу 1 приложена сила \vec{F} под углом 30° к горизонтальному направлению движения груза. К блоку 3 приложена пара сил с моментом M . Найти закон движения центра масс катка 2 и реакцию шарнира блока 3 в момент времени $t = 1$ с, если $P_1 = 10$ Н; $P_2 = 20$ Н; $P_3 = 15$ Н; $F = 5(t+1)$ Н; $M = 3(1 + 2t)$ Н·м; $R_2 = 0,8$ м; $r_2 = 0,2$ м; $R_3 = 0,4$ м; момент инерции катка 2 относительно оси, проходящей через центр масс перпендикулярно плоскости движения, $i_{2C} = 0,6$ м.

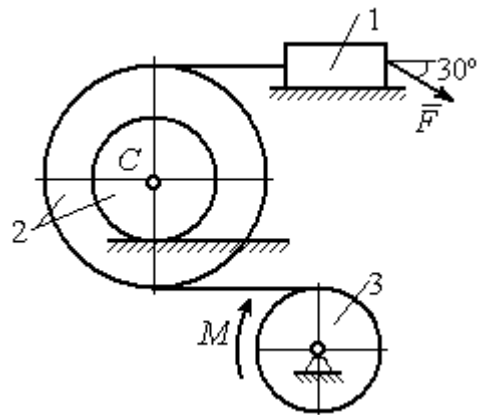


Рис. 6.19. Схема движения механической системы

Решение

В рассматриваемой механической системе активными силами являются силы тяжести $\vec{P}_1, \vec{P}_2, \vec{P}_3$, сила \vec{F} и пара сил с моментом M (рис. 6.20).

Реакциями связей являются нормальные реакции опор: \vec{N}_1, \vec{N}_2 , сила сцепления катка 2 с неподвижной поверхностью $\vec{F}_{\text{сц}}$ и реакция шарнира O

блока 3 (на рис. 6.20 реакция показана в виде разложения на составляющие \vec{X}_3, \vec{Y}_3). Связи идеальные, так как скольжение груза 1 происходит по гладкой поверхности, качение диска 2 без проскальзывания, а ось вращения блока 3 неподвижна.

Предположим, система движется так, что блок 3 вращается с угловой скоростью ω_3 и угловым ускорением ε_3 в направлении поворота, создаваемого моментом M . Соответствующие направления скорости \vec{V}_C и ускорения \vec{a}_C центра масс катка 2, его угловой скорости ω_2 и ускорения ε_2 , а также направление скорости \vec{V}_1 и ускорения \vec{a}_1 груза 1 показаны на рис. 6.20.

Присоединим к телам системы силы инерции. Главные векторы $\vec{R}_1^{\text{и}}, \vec{R}_2^{\text{и}}$ сил инерции груза 1 и катка 2 приложены в центрах масс груза и катка и направлены в сторону, противоположную ускорениям \vec{a}_1 и \vec{a}_C . Главные моменты $\vec{M}_2^{\text{и}}, \vec{M}_3^{\text{и}}$ сил инерции катка 2 и блока 3 направлены в сторону, противоположную угловым ускорениям ε_2 и ε_3 .

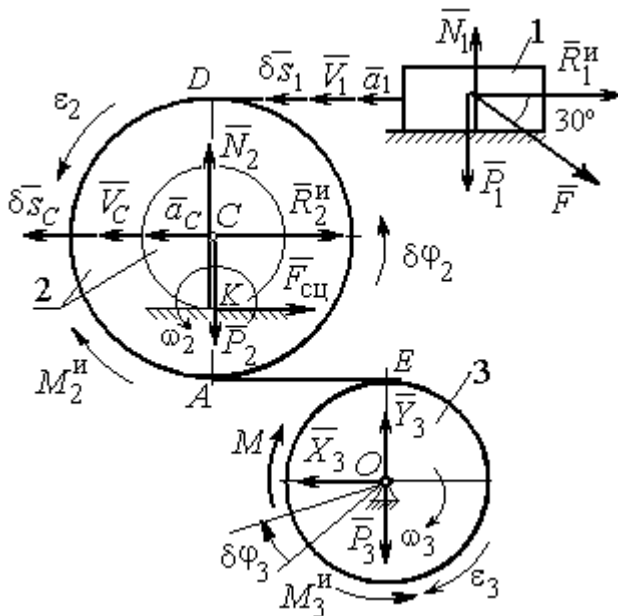


Рис. 6.20. Расчётная схема исследования движения механической системы

Главные векторы и главные моменты сил инерции показаны на рис. 6.20.

Для механической системы с идеальными связями общее уравнение динамики имеет вид:

$$\sum \delta A(\vec{F}_k^{\text{акт}}) + \sum \delta A(\vec{R}_k^{\text{и}}) = 0.$$

Угловая скорость катка 2 $\omega_2 = \frac{V_C}{CK} = \frac{V_C}{r_2}$. Здесь учтено, что в точке K

находится мгновенный центр скоростей катка (см. рис. 6.20). Скорость точки E блока 3 равна скорости точки A катка 2 (см. рис. 6.20):

$$V_E = V_A = \omega_2 \cdot AK = \omega_2(R_2 - r_2) = V_C \frac{R_2 - r_2}{r_2}.$$

Угловая скорость блока 3 $\omega_3 = \frac{V_E}{R_3} = V_C \frac{(R_2 - r_2)}{R_3 r_2}$.

Скорость груза 1 равна скорости точки D катка 2:

$$V_1 = V_D = \omega_2 \cdot DK = \omega_2(R_2 + r_2) = V_C \frac{(R_2 + r_2)}{r_2}.$$

Соотношения между ускорениями определяются путем дифференцирования установленных кинематических равенств:

$$a_1 = a_C \frac{(R_2 + r_2)}{r_2}, \quad \varepsilon_2 = \frac{a_C}{r_2}, \quad \varepsilon_3 = a_C \frac{(R_2 - r_2)}{R_3 r_2}.$$

Если выразить скоростные кинематические соотношения в дифференциальном виде, то, полагая действительное перемещение возможным (т. е. $ds = \delta s$, $d\varphi = \delta\varphi$), получим соотношения между перемещениями:

$$\delta s_1 = \delta s_C \frac{(R_2 + r_2)}{r_2}, \quad \delta\varphi_2 = \frac{\delta s_C}{r_2}, \quad \delta\varphi_3 = \delta s_C \frac{(R_2 - r_2)}{R_3 r_2}.$$

Найдем элементарные работы активных сил.

Работы сил тяжести груза 1 и катка 2 равны нулю, так как перемещения точек приложения сил перпендикулярны векторам сил.

Работа силы тяжести блока 3 также равна нулю, поскольку точка прило-

жения силы тяжести блока 3 не перемещается:

$$\delta A(\vec{P}_1) = P_1 \delta s_1 \cos 90^\circ = 0; \quad \delta A(\vec{P}_2) = P_2 \delta s_C \cos 90^\circ = 0; \quad \delta A(\vec{P}_3) = 0.$$

Работу совершают только пара сил с моментом M и сила \vec{F} :

$$\delta A(\vec{M}) = M \delta \varphi_3 = M \delta s_C \frac{(R_2 - r_2)}{R_3 r_2};$$

$$\delta A(\vec{F}) = F \delta s_1 \cos 150^\circ = -F \delta s_C \frac{(R_2 + r_2)}{r_2} \cos 30^\circ.$$

В результате сумма элементарных работ активных сил:

$$\begin{aligned} \sum \delta A(\vec{F}_k^{\text{акт}}) &= \delta A(\vec{M}) + \delta A(\vec{F}) = \\ &= M \delta s_C \frac{(R_2 - r_2)}{R_3 r_2} - F \delta s_C \frac{(R_2 + r_2)}{r_2} \cos 30^\circ = (0,85 + 23,35t) \delta s_C. \end{aligned}$$

Определим модули главных векторов и главных моментов сил инерции:

$$R_1^{\text{н}} = m_1 a_1 = \frac{P_1 (R_2 + r_2)}{g r_2} a_C, \quad R_2^{\text{н}} = m_2 a_C = \frac{P_2 a_C}{g};$$

$$M_2^{\text{н}} = J_{2C} \varepsilon_2 = \frac{P_2}{g} i_{2C}^2 \frac{a_C}{r_2};$$

$$M_3^{\text{н}} = J_{3O} \varepsilon_3 = \frac{P_3 R_3 (R_2 - r_2)}{2g r_2} a_C,$$

где J_{2C} – момент инерции катка 2 относительно оси, проходящей через его центр масс перпендикулярно плоскости движения, $J_{2C} = m_2 i_{2C}^2$; i_{2C} – радиус инерции катка; J_{3O} – осевой момент инерции блока 3, $J_{3O} = \frac{m_3 R_3^2}{2}$.

Найдем элементарные работы сил инерции:

$$\delta A(\vec{R}_1^{\text{н}}) = -R_1^{\text{н}} \delta s_1 = -\frac{P_1 (R_2 + r_2)^2 a_C}{g r_2^2} \delta s_C;$$

$$\delta A(\vec{R}_2^{\text{н}}) = -R_2^{\text{н}} \delta s_C = -\frac{P_2 a_C}{g} \delta s_C;$$

$$\delta A(\vec{M}_2^{\text{и}}) = -M_2^{\text{и}} \delta \varphi_2 = -\frac{P_2 i_2^2 a_C}{gr_2^2} \delta s_C;$$

$$\delta A(\vec{M}_3^{\text{и}}) = -M_3^{\text{и}} \delta \varphi_3 = -\frac{P_3 (R_2 - r_2)^2 a_C}{2gr_2^2} \delta s_C.$$

Сумма элементарных работ сил инерции:

$$\begin{aligned} \sum \delta A(\vec{R}_k^{\text{и}}) &= -\frac{P_1 (R_2 + r_2)^2 a_C}{gr_2^2} \delta s_C - \frac{P_2 a_C}{g} \delta s_C - \frac{P_2 i_2^2 a_C}{gr_2^2} \delta s_C - \\ &- \frac{P_3 (R_2 - r_2)^2 a_C}{2gr_2^2} \delta s_C = -52,75 a_C \delta s_C, \text{ где } g = 9,81 \text{ м/с}^2. \end{aligned}$$

С учетом проделанных вычислений общее уравнение динамики принимает вид: $\sum \delta A(\vec{F}_k^{\text{акт}}) + \sum \delta A(\vec{R}_k^{\text{и}}) = (0,85 + 23,35t) \delta s_C - 52,75 a_C \delta s_C = 0$, откуда найдём ускорение центра масс катка 2 как функцию времени:

$$a_C(t) = 0,02 + 0,45t.$$

Представляя ускорение a_C в виде второй производной координаты движения центра масс $a_C = \ddot{s}_C$, получим дифференциальное уравнение $\ddot{s}_C = 0,02 + 0,45t$. Дважды проинтегрировав это уравнение с нулевыми начальными условиями, найдём закон движения центра масс:

$$s_C = 0,01t^2 + 0,075t^3.$$

Рассмотрим вращательное движение блока 3, освободив его от связей. На блок действуют сила тяжести \vec{P}_3 , реакция подшипника, разложенная на составляющие \vec{X}_3 , \vec{Y}_3 , пара сил с моментом M и реакция нити \vec{H}_3 (рис. 6.21).

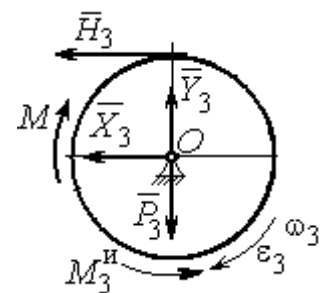


Рис. 6.21. Вращение блока 3

Присоединим к блоку 3 силы инерции. При вращательном движении блока вокруг оси, проходящей через центр масс, главный вектор сил инерции равен ну-

лю. Главный момент сил инерции $M_3^И$ направлен в сторону, противоположную угловому ускорению блока 3.

По принципу Даламбера система сил, приложенных к блоку 3, включая силы инерции, находится в равновесии. Составим уравнение равновесия в виде равенства нулю суммарного момента всех сил относительно оси вращения:

$M - H_3 R_3 - M_3^И = 0$, откуда найдём реакцию нити: $H_3 = \frac{M}{R_3} - \frac{M_3^И}{R_3}$. Подставляя

в уравнение величину модуля главного момента сил инерции блока 3 $M_3^И(1) = 0,7 \text{ Н}\cdot\text{м}$ и значение момента, приложенного к блоку 3, в момент времени $t = 1 \text{ с}$, $M(1) = 9 \text{ Н}\cdot\text{м}$ найдём реакцию нити $H_3(1) = 20,75 \text{ Н}$.

Уравнения равновесия, составленные в виде проекций сил на вертикальную и горизонтальную оси (см. рис. 6.21), имеют вид:

$$X_3 + H_3 = 0, Y_3 - P_3 = 0.$$

Составляющие реакции шарнира блока 3 в момент времени $t = 1 \text{ с}$:

$X_3 = -20,75 \text{ Н}$, $Y_3 = 15 \text{ Н}$. Полная реакция шарнира $R_3 = \sqrt{X_3^2 + Y_3^2} = 25,6 \text{ Н}$.

Задача 69. Груз 2 весом P_2 , поднимаемый лебёдкой (рис. 6.22), подвешен в центре подвижного блока 3 весом P_3 . Нерастяжимая нить одним концом при-

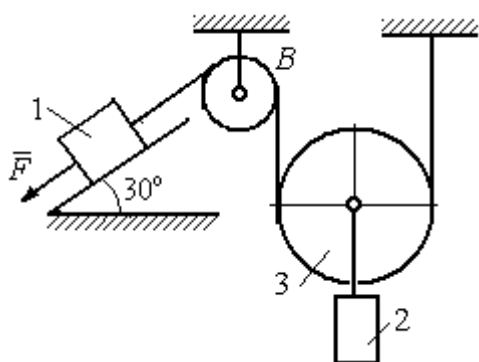


Рис. 6.22. Схема подъёмного устройства

цеплена к грузу 1 весом P_1 , лежащему на наклонной плоскости. Другой конец, переброшенный через невесомый блок B , охватывает снизу подвижный блок 3 радиуса r и закреплён в вертикальном положении. К грузу 1 приложена сила \vec{F} , направленная вдоль наклонной плоскости.

Найти закон движения поднимаемого груза, если $P_1 = P_3 = P$, $P_2 = 3P$, $F = 2P$ и движение началось из состояния покоя.

Решение

Применим к решению задачи общее уравнение динамики. В данной механической системе активными силами являются силы тяжести \vec{P}_1 , \vec{P}_2 , \vec{P}_3 и сила \vec{F} (рис. 6.23). Реакциями связей являются реакция шарнира блока B и реакция опоры груза 1 (на рис. 6.23 не показаны). Связи идеальные, так как работа реакций связей равна нулю.

Предположим, груз 1 спускается вниз по наклонной плоскости с ускорением a_1 . Приложим к телам системы силы инерции. Главные вектора сил инерции $\vec{R}_1^{\text{ин}}$ и $\vec{R}_2^{\text{ин}}$ грузов 1 и 2, движущихся поступательно, приложены в центрах масс грузов и направлены противоположно векторам ускорений тел. Глав-

ный вектор $\vec{R}_3^{\text{ин}}$ сил инерции блока 3 приложен в центре масс блока 3 и направлен противоположно вектору ускорения его центра масс. Главный момент сил инерции $M_3^{\text{ин}}$ относительно оси, проходящей через центр масс блока 3 перпендикулярно плоскости движения, направлен в сторону, противоположную направлению углового ускорения блока 3, совпадающего с направлением углового движения. Направления главных векторов и главного момента сил инерции тел показаны на рис. 6.23.

Дадим системе возможное перемещение, при котором груз 1 спустился вниз по наклонной плоскости на расстояние δS_1 . В соответствии с приложенными в системе связями центр масс подвижного блока 2 и груз 2 переместились вверх на высоту δS_C , а сам блок повернулся на угол $\delta\varphi_3$ (см. рис. 6.23).

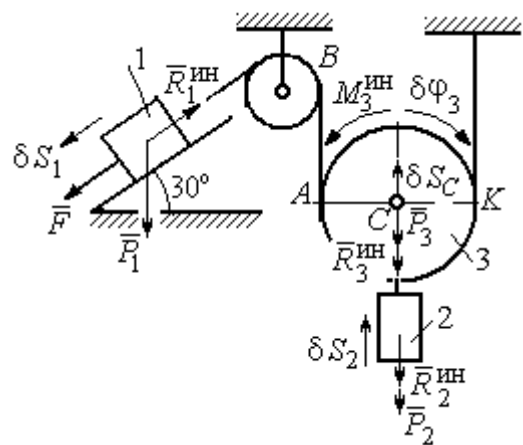


Рис.6.23. Активные силы и силы инерции, приложенные к системе

Составим общее уравнение динамики $\sum \delta A(\vec{F}_k^{\text{акт}}) + \sum \delta A(\vec{R}_k^{\text{и}}) = 0$. Получим

$$F\delta S_1 + P_1\delta S_1 \cos 60^\circ - P_2\delta S_2 - P_3\delta S_C - \\ - R_1^{\text{ин}}\delta S_1 - R_2^{\text{ин}}\delta S_C - R_3^{\text{ин}}\delta S_C - M_3^{\text{ин}}\delta\varphi_3 = 0,$$

где модули сил инерции $R_1^{\text{ин}} = m_1 a_1$, $R_2^{\text{ин}} = m_2 a_2$, $R_3^{\text{ин}} = m_3 a_C$, $M_3^{\text{ин}} = \frac{m_3 r^2}{2} \varepsilon_3$.

Выразим перемещение δS_2 и ускорение a_2 груза 2, а также поворот $\delta\varphi_3$ и угловое ускорение ε_3 подвижного блока 3 через перемещение δS_1 и ускорение a_1 груза 1.

Угловая скорость блока 3 $\omega_3 = \frac{V_A}{AK} = \frac{V_1}{2r}$. Здесь учтено, что точка K блока 3 является его мгновенным центром скоростей. Тогда, элементарный поворот блока $\delta\varphi_3 = \frac{\delta S_1}{2r}$, а его угловое ускорение $\varepsilon_3 = \frac{a_1}{2r}$.

Скорость центра масс блока 3 и скорость груза 2: $V_2 = V_C = \frac{V_1}{2}$. Из этого равенства следует, что: $\delta S_2 = \delta S_C = \frac{\delta S_1}{2}$, $a_2 = a_C = \frac{a_1}{2}$.

Подставляя найденные соотношения в общее уравнение динамики с учётом данных задачи, окончательно получим уравнение: $\frac{1}{2}P\delta S_1 = \frac{17}{8g}Pa_1\delta S_1$. От-

сюда $a_1 = \frac{4}{17}g = 0,23g$. Ускорение груза 2, $a_2 = \frac{a_1}{2} = 0,12g$.

Представим ускорение груза 2 в виде второй производной координаты его движения. Получим дифференциальное уравнение: $\ddot{S}_2 = 0,12g$. Дважды проинтегрировав его с нулевыми начальными условиями, найдём закон движения груза: $S_2 = 0,06gt^2$.

Задача 70. Грузы 1 и 2 весом $P_1 = 20$ Н и $P_2 = 30$ Н привязаны к нерастяжимой нити. Нить переброшена через неподвижные блоки B и D и охватывает снизу подвижный блок 3 весом $P_3 = 40$ Н (рис. 6.24). Определить ускорения грузов 1 и 2 и центра масс блока 3. Весом неподвижных блоков B и D пренебречь.

Решение

В данной механической системе активными силами являются силы тяжести $\vec{P}_1, \vec{P}_2,$

\vec{P}_3 (рис. 6.25), а реакциями связей – реакции шарниров блоков B и D . Связи идеальные, так как оси вращения блоков B и D неподвижны.

Применим к решению задачи общее уравнение динамики. Система имеет две степени свободы. В этом случае общее уравнение динамики необходимо

составлять для каждого из независимых перемещений.

Предположим, система движется так, что оба груза 1 и 2 равноускоренно перемещаются вверх. Скорости грузов \vec{V}_1, \vec{V}_2 , ускорения – \vec{a}_1 и \vec{a}_2 . Блок 3 опускается вниз с ускорением центра \vec{a}_C , вращается и имеет угловое ускорение ε_3 , направленное по ходу часовой стрелки (см. рис. 6.25).

Приложим к телам системы силы инерции (см. рис. 6.25). Модули сил инерции:

$R_1^{\text{ин}} = m_1 a_1, R_2^{\text{ин}} = m_2 a_2, R_3^{\text{ин}} = m_3 a_C$. Главный момент сил инерции

блока 3 $M_3^{\text{ин}} = J_{3C} \varepsilon_3$, где осевой момент инерции $J_{3C} = \frac{m_3 r^2}{2}$. Направления векторов сил и моментов сил инерции показаны на рис. 6.25.

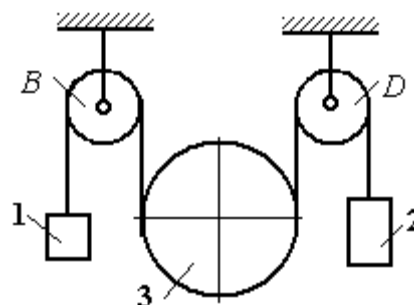


Рис. 6.24. Механическая система с двумя степенями свободы

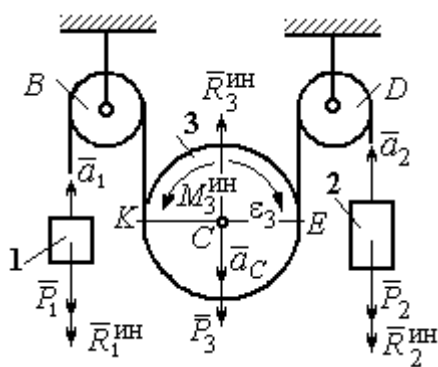


Рис.6.25. Активные силы и силы инерции, приложенные к системе

Для вычисления углового ускорения блока 3 воспользуемся векторным представлением ускорения точки при плоскопараллельном движении тела. Выберем точку K за полюс.

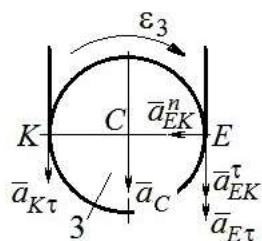


Рис. 6.26. Схема вычисления углового ускорения блока 3

Ускорение точки E определяется равенством $\vec{a}_E = \vec{a}_K + \vec{a}_{EK}^n + \vec{a}_{EK}^\tau$, где \vec{a}_K – ускорение полюса K ; \vec{a}_{EK}^n , \vec{a}_{EK}^τ – нормальная и касательная составляющие ускорения точки E при вращении блока 3 вокруг полюса K (рис. 6.26). Спроектируем векторное равенство на вертикальную ось Et .

Получим: $a_{E\tau} = a_{K\tau} + a_{EK}^\tau$, где $a_{E\tau}$ и $a_{K\tau}$ – проекции ускорений точек E и K на вертикальную ось.

Поскольку модуль ускорения точки K нити равен модулю ускорения груза 1, то $a_{K\tau} = a_1$. Модуль ускорения точки E нити равен модулю ускорения груза 2 и $a_{E\tau} = a_2$. Так как $a_{EK}^\tau = \varepsilon_3 AK = \varepsilon_3 2r$, то $\varepsilon_3 = \frac{a_{E\tau} - a_{K\tau}}{2r} = \frac{a_2 - a_1}{2r}$.

Составляя такое же векторное уравнение для определения ускорения центра масс блока 3 (точки C) и проектируя его на вертикальную ось, найдём:

$$a_C = a_{K\tau} + a_{CK}^\tau = a_1 + \varepsilon_3 r = \frac{a_2 + a_1}{2}.$$

Выберем в качестве независимых координат s_1, s_2 – положения грузов 1 и 2, отсчитываемые от неподвижных осей вращения блоков B и D . Возможные перемещения грузов обозначим δs_1 и δs_2 .

Дадим системе возможное перемещение, при котором груз 1 поднимается вверх на расстояние δs_1 , а груз 2 – неподвижен. При таком движении нить, соединяющая груз 2 с блоком 3, неподвижна вплоть до точки E (рис. 6.27).

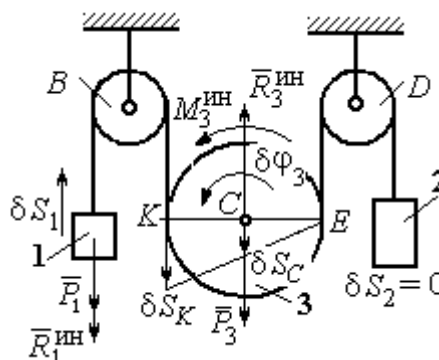


Рис.6.27. Движение системы при перемещении груза 1.

Вращение блока 3 происходит против направления хода часовой стрелки. Точка E является мгновенным центром скоростей блока 3, и угловая скорость блока $\omega_3 = \frac{V_K}{2r} = \frac{V_1}{2r}$. Скорость центра масс блока $V_C = \frac{1}{2}V_1$. Тогда элементарный поворот блока 3 $\delta\varphi_3 = \frac{\delta s_1}{2r}$ и элементарное перемещение центра масс

$$\delta s_C = \frac{1}{2}\delta s_1.$$

На данном возможном перемещении работу совершают как активные силы – силы тяжести \vec{P}_1 и \vec{P}_3 груза 1 и блока 3, так и силы инерции – $\vec{R}_1^{\text{ин}}$, $\vec{R}_3^{\text{ин}}$ и пара сил инерции с моментом $M_3^{\text{ин}}$.

Составим общее уравнение динамики:

$$\sum \delta A(\vec{F}_k^{\text{акт}}) + \sum \delta A(\vec{R}_k^{\text{ин}}) = -P_1\delta s_1 + P_3\delta s_C - R_1^{\text{ин}}\delta s_1 - R_3^{\text{ин}}\delta s_C + M_3^{\text{ин}}\delta\varphi_3 = 0.$$

Здесь работа сил инерции

$$R_1^{\text{ин}}\delta s_1 = m_1 a_1 \delta s_1, \quad R_3^{\text{ин}}\delta s_C = m_3 a_C \delta s_C = \frac{P_3}{g} \left(\frac{a_1 + a_2}{2} \right) \cdot \frac{1}{2} \delta s_1;$$

$$M_3^{\text{ин}}\delta\varphi_3 = J_{3C} \varepsilon_3 \delta\varphi_3 = \frac{P_3 r^2}{2g} \cdot \frac{a_2 - a_1}{2r} \cdot \frac{\delta s_1}{2r}.$$

В результате общее уравнение динамики представляется выражением

$$-P_1\delta s_1 + \frac{1}{2}P_3\delta s_1 - \frac{P_1}{g}a_1\delta s_1 - \frac{P_3}{g} \left(\frac{a_1 + a_2}{2} \right) \cdot \frac{1}{2}\delta s_1 + \frac{P_3 r^2}{2g} \cdot \frac{a_2 - a_1}{2r} \cdot \frac{\delta s_1}{2r} = 0,$$

которое преобразуется к виду:

$$(3P_3 + 8P_1)a_1 + P_3a_2 = (4P_3 - 8P_1)g.$$

Дадим системе другое независимое возможное перемещение, при котором груз 2 движется вверх ($\delta s_2 \neq 0$), а груз 1 неподвижен ($\delta s_1 = 0$).

При этом перемещении нить, соединяющая груз 1 и блок 3 неподвижна вплоть до точки K (рис. 6.28). Вращение блока 3 происходит по направлению хода часовой стрелки. Точка K является мгновенным центром скоростей бло-

ка 3. Тогда $\omega_3 = \frac{V_E}{2r} = \frac{V_2}{2r}$ и скорость центра масс блока $V_C = \frac{1}{2}V_2$. Элементарный поворот блока 3 $\delta\varphi_3 = \frac{\delta s_2}{2r}$ и перемещение центра масс $\delta s_C = \delta s_E = \frac{1}{2}\delta s_2$.

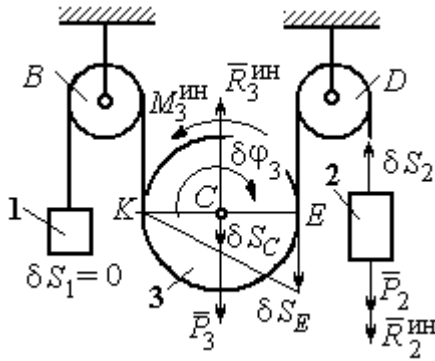


Рис. 6.28. Движение системы при перемещении груза 2

При таком движении работу совершают силы тяжести \vec{P}_2 и \vec{P}_3 , силы инерции $\vec{R}_2^{\text{ин}}$, $\vec{R}_3^{\text{ин}}$ и пара сил с моментом $M_3^{\text{ин}}$.

Составим общее уравнение динамики на возможном перемещении δs_2 (см. рис. 6.28):

$$-P_2\delta s_2 - R_2^{\text{ин}}\delta s_2 + P_3\delta s_C - R_3^{\text{ин}}\delta s_C - M_3^{\text{ин}}\delta\varphi_3 = 0$$

которое преобразуется к виду

$$-P_2\delta s_2 - \frac{P_2}{g}a_2\delta s_2 + \frac{1}{2}P_3\delta s_2 - \frac{P_3}{g}\left(\frac{a_1 + a_2}{2}\right)\frac{1}{2}\delta s_2 - \frac{P_3r^2}{2g}\left(\frac{a_2 - a_1}{2r}\right)\frac{\delta s_2}{2r} = 0$$

или к виду

$$(8P_2 + 3P_3)a_2 + P_3a_1 = (4P_3 - 8P_2)g.$$

Подставляя данные задачи в оба уравнения динамики, соответствующие независимым перемещениям δs_1 и δs_2 , получим систему уравнений:

$$7a_1 + a_2 = 0, \quad 2g + 9a_2 + a_1 = 0.$$

Решение системы: $a_1 = \frac{1}{31}g$, $a_2 = -\frac{7}{31}g$ представляет ускорения грузов 1 и 2.

Ускорение центра масс блока 3 находится по формуле $a_C = \frac{a_1 + a_2}{2} = -\frac{3}{31}g$.

Знаки ускорений определяют направления движений тел: груз 1 движется в выбранном направлении – вверх, груз 2 – вниз, центр блока 3 – вверх.

Упражнения

Упражнение 6.4. В механической системе (рис. 6.29) блок 1 радиуса r и каток 2 соединены горизонтальным невесомым стержнем. Скольжение между стержнем и катками отсутствует. Каток 2 состоит из двух шкивов радиусов r и $R = 2r$, скреплённых на одной оси. Каток катится, опираясь малым шкивом на горизонтальную поверхность, без проскальзывания. Груз 3 представляет собой поршень,двигающийся по горизонтальной поверхности без трения и прикреплённый к центру масс катка 2. К блоку 1 приложена пара сил с переменным моментом $M_{вр} = mgr\sin\omega t$.

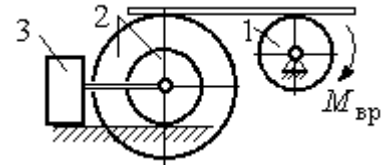


Рис. 6.29. Схема движения механической системы

Найти закон движения поршня 3, если массы грузов $m_1 = m_3 = m$, общая масса катка 2 $m_2 = 2m$, момент инерции катка 2 относительно оси, проходящей через центр масс перпендикулярно плоскости движения, $i_2 = 1,5r$. Движение началось из состояния покоя.

Упражнение 6.5. Груз 1, двигаясь горизонтально, приводит в движение ступенчатый барабан 2 посредством нерастяжимой нити, намотанной на его малую ступень (рис. 6.30). К барабану на нитях, намотанных на большую и малую ступеньки, подвешены два груза 3 и 4. На груз 1 действует сила $F = P(t + 1)$. Определить закон движения груза 3, если веса грузов одинаковы и равны P , вес барабана 2 равен $2P$, радиусы ступенек барабана r и $2r$, радиус инерции барабана $i_2 = r\sqrt{2}$, и движение началось из состояния покоя.

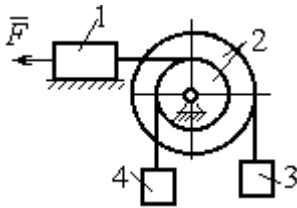


Рис. 6.30. Схема подъёмника

6.4. Уравнения Лагранжа II рода

Обобщенными координатами называется совокупность любых s независимых параметров q_1, q_2, \dots, q_s , однозначно определяющих положение системы в любой момент времени.

Если системе сообщить возможное перемещение, при котором все обобщенные координаты изменятся на элементарные (бесконечно малые) величины $\delta q_1, \delta q_2, \dots, \delta q_s$, называемые **вариациями обобщенных координат**, то все действующие активные силы совершат элементарную работу, которая может быть представлена в виде: $\delta A = Q_1 \cdot \delta q_1 + Q_2 \cdot \delta q_2 + \dots + Q_s \cdot \delta q_s$.

Величина Q_k , $k = 1, 2, \dots, s$, равная коэффициенту при вариации δq_k обобщенной координаты, называется **обобщенной силой**, соответствующей данной обобщенной координате. Расчет обобщенных сил осуществляется путем последовательного придания системе возможных перемещений, при которых варьируется только одна из обобщенных координат, а вариации остальных координат равны нулю.

Для материальной системы с идеальными связями дифференциальные уравнения движения в обобщенных координатах – **уравнения Лагранжа II**

рода – имеют вид: $\frac{d}{dt} \left(\frac{\partial T}{\partial \dot{q}_k} \right) - \frac{\partial T}{\partial q_k} = Q_k$, $k = 1, 2, \dots, s$, где s – число степеней

свободы системы; T – кинетическая энергия системы; q_1, q_2, \dots, q_s – обобщенные координаты; $\dot{q}_1, \dot{q}_2, \dots, \dot{q}_s$ – обобщенные скорости.

Примеры решения задач на составление уравнений Лагранжа

Задача 71. В механизме домкрата (рис. 6.31) движение зубчатого колеса 1 передаётся шестерне 2, к которой соосно при-

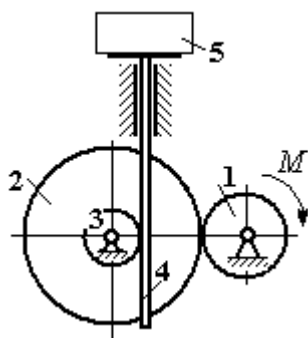


Рис. 6.31. Схема механизма домкрата

креплено зубчатое колесо 3, имеющее зацепление с зубчатой рейкой 4, на которой поднимается груз 5 массы $m_5 = 50$ кг.

Радиусы зубчатых колёс $r_1 = 5$ см, $r_2 = 12$ см, $r_3 = 6$ см. Зубчатые колёса считать сплошными однородными дисками. Массы колёс $m_1 = 0,8$ кг,

$m_2 = 1,6$ кг, $m_3 = 0,6$ кг, масса зубчатой рейки $m_4 = 1$ кг.

Какой величины постоянный вращающий момент нужно приложить к колесу 1 для того, чтобы в момент времени $t = 2$ с груз 5 имел скорость $V_5 = 1$ м/с, если движение системы начинается из состояния покоя.

Решение

Домкрат является механической системой с одной степенью свободы. Выберем в качестве обобщённой координаты координату x , отмечающую положение груза 5 (рис. 6.32).

Уравнение Лагранжа для обобщённой координаты x имеет вид:

$$\frac{d}{dt} \left(\frac{\partial T}{\partial \dot{x}} \right) - \frac{\partial T}{\partial x} = Q_x, \text{ где } T - \text{ кинетическая энергия системы; } \dot{x} - \text{ обобщённая}$$

скорость; Q_x – обобщённая сила.

Кинетическая энергия колеса 1: $T_1 = \frac{J_1 \omega_1^2}{2}$, где ω_1 – угловая скорость колеса 1; J_1 – момент инерции колеса, $J_1 = \frac{m_1 r_1^2}{2}$.

Кинетические энергии шестерни 2 и зубчатого колеса 3, у которых угловые скорости одинаковы, соответственно:

$$T_2 = \frac{J_2 \omega_2^2}{2}, T_3 = \frac{J_3 \omega_2^2}{2}, \text{ где } \omega_2 - \text{ угловая скорость}$$

шестерни 2; J_2, J_3 – моменты инерции шестерни 2 и зубчатого колеса 3 относительно оси, проходящей через общий центр масс, $J_2 = \frac{m_2 r_2^2}{2}$,

$$J_3 = \frac{m_3 r_3^2}{2}. \text{ Скорость груза 5 равна скорости зубчатой}$$

линейки $V_5 = V_4$. Кинетическая энергия зубчатой линейки 4 и груза 5:

$T_4 = \frac{m_4 V_4^2}{2}, T_5 = \frac{m_5 V_4^2}{2}$.

$$T_4 = \frac{m_4 V_4^2}{2}, T_5 = \frac{m_5 V_4^2}{2}.$$

Выразим угловые скорости колёс через скорость груза (зубчатой линейки).

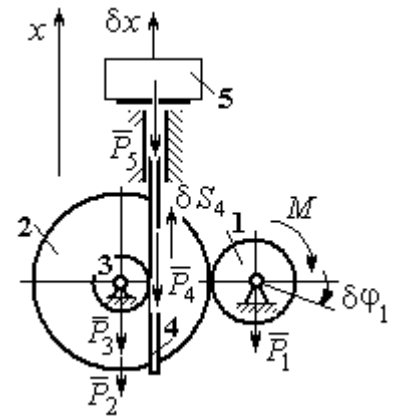


Рис. 6.32. Возможные перемещения звеньев механизма

Имеем: $\omega_2 = \omega_3 = \frac{V_4}{r_3}$ (см. рис. 6.32). Кроме того, из равенства $\omega_2 r_2 = \omega_1 r_1$

$$\text{следует } \omega_1 = \frac{\omega_2 r_2}{r_1} = \frac{V_4 r_2}{r_1 r_3}.$$

Подставляя полученные соотношения в выражения кинетических энергий тел и с учётом данных задачи, получим кинетическую энергию системы:

$$\begin{aligned} T &= T_1 + T_2 + T_3 + T_4 + T_5 = \\ &= \frac{m_1 r_1^2}{4} \left(\frac{V_4 r_2}{r_1 r_3} \right)^2 + \frac{m_2 r_2^2}{4} \left(\frac{V_4}{r_3} \right)^2 + \frac{m_3 r_3^2}{4} \left(\frac{V_4}{r_3} \right)^2 + \frac{m_4 V_4^2}{2} + \frac{m_5 V_4^2}{2} = \\ &= \left[\frac{m_1 + m_2}{2} \left(\frac{r_2}{r_3} \right)^2 + \frac{m_3}{2} + m_4 + m_5 \right] \frac{V_4^2}{2} = 28,05 V_4^2 = 28,05 \dot{x}^2. \end{aligned}$$

Вычислим обобщённую силу.

Дадим возможное перемещение δx грузу 5. При этом линейка 4 переместится на расстояние δs_4 , а зубчатое колесо 1 повернётся на угол $\delta \varphi_1$. Найдём сумму работ всех сил, приложенных к системе, на этом возможном перемещении. Получим: $\delta A = -P_5 \delta x - P_4 \delta s_4 + M \delta \varphi_1$. Работа сил тяжести зубчатых колёс \vec{P}_1 , \vec{P}_2 и \vec{P}_3 равна нулю, так как точки приложения этих сил неподвижны.

Из ранее полученных скоростных соотношений следуют равенства перемещений: $\delta s_4 = \delta x$, $\delta \varphi_1 = \frac{r_2}{r_1 r_3} \delta x$. В результате сумма работ сил на возможном

перемещении системы выражается в виде $\delta A = \left(-m_5 g - m_4 g + M \frac{r_2}{r_1 r_3} \right) \delta x$. От-

сюда обобщённая сила Q_x , соответствующая координате x :

$$Q_x = -(m_5 + m_4)g + M \frac{r_2}{r_1 r_3} = -500,31 + 40M.$$

Составим уравнение Лагранжа.

С учётом, что $\frac{d}{dt}\left(\frac{\partial T}{\partial \dot{x}}\right) = 56,1 \ddot{x}$ и $\frac{\partial T}{\partial x} = 0$, дифференциальное уравнение

движения имеет вид: $56,1 \ddot{x} = -500,31 + 40M$ или $\ddot{x} = -8,92 + 0,71M$.

Интегрируя это уравнение с нулевыми начальными условиями, получим закон изменения скорости груза 5: $V_5 = \dot{x} = (-8,92 + 0,71M)t$.

По условию задачи при $t = 2$ с $V_5 = 1$ м/с. Подставляя эти данные в уравнение, получим: $M = 13,27$ Н·м.

Задача 72. Механическая система состоит из ступенчатого блока 2, катка 3, соединённых невесомым брусом 1, и невесомой пружины жесткостью c .

Радиусы ступеней блока r и $R = 1,5r$, радиус катка 3 равен r . Брус, лежащий на катке 3 и блоке 2, во время движения остаётся параллельным линии качения катка 3 (рис. 6.33). В центре катка 3 приложена сила \vec{F} , направленная вверх параллельно наклонной плоскости, а к блоку 2 – пара сил с моментом M . Качение катка

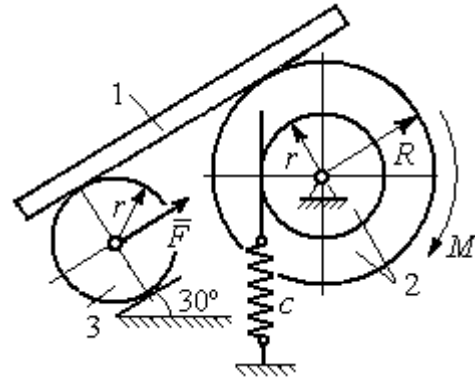


Рис. 6.33. Механическая система с одной степенью свободы

по неподвижной поверхности без скольжения. Проскальзывание между брусом 1 и дисками отсутствует. Передача движения пружины блоку 2 производится посредством невесомого жесткого вертикального стержня, прижатого к малой ступеньке блока без скольжения. Радиус инерции блока 2 относительно оси вращения $i_z = r\sqrt{2}$. Веса тел: $P_3 = P$, $P_2 = 2P$, приложенная сила $F = 2P$, момент $M = Pr$, жесткость пружины $c = P/r$.

Определить закон угловых колебаний блока 2 при $P = 10$ Н, $r = 0,2$ м, если в начальный момент пружина находилась в нерастяннутом состоянии, а блоку 2 придали угловую скорость $\omega_0 = 0,5$ рад/с в сторону вращения, создаваемого заданным моментом.

Решение

Рассматриваемая механическая система (рис. 6.34) имеет одну степень свободы. В качестве обобщённой координаты q выберем перемещение x верхнего края пружины, отсчитываемого от уровня недеформируемой пружины (см. рис. 6.34). Обобщённая скорость $\dot{q} = \dot{x}$.

Уравнение Лагранжа II рода, описывающее движение системы, имеет вид

$$\frac{d}{dt} \left(\frac{\partial T}{\partial \dot{x}} \right) - \frac{\partial T}{\partial x} = Q_x, \text{ где } T - \text{кинетическая энергия системы; } Q_x - \text{обобщенная}$$

сила, соответствующая обобщенной координате x .

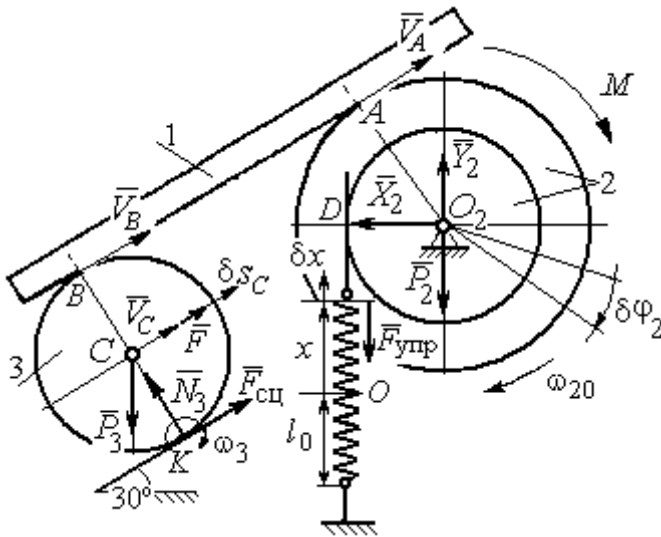


Рис. 6.34 Расчётная схема колебаний механической системы с одной степенью свободы

Вычислим кинетическую энергию системы. Энергия вращательного движения блока 2: $T_2 = \frac{1}{2} J_{2z} \omega_2^2$, где ω_2 – угловая скорость блока; J_{2z} – момент инерции блока 2 относительно оси z , $J_{2z} = m_2 i_z^2$. Каток 3 совершает плоскопараллельное движение. Его кинетическая

энергия $T_3 = \frac{1}{2} m_3 V_C^2 + \frac{1}{2} J_{zC} \omega_3^2$, где V_C , ω_3 – скорость центра масс катка 3 и его угловая скорость; J_{zC} – момент инерции катка относительно оси, проходящей через его центр масс перпендикулярно плоскости движения, $J_{zC} = \frac{1}{2} m_3 r^2$; r – радиус катка.

Выразим угловые скорости ω_2 , ω_3 , а также скорость V_C через обобщённую скорость \dot{x} .

Заметим, что скорость точки D блока 2 равна скорости движения верхнего края пружины: $V_D = \dot{x}$ (см. рис. 6.34). Угловая скорость блока 2:

$$\omega_2 = \frac{V_D}{r} = \frac{\dot{x}}{r}. \text{ Скорость точки } A \text{ блока 2: } V_A = \omega_2 R = \frac{\dot{x}R}{r}.$$

Так как брус совершает поступательное движение, то скорости точек A и B равны: $V_B = V_A$. Угловая скорость катка 3 (точка K касания катка 3 с неподвижной поверхностью является его мгновенным центром скоростей):

$$\omega_3 = \frac{V_B}{2r} = \frac{V_A}{2r} = \frac{\dot{x}R}{2r^2}. \text{ Скорость центра катка 3: } V_C = \frac{V_B}{2} = \frac{\dot{x}R}{2r}.$$

Подставляя найденные кинематические соотношения с учётом исходных данных задачи, получим кинетическую энергию тел системы:

$$T_2 = \frac{1}{2} J_{2z} \omega_2^2 = \frac{1}{2} \cdot \frac{2P}{g} (r\sqrt{2})^2 \left(\frac{\dot{x}}{r} \right)^2 = \frac{2P}{g} \dot{x}^2;$$

$$T_3 = \frac{1}{2} m_3 V_C^2 + \frac{1}{2} J_{zC} \omega_3^2 = \frac{1}{2} \frac{P}{g} \left(\frac{\dot{x}R}{2r} \right)^2 + \frac{1}{2} \frac{Pr^2}{2g} \left(\frac{\dot{x}R}{2r^2} \right)^2 = \frac{3P}{4g} \left(\frac{R}{2r} \right)^2 \dot{x}^2.$$

Полная кинетическая энергия системы:

$$T = T_2 + T_3 = \frac{P}{g} \left(2 + \frac{3}{4} \left(\frac{R}{2r} \right)^2 \right) \dot{x}^2.$$

Найдём обобщённую силу. Произвольное положение системы определяется обобщённой координатой x , показывающей растяжение пружины. Дадим пружине в произвольном положении возможное (бесконечно малое) перемещение δx в положительном направлении оси x (см. рис. 6.34). При этом блок 2

повернётся на угол $\delta\varphi_2 = \frac{\delta x}{r}$, центр масс катка 3 сдвинется на расстояние

$\delta s_C = \frac{R}{2r} \delta x$. На заданном перемещении системы работу совершают сила тяжести катка 3, пара сил с моментом M , сила \vec{F} и сила упругости пружины.

Элементарная работа вращающего момента M : $\delta A(M) = M\delta\varphi_2 = M\frac{\delta x}{r}$.

Работа силы тяжести катка 3: $\delta A(\vec{P}_3) = P_3\delta s_C \cos 120^\circ = -P_3\frac{R}{4r}\delta x$.

Работа силы F : $\delta A(\vec{F}) = F\delta s_C = F\frac{R}{2r}\delta x$.

Модуль силы упругости пружины, растянутой из недеформированного положения на расстояние x : $F_{\text{упр}} = cx$. Сила упругости направлена в сторону, противоположную растяжению (см. рис. 6.34). Её работа при перемещении δx вычисляется по формуле $\delta A(\vec{F}_{\text{упр}}) = F_{\text{упр}}\delta x \cos 180^\circ = -cx\delta x$.

Сумма работ сил на рассматриваемом возможном перемещении системы с учётом данных задачи:

$$\delta A = M\frac{\delta x}{r} - P_3\frac{R}{4r}\delta x + F\frac{R}{2r}\delta x - cx\delta x = P\left(\frac{17}{8} - \frac{x}{r}\right)\delta x,$$

откуда обобщённая сила $Q_x = P\left(\frac{17}{8} - \frac{x}{r}\right)$.

Вычислим необходимые производные кинетической энергии:

$$\frac{d}{dt}\left(\frac{\partial T}{\partial \dot{x}}\right) = \frac{2P}{g}\left(2 + \frac{3}{4}\left(\frac{R}{2r}\right)^2\right)\ddot{x}, \quad \frac{\partial T}{\partial x} = 0 \quad \text{и, подставляя их в общий вид уравнений}$$

Лагранжа, получим дифференциальное уравнение колебаний верхнего края пружины:

$$\frac{2P}{g}\left(2 + \frac{3}{4}\left(\frac{R}{2r}\right)^2\right)\ddot{x} = P\left(\frac{17}{8} - \frac{x}{r}\right), \quad \text{или } \ddot{x} + 10,2x = 4,34 \quad (\text{здесь } g = 9,81 \text{ м/с}^2).$$

Решение дифференциального уравнения представляется в виде суммы: $x = x_{\text{одн}} + x_{\text{частн}}$. Общее решение однородного уравнения имеет вид $x_{\text{одн}} = C_1 \sin kt + C_2 \cos kt$, где C_1, C_2 – произвольные постоянные; k – круговая частота собственных колебаний пружины, $k = \sqrt{10,2} = 3,19$ рад/с. Частное ре-

шение неоднородного уравнения ищется в виде константы $x_{\text{част}} = b$. Подставив его в уравнение колебаний, получим: $b = 0,42$. Таким образом, общее решение неоднородного уравнения имеет вид $x(t) = C_1 \sin 3,19t + C_2 \cos 3,19t + 0,42$.

Произвольные постоянные C_1, C_2 находятся из начальных условий. По условию задачи в начальный момент пружина была в нерастянутом состоянии. Тогда начальная координата пружины (её верхнего края) $x(0) = 0$. Подставляя значение начальной координаты в общее решение неоднородного уравнения при $t = 0$, получим $C_2 = -0,42$. Скорость верхнего края пружины в начальный момент времени $\dot{x}(0)$ равна начальной скорости $V_D(0)$ точки D блока 2. Поскольку в начальный момент времени блоку 2 сообщили угловую скорость $\omega_{20} = 0,5$ рад/с, то при $r = 0,2$ м $\dot{x}(0) = V_D(0) = \omega_{20}r = 0,1$ м/с.

Вычисляем скорость движения края пружины, взяв производную: $\dot{x}(t) = 3,19C_1 \cos 3,19t - 3,19C_2 \sin 3,19t$. Подставляя начальное значение скорости, получим $C_1 = 0,03$.

Окончательно уравнение движения верхнего края пружин: $x(t) = 0,03 \sin 3,19t - 0,42 \cos 3,19t + 0,42$ м. Уравнение колебательного движения

блока 2: $\varphi_2 = \frac{x}{r} = 0,15 \sin 3,19t - 2,1 \cos 3,19t + 2,1$ рад.

Задача 73. Прямоугольная призма 3 весом $2P$ лежит на катке 1 радиуса r и веса P и опирается на невесомый блок 2 (рис. 6.35). Каток 1 катится по неподвижной горизонтальной поверхности без скольжения. По наклонной поверхности призмы скатывается без скольжения каток 4 весом P и радиуса r . Угол наклона поверхности призмы к горизонту составляет

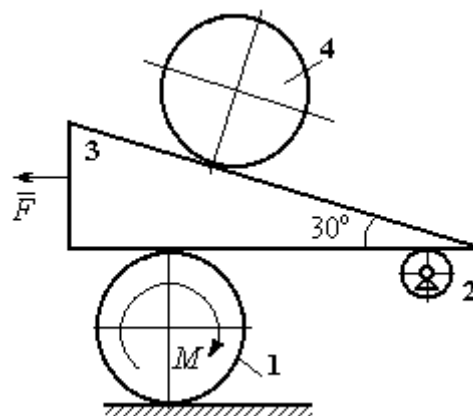


Рис. 6.35. Механическая система с двумя степенями свободы

30°. На каток 1 действует пара сил с постоянным моментом $M = 3Pr$, а на призму 3 – горизонтальная сила \vec{F} с модулем $F = P$. Катки считать однородными дисками. Проскальзывание между катками 1, 4 и призмой отсутствует. В начальный момент система находилась в покое.

Определить закон движения призмы 3 и закон движения катка 4 относительно призмы.

Решение

Рассматриваемая механическая система – катки и призма имеет две степени свободы, так как перемещение катка 4 относительно призмы 3 не зависит от перемещения самой призмы и катка 1. За обобщенные координаты выберем перемещение x_4 центра масс катка 4 относительно края призмы и перемещение x_3 края призмы 3 относительно произвольной неподвижной вертикальной плоскости (рис. 6.36). Обобщенные скорости: \dot{x}_4, \dot{x}_3 .

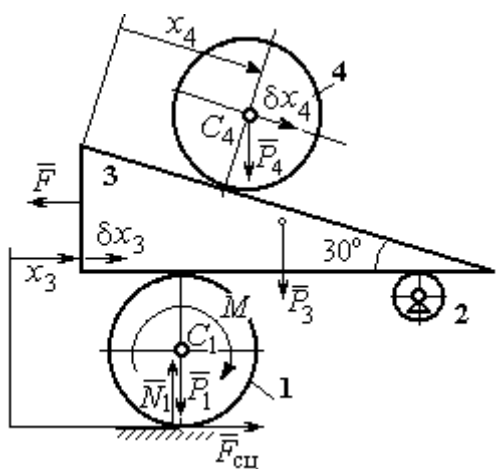


Рис. 6.36. Возможные перемещения механической системы

Уравнения Лагранжа II рода, описывающие движение системы в обобщенных координатах:

$$\frac{d}{dt} \left(\frac{\partial T}{\partial \dot{x}_4} \right) - \frac{\partial T}{\partial x_4} = Q_{x_4};$$

$$\frac{d}{dt} \left(\frac{\partial T}{\partial \dot{x}_3} \right) - \frac{\partial T}{\partial x_3} = Q_{x_3},$$

где T – кинетическая энергия системы; Q_{x_4}, Q_{x_3} – обобщенные силы, соответствующие указанным обобщенным координатам.

Вычислим кинетическую энергию тел в системе.

Вычислим кинетическую энергию тел в системе.

Каток 1 совершает плоскопараллельное движение. Кинетическая энергия

катка $T_1 = \frac{1}{2} m_1 V_{C_1}^2 + \frac{1}{2} J_{C_1} \omega_1^2$, где V_{C_1} – скорость центра масс катка, $V_{C_1} = \frac{1}{2} \dot{x}_3$;

J_{C_1} – момент инерции катка относительно оси, проходящей через центр масс

перпендикулярно плоскости движения, $J_{C_1} = \frac{m_1 r^2}{2}$; ω_1 – угловая скорость катка 1, $\omega_1 = \frac{\dot{x}_3}{2r}$.

Призма 3 совершает поступательное движение со скоростью $V_3 = \dot{x}_3$. Её кинетическая энергия

$$T_3 = \frac{m_3 V_3^2}{2} = \frac{m_3 \dot{x}_3^2}{2}.$$

При расчёте кинетической энергии катка 4 по

формуле $T_4 = \frac{1}{2} m_4 V_4^2 + \frac{1}{2} J_{C_4} \omega_4^2$ необходимо учитывать, что каток 4 совершает сложное движение. Здесь относительное движение катка – его качение по наклонной поверхности призмы, переносное – поступательное перемещение вместе с призмой.

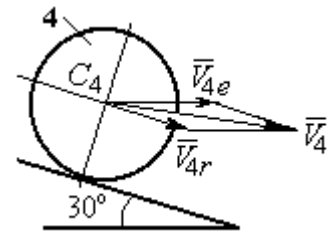


Рис. 6.37. Скорость центра масс катка 4

Вектор абсолютной скорости центра масс катка 4 \vec{V}_4 представляется в виде суммы $\vec{V}_4 = \vec{V}_{4e} + \vec{V}_{4r}$ (рис. 6.37), где \vec{V}_{4e} – вектор переносной скорости катка, равный по модулю скорости призмы: $V_{4e} = \dot{x}_3$; \vec{V}_{4r} – вектор относительной скорости центра масс катка, равный по величине $V_{4r} = \dot{x}_4$. Модуль абсолютной скорости центра масс катка 4 (по теореме косинусов):

$$V_4^2 = V_{4e}^2 + V_{4r}^2 - 2V_{4e}V_{4r} \cos 150^\circ = \dot{x}_3^2 + \dot{x}_4^2 + 2\dot{x}_3\dot{x}_4 \cos 30^\circ.$$

Поскольку переносное движение катка 4 поступательное, угловая скорость катка ω_4 равна его угловой скорости в относительном движении

$$\omega_4 = \frac{V_{4r}}{r} = \frac{\dot{x}_4}{r}.$$

В результате выражение кинетической энергии системы, в обобщённых скоростях имеет вид:

$$T = \frac{1}{2} m_1 V_{C_1}^2 + \frac{1}{2} J_{C_1} \omega_1^2 + \frac{1}{2} m_3 V_3^2 + \frac{1}{2} m_4 V_4^2 + \frac{1}{2} J_{C_4} \omega_4^2 =$$

$$= \frac{P}{2g} \left(\frac{27}{8} \dot{x}_3^2 + \frac{3}{2} \dot{x}_4^2 + \dot{x}_3 \dot{x}_4 \sqrt{3} \right).$$

Дадим системе возможное перемещение по координате x_3 , оставляя координату x_4 без изменения: $\delta x_3 > 0, \delta x_4 = 0$. При таком движении системы каток 4 не скатывается по призме, а движется поступательно вместе с ней. В этом случае работа сил тяжести катков 1, 4 и призмы равна нулю, так как нет вертикального перемещения точек приложения этих сил. Работу на этом перемещении будет производить только сила \vec{F} и пара сил с моментом M , приложенная к катку 1. Суммарная элементарная работа

$$\delta A = -F\delta x_3 + M\delta\varphi_1 = \left(-F + \frac{M}{2r} \right) \delta x_3.$$

Здесь учтено, что элементарный угол поворота катка 1 связан с перемещением призмы соотношением: $\delta\varphi_1 = \frac{\delta x_3}{2r}$. Отсюда обобщённая сила, соответствующая координате x_3 : $Q_{x_3} = -F + \frac{M}{2r} = \frac{1}{2}P$.

Дадим системе другое независимое перемещение – по координате x_4 , оставляя координату x_3 без изменения: $\delta x_4 > 0, \delta x_3 = 0$. При этом возможном перемещении вся система стоит, кроме катка 4, который скатывается по наклонной поверхности призмы. При таком движении системы работу совершает только сила тяжести катка 4. Выражая элементарную работу $\delta A = P_4\delta x_4 \cos 60^\circ = \frac{1}{2}P\delta x_4$, найдём обобщённую силу, соответствующую координате x_4 : $Q_{x_4} = \frac{1}{2}P$.

Составим уравнения Лагранжа. С этой целью вычислим необходимые производные кинетической энергии

$$\frac{d}{dt} \left(\frac{\partial T}{\partial \dot{x}_3} \right) = \frac{27P}{8g} \ddot{x}_3 + \frac{P\sqrt{3}}{2g} \ddot{x}_4; \quad \frac{d}{dt} \left(\frac{\partial T}{\partial \dot{x}_4} \right) = \frac{3P}{2g} \ddot{x}_4 + \frac{P\sqrt{3}}{2g} \ddot{x}_3; \quad \frac{\partial T}{\partial x_3} = 0, \quad \frac{\partial T}{\partial x_4} = 0.$$

Подставляя результаты расчётов в общий вид уравнений Лагранжа, получим систему дифференциальных уравнений:

$$\frac{27P}{8g}\ddot{x}_3 + \frac{P\sqrt{3}}{2g}\ddot{x}_4 = \frac{1}{2}P, \quad \frac{3P}{2g}\ddot{x}_4 + \frac{P\sqrt{3}}{2g}\ddot{x}_3 = \frac{1}{2}P$$

или

$$6,75\ddot{x}_3 + 1,73\ddot{x}_4 = g; \quad 3\ddot{x}_4 + 1,73\ddot{x}_3 = g.$$

Решаем данную систему как алгебраическую относительно ускорений \ddot{x}_3 , \ddot{x}_4 . Получим: $\ddot{x}_3 = 0,07g$, $\ddot{x}_4 = 0,29g$.

Интегрируя дважды эти уравнения с нулевыми начальными условиями, получим закон движения призмы ($x_3 = 0,035gt^2$) и центра масс катка 4 относительно призмы ($x_4 = 0,145gt^2$). Движение призмы и катка 4 относительно призмы происходит в положительном направлении осей.

Задача 74. Механическая система состоит из трёх тел – груза 1, катка 2 и

блока 3 (рис. 6.38). Невесомый стержень, соединяющий каток 2 с блоком 3, параллелен горизонтальной плоскости качения катка 2. К центру катка 2 прикреплена горизонтальная пружина, другой конец которой соединён с грузом 1. Коэф-

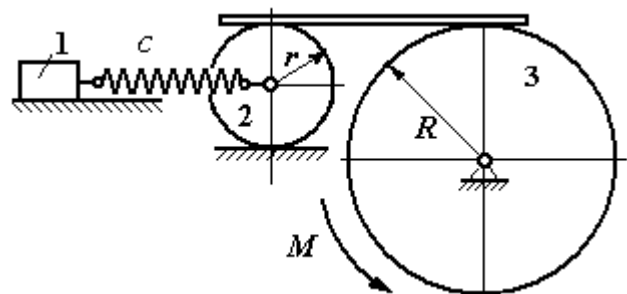


Рис. 6.38. Колебания механической системы с двумя степенями свободы

фициент жесткости пружины c . Груз 1 весом P_1 движется без трения по горизонтальной поверхности. Каток 2 весом P_2 катится по горизонтальной поверхности без скольжения. Радиус катка 2 равен r . Блок 3 считать однородным диском весом P_3 радиуса R . К блоку 3 приложена пара сил с моментом M . Движение катка 2 блоку 3 передаётся горизонтальным невесомым стержнем. Скольжение между стержнем и дисками отсутствует. В начальный момент система находилась в покое. При этом груз 1 находился в положении, при котором

пружина была растянута относительно своего недеформированного состояния на величину Δl_0 .

Найти закон абсолютного движения груза 1, если известно $P_1 = 10 \text{ Н}$, $P_2 = 20 \text{ Н}$, $P_3 = 30 \text{ Н}$, $M = 5 \text{ Н}\cdot\text{м}$, $R = 24 \text{ см}$, $c = 207 \text{ Н/м}$, $\Delta l_0 = 5 \text{ см}$.

Решение

Рассматриваемая механическая система имеет две степени свободы. В качестве обобщенных координат выберем удлинение пружины x_1 относительно недеформированного состояния и угол φ_3 поворота блока 3 (рис. 6.39). При этом x_1 является относительной координатой движения груза, а φ_3 – абсолютной координатой вращения блока 3.

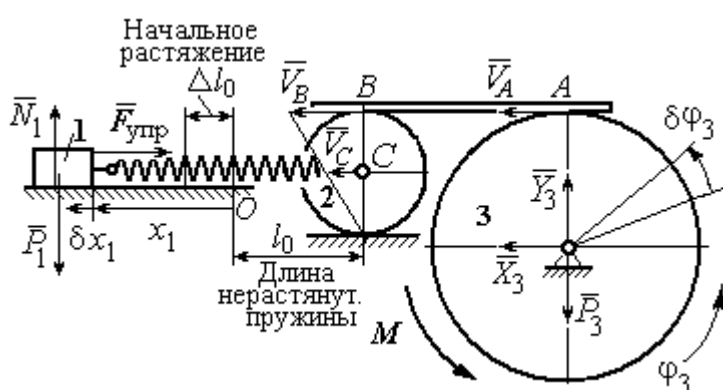


Рис. 6.39. Расчётная схема колебаний механической системы

но недеформированного состояния и угол φ_3 поворота блока 3 (рис. 6.39). При этом x_1 является относительной координатой движения груза, а φ_3 – абсолютной координатой вращения блока 3.

Рассмотрим сложное движение

груза 1. Относительное движение груза – это его движение на пружине в предположении, что точка крепления пружины неподвижна. Относительная скорость $V_{1r} = \dot{x}_1$. Переносное движение – это перемещение груза вместе с фиксированной длиной пружины (иначе, заменяя пружину жестким стержнем). Переносная скорость груза 1 $V_{1e} = V_C$, где V_C – скорость центра масс катка 2.

На рис. 6.39 показано распределение скоростей точек катка 2, откуда

следует: $V_C = \frac{1}{2}V_B$. Имеем: $V_B = V_A = \omega_3 R = \dot{\varphi}_3 R$ и $V_C = \frac{1}{2}\dot{\varphi}_3 R$.

Для того чтобы найти модуль абсолютной скорости груза 1, спроектируем векторное равенство теоремы сложения скоростей $\vec{V}_1 = \vec{V}_{1r} + \vec{V}_{1e}$ на горизон-

тальную ось. Полагая, что движение системы происходит в положительном направлении отсчета обобщённых координат, получим: $V_1 = \dot{x}_1 + \frac{1}{2}\dot{\phi}_3 R$.

Уравнения Лагранжа II рода, описывающие движение системы:

$$\frac{d}{dt}\left(\frac{\partial T}{\partial \dot{x}_1}\right) - \frac{\partial T}{\partial x_1} = Q_x, \quad \frac{d}{dt}\left(\frac{\partial T}{\partial \dot{\phi}_3}\right) - \frac{\partial T}{\partial \phi_3} = Q_\phi,$$

где T – кинетическая энергия системы; Q_x , Q_ϕ – обобщенные силы, соответствующие обобщенным координатам x_1 и ϕ_3 .

Вычислим кинетическую энергию системы и выразим её через обобщённые скорости.

Кинетическая энергия поступательного движения груза 1 определяется выражением $T_1 = \frac{1}{2}m_1 V_1^2$, где V_1 следует рассматривать как абсолютную скорость груза. Тогда $T_1 = \frac{1}{2}m_1\left(\dot{x}_1 + \frac{1}{2}\dot{\phi}_3 R\right)^2$. Каток 2 совершает плоскопараллель-

ное движение. Кинетическая энергия катка $T_2 = \frac{3}{4}m_2 V_C^2$, причём $V_C = \frac{1}{2}\dot{\phi}_3 R$.

Тогда $T_2 = \frac{3}{16}m_2\dot{\phi}_3^2 R^2$. Кинетическая энергия вращающегося блока 3:

$T_3 = \frac{1}{2}J_{3z}\omega_3^2$, где J_{3z} – осевой момент инерции блока 3, $J_{3z} = \frac{m_3 R^2}{2}$. Оконча-

тельно $T_3 = \frac{1}{4}m_3\dot{\phi}_3^2 R^2$.

Кинетическая энергия системы имеет вид:

$$\begin{aligned} T &= T_1 + T_2 + T_3 = \frac{1}{2}m_1\left(\dot{x}_1 + \frac{1}{2}\dot{\phi}_3 R\right)^2 + \frac{3}{16}m_2\dot{\phi}_3^2 R^2 + \frac{m_3 R^2}{4}\dot{\phi}_3^2 = \\ &= \frac{1}{2}m_1\dot{x}_1^2 + \frac{1}{2}m_1\dot{x}_1\dot{\phi}_3 R + \left(\frac{1}{8}m_1 + \frac{3}{16}m_2 + \frac{1}{4}m_3\right)\dot{\phi}_3^2 R^2. \end{aligned}$$

Дадим системе возможное перемещение, при котором изменяется координата груза x_1 ($\delta x_1 > 0$), а другая координата – угол поворота блока 3 φ_3 остаётся постоянной ($\delta\varphi_3 = 0$). В этом случае груз 1 движется горизонтально, блок 3 и каток 2 – неподвижны. При таком движении работу будет производить только упругая сила пружины.

Модуль силы упругости пружины пропорционален её растяжению и в произвольном положении груза равен: $F_{\text{упр}} = c\Delta\ell = cx_1$. Направление силы упругости противоположно растяжению (см. рис. 6.39).

Сумма элементарных работ сил на заданном перемещении системы δx_1 : $\delta A = -F_{\text{упр}}\delta x_1 = -cx_1\delta x_1$. Отсюда обобщенная сила Q_x , соответствующая координате x_1 : $Q_x = -cx_1 = -207x_1$ Н.

Дадим системе другое возможное перемещение, при котором пружина не растягивается: $\delta x_1 = 0$, а блок 3 повернулся на угол $\delta\varphi_3$: $\delta\varphi_3 > 0$. В этом случае пружина рассматривается как жёсткий стержень, связывающий груз 1 с центром масс катка 2. В результате при повороте блока 3 груз 1 и точка C движутся одинаково в горизонтальном направлении. На этом перемещении системы работу совершает только пара сил с моментом M , приложенная к блоку 3. Имеем $\delta A = M\delta\varphi_3$, и, следовательно, обобщённая сила $Q_\varphi = M = 5$ Н·м.

Составим уравнения Лагранжа, для чего вычислим производные от кинетической энергии по обобщенным скоростям и координатам:

$$\frac{\partial T}{\partial \dot{x}_1} = m_1\dot{x}_1 + \frac{1}{2}m_1R\dot{\varphi}_3; \quad \frac{\partial T}{\partial \dot{\varphi}_3} = \frac{1}{2}m_1R\dot{x}_1 + \left(\frac{1}{4}m_1 + \frac{3}{8}m_2 + \frac{1}{2}m_3\right)\dot{\varphi}_3R^2;$$

$$\frac{\partial T}{\partial x_1} = 0, \quad \frac{\partial T}{\partial \varphi_3} = 0.$$

Полные производные по времени:

$$\frac{d}{dt}\left(\frac{\partial T}{\partial \dot{x}_1}\right) = m_1\ddot{x}_1 + \frac{1}{2}m_1R\ddot{\varphi}_3; \quad \frac{d}{dt}\left(\frac{\partial T}{\partial \dot{\varphi}_3}\right) = \frac{1}{2}m_1R\ddot{x}_1 + \left(\frac{1}{4}m_1 + \frac{3}{8}m_2 + \frac{1}{2}m_3\right)\ddot{\varphi}_3R^2.$$

Приравнивая полные производные обобщённым силам, получим уравнения Лагранжа окончательно в виде системы алгебраических уравнений относительно ускорений \ddot{x}_1 и $\ddot{\varphi}_3$:

$$1,02\ddot{x}_1 + 0,12\ddot{\varphi}_3 = -207x_1; \quad 0,12\ddot{x}_1 + 0,15\ddot{\varphi}_3 = 5.$$

Разрешая систему относительно ускорения \ddot{x}_1 , получим уравнение относительно колебаний груза:

$$\ddot{x}_1 + 225x_1 = -4,35.$$

Решение линейного неоднородного дифференциального уравнения с постоянными коэффициентами представляется в виде суммы общего решения однородного уравнения и частного решения неоднородного: $x_1 = x_{\text{одн}} + x_{\text{частн}}$.

Общее решение однородного уравнения $x_{\text{одн}} = C_1 \sin kt + C_2 \cos kt$, где C_1, C_2 – произвольные постоянные; k – круговая частота собственных колебаний груза 1, $k = \sqrt{225} = 15$ рад/с. Частное решение неоднородного уравнения ищется в виде константы $x_{\text{част}} = b$. Подставив его в уравнение колебаний, получим: $b = -0,02$.

Таким образом, общее решение неоднородного уравнения

$$x_1(t) = C_1 \sin 15t + C_2 \cos 15t - 0,02.$$

Начальная координата x_{01} груза 1 определяется из условия, что в начальный момент времени при $t = 0$ груз находился в положении, при котором пружина была растянута относительно своего недеформированного состояния на расстояние $\Delta l_0 = 0,05$ м. Следовательно, $x_{01} = 0,05$. Подставляя значение начальной координаты в общее решение неоднородного уравнения при $t = 0$, получим: $C_2 = 0,07$.

Относительная скорость груза 1 в любой момент времени: $\dot{x}_1(t) = C_1 15 \cos 15t - C_2 15 \sin 15t$. По условию задачи начальная скорость груза 1

$\dot{x}_1(0) = 0$. После подстановки начального условия в выражение для скорости груза 1 получим: $C_1 = 0$.

Окончательно уравнение относительного движения груза 1:

$$x_1(t) = 0,07\cos 15t - 0,02 \text{ м.}$$

Найдём уравнение вращательного движения блока 3. Для этого в дифференциальное уравнение $0,12\ddot{x}_1 + 0,15\ddot{\varphi}_3 = 5$ подставим значение второй производной решения относительных колебаний груза 1. Получим:

$\ddot{\varphi}_3 = 33,33 + 12,6\cos 15t$. Полагая $\dot{\varphi}_3 = \frac{d\omega_3}{dt}$, получим дифференциальное уравнение

первого порядка: $\frac{d\omega_3}{dt} = 33,33 + 12,6\cos 15t$, откуда найдём угловую скорость

блока 3: $\omega_3 = 33,33t + 0,84\sin 15t + C_3$.

Аналогично, положив $\omega_3 = \frac{d\varphi_3}{dt}$, найдём закон вращательного движения

блока 3: $\varphi_3 = 16,665t^2 - 0,056\cos 15t + C_3t + C_4$.

Начальные условия движения блока: при $t = 0$, $\varphi_3(0) = 0$, $\omega_3(0) = 0$. Подставляя начальные условия в уравнения движения, получим: $C_4 = 0,056$, $C_3 = 0$.

Окончательно уравнение вращательного движения блока 3:

$$\varphi_3 = 16,665t^2 - 0,056\cos 15t + 0,056.$$

Абсолютное движение s_1 груза 1 представляется суммой относительного и переносного движений:

$$s_1 = x_1 + S_C = x_1 + \frac{1}{2}R\varphi_3 = 2t^2 - 0,06\cos 15t - 0,01.$$

Упражнения

Упражнение 6.6. Каток весом $P_1 = 2P$, радиуса r , движущийся без проскальзывания по вертикальной стене, удерживается вертикальной пружиной жесткостью $C = 4P/r$, прикрепленной одним концом к центру катка, другим – к неподвижной поверхности (рис. 6.40). К нити, намотанной на барабан катка, подвешен груз 2 весом $P_2 = P$. На груз действует сила $F = P$, к катку приложена пара сил с моментом $M = Pr$.

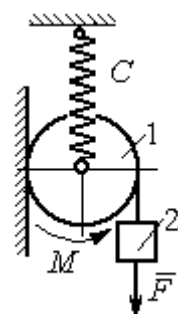


Рис. 6.40. Схема движения катка

Найти закон движения груза 2 и максимальное растяжение пружины, если движение системы началось из состояния покоя при недеформированной пружине.

Упражнение 6.7. Грузы 1 и 2 весом $P_1 = 20$ Н и $P_2 = 30$

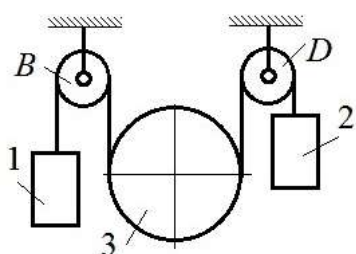


Рис. 6.41. Механическая система с двумя степенями свободы

Н привязаны к нерастяжимой нити. Нить переброшена через неподвижные блоки B и D и охватывает снизу подвижный блок 3 весом $P_3 = 40$ Н (рис. 6.41).

Определить ускорения грузов 1 и 2 и центра масс блока 3. Весом нити и неподвижных блоков B и D пренебречь.

Упражнение 6.8. Каток 1, радиуса r весом P катится по горизонтальной поверхности. К катку приложена пара сил с моментом $M = 2Pr$. Каток передает движение невесомой тележке (см. рис. 6.42). В кузове тележки находится каток 2 такого же радиуса r и веса P , который движется по горизонтальной поверхности кузова под действием силы $F = P$, приложенной в центре катка. Найти закон движения центра катка 2 относительно тележки, если движение системы началось из состояния покоя.

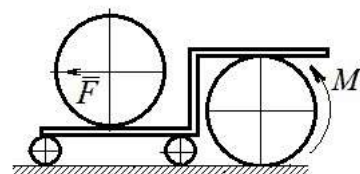


Рис. 6.42. Движение катка в кузове тележки

7. ОТВЕТЫ И КРАТКИЕ ПОЯСНЕНИЯ

7.1. Ответы к упражнениям главы 1

1.1

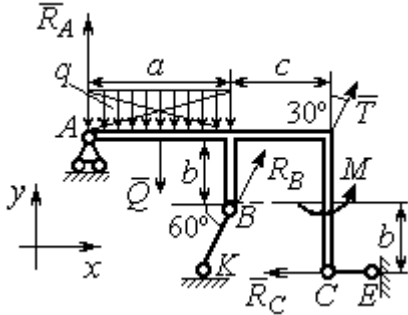


Рис. 7.1. Расчётная схема к упражнению 1.1

$$T = 15 \text{ кН}, \quad Q = 15 \text{ кН}.$$

$$R_B \cos 60^\circ + T \cos 60^\circ - R_C = 0;$$

$$R_A - Q + R_B \cos 30^\circ + T \cos 30^\circ = 0;$$

$$-Q \cdot \frac{a}{2} + R_B \cos 30^\circ \cdot a + R_B \cos 60^\circ \cdot b + T \cos 30^\circ \cdot (a + c) + M - R_C \cdot 2b = 0.$$

$$R_B = -3,8 \text{ кН}, \quad R_C = 5,6 \text{ кН}, \quad R_A = 5,3 \text{ кН}.$$

1.2

$$Q = 9 \text{ кН}, \quad T = 2 \text{ кН}.$$

$$X_A + T \cos 30^\circ + Q \cos 30^\circ = 0;$$

$$Y_A - Q \cos 60^\circ + R_B - T \cos 60^\circ - F = 0;$$

$$-Q \cdot \frac{c}{2} + R_B (b + c \cos 60^\circ) - F c \cos 60^\circ + M -$$

$$-T \cos 60^\circ (b + c \cos 60^\circ) - T \cos 30^\circ (a + c \sin 60^\circ) = 0.$$

$$R_B = 10,02 \text{ кН}, \quad X_A = -9,53 \text{ кН}, \quad Y_A = -0,52 \text{ кН}.$$

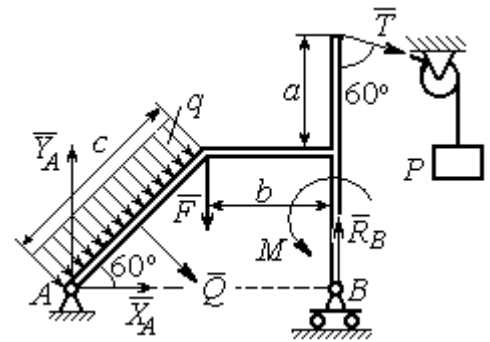


Рис. 7.2. Расчётная схема к упражнению 1.2

1.3

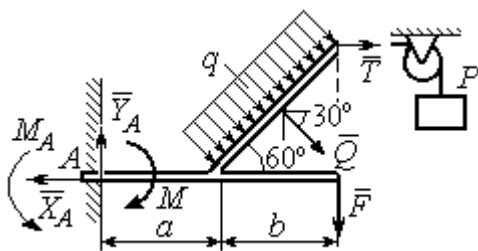


Рис. 7.3. Расчётная схема к упражнению 1.3

$$Q = 8 \text{ кН}, \quad T = 3 \text{ кН}.$$

$$-X_A + T + Q \cos 30^\circ = 0;$$

$$Y_A - Q \cos 60^\circ - F = 0;$$

$$-T 2b \cos 30^\circ - F(a + b) + M_A - M -$$

$$-Q \cos 60^\circ \left(a + \frac{b}{2} \right) - Q \cos 30^\circ (b \cos 30^\circ) = 0.$$

$$M_A = 18,61 \text{ кН} \cdot \text{м}, \quad X_A = 9,93 \text{ кН}, \quad Y_A = 6 \text{ кН}.$$

1.4

$$Q = 6,93 \text{ кН}, T = 2 \text{ кН}.$$

$$-X_B - T + Q\cos 30^\circ + F\cos 60^\circ = 0;$$

$$R_A - Q\cos 60^\circ + Y_B - F\cos 30^\circ = 0;$$

$$-\frac{Qa}{2\cos 30^\circ} + Y_B\left(b + \frac{a}{2\cos 30^\circ}\right) + Ta - F\cos 60^\circ -$$

$$-F\cos 30^\circ\left(b + \frac{a}{2\cos 30^\circ}\right) + M = 0.$$

$$R_A = 0,72 \text{ кН}, X_B = -5,5 \text{ кН}, Y_B = 5,34 \text{ кН}.$$

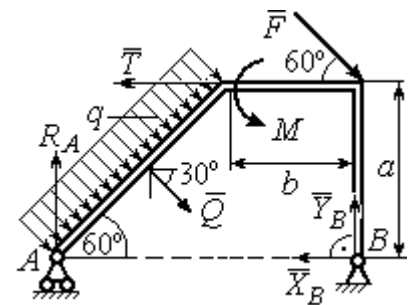


Рис.7.4. Расчётная схема к упражнению 1.4

1.5

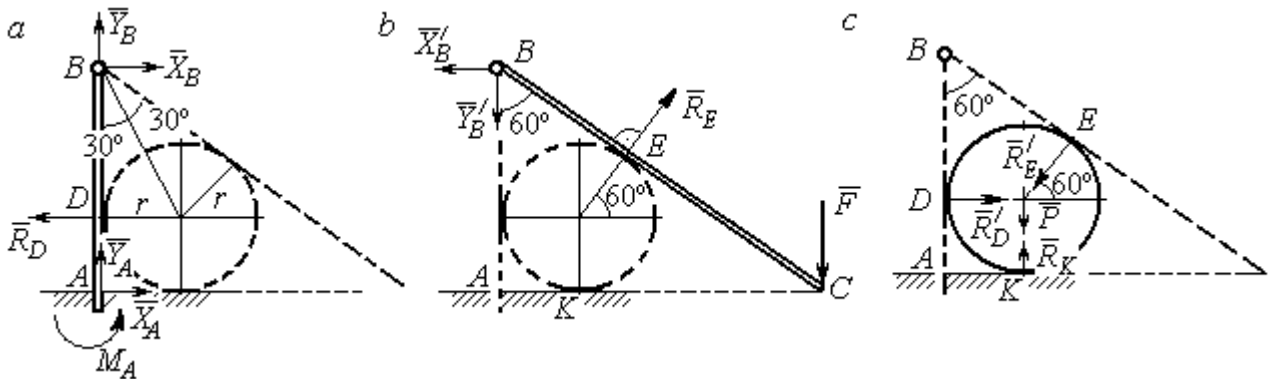


Рис. 7.5. Расчётные схемы к упражнению 1.5:

a – равновесие балки *AB*; *b* – равновесие балки *BC*; *c* – равновесие шара

$$X_B = X'_B, Y_B = Y'_B, R_D = R'_D, R_E = R'_E.$$

Балка *AB*. $AB = r + BD = r + r\text{ctg}30^\circ = 2,73 \text{ м}.$

$$X_A - R_D + X_B = 0, Y_A + Y_B = 0, M_A + R_D \cdot r - X_B \cdot AB = 0.$$

Балка *BC*. $BE = BD = 1,73 \text{ м}.$ $AC = BC\cos 30^\circ = 2AB\cos 30^\circ = 4,73 \text{ м}.$

$$R'_E\cos 60^\circ - X'_B = 0, R'_E\sin 60^\circ - Y'_B - F = 0, R'_E \cdot BE - F \cdot AC = 0.$$

Шар.

$$R'_D - R'_E\cos 60^\circ = 0, R'_K - P - R'_E\cos 30^\circ = 0.$$

$$R'_E = 21,87 \text{ кН}, Y'_B = 10,94 \text{ кН}, X'_B = 10,94 \text{ кН}, R'_D = 10,94 \text{ кН};$$

$$R'_K = 20,94 \text{ кН}, X'_A = 0, Y'_A = -10,94 \text{ кН}, M_A = 18,93 \text{ кН}\cdot\text{м}.$$

1.6

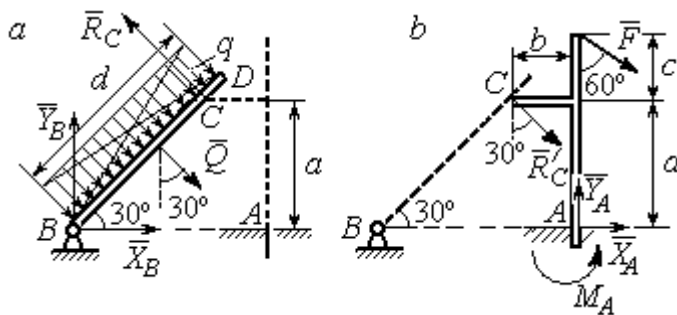


Рис. 7.6. Расчётные схемы к упражнению № 1.6:
 а – равновесие балки BD ; б – равновесие балки AC

Балка BD . $Q = 15$ кН.

$$X_B + Q \cos 60^\circ - R_C \cos 30^\circ = 0;$$

$$Y_B - Q \cos 30^\circ + R_C \cos 60^\circ = 0;$$

$$-Q \frac{d}{2} + R_C 2a = 0.$$

Балка AC . $R_C = R'_C$.

$$X_A + R'_C \cos 60^\circ + F \cos 30^\circ = 0, \quad Y_A - R'_C \cos 30^\circ - F \cos 60^\circ = 0;$$

$$M_A - R'_C \cos 60^\circ \cdot a + R'_C \cos 30^\circ \cdot b - F \cos 30^\circ (a + c) = 0.$$

$$X_B = 0,61 \text{ кН}, \quad Y_B = 8,3 \text{ кН}, \quad R_C = 9,37 \text{ кН};$$

$$X_A = -8,15 \text{ кН}, \quad Y_A = 10,11 \text{ кН}, \quad M_A = 11,65 \text{ кН} \cdot \text{м}.$$

1.7

Балка AB . $Q_1 = 6$ кН.

$$T = P = 3 \text{ кН}.$$

$$X_A + R_B - T \cos 60^\circ + F = 0;$$

$$Y_A - Q_1 - T \cos 30^\circ = 0;$$

$$M_A - R_B (b + c) \cos 30^\circ + Q_1 \frac{a}{2} +$$

$$+ T \cos 30^\circ a + T \cos 60^\circ c \cos 30^\circ -$$

$$- F [c + (b + c) \cos 30^\circ] = 0.$$

Балка DB . $Q_2 = 3$ кН. $R'_B = R_B$.

$$X_D - R'_B - Q_2 \cos 30^\circ = 0, \quad Y_D - Q_2 \cos 60^\circ = 0, \quad M + R'_B (b + c) \cos 30^\circ + Q_2 \frac{c}{2} = 0.$$

$$X_A = -1,49 \text{ кН}, \quad Y_A = 8,6 \text{ кН}, \quad M_A = 8,86 \text{ кН} \cdot \text{м}, \quad R_B = -1,01 \text{ кН};$$

$$X_D = 1,59 \text{ кН}, \quad Y_D = 1,5 \text{ кН}.$$

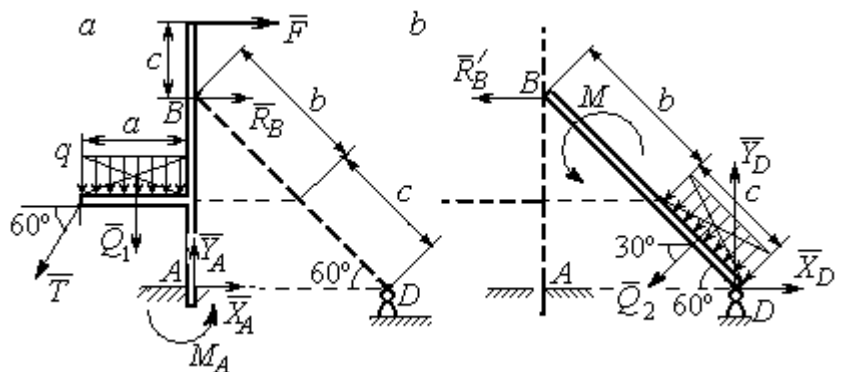


Рис. 7.7. Расчётные схемы к упражнению 1.7:
 а – равновесие балки AB ; б – равновесие балки BD

1.8

Шар.

$$R_B \cos 60^\circ - R_D \cos 60^\circ = 0;$$

$$R_B \cos 30^\circ + R_D \cos 30^\circ - P = 0.$$

Балка AC. $R'_B = R_B$.

$$X_A - R'_B \cos 60^\circ = 0;$$

$$Y_A - R'_B \cos 30^\circ + F = 0;$$

$$M_A - R'_B AB + F \cdot AC \cos 30^\circ = 0.$$

$$X_A = 2,89 \text{ кН}, Y_A = 0 \text{ кН}, M_A = -11,55 \text{ кН}\cdot\text{м}, R_B = 5,77 \text{ кН}, R_D = 5,77 \text{ кН}.$$

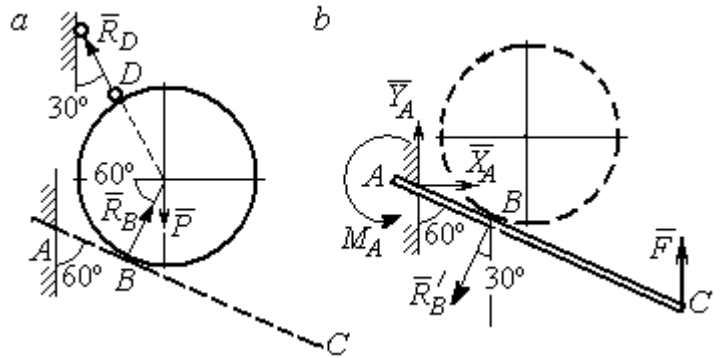


Рис. 7.8. Расчётные схемы к упражнению 1.8:
a – равновесие шара; b – равновесие балки AC

1.9

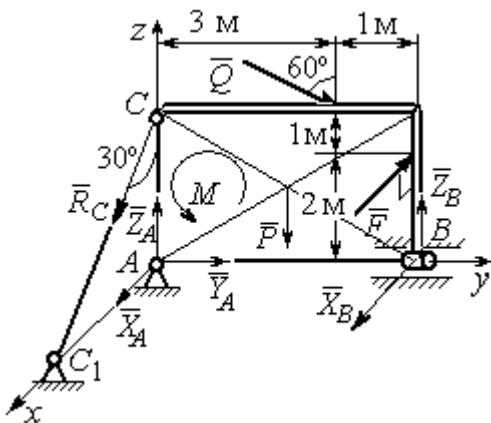


Рис. 7.9. Расчётная схема к упражнению 1.9

$$X_A + R_C \cos 60^\circ + X_B - F = 0;$$

$$Y_A + Q \cos 30^\circ = 0;$$

$$Z_A - R_C \cos 30^\circ - Q \cos 60^\circ + Z_B - P = 0;$$

$$M - Q \cos 60^\circ \cdot 3 - Q \cos 30^\circ \cdot 3 + Z_B \cdot 4 - P \cdot 2 = 0;$$

$$R_C \cos 60^\circ \cdot 3 - F \cdot 2 = 0, -X_B \cdot 4 + F \cdot 4 = 0.$$

$$X_A = 5,34 \text{ кН}, Y_A = 2,6 \text{ кН};$$

$$Z_A = 8,92 \text{ кН}, R_C = 10,67 \text{ кН};$$

$$X_B = 8 \text{ кН}, Z_B = 3,82 \text{ кН}.$$

1.10

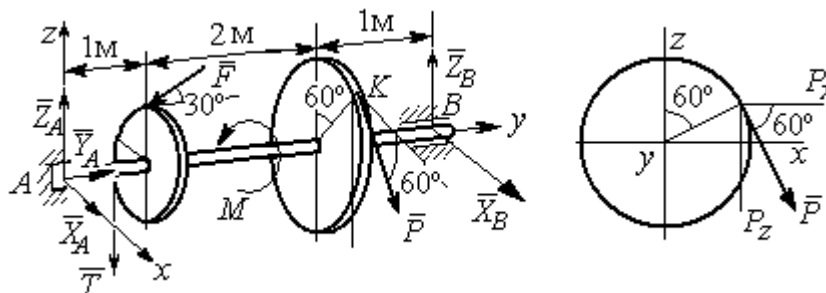


Рис. 7.10. Расчётные схемы к упражнению 1.10

$$T = Q = 3 \text{ кН.}$$

$$X_A + P\cos 60^\circ + X_B = 0, \quad Y_A - F\cos 30^\circ = 0;$$

$$Z_A - F\cos 60^\circ - P\cos 30^\circ - T + Z_B = 0.$$

$$-T \cdot 1 - F\cos 60^\circ \cdot 1 + F\cos 30^\circ \cdot r - P\cos 30^\circ \cdot 3 + Z_B \cdot 4 = 0;$$

$$-Tr + PR - M = 0, \quad -P\cos 60^\circ \cdot 3 + X_B \cdot 4 = 0.$$

$$X_A = 5,6 \text{ кН, } Y_A = 3,46 \text{ кН, } Z_A = 5,48 \text{ кН, } P = 6,4 \text{ кН, } X_B = 2,4 \text{ кН, } Z_B = 5,06 \text{ кН.}$$

1.11

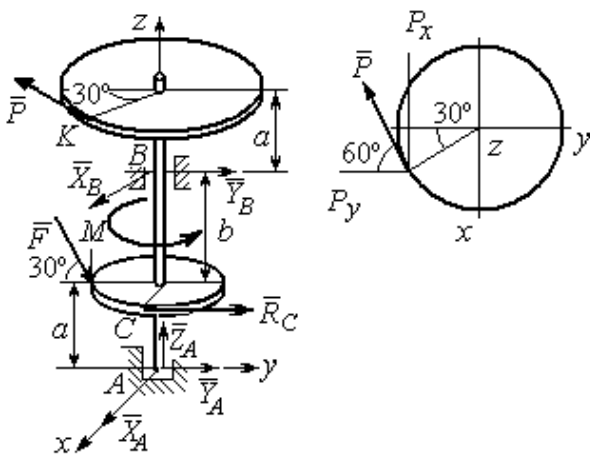


Рис. 7.11. Расчётные схемы к упражнению 1.11

$$R_C = Q = 3 \text{ кН.}$$

$$X_A + X_B - P\cos 30^\circ = 0;$$

$$Y_A + Y_B - P\cos 60^\circ + R_C + F\cos 30^\circ = 0;$$

$$Z_A - F\cos 60^\circ = 0;$$

$$-Y_B(a+b) + P\cos 60^\circ(2a+b) - R_C a -$$

$$F\cos 30^\circ \cdot a + F\cos 60^\circ \cdot r = 0;$$

$$X_B(a+b) - P\cos 30^\circ(2a+b) = 0;$$

$$-PR + R_C r + M = 0.$$

$$X_A = -1,85 \text{ кН, } Y_A = -5,64 \text{ кН, } Z_A = 2 \text{ кН, } P = 6,4 \text{ кН, } X_B = 7,39 \text{ кН, } Y_B = 2,38 \text{ кН.}$$

1.12

$$T = Q = 3 \text{ кН.}$$

$$X_A + T + X_D = 0; \quad Y_A - F + P\cos 60^\circ = 0,$$

$$Z_A + Z_D + P\cos 30^\circ = 0;$$

$$F\sin 30^\circ + Z_D(b+2a) + P(2b+2a)\cos 30^\circ = 0;$$

$$T\sin 30^\circ - P\cos 30^\circ + M = 0;$$

$$-Ta - X_D(b+2a) + P\cos 60^\circ + F\cos 30^\circ = 0.$$

$$X_A = 0,8 \text{ кН, } Y_A = 2,56 \text{ кН, } Z_A = 1,3 \text{ кН;}$$

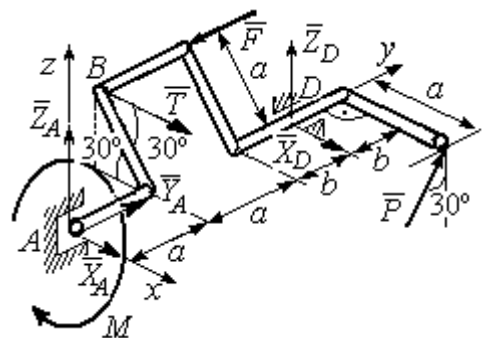


Рис. 7.12. Расчётная схема к упражнению 1.12

$$P = 2,89 \text{ кН}, X_D = 0,76 \text{ кН}, Z_D = -3,80 \text{ кН}.$$

1.13

Минимальный вес груза P :

$$T_{\min} + F_{\text{тр}A} - N_B = 0;$$

$$F_{\text{тр}B} + N_A - Q = 0;$$

$$F_{\text{тр}B} \cdot AB \sin 30^\circ + N_B \cdot AB \cos 30^\circ - Q \cdot AC \sin 30^\circ = 0$$

Максимальный вес груза P :

$$T_{\max} - F_{\text{тр}A} - N_B = 0;$$

$$-F_{\text{тр}B} + N_A - Q = 0;$$

$$-F_{\text{тр}B} \cdot AB \sin 30^\circ + N_B \cdot AB \cos 30^\circ - Q \cdot AC \sin 30^\circ = 0;$$

$$F_{\text{тр}A} = f N_A, \quad F_{\text{тр}B} = f N_B.$$

$$T_{\min} = 31,77 \text{ Н} < P < T_{\max} = 130,51 \text{ Н}.$$

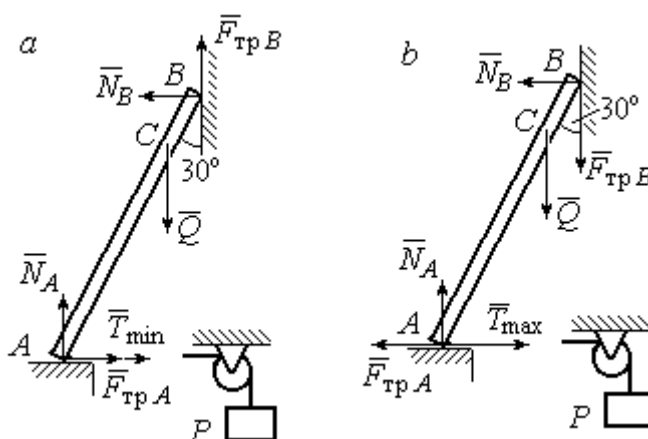


Рис. 7.13. Расчётные схемы к упражнению 1.13:
 а – расчёт минимального веса груза;
 б – расчёт максимального веса груза

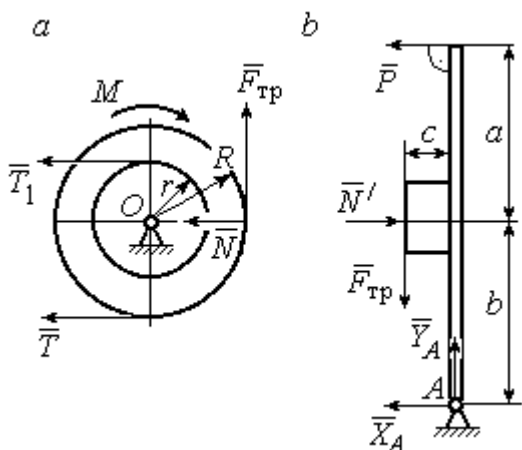


Рис. 7.14. Расчётные схемы к упражнению 1.14:

а – равновесие шкива; б – равновесие рычага

1.14

Шкив. $T = T_1 = Q$.

$$T \cdot R - T_1 r + M - F_{\text{тр}} R = 0.$$

$$F_{\text{тр}} = 266,67 \text{ Н};$$

$$N = \frac{F_{\text{тр}}}{f} = 666,67 \text{ Н}.$$

Рычаг. $N = N'$. $F_{\text{тр}} = F'_{\text{тр}}$.

$$P(a + b) - N' \cdot b + F'_{\text{тр}} c = 0.$$

$$P = 320 \text{ Н}.$$

$$-X_A - P + N' = 0;$$

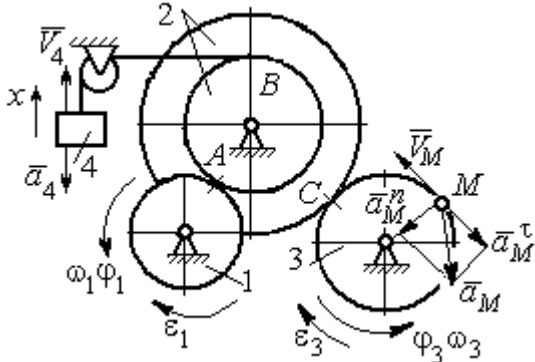
$$Y_A - F'_{\text{тр}} = 0.$$

$$X_A = 346,67 \text{ Н}, \quad Y_A = 266,67 \text{ Н}.$$

7.2. Ответы к упражнениям главы 2

2.1

$$\omega_{1z} = \dot{\varphi}_1 = 3 + \pi \cos \frac{\pi t}{2}, \quad \omega_1(1) = |\omega_{1z}(1)| = 3 \text{ рад/с.}$$



$$\omega_{3z} = \omega_{1z} \frac{R_1 R_2}{r_2 R_3} = \left(3 + \pi \cos \frac{\pi t}{2} \right) \frac{4}{3};$$

$$\omega_3(1) = |\omega_{3z}(1)| = 4 \text{ рад/с.}$$

$$V_M(1) = \omega_3(1) R_3 = 40 \text{ см/с.}$$

$$\varepsilon_{3z} = \dot{\omega}_{3z} = -\frac{2\pi^2}{3} \sin \frac{\pi t}{2}, \quad \varepsilon_{3z}(1) = -\frac{2\pi^2}{3};$$

$$\varepsilon_3(1) = |\varepsilon_{3z}(1)| = \frac{2\pi^2}{3} = 6,58 \text{ рад/с}^2.$$

Рис. 7.15. Расчётная схема к упражнению 2.1

$$\bar{a}_M = \bar{a}_M^n + \bar{a}_M^\tau, \quad a_M^n(1) = \omega_3^2(1) R_3 = 160 \text{ см/с}^2, \quad a_M^\tau(1) = \varepsilon_3(1) R_3 = 65,8 \text{ см/с}^2.$$

$$a_M(1) = 173 \text{ см/с}^2.$$

$$V_{4x} = V_A = \omega_{1z} R_1 = \left(3 + \pi \cos \frac{\pi t}{2} \right) 8; \quad V_4(1) = |V_{4x}(1)| = 24 \text{ см/с.}$$

$$\dot{V}_{4x} = -4\pi^2 \sin \frac{\pi t}{2}, \quad \dot{V}_{4x}(1) = -4\pi^2; \quad a_4(1) = |\dot{V}_{4x}(1)| = 39,48 \text{ см/с}^2.$$

2.2

$$V_{4x} = \dot{x}_4 = 1 - \frac{\pi}{3} \cos \frac{\pi t}{3} - \frac{\pi}{3} \sin \frac{\pi t}{3};$$

$$V_{4x}(3) = 2,05 \text{ м/с}, \quad V_4 = |V_{4x}(3)|$$

$$\omega_{3z} = \frac{V_{4x}}{r_3} = \frac{1}{r_3} \left(1 - \frac{\pi}{3} \cos \frac{\pi t}{3} - \frac{\pi}{3} \sin \frac{\pi t}{3} \right);$$

$$\omega_{3z}(3) = 6,83 \text{ рад/с}; \quad \omega_3 = |\omega_{3z}(3)|.$$

$$\varepsilon_{3z} = \dot{\omega}_{3z} = \frac{1}{r_3} \left(\frac{\pi^2}{9} \sin \frac{\pi t}{3} - \frac{\pi^2}{9} \cos \frac{\pi t}{3} \right).$$

$$\varepsilon_{3z}(3) = 3,65 \text{ рад/с}^2; \quad \varepsilon_3 = |\varepsilon_{3z}(3)|.$$

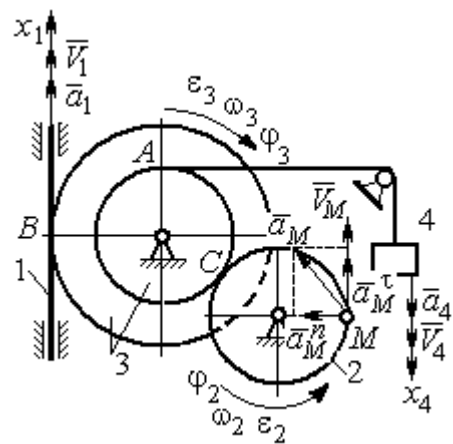


Рис. 7.16. Расчётная схема к упражнению 2.2

$$\frac{\omega_3}{\omega_2} = \frac{R_2}{r_3}; \quad \omega_2 = \omega_3 \frac{r_3}{R_2} = 10,25 \text{ рад/с}; \quad V_M = \omega_2 R_2 = 2,05 \text{ м/с}.$$

$$\frac{\varepsilon_3}{\varepsilon_2} = \frac{R_2}{r_3}; \quad \varepsilon_2 = \varepsilon_3 \frac{r_3}{R_2} = 5,47 \text{ рад/с}^2.$$

$$a_M^n = \omega_2^2 R_2 = 20,4 \text{ м/с}^2; \quad a_M^\tau = \varepsilon_2 R_2 = 1,09 \text{ м/с}^2.$$

$$a_M = \sqrt{(a_M^n)^2 + (a_M^\tau)^2} = 20,43 \text{ м/с}^2.$$

$$V_1 = \omega_3 R_3 = 2,73 \text{ м/с}; \quad a_1 = \dot{V}_1 = \dot{\omega}_3 R_3 = \varepsilon_3 R_3 = 2,19 \text{ м/с}^2.$$

2.3

$$BP_2 = BC \cos 30^\circ = 4,33 \text{ см}; \quad CP_2 = 2,5 \text{ см}.$$

$$\omega_{BC} = \frac{V_B}{BP_2} = 1,15 \text{ рад/с}; \quad V_C = \omega_{BC} CP_2 = 2,87 \text{ см/с};$$

$$\omega_1 = \frac{V_C}{CP_1} = 0,72 \text{ рад/с}; \quad EP_1 = 2R_1 \cos 30^\circ = 3,46 \text{ см};$$

$$V_E = \omega_1 EP_1 = 2,49 \text{ см/с}; \quad EP_3 = 2AE \cos 30^\circ = 10,39 \text{ см};$$

$$\omega_{AE} = \frac{V_E}{EP_3} = 0,24 \text{ рад/с}; \quad EA = AP_3;$$

$$V_A = \omega_{AE} AP_3 = 1,44 \text{ см/с}, \quad \omega_{AO} = \frac{V_A}{AO} = 0,24 \text{ рад/с}.$$

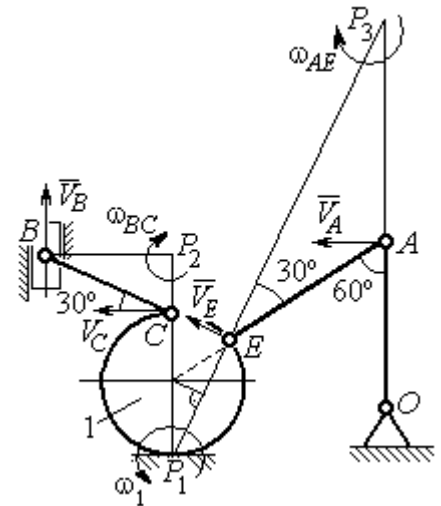


Рис. 7.17. Расчётная схема к упражнению 2.3

2.4

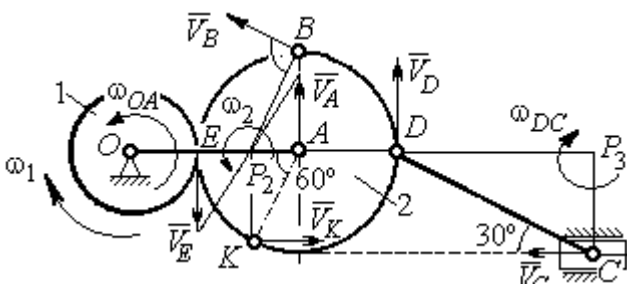


Рис. 7.18. Расчётная схема к упражнению 2.4

E – точка касания дисков.

$$V_E = \omega_1 r_1 = 18 \text{ см/с}.$$

$$V_A = \omega_{OA} (r_1 + r_2) = 18 \text{ см/с}.$$

$$EP_2 = P_2 A = 3 \text{ см}, \quad \omega_2 = \frac{V_E}{EP_2} = 6 \text{ рад/с}.$$

$$V_K = \omega_2 P_2 K = 31,18 \text{ см/с}.$$

$$V_B = \omega_2 P_2 B = 40,25 \text{ см/с}; \quad V_D = \omega_2 P_2 D = 54 \text{ см/с}.$$

$$DC = 2r_2, \omega_{DC} = \frac{V_D}{DP_3} = 5,197 \text{ рад/с}; V_C \cos 30^\circ = V_D \cos 60^\circ, V_C = 31,18 \text{ см/с}.$$

2.5

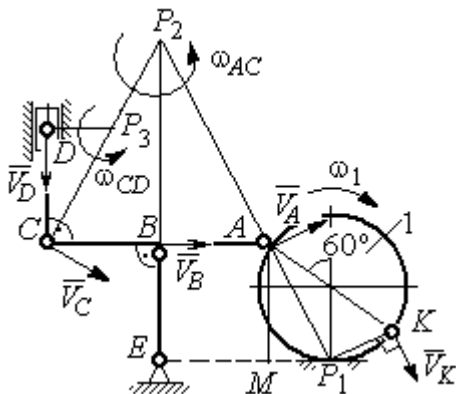


Рис. 7.19. Расчётная схема к упражнению 2.5.

$$BE = 1,5R_1; R_1 = 2,67 \text{ см}.$$

$$KP_1 = R_1; \omega_1 = \frac{V_K}{KP_1} = 0,75 \text{ рад/с}.$$

$$AP_1 = \frac{AM}{\cos 30^\circ} = 4,62 \text{ см}; V_A = \omega_1 P_1 A = 3,46 \text{ см/с}.$$

$$AP_2 = 2AB = 8 \text{ см}; \omega_{AC} = \frac{V_A}{AP_2} = 0,43 \text{ рад/с}.$$

$$V_B \cos 0^\circ = V_A \cos 30^\circ; V_B = 2,99 \text{ см/с}.$$

$$\omega_{BE} = \frac{V_B}{BE} = 0,75 \text{ рад/с}; V_C = V_A = 3,46 \text{ см/с}; CP_3 = \frac{DC}{\cos 30^\circ} = 4,62 \text{ см};$$

$$\omega_{CD} = \frac{V_C}{CP_3} = 0,75 \text{ рад/с}; V_D \cos 0^\circ = V_C \cos 60^\circ; V_D = 1,73 \text{ см/с}.$$

2.6

$$V_A = \omega_{OA} \cdot OA = 12 \text{ см/с}; \omega_{AD} = 0, V_D = V_A.$$

$$\omega_{O_1C} = \frac{V_D}{DO_1} = 3 \text{ рад/с};$$

$$V_C = \omega_{O_1C} \cdot O_1C = 48 \text{ см/с}.$$

$$CB = CP = 16 \text{ см}; \omega_{CB} = \omega_{CL} = \frac{V_C}{CP} = 3 \text{ рад/с}.$$

$$PL = \frac{CP}{\cos 30^\circ} = 18,48 \text{ см}; PB = 2BC \cos 30^\circ.$$

$$V_L = \omega_{CL} \cdot PL = 55,44 \text{ см/с};$$

$$V_B = \omega_{CB} \cdot PB = 83,13 \text{ см/с}.$$

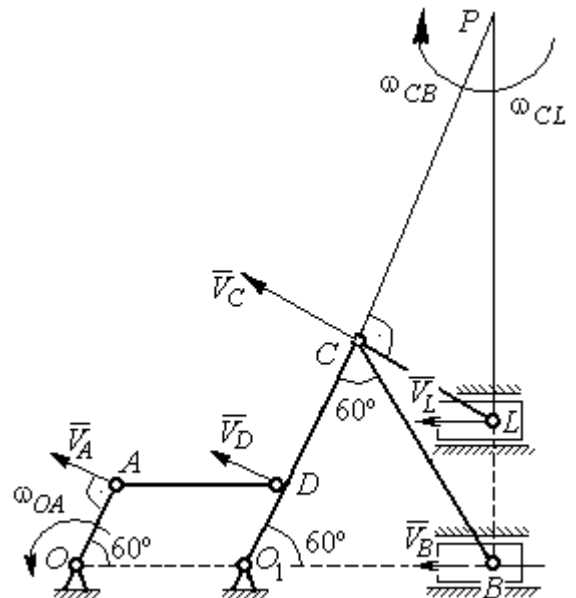


Рис. 7.20. Расчётная схема к упражнению 2.6.

2.7

$$V_D = \omega_1 R_1 = 30 \text{ см/с}; \quad V_A = \omega_{OA} \cdot OA = 15 \text{ см/с}.$$

$$\omega_2 = \frac{V_A}{AP_2} = 3 \text{ рад/с}.$$

$$V_B = \omega_2 \cdot P_2B = 21,21 \text{ см/с}.$$

$$V_C \cos 0^\circ = V_B \cos 45^\circ; \quad V_C = 15 \text{ см/с}.$$

$$CP_3 = CB; \quad \omega_{BC} = \frac{V_C}{CP_3} = 1,87 \text{ рад/с}.$$

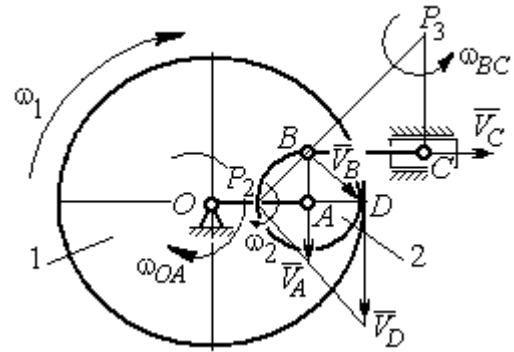


Рис. 7.21. Расчётная схема к упражнению 2.7

2.8

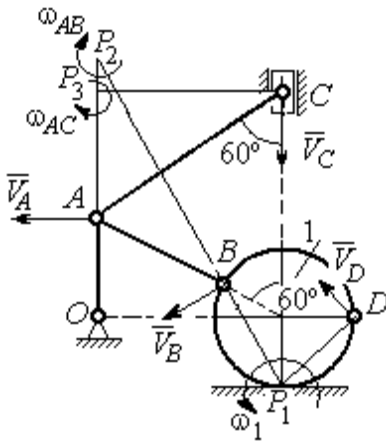


Рис. 7.22. Расчётная схема к упражнению 2.8

$$AC = AB + R_1 = 12 \text{ см}; \quad CP_3 = AC \cos 30^\circ = 10,39 \text{ см}.$$

$$\omega_{AC} = \frac{V_C}{CP_3} = 0,48 \text{ рад/с}; \quad V_A = \omega_{AC} \cdot AP_3 = 2,89 \text{ см/с}.$$

$$AB = AP_2; \quad \omega_{AB} = \frac{V_A}{AP_2} = 0,29 \text{ рад/с}.$$

$$BP_2 = 2AB \cos 30^\circ = 17,32 \text{ см}.$$

$$V_B = \omega_{AB} BP_2 = 5,02 \text{ см/с}.$$

$$OA = (AB + R_1) \sin 30^\circ = 6 \text{ см}; \quad \omega_{OA} = \frac{V_A}{AO} = 0,48 \text{ рад/с}.$$

$$BP_1 = 2R_1 \cos 30^\circ = 3,46 \text{ см}; \quad \omega_1 = \frac{V_B}{BP_1} = 1,45 \text{ рад/с}.$$

$$DP_1 = R_1 \sqrt{2} = 2,82 \text{ см}; \quad V_D = \omega_1 DP_1 = 4,09 \text{ см/с}.$$

2.9

$$V_A = \omega_{OA} OA = 12 \text{ см/с}; \quad AP = 2AB = 2BC \cdot \operatorname{tg} 60^\circ = 27,71 \text{ см}.$$

$$\omega_{AB} = \frac{V_A}{AP} = 0,43 \text{ рад/с}; \quad V_B \cos 0^\circ = V_A \cos 30^\circ; \quad V_B = 10,38 \text{ см/с}.$$

$$\omega_{BC} = \frac{V_B}{BC} = 1,29 \text{ рад/с}.$$

$$\bar{a}_B = \bar{a}_A + \bar{a}_{BA}^n + \bar{a}_{BA}^\tau; \quad \bar{a}_B = \bar{a}_C + \bar{a}_{BC}^n + \bar{a}_{BC}^\tau, \quad a_C = 0.$$

$$\bar{a}_A = \bar{a}_O + \bar{a}_{AO}^n + \bar{a}_{AO}^\tau, a_O = 0.$$

$$\bar{a}_{BC}^n + \bar{a}_{BC}^\tau = \bar{a}_{AO}^n + \bar{a}_{AO}^\tau + \bar{a}_{BA}^n + \bar{a}_{BA}^\tau. \text{ Найти } a_{BC}^\tau$$

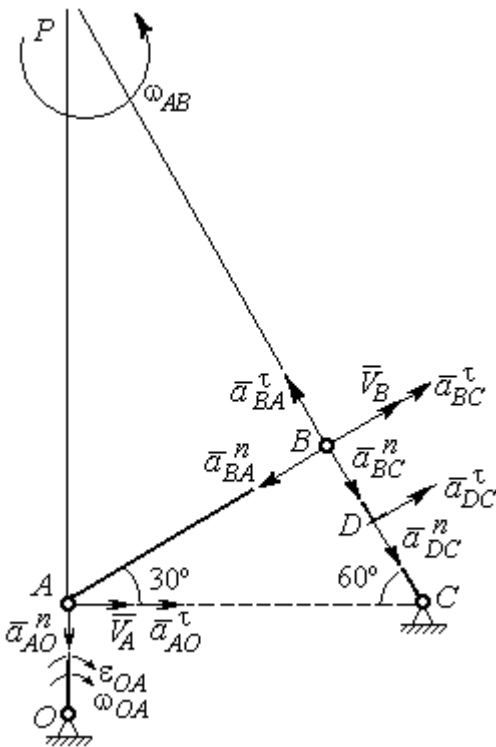


Рис. 7.23. Расчётная схема к упражнению 2.9

$$a_{AO}^n = \omega_{AO}^2 \cdot AO = 36 \text{ см/с}^2;$$

$$a_{AO}^\tau = \varepsilon_{AO} \cdot AO = 8 \text{ см/с}^2;$$

$$AB = BC \cdot \operatorname{tg}60^\circ = 13,86 \text{ см.}$$

$$a_{BA}^n = \omega_{AB}^2 \cdot AB = 2,56 \text{ см/с}^2; a_{AB}^\tau = \varepsilon_{AB} AB.$$

$$a_{BC}^n = \omega_{BC}^2 \cdot BC = 13,31 \text{ см/с}^2; a_{BC}^\tau = \varepsilon_{BC} BC.$$

Проекция на AB:

$$a_{BC}^\tau = -a_{AO}^n \cos 60^\circ + a_{AO}^\tau \cos 30^\circ - a_{BA}^n = 13,63 \text{ см/с}^2.$$

$$\varepsilon_{BC} = \frac{|a_{BC}^\tau|}{BC} = 1,7 \text{ рад/с}^2.$$

$$\bar{a}_D = \bar{a}_{DC}^n + \bar{a}_{DC}^\tau.$$

$$a_{DC}^n = \omega_{BC}^2 \cdot DC = 6,65 \text{ см/с}^2; a_{DC}^\tau = \varepsilon_{BC} \cdot DC = 6,8 \text{ см/с}^2.$$

$$a_D = \sqrt{(a_{DC}^n)^2 + (a_{DC}^\tau)^2} = 9,51 \text{ см/с}^2.$$

2.10

$$V_A = \omega_1 r_1 = 12 \text{ см/с}; P_2 A = \frac{1}{2} BC = 5 \text{ см.}$$

$$\omega_{AB} = \frac{V_A}{P_2 A} = 2,4 \text{ рад/с.}$$

$$V_B \cos 30^\circ = V_A \cos 60^\circ; V_B = 6,93 \text{ см/с.}$$

$$P_3 B = BC \cos 30^\circ = 8,66 \text{ см;}$$

$$\omega_{BC} = \frac{V_B}{P_3 B} = 0,8 \text{ рад/с.}$$

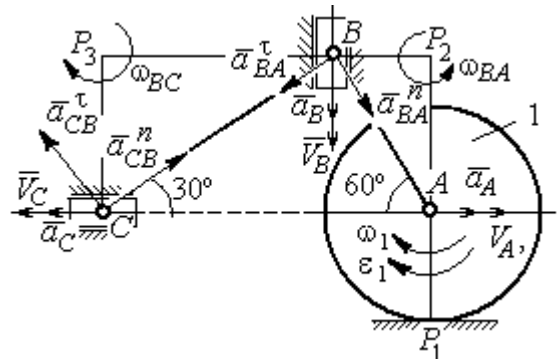


Рис. 7.24. Расчётная схема к упражнению 2.10

$$\bar{a}_B = \bar{a}_A + \bar{a}_{BA}^n + \bar{a}_{BA}^\tau. \text{ Найти } a_B.$$

Проекция на BA : $a_B \cos 30^\circ = a_A \cos 60^\circ + a_{BA}^n$.

$$a_A = a_A^\tau = \varepsilon_1 r_1 = 8 \text{ см/с}^2; \quad AB = BC \operatorname{tg} 30^\circ = 5,77 \text{ см.}$$

$$a_{BA}^n = \omega_{BA}^2 \cdot BA = 33,23 \text{ см/с}^2; \quad a_B = 43,03 \text{ см/с}^2.$$

$$\bar{a}_C = \bar{a}_B + \bar{a}_{CB}^n + \bar{a}_{CB}^\tau.$$

Проекция на BC : $a_C \cos 60^\circ = a_B \cos 60^\circ - a_{CB}^n$,

$$a_{CB}^n = \omega_{CB}^2 \cdot CB = 6,4 \text{ см/с}^2; \quad a_C = a_B - 2a_{CB}^n = 30,23 \text{ см/с}^2.$$

7.3. Ответы к упражнениям главы 3

3.1

$$CM_1 = S_r(1) = \frac{40}{3} \sin \frac{\pi}{3} = 11,55 \text{ см.}$$

Так как $CM_1 \cos 30^\circ = 10 \text{ см} = R$, то точка M_1 лежит на вертикальном диаметре.

$$V_r = \dot{S}_r = \frac{40\pi}{9} \cos \frac{\pi t}{3}; \quad V_r(1) = 6,98 \text{ см/с.}$$

$$\omega_e(1) = 0,5 \text{ рад/с}; \quad OM_1 = R - \frac{1}{2} CM_1 = 4,23 \text{ см.}$$

$$V_e = \omega_e OM_1; \quad V_e(1) = 2,12 \text{ см/с.}$$

$$\bar{V}_M = \bar{V}_e + \bar{V}_r.$$

$$V_{Mx} = V_e - V_r \cos 30^\circ = -3,93 \text{ м/с}; \quad V_{My} = -V_r \cos 60^\circ = -3,49 \text{ м/с};$$

$$V_M = \sqrt{(V_{Mx})^2 + (V_{My})^2} = 5,26 \text{ см/с.}$$

$$\bar{a}_M = \bar{a}_e + \bar{a}_r + \bar{a}_k.$$

$$\bar{a}_e = \bar{a}_e^n + \bar{a}_e^\tau, \quad a_e^n = \omega_e^2 OM_1; \quad a_e^n(1) = 1,06 \text{ см/с}^2.$$

$$\dot{\omega}_e = -\frac{\pi}{3} \sin \frac{\pi t}{3}, \quad \dot{\omega}_e(1) = -0,91 \text{ рад/с}^2; \quad \varepsilon_e = |\dot{\omega}_e(1)| = 0,91 \text{ рад/с}^2,$$

$$a_e^\tau(1) = \varepsilon_e \cdot OM_1 = 3,85 \text{ см/с}^2.$$

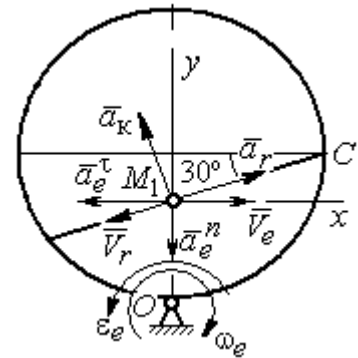


Рис. 7.25. Расчётная схема к упражнению 3.1

$$\dot{V}_r = -\frac{40\pi^2}{27} \sin \frac{\pi t}{3}, \quad \dot{V}_r(1) = -12,66; \quad a_r = |\dot{V}_r(1)| = 12,66 \text{ см/с}^2$$

$$a_k = 2|\omega_e| \cdot |V_r|; \quad a_k(1) = 6,98 \text{ см/с}^2.$$

$$\bar{a}_M = \bar{a}_e^n + \bar{a}_e^\tau + \bar{a}_r + \bar{a}_k.$$

$$a_{Mx} = -a_e^\tau + a_r \cos 30^\circ - a_k \cos 60^\circ = 3,62 \text{ см/с}^2;$$

$$a_{My} = -a_e^n + a_r \cos 60^\circ + a_k \cos 30^\circ = 11,31 \text{ см/с}^2.$$

$$a_M = \sqrt{(a_{Mx})^2 + (a_{My})^2} = 11,87 \text{ см/с}^2.$$

3.2

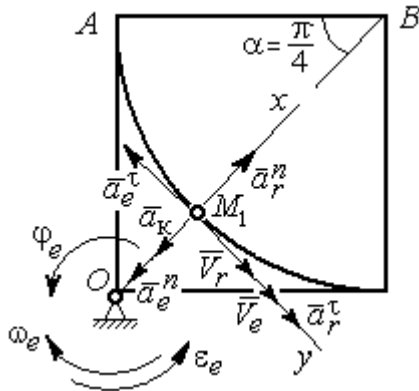


Рис. 7.26. Расчётная схема к упражнению 3.2

Положение M_1 :

$$\alpha = \frac{S_r(1)}{R} = \frac{\pi}{4}; \quad OM_1 = 8,28 \text{ см.}$$

$$\dot{S}_r = 10\pi t; \quad V_r = |\dot{S}_r(1)| = 31,42 \text{ см/с.}$$

$$\dot{\phi}_e = 2t - 5,$$

$$\dot{\phi}_e(1) = -3 \text{ рад/с}, \quad \omega_e = |\dot{\phi}_e(1)| = 3 \text{ рад/с.}$$

$$V_e = \omega_e \cdot OM_1 = 24,6 \text{ см/с.}$$

$$\bar{V}_M = \bar{V}_e + \bar{V}_r \cdot V_{Mx} = V_e + V_r = 56,02 \text{ см/с};$$

$$V_{My} = 0; \quad V_M = 56,02 \text{ см/с.}$$

$$\bar{a}_M = \bar{a}_e + \bar{a}_r + \bar{a}_k = \bar{a}_e^n + \bar{a}_e^\tau + \bar{a}_r^n + \bar{a}_r^\tau + \bar{a}_k.$$

$$\bar{a}_e = \bar{a}_e^n + \bar{a}_e^\tau \cdot a_e^n = \omega_e^2 \cdot OM_1 = 74,52 \text{ см/с}^2;$$

$$\dot{\omega}_e = 2 \text{ рад/с}^2; \quad \epsilon_e = |\dot{\omega}_e|; \quad a_e^\tau(1) = \epsilon_e OM_1 = 16,56 \text{ см/с}^2;$$

$$\bar{a}_r = \bar{a}_r^n + \bar{a}_r^\tau \cdot \dot{V}_r = 10\pi; \quad a_r^\tau = |\dot{V}_r| = 10\pi = 31,42 \text{ см/с}^2;$$

$$a_r^n(1) = \frac{V_r^2}{R} = 49,36 \text{ см/с}^2; \quad a_k = 2|\omega_e| \cdot |V_r|; \quad a_k(1) = 62,84 \text{ см/с}^2.$$

$$a_{Mx} = -a_e^n + a_r^n - a_k = -88 \text{ см/с}^2; \quad a_{My} = -a_e^\tau + a_r^\tau = 14,86 \text{ см/с}^2.$$

$$a_M = \sqrt{(a_{Mx})^2 + (a_{My})^2} = 89,24 \text{ см/с}^2.$$

7.4. Ответы к упражнениям главы 4

4.1

$$m\ddot{x} = F - P\cos 60^\circ - F_{\text{тр}}, \quad m\ddot{y} = N - P\cos 30^\circ = 0.$$

$$F_{\text{тр}} = fN = fmg\cos 30^\circ;$$

$$\ddot{x} = \frac{1}{2}kt - 3,4, \quad \dot{x} = \frac{1}{4}kt^2 - 3,4t + V_0;$$

$$x = \frac{1}{12}kt^3 - 1,7t^2 + V_0t.$$

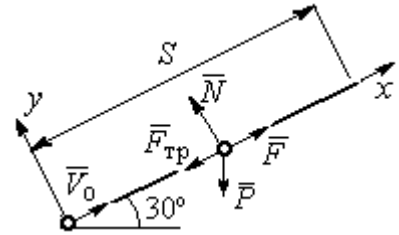


Рис. 7.27. Расчётная схема к упражнению 4.1

Конечные условия: $t = 2$ с; $x = S = 2$ м; $V = 2V_0$.

$$V_0 = k - 6,8; \quad 1 = \frac{1}{3}k - 3,4 + V_0.$$

$$k = 8,4; \quad V_0 = 1,6 \text{ м/с.}$$

4.2

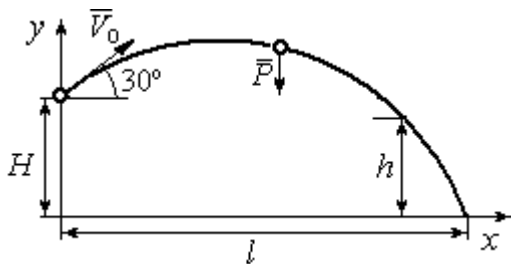


Рис. 7.28. Расчётная схема к упражнению 4.2

Уравнения движения точки:

$$m\ddot{x} = 0; \quad \dot{x} = V_0\cos 30^\circ; \quad x = V_0t\cos 30^\circ.$$

$$m\ddot{y} = -P; \quad \dot{y} = -gt + V_0\cos 60^\circ;$$

$$y = -\frac{1}{2}gt^2 + V_0t\cos 60^\circ + H.$$

Краевое условие пролёта высоты h :

$$t = 1 \text{ с}; \quad y = h = 7 \text{ м.}$$

Подставляя крайевые условия в уравнение движения, находим: $V_0 = 3,81$ м/с.

Краевое условие падения точки:

$$t = t_{\text{пад}}; \quad x = l; \quad y = 0.$$

Подстановка в уравнения движения условия приводит к системе:

$$l = V_0t_{\text{пад}}\cos 30^\circ; \quad 0 = -\frac{1}{2}gt_{\text{пад}}^2 + V_0t_{\text{пад}}\cos 60^\circ + H.$$

$$\text{Находим: } t_{\text{пад}} = 1,64 \text{ с}; \quad l = 5,41 \text{ м.}$$

4.3

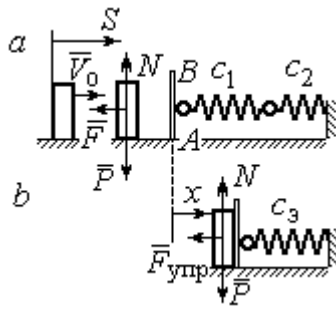


Рис. 7.29. Расчётная схема к упражнению 4.3:
a – движение груза до начала колебаний; *b* – колебания груза

Уравнение движения груза (рис. 7.29, *a*):

$$m\ddot{S} = -F = -k\dot{S}.$$

Начальные условия: $t = 0$; $S = 0$; $\dot{S} = V_0$.

$$\text{Решение: } S = \frac{mV_0}{k} \left(1 - e^{-\frac{k}{m}t} \right) = 6(1 - e^{-t}) \text{ м.}$$

$$\text{Скорость груза: } \dot{S} = 6e^{-t}.$$

Скорость груза в момент соединения с площадкой *AB*: $V_1 = \dot{S}(1) = 0,21 \text{ м/с.}$

Уравнение колебаний груза на эквивалентной пружине (рис. 7.29, *b*):

$$m\ddot{x} = -F_{\text{упр}} = -c_3x; \quad c_3 = \frac{c_1c_2}{c_1 + c_2} = 30 \text{ Н/м.}$$

Начальные условия движения: $t = 0$; $x = 0$; $\dot{x} = V_1$.

Общий вид решения: $x = C_1 \cos \omega t + C_2 \sin \omega t$; $\omega = \sqrt{\frac{c_3}{m}} = 7,75 \text{ рад/с,}$

где константы: $C_1 = 0$; $C_2 = \frac{V_1}{\omega} = 0,28 \text{ м.}$ Закон движения груза $x = 0,28 \sin 7,75t$.

Максимальное сжатие 0,28 м.

4.4

Жесткость эквивалентной пружины

$$c_3 = \frac{c \cdot 2c}{c + 2c} = \frac{2}{3}c.$$

Уравнение колебаний:

$$m\ddot{x} = P - F_{\text{упр}} = P - c_3(\lambda_{\text{ст}} + x) = -c_3x.$$

Общее решение:

$$x = C_1 \cos \omega t + C_2 \sin \omega t; \quad \omega = \sqrt{\frac{c_3}{m}} = 10,33 \text{ рад/с.}$$

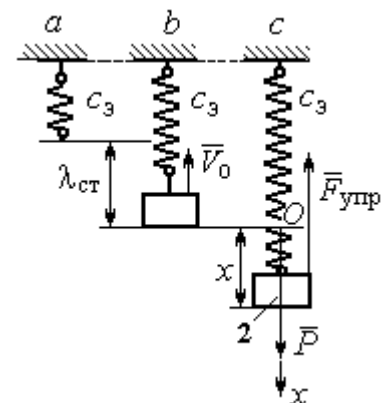


Рис. 7.30. Расчётная схема к упражнению 4.4:
a – нерастянутая пружина;
b – положение статического равновесия; *c* – произвольное положение груза

Начальные условия: $t = 0$; $x = 0$; $\dot{x} = -V_0$.

Находим константы интегрирования: $C_1 = 0$; $C_2 = \frac{V_0}{\omega} = 0,39$ м.

Закон движения груза: $x = 0,39 \sin 10,33 t$.

Амплитуда $A = 0,39$ м, частота $\omega = 10,33$ рад/с.

4.5

Скорость человека, находящегося в самолёте, в нижней точке траектории (точка C):

$$\frac{mV_C^2}{2} - \frac{mV_0^2}{2} = mg[l \sin \varphi + r(1 - \cos \varphi)].$$

Откуда $V_C^2 = V_0^2 + 2g[l \sin \varphi + r(1 - \cos \varphi)]$.

Уравнение движения человека,двигающегося

вместе с самолётом, в проекции на нормаль в точке C: $\frac{mV_C^2}{r} = N - P$, где N – реакция корпуса самолёта. Сила давления человека на корпус самолёта по величине равна реакции, но направлена в противоположную сторону.

Из условия $N \leq 3P$ следует неравенство: $V_C^2 \leq 2gr$, или

$$V_0^2 + 2g[l \sin \varphi + r(1 - \cos \varphi)] \leq 2gr. \text{ Откуда } r \geq \frac{V_0^2 + 2gl \sin \varphi}{2g \cos \varphi}.$$

4.6

Из уравнения теоремы об изменении кинетической энергии шарика в точке B с учётом, что $V_A = 0$, найдём:

$$\frac{mV_B^2}{2} = \frac{ca^2}{2} + mg[R + R \cos 60^\circ - a \cos 30^\circ].$$

Составим уравнение теоремы об изменении кинетической энергии точки на участке BD:

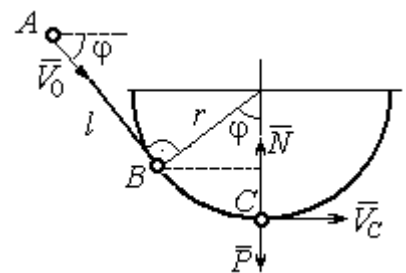


Рис. 7.31. Расчётная схема к упражнению 4.5

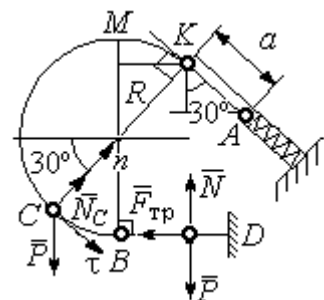


Рис. 7.32. Расчётная схема к упражнению 4.6

$-\frac{mV_B^2}{2} = -fNs$, где s – путь точки до остановки. С учётом данных задачи, получим: $s = 5,39$ м.

Уравнение движения шарика в проекции на нормальную ось в точке C

$$\frac{mV_C^2}{R} = N_C - P\cos 60^\circ.$$

Для вычисления реакции опоры шарика на трубу имеем равенство

$$N_C = \frac{mV_C^2}{R} + P\cos 60^\circ = \frac{1}{R} \left[mV_B^2 - 2mgR(1 - \cos 60^\circ) \right] + mg\cos 60^\circ,$$

где кинетическая энергия шарика в точке B : $mV_B^2 = ca^2 + 2mgR \left[(1 + \cos 60^\circ) - \frac{a}{R} \cos 30^\circ \right]$. Получим:

$N_C = 18,71$ Н. Давление шарика на трубку равно реакции опоры и направлено в противоположную сторону.

7.5. Ответы к упражнениям главы 5

5.1

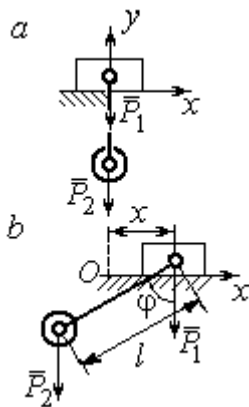


Рис. 7.33. Расчётная схема к упражнению 5.1:

a – начальное положение системы;
 b – произвольное положение

x_0 – координата центра тяжести системы в начальном положении, $x_0 = 0$ (см. рис.7.33);

x – текущая координата центра тележки; x_1 –

координата центра тяжести системы в её произ-

вольном положении: $x_1 = \frac{m_1x - m_2(l\sin\varphi - x)}{m_1 + m_2}$.

Уравнение закона сохранения движения центра масс системы: $x_1 = x_0$, или

$$m_1x - m_2(l\sin\varphi - x) = 0.$$

Отсюда зависимость координаты движения тележки от положения гру-

за 2: $x = \frac{m_2l}{m_1 + m_2} \sin\varphi.$

5.2

Теорема об изменении кинетического момента системы относительно

оси z :
$$\frac{dL_z}{dt} = \sum M_z(\vec{F}_k^e).$$

Кинетический момент системы:

$$L_z = L_z^{\text{бар}} + L_z^{\text{гр}} = \frac{m_2 r^2}{2} \omega + m_1 V_1 r = \left(m_1 + \frac{m_2}{2} \right) \omega r^2.$$

Суммарный момент внешних сил относительно

оси z :
$$\sum M_z(\vec{F}_k^e) = M_{\text{вр}} - P_1 r = kt - m_1 gr.$$

Дифференциальное уравнение вращения барабана:

$$\left(m_1 + \frac{m_2}{2} \right) r^2 \frac{d\omega}{dt} = kt - m_1 gr.$$

При нулевых начальных условиях
$$\omega = \frac{kt^2 - 2m_1 grt}{(2m_1 + m_2)r^2}.$$

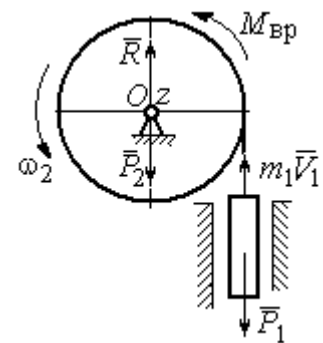


Рис. 7.34. Расчётная схема к упражнению 5.2

5.3

Уравнение теоремы об изменении кинетической энергии для неизменяемых систем на конечном перемещении: $T - T_0 = \sum A(F_k), T_0 = 0.$

Кинетическая энергия груза 1:
$$T_1 = \frac{m_1 V_1^2}{2}.$$

Энергия вращательного движения блока 2:

$$T_2 = \frac{1}{2} J_O \omega_2^2, \text{ где осевой момент инерции блока:}$$

$$J_O = \frac{m_2 r^2}{2}, \text{ угловая скорость блока } \omega_2 = \frac{V_1}{r}. \text{ Кинетическая энергия катка 3:}$$

$$T_3 = \frac{1}{2} m_3 V_C^2 + \frac{1}{2} J_C \omega_3^2, \text{ где момент инерции катка относительно оси, проходя-$$

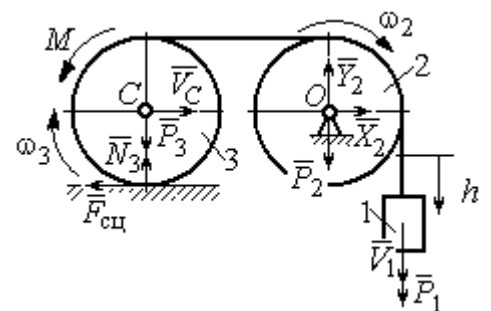


Рис. 7.35. Расчётная схема к упражнению 5.3

шей через центр масс перпендикулярно плоскости диска, $J_C = \frac{m_3 r^2}{2}$, угловая

скорость катка и скорость его центра масс $\omega_3 = \frac{V_1}{2r}$, $V_C = \frac{V_1}{2}$.

Энергия системы: $T = T_1 + T_2 + T_3 = (8m_1 + 4m_2 + 3m_3) \frac{V_1^2}{16}$.

Суммарная работа внешних сил на перемещении h : $\sum A(F_k) = P_1 h - M \frac{h}{2r}$.

Уравнение теоремы об изменении кинетической энергии:

$$(8m_1 + 4m_2 + 3m_3) \frac{V_1^2}{16} = \left(m_1 g - \frac{M}{2r} \right) h.$$

Скорость груза на высоте h : $V_1 = 4 \sqrt{\frac{\left(m_1 g - \frac{M}{2r} \right) h}{8m_1 + 4m_2 + 3m_3}}$.

5.4

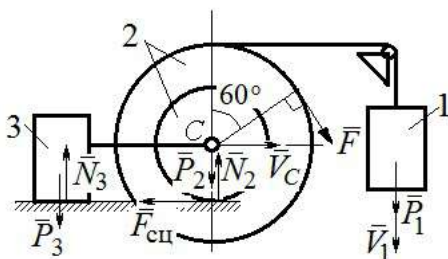


Рис. 7.36. Расчётная схема к упражнению 5.4

Для решения задачи используется теорема об изменении кинетической энергии в дифференциальной форме: $\frac{dT}{dt} = \sum N(\vec{F}_k^e)$, где T – энергия системы в её текущем положении; $\sum N(\vec{F}_k^e)$ – суммарная мощность внешних сил.

Допустим, груз 1 движется вниз со скоростью V_1 . Скорость центра масс катка V_C .

Кинетическая энергия катка 2: $T_2 = \frac{1}{2} m_2 V_C^2 + \frac{1}{2} J_{zC} \omega_2^2$. Здесь $m_2 = \frac{2P}{g}$,

$J_{zC} = m_2 i_z^2$, $\omega_2 = \frac{V_C}{r}$. В результате кинетическая энергия катка $T_2 = \frac{3P}{g} V_C^2$.

Скорость груза 3 $V_3 = V_C$. Кинетическая энергия груза 3 $T_3 = \frac{P}{g} V_C^2$.

Скорость груза 1 $V_1 = \omega_2 3r = 3V_C$. Кинетическая энергия груза 1:

$$T_1 = \frac{9P}{2g} V_C^2.$$

Суммарная кинетическая энергия (энергия системы):

$$T = T_1 + T_2 + T_3 = \frac{17P}{2g} V_C^2. \text{ Производная } \frac{dT}{dt} = \frac{17P}{g} V_C \frac{dV_C}{dt} = \frac{17}{g} V_C a_C.$$

Мощности сил $\vec{P}_2, \vec{N}_2, \vec{F}_{\text{сц}}, \vec{P}_3, \vec{N}_3$ равны нулю.

Мощность силы \vec{F} , приложенной к колесу, определяется по формуле:

$$N(\vec{F}) = \vec{F} \cdot \vec{V}_C + \vec{M}_C(\vec{F}) \cdot \vec{\omega}_2 = FV_C \cos 60^\circ + FR\omega_2. \text{ Мощность силы } \vec{P}_1$$

$$N(\vec{P}_1) = P_1 V_1. \text{ Суммарная мощность внешних сил: } \sum N(F^e) = 7PV_C.$$

Составляем уравнение теоремы об изменении кинетической энергии системы:

$$\frac{17P}{g} V_C a_C = 7PV_C, \text{ откуда } a_C = \frac{7}{17} g \text{ м/с}^2.$$

5.5

Рассмотрим движение катков отдельно, заменив невесомый стержень реакцией. Предположим, катки движутся направо (см. рис. 7.37).

Уравнения движения катков:

$$m_1 a_O = Q - F_{\text{сц}1}, J_{1O} \varepsilon_1 = F_{\text{сц}1} r - M;$$

$$m_2 a_C = -Q' - F_{\text{сц}2} + F \cos 30^\circ;$$

$$J_{2C} \varepsilon_2 = F_{\text{сц}2} 3r - Q' r.$$

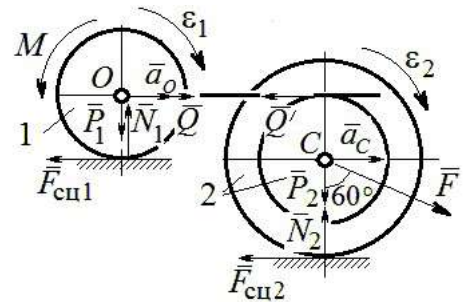


Рис. 7.37. Расчётная схема к упражнению 5.5

Здесь \vec{Q} – реакция невесомого стержня, $|\vec{Q}| = |\vec{Q}'|$; $\vec{F}_{\text{сц}1}, \vec{F}_{\text{сц}2}$ – силы сцепления

катков с поверхностями качения; моменты инерции катков $J_{1O} = \frac{m_1 r^2}{2}$,

$J_{2C} = m_2 i_2^2$. Подставляя кинематические соотношения $\varepsilon_2 = \frac{a_C}{3r}$; $a_O = \frac{4}{3} a_C$;

$\varepsilon_1 = \frac{4a_C}{3r}$, с учётом данных задачи, получим систему уравнений:

$$\frac{4P}{3g} a_C = Q - F_{\text{сц1}}; \quad \frac{2P}{3g} a_C = F_{\text{сц1}} - 4P;$$

$$\frac{2P}{g} a_C = -Q - F_{\text{сц2}} + P\sqrt{3}; \quad \frac{4P}{3g} a_C = 3F_{\text{сц2}} - Q.$$

Находим ускорение центра катка 2: $a_C = \frac{3(3\sqrt{3}-16)g}{46} \approx -0,7g$. Каток

движется в противоположную сторону. Реакция стержня $Q = 2,6P$.

5.6

Выделяем звенья механизма, заменяя действия нитей их реакциями. Допустим, направления движений тел в системе соответствуют подъёму груза 1.

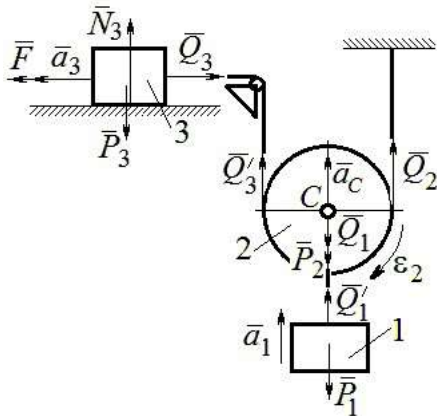


Рис. 7.38. Расчётная схема к упражнению 5.6

Уравнения движения тел:

$$m_3 a_3 = F - Q_3, \quad m_2 a_C = Q_3' + Q_2 - P_2 - Q_1;$$

$$J_{2C} \varepsilon_2 = Q_3' r - Q_2 r, \quad m_1 a_1 = Q_1' - P_1.$$

С учётом, что $|\vec{Q}_3| = |\vec{Q}_3'|$, $|\vec{Q}_1| = |\vec{Q}_1'|$ и

$$a_C = a_1, \quad a_3 = 2a_1, \quad \varepsilon_2 = \frac{a_1}{r}, \quad J_{2C} = \frac{m_2 r^2}{2}, \quad \text{под-}$$

ставляя данные задачи, получим систему уравнений:

$$2ma_1 = 2,5mg - Q_3; \quad ma_1 = Q_3 + Q_2 - mg - Q_1;$$

$$\frac{ma_1}{2} = Q_3 - Q_2; \quad m_1 a_1 = Q_1 - P_1.$$

Решая систему, находим: $a_1 = \frac{2}{17}g \approx 0,12g$; $Q_3 = 2,26mg$; $Q_2 = 2,15mg$.

5.7

Заменяем действия нитей реакциями.

Предположим, груз 1 спускается по наклонной плоскости. Уравнения движения тел:

$$m_1 a_1 = P_1 \cos 30^\circ - Q_1; \quad m_3 a_3 = Q_3;$$

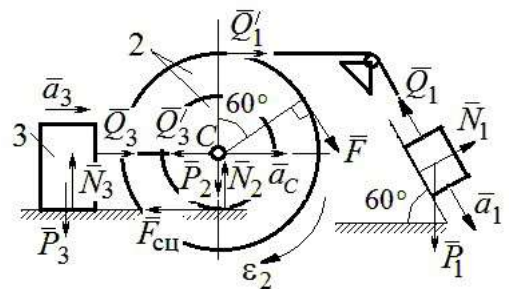


Рис. 7.39. Расчётная схема к упражнению 5.7

$$m_2 a_C = Q'_1 - Q'_3 - F_{\text{сц}} + F \cos 60^\circ; J_{2C} \varepsilon_2 = Q'_1 R + FR + F_{\text{сц}} r, J_{2C} = m_2 i_2^2.$$

Соотношения ускорений: $\varepsilon_2 = \frac{a_1}{R+r}$, $a_C = \frac{a_1 r}{R+r}$, $a_3 = a_C$. Подставляя

данные задачи, с учётом, что модули сил $Q'_1 = Q_1$ и $Q'_3 = Q_3$, получим систему уравнений:

$$ma_1 = mg \frac{\sqrt{3}}{2} - Q_1; \frac{2}{3} ma_1 = Q_3;$$

$$ma_1 = Q_1 - Q_3 - F_{\text{сц}} + \frac{1}{2} mg; 3ma_1 = 2Q_1 + 2mg + F_{\text{сц}}.$$

Находим $a_1 = \frac{3}{46} (5 + 3\sqrt{3})g \approx 0,44g$; $Q_1 = 0,21mg$; $Q_3 = 0,44mg$.

7.6. Ответы к упражнениям главы 6

6.1

Внешние силы, действующие на систему: силы тяжести $\vec{P}_1, \vec{P}_2, \vec{P}_3$ и реакции опор \vec{N}_3, \vec{R}_3 . Приложим к телам системы, силы инерции $\vec{R}_1^{\text{ин}}$, $\vec{R}_2^{\text{ин}}$ (рис. 7.40, а). В соответствии с принципом Даламбера, полученная система сил находится в равновесии. Составляем условие равновесия системы сил в проекциях на горизонтальную и вертикальную оси:

$$R_3 - R_1^{\text{ин}} = 0, N_3 - P_3 - P_1 - P_2 + R_2^{\text{ин}} = 0.$$

Для вычисления сил инерции рассмотрим отдельно грузы 1 и 2, заменяя действие соединяющей их нити реакцией (рис. 7.40, б, в). Присоединим к грузам силы инерции и, применив принцип Даламбера, составим уравнения равновесия систем сил - для груза 1 в проекции на горизонтальную ось, для груза 2 - на вертикальную:

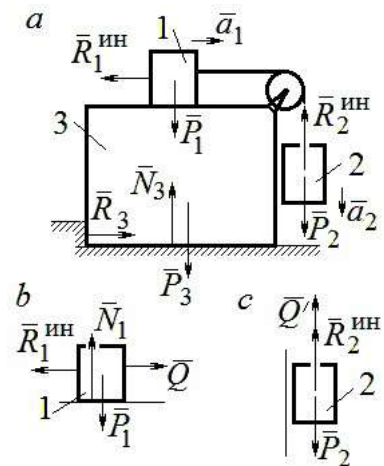


Рис. 7.40. Расчётная схема к упражнению 6.1

$$Q - R_1^{\text{ин}} = 0; P_2 - Q' - R_2^{\text{ин}} = 0,$$

где $R_1^{\text{ин}} = m_1 a_1$, $R_2^{\text{ин}} = m_2 a_2$.

Решая полученную систему с учётом равенства модулей сил $Q = Q'$ и ускорений грузов $a_1 = a_2$, находим ускорение грузов: $a_1 = a_2 = 0,5g$. Тогда давление призмы на горизонтальную поверхность: $N_3 = 2,5mg$.

6.2

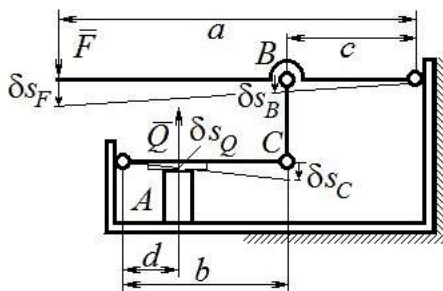


Рис. 7.41. Расчётная схема к упражнению 6.2

Активными силами в системе являются силы \vec{F} и \vec{Q} . Для равновесия системы необходимо и достаточно выполнения условия: $\delta A(\vec{F}) + \delta A(\vec{Q}) = 0$ или $F\delta s_F - Q\delta s_Q = 0$, где δs_F и δs_Q – возможные перемещения точек приложения сил \vec{F} и \vec{Q} .

Имеем соотношения: $\frac{\delta s_F}{\delta s_B} = \frac{a}{c}$, $\frac{\delta s_C}{\delta s_Q} = \frac{b}{d}$, где δs_B и δs_C – возможные перемещения точек B и C , причём $\delta s_B = \delta s_C$. Тогда $\delta s_Q = \frac{cd}{ab}\delta s_F$ и сила, сжимающая деталь A под прессом, равна $Q = \frac{ab}{cd}F$.

ремещения точек B и C , причём $\delta s_B = \delta s_C$. Тогда $\delta s_Q = \frac{cd}{ab}\delta s_F$ и сила, сжимающая деталь A под прессом, равна $Q = \frac{ab}{cd}F$.

щая деталь A под прессом, равна $Q = \frac{ab}{cd}F$.

6.3

Активными силами, совершающими работу при движении системы, являются силы тяжести \vec{P}_3 , \vec{P}_4 и пары сил с моментами M_1 и M_2 . Связи идеальные.

Для равновесия системы необходимо и достаточно выполнения условия:

$$\delta A(\vec{P}_3) + \delta A(\vec{P}_4) + \delta A(M_1) + \delta A(M_2) = 0 \text{ или}$$

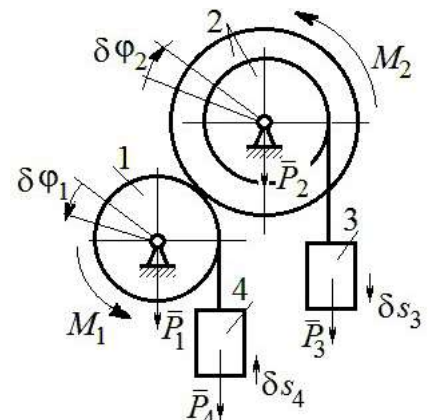


Рис. 7.42. Расчётная схема к упражнению 6.3

$$P_3 \delta s_3 - P_4 \delta s_4 + M_1 \delta \varphi_1 - M_2 \delta \varphi_2 = 0,$$

где $\delta s_3, \delta s_4$ – элементарные перемещения грузов 3, 4; $\delta \varphi_1, \delta \varphi_2$ – элементарные повороты валов 1 и 2. Выразим все перемещения через угол поворота вала 2: $\delta s_3 = \delta \varphi_2 r$, $\delta \varphi_1 = 3 \delta \varphi_2$, $\delta s_4 = 3r \delta \varphi_2$ и подставим в уравнение равновесия. Получим: $M_2 = 4Pr$.

6.4

Система с идеальными связями. Активными силами являются силы тяжести $\vec{P}_1, \vec{P}_2, \vec{P}_3$ и пара сил с моментом $M_{вр}$ (рис. 7.43).

Направления поворотов дисков и их угловые ускорения показаны на рис. 7.43 дуговыми стрелками $\delta \varphi_1, \varepsilon_1$ и $\delta \varphi_2, \varepsilon_2$. Направления движения центра масс катка 2, груза 3 и их ускорения обозначены: $\delta s_C, a_C$ и $\delta s_3, a_3$.

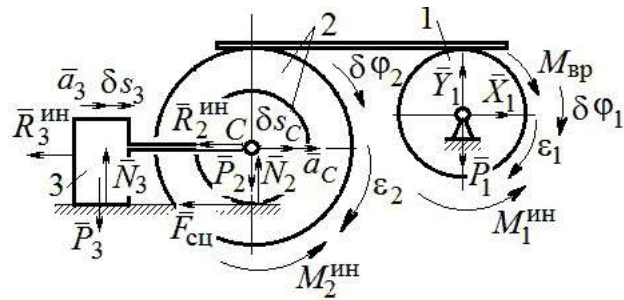


Рис. 7.43. Расчётная схема к упражнению 6.4

Кинематические соотношения между перемещениями и ускорениями:

$$\delta s_C = \delta s_3, \quad a_C = a_3, \quad \delta \varphi_2 = \frac{\delta s_3}{r}, \quad \varepsilon_2 = \frac{a_3}{r}, \quad \delta \varphi_1 = \frac{3\delta s_3}{r}, \quad \varepsilon_1 = \frac{3a_3}{r}.$$

Присоединим к телам системы силы инерции.

Модули главных векторов сил инерции: $R_3^{ин} = m_3 a_3 = m a_3$;

$$R_2^{ин} = m_2 a_C = 2m a_3; \quad M_2^{ин} = m_2 i_2^2 \varepsilon_2 = 4,5 m r a_3; \quad M_1^{ин} = \frac{m_1 R_1^2}{2} \varepsilon_1 = 1,5 m r a_3.$$

Элементарные работы активных сил:

$$\sum \delta A(\vec{F}_k^{акт}) = M_{вр} \delta \varphi_1 = (m g \sin \omega t) 3 \delta s_3.$$

Элементарные работы сил инерции:

$$\begin{aligned} \sum \delta A(\vec{R}_k^{ин}) &= -R_3^{ин} \delta s_3 - R_2^{ин} \delta s_C - M_2^{ин} \delta \varphi_2 - M_1^{ин} \delta \varphi_1 = \\ &= -m a_3 \delta s_3 - 2m a_3 \delta s_3 - 4,5 m a_3 \delta s_3 - 1,5 m a_3 3 \delta s_3 = -12 m a_3 \delta s_3. \end{aligned}$$

Общее уравнение динамики имеет вид:

$$\sum \delta A(\vec{F}_k^{\text{акт}}) + \sum \delta A(\vec{R}_k^{\text{ин}}) = m(3g \sin \omega t - 12a_3) \delta s_3 = 0.$$

Ускорение груза 3: $a_3 = 0,25g \sin \omega t$, или $\ddot{s}_3 = 0,25g \sin \omega t$. Интегрируя дифференциальное уравнение с нулевыми начальными условиями, получим закон движения груза:

$$s_3 = \frac{0,25g}{\omega} \left(t - \frac{1}{\omega} \sin \omega t \right).$$

6.5

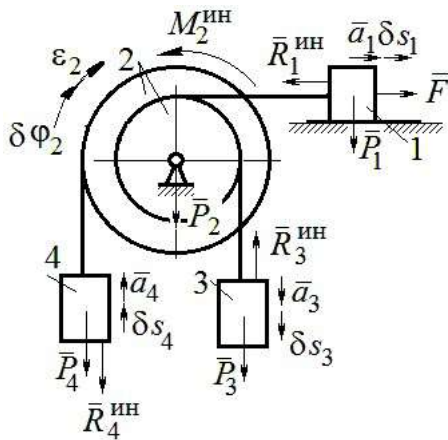


Рис. 7.44. Расчётная схема к упражнению 6.5

Система с идеальными связями. Активные силы и главные вектора сил инерции показаны на рис. 7.44.

Элементарные работы активных сил:

$$\sum \delta A(\vec{F}_k^{\text{акт}}) = F \delta s_1 + P_3 \delta s_3 - P_4 \delta s_4$$

$$\sum \delta A(\vec{R}_k^{\text{ин}}) = -R_1^{\text{ин}} \delta s_1 - R_3^{\text{ин}} \delta s_3 - R_4^{\text{ин}} \delta s_4 - M_2^{\text{ин}} \delta \varphi_2,$$

$$\text{где модули сил инерции: } R_1^{\text{ин}} = \frac{P_1}{g} a_1, R_3^{\text{ин}} = \frac{P_3}{g} a_3,$$

$$R_4^{\text{ин}} = \frac{P_4}{g} a_4, M_2^{\text{ин}} = \frac{P_2}{g} i_2^2 \varepsilon_2.$$

Кинематические соотношения: $\delta s_3 = \delta s_1$, $a_3 = a_1$, $\delta s_4 = 2\delta s_1$, $a_4 = 2a_1$,

$$\delta \varphi_2 = \frac{\delta s_1}{r}, \varepsilon_2 = \frac{a_1}{r}. \text{ Общее уравнение динамики:}$$

$$\begin{aligned} \sum \delta A(\vec{F}_k^{\text{акт}}) + \sum \delta A(\vec{R}_k^{\text{ин}}) &= P(t+1) \delta s_1 + P \delta s_1 - 2P \delta s_1 - \\ &- \left(\frac{P}{g} a_1 \delta s_1 + \frac{P}{g} a_1 \delta s_1 + \frac{2P}{g} 2a_1 2\delta s_1 + \frac{2P}{g} 2r^2 \frac{a_1}{r} \frac{\delta s_1}{r} \right) = P \left(t - \frac{14a_1}{g} \right) \delta s_1 = 0. \end{aligned}$$

Находим уравнение движения груза 3: $a_3 = a_1 = \frac{1}{14} g t$, или $\ddot{x}_3 = \frac{1}{14} g t$.

Проинтегрировав дифференциальное уравнение с нулевыми начальными условиями, получим закон движения груза 3: $x_3 = \frac{1}{84} g t^3 \approx 0,012 g t^3$.

6.6

Рассматриваемая механическая система (рис. 7.45) имеет одну степень свободы. Уравнение Лагранжа: $\frac{d}{dt} \left(\frac{\partial T}{\partial \dot{x}} \right) - \frac{\partial T}{\partial x} = Q_x$, где T – кинетическая энергия системы: Q_x – обобщенная сила.

В качестве обобщённой координаты x выберем положение точки C относительно недеформированной пружины, отмеченной на рис. 7.45 величиной l_0 . Обобщённая скорость \dot{x} .

Кинетическая энергия катка:

$$T_1 = \frac{1}{2} m_1 V_C^2 + \frac{1}{2} J_{zC} \omega_1^2, \text{ где } \omega_1, V_C - \text{угловая}$$

скорость катка и скорость его центра масс, $V_C = \dot{x}$, $\omega_1 = \frac{V_C}{r} = \frac{\dot{x}}{r}$; момент инерции $J_{zC} = \frac{1}{2} m_1 r^2$. Кинетическая энергия груза 2: $T_2 = \frac{1}{2} m_2 V_2^2$, где V_2 – скорость груза 2, $V_2 = 2V_C = 2\dot{x}$. Кинетическая энергия системы, выраженная через обобщённую скорость: $T = T_1 + T_2 = \frac{7P}{2g} \dot{x}^2$.

В произвольном положении системы, определяемом координатой x , дадим центру масс катка возможное перемещение δx (см. рис. 7.45). Элементарная работа активных сил $\sum \delta A(F_k) = P_1 \delta x - F_{\text{упр}} \delta x + (P_2 + F) \delta s_2 - M \delta \phi_1$. Полагая перемещения $\delta s_2 = 2\delta x$, $\delta \phi_1 = \frac{\delta x}{r}$, модуль силы упругости $F_{\text{упр}} = cx$ и с учётом данных задачи, получим $\sum \delta A(F_k) = (3P - cx) \delta x$. Обобщённая сила $Q_x = 3P - cx$.

$$\text{Уравнение Лагранжа } \frac{7P}{g} \ddot{x} = 3P - cx, \text{ или } \ddot{x} + \frac{4g}{7r} x = \frac{3g}{7}.$$

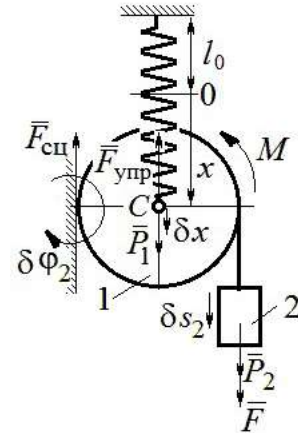


Рис. 7.45. Расчётная схема к упражнению 6.6

Решение уравнения (с нулевыми начальными условиями):

$$x = \frac{3}{4}r(1 - \cos\omega t). \text{ Закон движения груза: } s_2 = 2x = \frac{3}{2}r(1 - \cos\omega t).$$

6.7

Рассматриваемая система имеет две степени свободы. Обобщённые координаты – расстояния x_1, x_2 соответственно до грузов 1 и 2, отсчитываемые

от неподвижных центров блоков B и D (рис.

7.46, a). Обобщённые скорости \dot{x}_1, \dot{x}_2 . Кинетическая энергия грузов и блока 3:

$$T_1 = \frac{P_1 \dot{x}_1^2}{2g}, \quad T_2 = \frac{P_2 \dot{x}_2^2}{2g};$$

$$T_3 = \frac{P_3}{2g} \left(\frac{\dot{x}_1 + \dot{x}_2}{2} \right)^2 + \frac{1}{2} \frac{P_3 r^2}{2g} \left(\frac{\dot{x}_2 - \dot{x}_1}{2r} \right)^2.$$

Здесь учтено (см. рис. 7.46, a): что

$$V_C = \frac{V_N + V_M}{2} = \frac{\dot{x}_2 + \dot{x}_1}{2};$$

$$\omega_2 = \frac{V_N - V_M}{2r} = \frac{\dot{x}_2 - \dot{x}_1}{2r}.$$

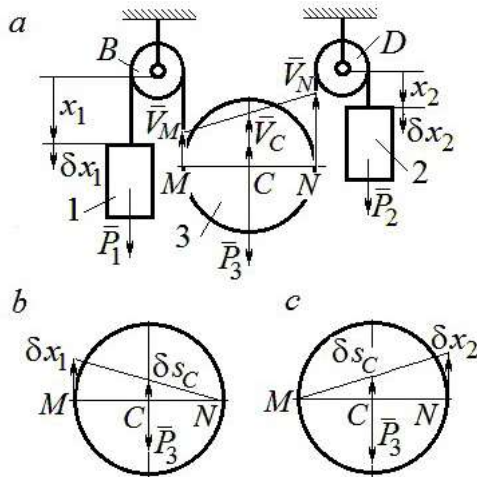


Рис. 7.46. Расчётная схема к упражнению 6.7:

a – кинематика механизма;

b, c – возможные перемещения блока 3 при вычислении обобщённых сил

Дадим системе возможное перемещение по координате x_1 , оставляя координату x_2 постоянной: $\delta x_1 \neq 0, \delta x_2 = 0$. На этом перемещении сумма элементарных работ внешних сил (см. рис. 7.46, a, b):

$$\sum \delta A(F_k) = P_1 \delta x_1 - P_3 \delta s_C = \left(P_1 - \frac{1}{2} P_3 \right) \delta x_1.$$

$$\text{Обобщённая сила } Q_{x_1} = P_1 - \frac{1}{2} P_3.$$

Дадим системе другое независимое возможное перемещение – по координате x_2 , так, что $\delta x_1 = 0, \delta x_2 \neq 0$. При этом перемещении сумма элементарных работ внешних сил (см. рис. 7.46, a, c):

$$\sum \delta A(F_K) = P_2 \delta x_2 - P_3 \delta s_C = \left(P_2 - \frac{1}{2} P_3 \right) \delta x_2.$$

Обобщённая сила $Q_{x_2} = P_2 - \frac{1}{2} P_3$.

Уравнения Лагранжа

$$\left(P_1 + \frac{3}{8} P_3 \right) \frac{\ddot{x}_1}{g} + \frac{1}{8} P_3 \frac{\ddot{x}_2}{g} = P_1 - \frac{1}{2} P_3, \quad \frac{1}{8} P_3 \frac{\ddot{x}_1}{g} + \left(P_2 + \frac{3}{8} P_3 \right) \frac{\ddot{x}_2}{g} = P_2 - \frac{1}{2} P_3 \text{ или}$$

$$7\ddot{x}_1 + \ddot{x}_2 = 0, \quad \ddot{x}_1 + 9\ddot{x}_2 = 2g.$$

Ускорения грузов: $\ddot{x}_1 = -\frac{1}{31}g$, $\ddot{x}_2 = \frac{7}{31}g$. Ускорение центра масс блока

$\ddot{x}_C = \frac{\ddot{x}_2 + \ddot{x}_1}{2} = \frac{6}{31}g$. Груз 1 и центр блока 3 движутся вверх, груз 2 – вниз. (Сравнить с задачей 70.)

6.8

Система с двумя степенями свободы.

Обобщённые координаты: x_1 – положение центра масс катка 1 (точки C_1) относительно неподвижной вертикальной стены; x_2 – положение центра масс катка 2 (точки C_2) относительно подвижного края платформы.

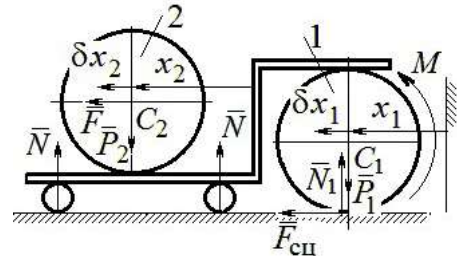


Рис. 7.47. Расчётная схема к упражнению 6.8

Кинетическая энергия системы

$$T = \frac{3}{4} m_1 \dot{x}_1^2 + \frac{1}{2} \left[m_2 (\dot{x}_2 + 2\dot{x}_1)^2 + \frac{m_2 r^2}{2} \left(\frac{\dot{x}_2}{r} \right)^2 \right] = \frac{P}{g} \left(\frac{11}{4} \dot{x}_1^2 + \dot{x}_2^2 + 2\dot{x}_1 \dot{x}_2 \right).$$

Дадим системе возможное перемещение по координате x_1 ($\delta x_1 \neq 0$), оставляя другую координату x_2 неизменной ($\delta x_2 = 0$). Работу совершают момент M и сила \bar{F} . Суммарная работа

$$\sum \delta A(F_K) = M \delta \varphi_1 + F \delta s_{C_2} = M \frac{\delta x_1}{r} + F 2 \delta x_1 = 4P \delta x_1.$$

Обобщённая сила $Q_{x_1} = 4P$.

При другом независимом возможном перемещении $\delta x_1 = 0$, $\delta x_2 \neq 0$ суммарная работа внешних сил $\sum \delta A(F_k) = F\delta x_2$ и обобщённая сила, соответствующая координате x_2 , равна $Q_{x_2} = P$.

Уравнения Лагранжа

$$\frac{P}{g} \left(\frac{11}{2} \ddot{x}_1 + 2\ddot{x}_2 \right) = 4P, \quad \frac{P}{g} (2\ddot{x}_2 + 2\ddot{x}_1) = P, \text{ или}$$
$$11\ddot{x}_1 + 4\ddot{x}_2 = 8g, \quad 2\ddot{x}_2 + 2\ddot{x}_1 = g$$

Ускорение центра катка 1 $\ddot{x}_1 = \frac{6}{7}g$. Тележка катится в направлении оси

x_1 . Ускорение центра катка 2 относительно тележки $\ddot{x}_2 = -\frac{5}{14}g$. Закон относительного движения центра катка 2 при нулевых начальных условиях: $x_2 = -\frac{5}{28}gt^2$. Каток катится к правому борту тележки.

СПИСОК РЕКОМЕНДУЕМОЙ ЛИТЕРАТУРЫ

Бать М. И., Джанелидзе Г. Ю., Кельзон А. С. Теоретическая механика в примерах и задачах: Т. 1–2.– СПб.: Лань, 2010.

Бутенин Н. В., Луиц Я. Л., Меркин Д. Р. Курс теоретической механики: В 2-х томах.– М.: Наука, 2009.

Вебер Г. Э., Ляицев, С. А. Лекции по теоретической механике. – Екатеринбург: Изд-во УГГУ, 2008.

Тарг С. М. Краткий курс теоретической механики: учебник для втузов. – М.: Высшая школа, 2010.

Учебное издание

Валерий Григорьевич Брагин
Евгений Борисович Волков
Юрий Михайлович Казаков

ТЕОРЕТИЧЕСКАЯ МЕХАНИКА

Учебное пособие

Редактор *Л.В. Устьянцева*

Компьютерная версия

Подписано в печать 26.10.2018 г.

Бумага писчая. Формат бумаги 60×84 1/16.

Гарнитура Times New Roman. Печать на ризографе.

Печ. л. 15,625. Уч. изд. л. 10,5. Тираж экз. Заказ №

Издательство УГГУ

620144, г. Екатеринбург, ул. Куйбышева, 30

Уральский государственный горный университет

Отпечатано с оригинал-макета

в лаборатории множительной техники УГГУ



Минобрнауки Российской Федерации
ФГБОУ ВО
«Уральский государственный
горный университет»

Е. Б. Волков, Ю. М. Казаков

ТЕОРЕТИЧЕСКАЯ МЕХАНИКА

*Учебно-методическое пособие
для самостоятельной работы студентов,
выполнению практических и контрольных работ*

**Екатеринбург
2020**



Минобрнауки Российской Федерации
ФГБОУ ВО
«Уральский государственный горный университет»

УТВЕРЖДАЮ:
проректор по УМК

_____ доц. С. А. Упоров

« ____ » _____ 2019 г.

Е. Б. Волков, Ю. М. Казаков

ТЕОРЕТИЧЕСКАЯ МЕХАНИКА

*Учебно-методическое пособие
для самостоятельной работы студентов,
выполнению практических и контрольных работ*

Рецензент: *Н. М. Суслов*, д-р техн. наук, заведующий кафедрой ГМК
Уральского государственного горного университета

Учебно-методическое пособие рассмотрено на заседании кафедры технической механики от 19.12.2016 г. (протокол № 2) и рекомендовано для издания в УГГУ.

Печатается по решению Редакционно-издательского совета Уральского государственного горного университета.

Волков Е. Б., Казаков Ю. М.

В67 ТЕОРЕТИЧЕСКАЯ МЕХАНИКА: Учебно-методическое пособие для самостоятельной работы студентов, выполнению практических и контрольных работ / Е. Б. Волков, Ю. М. Казаков, Уральский государственный горный университет. Екатеринбург: Изд-во УГГУ, 2019. 156 с.

Учебно-методическое пособие для самостоятельной работы студентов содержит краткие методические указания, контрольные задания и примеры выполнения заданий по темам: «Статика твердого тела. Равновесие произвольной плоской и пространственной систем сил», «Кинематика вращательного и плоскопараллельного движений твердого тела. Определение скоростей и ускорений точек твёрдого тела», «Сложное движение точки», «Динамика точки. Дифференциальные уравнения движения точки. Гармонические и вынужденные колебания точки. Применение теоремы об изменении кинетической энергии при исследовании движения точки», «Применение общих теорем динамики к исследованию движения механической системы», «Принципы механики. Применение общего уравнения динамики к исследованию движения механической системы», «Уравнения Лагранжа II рода».

Учебно-методическое пособие для студентов всех специальностей очной формы обучения.

© Волков Е. Б., Казаков Ю. М., 2019
© Уральский государственный горный университет, 2019

ОГЛАВЛЕНИЕ

1. СТАТИКА ТВЕРДОГО ТЕЛА.....	4
1.1. Основные виды связей и их реакции	4
1.2. Моменты силы относительно центра и относительно оси. Пара сил. Момент пары.....	5
1.3. Условия равновесия систем сил	7
1.4. Задание С1. Равновесие произвольной плоской системы сил. Равновесие системы тел	8
1.5. Задание С2. Равновесие пространственной системы сил	17
2. КИНЕМАТИКА ТОЧКИ И ТВЕРДОГО ТЕЛА	26
2.1. Кинематика точки. Основные параметры движения точки.....	26
2.2. Вращение тела вокруг неподвижной оси	28
2.3. Плоскопараллельное движение твёрдого тела	29
2.4. Задание К1. Определение скоростей и ускорений точек твердого тела при поступательном и вращательном движениях	32
2.5. Задание К2. Определение скоростей точек твёрдого тела при плоскопараллельном движении	38
2.6. Задание К3. Определение ускорений точек твёрдого тела при плоскопараллельном движении	46
3. СЛОЖНОЕ ДВИЖЕНИЕ ТОЧКИ.....	57
3.1. Основные понятия сложного движения точки	57
3.2. Задание К4. Определение скорости и ускорения точки при сложном движении	60
4. ДИНАМИКА ТОЧКИ.....	73
4.1. Дифференциальные уравнения движения точки	73
4.2. Задание Д1. Интегрирование дифференциальных уравнений движения точки....	73
4.3. Колебания материальной точки	80
4.4. Задание Д2. Исследование колебаний точки	84
4.5. Теорема об изменении кинетической энергии точки.....	95
4.6. Задание Д3. Исследование движения точки с применением теоремы об изменении кинетической энергии	96
5. ДИНАМИКА МЕХАНИЧЕСКОЙ СИСТЕМЫ	103
5.1. Описание движений твёрдых тел на основе общих теорем динамики системы .	103
5.2. Задание Д4. Динамический расчет механической системы	104
5.3. Теорема об изменении кинетической энергии системы.	112
5.4. Задание Д5. Исследование движения механической системы с применением теоремы об изменении кинетической энергии	114
6. АНАЛИТИЧЕСКАЯ МЕХАНИКА	124
6.1. Принципы механики. Общее уравнение динамики.....	124
6.2. Задание Д6. Исследование механической системы с применением общего уравнения динамики	126
6.3. Уравнения Лагранжа II рода.....	136
6.4. Задание Д7. Исследование механической системы с одной степенью свободы с применением уравнений Лагранжа.....	137
6.5. Задание Д8. Исследование механической системы с двумя степенями свободы	145
СПИСОК РЕКОМЕНДУЕМОЙ ЛИТЕРАТУРЫ	155

1. СТАТИКА ТВЕРДОГО ТЕЛА

Статика представляет раздел теоретической механики, в котором изучаются условия равновесия твердых тел под действием системы сил.

1.1. Основные виды связей и их реакции

Опора тела на гладкую плоскость (поверхность) без трения. Реакция приложена в точке касания и направлена перпендикулярно к общей касательной соприкасающихся поверхностей. При опоре углом, или на угол (рис. 1.1, *a*), реакция направлена по нормали к одной из поверхностей. **Гибкая связь.** Если на тело наложена связь в виде гибкой нерастяжимой нити (каната, троса), то реакция связи \vec{T} , равная натяжению нити, приложена к телу и направлена вдоль нити (рис. 1.1, *b*).

Цилиндрический шарнир (подшипник) создает соединение, при котором

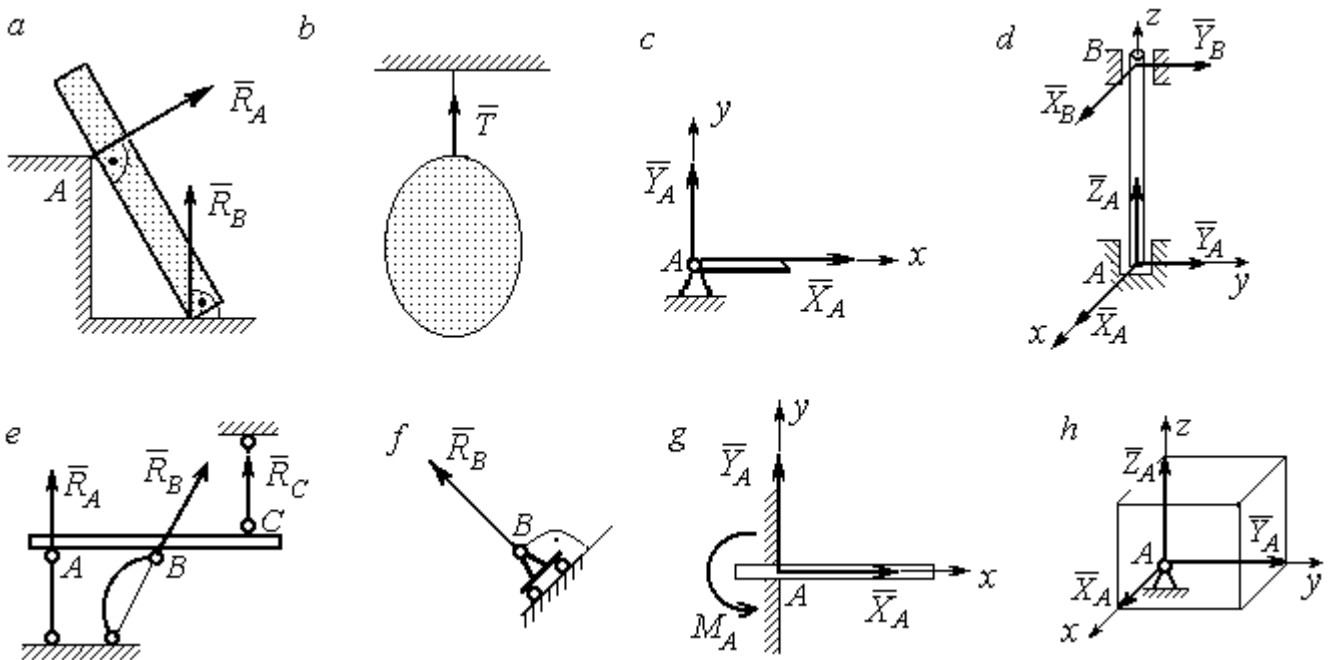


Рис. 1.1. Виды связей и их реакции:

a – реакция опоры тела на гладкую поверхность без трения; *b* – реакция связи гибкой нерастяжимой нити; *c* – реакция цилиндрического шарнира; *d* – реакция подшипника и подпятника; *e* – реакция невесомого стержня; *f* – реакция подвижной опоры; *g* – реакция жесткой заделки; *h* – реакция пространственного шарнира

одно тело может вращаться по отношению к другому. Реакция цилиндрического шарнира лежит в плоскости, перпендикулярной оси шарнира. При решении задач

реакцию цилиндрического шарнира \vec{R}_A изображают ее составляющими \vec{X}_A и \vec{Y}_A , взятыми по направлениям координатных осей (рис. 1.1, c). Реакция подшипника \vec{R}_B (рис. 1.1, d) также изображается своими составляющими \vec{X}_B и \vec{Y}_B , взятыми по направлениям координатных осей в плоскости, перпендикулярной оси вращения подшипника. Величина реакции определяется по формуле: $R_A = \sqrt{X_A^2 + Y_A^2}$. **Реакция прямолинейного невесомого стержня с шарнирными соединениями на краях** направлена вдоль самого стержня, а криволинейного – вдоль линии, соединяющей точки крепления стержня (рис. 1.1, e). **Реакция подвижной опоры** \vec{R}_B (рис. 1.1, f) направлена по нормали к поверхности, на которую опираются катки опоры. **Жесткая заделка** (рис. 1.1, g) препятствует не только линейным перемещениям тела, но и повороту. Реакция заделки состоит из силы реакции \vec{R}_A и пары сил с моментом M_A . При решении задач силу реакции жесткой заделки \vec{R}_A изображают ее составляющими \vec{X}_A и \vec{Y}_A , взятыми по направлениям координатных осей. Модуль реакции определяется по формуле $R_A = \sqrt{X_A^2 + Y_A^2}$. Виды связей и их реакции показаны на рис. 1.1.

1.2. Моменты силы относительно центра и относительно оси. Пара сил. Момент пары

Алгебраическим моментом силы F относительно центра O $M_O(\vec{F})$, или просто **моментом силы** \vec{F} относительно центра O , называют взятое с соответствующим знаком произведение модуля силы \vec{F} на кратчайшее расстояние h от центра O до линии действия силы: $M_O(\vec{F}) = \pm Fh$ (рис. 1.2, a).

Величину h называют **плечом силы**. Момент силы относительно центра считается положительным, если сила стремится повернуть тело вокруг центра против хода часовой стрелки, и отрицательным – в обратном случае.

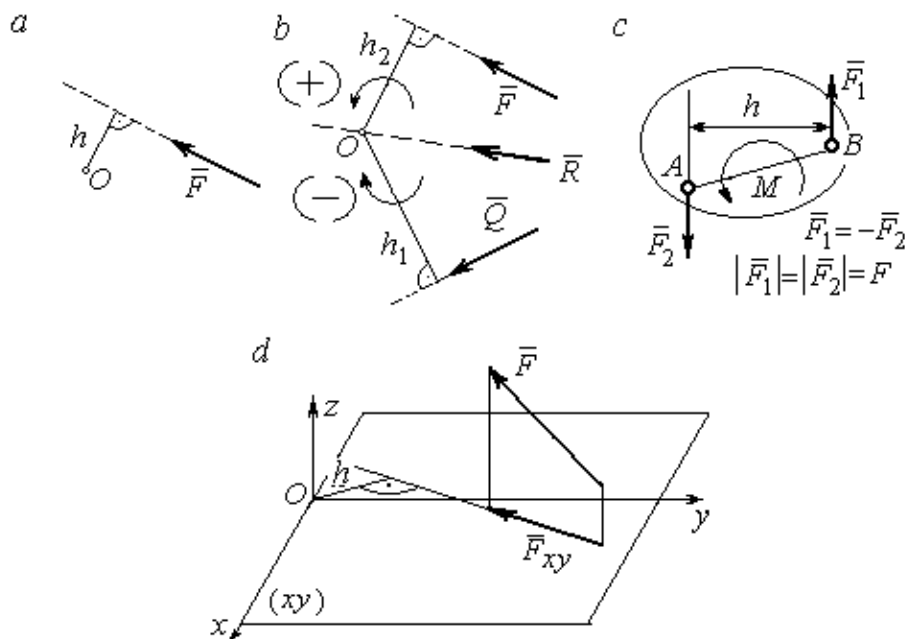


Рис. 1.2. Схемы для вычисления моментов сил:
a, b – момент силы относительно центра; *c* – момент пары сил;
d – момент силы относительно оси

На рис. 1.2, *b* показано, что момент силы \vec{F} относительно центра O положительный, а момент силы \vec{Q} относительно того же центра – отрицательный. Момент силы \vec{R} относительно центра O равен нулю, так как линия действия этой силы проходит через центр O и плечо силы равно нулю.

Парой сил, или просто парой (рис.1.2, *c*), называют систему двух равных по модулю сил, параллельных, направленных в противоположные стороны и не лежащих на одной прямой. Алгебраическим моментом пары сил, или **моментом пары**, называют взятое со знаком плюс или минус произведение модуля одной из сил пары на плечо пары – кратчайшее расстояние между линиями действия ее сил. Правило знаков такое же, как и для момента силы. На рисунках пару часто изображают дуговой стрелкой, показывающей направление поворота твердого тела под действием пары (см. M на рис. 1.2, *c*).

Моментом силы относительно оси называют момент проекции этой силы на плоскость, перпендикулярную оси, относительно точки пересечения оси с этой плоскостью. На рис. 1.2, *d* показано вычисление момента силы F относительно

оси z : $M_z(\vec{F}) = F_{xy}h$, где F_{xy} – проекция силы \vec{F} на плоскость $xу$, перпендикулярную оси z , h – плечо проекции F_{xy} относительно центра O – точки пересечения оси z и плоскости xOy .

1.3. Условия равновесия систем сил

Плоской системой сил называется система сил, расположенных в одной плоскости.

Основная форма условий равновесия плоской системы сил. Для равновесия плоской системы сил, приложенных к твердому телу, необходимо и достаточно, чтобы суммы проекций всех сил на каждую из двух осей прямоугольной системы координат, расположенной в плоскости действия сил, были равны нулю и сумма моментов сил относительно любого центра, находящегося в плоскости действия сил, также была равна нулю:

$$\sum F_{kx} = 0, \quad \sum F_{ky} = 0, \quad \sum M_A(\vec{F}_k) = 0,$$

где F_{kx}, F_{ky} – проекции всех сил на координатные оси; $M_A(\vec{F}_k)$ – моменты всех сил относительно произвольно выбранного центра A .

Пространственной системой сил называется система сил, расположенных произвольно в пространстве.

Для равновесия пространственной системы сил необходимо и достаточно, чтобы суммы проекций всех сил на оси прямоугольной системы координат были равны нулю и суммы моментов всех сил относительно тех же осей также были равны нулю:

$$\sum F_{kx} = 0, \quad \sum F_{ky} = 0, \quad \sum F_{kz} = 0,$$

$$\sum M_x(\vec{F}_k) = 0, \quad \sum M_y(\vec{F}_k) = 0, \quad \sum M_z(\vec{F}_k) = 0,$$

где F_{kx}, F_{ky}, F_{kz} – проекции всех сил на координатные оси x, y, z ; $M_x(\vec{F}_k), M_y(\vec{F}_k)$, $M_z(\vec{F}_k)$ – моменты всех сил относительно выбранных осей.

Равновесие систем тел

Связи, соединяющие части конструкции, называют **внутренними**, в отличие от **внешних** связей, скрепляющих конструкцию с внешними телами, не входящими в данную конструкцию. Одним из способов решения задач на равновесие сил, действующих на сочленённую конструкцию с внутренними связями, является **разбиение конструкции на отдельные тела** и составление уравнений равновесия для каждого из тел, входящих в конструкцию. При этом в уравнения равновесия должны входить только силы, непосредственно приложенные к тому телу, равновесие которого рассматривается.

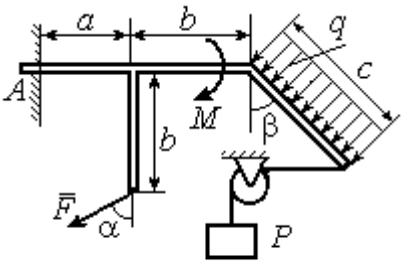
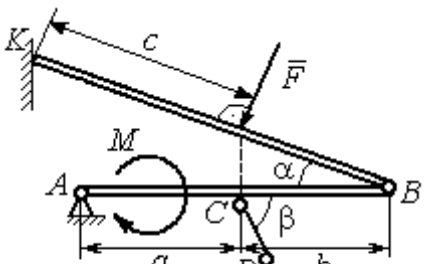
1.4. Задание С1. Равновесие произвольной плоской системы сил. Равновесие системы тел

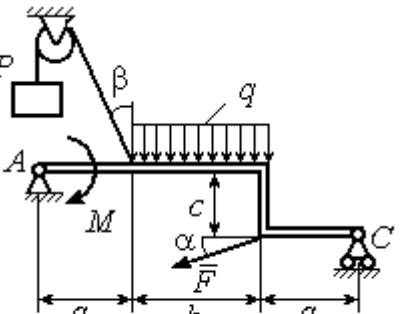
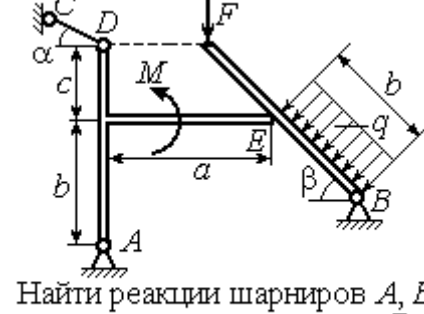
Каждый вариант задания включает две задачи по темам: «Равновесие произвольной плоской системы сил» и «Равновесие системы тел».

В задачах требуется определить реакции связей конструкции исходя из условия равновесия произвольной плоской системы сил. Весом стержневых подпорок, поддерживающих балочные конструкции, и блоков, через которые перекинуты невесомые нити, пренебречь.

Варианты заданий даны на рис. 1.3 – 1.6. Исходные данные приведены в табл. 1.1. Из таблицы исходных данных выбираются значения тех параметров, которые указаны на схемах.

Варианты № 1, 11, 21	
Задача 1	Задача 2

 <p>Найти реакцию жесткой заделки в точке A</p>	 <p>Найти реакции шарниров A, B, реакцию стержня CD и реакцию опоры в точке K</p>
---	--

Варианты № 2, 12, 22	
<p>Задача 1</p>  <p>Найти реакции шарниров A и C</p>	<p>Задача 2</p>  <p>Найти реакции шарниров A, B, реакцию опоры в точке E и реакцию стержня CD</p>

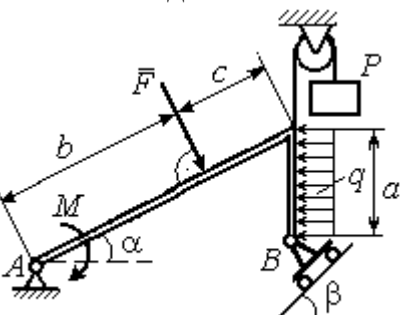

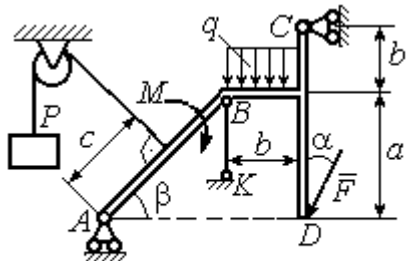
Варианты № 3, 13, 23	
<p>Задача 1</p>  <p>Найти реакцию шарниров A и B</p>	<p>Задача 2</p>  <p>Найти реакцию шарнира A, реакцию опоры в точке K и реакцию жесткой заделки в точке B</p>

Рис. 1.3. Задание С1. Равновесие произвольной плоской системы сил.
Равновесие системы тел. Номера вариантов задания 1 – 3, 11 – 13, 21 – 23

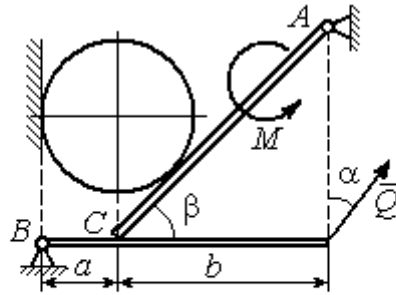
Варианты № 4, 14, 24

Задача 1



Найти усилие в стержне BK и реакцию шарниров A, C

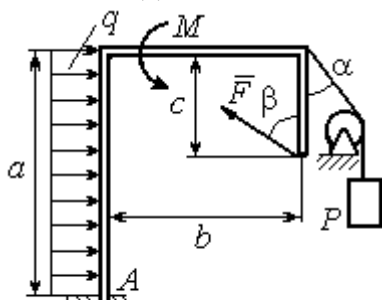
Задача 2



Вес шара P . Найти реакцию шарниров A, B , давление шара на балку и стенку, реакцию опоры балки в точке C и уравновешивающую силу Q

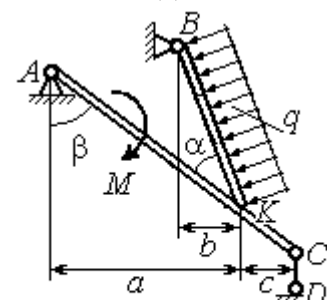
Варианты № 5, 15, 25

Задача 1



Найти реакцию жесткой заделки в точке A

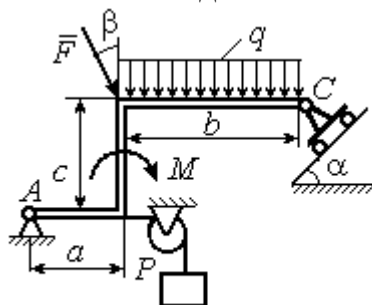
Задача 2



Найти реакцию шарниров A, B , реакцию стержня CD и реакцию опоры в точке K

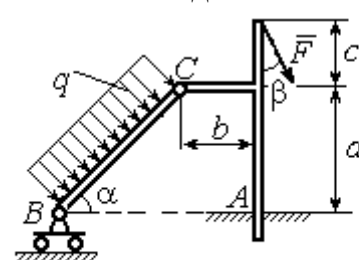
Варианты № 6, 16, 26

Задача 1



Найти реакции шарниров A и C

Задача 2

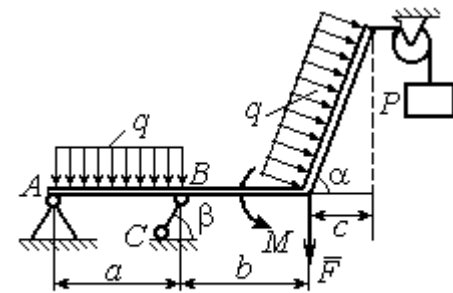


Найти реакцию жесткой заделки в точке A и реакции шарниров B и C

Рис. 1.4. Задание С1. Равновесие произвольной плоской системы сил. Равновесие системы тел. Номера вариантов задания 4 – 6, 14 – 16, 24 – 26

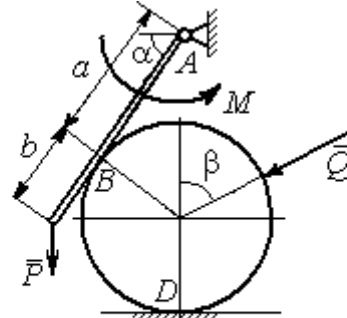
Варианты № 7, 17, 27

Задача 1



Найти реакцию стержня BC и реакцию шарнира A

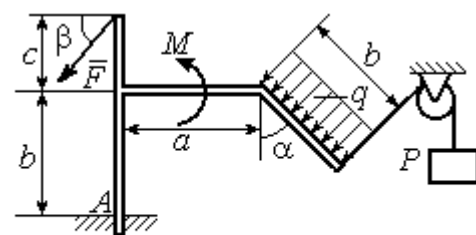
Задача 2



Найти реакцию шарнира A , давление балки на шар, реакцию опоры шара в точке D и уравновешивающую силу Q

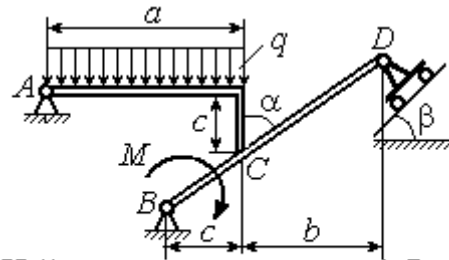
Варианты № 8, 18, 28

Задача 1



Найти реакцию жесткой заделки в точке A

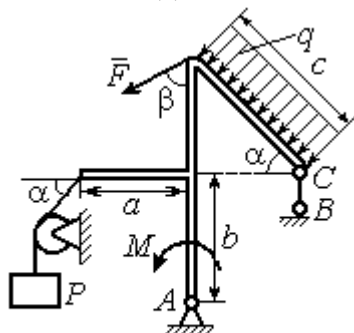
Задача 2



Найти реакцию шарниров A, B и D и реакцию опоры в точке C

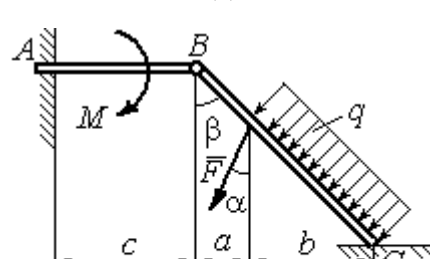
Варианты № 9, 19, 29

Задача 1



Найти реакцию стержня BC и реакцию шарнира A

Задача 2



Найти реакцию жесткой заделки в точке A , реакцию шарнира B и реакцию опоры в точке C

Рис. 1.5. Задание С1. Равновесие произвольной плоской системы сил. Равновесие системы тел. Номера вариантов задания 7 – 9, 17 – 19, 27 – 29

Окончание вариантов задания С1

Варианты № 10, 20, 30

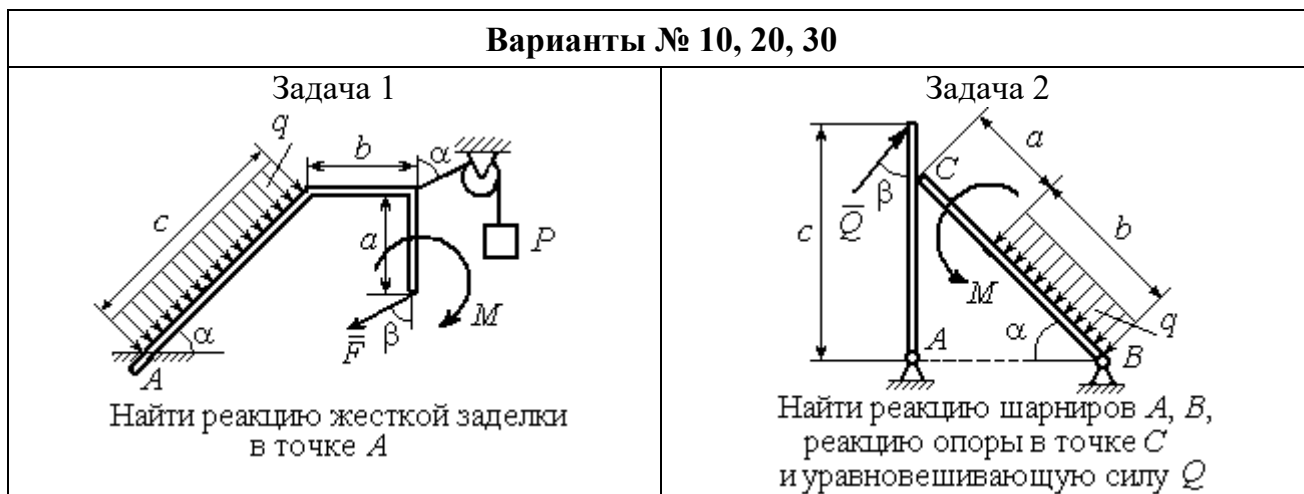


Рис. 1.6. Задание С1. Равновесие произвольной плоской системы сил.
Равновесие системы тел. Номера вариантов задания 10, 20, 30

Таблица 1.1

**Исходные данные задания С1. Равновесие произвольной плоской системы сил.
Равновесие системы тел.**

Номер варианта задания	1	2	3	4	5	6	7	8	9	10	11	12	13	14	15
P , кН	6	5	6	12	6	6	10	3	8	5	10	4	8	10	8
F , кН	12	6	10	5	12	8	6	5	6	2	12	8	12	6	10
q , кН/м	5	4	2	3	6	3	5	2	2	4	6	2	3	4	5
M , кН·м	12	8	6	8	12	5	12	8	4	6	8	12	10	6	10
α , град	45	60	30	60	30	30	45	60	30	30	45	30	60	45	60
β , град	60	30	45	30	60	90	60	60	30	45	30	45	30	60	30
a , м	3	4	3	4	3	4	3	4	1	2	2	3	2	3	4
b , м	3	3	4	3	2	4	3	3	2	3	3	3	4	3	2
c , м	4	2	2	2	3	2	2	1	5	4	4	2	1	2	2

Номер варианта задания	16	17	18	19	20	21	22	23	24	25	26	27	28	29	30
P , кН	10	8	10	6	4	6	12	10	5	6	8	6	8	4	6
F , кН	6	12	12	8	3	14	10	8	15	10	12	8	10	10	2
q , кН/м	5	3	4	3	2	3	2	5	4	2	3	4	5	2	4
M , кН·м	10	6	8	6	5	12	4	6	8	10	12	10	6	4	8
α , град	60	60	30	45	60	30	60	45	30	60	45	30	30	30	45
β , град	45	30	30	60	60	45	30	60	30	45	90	30	60	45	30
a , м	3	4	3	1	2	2	4	1	4	3	4	3	2	1	2
b , м	2	4	3	3	4	1	4	3	2	2	2	2	2	2	2
c , м	3	2	2	4	5	4	2	2	1	1	1	2	1	3	5

Пример выполнения задания С1. Равновесие произвольной плоской системы сил. Равновесие системы тел.

Задача 1. Рама ACE (рис. 1.7) в точке A закреплена на цилиндрической шарнирной опоре, а в точке B поддерживается вертикальным невесомым стержнем BK . На раму действуют: пара с моментом $M = 8$ Нм, сила $F = 10$ Н, приложенная в точке D под углом 60° к раме, и равномерно распределенная нагрузка интенсивностью $q = 2$ Н/м, приложенная на отрезке AB . В точке E под прямым углом к участку балки CE прикреплен трос, несущий груз $P = 20$ Н. Пренебрегая весом балки, определить реакцию шарнира A и реакцию стержневой опоры BK , если $a = 2$ м.

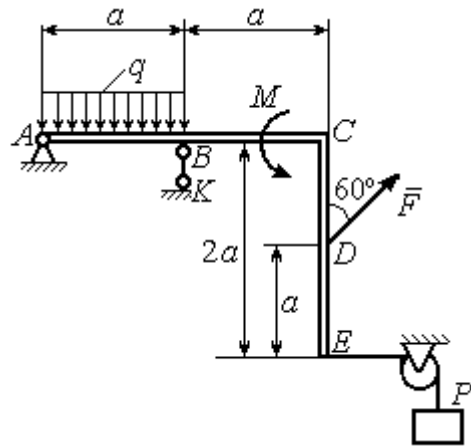


Рис. 1.7. Конструкция рамы

Решение

Выбираем систему координат xAy , например, как показано на рис. 1.8. Заменяем действие связей их реакциями. Изображаем реакцию шарнира A двумя ее составляющими \vec{X}_A и \vec{Y}_A , направленными вдоль горизонтальной и вертикальной осей (см. рис. 1.8). Реакция \vec{R}_B невесомой стержневой опоры BK приложена в точке B и направлена вдоль стержня BK . Заменяем распределенную нагрузку её

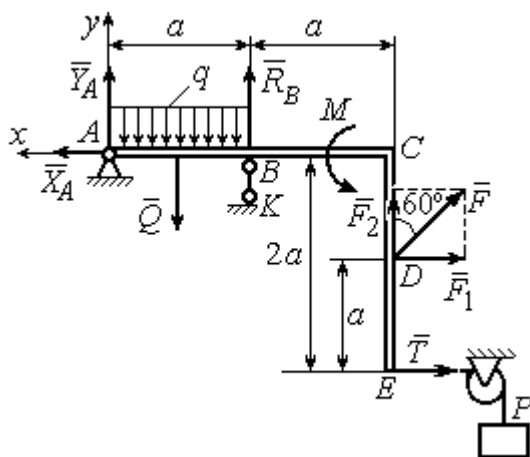


Рис. 1.8. Силы и реакции связей, действующие на раму при её равновесии

равнодействующей \vec{Q} . Сила \vec{Q} приложена в середине отрезка AB и по модулю равна $Q = qa = 4$ Н. Действие груза P на раму изображается реакцией \vec{T} , равной по величине весу груза.

При равновесии рамы действующие на неё силы составляют уравновешенную произвольную плоскую систему. Условия равновесия системы сил имеют вид: $\sum F_{kx} = 0$, $\sum F_{ky} = 0$, $\sum M_A(\vec{F}_k) = 0$. Вычисляя проекции сил на оси x , y , и моменты сил относительно центра A , уравнения равновесия получим в виде:

$$\sum F_{kx} = X_A - F \cos 30^\circ - T = 0, \quad \sum F_{ky} = Y_A - Q + R_B + F \cos 60^\circ = 0.$$

$$\sum M_A(\vec{F}_k) = -Q \frac{a}{2} + R_B a + M + F \cos 60^\circ \cdot 2a + F \cos 30^\circ \cdot a + T 2a = 0.$$

Здесь для вычисления момента силы \vec{F} относительно центра A использована теорема Вариньона: $M_A(\vec{F}) = M_A(\vec{F}_1) + M_A(\vec{F}_2) = F_1 \cdot a + F_2 \cdot 2a$, где $F_1 = F \cos 30^\circ$, $F_2 = F \cos 60^\circ$ (см. рис. 1.8).

Подставляя в уравнения равновесия исходные данные задачи, получим систему уравнений относительно неизвестных X_A, Y_A, R_B :

$$X_A - 28,66 = 0, \quad Y_A + R_B + 1 = 0, \quad R_B \cdot 2 + 121,32 = 0.$$

Решая систему, найдем $X_A = 28,66$ Н, $Y_A = 59,66$ Н, $R_B = -60,66$ Н.

Отрицательное значение величины R_B означает, что фактическое направление реакции R_B стержневой опоры BK противоположно направлению, показанному на рис. 1.8. Численное значение реакции шарнира

$$R_A = \sqrt{X_A^2 + Y_A^2} = \sqrt{28,66^2 + 59,66^2} = 66,18 \text{ Н.}$$

Задача 2. Балка $ABLC$ с вертикальной частью AB и горизонтальной перекладиной LC закреплена в точке A с помощью жесткой заделки (рис. 1.9). Наклонная балка EC с углом наклона к горизонту 60° в точке C шарнирно прикреплена к горизонтальной перекладине CL , а в точке E закреплена на шарнирно-подвижной опоре, установленной на горизонтальной поверхности. На конструкцию действуют равномерно распределенная на отрезках BL и DE нагрузка с одинаковой интенсивностью $q = 2$ кН/м, сила \vec{F} , приложенная в точке D перпендикулярно балке EC и равная по величине $F = 10$ кН, и пара сил с моментом $M = 5$ кН·м. Определить реакцию жесткой заделки A и реакции шарниров C и E , если $a = 2$ м.

Решение

Разделяем систему на две части по шарниру C и рассмотрим равновесие балок $ABLC$ и EC отдельно. Изобразим обе балки и расставим внешние силы и реакции связей (рис. 1.10). Рассмотрим балку $ABLC$ (рис. 1.10, a).

Заменим распределенную нагрузку эквивалентной силой \bar{Q}_1 , приложенной в середине отрезка BL , направленной в сторону действия нагрузки и равной $Q_1 = q \cdot a = 4$ кН. Кроме силы \bar{Q}_1 и пары сил с моментом M на балку действуют реакция жёсткой заделки в точке A , имеющая своими составляющими силы \bar{X}_A , \bar{Y}_A и пару сил с моментом M_A , а также реакция шарнира C , разложенная на составляющие \bar{X}_C , \bar{Y}_C (см. рис. 1.10, a). Действующие на раму силы

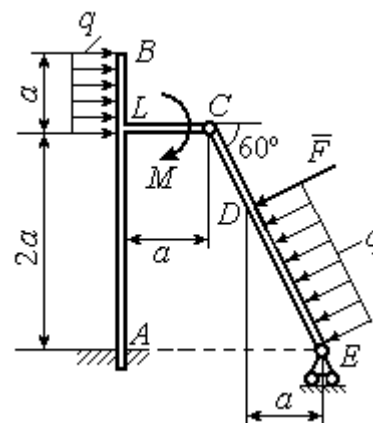


Рис. 1.9. Равновесие конструкции двух балок, соединённых шарниром

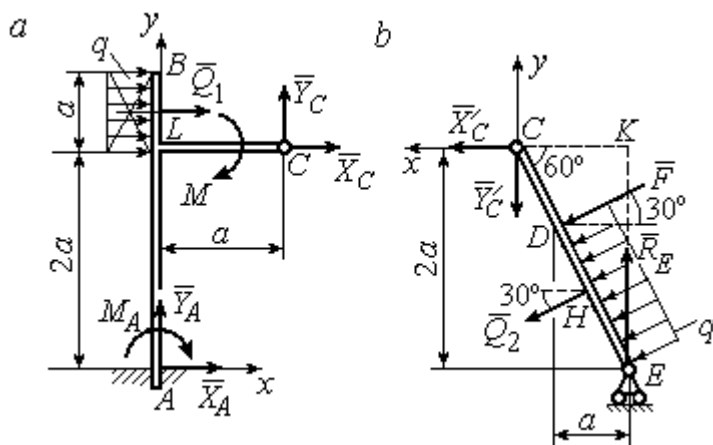


Рис. 1.10. Равновесие частей конструкции:
 a - силы и реакции связей, действующие на балку $ABLC$;
 b - силы и реакции связей, действующие на балку CE

составляют уравновешенную плоскую систему сил. Выберем систему координат xAy , как показано на рис. 1.10, a , и составим уравнения равновесия:

$$\begin{aligned} \sum F_{kx} &= X_A + Q_1 + X_C = 0, \\ \sum F_{ky} &= Y_A + Y_C = 0, \end{aligned}$$

$$\sum M_A(\bar{F}_k) = -M_A - Q_1 \cdot \left(2a + \frac{a}{2}\right) - M + Y_C a - X_C 2a = 0.$$

Рассмотрим равновесие балки EC . Заменим равномерную нагрузку эквивалентной силой \bar{Q}_2 , приложенной в середине отрезка ED , направленной в сторону действия нагрузки и равной по модулю $Q_2 = q \cdot 2a = 8$ кН. На балку кроме сил \bar{Q}_2 , \bar{F} действуют реакции связей: \bar{R}_E – реакция шарнирно-подвижной опоры в точке

E и \vec{X}'_C, \vec{Y}'_C – составляющие реакции шарнира C . Силы \vec{X}'_C, \vec{Y}'_C направлены противоположно силам \vec{X}_C, \vec{Y}_C и равны им по модулю $X_C = X'_C, Y_C = Y'_C$ (см. рис. 1.10, a, b). Действующие на балку EC силы образуют плоскую уравновешенную систему сил. Выберем систему координат xCy , как показано на рис. 1.10, b , и составим уравнения равновесия. При этом центром, относительно которого будем считать моменты сил, выберем точку C . Получим:

$$\sum F_{kx} = Q_2 \sin 60^\circ + F \cos 30^\circ + \vec{X}'_C = 0, \quad \sum F_{ky} = R_E - Q_2 \cos 60^\circ - F \sin 30^\circ - Y'_C = 0,$$

$$\sum M_C(\vec{F}_k) = -F \cdot CD - Q_2 \cdot CH + R_E \cdot CK = 0.$$

Здесь плечи сил: $CD = \frac{2a}{\cos 30^\circ} - 2a, CH = \frac{2a}{\cos 30^\circ} - a, CK = 2atg 30^\circ$. Заменяя в

уравнениях величины X'_C на X_C , а Y'_C на Y_C и подставляя исходные данные, получим систему уравнений:

$$X_A + X_C + 4 = 0, \quad Y_A + Y_C = 0, \quad -M_A - 4X_C + 2Y_C - 25 = 0,$$

$$X_C + 15,59 = 0, \quad -Y_C + R_E - 9 = 0, \quad 2,31R_E - 27,14 = 0,$$

откуда найдём величины реакции жесткой заделки и реакции шарниров:

$$X_A = 11,59 \text{ кН}, \quad Y_A = -2,76 \text{ кН}, \quad M_A = 42,87 \text{ кН}\cdot\text{м},$$

$$X_C = -15,59 \text{ кН}, \quad Y_C = 2,76 \text{ кН}, \quad R_E = 11,76 \text{ кН}.$$

Модули реакций жесткой заделки A и шарнира C :

$$R_A = \sqrt{X_A^2 + Y_A^2} = 11,91 \text{ кН}, \quad R_C = \sqrt{X_C^2 + Y_C^2} = 15,83 \text{ кН}.$$

1.5. Задание С2. Равновесие пространственной системы сил

В заданиях рассматривается равновесие однородной плиты или вала (прямого или с «ломаной» осью) с насаженным на него шкивом.

Вал закреплен подпятником и подшипником и удерживается в равновесии. На вал действуют сила \vec{F} , пара сил с моментом M и сила \vec{P} . На шкив вала намотана нить, к свободному концу которой, перекинутому через невесомый блок, подвешен груз весом Q . Для вала определить реакции подшипника и подпятника и величину уравновешивающей силы Q (или момента M).

Плита весом P закреплена пространственным шарниром, подшипником и удерживается в заданном положении невесомым стержнем. На плиту действуют силы \vec{F} , \vec{Q} и пара сил с моментом M . Для плиты найти реакции сферического и цилиндрического шарниров и реакцию стержня.

Варианты задания даны на рис. 1.11 – 1.13. Исходные данные для выполнения задания приведены в табл. 1.2.

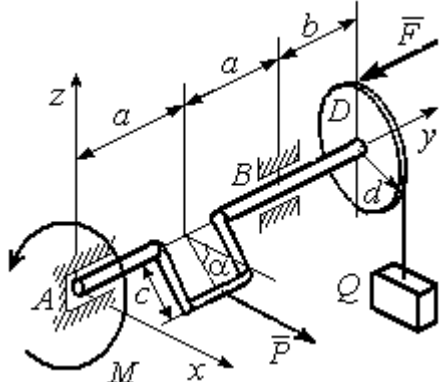
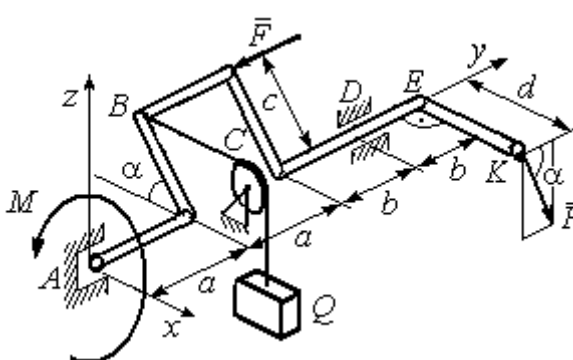
Варианты № 1, 11, 21	Варианты № 2, 12, 22
 <p>Сила \vec{F} параллельна оси Ay; сила \vec{P} параллельна оси Ax; нить, удерживающая груз, сходит со шкива вертикально. Найти реакции подпятника и подшипника в точках A и B и величину уравновешивающего груза Q</p>	 <p>Сила \vec{F} параллельна оси Ay; сила \vec{P} лежит в плоскости, параллельной zAy; отрезок нити BC параллелен оси Ax; рукоятка вала EK параллельна оси Ax. Найти реакции подпятника и подшипника в точках A и D и величину уравновешивающего момента M</p>

Рис. 1.11. Задание С2. Равновесие пространственной системы сил.
Номера вариантов задания 1 – 2, 11 – 12, 21 – 22

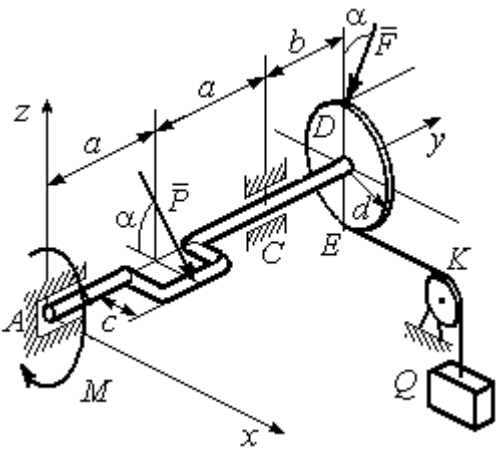
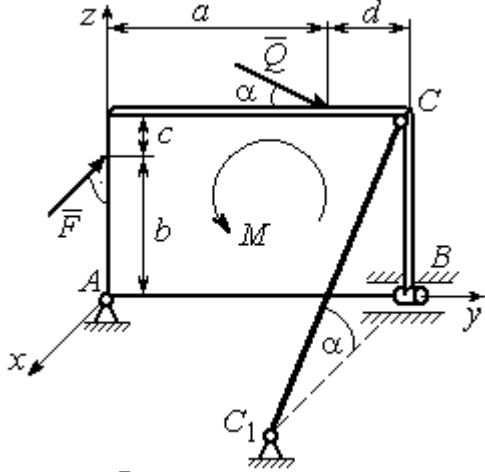
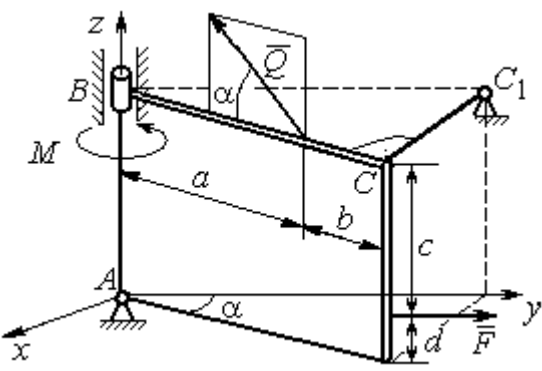
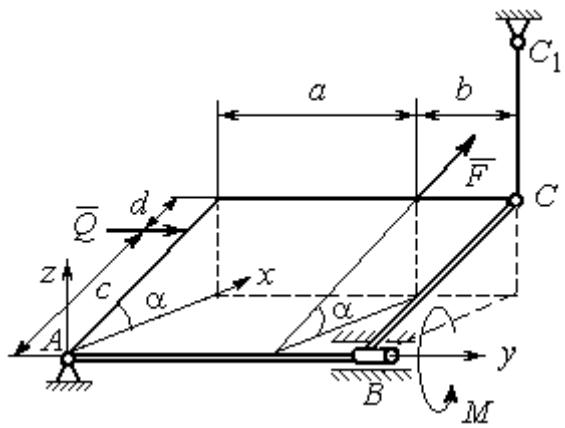
Варианты № 3, 13, 23	Варианты № 4, 14, 24
 <p>Сила \vec{F}, лежит в плоскости zAy; сила \vec{P} лежит в плоскости, параллельной zAx, отрезок нити EK параллелен оси Ax. Найти реакции подпятника и подшипника в точках A и C, а также величину уравновешивающего груза Q</p>	 <p>Плита весом P расположена в плоскости zAy; пара сил с моментом M действует в плоскости плиты; стержень CC_1 расположен в плоскости, параллельной zAx; сила \vec{Q} действует в плоскости плиты; сила \vec{F} перпендикулярна плоскости плиты. Найти реакции сферического и цилиндрического шарниров в точках A и B и реакцию стержня CC_1</p>
 <p>Плита весом P отклонена на угол α от вертикальной плоскости zAy; сила \vec{Q} лежит в плоскости плиты; сила \vec{F} параллельна оси Ay; стержень CC_1 перпендикулярен плоскости плиты. Найти реакции сферического и цилиндрического шарниров в точках A и B и реакцию стержня CC_1</p>	 <p>Плита весом P отклонена на угол α от горизонтальной плоскости xAy; сила \vec{Q} перпендикулярна боковой стенке плиты и параллельна оси Ay; сила \vec{F} расположена в плоскости плиты и параллельна её боковым стенкам; стержень CC_1 параллелен оси Az. Найти реакции сферического и цилиндрического шарниров в точках A и B и реакцию стержня CC_1</p>

Рис. 1.12. Задание С2. Равновесие пространственной системы сил.
Номера вариантов задания 3 – 6, 13 – 16, 23 – 26

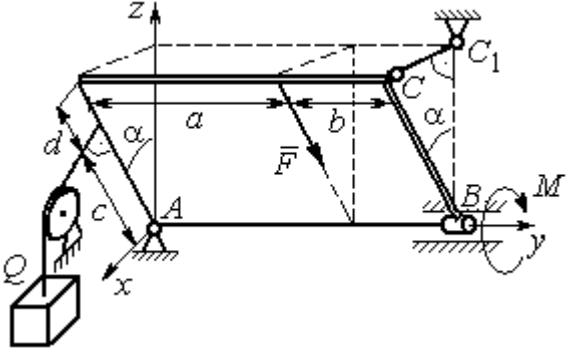
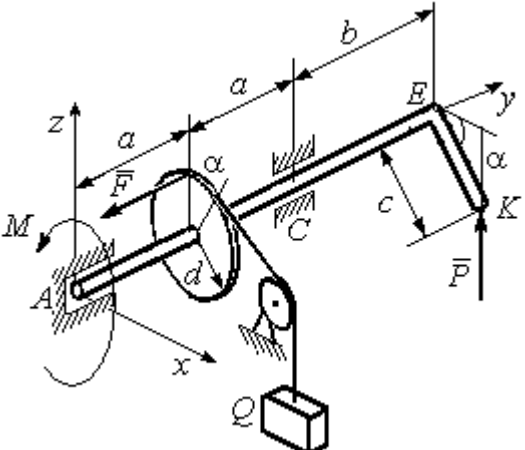
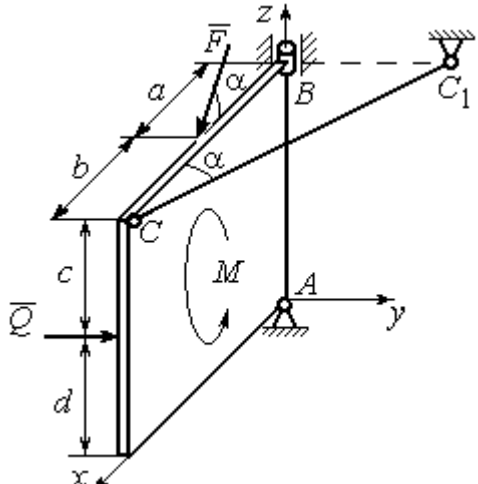
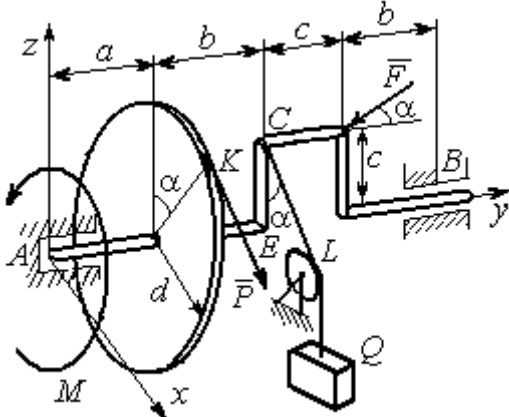
Варианты № 7, 17, 27	Варианты № 8, 18, 28
 <p>Плита весом P отклонена на угол α от вертикальной плоскости zAy; нить, удерживающая груз Q, находится в плоскости zAx, перпендикулярна ей; сила \vec{F} параллельна боковым стенкам плиты; стержень CC_1 перпендикулярен плоскости zAy. Найти реакции сферического и цилиндрического шарниров в точках A и B и реакцию стержня CC_1</p>	 <p>Рукоять EK перпендикулярна оси вала и наклонена под углом α к горизонтальной плоскости xAy; сила \vec{P} параллельна оси Az; сила \vec{F} параллельна оси Ay; нить, удерживающая груз Q, сходит со шкива по касательной. Найти реакции подпятника A, подшипника C, и величину уравновешивающего груза Q</p>
 <p>Плита весом P находится в вертикальной плоскости zAx; стержень CC_1 расположен в плоскости, параллельной xAy; пара сил с моментом M действует в плоскости плиты; сила \vec{Q} перпендикулярна плоскости плиты; сила \vec{F} лежит в плоскости плиты. Найти реакции сферического и цилиндрического шарниров в точках A и B и реакцию стержня CC_1</p>	 <p>Сила \vec{F} находится в плоскости zAy; стойка CE находится в плоскости zAy; отрезок CL нити, удерживающей груз, находится в плоскости параллельной xAz; сила \vec{P} находится в плоскости шкива и направлена по касательной к ободу в точке K. Найти реакции подпятника A, подшипника B и величину уравновешивающего момента M</p>

Рис. 1.13. Задание С2. Равновесие пространственной системы сил.

Номера вариантов задания 7 – 10, 17 – 20, 27 – 30

Таблица 1.2

Исходные данные для задания С2.

Равновесие пространственной системы сил

Номер варианта задания	1	2	3	4	5	6	7	8	9	10
P , кН	5	4	6	10	16	15	12	10	15	14
F , кН	8	6	12	6	10	10	8	12	12	10
Q , кН	–	12	–	12	8	12	10	–	10	12
M , кН·м	12	–	10	8	12	6	8	6	8	–
α , град	60	30	30	30	60	60	60	30	30	60
a , м	1,2	0,8	1,4	0,6	1,2	0,9	1,4	0,4	0,8	0,8
b , м	1,0	0,6	1,1	0,4	0,8	0,4	0,6	1,2	0,2	0,6
c , м	0,8	0,5	0,8	0,3	1,4	0,8	1,2	0,8	0,4	0,4
d , м	0,4	0,4	0,6	0,2	0,4	0,2	0,4	0,6	0,6	0,6

Номер варианта задания	11	12	13	14	15	16	17	18	19	20
P , кН	8	10	10	15	14	10	16	9	10	12
F , кН	6	12	16	8	12	14	10	15	8	10
Q , кН	–	14	–	10	10	12	14	–	12	14
M , кН·м	10	–	12	12	12	8	10	10	10	–
α , град	30	60	60	60	30	30	30	60	60	30
a , м	0,8	1,3	0,9	0,5	1,3	1,2	1,6	0,6	0,9	1,2
b , м	0,6	1,1	0,6	0,4	0,9	0,6	0,8	1,2	0,3	0,8
c , м	0,4	0,8	0,5	0,2	1,5	0,9	1,2	0,4	0,6	0,6
d , м	0,2	0,4	0,4	0,1	0,5	0,4	0,6	0,2	0,2	0,8

Номер варианта задания	21	22	23	24	25	26	27	28	29	30
P , кН	10	12	5	8	10	14	18	12	14	10
F , кН	12	8	15	10	12	8	10	15	9	8
Q , кН	–	10	–	12	14	10	16	–	12	6
M , кН·м	12	–	16	14	8	10	8	12	10	–
α , град	90	30	60	30	45	30	30	60	60	30
a , м	0,6	0,8	1,1	1,2	1,5	0,8	1,0	0,8	1,2	0,9
b , м	0,8	0,6	0,9	1,0	0,9	0,6	0,8	1,4	0,6	0,4
c , м	0,4	1,2	0,8	0,6	1,5	0,9	1,1	0,5	0,8	0,6
d , м	0,4	1,5	0,5	0,2	0,4	0,3	0,3	0,4	0,6	0,5

Примеры решения задания С2. Равновесие пространственной системы сил

Задача 1. Горизонтальный вал (рис. 1.14) закреплен в подпятнике C и подшипнике K . Вал имеет шкив I радиуса R и шкив II радиуса r , перпендикулярные оси вала. Рукоять AE параллельна оси Cx . Нить, удерживающая груз Q , сходит со шкива I по касательной вертикально вниз.

На вал действуют силы \vec{F} , \vec{P} и пара сил с моментом M , закручивающая вал вокруг оси Cy . Сила \vec{F} находится в плоскости, параллельной zCy , и составляет угол 60° с направлением оси Cy . Сила \vec{P} приложена в точке B шкива II, определяемой центральным углом 30° , и направлена по касательной. Определить величину уравнивающего момента M и реакции подшипника и подпятника, если $P = 4$ кН, $F = 2$ кН, $Q = 3$ кН, $R = 0,6$ м, $r = 0,3$ м, $a = 0,8$ м, $b = 0,4$ м.

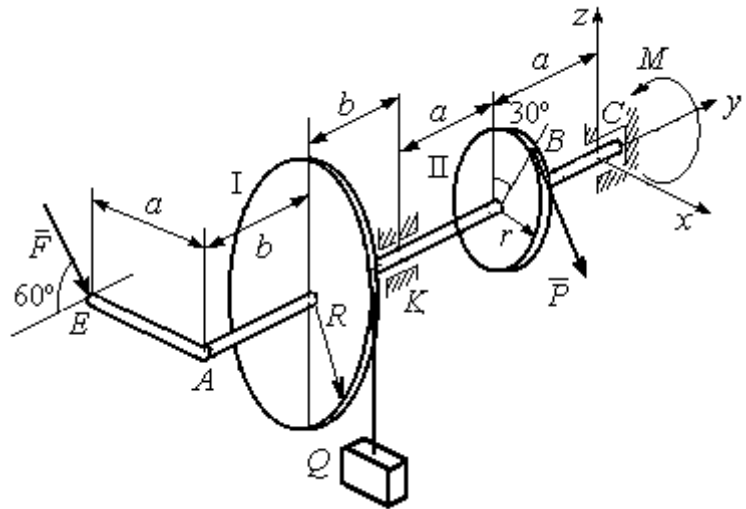


Рис. 1.14. Схема вала и его нагрузка

Определить величину уравнивающего момента M и реакции подшипника и подпятника, если $P = 4$ кН, $F = 2$ кН, $Q = 3$ кН, $R = 0,6$ м, $r = 0,3$ м, $a = 0,8$ м, $b = 0,4$ м.

Решение

Рассмотрим равновесие вала. На вал действуют внешние силы \vec{F} , \vec{P} , пара сил с моментом M и реакции связей. Связями являются нить, натянутая грузом Q , подпятник C и подшипник K . Освобождаем вал от связей, заменяя их действие реакциями. Реакцию подпятника C раскладываем на три составляющие:

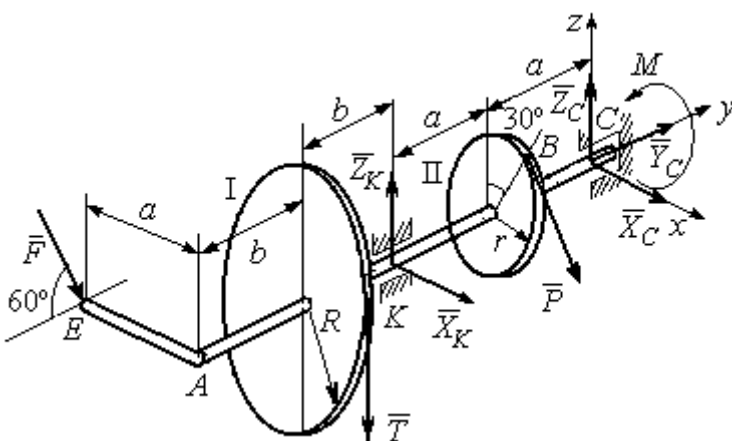


Рис. 1.15. Внешние силы и реакции связей вала

на три составляющие: \vec{X}_C , \vec{Y}_C , \vec{Z}_C , направленные

вдоль координатных осей. Реакция подшипника K лежит в плоскости, перпендикулярной оси вала, и ее составляющими будут вектора \vec{X}_K, \vec{Z}_K , направленные вдоль координатных осей x, z . Реакция нити \vec{T} направлена вдоль нити от точки K и по модулю равна весу груза. Действие на вал внешних сил и реакций связи показано на рис. 1.15.

Внешние силы, действующие на вал, и реакции связей составляют произвольную пространственную систему сил, эквивалентную нулю ($\vec{P}, \vec{F}, \vec{X}_K, \vec{Z}_K, \vec{T}, \vec{X}_C, \vec{Y}_C, \vec{Z}_C, M) \infty 0$, для которой уравнения равновесия:

$$\sum F_{kx} = 0, \sum F_{ky} = 0, \sum F_{kz} = 0,$$

$$\sum M_x(\vec{F}_k) = 0, \sum M_y(\vec{F}_k) = 0, \sum M_z(\vec{F}_k) = 0.$$

Для удобства при составлении уравнений равновесия изобразим вал вместе с действующими на него силами в проекциях на координатные плоскости (рис. 1.16)

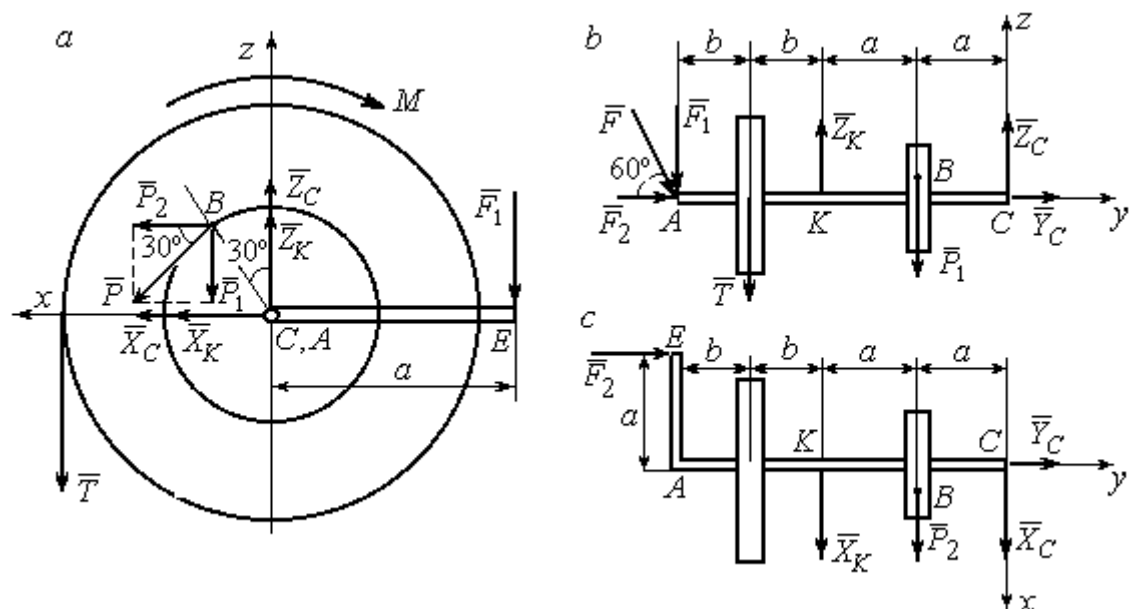


Рис. 1.16. Вал и действующие на него силы в проекциях на координатные плоскости:

- a – вид вала в проекции на плоскость zCx с положительного конца оси y ;
- b – вид вала в проекции на плоскость zCy с положительного конца оси x ;
- c – вид вала в проекции на плоскость xCy с положительного конца оси z .

На рис. 1.16, *a* показаны проекции всех сил на плоскость zCx . Вычисляя моменты проекций этих сил относительно точки C , получим значения моментов исходных сил относительно оси y .

Для вычисления моментов сил относительно оси x достаточно найти моменты проекций сил на плоскость zCy относительно точки C (см. рис. 1.16, *b*), а вычисляя моменты проекций сил на плоскость xCy относительно точки C , получим значения моментов сил относительно оси z .

Составляем уравнения равновесия:

$$\begin{aligned}\sum F_{kx} &= P_2 + X_K + X_C = 0, \quad \sum F_{ky} = F_2 + Y_C = 0, \\ \sum F_{kz} &= -P_1 + Z_K - T + Z_C - F_1 = 0, \\ \sum M_x(\vec{F}_k) &= P_1 a - Z_K 2a - T(2a + b) + F_1(2a + 2b) = 0, \\ \sum M_y(\vec{F}_k) &= -F_1 a + TR + Pr - M = 0, \\ \sum M_z(\vec{F}_k) &= P_2 a + X_K 2a - F_2 a = 0.\end{aligned}$$

Подставляя исходные данные задачи, с учётом того, что

$$P_1 = P \cos 60^\circ = 0,5P, \quad P_2 = P \cos 30^\circ = 0,87P,$$

$$F_1 = F \cos 30^\circ = 0,87F, \quad F_2 = F \cos 60^\circ = 0,5F \quad (\text{см. рис. 1.16 } a, b),$$

получим систему уравнений:

$$0,87 \cdot 4 + X_K + X_C = 0, \quad 2 \cdot 0,5 + Y_C = 0, \quad -4 \cdot 0,5 + Z_K - 3 + Z_C - 2 \cdot 0,87 = 0,$$

$$0,5 \cdot 4 \cdot 0,8 - 1,6Z_K - 3 \cdot 0,87(2 \cdot 0,8 + 0,4) + 2 \cdot 0,87(2 \cdot 0,8 + 2 \cdot 0,4) = 0,$$

$$-0,87 \cdot 0,8 + 3 \cdot 0,6 + 4 \cdot 0,3 - M = 0, \quad 0,87 \cdot 4 \cdot 0,8 + 1,6 \cdot X_K - 2 \cdot 0,5 \cdot 0,8 = 0.$$

Решая систему, найдём: $X_C = -2,24$ кН, $Y_C = -1$ кН, $Z_C = 6,39$ кН, $X_K = -1,24$ кН, $Z_K = 0,35$ кН, $M = 2,3$ кН·м.

$$\text{Окончательно, реакция подпятника } R_C = \sqrt{X_C^2 + Y_C^2 + Z_C^2} = 6,84 \text{ кН,}$$

$$\text{реакция подшипника } R_K = \sqrt{X_K^2 + Z_K^2} = 1,29 \text{ кН.}$$

Задача 2. Плита весом P расположена в вертикальной плоскости zAy . В точке A плита закреплена пространственным шарниром, а в точке B на оси y опирается на цилиндрический шарнир (подшипник). Плита удерживается в равновесии при помощи невесомого стержня CC_1 , прикрепленного шарниром к плите в её верхнем углу, в точке C перпендикулярно плоскости плиты (рис. 1.17).

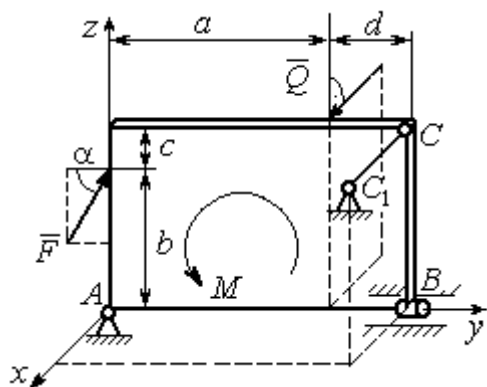


Рис. 1.17. Равновесие плиты

при помощи невесомого стержня CC_1 , прикрепленного шарниром к плите в её верхнем углу, в точке C перпендикулярно плоскости плиты (рис. 1.17).

На плиту действует сила \vec{Q} , приложенная на краю плиты перпендикулярно её плоскости, и сила \vec{F} , лежащая в плоскости плиты и направленная под углом α к горизонту (см. рис. 1.17). Кроме того, в плоскости плиты на неё действует пара сил с моментом M . Найти реакции шарниров A и B и усилие в стержневой подпорке CC_1 при равновесии плиты, если параметры нагрузки: $P = 1$ кН, $Q = 500$ Н, $F = 400$ Н, $M = 300$ Н·м, $\alpha = 35^\circ$, $a = 2$ м, $b = 1,5$ м, $c = 0,2$ м, $d = 0,4$ м.

Решение

Заменим связи плиты их реакциями.

Реакция шарнира A раскладывается на три составляющие: \vec{X}_A , \vec{Y}_A , \vec{Z}_A по направлениям координатных осей. Направления координатных осей показаны на рис. 1.17. Реакция подшипника B лежит в плоскости, перпендикулярной оси подшипника, и ее составляющими будут вектора \vec{X}_B , \vec{Z}_B , направленные

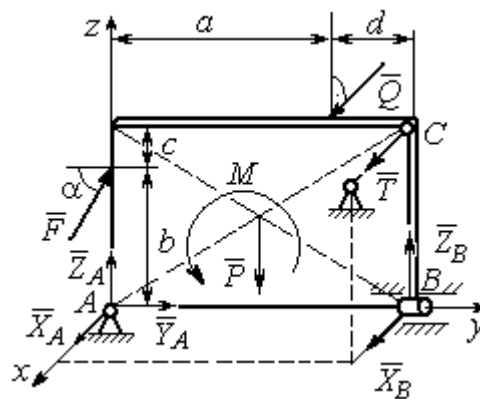


Рис. 1.18. Действие сил и реакций при равновесии плиты

вдоль координатных осей x , z . Реакция стержня \vec{T} направлена вдоль стержня. Действие сил и реакций показано на рис.1.18.

Пространственная система сил, действующих на плиту, является уравновешенной: $(\vec{P}, \vec{F}, \vec{X}_B, \vec{Z}_B, \vec{T}, \vec{X}_A, \vec{Y}_A, \vec{Z}_A, M) \infty 0$. Уравнения равновесия:

$$\sum F_{kx} = 0, \sum F_{ky} = 0, \sum F_{kz} = 0,$$

$$\sum M_x(\vec{F}_k) = 0, \sum M_y(\vec{F}_k) = 0, \sum M_z(\vec{F}_k) = 0.$$

В вычислениях моментов сил относительно осей будем считать момент положительным, если при взгляде со стороны положительного направления оси, сила вращает тело (плиту) против хода часовой стрелки. Получим:

$$\sum F_{kx} = 0, X_A + Q + X_B + T = 0,$$

$$\sum F_{ky} = 0, Y_A + F \cos \alpha = 0,$$

$$\sum F_{kz} = 0, Z_A + F \sin \alpha - P + Z_B = 0$$

$$\sum M_x(\vec{F}_k) = 0, -F \cos \alpha \cdot b - P \cdot 0,5(a + d) + Z_B(a + d) + M = 0,$$

$$\sum M_y(\vec{F}_k) = 0, Q \cdot (b + c) + T \cdot (b + c) = 0,$$

$$\sum M_z(\vec{F}_k) = 0, -Q \cdot a - T \cdot (a + d) - X_B \cdot (a + d) = 0.$$

Подставив исходные данные задачи, получим систему уравнений:

$$X_A + 500 + X_B + T = 0, Y_A + 400 \cdot 0,82 = 0, Z_A + 400 \cdot 0,57 - 1000 + Z_B = 0,$$

$$-400 \cdot 0,82 \cdot 1,5 - 1000 \cdot 0,5 \cdot 2,4 + Z_B \cdot 2,4 + 300 = 0,$$

$$500 \cdot 1,7 + T \cdot 1,7 = 0, -500 \cdot 2 - T \cdot 2,4 - X_B \cdot 2,4 = 0,$$

откуда находим значения составляющих реакций:

$$T = -500 \text{ Н}, X_B = 83,33 \text{ Н}, Z_B = 580 \text{ Н},$$

$$X_A = -83,33 \text{ Н}, Y_A = -328 \text{ Н}, Z_A = 192 \text{ Н}.$$

Полные реакции пространственного шарнира A :

$$R_A = \sqrt{X_A^2 + Y_A^2 + Z_A^2} = 389,09 \text{ Н},$$

цилиндрического шарнира B : $R_B = \sqrt{X_B^2 + Z_B^2} = 585,95 \text{ Н}.$

2. КИНЕМАТИКА ТОЧКИ И ТВЕРДОГО ТЕЛА

Кинематикой называется раздел механики, в котором изучаются свойства движения материальных тел без учета их масс и действующих на них сил.

2.1. Кинематика точки. Основные параметры движения точки

Кривая, которую описывает движущаяся точка, называется **траекторией** точки. Движение точки может быть задано **векторным, координатным** или **естественным** способами.

Векторный способ основан на определении положения точки ее радиусом-вектором в виде векторного уравнения $\vec{r} = \vec{r}(t)$. При **координатном способе** задания движения точки положение точки определяется ее координатами, заданными для каждого момента времени: $x = x(t)$, $y = y(t)$, $z = z(t)$. **Естественный способ** задания движения используется, если заранее известна траектория движения точки. Тогда положение точки однозначно определяется длиной дуги $OM = S(t)$, отсчитываемой от некоторой фиксированной точки O , принятой за начало отсчета.

Мгновенная скорость, или скорость точки в данный момент времени, является векторной величиной и определяется как производная по времени от радиуса-вектора точки: $\vec{V} = \dot{\vec{r}}$. Вектор скорости точки \vec{V} всегда направлен по касательной к траектории в сторону движения точки.

При координатном способе задания движения величины проекций вектора скорости \vec{V} на координатные оси определяются как производные по времени от соответствующих координат: $V_x = \dot{x}$, $V_y = \dot{y}$, $V_z = \dot{z}$. Модуль вектора скорости:

$V = \sqrt{V_x^2 + V_y^2 + V_z^2}$. При естественном способе задания движения вектор скорости точки определяется равенством: $\vec{V} = \dot{S}\vec{\tau}$, где $S = S(t)$ – закон изменения длины дуги, $\vec{\tau}$ – единичный вектор касательной к траектории движения, направленный в сторону возрастающих расстояний.

Величина $V = |\dot{S}|$ называется алгебраической скоростью точки. При $\dot{S} > 0$ вектор скорости \vec{V} направлен по единичному вектору $\vec{\tau}$ – в сторону возрастающих расстояний. При $\dot{S} < 0$ он имеет направление, противоположное единичному вектору $\vec{\tau}$, т. е. в сторону убывающих расстояний.

Мгновенное ускорение, или ускорение точки в данный момент времени, является векторной величиной и определяется как производная по времени от вектора скорости точки или как вторая производная от радиус-вектора точки: $\vec{a} = \dot{\vec{V}} = \ddot{\vec{r}}$. При координатном способе проекции вектора ускорения \vec{a} на координатные оси – величины a_x, a_y, a_z – определяются равенствами: $a_x = \dot{V}_x = \ddot{x}$, $a_y = \dot{V}_y = \ddot{y}$, $a_z = \dot{V}_z = \ddot{z}$. Модуль вектора ускорения равен: $a = \sqrt{a_x^2 + a_y^2 + a_z^2}$.

При естественном способе задания движения вектор ускорения точки \vec{a} раскладывается на две взаимно перпендикулярные составляющие \vec{a}_n и \vec{a}_τ , параллельные осям n и τ естественной системы координат, и представляется в виде равенства $\vec{a} = a_\tau \vec{\tau} + a_n \vec{n}$, или $\vec{a} = \vec{a}_\tau + \vec{a}_n$, где $\vec{\tau}$ – единичный направляющий вектор оси, касательной к траектории (касательная ось); \vec{n} – единичный направляющий вектор главной нормали траектории. Величина a_n называется **нормальным ускорением** точки и вычисляется по формуле: $a_n = \frac{V^2}{\rho}$, где ρ – радиус кривизны траектории. (У окружности радиус кривизны равен её радиусу, у прямой линии – бесконечности.) Вектор \vec{a}_n нормальной составляющей ускорения всегда направлен к центру кривизны траектории. При движении по окружности радиус кривизны траектории равен радиусу окружности, а центр кривизны траектории совпадает с центром окружности. Величина a_τ называется **касательным ускорением** и равна модулю второй производной от заданного закона изменения длины дуги: $a_\tau = |\ddot{S}|$, где $S = S(t)$ – закон изменения длины дуги. Направление вектора касательного ускорения \vec{a}_τ зависит от знака второй производной \ddot{S} . При $\ddot{S} > 0$

вектор \vec{a}_τ в направлен в сторону возрастающих расстояний, по направлению единичного вектора $\vec{\tau}$, при $\ddot{S} < 0$ – в сторону убывающих расстояний (противоположно единичному вектору $\vec{\tau}$). Вектор полного ускорения \vec{a} направлен по диагонали прямоугольника, построенного на векторах \vec{a}_n и \vec{a}_τ . Модуль вектора ускорения: $a = \sqrt{a_n^2 + a_\tau^2}$.

2.2. Вращение тела вокруг неподвижной оси

Движение тела, при котором все точки некоторой его прямой остаются неподвижными, называется **вращательным**, а указанная прямая называется осью вращения. Вращение тела задается углом поворота $\varphi = \varphi(t)$ подвижной плоскости, связанной с телом, относительно некоторого ее начального положения. Направление вращения с возрастанием угла поворота считается положительным.

Величина **угловой скорости** вращения тела равна модулю производной от угла поворота тела по времени: $\omega = |\dot{\varphi}|$. Направление угловой скорости вращения тела зависит от знака производной $\dot{\varphi}$. При $\dot{\varphi} > 0$ вращение происходит в положительном направлении, в сторону возрастания угла поворота, при $\dot{\varphi} < 0$ – в отрицательном. Направление угловой скорости обычно показывают дуговой стрелкой вокруг оси вращения. Вектор угловой скорости $\vec{\omega}$ направлен вдоль оси вращения в сторону, откуда вращение тела видно против хода часовой стрелки.

Величина **углового ускорения** при вращении тела равна модулю второй производной от угла поворота тела по времени: $\varepsilon = |\ddot{\varphi}|$. Если $\ddot{\varphi}$ одного знака с $\dot{\varphi}$, то угловое ускорение ускоряет вращение тела, если разных знаков, то угловое ускорение замедляет вращение.

При вращательном движении тела все его точки движутся по окружностям, радиусы которых равны расстояниям от выбранной точки до неподвижной оси. **Скорость точки вращающегося твердого тела** (в отличие от угловой скорости тела) называют **линейной**, или **окружной скоростью** точки. Величина скорости рассчитывается по формуле: $V = \omega h$, где ω – величина угловой скорости тела; h

– расстояние от точки до оси вращения. Вектор скорости точки лежит в плоскости описываемой точкой окружности и направлен по касательной к ней в сторону вращения тела. Отношение скоростей двух точек вращающегося тела равно отношению расстояний от этих точек до оси: $\frac{V_{M1}}{V_{M2}} = \frac{h_1}{h_2}$.

Ускорение точки вращающегося твердого тела рассчитывается как ускорение точки при естественном способе задания движения в виде суммы векторов касательного и нормального ускорений: $\vec{a}_M = \vec{a}_\tau + \vec{a}_n$. Величины касательного, нормального и полного ускорений точки вращающегося тела, соответственно: $a_\tau = \varepsilon h$, $a_n = \omega^2 h$, $a_M = \sqrt{a_\tau^2 + a_n^2}$, где ω , ε – угловая скорость и угловое ускорение тела; h – расстояние от точки до оси вращения.

2.3. Плоскопараллельное движение твёрдого тела

Плоскопараллельным, или плоским движением твердого тела, называется такое движение, при котором все точки тела движутся параллельно некоторой неподвижной плоскости. Плоское движение представляется в виде суммы мгновенного поступательного движения, при котором все точки плоской фигуры движутся со скоростью выбранной точки-полюса, и мгновенного вращательного движения вокруг этого полюса.

Скорость любой точки M плоской фигуры равна векторной сумме вектора скорости точки-полюса и вектора скорости точки M при вращении тела вокруг этого полюса: $\vec{V}_M = \vec{V}_A + \vec{V}_{MA}$, где \vec{V}_M – скорость точки M ; \vec{V}_A – скорость полюса A ; \vec{V}_{MA} – вектор скорости точки M при вращении тела вокруг полюса A , модуль скорости $V_{MA} = \omega \cdot MA$, где ω – угловая скорость мгновенного вращательного движения тела вокруг полюса; MA – расстояние между полюсом A и точкой M .

Мгновенным центром скоростей называется такая точка P плоской фигуры, скорость которой в данный момент времени равна нулю. Выбрав в качестве полюса мгновенный центр скоростей, скорость любой точки плоской фигуры

находят так, как если бы мгновенное движение фигуры было вращательным вокруг мгновенного центра скоростей.

Способы построения мгновенного центра скоростей

1. Если известны направления скоростей \vec{V}_A и \vec{V}_B каких-нибудь двух точек A и B плоской фигуры, то мгновенный центр скоростей находится в точке пересечения перпендикуляров, восстановленных из этих точек к векторам скоростей (рис. 2.1, *a*).

2. Если скорости \vec{V}_A и \vec{V}_B двух точек A и B плоской фигуры известны и параллельны друг другу, а линия AB перпендикулярна \vec{V}_A (и, конечно, \vec{V}_B), то мгновенный центр скоростей определяется как точка пересечения линий, проведенных через основания и вершины векторов скоростей (построение показано на рис. 2.1, *b, c*).

3. Если скорости \vec{V}_A и \vec{V}_B двух точек A и B параллельны друг другу, но линия AB , соединяющая эти точки, не перпендикулярна векторам скоростей (рис. 2.1, *d*), то мгновенная угловая скорость тела равна нулю и движение тела в данный момент времени является мгновенным поступательным. В этом случае скорости всех точек равны по величине и направлению.

4. Если плоскопараллельное движение осуществляется путем качения без скольжения одного тела по неподвижной поверхности другого, то мгновенный

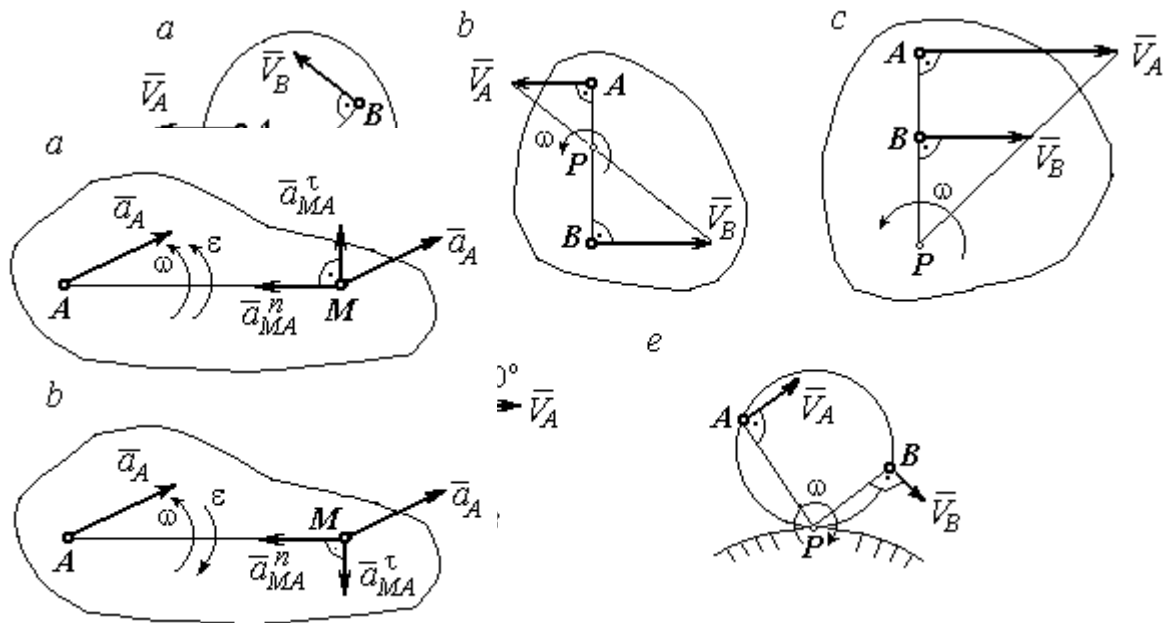


Рис. 2.2. Ускорения точек плоской фигуры:
 а – ускоренное движение;
 б – замедленное движение
 Рис. 2.1. Способы построения мгновенного центра скоростей
 центра скоростей расположен в точке касания
 катящегося тела с неподвижной поверхно-
 стью (рис. 2.1, е).

Ускорение любой точки M плоской фигуры при плоскопараллельном движении твердого тела представляется как сумма векторов – ускорения полюса и ускорения точки M при вращении фигуры вокруг полюса. Учитывая, что ускорение точки вращающегося тела представляется как сумма нормального и касательного ускорений, получим:

$$\vec{a}_M = \vec{a}_A + \vec{a}_{MA}^\tau + \vec{a}_{MA}^n,$$

где \vec{a}_A – ускорение полюса A ; \vec{a}_{MA}^τ , \vec{a}_{MA}^n – касательная и нормальная составляющие ускорения точки M при вращении фигуры вокруг полюса A .

Вектор нормального ускорения \vec{a}_{MA}^n всегда направлен от точки M к полюсу A . Вектор касательного ускорения \vec{a}_{MA}^τ направлен перпендикулярно отрезку AM в сторону вращения, если оно ускоренное (рис. 2.2, а), и против вращения, если оно

замедленное (рис. 2.2, *b*). Численно величины касательного и нормального составляющих ускорения точки M определяются по формулам:

$$a_{MA}^{\tau} = \varepsilon \cdot AM, \quad a_{MA}^n = \omega^2 \cdot AM,$$

где ω, ε – угловая скорость и угловое ускорение тела (плоской фигуры); AM – расстояние от точки M до полюса A (см. рис. 2.2).

Если при движении плоской фигуры известны траектории движения полюса A и точки M , то для определения ускорения точки M используется векторное равенство

$$\vec{a}_M^{\tau} + \vec{a}_M^n = \vec{a}_A^{\tau} + \vec{a}_A^n + \vec{a}_{MA}^{\tau} + \vec{a}_{MA}^n,$$

где $\vec{a}_M^{\tau}, \vec{a}_M^n, \vec{a}_A^{\tau}, \vec{a}_A^n$ – касательная и нормальная составляющие ускорения точки M и полюса A при движении их по заданным траекториям.

2.4. Задание К1. Определение скоростей и ускорений точек твердого тела при поступательном и вращательном движениях

По заданному движению одного из звеньев механизма $x_1 = x_1(t)$ (варианты 1, 3, 5, 7, 9) или $\varphi_1 = \varphi_1(t)$ (варианты 2, 4, 6, 8, 10) найти в момент времени t_1 скорость, касательное, нормальное и полное ускорения точки M звена механизма, совершающего вращательное движение, а также скорость и ускорение звена 4, совершающего поступательное движение.

Варианты заданий даны на рис. 2.3, 2.4. Исходные данные представлены в табл. 2.1.

Варианты № 1, 11, 21	Варианты № 2, 12, 22	Варианты № 3, 13, 23

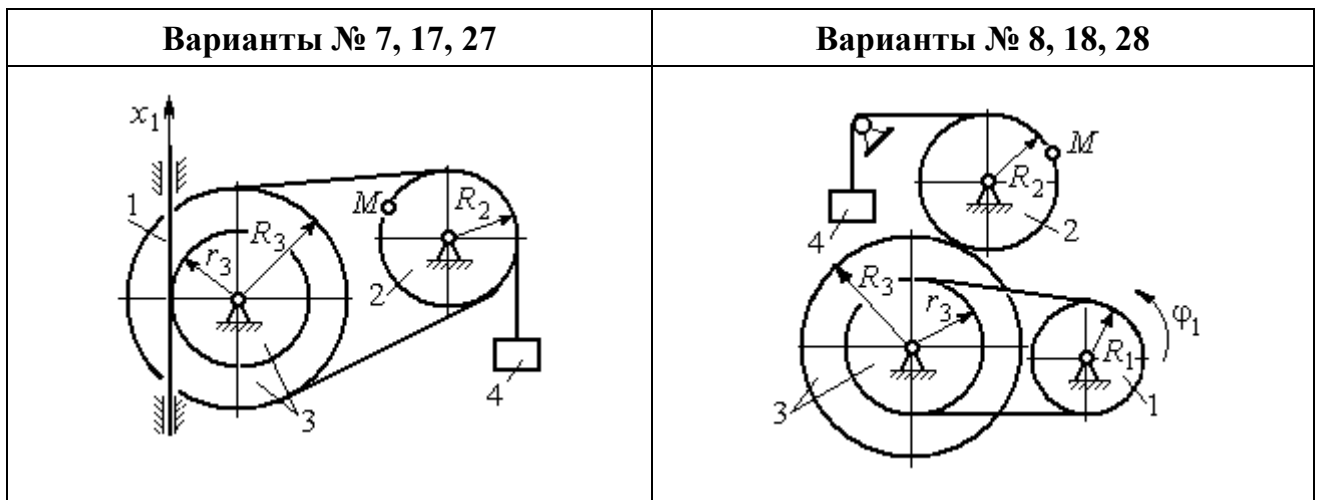
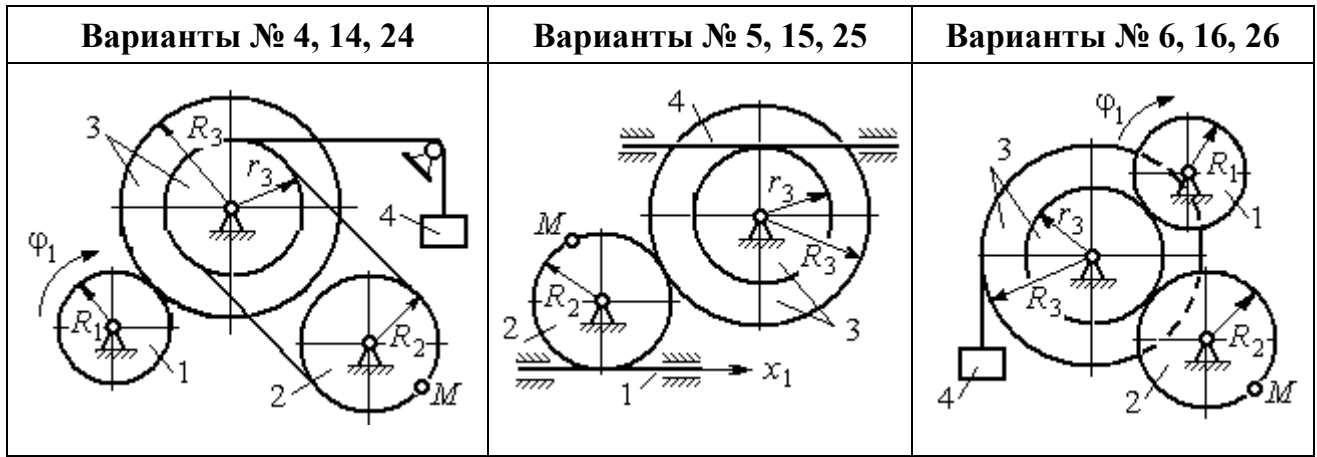


Рис. 2.3. Задание К1. Определение скоростей и ускорений точек при поступательном и вращательном движениях твёрдого тела.
Номера вариантов задания 1 – 8, 11 – 18, 21 – 28

Окончание вариантов задания К1

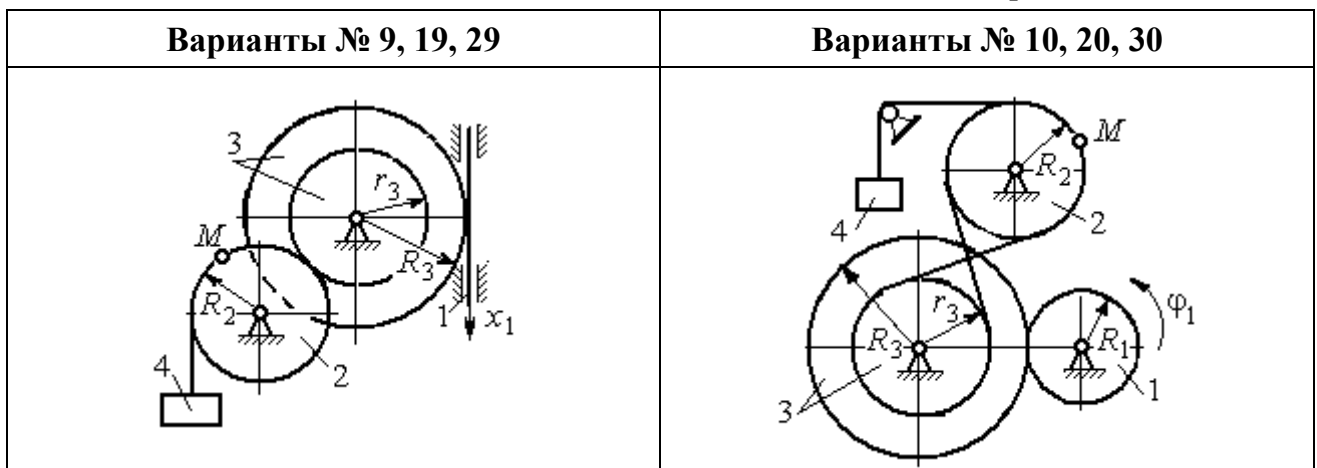


Рис. 2.4. Задание К1. Определение скоростей и ускорений точек при поступательном и вращательном движениях твёрдого тела.
Номера вариантов задания 9 – 10, 19 – 20, 29 – 30

**Исходные данные вариантов задания К1. Определение скоростей
и ускорений точек при поступательном и вращательном движениях
твёрдого тела**

Номер варианта задания	$R_1, \text{см}$	$R_2, \text{см}$	$R_3, \text{см}$	$r_3, \text{см}$	$x_1(t), \text{см}$ $\varphi_1(t), \text{рад}$	$t_1, \text{с}$
1	–	40	45	35	$x_1(t) = (3t - 1)^2$	2
2	10	20	38	18	$\varphi_1(t) = t^2 + 6\cos(\pi t/6)$	3
3	–	30	42	18	$x_1(t) = 5t^2 - 2\cos(\pi t/2)$	1
4	15	30	45	20	$\varphi_1(t) = 5t^2 + \cos(\pi t/2)$	2
5	–	30	40	20	$x_1(t) = 6t - \cos(\pi t/3)$	3
6	10	20	30	10	$\varphi_1(t) = t^3 - \cos(\pi t/2)$	1
7	–	30	40	30	$x_1(t) = 2$ $\sin(\pi t/2) + \cos(\pi t/2)$	2
8	8	10	30	25	$\varphi_1(t) = 5t + \cos(\pi t/2)$	2
9	–	18	30	18	$x_1(t) = 5t + \cos(\pi t/3)$	3
10	15	30	50	20	$\varphi_1(t) = 2t^2 + \sin(\pi t/4)$	2
11	–	30	40	25	$x_1(t) = (t^2 - 3t)$	2
12	12	20	40	28	$\varphi_1(t) = 3t^2 + 6\sin(\pi t/6)$	3
13	–	25	60	42	$x_1(t) = 2t^2 + \cos(\pi t/2)$	1
14	10	30	45	30	$\varphi_1(t) = 3t^2 + 2\cos(\pi t/2)$	2

Номер варианта задания	$R_1, \text{см}$	$R_2, \text{см}$	$R_3, \text{см}$	$r_3, \text{см}$	$x_1(t), \text{см}$ $\varphi_1(t), \text{рад}$	$t_1, \text{с}$
15	–	20	30	20	$x_1(t) = 3t^2 - \cos(\pi t/3)$	3
16	12	18	40	20	$\varphi_1(t) = 2t^3 + \cos(\pi t/2)$	1
17	–	20	35	15	$x_1(t) = 2$ $\sin(\pi t/2) - \cos(\pi t/2)$	2
18	15	18	40	25	$\varphi_1(t) = 5t + \cos(\pi t/2)$	1
19	–	22	50	18	$x_1(t) = t^2 + \cos(\pi t/3)$	3
20	10	20	45	10	$\varphi_1(t) = 2t^2 + \sin(\pi t/4)$	4
21	–	20	40	20	$x_1(t) = t + (3t - 4)^2$	2
22	8	18	42	18	$\varphi_1(t) = 2t^2 + 12\cos(\pi t/6)$	3
23	–	45	60	40	$x_1(t) = 4t^2 + \sin(\pi t/2)$	1
24	5	15	30	20	$\varphi_1(t) = 2t^2 + 4\cos(\pi t/2)$	2
25	–	15	35	25	$x_1(t) = 2t^2 + \cos(\pi t/3)$	3
26	18	20	35	20	$\varphi_1(t) = 2t^3 + \sin(\pi t/2)$	1
27	–	15	35	15	$x_1(t) = 2$ $\sin(\pi t/2) - \cos(\pi t/2)$	1
28	10	12	40	25	$\varphi_1(t) = 2t^2 + \cos(\pi t/2)$	1
29	–	35	50	10	$x_1(t) = t^3 - \cos(\pi t/2)$	1
30	10	20	40	10	$\varphi_1(t) = 2t^2 + \cos(\pi t/4)$	4

Пример выполнения задания К1. Определение скоростей и ускорений точек при поступательном и вращательном движениях твёрдого тела

По заданному уравнению движения звена 1 механизма (рис. 2.5, а) определить скорость, нормальное, касательное и полное ускорения точки M на момент времени t_1 , а также скорость и ускорение звена 4, если значения радиусов колес механизма и закон движения звена 1: $R_2 = 20$ см, $r_2 = 5$ см, $R_3 = 8$ см, $r_3 = 4$ см, $x_1 = 2t^2 - 5t$ см, $t_1 = 1$ с.

Решение

Отметим на схеме положительные направления отсчета углов поворота дисков 2 и 3, соответствующие заданному положительному направлению движения звена 1.

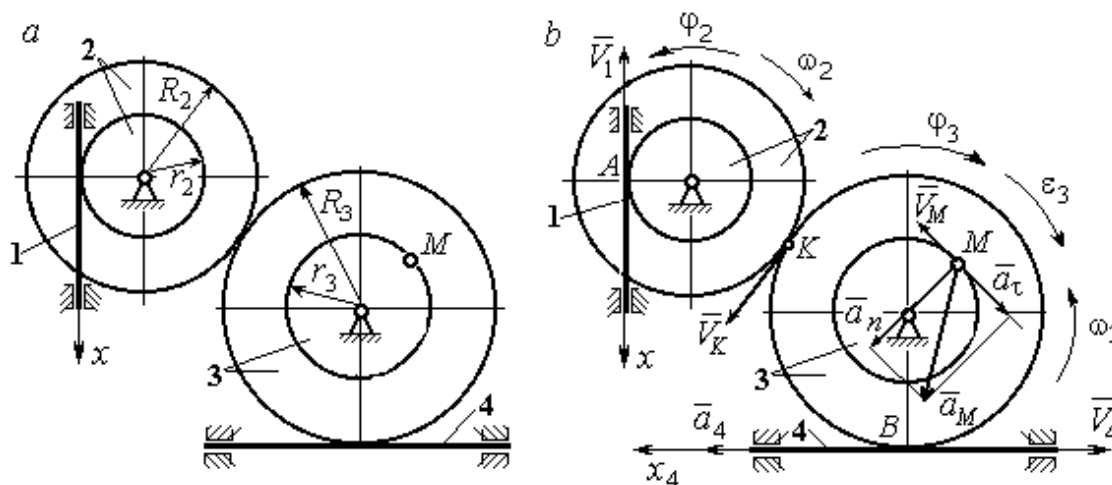


Рис. 2.5. Кинематика вращательного движения твердого тела:
a – схема механизма; *b* – расчетная схема для определения скоростей и ускорений точек механизма

Направления показаны на рис 2.5, *b* дуговыми стрелками φ_2 , φ_3 , а положительное направление движения звена 4 – направлением оси x_4 .

Звено 1 движется поступательно. Движение задано координатным способом в виде закона изменения координаты x . Дифференцируем по времени уравнение движения: $\dot{x} = 4t - 5$ см/с. В момент времени $t_1 = 1$ с значение производной: $\dot{x}(1) = -1$ см/с. Отрицательное значение производной \dot{x} показывает, что в данный момент времени звено 1 движется в отрицательном направлении оси x . Скорость звена 1 равна модулю производной: $V_1 = |\dot{x}|$. На рис. 2.5, *b* направление движения звена 1 в момент времени $t_1 = 1$ с показано вектором скорости \vec{V}_1 , направленным в сторону, противоположную положительному направлению оси x . Эту же скорость будет иметь точка A – точка контакта звена 1 с диском 2, лежащая на расстоянии r_2 от оси вращения диска. Следовательно, $V_1 = V_A = \omega_2 r_2$, где ω_2 – угловая скорость диска 2. Отсюда угловая скорость диска: $\omega_2 = \frac{V_A}{r_2} = \frac{|4t - 5|}{5} = |\dot{\varphi}_2|$ рад/с. При $t_1 = 1$ с значение производной отрицательно: $\dot{\varphi}_2(1) = -0,2$ рад/с. Это означает, что в заданный момент времени вращение диска 2 с угловой скоростью

$\omega_2(1) = |\dot{\phi}_2(1)| = 0,2$ рад/с происходит в отрицательном для диска 2 направлении.

На рис. 2.5, *b* направление вращения диска 2 показано дуговой стрелкой ω_2 в сторону, противоположную положительному направлению отсчета угла ϕ_2 . При передаче вращения диска 2 диску 3 величины угловых скоростей дисков обратно пропорциональны радиусам дисков, которым принадлежит точка контакта:

$$\frac{\omega_2}{\omega_3} = \frac{R_3}{R_2}. \text{ Тогда, угловая скорость диска 3 } \omega_3 = \omega_2 \frac{R_2}{R_3} = |2t - 2,5| = |\dot{\phi}_3| \text{ рад/с.}$$

В момент времени $t_1 = 1$ с значение производной $\dot{\phi}_3$ отрицательно: $\dot{\phi}_3(1) = -0,5$ рад/с, и, следовательно, вращение диска 3 в данный момент времени с угловой скоростью $\omega_3(1) = |\dot{\phi}_3(1)| = 0,5$ рад/с происходит в сторону, противоположную положительному направлению отсчета угла ϕ_3 , как показано на рис. 2.5, *b*. Величина (модуль) скорости точки M рассчитывается по формуле: $V_M = \omega_3 r_3$. В момент времени $t_1 = 1$ с модуль скорости $V_M(1) = 2$ см/с. Вектор скорости \vec{V}_M расположен по касательной к траектории движения точки M (окружности) и направлен в сторону вращения диска 3 (см. рис. 2.5, *b*).

Звено 4 движется поступательно. Скорость звена 4 равна скорости точки касания его с диском 3: $V_4 = V_B = \omega_3 R_3 = |2t - 2,5| \cdot 8 = |\dot{x}_4|$. В момент времени $t_1 = 1$ с значение производной от координаты движения звена 4 отрицательно: $\dot{x}_4(1) = -4$ см/с. В результате, вектор скорости $\vec{V}_4(1)$, равный по модулю $V_4(1) = 4$ см/с, направлен вдоль оси x_4 в сторону, противоположную ее положительному направлению (см. рис. 2.5, *b*).

Угловое ускорение диска 3: $\varepsilon_3(t) = |\dot{\omega}_3| = |\ddot{\phi}_3| = 2$ рад/с². Из того, что угловая скорость ω_3 и угловое ускорение $\dot{\omega}_3$ диска 3 имеют разные знаки, следует, что вращение диска 3 замедленное. Угловое ускорение диска направлено в сторону положительного направления отсчета угла поворота ϕ_3 , диска 3 (см. рис. 2.5, *b*).

Касательное ускорение a_τ точки M рассчитывается по формуле $a_\tau = \varepsilon_3 r_3$ и в момент времени $t_1 = 1$ с: $a_\tau = 8$ см/с². Так как вращение диска 3 замедленное,

вектор касательного ускорения точки M $\vec{a}_\tau(t)$ направлен в сторону, противоположную вектору скорости $\vec{V}_M(1)$ (см. рис. 2.5, b). Нормальное ускорение a_n точки M рассчитывается как $a_n = \omega_3^2 r_3$. В момент времени $t_1 = 1$ с величина нормального ускорения: $a_n(1) = 1$ см/с². Вектор нормального ускорения $\vec{a}_n(1)$ направлен по радиусу к центру диска 3 (см. рис. 2.5, b). Полное ускорение точки M в заданный момент времени: $a_M(1) = \sqrt{a_\tau^2(1) + a_n^2(1)} = 8,06$ см/с². Вектор полного ускорения \vec{a}_M направлен по диагонали прямоугольника, построенного на векторах \vec{a}_n и \vec{a}_τ .

Ускорение a_4 звена 4 находится из условия, что звено 4 движется поступательно и прямолинейно. При прямолинейном движении нормальная составляющая ускорения равна нулю. Тогда $a_4 = a_{4\tau} = \dot{V}_4 = \dot{V}_B = |\dot{\omega}_3| R_3 = \varepsilon_3 R_3$.

Так как угловое ускорение диска 3 является постоянной величиной, ускорение a_4 не зависит от времени: $a_4 = 16$ см/с². Вектор ускорения \vec{a}_4 направлен вдоль оси x_4 в сторону положительных значений.

2.5. Задание К2. Определение скоростей точек твёрдого тела при плоскопараллельном движении

Для заданного положения плоского механизма определить скорости точек и угловые скорости звеньев механизма.

Варианты заданий показаны на рис. 2.6 – 2.8. Исходные данные вариантов заданий выбираются из таблиц, приведённых на рисунках схем механизмов.

Варианты № 1, 11, 21							Варианты № 2, 12, 22						
<p>Найти: $V_A, V_B, V_C, \omega_{AB}, \omega_{BC}, \omega_1, \omega_{BD}$</p>							<p>Найти: $V_A, V_B, V_K, \omega_1, \omega_{AB}, \omega_{OA}, \omega_{BE}, \omega_{BK}$</p>						
Номер варианта задания	R_1 , см	r_1 , см	AD , см	α , град	V_2 , см/с	V_3 , см/с	Номер варианта задания	R_1 , см	OA , см	OE , см	α , град	β , град	V_C , см/с
1	10	5	20	30	8	10	2	3	5	4	30	60	10
11	12	8	25	45	10	4	12	4	8	6	45	90	8
21	10	6	15	60	5	5	22	5	12	2	60	120	12

Варианты № 3, 13, 23							Варианты № 4, 14, 24						
<p>Найти: $V_A, V_B, V_C, V_D, V_E, \omega_{BC}, \omega_1, \omega_{DE}$</p>							<p>Найти: $V_A, V_C, V_E, \omega_1, \omega_2, \omega_{AC}$</p>						
Номер варианта задания	R_1 , см	OC , см	AB , см	BC , см	α , град	ω_{OC} , рад/с	Номер варианта задания	R_1 , см	R_2 , см	α , град	β , град	V_3 , см/с	V_4 , см/с
3	12	18	10	35	60	4	4	10	15	30	60	8	4
13	10	15	10	25	90	8	14	6	10	45	90	4	6
23	15	20	5	20	120	6	24	10	12	60	120	3	3

Рис. 2.6. Задание К2. Определение скоростей точек тела при плоскопараллельном движении. Номера вариантов задания 1 – 4, 11 – 14, 21 – 24

Варианты № 5, 15, 25							Варианты № 6, 16, 26						
<p>Найти: $V_A, V_B, V_C, V_D, V_E, \omega_2, \omega_3, \omega_{EC}$</p>							<p>Найти: $V_A, V_B, V_K, V_E, \omega_1, \omega_{OA}, \omega_{AB}, \omega_{AD}, \omega_{KE}$</p>						
Номер варианта задания	R_1 , см	R_2 , см	R_3 , см	α , град	β , град	ω_{OB} , рад/с	Номер варианта задания	R_1 , см	OA , см	α , град	β , град	ϕ , град	V_D , см/с
5	10	20	12	60	0	6	6	10	20	30	60	60	12
15	6	18	10	90	90	8	16	12	26	30	30	90	8
25	20	25	15	120	180	4	26	15	30	60	60	120	15

Варианты № 7, 17, 27							Варианты № 8, 18, 29						
<p>Найти: $V_A, V_B, V_C, \omega_1, \omega_{OA}, \omega_{AB}, \omega_{AC}$</p>							<p>Найти: $V_A, V_B, V_D, \omega_1, \omega_{OA}, \omega_{AB}, \omega_{AD}$</p>						
Номер варианта задания	R_1 , см	AB , см	α , град	β , град	ϕ , град	V_D , см/с	Номер варианта задания	R_1 , см	OA , см	α , град	β , град	V_2 , см/с	V_3 , см/с
7	10	20	30	60	60	12	8	10	20	30	60	12	4
17	12	25	60	120	90	16	18	12	26	30	30	8	2
27	8	16	30	60	120	10	28	15	30	60	60	6	3

Рис. 2.7. Задание К2. Определение скоростей точек тела при плоскопараллельном движении. Номера вариантов задания 5 – 8, 15 – 18, 25 – 28

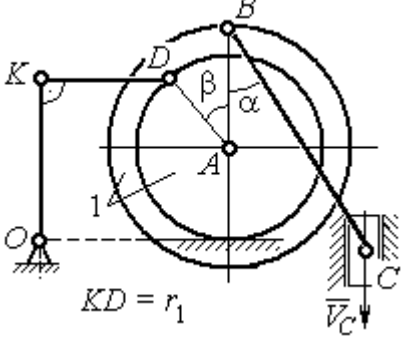
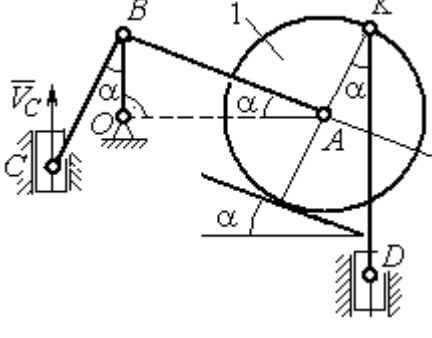
Варианты № 9, 19, 29							Варианты № 10, 20, 30						
 <p>Найти: $\omega_{OK}, \omega_{KD}, \omega_{BC}, \omega_1,$ V_A, V_B, V_K, V_D</p>							 <p>Найти: $V_A, V_B, V_D, V_K, \omega_{CB}, \omega_1,$ $\omega_{OB}, \omega_{AB}, \omega_{KD}$</p>						
Номер варианта задания	$R_1,$ см	$r_1,$ см	$\alpha,$ град	$\beta,$ град	$BC,$ см	$V_C,$ см/с	Номер варианта задания	$R_1,$ см	$CB,$ см	$OB,$ см	$KD,$ см	$\alpha,$ град	$V_C,$ см/с
9	20	12	45	60	60	8	10	10	20	30	60	30	4
19	24	16	60	90	50	4	20	12	26	30	50	45	2
29	16	10	30	120	40	6	30	15	30	60	60	60	3

Рис. 2.8. Задание К2. Определение скоростей точек тела при плоскопараллельном движении. Номера вариантов задания 9 – 10, 19 – 20, 29 – 30

Пример выполнения задания К2. Определение скоростей точек твёрдого тела при плоскопараллельном движении

Задача 1. Плоский механизм (рис. 2.9) состоит из стержня OC и подвижных дисков 2 и 3 радиусами r_2, r_3 , шарнирно закрепленными на стержне, соответственно, в точках A и C . Стержень OC вращается вокруг неподвижного центра O с угловой скоростью ω_{OC} . Диск 2, увлекаемый стержнем OC , катится без проскальзывания по неподвижной поверхности диска 1 радиусом r_1 . Диск 3, также увлекаемый стержнем OC , катится без проскальзывания по подвижному диску 2. В точке D , расположенной на краю диска 3, шарнирно прикреплен стержень 4, к которому в точке E шарнирно

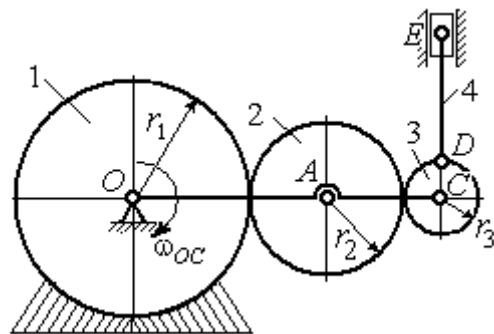


Рис. 2.9. Схема плоского механизма

к которому в точке E шарнирно

прикреплен поршень E , способный совершать только вертикальное перемещение. Для заданного положения механизма (см. рис. 2.9), когда стержень OC горизонтален, стержень DE направлен по линии вертикального диаметра диска 3, найти скорости точек A, C, D, E , угловые скорости дисков 2, 3 и стержня 4, если: $r_1 = 6$ см, $r_2 = 4$ см, $r_3 = 2$ см, $DE = 10$ см, $\omega_{OC} = 1$ рад/с.

Решение

Определим скорость точки A , общей для стержня OC и диска 2: $V_A = \omega_{OC}(r_1 + r_2) = 10$ см/с. Вектор скорости \vec{V}_A перпендикулярен стержню OC и направлен в сторону его вращения (рис. 2.10).

Диск 2 катится по неподвижной поверхности диска 1. Точка касания диска 2 с неподвижным диском 1 является мгновенным центром скоростей диска 2. На

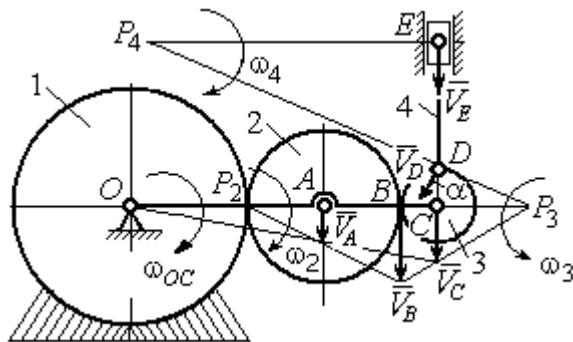


Рис. 2.10. Расчетная схема для определения скоростей точек механизма и угловых скоростей его звеньев

рис. 2.10 центр скоростей диска 2 обозначен точкой P_2 . В этом случае скорость точки A может быть определена через угловую скорость диска ω_2 следующим образом: $V_A = \omega_2 \cdot AP_2 = 4\omega_2$. Так как $V_A = 10$ см/с, получим $\omega_2 = 2,5$ рад/с.

Для того чтобы найти угловую скорость диска 3, необходимо определить по-

ложение его мгновенного центра скоростей. С этой целью вычислим скорости точек B и C . Скорость точки B может быть найдена через угловую скорость диска 2: $V_B = \omega_2 \cdot BP_2 = 20$ см/с. Вектор скорости \vec{V}_B перпендикулярен отрезку BP_2 и направлен в сторону мгновенного вращения диска 2 вокруг своего центра скоростей P_2 .

Скорость точки C определяется через угловую скорость стержня OC : $V_C = \omega_{OC}(r_1 + 2r_2 + r_3) = 16$ см/с. Вектор скорости \vec{V}_C перпендикулярен стержню OC и направлен в сторону его вращения (см. рис. 2.10).

Построение мгновенного центра скоростей P_3 диска 3 по известным скоростям \vec{V}_B и \vec{V}_C показано на рис. 2.10. Его положение определяется из условия, что отношение скоростей двух точек тела, совершающего плоскопараллельное движение, равно отношению расстояний от этих точек до мгновенного центра скоростей:

$\frac{V_B}{V_C} = \frac{r_3 + CP_3}{CP_3}$. Разрешая пропорцию относительно неизвестной величины

CP_3 , получим: $CP_3 = 8$ см. Скорость точки C выражается через угловую скорость

диска 3 $V_C = \omega_3 \cdot CP_3$. Отсюда величина угловой скорости диска 3: $\omega_3 = \frac{V_C}{CP_3} =$

2 рад/с. Направление мгновенного вращения диска 3 вокруг своего центра скоростей определяется известными направлениями скоростей точек C и B , принадлежащих диску 3 (см. рис. 2.10). Скорость точки D $V_D = \omega_3 \cdot DP_3 = 2 \cdot \sqrt{2^2 + 8^2}$

$= 16,5$ см/с. Вектор скорости \vec{V}_D перпендикулярен отрезку DP_3 и направлен в сторону мгновенного вращения диска 3 вокруг центра P_3 .

Для определения скорости поршня E воспользуемся теоремой о проекциях скоростей точек плоской фигуры, согласно которой проекции скоростей двух точек плоской фигуры на ось, проходящую через эти точки, равны между собой.

Проведем ось через точки D и E . По построению, угол α между вектором \vec{V}_D и

осью DE равен углу $\angle DP_3C$ (см. рис. 2.10). Тогда, $\cos \alpha = \frac{CP_3}{DP_3} = \frac{8}{\sqrt{2^2 + 8^2}} = 0,97$,

откуда $\alpha = 14^\circ$. На основании теоремы о проекциях скоростей точек плоской фигуры имеем равенство: $V_D \cos \alpha = V_E \cos 0$, откуда скорость точки E : $V_E = 16$ см/с.

Мгновенный центр скоростей стержня 4 – точка P_4 – определяется как точка пересечения перпендикуляров к векторам скоростей \vec{V}_D и \vec{V}_E , восстановленных, соответственно, из точек D и E (см. рис. 2.10). Угловая скорость стержня 4, совершающего мгновенный поворот вокруг своего центра скоростей, равна: $\omega_4 = \frac{V_E}{EP_4}$,

где EP_4 – расстояние от точки E до мгновенного центра скоростей звена 4,

$EP_4 = DE \cdot \operatorname{ctg} \alpha = 40$ см. В результате, $\omega_4 = 0,4$ рад/с. Направление мгновенного вращения звена 4 вокруг своего центра скоростей определяется направлением скорости точки D .

Задача 2. В плоском стержневом механизме (рис. 2.11) кривошипы OA и ED вращаются вокруг неподвижных центров O и E . В крайней точке D кривошипа ED к нему прикреплен шатун DB , второй конец которого в точке B прикреплен к кривошипу OA . Шатун AC прикреплен в точке A к кривошипу AO , а другим своим концом – к ползуну C , способному совершать только вертикальное движение. Все соединения шарнирные. В заданном положении механизма кривошип OA вертикален, шатун DB расположен горизонтально, кривошип ED наклонен под углом 60° к горизонтали, а шатун AC отклонен на угол 30° от вертикального положения кривошипа AO . Найти скорости всех отмеченных на схеме точек и угловые скорости всех звеньев, если линейные размеры звеньев механизма $AC = 6$ см, $AB = 2$ см, $BO = 8$ см, $DB = 10$ см и скорость ползуна в данный момент $V_C = 4$ см/с.

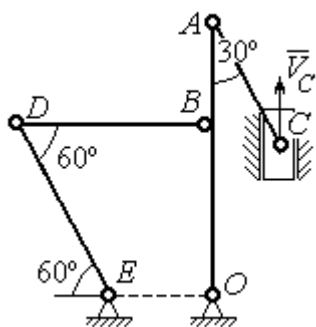


Рис. 2.11. Стержневой механизм

Решение

Кривошипы OA и ED совершают вращательные движения вокруг неподвижных центров. Скорости \vec{V}_A и \vec{V}_B точек A и B перпендикулярны кривошипу OA , а скорость \vec{V}_D точки D перпендикулярна кривошипу ED . Направления векторов скоростей точек показаны на рис. 2.12.

Шатун AC совершает плоскопараллельное движение. Его мгновенный центр скоростей P_1 находится как точка пересечения перпендикуляров к скоростям \vec{V}_A и \vec{V}_C . Угловая скорость звена AC равна

$$\omega_{AC} = \frac{V_C}{P_1C} = \frac{V_C}{AC \cdot \sin 30^\circ} = \frac{4}{3} \text{ рад/с.}$$

Далее, полагая, что точка A принадлежит шатуну AC , найдем её скорость:

$$V_A = \omega_{AC} \cdot P_1A = \frac{4}{3} AC \cdot \cos 30^\circ = 4\sqrt{3} \text{ см/с.}$$

Теперь, исходя из того, что точка A принадлежит как шатуну AC , так и кривошипу OA , найдём его угловую скорость:

$$\omega_{AO} = \frac{V_A}{AO} = 0,4\sqrt{3} \text{ рад/с.}$$

Скорость точки B

$$V_B = \omega_{AO} \cdot OB = 3,2\sqrt{3} \text{ см/с.}$$

Шатун DB совершает плоскопараллельное движение. Зная направления скоростей точек B и D , построим мгновенный центр скоростей P_2 звена DB как точку пересечения перпендикуляров к скоростям \vec{V}_B и \vec{V}_D (см. рис. 2.12). Тогда, угловая

$$\text{скорость шатуна } DB \quad \omega_{DB} = \frac{V_B}{P_2B} = \frac{3,2\sqrt{3}}{DB \cdot \operatorname{tg} 60^\circ} = 0,32 \text{ рад/с.}$$

Скорость точки D

$$V_D = \omega_{DB} \cdot P_2D = 0,32 \frac{DB}{\sin 30^\circ} = 6,4 \text{ см/с.}$$

Угловая скорость кривошипа DE

$$\omega_{DE} = \frac{V_D}{DE} = \frac{6,4}{(OB / \sin 60^\circ)} = 0,69 \text{ рад/с.}$$

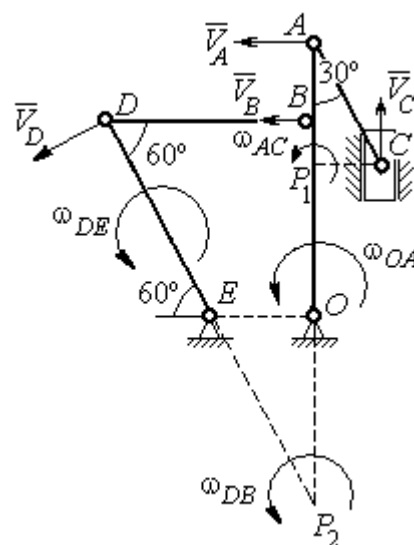


Рис. 2.12. Расчётная схема определения скоростей точек механизма и угловых скоростей его звеньев

2.6. Задание К3. Определение ускорений точек твёрдого тела при плоскопараллельном движении

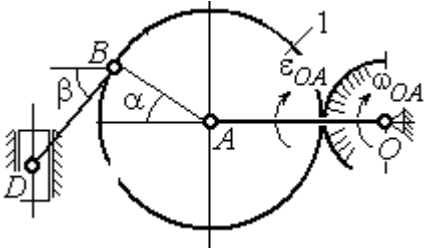
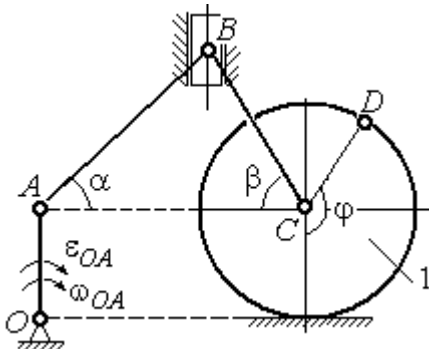
при

Для заданного положения плоского механизма определить ускорения точек звеньев механизма и угловые ускорения звеньев. Варианты заданий и исходные данные приведены на рис. 2.13 – 2.15.

Варианты № 1, 11, 21								Варианты № 2, 12, 22							
<p>Найти: $a_A, a_K, \varepsilon_{AB}$</p>								<p>Найти: $a_C, a_B, \varepsilon_{AC}$</p>							
Номер варианта задания	AB, см	AK, см	α , град	β , град	R_1 , см	V_C , см/с	a_C , см/с ²	Номер варианта задания	R_1 , см	OA, см	AC, см	α , град	β , град	ω_{OA} , рад/с	ε_{OA} , рад/с ²
1	16	10	60	120	10	12	6	2	5	10	12	30	60	2	4
11	20	16	30	60	8	10	8	12	8	24	20	30	120	1	2
21	18	10	60	180	6	8	4	22	6	12	15	60	90	2	3

Варианты № 3, 13, 23								Варианты № 4, 14, 24							
<p>Найти: $a_C, a_B, \varepsilon_{BC}$</p>								<p>Найти: $a_A, a_D, \varepsilon_{DA}$</p>							
Номер варианта задания	BC, см	AO, см	α , град	β , град	R_1 , см	ω_{OA} , рад/с	ε_{OA} , рад/с ²	Номер варианта задания	R_1 , см	OA, см	DC, см	α , град	β , град	V_C , см/с	a_C , см/с ²
3	16	15	60	90	10	2	3	4	10	28	5,78	60	30	10	2
13	18	12	90	60	8	3	2	14	8	24	4,62	30	90	8	3
23	14	12	30	120	10	2	4	24	6	20	6	45	45	12	2

Рис. 2.13. Задание К3. Определение ускорений точек тела при плоскопараллельном движении. Номера вариантов задания 1 – 4, 11 – 14, 21 – 24

Варианты № 5, 15, 25								Варианты № 6, 16, 26							
 <p>Найти: a_D, a_B, ϵ_{BD}</p>								 <p>Найти: a_B, a_D, ϵ_{BC}</p>							
Номер варианта задания	OA, см	BD, см	α , град	β , град	R_1 , см	ω_{OA} , рад/с	ϵ_{OA} , рад/с ²	Номер варианта задания	R_1 , см	AB, см	ϕ , град	α , град	β , град	ω_{OA} , рад/с	ϵ_{OA} , рад/с ²
5	16	10	60	30	10	4	3	6	6	18	60	30	30	2	3
15	18	8	90	45	12	2	4	16	8	20	90	60	30	2	4
25	14	12	30	60	8	3	2	26	5	16	120	30	60	3	4

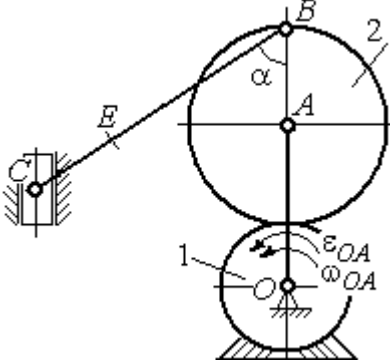
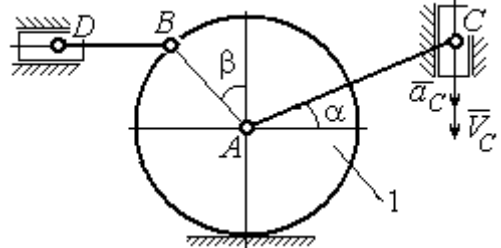
Варианты № 7, 17, 27								Варианты № 8, 18, 28							
 <p>Найти: a_E, a_C, ϵ_{BC}</p>								 <p>Найти: a_D, a_B, ϵ_{BD}</p>							
Номер варианта задания	BC, см	BE, см	α , град	R_1 , см	R_2 , см	ω_{OA} , рад/с	ϵ_{OA} , рад/с ²	Номер варианта задания	R_1 , см	BD, см	AC, см	α , град	β , град	v_C , см/с	a_C , см/с ²
7	22	10	60	2	10	2	3	8	4	5	12	60	60	12	5
17	28	15	30	3	6	3	4	18	6	10	16	45	90	10	8
27	20	8	45	4	8	2	2	28	8	8	16	30	120	8	6

Рис. 2.14. Задание К3. Определение ускорений точек тела при плоскопараллельном движении. Номера вариантов задания 5 – 8, 15 – 18, 25 – 28

Варианты № 9, 19, 29								Варианты № 10, 20, 30							
<p>Найти: $a_C, a_B, \varepsilon_{AB}$</p>								<p>Найти: $a_A, a_B, \varepsilon_{CB}$</p>							
Номер варианта задания	OA, см	DC, см	α , град	β , град	R_1 , см	ω_{OA} , рад/с	ε_{OA} , рад/с ²	Номер варианта задания	R_1 , см	BC, см	φ , град	α , град	β , град	V_C , см/с	a_C , см/с ²
9	18	10	30	120	4	2	3	10	6	14	60	30	120	15	3
19	20	12	60	60	6	3	4	20	5	18	45	60	90	10	5
29	18	8	60	90	4	2	3	30	4	16	30	45	60	12	4

Рис. 2.15. Задание К3. Определение ускорений точек тела при плоскопараллельном движении. Номера вариантов задания 9 – 10, 19 – 20, 29 – 30

Примеры решения задания К3. Определение ускорений точек тела при плоскопараллельном движении

Задача 1. Ступенчатый барабан 1 с радиусами ступенек $R = 0,5$ м и $r = 0,3$ м катится окружностью малой ступеньки по горизонтальной поверхности без скольжения (рис. 2.16). Барабан приводится в движение шатуном AC, один конец которого соединён с центром барабана в точке A, а другой – с ползуном C, перемещающимся вертикально. В положении механизма, когда шатун AC отклонён от вертикали на угол 60° , найти ускорение точки B барабана, лежащей на его горизонтальном диаметре, если заданы скорость и ускорение ползуна C: $V_C = 9$ м/с, $a_C = 4$ м/с².

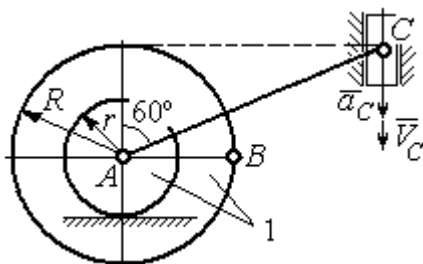


Рис. 2.16. Схема движения плоского механизма

метре, если заданы скорость и ускорение ползуна C: $V_C = 9$ м/с, $a_C = 4$ м/с².

Решение

Найдём угловые скорости ω_{AC} , ω_1 шатуна AC и барабана 1. Шатун совершает плоское движение. Его мгновенный центр скоростей P_2 находится на пересечении перпендикуляров к скоростям \vec{V}_A и \vec{V}_C (рис. 2.17). По условию, скорость точки C направлена вертикально вниз. Точка A принадлежит как шатуну AC , так и барабану 1. При качении барабана по горизонтальной поверхности скорость его центра – точки A параллельна поверхности качения барабана.

Угловая скорость шатуна

$$\omega_{AC} = \frac{V_C}{CP_2} = \frac{9}{R \operatorname{tg} 60^\circ} = 6\sqrt{3} \text{ рад/с.}$$

Скорость точки A шатуна $V_A = \omega_{AC} \cdot AP_2 =$

$$3\sqrt{3} \text{ м/с.}$$

Угловая скорость барабана 1 $\omega_1 = \frac{V_A}{AP_1} = 10\sqrt{3} \text{ рад/с.}$ При расчёте уг-

ловой скорости барабана учтено, что качение барабана по неподвижной поверхности представляет собой плоское движение, при котором мгновенный центр скоростей находится в точке касания с поверхностью (в точке P_1 на рис. 2.17).

Выразим ускорение \vec{a}_A точки A через полюс C на основании векторного равенства: $\vec{a}_A = \vec{a}_C + \vec{a}_{AC}^\tau + \vec{a}_{AC}^n$, где \vec{a}_C – ускорение точки C , выбранной в качестве полюса; \vec{a}_{AC}^τ , \vec{a}_{AC}^n – касательная и нормальная составляющие ускорения точки A при вращении шатуна AC вокруг полюса C . Вектор нормального ускорения \vec{a}_{AC}^n направлен вдоль шатуна AC от точки A к полюсу C и равен по величине $a_{AC}^n = \omega_{AC}^2 \cdot AC = (6\sqrt{3})^2 \cdot 2R = 108 \text{ м/с}^2$. Вектор касательного ускорения \vec{a}_{AC}^τ , модуль которого вычисляется по формуле $a_{AC}^\tau = \varepsilon_{AC} \cdot AC$, направлен перпендикулярно отрезку AC .

На данном этапе величина вектора касательного ускорения не может быть вычислена, поскольку угловое ускорение шатуна AC ε_{AC} неизвестно. На рис. 2.17 направление вектора касательного ускорения \vec{a}_{AC}^τ выбрано из предположения, что

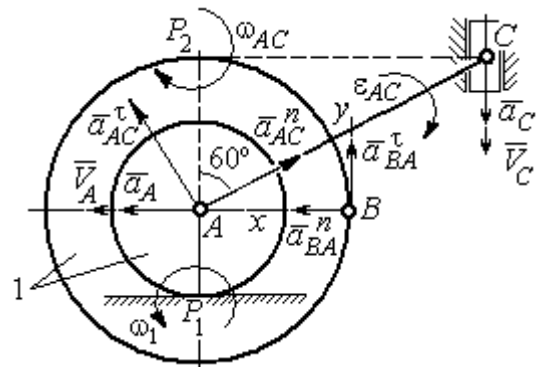


Рис. 2.17. Расчётная схема определения скоростей и ускорений точек механизма

вращение шатуна ускоренное и направление углового ускорения совпадает с направлением его угловой скорости.

Направление вектора \vec{a}_A ускорения точки A определяется из того, что центр барабана движется по прямой, параллельной горизонтальной поверхности качения. На рис. 2.17 направление вектора ускорения \vec{a}_A выбрано из предположения, что качение барабана ускоренное.

Выберем ось x вдоль линии AC (рис. 2.18) и спроектируем векторное равенство $\vec{a}_A = \vec{a}_C + \vec{a}_{AC}^\tau + \vec{a}_{AC}^n$ на эту ось. При таком выборе оси проекция неизвестного ускорения \vec{a}_{AC}^τ обращается в нуль. Получим $a_A \cos 30^\circ = a_C \cos 60^\circ - a_{AC}^n$. Отсюда

найдем ускорение центра барабана $a_A = \frac{1}{\cos 30^\circ} (a_C \cos 60^\circ - a_{AC}^n) = -122,4 \text{ м/с}^2$. От-

рицательное значение ускорения точки A означает, что на рис. 2.17, 2.18 вектор

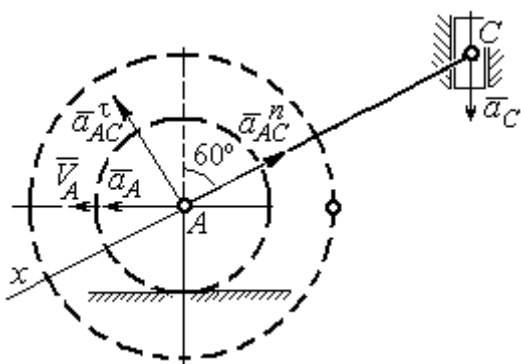


Рис. 2.18. Схема для определения ускорения центра барабана

ускорения \vec{a}_A должен иметь противоположное направление. Таким образом, вектор ускорения \vec{a}_A направлен в сторону, противоположную вектору скорости \vec{V}_A , и движение барабана замедленное.

Для того чтобы найти ускорение точки B , выразим его через полюс A на основании векторного равенства $\vec{a}_B = \vec{a}_A + \vec{a}_{BA}^\tau + \vec{a}_{BA}^n$,

где \vec{a}_A – ускорение точки A , выбранной в качестве полюса; \vec{a}_{BA}^τ , \vec{a}_{BA}^n – касательная и нормальная составляющие ускорения точки B при вращении барабана вокруг полюса A .

Модуль вектора нормального ускорения \vec{a}_{BA}^n равен по величине $a_{BA}^n = \omega_1^2 \cdot BA = (10\sqrt{3})^2 \cdot R = 150 \text{ м/с}^2$. Вектор направлен вдоль радиуса барабана от точки B к полюсу A (см. рис. 2.17).

Модуль вектора касательного ускорения \vec{a}_{BA}^τ вычисляется по формуле $a_{BA}^\tau = \varepsilon_1 \cdot BA$, где ε_1 – угловое ускорение барабана. Значение углового ускорения катящегося барабана (в отличие от углового ускорения ε_{AC} шатуна AC) может быть найдено. Расчёт основан на том, что при движении барабана расстояние AP_1 от точки A до центра скоростей барабана P_1 остаётся постоянным, равным r . Тогда выражение $V_A = \omega_1 \cdot AP_1 = \omega_1 \cdot r$ для расчёта скорости точки A можно продифференцировать. Получим $\frac{dV_A}{dt} = \frac{d\omega_1}{dt} \cdot r$. Так как точка A движется по прямой, производная от скорости точки равна её полному ускорению, а производная от угловой скорости барабана равна его угловому ускорению. Тогда имеем: $a_A = \varepsilon_1 \cdot r$, откуда находим угловое ускорение $\varepsilon_1 = \frac{a_A}{r} = 40,8 \text{ рад/с}^2$, а затем и модуль вектора касательного ускорения $a_{BA}^\tau = \varepsilon_1 \cdot BA = 20,4 \text{ м/с}^2$.

Заметим, что для вычисления углового ускорения ε_{AC} шатуна AC подобные рассуждения неприменимы. Формулу $V_A = \omega_{AC} \cdot AP_2$ невозможно продифференцировать, так как при движении механизма расстояние AP_2 от точки A до центра скоростей P_2 шатуна AC является неизвестной функцией времени.

Выберем систему координат xBy как показано на рис. 2.17, и спроецируем на эти оси векторное равенство $\vec{a}_B = \vec{a}_A + \vec{a}_{BA}^\tau + \vec{a}_{BA}^n$. Полагая, что движение барабана ускоренное (т. е. вектора ускорений \vec{a}_A и \vec{a}_{BA}^τ направлены, как показано на рис. 2.17), получим значения составляющих ускорения точки B : $a_{Bx} = a_A + a_{BA}^n$, $a_{By} = a_{BA}^\tau$. Подставляя значения ускорений, найдём $a_{By} = 20,4 \text{ м/с}^2$, $a_{Bx} = -122,4 + 150 = 27,6 \text{ м/с}^2$. Вектор полного ускорения точки B направлен по диагонали прямоугольника, построенного на векторах \vec{a}_{Bx} , \vec{a}_{By} . Величина ускорения точки B : $a_B = \sqrt{a_{Bx}^2 + a_{By}^2} = 34,32 \text{ м/с}^2$.

Задача 2. В плоском механизме (рис. 2.19) кривошип OA вращается вокруг оси O с угловой скоростью ω_{OA} и угловым ускорением ε_{OA} . Диск 2, шарнирно

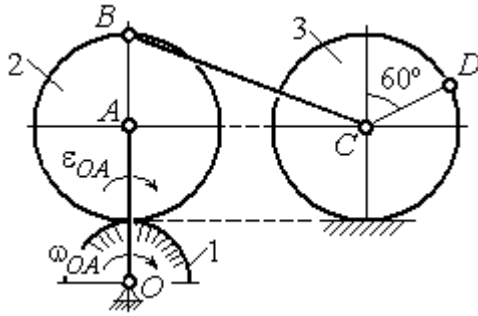


Рис. 2.19. Схема движения плоского механизма

присоединённый к кривошипу в точке A , катится без проскальзывания по неподвижному диску 1. Радиусы дисков R_1 и R_2 . На краю диска 2 в точке B шарнирно прикреплен стержень BC , соединенный с центром C диска 3. Радиус диска 3 равен радиусу диска 2: $R_3 = R_2$. Диск 3 катится

без скольжения по горизонтальной поверхности, по прямой. Для положения механизма, изображенного на рис. 2.19, определить ускорение точки D и угловое ускорение стержня BC , если $\omega_{OA} = 4$ рад/с, $\varepsilon_{OA} = 2$ рад/с², $R_1 = 4$ см, $R_2 = 8$ см. Длина стержня $BC = 20$ см.

Решение

Определение угловых скоростей звеньев механизма.

Рассмотрим вращательное движение кривошипа OA . Скорость точки A : $V_A = \omega_{OA} \cdot OA = 48$ см/с. Вектор скорости \vec{V}_A направлен перпендикулярно кривошипу OA в сторону движения кривошипа (рис. 2.20).

При движении диска 2 точка P_2 соприкосновения второго диска с неподвижным первым является мгновенным центром скоростей диска 2. Угловая скорость диска 2: $\omega_2 = \frac{V_A}{AP_2} = \frac{48}{8} = 6$ рад/с.

$$\omega_2 = \frac{V_A}{AP_2} = \frac{48}{8} = 6 \text{ рад/с.}$$

Скорость точки B диска 2: $V_B = \omega_2 BP_2 = 6 \cdot 16 = 96$ см/с.

Для определения угловой скорости стержня BC заметим, что скорости двух точек стержня \vec{V}_B и \vec{V}_C параллельны, но точки B и C не лежат на общем перпендикуляре к скоростям. В этом случае мгновенный центр скоростей стержня BC отсутствует (бесконечно удалён), угловая скорость стержня равна нулю: $\omega_{BC} = 0$, а стержень совершает мгновенное поступательное движение. В результате имеем: $V_C = V_B = 96$ см/с.

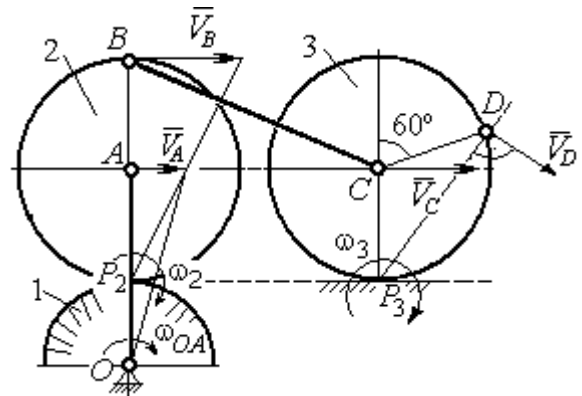


Рис. 2.20. Расчетная схема для определения угловых скоростей звеньев механизма

При качении диска 3 по неподвижной поверхности без проскальзывания точка P_3 касания его с поверхностью является мгновенным центром скоростей.

Тогда угловая скорость диска 3: $\omega_3 = \frac{V_C}{CP_3} = 12$ рад/с. Скорость точки D диска 3:

$V_D = \omega_3 \cdot DP_3$. Величину DP_3 находим из треугольника P_3DC . В результате $DP_3 = 2R_3 \cos 30^\circ = 13,8$ см и $V_D = 165,6$ см/с. Вектор скорости \vec{V}_D направлен в сторону движения диска 3 перпендикулярно линии DP_3 и (см. рис. 2.20).

Определение ускорений точек механизма.

Представим ускорение \vec{a}_C точки C векторной суммой $\vec{a}_C = \vec{a}_B + \vec{a}_{CB}^n + \vec{a}_{CB}^\tau$, где \vec{a}_B – ускорение точки B , выбранной в качестве полюса; \vec{a}_{CB}^n , \vec{a}_{CB}^τ – нормальная и касательная составляющие ускорения точки C при вращении стержня BC вокруг полюса B , $a_{CB}^n = \omega_{CB}^2 \cdot CB$, $a_{CB}^\tau = \varepsilon_{CB} \cdot CB$.

Нормальная составляющая ускорения точки C $a_{CB}^n = 0$, так как стержень CB совершает мгновенное поступательное движение и $\omega_{BC} = 0$.

Направление касательной составляющей \vec{a}_{CB}^τ неизвестно, так как неизвестно направление углового ускорения стержня ε_{CB} . Для определённости выберем направление углового ускорения стержня BC в сторону против хода часовой стрелки. На рис. 2.21 это направление показано дуговой стрелкой ε_{CB} .

В соответствии с выбранным направлением углового ускорения вектор \vec{a}_{CB}^τ строится перпендикулярно линии стержня BC в сторону углового ускорения ε_{CB} (см. рис. 2.21).

Выразим ускорение точки B через полюс A : $\vec{a}_B = \vec{a}_A + \vec{a}_{BA}^n + \vec{a}_{BA}^\tau$, где \vec{a}_A – ускорение полюса A ; \vec{a}_{BA}^n ,

\vec{a}_{BA}^τ – нормальная и касательная составляющие ускорения точки B при вращении диска 2 вокруг полюса A . Величина нормальной составляющей ускорения точки B $a_{BA}^n = \omega_2^2 \cdot BA = 288 \text{ см/с}^2$. Вектор \vec{a}_{BA}^n направлен вдоль радиуса BA от точки B к полюсу A (см. рис. 2.21). Касательное ускорение точки B при вращении диска 2 вокруг полюса A вычисляется по формуле $a_{BA}^\tau = \varepsilon_2 \cdot BA$. Для определения углового ускорения ε_2 диска 2 заметим, что во время движения диска 2 расстояние AP_2 остается постоянным, равным R_2 . Дифференцируя равенство $V_A = \omega_2 \cdot AP_2 =$

$$\omega_2 R_2, \text{ получим: } \frac{dV_A}{dt} = \frac{d\omega_2}{dt} R_2, \text{ или } a_A^\tau = \varepsilon_2 R_2, \text{ откуда } \varepsilon_2 = \frac{a_A^\tau}{R_2}.$$

Для того чтобы найти величину a_A^τ , рассмотрим вращательное движение кривошипа OA вокруг неподвижной оси O . Ускорение точки A представляется в виде векторного равенства $\vec{a}_A = \vec{a}_A^n + \vec{a}_A^\tau$, где \vec{a}_A^n и \vec{a}_A^τ – известные нормальная и касательная составляющие ускорения точки A кривошипа OA :

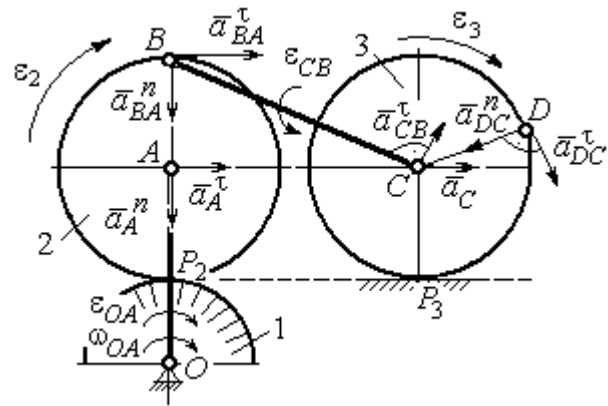


Рис. 2.21. Расчетная схема для определения ускорений точек механизма и угловых ускорений его звеньев

$a_A^n = \omega_{OA}^2 \cdot OA = 192 \text{ см/с}^2$, $a_A^\tau = \varepsilon_{OA} \cdot OA = 24 \text{ см/с}^2$. Направления векторов нормального ускорения \vec{a}_A^n и касательного ускорения \vec{a}_A^τ показаны на рис. 2.21.

Теперь найдём величину углового ускорения диска 2 и модуль касательного ускорения a_{BA}^τ точки B при вращении диска 2 вокруг полюса A : $\varepsilon_2 = \frac{a_A^\tau}{R_2} = 3 \text{ рад/с}^2$, $a_{BA}^\tau = \varepsilon_2 \cdot BA = 24 \text{ см/с}^2$.

Для определения ускорения точки C имеем векторное равенство $\vec{a}_C = \vec{a}_A^n + \vec{a}_A^\tau + \vec{a}_{BA}^n + \vec{a}_{BA}^\tau + \vec{a}_{CB}^\tau$. Выберем оси Cx , Cy , как показано на рис. 2.22, – вдоль отрезка BC и перпендикулярно ему и спроецируем на них имеющееся векторное равенство. Получим:

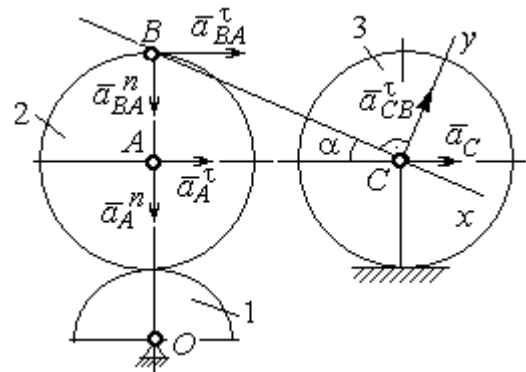


Рис. 2.22. Расчетная схема для вычисления ускорения точки C

$$a_C \cos \alpha = a_A^n \sin \alpha + a_A^\tau \cos \alpha + a_{BA}^n \sin \alpha + a_{BA}^\tau \cos \alpha ;$$

$$a_C \sin \alpha = a_A^n \cos \alpha + a_A^\tau \sin \alpha + a_{BA}^n \cos \alpha + a_{BA}^\tau \sin \alpha + a_{CB}^\tau ,$$

где α – угол между стержнем BC и линией центров AC ; $\sin \alpha = \frac{AB}{BC} = 0,4$;

$\cos \alpha = 0,92$. Решая систему, найдём: $a_C = 256,7 \text{ см/с}^2$, $a_{CB}^\tau = -358,12 \text{ см/с}^2$.

Модуль углового ускорения стержня BC : $\varepsilon_{CB} = \frac{|a_{CB}^\tau|}{BC} = 17,9 \text{ рад/с}^2$.

Знак «минус» величины a_{CB}^τ означает, что вектор касательного ускорения \vec{a}_{CB}^τ на рис. 2.21 – 2.22 следует направить в противоположную сторону. Направление углового ускорения стержня BC , показанное на рис. 2.21 дуговой стрелкой ε_{CB} , также следует заменить на противоположное.

Выразим ускорение точки D через полюс C : $\vec{a}_D = \vec{a}_C + \vec{a}_{DC}^n + \vec{a}_{DC}^\tau$, где \vec{a}_C – известное ускорение точки C ; \vec{a}_{DC}^n , \vec{a}_{DC}^τ – нормальное и касательное составляющие ускорения точки D при вращении диска 3 вокруг полюса C . Величина нормального ускорения точки D : $a_{DC}^n = \omega_3^2 \cdot DC = 1152 \text{ см/с}^2$. Вектор ускорения \vec{a}_{DC}^n направлен по радиусу от точки D к полюсу C (рис. 2.23).

Для расчёта касательной составляющей a_{DC}^τ ускорения точки D найдём угловое ускорение диска 3. Продифференцируем по времени равенство $V_C = \omega_3 \cdot CP_3 = \omega_3 R_3$. Получим:

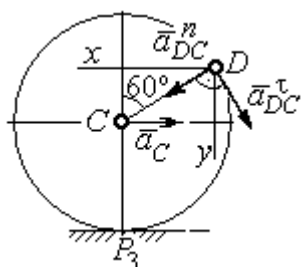


Рис.2.23. Расчетная схема для определения ускорения точки D

$$\frac{dV_C}{dt} = \frac{d\omega_3}{dt} R_3, \text{ или } a_C = \varepsilon_3 R_3. \text{ Угловое ускорение}$$

$$\text{диска 3: } \varepsilon_3 = \frac{a_C}{R_3} = 32,09 \text{ рад/с}^2. \text{ Тогда величина ка-}$$

сательной составляющей ускорения точки D :

$$a_{DC}^\tau = \varepsilon_3 \cdot DC = 256,7 \text{ см/с}^2. \text{ Направление вектора}$$

\vec{a}_{DC}^τ соответствует ускоренному движению диска 3.

Проведём оси Dx и Dy , как показано на рис. 2.23, и спроецируем векторное равенство ускорения точки D на оси:

$$a_{Dx} = -a_C + a_{DC}^n \cos 30^\circ - a_{DC}^\tau \cos 60^\circ, \quad a_{Dy} = a_{DC}^n \cos 60^\circ + a_{DC}^\tau \cos 30^\circ.$$

Решая систему, находим значения проекций модуля ускорения $a_{Dx} = 612,5 \text{ см/с}^2$, $a_{Dy} = 798,3 \text{ см/с}^2$. Величина ускорения точки D :

$$a_D = \sqrt{a_{Dx}^2 + a_{Dy}^2} = 1006,2 \text{ см/с}^2.$$

3. СЛОЖНОЕ ДВИЖЕНИЕ ТОЧКИ

3.1. Основные понятия сложного движения точки

В неподвижной системе координат рассматривается подвижное твердое тело и точка, перемещающаяся относительно тела.

Траектория точки в её движении относительно тела называется **относительной траекторией**. Скорость точки в этом движении называют **относительной скоростью**, ускорение – **относительным ускорением**.

Траектория точки, перемещающейся вместе с телом, называется переносной траекторией точки, скорость точки при таком её движении – **переносной скоростью**, а ускорение – **переносным ускорением**.

Суммарное движение точки вместе с телом и относительно тела называется **сложным движением**. Траектория точки относительно неподвижной системы координат называется **абсолютной траекторией точки**, скорость и ускорение – **абсолютной скоростью и абсолютным ускорением**.

При вычислении абсолютной скорости используется теорема о сложении скоростей: **при сложном движении абсолютная скорость точки равна геометрической сумме относительной и переносной скоростей**: $\vec{V} = \vec{V}_e + \vec{V}_r$, где \vec{V} , \vec{V}_e , \vec{V}_r – вектора абсолютной, переносной и относительной скоростей точки.

В случае, когда относительное движение точки задается естественным способом в виде закона изменения пути $S = S(t)$, величина относительной скорости точки равна модулю производной: $V_r = |\dot{S}_r|$. Если переносное движение точки есть вращение тела вокруг неподвижной оси, скорость точки в переносном движении будет: $V_e = \omega_e h_e$, где ω_e – величина угловой скорости вращения тела; h_e – кратчайшее расстояние от места положения точки на теле до оси вращения тела.

При вычислении абсолютного ускорения используется теорема Кориолиса о сложении ускорений: **при сложном движении абсолютное ускорение точки равно геометрической сумме трех ускорений – относительного, переносного и ускорения Кориолиса** $\vec{a} = \vec{a}_e + \vec{a}_r + \vec{a}_k$, где \vec{a} – вектор абсолютного ускорения

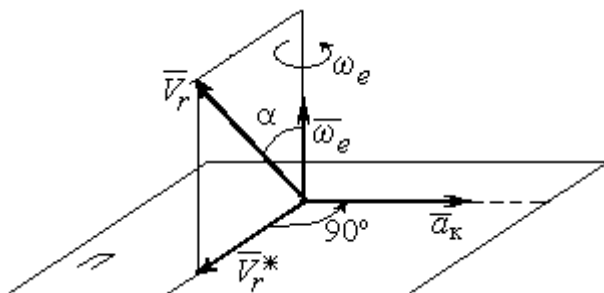


Рис. 3.1. Определение направления ускорения Кориолиса по правилу Жуковского

точки; \vec{a}_e, \vec{a}_r – вектора соответственно переносного и относительного ускорений точки; \vec{a}_k – вектор ускорения Кориолиса. (Иногда его называют поворотным ускорением.)

Вектор ускорения Кориолиса определяется векторным произведением $\vec{a}_k = 2(\vec{\omega}_e \times \vec{V}_r)$, где $\vec{\omega}_e$ – вектор

угловой скорости переносного движения; \vec{V}_r – вектор относительной скорости точки. Модуль ускорения Кориолиса: $|\vec{a}_k| = 2|\vec{\omega}_e| \cdot |\vec{V}_r| \sin \alpha$, где α – угол между вектором угловой скорости переносного движения и вектором относительной скорости точки (см. рис. 3.1). Направление вектора ускорения Кориолиса может быть получено по правилу построения вектора векторного произведения.

На рис. 3.1 показана последовательность выбора направления вектора ускорения Кориолиса по правилу Н. Е. Жуковского. Правило состоит в следующем: пусть имеется точка, движущаяся с относительной скоростью \vec{V}_r . Построим плоскость Π , перпендикулярную вектору переносной угловой скорости $\vec{\omega}_e$, и спроецируем вектор \vec{V}_r на эту плоскость. Проекцию обозначим \vec{V}_r^* (см. рис. 3.1). Чтобы получить направление ускорения Кориолиса, следует вектор проекции относительной скорости \vec{V}_r^* повернуть на 90° в плоскости Π вокруг оси переносного вращения в направлении этого вращения.

Если сложное движение точки происходит в плоскости, перпендикулярной оси переносного вращения, направление ускорения Кориолиса можно получить

простым поворотом вектора относительной скорости на угол 90° вокруг оси переносного вращения в направлении этого вращения.

Относительное ускорение \vec{a}_r представляется как сумма векторов относительного касательного \vec{a}_r^τ и относительного нормального \vec{a}_r^n ускорений: $\vec{a}_r = \vec{a}_r^\tau + \vec{a}_r^n$. Переносное ускорение точки \vec{a}_e тела имеет своими составляющими переносное касательное \vec{a}_e^τ и переносное нормальное \vec{a}_e^n ускорения так, что $\vec{a}_e = \vec{a}_e^\tau + \vec{a}_e^n$.

Таким образом, абсолютное ускорение точки в сложном движении можно представить в виде векторного равенства

$$\vec{a} = \vec{a}_r^\tau + \vec{a}_r^n + \vec{a}_e^\tau + \vec{a}_e^n + \vec{a}_k.$$

Модули относительного касательного и относительного нормального ускорений при естественном способе задания относительного движения точки равны:

$$a_r^\tau = |\dot{V}_r|, \quad a_r^n = \frac{V_r^2}{\rho}, \quad \text{где } \rho \text{ – радиус кривизны относительной траектории. При}$$

движении точки по окружности радиус кривизны равен радиусу окружности, при движении по прямой – бесконечности, и в этом случае $a_r^n = 0$.

При вращательном переносном движении точки значения переносного касательного и нормального ускорений вычисляются по формулам: $a_e^\tau = \varepsilon_e h_e$, $a_e^n = \omega_e^2 h_e$, где ε_e – угловое ускорение вращательного переносного движения, $\varepsilon_e = |\dot{\omega}_e|$; h_e – расстояние от точки до оси вращения тела; ω_e – величина угловой скорости вращения тела.

Вектора ускорений строятся по общим правилам построения векторов нормального и касательного ускорений.

При поступательном переносном движении ускорение Кориолиса и переносное нормальное ускорение равны нулю: $a_k = 0$, $a_e^n = 0$. Абсолютное ускорение точки при поступательном переносном движении можно представить в виде векторного равенства $\vec{a} = \vec{a}_r^\tau + \vec{a}_r^n + \vec{a}_e^\tau$.

3.2. Задание К4. Определение скорости и ускорения точки при сложном движении

Задание включает две задачи с вращательным и поступательным видами переносного движения точки.

Задача 1. Вращение тела относительно неподвижной оси задается законом изменения угла поворота: $\varphi_e = \varphi_e(t)$ или законом изменения его угловой скорости: $\omega_e = \omega_e(t)$. Движение точки относительно тела отсчитывается от её начального положения в точке C и задается законом изменения длины дуги окружности или отрезка прямой линии: $CM = S_r = S_r(t)$.

Определить абсолютные скорость и ускорение точки в заданный момент времени t_1 .

Задача 2. Поступательное движение тела, несущего точку, задается законом изменения координаты $x_e = x_e(t)$. Движение точки относительно тела отсчитывается от её начального положения в точке C и задается законом изменения длины дуги окружности или отрезка прямой линии: $CM = y_r = y_r(t)$.

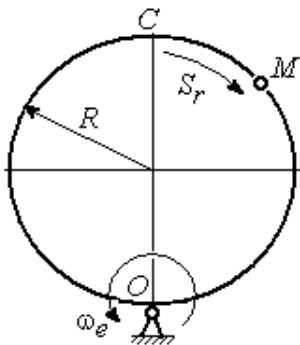
Определить абсолютные скорость и ускорение точки в момент времени t_2 , который либо задаётся в исходных данных задачи, либо на схеме описаны условия, из которых он находится.

Номера вариантов заданий даны на рис. 3.2 – 3.5.

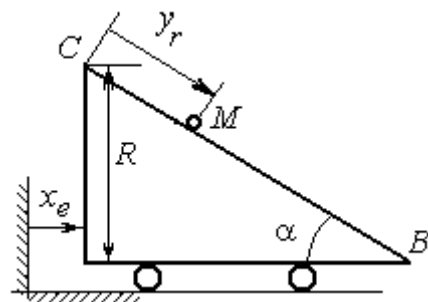
Варианты исходных данных приведены в табл. 3.1.

Варианты № 1, 11, 21

Задача 1



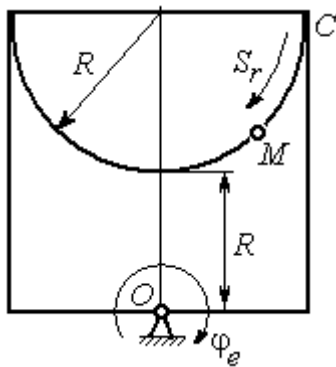
Задача 2



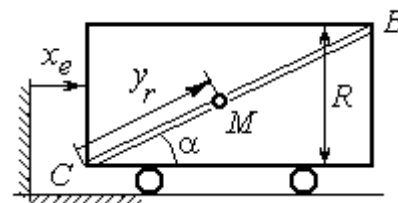
В момент $t = t_2$ точка M прошла половину пути CB

Варианты № 2, 12, 22

Задача 1



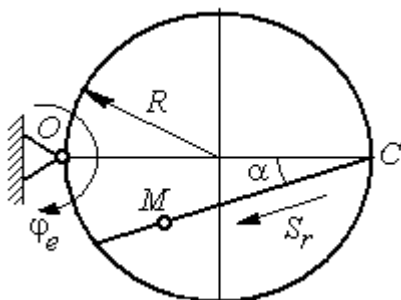
Задача 2



В момент $t = t_2$ точка M прошла $2/3$ пути CB

Варианты № 3, 13, 23

Задача 1



Задача 2

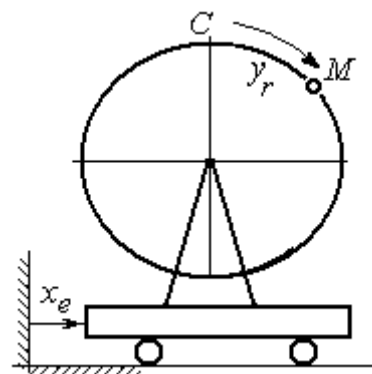


Рис. 3.2. Задание К4. Сложное движение точки.
Номера вариантов задания 1 – 3, 11 – 13, 21 – 23

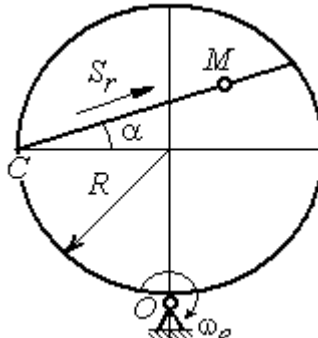
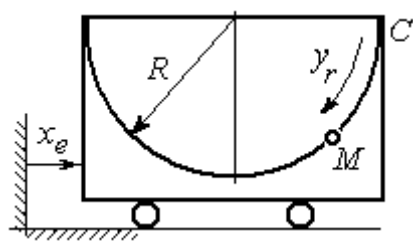
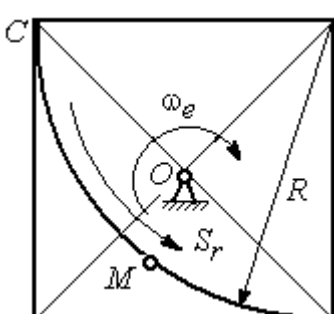
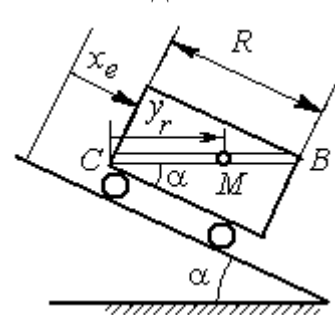
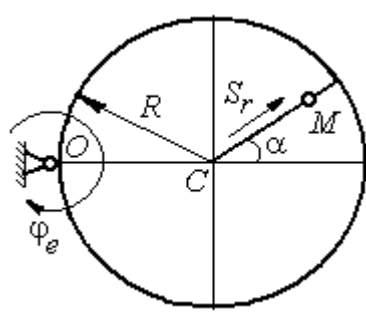
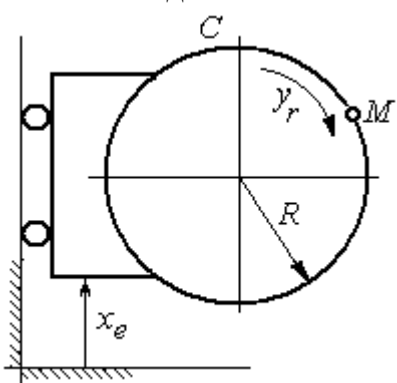
Варианты № 4, 14, 24	
Задача 1	Задача 2
	
Варианты № 5, 15, 25	
Задача 1	Задача 2
	 <p>В момент $t = t_2$ точка M прошла путь CB</p>
Варианты № 6, 16, 26	
Задача 1	Задача 2
	

Рис. 3.3. Задание К4. Сложное движение точки.
Номера вариантов задания 4 – 6, 14 – 16, 24 – 26

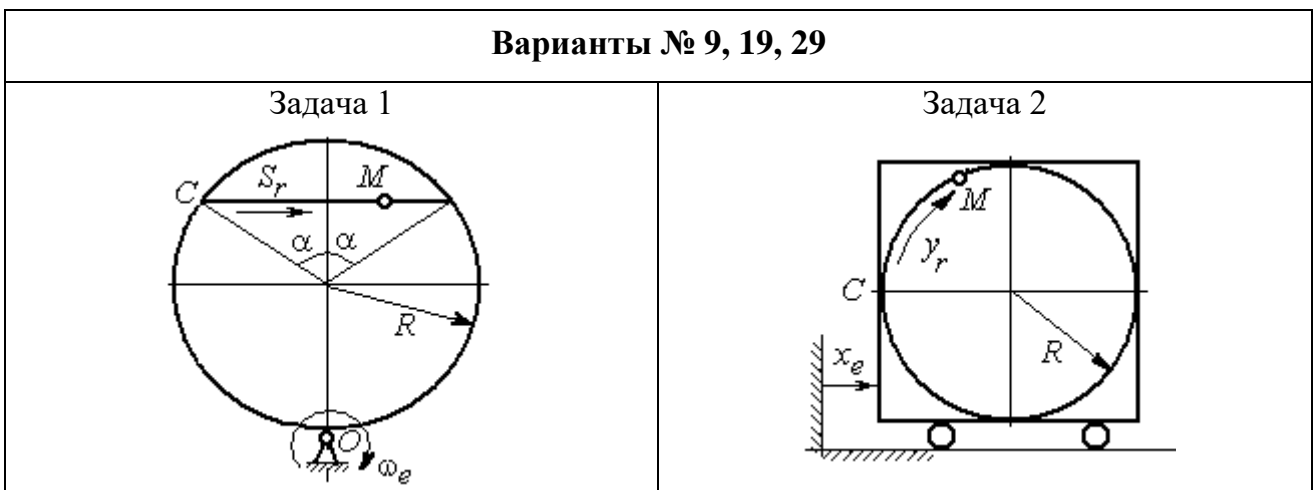
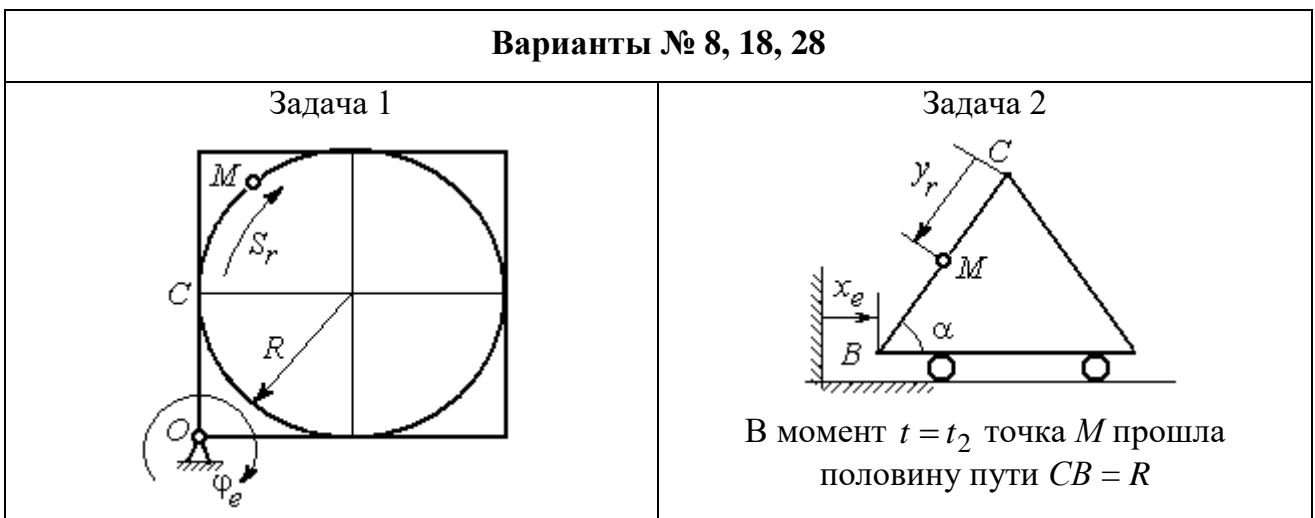
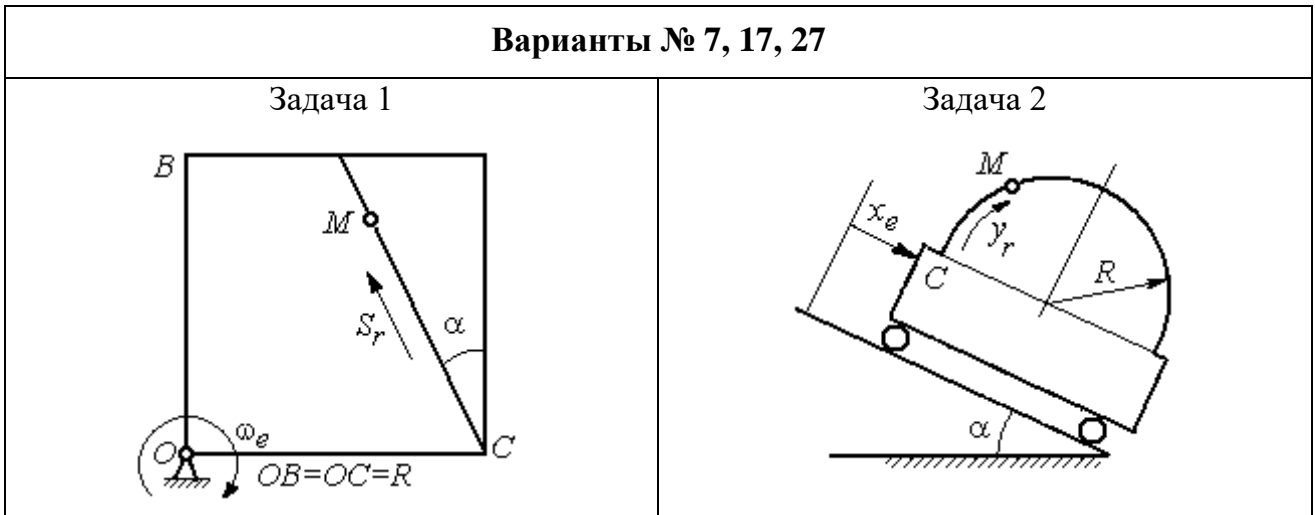


Рис. 3.4. Задание К4. Сложное движение точки.
Номера вариантов задания 7 – 9, 17 – 19, 27 – 29

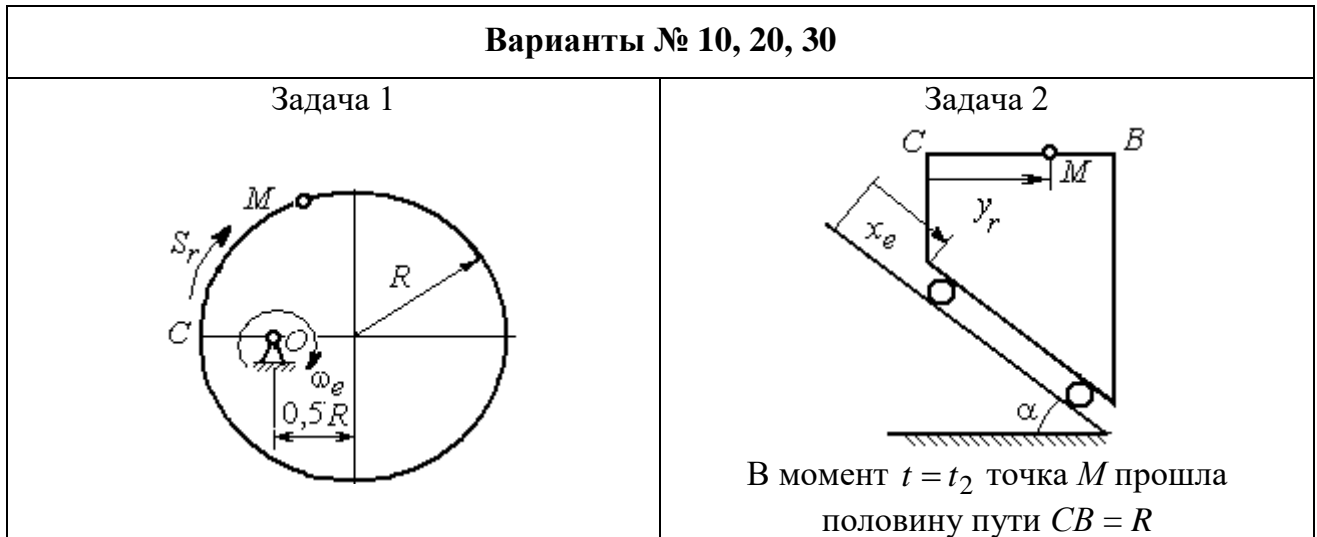


Рис. 3.5. Задание К4. Сложное движение точки.
Номера вариантов задания 10, 20, 30

Таблица 3.1

Исходные данные для заданий по сложному движению точки

Номер варианта задания	Номер задачи	R , см	α , град	$\overset{\sim}{CM} = S_r(t)$, см	$\varphi_e(t)$, рад; $\omega_e(t)$, рад/с	t_1 , с t_2 , с
				$\overset{\sim}{CM} = y_r(t)$, см	$x_e(t)$, см	
1	1	3	–	$S_r = 2\pi\sin(\pi t/6)$	$\omega_e = 4t^2$	1
	2	4	30	$y_r = 4t^2$	$x_e = 2\cos(\pi t/6)$	–
2	1	2	–	$S_r = 4\pi\sin^2(\pi t/6)$	$\varphi_e = 6\cos(\pi t/3)$	1
	2	3	60	$y_r = t^2 + t$	$x_e = 1 + \cos(\pi t)$	–
3	1	4	30	$S_r = 2\sqrt{3}[t + \sin(\pi t/2)]$	$\varphi_e = 4t - t^2$	1
	2	6	–	$y_r = \pi[2t + \sin \pi t]$	$x_e = 5t - t^2$	1
4	1	4	60	$S_r = 2(t^3 + t)$	$\omega_e = 6\cos(\pi t/6)$	1
	2	3	–	$y_r = \pi[2t + \cos(\pi t/2)]$	$x_e = t^3 - 4t$	1
5	1	6	–	$S_r = 4\pi\sin^2(\pi t/6)$	$\omega_e = 6\cos(\pi t/3)$	1
	2	2	30	$y_r = t^2 + 2t$	$x_e = t^2 - 4t$	–
6	1	6	60	$S_r = t + 10\sin(\pi t/6)$	$\varphi_e = 2t^2 - 5t$	1
	2	3	–	$y_r = 4\pi\sin(\pi t/6)$	$x_e = [1 - \cos(\pi t/4)]$	1
7	1	8	30	$S_r = 2(t^3 + 3t)$	$\omega_e = 6\cos(\pi t/6)$	1
	2	4	30	$y_r = 2\pi t^2$	$x_e = t^3 - 5t$	1

Продолжение табл. 3.1

Номер варианта задания	Номер задачи	R , см	α , град	$C\check{M} = S_r(t)$, см $C\check{M} = y_r(t)$, см	$\varphi_e(t)$, рад; $\omega_e(t)$, рад/с $x_e(t)$, см	t_1 , с t_2 , с
8	1	8	–	$S_r = 2\pi[t^2 + \sin\pi t]$	$\varphi_e = t^2 - 5t$	2
	2	6	30	$y_r = t(t+1)$	$x_e = \cos\pi t$	–
9	1	8	30	$S_r = 2t^2$	$\omega_e = \cos(\pi t/8)$	2
	2	3	–	$y_r = 4\pi\sin^2(\pi t/4)$	$x_e = (3-2t)^2$	1
10	1	6	–	$S_r = \pi(2t^3 + \sin\pi t)$	$\omega_e = 5t - 2t^3$	1
	2	4	30	$y_r = t^2 + 2t$	$x_e = 1 + \cos\pi t$	–
11	1	6	–	$S_r = 8\pi\sin(\pi t/12)$	$\omega_e = 2 + \cos(\pi t/4)$	2
	2	6	60	$y_r = 4\sin\pi t$	$x_e = t^2 - 2t$	–
12	1	18	–	$S_r = \pi(2t^2 + 2t)$	$\varphi_e(t) = 3t - t^2$	2
	2	6	30	$y_r = 2t^2 + t$	$x_e = 1 + \cos(\pi t)$	–
13	1	10	60	$S_r = t^3 + t$	$\varphi_e = 6\cos(\pi t/6)$	2
	2	6	–	$y_r = 6\pi\cos(\pi t/3)$	$x_e = t(t+1)$	1
14	1	4	30	$S_r = 8\sqrt{3}\sin(\pi t/12)$	$\omega_e = (3-2t)^2$	2
	2	3	–	$y_r = 2\pi\sin(\pi t/6)$	$x_e = 2t^2 - 5t$	1
15	1	8	–	$S_r = 4\pi\sin^2(\pi t/4)$	$\omega_e = 2 + \cos(\pi t/4)$	1
	2	5	60	$y_r = 5t + t^2$	$x_e = \cos(\pi t/6)$	–
16	1	12	90	$S_r = 3[t + \sin(\pi t/2)]$	$\varphi_e = 2t - 3t^2$	1
	2	15	–	$y_r = \pi(4t + t^2)$	$x_e = 6\sin(\pi t/3)$	1
17	1	6	45	$S_r = 3\sqrt{2}[t^2 + 2\sin\pi t]$	$\omega_e(t) = 4t^2 - 6$	1
	2	6	60	$y_r = 8\pi\sin(\pi t/12)$	$x_e = \sqrt{2}\sin(\pi t/8)$	2
18	1	8	–	$S_r = 4\pi\sqrt{2}\sin(\pi t/8)$	$\varphi_e = 18t - 4t^2$	2
	2	8	60	$y_r = 3t + 2t^2$	$x_e = \sin\pi t$	–
19	1	8	60	$S_r = 2\sqrt{3}[t + \sin(\pi t/2)]$	$\omega_e = 5t - t^2$	1
	2	9	–	$y_r = 6\pi\cos(\pi t/3)$	$x_e = \cos(\pi t/6)$	1
20	1	4	–	$S_r = 4\pi\sin(\pi t/6)$	$\omega_e = 3t - 5$	1
	2	6	60	$y_r = 3t + 2t^2$	$x_e = \pi\sin\pi t$	–
21	1	3	–	$S_r = 4\pi\sqrt{2}\sin(\pi t/8)$	$\omega_e = 6t - 14$	2
	2	8	45	$y_r = (t^2 + 3t)$	$x_e = t + 2\sin\pi t$	–

Окончание табл. 3.1

Номер варианта задания	Номер задачи	R , см	α , град	$\dot{C}\dot{M} = S_r(t)$, см $\dot{C}\dot{M} = y_r(t)$, см	$\varphi_e(t)$, рад; $\omega_e(t)$, рад/с $x_e(t)$, см	t_1 , с t_2 , с
22	1	4	–	$S_r = 2\pi(t^2 + 2t)$	$\varphi_e = 6\cos(\pi t/6)$	1
	2	9	60	$y_r = 8\sin \pi t$	$x_e = 5t - t^2$	–
23	1	6	45	$S_r = 12\sin(\pi t/8)$	$\varphi_e = t^2 + \cos(\pi t/4)$	2
	2	6	–	$y_r = 6\pi[t + \sin(\pi t/6)]$	$x_e = 5t - t^2$	1
24	1	6	45	$S_r = 12\sin(\pi t/8)$	$\omega_e = t + 4\cos(\pi t/4)$	2
	2	6	–	$y_r = \pi(t^2 + 2t)$	$x_e = 6\cos(\pi t/6)$	1
25	1	6	–	$S_r = 2\pi t^2$	$\omega_e = 3\sin(\pi t/3)$	1
	2	4	45	$y_r = 2t(t + 3t)$	$x_e = 2(t^3 - 3t)$	–
26	1	6	120	$S_r = t^2 + t$	$\varphi_e = 12\cos(\pi t/12)$	2
	2	9	–	$y_r = \pi\sqrt{3}\sin(\pi t/3)$	$x_e = 2(t^2 - 3t)$	1
27	1	10	60	$S_r = \sqrt{3}(t^2 + t)$	$\omega_e = 6\cos(\pi t/6)$	2
	2	9	30	$y_r = \sqrt{3}\pi\sin(\pi t/3)$	$x_e = t + 4\cos(\pi t/4)$	1
28	1	2	–	$S_r = 6\pi\sin(\pi t/6)$	$\varphi_e = 2t + \cos(\pi t/2)$	1
	2	6		$y_r = 2t + 3t^2$	$x_e = t + \sin \pi t$	–
29	1	8	30	$S_r = (t^2 + 2t)$	$\omega_e = 6\sin(\pi t/12)$	2
	2	3	–	$y_r = 2\pi\sqrt{3}\sin(\pi t/3)$	$x_e = 5t - t^2$	1
30	1	2	–	$\pi(t^2 + 2t)$	$\omega_e(t) = 6\cos(\pi t/6)$	1
	2	3	60	$y_r = t + t^2$	$x_e = t + \sin \pi t$	–

Пример выполнения задания К4. Сложное движение точки

Задача 1. Фигура, состоящая из половины диска и равнобедренного треугольника (рис. 3.6), вращается вокруг оси, перпендикулярной плоскости фигуры и проходящей через вершину A треугольника. Вращательное движение задается законом изменения угла поворота фигуры $\varphi_e = 5t - 2t^2$ рад.

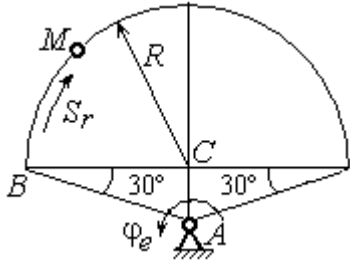


Рис. 3.6. Схема сложного движения точки

Положительное направление вращения отмечено на схеме дуговой стрелкой φ_e . По

ободу диска от точки B движется точка M . Движение точки относительно диска задается законом изменения длины дуги окружности: $\overset{\smile}{BM} = S_r = 9\pi t^2$ см. Положительное направление движения точки M на рис. 3.6 показано дуговой стрелкой S_r . Радиус диска $R = 9$ см.

Найти абсолютную скорость и абсолютное ускорение точки M в момент времени $t_1 = 1$ с.

Решение

Вращение фигуры будет для точки M переносным движением. Относительное движение точки M – её движение по окружности обода диска.

Для определения **положения точки M** на ободу диска вычислим расстояние, которое она прошла на заданный момент времени. Длина дуги окружности, пройденной точкой за 1 с: $S_r(1) = 9\pi$ см. Положение точки M определяется центральным углом $\alpha = \frac{S_r(1)}{R} = \frac{9\pi}{9} = \pi$. Положение точки в момент времени $t_1 = 1$ с отмечено на рис. 3.7 точкой M_1 .

Для определения **скорости переносного движения** точки вычисляем значение производной: $\dot{\varphi}_e = 5 - 4t$. Угловая скорость вращения фигуры: $\omega_e = |\dot{\varphi}_e|$. При $t_1 = 1$ с $\dot{\varphi}_e(1) = 1$ рад/с. Положительная величина производной $\dot{\varphi}_e(1)$ показывает,

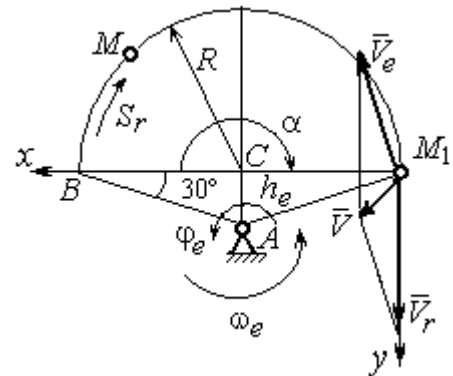


Рис. 3.7. Расчетная схема для вычисления абсолютной скорости точки при сложном движении

что вращение фигуры в данный момент происходит в положительном направлении, что отмечено дуговой стрелкой ω_e на рис. 3.7.

В момент времени $t_1 = 1$ с точка M находится в положении M_1 . Скорость V_e переносного движения точки в момент времени $t_1 = 1$ с $V_e(1) = \omega_e(1)h_e$, где расстояние от точки M_1 до оси вращения фигуры $h_e = AM_1 = \frac{R}{\cos 30^\circ} = 6\sqrt{3}$ см. Тогда

$$V_e(1) = 6\sqrt{3} \text{ см/с.}$$

Вектор скорости переносного движения точки \vec{V}_e перпендикулярен линии AM_1 и направлен в сторону вращения фигуры (см. рис. 3.7).

Относительное движение точки задано естественным способом, как закон изменения длины дуги BM . В этом случае **скорость относительного движения** точки $V_r = |\dot{S}_r| = |18\pi t|$. При $t_1 = 1$ с $V_r(1) = |\dot{S}_r(1)| = 18\pi = 56,5$ см/с. Положительное значение производной $\dot{S}_r(1)$ указывает, что относительное движение точки в положении M_1 происходит в положительном направлении, указанном на рис. 3.7 дуговой стрелкой S_r . Вектор \vec{V}_r относительной скорости точки в положении M_1 направлен по касательной к траектории относительного движения в сторону положительного направления движения (см. рис. 3.7).

Абсолютную скорость точки находим по теореме сложения скоростей $\vec{V} = \vec{V}_e + \vec{V}_r$. Направление вектора абсолютной скорости, полученное по правилу сложения векторов, показано на рис. 3.5. Для определения величины абсолютной скорости выбираем прямоугольные оси координат M_1xy (см. рис. 3.7) и проецируем обе части векторного равенства теоремы сложения скоростей на эти оси. Получим:

$$V_x = V_e \cos 60^\circ = 3\sqrt{3} = 5,2 \text{ см/с;}$$

$$V_y = -V_e \cos 30^\circ + V_r = -6\sqrt{3} \cdot \frac{\sqrt{3}}{2} + 56,5 = 29,5 \text{ см/с.}$$

$$\text{Модуль абсолютной скорости: } V = \sqrt{V_x^2 + V_y^2} = \sqrt{5,2^2 + 29,5^2} = 29,95 \text{ см/с.}$$

Абсолютное ускорение точки определяем по теореме Кориолиса, которая при вращательном переносном движении имеет вид:

$$\vec{a} = \vec{a}_r^\tau + \vec{a}_r^n + \vec{a}_e^\tau + \vec{a}_e^n + \vec{a}_k.$$

Относительное касательное ускорение a_r^τ вычисляется по формуле:

$a_r^\tau = |\ddot{S}_r|$. По условию задачи вторая производная $\ddot{S}_r = 18\pi = 56,5 \text{ см/с}^2$ – постоянная величина. Так как значение второй производной \ddot{S}_r положительно, вектор ускорения \vec{a}_r^τ направлен по касательной к траектории относительного движения в точке M_1 в сторону положительного направления относительного движения, отмеченного дуговой стрелкой S_r .

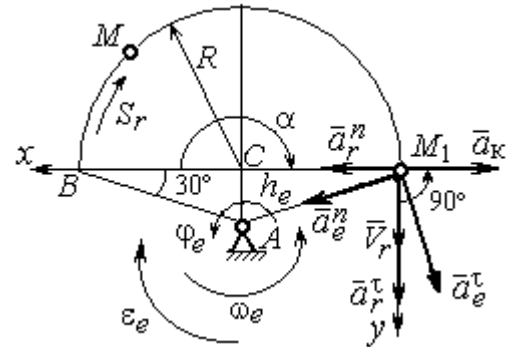


Рис. 3.8. Расчетная схема для определения абсолютного ускорения точки

Относительное нормальное ускорение точки вычисляется по формуле

$$a_r^n = \frac{V_r^2}{R} \text{ и в момент } t_1 = 1 \text{ с равно:}$$

$$a_r^n(1) = \frac{V_r^2(1)}{R} = \frac{(18\pi)^2}{9} = 355,3 \text{ см/с}^2. \text{ Вектор ускорения } \vec{a}_r^n \text{ направлен по радиусу диска к центру } C \text{ (см. рис. 3.8).}$$

Переносное касательное ускорение вычисляется по формуле: $a_e^\tau = \varepsilon_e h_e$, где угловое ускорение $\varepsilon_e = |\ddot{\phi}_e|$. Вычислим производную $\ddot{\phi}_e = -4 \text{ рад/с}^2$. Угловое ускорение $\varepsilon_e = |\ddot{\phi}_e| = 4 \text{ рад/с}^2$ постоянно и не зависит от времени.

Отрицательное значение производной $\ddot{\phi}_e < 0$ при условии, что расчетная величина угловой скорости положительна: $\dot{\phi}_e > 0$, означает, что вращательное движение замедленное и переносное угловое ускорение ε_e направлено в сторону, противоположную направлению вращения.

Вектор \vec{a}_e^τ переносного касательного ускорения точки в её положении M_1 перпендикулярен линии AM_1 и направлен противоположно вектору переносной

скорости \vec{V}_e (см. рис. 3.8). Модуль переносного касательного ускорения: $a_e^\tau = a_e^\tau = \varepsilon_e h_e = 24\sqrt{3} = 41,6 \text{ см/с}^2$.

Переносное нормальное ускорение a_e^n рассчитывается по формуле: $a_e^n = \omega_e^2 h_e$ и в момент времени $t_1 = 1 \text{ с}$ $a_e^n(1) = \omega_e^2(1) h_e = 6\sqrt{3} = 10,4 \text{ см/с}^2$. Вектор переносного нормального ускорения \vec{a}_e^n направлен по линии AM_1 к оси вращения (см. рис. 3.8).

По условию задачи вектор скорости относительного движения точки \vec{V}_r лежит в плоскости, перпендикулярной оси переносного вращения, то есть перпендикулярен вектору угловой скорости переносного движения $\vec{\omega}_e$. Тогда модуль ускорения Кориолиса при $t_1 = 1 \text{ с}$ $a_k = 2\omega_e V_r = 2 \cdot 1 \cdot 18\pi = 113,1 \text{ см/с}^2$.

Так как вектор относительной скорости точки $\vec{V}_r \perp \vec{\omega}_e$, то по правилу Жуковского для определения направления ускорения Кориолиса достаточно повернуть вектор относительной скорости точки \vec{V}_r на 90° в сторону переносного движения вокруг оси, параллельной оси вращения и проходящей через точку M_1 (см. рис. 3.8). Для определения абсолютного ускорения спроецируем на прямоугольные оси xM_1y (см. рис. 3.8) векторное равенство $\vec{a} = \vec{a}_r^\tau + \vec{a}_r^n + \vec{a}_e^\tau + \vec{a}_e^n + \vec{a}_k$. Полу-

$$\text{чим: } a_y = a_e^\tau \cos 30^\circ + a_e^n \cos 60^\circ + a_r^\tau = 97,9 \text{ см/с}^2,$$

$$a_x = -a_e^\tau \cos 60^\circ + a_e^n \cos 30^\circ + a_r^n - a_k = 228,4 \text{ см/с}^2.$$

$$\text{Модуль абсолютного ускорения: } a = \sqrt{a_x^2 + a_y^2} = 248,5 \text{ см/с}^2.$$

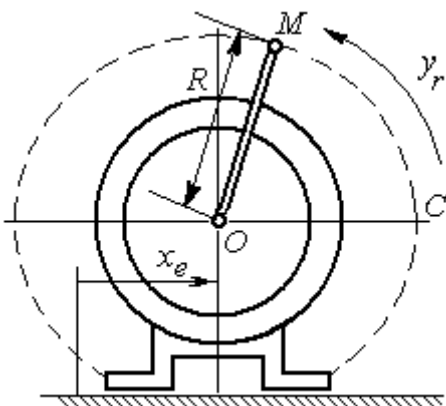


Рис. 3.9. Схема движения точки стержня, укрепленного на электромоторе

Задача 2. К вращающемуся валу электромотора прикреплён стержень OM длины $R = 6 \text{ см}$. Во время работы электромотора точка M стержня из начального положения C перемещается по дуге окружности согласно уравнению $CM = y_r = \pi t^2 \text{ см}$.

При этом электродвигатель, установленный без креплений, совершает горизонтальные гармонические колебания на фундаменте по закону $x_e = 5\sin(\pi t/3)$ см. Определить абсолютное ускорение точки M в момент времени $t_1 = 1$ с.

Решение

Точка M совершает сложное движение – относительно электродвигателя и вместе с ним. Относительным движением точки будет её движение по дуге окружности радиуса R , переносным – поступательное горизонтальное, прямолинейное движение электродвигателя.

Найдём положение точки относительно электродвигателя в заданный момент времени. Угол α , отсчитываемый стержнем OM от начального положения OC , в момент времени $t_1 = 1$ с составляет $\alpha = \frac{y_r(t_1)}{R} = \frac{\pi}{6} = 30^\circ$. Положение точки в момент времени $t_1 = 1$ с отмечено на рис. 3.10 буквой M_1 .

Относительное движение точки задано естественным способом, как закон изменения длины дуги. Относительная скорость $V_r = \dot{y}_r = 2\pi t$. В момент времени $t_1 = 1$ с $V_r = 6,28$ см/с. Вектор \vec{V}_r относительной скорости направлен перпендикулярно стержню OM_1 .

Скорость точки в переносном движении – это скорость горизонтального движения электродвигателя:

$$V_e = \dot{x}_e = \frac{5\pi}{3} \cos(\pi t/3).$$

В момент времени $t_1 = 1$ с $V_e = \frac{5\pi}{3} \cos 60^\circ = 2,62$ см/с. Вектор \vec{V}_e переносной скорости точки M направлен параллельно линии движения электродвигателя (см. рис. 3.10).

Абсолютная скорость точки определяется на основании теоремы сложения скоростей при сложном движении: $\vec{V}_M = \vec{V}_e + \vec{V}_r$. Для того чтобы найти величину

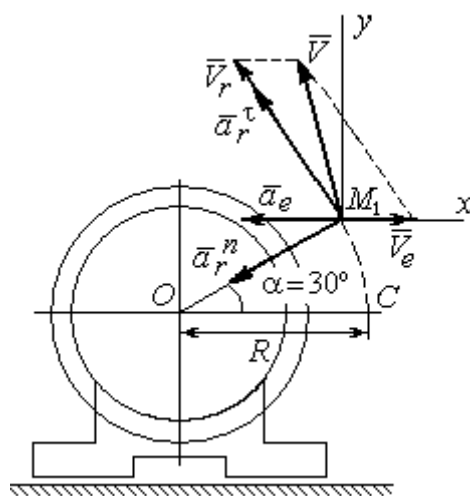


Рис. 3.10. Расчётная схема вычисления абсолютной скорости и абсолютного ускорения точки

абсолютной скорости, выберем оси xM_1y , как показано на рис. 3.10, и спроецируем векторное равенство сложения скоростей на эти оси. Получим: $V_{Mx} = V_e - V_r \cos 60^\circ = -0,52$ см/с (проекция направлена в отрицательную сторону оси x), $V_{My} = V_r \cos 30^\circ = 5,44$ см/с. Модуль абсолютной скорости $V_M = \sqrt{V_{Mx}^2 + V_{My}^2} = 5,46$ см/с. Вектор абсолютной скорости направлен по диагонали параллелограмма, построенного на векторах \vec{V}_e и \vec{V}_r .

При поступательном переносном движении точки $\omega_e = 0$ и потому $a_k = 0$. Относительное ускорение точки при движении по окружности раскладывается на две составляющие $\vec{a}_r = \vec{a}_r^\tau + \vec{a}_r^n$, направленные вдоль стержня OM и перпендикулярно ему. Кроме того, при прямолинейном относительном движении $a_e^n = 0$. В результате, теорема о сложении ускорений принимает вид $\vec{a}_M = \vec{a}_r^\tau + \vec{a}_r^n + \vec{a}_e$, где модули векторов вычисляются по формулам $a_r^\tau = \dot{V}_r$, $a_r^n = \frac{V_r^2}{R}$, $a_e = a_e^\tau = \dot{V}_e = -\frac{5\pi^2}{9} \sin(\pi t / 3)$ и в момент времени $t_1 = 1$ с равны $a_r^\tau = 6,28$ см/с², $a_r^n = 6,57$ см/с², $a_e = -4,75$ см/с². Направления векторов ускорений показаны на рис. 3.10. Для вычисления модуля абсолютного ускорения точки спроецируем векторное равенство сложения ускорений на оси выбранной ранее системы координат xM_1y . Получим:

$$a_{Mx} = -a_r^\tau \cos 60^\circ - a_r^n \cos 30^\circ - a_e = -4,08 \text{ см/с}^2;$$

$$a_{My} = a_r^\tau \cos 30^\circ - a_r^n \cos 60^\circ = 2,15 \text{ см/с}^2.$$

Величина абсолютного ускорения $a_M = \sqrt{a_{Mx}^2 + a_{My}^2} = 4,61$ см/с².

4. ДИНАМИКА ТОЧКИ

4.1. Дифференциальные уравнения движения точки

Движение точки под действием системы сил $\vec{F}_1, \vec{F}_2, \dots, \vec{F}_K$ в прямоугольной декартовой системе координат $Oxyz$ описывается **дифференциальными уравнениями**: $m \frac{d^2x}{dt^2} = \sum F_{kx}, m \frac{d^2y}{dt^2} = \sum F_{ky}, m \frac{d^2z}{dt^2} = \sum F_{kz}$ или, обозначая вторые производные от координат по времени двумя точками, уравнениями: $m \ddot{x} = \sum F_{kx}, m \ddot{y} = \sum F_{ky}, m \ddot{z} = \sum F_{kz}$, где m – масса точки; x, y, z – текущие координаты точки; $\ddot{x}, \ddot{y}, \ddot{z}$ – проекции вектора ускорения точки на оси координат; $\sum F_{kx}, \sum F_{ky}, \sum F_{kz}$ – алгебраические суммы проекций сил на оси координат.

Интегрирование дифференциальных уравнений производится в зависимости от их вида методами, известными из курса математики.

4.2. Задание Д1. Интегрирование дифференциальных уравнений движения точки

Две материальные точки движутся в вертикальной плоскости xOy . Точка 1 массой m_1 , получив в начальном положении A скорость V_{01} , движется вдоль гладкой оси AS , наклоненной под углом β к горизонту. Во время движения на точку 1 действуют сила тяжести и постоянная сила \vec{F}_1 , направленная вдоль оси AS . Направление вектора проекции силы на ось \vec{F}_{1S} показано на схеме.

Одновременно с точкой 1 начинает движение точка 2 массой m_2 из положения B на оси y . На точку 2 действуют сила тяжести и постоянная сила \vec{F}_2 . Направление вектора силы \vec{F}_2 определяется его разложением по единичным векторам \vec{i}, \vec{j} координатных осей x, y .

Определить величину и направление (угол α) начальной скорости V_{02} точки 2, чтобы в момент времени t_1 точки 1 и 2 встретились на оси AS в точке C .

Момент времени t_1 задаётся в условиях задачи или определяется по дополнительным условиям встречи.

Варианты заданий представлены на рис. 4.1, 4.2. Исходные данные приведены в табл. 4.1.

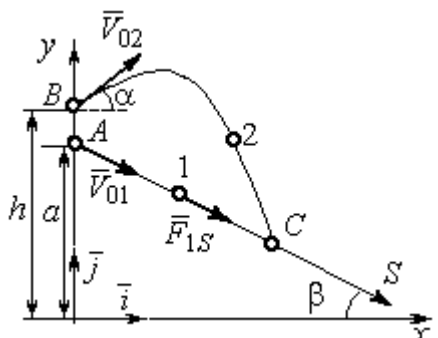
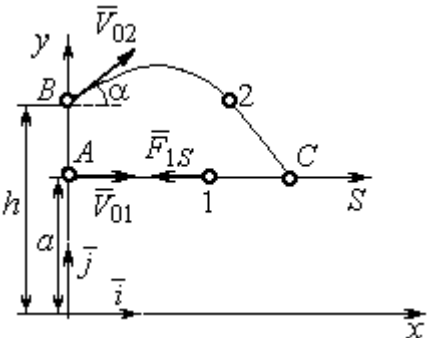
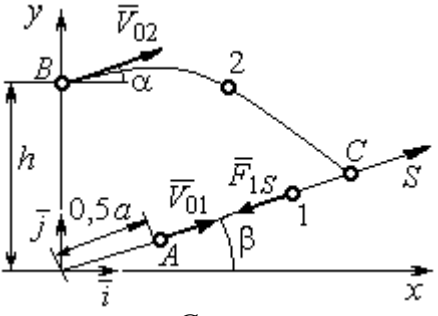
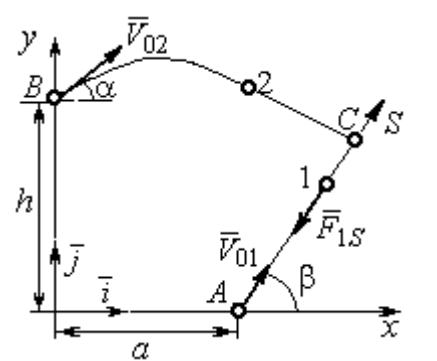
Варианты № 1, 11, 21	Варианты № 2, 12, 22
 <p data-bbox="183 884 782 996">Встреча в точке C в момент, когда скорость точки 1 увеличилась в 1,5 раза относительно начальной</p>	 <p data-bbox="837 884 1444 996">Встреча в точке C в момент, когда точка 1 максимально удалилась от места старта</p>
 <p data-bbox="183 1467 782 1579">Встреча в точке C в момент, когда скорость точки 1 уменьшилась в 2 раза относительно начальной</p>	 <p data-bbox="861 1512 1444 1601">Встреча в точке C в момент времени $t_1 = 0,5$ с</p>

Рис. 4.1. Задание Д1. Интегрирование уравнений движения точки.
Номера вариантов задания 1 – 4, 11 – 14, 21 – 24

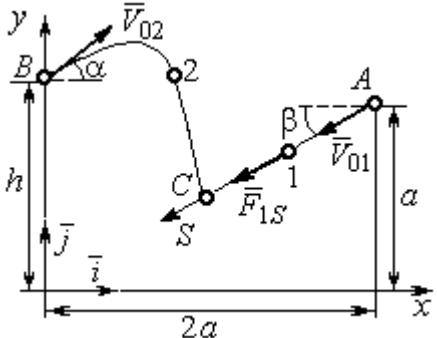
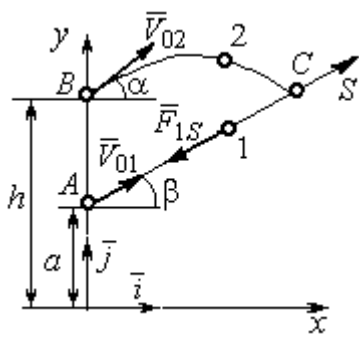
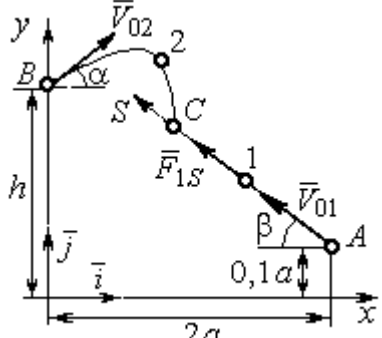
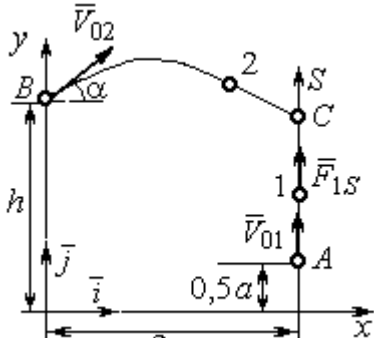
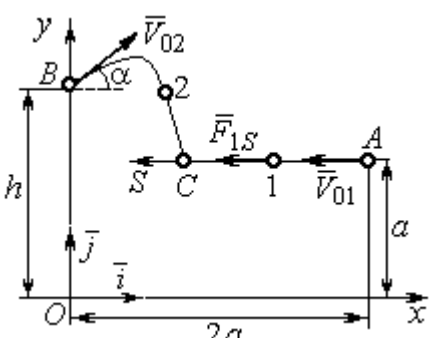
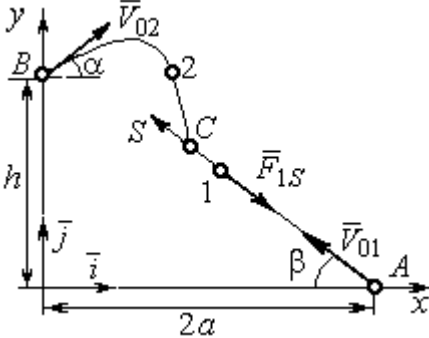
<p>Варианты № 5, 15, 25</p>  <p>Встреча в точке C в момент, когда скорость точки 1 увеличилась в 1,5 раза относительно начальной</p>	<p>Варианты № 6, 16, 26</p>  <p>Встреча в точке C, когда точка 1 максимально удалилась от места старта</p>
<p>Варианты № 7, 17, 27</p>  <p>Встреча в точке C в момент времени $t_1 = 0,4$ с</p>	<p>Варианты № 8, 18, 28</p>  <p>Встреча в точке C в момент максимального подъёма точки 1</p>
<p>Варианты № 9, 19, 29</p>  <p>Встреча в точке C в момент времени $t_1 = 0,6$ с</p>	<p>Варианты № 10, 20, 30</p>  <p>Встреча в точке C в момент, когда точка 1 достигла максимальной высоты подъёма</p>

Рис. 4.2. Задание Д1. Интегрирование уравнений движения точки.
Номера вариантов задания 5 – 10, 15 – 20, 25 – 30

Исходные данные задания Д1. Интегрирование уравнений движения точки

Номер варианта задания	m_1 , кг	F_{1S} , Н	V_{01} , м/с	β , град	m_2 , кг	\vec{F}_2 , Н	a , м	h , м
1	1	3	3	30	2	$7\vec{i}$	2	4
2	3	6	2	0	2	$4\vec{i} + 12\vec{j}$	1,5	1
3	2	5	4	35	1,5	$10\vec{i} + 4\vec{j}$	2	2,5
4	1	10	2	60	2	$4\vec{i} + 8\vec{j}$	2,2	2
5	1	3	3	30	2	$5\vec{i}$	3	4,5
6	0,8	6	6	50	3	$3\vec{i} + 12\vec{j}$	1,5	4
7	2	5	4,5	40	1	$10\vec{i} + 2\vec{j}$	3	2,5
8	1	2	3,5	90	2	$6\vec{i} + 8\vec{j}$	1,2	2
9	2	4	4	0	1	$3\vec{i} + 2\vec{j}$	2	2,5
10	1	3	3	55	1,5	$4\vec{i}$	1	1,5
11	0,5	2	3	60	2	$3\vec{i} + 8\vec{j}$	1,5	2,5
12	0,2	3	4	0	1	$5\vec{i} - 2\vec{j}$	1	2,5
13	1	2	6	50	1,5	$6\vec{i} - 4\vec{j}$	0,8	2
14	0,5	6	4	35	1	$3\vec{i} - 2\vec{j}$	2,5	2
15	0,2	3	3	50	2	$2\vec{i} - 2\vec{j}$	3	4
16	2	4	6	40	2	$3\vec{i} + 12\vec{j}$	1	1,5
17	1	6	5	60	1,5	$5\vec{i} + 4\vec{j}$	3	2,5
18	1	2	2	90	2	$4\vec{i} + 4\vec{j}$	2	2
19	1	3	2	2	2	$2\vec{i} + 10\vec{j}$	1	1,5
20	5	4	2	30	1	$3\vec{i} - 2\vec{j}$	1,5	1,5
21	0,2	4	4	45	1	$6\vec{i} - 2\vec{j}$	1	3
22	0,4	3	2	0	2	$4\vec{i} + 6\vec{j}$	1,5	2,5
23	1	3	8	60	2	$4\vec{i} + 2\vec{j}$	1,2	1,5
24	0,5	8	3	30	2	$6\vec{i} + 7\vec{j}$	2	1,5
25	2	4	4	60	1	$2\vec{i} - 2\vec{j}$	3,5	4
26	1	3	5	50	2	$4\vec{i} + 6\vec{j}$	0,5	1,5
27	1,5	3	6	30	2	$4\vec{i} + 4\vec{j}$	2	2,5
28	2	5	3	90	2	$6\vec{i} + 7\vec{j}$	2	1,5
29	2	4	4	0	1	$5\vec{i} - 2\vec{j}$	1,5	2
30	1	3	2,5	70	2	$4\vec{i} + 6\vec{j}$	1	1

Пример выполнения задания Д1. Интегрирование дифференциальных уравнений движения точки

На рис. 4.3 представлена схема движения материальных точек в вертикальной плоскости xOy . Точка 1 массой $m_1 = 2$ кг, получив в начальном положении A скорость $V_{01} = 4$ м/с, движется вдоль гладкой оси AS с углом наклона $\beta = 30^\circ$. Во время движения на точку 1 действуют сила тяжести \vec{P}_1 и постоянная сила \vec{F}_1 , проекция которой на ось AS равна $F_{1S} = 4,5$ Н. Направление вектора проекции силы \vec{F}_{1S} на ось AS показано на рис. 4.3.

Одновременно с началом движения точки 1 из положения B на оси y высотой $h = 1$ м начинает движение точка 2 массой $m_2 = 1,2$ кг. На точку 2 действуют сила тяжести \vec{P}_2 и сила \vec{F}_2

, направление которой определяется разложением по единичным векторам \vec{i} , \vec{j} осей x , y декартовой системы координат: $\vec{F}_2 = 2,4\vec{i} + 4,5\vec{j}$, Н. Определить величину и направление (угол α) начальной скорости V_{02} точки 2, чтобы в момент времени t_1 , когда скорость точки 1 уменьшилась в 2 раза по сравнению с начальным значением, обе они встретились на оси AS в точке C .

Решение

Рассмотрим движение точки 1. В текущий момент времени на точку 1 действует сила тяжести \vec{P}_1 , нормальная реакция \vec{N}_1 наклонной оси AS и сила \vec{F}_1 , величина проекции которой на ось AS равна F_{1S} (рис. 4.4). Дифференциальное уравнение движения точки 1 $m_1\ddot{S} = F_{1S} - P_1\sin\beta$, или $m_1\frac{dV_{1S}}{dt} = 4,5 - m_1g\sin\beta$. С учетом

исходных данных, полагая ускорение свободного падения $g = 9,81$ м/с², дифференциальное уравнение движения точки 1 приводится к виду: $\frac{dV_{1S}}{dt} = -2,66$. Разделим

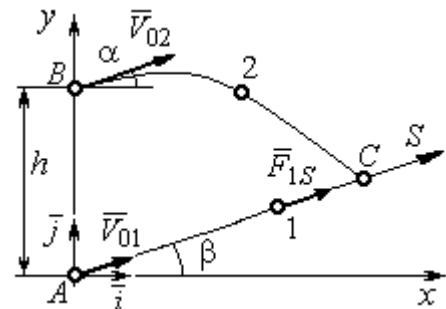


Рис. 4.3. Схема совместного движения точек

переменные, представив дифференциальное уравнение в виде $dV_{1S} = -2,66dt$. Проинтегрировав его, получим зависимость скорости точки 1 от времени: $V_{1S} = -2,66t + C_1$. Для того чтобы определить закон движения точки 1, представим

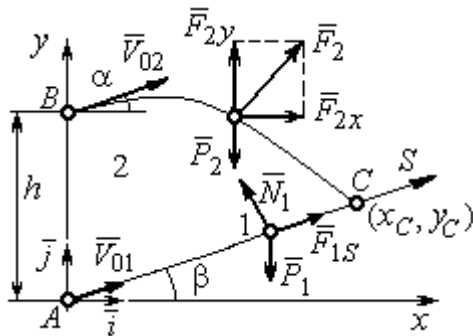


Рис. 4.4. Силы, действующие на точки 1 и 2, во время их движения

скорость точки как производную от координаты $V_{1S} = \frac{dS}{dt}$. Получим дифференциальное уравнение $\frac{dS}{dt} = -2,66t + C_1$, проинтегрировав которое, найдём уравнение движения точки 1: $S = -1,33t^2 + C_1t + C_2$. Константы интегрирования C_1, C_2 находятся из начальных условий: при $t = 0, S = 0, \dot{S} = V_{1S} = V_{01} = 4$ м/с. Подставляя

первое из условий в уравнение движения точки 1, получим $C_2 = 0$. Подставим начальное значение скорости в уравнение $\dot{S} = -2,66t + C_1$, выражающее зависимость скорости точки 1 от времени. Получим $C_1 = 4$. Таким образом, движение точки 1 вдоль оси AS описывается уравнением: $S = -1,33t^2 + 4t$.

По условию задачи встреча двух точек происходит в момент времени t_1 , когда скорость первой точки уменьшилась в 2 раза по сравнению с начальной:

$$V_{1S}(t_1) = \frac{V_{01}}{2} = 2 \text{ м/с.}$$

Подставляя это условие в уравнение, выражающее зависимость скорости точки 1 от времени, получим: $2 = -2,66t_1 + 4$, откуда найдём момент времени встречи $t_1 = 0,75$ с. Расстояние AC, пройденное точкой 1 до встречи, определяется как путь, пройденный этой точкой за время $t_1 = 0,75$ с, $AC =$

$$S(t_1) = -1,33 \cdot 0,75^2 + 4 \cdot 0,75 = 2,25 \text{ м.}$$

Координаты точки встречи x_C, y_C определяются из равенств: $x_C = S(t_1)\cos 30^\circ = 1,95$ м; $y_C = S(t_1)\sin 30^\circ = 1,12$ м.

Рассмотрим движение точки 2. В текущий момент времени на нее действует сила тяжести \vec{P}_2 и сила $\vec{F}_2 = 2,4\vec{i} + 4,5\vec{j}$, проекции которой на оси координат

$F_{2x} = 2,4$ Н, $F_{2y} = 4,5$ Н. Дифференциальные уравнения движения точки 2 в проекциях на оси координат x , y имеют вид:

$$m_2 \ddot{x} = F_{2x} = 2,4, \quad m_2 \ddot{y} = -P_2 + F_{2y} = -m_2 g + 4,5,$$

или после подстановки исходных данных: $\ddot{x} = 2$, $\ddot{y} = -6,06$.

Представим в первом уравнении проекцию ускорения точки 2 на ось x как производную от соответствующей проекции скорости $\ddot{x} = \frac{dV_{2x}}{dt}$. После разделения

переменных получим дифференциальное уравнение $dV_{2x} = 2dt$. Проинтегрируем его и найдем зависимость горизонтальной составляющей скорости точки 2 от времени: $V_{2x} = 2t + C_3$. Заменим в этом уравнении проекцию скорости точки на ось x

на производную от координаты $V_{2x} = \frac{dx}{dt}$. После интегрирования получим урав-

нение, описывающее движение точки 2 вдоль оси x , $x = t^2 + C_3 t + C_4$. Для того чтобы найти постоянные C_3 и C_4 , воспользуемся граничными условиями движения точки 2 – известной начальной координатой движения точки и вычисленной координатой точки встречи, то есть при $t = 0$, $x = 0$, а при $t_1 = 0,75$ с $x(t_1) = x_C = 1,95$ м. Подставляя граничные условия в уравнение движения точки 2, получим $C_4 = 0$, $C_3 = 1,85$. Таким образом, уравнение движения точки 2 вдоль оси x : $x = t^2 + 1,85t$.

Закон движения точки 2 вдоль оси y находим путем интегрирования второго дифференциального уравнения. Его представим в виде: $\frac{dV_{2y}}{dt} = -6,06$. После раз-

деления переменных и первого интегрирования получим зависимость проекции скорости точки 2 на ось y от времени: $V_{2y} = -6,06t + C_5$. Заменив проекцию скорости

точки 2 на ось y производной от координаты $V_{2y} = \frac{dy}{dt}$, вторично проинтегри-

руем. В результате движение точки 2 вдоль оси y описывается уравнением:

$y = -3,03t^2 + C_5 t + C_6$. Для определения констант C_5 и C_6 используем граничные условия: при $t = 0$ $y(0) = h = 1$ м, а при $t_1 = 0,75$ с $y(t_1) = y_C = 1,12$ м. Получим $C_6 = 1$

, $C_5 = 2,43$. Таким образом, точка 2 движется вдоль оси y по закону:
 $y = -3,03t^2 + 2,43t + 1$.

Проекции скорости точки 2 на оси координат как функции времени имеют вид: $V_{2x}(t) = \dot{x} = 2t + 1,85$, $V_{2y}(t) = \dot{y} = -6,06t + 2,43$. Значения проекций при $t = 0$:
 $V_{02x} = V_{2x}(0) = 1,85$ м/с, $V_{02y} = V_{2y}(0) = 2,43$ м/с. Величина начальной скорости:
 $V_{02} = \sqrt{V_{02x}^2 + V_{02y}^2} = 3,05$ м/с.

Угол наклона вектора скорости в начальный момент определяется из равенства: $\operatorname{tg}\alpha = \frac{V_{02y}}{V_{02x}} = \frac{2,43}{1,85} = 1,31$. Откуда $\alpha = 52,64^\circ$.

4.3. Колебания материальной точки

Силы, возникающие при отклонении материальной точки от положения равновесия и направленные так, чтобы вернуть точку в это положение, называются **восстанавливающими**. Восстанавливающие силы, линейно зависящие от расстояния от точки до положения её равновесия, называются **линейными восстанавливающими силами**. Так, сила упругости пружины $F = c\Delta\ell$, где c – коэффициент жесткости (или просто жёсткость) пружины; $\Delta\ell$ – удлинение пружины, является линейной восстанавливающей силой.

Дифференциальное уравнение движения материальной точки массой m вдоль оси Ox под действием линейной восстанавливающей силы, представляет собой уравнение гармонических колебаний и имеет вид:

$$m\ddot{x} + cx = 0, \text{ или } \ddot{x} + \omega^2 x = 0,$$

где x – отклонение точки от положения равновесия, куда поместили начало координат; ω – угловая частота колебаний, $\omega^2 = \frac{c}{m}$. Единица измерения угловой частоты – рад/с.

Решение дифференциального уравнения свободных колебаний представляется суммой $x = C_1 \cos \omega t + C_2 \sin \omega t$, где постоянные интегрирования C_1 и C_2 находятся из начальных условий. **Амплитуда свободных колебаний** $A = \sqrt{C_1^2 + C_2^2}$.

Промежуток времени, в течение которого точка совершает одно полное колебание, называется **периодом колебаний**: $T = \frac{2\pi}{\omega}$. Величина, обратная периоду

$\nu = \frac{1}{T}$ определяет число полных колебаний точки за 1 с и называется **частотой колебаний**.

Частота колебаний измеряется в герцах (Гц). Частота, равная 1 Гц, соответствует одному полному колебанию в секунду. Угловая частота связана с частотой колебаний соотношением $\omega = 2\pi\nu$.

Если на материальную точку кроме восстанавливающей силы действует сила сопротивления движению, пропорциональная скорости точки, $\vec{R} = -\mu\vec{V}$, где μ – коэффициент сопротивления, то дифференциальное уравнение движения точки с сопротивлением относительно положения равновесия имеет вид

$$m\ddot{x} + \mu\dot{x} + cx = 0, \text{ или } \ddot{x} + 2n\dot{x} + \omega^2 x = 0, \text{ где } n - \text{коэффициент затухания, } n = \frac{\mu}{2m};$$

ω – угловая частота собственных колебаний точки без учёта сопротивления, $\omega^2 = \frac{c}{m}$.

При $n < \omega$ движение точки представляет затухающие колебания. Общее решение дифференциального уравнения колебаний с сопротивлением

$$x = e^{-nt} (C_1 \cos \omega_1 t + C_2 \sin \omega_1 t) = A e^{-nt} \sin(\omega_1 t + \alpha), \text{ где } C_1 \text{ и } C_2 - \text{постоянные интегрирования; } \omega_1 - \text{угловая частота затухающих колебаний, } \omega_1 = \sqrt{\omega^2 - n^2};$$

$A_1 = A e^{-nt}$ – амплитуда затухающих колебаний, $A = \sqrt{C_1^2 + C_2^2}$; α – начальная фаза колебаний, $\text{tg } \alpha = \frac{C_1}{C_2}$.

При $n > \omega$ движение точки аperiодическое, затухающее. Общее решение дифференциального уравнения движения точки с таким сопротивлением имеет вид $x = e^{-nt} (C_1 e^{\omega_2 t} + C_2 e^{-\omega_2 t})$, где $\omega_2 = \sqrt{n^2 - \omega^2}$.

При $n = \omega$ движение точки происходит согласно уравнению $x = e^{-nt} (C_1 t + C_2)$.

Если кроме восстанавливающей силы на материальную точку действует переменная возмущающая сила, колебания точки называются **вынужденными**.

При действии гармонической возмущающей силы $F = H \sin pt$, где H, p – амплитуда и угловая частота колебаний возмущающей силы, дифференциальное уравнение вынужденных колебаний материальной точки относительно положения равновесия и при отсутствии сил сопротивления имеет вид

$$m\ddot{x} + cx = H \sin pt, \text{ или } \ddot{x} + \omega^2 x = h \sin pt,$$

где ω – угловая частота собственных гармонических колебаний, $\omega^2 = \frac{c}{m}$; h – от-

носительная амплитуда возмущающей силы, $h = \frac{H}{m}$.

Общее решение неоднородного дифференциального уравнения вынужденных колебаний представляется как сумма общего решения однородного уравнения и частного решения неоднородного.

При отсутствии резонанса, когда частота собственных колебаний не совпадает с частотой возмущающей силы $p \neq \omega$, решение имеет вид:

$$x = C_1 \cos \omega t + C_2 \sin \omega t + \frac{h}{\omega^2 - p^2} \sin pt, \text{ а в случае резонанса, когда } p = \omega, \text{ – вид:}$$

$$x = C_1 \cos \omega t + C_2 \sin \omega t - \frac{ht}{2p} \cos pt. \text{ Значения произвольных постоянных } C_1 \text{ и } C_2$$

определяются из общего решения неоднородного уравнения с учетом начальных условий движения. Амплитуда собственных колебаний груза $A_{\text{соб}} = \sqrt{C_1^2 + C_2^2}$.

Амплитуда вынужденных колебаний при отсутствии резонанса $A_{\text{вын}} = \frac{h}{\omega^2 - p^2}$.

При резонансе амплитуда вынужденных колебаний растет как линейная функция

$$\text{времени } A_{\text{вын}} = \frac{ht}{2p}.$$

Если возмущающее воздействие заключается в **принудительном гармоническом колебании точки подвеса пружины**, например, по закону $S = a \sin pt$, где a , p – амплитуда и угловая частота колебаний точки подвеса пружины, дифференциальное уравнение вынужденных колебаний материальной точки относительно положения равновесия при отсутствии сил сопротивления имеет вид

$$\ddot{x} + \omega^2 x = h \sin pt, \text{ где } \omega - \text{угловая частота собственных гармонических колебаний,}$$

$$\omega^2 = \frac{c}{m}; h - \text{относительная амплитуда возмущающего колебания, } h = \frac{ca}{m}.$$

Общее решение неоднородного дифференциального уравнения вынужденных колебаний при **принудительном гармоническом колебании точки подвеса пружины** может быть получено аналогично случаю возмущения гармонической силой.

Система пружин заменяется одной с эквивалентной жесткостью. Так, колебания груза на двух параллельных пружинах с коэффициентами жесткости c_1 и c_2

(рис. 4.5, *a*) можно рассматривать как колебания груза на одной пружине эквивалентной жесткости $c_{\text{экв}} = c_1 + c_2$, где $c_{\text{экв}}$ – коэффициент жесткости эквивалентной пружины. При последовательном соединении пружин (рис. 4.5, *b*) коэффициент жесткости эквивалентной пружины

$$c_{\text{экв}} = \frac{c_1 c_2}{c_1 + c_2}.$$

Если груз расположен между двумя пружинами (рис. 4.5, *c*), тогда $c_{\text{экв}} = c_1 + c_2$. Коэффициент жесткости эквивалентной пружины равен сумме коэффициентов жесткости пружин.

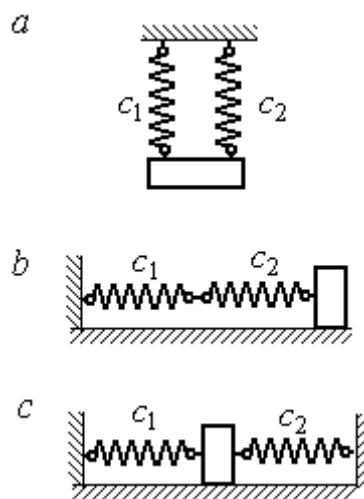


Рис. 4.5. Способы крепления груза на двух пружинах:

- a* – две параллельные пружины;
- b* – последовательно соединённые пружины;
- c* – крепление груза между пружинами

4.4. Задание Д2. Исследование колебаний точки

Задание Д2 на исследование колебаний точки включает две задачи.

Задача 1. Исследование гармонических колебаний точки.

Найти уравнение движения груза массой m_1 (или одновременно двух грузов массой m_1 и m_2) на пружине жесткостью c_1 (или на двух пружинах жесткостью c_1 и c_2). Расположение грузов на пружине и описание условий, при которых начались колебания, приведено на схемах. Определить амплитуду и частоту колебаний.

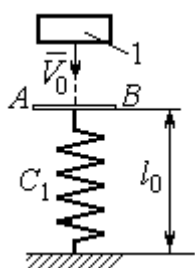
Задача 2. Исследование вынужденных колебаний точки.

Груз движется на пружинах, расположенных вертикально или горизонтально. При движении груза по горизонтальной поверхности трение не учитывается. Жёсткость пружин c_1 и c_2 . Направление возмущающего усилия $F = F(t)$, приложенного к грузу, или возмущающего движения точки крепления пружин $S = S(t)$, а также описание условий начала колебаний приведено на схемах. В задачах, где на схемах присутствует амортизатор, создающий сопротивление движению груза, сила сопротивления пропорциональна скорости движения груза и находится по формуле: $\vec{R} = -\mu\vec{V}$ Н, где μ – коэффициент сопротивления; V – скорость груза. Определить уравнение колебаний груза, амплитуды собственных и вынужденных колебаний.

Варианты заданий даны на рис. 4.6 – 4.9. Исходные данные в табл. 4.2.

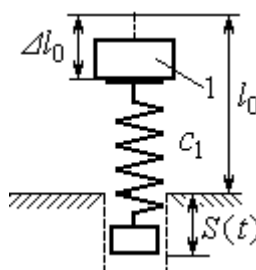
Варианты № 1, 11, 21

Задача 1



Невесомая пластина AB укреплена на нерастянутой пружине. Груз 1, получив начальную скорость V_0 , падает вертикально вниз. Через 1 с после начала падения груз достигает пластины и продолжает движение вместе с ней

Задача 2

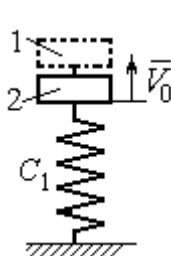


К верхнему концу пружины, сжатой на величину Δl_0 , прикрепляют груз 1 и отпускают без начальной скорости. Одновременно нижний конец пружины начинает двигаться по закону $S = S(t)$

К верхнему концу пружины, сжатой на величину Δl_0 , прикрепляют груз 1 и отпускают без начальной скорости. Одновременно нижний конец пружины начинает двигаться по закону $S = S(t)$

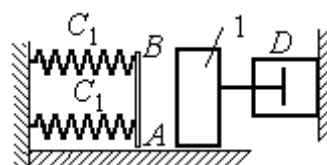
Варианты № 2, 12, 22

Задача 1



В положении статического равновесия двух грузов (1 и 2), установленных на пружине, груз 1 убрали, а грузу 2 сообщили скорость V_0 , направленную вверх

Задача 2

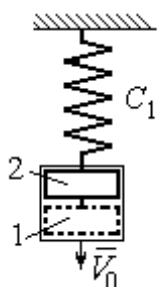


Груз 1 движется по гладкой горизонтальной поверхности с начальной скоростью V_0 . Через 1 с груз упирается в площадку AB , укрепленную на недеформированных пружинах, соединённых параллельно, и продолжает движение вместе с ней. Во время движения (до упора в площадку AB и вместе с ней) груз испытывает сопротивление, создаваемое демпфером D

Груз 1 движется по гладкой горизонтальной поверхности с начальной скоростью V_0 . Через 1 с груз упирается в площадку AB , укрепленную на недеформированных пружинах, соединённых параллельно, и продолжает движение вместе с ней. Во время движения (до упора в площадку AB и вместе с ней) груз испытывает сопротивление, создаваемое демпфером D

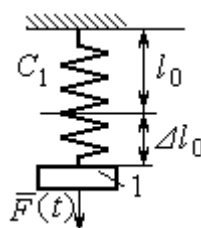
Варианты № 3, 13, 23

Задача 1



В положении статического равновесия груза 2, укрепленного на пружине, к нему присоединили груз 1 и оба груза толкнули вниз со скоростью V_0

Задача 2



Недеформированную пружину оттянули вниз на расстояние Δl_0 , подцепили груз 1 и отпустили без начальной скорости. Одновременно на груз стала действовать возмущающая сила $\vec{F}(t)$

Недеформированную пружину оттянули вниз на расстояние Δl_0 , подцепили груз 1 и отпустили без начальной скорости. Одновременно на груз стала действовать возмущающая сила $\vec{F}(t)$

Рис. 4.6. Задание Д2. Исследование колебаний точки.
Варианты задания 1 – 3, 11 – 13, 21 – 23

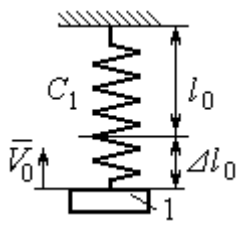
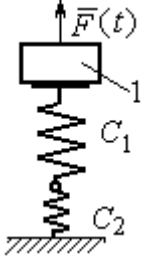
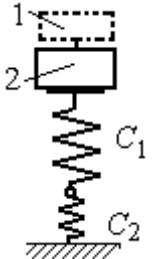
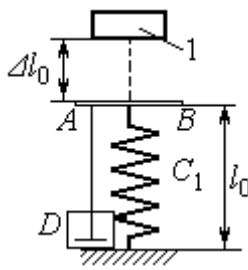
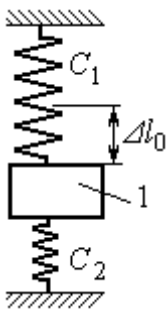
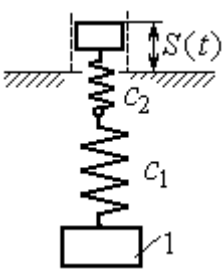
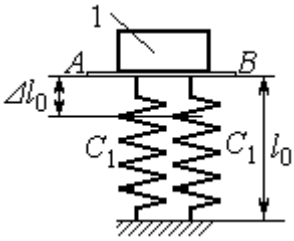
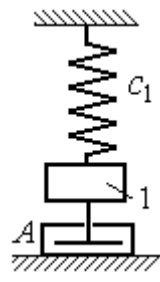
Варианты № 4, 14, 24	
<p style="text-align: center;">Задача 1</p>  <p>К недеформированной пружине подцепили груз 1, оттянули его вниз на расстояние Δl_0 и сообщили скорость V_0, направленную вверх</p>	<p style="text-align: center;">Задача 2</p>  <p>Грузу 1, укрепленному на двух последовательно соединённых пружинах в положении статического равновесия, сообщили начальную скорость V_0, направленную вниз. Одновременно на груз стала действовать возмущающая сила $\vec{F}(t)$</p>
Варианты № 5, 15, 25	
<p style="text-align: center;">Задача 1</p>  <p>В положении статического равновесия грузов 1 и 2, укрепленных на двух вертикальных последовательно соединённых пружинах, убрали груз 1, а груз 2 отпустили без начальной скорости</p>	<p style="text-align: center;">Задача 2</p>  <p>Груз 1 падает с высоты Δl_0 на площадку AB, установленную на недеформированной пружине, и продолжает движение вместе с ней. Демпфер D создаёт сопротивление движению груза на пружине</p>
Варианты № 6, 16, 26	
<p style="text-align: center;">Задача 1</p>  <p>Груз 1 поместили между двумя недеформированными пружинами, затем оттянули вниз на расстояние Δl_0 и отпустили без начальной скорости</p>	<p style="text-align: center;">Задача 2</p>  <p>К недеформированным пружинам, соединённым последовательно, подцепили груз 1 и толкнули его вниз со скоростью V_0. Одновременно верхний конец пружины начинает двигаться по закону $S = S(t)$</p>

Рис. 4.7. Задание Д2. Исследование колебаний точки.
Варианты задания 4 – 6, 14 – 16, 24 – 26

Варианты № 7, 17, 27	
<p style="text-align: center;">Задача 1</p>  <p>К недеформированным пружинам приложили груз 1, переместили его вниз на величину Δl_0 и сообщили скорость V_0, направленную вниз</p>	<p style="text-align: center;">Задача 2</p>  <p>К нерастянутой пружине, расположенной на горизонтальной гладкой поверхности, подцепили груз 1, оттянули его на расстояние Δl_0 и отпустили. Одновременно на груз стала действовать горизонтальная возмущающая сила $\vec{F}(t)$</p>

Варианты № 8, 18, 28	
<p style="text-align: center;">Задача 1</p>  <p>Грузы 1 и 2 находятся на пружине в положении статического равновесия. Груз 2 удаляют, а грузу 1 сообщают скорость V_0, направленную вверх</p>	<p style="text-align: center;">Задача 2</p>  <p>В положении статического равновесия груза 1 ему сообщили скорость V_0, направленную вниз. Демпфер A создаёт сопротивление движению груза</p>

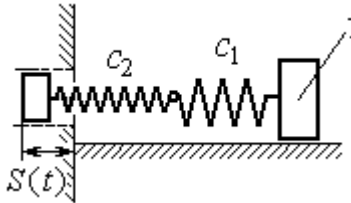
Варианты № 9, 19, 29	
<p style="text-align: center;">Задача 1</p>  <p>Груз 1 без начальной скорости падает вниз. Пройдя путь 1 м, груз достигает невесомой пластины AB, укрепленной на недеформированных, параллельно соединённых пружинах, и дальше движется вместе с ней</p>	<p style="text-align: center;">Задача 2</p>  <p>К двум горизонтальным пружинам, соединённым последовательно, в положении их нерастянутого состояния прицепили груз 1 и сообщили ему горизонтальную скорость V_0, направленную в сторону сжатия пружин. Одновременно левый конец пружинной системы начинает двигаться по закону $S = S(t)$</p>

Рис. 4.8. Задание Д2. Исследование колебаний точки.
Варианты задания 7 – 9, 17 – 19, 27 – 29

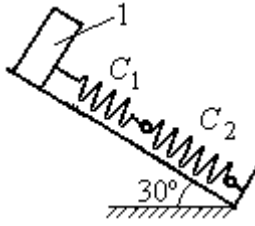
Варианты № 10, 20, 30	
<p>Задача 1</p>  <p>В положении статического равновесия груза 1, укрепленного на двух последовательно соединенных пружинах, сообщили скорость V_0, направленную вниз по наклонной плоскости</p>	<p>Задача 2</p>  <p>Между двумя горизонтальными недеформированными пружинами на гладкую поверхность поместили груз 1, оттянули его влево на расстояние Δl_0 и отпустили без начальной скорости. Одновременно на груз стала действовать возмущающая сила $\bar{F}(t)$</p>

Рис. 4.9. Задание Д2. Исследование колебаний точки.
Варианты задания 10, 20, 30

Таблица 4.2

Исходные данные задания Д2. Исследование колебаний точки

Номер варианта задания	Номер задачи	m_1 , кг	m_2 , кг	V_0 , м/с	c_1 , Н/м	c_2 , Н/м	Δl_0 , м	μ , Н·с/м	$F(t)$, Н	$S(t)$, м
1	1	2,5	—	2,0	200	—	—	—	—	—
	2	2,0	—	—	210	—	0,1	—	—	$0,02\sin 12t$
2	1	1,5	2,0	4	250	—	—	—	—	—
	2	2,0	—	4	220	—	—	1,0	—	—
3	1	2,0	1,5	3	250	—	—	—	—	—
	2	1,2	—	—	200	—	0,14	—	$12\sin 5t$	—
4	1	2,0	—	3	180	—	0,1	—	—	—
	2	1,5	—	2	150	120	—	—	$8\sin 12t$	—
5	1	1,0	2,0	—	120	100	—	—	—	—
	2	1,0	—	—	50	—	0,5	18	—	—
6	1	1,2	—	—	120	180	0,12	—	—	—
	2	1,4	—	2,4	120	180	—	—	—	$0,03\sin 14t$
7	1	1,6	—	3,2	140	—	0,15	—	—	—
	2	1,5	—	—	120	—	0,12	—	$12\sin 6t$	—
8	1	1,0	2,0	3,0	150	—	—	—	—	—
	2	2,0	—	3,5	120	—	—	15	—	—

Продолжение табл. 4.2

Номер варианта задания	Номер задачи	m_1 , кг	m_2 , кг	V_0 , м/с	c_1 , Н/м	c_2 , Н/м	Δl_0 , м	μ , Н·с/м	$F(t)$, Н	$S(t)$, м
9	1	1,5	–	–	100	–	–	–	–	–
	2	1,4	–	2,0	100	110	–	–	–	$0,015\sin 8t$
10	1	2,5	–	2,5	110	100	–	–	–	–
	2	2,0	–	–	110	52	0,08	–	$5\sin 9t$	–
11	1	2,0	–	4,0	300	–	–	–	–	–
	2	1,0	–	–	200	–	0,12	–	–	$0,01\sin 4t$
12	1	1,8	2,4	4	220	–	–	–	–	–
	2	1,0	–	5	240	–	–	0,6	–	–
13	1	1,5	1,5	2	200	–	–	–	–	–
	2	1,8	–	–	180	–	0,08	–	$10\sin 10t$	–
14	1	2,0	–	2	200	–	0,12	–	–	–
	2	2,0	–	2	150	120	–	–	$10\sin 8t$	–
15	1	1,5	2,0	–	120	250	–	–	–	–
	2	1,5	–	–	120	–	0,4	4	–	–
16	1	2,0	–	–	150	75	0,1	–	–	–
	2	2,0	–	2,5	150	75	–	–	–	$0,01\sin 5t$
17	1	1,5	–	2,1	160	–	0,11	–	–	–
	2	1,8	–	–	150	–	0,1	–	$8\sin 12t$	–
18	1	2,0	1,0	2,5	80	–	–	–	–	–
	2	1,5	–	2,5	50	–	–	21	–	–
19	1	1,6	–	–	120	–	–	–	–	–
	2	1,2	–	2,0	85	120	–	–	–	$0,015\sin 7t$
20	1	2,0	–	2,0	90	100	–	–	–	–
	2	2,5	–	–	100	90	0,12	–	$6\sin 10t$	–
21	1	2,0	–	1,6	220	–	–	–	–	–
	2	2,5	–	–	250	–	0,14	–	–	$0,01\sin 10t$
22	1	2,2	1,5	3	180	–	–	–	–	–
	2	1,5	–	4	280	–	–	0,8	–	–
23	1	2,2	1,2	2	220	–	–	–	–	–
	2	1,6	–	–	200	–	0,12	–	$5\sin 7t$	–

Номер варианта задания	Номер задачи	m_1 , кг	m_2 , кг	V_0 , м/с	c_1 , Н/м	c_2 , Н/м	$\Delta\ell_0$, м	μ , Н·с/м	$F(t)$, Н	$S(t)$, м
24	1	1,6	–	2,4	160	–	0,13	–	–	–
	2	1,0	–	3	150	300	–	–	$6\sin 10t$	–
25	1	0,8	1,2	–	120	80	–	–	–	–
	2	0,8	–	–	180	–	0,4	12	–	–
26	1	1,4	–	–	100	120	0,15	–	–	–
	2	1,8	–	2,2	150	120	–	–	–	$0,015\sin 8t$
27	1	2	–	4,0	150	–	0,12	–	–	–
	2	2	–	–	162	–	0,13	–	$5\sin 9t$	–
28	1	1,5	2,0	2,0	140	–	–	–	–	–
	2	1,5	–	3,1	180	–	–	12	–	–
29	1	1,0	–	–	140	–	–	–	–	–
	2	2,0	–	2,4	75	150	–	–	–	$0,08\sin 5t$
30	1	1,6	–	3	75	150	–	–	–	–
	2	1,5	–	3	80	70	0,15	–	$8\sin 10t$	–

Пример выполнения задания Д2. Исследование колебаний точки

Задача 1. Груз 1 весом $P = 20$ Н, лежащий на гладкой наклонной плоскости, прикреплен к недеформированной пружине, расположенной параллельно плоскости

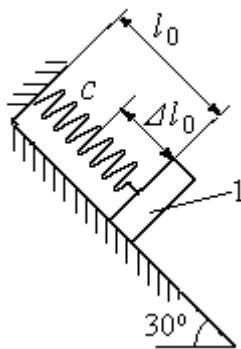


Рис. 4.10. Схема крепления груза и условия начала колебаний

(рис. 4.10). Угол наклона плоскости к горизонту 30° , коэффициент жесткости пружины $c = 400$ Н/м. В начальный момент груз переместили вверх по наклонной плоскости (сжали пружину) на расстояние $\Delta\ell_0 = 0,1$ м относительно нерастянутой пружины и отпустили без начальной скорости.

Определить уравнение колебаний груза 1, а также частоту и амплитуду колебаний.

Решение

Расчетная схема колебаний груза 1 показана на рис. 4.11. Направим ось Ox , вдоль которой происходят колебания груза, вниз вдоль наклонной плоскости. Начало отсчёта координаты x выберем в положении статического равновесия груза (см. рис. 4.11) В произвольном положении груза, обозначенном координатой x , к нему приложены три силы: сила тяжести \vec{P} , реакция опоры наклонной плоскости \vec{N} и сила упругости пружины $\vec{F}_{\text{упр}}$. Проекция

силы упругости пружины на ось Ox : $F_{\text{упр}x} = -c\Delta\ell$, где $\Delta\ell$ – удлинение пружины относительно её нерастянутого положения, включающее её растяжение x относительно выбранного начала координат и растяжение $\lambda_{\text{ст}}$ при статическом равновесии груза на наклонной плоскости.

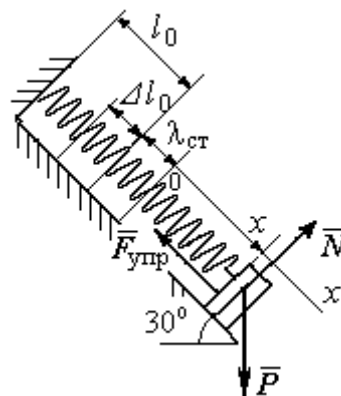


Рис. 4.11. Расчётная схема колебаний груза

С учетом выражения силы упругости получим дифференциальное уравнение движения груза в проекции на ось Ox :

$$m\ddot{x} = P\sin 30^\circ - c(x + \lambda_{\text{ст}}).$$

В положении статического равновесия сила упругости уравновешивается силой, равной проекции силы тяжести на ось x : $P\sin 30^\circ - c\lambda_{\text{ст}} = 0$. Подставляя это выражение условия статического равновесия груза в уравнение движения, получим дифференциальное уравнение колебаний груза:

$$m\ddot{x} = -cx, \text{ или } \ddot{x} + \omega^2 x = 0,$$

где ω – угловая частота колебаний; $\omega = \sqrt{\frac{c}{m}} = 14,01 \text{ рад/с}$.

Общее решение уравнения колебаний $x = C_1 \cos \omega t + C_2 \sin \omega t$.

Для определения произвольных постоянных C_1 и C_2 вычислим координату x_0 начального положения груза на оси Ox .

Растяжение пружины в положении статического равновесия $\lambda_{ст} = \frac{P \sin 30^\circ}{c}$

$= 0,025$ м. Координата начального положения груза определяется величиной сжатия пружины и, поскольку начало отсчёта координаты x выбрано в положении статического равновесия груза, равна (со знаком!): $x_0 = -(\Delta \ell_0 + \lambda_{ст}) = -0,125$ м (см. рис. 4.11).

Подставляя значение координаты начального положения груза в общее решение уравнения колебаний при $t = 0$, получим $C_1 = -0,125$ м. Для определения второй константы вычислим скорость груза в произвольный момент времени: $\dot{x} = -C_1 \omega \sin \omega t + C_2 \omega \cos \omega t$. Подставим сюда начальное значение скорости груза при $t = 0$ $\dot{x} = V_0 = 0$, получим $C_2 = 0$. Окончательно уравнение движения груза 1 относительно положения статического растяжения пружины:

$$x(t) = -0,125 \cos 14,01t \text{ м.}$$

Амплитуда колебаний груза $A = 0,125$ м.

Задача 2. Груз 1 весом $P = 20$ Н подвешен на недеформированной вертикальной пружине (рис. 4.12). Жесткость пружины $c = 800$ Н/м. В начальный момент груз был оттянут вниз в положение, при котором пружина растянулась на

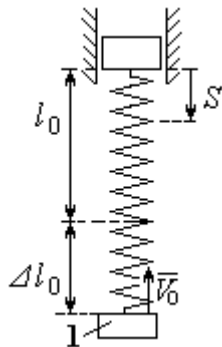


Рис. 4.12. Схема крепления груза и условия начала колебаний

расстояние $\Delta \ell_0 = 0,1$ м, и в этом положении ему сообщена начальная скорость $V_0 = 2$ м/с, направленная вверх.

Одновременно с началом движения груза верхний конец пружины стал совершать гармонические колебания по закону $S = a \sin 10t$, где $a = 0,02$ м.

Определить уравнение колебаний груза 1,

а также частоту и амплитуду собственных колебаний.

Решение

Расчетная схема колебаний груза 1 показана на рис. 4.13. Направим ось Ox , вдоль которой происходят колебания груза, вертикально вниз. Начало отсчёта координаты x выберем в положении статического равновесия груза (см. рис. 4.13, c, d). В произвольном положении груза, обозначенном координатой x , к нему приложены две силы: сила тяжести \vec{P} и сила упругости пружины $\vec{F}_{\text{упр}}$.

Проекция силы упругости пружины на ось Ox

$$F_{\text{упр}x} = -c\Delta\ell = -c(x + \lambda_{\text{ст}} - S),$$

где $\Delta\ell$ – удлинение пружины, включающее её растяжение x относительно начала координат, растяжение $\lambda_{\text{ст}}$ при статическом равновесии груза и уменьшение растяжения при смещении верхнего конца, $\Delta\ell = (x + \lambda_{\text{ст}} - S)$.

С учетом выражения силы упругости получим дифференциальное уравнение движения груза в проекции на ось Ox :

$$m\ddot{x} = P - c(x + \lambda_{\text{ст}} - S).$$

В положении статического равновесия выполняется условие равенства сил: $P - c\lambda_{\text{ст}} = 0$.

После подстановки его в уравнение движения груза получаем дифференциальное уравнение вынужденных колебаний:

$$m\ddot{x} = -cx + cS, \text{ или } \ddot{x} + \omega^2 x = h \sin pt,$$

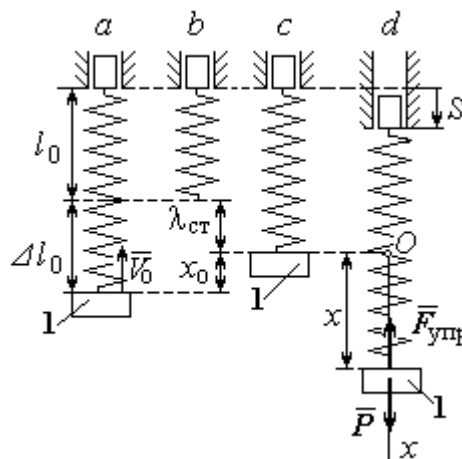


Рис. 4.13. Расчётная схема вынужденных колебаний груза:
 a – положение груза на начало колебаний;
 b – недеформированная пружина;
 c – статическое растяжение пружины под действием веса груза;
 d – положение груза в произвольный момент времени и перемещение точки подвеса пружины

где ω – угловая частота собственных колебаний, $\omega = \sqrt{\frac{c}{m}}$, $\omega = 19,81$ рад/с;

h – относительная амплитуда вынужденных колебаний, $h = \frac{ca}{m} = 7,85$ м/с²; p

– угловая частота вынужденных колебаний, $p = 10$ рад/с.

При отсутствии резонанса (здесь $\omega \neq p$) общее решение уравнения вынужденных колебаний имеет вид $x = C_1 \cos \omega t + C_2 \sin \omega t + \frac{h}{\omega^2 - p^2} \sin pt$.

Для определения произвольных постоянных C_1 и C_2 вычислим координату x_0 начального положения груза на оси Ox . Координата начального положения груза (см. рис. 4.13, *b*) $x_0 = \Delta \ell_0 - \lambda_{ст}$. Растяжение пружины в положении статического равновесия $\lambda_{ст} = \frac{P}{c} = 0,02$ м, тогда $x_0 = 0,08$ м. Подставляя значение координаты начального положения груза в общее решение уравнения вынужденных колебаний при $t = 0$, получим: $C_1 = x_0 = 0,08$ м.

Для определения второй константы вычислим скорость груза в произвольный момент времени: $\dot{x} = -C_1 \omega \sin \omega t + C_2 \omega \cos \omega t + \frac{hp}{\omega^2 - p^2} \cos pt$. Проекция скорости груза в начальный момент на ось Ox $V_{0x} = -V_0$. Подставив начальное значение скорости груза при $t = 0$ $\dot{x} = V_{0x} = -V_0$, получим: $C_2 = -\frac{V_0}{\omega} - \frac{hp}{\omega(\omega^2 - p^2)} = -0,11$ м.

Окончательно уравнение движения груза 1 относительно положения статического равновесия, м.

$$x(t) = 0,08 \cos 19,82t - 0,11 \sin 19,82t - 0,03 \sin 10t.$$

Амплитуда вынужденных колебаний $A_{вын} = \frac{h}{\omega^2 - p^2} = 0,03$ м. Амплитуда

собственных колебаний груза $A_{соб} = \sqrt{C_1^2 + C_2^2} = 0,14$ м.

4.5. Теорема об изменении кинетической энергии точки

Работой $A(\vec{F})$ силы \vec{F} , постоянной по модулю и направлению, на конечном прямолинейном перемещении S_1 точки приложения силы называется величина $A(\vec{F}) = FS_1 \cos \alpha$. Если угол α острый, работа силы положительна. Если угол α тупой, – отрицательна. При $\alpha = 90^\circ$ сила перпендикулярна перемещению точки и работа силы равна нулю.

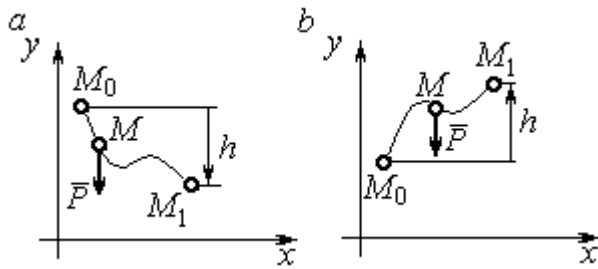


Рис. 4.14. Схема для вычисления работы силы тяжести:
 а – перемещение точки сверху вниз;
 б – перемещение точки снизу вверх

Работа силы тяжести материальной точки (вертикальной силы) при перемещении точки из положения M_0 в положение M_1 равна произведению модуля силы тяжести на вертикальное перемещение точки $A_{(M_0M_1)} = \pm Ph$, где P – величина силы тяжести точки; h – ве-

личина вертикального перемещения точки (рис. 4.14). Работа силы тяжести положительная, если начальная точка движения выше конечной, и отрицательная, – если ниже.

Работа силы упругости пружины на прямолинейном перемещении вдоль линии действия силы из положения недеформированной пружины на расстояние h определяется формулой $A(F_{\text{упр}}) = -\frac{ch^2}{2}$, где c – коэффициент жесткости (или просто жёсткость) пружины.

Кинетической энергией материальной точки называется скалярная величина $T = \frac{1}{2}mV^2$, где m – масса точки; V – её скорость. **Теорема об изменении кинетической энергии точки** заключается в том, что изменение кинетической энергии точки за конечный промежуток времени равно алгебраической сумме работ всех действующих на неё сил: $\frac{mV_1^2}{2} - \frac{mV_0^2}{2} = \sum A_{(M_0M_1)}$, где V_0, V_1 – скорость точки в начальном положении M_0 и в положении M_1 ; $\sum A_{(M_0M_1)}$ – сумма работ

всех сил, действующих на точку, при её перемещении из положения M_0 в положение M_1 .

При несвободном движении точки сумма работ сил включает работу реакций связи. Если движение происходит без трения по неподвижной гладкой поверхности, то реакция связи направлена по нормали к поверхности и её работа при любом перемещении точки равна нулю.

Для определения реакций связи при несвободном движении точки используются уравнения движения точки в проекциях на оси естественной системы координат – касательную и нормальную:

$$m \frac{dV}{dt} = \sum F_\tau, \quad m \frac{V^2}{\rho} = \sum F_n, \quad \text{где } \sum F_\tau,$$

$\sum F_n$ – суммы проекций сил на касательную и нормальную оси естественной системы координат; ρ – радиус кривизны траектории точки.

4.6. Задание Д3. Исследование движения точки с применением теоремы об изменении кинетической энергии

Тонкий стержень с надетым на него шариком массой m расположен в вертикальной плоскости и состоит из дуг окружностей радиусами r и $R = 2r$, соединённых прямолинейным отрезком EK , сопряжённым с дугами окружностей в точках E и K . В этих точках шарик переходит с одного участка стержня на другой, не изменяя величины и направления скорости. Длина отрезка $EK = a$.

В точке A , положение которой на дуге окружности определяется углом α , шарик сообщают начальную скорость V_0 . По дугам окружностей шарик скользит без трения, а при движении по прямолинейному отрезку EK на него действует постоянная сила трения с коэффициентом трения f . На участках с вертикальным отрезком EK считать, что шарик прижимается к стержню силой, равной половине веса шарика.

Достигнув на дуге окружности точки D , шарик упирается в недеформированную пружину жёсткостью c и, продолжая движение по сопряжённой прямой, сжимает её. Положение точки D определяется углом φ .

Определить величину максимального сжатия пружины, если шарик проходит наивысшее положение траектории – точку B со скоростью $V_B = kV_0$. При найденном значении начальной скорости рассчитать давление шарика на стержень в точке C , положение которой на дуге определяется углом β .

Варианты заданий приведены на рис. 4.15, 4.16. Исходные данные задания в табл. 4.3.

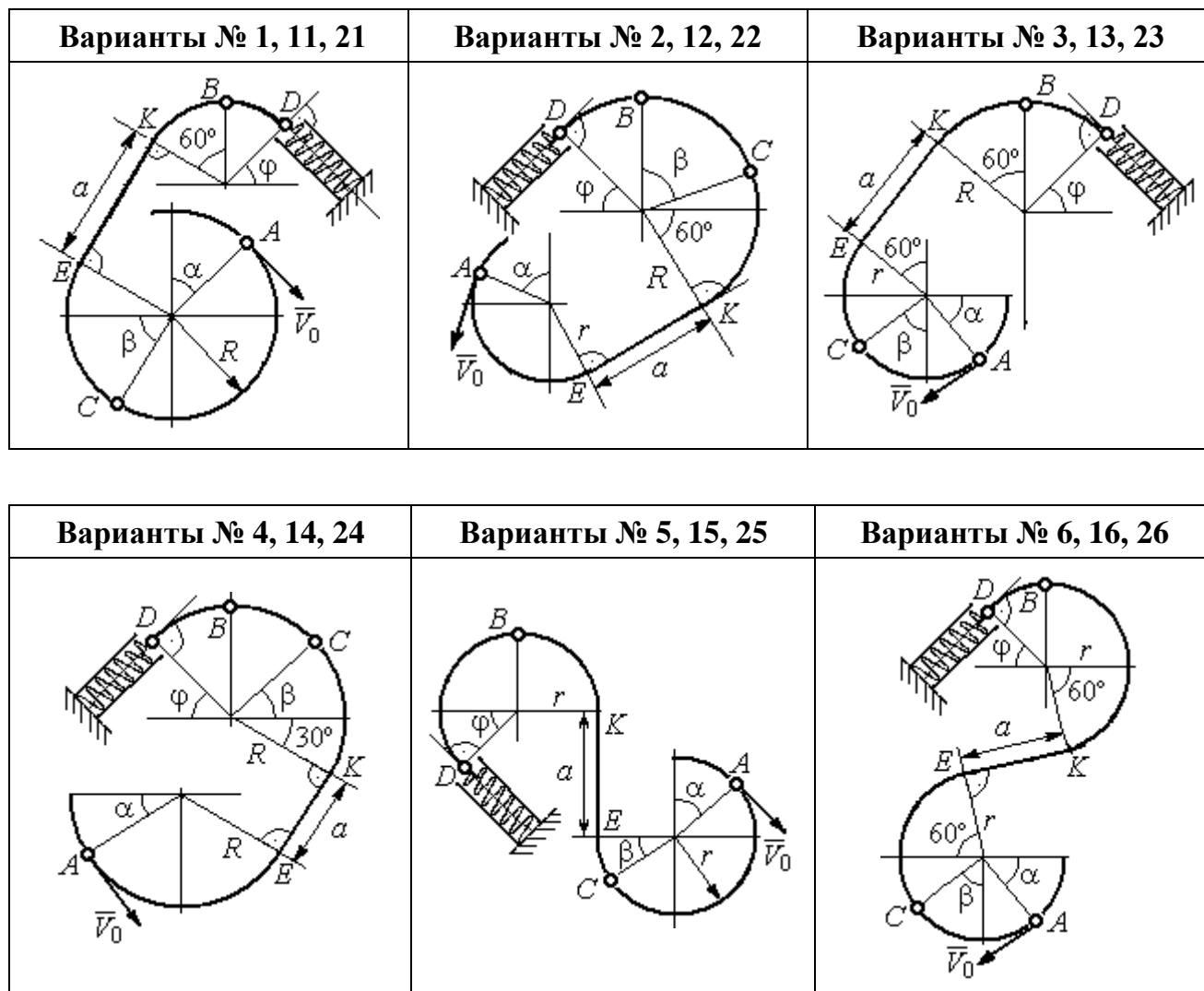


Рис. 4.15. Задание ДЗ. Исследование движения точки с применением теоремы об изменении кинетической энергии.

Номера вариантов задания 1 – 6, 11 – 16, 21 – 26

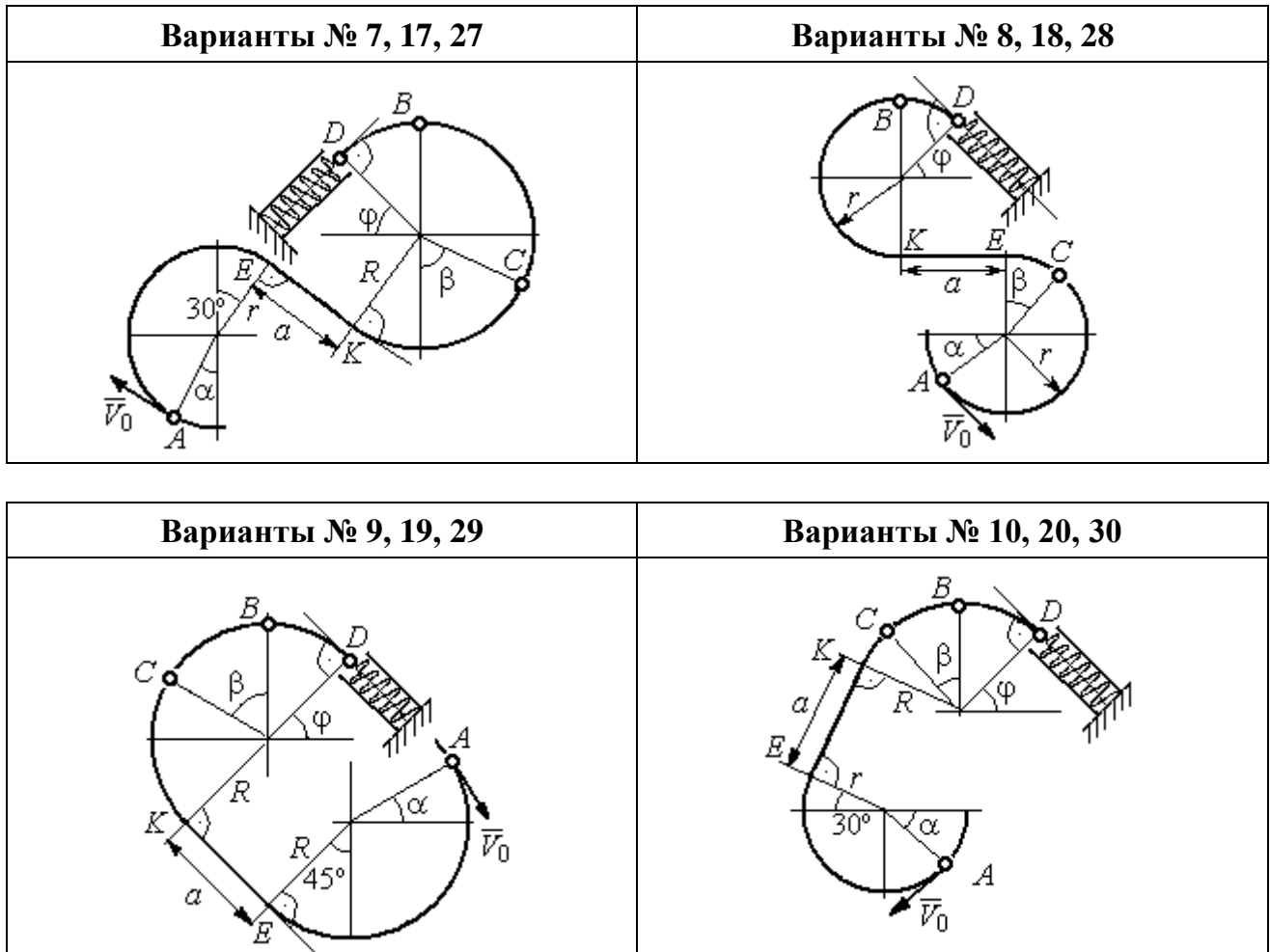


Рис. 4.16. Задание ДЗ. Исследование движения точки с применением теоремы об изменении кинетической энергии.
 Номера вариантов задания 7 – 10, 17 – 20, 27 – 30

Таблица 4.3

Исходные данные задания ДЗ. Исследование движения точки с применением теоремы об изменении кинетической энергии

Номер варианта задания	1	2	3	4	5	6	7	8	9	10	11	12	13	14	15
m , кг	0,8	0,5	0,6	0,4	1,0	0,6	0,9	0,5	0,3	0,4	0,8	0,6	0,5	0,3	1,0
α , град	30	45	0	30	30	0	0	45	30	0	60	30	30	45	60
β , град	60	30	60	0	60	30	60	60	30	45	30	60	60	30	30
φ , град	0	60	30	0	0	30	45	0	30	45	30	30	0	30	45
r , м	0,4	0,4	0,5	0,3	0,6	0,5	0,3	0,6	0,4	0,5	0,3	0,5	0,4	0,5	0,8
a , м	0,5	0,6	0,9	1,4	0,8	1,2	0,5	0,5	1,4	0,5	0,8	0,5	0,8	0,6	0,6
f	0,4	0,3	0,4	0,3	0,4	0,3	0,5	0,3	0,4	0,3	0,4	0,5	0,3	0,4	0,3
k	0,3	0,4	0,3	0,4	0,3	0,3	0,4	0,4	0,3	0,4	0,3	0,3	0,4	0,3	0,4
c , Н/м	100	80	90	80	120	100	90	80	60	80	90	60	80	60	110

Окончание табл. 4.3

Номер варианта задания	16	17	18	19	20	21	22	23	24	25	26	27	28	29	30
m , кг	0,6	0,5	0,6	0,4	0,8	0,5	0,4	1,0	0,6	0,5	0,4	0,8	0,4	0,6	0,8
α , град	60	30	0	45	60	90	90	60	60	90	30	60	60	45	90
β , град	60	30	45	90	60	45	90	60	60	30	30	60	60	0	60
φ , град	45	60	60	60	30	90	0	90	45	60	60	90	30	60	0
r , м	0,6	0,4	0,8	0,5	0,6	0,6	0,6	0,4	0,6	0,8	0,4	0,4	0,8	0,6	0,4
a , м	0,4	1,2	0,9	1,2	1,2	0,9	0,6	1,5	1,4	0,8	1,2	0,9	0,6	0,8	0,5
f	0,3	0,4	0,4	0,5	0,3	0,3	0,4	0,3	0,3	0,4	0,4	0,3	0,4	0,3	0,4
k	0,4	0,3	0,3	0,4	0,3	0,4	0,4	0,3	0,4	0,3	0,3	0,4	0,4	0,3	0,3
c , Н/м	80	60	90	60	100	90	80	110	80	60	60	80	60	80	100

Пример выполнения задания Д3. Исследование движения точки с применением теоремы об изменении кинетической энергии

Тонкий стержень, расположенный в вертикальной плоскости, состоит из двух дуг окружностей, сопряженных в точках E и K с прямолинейным отрезком EK длиной $a = 0,6$ м (рис. 4.17). Радиусы окружностей $R = 1$ м и $r = 0,5$ м. Диаметры дуг окружностей, проведенные в точках E и K , составляют с горизонтом

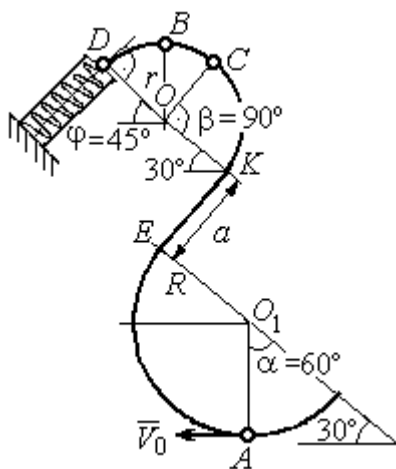


Рис. 4.17. Схема движения шарика

углом 30° . На стержень надет шарик массой $m = 0,5$ кг. В точке A , положение которой на дуге радиуса R определяется углом $\alpha = 60^\circ$ (см. рис. 4.17), шарик у сообщают начальную скорость V_0 , после чего он начинает движение. По дугам окружностей шарик скользит без трения. При движении по прямой EK на него действует постоянная сила трения с коэффициентом трения $f = 0,2$. Достигнув точки D на верхней дуге, шарик упирается в пружину жесткостью $c = 100$ Н/м и, двигаясь по сопряженной

прямой без трения, сжимает её. Найти величину максимального сжатия пружины, если наивысшее положение на траектории (точку B) шарик проходит со скоростью $V_B = kV_0$ при $k = 0,3$. При найденном значении начальной скорости рассчитать давление шарика на стержень в точке C , положение которой на дуге определяется углом $\beta = 90^\circ$.

Решение

Рассмотрим движение шарика по стержню из начального положения A в наивысшее положение – точку B .

При движении шарика по дугам окружностей работу совершает только сила тяжести. Реакция гладкой поверхности стержня в любой момент времени перпендикулярна поверхности стержня, и потому её работа при перемещении шарика равна нулю.

На участке движения шарика по прямой EK на него действуют сила тяжести \vec{P} , нормальная реакция опоры \vec{N}_{EK} и сила трения $\vec{F}_{тр}$ (рис. 4.18, b). Работу совершают сила тяжести и сила трения. Работа реакции опоры стержня равна нулю.

Обозначим $h_{(AB)}$ – перепад высот точек A и B на траектории; V_A – начальная скорость шарика в точке A , $V_A = V_0$; V_B – его скорость в точке B , $V_B = 0,3V_0$. Для

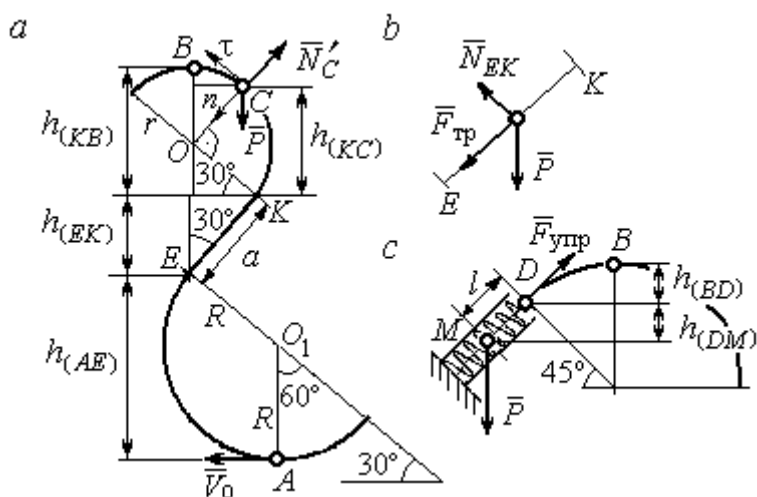


Рис. 4.18. Силы, действующие на шарик во время движения и перепады высот

вычисления перепада высот точек A и B имеем выражение (рис. 4.18, a):

$$h_{(AB)} = h_{(AE)} + h_{(EK)} + h_{(KB)} = R(1 + \sin 30^\circ) + a \cos 30^\circ + r(1 + \sin 30^\circ).$$

Будем считать шарик материальной точкой. Применяя теорему об изменении кинетической энергии точки при движении шарика из положения A в положение B ,

получим: $\frac{mV_B^2}{2} - \frac{mV_A^2}{2} = A(\vec{P}) + A(\vec{F}_{тр})$, где $A(\vec{P}) = -Ph_{(AB)}$, $A(\vec{F}_{тр}) = -F_{тр}a$ – работы, соответственно, силы тяжести на участке движения AB и силы трения на отрезке EK . Сила трения равна $F_{тр} = f \cdot N_{EK} = f \cdot mg \cos 60^\circ$ (рис. 4.18, a, b).

В результате, теорема об изменении кинетической энергии точки при движении шарика из начального положения A в конечное положение B принимает

вид: $\frac{m(0,3V_0)^2}{2} - \frac{mV_0^2}{2} = -mg[(R+r)(1 + \sin 30^\circ) + a(\cos 30^\circ + f \cdot \cos 60^\circ)]$. После

подстановки данных задачи, получим: $0,91 V_0^2 = 55,517$, откуда находим необходимое значение начальной скорости шарика: $V_0 = 7,81$ м/с.

Найдём давление шарика на стержень в точке C .

Проведём в точке C оси естественной системы координат – касательную St и нормаль Sn (рис. 4.18, a). Уравнение движения шарика в точке C в проекции на

нормальную ось имеет вид: $m \frac{V_C^2}{r} = P \cos 30^\circ - N'_C$, где V_C – скорость шарика в точке C , N'_C – реакция стержня, приложенная к шару. Направление реакции на рис. 4.18, a соответствует предположению, что шарик давит на стержень в направлении центра дуги окружности.

Для определения скорости шарика в точке C воспользуемся тем, что скорость шарика в точке B уже известна, и применим теорему об изменении кинетической энергии при движении шарика из начального положения C в конечное положение B . На этом участке движения работу совершает только сила тяжести ша-

рика. Получим $\frac{mV_B^2}{2} - \frac{mV_C^2}{2} = -Ph_{(CB)}$, где V_C, V_B – значения скорости шарика в

точках C и B ; $h_{(CB)}$ – перепад высот точек C и B ; $h_{(CB)} = r(1 - \sin 30^\circ) = 0,5r$ (см.

рис. 4.18, a). В результате теорема об изменении кинетической энергии принимает

вид: $mV_C^2 = mV_B^2 + 2mgh_{(CB)}$ или $V_C^2 = V_B^2 + gr$. Отсюда, при условии $V_B = 0,3V_0$

$= 2,34$ м/с, найдём $V_C = 3,22$ м/с.

$$\text{Реакция опоры шарика: } N'_C = P \cos 30^\circ - m \frac{V_C^2}{r} = -6,12 \text{ Н.}$$

Отрицательное значение реакции опоры шарика означает, что вектор реакции \vec{N}'_C в точке C (см. рис. 4.18, a) направлен в противоположную сторону. Давление шарика на стержень в точке C равно модулю реакции опоры.

Найдём величину максимального сжатия пружины.

Рассмотрим движение шарика на участке от точки B до положения максимально сжатой пружины – точки M . Движение на этом участке происходит по дуге окружности BD и по прямой DM . При этом сила тяжести совершает работу на всём участке движения, а сила упругости – на отрезке сжатия пружины. Обозначим величину максимального сжатия пружины $MD = l$.

По теореме об изменении кинетической энергии точки при движении шарика из положения B в M получим: $\frac{mV_M^2}{2} - \frac{mV_B^2}{2} = A(\vec{P}) + A(\vec{F}_{\text{упр}})$, где V_M , V_B –

скорость шарика в точках M и B . Работа силы тяжести $A(\vec{P}) = Ph_{(BM)} = P[h_{(BD)} + h_{(DM)}] = mg[r(1 - \cos 45^\circ) + l \cos 45^\circ]$. Работа силы упругости на прямо-

линейном участке DM длиной l : $A(\vec{F}_{\text{упр}}) = -\frac{cl^2}{2}$. Условие максимального сжатия

пружины означает, что в точке M скорость шарика обращается в нуль: $V_M = 0$, тогда теорема об изменении кинетической энергии точки принимает вид:

$-\frac{mV_B^2}{2} = mg[r(1 - \cos 45^\circ) + l \cos 45^\circ] - \frac{cl^2}{2}$. Подставляя данные задачи и с учётом

того, что скорость шарика в наивысшей точке B найдена из предыдущих рассуждений $V_B = 2,34$ м/с, получим квадратное уравнение для определения величины

максимального сжатия пружины $50l^2 - 3,468l - 2,085 = 0$. В качестве ответа принимается положительный корень уравнения $l = 0,24$ м.

. ДИНАМИКА МЕХАНИЧЕСКОЙ СИСТЕМЫ

5.1. Описание движений твёрдых тел на основе общих теорем динамики системы

Поступательное движение твёрдого тела описывается теоремой о движении центра масс механической системы. В проекциях на координатные оси дифференциальные уравнения поступательного движения твёрдого тела имеют вид: $m\ddot{x}_C = \sum F_{kx}^e$, $m\ddot{y}_C = \sum F_{ky}^e$, $m\ddot{z}_C = \sum F_{kz}^e$, где m – масса тела; x_C, y_C, z_C – координаты центра масс тела; $F_{kx}^e, F_{ky}^e, F_{kz}^e$ – проекции на оси координат внешних сил, действующих на твёрдое тело.

Вращательное движение твёрдого тела относительно неподвижной оси z описывается теоремой об изменении кинетического момента.

Дифференциальное уравнение вращательного движения тела имеет вид:

$$J_z \frac{d\omega}{dt} = \sum M_z(\vec{F}_k^e) \quad \text{или} \quad J_z \dot{\varphi} = \sum M_z(\vec{F}_k^e),$$

где ω – угловая скорость тела; $\omega = \dot{\varphi}$; φ – угол поворота тела; $\sum M_z(\vec{F}_k^e)$ – моменты внешних сил относительно оси z ; J_z – момент инерции тела относительно оси z .

Уравнение вращательного движения можно представить в алгебраической форме: $J_z \varepsilon = \sum M_z(\vec{F}_k^e)$, где ε – угловое ускорение тела; $\varepsilon = \dot{\omega}$.

Плоскопараллельное движение твёрдого тела описывается на основании теорем о движении центра масс и изменении кинетического момента относительно оси, проходящей через центр масс перпендикулярно плоскости движения. В проекции на координатные оси уравнения плоскопараллельного движения тела имеют вид:

$$ma_{Cx} = \sum F_{kx}^e, \quad ma_{Cy} = \sum F_{ky}^e, \quad J_{zC} \varepsilon = \sum M_{zC}(\vec{F}_k^e),$$

где a_{Cx}, a_{Cy} – проекции ускорения центра масс тела на координатные оси; $F_{kx}^e,$

F_{ky}^e – проекции на оси координат внешних сил, действующих на тело; J_{zC} – момент инерции тела относительно оси z , проходящей через центр масс, перпендикулярно плоскости движения; ε – угловое ускорение тела; $M_{zC}(\vec{F}_k^e)$ – моменты внешних сил относительно оси, проходящей через центр масс.

Проводя динамический расчет механической системы, следует рассматривать движение тел системы в отдельности, предварительно освободив их от связей и заменив действие связей реакциями. Далее на основании общих теорем динамики системы следует составить уравнения движения каждого тела.

5.2. Задание Д4. Динамический расчет механической системы

Механизм состоит из трёх тел – груза 1, катка 2 и блока 3, соединенных нерастяжимыми нитями или невесомыми стержнями.

Движение механизма происходит в вертикальной плоскости под действием сил тяжести $\vec{P}_1, \vec{P}_2, \vec{P}_3$, силы \vec{F} и пары сил с моментом M . Направление действия силы \vec{F} определяется углом α . Качение катка 2 происходит без скольжения. Проскальзывание между дисками и соединяющими их невесомыми стержнями или нитями отсутствует.

Радиусы ступеней катка 2 и блока 3 на схемах обозначены R_2, r_2 и R_3, r_3 .

Сплошные диски считать однородными. Радиусы инерции неоднородных (ступенчатых) дисков относительно осей, проходящих через центры масс перпендикулярно плоскости движения, равны i_{z2}, i_{z3} .

Найти ускорение груза 1 и динамические реакции, действующие на ось блока 3.

Варианты заданий представлены на рис. 5.1, 5.2. Исходные данные приведены в табл. 5.1.

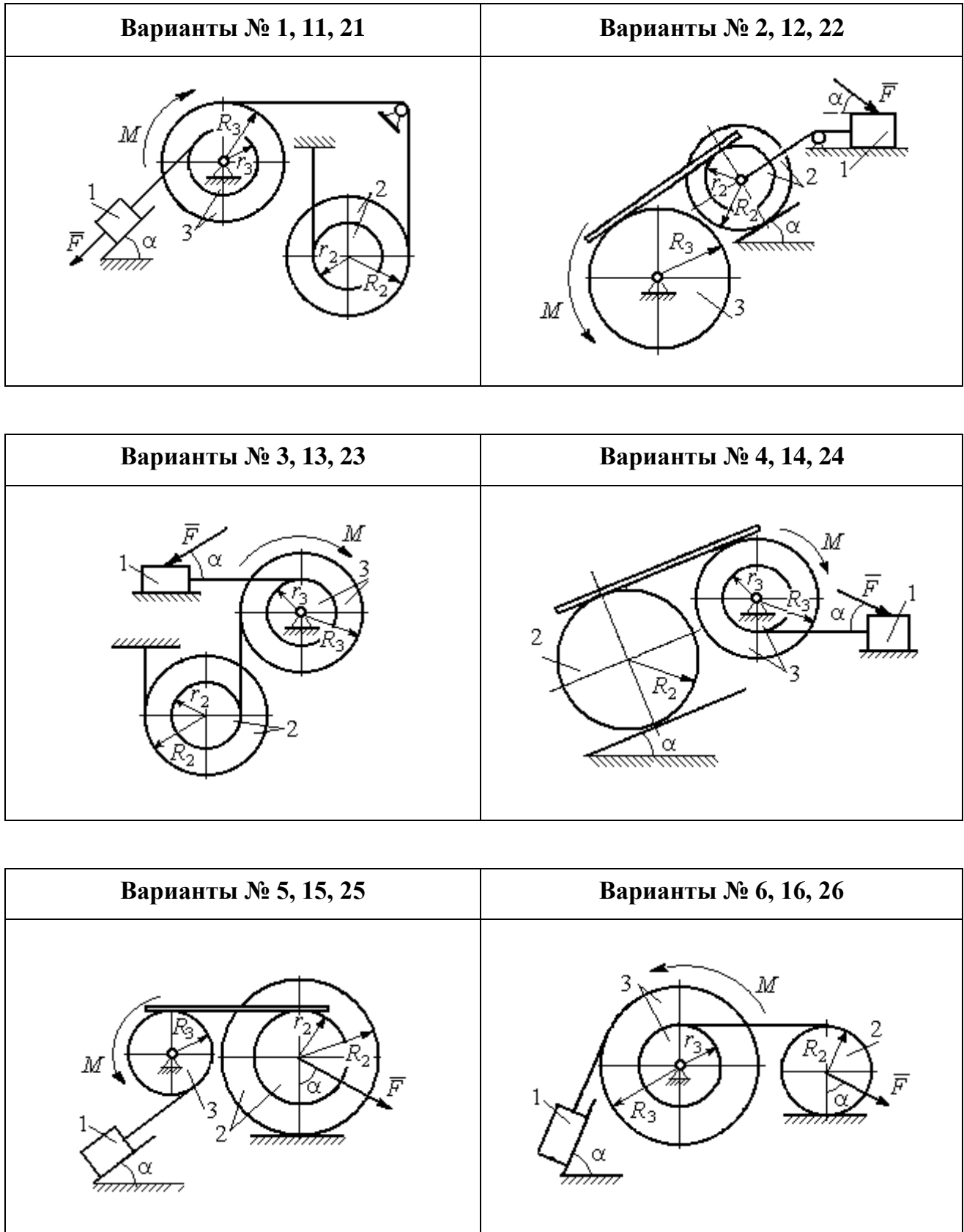


Рис. 5.1. Задание Д4. Динамический расчёт механической системы.
 Номера вариантов задания 1 – 6, 11 – 16, 21 – 26

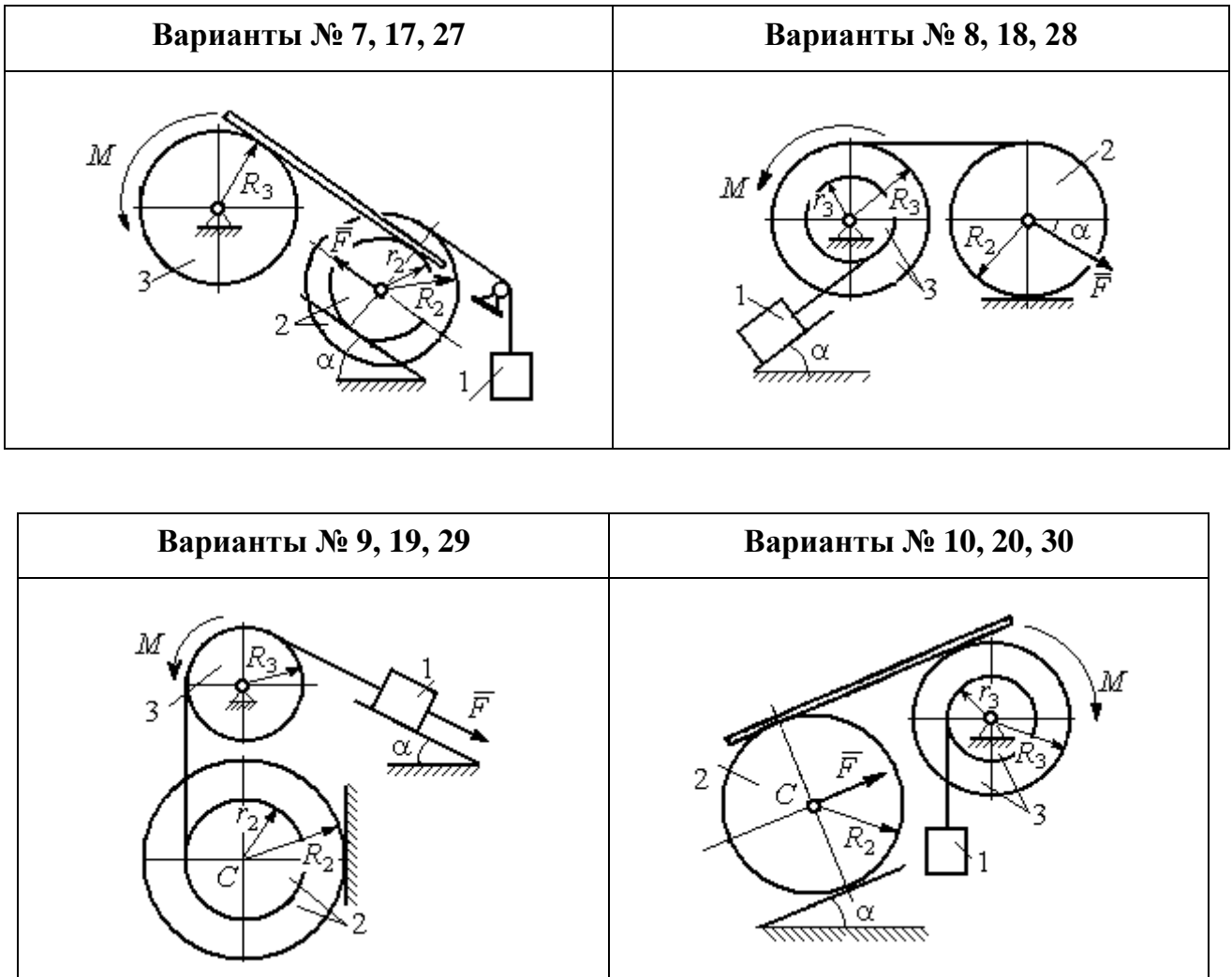


Рис. 5.2. Задание Д4. Динамический расчёт механической системы.
 Номера вариантов задания 7 – 10, 17 – 20, 27 – 30

Таблица 5.1

Исходные данные задания Д4. Динамический расчёт механической системы

Номер варианта задания	$P_1, \text{Н}$	$P_2, \text{Н}$	$P_3, \text{Н}$	$F, \text{Н}$	$M, \text{Н}\cdot\text{м}$	$\alpha, \text{град}$	$R_2, \text{м}$	$r_2, \text{м}$	$R_3, \text{м}$	$r_3, \text{м}$	$i_{z2}, \text{м}$	$i_{z3}, \text{м}$
1	P	P	$2P$	P	$2Pr$	60	$3r$	r	$2r$	r	$2r$	$r\sqrt{2}$
2	$3P$	P	$3P$	$3P$	Pr	30	$2r$	r	$2r$	–	$2r$	–
3	$4P$	$3P$	$4P$	$2P$	$2Pr$	60	$2r$	r	$2r$	r	$2r$	$2r$
4	$2P$	$2P$	$4P$	P	$4Pr$	45	$3r$	–	$3r$	r	–	$r\sqrt{2}$
5	P	$3P$	$3P$	$2P$	$3Pr$	30	$3r$	r	r	–	$2r$	–
6	P	$2P$	$4P$	$4P$	$6Pr$	60	$3r$	–	$3r$	r	–	$r\sqrt{2}$
7	P	$2P$	$3P$	$2P$	$3Pr$	45	$3r$	r	r	–	$r\sqrt{3}$	–

Номер варианта задания	$P_1, Н$	$P_2, Н$	$P_3, Н$	$F, Н$	$M, Н \cdot м$	$\alpha, град$	$R_2, м$	$r_2, м$	$R_3, м$	$r_3, м$	$i_{z2}, м$	$i_{z3}, м$
8	$2P$	$3P$	$3P$	P	$3Pr$	30	$2r$	–	$2r$	r	–	$r\sqrt{3}$
9	$3P$	P	$3P$	P	$2Pr$	30	$2r$	r	$2r$	–	$r\sqrt{2}$	–
10	P	P	$3P$	P	$2Pr$	60	$3r$	–	$3r$	r	–	$r\sqrt{3}$
11	P	P	$3P$	$2P$	$3Pr$	30	$3r$	$2r$	$2r$	r	$r\sqrt{2}$	$r\sqrt{2}$
12	$2P$	P	$2P$	$4P$	Pr	60	$3r$	r	$3r$	–	$r\sqrt{3}$	–
13	$3P$	P	$3P$	$3P$	$2Pr$	30	$3r$	$2r$	$2r$	r	$2r$	$r\sqrt{2}$
14	$2P$	P	$3P$	$2P$	$4Pr$	60	$2r$	–	$3r$	$2r$	–	$2r$
15	P	$2P$	$4P$	P	$4Pr$	45	$3r$	$2r$	$2r$	–	$r\sqrt{3}$	–
16	P	$3P$	$4P$	$2P$	$3Pr$	30	$2r$	–	$2r$	r	–	$r\sqrt{2}$
17	P	P	$3P$	$2P$	$6Pr$	60	$3r$	r	$3r$	–	$r\sqrt{3}$	
18	$2P$	$2P$	$3P$	P	$3Pr$	60	$2r$	–	$3r$	r	–	$r\sqrt{2}$
19	$2P$	P	$2P$	$3P$	$4Pr$	30	$3r$	r	$3r$	–	$2r$	–
20	P	P	$3P$	P	$2Pr$	45	$2r$	–	$2r$	r	–	$r\sqrt{3}$
21	$2P$	P	$4P$	$2P$	$4Pr$	60	$2r$	r	$3r$	r	$r\sqrt{2}$	$2r$
22	P	P	$2P$	$5P$	$2Pr$	45	$3r$	$2r$	$2r$	–	$2r$	–
23	$2P$	$2P$	$3P$	$3P$	$2Pr$	60	$3r$	r	$2r$	r	$2r$	$r\sqrt{2}$
24	$4P$	P	$3P$	P	$3Pr$	30	$2r$	–	$3r$	r	–	$r\sqrt{3}$
25	P	$3P$	$2P$	P	$2Pr$	60	$3r$	r	r	–	$r\sqrt{3}$	–
26	P	$3P$	$4P$	$3P$	$3Pr$	45	$2r$	–	$3r$	$2r$	–	$r\sqrt{3}$
27	P	P	$4P$	$2P$	$4Pr$	30	$2r$	r	$2r$	–	$r\sqrt{3}$	
28	$2P$	$3P$	$3P$	P	$6Pr$	30	$2r$	–	$3r$	$2r$	–	$r\sqrt{2}$
29	$2P$	P	$2P$	$2P$	$2Pr$	45	$2r$	r	r	–	$2r$	–
30	P	P	$4P$	P	$4Pr$	60	$3r$	–	$3r$	$2r$	–	$2r$

Пример выполнения задания Д4. Динамический расчёт механической системы

Механизм (рис. 5.3) состоит из груза 1, однородного диска – катка 2 и неоднородного диска – блока 3, соединённых друг с другом нерастяжимыми нитями. Система движется в вертикальной плоскости из состояния покоя.

Движение происходит под действием сил тяжести $\vec{P}_1, \vec{P}_2, \vec{P}_3$, равных по модулю: $P_1 = 2P, P_2 = 2P, P_3 = 3P$, силы \vec{F} , приложенной в центре масс катка 2, равной по величине: $F = 3P$, и пары сил с моментом $M = Pr$, приложенных

к блоку 3. Механизм является неизменяемой механической системой. Радиус

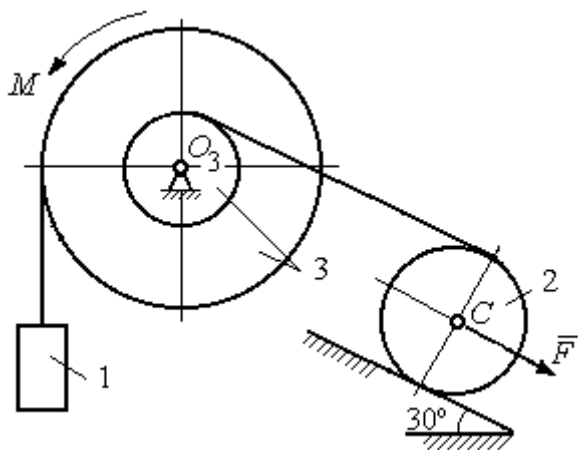


Рис. 5.3. Схема механической системы блока 3.

катка 2 $R_2 = 2r$. Качение катка по наклонной плоскости происходит без проскальзывания. Радиусы ступенчатого блока 3: $R_3 = 3r$, $r_3 = r$. Радиус инерции блока 3 $i_3 = r\sqrt{3}$.

Применяя метод динамического расчета механической системы найти ускорение груза 1 и динамические реакции, действующие на ось вращающегося

Решение

Освобождаем систему от связей. На рис. 5.4 изображены внешние силы, действующие на каждое тело, после освобождения его от связей.

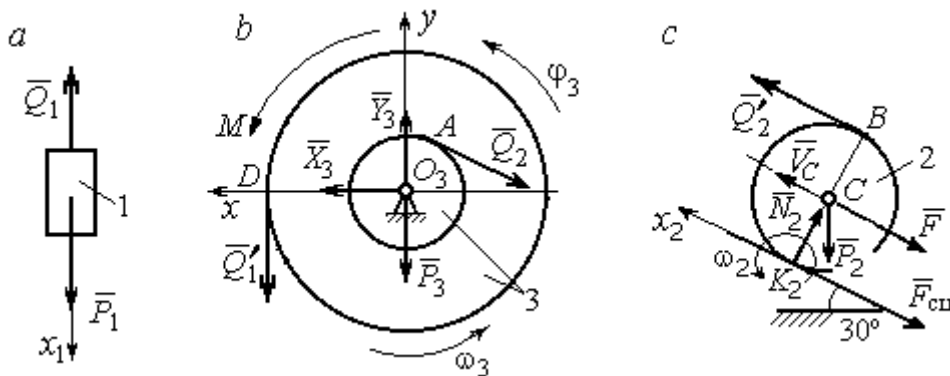


Рис. 5.4. Расчетные схемы для описания движения тел, входящих в систему:
 a – поступательное движение груза 1; b – вращательное движение блока 3;
 c – плоское движение катка 2

Груз 1 совершает поступательное движение. К нему приложены сила тяжести \vec{P}_1 и реакция нити \vec{Q}_1 (рис. 5.4, a). Предположим, груз 1 движется вниз, и направим ось x_1 в сторону движения груза.

Уравнение движения груза в проекции на ось x_1 в соответствии с теоремой о движении центра масс механической системы имеет вид:

$$m_1 a_1 = \sum F_{kx} = P_1 - Q_1 = 2P - Q_1,$$

где m_1 , a_1 – соответственно, масса груза 1 и его ускорение, $m_1 = \frac{P_1}{g} = \frac{2P}{g}$.

Блок 3 вращается вокруг неподвижной оси z , проходящей через его центр масс O_3 , перпендикулярно плоскости диска. Направление вращения блока, соответствующее выбранному движению вниз груза 1, показано на рис. 5.4, *b* дуговой стрелкой ω_3 .

На блок действуют сила тяжести \vec{P}_3 , силы реакции подшипника \vec{X}_3, \vec{Y}_3 , момент M и реакции нитей \vec{Q}'_1 и \vec{Q}_2 (см. рис. 5.4, *b*). При составлении уравнения вращательного движения блока 3 моменты сил считаем положительными, если они поворачивают блок в сторону его вращения.

Уравнение вращения блока 3 имеет вид:

$$J_{zO_3} \varepsilon_3 = \sum M_{zO_3}(F_k) = Q'_1 R_3 + M - Q_2 r_3 = Q_1 3r + Pr - Q_2 r,$$

где J_{zO_3} – момент инерции блока 3 относительно оси z ; ε_3 – угловое ускорение

$$\text{диска 3, } J_{zO_3} = m_3 i_3^2 = \frac{P_3}{g} (r\sqrt{3})^2 = \frac{9Pr^2}{g}.$$

Каток 2 совершает плоскопараллельное движение. К нему приложены сила тяжести \vec{P}_2 , сила \vec{F} , реакция нити \vec{Q}'_2 и реакция наклонной плоскости, состоящая из нормальной реакции опоры \vec{N}_2 и силы сцепления катка с поверхностью $\vec{F}_{\text{сц}}$. Согласно принципу равенства действия и противодействия, модули сил \vec{Q}_2 и \vec{Q}'_2 равны. На рис. 5.4, *c* показаны направления действия сил, приложенных к диску 2. В соответствии с направлением движения груза 1, центр масс катка 2 движется вверх параллельно наклонной плоскости. Направление движения центра масс катка 2 показано направлением оси x_2 . Направление вращения катка 2 показано дуговой стрелкой угловой скорости ω_2 (см. рис 5.4, *c*).

Плоскопараллельное движение катка 2 описывается уравнением движения его центра масс и уравнением вращения вокруг оси, проходящей через центр масс, перпендикулярно плоскости диска. Составляя уравнение движения, получим:

$$m_2 a_C = Q'_2 - F - F_{\text{сц}} - P_2 \cos 60^\circ = Q_2 - 3P - F_{\text{сц}} - P,$$

$$J_C \varepsilon_2 = Q'_2 R_2 + F_{\text{сц}} R_2 = Q_2 2r + F_{\text{сц}} 2r,$$

где m_2 – масса катка 2, $m_2 = \frac{P_2}{g} = \frac{2P}{g}$; a_C , ε_2 – ускорение центра масс и угловое

ускорение катка 2; J_C – момент инерции однородного катка 2 относительно оси,

проходящей через центр масс, перпендикулярно плоскости диска, $J_C = \frac{m_2 R_2^2}{2} =$

$$\frac{PR_2^2}{g} = \frac{4Pr^2}{g}. \text{ В уравнении вращательного движения диска момент силы счита-}$$

ется положительным, если создаваемый им поворот направлен в сторону враще-
ния диска,

К системе четырех уравнений, описывающих движения тел в системе, необ-
ходимо добавить уравнения связей. Если предположить, что скорость центра масс

катка 2 равна V_C , то угловая скорость катка определится по формуле: $\omega_2 = \frac{V_C}{CK_2}$

$= \frac{V_C}{R_2}$, где CK_2 – расстояние от центра масс катка 2 до его мгновенного центра

скоростей (см. рис. 5.4, *с*). Продифференцировав по времени последнее равенство,
получим уравнение связи между ускорением центра масс катка 2 и его угловым

$$\text{ускорением: } \varepsilon_2 = \dot{\omega}_2 = \frac{\dot{V}_C}{R_2} = \frac{a_C}{R_2} = \frac{a_C}{2r}.$$

Скорость точки B катка 2 (см. рис. 5.4, *с*) $V_B = \omega_2 \cdot BK_2 = \frac{V_C}{R_2} 2R_2 = 2V_C$.

Точка B катка 2 и точка A блока 3 соединены нитью (см. рис. 5.3), поэтому их
скорости равны. Приравняв скорости точек A и B , получим равенство:

$$2V_C = V_B = V_A = \omega_3 r_3 = \omega_3 r, \text{ откуда } \omega_3 = \frac{2V_C}{r}. \text{ После дифференцирования послед-}$$

него выражения найдём соотношение между ускорениями: $\varepsilon_3 = \frac{2a_C}{r}$.

Скорость груза 1 связана со скоростью центра масс диска 2 следующим об-

$$\text{разом: } V_1 = V_D = \omega_3 R_3 = \frac{2V_C}{r} 3r = 6V_C. \text{ Тогда } a_1 = 6a_C.$$

В результате получены четыре уравнения, описывающие движение тел в системе:

$$\frac{2P}{g}a_1 = 2P - Q_1, \quad \frac{9Pr^2}{g}\varepsilon_3 = Q_1 3r + Pr - Q_2 r;$$

$$\frac{2P}{g}a_C = Q_2 - 3P - F_{\text{сц}} - P, \quad \frac{4Pr^2}{g}\varepsilon_2 = Q_2 2r + F_{\text{сц}} 2r$$

и три уравнения связей: $\varepsilon_2 = \frac{a_C}{2r}$, $\varepsilon_3 = \frac{2a_C}{r}$, $a_1 = 6a_C$.

После подстановки уравнений связи в уравнения движения тел получим систему четырёх уравнений с четырьмя неизвестными:

$$\frac{12P}{g}a_C = 2P - Q_1, \quad \frac{18P}{g}a_C = 3Q_1 + P - Q_2,$$

$$\frac{2P}{g}a_C = Q_2 - 4P - F_{\text{сц}}, \quad \frac{P}{g}a_C = Q_2 + F_{\text{сц}},$$

которая может быть решена любым известным из курса математики способом.

Например, исключив из первых двух уравнений величину Q_1 , а из третьего и четвёртого уравнений – величину $F_{\text{сц}}$, получим систему двух уравнений с двумя неизвестными:

$$\frac{54P}{g}a_C = 7P - Q_2, \quad \frac{3P}{g}a_C = 2Q_2 - 4P,$$

откуда $a_C = \frac{10}{111}g$, $Q_2 = \frac{79}{37}P$. Величину натяжения нити Q_1 находим из первого

уравнения исходной системы: $Q_1 = \frac{34}{37}P$.

Для вычисления динамической реакции R_3 оси блока 3 заметим, что центр масс блока 3 неподвижен и его ускорение равно нулю, $\vec{a}_{O_3} = 0$. Тогда уравнения движения центра масс блока 3 в проекциях на оси x, y имеют вид :

$$m_3 a_{O_3x} = X_3 - Q_2 \cos 30^\circ = 0, \quad m_3 a_{O_3y} = Y_3 - Q_1 - P_3 - Q_2 \cos 60^\circ = 0,$$

где X_3, Y_3 , – проекции реакции R_3 оси вращающегося блока 3 на оси x, y (см. рис. 5.4, *b*). Отсюда, с учетом значений $Q_1 = 0,919P$ и $Q_2 = 2,135P$, проекции динамической реакции оси блока 3: $X_3 = Q_2 \cos 30^\circ = 1,85P$, $Y_3 = Q_1 + P_3 + Q_2 \cos 60^\circ =$

4,98P. Полная величина динамической реакции оси блока 3: $R_3 = \sqrt{X_3^2 + Y_3^2} = 5,31P$.

5.3. Теорема об изменении кинетической энергии системы

Кинетическая энергия тела при поступательном движении: $T = \frac{1}{2}mV_C^2$,

где m – масса тела; V_C – скорость центра масс тела. **Кинетическая энергия тела**

при вращательном движении вокруг неподвижной оси z : $T = \frac{1}{2}J_z\omega^2$, где J_z –

момент инерции тела относительно оси z ; ω – угловая скорость тела. Для дисков с равномерно распределённой массой момент инерции относительно оси z , проходящей через центр масс:

$J_z = \frac{1}{2}mR^2$, где R – радиус диска. Для тел с неравномерно

распределённой массой $J_z = mi_z^2$, где i_z – радиус инерции. **Кинетическая энергия**

тела при плоскопараллельном движении: $T = \frac{1}{2}mV_C^2 + \frac{1}{2}J_{zC}\omega^2$, где m – масса

тела; V_C , ω – скорость центра масс и угловая скорость тела; J_{zC} – момент инерции тела относительно оси z , проходящей через центр масс перпендикулярно плоскости движения.

Работа постоянной по модулю и направлению силы \vec{F} на конечном прямолинейном перемещении S точки приложения силы: $A(F) = FS\cos\alpha$, где α – угол между вектором силы и перемещением. Если угол α острый, работа положительна. Если тупой – отрицательна. При $\alpha = 90^\circ$ сила перпендикулярна перемещению точки и работа силы равна нулю.

Работа пары сил с постоянным моментом M при повороте тела на конечный угол φ : $A = \pm M\varphi$, где φ – угол поворота тела. Работа считается положительной, если пара сил стремится повернуть тело в направлении его вращения, и отрицательной – в противном случае.

Мощностью силы \vec{F} называют величину $N(F)$, равную скалярному произведению силы на скорость точки её приложения: $N(F) = \vec{F} \cdot \vec{V} = F \cdot V \cos \alpha$, где V – скорость точки приложения силы; α – угол между вектором силы и вектором скорости точки приложения силы.

При плоском движении тела мощность силы выражается суммой скалярных произведений векторов: $N = \vec{F} \cdot \vec{V}_O + \vec{M}_O(\vec{F}) \cdot \vec{\omega} = F \cdot V_O \cos \alpha \pm F h_O \omega$, где \vec{V}_O – вектор скорости точки, выбранной полюсом; $\vec{\omega}$ – вектор угловой скорости тела; \vec{M}_O – вектор момента силы \vec{F} относительно полюса; h_O – плечо силы \vec{F} относительно полюса O .

Теорема об изменении кинетической энергии системы в дифференциальной форме. Производная по времени от кинетической энергии системы равна сумме мощностей внешних и внутренних сил $\frac{dT}{dt} = \sum N(\vec{F}_k^e) + \sum N(\vec{F}_k^i)$, где T – кинетическая энергия системы; $\sum N(\vec{F}_k^e)$, $\sum N(\vec{F}_k^i)$ – сумма мощностей, соответственно, внешних и внутренних сил.

Теорема об изменении кинетической энергии системы на конечном перемещении. Изменение кинетической энергии системы на её конечном перемещении равно сумме работ внешних и внутренних сил, действующих на систему $T - T_0 = \sum A(\vec{F}_k^e) + \sum A(\vec{F}_k^i)$, где T , T_0 – кинетическая энергия системы, соответственно, в текущем и начальном состояниях; $\sum A(\vec{F}_k^e)$, $\sum A(\vec{F}_k^i)$ – сумма работ внешних и внутренних сил при перемещении системы из начального состояния в текущее.

Механические системы, состоящие из абсолютно твердых тел, соединенных гибкими нерастяжимыми нитями, называются **неизменяемыми**. В неизменяемых системах сумма работ внутренних сил и, следовательно, сумма мощностей этих сил равны нулю. Поэтому для таких систем в теореме об изменении кинетической энергии достаточно учитывать только внешние силы.

5.4. Задание Д5. Исследование движения механической системы с применением теоремы об изменении кинетической энергии

Неизменяемая механическая система состоит из ступенчатого и однородного дисков, соединённых нерастяжимой нитью или невесомым стержнем. Нити и стержни, соединяющие диски, параллельны плоскостям качения дисков. Качение дисков без скольжения. Скольжение между невесомым стержнем и дисками отсутствует.

Вес дисков P_1 и P_2 . Система движется в вертикальной плоскости под действием сил тяжести \vec{P}_1, \vec{P}_2 , сил \vec{F}_1, \vec{F}_2 и пары сил с моментом M . Направления действия сил \vec{F}_1, \vec{F}_2 и наклон плоскости (если он есть) определяются углами α или β , показанными на схемах механизмов.

Радиус однородного диска r . Радиусы ступеней ступенчатого диска R и r . Радиус инерции ступенчатого диска относительно оси, проходящей через центр масс перпендикулярно плоскости движения, равен i_z .

1. Найти ускорение центра масс диска 2.
2. Найти реакцию опоры диска 2 на плоскость (её нормальную составляющую и силу сцепления диска с плоскостью).

Варианты задания приведены на рис. 5.5, 5.6, исходные данные представлены в табл. 5.2.

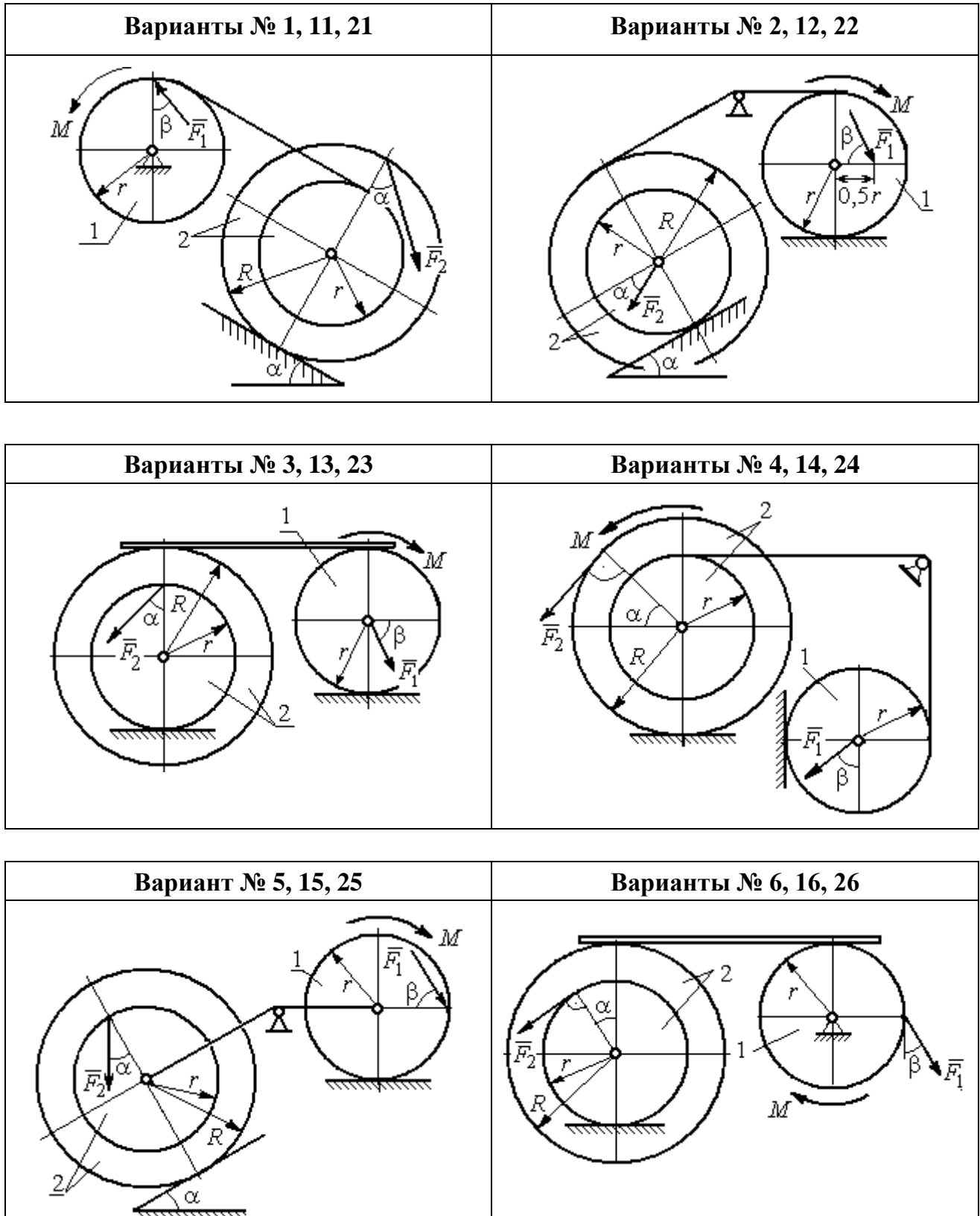


Рис. 5.5. Задание Д5. Исследование движения механической системы с применением теоремы об изменении кинетической энергии.
 Варианты задания 1 – 6, 11 – 16, 21 – 26

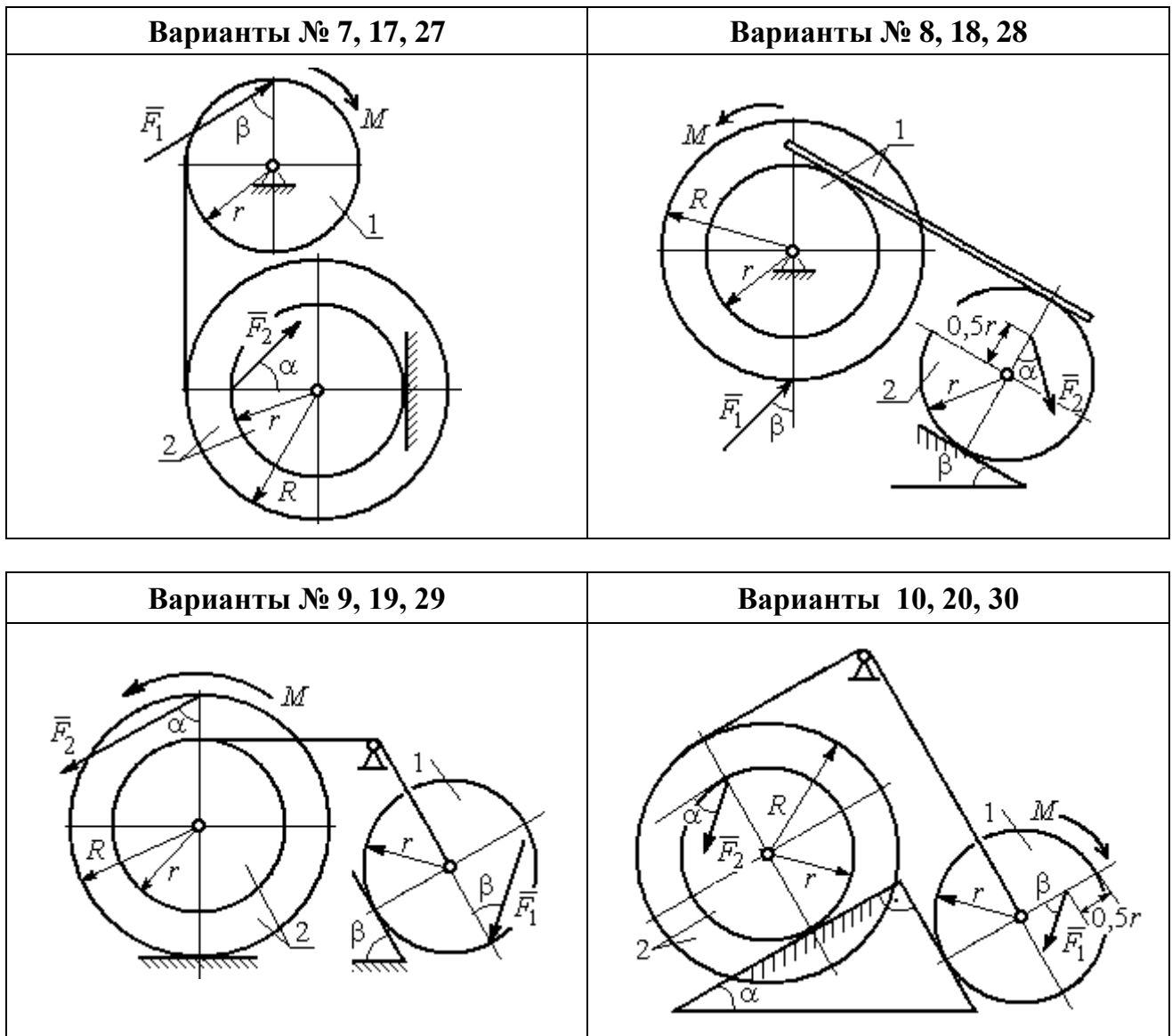


Рис. 5.6. Задание Д5. Исследование движения механической системы с применением теоремы об изменении кинетической энергии.
Варианты задания 7 – 10, 17 – 20, 27 – 30

Таблица 5.2

Исходные данные задания Д5. Исследование движения механической системы с применением теоремы об изменении кинетической энергии

Номер варианта задания	P_1 , Н	P_2 , Н	F_1 , Н	F_2 , Н	M , Н·м	α , град	β , град	R , м	r , м	i_z , м
1	10	20	15	20	25	30	60	0,4	0,3	0,3
2	20	30	10	20	20	60	30	0,6	0,3	0,4
3	10	15	12	20	25	60	60	1,2	0,6	0,8
4	12	25	20	25	35	30	30	1,5	0,5	1,2

Номер варианта задания	P_1 , Н	P_2 , Н	F_1 , Н	F_2 , Н	M , Н·м	α , град	β , град	R , м	r , м	i_z , м
5	15	20	10	20	30	60	30	0,8	0,4	0,7
6	18	20	18	22	22	45	60	1,2	0,4	0,9
7	15	25	10	8	20	45	45	0,9	0,6	0,7
8	25	22	10	12	30	45	60	1,0	0,8	0,9
9	12	25	18	10	32	30	30	0,8	0,6	0,7
10	10	15	8	10	28	60	30	1,4	0,7	1,2
11	15	22	20	25	30	60	45	0,6	0,4	0,5
12	20	25	15	40	30	30	60	0,8	0,4	0,6
13	10	20	10	25	30	45	30	1,0	0,5	0,9
14	12	15	18	15	25	30	30	0,9	0,3	0,8
15	20	25	20	20	30	45	60	1,0	0,5	0,8
16	10	15	10	15	16	60	45	1,2	0,4	1,1
17	18	25	12	10	30	30	30	1,5	0,9	1,3
18	25	20	10	15	20	60	60	0,8	0,5	0,7
19	12	25	10	10	32	60	60	1,2	0,9	1,1
20	15	20	8	20	25	30	45	0,8	0,4	0,7
21	10	25	25	15	30	45	30	0,7	0,5	0,6
22	18	20	20	20	35	60	45	1,4	0,7	0,9
23	10	15	10	30	30	30	30	1,4	0,7	0,8
24	10	15	12	20	20	30	30	1,2	0,4	0,8
25	12	18	20	18	30	60	30	1,2	0,6	1,1
26	10	12	12	15	15	30	30	0,9	0,3	0,8
27	15	22	10	12	20	45	60	0,8	0,6	0,7
28	22	20	8	16	8	30	45	0,6	0,2	0,4
29	18	25	10	8	32	60	60	1,2	0,8	1,1
30	20	25	8	20	28	30	30	0,8	0,4	0,6

Пример выполнения задания Д5. Исследование движения механической системы с применением теоремы об изменении кинетической энергии

Механическая система состоит из ступенчатого и однородного дисков, соединённых невесомым стержнем (рис. 5.7). Система движется в вертикальной плоскости под действием сил тяжести, сил \vec{F}_1 , \vec{F}_2 и пары сил с моментом M . Направления действия сил \vec{F}_1 , \vec{F}_2 определяются углами α и β .

Диск 1 вращается вокруг неподвижной оси O_1 . Диск 2 катится прямолинейно по горизонтальной поверхности. Качение диска 2 без проскальзывания. Невесомый стержень, соединяющий диски, расположен горизонтально. Скольжение между стержнем и дисками отсутствует.

Определить ускорение центра масс диска 2, угловое ускорение дисков, усилие в стержне, динамическую реакцию шарнира O_1 , реакцию опоры диска 2 (её нормальную составляющую и силу сцепления диска с поверхностью качения),

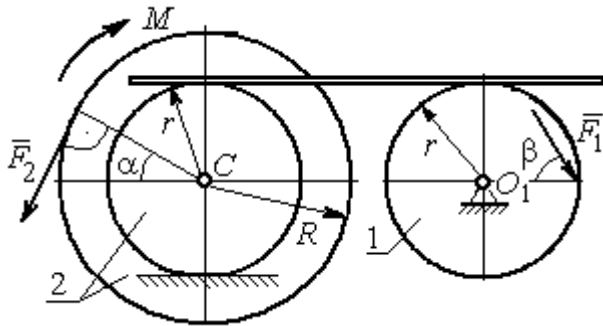


Рис. 5.7. Схема движения механической системы

если модули сил тяжести $P_1 = 40$ Н, $P_2 = 60$ Н, модули сил $F_1 = 80$ Н, $F_2 = 30$ Н, величина момента $M = 35$ Н·м, углы наклона сил $\alpha = 30^\circ$, $\beta = 45^\circ$, радиусы дисков $R = 0,8$ м, $r = 0,6$ м, радиус инерции диска 2 $i_z = 0,4$ м.

Решение

Предположим, что во время движения системы диск 1 вращается по ходу часовой стрелки. Угловые скорости ω_1 и ω_2 дисков 1 и 2 и скорость центра масс диска 2 показаны на рис. 5.8.

На диск 1 действуют силы: \vec{F}_1 , сила тяжести \vec{P}_1 и реакция шарнира O_1 , разложенная на составляющие \vec{X}_1 , \vec{Y}_1 . На диск 2: сила \vec{F}_2 , сила тяжести \vec{P}_2 , пара сил с моментом M , нормальная реакция опоры \vec{N} и сила сцепления диска 2 с поверхностью $\vec{F}_{\text{сц}}$. Направления действия сил показаны на рис. 5.8.

Для решения задачи воспользуемся теоремой об изменении кинетической энергии системы в дифференциальной форме. По условию задачи рассматриваемая система неизменяемая и, следовательно, сумма мощностей внутренних сил равна нулю. В этом случае теорема об изменении кинетической энергии системы принимает вид

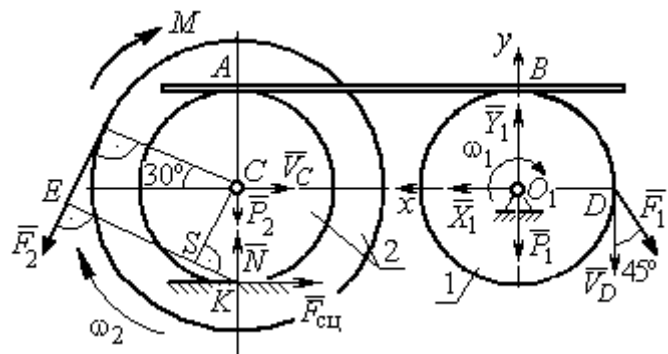


Рис. 5.8. Расчетная схема для исследования движения системы

мает вид $\frac{dT}{dt} = \sum N(\vec{F}_k^e)$, где T – энергия системы в текущем положении; $\sum N(\vec{F}_k^e)$

– суммарная мощность внешних сил.

Найдём кинетическую энергию системы и выразим её через скорость центра масс диска 2.

Кинетическая энергия вращательного движения диска 1: $T_1 = \frac{1}{2} J_{zO_1} \omega_1^2$, где

ω_1 – угловая скорость диска 1; J_{zO_1} – осевой момент инерции диска 1, $J_{zO_1} = \frac{m_1 r^2}{2}$

. Диск 2 движется плоскопараллельно. Его кинетическая энергия определяется по

формуле: $T_2 = \frac{1}{2} m_2 V_C^2 + \frac{1}{2} J_{zC} \omega_2^2$, где V_C , ω_2 – скорость центра масс и угловая ско-

рость диска 2; J_{zC} – момент инерции ступенчатого диска 2 относительно оси z ,

проходящей через центр масс перпендикулярно плоскости диска, $J_{zC} = m_2 i_z^2$.

У диска 2 мгновенный центр скоростей находится в точке касания его с неподвижной поверхностью (точка K на рис. 5.8). Тогда скорость точки C определя-

ется по формуле $V_C = \omega_2 \cdot CK = \omega_2 r$, откуда $\omega_2 = \frac{V_C}{r}$. Скорость точки A

$V_A = \omega_2 \cdot AK = \omega_2 2r$, или $V_A = 2V_C$.

Так как нет проскальзывания между стержнем и дисками, скорость точки A на диске 2 равна скорости точки B на диске 1, причём $V_B = \omega_1 r$. Приравнивая ско-

рости $V_B = V_A$, найдем $\omega_1 = \frac{2V_C}{r}$.

С учетом найденных зависимостей кинетические энергии дисков 1 и 2 и суммарная энергия системы имеют вид

$$T_1 = \frac{1}{2} J_{zO_1} \omega_1^2 = \frac{1}{2} \cdot \frac{P_1 r^2}{2g} \left(\frac{2V_C}{r} \right)^2 = \frac{P_1}{g} V_C^2;$$

$$T_2 = \frac{1}{2} m_2 V_C^2 + \frac{1}{2} J_{zC} \omega_2^2 = \frac{1}{2} \cdot \frac{P_2}{g} V_C^2 + \frac{1}{2} \cdot \frac{P_2}{g} i_z^2 \left(\frac{V_C}{r} \right)^2;$$

$$T = T_1 + T_2 = \frac{P_1}{g} V_C^2 + \frac{1}{2} \frac{P_2}{g} \left(1 + \frac{i_z^2}{r^2} \right) V_C^2.$$

Производная по времени от кинетической энергии системы

$$\frac{dT}{dt} = 2V_C \frac{dV_C}{dt} \left[\frac{P_1}{g} + \frac{P_2}{2g} \left(1 + \frac{i_z^2}{r^2} \right) \right].$$

Найдем сумму мощностей внешних сил. Отметим, что мощности силы тяжести \vec{P}_1 и сил реакции \vec{X}_1, \vec{Y}_1 подшипника O_1 равны нулю, так как нет перемещения точек приложения этих сил. Мощности сил \vec{N} и $\vec{F}_{\text{сц}}$ – нормальной реакции опоры диска 2 и силы сцепления диска с плоскостью также равны нулю, так как точкой приложения этих сил является мгновенный центр скоростей диска 2, скорость которого равна нулю. Мощность силы \vec{P}_2 равна нулю, так как угол между вектором силы и скоростью точки приложения силы – точки C – равен 90° (см. рис. 5.8). Для определения мощности силы \vec{F}_2 , приложенной к диску 2, воспользуемся формулой расчета мощности силы при плоскопараллельном движении тела. Выберем в качестве полюса точку K – мгновенный центр скоростей диска 2, скорость которого $V_K = 0$ (см. рис. 5.8). В этом случае мощность силы \vec{F}_2 равна: $N(\vec{F}_2) = \vec{M}_K \cdot \vec{\omega}_2 = -F_2 h_K \omega_2$, где $\vec{M}_K = M_K(\vec{F}_2)$ – вектор момента силы \vec{F}_2 относительно центра K ; $\vec{\omega}_2, \omega_2$ – вектор и модуль угловой скорости диска 2; h_K – плечо силы \vec{F}_2 относительно центра K . Мощность силы \vec{F}_2 отрицательная, так как направление момента силы \vec{F}_2 относительно точки K противоположно направлению угловой скорости диска 2.

В результате, мощность силы \vec{F}_2 :

$$N(\vec{F}_2) = -F_2 h_K \omega_2 = -F_2 (R + r \cos 60^\circ) \omega_2 = -F_2 V_C \left(\frac{1}{2} + \frac{R}{r} \right).$$

Здесь $h_K = EK = ES + SK = R + r \cos 60^\circ$ (см. рис. 5.8).

Заметим, что для вычисления мощности силы F_2 можно использовать в качестве полюса центр масс диска – точку C . Имеем:

$$N(\vec{F}_2) = \vec{F}_2 \cdot \vec{V}_C + \vec{M}_C(F_2) \cdot \vec{\omega}_2 = F_2 V_C \cos 120^\circ - F_2 R \omega_2 = -F_2 V_C \left(\frac{1}{2} + \frac{R}{r} \right).$$

Момент M направлен в сторону вращения диска 2. Его мощность положительная: $N(M) = M\omega_2 = M \frac{V_C}{r}$. Мощность силы \vec{F}_1 , приложенной в точке D , $N(\vec{F}_1) = F_1 V_D \cos 45^\circ = F_1 V_C \sqrt{2}$. Здесь учтено очевидное равенство $V_D = V_A = 2V_C$ (см. рис. 5.8).

Суммарная мощность внешних сил:

$$\sum N(F^e) = -F_2 V_C \left(\frac{1}{2} + \frac{R}{r} \right) + M \frac{V_C}{r} + F_1 V_C \sqrt{2}.$$

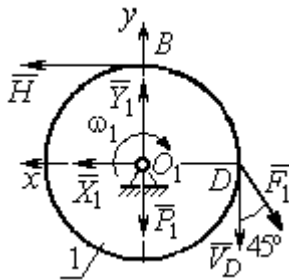


Рис. 5.9. Силы, действующие на диск 1 во время движения

В результате теорема об изменении кинетической энергии системы приводится к виду

$$2V_C \frac{dV_C}{dt} \left[\frac{P_1}{g} + \frac{P_2}{2g} \left(1 + \frac{i_z^2}{r^2} \right) \right] = -F_2 V_C \left(\frac{1}{2} + \frac{R}{r} \right) + M \frac{V_C}{r} + F_1 V_C \sqrt{2},$$

откуда ускорение центра масс диска 2:

$$a_C = \frac{dV_C}{dt} = \frac{\left[-F_2 \left(\frac{1}{2} + \frac{R}{r} \right) + \frac{M}{r} + F_1 \sqrt{2} \right] g}{\left[2P_1 + P_2 \left(1 + \frac{i_z^2}{r^2} \right) \right]}.$$

Подставляя исходные данные задачи, получим: $a_C = 6,85 \text{ м/с}^2$.

Для определения углового ускорения диска 2 про дифференцируем по времени равенство $\omega_2 = \frac{V_C}{CK} = \frac{V_C}{r}$. Дифференцирование здесь допустимо, так как во время движения диска 2 расстояние от точки C до мгновенного центра скоростей диска 2 – точки K – не меняется.

Найдем $\varepsilon_2 = \dot{\omega}_2 = \frac{\dot{V}_C}{r} = \frac{a_C}{r} = 11,42 \text{ рад/с}^2$. Угловое ускорение диска 1 находится путём дифференцирования равенства $\omega_1 = 2\omega_2$. Имеем: $\varepsilon_1 = 2\varepsilon_2 = 22,84 \text{ рад/с}^2$.

Для того чтобы определить реакцию стержня, освобождаемся от стержня, заменяем его реакцией \vec{H} и составляем уравнения движения дисков 1 и 2.

Силы, действующие на диск 1 во время движения, показаны на рис. 5.9. Уравнение вращательного движения диска 1 в алгебраической форме: $J_{zO_1} \varepsilon_1 = \sum M_z(\vec{F}_k^e)$, где ε_1 – угловое ускорение диска; J_{zO_1} – момент инерции диска 1 относительно оси z , проходящей через точку O_1 перпендикулярно плоскости диска, $J_{zO_1} = \frac{m_1 r^2}{2}$; $\sum M_{zO_1}(\vec{F}_k^e)$ – сумма моментов внешних сил относительно оси z .

Считая моменты сил положительными, если они создают поворот диска в сторону его вращения, составим сумму моментов внешних сил относительно оси z : $\sum M_{zO_1}(\vec{F}_k^e) = F_1 r \cos 45^\circ - Hr$. В результате уравнение вращательного движения диска 1 принимает вид: $\frac{P_1 r^2}{2g} \varepsilon_1 = F_1 r \cos 45^\circ - Hr$.

Подставляя в уравнение исходные данные задачи с учетом найденного значения углового ускорения диска 1 $\varepsilon_1 = 22,84 \text{ рад/с}^2$, найдем реакцию стержня $H = 28,63 \text{ Н}$.

Для определения динамической реакции шарнира O_1 диска 1 применим теорему о движении центра масс. Выберем оси координат O_1x и O_1y , как показано на рис. 5.9, и составим уравнение движения центра масс диска 1 в проекциях на оси координат с учётом того, что сам центр масс неподвижен и его ускорение равно нулю.

Получим систему:

$$H + X_1 - F_1 \sin 45^\circ = 0, \quad Y_1 - P_1 - F_1 \cos 45^\circ = 0.$$

Отсюда, с учётом найденной величины усилия в стержне $H = 28,63 \text{ Н}$, найдём составляющие динамической реакции шарнира: $X_1 = 27,94 \text{ Н}$, $Y_1 = 96,57 \text{ Н}$. Полная реакция шарнира $R_{O_1} = \sqrt{X_1^2 + Y_1^2} = 100,53 \text{ Н}$.

Для определения величины силы сцепления диска 2 с поверхностью качения

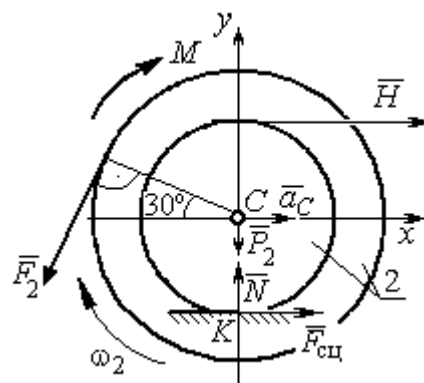


Рис. 5.10. Силы, действующие на диск 2 во время движения

и нормальной составляющей реакции опоры диска используем теорему о движении центра масс. Силы, приложенные к диску 2, и выбранная система координат xCy показаны на рис. 5.10. Уравнения движения центра масс диска 2 в проекциях на оси x, y имеют вид:

$$m_2 a_C = H + F_{\text{сц}} - F_2 \cos 60^\circ;$$

$$0 = -F_2 \cos 30^\circ - P_2 + N.$$

С учетом найденных значений реакции стержня $H = 28,63$ Н и ускорения центра масс диска 2 $a_C = 6,85$ м/с², находим силу сцепления и нормальную реакцию опоры: $F_{\text{сц}} = 28,27$ Н, $N = 85,98$ Н.

Полная реакция опоры $R_K = \sqrt{N^2 + F_{\text{сц}}^2} = 90,51$ Н.

АНАЛИТИЧЕСКАЯ МЕХАНИКА

6.1. Принципы механики. Общее уравнение динамики

Силой инерции материальной точки называют векторную величину, модуль которой равен произведению массы точки на модуль её ускорения, направленную противоположно этому ускорению $\vec{R}^и = -m\vec{a}$, где m – масса точки; \vec{a} –

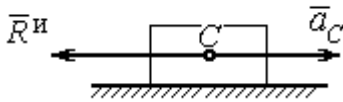


Рис. 6.1. Главный вектор сил инерции при поступательном движении твердого тела

вектор ускорения точки.

При поступательном движении тела с ускорением центра масс \vec{a}_c система сил инерции, приложенных к каждой точке тела, приводится к главному вектору сил инерции $\vec{R}^и$, равному по величине $R^и = ma_c$, приложенному в центре масс тела и направленному в сторону, противоположную ускорению \vec{a}_c (рис. 6.1).

При вращении тела вокруг неподвижной оси z , проходящей через центр масс, главный вектор сил инерции, приведённый к центру масс тела, обращается в нуль (так как ускорение центра масс равно нулю). Таким образом, система сил инерции приводится к паре сил с моментом $\vec{M}^и$, равным главному моменту сил инерции относительно оси вращения. Величина главного момента сил инерции $M^и = J_z \varepsilon$, где J_z – момент инерции тела относительно оси z ; ε – угловое ускорение тела. Направлен главный момент сил инерции в сторону, противоположную угловому ускорению (рис. 6.2).

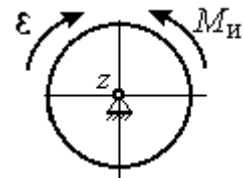


Рис. 6.2. Главный момент сил инерции при вращении тела вокруг оси, проходящей через центр масс

При плоскопараллельном движении тела с ускорением центра масс \vec{a}_c и угловым ускорением ε система сил инерции, приложенных к каждой точке тела, приводится к силе $\vec{R}^и$, равной главному вектору сил инерции, и паре сил с моментом $\vec{M}^и$, равным главному моменту сил инерции относительно оси, проходящей через центр масс тела перпендикулярно плоскости движения (рис. 6.3). Главный

вектор сил инерции равен по модулю произведению массы тела на ускорение его центра масс: $R^и = ma_c$, приложен в центре масс тела и направлен в сторону, противоположную ускорению \vec{a}_c центра масс. Главный момент сил инерции равен по величине произведению момента инерции тела относительно оси, проходящей через центр масс перпендикулярно плоскости движения, на угловое ускорение тела: $M^и = J_c \varepsilon$, где J_c – момент инерции тела. Направлен главный момент сил инерции в сторону, противоположную угловому ускорению (см. рис. 6.3).

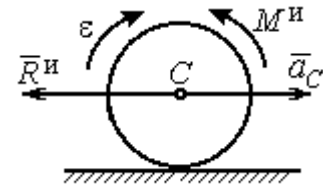


Рис. 6.3. Главный вектор и главный момент сил инерции при плоскопараллельном движении твердого тела

Принцип Даламбера для системы. Если в любой момент времени к каждой из точек системы кроме действующих на нее внешних и внутренних сил присоединить соответствующие силы инерции, то полученная система сил будет уравновешенной. Принцип Даламбера даёт возможность составлять уравнения движения механической системы в виде уравнений равновесия:

$$\sum \vec{F}_k^e + \vec{R}^и = 0, \quad \sum \vec{M}_O(\vec{F}_k^e) + \vec{M}_O^и = 0,$$

где \vec{F}_k^e – внешние силы, приложенные к системе; $\vec{R}^и$ – главный вектор сил инерции; $\vec{M}_O(\vec{F}_k^e)$ – момент внешних сил, приложенных к системе, относительно произвольного центра O ; $\vec{M}_O^и$ – главный момент сил инерции относительно центра O .

Силы, действующие на систему, можно подразделить на активные и реакции связей. **Идеальными связями** в механической системе называют такие связи, для которых сумма элементарных работ их реакций на любом возможном перемещении равна нулю.

Принцип возможных перемещений. Для равновесия механической системы с идеальными связями необходимо и достаточно, чтобы сумма элементарных работ всех активных сил, приложенных к точкам системы, была равна нулю на любом возможном перемещении системы: $\sum \delta A(\vec{F}_k^{\text{акт}}) = 0$, где $\delta A(\vec{F}_k^{\text{акт}})$ – элементарная работа активных сил на возможном перемещении.

Совместное применение принципа Даламбера и принципа возможных перемещений приводит к формулировке общего уравнения динамики.

Общее уравнение динамики. При движении механической системы с идеальными связями в каждый момент времени сумма элементарных работ всех приложенных активных сил и сил инерции на любом возможном перемещении равна нулю: $\sum \delta A(\vec{F}_k^{\text{акт}}) + \sum \delta A(\vec{R}_k^{\text{и}}) = 0$, где $\delta A(\vec{F}_k^{\text{акт}})$, $\delta A(\vec{R}_k^{\text{и}})$ – элементарные работы активных сил и сил инерции, приложенных к системе, на её возможном перемещении.

При вычислении элементарных работ активных сил и сил инерции используют обычные формулы для вычисления работы сил на элементарном перемещении точек их приложения. При этом переменные силы на элементарном перемещении точек их приложения считаются постоянными.

6.2. Задание Дб. Исследование механической системы с применением общего уравнения динамики

Механическая система с идеальными связями включает груз и два диска – однородного радиусом R или r и ступенчатого. Ступенчатый диск состоит из двух одноосных цилиндров радиусом R и r . Радиусы дисков указаны на схеме. Тела соединены нерастяжимыми нитями или невесомыми стержнями. Система движется в вертикальной плоскости из состояния покоя под действием сил тяжести, постоянной силы \vec{F} , а также пары сил с переменным моментом M . Направление действия силы \vec{F} и наклон плоскости движущихся тел определяются углами α и β . Радиус инерции ступенчатого диска относительно оси, проходящей через центр масс перпендикулярно плоскости движения, равен i_z .

Качение дисков без проскальзывания. Скольжение между невесомым стержнем и дисками отсутствует. Движение грузов по плоскости без трения. Нити и стержни, соединяющие груз и диски, параллельны соответствующим плоскостям, по которым двигаются тела.

Найти уравнение движения центра масс диска 3. Определить реакцию шарнира диска 2 в момент времени $t = 1$ с.

Варианты задания приведены на рис. 6.4, 6.5. Исходные данные выбираются из табл. 6.1.

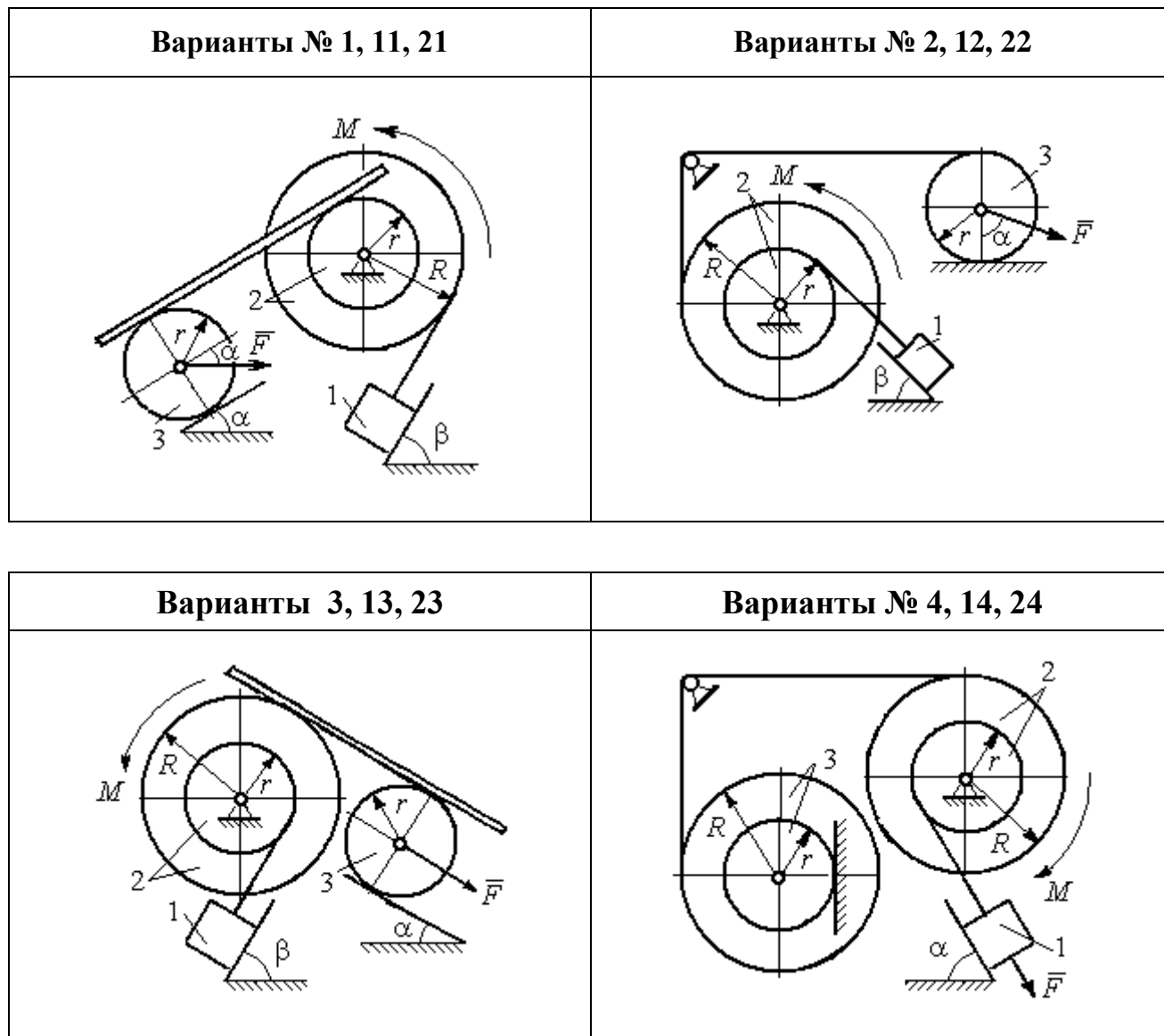


Рис. 6.4. Задание Д6. Исследование движения механической системы с применением общего уравнения динамики.
Номера вариантов задания 1 – 4, 11 – 14, 21 – 24

Варианты № 5, 15, 25	Варианты № 6, 16, 26
Варианты № 7, 17, 27	Варианты № 8, 18, 28
Варианты № 9, 19, 29	Варианты № 10, 20, 30

Рис. 6.5. Задание Д6. Исследование движения механической системы с применением общего уравнения динамики.
Номера вариантов задания 5 – 10, 15 – 20, 25 – 30

Таблица 6.1

Исходные данные задания Д6. Исследование движения механической системы с применением общего уравнения динамики

Номер варианта задания	P_1 , Н	P_2 , Н	P_3 , Н	F , Н	M , Н·м	α , град	β , град	R , м	r , м	i_z , м
1	10	20	8	20	$3(2+t^2)$	30	60	0,6	0,3	0,4
2	10	22	15	15	$4(t+3)$	30	30	0,8	0,4	0,6
3	5	18	10	6	$8(t^2+1)$	90	30	0,4	0,3	0,3
4	5	22	10	5	$14(t^2+t+1)$	30	–	0,6	0,5	0,6
5	5	20	16	9	$3(t^2+4)$	45	60	0,6	0,3	0,5
6	10	16	14	15	$4(5+t)$	60	30	1,0	0,6	0,8
7	6	20	20	8	$9(3t^2+2)$	45	–	0,8	0,6	0,8
8	16	25	15	12	$5(t^2+4)$	30	60	1,2	0,6	0,8
9	5	20	12	8	$4(3+5t)$	60	30	0,6	0,4	0,5
10	6	25	8	10	$5(3t+6)$	30	–	1,0	0,8	0,9
11	4	22	8	15	$2+t^2$	45	45	0,8	0,4	0,6
12	15	18	15	10	$5(t+3)$	30	60	1,0	0,5	0,7
13	6	20	10	4	$5(t^2+2)$	30	60	0,6	0,5	0,4
14	10	25	15	8	$16(t+2)$	60	–	0,8	0,6	0,7
15	8	18	20	10	$6(t+2)$	30	90	1,2	0,6	1,0
16	8	18	12	12	$5(3+t^2)$	90	60	0,8	0,6	0,7
17	5	20	10	10	$2t^2+20$	60	–	0,9	0,6	0,8
18	20	15	20	15	$3(t+4)$	60	30	0,8	0,4	0,7
19	8	20	12	10	$4(3+t)$	45	45	1,2	0,4	0,8
20	12	20	10	6	$6(3t+4)$	45	–	1,0	0,6	0,9
21	15	25	12	12	$6+t^2$	60	60	0,6	0,3	0,5
22	20	22	18	15	$2(2t+9)$	45	45	0,8	0,4	0,6
23	8	24	12	8	$7(3t^2+2)$	30	45	0,8	0,5	0,6
24	12	20	18	10	$6(t+4)$	90	–	0,5	0,3	0,4
25	5	20	12	12	$9(2+t^2)$	60	30	1,4	0,7	1,2
26	10	12	10	8	$6(2+t)$	30	45	1,2	0,8	0,9
27	6	18	16	14	$8(2t^2+3)$	30	–	0,8	0,2	0,6
28	10	20	20	20	$3(t^2+3)$	45	30	0,6	0,3	0,5
29	10	18	8	12	$5(4+t+t^2)$	30	60	1,2	0,8	0,9
30	8	18	10	15	$8(t^2+5)$	60	–	1,0	0,8	0,9

Пример выполнения задания Д6. Исследование движения механической системы с применением общего уравнения динамики

Механическая система состоит из груза 1, движущегося поступательно, ступенчатого диска 2 (каток), катящегося по неподвижной поверхности цилиндрической ступенькой, и однородного диска 3 (блок), вращающегося вокруг неподвижной оси.

ной оси, проходящей через центр масс блока (рис. 6.6). Качение катка 2 без проскальзывания, скольжение груза 1 – без трения. Движение системы происходит

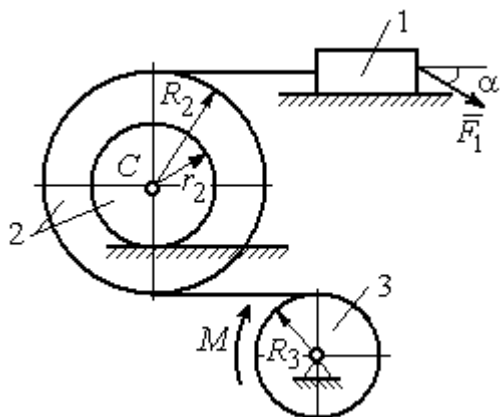


Рис. 6.6. Схема движения механической системы

$= 0,8$ м; $r_2 = 0,2$ м; $R_3 = 0,4$ м; $i_{2C} = 0,6$ м.

под действием сил тяжести, силы \vec{F} , приложенной к грузу 1 и пары сил с моментом M , приложенной к диску 3.

Найти уравнение движения центра масс катка 2 если движение системы началось из состояния покоя. Определить реакцию шарнира диска 3 в момент $t = 1$ с, если: $P_1 = 10$ Н; $P_2 = 20$ Н; $P_3 = 15$ Н; $F = 5(t+1)$ Н; $M = 6(1 + 2t)$ Н·м; R_2

Решение

В рассматриваемой механической системе активными силами являются силы тяжести $\vec{P}_1, \vec{P}_2, \vec{P}_3$, сила \vec{F} и пара сил с моментом M (рис. 6.7). Связи идеальные, так как скольжение груза 1 происходит по гладкой поверхности без трения, качение диска 2 без проскальзывания, а ось вращения блока 3 неподвижна.

Предположим, направление движения в системе задаёт пара сил с моментом M , приложенная к блоку 3. Обозначим ω_3, ε_3 – угловая скорость и угловое ускорение блока 3, V_C, a_C – скорость и ускорение центра масс катка 2, V_1, a_1 – скорость и ускорение груза 1. Направления векторов скоростей и ускорений точек и угловых скоростей и ускорений тел в соответствии с выбранным направлением движения системы показаны на рис. 6.7.

Общее уравнение динамики имеет вид:

$$\sum \delta A(\vec{F}_k^{\text{акт}}) + \sum \delta A(\vec{R}_k^{\text{и}}) = 0.$$

Присоединим к телам системы силы инерции. Груз 1 движется поступательно. Главный вектор сил инерции груза 1 $\vec{R}_1^и$ приложен в центре масс груза и направлен в сторону, противоположную ускорению \vec{a}_1 груза 1. Модуль главного вектора сил инерции груза 1

$R_1^и = m_1 a_1$, где m_1 – масса груза 1; a_1 – величина ускорения груза 1.

Система сил инерции катка 2, приводятся к силе, равной главному вектору сил инерции $\vec{R}_2^и$, приложенному в центре масс катка 2, и паре сил с моментом, равным главному моменту сил инерции $\vec{M}_2^и$ относительно оси, проходящей

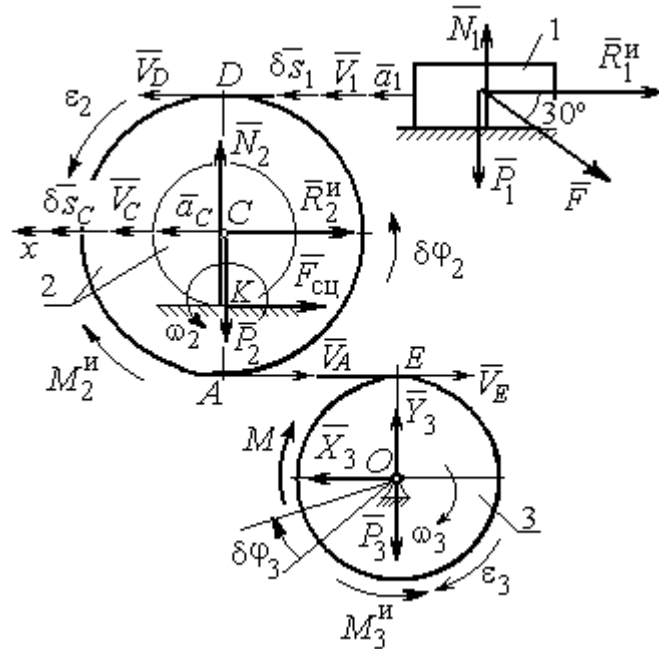


Рис. 6.7. Расчётная схема исследования движения механической системы

через центр масс перпендикулярно плоскости движения. Главный вектор сил инерции направлен в сторону, противоположную ускорению \vec{a}_C , и составляет $R_2^и = m_2 a_C$, где m_2 – масса катка 2; a_C – величина ускорения центра масс. Главный момент сил инерции: $M_2^и = J_{2C} \varepsilon_2$, где J_{2C} – момент инерции катка 2 относительно оси, проходящей через центр масс перпендикулярно плоскости движения; ε_2 – угловое ускорение катка 2. Направлен главный момент сил инерции $M_2^и$ в сторону, противоположную угловому ускорению ε_2 .

Главный вектор сил инерции, приложенных к блоку 3 и приведённых к центру масс блока, равен нулю, так как блок вращается вокруг неподвижной оси, проходящей через центр масс, и ускорение центра масс блока равно нулю. В результате силы инерции блока 3 приводятся к паре сил, момент которой равен главному

моменту сил инерции $\vec{M}_3^{\text{и}}$ относительно оси вращения. Главный момент сил инерции блока 3 равен по величине $M_3^{\text{и}} = J_{3O}\varepsilon_3$, где J_{3O} – момент инерции блока 3 относительно оси вращения; ε_3 – угловое ускорение блока 3, и направлен в сторону, противоположную угловому ускорению ε_3 . Главные векторы и главные моменты сил инерции показаны на рис. 6.8.

Определим кинематические соотношения между скоростями точек системы и выразим их через скорость V_C центра масс катка 2. Каток 2 катится по неподвижной поверхности без скольжения. Мгновенный центр скоростей катка находится в точке K касания катка с поверхностью (см. рис. 6.7). Угловая скорость катка 2 $\omega_2 = \frac{V_C}{CK} = \frac{V_C}{r_2}$. Скорость точки A катка 2: $V_A = \omega_2 \cdot AK = \omega_2(R_2 - r_2) = V_C \frac{R_2 - r_2}{r_2}$. Скорость точки E блока 3 равна скорости точки A катка 2, $V_E = V_A$.

Тогда угловая скорость блока 3:

$$\omega_3 = \frac{V_E}{R_3} = \frac{V_A}{R_3} = V_C \frac{(R_2 - r_2)}{R_3 r_2}.$$

Скорость груза 1 равна скорости точки D катка 2:

$$V_1 = V_D = \omega_2 \cdot DK = \omega_2(R_2 + r_2) = V_C \frac{(R_2 + r_2)}{r_2}.$$

Соотношения между ускорениями определяются путем дифференцирования установленных кинематических равенств:

$$a_1 = a_C \frac{(R_2 + r_2)}{r_2}, \quad \varepsilon_2 = \frac{a_C}{r_2}, \quad \varepsilon_3 = a_C \frac{(R_2 - r_2)}{R_3 r_2}.$$

Для того чтобы найти соотношения между перемещениями, выразим кинематические равенства между скоростями в дифференциальном виде и, полагая, что действительное перемещение является возможным, т. е. $ds = \delta s$, $d\varphi = \delta\varphi$, получим соотношения между возможными перемещениями:

$$\delta s_1 = \delta s_C \frac{(R_2 + r_2)}{r_2}, \quad \delta\varphi_2 = \frac{\delta s_C}{r_2}, \quad \delta\varphi_3 = \delta s_C \frac{(R_2 - r_2)}{R_3 r_2}.$$

Сообщим системе возможное перемещение, совпадающее с действительным. Элементарная работа реакций связи на любом возможном перемещении системы равна нулю, так как связи в системе идеальные.

Найдем элементарные работы активных сил и выразим их через перемещение центра масс катка 2. Прежде заметим, что элементарные работы сил тяжести груза 1 и катка 2 равны нулю, так как направления перемещений точек приложения этих сил перпендикулярны векторам сил:

$$\delta A(\vec{P}_1) = P_1 \delta s_1 \cos 90^\circ = 0, \quad \delta A(\vec{P}_2) = P_2 \delta s_C \cos 90^\circ = 0.$$

Элементарная работа силы тяжести блока 3 равна нулю, так как точка приложения силы тяжести блока 3 не перемещается: $\delta A(\vec{P}_3) = 0$.

Элементарная работа пары сил с моментом M , приложенных к блоку 3:

$$\delta A(\vec{M}) = M \delta \varphi_3 = M \delta s_C \frac{(R_2 - r_2)}{R_3 r_2}.$$

Элементарная работа силы \vec{F} :

$$\delta A(\vec{F}) = F \delta s_1 \cos 150^\circ = -F \delta s_C \frac{(R_2 + r_2)}{r_2} \cos 30^\circ.$$

Сумма элементарных работ всех активных сил:

$$\begin{aligned} \sum \delta A(\vec{F}_k^{\text{акт}}) &= \delta A(\vec{M}) + \delta A(\vec{F}) = M \delta s_C \frac{(R_2 - r_2)}{R_3 r_2} - F \delta s_C \frac{(R_2 + r_2)}{r_2} \cos 30^\circ = \\ &= \left[6(1 + 2t) \left(\frac{0,8 - 0,2}{0,4 \cdot 0,2} \right) - 5(t + 1) \left(\frac{0,8 + 0,2}{0,2} \right) 0,866 \right] \delta s_C = (23,35 + 68,35t) \delta s_C. \end{aligned}$$

Определим модули главных векторов и главных моментов сил инерции в зависимости от ускорения a_C центра масс катка 2:

$$R_1^{\text{и}} = m_1 a_1 = \frac{P_1}{g} a_1 = \frac{P_1 (R_2 + r_2)}{g r_2} a_C, \quad R_2^{\text{и}} = m_2 a_C = \frac{P_2 a_C}{g},$$

$$M_2^{\text{и}} = J_{2C} \varepsilon_2 = m_2 i_{2C}^2 \varepsilon_2 = \frac{P_2}{g} i_{2C}^2 \frac{a_C}{r_2},$$

$$M_3^{\text{и}} = J_{3O} \varepsilon_3 = \frac{m_3 R_3^2}{2} \varepsilon_3 = \frac{P_3 R_3^2}{2g} \frac{(R_2 - r_2)}{R_3 r_2} a_C = \frac{P_3 R_3 (R_2 - r_2)}{2g r_2} a_C,$$

где J_{2C} – момент инерции катка 2 относительно оси, проходящей через его центр масс перпендикулярно плоскости движения, $J_{2C} = m_2 i_{2C}^2$; i_{2C} – радиус инерции катка 2; J_{3O} – момент инерции блока 3 относительно оси вращения, проходящей через его центр масс, $J_{3O} = \frac{m_3 R_3^2}{2}$.

Найдем элементарные работы сил инерции на возможном перемещении системы и выразим их в зависимости от перемещения δs_C центра масс катка 2:

$$\delta A(\vec{R}_1^n) = R_1^n \delta s_1 \cos 180^\circ = -\frac{P_1 (R_2 + r_2)^2 a_C}{g r_2^2} \delta s_C;$$

$$\delta A(\vec{R}_2^n) = R_2^n \delta s_C \cos 180^\circ = -\frac{P_2 a_C}{g} \delta s_C, \quad \delta A(\vec{M}_2^n) = -M_2^n \delta \varphi_2 = -\frac{P_2 i_2^2 a_C}{g r_2^2} \delta s_C;$$

$$\delta A(\vec{M}_3^n) = -M_3^n \delta \varphi_3 = -\frac{P_3 (R_2 - r_2)^2 a_C}{2 g r_2^2} \delta s_C.$$

Сумма элементарных работ сил инерции:

$$\begin{aligned} \sum \delta A(\vec{R}_k^n) &= -\frac{P_1 (R_2 + r_2)^2 a_C}{g r_2^2} \delta s_C - \frac{P_2 a_C}{g} \delta s_C - \frac{P_2 i_2^2 a_C}{g r_2^2} \delta s_C - \frac{P_3 (R_2 - r_2)^2 a_C}{2 g r_2^2} \delta s_C = \\ &= -\frac{a_C \delta s_C}{g} \left[\frac{10(0,8 + 0,2)^2}{0,2^2} + 20 + \frac{20 \cdot 0,6^2}{0,2^2} + \frac{15(0,8 - 0,2)^2}{2 \cdot 0,2^2} \right] = -52,75 a_C \delta s_C, \end{aligned}$$

где $g = 9,81 \text{ м/с}^2$.

С учетом проделанных вычислений общее уравнение динамики принимает вид:

$$\sum \delta A(\vec{F}_k^{\text{акт}}) + \sum \delta A(\vec{R}_k^n) = (23,35 + 68,35t) \delta s_C - 52,75 a_C \delta s_C = 0,$$

откуда ускорение центра масс катка 2:

$$a_C = 0,44 + 1,29t.$$

Выберем ось x по направлению движения центра масс катка 2 (см. рис. 6.7). Проектируя вектор \vec{a}_C ускорения точки C на ось x , получим дифференциальное уравнение $a_C = \ddot{x}_C = 0,44 + 1,29t$. Интегрируя дважды это уравнение, найдём закон движения: $x_C = 0,44\frac{t^2}{2} + 1,29\frac{t^3}{6} + C_1t + C_2$. Подставляя сюда начальные условия: $t = 0$, $V_C = 0$, $x_C = 0$, найдём константы интегрирования: $C_1 = C_2 = 0$. Окончательно уравнение движения центра масс диска 2 представим в виде:

$$x_C = 0,22t^2 + 0,21t^3.$$

Рассмотрим вращательное движение блока 3, освободив его от связей. На блок действуют сила тяжести \vec{P}_3 , реакция подшипника, разложенная на составляющие \vec{X}_3 , \vec{Y}_3 , пара сил с моментом M и реакция нити \vec{H}_3 (см. рис. 6.8). Реакция нити, равная силе натяжения нити, приложена к блоку 3, направлена вдоль нити, связывающей каток 2 и блок 3. Присоединим к блоку 3 силы инерции. Направления сил, моментов пар сил и главного момента сил инерции, действующих на блок 3, показаны на рис. 6.8.

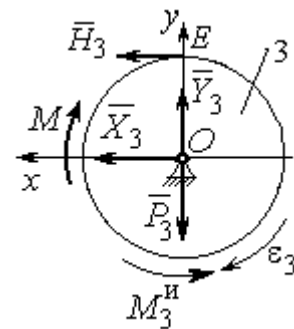


Рис. 6.8. Расчётная схема определения натяжения нити и реакции шарнира блока 3

По принципу Даламбера система сил, приложенных к блоку 3, включая силы инерции, находится в равновесии. Составим уравнение равновесия в виде равенства нулю суммарного момента всех сил (включая силы инерции) относительно оси вращения. Получим $M - H_3R_3 - M_3^и = 0$, где $M_3^и = J_{3O}\epsilon_3 = = \frac{P_3R_3(R_2 - r_2)a_C}{2gr_2}$.

Из уравнения находим величину натяжения нити:

$$H_3 = \frac{M}{R_3} - \frac{P_3(R_2 - r_2)a_C}{2gr_2} = \frac{6(1 + 2t)}{R_3} - \frac{P_3(R_2 - r_2)}{2gr_2}(0,44 + 1,29t) = 13,99 + 27,04t.$$

В момент времени $t = 1$ с натяжение нити: $H_3 = 41,04$ Н.

Так как главный вектор сил инерции блока 3 равен нулю, то составленные по принципу Даламбера уравнения равновесия блока 3 в виде проекций сил на

вертикальную и горизонтальную оси содержат только внешние силы. Имеем: $X_3 + H_3 = 0$, $Y_3 - P_3 = 0$ (см. рис. 6.8). Отсюда находим составляющие реакции шарнира блока 3 в момент времени $t = 1$ с: $X_3 = -H_3 = -41,04$ Н, $Y_3 = P_3 = 15$ Н. Отрицательное значение горизонтальной составляющей реакции шарнира X_3 означает её противоположное направление.

$$\text{Полная реакция шарнира } R_3 = \sqrt{X_3^2 + Y_3^2} = 43,69 \text{ Н.}$$

6.3. Уравнения Лагранжа II рода

Обобщенными координатами механической системы называется совокупность любых s независимых параметров q_1, q_2, \dots, q_s , однозначно определяющих положение системы в любой момент времени.

Если системе сообщить возможное перемещение, при котором все обобщенные координаты изменяются на элементарные (бесконечно малые) величины $\delta q_1, \delta q_2, \dots, \delta q_s$, называемые вариациями обобщенных координат, то все действующие активные силы совершат элементарную работу, которая может быть представлена в виде $\delta A = Q_1 \cdot \delta q_1 + Q_2 \cdot \delta q_2 + \dots + Q_s \cdot \delta q_s$. Величина Q_k , равная коэффициенту при вариации δq_k обобщенной координаты, называется **обобщенной силой**, соответствующей данной обобщенной координате. Расчет обобщенных сил осуществляется путем последовательного придания системе возможных перемещений, при которых варьируется только одна из обобщенных координат, а вариации остальных координат равны нулю.

Для материальной системы с идеальными связями дифференциальные уравнения движения в обобщенных координатах – **уравнения Лагранжа II рода** – имеют вид:

$$\frac{d}{dt} \left(\frac{\partial T}{\partial \dot{q}_k} \right) - \frac{\partial T}{\partial q_k} = Q_k, \quad k = 1, 2, \dots, s,$$

где T – кинетическая энергия системы; q_1, q_2, \dots, q_s – обобщенные координаты; $\dot{q}_1, \dot{q}_2, \dots, \dot{q}_s$ – обобщенные скорости; s – число степеней свободы системы.

6.4. Задание Д7. Исследование механической системы с одной степенью свободы с применением уравнений Лагранжа

Механическая система состоит из трёх тел – бруса 1, блока 2, катка 3 и невесомой пружины жесткостью c . Брус 1, соединяющий каток 3 с блоком 2, расположен параллельно линии качения катка 3. Радиусы ступеней ступенчатого диска и радиус однородного диска указаны на схеме.

Качение катка 3 происходит без проскальзывания. Скольжение между бруском и дисками отсутствует. В задачах, где пружина соединяется с блоком 2, передача движения блоку 2 производится посредством невесомого стержня без скольжения.

Радиус инерции ступенчатого диска относительно оси, проходящей через его центр масс перпендикулярно плоскости движения, равен i_z .

Система движется в вертикальной плоскости под действием сил тяжести $\vec{P}_1, \vec{P}_2, \vec{P}_3$, силы \vec{F} и пары сил с моментом M .

Определить закон движения бруса 1 и закон угловых колебаний блока 2, если в начальный момент пружина находилась в нерастянутом состоянии, а блоку 2 придали угловую скорость ω_{20} , направленную в сторону заданного момента пары сил.

Варианты заданий даны на рис. 6.9, 6.10. Варианты исходных данных в табл. 6.2. Отрицательные значения величин F или M в табл. 6.2 означают, что при заданных модулях силы или момента направление вектора силы \vec{F} или момента M на схеме следует изменить на противоположные.

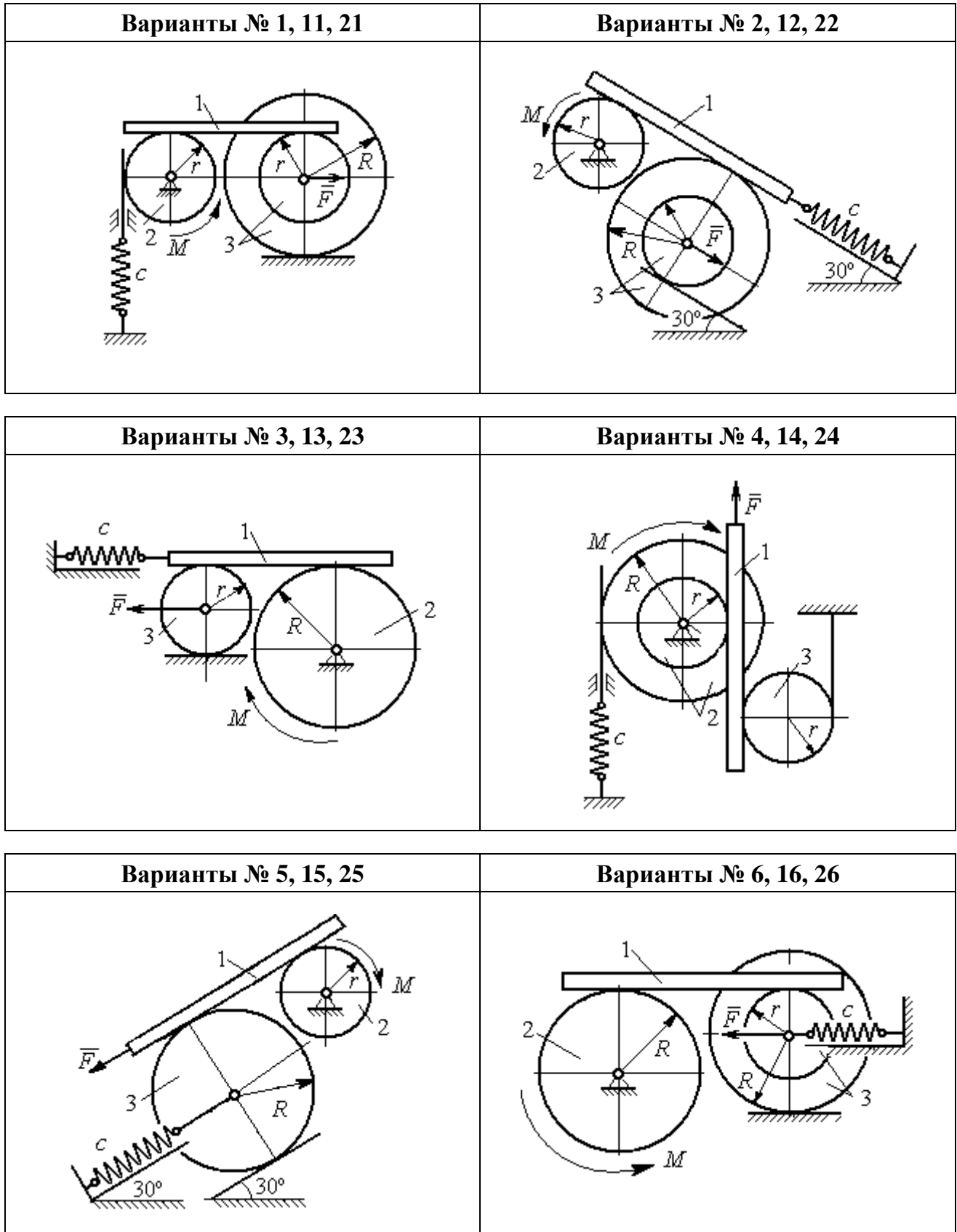


Рис. 6.9. Задание Д7. Исследование движения механической системы с одной степенью свободы. Номера вариантов задания 1 – 6, 11 – 16, 21 – 26

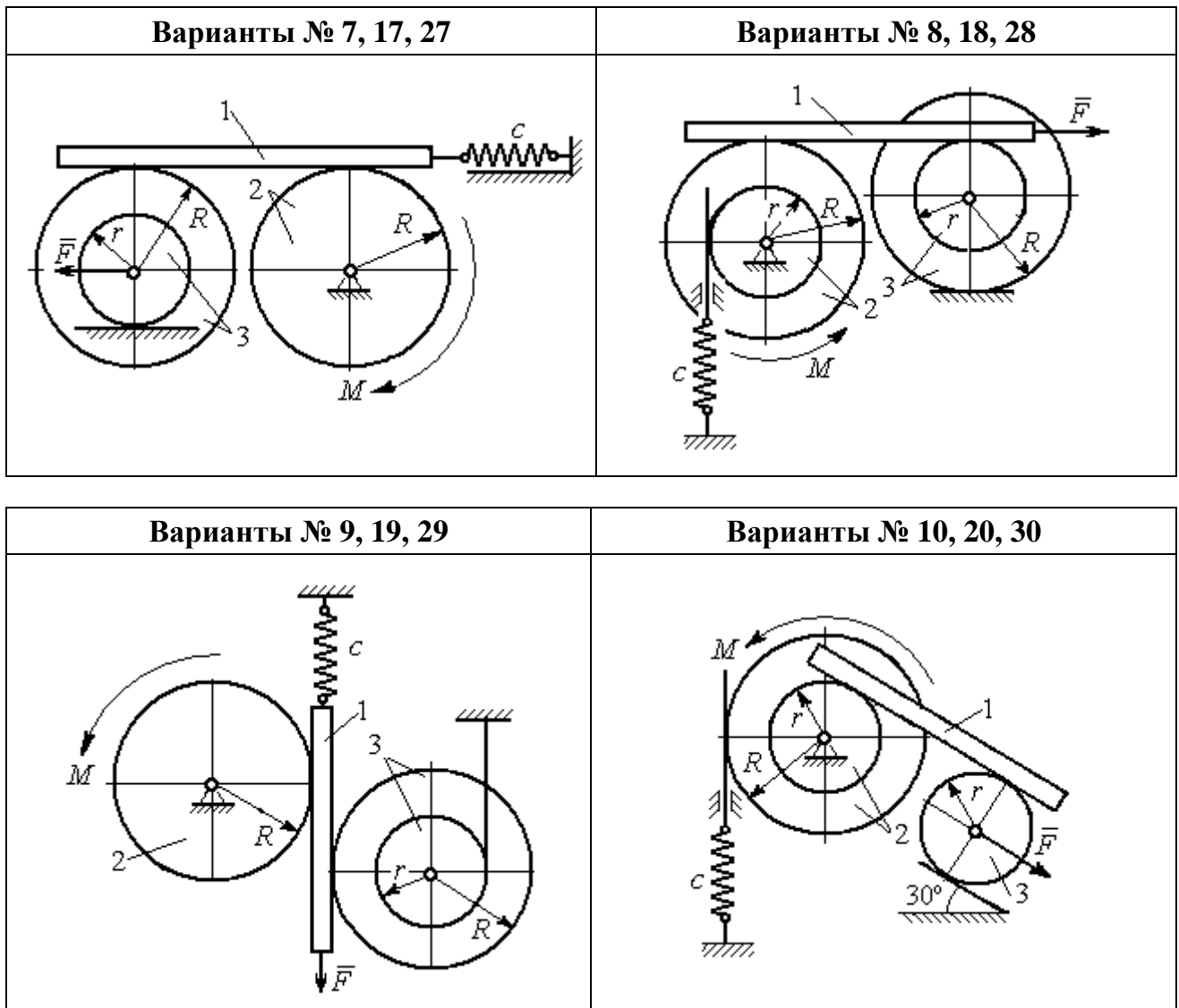


Рис. 6.10. Задание Д7. Исследование движения механической системы с одной степенью свободы. Номера вариантов задания 7 – 10, 17 – 20, 27 – 30

Таблица 6.2

Исходные данные задания Д7. Исследование движения механической системы с одной степенью свободы с применением уравнений Лагранжа

Номер варианта задания	$P_1, \text{Н}$	$P_2, \text{Н}$	$P_3, \text{Н}$	$F, \text{Н}$	$M, \text{Н}\cdot\text{м}$	$c, \text{Н/м}$	$\omega_{20}, \text{рад/с}$	$R, \text{м}$	$r, \text{м}$	$i_z, \text{м}$
1	8	12	18	15	3	50	0,3	0,6	0,3	0,4
2	10	8	15	12	5	55	0,4	0,8	0,5	0,6
3	5	18	10	8	4	60	0,2	0,5	0,3	–
4	5	20	12	10	6	70	0,5	0,6	0,5	0,6
5	5	8	16	8	8	65	0,2	0,6	0,3	–

Номер варианта задания	$P_1, \text{Н}$	$P_2, \text{Н}$	$P_3, \text{Н}$	$F, \text{Н}$	$M, \text{Н}\cdot\text{м}$	$c, \text{Н/м}$	$\omega_{20}, \text{рад/с}$	$R, \text{м}$	$r, \text{м}$	$i_z, \text{м}$
6	8	10	14	6	2	50	0,1	1,0	0,6	0,8
7	10	12	15	12	3	65	0,2	0,8	0,6	0,7
8	12	15	15	6	2	50	0,3	1,2	0,6	0,8
9	5	20	12	8	4	75	0,1	0,6	0,4	0,5
10	6	25	8	5	12	60	0,4	1,0	0,8	0,9
11	4	10	12	-10	-2	60	0,2	0,8	0,4	0,6
12	5	8	15	-8	3	50	0,5	1,0	0,5	0,7
13	6	15	8	-12	-4	65	0,4	0,6	0,5	-
14	10	25	10	6	10	55	0,1	0,8	0,6	0,7
15	8	6	20	-10	2	70	0,2	1,2	0,6	-
16	10	12	12	-5	6	60	0,3	0,8	0,6	0,7
17	12	16	12	-6	-2	55	0,4	0,9	0,6	0,8
18	10	20	20	10	4	60	0,1	0,8	0,4	0,7
19	8	20	12	-10	6	65	0,2	1,2	0,4	0,8
20	12	20	10	-3	6	50	0,24	1,0	0,6	0,9
21	5	12	15	12	-3	55	0,3	0,6	0,5	0,55
22	10	15	18	6	-2	65	0,1	0,8	0,4	0,6
23	8	20	12	-8	2	45	0,2	0,8	0,6	-
24	12	20	18	-4	-8	70	0,4	0,5	0,3	0,4
25	6	10	15	-6	-2	60	0,1	1,4	0,7	-
26	8	12	10	10	-3	65	0,2	1,2	0,8	0,9
27	6	18	16	5	-3	70	0,2	0,8	0,2	0,6
28	8	12	12	-6	2	65	0,3	0,6	0,3	0,5
29	10	18	20	-10	4	60	0,2	1,2	0,8	0,9
30	8	18	10	8	6	75	0,1	1,0	0,8	0,9

Пример выполнения задания Д7. Исследование движения механической системы с одной степенью свободы с применением уравнений Лагранжа

Механическая система состоит из трёх тел – бруса 1, блока 2, катка 3 и невесомой пружины жесткостью c . Брус, соединяющий каток 3 с блоком 2, расположен параллельно линии качения катка 3 (рис. 6.11). Радиусы ступеней ступенчатого диска R и r , радиус однородного диска r . Система движется в вертикальной плоскости под действием сил тяжести $\vec{P}_1, \vec{P}_2, \vec{P}_3$, силы \vec{F} и пары сил с моментом M . Движение катка 3 по неподвижной поверхности происходит без проскальзывания. Скольжение между брусом и дисками отсутствует. Передача движения от пружины блоку 2 производится посредством невесомого вертикального стержня

без скольжения. Радиус инерции блока 2 относительно оси, проходящей через его центр масс перпендикулярно плоскости движения, i_z .

Исходные данные задачи: $P_1 = P$ Н, $P_2 = 2P$ Н, $P_3 = P$ Н, $F = 2P$ Н, $M = Pr$ Н·м, $R = 1,5r$ м, $i_z = r\sqrt{2}$ м, $c = P/r$ Н/м.

Определить законы движения блока 2 и бруса 1 при $P = 10$ Н, $r = 0,2$ м, если в начальный момент пружина находилась в нерастяннутом состоянии, а блоку 2 придали угловую скорость $\omega_0 = 0,5$ рад/с, направленную в сторону заданного момента пары сил.

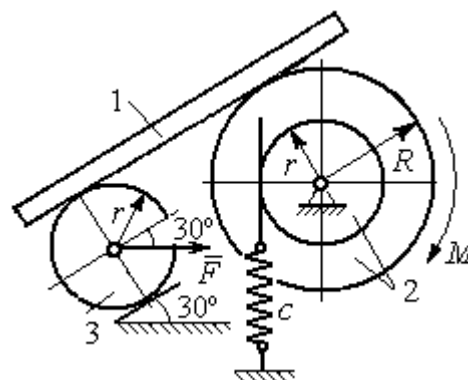


Рис. 6.11. Механическая система с одной степенью свободы

Решение

Рассматриваемая механическая система (рис. 6.11) имеет одну степень свободы, так как в системе не допускается независимое друг от друга движение тел. В качестве обобщённой координаты q выберем перемещение x верхнего края пружины, отсчитываемого от уровня, при котором пружина длиной l_0 находилась в

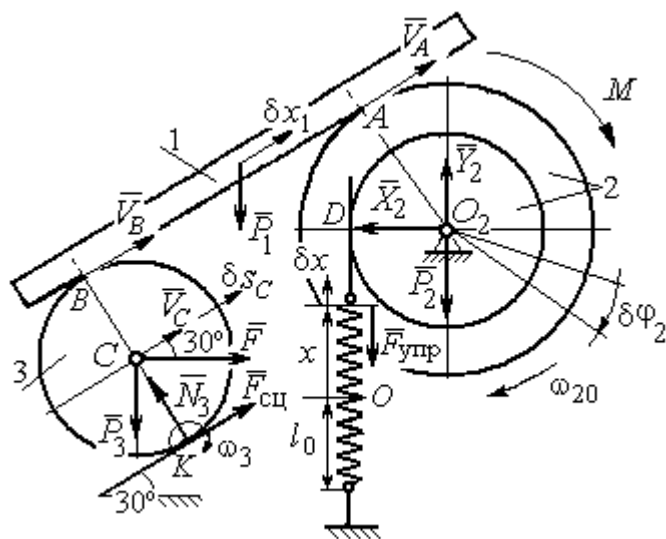


Рис. 6.12. Расчётная схема колебаний механической системы с одной степенью свободы

соответствующая обобщенной координате x .

нерастяннутом состоянии (рис. 6.12). Обобщённая скорость $\dot{q} = \dot{x}$.

Уравнение Лагранжа II рода, описывающее движение системы с одной степенью свободы, имеет вид

$$\frac{d}{dt} \left(\frac{\partial T}{\partial \dot{x}} \right) - \frac{\partial T}{\partial x} = Q_x,$$

где T – кинетическая энергия системы, Q_x – обобщенная сила, соответ-

Вычислим кинетическую энергию системы как сумму кинетических энергий бруса, блока и катка: $T = T_1 + T_2 + T_3$. Кинетическая энергия поступательного движения бруса 1: $T_1 = \frac{1}{2}m_1V_1^2$, где m_1 , V_1 – масса и скорость бруса. Энергия вращательного движения блока 2: $T_2 = \frac{1}{2}J_{2z}\omega_2^2$, где ω_2 – угловая скорость блока, J_{2z} – момент инерции блока 2 относительно оси z , $J_{2z} = m_2i_z^2$.

Каток 3 совершает плоскопараллельное движение. Его кинетическая энергия $T_3 = \frac{1}{2}m_3V_C^2 + \frac{1}{2}J_{zC}\omega_3^2$, где V_C – скорость центра масс катка 3; J_{zC} – момент инерции катка относительно оси, проходящей через его центр масс перпендикулярно плоскости движения, $J_{zC} = \frac{1}{2}m_3r^2$; r – радиус катка; ω_3 – угловая скорость катка.

Выразим скорость V_1 бруса 1, угловые скорости ω_2 , ω_3 блока 2 и катка 3, а также скорость V_C центра масс катка 3 через обобщённую скорость \dot{x} .

Заметим, что скорость точки D блока 2 равна скорости верхнего края пружины $V_D = \dot{x}$. Угловая скорость блока 2 $\omega_2 = \frac{V_D}{r} = \frac{\dot{x}}{r}$. Скорость бруса 1 равна скорости точки A блока 2 и вычисляется по формуле $V_1 = V_A = \omega_2 R = \frac{\dot{x}R}{r}$. Так как брус совершает поступательное движение, то $V_B = V_1$. Угловая скорость катка 3 $\omega_3 = \frac{V_B}{2r} = \frac{V_1}{2r} = \frac{\dot{x}R}{2r^2}$. Здесь при определении угловой скорости катка 3 учтено, что точка K касания катка 3 с неподвижной поверхностью является мгновенным центром скоростей катка. Скорость центра катка 3 $V_C = \frac{V_B}{2} = \frac{\dot{x}R}{2r}$.

Подставляя исходные данные задачи с учётом найденных кинематических соотношений, получим кинетическую энергию тел системы

$$T_1 = \frac{1}{2}m_1V_1^2 = \frac{P}{2g}\left(\frac{\dot{x}R}{r}\right)^2 = 1,125\frac{P}{g}\dot{x}^2, \quad T_2 = \frac{1}{2}J_{2z}\omega_2^2 = \frac{1}{2} \cdot \frac{2P}{g}(r\sqrt{2})^2\left(\frac{\dot{x}}{r}\right)^2 = 2\frac{P}{g}\dot{x}^2,$$

$$T_3 = \frac{1}{2} m_3 V_C^2 + \frac{1}{2} J_{zC} \omega_3^2 = \frac{1}{2} \frac{P}{g} \left(\frac{\dot{x}R}{2r} \right)^2 + \frac{1}{2} \frac{Pr^2}{2g} \left(\frac{\dot{x}R}{2r^2} \right)^2 = 0,422 \frac{P}{g} \dot{x}^2.$$

Тогда полная кинетическая энергия системы:

$$T = T_1 + T_2 + T_3 = 3,547 \frac{P}{g} \dot{x}^2.$$

Произвольное положение системы определяется обобщённой координатой x , показывающей растяжение пружины. Дадим пружине, находящейся в произвольном положении, возможное (бесконечно малое) перемещение δx в положительном направлении оси x (см. рис. 6.12). При этом блок 2 повернётся на угол

$$\delta\varphi_2: \delta\varphi_2 = \frac{\delta x}{r}, \text{ брус 1 переместится на расстояние } \delta x_1: \delta x_1 = \frac{\delta x R}{r}, \text{ центр масс}$$

катка 3 сдвинется на расстояние $\delta S_C: \delta S_C = \frac{\delta x R}{2r}$. Все перемещения получены из установленных ранее кинематических соотношений и показаны на рис. 6.12.

При заданном возможном перемещении системы работу совершают силы тяжести \vec{P}_1, \vec{P}_3 бруса 1 и катка 3, пара сил с моментом M , сила \vec{F} и сила упругости пружины (см. рис. 6.12). Элементарная работа вращающего момента M , приложенного к блоку 2, будет $\delta A(M) = M \delta\varphi_2 = M \frac{\delta x}{r}$. Работа силы тяжести бруса 1

определяется равенством $\delta A(P_1) = P_1 \delta x_1 \cos 120^\circ = -P_1 \delta x_1 \cos 60^\circ = -\frac{P_1 \delta x R}{2r}$. Работы

силы тяжести катка 3 и силы F : $\delta A(P_3) = P_3 \delta S_C \cos 120^\circ = -P_3 \frac{\delta x R}{4r}$,

$\delta A(F) = F \frac{\delta x R}{2r} \cos 30^\circ$. Модуль силы упругости пружины, растянутой из недеформированного положения на расстояние x : $F_{\text{упр}} = cx$. Сила $\vec{F}_{\text{упр}}$ упругости направлена в сторону, противоположную растяжению (см. рис. 6.12). Работа силы упругости при перемещении вдоль линии действия на расстояние δx вычисляется по

формуле $\delta A(\vec{F}_{\text{упр}}) = F_{\text{упр}} \delta x \cos 180^\circ = -cx \delta x$.

Сумма работ сил на рассматриваемом возможном перемещении системы с учётом данных задачи составляет

$$\begin{aligned} \delta A &= \delta A(M) + \delta A(P_1) + \delta A(P_3) + \delta A(F) + \delta A(F_{\text{упр}}) = \\ &= M \frac{\delta x}{r} - \frac{P_1 \delta x R}{2r} - P_3 \frac{\delta x R}{4r} + F \frac{\delta x R}{2r} \cos 30^\circ - cx \delta x = P(1,174 - 5x) \delta x, \end{aligned}$$

откуда обобщённая сила $Q_x = P(1,174 - 5x)$.

Составим уравнения Лагранжа. Вычислим частные производные от кинетической энергии по обобщенной скорости \dot{x} и координате x : $\frac{\partial T}{\partial \dot{x}} = 7,094 \frac{P}{g} \dot{x}$

, $\frac{\partial T}{\partial x} = 0$. Определим полную производную по времени: $\frac{d}{dt} \left(\frac{\partial T}{\partial \dot{x}} \right) = 7,094 \frac{P}{g} \ddot{x}$. Ре-

зультаты расчетов подставим в уравнения Лагранжа II рода и получим дифференциальное уравнение колебаний верхнего края пружины:

$$7,094 \frac{P}{g} \ddot{x} = P(1,174 - 5x), \text{ или при } g = 9,81 \text{ м/с}^2, \quad \ddot{x} + 6,91x = 1,62.$$

Решение дифференциального уравнения представляется в виде суммы общего решения однородного уравнения и частного решения неоднородного:

$x = x_{\text{одн}} + x_{\text{частн}}$. Общее решение однородного уравнения имеет вид

$x_{\text{одн}} = C_1 \sin kt + C_2 \cos kt$, где C_1, C_2 – произвольные постоянные; k – круговая ча-

стота собственных колебаний пружины, $k = \sqrt{6,91} = 2,63$ рад/с. Частное решение

неоднородного уравнения ищется в виде константы $x_{\text{частн}} = b$. Подставив его в

уравнение колебаний, получим $b = 0,23$. Таким образом, общее решение неоднородного уравнения имеет вид $x(t) = C_1 \sin 2,63t + C_2 \cos 2,63t + 0,23$.

Произвольные постоянные C_1, C_2 находятся из начальных условий. По усло-

вию задачи в начальный момент пружина была в нерастянтом состоянии. Тогда

начальная координата пружины (её верхнего края) $x(0) = 0$. Скорость верхнего

края пружины в начальный момент времени $\dot{x}(0)$ равна начальной скорости $V_D(0)$

точки D блока 2. Поскольку в начальный момент времени блоку 2 сообщили угло-

вую скорость ω_{20} , то $\dot{x}(0) = V_D(0) = \omega_{20} r = 0,1$ м/с.

Подставляя значение начальной координаты в общее решение неоднородного уравнения при $t = 0$, получим $C_2 = -0,23$.

Вычисляем скорость движения пружины, взяв производную: $\dot{x}(t) = 2,63C_1 \cos 2,63t - 2,63C_2 \sin 2,63t$. Подставляя начальное значение скорости, получим $C_1 = 0,038$. Окончательно уравнение движения верхнего края пружин: $x(t) = 0,038 \sin 2,63t - 0,23 \cos 2,63t + 0,23$ м.

Уравнения колебательных движений бруса 1 и блока 2 найдём из ранее полученных кинематических соотношений:

$$x_1 = \frac{xR}{r} = 1,5 x(t) = 0,057 \sin 2,63t - 0,34 \cos 2,63t + 0,34 \text{ м};$$

$$\varphi_2 = \frac{x}{r} = 5 x(t) = 0,19 \sin 2,63t - 1,15 \cos 2,63t + 1,15 \text{ рад.}$$

Амплитуда колебаний бруса $A = \sqrt{0,057^2 + 0,34^2} = 0,35$ м.

6.5. Задание Д8. Исследование механической системы с двумя степенями свободы

Механическая система, состоящая из четырёх тел, из состояния покоя движется в вертикальной плоскости под действием сил тяжести $\vec{P}_1, \vec{P}_2, \vec{P}_3, \vec{P}_4$, силы \vec{F} и пары сил с моментом M . Качение тел во всех случаях происходит без проскальзывания, скольжение грузов по поверхностям – без трения. Радиусы дисков одинаковы и равны R . Найти уравнения движения системы в обобщённых координатах. Варианты заданий и рекомендуемые обобщённые координаты даны на рис. 6.13, 6.14, варианты исходных данных – в табл. 6.3.

Варианты № 1, 11, 21	Варианты № 2, 12, 22

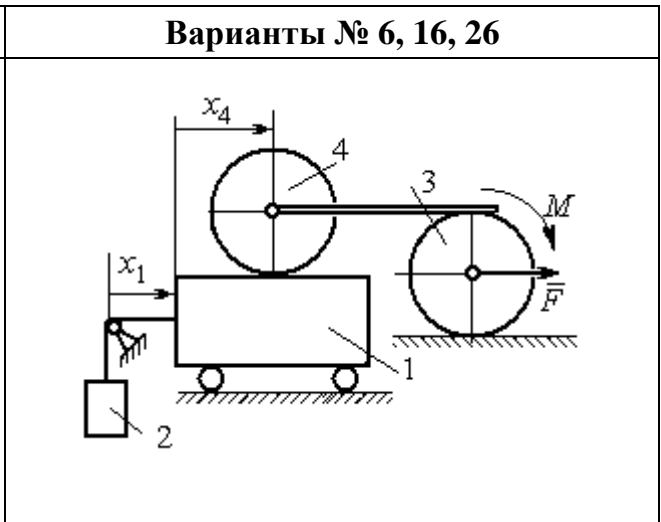
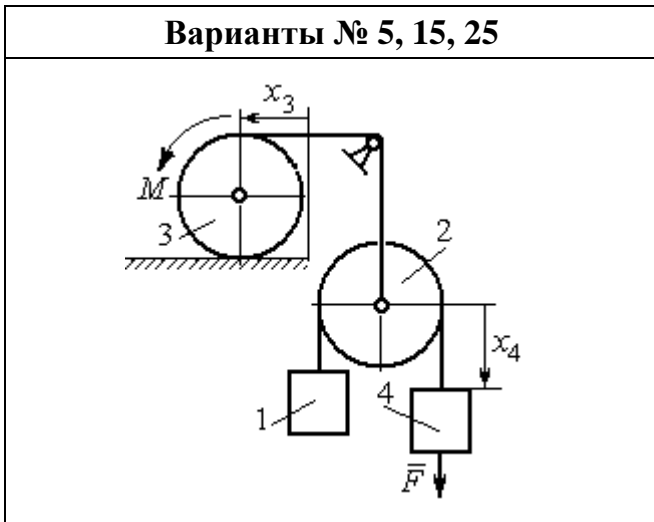
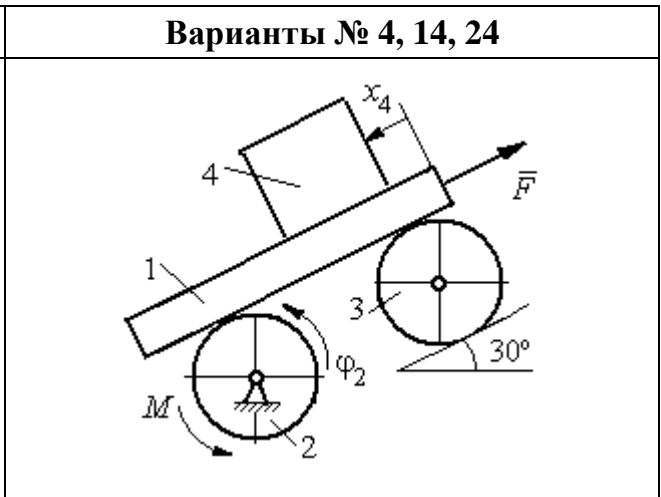
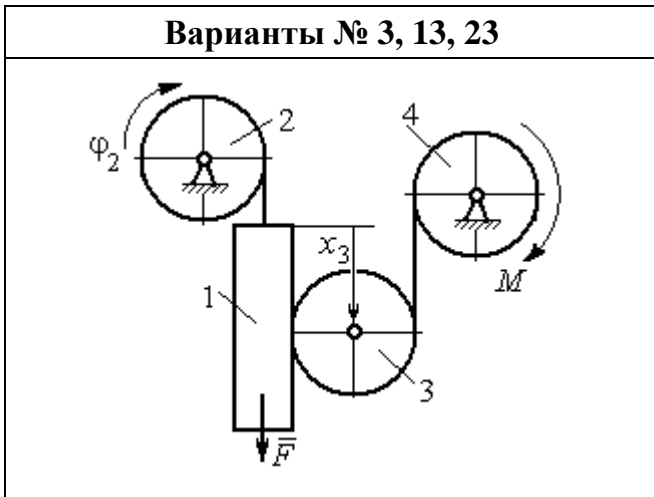
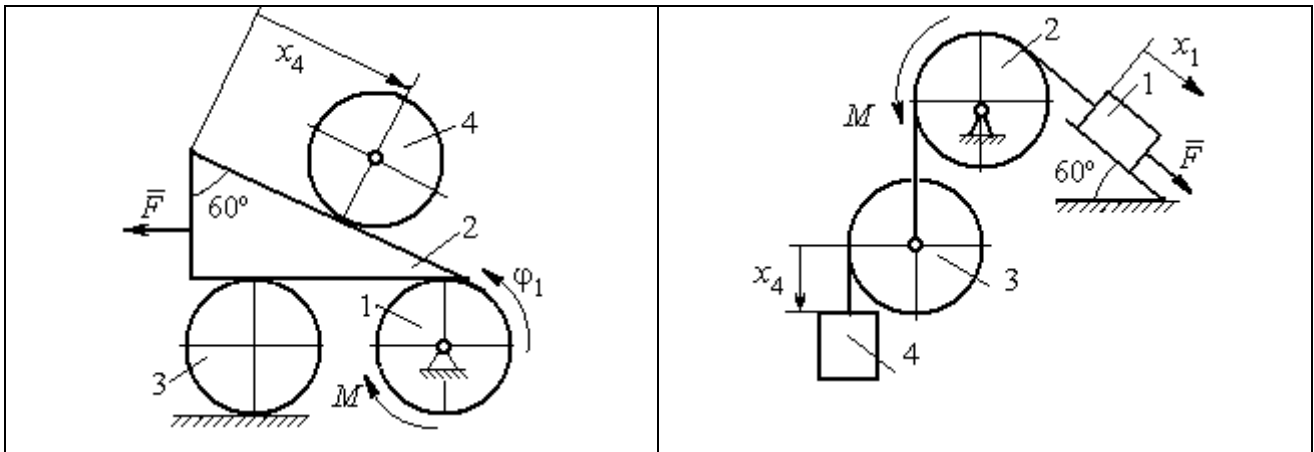


Рис. 6.13. Задание Д8. Исследование движения механической системы с двумя степенями свободы. Номера вариантов задания 1 – 6, 11 – 16, 21 – 26

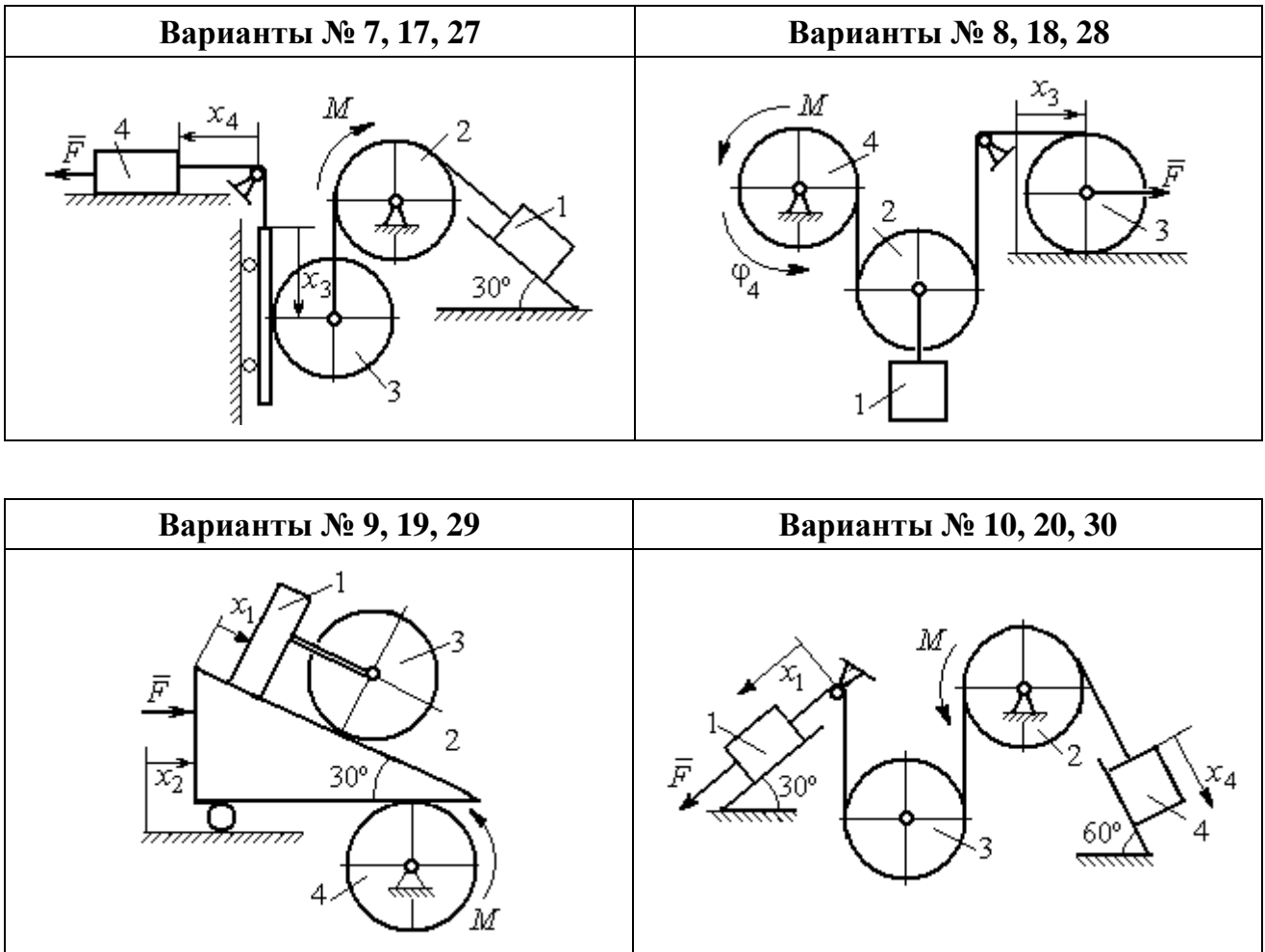


Рис. 6.14. Задание Д8. Исследование движения механической системы с двумя степенями свободы. Номера вариантов задания 7 – 10, 17 – 20, 27 – 30

Таблица 6.3

Исходные данные задания Д8. Исследование движения механической системы с двумя степенями свободы

Номер варианта задания	1	2	3	4	5	6	7	8	9	10	11	12	13	14	15
$P_1, Н$	P	$2P$	P	$1,5P$	P	$3P$	P	$1,2P$	$3P$	P	$2P$	P	P	$2P$	P
$P_2, Н$	$3P$	$3P$	$4P$	$3P$	$2P$	P	$2P$	$3P$	P	$2P$	$3P$	$2P$	$3P$	$4P$	$3P$
$P_3, Н$	$2P$	$2P$	$3P$	$2P$	$2P$	$2P$	$3P$	P	$2P$	$3P$	$2P$	$2P$	$2P$	P	$2P$
$P_4, Н$	$2P$	P	P	$2P$	$3P$	$3P$	P	P	$2P$	P	P	P	$2P$	$2P$	$2P$
$R, м$	$2r$	$1,5r$	$2,5r$	$1,2r$	$2r$	r	$1,5r$	r	$2r$	r	$1,5r$	$1,2r$	$2r$	$2r$	$2r$
$F, Н$	P	$2P$	P	$3P$	P	P	$2P$	$4P$	P	$2P$	P	$2P$	$1,5P$	$4P$	$2P$
$M, Н·м$	$2Pr$	$3Pr$	$4Pr$	$3Pr$	$3Pr$	$4Pr$	$2Pr$	$2Pr$	$3Pr$	$2Pr$	$3Pr$	$4Pr$	$3Pr$	$3Pr$	$2Pr$

Номер варианта задания	16	17	18	19	20	21	22	23	24	25	26	27	28	29	30
$P_1, Н$	$4P$	$1,5P$	P	$2P$	P	P	$1,5P$	$1,5P$	$2P$	P	P	$2P$	$1,2P$	$3P$	$1,2P$
$P_2, Н$	$2P$	$2P$	$2P$	$4P$	$3P$	$4P$	$3P$	$4P$	$3P$	$2P$	$2P$	$1,2P$	$2P$	$3P$	$2P$
$P_3, Н$	$2P$	$2P$	$3P$	$2P$	$2P$	$3P$	$2P$	$2P$	P	$2P$	$3P$	$2P$	P	P	$3P$
$P_4, Н$	$1,5P$	$2P$	$3P$	P	$2P$	$2P$	$2P$	P	$2P$	$3P$	P	P	$2P$	P	$2P$
$R, м$	$1,5r$	r	$1,5r$	$2r$	r	$1,2r$	$2r$	$1,5r$	$2r$	r	$1,5r$	$2r$	r	$1,2r$	$2r$
$F, Н$	$2P$	$2P$	P	$3P$	$4P$	$2P$	$3P$	$2P$	$3P$	P	$3P$	$1,5P$	$4P$	$2P$	$3P$
$M, Н·м$	$3Pr$	$2Pr$	$4Pr$	Pr	$4Pr$	$4Pr$	$2Pr$	Pr	$4Pr$	$2Pr$	$4Pr$	$2Pr$	$2Pr$	$3Pr$	$2Pr$

Пример выполнения задания Д8. Исследование движения механической системы с двумя степенями свободы

Платформа 3 лежит горизонтально на катке 5 и блоке 4 одинакового радиуса R (рис. 6.15). На платформу действует горизонтальная сила \vec{F} . К блоку 4, вращающемуся вокруг неподвижной оси, приложена пара сил с моментом M . Каток 5

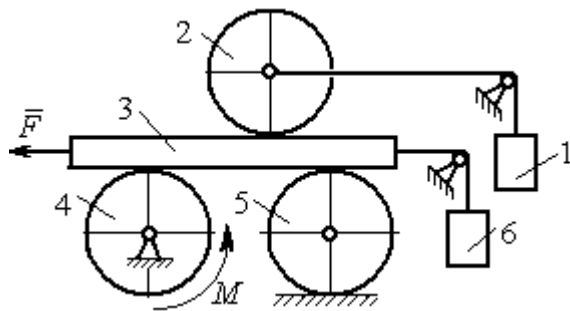


Рис. 6.15. Механическая система с двумя степенями свободы

катится по горизонтальной поверхности.

К краю платформы одним концом прикреплена горизонтальная нить, а к другому концу, переброшенному через невесомый блок, прикреплен груз 6, движущийся вертикально. На платформе 3 установлен каток 2 радиуса R . К центру

катка прикреплена нить, расположенная параллельно платформе и натянутая грузом 1, движущимся вертикально (см. рис. 6.15). Движение системы началось из состояния покоя. Качение тел без проскальзывания. Определить уравнения движения системы в обобщенных координатах, если $R = 2r$, веса тел $P_1 = P_6 = P$, $P_3 = 3P$, $P_4 = P_5 = P_2 = 2P$, $F = P$, $M = 3Pr$.

Решение

Рассматриваемая механическая система, включающая катки 2, 5, платформу 3, блок 4 и грузы 1, 6, имеет две степени свободы, так как перемещение катка 2 относительно платформы 3 не зависит от перемещения самой платформы. За обобщенные координаты выберем перемещение x_2 центра масс катка 2 относительно

края платформы и перемещение x_3 платформы 3 относительно произвольной неподвижной вертикальной плоскости (рис. 6.16). Обобщенные скорости – скорость \dot{x}_2 центра масс катка 2 относительно края платформы и скорость платформы \dot{x}_3 относительно неподвижной вертикали. Уравнения Лагранжа II рода, описывающие движение системы:

$$\frac{d}{dt} \left(\frac{\partial T}{\partial \dot{x}_2} \right) - \frac{\partial T}{\partial x_2} = Q_{x_2}, \quad \frac{d}{dt} \left(\frac{\partial T}{\partial \dot{x}_3} \right) - \frac{\partial T}{\partial x_3} = Q_{x_3},$$

где T – кинетическая энергия системы; Q_{x_2} , Q_{x_3} – обобщенные силы, соответствующие указанным обобщенным координатам.

Вычислим кинетическую энергию системы как сумму кинетических энергий тел.

Платформа 3 совершает поступательное движение.

Кинетическая энергия плат-

формы $T_3 = \frac{P_3}{2g} V_3^2$, где V_3 –

скорость платформы, причём,

в соответствии с выбором

обобщённых координат и ско-

ростей, $V_3 = \dot{x}_3$.

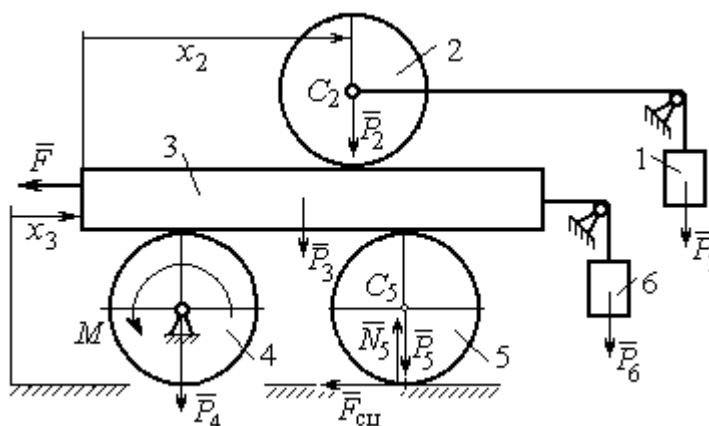


Рис. 6.16. Действующие силы и обобщённые координаты механической системы

Блок 4 вращается вокруг неподвижной оси. Энергия вращательного движе-

ния блока $T_4 = \frac{1}{2} J_4 \omega_4^2$, где J_4 , ω_4 – осевой момент инерции блока 4 и его угловая

скорость. Угловая скорость блока 4 $\omega_4 = \frac{V_3}{R_4} = \frac{\dot{x}_3}{2r}$.

Каток 5 совершает плоскопараллельное движение, его кинетическая энергия

вычисляется по формуле: $T_5 = \frac{1}{2} \frac{P_5}{g} V_{C_5}^2 + \frac{1}{2} J_5 \omega_5^2$, где J_5 – момент инерции катка

относительно оси вращения, проходящей через его центр масс; ω_5 , V_{C_5} – угловая

скорость и скорость центра масс катка 5. Для определения скорости центра масс

катка 5 заметим, что точка касания катка с платформой имеет скорость, равную скорости платформы, а точка K касания катка с неподвижной горизонтальной поверхностью является его мгновенным центром скоростей. Следовательно, скорость центра катка равна половине скорости платформы: $V_{C_5} = \frac{1}{2}V_3 = \frac{1}{2}\dot{x}_3$. Угловая

скорость катка 5 $\omega_5 = \frac{V_3}{2R_5} = \frac{\dot{x}_3}{4r}$ (рис. 6.17, *a*).

При расчёте кинетической энергии катка 2 необходимо учитывать, что каток

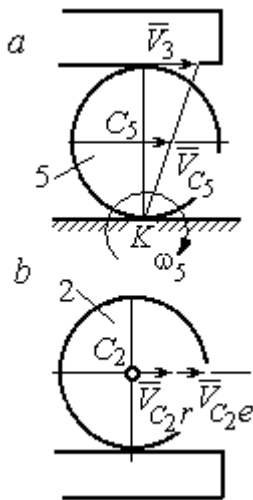


Рис. 6.17. Скорости центров катков 2 и 5

совершает сложное движение. Качение катка по поверхности платформы является относительным движением, перемещение его вместе с платформой – переносным. Абсолютная скорость V_{C_2} центра масс катка 2 представляется в виде векторной суммы $\vec{V}_{C_2} = \vec{V}_{C_2r} + \vec{V}_{C_2e}$ (рис. 6.17, *b*), где \vec{V}_{C_2e} – вектор переносной скорости катка, равный по модулю скорости платформы, $V_{C_2e} = V_3 = \dot{x}_3$; \vec{V}_{C_2r} – вектор относительной скорости центра масс катка, равный по величине скорости центра масс катка 2

относительно края платформы, $V_{C_2r} = \dot{x}_2$. Модуль абсолютной скорости центра масс катка 2 равен сумме $V_{C_2} = V_{C_2r} + V_{C_2e} = \dot{x}_2 + \dot{x}_3$ (рис. 6.17, *b*).

Угловая скорость переносного движения катка 2 равна нулю, поскольку переносное движение катка – это поступательное движение платформы. В результате угловая скорость катка 2 равна его угловой скорости в относительном движении:

$\omega_2 = \frac{V_{C_2r}}{R_2} = \frac{\dot{x}_2}{2r}$. Кинетическая энергия катка 2 рассчитывается по формуле:

$T_2 = \frac{1}{2} \frac{P_2}{g} V_{C_2}^2 + \frac{1}{2} J_2 \omega_2^2$, где J_2 – осевой момент инерции катка 2; ω_2 – угловая скорость катка; V_{C_2} – абсолютная скорость центра масс катка 2.

Движение грузов 1 и 6 поступательное, их кинетические энергии вычисляются по формулам: $T_1 = \frac{P_1}{2g} V_1^2$, $T_6 = \frac{P_6}{2g} V_6^2$. При этом скорость груза 1 равна абсолютной скорости центра катка 2: $V_1 = V_{C_2} = \dot{x}_2 + \dot{x}_3$, а скорость груза 6 равна скорости платформы: $V_6 = V_3 = \dot{x}_3$.

Выразим кинетическую энергию системы через обобщённые скорости. Ки-

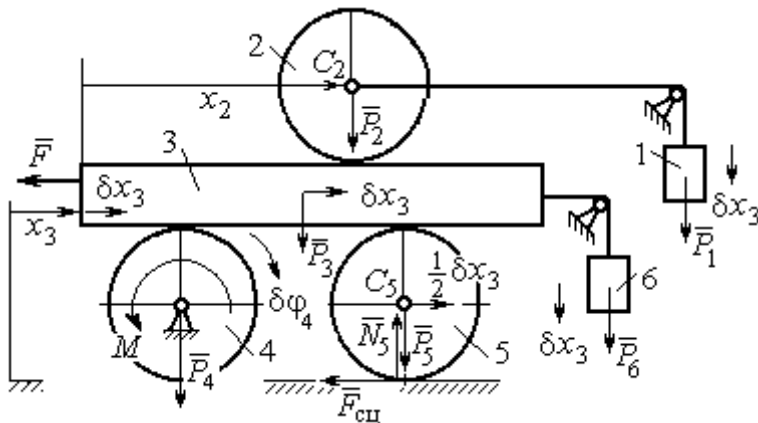


Рис. 6.18. Возможное перемещение системы при вариации обобщённых координат $\delta x_3 > 0$, $\delta x_2 = 0$ где значения скоростей:

$$V_1 = \dot{x}_2 + \dot{x}_3, V_{C_2} = \dot{x}_2 + \dot{x}_3, \omega_2 = \frac{\dot{x}_2}{2r}, V_3 = \dot{x}_3, \omega_4 = \frac{\dot{x}_3}{2r}, V_{C_5} = \frac{1}{2} \dot{x}_3, \omega_5 = \frac{\dot{x}_3}{4r}, V_6 = \dot{x}_3$$

. Значения осевых моментов инерции катков: $J_2 = \frac{P_2 R_2^2}{2g} = \frac{4Pr^2}{g}$, $J_4 = \frac{P_4 R_4^2}{2g} =$

$$\frac{4Pr^2}{g}, J_5 = \frac{P_5 R_5^2}{2g} = \frac{4Pr^2}{g}. \text{ Подставляя значения скоростей, моментов инерции и}$$

данные задачи, получим выражение кинетической энергии системы в виде

$$\begin{aligned} T &= \frac{P}{2g} (\dot{x}_2 + \dot{x}_3)^2 + \frac{1}{2} \cdot \frac{2P}{g} (\dot{x}_2 + \dot{x}_3)^2 + \frac{1}{2} \cdot \frac{4Pr^2}{g} \left(\frac{\dot{x}_2}{2r} \right)^2 + \frac{3P}{2g} \dot{x}_3^2 + \\ &+ \frac{1}{2} \cdot \frac{4Pr^2}{g} \left(\frac{\dot{x}_3}{2r} \right)^2 + \frac{1}{2} \cdot \frac{2P}{g} \left(\frac{\dot{x}_3}{2} \right)^2 + \frac{1}{2} \cdot \frac{4Pr^2}{g} \left(\frac{\dot{x}_3}{4r} \right)^2 + \frac{P}{2g} \dot{x}_3^2 = \\ &= \frac{1}{2} \frac{P}{g} \dot{x}_2^2 + \frac{3P}{2g} (\dot{x}_2 + \dot{x}_3)^2 + \frac{23P}{8g} \dot{x}_3^2 = \frac{2P}{g} \dot{x}_2^2 + \frac{3P}{g} \dot{x}_2 \dot{x}_3 + \frac{35P}{8g} \dot{x}_3^2. \end{aligned}$$

Дадим системе возможное перемещение по координате x_3 , оставляя координату x_2 без изменения: $\delta x_3 > 0$, $\delta x_2 = 0$ (рис. 6.18). При таком перемещении каток 2

стоит на платформе и движется поступательно вместе с ней. В этом случае работа сил тяжести \vec{P}_2 , \vec{P}_5 , \vec{P}_3 катков 2, 5 и платформы 3 равна нулю, так как перемещения точек приложения этих сил перпендикулярны векторам сил (см. рис. 6.18). Работа силы тяжести \vec{P}_4 равна нулю, так как точка приложения силы лежит на неподвижной оси вращения блока 4.

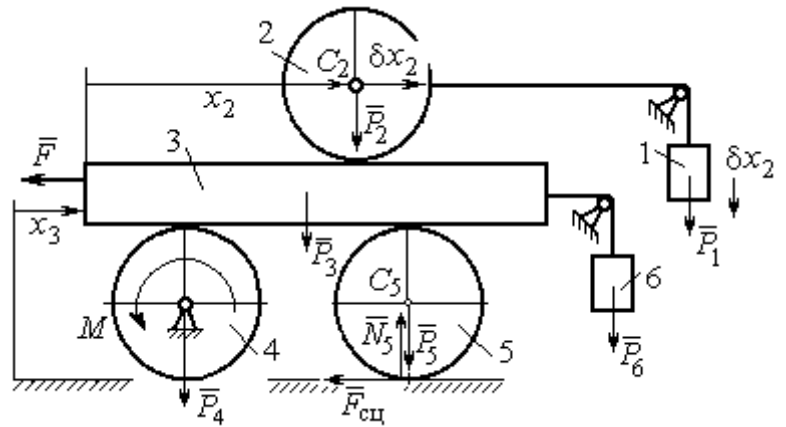


Рис. 6.19. Возможное перемещение системы при вариации обобщённых координат $\delta x_2 > 0$, $\delta x_3 = 0$

Работу будут производить сила \vec{F} , пара сил с моментом M и силы тяжести грузов \vec{P}_1 и \vec{P}_6 .

Суммарная работа сил на перемещении δx_3 : $\delta A = -F\delta x_3 - M\delta\varphi_4 + P_1\delta x_3 + P_6\delta x_3$.

Представим полученное ранее соотношение $\omega_4 = \frac{\dot{x}_3}{2r}$ в дифференциальном

виде: $d\varphi_4 = \frac{dx_3}{2r}$. Поскольку дифференциалы координат также являются возможными перемещениями, получим нужное соотношение $\delta\varphi_4 = \frac{\delta x_3}{2r}$.

Теперь элементарную работу сил на возможном перемещении δx_3 с учётом значений сил можно

представить в виде:

$$\delta A = -P\delta x_3 - 3Pr\frac{\delta x_3}{2r} + P\delta x_3 + P\delta x_3 = -\frac{1}{2}P\delta x_3,$$

отсюда обобщённая сила, соответствующая координате x_3 : $Q_{x_3} = -\frac{1}{2}P$.

Дадим системе другое независимое перемещение – по координате x_2 , оставляя координату x_3 без изменения: $\delta x_2 > 0$, $\delta x_3 = 0$ (рис. 6.19).

При этом возможном перемещении вся система стоит, кроме катка 2, который катится по поверхности неподвижной платформы, и груза 1, который опускается вертикально вниз. Работу совершает только сила тяжести груза 1. Выражая

работу в виде $\delta A = P_1 \delta x_2 = P \delta x_2$, найдём обобщённую силу, соответствующую координате x_2 : $Q_{x_2} = P$.

Составим уравнения Лагранжа. С этой целью вычислим частные производные от кинетической энергии по обобщённым скоростям \dot{x}_3 и \dot{x}_2 :

$$\frac{\partial T}{\partial \dot{x}_3} = \frac{3P}{g} \dot{x}_2 + \frac{35P}{4g} \dot{x}_3, \quad \frac{\partial T}{\partial \dot{x}_2} = \frac{4P}{g} \dot{x}_2 + \frac{3P}{g} \dot{x}_3$$

и по обобщённым координатам: $\frac{\partial T}{\partial x_3} = 0, \quad \frac{\partial T}{\partial x_4} = 0.$

Определим полные производные по времени от частных производных кинетической энергии по скоростям:

$$\frac{d}{dt} \left(\frac{\partial T}{\partial \dot{x}_3} \right) = \frac{3P}{g} \ddot{x}_2 + \frac{35P}{4g} \ddot{x}_3, \quad \frac{d}{dt} \left(\frac{\partial T}{\partial \dot{x}_2} \right) = \frac{4P}{g} \ddot{x}_2 + \frac{3P}{g} \ddot{x}_3.$$

Подставляя результаты расчётов в уравнения Лагранжа с учётом вычисленных значений обобщённых сил, получим систему дифференциальных уравнений, описывающих движение системы в обобщённых координатах:

$$12\ddot{x}_2 + 35\ddot{x}_3 = -2g, \quad 4\ddot{x}_2 + 3\ddot{x}_3 = g.$$

Алгебраическим решением системы служат значения ускорений:

$$\ddot{x}_3 = -\frac{5}{26}g = -0,19g \quad \text{и} \quad \ddot{x}_2 = \frac{41}{104}g = 0,39g.$$

Полученные выражения представляют собой дифференциальные уравнения, проинтегрировав которые дважды с нулевыми начальными условиями (движение началось из состояния покоя), найдём уравнения абсолютного движения платформы и относительного движения центра масс катка 2:

$$x_3 = -0,095gt^2, \quad x_2 = 0,195gt^2.$$

Отрицательное значение координаты x_3 означает, что движение платформы происходит в отрицательном направлении оси x_3 (см. рис. 6.16).

Абсолютное движение центра катка 2 представляется суммой относительного и переносного движений: $x_{C_2} = x_2 + x_3 = 0,1gt^2$.

Уравнение вращательного движения катка 2 находится на основании выражения $\varphi_2 = \frac{1}{R_2} x_2 = \frac{1}{2r} x_2 = 0,097 \frac{gt^2}{r}$. Вращение блока 4 описывается уравнением

$$\varphi_4 = \frac{1}{R_4} x_3 = \frac{1}{2r} x_3 = -0,047 \frac{gt^2}{r}.$$

Движение катка 5 описывается двумя уравнениями: уравнением движения центра масс катка $x_{C_5} = \frac{1}{2} x_3 = -0,047 gt^2$ и уравнением вращательного движения

катка $\varphi_5 = \frac{x_3}{2R_5} = -0,024 \frac{gt^2}{r}$.

СПИСОК РЕКОМЕНДУЕМОЙ ЛИТЕРАТУРЫ

Бать М. И., Джанелидзе Г. Ю., Кельзон А. С. Теоретическая механика в примерах и задачах. Т. 1–2.– СПб.: Лань, 2010.

Бутенин Н. В., Лунц Я. Л., Меркин Д. Р. Курс теоретической механики: в 2-х томах.– М.: Наука, 2009.

Вебер Г. Э., Ляцев С. А. Лекции по теоретической механике. Екатеринбург: Изд-во УГГУ, 2008.

Тарг С. М. Краткий курс теоретической механики: учебн. для втузов. – М.: Высшая школа, 2010.

Учебное издание

Евгений Борисович Волков
Юрий Михайлович Казаков

ТЕОРЕТИЧЕСКАЯ МЕХАНИКА

сборник заданий для расчетно-графических работ

Учебно-методическое пособие
для самостоятельной работы студентов, выполнению практических и контрольных работ



Министерство образования и науки РФ
ФГБОУ ВО
«Уральский государственный
горный университет»

Е. Б. Волков, Ю. М. Казаков

ТЕОРЕТИЧЕСКАЯ МЕХАНИКА

*Учебно-методическое пособие
для самостоятельной работы студентов*

**Екатеринбург
2017**

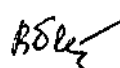


Министерство образования и науки РФ
ФГБОУ ВО
«Уральский государственный горный университет»

ОДОБРЕНО

Методической комиссией
горно-механического факультета
«15» декабря 2017 г.

Председатель комиссии

 проф. В. П. Барановский

Е. Б. Волков, Ю. М. Казаков

ТЕОРЕТИЧЕСКАЯ МЕХАНИКА

*Учебно-методическое пособие
для самостоятельной работы студентов*

Рецензент: *Н. М. Суслов*, д-р техн. наук, заведующий кафедрой ГМК
Уральского государственного горного университета

Учебно-методическое пособие рассмотрено на заседании кафедры технической механики от 19.12.2016 г. (протокол № 2) и рекомендовано для издания в УГГУ.

Печатается по решению Редакционно-издательского совета Уральского государственного горного университета.

Волков Е. Б., Казаков Ю. М.

В67 ТЕОРЕТИЧЕСКАЯ МЕХАНИКА: Учебно-методическое пособие для самостоятельной работы студентов. / Е. Б. Волков, Ю. М. Казаков, Уральский государственный горный университет. Екатеринбург: Изд-во УГГУ, 2017. 156 с.

Учебно-методическое пособие для самостоятельной работы студентов содержит краткие методические указания, контрольные задания и примеры выполнения заданий по темам: «Статика твердого тела. Равновесие произвольной плоской и пространственной систем сил», «Кинематика вращательного и плоскопараллельного движений твердого тела. Определение скоростей и ускорений точек твёрдого тела», «Сложное движение точки», «Динамика точки. Дифференциальные уравнения движения точки. Гармонические и вынужденные колебания точки. Применение теоремы об изменении кинетической энергии при исследовании движения точки», «Применение общих теорем динамики к исследованию движения механической системы», «Принципы механики. Применение общего уравнения динамики к исследованию движения механической системы», «Уравнения Лагранжа II рода».

Учебно-методическое пособие для студентов всех специальностей очной формы обучения.

ОГЛАВЛЕНИЕ

1. СТАТИКА ТВЕРДОГО ТЕЛА.....	4
1.1. Основные виды связей и их реакции.....	4
1.2. Моменты силы относительно центра и относительно оси. Пара сил. Момент пары.....	5
1.3. Условия равновесия систем сил.....	7
1.4. Задание С1. Равновесие произвольной плоской системы сил. Равновесие системы тел.....	8
1.5. Задание С2. Равновесие пространственной системы сил.....	17
2. КИНЕМАТИКА ТОЧКИ И ТВЕРДОГО ТЕЛА.....	26
2.1. Кинематика точки. Основные параметры движения точки.....	26
2.2. Вращение тела вокруг неподвижной оси.....	28
2.3. Плоскопараллельное движение твёрдого тела.....	29
2.4. Задание К1. Определение скоростей и ускорений точек твердого тела при поступательном и вращательном движениях.....	32
2.5. Задание К2. Определение скоростей точек твёрдого тела при плоскопараллельном движении.....	38
2.6. Задание К3. Определение ускорений точек твёрдого тела при плоскопараллельном движении.....	46
3. СЛОЖНОЕ ДВИЖЕНИЕ ТОЧКИ.....	57
3.1. Основные понятия сложного движения точки.....	57
3.2. Задание К4. Определение скорости и ускорения точки при сложном движении.....	60
4. ДИНАМИКА ТОЧКИ.....	73
4.1. Дифференциальные уравнения движения точки.....	73
4.2. Задание Д1. Интегрирование дифференциальных уравнений движения точки ...	73
4.3. Колебания материальной точки.....	80
4.4. Задание Д2. Исследование колебаний точки.....	84
4.5. Теорема об изменении кинетической энергии точки.....	95
4.6. Задание Д3. Исследование движения точки с применением теоремы об изменении кинетической энергии.....	96
5. ДИНАМИКА МЕХАНИЧЕСКОЙ СИСТЕМЫ.....	103
5.1. Описание движений твёрдых тел на основе общих теорем динамики системы.....	103
5.2. Задание Д4. Динамический расчет механической системы.....	104
5.3. Теорема об изменении кинетической энергии системы.....	112
5.4. Задание Д5. Исследование движения механической системы с применением теоремы об изменении кинетической энергии.....	114
6. АНАЛИТИЧЕСКАЯ МЕХАНИКА.....	124
6.1. Принципы механики. Общее уравнение динамики.....	124
6.2. Задание Д6. Исследование механической системы с применением общего уравнения динамики.....	126
6.3. Уравнения Лагранжа II рода.....	136
6.4. Задание Д7. Исследование механической системы с одной степенью свободы с применением уравнений Лагранжа.....	137
6.5. Задание Д8. Исследование механической системы с двумя степенями свободы.....	145
СПИСОК РЕКОМЕНДУЕМОЙ ЛИТЕРАТУРЫ.....	155

1. СТАТИКА ТВЕРДОГО ТЕЛА

Статика представляет раздел теоретической механики, в котором изучаются условия равновесия твердых тел под действием системы сил.

1.1. Основные виды связей и их реакции

Опора тела на гладкую плоскость (поверхность) без трения. Реакция приложена в точке касания и направлена перпендикулярно к общей касательной соприкасающихся поверхностей. При опоре углом, или на угол (рис. 1.1, *a*), реакция направлена по нормали к одной из поверхностей.

Гибкая связь. Если на тело наложена связь в виде гибкой нерастяжимой нити (каната, троса), то реакция связи \vec{T} , равная натяжению нити, приложена к телу и направлена вдоль нити (рис. 1.1, *b*).

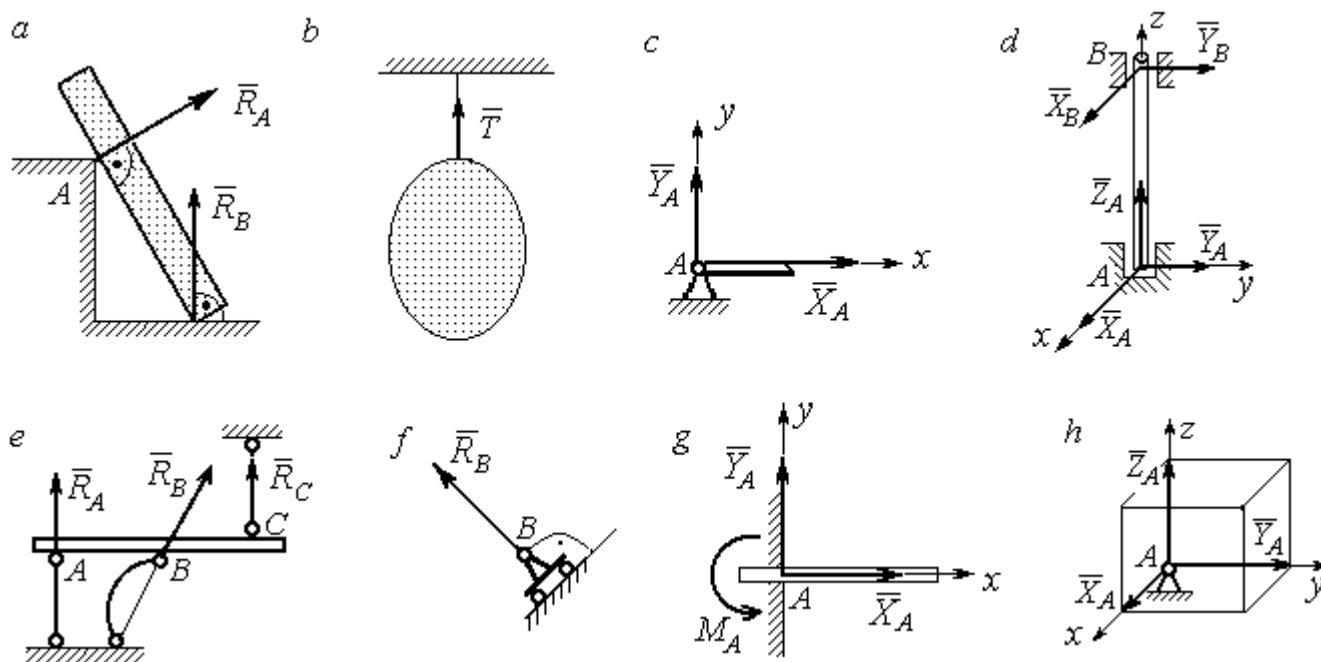


Рис. 1.1. Виды связей и их реакции:

- a* – реакция опоры тела на гладкую поверхность без трения; *b* – реакция связи гибкой нерастяжимой нити; *c* – реакция цилиндрического шарнира; *d* – реакция подшипника и подпятника; *e* – реакция невесомого стержня; *f* – реакция подвижной опоры; *g* – реакция жесткой заделки; *h* – реакция пространственного шарнира

Цилиндрический шарнир (подшипник) создает соединение, при котором одно тело может вращаться по отношению к другому. Реакция цилиндрического шарнира лежит в плоскости, перпендикулярной оси шарнира. При решении задач реакцию цилиндрического шарнира \vec{R}_A изображают ее составляющими \vec{X}_A и \vec{Y}_A , взятыми по направлениям координатных осей (рис. 1.1, *c*). Реакция подшипника \vec{R}_B (рис. 1.1, *d*) также изображается своими составляющими \vec{X}_B и \vec{Y}_B , взятыми по направлениям координатных осей в плоскости, перпендикулярной оси вращения подшипника. Величина реакции определяется по формуле: $R_A = \sqrt{X_A^2 + Y_A^2}$. **Реакция прямолинейного невесомого стержня с шарнирными соединениями на краях** направлена вдоль самого стержня, а криволинейного – вдоль линии, соединяющей точки крепления стержня (рис. 1.1, *e*). **Реакция подвижной опоры** \vec{R}_B (рис. 1.1, *f*) направлена по нормали к поверхности, на которую опираются катки опоры. **Жесткая заделка** (рис. 1.1, *g*) препятствует не только линейным перемещениям тела, но и повороту. Реакция заделки состоит из силы реакции \vec{R}_A и пары сил с моментом M_A . При решении задач силу реакции жесткой заделки \vec{R}_A изображают ее составляющими \vec{X}_A и \vec{Y}_A , взятыми по направлениям координатных осей. Модуль реакции определяется по формуле $R_A = \sqrt{X_A^2 + Y_A^2}$. Виды связей и их реакции показаны на рис. 1.1.

1.2. Моменты силы относительно центра и относительно оси. Пара сил. Момент пары

Алгебраическим моментом силы F относительно центра O $M_O(\vec{F})$, или просто **моментом силы** \vec{F} относительно центра O , называют взятое с соответствующим знаком произведение модуля силы \vec{F} на кратчайшее расстояние h от центра O до линии действия силы: $M_O(\vec{F}) = \pm Fh$ (рис. 1.2, *a*).

Величину h называют **плечом силы**. Момент силы относительно центра считается положительным, если сила стремится повернуть тело вокруг центра против хода часовой стрелки, и отрицательным – в обратном случае.

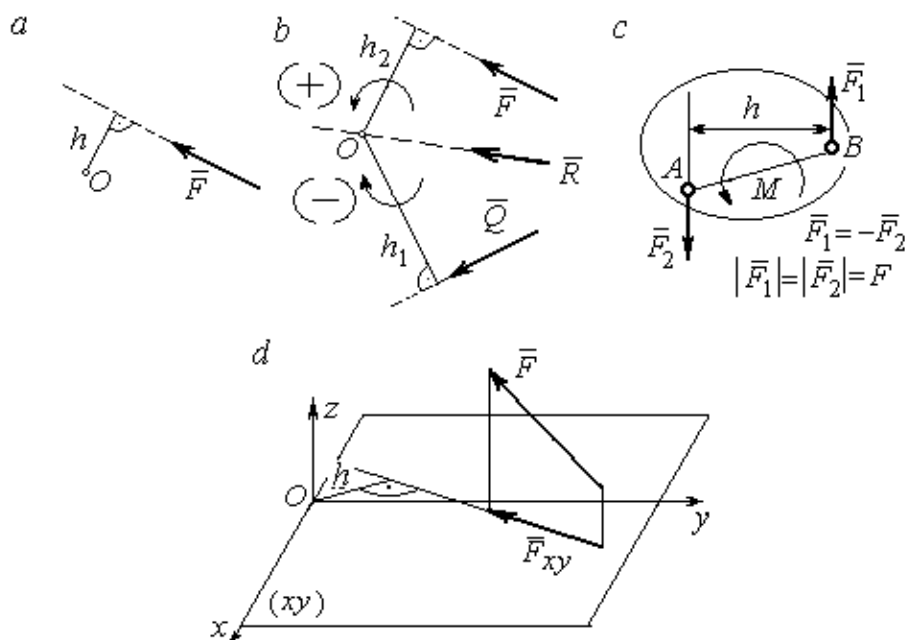


Рис. 1.2. Схемы для вычисления моментов сил:
a, b – момент силы относительно центра; *c* – момент пары сил;
d – момент силы относительно оси

На рис. 1.2, *b* показано, что момент силы \vec{F} относительно центра O положительный, а момент силы \vec{Q} относительно того же центра – отрицательный. Момент силы \vec{R} относительно центра O равен нулю, так как линия действия этой силы проходит через центр O и плечо силы равно нулю.

Парой сил, или просто парой (рис.1.2, *c*), называют систему двух равных по модулю сил, параллельных, направленных в противоположные стороны и не лежащих на одной прямой. Алгебраическим моментом пары сил, или **моментом пары**, называют взятое со знаком плюс или минус произведение модуля одной из сил пары на плечо пары – кратчайшее расстояние между линиями действия ее сил. Правило знаков такое же, как и для момента силы. На рисунках пару часто изображают дуговой стрелкой, показывающей направление поворота твердого тела под действием пары (см. M на рис. 1.2, *c*).

Моментом силы относительно оси называют момент проекции этой силы на плоскость, перпендикулярную оси, относительно точки пересечения оси с этой плоскостью. На рис. 1.2, *d* показано вычисление момента силы F относительно оси z : $M_z(\vec{F}) = F_{xy}h$, где F_{xy} – проекция силы \vec{F} на плоскость xy , перпендикулярную оси z , h – плечо проекции F_{xy} относительно центра O – точки пересечения оси z и плоскости xOy .

1.3. Условия равновесия систем сил

Плоской системой сил называется система сил, расположенных в одной плоскости.

Основная форма условий равновесия плоской системы сил. Для равновесия плоской системы сил, приложенных к твердому телу, необходимо и достаточно, чтобы суммы проекций всех сил на каждую из двух осей прямоугольной системы координат, расположенной в плоскости действия сил, были равны нулю и сумма моментов сил относительно любого центра, находящегося в плоскости действия сил, также была равна нулю:

$$\sum F_{kx} = 0, \quad \sum F_{ky} = 0, \quad \sum M_A(\vec{F}_k) = 0,$$

где F_{kx}, F_{ky} – проекции всех сил на координатные оси; $M_A(\vec{F}_k)$ – моменты всех сил относительно произвольно выбранного центра A .

Пространственной системой сил называется система сил, расположенных произвольно в пространстве.

Для равновесия пространственной системы сил необходимо и достаточно, чтобы суммы проекций всех сил на оси прямоугольной системы координат были равны нулю и суммы моментов всех сил относительно тех же осей также были равны нулю:

$$\sum F_{kx} = 0, \quad \sum F_{ky} = 0, \quad \sum F_{kz} = 0,$$

$$\sum M_x(\vec{F}_k) = 0, \quad \sum M_y(\vec{F}_k) = 0, \quad \sum M_z(\vec{F}_k) = 0,$$

где F_{kx}, F_{ky}, F_{kz} – проекции всех сил на координатные оси x, y, z ; $M_x(\vec{F}_k), M_y(\vec{F}_k), M_z(\vec{F}_k)$ – моменты всех сил относительно выбранных осей.

Равновесие систем тел

Связи, соединяющие части конструкции, называют **внутренними**, в отличие от **внешних** связей, скрепляющих конструкцию с внешними телами, не входящими в данную конструкцию. Одним из способов решения задач на равновесие сил, действующих на сочленённую конструкцию с внутренними связями, является **разбиение конструкции на отдельные тела** и составление уравнений равновесия для каждого из тел, входящих в конструкцию. При этом в уравнения равновесия должны входить только силы, непосредственно приложенные к тому телу, равновесие которого рассматривается.

1.4. Задание С1. Равновесие произвольной плоской системы сил. Равновесие системы тел

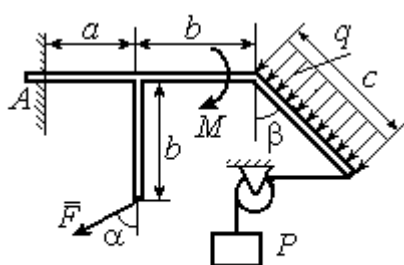
Каждый вариант задания включает две задачи по темам: «Равновесие произвольной плоской системы сил» и «Равновесие системы тел».

В задачах требуется определить реакции связей конструкции исходя из условия равновесия произвольной плоской системы сил. Весом стержневых подпорок, поддерживающих балочные конструкции, и блоков, через которые перекинуты невесомые нити, пренебречь.

Варианты заданий даны на рис. 1.3 – 1.6. Исходные данные приведены в табл. 1.1. Из таблицы исходных данных выбираются значения тех параметров, которые указаны на схемах.

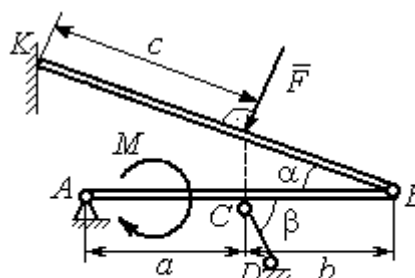
Варианты № 1, 11, 21

Задача 1



Найти реакцию жесткой заделки в точке A

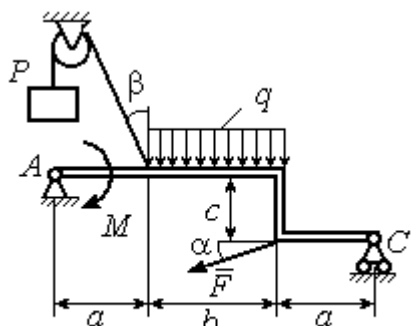
Задача 2



Найти реакции шарниров A, B , реакцию стержня CD и реакцию опоры в точке K

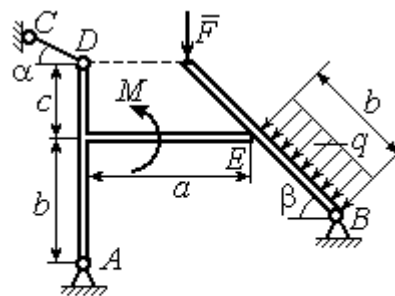
Варианты № 2, 12, 22

Задача 1



Найти реакции шарниров A и C

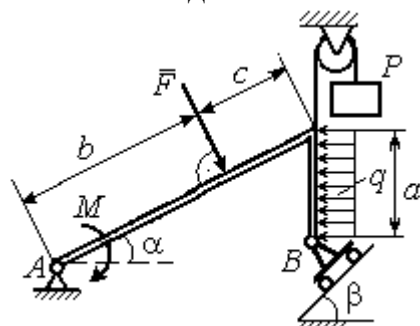
Задача 2



Найти реакции шарниров A, B , реакцию опоры в точке E и реакцию стержня CD

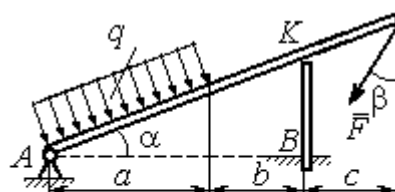
Варианты № 3, 13, 23

Задача 1



Найти реакции шарниров A и B

Задача 2

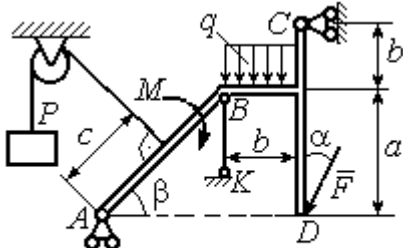


Найти реакцию шарнира A , реакцию опоры в точке K и реакцию жесткой заделки в точке B

Рис. 1.3. Задание С1. Равновесие произвольной плоской системы сил. Равновесие системы тел. Номера вариантов задания 1 – 3, 11 – 13, 21 – 23

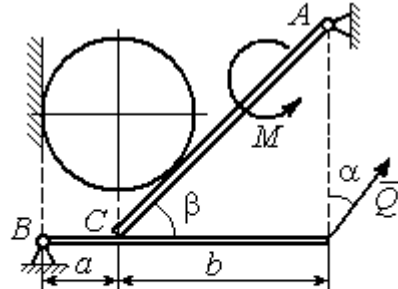
Варианты № 4, 14, 24

Задача 1



Найти усилие в стержне BK и реакцию шарниров A, C

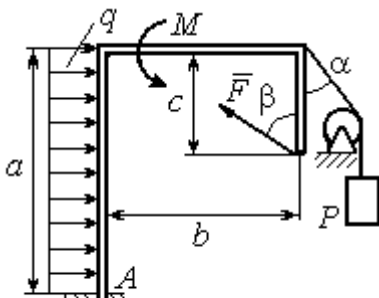
Задача 2



Вес шара P . Найти реакцию шарниров A, B , давление шара на балку и стенку, реакцию опоры балки в точке C и уравнивающую силу Q

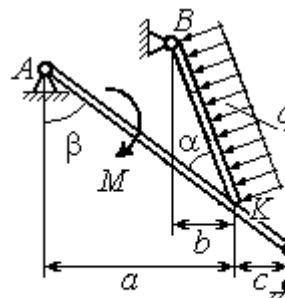
Варианты № 5, 15, 25

Задача 1



Найти реакцию жесткой заделки в точке A

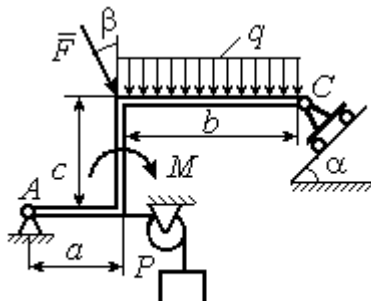
Задача 2



Найти реакцию шарниров A, B , реакцию стержня CD и реакцию опоры в точке K

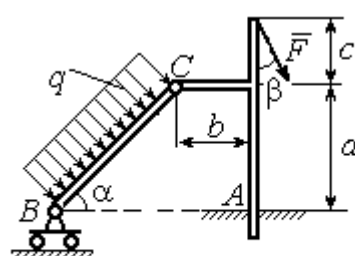
Варианты № 6, 16, 26

Задача 1



Найти реакции шарниров A и C

Задача 2



Найти реакцию жесткой заделки в точке A и реакции шарниров B и C

Рис. 1.4. Задание С1. Равновесие произвольной плоской системы сил. Равновесие системы тел. Номера вариантов задания 4 – 6, 14 – 16, 24 – 26

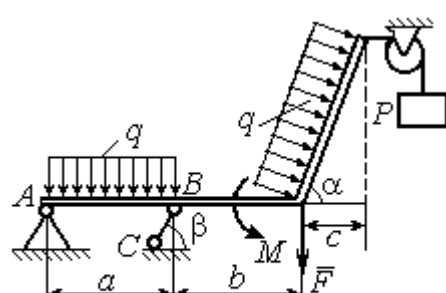
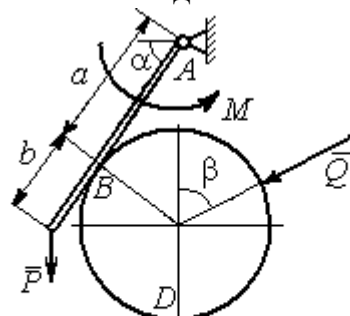
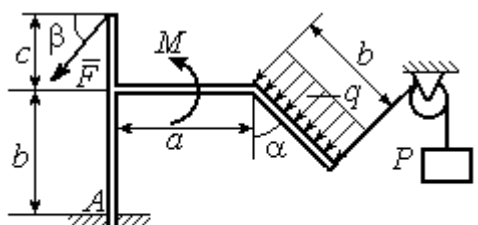
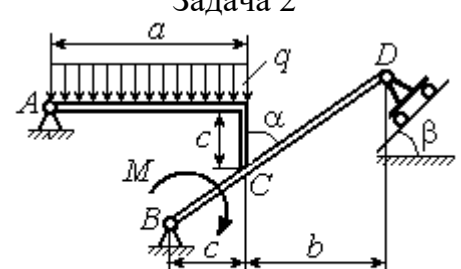
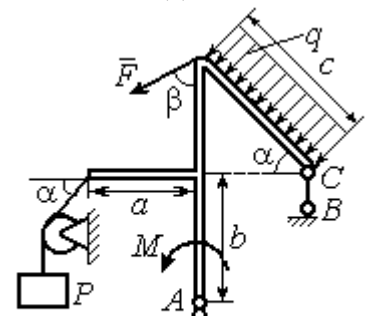
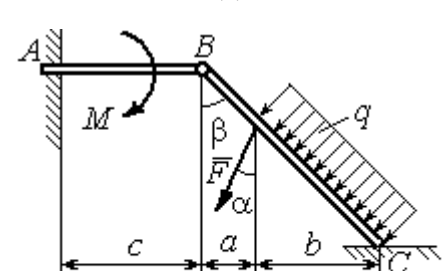
Варианты № 7, 17, 27	
<p>Задача 1</p>  <p>Найти реакцию стержня BC и реакцию шарнира A</p>	<p>Задача 2</p>  <p>Найти реакцию шарнира A, давление балки на шар, реакцию опоры шара в точке D и уравновешивающую силу Q</p>
Варианты № 8, 18, 28	
<p>Задача 1</p>  <p>Найти реакцию жесткой заделки в точке A</p>	<p>Задача 2</p>  <p>Найти реакцию шарниров A, B и D и реакцию опоры в точке C</p>
Варианты № 9, 19, 29	
<p>Задача 1</p>  <p>Найти реакцию стержня BC и реакцию шарнира A</p>	<p>Задача 2</p>  <p>Найти реакцию жесткой заделки в точке A, реакцию шарнира B и реакцию опоры в точке C</p>

Рис. 1.5. Задание С1. Равновесие произвольной плоской системы сил. Равновесие системы тел. Номера вариантов задания 7 – 9, 17 – 19, 27 – 29



Рис. 1.6. Задание С1. Равновесие произвольной плоской системы сил.
Равновесие системы тел. Номера вариантов задания 10, 20, 30

Таблица 1.1

**Исходные данные задания С1. Равновесие произвольной плоской системы сил.
Равновесие системы тел.**

Номер варианта задания	1	2	3	4	5	6	7	8	9	10	11	12	13	14	15
P , кН	6	5	6	12	6	6	10	3	8	5	10	4	8	10	8
F , кН	12	6	10	5	12	8	6	5	6	2	12	8	12	6	10
q , кН/м	5	4	2	3	6	3	5	2	2	4	6	2	3	4	5
M , кН·м	12	8	6	8	12	5	12	8	4	6	8	12	10	6	10
α , град	45	60	30	60	30	30	45	60	30	30	45	30	60	45	60
β , град	60	30	45	30	60	90	60	60	30	45	30	45	30	60	30
a , м	3	4	3	4	3	4	3	4	1	2	2	3	2	3	4
b , м	3	3	4	3	2	4	3	3	2	3	3	3	4	3	2
c , м	4	2	2	2	3	2	2	1	5	4	4	2	1	2	2

Номер варианта задания	16	17	18	19	20	21	22	23	24	25	26	27	28	29	30
P , кН	10	8	10	6	4	6	12	10	5	6	8	6	8	4	6
F , кН	6	12	12	8	3	14	10	8	15	10	12	8	10	10	2
q , кН/м	5	3	4	3	2	3	2	5	4	2	3	4	5	2	4
M , кН·м	10	6	8	6	5	12	4	6	8	10	12	10	6	4	8
α , град	60	60	30	45	60	30	60	45	30	60	45	30	30	30	45
β , град	45	30	30	60	60	45	30	60	30	45	90	30	60	45	30
a , м	3	4	3	1	2	2	4	1	4	3	4	3	2	1	2
b , м	2	4	3	3	4	1	4	3	2	2	2	2	2	2	2
c , м	3	2	2	4	5	4	2	2	1	1	1	2	1	3	5

Пример выполнения задания С1. Равновесие произвольной плоской системы сил. Равновесие системы тел.

Задача 1. Рама ACE (рис. 1.7) в точке A закреплена на цилиндрической шарнирной опоре, а в точке B поддерживается вертикальным невесомым стержнем BK . На раму действуют: пара с моментом $M = 8$ Нм, сила $F = 10$ Н, приложенная в точке D под углом 60° к раме, и равномерно распределенная нагрузка интенсивностью $q = 2$ Н/м, приложенная на отрезке AB . В точке E под прямым углом к участку балки CE прикреплен трос, несущий груз $P = 20$ Н. Пренебрегая весом балки, определить реакцию шарнира A и реакцию стержневой опоры BK , если $a = 2$ м.

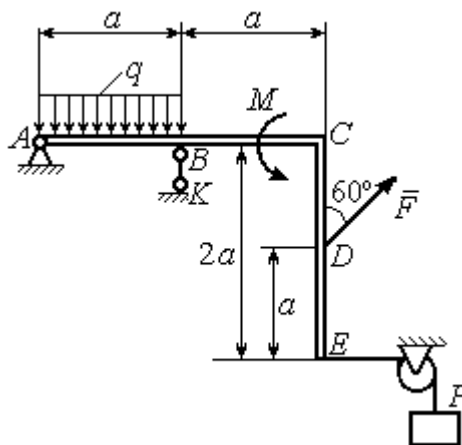


Рис. 1.7. Конструкция рамы

Решение

Выбираем систему координат xAy , например, как показано на рис. 1.8. Заменяем действие связей их реакциями. Изображаем реакцию шарнира A двумя ее составляющими \vec{X}_A и \vec{Y}_A , направленными вдоль горизонтальной и вертикальной осей (см. рис. 1.8). Реакция \vec{R}_B невесомой стержневой опоры BK приложена в точке B и направлена вдоль стержня BK . Заменяем распределенную нагрузку её равнодействующей \vec{Q} . Сила \vec{Q} приложена в середине отрезка AB и по модулю равна

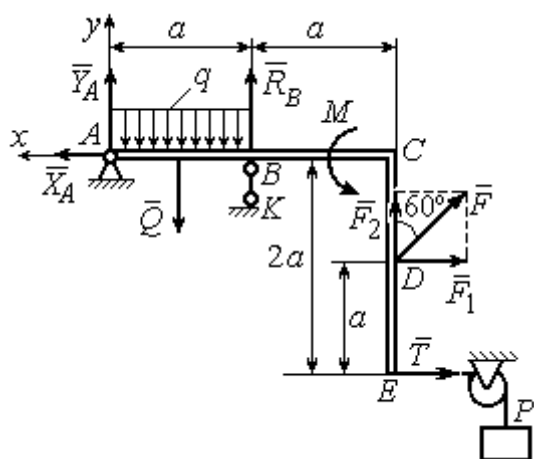


Рис. 1.8. Силы и реакции связей, действующие на раму при её равновесии

$Q = qa = 4$ Н. Действие груза P на раму изображается реакцией \vec{T} , равной по величине весу груза.

При равновесии рамы действующие на неё силы составляют уравновешенную произвольную плоскую систему. Условия равновесия системы сил имеют вид: $\sum F_{kx} = 0$, $\sum F_{ky} = 0$, $\sum M_A(\vec{F}_k) = 0$. Вычисляя проекции сил на оси x , y , и моменты сил относительно центра A , уравнения равновесия получим в виде:

$$\sum F_{kx} = X_A - F \cos 30^\circ - T = 0, \quad \sum F_{ky} = Y_A - Q + R_B + F \cos 60^\circ = 0.$$

$$\sum M_A(\vec{F}_k) = -Q \frac{a}{2} + R_B a + M + F \cos 60^\circ \cdot 2a + F \cos 30^\circ \cdot a + T 2a = 0.$$

Здесь для вычисления момента силы \vec{F} относительно центра A использована теорема Вариньона: $M_A(\vec{F}) = M_A(\vec{F}_1) + M_A(\vec{F}_2) = F_1 \cdot a + F_2 \cdot 2a$, где $F_1 = F \cos 30^\circ$, $F_2 = F \cos 60^\circ$ (см. рис. 1.8).

Подставляя в уравнения равновесия исходные данные задачи, получим систему уравнений относительно неизвестных X_A, Y_A, R_B :

$$X_A - 28,66 = 0, \quad Y_A + R_B + 1 = 0, \quad R_B \cdot 2 + 121,32 = 0.$$

Решая систему, найдем $X_A = 28,66$ Н, $Y_A = 59,66$ Н, $R_B = -60,66$ Н.

Отрицательное значение величины R_B означает, что фактическое направление реакции R_B стержневой опоры BK противоположно направлению, показанному на рис. 1.8. Численное значение реакции шарнира

$$R_A = \sqrt{X_A^2 + Y_A^2} = \sqrt{28,66^2 + 59,66^2} = 66,18 \text{ Н.}$$

Задача 2. Балка $ABLC$ с вертикальной частью AB и горизонтальной переключиной LC закреплена в точке A с помощью жесткой заделки (рис. 1.9). Наклонная балка EC с углом наклона к горизонту 60° в точке C шарнирно прикреплена к горизонтальной переключине CL , а в точке E закреплена на шарнирно-подвижной опоре, установленной на горизонтальной поверхности. На конструкцию действуют равномерно распределенная на отрезках BL и DE нагрузка с одинаковой интенсивностью $q = 2$ кН/м, сила \vec{F} , приложенная в точке D перпендикулярно балке EC и равная по величине $F = 10$ кН, и пара сил

с моментом $M = 5 \text{ кН}\cdot\text{м}$. Определить реакцию жесткой заделки A и реакции шарниров C и E , если $a = 2 \text{ м}$.

Решение

Разделяем систему на две части по шарниру C и рассмотрим равновесие балок $ABLC$ и EC отдельно. Изобразим обе балки и расставим внешние силы и реакции связей (рис. 1.10). Рассмотрим балку $ABLC$ (рис. 1.10, a). Заменяем распределенную нагрузку эквивалентной силой \bar{Q}_1 , приложенной в середине отрезка BL , направленной в сторону действия нагрузки и равной $Q_1 = q \cdot a = 4$

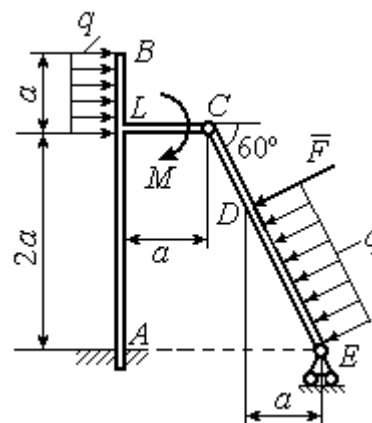


Рис. 1.9. Равновесие конструкции двух балок, соединённых шарниром

кН. Кроме силы \bar{Q}_1 и пары сил с моментом M на балку действуют реакция

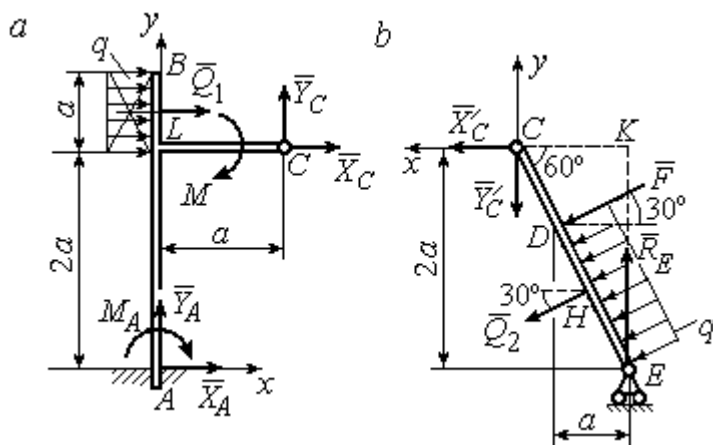


Рис. 1.10. Равновесие частей конструкции:
 a - силы и реакции связей, действующие на балку $ABLC$;
 b - силы и реакции связей, действующие на балку CE

жесткой заделки в точке A , имеющая своими составляющими силы \bar{X}_A , \bar{Y}_A и пару сил с моментом M_A , а также реакция шарнира C , разложенная на составляющие \bar{X}_C , \bar{Y}_C (см. рис. 1.10, a). Действующие на раму силы составляют уравновешенную плоскую систему сил.

Выберем систему координат xAy , как показано на рис. 1.10, a , и составим уравнения равновесия:

$$\sum F_{kx} = X_A + Q_1 + X_C = 0, \quad \sum F_{ky} = Y_A + Y_C = 0,$$

$$\sum M_A(\vec{F}_k) = -M_A - Q_1 \cdot \left(2a + \frac{a}{2}\right) - M + Y_C a - X_C 2a = 0.$$

Рассмотрим равновесие балки EC . Заменяем равномерную нагрузку эквивалентной силой \vec{Q}_2 , приложенной в середине отрезка ED , направленной в сторону действия нагрузки и равной по модулю $Q_2 = q \cdot 2a = 8 \text{ кН}$. На балку кроме сил \vec{Q}_2 , \vec{F} действуют реакции связей: \vec{R}_E – реакция шарнирно-подвижной опоры в точке E и \vec{X}'_C , \vec{Y}'_C – составляющие реакции шарнира C . Силы \vec{X}'_C , \vec{Y}'_C направлены противоположно силам \vec{X}_C , \vec{Y}_C и равны им по модулю $X_C = X'_C$, $Y_C = Y'_C$ (см. рис. 1.10, a , b). Действующие на балку EC силы образуют плоскую уравновешенную систему сил. Выберем систему координат xCy , как показано на рис. 1.10, b , и составим уравнения равновесия. При этом центром, относительно которого будем считать моменты сил, выберем точку C . Получим:

$$\sum F_{kx} = Q_2 \sin 60^\circ + F \cos 30^\circ + \vec{X}'_C = 0, \quad \sum F_{ky} = R_E - Q_2 \cos 60^\circ - F \sin 30^\circ - Y'_C = 0, \\ \sum M_C(\vec{F}_k) = -F \cdot CD - Q_2 \cdot CH + R_E \cdot CK = 0.$$

Здесь плечи сил: $CD = \frac{2a}{\cos 30^\circ} - 2a$, $CH = \frac{2a}{\cos 30^\circ} - a$, $CK = 2a \operatorname{tg} 30^\circ$. Заменяя в уравнениях величины X'_C на X_C , а Y'_C на Y_C и подставляя исходные данные, получим систему уравнений:

$$X_A + X_C + 4 = 0, \quad Y_A + Y_C = 0, \quad -M_A - 4X_C + 2Y_C - 25 = 0, \\ X_C + 15,59 = 0, \quad -Y_C + R_E - 9 = 0, \quad 2,31R_E - 27,14 = 0,$$

откуда найдём величины реакции жесткой заделки и реакции шарниров:

$$X_A = 11,59 \text{ кН}, \quad Y_A = -2,76 \text{ кН}, \quad M_A = 42,87 \text{ кН} \cdot \text{м}, \\ X_C = -15,59 \text{ кН}, \quad Y_C = 2,76 \text{ кН}, \quad R_E = 11,76 \text{ кН}.$$

Модули реакций жесткой заделки A и шарнира C :

$$R_A = \sqrt{X_A^2 + Y_A^2} = 11,91 \text{ кН}, \quad R_C = \sqrt{X_C^2 + Y_C^2} = 15,83 \text{ кН}.$$

1.5. Задание С2. Равновесие пространственной системы сил

В заданиях рассматривается равновесие однородной плиты или вала (прямого или с «ломаной» осью) с насаженным на него шкивом.

Вал закреплен подпятником и подшипником и удерживается в равновесии. На вал действуют сила \vec{F} , пара сил с моментом M и сила \vec{P} . На шкив вала намотана нить, к свободному концу которой, перекинутому через невесомый блок, подвешен груз весом Q . Для вала определить реакции подшипника и подпятника и величину уравновешивающей силы Q (или момента M).

Плита весом P закреплена пространственным шарниром, подшипником и удерживается в заданном положении невесомым стержнем. На плиту действуют силы \vec{F} , \vec{Q} и пара сил с моментом M . Для плиты найти реакции сферического и цилиндрического шарниров и реакцию стержня.

Варианты задания даны на рис. 1.11 – 1.13. Исходные данные для выполнения задания приведены в табл. 1.2.

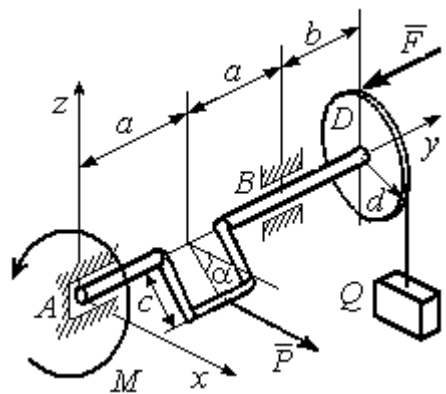
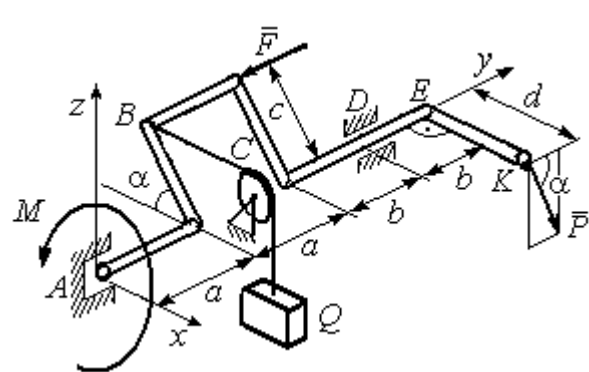
Варианты № 1, 11, 21	Варианты № 2, 12, 22
 <p>Сила \vec{F} параллельна оси Ay; сила \vec{P} параллельна оси Ax; нить, удерживающая груз, сходит со шкива вертикально.</p> <p>Найти реакции подпятника и подшипника в точках A и B и величину уравновешивающего груза Q</p>	 <p>Сила \vec{F} параллельна оси Ay; сила \vec{P} лежит в плоскости, параллельной zAy; отрезок нити BC параллелен оси Ax; рукоять вала EK параллельна оси Ax.</p> <p>Найти реакции подпятника и подшипника в точках A и D и величину уравновешивающего момента M</p>

Рис. 1.11. Задание С2. Равновесие пространственной системы сил.
Номера вариантов задания 1 – 2, 11 – 12, 21 – 22

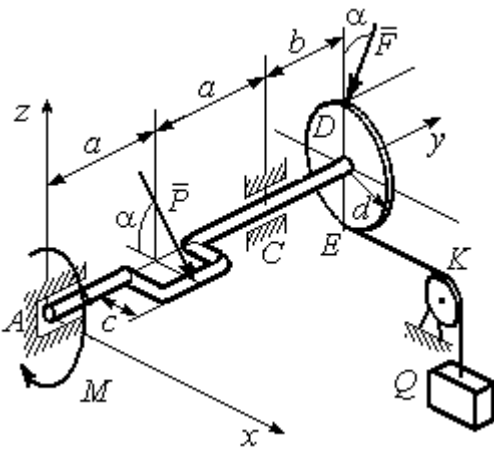
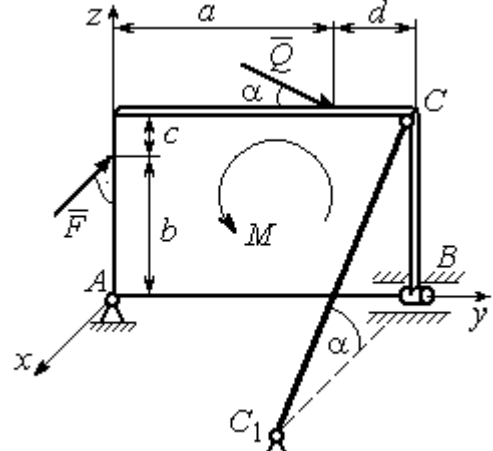
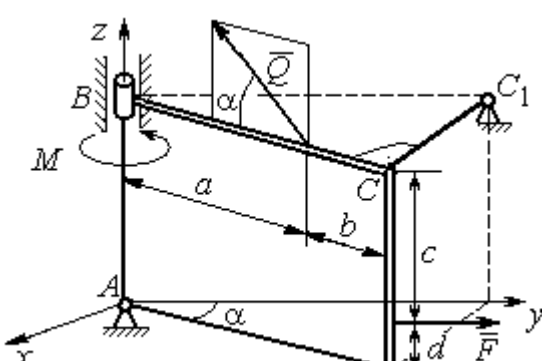
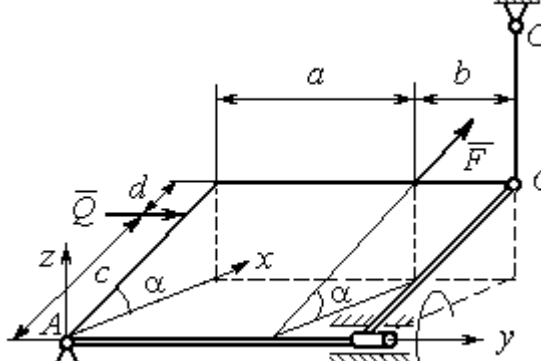
Варианты № 3, 13, 23	Варианты № 4, 14, 24
 <p>Сила \vec{F}, лежит в плоскости zAy; сила \vec{P} лежит в плоскости, параллельной zAx, отрезок нити EK параллелен оси Ax. Найти реакции подпятника и подшипника в точках A и C, а также величину уравновешивающего груза Q</p>	 <p>Плита весом P расположена в плоскости zAy; пара сил с моментом M действует в плоскости плиты; стержень CC_1 расположен в плоскости, параллельной zAx; сила \vec{Q} действует в плоскости плиты; сила \vec{F} перпендикулярна плоскости плиты. Найти реакции сферического и цилиндрического шарниров в точках A и B и реакцию стержня CC_1</p>
<p>Варианты № 5, 15, 25</p>  <p>Плита весом P отклонена на угол α от вертикальной плоскости zAy; сила \vec{Q} лежит в плоскости плиты; сила \vec{F} параллельна оси Ay; стержень CC_1 перпендикулярен плоскости плиты. Найти реакции сферического и цилиндрического шарниров в точках A и B и реакцию стержня CC_1</p>	<p>Варианты № 6, 16, 26</p>  <p>Плита весом P отклонена на угол α от горизонтальной плоскости xAy; сила \vec{Q} перпендикулярна боковой стенке плиты и параллельна оси Ay; сила \vec{F} расположена в плоскости плиты и параллельна её боковым стенкам; стержень CC_1 параллелен оси Az. Найти реакции сферического и цилиндрического шарниров в точках A и B и реакцию стержня CC_1</p>

Рис. 1.12. Задание С2. Равновесие пространственной системы сил.

Номера вариантов задания 3 – 6, 13 – 16, 23 – 26

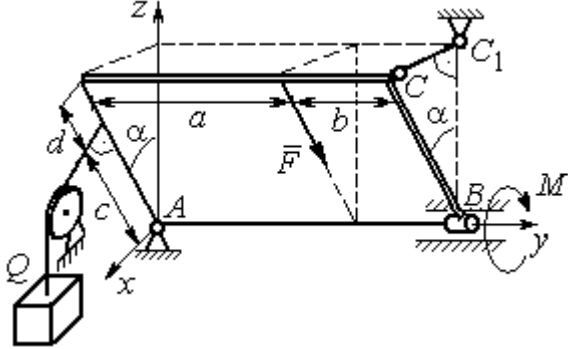
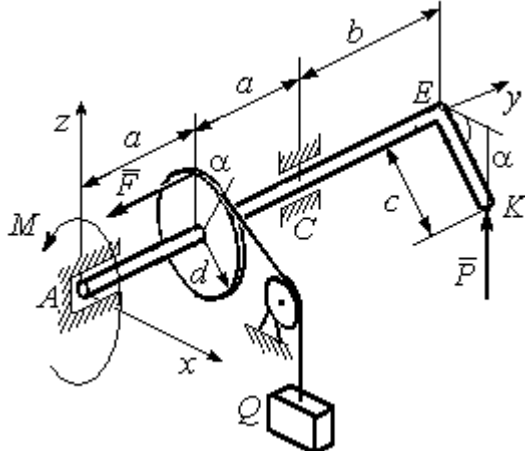
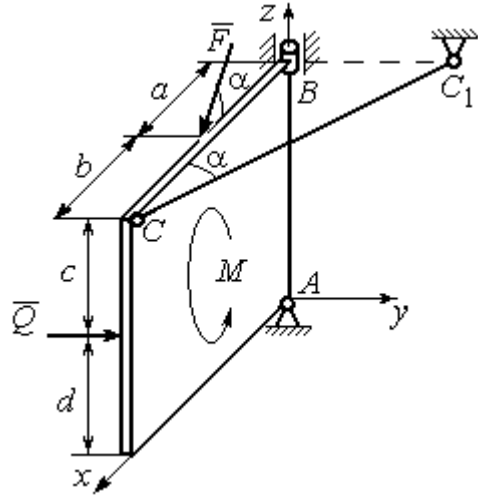
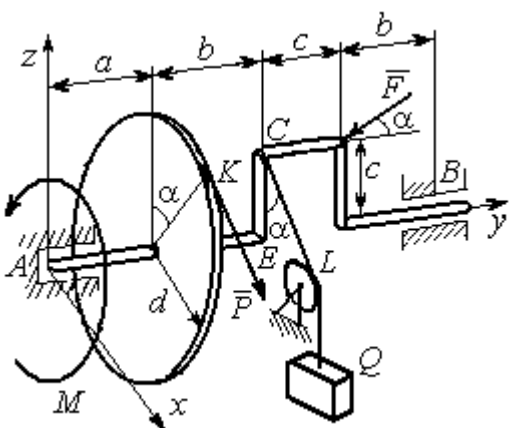
Варианты № 7, 17, 27	Варианты № 8, 18, 28
 <p>Плита весом P отклонена на угол α от вертикальной плоскости zAy; нить, удерживающая груз Q, находится в плоскости zAx, прикреплена к боковой стенке плиты и перпендикулярна ей; сила \vec{F} параллельна боковым стенкам плиты; стержень CC_1 перпендикулярен плоскости zAy.</p> <p>Найти реакции сферического и цилиндрического шарниров в точках A и B и реакцию стержня CC_1</p>	 <p>Рукоять EK перпендикулярна оси вала и наклонена под углом α к горизонтальной плоскости xAy; сила \vec{P} параллельна оси Az; сила \vec{F} параллельна оси Ay; нить, удерживающая груз Q, сходит со шкива по касательной.</p> <p>Найти реакции подпятника A, подшипника C, и величину уравновешивающего груза Q</p>
 <p>Плита весом P находится в вертикальной плоскости zAx; стержень CC_1 расположен в плоскости, параллельной xAy; пара сил с моментом M действует в плоскости плиты; сила \vec{Q} перпендикулярна плоскости плиты; сила \vec{F} лежит в плоскости плиты.</p> <p>Найти реакции сферического и цилиндрического шарниров в точках A и B и реакцию стержня CC_1</p>	 <p>Сила \vec{F} находится в плоскости zAy; стойка SE находится в плоскости zAy; отрезок CL нити, удерживающей груз, находится в плоскости параллельной xAz; сила \vec{P} находится в плоскости шкива и направлена по касательной к ободу в точке K.</p> <p>Найти реакции подпятника A, подшипника B и величину уравновешивающего момента M</p>

Рис. 1.13. Задание С2. Равновесие пространственной системы сил.
Номера вариантов задания 7 – 10, 17 – 20, 27 – 30

**Исходные данные для задания С2.
Равновесие пространственной системы сил**

Номер варианта задания	1	2	3	4	5	6	7	8	9	10
P , кН	5	4	6	10	16	15	12	10	15	14
F , кН	8	6	12	6	10	10	8	12	12	10
Q , кН	–	12	–	12	8	12	10	–	10	12
M , кН·м	12	–	10	8	12	6	8	6	8	–
α , град	60	30	30	30	60	60	60	30	30	60
a , м	1,2	0,8	1,4	0,6	1,2	0,9	1,4	0,4	0,8	0,8
b , м	1,0	0,6	1,1	0,4	0,8	0,4	0,6	1,2	0,2	0,6
c , м	0,8	0,5	0,8	0,3	1,4	0,8	1,2	0,8	0,4	0,4
d , м	0,4	0,4	0,6	0,2	0,4	0,2	0,4	0,6	0,6	0,6

Номер варианта задания	11	12	13	14	15	16	17	18	19	20
P , кН	8	10	10	15	14	10	16	9	10	12
F , кН	6	12	16	8	12	14	10	15	8	10
Q , кН	–	14	–	10	10	12	14	–	12	14
M , кН·м	10	–	12	12	12	8	10	10	10	–
α , град	30	60	60	60	30	30	30	60	60	30
a , м	0,8	1,3	0,9	0,5	1,3	1,2	1,6	0,6	0,9	1,2
b , м	0,6	1,1	0,6	0,4	0,9	0,6	0,8	1,2	0,3	0,8
c , м	0,4	0,8	0,5	0,2	1,5	0,9	1,2	0,4	0,6	0,6
d , м	0,2	0,4	0,4	0,1	0,5	0,4	0,6	0,2	0,2	0,8

Номер варианта задания	21	22	23	24	25	26	27	28	29	30
P , кН	10	12	5	8	10	14	18	12	14	10
F , кН	12	8	15	10	12	8	10	15	9	8
Q , кН	–	10	–	12	14	10	16	–	12	6
M , кН·м	12	–	16	14	8	10	8	12	10	–
α , град	90	30	60	30	45	30	30	60	60	30
a , м	0,6	0,8	1,1	1,2	1,5	0,8	1,0	0,8	1,2	0,9
b , м	0,8	0,6	0,9	1,0	0,9	0,6	0,8	1,4	0,6	0,4
c , м	0,4	1,2	0,8	0,6	1,5	0,9	1,1	0,5	0,8	0,6
d , м	0,4	1,5	0,5	0,2	0,4	0,3	0,3	0,4	0,6	0,5

Примеры решения задания С2. Равновесие пространственной системы сил

Задача 1. Горизонтальный вал (рис. 1.14) закреплен в подпятнике C и подшипнике K . Вал имеет шкив I радиуса R и шкив II радиуса r , перпендикулярные оси вала. Рукоять AE параллельна оси Cx . Нить, удерживающая груз Q , сходит со шкива I по касательной вертикально вниз. На вал действуют силы \vec{F} , \vec{P} и пара сил с моментом M , закручивающая вал

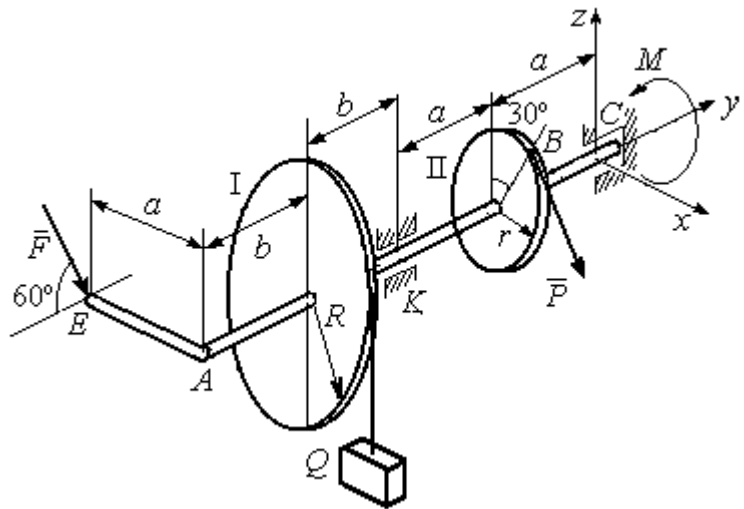


Рис. 1.14. Схема вала и его нагрузка

вокруг оси Cy . Сила \vec{F} находится в плоскости, параллельной zCy , и составляет угол 60° с направлением оси Cy . Сила \vec{P} приложена в точке B шкива II, определяемой центральным углом 30° , и направлена по касательной. Определить величину уравновешивающего момента M и реакции подшипника и подпятника, если $P = 4$ кН, $F = 2$ кН, $Q = 3$ кН, $R = 0,6$ м, $r = 0,3$ м, $a = 0,8$ м, $b = 0,4$ м.

Решение

Рассмотрим равновесие вала. На вал действуют внешние силы \vec{F} , \vec{P} , пара сил с моментом M и реакции связей. Связями являются нить, натянутая грузом Q , подпятник C и подшипник K .

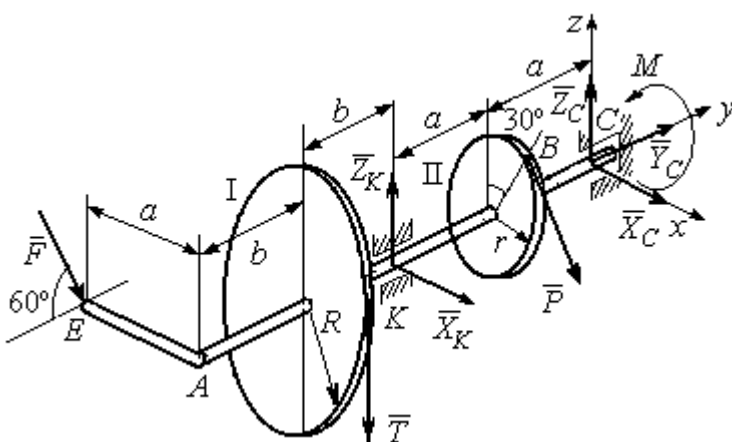


Рис. 1.15. Внешние силы и реакции связей вала

Освобождаем вал от связей, заменяя их действие реакциями. Реакцию подпятника C раскладываем на три со-

ставляющие: $\vec{X}_C, \vec{Y}_C, \vec{Z}_C$, направленные вдоль координатных осей. Реакция подшипника K лежит в плоскости, перпендикулярной оси вала, и ее составляющими будут вектора \vec{X}_K, \vec{Z}_K , направленные вдоль координатных осей x, z . Реакция нити \vec{T} направлена вдоль нити от точки K и по модулю равна весу груза. Действие на вал внешних сил и реакций связи показано на рис. 1.15.

Внешние силы, действующие на вал, и реакции связей составляют произвольную пространственную систему сил, эквивалентную нулю $(\vec{P}, \vec{F}, \vec{X}_K, \vec{Z}_K, \vec{T}, \vec{X}_C, \vec{Y}_C, \vec{Z}_C, M) \infty 0$, для которой уравнения равновесия:

$$\sum F_{kx} = 0, \sum F_{ky} = 0, \sum F_{kz} = 0,$$

$$\sum M_x(\vec{F}_k) = 0, \sum M_y(\vec{F}_k) = 0, \sum M_z(\vec{F}_k) = 0.$$

Для удобства при составлении уравнений равновесия изобразим вал вместе с действующими на него силами в проекциях на координатные плоскости (рис. 1.16)

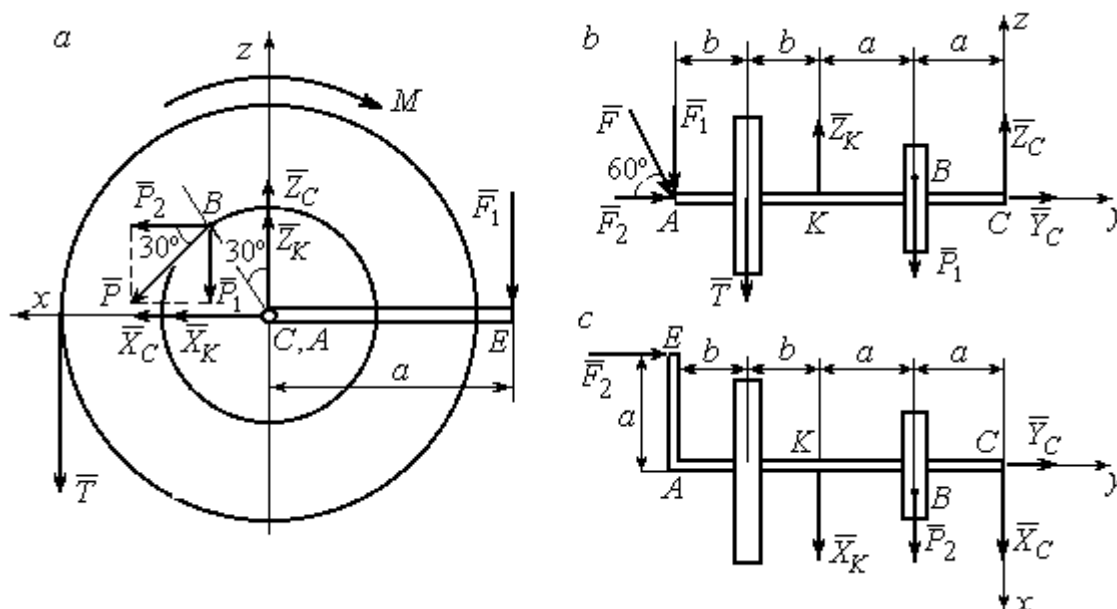


Рис. 1.16. Вал и действующие на него силы в проекциях на координатные плоскости:

- a – вид вала в проекции на плоскость zCx с положительного конца оси y ;
- b – вид вала в проекции на плоскость zCy с положительного конца оси x ;
- c – вид вала в проекции на плоскость xCy с положительного конца оси z .

На рис. 1.16, *a* показаны проекции всех сил на плоскость zCx . Вычисляя моменты проекций этих сил относительно точки C , получим значения моментов исходных сил относительно оси y .

Для вычисления моментов сил относительно оси x достаточно найти моменты проекций сил на плоскость zCy относительно точки C (см. рис. 1.16, *b*), а вычисляя моменты проекций сил на плоскость xCy относительно точки C , получим значения моментов сил относительно оси z .

Составляем уравнения равновесия:

$$\begin{aligned}\sum F_{kx} &= P_2 + X_K + X_C = 0, \quad \sum F_{ky} = F_2 + Y_C = 0, \\ \sum F_{kz} &= -P_1 + Z_K - T + Z_C - F_1 = 0, \\ \sum M_x(\vec{F}_k) &= P_1 a - Z_K 2a - T(2a + b) + F_1(2a + 2b) = 0, \\ \sum M_y(\vec{F}_k) &= -F_1 a + TR + Pr - M = 0, \\ \sum M_z(\vec{F}_k) &= P_2 a + X_K 2a - F_2 a = 0.\end{aligned}$$

Подставляя исходные данные задачи, с учётом того, что

$$P_1 = P \cos 60^\circ = 0,5P, \quad P_2 = P \cos 30^\circ = 0,87P,$$

$$F_1 = F \cos 30^\circ = 0,87F, \quad F_2 = F \cos 60^\circ = 0,5F \quad (\text{см. рис. 1.16 } a, b),$$

получим систему уравнений:

$$\begin{aligned}0,87 \cdot 4 + X_K + X_C &= 0, \quad 2 \cdot 0,5 + Y_C = 0, \quad -4 \cdot 0,5 + Z_K - 3 + Z_C - 2 \cdot 0,87 = 0, \\ 0,5 \cdot 4 \cdot 0,8 - 1,6Z_K - 3 \cdot 0,87(2 \cdot 0,8 + 0,4) + 2 \cdot 0,87(2 \cdot 0,8 + 2 \cdot 0,4) &= 0, \\ -0,87 \cdot 0,8 + 3 \cdot 0,6 + 4 \cdot 0,3 - M &= 0, \quad 0,87 \cdot 4 \cdot 0,8 + 1,6 \cdot X_K - 2 \cdot 0,5 \cdot 0,8 = 0.\end{aligned}$$

Решая систему, найдём: $X_C = -2,24$ кН, $Y_C = -1$ кН, $Z_C = 6,39$ кН, $X_K = -1,24$ кН, $Z_K = 0,35$ кН, $M = 2,3$ кН·м.

Окончательно, реакция подпятника $R_C = \sqrt{X_C^2 + Y_C^2 + Z_C^2} = 6,84$ кН,

реакция подшипника $R_K = \sqrt{X_K^2 + Z_K^2} = 1,29$ кН.

Задача 2. Плита весом P расположена в вертикальной плоскости zAy . В точке A плита закреплена пространственным шарниром, а в точке B на оси y

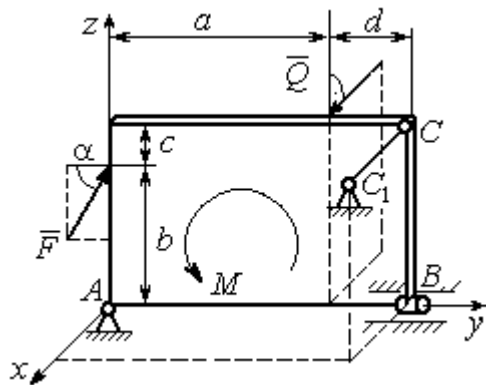


Рис. 1.17. Равновесие плиты

опирается на цилиндрический шарнир (подшипник). Плита удерживается в равновесии при помощи невесомого стержня CC_1 , прикреплённого шарниром к плите в её верхнем углу, в точке C перпендикулярно плоскости плиты (рис. 1.17).

На плиту действует сила \bar{Q} , приложенная на краю плиты перпендикулярно её плоскости, и сила \bar{F} , лежащая в плоскости плиты и направленная под углом α к горизонту (см. рис. 1.17). Кроме того, в плоскости плиты на неё действует пара сил с моментом M . Найти реакции шарниров A и B и усилие в стержневой подпорке CC_1 при равновесии плиты, если параметры нагрузки: $P = 1$ кН,

$Q = 500$ Н, $F = 400$ Н, $M = 300$ Н·м, $\alpha = 35^\circ$, $a = 2$ м, $b = 1,5$ м, $c = 0,2$ м, $d = 0,4$ м.

Решение

Заменим связи плиты их реакциями. Реакция шарнира A раскладывается на три составляющие: \bar{X}_A , \bar{Y}_A , \bar{Z}_A по направлениям координатных осей. Направления координатных осей показаны на рис. 1.17. Реакция подшипника B лежит в плоскости, перпендикулярной оси подшипника, и ее составляющими будут вектора \bar{X}_B , \bar{Z}_B , направленные вдоль координатных осей x , z . Реакция стержня \bar{T} направлена вдоль стержня. Действие сил и реакций показано на рис.1.18.

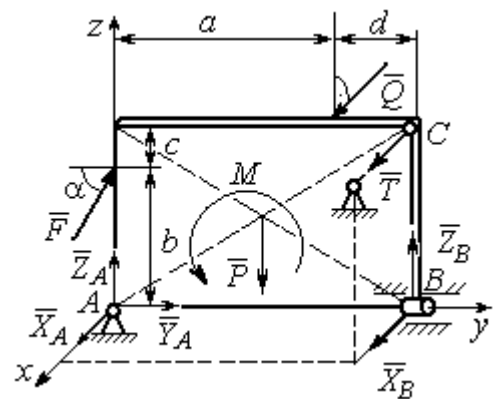


Рис. 1.18. Действие сил и реакций при равновесии плиты

Пространственная система сил, действующих на плиту, является уравновешенной: $(\vec{P}, \vec{F}, \vec{X}_B, \vec{Z}_B, \vec{T}, \vec{X}_A, \vec{Y}_A, \vec{Z}_A, M) \infty 0$. Уравнения равновесия:

$$\begin{aligned} \sum F_{kx} &= 0, \quad \sum F_{ky} = 0, \quad \sum F_{kz} = 0, \\ \sum M_x(\vec{F}_k) &= 0, \quad \sum M_y(\vec{F}_k) = 0, \quad \sum M_z(\vec{F}_k) = 0. \end{aligned}$$

В вычислениях моментов сил относительно осей будем считать момент положительным, если при взгляде со стороны положительного направления оси, сила вращает тело (плиту) против хода часовой стрелки. Получим:

$$\begin{aligned} \sum F_{kx} &= 0, \quad X_A + Q + X_B + T = 0, \\ \sum F_{ky} &= 0, \quad Y_A + F \cos \alpha = 0, \\ \sum F_{kz} &= 0, \quad Z_A + F \sin \alpha - P + Z_B = 0 \\ \sum M_x(\vec{F}_k) &= 0, \quad -F \cos \alpha \cdot b - P \cdot 0,5(a+d) + Z_B(a+d) + M = 0, \\ \sum M_y(\vec{F}_k) &= 0, \quad Q \cdot (b+c) + T \cdot (b+c) = 0, \\ \sum M_z(\vec{F}_k) &= 0, \quad -Q \cdot a - T \cdot (a+d) - X_B \cdot (a+d) = 0. \end{aligned}$$

Подставив исходные данные задачи, получим систему уравнений:

$$\begin{aligned} X_A + 500 + X_B + T &= 0, \quad Y_A + 400 \cdot 0,82 = 0, \quad Z_A + 400 \cdot 0,57 - 1000 + Z_B = 0, \\ -400 \cdot 0,82 \cdot 1,5 - 1000 \cdot 0,5 \cdot 2,4 + Z_B \cdot 2,4 + 300 &= 0, \\ 500 \cdot 1,7 + T \cdot 1,7 &= 0, \quad -500 \cdot 2 - T \cdot 2,4 - X_B \cdot 2,4 = 0, \end{aligned}$$

откуда находим значения составляющих реакций:

$$\begin{aligned} T &= -500 \text{ Н}, \quad X_B = 83,33 \text{ Н}, \quad Z_B = 580 \text{ Н}, \\ X_A &= -83,33 \text{ Н}, \quad Y_A = -328 \text{ Н}, \quad Z_A = 192 \text{ Н}. \end{aligned}$$

Полные реакции пространственного шарнира A :

$$R_A = \sqrt{X_A^2 + Y_A^2 + Z_A^2} = 389,09 \text{ Н},$$

цилиндрического шарнира B : $R_B = \sqrt{X_B^2 + Z_B^2} = 585,95 \text{ Н}.$

2. КИНЕМАТИКА ТОЧКИ И ТВЕРДОГО ТЕЛА

Кинематикой называется раздел механики, в котором изучаются свойства движения материальных тел без учета их масс и действующих на них сил.

2.1. Кинематика точки. Основные параметры движения точки

Кривая, которую описывает движущаяся точка, называется **траекторией** точки. Движение точки может быть задано **векторным, координатным** или **естественным** способами.

Векторный способ основан на определении положения точки ее радиусом-вектором в виде векторного уравнения $\vec{r} = \vec{r}(t)$. При **координатном способе** задания движения точки положение точки определяется ее координатами, заданными для каждого момента времени: $x = x(t)$, $y = y(t)$, $z = z(t)$. **Естественный способ** задания движения используется, если заранее известна траектория движения точки. Тогда положение точки однозначно определяется длиной дуги $OM = S(t)$, отсчитываемой от некоторой фиксированной точки O , принятой за начало отсчета.

Мгновенная скорость, или скорость точки в данный момент времени, является векторной величиной и определяется как производная по времени от радиуса-вектора точки: $\vec{V} = \dot{\vec{r}}$. Вектор скорости точки \vec{V} всегда направлен по касательной к траектории в сторону движения точки.

При координатном способе задания движения величины проекций вектора скорости \vec{V} на координатные оси определяются как производные по времени от соответствующих координат: $V_x = \dot{x}$, $V_y = \dot{y}$, $V_z = \dot{z}$. Модуль вектора скорости: $V = \sqrt{V_x^2 + V_y^2 + V_z^2}$. При естественном способе задания движения вектор скорости точки определяется равенством: $\vec{V} = \dot{S}\vec{\tau}$, где $S = S(t)$ – закон измене-

ния длины дуги, $\vec{\tau}$ – единичный вектор касательной к траектории движения, направленный в сторону возрастающих расстояний.

Величина $V = |\dot{S}|$ называется алгебраической скоростью точки. При $\dot{S} > 0$ вектор скорости \vec{V} направлен по единичному вектору $\vec{\tau}$ – в сторону возрастающих расстояний. При $\dot{S} < 0$ он имеет направление, противоположное единичному вектору $\vec{\tau}$, т. е. в сторону убывающих расстояний.

Мгновенное ускорение, или ускорение точки в данный момент времени, является векторной величиной и определяется как производная по времени от вектора скорости точки или как вторая производная от радиус-вектора точки:

$\vec{a} = \dot{\vec{V}} = \ddot{\vec{r}}$. При координатном способе проекции вектора ускорения \vec{a} на координатные оси – величины a_x, a_y, a_z – определяются равенствами: $a_x = \dot{V}_x = \ddot{x}$, $a_y = \dot{V}_y = \ddot{y}$, $a_z = \dot{V}_z = \ddot{z}$. Модуль вектора ускорения равен: $a = \sqrt{a_x^2 + a_y^2 + a_z^2}$.

При естественном способе задания движения вектор ускорения точки \vec{a} раскладывается на две взаимно перпендикулярные составляющие \vec{a}_n и \vec{a}_τ , параллельные осям n и τ естественной системы координат, и представляется в виде равенства $\vec{a} = a_\tau \vec{\tau} + a_n \vec{n}$, или $\vec{a} = \vec{a}_\tau + \vec{a}_n$, где $\vec{\tau}$ – единичный направляющий вектор оси, касательной к траектории (касательная ось); \vec{n} – единичный направляющий вектор главной нормали траектории. Величина a_n называется

нормальным ускорением точки и вычисляется по формуле: $a_n = \frac{V^2}{\rho}$, где ρ – радиус кривизны траектории. (У окружности радиус кривизны равен её радиусу, у прямой линии – бесконечности.) Вектор \vec{a}_n нормальной составляющей ускорения всегда направлен к центру кривизны траектории. При движении по окружности радиус кривизны траектории равен радиусу окружности, а центр кривизны траектории совпадает с центром окружности. Величина a_τ называется **касательным ускорением** и равна модулю второй производной от заданно-

го закона изменения длины дуги: $a_\tau = |\ddot{S}|$, где $S = S(t)$ – закон изменения длины дуги. Направление вектора касательного ускорения \vec{a}_τ зависит от знака второй производной \ddot{S} . При $\ddot{S} > 0$ вектор \vec{a}_τ в направлен в сторону возрастающих расстояний, по направлению единичного вектора $\vec{\tau}$, при $\ddot{S} < 0$ – в сторону убывающих расстояний (противоположно единичному вектору $\vec{\tau}$). Вектор полного ускорения \vec{a} направлен по диагонали прямоугольника, построенного на векторах \vec{a}_n и \vec{a}_τ . Модуль вектора ускорения: $a = \sqrt{a_n^2 + a_\tau^2}$.

2.2. Вращение тела вокруг неподвижной оси

Движение тела, при котором все точки некоторой его прямой остаются неподвижными, называется **вращательным**, а указанная прямая называется осью вращения. Вращение тела задается углом поворота $\varphi = \varphi(t)$ подвижной плоскости, связанной с телом, относительно некоторого ее начального положения. Направление вращения с возрастанием угла поворота считается положительным.

Величина **угловой скорости** вращения тела равна модулю производной от угла поворота тела по времени: $\omega = |\dot{\varphi}|$. Направление угловой скорости вращения тела зависит от знака производной $\dot{\varphi}$. При $\dot{\varphi} > 0$ вращение происходит в положительном направлении, в сторону возрастания угла поворота, при $\dot{\varphi} < 0$ – в отрицательном. Направление угловой скорости обычно показывают дуговой стрелкой вокруг оси вращения. Вектор угловой скорости $\vec{\omega}$ направлен вдоль оси вращения в сторону, откуда вращение тела видно против хода часовой стрелки.

Величина **углового ускорения** при вращении тела равна модулю второй производной от угла поворота тела по времени: $\varepsilon = |\ddot{\varphi}|$. Если $\ddot{\varphi}$ одного знака с

$\dot{\varphi}$, то угловое ускорение ускоряет вращение тела, если разных знаков, то угловое ускорение замедляет вращение.

При вращательном движении тела все его точки движутся по окружностям, радиусы которых равны расстояниям от выбранной точки до неподвижной оси. **Скорость точки вращающегося твердого тела** (в отличие от угловой скорости тела) называют **линейной**, или **окружной скоростью** точки. Величина скорости рассчитывается по формуле: $V = \omega h$, где ω – величина угловой скорости тела; h – расстояние от точки до оси вращения. Вектор скорости точки лежит в плоскости описываемой точкой окружности и направлен по касательной к ней в сторону вращения тела. Отношение скоростей двух точек вращающегося тела равно отношению расстояний от этих точек до

оси:
$$\frac{V_{M1}}{V_{M2}} = \frac{h_1}{h_2}.$$

Ускорение точки вращающегося твердого тела рассчитывается как ускорение точки при естественном способе задания движения в виде суммы векторов касательного и нормального ускорений: $\vec{a}_M = \vec{a}_\tau + \vec{a}_n$. Величины касательного, нормального и полного ускорений точки вращающегося тела, соответственно: $a_\tau = \varepsilon h$, $a_n = \omega^2 h$, $a_M = \sqrt{a_\tau^2 + a_n^2}$, где ω , ε – угловая скорость и угловое ускорение тела; h – расстояние от точки до оси вращения.

2.3. Плоскопараллельное движение твёрдого тела

Плоскопараллельным, или плоским движением твердого тела, называется такое движение, при котором все точки тела движутся параллельно некоторой неподвижной плоскости. Плоское движение представляется в виде суммы мгновенного поступательного движения, при котором все точки плоской фигуры движутся со скоростью выбранной точки-полюса, и мгновенного вращательного движения вокруг этого полюса.

Скорость любой точки M плоской фигуры равна векторной сумме вектора скорости точки-полюса и вектора скорости точки M при вращении тела вокруг этого полюса: $\vec{V}_M = \vec{V}_A + \vec{V}_{MA}$, где \vec{V}_M – скорость точки M ; \vec{V}_A – скорость полюса A ; \vec{V}_{MA} – вектор скорости точки M при вращении тела вокруг полюса A , модуль скорости $V_{MA} = \omega \cdot MA$, где ω – угловая скорость мгновенного вращательного движения тела вокруг полюса; MA – расстояние между полюсом A и точкой M .

Мгновенным центром скоростей называется такая точка P плоской фигуры, скорость которой в данный момент времени равна нулю. Выбрав в качестве полюса мгновенный центр скоростей, скорость любой точки плоской фигуры находят так, как если бы мгновенное движение фигуры было вращательным вокруг мгновенного центра скоростей.

Способы построения мгновенного центра скоростей

1. Если известны направления скоростей \vec{V}_A и \vec{V}_B каких-нибудь двух точек A и B плоской фигуры, то мгновенный центр скоростей находится в точке пересечения перпендикуляров, восстановленных из этих точек к векторам скоростей (рис. 2.1, *a*).

2. Если скорости \vec{V}_A и \vec{V}_B двух точек A и B плоской фигуры известны и параллельны друг другу, а линия AB перпендикулярна \vec{V}_A (и, конечно, \vec{V}_B), то мгновенный центр скоростей определяется как точка пересечения линий, проведенных через основания и вершины векторов скоростей (построение показано на рис. 2.1, *b, c*).

3. Если скорости \vec{V}_A и \vec{V}_B двух точек A и B параллельны друг другу, но линия AB , соединяющая эти точки, не перпендикулярна векторам скоростей (рис. 2.1, *d*), то мгновенная угловая скорость тела равна нулю и движение тела

в данный момент времени является мгновенным поступательным. В этом случае скорости всех точек равны по величине и направлению.

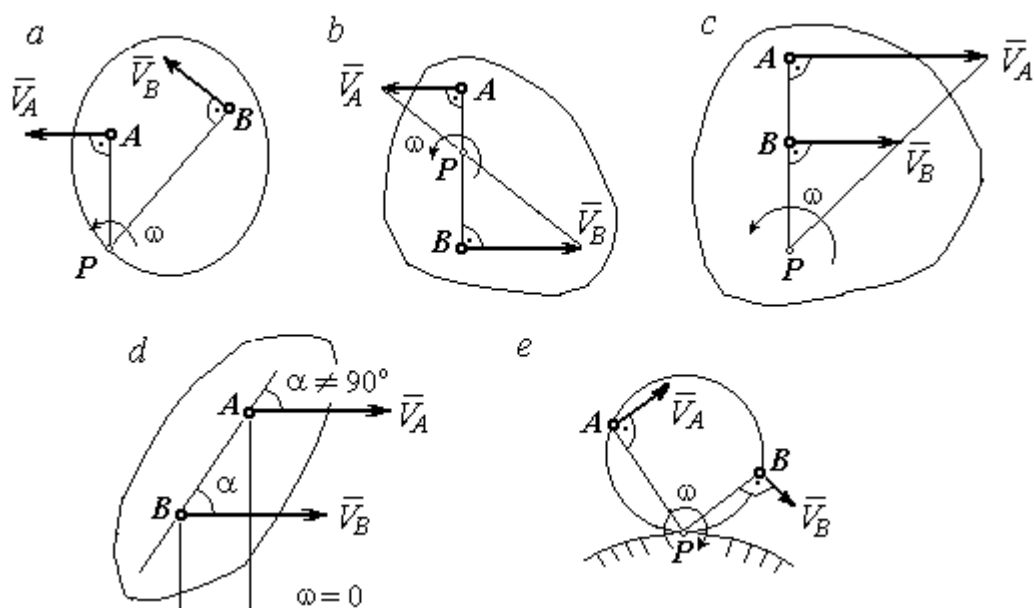


Рис. 2.1. Способы построения мгновенного центра скоростей

4. Если плоскопараллельное движение осуществляется путем качения без скольжения одного тела по неподвижной поверхности другого, то мгновенный центр скоростей расположен в точке касания катящегося тела с неподвижной поверхностью (рис. 2.1, e).

Ускорение любой точки M плоской фигуры при плоскопараллельном движении твердого тела представляется как сумма векторов – ускорения полюса и ускорения точки M при вращении фигуры вокруг полюса. Учитывая, что ускорение точки вращающегося тела представляется как сумма нормального и касательного ускорений, получим:

$$\vec{a}_M = \vec{a}_A + \vec{a}_{MA}^{\tau} + \vec{a}_{MA}^n,$$

где \vec{a}_A – ускорение полюса A ; \vec{a}_{MA}^{τ} , \vec{a}_{MA}^n – касательная и нормальная составляющие ускорения точки M при вращении фигуры вокруг полюса A .

Вектор нормального ускорения \vec{a}_{MA}^n всегда направлен от точки M к полюсу A . Вектор касательного ускорения \vec{a}_{MA}^τ направлен перпендикулярно отрезку AM в сторону вращения, если оно ускоренное (рис. 2.2, *a*), и против вращения, если оно замедленное (рис. 2.2, *b*). Численно величины касательного и

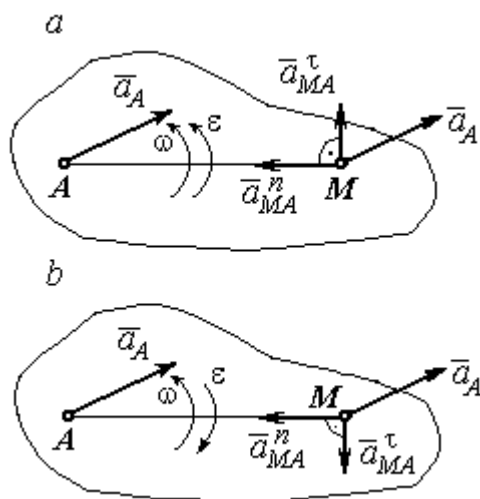


Рис. 2.2. Ускорение точки плоской фигуры:

a – ускоренное движение;
b – замедленное движение

нормального составляющих ускорения точки M определяются по формулам:

$$a_{MA}^\tau = \varepsilon \cdot AM, \quad a_{MA}^n = \omega^2 \cdot AM,$$

где ω , ε – угловая скорость и угловое ускорение тела (плоской фигуры); AM – расстояние от точки M до полюса A (см. рис. 2.2).

Если при движении плоской фигуры известны траектории движения полюса A и точки M , то для определения ускорения точки M используется векторное равенство

$$\vec{a}_M^\tau + \vec{a}_M^n = \vec{a}_A^\tau + \vec{a}_A^n + \vec{a}_{MA}^\tau + \vec{a}_{MA}^n,$$

где \vec{a}_M^τ , \vec{a}_M^n , \vec{a}_A^τ , \vec{a}_A^n – касательная и нормальная составляющие ускорения точки M и полюса A при движении их по заданным траекториям.

2.4. Задание К1. Определение скоростей и ускорений точек твердого тела при поступательном и вращательном движениях

По заданному движению одного из звеньев механизма $x_1 = x_1(t)$ (варианты 1, 3, 5, 7, 9) или $\varphi_1 = \varphi_1(t)$ (варианты 2, 4, 6, 8, 10) найти в момент времени t_1 скорость, касательное, нормальное и полное ускорения точки M звена механизма, совершающего вращательное движение, а также скорость и ускорение звена 4, совершающего поступательное движение.

Варианты заданий даны на рис. 2.3, 2.4. Исходные данные представлены в табл. 2.1.

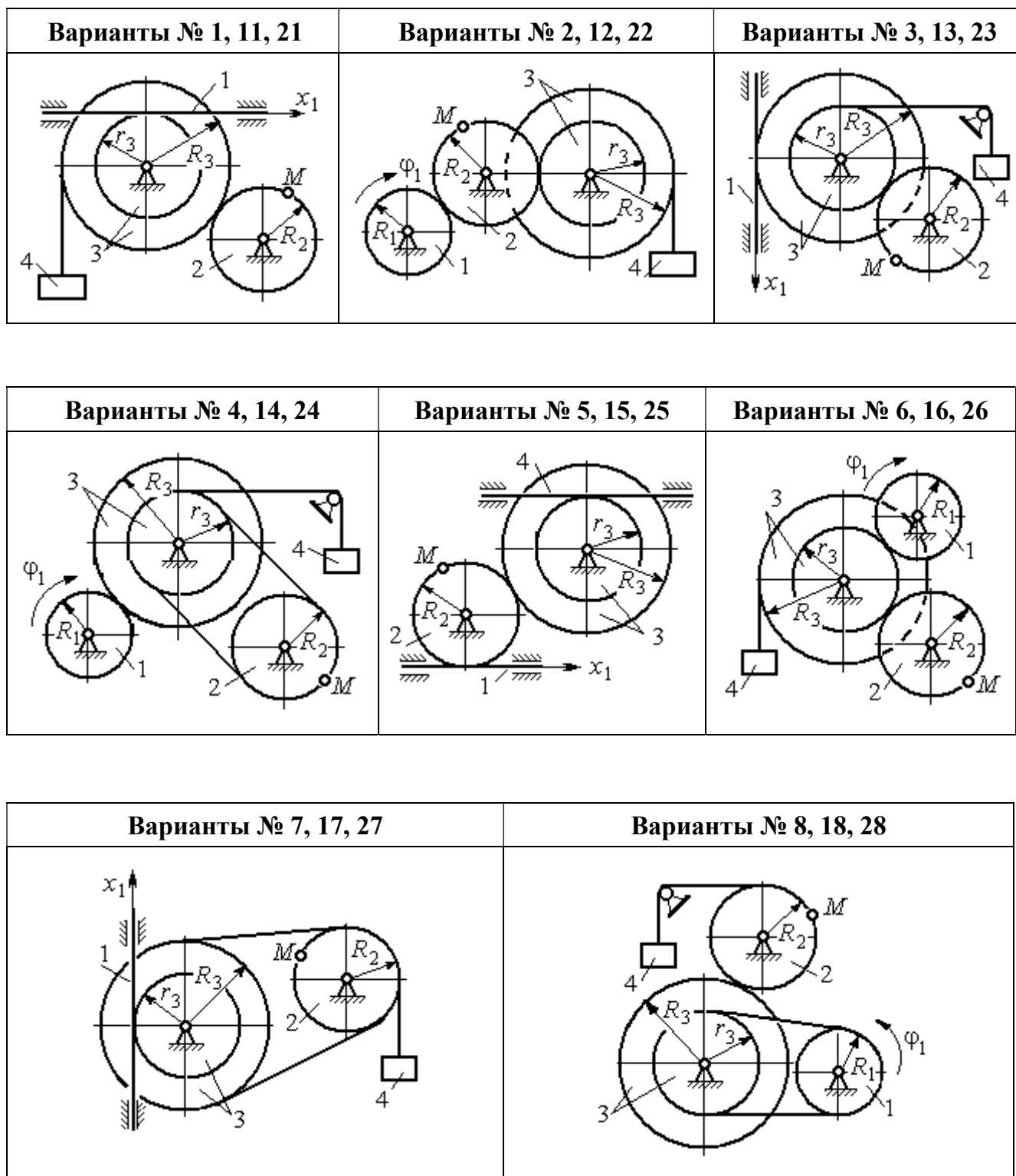


Рис. 2.3. Задание К1. Определение скоростей и ускорений точек при поступательном и вращательном движениях твёрдого тела.

Номера вариантов задания 1 – 8, 11 – 18, 21 – 28

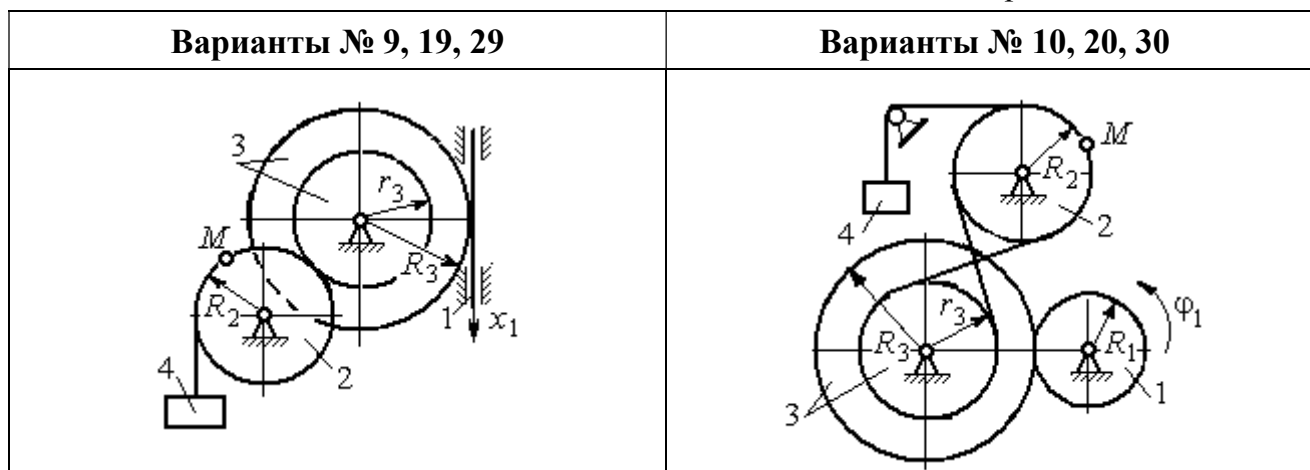


Рис. 2.4. Задание К1. Определение скоростей и ускорений точек при поступательном и вращательном движениях твёрдого тела.
Номера вариантов задания 9 – 10, 19 – 20, 29 – 30

Таблица 2.1

Исходные данные вариантов задания К1. Определение скоростей и ускорений точек при поступательном и вращательном движениях твёрдого тела

Номер варианта задания	$R_1, \text{см}$	$R_2, \text{см}$	$R_3, \text{см}$	$r_3, \text{см}$	$x_1(t), \text{см}$ $\varphi_1(t), \text{рад}$	$t_1, \text{с}$
1	–	40	45	35	$x_1(t) = (3t - 1)^2$	2
2	10	20	38	18	$\varphi_1(t) = t^2 + 6\cos(\pi t/6)$	3
3	–	30	42	18	$x_1(t) = 5t^2 - 2\cos(\pi t/2)$	1
4	15	30	45	20	$\varphi_1(t) = 5t^2 + \cos(\pi t/2)$	2
5	–	30	40	20	$x_1(t) = 6t - \cos(\pi t/3)$	3
6	10	20	30	10	$\varphi_1(t) = t^3 - \cos(\pi t/2)$	1
7	–	30	40	30	$x_1(t) = 2\sin(\pi t/2) + \cos(\pi t/2)$	2
8	8	10	30	25	$\varphi_1(t) = 5t + \cos(\pi t/2)$	2
9	–	18	30	18	$x_1(t) = 5t + \cos(\pi t/3)$	3
10	15	30	50	20	$\varphi_1(t) = 2t^2 + \sin(\pi t/4)$	2
11	–	30	40	25	$x_1(t) = (t^2 - 3t)$	2
12	12	20	40	28	$\varphi_1(t) = 3t^2 + 6\sin(\pi t/6)$	3
13	–	25	60	42	$x_1(t) = 2t^2 + \cos(\pi t/2)$	1
14	10	30	45	30	$\varphi_1(t) = 3t^2 + 2\cos(\pi t/2)$	2

Номер варианта задания	$R_1, \text{см}$	$R_2, \text{см}$	$R_3, \text{см}$	$r_3, \text{см}$	$x_1(t), \text{см}$ $\varphi_1(t), \text{рад}$	$t_1, \text{с}$
15	–	20	30	20	$x_1(t) = 3t^2 - \cos(\pi t/3)$	3
16	12	18	40	20	$\varphi_1(t) = 2t^3 + \cos(\pi t/2)$	1
17	–	20	35	15	$x_1(t) = 2 \sin(\pi t/2) - \cos(\pi t/2)$	2
18	15	18	40	25	$\varphi_1(t) = 5t + \cos(\pi t/2)$	1
19	–	22	50	18	$x_1(t) = t^2 + \cos(\pi t/3)$	3
20	10	20	45	10	$\varphi_1(t) = 2t^2 + \sin(\pi t/4)$	4
21	–	20	40	20	$x_1(t) = t + (3t - 4)^2$	2
22	8	18	42	18	$\varphi_1(t) = 2t^2 + 12 \cos(\pi t/6)$	3
23	–	45	60	40	$x_1(t) = 4t^2 + \sin(\pi t/2)$	1
24	5	15	30	20	$\varphi_1(t) = 2t^2 + 4 \cos(\pi t/2)$	2
25	–	15	35	25	$x_1(t) = 2t^2 + \cos(\pi t/3)$	3
26	18	20	35	20	$\varphi_1(t) = 2t^3 + \sin(\pi t/2)$	1
27	–	15	35	15	$x_1(t) = 2 \sin(\pi t/2) - \cos(\pi t/2)$	1
28	10	12	40	25	$\varphi_1(t) = 2t^2 + \cos(\pi t/2)$	1
29	–	35	50	10	$x_1(t) = t^3 - \cos(\pi t/2)$	1
30	10	20	40	10	$\varphi_1(t) = 2t^2 + \cos(\pi t/4)$	4

Пример выполнения задания К1. Определение скоростей и ускорений точек при поступательном и вращательном движениях твёрдого тела

По заданному уравнению движения звена 1 механизма (рис. 2.5, а) определить скорость, нормальное, касательное и полное ускорения точки M на момент времени t_1 , а также скорость и ускорение звена 4, если значения радиусов колес механизма и закон движения звена 1: $R_2 = 20$ см, $r_2 = 5$ см, $R_3 = 8$ см, $r_3 = 4$ см, $x_1 = 2t^2 - 5t$ см, $t_1 = 1$ с.

Решение

Отметим на схеме положительные направления отсчета углов поворота дисков 2 и 3, соответствующие заданному положительному направлению движения звена 1.

Направления показаны на рис 2.5, b дуговыми стрелками φ_2 , φ_3 , а положительное направление движения звена 4 – направлением оси x_4 .

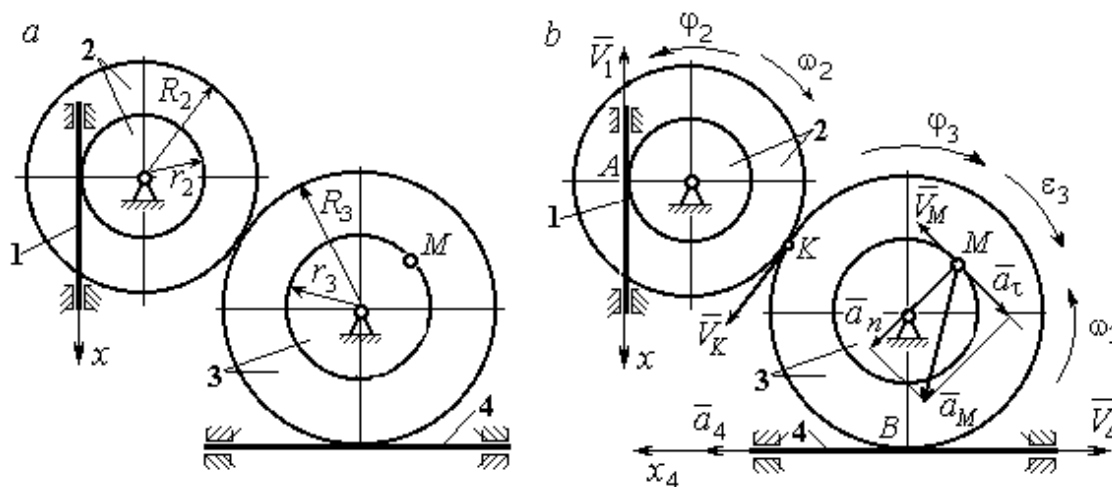


Рис. 2.5. Кинематика вращательного движения твердого тела:
 a – схема механизма; b – расчетная схема для определения скоростей и ускорений точек механизма

Звено 1 движется поступательно. Движение задано координатным способом в виде закона изменения координаты x . Дифференцируем по времени уравнение движения: $\dot{x} = 4t - 5$ см/с. В момент времени $t_1 = 1$ с значение производной: $\dot{x}(1) = -1$ см/с. Отрицательное значение производной \dot{x} показывает, что в данный момент времени звено 1 движется в отрицательном направлении оси x . Скорость звена 1 равна модулю производной: $V_1 = |\dot{x}|$. На рис. 2.5, b направление движения звена 1 в момент времени $t_1 = 1$ с показано вектором скорости \vec{V}_1 , направленным в сторону, противоположную положительному направлению оси x . Эту же скорость будет иметь точка A – точка контакта звена 1 с диском 2, лежащая на расстоянии r_2 от оси вращения диска. Следовательно, $V_1 = V_A = \omega_2 r_2$, где ω_2 – угловая скорость диска 2. Отсюда угловая скорость диска: $\omega_2 = \frac{V_A}{r_2} = \frac{|4t - 5|}{5} = |\dot{\varphi}_2|$ рад/с. При $t_1 = 1$ с значение производной отрицательно: $\dot{\varphi}_2(1) = -0,2$ рад/с. Это означает, что в заданный момент времени вращение диска 2 с угловой скоростью $\omega_2(1) = |\dot{\varphi}_2(1)| = 0,2$ рад/с происходит

в отрицательном для диска 2 направлении. На рис. 2.5, *b* направление вращения диска 2 показано дуговой стрелкой ω_2 в сторону, противоположную положительному направлению отсчета угла φ_2 . При передаче вращения диска 2 диску 3 величины угловых скоростей дисков обратно пропорциональны радиусам дисков, которым принадлежит точка контакта: $\frac{\omega_2}{\omega_3} = \frac{R_3}{R_2}$. Тогда, угловая скорость диска 3 $\omega_3 = \omega_2 \frac{R_2}{R_3} = |2t - 2,5| = |\dot{\varphi}_3|$ рад/с.

В момент времени $t_1 = 1$ с значение производной $\dot{\varphi}_3$ отрицательно: $\dot{\varphi}_3(1) = -0,5$ рад/с, и, следовательно, вращение диска 3 в данный момент времени с угловой скоростью $\omega_3(1) = |\dot{\varphi}_3(1)| = 0,5$ рад/с происходит в сторону, противоположную положительному направлению отсчета угла φ_3 , как показано на рис. 2.5, *b*. Величина (модуль) скорости точки M рассчитывается по формуле: $V_M = \omega_3 r_3$. В момент времени $t_1 = 1$ с модуль скорости $V_M(1) = 2$ см/с. Вектор скорости \vec{V}_M расположен по касательной к траектории движения точки M (окружности) и направлен в сторону вращения диска 3 (см. рис. 2.5, *b*).

Звено 4 движется поступательно. Скорость звена 4 равна скорости точки касания его с диском 3: $V_4 = V_B = \omega_3 R_3 = |2t - 2,5| \cdot 8 = |\dot{x}_4|$. В момент времени $t_1 = 1$ с значение производной от координаты движения звена 4 отрицательно: $\dot{x}_4(1) = -4$ см/с. В результате, вектор скорости $\vec{V}_4(1)$, равный по модулю $V_4(1) = 4$ см/с, направлен вдоль оси x_4 в сторону, противоположную ее положительному направлению (см. рис. 2.5, *b*).

Угловое ускорение диска 3: $\varepsilon_3(t) = |\dot{\omega}_3| = |\ddot{\varphi}_3| = 2$ рад/с². Из того, что угловая скорость ω_3 и угловое ускорение $\dot{\omega}_3$ диска 3 имеют разные знаки, следует, что вращение диска 3 замедленное. Угловое ускорение диска направлено в сторону положительного направления отсчета угла поворота φ_3 , диска 3 (см. рис. 2.5, *b*).

Касательное ускорение a_τ точки M рассчитывается по формуле $a_\tau = \varepsilon_3 r_3$ и в момент времени $t_1 = 1$ с: $a_\tau = 8$ см/с². Так как вращение диска 3 замедленное, вектор касательного ускорения точки M $\vec{a}_\tau(t)$ направлен в сторону, противоположную вектору скорости $\vec{V}_M(1)$ (см. рис. 2.5, *b*). Нормальное ускорение a_n точки M рассчитывается как $a_n = \omega_3^2 r_3$. В момент времени $t_1 = 1$ с величина нормального ускорения: $a_n(1) = 1$ см/с². Вектор нормального ускорения $\vec{a}_n(1)$ направлен по радиусу к центру диска 3 (см. рис. 2.5, *b*). Полное ускорение точки M в заданный момент времени: $a_M(1) = \sqrt{a_\tau^2(1) + a_n^2(1)} = 8,06$ см/с². Вектор полного ускорения \vec{a}_M направлен по диагонали прямоугольника, построенного на векторах \vec{a}_n и \vec{a}_τ .

Ускорение a_4 звена 4 находится из условия, что звено 4 движется поступательно и прямолинейно. При прямолинейном движении нормальная составляющая ускорения равна нулю. Тогда $a_4 = a_{4\tau} = \dot{V}_4 = \dot{V}_B = |\dot{\omega}_3| R_3 = \varepsilon_3 R_3$.

Так как угловое ускорение диска 3 является постоянной величиной, ускорение a_4 не зависит от времени: $a_4 = 16$ см/с². Вектор ускорения \vec{a}_4 направлен вдоль оси x_4 в сторону положительных значений.

2.5. Задание К2. Определение скоростей точек твёрдого тела при плоскопараллельном движении

Для заданного положения плоского механизма определить скорости точек и угловые скорости звеньев механизма.

Варианты заданий показаны на рис. 2.6 – 2.8. Исходные данные вариантов заданий выбираются из таблиц, приведённых на рисунках схем механизмов.

Варианты № 1, 11, 21							Варианты № 2, 12, 22						
<p>Найти: $V_A, V_B, V_C, \omega_{AB}, \omega_{BC}, \omega_1, \omega_{BD}$</p>							<p>Найти: $V_A, V_B, V_K, \omega_1, \omega_{AB}, \omega_{OA}, \omega_{BE}, \omega_{BK}$</p>						
Номер варианта задания	$R_1,$ см	$r_1,$ см	$AD,$ см	$\alpha,$ град	$V_2,$ см/с	$V_3,$ см/с	Номер варианта задания	$R_1,$ см	$OA,$ см	$OE,$ см	$\alpha,$ град	$\beta,$ град	$V_C,$ см/с
1	10	5	20	30	8	10	2	3	5	4	30	60	10
11	12	8	25	45	10	4	12	4	8	6	45	90	8
21	10	6	15	60	5	5	22	5	12	2	60	120	12

Варианты № 3, 13, 23							Варианты № 4, 14, 24						
<p>Найти: $V_A, V_B, V_C, V_D, V_E, \omega_{BC}, \omega_1, \omega_{DE}$</p>							<p>Найти: $V_A, V_C, V_E, \omega_1, \omega_2, \omega_{AC}$</p>						
Номер варианта задания	$R_1,$ см	$OC,$ см	$AB,$ см	$BC,$ см	$\alpha,$ град	$\omega_{OC},$ рад/с	Номер варианта задания	$R_1,$ см	$R_2,$ см	$\alpha,$ град	$\beta,$ град	$V_3,$ см/с	$V_4,$ см/с
3	12	18	10	35	60	4	4	10	15	30	60	8	4
13	10	15	10	25	90	8	14	6	10	45	90	4	6
23	15	20	5	20	120	6	24	10	12	60	120	3	3

Рис. 2.6. Задание К2. Определение скоростей точек тела при плоскопараллельном движении. Номера вариантов задания 1 – 4, 11 – 14, 21 – 24

Варианты № 5, 15, 25							Варианты № 6, 16, 26						
<p>Найти: $V_A, V_B, V_C, V_D, V_E, \omega_2, \omega_3, \omega_{EC}$</p>							<p>Найти: $V_A, V_B, V_K, V_E, \omega_1, \omega_{OA}, \omega_{AB}, \omega_{AD}, \omega_{KE}$</p>						
Номер варианта задания	$R_1, \text{ см}$	$R_2, \text{ см}$	$R_3, \text{ см}$	$\alpha, \text{ град}$	$\beta, \text{ град}$	$\omega_{OB}, \text{ рад/с}$	Номер варианта задания	$R_1, \text{ см}$	$OA, \text{ см}$	$\alpha, \text{ град}$	$\beta, \text{ град}$	$\varphi, \text{ град}$	$V_D, \text{ см/с}$
5	10	20	12	60	0	6	6	10	20	30	60	60	12
15	6	18	10	90	90	8	16	12	26	30	30	90	8
25	20	25	15	120	180	4	26	15	30	60	60	120	15

Варианты № 7, 17, 27							Варианты № 8, 18, 29						
<p>Найти: $V_A, V_B, V_C, \omega_1, \omega_{OA}, \omega_{AB}, \omega_{AC}$</p>							<p>Найти: $V_A, V_B, V_D, \omega_1, \omega_{OA}, \omega_{AB}, \omega_{AD}$</p>						
Номер варианта задания	$R_1, \text{ см}$	$AB, \text{ см}$	$\alpha, \text{ град}$	$\beta, \text{ град}$	$\varphi, \text{ град}$	$V_D, \text{ см/с}$	Номер варианта задания	$R_1, \text{ см}$	$OA, \text{ см}$	$\alpha, \text{ град}$	$\beta, \text{ град}$	$V_2, \text{ см/с}$	$V_3, \text{ см/с}$
7	10	20	30	60	60	12	8	10	20	30	60	12	4
17	12	25	60	120	90	16	18	12	26	30	30	8	2
27	8	16	30	60	120	10	28	15	30	60	60	6	3

Рис. 2.7. Задание K2. Определение скоростей точек тела при плоскопараллельном движении. Номера вариантов задания 5 – 8, 15 – 18, 25 – 28

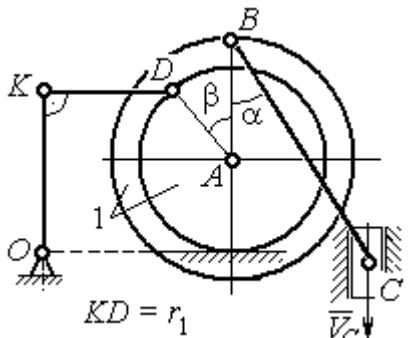
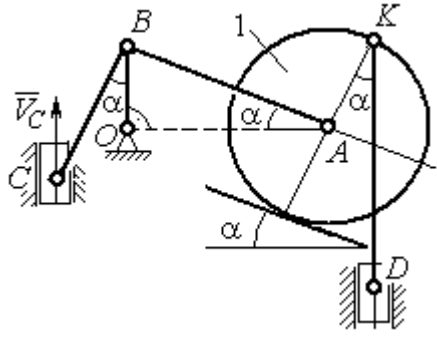
Варианты № 9, 19, 29							Варианты № 10, 20, 30						
 <p>Найти: $\omega_{OK}, \omega_{KD}, \omega_{BC}, \omega_1,$ V_A, V_B, V_K, V_D</p>							 <p>Найти: $V_A, V_B, V_D, V_K,$ $\omega_{CB}, \omega_1, \omega_{OB}, \omega_{AB}, \omega_{KD}$</p>						
Номер варианта задания	$R_1,$ см	$r_1,$ см	$\alpha,$ град	$\beta,$ град	$BC,$ см	$V_C,$ см/с	Номер варианта задания	$R_1,$ см	$CB,$ см	$OB,$ см	$KD,$ см	$\alpha,$ град	$V_C,$ см/с
9	20	12	45	60	60	8	10	10	20	30	60	30	4
19	24	16	60	90	50	4	20	12	26	30	50	45	2
29	16	10	30	120	40	6	30	15	30	60	60	60	3

Рис. 2.8. Задание К2. Определение скоростей точек тела при плоскопараллельном движении. Номера вариантов задания 9 – 10, 19 – 20, 29 – 30

Пример выполнения задания К2. Определение скоростей точек твёрдого тела при плоскопараллельном движении

Задача 1. Плоский механизм (рис. 2.9) состоит из стержня OC и подвижных дисков 2 и 3 радиусами r_2, r_3 , шарнирно закрепленными на стержне, соответственно, в точках A и C . Стержень OC вращается вокруг неподвижного центра O с угловой скоростью ω_{OC} . Диск 2, увлекаемый стержнем OC , катится без проскальзывания по неподвижной поверхности диска 1 радиусом r_1 . Диск 3, также увлекаемый стержнем OC , катится без проскальзыва-

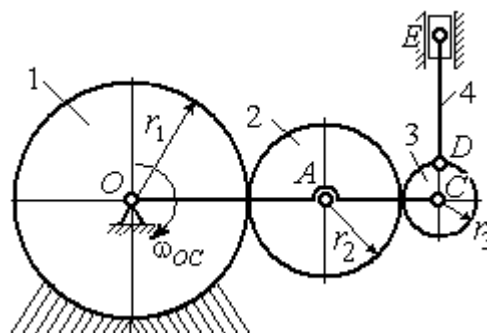


Рис. 2.9. Схема плоского механизма

ния по подвижному диску 2. В точке D , расположенной на краю диска 3, шарнирно прикреплен стержень 4, к которому в точке E шарнирно прикреплен поршень E , способный совершать только вертикальное перемещение. Для заданного положения механизма (см. рис. 2.9), когда стержень OC горизонтален, стержень DE направлен по линии вертикального диаметра диска 3, найти скорости точек A , C , D , E , угловые скорости дисков 2, 3 и стержня 4, если: $r_1 = 6$ см, $r_2 = 4$ см, $r_3 = 2$ см, $DE = 10$ см, $\omega_{OC} = 1$ рад/с.

Решение

Определим скорость точки A , общей для стержня OC и диска 2:
 $V_A = \omega_{OC}(r_1 + r_2) = 10$ см/с. Вектор скорости \vec{V}_A перпендикулярен стержню OC

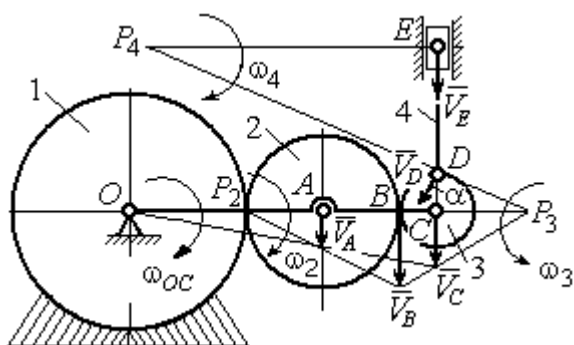


Рис. 2.10. Расчетная схема для определения скоростей точек механизма и угловых скоростей его звеньев

и направлен в сторону его вращения (рис. 2.10).

Диск 2 катится по неподвижной поверхности диска 1. Точка касания диска 2 с неподвижным диском 1 является мгновенным центром скоростей диска 2. На рис. 2.10 центр скоростей диска 2 обозначен точкой P_2 . В этом случае скорость точки A может быть

определена через угловую скорость диска ω_2 следующим образом:

$V_A = \omega_2 \cdot AP_2 = 4\omega_2$. Так как $V_A = 10$ см/с, получим $\omega_2 = 2,5$ рад/с.

Для того чтобы найти угловую скорость диска 3, необходимо определить положение его мгновенного центра скоростей. С этой целью вычислим скорости точек B и C . Скорость точки B может быть найдена через угловую скорость диска 2: $V_B = \omega_2 \cdot BP_2 = 20$ см/с. Вектор скорости \vec{V}_B перпендикулярен отрезку BP_2 и направлен в сторону мгновенного вращения диска 2 вокруг своего центра скоростей P_2 .

Скорость точки C определяется через угловую скорость стержня OC : $V_C = \omega_{OC}(r_1 + 2r_2 + r_3) = 16$ см/с. Вектор скорости \vec{V}_C перпендикулярен стержню OC и направлен в сторону его вращения (см. рис. 2.10).

Построение мгновенного центра скоростей P_3 диска 3 по известным скоростям \vec{V}_B и \vec{V}_C показано на рис. 2.10. Его положение определяется из условия, что отношение скоростей двух точек тела, совершающего плоскопараллельное движение, равно отношению расстояний от этих точек до мгновенного центра скоростей:

скоростей: $\frac{V_B}{V_C} = \frac{r_3 + CP_3}{CP_3}$. Разрешая пропорцию относительно неизвестной величины CP_3 , получим: $CP_3 = 8$ см. Скорость точки C выражается через угловую

скорость диска 3 $V_C = \omega_3 \cdot CP_3$. Отсюда величина угловой скорости диска 3:

$\omega_3 = \frac{V_C}{CP_3} = 2$ рад/с. Направление мгновенного вращения диска 3 вокруг своего

центра скоростей определяется известными направлениями скоростей точек C и B , принадлежащих диску 3 (см. рис. 2.10). Скорость точки D $V_D = \omega_3 \cdot DP_3 = 2 \cdot \sqrt{2^2 + 8^2} = 16,5$ см/с. Вектор скорости \vec{V}_D перпендикулярен отрезку DP_3 и направлен в сторону мгновенного вращения диска 3 вокруг центра P_3 .

Для определения скорости поршня E воспользуемся теоремой о проекциях скоростей точек плоской фигуры, согласно которой проекции скоростей двух точек плоской фигуры на ось, проходящую через эти точки, равны между собой. Проведем ось через точки D и E . По построению, угол α между вектором \vec{V}_D и осью DE равен углу $\angle DP_3C$ (см. рис. 2.10). Тогда,

$\cos \alpha = \frac{CP_3}{DP_3} = \frac{8}{\sqrt{2^2 + 8^2}} = 0,97$, откуда $\alpha = 14^\circ$. На основании теоремы о проекциях

скоростей точек плоской фигуры имеем равенство: $V_D \cos \alpha = V_E \cos 0$, откуда скорость точки E : $V_E = 16$ см/с.

Мгновенный центр скоростей стержня 4 – точка P_4 – определяется как точка пересечения перпендикуляров к векторам скоростей \vec{V}_D и \vec{V}_E , восстановленных, соответственно, из точек D и E (см. рис. 2.10). Угловая скорость стержня 4, совершающего мгновенный поворот вокруг своего центра скоростей, равна: $\omega_4 = \frac{V_E}{EP_4}$, где EP_4 – расстояние от точки E до мгновенного центра скоростей звена 4, $EP_4 = DE \cdot \operatorname{ctg} \alpha = 40$ см. В результате, $\omega_4 = 0,4$ рад/с. Направление мгновенного вращения звена 4 вокруг своего центра скоростей определяется направлением скорости точки D .

Задача 2. В плоском стержневом механизме (рис. 2.11) кривошипы OA и ED вращаются вокруг неподвижных центров O и E . В крайней точке D кривошипа ED к нему прикреплен шатун DB , второй конец которого в точке B прикреплен к кривошипу OA . Шатун AC прикреплен в точке A к кривошипу AO , а другим своим концом – к ползуну C , способному совершать только вертикальное движение. Все соединения шарнирные. В заданном положении механизма кривошип OA вертикален, шатун DB расположен горизонтально, кривошип ED наклонен под углом 60° к горизонтали, а шатун AC отклонен на угол 30° от вертикального положения кривошипа AO . Найти скорости всех отмеченных на схеме точек и угловые скорости всех звеньев, если линейные размеры звеньев механизма $AC = 6$ см, $AB = 2$ см, $BO = 8$ см, $DB = 10$ см и скорость ползуна в данный момент $V_C = 4$ см/с.

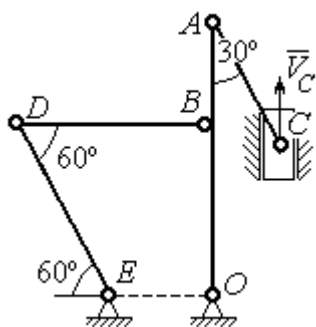


Рис. 2.11. Стержневой механизм

Решение

Кривошипы OA и ED совершают вращательные движения вокруг неподвижных центров. Скорости \vec{V}_A и \vec{V}_B точек A и B перпендикулярны кривоши-

пу OA , а скорость \vec{V}_D точки D перпендикулярна кривошпиу ED . Направления векторов скоростей точек показаны на рис. 2.12.

Шатун AC совершает плоскопараллельное движение. Его мгновенный центр скоростей P_1 находится как точка пересечения перпендикуляров к скоростям \vec{V}_A и \vec{V}_C . Угловая скорость звена AC равна

$$\omega_{AC} = \frac{V_C}{P_1C} = \frac{V_C}{AC \cdot \sin 30^\circ} = \frac{4}{3} \text{ рад/с.}$$

Далее, полагая, что точка A принадлежит шатуну AC , найдем её скорость:

$$V_A = \omega_{AC} \cdot P_1A = \frac{4}{3} AC \cdot \cos 30^\circ = 4\sqrt{3} \text{ см/с.}$$

Теперь, исходя из того, что точка A принадлежит как шатуну AC , так и кривошпиу OA , найдём его угловую скорость: $\omega_{AO} = \frac{V_A}{AO} = 0,4\sqrt{3} \text{ рад/с.}$ Скорость точки B кривошпиа $V_B = \omega_{AO} \cdot OB = 3,2\sqrt{3} \text{ см/с.}$

Шатун DB совершает плоскопараллельное движение. Зная направления скоростей точек B и D , построим мгновенный центр скоростей P_2 звена DB как точку пересечения перпендикуляров к скоростям \vec{V}_B и \vec{V}_D (см. рис. 2.12). Тогда, угловая скорость шатуна DB

$$\omega_{DB} = \frac{V_B}{P_2B} = \frac{3,2\sqrt{3}}{DB \cdot \text{tg} 60^\circ} = 0,32 \text{ рад/с.}$$

Скорость точки D $V_D = \omega_{DB} \cdot P_2D = 0,32 \frac{DB}{\sin 30^\circ} = 6,4 \text{ см/с.}$ Угловая скорость кривошпиа

$$\omega_{DE} = \frac{V_D}{DE} = \frac{6,4}{(OB / \sin 60^\circ)} = 0,69 \text{ рад/с.}$$

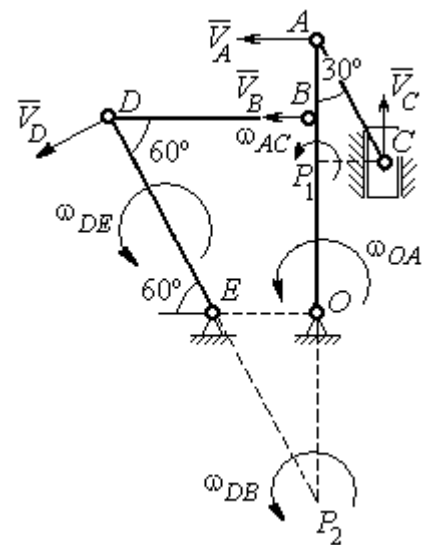
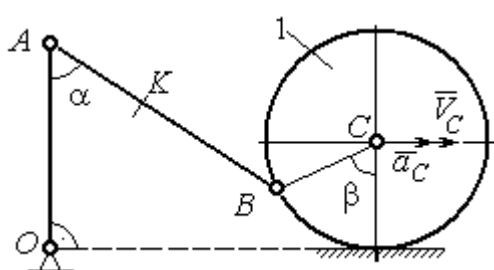
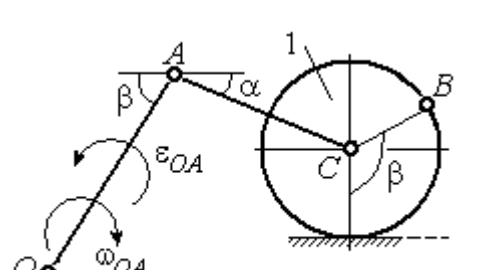


Рис. 2.12. Расчётная схема определения скоростей точек механизма и угловых скоростей его звеньев

2.6. Задание К3. Определение ускорений точек твёрдого тела при плоскопараллельном движении

Для заданного положения плоского механизма определить ускорения точек звеньев механизма и угловые ускорения звеньев. Варианты заданий и исходные данные приведены на рис. 2.13 – 2.15.

Варианты № 1, 11, 21								Варианты № 2, 12, 22							
 <p style="text-align: center;">Найти: $a_A, a_K, \varepsilon_{AB}$</p>								 <p style="text-align: center;">Найти: $a_C, a_B, \varepsilon_{AC}$</p>							
Номер варианта задания	AB , см	AK , см	α , град	β , град	R_1 , см	V_C , см/с	a_C , см/с ²	Номер варианта задания	R_1 , см	OA , см	AC , см	α , град	β , град	ω_{OA} , рад/с	ε_{OA} , рад/с ²
1	16	10	60	120	10	12	6	2	5	10	12	30	60	2	4
11	20	16	30	60	8	10	8	12	8	24	20	30	120	1	2
21	18	10	60	180	6	8	4	22	6	12	15	60	90	2	3

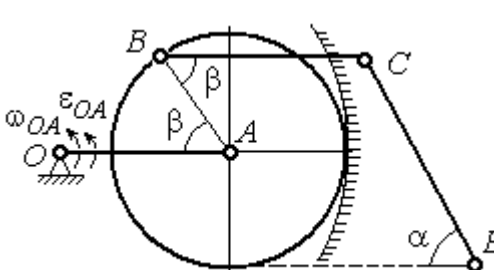
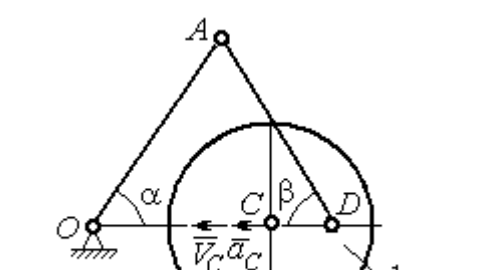
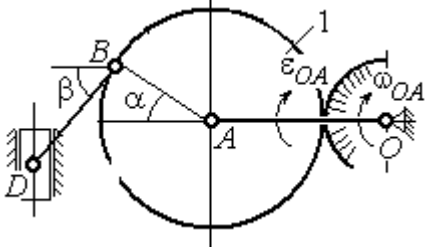
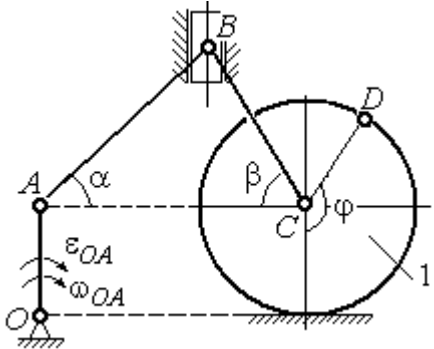
Варианты № 3, 13, 23								Варианты № 4, 14, 24							
 <p style="text-align: center;">Найти: $a_C, a_B, \varepsilon_{BC}$</p>								 <p style="text-align: center;">Найти: $a_A, a_D, \varepsilon_{DA}$</p>							
Номер варианта задания	BC , см	AO , см	α , град	β , град	R_1 , см	ω_{OA} , рад/с	ε_{OA} , рад/с ²	Номер варианта задания	R_1 , см	OA , см	DC , см	α , град	β , град	V_C , см/с	a_C , см/с ²
3	16	15	60	90	10	2	3	4	10	28	5,78	60	30	10	2
13	18	12	90	60	8	3	2	14	8	24	4,62	30	90	8	3
23	14	12	30	120	10	2	4	24	6	20	6	45	45	12	2

Рис. 2.13. Задание К3. Определение ускорений точек тела при плоскопараллельном движении. Номера вариантов задания 1 – 4, 11 – 14, 21 – 24

Варианты № 5, 15, 25								Варианты № 6, 16, 26							
 <p>Найти: a_D, a_B, ϵ_{BD}</p>								 <p>Найти: a_B, a_D, ϵ_{BC}</p>							
Номер варианта задания	OA , см	BD , см	α , град	β , град	R_1 , см	ω_{OA} , рад/с	ϵ_{OA} , рад/с ²	Номер варианта задания	R_1 , см	AB , см	φ , град	α , град	β , град	ω_{OA} , рад/с	ϵ_{OA} , рад/с ²
5	16	10	60	30	10	4	3	6	6	18	60	30	30	2	3
15	18	8	90	45	12	2	4	16	8	20	90	60	30	2	4
25	14	12	30	60	8	3	2	26	5	16	120	30	60	3	4

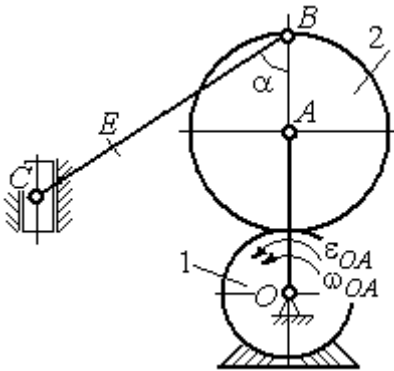
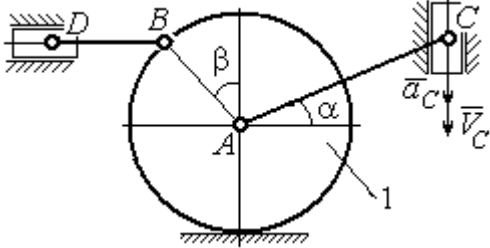
Варианты № 7, 17, 27								Варианты № 8, 18, 28							
 <p>Найти: a_E, a_C, ϵ_{BC}</p>								 <p>Найти: a_D, a_B, ϵ_{BD}</p>							
Номер варианта задания	BC , см	BE , см	α , град	R_1 , см	R_2 , см	ω_{OA} , рад/с	ϵ_{OA} , рад/с ²	Номер варианта задания	R_1 , см	BD , см	AC , см	α , град	β , град	V_C , см/с	a_C , см/с ²
7	22	10	60	2	10	2	3	8	4	5	12	60	60	12	5
17	28	15	30	3	6	3	4	18	6	10	16	45	90	10	8
27	20	8	45	4	8	2	2	28	8	8	16	30	120	8	6

Рис. 2.14. Задание К3. Определение ускорений точек тела при плоскопараллельном движении. Номера вариантов задания 5 – 8, 15 – 18, 25 – 28

Варианты № 9, 19, 29								Варианты № 10, 20, 30							
<p>Найти: a_C, a_B, ϵ_{AB}</p>								<p>Найти: a_A, a_B, ϵ_{CB}</p>							
Номер варианта задания	OA, см	DC, см	α , град	β , град	R_1 , см	ω_{OA} , рад/с	ϵ_{OA} , рад/с ²	Номер варианта задания	R_1 , см	BC, см	ϕ , град	α , град	β , град	V_C , см/с	a_C , см/с ²
9	18	10	30	120	4	2	3	10	6	14	60	30	120	15	3
19	20	12	60	60	6	3	4	20	5	18	45	60	90	10	5
29	18	8	60	90	4	2	3	30	4	16	30	45	60	12	4

Рис. 2.15. Задание К3. Определение ускорений точек тела при плоскопараллельном движении. Номера вариантов задания 9 – 10, 19 – 20, 29 – 30

Примеры решения задания К3. Определение ускорений точек тела при плоскопараллельном движении

Задача 1. Ступенчатый барабан 1 с радиусами ступенок $R = 0,5$ м и $r = 0,3$ м катится окружностью малой ступеньки по горизонтальной поверхности без скольжения (рис. 2.16). Барабан приводится в движение шатуном AC, один конец которого соединён с центром барабана в точке A, а другой – с ползуном C, перемещающимся вертикально.

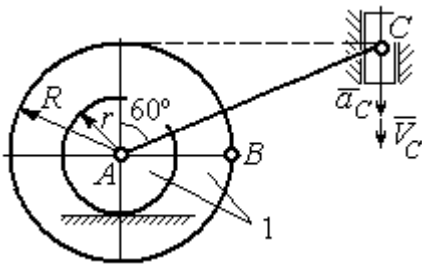


Рис. 2.16. Схема движения плоского механизма

В положении механизма, когда шатун AC отклонён от вертикали на угол 60° , найти ускорение точки B барабана, лежащей на его горизонтальном диаметре, если заданы скорость и ускорение ползуна C: $V_C = 9$ м/с, $a_C = 4$ м/с².

В положении механизма, когда шатун AC отклонён от вертикали на угол 60° , найти ускорение точки B барабана, лежащей на его горизонтальном диаметре, если заданы скорость и ускорение ползуна C: $V_C = 9$ м/с, $a_C = 4$ м/с².

Решение

Найдём угловые скорости ω_{AC} , ω_1 шатуна AC и барабана 1. Шатун совершает плоское движение. Его мгновенный центр скоростей P_2 находится на пересечении перпендикуляров к скоростям \vec{V}_A и \vec{V}_C (рис. 2.17). По условию, скорость точки C направлена вертикально вниз. Точка A принадлежит как шатуну AC , так и барабану 1. При качении барабана по горизонтальной поверхности скорость его центра – точки A параллельна поверхности качения барабана.

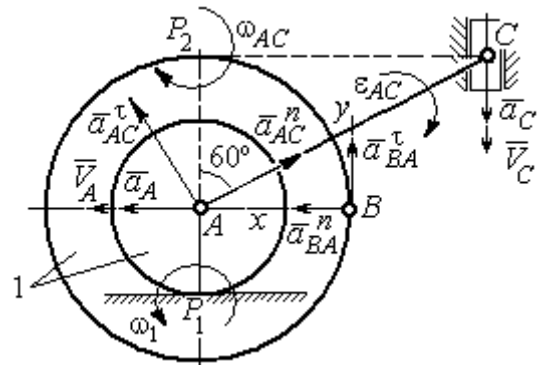


Рис. 2.17. Расчётная схема определения скоростей и ускорений точек механизма

Угловая скорость шатуна

$$\omega_{AC} = \frac{V_C}{CP_2} = \frac{9}{R \operatorname{tg} 60^\circ} = 6\sqrt{3} \text{ рад/с.}$$

Скорость точки A шатуна

$$V_A = \omega_{AC} \cdot AP_2 = 3\sqrt{3} \text{ м/с. Угловая скорость барабана 1 } \omega_1 = \frac{V_A}{AP_1} = 10\sqrt{3} \text{ рад/с.}$$

При расчёте угловой скорости барабана учтено, что качение барабана по неподвижной поверхности представляет собой плоское движение, при котором мгновенный центр скоростей находится в точке касания с поверхностью (в точке P_1 на рис. 2.17).

Выразим ускорение \vec{a}_A точки A через полюс C на основании векторного равенства: $\vec{a}_A = \vec{a}_C + \vec{a}_{AC}^\tau + \vec{a}_{AC}^n$, где \vec{a}_C – ускорение точки C , выбранной в качестве полюса; \vec{a}_{AC}^τ , \vec{a}_{AC}^n – касательная и нормальная составляющие ускорения точки A при вращении шатуна AC вокруг полюса C . Вектор нормального ускорения \vec{a}_{AC}^n направлен вдоль шатуна AC от точки A к полюсу C и равен по величине $a_{AC}^n = \omega_{AC}^2 \cdot AC = (6\sqrt{3})^2 \cdot 2R = 108 \text{ м/с}^2$. Вектор касательного ускорения

\vec{a}_{AC}^{τ} , модуль которого вычисляется по формуле $a_{AC}^{\tau} = \varepsilon_{AC} \cdot AC$, направлен перпендикулярно отрезку AC .

На данном этапе величина вектора касательного ускорения не может быть вычислена, поскольку угловое ускорение шатуна AC ε_{AC} неизвестно. На рис. 2.17 направление вектора касательного ускорения \vec{a}_{AC}^{τ} выбрано из предположения, что вращение шатуна ускоренное и направление углового ускорения совпадает с направлением его угловой скорости.

Направление вектора \vec{a}_A ускорения точки A определяется из того, что центр барабана движется по прямой, параллельной горизонтальной поверхности качения. На рис. 2.17 направление вектора ускорения \vec{a}_A выбрано из предположения, что качение барабана ускоренное.

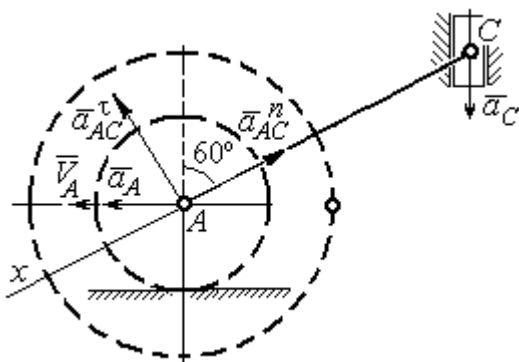


Рис. 2.18. Схема для определения ускорения центра барабана

Выберем ось x вдоль линии AC (рис. 2.18) и спроектируем векторное равенство $\vec{a}_A = \vec{a}_C + \vec{a}_{AC}^{\tau} + \vec{a}_{AC}^n$ на эту ось. При таком выборе оси проекция неизвестного ускорения \vec{a}_{AC}^{τ} обращается в нуль. Получим $a_A \cos 30^\circ = a_C \cos 60^\circ - a_{AC}^n$. Отсюда найдём ускорение центра барабана

$$a_A = \frac{1}{\cos 30^\circ} (a_C \cos 60^\circ - a_{AC}^n) = -122,4 \text{ м/с}^2. \text{ Отрицательное значение ускорения}$$

точки A означает, что на рис. 2.17, 2.18 вектор ускорения \vec{a}_A должен иметь противоположное направление. Таким образом, вектор ускорения \vec{a}_A направлен в сторону, противоположную вектору скорости \vec{V}_A , и движение барабана замедленное.

Для того чтобы найти ускорение точки B , выразим его через полюс A на основании векторного равенства $\vec{a}_B = \vec{a}_A + \vec{a}_{BA}^{\tau} + \vec{a}_{BA}^n$, где \vec{a}_A – ускорение

точки A , выбранной в качестве полюса; \vec{a}_{BA}^τ , \vec{a}_{BA}^n – касательная и нормальная составляющие ускорения точки B при вращении барабана вокруг полюса A .

Модуль вектора нормального ускорения \vec{a}_{BA}^n равен по величине $a_{BA}^n = \omega_1^2 \cdot BA = (10\sqrt{3})^2 \cdot R = 150 \text{ м/с}^2$. Вектор направлен вдоль радиуса барабана от точки B к полюсу A (см. рис. 2.17).

Модуль вектора касательного ускорения \vec{a}_{BA}^τ вычисляется по формуле $a_{BA}^\tau = \varepsilon_1 \cdot BA$, где ε_1 – угловое ускорение барабана. Значение углового ускорения катящегося барабана (в отличие от углового ускорения ε_{AC} шатуна AC) может быть найдено. Расчёт основан на том, что при движении барабана расстояние AP_1 от точки A до центра скоростей барабана P_1 остаётся постоянным, равным r . Тогда выражение $V_A = \omega_1 \cdot AP_1 = \omega_1 \cdot r$ для расчёта скорости точки A можно продифференцировать. Получим $\frac{dV_A}{dt} = \frac{d\omega_1}{dt} \cdot r$. Так как точка A движется по прямой, производная от скорости точки равна её полному ускорению, а производная от угловой скорости барабана равна его угловому ускорению. Тогда имеем: $a_A = \varepsilon_1 \cdot r$, откуда находим угловое ускорение $\varepsilon_1 = \frac{a_A}{r} = 40,8 \text{ рад/с}^2$, а затем и модуль вектора касательного ускорения $a_{BA}^\tau = \varepsilon_1 \cdot BA = 20,4 \text{ м/с}^2$.

Заметим, что для вычисления углового ускорения ε_{AC} шатуна AC подобные рассуждения неприменимы. Формулу $V_A = \omega_{AC} \cdot AP_2$ невозможно продифференцировать, так как при движении механизма расстояние AP_2 от точки A до центра скоростей P_2 шатуна AC является неизвестной функцией времени.

Выберем систему координат xBy как показано на рис. 2.17, и спроецируем на эти оси векторное равенство $\vec{a}_B = \vec{a}_A + \vec{a}_{BA}^\tau + \vec{a}_{BA}^n$. Полагая, что движение барабана ускоренное (т. е. вектора ускорений \vec{a}_A и \vec{a}_{BA}^τ направлены, как показано на рис. 2.17), получим значения составляющих ускорения точки B :

$a_{Bx} = a_A + a_{BA}^n$, $a_{By} = a_{BA}^\tau$. Подставляя значения ускорений, найдём $a_{By} = 20,4 \text{ м/с}^2$, $a_{Bx} = -122,4 + 150 = 27,6 \text{ м/с}^2$. Вектор полного ускорения точки B направлен по диагонали прямоугольника, построенного на векторах \vec{a}_{Bx} , \vec{a}_{By} . Величина ускорения точки B : $a_B = \sqrt{a_{Bx}^2 + a_{By}^2} = 34,32 \text{ м/с}^2$.

Задача 2. В плоском механизме (рис. 2.19) кривошип OA вращается вокруг оси O с угловой скоростью ω_{OA} и угловым ускорением ε_{OA} . Диск 2, шарнирно присоединённый к кривошипу в точке A , катится без проскальзывания по неподвижному диску 1.

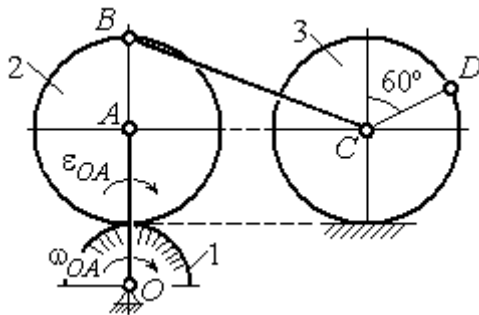


Рис. 2.19. Схема движения плоского механизма

Радиусы дисков R_1 и R_2 . На краю диска 2 в точке B шарнирно прикреплен стержень BC , соединенный с центром C диска 3. Радиус диска 3 равен радиусу диска 2:

$R_3 = R_2$. Диск 3 катится без скольжения по горизонтальной поверхности, по прямой. Для положения механизма, изображенного на рис. 2.19, определить ускорение точки D и угловое ускорение стержня BC , если $\omega_{OA} = 4 \text{ рад/с}$, $\varepsilon_{OA} = 2 \text{ рад/с}^2$, $R_1 = 4 \text{ см}$, $R_2 = 8 \text{ см}$. Длина стержня $BC = 20 \text{ см}$.

Решение

Определение угловых скоростей звеньев механизма.

Рассмотрим вращательное движение кривошипа OA . Скорость точки A : $V_A = \omega_{OA} \cdot OA = 48 \text{ см/с}$. Вектор скорости \vec{V}_A направлен перпендикулярно кривошипу OA в сторону движения кривошипа (рис. 2.20).

При движении диска 2 точка P_2 соприкосновения второго диска с неподвижным первым является мгновенным центром скоростей диска 2. Угловая

скорость диска 2: $\omega_2 = \frac{V_A}{AP_2} = \frac{48}{8} = 6 \text{ рад/с}$.

Скорость точки B диска 2: $V_B = \omega_2 BP_2 = 6 \cdot 16 = 96 \text{ см/с}$.

Для определения угловой скорости стержня BC заметим, что скорости двух точек стержня \vec{V}_B и \vec{V}_C параллельны, но точки B и C не лежат на общем перпендикуляре к скоростям. В этом случае мгновенный центр скоростей стержня BC отсутствует (бесконечно удалён), угловая скорость стержня равна нулю: $\omega_{BC} = 0$, а стержень совершает мгновенное поступательное движение. В результате имеем: $V_C = V_B = 96$ см/с.

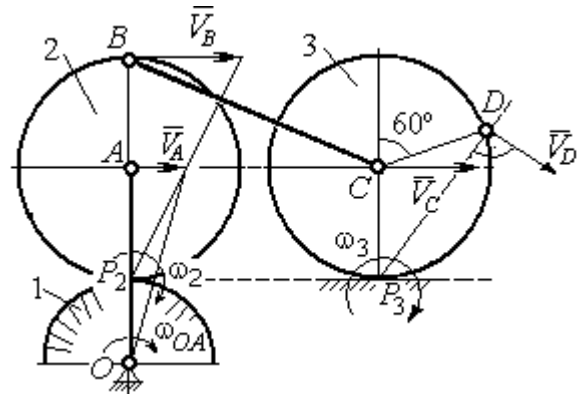


Рис. 2.20. Расчетная схема для определения угловых скоростей звеньев механизма

При качении диска 3 по неподвижной поверхности без проскальзывания точка P_3 касания его с поверхностью является мгновенным центром скоростей.

Тогда угловая скорость диска 3: $\omega_3 = \frac{V_C}{CP_3} = 12$ рад/с. Скорость точки D диска 3:

$V_D = \omega_3 \cdot DP_3$. Величину DP_3 находим из треугольника P_3DC . В результате $DP_3 = 2R_3 \cos 30^\circ = 13,8$ см и $V_D = 165,6$ см/с. Вектор скорости \vec{V}_D направлен в сторону движения диска 3 перпендикулярно линии DP_3 и (см. рис. 2.20).

Определение ускорений точек механизма.

Представим ускорение \vec{a}_C точки C векторной суммой $\vec{a}_C = \vec{a}_B + \vec{a}_{CB}^n + \vec{a}_{CB}^\tau$, где \vec{a}_B – ускорение точки B , выбранной в качестве полюса; \vec{a}_{CB}^n , \vec{a}_{CB}^τ – нормальная и касательная составляющие ускорения точки C при вращении стержня BC вокруг полюса B , $a_{CB}^n = \omega_{CB}^2 \cdot CB$, $a_{CB}^\tau = \varepsilon_{CB} \cdot CB$.

Нормальная составляющая ускорения точки C $a_{CB}^n = 0$, так как стержень CB совершает мгновенное поступательное движение и $\omega_{BC} = 0$.

Направление касательной составляющей \vec{a}_{CB}^τ неизвестно, так как неизвестно направление углового ускорения стержня ε_{CB} . Для определённости выберем направление углового ускорения стержня BC в сторону против хода часовой стрелки. На рис. 2.21 это направление показано дуговой стрелкой ε_{CB} .

В соответствии с выбранным направлением углового ускорения вектор \vec{a}_{CB}^τ строится перпендикулярно линии стержня BC в сторону углового ускорения ε_{CB} (см. рис. 2.21).

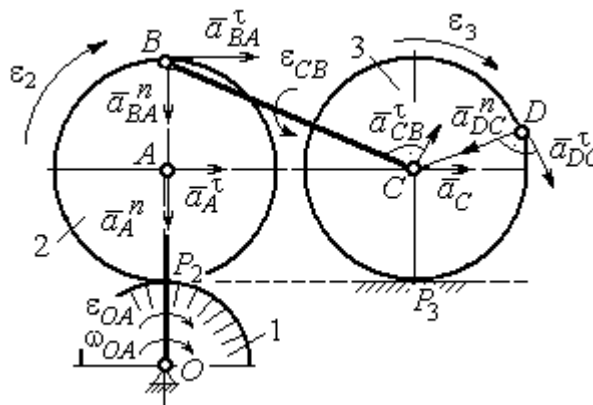


Рис. 2.21. Расчетная схема для определения ускорений точек механизма и угловых ускорений его звеньев

Выразим ускорение точки B через полюс A : $\vec{a}_B = \vec{a}_A + \vec{a}_{BA}^n + \vec{a}_{BA}^\tau$, где

\vec{a}_A – ускорение полюса A ; \vec{a}_{BA}^n , \vec{a}_{BA}^τ – нормальная и касательная составляющие ускорения точки B при вращении диска 2 вокруг полюса A . Величина нормальной составляющей ускорения точки B $a_{BA}^n = \omega_2^2 \cdot BA = 288 \text{ см/с}^2$. Вектор \vec{a}_{BA}^n направлен вдоль радиуса BA от точки B к полюсу A (см. рис. 2.21). Касательное ускорение точки B при вращении диска 2 вокруг полюса A вычисляется по формуле $a_{BA}^\tau = \varepsilon_2 \cdot BA$. Для определения углового ускорения ε_2 диска 2 заметим, что во время движения диска 2 расстояние AP_2 остается постоянным, равным R_2 . Дифференцируя равенство $V_A = \omega_2 \cdot AP_2 = \omega_2 R_2$, получим:

$$\frac{dV_A}{dt} = \frac{d\omega_2}{dt} R_2, \text{ или } a_A^\tau = \varepsilon_2 R_2, \text{ откуда } \varepsilon_2 = \frac{a_A^\tau}{R_2}.$$

Для того чтобы найти величину a_A^τ , рассмотрим вращательное движение кривошипа OA вокруг неподвижной оси O . Ускорение точки A представляется в виде векторного равенства $\vec{a}_A = \vec{a}_A^n + \vec{a}_A^\tau$, где \vec{a}_A^n и \vec{a}_A^τ – известные

нормальная и касательная составляющие ускорения точки A кривошипа OA :
 $a_A^n = \omega_{OA}^2 \cdot OA = 192 \text{ см/с}^2$, $a_A^\tau = \varepsilon_{OA} \cdot OA = 24 \text{ см/с}^2$. Направления векторов нормального ускорения \vec{a}_A^n и касательного ускорения \vec{a}_A^τ показаны на рис. 2.21.

Теперь найдём величину углового ускорения диска 2 и модуль касательного ускорения a_{BA}^τ точки B при вращении диска 2 вокруг полюса A : $\varepsilon_2 = \frac{a_A^\tau}{R_2} = 3 \text{ рад/с}^2$, $a_{BA}^\tau = \varepsilon_2 \cdot BA = 24 \text{ см/с}^2$.

Для определения ускорения точки C имеем векторное равенство $\vec{a}_C = \vec{a}_A^n + \vec{a}_A^\tau + \vec{a}_{BA}^n + \vec{a}_{BA}^\tau + \vec{a}_{CB}^\tau$. Выберем оси Cx , Cy , как показано на рис. 2.22, – вдоль отрезка BC и перпендикулярно ему и спроецируем на них имеющееся векторное равенство. Получим:

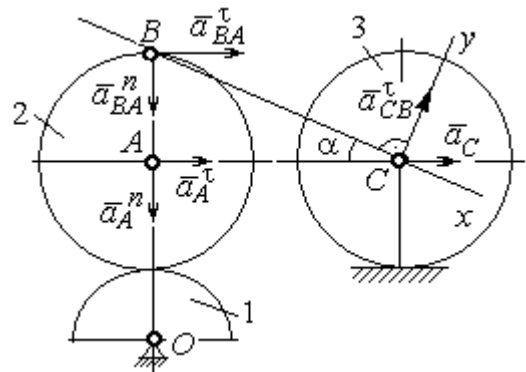


Рис. 2.22. Расчетная схема для вычисления ускорения точки C

$$a_C \cos\alpha = a_A^n \sin\alpha + a_A^\tau \cos\alpha + a_{BA}^n \sin\alpha + a_{BA}^\tau \cos\alpha;$$

$$a_C \sin\alpha = a_A^n \cos\alpha + a_A^\tau \sin\alpha + a_{BA}^n \cos\alpha + a_{BA}^\tau \sin\alpha + a_{CB}^\tau,$$

где α – угол между стержнем BC и линией центров AC ; $\sin\alpha = \frac{AB}{BC} = 0,4$;

$\cos\alpha = 0,92$. Решая систему, найдём: $a_C = 256,7 \text{ см/с}^2$, $a_{CB}^\tau = -358,12 \text{ см/с}^2$.

Модуль углового ускорения стержня BC : $\varepsilon_{CB} = \frac{|a_{CB}^\tau|}{BC} = 17,9 \text{ рад/с}^2$.

Знак «минус» величины a_{CB}^τ означает, что вектор касательного ускорения \vec{a}_{CB}^τ на рис. 2.21 – 2.22 следует направить в противоположную сторону. Направление углового ускорения стержня BC , показанное на рис. 2.21 дуговой стрелкой ε_{CB} , также следует заменить на противоположное.

Выразим ускорение точки D через полюс C : $\vec{a}_D = \vec{a}_C + \vec{a}_{DC}^n + \vec{a}_{DC}^\tau$, где \vec{a}_C – известное ускорение точки C ; \vec{a}_{DC}^n , \vec{a}_{DC}^τ – нормальное и касательное составляющие ускорения точки D при вращении диска 3 вокруг полюса C . Величина нормального ускорения точки D : $a_{DC}^n = \omega_3^2 \cdot DC = 1152 \text{ см/с}^2$. Вектор ускорения \vec{a}_{DC}^n направлен по радиусу от точки D к полюсу C (рис. 2.23).

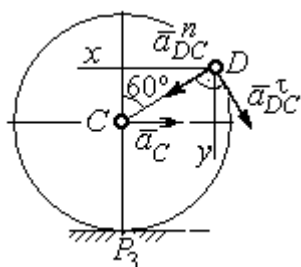


Рис.2.23. Расчетная схема для определения ускорения точки D

Для расчёта касательной составляющей a_{DC}^τ ускорения точки D найдём угловое ускорение диска 3. Продифференцируем по времени равенство $V_C = \omega_3 \cdot CP_3 = \omega_3 R_3$. Получим: $\frac{dV_C}{dt} = \frac{d\omega_3}{dt} R_3$, или $a_C = \varepsilon_3 R_3$. Угловое ускорение диска 3: $\varepsilon_3 = \frac{a_C}{R_3} = 32,09 \text{ рад/с}^2$. Тогда величина

касательной составляющей ускорения точки D : $a_{DC}^\tau = \varepsilon_3 \cdot DC = 256,7 \text{ см/с}^2$.

Направление вектора \vec{a}_{DC}^τ соответствует ускоренному движению диска 3.

Проведём оси Dx и Dy , как показано на рис. 2.23, и спроецируем векторное равенство ускорения точки D на оси:

$$a_{Dx} = -a_C + a_{DC}^n \cos 30^\circ - a_{DC}^\tau \cos 60^\circ, \quad a_{Dy} = a_{DC}^n \cos 60^\circ + a_{DC}^\tau \cos 30^\circ.$$

Решая систему, находим значения проекций модуля ускорения $a_{Dx} = 612,5 \text{ см/с}^2$, $a_{Dy} = 798,3 \text{ см/с}^2$. Величина ускорения точки D :

$$a_D = \sqrt{a_{Dx}^2 + a_{Dy}^2} = 1006,2 \text{ см/с}^2.$$

3. СЛОЖНОЕ ДВИЖЕНИЕ ТОЧКИ

3.1. Основные понятия сложного движения точки

В неподвижной системе координат рассматривается подвижное твердое тело и точка, перемещающаяся относительно тела.

Траектория точки в её движении относительно тела называется **относительной траекторией**. Скорость точки в этом движении называют **относительной скоростью**, ускорение – **относительным ускорением**.

Траектория точки, перемещающейся вместе с телом, называется **переносной траекторией** точки, скорость точки при таком её движении – **переносной скоростью**, а ускорение – **переносным ускорением**.

Суммарное движение точки вместе с телом и относительно тела называется **сложным движением**. Траектория точки относительно неподвижной системы координат называется **абсолютной траекторией** точки, скорость и ускорение – **абсолютной скоростью** и **абсолютным ускорением**.

При вычислении абсолютной скорости используется теорема о сложении скоростей: **при сложном движении абсолютная скорость точки равна геометрической сумме относительной и переносной скоростей**: $\vec{V} = \vec{V}_e + \vec{V}_r$, где \vec{V} , \vec{V}_e , \vec{V}_r – вектора абсолютной, переносной и относительной скоростей точки.

В случае, когда относительное движение точки задается естественным способом в виде закона изменения пути $S = S(t)$, величина относительной скорости точки равна модулю производной: $V_r = |\dot{S}_r|$. Если переносное движение точки есть вращение тела вокруг неподвижной оси, скорость точки в переносном движении будет: $V_e = \omega_e h_e$, где ω_e – величина угловой скорости вращения тела; h_e – кратчайшее расстояние от места положения точки на теле до оси вращения тела.

При вычислении абсолютного ускорения используется теорема Кориолиса о сложении ускорений: **при сложном движении абсолютное ускорение точки равно геометрической сумме трех ускорений – относительного, переносного и ускорения Кориолиса**

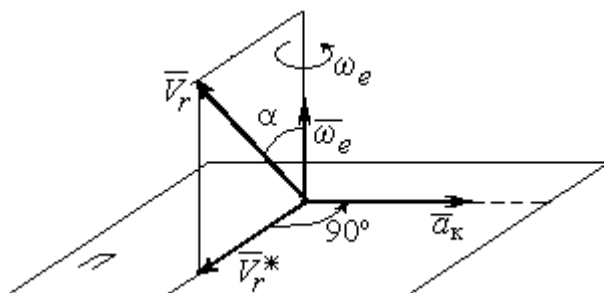


Рис. 3.1. Определение направления ускорения Кориолиса по правилу Жуковского

абсолютного ускорения точки; \vec{a}_e, \vec{a}_r – вектора соответственно переносного и относительного ускорений точки; \vec{a}_k – вектор ускорения Кориолиса. (Иногда его называют поворотным ускорением.)

Вектор ускорения Кориолиса определяется векторным произведением $\vec{a}_k = 2(\vec{\omega}_e \times \vec{V}_r)$, где $\vec{\omega}_e$ – вектор угловой скорости переносного движения; \vec{V}_r – вектор относительной скорости точки. Модуль ускорения Кориолиса: $|\vec{a}_k| = 2|\vec{\omega}_e| \cdot |\vec{V}_r| \sin \alpha$, где α – угол между вектором угловой скорости переносного движения и вектором относительной скорости точки (см. рис. 3.1). Направление вектора ускорения Кориолиса может быть получено по правилу построения вектора векторного произведения.

На рис. 3.1 показана последовательность выбора направления вектора ускорения Кориолиса по правилу Н. Е. Жуковского. Правило состоит в следующем: пусть имеется точка, движущаяся с относительной скоростью \vec{V}_r . Построим плоскость Π , перпендикулярную вектору переносной угловой скорости $\vec{\omega}_e$, и спроецируем вектор \vec{V}_r на эту плоскость. Проекцию обозначим \vec{V}_r^* (см. рис. 3.1). Чтобы получить направление ускорения Кориолиса, следует вектор проекции относительной скорости \vec{V}_r^* повернуть на 90° в плоскости Π вокруг оси переносного вращения в направлении этого вращения.

Если сложное движение точки происходит в плоскости, перпендикулярной оси переносного вращения, направление ускорения Кориолиса можно получить простым поворотом вектора относительной скорости на угол 90° вокруг оси переносного вращения в направлении этого вращения.

Относительное ускорение \vec{a}_r представляется как сумма векторов относительного касательного \vec{a}_r^τ и относительного нормального \vec{a}_r^n ускорений: $\vec{a}_r = \vec{a}_r^\tau + \vec{a}_r^n$. Переносное ускорение точки \vec{a}_e тела имеет своими составляющими переносное касательное \vec{a}_e^τ и переносное нормальное \vec{a}_e^n ускорения так, что $\vec{a}_e = \vec{a}_e^\tau + \vec{a}_e^n$.

Таким образом, абсолютное ускорение точки в сложном движении можно представить в виде векторного равенства

$$\vec{a} = \vec{a}_r^\tau + \vec{a}_r^n + \vec{a}_e^\tau + \vec{a}_e^n + \vec{a}_k.$$

Модули относительного касательного и относительного нормального ускорений при естественном способе задания относительного движения точки

равны: $a_r^\tau = |\dot{V}_r|$, $a_r^n = \frac{V_r^2}{\rho}$, где ρ – радиус кривизны относительной траектории.

При движении точки по окружности радиус кривизны равен радиусу окружности, при движении по прямой – бесконечности, и в этом случае $a_r^n = 0$.

При вращательном переносном движении точки значения переносного касательного и нормального ускорений вычисляются по формулам: $a_e^\tau = \varepsilon_e h_e$, $a_e^n = \omega_e^2 h_e$, где ε_e – угловое ускорение вращательного переносного движения, $\varepsilon_e = |\dot{\omega}_e|$; h_e – расстояние от точки до оси вращения тела; ω_e – величина угловой скорости вращения тела.

Вектора ускорений строятся по общим правилам построения векторов нормального и касательного ускорений.

При поступательном переносном движении ускорение Кориолиса и переносное нормальное ускорение равны нулю: $a_k = 0$, $a_e^n = 0$. Абсолютное ускорение точки при поступательном переносном движении можно представить в виде векторного равенства $\vec{a} = \vec{a}_r^\tau + \vec{a}_r^n + \vec{a}_e^\tau$.

3.2. Задание К4. Определение скорости и ускорения точки при сложном движении

Задание включает две задачи с вращательным и поступательным видами переносного движения точки.

Задача 1. Вращение тела относительно неподвижной оси задается законом изменения угла поворота: $\varphi_e = \varphi_e(t)$ или законом изменения его угловой скорости: $\omega_e = \omega_e(t)$. Движение точки относительно тела отсчитывается от её начального положения в точке C и задается законом изменения длины дуги окружности или отрезка прямой линии: $CM = S_r = S_r(t)$.

Определить абсолютные скорость и ускорение точки в заданный момент времени t_1 .

Задача 2. Поступательное движение тела, несущего точку, задается законом изменения координаты $x_e = x_e(t)$. Движение точки относительно тела отсчитывается от её начального положения в точке C и задается законом изменения длины дуги окружности или отрезка прямой линии: $CM = y_r = y_r(t)$.

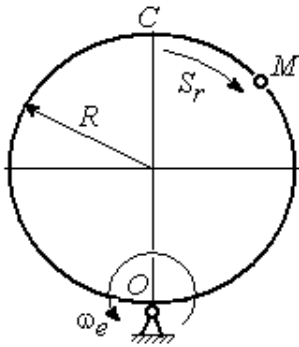
Определить абсолютные скорость и ускорение точки в момент времени t_2 , который либо задаётся в исходных данных задачи, либо на схеме описаны условия, из которых он находится.

Номера вариантов заданий даны на рис. 3.2 – 3.5.

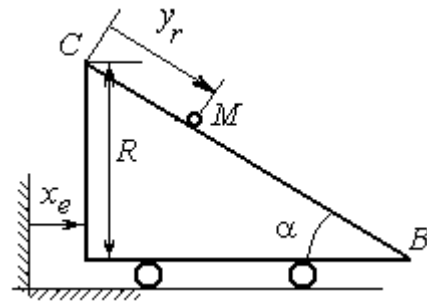
Варианты исходных данных приведены в табл. 3.1.

Варианты № 1, 11, 21

Задача 1



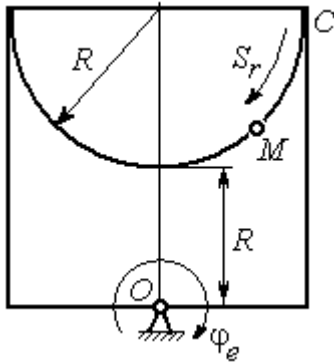
Задача 2



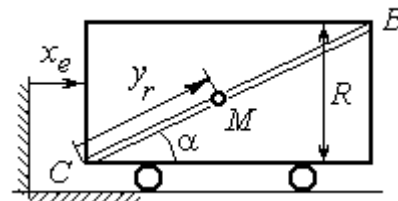
В момент $t = t_2$ точка M прошла половину пути CB

Варианты № 2, 12, 22

Задача 1



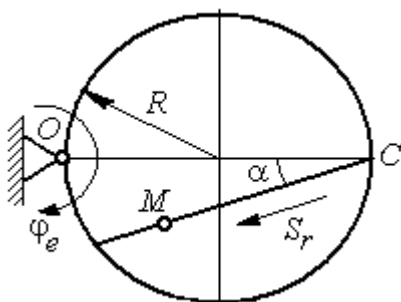
Задача 2



В момент $t = t_2$ точка M прошла $2/3$ пути CB

Варианты № 3, 13, 23

Задача 1



Задача 2

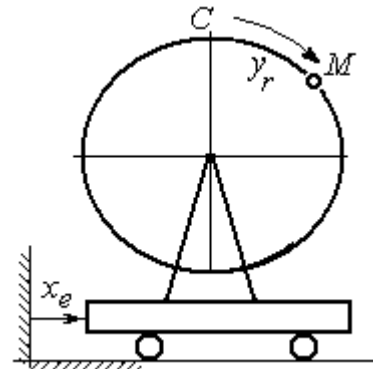
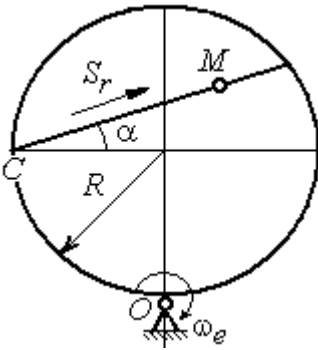
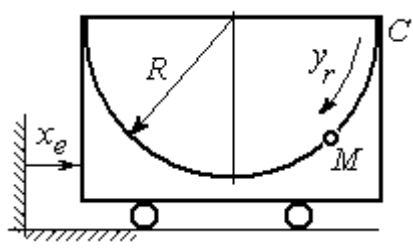
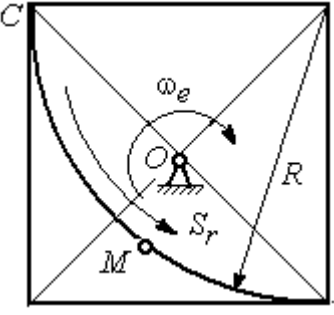
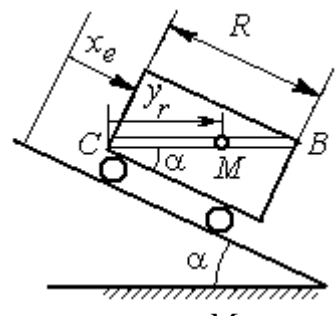


Рис. 3.2. Задание К4. Сложное движение точки.
Номера вариантов задания 1 – 3, 11 – 13, 21 – 23

Варианты № 4, 14, 24	
Задача 1	Задача 2
	

Варианты № 5, 15, 25	
Задача 1	Задача 2
	 <p style="text-align: center;">В момент $t = t_2$ точка M прошла путь CB</p>

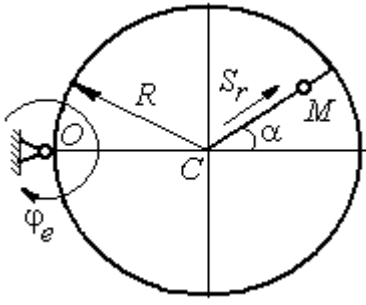
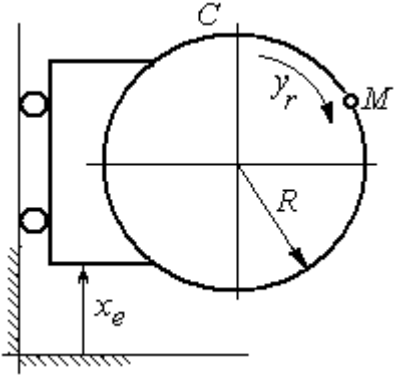
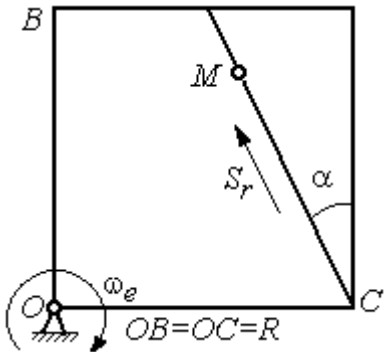
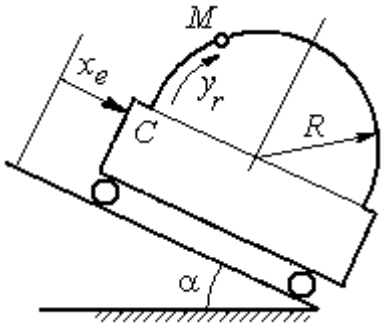
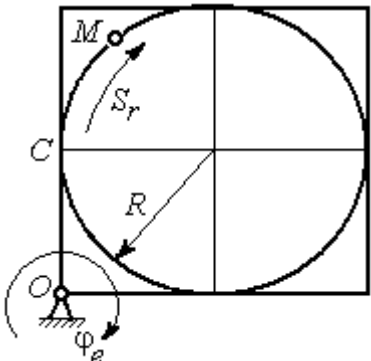
Варианты № 6, 16, 26	
Задача 1	Задача 2
	

Рис. 3.3. Задание К4. Сложное движение точки.
Номера вариантов задания 4 – 6, 14 – 16, 24 – 26

Варианты № 7, 17, 27

<p>Задача 1</p> 	<p>Задача 2</p> 
--	---

Варианты № 8, 18, 28

<p>Задача 1</p> 	<p>Задача 2</p>  <p>В момент $t = t_2$ точка M прошла половину пути $CB = R$</p>
---	---

Варианты № 9, 19, 29

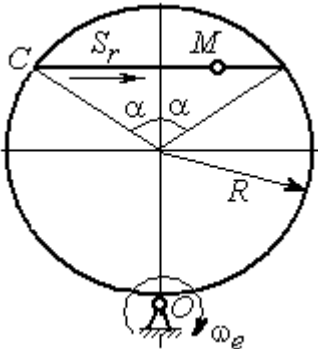
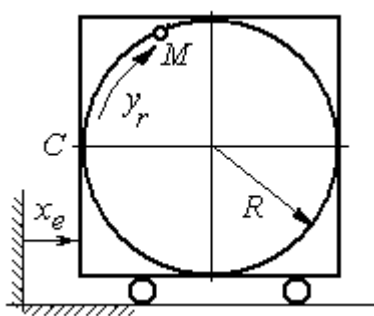
<p>Задача 1</p> 	<p>Задача 2</p> 
--	---

Рис. 3.4. Задание К4. Сложное движение точки.
Номера вариантов задания 7 – 9, 17 – 19, 27 – 29

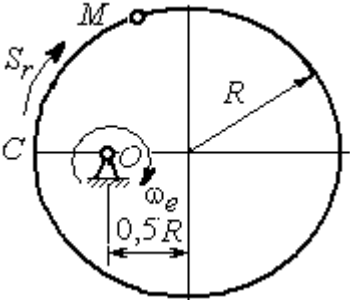
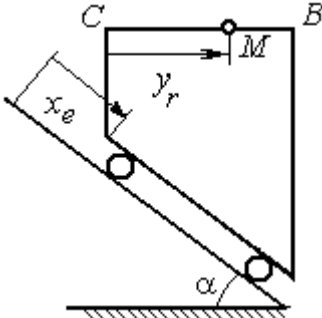
Варианты № 10, 20, 30	
<p style="text-align: center;">Задача 1</p> 	<p style="text-align: center;">Задача 2</p>  <p style="text-align: center;">В момент $t = t_2$ точка M прошла половину пути $CB = R$</p>

Рис. 3.5. Задание К4. Сложное движение точки.
Номера вариантов задания 10, 20, 30

Таблица 3.1

Исходные данные для заданий по сложному движению точки

Номер варианта задания	Номер задачи	R , см	α , град	$\dot{CM} = S_r(t)$, см	$\varphi_e(t)$, рад; $\omega_e(t)$, рад/с	t_1 , с t_2 , с
				$\dot{CM} = y_r(t)$, см	$x_e(t)$, см	
1	1	3	–	$S_r = 2\pi\sin(\pi t/6)$	$\omega_e = 4t^2$	1
	2	4	30	$y_r = 4t^2$	$x_e = 2\cos(\pi t/6)$	–
2	1	2	–	$S_r = 4\pi\sin^2(\pi t/6)$	$\varphi_e = 6\cos(\pi t/3)$	1
	2	3	60	$y_r = t^2 + t$	$x_e = 1 + \cos(\pi t)$	–
3	1	4	30	$S_r = 2\sqrt{3}[t + \sin(\pi t/2)]$	$\varphi_e = 4t - t^2$	1
	2	6	–	$y_r = \pi[2t + \sin\pi t]$	$x_e = 5t - t^2$	1
4	1	4	60	$S_r = 2(t^3 + t)$	$\omega_e = 6\cos(\pi t/6)$	1
	2	3	–	$y_r = \pi[2t + \cos(\pi t/2)]$	$x_e = t^3 - 4t$	1
5	1	6	–	$S_r = 4\pi\sin^2(\pi t/6)$	$\omega_e = 6\cos(\pi t/3)$	1
	2	2	30	$y_r = t^2 + 2t$	$x_e = t^2 - 4t$	–
6	1	6	60	$S_r = t + 10\sin(\pi t/6)$	$\varphi_e = 2t^2 - 5t$	1
	2	3	–	$y_r = 4\pi\sin(\pi t/6)$	$x_e = [1 - \cos(\pi t/4)]$	1
7	1	8	30	$S_r = 2(t^3 + 3t)$	$\omega_e = 6\cos(\pi t/6)$	1
	2	4	30	$y_r = 2\pi t^2$	$x_e = t^3 - 5t$	1

Продолжение табл. 3.1

Номер варианта задания	Номер задачи	R , см	α , град	$\vec{CM} = S_r(t)$, см $\vec{CM} = y_r(t)$, см	$\varphi_e(t)$, рад; $\omega_e(t)$, рад/с $x_e(t)$, см	t_1 , с t_2 , с
8	1	8	–	$S_r = 2\pi[t^2 + \sin\pi t]$	$\varphi_e = t^2 - 5t$	2
	2	6	30	$y_r = t(t+1)$	$x_e = \cos\pi t$	–
9	1	8	30	$S_r = 2t^2$	$\omega_e = \cos(\pi t/8)$	2
	2	3	–	$y_r = 4\pi\sin^2(\pi t/4)$	$x_e = (3-2t)^2$	1
10	1	6	–	$S_r = \pi(2t^3 + \sin\pi t)$	$\omega_e = 5t - 2t^3$	1
	2	4	30	$y_r = t^2 + 2t$	$x_e = 1 + \cos\pi t$	–
11	1	6	–	$S_r = 8\pi\sin(\pi t/12)$	$\omega_e = 2 + \cos(\pi t/4)$	2
	2	6	60	$y_r = 4\sin\pi t$	$x_e = t^2 - 2t$	–
12	1	18	–	$S_r = \pi(2t^2 + 2t)$	$\varphi_e(t) = 3t - t^2$	2
	2	6	30	$y_r = 2t^2 + t$	$x_e = 1 + \cos(\pi t)$	–
13	1	10	60	$S_r = t^3 + t$	$\varphi_e = 6\cos(\pi t/6)$	2
	2	6	–	$y_r = 6\pi\cos(\pi t/3)$	$x_e = t(t+1)$	1
14	1	4	30	$S_r = 8\sqrt{3}\sin(\pi t/12)$	$\omega_e = (3-2t)^2$	2
	2	3	–	$y_r = 2\pi\sin(\pi t/6)$	$x_e = 2t^2 - 5t$	1
15	1	8	–	$S_r = 4\pi\sin^2(\pi t/4)$	$\omega_e = 2 + \cos(\pi t/4)$	1
	2	5	60	$y_r = 5t + t^2$	$x_e = \cos(\pi t/6)$	–
16	1	12	90	$S_r = 3[t + \sin(\pi t/2)]$	$\varphi_e = 2t - 3t^2$	1
	2	15	–	$y_r = \pi(4t + t^2)$	$x_e = 6\sin(\pi t/3)$	1
17	1	6	45	$S_r = 3\sqrt{2}[t^2 + 2\sin\pi t]$	$\omega_e(t) = 4t^2 - 6$	1
	2	6	60	$y_r = 8\pi\sin(\pi t/12)$	$x_e = \sqrt{2}\sin(\pi t/8)$	2
18	1	8	–	$S_r = 4\pi\sqrt{2}\sin(\pi t/8)$	$\varphi_e = 18t - 4t^2$	2
	2	8	60	$y_r = 3t + 2t^2$	$x_e = \sin\pi t$	–
19	1	8	60	$S_r = 2\sqrt{3}[t + \sin(\pi t/2)]$	$\omega_e = 5t - t^2$	1
	2	9	–	$y_r = 6\pi\cos(\pi t/3)$	$x_e = \cos(\pi t/6)$	1
20	1	4	–	$S_r = 4\pi\sin(\pi t/6)$	$\omega_e = 3t - 5$	1
	2	6	60	$y_r = 3t + 2t^2$	$x_e = \pi\sin\pi t$	–
21	1	3	–	$S_r = 4\pi\sqrt{2}\sin(\pi t/8)$	$\omega_e = 6t - 14$	2
	2	8	45	$y_r = (t^2 + 3t)$	$x_e = t + 2\sin\pi t$	–

Номер варианта задания	Номер задачи	R , см	α , град	$\vec{CM} = S_r(t)$, см	$\varphi_e(t)$, рад; $\omega_e(t)$, рад/с	t_1 , с t_2 , с
				$\vec{CM} = y_r(t)$, см	$x_e(t)$, см	
22	1	4	–	$S_r = 2\pi(t^2 + 2t)$	$\varphi_e = 6\cos(\pi t/6)$	1
	2	9	60	$y_r = 8\sin\pi t$	$x_e = 5t - t^2$	–
23	1	6	45	$S_r = 12\sin(\pi t/8)$	$\varphi_e = t^2 + \cos(\pi t/4)$	2
	2	6	–	$y_r = 6\pi[t + \sin(\pi t/6)]$	$x_e = 5t - t^2$	1
24	1	6	45	$S_r = 12\sin(\pi t/8)$	$\omega_e = t + 4\cos(\pi t/4)$	2
	2	6	–	$y_r = \pi(t^2 + 2t)$	$x_e = 6\cos(\pi t/6)$	1
25	1	6	–	$S_r = 2\pi t^2$	$\omega_e = 3\sin(\pi t/3)$	1
	2	4	45	$y_r = 2t(t + 3t)$	$x_e = 2(t^3 - 3t)$	–
26	1	6	120	$S_r = t^2 + t$	$\varphi_e = 12\cos(\pi t/12)$	2
	2	9	–	$y_r = \pi\sqrt{3}\sin(\pi t/3)$	$x_e = 2(t^2 - 3t)$	1
27	1	10	60	$S_r = \sqrt{3}(t^2 + t)$	$\omega_e = 6\cos(\pi t/6)$	2
	2	9	30	$y_r = \sqrt{3}\pi\sin(\pi t/3)$	$x_e = t + 4\cos(\pi t/4)$	1
28	1	2	–	$S_r = 6\pi\sin(\pi t/6)$	$\varphi_e = 2t + \cos(\pi t/2)$	1
	2	6		$y_r = 2t + 3t^2$	$x_e = t + \sin\pi t$	–
29	1	8	30	$S_r = (t^2 + 2t)$	$\omega_e = 6\sin(\pi t/12)$	2
	2	3	–	$y_r = 2\pi\sqrt{3}\sin(\pi t/3)$	$x_e = 5t - t^2$	1
30	1	2	–	$\pi(t^2 + 2t)$	$\omega_e(t) = 6\cos(\pi t/6)$	1
	2	3	60	$y_r = t + t^2$	$x_e = t + \sin\pi t$	–

Пример выполнения задания К4. Сложное движение точки

Задача 1. Фигура, состоящая из половины диска и равнобедренного тре-

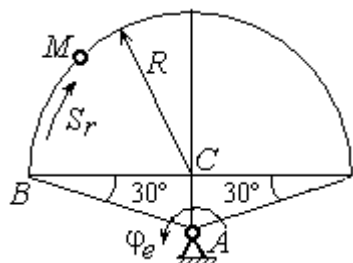


Рис. 3.6. Схема сложного движения точки

угольника (рис. 3.6), вращается вокруг оси, перпендикулярной плоскости фигуры и проходящей через вершину A треугольника. Вращательное движение задается законом изменения угла поворота фигуры $\varphi_e = 5t - 2t^2$ рад.

Положительное направление вращения отмечено на схеме дуговой стрелкой φ_e . По ободу диска от точки B движется точка M . Движение точки относительно диска задается законом изменения длины дуги окружности: $\overset{\cup}{BM} = S_r = 9\pi t^2$ см. Положительное направление движения точки M на рис. 3.6 показано дуговой стрелкой S_r . Радиус диска $R = 9$ см.

Найти абсолютную скорость и абсолютное ускорение точки M в момент времени $t_1 = 1$ с.

Решение

Вращение фигуры будет для точки M переносным движением. Относительное движение точки M – её движение по окружности обода диска.

Для определения **положения точки M** на ободу диска вычислим расстояние, которое она прошла на заданный момент времени. Длина дуги окружности, пройденной точкой за 1 с: $S_r(1) = 9\pi$ см. Положение точки M определяется **центральным углом** $\alpha = \frac{S_r(1)}{R} = \frac{9\pi}{9} = \pi$. Положение точки в момент времени $t_1 = 1$ с отмечено на рис. 3.7 точкой M_1 .

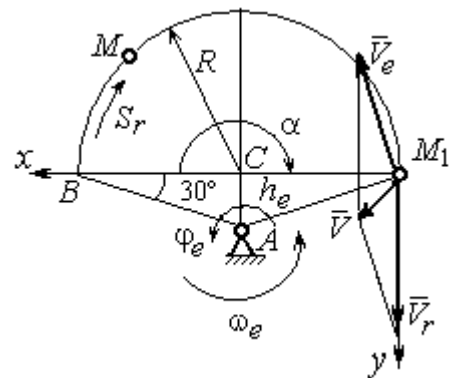


Рис. 3.7. Расчетная схема для вычисления абсолютной скорости точки при сложном движении

Для определения **скорости переносного движения** точки вычисляем значение производной: $\dot{\varphi}_e = 5 - 4t$. Угловая скорость вращения фигуры: $\omega_e = |\dot{\varphi}_e|$. При $t_1 = 1$ с $\dot{\varphi}_e(1) = 1$ рад/с. Положительная величина производной $\dot{\varphi}_e(1)$ показывает, что вращение фигуры в данный момент происходит в положительном направлении, что отмечено дуговой стрелкой ω_e на рис. 3.7.

В момент времени $t_1 = 1$ с точка M находится в положении M_1 . Скорость V_e переносного движения точки в момент времени $t_1 = 1$ с $V_e(1) = \omega_e(1)h_e$, где

расстояние от точки M_1 до оси вращения фигуры $h_e = AM_1 = \frac{R}{\cos 30^\circ} = 6\sqrt{3}$ см.

Тогда $V_e(1) = 6\sqrt{3}$ см/с.

Вектор скорости переносного движения точки \vec{V}_e перпендикулярен линии AM_1 и направлен в сторону вращения фигуры (см. рис. 3.7).

Относительное движение точки задано естественным способом, как закон изменения длины дуги BM . В этом случае **скорость относительного движения** точки $V_r = |\dot{S}_r| = |18\pi t|$. При $t_1 = 1$ с $V_r(1) = |\dot{S}_r(1)| = 18\pi = 56,5$ см/с. Положительное значение производной $\dot{S}_r(1)$ указывает, что относительное движение точки в положении M_1 происходит в положительном направлении, указанном на рис. 3.7 дуговой стрелкой S_r . Вектор \vec{V}_r относительной скорости точки в положении M_1 направлен по касательной к траектории относительного движения в сторону положительного направления движения (см. рис. 3.7).

Абсолютную скорость точки находим по теореме сложения скоростей $\vec{V} = \vec{V}_e + \vec{V}_r$. Направление вектора абсолютной скорости, полученное по правилу сложения векторов, показано на рис. 3.5. Для определения величины абсолютной скорости выбираем прямоугольные оси координат M_1xy (см. рис. 3.7) и проецируем обе части векторного равенства теоремы сложения скоростей на эти оси. Получим:

$$V_x = V_e \cos 60^\circ = 3\sqrt{3} = 5,2 \text{ см/с};$$

$$V_y = -V_e \cos 30^\circ + V_r = -6\sqrt{3} \cdot \frac{\sqrt{3}}{2} + 56,5 = 29,5 \text{ см/с}.$$

Модуль абсолютной скорости: $V = \sqrt{V_x^2 + V_y^2} = \sqrt{5,2^2 + 29,5^2} = 29,95$ см/с.

Абсолютное ускорение точки определяем по теореме Кориолиса, которая при вращательном переносном движении имеет вид:

$$\vec{a} = \vec{a}_r^\tau + \vec{a}_r^n + \vec{a}_e^\tau + \vec{a}_e^n + \vec{a}_k.$$

Относительное касательное ускорение a_r^τ вычисляется по формуле: $a_r^\tau = |\ddot{S}_r|$. По условию задачи вторая производная $\ddot{S}_r = 18\pi = 56,5 \text{ см/с}^2$ – постоянная величина. Так как значение второй производной \ddot{S}_r положительно, вектор ускорения \vec{a}_r^τ направлен по касательной к траектории относительного движения в точке M_1 в сторону положительного направления относительного движения, отмеченного дуговой стрелкой S_r .

Относительное нормальное ускорение точки вычисляется по формуле

$$a_r^n = \frac{V_r^2}{R} \text{ и в момент } t_1 = 1 \text{ с равно:}$$

$$a_r^n(1) = \frac{V_r^2(1)}{R} = \frac{(18\pi)^2}{9} = 355,3 \text{ см/с}^2. \text{ Вектор}$$

ускорения \vec{a}_r^n направлен по радиусу диска к центру C (см. рис. 3.8).

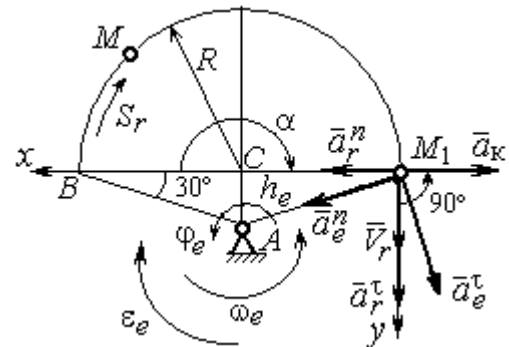


Рис. 3.8. Расчетная схема для определения абсолютного ускорения точки

Переносное касательное ускорение вычисляется по формуле: $a_e^\tau = \varepsilon_e h_e$, где угловое ускорение $\varepsilon_e = |\ddot{\phi}_e|$. Вычислим производную $\ddot{\phi}_e = -4 \text{ рад/с}^2$. Угловое ускорение $\varepsilon_e = |\ddot{\phi}_e| = 4 \text{ рад/с}^2$ постоянно и не зависит от времени.

Отрицательное значение производной $\ddot{\phi}_e < 0$ при условии, что расчетная величина угловой скорости положительна: $\dot{\phi}_e > 0$, означает, что вращательное движение замедленное и переносное угловое ускорение ε_e направлено в сторону, противоположную направлению вращения.

Вектор \vec{a}_e^τ переносного касательного ускорения точки в её положении M_1 перпендикулярен линии AM_1 и направлен противоположно вектору переносной скорости \vec{V}_e (см. рис. 3.8). Модуль переносного касательного ускорения: $a_e^\tau = a_e^\tau = \varepsilon_e h_e = 24\sqrt{3} = 41,6 \text{ см/с}^2$.

Переносное нормальное ускорение a_e^n рассчитывается по формуле: $a_e^n = \omega_e^2 h_e$ и в момент времени $t_1 = 1$ с $a_e^n(1) = \omega_e^2(1)h_e = 6\sqrt{3} = 10,4$ см/с². Вектор переносного нормального ускорения \vec{a}_e^n направлен по линии AM_1 к оси вращения (см. рис. 3.8).

По условию задачи вектор скорости относительного движения точки \vec{V}_r лежит в плоскости, перпендикулярной оси переносного вращения, то есть перпендикулярен вектору угловой скорости переносного движения $\vec{\omega}_e$. Тогда модуль ускорения Кориолиса при $t_1 = 1$ с $a_k = 2\omega_e V_r = 2 \cdot 1 \cdot 18\pi = 113,1$ см/с².

Так как вектор относительной скорости точки $\vec{V}_r \perp \vec{\omega}_e$, то по правилу Жуковского для определения направления ускорения Кориолиса достаточно повернуть вектор относительной скорости точки \vec{V}_r на 90° в сторону переносного движения вокруг оси, параллельной оси вращения и проходящей через точку M_1 (см. рис. 3.8). Для определения абсолютного ускорения спроецируем на прямоугольные оси xM_1y (см. рис. 3.8) векторное равенство $\vec{a} = \vec{a}_r^\tau + \vec{a}_r^n + \vec{a}_e^\tau + \vec{a}_e^n + \vec{a}_k$. Получим: $a_y = a_e^\tau \cos 30^\circ + a_e^n \cos 60^\circ + a_r^\tau = 97,9$ см/с², $a_x = -a_e^\tau \cos 60^\circ + a_e^n \cos 30^\circ + a_r^n - a_k = 228,4$ см/с². Модуль абсолютного ускоре-

ния: $a = \sqrt{a_x^2 + a_y^2} = 248,5$ см/с².

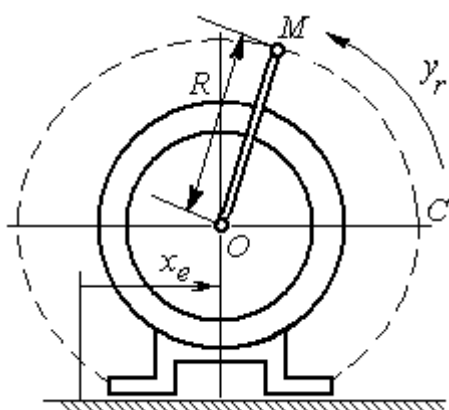


Рис. 3.9. Схема движения точки стержня, укрепленного на электромоторе

Задача 2. К вращающемуся валу электромотора прикреплен стержень OM длины $R = 6$ см. Во время работы электромотора точка M стержня из начального положения C перемещается по дуге окружности согласно уравнению $CM = y_r = \pi t^2$ см. При этом электромотор, установленный без креплений, совершает горизонтальные гармонические колебания на фундаменте по закону

$x_e = 5\sin(\pi t/3)$ см. Определить абсолютное ускорение точки M в момент времени $t_1 = 1$ с.

Решение

Точка M совершает сложное движение – относительно электродвигателя и вместе с ним. Относительным движением точки будет её движение по дуге окружности радиуса R , переносным – поступательное горизонтальное, прямолинейное движение электродвигателя.

Найдём положение точки относительно электродвигателя в заданный момент времени. Угол α , отсчитываемый стержнем OM от начального положения OC , в момент времени $t_1 = 1$ с составляет $\alpha = \frac{y_r(t_1)}{R} = \frac{\pi}{6} = 30^\circ$. Положение точки в момент времени $t_1 = 1$ с отмечено на рис. 3.10 буквой M_1 .

Относительное движение точки задано естественным способом, как закон изменения длины дуги. Относительная скорость $V_r = \dot{y}_r = 2\pi t$. В момент времени $t_1 = 1$ с $V_r = 6,28$ см/с. Вектор \vec{V}_r относительной скорости направлен перпендикулярно стержню OM_1 .

Скорость точки в переносном движении – это скорость горизонтального движения электродвигателя:

$$V_e = \dot{x}_e = \frac{5\pi}{3} \cos(\pi t/3).$$

В момент времени $t_1 = 1$ с

$$V_e = \frac{5\pi}{3} \cos 60^\circ = 2,62 \text{ см/с. Вектор } \vec{V}_e \text{ пе-}$$

реносной скорости точки M направлен параллельно линии движения электродвигателя (см. рис. 3.10).

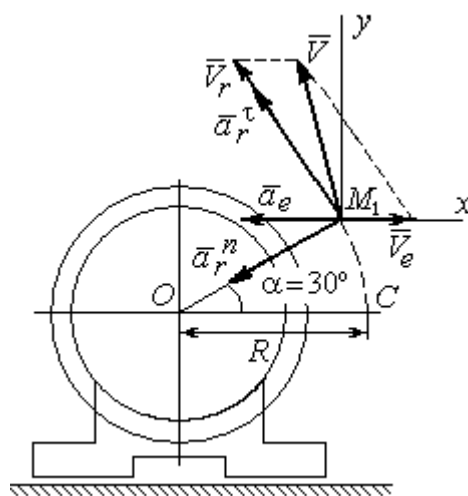


Рис. 3.10. Расчётная схема вычисления абсолютной скорости и абсолютного ускорения точки

Абсолютная скорость точки определяется на основании теоремы сложения скоростей при сложном движении: $\vec{V}_M = \vec{V}_e + \vec{V}_r$. Для того чтобы найти величину абсолютной скорости, выберем оси xM_1y , как показано на рис. 3.10, и спроецируем векторное равенство сложения скоростей на эти оси. Получим: $V_{Mx} = V_e - V_r \cos 60^\circ = -0,52$ см/с (проекция направлена в отрицательную сторону оси x), $V_{My} = V_r \cos 30^\circ = 5,44$ см/с. Модуль абсолютной скорости $V_M = \sqrt{V_{Mx}^2 + V_{My}^2} = 5,46$ см/с. Вектор абсолютной скорости направлен по диагонали параллелограмма, построенного на векторах \vec{V}_e и \vec{V}_r .

При поступательном переносном движении точки $\omega_e = 0$ и потому $a_k = 0$. Относительное ускорение точки при движении по окружности раскладывается на две составляющие $\vec{a}_r = \vec{a}_r^\tau + \vec{a}_r^n$, направленные вдоль стержня OM и перпендикулярно ему. Кроме того, при прямолинейном относительном движении $a_e^n = 0$. В результате, теорема о сложении ускорений принимает вид $\vec{a}_M = \vec{a}_r^\tau + \vec{a}_r^n + \vec{a}_e$, где модули векторов вычисляются по формулам $a_r^\tau = \dot{V}_r$, $a_r^n = \frac{V_r^2}{R}$, $a_e = a_e^\tau = \dot{V}_e = -\frac{5\pi^2}{9} \sin(\pi t/3)$ и в момент времени $t_1 = 1$ с равны $a_r^\tau = 6,28$ см/с², $a_r^n = 6,57$ см/с², $a_e = -4,75$ см/с². Направления векторов ускорений показаны на рис. 3.10. Для вычисления модуля абсолютного ускорения точки спроецируем векторное равенство сложения ускорений на оси выбранной ранее системы координат xM_1y . Получим:

$$a_{Mx} = -a_r^\tau \cos 60^\circ - a_r^n \cos 30^\circ - a_e = -4,08 \text{ см/с}^2;$$

$$a_{My} = a_r^\tau \cos 30^\circ - a_r^n \cos 60^\circ = 2,15 \text{ см/с}^2.$$

Величина абсолютного ускорения $a_M = \sqrt{a_{Mx}^2 + a_{My}^2} = 4,61$ см/с².



**ФГБОУ ВО «Уральский государственный
горный университет»
Кафедра разработки месторождений
открытым способом**

ОТКРЫТЫЕ ГОРНЫЕ РАБОТЫ

**Методическое пособие по выполнению
практических и самостоятельных работ**

Специальность

21.05.03 Технология геологической разведки

Екатеринбург

СОДЕРЖАНИЕ

ПРАКТИЧЕСКАЯ РАБОТА № 1.	<i>Графическое изображение элементов горных работ.....</i>	5
<i>Контрольные вопросы.....</i>		15
.....		
ПРАКТИЧЕСКАЯ РАБОТА № 2.	<i>Определение объема капитальной траншеи.....</i>	16
<i>Контрольные вопросы.....</i>		18
.....		
ПРАКТИЧЕСКАЯ РАБОТА № 3.	<i>Определение объема, размеров, производительности и срока службы карьера, запасов полезного ископаемого и коэффициента вскрыши.....</i>	19
<i>Контрольные вопросы.....</i>		24
.....		
ПРАКТИЧЕСКАЯ РАБОТА № 4.	<i>Расчет заряда одиночной скважины.....</i>	25
<i>Контрольные вопросы.....</i>		29
.....		
ПРАКТИЧЕСКАЯ РАБОТА № 5.	<i>Расчет производительности бурового станка.....</i>	31
<i>Контрольные вопросы.....</i>		34
.....		
ПРАКТИЧЕСКАЯ РАБОТА № 6.	<i>Расчет производительности карьерных экскаваторов.....</i>	35
<i>Контрольные вопросы.....</i>		38
.....		
ПРАКТИЧЕСКАЯ РАБОТА № 7.	<i>Определение производительности карьерных автосамосвалов.....</i>	39
<i>Контрольные вопросы.....</i>		43
.....		
ПРАКТИЧЕСКАЯ РАБОТА № 8.	<i>Конструкция рабочего и нерабочего бортов карьера.....</i>	44

<i>Контрольные вопросы</i>		48
.....		
ПРАКТИЧЕСКАЯ РАБОТА № 9.	<i>Расчет бульдозерного отвалообразования при автомобильном транспорте</i>	49
	53
<i>Контрольные вопросы</i>		53
.....		
СПИСОК ИСПОЛЬЗОВАННЫХ И РЕКОМЕНДУЕМЫХ ЛИТЕРАТУРНЫХ ИСТОЧНИКОВ.....		53
ПРИЛОЖЕНИЕ 1	<i>Исходные данные к лабораторной работе № 1 "Графическое изображение элементов горных работ"</i>	55
	61
ПРИЛОЖЕНИЕ 2	<i>Исходные данные к лабораторной работе № 2 «Определение объема капитальных траншей»</i>	61
	
ПРИЛОЖЕНИЕ 3	<i>Исходные данные к лабораторной работе № 3 «Определение объема, размеров, производительности и срока службы карьера, запасов полезного ископаемого и коэффициента вскрыши»</i>	62
	
ПРИЛОЖЕНИЕ 4	<i>Исходные данные к лабораторной работе № 4 «Расчет заряда одиночной скважины»</i>	63
	64
ПРИЛОЖЕНИЕ 5	<i>Значение коэффициента $k_{разб}$ в зависимости от крепости пород</i>	64
ПРИЛОЖЕНИЕ 6	<i>Значение коэффициента k_z</i>	64
	
ПРИЛОЖЕНИЕ 7	<i>Исходные данные к лабораторной работе № 5 «Расчет производительности бурового станка»</i>	65
	66
ПРИЛОЖЕНИЕ 8	<i>Зависимость оптимальной скорости вращения бурового става</i>	66
ПРИЛОЖЕНИЕ 9	<i>Значение коэффициента k в зависимости от показателя буримости горных пород</i>	66
	

ПРИЛОЖЕНИЕ 10	<i>Исходные данные для расчетов к лабораторной работе № 6 «Расчет производительности карьерных экскаваторов».....</i>	67
ПРИЛОЖЕНИЕ 11	<i>Коэффициенты разрыхления пород в ковше экскаватора и наполнения ковша (по ЕНВ).....</i>	67
ПРИЛОЖЕНИЕ 12	<i>Исходные данные для расчетов к лабораторной работе № 7 «Определение производительности карьерных автосамосвалов».....</i>	68
ПРИЛОЖЕНИЕ 13	<i>Техническая характеристика карьерных автосамосвалов.....</i>	69
ПРИЛОЖЕНИЕ 14	<i>Значение коэффициента технической готовности автосамосвалов.....</i>	69
ПРИЛОЖЕНИЕ 15	<i>Среднетехнические скорости движения карьерных автосамосвалов.....</i>	70
ПРИЛОЖЕНИЕ 16	<i>Исходные данные к лабораторной работе № 8 «Конструкция рабочего и нерабочего бортов карьера».....</i>	71
ПРИЛОЖЕНИЕ 17	<i>Исходные данные к лабораторной работе № 9 «Расчет бульдозерного отвалообразования при автомобильном транспорте».....</i>	72
ПРИЛОЖЕНИЕ 18	<i>Значение коэффициентов k_p^o, $k_{зав}$ и высоты яруса $h_я$.....</i>	73
ПРИЛОЖЕНИЕ 19	<i>Производительность бульдозеров (по данным института Гипроруда).....</i>	73

Практическая работа № 1

ГРАФИЧЕСКОЕ ИЗОБРАЖЕНИЕ ЭЛЕМЕНТОВ ГОРНЫХ РАБОТ

Цель работы – изучить и освоить графическое изображение элементов горных работ.

1.1. Задачи работы

1.1.1. Изучить масштабы, линии и условные изображения горных машин, применяемые для горных чертежей.

1.1.2. Изучить и освоить навыки графического изображения основных элементов горных работ.

1.2. Порядок выполнения работы

1.2.1. По рисункам 1.1- 1.4 ознакомиться с масштабами, линиями и условными изображениями горных машин, применяемыми для горных чертежей.

1.2.2. По учебнику [1, с. 10 - 11] и рис. 1.5 - 1.13 ознакомиться с типовыми графическими изображениями элементов горных работ.

1.1.3. В соответствии с номером варианта задания и соответствующими исходными данными в прил. 1 начертить элементы горных работ на формате А4 в масштабе, соответствующем заданным размерам.

Изображение заданных элементов горных работ вычертить в соответствии со знаниями и навыками, полученными при изучении дисциплин «Машиностроительное черчение» и «Начертательная геометрия».

Масштаб, типы линий и условные знаки

на чертежах горных работ

1. Масштаб изображений

1:5; 1:10; 1:50; 1:100; 1:200; 1:500; 1:1000; 1:2000;

1:5000; 1:10000; 1:25000; 1:50000; 1:100000

Рис. 1.1. Масштабы изображений







Линия	Начертание	Толщина линий в зависимости от масштаба чертежа (S)	Основное назначение
Основная		$S=0,6 - 1,5$ мм	Линии фактического и проектного контура всех горных выработок и сооружений на видах и разрезах (сечениях), верхняя бровка уступов в плане
Вспомогательная сплошная		от $S/3$ до $S/2$ $0,2 - 0,8$ мм	Линии размерные, выносные и штриховки, изолинии, линии границ горных пород на разрезах и сечениях, линии обрыва, нижняя бровка уступов в целике
Вспомогательная с изгибами			Длинные линии обрыва на планах и разрезах
Вспомогательная штриховая		от $S/3$ до $S/2$ $0,2 - 0,8$ мм	Линии невидимых контуров горных выработок, находящихся за плоскостью проекций
Штрихпунктирная			Осевые и центровые линии горных выработок, бровка отвалов, насыпей, навалов и уступов в разрыхленной горной массе
Разомкнутая		от S до $1,5S$	Линии сечений

Рис. 1.2. Типы линий

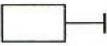
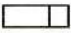
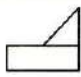


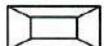
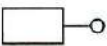

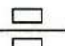


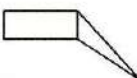
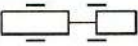
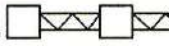
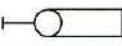
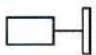
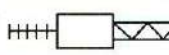
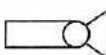
Экскаваторы	Мехлопата 	Автосамосвал 	Буровой станок 
	Драглайн 	Ленточный конвейер 	Бункер-дозатор 
	Роторный 	Консольный отвалообразователь 	Путепередвигатели: циклического действия  непрерывного действия 
	Многочерпаковый цепной 	Отвальный плуг 	
	Колёсный скрепер 	Отвальный мост 	Гидромонитор 
	Бульдозер 	Абзетцер 	Землесос 

Рис. 1.3. Условные изображения горного оборудования

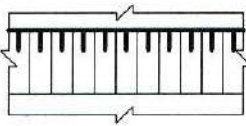
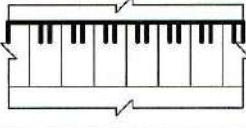
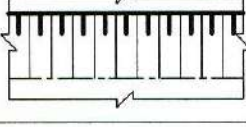
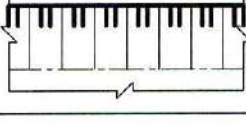
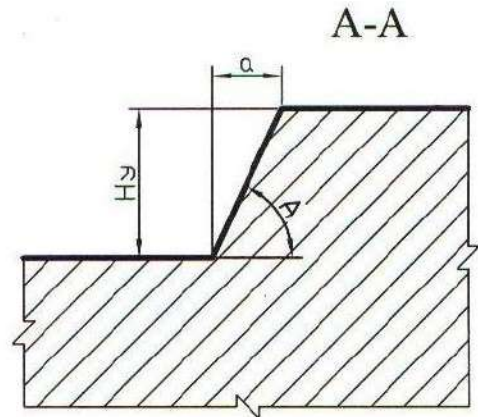
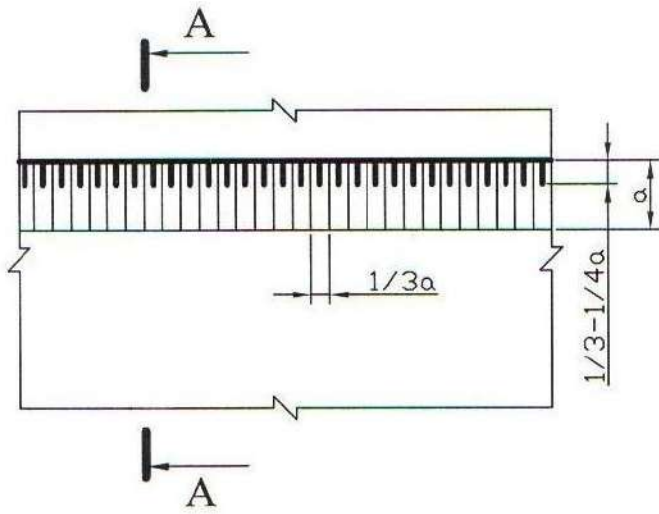
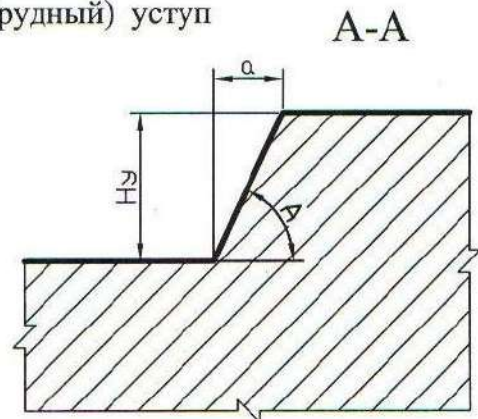
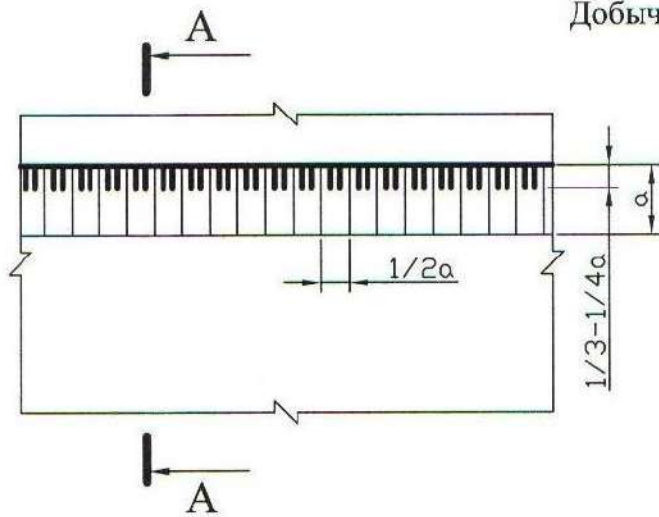
Наименование элемента	Обозначение элемента
Горизонтальное проложение породного уступа в целике	
Горизонтальное проложение уступа в полезном ископаемом, пройденного в целике	
Горизонтальное проложение породного уступа, пройденного по разрыхленной горной массе	
Горизонтальное проложение уступа в полезном ископаемом, пройденного по разрыхленной горной массе	
Бергштрихи проводят перпендикулярно линии горизонта	

Рис. 1.4. Условные обозначения откосов открытых горных выработок

Вскрышной уступ



Добычной (рудный) уступ



Смешанный (сложный) уступ

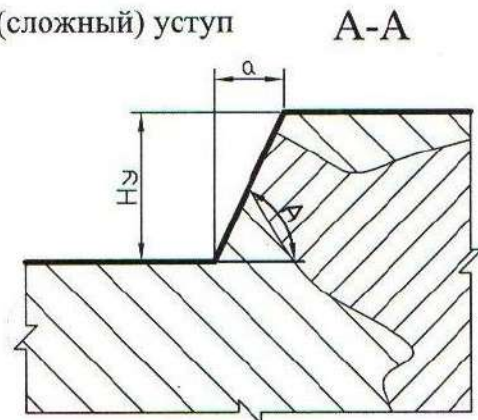
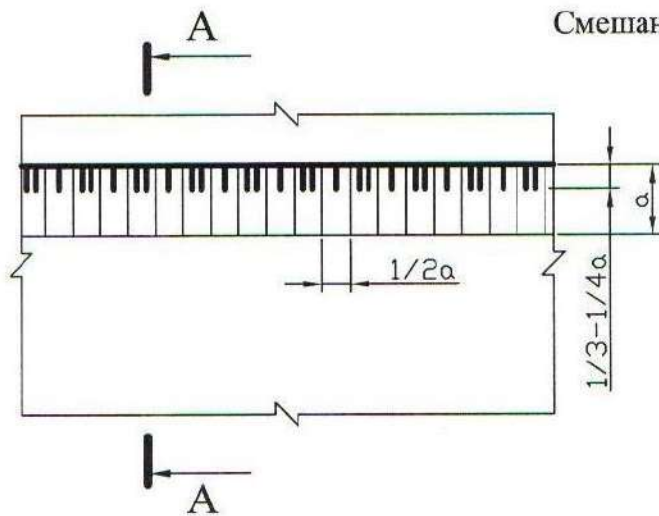
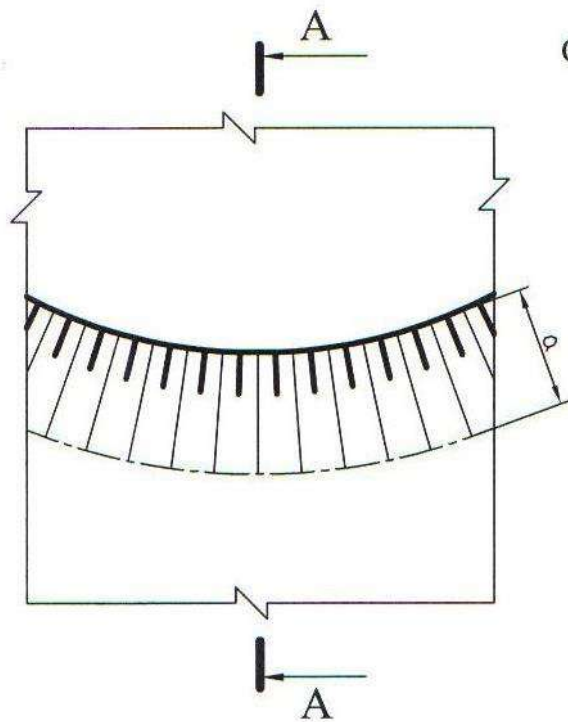
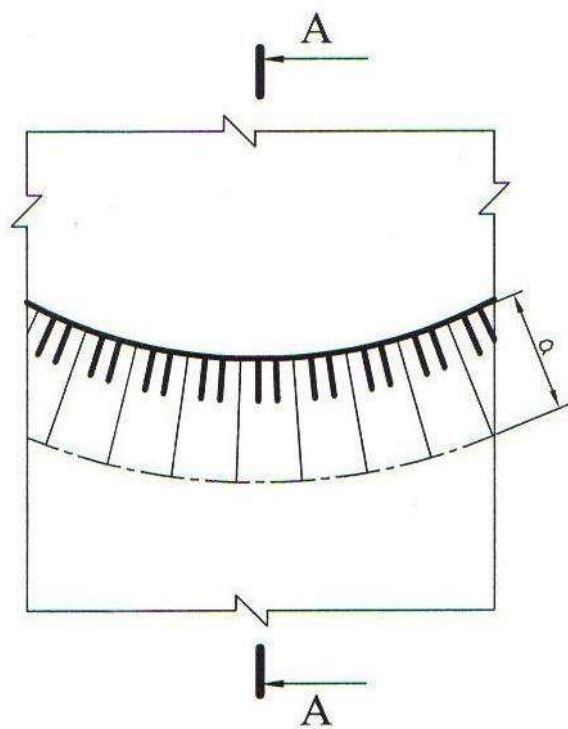
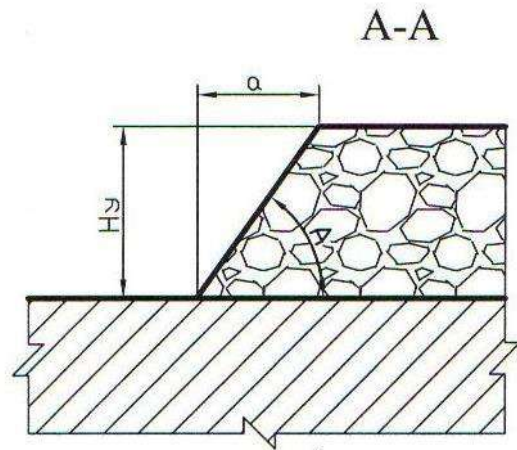


Рис. 1.5. Изображение уступов в целике



Отвальный уступ



Уступ склада п.и. (руды)

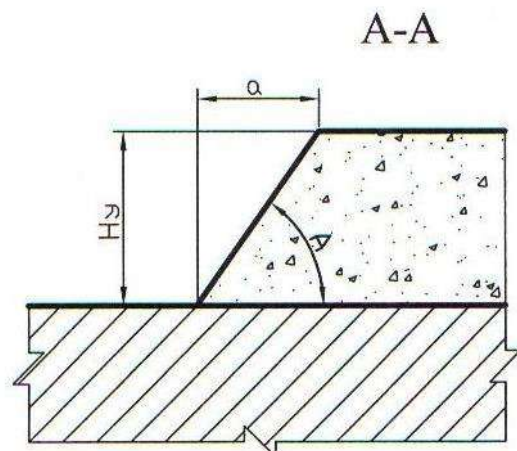
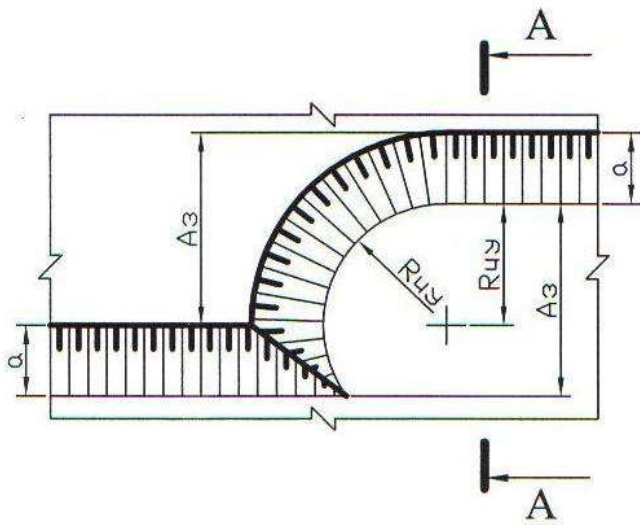
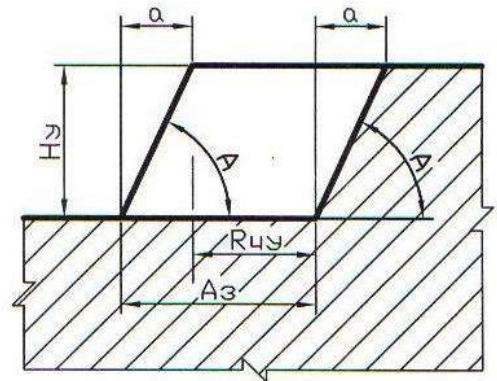


Рис. 1.6. Изображение уступов в искусственно разрыхленных горных породах

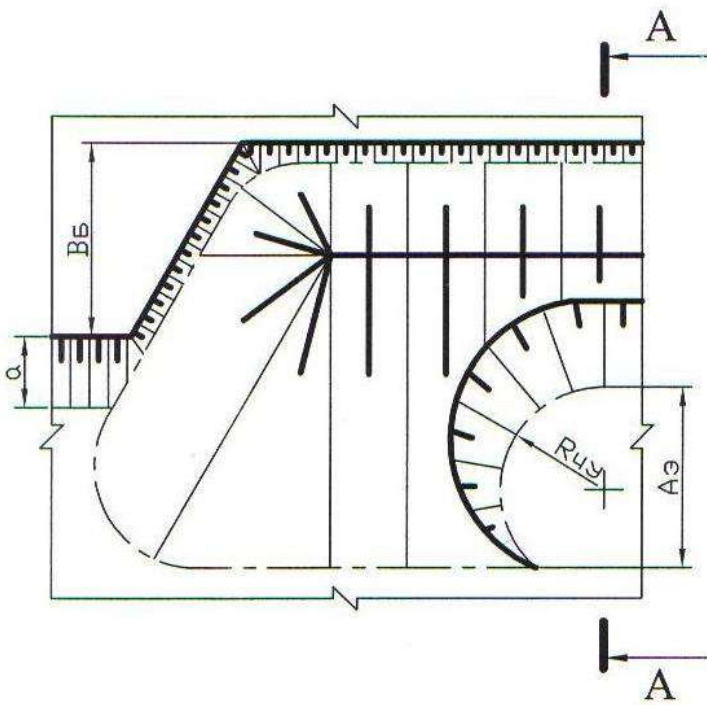
Забой мехлопаты в массиве



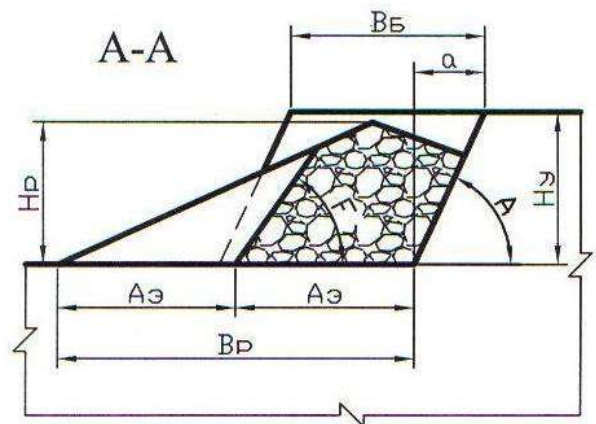
A-A



Забой мехлопаты в развале



A-A



Забой драглайна

A

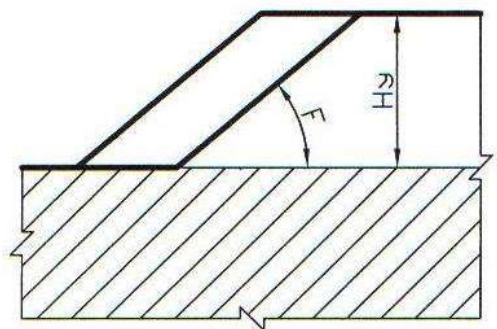
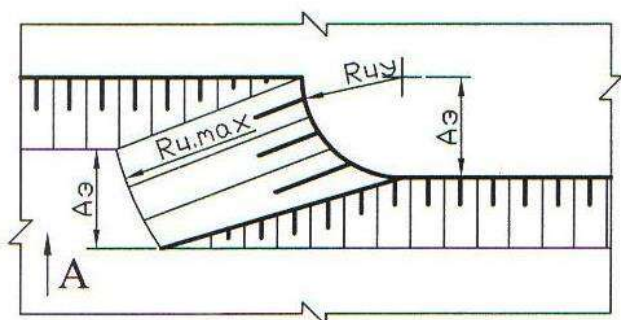


Рис. 1.7. Изображение забоев одноковшовых экскаваторов

Забой роторного экскаватора

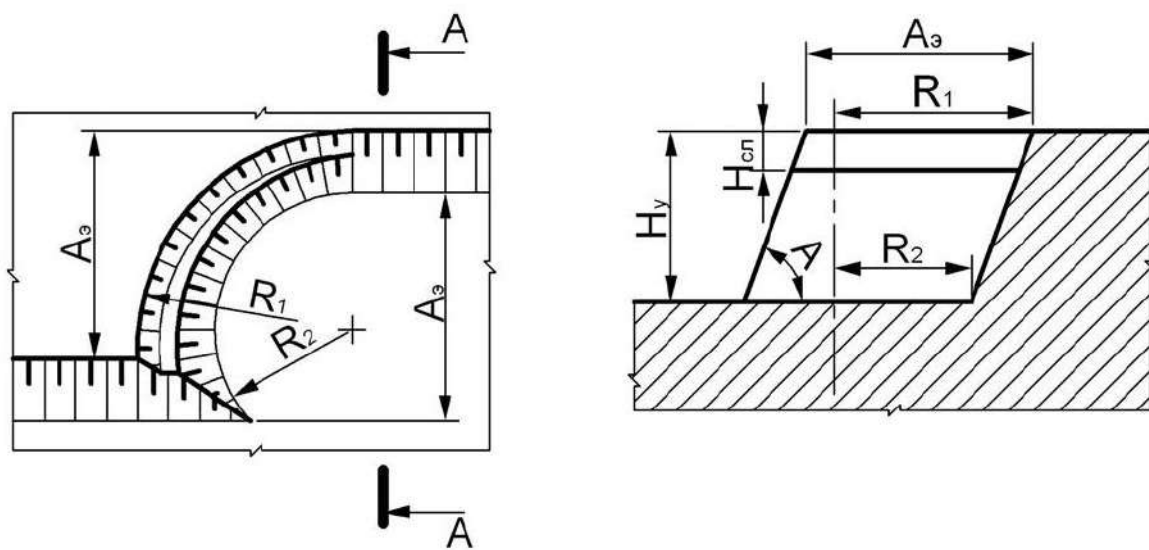


Рис. 1.8. Изображение забоя роторного экскаватора

Забой бульдозера

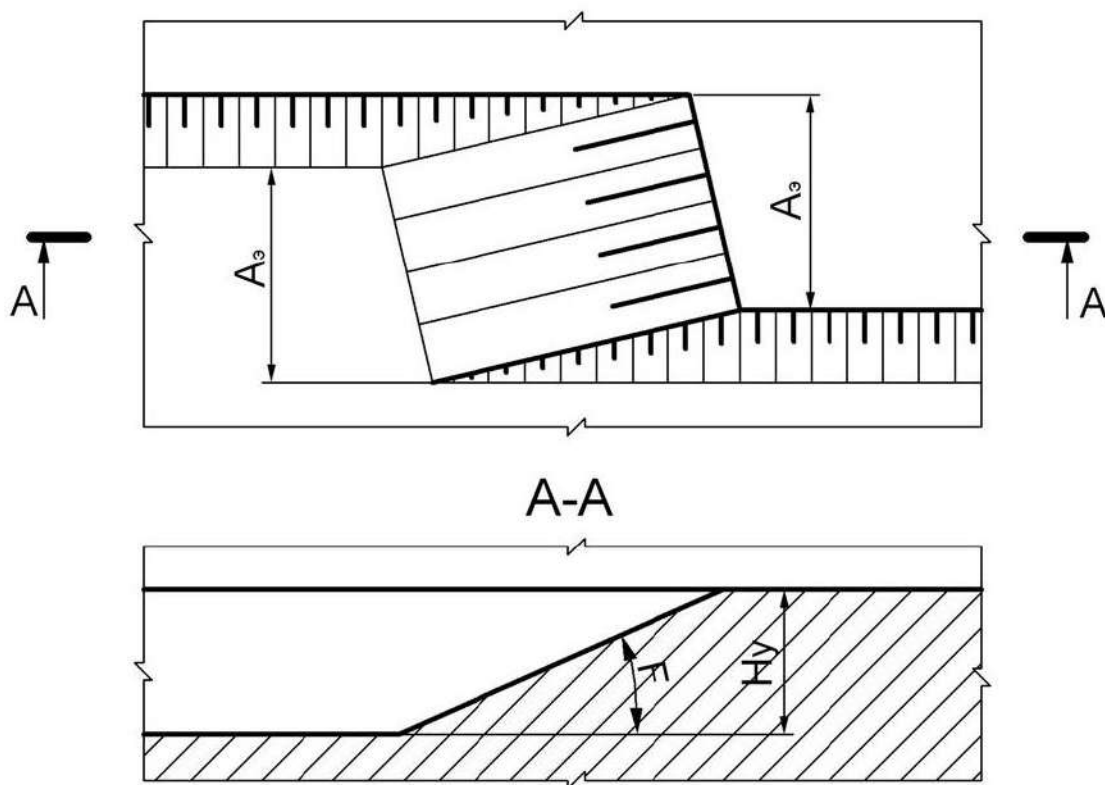


Рис. 1.9. Изображение бульдозерного забоя

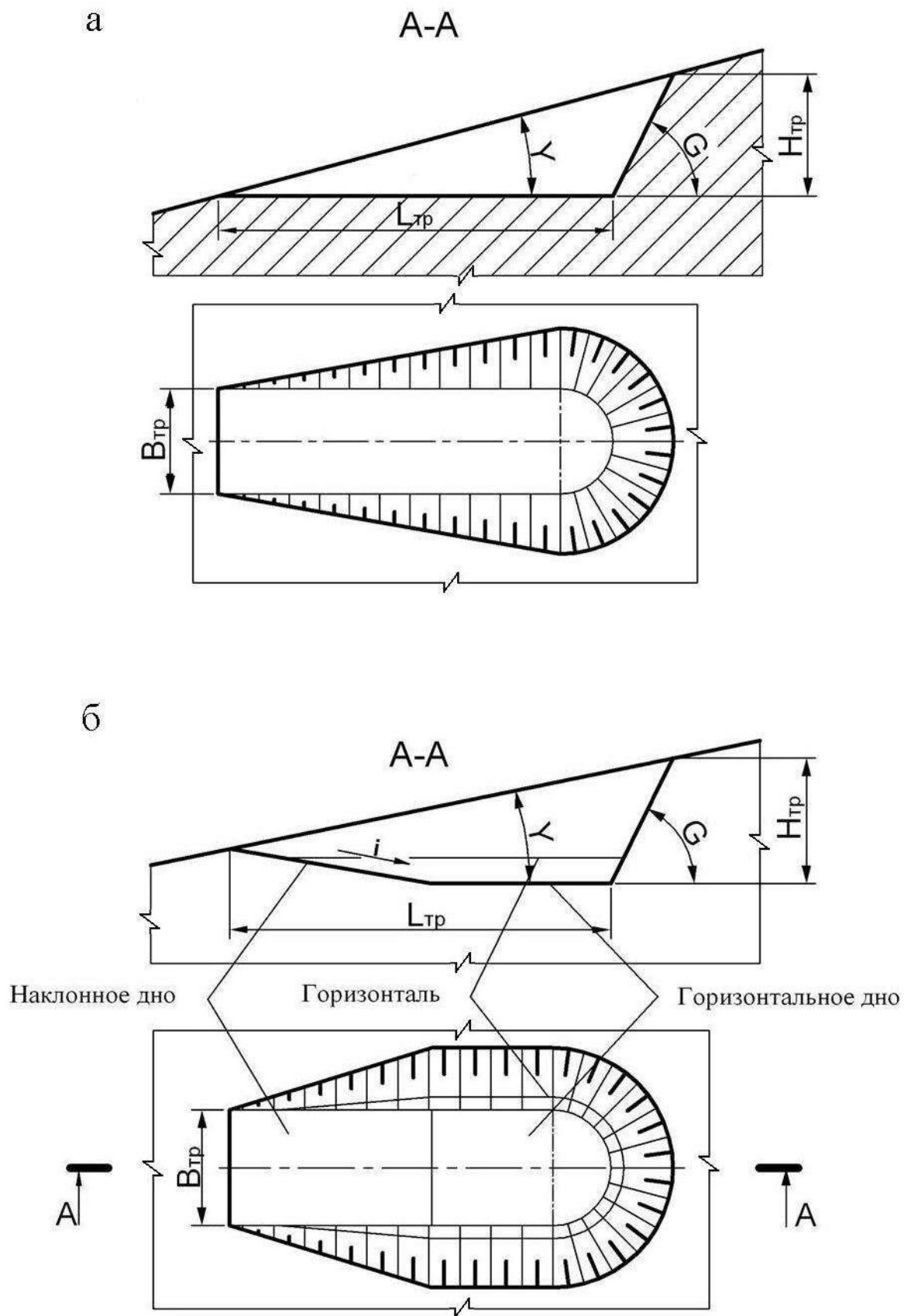


Рис. 1.10. Траншея на косогоре:

а – траншея с горизонтальным дном;
 б – траншея с наклонным и горизонтальным дном

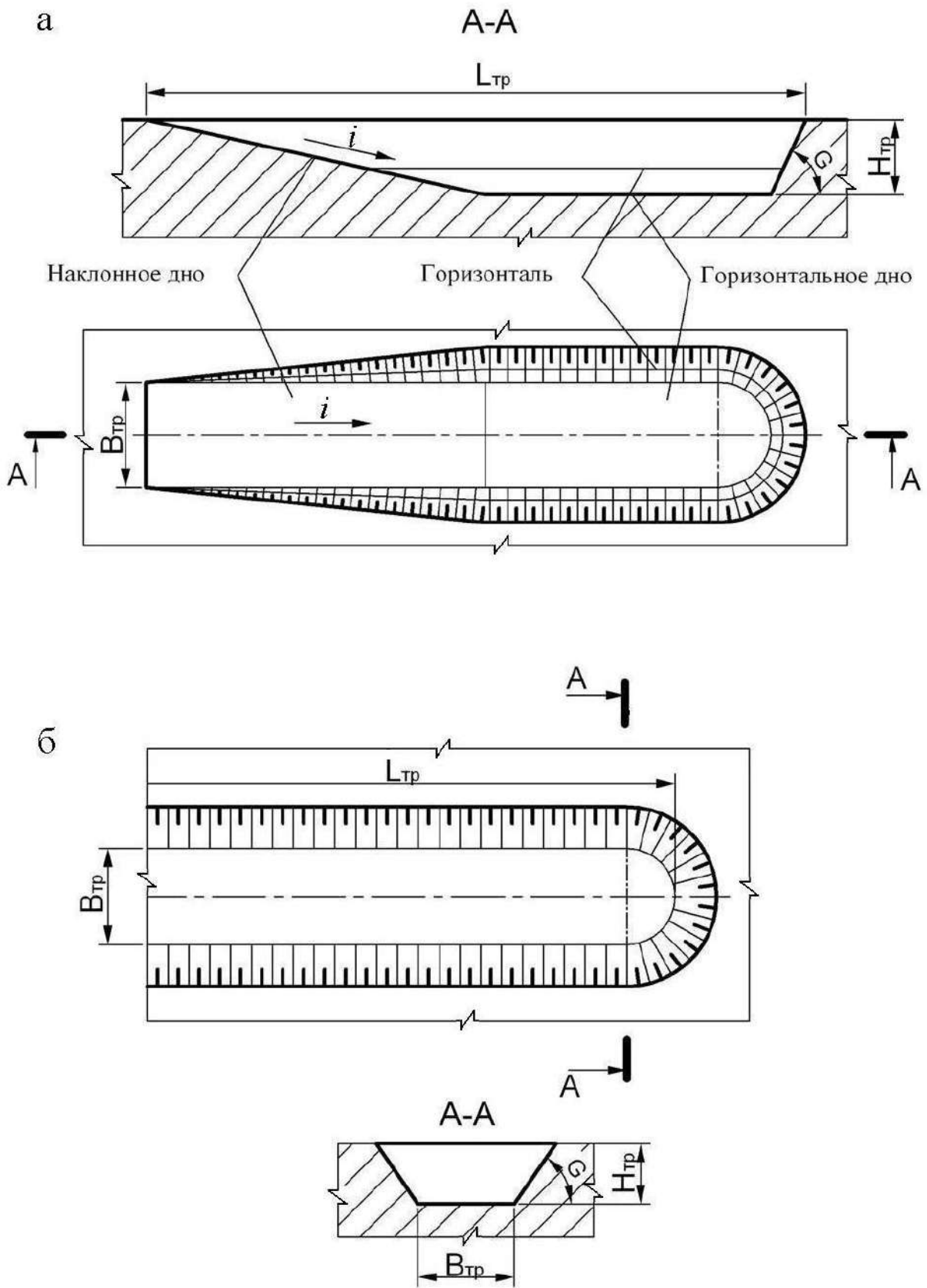


Рис. 1.11. Горизонтальные траншеи в равнинной местности:

a – траншея с горизонтальным и наклонным дном;
б – траншея с горизонтальным дном

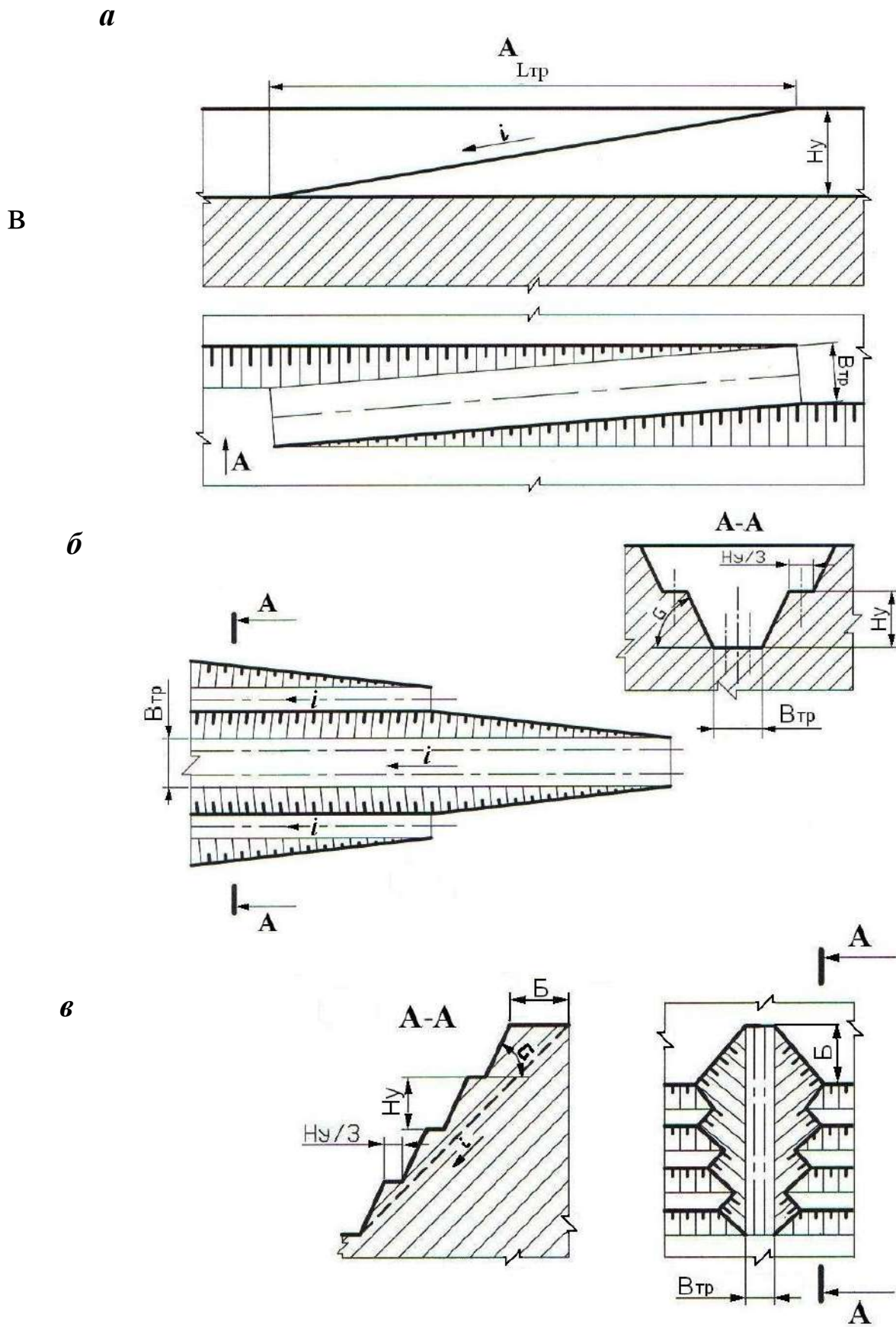


Рис. 1.12. Наклонные траншеи

a – внутренняя полутраншея (съезд); *б* – траншея групповая;
в – траншея крутонаклонная

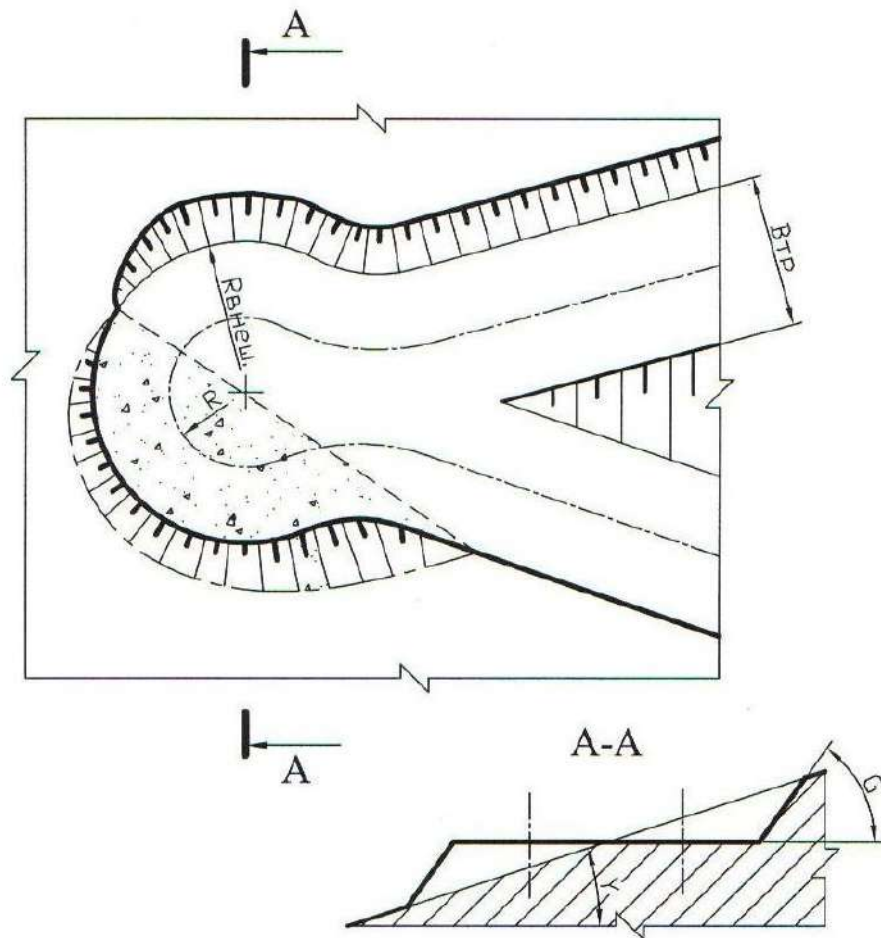


Рис. 1.13. Серпантина на косогоре

Контрольные вопросы к практической работе № 1

1. 1: 5; 2:3; 1:3; 1:20; 1:30; 1:500; 1:70000; 1:25; 1:25000 – какой из этих масштабов не применяется?
2. Во сколько раз основная линия толще вспомогательной?
3. Когда применяется штрихпунктирная линия?
4. Когда применяется основная линия?
5. Когда применяется сплошная вспомогательная линия?
6. Как должны располагаться берг-штрихи при изображении горизонтальных проложений откосов?
7. От каких параметров уступа зависит ширина горизонтального проложения?

Практическая работа № 2

ОПРЕДЕЛЕНИЕ ОБЪЕМА КАПИТАЛЬНОЙ ТРАНШЕИ

Цель работы – изучить методику определения объема капитальной траншеи.

2.1. ЗАДАЧИ РАБОТЫ

2.1.1. ОЗНАКОМИТЬСЯ С МЕТОДИКОЙ ОПРЕДЕЛЕНИЯ ОБЪЕМА КАПИТАЛЬНЫХ ТРАНШЕЙ.

2.1.2. Выполнить расчет объема капитальной траншеи по исходным данным.

2.1.3. Исследовать зависимость объема капитальной траншеи от определяющих факторов.

2.1.4. Выполнить графическое изображение плана и элементов капитальной траншеи.

2.2. ПОРЯДОК ВЫПОЛНЕНИЯ РАБОТЫ

2.2.1. По учебнику [1, с. 192 - 198] ознакомиться с конструкцией капитальных траншей и методикой определения их объема.

2.2.2. Ознакомиться с исходными данными в прил. 2. По данным заданного варианта выполнить расчет объема капитальной траншеи.

Объем простой капитальной траншеи можно представить как сумму объема полупризмы V_1 и объемов двух пирамид [1, рис. 10.3, с. 196].

$$V_T = V_1 + 2V_2, \quad (2.1)$$

где V_T – объем капитальной траншеи, м³;

V_1 – объем полупризмы, м³;

V_2 – объем пирамиды, м³.

Объем породы в торце траншеи, заключенный в призме V_3 и двух пирамидах V_3 и V_4 , незначителен и обычно в расчетах не учитывается.

Объем полупризмы V_1 (м³) определяется

$$V_1 = \frac{b_T h_T^2}{2i}, \quad (2.2)$$

где b_T – ширина основания траншеи, м;

h_T – глубина траншеи, м;

i – уклон траншеи, ед.

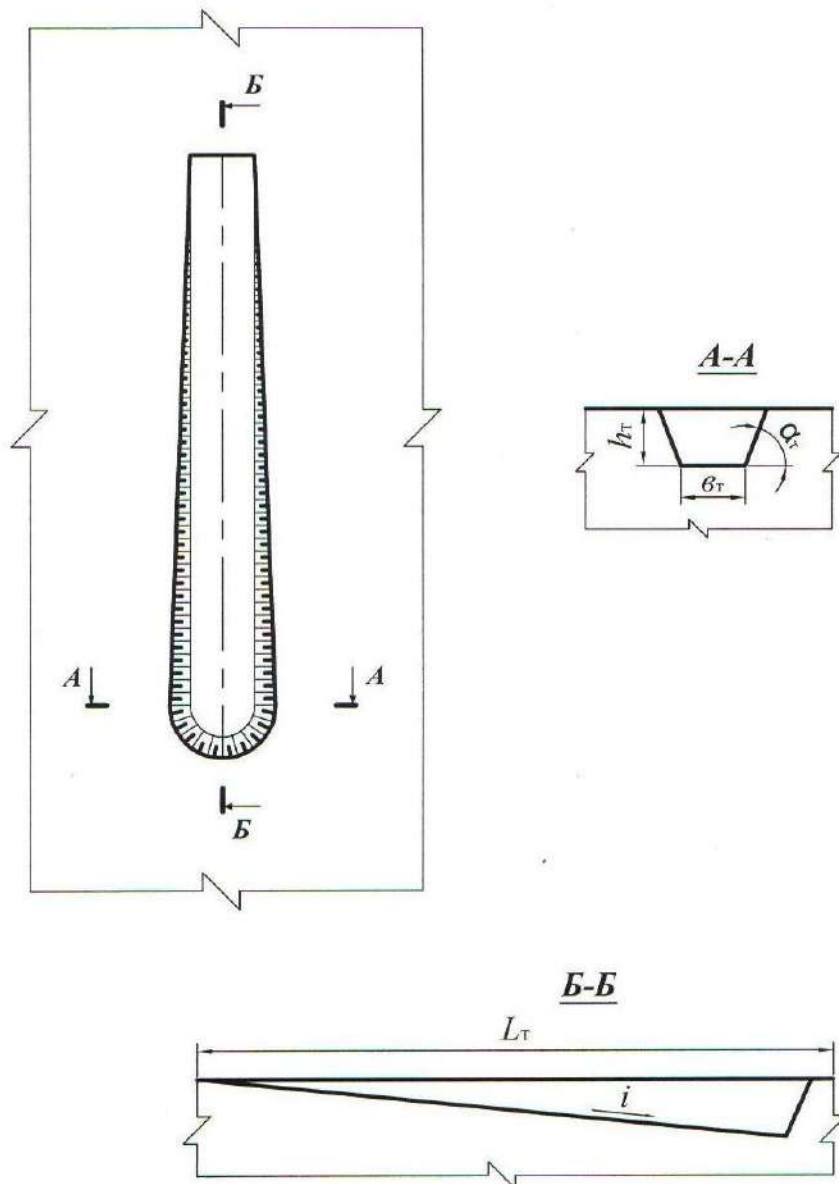


Рис. 2.1. Схема к расчету объема капитальной траншеи

Объем пирамиды V_2 , (м³) определяется

$$V_2 = \frac{h_T^3}{6i \operatorname{tg} \alpha_T}, \quad (2.3)$$

где α_T – угол откоса борта траншеи, град.

После преобразования формулы (2.1) с учетом (2.2) и (2.3) объем траншеи

$$V_T = \frac{h_T^2}{i} \left(\frac{b_T}{2} + \frac{h_T}{3 \operatorname{tg} \alpha_T} \right). \quad (2.4)$$

2.2.3. Исследовать зависимость объема капитальной траншеи от одного из определяющих факторов (h_T , b_T , i , α_T) согласно заданию (прил. 2). Начертить график зависимости.

2.2.4. Вычертить графическое изображение плана и элементов капитальной траншеи в выбранном масштабе (аналогично рис. 2.1 и рис. 10.3 [1, с. 196]).

Форма отчетности. По результатам занятия представляется отчет, содержащий исходную информацию, расчетные формулы, все необходимые расчеты и их результаты, а также чертежи.

Контрольные вопросы к практической работе № 2

1. Дайте определение траншеи.
2. Перечислите виды траншей по назначению.
3. Перечислите виды вскрывающих траншей.
4. Перечислите элементы траншеи.
5. Перечислите параметры разрезной траншеи.
6. Перечислите параметры вскрывающей траншеи
7. От каких факторов зависит ширина дна разрезной и вскрывающей траншеи? В каких пределах она изменяется?
8. Что такое уклон траншеи? От каких факторов он зависит и в каких пределах изменяется?
9. Перечислите способы проходки траншеи.
10. Какие сооружения располагаются во вскрывающей траншее?

Практическая работа № 3

ОПРЕДЕЛЕНИЕ ОБЪЕМА, РАЗМЕРОВ, ПРОИЗВОДИТЕЛЬНОСТИ И СРОКА СЛУЖБЫ КАРЬЕРА, ЗАПАСОВ ПОЛЕЗНОГО ИСКОПАЕМОГО И КОЭФФИЦИЕНТА ВСКРЫШИ

Цель работы – овладеть навыками простейших расчетов объема и размеров карьера, запасов полезного ископаемого и коэффициента вскрыши, производительности и срока службы карьера.

3.1. ЗАДАЧИ РАБОТЫ

3.1.1. Ознакомиться с методикой расчета объема и размеров карьера, запасов полезного ископаемого и среднего коэффициента вскрыши.

3.1.2. Выполнить расчет объема и размеров карьера, запасов полезного ископаемого и среднего коэффициента вскрыши по исходным данным.

3.1.3. Исследовать зависимость объема карьера от его глубины.

3.1.4. Выполнить простейшее графическое изображение плана и элементов объема карьера.

2.2. ПОРЯДОК ВЫПОЛНЕНИЯ РАБОТЫ

3.2.1. По учебнику [1, с. 28 - 29; с. 316 - 317] ознакомиться с методикой расчета объема карьера, запасов полезного ископаемого и среднего коэффициента вскрыши.

3.2.2. Ознакомиться с исходными данными в прил. 3. По данным заданного варианта выполнить расчет объема и размеров карьера, запасов полезного ископаемого и среднего коэффициента вскрыши.

При равнинном рельефе поверхности и наклонном или крутом падении залежи объем карьера может быть определен как сумма отдельных геометрических фигур (рис. 3.1)

$$V_k = V_1 + V_2 + V_3, \quad (3.1)$$

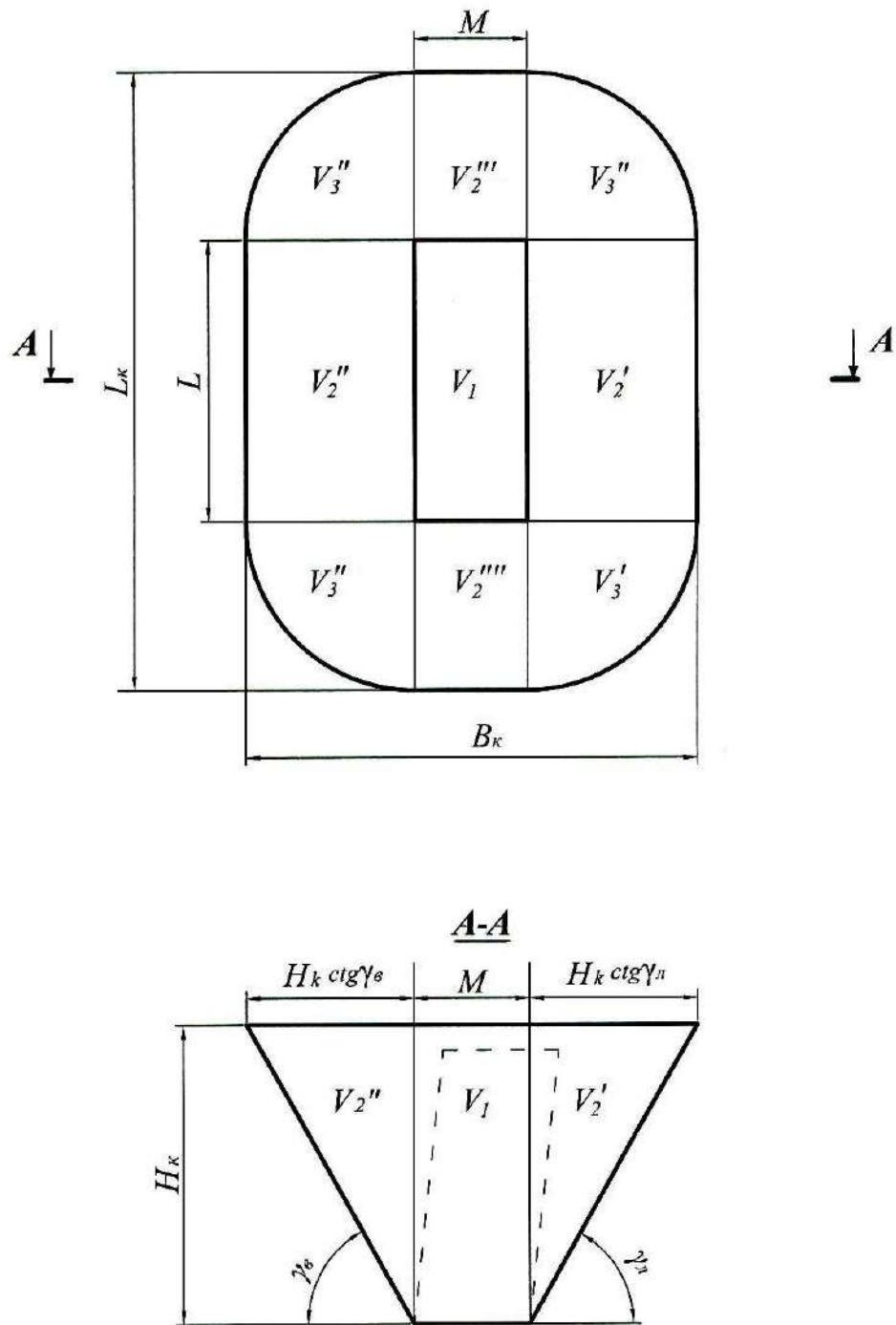


Рис. 3.1. Схема к расчету объема карьера

где V_k – объем карьера, m^3 ;

V_1 – объем призмы с основанием $S = LM$, m^3 ;

S – площадь дна карьера, m^2 ;

L – длина залежи по простиранию, m ;

M – горизонтальная мощность залежи, m .

$$V_1 = LMH_k, \quad (3.2)$$

где H_k – глубина карьера, m ;

V_2 – суммарный объем призм треугольного сечения, прилегающих с четырех сторон к объему V_1 (V_2' и V_2'' – вдоль длинных сторон карьера;

V_2''' и V_2'''' – вдоль коротких сторон у торцов карьера), m^3 ;

$$V_2 = \frac{1}{2}PH_k^2 \operatorname{ctg} \gamma_{\text{ср}}, \quad (3.3)$$

где P – периметр залежи (дна карьера), $P = 2(L + M)$ m ;

V_3 – суммарный объем отдельных частей расчлененного конуса, располагающихся в угловых участках карьера (V_3' , V_3'' , V_3''' и V_3''''), m^3 ,

$$V_3 = \frac{\pi}{3}H_k^3 \operatorname{ctg}^2 \gamma_{\text{ср}}, \quad (3.4)$$

где $\gamma_{\text{ср}}$ – усредненный угол откоса нерабочих бортов карьера, град.

$$\gamma_{\text{ср}} = \frac{\gamma_{\text{в}} + \gamma_{\text{л}}}{2},$$

где $\gamma_{\text{в}}$ – угол откоса висячего нерабочего борта карьера, град;

$\gamma_{\text{л}}$ – угол откоса лежачего нерабочего борта карьера, град. (см. рис. 3.1).

Суммарный объем карьера, таким образом, определяется по формуле:

$$V_k = SH_k + \frac{1}{2}PH_k^2 \operatorname{ctg} \gamma_{\text{ср}} + \frac{\pi}{3}H_k^3 \operatorname{ctg}^2 \gamma_{\text{ср}}, \quad (3.5)$$

Длина карьера по верху (L_k , m)

$$L_k = L + 2H_k \operatorname{ctg} \gamma_{\text{ср}}. \quad (3.6)$$

Ширина карьера по верху (B_k , m)

$$B_k = M + 2H_k \operatorname{ctg} \gamma_{\text{ср}}. \quad (3.7)$$

Объем полезного ископаемого в контурах карьера ($V_{п.и}$, м³)

$$V_{п.и} = S(H_k - h_n), \quad (3.8)$$

где h_n – мощность наносов, м.

Промышленные (т. е. извлекаемые из недр) запасы полезного ископаемого в контурах карьера ($Q_{п.и}$, т)

$$Q_{п.и} = V_{п.и} \rho_{п.и} \eta_{и}, \quad (3.9)$$

где $\rho_{п.и}$ – объемная масса полезного ископаемого, т/м³;

$\eta_{и}$ – коэффициент извлечения, учитывающий потери полезного ископаемого при разработке.

Объем породы в контурах карьера ($V_{п}$, м³)

$$V_{п} = V_k - V_{п.и}. \quad (3.10)$$

Величина среднего коэффициента вскрыши (объем вынимаемой пустой породы, приходящийся на единицу добываемого полезного ископаемого) $k_{ср}$, м³/т

$$k_{ср} = V_{п} / Q_{п.и}. \quad (3.11)$$

Производительность карьера по вскрыше ($П_{в}$, м³/год) приблизительно устанавливается по среднему коэффициенту вскрыши

$$П_{в} = П_{п.и} k_{ср} k_n, \quad (3.12)$$

где $П_{п.и}$ – производительность карьера по полезному ископаемому, т/год (прил. 3);

k_n – коэффициент неравномерности распределения вскрыши по годам ($k_n = 1,1 \div 1,3$).

Производительность карьера по горной массе ($П_{г.м}$, м³/год)

$$П_{г.м} = П_{п.и} \frac{1}{\rho_{п.и}} + П_{в}. \quad (3.13)$$

Суточная производительность карьера по полезному ископаемому ($П_{п.и}^c$, т/сут)

$$P_{п.и}^c = \frac{P_{п.и}}{T_{\Gamma}}, \quad (3.14)$$

где T_{Γ} – число рабочих дней карьера в год ($T_{\Gamma} = 350$ дней).

Суточная производительность карьера по вскрыше ($P_{\text{в}}^c$, м³/сут)

$$P_{\text{в}}^c = \frac{P_{\text{в}}}{T_{\Gamma}}. \quad (3.15)$$

Сменная производительность карьера по добыче и вскрыше ($P_{п.и}^{\text{см}}$, т/смену;
 $P_{\text{в}}^{\text{см}}$, м³/смену)

$$P_{п.и}^{\text{см}} = \frac{P_{п.и}^c}{n_{\text{см}}}, \quad P_{\text{в}}^{\text{см}} = \frac{P_{\text{в}}^c}{n_{\text{см}}} \quad (3.16)$$

где $n_{\text{см}}$ – число смен работы карьера в сутках (обычно 2-3 смены).

Срок службы карьера ($T_{\text{сл}}$, лет)

$$T_{\text{сл}} = T_{\text{ос}} + T_{\text{э}} + T_{\text{з}}, \quad (3.17)$$

где $T_{\text{ос}} + T_{\text{з}}$ – время на освоение и затухание мощности карьера по добыче
(принимается 1,5 года);

$T_{\text{э}}$ – расчетный срок эксплуатации карьера, лет.

$$T_{\text{э}} = \frac{Q_{п.и}}{P_{п.и}}. \quad (3.18)$$

3.2.3. Исследовать зависимость объема карьера от его глубины: построить график этой функции.

3.2.4. Вычертить карьер в выбранном масштабе в соответствии с заданными и полученными расчетными размерами (аналогично рис. 3.1).

Форма отчетности. По результатам занятия представляется отчет, содержащий исходную информацию, расчетные формулы, все необходимые расчеты и их результаты, а также чертеж карьера и график зависимости $V_{\text{к}} = f(H_{\text{к}})$.

Контрольные вопросы к практической работе № 3

1. Перечислите размеры карьера. От чего они зависят?
2. Как различают производительность карьера (производительность по полезному ископаемому...)? В каких единицах она измеряется?
3. Что нужно знать для расчета годовой производительности карьера по горной массе?
4. Дайте классификацию запасов полезных ископаемых.
5. Дайте классификацию потерь полезного ископаемого.
6. Дайте определение коэффициента вскрыши. Как различаются коэффициенты вскрыши и в каких единицах они измеряются?

Практическая работа № 4

РАСЧЕТ ЗАРЯДА ОДИНОЧНОЙ СКВАЖИНЫ

Цель работы – изучить параметры и освоить принципы расчета скважинных зарядов.

4.1. Задачи работы

4.1.1. Изучить конструкции скважинных зарядов, параметры скважин, и их расположения на уступе.

4.1.2. Выполнить расчеты величины заряда одиночной скважины.

4.2. Порядок выполнения работы

4.2.1. По учебнику [1, с. 72 - 74] ознакомиться с параметрами скважин, и их расположения на уступе, конструкцией зарядов.

4.2.2. Ознакомиться с исходными данными в прил. 4. По данным заданного варианта выполнить расчет заряда одиночной скважины и параметров расположения скважин на уступе при однорядном расположении скважин.

Расчет выполняется в следующей последовательности:

4.2.2.1. По заданному диаметру шарошечного долота (прил. 4) определяется диаметр взрывных скважин (d_c , мм)

$$d_c = d_d k_{\text{разб}}, \quad (4.1)$$

где d_d – диаметр долота, мм;

$k_{\text{разб}}$ – коэффициент разбуривания, принимаемый в зависимости от крепости пород (прил. 5).

4.2.2.2. Определяется длина перебура ($l_{\text{пер}}$, м)

$$l_{\text{пер}} = 11d_c, \quad (4.2)$$

где d_c – диаметр скважины, м.

4.2.2.3. Определяется длина скважины (l_c , м)

$$l_c = H_y + l_{\text{пер}}, \quad (4.3)$$

где H_y – высота уступа, м.

4.2.2.4. Принимается (задается) тип взрывчатого вещества (ВВ) (прил. 4) и конструкция скважины (заряда) – сплошной вертикальный заряд (рис. 4.1).

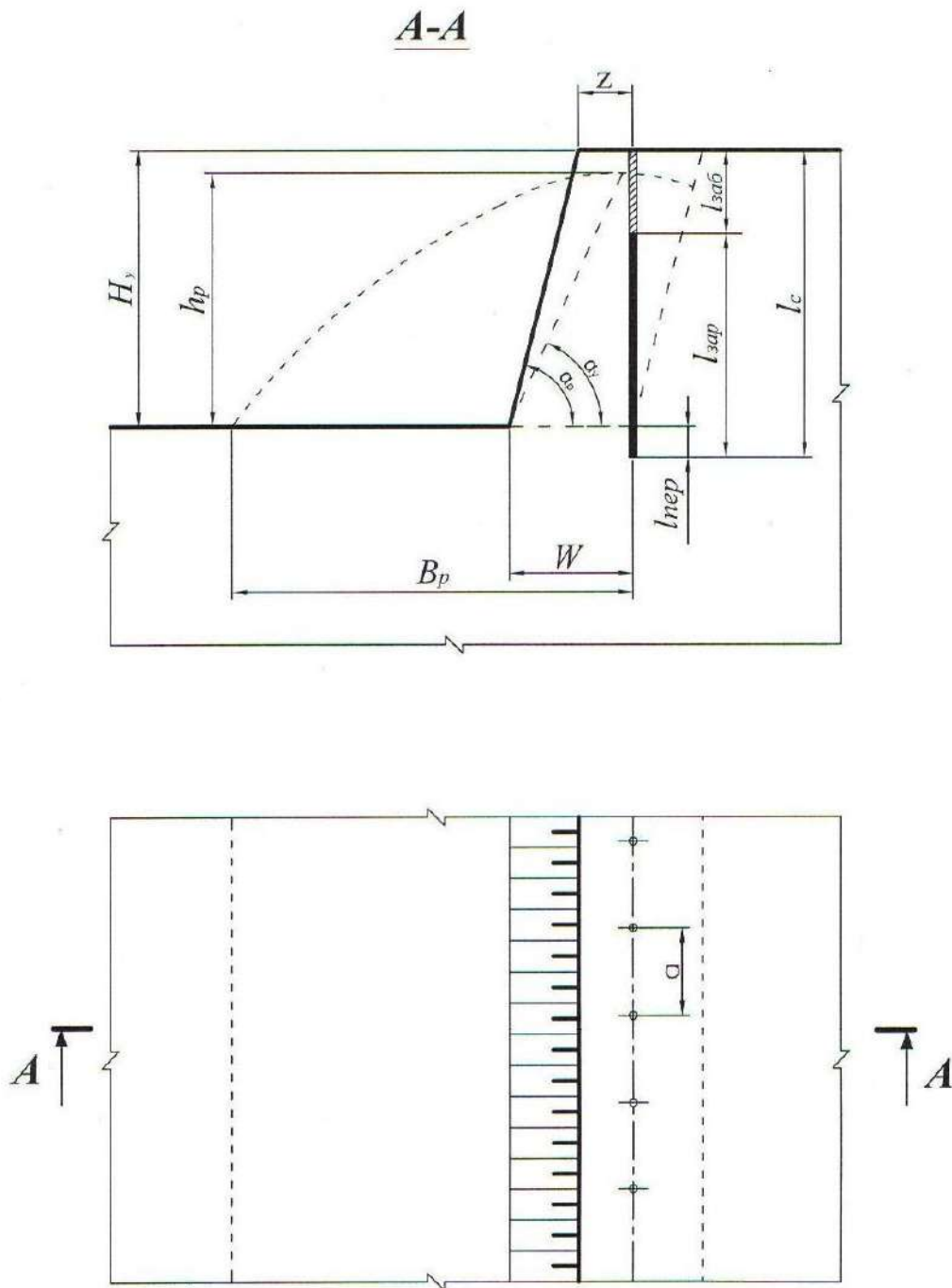


Рис. 4.1. Расположение скважин на уступе

4.2.2.5. Определяется длина забойки ($l_{заб}$, м)

$$l_{заб} = 0,27l_c, \quad (4.4)$$

где l_c – длина скважины, м.

4.2.2.6. Определяется длина заряда взрывчатого вещества (ВВ) в скважине ($l_{\text{зар}}$, м)

$$l_{\text{зар}} = l_{\text{с}} - l_{\text{заб}}. \quad (4.5)$$

4.2.2.7. Определяется удельная вместимость скважины (p , кг/м)

$$p = 7,85d_{\text{с}}^2\Delta, \quad (4.6)$$

где $d_{\text{с}}$ – диаметр скважины, дм;

Δ – плотность заряда в скважине, кг/дм³ (см. прил. 4).

4.2.2.8. Исходя из заданных удельного расхода эталонного ВВ (q' , кг/м³) и коэффициента, учитывающего тип ВВ ($k_{\text{ВВ}}$) (см. прил. 4), вычисляется удельный расход принятого ВВ ($q_{\text{п}}$, кг/м³)

$$q_{\text{п}} = q'k_{\text{ВВ}}. \quad (4.7)$$

4.2.2.9. Определяется величина преодолеваемой линии сопротивления по подошве (W , м)

$$W = 0,9 \sqrt{\frac{p}{q_{\text{п}}}}. \quad (4.8)$$

4.2.2.10. Выполняется проверка величины линии сопротивления по подошве по условию:

$$W \geq W_{\text{min}}, \quad (4.9)$$

$$W_{\text{min}} = H_{\text{y}} \text{ctg} \alpha_{\text{p}} + Z, \quad (4.10)$$

где α_{p} – угол откоса рабочего уступа, град (прил. 4);

Z – расстояние от верхней бровки уступа до скважины первого ряда, м.

$$Z = H_{\text{y}} (\text{ctg} \alpha_{\text{y}} - \text{ctg} \alpha_{\text{p}}) \geq 2,$$

где α_{y} – угол устойчивого откоса уступа, град (α_{y} на 5-10° меньше α_{p});

$H_{\text{y}} (\text{ctg} \alpha_{\text{y}} - \text{ctg} \alpha_{\text{p}})$ – ширина призмы возможного обрушения уступа, м.

Если $W < W_{\text{min}}$, то, по согласованию с руководителем, увеличивается диаметр скважины до ближайшего стандартного и соответственно по формуле (4.6) увеличивается величина p , по формуле (4.8) увеличивается W и снова проверка по формуле (4.9).

4.2.2.11. Выполняется проверка $l_{\text{пер}}$ по условию

$$l_{\text{пер}} \leq 0,3W. \quad (4.11)$$

Если $l_{\text{пер}} > 0,3W$, то принимается $l_{\text{пер}} = 0,3W$ и производится перерасчет величин l_c , $l_{\text{заб}}$ и $l_{\text{зар}}$.

4.2.2.12. Определяется масса заряда в скважине (Q_3 , кг)

$$Q_3 = \rho l_{\text{зар}}. \quad (4.12)$$

4.2.2.13. Определяется расстояние между скважинами в ряду (a , м)

$$a = \frac{Q_3}{q_{\text{п}} H_y W}. \quad (4.13)$$

4.2.2.14. Выполняется проверка величины a по допустимому коэффициенту сближения скважин m

$$m = a/W. \quad (4.14)$$

На практике коэффициент сближения скважин составляет: $m = 0,8 \div 1,4$.

При расчетном значении m , отличающемся от рекомендуемого, необходимая величина его достигается путем изменения величины заряда в скважине Q_3 и соответствующего изменения расстояния между скважинами в ряду. При этом необходимо пересчитать длину

заряда $l_{\text{зар}} = \frac{Q_3}{\rho}$ и длину забойки

$$l_{\text{заб}} = l_c - l_{\text{зар}}.$$

4.2.2.15. Определяется ширина развала (B_p , м)

$$B_p \approx k_3 k_B \sqrt{q_{\text{п}} H_y}, \quad (4.15)$$

где k_B – коэффициент, характеризующий взрываемость породы (для средневзрываемых пород $k_B = 2,5 \div 3,0$);

k_3 – коэффициент дальности отброса породы, зависящий от принятого интервала замедления между отдельными скважинами (прил. б);

Интервал замедления (τ , мс)

$$\tau = kW, \quad (4.16)$$

где k – коэффициент, зависящий от взрываемости пород (для средневзрывааемых пород $k = 3,0 \div 4,0$).

4.2.2.16. Определяется высота развала (h_p , м)

$$h_p \approx \frac{2H_y W k_p}{B_p}, \quad (4.17)$$

где k_p – коэффициент разрыхления пород после взрыва (в развале).

При взрывании пород на дробление с однорядным расположением скважин развал имеет форму, близкую к треугольной. При этом $k_p = 1,4 \div 1,6$.

4.2.2.17. Определяется выход взорванной горной массы с 1 п. м скважины ($q_{г.м}$, м³/м)

$$q_{г.м} = \frac{H_y a W}{l_c}. \quad (4.18)$$

4.2.3. Вычертить буровую заходку (план и разрез), взрывные скважины и развал породы (на разрезе) с указанием всех необходимых размеров (см. рис. 4.1).

Форма отчетности. По результатам занятия представляется отчет, содержащий исходную информацию, расчетные зависимости, необходимые расчеты и их результаты, а также чертеж буровой заходки в выбранном масштабе.

Контрольные вопросы к практической работе № 4

1. Дайте определение скважинного заряда.
2. Перечислите параметры скважинного заряда.
3. Исходя из каких условий принимается (задается) тип ВВ?
4. Что такое линия сопротивления по подошве (W)? В чем ее геометрический и физический смысл?
5. Каким условием определяется минимально допустимая линия сопротивления по подошве (W_{min})?
6. Каким параметром определяется положение первого ряда скважин?
7. Какими параметрами характеризуется сетка скважин?

8. Что такое «удельная вместимость скважины»? В каких единицах она измеряется? Выведите формулу для определения удельной вместимости скважины.
9. По какой формуле определяется выход горной массы с одного погонного метра скважины?
10. Какими факторами определяется ширина развала взорванной горной массы?
11. Каким показателем определяется отношение площади поперечного сечения развала взорванной горной массы к площади поперечного сечения буровой (взрывной) заходки? В каких пределах он изменяется?

Практическая работа № 5

РАСЧЕТ ПРОИЗВОДИТЕЛЬНОСТИ БУРОВОГО СТАНКА

Цель работы – изучить методику определения производительности буровых станков типа СБШ.

5.1. ЗАДАЧИ РАБОТЫ

5.1.1. *ОЗНАКОМИТЬСЯ С ТЕХНОЛОГИЕЙ БУРЕНИЯ ВЗРЫВНЫХ СКВАЖИН СТАНКАМИ ШАРОШЕЧНОГО БУРЕНИЯ.*

5.1.2. Выполнить расчет технической скорости бурения и производительности бурового станка.

5.1.3. Исследовать зависимость технической скорости бурения от показателя буримости горных пород.

5.2. Порядок выполнения работы

5.2.1. По учебнику [1, с. 49 - 50] ознакомиться с технологией, условиями и областью применения шарошечного бурения взрывных скважин на карьерах.

5.2.2. Ознакомиться с исходными данными в прил. 7. По данным заданного варианта выполнить расчет технической скорости бурения и сменной производительности бурового станка типа СБШ.

Техническая скорость бурения ($v_{\text{б}}$, м/ч) скважин станками СБШ определяется по формуле

$$v_{\text{б}} = \frac{P_{\text{о}} n_{\text{в}}^{0,8}}{П_{\text{б}}^{1,6} d_{\text{д}}}, \quad (5.1)$$

где $P_{\text{о}}$ – осевое усилие, кН;

$n_{\text{в}}$ – частота вращения бурового става, мин⁻¹;

$П_{\text{б}}$ – показатель буримости пород;

$d_{\text{д}}$ – диаметр долота (коронки), см.

Сменная производительность бурового станка ($A_6^{см}$, м/смену) рассчитывается по формуле

$$A_6^{см} = \frac{T_{см} - (T_{п.з} + T_p)}{v_6^{-1} + T_в}, \quad (5.2)$$

где $T_{см}$ – продолжительность смены, ч/смену;

$T_{п.з}$ – затраты времени на подготовительно-заключительные операции в течение смены, ч/смену;

T_p – затраты времени на ремонты в течение смены, ч/смену;

$T_в$ – затраты времени на вспомогательные операции при бурении в расчёте на 1 м скважины ч/м;

v_6 – техническая скорость бурения, м/ч.

Расчет выполняется в следующей последовательности:

5.2.2.1. По заданным величинам $\sigma_{сж}$, $\sigma_{сд}$, ρ определяется показатель буримости горных пород ($П_6$)

$$П_6 = 0,07(\sigma_{сж} + \sigma_{сд}) + 0,7\rho, \quad (5.3)$$

где $\sigma_{сж}$ – предел прочности породы на сжатие, МПа;

$\sigma_{сд}$ – предел прочности породы на сдвиг, МПа;

ρ – плотность горных пород, т/м³.

По показателю буримости ($П_6$) определяется класс горных пород:

I класс – легкобуримые породы ($П_6 = 1 \div 5$);

II класс – породы средней трудности бурения ($П_6 = 5,1 \div 10$);

III класс – труднобуримые породы ($П_6 = 10,1 \div 15,0$);

IV класс – весьма труднобуримые породы ($П_6 = 15,1 \div 20,0$);

V класс – исключительно труднобуримые породы ($П_6 = 20,1 \div 25,0$).

5.2.2.2. В зависимости от показателей буримости пород (Π_6) и заданного диаметра долота (d_d) по графику (прил. 8) определяется частота вращения бурового става (n_B).

5.2.2.3. Рассчитывается осевое усилие (P_o , кН) по выражению

$$P_o \geq k\Pi_6 d_d, \quad (5.4)$$

где d_d – диаметр долота, см;

k – коэффициент, зависящий от показателя буримости (прил. 9).

5.2.2.4. По формуле (5.1) рассчитывается техническая скорость бурения (v_6 , м/ч).

5.2.2.5. По заданным величинам $T_{см}$, ($T_{п.з}+T_p$), T_B и полученному значению v_6 рассчитывается сменная производительность станка ($A_6^{см}$, м/смену).

5.2.2.6. Определяется суточная производительность бурового станка ($A_6^с$, м/смену)

$$A_6^с = A_6^{см} n_{см}, \quad (5.5)$$

где $n_{см}$ – количество рабочих смен станка в сутки, смен/сут. ($n_{см} = 2 \div 3$).

5.2.2.7. Определяется годовая производительность станка ($A_6^Г$, м/год)

$$A_6^Г = A_6^с n_{р.д.с}, \quad (5.6)$$

где $n_{р.д.с}$ – число рабочих дней станка в году, дней/год (с учетом вычета времени: ремонтов, перемещений с участка на участок, остановок в работе по климатическим условиям и др.). Для станков СБШ $n_{р.д.с} = 230 \div 280$ дней/год.

5.2.2.8. Рассчитывается парк буровых станков.

Списочный парк станков ($N_{б.с}$, ед.)

$$N_{б.с} = \frac{V_{Г.М}}{A_6^Г q_{Г.М}}, \quad (5.7)$$

где $V_{г.м}$ – годовой объем обуриваемой горной массы, $м^3$ (принимается $V_{г.м} = P_{г.м}$ по результатам выполнения практ. работы № 3);

$q_{г.м}$ – выход взорванной горной массы с 1 п. м скважины, $м^3/м$ (принимается по результатам выполнения практ. работы № 4).

Рабочий парк буровых станков ($N_{бр}$, ед.)

$$N_{бр} = \frac{N_{бс}}{k_{рез}}, \quad (5.8)$$

где $k_{рез}$ – коэффициент резерва буровых станков.

$$k_{рез} = \frac{T_{г}}{n_{р.д.с}}, \quad (5.9)$$

где $T_{г}$ – число рабочих дней карьера в году, дней/год ($T_{г} = 350$ дней/год).

5.2.3. Исследовать зависимость технической скорости бурения ($v_б$, м/ч) от показателя буримости горных пород ($П_б$).

Для этого произвести расчет $v_б$ для пяти значений $П_б$. За базовое значение принять $П_б$, полученное при выполнении п. 5.2.2.1. Для принятия четырех оставшихся значений $П_б$ принять шаг варьирования от базового $\Delta П_б = 0,5 \div 1,5$. Два принятых значения $П_б$ должны превышать базовое, а два быть меньше его. Строится график $v_б = f(П_б)$.

Форма отчетности. По результатам занятия представляется отчет, содержащий исходную информацию, расчетные формулы, все необходимые расчеты, а также график зависимости $v_б = f(П_б)$.

Контрольные вопросы к практической работе № 5

1. Перечислите основные элементы станков шарошечного бурения.
2. Как маркируются модели станков шарошечного бурения?
3. От каких свойств пород зависят показатели буримости и что характеризуют эти свойства? В каких единицах они измеряются?
4. От каких факторов зависит скорость бурения?
5. От каких факторов зависит величина требуемого осевого усилия?
6. Написать формулу часовой производительности бурового станка.
7. Как определяется списочный парк бурстанков?
8. Как определяется рабочий парк бурстанков?

Практическая работа № 6

РАСЧЕТ ПРОИЗВОДИТЕЛЬНОСТИ КАРЬЕРНЫХ ЭКСКАВАТОРОВ

Цель работы – ознакомиться с технико-экономическими показателями и освоить методику расчета производительности одноковшовых экскаваторов.

6.1. Задачи работы

6.1.1. Ознакомиться с распределением рабочего времени, производительностью и технико-экономическими показателями одноковшовых экскаваторов.

6.1.2. Выполнить расчет технической, сменной и годовой производительности экскаватора типа ЭКГ в скальных породах.

6.1.3. Исследовать зависимость технической производительности экскаватора от угла поворота на разгрузку.

6.2. Порядок выполнения работы

6.2.1. По учебнику [1, с. 103 - 108] ознакомиться с распределением рабочего времени, принципами расчета производительности и технико-экономическими показателями работы одноковшовых экскаваторов.

6.2.2. Ознакомиться с исходными данными в прил. 10. По данным заданного варианта выполнить расчет технической, сменной и годовой производительности и параметров забоя одноковшового экскаватора типа ЭКГ в скальных породах.

Расчет выполняется в следующей последовательности:

6.2.2.1. Определяется техническая производительность экскаватора (A_T , м³/ч)

$$A_T = \frac{3600E}{T_{\text{ц}}} k_{\text{э}}, \quad (6.1)$$

где E – вместимость ковша экскаватора, м³;

$T_{\text{ц}}$ – продолжительность цикла экскавации, с;

$$T_{\text{ц}} = T_{\text{ч}} + T_{\text{пов}} + T_{\text{р}}, \quad (6.2)$$

где $T_{\text{ч}}$ – длительность черпания, с;

$$T_{\text{ч}} = \frac{194d_{\text{ср}}^2}{E} + \frac{E}{0,11E + 0,6}, \quad (6.3)$$

$d_{\text{ср}}$ – размер «среднего» куска в развале взорванной горной массы, м;

$$d_{\text{ср}} = (0,3 \div 0,4)\sqrt[3]{E}, \quad (6.4)$$

$T_{\text{пов}}$ – длительность поворота экскаватора для разгрузки ковша, с;

$$T_{\text{пов}} = (10 + E) + 0,18(\beta - 90^\circ), \quad (6.5)$$

$T_{\text{р}}$ – длительность разгрузки ковша, с;

где β – средний угол поворота экскаватора для разгрузки ковша, град;

(при $E = 1 \div 3 \text{ м}^3$, $T_{\text{р}} = 1,5 \div 2,5 \text{ с}$;

при $E = 3 \div 8 \text{ м}^3$, $T_{\text{р}} = 2,5 \div 2,7 \text{ с}$;

при $E = 12 \div 20 \text{ м}^3$, $T_{\text{р}} = 2,9 \div 3,5 \text{ с}$);

$k_{\text{э}}$ – коэффициент экскавации пород,

$$k_{\text{э}} = \frac{k_{\text{н}}}{k_{\text{р}}},$$

где $k_{\text{н}}$ – коэффициент наполнения ковша;

$k_{\text{р}}$ – коэффициент разрыхления пород в ковше экскаватора.

Значения $k_{\text{н}}$ и $k_{\text{р}}$ принимать по прил. 11 в зависимости от заданной категории пород по трудности экскавации.

6.2.2.2. Сменная производительность экскаватора ($A_{\text{см}}$, м³/смену)

$$A_{\text{см}} = A_{\text{т}} T_{\text{см}} k_{\text{и}}, \quad (6.6)$$

где $T_{\text{см}}$ – продолжительность смены, ч/смену;

$k_{\text{и}}$ – коэффициент использования экскаватора в течение смены (прил. 10).

6.2.2.3. Суточная производительность экскаватора ($A_{\text{с}}$, м³/сут)

$$A_{\text{с}} = A_{\text{см}} n_{\text{см}}, \quad (6.7)$$

где $n_{см}$ – число рабочих смен в сутках, смен/сут. ($n_{см} = 2 \div 3$).

6.2.2.4. Годовая производительность экскаватора ($A_{Г}$, м³/год)

$$A_{Г} = A_{с} n_{Г}, \quad (6.8)$$

где $n_{Г}$ – число рабочих дней экскаватора в году, дней/год (прил. 10).

6.2.2.5. Определяется парк экскаваторов. Списочный парк экскаваторов ($N_{эс}$, ед.)

$$N_{эс} = \frac{\Pi_{Г.М}}{A_{Г}}, \quad (6.9)$$

где $\Pi_{Г.М}$ – производительность карьера по горной массе, м³/год (принимается по результатам выполнения практической работы № 3).

Рабочий парк экскаваторов ($N_{эр}$, ед.)

$$N_{эр} = \frac{N_{эс}}{k_{рез}}, \quad (6.10)$$

где $k_{рез}$ – коэффициент резерва экскаваторов

$$k_{рез} = \frac{T_{Г}}{n_{Г}}, \quad (6.11)$$

где $T_{Г}$ – число рабочих дней карьера в году, дней/год ($T_{Г} = 350$ дней/год).

6.2.2.6. Определяется ширина экскаваторной заходки (забоя) ($A_{з}$, м):

при железнодорожном транспорте

$$A_{з} = (1,5 \div 1,7) R_{ч.у}; \quad (6.12)$$

при автомобильном транспорте

$$A_{з} = (0,8 \div 1,2) R_{ч.у}, \quad (6.13)$$

где $R_{ч.у}$ – радиус черпания экскаватора на уровне стояния, м [1, с. 85, табл. 10].

6.2.2.7. Определяется допустимая высота уступа (забоя) ($H_{у}$, м) для скальных пород

$$H_{у} \leq 1,5 H_{ч}^{\max}, \quad (6.14)$$

где $H_{ч}^{\max}$ – максимальная высота черпания экскаватора, м [1, с. 85, табл. 10].

6.2.3. Исследовать зависимость технической производительности экскаватора от угла поворота и построить график $A_{Т} = f(\beta)$.

Для этого производится расчет A_T для пяти значений β . Область варьирования угла поворота $150^\circ > \beta > 90^\circ$. Интервал варьирования $\Delta\beta = 5 \div 10^\circ$.

Базовое значение β принять из прил. 10 для заданного варианта. Для принятия четырех оставшихся значений β принять шаг варьирования от базового $\Delta\beta = (5 \div 10)^\circ$.

Форма отчетности. По результатам занятия представляется отчет, содержащий исходную информацию, расчетные формулы и результаты расчетов, а также график зависимости $A_T = f(\beta)$.

Контрольные вопросы к практической работе № 6

1. Дайте определение производительности.
2. Вывести формулу технической производительности экскаватора.
3. Из каких элементов складывается цикл экскавации?
4. Вывести формулу максимальной ширины экскаваторной заходки.
5. Почему рациональная ширина экскаваторной заходки при железнодорожном транспорте больше, чем при автомобильном транспорте?
6. Как определяется допустимая высота уступа в сыпучих и связных породах?
7. Как определяется рабочий и списочный парк экскаваторов?

Практическая работа № 7

ОПРЕДЕЛЕНИЕ ПРОИЗВОДИТЕЛЬНОСТИ КАРЬЕРНЫХ АВТОСАМОСВАЛОВ

Цель работы – ознакомиться с методикой и освоить принципы расчета производительности карьерных автосамосвалов.

7.1. Задачи работы

7.1.1. Ознакомиться с техническими характеристиками и областью применения карьерных автосамосвалов для перевозки горной массы.

7.1.2. Выполнить расчет сменной производительности карьерного автосамосвала.

7.1.3. Исследовать зависимость сменной производительности карьерного автосамосвала от заданных параметров трассы.

7.2. Порядок выполнения работы

7.2.1. По учебнику [1, с. 145 - 151] ознакомиться с техническими характеристиками и областью применения карьерных автосамосвалов для перевозки горной массы.

7.2.2. Ознакомиться с исходными данными в прил. 12. По данным заданного варианта выполнить расчет сменной производительности автосамосвала.

Производительность автосамосвала по заданной трассе (Q_a , т/смену) рассчитывается

$$Q_a = N_p q = \frac{T_{см}}{T_{ц}^a} k_{и} q, \quad (7.1)$$

где $T_{см}$ – продолжительность смены, мин./смену;

q – вес груза в кузове автосамосвала, т;

$k_{и}$ – коэффициент использования сменного времени;

$T_{ц}^a$ – продолжительность транспортного цикла автосамосвала, мин.;

N_p – количество рейсов автосамосвала в течение смены, рейс/смену.

Продолжительность транспортного цикла ($T_{\text{ц}}^a$, мин.)

$$T_{\text{ц}}^a = t_o + t_{\text{п}} + t_{\text{д}} + t_{\text{м.п}} + t_{\text{м.р}} + t_{\text{р}}, \quad (7.2)$$

где t_o – продолжительность ожидания погрузки, мин. ($t_o \approx 0,5t_{\text{п}}$);

$t_{\text{п}}$ – продолжительность погрузки автосамосвала, мин.;

$t_{\text{д}}$ – продолжительность движения автосамосвала в грузовом и порожняковом направлениях, мин.;

$t_{\text{м.п}}$, $t_{\text{м.р}}$ – продолжительность маневровых операций соответственно при установке на погрузку и разгрузку, мин.;

$t_{\text{р}}$ – продолжительность разгрузки, мин.

Расчеты выполняются в следующей последовательности:

7.2.2.1. По заданной модели экскаватора (см. практическую работу № 6) подбирается модель автосамосвала прил. 13. Подбор осуществляется из условия обеспечения рационального соотношения (μ) между вместимостью кузова автосамосвала и ковша экскаватора

$$\mu = \frac{V_a}{E} = 3 \div 5, \quad (7.3)$$

где V_a – геометрическая вместимость кузова выбранного автосамосвала, м³ (см. прил. 13);

E – вместимость ковша экскаватора, м³.

7.2.2.2. Производится расчет времени погрузки автосамосвала ($t_{\text{п}}$, мин.) и веса груза в кузове (q , т)

$$t_{\text{п}} = \frac{T_{\text{ц}}^{\text{э}} (n_{\text{мин цик}} - 0,5)}{60}, \quad (7.4)$$

где $T_{\text{ц}}^{\text{э}}$ – длительность цикла экскавации, с (см. практическую работу № 6);

$n_{\text{мин цик}}$ – количество циклов экскавации при загрузке автосамосвала.

Для определения $n_{\min \text{ ЦЖ}}$ рассчитывается необходимое количество ковшей для полной загрузки автосамосвала (n_k):

исходя из грузоподъемности автосамосвала

$$n_k = \frac{q_a k_p}{E k_H \rho}, \quad (7.5)$$

где q_a – грузоподъемность автосамосвала, т;

k_p – коэффициент разрыхления породы в ковше экскаватора;

k_H – коэффициент наполнения ковша экскаватора;

ρ – плотность пород в целике, т/м³ (значения k_H , k_p и ρ принимаются по прил. 11 в зависимости от заданной категории пород);

исходя из вместимости кузова автосамосвала с «шапкой»

$$n_k = \frac{0,9V'_a}{E k_H}, \quad (7.6)$$

где V'_a – вместимость кузова автосамосвала с «шапкой» (см. прил. 13), м³.

Затем сравниваются значения n_k , вычисленные по формулам (7.5) и (7.6), выбирается меньшее (n_k) и округляется до ближайшего целого числа, которое принимается за $n_{\min \text{ ЦЖ}}$.

Вес груза рассчитывается (q , т)

$$q = \frac{E k_H}{k_p} n_{\min \text{ ЦЖ}} \rho. \quad (7.7)$$

Осуществляется проверка условия

$$q \leq 1,1q_a, \quad (7.8)$$

где q_a – грузоподъемность автосамосвала, т.

7.2.2.3. Производится расчет времени движения автосамосвала в грузовом и порожняковом направлениях (t_d , мин.)

$$t_d = 60 \frac{2L}{v_{\text{ср.т}}}, \quad (7.9)$$

где L – расстояние транспортирования горной массы, км;

$V_{\text{ср.т}}$ – средняя техническая скорость движения автосамосвала по трассе, км/ч;

$V_{\text{ср.т}}$ определяется в зависимости от заданного расстояния транспортирования (L , км) и высоты подъема горной массы ($H_{\text{п}}$, м) по прил. 15.

7.2.2.4. Производится расчет $T_{\text{ц}}^{\text{а}}$. При этом $t_{\text{м.п}}$, $t_{\text{м.р}}$ и $t_{\text{р}}$ принимаются из прил. 13 для выбранной модели автосамосвала.

7.2.2.5. По формуле 7.1 производится расчет сменной производительности автосамосвала при $k_{\text{н}} = 0,8$; $T_{\text{см}} = 8$ ч.

7.2.2.6. Производится расчет рабочего и инвентарного парка автосамосвалов.

Рабочий парк автосамосвалов ($N_{\text{а.р}}$, ед.)

$$N_{\text{а.р}} = \frac{V_{\text{см}}}{Q_{\text{а}}}, \quad (7.10)$$

где $V_{\text{см}}$ – сменный объем перевозок, т/смену.

$$V_{\text{см}} = k_{\text{н}} \left(\Pi_{\text{п.и}}^{\text{см}} + \Pi_{\text{в}}^{\text{см}} \rho \right), \quad (7.11)$$

где $k_{\text{н}}$ – коэффициент неравномерности выдачи горной массы из карьера ($k_{\text{н}} = 1,1$);

$\Pi_{\text{п.и}}^{\text{см}}$ – сменная производительность карьера по полезному ископаемому, т/смену;

$\Pi_{\text{в}}^{\text{см}}$ – сменная производительность карьера по вскрыше в целике, м³/смену;

ρ – плотность вскрышных пород в целике, т/м³.

$\Pi_{\text{п.и}}^{\text{см}}$ и $\Pi_{\text{в}}^{\text{см}}$ принимаются по результатам выполнения практической работы № 3, ρ – по прил. 11 в зависимости от заданной категории пород по трудности экскавации.

Инвентарный парк автосамосвалов ($N_{\text{а.и}}$, ед.)

$$N_{\text{а.и}} = \frac{N_{\text{а.р}}}{k_{\text{т.г}}}, \quad (7.12)$$

где $k_{\text{т.г}}$ – коэффициент технической готовности, определяемый по прил. 14, в зависимости от суточного пробега автосамосвала.

Суточный пробег автосамосвала (L_c , км/сут)

$$L_c = \frac{2LQ_a}{q} k_o k_{\text{см}}, \quad (7.13)$$

где k_o – коэффициент, учитывающий нулевой пробег от гаража до места работы и обратно ($k_o = 1,05$);

$k_{\text{см}}$ – коэффициент сменности – среднее количество полных смен отработанных автосамосвалом за сутки (принять $k_{\text{см}} = 2,5$).

7.2.3. Исследовать зависимость сменной производительности автосамосвала от расстояния транспортирования или высоты подъема горной массы и построить график $Q_a = f(L)$ или $Q_a = f(H_{\text{п}})$.

Производится расчет для пяти значений L или $H_{\text{п}}$. Интервал варьирования расстояния транспортирования $\Delta L = 0,2 \div 0,4$ км, высоты подъема горной массы $\Delta H_{\text{п}} = 20$ м.

Форма отчетности. По результатам занятия представляется отчет, содержащий исходную информацию, расчетные формулы и результаты расчетов, а также графики зависимостей $Q_a = f(L)$ или $Q_a = f(H_{\text{п}})$.

Контрольные вопросы к практической работе № 7

1. Чем отличается процесс выемки горной массы от процесса транспортирования горной массы?
2. Вывести формулу сменной производительности автосамосвала.
3. От каких факторов зависит сменная производительность автосамосвала?
4. Из каких элементов складывается транспортный цикл?
5. Как определить количество рейсов (транспортных циклов) автосамосвала за смену?
6. От чего зависит продолжительность погрузки автосамосвала?
7. В чем различие между величиной количества циклов экскавации для загрузки автосамосвала и количества ковшей для загрузки автосамосвала?
8. От каких факторов зависит время движения автосамосвала в транспортном цикле?
9. Какое различие между рабочим и инвентарным парком автосамосвалов?
10. Как определить сменный пробег автосамосвала?

Практическая работа № 8

КОНСТРУКЦИЯ РАБОЧЕГО И НЕРАБОЧЕГО БОРТОВ КАРЬЕРА

Цель работы – изучить конструкцию рабочего и нерабочего бортов карьера, освоить методику расчета ширины рабочей площадки и угла откоса рабочих и нерабочих бортов.

8.1. Задачи работы

8.1.1. Ознакомиться с конструкцией рабочего и нерабочего бортов карьера.

8.1.2. Выполнить расчет углов откоса рабочих и нерабочих бортов.

8.1.3. Исследовать зависимость величины угла откоса рабочего борта от определяющих факторов.

8.2. Порядок выполнения работы

8.2.1. По учебнику [1, с. 23 - 27; 269 - 271] ознакомиться с конструкцией рабочего и нерабочего бортов карьера и факторами, определяющими величины углов их откосов.

8.2.2. Ознакомиться с исходными данными в прил. 16. По данным заданного варианта выполнить расчет углов откоса рабочего и нерабочего бортов.

Порядок выполнения расчетов

8.2.2.1. Определяется высота рабочего борта карьера ($H_{р.б}$, м)

$$H_{р.б} = H_y n_{р.у}, \quad (8.1)$$

где H_y – высота уступа, м;

$n_{р.у}$ – количество рабочих уступов.

8.2.2.2. Определяется ширина рабочей площадки при погрузке горной массы в автомобильный транспорт ($Ш_{р.п}$, м)

$$Ш_{р.п} = B_p + C + T + S + Z + Ш_{в.б}, \quad (8.2)$$

где B_p – ширина развала породы, м (принимается по результатам расчетов из практической работы № 4);

C – безопасный зазор между нижней бровкой развала и транспортной полосой, м (2-3 м);

T – ширина транспортной полосы (проезжей части временной автодороги при двухполосном движении), м (см. прил. 13);

S – безопасное расстояние (1,5÷2,0 м) от транспортной полосы до призмы возможного обрушения;

Z – ширина призмы возможного обрушения, м;

$Ш_{в.б}$ – ширина взрывного блока, м (при однорядном взрывании $Ш_{в.б} = W$, принимается по результатам расчетов из практической работы № 4);

$$Z = H_y (\operatorname{ctg} \alpha_y - \operatorname{ctg} \alpha); \quad (8.3)$$

α – угол откоса рабочего уступа, град.;

α_y – угол устойчивого откоса уступа, град. (см. прил. 16).

8.2.2.3. Определяется горизонтальное проложение откоса рабочего борта ($C_{р.б}$, м)

$$C_{р.б} = H_y \operatorname{ctg} \alpha n_{р.у} + Ш_{р.п} (n_{р.у} - 1). \quad (8.4)$$

8.2.2.4. Определяется тангенс угла откоса рабочего борта карьера (φ)

$$\operatorname{tg} \varphi = H_{р.б} / C_{р.б}. \quad (8.5)$$

8.2.2.5. Определяется величина угла откоса, град, рабочего борта φ :

$$\varphi = \operatorname{arctg} (\operatorname{tg} \varphi).$$

8.2.2.6. Определяется высота нерабочего борта карьера ($H_{н.б}$, м)

$$H_{н.б} = H_y n_{н.у}, \quad (8.6)$$

где $n_{н.у}$ – количество нерабочих уступов (принимается $n_{н.у} = 3$).

8.2.2.7. Определяется горизонтальное проложение откоса нерабочего борта ($C_{н.б}$, м)

$$C_{н.б} = n_{н.у} (H_y \operatorname{ctg} \alpha_y + b_c) + (n_{н.у} - 1) b_б, \quad (8.7)$$

где b_c – ширина съезда, м;

$b_б$ – ширина бермы безопасности, м ($b_б = 8 \div 10$ м).

8.2.2.8. Определяется тангенс угла откоса нерабочего борта карьера (γ)

$$\operatorname{tg} \gamma = H_{н.б} / C_{н.б}. \quad (8.8)$$

Затем сам угол откоса, град, нерабочего борта карьера (γ):

$$\gamma = \operatorname{arctg} (\operatorname{tg} \gamma). \quad (8.9)$$

8.2.3. Вычертить разрез рабочей площадки (рис. 8.1), рабочего борта (рис. 8.2), план и разрез нерабочего борта карьера с тупиковыми съездами (рис. 8.3) в выбранном масштабе.

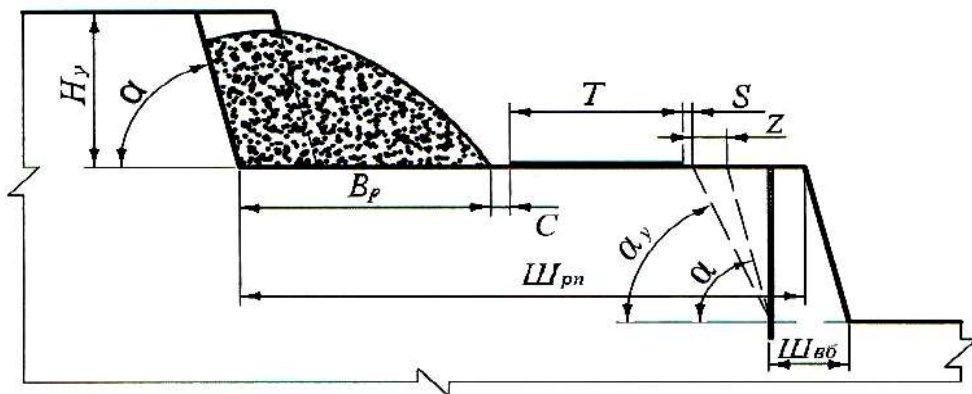


Рис. 8.1. Рабочая площадка

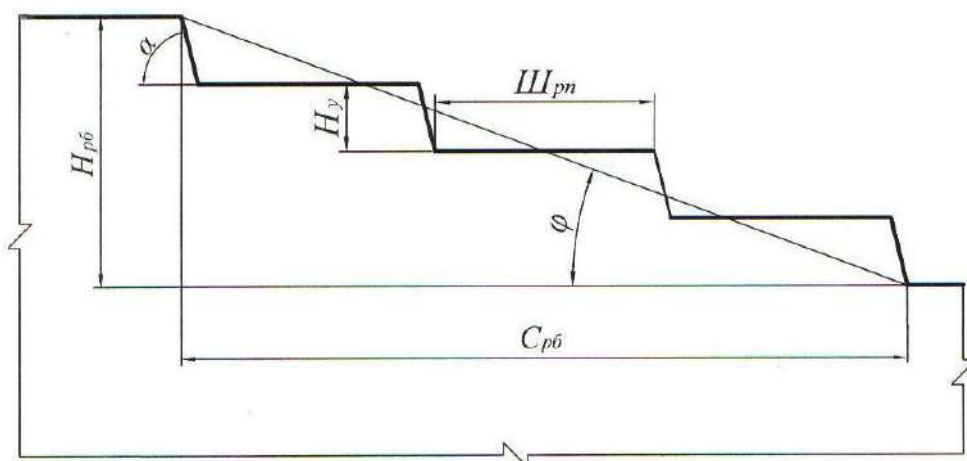
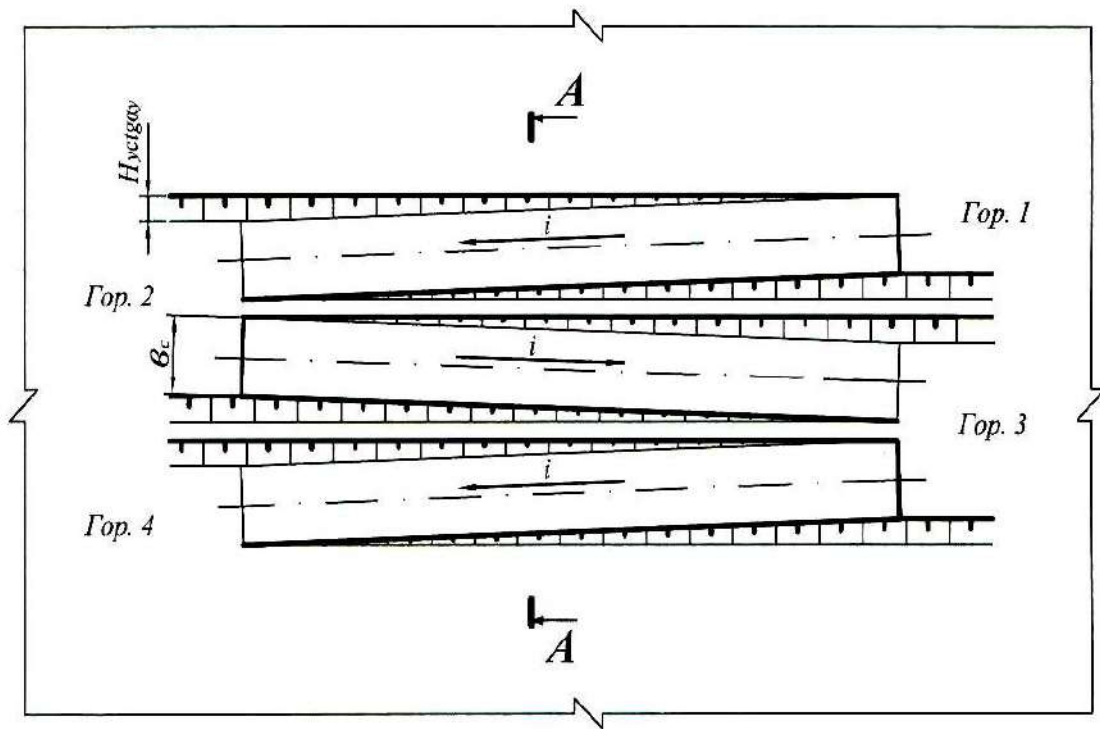


Рис. 8.2. Рабочий борт карьера

a)



б)

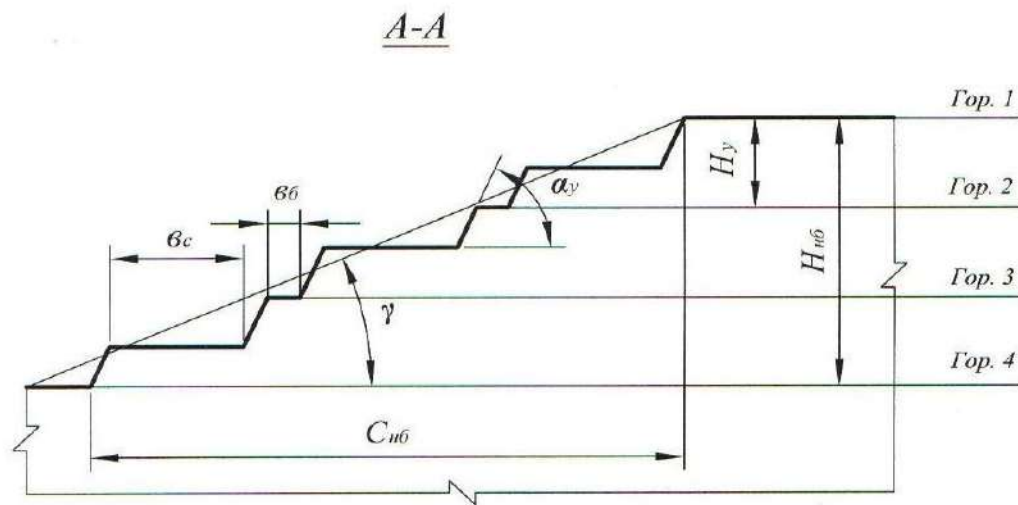


Рис. 8.3. Нерабочий борт карьера:

a – автомобильный съезд на нерабочем борту; *б* – профиль нерабочего борта

8.2.4. Исследовать зависимость угла откоса рабочего борта карьера (φ , град) от высоты уступа (H_y , м) или ширины рабочей площадки ($Ш_{р.п}$, м) и построить график $\varphi = f(H_y)$ или $\varphi = f(Ш_{р.п})$.

Производится расчет φ для пяти значений H_y и $Ш_{р.п.}$. Величина аргумента задается в пределах $10 \text{ м} \leq H_y \leq 25 \text{ м}$ и $30 \text{ м} \leq Ш_{р.п.} \leq 80 \text{ м}$.

Форма отчетности. По результатам занятия представляется отчет, содержащий исходную информацию, расчетные формулы и результаты расчетов, а также графики зависимостей $\varphi = f(H_y)$ или $\varphi = f(Ш_{р.п.})$.

Контрольные вопросы к практической работе № 8

1. Дайте определение рабочего и нерабочего борта карьера.
2. Из каких элементов состоят рабочий и нерабочий борт карьера?
3. Назовите параметры рабочего и нерабочего бортов карьера и их элементов.
4. Какими условиями определяется угол откоса нерабочего борта карьера?
5. От каких факторов зависит угол откоса рабочего борта карьера?
6. Из каких элементов состоит рабочая площадка (как определяется ширина рабочей площадки)?
7. Как определяется ширина призмы возможного обрушения уступа?
8. Как определить угол откоса борта карьера, если известны его высота и горизонтальное проложение?
9. Как определить горизонтальное проложение борта карьера (рабочего и нерабочего)?
10. Как определяется уклон внутрикарьерной траншеи?
11. В каких единицах измеряется уклон траншеи?

Практическая работа № 9

РАСЧЕТ БУЛЬДОЗЕРНОГО ОТВАЛООБРАЗОВАНИЯ ПРИ АВТОМОБИЛЬНОМ ТРАНСПОРТЕ

Цель работы – ознакомиться с методикой и освоить принципы расчета основных параметров бульдозерного отвалообразования при автомобильном транспорте.

9.1. Задачи работы

9.1.1. Изучить технологию бульдозерного отвалообразования при автомобильном транспорте.

9.1.2. Выполнить расчет основных параметров бульдозерного отвалообразования при автомобильном транспорте.

9.2. Порядок выполнения работы

9.2.1. По учебнику [1, с. 176 - 177] ознакомиться с основными параметрами отвалов и технологией бульдозерного отвалообразования при автомобильном транспорте.

9.2.2. Ознакомиться с исходными данными в прил. 17. По данным заданного варианта выполнить расчет основных параметров бульдозерного отвалообразования при автомобильном транспорте.

Порядок выполнения расчетов

9.2.2.1. Определяется требуемая площадь отвала (S_o , м²)

$$S_o = \frac{Wk_p^o}{n_{\text{я}}h_{\text{я}}\eta_o}, \quad (9.1)$$

где W – объем пород, подлежащих размещению в отвале за срок его существования, м³ (см. прил. 17);

k_p^o – коэффициент разрыхления пород в отвале (см. прил. 18);

$h_{\text{я}}$ – высота яруса, м (см. прил. 18);

$n_{\text{я}}$ – количество ярусов;

η_0 – коэффициент использования площади отвала (η_0 принимать: для одно- и двухъярусных отвалов – $0,8 \div 0,7$; для трехъярусных и более – $0,5$).

Тип (категорию) складироваемых пород принимать согласно прил. 17. Количество отвальных ярусов принимать самостоятельно (на практике отвалы формируются, как правило, из одного-трех ярусов), исходя из необходимости минимизировать площадь отвалов и максимальной общей высоты отвала не более 120-180 м. По требуемой площади отвала, определяются его размеры в плане: ширина (B , м), длина (L , м). При этом рекомендуется выдерживать соотношение $B : L = 1 : 2$, тогда: $L = \sqrt{2S_0}$.

9.2.2.2. Рассчитывается количество автосамосвалов, разгружающихся на отвале в течение часа (N_o , ед./ч)

$$N_o = \frac{P_{\text{в}}^{\text{ч}} k_{\text{н}}}{Q_{\text{п}}}, \quad (9.2)$$

где $P_{\text{в}}^{\text{ч}}$ – часовая производительность карьера по вскрыше, м³/ч;

$k_{\text{н}}$ – коэффициент неравномерности работы карьера по вскрыше ($k_{\text{н}} = 1,1 \div 1,2$);

$Q_{\text{п}}$ – объем вскрыши в целике в кузове автосамосвала, м³.

$$Q_{\text{п}} = q / \rho, \quad (9.3)$$

где q – вес груза в кузове автосамосвала, т (величина q принимается по результатам расчетов в практической работе № 7);

ρ – плотность пород в целике, т/м³.

$$P_{\text{в}}^{\text{ч}} = \frac{P_{\text{в}}}{T_{\text{г}} n_{\text{см}} T_{\text{см}}},$$

где $P_{\text{в}}$ – годовая производительность карьера по вскрыше (см. прил. 17), м³/год;

$T_{\text{г}}$ – число рабочих дней карьера в году, дней/год ($T_{\text{г}} = 350$ дн./год);

$n_{см}$ – число рабочих смен в сутки, смен/сут. ($n_{см} = 3$ смены/сут.);

$T_{см}$ – продолжительность смены, ч/смену ($T_{см} = 8$ ч/смену).

9.2.2.3. Определяется число одновременно разгружающихся автосамосвалов на отвале ($N_{а.о}$, ед.)

$$N_{а.о} = N_o \frac{t_p + t_{м.р}}{60}, \quad (9.4)$$

где t_p , $t_{м.р}$ – продолжительность разгрузки и маневровых операций при установке на разгрузку, мин. (см. прил. 13).

9.2.2.4. Определяется длина участка разгрузки (L_p , м)

$$L_p = N_{а.о} l_{п}, \quad (9.5)$$

где $l_{п}$ – ширина полосы по рабочему фронту отвала, м, занимаемой одним автосамосвалом при маневрировании, для автосамосвалов грузоподъемностью:

30 – 55 т $l_{п} = 30 \div 40$ м,
80 – 130 т $l_{п} = 50 \div 60$ м,
180 – 240 т $l_{п} = 60 \div 70$ м.

9.2.2.5. Отвальный фронт состоит из трех участков: разгрузки, планировки и резервный.

По мере заполнения участка разгрузки и выравнивания участка планировки, последний начинает выполнять функцию первого, а участок разгрузки становится участком планировки. Если участок планировки не подготовлен, то разгрузка производится на резервном участке. Таким образом, все три участка должны иметь одинаковую длину и общая длина отвального фронта (L_o , м) определится:

$$L_o = 3L_p. \quad (9.6)$$

9.2.2.6. Определяется сменный объем бульдозерных работ по формированию отвала (Q_b , м³/смену)

$$Q_b = \Pi_B^{см} k_H k_{зав}, \quad (9.7)$$

где Π_B^{CM} – сменная производительность карьера по вскрыше, м³/смену;

$$\Pi_B^{CM} = \Pi_B^Ч T_{CM}, \quad (9.8)$$

где $k_{зав}$ – средний коэффициент «заваленности» (см. прил. 18).

9.2.2.7. Выбирается модель бульдозера (см. прил. 19) и определяется число бульдозеров в работе (N_6 , ед.):

$$N_6 = Q_6 / \Pi_6, \quad (9.9)$$

где Π_6 – сменная производительность бульдозера, м³/смену (принимается по прил. 19).

9.2.2.8. Рассчитывается инвентарный парк бульдозеров ($N_{6.и}$, ед.)

$$N_{6.и} = 1,4 N_6, \quad (9.10)$$

где 1,4 – ориентировочное значение коэффициента резерва бульдозеров.

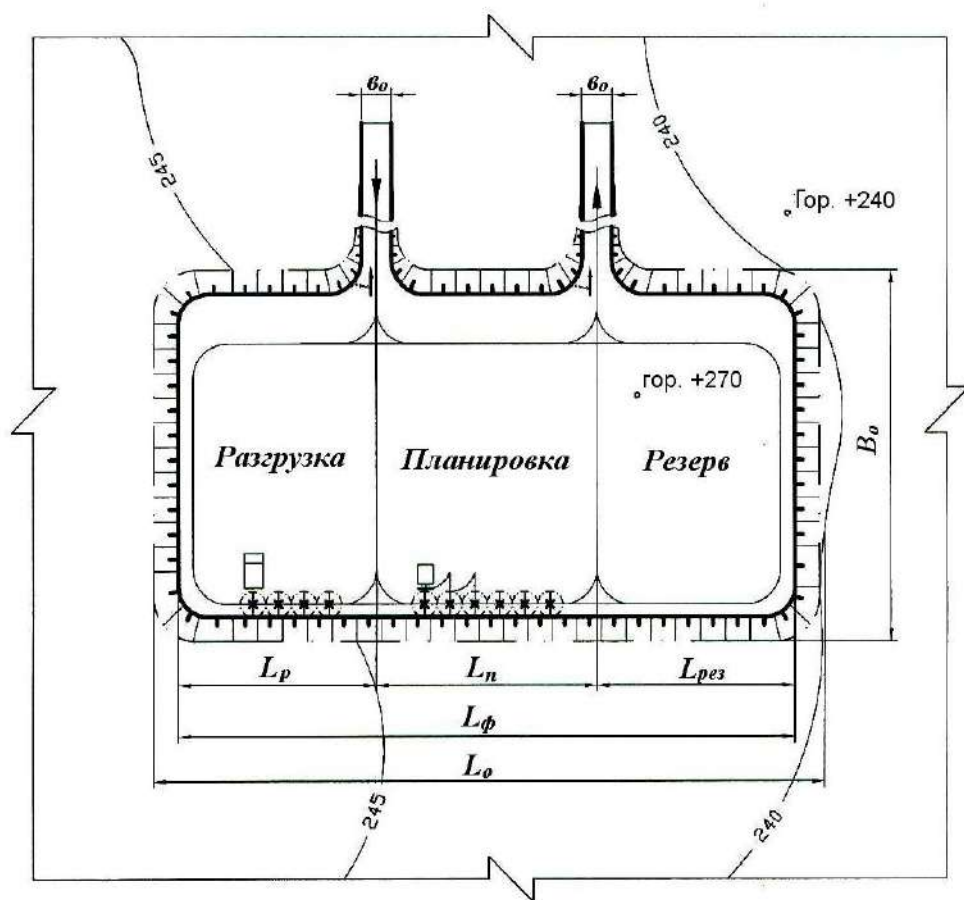


Рис. 9.1. План бульдозерного отвала

9.2.3. Вычертить план бульдозерного отвала с выделением рабочих участков, участков, находящихся в планировке, и резервных участков (см. рис. 9.1).

Форма отчетности. По результатам занятия представляется отчет, содержащий исходную информацию, расчетные формулы результаты расчетов, а также план бульдозерного отвала.

Контрольные вопросы к практической работе № 9

1. Перечислите способы отвалообразования, применяемые при открытой разработке месторождений.
2. В чем заключается отличительный признак бульдозерного отвалообразования?
3. Перечислите достоинства и недостатки бульдозерного отвалообразования.
4. Перечислите параметры отвалов.
5. От каких факторов зависит высота яруса отвала?
6. Перечислите операции технологии бульдозерного отвалообразования.
7. Перечислите параметры технологии бульдозерного отвалообразования.
8. Из каких участков состоит фронт отвальных работ при бульдозерном отвалообразовании?
9. Как соотносятся между собой размеры участков фронта отвальных работ?
10. От каких факторов зависит длина участка разгрузки?
11. Как определить количество одновременно разгружающихся автосамосвалов на участке разгрузки?
12. Как определить объем бульдозерных работ по формированию отвала (по планировке вскрышных пород на отвале)?

СПИСОК ИСПОЛЬЗОВАННЫХ И РЕКОМЕНДУЕМЫХ ЛИТЕРАТУРНЫХ ИСТОЧНИКОВ

1. Хохряков, В. С. Открытая разработка месторождений полезных ископаемых /В. С. Хохряков. – 5-е изд. – М.: Недра, 1991. – 336 с.
2. Томаков, П. И.; Наумов, И. К. Технология, механизация и организация открытых горных работ /П. И. Томаков, И. К. Наумов: учебник для вузов. 3-е изд., перераб. и доп. – М.: Изд-во Моск. горного ин-та, 1992. – 464 с.
3. Пахомов, Е. М.; Буянов, М. И. Открытая разработка месторождений полезных ископаемых /Е. М. Пахомов, М. И. Буянов. – М.: Недра, 1990. – 250 с.
4. Русский, И. И. Технология отвальных работ и рекультивация на карьерах /И. И. Русский. – М.: Недра, 1979. – 262 с.

5. Половов Б.Д., Химич А.А., Валиев Н.Г. Основы горного дела: общие сведения и понятия горного дела. Подземная, открытая и строительная геотехнологии: учебник для вузов / Б. Д. Половов, А. А. Химич, Н. Г. Валиев; ФГБОУ ВПО «Урал. гос. горный ун-т». Екатеринбург: Изд-во УГГУ, 2012. 789
6. Репин, Н. Я. Практикум по дисциплине «Процессы открытых горных работ» : учебное пособие / Н. Я. Репин, Л. Н. Репин. — 2-е изд., стер. — Москва : Горная книга, 2018. — 156 с. — ISBN 978-5-98672-489-8. — Текст : электронный // Лань : электронно-библиотечная система. — URL: <https://e.lanbook.com/book/134951> (дата обращения: 17.12.2021). — Режим доступа: для авториз. пользователей.

Исходные данные к лабораторной работе № 1 «Графическое изображение элементов горных работ»

Таблица П.1.1 Графическое изображение забоев и уступов

Номер варианта	Уступ			Забой												
	тип уступа, м	высота H_p , м	угол откоса, A , град	тип забоя	высота уступа, H_y , м	высота развала, H_p , м	ширина развала, B_p , м	ширина взрывной заходки, B_6 , м	ширина заходки экскаватора (забоя), A_3 , м	угол откоса, град		$R_{ч.у.}$, м	$R_{ч.маx.}$, м	R_1 , м	R_2 , м	$H_{сл.}$, м
										забоя, F	уступа, A					
1	2	3	4	5	6	7	8	9	10	11	12	13	14	15	16	17
1	Вскрышной	12	70	Экскаваторный (мехлопата)	10		Без БВР	-	13	65	70	9,04				
	Склад руды	10	60	Экскаваторный (драглайн)	30		Без БВР	-	25	40	65		71,4			
2	Рудный	12	75	Экскаваторный (мехлопата)	15	16	26	17	13	70	80	13,5				
	Отвал	25	55	Экскаваторный (мехлопата)	15		Без БВР	-	20	60	65	13,5				
3	Сложный (руда и порода)	7,5	78	Экскаваторный (роторный)	10		Без БВР	-	20	60	60			15	16	2
	Отвал	30	55	бульдозерный	7		Без БВР	-	30	20	65					
4	Вскрышной	15	75	бульдозерный	5		Без БВР	-	30	10	65					
	Склад руды	12	55	Экскаваторный (драглайн)	35		Без БВР	-	25	30	60		83,0			
5	Рудный	12	80	Экскаваторный (роторный)	17		Без БВР	-	25	60	60			21	24	4
	Отвал	25	50	Экскаваторный (драглайн)	40		Без БВР	-	35	35	55		91,5			
6	Вскрышной	20	80	Бульдозерный	3		Без БВР	-	25	10	65					
	Склад руды	10	50	Экскаваторный (мехлопата)	12	15	45	30	15	50	80	12,6				

1	2	3	4	5	6	7	8	9	10	11	12	13	14	15	16	17
7	Сложный	7,5	70	Экскаваторный (драглайн)	40		Без БВР	-	35	30	60		94,8			
	Вскрышной	35	50	Экскаваторный (роторный)	15	15	Без БВР	-	24	55	55			21	24	
8	Рудный	15	75	Экскаваторный (мехлопата)	12		Без БВР	-	20	60	65	13,5				
	Отвал	30	55	Экскаваторный (мехлопата)	12		Без БВР	-	18	45	70	12,6				
9	Вскрышной	12	60	Экскаваторный (драглайн)	30		Без БВР	-	30	40	65		71,4			
	Склад руды	10	50	Экскаваторный (мехлопата)	15		Без БВР	-	14	55	60	14,3				
10	Рудный	12	80	Бульдозерный	5		Без БВР	-	35	10	65					
	Отвал	25	55	Экскаваторный (роторный)	17		Без БВР	-	28	60	65	14,3				
11	Вскрышной	15	65	Экскаваторный (мехлопата)	15	18	45	32	15	55	75	14,3				
	Склад руды	12	50	Экскаваторный (мехлопата)	12		Без БВР	-	16	50	80	12,6				
12	Рудный	15	80	Экскаваторный (драглайн)	40	40	Без БВР	-	30	30	60		91,5			
	Отвал	25	55	Экскаваторный (мехлопата)	15	15	Без БВР	-	20	55	65	15,2				
13	Сложный	7,5	65	Экскаваторный (мехлопата)	15	18	36	24	12	55	75	14,3				
	Склад руды	10	50	Бульдозерный	5		Без БВР	-	35	15	65					
14	Вскрышной	20	80	Экскаваторный (роторный)	16		Без БВР	-	25	60	60			18	24	8
	Склад руды	15	55	Экскаваторный (мехлопата)	12		Без БВР	-	9	45	70	12,6				
15	Рудный	20	75	Бульдозерный	10		Без БВР	-	40	18	65					
	Отвал	20	55	Экскаваторный (мехлопата)	12		Без БВР	-	13	55	65	12,6				
16	Сложный	7,5	80	Бульдозерный	10	10	Без БВР	-	40	20	60					
	Отвал	25	50	Экскаваторный (драглайн)	30		Без БВР	-	25	30	60		71,4			

1	2	3	4	5	6	7	8	9	10	11	12	13	14	15	16	17
17	Вскрышной	15	75	Экскаваторный (мехлопата)	12	14	36	24	18	45	70	12,6				
	Склад руды	15	55	Экскаваторный (мехлопата)	15		Без БВР	-	22	55	65	15,2				
18	Рудный	15	80	Бульдозерный	7		Без БВР	-	35	20	65					
	Отвал	25	50	Экскаваторный (роторный)	20		Без БВР	-	34	60	60			29	33	5
19	Вскрышной	20	80	Экскаваторный (драглайн)	45		Без БВР	-	25	35	60		91,5			
	Склад руды	10	60	Бульдозерный	5	5	Без БВР	-		15	60					
20	Сложный	10	70	Экскаваторный (мехлопата)	15	12	28	6	12	55	75	14,3				
	Отвал	30	50	Бульдозерный	5		Без БВР	-		17	65					
21	Рудный	12	70	экскаваторный (мехлопата)	15	15	28	8	14	55	75	14,3				
	Отвал	35	50	Экскаваторный (драглайн)	40		Без БВР	-	30	45	65		91,5			
22	Вскрышной	12	65	Экскаваторный (драглайн)	30		Без БВР	-	25	45	60		83,0			
	Склад руды	12	50	Экскаваторный (мехлопата)	10		Без БВР	-	8	55	65	9,04				
23	Рудный	15	70	экскаваторный (драглайн)	40		Без БВР	-	35	45	65		91,5			
	Отвал	25	50	Экскаваторный (роторный)	18		Без БВР	-	27	65	65			18	26	8
24	Вскрышной	20	80	Экскаваторный (мехлопата)	15	18	60	30	20	55	80	14,3				
	Склад руды	12	55	Бульдозерный	3		Без БВР	-	40	10	60					
25	Рудный	15	65	Экскаваторный (мехлопата)	10		Без БВР	-	12	55	65	9,04				
	Отвал	25	50	Экскаваторный (мехлопата)	15	12	28	6	14	50	80	14,3				
26	Сложный	12	70	Экскаваторный (драглайн)	30	30	Без БВР	-	25	45	65		71,4			
	Склад руды	10	50	Бульдозерный	5		Без БВР	-	20	20	55					

1	2	3	4	5	6	7	8	9	10	11	12	13	14	15	16	17
27	Рудный	15	80	Бульдозерный	7		Без БВР	-	25	18	60					
	Отвал	15	55	Экскаваторный (роторный)	16		Без БВР	-	25	65	65			18	26	8
28	Вскрышной	15	75	Экскаваторный (драглайн)	40		Без БВР	-	30	45	60		83,5			
	Склад руды	10	50	Экскаваторный (мехлопата)	12	9	24	7	12	45	70	12,6				
29	Сложный	7,5	70	Экскаваторный (мехлопата)	10		Без БВР	-	12	50	60	9,04				
	Склад руды	10	50	Бульдозерный	7		Без БВР	-	30	8	55					
30	Рудный	15	80	Экскаваторный (мехлопата)	15		Без БВР	-	12	55	60	15,2				
	Отвал	40	50	Экскаваторный (мехлопата)	12	14	48	32	16	45	70	12,6				

Таблица П.1.2

Графическое изображение траншей и съездов

Номер варианта	Горизонтальная траншея								Наклонная траншея					
	тип траншеи	уклон косяга, γ , град	внешний радиус серпантин, $R_{вн}$, м	радиус поворота трассы, R , м	глубина траншеи, $H_{тр}$, м	ширина траншеи, $B_{тр}$, м	длина траншеи, $L_{тр}$, м	угол откоса борта траншеи, G , град	тип траншеи	ширина траншеи, $B_{тр}$, м	уклон траншеи, i , %	число вскрываемых уступов, ед.	высота уступа, H_u , м	угол откоса борта траншеи, G , град
1	2	3	4	5	6	7	8	9	10	11	12	13	14	15
1	На косогоре	10			20	25		65	Съезд	25	4	1	10	75
	Внутри карьера				15	25	500	70	Кругая траншея	22	32	3	10	60
2	Серпантина	40	45	30		25		75	Внешняя траншея	25	6	1	12	50
	На косогоре	15			25	30	350	60	Съезд	30	8	1	10	65
3	На косогоре	12			10	18	400	60	Внешняя траншея	18	4	1	15	60
	Серпантина	35	60	35		30		70	Кругая траншея	25	27	3	17	70
4	Серпантина	45	60	35		25		80	Внешняя групповая траншея	25	4	2	10	70
	Внутри карьера				10	35	500	80	Съезд	35	10	1	15	75

1	2	3	4	5	6	7	8	9	10	11	12	13	14	15
5	Серпантина	30	45	30		20		70	Съезд	20	6	1	12	50
6	На косогоре	13			20	30		60	Внешняя групповая траншея	30	4	3	10	55
	Внутри карьера				15	30	700	70	Крутая траншея	24	27	8	12	60
7	Внутри карьера				10	22	500	80	Съезд	25	10	1	15	75
	Серпантина	60	50	30		22		75	Крутая траншея	25	32	6	12	75
8	На косогоре	10			17	28		55	Внешняя траншея	30	8	1	15	75
	Серпантина	50	50	30		30		70	Съезд	30	10	1	12	65
9	На косогоре	8			12	25		60	Внешняя траншея	24	4	1	15	60
	Внутри карьера				15	22	550	65	Крутая траншея	22	32	4	12	65
10	Серпантина	30	45	30		25		75	Внешняя групповая траншея	22	4	2	10	70
	На косогоре	11			17			60	Съезд	22	4	1	20	55
	Внутри карьера				10	30	100	75	Съезд	26	6	1	20	75
11	Серпантина	50	60	35		25		75	Внешняя групповая траншея	26	6	3	12	60
12	Внутри карьера				15	22	200	65	Внешняя траншея	28	8	1	17	65
	На косогоре	12			25	30		50	Крутая траншея	24	32	6	12	50
13	Серпантина	45	50	30		28		65	Съезд	30	8	1	15	60
	На косогоре	12				28		50	Крутая траншея	24	27	5	15	55
14	Внутри карьера				12	22	700	70	Внешняя траншея	32	8	1	12	60
	Серпантина	30	50	35		30		75	Съезд	30	8	1	12	75
15	На косогоре	15			15	25		60	Съезд	30	10	1	10	75
	Серпантина	45	50	35		30		70	Крутая траншея	22	27	4	10	60
16	Внутри карьера				15	22	250	65	Внешняя траншея	22	4	1	15	65
	Серпантина	35	50	35		25		70	Съезд	24	6	1	15	70
17	Внутри карьера				12	25	300	80	Внешняя траншея	24	6	1	17	70
	На косогоре	10			17	28		75	Крутая траншея	24	32	6	12	65
18	На косогоре	15			25	30		60	Внешняя групповая траншея	25	4	2	12	65
	Серпантина	40	50	35		25		65	Съезд	22	4	1	12	80

1	2	3	4	5	6	7	8	9	10	11	12	13	14	15
19	Серпантина	60	60	40		25		75	Съезд	28	8	1	15	75
	Внутри карьера				17	22	700	70	Внешняя траншея	28	8	1	20	60
20	Внутри карьера				7,5	22	450	65	Внешняя траншея	25	6	1	20	60
	На косогоре	12			20	30		50	Крутая траншея	24	27	8	15	55
21	На косогоре	8			12	30		55	Съезд	24	8	1	20	70
	Внутри карьера				10	28	500	75	Крутая траншея	22	27	8	10	65
22	На косогоре	8			10	25		50	Внешняя траншея	30	8	1	15	60
	Внутри карьера				12	25	700	80	Съезд	28	8	1	17	70
23	Серпантина	50	60	40		28		75	Съезд	30	8	1	12	70
	На косогоре	10			15	24		55	Крутая траншея	24	32	7	12	60
24	На косогоре	8			15	24		70	Внешняя траншея	26	8	1	15	65
	Серпантина	40	50	30		24		75	Съезд	26	10	1	12	75
25	Серпантина	60	70	40		25		65	Внешняя траншея	22	4	1	17	60
	Внутри карьера				10	30	300	75	Крутая траншея	22	32	4	8	55
26	Серпантина	30	60	35		25		75	Внешняя групповая траншея	20	4	3	10	75
	На косогоре	8			12	25		65	Съезд	22	6	1	15	80
27	На косогоре	10			12	30		75	Съезд	28	10	1	17	80
	Внутри карьера				7	30	600	65	Внешняя траншея	30	8	1	17	70
28	Внутри карьера				15	30	600	75	Внешняя групповая траншея	24	6	3	12	60
	Серпантина	30	50	30		25		80	Крутая траншея	24	27	5	12	60
29	На косогоре	12			15	25		63	Съезд		8	1	15	70
	Серпантина	50	60	35		30		75	Крутая траншея	22	32		15	55
30	На косогоре	15			25	25		58	Внешняя траншея	26	8	1	17	60
	Внутри карьера				20	25	500	70	Съезд	26	8	1	17	70
31	Серпантина	55	50	30		25		80	Съезд	28	8	1	15	70
	На косогоре	15			22	25		60	Крутая траншея	22	32	6	12	65
32	Внутри карьера				10	30	280	70	Внешн. траншея	24	4	1	17	65
	Серпантина	55	40	25		23		70	Съезд	26	6	1	12	70

ИСХОДНЫЕ ДАННЫЕ К ПРАКТИЧЕСКОЙ РАБОТЕ № 2
«Определение объема капитальных траншей»

Вариант	h_T , м	b_T , м	i , ед.	α_T , град	Исследуемая зависимость
1	5	10	0,025	35	$V_T = f(b_T)$
2	6	12	0,030	40	$V_T = f(\alpha_T)$
3	8	16	0,040	41	$V_T = f(b_T)$
4	16	50	0,060	65	$V_T = f(i)$
5	15	22	0,055	25	$V_T = f(\alpha_T)$
6	35	29	0,060	50	$V_T = f(b_T)$
7	45	26	0,080	65	$V_T = f(\alpha_T)$
8	55	10	0,100	35	$V_T = f(h_T)$
9	54	18	0,110	37	$V_T = f(i)$
10	18	11	0,035	34	$V_T = f(\alpha_T)$
11	41	22	0,085	62	$V_T = f(h_T)$
12	26	17	0,036	40	$V_T = f(i)$
13	37	44	0,085	43	$V_T = f(h_T)$
14	19	23	0,040	38	$V_T = f(i)$
15	82	30	0,120	49	$V_T = f(b_T)$
16	66	38	0,066	62	$V_T = f(\alpha_T)$
17	45	34	0,040	51	$V_T = f(h_T)$
18	75	40	0,080	45	$V_T = f(h_T)$
19	67	20	0,080	37	$V_T = f(i)$
20	25	25	0,035	30	$V_T = f(b_T)$

ИСХОДНЫЕ ДАННЫЕ К ПРАКТИЧЕСКОЙ РАБОТЕ № 3
**«Определение объема, размеров, производительности и срока службы карьера,
запасов полезного ископаемого коэффициента вскрыши»**

Вариант	L , м	M , м	H_k , м	h_n , м	$\rho_{п.и.}$, т/м ³	$\gamma_{ср.}$, град	$\eta_{и}$	$P_{п.и.}$, МЛН Т/ГОД
1	1200	300	350	45	2,8	40	0,92	10,7
2	1500	400	460	40	2,9	39	0,93	20,9
3	1700	500	170	20	3,0	38	0,94	12,8
4	1600	450	280	30	3,1	36	0,92	16,1
5	1400	350	390	40	3,2	35	0,93	14,0
6	1300	250	200	20	3,3	34	0,94	6,1
7	1900	550	210	30	3,2	33	0,93	17,9
8	1800	180	220	40	3,1	32	0,94	5,8
9	1900	280	330	30	3,0	31	0,95	15,4
10	2000	380	240	10	2,9	40	0,96	15,1
11	2200	200	450	25	3,1	41	0,97	20,0
12	1300	100	210	40	3,4	42	0,92	2,5
13	1500	250	180	15	2,1	43	0,93	4,5
14	1900	150	250	30	2,8	44	0,94	5,7
15	1200	230	320	45	2,7	45	0,92	7,9
16	1800	210	280	20	2,5	44	0,94	9,1
17	2200	190	345	25	3,0	43	0,95	13,2
18	1900	245	360	35	1,9	40	0,92	8,7
19	2100	320	500	10	2,7	39	0,93	9,9
20	1600	195	370	12	2,5	38	0,95	9,7

ИСХОДНЫЕ ДАННЫЕ К ПРАКТИЧЕСКОЙ РАБОТЕ № 4
«Расчет заряда одиночной скважины»

Расчет проводится для станков шарошечного бурения (СБШ), пород II – IV классов по буримости и взрываемости, III – IV категорий по трещиноватости, сухих вертикальных скважин, сплошных колонковых зарядов.

Вариант	d_d , мм	f	H_y , м	α_p , град	Тип ВВ	Δ , кг/дм ³	q' , кг/м ³	$K_{ВВ}$	α_y , град
1	214	9,7	10	65	Граммонит 79/21	0,9	0,85	1,00	55
2	190	8,0	10	70	Граммонит 79/21	0,9	0,80	1,00	55
3	243	14,0	12	65	Граммонит 79/21	0,9	0,95	1,00	55
4	320	15,9	12	70	Граммонит 79/21	0,9	1,10	1,00	55
5	243	12,0	15	70	Ифзанит Т-80	1,0	0,90	1,08	55
6	214	8,7	15	75	Ифзанит Т-80	1,0	0,80	1,08	55
7	320	14,5	18	75	Ифзанит Т-80	1,0	1,20	1,08	55
8	214	9,0	18	80	Ифзанит Т-80	1,0	0,85	1,08	55
9	190	8,5	10	75	Игданит	1,0	0,80	1,13	55
10	269	11,4	15	80	Игданит	1,0	0,90	1,13	55
11	320	16,4	20	65	Граммонит 50/50	1,0	1,20	1,01	55
12	320	15,2	10	70	Граммонит 50/50	1,0	1,20	1,01	55
13	269	11,2	15	65	Граммонит 50/50	1,0	1,15	1,01	55
14	190	8,0	20	70	Граммонит 50/50	1,0	0,75	1,01	55
15	269	10,0	12	70	Ифзанит	1,0	0,80	1,08	55
16	190	16,0	10	80	Ифзанит	1,0	1,20	1,08	55
17	320	16,4	12	65	Ифзанит	1,0	1,20	1,08	55
18	214	14,5	20	70	Граммонит 79/21	0,9	1,15	1,00	55
19	269	15,0	15	70	Граммонит 79/21	0,9	1,20	1,00	55
20	214	8,0	20	75	Граммонит 79/21	0,9	0,80	1,00	55

Приложение 5

Значение коэффициента $k_{разб}$ в зависимости от крепости пород

Крепость пород, f	2	4	6	8 - 10	12 - 14	16
$k_{разб}$	1,00	1,05	1,04	1,037 - 1,031	1,03 - 1,021	1,02

Приложение 6

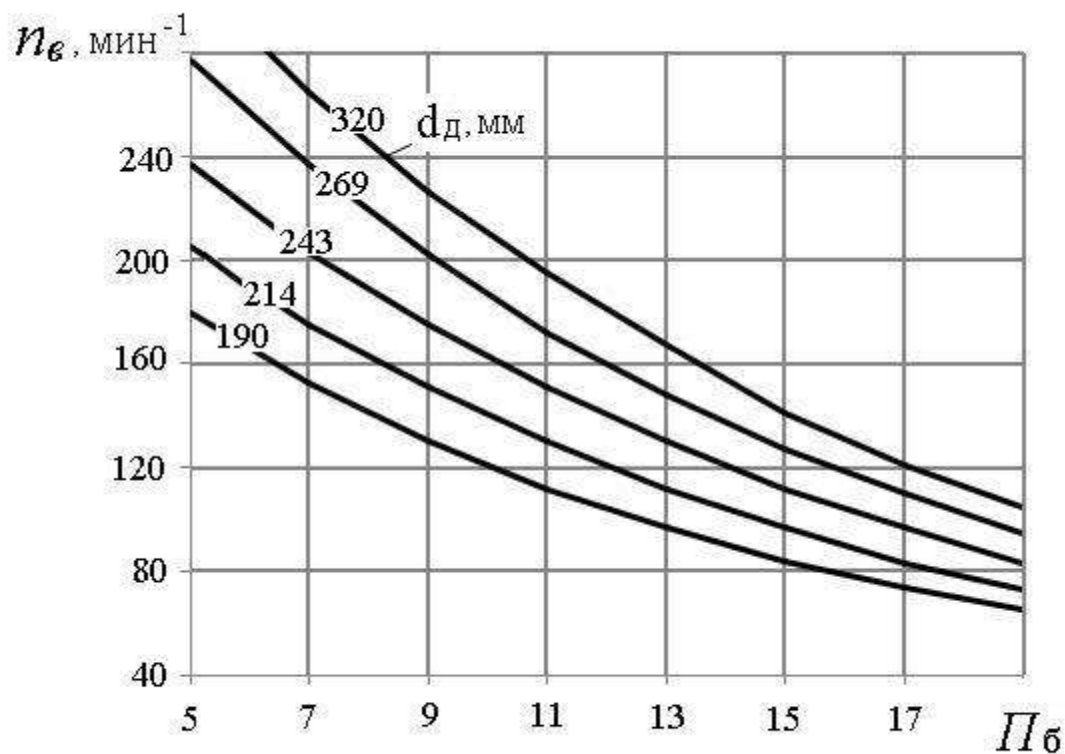
Значение коэффициента k_3

Время замедления, τ , мс	0	10	25	50	75 и более
k_3	1	0,95	0,90	0,85	0,80

ИСХОДНЫЕ ДАННЫЕ К ПРАКТИЧЕСКОЙ РАБОТЕ № 5
«Расчет производительности бурового станка»

Вариант	d_d , мм	$\sigma_{сж}$, МПа	$\sigma_{сд}$, МПа	ρ , т/м ³	$T_{см}$, ч/смен	T_b , ч/м	$(T_{п.з} + T_p)$, ч/смен
1	214	97	13	3,4	8	0,03	0,5
2	190	80	9	3,0	12	0,03	0,7
3	243	140	14	3,8	8	0,04	0,6
4	320	159	16	2,7	12	0,04	0,7
5	243	120	10	2,5	8	0,05	0,5
6	214	87	10	3,9	12	0,05	0,7
7	320	145	17	3,7	8	0,03	0,6
8	214	90	10	2,7	12	0,03	0,7
9	190	95	17,5	2,8	8	0,04	0,5
10	269	113,5	8,5	2,9	12	0,04	0,7
11	320	164	8,5	3,1	8	0,05	0,6
12	320	152	9	4,0	12	0,05	0,7
13	269	112	14	3,4	8	0,03	0,5
14	190	80	8	2,3	12	0,03	0,7
15	269	100	15	2,4	8	0,04	0,6
16	190	160	10	3,2	8	0,03	0,7
17	320	164	9	2,7	12	0,04	0,6
18	214	145	16	2,3	8	0,03	0,5
19	269	150	15	3,1	12	0,04	0,7
20	214	80	12	2,5	8	0,05	0,6

Зависимость оптимальной скорости вращения n_e бурового става станков СБШ от Π_6 и d_d



Значение коэффициента k в зависимости от показателя буримости горных пород

Π_6	≥ 8	10	12	14	16	18
k	0,700	0,725	0,750	0,775	0,800	0,825

ИСХОДНЫЕ ДАННЫЕ ДЛЯ РАСЧЕТОВ К ПРАКТИЧЕСКОЙ РАБОТЕ № 6
«Расчет производительности карьерных экскаваторов»

Вариант	Модель экскаватора	Категория пород по трудности экскавации	β , град	$T_{см}$, ч/смен	$n_{г}$, дней/год	Вид транспорта	$k_{и}$
1	ЭКГ-3,2	III	90	8	260	Авто	0,75
2	ЭКГ-5А	IV	130	12	260	Ж.-д.	0,60
3	ЭКГ-8И	V	120	8	250	Авто	0,72
4	ЭКГ-6,3УС	III	100	12	250	Ж.-д.	0,63
5	ЭКГ-5А	IV	120	8	250	Авто	0,74
6	ЭКГ-8И	V	130	12	250	Ж.-д.	0,68
7	ЭКГ-6,3УС	III	120	8	250	Авто	0,75
8	ЭКГ-12,5	IV	110	12	230	Ж.-д.	0,65
9	ЭКГ-3,2	V	90	8	260	Авто	0,73
10	ЭКГ-5А	III	120	12	240	Ж.-д.	0,68
11	ЭКГ-6,3УС	IV	130	8	240	Авто	0,75
12	ЭКГ-8И	V	140	12	240	Ж.-д.	0,63
13	ЭКГ-12,5	III	150	8	250	Авто	0,73
14	ЭКГ-20	IV	90	12	230	Ж.-д.	0,64
15	ЭКГ-5А	V	120	8	240	Авто	0,74
16	ЭКГ-3,2	III	110	12	260	Ж.-д.	0,65
17	ЭКГ-5А	IV	115	8	240	Авто	0,75
18	ЭКГ-6,3УС	V	140	12	250	Ж.-д.	0,68
19	ЭКГ-8И	III	95	8	240	Авто	0,74
20	ЭКГ-12,5	IV	115	12	250	Ж.-д.	0,63

Коэффициенты разрыхления пород в ковше экскаватора
и наполнении ковша (по ЕНВ)

Категория пород по трудности экскавации	Плотность пород в целике ρ , т/м ³	k_p	$k_{н}$
I	1,6	1,15	1,05
II	1,8	1,25	1,05
III	2,0	1,35	0,95
IV	2,5	1,50	0,90
V	3,5	1,60	0,90

ИСХОДНЫЕ ДАННЫЕ ДЛЯ РАСЧЕТОВ К ПРАКТИЧЕСКОЙ РАБОТЕ № 7
«Определение производительности карьерных автосамосвалов»

Вариант	Категория пород (по ЕНВ)	Параметры трассы		Исследуемая зависимость
		L , км	H_n , м	
1	I	1,2	20	$Q_a = f(L)$
2	II	4,0	80	$Q_a = f(H_n)$
3	III	1,4	40	$Q_a = f(L)$
4	IV	3,8	20	$Q_a = f(H_n)$
5	V	1,6	60	$Q_a = f(L)$
6	I	3,6	200	$Q_a = f(H_n)$
7	II	1,8	100	$Q_a = f(L)$
8	III	3,4	120	$Q_a = f(H_n)$
9	IV	2,0	60	$Q_a = f(L)$
10	V	3,2	140	$Q_a = f(H_n)$
11	I	2,2	80	$Q_a = f(L)$
12	II	3,0	140	$Q_a = f(H_n)$
13	III	2,4	140	$Q_a = f(L)$
14	IV	2,8	60	$Q_a = f(H_n)$
15	V	2,6	160	$Q_a = f(L)$
16	I	4,0	200	$Q_a = f(H_n)$
17	II	1,0	20	$Q_a = f(L)$
18	III	1,4	60	$Q_a = f(H_n)$
19	IV	1,8	80	$Q_a = f(L)$
20	V	3,6	220	$Q_a = f(H_n)$

Техническая характеристика карьерных автосамосвалов БелАЗ

Показатель	Модель автосамосвала				
	БелАЗ - 7540	БелАЗ - 7548	БелАЗ - 7549	БелАЗ - 7514	БелАЗ - 7521
Грузоподъемность, q_a , т.....	30,0	42,0	80,0	120,0	180,0
Собственная масса, G_a , т.....	21,9	29,5	67,0	95,0	163,0
Геометрическая вместимость кузова, V_a , м ³	15,0	21,0	35,0	47,0	84,0
Вместимость кузова «с шапкой», V'_a , м ³	18,0	26,0	46,0	61,0	110,0
К. п. д. трансмиссии, η_T	0,70	0,70	0,78	0,77	0,77
Мощность двигателя, N_d , кВт.....	310	368,0	809	1029,0	1691
Продолжительность, мин:					
маневровых операций при установке на погрузку, $t_{м.п}$	0,50	0,59	0,64	0,70	0,87
маневровых операций при установке на разгрузку, $t_{м.р}$	0,54	0,64	0,69	0,76	0,94
разгрузки, t_p	0,67	0,78	1,00	1,17	1,51
Ширина проезжей части автодороги при двухполосном движении, T , м	10,5	11,5	14,5	16,0	19,0

Значение коэффициента технической готовности автосамосвалов ($k_{т.г}$)

Грузоподъемность автосамосвала, т	Значение $k_{т.г}$ при суточном пробеге, L_c , км						
	50	100	150	200	250	300	350
30 – 42	0,94	0,88	0,84	0,80	0,76	0,73	0,70
80	0,93	0,86	0,81	0,76	0,72	0,69	0,64
110 – 180	0,92	0,86	0,81	0,76	0,72	0,68	0,64

Среднетехнические скорости движения карьерных автосамосвалов ($v_{ср.т}$), км/ч

Расстояние, L , км	Высота подъема горной массы, $H_{п}$, м												
	0	20	40	60	80	100	120	140	160	180	200	220	240
1,0	22,7	21,1	18,4	16,0									
1,2	23,9	21,8	19,5	17,5	15,8								
1,4	24,1	22,0	20,0	18,3	16,7								
1,6	24,7	22,5	20,6	19,0	17,6	16,3							
1,8	25,3	23,3	21,5	19,9	18,6	17,4	16,2						
2,0	26,0	24,0	22,3	20,8	19,5	18,3	17,2						
2,2	26,7	24,8	23,1	21,7	20,4	19,2	18,1	17,2					
2,4	27,3	25,5	23,9	22,5	21,2	20,0	19,0	18,0	17,2				
2,6	27,9	26,2	24,6	23,2	22,0	20,8	19,8	18,9	17,9	17,2			
2,8	28,6	26,9	25,4	24,0	22,7	21,6	20,6	19,6	18,8	18,0			
3,0	29,2	27,5	26,1	24,7	23,5	22,4	21,3	20,4	19,5	18,7	18,0		
3,2	29,7	28,2	26,7	25,3	24,2	23,2	22,0	21,1	20,2	19,4	18,6		
3,4	30,4	28,8	27,4	26,1	24,9	23,7	22,7	21,8	20,9	20,1	19,2	18,2	
3,6	31,0	29,4	28,0	26,7	25,5	24,4	23,4	22,5	21,6	20,8	19,6	18,7	17,7
3,8	31,6	30,0	28,6	27,4	26,1	25,1	24,1	23,1	22,3	21,4	20,2	19,4	18,4
4,0	32,0	30,6	29,2	28,0	26,8	25,7	24,7	23,8	22,9	22,1	20,9	20,0	19,2

ИСХОДНЫЕ ДАННЫЕ К ПРАКТИЧЕСКОЙ РАБОТЕ № 8
«Конструкция рабочего и нерабочего бортов карьера»

Вариант	H_y , м	n_{py}	α , град	α_y , град	b_c , м	i , ед	Исследуемая зависимость φ от следующих параметров
1	10	3	65	55	16	0,08	$\varphi = f(H_y)$
2	10	4	70	55	12	0,04	$\varphi = f(Ш_{p.n})$
3	12	5	65	52	15	0,06	$\varphi = f(H_y)$
4	12	3	70	64	20	0,03	$\varphi = f(Ш_{p.n})$
5	15	4	70	60	15	0,04	$\varphi = f(H_y)$
6	15	5	75	67	18	0,06	$\varphi = f(Ш_{p.n})$
7	18	3	75	70	12	0,03	$\varphi = f(H_y)$
8	18	4	80	70	10	0,04	$\varphi = f(Ш_{p.n})$
9	10	5	75	68	15	0,06	$\varphi = f(H_y)$
10	15	3	80	69	16	0,03	$\varphi = f(Ш_{p.n})$
11	20	4	65	57	12	0,04	$\varphi = f(H_y)$
12	10	5	70	60	13	0,06	$\varphi = f(Ш_{p.n})$
13	15	3	65	57	10	0,03	$\varphi = f(H_y)$
14	20	4	70	65	15	0,04	$\varphi = f(Ш_{p.n})$
15	12	5	70	59	16	0,06	$\varphi = f(H_y)$
16	10	3	80	68	17	0,03	$\varphi = f(Ш_{p.n})$
17	12	4	65	58	18	0,04	$\varphi = f(H_y)$
18	20	5	70	60	15	0,06	$\varphi = f(Ш_{p.n})$
19	15	3	70	60	12	0,08	$\varphi = f(H_y)$
20	20	4	75	60	13	0,04	$\varphi = f(Ш_{p.n})$

ИСХОДНЫЕ ДАННЫЕ К ПРАКТИЧЕСКОЙ РАБОТЕ № 9
«Расчет бульдозерного отвалообразования
при автомобильном транспорте»

Вариант	W, млн м ³	$\Pi_{\text{в}}^{\Gamma}$, млн м ³ /год	Характеристика складированных пород	
			тип	ρ , т/м ³
1	160	8,0	Рыхлые	1,6
2	180	9,0	Полускальные	1,8
3	200	10,0	Полускальные	2,0
4	220	11,0	Скальные	2,5
5	120	5,0	Скальные	3,5
6	140	6,0	Рыхлые	1,6
7	185	7,5	Полускальные	1,8
8	260	12,5	Полускальные	2,0
9	170	8,5	Скальные	2,5
10	210	9,5	Скальные	3,5
11	250	13,0	Рыхлые	1,6
12	280	13,5	Полускальные	1,8
13	300	14,0	Полускальные	2,0
14	320	14,5	Скальные	2,5
15	195	9,0	Скальные	3,5
16	100	5,0	Рыхлые	1,6
17	150	7,5	Полускальные	1,8
18	200	9,4	Полускальные	2,0
19	210	8,3	Скальные	2,5
20	240	12,7	Скальные	3,5

Значение коэффициентов k_p^o , $k_{зав}$ и высоты яруса $h_{я}$

Породы	$h_{я}$, м	Значения коэффициентов	
		k_p^o	$k_{зав}$
Скальные	30 - 60	1,12 - 1,20	0,7
Полускальные, смешанные	20 - 40	1,06 - 1,12	0,8
Рыхлые, глинистые	15 - 20	1,05 - 1,07	0,9

Производительность бульдозеров (по данным института Гипроруда)

Тип бульдозера	Сменная (за 8 ч) производительность при дальности перемещения грунта до 10 м в породах, м ³		
	рыхлые	полускальные	скальные
Д-685 на базе Т-100М	1100	950	750
ДЗ-27 на базе Т-130	1500	1300	1000
Д-575 на базе Т-180	1900	1650	1300
ДЗ-118 на базе ДЭТ-250М	2200	1850	1500
ДЗ-159УХЛ на базе Т-50.01	4740	4000	3230
D10N (фирма «Катерпиллер»)	3730	3130	2536
D11N (фирма «Катерпиллер»)	5510	4630	3750

МИНОБРНАУКИ РОССИИ
ФГБОУ ВО «Уральский государственный горный университет»

**МЕТОДИЧЕСКИЕ УКАЗАНИЯ
ПО ОРГАНИЗАЦИИ САМОСТОЯТЕЛЬНОЙ РАБОТЫ**

**И МЕТОДИКЕ ПРОВЕДЕНИЯ ГЕОЛОГИЧЕСКОЙ ОЗНАКОМИТЕЛЬНОЙ
ПРАКТИКИ**

Екатеринбург

ПРЕДИСЛОВИЕ

В курсе «Общая геология», который читается студентам специальности 21.05.03 Технология геологической разведки Уральского государственного горного университета (УГГУ), предусмотрено проведение учебной геологической практики. Она является важной составной частью образовательного процесса, так как способствует формированию у студентов умения наблюдать, документировать и обобщать различного рода геологические факты. Все это – основа для закрепления теоретической части указанного курса. В итоге студенты приобретают определенную базу восприятия специальных учебных дисциплин геологического профиля.

Место проведения практики, которое включает обнажения в городе Екатеринбург и его окрестностях, в пределах листов О-41-XXV и О-41-XXXI, выбрано в связи с тем, что здесь на сравнительно небольшой площади расположены разнообразные объекты, которые характеризуются сложным геологическим строением и разнообразием горных пород и месторождений полезных ископаемых всех геодинамических обстановок, проявленных на Урале.

Студенты заочного обучения, работающие на предприятиях геологоразведочного и горного профиля с согласия преподавателя, могут проходить учебную геологическую практику на своем предприятии, предварительно получив для этого разрешение руководства учреждения.

1. ЦЕЛИ И ЗАДАЧИ ПРОВЕДЕНИЯ УЧЕБНОЙ ГЕОЛОГИЧЕСКОЙ ПРАКТИКИ

Геологическая ознакомительная практика после первого курса обучения студентов проводится в течение двух недель.

Цель практики: закрепление теоретических знаний и практических навыков студентов по общей и исторической геологии путем изучения результатов эндогенных и экзогенных процессов в природе на природных геологических объектах и знакомство студентов с элементами документирования естественных и искусственных обнажений.

Задачи практики:

- ознакомление студентов с основами методики полевых геологических, геоморфологических и гидрогеологических наблюдений, с документацией полевых наблюдений, с некоторыми горнопромышленными предприятиями в окрестностях г. Екатеринбурга.

- обучение студентов свободному владению горным компасом при работе с картой и выполнении различных замеров на местности, документированию опорных разрезов, горных выработок и различных объектов при маршрутных наблюдениях, камеральной обработке полевых материалов и оформлению геологического отчета с необходимыми графическими приложениями;

Студенты, прошедшие геологическую практику, должны:

- знать основные геологические структуры земной коры на территории Среднего Урала и геологическую историю их развития;

- иметь представление об эндогенных и экзогенных геологических процессах, приводящих к образованию и преобразованию различных месторождений полезных ископаемых, о пространственно-временных основах геологии, базирующихся на методе актуализма, т. е. развитии процессов и геологических структур в пространстве и во времени;

- закрепить навыки и уметь определять минералы и горные породы как продукты различных геологических процессов; наблюдать и документировать обнажения и горные выработки, уметь вести абрис маршрута, полевую книжку; отбирать стандартные образцы для геологической коллекции; замерять элементы залегания горных пород и

трещиноватости горным компасом, составлять фрагментарные геологические схемы и планы, разрезы к ним; анализировать условия их залегания, возрастные взаимоотношения различных геологических образований как в обнажениях, так и на геологических картах и фиксировать все полученные материалы в геологическом отчете;

- отличать экзогенные процессы, обусловленные антропогенными факторами.

2. СОДЕРЖАНИЕ ПРАКТИКИ

Геологическая ознакомительная практика проводится квалифицированными специалистами, имеющими соответствующее образование. Как любые геологические исследования, она состоит из трех основных этапов – подготовительного, полевого и камерального.

Подготовительный этап. В течение этого этапа со студентами проводятся лекции о целях и задачах экскурсий, формируются учебные бригады, собирается, закупается и выдается полевое снаряжение (рюкзак, полевая сумка, мешки под образцы, компас, фотоаппарат, рулетка, геологический молоток, лупа, саперная лопатка, складной нож, ручка, карандаш, офицерская линейка, медицинская аптечка) и документы (карты, полевой дневник, журнал образцов, этикетки), позволяющие фиксировать полученные наблюдения. Перечисленным снаряжением и документами должна располагать каждая учебная бригада. Полевой дневник должен иметь каждый учащийся. На подготовительном этапе дается форма дневника (полевой книжки) и другой геологической документации.

Для успешного проведения геологических экскурсий заранее необходимо осуществлять ряд мероприятий, направленных на строгое выполнение правил по технике безопасности в полевых условиях. Прежде всего, нужно организовать медицинский осмотр всех экскурсантов и сделать предохранительные прививки.

Вторым обязательным мероприятием является ознакомление студентов непосредственно перед проведением экскурсий с правилами техники безопасности с росписью в соответствующей ведомости. Экскурсанты должны усвоить правила техники безопасности при 1) проведении маршрутов, 2) использовании автотранспорта, 3) обеспечении питьевой водой, 4) оказании доврачебной помощи.

В *полевой этап* проводятся геологические маршруты на хорошо обнаженные геологические объекты, сложенные различными метаморфическими, осадочными и магматическими породами; на месторождения полезных ископаемых различного генезиса.

Первые маршруты предусматривают усвоение студентами общих навыков работы в полевых условиях. С этой целью преподаватели рассказывают о методике полевых геологических объектов с теми или иными явлениями и процессами.

Выполнение маршрутного задания, прежде всего, зависит от четкой организации работы студенческих бригад в полевых условиях. Этому способствует предварительное распределение обязанностей между членами бригад перед очередным маршрутом. В каждом маршруте посменно одни студенты отвечают за составление абриса маршрута и привязку обнажений, другие за работу с горным компасом, за отбор образцов горных пород, фотографирование геологических объектов и т.д.

Объем геологической информации возрастает от маршрута к маршруту. Своевременная обработка этого материала определяет качество итоговых геологических документов. Основная форма проведения полевых геологических наблюдений – маршруты, которые являются составной частью учебного процесса. Количество их и содержание определяется целями и задачами, планом обучения и программой геологических экскурсий.

Практически во многих случаях маршруты являются комплексными, когда одновременно ведутся наблюдения над несколькими геологическими процессами и объектами. Целесообразность таких маршрутов обусловлена выявлением взаимосвязи

отдельных геологических процессов и явлений. Например, в одном маршруте полезно проследить связи между формами рельефа, литологией пород и тектоникой района, выходами подземных вод на поверхность и определенным стратиграфическим горизонтом, выветриванием и составом горных пород и т.д.

Необходимо особенно подчеркнуть, что *геологические наблюдения в маршруте должны вестись непрерывно*. Это означает, что после описания какого-либо объекта или процесса наблюдение за ним (ними) не прекращается, а продолжается в процессе всего маршрута.

Основная работа в маршрутах – изучение горных пород, осуществление тектонических, геоморфологических и других наблюдений и записи в полевой книжке проводятся на специальных остановках – точках наблюдения (Тн). По характеру изучаемых явлений "Тн" можно условно разделить на три вида: изучение и описание геолого-географических особенностей (тектоники, рельефа, деятельности подземных вод, выветривания и т.д.), изучение и описание горных пород и условий их залегания в обнажениях и, наконец, наиболее частый случай, когда исследуется и те, и другие вопросы. Остановка на "Тн" даже на небольшом объекте отнимает много времени, поэтому нужно выбирать каждую точку так, чтобы на такой точке породы были хорошо обнажены, легко доступны для наблюдения и вместе с тем обладали чертами, существенными для понимания строения района.

При остановке на "Тн", прежде всего, следует сориентироваться по сторонам света (по компасу, солнцу, часам или другим способом) и определить нахождение точки на карте и местности, т.е. дать адрес. Определение местонахождения производится методом засечек по азимутам на хорошо заметные элементы рельефа, гидрографии (вершины гор, характерные излучины рек, устья ручьев) или глазомерной привязки точки по азимуту и расстоянию, определяемому, например, шагами. После привязки наносят местонахождение данной "Тн" на карту под соответствующим номером (нумерация точек должна быть сквозная).

Изучая на точке геологическое строение отдельного участка, целесообразно, прежде всего, описать общегеологические явления – геоморфологию, гидрографию, тектонику и т.д. Переходя к описанию пород обнажения, прежде всего, отмечают его размер по высоте и ширине и тип (обрывистый склон, скальный выход на склоне, обнажения в русле рек, стенки и забои карьеры или шурфа и т.д.). После этого приступают к описанию пород. В зависимости от целей и задач такое описание дается либо в обобщенном виде, либо более подробно и послойно, либо по отдельным пачкам. В последнем случае лучше описывать слои и пачку снизу вверх (рис. 1). В описании пород должна быть приведена сжатая характеристика главных отличительных и генетически важных свойств пород: текстура, структура, минеральный состав, различные неоднородности, тектонические дислокации. В описании указываются элементы залегания слоистости, сланцеватости, крыльев складок или плоскостей сместителя и т.д. Отмечаются места взятия образцов и их нумерация. На левой стороне пикетажной книжки делаются зарисовки и указываются места фотоиллюстраций.

При описании пород целесообразен следующий порядок работы на обнажении. Прежде всего, студенты должны внимательно осмотреть обнажение, отобрать серию образцов, определить все имеющиеся здесь породы, выделить отдельные пласты или метасоматические зоны, контакты. Определить элементы залегания. Руководитель консультирует и направляет работу, как отдельных студентов, так и всей группы, и в итоге устанавливается общая картина обнажения. После этого делают полное описание, а затем схематическую зарисовку обнажения, которая дублируется фотографированием. При необходимости делают зарисовки и фотографии деталей обнажения.

В первых маршрутах и при изучении принципиально новых объектов преподаватель должен сам давать соответствующие описания. Позднее, когда школьники овладеют определенными навыками и усвоят общую схему описания, можно поручить

одному из них рассказать о том, что он мог бы написать в своём полевом дневнике на данной "Тн". Остальные участники делают замечания и дополнения. Преподаватель обобщает все сказанное и формулирует данные для общей записи.

Камеральный этап. Камеральные работы проводятся последовательно после завершения одного или двух маршрутов и включает в себя время на составление отчёта и его защиты.

В камеральный этап выполняются следующие виды работ:

- обработка полевых книжек;
- занесение в каталог образцов;
- оформление рисунков к отчёту, изготовление и описание стратиграфических разрезов, схем и карт;
- изготовление фотографий, их ретуширование, при необходимости вынесение на них геологической информации;
- окончательное уточнение полевых определений горных пород и минералов, уточнение наименований окаменелостей с использованием атласа руководящих форм, составление рабочей коллекции каменного материала;
- написание и оформление отчёта;
- защита отчёта.

Главная цель написания отчёта - овладение навыками анализа и обобщения геологических наблюдений и умение геологически грамотно изложить результаты такого обобщения в отчёте, правильного подбора и изготовления графических приложений, составления списка литературы.

2.1. Документация при ведении геологических маршрутов

Обилие различного рода информации, получаемой в результате геологических исследований, разнообразие форм и методов обработки делают задачу систематизации и унификации первичных геологических данных чрезвычайно важной

Первичная геологическая документация при ведении геологических маршрутов включает: 1) дневники (полевые книжки); 2) формы регистрации каменного материала - журналы образцов, проб и др.; 3) этикетки; 4) зарисовки обнажений, горных выработок, керн скважин, отдельных деталей геологических тел и т.п.; 5) фотографии естественных и искусственных обнажений и их деталей.

Ко всем видам первичной геологической документации предъявляются единые требования к её оформлению;

1. Все записи должны делаться максимально разборчиво, с тем, чтобы не создавать затруднений при их чтении.

2. Записи должны иметь стандартную форму и строгую последовательность перечисления признаков описываемого объекта.

3. Записи производятся простым карандашом или шариковой ручкой. Использование химических карандашей и чернил всех видов (в том числе фломастеров) воспрещается.

4. Во всех формах документации во избежание затирания записей следует оставлять поля с внешней стороны листа.

5. Рекомендуются все данные о номерах наблюдений, образцов, проб и элементах залегания выделять из текста отдельной строчкой или условным знаком (если для них не предусмотрена фиксация в специальных графах формы документации).

6. Все страницы дневников, пикетажных книжек и других сброшюрованных форм документации должны иметь сквозную нумерацию.

Дневник (полевая книжка) – основной первичный документ регистрации геологических наблюдений всех видов (собственно геологических, поисковых, геоморфологических и др.). Он изготавливается в виде книжки в твердом переплете, покрытом дермантином или другим материалом, предохраняющем ее от сырости,

механических или иных повреждений. Рекомендуется использование материалов яркого цвета, хорошо заметных на фоне растительности и почвенного покрова.

Задняя крышка обычно имеет клапан, закрывающий торец книжки. На третьей странице обложки иногда изготавливается карман. С внутренней стороны клапана располагается держатель для карандаша (ручки).

Формат книжки допускается в пределах от 10-12 на 15-18 см (для кармана полевой одежды) до 13-15 на 20-22 см (для полевой сумки). Большие форматы не рекомендуются вследствие неудобства для использования в маршруте, меньшие - как неоправданно дробящие запись на чрезмерно короткие строки и затрудняющие ее чтение.

Рекомендуемый объем дневника - 100-130 листов. Дневник должен изготавливаться из хорошей бумаги и нескольких листов кальки, миллиметровки.

На обороте переплета может помещаться перечень признаков, обязательных для наблюдения.

Титульный лист дневника должен содержать название организации, экспедиции (партий, отрядов), фамилию, имя, отчество исполнителя, даты начала и окончания дневника, номера точек наблюдений и адрес, по которому следует вернуть утерянный дневник.

На первой странице помещается оглавление дневника.

На второй странице помещаются условные обозначения к зарисовкам, список сокращений, принятых в тексте, и необходимые замечания. Далее при необходимости могут быть помещены вспомогательные таблицы и необходимые пояснения к ним.

На правой стороне дневника ведется запись наблюдений. Здесь же отмечаются взятые пробы, образцы и другие виды каменного материала.

Перед описанием маршрута, разреза и т.п. указывается день, месяц, год и цель работы. Описание каждой точки наблюдения начинается с красной строки. Привязка точки к местности или предыдущей точке помещается рядом с её номером и образует вместе с ним отдельную строку или абзац. Номера точек наблюдения рекомендуется выделить прямоугольными рамками, номера образцов и проб подчеркиваются или заключаются в овальную рамку. Измерение элементов залегания, радиоактивности, содержание химических элементов выделяются отдельной строкой.

На левой стороне дневника помещаются вспомогательные записи, облегчающие пользование документацией. На неё выносятся все номера образцов, проб и других видов каменного материала, номера фотографий (с указанием их содержания), могут выноситься также элементы залегания. На этой же стороне помещаются зарисовки геологических объектов и их деталей, а также различные схемы для обнажений (отбора образцов и проб, расположение рисунков и фотографий и т.п.) для участков (расположение геологических тел на местности, кроки местности с расположением обнажений, горных выработок). Здесь же излагаются предположения и соображения исследователей, возникающие в процессе наблюдения, но требующие дальнейшего подтверждения или детализации.

В конце описания каждого маршрута должны быть приведены основные выводы исследователя и протяженность маршрута в км.

Законченный дневник подписывается исполнителем, проверяется и подписывается начальником (старшим геологом) партии (отряда, участка).

Формы регистрации каменного материала. Регистрация каменного материала начинается при документации геологических объектов и продолжается в течение всего процесса геологических работ и фиксируется в журнале образцов.

Журнал образцов предназначен для регистрации всех видов образцов и проб, взятых на протяжении полевого периода во время маршрутов, при описании обнажений, горных выработок и предназначенных для любых производственных и научных целей (изготовление шлифов и аншлифов, определение органических остатков, производство разнообразных анализов).

Журнал образцов заполняется непосредственно после маршрута или, если количество взятых образцов не велико, в камеральный день, но не реже одного раза в неделю. Журнал образцов заполняется шариковой ручкой. Желательно, чтобы записи в нем вел один и тот же сотрудник.

Этикетки для образцов рекомендуется печатать на плотной бумаге и брошюровать в виде книжек по 25-50-100 листов; обычный формат этикетки 10x10 или 10x13 см. В разделе "место взятия" для образцов из обнажений и высыпок указывается привязка к точке наблюдения, для скважин - интервал отбора, для горных выработок - глубина или интервал (в канавах) отбора. Этикетки заполняются на месте взятия данного образца. Заполнение этикетки обязательно для рыхлых и слабоцементированных пород. Для крепких пород в полевых условиях допускается подписывать только номер тушью или шариковой ручкой на лейкопластыре, наклеенном на образце. Такая маркировка рациональна, в особенности при отборе ориентированных образцов, когда кроме номера необходимо указывать ориентировку образца. В отдельных случаях допустимо также нанесение маркировки непосредственно на образец. С этой целью могут быть использованы баллончики с тушью (например, "Kaalmar") или цветной (предпочтительно красный) карандаш. В дальнейшем на каждый образец заполняется этикетка.

Номер образца дублируется на бумаге, в которую завернут образец, или на геологическом мешочке. Для образцов, взятых из скважин и горных выработок, указывается также глубина или интервал отбора.

Отдельная этикетка составляется для каждого шлифа. Размеры этикетки шлифа 6x5 см.

Самостоятельные формы этикеток размером 13x10 см рекомендованы для проб, отобранных из горных выработок, извлеченного керна и шлиховых проб.

Регистрационные данные отмечаются также на капсуле для хранения шлихов. Для капсул используется прочная бумага. При разделении шлиха на фракции используется капсула стандартных размеров - 16x22 см. Для отмытого неразделенного шлиха предпочтительнее использовать капсулу формата 21x30 см (размер стандартного листа) либо других размеров, соответствующих реальному объему шлиха.

Альбомы зарисовок и фотографий. Альбом для зарисовок изготавливают из плотной белой бумаги типа чертежной. Его размер не должен превышать 18x24 см. Такой размер позволяет делать достаточно крупные и детальные зарисовки, удовлетворяющие всем предъявленным к ним требованиям.

Альбом не должен содержать более 25 листов, так как со временем, при работе в полевых условиях, он неизбежно загрязняется, и зарисовки, выполненные ранее, могут быть испорчены. Рационально иметь в распоряжении несколько альбомов и заменять их по мере накопления зарисовок.

Альбом заключают в жесткий переплет из дермантина или из плотной материи типа колленкора. Задняя крышка переплета должна иметь клапан шириной около 5 см. На внутренней стороне переплета, на сгибе между внутренней крышкой и клапаном - гнездо для карандаша.

Первая страница альбома - титульный лист. В исключительных случаях для зарисовок могут быть использованы "альбомы для рисования", выпускаемые промышленностью.

Зарисовки выполняются только на одной (правой) стороне листа, где помещаются также все необходимые надписи и пояснения.

Страницы альбома должны иметь сквозную нумерацию. Каждому рисунку присваивается порядковый номер. Номера фотографий и их содержание, как указывалось выше, фиксируется в полевом дневнике. Специальной формы документации для них не предусматривается.

При наиболее ответственных съемках рекомендуется делать в дневнике записи о чувствительности пленки, диафрагме, выдержке, характере погоды и времени съемок.

2.2. Маршрутные наблюдения

Наземные маршруты в обнаженных районах дают основную массу данных по составу геологических тел и признакам полезных ископаемых. Они включают описание рядовых обнажений и промежутков между обнажениями, в которых наблюдения ведутся по высыпкам.

Описание маршрута состоит из следующих частей: 1) дата маршрута, 2) номер маршрута, 3) привязка района маршрута, 4) характеристика ожидаемых объектов наблюдения и цель маршрута, 5) привязка начала маршрута, 6) описание маршрута, 7) выводы по маршруту.

Номер маршрута обычно дается каждым исполнителем на протяжении всего сезона, однако если в дальнейшем намечается обработка на ЭВМ, необходимо каждому исполнителю выделить свою серию номеров.

Привязка района маршрута дается в таком виде чтобы его легко можно было находить на карте фактического материала. С этой целью указывается участок района, где проводится маршрут (бассейн реки, ручья, район крупной высоты, урочище и т.п.). Обязательно наличие всех таких названий на топографических картах. При проведении работ с применением аэрофотоматериалов в привязке указывается номера аэрофотоснимков, на которых расположен маршрут. Для маршрутов, проводимых на нескольких геодезических трапециях, обязательно указание номенклатуры трапеции. Для обработки материалов на ЭВМ привязка района маршрута дается в виде указания координат начала и конца его.

Привязка начала маршрута дается по отношению к четко определенным элементам рельефа и постоянным элементам топографической ситуации, созданным деятельностью человека (дороги и т.п.). В тех случаях, когда маршрут ведется с использованием аэрофотоснимков, привязка начала маршрута проводится после ориентирования и накола начальной его точки на аэрофотоснимке. Допустимо указание координат начальной точки.

Описание маршрута включает фиксацию всех наблюдений, проводимых над геологическими объектами, геоморфологическими элементами и т.д., а также выводов, к которым приходит геолог в процессе маршрута. По ходу маршрута описываются геологические образования и тектонические элементы, осуществляются поиски полезных ископаемых и сборы остатков ископаемой флоры и фауны, собираются материалы для выяснения природы расположенных в зоне маршрута контуров, отдешифрированных на аэрофотоснимках и других дистанционных материалах, геофизических и геохимических аномалий (их связь с геологическими телами, структурами и вещественным составом тел), отбираются необходимые образцы, пробы и т.д. Обязательно проверяются результаты дешифрирования аэрофотоснимков и интерпретации геофизических данных.

Каждая точка наблюдения включает запись на точке и запись по ходу между точками. Рекомендуется сначала записывать наблюдения на точке, а затем наблюдения по ходу следующей точки. В этом случае наблюдение на точке будет своего рода выводом из наблюдений по ходу. Таким "выводом" может быть, например, фиксация резкой смены пород в высыпках, другого стратиграфического подразделения, чем наблюдавшееся по ходу, обнаружение обнажения, в котором видны складки и т.п.

Выводы по маршруту завершают описание. Ими могут быть обобщенная характеристика состава изученных отложений, вывод о взаимоотношении интрузивов, толщ, разрывов, складок и т.п., об их генезисе, о перспективности признаков полезных ископаемых и др.

2.3. Документация обнажений

Документация естественных и искусственных обнажений является одним из основных источников геологической информации, в первую очередь сведений о составе геологических тел и горных пород и условиях их залегания. В соответствии с этим большое значение имеет степень единообразия геологического описания и соответствие его унифицированной схеме, обеспечивающей сопоставимость данных, полученных различными исследователями.

Геологические наблюдения всегда в той или иной мере специализированы применительно к специфике горных пород и геологических тел, слагающих изучаемый район, и образуемых ими структур.

Со времен выхода в свет "Полевой геологии" В.А. Обручева сложился перечень геологических признаков, отражающих минимально необходимый набор сведений об исследуемом объекте и подлежащих обязательному фиксации в геологической документации. Модификации таких перечней в настоящее время легли в основу формализованной документации, ориентированной на решение задач автоматизированной обработки данных на ЭВМ.

Составление унифицированной схемы описания изучаемых объектов является обязательной частью подготовки к полевым работам. Наличие такой схемы обеспечивает необходимую полноту документации, а тем самым и ее качество.

Требования единой системы первичной документации, удобной для практического использования, диктуют также необходимость единообразной структуры записи. Схему последовательности описания целесообразно иметь каждому геологу в виде краткой памятки, которую следует помещать в качестве вкладки в полевом дневнике.

В описаниях геологических наблюдений можно выделить несколько смысловых полей:

- описание горных пород,
- описание сочетаний горных пород в пределах обнажения,
- описание залегания горных пород,
- выводы.

Описание горных пород имеет последовательность: название породы, структура, цвет, степень литификации, минеральный состав, морфология зерен, текстура, включения, прожилки, органические остатки, конкреции и секреты, контактовые поверхности геологических тел, отдельность, прочие характеристики - элементы залегания пластов в осадочных, потоков в эффузивных и сланцеватости в метаморфических породах, мощность осадочных слоев, потоков эффузивных и пластов метаморфических пород, а также характер эпигенетических изменений.

Описание сочетаний горных пород должно предусматривать характеристику признаков, перечень которых может изменяться в зависимости от того, какой тип пород является объектом исследования.

Осадочные породы:

- а) чередование пород по вертикали в виде послойного описания;
- б) переходы пластов по простиранию;
- в) мощность каждого пласта или обобщенная характеристика;
- г) характер поверхностей напластования;
- д) соотношение выше- и нижележащих пластов - залегание согласное, согласное с размывом или несогласное.

Вулканогенные породы:

- а) чередование пород по вертикали;
- б) смена пород по горизонтали;
- в) мощность каждого пласта или потока или ее обобщающая характеристика;
- г) характер граничных поверхностей между пластами или потоками;

д) соотношение выше- и нижележащих пластов и потоков. Интрузивные породы - контакты и переходы разновидностей пород и их изменение на контактах.

Жилы и прожилки:

- а) сочетание между собой;
- б) изменения вмещающих пород на контакте;
- в) выдержанность жил и прожилков и их мощность.

Для рыхлых отложений следует давать описание в следующем порядке:

- а) название, размеры, минералогический состав и форма зерен, их соотношение по размеру;
- б) цвет и запах;
- в) наличие, содержание, размер и форма неорганических включений;
- г) наличие и характер органических остатков;
- д) влажность и плотность;
- е) консистенция (для минеральных отложений) и степень разложенности (для торфов) - признаки особенно важные при гидрогеологических и инженерно-геологических работах;
- ж) степень карбонатности основной части грунта и включений;
- з) структура и текстура отложений.

Описание залегания горных пород включает измерение элементов залегания, характеристику складок, разрывов и т.д.

Измерение элементов залегания документируется в виде сокращенной записи азимута и угла падения, например, аз. пад. 340^0 , $\angle -30^0$, или при вертикальном залегании - азимута простирания и угла падения, например, аз. прост. $340^0 \angle 90^0$. Точность измерения в складчатых областях 5^0 для азимута и $2-3^0$ для угла. При изменчивых углах падения или отсутствии уверенности в единообразии элементов залегания во всем обнажении и отсутствии видимых складок обязательно измерение в разных частях обнажения для определения среднего залегания с точностью до $4-5^0$. Таких измерений необходимо сделать не менее 4-5. Разброс измерений в $20-30^0$ обычно свидетельствует о наличии складок. Вычисление средних элементов залегания в этом случае недопустимо и должна быть составлена схема элементов залегания в обнажении. Словами отмечается опрокинутое залегание.

Описание складчатости. Описание единичной складки включает характеристику следующих признаков:

- текстурные элементы, образующие складку (пласты, слоистость, сланцеватость);
- форма складки;
- форма замка складки;
- форма шарнирной (осевой) поверхности;
- высота и ширина складки;
- элементы залегания слоистости на разных участках складки в количестве, достаточном для изображения характера изгибов слоев различной компетентности.

Описание обнажений. Описание естественных коренных обнажений проводится во время маршрутов. Нужно различать описание рядовых и ключевых (опорных) обнажений, которое проводится с разной степенью детальности.

Ключевым обнажением называется изолированный выход (или ряд сближенных выходов) коренных пород, в пределах которого наблюдаются стратиграфические взаимоотношения отложений, типичные интрузивные контакты, характерные структурные формы (складки, разрывы), сочетание структурных форм разного возраста и размера и т.п. Выявление ключевых обнажений, а также оценка степени их типичности и значимости могут быть осуществлены лишь после того, когда будет осмотрен более или менее обширный участок исследуемого района. Следовательно,

в большинстве случаев ключевые обнажения первоначально фиксируются в качестве рядовых и лишь потом подвергаются специальному детальному изучению.

Описание рядовых обнажений включает следующие операции:

- привязка обнажения к местности;
- осмотр обнажения;
- зарисовка или (и) фотографирование;
- описание обнажения и отбор образцов и проб.

Эти операции могут различным образом сочетаться при описании обнажений разного размера. При описании обнажений небольших размеров (до 15-20 м) привязка рядового обнажения к местности осуществляется в ходе маршрута, при котором оно было выявлено.

Осмотр обнажения начинается с определения его положения в рельефе (у подножья склона, на склоне, на водоразделе, в русле реки и т.п.) и оценки того, что оно действительно представляет коренной выход, а не оползень, отдельную скатившуюся глыбу и т.п. Эта оценка отражается словами "в коренном выходе", "в коренном залегании" и т.п. В процессе общего осмотра выясняются характер слагающих пород, условия их залегания и взаимоотношения; предварительно намечаются места отбора образцов и проб (они могут отбираться и на стадии осмотра).

Зарисовка и фотографирование рядовых обнажений осуществляется лишь в тех случаях, когда в них обнаруживаются какие-либо характерные особенности, представляющие значительный геологический интерес. Нередко такие обнажения в дальнейшем переходят в ранг ключевых.

Стратифицированные отложения, сложенные чередованием пластов различных пород, описываются послойно снизу вверх. Описание сверху вниз не рекомендуется как из соображения единства описания во всей геологической службе, так и из-за возможности засорения поверхности обнажения обломками вышележащих пород (это особенно мешает при описании и опробовании обнажений рыхлых образований и горных выработок).

Обнажения значительной протяженности рационально осматривать и описывать поинтервально. В качестве границ интервалов следует выбирать участки существенного изменения состава отложений или условий их залегания, смену пород или толщ и т.п. Осмотренная часть обнажения документируется, дается описание контактирующих толщ. Затем осматривается и документируется следующая часть обнажений и т.д. Если имеется возможность, то целесообразно заранее рационально разметить обнажение шагами или лентой на интервалы по 10-20 м. Для протяженных обнажений обязательно составление маршрутной схемы.

Образцы и пробы. Образцы горных пород представляют собой каменный документ, который хранится до завершения геологосъемочных и поисковых работ. По окончании работ часть образцов, достаточно полно характеризующая все возрастные подразделения района и типичные разновидности пород, выделяется в эталонную коллекцию и часть - в коллекцию обменного фонда. Остальная часть коллекции после окончания камеральной обработки сокращается. В соответствии с этим, к образцам эталонной коллекции и рядовым образцам могут быть предъявлены различные требования.

Образец для эталонной коллекции должен быть достаточно типичным для подразделения и разновидности пород. Нормальный размер его 9 x 12x 3 см. Обычное требование к образцу - наличие свежих поверхностей. Однако, как отмечал ещё В.А. Обручев, при недостатке времени для рядовых случаев необязательно заниматься выкалыванием стандартного образца, достаточно лишь, чтобы он имел три поперечных свежих скола. В дополнении к этому следует заметить, что в ряде случаев структурные и текстурные особенности породы значительно рельефнее видны на выветриваемой поверхности породы (а иногда только на ней!). В таких случаях сохранение выветрелой

поверхности обязательно. Многие образцы сопровождаются по сколам породы для шлифа обязательно из того же куска.

Образец и шлиф отмечаются в документации естественного или искусственного обнажения, из которого они отобраны, наносятся на зарисовку (если она делается), снабжаются этикеткой установленного образца и заносятся в каталог образцов.

Номер образца должен соответствовать номеру обнажения, точке наблюдения, горной выработке или буровой скважине. При отборе нескольких образцов они различаются прибавлением через дефис порядковой цифры, например, обр. I4-I, 14-2 и т. д. Применение букв для различения образцов (например, 14-A, 14-B и т.д.) не рекомендуется, так как для протяженных обнажений и горных выработок и для скважин значительной глубины букв может не хватить. Самостоятельная (независимая от номера обнажения, скважины и т.п.) нумерация образцов воспрещается.

Пробы горных пород, полезных ископаемых и др. бывают нескольких видов:

- штафные пробы - образцы горных пород 150-500 г, отбираемые из одного участка;
- сколковые пробы - составленные из небольших (10-25г) обломков породы, взятых в различных частях изучаемого обнажения или его обособленной части с расчетом получения общей массы пробы 150-500 г;
- бороздовые пробы - отбираются сплошной или пунктирной бороздой, пересекающей весь опробуемый объект при сечении борозды 10x5 или 20x10 см; применяется в основном при изучении полезных ископаемых для получения усредненной характеристики полезных компонентов во всем геологическом теле.

Все пробы, отбираемые из естественных обнажений, горных выработок и буровых скважин, обязательно включаются в их описание, их положение изображается на зарисовках. Пробы снабжаются этикеткой единого образца и фиксируются в журналах проб.

2.4. Графическая документация геологических объектов

Графическая документация в виде различного рода зарисовок и фотографий часто применяется в практике геолого-съемочных и поисковых работ, особенно при описании обнажений и геологоразведочных выработок. В настоящей главе содержатся общие рекомендации и специально рассмотрены правила графической документации геологоразведочных выработок, для которых зарисовка является обязательной частью всей документации. Содержание документации не рассматривается, так как оно изложено ранее.

Зарисовки и фотографии геологических объектов являются документами, которые в целом ряде случаев невозможно заменить словесным описанием. Известно, насколько трудно, пользуясь словесным описанием, найти в изученном геологическом объекте все то, что видел автор. Ведь любое описание неполно. Кроме того, язык описания достаточно бледен при фиксации деталей объекта и их пространственных соотношений, тогда как рисунок и фотография обладают наглядностью, т.е. позволяют с необходимой - степенью детальности получить информацию при рассмотрении документа, не пользуясь описанием.

Рисунок и фотография объективно передают все особенности и детали изученного геологического объекта, они дают возможность выделить главное в объекте, что присуще только ему и чем он отличается (или чем сходен) от других аналогичных объектов.

Чтобы рисунок или фотография обладали всеми свойствами документа - носителя объективной информации, они должны в той или иной форме иметь:

- точную географическую привязку;
- ориентировку плоскости рисунка или фотографии;
- масштаб;
- заголовок;
- пояснительные надписи;

- указания на авторство рисунка или фотографии (если они приводятся не в дневнике или журнале).

Графическое документирование любого геологического объекта предусматривает выполнение ряда операций, объемы и методы выполнения которых могут в достаточно широких пределах меняться в зависимости от цели работ и изучаемого объекта:

- подготовку фотоаппаратуры, принадлежностей для рисования, бумаги, дневников, компаса и т.д.;

- привязку - ориентирование плоскости рисунка или фотографии;

- при осмотре геологического объекта выделение отдельных частей и установление мест, где должны быть сделаны зарисовки или фотографии;

- разметка, ведущаяся как для облегчения зарисовок (соблюдение верных соотношений между частями объекта), так и для масштаба при фотографировании.

Под названием "Полевые зарисовки обнажений" объединяется большая группа графических документов, различающихся между собой содержанием и детальностью. Несмотря на то, что выполняемая человеком зарисовка передает его восприятие объекта, вследствие чего, казалось бы, является сугубо субъективной, она вполне объективно отражает облик и состояние объекта и является надежным документом.

Зарисовки в их практическом применении имеют ряд преимуществ перед фотографией. Даже при достаточном опыте и наличии всей необходимой аппаратуры и фотоматериалов хорошую фотографию геологического объекта получить не всегда возможно: объект съёмки может быть мало выразительным, могут быть неблагоприятные условия освещенности или погоды. Кроме того, детали геологического объекта, представляющие наибольший интерес, могут оказаться невыразительными вследствие слабой цветовой или тоновой контрастности. Во всех этих случаях получение удовлетворительного снимка практически невозможно, тогда как полевая зарисовка позволяет не только изобразить, но и подчеркнуть наиболее важные характеристики изучаемого объекта.

Зарисовка в отличие от фотографии не передает объект во всех подробностях, цель ее - максимально объективное изображение особенностей объекта, представляющих интерес для данного исследования. При этом все детали, не имеющие прямого отношения к целевому назначению рисунка, опускаются. Правильно выполненный и оформленный рисунок максимально лаконичен и вместе с тем обладает большой информативностью, четок и точен в изображении всего, что привлекло внимание исследователя.

Для того чтобы рисунок обладал всеми указанными свойствами и удовлетворял всем предъявлявшимся требованиям, при его исполнении следует придерживаться определенных правил:

1) Масштаб зарисовки выбирается в зависимости от сложности изображаемого объекта и необходимой степени детализации. Масштаб должен быть выдержан на всей зарисовке во всех частях объекта. При необходимости отдельные части объекта, представляющие особый интерес, изображаются в более крупном масштабе, но уже на другом рисунке;

2) Зарисовки делаются четко и ясно, линиями различной толщины, без штриховки и тем более растушевки;

3) Второстепенные детали, вводимые в рисунок для масштаба (деревья, дома), выполняются схематически;

4) Зарисовка должна иметь географическую привязку, соответствующую привязке объекта в описании. Если на зарисовке изображается только часть объекта, делается привязка к объекту;

5) Плоскость зарисовки должна быть ориентирована;

6) Зарисовка должна иметь заголовки, необходимые поясняющие надписи и условные обозначения (в дневнике условные обозначения могут быть указаны в начале);

- 7) На рисунке указываются места, в которых делались измерения элементов залегания и их числовые значения и места отбора образцов и проб и их номера;
- 8) Все данные, помещаемые на рисунке, должны совпадать с записями в дневнике;
- 9) Запись в дневнике должна содержать ссылку на рисунок.

В соответствии с объектом и масштабом изображения, а также степенью его детальности можно выделить несколько типов зарисовок, различающихся техникой исполнения.

Схема – мелкомасштабная зарисовка, выполненная в условной манере, в приближенном или относительном масштабе. Ее назначение – пояснение записей в дневнике, указание на порядок записей или отбора образцов и т.д. Схема, поскольку она привязана к тексту дневника, обычно выполняется на левой стороне разворота. Если записи в дневнике ведутся шариковой ручкой, то и схему можно выполнять ею же. Схема снабжается надписями, поясняющими цель, с которой она выполнена, и детали изображения.

Зарисовки обнажений и их отдельных частей в зависимости от характера могут проводиться в проекции на вертикальную и наклонную плоскости, а также на разные плоскости, если обнажение расположено на склоне с уступом. В последнем случае зарисовка сопровождается дополнительной схемой, показывающей взаимоотношения и положение отдельных частей обнажения, спроецированных на разные плоскости, и указанием (текстовым или графическим знаком) на плоскость проекции. Соблюдение определенного масштаба и пропорций между отдельными частями обнажения достигается предварительной разметкой путем установки через определенное расстояние вешек или каменных пирамидок.

Крупномасштабные зарисовки отдельных частей обнажений выполняются с возможно более точным соблюдением масштаба и относительного расположения деталей, однако, без загромождения рисунка незначительными подробностями. Для выполнения такой зарисовки разметка обнажения делается более тщательно – обычно с помощью рулетки, натянутой поперек зарисовываемой площади, и в особо сложных случаях – двух рулеток (мерных реек, веревок с узлами и т.п.), натянутых крестообразно (горизонтально и вертикально) в плоскости рисунка.

Зарисовки разнообразных трещин и линейных тектонических структур проводятся с большой тщательностью и точностью в соблюдении размеров, ориентировки и их взаимного расположения. При этом рисуются только главные, наиболее характерные трещины. При изображении систем трещин необходимо дать представление о густоте трещин, принадлежащих к каждой системе. Все измерения помещаются на рисунке с указанием места, где они сделаны.

Фотосъемка в маршруте. Подготовка к маршрутной съемке начинается еще перед выездом на полевые работы. При изучении материалов предыдущих исследований: по району предстоящих работ составляется представление о его геологическом строении и возможных объектах фотографирования, достаточно полно характеризующих наиболее интересные особенности района в соответствии с задачами проектируемых полевых работ.

Порядок фотосъемки в маршруте. При фотографировании геологических объектов в маршруте не следует жалеть пленки: по возможности надо фиксировать все имеющее значение для целей исследования. Возможно, что встреченный объект уникален и случая зафиксировать его на пленку больше не представится. Даже если аналогичные объекты будут встречаться в дальнейшем, их надо фотографировать: снимки можно сравнить, отмечая черты сходства или, напротив, различия, зафиксированные объективом.

Фотосъемка геологических объектов представляет собой ряд последовательно выполняемых операций, каждая из которых в известной степени определяет качество будущего снимка.

1. Точка съемки выбирается с учетом характера объекта и цели, с которой делается снимок. При этом следует иметь в виду:

а) свет на объект должен падать спереди и несколько сбоку. Детали объекта при этом выглядят более контрастно, а сам объект приобретает объемность. Это особенно важно при фотографировании обнажений. Лучше всего для съемки подходит рассеяно направленный свет, который дает солнце за тонким слоем облаков. При этом тени на объекте получаются не чрезмерно контрастными;

б) нормальная высота точки съемки соответствует уровню глаз человека. При этом фотография передает неискаженное представление об объекте - такое, каким видит его наблюдатель в обычных условиях.

2. Определение границ кадра и его композиция. В кадре должен помещаться фотографируемый объект целиком или его определенные детали, а в некоторых случаях и окружающее объект пространство (если необходимо зафиксировать взаимоотношения фотографируемого объекта с другими объектами или показать его положение в пространстве). В соответствии с этим граница кадра выбирается горизонтальной или вертикальной. Если с данной точки зрения изображение, размещающееся в кадре, не соответствует поставленной цели, границы кадра можно регулировать одним из следующих методов:

а) подойти ближе или, напротив, отойти подальше;

б) применить сменную оптику;

в) сделать панорамный снимок.

В кадре должно располагаться лишь то, что необходимо для цели документации.

3. Масштаб снимка должен быть показан в каждом кадре. Это достигается размещением в кадре предметов, которые могут служить масштабом: при фотографировании крупных обнажений - фигура человека, разметка вешками или пирамидами камней, при съемке деталей обнажений - молоток, компас и т.д., при съемке мелких деталей - линейка с сантиметровыми делениями.

3. ПРАВИЛА ТЕХНИКИ БЕЗОПАСНОСТИ ПРИ ПРОВЕДЕНИИ ГЕОЛОГИЧЕСКОЙ ПРАКТИКИ

Студенты, участвующие в геологических экскурсиях должны знать элементарные правила по технике безопасности. Опыт показывает, что незнание правил техники безопасности, пренебрежение, казалось бы, элементарными правилами влекут за собой несчастные случаи.

Геологические экскурсии должны проводиться по утвержденным в установленном порядке программам, в которых предусматриваются мероприятия по технике безопасности с учетом местных условий в соответствии с «Правилами безопасности при геологоразведочных работах».

Перед геологическими экскурсиями все студенты должны пройти медицинское освидетельствование и сделать предохранительные прививки против энцефалита.

Руководители экскурсий перед их началом обязаны провести специальный инструктаж всех школьников об условиях экскурсий, правилах безопасности и дисциплине. Врач проводит инструктаж об оказании необходимой медицинской помощи на маршруте. О прохождении инструктажа каждый школьник расписывается в «Книге регистрации обучения и инструктирования по технике безопасности». В процессе проведения полевых работ руководители групп должны также систематически проходить дополнительный инструктаж о мерах предотвращения наиболее вероятных для данного района работ опасностей и несчастных случаев.

Каждый работающий, заметивший опасность, угрожающую людям, обязан принять зависящие от него меры для ее устранения и немедленно сообщить об этом своему непосредственному руководителю. Руководитель обязан принять меры к устранению

опасности; при невозможности устранения опасности прекратить работы, вывести работающих в безопасное место.

Запрещается во время работы и во время перерывов располагаться в траве, кустарнике и других не просматриваемых местах, если на участке работ используются транспортные средства.

Запрещается допускать к работе лиц в состоянии алкогольного, наркотического или токсического опьянения, а также в болезненном состоянии. Перед выходом группы в маршрут руководитель группы обязан:

а) проверить готовность группы к маршруту (обеспечить ее топоосновой, снаряжением, продовольствием, инструментом, защитными и спасательными средствами);

б) дать указание о порядке проведения маршрута, правилах передвижения применительно к местным условиям;

в) нанести на свою карту линию намеченного маршрута группы.

В дни, когда по прогнозу погоды затяжной дождь, сильный ветер, выходить в маршруты запрещается.

Если затяжной дождь, густой туман застает группу в пути, необходимо прервать маршрут, укрыться в безопасном месте и переждать непогоду.

Движение группы должно быть компактным, обеспечивающим постоянную зрительную или голосовую связь между людьми и возможность взаимной помощи. При оставлении кого-либо из участников маршрута с потерей видимости или голосовой связи старший группы обязан остановить движение и подождать отставшего.

В маршрутах каждому участнику рекомендуется надевать яркий шарф, косынку или рубашку для обеспечения лучшей взаимной видимости.

Запрещается употреблять в пищу неизвестные грибы, ягоды и рыбу во избежание возможного отравления.

Использование для питьевой воды минеральных источников, бальнеологические свойства которых неизвестны, запрещается, не рекомендуется также купаться в них.

При движении и на привалах необходимо соблюдать питьевой режим. Пить сырую воду из луж, ям и других поверхностных водоемов запрещается.

Особое внимание в маршрутах необходимо уделять мерам предупреждения тепловых и солнечных ударов. В жаркие безветренные дни работать с непокрытой головой не разрешается.

Одежда не должна стеснять движений при работе, обувь обязательно подбирается по ноге.

Для защиты от кровососущих насекомых рекомендуется надевать накомарники или периодически смазывать лицо, шею, руки репеллентами.

При проведении маршрутов в лесу особенно строго должны соблюдаться правила зрительной и голосовой связи.

Передвижение через лесные завалы разрешается только с соблюдением соответствующих мер предосторожности.

На участках, заросшей высокой и густой травой, рекомендуется начинать работу после высыхания росы.

При работе в лесу следует строго соблюдать меры пожарной безопасности.

Бросать в лесу непотушенные спички и окурки запрещается. Костры разрешается разводить лишь в местах, где исключена возможность возникновения пожара.

При малейшем признаке лесного пожара (запах дыма, гари, бег зверей и полет птиц в одном направлении) группа должна выйти к ближайшей речной долине или поляне.

При возникновении пожара необходимо приступить к его тушению с помощью всех имеющихся средств и одновременно сообщить об этом местным органам власти.

При передвижении по горелым лесам и торфяникам следует соблюдать особую осторожность.

При проведении маршрутов в местах распространения энцефалитных клещей рекомендуется плотно застегивать одежду и 3-4 раза в день осматривать тело и одежду.

При отборе образцов в выработках должны применяться меры по защите от падения кусков породы со склона и бортов выработки.

При одновременной работе двух или более проботборщиков на одном уступе расстояние между участками их работ должно быть не менее 1,5 м.

Если произошел несчастный случай или школьник почувствовал недомогание, то следует:

- прекратить работу, сохранить обстановку места происшествия, если это не представляет опасности для окружающих, и сообщить руководителю, вызвать скорую помощь.

При получении травмы оказать первую помощь пострадавшему, сообщить руководителю, при необходимости вызвать скорую помощь или отправить пострадавшего в ближайшее лечебное учреждение. Для оказания первой помощи при ранениях и кровотечениях необходимо на рану наложить стерильный бинт, предварительно смазать настойкой йода очищенный от грязи участок вокруг раны. При сильном кровотечении необходимо наложить выше раны жгут не более чем на 1.0 – 1.5 часа.

По окончании рабочего времени привести в порядок снаряжение и другие принадлежности. Провести мероприятия личной гигиены. Провести осмотр всех участников экскурсии на предмет обнаружения клещей.

Организовано пройти на автобусную остановку для возврата в город.

Ожидать транспорт разрешается только на посадочных площадках, а при их отсутствии – на тротуаре или обочине.

4. ПОЛЕВОЕ СНАРЯЖЕНИЕ

Вполне очевидно, что успешное проведение геологических маршрутов (экспедиций) в существенной мере зависит от обеспеченности участников соответствующим оборудованием, снаряжением и материалами. Подчеркнем специально, что при ведении полевых исследований все необходимое должно «быть под руками». При этом ничего не должно быть лишнего. В таблице приведен список необходимых «вещей» для полевой бригады, состоящей из 5 человек.

п./п.	№ др.	Наименование оборудования, снаряжения и др.	Кол-во (шт.)
1		Полевая книжка (пикетажка)	5
2		Геологический молоток	1
3		Компас горный	1
4		Лупа с десятикратным увеличением	1
5		Карандаш простой (мягкий и твердый)	10
6		Транспортир	1
7		Авторучка шариковая	10
8		Рулетка 10 м	1
9		Сумка полевая	5
10		Рюкзак (желательно непромокаемый)	1
11		Мешочки пробные	20
12		Линейка 30 см	2
13		Фотоаппарат	1
14		Аптечка универсальная	1

5. ОФОРМЛЕНИЕ МАТЕРИАЛОВ ГЕОЛОГИЧЕСКИХ МАРШРУТОВ

В результате геологических экскурсий накапливается большой фактический материал: коллекции минералов и горных пород, остатки ископаемых животных и растений, образцы полезных ископаемых, графический материал. Все это может составить основу тематических выставок и стендов.



Федеральное государственное бюджетное
образовательное учреждение
высшего образования

«Уральский государственный горный университет»

И. В. Назаров, Е. В. Шпилова

**Методические указания
к геодезической практике
для студентов всех
специальностей и направлений**

Екатеринбург – 2020

Федеральное государственное бюджетное
образовательное учреждение
высшего образования

«Уральский государственный горный университет»

И. В. Назаров, Е. В. Шипилова

**Методические указания
к геодезической практике
для студентов всех
специальностей и направлений**

ОГЛАВЛЕНИЕ

ОБЩИЕ ПОЛОЖЕНИЯ.....	5
1. ГЕОДЕЗИЧЕСКИЕ ПРИБОРЫ И ИХ РАБОЧИЕ ПОВЕРКИ.....	6
1.1. Рабочие поверки теодолита Т-30 (2Т-30).....	6
1.2. Рабочие поверки нивелира Н-3.....	10
2. ПЛАНОВО-ВЫСОТНОЕ СЪЁМОЧНОЕ ОБОСНОВАНИЕ. ПОЛЕВЫЕ РАБОТЫ.....	13
2.1. Рекогносцировка местности и закрепление пунктов съёмочного обоснования.....	13
2.2. Измерение горизонтальных и вертикальных углов в тахеометрическом ходе.....	14
2.3. Измерение длин сторон тахеометрического хода.....	17
2.4. Привязка хода к пунктам опорной геодезической сети.....	18
3. ПЛАНОВО-ВЫСОТНОЕ СЪЁМОЧНОЕ ОБОСНОВАНИЕ. КАМЕРАЛЬНЫЕ РАБОТЫ.....	20
3.1. Вычисление привязки.....	20
3.2. Вычисление горизонтальных проложений длин линий.....	22
3.3. Вычисление отметок пунктов съёмочного обоснования методом тригонометрического нивелирования.....	23
3.4. Вычисление координат пунктов съёмочного обоснования.....	26
3.4.1. Вычисление угловой невязки хода.....	26
3.4.2. Вычисление дирекционных углов сторон хода.....	28
3.4.3. Вычисление приращений координат, их невязок и координат пунктов съёмочного обоснования.....	29
4. ТАХЕОМЕТРИЧЕСКАЯ СЪЕМКА.....	31
4.1. Работа на станции.....	31
4.2. Ведение журнала тахеометрической съёмки.....	32
4.3. Составление абриса.....	34
5. СОСТАВЛЕНИЕ ТОПОГРАФИЧЕСКОГО ПЛАНА.....	36
5.1. Вычерчивание координатной сетки.....	36
5.1.1. Построение пунктов съёмочного обоснования по координатам.....	36
5.2. Нанесение ситуации и рельефа местности на план.....	37

5.3. Оформление топографического плана	37
6. ИНЖЕНЕРНО-ТЕХНИЧЕСКОЕ НИВЕЛИРОВАНИЕ ПО ОСИ ТРАССЫ	39
6.1. Рекогносцировка трассы.....	39
6.2. Разбивка пикетажа по трассе и поперечных профилей	39
6.3. Нивелирование по оси трассы и по поперечным профилям	40
6.4. Работа на станции при нивелировании	41
6.5. Камеральная обработка результатов нивелирования.....	45
6.5.1. Обработка нивелирного журнала	45
6.5.2. Построение профиля трассы	47
6.5.3. Проектирование по профилю.....	49
7. ИНЖЕНЕРНО-ГЕОДЕЗИЧЕСКИЕ ЗАДАЧИ	52
7.1. Элементы геодезических разбивочных работ.....	52
7.1.1. Вынос в натуру проектного горизонтального угла	52
7.1.2. Вынос в натуру проектного расстояния	53
7.2. Вынос в натуру точки с заданными координатами (полярным способом).....	53
7.3. Вынос в натуру точки с заданной отметкой	56
7.4. Вынос в натуру линии с проектным уклоном.....	57
8. ОФОРМЛЕНИЕ ОТЧЕТА ПО ПРАКТИКЕ.....	59
СПИСОК РЕКОМЕНДУЕМОЙ ЛИТЕРАТУРЫ	60
ПРИЛОЖЕНИЯ	62
ПРИЛОЖЕНИЕ 1. Стандартный шрифт	62
ПРИЛОЖЕНИЕ 2. Вычислительный шрифт	63

ОБЩИЕ ПОЛОЖЕНИЯ

Задачей учебной геодезической практики является закрепление теоретических знаний студентов и приобретение ими практических навыков при решении различных инженерно-геодезических задач.

Все виды работ, предусмотренные программой, выполняются студентами самостоятельно бригадами в составе 6 человек, Продолжительность учебной геодезической практики – 2 недели.

Студенты допускаются к производству геодезических работ на практике лишь после изучения правил по охране труда и технике безопасности.

В период прохождения геодезической практики студенты обязаны выполнять установленный распорядок дня, бережно относиться к полученным приборам и инструментам и поддерживать дисциплину и порядок на полигоне и территории базы.

Руководитель практики систематически контролирует в течение всего периода практики все виды полевых и камеральных работ и принимает законченные работы.

Зачет по практике преподаватель принимает по пятибалльной системе от каждого студента в присутствии всех членов бригады.

Студенты, пропускающие дни практики, опаздывающие или уходящие с работы раньше срока по неуважительной причине, к зачету по практике не допускаются.

1. ГЕОДЕЗИЧЕСКИЕ ПРИБОРЫ И ИХ РАБОЧИЕ ПОВЕРКИ

Для измерения углов на учебно-геодезической практике используются теодолиты Т-30, 2Т-30.

Основные части теодолита (2Т-30) показаны на рис. 1.1, отсчетные устройства приборов – на рис. 1.2, сетка нитей – на рис. 1.3.

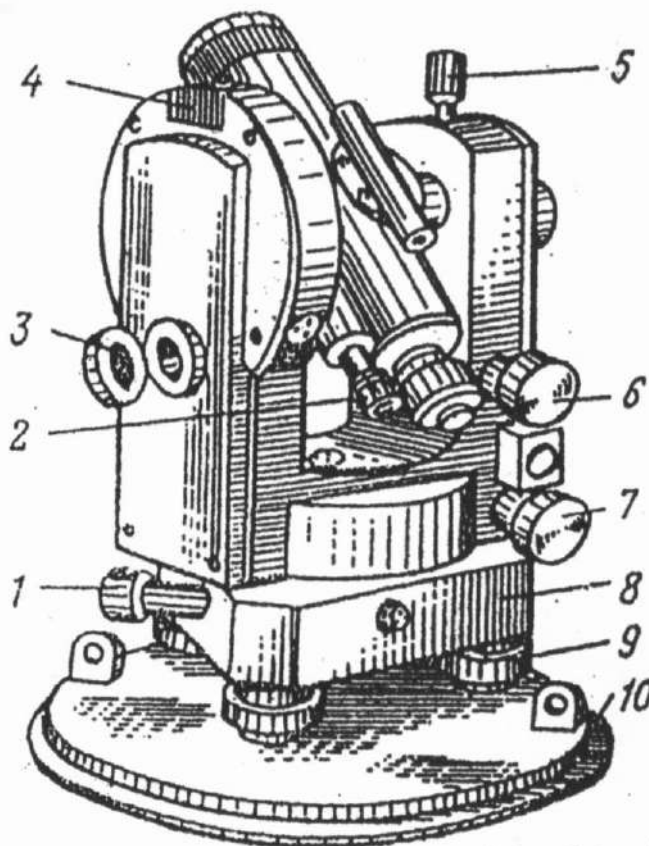


Рис. 1.1. Устройство теодолита 2Т30:

- 1 – наводящий винт лимба; 2 – микроскоп; 3 – зеркало для освещения шкал микроскопа;
4 – гнездо для крепления буссоли; 5 – закрепительный винт трубы;
6 – наводящий винт трубы; 7 – наводящий винт алидады;
8 – подставка; 9 – подъемные винты; 10 – основание

1.1. Рабочие поверки теодолита Т-30 (2Т-30)

Поверка 1. Ось цилиндрического уровня при алидаде горизонтального круга должна быть перпендикулярна вертикальной оси вращения прибора.

Уровень горизонтального круга устанавливают по направлению двух подъемных винтов, приводят или пузырек на середину, Затем поворачивают алидаду на 180° . При отклонении пузырька от середины более чем на 2 деления производят юстировку – на половину дуги отклонения пузырька уровня перемещают юстировочными винтами уровня. Затем поверку повторяют.

Проверка 2. Визирная ось зрительной трубы должна быть перпендикулярна к горизонтальной оси вращения трубы.

Выбирают на местности удаленную точку. Наводят теодолит на удаленную точку и берут отсчеты по горизонтальному кругу при двух положениях вертикального круга КЛ₁ и КП₁. Открепив становым винтом штатива подставку теодолита, поворачивают прибор примерно на 180° и повторяют то же самое, получая отчеты при КЛ₂ и КП₂. Получают значение коллимационной ошибки *C* по формуле:

$$C = \frac{(КЛ_1 - КП_1 \pm 180^\circ) + (КЛ_2 - КП_2 \pm 180^\circ)}{4}.$$

Если величина *C* превышает 2', то вычисляют исправленный отсчет КП – *C* и устанавливают его на горизонтальном круге микрометрическим винтом алидады. При этом центр сетки нитей сместится с точки наведения. Для исправления данного положения вращают горизонтальные исправленные винты сетки нитей до совмещения ее центра с точкой наведения.

Пример: отсчеты по горизонтальному кругу

	КЛ	КП
Наведение 1	40°22'	220°20'
Наведение 2	200°10'	20°10'

$$C = \frac{(40^\circ 22' - 220^\circ 20' + 180^\circ 00') + (200^\circ 10' - 20^\circ 10' - 180^\circ 00')}{4};$$

$$C = \frac{4'}{4} = 1'.$$

В штриховом микроскопе теодолита Т30 в середине поля зрения виден штрих, относительно которого осуществляется отсчет по лимбу (рис. 1.2, а). Перед отсчетом по лимбу необходимо определить цену деления лимба. В теодолите Т30 цена деления лимба составляет 10 угловых минут, т. к. градус разделен на шесть частей. Число минут оценивается на глаз в десятых долях цены деления лимба. Точность отсчета составляет 1'.

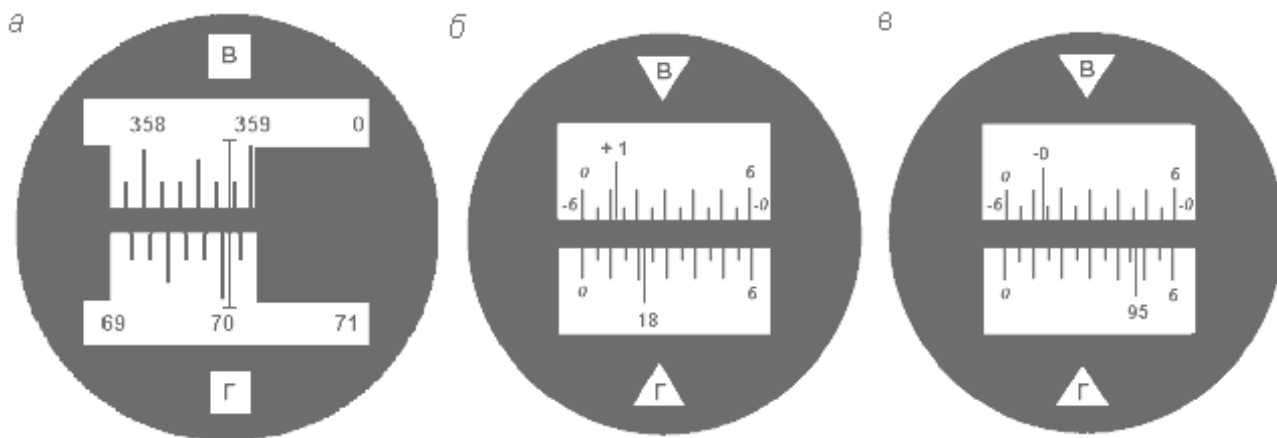


Рис. 1.2. Поле зрения отсчетных устройств: штрихового микроскопа с отсчетами по вертикальному кругу – $358^{\circ} 48'$, по горизонтальному – $70^{\circ} 03'$ (а); шкалового микроскопа с отсчетами: по вертикальному кругу – $1^{\circ} 11'$, по горизонтальному – $18^{\circ} 22'$ (б); по вертикальному кругу – $-0^{\circ} 47'$, по горизонтальному – $95^{\circ} 47'$ (в)

В шкаловом микроскопе теодолита 2Т30 в поле зрения видна шкала, размер которой соответствует цене деления лимба (рис. 1.2, б, в). Для теодолита технической точности размер шкалы и цена деления лимба равны $60'$. Шкала разделена на двенадцать частей, и цена ее деления составляет 5 угловых минут. Если перед числом градусов знака минус нет, отсчет производится по шкале от 0 до 6 в направлении слева направо (рис. 1.2, б). Если перед числом градусов стоит знак минус, в этом случае минуты отсчитываются по шкале вертикального круга, где перед цифрами от 0 до 6 стоит знак минус в направлении справа налево (рис. 1.2, в). Десятые доли цены деления шкалы берутся на глаз с точностью до $30''$.

Поверка 3. Горизонтальная ось вращения зрительной трубы должна быть перпендикулярна оси вращения теодолита.

Устанавливают теодолит недалеко от стены здания. Центр сетки нитей зрительной трубы наводят на высоко расположенную точку и, закрепив алидаду, наклоняют трубу примерно до горизонтального положения. Отмечают карандашом на стене проекцию центра сетки нитей. Переводят трубу через зенит, снова повторяют все действия. Если наблюдаемое в зрительной трубе горизонтальное расстояние между двумя проекциями центра сетки нитей не превышает тройную ширину биссектора сетки, то условие поверки считается выполненным (рис. 1.3). В противном случае прибор подлежит исправлению на заводе.



Рис. 1.3. Сетка нитей

Проверка 4. Определение и исправление места нуля (МО) вертикального круга.

При двух положениях круга наводят центр сетки нитей на хорошо видимый предмет и берут отсчёты по вертикальному кругу КЛ и КП. Значение МО вычисляют по формуле:

Для 2Т-30

$$МО = \frac{КЛ + КП}{2}.$$

Для Т-30

$$МО = \frac{КЛ + КП - 180^\circ}{2}.$$

Пример:

Отсчёты КЛ $7^\circ 20'$ $МО = \frac{7^\circ 20' + 172^\circ 44' - 180^\circ}{2} = 2'$,

для Т-30 КП $172^\circ 44'$.

Отсчёты КЛ $7^\circ 20'$ $МО = \frac{7^\circ 20' - 7^\circ 24'}{2} = -2'$,

для 2Т-30 КП $-7^\circ 24'$.

Место нуля определяют дважды. Среднее значение не должно превышать 1-3'.

В противном случае микрометренным винтом вертикального круга устанавливают на вертикальном круге отсчет, равный КП-МО. При этом центр сетки нитей сместится с наблюдаемой точки. Для исправления МО его совмещают с точкой наведения, вращая вертикальные исправительные винты сетки нитей.

Для контроля поверку повторяют. При выполнении этой поверки следят, чтобы пузырёк уровня горизонтального круга находился в нуль-пункте.

1.2. Рабочие поверки нивелира Н-3

Нивелир Н-3 предназначен для определения превышения между смежными точками местности. Основные части нивелира приведены на рис. 1.4.

Поверка 1. Ось круглого уровня должна быть параллельно оси вращения нивелира.

Вращением подъемных винтов приводят пузырек круглого уровня на середину. Поворачивают нивелир на 180° . Если пузырек не сместится с середины то условие выполнено. В противном случае юстировочными винтами уровня перемещают его к нуль-пункту на половину дуги отклонения. Затем поверку повторяют.

Поверка 2. Визирная ось зрительной трубы, должна быть параллельна оси цилиндрического уровня.

Поверку выполняют двойным нивелированием одной и той же линии длиной 50-75 м (рис. 1.5).

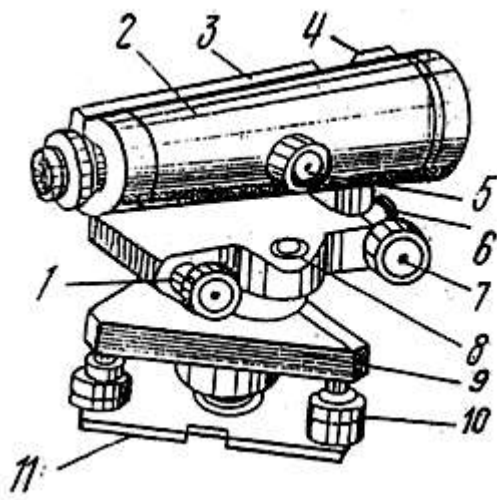
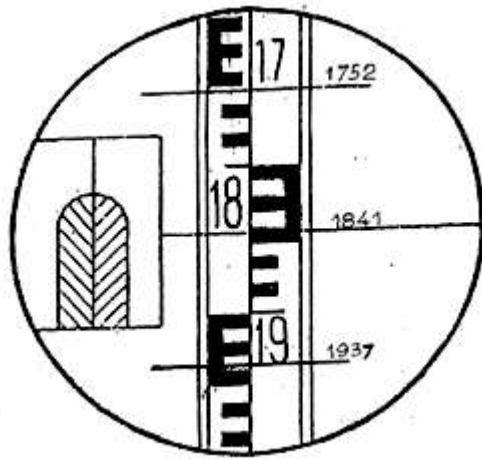


Рис. 1.4. Устройство нивелира:

- 1 – элевационный винт;
- 2 – зрительная труба;
- 3 – цилиндрический уровень;
- 4 – визир;
- 5 – винт фокусировки;
- 6 – закрепительный винт;
- 7 – наводящий винт;
- 8 – круглый уровень;
- 9 – подставка;
- 10 – подъемные винты;
- 11 – основание.



Отсчёты по рейке:

- 1752 мм - верхняя нить
- 1841 мм - средняя нить
- 1937 мм - нижняя нить

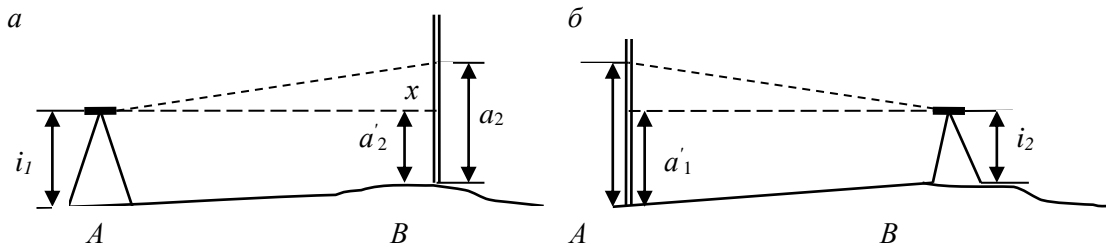


Рис. 1.5. Схема проверки главного геометрического условия

Устанавливают нивелир в точке А, а рейку в точке В. Измеряют высоту инструмента i_1 , в точке А и берут отсчёт по рейке a_1 в точке В. Затем нивелир и рейку меняют местами и снова измеряют высоту инструмента i_2 и берут отсчёт по рейке a_2 . Если визирная ось не параллельна оси уровня и составляет с ним некоторый угол ν , то отсчёты по рейке будут содержать некоторую погрешность X . Величину этой погрешности определяют по формуле:

$$X = \frac{a_1 + a_2}{2} - \frac{i_1 + i_2}{2}, \text{ мм.}$$

Пример: $i_1 = 1420 \text{ мм}$
 $a_1 = 1180 \text{ мм}$

$i_2 = 1540 \text{ мм}$
 $a_2 = 1786 \text{ мм}$

$$X = \frac{1180 + 1786}{2} - \frac{1420 + 1540}{2} = 3 \text{ мм.}$$

Если величина $X > 4$ мм, то не параллельность осей исправляют. Для этого вычисляют исправленный отсчет $a_2 = a_2 - X$ (рис. 1.5) и, действуя элевационным винтом, устанавливают его на рейке по середине нити сетки. Затем, действуя вертикальными юстировочными винтами цилиндрического уровня, совмещают изображение концов пузырька уровня. Для контроля поверку повторяют.

Проверка 3. Сетка нитей должна быть расположена правильно, т. е. вертикальная нить должна быть вертикальна, а горизонтальная – горизонтальна.

На расстояние 15-20 м вывешивают отвес, наводят трубу нивелира на нить отвеса. Если вертикальная нить сетки нитей параллельна нити отвеса, то условие выполнено. В противном случае исправление делают поворотом всей оправы сетки нитей до правильного положения, предварительно ослабив винты оправы.

2. ПЛАНОВО-ВЫСОТНОЕ СЪЁМОЧНОЕ ОБОСНОВАНИЕ. ПОЛЕВЫЕ РАБОТЫ

Для производства топографо-геодезических работ на местности необходимо иметь сеть пунктов съёмочного обоснования.

На практике каждая бригада студентов на своем участке создает планово-высотную съёмочную сеть в виде замкнутого тахеометрического хода с общим числом вершин 6-7, в котором измеряют горизонтальные и вертикальные углы и длины сторон, а также осуществляют привязку тахеометрического хода к пунктам опорной геодезической сети.

2.1. Рекогносцировка местности и закрепление пунктов съёмочного обоснования

Инструменты и принадлежности для выполнения работы: штыри, две вешки, молоток, тетрадь, две ручки.

Бригада студентов вместе с преподавателем обходит участок, выбирает места для точек съёмочного обоснования и закрепляет их. При этом необходимо соблюдать ряд условий:

- Удобство установки теодолита для работы на станции;
- Взаимная видимость на соседние пункты;
- Максимальный обзор местности и полнота съёмки;
- Расстояния между пунктами от 40 до 100 м.

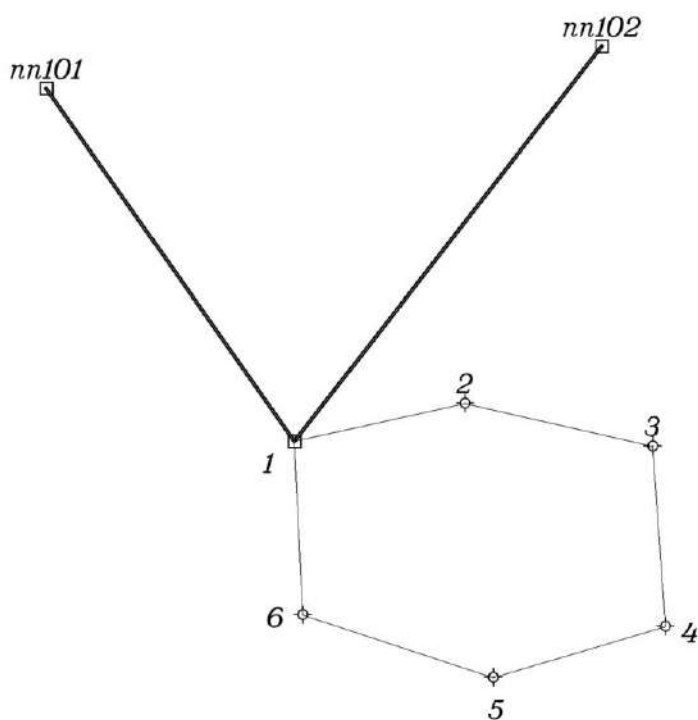


Рис. 2.1. Схема расположения пунктов съёмочного обоснования

Закрепление пунктов съемочного обоснования производят металлическими штырями, которые забивают до уровня земной поверхности, вокруг штыря делают окопку, каждому из них присваивается порядковый номер. При рекогносцировке составляют общую схему расположения точек съемочного обоснования (рис. 2.1).

2.2. Измерение горизонтальных и вертикальных углов в тахеометрическом ходе

Инструменты и принадлежности для выполнения работы: теодолит, две вешки, одна рейка, полевой журнал для измерения углов, карандаш, тетрадь.

На каждом пункте планово-высотного хода измеряют горизонтальный угол, вертикальные углы и наклонные длины линий. Углы измеряют теодолитами Т-30 или 2Т-30 одним полным приемом, длины сторон хода – нитяным дальномером. Результаты измерений записывают в журнал измерения углов и длин линий простым карандашом (таблица 1).

Порядок работы:

1) Теодолит центрируют над пунктом по отвесу с точностью 5 мм и горизонтируют с помощью цилиндрического уровня при горизонтальном круге.

2) На две смежные точки выставляют визирные вехи, на которых отмечают ярким шнурком высоты инструмента на данной точке стояния.

3) Измерение горизонтального угла начинают при положении зрительной трубы КЛ. Открыв закрепительный винт алидады, наводят на низ вехи (во избежание ошибок из-за наклона вехи). Берут отсчет по горизонтальному кругу, записывают его в полевой журнал (1) (таблица 1, действие (1). В скобках показана последовательность действий при измерениях и записи в журнале). Затем открепляют закрепительный винт алидады, пересечение основных штрихов сетки наводят на низ правой вехи, берут отсчет по горизонтальному кругу, записывают в журнал (2). Вычитая из отсчёта (2) отсчёт (1), получают значение угла (3), измеренное одним полуприёмом.

4) Переводят трубу через зенит. Повторяя действия, описанные в пункте 3, измеряют горизонтальный угол вторым полуприёмом при положении зрительной трубы КП. По отсчетам (4) и (5) вычисляют значение угла (6), полученного из второго полуприема.

5) Сравнивают значения углов (3) и (6), полученные из двух полуприемов. Их разность не должна быть больше $2t$, т. е. $1'$, где $t = 30''$ – точность теодолита. Вычисляют среднее значение горизонтального угла (7) по формуле:

$$\frac{(3)-(6)}{2} = (7).$$

ЖУРНАЛ ИЗМЕНЕНИЯ УГЛОВ И ДЛИН ЛИНИЙ

$$MO = \frac{КЛ + КП}{2}$$

$$v = КЛ - MO$$

Дата

Исполнитель

14

Точка стояния	Круг	Точки визирован.	Горизонтальный круг			Точки		Круг	Вертикальный круг			Длины линий измеренные
			Отсчёт ° '	Измеренный угол ° '	Средний угол ° '	Стояния	Визиров.		Отсчёт	Место нуля	Угол наклона	Горизонт. проложение
1	2	3	4	5	6	7	8	9	10	11	12	13
1	КЛ	2	196°15' (1)	244°24' (3)	244°24,5' (7)	1	2	КЛ	-2°01' (8)	-0°0'30" (12)	-2° 00' 30" (13)	57,1 (14)
		КП	2°00' (10)									
	КП	2	16°17' (4)	244°25' (6)		1	6	КЛ	8°35' (9)	0°	8°35'	116,5 (15)
		КП	260°42' (5)					-8°35' (11)				
2	КЛ	3	146°55'	59°46'	59°46'	2	1	КЛ	-8°36'	0°	-8°36'	116,5 (16)
		КП	206°41'					8°36'				
	КП	3	326°59'	59°46'		2	3	КЛ	-2°20'	-0°2'	-2°18'	82,5
		КП	26°45'					2°18'				

б) Измерение вертикального угла начинают при положении зрительной трубы КЛ. Зрительную трубу наводят на веху, установленную на смежной точке. Основной (средний) горизонтальный штрих сетки совмещают с отметкой высоты инструмента на вехе (шнурок). После чего берут отсчет по вертикальному кругу (8). Затем наводятся на веху, установленную второй точке, и записывают значения по вертикальному кругу (9).

7) Переводят зрительную трубу через зенит, повторяют действия, описанные в пункте б, при положении зрительной трубы КП. Берут отсчет по вертикальному кругу и записывают в журнал (10), (11).

8) Вычисляют МО вертикального круга (12).

9) Вычисляют угол наклона (13) по формуле:

$$v = \text{КЛ} - \text{МО}.$$

Контроль:

- При измерении вертикальных углов на станции колебание МО для разных вертикальных углов не должно превышать $\pm 2'$.

- Значения углов наклона, измеренных в прямом и обратном направлениях, не должны отличаться более, чем на $\pm 3'$.

Запрещается! В полевом журнале стирать резинкой результаты измерений, писать цифру на цифре, переписывать полевой журнал. Ошибочные измерения зачеркиваются одной чертой, затем записи продолжают дальше. Все записи должны вестись четко и аккуратно с использованием шрифтов (см. прил. 1, 2).

2.3. Измерение длин сторон тахеометрического хода

В процессе проложения тахеометрического хода в поле измеряют длины сторон хода. Для этого на смежные точки ставят нивелирную рейку (нулем вниз), наводят зрительную трубу на рейку, совмещая верхний дальномерный штрих сетки нитей с каким-нибудь целым делением рейки (обычно с отсчетом 1000). Подсчитывают длину отрезка “ l ” в см между верхним и нижним дальномерными штрихами. Доли сантиметровых делений оценивают на глаз.

Длина измеренной стороны определяется по формуле

$$S_{\text{изм}} = K \times l_{\text{см}},$$

где K – коэффициент нитяного дальномера ($K = 100$), l – длина отрезка в см между верхней и нижней дальномерными нитями.

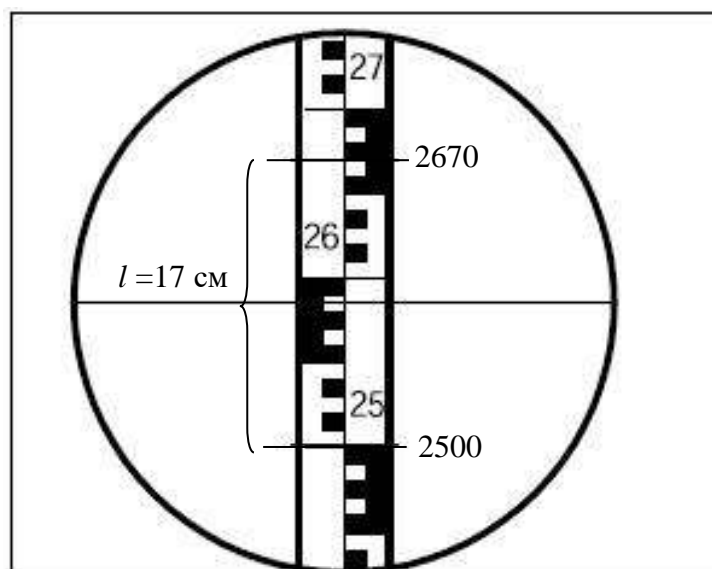


Рис. 2.2. Определение расстояний нитяным дальномером

Пример: на рис. 2.2 отчет по верхней нити 2670, отчет по нижней нити 2500, $l = 2670 - 2500 = 170 \text{ мм} = 17 \text{ см}$, $S_{\text{изм}} = 17 \text{ см} \times 100 = 1700 \text{ см} = 17,0 \text{ м}$.

На станции длину каждой стороны хода измеряют дважды по черной и по красной сторонам рейки, или по одной стороне, но по разным делениям рейки. Разность результатов измерений должна быть не более 0,3 м на 100 метров длины. Среднее значение длины стороны хода записывают в полевой журнал (14) с округлением до 0,1 м.

Длины сторон хода обязательно измеряют в обратном направлении. Разность между результатами измерений "прямо" (15) и "обратно" (16) не должна превышать 1:200-1:400 (0,3-0,5 м на 100 м длины).

2.4. Привязка хода к пунктам опорной геодезической сети

Привязку тахеометрического хода выполняют для определения дирекционного угла начальной стороны хода. Одна из вершин тахеометрического хода является пунктом опорной геодезической сети (рис. 3.1). С него есть видимость на два других геодезических пункта (пп101, пп102). Для привязки хода к опорной геодезической сети производят измерение примычных углов φ_1 и φ_2 . Это угол между твердой стороной и первой стороной тахеометрического хода (рис. 3.1). В полевом журнале вычерчивают схему привязки, показывают примычные углы.

Каждый примычный угол φ_1 и φ_2 измеряют двумя приемами с перестановкой лимба между приемами примерно на 90° . Для контроля измеряют угол между исходными сторонами (δ). Контроль производят по формуле:

$$\delta = \varphi_1 - \varphi_2.$$

Допустимое расхождение $\pm 3'$.

3. ПЛАНОВО-ВЫСОТНОЕ СЪЁМОЧНОЕ ОБОСНОВАНИЕ. КАМЕРАЛЬНЫЕ РАБОТЫ

После последних измерений производят проверку полевых журналов, правильность записей и вычислений измеренных и средних значений. По значениям измеренных горизонтальных углов и длин линий составляют схему съёмочного обоснования и ее привязки (рис. 3.1). На схему выписывают измеренные значения углов и длин. Затем приступают к вычислениям. Вычисления линейных величин ведут с точностью до 0,1 м, а углов – до 30". Из полевого журнала выписывают измеренные примычные углы φ_1 и φ_2 .

3.1. Вычисление привязки

Дирекционный угол начальной стороны хода (α_{1-2}) (рис. 3.1) вычисляют дважды, исходя из значений дирекционных углов исходных сторон опорной геодезической сети (α_{1-A} , α_{1-B}) и измеренных углов (φ_1 , φ_2) по формулам:

$$\alpha_{1-2} = \alpha_{1-пп101} + \varphi_1;$$

$$\alpha_{1-2} = \alpha_{1-пп102} + \varphi_2.$$

Дирекционные углы исходных сторон вычисляют решая обратные геодезические задачи, по формулам:

$$r_{1-пп101} = \arctg \frac{Y_{пп101} - Y_1}{X_{пп101} - X_1}, \quad r_{1-пп102} = \arctg \frac{Y_{пп102} - Y_1}{X_{пп102} - X_1}.$$

Расхождение полученных значений α_{1-2} не должно превышать 2-3'.

После нахождения значения румба необходимо определить координатную четверть, содержащую направление. Координатную четверть определяют по знакам приращений координат (рис. 3.2).

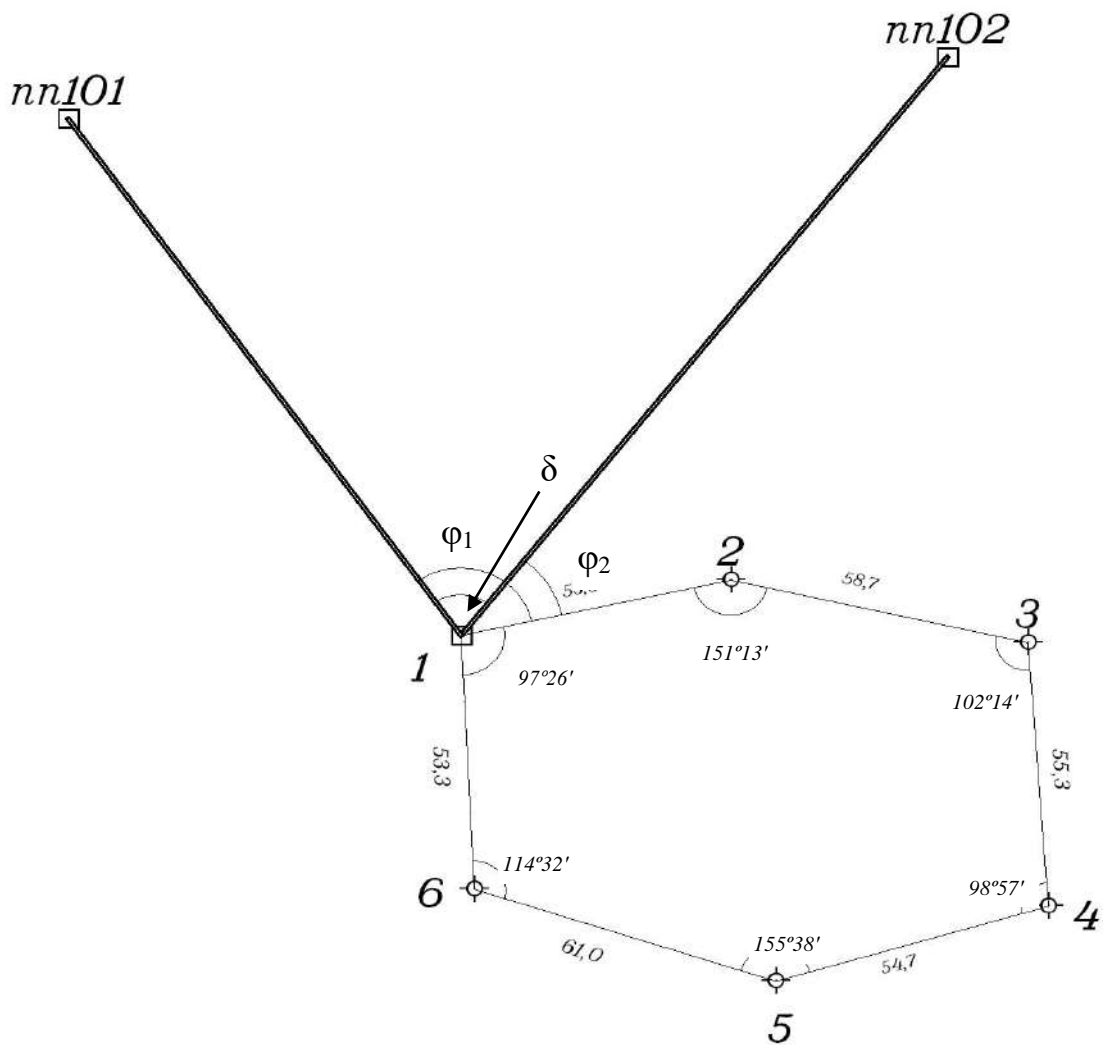


Рис. 3.1. Схема тахеометрического хода и геодезической привязки

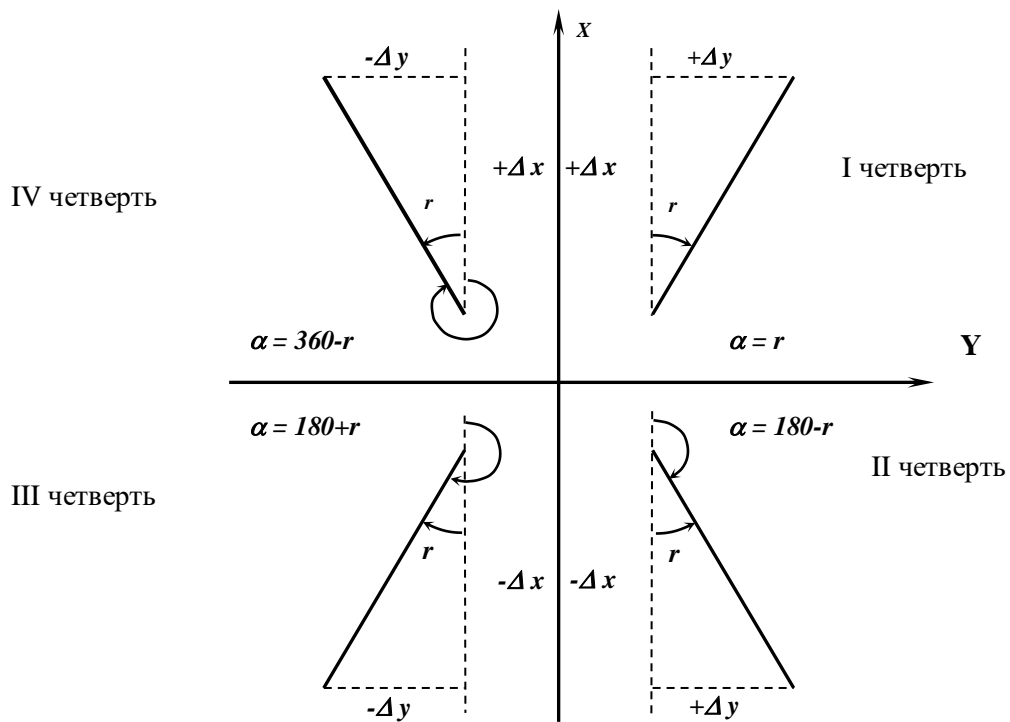


Рис. 3.2. Зависимости между дирекционными углами и румбами

Пример записи и вычислений дирекционных углов приведен ниже.

Таблица 2

Исходные данные

Название пункта	X, м	Y, м	H, м
1	3348,05	2238,25	271,36
пп101	4099,71	1639,28	282,40
пп102	4001,87	2581,51	290,24

$$r_{1-пп101} = \arctg \frac{Y_{пп101} - Y_1}{X_{пп101} - X_1} = \arctg \frac{1639,28 - 2238,25}{4099,71 - 3348,05} = \arctg \frac{-598,97}{751,66} = 38,54993965^\circ = 38^\circ 33' 00'' \text{ (IV ч.)};$$

$$\alpha_{1-пп101} = 360^\circ - 38^\circ 33' 00'' = 321^\circ 27'.$$

$$r_{1-пп102} = \arctg \frac{Y_{пп102} - Y_1}{X_{пп102} - X_1} = \arctg \frac{2581,51 - 2238,25}{4001,87 - 3348,05} = \arctg \frac{343,26}{653,82} = 27,69992196^\circ = 27^\circ 42' 00'' \text{ (I ч.)};$$

$$\alpha_{1-пп102} = 27^\circ 42' 00''.$$

$$\varphi_1 = 333^\circ 18' 00'';$$

$$\alpha_{1-2} = 321^\circ 27' 00'' + 333^\circ 18' 00'' = 294^\circ 45' 00''.$$

$$\varphi_2 = 267^\circ 05' 00'';$$

$$\alpha_{1-2} = 27^\circ 42' 00'' + 267^\circ 05' 00'' = 294^\circ 47' 00''.$$

$$\text{Средний } \alpha_{1-2} = 294^\circ 46' 00''.$$

3.2. Вычисление горизонтальных проложений длин линий

Горизонтальные проложения необходимо знать для вычисления координат точек тахеометрического хода.

Вычисление горизонтальных проложений выполняют в ведомости вычисления отметок съемочного обоснования (таблица 3).

Из журнала измерения улов и длин линий выписывают среднее значения длин линий (S), полученные по результатам измерений в прямом и обратном направлениях, в графу 4 табл. 3 и углы наклона (ν), измеренные в прямом и обратном направлениях, в графы 2 и 3 табл. 3. По этим данным вычисляют горизонтальные проложения с точностью до 0,01 м по формуле:

$$D = S \times \cos^2 \nu,$$

где S – среднее значение измеренной длины линии (графа 4), ν – угол наклона линии в прямом направлении (графа 2), D – горизонтальное проложение (графа 5).

3.3. Вычисление отметок пунктов съемочного обоснования методом тригонометрического нивелирования

Вычисление отметок производится с точностью до 0,01 м в ведомости вычисления отметок (таблица 3).

По измеренным расстояниям и углам наклона вычисляют превышения между точками хода в прямом и обратном направлениях по формуле:

$$h = D \times \tan \nu.$$

Значения превышений с соответствующим знаком записывают в графы 6 и 7.

Расхождения в превышениях, полученных в прямом и обратном направлениях, допускаются не более 4 см на 100 м. Если это условие выполнено, то в графе 8 вычисляют средние превышения, сохраняя перед ними знак превышения из прямого хода. Сумму положительных и отрицательных значений превышений записывают в графе 8 внизу. Далее подсчитывают невязку по превышениям. Она равна сумме превышений замкнутого хода:

$$f_h = \sum h_{\text{ср.}}$$

Допустимую высотную невязку вычисляют по формуле:

$$\text{доп. } f_h = \pm 0,2 \text{ м} \sqrt{\sum D(\text{км})},$$

где $\sum D$ сумма горизонтальных проложений хода (периметр в км).

Полученную невязку f_h распределяют между превышениями с обратным знаком пропорционально длинам линий по формуле:

$$\delta_{hi} = -\frac{f_h}{\sum D} \times D_i.$$

Таблица 3

Вычисления отметок точек съемочного обоснования

№№ точек	Вертикальные углы		Длины сторон, м		Превышение, м				Отметки точек, м	№№ точек
	Прямо ° ' "	Обратно ° ' "	Измеренные, <i>S</i>	Горизонтальное проложение, <i>D</i>	Прямо	Обратно	Среднее	Исправленное		
1	2	3	4	5	6	7	8	9	10	11
1							-0,02		230,00	1
2	-2°01'	+2°02'	83,0	82,90	-2,92	+2,95	-2,94	-2,96	227,04	2
3	-5°24'	+5°25'	122,0	120,92	-11,43	11,46	-11,45	-11,48	215,56	3
4	+2°15'	-2°16'	98,0	97,85	+3,85	-3,88	+3,87	+3,85	219,41	4
5	+1°56'	-1°57'	120,0	119,86	+4,05	-4,09	+4,07	+4,04	223,45	5
6	+4°30'	-4°29'	100,5	99,88	+7,86	-7,83	+7,85	+7,83	231,28	6
1	-0°56'	+0°58'	76,5	76,48	-1,25	+1,29	-1,27	-1,28	230,00	1
				$\Sigma D = 597,89 \text{ м}$		$\Sigma h_{\text{cp}} (+) = +15,79$ $\Sigma h_{\text{cp}} (-) = -15,66$		$\Sigma = 0$		
							$f_h = +0,13$	$\text{Доп. } f_h = \pm 0,2 \text{ м} \cdot \sqrt{\Sigma D(\text{км})}$		
								$\text{Доп. } f_h = \pm 0,2 \text{ м} \cdot \sqrt{0,6} = \pm 0,15$		

Вычислил

Орлов

Проверил

Петров

Контроль: $\Sigma \delta = -f_h$

Величины поправок записывают в графе 8 над превышениями. В графу 9 записывают исправленные превышения.

Контроль: если исправленные превышения вычислены правильно, их алгебраическая сумма должна быть равна нулю.

По исправленным превышениям последовательно вычисляют отметки пунктов съёмочного обоснования по формуле:

$$H_{n+1} = H_n + h_n,$$

где H_{n+1} – высота последующего пункта (м), H_n – отметка предыдущего пункта (м), h_n – превышение между смежными пунктами (м).

Контролем вычисления отметок является получение отметки исходной точки в конце вычислений.

3.4. Вычисление координат пунктов съёмочного обоснования

Вычисление координат производится в ведомости вычисления координат (таблица 4). В графу 1 ведомости выписывают номера вершин хода, в графу 2 – номера точек визирования. В графу 3 выписывают против соответствующих вершин средние значения измеренных горизонтальных углов. Значения горизонтальных проложений линий выписывают в графу 6 из таблицы 3.

3.4.1. Вычисление угловой невязки хода

Угловой невязкой f_β замкнутого тахеометрического хода называется разность между суммой измеренных горизонтальных углов $\Sigma \beta_{\text{изм}}$ и теоретической суммой внутренних углов плоского многоугольника $\Sigma \beta_{\text{теор}}$ т. е.

$$f_\beta = \Sigma \beta_{\text{изм}} - \Sigma \beta_{\text{теор}},$$

где $\Sigma \beta_{\text{теор}} = 180^\circ \times (n - 2)$, n – число углов многоугольника.

Вычисленные значения $\Sigma \beta_{\text{изм}}$ и $\Sigma \beta_{\text{теор}}$ подписывают внизу графы 3.

Здесь же вычисляют величину допустимой угловой невязки по формуле:

$$f_{\beta \text{доп}} = 2 \times t \quad (t = 0^\circ 0' 30'' \text{ – точность инструмента}),$$
$$f_{\beta \text{доп}} = \pm 1' \sqrt{n}.$$

Вычисление координат точек съёмочного обоснования

Номера точек		Горизонтальные углы		Дирекционные углы ° ' "	Горизонтальные проложения, м	Приращения координат, м				Координаты, м	
Стояния	Визиров	Измеренные ° ' "	Исправленные ° ' "			Вычисленные		Исправленные		X	Y
						ΔX	ΔY	ΔX	ΔY		
1	2	3	4	5	6	7	8	9	10	11	12
1						+0,05	+0,08			3348,05	2238,25
2	3			294°46'	82,90	+34,73	-75,27	+34,78	-75,19		
	1	110°59'00"	110°59'			+0,07	+0,12			3382,83	2162,06
3	4			3°47'	120,92	+120,64	+7,98	+120,71	+8,10		
	2	123°09'00"	123°09'			+0,06	+0,10			3503,54	2171,16
4	5			60°38'	97,85	+48,01	+85,32	+48,07	+85,42		
	3	105°15'00"	105°15'			+0,07	+0,12			3551,61	2256,58
5	6			135°23'	119,86	-85,35	+84,21	-85,28	+84,33		
	4	117°58'00"	117°58'			+0,06	+0,10			3466,33	2340,91
6	1	-0°0'30"		197°25'	99,88	-95,32	-29,90	-95,26	-29,8		
	5	124°58'30"	124°58'			+0,05	+0,08			3371,07	2311,11
1	2	-0°0'30"		252°27'	76,48	-23,07	-72,94	-23,02	-72,86		
	6	137°41'30"	137°41'							3348,05	2238,25
				(294°46')	$\Sigma D = 597,89$						
			$\Sigma \beta_{исп} = 720^\circ$			$f_x = -0,36$ $f_s = 0,85$	$f_y = -0,6$	0	0		

$\Sigma \beta_{изм} = 720^\circ 01' 00''$

$\Sigma \beta_{теор} = 720^\circ 00' 00''$

$f_\beta = +1'$

$f_{\beta_{доп}} = \pm 1' \sqrt{n} = \pm 1' \sqrt{6} = \pm 2,4'$

$\frac{1}{\Sigma D \div f_s} = \frac{1}{703} < \frac{1}{300}$

Вычислил Орлов

Проверил Петров

Если значение угловой невязки не превосходит допустимой величины, то ее распределяют поровну с обратным знаком между измеренными углами, с точностью до $30''$, т. е. вычисляют поправки к измеренным горизонтальным углам по формулам:

$$\delta_{\beta} = -\frac{f_{\beta}}{n}.$$

Если полученное значение поправки меньше $30''$, то угловую невязку вводят в наиболее слабое место тахеометрического хода (короткие стороны хода, горизонтальные углы $\leq 20^{\circ}$ или $\geq 150^{\circ}$, точки съёмочного обоснования, наиболее удаленные от исходных пунктов сети).

Контроль: $\Sigma\delta_{\beta} = -f_{\beta}$.

Поправки в измеренные углы подписывают над их значениями. Вычисляют исправленные горизонтальные углы

$$\beta_{\text{исп}} = \beta_{\text{изм}} + \delta_{\beta}.$$

Контроль: $\Sigma\beta_{\text{исп}} = 180^{\circ} \times (n - 2)$.

3.4.2. Вычисление дирекционных углов сторон хода

Вычисление дирекционных углов сторон хода производят по дирекционному углу начальной стороны и исправленным горизонтальным углам. Начальный дирекционный угол стороны 1-2 выписывают из решения привязки (см. раздел 3.1). В нашем примере $\alpha_{1-2} = 294^{\circ}46'$. Его записывают в графу 5 между точками 1 и 2. Дирекционные углы остальных сторон хода вычисляют по формулам:

$$\begin{aligned}\alpha_{n+1} &= \alpha_n + \beta_{\text{лев}} - 180^{\circ} - \text{для левых углов;} \\ \alpha_{n-1} &= \alpha_n - \beta_{\text{прав}} + 180^{\circ} - \text{для правых углов,}\end{aligned}$$

где α_{n+1} – дирекционный угол последующей стороны хода, α_n – дирекционный угол предыдущей стороны хода.

Контроль: полученный дирекционный угол первой стороны хода в конце вычислений должен быть равен исходному. С этой целью по дирекционному углу последней стороны и горизонтальному углу при вершине 1, которые ранее в вычислениях не участвовал, получают дирекционный угол начальной стороны ($\alpha_{1-2} = 294^{\circ} 46'$).

Вычисленные значения дирекционных углов сторон хода записывают в графу 5.

3.4.3. Вычисление приращений координат, их невязок и координат пунктов съемочного обоснования

Приращение координат хода вычисляют по следующим формулам:

$$\Delta X_i = D_i \times \cos \alpha_i, \quad \Delta Y_i = D_i \times \sin \alpha_i,$$

где D_i – горизонтальное проложения линий; α_i – дирекционные углы этих линий.

Вычисления производят с точностью до 0,01 м.

Вычисленные приращения координат записывают в графах 7 и 8.

Для замкнутого хода алгебраическая сумма приращений по каждой оси координат должна быть равна нулю:

$$\sum \Delta X = 0, \quad \sum \Delta Y = 0.$$

Внизу графы 7 и 8 находят значения невязок f_x и f_y (по осям абсцисс и ординат), по формулам:

$$f_x = \sum \Delta X, \quad f_y = \sum \Delta Y.$$

Невязки в приращениях координат обусловлены действием погрешностей измерения углов и сторон хода. Совместное влияние невязок приращений по осям координат характеризуется линейной невязкой в периметре:

$$f_s = \sqrt{f_x^2 + f_y^2}.$$

Допустимую линейную невязку вычисляют по формуле относительной ошибки:

$$\frac{1}{\sum D \div f_s} \leq \frac{1}{500},$$

где $\sum D$ – сумма горизонтальных проложений длин сторон хода (периметр).

Периметр ($\sum D$) подсчитывают в графе 6 и выписывают внизу. После проверки допустимости относительной линейной невязки $\frac{1}{\sum D \div f_s}$

распределяют невязки приращений координат f_x и f_y .

Невязки f_x и f_y распределяют с обратным знаком в каждое приращение координат пропорционально длинам сторон, т. е. вычисляют поправки к приращениям координат по формулам:

$$\delta X_i = -\frac{f_x}{\sum D} \times D_i, \quad \delta Y_i = -\frac{f_y}{\sum D} \times D_i,$$

и подписывают их над приращениями в графах 7 и 8.

В графах 9 и 10 записывают исправленные значения приращений координат:

$$\Delta X_{\text{ИСПР}} = \Delta X_i + \delta X_i, \quad \Delta Y_{\text{ИСПР}} = \Delta Y_i + \delta Y_i.$$

Контроль: $\sum \Delta X_{\text{ИСПР}} = 0$, $\sum \Delta Y_{\text{ИСПР}} = 0$.

Далее, в графах 11 и 12 последовательно вычисляют координаты точек тахеометрического хода от координат начальной точки 1, используя исправленные приращения координат, по формулам:

$$X_{n+1} = X_n + \Delta X_{\text{ИСПР}}, \quad Y_{n+1} = Y_n + \Delta Y_{\text{ИСПР}},$$

где X_n , Y_n – координаты предыдущего пункта, X_{n+1} , Y_{n+1} – координаты последующего пункта.

Контроль: вычисленные координаты начальной точки хода должны быть равны исходным (таблица 4).

4. ТАХЕОМЕТРИЧЕСКАЯ СЪЕМКА

Инструменты и принадлежности для выполнения работ: теодолит, одна вешка, одна рейка, полевой журнал для тахеометрической съемки, абрисы, два карандаша, тахеометрические таблицы.

Тахеометрическую съемку ситуации и рельефа местности выполняют с пунктов съемочного обоснования в масштабе 1:500. На каждой станции измеряют расстояние, горизонтальный и вертикальные углы до съемочных пикетов, т.е. определяют полярные координаты каждой снимаемой точки (съемочных пикетов).

Все записи результатов измерений ведут в журнале тахеометрической съемки (таблица 5). В процессе съемки составляют абрис (рис. 4.1).

Особо важное значение при съемке имеет правильный выбор съемочных пикетов. При съемке ситуации рейку устанавливают на характерных точках контуров (углы зданий, изгибы дорог, рек, границы угодий, столбы электролиний и т. д.). При съемке рельефа рейку устанавливают на характерных точках и линиях рельефа местности (вершина холма, дно котловины, водораздел, тальвег, перегибы скатов, урезы воды).

Съемочные пикеты должны равномерно покрывать всю территорию съемки. Расстояние от точек съемочного обоснования до съемочных пикетов должно быть не более 80 м.

4.1. Работа на станции

Работу на станции выполняют в следующем порядке:

- теодолит центрируют над точкой с точностью до 1 см с помощью отвеса и горизонтируют с помощью цилиндрического уровня горизонтального круга;

- определяют МО вертикального круга на каждой станции, значение МО записывают в журнал тахеометрической съемки (таблица 5) для данной станции. Устанавливают визирную веху на следующую по ходу точку съемочного обоснования. Направление на эту точку принимают за начальное (например: станция 1, направление на точку 2), ориентируют лимб по начальному направлению. Для этого, вращая алидадой, устанавливают отсчет на горизонтальном круге $0^{\circ}00'$. Затем алидаду закрепляют, открепляют лимб, наводят теодолит на выставленную веху (на пункте 2). Далее лимб закрепляют до конца съемки на этой станции, а алидаду открепляют. Съемка ведется только при положении зрительной трубы круг «лево» (КЛ);

- рейкой измеряют высоту инструмента до 0,01 м, записывают ее значение в журнал и отмечают на рейке ярким шнурком ($i = 1,30$ м);
- рейку устанавливают на съемочный пикет;
- наводят теодолит на рейку, измеряют нитяным дальномером расстояние до рейки и записывают в журнал (1);
- наводят центр сетки нитей на высоту инструмента (шнурок), берут отсчеты по горизонтальному и вертикальному кругам теодолита и записывают в журнал (2), (3). Если на рейке отметки высоты инструмента не видно, то наводят центр сетки нитей на верх рейки и записывают на этом пикете высоту визирования ($v = 3$ м) в графу 8 таблицы 5.

4.2. Ведение журнала тахеометрической съемки

В журнале указывают номер станции, начальное направление, МО, высоту инструмента i в метрах, отметку точки H_0 съемочного обоснования в метрах. В соответствующие графы журнала записывают результаты полевых измерений (расстояний, отсчетов по горизонтальному и вертикальному кругам). Затем вычисляют углы наклона на съемочные пикеты по формуле:

$$v = KL - MO.$$

Находят горизонтальное проложение D и превышение h' между точкой съемочного обоснования и съемочным пикетом по углу наклона и расстоянию из тахеометрических таблиц или по формулам, которые приведены в тахеометрических таблицах:

$$D = S \times \cos^2 v;$$

$$h' = D \times \tan v;$$

$$h = h' + i - v,$$

где D – горизонтальное проложение, S – измеренное нитяным дальномером расстояние, v – угол наклона, i – высота инструмента, v – высота визирования.

Знак превышения соответствует знаку угла наклона.

Отметку съемочного пикета вычисляют по формуле:

$$H = H_0 + h,$$

и записывают в графу 11 (таблица 5).

Таблица 5

ЖУРНАЛ ТАХЕОМЕТРИЧЕСКОЙ СЪЕМКИ

Точка стояния 1

 $H_0 = 230,0 \quad i = 1,30$

Начальное направление 2

$$MO = \frac{KI + KP - 180^\circ}{2} \quad (T-30)$$

КЛ = 354°35'

КП = 185°23'

МО = - 0°1'

Дата 13.07.17.

Исполнитель Петров

 $v = KI-MO$

29

№№ пикетов	Расстояния по дальномеру, м	Отсчеты по кругам /КЛ/		Углы наклона ° '	Горизонтальн. проложения, м
		Горизонтальн. ° '	Вертикальн. ° '		
1	2	3	4	5	6
		0°00			
1	38,0	23°00'	352°59'	-7°00'	37,44
2	35,0	53°30'	355°06'	-4°53'	34,75
3	56,0	81°00'	356°06'	-3°53'	55,74
4	86,1	100°00'	356°36'	-3°23'	85,80
5	52,3	112°41'	358°47'	-1°12'	52,28
6	72,0	116°02'	354°23'	-5°36'	71,31
7	25,0	137°30'	352°34'	-7°25'	24,58
8	46,5	141°00'	355°17'	-4°42'	46,19
9	25,8	180°10'	349°39'	-10°20'	24,97

h' , м	Высота визиров v , м	$i-v$	Превышение $h = h' + i-v$	Отметки пикетов $H = H_0 + h$	Примечание
7	8	9	10	11	12
-4,60	1,30	0	-4,60	225,40	рельеф, дорога
-2,97	1,30	0	-2,97	227,03	рельеф, дорога
-3,78	1,30	0	-3,78	226,22	дорога
-5,07	1,30	0	-5,07	224,93	дорога
-1,10	1,30	0	-1,10	228,90	рельеф, луг
-6,99	3,00	-1,70	-8,69	221,31	рельеф, луг
-3,20	1,30	0	-3,20	226,80	обрыв, 2м
-3,80	1,30	0	-3,80	226,20	обрыв, 2м
-4,55	1,30	0	-4,55	225,45	обрыв, 2м

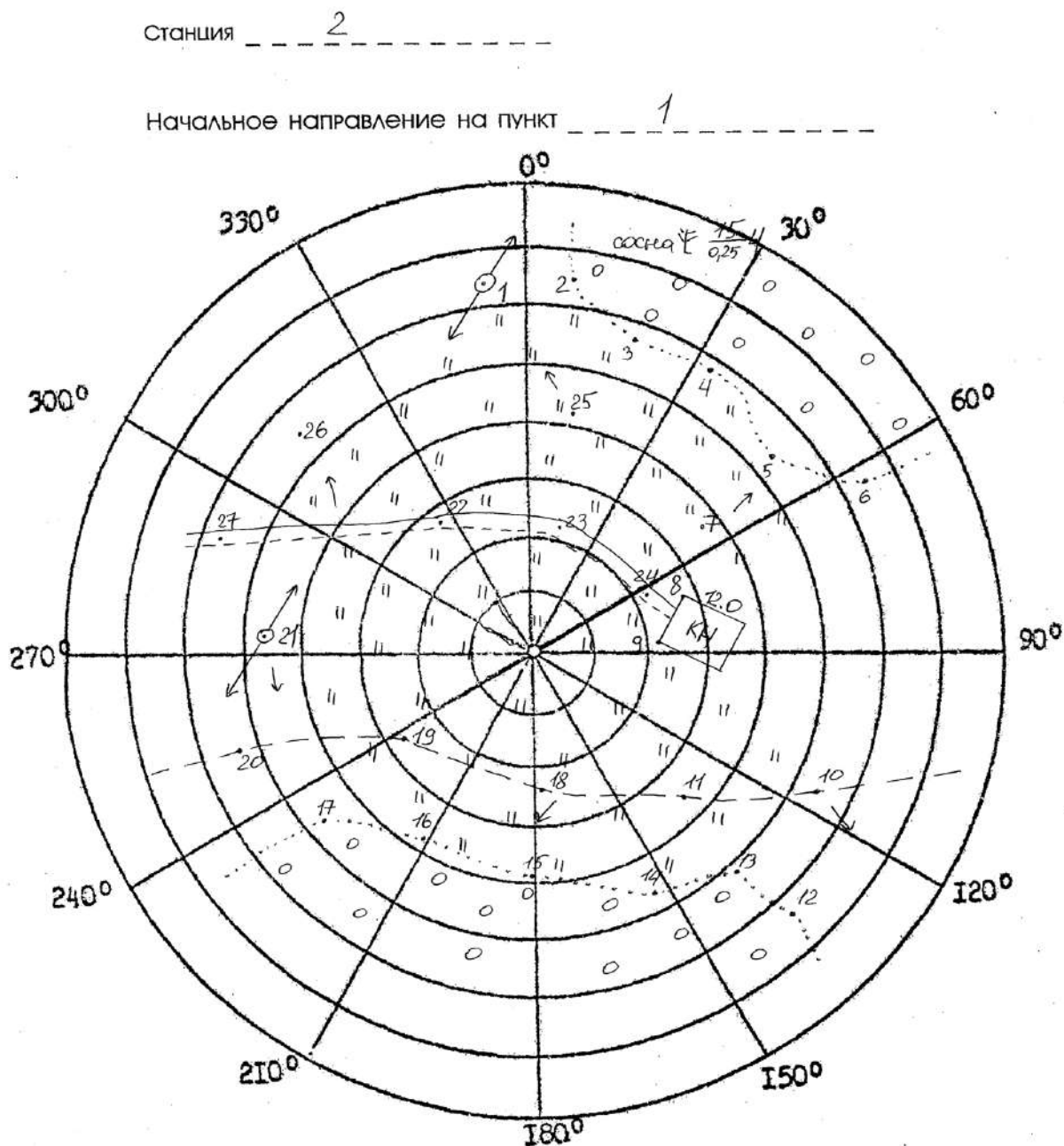
Вычислил

Проверил

4.3. Составление абриса

Абрис – это схематический чертеж участка местности, снимаемого с данной станции. Абрис составляют на каждой станции одновременно с заполнением журнала тахеометрической съемки (рис. 4.1).

При заполнении абриса центр окружности принимают за станцию, с которой выполняют съемку, один из радиусов за начальное направление (0°), расстояния между окружностями принимают равными 10 м. Каждый съемочный пикет намечают на абрисе точкой, рядом надписывают его порядковый номер.



АБРИС СОСТАВИЛ Назаров И.В.

Рис. 4.1. Абрис тахеометрической съемки на п. 1

При съемке следят за тем, чтобы нумерация съемочных пикетов на абрисе соответствовала нумерации этих же пикетов в журнале тахеометрической съемки. На абрис наносят все снятые контуры ситуации, сопровождая их пояснительными надписями и условными знаками. На абрисе стрелками показывают направление скатов.

Составление абрисов является ответственной частью тахеометрической съемки, т.к. он в дальнейшем используется для создания топографического плана. Его надо вести аккуратно, все записи делают четко, отточенным карандашом, прямолинейные контуры вычерчивать по линейке. Четкое ведение абриса способствует качественному составлению топографического плана. Абрис сдается вместе с журналом тахеометрической съемки.

Закончив съемку на станции, по абрису проверяют, все ли элементы ситуации и рельефы засняты, нет ли пропусков, достаточно взято ли съемочных пикетов. Съемочные пикеты должны быть расположены не реже, чем через 3 см в масштабе плана, т. е. через 15 м на местности (в масштабе 1:500), их количество зависит от сложности ситуации и сложности рельефа. Кроме того, проверяют, не сбилась ли во время съемки ориентировка теодолита. Для этого в конце съемки снова визируют зрительную трубу по начальному направлению и проверяют неизменность отсчета по лимбу. Допустимое отклонение должно быть не более 3'. Сделав такой контроль, переходят на следующую станцию.

5. СОСТАВЛЕНИЕ ТОПОГРАФИЧЕСКОГО ПЛАНА

При тахеометрической съемке топографический план создается камеральным путем. Размер рамки для планов масштаба 1:500 принят 50×50 см. План составляют в масштабе 1:500 и оформляют в соответствии с «Условными знаками для топографических планов масштабов 1:5000, 1:2000, 1:1000 и 1:500».

Составление плана выполняют в следующем порядке:

- вычерчивание координатной сетки;
- построение точек по координатам;
- нанесение ситуации и местности на план;
- оформление топографического плана.

5.1. Вычерчивание координатной сетки

Координатную сетку строят на листе чертежной бумаги А1, стороны сетки принимают равными 10×10 см. Координатную сетку получают путем ее переноса со стандартных сеток, изготовленных на картографической пленке, через световой стол.

Правильность построения координатной сетки контролируют путем измерения циркулем-измерителем диагоналей всех квадратов сетки. Ошибки в длинах диагоналей не должны превышать 0,2 – 0,3 мм.

5.1.1. Построение пунктов съёмочного обоснования по координатам

Для построения пунктов съёмочного обоснования по координатам в масштабе 1:500 сетку координат оцифровывают через 50 м. За начало координат принимают юго-западный угол рамки. От него к северу надписывают абсциссы X , к востоку – ординаты Y . Координаты юго-западного угла плана выбирают так, чтобы тахеометрический ход разместился примерно в середине листа. Построение каждой точки съёмочного обоснования производят с помощью циркуля-измерителя и масштабной линейки. Вначале определяют, в каком квадрате сетки располагается данная точка. Затем значение абсциссы откладывают по обеим сторонам квадрата и соединяют тонкой прямой линией. На этой линии откладывают значение ординаты Y . Полученную точку обводят условным знаком (кружочком), рядом надписывают номер пункта планово-высотного хода и его отметку до 0,01 м (справа от пункта).

Построение пунктов съёмочного обоснования обязательно контролируют. Для этого значение горизонтального проложения между двумя точками циркулем-измерителем откладывают на масштабной линейке и сравнивают с

расстоянием между соответствующими точками на плане. Допустимое расхождение этих величин не должно быть более $\pm 0,5$ мм.

5.2. Нанесение ситуации и рельефа местности на план

Ситуацию наносят на план по данным журнала тахеометрической съемки и абрисов. Съемочные пикеты наносят на план по горизонтальному углу и горизонтальному проложению. Горизонтальные углы откладывают при помощи кругового транспортира от начального направления, а горизонтальные проложения – циркулем-измерителем по линейке. Справа от полученной точки подписывают отметку съемочного пикета до 0,1 м, слева – ее номер. Руководствуясь абрисом и подписями, сделанными в примечаниях тахеометрического журнала, рисуют условными знаками элементы ситуации. Виды угодий пока обозначают надписями. По отметкам точек проводят горизонталь с сечением рельефа через 1 м. Интерполирование горизонталей выполняют по тем направлениям, которые указаны в абрисе.

Окончив составление ситуации и рельефа на станции, приступают к нанесению съемочных пикетов следующей станции.

Составленный план представляют на просмотр преподавателю. После просмотра и проверки по указанию преподавателя план оформляют.

5.3. Оформление топографического плана

Порядок оформления следующий:

1) Пункты опорной геодезической сети, пункты съемочной сети, характерные высотные точки, ориентиры и местные предметы.

2) Гидрографическая сеть, урезы воды, подписи, относящиеся к гидрографии.

3) Населенные пункты.

4) Элементы линейной протяженности (границы контуров, дорожная сеть, электролинии, телефонные линии и др.).

5) Рельеф. При этом выделяют утолщенные горизонталь, расставляют бергштрихи, размещают надписи горизонталей, кратные 5 м, вычерчивают формы рельефа, не выражающиеся горизонталями (обрывы, ямы, скалы и др.).

6) Почвенно-растительный покров (виды угодий, которые ранее подписывались, теперь вычерчивают условными знаками).

7) Рамка и зарамочное оформление.

Во избежание пропусков после оформления план тщательно корректируют. Без разрешения преподавателя не следует стирать с плана

съемочные пикеты. Все оформление выполняется в соответствии с «Условными знаками для топографических планов масштабов 1:5000, 1:2000, 1:1000, 1:500».

Перечень сдаваемых материалов: журнал тахеометрической съемки, абрисы для каждой станции, топографический план.

6. ИНЖЕНЕРНО-ТЕХНИЧЕСКОЕ НИВЕЛИРОВАНИЕ ПО ОСИ ТРАССЫ

Назначение нивелирования по оси трассы – определение отметок точек местности и построение профиля оси будущего инженерного сооружения.

Работы по нивелированию трассы состоят из следующих этапов:

- рекогносцировка трассы;
- разбивка пикетажа и поперечных профилей;
- нивелирование по оси трассы и по поперечным профилям;
- камеральная обработка результатов нивелирования;
- построение профиля;
- проектирование по профилю.

Инструменты и принадлежности для выполнения работы: нивелир Н-3 со штативом, две рейки, мерная лента, шпильки, колья или штыри для закрепления пикетов, молоток, нивелирный журнал, пикетажный журнал, карандаши.

6.1. Рекогносцировка трассы

Трассу выбирают с учетом следующих условий: число поворотов трассы должно быть минимальным, стороны трассы должны проходить на местности по возможности с малыми углами наклона.

В процессе рекогносцировки закрепляют вершины углов поворота (ВУ).

6.2. Разбивка пикетажа по трассе и поперечных профилей

Стороны трассы измеряют стальной лентой (шпагатом), отмечая на трассе штырями или колышками пикеты – точки, отстоящие одна от другой на 100 м. Для трасс, проходящих по участкам со сложным рельефом, пикеты могут разбиваться через 50 м.

Количество пикетов на бригаду – 12, количество поперечников – 2.

Если угол наклона местности больше 2° , то расстояние между пикетами увеличивают на величину поправки за наклон. Около каждого пикета забивают сторожок – кол или штырь с табличкой, на котором пишут номер пикета и номер бригады.

Расстояние до плюсовых точек, намечаемых на перегибах местности и пересечении трассы с дорогами и ЛЭП, измеряют от младшего пикета и отмечают сторожками, например ПК 5 + 65.0 (рис. 6.1).

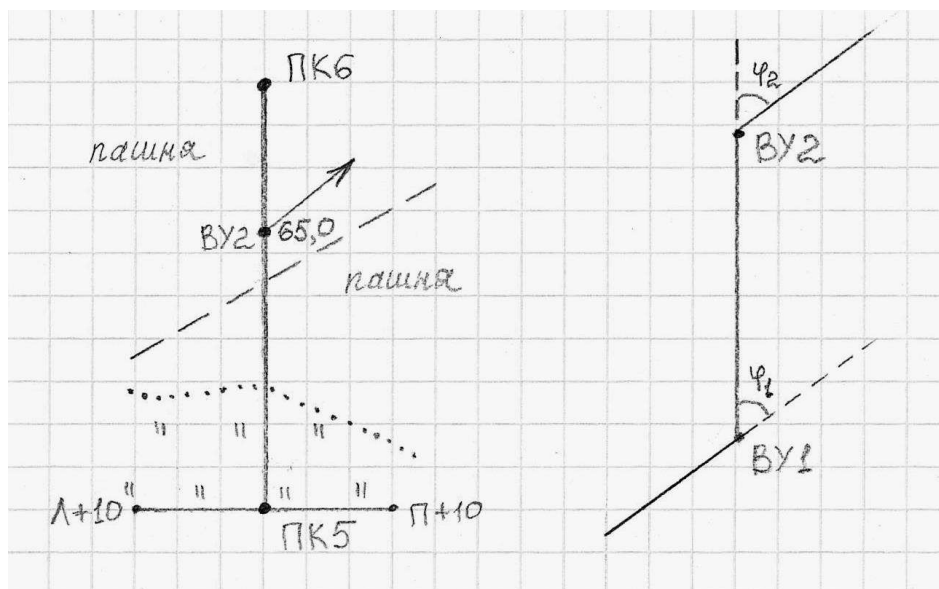


Рис. 6.1. Пикетажный журнал

Разбивают поперечные профили. Для этого перпендикулярно к оси трассы измеряют расстояние от оси трассы влево и вправо до точек перегиба местности. Концы поперечного профиля и точки перегиба отмечают сторожками, на которых надписывают расстояния от оси трассы с добавлением буквы Л (влево) или П (вправо) от оси трассы, например, Л + 10,0 или П + 5,0. Началом поперечного профиля может быть пикет или плюсовая точка. Его длину принимают по указанию преподавателя (10-20 м).

В процессе разбивки пикетажа ведут пикетажный журнал (рис. 6.1), в котором в масштабе 1:1000 показывают ось трассы, пикеты, плюсовые точки, поперечные профили, углы поворота, направление поворота трассы (стрелкой), на глаз зарисовывают контуры местности в полосе шириной по 20 м в обе стороны от оси трассы.

6.3. Нивелирование по оси трассы и по поперечным профилям

После выполнения проверок нивелира, результаты которых записывают на первой странице журнала, приступают к нивелированию по пикетажу. Нивелирование выполняют способом «из середины». Нивелирный ход привязывают к ближайшему реперу. На каждой станции хода две нивелирные точки являются связующими, с их помощью передают высоты по ходу. Остальные точки называются промежуточными. Как правило, связующими точками являются пикеты. Если превышение между пикетами больше длины рейки, то для передачи высот используют дополнительные связующие точки, называемые X точками. X точки закрепляют колышками или штырями. Между смежными пикетами может быть несколько точек X, в зависимости от рельефа.

В качестве X точек можно использовать плюсовые точки. Примеры выбора станции и связующих точек показаны на рис. 6.2.

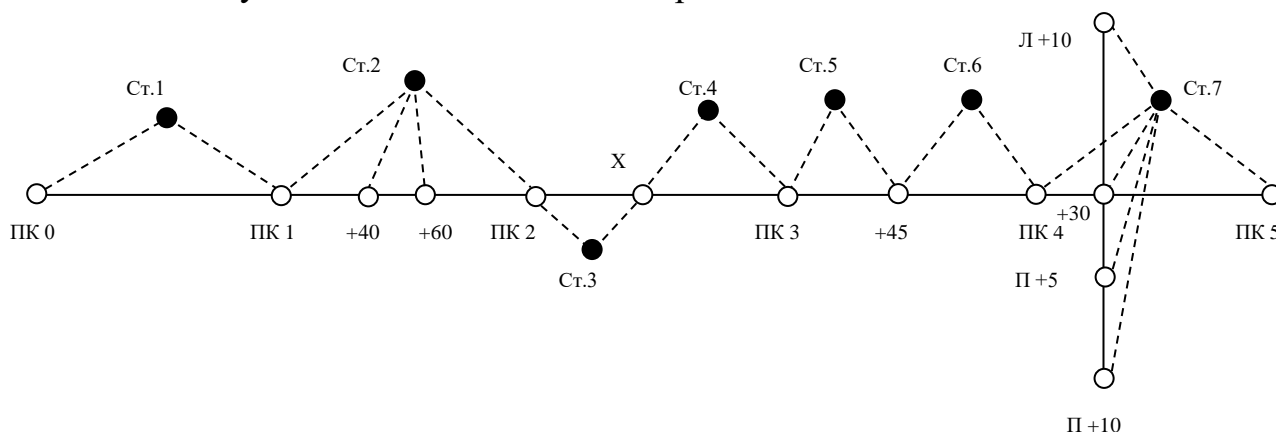


Рис. 6.2. Выбор станций при нивелировании трассы

6.4. Работа на станции при нивелировании

Все записи при нивелировании ведут в полевом журнале карандашом. Работу на станции производят в следующем порядке. Нивелир устанавливают примерно на равном расстоянии от связующих точек. Равенство расстояний определяют на глаз. На связующих точках на кольшках устанавливают рейки.

Нивелир горизонтируют с помощью круглого уровня. Наводят трубу нивелира на заднюю рейку, совмещают элевационным винтом концы пузырька цилиндрического уровня и берут отсчет по черной стороне рейки (1). Порядок записей и вычислений показан в таблице 6. Поворачивают рейку, проверяют точность совмещения концов пузырька цилиндрического уровня и берут отсчет по красной стороне (2). Затем нивелир наводят на переднюю рейку, обязательно совмещают элевационным винтом концы пузырька цилиндрического уровня и снова берут отсчеты по черной и по красной сторонам рейки (3), (4).

При нивелировании все отсчеты и превышения записывают в миллиметрах.

Если отсчет по рейке больше 1 м, то рейку необходимо слегка покачивать вперед и назад. При этом в нивелир наблюдают и берут наименьший отсчет. Тут же на станции вычисляют превышения h по черной (5) и красной (6) сторонам реек по формуле:

$$h = З - П,$$

где $З$ – отчет по задней рейке; $П$ – отчет по передней рейке.

Эти превышения не должны отличаться более чем на 5 мм. При большем расхождении нивелирование связующих точек повторяют, несколько изменив высоту инструмента.

Если разность превышений, вычисленных на станции, не превосходит допуск, то вычисляют среднее превышение (7) до целых мм и записывают в графе 8 или 9.

ЖУРНАЛ НИВЕЛИРОВАНИЯ

Таблица 6

Прямой ход

Дата 27.07.02

Исполнитель *Орлов*

№№ станции	Номер пикетов и промежут. точек	Отсчет по рейке			Превышения	
		задний	передний	промежут.	+	-
1	2	3	4	5	6	7
1	0-1	1861(1)	1363(3)		498(5)	
		6646(2)	6146(4)		500(6)	
2	1-2	0430(1)	0656(3)			226(5)
		5218(2)	5440(4)			222(6)
	1+40,0			2530(8)		
	1+60,0			2340(9)		
3	2-x	2830	420		2410	
		7615	5202		2413	
4	x-3	2131	720		1411	
		6915	5509		1406	
5	3-3+45,0	2752	151		2601	
		7535	4942		2593	
Σ		43933	30549		13832	448
		+13384			+13384	
					+6692	

Среднее превышение		Горизонт инструмента	Отметки точек	Номера пикетов и пром. точек	Примечания
+	-				
8	9	10	11	12	13
+2 499(7)			127,115	0	
		128,046	127,616	1	
	+2 224(7)				
			125,516	1+40,0	
			125,706	1+60,0	
			127,394	2	
+2 2412					
+2 1408					
			131,218	3	
+1 2597			133,816	3+45,0	
6916	224				
+6692					

Вычислил *Петров*

Проверил *Иванов*

Одновременно с нивелированием связующих точек нивелируют плюсовые точки и точки поперечного профиля. Для этого после вычисления среднего превышения на станции рейку с задней связующей точками и точки поперечного профиля, устанавливают ее на землю у сторожков нулем вниз, берут по одному отсчету только по черной стороне рейки и записывают отсчет в графу 5 (8), (9).

После этого задний реечник переходит на следующую связующую точку, а передний остается на предыдущей связующей точке, наблюдатель переходит и выбирает следующую станцию. Если в районе трассы есть только один репер, к которому будет привязываться трасса, то для контроля нивелирования студенты на практике прокладывают обратный нивелирный ход, начиная нивелирование с последнего пикета. В обратном ходе нивелируют только связующие точки. Если есть возможность привязать последний пикет к реперу, то обратный ход не прокладывают.

Все записи в журнале должны быть выполнены аккуратно, без подчисток и исправлений. Неправильные записи зачеркивают, а в примечаниях пишут причину зачеркивания.

В полевом журнале дают схему привязки (рис. 6.3) и делают полевую привязку. Для этого выполняют нивелирование от репера до ПКО в прямом и обратном направлениях, вычисляют среднее превышение $h_{ср}$.

Решают привязку, т. е. вычисляют отметку ПКО ($H_{пко}$) по формуле:

$$H_{пко} = H_{Rp} + h_{ср}$$

$$h_{ср} = \frac{h_{пр} + h_{обр}}{2},$$

если привязка сделана по схеме (а).

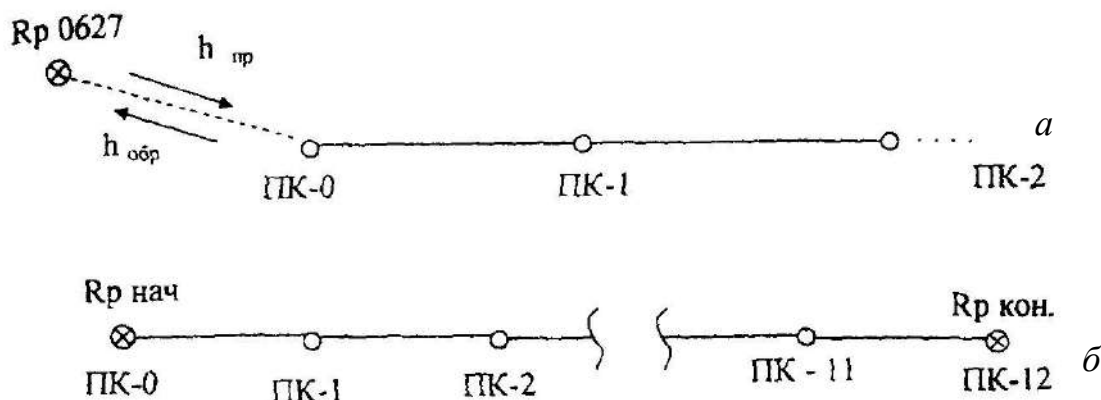


Рис. 6.3. Схемы привязки нивелирного хода:
а – висячий ход, б – разомкнутый ход

6.5. Камеральная обработка результатов нивелирования

Камеральную обработку производят в таком порядке:

- обработка нивелирного журнала;
- построение профиля;
- проектирование по профилю.

6.5.1. Обработка нивелирного журнала

Для проверки правильности записей и вычислений в журнале производят постраничный контроль по формуле:

$$\sum 3 - \sum \Pi = \sum h.$$

Для этого на каждой странице журнала находят: суммы отсчетов $\sum 3$, $\sum 4$ по графам 3, 4; суммы превышений $\sum 6$, $\sum 7$, $\sum 8$, $\sum 9$ по графам 6, 7, 8, 9 (таблица 6). Вычисляют величины:

$$\sum 3 - \sum 4; \quad \sum 6 + \sum 7; \quad \sum 8 + \sum 9.$$

Соблюдение равенств:

$$\sum 3 - \sum 4 = \sum 6 + \sum 7; \quad \frac{\sum 6 + \sum 7}{2} = \sum 8 + \sum 9,$$

показывает, что вычисления на данной странице сделаны верно. Аналогично производят контроль и на следующих страницах журнала. Суммируя величины $(\sum 8 + \sum 9)$ отдельно по прямому и обратным ходам, получают суммарное превышения $\sum h_{\text{прям}}$ – прямого и $\sum h_{\text{обр}}$ обратного ходов. Сумма величин $\sum h$ прямого и обратных ходов дает невязку f_h :

$$f_h = \sum h_{\text{прям}} + \sum h_{\text{обр}}.$$

Если ход пройден точками с известными отметками $H_{\text{нач}}$ и $H_{\text{кон}}$ (рис. 6.3, б), невязку вычисляют по формуле:

$$f_h = \sum h_{\text{ср}} - (H_{\text{кон}} - H_{\text{нач}}).$$

Допустимое значение невязки вычисляют по формуле:

$$f_{h\text{доп}} = \pm \sqrt{L(\text{км})}, \text{ мм},$$

где L – длина хода (в километрах) от начального до конечного пикета. Вычисляют невязку в полевом журнале, на чистой странице.

Если полученная невязка больше допустимой, то нивелирный ход переделывают. Если полученная невязка допустима, то в случае (а) половину ее распределяют с обратным знаком поровну в превышения прямого хода, округляя при этом поправки до целых километров. Во втором случае (б), вся невязка распределяется поровну с обратным знаком на превышения между связующими точками. Поправки в превышениях δ_h вычисляют по формуле:

$$\delta_h = -\frac{f_h}{n},$$

где n – число превышений.

Записывают поправки над средними превышениями в полевом журнале. Исправленные превышения определяют по формуле:

$$h_1 = h_{\text{ср}} + \delta_{h1}.$$

Из привязки хода к реперу вычисляют отметку нулевого пикета $H_{\text{ПКО}}$ (в нашем примере $H_{\text{ПКО}} = 127,115$ м). Записывают ее в графе (II) напротив нулевого пикета (0).

Зная эту отметку и исправленные превышения, последовательно вычисляют отметки связующих точек по всему ходу:

$$H_1 = H_0 + h_1, \quad H_2 = H_1 + h_2 \dots$$

Получив отметку последнего пикета H_K , проверяют правильность вычислений по формуле:

$$H_{\text{КОН}} - H_{\text{НАЧ}} = \sum h - \frac{f_h}{2} \quad (\text{а}) \quad \text{или} \quad H_{\text{КОН}} - H_{\text{НАЧ}} = \sum h - f_h \quad (\text{б}).$$

Вычисления в журнале заканчивают нахождением отметок промежуточных точек. Их вычисляют через горизонт инструмента ГИ. Горизонтом инструмента называют отметку визирного луча нивелира на данной станции. ГИ вычисляют по формуле:

$$\text{ГИ} = H + a,$$

где H – отметка связующей точки на данной станции; a – отсчет по черной стороне рейки на этой точке.

Пример: Для станции 2 в таблице 6:

$$\text{ГИ} = H_1 + a_1,$$

$H_{\text{ПК1}} = 127,616$ м, $a_1 = 0430$ мм – отсчет на ПК1,

ГИ = 128,046 м (записывают в графу 10 напротив станции 2).

Отметки промежуточных точек $H_{\text{ПРОМ}}$ находят вычитанием промежуточных отсчетов по рейке «с» из горизонта инструмента:

$$H_{\text{ПРОМ}} = \text{ГИ} - c.$$

На этой же станции находим:

$$H_{\text{ПК1+40.0}} = 128,046 - 2,530 = 125,516 \text{ м,}$$

$$H_{\text{ПК1+60.0}} = 128,046 - 2,340 = 125,706 \text{ м.}$$

6.5.2. Построение профиля трассы

По вычисленным отметкам пикетов, плюсовых точек и точек поперечного профиля на координатной бумаге строят продольный и поперечный профили местности по трассе. Масштабы построения:

- для продольного профиля: горизонтальный 1: 2000, вертикальный 1:200;
- для поперечного профиля: горизонтальный 1: 200, вертикальный 1:200.

Последовательность построения профиля приведена ниже.

Первоначально вычерчивают сетку профиля. Название граф и размеры в миллиметрах показаны на рис. 6.4.

В графе «Расстояния» отмечают положения пикетов и плюсовых точек, выписывают расстояния между плюсовыми точками и пикетами. X точки не строят. Ниже этой графы выписывают номера пикетов.

Пользуясь пикетажным журналом, заполняют графу «План трассы», в которой показывают:

- а) ось в виде прямой линии красного цвета;
- б) ситуацию (по результатам съемки полосы местности) соответствующими условными знаками.

В графу «Фактические отметки» выписывают из журнала нивелирования отметки всех пикетов и плюсовых точек с округлением до 0,01 м.

Выбирают и надписывают отметку условного горизонта, которая должна быть на 5-8 метров меньше самой низкой отметки по трассе.

В системе прямоугольных координат, где линия условного горизонта – ось расстояний, а вертикальная линия, проходящая через нулевой пикет – ось отметок, строят положение всех пикетов и плюсовых точек.

Полученные точки соединяют прямыми линиями и получают продольный профиль местности по оси трассы. Все построения выполняют карандашом.

Над точками продольного профиля, которые служили началом поперечных профилей, строят сетки поперечных профилей (рис. 6.4).

Заполняют графы «Расстояния» и «Фактические отметки» так же, как это делалось при построении продольного профили. Под сеткой надписывают пикетажные обозначения точек поперечного профиля.

Выбрав условный горизонт, строят положение точек поперечного профиля. Соединив полученные точки, получают поперечный профиль местности.

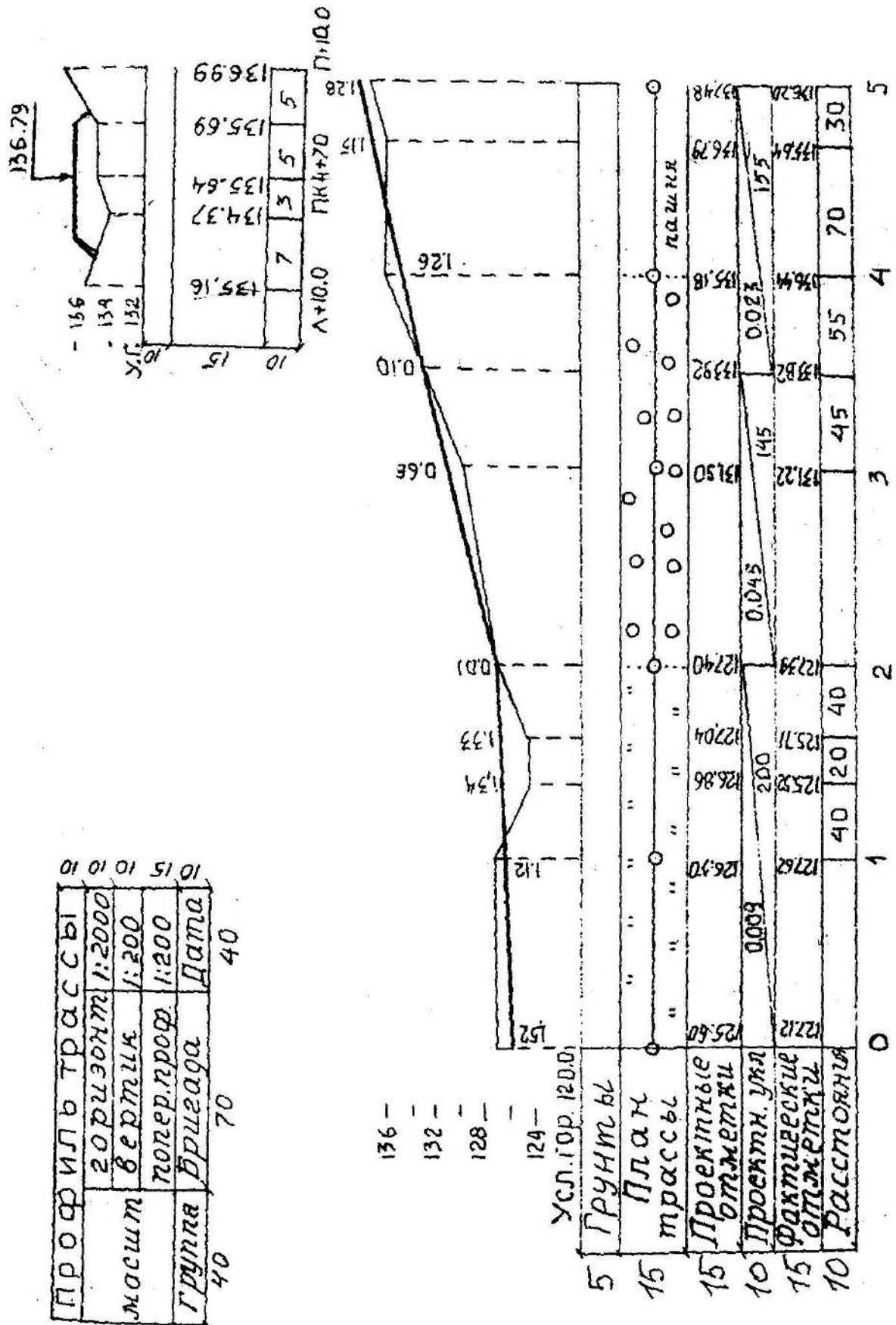


Рис. 6.4. Профиль трассы

Профиль местности – графический документ, позволяющий решать ряд инженерных задач.

6.5.3. Проектирование по профилю

На практике по продольному профилю студенты проводят проектную линию, которая будет являться профилем оси будущего инженерного сооружения (дороги, канала и т. д.). Проектную линию намечают графически с учетом следующих требований:

- уклоны участков проектной линии не должны превышать допустимых значений (предельный уклон задается преподавателем);
- объем земляных работ должны быть минимальным;
- объемы насыпей и выемок должны быть примерно одинаковы, т. е. на профиле должно соблюдаться примерное равенство площадей насыпей и выемок;
- шаг проектирования принимают от 100 до 600 м;
- измерение уклона проектной линии можно производить на пикетах или плюсовых точках.

Проектная отметка ПК0 задается преподавателям или принимается равной фактической отметке этого пикета.

На рис. 6.4 проектная отметка ПК0 $H_0 = 125,60$ м участков проектной линии с разными уклонами намечено три: длиной 200, 145 и 155 м; измерение уклона проектной линии предусмотрено в двух точках: на ПК2 и на плюсовой точке ПК3+45,0 расчет и вычерчивание проектной линии производится в следующем порядке:

По профилю определяют приблизительно (с точностью 0,1 мм в вертикальном масштабе профиля) проектные отметки точек перелома и конца проектной линии:

$$H_2 = 127,4\text{ м}; \quad H_{3+45.0} = 133,8\text{ м}; \quad H_5 = 137,4\text{ м}.$$

Вычисляют превышения по участкам проектной линии:

$$h_1 = H_2 - H_0 = +1,8\text{ м};$$

$$h_2 = H_{3-45.0} - H_2 = +6,4\text{ м};$$

$$h_3 = H_5 - H_{3+45.0} = +3,6\text{ м}.$$

вычисляют уклоны i – отношения превышений h к горизонтальным проложениям участков проектной линии d :

$$i = \frac{h}{d}.$$

$$i_1 = \frac{1,8}{200} = +0,009;$$

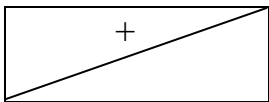
$$i_2 = \frac{6,4}{145} = +0,045;$$

$$i_3 = \frac{3,6}{155} = +0,023.$$

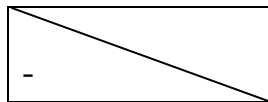
Полученные уклоны округляют до 0,001 и выписывают в графу «Проектные уклоны» продольного профиля.

Все данные проектирования наносят на профиль красным цветом.

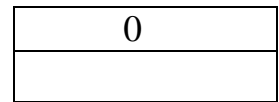
Под выписанными уклонами проводят линии (с подъемом (а), спуском (б) или горизонтальные (с) – в зависимости от знака уклона). Под линиями выписывают длины участков проектной линии.



(а)



(б)



(с)

По значениям округленных уклонов вычисляют и выписывают в соответствующую графу продольного профиля проектные отметки концов участков проектной линии по формуле:

$$H_{n-1} = H_n + i \times d.$$

Для нашего примера:

$$H_2 = 125,60 + 0,009 \times 200 = 125,60 + 1,80 = 127,40 \text{ м};$$

$$H_{3-45} = 127,40 + 0,45 \times 145 = 127,40 + 6,52 = 133,92 \text{ м};$$

$$H_5 = 133,92 + 0,023 \times 155 = 133,92 + 3,56 = 137,46 \text{ м}.$$

На профиле уточняют по вычисленным отметкам положение точек перелома и конца проектной линии, соединяют полученные отрезки линиями и получают проектный профиль оси будущего инженерного сооружения.

Вычисляют и выписывают проектные отметки всех остальных пикетов и плюсовых точек трассы по той же формуле (здесь «*d*» – это расстояние между пикетами, или расстояние от пикета до плюсовой точки). $H_1 = H_0 + i \times 100 = 126,50$ м, $H_{1-40} = H_1 + i \times 40 = 126,86$ м. Контролем вычислений служат выписанные проектные отметки конца участков проектной линии.

Вычисляют рабочие отметки как разности проектных и фактических отметок соответствующих точек профиля. Рабочие отметки выписывают около проектной линии: положительные (высота насыпи) – выше, а отрицательные (глубина выемки) – ниже проектной линии.

В заключении по вычисленной отметке точки оси поперечного профиля наносят положение проектной линии на поперечном профиле. Над проектной линией выписывают ее отметку. Проектную линию наносят горизонтально, по 10м влево и вправо от оси трассы. Показывают кюветы (если линия идет в выемке) и откосы (если линия идет по насыпи). Уклон откосов и бортов канав

45°, ширина дна кювета – 0,6 м. Над продольным профилем вычерчивают штамп.

Перечень сдаваемых материалов: отчет по нивелированию (раздел в общем отчете по практике), пикетажный журнал, журнал нивелирования, профиль местности по оси трассы.

7. ИНЖЕНЕРНО-ГЕОДЕЗИЧЕСКИЕ ЗАДАЧИ

На геодезической практике студенты выполняют следующие инженерно-геодезические задачи:

- вынос в натуру точки с заданными координатами;
- вынос на местность точки с заданной отметкой;
- вынос в натуру линии с заданным уклоном.

Проектные данные для выполнения этих задач (отметки, длины линий, уклон, координаты) задает преподаватель.

Подготовительные работы для решения инженерно-геодезических задач выполняются по топографическому плану масштаба 1:500, составленному студентами по результатам тахеометрической съемки.

Вынос проекта в натуру (геодезические разбивочные работы) осуществляются от имеющихся на участке пунктов геодезической сети с использованием следующих геодезических приборов: теодолита Т-30, нивелира Н-3 или Н-10, мерной ленты, рулетки.

7.1. Элементы геодезических разбивочных работ

Разбивочные работы можно представить как совокупность отдельных простых операций. Рассмотрим основные из них.

7.1.1. Вынос в натуру проектного горизонтального угла

Над вершиной угла O устанавливают теодолит и ориентируют его лимб вдоль заданного направления OA . Вращением алидады откладывают проектный угол β и по направлению визирной оси трубы забивают колышек C_1 . Для исключения влияния коллимационной ошибки проводят трубу через зенит и откладывают величину угла β при другом положении вертикального круга, забивают колышек в точке C_2 . Расстояние C_1C_2 делят пополам, полученный угол AOC и будет проектным углом. После построения проектного угла производят контрольные измерения этого угла (см. рис. 7.1).

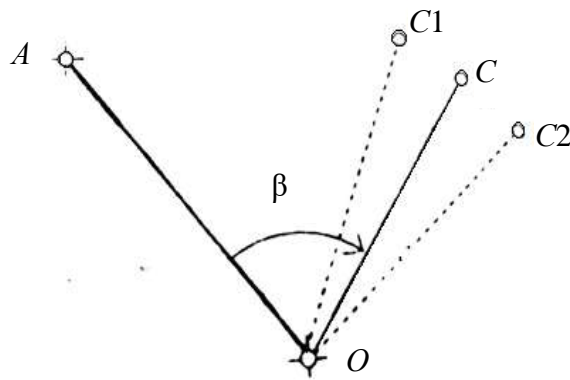


Рис. 7.1. Построение на местности проектного горизонтального угла

7.1.2. Вынос в натуру проектного расстояния

Для выноса проектного расстояния по заданному направлению мерной лентой откладывают наклонную длину, конец линии закрепляют кольшком. Для контроля длину линии измеряют второй раз – обратно. Наклонное проектное расстояние находят по формуле:

$$L = \sqrt{D^2 + h^2},$$

где D – горизонтальное проложение линии, м; h – превышение между точками концами линии, м.

D и h определяют по топографическому плану.

7.2. Вынос в натуру точки с заданными координатами (полярным способом)

На топографическом плане запроектирована буровая скважина (C), которую необходимо вынести в натуру от ближайших пунктов геодезической сети (в примере пункты 1 и 2 на рис. 7.2).

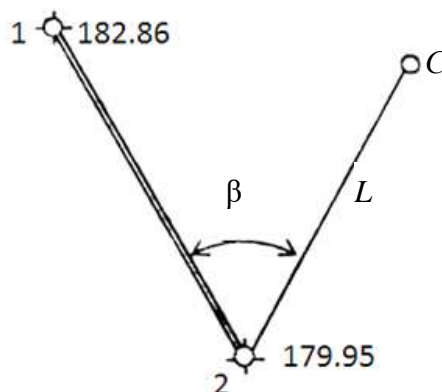


Рис. 7.2. Схема выноса в натуру запроектированной точки

Прямоугольные координаты и отметки пунктов геодезической сети 1 и 2 выписывают из ведомостей вычисления координат и высот точек съемочного обоснования, а координаты и отметку точки C студенты определяют графически с топографического плана (таблица 7).

Таблица 7

Исходные данные

	X	Y	H
1	3833,62	2950,42	182,86
2	3771,20	2838,80	179,95
C	3764,42	2858,20	184,50

Для переноса запроектированной точки в натуру применим способ полярных координат.

Вначале выполняют геодезическую подготовку проекта. Для этого необходимо вычислить разбивочные элементы, т. е. полярный угол β и полярное расстояние L по формулам:

$$\beta = \alpha_{2-C} - \alpha_{2-1},$$

$$r(\alpha_{2-C}) = \arctg \frac{Y_C - Y_2}{X_C - X_2},$$

$$r(\alpha_{2-1}) = \arctg \frac{Y_1 - Y_2}{X_1 - X_2},$$

$$L = \sqrt{D^2 + h^2}, \quad D_{2-C} = \sqrt{\Delta X^2 + \Delta Y^2}, \quad h = H_C - H_2,$$

где X_1, X_2, Y_1, Y_2 – прямоугольные координаты исходных пунктов; X_C, Y_C – прямоугольные координаты запроектированной точки C ; H_2, H_C – отметки точек 2 и C ; D_{2-C} – горизонтальное проложение линии 2 – C ; L – наклонное проектное

расстояние от пункта 2 до точки C; α_{2-C} , α_{2-1} – дирекционные углы линий 2-C и 2-1.

В нашем примере:

$$r(\alpha_{2-1}) = \operatorname{arctg} \frac{2950,42 - 2838,80}{3833,62 - 3771,20} = \operatorname{arctg} \frac{+111,62}{+62,42} = 1,78821 \text{ (1-я четверть),}$$

$$r(\alpha_{2-1}) = \alpha_{2-1} = 60^{\circ}47'07''.$$

$$r(\alpha_{2-C}) = \operatorname{arctg} \frac{2858,20 - 2838,80}{3764,42 - 3771,20} = \operatorname{arctg} \frac{+19,40}{-6,78} = 2,86136 \text{ (2-я четверть),}$$

$$r_{2-C} = 70^{\circ}44'10''.$$

$$\alpha_{2-C} = 180^{\circ} - 70^{\circ}44'10'' = 109^{\circ}15'50'',$$

$$\beta = 109^{\circ}15'50'' - 60^{\circ}47'07'' = 48^{\circ}28'43'',$$

$$D_{2-C} = \sqrt{19,40^2 + 6,78^2} = 20,55, \text{ м,}$$

$$h = 184,50 \text{ м} - 179,95 \text{ м} = 4,55 \text{ м,}$$

$$L = \sqrt{20,55^2 + 4,55^2} = 21,05, \text{ м.}$$

Затем составляют разбивочный чертеж в масштабе топографического плана, на котором запроектирован объект (рис. 7.3).

На разбивочный чертеж наносят: пункты геодезической сети (1, 2); величины углов и линий, которые необходимо отложить на местности от исходных пунктов до проектированной точки.

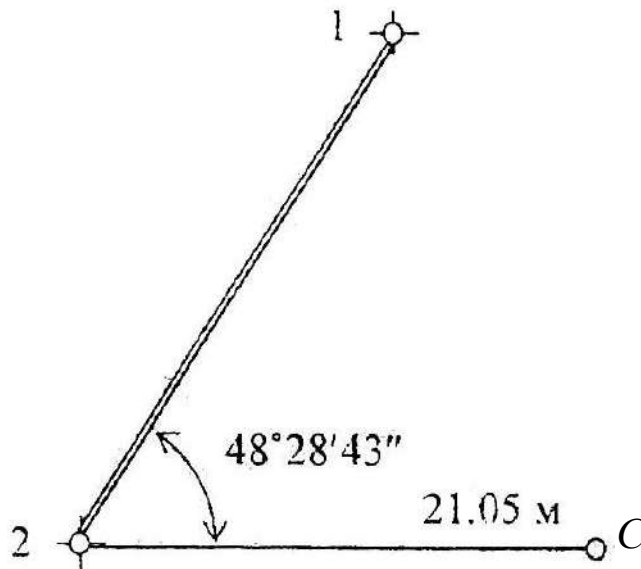


Рис. 7.3. Разбивочный чертеж

На местности в точке 2 устанавливают теодолит и способами изложенными выше (7.1.1, 7.1.2), отмеряют величины, указанные на разбивочном чертеже. Для контроля можно вычислить полярные координаты точки C от пункта 1.

7.3. Вынос в натуру точки с заданной отметкой

От пункта геодезической сети A с отметкой $H_0 = 49,347$ м необходимо вынести на местность точку B с проектной отметкой $H_{пр} = 48,000$ м. Сначала точку B выносят и закрепляют на местности в соответствии с ее плановым положением.

Для выноса проектной отметки в точке B между исходной точкой A и проектной точкой B устанавливают нивелир (рис. 7.4).

Установив рейку на т. A, берут по ней отсчет a (пусть $a = 0,572$ м).

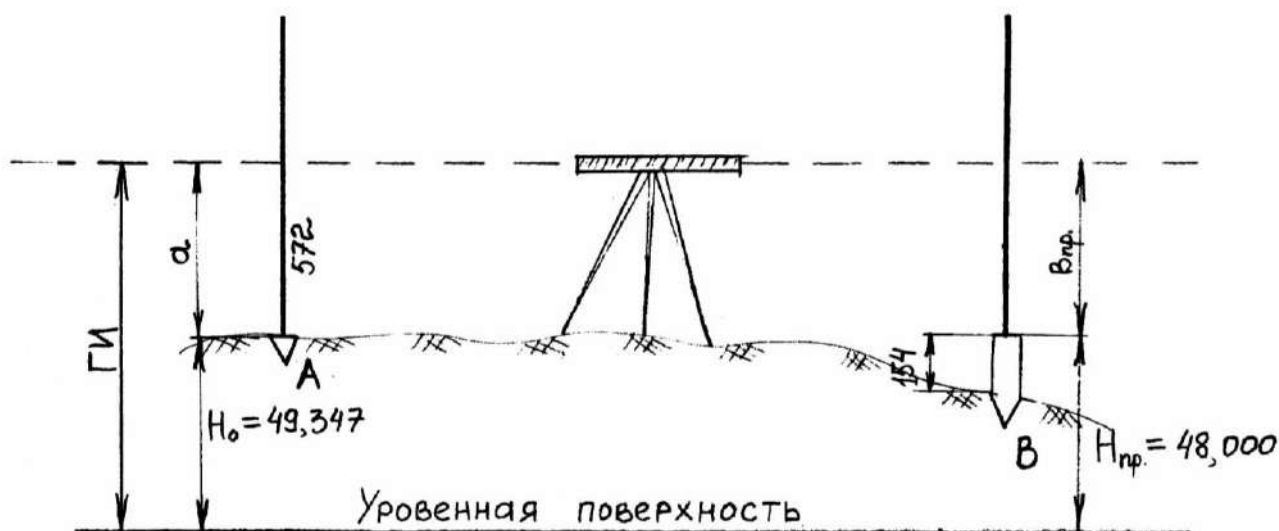


Рис. 7.4. Вынос в натуру точки с проектной отметкой

Определяют горизонт инструмента (ГИ) по формуле:

$$\text{ГИ} = H_0 + a = 49,347 + 0,572 = 49,946 \text{ м.}$$

Вычисляют проектный отсчет по рейке $v_{\text{пр}}$, соответствующий проектной отметке точки В.

$$v_{\text{пр}} = \text{ГИ} - H_{\text{пр}} = 49,946 \text{ м} - 48,000 \text{ м} = 1946 \text{ мм.}$$

Затем, наблюдая в трубу нивелира по рейке установленной в точке В, забивают кольшек на такую глубину, чтобы отсчет по рейке, установленной пятой на кольшке, был равен вычисленному значению $v_{\text{пр}} = 1946 \text{ мм}$.

Допустим, отсчет по рейке в т. В равен 2100 мм, тогда $2100 - 1946 = 154 \text{ мм}$, это величина, на которую надо приподнять кольшек, чтобы получить проектную отметку, соответствующую верху кольшка.

7.4. Вынос в натуру линии с проектным уклоном

От пункта геодезической сети А с отметкой $H_0 = 50,20 \text{ м}$ (рис. 7.5, а) требуется разбить линию длиной $D = 30 \text{ м}$ с уклоном $i = 0,040$.

Проектное направление линии выносят на местность, закрепляют точками, расположенными через 10 м (1, 2, В).

Вычисляют проектные отметки точек 1, 2, В по формуле:

$$H_{\text{пр}} = H_0 + i \times d,$$

где $H_{\text{пр}}$ – проектная отметка точки, закрепленной на линии АВ; i – проектный уклон; d – расстояние от исходной точки А до определенной точки.

$$H_{\text{пр}1} = 50,20 + 0,040 \times 10 = 50,20 + 0,04 = 50,24 \text{ м};$$

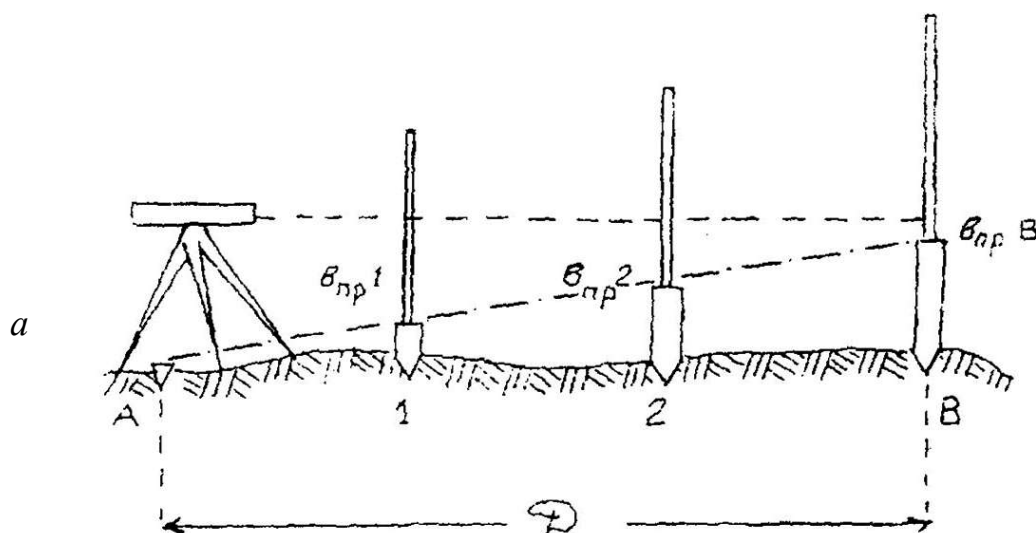
$$H_{\text{пр}2} = 50,20 + 0,040 \times 20 = 50,20 + 0,08 = 50,28 \text{ м};$$

$$H_{\text{прВ}} = 50,20 + 0,040 \times 30 = 50,20 + 0,12 = 50,32 \text{ м}.$$

Вычисленные проектные отметки точек 1, 2, В выносят в натуру изложенным выше способом. На рис. 7.5, а $v_{\text{пр}1}$, $v_{\text{пр}2}$, $v_{\text{прВ}}$ – проектные отсчеты по рейке в точках 1, 2, В.

При другом способе разбивки проектного уклона подъемными винтами нивелира наклоняют трубу нивелира до тех пор, пока отсчет по рейке на вынесенной проектной точке В не станет равен высоте инструмента. В результате линия визирования будет параллельна линии заданного уклона. Промежуточные точки линии определяют установкой рейки в точках 1 и 2 и получением на них того же отсчета, что и на точке В (рис. 7.5, б).

Материалы, прилагаемые к отчету в главе «Инженерно-геодезические задачи».



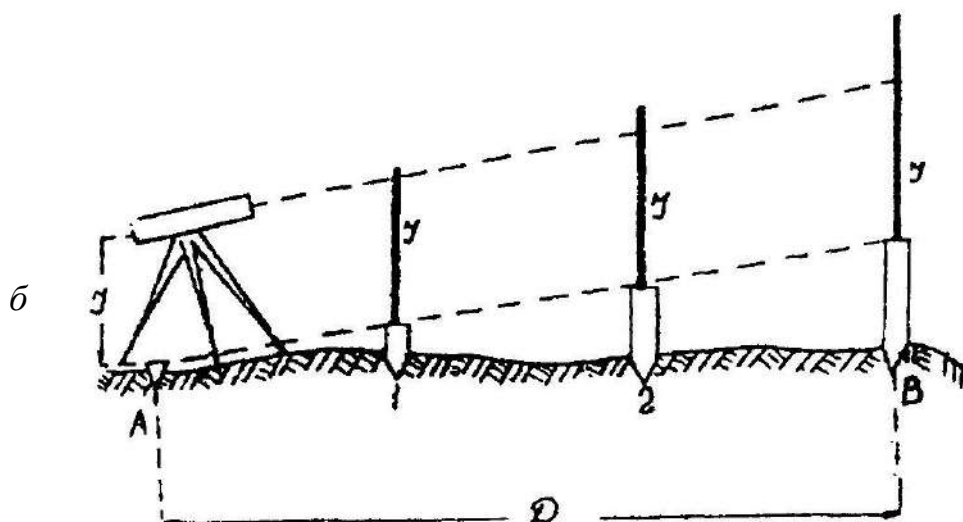


Рис. 7.5. Построение заданного уклона

В отчете по геодезической практике в главе «Инженерно-геодезические задачи» дается описание решения задачи, все вычисления по определению разбивочных элементов и разбивочные чертежи с указанием углов и длин, которые необходимо отложить на местности от исходных пунктов до проектных точек; на топографическом плане бригады указывают проектные точки.

8. ОФОРМЛЕНИЕ ОТЧЕТА ПО ПРАКТИКЕ

По итогам геодезической практики студенты пишут бригадный отчет. Отчет оформляется на листах А-4. В отчете отражаются следующие вопросы:

- описание участка работ: местоположения, рельеф, растительность, гидрография, дорожная сеть, наличие населенных пунктов, промышленных предприятий и т. п.;

- виды геодезических работ, поверки приборов, камеральная обработка результатов полевых измерений, результаты и допуски;

- виды работ, выполненные отдельными студентами.

Содержание отчета:

1. Общие сведения.
2. Физико-географическая характеристика района работ.
3. Рекогносцировка местности и закладка центров.
4. Поверки теодолита.
5. Измерение горизонтальных и вертикальных углов и измерение расстояний.
6. Вычисление координат и отметок съемочного обоснования.
7. Тахеометрическая съемка.
8. Поверки нивелира.
9. Геометрическое нивелирование.
10. Инженерно-техническое нивелирование по оси трассы.
11. Решение инженерно-геодезических задач.
12. Вычерчивание топографического плана.

К отчету прилагаются:

1. Схема съемочного обоснования и привязки в произвольном масштабе (на схему выписывают средние значения измеренных углов и длин).
2. Журналы измерения углов и длин сторон.
3. Ведомости вычисления отметок точек съемочного обоснования.
4. Ведомость вычисления координат точек съемочного обоснования.
5. Журнал тахеометрической съемки.
6. Абрисы.
7. Топографический план масштаба 1:500.
8. Пикетажный журнал.
9. Журнал нивелирования.
10. Профиль местности по оси трассы.

СПИСОК РЕКОМЕНДУЕМОЙ ЛИТЕРАТУРЫ

ГОСТ 22268-76. Геодезия. Термины и определения.

ГКИНП-02-033-79. Инструкция по топографической съемке в масштабах 1:5000, 1:2000, 1:1000 и 1:500.

Клепко В. Л., Назаров И. В. Геодезия: курс лекций. Екатеринбург: Изд-во УГГУ, 2017. – 148 с.

СП 47.13330.2012. Инженерные изыскания для строительства. Основные положения.

Условные знаки для топографических планов масштабов 1:5000, 1:2000, 1:1000, 1:500.

ПРИЛОЖЕНИЯ

ПРИЛОЖЕНИЕ 1

Стандартный шрифт

Стандартный шрифт (по ГОСТу 2.304-81 – чертежный шрифт) пишется от руки с наклоном 1:3. Применяется для ведения записей в журнале и оформления документации.

А Б В Г Д Е Ж З И Й К Л М Н О П Р

С Т У Ф Х Ц Ч Ш Щ Ъ Ы Ь Э Ю Я

а б в г д е ж з и й к л м н о п р с т

у ф х ц ч ш щ ъ ы ь э ю я

СХЕМА Профиль *План*

147°25' 638,9 70,241 139°57'

Студент Преподаватель

Вычислительный шрифт

Вычислительный шрифт имеет прямое начертание. Он применяется при полевых и вычислительных работах. Шрифт легко запоминается и читается, прост в исполнении.



Пирамида. Сигнал. Азимутный пункт. Широта и долгота. Наблюдение горизонтальных углов. Исправленные углы.

4 152	4 3175	9.175 371	3.323 715	4 252.62	3 189.14
2 245	11 657	7 963.57	152 343.5	1.569 145	2 356.16
250° 41'	24° 32'	293° 38' 45"	225° 49'	31° 53' 47"	15° 24'

МИНОБРНАУКИ РОССИИ
ФГБОУ ВО «Уральский государственный горный университет»

МЕТОДИЧЕСКИЕ УКАЗАНИЯ
ДЛЯ САМОСТОЯТЕЛЬНОЙ РАБОТЫ СТУДЕНТОВ СПЕЦИАЛЬНОСТИ
21.05.03 «ТЕХНОЛОГИЯ ГЕОЛОГИЧЕСКОЙ РАЗВЕДКИ» ПО
ДИСЦИПЛИНЕ
ОБЩАЯ ГЕОЛОГИЯ

Екатеринбург

Введение

Естественные науки – совокупность наук о природе. Природа – в широком смысле – все сущее, весь мир в многообразии его форм; объект естествознания. К естественным наукам относятся и география, и геология. **География** – система естественных – физико-географических и общественных – экономико-географических наук, изучающих географическую оболочку Земли, природные и производственно-территориальные комплексы и их компоненты. **Геология** – комплекс наук о составе, строении и истории развития земной коры и Земли (Советский энциклопедический словарь. М.: Изд-во «Советская энциклопедия», 1979).

В школьных программах нет дисциплины «Геологии». Элементарные сведения о Земле как планете и ее внутреннем строении школьники получают на уроках «Географии» в 6 и 7 классах. Для изучения геологических вопросов рекомендуем самостоятельно читать учебники по геологии. В настоящее время выпущено огромное число самых различных учебников, учебных пособий, методических указаний по всем направлениям геологических наук. Любой желающий по своему усмотрению без особого труда может для себя их приобрести. Но следует помнить афоризм Козьмы Прутков: «Никто не обнимет необъятного!» Нельзя школьникам сразу преподносить геологические знания в объеме читаемой в высшей школе, но знать основы геологии необходимо каждому грамотному человеку для того, чтобы понимать историю развития природы. Без этих знаний невозможно понять процесс формирования как прошлых, так и современных ландшафтов – важнейших составных частей географической оболочки Земли.

Для квалифицированного подхода к встрече с природными объектами рекомендуем иметь элементарные познания по геологии. Аннотации первоочередных лекций приведены в настоящих методических указаниях.

Геология – это наука о Земле, о ее свойствах и изменениях, происходящих на ней в настоящее время, а также совершавшихся во времена прошедшие. Геология – это история Земли, и эту историю она сама записывает. Она сама ведет свою автобиографию; ведет ее без перерыва почти от начала своего образования и до настоящего времени, записывая ее на своих каменных страницах, и человеку остается лишь научиться читать эту занимательную каменную летопись, научиться понимать эти каменные письма, в которых буквами являются попадающиеся нам под ноги камешки, а чернилами – воды ручьев, рек и морей. Вначале мы должны научиться различать буквы – камни, потом должны постигнуть самый процесс чтения записей Земли, для этого должны изучать геологические процессы, и лишь после того, как мы хорошо освоимся с ними, мы можем приступить к чтению древних страниц этой летописи. В этой великой многотомной летописи Вселенной всякая летопись человека, будь то самый древний папирус, является лишь одной незначительной строчкой, помещенной в конце ее последней страницы. Читая эту великую автобиографию, мы уносимся в бесконечно отдаленные от нас, неизмеримые даже тысячелетиями, времена. Эти далекие времена отдалены от нас во времени так, как отдалены от нас в пространстве далекие, загадочно мерцающие звезды.

Но где и как можно научиться читать эту великую летопись Земли? Где и как надо изучать геологию? Везде и всюду – в каждом овраге, в каждой речке, в любом карьере можно наблюдать результаты геологических процессов. Для изучения геологических процессов необходимо принимать участие в геологических экскурсиях, проходящих по геологическим объектам, доступными непосредственно нашему наблюдению.

1. ОБЪЕКТ И ПРЕДМЕТ ГЕОЛОГИИ

1.1. НАУКА О ЗЕМЛЕ. ФУНДАМЕНТАЛЬНЫЕ И ПРИКЛАДНЫЕ НАУЧНЫЕ НАПРАВЛЕНИЯ

Два греческих слова "гео" — Земля и "логос" — учение позволяют трактовать термин "геология" как науку о Земле. Однако в наше время ограничиться таким простым толкованием уже нельзя, поскольку этот термин объединяет в себе целый комплекс самостоятельных направлений, как фундаментальных, так и прикладных.

Под **фундаментальными** обычно понимают те направления, которые разрабатывают понятия, открывают явления, закономерности, свойства, определяющие развитие геологии как науки. Фундаментальность не следует отождествлять с теоретическими разработками. К фундаментальным геологическим наукам могут быть отнесены следующие дисциплины: геохимия, минералогия, петрография, геотектоника, общая геология и историческая геология. Названные дисциплины занимаются различными уровнями организации вещества Земли в пространстве и во времени. Именно это обстоятельство в основном и определяет фундаментальность каждого из названных направлений. Все они теснейшим образом связаны между собой.

К **прикладным направлениям** принято относить те, которые непосредственно работают на производство: создают приёмы, методы, технологию геологических исследований, связанных в первую очередь, с поисками и разведкой полезных ископаемых, а также охраной и рациональной эксплуатацией земных недр. Их в современной геологии значительно больше, чем фундаментальных. Назовём лишь несколько: региональная геология, структурная геология, геологическое картирование, поиски и разведка месторождений полезных ископаемых, инженерная геология.

1.2. ОБЪЕКТ И ПРЕДМЕТ ГЕОЛОГИИ

Объектом общей геологии является Земля в целом: её возникновение как планеты, формирование внутренних и внешних оболочек, их функционирование и взаимодействие. Иными словами, речь идёт об изучении Земли как геологической системы.

Предметом непосредственного изучения геологии служат минералы, горные породы, ископаемые органические остатки и современные геологические процессы.

В основе научного познания геологической истории Земли, реконструкции процессов и обстановок прошлого лежит **метод актуализма**. При использовании этого метода к пониманию прошлого идут от изучения современных процессов, но с осознанием того, что в прошлом, особенно отдалённом от современности, и физико-географическая обстановка, и сами процессы отличались от современных тем больше, чем больше отдалена от нас прошлая геологическая эпоха.

1.3. ЗНАЧЕНИЕ ГЕОЛОГИИ ДЛЯ РАЗВИТИЯ ОБЩЕСТВА

Огромное значение, которое имеет геология, может быть рассмотрено в двух аспектах - общенаучном и народнохозяйственном.

Общенаучное значение геологии заключается в её неопределимой роли в формировании материалистического понимания природы. Данные геологии играют важную роль в диалектико-материалистическом обосновании философских принципов, отражающих материальное единство мира и его развитие,

Практическое значение геологии заключается в обеспечении минерально-сырьевыми ресурсами различных отраслей хозяйства, в инженерно-геологическом

обосновании строительства разнообразных гражданских и промышленных объектов, в решении питьевого и технического водоснабжения.

1.4. КРАТКАЯ ИСТОРИЯ ГЕОЛОГИИ

Геология зародилась в глубокой древности. Задолго до новой эры человек научился выплавлять металлы, использовать минеральную воду. Издавна привлекали внимание человека и природные процессы. Однако временем возникновения геологии как науки принято считать вторую половину ХУШ в. – период зарождения и бурного развития горнодобывающей промышленности. В России основоположником обобщений геологических знаний стал М.В. Ломоносов (1711-1765), в Западной Европе – Д.Геттон (1726-1797) и А.Г.Вернер (1750-1817).

2. ОБЩИЕ СВЕДЕНИЯ О ЗЕМЛЕ

2.1. ЗЕМЛЯ ВО ВСЕЛЕННОЙ

"Вселенная, весь мир, бесконечный во времени и пространстве и бесконечно разнообразный по тем формам, которые принимает материя в процессе своего развития. Вселенная существует объективно, независимо от сознания человека, её познающего. Вселенная содержит гигантское множество небесных тел, многие из которых по размерам превосходят Землю иногда во много миллионов раз (БСЭ, т.5, с. 1315). Доступная для изучения часть Вселенной называется *Метагалактикой*, включающей свыше миллиарда звёздных скоплений, или *галактик* (греч. "галактика" - молочный, млечный).

Наша Галактика Млечного Пути - типичная звездная система с массой около 10^{10} масс Солнца относится к типу спиральных и включает свыше 150 миллиардов звёзд. С Земли, расположенной внутри Галактики, Млечный Путь представляется в виде широкой белёсой полосы звезд, пересекающей небо. Период обращения Солнца и звёзд вокруг центра Млечного Пути 200 млн. лет. Возраст Галактики около 12 млрд. лет. Когда речь идёт о Солнечной системе, то имеется в виду Солнце и всё, что находится в поле его тяготения. К наиболее крупным телам этой системы относятся 9 планет, 34 их спутника, многочисленные кометы и астероиды. Согласно современным космогеническим представлениям Земля и другие планеты Солнечной системы образовались 4,6 млрд. лет назад почти одновременно с Солнцем.

Земля обращается вокруг Солнца по эллиптической орбите на среднем расстоянии 149,6 млн. км (144,117 млн. км в перигелии, 152,083 в афелии), период обращения 365,242 средних солнечных суток (год), скорость в среднем 29,765 км\с (30,27 км\с в перигелии, 29,27 км\с в афелии). Период обращения Земли вокруг оси 23 час 56 мин 4,1 с (сутки).

Пожалуй, все согласны с тем, что исходным веществом для формирования Солнечной системы послужили межзвёздная пыль и газы, широко распространенные во Вселенной. Но каким образом в их составе оказался полный набор химических элементов таблицы Менделеева и что послужило толчком для начала конденсации газа и пыли в протосолнечную туманность остается дискуссионной проблемой. Следующая стадия образования Солнечной системы предусматривает распад протопланетного диска на отдельные планеты внутренней и внешней групп с поясом астероидов между ними. Промежуточной фазой было образование сонма твердых и довольно крупных, до сотен километров в диаметре, тел, именуемых планетезималями, последующее скопление и соударение которых и явилось процессом аккреции (наращивания) планеты. Этот процесс занял не более сотни миллионов лет, т.е. был с геологической точки зрения очень быстрым.

Важнейшее отличие Земли от других планет Солнечной системы - существование на ней жизни, появившейся 3-3,5 млрд. лет назад и достигшей с появлением человека (12 млн. лет назад) своей высшей формы.

2.2. ФОРМА И РАЗМЕРЫ ЗЕМЛИ

Поверхность реальной Земли чрезвычайно сложна и во всех деталях навряд ли может быть описана с помощью математических формул. Однако эта сложность существенно уменьшается при переходе от крупномасштабного к мелкомасштабному изображению, когда особенности рельефа Земли рассматриваются для достаточно обширных территорий.

Под фигурой, или формой Земли, понимают форму ее твердого тела, образованную поверхностью материков и дном морей и океанов. Форма планеты определяется ее вращением, соотношением сил притяжения и центробежной, плотностью вещества и его распределением в теле Земли. Геодезические измерения показали, что упрощенная форма Земли приближается к *эллипсоиду вращения (сфероиду)*. В СССР в качестве эталона в 1946 году был принят эллипсоид Ф.Н.Красовского и его учеников (А.А.Изотов, и др.), основные параметры которого подтверждаются современными исследованиями и с орбитальных станций. По этим данным экваториальный радиус равен 6378,245 км, полярный радиус 6356,863 км, полярное сжатие $1/298,25$.

Поверхность реальной Земли чрезвычайно сложна и во всех деталях навряд ли может быть описана с помощью математических формул. Однако эта сложность существенно уменьшается при переходе от крупномасштабного к мелкомасштабному изображению, когда особенности рельефа Земли рассматриваются для достаточно обширных территорий.

В связи с расчлененностью рельефа (наличием высоких гор и глубоких впадин) действительная форма Земли является более сложной, чем трехосный эллипсоид. Наиболее высокая точка на Земле - гора Джомолунгма в Гималаях - достигает высоты 8848 м. Наибольшая глубина - 11 034 м - обнаружена в Марианской впадине. Таким образом, наибольшая амплитуда рельефа земной поверхности составляет немногим менее 20 км. Учитывая эти особенности, немецкий физик Листинг в 1873 г. фигуру Земли назвал геоидом, что дословно обозначает «землеподобный». **Геоид** — некоторая воображаемая уровневая поверхность, которая определяется тем, что направление силы тяжести к ней будет всегда перпендикулярно. Эта поверхность совпадает с уровнем воды в Мировом океане, который мысленно проводится под континентами. Это та поверхность, от которой проводится отсчет высот рельефа. Поверхность геоида приближается к поверхности трехосного эллипсоида, отклоняясь от него местами на величину 100-150 м (повышаясь на материках и понижаясь на океанах, что, по-видимому, связано с плотностными неоднородностями масс в Земле и появляющимися из-за этого аномалиями силы тяжести).

2.4. СТРОЕНИЕ ЗЕМЛИ

Изучение внутреннего строения Земли производится различными методами. Геологические методы, основанные на изучении естественных обнажений горных пород, разрезов шахт и рудников, керн глубоких буровых скважин, дают возможность судить о строении приповерхностной части земной коры. Глубинное внутреннее строение Земли изучается главным образом геофизическими методами: сейсмическими, гравиметрическими, магнитометрическими и др. Одним из важнейших методов является сейсмический, основанный на изучении скорости распространения упругих волн, вызванных естественными и "искусственными" землетрясениями.

На основании скорости распространения сейсмических волн австралийский сейсмолог К. Буллен разделил Землю на ряд зон, дал им буквенные обозначения в

определённых усреднённых интервалах глубин, которые используются с некоторыми уточнениями до настоящего времени.

Выделяются три главные области Земли:

Земная кора (слой А) - верхняя оболочка Земли, мощность которой изменяется от 6-7 км под глубокими частями океанов до 35- 40 км под равнинными платформенными территориями континентов, до 50 - 75км под горными сооружениями (наибольшие под Гималаями и Андами).

Мантия Земли распространяется до глубин 2900км. В её пределах по сейсмическим данным выделяются: верхняя мантия - слой В глубиной до 400км и С - до 800 - 1000км (некоторые исследователи слой С называют средней мантией); нижняя мантия - слой D до глубины 2900 с переходным слоем от 2700 до 2900км.

Ядро Земли подразделяется на внешнее ядро - слой Е в пределах глубин 2900 - 4980км; переходную оболочку - слой Г - от 4980 - 5120км; и внутреннее ядро - слой G до 6971 км.

Земная кора - это верхняя каменная оболочка Земли, сложенная магматическими, метаморфическими и осадочными породами. Она представляет собой наиболее активный слой твердой Земли - сферу деятельности магматических и тектонических процессов. Нижняя граница земной коры как бы зеркально повторяет поверхность Земли. Под материками она глубоко опускается в мантию, под океанами приближается к поверхности Земли,

Мантия Земли является самым крупным элементом Земли - она занимает 83% ее объема и составляет около 66% ее массы.

Верхняя мантия характеризуется резким нарастанием скорости распространения сейсмических волн с глубиной. Выделяется два слоя: В (35-420 км), С (420-1000 км). Внутри слоя В, с глубин 80-100 км под материками и 50-70 км под океанами и до глубин 250-300 км, выделяется слой пониженной вязкости, который носит название *астеносферы*. Астеносфера выделяется по геофизическим данным как слой пониженной скорости, поперечных сейсмических волн и повышенной электропроводности. Повышенная вязкость астеносферы обусловлена, по-видимому, высокой температурой, приводящей, как полагают, к частичному выплавлению базальтовой магмы. Астеносфера играет важную роль в эндогенных процессах, протекающих в земной коре.

Земная кора вместе с твёрдой частью слоя Гутенберга образует единый жесткий слой, лежащий на астеносфере, который называется *литосферой*. По существу литосфера является своеобразной геосферой, отделённой от остальной части мантии активным поясом астеносферы.

Земная кора и верхняя мантия включая астеносферу, представляют собой *тектоносферу* - область Земли, где происходят тектонические явления.

3. ГЕОЛОГИЧЕСКИЕ ПРОЦЕССЫ

3.1. ОБЩИЕ СВЕДЕНИЯ О ГЕОЛОГИЧЕСКИХ ПРОЦЕССАХ

Под воздействием внутренних, или *эндогенных*, и внешних, или *экзогенных*, сил земная кора испытывает постоянные изменения, которые называются *геологическими процессами*. Соответственно различают эндогенные и экзогенные процессы.

Эндогенные процессы определяются глубинными источниками энергии. В результате на поверхности Земли образуются горные хребты и впадины, в земной коре возникают магматические очаги, происходят вулканические извержения, землетрясения. Эндогенные процессы характеризуются сложностью и большим разнообразием.

Экзогенные процессы развиваются на поверхности Земли за счёт энергии Солнца, и их интенсивность связана с активностью атмосферных явлений, геологической деятельностью поверхностных и подземных вод, озер, ледников, морей и океанов.

Сформировавшийся под воздействием эндогенных процессов рельеф молодых горных областей подвергается воздействию экзогенных сил, направленных на сглаживание, выравнивание рельефа. Таким образом, эндогенные и экзогенные процессы развиваются одновременно, связаны и взаимно обусловлены.

К эндогенным процессам относятся тектонические движения, магматизм и метаморфизм.

3.2. ТЕКТОНИЧЕСКИЕ ДВИЖЕНИЯ

Совокупность тектонических движений и деформаций, под воздействием которых формируются геологические структуры, называется тектоническими процессами, или *тектогенезом*. Тектонические движения – механические перемещения масс горных пород различного масштаба, сопровождающиеся изменениями их залегания и строения, а также связанными с этими изменениями деформациями (дислокациями). Тектоническим движениям принадлежит ведущая роль в развитии всех геологических процессов, так как они обуславливают перераспределение и трансформацию внутренней энергии Земли, влияют на изменение давления, интенсификацию теплопотока и т.д.

Упрощенно в зависимости от интенсивности, преимущественной направленности и геологических результатов тектонические движения можно разделить на две основные группы - *колебательные* и *дислокационные*.

3.3. ОБЩАЯ ХАРАКТЕРИСТИКА МАГМАТИЗМА

Магматизмом называют явления, связанные с образованием, изменением состава и движением магмы из недр Земли к ее поверхности. Магма представляет собой природный высокотемпературный расплав, образующийся в виде отдельных очагов в литосфере и верхней мантии, главным образом в астеносфере. Подъем магмы и прорыв ее в вышележащие горизонты происходят вследствие инверсии плотностей, при которой внутри литосферы появляются очаги менее плотного, но мобильного расплава. Магматизм - это глубинный процесс, обусловленный тепловым и гравитационными полями Земли.

В зависимости от характера движения магмы различают магматизм интрузивный и эффузивный. При **интрузивном магматизме** (плутонизме) магма не достигает земной поверхности, а активно внедряется во вмещающие вышележащие породы, частично расплавляя их, и застывает в трещинах и полостях коры. При **эффузивном магматизме** (вулканизме) магма через подводящий канал достигает поверхности Земли, где образует вулканы различных типов, и застывает на поверхности. В обоих случаях при застывании расплава образуются магматические горные породы. Температуры магматических расплавов, находящихся внутри земной коры, судя по экспериментальным данным и результатам изучения минерального состава магматических пород, находятся в пределах 700-1100°C.

Измеренные температуры магм, излившихся на поверхность, в большинстве случаев колеблются в интервале 900-1100°C, изредка достигая 1350°C. Более высокая температура наземных расплавов обусловлена тем, что в них протекают процессы окисления под воздействием атмосферного кислорода. На больших глубинах в магме в растворенном состоянии присутствуют летучие компоненты - пары воды и газов (H₂O, H₂, CO₂, HCl и др.). В условиях высоких давлений их содержание может достигать 12%. Они являются химически очень активными подвижными веществами и удерживаются в магме только благодаря высокому внешнему давлению.

3.4. ОБЩАЯ ХАРАКТЕРИСТИКА МЕТАМОРФИЗМА

Метаморфизм - преобразование горных пород под действием эндогенных процессов, вызывающих изменение физико-химических условий в земной коре. Преобразованию могут подвергаться любые горные породы: осадочные, магматические и ранее образовавшиеся метаморфические. Изменение минерального состава при метаморфизме может протекать *изохимически*, т. е. без изменения химического состава метаморфизируемой породы, и *метасоматически*, т. е. со значительным изменением химического состава метаморфизируемой породы за счет привноса и выноса вещества. Изменение структуры и текстуры пород обычно происходит в процессе перекристаллизации вещества. Особенность метаморфических процессов заключается в том, что они протекают с сохранением твердого состояния системы.

Метаморфизм представляет собой сложное физико-химическое явление, обусловленное комплексным воздействием температуры, давления и химически активных веществ.

3.5. ОСНОВНЫЕ ВИДЫ ЭКЗОГЕННЫХ ГЕОЛОГИЧЕСКИХ ПРОЦЕССОВ

Экзогенные геологические процессы в отличие от эндогенных протекают в самых верхних слоях земной коры на её границе с внешними геосферами Земли. Их энергетической основой является энергия солнечной радиации и сил гравитации. Экзогенные процессы протекают при нормальных значениях температуры и давления с поглощением тепла и направлены на дифференциацию вещества земной коры. Выделяют четыре группы (стадии) экзогенных геологических процессов: выветривание, денудацию, аккумуляцию, диагенез.

Выветривание (нем. "веттер" - погода) представляет собой процесс глубокого изменения магматических, метаморфических и осадочных горных пород и минералов, оказавшихся неустойчивыми в условиях земной поверхности. Изменение физического и химического состояния первичных минералов и горных пород происходит в месте их залегания в результате физического, химического и биологического воздействия воды, углекислого газа, различных минеральных и органических кислот, живых организмов, а также непосредственного воздействия солнечной радиации.

Денудация (лат. "денудацио" - обнажение) - это совокупность процессов удаления (сноса и переноса) продуктов выветривания с места их образования и непосредственного разрушения горных пород агентами денудации (силы гравитации, воды континентов, морей и океанов, ветер, ледники). Перемещая материал с возвышенностей в пониженные участки рельефа, денудационные процессы приводят к разрушению земной поверхности и образованию выровненных форм рельефа.

Аккумуляция (осадконакопление) - геологические процессы, в результате которых рыхлые продукты разрушения первичных горных пород накапливаются в понижениях рельефа: в речных долинах, озёрах, болотах, морях и океанах.

Диагенез (перерождение) представляет собой сложный процесс преобразования продуктов экзогенной деятельности (осадков) в осадочные горные породы под влиянием гравитационных сил и изменения физико-химических условий в приповерхностной части земной коры.

Все экзогенные геологические процессы тесно взаимосвязаны. Благодаря выветриванию происходит подготовка материала для денудации, а сами продукты выветривания, оставшиеся на месте, являются материалом для образования новых горных пород.

Основными результатами экзогенных геологических процессов являются изменения вещественного состава верхней части земной коры, дифференциация вещества по физическим и химическим свойствам, создание толщ осадочных горных пород и форм

рельефа земной поверхности. Благодаря экзогенным процессам формируются почвы и полезные ископаемые. Около 60% мировой добычи полезных ископаемых связано с продуктами экзогенной деятельности.

Вместе с тем разрушения берегов рек, озёр и морей, обвалы, оползни, снежные лавины, размыв и разрушение склонов, рост оврагов и заболачивание территорий - это также результаты деятельности экзогенных геологических процессов

4. ВЕЩЕСТВЕННЫЙ СОСТАВ ЗЕМНОЙ КОРЫ

Земную кору — верхнюю твердую оболочку Земли - составляют горные породы (магматические, осадочные и метаморфические), состоящие из определенного сочетания минералов, в состав которых входят различные химические элементы. Изучая такую иерархию: химические элементы – минералы – горные породы, можно судить о строении земной коры в различных структурных зонах.

4.1. МИНЕРАЛЫ

Подавляющее большинство химических элементов образуют в земной коре простые или сложные соединения (исключения составляют инертные газы и некоторые самородные элементы). Химические соединения, образовавшиеся в земной коре в результате природных процессов и обладающие определенными химическим составом и физическими свойствами, называются *минералами*. Установлено, что в земной коре содержится около 4000 минералов.

Любой минерал обладает вполне определённым химическим составом и вполне определённой кристаллической структурой, т.е. закономерным расположением в пространстве элементарных частиц (молекул, атомов, ионов). В зависимости от особенностей химического состава и кристаллической структуры минералы образуют многогранники различной формы, называемые кристаллами. Эти же характеристики минералов (химический состав и кристаллическая структура) обуславливают все физические свойства, такие, как цвет, блеск, твёрдость и т.д.

4.2. ГОРНЫЕ ПОРОДЫ

Горными породами называются устойчивые парагенетические ассоциации минералов, возникающие в результате определённых геологических процессов и образующие геологически самостоятельные тела в земной коре. Науки, изучающие горные породы, - петрография, литология, астрофизика и физика горных пород.

Традиционно под горными породами подразумеваются только твёрдые тела, в широком применении к горным породам относят также воду, нефть и природные газы.

Горные породы могут слагаться как одним минералом, так и их комплексом. Минералы, входящие в состав горной породы и определяющие её состав и свойства, называются *породообразующими*

Если горные породы состоят из одного минерала (кварцит, известняк, каменная соль), они называются *мономинеральными*, если же из нескольких - *полиминеральными* (гравий, глина).

Все горные породы обладают комплексом морфологических особенностей, которые объединяют в понятия структура и текстура. Наряду с химическим и минеральным составом структура и текстура являются важнейшими диагностическими признаками горных пород.

По происхождению горные породы делятся на три класса: осадочные, магматические и метаморфические.

Осадочные горные породы образуются только на поверхности земной коры при разрушении любых, ранее существовавших горных пород, в результате жизнедеятельности и отмирания организмов и выпадения осадков из пересыщенных растворов.

Магматические горные породы возникают путём кристаллизации природных силикатных расплавов внутри земной коры или на её поверхности.

Метаморфические горные породы возникают путем коренного преобразования магматических, осадочных и ранее существовавших метаморфических пород под влиянием высоких температур, давления и химически активных растворов.

5. СТРОЕНИЕ ЗЕМНОЙ КОРЫ

Строение земной коры рассматривается отдельно по той причине, что эта геосфера является основным объектом геологии и средой горного производства.

Земная кора - это верхняя каменная оболочка Земли, сложенная магматическими, метаморфическими и осадочными породами и имеющая мощность от 7 до 75 км. Она представляет собой наиболее активный слой твёрдой Земли - сферу деятельности магматических и тектонических процессов. Нижняя граница земной коры как бы зеркально повторяет поверхность Земли. Под материками она глубоко опускается в мантию, под океанами приближается к поверхности Земли.

Выделяют два главных типа земной коры: континентальную и океаническую.

Мощность **континентальной** коры в зависимости от тектонических условий меняется в среднем от 25-45 . (на платформах) до 45-75 км (в областях горообразования), однако в пределах каждой геоструктурной области она не остаётся строго постоянной. В континентальной коре различают осадочный, гранитный и базальтовый слои.

Мощность осадочного слоя достигает 20 км , но распространён он не повсеместно. Названия гранитного и базальтового слоев условны и исторически связаны с выделением разделяющей их границы Конрада, хотя последующие исследования показали некоторую сомнительность этой границы.

Основное отличие **океанической** коры от континентальной - отсутствие гранитного слоя, существенно меньшая мощность (2-10 км), более молодой возраст (юра, мел, кайнозой), большая латеральная однородность. Океаническая кора состоит из трёх слоев. Первый слой, или осадочный, характеризуется широким диапазоном скоростей и мощностью до 2 км. Второй слой, или акустический фундамент, имеет среднюю мощность 1,2-1,8 км. Глубоководным бурением установлено, что этот слой сложен сильно трещиноватыми и брекчированными базальтами, которые с увеличением возраста океанической коры становятся более консолидированными. Третий слой сложен породами в основном габброидного состава.

Кроме двух главных типов земной коры выделяется кора переходного типа - субконтинентальная в островных дугах и субокеаническая на континентальных окраинах.

Участки земной коры, различающиеся типом геологического строения, называются **структурными элементами**. С точки зрения закономерностей пространственного строения земной коры океаны и континенты - это **структуры I** (планетарного) порядка . В пределах структурных элементов I порядка по особенностям геологического строения и развития выделяются структуры II порядка: на материках - платформы и геосинклинальные пояса, на океанической коре - талассократоны и срединно - океанические хребты.

6. ИСТОРИЯ РАЗВИТИЯ ЗЕМНОЙ КОРЫ. ОСНОВЫ ИСТОРИЧЕСКОЙ ГЕОЛОГИИ

Геология - наука естественно-историческая, и поэтому особо важное значение имеет ее раздел, посвященный изучению развития геологических событий по времени. Задачи исторической геологии - восстановление физико-географических обстановок накопления осадков в различные эпохи, последовательности формирования пород и их распределения по относительному возрасту, изучение истории развития органического мира от древнейших эпох до настоящего времени.

6.1. ГЕОХРОНОЛОГИЧЕСКАЯ И СТРАТИГРАФИЧЕСКАЯ ШКАЛЫ

В геологии как в никакой другой науке важна последовательность установления событий, их хронологии, основанной на естественной периодизации геологической истории. Геологическая хронология, или геохронология, основана на выяснении геологической истории наиболее хорошо изученных регионов. На основе широких обобщений, сопоставления геологической истории различных регионов Земли, закономерностей эволюции органического мира в конце прошлого века на первых международных геологических конгрессах была выработана и принята Международная геохронологическая шкала, отражающая последовательность подразделений времени, в течение которых формировались определённые комплексы отложений, и эволюцию органического мира. Таким образом, Международная геохронологическая шкала - это естественная периодизация истории Земли.

Среди геохронологических подразделений выделяются: зон, эра, период, эпоха, век, время. Каждому геохронологическому подразделению отвечает комплекс отложений, выделенный в соответствии с изменением органического мира и называемый стратиграфическим: эонотема, группа, система, отдел, ярус, зона. Таким образом существует две шкалы - геохронологическая и стратиграфическая. Первую мы используем, когда говорим об относительном времени в истории Земли, а вторую, когда имеем дело с отложениями. В настоящее время выделяют три наиболее крупных стратиграфических подразделения - эонотемы: архейскую, протерозойскую и фанерозойскую.

6.2. СОВРЕМЕННЫЕ ПРЕДСТАВЛЕНИЯ О ФОРМИРОВАНИИ ЗЕМНОЙ КОРЫ

Представления о закономерностях формирования земной коры развивались на протяжении длительного времени по мере накопления фактического материала, совершенствования геологических и геофизических методов исследований. Особое значение на современном этапе развития теоретической геологии имеют данные, полученные при изучении обширных океанических территорий, и результаты космических исследований.

Гипотезы горизонтального дрейфа континентов

Механизм горизонтального перемещения континентальных глыб был разработан в 1929г. американским учёным А.Холмсом. Его гипотеза подкорковых течений предполагает существование в мантии (субстрате) медленных конвективных потоков, обусловленных различным накоплением тепла под континентами и океанами. Восходящие конвективные потоки приводят к разрыву коры, раздвиганию блоков и образованию молодого океанического дна. В районах нисходящих потоков, наоборот, блоки сталкиваются, сминаются, образуя системы надвигов, шарьяжей, а глубинные слои коры даже вовлекаются в мантию, переходя в глубинные аналоги базальтов - эклогиты.

Можно отметить, что с разработкой гипотезы А.Холмса идеи мобилизма получили новый импульс, обусловивший их широкую популярность и в наши дни. Кроме того, в последние годы при изучении строения дна океанов получены новые данные, которые

также используются для подтверждения возможности горизонтального дрейфа. Эти данные послужили основой гипотезы новой глобальной тектоники, или тектоники плит. Гипотеза разработана американскими учёными Г.Хессом и Р.Дидцем. Значительный вклад в её развитие внесли зарубежные и советские геологи.

Основные идеи, положенные в основу гипотезы тектоники плит, связаны с открытием зон формирования молодой океанической коры в зонах рифтообразования и зон поглощения коры у глубоководных желобов.

По мнению авторов гипотезы, в зонах рифтообразования происходит "раздвигание" плит литосферы с образованием молодой океанической коры в центральной рифтовой зоне. Это явление называется *спредингом* океанического дна, характеризуется прерывистостью, сопровождается внедрениями мантийного вещества из астеносферы и разрывами маломощных базальтов в рифтовой зоне. С этой активной зоной связаны проявления вулканизма, неглубокие зоны землетрясений и аномалии теплового потока.

Образование новой коры в зонах спрединга сопровождается поглощением блоков (плит) литосферы в других участках нашей планеты. По мнению авторов гипотезы, такими участками являются зоны глубоководных океанических желобов, в которых происходит прерывистое поддвигание одной плиты литосферы под другую. Это явление называется *субдукцией*, сопровождается кратковременным выделением значительной механической энергии в виде землетрясений, проявлений вулканизма. Длительное поддвигание океанической коры под континентальную приводит к деформации окраинного моря, смещению островной дуги к континенту и складкообразованию. При этом поддвигание может смениться развитием обширных надвигов океанической коры - *обдукцией*. Другим путём образования орогенных зон, по мнению авторов гипотезы, является столкновение - *коллизия* континентов.

Движущие силы механизма перемещения блоков литосферы авторы гипотезы тектоники плит связывают с конвективным перемешиванием мантийного вещества, что близко к взглядам А.Холмса. Однако в отличие от положений гипотезы подкорových течений, в соответствии с рассматриваемой гипотезой потоки мантийного вещества здесь замыкаются на уровне астеносферы.

Таким образом, в соответствии с гипотезой тектоники плит под действием потоков мантийного вещества происходят глобальные перемещения континентов, но не изолированно, как считал А.Вегенер, а в составе мощных плит литосферы. При таком горизонтальном перемещении плит в зонах спрединга происходит обновление коры, а в зонах субдукции - её поглощение и растворение в астеносфере.

По современным данным, литосфера состоит из семи крупных плит, ограниченных зонами спрединга, субдукции или смятия: Тихоокеанской, Евразийской, Индийской, Африканской, Антарктической, Северо-Американской и Южно-Американской.

7. ОБЩИЕ СВЕДЕНИЯ О МЕСТОРОЖДЕНИЯХ ПОЛЕЗНЫХ ИСКОПАЕМЫХ И ИХ КЛАССИФИКАЦИЯ

7.1. ОСНОВНЫЕ ПОНЯТИЯ И ОПРЕДЕЛЕНИЯ

Важнейший раздел геологии, позволяющий решать обширные прикладные задачи, - учение о полезных ископаемых. Он включает в себя совокупность сведений о геологической позиции и закономерностях размещения месторождений различных полезных ископаемых, методику поисков и экономику минерального сырья, тесно сопрягается с технологиями переработки руд и извлечения из них ценных компонентов.

Полезным ископаемым называют природное минеральное образование, которое используется в народном хозяйстве в естественном виде или после предварительной обработки (переработки) путем дробления, сортировки, обогащения для

извлечения ценных металлов или минералов. По физическому состоянию полезные ископаемые бывают газообразными, жидкими и твердыми. К первым относятся горючие газы углеводородного состава и негорючие инертные газы, ко вторым - нефть, рассолы, вода, к третьим - большинство полезных ископаемых, которые применяются как химические элементы или их соединения, а также в виде кристаллов, минералов, горных пород. По промышленному использованию полезные ископаемые разделяются на **металлические, неметаллические, горючие или каустобиолиты, гидро-и газоминеральные.**

Металлические полезные ископаемые служат для извлечения из них металлов и элементов: черных (железо, титан, хром, марганец и др.); легирующих (никель, кобальт, вольфрам, молибден и др.); цветных (алюминий, свинец, цинк, сурьма, ртуть и др.); благородных (золото, серебро, платина, палладий и др.); радиоактивных (уран, радий, торий и др.); редких и рассеянных (висмут, цирконий, ниобий, тантал, галлий, германий, кадмий, индий и др.); редкоземельных (лантан, церий, иттрий, прометий, самарий, лютеций и др.).

К неметаллическим полезным ископаемым принадлежат строительные горные породы (естественные строительные камни, пески, глины, сырье для каменного литья, стекло и керамики и др.), промышленное (алмаз, графит, асбест, слюды, драгоценные и поделочные камни, пьезокристаллы, оптические минералы и др.), а также химическое и агрономическое сырье (сера, флюорит, барит, галит, калийные соли, апатит, фосфориты и др.).

Горючие ископаемые включают торф, бурый уголь, каменный уголь, антрацит, горючие сланцы, озокерит, нефть, горючий газ. Они служат энергетическим и металлургическим топливом, а также сырьем для химической промышленности.

К **газоминеральному** сырью относятся негорючие инертные газы: гелий, неон, аргон, криптон и др.

Гидроминеральные полезные ископаемые разделяются на подземные воды питьевые, технические, бальнеологические или минеральные и нефтяные, содержащие ценные элементы (бром, йод, бор, радий и др.) в количестве, позволяющем извлекать их, а также рассолы (озерные рассолы, минеральные грязи, илы). Важным гидроминеральным сырьем являются воды морей и океанов, используемые для получения пресной воды и извлечения многих ценных элементов.

Рудой называется минеральное сырье, содержащее ценные полезные компоненты (металлы, их соединения, минералы) в количестве, достаточном для промышленного извлечения при современном состоянии экономики, техники и технологии. В зависимости от вида извлекаемого компонента выделяются руды металлические (железные, медные, свинцово-цинковые и т. д.) и неметаллические (серные, асбестовые, графитные, апатитовые и др.). По количеству компонентов руды различают монометалльные (мономинеральные), биметалльные (биминеральные) и полиметалльные (полиминеральные).

Месторождением полезного ископаемого называется его природное в виде геологических тел скопление в земной коре, которое по условиям залегания, количеству и качеству минерального сырья при данном состоянии экономики и техники может служить объектом промышленной разработки в настоящее время или в ближайшем будущем. К месторождениям полезных ископаемых промышленность предъявляет требования, определяемые технической возможностью и экономической целесообразностью их разработки.

Совокупность требований промышленности к минеральному сырью называется **кондициями** - они не являются постоянными и зависят от экономических условий и состояния техники и технологии добычи и переработки минерального сырья.

Площади распространения полезных ископаемых в порядке их уменьшения разделяются на провинции, области (пояса, бассейны), районы (узлы), поля, месторождения, тела.

Телом полезного ископаемого называют ограниченное со всех сторон скопление минерального вещества, которое приурочено к отдельным структурным элементам или их комбинациям.

7.2. ВЕЩЕСТВЕННЫЙ СОСТАВ ПОЛЕЗНЫХ ИСКОПАЕМЫХ

Являясь природными минеральными образованиями, все полезные ископаемые обладают определенным вещественным (минеральным и химическим) составом, строением или структурно-текстурными особенностями, а также некоторым комплексом физических, физико-химических и технологических свойств. Все эти характеристики в общем случае обуславливают качество полезных ископаемых, которое имеет важнейшее значение для оценки месторождений с целью их промышленного использования.

Вещественный состав металлических и неметаллических руд определяется соотношением рудных, или ценных, и сопутствующих им нерудных, или жильных, минералов. В металлических рудах рудные минералы являются носителями ценных металлов, в неметаллических - минералы сами представляют практический интерес благодаря специфическим свойствам.

По составу преобладающей части минералов выделяются следующие типы руд:

самородные - самородные металлы и интерметаллические соединения - медь, золото, платина и др.;

сернистые и им подобные - сульфиды, арсениды и антимониды тяжелых металлов - меди, цинка, свинца, никеля, кобальта, молибдена и др.;

оксидные - оксиды и гидроксиды железа, марганца, хрома, олова, урана, алюминия и др.;

карбонатные - карбонаты железа, марганца, магния, свинца, цинка, меди и др.;

сульфатные - сульфаты бария, стронция, кальция и др.;

фосфатные - апатитовые и фосфоритовые неметаллические руды, а также фосфаты некоторых металлов и др.;

силикатные - сравнительно редкие руды железа, марганца, меди; широко распространенные неметаллические полезные ископаемые - слюды, асбест, тальк и др.;

галлоидные - минеральные соли и флюорит и др.

По вещественному составу, определяющему промышленную ценность и технологические свойства, полезные ископаемые разделяются на природные типы и промышленные сорта.

7.3. ГЕНЕТИЧЕСКАЯ КЛАССИФИКАЦИЯ МЕСТОРОЖДЕНИЙ ПОЛЕЗНЫХ ИСКОПАЕМЫХ

В настоящее время известно несколько десятков генетических классификаций месторождений полезных ископаемых. Наиболее известной является классификация В.И.Смирнова.

Эндогенные месторождения, к числу которых относятся скопления полезных ископаемых, прямо или косвенно связанные с магматической деятельностью, подразделяют на: собственно магматические, пегматитовые и постмагматические.

Магматическими называются месторождения, образующиеся из жидких магматических расплавов в процессе их внедрения и раскристаллизации. При подъеме магматических расплавов в верхние горизонты земной коры и остывании происходит их дифференциация, с чем связана концентрация, а иногда и полное обособление рудных компонентов. Процессы образования магматических месторождений достаточно сложны. В одних случаях месторождения образуются в результате внедрения

магмы, обогащенной рудными компонентами еще на глубине, в других - рудные концентрации возникают из магм при ее подъеме, в третьих - лишь на месте становления интрузива.

Главная особенность всех магматических месторождений - их связь с материнскими интрузивами, которые рассматриваются как вещественный или энергетический источник оруденения. Магматические месторождения разделяются на генетические подгруппы: ликвационные, раннемагматические и позднемагматические.

В группу *экзогенных* включаются скопления полезных ископаемых, которые образуются при экзогенных процессах в результате химической, биохимической и механической дифференциации вещества земной коры. По способу накопления осадочного материала различают месторождения выветривания и осадочные.

К *месторождениям выветривания* относятся остаточные и инфильтрационные месторождения. *Остаточные* месторождения полезных ископаемых образуются при физическом и химическом выветривании горных пород, которое сопровождается гидролизом породообразующих минералов, растворением и выносом неустойчивых компонентов.

К *осадочным месторождениям* относятся аллювиальные и прибрежно-морские россыпи, химические и биохимические осадочные месторождения.

Метаморфизованными называют месторождения любого происхождения, испытавшие метаморфические преобразования одновременно с вмещающими породами. При этом процессы метаморфизма могут выражаться в изменении и преобразовании структур и текстур, изменении характера минерального состава руд, а также в переотложении рудного вещества, изменении формы рудных тел, рассланцевании и изменении состава вмещающих пород.

Под *метаморфическими* месторождениями понимают такие месторождения, которые возникли в результате метаморфизма горных пород, до того не содержащих промышленных рудных скоплений и не представляющих собой полезного ископаемого. К возникающим в процессе метаморфизма собственно метаморфическим месторождениям относятся месторождения высокоглиноземистого сырья (кианит, андалузит, силлиманит), графита, гранулированного кварца, слюды, амфибол-асбеста, корунда, наждака, граната, титана и др.

8. СИСТЕМА ГЕОЛОГИЧЕСКОГО ИЗУЧЕНИЯ НЕДР

Геологическое изучение недр в России производится последовательно и планомерно с тем, чтобы не только получить необходимую геологическую информацию о недрах, но и своевременно выявить промышленные и отбраковать непромышленные скопления полезных ископаемых. В общей системе геологического изучения недр можно выделить три крупных этапа. Этапы геологического изучения включают несколько последовательных стадий.

Этап I. Работы общегеологического и минерагенического назначения.

Стадия 1. Региональное геологическое изучение недр прогнозирование полезных ископаемых.

Этап II. Поиски и оценка месторождений.

Стадия 2. Поисковые работы.

Стадия 3. Оценочные работы.

Этап III. Разведка и освоение месторождений.

Стадия 4. Разведка месторождения.

Стадия 5. Эксплуатационная разведка.

На каждой стадии геологического изучения недр осуществляется их геолого-промышленная оценка, заключающаяся в определении действительной или возможной

значимости изучаемого участка земной коры, в котором содержатся или могут содержаться скопления полезной минерализации или же предполагается горное строительство. С этой целью исследуются состав и строение горных пород и полезного ископаемого, условия залегания, степень и характер тектонической нарушенности, гидрогеологические и инженерно-геологические характеристики месторождения, географо-экономические условия района и т. п.

РЕКОМЕНДАЦИИ

Для более углубленного изучения отдельных разделов геологических дисциплин рекомендуем воспользоваться следующими методическими указаниями.

Часть 1. Минералы.

Часть 2. Магматические горные породы.

Часть 3. Метаморфические горные породы.

Часть 4. Осадочные горные породы.

Часть 5. Организация геологических экскурсий.

Часть 6. Художественная обработка камнесамоцветного сырья.

МИНОБРНАУКИ РФ

ФГБОУ ВО «Уральский государственный горный университет»

**МЕТОДИЧЕСКИЕ УКАЗАНИЯ
К САМОСТОЯТЕЛЬНОЙ РАБОТЕ СТУДЕНТОВ
ПО ДИСЦИПЛИНЕ**

**ОСНОВЫ ПОИСКОВ И РАЗВЕДКИ
МЕСТОРОЖДЕНИЙ ПОЛЕЗНЫХ
ИСКОПАЕМЫХ**

Специальность:

21.05.03 Технология геологической разведки

Екатеринбург

ОГЛАВЛЕНИЕ

ВВЕДЕНИЕ	4
1. ОКОНТУРИВАНИЕ ЗАЛЕЖЕЙ ПОЛЕЗНЫХ ИСКОПАЕМЫХ	7
1.1.Оконтуривание рудного тела в разрезе скважины и в поперечном сечении.....	7
1.2. Оконтуривание пластообразной рудной залежи на плане.....	12
2. ОБОСНОВАНИЕ СИСТЕМЫ РАЗМЕЩЕНИЯ РАЗВЕДОЧНЫХ ВЫРАБОТОК ПРИ ПРОЕКТИРОВАНИИ ОЦЕНОЧНЫХ РАБОТ	16

ВВЕДЕНИЕ

Оконтуривание месторождений полезных ископаемых – это определение на горизонтальной, вертикальной проекциях и разрезах границ контуров распространения залежей полезного ископаемого или его частей (отдельных тел, блоков, горизонтов). Оно производится по показателям кондиций: бортовому содержанию полезного компонента, минимальному промышленному содержанию, минимальной мощности тела полезного ископаемого или метропроценту и ряду других. Оконтуривание месторождений полезных ископаемых – этап, предшествующий подсчету запасов полезных ископаемых. Оконтуривание сводится к установлению опорных точек контура объекта по естественным обнажениям, горным выработкам, разведочным скважинам и построению по ним линии подсчетного контура залежи. Для подсчета запасов отстраивается промышленный контур, ограничивающий кондиционные участки тела полезного ископаемого. Он может быть внутренним и внешним. **Внутренний** контур отстраивается через крайние разведочные пересечения, встретившие полезное ископаемое; **внешний** – через точки предполагаемых естественных или условных (экстраполированных) границ распространения месторождения.

В пределах выработки опорные точки устанавливаются по данным замеров, непосредственных наблюдений и опробования. При четких геологических границах подсчетный контур совпадает с геологическим. При сложном распределении полезных компонентов оконтуривание производят по пробе с бортовым содержанием, по мощности или метропроценту (произведению величины мощности на содержание). При отстройке подсчетного контура установленные по отдельным выработкам опорные точки переносятся на планы, разрезы или проекции и соединяются прямыми или изогнутыми (согласно геологической структуре) линиями. Положение опорных точек между крайними пересечениями с кондиционными и некондиционными показателями находят способом интерполяции. За пределами выработок с кондиционными показателями при отсутствии оконтуривающих пересечений подсчетный контур определяют методом экстраполяции с использованием геолого-геофизических данных по месторождению.

Запасы, оконтуренные по достаточно густой сети разведочных пересечений, могут быть отнесены к категориям *A* и *B*, а на объектах сложного геологического строения – к категории *C*₁. Запасы, распо-

ложенные за пределами внутреннего контура, обычно относятся к категориям C_2 и реже – C_1 .

Подсчет запасов называется операция по определению количества промышленно пригодного минерального сырья в недрах. Разведанные и правильно учтенные запасы полезных ископаемых представляют надежную основу для экономики страны. Поэтому обоснованный подсчет запасов для разных видов минерального сырья имеет важное государственное значение. Хотя подсчет запасов является вычислительной операцией, в его основе лежит методически обоснованная разведка и всестороннее изучение геологического строения месторождения полезного ископаемого.

По Л. И. Четверикову (1984) понятие «**методика разведки**» является базовым понятием теории разведки. Оно включает в себя: а) комплекс локальных наблюдений и замеров разведочных параметров (метод разведки); б) способы осуществления этих наблюдений и замеров; в) методы обработки, анализа и оценки разведочной информации; г) интерпретацию данной информации и создание эмпирической модели разведываемых недр. Пункт «а» занимает особое положение. Он реализуется через разведочные системы. Вслед за А. Б. Кажданом [1, 2] под разведочной системой мы понимаем совокупность определенных образом расположенных разведочных пересечений. По пространственной ориентировке разрезов разведочные системы подразделяются на три класса: 1) вертикальных разрезов; 2) горизонтальных разрезов; 3) продольных разрезов. Выбор системы разведки зависит от ряда факторов: а) поставленных задач и выбранной методики разведки; б) горно-геологических особенностей разведки; в) имеющихся технических средств; г) географо-геоморфологических и экономических факторов. Оптимальной будет такая система разведки, которая позволит решить поставленные задачи и осуществить оценку недр с наименьшей затратой времени и материально-технических средств.

Подсчет запасов и сопутствующее ему изучение месторождений проводятся для: а) определения количества минерального сырья в недрах с выяснением распределения запасов по отдельным сортам и участкам месторождения; б) обоснования степени надежности цифр подсчета запасов и степени изученности месторождения; в) сбора необходимых данных для геолого-экономической оценки разведываемого месторождения, включающей обоснование способа вскрытия и обработки объекта, оценку технологических свойств и качеств минераль-

ного сырья, расчет экономической целесообразности промышленного освоения.

Запасы какого-либо компонента (например, металла) в недрах рудного месторождения рассчитываются по формуле

$$P = Q \cdot c,$$

где P – запасы компонента (например, металла); Q – запасы минерального сырья (например, руды); c – среднее содержание компонента в контуре подсчитываемых запасов (например, среднее содержание металла в руде).

Если « c » выражено в процентах, то $P = Q \frac{c}{100}$.

Запасы минерального сырья (Q) определяются по формуле

$$Q = V \cdot d,$$

где V – объем тела полезного ископаемого, по которому производится подсчет запасов, м^3 ; d – объемная масса минерального сырья в недрах, $\text{т}/\text{м}^3$.

Объем тела полезного ископаемого (V) определяется по формуле

$$V = S \cdot m,$$

где S – площадь полезного ископаемого, м^2 ; m – средняя мощность тела полезного ископаемого в пределах контура подсчитываемых запасов, м .

В итоге формулу подсчета запасов можно выразить так: $P = S \cdot m \cdot d \cdot c$

$$\text{или } P = \frac{S \cdot m \cdot d \cdot c}{100}.$$

Запасы минерального сырья в недрах (Q) устанавливаются в следующих единицах: 1) запасы руды коренных металлических месторождений твердых полезных ископаемых – в тыс. т; 2) запасы песков россыпных месторождений, пород для строительных целей и др. – в тыс. м^3 или млн м^3 . Запасы компонентов учитываются в т или в тыс. т. При этом для железа, марганца, хрома, ванадия и алюминия определяются только запасы сырой руды (Q) и среднее содержание в ней металла (c), а запасы металлов (P) не вычисляются. Запасы благородных металлов (золота, платины, серебра) определяются в кг или т. При подсчете запасов алмазов содержание выражается в каратах (1 карат = 200 мг) или граммах.

Запасы подсчитываются по месторождениям (участкам) по результатам геологоразведочных и эксплуатационных работ, выполненных в процессе их изучения и промышленного освоения. Они оцениваются в недрах без введения поправок на потери и разубожи-

вания при добыче, обогащении и переработке концентратов. В комплексных месторождениях подлежат подсчету запасы основных и совместно залегающих с ними полезных ископаемых, а также содержащиеся в них основные и попутные полезные компоненты (металлы, минералы, химические элементы и их соединения), целесообразность промышленного использования которых определена условиями на минеральное сырье.

1. ОКОНТУРИВАНИЕ ЗАЛЕЖЕЙ ПОЛЕЗНЫХ ИСКОПАЕМЫХ

Важнейшим элементом разведки месторождений полезных ископаемых является оконтуривание залежей, позволяющее определить их форму и внутреннее строение. Оконтуривание ведется по показателям кондиций, которые зависят от способа определения границ тела полезного ископаемого (визуальный или путем опробования), от характера распределения полезного компонента (равномерное, неравномерное) и от сложности внутреннего строения.

Первоначально выполняется оконтуривание тела по разведочной выработке, а затем оконтуривание в разведочном сечении и на плане. По данной теме предлагаются два задания, работа над которыми дает студенту представление об оконтуривании рудных залежей. В обоих заданиях контуры промышленного оруденения устанавливаются по данным опробования. Это позволяет при выполнении каждого задания убедиться в тесной связи количества балансовых запасов от качества полезного ископаемого. В каждом задании следует показать штриховкой распределение балансовых и забалансовых запасов.

1.1. Оконтуривание рудного тела в разрезе скважины и в поперечном разведочном сечении

Дано: поперечный геологический разрез пластообразной залежи гипергенных никелевых руд, полученный по данным эксплуатационной разведки (рис. П. 1 – П. 3). Разведочные скважины расположены друг от друга на расстоянии 10-15 м. Длина керновых проб 2 м. Содержание никеля вынесено рядом с соответствующими пробами. Фрагмент этого разреза приведен на рис. 1. Для реализации индиви-

дуальной самостоятельной работы каждого студента на группу выдается 3 разреза по 10 вариантов в каждом.

В процессе оконтуривания следует руководствоваться следующими условиями:

1. Минимальная рабочая мощность – 2 м.
2. Максимальная мощность пустых пород и забалансированных руд, включаемых в промышленный контур рудного тела, – 2 м.
3. Бортовое содержание никеля по вариантно (табл. 1).

Таблица 1

**Условия для оконтуривания
по конкретным вариантам задания**

Варианты		Бортовое содержание никеля, % масс.	Минимальное промышленное содержание никеля по блоку, % масс.
нечетные скважины	четные скважины		
1, 11, 21	6, 16, 26	0,7	1,05
2, 12, 22	7,17,27	0,8	1,10
3, 13, 23	8, 18, 28	0,9	1,15
4, 14, 24	9,19,29	1,0	1,20
5, 15, 25	10, 20, 30	1,1	1.30

4. Минимальное содержание никеля, принятое за нижний предел для оконтуривания забалансовых руд, составляет 0,5 % масс.

Необходимо:

а) пользуясь условиями, определить опорные точки для оконтуривания в пределах каждой выработки; отметки кровли и подошвы залежи соединить пунктирной линией;

б) вычислить и поставить над скважиной в виде дроби мощность рудной залежи (числитель) и среднее содержание никеля в процентах (знаменатель);

в) провести контуры забалансовых руд в разведочном сечении;

г) вычислить площадь балансовых руд в разрезе и линейный запас никеля, приняв значение объемной массы сухой руды, равной 1,15 т/м³;

д) исследовать зависимость линейного запаса балансовых руд (количество) от уровня бортового содержания, принятого при оконтуривании.

Методические указания к выполнению работы.

Каждый студент получает разведочный профиль с исходными данными для оконтуривания в соответствии с вариантом задания (1-10, 11-20, 21-30), определяемым порядковому номеру студента в групповом журнале. Каждый вариант предусматривает обработку данных по четным или нечетным скважинам, входящим в разведочный профиль.

Наметив по заданному бортовому содержанию верхнюю границу рудного тела по каждой скважине, следует соединить из жирной пунктирной линией, соответствующей положению в пространстве кровли рудного тела. Затем аналогичным образом необходимо провести пунктирную линию, соединяющую отметки подошвы рудного тела.

Далее необходимо выделить участки забалансовых руд, включаемых в контур рудного тела. Как правило, они соответствуют спаренному положению двух проб с некондиционным (ниже бортового) содержанием никеля.

Наметив внешние и внутренние границы забалансовых руд, нужно определить среднее содержание никеля по скважине и общую мощность рудного тела по скважине (среднеарифметическим способом). Оба параметра выносятся в виде дроби над скважиной.

На рис. 1 дан пример оконтуривания на одном из участков разреза. При бортовом содержании никеля 0,8 % по скважине № 1 мощность залежи составила 10 м, так как некондиционный интервал с содержанием 0,53 % не превышает 2 м. Среднее содержание никеля по пяти пробам составило 0,95 %.

Скважина 3 вскрыла внутри рудного тела интервал забалансовых руд мощностью 4 м (0,70 и 0,75 %). Поскольку согласно условиям внутри рудного тела такие руды могут присутствовать лишь в виде прослоев не более 2 м, этот интервал исключается из контура балансовых руд. Однако, если такой участок окружен балансовыми рудами в соседних скважинах, он вычленяется на разрезе как «островок» забалансовых руд. Некондиционные интервалы мощностью 2 м, располагающиеся среди кондиционных, включаются в контур балан-

совых руд без каких-либо ограничений. Примером может служить интервал с содержанием 0,7 % никеля по скважине 5 (см. рис. 1). В случае более высоких требований кондиций к качеству руд ($C_{\text{б.}} = 0,9$ % масс), этот интервал совместно с соседним (0,8 %) вычленяется из рудного контура как «окно» забалансовых руд.

После проведения контура балансовых руд следует проверить правильность оконтуривания. С этой целью необходимо вычислить среднее значение мощности рудного тела (среднеарифметическое) и среднее содержание никеля по разведочному сечению (средневзвешенное). При соблюдении неравенства $\bar{C} \geq C_{\text{мин. пр.}}$ можно считать оконтуривание законченным. Если среднее содержание никеля меньше минимального промышленного, нужно исключить из расчета среднего значения скважины с наименьшим содержанием никеля (одну-две) и вновь проверить наличие приведенного выше неравенства.

Закончив оконтуривание балансовых руд, следует провести, по соответствующему показателю кондиций, контуры забалансовых руд (верхний и нижний) и показать распространение названных типов руд в разведочном сечении соответствующей штриховкой (см. рис. 1). Проведя оконтуривание балансовых руд по разрезу, нужно определить их площадь (S) в м^2 , учитывая соотношение вертикального и горизонтального масштабов. Это можно сделать с помощью палетки или умножением длины залежи в разрезе на среднюю ее мощность, вычисленную ранее. В качестве палетки можно использовать кальку, на которой равномерно по квадратной сетке (1,0 x 1,0 см) нанесены яркие (жирные) точки, каждая из которых соответствует единичной площадке, определяемой произведением знаменателей горизонтального и вертикального масштабов. В нашем случае это 20 м^2 (1:1000 и 1:200). Если точки на палетке нанести через 0,5 см, то площадь зоны влияния каждой точки будет 5 м^2 . Точки, попавшие на границу контура, соответствуют половине единичной площадки (10 или $2,5 \text{ м}^2$ соответственно). Для повышения точности вычисления площади определение площади по палетке следует выполнить дважды.

Затем необходимо определить линейный запас никеля (P_{Ni}) в слое 1 м, пользуясь формулой

$$P_{\text{Ni}} = S \cdot 1 \cdot d \cdot \bar{C} \cdot 100^{-1},$$

где S - площадь балансовых руд, м^2 ; d - объемная масса сухой руды, $\text{т}/\text{м}^3$; \bar{C} - среднее содержание никеля по разрезу, % масс.

Заключительная часть работы состоит из исследования связи количества руды (линейный запас) от его качества (среднее или бортовое содержание никеля). Для этого студенты, выполняя оконтуривание при различных вариантах бортового содержания, но при одинаковых исходных данных (варианты 1-5, 6-10, 11-15, 16-20, 21-25, 26-30), объединяются в группы по пять человек для обмена полученными результатами и их обсуждения. Обменявшись значениями вычисленных линейных запасов никеля в балансовых рудах, каждый студент строит график зависимости величины линейного запаса (ордината) от бортового содержания (абсцисса). В итоге он убеждается в конкретном проявлении зависимости подсчитанных запасов от принятых кондиций.

Итоги проделанной работы отображаются на правой стороне отчетного бланка, где последовательно (сверху вниз) приводятся следующие данные:

- промышленные кондиции, использованные при оконтуривании (бортное и минимальное промышленное содержание никеля);
- среднее содержание никеля по разрезу в сопоставлении с минимальным промышленным, % масс;
- средняя мощность рудного тела, м;
- площадь балансовых руд в разведочном сечении, м²;
- расчет линейного запаса никеля, т;
- график зависимости линейного запаса никеля от его бортового содержания.

Время выполнения работы в аудитории – 2 часа.

1.2. Оконтуривание пластообразной рудной залежи на плане

Оконтуривание залежи гипергенных никелевых руд реализуется в проекции на дневную поверхность после проведения оконтуривания в каждой скважине и разведочном пересечении.

Дано: Разведочный план небольшого месторождения гипергенных никелевых руд, разведанного по сети 50 x 50 м в стадию оценочных работ (номера скважин 1-86) и 25 x 25 м в стадию разведки (номера скважин 87 и более). Возле каждой скважины показаны мощность рудного тела и среднее содержание никеля по пересечениям с балансовыми рудами. По скважинам, не вскрывшим промышленного оруденения, выносятся содержания никеля по забалансовым рудам. Фрагмент этого плана приводится на рис. 2.

Основные показатели кондиций, определяющие условия оконтуривания, приведены в табл. 2. Всего предложено пять значений кондиционных показателей.

Таблица 2

Промышленные кондиции для оконтуривания залежей в плане

Варианты заданий				Бортовое содержание никеля, % масс.	Минимальное промышленное содержание никеля по залежи, % масс.
а	б	в	г		
1	6	11	16	0,7	1,05
2	7	12	17	0,8	1,10
3	8	13	18	0,9	1,15
4	9	14	19	1,0	1,20
5	10	15	20	1,1	1,30

Варианты с индексами «а» (1-5) и «в» (11-15) выполняются с использованием всех скважин, а с индексами «б» (6-10) и «г» (16-20) – по скважинам стадии оценочных работ (см. рис. 2).

При названных условиях одновременно реализуется 20 индивидуальных решений данного задания.

В качестве дополнительных кондиций заданы:

1. Минимальная рабочая мощность – 2 м;
2. Минимальное содержание никеля, дающее право относить руды к забалансовым – 0,5 % масс.

Необходимо: пользуясь заданными кондициями, провести оконтуривание балансовых и забалансовых руд, отобразив их штриховкой на бланке задания.

Методические указания к выполнению работы.

Каждому студенту выдается план расположения разведочных скважин со значениями мощностей рудных тел и средних содержаний никеля по разведочным пересечениям. В соответствии с порядковым номером студента в групповом журнале определяется вариант его индивидуального задания, включающий перечень разведочных скважин, участвующих в оконтуривании, и промышленные кондиции, при которых оно должно быть выполнено (см. табл. 2).

В контур балансовых руд включаются скважины с содержанием никеля выше бортового. Положение контура на плане определяется интерполяцией между скважинами с кондиционным и некондиционным содержанием и фиксируется жирной пунктирной линией. Аналогичным образом проводится внутриконтурная граница балансовых и забалансовых руд.

После проведения контура балансовых руд необходимо вычислить средневзвешенное содержание никеля по залежи (блоку) и среднюю мощность залежи. Оконтуривание можно считать выполненным правильно, если соблюдается неравенство: $\bar{C} \geq C_{\text{мин. пр}}$. Если приведенное неравенство не соблюдается, то запасы руды оконтуренного блока или залежи относятся к забалансовым. Для того, чтобы перевести их в балансовые, нужно исключить из проведенного контура одну или несколько скважин с наименьшим содержанием никеля и вновь проверить приведенное выше неравенство. При его соответствии заданному условию оконтуривание балансовых руд можно считать завершенным.

Следующей операцией оконтуривания следует считать проведение контура забалансовых руд, включив в него скважины с содержанием никеля более 0,5 % масс.

Для вариантов оконтуривания с использованием всех скважин, нанесенных на разведочном плане (обозначены в табл. 2 символами «а» и «в»), необходимо провести дополнительный контур через крайние скважины с содержанием никеля выше бортового. Его следует провести жирной сплошной линией. Это будет контур, ограничивающий запасы категории В. При этом запасы балансовых руд между сплошной и пунктирной линиями будут отнесены к категории C_1 (см. рис. 2).

Положение контура балансовых руд проводится на середине расстояния между скважинами с параметрами, соответствующими кондициям и некондиционными.

После выполнения оконтуривания необходимо произвести подсчет запасов руды и металла в контурах балансовых запасов. Затем, объединившись в группы по пять человек с одинаковыми исходными данными (а – г, см. табл. 2), студенты обмениваются итогами расчетов запасов руды и металла и строят графики зависимости запасов никеля (ординаты) от бортового содержания (абсцисса).

Требования к оформлению результатов работы.

В итоге работы на разведочном плане с исходными данными каждый студент показывает штриховкой контуры развития балансовых и забалансовых руд (см. рис. 2). На поле справа указываются: кондиции, при которых производилось оконтуривание; средние содержания никеля и средние мощности руд по залежам (блокам); площади выделенных блоков и запасы руд и металла по каждому из них; график зависимости запасов никеля от бортового содержания, принятого при оконтуривании.

В вариантах с полным использованием разведочных данных (см. табл. 2) на плане выделяются площади блоков, соответствующих по разведанности категориям *B* и *C₁*.

Время выполнения работы – 2 часа.

2. ОБОСНОВАНИЕ СИСТЕМЫ РАЗМЕЩЕНИЯ РАЗВЕДОЧНЫХ ВЫРАБОТОК ПРИ ПРОЕКТИРОВАНИИ ОЦЕНОЧНЫХ РАБОТ

Целью предлагаемых к решению задач (задания 1-12, рисунки 3-14) является – приобретение студентами навыков проектирования оценочных работ в пределах рудоперспективных участков.

Порядок выполнения работы.

1) Ознакомившись с геологической ситуацией, отображенной на бланке задания, необходимо сделать заключение о возможном геолого-промышленном типе месторождения, руководствуясь литературными сведениями [3, 4, 5]. Для отнесения оцениваемого объекта к определенному промтипу следует учитывать: форму, размеры, условия залегания выходящих на поверхность залежей полезного ископаемого; состав, условия залегания рудовмещающих пород; уровень установленных при опробовании концентраций полезных компонентов.

2) Привести примеры месторождений-эталонов. Охарактеризовать возможный минеральный и химический состав полезного ископаемого (руководствуясь рекомендованными источниками).

3) Обосновать возможную группу прогнозируемого месторождения по сложности геологического строения для целей разведки, взяв рекомендации инструкции ГКЗ [6].

4) Сформулировать задачи, решаемые при проведении оценочных работ. Уточнить их применительно к конкретной геологической обстановке.

5) Обосновать систему разведочных работ (форму, плотность разведочной сети). Нанести проектные выработки на план и отстроенные проектные геологические разрезы – 1-2 шт. (размещенные в нижней части листа – на бланке задания).

6) Наметить виды и способы отбора проб применительно к конкретному типу полезного ископаемого. Для каждого вида опробования (химического, геохимического, минералогического, технологического, технического, геофизического) обосновать цель исследования, способы отбора проб, параметры проб (сечение, длину, массу пробы). Составить схему обработки проб. Все запланированные виды исследований отразить в табличной форме.

7) Подсчитать проектные запасы полезного ископаемого по категории C_1 (для отдельных блоков), C_2 , а также прогнозные ресурсы по категории P_1 . Ограничить проектные выработки глубиной до 100-150 м, в отдельных случаях – до 200 м (в зависимости от типа полезного ископаемого). По запроектированным выработкам предусмотреть возможные (вероятные) параметры (мощность залежи, содержание полезного компонента, объемная масса руды и т. д.). Обосновать метод подсчета запасов и выполнить его, отразив результаты в табличной форме.

Отчетными документами являются графический материал и пояснительная записка к нему. На приведенной на бланке задания схематической геологической карте следует нанести проектные разведочные выработки (горноразведочные, буровые скважины), отразив номерами последовательность их проходки. Проектные выработки должны быть также нанесены и на отстроенные геологические разрезы, а также при необходимости на продольную вертикальную проекцию. На графике отразить контуры блоков проектных запасов категории C_1 , C_2 и прогнозных ресурсов категории P_1 . В пояснительной записке обосновать методику оценочных работ, объем аналитических исследований. Геолого-промышленную значимость оцениваемого объекта сравнить с литературными сведениями [3, 4, 5, 7]. Время выполнения задания – 6-8 часов.

СПИСОК ЛИТЕРАТУРЫ

1. *Каждан, А. Б.* Разведка месторождений полезных ископаемых / А. Б. Каждан. – М.: Недра, 1977. – 327 с.
2. *Каждан, А. Б.* Поиски и разведка месторождений полезных ископаемых (Научные основы поисков и разведки) / А. Б. Каждан. – М.: Недра, 1984. – 285 с.
3. *Авдонин, В. В.* Месторождения металлических полезных ископаемых / В. В. Авдонин, В. Е. Бойцов, В. М. Григорьев [и др.]. – М.: Трикста, 2005. – 720 с.
4. *Малахов, И. А.* Промышленные типы металлических полезных ископаемых / И. А. Малахов, П. Л. Бурмако, А. П. Алексеев. - Екатеринбург: УГГУ, 2007. – 209 с.
5. *Яковлев, П. Д.* Промышленные типы рудных месторождений / П. Д. Яковлев. – М.: Недра, 1986. – 358 с.
6. *Сборник нормативно-методических документов по геолого-экономической оценке месторождений полезных ископаемых.* – М.: ГКЗ, 1998. – 319 с.
7. *Баранников, А. Г.* Прогнозирование и поиски месторождений полезных ископаемых: лабораторный практикум с основами теории / А. Г. Баранников, А. Н. Угрюмов, Г. П. Дворник. – Екатеринбург: УГГУ, 2004. – 104 с.

МИНОБРНАУКИ РОССИИ

**Федеральное государственное бюджетное образовательное учреждение
высшего образования
«Уральский государственный горный университет»**

**МЕТОДИЧЕСКИЕ УКАЗАНИЯ
ПО ОРГАНИЗАЦИИ САМОСТОЯТЕЛЬНОЙ РАБОТЫ
И МЕТОДИКЕ ПРОВЕДЕНИЯ ГЕОЛОГИЧЕСКОЙ
ОЗНАКОМИТЕЛЬНОЙ ПРАКТИКИ**

Специальность
21.05.03 *Технология*
геологической разведки

Екатеринбург

Содержание

	Стр.
Введение	4
1. Организация и методика проведения практики	-
1.1. Организационные вопросы	-
1.1.1. План проведения практики	-
1.1.2. Снаряжение учебных групп	5
1.1.3. Устройство и ликвидация лагеря	6
1.1.4. Правила техники безопасности при геологических исследованиях	-
1.2. Методические вопросы проведения практики	7
1.2.1. Рекогносцировочный этап практики	-
1.2.1.1. Методика проведения рекогносцировочных маршрутов	8
1.2.1.2. Составление отчета по рекогносцировочному этапу практики	-
1.2.1.2.1. Требования к составлению и оформлению отчета	-
1.2.1.2.2. Содержание разделов пояснительной записки	9
1.2.1.3. Аттестация студентов за рекогносцировочный этап практики	13
1.2.2. Площадная геологическая съемка	-
1.2.2.1. Составление опорной сети наблюдений	14
1.2.2.2. Изучение коренных пород	-
1.2.2.3. Изучение рыхлых отложений	15
1.2.2.4. Гидрогеологические наблюдения	-
1.2.2.5. Составление полевой документации	16
1.2.2.6. Составление коллекции горных пород, минералов и органических остатков	-
1.2.2.7. Эколого-геологические наблюдения	-
1.2.2.8. Составление отчета по площадной съемке	17
1.2.2.9. Аттестация работ по площадной съемке	18
2. Приемы полевых геологических наблюдений	-
2.1. Ведение полевой книжки	19
2.2. Работа с горным компасом	-
2.2.1. Устройство горного компаса	-
2.2.2. Понятие элементов залегания горных пород	20
2.2.3. Правила определения элементов залегания наклонных поверхностей	22
2.2.4. Определение превышений точек рельефа	23
2.2.5. Привязка точек наблюдения	24
2.3. Изучение обнажений горных пород	27
2.3.1. Типы обнажений горных пород	-
2.3.2. Привязка обнажений	-
2.3.3. Описание горных пород	28
2.3.4. Наблюдение структурных элементов	-
2.3.5. Отбор образцов горных пород	29

2.3.6.	Зарисовка обнажений	30
2.4.	Первичная обработка полевых материалов	34
2.4.1.	Обработка коллекций горных пород и корректура полевых книжек	-
2.4.2.	Обработка замеров ориентировки плоскостных структурных элементов	35
3.	Физико-географическая и геологическая характеристики Сухоложского района	36
3.1.	Физико-географический очерк	-
3.2.	История геологического изучения района	37
3.3.	Геологическое строение района	39
3.3.1.	Стратиграфия	-
3.3.1.1.	Палеозойская эратема	-
3.3.1.2.	Мезозойская эратема	43
3.3.1.3.	Кайнозойская эратема	45
3.3.2.	Интрузивные образования	52
3.3.2.1.	Среднеордовикские интрузии	-
3.3.2.2.	Раннеордовикские интрузии	-
3.3.2.3.	Среднедевонские интрузии	53
3.3.2.4.	Раннекаменноугольные интрузии	-
3.3.2.5.	Ранне-среднекаменноугольные интрузии	54
3.3.2.6.	Позднепермские-раннетриасовые интрузии	-
3.3.3.	Тектоника	-
3.3.4.	Гидрогеология	55
3.3.5.	Геоморфология	56
3.3.5.1.	Речные террасы	57
3.3.5.2.	Карстовые формы рельефа	58
3.3.6.	Полезные ископаемые	-
3.3.6.1.	Горючие полезные ископаемые	59
3.3.6.2.	Металлические полезные ископаемые	-
3.3.6.3.	Неметаллические полезные ископаемые	60
3.3.6.4.	Строительные материалы	-
3.3.6.5.	Подземные воды	-
3.4.	Экологическая характеристика района	-
	Рекомендуемая литература	63
	Приложение 1	64

Введение

Учебно-методическая геологосъемочная практика студентов 2-го курса геологических и геофизических специальностей Института геологии и геофизики Уральского государственного горного университета проводится в Сухоложском районе Свердловской области в 120 км к востоку от г. Екатеринбурга. База практики расположена на правом берегу р. Пышмы в 500 м. ниже брода против села Рудянского.

В геологическом отношении район расположен на стыке складчатых структур Урала с горизонтально залегающими отложениями чехла Западно-Сибирской платформы, что позволяет познакомить студентов не только с палеозойскими образованиями Уральской складчатой системы, но и с мезозойскими и кайнозойскими отложениями платформенного чехла.

Учебная практика имеет целью закрепить теоретические знания полученные студентами при прохождении курсов структурной геологии и геологического картирования, минералогии, петрографии, палеонтологии и исторической геологии. Ее задачи сводятся к выработке у студентов навыков полевых геологических исследований, приобретаемых в процессе изучения и описания горных пород, руд, ископаемых остатков и дислокаций горных пород во время рекогносцировочных маршрутов по району практики и при самостоятельной геологической съемке.

Руководство практикой осуществляется коллективом кафедры геологии, поисков и разведки МПИ с привлечением преподавателей других кафедр ИГиГ УГГУ.

1. Организация и методика проведения практики

1.1. Организационные вопросы

1.1.1. План проведения практики

План проведения практики проводится в стенах университета. Не позднее одного месяца до начала практики проводится организационное (первое) собрание, на котором рассматривается состояние противознцифалитных прививок, представляются руководители групп, объявляется перечень продуктов, снаряжения, деталей экипировки, которые студенты должны взять на практику.

Во время второго организационного собрания студентам объявляются: сроки, задачи практики, место прохождения практики, порядок проезда до базы практики, проводится вводный инструктаж по охране труда, бытовой санитарии, и противопожарной безопасности.

Длительность практики составляет 4 недели и время, отводимое на проведение различных видов работы распределяется следующим образом:

Отъезд и устройство на базе	- 2 дня
Вводные установочные лекции и инструктаж по охране труда на рабочем месте	- 1 день
Рекогносцировочные маршруты студентов	- 8 дней
Камеральные работы и аттестация рекогносцировочного этапа практики	- 5 дней
Площадная геологическая съемка (с камеральными работами и защитой отчетов)	- 7 дней
Ликвидационные работы	- 1 день

Итого: 24 раб. дня (4 недели)

Цикл установочных лекций включает следующие темы:

1. Геологическое строение района практики.

2. Геоморфология и гидрогеология района практики.
3. Инструктаж на рабочем месте при устройстве полевого лагеря и проведении геологических исследований.

После чтения установочных лекций и инструктажа по охране труда при ведении полевых исследований студенты совместно с руководителем академической группы решают внутригрупповые организационные вопросы: разбиваются на бригады по 5-6 человек, договариваются о закупках продуктов, посуды и снаряжения, необходимого для полевой жизни. Группа обеспечивает себя билетами для проезда по железной дороге от ст. Свердловск до ст. Кунара. По прибытии на базу практики студентам отводится два дня (включая день прибытия) для устройства лагеря, организации быта и получения со склада полевого снаряжения и методической литературы. В конце второго дня проводится первое практическое занятие, во время которого студенты обучаются ориентировке на местности, измерению расстояний шагами, описанию обнажений горных пород.

Геологическая практика начинается с прохождения рекогносцировочных маршрутов, во время которых студенты знакомятся с геологическим строением района практики и с методикой описания естественных и искусственных обнажений горных пород, проявлений полезных ископаемых и керна буровых скважин, с методикой геоморфологических и гидрогеологических наблюдений.

После прохождения рекогносцировочных маршрутов каждая бригада составляет отчет, который включает общую характеристику геологического строения Сухоложского района. Отчет защищается перед комиссией, состоящей из преподавателей, находящихся на практике. Защитившие отчет, бригады приступают к проведению площадной и маршрутной съемок.

Практика считается пройденной после защиты отчетов по самостоятельным съемкам.

1.1.2. Снаряжение учебных групп.

Обеспечение групп необходимым снаряжением и оборудованием проводится через старосту и бригадира. Староста получает на базе снаряжение, общее для всех групп: палатки, постельные принадлежности, лопаты, кайла, топоры. Бригадир получает снаряжение на бригаду: чертежные доски, планшеты, методическую литературу, молотки, компасы, лупы и различные графические материалы.

Каждая бригада должна заранее позаботиться о том, чтобы иметь набор цветных карандашей, тушь (красную, черную, синюю, зеленую), иметь ластик, транспортёр, рейсфедер, ручки ученические, линейки, угольники, тетрадь для написания отчета, фотоаппарат, пленки, фотобумагу и реактивы.

Каждая группа должна себя обеспечить посудой, необходимой для приготовления пищи на кострах, запасом продовольствия.

Студент должен быть экипирован применительно к работе в полевых условиях. Минимальный перечень необходимых вещей должен включать:

- костюм из плотной ткани для полевой работы;
- смену белья;
- обувь на рифленой резиновой подошве (туристические ботинки, кеды);
- хлопчатобумажные и шерстяные носки;
- легкую одежду для теплой погоды;
- теплую одежду для прохладной погоды (свитер, теплая кофта, телогрейка, вязаная шапочка);
- плащ и резиновые сапоги на случай непогоды;

- посуду (миску, ложку, кружку);
- туалетные принадлежности;
- складной нож;
- фонарик с запасом батареек;
- средство против комаров и клещей.

Снаряжение учебной группы и ее готовность к прохождению геологических маршрутов проверяется руководителем группы перед выходом в поле.

1.1.3. Устройство и ликвидация лагеря

Каждая академическая группа несет полную ответственность за правильную организацию и оформление места своей стоянки. Основные требования, предъявляемые к полевому геологическому лагерю, сводятся к следующему:

- палатки ставятся выходом на подветренную сторону;
- вокруг палатки должна быть вырыта канавка для стока воды;
- пол в палатке должен быть покрыт специальными щитами, сделанными из досок, или устлан хвойными (или другими) ветками;
- костер должен располагаться с подветренной стороны на расстоянии не менее 10 м. От ближайшей палатки;
- за пределами лагеря должна быть вырыта яма для пищевых отходов и мусора;
- в обязанность группы входит сооружение своими силами обеденного стола с навесом от дождя;
- внутри палаток должна постоянно поддерживаться чистота и порядок.

По завершению практики лагерь должен быть ликвидирован. На территории бывшего лагеря наводится чистота. Колья, крепившие палатки, выдергиваются, все временные сооружения ликвидируются, ямы для пищевых отходов аккуратно засыпаются землей.

Прием убранной территории производится комиссией во главе с руководителем практики.

1.1.4. Правила техники безопасности при геологических исследованиях

Перед выездом на практику все студенты должны сделать противэнцефалитные прививки.

На базе практики, перед началом рекогносцировочных маршрутов проводится смотр готовности группы к полевым работам: просматриваются снаряжение, обувь, одежда и пр., а также проверяются знания студентами природных условий и правил безопасности производства полевых работ.

В процессе прохождения геологических маршрутов движение перемещающейся группы должно быть компактным, обеспечивающим постоянную видимость или голосовую связь между людьми на случай оказания им необходимой помощи.

В ясный день нельзя уходить в геологический маршрут не защищенным от солнечных лучей. Каждый бригадир обязан в маршруте иметь при себе индивидуальный санитарный пакет.

Во избежание укусов змей передвижение по базе и вне ее производить в обуви. Воду для питья и приготовления пищи брать только из указанных источников.

При передвижении на автомашине запрещается перегруз машины и превышение нормальных габаритов груза. Груз должен быть распределен равномерно; колющие и

режущие инструменты (топоры, вилы, колья) уложены на днище кузова и прочно закреплены; люди расположены с максимально возможными удобствами. Запрещается: стоять в кузове автомашины, сидеть на бортах, перемещаться без надобности, соскакивать и садиться на ходу, курить и т. д.

При передвижении по крутым скалистым откосам запрещается сбрасывать камни, отваливать без надобности неустойчивые глыбы и т.п. Хождение по крутым тропам и карнизам должно быть осторожным. Особое внимание следует обращать на выступающие камни, ветви деревьев, мешающие передвижению. При передвижении по осыпям всегда следует иметь в виду возможность внезапного срыва сверху камней.

При сильной грозе не рекомендуется находиться вблизи одиноких деревьев, а также у металлических матч, держать вблизи себя геологический молоток и прочие металлические предметы.

Отбивание образцов твердых горных пород геологическим молотком должно производиться с предосторожностями, исключающими попадание осколков в лицо.

При проходке легких горных выработок запрещается раскачивать, сдвигать с места крупные валуны и нависшие камни. Во всех случаях работа должна производиться с помощью лома, кирки, лопаты таким образом, чтобы валун, глыба или отслоившийся пласт не могли причинить работающему травму.

Костры разрешается разводить только в защищенных местах, исключающих возможность возникновения пожара. Место костра необходимо окапывать. После ухода с места стоянки костры должны быть потушены.

Купаться разрешается группами, не менее трех человек так, чтобы умеющие плавать вели наблюдение за купающимися. Категорически запрещается купание в ночное время.

Рекомендуется проводить взаимоосмотр ежедневно на предмет наличия клещей.

Руководство практик (группы) должно знать, где находятся люди, и ежедневно проверять их наличие в лагере. Все отлучки из лагеря или из маршрута должны производиться только с ведома и разрешения руководителя практики (группы).

В случае установления факта отсутствия в лагере по неизвестным причинам кого-либо из сотрудников и студентов или невозвращения группы из маршрута в контрольный срок, руководитель практики (группы) обязан немедленно принять розыскные или спасательные меры.

Только после проведения со студентами инструктажа по охране труда ведения полевых работ и при соответствующей экипировки студентов группа допускается к проведению полевых работ.

1.2. Методические вопросы проведения практики

1.2.1. Рекогносцировочный этап практики

Целью рекогносцировочного этапа практики является ознакомление студентов с главнейшими особенностями геологического строения района практики и привитие студентам навыков описания естественных и искусственных обнажений горных пород, производства геоморфологических и гидрогеологических наблюдений. Выполнение этих задач осуществляется путем проведения маршрутов по наиболее информативным геологическим объектам, изучение которых способствует созданию представлений о строении всего района в целом.

1.2.1.1. Методика проведения рекогносцировочных маршрутов

В соответствии с программой учебной практики студенты проходят 8 рекогносцировочных маршрутов. Перед началом маршрутов каждая бригада получает нераскрашенную геологическую карту района практики, на которую она должна нанести пройденные маршруты и дооформленную и раскрашенную приложить к отчету по рекогносцировочному этапу практики.

Маршруты ведет руководитель учебной группы. По ходу движения он знакомит студентов с конкретными обнажениями (или с другими какими-либо геологическими объектами) путем демонстрации слагающих их пород, возрастных и пространственных взаимоотношений этих пород, а также разрывных и складчатых дислокаций (если таковые имеются). После этого руководитель дает описание обнажения, которое студенты записывают в свои индивидуальные полевые книжки. По рекомендации руководителя студенты отбирают образцы горных пород, измеряют ориентировку текстурной неоднородности пород и контактов, а также ориентировку дислокаций горных пород. Параллельно с вышеуказанным, руководитель обучает студентов делать привязку обнажения, измерять шагами, производить зарисовки обнажений.

После возвращения из маршрута, в указанные в распорядке дня часы, под руководством руководителя группы студенты проводят камеральную обработку полевых материалов: заполняют журнал образцов горных пород, раскрашивают геологическую карту на участке пройденного маршрута, выносят на карту элементы залегания горных пород, либо объекты, описанные в маршруте, но не отмеченные на карте.

Данные, полученные во время прохождения рекогносцировочных маршрутов, наряду с имеющимся в Методических указаниях описанием района, кладутся в основу представлений о геологическом строении района практики и составляют основной фактический материал по рекогносцировочному этапу практики.

1.2.1.2. Составление отчета по рекогносцировочному этапу практики

После завершения геологических маршрутов каждая бригада распределяет обязанности по составлению отчета и составляет отчет за рекогносцировочный этап практики. Отчет должен включать: 1 – геологическую карту района практики в масштабе 1 : 50 000, 2- карту фактического материала, 3 - пояснительную записку к геологической карте (текстовая часть отчета), 4 – коллекцию горных пород, 5 – индивидуальные полевые книжки.

1.2.1.2.1. Требования к составлению и оформлению отчета

Геологическая карта.

Геологическая карта, выданная бригадам перед рекогносцировочными маршрутами должна быть раскрашена в соответствии с требованиями к оформлению геологических карт. Раскрашиваются также условные обозначения и геологический разрез. В правом верхнем углу карты должен быть указан шифр учебной группы, номер бригады и вписан состав бригады. На карту должны быть нанесены пройденные маршруты, элементы залегания горных пород, проявления полезных ископаемых и другие объекты, описанные во время маршрутов, но отсутствующие на карте.

Карта фактического материала.

Карта фактического материала составляется на кальке. На карту должны быть нанесены ручкой или тушью пройденные маршруты и номера точек наблюдений; номера

и места: отбора образцов горных пород, сколков шлифов, находок фауны и флоры, проб на различные лабораторные исследования, микрополигонов для изучения трещиноватости; элементы залегания разрывных нарушений, интервалы (или точки) гидротермальных или метасоматических изменений, зоны (ареалы, точки) рудной минерализации. Линии маршрута должны сопровождаться литологическими знаками горных пород (литологическими «дорожками»).

Пояснительная записка.

Пояснительная записка к геологической карте района должна включать следующие разделы и главы:

Введение

1. Физико-географический очерк.
 2. История геолого-геофизических исследований района.
 3. Методика маршрутных исследований
 4. Геологическое строение района
 - 4.1. Стратиграфия
 - 4.2. Интрузивные образования
 - 4.3. Тектоника
 5. Геоморфология
 6. Гидрогеология
 7. Полезные ископаемые
 8. История геологического развития
 9. Экологическая характеристика
- Заключение**

1.2.1.2.2. Содержание разделов пояснительной записки

Введение

Во «Введении» указываются: 1 – цели и задачи практики, 2 – место проведения практики, 3 – административное положение, экономика и пути сообщения района практики, 4 – перечень выполненных работ, 5 – состав бригады, 6 – распределение обязанностей по составлению отчета, с указанием авторов глав отчета и его графических приложений.

Физико-географический очерк

Физико-географический очерк должен содержать сведения об особенностях рельефа Сухоложского района, его гидрографической сети, растительности, животном мире и климате. Здесь же указывается степень обнаженности и проходимости района, категория дешифрируемости аэрофотоснимков.

История исследований района

Эта глава должна содержать краткую характеристику ранее проведенных в районе геологических и геофизических исследований. В хронологической последовательности должны быть раскрыты основные результаты проведенных работ.

Методика проведенных маршрутных исследований

В главе приводится перечень пройденных рекогносцировочных маршрутов и их цели, методика полевых наблюдений, виды проведенных камеральных работ.

Геологическое строение района практики

В основе этого раздела должны лежать сведения о геологическом строении района практики, изложенные в соответствующем разделе данных Методических указаний и почерпнутые с геологической карты района м-ба 1:50 000. Студенты только дополняют этот каркас конкретным фактическим материалом, собранным во время рекогносцировочных маршрутов.

Стратиграфия

Глава начинается с общей характеристики стратифицированных образований района: перечисляются развитые в районе стратиграфические подразделения в ранге эратем, приводятся общие сведения об их составе, площадном распространении и условия залегания слагающих их пород. Затем разворачивается последовательная характеристика эратем с соблюдением принятой рубрикации излагаемого материала. Описание ведется в хронологической последовательности от наиболее древних к более молодым и заканчивается характеристикой отложений четвертичной системы. Очень важно, чтобы при описании стратиграфических подразделений соблюдалась четкая их рубрикация с указанием группы, системы, отдела, яруса, зоны. Все заголовки внутри главы должны отражать соподчиненность выделенных стратиграфических единиц, исключая ненужные повторения. Названия стратиграфических подразделений необходимо сопровождать их индексацией.

Характеристика каждой толщи горных пород, выделенных в самостоятельную стратиграфическую единицу, должна приводиться по определенной стандартной форме, облегчающей поиск и усвоение необходимой информации: вначале указывается, какими горными породами сложено данное стратиграфическое подразделение, отмечаются особенности площадного распространения пород данного возраста, положение в главнейших тектонических структурах района, затем характеризуется их состав, текстурные и структурные особенности, после чего дается обоснование возраста и характеристика контактов с подстилающими образованиями. Обязательно приводится перечень руководящих палеонтологических форм, подтверждающих возраст данного стратиграфического подразделения. Заканчивается глава указанием мощности стратиграфического подразделения.

Эффузивные тела покровного типа включаются в состав стратиграфического разреза, и приводится их петрографическая характеристика.

Глава должна быть проиллюстрирована фотографиями и зарисовками, показывающими характер обнажений горных пород того или иного стратиграфического подразделения, особенности его внутреннего строения и характер дислокаций составляющих его пород.

Интрузивные образования

Эта глава начинается с указания интрузивных комплексов, представленных на описываемой территории (совокупностей интрузивных тел, объединенных общностью состава, возраста, условий образования и залегания), которые известны в районе по литературным данным, указаны на геологической карте, а также были встречены при изучении опорных обнажений во время рекогносцировочных маршрутов. Характеристика интрузивных комплексов производится в последовательности: от древних к молодым и от основных (ультраосновных) к кислым.

Относительно каждого интрузивного комплекса указывается следующее: 1 – минеральный состав, структурные и текстурные особенности пород; 2 – количество, форма (дайка, шток, нэжк и пр.) размеры и внутреннее строение интрузивных тел

(наличие, состав и строение экзо- и эндоконтактовых зон, элементы прототектоники); 3 – относительный возраст интрузивных тел.

Все интрузии одного интрузивного комплекса описываются сообща, с указанием каких-то особенностей отдельных тел. Крупные интрузии описываются индивидуально.

Тектоника

В начале главы дается самая общая характеристика структурных особенностей изучаемого района, отмечаются условия залегания стратифицированных образований (складчатое, моноклиналиное, горизонтальное). Затем приводится тектоническое районирование территории (то есть указывается положение района в крупных тектонических структурах). После этого дается подробная характеристика сначала складчатых, а затем и разрывных структур последовательно от крупных к мелким.

Описание **складчатых дислокаций** включает в себя указание: 1 – морфологического и генетического типов складок; 2 – ориентировки складок (простираения относительно сторон света); 3 – ориентировки шарниров складок. На геологической карте, при этом, необходимо показать оси складок и значками показать направления погружения шарниров складок.

Описание **разрывных дислокаций** включает в себя: 1 – разделение всех разломов на группы по ориентировке, кинематическому типу и возрасту; 2 – описание каждой группы разломов (или единичных разломов) с указанием размера; направления и амплитуды перемещения блоков; вида пород, слагающих шовную зону разломов; характера взаимоотношений разломов со складчатыми дислокациями и другими геологическими структурами. При этом, для облегчения поиска на карте описываемых в тексте разломов, рекомендуется надписывать наиболее крупным и характерным разломам (как и складкам) собственные названия, указанные в тексте данного Методического руководства, а не поименованным давать свои названия, или хотя бы номера.

Завершается глава описанием **трещиноватости** пород района. Характеристика трещиноватости сопровождается сводной таблицей замеров трещин и круговой диаграммой ориентировки трещин. В конце описания должны быть сделаны выводы о преобладающих направлениях трещиноватости и её генетических типах.

Геоморфология

В этой главе приводится описание генетических типов рельефа и отдельных его элементов (речных долин и оврагов, уступов, водоразделов), дается детальная характеристика речного террасового комплекса с указанием вида террас (эрозионные, аккумулятивные, эрозионно-аккумулятивные), высоты уступа и размеров площадок каждой террасы. Указывается состав горных пород, слагающих террасы. Производится определение высоты склонов долины реки, вычисляются углы наклонов тальвега логов и оврагов.

Глава сопровождается геоморфологическим разрезом (обычно поперечным профилем долины реки Пышмы), на котором должны быть отражены взаимоотношения различных элементов рельефа и генетических типов четвертичных отложений.

Гидрогеология

В главе «Гидрогеология» описываются подземные воды района практики. Указываются типы развитых в районе подземных вод и закономерности их пространственного размещения. Указываются коллекторские свойства разных видов пород, средний дебит приуроченных к ним выходов подземных вод и их химизм. Приводится описание встреченных во время рекогносцировочных маршрутов родников и их дебит.

Полезные ископаемые

Глава начинается с перечня главнейших типов месторождений полезных ископаемых, известных в Сухоложском районе. Далее приводится краткая характеристика месторождений по выделенным типам. При написании главы должна соблюдаться четкая рубрикация текста. Вначале описываются горючие полезные ископаемые, затем металлические (черные, цветные, благородные металлы), неметаллические, подземные и минерализованные воды, строительные материалы. Кроме описания известных в районе месторождений (эксплуатируемых в настоящее время или законсервированных и отработанных), следует охарактеризовать все зафиксированные в районе рудопроявления и пункты минерализации. Известные в районе месторождения должны быть вынесены специальными условными знаками на геологическую карту Сухоложского района.

При написании главы следует использовать литературные источники и личные наблюдения, произведённые во время рекогносцировочных маршрутов.

Глава иллюстрируется разрезами месторождений, показывающими главнейшие особенности форм залегания рудных тел.

История геологического развития

Характеристика истории геологического развития района должна опираться на вертикальное расчленение горных пород, указанное в стратиграфической колонке. По составу горных пород, их текстурным и структурным особенностям восстанавливаются условия образования осадков, реконструируется палеогеографическая обстановка. Особое внимание уделяется характеристике магматических (эффузивных и интрузивных) процессов и тектонических движений земной коры на различных этапах её развития. Обосновывается последовательность внедрения интрузий различного состава. Производится выделение главнейших фаз складчатости, указывается место появления тех или иных месторождений полезных ископаемых в ходе геологического развития Сухоложского района. Приводятся сведения о геотектонической обстановке.

Глава заканчивается характеристикой признаков проявления неотектонических движений и историей формирования современного рельефа.

Экологическая характеристика

В главе приводятся сведения о эколого-геологической ситуации района по личным наблюдениям при проведении маршрутов. Дается характеристика природных неблагоприятных геологических объектов и процессов. В начале главы приводятся сведения об объектах экзогенного происхождения: оползнях, обвалах, осыпях, оврагах, селях, выходах скальных пород, карстовых формах, участках вспучивания грунтов либо проседания, границы паводковых затоплений, заболачивания, участках активной аккумуляции речных и временных водотоков, участках эрозии русловой (интенсивное врезание) и боковой (подмыв берегов).

Далее приводятся сведения о техногенных объектах, нарушающие и загрязняющие среду, а также потенциально опасные для жизни. К таковым относятся карьеры, отвалы, хвостохранилища, заводы и фабрики, очистные сооружения, свалки, склады ГСМ, минеральных удобрений и ядохимикатов, населенные пункты, животноводческие фермы, навозохранилища, участки лесозаготовок, железные и автомобильные дороги, пахотные земли, линии ЛЭП, газопроводы, нефтепроводы.

Приводятся сведения о загрязненности водотоков.

В заключение главы дается характеристика ландшафтов: природных – лесных, луговых, болотных; техногенных: техногенно-образованных (карьерные поля, свалки, отстойники) и техногенно-измененных (промышленные зоны городов и рабочих поселков,

загрязненные участки почвогрунтов и поверхностных вод). Сведения о ландшафтах рекомендуется представлять в табличной форме (в процентах от площади развития).

Заключение

В "Заключении" даются основные выводы о геологическом строении изученного района. Указывается, что остаётся неясным и вызывает сомнения, даются рекомендации о направлении дальнейших исследований.

К отчету по рекогносцировочному этапу практики прикладывается коллекция горных пород, собранная во время маршрутов. Коллекция должна включать главные виды горных пород района практики, образцы минералов и ископаемых органических остатков. Правила отбора и маркировки образцов и заполнения журнала образцов приведены на стр. настоящего пособия.

К отчету прикладываются также индивидуальные полевые книжки членов бригады. Они должны быть оформлены в соответствии с предъявленными требованиями (стр. настоящего пособия) и содержать описания всех пройденных бригадой маршрутов. Неаккуратно заполненные или имеющие пробелы в описании маршрутов полевые книжки возвращаются на доработку.

Отчет за рекогносцировочный этап практики защищается перед комиссией состоящей из преподавателей проводящих учебную практику.

1.2.1.3. Аттестация студентов за рекогносцировочный этап практики

Аттестация студентов за рекогносцировочный этап практики проводится по двум аспектам: сдача коллоквиума и защита отчета. Аттестация проводится путём собеседования отдельно по каждому аспекту, или одновременно по обоим.

Коллоквиум включает опрос студентов на предмет знания методики полевых наблюдений, порядка изложения содержания глав отчета и просмотр индивидуальных полевых книжек. Аттестация за коллоквиум индивидуальна. Студент, не показавший достаточных знаний вопросов коллоквиума, приглашается на повторное собеседование.

Защита отчета включает общую оценку отчета, как результирующего отчетного материала за пройденный рекогносцировочный этап практики, и оценку знаний членами бригады геологического строения и горных пород района практики.

Оценка конкретно отчета включает: полноту содержания глав отчета; полноту использования материалов, полученных во время рекогносцировочных маршрутов; содержание и правильность оформления внутритекстовой графики, геологической карты и журнала образцов.

Защита отчета принимается при общей положительной оценке отчета как результирующего документа и при знании студентами геологии района (каждым персонально).

Не принятый отчет возвращается на доработку, а студент, не знающий геологии района, приглашается на повторное собеседование. Бригада, не аттестованная за рекогносцировочный этап практики, не допускается к выполнению следующего задания - площадной геологической съёмки.

1.2.2. Площадная геологическая съёмка

После аттестации рекогносцировочного этапа практики студенты приступают к проведению площадной геологической съёмки. С этой целью каждой бригаде выделяется участок, контуры которого задаются руководителем группы. Учитывая в общем плохую оснащённость района практики, участки для съёмки выделяются по долинам реки Пышмы

и её крупным притокам. Размер участка, выделяемого бригаде для самостоятельного картирования при масштабе съёмки 1:1000 составляет 500x500 м.

1.2.2.1. Составление опорной сети наблюдений

Перед проведением площадной геологической съёмки каждой бригаде выдаётся топографическая основа будущей геологической карты. Руководитель группы указывает каждой бригаде на местности начало и конец участка на одном из берегов реки и направление линий, ограничивающих участок. Далее студенты сами прокладывают на местности (вдоль берега реки) линию опорных пикетов, к которой будут привязывать в последующем точки наблюдений и геологические маршруты. Рекомендуется пикеты располагать на таких расстояниях друг от друга, чтобы они (пикеты) совпадали с профилями сети наблюдений. Требуемый размер сети наблюдений - 50x50 м (расстояние между профилями, вдоль которых будут проходить геологические маршруты - 50 м, расстояние между пикетами в профилях - также 50 м). Координаты углов полигонов определяются с помощью топопривязчика.

1.2.2.2. Изучение коренных пород.

Главной задачей геологической съёмки является установление особенностей геологического строения выделенного бригаде участка. Бригада в начале работ производит рекогносцировку местности с целью выявления всех естественных обнажений, которые могут быть детально изучены и описаны. Главным методом съёмки в конкретных условиях является сплошное оконтуривание обнажений и прослеживание контактов. На участках сплошного выхода горных пород, после их оконтуривания, можно ставить на карте точки с указанием номера обнажений и привязывать к ним произведенные в поле наблюдения. Вблизи этих точек на полевой карте указываются, элементы залегания слоистости, сланцеватости и пр.

Первая задача, которая стоит перед бригадой, заключается в выделении главнейших типов горных пород. При этом следует иметь в виду, что диагностика горных пород в поле - дело нелегкое, требующее определённых навыков и предварительного изучения образцов под микроскопом. В первую очередь необходимо обнаружить признаки сходства или различия выделенных разновидностей и положить их в основу определения типа горных пород. В поле можно дать предварительное (условное) название породы, но очень важно, чтобы одинаковые по видимым признакам горные породы назывались одинаково.

Вторая задача, которую приходится решать бригаде, заключается в установлении последовательности напластований. Решение этой задачи становится возможным при детальном изучении контактов между различными типами горных пород. Особенно это трудно делать при картировании чередующихся между собой лавовых покровов, потоков и их туфов. Однако в любых случаях приходится опираться на имеющийся Фактический материал и составлять на его основе представление о стратиграфической последовательности напластований, мощности стратифицированных толщ. Выводы, сделанные в результате проведенных на участке наблюдений, кладутся в основу стратиграфической колонки изученного участка.

Третья и наиболее сложная задача, стоящая перед бригадой, сводится к выявлению структуры закартированного участка. Сложность этой задачи заключается в том, что представления о структурах обычно рождаются на базе отрывочных сведений. В обнажениях горных пород встречаются лишь элементы той цельной структуры, которая должна быть осмыслена и отражена на геологической карте. Часто возникают такие

ситуации, когда нельзя дать однозначной интерпретации структурных наблюдений и приходится останавливаться на том или ином варианте, с которым наиболее полно согласуется имеющийся фактический материал.

В процессе проведения структурных наблюдений рекомендуется шире использовать проходку канав и расчисток. На территории участков, задернованных и покрытых лесом, контакты между различными типами горных пород экстраполируются с учётом элементов залегания в изученных обнажениях и общей структуры участка. В связи с недостаточной обнажённостью и невозможностью проходки нужных объёмов горных выработок, составленная бригадой геологическая карта обычно несёт в себе элементы гипотетичности.

Бригада не имеет права закончить полевые работы, пока не будет составлена и принята руководителем академической группы полевая геологическая карта. Бригада обязана также провести необходимый комплекс геоморфологических и гидрогеологических наблюдений.

1.2.2.3. Изучение рыхлых отложений

Кроме изучения коренных пород, при геологической съёмке выделенного бригаде участка производится детальное изучение рыхлых отложений. Главной задачей, стоящей перед бригадой, является выделение основных генетических типов пород четвертичной системы и установление их возрастных соотношений. На некоторых участках встречаются реликты мезозойской коры выветривания. Особое внимание обращается на возрастное расчленение аллювиальных отложений и оконтуривание поймы, высокой поймы, первой, второй и более высоких надпойменных террас. При наличии аллювиальных галечников определяется петрографический состав, размерность, формы, степень окатанности для 100 галек, непредвзято отобранных (лучше ведром). По процентным соотношениям строятся диаграммы, пригодные для корреляции одновозрастных отложений, а также для определения пригодности галечников в качестве полезного ископаемого (строительного материала). При отсутствии естественных обнажений рекомендуется на уступе террасы пройти канаву или сделать расчистку и дать детальное описание слоев, слагающих террасовый комплекс. Кроме выделения аллювиальных отложений, необходимо оконтурить площади развития и составить описание элювиальных, делювиальных и элювиально-делювиальных, а также озёрно-болотных отложений. Осыпи выделяются как коллювиальные отложения.

Обязательным для бригады является составление геоморфологического профиля с показом на нём всех особенностей пространственно-возрастных соотношений четвертичных отложений различных генетических типов.

1.2.2.4. Гидрогеологические наблюдения

В процессе геологического изучения выделенного бригаде участка должно быть обращено внимание на обследование всех выходов на поверхность подземных вод (источников). В пикетажных книжках необходимо дать описание каждого источника с указанием его относительной отметки, характера проявления (небольшой родник или общее просачивание подземных вод, группа родников и т.д.). В обязанность бригады входит определение расхода воды (дебита), в источниках путем заполнения мерной емкости. Поделив объём ёмкости на время ее заполнения, получают величину расхода воды в л/сек

1.2.2.5. Составление полевой документации

При проведении самостоятельной геологической съёмки обычно заполняется одна полевая книжка на двух членов бригады (на маршрутную пару). Требования к описанию обнажений те же, что и при проведении рекогносцировочных маршрутов. Нумерация точек наблюдений сквозная для всех маршрутных пар. Это значит, что каждая маршрутная пара имеет свой интервал номеров, не перекрывающийся с номерами других маршрутных пар.

Полевая геологическая карта составляется на стратиграфической основе с использованием цветной легенды. Горные породы обозначаются крапом (штриховыми знаками), а интрузивные также и цветом состава. Измеренные элементы залегания текстурной неоднородности пород или контактов показываются соответствующими условными знаками.

На полевой геологической карте четвертичные отложения должны быть расчленены по генезису и по возрасту. Кроме этого на карте должны быть указаны и формы рельефа: низкая и высокая поймы, надпойменные террасы, гребни водоразделов.

Полевая геологическая карта выполняется на миллиметровке, прикреплённой для удобства пользования к фанерному планшету.

Канавы должны документироваться в виде развертки, отражающей особенности строения слоистой толщи на каждой её стенке. При расчистках документируются лишь коренные породы. Обязательно должен быть указан масштаб и ориентировка (азимут) одной из стенок горной выработки.

1.2.2.6. Составление коллекции горных пород, минералов и органических остатков

В отличие от коллекции горных пород за рекогносцировочный этап практики коллекция при площадной съёмке состоит из образцов двух типов - демонстрационных и рабочих.

Во время площадной геологической съёмки, рекомендуется брать образцы всех разновидностей пород из всех обнажений. Это помогает объективно выделить площади развития различных пород при просмотре образцов всеми маршрутными парами, участвующими в съёмке участка. Это позволяет также проконсультироваться с руководителем по любому обнажению или фрагменту участка, тем более что он не всегда может осмотреть (вместе со студентами) весь участок. В итоге получается большое количество образцов, многие из которых дублируют друг друга. По этой причине коллекцию пород, собранную при площадной съёмке, рекомендуется делить на две части - демонстрационные образцы и рабочие. Демонстрационные образцы (как представители группы пород) представляются на защиту отчета, а рабочие оставляются (и предназначаются) для решения спорных вопросов. Рабочие образцы могут иметь меньшие размеры и нестандартную форму.

1.2.2.7. Эколого-геологические наблюдения

Эколого-геологические наблюдения проводятся попутно при геологических маршрутах. Встреченные объекты экзогенного, либо техногенного происхождения отображаются на полевых картах в значковой форме. В полевой документации дается характеристика каждому объекту: параметры, степень опасности для людей и животных,

генезис. В полевых книжках фиксируются также границы ландшафтов и дается краткая их характеристика: растительность, микрорельеф, почвы.

При составлении карты четвертичных образований окантуриваются ландшафты, селитебные зоны (жилая застройка), рекреационные (участки, действующие или рекомендуемые для отдыха населения).

1.2.2.8. Составление отчета по площадной съёмке

Отчёт по площадной съёмке строится по тому же плану, что и отчёт по рекогносцировочному этапу практики. Можно упустить лишь главу "История геолого-геофизических исследований" и дать сокращённое описание главы "Физико-географический очерк" - упустить сведения о климате и экономическую характеристику описываемого участка. Не нужно смущаться, что содержание глав при описании геологии участка будет отличаться небольшим объёмом. Важно, чтобы в их основе лежали материалы личных наблюдений, собранные бригадой при изучении горных пород данного участка. Полнота глав, их насыщенность фактическим материалом, по сути, и характеризуют собой качество самостоятельной работы бригады, творческую инициативу и пылливость её членов, степень их общей теоретической подготовки.

Текст отчёта должен быть иллюстрирован фотографиями и зарисовками обнажений, таблицей замеров трещин и круговыми диаграммами трещиноватости, ритмограммами слоистых толщ и стратиграфическими колонками составленными в поле по обнажениям.

Внутритекстовые графические приложения выполняются на ватмане, в туши. Фотографии также должны быть аккуратно оформлены на вкладных листах. Зарисовки и фотографии необходимо сопровождать подрисуночным текстом, раскрывающим смысл помещения в отчёт данной иллюстрации. Фотографии, зарисовки, схемы и диаграммы должны иметь единую нумерацию (рис. и цифра). Таблицы нумеруются отдельно.

По каждому закартированному участку составляются три чертежа:

1. Геологическая карта.
2. Карта четвертичных отложений.
3. Карта фактического материала.

Геологическая карта выполняется на ватмане. На неё наносятся горизонтали рельефа, гидрографическая сеть и прослеженные в поле геологические границы: литологические, стратиграфические, интрузивные и тектонические. Выделенные на участке стратиграфические подразделения раскрашиваются цветом, соответствующим возрасту горных пород. При этом более древние образования одной системы должны иметь более темные тона, а более молодые образования - более светлые. Литологический состав стратифицированных толщ указывается штриховыми условными обозначениями. Геологическая карта сопровождается стратиграфической колонкой, разрезом и условными обозначениями. Раскраска интрузивных тел производится соответственно их составу. Обязательно указываются элементы залегания слоистости, кливажа и геологических границ, если их ориентировка была измерена.

Составители геологической карты должны обращать внимание на строгое соответствие изображения структур в плане с их конфигурацией на разрезе. Последовательность напластований, показанная на разрезе, должна соответствовать данным стратиграфической колонки. При оформлении геологической карты должны соблюдаться требования, предъявляемые к размерам шрифта, типам условных обозначений и пр.

Карта четвертичных (или рыхлых) отложений выполняется на ватмане. Разными цветами раскрашиваются площади распространения различных генетических

типов отложений четвертичной системы (аллювиальные, делювиальные, пролювиальные и др.). Оконтуриваются и раскрашиваются одинаковым цветом выходы коренных пород. Наносятся уступы речных террас.

Карта сопровождается геологическим разрезом и схемой возрастных взаимоотношений генетических типов пород четвертичной системы.

На карте отражаются элементы геолого-экологической обстановки (штриховкой, значками).

Карта фактического материала выполняется на кальке на топографической основе. На неё наносятся все точки наблюдения с учетом степени обнаженности (обнажения, элювий, делювий) с указанием их номера. Пройденные геологические маршруты указываются линиями. Выходы коренных пород оконтуриваются пунктирными линиями. На карту наносятся основные геологические границы и пункты отбора и номера фауны и флоры, образцов, проб.

1.2.2.9. Аттестация работ по площадной съемке

Аттестация этапа площадной съемки проводится путем защиты отчета. Отчет защищается перед создаваемой для этих целей комиссией. Отчет комиссией оценивается по тем же критериям, что и отчет по рекогносцировочному этапу практики.

2. ПРИЁМЫ ПОЛЕВЫХ ГЕОЛОГИЧЕСКИХ НАБЛЮДЕНИЙ

Полевые геологические наблюдения проводятся с целью изучения горных пород, их взаимоотношений и особенностей залегания. Это изучение в условиях учебной геологической практики заключается, в основном, в описании обнажений горных пород, состоящем из ряда операций: 1 - привязка обнажения; 2 - определение состава и строения горных пород, формы и условий их залегания; 3 - выяснение пространственных и временных соотношений горных пород; 4 - отбор образцов и остатков ископаемых организмов; 5 - зарисовка или фотографирование обнажения (или его части). Все эти операции могут быть проделаны только при наличии соответствующих предметов и инструментов, составляющих личное снаряжение геолога.

В **личное снаряжение геолога** при полевых исследованиях входят: полевая книжка с карандашом или шариковой ручкой, транспортир и резинка, геологический молоток, горный компас, лупа (или несколько, с разным увеличением), рюкзак и мешочки для сбора образцов, этикетки для образцов, полевая сумка для хранения топографических карт и аэрофотоснимков, рулетка.

Осуществление операций по изучению обнажений требует знания и выполнения определенных правил и приемов пользования предметами личного снаряжения, а также правил текстового и графического изображения полученной при изучении обнажения геологической информации.

К ним относятся: 1 - приемы работы с горным компасом, 2 - правила ведения полевой книжки и выполнения зарисовок геологических объектов, 3 - способы привязки точек наблюдения (в т.ч. топопривязчиком) и другие операции, сопровождающие изучение обнажений.

2.1. Ведение полевой книжки

Полевая книжка (пикетажная книжка) служит для занесения в неё результатов наблюдений, сделанных во время полевой работы и является основным документом, отражающим работу геолога. В книжке должны быть записаны все полевые наблюдения, выводы, сведения об отобранных образцах и сделаны необходимые зарисовки. Записи производятся аккуратно, карандашом или шариковой ручкой, на правой стороне, а рисунки - на левой стороне. Желательно делать выносы, подчеркивания, облегчающие чтение и просмотр пикетажной книжки.

Запись полученных сведений рекомендуется вести в следующем порядке: 1 - номер точки наблюдения (обнажения); 2 - указание о местоположении обнажения (привязка обнажения), 3 - тип обнажения (коренной выход, развал, высыпки); 4 - форма и характер выхода; 5 - указание состава пород, слагающих обнажение, их возрастные и пространственные взаимоотношения; 6 - сведения о трещиноватости горных пород и о разрывах со смещением; 7 - сведения о проявлениях рудной минерализации и пр.

На титульном листе полевой книжки указывается: название института, группа и фамилия студента, год прохождения практики, а также сроки начала и окончания записей.

Во время рекогносцировочного этапа практики полевая книжка ведется каждым студентом персонально и прилагается затем к соответствующему отчету.

Во время выполнения самостоятельных заданий полевая книжка ведется одна на маршрутную пару, занимающуюся геологической съёмкой.

2.2. Работа с горным компасом

Для ориентировки на местности и привязки обнажений, для определения элементов залегания горных пород, а также при проведении ряда других вспомогательных работ, сопровождающих геологические исследования, используется горный компас.

2.2.1. Устройство горного компаса

Устройство горного компаса показано на рис. I.

У компаса есть два независимых друг от друга направления. Одно из них, параллельное установившейся магнитной стрелке, постоянно и не зависит от поворотов корпуса, поскольку магнитная стрелка при отсутствии возмущающих магнитных масс всегда ориентируется по направлению север-юг. Второе направление, проходящее через деления 0 и 180 шкалы лимба, может быть, по желанию наблюдателя, ориентировано параллельно любому направлению на местности. Поскольку эти два направления пересекаются в центре лимба, то с его помощью можно измерять углы между направлением на север (показываемым северным концом магнитной стрелки) и любым другим направлением, параллельно которому устанавливается второе направление компаса

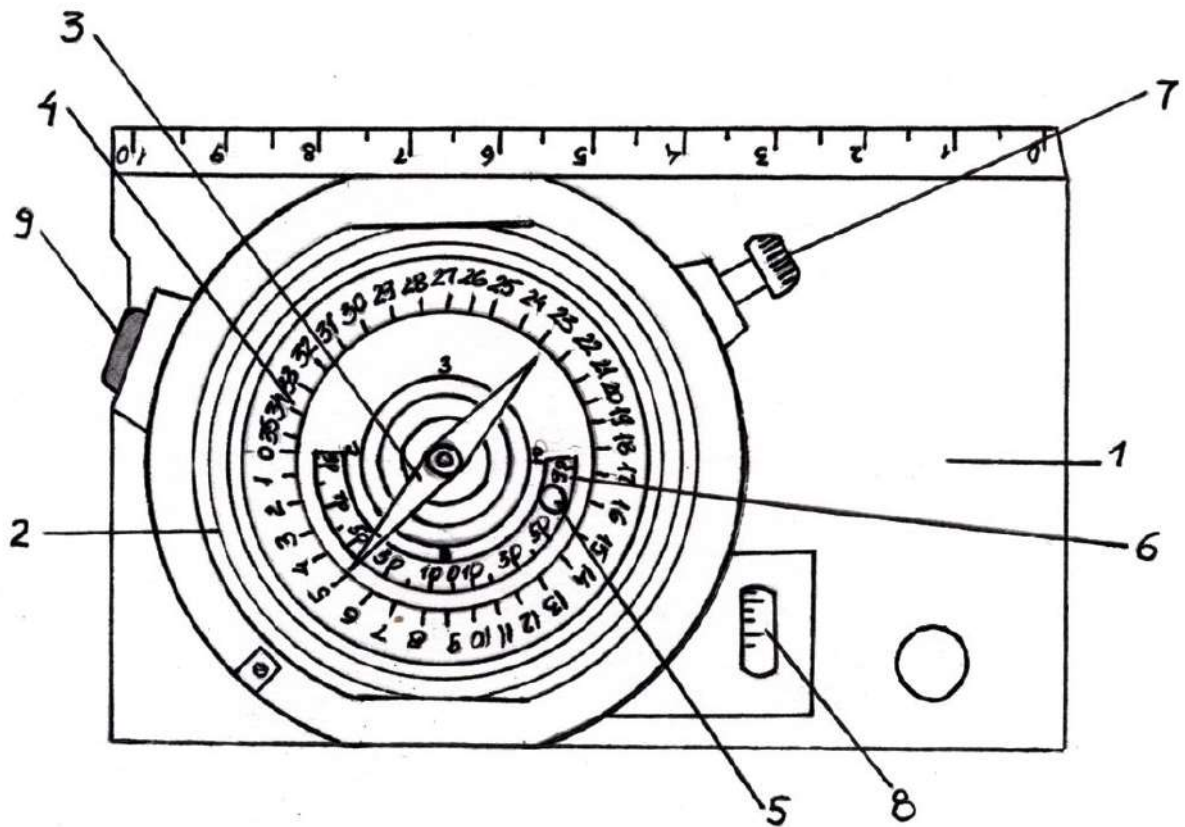


Рис. I. Устройство горного компаса.

1 - основание компаса; 2 - коробка компаса; 3 - магнитная стрелка; 4 - лимб, с помощью которого измеряются горизонтальные углы; 5 - клинометр (отвес); 6 - шкала клинометра; 7 - винт; 8 - уровень; 9 - кнопка

2.2.2. Понятие элементов залегания горных пород

Слоистость, сланцеватость, контакты интрузивных и жильных пород, трещины и сместители разрывных нарушений - все это различного рода геологические поверхности (а на локальных участках, в первом приближении - плоскости).

Элементы залегания поверхности - это выраженная в принятых понятиях ориентировка данной поверхности относительно сторон света и горизонта. В общем случае положение наклонной поверхности в пространстве характеризуют три компоненты: простирание, падение и угол падения.

Простирание - это направление распространения наклонной поверхности в горизонтальном срезе.

Падение - это направление погружения (направление понижения абсолютных отметок) наклонной поверхности.

Угол падения - это двугранный угол между данной наклонной поверхностью и горизонтальной плоскостью.

В частном случае одна из компонент ориентировки поверхности в пространстве может отсутствовать или терять смысл. Так, в случае вертикального положения поверхности у нее нет направления погружения, а при горизонтальном положении поверхности она (поверхность) простирается "во все стороны".

В практике полевых исследований, при измерении ориентировки геологических поверхностей часто пользуются понятиями: линия простирания и линия падения.

Линия простирания - это линия пересечения геологической поверхности с горизонтальной плоскостью. То есть, это любая горизонтальная линия на данной поверхности (ориентируется она по направлению её простирания).

Линия падения - это вектор, перпендикулярный к линии простирания, лежащий на геологической поверхности и направленный в сторону её погружения. Иными словами, это проекция направления погружения на геологическую поверхность.

Примеры использования линий простирания и падения при измерительных операциях будут рассмотрены несколько позже.

Поскольку сами по себе простирание и падение, без привязки их к какой-либо системе отсчёта, не имеют содержательной нагрузки, на практике, для характеристики ориентировки геологических поверхностей, пользуются понятиями азимут простирания и азимут падения.

Азимут простирания - это правый векториальный угол между направлением на север и заданным направлением простирания (или линией простирания). Может изменяться от 0 до 360°.

Азимут падения (погружения) - это правый векториальный угол между направлением на север и заданным направлением погружения (или между направлением на север и проекцией линий падения на горизонтальную плоскость). Может также изменяться от 0 до 360°.

Азимут простирания и азимут падения одной геологической поверхности отличаются на 90°.

Понятие угла падения было дано выше (на стр.). Он изменяется от 0 до 90° и не зависит от простирания и падения.

Так как азимут простирания - это угол между двумя направлениями, одно из которых величина векторная (направление на север), другое - величина не векторная (направление простирания), то цифровое значение азимута простирания может быть выражено двумя числами, отличающимися друг от друга на 180° (рис. 2).

В этом отражается некоторая неопределенность данной компоненты элементов залегания, по которой нельзя определить без дополнительных измерений азимут падения (хотя угол между ними известен и равен 90°).

В противоположность азимуту простирания, азимут падения, как угол между двумя векторами (направление погружения величина векторная), является величиной строго определенной и позволяет вычислить (путем прибавления или вычитания 90°) азимут простирания без дополнительного его измерения. Это обстоятельство позволяет вместо 3-х компонент элементов залегания измерять только две - азимут падения и угол наклона, при необходимости, азимут простирания может быть вычислен.

Ввиду того, что топографические и геологические карты строятся в истинных азимутах, а с помощью горного компаса измеряются магнитные азимуты, во время полевых работ часто приходится переходить от магнитных азимутов к истинным (при нанесении данных на карту) и от истинных к магнитным (при движении по маршруту, проложенному по карте).

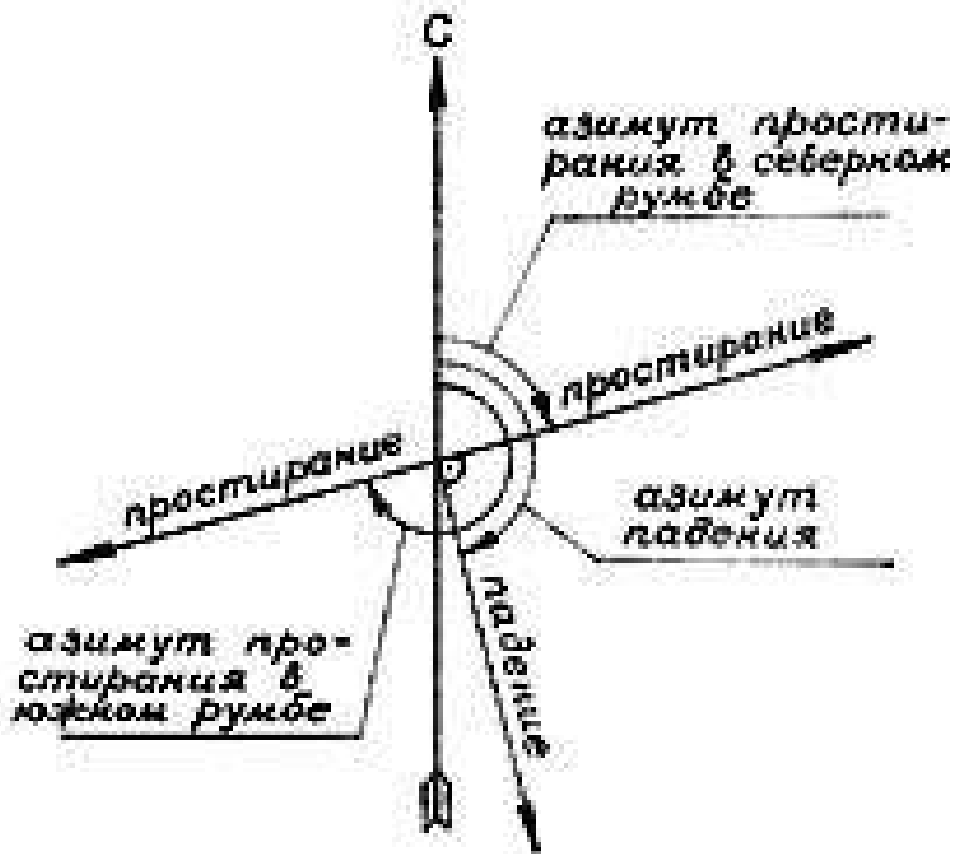


Рис. 2. Схема, поясняющая понятия азимута простирания, азимута падения и соотношения между ними.

Поскольку склонение магнитной стрелки в Сухоложском районе: восточное 13° , то зависимость между магнитным и истинным азимутами приобретает вид:

$$A_{и} = A_{м} + 13,$$

где $A_{и}$ - истинный азимут; $A_{м}$ - магнитный азимут.

2.2.3. Правила определения элементов залегания наклонных поверхностей

Чтобы определить азимут падения наклонной поверхности, необходимо: при горизонтальном положении лимба, приложить компас короткой стороной основания к измеряемой поверхности так, чтобы ноль лимба был направлен в сторону погружения данной поверхности и против северного конца магнитной стрелки снять отсчёт. При этом необходимо обращать внимание на направление увеличения числовых значений градусных делений шкалы лимба.

Чтобы определить азимут простирания наклонной поверхности, необходимо: при горизонтальном положении лимба приложить компас длинной стороной основания измеряемой поверхности и против одного из концов магнитной стрелки снять отсчёт. Предпочтение отдаётся отсчёту в северных румбах.

Чтобы определить угол падения поверхности, необходимо: компас поставить «на ребро» так, чтобы свободно висел его клинометр и прижать основание компаса длинной стороной к измеряемой поверхности; покачивая компас, определить максимальный угол отклонения клинометра. Это и будет угол падения данной поверхности.

Горизонтальность лимба магнитной стрелки является обязательным условием правильного определения азимутов падения и простирания геологических поверхностей. В некоторых моделях компасов (в основном в старых) горизонтальность лимба достигается "на глаз"; в новых - с помощью уровня, вмонтированного в корпус компаса.

Для начинающих, во избежание больших ошибок (особенно при измерении ориентировки полого залегающих поверхностей) рекомендуется предварительно проводить на изучаемой поверхности линию простирания, а затем при определении азимутов падения и простирания к ней прикладывать компас. При такой установке компаса легче достигается горизонтальность лимба.

Линия простирания легко проводится с помощью компаса. Компас ставится "на ребро", прижимается к измеряемой поверхности в положении, при котором клинометр показывает нулевой отсчёт, и параллельно длинной стороне основания проводится линия.

При измерении угла падения, в таком случае, компас в положении "на ребро" прикладывается длинной стороной основания к измеряемой поверхности перпендикулярно к линии простирания.

Запись замеряемых элементов залегания ведётся сокращённо в следующем виде: Аз. пр. 55; Аз. пад. 145, /. 60 {Азимут простирания - 55°, азимут падения - 145°, угол падения - 60°}.

При сокращённой записи знак градусов около цифр не ставится. Иногда перед значением азимута буквенными знаками указываются румбы: Аз. пр. СВ 55. Аз. пад. ЮВ 145, 60.

Как указывалось выше, в записях можно ограничиться двумя компонентами - азимутом падения и углом наклона. Но на первом этапе практики студенты, в целях приобретения навыков в определении элементов залегания и для контроля точности определения, измеряют все три компонента.

2.2.4. Определение превышений точек рельефа

Определение превышений точек рельефа с помощью горного компаса можно производить двумя способами: 1) путём последовательного подъёма по склону с фиксированием точек стояния через известный вертикальный интервал; 2) путём измерения угла наклона поверхности и расстояния до точки, превышение которой необходимо определить.

При первом способе превышение между двумя точками определяется следующим образом: начиная с точки, имеющей более низкую относительную отметку, исполнитель визирует длинную сторону вертикально расположенного компаса в направлении второй точки, следя при этом, чтобы клинометр находился "на нуле". Таким способом провешивается горизонтальная линия и на рельефе местности замечается место, куда она «уткнулась». Перейдя на это место, исполнитель провешивает новую горизонтальную линию, снова переходит на место её "утыкания" в склон и так делает необходимое количество раз, пока не дойдёт до второй точки. Превышение между точками равно количеству стоянок между ними, помноженному на высоту исполнителя до глаз плюс ещё какой-то отрезок, если последняя провешенная линия уткнулась в склон ниже или выше второй точки).

При втором способе определения превышений с помощью эклиметра компаса измеряется угол наклона склона вдоль направления, соединяющего точки, затем

измеряется расстояние между точками по склону, и по табличке, приложенной к компасу (или путём расчёта по формуле: $h = l \sin a$, где h - превышение между точками; l - расстояние между точками по склону; a - угол наклона склона), определяется искомое превышение между точками.

2.2.5. Привязка точек наблюдения

Необходимым условием проведения полевых работ является достаточно точное определение положения в пространстве всех точек наблюдения - обнажений горных пород, пунктов геоморфологических, гидрогеологических и других наблюдений.

Привязкой точки наблюдений называется совокупность операций по определению положения её относительно тех или иных реперов, обозначенных на топографической карте и опознанных на местности и нанесение ее на карту.

В зависимости от необходимой точности определения положения точки наблюдений на карте, привязка может быть схематичной, глазомерной и инструментальной. Первые два вида привязок применяют, главным образом, при маршрутных геологических исследованиях, а инструментальную – для привязки скважин, горных выработок и сети геофизических наблюдений.

Во время геологической практики привязку точек наблюдений студенты осуществляют схематически или глазомерно.

Схематическая привязка состоит в определении «на глаз» местоположения точки наблюдений среди характерных элементов рельефа и гидросети (а также объектов, созданных природой или человеком), и в нанесении точки наблюдений среди этих же объектов, опознанных на топографической карте.

Как видно из приведённого положения, использование компаса при схематической привязке точек наблюдений не обязательно. Компас используется при глазомерной привязке, которая может быть осуществлена двумя способами.

При первом способе **глазомерная привязка** состоит в определении местоположения точки наблюдений относительно характерного элемента рельефа или объекта путём проведения вспомогательного хода на местности и в последующем нанесении этого хода и точки обнажения на топографическую карту. Направление хода определяют горным компасом, а длину - шагами (см. стр.). Если привязка точки наблюдений при помощи одного измерения почему-либо невозможна (репер закрыт лесом или горой), то привязочный ход разбивают на несколько, используя промежуточные пикеты. Запись измерений производят в полевой книжке по форме (см. ниже Схему привязочного хода).

При привязке глазомерным способом во время проведения детальной геологической съёмки следует избегать "висячих" незаконченных ходов; нужно заканчивать их либо на другом нанесённом на карту репере, либо делать ходы замкнутыми.

Глазомерная привязка точек наблюдения вторым способом (способом «засечек») осуществляется следующим образом: с точки наблюдения на реперы (характерные формы рельефа или иные объекты) берутся обратные азимуты (азимуты направлений с репера на себя), затем на карте с этих же реперов проводятся лучи (с учетом магнитного склонения) по направлению обратных азимутов и на их пересечении наносится искомая точка наблюдения.

Схема привязочного хода

Направление хода	Азимут хода	Угол превышения пикета, град.	Расстояние между пикетами, м.	Проложение между пикетами, м.
Репер-пикет 1	ЮЗ 250	+ 5	100 п.ш. (165 м.)	165
Пикет 1-пикет 2	СЗ 300	+ 15	200 п.ш. (330 м.)	318
Пикет 2- пикет 3	СВ 40	+ 5	80 п.ш.(133 м.) (п.ш. - пары шагов)	133

Удобство этого способа привязки состоит в том, что не требуется измерять расстояния. Для соблюдения достаточной точности нанесения точки наблюдений на карту необходимо следить, чтобы углы между лучами засечек были возможно ближе к прямым. При наличии тупых или острых углов возможны значительные ошибки в нанесении точки наблюдений.

Как было сказано выше, при глазомерной привязке, расстояния между пикетами (или точкой наблюдений и репером) измеряются шагами. С этой целью определяется масштаб шагов, для чего на местности рулеткой или мерной лентой измеряется расстояние, равное 100 м., а затем определяется количество пар шагов, уложившихся в это расстояние. Желательно также определить количество пар шагов, укладывающихся в стометровый интервал при спуске и подъеме по склону. Выполненные измерения целесообразно свести в таблицу (см. табл. 1).

Таблица 1

Пример масштаба шагов

		На ровном месте						
Метры	100	50	30	20	10	5	3	2
Пары шагов	62,0	31,0	18,5	12,5	6,2	3,1	1,9	1,2
		Вверх по склону (10 ⁰)						
Метры	100	50	30	20	10	5	3	2
Пары шагов	65,0	32,5	19,5	13,0	6,5	3,2	2,1	1,3
		Вниз по склону (10 ⁰)						
Метры	100	50	30	20	10	5	3	2
Пары шагов	59,0	29,5	17,7	11,8	5,9	2,9	1,5	1,2

Инструментальная привязка осуществляется топопривязчиком (рис. 3) по прилагаемой инструкции.



2.3. Изучение обнажений горных пород

Обнажением называется всякий выход горных пород на поверхность земли.

Обнажения массивных (кристаллических или сцементированных) горных пород называются коренными выходами, если они не разбиты трещинами выветривания на отдельные кусочки и блоки, претерпевшие перемещение на дневной поверхности.

2.3.1. Типы обнажений горных пород

Обнажения бывают естественными и искусственными.

Естественные обнажения (те, что возникли без вмешательства человека) могут быть самых различных типов: сплошные площадные выходы коренных и рыхлых пород; скальные выходы коренных пород; выходы коренных и рыхлых пород в обрывах склонов речных долин; выходы коренных и рыхлых пород в руслах рек, ручьев, промоин и рытвин, в карстовых воронках, провалах и в оползневых обвалах; каменные россыпи (развалы); высыпки (скопления мелких обломков пород на поверхности подстилающих их коренных пород того же состава).

Искусственными обнажениями называются всякие следы деятельности человека, приводящие к вскрытию горных пород. Сюда относятся специальные горные выработки, проходимые с целью вскрытия горных пород: шурфы, канавы, штольни, шахты, карьеры, различные котлованы, колодцы, траншеи. Нередко искусственные обнажения являются единственно возможными пунктами изучения горных пород.

Все обнажения по их значению для геологической съёмки можно подразделить на опорные (или главные) и промежуточные.

Опорными называются обнажения, по которым составляется представление о характере геологического разреза, фациальных изменениях слагающих его толщ, о возрастных соотношениях между ними, о расположении основных геологических границ и маркирующих горизонтах, о различных видах тектонических нарушений; обнажения с признаками полезных ископаемых.

Промежуточными можно назвать все остальные обнажения, фиксирующие распространение той или иной толщи пород.

В процессе полевых работ документируются как опорные, так и промежуточные обнажения, но приёмы документирования их несколько отличны. Опорные обнажения изучаются подробно, промежуточные - более схематично.

Документирование опорных обнажений слагается из следующих операций: 1 - привязка обнажения; 2 - определение пород, слагающих обнажение, и их взаимоотношений, 3 - определение элементов залегания пород, 4 - составление зарисовки обнажения, 5 - взятие образцов пород, 6 - отбор полезных ископаемых.

2.3.2. Привязка обнажений

Привязка обнажений ничем не отличается от изложенной выше привязки точек наблюдений, поскольку очень часто обнажение идентифицируется с точкой наблюдений (хотя необходимо отметить, что понятие "точка наблюдений" более широкое, чем понятие "обнажение"). Нередко крупное обнажение может включать несколько точек наблюдений, и тогда его привязка будет выглядеть, как привязка некоторого количества точек, расположенных по контуру обнажения. Именно с такой ситуацией часто встречаются студенты во время ведения площадной геологической съёмки. Нередко также точка наблюдений включает несколько небольших сближенных обнажений. Так же, как и

привязку точек наблюдений, привязку обнажений студенты осуществляют **схематически либо глазомерно** (обоими рассмотренными ранее способами), либо топопривязчиком.

2.3.3. Описание горных пород

При осмотре обнажения прежде всего нужно убедиться, что оно не представляет какую-либо глыбу, скатившуюся сверху, или оползень, так как в этом случае все наблюдения относительно условий залегания горных пород могут привести к ложным заключениям. Затем нужно обойти всё обнажение, чтобы получить общее представление об обнажённых породах и структурах и решить, какую часть выхода следует изучать наиболее детально. После этого можно приступить к определению и описанию породы или пород, которыми сложено обнажение.

При описании обнажений осадочных пород указывается следующее: наблюдается ли в породах слоистость; если да, то какие её разновидности - по форме слоев (параллельная, линзовидная или косая), по мощности отдельных слоев (грубая, мелкая, тонкая), по соотношению мощности слоев (равномерная, неравномерная), указывается характер границ слоев (чёткие или нечёткие); строение поверхностей наложения (наличие знаков ряби или иероглифов); текстурно-структурные особенности всех разновидностей горных пород и мощность сложенных ими прослоев.

При описании обнажений вулканогенных пород указывается следующее: фациальный тип пород (пирокластическая или лавовая фация); наличие или отсутствие слоистости в пирокластических породах и полосчатости, флюидальности или пористости в лавах; форма и строение кровли и подошвы лавовых потоков и покровов; наличие отдельности, её вид (шаровая, подушечная, плитчатая, столбчатая) и ориентировка; структура и состав пород, состав вкрапленников и обломков; размеры и ориентировка тел.

При описании интрузивных и жильных пород отмечается форма и размер тела, тип контактов (магматический, стратиграфический или тектонический); строение эндо- и экзоконтактных зон; наличие, форма, размер и ориентировка шпиров и ксенолитов.

Для всех пород, наблюдаемых в обнажении, указывается их цвет и облик в свежем сколе и на выветрелой поверхности. Обязательно фиксируются элементы залегания слоистости и контактов.

2.3.4. Наблюдение структурных элементов

Параллельно с описанием горных пород на обнажении производятся наблюдения над складчатыми и разрывными дислокациями

При описании складчатых дислокаций указываются: форма и размер складок, форма их замков (плавная или угловатая, а также угол сочленения крыльев в замке), форма и ориентировка осевых поверхностей и шарниров складок, симметрия - асимметрия крыльев, соотношение мощности слоев на крыльях и в замках складок; характер мелких осложняющих складок и их ориентировка, генетический тип складок.

При описании разломов, если таковые замечены в обнажении, отмечается следующее: тип разрыва и направление смещения блоков вдоль сместителя; строение шовной зоны (интенсивная трещиноватость, дробление, расщепление или смятие); наличие глинки трения и поверхностей скольжения в шовной зоне; наличие оперяющих трещин и их ориентировка; тип коры выветривания над разрывным нарушением (структурная, зона каолинизации и пр.); характер проявления разрывного нарушения в рельефе (лог, уступ, гряда); ориентировка сместителя и штрихов скольжения на поверхности сместителя.

Описание трещиноватости горных пород ведётся по-разному в зависимости от поставленной задачи. При проведении рекогносцировочных маршрутов и в процессе проведения маршрутной съёмки даётся только общая характеристика систем трещин с указанием их ориентировки, кинематического типа (отрыва или скалывания), ориентировки штрихов скольжения, минерального заполнения, удельной плотности (количества трещин на 1 метр длины в направлении, перпендикулярном плоскостям трещин) и возрастных соотношений.

Если в задачу исследования входит детальное описание трещиноватости с последующим специальным анализом, то наблюдения ведутся по указанной выше схеме над каждой встреченной в обнажении трещиной. Наблюдения заносятся в таблицу (см. табл.2).

Таблица 2

№ п.п.	Азимут и угол падения	Кинематический тип	Ориентировка штрихов скольжения	Минеральное заполнение	Степень приоткрытия	Сведения о пересечении с другими трещинами	Примечания
1	132, 48	Скалывания	Аз. погруж. 120, 42	—	Закрытая	—	Сопровождается незначительным расщеплением параллельно стенкам
220	220, 85	Отрыва	—	Крупнокристаллический кальцит	До 3см	Пересекает 1-ю	

2.3.5. Отбор образцов горных пород

Одновременно с изучением обнажения производится отбор образцов пород и встречающейся в них ископаемой фауны и флоры. Отбираемые образцы должны дать полное представление о характере пород и об их изменениях вследствие различных геологических процессов.

Каждый образец представляет собой ту или иную породу, слагающую данный пласт, прослой, жилу и т.п. Отбор образцов не должен быть случайным, искажающим действительные соотношения между породами в обнажении. Необходимо отбирать образцы, характерные для данного слоя, жилы, в которых были бы представлены обычные для них соотношения минералов, текстурные и структурные особенности, минерализация и т.п. Место отбора образцов определяют только после внимательного изучения обнажения. В качестве образца берут свежую, не измененную процессами выветривания, породу. Не обязательно придавать образцу правильную изометрическую форму. Естественная форма обломков является важным текстурным признаком породы. Нужно лишь притупить молотком острые режущие края образца. Образцы берутся различных размеров, в зависимости от их назначения. Обычный размер образцов

колеблется от 4х 6 до 9х12 см. Однако при необходимости проиллюстрировать переход одной породы в другую, изменение минерализации пород около рудных жил, распределение ископаемой фауны и т.п. приходится отбирать штучные образцы размером до 30х30 см и даже больше.

Отобранные образцы этикетируются на месте их отбора. При этом на образец наклеивается кусочек лейкопластыря с указанием номера образца, номера бригады и наименования учебной группы (рис. 4).

В целях облегчения поиска привязки образца, его номер должен соответствовать номеру обнажения, на котором взят образец. При отборе нескольких образцов из одного обнажения, им присваивается один номер с добавлением буквенных или цифровых индексов, служащих для различия образцов между собой.

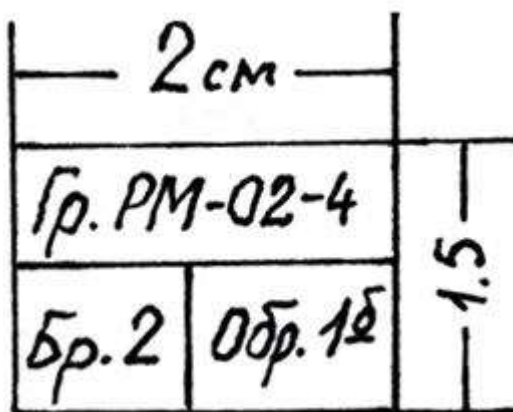


Рис. 4. Форма и содержание этикетки, наклеиваемой на образец.

При документировании опорных обнажений образцы отбирают из каждой литологической разновидности пород.

Часто студенты бывают в затруднительном положении при определении достаточного и необходимого количества образцов, отбираемых за время выполнения самостоятельного задания: нельзя оставить ни одной разновидности пород, не представленной образцом; нежелательно иметь и несколько образцов из каждой разновидности пород. Запомнить же, из какой разновидности уже взяты образцы, не всегда удаётся. А поэтому лучше брать образцы из всех разновидностей пород обнажения, а уже на базе, при камеральной обработке, лишние сократить.

2.3.6. Зарисовка обнажения

В целях лучшего восприятия другим лицом описания обнажения, а также, в какой-то мере, в качестве компенсации субъективизма при его описании, наиболее информативные обнажения или их фрагменты зарисовываются или фотографируются. Чаще зарисовку или фотографию делают по фронту обнажения.

При простом строении обнажения достаточно провести через него несколько мысленных вертикальных линий, на которых определяется положение геологических границ и структура обнажения относительно какого-то принятого базиса (подножия склона, границы зарисовываемого фрагмента). Эти вертикальные линии в определённом масштабе наносятся на зарисовку, а затем, по мысленно отмеченным на них точкам {пересечениям этих линий с геологическими границами и контурами обнажения}, рисуется контур обнажения и геологическая ситуация (см. рис. 5).

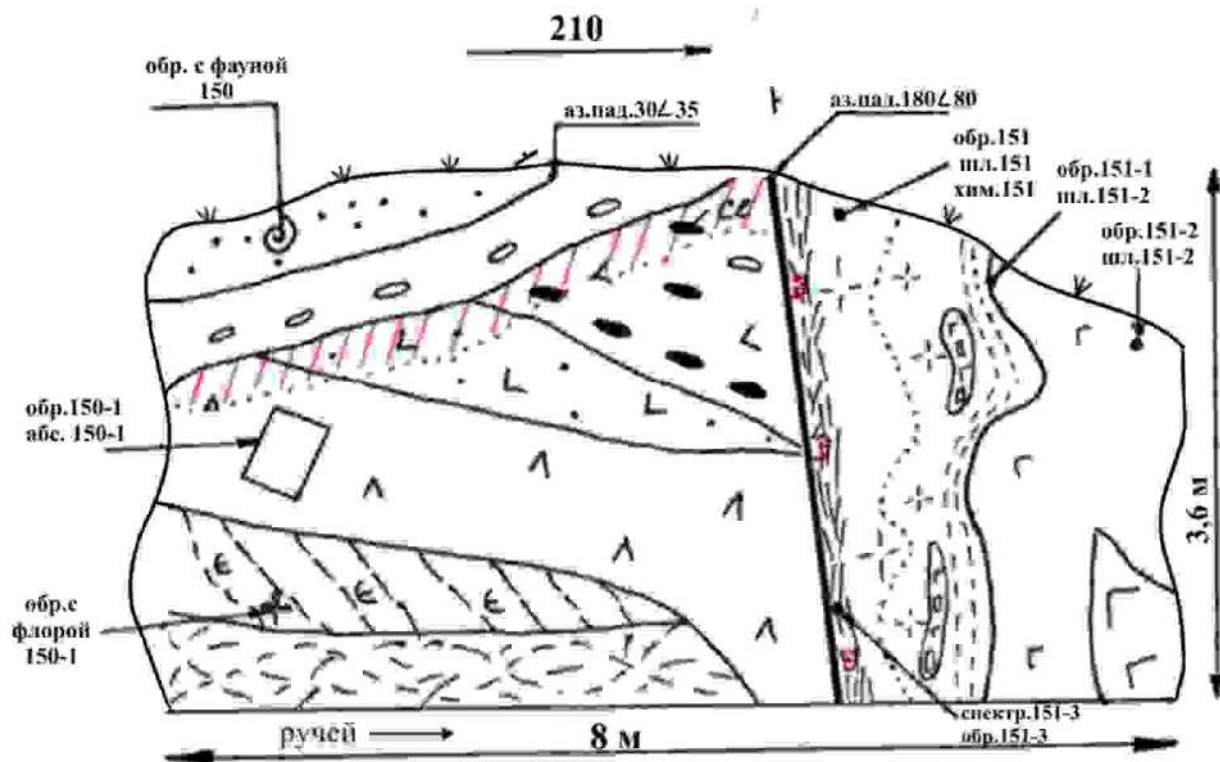


Рис. 5. Пример зарисовки обнажения

При сложном строении обнажения его необходимо разделить на квадраты удобной величины. Сетку можно нанести мелом или каким-либо подсобным материалом. Такая же сетка в определённом масштабе наносится на зарисовку и по ней, как и в предыдущем случае, отрисовывается геологическая ситуация.

При исполнении зарисовки следует широко пользоваться условными значками, отражающими состав горных пород, их текстурные и структурные особенности. Используемые условные знаки должны иметь пояснения.

Зарисовка обнажения может быть дополнена или заменена его фотографией. Фотография имеет некоторые преимущества перед зарисовкой: малые затраты времени, точность воспроизведения объекта, объективность изображения геологической ситуации. К недостаткам относятся: невозможность отражения состава пород, невозможность получения качественного фотоснимка в случае плохого или неудачного освещения, трудность в отображении на фотографии слабо заметных, но важных деталей.

С другой стороны, зарисовка по некоторым аспектам имеет преимущества перед фотографией: полное отражение особенностей строения объекта на основе его углубленного изучения, возможность подчеркнуть главное в воспроизводимом объекте.

Если обнажение сфотографировано, то в полевой книжке и в журнале образцов обязательно должны быть сделаны пометки, указывающие номер пленки и кадра.

Пример ведения дневника маршрутов

Этикетка

Уральский государственный горный университет <u>Название организации</u>
ГПР МПИ, РМ-03-1, № 2 <u>Название кафедры (партии), группы, отряда</u>
Полевой дневник № 1 Документация маршрутов т.н. 1-52
Студент Трешкин П.И.
2005г.

Титульный лист

Название организации

Название кафедры (партии), отряда, группы

Дневник № 1

Номенклатура планшета (ов): W-49-43-Б

Родин Иван Петрович

Фамилия, имя, отчество исследователя

Начат 30 мая 2005г.

Окончен 23 июля 2005г.

С т.н. 1 по т.н. 52

Примечание: В случае нахождения дневника просьба вернуть по адресу:

620144 г.Екатеринбург, ул.Куйбышева 30, ОХНИР

к.3319 Родину И.П.

Азимуты магнитные (или истинные с учетом поправки).

Оглавление

№ маршрута	Дата	№ точек набл.	Стр.	Привязка	Объемы				
					Протяженность маршрута, км	Пешие переходы, км	пробы		
							на спектр. ан.	на химич. ан	для опред. абс. возраста
1	15.07.05	1-7	2-5	Северный склон г. Крутой в бассейне руч. Верного	4,5	3	26	5	2
2	16.07.05	8-12	6-11	Верхнее течение руч. Кривого к югу от д. Слюдянки	5,0	4	20	3	1
				Итого:	9,5	7	46	8	3
1			3	Рисунки в дневнике					
2			8						

Условные обозначения и сокращения, применяемые при описании маршрутов

Описание маршрута

Дата
04,08,05

Участок: Савинский
Масштаб работ: 1: 10 000

Маршрут № 1

Цель: Уточнение геологического строения в бассейне руч. Верного, опробование измененных пород, сбор фауны для уточнения возраста известняков.

Привязка маршрута: Проходит на северном склоне горы Крутой в бассейне руч. Верного, в 120 м от высоты 435,0 по аз. 320.

Номенклатура карты: W-49-43-Б

Аэрофотоматериалы (АФС):

Фотоснимки: №№ 4109-4211

Т.н. 05-1 находится в устье руч. Крутого, впадающего в р. Пышму (правый приток) (по топопривязчику: северная широта..., восточная долгота....).

Коренной выход базальтов темно-зеленого цвета массивной текстуры (рис. № 1).

Вкрапленники (15%) – плагиоклаз таблитчатой субизометричной формы, размером 1-3 мм; роговая обманка – черного цвета вытянутой формы. Основная масса – скрытокристаллическая, зеленого цвета. Миндалины – округлой формы, диаметр 1-3 см, выполнены кальцитом и хлоритом. Наблюдается 2 системы трещин: замеры трещин, густота, характеристика (поверхности трещин, формы, материал заполнения, соотношения по возрасту) обр. 1, шл. 1.

Далее ход по аз. 50.

0-150 м в интервале глыбовые развалы (делювий) аналогичных миндалекаменных базальтов. К концу интервала (со 100 м) базальты имеют брекчиевую текстуру обр. 1-1, шл. 1-1.

150-200 м крупноглыбовый делювий андезитов (характеристика андезитов) – обр. 1-2, шл. 1-2.

200-350 м задерновано. Пойма мелкого ручья, заросшего густой травой.

В 360 м – на правом борту ручья коренной выход темно-серых до черных битуминозных известняков тонкослоистых. Породы катаклазированы, трещины катаклаза выполнены ветвящимися жилками мелкозернистого кальцита с редкой вкрапленностью бледно-фиолетового флюорита (рис.2) обр. 1-3, проба на спектр. ан. – 1-3, шл. 1-3.

Аз. пад. слоистости 120 \pm 20-30

360-450 м редкие делювиальные глыбы светло-серых известняков нечеткослоистых с обильной фауной брахиопод. Образцы с фауной отобраны: обр. 1-4 с 380 м
обр. 1-5 с 450 м

450-500 м кора выветривания по гранитам. В высыпках нор сусликов – дресва крупнозернистых гранитов биотитовых и щебень мелкозернистых аплитов.

Т.н. 05-2 находится в 500 м от т.н. 1 по аз. 50

Вершина сопки. Останец выветрелых крупнозернистых гранитов. В породах отчетливо выражена матрасовидная отдельность – обр.2.

Аз. пад. отдельности 360 \pm 20.

В гранитах ксенолиты мраморизованных известняков.

Маршрут окончен. Пройдено:.....км

Отобрано: образцов -

шлифов -

проб -

Подпись исполнителя.

Вывод по маршруту № 1

В маршруте встречены три комплекса пород: вулканогенная толща среднего-основного состава, представленная фацией текучих лав; толща известковистого состава (морские отложения) и интрузивные породы кислого состава. Наличие катаклазированных пород указывает на тектонический контакт известняков и вулканитов. Предположительно разлом имеет северо-восточное простирание (судя по прямолинейной долине ручья). Предварительно возраст известняков – девонский. Такой вывод можно сделать по комплексу встреченной фауны. Известняки прорываются гранитами. Контакт активный. Возраст гранитов моложе возраста осадочной толщи (постдевонский).

По гранитам развита кора выветривания, представленная зоной дезинтеграции. В поисковом отношении интерес представляет зона разлома, к которому приурочен ручей. Рекомендуется провести шлиховое опробование по данному водотоку.

2.4. Первичная обработка полевых материалов

Первичная обработка полевых материалов в условиях учебной геологосъемочной практики производится на базе после возвращения из маршрута или с участка площадной съемки. Она заключается в обработке коллекций горных пород и полевых книжек, а так же в обработке замеров ориентировки различных структурных элементов.

2.4.1. Обработка коллекций горных пород и корректура полевых книжек

Предварительная обработка коллекций горных пород включает в себя: 1 – окончательные определения горных пород и ископаемых органических остатков, собранных при полевых исследованиях; 2 – принятие одного названия для одних и тех же горных пород, задокументированных различными съемочными парами; 3 – сокращение

излишних образцов; 4 – занесение оставшихся образцов в специальный журнал (каталог образцов).

В первую очередь окончательного определения требуют те породы, при описании которых у практикантов были сомнения в точности данных им названий. Эти сомнения могли возникнуть по причине недостаточной выразительности структуры или текстуры пород, либо из-за трудности определения их минерального состава. На базе, при наличии бинокулярного микроскопа, соляной кислоты, а также эталонной коллекции горных пород со шлифами, диагностику пород можно сделать более точно.

Затем сравниваются породы, задокументированные всеми съемочными парами и при наличии одинаковых признаков, породе дается одно название.

На базе, в стационарных условиях, производится препарирование ископаемых органических остатков и дается окончательное определение их с помощью атласов ископаемых форм.

Результаты полевых наблюдений должны быть показаны руководителю практики, при необходимости откорректированы при его участии, и только после этого они становятся пригодными для дальнейшей камеральной обработки. Возможные лишние образцы пород сокращаются, а оставшиеся заносятся в каталог, составленный по стандартной форме (Табл. 3).

Таблица 3

№ п/п	№ образца	Название породы	Привязка обнажения	Примечание
31	12/а	Тонкослоистый зеленовато-серый псаммитовый туф	Левый берег р. Пышмы в 900 м выше устья рч. Рудянки	Сопоставить с обр. 4/е

В результате первичной обработки полевых материалов в полевую книжку вносятся исправления с учетом изменений в диагностике пород и, возможно, в интерпретацию полевых наблюдений.

2.4.2. Обработка замеров ориентировки плоскостных структурных элементов

Первичная обработка массовых замеров ориентировки различных структурных элементов состоит в построении диаграмм их ориентировки. В настоящее время наиболее широкое применение в изображении ориентировки структурных элементов приобрели круговые точечные диаграммы.

Нанесение замеров на круговую диаграмму производится с помощью трафарета, представляющего собой окружность, разбитую на 360 градусов и проградуированную в направлении против часовой стрелки, с радиусом, разбитым на 90 градусов и проградуированным в направлении от центра окружности к периферии. Радиус трафарета проведен через точку начала отсчета азимутов на трафарете.

Диаграмма ориентировки трещин строится на кальке, которая накалывается на иглу в центре трафарета. На кальке по трафарету проводится окружность, а на окружности черта начала отсчета азимутов («север» диаграммы). Для нанесения на диаграмму ориентировки трещины «север» диаграммы устанавливается на окружности трафарета против цифры, соответствующей азимуту падения трещины, а на радиусе трафарета

ставится точка против цифры, соответствующей углу наклона трещины. Эта точка на диаграмме называется полюсом данной конкретной трещины и отражает ее элементы залегания. Трафарет может быть заменен стереографической проекцией (сеткой Шмидта или Вульфа).

После нанесения всех замеров диаграмма имеет вид круга с расположенными на нем полюсами трещин. Если полюса расположены неравномерно, то каждому участку их сгущения соответствует система трещин.

Для достижения большей наглядности и определенности диаграммы, на ней проводят изолинии плотности полюсов трещин, подсчитывая количество полюсов на 1 процент площади диаграммы.

Для этого в квадратице из плотной бумаги или тонкого картона вырезается круглое отверстие, размером в 1/10 радиуса диаграммы. Затем диаграмма с нанесенными на нее полюсами трещин накладывается на квадратную сетку со стороной ячейки, равной радиусу малого кружка; накрывается сверху еще одной чистой калькой; на каждое перекрестие подложенной сетки накладывается малый кружок (центром в перекрестье); подсчитывается количество полюсов, попавшее в кружок и в перекрестии ставится точка, а рядом с ней цифра, соответствующая количеству полюсов, попавших в кружок.

Определение плотности полюсов на периферии диаграммы производится с помощью приспособления, состоящего из двух малых кружков, расположенных на расстоянии друг от друга, равном диаметру диаграммы. В центре полоски есть узкая прорезь, через которую приспособление одевается на иглу трафарета. Для определения плотности полюсов трещин, при насаженном на иглу приспособлении, один из его кружков устанавливается центром в перекрестии сетки около ее периферии, и в этом перекрестии ставится точка и пишется цифра, отвечающая количеству полюсов, попавших в оба кружка.

После того, как по всему кругу определена плотность полюсов, на верхней кальке через точки с известной плотностью (а между точками методом интерполяции) проводятся изолинии плотности полюсов. При проведении изолиний на периферии диаграммы (где изолинии обрываются) необходимо помнить, что «выход» за пределы контура диаграммы и «вход» внутрь контура одой и той же изолинии должны располагаться на противоположных сторонах диаграммы, симметрично относительно ее центра. С помощью изолиний определяются центры тяжести максимумов полюсов трещин, по которым определяется ориентировка выделившихся систем трещин.

Для определения элементов залегания системы трещин диаграмма накладывается на трафарет, центр максимума полюсов системы трещин совмещается с радиусом трафарета и на окружности трафарета, против отметки «север» диаграммы, снимается отсчет, соответствующий азимуту падения данной системы трещин, а на радиусе трафарета, против центра тяжести максимума, снимается отсчет, соответствующий углу ее падения.

3. Физико-географическая и геологическая характеристики Сухоложского района.

3.1. Физико-географический очерк

Сухоложский район Свердловской области расположен на восточном склоне Среднего Урала в переходной зоне от холмисто-увалистого рельефа Зауралья к Западно-Сибирской низменности. Поверхность района представляет собой всхолмленную

равнину с общей тенденцией погружения на восток с абсолютными отметками водоразделов 240 м. Граница крупного водораздела проходит северо-восточнее р Пышма.

Обнаженность района неравномерная. Палеозойские образования в виде коренных выходов наблюдаются преимущественно по долинам рек. Мезозойские отложения можно наблюдать в карьерах по добыче строительных материалов и в естественных разрезах в восточной части площади.

Главной водной артерией района является река Пышма с притоками Рефт и Кунара, принадлежащая к бассейну р. Оби.

По характеру растительности район относится к лесной и лесостепной зонам с уменьшением степени залесенности с севера на юг и со сменой сосновых лесов на лиственные.

Климат района континентальный с холодной зимой и прохладным летом. Среднегодовое количество осадков 500 мм., из них на весенне-осенний период (апрель-октябрь) приходится 360 – 375 мм. Основными ветрами являются западные, средняя скорость ветра 4,4 м/с.

В административном отношении территория входит в состав Сухоложского района Свердловской области. Кроме города Сухого Лога на описываемой территории имеется ряд сел и деревень - Знаменское, Рудянское, Кашино, Курьи, Шата, Брусяна, Глядены, Мокрая. Город Сухой Лог связан с городом Екатеринбургом железной дорогой и асфальтированным шоссе. Населенные пункты в пределах площади связаны автобусным сообщением.

В экономическом отношении район является промышленно-сельскохозяйственным. Основные промышленные предприятия сосредоточены в г. Сухой Лог – комбинат асбоцементных изделий, завод по переработке вторичных металлов, авторемонтный завод, бумажная фабрика. Цементный завод располагается за юго-восточной окраиной города.

Основное направление сельского хозяйства – земледелие и животноводство.

3.2. История геологического изучения района

Геологические исследования в Сухоложском районе были предприняты еще в позапрошлом столетии в связи с изучением углей, содержащихся в угленосной толще карбона. Они проводились под руководством А.П.Грамачикова. Результаты этих работ были опубликованы в 1852 году.

В 1880 году в “Горном журнале” была опубликована заметка о находке следов деятельности первобытного человека, населявшего известняковые пещеры на левом берегу р. Пышмы в районе г. Сухого Лога. Наиболее крупная из этих пещер носит имя Гебауэра.

Более полные сведения о геологии Сухоложского района содержатся в трудах А.П.Карпинского. Предварительные результаты работ были изложены им в кратких статьях в “Горном журнале” за 1880 год. Более полные данные его работ были опубликованы в монографии “Геологические исследования и разведки на восточном склоне Урала”, изданной в 1949 году. Наибольший интерес из них представляют описания обнажений по рекам Пышме, Шате, Брусяне Кунаре. А.П.Карпинским, в частности, был определен силурийский возраст известняков в верховьях р. Шаты, девонский возраст известняков на северо-восточной окраине с. Знаменского и в низовье р. Шаты, каменноугольный возраст известняков и песчаниково-сланцевых пород на р. Пышме в окрестностях тогдашнего с. Сухоложского. В пределах окрестностей с. Сухоложского

А.П.Карпинским отмечены признаки медных руд, описаны месторождения каменного угля, минеральных красок, каолиновых глин, трепела и других полезных ископаемых.

С 1920 по 1924 годы по поручению Геологического комитета в окрестностях села Сухоложского детальную геологическую съемку проводил И.И.Горский. Результатом этой съемки явилась геологическая карта окрестностей с. Сухоложского масштаба 1:21000. В отчете об этих работах приведены детальные описания обнажений по рр.Пышме, Шате, Ключ, Усолке и логам, впадающим в долину р. Пышмы.

В послевоенные годы изучением каменноугольных отложений района занимался А.А.Пронин. Результаты исследований вошли в монографию “Карбон восточного склона Среднего Урала”, опубликованную в 1960 г.

С начала 30-ых годов в окрестностях Сухого Лога проводится учебная геологическая практика студентов Свердловского горного института, а ныне Уральского государственного горного университета. Коллективом преподавателей кафедры Общей и динамической геологии под руководством А.А.Малахова и В.Е.Засыпкина на основе накопившегося материала о геологическом строении района было подготовлено и издано в 1954 году “Методическое руководство по учебной геологической практике в окрестностях Сухого Лога”, длительное время являвшееся основным пособием при проведении геологической практики.

В 60-е годы Т.В.Диановой, а в 70-е и 90-е К.П.Плюсниним изучались вулканогенные образования района. Этими исследователями были предложены схемы расчленения вулканогенных толщ и определены наиболее крупные вулканические постройки.

В 1961 году под руководством Ю.П.Алексеева была закончена разведка Кунарского месторождения известняков, интенсивно разрабатываемого в последующие годы.

В 1972 году коллективом, возглавляемым М.Т.Собоевым, были закончены работы по составлению геологической карты масштаба 1: 50 000 восточной части Сухоложского района.

С 1973 по 1978 годы в западной части района под руководством В.П.Олерского проводилась геологическая съемка и доизучение масштаба 1 : 50 000. В результате работ составлены: геологическая карта полезных ископаемых, карта четвертичных образований. Эти материалы были положены в основу Государственной геологической карты СССР масштаба 1 : 200 000 листа О-41-XXVI (автор Грабежева Т.Г.), изданную в 1983 году.

Детальная разведка участка аргиллитов Ново-Сухоложского месторождения цементных глин проводилась в 1991 г. Б.М.Новоселовым.

С 1999 по 2002 годы на листе О-41-XXVI, в состав которого входит западная часть Сухоложского полигона, геологическое доизучение масштаба 1 : 200 000 производилась под руководством В.А. Рыбалко. Был составлен комплект карт и отчет по состоянию изученности на 01.01.2002г.

Сведения о глубинном строении территории (в т.ч. Сухоложского полигона) изложены А.Г.Кислицыным в отчете по теме «Переинтерпретация материалов гравиметрических съемок масштаба 1 : 50 000 на Среднем Урале» (1999г.).

Е.М.Ананьева завершила составление карты глубинного строения верхней части земной коры в масштабе 1 : 200 000 листа О-41-XXVI (Е.М.Ананьева, 2001).

Параллельно продолжались исследования, проводимые сотрудниками кафедр Структурной геологии и Общей и исторической геологии и палеонтологии Свердловского горного института. По результатам работ производственных организаций и указанных кафедр СГИ были составлены “Учебная карта Сухоложского района” и учебное пособие “Учебная геологосъемочная практика”. Последующие работы сотрудников тех же кафедр по изучению строения вулканогенных и осадочных толщ, а также по фациальному и

петрохимическому расчленению вулканогенных пород района позволили составить более детальную геологическую карту, соответствующую современным геологическим представлениям, а также учебные пособия “В краю потухших вулканов” и “Учебная геологосъемочная практика”, 2004, «Геофизические исследования Сухоложского полигона в Зауралье», 2004. К Всероссийскому симпозиуму по вулканологии и палеовулканологии профессором В.Н.Огородниковым подготовлен путеводитель Среднеуральской геологической экскурсии, 2003.

3.3. Геологическое строение района

Территория Сухоложского полигона расположена в пределах Восточно-Уральской мегазоны, претерпевшей длительную эволюцию геологического строения.

Геополигон располагается в Алапаевско-Теченской зоне на границе двух подзон: Рефтинско-Каменской (западной) и Алапаевско-Айбыкульской (восточной).

Границей подзон принято считать Тыгишский разлом (ограничивающий с запада бекленищевскую свиту нижнего карбона).

В геологическом строении района практики принимают участие преимущественно осадочные и вулканогенные образования палеозойского возраста, в восточной части района перекрытые чехлом мезозой-кайнозойских недиагенизированных или слабо диагенизированных континентальных и морских отложений.

Интрузивные образования развиты в меньшей степени и представлены Рефтинским массивом раннедевонского возраста, а также малыми телами гипабиссального и субвулканического уровня глубинности девонского и каменноугольного возраста.

Район характеризуется напряженной тектоникой, следствием этого является складчато-чешуйчато-блоковое геологическое строение. Наиболее интенсивно дислоцированы и метаморфизованы дочетвертичные образования.

3.3.1. Стратиграфия

Стратиграфический разрез района представлен осадочными и вулканогенными образованиями палеозойской, мезозойской и кайнозойской эратем.

3.3.1.1. Палеозойская эратема

Палеозойская эратема представлена девонской и каменноугольной системами. Эти образования под покровом маломощных рыхлых четвертичных отложений развиты в западной и центральной частях района, а в восточной части района перекрыты мезо-кайнозойским чехлом. Значительную роль в составе палеозойских стратонев играют вулканогенные образования. Анализ строения, состава и последовательности залегания вулканогенных пород района позволяет выделить среди них разнотипные вулканогенные формации, которые по фациальному и петрохимическому составу и возрасту параллелизуются с типоморфными для Урала вулканогенными формациями Магнитогорского мегаблока.

Девонская система

Девонская система представлена средним и верхним отделами. Образования среднего отдела выделены под названиями: базальт-дацитовая толща (D₂bd) – в Рефтинско-Каменской подзоне; сухоложская толща (D₂sh) – в Алапаевско-Айбыкульской подзоне. Средний-верхний отделы представлены маминской толщей (D₂₋₃mm). Верхний

отдел представлен кодинской свитой (D₃kd). Возраст стратонов определен по ископаемой фауне и флоре.

Средний отдел D₂

Базальт-дацитовая толща (D₂bd). Данная толща в пределах Сухоложского полигона имеет ограниченное распространение и тектонические контакты как с габброидами Рефтинского массива, так и с нижнекаменноугольными осадочными породами бекленищевской свиты.

На территории полигона толща представлена базальтами (в том числе миндалекаменными) и туфами базальтов. Породы интенсивно дислоцированы. Вторичные изменения представлены альбитизацией, хлоритизацией, актинолитизацией. Участками породы превращены в зеленые сланцы.

Сухоложская толща (D₂sh). Породы, слагающие сухоложскую толщу, обнажаются в северо-западной и юго-восточной частях геополигона. Толща локализована в пределах тектонических блоков, ориентированных в субмеридиональном направлении.

Нижняя часть толщи представлена осадочным типом разреза. В бассейне р. Шата скважинами К-331, К-348 вскрыты переслаивающиеся известняки с конгломератами, кремнистыми сланцами, песчаниками и алевролитами, гальки конгломератов представлены темно-серыми почти черными известняками. В алевроитовом цементе конгломератов содержится микрофауна эйфельского возраста. Мощность пачки 350 м.

Верхняя часть сухоложской толщи представлена преимущественно вулканогенными образованиями. Толща сложена эффузивными, пирокластическими, осадочно-пирокластическими породами непрерывной базальт-андезит-дацит-риолитовой формации, а также вулканогенно-осадочными и осадочными породами. В строении преобладают базальты, андезибазальты, андезиты и их туфы. Преобладающим развитием пользуются экспозиционно-обломочные породы (туфы). По размерности обломков состав туфов изменчив – от алевроитовых до псефитовых. Часто наблюдается переслаивание туфов с потоками лав того же состава, как правило, имеющими подушечное и шаровое строение. Потоки базальтов и андезибазальтов афирового строения редки. Вулканиды кислого состава имеют подчиненное значение в разрезах. Кислые лавы – это преимущественно порфиоровые разности, часто с лавобрекчиями в краевых частях. Пирокластические образования дацитового, риодацитового и риолитового состава представлены алевроитовыми, ляпиллевыми и бомбовыми туфами.

В целом, сухоложская толща представлена вулканитами пестрого состава, характеризующихся быстрой фациальной сменой.

В южном направлении характер разреза сухоложской толщи изменяется, что выражается в увеличении объема осадочно-вулканогенных (менее 50% осадочного компонента) и вулканогенно-осадочных ассоциаций в комплексе с рифогенными известняками, песчаниками, кремнистыми сланцами биогенного происхождения.

В пределах развития сухоложской толщи сохраняются фрагменты вулканотектонических построек разного ранга.

В соответствии с петрографическим кодексом (1995г.) по имеющимся геолого-геофизическим данным в пределах геополигона выделяется два вулканических массива. Первый из них располагается в бассейне р. Рефт и его притока Винокурка. Ранее в 1975 году К.П.Плюснин выделил здесь Винокуровскую вулканотектоническую структуру центрального типа., которой соответствует положительная гравитационная аномалия. Винокуровский вулканический массив представлен миндалекаменными базальтами, андезитам и их туфами. На территории Сухоложского полигона располагается только южная часть Винокуровского массива. К югу от него выделяется Пышминский массив, характеризующийся слабо аномальным гравитационным полем. В пределах Пышминского

массива сохраняются фрагменты трех вулcano-тектонических структур центрального типа с признаками кальдерообразования и системой радиально-дуговых разломов. В пределах Пышминского вулканического массива исследованиями прошлых лет выделены вулканические постройки центрального типа (стратовулкан «Дивий камень» и другие). На геологической карте они выделены особым знаком. Жерловые и прижерловые фации представлены экструзивными и субвулканическими образованиями, агломератовыми бомбовыми туфами. В прижерловых образованиях наиболее часто проявлены процессы окварцевания, пиритизации, серицитизации. Промежуточные фации представлены преимущественно лавами в ассоциации с псаммитовыми пирокластическими отложениями. Удаленные (периферические) фации вулканитов развиты на геополигоне на южном склоне вулcanoгенной гряды. Они представлены вулcanoгенными обломочными породами, алевритовыми туфами в переслаивании с рифогенными и аккумулятивно-рифогенными известняками и морскими мелководными терригенно-осадочными отложениями.

Последние наблюдаются на руч. Брусяны ниже «Белого лога», в карьере у западной окраины села Знаменского, на левом склоне долины р. Пышмы между устьями руч. Брусяны и руч. Знаменка. Живетский возраст кремнистой пачки определен по остаткам фораминифер из известняковых прослоев.

Мощность сухоложской толщи составляет 750 м.

Средний-верхний отделы D_{2,3}

Маминская толща (D_{2-3mm}). Толща представлена углисто-глинисто-кремнистыми породами темно-серого и черного цветов с прослоями известняков. Разрезы этих образований наблюдаются на р. Брусяна ниже «Белого Лога», в левом склоне долины р. Пышмы между устьями р. Брусяна и руч. Знаменка, а также в карьере у западной окраины села Знаменское. Мощность кремнистых сланцев 70 м. Взаимоотношения с нижележащими образованиями не ясны. Живетский возраст определен по остаткам фораминифер из прослоев известняков.

К югу от р. Шата разрез маминской толщи представлен светло-серыми и темно-серыми глинистыми известняками, живетский возраст отложений определен по фауне.

Южнее Сухоложского полигона в районе с. Кунарского и юго-западнее оз. Куртугуз в аналогичных кремнистых породах обнаружены конодонты верхнего девона (сборы А.В.Коровко, В.А.Рыбалко, определения Г.Н.Бороздиной).

Мощность маминской свиты – 150 м.

При современной степени изученности определить объем маминской толщи не представляется возможным. В стратотипических разрезах кремнистые породы переслаиваются с вулканитами неконтрастной базальт-андезитовой формации.

Верхний отдел D₃

Кодинская свита (D_{3kd}). Осадочные породы кодинской свиты локализованы в линейном тектоническом блоке и прослеживаются от южной до северной границы Сухоложского полигона. Разрез свиты можно наблюдать на р. Ключ и в борту р. Пышма. Состав свиты: алевриты, алевропелиты, аргиллиты, песчаники, конгломераты, линзы известняков. Цвет пород – серый, бурый, зеленоватый, черный. Характерно частое переслаивание пород. Слоистость параллельная. Состав терригенного материала: кварц, плагиоклаз, кремнистые породы, риолиты, дациты, пемзы.

Возраст свиты определен по брахиоподам, фораминиферам, водорослям, спорам растений как позднедевонский в объеме франа.

Мощность свиты 700 м.

Каменноугольная система

Каменноугольная система сложена преимущественно терригенными и карбонатными отложениями с небольшим количеством вулканогенных образований в западной части района и представлена нижним и средним отделами.

Нижний отдел C_1

Стратоны нижнего отдела каменноугольной системы представлены бекленищевской (C_1bk), егоршинской и бурсунской (C_1eg+C_1br), исетской (C_1is) свитами.

Бекленищевская свита (C_1bk). Свита располагается в западной части Сухоложского полигона и прослеживается в пределах тектонического блока близмеридиональной ориентировки от оз. Куртугуз до приустьевой части р. Рефт. Свита представлена пестрым фациальным комплексом осадочных и вулканогенно-осадочных пород морского генезиса.

Нижняя часть разреза бекленищевской свиты не имеет естественных выходов на дневную поверхность. Свита изучена несколькими профилями скважин, где наблюдалось сложное переслаивание темно-серых до черных алевролитов и аргиллитов с маломощными прослоями песчаников и редкими отпечатками обугленного растительного детрита. Фаунистически эта часть разреза не охарактеризована.

Вверх по разрезу постепенно увеличивается карбонатность пород. Эта часть представлена переслаивающимися серыми и темно-серыми глинистыми и глинисто-известковистыми аргиллитами, полимиктовыми песчаниками, реже конгломератами, а также прослоями туфов и туффитов, мергелей и известняков.

Карбонатно-терригенный разрез свиты фациально замещается вулканогенно-осадочным комплексом пород. Наиболее представительные выходы этих пород располагаются в приустьевой части р. Рефт. В обломках из конгломераций определены форамениферы, свидетельствующие о визейском возрасте (определения Т.Н. Степановой).

Мощность бекленищевской свиты составляет 800 м.

Егоршинская и бурсунская свиты объединенные (C_1eg+C_1br). Континентальные угленосные образования егоршинской и бурсунской свит прослеживаются в узком клиновидном тектоническом блоке вдоль железной дороги. Разрез этих свит можно наблюдать по р. Пышма между ручьями Ключ и Крутой Лог.

Егоршинская свита сложена переслаивающимися темно-серыми до черных глинистыми, углисто-глинистыми и углистыми аргиллитами, алевролитами, серыми и темно-серыми песчаниками и конгломератами. Характерно обилие флористических остатков, наличие маломощных пластов угля, быстрая смена фаций и сложное тектоническое строение. Мощность свиты 350-500 м.

Безугольные отложения *бурсунской свиты* залегают согласно на угленосных породах егоршинской свиты, представлены зеленовато-сероцветными грубообломочными отложениями с бедными органическими остатками. Характерно появление известковистых разновидностей. Мощность свиты 300-500 м.

Возрастная датировка объединенных егоршинской и бурсунской свит – верхнее турне – низы верхнего визе (включая жуковский горизонт). Данные свиты являются возрастным аналогом средней и верхней частей бекленищевской свиты.

Исетская свита (C_1is). Свита имеет широкое площадное распространение в восточной части Сухоложского полигона. Разрез свиты можно наблюдать по р. Пышма, Кунара, в Кунарском карьере известняков, в приустьевой части р. Рефт. Вблизи железнодорожного моста через р. Пышма наблюдалось согласное налегание известняков на терригенные породы бурсунской свиты. В пределах листа О-41-ХVI взаимоотношения бурсунской и исетской свит установлено в ряде скважин (Олерский, 1978).

Исетская свита представлена преимущественно известняками. В известниках встречается обильная фауна одиночных и колониальных кораллов и брахиопод. Известняки слоистые и массивные, в верхней части разреза породы доломитизированы и брекчированы (известняковые брекчии) с прослоями мергелей. В нижней части разреза преобладают битуминозные известняки с линзами кремней.

По комплексу фауны возраст исетской свиты установлен как визейский – серпуховский.

Мощность свиты – 450 м.

Средний отдел С₂

Щербаковская свита (С₂щс). Свита имеет ограниченное распространение в бассейне р. Кунара. Породы свиты локализованы в мелких тектонических блоках среды известняков исетской свиты. Щербаковская свита представлена алевролитами, аргиллитами, сероцветными известковистыми песчаниками с прослоями конгломератов, мергелей, битуминозных известняков.

Возраст пород свиты установлен по брахиоподам и соответствует башкирскому и московскому веку.

Мощность щербаковской свиты - 350 м.

3.3.1.2. Мезозойская эратема

Коры выветривания

Территория Сухоложского полигона располагается в пределах приподнятого отпрепарированного пенеплена Среднего Урала на границе с континентально-морской цокольной равниной, что и определило широкое развитие кор выветривания. В пределах геополгона выделяется два морфологических типа – площадная и линейная. Площадные коры развиты преимущественно на водоразделах. Традиционно выделяется три зоны профиля коры выветривания: дезинтеграции, промежуточных продуктов, глинистых продуктов. На Сухоложском полигоне зона глинистых продуктов развита только в восточной части, в западной части имеет место двухзональный профиль коры. Линейные коры выветривания обычно развиваются в зоне разломов либо по контактам геологических тел.

Выделяется два генетических типа кор – остаточные и переотложенные. В районе резко преобладает первый тип.

Окраска пород, слагающих профиль коры выветривания, обычно в верхней глинистой зоне неоднородная: пятнистая, пятнисто-полосчатая с преобладанием буроватых и красноватых оттенков. С глубиной окраска выветрелых пород приближается к цвету материнских. К востоку происходит понижение кровли остаточной коры выветривания с 206 м до 160 м. В восточной части полигона коры выветривания перекрываются палеоценовыми отложениями серовской свиты. Среди глинистых продуктов по вещественному составу преобладающим является каолинитовый тип. Состав тяжелой фракции шлихов обычно зависит от состава материнских пород. В площадных корях постоянно присутствуют гидроокислы железа, реже марганца.

Мощность площадных кор в Сухоложском районе в среднем составляет 18-20 м.

Триасовая система, верхний отдел - юрская система, нижний отдел

Челябинская серия (Т₃-J₁Ď). Нерасчлененные триасово-юрские отложения района представлены вулканогенно-осадочными породами. Они приурочены к протяженному грабену, пересекающему восточную часть района в субмеридиональном направлении и перекрытому кайнозойским чехлом. Нижнюю часть разреза слагают преимущественно вулканогенные породы разного состава (от базальтов до риолитов) с незначительным количеством пестроцветных конгломератов, песчаников и аргиллитов. Верхнюю часть разреза слагают преимущественно осадочные сероцветные мелко- и тонкообломочные породы. Обломочные породы по составу относятся к полимиктовым. В прибортовых частях грабенов широким развитием пользуются краснобурые конгломераты и гравелиты (фашии конусов выноса).

Мощность триасово-юрских отложений на описываемой территории достигает 200 м. Выходы их наблюдаются только в глубоко врезанных долинах крупных рек Пышмы и Кунары.

Меловая система

Меловая система в районе представлена обоими своими отделами. Ее отложения обычно перекрыты более молодыми осадками и не имеют широкого развития на земной поверхности.

Нижний отдел К₁

Нижний отдел меловой системы представлен **аптским и альбским ярусами К₁ а**, состоящим из двух стратонов – алапаевской и синарской.

Алапаевская толща представлена каолинит-гидрослюдитыми серыми, бурыми, кирпично-красными глинами с песком, хорошо окатанной кварцевой галькой и щебнем окремнелого известняка. За белый цвет породы названы “беликами”. Мощность беликовой толщи редко превышает 10 м. В основании “беликов”, как правило, наблюдаются бурые железняки инфильтрационного происхождения в форме линз, гнезд, пластов. Состав бурых железняков: гидрогетит, гидрогематит, сидерит. Алапаевская свита обычно приурочена к понижениям древнего рельефа – эрозионным или карстовым воронкам. Возраст алапаевской толщи предполагается на уровне аптского яруса.

Синарская свита нижнего мела сложена пестроцветными и белоцветными континентальными (аллювиально-озерными) глинами каолинитового состава с прослоями лигнитов марказитсодержащих и кварцевых песков. Приурочена к эрозионным депрессиям, не имеет широкого площадного распространения и повсеместно перекрыта кайнозойскими отложениями. Синарская свита несогласно залегает на алапаевской толще, либо на известняках. Выходы пород свиты наблюдались только в карьере “Белая глина”, который после прекращения в нем работ по добыче огнеупорных глин затоплен. Мощность свиты достигает 15 м. Апт-альбский возраст отложений установлен по результатам споро-пыльцевого анализа.

Верхний отдел К₂

Верхний отдел меловой системы представлен **коньякским ярусом**.

Камышловская свита (К₂km). Отложения камышловской свиты представлены зеленовато-серыми и светлосерыми мелкозернистыми кварц-глауконитовыми слабо сцементированными песчаниками и песками морского происхождения. Пески хорошо отсортированы. Эти породы имеют широкое площадное распространение, но перекрыты кайнозойскими осадками. Выходы пород наблюдались в карьере “Белая глина” и известны в верховьях рч. Каменки, левого притока р. Пышмы, впадающего в нее

восточнее пос. Курьи. Возраст пород определен по остракодам, фораминиферам, зубам акул. Мощность свиты не превышает 10 м.

3.3.1.3. Кайнозойская эратема

Кайнозойская эратема на описываемой территории представлена всеми тремя системами – палеогеновой, неогеновой и четвертичной.

Палеогеновая система P

Палеогеновая система в Сухоложском районе представлена верхним палеоценом-нижним эоценом. На восточном склоне Урала эти отложения известны под названием **серовской свиты**.

Серовская свита P₁₋₂ sr.

Свита сложена опоками, песчаниками и алевролитами на опоковом цементе, трепелами. Преобладают опоки. Песчаники имеют глауконит-полевошпат-кварцевый состав. Эти морские отложения имеют спорадическое развитие в восточной части района, перекрывая собой все более древние отложения в углублениях палеозойского фундамента. Коренные выходы опок встречаются в глубоких логах и в карьерах по добыче глин, известняков и самих опок. Возраст пород свиты определен по ископаемым остаткам фораминифер, моллюсков и гексакораллов.

Мощность свиты достигает 12 м.

Неогеновая система N

Светлинская свита (N_{1sv}). Отложения неогеновой системы представлены пролювиально-делювиальными песчано-алевритистыми глинами красновато-бурого цвета с редкой галькой кварца. Слоистость выражена не отчетливо. Свита залегает с размывом на более древних образованиях. Неогеновые отложения повсеместно наблюдаются в бортах карьеров на водоразделе рр. Пышмы и Кунары. Мощность отложений неогеновой системы не превышает 4 м. Возраст пород принят по аналогии с подобными отложениями Зауралья, где он был определен по остаткам речных моллюсков в аллювии верхних цокольных террас крупных рек.

Четвертичная система Q

Образования четвертичной системы принадлежат различным генетическим типам и покрывают значительную часть площади в виде маломощного чехла. Возраст аллювиальных, озерных, палюстринных отложений определяется по ископаемым остаткам (фауне и флоре), а также по споро-пыльцевым комплексам. Возраст элювиальных, делювиальных и прочих образований определяется (условно) по геоморфологическому положению.

Эоплейстоцен

Нижнее звено

Отложения этого возраста на площади представлены аллювиальными и озерными (a,l) генетическими типами. В возрастном отношении они приурочены к увельской свите. Встречаются локально в западной части площади (Зауральская цокольная равнина).

Аллювиальные и озерные отложения увельской свиты (*a,IEIuv*) вытянуты в меридиональном направлении.

Фрагмент этих отложений выделен к юго-востоку от оз. Беткулово, на абсолютной отметке 200 м. Отложения представлены известковистыми глинами зеленовато-серого, желтовато-зеленого, зеленовато-бурого, серовато-бурого цвета, песками мелкозернистыми, полимиктовыми с рыхлым железисто-марганцовистым бобовником. На одних участках, аллювиальные и озерные отложения залегают на склоне, на других участках – в переуглублении под аллювиальными отложениями батуринской свиты и выхода на поверхность не имеют. Мощность отложений более 8,4 м. Залегают на мезозойских корях выветривания, перекрыты аллювиальными отложениями батуринской свиты, полигенетическими и делювиальными образованиями среднеуральского надгоризонта.

Неоплейстоцен **Неоплейстоцен нерасчлененный**

Отложения этого возраста представлены элювиальными и делювиальными образованиями (*e,dNP*). Распространены очень широко в пределах приподнятого отпрепарированного пенеплена Среднего Урала. Развита на возвышенностях и их пологих склонах.

Представлены глинами и суглинками со слабо выветрелым щебнем подстилающих пород и редким полимиктовым гравием.

В большинстве случаев они залегают на мезозойских корях выветривания. Мощность до 3 м.

С ними связаны месторождения керамзитовых и кирпичных глин.

Возраст отложений определен как нерасчлененный неоплейстоцен.

Нижнее звено

Отложения этого возраста представлены аллювиальными отложениями батуринской свиты (*albt*).

Аллювиальные отложения батуринской свиты (*albt*) развиты в западной части геополигона в виде участков меридионального и субмеридионального простирания, фиксирующих фрагменты древних речных долин, потерявших связь с современной гидросетью. Они приурочены к контакту приподнятого отпрепарированного пенеплена Среднего Урала и континентально-морской цокольной равнины Зауралья. Фрагменты древнего аллювия выделены от озера Куртугуз к северу, его протяженность 11 км при ширине от 800 до 1300 м. Разрез изучен скважинами мотобурения.

Аллювиальные отложения представлены песками полимиктовыми с гравием, глинами гидрослюдистыми, известковистыми, серыми, зеленовато-серыми, зеленовато-голубыми, серовато-бурыми. Минералогический состав тяжелой фракции песков представлен: эпидотом и цоизитом – 54%, роговой обманкой – 20%, ильменитом – 6%, лимонитом – 8%, цирконом – 6%, рутилом – 2%, сфеном – 2%, апатитом – 1%, хромитом – 1%. Выход 3%. Палеогеографический коэффициент 0,9.

В спорово-пыльцевых комплексах этих отложений преобладает пыльца ели, сосны, пихты.

Путем отстройки поперечных профилей через древние речные долины было установлено, что реки текли с юга на север.

К нижнему звену отложения отнесены на основании геоморфологического положения (в разрезе залегают выше аллювиальных и озерных отложений уйско-

убоганской свиты среднего звена и ниже аллювиальных и озерных отложений увельской свиты нижнего эоплейстоцена). Отложения сопоставляются по литологии с аллювиальными отложениями, описанными и изученными в угольном карьере Батурино Еманжелинского района Челябинской области.

Аллювий батуринской свиты перекрыт аллювиальными и озерными отложениями уйско-убоганской свиты среднего звена, делювиальными отложениями среднего и верхнего звена, торфами голоцена. Залегают на аллювиальных и озерных отложениях увельской свиты нижнего эоплейстоцена, отложениях серовской свиты, мезозойских корях выветривания и известняках палеозоя. Мощность отложений более 9,2 м.

С ними связаны месторождения керамзитовых глин.

В этих отложениях было установлено наличие россыпного золота (Рыбалко, 2002).

Среднее звено

Отложения этого возраста представлены аллювием исетской ($a^1\Pi$) и уфимской ($a^u\Pi$) террас, озерными (Шии), аллювиальными и озерными ($a, \text{Шии}$) отложениями уйско-убоганской свиты, делювиальными отложениями среднеуральского надгоризонта ($d\Pi\text{sr}$).

Аллювиальные отложения уфимской террасы ($a^u\Pi$) выделены по рекам Рефт и Пышма. Отложения прослеживаются по правому берегу р. Рефт до устья, в виде полосы шириной 200-300 м, и по правому берегу р. Пышмы между пос. Рудянское и Знаменское. Они слагают четвертую эрозионно-аккумулятивную террасу с высотой поверхности от 22,4 до 40 м и высотой цоколя от 18 до 35 м над урезом реки. Наибольшие параметры уфимская терраса имеет на р. Пышма в районе п. Новая Пышма. Ширина террасы достигает 3,5 км.

Отложения представлены желто-коричневыми, темно-желтыми, буро-коричневыми песками полимиктовыми (полевошпат-кварцевыми) с галькой кварца, бурыми до темно-коричневыми песчаными глинами с прослоями иловатых глин темно-серого цвета. Пески от глинистых (глинистая фракция составляет 20%) до гравийных, грубозернистых. Обломочный материал хорошо окатан.

Разрез аллювия уфимской террасы можно показать на примере шурфа 286, пройденного на восточном берегу р. Рефт. Сверху, до глубины 3,2 м залегают глинистые пески мелкозернистые, полимиктовые с преобладанием зерен кварца. Содержание глины 20%. Песок сортирован. С глубины 3,2 м до 3,7 м (забой) вскрыты пески грубозернистые, близкие к гравию с гальками кварцевого состава, размером до 3-4 см в диаметре, хорошо окатанными. Цвет песков желтовато-коричневый, желтый. Из гравийных песков с гл. 3,7 м отобрана шлиховая проба. Минералогический состав тяжелой фракции представлен: гр. эпидота – 47,52%, гранатом – 17,82%, ильменитом – 13,86%, ильменитом + гематитом – 0,99%, амфиболом – 12,87%, хромитом – 4,95%, монацитом – 0,99%, сфеном – 0,99%. Палеогеографический коэффициент 0,25.

Отложения перекрыты делювием североуральского надгоризонта, залегают на мезозойских корях выветривания и породах палеозоя. Мощность более 5,5 м.

Возраст аллювия уфимской террасы принят по аналогии с фаунистически охарактеризованными образованиями соседних районов и определен как сыльвицкий и вильгортовский горизонты.

Аллювиальные отложения исетской террасы ($a^1\Pi$) развиты по рекам Пышма, Кунара. Они слагают третью, эрозионно-аккумулятивную террасу с высотой поверхности от 4 м до 16,5 м (по р. Пышме) и высотой цоколя от 2,7 м от уреза реки. Ширина террасы от 200 до 2000 м. Разница в высоте поверхности от уреза реки связана с неотектоникой (участки неотектонических поднятий и опусканий).

Строение разреза аллювия исетской террасы двучленное. Нижняя его часть сложена полимиктовыми гравийно-песчаными, песчано-гравийными отложениями коричневого цвета, в основании которой залегает базальный горизонт. Верхняя часть разреза сложена бурыми глинами, полимиктовыми песками (глинистая фракция составляет 30%), чередованием коричневых до темно-буровато-серых мелкозернистых песков с галькой кварца и серых, темно-серовато-желтых до буро-коричневых глин.

Минералогический состав тяжелой фракции представлен: эпидотом – 43-45%, ильменитом – 16-24%, амфиболом – до 17%, магнетитом – 3-5%, гематитом от 4 до 21%, мартитом – до 5%, гранатами – 3-5%, хромшпинелидами – 0,5-1,5%, цирконом – 1,67-1,7%, сфеном – 0,14-0,19%, рутилом – 0,39-0,82%, ставролитом – 0,4%, лейкоксеном – 0,08%, пиритом – 0,03%, кианитом – 0,03%, апатитом – 0,14%, гидроокислами железа – от 0,6 до 1,34%, золотом – единичные знаки. Палеогеографический коэффициент 0,34-0,42.

Спорово-пыльцевые спектры – лесостепные, реконструирующие смешанные елово-сосново-березовые лесные массивы с пихтой, ольхой и лугостепными участками.

Отложения перекрыты делювием североуральского надгоризонта, залегают на мезозойских корях выветривания и породах палеозоя. Мощность от 1,3 м и более 7 м (по р.р. Рефт и Пышма). С ними связаны россыпи золота.

Возраст аллювия исетской террасы принят по аналогии с фаунистически охарактеризованными отложениями смежных районов и определен как ницинский и леплинский горизонты среднеуральского надгоризонта.

Среднеуральский надгоризонт. Озерные отложения уйско-убоганской свиты (I *Шии*) развиты на междуречьях, иногда пространственно тяготеют к современным озерам. Геоморфологически они приурочены к континентально-морской цокольной равнине Зауралья. Развиты локально у западной рамки Сухоложского полигона.

Озерные отложения вскрыты скважинами мотобурения. Они выполняют древние озерные ванны и представлены глинами зеленовато-серыми, серыми до коричневых с включениями гравия, гальки кварца и мелкозернистыми полимиктовыми песками.

Из отложений отобраны пробы на литологический и спорово-пыльцевой анализы. Минералогический состав тяжелой фракции представлен: эпидотом – 61-81%, роговой обманкой – от ед.зер. до 27%, гранатами – до 2%, пироксенами – 1%, магнетитом – до 1%, ильменитом – от 4 до 23%, лейкоксеном – 2-7%, рутилом – 1-3%, цирконом – до 2%, ставролитом – 1%, хромитом – 2%, турмалином – 1%, андалузитом – до 1%, апатитом – до 2%, корундом – до 2%. Выход от 1 до 7%. Палеогеографический коэффициент от 0,04 до 0,61%.

Отложения перекрыты полигенетическими и делювиальными отложениями североуральского надгоризонта, залегают на мезозойских корях выветривания и аллювиальных отложениях батуринской свиты. Мощность более 9 м.

Для отложений характерны спорово-пыльцевые комплексы степного типа с преобладанием марево-полынных группировок.

Озерные осадки синхронны аллювиальным и озерным отложениям уйско-убоганской свиты, изученной в нижнем течении р. Уй, на меридиональных отрезках Тобола и Убогана, имеющей широкое распространение в Зауралье.

Возраст отложений определен как вильгортковский, ницинский и леплинский горизонты среднеуральского надгоризонта.

Аллювиальные и озерные отложения уйско-убоганской свиты (а, *Шии*), как и озерные развиты на междуречьях, геоморфологически они приурочены к континентально-морской цокольной равнине Зауралья.

Отложения представлены неравномерным переслаиванием зеленовато-серых, голубовато-серых до коричневато-серых глин и коричневато-серых, серых, полимиктовых песков, местами с гравием и галькой кварца.

Минералогический состав тяжелой фракции песков представлен: эпидотом – 44-53%, обыкновенной роговой обманкой – от 28 до 42%, тремолитом-актинолитом – 2-7%, магнетитом – 1-5%, ильменитом – 3-4%, сфеном – 2-5%, гранатом – до 3%, цирконом – 2-3%, лимонитом – 1-3%, апатитом – 1-2%, хромитом – ед. зер.-1%, марказитом – до 1%, пироксеном – до 1%, а также единичными зернами ставролита, рутила, лейкоксена, анатаза. Выход от 6 до 10%. Палеогеографический коэффициент от 0,08 до 0,26.

Отложения перекрыты полигенетическими и делювиальными отложениями североуральского надгоризонта, торфами голоцена, залегают на аллювиальных отложениях батуринской свиты, палеогеновых отложениях серовской свиты, мезозойских корях выветривания. Мощность до 10 м.

Для отложений характерны спорово-пыльцевые комплексы степного типа с преобладанием марево-полынных группировок.

Возраст отложений принят по аналогии с фаунистически охарактеризованными (по моллюскам и остракодам) образованиями смежных территорий и определен как вильгортовский, ницинский и леплинский горизонты среднеуральского надгоризонта.

Делювиальные отложения среднеуральского надгоризонта (dIIsg) развиты достаточно широко на территории района работ. Они приурочены к бортам древних озерных впадин и долин, и распространены на междуречьях.

Представлены бурыми до темно-коричневых плотными глинами и суглинками со щебнем, с небольшим количеством гальки и гравия.

Минералогический состав тяжелой фракции представлен: эпидотом – 53-73%, обыкновенной роговой обманкой – от 15 до 38%, пироксенами моноклинным и ромбическим – 1-7%, ильменитом – 1-6%, лимонитом – 1-3%, магнетитом – 1-4%, сфеном – 1-2%, цирконом – 1%, гранатом – 1%, турмалином – 1%, гр. актинолита – 1%, лейкоксеном – 1%, рутилом – до 1%, единичными зернами апатита, ставролита. Выход составляет 12-15%. Палеогеографический коэффициент 0,1- 0,47.

Спорово-пыльцевой спектр очень бедный. В основном отмечены пыльцевые зерна *Betula pubescens* (Ehrh.) и единичные экземпляры *Pinus sylvestris* L., *Pinus* sp. Пыльца травянистой растительности представлена *Artemisia* sp., *Compositae*, *Rosaceae*. Комплекс лесостепного типа, воссоздающий смешанные сосново-березовые лесные ландшафты с луго-степными участками.

Отложения перекрыты делювиальными и лессовыми отложениями североуральского надгоризонта, торфами голоцена, залегают на мезозойских корях выветривания. Мощность 3-5 до 10 м.

С ними связаны месторождения керамзитовых и кирпичных глин.

К среднему звену отложения отнесены на основании геоморфологического положения. Возраст отложений определен как вильгортовский, ницинский и леплинский горизонты среднеуральского надгоризонта.

Верхнее звено

Отложения этого возраста представлены элювиальными, аллювиальными отложениями камышловской террасы, полигенетическими и делювиальными образованиями.

Аллювиальные отложения камышловской террасы (a^kIII) распространены по р.р. Пышма, Рефт, Кунара. Они слагают вторую, аккумулятивную надпойменную террасу с высотой поверхности от 5,5 м до 10-12 м над урезом реки. Ширина террасы от 20 до 600 м.

Строение аллювия двучленное. Нижняя его часть сложена песками полимиктовыми с гравием и галькой. Верхняя часть разреза сложена буровато-коричневыми глинами и

суглинками с прослоями темно-серых до зеленовато-серых илистых глин и глинистых, мелкозернистых полимиктовых песков.

Минералогический состав тяжелой фракции представлен эпидотом и цоизитом – 62%, обыкновенной роговой обманкой – 28%, актинолит-тремолитом – 11%, сфеном – 2%, единичными зернами циркона, рутила, граната, апатита, лимонита. Палеогеографический коэффициент 0,05.

Спорово-пыльцевые спектры – светлохвойных лесов. Из травянистых растений встречены единичные зерна: Gramineae, Compositae, Artemisia sp., Polygonaceae, Polygonum bistorta L., Rosaceae.

Отложения перекрыты делювием североуральского надгоризонта, торфами горбуновского горизонта, залегают на мезозойских корях выветривания. Мощность от 5 до 12 м.

С ними связаны россыпи золота.

Возраст аллювия камышловской террасы принят по аналогии с фаунистически охарактеризованными отложениями соседних районов и определен как стрелецкий и ханмейский горизонты позднего неоплейстоцена.

Эллювиальные образования (eIII) встречаются спорадически в пределах приподнятого отпрепарированного пенемена Среднего Урала. Приурочены к плоским вершинам холмов. Представлены продуктами физического выветривания коренных пород: суглинками и глинами со щебнем.

Залегают на мезозойских корях выветривания и коренных породах, перекрыты только современными палюстринными отложениями. Мощность от 0,1 до 1-2 м.

В схеме стратиграфии Урала [32] возраст определен как поздний неоплейстоцен.

Полигенетические образования (pgIIIsv) широко развиты на выровненных междуречьях и геоморфологически они приурочены к континентально-морской цокольной равнине Зауралья.

Они представлены бурыми, коричнево-бурыми известковистыми глинами, суглинками и супесями. В верхней части разреза они слабо облессованы, в нижней – содержат неокатанные зерна кварца и карбонатные включения. Гранулометрический состав (в %): гравий – 4,3; песок – 8,6; алеврит – 80,2. Состав песка и гравия: кварц, полевые шпаты, обломки местных пород. Глинистая фракция представлена гидрослюдой. Тяжелая фракция представлена эпидотом и цоизитом, роговой обманкой, пироксенами, тремолит-актинолитом, сфеном, апатитом, лейкоксеном, цирконом, ильменитом.

Залегают на озерных, эллювиальных и озерных отложениях уйско-убоганской свиты, аллювии батуринской свиты, среднеуральском делювии, неогеновых и палеогеновых отложениях, мезозойских корях выветривания и коренных породах. Мощность колеблется от 2-3 до 6 м.

С ними связаны месторождения керамзитовых глин.

В схеме стратиграфии Урала [32] возраст определен как соответствующий североуральскому надгоризонту.

Делювиальные отложения (dIIIsv) распространены на склонах гор и речных долин, под торфяными образованиями в понижениях современного рельефа.

Отложения представлены бурыми, серовато-бурыми, желтовато-бурыми песчаными глинами и суглинками со щебнем местных пород, с включением гравия и полуокатанной гальки кварца.

Североуральский делювий перекрывает эллювиальные отложения высоких террас, среднеуральский делювий, озерные, эллювиальные и озерные отложения уйско-убоганской и увельской свит, мезозойские коры выветривания. Мощность 2-3 м до 5 м.

С ними связаны месторождения керамзитовых и кирпичных глин.

В схеме стратиграфии Урала [32] возраст делювия определен как соответствующий североуральскому надгоризонту.

Верхнее звено – горбуновский горизонт голоцена

Отложения этого возраста представлены делювиальными и аллювиальными отложениями (d,aIII-Hgr). Наблюдаются по логом и мелким притокам рек.

Они представлены бурыми, желтовато-бурыми, буро-коричневыми, зеленовато-бурыми песчаными глинами, полимиктовыми песками с гравием, галькой и суглинками со щебнем местных пород и валунами.

Залегают на неогеновых ложковых отложениях, мезозойских корах выветривания и коренных породах. Мощность до 8 м.

С ними связаны месторождения керамзитовых глин и россыпи золота.

Возраст отложений определен как поздний неоплейстоцен – горбуновский горизонт голоцена.

Голоцен

Горбуновский горизонт

Отложения горбуновского возраста представлены аллювиальными, озерными, озерными и палюстринными, техногенными образованиями.

Аллювиальные отложения русла и пойменных террас (aHgr) широко развиты по всем современным рекам и ручьям. Высота поверхности пойменных террас над урезом реки составляет до 3-4 м, ширина – от 10 м до 200-300 м.

Аллювий низкой и высокой поймы представлен серыми, голубовато-серыми песчаными глинами с прослоями разнозернистых, полимиктовых песков с галькой и гравием слабой степени окатанности. С глубиной количество песка и гравийно-галечного материала увеличивается до 60-70%, в базальном горизонте отмечаются валунно-галечные отложения.

Отложения русла представлены разнозернистыми, полимиктовыми песками и галечно-гравийным материалом.

По шлихам, отобраным из русловых частей рек, минералогический состав тяжелой фракции представлен: эпидотом – от 23 до 60%, амфиболом – от 10 до 25%, гранатами – от 2 до 15%, магнетитом – от 6 до 16%, ильменитом – 3-10%, сфеном – 1-3%, цирконом – 1-2%, единичными зернами рутила, кианита, апатита, монацита, золота. Палеогеографический коэффициент меньше единицы.

Отложения залегают на аллювии камышловской террасы, мезозойских корах выветривания и коренных породах. Мощность до 15 м.

С ними связаны россыпи золота.

Возраст датируется горбуновским горизонтом голоцена.

Озерные отложения (IHgr) приурочены к современным ваннам озера Куртугуз и другим. К ним относятся береговые и донные отложения современных озер, а также осадки заторфованных или высохших озер. Береговые отложения представлены глинистыми песками с галькой кварца и палеозойских пород, которые часто формируют озерные террасы, донные – иловатыми глинами и илами темно-серого цвета.

Залегают на озерных отложениях верхнего звена, мезозойских корах выветривания и породах палеозоя. Мощность до 5 м.

Возраст озерных осадков определен в объеме горбуновского горизонта голоцена.

Горбуновская свита. Она представлена озерными и палюстринными образованиями (I,plHgr), приуроченными к современным заболоченным пространствам.

Образования представлены иловатыми глинами с растительным детритом, илами. Палюстрий представлен торфом. Залегают на мезозойских корях выветривания, на аллювии и делювии позднего неоплейстоцена, породах палеозоя. Мощность до 5 м.

В схеме стратиграфии Урала [32] возраст озерных и палюстрийных образований определен в объеме горбуновской свиты голоцена.

Палюстрийные образования (pHgr) развиты очень широко особенно в северо-восточной части полигона и приурочены к современным заболоченным понижениям рельефа и плоским водоразделам. На площади находится значительное количество торфяников. Они образуются путем зарастания озер, либо формируются в долинах рек, низинах и на участках избыточного увлажнения.

Палюстрий представлен торфами и иловатыми глинами.

Отложения залегают на озерных, аллювиальных и делювиальных отложениях позднего неоплейстоцена, неогеновых отложениях, мезозойских корях выветривания и породах палеозоя. Мощность от 0,5 до 9 м.

С ними связаны месторождения торфа.

Учитывая перекрытие торфяниками всех других генетических типов четвертичных образований и согласно схеме стратиграфии Урала [32] возраст определен как горбуновский горизонт голоцена.

Техногенные образования (tHgr²) занимают незначительные площади в районе г. Сухой Лог и вблизи других населенных пунктов. К ним отнесены рыхлые продукты отвалов горных выработок (карьеров), шлакоотвалов предприятий, свалки бытовых отходов (твердых и жидких, прудки очистных сооружений). Отвалы представлены глыбами, щебнем, супесями и суглинками со щебнем коренных пород. Мощность до 10 м.

Возраст техногенных образований определен как верхняя часть горбуновского горизонта.

3.3.2. Интрузивные образования

В пределах Сухоложского полигона распространены интрузивные образования разного возраста и состава. Во всех случаях эволюция магматизма во времени характеризуется гомодромной направленностью.

3.3.2.1. Среднеордовикские интрузии

В западной части полигона встречена протрузия серпентинитов, трассирующая разрывное нарушение внутри Рефтинского массива габброидов. В западной части массива наблюдается обилие аналогичных пород, относимых исследователями к альпинотипной дунит-гарцбургитовой формации среднеордовикского возраста. Данные породы, как правило, серпентинизированы в разной степени.

3.3.2.2. Раннедевонские интрузии

Интрузии этого возраста слагают Рефтинский массив. На территории Сухоложского полигона располагается восточная часть массива. Массив сложен породами трех фаз. Первая фаза представлена габбро, реликты которых слагают поля внутри Рефтинского массива. Габбро – разнотекстурное, от мелкозернистых до пегматоидных с пятнистой, иногда трахитоидной текстурой. Основными минералами являются плагиоклаз, пироксен, роговая обманка. Породы несут следы интенсивной дислоцируемости, по отдельным зонам развивается травянисто-зеленый эпидот.

Основная часть массива сложена породами второй фазы габбродиоритами. Текстура пород – грубопятнистая.

Завершающей является третья фаза кислого состава, представленная тоналитами, плагиогранитами, аплитами. Обычно тела гранитоидов – мелкие, ветвящиеся. С ними сопряжены зоны ассимиляции, сложенные гибридными породами, по составу изменяющимися от габбро до кварцевых диоритов и тоналитов. Гранитоиды обычно слагают мелкие тела, рассредоточенные среди габброидов по всему массиву

3.3.2.3. Среднедевонские интрузии

Среднедевонские интрузии представлены сухоложским субвулканическим комплексом. Петрографический состав данного комплекса пестрый – от базальтов до риолитов. По объему преобладают базальты и андезибазальты, которые образуют тела с площадью выхода первые км. Субвулканические образования кислого состава обычно образуют мелкие тела в виде даек. Субвулканические породы слагают тела причудливой формы и подчинены, как правило, радиально-дуговым разломам вулканических построек.

Среди субвулканических образований сухоложского комплекса выделяются интрузии базальтов, андезибазальтов, андезитов, дацитов, риолитов. Обычно эти породы лучше раскристаллизованы, чем аналогичные породы субфации текучих лав, а также большим размером вкрапленников.

Интрузии андезибазальтов можно наблюдать к северо-западу от базы отдыха «Бережок» на левобережье р. Пышмы. Субвулканические андезиты встречаются на левобережье реки Пышмы в верховьях ручьев Устиниха и Рудянка. В этом районе формы тел интрузий удлиненные, размером до 1,5 км.

Интрузии дацитов и риолитов наблюдаются на интервале от реки Рудянка до устья реки Шата. Местами обнажающиеся эндоконтактные зоны интрузий риолитов, в зависимости от состава вмещающих пород, сложены гибридными мелкопорфировыми дацитами, андезитами и риолитами.

3.3.2.4. Раннекаменноугольные интрузии

В Алапаевско-Айбыкульской подзоне данные интрузии представлены бекленищевским субвулканическим комплексом. В составе комплекса выделяется две фазы. Первая фаза представлена габбродолеритами, долеритами и базальтами. Вторая фаза представлена породами кислого состава – риолитами и трахириолитами. Субвулканические образования представляют собой дайки и дайкообразные тела, ориентированные в близмеридиональном направлении. Вмещающими породами являются осадочные и вулканогенные образования. Породы первой фазы имеют темно-серую, черную, зеленовато-серую окраску. Характерные крупные вкрапленники пироксена и плагиоклаза. Риолиты и трахириолиты окрашены в светлые тона – белые, кремовые. Вкрапленники представлены кварцем, плагиоклазом.

В Рефтинско-Каменской подзоне интрузии раннекаменноугольного возраста представлены смолинским комплексом гипабиссальных габбродолеритов, долеритов. Морфологически данные породы представляют собой малые тела и дайки. Размер дайкообразных тел варьирует от первых десятков сантиметров до первых сотен метров по мощности и до 4 км по простиранию. Распространенность тел комплекса контролируется системой близ меридиональных разломов. Субвулканические образования, как правило, сложены однообразными по составу габбродолеритами в зонах закалки вблизи контактов с тонко-мелкозернистой структурой и средне-крупнозернистыми центральными частями.

3.3.2.5. Ранне-среднекаменноугольные интрузии

К ранне-среднекаменноугольным интрузиям отнесен некрасовский комплекс. Комплекс включает три интрузивные фазы (габбро-диорит-гранитовый). В рамках Сухоложского полигона можно наблюдать только магматические породы третьей (заключительной) фазы внедрения в виде некрупного (площадью 0,3 км) саттелита и одиночными дайками. Граниты, слагающие интрузив, являются мелкозернистыми биотитовыми, иногда с округлыми, элпсовидными зернами кварца. Дайки представлены биотитовыми гранодиорит-порфирами.

В северном направлении от Сухоложского полигона наблюдается серия массивов некрасовского комплекса (Артемовский, Алтынайский).

3.3.2.6. Позднепермские-раннетриасовые интрузии

В пределах Алапаевско-Айбыкульской подзоны различными исследователями выделялись маломощные тела и дайки и описывались как пикриты, керсантиты, миненета. Они характеризуются ультраосновным и основным составом в ассоциации с флогопитом, апатитом, иногда ортоклазом. Отличительной особенностью этих пород является высокое содержание редких земель цериевой группы (сумма редких земель 600-900г/т).

В районе р. Шаты среди пород сухоложской толщи изучены дайки мощностью до 2-3 м трахибазальтов с порфиrowыми выделениями клинопироксена и гидробиотита. Структура основной массы интерсертальная, в стекле много апатита и карбоната. Ранее эти дайки диагностировались как керсантиты. Порода имеет темно-серый цвет с зеленоватым оттенком, массивную текстуру, порфиrowую и мелкозернистую структуры. Дайки всегда имеют зоны закалки. Местоположение даек – левый берег р. Пышмы напротив Беленковской плотины и на левом берегу р. Шата в 1100 м от устья.

3.3.3. Тектоника

Характерной чертой геологического строения Сухоложского полигона является близмеридиональная ориентировка крупных тектонических структур в плане и слоисто-блоковое глубинное строение. По результатам интерпретации по Асбестовскому сейсмическому профилю, поверхность Мохо находится на глубине 37-39 км.

В изученном районе выделяется два структурных этажа, представленных структурно-тектоническими комплексами: ордовикско-триасовый (позднеуральский) и мезозойско-кайнозойский (урало-сибирский).

Как указывалось ранее, Сухоложский полигон находится на границе Рефтинско-Каменской и Алапаевско-Айбыкульской подзон. Границей подзон является крупный Тыгишский разлом меридиональной ориентировки. Вдоль Тыгишского разлома (ранее именуемое Рефтинской зоной смятия) породы рассланцованы, будинированы, милонитизированы, содержат протрузии серпентинитов (северней полигона), интенсивно переработаны гидротермальными процессами, в меньшей степени – экзогенными (линейное выветривание).

К Тыгишскому разлому торцово примыкает Рефтинский массив и Некрасовско-Маминский блок, представленный вулканогенными формациями среднего девона. Среди вулканитов встречаются пачки осадочных пород тонкозернистых фаций (свидетельство глубоководных условий).

В Алапаевско-Айбыкульской подзоне выделено 4 блока. Для данной подзоны характерна устойчивая линейная форма блоков, близмеридиональная ориентировка, перемежаемость блоков, сложенных девонскими и каменноугольными образованиями.

В западном направлении выделяется Куртугузский блок, представленный осадочно-вулканогенными образованиями нижнего карбона, интенсивно и неравномерно дислоцированными.

Сухоложский блок сложен преимущественно вулканитами среднего девона. Здесь уверенно картируются фации вулканитов, в том числе выделена серия вулканических построек центрального типа. С вулканитами ассоциируют реликты коралловых рифов с обилием колоний строматопор. Положение рифовых построек позволяет отнести их к береговым барьерным рифам. В меньшем объеме представлены верхнедевонские морские образования – кремнистые, сменяющиеся во времени прибрежно-морскими грубообломочными. Толщи осадочных пород неравномерно смяты в систему пологих гребневидных и крутых складок. Вдоль осевых плоскостей складок обычно сформированы зонки дробления и брекчирования.

Кунарский блок сложен нижнекаменноугольными терригенно-угленосными (прибрежными) образованиями. Разрез наращивается морскими карбонатными образованиями того же возраста. На р. Кунара в мелких тектонических блоках локализованы прибрежно-морские отложения среднекаменноугольного возраста. Породы неравномерно смяты в складки, особенно интенсивно вблизи разрывных нарушений.

Буланашский блок представлен вулканитами среднего девона. О его строении мало данных, так как он перекрыт чехлом молодых отложений.

Помимо главных (меридиональных) разломов в описываемом районе широко развиты разрывные нарушения разной ориентировки, возраста и морфологии. Для вулканогенных структур характерна радиально-кольцевая система разломов. Наиболее молодые разломы имеют близширотное простирание. Разломы выражаются зонами смятия, расланцевания, тектоническими брекчиями, зеркалами скольжения, уступами в рельефе, водопадами, логами, линейными карстовыми формами. Нередко разломы залечены дайками и жилами.

Мезозойско-кайнозойский структурно-тектонический комплекс сформирован в условиях платформенного режима и представляет собой чехол молодой платформы. На начальной платформенной стадии континентального рифтогенеза в районе сформировались грабенообразные прогибы, сопровождающиеся образованием риолит-платобазальтовой формацией (за пределами полигона).

С этим этапом, по видимому, связано формирование малых тел лампроитоидов на «плечах» грабенообразных впадин. Впадины выполнены красноцветными угленосными осадками челябинской серии, со сменой сероцветными в верхних частях разреза.

Реликты подобных впадин имеют место в Буланашском блоке в восточной части геополигона.

На водоразделах в юре и мелу сформировались коры выветривания. Синхронно происходило развитие карста. В пределах карстовых полостей произошло накопление меловых отложений (песчано-глинистых). Средняя (основная) часть платформенного чехла представлена морскими отложениями верхнего мела, палеоцена-эоцена. Верхняя часть чехла сформировалась в миоцене, после регрессии моря.

3.3.4. Гидрогеология

Среди подземных вод Сухоложского района выделяются четыре главных типа: трещинные, трещинно-карстовые, пластово-трещинные и пластово-поровые.

Первые два типа подземных вод приурочены к области распределения пород палеозойской эратемы, а пластовые воды фиксируются среди толщ кайнозойских отложений.

Собственно-трещинные воды развиты в основном среди толщи эффузивных пород девонского возраста и в меньшей степени среди песчано-сланцевых пород каменноугольного возраста: водообильность указанных пород небольшая, что определяется по дебиту источником, который обычно не превышает 0,1-0,2 л/с. Наибольшая водообильность локальной зоны, тяготеющей к тектоническим нарушениям в массивных породах.

Трещинно-карстовые воды приурочены к известнякам визейского яруса, отличаются большим расходом источника, который достигает 15-25 л/с. За счет подземных вод этого типа проектируется водоснабжение города Сухой Лог, здесь дебит скважин, побуренных в визейских известняках, достигает 55 л/с.

Пластово-поровые воды концентрируются в четвертичных песках и палеозойских песчаниках, образуя источники с дебетом до 5 л/с.

Пластово-трещинные воды карбонатных и терригенных пород дают многочисленные источники с колебаниями дебита от 0,05 до 0,3 л/с.

3.3.5. Геоморфология

Согласно геоморфологическому районированию, проведенному А.П.Сиговым (1962, 1969), рассматриваемая территория расположена в пределах двух геоморфологических районов – отпрепарированного Зауральского пенеплена и континентально-морской цокольной равнины Западно-Сибирской низменности. Граница между районами проходит по пос. Алтынай, западной окраине пос. Курьи и восточной окраине д. Кашино.

Отпрепарированный Зауральский пенеплен – это почти плоская, иногда слабо волнистая денудационная равнина, полого наклоненная с запада на восток от абсолютных отметок 220 до 160 м. Выравнивание этой поверхности произошло в юрском периоде. В период морских трансгрессий мела и палеогена эта территория покрывалась морем. Затем, под воздействием денудации чехол морских осадков был смыт и на дневную поверхность был снова выведен древний мезозойский пенеплен. За новейший тектонический этап территория испытала поднятие на 150 – 200 м.

Континентально-морская цокольная равнина – это типичная равнина с плоскими, часто заболоченными междуречьями. Породы фундамента здесь перекрыты толщей морских и континентальных мезо-кайнозойских отложений. Мощность их увеличивается с запада на восток от первых метров до 70 м.

Основными морфологическими элементами этого района являются плоские котловины, разделенные небольшими грядами с относительным превышением 0,5 – 1,5 м. Возраст цокольной равнины послезоценовый. В неотектонический этап произошло поднятие территории на 100 – 150 м.

В результате проявления неотектонических поднятий на оба типа рельефа наложился эрозионно-аккумулятивный рельеф новейшего этапа. Основными формами рельефа этого типа являются междуречья и речные долины.

Формы рельефа междуречий описаны при характеристике поверхностей отпрепарированного Зауральского пенеплена и континентально-морской цокольной равнины Западно-Сибирской низменности. Что касается речных долин, то они четко подразделяются на две группы: долины крупных рек и долины малых рек. К первой группе относятся долины рр. Пышмы, Рефта, Кунары; ко второй – их многочисленные притоки (речки Мокрая, Рудянка, Знаменка, Брусяна, Шата, Усолка и др.).

Долины крупных рек прорезают описанные выше геоморфологические районы в широтном и субширотном направлении. Характер речных долин резко меняется в зависимости от положения в том или ином геоморфологическом районе.

В пределах Зауральского пенеппена долины крупных рек глубоко врезаны (45 – 50 м), часто имеют каньонообразный поперечный профиль. Склоны долин слабо террасированы, характерны врезанные меандры. Даже высокая пойма часто бывает цокольной.

В пределах цокольной равнины долины крупных рек расширяются (до 1.5 – 2 км), имеют ячикообразный поперечный профиль. Склоны их террасированы. Наблюдается до четырех надпойменных террас. В придолинных склонах и на междуречьях встречаются “мертвые” долины, не связанные с современной гидросетью.

Долины малых рек не в такой степени изменчивы от их положения в пределах разных геоморфологических районов как долины крупных рек, ибо все они имеют, в основном, меридиональное и субмеридиональное направление. В верховьях почти все долины малых рек имеют вид ложбин или лощин, в средней части они, как правило расширяются, появляется террасированность склона (1 – 2, максимум 3 террасы), в низовьях долины малых рек в большинстве случаев сильно сужены, имеют V-образный поперечный профиль. Продольный профиль долин малых рек не выработан (порожистое, каменистое русло, водопады). Расширение и сужение долин связано с особенностями литологического состава пород, а также с проявлениями новейших и современных тектонических движений локального характера.

3.3.5.1. Речные террасы

В долинах крупных рек Сухоложского района прослеживается два комплекса террас: пойменные и надпойменные. К пойменным террасам относятся низкая и высокая поймы, а остальные – надпойменным.

Низкая пойма прослеживается в виде прерывистых полос по обеим сторонам русла в пределах цокольной равнины и фрагментарно – в пределах пенеппена. Ширина ее от первых метров до первых сотен метров, высота – от 0.5 до 1.0 м. Небольшие острова в руслах рек в большинстве случаев относятся к пойме. Низкая пойма всегда аккумулятивная, сложена осадками русловой фации – песками, галечниками. Возраст отложений низкой поймы позднеголоценовый.

Высокая пойма развита повсеместно. Высота ее колеблется от 0.8 до 3 м, ширина достигает 200 м. На поверхности высокой поймы часто прослеживается несколько уступов, высота которых не превышает 0.5 – 0.7 м. Высокая пойма в большинстве случаев аккумулятивная. Наблюдается четкая дифференциация осадков поймы: верхи сложены песчано-глинистыми осадками пойменной фации, а низы – гравийно-песчано-галечными осадками русловой фации. Осадки высокой поймы датируются ранним голоценом (3 – 10 тыс. лет).

Первая надпойменная терраса. Ширина террасы достигает 300 м, высота – от 3 до 6 м. Поверхность террасы ровная, обычно слегка наклонена в сторону тылового шва. Прослеживается терраса фрагментарно. Возраст первой надпойменной террасы 12 – 20 тыс. лет (верхи позднего плейстоцена).

Вторая надпойменная терраса имеет ограниченное распространение в области Зауральского пенеппена и значительное – в области цокольной равнины.

В пределах Зауральского пенеппена терраса чаще всего эрозионно-аккумулятивная (цокольная), где высота цоколя колеблется от 1 до 5 м.

В пределах цокольной равнины терраса аккумулятивная. Разрез террасы четко дифференцирован на фации (русовая, пойменная). Возраст террасы – низы позднего плейстоцена (70 – 100 тыс. лет).

Третья надпойменная терраса имеет весьма ограниченное распространение, слабо изучена. Терраса всегда эрозионно-аккумулятивная. Высота поверхности террасы над урезом реки 12 – 20 м, цоколя – 8 – 15 м. Возраст террасы – верхи среднего плейстоцена.

Четвертая надпойменная терраса развита очень широко по крупным рекам района в пределах цокольной равнины. Высота поверхности террасы над урезом реки колеблется от 5 до 35 м. Терраса сложена грубым псчано-гравийным материалом полимиктового состава с диагональной слоистостью. Возраст данной террасы – средний плейстоцен (200 тыс. лет).

В долинах малых рек прослеживаются 1 – 2 (максимум 3) террасы голоценового возраста и одна (максимум 2) позднеплейстоценовые террасы.

Из малых эрозионных форм рельефа в Сухоложском районе широким развитием пользуются балки, ложбины, лощины, а в пределах цокольной равнины – овраги.

Широким развитием пользуются **конусы выноса**. Их возраст голоценовый.

3.3.5.2. Карстовые формы рельефа

Современный карст на территории Сухоложского района развит ограниченно. Небольшие участки его отмечены на междуречье рек Пышмы и Кунары, главным образом, на склонах речных долин, где карстующиеся породы (известняки) непосредственно выходят на дневную поверхность или перекрыты маломощным чехлом четвертичных отложений.

Формы современного карста: западины, воронки, пещеры.

Западины – понижения (блюдца) глубиной до 2 м и диаметром до 50 м (суффозионно-карстовый тип рельефа).

Воронки – углубления округлой, овальной или неправильной формы. Размер колеблется в широких пределах: глубина – 2 – 15 м, диаметр – до 30 м. Образование карстовых воронок обуславливается наличием зон повышенной трещиноватости и контактов известняков с терригенной толщей. По происхождению различают: провальные воронки, воронки выщелачивания и просасывания.

Пещеры – крупные пустоты в породах. Встречаются по рекам Пышме и Кунаре в пределах площадей развития известняков. Пещеры небольшие, обычно в виде ниш (пещера Гебауэра и др.).

Древний погребенный карст в современном рельефе не выражен, вскрывается карьерами, буровыми скважинами. Основные формы древнего карста – воронки и котловины. Воронки выполнены континентальными отложениями мела. Образование древнего карста района происходило, в основном в мезозое.

3.3.6. Полезные ископаемые

В описываемом районе имеются месторождения полезных ископаемых различных типов: горючие, металлические, неметаллические и строительных материалов.

3.3.6.1. Горючие полезные ископаемые

Горючие полезные ископаемые района представлены месторождениями и проявлениями каменного угля. Открытие каменного угля в районе с. Сухоложского относится к 1947 г. Было установлено, что наиболее значительные скопления каменного угля приурочены к двум горизонтам терригенной толщи ранневизейского возраста. Проявления угля представляют собой линзообразные включения среди углисто-глинистых и углистых сланцев. Хотя подсчитанные запасы угля весьма значительны, изменчивость угленосности по мощности, простиранию и падению, а также интенсивной дислоцированностью слоев не позволяет вести здесь добычу в промышленных масштабах.

3.3.6.2. Металлические полезные ископаемые

Металлические полезные ископаемые района представлены проявлениями железных, медных и алюминиевых руд, а также россыпей золота.

Железные руды района представлены лимонитами инфильтрационного происхождения (алапаевского типа). Лимониты приурочены к основанию “беликовой” толщи и обычно располагаются в понижениях карстового рельефа нижнекаменноугольных известняков. Лимониты встречаются в Кашинском руднике на левом берегу реки Кунары, в 200 метрах западнее южной окраины села Кашино. Рудник представлен карьером размером 200х300 м. и глубиной до 30 м. Бурые железняки образуют гнездообразные тела, приуроченные к низам беликовой толщи, залегающей на закарстованной поверхности известняков.

Также лимониты имеются в Свято-Чудовском месторождении, который расположен в верхней части правого склона долины реки Кунары против северо-восточной окраины села Кашино. Формы залегания лимонита те же, что на Кашинском руднике.

Бокситы (руда на алюминий) были обнаружены южнее курорта Курьи в 1943 году. Данные геологоразведочных работ, проведенных с целью поисков и разведки бокситов, свидетельствует о том, что рудные тела мощностью до 5 метров залегают на глубине 6-20 м. от поверхности и имеют карстовое происхождение.

Медно-сульфидная минерализация в районе была впервые отмечена в 1950 г. в риолитах на левом склоне долины р. Пышмы в 520 м. выше Сухоложской плотины. Рудная минерализация представлена в основном пиритом и халькопиритом.

Полиметаллическая минерализация. В районе устья реки Каменки в левом борту реки Пышмы встречаются обломки карбонатных пород с пиритом, сфалеритом, халькопиритом и галенитом. В двух км севернее устья реки Каменки была пройдена линия поисковых скважин, в одной из которых среди андезитов и долеритов порфириковых и микрокварцевых была встречена сульфидная минерализация, представленная жилками пирита мощностью до двух см., вкрапленники халькопирита, галенита. Серноколчеданная и полиметаллическая минерализация простирается разобщенно. Сфалерит, халькопирит и галенит приурочены к доломитовым прожилкам, представляют полиметаллический тип оруденения.

Золото в коренном залегании известно в верхнем течении реки Рефт за пределами исследуемой территории. В шлиховых пробах оно встречено на р.р. Рудянка, Пышма, Брусяна, Каменка.

Серный колчедан. Пиритная минерализация широко распространена в ряде пунктов в породах самого различного состава и генезиса. Она известна в порфириковых риолитах на р. Рудянке и на правом берегу р. Пышмы у базы практики, в вулканитах на р. Рефт, в риолитах ближе устья р. Шаты, в туфах андезитов, базальтов, а также в

конгломератах левого берега р. Каменки против д. Вальной. Колчеданная минерализация имеет гидротермальное происхождение.

3.3.6.3. Неметаллические полезные ископаемые

Неметаллические полезные ископаемые в районе представлены незначительными проявлениями исландского шпата и жильного кварца.

Исландский шпат. Кристаллы и друзы прозрачного кальцита встречаются в известняковом карьере на левобережье р. Пышмы в 0,5 км к юго-востоку от пещеры Гебауэра и в известняковом карьере цементного завода (в 2-х км к юго-востоку от ст. Кунара). Размеры кристаллов достигают 3 см.

Жильный кварц известен в левом склоне долины р. Пышмы между автодорожным мостом и д. Глядены. Качество его не высокое, запасы не известны

3.3.6.4. Строительные материалы

В Сухоложском районе имеются проявления строительных материалов, а также сырья, пригодного для производства строительных материалов. К ним относятся известняки, огнеупорные, цементные и кирпичные глины, опоки, песчано-гравийный материал, природный щебень и бутовый камень.

Известняки распространены в районе чрезвычайно широко. Обнажения их прослеживаются вдоль р. Пышмы от г. Сухого Лога до пос. Курьи и по р. Кунара от с. Кашино до с. Заимка. Добыча известняков для производства цемента производилась на Кунарском карьере известняков. На Ново-Сухоложском месторождении производится добыча цементных глин и аргиллитов среди терригенных пород нижнего карбона. На Курьинском месторождении разрабатываются эоценовые трепела и опоки.

Глины. Месторождения глин в Сухоложском районе достаточно разнообразны. Цементные и кирпичные глины разведаны на правом берегу р. Пышмы к югу от ж/д линии, где они образуют покров мощностью 6-10 м. огнеупорные глины добывались на водоразделе рек Пышма и Кунара в районе д. Кашино. Разработка шла шахтным, а затем открытым способом. На правом берегу реки Кунара известны белые каолиновые глины.

Кроме того, в районе известны месторождения строительных песков и глин, песчаников и конгломератов, опок и трепелов, минеральных красок.

3.3.6.5. Подземные воды

Полоса карбонатных пород шириной около 4,5 км между реками Пышма и Кунара образует самостоятельную гидравлическую систему, которая выделена в качестве Кашинского месторождения подземных вод. Площадь месторождения составляет 24 км². В пределах Кашинского месторождения находится несколько водозаборов и родник Сухоложской бумажной фабрики. Основной водоотбор происходит на Кунарском карьере известняков. На всех водозаборах Кашинского месторождения подземных вод отбирается 7,8 тыс. м³/сут.

3.4. Экологическая характеристика района

Оценка экологической ситуации производится на всех стадиях геологоразведочных работ, поэтому на практике студенты обязаны приобрести необходимые навыки подобной оценки.

Сухоложский геополлигон согласно геоморфологическому районированию находится в двух геоморфологических районах: отпрепарированном Зауральском пенеппене (западная часть) и континентально-морской цокольной равнине (восточная часть).

На полигоне выделяется три морфологических типа природных ландшафтов: денудационная равнина, цокольная равнина, долины крупных и малых рек. Из техногенных ландшафтов выделены два типа: техногенно-образованные и техногенно-измененные. К первым относятся карьерные поля, отстойники, торфоразработки. Ко вторым отнесены промышленные зоны городов, поселков, загрязненные участки почвогрунтов, поверхностных вод.

Денудационная равнина характеризуется плоскими междуречьями с пологим уклоном местности от 207 м на западе до 170 м на востоке с узкими коньконообразными долинами. Район имеет сложное геологическое строение. Развита магматическая и осадочная породы. Район относится к лесостепной зоне. Леса сосновые и березово-сосновые. Почвы дерново-подзолистые, реже лугово-болотные.

Цокольная равнина характеризуется плоским рельефом с уклоном от 170 до 137 м. В геологическом строении преобладают осадочные породы, в том числе мезозоя и кайнозоя. Почвы дерново-подзолистые, серые лесные, луговые и болотистые.

Долины рек (Пышма, Рефт, Кунара) проходят транзитом через всю территорию полигона. По долинам развит пойменный и террасовый комплекс. Характерны скальные выходы коренных пород, боковая и глубинная эрозия. Реки часто зарегулированы системой прудов. Почвы в речных долинах аллювиальные и торфяно-подзолистые. Растительность лугово-кустарниково-лесная.

Техногенно-измененные ландшафты – это в основном промышленные и служебные зоны городов и других населенных пунктов. Наиболее крупным населенным пунктом является г. Асбест с промышленными объектами. Наиболее вредным объектом для окружающей среды является цементный завод с большими объемами выбросов пыли. Дорожная сеть развита в основном в черте населенных пунктов. Внешние транспортные артерии представлены автодорогами и железными дорогами местного значения. Вдоль трасс выделяются линейно вытянутые линейные техногенные аномалии.

Естественный режим многих рек изменен созданием на них прудов и водохранилищ, вдоль береговой линии которых развиваются оползневые процессы.

Наиболее загрязненной рекой является р. Пышма из-за промышленных и хозяйственно-бытовых стоков г. Екатеринбурга, Березовска, В.Пышмы. В воде р. Пышма зафиксированы тяжелые металлы, фенолы, фтор, мышьяк, медь с концентрациями превышающими нормы.

К промышленному загрязнению окружающей среды добавляется загрязнение атмосферы, почв, гидросферы выбросами Рефтинской ГРЭС. Протяженность выброса загрязняющих веществ Рефтинской ГРЭС составляет 30 км (след загрязнения зафиксирован в зимний период по космическому снимку), т.е. загрязняются почвы до г. Сухой Лог.

Сельскохозяйственная освоенность территории составляет четвертую часть площади (в основном пригородно-овоще-картофеле-молочные направления). Навозохранилища, склады ГСМ и удобрений, свалки, шлакоохранилища, накопители очистных сооружений дают начало локальным природным и природно-техногенным аномалиям.

Хозяйственно-питьевое водоснабжение производится из скважин и родников. Динамика изменения состава подземных вод в процессе эксплуатации скважин свидетельствует об увеличении минерализации в 1,1-2,3 раза за счет увеличения концентрации хлоридов, сульфатов, нитратов.

Карьерные воды эксплуатируемых месторождений строительных материалов по данным мониторинга также изменяют свой состав. На Кунарском карьере известняков зафиксировано увеличение содержания сульфат иона в результате аэрогенного загрязнения серной кислотой от выбросов завода «Вторцветмет» (г. Сухой Лог) и окисления сульфидных минералов в техногенной зоне аэрации. Загрязнителями подземных вод являются также свалки бытовых отходов. При отработке карьеров в процессе понижения уровня подземных вод формируется техногенная зона аэрации. Восстановительные условия сменяются окислительными, что приводит к окислению сульфидов коры выветривания и загрязняющих соединений в теле свалки и переводу их в растворимые формы.

В затопленный карьер рудника «Белая глина» производится сброс производственных стоков Сухоложского завода мостовых и дорожных конструкций. Стоки содержат повышенные концентрации нефтепродуктов, хлоридов, сульфатов. Вся сбрасываемая вода поступает в подземные воды.

Влияние экзогенных процессов на экологию среды незначительное. На локальных участках наблюдается оврагообразование. В долинах рек происходят малоактивные процессы донной и боковой эрозии. Небольшие оползни зафиксированы по крутым берегам прудов. Вблизи озер и прудов отмечено заболачивание. В пределах развития карбонатных пород установлено карстообразование. При бурении скважин карстовые формы вскрыты до глубины 117 м. Максимальная закарстованность проявлена в верхней части разреза (до 30-50 м), что соответствует глубине вреза долины р. Пышмы – основной дрены района. Карстовые воронки и полости развиваются в известняках по трещинам напластования и кливажа. Наиболее глубоко в толщу известняков проникает мезозойский карст. Он, как правило, залечен глинистым и песчаным материалом. Открытые карстовые полости, образовавшиеся в четвертичное время, встречаются до глубины 45-50 м. Положение карстовых форм необходимо учитывать при строительстве сооружений, мостов, линий ЛЭП.

Студентам предлагается провести экологическое районирование в рамках выделенных полигонов по степени влияния техногенных изменений на природный ландшафт. Для этого рекомендуется использовать классификацию из 4 групп.

1. Изменения не превышают 10% территории (не измененные).
2. Изменения составляют 10-25% территории (слабо измененные).
3. Изменения составляют 25-50% территории (средне измененные).
4. Изменения составляют более 50% территории (сильно измененные).

Рекомендуемая литература:

Изданная

1. Горский И.И. **Детальная геологическая съемка с. Сухоложского.** / Тр. Геолкома, вып. 182, 1928.
2. Кейльман Г.А., Желобов П.П. и др. **Учебная геологосъемочная практика.** Учебное пособие. - Свердловск: Изд. СГИ им. В.В.Вахрушева, 1981.
3. Козин А.В. **Геофизические исследования Сухоложского полигона в Зауралье.** Учебное пособие.-Екатеринбург: Изд.УГГГА, 2004.
4. **Методическое руководство по геологической съемке масштаба 1: 50 000.** /Под редакцией Купмана А.С. – Л.: Недра, 1978.
5. Огородников В.Н. и др. **В краю потухших вулканов.** Учебное пособие. -Екатеринбург: Изд. УГГГА, 1997.
6. Огородников В.Н. и др. **Геологические маршруты по Сухоложскому и Каменскому полигонам.** Учебное пособие. – Екатеринбург: Изд-во УГГГА, 2002.
7. **Наставления по сбору и изучению палеозойских кораллов.** – М.: Наука, 1964.
8. **Наставления по сбору и изучению брахиопод.** – М.: Наука, 1962.
9. **Полевая геология: справочное руководство.** - Л., Недра, 1989.
10. Сигов А.П. **Геоморфология Урала.** – В сб.: Геология СССР, т. XII, ч. 1, кн. 2. –М.: Недра, 1969.

Фондовая

1. Олерский В.П. и др. **Геологическая съемка и геологическое доизучение масштаба 1: 50 000 групповым методом Рефтинской площади.** –Свердловск, 1978.
2. Рыбалко В.А. и др. **Геологическое доизучение масштаба 1: 200 000 Адуйской площади, лист О-41-XXVI (Среднеуральская серия).** – Екатеринбург, 2002.

Приложение 1




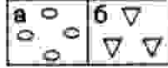
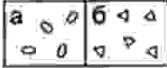
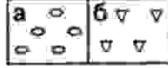
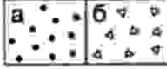
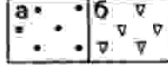


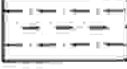





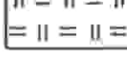
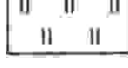


План описания пород различных типов

Осадочные	Вулканогенные	Магматические
• Характер чередования типов пород по вертикали	• Характер чередования типов пород по вертикали	• Минеральный состав
• Тип переслаивания, ритмичность	• Тип переслаивания, ритмичность	• Полосчатость, линейность, их залегание
• Мощность образований общая	• Мощность образований общая	• Включения, ксенолиты, стяжения, пустоты, размер, ориентировка
• Характеристика специфических образований	• Характеристика специфических образований	• Границы фациальных зон
• Степень литификации	• Элементы залегания флюидальности, порфировых выделений, обломков	• Эндоконтактовые зоны
• Зернистость, размеры и форма зерен, их минеральный состав	• Состав, форма и размеры порфировых выделений, содержание	• Вторичные изменения
• Обломки пород, их состав, форма, окатанность, содержание, сортировка, ориентировка	• Включения, форма, размеры, окатанность, распределение по породе, содержание	
• Пористость, пустоты заполнения	• Основная масса, раскристаллизация, количество стекла, структура	
• Цемент, его состав, тип выполнения, содержание	• Характер дислокаций, трещиноватость	
• Вещественный состав (карбонатность, углистость, прожилки ...)	• Литокристалло-класты, форма, размер, сортированность, содержание	
• Запах, его интенсивность	• Обломки пород, состав, размер, форма, окатанность, содержание	
• Наличие и состав конкреций, стяжений, включений	• Цемент, структура, состав, тип выполнения, содержание	
• Органические остатки, сохранность, внешний облик, распределение	• Вторичные изменения (изменения окраски, структуры, состава, свойств)	

Метаморфические	Метасоматические
• Минеральный состав, форма и размер зерен	• Минеральный состав, форма и размер зерен
• Сланцеватость, кливаж, элементы залегания, соотношение кливажа с полосчатостью	• Метаморфическая зональность, ее направленность, интенсивность
• Изменения минералов и породы	• Название первичной породы
• Фация метаморфизма	
• Первичная порода	
• Ультраметаморфизм	

Условные обозначения:

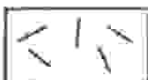
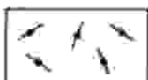
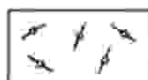
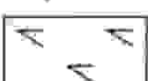



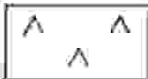
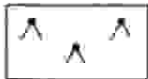
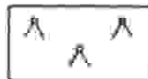


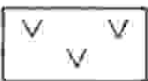
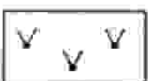







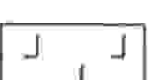



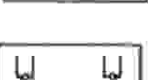
Обломочные и глинистые породы разного состава

Рыхлые	Сцементированные
 Глыбы	 Глыбовые брекчии
 Валуны (а), неокатанные валуны (б)	 Валунный конгломерат (а), валунные брекчии (б)
 Гальки (а), щебень (б)	 Галечниковый конгломерат (а), щебеночные брекчии (б)
 Гравий (а), дресва (б)	 Гравийный конгломерат (а), дресвяная брекчия (б)
 Пески	 Песчаники
 Алевриты	 Алевролиты
 Глины	 Аргиллиты
 Известняки	 Доломиты
 Трепалы, диатомиты	 Радиолариты, яшмы
 Гипс	 Ангидрит

ВУЛКАНОКЛАСТИЧЕСКИЕ ПОРОДЫ

Эксплозивно-обломочные породы сцементированные (туфы)

Туфы преобладающего состава	Петрохимические ряды		
	Нормальный	Субщелочной	Щелочной
кислого (риолитов и др.)			
среднего (андезитов и др.)			
основного (базальтов и др.)			
ультраосновного (пикритов и др.)			
Туфы разного состава			

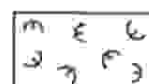
	Петрохимические ряды		
	Нормальный	Субщелочной	Щелочной
состав кислорода	 Риолиты	 Трахириолиты	 Комендиты
	 Риодациты	 Трахириодациты	 Пантеллериты
	 Плагиириодациты		
	 Дациты	 Трахидациты	 Щелочные трахидациты
среднего		 Трахиты	 Щелочные трахиты
	 Андезиты	 Трахиандезиты	
	 Андезибазальты	 Трахиандезибазальты, латиты	 Фонолиты
основного			 Основные фонолиты
	 Базальты	 Трахибазальты	 Щелочные базальтоиды
	 Пикробазальты		 Основные фойдиты
ультраосновного	 Пикриты	 Субщелочные пикриты	 Щелочные пикриты

ВУЛКАНОГЕННО-ОСАДОЧНЫЕ ПОРОДЫ

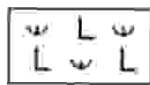
Осадочно-пирокластические породы (туффы)

Сцементированные

Рыхлые



Псефитовый туффит
разного состава




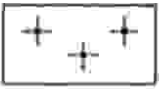


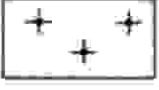
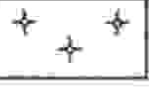
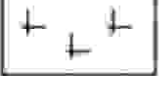
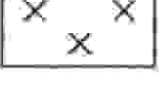
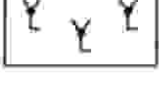



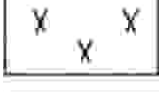


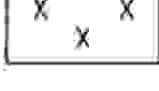
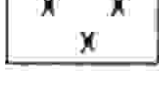
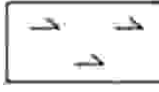

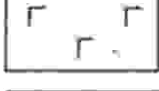


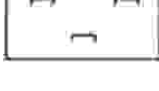



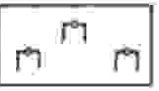
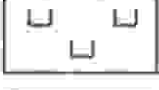


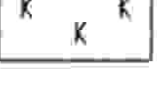
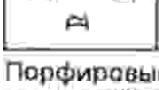
Псаммитовый туффит
основного состава



Пелитовый туффит
преимущественно
риолитового состава

СЕМЕЙСТВА ИНТРУЗИВНЫХ ПОРОД

Петрохимические ряды

	Нормальный		Субщелочной		Щелочной	
Сильные		Лейкограниты		Субщелочные лейкограниты		Щелочные лейкограниты
		Граниты		Субщелочные граниты		Щелочные граниты
		Плагиограниты				
Средние		Гранодиориты		Граносиениты		Щелочные граносиениты
				Сиениты, кварцевые сиениты		Щелочные сиениты
		Кварцевые диориты		Кварцевые монзониты и кварцевые монцодиориты		Фельдшпатоидные сиениты
		Диориты		Монзониты, монцодиориты		
Основные		Анортозиты				Основные фельдшпатоидные сиениты
		Габброиды		Субщелочные габброиды		Щелочные габброиды
		Перкриты (пироксениты, гарнблендиты)				Основные фойдолиты
Ультраосновные		Перидотиты		Кимберлиты		Ультраосновные фойдолиты
		Дуниты				Мелилитолиты
		Ультрамафиты (гипербазиты) без расчленения				Карбонатиты
		Апогипербазитовые серпентиниты				

Порфиновые породы обозначаются комбинацией знаков видов или разновидностей пород с точками

Метаморфические породы



Нерасчлененные по фа́циям

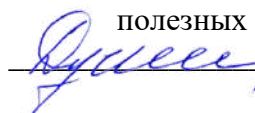


Тектониты



СОСТАВ ЧЕТВЕРТИЧНЫХ ОБРАЗОВАНИЙ



УТВЕРЖДАЮ
Заведующий кафедрой геологии,
поисков и разведки месторождений
полезных ископаемых
 В.А. Душин

**МЕТОДИЧЕСКИЕ УКАЗАНИЯ
К КУРСОВОМУ ПРОЕКТИРОВАНИЮ СТУДЕНТОВ
ПО ДИСЦИПЛИНЕ**

ГЕОЛОГОРАЗВЕДОЧНОЕ ДЕЛО

Специальность
21.05.03 Технология геологической разведки

Автор: Козьмин В.С, доцент, к.г.-м.н.

Екатеринбург

СОДЕРЖАНИЕ

	Стр.
1. ЦЕЛИ И ЗАДАЧИ КУРСОВОГО ПРОЕКТА	3
2. СТРУКТУРА КУРСОВОГО ПРОЕКТА, ТРЕБОВАНИЯ К ЕГО ОФОРМЛЕНИЮ	6
3. СОДЕРЖАНИЕ КУРСОВОГО ПРОЕКТА	7
3.1. Введение	7
3.2. Общие сведения о районе работ	8
3.2.1. Географо-экономическая характеристика	8
3.2.2. Анализ результатов ранее выполненных работ	8
3.3. Геологическое строение района	9
3.4. Геологическая характеристика объекта проектируемых работ (перспективного участка, месторождения)	9
3.5. Методика и объемы проектируемых работ	10
3.5.1. Целевое геологическое задание	10
3.5.2. Методы и объемы проектируемых работ	11
3.5.3. Прочие виды работ	12
3.5.4. Опробование и аналитические работы	12
3.5.5. Подсчет прогнозных ресурсов и запасов и их геолого-экономическая оценка	13
3.6. Заключение	15
СПИСОК РЕКОМЕНДУЕМОЙ ЛИТЕРАТУРЫ	16
ПРИЛОЖЕНИЕ 1. Пример оформления титульного листа	18
ПРИЛОЖЕНИЕ 2. Образец оформления штампа на листах графики	19

1. ЦЕЛИ И ЗАДАЧИ КУРСОВОГО ПРОЕКТА

Целью курсового проекта по дисциплине «Разведка и геолого-экономическая оценка месторождений полезных ископаемых» является формирование у будущих специалистов системы знаний, раскрывающих методологию решения геологоразведочных задач и принципы геолого-экономической оценки месторождений.

Проектирование является сложным и ответственным видом работ. От качества проекта на производство геологоразведочных работ во многом зависит их конечный результат. Во время обучения в вузе основное внимание уделяется ознакомлению с новой информацией, большей частью теоретического характера. Молодой специалист, оказавшись на производстве, остро ощущает недостаток практического опыта. В первую очередь это касается необходимости принимать самостоятельные инженерные решения, направленные на выполнение геологического (технического) задания. Составляя курсовую работу, студенты приобретают определенные навыки в проектировании геологоразведочных работ, необходимые в дальнейшем для разработки выпускной квалификационной работы (дипломного проекта) и будущей профессиональной деятельности.

Курсовая работа выполняется студентами 5-го курса на базе материалов, собранных при прохождении преддипломной производственной практики. При отсутствии необходимых данных, требуемых для составления работы, сведения предоставляет кафедра. В том случае, если студент располагает достаточно представительным материалом, позволяющим произвести его углубленную обработку с использованием современных компьютерных технологий и на этой основе рассмотреть те или иные вопросы, составление проекта может быть заменено решением той или иной методической задачи геологоразведочной направленности.

Для подготовки курсовой работы студенты во время прохождения производственной практики должны собрать необходимые графические и текстовые материалы. Графические материалы включают: 1) геологическую

карту района работ в масштабе 1:50 000, 1:100 000 или 1:200 000 с разрезами, стратиграфической колонкой и условными обозначениями (легендой); 2) геологическую карту (план) месторождения (рудного поля) масштаба 1:25 000, 1:10 000 или крупнее; 3) геологические разрезы по месторождению или его части; 4) план подсчета запасов (продольная проекция). Графика сопровождается описанием геологии района и месторождения (участка), методики геологоразведочных работ, данными по подсчету запасов с результатами геолого-экономической оценки.

Для курсового проекта допускается отсутствие геологической карты района, однако для дипломного проекта она необходима. Исключение составляют проекты по нефтяным и газовым объектам, для которых вместо геологической карты района представляется, как правило, мелко-среднемасштабная тектоническая схема с указанием важнейших нефтегазоносных структур.

Главной задачей курсового проекта является обоснование методики геологоразведочных работ, отвечающих определенной стадии. В соответствии с Положением о порядке проведения геологоразведочных работ по этапам и стадиям (1999) темой курсового проекта оценочные работы, разведка, или эксплуатационная разведка, например:

- оценочные работы на проявлении Нырдовоменшорское на медноколчеданное оруденение (Полярный Урал);
- разведка Главной рудной зоны Сусанского месторождения золота (Свердловская область);
- разведка глубоких горизонтов Астафьевского месторождения бокситов (Южный Урал);
- разведка северного фланга Мансуровского месторождения гранитов (Южный Урал);
- эксплуатационная разведка южной части нижнего рудного уровня Узельгинского месторождения (Челябинская область).

Независимо от выбранной стадии при выполнении курсового проекта студент должен решить следующие инженерные задачи:

- осветить степень геологической изученности рассматриваемой площади;
- определить главные задачи проектируемых работ;
- сформулировать целевое геологическое задание;
- выбрать и обосновать комплекс методов для выполнения целевого задания, определить виды и объемы запроектированных работ;
- произвести проектный подсчет запасов по объекту изучения с их геолого-экономической оценкой.

Задание на составление курсового проекта оформляется на специальном бланке, которое выдается преподавателем. На бланке указывается тема (название) проекта и сроки его выполнения. Преподаватель помогает студенту составить план проекта, рекомендует необходимую литературу, оказывает индивидуальные консультации.

На выполненный проект преподавателем пишется рецензия. Окончательная оценка выставляется после публичной защиты.

При подготовке методических рекомендаций использованы учебно-методические разработки кафедры ГПР МПИ к составлению курсовых проектов по дисциплинам «Прогнозирование и поиски месторождений полезных ископаемых» (А. Г. Баранников, 2013) и «Разведка и геолого-экономическая оценка МПИ» (Балахонов В. С., 2005), с которыми студенты могут подробнее ознакомиться на кафедре.

2. СТРУКТУРА КУРСОВОГО ПРОЕКТА, ТРЕБОВАНИЯ К ЕГО ОФОРМЛЕНИЮ

Курсовой проект состоит из текстовой части и графических приложений. Текст работы не должен превышать по объему 25-35 страниц машинописного текста и включает следующие разделы (в скобках указан ориентировочный объем):

- титульный лист;
- оглавление;

- введение (1 стр.);
- общие сведения о районе работ (1-2 стр.);
- геологическое строение района (2-5 стр.);
- геологическая характеристика объекта (4-6 стр.);
- методика и объемы проектируемых работ (12-14 стр.);
- подсчет запасов, их геолого-экономическая оценка (2-3 стр.);
- заключение (1 стр.);
- список использованной литературы.

Текст работы представляется в распечатанном виде. Допускается также рукописный вариант. Страницы текста должны соответствовать формату А4 (297x210 мм). Поля по всему периметру – 20 мм. Перед текстовой частью помещается титульный лист (приложение 1), индивидуальное задание и оглавление.

Текст иллюстрируется схемами, фотографиями, зарисовками. Они должны иметь наименования, условные обозначения, масштаб и обозначаются как рисунок под соответствующим номером.

Графические приложения представляются на двух или трех листах. В правом нижнем углу помещается штамп установленного образца (приложение 2). Первым листом является геологическая карта района со стратиграфической колонкой, легендой, разрезом. Как отмечалось выше, в курсовой проект карта района может не включаться, но для дипломного проекта она необходима. На втором листе помещается геологическая карта месторождения или участка работ. Этот лист является основным и имеет методическое значение. На него наносятся известные месторождения, проявления и пункты минерализации, геохимические и геофизические аномалии, шлиховые ореолы. Здесь же указываются направления геологических маршрутов, проектные геофизические и геохимические профили, пройденные и проектные геологоразведочные выработки. Второй лист может представлять собой план подсчета запасов по месторождению, участку месторождения, эксплуатируемому этажу или уступу. Карта участка (месторождения) сопровождается одним или двумя типичными

разрезами, в том числе проектным, которые могут быть помещены на отдельном листе. При необходимости в графические приложения включается вертикальная продольная проекция рудного тела с блокировкой запасов и указанием пройденных и проектных выработок.

3. СОДЕРЖАНИЕ КУРСОВОГО ПРОЕКТА

3.1. Введение

Во введении обосновывается актуальность проекта и характеризуются исходные материалы, положенные в его основу. Оценивается потребность промышленности в данном виде минерального сырья, его конъюнктура на мировом и российском рынках. Рассматривается необходимость развития минерально-сырьевой базы региона в целом и данного вида полезных ископаемых в частности.

Указывается место и сроки прохождения производственной практики, организация, должность, выполнявшиеся работы. Приводятся основные фондовые и литературные источники, использованные при написании работы.

3.2. Общие сведения о районе работ

3.2.1. Географо-экономическая характеристика района

Указывается административное положение района работ, ближайшие населенные пункты, пути сообщения, возможности использования разных видов транспорта, ведущие промышленные объекты, источники энергообеспечения, наличие стройматериалов, возможности найма рабочих на месте. Описывается орографическая характеристика: характер рельефа, абсолютные и относительные превышения, климат, гидрографическая сеть, режимы рек, источники питьевого и технического водоснабжения, наличие карстовых явлений, многолетней мерзлоты. Характеризуется растительный и животный мир, распространение покровных образований, кор выветривания, их мощности. Особо отмечается обнаженность пород, дешифрируемость аэро-космоснимков.

Перечисленные данные позволяют произвести анализ природных условий ведения геологоразведочных работ, учитываются при геолого-экономической оценке рудных объектов.

Для иллюстрации раздела приводится мелкомасштабная обзорная карта (схема) района с указанием местоположения участка работ.

3.2.2. Анализ результатов ранее выполненных работ

Кратко освещаются основные результаты ранее выполненных на площади геологических, геофизических, геохимических и других видов работ. Обзор проводится в хронологическом порядке. Текст может сопровождаться схемами изученности.

Оценивается достоверность ранее выполненных исследований и обосновывается выбор участка проектируемых работ, обсуждается степень его разведанности, изученность вещественного состава с точки зрения комплексного использования полезных ископаемых, а также возможные перспективы продолжения оруденения на глубину или фланги месторождения, обнаружения слепых рудных тел.

3.3. Геологическое строение района

Приводятся данные о геолого-структурной позиции участка работ. Последовательно излагаются сведения по стратиграфии и литологии, магматизму, тектонике, гидрогеологии и полезным ископаемым. Для районов, перспективных на россыпное оруденение, дается геоморфологическая характеристика.

При описании полезных ископаемых кратко описываются все известные месторождения и рудопроявления, включая сведения о размерах залежей, их форме, минеральном составе, принадлежности к определенному рудно-формационному промышленному типу.

В дипломном проекте текст сопровождается геологической картой района со стратиграфической колонкой, условными обозначениями (легендой) и

разрезами. При подготовке раздела следует обратить внимание на совпадение текстовых и графических материалов. В тексте должны быть охарактеризованы свиты и комплексы, представленные на графике. Соответственно, геологическая карта, колонка, легенда и разрезы должны содержать одни и те же стратиграфические и интрузивные образования.

3.4. Геологическая характеристика объекта проектируемых работ (перспективного участка, месторождения)

В зависимости от проектируемой стадии ГРР объектом работ является перспективный район, участок, рудопоявление или месторождение.

В данной главе уточняются и детализируются сведения, представленные в предшествующем разделе. Рассматриваются структурно-вещественные комплексы, образующие геолого-структурную позицию участка или месторождения. К ним относятся вмещающие горные породы, магматические тела, разломы, складки, вулканические структуры, геологические контакты.

В целом, описание участка или месторождения обычно включает следующие позиции:

- горные породы, участвующие в его строении;
- структурный контроль в размещении оруденения или структура рудного поля;
- характеристика выявленной минерализации. Для поздних стадий ГРР обязательно описывается форма, размеры, условия залегания рудных тел, вещественный состав руд, их текстурно-структурные особенности, первичная и вторичная зональность, генезис месторождения, а также характеризуются горно-геологические, инженерно-геологические и гидрогеологические условия месторождения.

Раздел иллюстрируется крупномасштабной геологической картой месторождения, детальными геологическими разрезами, в том числе обязательно проектным. При необходимости представляется продольная проекция, построенная в плоскости падения, или вертикальная, на которой показано размещение запасов разных категорий.

3.5. Методика и объемы проектируемых работ

3.5.1. Целевое геологическое задание

С учетом представленного выше обоснования формулируется геологическое задание, которое должно отвечать определенной стадии геологоразведочного процесса:

- оценочные работы;
- разведка участка месторождения, флангов, глубоких горизонтов;
- эксплуатационная разведка.

При формулировке задания важно отметить, какой промышленный тип оруденения ожидается, оговорить границы участка проектируемых работ и их масштаб.

3.5.2. Методы и объемы проектируемых работ

При проектировании оценочных и разведочных работ методические вопросы решаются на основе анализа особенностей структуры участка, формы, размеров и условий залегания тел полезных ископаемых, изменчивости выявленных параметров оруденения (мощности, содержания полезных компонентов).

В соответствии с инструктивными материалами ГКЗ МПР РФ, определяется группа сложности месторождения, перечень основных видов работ, необходимых для решения задач данной стадии, плотность сети наблюдения для разных категорий запасов. Обосновывается система разведки и технические средства, расположение и порядок проходки технических средств.

Описание каждого вида работ завершается расчетом проектных объемов.

3.5.3. Прочие виды работ

Обязательным элементом геологоразведочных работ являются топо-геодезические или маркшейдерские исследования. Рассмотрение этого вопроса начинается с анализа имеющейся топоосновы. Предусматривается инструментальная привязка опорной сети геофизических наблюдений, буровых скважин и горных выработок, базисных линий на участках детализационных работ.

На стадии разведки обязательно должна быть описана методика гидрогеологических и инженерно-геологических наблюдений с определением объемов этих работ.

Обязательным элементом разрабатываемого проекта является рассмотрение экологических вопросов. Необходима оценка влияния геологоразведочных работ на окружающую среду. Это влияние может выражаться в нарушении природного ландшафта территории, изменении режима поверхностных и подземных вод, загрязнении воздушного и водного бассейнов, исключении из хозяйственного оборота плодородных земель и т.д. В проекте должны быть предусмотрены мероприятия, предотвращающие или уменьшающие вредное воздействие ГРР на экологию.

3.5.4. Опробование и аналитические работы

С учетом типа оруденения, особенностей вещественного состава, формы, предполагаемой мощности рудных залежей, а также планируемых объемов горноразведочных и буровых работ, предусматриваются необходимые виды опробования – химическое, минералогическое, техническое, технологическое. Обосновываются способы отбора проб, необходимые для решения поставленных задач (штуфное, бороздвое, точечное, керновое и т.д.). Обсуждаются возможности использования геофизических методов опробования. Дается схема обработки проб на отдельно вычерченном листе в текстовой части проекта.

Перечисляются планируемые виды лабораторных работ, определяются их объемы с учетом внутреннего и внешнего контроля (3-5% от общего объема проб). Аналитические исследования в зависимости от типа полезного ископаемого и целевого назначения проекта могут включать следующие виды испытаний проб: химический, минералогический, спектральный, пробирный, атомно-абсорбционный, рентгено-спектральный, рентгено-структурный и др. Для каждого вида аналитических исследований определяются цели и решаемые задачи.

3.5.5. Подсчет проектных запасов и их геолого-экономическая оценка

На стадиях оценочных и разведочных работ одним из завершающих этапов проектирования является оконтуривание тел полезных ископаемых на месторождении, его флангах, глубоких горизонтах с переводом прогнозных ресурсов и запасов в более высокие категории. Для этого необходимо дать характеристику как уже оцененных, так и ожидаемых ресурсов и запасов.

Указываются кондиции, принятые для оконтуривания залежей и выделения подсчетных блоков. Излагается методика подсчета запасов по результатам проектируемых работ. Выбирается и обосновывается способ подсчета запасов в зависимости от особенностей геологического строения месторождения (формы, состава, условий залегания). Излагаются принципы выделения категорий запасов по степени разведанности (плотности разведочной сети) и изученности (выхода керна, вещественного состава руд, технологических, горнотехнических и гидрогеологических условий) для месторождений разных групп по сложности геологического строения. Раскрываются принципы выделения подсчетных блоков и проведение их границ на выходах, флангах и по падению. Характеризуются параметры подсчета запасов, методика их обоснования (площади подсчетных блоков, мощности, среднее содержание, объемная масса). Приводится сводный формуляр подсчета общих ожидаемых запасов по категориям. Контуров категорий запасов, выделенных на основании проектируемых работ, рекомендуется закрасить следующими цветами: категория А – розовый, В – зеленый, С₁ – голубой, С₂ – желтый.

Методика геолого-экономической оценки на разных стадиях геологоразведочного процесса не одинакова.

Основной инструмент геолого-экономической оценки – обоснование кондиций. По материалам завершенных геологоразведочных работ (разведка, доразведка) для определения целесообразности и экономической эффективности освоения месторождения составляются постоянные кондиции.

ГЭО осуществляется поэтапно. На стадии оценочных работ – по укрупненным показателям, без учета налогов, отчислений и платежей, а позднее по результатам разведки – с их учетом.

В условиях рыночных отношений оценку эффективности освоения месторождений, а также сравнение различных инвестиционных проектов и выбор лучшего из них, производят с использованием следующих показателей.

1. Чистый дисконтированный доход, или чистая дисконтированная стоимость, интегральный стоимостной эффект (ЧДД) – это превышение интегральных денежных результатов над соответствующими интегральными затратами или сумму всех доходов от эксплуатации месторождения за весь расчетный период. Освоение месторождения считается эффективным при положительном значении величины чистого дисконтированного дохода. При отрицательном значении ЧДД рассматриваемый вариант инвестиционного проекта должен быть признан убыточным.

2. Индекс доходности (ИД) представляет собой отношение суммы приведенных доходов к величине приведенных инвестиций. В экономически эффективных проектах величина индекса доходности должна быть больше единицы.

3. Внутренняя норма доходности (ВНД), или внутренняя норма прибыли, рентабельность возврата инвестиций. ВНД означает норму дисконта, при которой величина приведенных доходов равна приведенным инвестициям, а чистый дисконтированный доход становится равным нулю. Освоение месторождения считается эффективным и приемлемым, если $ВНД > E$, где E – принятая в расчете норма дисконтирования прибыли.

4. Срок окупаемости капитальных вложений (T_0) с учетом дисконтирования стоимостных показателей определяет временной интервал с момента начала разработки месторождения, за который приведенные доходы равны приведенным инвестициям. Приемлемым считается срок окупаемости инвестиций, равный 5-7 годам. Предельное значение T_0 составляет 10 лет.

Процесс геолого-экономической оценки месторождения завершают выбором оптимального варианта освоения объекта, для которого определены кондиции и показатели экономической эффективности его освоения.

При геолого-экономических расчетах необходимо использовать рекомендуемые учебные пособия кафедры.

3.6. Заключение

В заключение работы приводятся краткие выводы по каждой главе и проекту в целом.

СПИСОК РЕКОМЕНДУЕМОЙ ЛИТЕРАТУРЫ

Баранников А. Г., Никулина И. А., Хасанова Г. Г. Разведка и геолого-экономическая оценка месторождений полезных ископаемых: учебное пособие / А. Г. Баранников, И. А. Никулина, Г. Г. Хасанова; Урал. Гос. горный ун-т. – Екатеринбург: Тзд-во УГГУ, 2018ю – 184 с.

Баранников А. Г., Макарова С. В. Геолого-экономическая оценка месторождений полезных ископаемых: Учебное пособие. – Екатеринбург: Изд-во УГГГА, 2002. – 95 с.

Дворник Г. П., Угрюмов А. Н. Геолого-экономическая оценка месторождений полезных ископаемых и техногенного сырья: Учебное пособие. Екатеринбург: Изд-во УГГГА, 2004. – 220 с.

Каждан А. Б. Поиски и разведка месторождений полезных ископаемых (Научные основы поисков и разведки). М.: Недра, 1984. – 285 с.

Каждан А. Б. Поиски и разведка месторождений полезных ископаемых (Производство геологоразведочных работ). М.: Недра, 1985. – 288 с.

Классификация запасов месторождений и прогнозных ресурсов твердых полезных ископаемых. Утверждена приказом МПР РФ от 07.03.1997. – 9 с.

Петруха Л. М. Разведка месторождений полезных ископаемых: Учебное пособие. Екатеринбург: Изд-во УГГГА, 2003. – 247 с.

Положение о порядке проведения геологоразведочных работ по этапам и стадиям (твердые полезные ископаемые). М.: ВИЭМС, 1999. – 28 с.

Рудничная геология / В. Ф. Мягков, А. М. Быбочкин, И. И. Бугаев и др. М.: Недра, 1986. – 199 с.

ПРИЛОЖЕНИЕ 1

Образец выполнения титульного листа

Министерство образования и науки РФ
ФГБОУ ВО
Уральский государственный горный университет
Факультет геологии и геофизики

КУРСОВОЙ ПРОЕКТ

на тему:

РАЗВЕДКА ГЛУБОКИХ ГОРИЗОНТОВ ОГАНЧИНСКОГО
МЕСТОРОЖДЕНИЯ ЗОЛОТА (КАМЧАТКА)

Руководитель

доц. Никулина И. А.

Студент

Попов С. М.

Группа

PM-15

Екатеринбург – 2018

ПРИЛОЖЕНИЕ 2

Образец заполнения штампа к чертежам

Министерство образования и науки РФ Уральский государственный горный университет		20		
30	Исполнитель: студент гр. РМ-15 С. М. Попов	Геологический план Оганчинского месторождения	20	
30	Руководитель: доцент И. А. Никулина	К курсовому проекту на тему: «Разведка глубоких горизонтов Оганчинского месторождения золота (Камчатка)»		20
		Масштаб 1:1000	Дата	Приложение № 2
50		30	35	35
150				

УТВЕРЖДАЮ
Заведующий кафедрой геологии,
поисков и разведки месторождений
полезных
ископаемых

 В.А. Душин

**МЕТОДИЧЕСКИЕ УКАЗАНИЯ
К САМОСТОЯТЕЛЬНОЙ РАБОТЕ СТУДЕНТОВ
ПО ДИСЦИПЛИНЕ**

ГЕОЛОГОРАЗВЕДОЧНОЕ ДЕЛО

Специальность
21.05.03 Технология геологической разведки

Автор: Козьмин В.С, доцент, к.г.-м.н.

Екатеринбург
СОДЕРЖАНИЕ

Тема	Название	Стр.
	Введение	3
1	Общие вопросы дисциплины. Основные понятия и определения	5
2	Геологические основы разведки	15
3	Методические основы разведки	40
4	Подсчет запасов полезных ископаемых	69
5	Геолого-экономическая оценка месторождений	88
	Заключение	104

Введение

Геологоразведочные работы являются важнейшим фактором устойчивого развития экономики страны. Сырьевую базу в настоящее время составляют *более ста видов твердых полезных ископаемых*. Усилиями многих поколений российских геологов найдены и введены в промышленное освоение тысячи месторождений полезных ископаемых. На этой основе создана уникальная минерально-сырьевая база страны.

Россия занимает места в *первой пятерке стран мира* по запасам и добыче железных и медных руд, золота, серебра, платиноидов, вольфрама, молибдена, кобальта, никеля. За счет этих руд государство обеспечивает внутренний рынок, эксплуатирует значительные объемы сырья и продукции его переработки. Бюджет государства во многом формируется за счет освоения минерально-сырьевых ресурсов. Экспорт продукции (по данным Федерального агентства по недропользованию РФ) составляет 50-70 % от объема добычи (по вольфраму, кобальту, никелю, меди, золоту, платиноидам. Существенна роль России как мирового производителя и экспортера алмазов, апатита, калийных солей, хризотил-асбеста, бора.

В то же время далеко не благополучным является состояние минерально-сырьевой базы по таким полезным ископаемым, как цинк, свинец, олово, сурьма, барий, графит и др. Внутреннее потребление этих видов сырья определяет необходимость их ввоза из-за рубежа. Многие районы с горнопромышленной направленностью испытывают в настоящее время острый недостаток в добываемом сырье (по железу, меди, свинцу, цинку, золоту). К остродефицитным полезным ископаемым также относятся бокситы, титан, цирконий, бентониты, каолины и др.

Итак, минерально-сырьевой комплекс был и остается *гарантом дальнейшего развития страны* на длительную перспективу, источником получения средств на реконструкцию и техническое перевооружение промышленности. Поэтому подготовка высококвалифицированных кадров в области «разведочного дела» в рамках специализации «Геологическая съемка, поиски и разведка твердых полезных ископаемых» (направления 25.05.02 «Прикладная геология») остается актуальной и востребованной задачей.

Содержание Учебного пособия во многом базируется на обобщении научного и учебно-методического материала, содержащего в учебниках, учебных пособиях, методических рекомендациях, подготовленных в разные годы. В первую очередь, необходимо упомянуть работу В. М. Крейтера (1940) по поискам и разведке месторождений полезных ископаемых, а также труды тех, кто продолжал развивать и углублять сформулированные В. М. Крейтером научные проблемы и направления (работы А. Б. Каждана, Е. О. Погребицкого, В. И. Тернового, Г. С. Поротова, Л. И. Четверикова, П. П. Ясковского, В. В. Шелелева, в том числе сотрудников кафедры поисков и разведки МПИ – В. Ф. Мягкова, А. С. Вершинина, И. И. Бугаева, Л. М. Петрухи, Ю. К. Панова и др.). Из публикаций этих авторов в Учебном пособии заимствована большая часть приведенных в пособии таблиц и иллюстраций.

Современная геологическая наука не может ограничиваться изучением лишь качественных сторон явлений и процессов. Она «должна выявлять их количественные

характеристики, обеспечив тем самым более высокий научный уровень исследования земных недр» (Каждан, Гуськов, 1990). Необходимость внедрения математических методов при решении геологоразведочных задач признается в настоящее время всеми геологами. Их применение обеспечивает возможность перехода от словесных, часто субъективных определений изучаемых объектов, к их более объективным количественным оценкам. Накопленный на кафедре опыт математической обработки собранной геологической информации отражен в 11, 13 и 15 главах пособия. Более подробно вопросы количественной обработки накопленной геологической информации рассматриваются в специальных дисциплинах: «Математические методы моделирования в геологии», «Основы компьютерных технологий решения геологических задач».

Студент должен:

А. знать:

- задачи, принципы, технические средства и системы разведки; классификацию запасов полезных ископаемых; требования промышленности к качеству минерального сырья на стадии разведки;
- методики комплексной оценки минерального сырья;
- подходы к сбору и обработке количественной геологической информации с использованием компьютерных технологий.

Б. уметь:

- составлять проекты на геологоразведочные работы, обосновывать рациональную разведочную сеть;
- оконтуривать запасы разных категорий, выполнять подсчет запасов разными методами;
- выполнять оценку географо-экономических, горнотехнических условий освоения месторождений, технологических свойств минерального сырья.

В. владеть:

- методикой обоснования видов и объемов проектируемых работ;
- приемами определения параметров при подсчете запасов полезных ископаемых;
- методикой определения величины инвестиций, показателей эффективности освоения месторождения в базовом и коммерческом вариантах.

Тема 1

Общие вопросы дисциплины. Основные понятия и определения

РАЗВЕДКА МЕСТОРОЖДЕНИЙ ПОЛЕЗНЫХ ИСКОПАЕМЫХ, ЕЕ ЦЕЛИ И ЗАДАЧИ

Разведка месторождений – это комплекс работ и связанных с ними исследований, направленных на выявление, оконтуривание и геолого-экономическую оценку запасов минерального сырья в недрах. Разведочные работы вносят определяющий вклад в геологическое изучение минерализованных участков недр на предпроектной стадии промышленного освоения объекта. По завершению разведки и получению положительных результатов геолого-экономической оценки изучаемое проявление полезного ископаемого приобретает *статус месторождения*.

Разведка начинается с момента составления проекта на производство геологоразведочных работ. Обычно эти работы включают: геологическое картирование площади рудного поля и месторождения; выявление и оценку выходов рудных тел; проходку горных выработок и скважин, их документацию и опробование; проведение комплекса геофизических, геохимических, гидрогеологических, инженерно-геологических исследований; геодезическую съёмку. По результатам геологоразведочных работ составляют геологические разрезы, планы, проекции. Они отражают размеры, условия залегания и строение тел полезных ископаемых. Дается характеристика полезного ископаемого, подсчитываются его запасы. На основе полученных данных проводится геолого-экономическая оценка (ГЭО) месторождения, обосновываются выводы о его промышленном значении. Все сказанное позволяет отметить, что разведка как прикладная геологическая наука находится на стыке областей знаний, включающих: накопленные сведения о геологическом строении месторождения, его сопоставление с определенным геолого-промышленным типом; вопросы горного дела (в связи с обоснованием способа разработки месторождения); определение потенциальной ценности объекта, рентабельности его разработки; обоснованность задействованных технических средств разведки, влияющих на надежность получаемых результатов; обработку полученных результатов с использованием современных компьютерных технологий (рис. 1).

Основной *целью* выполняемых геологоразведочных работ является *получение информации*, необходимой и достаточной для: проектирования предприятия по добыче полезного ископаемого и переработке минерального сырья, реконструкции действующего рудника, определения путей его дальнейшего развития, оценки перспектив выявления новых тел полезных ископаемых на площади рудного поля. Собранная и качественно обработанная информация должна обеспечить *решение основной задачи* разведочных работ – подготовку месторождения к промышленному освоению.

Успешному решению сформированных задач должно способствовать: построение цифровых моделей месторождений с использованием IT технологий; реализация разведочных систем, соответствующих природным особенностям объекта и обеспечивающим надежное локальное прогнозирование геолого-промышленных параметров.

Сущность разведки сводится к оконтуриванию, прослеживанию промышленно ценных участков природных скоплений полезного ископаемого путем выборочного пересечения минерализованного объема недр разведочными выработками (скважинами, горными выработками) с последующим геологическим и геофизическим их изучением (документацией) и опробованием. Таким образом, информацию, необходимую для принятия проектных решений по разработке и переработке добываемого минерального сырья, получают на весьма скудном материале. Разведка обычно не позволяет раскрыть все детали строения минерализованных пород. Отчасти эти задачи решаются при использовании геофизических методов (в том числе, зондирования межскважинного пространства), а также на стадии эксплуатационной разведки. Материалы разведки позволяют сконструировать *модель месторождения*, которая по своим параметрам должна быть максимально приближена к истинному объекту (рис. 2). Возможность разработки технических проектов на основе обобщения ограниченной разведочной информации подтверждена практикой разведки и освоения месторождений. Здесь работает известный в математической статистике выборочный метод исследования оцениваемых свойств (в разведке – геолого-промышленных параметров) на основе обобщения данных лишь части свойств, вошедших в изучаемую выборку (Петруха, 2003). На каждой последующей стадии геологоразведочных работ формируемая выборка свойств становится более представительной. На современном этапе изучения недр все недропользователи обязаны выполнить необходимые расчеты по геолого-экономической оценке (ГЭО) обосновываемых запасов и прогнозных ресурсов. Оценка является исследовательским процессом, связанным с выявлением возможных конкурентоспособных вариантов оконтуривания и промышленного освоения запасов месторождения и выбором среди них рационального с позиций максимальной доходности предприятия. Наиболее полная ГЭО осуществляется по результатам разведки месторождения. Оценка по результатам поисков базируется на тех же единых методологических принципах, но из-за ограниченности имеющихся материалов является малодостоверной (Шевелев, 2004).

При проведении ГЭО учитываются следующие положения:

1. Обоснование рационального и комплексного использования недр, включающее основные и попутные компоненты, отходы добычи и переработки сырья.
2. Определение показателей эффективности освоения месторождения (ЧДД – чистый дисконтированный доход, ИД – индекс доходности, ВНД – внутренняя норма доходности, Р – рентабельность разработки, Т – срок окупаемости капвложений).
3. Учет обязательных платежей и налогов, плата за кредит (необходимый для организации работ по разработке месторождения).
4. Учет фактора времени и риска при оценке месторождения.
5. Оценка экологических и социальных последствий разработки месторождения.
6. Выбор оптимального варианта освоения месторождения.
7. Обоснование кондиций на минеральное сырье.

Важнейшие результирующие показатели ГЭО, установленные параметры кондиций, подсчитанные с их использованием балансовые и забалансовые запасы вносятся в Государственный кадастр месторождений полезных ископаемых. При этом необходимо

отражать в кадастре два подхода к оценке объекта – базовый и коммерческий, чтобы при необходимости оперативно осуществлять переоценку месторождения.

КРАТКИЕ СВЕДЕНИЯ ОБ ИСТОРИИ СТАНОВЛЕНИЯ УЧЕНИЯ О РАЗВЕДКЕ НЕДР

Учение о поисках и разведке месторождений полезных ископаемых пришло из потребностей горного дела. Долгие годы работы по поиску и добыче руд велись на основе опыта многих поколений рудознатцев. Разработки в этой области знаний методического и организационного характера появились значительно позже. Первые труды принадлежат Г. Агриколе (1530), И. А. Шлаттеру (1760), М. В. Ломоносову (1763). Целая эпоха в развитии горного промысла и геологии связана с именем Петра I. Им был организован «Приказ рудокопных дел», реорганизованный в 1719 г. в Берг-коллегию. Коллегия взяла на себя руководство горнозаводской промышленностью Российской империи.

В XIX веке разведка месторождений не проводилась. Открытые месторождения сразу же вовлекались в разработку. Разведочные методы начинают развиваться и совершенствоваться в конце XIX века и позднее. Первыми в этом направлении были работы проф. Войслова (1899), проф. Корзухина (1908), В. С. Реутовского, Б. И. Бокия (1914).

Методологические основы разведки складывались и совершенствовались по мере расширения сырьевой базы страны, развития горнорудной промышленности. Однако в начале XX века разведочное дело ещё не имело самостоятельного развития и рассматривалось как один из разделов учения о полезных ископаемых. Первая работа по экспертизе и оценке рудных месторождений была опубликована Н. И. Трушковым в 1922 г. В 1924 г. в Петроградском горном институте К. П. Марковым прочитан курс разведочного дела. Начиная с 1927 г. этот курс читал И. С. Васильев, впервые изложивший важнейшие методические положения разведки.

Основоположником учения о поисках и разведке полезных ископаемых по праву считается В. М. Крейтер. Им были организованы кафедры поисков и разведки МПИ в Московском геологоразведочном институте и Институте цветных металлов и золота. Его фундаментальный труд «Поиски и разведка полезных ископаемых», изданный в 1940 г., несколько раз переиздавался и стал настольной книгой геологов-разведчиков нескольких поколений.

В 1922 г. кафедра поисков и разведки МПИ была организована в Уральском (Свердловском) горном институте. Её первым заведующим был назначен руководитель геологической службы Урала Б. В. Дидковский. В последующие годы кафедру возглавляли А. П. Смолин, В. П. Любимов, П. И. Кутюхин, М. Н. Альбов, И. И. Бугаев, В. Ф. Мягков, А. Г. Баранников. В 1999 г. произошло объединение ряда кафедр геологического факультета. Объединенную кафедру геологии, поисков и разведки МПИ возглавил проф. В. А. Душин.

Большой вклад в развитие теории и практики разведочного дела, опробования и подсчета запасов полезных ископаемых внесли исследования М. Н. Альбова, Н. В. Барышева, И. Д. Когана, А. П. Прокофьева, В. И. Смирнова, Е. О. Погребницкого, Г. С. Поротова и др. Научные основы геометризации недр заложены исследованиями П. К. Соболевского (1926-1932). Он рассматривал тела полезных ископаемых как совокупность

взаимно связанных геохимических полей и на этой основе сформулировал принципы геометрического моделирования.

В середине XX века во все отрасли геологии, включая вопросы оценки месторождений, проникли математические методы обработки информации. Этому способствовало появление и развитие электронно-вычислительной техники, а позднее – IT технологий. Кроме теории вероятности и математической статистики случайных величин, в теорию и практику исследований стали проникать методы многомерного статистического анализа, теории случайных функций и гармонического анализа, теории множеств, линейной алгебры, распознавания образов и других разделов математики.

При рассмотрении теоретических вопросов методики разведки месторождений и опробования акцент был сделан на изучении изменчивости свойств полезных ископаемых. А. С. Власов, Д. А. Казаковский и др. исследователи предложили использовать первые и вторые последовательные разности значений исследуемых показателей изменчивости по смежным точкам. При обобщении результатов статистической обработки данных П. Л. Каллистов (1956) обратил внимание на то, что любой статистический показатель отражает лишь средний уровень изменчивости изучаемого свойства и не учитывает влияния пространственного расположения точек наблюдений. Им было предложено учитывать случайные и закономерные изменения наблюдаемых признаков. При этом дисперсию случайных отклонений следовало определять не от генеральной средней, а с учетом рассчитанной кривой регрессии, отстраиваемой с использованием процедуры сглаживания совокупности прилегающих к конкретной точке проб. Дальнейшее развитие этот подход при изучении изменчивости свойств залежей получил в работах В. Ф. Мягкова (1984). Он предложил исследовать закономерности распределения компонентов в рудных полях с использованием *геометро-статистической модели*. При отстройке одномерных графиков изменчивости геологических параметров по разным направлениям рудных залежей с использованием интерполяционного полинома удается выявлять уровненное строение геологических полей и на этой основе решать целый ряд практических вопросов разведки: оптимальный шаг опробования; зональность строения залежей, их анизотропию и др.

Начиная с шестидесятых годов XX века, появилось много публикаций по исследованию изменчивости оруденения с использованием *методов теории случайных функций* и *гармонического анализа* (работы А. Б. Каждана, З. Д. Низгурецкого, А. М. Марголина и др.). Изменчивость изучаемых признаков рассматривается как функция расстояния между смежными пунктами наблюдений. При этом необходим учет влияния формы и размера проб, отражающих неоднородность строения недр. В это же время при изучении изменчивости и оценке запасов руд зарубежными геологами (Ж. Матерон, М. Давид, Э. Карлье, Д. Криге и др.) было предложено задействовать *геостатистические модели*. В основе данной модели лежит предположение, что получаемые результаты зависят от расположения пунктов наблюдений. При смещении начального пункта наблюдения результаты измерений меняются, и поэтому их следует рассматривать как случайные величины. Рассчитанный средний квадрат разности измеренных значений при этом зависит от расстояния между пунктами. Важной характеристикой геостатистических

моделей служит вариограмма, отражающая функцию среднего квадрата разности от расстояния между пунктами наблюдений. Для отдельных объектов установлено присутствие нескольких типов вариограмм: с регулярной пространственной переменной, с эффектом самородков, сферической и др. На отстроенных вариограммах возможно определение порогового значения, отражающего зону влияния между соседними пробами.

На современном этапе при обобщении результатов геологоразведочных работ все чаще задействуют геостатистические методы с использованием IT технологий (программы “Micromine”, “Datamine”, “Surpac” и др.).

ОСНОВЫ ЗАКОНОДАТЕЛЬСТВА РОССИЙСКОЙ ФЕДЕРАЦИИ О НЕДРАХ

Основным законом, регламентирующим недропользование в РФ, является Федеральный закон «О недрах», принятый в 1992 г. Закон неоднократно дополнялся и редактировался, его последняя редакция принята в 2015 г. (Закон РФ «О недрах»).

Согласно тексту закона недра являются частью земной коры, расположенной ниже почвенного слоя, а при его отсутствии – ниже поверхности Земли и дна водоемов и водотоков, простирающейся до глубины, доступной для геологического изучения и освоения.

Основные положения горного права

К основным положениям Горного права относятся:

- право собственности на недра как один из элементов природной среды;
- право собственности на извлеченные из недр полезные ископаемые и используемые полезные свойства недр;
- право собственности на имущество и геологическую информацию, создаваемые в процессе пользования недрами.

Право собственности на недра в России действующими правовыми актами определяется следующим образом:

- недра находятся в государственной собственности;
- владение, пользование и распоряжение недрами в пределах государственной границы находится в совместном ведении Российской Федерации и ее субъектов (так называемое «правило двух ключей»), а за пределами границы (в морской экономической зоне и на континентальном шельфе) – в исключительном ведении Российской Федерации;
- владение, пользование и распоряжение недрами осуществляется в интересах всех народов, проживающих на соответствующей территории, и всех народов Российской Федерации.

Недра предоставляются в пользование субъектам предпринимательской деятельности для изучения, добычи полезных ископаемых, строительства подземных сооружений, организации особо охраняемых геологических объектов или сбора минералогических коллекций на определенный срок или без ограничения срока.

Участки недр с находящимися в них минеральными ресурсами не могут быть предметом купли-продажи, дарения, наследования, вклада, залога или отчуждения в иной форме. Права пользования недрами могут отчуждаться или переходить от одного лица к другому в той мере, в какой их оборот допускается федеральными законами.

Право собственности на минеральное сырье, добытое из недр, появляется в процессе добычи полезных ископаемых. Добытые из недр полезные ископаемые могут находиться в федеральной собственности, собственности субъектов Федерации, муниципальной, частной и иных формах собственности. Вопрос о форме собственности на добытое полезное ископаемое определяется условиями лицензионного соглашения.

Право собственности на горное имущество и геологическую информацию определяется принципом: объект является собственностью того, кто оплатил его создание или приобретение. Однако, геологическая информация, являющаяся собственностью пользователя, должна представляться им по установленной форме в федеральный и территориальный фонды геологической информации (ВГФ, ТГФ). Собственник может лишь оговорить условия конфиденциальности пользования этой информацией в фондах, с учетом собственных интересов.

Система пользования недрами

Недра Российской Федерации могут быть использованы недропользователями для следующих целей.

1. Регионального геологического изучения и иных общих геологических работ без нарушения целостности недр.
2. Геологического изучения, включая поиски и оценку месторождений полезных ископаемых, а также оценки пригодности недр для строительства подземных сооружений.
3. Разведки и добычи полезных ископаемых, в том числе отходов горных предприятий.
4. Строительства и эксплуатации подземных сооружений, не связанных с добычей полезных ископаемых.
5. Образования особо охраняемых геологических объектов.
6. Сбора минералогических, палеонтологических и других геологических коллекций. Недра могут предоставляться в пользование одновременно для геологического изучения (поиски, разведка) и добычи полезных ископаемых. В этом случае добыча может производиться как в процессе изучения, так и после его завершения.

Пользование недрами в Российской Федерации, за исключением работ по региональному геологическому изучению и созданию особо охраняемых объектов, является платным.

Недра предоставляются в пользование на определенный срок или без ограничения срока.

Порядок пользования недрами включает три самостоятельных подсистемы:

- предоставление участков недр в пользование;
- пользование недрами в соответствии с установленным видом пользования;
- контроль и надзор за соблюдением установленных требований и ограничений при пользовании недрами.

Предоставление недр в пользование осуществляется на основе лицензирования. Государство, осуществляющее суверенное право на недра, определяет программу освоения недр, участки недр, которые предполагаются предоставить в пользование, и выбор конкретного недропользователя.

Государство определяет условия, на которых предполагается передача недр в пользование. Недропользователь может вести переговоры об изменении этих условий. При достижении согласования, недропользователю оформляется лицензия на право пользования недрами. Лицензия предоставляется совместно органом исполнительной власти субъекта Российской Федерации и Федеральным органом управления фондом недр.

Работы по *региональному геологическому изучению недр*, выполняемые за счет средств госбюджета, осуществляются без оформления лицензий, но с обязательной регистрацией в территориальных геологических организациях Министерства природных ресурсов. Лицензия на *поиски и оценку* месторождений полезных ископаемых удостоверяет право проведения таких работ только на вид сырья, указанный в лицензии. Лицензия на *добычу* полезного ископаемого может выдаваться на всё месторождение или его часть. Допускается также одновременное предоставление одному пользователю нескольких лицензий на право добычи по группе близко расположенных месторождений, если экономически рентабельной является только совместная их разработка. Лицензия на *разведку* месторождения отдельно не предоставляется и право разведки предусматривается в лицензии на добычу.

Законодательством устанавливается два статуса участков недр, на которые выдается лицензия: геологический отвод и горный отвод. Статус *геологического отвода* предоставляется участкам, предоставляемым для геологического изучения недр без существенного нарушения их целостности. В пределах одного геологического отвода могут быть выданы несколько лицензий на разные виды деятельности, включая, например, поиски и оценку разных полезных ископаемых. В границах геологического отвода могут одновременно проводить работы несколько пользователей недр.

В пределах одного *горного отвода* может быть выдана только одна лицензия одному пользователю, получающему по ней исключительное право деятельности в этих пределах в соответствии с лицензией.

Предоставление недр в пользование осуществляется по результатам конкурсов или аукционов, либо в специальных случаях на основе согласованных решений федеральных органов государственной власти и органов государственной власти субъектов Федерации на бесконкурсной основе. Определение порядка проведения и условий конкурсов и аукционов по каждому объекту или группе объектов осуществляется органами, предоставляющими лицензии. Наименования объектов, выставляемых на конкурсы или аукционы, и их условия публикуются в печати.

Предприниматель, желающий принять участие в конкурсе, подает по установленной форме соответствующую заявку. После официального принятия заявки и уплаты соответствующих взносов заявитель может получить пакет геологической и технико-экономической информации по интересующему его участку недр. Проанализировав эту информацию, заявитель прежде всего решает для себя вопрос о продолжении участия в конкурсе (аукционе) и, при положительном решении, представляет приемлемый для него вариант технико-экономических показателей (ТЭП) ведения работ по намечаемому виду пользования недрами. Указанные ТЭП представляют собой комплекс материалов, обосновывающих принципиальные решения и ожидаемые технико-экономические

показатели по всем вопросам. После приобретения лицензии ее владелец имеет право получения в фондах полного объема геологической информации по предоставленному ему согласно лицензии участку недр (геологическому или горному отводу).

Условия **пользования недрами** определяются соглашением собственника недр (государства) в лице его уполномоченных органов и недропользователя. В практике недропользования известны три типа договорных отношений:

- недропользователь вносит плану за пользование недрами и уплачивает другие установленные налоги, но полностью распоряжается всей произведенной продукцией;
- недропользователь и собственник недр заключают соглашение о разделе производимой продукции;
- недропользователь заключает с собственником контракт на предоставление определенных услуг (субподрядные работы).

В первом случае недропользователь осуществляет все работы по реализации предоставленных лицензией прав за счет собственных средств, принимая на себя все риски. Добытая продукция полностью принадлежит ему, хотя условиями договора может определяться реализация части продукции на внутреннем рынке. Недропользователь вносит все установленные платежи, налоги, связанные с его деятельностью. Все сооружения и оборудование, используемые при работах, являются его собственностью.

Во втором случае недропользователь также несет все расходы и принимает на себя риски, связанные с ведением работ, а произведенная продукция делится между ним и собственником (государством) в виде трех частей: компенсационной продукции, предназначенной для возмещения затрат недропользователю, и двух долей прибыльной продукции, разделенных между государством и недропользователем в установленном соотношении. Реализация своих долей продукции осуществляется недропользователем и собственником самостоятельно. Сооружения и оборудование, связанные с недропользованием, переходят в собственность государства либо с момента их создания или приобретения, либо по мере амортизации. Привлекательной стороной соглашения о разделе продукции является иммунитет от новых изменений налогового законодательства, которые не должны ухудшать экономическое положение инвестора, имевшееся на момент составления соглашения.

В третьем случае, недропользователь, также неся все затраты, связанные с проведением работ, либо получает возможность их возмещения при коммерческом результате (например, открытии месторождения при поисках), либо получает заранее оговоренное вознаграждение (оплату) за произведенные работы, но не приобретает никаких прав на добытую продукцию, если таковая будет получена в течение срока действия лицензии или после его истечения.

Контроль и надзор за использованием недрами осуществляют органы государственного геологического контроля и Федерального горного и промышленного надзора России, а также другие контрольные органы, в соответствии с компетенцией (природоохранные органы, налоговая инспекция, таможенная служба и т. д.) и органы государственной власти.

Государственный геологический контроль включает контроль за геологическим изучением недр и их рациональным использованием и охраной. Органы госконтроля входят в структуру Министерства природных ресурсов и его территориальных подразделений.

Федеральный горный и промышленный надзор России (Госгортехнадзор) выполняет в качестве основной контрольной функции надзор за безопасным ведением работ, включая вопросы проектирования, строительства, эксплуатации и ликвидации горных предприятий.

Государственная экспертиза запасов полезных ископаемых производится для создания условий комплексного использования недр, определения платы за использование недр и уточнения границ горного отвода. Государственная экспертиза может проводиться на любой стадии геологического изучения недр, но предоставление участков недр для целей добычи разрешается только после их госэкспертизы.

Система платежей при пользовании недрами

Плата за пользование недрами включает разовые и регулярные платежи.

Минимальные (стартовые) разовые платежи за пользование недрами устанавливаются в размере не менее 10 % от величины суммы налога на добычу полезных ископаемых в расчете на среднегодовую проектную мощность добывающей организации. Размеры регулярных платежей определяются в зависимости от экономико-географических условий, размера участка недр, вида полезного ископаемого, продолжительности работ, степени геологической изученности и степени риска. Регулярный платеж взимается за площадь лицензионного участка, предоставленного недропользователю. Ставка регулярного платежа за 1 кв. км участка недр при поисковых и оценочных работах составляет от 27-90 рублей для неметаллических полезных ископаемых до 120-360 рублей для углеводородного сырья; при разведочных работах ставка меняется от 800-1650 рублей для подземных вод до 5000-20000 рублей для углеводородного сырья.

Регулярные платежи не взимаются с недропользователей, осуществляющих:

- пользование недрами для регионального геологического изучения;
- пользование недрами для образования особо охраняемых геологических объектов, имеющих научное, культурное, эстетическое, санитарно-оздоровительное и иное значение;
- пользование недрами для сбора минералогических, палеонтологических и других геологических коллекционных материалов;
- разведку полезных ископаемых на месторождениях, введенных в промышленную эксплуатацию, в границах горного отвода, предоставленного пользователю недр для добычи этих полезных ископаемых.

Кроме разовых и регулярных платежей, законодательством предусмотрены две группы налогов и отчислений. Первая группа учитывается в себестоимости товарной продукции, вторая относится на финансовый результат.

В себестоимость включается налог на добычу полезных ископаемых, дорожный налог, плата за воду, землю, загрязнение окружающей среды и др. Налог на добычу составляет основную часть налоговой суммы первой группы. Ставка налога меняется от 3,8 % для калийных солей до 16,5 % для углеводородного сырья. Налогоплательщики, осуществившие за счет собственных средств поиски и разведку разрабатываемых месторождений или полностью возместившие все расходы на поиски и разведку,

уплачивают налог на добычу с коэффициентом 0,7. При выполнении соглашений о разделе продукции налоговые ставки на добычу применяются с коэффициентом 0,5. Не облагаются налогом полезные ископаемые, остающиеся во вскрышных, вмещающих (разубоживающих) породах, в отвалах или отходах перерабатывающих производств. Дорожный налог взимается в размере 2,5 % от годовой стоимости товарной продукции.

На финансовый результат горного предприятия относят налог на прибыль, налог на имущество, целевые сборы на содержание милиции и благоустройство территории. Налог на прибыль составляет 24 % от годовой прибыли предприятия, налог на имущество – 2 % от его среднегодовой стоимости. Остальные платежи определяются прямыми расчетами.

Горные предприятия также облагаются косвенными налогами, вычисляемыми сверх цены предприятия – налогом на добавленную стоимость (НДС), создаваемую в процессе производства товарной продукции, и таможенными пошлинами, взимаемыми с товарной продукции, вывозимой за пределы Российской Федерации.

Контрольные вопросы к теме 1

1. Что является целью разведки? Какие задачи решает разведка?
2. С какими областями знаний и смежных дисциплин разведка связана?
3. С какими именами известных и выдающихся российских ученых следует связывать становление учения о разведке месторождений?
4. Кто из российских и зарубежных ученых внес значимый вклад в разработку проблем количественной обработки геологической информации (геолого-математического моделирования)?
5. В чем заключаются основные положения законодательства РФ о недрах?
6. В каких целях могут быть использованы недра в РФ?
7. Как осуществляется предоставление недр в пользование?
8. Что такое горный и геологический отводы? Чем они различаются?
9. Какие типы договорных отношений установлены между государством и недропользователем?
10. Как осуществляется контроль за использованием недрами?
11. Какая система платежей установлена за недропользование?

Тема 2

Геологические основы разведки

ФАКТОРЫ, ОПРЕДЕЛЯЮЩИЕ ПРОМЫШЛЕННУЮ ЗНАЧИМОСТЬ МЕСТОРОЖДЕНИЙ

Минеральные скопления в земной коре приобретают статус месторождения по результатам их разведки и при условии обоснования экономической целесообразности промышленного освоения. Основным критерием для промышленного освоения месторождения является размер прибыли, которую предприниматель собирается получить за весь период его эксплуатации.

На экономику промышленного освоения месторождения оказывает влияние совокупность факторов: количество запасов в месторождении (их масштаб), качество минерального сырья, технологические свойства, горно-геологические условия эксплуатации, географо-экономические условия района нахождения месторождения, экологические условия эксплуатации и др. (Каждан, 1977, 1984; Ясковский, 2001, 2010; Шевелев, 2004; Поротов, 2004).

Количество запасов в месторождении определяется величиной запасов, оцененных по результатам геологоразведочных работ. Достоверность подсчитанных запасов зависит от степени их изученности (разведанности).

Запасы твердых полезных ископаемых подсчитываются в единицах массы (тонн); сыпучих полезных ископаемых (песков, гравия), строительного и облицовочного камня – в единицах объема (кубические метры). Запасы золота измеряются в килограммах, тоннах, а в некоторых зарубежных странах используют тройную унцию (31,103 грамма). Запасы алмазов и драгоценных камней измеряют в каратах (0,200 грамма).

Запасы полезного ископаемого, ценность которого определяется содержанием химического элемента (оксида) или минерала (алмаз, слюда, асбест и др.), оцениваются с определением количества руды и количества металла (минерала). В России запасы твердых полезных ископаемых подсчитываются в недрах, а запасы нефти и газа оцениваются как извлекаемые, так и в недрах.

По величине запасов различают месторождения *уникальные* (их в мире единицы), *крупные* (их десятки), *средние* (их сотни) и *мелкие* (их тысячи). На базе уникальных месторождений создаются ведущие горнодобывающие предприятия. Они во многом определяют состояние минерально-сырьевой базы и сырьевого рынка страны, мира. Крупные месторождения определяют экономику отрасли или крупного региона страны. Средние месторождения имеют значение в пределах отдельных экономических районов, а мелкие – в отдельных случаях. Для каждого вида полезного ископаемого наблюдаются значительные (в десятки раз) изменения запасов при переходе от мелких месторождений к крупным и очень крупным, что обусловлено разнообразием геологических условий образования руд (табл....).

Следует отметить, что отраженные в таблице размеры запасов не являются общепризнанными. В литературных источниках приведены и другие цифры градации запасов, определяющие масштаб оцениваемых объектов. В. И. Краснико (1965) подметил

закономерность, получившую в литературе название «декадной». В 7 % месторождений сосредоточено ~ 65 % запасов, а запасы мелких, средних, крупных и уникальных месторождений отличаются друг от друга примерно на порядок. Мелкие месторождения встречаются часто, а очень крупные редко. Основные запасы сосредоточены в крупных и очень крупных месторождениях. Обобщение данных по России за 1994-1997 гг. свидетельствует, что среди девятнадцати видов полезных ископаемых общее количество мелких объектов составило 723, средних – 184, крупных – 107, очень крупных – 30 (Ясковский, 2001). Распределение суммарных запасов для коренных месторождений страны: на долю мелких объектов приходится 14 %, средних – 30 % и крупных 56 %.

От масштаба месторождений зависят ожидаемые показатели экономической эффективности вовлекаемых в эксплуатацию объектов. С учетом величины запасов можно определить ценность месторождения (потенциальную в недрах или товарную на сырьевом рынке). Полученные значения следует учитывать при определении инвестиционной привлекательности объектов. Другой расчетный экономический показатель – необходимый объем капитальных вложений. Чем больше запасы, тем больше затраты на строительство горнодобывающего предприятия. При этом появляется возможность определить производительность будущего рудника, срок его существования и ориентировочно подсчитать приведенные затраты на освоение месторождения.

Качество минерального сырья – это совокупность природных свойств, определяемых минеральным и химическим составом, структурными и текстурными особенностями сырья, технологическими и физическими свойствами. Высокое качество полезного ископаемого влияет на эффективность переработки руд, способствует улучшению готовой продукции. В геологоразведке и горной промышленности давно используются понятия – «богатые», «бедные», и «убогие» руды. С позиций оценки качества все твердые полезные ископаемые могут быть разделены на *три группы*. Ценность в них может представлять: химический элемент (или химическое соединение, чаще оксид); минерал, обладающий особыми свойствами; вся добываемая горная масса (Шевелев, 2004).

К *первой группе* относятся все руды металлов и горно-химическое сырье (фосфориты, бор, сера). Основным показателем качества сырья является содержание ценного компонента. Содержание оценивается в массовых процентах элемента (Fe, Mn, Pb, Zn, Cu, Ni, Co, S, V, As) или оксидов (Cr_2O_3 , TiO_2 , WO_3 , Nb_2O_5 , BeO , Be_2O_3 , P_2O_5).

В месторождениях комплексных руд (свинцово-цинковых, медно-молибденовых, медно-никелевых и др.) качество определяется с помощью условного содержания главного компонента. В расчетных формулах учитывается: содержание главного компонента, формирующего основную ценность руд; содержание второстепенных компонентов; переводные коэффициенты для перерасчета содержаний второстепенных компонентов в главный компонент.

Содержание в рудах благородных металлов (золота, серебра, платиноидов) из-за низких их концентраций выражается в граммах на тонну руды; в россыпных месторождениях – в г (мг) /м³. Чем большее значение элемента в рудах, тем выше качество полезного ископаемого.

В зависимости от содержания основного ценного компонента руды подразделяются на богатые, рядовые и бедные. Для разных полезных ископаемых конкретные сорта руд отличаются друг от друга (табл.).

При исследовании уровня концентраций полезных компонентов в объеме рудных тел может быть задействован *коэффициент богатства* – отношение среднего содержания к минимально промышленному (Бирюков, Денисов, 1978). Богатыми считаются руды, в которых содержание полезного компонента в 1,5-3,5 раза выше, чем минимальное промышленное; к бедным – менее 1,1-1,2. Какое значение при разведке имеет оконтуривание богатых руд? Во-первых, богатые и очень богатые руды используются при получении концентратов или в металлургии без предварительного обогащения. Во-вторых, высокое качество руд нередко отмечается в локальных участках месторождения. Эти участки называют рудными столбами, кустами, гнездами, карманами, бонанцами (для месторождений золота и серебра). На стадии разведки локальные участки должны быть оконтурены, а подсчет запасов выполнен без ограничения выявленных «ураганных проб».

Ко *второй группе* относятся алмазы, пьезооптическое сырье, слюда, тальк, асбест и др. Качество сырья регламентируется уровнем содержания ценного минерала, размерностью и особенностями кристаллосырья: для асбеста – прочность, гибкость, длина волокна, кислоторастворимость; для слюд – размер пластинок, их ровность, термостойкость; для пьезооптического сырья – масса кристалла, размер бездефектной области моноблока, выход моноблока, степень проявленности дефектов (газово-жидкие включения, трещины, двойники и др.); для алмаза – масса, форма, характер поверхности, цвет, дефектность, наличие сростков (Ясковский, 2001).

К *третьей группе* относятся стройматериалы, твердое топливо, керамическое сырье, огнеупоры, тальк, пиррофиллит, минеральные пигменты, цеолиты, бокситы и хромиты. Качество сырья оценивается соответствием его определенных свойств требованиям технических условий (ТУ), отраслевых стандартов (ОСТ), государственных стандартов (ГОСТ) и соглашений с потребителями (Шевелев, 2004). Иногда требуется подразделение сырья на ряд сортов и марок. С учетом целевого использования оцениваемое полезное ископаемое должно удовлетворять конкретным сортовым требованиям.

Итак, количество и качество минерального сырья являются важнейшими факторами оценки разведываемых объектов. Они являются определяющими показателями при геолого-экономической оценке месторождений.

Технологические свойства сырья определяют возможность и экономическую целесообразность переработки минерального сырья с целью получения товарного продукта. Основными показателями, определяющими технологические свойства руд, являются: величина извлечения полезного компонента, содержание полезного компонента в концентрате, выход концентрата.

Технологические свойства минерального сырья зависят от совокупности качественных показателей, из которых кроме содержания полезных ископаемых и вредных примесей первостепенное значение имеют (Каждан, 1977; Шевелев, 2004):

- минеральный состав полезного ископаемого и разубоживающей руды горной массы; распределение полезных компонентов и вредных примесей по отдельным минералам;

- форма и размеры полезных минералов, характер их сростаний, текстуры и структуры минеральных агрегатов;
- физические свойства минерального сырья и слагающих его полезных минералов, их твердость, хрупкость, удельная плотность;
- химический и минеральный состав вмещающих пород и жильной массы.

Технологические исследования, проводимые в процессе разведки, должны установить возможность извлечения ценных компонентов из руд и обеспечить выбор схемы передела руд, которая может быть использована в промышленных условиях с приемлемыми технико-экономическими показателями. Наличие в сырье попутных компонентов повышает экономическую значимость сырья. Однако ценность попутного компонента всегда следует соотносить с дополнительными расходами на его выделение и учитывать возможность реализации дополнительной продукции.

Рассмотрим примеры, раскрывающие технологические свойства руд и их влияние на переработку минерального сырья (Ясковский, 2001).

Минеральный состав руд определяется присутствием полезных и породообразующих минералов, их количественными соотношениями, формами нахождения, характером парагенетических ассоциаций. Проблемы возникают, когда для выделения основных минералов приходится использовать разные обогатительные процессы. Например: для руд олова основными минералами являются касситерит, станнин, варламовит, гидростаннаты. Эффективно по гравитационной схеме обогащаются касситеритовые руды (плотность 7,0 г/см³). Другие типы руд с минералами олова (плотность 3,8-4,7 г/см³) относятся к группе труднообогатимых. Они требуют кроме гравитационного обогащения и других методов: флотации, магнитного и электрического обогащения, пирометаллургии.

Минеральный состав оказывает большое влияние на эффективность флотационного процесса. Хорошо обогащаются сульфиды Pb, Zn, Cu, Mo и плохо – их окисленные формы. Для молибденовых руд основным гипогенным минералом является молибденит – MoS₂, обладающий природными гидрофобными свойствами; но окисленные руды, представленные повеллитом – CaMoO₄, ферримолибдитом – Fe₂O₃·3MoO₃·8H₂O и др., обогащаются с трудом. При этом получают концентраты невысокого качества из-за легкой шламуемости гипергенных молибденовых минералов в процессе измельчения руды, близости флотационных свойств молибденовых и породообразующих минералов.

Химический состав руд определяется наличием полезных, вредных, петрогенных элементов (оксидов), их содержанием и соотношением, присутствием особенно химически активных форм. Для ряда месторождений схемы и показатели обогащения определяются содержанием элементов и их соотношением. Например, при переработке бокситовых руд для получения глинозема важнейшим является гидрохимический метод Байера. Его использование эффективно для высококачественных руд с кремниевым модулем $M_{Si} = Al_2O_3 / SiO_2$ более 5-7. При низком значении M_{Si} (высоком содержании SiO₂) руды перерабатываются по более дорогостоящей технологии методом спекания.

При добыче урана методом подземного выщелачивания используют в качестве растворителя кислоты (H₂SO₄). Чем больше карбонатность среды, тем значительней расход

кислоты, сильнее проявляется явление кальматации, тем меньше извлечение урана в продуктивные растворы. Поэтому при существенной карбонатности пород (более 2,0-2,5 % CO₂) извлечение урана с помощью кислоты неэффективно. Нужно переходить на другие схемы.

При характеристике технологических свойств минерального сырья необходим учет *текстурных особенностей руд*. Эти особенности обусловлены размером, формой и характером сростаний минеральных агрегатов. По признаку влияния текстур на процессы переработки минерального сырья их можно подразделить на благоприятные и неблагоприятные. *Благоприятные текстуры* характеризуются крупными размерами скоплений, однородным строением, простыми границами между агрегатами. Для таких руд наиболее эффективны процессы рудоподготовки. Обогащение не вызывает больших затруднений и позволяет получать высококачественные концентраты. *Неблагоприятные для обогащения текстуры* имеют небольшие размеры минеральных скоплений, неоднородное строение агрегатов, сложные и постепенно изменяющиеся границы между ними. Подобные руды требуют сложных, многостадийных процессов рудоподготовки и обогащения.

При изучении технологических свойств полезного ископаемого возможно выделение природных и технологических типов руд. В результате специальных исследований анализируется пространственное распределение этих типов, их геометризация в рамках *геолого-технологического картирования*.

Горно-геологические условия эксплуатации определяют возможность и экономическую целесообразность отработки месторождения с учетом современного состояния горной техники. Каждый выбранный способ разработки месторождения предъявляет свои требования к условиям залегания полезного ископаемого, крепости и устойчивости пород и руд, гидрогеологическим и инженерно-геологическим условиям месторождения.

Среди *способов разработки* месторождений выделяют геотехнологии (Ясковский, 2001): физико-техническая открытая, физико-техническая подземная, физико-химическая скважинная, комбинированная. В процессе эксплуатационных работ из-за неоднородности горно-геологической среды (извилистость границ рудного поля, прерывистости внутреннего строения, изменчивости свойств вмещающих пород) возникают эффекты разубоживания и потерь.

Разубоживание связано с примешиванием пустых пород к извлекаемой рудной массе. В результате засорения среднее содержание в добываемой рудной массе становится ниже, чем содержание в балансовых запасах. Отмеченный процесс характеризуется коэффициентом разубоживания: $P = (C_n - C_d) / C_n \cdot 100 \%$, где C_n – содержание полезного компонента в балансовых рудах, C_d – содержание в добытой рудной массе.

Потери возникают в процессе разработки месторождения потому, что извлечь полезное ископаемое удастся не полностью. Часть запасов остается за контуром отработки. Величина потерь оценивается коэффициентом разубоживания: $\Pi = (Z_t - Z_d) / 100 \%$, где Z_t – запасы теряемые, Z_d – запасы добытые.

Каждый способ разработки имеет достоинства и недостатки. По данным П. П. Ясковского к ним относятся:

- открытая геотехнология – высокая производительность, но небольшие глубины отработки и существенный экономический ущерб;
- подземная геотехнология – отработка на больших глубинах, но значительные потери полезного ископаемого в недрах и тяжелые условия труда;
- скважинная геотехнология – возможность извлечения полезных компонентов в сложных горно-геологических условиях, но необходимы особые предпосылки для создания подвижных флюидов.

Достоинства и недостатки разных способов разработки тесно связаны с определенными горнотехническими условиями. К ним относятся:

а) *Глубина залегания* – один из важнейших горнотехнических показателей, определяющих способ добычи.

При малой глубине залегания применяется открытый способ добычи. Он позволяет развить большую производительность, обеспечить высокую эффективность, низкую себестоимость и более безопасные условия ведения горных работ. Экономическая эффективность добычи определяется коэффициентом вскрыши – отношением объемов (или масс) вскрыши и полезного ископаемого. Предельный коэффициент вскрыши и, соответственно, предельная глубина открытой разработки находится технико-экономическими расчетами. Максимально допустимый коэффициент вскрыши зависит от ценности полезного ископаемого и ориентировочно составляет: для строительных материалов $3 \text{ м}^3/\text{м}^3$, для углей $6 \text{ м}^3/\text{м}^3$, для черных металлов $10 \text{ м}^3/\text{м}^3$, для цветных металлов до $40 \text{ м}^3/\text{м}^3$. Глубина карьеров открытой добычи не превышает 500 м, но есть проекты глубиной до 700-800 м.

При глубоком залегании полезного ископаемого применяется подземный (шахтный) способ добычи. Он менее производительный и более дорогой по сравнению с открытым способом. Глубина работ колеблется от десятков метров до первых километров. К глубоким относятся шахты, обрабатывающие рудные тела на отметках от 600 (700) до 1000 (1200) м, к весьма глубоким – с глубиной от 1000 (1200) до 2500 м. С глубины 2500 м начинаются сверхглубокие шахты. Они достигнуты при эксплуатации золоторудных месторождений: Морроу-Велью (Бразилия, более 2500 м), Колар (Индия, более 3300 м), Витватерсранд (ЮАР, около 4000 м).

При проходке подземных горных выработок с глубиной увеличивается горное давление (в среднем 2,5 МПа на 100 м) и температура (в среднем $3 \text{ }^{\circ}\text{C}$ на 100 м). При подземной геотехнологии горное давление может проявляться в виде сдвижения, пучения, стреляния пород вплоть до горных ударов. С целью предотвращения горных ударов применяются специальные технологии выемки массива горных пород.

Условия залегания во многом определяют систему разработки месторождений (в первую очередь, подземной). По значению угла падения различают залегания горизонтальные и весьма пологие ($0-5^{\circ}$), пологие ($5-25^{\circ}$), наклонные ($25-45^{\circ}$), весьма крутые ($60-90^{\circ}$). Имеет значение и выдержанность угла падения в пределах блоков добычи

руды. Если угол падения устойчивый, то независимо от его значения ($0-90^0$) залежь считается выдержанной.

Высокая степень тектонической нарушенности усложняет ведение горных работ. Наибольшие неприятности доставляют малоамплитудные разрывные нарушения, которые не удастся надежно выявлять в процессе разведки. Они приводят к повышению потерь и разубоживания руды при добыче, служат причиной неустойчивости и обрушения кровли, прорывов воды и т. д.

Более надежно при разведке выявляются крупные разрывные нарушения с амплитудой в десятки-сотни метров. Они служат естественными границами шахтных полей, участков, блоков добычи.

Мощность залежей является параметром, определяющим технологию добычи. В горном деле выделяются пять классов залежей: 1) тонкие 1,0-1,5 м; 2) средние от 1,0-1,5 до 3-4 м; 3) мощные от 3-4 до 8-10 м; 4) весьма мощные 10-50 м; 5) сверхмощные более 50 м. При изменении класса мощности возможно изменение системы разработки. Поэтому при разведке необходимо выделение геологически однородных блоков (ГОБов), которые заслуживают применения единой технологии добычи. ГОБы при этом приобретают статус технологически однородных блоков (ТОБов).

Кондиционным требованием, предъявляемым к залежам полезных ископаемых, является минимальная промышленная мощность. Она представляет собой минимальную мощность тела полезного ископаемого, при которой его разработка экономически выгодна. Выше этого значения мощность считается рабочей (или кондиционной), ниже – нерабочей (некондиционной). Так как мощность залежей меняется в пространстве, то внутри них могут появляться некондиционные участки или блоки, создавая прерывистость оруденения.

Инженерно-геологические и гидрогеологические условия играют существенную роль при проектировании и ведении горных работ (Поротов, 2004).

Физические свойства (скальные или слабосвязанные грунты), трещиноватость, расслоенность, наличие зон дробления, проявленная анизотропия свойств определяют устойчивость горных пород и руд при добыче сырья, а также размеры эксплуатационных блоков, значение углов откоса бортов карьера и т. д.

Обводненность месторождения определяется насыщенностью горных пород и руд подземными водами и зависит от совокупности факторов. К гидрогеологическим факторам относятся: количество водоносных горизонтов, условия их питания, фильтрационные свойства пород, оценка возможного водопритока в эксплуатационные выработки, состав и агрессивность подземных вод.

Инженерно-геологические факторы включают: проницаемость, набухаемость, размокаемость, коэффициент размягчения и др.

На месторождениях, где развиты карстовые процессы, существенную роль играют глубина и интенсивность развития карста. Выявляются зоны обводнения и поглощения воды, рассматривается возможность обрушения горных пород в зоны карста.

По результатам выполненных исследований должен быть сделан прогноз *экологических последствий* ведения горных работ, решен вопрос о необходимости и объеме природоохранных мероприятий.

Необходимо учитывать, что при ведении горных работ значительную площадь занимают отвалы или отходы горного предприятия. При необходимости следует предусматривать комплекс работ по укреплению отвалов, их рекультивации, очистке рудничных вод от вредных примесей и создании водохранилищ для их накопления. Должны быть оценены последствия осушения окружающей территории вследствие понижения уровня подземных вод.

ФОРМЫ РУДНЫХ ТЕЛ

Форма рудных тел является одним из ведущих факторов, определяющих методику проектируемых разведочных работ.

По своей сути, форма рудных тел определяется соотношением трех параметров: длины по простиранию, длины по падению и мощности.

Обозначим длину по простиранию $D_{пр}$, длину по падению $D_{пад}$, мощность M . Тогда формы рудных тел при всем своем многообразии могут быть сведены к трем основным группам (рис. 6).

1. *Изометричные*, $D_{пр} \approx D_{пад} \approx M$. В эту группу относятся штоки и гнезда.

Штоки – рудные тела средних и мелких размеров, по форме близкие к цилиндру: изометричные или эллипсоидные в плане и столбообразные в разрезе.

Гнезда – небольшие изометричные тела, характерные для камнесамоцветного сырья, редких и благородных металлов.

2. *Плоские*, $D_{пр} \approx D_{пад} \gg M$. К плоским, или плитообразным телам относятся, в первую очередь, пласты и жилы.

Пласты – это согласные плитообразные тела. Залегают согласно, то есть параллельно вмещающим породам. Пласт соответствует осадочному слою. Выделяются также *пластообразные залежи*, которые отличаются от пластов меньшими размерами, а также меньшей выдержанностью.

Жилы – секущие плитообразные тела. Их границы пересекают контакты вмещающих пород. Жилы, как и магматические дайки, – тела выполнения трещин. Жилы могут быть простыми, а также сложными, ветвящимися и т. п.

3. *Линейные*, $D_{пр} \gg D_{пад} \approx M$ или $D_{пад} \gg D_{пр} \approx M$. Эта группа объединяет рудные тела, вытянутые в одном направлении. Если преобладающим размером является длина по простиранию, образуются *рудные ленты*, типичные для речных (аллювиальных) россыпей. Если наибольший размер отвечает длине по падению, то рудные тела имеют столбообразную или трубообразную форму. *Рудные столбы и трубы* приурочены обычно к пересечениям разломов или к вулканическим жерлам.

Широким распространением для обозначения формы рудных тел пользуются в геологии термины «штокверк» и «линза».

Штокверк представляет собой минерализованный объем горных пород. Обычно это массивы магматических пород или их части, насыщенные многочисленными разноориентированными прожилками и вкрапленностью рудных минералов. Такие рудные тела не имеют естественных природных границ и оконтуриваются по данным опробования. Обычно штокверки имеют форму, близкую к изометричной. Однако нередко

минерализованные зоны штокверкового типа, приуроченные к разрывным нарушениям (*линейный штокверк*; тогда их форма будет плоской или линейной).

Термин «*линза*» также не имеет однозначного морфологического содержания. Короткую и толстую линзу можно отождествить с гнездом. Плоские линзы соответствуют плоским рудным телам: согласным, если линза расположена параллельно контактам вмещающих пород, и секущим, если линза залегает косо. Наконец, линзы могут вытягиваться в одном направлении, образуя линейные рудные тела.

Кроме того, нередко встречаются рудные тела сложной, или комбинированной формы. Обычно они представляют собой сочетания или комбинации тел, принадлежащих к разным группам. Наиболее распространены крестообразные, грибообразные, седловидные и пр.

ГРУППИРОВКА МЕСТОРОЖДЕНИЙ ПО СЛОЖНОСТИ ГЕОЛОГИЧЕСКОГО СТРОЕНИЯ ДЛЯ ЦЕЛЕЙ РАЗВЕДКИ

Установление принадлежности изучаемого месторождения к конкретному промышленному типу способствует выбору системы его разведки. Уже на стадии оценочных работ эта задача должна решаться. В то же время месторождения одного и того же промышленного типа нередко характеризуются разными размерами, формой рудных тел, разной сложностью внутреннего строения (минеральным составом, текстурно-структурными особенностями, типами и сортами руд, содержанием полезных и вредных компонентов). Для обоснования системы разведки, технических средств и методических приемов большое значение приобретает *группировка месторождений* по сложности геологического строения для целей разведки, учитывающая накопленный опыт их разведки и разработки (Комплексная ..., 1990).

Впервые на необходимость группировки месторождений полезных ископаемых по сложности строения в зависимости от вычисленных значений коэффициентов вариации мощности и содержания полезных компонентов указано в работах В. М. Крейтера, Д. А. Зенкова, Н. В. Барышева, В. И. Красникова и др. В обобщенном виде группировка была предложена В. М. Крейтером в 1940 г. Все месторождения, исходя из учета формы и размеров рудных тел, разделены на пять групп (Крейтер, 1961): 1) пластовые и пластообразные тела, занимающие стратиграфический горизонт (или к нему приуроченные), и россыпи; 2) очень крупные залежи, неправильные тела и минерализованные массивы штокверкового и гнездового распределения, залегающие в разных крепких породах; 3) жило- и линзообразные тела в разных породах; 4) трубчатые и ветвящиеся залежи небольшого масштаба; 5) мелкие гнезда, штокверки, линзы, карманы и трубки в разных породах.

Разработанные В. М. Крейтером принципы группировки месторождений по факторам, определяющим методику их разведки, были положены в основу большинства последующих группировок и учитывались во всех поколениях инструкций ГКЗ СССР по применению классификации запасов. Они нашли отражение и в последнем опубликованном варианте группировок месторождений различных полезных ископаемых для целей разведки (Методические рекомендации..., 2007).

Многими авторами отмечалось, что принятые группировки базируются на качественных признаках, исходя из опыта разведки и разработки объектов. Например, геологическое строение простое, сложное, очень сложное; распределение полезных компонентов равномерное, неравномерное, крайне неравномерное. Поэтому установление группы сложности месторождения, основанное только на качественных критериях, во многих случаях оказывается спорным.

Группировку месторождений (или отдельных тел) полезных ископаемых по сложности геологического строения, основывающуюся на исследовании изменчивости их основных свойств, предложили В. И. Бирюков и М. Н. Денисов (1985). При этом рекомендуется использовать количественные показатели (табл.). Подобный подход отражен в последних вариантах группировки месторождений, предлагаемых ГКЗ в подготовленных Методических рекомендациях (2007). Так, при группировке месторождений железных руд рекомендуется использовать количественные характеристики основных свойств оруденения (табл.). Однако следует отметить, что значения таблиц характеризуют наибольшую степень разведанности месторождения или их частей перед началом эксплуатации. С уменьшением детальности изучения числовые значения признаков могут изменяться: q уменьшается с уменьшением числа наблюдений на прерывистых объектах; K_p и V меняются непредсказуемо: то в сторону увеличения, то в сторону уменьшения. В этом проявляется слабость классификационных числовых признаков. Совершенствование подобных группировок должно основываться на учете особенностей отдельных видов минерального сырья; внедрении геофизических методов исследований, учитывающих контрастность физических свойств рудных тел и вмещающих пород (Шевелев, 2004). Помимо этого, разрабатываемые группировки месторождений должны способствовать рациональному проведению всего геологоразведочного процесса – от проектирования работ до их завершения. Первый тип группировок – морфологический, его следует использовать при проектировании и производстве ранних стадий разведочного процесса. Второй тип, содержащийся в Методических рекомендациях ГКЗ, позволяет относить объект к определенной группе и определять необходимое соотношение разных категорий подсчитываемых запасов с учетом критерия предпринимательского риска.

На практике используется группировка месторождений по сложности геологического строения, предусмотренная Классификацией запасов... (2007). Согласно этому документу необходимая и достаточная степень разведанности запасов твердых полезных ископаемых определяется в зависимости от сложности геологического строения месторождений. По данному признаку месторождения подразделяются на следующие группы.

1-я группа. Месторождения (участки недр) простого геологического строения с крупными и весьма крупными, реже средними по размерам телами полезных ископаемых с ненарушенным или слабо нарушенным залеганием. Характеризуются устойчивой мощностью и внутренним строением, выдержанным качеством полезного ископаемого, равномерным распределением основных ценных компонентов. В процессе разведки возможно выделение запасов категорий A , B , C_1 и C_2 . Примеры месторождений:

Джезказганское и Коунрадское меднорудные; Талнахское медно-никелевое; Никопольское и Чиатурское марганцевых руд; Лисаковское и Аятское железорудные и др.

2-я группа. Месторождения (участки недр) сложного геологического строения с крупными и средними по размерам телами с нарушенным залеганием, неустойчивыми мощностью и внутренним строением, либо невыдержанным качеством полезного ископаемого и неравномерным распределением основных ценных компонентов. Ко 2-ой группе также относятся месторождения углей, ископаемых солей и других полезных ископаемых простого геологического строения, но со сложными горно-геологическими условиями разработки. В процессе разведки возможно выделение запасов категорий *B*, *C₁* и *C₂*. Примеры месторождений: Гайское, Сибайское, Учалинское меднорудные; Кальинское и Черемуховское бокситов; Гусевогорское и Качканарское титано-магнетитовых руд и др.

3-я группа. Месторождения (участки недр) очень сложного строения со средними и мелкими по размерам телами полезного ископаемого с интенсивно нарушенным залеганием, изменчивыми мощностью и внутренним строением, невыдержанным качеством и неравномерным распределением основных ценных компонентов. Запасы разведуются по категориям *C₁* и *C₂*. Примеры месторождений: Красногвардейское, Октябрьское, Тарньерское медных руд; Мугайское, Аятское бокситов; Садовское, Рубцовское свинцово-цинковых руд; Удерейское сурьмяное; большинство золоторудных месторождений.

4-я группа. Месторождения (участки недр) с мелкими, средними по размерам телами с чрезвычайно нарушенным залеганием и резкой изменчивостью мощности и внутреннего строения, крайне неравномерным качеством полезного ископаемого, прерывистым гнездовым распределением основных ценных компонентов. Запасы разведуются преимущественно по категории *C₂*. Примеры: месторождения пьезооптического кварца, оптического кальцита; камнесамоцветного сырья; Ховуаксинское кобальтовое; Актайское ртутное; Шахтаминское молибденовых руд, Чорух-Дайронское вольфрамowych руд и др.

Согласно утвержденной Классификации (2007) регламентированное соотношение запасов разных категорий на разведанных месторождениях полезных ископаемых в настоящее время не требуется: это соотношение определяет владелец лицензий самостоятельно с учетом планируемого предпринимательского риска.

По степени изученности месторождения подразделяются на разведанные и оцененные.

К разведанным относятся месторождения (участки недр), запасы которых, качество, технологические свойства, гидрогеологические и горнотехнические условия разработки изучены по скважинам и горным выработкам с полнотой, достаточной для технико-экономического обоснования их вовлечения в промышленное освоение в установленном порядке. Разведанные месторождения по степени изученности должны удовлетворять следующим требованиям:

- обеспечивается возможность квалификации запасов по категориям, соответствующим группе сложности геологического строения месторождения;
- вещественный состав и технологические свойства промышленных типов и сортов полезного ископаемого изучены с детальностью, достаточной для проектирования

рациональной технологии их переработки с комплексным извлечением полезных компонентов (имеющих промышленное значение) и определения направления использования отходов производства или оптимального варианта их складирования или захоронения;

- запасы других совместно залегающих полезных ископаемых (породы вскрыши, подземные воды, отнесенные на основании кондиций к балансовым), изучены и оценены в степени, достаточной для определения их количества и возможных направлений использования;

- гидрогеологические и инженерно-геологические, горно-геологические и другие природные условия изучены с детальностью, обеспечивающей получение исходных данных, необходимых для составления проекта разработки месторождения с учетом требований природоохранного законодательства и безопасности горных работ;

- достоверность данных о геологическом строении, условиях залегания и морфологии тел полезного ископаемого, качестве и количестве запасов подтверждены на представительных для месторождения участках детализации;

- подсчетные параметры кондиций установлены на основании ТЭР, позволяющих определить масштаб и промышленную значимость месторождения с необходимой степенью достоверности;

- рассмотрено возможное влияние разработки месторождения на окружающую среду; даны рекомендации по снижению прогнозируемого уровня отрицательных экологических последствий.

К оцененным относятся месторождения, запасы которых, их качество, технологические свойства, гидрогеологические и горнотехнические условия разработки изучены в степени, позволяющей обосновать целесообразность дальнейшей разведки и разработки. По степени изученности они должны удовлетворять следующим требованиям:

- обеспечивается возможность квалификации всех или большей части запасов по категории C_2 ;

- вещественный состав и технологические свойства полезного ископаемого оценены с полнотой, необходимой для выбора принципиальной технологической схемы переработки, обеспечивающей рациональное и комплексное использование полезного ископаемого;

- гидрогеологические, инженерно-геологические и другие природные условия изучены с полнотой, позволяющей предварительно охарактеризовать их основные показатели;

- достоверность данных о геологическом строении, условиях залегания и морфологии тел полезного ископаемого подтверждена на участках детализации; подсчетные параметры кондиций установлены на основании укрупненных ТЭР или приняты по аналогии с месторождениями, находящимися в сходных горно-геологических условиях;

- оценено возможное влияние отработки месторождения на окружающую среду.

НЕОДНОРОДНОСТЬ МИНЕРАЛИЗОВАННЫХ НЕДР, ИЗМЕНЧИВОСТЬ СВОЙСТВ ПОЛЕЗНЫХ ИСКОПАЕМЫХ И СПОСОБЫ ЕЁ ИЗУЧЕНИЯ

Исследование неоднородности скоплений полезных ископаемых

При изучении минерализованных участков недр как объектов разведки используется *концепция относительной элементарности*. В соответствии с этой концепцией объект исследования рассматривается в качестве сложной системы, состоящей из множества условно неделимых элементов и объединенных между собой совокупностью условно неделимых связей (Каждан, 1979). Выяснение взаимосвязи и пространственных взаимоотношений элементов неоднородности системы обеспечивает понимание ее структуры.

В изучаемой системе каждый элемент представляет условно неделимую структурную единицу. Однако абсолютно неделимых структурных элементов в действительности нет. Концепция относительной элементарности приводит к представлению о строении материального мира, в том числе, геологических объектов, как об иерархии структурных уровней материи с наличием множества дискретных, условно неделимых структурных единиц в пределах каждого из них.

При детализации наблюдений выявляется неоднородность ранее выделенных условно неделимых структурных элементов и появляется возможность расчленения их на более мелкие единицы. Они характеризуют неоднородность изучаемого объекта уже на более детальном структурном уровне.

При решении геологоразведочных проблем задача сводится к изучению неоднородности природных скоплений полезных ископаемых, их структуры и анизотропии строения как основы для выяснения *изменчивости важнейших свойств полезного ископаемого в недрах*. Познание изменчивости геологических, технологических и горнотехнических свойств определяет обоснование методики разведочных работ, влияет на их последовательность, геолого-экономическую оценку месторождений, эффективность технологии разработки и переработки минерального сырья.

А. Б. Каждан (1974) предлагает при изучении рудоносных территорий выделять шесть последовательных структурных уровней строения минерализованных недр:

- минерализованной зоны (толщи);
- тела полезного ископаемого;
- морфологически обособленного участка тела полезного ископаемого;
- локального обособления участка тела полезного ископаемого (рудного гнезда);
- минерального агрегата;
- минерального зерна или кристалла полезного минерала.

На рис. 7 показана модель одного из флюоритовых месторождений, где отражены разные природно-структурные уровни проявленной минерализации (Каждан, 1977).

Позднее при рассмотрении вопроса о *системном подходе к изучению недр* А. Б. Каждан (1984) предложил задействовать в практике прогнозно-металлогенических исследований развернутую иерархию структурных уровней минерализованных участков недр, включающую большее количество структурно-однородных единиц (от региональных к локальным). Эта систематика призвана обеспечить возможность создания геологических моделей развития рудообразующих процессов при любых масштабах исследования территорий. Выделены следующие уровни строения:

- металлогеническая провинция;

- металлогеническая область;
- рудный район;
- рудный узел;
- рудное поле;
- месторождение полезного ископаемого;
- продуктивная (минерализованная) зона (толща) полезного ископаемого;
- продуктивная залежь (тело) полезного ископаемого;
- морфологически обособленный участок (блок) залежи полезного ископаемого;
- локальное скопление полезного ископаемого (объем селекции или добычи);
- минеральный агрегат, состоящий из зерен полезного минерала;
- зерно, кристалл или обломок полезного минерала.

Отмечено, что количество выделяемых в процессе разведки последовательных уровней может быть изменено в зависимости от целей и задач исследований и от совокупности изучаемых свойств полезного ископаемого.

При обосновании шага опробования, размеров отбираемых проб и расстояний между пунктами наблюдений определяющее значение приобретает исследование соотношений линейных элементов неоднородности (Каждан, 1977; Четвериков, 1984; Шевелев, 2004). Смысл этого утверждения заключается в том, что строение одного и того же природного скопления полезного ископаемого может быть оценено как *однородное* при достаточно больших размерах проб и как *неоднородное* при размерах проб, уменьшенных до определенного предела (рис. 8). При изучении штокверка «длинными» пробами строение штокверка представляется как однородное. Если же уменьшить длину пробы, то строение штокверка следует признать неоднородным.

Учитывая соотношение размеров элементов неоднородности и линейных размеров проб предлагается выделять *три типа неоднородности*:

- неоднородность высшего порядка – линейные размеры элементов неоднородности во много раз меньше линейных размеров проб, а общее их число в каждой пробе очень велико;
- эффективную неоднородность – линейные размеры элементов неоднородности примерно на порядок меньше линейных размеров проб, а их число в объеме пробы сравнительно невелико (последние десятки – первые сотни);
- неоднородность низкого порядка – линейные размеры элементов неоднородности превосходят размеры проб.

Изменчивость свойств полезных ископаемых

Неоднородность природных скоплений полезных ископаемых проявляется в *изменчивости их свойств*. Под изменчивостью понимается непостоянство значений признаков в разных точках пространства. На основе количественных характеристик изменчивости свойств полезных ископаемых решаются основные методические вопросы поисков, разведки, опробования и геолого-экономической оценки месторождений полезных ископаемых (Каждан, 1977, 1984). Если бы изменчивость себя не проявляла, то одно единственное наблюдение в любой точке (например, разведочное пересечение) давало бы полное и точное представление обо всем изученном объекте.

При дискретной сети наблюдений геологическая неоднородность низшего порядка проявляется как случайная, так и как неслучайная пространственная изменчивость изучаемого свойства, но чаще всего – как сумма обеих составляющих изменчивости.

Для *случайной изменчивости* характерна независимость друг от друга значений признака, наблюдаемого в разных точках залежи (в том числе и смежных). Они не зависят от расстояния между пунктами наблюдений и имеют по всем направлениям характер случайных беспорядочных колебаний (рис. 9 б). Случайная изменчивость может быть количественно охарактеризована методами вариационной статистики случайных величин.

Под *неслучайной изменчивостью* (закономерной) понимают характеристику закономерностей пространственного размещения изучаемого свойства в некотором объеме недр. Определяющим свойством неслучайной изменчивости является наличие плавных колебаний значений признака и постоянство знака приращения на протяжении изучаемого отрезка недр. Поскольку закономерная изменчивость связана с пространственным положением пунктов наблюдения, то её называют *координированной* (рис. 9а).

В реальных условиях всегда наблюдается сочетание случайной и закономерной изменчивости в разных пропорциях. В зависимости от их сочетаний предложено выделять три градации изменчивости (Поротов, 2004): простая – преобладает закономерная изменчивость на фоне случайных колебаний; сложная – закономерная и случайная изменчивость присутствуют приблизительно в равных отношениях; весьма сложная – преобладает случайная изменчивость, а закономерная составляющая проявлена лишь в виде тенденции. Составляющая случайной изменчивости оказывает непосредственное влияние на статистическую оценку средних характеристик изучаемого свойства, определяя число наблюдений, необходимое для достижения желаемой достоверности средних оценок. Однако в практике разведки в первую очередь геологов интересует пространственная изменчивость важнейших свойств, которая может быть выражена только ее неслучайной составляющей. Неслучайная изменчивость позволяет оценить характер *анизотропии свойств* полезного ископаемого и выдержанность его строения по разным направлениям в пространстве. Направление, по которому устанавливается максимальная или минимальная скорость изменения изучаемых свойств, носит название *оси анизотропии*.

Анизотропия проявляется в результате упорядоченности пространственного размещения геолого-структурных элементов – зерен, минералов, минеральных агрегатов, располагающихся по слоистости, сланцеватости, зон трещиноватости и т. д. Характеристика анизотропии служит основой для ориентировки сети наблюдений и выбора расстояний между смежными точками по каждому из наблюдаемых направлений.

Мерой анизотропии I служит отношение среднего числа n элементов неоднородности, пересекаемых линиями, проведенными в заданном направлении, к длинам этих линий l в пределах изучаемого объема полезного ископаемого: $I = n/l$ (Каждан, 1984). Наиболее широко распространены скопления полезных ископаемых, имеющих три взаимно ортогональных направления анизотропии: жилы, россыпи, многие пластовые и пластообразные тела и залежи. В них направление максимальной изменчивости свойств совпадает с направлением мощности, а направление минимальной изменчивости – с их

вытянутостью. Промежуточное по значению направление изменчивости совпадает с шириной залежей.

Реже встречаются трубообразные и изометричные линзообразные скопления полезных ископаемых, имеющих два направления анизотропии. В них выделяется круговое сечение, перпендикулярное к длинной или к короткой оси. В плоскости кругового сечения изучаемые свойства близки к изотропным. Второе направление анизотропии совпадает с направлением оси.

Примерами изотропных скоплений полезных ископаемых являются изометрические штокверки цветных и редких металлов.

Таким образом, анизотропия и неоднородность строения природных объектов тесно взаимосвязаны и представляют собой разные формы проявления структуры изучаемых геологических образований. В то же время анизотропия любого порядка может быть выявлена в том случае, если совокупность элементов, создающих анизотропию, укладывается в размеры пробы. Большое значение имеет также учет пространственного расположения пунктов наблюдений. Чем выше природная неоднородность строения и изменчивость полезных ископаемых, тем более локальной должна быть система наблюдений при их разведке и более значительными размеры или объем отбираемых проб.

Природная изменчивость свойств полезных ископаемых представляет явление сложного и многопланового характера. Задача полного количественного описания ее практически невыполнима. Поэтому следует отличать понятие *природной изменчивости* свойств полезных ископаемых от понятия их *наблюдаемой изменчивости* по результатам геологоразведочных работ (Каждан, 1984).

Завершая обзор подходов к изучению изменчивости, приведем высказывание (Шевелев, 2004): «Как бы детально и технически качественно не производилась разведка, создаваемая на ее основе эмпирическая модель разведываемых объектов недр, является приближенным отражением действительности. Если методика разведки выбрана несоответствующей особенностям разведываемого объекта, то никакими формальными приемами и способами последующего анализа и обработки (включая применение математики и ЭВМ) нельзя исправить или уменьшить возникающие ошибки».

Способы изучения изменчивости

Способы анализа выявленной изменчивости разнообразны. Их условно можно объединить в две группы – геологические и математические. В основе каждой группы лежит выбранный тип моделей, используемых для отображения изменчивости параметров объекта.

Геологические способы.

Для отражения геологических представлений изучаемых объектов и наблюдаемых признаков используют разные виды графических (геометрических) моделей (Каждан, 1974, 1984; Поротов, 2004). Эти модели являются плоскостными графическими материалами или объемно-макетными (скульптурного, рельефного, скелетного и др. типов). Примерами плоскостных моделей являются планы в изолиниях (мощности, содержания, метропроцентов и др.), гипсометрические и погоризонтальные планы, разного вида графики по направлениям, проекции рудных скоплений на вертикальные или

горизонтальные плоскости и т. д. На графических материалах отображаются степень, характер и структура изменчивости параметров месторождения или их совокупность по определенным сочетаниям, площадям. Надежная геологическая обоснованность и наглядность моделей делают их незаменимыми при изучении и прогнозировании изменчивости геологических объектов. Они остаются ведущим способом обоснования системы разведки месторождений. Одной из разновидностей графических моделей являются блок-диаграммы, обеспечивающие наглядное пространственное представление о геологическом строении рудных полей, месторождений, участков (рис. 10).

Геологическое моделирование представляет сложную творческую задачу, допускающую порой несколько разных решений (Поротов, 2004). Причины этого – сложность геологических процессов, которые чаще всего остаются не познанными; дискретность сети наблюдений. Изученные объемы руд и горных пород малы по сравнению с объектами, на которые распространяются результаты наблюдений. Поэтому неизбежно возникают проблемы разработки более достоверных геологических моделей.

Графические модели обеспечивают лишь качественную оценку условий залегания, формы, строения природных скоплений полезных ископаемых и отражают упрощенное представление о характере и пространственной изменчивости свойств. Поэтому математическое обоснование геологических моделей, математический анализ изменчивости геолого-промышленных параметров выбранной модели становится необходимым. Приступить к математическому моделированию можно только создав удовлетворительную геологическую модель объекта. Геологическая модель должна отражать разделение объекта на блоки с разными типами изменчивости, тектонические смещения рудных тел, первичную и вторичную зональность и иные особенности. Игнорирование этих признаков объекта делает последующую математическую оценку изменчивости не корректной.

Математические способы

Математические методы, применяемые для изучения и прогноза изменчивости параметров геологических объектов, многочисленны и разнообразны. Задачей настоящего обзора является: дать общее представление об основных направлениях математического моделирования в рамках рассматриваемой проблемы; кратко охарактеризовать наиболее распространенные математические способы изучения изменчивости; указать области их применения и практическую значимость получаемых результатов (Поротов, 2004).

Вопросы математического моделирования широко освещены в многочисленных научных публикациях и учебной литературе. Эта информация отражена в учебниках и учебных пособиях (Каждан, 1974, 1984, 1990; Погребницкий и др., 1977; Поротов, 2004; Волков, 2006 др.). Более подробно проблемы изучения изменчивости параметров месторождений рассматриваются в специальных дисциплинах: «Математические методы моделирования в геологии», «Геометризация и анализ геологических полей», «Основы компьютерных технологий решения геологических задач».

Считается, что геологические объекты относятся к «плохо организованным природным системам». Они не поддаются точному количественному описанию и, как правило, взаимосвязь между их параметрами не может быть выражена строгими законами.

Приходится создавать модель, дающую лишь приближенное представление о строении объекта и протекавших в объеме залежей рудообразующих процессах. Чем более точные представления будут получены исследователями об изучаемом объекте, тем объективнее будет подобрана соответствующая его особенностям цифровая модель, более надежные и представительные результаты получены при анализе материалов.

На базе геологических моделей созданы разные математические модели. Кратко охарактеризуем лишь некоторых из них:

- статистическая модель;
- геостатистическая модель;
- модели на основе случайной функции;
- разностные модели;
- геометро-статистическая модель.

Статистические модели. Их использование целесообразно, если в наблюдаемой изменчивости признака практически отсутствует закономерная составляющая и, следовательно, геометризация признака в изучаемом объеме недр практически невозможна.

Применение одномерной статистической модели основано на предположении о независимости значений изучаемого признака. В общем случае можно лишь считать, что чем выше степень изменчивости признака, тем полученные результаты ближе к статистической совокупности. Опыт показывает, что формулы математической статистики дают достаточно достоверные результаты при изучении изменчивости месторождений золота, платины, алмазов, редких и отчасти цветных металлов, мусковита и др., но оказываются ненадежными при оценке изменчивости залежей многих осадочных полезных ископаемых.

В практике разведочных работ одномерные статистические модели используются, главным образом, для численной оценки степени изменчивости геолого-промышленных параметров тел полезных ископаемых и месторождений, а также оценки точности полученных результатов. Важнейшими характеристиками таких моделей являются среднее значение изучаемого параметра $x_{\text{ср}}$, дисперсия s^2 , среднеквадратичное отклонение s и коэффициент вариации V .

Поскольку у реальных геологических объектов обычно проявлено сочетание случайной и закономерной составляющих изменчивости, статистические модели, считающие все изменения случайными, показывают завышенную оценку. Во избежание этого необходимо выделять и исключать закономерную составляющую и рассчитывать коэффициент вариации только по данным выделенной случайной составляющей изменчивости.

При разведке месторождений выборки чаще всего характеризуются небольшими объемами. Поэтому оценку среднего значения оцениваемого параметра можно рассматривать как случайную величину, не соответствующую математическому ожиданию. Последнее и представляет собой истинное среднее значение этого параметра для генеральной совокупности – геологического объекта в целом. Поэтому одной из решаемых задач является выбор лучшего способа вычисления этой оценки и определение степени ее точности.

Статистические оценки могут быть точечными (выражены определенным числом) и интервальными (указывается интервал значений, в пределах которого находится истинное значение величины при заданной вероятности этого события) (Каждан, 1984).

При сравнении изменчивости параметров разной размерности наряду с абсолютной используют относительную величину (коэффициент вариации), обычно выражаемую в процентах:

$$V = \left(\frac{\sigma}{x_{\text{ср}}} \right) \cdot 100$$

Использование коэффициента вариации при оценке изменчивости имеет смысл в тех случаях, когда необходимо рассчитать средние значения геолого-промышленных параметров и погрешности их определения. Поэтому статистическая модель обычно применяется для изучения изменчивости содержания компонентов в рудах и мощностей тел полезных ископаемых, но она не эффективна при анализе условий залегания этих тел, их внутреннего строения и изменчивости качества нерудных полезных ископаемых (известняк, доломит, гипс и др.).

Геостатистическая модель. Предложена Ж. Матероном (Матерон, 1968) в шестидесятых годах прошлого столетия. Основана на предположении, что результаты наблюдений зависят от расположения пунктов наблюдений. При смещении начального пункта наблюдений результаты измерений меняются. По этой причине их рассматривают как случайные величины. При этом средний квадрат разности измеренных значений зависит только от расстояния между пунктами наблюдений.

Основной инструмент геостатистики – вариограмма – используется для анализа и описания пространственной корреляционной структуры между произвольно размещенными реальными данными наблюдений. Вариограмма измеряет степень корреляционной связи между пробами в пространстве. Она обычно характеризуется 3-мя главными параметрами (рис. 11).

- *Эффект самородка* – это случайная составляющая дисперсии проб, которая показывает насколько велико различие содержаний в очень близко расположенных образцах. Величина эффекта самородка зависит от сети опробования месторождения и степени ее изменчивости. Название этого параметра введено при оценке месторождений золота, где часто встречаются непредсказуемые «ураганные» содержания металла.

- *Порог вариограммы* – это величина дисперсии проб. Когда вариограмма достигает порога, она часто выполаживается и больше не растет.

- *Зона влияния* – это максимальное расстояние, на котором между пробами еще существует корреляция. На меньших расстояниях (с определенной долей вероятности) можно предсказать содержание в точке массива по данным опробования, а на больших дистанциях – не имеем права. Вариограмма достигает порога на расстоянии, равном зоне влияния. На графике – это расстояние по оси абсцисс от начала координат до точки пересечения теоретической вариограммы с линией порога.

Вариограмма рассчитывается как сумма квадратов разности содержаний между пробами, отстоящими друг от друга на расстоянии h , отнесенная к удвоенному числу пар проб. Функция экспериментальной вариограммы имеет следующий вид:

$$\gamma(h) = \frac{\sum (C_i - C_{(i+h)})^2}{2N},$$

где C_i – содержание элемента в точке i ,

$C_{(i+h)}$ – содержание элемента в точке, отстоящей на расстояние h от « i » пробы.

Анализ вариограмм необходим для изучения пространственной неоднородности минерализации и расчета исходных параметров для оценки содержаний с помощью кригинга. Выполнение подобных исследований оправдано в тех случаях, когда предполагается наличие на месторождении жильных тел или рудных зон, прослеженных на значительные расстояния, а также если месторождение характеризуется рассеянной минерализацией с неопределенным типом анизотропии. В прикладном плане знание параметров пространственной изменчивости рудной минерализации дает возможность существенно сэкономить средства на разведочные работы, так как наличие вариограмм позволяет уверенно рассчитывать уровень содержаний между буровыми скважинами без дополнительного сгущения буровой сети, а также обосновывать оптимальную густоту разведочной сети. Выявленные закономерности распределения полезных компонентов в пространстве позволяют более надежно интерполировать значения содержаний, оценивать достоверность запасов.

Расстояние, на котором достигается порог (зона влияния), может меняться в зависимости от направления, вдоль которого оценивалась вариограмма. Например, в случае пластовой залежи изменчивость содержаний по простиранию пласта будет меньше, нежели вкрест простирания. Этот феномен называется геометрической (или дирекционной) анизотропией минерализации (Поротов, 2004). В случае если в разных направлениях вариограммы имеют разный порог, анизотропия называется зональной.

При моделировании вариограммы необходимо выбрать соответствующий тип модели. Существуют следующие основные типы вариограммы: линейная, общая линейная (линейные графики), сферическая, экспоненциальная, гауссова, с дырочным эффектом (криволинейные графики). Чаще всего используют сферическую или экспоненциальную модели (рис. 12).

Исследование пространственной изменчивости содержаний полезного компонента с помощью геостатистической модели проведено на одном из золоторудных месторождений Казахстана. Работа выполнена студентом-дипломником М. А. Дресвянниковым (2017). При обобщении материала за основу взята концепция, что традиционными рудоконтролирующими для золотого оруденения считаются структуры северо-восточного направления. Поэтому все первичные геохимические ореолы привязывались к ним, в том числе и ореолы золота.

Для анализа пространственного распределения золота с помощью программы LeapFrogGeo построены 3D модели, отражающие пространственное распределение содержаний золота. В результате на месторождении выделено 6 зон по преобладающему направлению простирания минерализованных зон (рис. 13).

По каждой выделенной зоне рассчитывались экспериментальные вариограммы. Для более наглядного представления построены поверхности вариограмм, представляющие собой розы-диаграммы, на которых в зависимости от направления и расстояния вынесены

значения функции вариограммы (γ). На рис.14-16 интенсивность закрашки отражает изменение значений дисперсии, приведенные к шкале; стрелками показаны направления минимальной изменчивости золота. В первой зоне (рис. 13) северо-восточное направление минимальной изменчивости соответствует вытянутости рудоносной зоны. Зона 2, находящаяся в центральной части месторождения, уже имеет изотропное строение (рис. 15), которое может быть объяснено пересечением двух преобладающих на месторождении направлений распространения золоторудной минерализации (северо-западного и северо-восточного). В третьей зоне (рис. 16) направление изменчивости изменяется на противоположное, характерное для дисперсии первого участка. В целом, горизонтальные вариограммы подтверждают данные, полученные при моделировании рудной зоны. Зоны 1, 4 и 5 имеют минимальные значения дисперсии в северо-восточном направлении, зоны 3 и 6 – северо-западное, 2-ая зона – изотропна по значениям изменчивости.

Выявление в результате геостатистического моделирования «нового» структурного направления (северо-западного) (рис. 16) позволило запроектировать золотодобывающей компании в этой зоне продолжение геологоразведочных работ (в рамках доразведки северо-западного фланга месторождения).

Модели на основе случайных функций могут быть использованы для количественного описания изменчивости признака (пространственной переменной) в зависимости от местоположения пунктов наблюдений. В основе модели лежит гипотеза, что значение признака является случайной функцией координат.

$$\varphi(x) = m(x) + \delta(x).$$

Случайная функция состоит из двух частей: закономерной $m(x)$ и случайной $\delta(x)$ составляющих (рис. 17).

Закономерную часть называют математическим ожиданием случайной функции. Значения случайной функции, получаемые в результате эксперимента и заранее неизвестные, называются ее реализацией. Основными характеристиками случайной функции $j(x)$ являются ее математическое ожидание, дисперсия случайной составляющей, автоковариационная и автокорреляционная функции.

Математическое ожидание $m(x)$ представляет собой наиболее вероятное значение случайной функции в точках x . Дисперсия случайной составляющей D выражается формулой:

$$D = \frac{1}{n} \sum_{i=1}^n \delta(x_i)$$

Автоковариационная функция $K(h)$ представляет собой среднее произведение соседних отклонений на расстоянии h :

$$K(h) = \frac{1}{m} \sum_{i=1}^m [\delta(x_i + h)\delta(x_i)]^2,$$

где n – количество наблюдений; m – количество пар соседних отклонений.

Автокорреляционная функция $r(h)$ представляет собой отношение автоковариационной функции к дисперсии:

$$r(h) = K(h)/D.$$

Сложность применения случайных функций состоит в том, что результаты геологических наблюдений представляют собой, как правило, лишь одну ее реализацию. Характеристики случайной функции можно найти либо тогда, когда она является стационарной и эргодичной, либо при введении дополнительных гипотез.

Стационарной называют случайную функцию, у которой характеристики не меняются при сдвиге сети наблюдений. Она имеет постоянное математическое ожидание и дисперсию, а корреляционная функция ее зависит лишь от расстояния h между соседними пунктами наблюдения, т. е. по существу является функцией одного аргумента. *Эргодичной* именуют стационарную случайную функцию, одна реализация которой на большом интервале эквивалентна большому числу реализаций на малом интервале.

Модель на основе стационарной случайной функции предполагает, что математическое ожидание – величина постоянная, т. е. закономерные изменения признака в пространстве отсутствуют. Тогда математическое ожидание (оценка математического ожидания) равно среднему значению признака: $m(x) = j_{\text{ср}}$, а случайные отклонения находят по формуле $d(x) = j(x) - j_{\text{ср}}$. Дисперсия, автоковариационная и автокорреляционная функции вычисляются по формулам, приведенным выше.

Из перечисленных характеристик наибольший интерес представляет *автокорреляционная функция* $r(h)$, которая показывает степень связи соседних значений признака в зависимости от шага наблюдений h . При $h = 0$ корреляционная функция $r = 1$; с увеличением шага наблюдений значение r убывает и стремится к нулю. Предельный шаг наблюдений, при котором коэффициент автокорреляции становится неотличимым от нуля, называется радиусом автокорреляции R . Он соответствует максимальному расстоянию, на котором еще обнаруживается взаимосвязь соседних наблюдений (рис. 18).

На практике автокорреляционная функция вычисляется по дискретным данным и изображается ломаной линией. За радиус автокорреляции обычно принимают тот шаг, при котором линия автокорреляции первый раз пересекает линию абсцисс.

Автокорреляционная функция зависит от направлений изучения изменчивости параметров и поэтому дает представление об анизотропии залежей. Чем больше радиус автокорреляции в заданном направлении, тем медленнее меняется значение параметра и меньше его изменчивость. Если значение радиуса автокорреляции одинаково по всем направлениям, то геологический объект является изотропным.

Радиус автокорреляции характеризует средний размер области влияния одного наблюдения, что используется при обосновании плотности разведочной сети. Для надежного установления поведения параметра между пунктами наблюдений необходимо, чтобы расстояние между ними не превышало двух радиусов, т. е. области влияния соседних наблюдений перекрывались.

Отметим, что характеристики стационарной случайной функции отражают достоверную картину лишь при отсутствии периодичности в изменении признаков. Они должны быть согласованы с периодами, сопоставимыми с размерами изучаемого объекта. В противном случае (ритмичность разреза, периодичность появления рудных столбов или разрывных нарушений и т. д.) требуется выявление периодов и амплитуд периодической

изменчивости и вычитание ее из реализации случайной функции, чтобы значения параметра привести к стационарному виду.

Различия между геостатистической моделью и моделями типа случайных функций заключается в том, что предметом изучения геостатистики служит исследование расхождений между оцениваемой величиной Q и ее оценкой q . Сама пространственная переменная рассматривается как детерминированная функция, а вероятностный подход проявляется только при оценке расхождения $\varepsilon = Q - q$.

При использовании моделей типа случайных функций предметом исследования являются природные скопления полезных ископаемых и их свойства в недрах, а в качестве случайных величин рассматриваются не дисперсии оценок, а значения всех наблюдаемых свойств. В строении полезных ископаемых выявляются элементы их неоднородности, а характеристики изменчивости изучаемых свойств оцениваются не в заведомо заданных объемах недр, а на том структурном уровне, который выявляется принятой сетью наблюдений.

Разностные модели изменчивости основаны на изучении приращений значений признака между соседними точками наблюдения и имеют целью исключение влияния закономерной составляющей изменчивости для более правильной характеристики случайной изменчивости.

Модель со вторыми разностями впервые предложена Д. А. Казаковским (Казаковский, 1948) и нашла широкое практическое применение. Метод Д. А. Казаковского разработан для правильных квадратных сетей и позволяет оценивать изменчивость геолого-промышленных параметров, которые могут быть изображены в виде топографических поверхностей, главным образом для изучения изменчивости мощности тел полезных ископаемых. Сначала вычисляют первые разности значений признака по соседним точкам:

$$\Delta'_t = \varphi_{i+1} - \varphi_i$$

а затем находят вторые разности как приращения соседних первых разностей:

$$\Delta''_t = \Delta'_{i+1} - \Delta'_i = \varphi_{i+1} + \varphi_{i+2} .$$

Абсолютной мерой изменчивости является показатель сложности топографической поверхности μ_a , который представляет собой среднее значение абсолютной величины вторых разностей:

$$\mu_a = \frac{1}{k} \sum_{i=1}^k |\Delta''_t| ,$$

где k – количество вторых разностей.

Относительная изменчивость признака оценивается с помощью показателя изменчивости m , который представляет собой выраженное в долях единицы отношение показателя сложности поверхности m к среднему значению изучаемого параметра $j_{ср}$.

Геометро-статистическая модель. Основоположником горно-геометрического моделирования является П. К. Соболевский. В основе созданной им модели лежит представление о функциональных связях наблюдаемых свойств с пространственными координатами. Позже его идеи нашли отражение в геометро-статистической модели, разработанной В. Ф. Мягковым (Мягков и др., 1986).

Частные значения характеристик реального поля в точках пространства неоднородны по своему составу. Они представляют собой алгебраическую сумму двух величин, называемых регулярной и случайной составляющими (компонентами) поля $U_i = f(x_i) + \delta_i$ (одномерный вариант), где U_i – значение переменной в i -той точке пространства с координатами x_i ; $f(x_i)$ – значение регулярной (или закономерной) составляющей; δ_i – значение случайной составляющей (рис. 19).

Регулярной (или закономерной) составляющей поля называется детерминированная компонента, фиксирующая направленность изменения изучаемого свойства в пространстве геологического объекта. Например, закономерность выклинивания линзообразного рудного тела от центра к периферии залежи.

Случайной компонентной поля называется составляющая, обуславливающая флуктуацию ее значений относительно детерминированной переменной. Ее наличие определяется влиянием как геологических, так и технологических факторов. Например, флуктуация мощности относительно генеральной тенденции к выклиниванию линзовидного тела от центра к периферии в случае экзогенного месторождения обусловлена не только неровностями дна бассейна седиментации, но и погрешностями принятого способа измерений.

Количественное описание наблюдаемой изменчивости поля заключается в разделении ее на две составляющие, определении амплитуды каждой из них и уровней изменчивости. Закономерная изменчивость определяется построением аппроксимирующей функции, получаемой аппроксимацией исходных значений параметра, а случайная изменчивость оценивается среднеквадратичным отклонением исходных наблюдений от графика аппроксимирующей функции.

Построение начальной аппроксимирующей поле функции на каждом одномерном сечении осуществляется по данным регуляризации измерений в соответствии с формулой, выведенной при условии четырехкратного последовательного сглаживания по двум точкам (Мягков, 1984):

$$U_j = 0,0625 (U_i + 4U_{i+1} + 6U_{i+2} + 4 U_{i+3} + U_{i+4}),$$

где U_j – значение регулярной составляющей поля, U_i – частные значения, полученные в результате измерений или опробования по совокупности пространственно сближенных точек. При этом координаты x_j определяются либо по аналогичной приведенной зависимости (вместо U_i в формулу подставляются значения x_i), либо по упрощенной формуле:

$x_j = x_i + (j + 1) \cdot \Delta x$, если шаг наблюдений принят в качестве постоянной величины ($j = i+2\dots$).

С помощью геометро-статистической модели можно выразить основные особенности пространственной изменчивости свойств геологических объектов, установить примерные числовые значения изучаемого свойства в любой точке исследуемого объекта, получить представление о его морфологии и внутреннем строении. В то же время геометро-статистические модели не обеспечивают объективную количественную оценку изменчивости изучаемых свойств. Если статистические методы не учитывают влияния

плавных, закономерных изменений, то методы геометризации игнорируют влияние многочисленных случайных отклонений по отдельным пунктам наблюдений.

Контрольные вопросы к теме 2

1. Перечислите и кратко охарактеризуйте факторы, определяющие промышленную значимость месторождений.
2. Как делятся месторождения по масштабу, качеству полезных ископаемых?
3. На что влияют глубина и условия залегания тел полезных ископаемых?
4. Зачем необходимо изучать инженерно-геологические и гидрогеологические условия месторождений?
5. Как можно подразделить месторождения по форме залежей? Как влияет форма рудных тел на разведку и разработку месторождений?
6. Какие факторы положены в основу группировки месторождений для целей разведки?
7. Какие группы месторождений фигурируют в Методических указаниях ГКЗ? Как их учитывают при разведке?
8. Неоднородность строения минерализованных недр. Как она учитывается при разведке?
9. Изменчивость свойств полезных ископаемых, виды ее проявления.
10. Какие геологические способы изучения изменчивости известны?
11. Какие математические способы исследования изменчивости используют в последнее время при разведке месторождений?
12. Какие основные характеристики фигурируют при использовании геостатистической модели изменчивости?

Тема 3

Методологические основы разведки недр

ПРИНЦИПЫ РАЗВЕДКИ НЕДР

Земные недра обычно недоступны для непосредственных наблюдений. Они познаются преимущественно выборочным методом по сети пространственно разбросанных искусственных или естественных обнажений (Каждан, 1984). При этом полнота и достоверность полученных представлений о строении и составе недр зависит от густоты сети наблюдений, характера и степени неоднородности изучаемых объектов, прерывистости изучаемых свойств. Это побудило исследователей (Крейтер В. М., Каждан А. Б., Четвериков Л. И. и др.) сформулировать принципы, определяющие методологические подходы к изучению и оценке недр.

Принцип последовательных приближений предусматривает необходимость соблюдения правила: «от общего к частному». Геологические исследования начинаются с выявления крупных потенциально рудоносных площадей и отбраковки заведомо неперспективных территорий. После этого целесообразно перейти к более детальному изучению потенциально рудоносных площадей с последовательной ее разбраковкой на перспективные и неперспективные участки. В рамках реализации принципа весь геологоразведочный процесс подразделяется на три этапа и пять стадий (см. главу 5). Предложенная стадийность отражает рациональную последовательность проведения геологоразведочных работ, когда изучение недр проводится с возрастающей детальностью. Сначала выделяются общие геологические закономерности, а затем исследуются детали строения. По мере накопления разведочных данных возрастает полнота и надежность оценки объекта. Появляется возможность пространственного обособления внутри ранее выделенных условно однородных элементов геологического строения ещё более мелких структурных элементов. Вследствие ограниченности выборочных данных для суждения о свойствах и степени изученности объекта необходимо привлечение дополнительной информации, которую можно получить по принципу аналогии.

Принцип аналогии основан на положении о том, что геологические структуры и заключенные в них полезные ископаемые формировались в близких условиях. Они обладают чертами сходства условий залегания, строения и состава. Именно это обстоятельство обеспечивает подобие свойств объекта-эталона и изучаемого объекта. Степень подобия минерализованных участков недр зависит от пространственной близости и масштабов сравниваемых объектов: чем меньше их размеры и меньше расстояния между ними, тем больше проявляется сходство.

На стадии разведки можно выделить два подхода при принятии решений по аналогии: а) внутриобъектная; б) межобъектная. *Первый подход* – параметры разведочной сети принимаются близкими к изученным (и даже уже освоенным) участкам недр. Подобный подход возможен при разведке (доразведке) глубоких горизонтов месторождения, его флангов. *Второй подход* – использование данных по другим детально изученным объектам, используется при обосновании параметров разведочной сети на вновь вовлекаемых в разведку месторождениях. Этот принцип, основанный на типизации

месторождений, изложен в «Методических указаниях...», подготовленных ГКЗ при МПР РФ для отдельных типов полезных ископаемых.

Принцип максимальной эффективности является объединяющим ранее сформулированные В. М. Крейтером принципы наименьших трудовых и материальных затрат и полноты исследования (Петруха, 2003). Сущность принципа заключается в том, что в каждый момент выполнения геологоразведочных работ затраты на получение дополнительной информации не должны превышать экономических потерь, вызванных возможными просчетами в работе будущего предприятия. Полнота информации, необходимой и достаточной для строительства горнодобывающего предприятия, определяет подготовленность месторождения для промышленного освоения. Эта информация должна обеспечить достоверную характеристику разведываемого месторождения.

Достижение полноты необходимой информации осложнено крайне ограниченным объемом получаемых геологоразведочных данных по сети редких разведочных пересечений. В то же время собранная информация должна быть достаточной для принятия проектных решений по разработке месторождения и переработке добываемого минерального сырья. Здесь работает известный в математической статистике метод изучения свойств объектов на основе ограниченной по объему выборки. На каждой последовательно сменяющейся стадии изучения объекта выборка становится более представительной. В то же время из-за ограниченности геологических наблюдений, их неполноты любое проектное решение по освоению месторождения сопровождается риском, обусловленным возможными просчетами из-за неполноты собранных данных. Задача разведки – минимизировать эти риски до экономически рациональных размеров. Это возможно за счет выборочной детализации сети наблюдений на отдельных локальных участках.

Принцип выборочной детализации заключается в том, что проведение геологоразведочных работ в пределах всего объекта изучения должно сочетаться с более детальными работами на отдельных его участках (Каждан, 1984). При этом необходимо определиться с позицией эталонного участка, определить оптимальную детальность наблюдений в его пределах. Эталон-аналоги детализационных работ должны быть представительными по отношению ко всему изучаемому объему недр. Чем типичнее окажутся эти участки, тем полнее будут критерии подобия и меньше погрешности распространения эталонных данных на весь оцениваемый объем. Рассмотрим примеры.

Согласно «Методическим рекомендациям по применению классификации запасов... (2007)» детализационные работы на стадии оценочных работ должны предусматривать обоснование в пределах локальных участков запасов категории С₁. С учетом полученных данных на этих участках следует предусмотреть опытно-промышленную разработку (ОПР) минерального сырья. В условиях действующих горных предприятий в качестве эталон-аналогов следует использовать уже отработанные участки месторождения.

СТАДИЙНОСТЬ ГЕОЛОГОРАЗВЕДОЧНЫХ РАБОТ

Изучение недр с целью выявления и промышленной оценки месторождений полезных ископаемых осуществляется последовательно по стадиям, по мере отбраковки неперспективных площадей и более детальном исследовании заслуживающих внимания объектов. Стадийность охватывает все виды геологоразведочных работ и отражает рациональный порядок последовательности их проведения (Положение..., 1999). Выделяется три этапа и пять стадий геологоразведочных работ (табл. 1). Составители «Положения...» отмечают, что границы между стадиями условны и определяются масштабами ведущихся работ. Информация, получаемая на каждой стадии, по полноте и достоверности должна быть достаточной для геологического и технико-экономического обоснования геологоразведочных работ последующей стадии, либо освоения и проектирования разработки месторождения. «Положение...» носит рекомендательный характер и устанавливает общие для всех видов полезных ископаемых требования к содержанию и результатам геологоразведочных работ для отдельных стадий.

Этап I. Работы общегеологического и минерагенического назначения

Стадия 1. Региональное геологическое изучение недр и прогнозирование полезных ископаемых

Производится с целью получения комплексной геологической информации, составляющей основу геологического изучения территории и оценки ее минерагенического потенциала. Призвано обеспечить выявление закономерностей формирования и размещения полезных ископаемых. Основным результатом регионального геологического изучения недр является моделирование и ранжирование по экономической значимости структурно-вещественных и минерагенических комплексов, локальный прогноз и начальная геолого-экономическая оценка потенциальных объектов минерального сырья. Основными видами работ являются площадные геологические, гидрогеологические, инженерно-геологические съемки, наземные и аэрогеофизические работы, широкий комплекс специализированных исследований: космоструктурные, геолого-минерагенические, геохимическое картирование и другие виды изучения недр. Площадные картографические работы проводятся в масштабах: 1:15000000 и мельче – сводное и обзорное; 1:1000000 (1:500000) – мелкомасштабное; 1:200000 (1:100000) – среднемасштабное; 1:50000 (1:25000) – крупномасштабное. Для развития минерально-сырьевой базы главное значение имеют средне-крупномасштабные виды картографирования. По результатам выполненных работ выявляются и оконтуриваются прогнозные площади (минерагенические зоны, рудные районы, узлы и поля) с оценкой прогнозных ресурсов по категориям P_3 , P_2 , (P_1).

Этап II. Поиски и оценка месторождений

Стадия 2. Поисковые работы

Объектами исследований являются рудные районы, узлы и поля или их части, выявленные в процессе предшествующей стадии регионального геологического изучения недр, по которым имеются оцененные прогнозные ресурсы категорий P_2 и P_3 . Работы могут производиться и на ранее опосредованных площадях, если это обусловлено изменением представлений о геологическом строении перспективных площадей, изменением

конъюнктуры минерального сырья, увеличением глубинности исследования недр. Поиски могут проводиться в разных масштабах (обычно в пределах 1:50000-1:10000). Включают комплекс геолого-минерагенических, геофизических, геохимических и других видов и методов исследований с проходкой поисковых скважин и поверхностных горных выработок. Для поисков скрытых и погребенных объектов используется глубокое бурение в сочетании со скважинными геофизическими исследованиями. Рациональный комплекс методов формируется на основе особенностей геологического строения объекта, ландшафтно-геохимических условий проведения работ, накопленного в отрасли опыта. По совокупности полученной информации, ее комплексной интерпретации выделяются перспективные аномалии, участки. Проверка природы аномалий, вскрытие, опробование и изучение проявлений полезных ископаемых осуществляется поверхностными горными выработками и поисковыми скважинами. В отобранных пробах определяются основные и попутные компоненты, а в необходимых случаях – технологические свойства руд. На выявленных проявлениях полезных ископаемых оцениваются прогнозные ресурсы категорий P_2 и P_1 . На основе полученных данных выполняется геолого-экономическая оценка выявленных объектов по укрупненным показателям. Положительно оцененные проявления включаются в фонд объектов, рекомендуемых к постановке оценочных работ с выдачей соответствующих лицензий.

Стадия 3. Оценочные работы

Оценочные работы проводятся на выявленных и положительно оцененных проявлениях полезных ископаемых. Для оконтуривания площади, изучения геолого-структурных условий локализации оруденения проводится геологическая съемка в масштабе 1:25000-1:10000 и крупнее (для сложных и небольших объектов). Геологическая съемка сопровождается детальными минералого-петрографическими, геофизическими и геохимическими исследованиями, вскрытием и прослеживанием тел полезных ископаемых поверхностными горными выработками (канавы, шурфы, картировочные скважины). Все вскрытые выходы полезной минерализации подвергаются опробованию и анализу на основные и попутные компоненты.

Технологические свойства полезного ископаемого определяются по лабораторным пробам, а в необходимых случаях – по малым и большим технологическим пробам. По этим результатам намечается принципиальная схема переработки руд, обеспечивающая комплексное использование полезного ископаемого.

Во всех разведочных выработках осуществляется комплекс гидрогеологических, инженерно-геологических исследований, достаточных для обоснования вскрытия и разработки месторождения. Дается характеристика экологических условий производства добычных работ и оценка их влияния на природную среду.

Материалы, полученные при производстве оценочных работ, должны обеспечить оценку промышленного значения месторождения с подсчетом большей части запасов по категории C_2 . По менее детально изученной части месторождения количественно оцениваются прогнозные ресурсы категории P_1 . Достоверность данных о геологическом строении, условиям залегания и морфологии тел полезных ископаемых подтверждается на участках детализации с подсчетом разведанных запасов категории C_1 .

В соответствии с рекомендациями, содержащимися в Методических рекомендациях по применению классификации запасов... (2007), на завершающем этапе оценки целесообразно выполнение на участках детализации отдельных месторождений специализированных работ – «Опытно промышленной разработки» (ОПР) в пределах локального объема минерализованных недр.

Геолого-экономическая оценка объектов осуществляется в процессе проведения работ и по их завершению. В начальный период оценочных работ проводится *оперативная геолого-экономическая оценка* прямым расчетом по укрупненным показателям. По результатам ее принимаются решения о целесообразности продолжения работ или их прекращении. После завершения стадии «Оценочные работы» разрабатываются *временные кондиции* и составляется технико-экономический доклад (ТЭД), в котором дается экономически обоснованная предварительная оценка промышленной ценности месторождения, определяющая целесообразность передачи объекта в разведку с последующим его освоением. *Месторождения*, получившие положительную экономическую оценку на оценочной стадии, *называются оцененными*.

Отчет с результатами подсчета запасов, включая обоснование «временных» кондиций и ТЭД, представляются на государственную геологическую, экономическую и экологическую экспертизу. Заключение экспертизы является основанием для постановки запасов на государственный учет.

Этап III. Разведка и освоение месторождения

Стадия 4. Разведка месторождений

Объектом разведки является закрепленная лицензией в виде горного отвода часть недр, включающая полностью или частично месторождение полезного ископаемого. Разведочные работы осуществляются с целью получения информации для проектирования строительства горнодобывающего предприятия. В «Положении... (1999)» отмечается, что в *процессе освоения месторождения* с целью расширения и укрепления минерально-сырьевой базы действующего или реконструированного горного предприятия возможно проведение *доразведки месторождения*. Эти работы предусматривают в каждом отдельном случае решение конкретных геологических задач. Например, дополнительное изучение флангов или глубоких горизонтов месторождения, уточнение технологических свойств полезного ископаемого и т. д.

При разведке завершается изучение строения месторождения с поверхности с составлением геологической карты на инструментальной основе. В зависимости от размеров, сложности геологического строения, изменчивости тел полезных ископаемых съемка проводится в масштабе 1:10000-1:1000 с применением геохимических, геофизических методов, проходкой горных выработок (канавы, шурфы, траншеи), мелких скважин. Все выходы полезных ископаемых прослеживаются, опробуются с детальностью, позволяющей выявить форму, строение, условия залегания, интенсивность и глубину проявления зоны окисления.

Разведка на глубину проводится скважинами до горизонтов, разработка которых экономически целесообразна. Месторождения сложного строения разведываются скважинами в сочетании с подземными горными выработками. Расположение горных

выработок (в случае отработки объекта подземным способом) должно обеспечить максимально возможное их дальнейшее использование при эксплуатации.

Последовательность и объемы разведочных работ, соотношение горных и буровых выработок, форма и плотность разведочной сети, методы и способы отбора проб (рядовых, групповых, технологических) определяются, исходя из геологических особенностей разведываемого месторождения. Вещественный состав и технологические свойства промышленных типов и сортов полезного ископаемого изучаются с детальностью, достаточной для проектирования рациональной технологии их переработки.

Гидрогеологические, инженерно-геологические, горно-геологические условия изучаются с детальностью, обеспечивающей получение исходных данных для составления проекта разработки месторождения. В процессе разведки дается оценка возможных источников питьевого и технического водоснабжения, проводятся работы по выявлению местных строительных материалов, разрабатываются схемы размещения объектов промышленного и гражданского назначения, обеспечиваются природоохранные мероприятия.

Разведка завершается разработкой технико-экономического обоснования (ТЭО) *постоянных разведочных кондиций*. Производится подсчет запасов основных и попутных компонентов по категориям в соответствии с группой месторождений по сложности строения, дается детальная экономическая оценка промышленной ценности месторождения. Пространственное размещение запасов, их соотношение по категориям устанавливается недропользователем. По завершению работ *месторождение называется разведанным*.

Материалы подсчета запасов, результаты ТЭО и обоснование постоянных разведочных кондиций подлежат государственной экспертизе (геологической, экономической, экологической).

Стадия 5. Эксплуатационная разведка

Эксплуатационная разведка проводится регулярно на эксплуатируемых месторождениях с целью получения достоверных данных для безопасного ведения работ, оперативного планирования добычи, обеспечения наиболее полного извлечения из недр полезных ископаемых. Объектами изучения и оценки являются эксплуатационные этажи, блоки, уступы. Основными задачами при этом являются: уточнение контуров, вещественного состава, внутреннего строения тел полезного ископаемого, количества запасов по технологическим типам и сорта руд (с их геометризацией), уточнение гидрогеологических, горнотехнических и инженерно-геологических условий отработки по отдельным горизонтам, блокам и т. д. Подсчитываются запасы подготовленных к отработке блоков, запасы готовые к выемке.

Для обеспечения рационального использования недр ведется учет потерь и разубоживания полезного ископаемого. Определяются показатели извлечения количества полезного ископаемого и изменения его качества.

В процессе разработки месторождения при резком отклонении в отдельных его частях геологических, горнотехнических и иных условий разработки, а также при изменении экологической конъюнктуры, недропользователь имеет право разработать ТЭО

эксплуатационных кондиций. Они разрабатываются на ограниченный временной период и должны быть привязаны к конкретным участкам эксплуатации.

На протяжении разведки и эксплуатации месторождения ведется учет движения запасов в результате их прироста, добычи, переработки или списания с баланса горнодобывающего предприятия. Информация по движению запасов, добыче, потерях и обеспеченности предприятия разведанными запасами передается в федеральные и территориальные фонды геологической информации.

ПРИНЦИПЫ КЛАССИФИКАЦИИ ЗАПАСОВ ТВЕРДЫХ ПОЛЕЗНЫХ ИСКОПАЕМЫХ

Для сравнения запасов месторождений одного и того же ископаемого, учета минеральных ресурсов разной изученности в пределах страны и регионов необходимо располагать стандартизирующей системой. Такой системой является *классификация запасов*.

В нашей стране классификация месторождений полезных ископаемых утверждалась многократно (1933, 1941, 1953, 1984, 1997, 2007 гг.). Последняя классификация запасов месторождений и прогнозных ресурсов твердых полезных ископаемых устанавливает единые для Российской Федерации принципы их обоснования (Классификация..., 2007). Запасы полезных ископаемых подсчитываются по результатам геологоразведочных и эксплуатационных работ, выполненных в процессе изучения и промышленного освоения. Качество полезных ископаемых изучается с учетом необходимости их комплексного использования, технологии переработки на основе определенных требований к качеству полезных ископаемых и технических условий. При этом определяются содержания основных и попутных ценных, токсичных и вредных компонентов, формы их нахождения и особенности распределения в продуктах обогащения и переработки. Объектом подсчета запасов полезных ископаемых является месторождение (или часть месторождения) твердых полезных ископаемых.

Подсчет и учет запасов по месторождению производится в единицах массы или объема в соответствии с экономически обоснованными параметрами кондиций без учета потерь и разубоживания при добыче и переработке полезных ископаемых.

По экономическому значению запасы твердых полезных ископаемых и содержащихся в них попутных компонентов подразделяются на две группы: балансовые (экономические) и забалансовые (потенциально экономические); они подлежат раздельному подсчету и учету.

К *балансовым* относятся запасы, разработка которых на момент оценки согласно технико-экономическим расчетам (ТЭР) экономически эффективна в условиях конкурентного рынка при использовании техники, технологии добычи и переработки минерального сырья, обеспечивающих соблюдение требований по рациональному использованию недр и охране окружающей среды.

К *забалансовым* относятся запасы, разработка которых на момент оценки согласно ТЭР экономически не эффективна (убыточна) из-за низких технико-экономических показателей, но освоение которых становится экономически возможным при изменении цен на полезные ископаемые, появлении оптимальных рынков сбыта или новых технологий.

Забалансовые запасы подсчитываются и учитываются в случае, если ТЭР установлена возможность их последующего извлечения или складирования для использования в будущем.

Оценка балансовой принадлежности запасов полезных ископаемых производится на основании технико-экономического обоснования (ТЭО), подтвержденного государственной экспертизой. В рамках этой оценки должны быть предусмотрены наиболее эффективные способы разработки месторождений, предложены параметры кондиций, обеспечивающие максимально полное и комплексное использование запасов с учетом требований законодательства РФ.

Запасы полезных ископаемых по *степени геологической изученности* подразделяются на категории *A*, *B*, *C₁* и *C₂*. Прогнозные ресурсы твердых полезных ископаемых категорий *P₁*, *P₂* и *P₃* в настоящем учебном пособии не рассматриваются. Критерии их выделения в пределах минерализованных участков недр разобраны в учебных пособиях (Баранников, 2011, 2013; Коробейников, 2009; Поротов, 2012 и др.).

Запасы категории A выделяются на участках детализации разведываемых и разрабатываемых месторождений 1-й группы сложности геологического и должны удовлетворять требованиям: установлены размеры, форма и условия залегания тел полезных ископаемых; изучен характер и закономерности изменчивости их морфологии и внутреннего строения; выделены и оконтурены безрудные и некондиционные участки; установлено наличие разрывных нарушений; выделены и оконтурены промышленные (технологические) типы и сорта полезного ископаемого, установлен их состав, свойства, охарактеризовано качество сортов; изучены распределение и формы нахождения ценных и вредных компонентов в минералах и продуктах переработки; контур запасов определен в соответствии с требованиями кондиций по горным выработкам и скважинам на основе результатов их детального опробования.

Запасы категории B выделяются на участках детализации разведываемых и разрабатываемых месторождений 1-й и 2-й групп сложности строения и должны удовлетворять следующим требованиям: установлены размеры, основные особенности и изменчивость внутреннего строения, условия залегания тел полезного ископаемого, пространственное размещение безрудных и некондиционных участков; при наличии крупных разрывных нарушений установлено их положение и амплитуды смещения; определены природные разновидности, выделены и при возможности оконтурены промышленные (технологические) типы полезного ископаемого; при невозможности оконтуривания установлены закономерности пространственного распределения и количественное соотношение промышленных типов и сортов полезного ископаемого; определены минеральные формы нахождения полезных и вредных компонентов; контур запасов определен в соответствии с требованиями кондиций по результатам опробования скважин и горных выработок.

Запасы категории C₁ составляют основную часть запасов разведываемых и разрабатываемых месторождений 1-й, 2-й и 3-й групп сложности геологического строения. Также эти запасы могут выделяться на участках детализации месторождений 4-й группы. Они должны удовлетворять следующим требованиям: выяснены размеры и характерные

формы тел полезного ископаемого, основные особенности условий их залегания и внутреннего строения; оценены изменчивость и возможная прерывистость тел полезного ископаемого, наличие площадей развития мелко амплитудных нарушений; определены природные разновидности и промышленные (технологические) типы полезного ископаемого; установлены общие закономерности их пространственного распространения и количественные соотношения промышленных типов и сортов, минеральные формы нахождения полезных и вредных компонентов; контур запасов полезного ископаемого определен в соответствии с требованиями кондиций по результатам опробования скважин и горных выработок с учетом данных геофизических и геохимических исследований.

Запасы категории C₂ выделяются при разведке месторождений всех групп сложности, а на месторождениях 4-й группы сложности геологического строения составляют основную часть запасов, вовлекаемых в разработку. Они должны удовлетворять следующим требованиям: размеры, форма, внутреннее строение тел полезного ископаемого и условия их залегания оценены по геологическим, геофизическим и геохимическим данным и подтверждены вскрытием полезного ископаемого ограниченным количеством скважин и горных выработок; контур запасов определен в соответствии с требованиями кондиций на основании опробования ограниченного количества скважин, горных выработок, естественных обнажений с учетом данных геофизических и геохимических исследований, геологических построений.

Учитывая определенную «монотонность» в изложении вопроса категоризации запасов и, в известной степени, повторяемость предъявляемых требований к обоснованию отдельных категорий запасов, отразим этот материал в таблице 2, приведенной в учебном пособии (Шевелев, 2004). В ней наглядно *отражены особенности* требований к запасам разных категорий.

На разрабатываемых месторождениях *вскрытые, подготовленные и готовые к выемке запасы* полезных ископаемых, а также находящиеся в охранных целиках горно-капитальных и горно-подготовительных выработок, *подсчитываются отдельно* по категориям в соответствии со степенью их геологической изученностью.

При квалификации запасов полезных ископаемых по категориям в качестве дополнительного классифицированного показателя должны (или могут) использоваться количественные и вероятностные оценки *точности и достоверности* определения основных параметров. Однако конкретных количественных показателей для отдельных категорий запасов до сих пор не разработано. Свой подход в решении этого непростого вопроса рассмотрен А. Б. Кажданом (Каждан, 1977, 1984).

Нет сомнения в том (отмечает этот автор), что категория запасов определяется *густотой сети наблюдений*. В то же время *точность подсчета запасов зависит, прежде всего, от количества наблюдений в пределах разведанного участка* и в меньшей степени – от густоты сети наблюдений. При разной густоте сети, но при сопоставимом числе наблюдений в блоках различных размеров, *погрешности вычисления* среднеблочных оценок могут быть *примерно одинаковыми*, в то время как разведанность блоков будет резко различаться.

Понятия разведанность и точность подсчета запасов могли бы рассматриваться как взаимозависимые только при условии последовательной детализации разведочных данных в блоке установленного размера, когда с уменьшением расстояний между смежными точками наблюдений их количество в блоке закономерно возрастает. В практике разведки это условие обычно не выполняется. При детализации разведочных данных подсчетные блоки категории C_1 разделяются на более мелкие блоки категории B , а те в свою очередь на еще более мелкие блоки категории A . Поэтому связи между числом наблюдений и густотой разведочной сети не возникает.

Таким образом, при *оценке достоверности* результатов геологоразведочных работ необходимо различать степень разведанности запасов и точность их подсчета в заданных объемах недр (Каждан, 1977).

Степень разведанности запасов характеризуется детальностью выявления условий залегания, форм и строения полезного ископаемого, условий пространственного размещения в недрах. Количественно она может быть оценена *погрешностями геометризации* разведанных скоплений полезного ископаемого в недрах для заданной сети наблюдений.

Точность подсчета запасов может быть охарактеризована *погрешностями оценок их качества и количества* в оконтуренных объемах недр.

Из определения сформулированных понятий вытекает вывод, что при переводе запасов из более низких категорий в более высокие повышается не столько точность ранее подсчитанных запасов, сколько выявляются детали их пространственного размещения в пределах более мелких участков и блоков месторождения. Таким образом, точность подсчета запасов оценивается для категорий A , B и C_1 примерно одной и той же погрешностью. Но в зависимости от степени детальности наблюдений эта погрешность относится к разным по величине объемам недр.

На невозможность оценки степени изученности в виде цифровых показателей обращает внимание И. Д. Коган (Коган, 1974). Сказанное он мотивирует тем, что при подсчете запасов невозможно обеспечить заранее заданную величину погрешности для отдельных категорий, так как достоверность всех исходных данных остается практически неизменной для разных категорий запасов. Категория запасов может быть понижена в силу иных причин. Например, при низком выходе керна, незавершенности технологических исследований, при ошибках геологической интерпретации.

Специального рассмотрения заслуживают классификации запасов твердых полезных ископаемых, применяемые в основных горнодобывающих странах (Австралии, США, Великобритании, Канаде и др.). Сопоставление отечественной квалификации с зарубежными, описание признаков их сходства и различия необходимо при обосновании инвестиционной привлекательности выставляемых на конкурс отечественных месторождений, а также решения ряда иных вопросов.

Обычно в зарубежных классификациях используются не более трех категорий ресурсов (resources): измеренные (measured), исчисленные (indicated) и предполагаемые (inferred), а для оценки изученности запасов – даже двух: доказанные (proved) и вероятные (probable).

Несколько иной является классификация МАГАТЭ, используемая для отражения сырьевой обеспеченности атомной отрасли. Все учитываемые количества сырья квалифицируются как ресурсы (resources). Для характеристики их изученности (достоверности) используются две категории: достоверно установленные (Reasonably Assured Resources – RAR) и дополнительные (Inferred Resources). Сумма оценок по этим категориям рассматривается как установленные ресурсы (Identified). Для оценок ресурсов, связанных с ещё не открытыми месторождениями (Indiscovered), используются категории прогнозные (Prognosticated) и умозрительные, рискованные (Speculative).

Разное целевое назначение российских и зарубежных классификаций затрудняет их однозначное сопоставление. Точного сопоставления между отдельными категориями не может быть в принципе. В то же время при задействовании классификации МАГАТЭ условно можно считать, что категория RAR примерно соответствует категории C_1 , Inferred – C_2 , Prognosticated – P_1 , а Speculative – P_2+P_3 .

В 90-х годах ООН был разработан специальный документ, получивший название «рамочный» (frame word) классификатор ООН. Подготовленная основа классификации представляет универсальную трехмерную матрицу, являющуюся ключом-дешифратором. Она позволяет осуществлять переход от одной классификационной системы к другой (рис. 3). В представленной классификации запасы и ресурсы оцениваются с трех позиций:

- геологическая изученность, определяемая стадией выполнения работ – детальная разведка (разведка), предварительная разведка (оценка), поиски, рекогносцировочные геологические наблюдения;
- экономико-технологическая изученность, определяемая стадией технико-экономической оценки (ТЭО постоянных и временных кондиций, оценка по аналогии и т. д.);
- экономичность освоения запасов, определяемая как достаточная или низкая рентабельность.

Каждая из ячеек матрицы имеет цифровую кодировку. В системе этих координат запасы, отвечающие той или иной степени изученности, выделяются как трехмерные тела. Например, запасы, выявленные на стадии разведки ($A+B+C_1$ по отечественной классификации) и имеющие положительную экономическую оценку на уровне ТЭО постоянных кондиций, получают кодировку 1.1.1.

С 90-х годов XX века в промышленных странах разработан еще один путь согласованного подхода к оценке запасов, определяемый сводами правил («кодексами отчетности»). Одним из таких кодексов, принятых в 2006 г, в ЮАР, Канаде и США, является CRIRSCO (Committee for Mineral Reserves International Reporting Standards). Согласно стандарту CRIRSCO эксперты в заключениях должны руководствоваться определенной схемой классификации ресурсов (рис. 4). Стрелками на схеме показаны возможные переходы ресурсов в запасы при осуществлении экономической оценки объекта и обратно (например, при снижении цен), а также вероятные (probable) через измеренные, подсчитанные (measured) в доказанных (proven) при доразведке. Ресурсы предполагаемые (inferred) экономического значения не имеют.

Системы стандартов (CRIRSCO, YORK и др.) успешно задействованы за рубежом. Однако при попытках трансформировать оценки ресурсов в таксоны отечественной

классификации следует иметь в виду, что строго формальные соотношения здесь невозможны.

ТЕХНИЧЕСКИЕ СРЕДСТВА РАЗВЕДКИ

Обоснование оптимального комплекса технических средств – кардинальный вопрос разведки месторождений. На выбор технических средств разведки оказывают влияние геологические, горнотехнические и географо-экономические факторы. Их совокупным влиянием определяется пространственная ориентировка разведочных разрезов, расположение разведочных пересечений, техника проходки разведочных выработок (Каждан, 1977, 1985).

Геологические факторы отражают условия формирования, состав и строение полезных ископаемых, закономерности их локализации в геологических структурах, уровень эрозионного среза месторождений. Определяющее значение при этом имеют: характер связи полезных ископаемых с элементами геологического строения; условия залегания и морфология скоплений полезных ископаемых, их размеры; строение и состав залежей полезных ископаемых.

При анализе влияния *горнотехнических факторов* на выбор технических средств разведки должны быть учтены: предполагаемые способы вскрытия и разработки месторождения; гидрогеологические условия, горнотехнические свойства полезного ископаемого и вмещающих пород.

Геолого-экономические факторы также могут оказывать влияние. В зависимости от уровня экономической освоенности, климата, ландшафтных особенностей рельефа, энергообеспеченности территории, наличия трудовых ресурсов, дорог и т. д. приходится решать вопросы рационального соотношения горноразведочных, буровых работ и геофизических исследований.

Технические средства геологоразведочных работ различаются по своим возможностям, информативности, стоимости (Шевелев, 2004, Петруха, 2003). Они включают: горные разведочные выработки, буровые скважины, геофизические исследования.

А. Горные выработки подразделяются на поверхностные и подземные. К поверхностным относятся каналы и траншеи (магистральные и прослеживающие), мелкие шурфы и дудки, расчистки; к подземным – глубокие шурфы, штольни и шахты с комплексом развиваемых из них горизонтальных выработок (квершлагги, штреки, орты, рассечки), а также наклонных и вертикальных (восстающие, гезенки).

Поверхностные горные выработки используются для вскрытия полезного ископаемого и вмещающих пород в коренном залегании, изучения зоны окисления рудных тел. Проведение этих выработок не требует больших затрат и поэтому широко используется на ранних стадиях изучения месторождений. Ведущее значение имеет проходка *каналов*. Обычно их проходят на глубину 2-3 м, реже до 6 м уступами с высотой не более 2 м. При малом объеме работ и их рассредоточенности проходка каналов осуществляется вручную. В стадию разведки каналы проходят с применением буровзрывных работ (рыхление, на выброс) и экскаваторами, бульдозерами, канавокопателями, скреперными установками. Те же геологические задачи (вскрытие рудных тел, их документация, опробование) решает

проходка *траншей*. От канав они отличаются большим поперечным сечением и глубиной проходки (до 5 м). Используются современные технические средства – бульдозеры, скреперы, роторные установки. При изучении месторождений, представленных жильными зонами (в том числе, камнесамоцветного сырья) и для отбора технологических проб, возможна проходка *разведочных карьеров* (Петруха, 2003). Форма карьеров в плане, их размеры и глубина определяются целевым заданием. Используются карьеры для разведки полезных ископаемых, выходящих на дневную поверхность или находящихся на небольшой глубине. Глубина карьеров может достигать 50 м, а объем – десятков кубических метров. При проходке применяют разные технические средства.

Для прослеживания и оконтуривания залежей по простиранию при мощности рыхлых отложений более 5 м, а также вскрытия предполагаемых под наносами новых тел полезных ископаемых, предусматривается проходка разведочных *шурфов*. Они подразделяются на мелкие (до 10 м) и глубокие (до 40 м). Площадь сечения шурфов 1,25; 1,5; 2,0; 4,0 м². Глубокие шурфы проходят для изучения условий залегания рудных тел, отбора проб монолитов. При необходимости из шурфов проходят рассечки сечением 1,8, 2,7 или 3,6 м². Многие годы шурфы служили основным техническим средством при разведке россыпей и других приповерхностных месторождений. Неглубокие шурфы круглого сечения называются *дудками*. Шурфы, проходимые в неустойчивых и рыхлых породах, крепят, а глубиной более 10 м вентилируют.

Механизированная проходка шурфов осуществляется с использованием специализированных технических средств, предназначенных только для бурения (КШК-30А, УБСР-25), или комбинированных, используемых для проходки шурфов и скважин (ЛБУ-50, КБУ-15, УКС-22М).

Подземные горные выработки по целевому назначению подразделяются на подходные (вскрывающие) и собственно разведочные (Шевелев, 2004). К подходным относятся шахты, подходные штольни и квершлаг; к основным – штреки, орты, рассечки и восстающие.

Стволы *разведочных шахт* используются как вскрывающие выработки при разведке месторождений. Сечение разведочных стволов колеблется от 6 до 12 м², а глубина – до нескольких сотен метров. *Разведочные штольни* служат горизонтальными вскрывающими выработками при разведке месторождений, залегающих в условиях пересеченного рельефа. Поперечное сечение штолен колеблется в пределах от 6 до 9 м². *Квершлаг* также является горизонтальной вскрывающей подземной выработкой и проходится из ствола шахты. Разведочным квершлаг является только в той части, где выработка пересекает залежь полезного ископаемого. *Разведочные штреки* представляют горизонтальные горные выработки, пройденные по простиранию залежей. Их целью является прослеживание по простиранию строения рудных тел, сплошности оруденения. Штрек может быть пройден по полезному ископаемому (*рудный штрек*) или по вмещающим породам (*полевой штрек*). Если тела полезных ископаемых обладают значительной мощностью, то от полевого или рудного штрека через определенные интервалы проходят *орты* (рассечки) или *скважины* с выходом во вмещающие породы для вскрытия продуктивных зон на полную мощность. Эти выработки выполняют роль разведочных пересечений. *Разведочные гезенки* проходят из

квершлагов вверх или вниз, пересекая пологопадающие тела полезного ископаемого по их мощности. *Разведочные восстающие* проходят из штреков по восстанию залежей полезного ископаемого. Проходят восстающие с целью прослеживания залежей полезного ископаемого между основными горизонтами горных работ. При этом появляется возможность изучения сплошности оруденения по восстанию, изменчивости мощности и качества минерального сырья по вертикали.

Площади поперечного сечения в проходке квершлагов и штреков колеблется в пределах 3,6-5,8 м², ортов – 2,7-3,6 м², восстающих и гезенков – до 4 м².

При проходке разведочных выработок используются разнообразные технические средства, осуществляющие буровзрывные, погрузочные, откаточные, подъемные и иные виды работ.

Применение горных работ в качестве технического средства рекомендуется осуществлять с учетом следующих требований (Петруха, 2003):

- при заложении дорогостоящих горных выработок необходимо учитывать геологические особенности объекта (условия залегания, размеры, форма залежей), полученные во многих случаях путем разведочного бурения;
- преобладающая часть горных выработок должна приходиться на вскрытое полезное ископаемое с целью его изучения и опробования;
- горные выработки следует проходить с учетом их дальнейшего использования при эксплуатации месторождения; например: использования разведочных шахт в ранге вентиляционных.

Горные выработки позволяют детально изучить изменчивость параметров оцениваемых объектов (по форме, качеству сырья, сплошности оруденения и т. д.), учет которых крайне необходим при разведке месторождений 3-й и 4-й групп по сложности геологического строения. Примеры размещения горных выработок при вскрытии и разведке тел полезных ископаемых отражены на рисунках, приведенных в учебных пособиях (Петруха, 2003; Шевелев, 2004).

Б. *Буровые разведочные скважины* – наиболее широко применяемые технические средства разведки. Для большинства полезных ископаемых они являются главным и даже единственным техническим средством. Следует учитывать, что скважины дают менее полные сведения об оцениваемом полезном ископаемом, но буровые работы нашли широкое применение благодаря мобильности, скорости проходки скважин, относительной легкости оборудования, меньшим расходом средств на метр проходки (Шевелев, 2004). При всех очевидных преимуществах буровые скважины имеют и недостатки: они вскрывают небольшие участки недр; дают менее точные сведения о составе и строении полезного ископаемого по сравнению с горными выработками; повторное контрольное опробование и отбор проб разного назначения ограничен из-за малого количества получаемого каменного материала; при бурении скважин наблюдается их искривление, что усложняет геометризацию разведанных объемов недр; при бурении по рудоносным интервалам возникают осложнения и отмечается недостаточный выход каменного материала с ненарушенной структурой. Но буровые скважины незаменимы при разведке глубоко

залегающих месторождений. Месторождения 1-ой и 2-ой групп по сложности геологического строения в основном разведуются только бурением.

При разведке месторождений твердых полезных ископаемых скважины бурятся с поверхности и из подземных горных выработок. Для поверхностного бурения используются неглубокие ударно-вращательные, вибрационные скважины и более глубокие ударно-канатные, пневмоударные и гидроударные. При оценке глубоких горизонтов задействуют бурение колонковых скважин и бескерновых скважин вращательного бурения. Из подземных горных выработок бурятся колонковые, шарошечные и перфораторные скважины.

Приповерхностные скважины глубиной до нескольких десятков метров используются для геологического изучения рудовмещающих структур, прослеживания, опробования и оконтуривания приповерхностных участков месторождений (Шевелев, 2004). Возможно использование разного типа буровых установок: УПБ-25 и УБР-2, БУУ-2, УКБ 12/25, БУ-20-2УШ и др.

Колонковое бурение глубиной от десятков метров до 150-200 м осуществляется агрегатами, смонтированными на автомашинах (УКБ-2, БСК, КГК-100 и др.). Более глубокие скважины бурятся агрегатами УКБ-3, УКБ-4, УКБ-5 и станками ЗИФ-650, СБА-500, СБА-800, ЗИФ-1200 и др. В последнее время в практике геологоразведочных работ нашли применение станки, разработанные зарубежными фирмами. Наиболее широко применяются буровые установки компаний Boart Longyear, Atlas Copco, Sandvik, SCHRAMM и их аналогов, произведенных, как правило, в КНР. Известные в нашей стране установки алмазного бурения серии Boart Longyear включают станки LM30, LM45, LM55, LM75. Размещенные на них манипуляторы позволяют ориентировать направление бурения скважины в любую заданную сторону.

Создание новой техники направленного бурения позволило проводить разведку по более рациональным схемам при проходке многоствольных скважин и за счет этого – многократного увеличения массы опробуемого рудного материала (без бурения дополнительных скважин). При этом дополнительные стволы могут располагаться как в одной вертикальной плоскости, искривления в одну сторону, так и задаваться в разных азимутальных направлениях (рис. 5).

Скважины подземного бурения могут являться частью разведочной системы или решать частные задачи, возникающие при геологическом изучении месторождения (прослеживание локальных рудоконтролирующих структур, апофиз, поисков смещенных частей рудных тел и т. д.). Бурение колонковых горизонтальных, наклонных и вертикальных скважин до 100 м осуществляется станками БСК-2М-100, а бескерновое – станками НКР-100. Неглубокие подземные скважины могут буриться с помощью колонковых или телескопных перфораторов без отбора керна глубиной 15-20 м.

В. Геофизические исследования играют большую роль в изучении земных недр, в том числе, на стадии разведки месторождений. Несмотря на то, что непосредственной геологической информации эти исследования не дают, геофизика как метод во многих случаях позволяет сократить количество необходимых разведочных пересечений, получить дополнительную ценную информацию. При обосновании и своевременном проведении

комплекса геофизических исследований появляется возможность пересмотра рекомендуемых методик и технических средств разведки. Последние могут меняться в зависимости от конкретной геологической обстановки и разрешающей способности геофизических средств разведки (Шевелев, 2003).

Как основные технические средства, геофизические методы могут применяться для исследования недр в промежутке между разведочными сечениями и при задействовании операций геофизического опробования.

Комплекс геофизических методов для решения основных задач разведки выбирается на основе учета совокупности факторов, определяющих возможную эффективность раздельного и совместного их применения. К таким факторам относятся (Комплексная ..., 1990):

- степень дифференциации пород и руд по физическим свойствам, определяющая возможность использования данных каротажа для петрографической характеристики объектов;
- размеры, форма, элементы залегания, число рудных тел, текстурно-структурные особенности руд и их вещественный состав;
- присутствие в разрезе пород, близких по физическим свойствам к рудным образованиям;
- методика ведения горных и буровых работ, техническое состояние скважин.

При обосновании методики разведочных работ в рациональный комплекс необходимо включать минимальное и достаточное число геофизических методов, обеспечивающих получение достоверной информации с наименьшими затратами труда и времени. При задействовании нескольких методов следует предусмотреть последовательную их реализацию, скорректированную в зависимости от результатов каждого предыдущего метода.

Представления о возможностях геофизических методах формируются на основе *физико-геологической модели (ФГМ) объекта*. ФГМ включает геологическую модель, сведения о физических свойствах структурных элементов геологической модели, ожидаемые геофизические поля и аномалии на площади или по отдельным профилям (Сапожников, 2012).

В комплекс *наземных геофизических работ* при разведке месторождений входит широкий перечень методов: электроразведки, магниторазведки, радиометрии и др. Геофизические съемки в масштабе 1:2000-1:1000 позволяют более надежно оконтурить площади развития рудной минерализации, поля измененных околорудных пород, проследить выходы рудных тел, установить элементы их залегания, определить мощность рыхлых отложений и границу коры выветривания. Рассмотрим лишь ведущие из перечисленных методов.

Электроразведка включает группу методов, основанных на изучении естественных или искусственно возбужденных в земной коре электромагнитных полей. Электромагнитное поле зависит от свойств горных пород (удельного электрического сопротивления, диэлектрической проницаемости, поляризуемости, электрохимической активности). Это позволяет по изменению параметров поля изучать геологическое строение

площади и выявлять залежи полезных ископаемых. Используются следующие основные группы методов.

Электропрофилирование (ЭП) является одним из самых распространенных методов электроразведки и применяется для изучения крутопадающих слоистых толщ при некоторой постоянной глубинности изучения разреза по профилю (Сапожников, 2012). Геологическими предпосылками для применения метода является присутствие в рудах сульфидов, минералов железа и других, обуславливающих их низкое электросопротивление по сравнению с вмещающими породами. Распространенным является вариант ЭП, получивший название срединный градиент (СГ). В этом варианте токовые электроды разносятся на большое расстояние (1-3 км) и остаются неподвижными в процессе измерения удельного электрического сопротивления ρ_k при перемещении приемной установки *MN* постоянного тока и постоянного размера между электродами *AB*. В горизонтальной однородной среде градиент электрического поля ($\Delta U/MN$) практически постоянен и на его фоне заметны проявления неоднородности разреза в виде локальных тел, крутопадающих пластов с аномальными электрическими свойствами (например, зон окварцевания).

Вертикальное электрическое зондирование (ВЭЗ) – метод электроразведки, применяемый для изучения изменения удельного сопротивления по глубине для некоторой вертикальной трассы. Основан метод на постепенном увеличении размеров установки *AB* с общей центральной точкой (точкой зондирования), при котором увеличивается глубина проникновения тока и, соответственно, глубинность исследований. Метод ВЭЗ используется для изучения пространственного положения, морфологии и элементов залегания рудных тел в вертикальном разрезе. Широко задействуют его при геоморфологических исследованиях, для определения позиции и состава кор выветривания, мощности и строения рыхлого покрова, при гидрогеологических и инженерно-геологических изысканиях.

Метод вызванной поляризации (ВП) основан на изучении электрохимических процессов, возникающих на границе пород с ионной проводимостью (электронных проводников) и окружающей их жидкостью (электролитом) под воздействием пропускаемого тока. После выключения тока некоторое время в цепи возникает вторичная ЭДС – гальванический источник тока, создающий нестандартное поле вторичной поляризуемости. Метод ВП широко используется при разведке месторождений сульфидных, магнетитовых, редкометалльных и иных руд, при оценке ореолов с рассеянной рудной минерализацией.

Метод естественного поля (ЕП) основан на изучении естественных электрических полей, обусловленных разными электрохимическими процессами, самопроизвольно протекающими в земной коре. Метод эффективен при разведке рудных тел близповерхностного залегания, являющихся электронными проводниками. Используется при разведке сульфидных, магнетитовых, марганцевых и графитовых месторождений.

Метод переходных процессов (МПП) основан на изучении низкочастотного электромагнитного поля. В МПП изучается неустановившееся поле вихревых токов,

возникающих в породах и рудах при ступенеобразном изменении тока в контуре, который может быть расположен как на наземной поверхности, так и в воздухе (Горбунова, 1982).

Магниторазведка основана на изучении пространственных изменений геомагнитного поля, возникающих вследствие неодинаковой намагниченности горных пород и руд. Магнитное поле измеряют с помощью магнитометров, предназначенных для измерения полного вектора напряженности T и его вертикальной составляющей. Обычно выполняют относительные измерения, находя приращения значений поля между двумя пунктами наблюдений. Интерпретация магнитных аномалий начинается с анализа карт изолиний магнитного поля, по которым судят о морфологии, размерах и природе возмущающих объектов (Сапожников, 2012). Количественную интерпретацию аномалий осуществляют, используя графики по профилям, проходящим крест простирания геологических объектов. Магнитные съемки с высокой детальностью и точностью 1-2 нТл включаются в разведочный комплекс для решения широкого круга вопросов. В том числе: расчленения пород по литологическому составу; выявления локальных структурных элементов (даек, жил, жерловых построек и т. д.); обоснования зональности размещения разных типов метасоматических пород; выявления магнитных руд черных металлов и слабомагнитных – цветных, благородных, редкометалльных; изучения рудных тел в морфоструктурах месторождения; изучения инженерно-геологических условий и т. д.

Гравитационная разведка основана на изучении пространственного распределения плотности в земной коре с помощью измерения силы тяжести σ (в $г/см^3$). При интерпретации полей силы тяжести используется характеристика избыточной плотности $\Delta\sigma$, представляющая разность плотностей отдельного геологического тела σ_t и вмещающих пород $\sigma_{вм}$. Она может быть положительной или отрицательной. Единицей измерения силы тяжести является Галл ($см/с^2$). Но обычно пользуются более мелкой единицей – миллигалом ($1 мГал = 10^{-3}$ Гала). В разведочной геофизике относительные измерения гравитационного поля g выполняются с помощью гравиметров. Прибор позволяет измерять приращение g от точки к точке, т. е. Δg . На этой основе вычисляются аномальные поля Δg , по которым судят о неоднородностях по плотности в земной коре.

Гравиразведка применяется при структурно-геологическом изучении земной коры, разведке разных полезных ископаемых. Наиболее эффективно гравиметровой съемкой выявляются залежи железорудных и хромитовых месторождений, интенсивность аномалий силы тяжести над которыми может достигать 0,4-0,5 мГал. При увеличении детальности съемки возможно обнаружение рудных тел сульфидных месторождений размером 0,1-0,2 км², с интенсивностью аномалий 0,2-0,5 мГал (Шевелев, 2004).

Радиометрические методы основаны на изучении радиоактивности руд и горных пород с целью решения поисково-картировочных и разведочных задач, опробования. Наибольшее применение получила *гамма-съемка*, дающая положительные результаты для обнаружения радиоактивных руд и расчленения горных пород. Съемка проводится в аэро-, пешеходном, автомобильном вариантах. Радиоактивность выражается через мощность дозы излучения за единицу времени в А/кг (в системе СИ) или в микрорентгенах в час ($1 мкР/час = 10^{-12}$ А/кг). Изменения выполняют с использованием спектрометрической

аппаратуры, позволяющей выделять урановую и калиевую составляющую радиоактивного поля.

Повышенной радиоактивностью обладают породы, в которых в рассеянном состоянии находятся элементы урана, тория. Также повышенная радиоактивность свойственна породам, содержащим изотоп Калий-40. Он присутствует в кварц-серицитовых сланцах, нередко несущих золоторудную минерализацию, полевошпатовых породах, калийных солях.

Геофизические исследования скважин (ГИС) – это отрасль разведочной геофизики, отличающаяся от других методов только по методике исследований. Основные положения теории физических полей, измеряемых в скважинах, остаются теми же, что и в полевой геофизике (Сковородников, 2009, 2016). Роль и значение ГИС постоянно возрастает. В перспективе ГИС открывает путь к бескерновому изучению скважин. В настоящее время в скважинах регистрируется большое количество разных параметров (около 40). При этом стоимость ГИС составляет незначительную часть от общей стоимости сооружения и оборудования скважины.

В ГИС выделяют три больших раздела: каротаж, операции в скважинах и скважинную геофизику.

Каротаж – это геофизические методы изучения геологического строения разрезов скважин. В каротаже исследуются очень небольшие объемы горных пород, прилегающие к стенкам скважины. Отличительная особенность каротажа – высокая детальность и точность исследований. Результаты фиксируются в виде непрерывных диаграмм по стволу скважины или в виде числовых значений с шагом порядка 10-20 см. Каротаж позволяет выполнять литологическое расчленение разрезов скважин, выделять в них интервалы полезного ископаемого, определять физические свойства горных пород и полезных ископаемых *in situ*. Именно на основании данных каротажа производится интерпретация полевых геофизических методов: электроразведки – по данным об удельном электрическом сопротивлении (УЭС) пород; магниторазведки – по значениям магнитной восприимчивости пород; гравиразведки – по их плотности. Каротаж дает сведения, необходимые для подсчета запасов месторождения – данные о мощности залежей, содержанию полезного компонента и т. д. Изучение скважин подразделяется по природе изучаемых полей на методы электрического, радиоактивного каротажа и прочие методы (Сковородников, 2009, 2016).

Методы электрического каротажа включают:

- а) Группу методов кажущегося сопротивления (КС). В эту группу входят: метод КС – наиболее распространенный; резистометрия – метод определения удельного сопротивления жидкости; метод БКЗ (боковых каротажных зондирований) – скважинный аналог метода ВЭЗ; БК – боковой каротаж и др.
- б) Методы токового каротажа: метод скользящих контактов (МСК) – при исследовании рудных скважин; метод бокового токового каротажа (БТК) – для исследования углеразведочных скважин.
- в) Группа электромагнитных методов: ИК – индукционный каротаж, использующий поля низких частот; ВМП – высокочастотный волновой метод проводимости и др.

г) Группа методов электрохимической активности: ПС – метод потенциалов самопроизвольной поляризации (аналог метода естественного поля); метод электродных потенциалов (МЭП). Методы ПС и ПК стали применяться совместно, получив название стандартного электрического каротажа.

Методы радиоактивного каротажа (РК) включают: ГК – гамма каротаж – регистрация естественного гамма-излучения горных пород; ГГК – гамма-гамма каротаж, имеющий две разновидности – плотностной (ПГГК) и селективный (СГГК); РРК – рентгенорадиометрический каротаж; НГК – нейтронный гамма-каротаж и другие методы.

Скважинная геофизика – это геофизические методы изучения геологического строения межскважинного, околосокважинного и призабойного пространства. В отличие от каротажа, скважинная геофизика отличается большими объемами исследуемых горных пород. Это позволяет увеличить действующую зону влияния скважин, пройденных по разряженной сети, обеспечить получение дополнительной геологической информации о межскважинном пространстве.

Методы скважинной и полевой геофизики подразделяются по природе исследуемых физических полей. Широкое использование в практике разведочных работ получили методы скважинной разведки. Выделены методы, основанные на использовании тока разной природы.

На постоянном токе: метод ЕП-С (естественного поля, скважинный вариант), МЗТ – метод заряженного тела, МЭК – метод электрической корреляции разрезов, ЧИМ – метод частичного извлечения металла.

На переменном токе: метод радиоволнового просвечивания, ДЭМПС – дипольного электромагнитного профилирования скважин, ННП-С – наземной незаземленной петли, скважинный вариант.

На импульсном токе: СП-С – метод вызванной поляризации, скважинный вариант; МПП-С – метод переходных процессов, скважинный вариант.

Задачи геофизических исследований в *горных выработках* во многом близки к тем, что уже были сформулированы выше. В том числе: корреляция рудных подсечений; оконтуривание и оценка размеров рудных тел; поиски пропущенных при разведке рудных тел в межвыработанном, межскважинном и околосокважинном пространстве; оценка положения выработок относительно рудных тел; внедрение в практику геофизического опробования.

Геофизическое опробование дополняет геологическое и во многих случаях его заменяет. Оно осуществляется в скважинах и шурфах, на стенках горных выработок. Также опробуется отбитая рудная масса в вагонетках и на транспортерах. Особенности геометрии среды измерений и условий их проведения отражаются в специфичности аппаратуры, в конструкции датчиков.

При измерении в горных выработках основными методами электроразведки являются (Рудничная..., 1986): метод ПС, электропрофилирование, метод электрической корреляции (МЭК), методы грави- и магниторазведки. С их помощью решаются горнотехнические задачи: определяется плотность горных пород и руд, выявляются подземные полости и зоны обрушения, форма карстовых полостей, коэффициенты

фильтрации подземных вод и другие вопросы геологического обеспечения добычных работ.

СИСТЕМЫ РАЗВЕДОЧНЫХ РАБОТ

Метод локальных геологических наблюдений реализуется в разведке посредством *разведочной сети* (РС). Разведочная сеть – это методическое обоснование разведки месторождений полезных ископаемых. Она непосредственно влияет на получаемую разведочную информацию об оцениваемом объекте. От влияния собранной при разведке информации позднее невозможно избавиться никакой последующей обработкой данных (включая математическое и иное моделирование). Обоснование рациональной РС, отвечающей геологическим особенностям оцениваемого объекта, является кардинальным вопросом разведки месторождений.

Обоснование РС опирается на ряд понятий.

Любая разведочная выработка, пересекающая природное скопление полезного ископаемого, представляет искусственное обнажение и в случае выполнения определенных условий может рассматриваться как *единичное разведочное пересечение*. Совокупность разведочных пересечений, расположенных в одной плоскости, образует *разведочное сечение*, а совокупность разведочных сечений в пространстве – *разведочную систему*. Таким образом, *под разведочной системой понимается совокупность разведочных сечений (разрезов), определенным образом ориентированных в пространстве по отношению к рудному телу, позволяющих решать стоящие перед разведкой задачи* (Каждан, 1977; Рудничная..., 1986; Шевелев, 2004). Прослеживание объектов разведки в заданном направлении осуществляется с помощью разведочных пересечений, в заданной плоскости – с помощью разведочных сечений (разрезов), в заданном объеме – с помощью разведочных систем.

Разведочное пересечение должно удовлетворять ряду требований. Главные из них (Шевелев, 2004):

а) должно быть ориентировано в направлении близком к направлению максимальной изменчивости важнейших свойств полезных ископаемых в недрах (чаще – по линии мощности);

б) вскрывать залежи полезных ископаемых на полную мощность с выходом во вмещающие породы.

Разведочное пересечение может быть выполнено с применением разных технических средств: скважин, шурфов, подземных горных выработок и др. Их выбор зависит от задач разведки, природных особенностей объекта, технико-экономических соображений. Чем сложнее строение полезного ископаемого, тем в большей степени должно быть вскрыто тело оцениваемой залежи. Оптимальным при этом является использование разведочных горных выработок.

Разведочное пересечение должно быть сплошным, что обеспечивает полную информацию по изучаемому направлению. Вычисленные по нему средние значения свойств наиболее близки к действительным. Они расходятся только на величину технических погрешностей экспериментальных наблюдений.

Разведочные сечения (разрезы) могут быть поперечными, продольными или косыми по отношению к телам полезных ископаемых, а также горизонтальными или вертикальными. Разведочные пересечения в пределах разрезов могут располагаться параллельно под разными углами или пересекая друг друга. Если сведения о строении и свойствах полезного ископаемого накапливаются по линиям на основе данных разведочных пересечений, то площади (объемы) между смежными разведочными разрезами остаются неосвещенными. Чтобы иметь сведения о свойствах полезного ископаемого в пределах этих площадей, необходимо располагать характеристикой изменчивости залежи и геологической информацией, которая может быть получена только по принципу аналогии.

Несколько иной смысл вкладывал в понятие разведочной системы основоположник учения о поисках и разведке МПИ В. М. Крейтер (1961). В основе предложенной им систематики предлагалось брать необходимый комплекс технических средств разведки. Под системой разведки он понимал «такое пространственное размещение разведочных средств, которое дает возможность построить намеченные разрезы и произвести необходимое опробование для подсчета промышленных запасов полезного ископаемого». Все разведочные системы В. М. Крейтер объединил в три группы, взяв за основу технические средства разведки: группы буровых, горных и горно-буровых систем. Позднее в развитие представлений о разведочных системах уже иными авторами были положены такие базовые понятия как характер изменчивости свойств полезных ископаемых, особенность анизотропии в строении залежей, возможности их изучения на основе комплекса технических средств. Так, А. Б. Каждан (1984) предложил классификацию разведочных систем, разделив их на три класса: системы вертикальных, горизонтальных и продольных разрезов, а также входящих в них ряда групп и видов (табл.).

РАЗВЕДОЧНАЯ СЕТЬ, ЕЁ ТИПЫ, ОБОСНОВАНИЕ ПАРАМЕТРОВ СЕТИ

Типы разведочных сетей

Обоснованность запланированной в проекте разведочной системы раскрывает выбранная разведочная сеть. Под *разведочной сетью* (РЗС) следует понимать взаиморасположение в объекте разведки локальных наблюдений и измерений разведочных параметров (Шевелев, 2004). Практика показала, что при одной и той же разведочной системе могут быть реализованы разные РЗС и, наоборот, разными разведочными системами могут быть созданы одинаковые разведочные сети.

Разведочную сеть характеризуют ряд показателей.

Анизотропия РЗС – это различие в размещении наблюдений и замеров по разным направлениям пространства. Анизотропия проявляется в форме и ориентировке ее ячеек. Если форма ячеек изометричная (квадратная, треугольная), то сеть изотропна. Если ячейка сети обладает удлиненной формой (прямоугольной, ромбической) с одинаковой ориентировкой, то сеть анизотропна.

Геометрия сети может быть разной. Выделяют правильные, неправильные и линейные сети.

Правильные сети – расположение разведочных пересечений подчиняется строгому геометрическому порядку (квадратная, прямоугольная, ромбическая).

Неправильные сети – отсутствует общая геометрическая упорядоченность в расположении разведочных пересечений.

В *линейных сетях* – разведочные пересечения располагаются в плоскости разведочных сечений и образуют отдельные линии на плоскости проекции; они могут быть параллельными или пересекающимися.

РЗС формирует представление об объекте разведки, соответствие которого в действительности можно проверить только в процессе отработки месторождения. Поэтому следует стремиться к обоснованию и реализации на практике «оптимальной» разведочной сети. По мнению В. В. Шевелева (2004) для этого необходимо выполнение ряда условий.

Первое: при ограниченных ассигнованиях на разведку оптимальная РЗС должна быть обеспечена лимитированным количеством разведочных пересечений, позволяющим выполнить разведку с наибольшей точностью и детальностью.

Второе (дополняющее первое): требования по точности и детальности разведки (категоризации запасов) следует реализовать наименьшим количеством разведочных пересечений.

Третье: у разведочной сети должна быть «оптимальная геометрия», отвечающая структурно-морфологическим особенностям объекта.

На примере четырех ведущих морфологических типов полезных ископаемых ниже рассмотрены условия выбора разведочных сетей (Волков, 2006).

1. Горизонтальные пластовые, пластообразные и линзообразные залежи, имеющие в плане изометричную или близкую к ней форму. Элементы анизотропии свойств не выражены. К этой группе следует отнести месторождения осадочного генезиса и кор выветривания: часть месторождений железных руд, марганца, никеля, бокситов, углей, фосфоритов. Если залежь должна быть изучена с одинаковой точностью по всей площади, то для достижения этой цели наиболее эффективна *квадратная сеть* разведочных пересечений (рис. 20). Она дает возможность получить серии взаимно пересекающихся разрезов. Подобная сеть позволяет на отдельных участках более сложного строения дальнейшее развитие РЗС путем проходки детализационных профилей (рис. 21).

При разведке рассматриваемого типа залежей возможны и другие варианты сетей, отвечающих тем же условиям равномерности расположения точек наблюдений. К ним можно отнести *треугольную сеть*, позволяющую построить равноточные разрезы по трем направлениям. При одинаковом расстоянии между точками пересечения у треугольной сети есть преимущество – расстояние до центра ячейки оказывается меньшим (рис. 22). Но треугольная сеть в практике разведок почти не используется (возможности ее дальнейшего развития отсутствуют).

2. Горизонтальные пластовые и пластообразные залежи, обладающие заметно выраженной в плане протяженностью в одном направлении – более распространенный в природе класс залежей по сравнению с предыдущим, шире охватывающий те же типы осадочных и экзогенных месторождений. Наличие у тел длины и ширины определяет анизотропию их строения. Поперек вытянутости залежей изменчивость выше, вдоль тел – меньше. Условию получения равномерной изученности залежей в данном случае наиболее соответствует *прямоугольная сеть*, стороны которой ориентированы по направлению

длины и ширины тела. Короткая сторона ячейки располагается по ширине, а длинная – вдоль вытянутости объекта (рис. 23). Прямоугольная сеть обладает возможностями ее развития – сгущение на отдельных участках, проходка детализационных профилей.

Примером рассматриваемой группы залежей служат сильно вытянутые извилистые в плане тела лентообразной формы с резко выраженной анизотропией свойств (рис. 24). Геометрически правильная прямоугольная сеть при этом нарушается, и она становится близкой к сети следующего типа.

3. Наклонные залежи с отчетливо выраженными элементами залегания являются наиболее распространенным типом объектов разведки. Их морфология соответствует пластам, пластообразным залежам. Залежи такого типа обладают анизотропией морфологии, условий залегания и внутреннего строения. Разведочная сеть подчинена этим признакам. Применяется система параллельных вертикальных сечений (при выдержанном простирании) или непараллельных (при изменчивом простирании), располагающихся на одинаковом расстоянии друг от друга (рис. 25). Способы развития сети точек наблюдений близки к описанным выше. Например, детализация имеющихся профилей, проходка промежуточных линий и выработок.

4. Для крутопадающих залежей, имеющих облик штоков, характерны сложные виды анизотропии (состава, свойств). В этом случае используется комбинированный способ разведки с применением горных выработок и буровых скважин. В одном из вариантов разведки крутопадающее рудное тело пересекается горными выработками по нескольким горизонтальным сечениям. В каждом сечении проходятся поперечные горные выработки и горизонтальные скважины с целью оконтуривания и изучения залежи (рис. 26).

В учебном пособии (Рудничная..., 1986) приведена более лаконичная систематика разведочных сетей. Выделены две системы разведки – по сетке и параллельным сечениям.

В системе разведки по сетке задействованы правильные разведочные сети – квадратная, прямоугольная, ромбическая. Эти РС применяются для крупных по размерам, простых по морфологии и внутреннему строению рудных тел, залегающих горизонтально или слабо наклонно – пластов, пластообразных тел, штокверков, плащеобразных залежей (рис. 27).

В системе разведки по параллельным сечениям следует выделять: а) горизонтальные сечения для крутопадающих тел сложной формы и строения (трубообразных, линейных оруденелых зон); б) вертикальные сечения для любых по форме тел с переменными углами падения, сложным внутренним строением и глубокозалегающим. Иногда системы горизонтальных и вертикальных сечений могут применяться на одной и той же залежи. Здесь верхняя часть разведывается горизонтальными сечениями (горными выработками в комбинации с подземными скважинами), а глубокие горизонты – скважинами с поверхности и подземным бурением, создающими вертикальные сечения.

Принципиальная схема разведки рудных тел линзообразной формы с использованием горноразведочных работ и буровых скважин отражена на рисунке 28.

Плотность разведочной сети, её обоснование

Обсуждение вопроса о плотности разведочной сети имеет высокую актуальность. С одной стороны, этот вопрос касается детальности изучения объекта, а с другой – связан с

затратами средств и времени. Выбор плотности сети ориентируется на изучение *наиболее изменчивых параметров залежей*. В одних случаях для надежной оценки объема и условий залегания полезных ископаемых используются характеристики изменчивости формы залежей; в других – для оценки качества минерального сырья результаты исследования изменчивости линейных запасов или содержаний.

Разведочная сеть создается в плоскости залежей. Плотность (густота) разведочной сети определяется площадью, приходящей на одно разведочное пересечение. Плотность разведочной сети (R) есть безразмерный показатель – отношение объема залежи (Q) к объему разведочной ячейки (q), т. е. $R=Q/q$. Однако в практике разведки практически всегда используют параметры, характеризующие расстояние между разведочными пересечениями, как в плоскости разведочных сечений, так и между ними.

Плотность разведочной сети зависит от размеров скоплений полезных ископаемых, сложности их геологического строения, целей разведочных работ, размеров оцениваемых (подсчетных) блоков. Чем гуще РЗС, чем меньше размер ее ячейки, тем большей разрешающей способностью она обладает и тем более глубокий уровень в строении оцениваемых объектов она вскрывает. По мере сгущения РЗС у наблюдаемой изменчивости разведочных параметров меняется соотношение между ее случайной и закономерной составляющими в сторону увеличения последней. Суммарная изменчивость остается постоянной, что выражается в постоянстве величины ее дисперсии при разной густоте РЗС (Шевелев, 2004).

Мерой, определяющей степень сгущения разведочной сети, служит выявляемая доля координированной изменчивости свойств залежей полезных ископаемых. Только при ее наличии правомерна геометризация параметров залежей. Составляющая неслучайной (координированной) изменчивости может быть выявлена и оценена горно-геометрическими и математическими методами.

В практике геологоразведочных работ при оптимизации РЗС задействуют следующие методы (способы):

- аналогии;
 - разрежения (сгущения) разведочной сети;
 - сравнения данных разведки с данными эксплуатации;
 - геометро-статистический;
 - совокупность математических методов
- и ряд других способов.

Способ аналогии применяется в соответствии с принципом аналогии. Первоначально разведочная сеть принимается по аналогии с другими близкими по геологическому строению объектами. Месторождения должны относиться к одному геолого-промышленному типу. В данном случае задействуется *межобъектная аналогия*. Наибольшее значение способ приобретает на стадии оценочных работ в связи с недостатком сведений о геологическом строении оцениваемого объекта.

Способ базируется на отнесении разведываемого объекта к определенной группе сложности строения и выборе плотности РЗС на основе обобщения данных разведки многочисленных месторождений, приведенных в «Методических указаниях по

применению классификации запасов...», МПР РФ, 2007. Накопленный опыт указывает на определенную условность отнесения объектов к той или иной группе. Индивидуальность объектов является основной причиной ошибок при использовании метода. Чем необычнее по строению, составу оцениваемые недра, тем ниже оказывается возможность использования способа аналогии.

В пределах месторождения возможно применение *внутриобъектной аналогии* – использование апробированных разведочных сетей на участках выборочной детализации или в пределах отработанных частей залежей. Способ аналогии является наиболее используемым. Однако в рекомендациях ГКЗ подчеркивается, что он является приближенным и обязательно требует заверки соответствующими экспериментами и расчетами.

Способ разрежения относится к категории экспериментальных. Основан на предположении, что достигнутая на объекте густота сети наблюдений заведомо обеспечивает требуемую точность результатов, что чаще не является бесспорным. Способ сводится к последовательному разрежению исходной разведочной сети в 2, 3, 4 и т. д. раз. По разреженной РС определяются средние параметры разведочного участка, сосредоточенные в них запасы, строятся геологические разрезы. Затем производится их сравнение с «истинными» характеристиками, полученными на основе всех разведочных данных по исходной сети. Обнаруживающиеся различия рассматриваются как погрешности, к которым приводит конкретное разрежение сети. Задавая допустимый уровень погрешности, можно установить минимальную густоту сети, при которой во всех вариантах пространственного расположения точек наблюдений погрешности оценки параметра не превысят допустимого значения. Изменение наблюдаемого облика залежи полезного ископаемого при последовательном разрежении сети точек наблюдений отражено на рисунке 29. В тоже время следует отметить, что способ разрежения, как метод сравнения, следует применять в качестве общетеоретического исследования, а не оперативного средства для оценки сети разведываемого объекта (Шевелев, 2004).

Способ сгущения разведочной сети – экспериментальный способ, имеющий конкретную прикладную направленность. Он применяется в тех случаях, когда имеющаяся сеть точек наблюдений признана недостаточно густой или необходим контроль правильности представлений о геологической модели объекта. При последовательном сгущении сети следует постоянно анализировать изменение представлений о морфологии рудных тел, условиях их залегания и иных геологоразведочных параметров. Одним из показателей достаточности РС является однозначная увязка геологических элементов и рудных тел на планах и разрезах.

Следует учитывать, что при каждом сгущении сети имеется только один вариант пространственного положения начального пункта сети. Для этого варианта определяется среднее значение исследуемого параметра и вероятная погрешность его оценки. Достаточной признается такая густота сети, которая обеспечивает погрешности ниже допустимой, а увязка данных по соседним разведочным выработкам становится однозначной.

Способ сравнения данных разведки с данными эксплуатации заключается в сравнении разведочной модели недр с наиболее достоверной, основанной на наиболее детальном изучении недр в процессе эксплуатационных работ. Различие, которое при этом фиксируется, рассматривается как показатель, оценивающий правильность и точность разведки (Комплексная ГЭО..., 1990; Сборник нормативно-методических документов..., 1998, Шевелев, 2004). Данные разведки и отработки сопоставляются в контурах запасов, ранее прошедших экспертизу в ГКЗ РФ, с учетом отработки запасов за пределами этих контуров

Сравнению подлежат запасы полезного ископаемого и их компонентов, все подсчетные параметры (мощность тел полезных ископаемых, содержание полезных и вредных компонентов, объемная масса, площадь тела полезного ископаемого, коэффициент рудоносности и т. д.).

При сопоставлении должны анализироваться не только параметры и общие цифры запасов, но и выявленные изменения в представлениях об особенностях геологического строения месторождения; анализируется их влияние на количество и качество запасов полезного ископаемого. Должны вскрываться причины расхождений сопоставляемых данных разведки и отработки. Должна быть доказана достоверность данных эксплуатационной разведки, эксплуатационного опробования очистных выработок, геолого-маркшейдерского и фабричного учета, достоверность учета потерь и разубоживания (рис. 2, 30, 31).

Необходимо отметить, что результаты эксплуатации месторождения нельзя рассматривать как безошибочные. При разработке месторождения не всегда полностью учитываются потери и разубоживание минерального сырья, а это искажает представление о морфологии и качестве тел полезных ископаемых. Подготовительные и очистные работы часто не проводятся в тектонически сложных зонах, на участках размыва залежей, их расщепления или выклинивания, что снижает достоверность собранных сведений. Поэтому на практике применение способа чаще ведется путем сравнения не с данными добычи, а с результатами эксплуатационного опробования.

В результате сопоставления данных разведки и разработки даются рекомендации, направленные на повышение достоверности исходных разведочных данных, методики разведки, оконтуривания и подсчета запасов.

Геометро-статистический способ имеет достаточно надежный и относительно простой математический аппарат, широкий диапазон применения. Возможности использования метода для решения комплекса горно-геологических задач рассмотрены ранее (см. раздел 11.3). Здесь приведена методика решения лишь одной задачи – определения рациональной плотности разведочной сети.

Для решения прикладных геологоразведочных задач обычно используют данные эксплуатационной разведки. Подбор данных проводится на профилях, ориентированных по простиранию и падению рудных тел. Размеры между точками наблюдений соответствуют расстояниям между точками отбора проб в горных выработках или скважинах. Длина профилей соответствует параметрам рудных тел по исследуемым направлениям. Обработка материалов заключается в построении одномерных графиков изменчивости геологических

параметров в системе координат: содержание полезного компонента (мощность залежи) – расстояние. Затем проводится выравнивание (сглаживание) исходных данных, оценка уровенного строения, частотных и амплитудных характеристик изучаемых полей (геохимических, морфометрических).

Для обоснования плотности и геометрии разведочной сети применяется *способ геометрической автокорреляции*, соответствующий геометро-статистической модели (Рудничная..., 1986; Петруха, 2003). Способ позволяет вычислять значение радиуса геометрической автокорреляции (R_q , м) после выравнивания исходных данных по формуле: $R_q=L(1+2K_q)^{-1}$, где L – длина участка аппроксимации (исследуемого профиля), м; K_q – количество экстремальных значений аппроксимирующей поле функции на профиле; q – структурный уровень. Оптимальный шаг разведки принимается равным среднему значению радиуса геометрической автокорреляции, вычисленному по сечениям рудного тела (по простиранию и падению).

Геометро-статистическая модель используется для установления связи между уровнями частотной изменчивости параметра (R_q) и категориями разведанных запасов. Применение модели оправдано при преобладании закономерной составляющей изменчивости признака над случайной составляющей или при их равных соотношениях.

Обоснование оптимальной плотности разведочной сети для медноколчеданных месторождений Урала, выполненное Л. М. Петрухой (1991), позволило установить, что распределение меди, цинка, серы в рудных телах месторождений в основном изометрично. Оценка анизотропии (A) изменчивости геологоразведочных параметров, определенной как соотношение значений (R_q) по простиранию и падению рудных тел ($A=R_{q1}/R_{q2}$), показала, что среднее значение $A=1,1$, т. е. близко к единице. В связи с этим разведочная сеть на медноколчеданных месторождениях должна быть квадратной, а не прямоугольной (как это отражено в Методических рекомендациях ГКЗ).

Обоснование плотности разведочной сети с использованием аппарата стационарной случайной функции и геостатистической модели рассмотрены ранее (см. раздел 11.3).

Контрольные вопросы к теме 3

1. Принципы разведки. Для чего они разработаны?
2. В чем заключается принцип последовательных приближений?
3. Как реализуется принцип аналогии?
4. В чем заключается принцип максимальной эффективности?
5. На какие этапы и стадии подразделяется процесс геологического изучения недр?
6. На какой стадии геологоразведочных работ рудопоявление переходит в разряд месторождений?
7. Что такое – месторождение оценённое, месторождение разведанное?
8. Какой документ подготавливается по результатам разведки месторождения? Каково его содержание?
9. Какие виды горных выработок применяются при разведке? Охарактеризуйте условия их применения.
10. Перечислите преимущества и недостатки применения при разведке буровых скважин.

11. Какие геофизические методы применяются при изучении поверхности месторождений?
12. Какие задачи при разведке позволяет решать каротаж скважин?
13. Какие данные позволяют получить применение геофизических методов при изучении межскважинного пространства?
14. Что такое система разведки?
15. Типы разведочных сетей.
16. Плотность разведочной сети; какие факторы определяют ее обоснование?
17. В чем сущность способов аналогии и разрежения при обосновании плотности разведочной сети?
18. Как осуществляется сопоставление данных разведки и эксплуатации при обосновании плотности сети наблюдений?
19. Что лежит в основе математических методов обоснования плотности разведочной сети (статистического, геометро-статистического, геостатистического и др.)?

Тема 4

Подсчет запасов полезных ископаемых

КОНДИЦИИ ДЛЯ ПОДСЧЕТА ЗАПАСОВ ПОЛЕЗНЫХ ИСКОПАЕМЫХ

Кондиции на минеральное сырье представляют собой совокупность требований к качеству и количеству полезных ископаемых, горно-геологическим и иным условиям их разработки, обеспечивающим наиболее полное комплексное и безопасное использование недр на рациональной экономической основе с учетом экологических последствий эксплуатации месторождения (Методические рекомендации..., 2007; Временное руководство..., 1997). Кондиции – это основной инструмент геолого-экономической оценки месторождений. Они разрабатываются и уточняются в процессе геолого-экономической оценки месторождений по материалам их разведки и эксплуатации на основе специального технико-экономического обоснования (ТЭО).

Для подсчета запасов рудных месторождений, а также отдельных видов нерудного сырья (горно-химического, плавикового шпата, барита, графита, талька, асбеста, слюды), кондиции могут включать следующие параметры:

- бортовое содержание компонента в пробе или условия оконтуривания рудных тел в геологических границах;
- минимальное содержание компонента в краевой выработке;
- минимальное промышленное содержание компонента в подсчетном блоке, запасы которого относятся к балансовым;
- коэффициенты приведения содержания попутных компонентов к основному в комплексных рудах и минимальное их содержание, учитываемое при приведении;
- максимально допустимое содержание вредных примесей в краевой пробе, оконтуривающей выработку и по месторождению;
- минимальная мощность тел полезного ископаемого или минимальный метропроцент (метрограмм);
- максимально допустимая мощность прослоев пустых пород и некондиционных руд, включаемых в подсчетный контур полезного ископаемого;
- минимальный коэффициент рудоносности для месторождений с прерывистым и гнездовым распределением полезных компонентов;
- минимальные запасы изолированных тел полезных ископаемых, при которых они относятся к балансовым.

По остальным типам месторождений полезных ископаемых (карбонатные породы, магнезиты, дуниты, цементное сырье и другие) кондиции для подсчета запасов включают:

- требования к качеству полезного ископаемого (или получаемой из него продукции) в соответствии с действующими стандартами и техническими условиями или обусловленными результатами технологических испытаний;
- условия подсчета запасов по сортам (классам, маркам) конечной продукции;
- минимальную мощность тела полезного ископаемого;
- максимально допустимую мощность прослоев пустых пород и некондиционных руд, включаемых в подсчетный контур полезного ископаемого;

- минимальный выход конечной продукции.

Для каждого месторождения, в зависимости от геологического строения, горно-технических условий разработки и требований промышленности к качеству минерального сырья, учитывают только те их перечисленных параметров, которые необходимы для геолого-экономической оценки его промышленного назначения.

Рассмотрим важнейшие кондиционные показатели.

Бортовое содержание – это наименьшее содержание полезных компонентов в пробах, включенных в подсчет запасов, при оконтуривании по мощности тела полезного ископаемого в случае отсутствия четких геологических границ. Оно должно отвечать наибольшему экономическому эффекту разработки месторождения. В комплексных месторождениях бортовое содержание выражается суммой содержаний полезных компонентов, имеющих промышленное значение. Эта сумма должна быть приведена к содержанию условного основного компонента, имеющего максимальную извлекаемую стоимость. Примеры оконтуривания месторождений при различных вариантах бортового содержания приведены на рисунках (рис. 32, 33).

Бортовое содержание определяется на основе повариантных подсчетов запасов. В качестве исходного варианта целесообразно применять бортовое содержание месторождения, аналогичного оцениваемому (по типу оруденения, размерам, морфологии рудных тел, вещественному составу руд, условиям разработки). Варианты с более высокими или низкими бортовыми содержаниями следует подбирать таким образом, чтобы разница в запасах руды, подсчитываемых при снижении (повышении) бортовых содержаний, составляла, как правило, не менее 10 % от общих запасов ближайшего варианта. Количество вариантов обычно не превышает 5 и чаще всего ограничивается значением 3. В случаях, когда сведения о бортовом содержании на аналогичном месторождении отсутствуют, первоначальную ориентировочную величину этого параметра в качестве исходного варианта определяют аналитическим путем, исходя из цены полезного компонента, коэффициента сквозного извлечения, разубоживания при добыче, удельных затрат на добычу и переработку. Последние определяются, исходя из укрупненных показателей намеченных систем добычи и переработки полезных ископаемых и предполагаемого масштаба месторождения. Для аналитического выражения бортового содержания применяются следующие формулы:

а) при ценах на содержащийся в концентрате полезный компонент:

$$C_{\text{борт}} = [(Z_{\text{д}} + Z_{\text{о}}) / (C_{\text{к}} \cdot I_{\text{о}} \cdot (1-p))] \cdot 100 \%,$$

где $Z_{\text{д}}$ и $Z_{\text{о}}$ – эксплуатационные затраты на добычу и обогащение 1 т руды, руб.; $C_{\text{к}}$ – цена 1 т полезного компонента в концентрате без налога на добавленную стоимость (НДС), руб.; $I_{\text{о}}$ – коэффициент извлечения при обогащении, доли ед.; p – разубоживание при добыче, доли ед.;

б) при ценах на товарные концентраты ($C_{\text{к}}$) с установленным в них содержанием ($C_{\text{к}}$) полезного компонента:

$$C_{\text{борт}} = [((Z_{\text{д}} + Z_{\text{о}}) \cdot C_{\text{к}}) / (C_{\text{к}} \cdot I_{\text{о}} \cdot (1-p))] \cdot 100 \%.$$

Оконтуривание рудных тел в соответствии с вычисленной величиной бортового содержания и подсчет запасов позволяют установить, какова будет экономическая

эффективность разработки месторождения, а также наметить величину прочих вариантов бортового содержания. При этом верхний предел бортового содержания не должен быть выше минимального промышленного содержания, подсчитанного с учетом налогов, платежей и отчислений; нижний предел бортового содержания не должен быть ниже уровня содержаний, при которых полезный компонент не извлекается в товарную продукцию.

Минимальное содержание компонента в краевой выработке устанавливается в тех случаях, когда выявлено закономерное снижение содержаний полезных компонентов в краевых частях рудного тела. Оконтуривание рудных тел в соответствии с минимальным содержанием в краевых выработках должно соответствовать наибольшему экономическому эффекту разработки месторождения. Это минимальное содержание определяется вариантным способом.

Минимальное промышленное содержание полезного компонента в подсчетном блоке – это содержание, при котором извлекаемая ценность минерального сырья обеспечивает возмещение всех затрат и получение минимальной установленной прибыли.

Минимальное промышленное содержание без учета налогов, платежей и отчислений определяется по формулам:

а) при ценах на содержащийся в концентрате полезный компонент:

$$C_{\text{мин}} = [(Z_y + K_y \cdot E) / (C_k \cdot I_o \cdot (1-p))] \cdot 100 \%,$$

где Z_y – эксплуатационные затраты на добычу и обогащение 1 т руды, руб.; K_y – удельные капитальные вложения в строительство горнопромышленного предприятия, руб.; E – учетная ставка банка, доли ед.; при отсутствии инфляции принимается 5-6 %;

б) при ценах на товарные концентраты:

$$C_{\text{мин}} = [(Z_y + K_y \cdot E) \cdot C_k] / [(C_k \cdot I_o \cdot (1-p))] \cdot 100 \%.$$

Минимальное промышленное содержание с учетом налогов, платежей и отчислений определяется по формулам:

а) при ценах на содержащийся в концентрате полезный компонент

$$C_{\text{мин. н}} = [(Z_{\text{ун}} + K_y \cdot E + N_y) / (C_k \cdot I_o \cdot (1-p))] \cdot 100 \%,$$

где $Z_{\text{ун}}$ – эксплуатационные затраты на добычу и обогащение 1 т руды с учетом налогов, которые входят в структуру эксплуатационных затрат; N_y – налоги, платежи, отчисления на прибыль в расчете на 1 т годовой добычи руды;

б) при ценах на товарные концентраты

$$C_{\text{мин. н}} = [(Z_{\text{ун}} + K_y \cdot E + N_y) \cdot C_k / (C_k \cdot I_o \cdot (1-p))] \cdot 100 \%.$$

Приведенное содержание полезных компонентов комплексных руд к содержанию условного компонента осуществляется с использованием переводных коэффициентов. Эти коэффициенты определяются исходя из соотношения цен полезных компонентов и коэффициентов извлечения при обогащении руд. Минимальное содержание, учитываемое при приведении к содержанию условного компонента, принимается равным содержанию, при котором минеральное образование не извлекается при принятой технологии обогащения:

$$K_{\text{пр}} = (C_{\text{п}} \cdot I_{\text{п}}) / (C_o \cdot I_o),$$

где C_o и $C_{\text{п}}$ – цена 1 т основного и попутного компонента в концентрате, руб.; I_o и $I_{\text{п}}$ – соответственно их коэффициенты извлечения, доли ед.

Максимальные допустимые содержания вредных примесей у полезных ископаемых, используемых без обогащения, устанавливаются в пробе или в интервале разведочной выработки в соответствии с требованиями промышленности. Если при отработке месторождения предусматривается усреднение добытого минерального сырья, максимально допустимое содержание вредных примесей может быть установлено для подсчетного блока. При обогащении полезного ископаемого, когда вредные примеси полностью или частично переходят в концентрат и не извлекаются из него в дальнейшем, соответствующие ограничения вводятся для подсчетного блока. В случае, когда для удаления вредных примесей из концентрата требуется дополнительная переработка, их содержание в подсчетном блоке учитывается через величину минимального промышленного содержания полезного компонента.

Минимальная мощность полезного ископаемого и максимально допустимая мощность прослоев пустых пород и некондиционных полезных ископаемых устанавливается исходя из принятого способа и системы разработки месторождения. Целесообразность отработки рудных тел меньшей мощности, но с повышенным содержанием полезных компонентов, определяется по *метропроценту (метрограмму)* исходя из установленной минимальной мощности тела полезного ископаемого и бортового содержания.

В случае сложного строения рудных тел, когда рудные интервалы чередуются с безрудными, для уточнения величины максимально допустимой мощности прослоев пустых пород и некондиционных руд проводится подсчет запасов при разной мощности этих слоев по каждому из оцениваемых вариантов бортового содержания. Оценка влияния прослоев на размеры и форму рудных тел и последующую эффективность добычи и переработки полезного ископаемого позволяет установить оптимальную величину этого параметра кондиций.

Коэффициент рудоносности применяется в случае невозможности выделить и оконтурить в процессе геологоразведочных работ отдельные рудные тела. Минимальная величина коэффициента рудоносности устанавливается для подсчетного блока, исходя из минимально приемлемой рентабельности разработки месторождения, при определении которой наряду с общепринятыми затратами учитываются дополнительные, связанные с доразведкой и оконтуриванием рудных тел и их селективной выемкой.

Минимальные запасы изолированных тел полезных ископаемых, при которых они относятся к балансовым ($Q_{\text{мин}}$), устанавливаются исходя из дополнительных расходов, связанных с их вскрытием и отработкой, по формуле:

$$Q_{\text{мин}} = [K_{\text{д}} \cdot (1-p)] / [(C_{\text{из}} - Z_{\text{ун}} - N_{\text{у}} - K_{\text{д}} \cdot E) \cdot (1-p)],$$

где $K_{\text{д}}$ – капитальные вложения, необходимые на проходку дополнительных вскрышных выработок, руб.; $C_{\text{из}}$ – извлекаемая в концентрат ценность полезных компонентов из 1 т руды, руб.; p – потери при добыче, доли ед.

ОКОНТУРИВАНИЕ ЗАПАСОВ

Оконтуривание является одной из самых ответственных операций при подсчете запасов. Оно заключается в ограничении рудных тел или их разведанных участков на площади и в разрезе.

Оконтуривание запасов ведется по промышленным кондициям. Запасы оконтуриваются по трем направлениям: *мощности, простирацию и падению* рудной залежи. Исходными материалами для оконтуривания служат данные геологической документации и результаты опробования.

Контур может представлять собой: 1) естественные границы рудных тел; 2) линию с бортовым содержанием; 3) линию с нулевым содержанием полезного компонента; 4) линию с минимальной промышленной мощностью рудного тела; 5) линии разных типов и сортов руд; 6) линии, разграничивающие запасы разных категорий; 7) линии участков с разными условиями вскрытия и разработки; 8) линии предельного содержания вредных примесей. Некоторые типы контуров приведены на рисунках 34, 35.

Если тело не имеет естественных природных границ, его оконтуривают чаще всего по бортовому содержанию или по минимальной промышленной мощности.

При оконтуривании запасов различают внутренний и внешний контуры. *Внутренний контур* – линия, соединяющая крайние точки с кондиционными содержанием и мощностью; *внешний контур* – линия, проведенная за пределами этих точек по более низким (некондиционным) показателям. Площадь между внутренним и внешним контурами принято называть *межконтурной полосой* (рис. 36).

Оконтуривание начинается с определения *опорных точек*, через которые затем проводится линия контура. Положение опорных точек устанавливают методами интерполяции и экстраполяции. *Метод интерполяции* заключается в определении мощности или содержания между смежными выработками. *Метод экстраполяции* состоит в определении мощности или содержания за пределами выработок. Различают *ограниченную экстраполяцию*, когда внешняя контурная линия проводится между рудной и безрудной точками, и *неограниченную экстраполяцию*, когда эта линия проводится за пределами контура выработок, где данные о параметрах рудного тела отсутствуют.

Положение опорной точки между двумя пробами определяется с помощью интерполяции, если содержание полезного компонента изменяется закономерно, то есть переход между рудой и вмещающими породами постепенный. При незакономерном изменении содержания промышленный контур проводят обычно через середину расстояния между пробами с кондиционным и некондиционным содержанием или даже через крайнюю кондиционную пробу. Положение опорной точки при экстраполяции принимается на половине, трети или четверти расстояния между выработками или определяется по естественным формам выклинивания рудных тел.

Для полого залегающих плоских изометричных тел площадь оконтуривается в плане, для крутопадающих плоских тел – на продольных разрезах и вертикальных проекциях. Для крутопадающих тел с выдержанными углами падения оконтуривание площади иногда проводят на проекции, параллельной плоскости падения.

Как во внутренних, так и во внешних контурах, производится блокировка запасов по категориям, типам и сортам руд, условиям залегания, вскрытия, разработки и т. д.

Вначале оконтуривание выполняется по отдельным выработкам, затем по отдельным разведочным сечениям (вертикальным или горизонтальным) и только потом в целом по рудному телу.

Оконтуривание рудных тел в пределах отдельных разведочных выработок зависит от их ориентировки относительно рудного тела. В *секущих* выработках при наличии четких геологических контактов с вмещающими породами границы тела определяются по данным непосредственных наблюдений в забое горных выработок или по керну буровых скважин. При отсутствии четких геологических контактов границы тела полезного ископаемого определяются по результатам опробования и проводятся между породами, показавшими кондиционное и некондиционное содержание полезного компонента. При этом возможны 2 случая: а) если опробование выполнено сплошной бороздой, контур тела проводится по границе последней пробы, показавшей кондиционное содержание; б) если опробование проводится с интервалом между пробами, то границы промышленной части тела проводят между пробами способом интерполяции.

При незакономерном изменении содержания полезного компонента промышленный контур проводят обычно через середину расстояния между пробами, показавшими кондиционное и некондиционное содержание полезного компонента (рис. 37).

В *прослеживающих* выработках кроме распределения полезного компонента необходимо учитывать и характер выклинивания рудного тела. При резком выклинивании контур проводится по данным непосредственных наблюдений. При постепенном выклинивании учитывается характер изменения содержания и мощности.

Если содержание полезного компонента снижается постепенно, а мощность остается постоянной, то оконтуривание производится по содержанию. Здесь существуют те же два варианта, что и для секущих выработок: при опробовании сплошной бороздой контур проводят через границу последней кондиционной пробы, а при поинтервальном опробовании – методом интерполяции по приведенной выше формуле.

Если наблюдается постепенное уменьшение мощности тела, а содержание остается постоянным, то контур проводится либо по мощности, либо по метропроценту (метрограмму). Граница промышленной части тела определяется по следующим формулам:

$$X=L(M_{\text{мин}}-M_B)/(M_A-M_B),$$

где X – расстояние от точки B с некондиционной пробой до контура тела; L – расстояние между кондиционной (A) и некондиционной (B) пробами; M_A и M_B – мощности тела соответственно в точках A и B ; $M_{\text{мин}}$ – минимальная мощность, установленная условиями;

$$X=L(M\%_{\text{мин}} - M\%_B)/(M\%_A - M\%_B),$$

где $M\%_{\text{мин}}$ – минимальный метропроцент, установленный условиями; $M\%_A$ и $M\%_B$ – значение метропроцента соответственно в точках A и B .

Положение контура тела может быть намечено также по данным непосредственных замеров мощности в выработках.

Наконец, при одновременном уменьшении мощности тела и содержания полезного компонента оконтуривание производится по минимальному метропроценту (метрограмму).

Положение контура тела между двумя точками можно определять также графическим способом или специальной палеткой (транспарантом).

Учитывая, что расстояния между пробами обычно небольшие, особенно для руд цветных, редких металлов и золота, нередко поступают проще: проводят контур посередине между кондиционной и некондиционной пробами.

Оконтуривание тел полезных ископаемых по совокупности разведочных выработок производится на планах, разрезах или проекциях. При этом различают 3 случая проведения контура: 1) по опорным точкам, установленным непосредственно в выработках; 2) между двумя крайними выработками, одна из которых характеризуется кондиционными показателями, другая – некондиционными; 3) между двумя крайними выработками, одна из которых характеризуется кондиционными показателями, другая – отсутствием полезного ископаемого.

Проведение контура по опорным точкам, установленным непосредственно в выработках, выполняется двумя путями. При наличии четких геологических границ рудных тел опорные точки наносятся на планы, разрезы или проекции по данным непосредственных замеров в выработках (рис. 38). При отсутствии четких границ опорные точки определяются в пределах каждой выработки по данным химических анализов описанными выше способами. Оконтуривание состоит в соединении опорных точек.

Проведение контура тела полезного ископаемого между двумя крайними выработками, одна из которых характеризуется кондиционными показателями, другая – некондиционными, производится в зависимости от характера распределения полезного компонента. При равномерном распределении и постепенном изменении содержания полезного компонента опорные точки определяются рассмотренным выше способом интерполяции с использованием приведенных формул, графически или с помощью палетки. При неравномерном распределении полезного компонента или неравномерном изменении мощности контур обычно проводят через середину расстояния между выработкой с кондиционными и выработкой с некондиционными показателями. На месторождениях с крайне неравномерным распределением полезного компонента контур рудного тела часто проводят через крайние кондиционные выработки.

Проведение контура тела полезного ископаемого между двумя крайними выработками, одна из которых характеризуется кондиционными показателями, а другая фиксирует полное отсутствие тела полезного ископаемого, осуществляется в зависимости от характера выклинивания тела. При резком выклинивании промышленный контур проводят через середину расстояния между выработками, то есть способом ограниченной экстраполяции. Кондиционная мощность тела, вскрытая выработкой, распространяется до середины расстояния между выработками. При закономерном, постепенном выклинивании рудного тела нулевой контур также проводят через середину расстояния между выработками, а положение подсчетного контура определяется способом интерполяции между выработкой с промышленной концентрацией полезного ископаемого и принятым нулевым контуром (рис. 39).

Описанные приемы оконтуривания тел обычно применяются для определения положения контура не только между разведочными выработками (рис. 40), но и между разведочными разрезами (линиями).

Определение контуров тел полезных ископаемых за пределами разведочных выработок, или неограниченная экстраполяция, практикуется для запасов низких категорий C_1 и C_2 , подлежащих дальнейшей разведке. При оконтуривании используются разнообразные геологические, морфологические, геофизические, статистические и геометрические приемы.

ПАРАМЕТРЫ ПОДСЧЕТА ЗАПАСОВ

Подсчет запасов полезных ископаемых в общем случае осуществляется по следующей схеме:

- 1) определяется объем залежи V как произведение площади S на среднюю мощность M : $V = S \cdot M$;
- 2) определяется запас руды Q как произведение объема V на объемную массу D : $Q = V \cdot D$, при этом обязательно учитывается естественная влажность руд;
- 3) определяется запас металла P как произведение запаса руды Q на среднее содержание металла C : $P = Q \cdot C \cdot 10^{-2}$, если содержание выражено в %, или $P = Q \cdot C \cdot 10^{-6}$, если в г/т.

Для одних полезных ископаемых (многие виды строительных материалов, природный газ, а в западных странах и нефть) подсчет запасов останавливается на вычислении объема. Количество некоторых иных видов сырья (железные руды, хромиты и др.) подсчитываются в виде запасов руды. Для большинства рудных элементов требуется расчет запасов металла.

Из приведенной схемы видно, что основными параметрами, необходимыми для подсчета запасов, являются площадь, средняя мощность, объемная масса руды и среднее содержание в ней полезных компонентов. Кроме того, могут использоваться разные поправочные коэффициенты.

Площадь устанавливается в результате оконтуривания рудных тел на планах и проекциях. Простые по конфигурации площади измеряются как геометрические фигуры, сложные – с помощью палетки, планиметра или курвиметра. В современных условиях площадь определяется с помощью компьютерных программ.

При наклонном залегании тела полезного ископаемого необходимо привести полученный замер площади к истинному значению, для чего вводят поправку на угол падения залежи β для замеров на плане по формуле:

$$S_{\text{ист.}} = S_{\text{изм.}} / \cos\beta,$$

для замеров на вертикальной проекции по формуле:

$$S_{\text{ист.}} = S_{\text{изм.}} / \sin\beta.$$

Мощность тела полезного ископаемого в пределах контура подсчета запасов определяется по данным горных и буровых работ, а также каротажа скважин. Если рудные тела имеют четкие геологические границы с вмещающими породами, их мощность устанавливается непосредственно с помощью замеров. Если четких геологических контуров нет, мощность рассчитывают по результатам секционного опробования по бортовому или минимальному промышленному содержанию полезного компонента.

В горных выработках мощность определяют замером расстояния от кровли до подошвы залежи при их документации и опробовании. Мощность рудных тел по данным бурения устанавливают прямыми или косвенными способами. Прямой способ – это расчет

мощности по керну при колонковом бурении и по данным опробования шлама при ударном бурении, косвенные – по данным каротажа скважин или по наблюдениям в процессе бурения за изменением скорости углубки скважин, за цветом или составом шлама.

Разведочные выработки часто пересекают тело полезного ископаемого не по истинной мощности, а под некоторым углом. При пологом залегании замеряется вертикальная мощность M_v , при крутом падении – горизонтальная M_g . По керну или геофизическим данным мощность определяется длиной рудного интервала $M_{скв}$. Эти так называемые наблюдаемые мощности отличаются от истинной мощности $M_{ист}$ и приводятся к ней по геометрическим формулам (рис. 41):

$$M_{ист} = M_g \cdot \sin \alpha,$$

$$M_{ист} = M_v \cdot \cos \alpha;$$

$$M_{ист} = M_{скв} \cdot \cos(\alpha - \beta) \cdot \cos \gamma,$$

где α – угол падения залежи, β – зенитный угол наклона скважины в месте пересечения залежи; γ – угол между азимутальным направлением скважины и азимутом падения залежи.

Среднее значение мощности определяется среднеарифметическим или средневзвешенным способом. Метод среднего арифметического применяют при более или менее равномерном распределении пунктов замера мощностей. В этом случае средняя мощность M определяется по формуле:

$$M = \sum m / n,$$

где n – количество замеров мощности.

Способ средневзвешенного применяется при резко неравномерном распределении точек замера и установленном направлении закономерностей изменчивости мощности. Средневзвешенная мощность рассчитывается по формуле:

$$M = \sum m \cdot l / \sum l,$$

где l – расстояние, на которое распространяется влияние значения данного замера мощности.

Объемная масса руды должна быть установлена с учетом естественной пористости, трещиноватости и кавернозности полезного ископаемого. Она определяется лабораторным или полевым способами. При применении лабораторного способа объемная масса определяется путем взвешивания образцов, покрытых пленкой парафина, в воздухе и в воде или взвешиванием и определением их объема в мерном сосуде. При полевом способе проходится горная выработка и вся добытая горная масса взвешивается, а пройденное пространство замеряется. Соотношение массы полезного ископаемого и объема даст объемную массу. Считается, что для определения объемной массы этим способом достаточно 10 м^3 полезного ископаемого. Этот способ более точный.

Объемная масса должна определяться для каждого сорта и типа полезного ископаемого, запасы которых учитываются самостоятельно. Количество определений объемной массы должно быть достаточным для надежного обоснования средних величин. Считается, что для однообразных по сложению полезных ископаемых достаточно 10-20, а для более сложных 20-30 определений объемной массы типичного материала для каждого сорта полезного ископаемого.

При этом обязательно учитывается *естественная влажность руды*, которая может достигать у отдельных полезных ископаемых 30-40 % и более. Учет естественной влажности необходим в связи с тем, что анализы проводятся с сухими навесками после просушивания проб при 105-110 °С, а содержание полезных компонентов определяется для воздушно-сухой массы. Поэтому необходима поправка в содержание на влажность руды по формуле:

$$C_{\text{вл.}} = C_{\text{сух.}} \cdot (100 - B) / 100,$$

где $C_{\text{вл.}}$ – содержание полезного компонента по влажной руды, % или г/т; $C_{\text{сух.}}$ – то же в сухой руде; B – влажность, при которой определена объемная масса, %.

Чаще пересчитывают не содержание на сырую руду, а объемную массу сырой руды $D_{\text{вл.}}$ на сухую $D_{\text{сух.}}$ по формуле:

$$D_{\text{сух.}} = D_{\text{вл.}} \cdot (100 - B) / 100.$$

Естественная влажность определяется как отношение потери массы штафа в результате высушивания к массе влажного образца и вычисляется путем сравнения массы проб влажного минерального сырья $Q_{\text{вл.}}$ с массой тех же проб, просушенных до постоянной массы при 105-110 °С, $Q_{\text{сух.}}$, по формуле:

$$B = 100 \cdot (1 - Q_{\text{сух.}} / Q_{\text{вл.}}).$$

Необходимо учитывать, что влажность не является величиной постоянной и изменяется в зависимости от глубины залегания полезного ископаемого, времени года, уровня грунтовых вод и др.

Среднее содержание определяется как среднеарифметическое или средневзвешенное по скважине, выработке, горизонту, блоку, участку и месторождению в целом. Чаще всего применяют среднее содержание, взвешенное на длину проб, то есть на их мощность.

Поправочные коэффициенты вводятся для уменьшения запасов при прерывистом (дискретном) оруденении, разобщенности рудных тел, наличии безрудных даек, участков пустых пород, валунов и т. п. Коэффициенты для *увеличения запасов* применяются при избирательном выкрашивании рудных компонентов из керна, при намыве ценных компонентов при разработке россыпей. Могут вводиться поправочные коэффициенты на систематические погрешности химанализов, замеров мощностей в скважинах и др.

МЕТОДЫ ПОДСЧЕТА ЗАПАСОВ

Существует довольно много разных методов подсчета запасов. Все они основаны на определении объема подсчетных контуров, которые сравниваются с равновеликими геометрическими фигурами. Запасы подсчитываются по простейшим формулам:

$$V = S \cdot m, Q = V \cdot d, P = Q \cdot C / 100,$$

где V – объем тела полезных ископаемых, S – площадь тела на проекции, m – средняя мощность, Q – запасы руды, d – объемная масса руды, C – среднее содержание полезного компонента в %.

Наибольшим распространением пользуются методы геологических и эксплуатационных блоков, разрезов и статистический.

Метод геологических блоков является универсальным для подсчета запасов плоских тел. При этом методе выделяют блоки разной величины, отличающиеся по степени разведанности, мощности, содержанию полезных компонентов, типам и сортам руд, технологическим свойствам, гидрогеологическим и горнотехническим условиям (рис. 42).

Частным случаем этого метода является *метод среднего арифметического*, когда все тело рассматривается как один подсчетный блок.

Метод эксплуатационных блоков применяется также для подсчета запасов плоских тел, разделенных горными выработками и буровыми скважинами на эксплуатационные блоки. Оконтуривание и подсчет запасов по каждому блоку аналогично методу геологических блоков (рис. 43).

Метод разрезов применяют для подсчета запасов изометричных, трудообразных и сложных по форме тел (рис. 44, 45). Разрезы могут быть *вертикальными* или *горизонтальными*. Заключенная между смежными разрезами часть рудного тела рассматривается как призма, если площади смежных сечений близки, или как пирамида, если эти сечения существенно различаются по площади. Объем части рудного тела между двумя разрезами определяется соответственно по формуле для призмы или пирамиды. Объем крайних блоков, каждый из которых опирается на один разрез, определяется по формуле клина. При непараллельных разрезах вносятся соответствующие поправки к подсчету объемов. Среднее содержание определяют вначале для каждого разреза. В блоке, ограниченном двумя разрезами, оно вычисляется как среднеарифметическое или средневзвешенное на площадь сечения.

При крайне дискретном оруденении подсчет запасов проводят *статистическими методами*. Это относится в основном к месторождениям IV группы, когда совмещаются разведка и эксплуатация. По результатам этих работ оценивается средняя продуктивность исследуемого участка и распространяется на менее изученную потенциально рудоносную часть месторождения.

ПОДСЧЕТ ЗАПАСОВ СОПУТСТВУЮЩИХ ПОЛЕЗНЫХ ИСКОПАЕМЫХ

К попутным полезным ископаемым относятся минеральные комплексы (горные породы, руды, подземные воды, рассолы), добыча которых при разработке основного полезного ископаемого экономически целесообразна. *К попутным компонентам* относятся заключенные в полезных ископаемых минералы, металлы и другие химические элементы в их соединениях, которые не имеют определяющего значения для промышленной оценки месторождения, но при переработке полезных ископаемых могут быть рентабельно извлечены и реализованы на внутреннем или международном рынке.

Попутные полезные ископаемые и компоненты в зависимости от форм нахождения, связи с основными для данного месторождения полезными ископаемыми и компонентами и с учетом требований, предъявляемых промышленностью к условиям их разработки (извлечения), разделяются на три группы (Шевелев, 2004). *К первой группе* относятся попутные полезные ископаемые, образующие самостоятельные пласты, залежи или рудные тела в породах, вмещающих основные рудные тела:

- железные руды на марганцевых месторождениях;

- серный колчедан, барит-полиметаллические руды, золотосодержащие кварциты на медноколчеданных месторождениях;
- свинцовые и медно-свинцовые руды на месторождениях медистых песчаников;
- огнеупорные глины, каолины на месторождениях бокситов и угля и др.

К этой же группе относятся вскрышные породы, по составу и свойствам пригодные для производства строительных материалов или для других целей, а также торф и в некоторых случаях почвенно-растительный слой и породы, пригодные для использования в сельском хозяйстве.

К жидким попутным полезным ископаемым относятся подземные воды, участвующие в обводнении подземных горных выработок, если они пригодны для водоснабжения, извлечения из них ценных компонентов или бальнеологических целей.

Ко второй группе относятся попутные компоненты, образующие собственные минералы, которые при обогащении могут быть выделены в самостоятельные концентраты или промпродукты, а в отдельных случаях накапливающиеся в продуктах обогащения основных компонентов в количестве, допускающем их последующее извлечение на экономически рациональной основе.

В эту группу могут быть объединены:

- титановые, медные и ванадийсодержащие минералы, золото- и кобальтсодержащий пирит, иногда апатит, гатчеттолит, бадделеит в железных рудах;
- сера (пирит и другие сульфиды), минералы свинца, цинка, серебра, самородное золото, кобальтсодержащий пирит в медноколчеданных рудах;
- молибденит в меднопорфировых месторождениях в гранитоидах, ванадийсодержащие минералы, апатит, титаномагнетит – в габброидах;
- минералы кобальта и серебра в медно-никелевых месторождениях;
- минералы меди, висмута, серебра, барит, флюорит в полиметаллических рудах и др.

К третьей группе относятся разного рода примеси в минералах основных и попутных компонентов (изоморфные, механические, микровключения собственных минералов и др.), а также органические, металлические или металлоорганические соединения в углях и углистых породах. Преобладающую часть попутных компонентов третьей группы составляют рассеянные элементы, широко распространенных в разных твердых полезных ископаемых при весьма низком содержании. К этой же группе относятся примеси в рудных минералах золота, серебра, платиноидов, тантала, молибдена и др.

При обогащении полезных ископаемых эти компоненты накапливаются в концентратах основных компонентов, а при переработке концентратов или непосредственном использовании полезных ископаемых в металлургическом, химическом, энергетическом и других производствах концентрируются в товарных продуктах или отходах.

К этой же группе относятся попутные компоненты, присутствующие в нефти и газе и выделяемые лишь при их переработке, а также заключенные в подземных минерализованных водах или рассолах. Состав попутных компонентов третьей группы зависит от вида полезного ископаемого и типа руд.

В полиметаллических рудах присутствует сурьма, кадмий, теллур, таллий, галлий, иногда германий.

Медноколчеданные руды обычно содержат селен, кадмий, теллур, реже таллий, индий, иногда кобальт, висмут, галлий и германий. В медистых песчаниках присутствует рений, реже германий, селен и таллий. В медно-никелевых рудах содержатся платиноиды, кобальт, сера, селен, теллур, таллий, галлий, германий.

Для медно-молибденовых руд характерно присутствие рения, селена, теллура, в меньшей степени индия, германия и галлия. Высокими концентрациями рения и низкими селена, теллура, германия и галлия характеризуются молибденовые руды.

Сульфидно-касситеритовым рудам обычно свойственны повышенные концентрации индия, кварц-касситеритовым и вольфрамитовым – скандия, иногда тантала. В кварц-золоторудных месторождениях нередко присутствует теллур, а в золотосульфидных – индий, кадмий, селен, теллур и платина.

Бокситы содержат галлий, ванадий, скандий, алуниты и нефелины – галлий и ванадий. Иногда в алюминиевом сырье в небольшом количестве содержится германий. В месторождениях калийных солей присутствует бром и рубидий, иногда цезий, в некоторых месторождениях каменной соли – литий.

В апатит-нефелиновых рудах содержится титан, галлий, стронций, редкие земли.

Угли и углистые породы могут содержать повышенное содержание германия, урана, галлия, реже – ванадия и рения. В подземных водах наряду с йодом и бромом присутствуют соединения магния, калия, бора, иногда лития, рубидия, цезия, стронция, германия и другие компоненты.

Изучение и геолого-экономическая оценка попутных полезных ископаемых и компонентов производится на всех стадиях геологоразведочных работ и в процессе освоения месторождения.

Запасы попутных полезных ископаемых (компонентов руд) должны подсчитываться способом, отвечающим характеру их залегания в месторождении или распределения в рудах, также учитывающим особенности промышленного использования запасов, которые определяют уровень и показатели их оценки.

При подсчете запасов попутных полезных ископаемых первой группы, образующих самостоятельные рудные и нерудные залежи во вскрыше месторождений, используются способы, применяемые при подсчете запасов аналогичных видов сырья в самостоятельных месторождениях.

Подсчет запасов попутных компонентов второй группы осуществляется в контурах запасов основного полезного ископаемого в соответствии с существующими для них требованиями. Для их изучения и оценки проводятся специальные минералого-геохимические исследования руд и отбираются групповые пробы.

Запасы попутных компонентов третьей группы подсчитываются и учитываются в месторождениях, целесообразность промышленного освоения которых обеспечивается экономикой извлечения основного компонента. При этом подсчет запасов попутных компонентов данной группы выполняется исключительно в пределах контура подсчета балансовых и забалансовых запасов основного компонента.

Комплексное изучение полезных ископаемых должно сопровождаться статистической обработкой результатов опробования на основные и попутные компоненты для обоснования возможности подсчета попутных компонентов корреляционно-регрессионным способом. Статистической обработке должно предшествовать выявление по данным минералогических исследований геохимической связи между отдельными попутными и основными компонентами, выражающейся в преобладании приуроченности того или иного попутного компонента к минералам одного из основных компонентов.

Параметры кондиций для подсчета запасов должны содержать:

- для каждого технологического типа полезного ископаемого – перечень попутных компонентов, запасы которых подлежат подсчету как балансовые;
- минимальное содержание попутных компонентов, учитываемые при приведении к условному содержанию основного компонента; переводные коэффициенты;
- минимальные содержания попутных компонентов в подсчетных блоках и отдельных рудных телах (залежах, пластах), если отдельная выемка и переработка полезных ископаемых с целью извлечения этих компонентов технически возможна и экономически целесообразна;
- дополнительные условия подсчета валовых и извлекаемых запасов попутных компонентов: по содержанию в рядовых или групповых пробах, по содержанию в минералах или концентратах, в целом по месторождению, по отдельным рудным телам или в подсчетных блоках.

ПОГРЕШНОСТИ ПРИ ПОДСЧЕТЕ ЗАПАСОВ

Сопоставление данных разведки и эксплуатации показывает, что расхождения в определении контуров рудных тел, подсчетных параметров, количественных и качественных показателей неизбежны. Причины этого в том, что разведка осуществляется по прерывистой сети наблюдений, а за пределами разведочных выработок параметры оруденения определяются путем интерполяции и экстраполяции. С другой стороны, при эксплуатации имеют место потери и разубоживание руд, которые при проектировании эксплуатации учитываются приближенно, что тоже вносит свой вклад в расхождение данных разведки и эксплуатации.

Небольшие отклонения рассматриваются как погрешности подсчета запасов. Если ошибки значительны, то говорят о неподтверждении запасов или качества минерального сырья.

Погрешности, возникающие при подсчете, подразделяются на три основные группы: геологические, технические и методические.

Геологические погрешности, или ошибки аналогии, возникают в результате распространения фактических данных, полученных при разведке по отдельным выработкам и скважинам, на соседние участки. Эти погрешности подвержены резким колебаниям, величина их зависит от степени изменчивости параметров оруденения, а также от плотности и равномерности разведочной сети. Геологические погрешности приводят к наиболее крупным ошибкам подсчета запасов, достигающим для категорий А и В до 10-15 %, а в отдельных случаях и выше.

Наиболее типичными геологическими ошибками являются объединение разрозненных мелких рудных тел в крупные, включение в один блок разных по качеству, технологии переработки или условиям залегания руд.

Технические погрешности связаны с техникой замеров и определения исходных параметров для подсчета запасов. Эта группа включает точность замеров мощности, химических анализов, определения объемной массы, естественной влажности и т. д.

Технические ошибки могут быть случайными и систематическими. Неизбежные случайные погрешности обычно не оказывают существенного влияния на точность определения запасов, поскольку, обладая переменным знаком, они взаимно компенсируются.

Систематические погрешности значительно более опасны, так как искажают результаты подсчета запасов, регулярно завышая или занижая их. Если имеются данные о систематических погрешностях, то категории запасов должны быть снижены. Систематические погрешности и их величина устанавливаются специальными контрольными методами, которые позволяют определить соответствующие поправочные коэффициенты и откорректировать результаты подсчета. К ним относятся коэффициент рудоносности, поправочный коэффициент к результатам химических анализов, к объемной массе и др. Систематические погрешности считаются недопустимыми и требуют устранения, хотя это не всегда удается.

Методические погрешности связаны с применением разных методов подсчета запасов. В целом, применение того или иного метода не оказывает существенного влияния на результаты подсчета. Различия обычно составляют 1-5 %, что находится в пределах точности технических операций подсчета. Снизить методические погрешности до минимума позволяет выбор метода подсчета запасов, который наиболее полно соответствует методике разведки и особенностям геологического строения месторождения, дает возможность учитывать распределение качественных показателей (типов и сортов руд) и в то же время сократить затраты времени и средств на разведку.

Оценка погрешностей подсчета запасов в процессе разведки является довольно сложной операцией. В действующих нормативных документах рекомендуется осуществлять подсчет запасов несколькими методами (Шевелев, 2004; Авдонин 2007).

ИСПОЛЬЗОВАНИЕ КОМПЬЮТЕРНЫХ ТЕХНОЛОГИИ ПРИ ПОДСЧЕТЕ ЗАПАСОВ

В последнее время при подсчете запасов все в большей степени используют компьютерные технологии. В том числе, применяют приемы блочного моделирования, реализуемые на основе геоинформационных систем (Micromine, Surpak, Datamine и др.).

При обосновании методики моделирования необходимо учитывать особенности геологического строения месторождения, степень его изученности и последовательность проведения разведочных работ. Общая схема компьютерного моделирования и подсчета запасов включает:

- импорт базы геологоразведочных данных;
- проверку базы данных, ввод дополнительной информации;

- статистический анализ данных опробования и определение природных (естественных) бортовых содержаний компонентов;
- оконтуривание рудных тел с использованием кондиций и естественного бортового содержания;
- геометризацию месторождения – каркасное моделирование рудных тел, тектонических нарушений и т. д. (рис. 46);
- геостатистический анализ исследуемых компонентов;
- определение параметров интерполяции;
- блочное моделирование (рис.47);
- интерполяцию содержаний в блочную модель, используя альтернативные методы (обычный кригинг, индикаторный кригинг, метод обратных расстояний и др.);
- оценку запасов и их сравнение с более ранними оценками;
- классификацию запасов/ресурсов.

Схема построения блочной модели (БМ) показана на рисунке 48 (Рекомендации..., 2014).

Блочное моделирование основывается на разделении пространства месторождения на элементарные блоки (ячейки), в которых значения свойств объекта (в частности содержания полезного компонента) интерполируются из исходных данных опробования с учетом рассчитанных весовых коэффициентов. Для этого используются разные методы интерполяции, среди которых чаще применяются метод обратных расстояний (детерминистический способ) и кригинг (геостатистический метод).

Наиболее перспективным является *кригинг*, в основе которого лежат геостатистические исследования данных опробования. Геостатистика на сегодня является наиболее мощным инструментом для получения достоверной информации о запасах полезных ископаемых в недрах, оптимального планирования их отработки и проведения геологоразведочных работ. Геостатистический метод решает *две основные задачи*: нахождение наиболее вероятной оценки запасов руды и определение точности этой оценки.

Предварительной стадией геостатистического исследования является статистический анализ: расчет гистограммы распределений значений содержаний компонентов полезных ископаемых по классам, построение графика накопленных частот, подбор законов распределения данных и определение основных статистических параметров. Вид гистограммы позволяет фиксировать явные погрешности в исходных данных геологического опробования. Следующий этап – вариограммный анализ (вариография). Используется экспериментальная вариограмма, которая строится по результатам опробования (выборочным данным) и учитывает все пары проб, удаленных на некоторое расстояние. Вариограммный анализ начинается без учета направления вектора расстояния. Полученная функция отражает такие свойства случайной величины как: стационарность, наличие эффекта самородков, значение порога и зону влияния. Эти характеристики подбираются в интерактивном режиме с помощью моделирования теоретической функцией, аппроксимирующей дискретную экспериментальную вариограмму. Для дальнейшего исследования необходимо изучить характер корреляционных связей между пробами в различных направлениях, для чего следует

построить вариограммы по направлениям. Для каждого направления определяется зона влияния (см. раздел «11.3. Математические способы...»). Это необходимый шаг для выявления анизотропии залежи и взаимного влияния значений случайных величин.

Следующей стадией после вариограммного анализа залежи является ее моделирование и оценка запасов. Размеры блоков блочной модели выбираются с таким расчетом, чтобы получить наиболее детальную оценку запасов по всему объему месторождения. Заключительный этап анализа – кригинг (геостатистическая оценка содержаний полезных ископаемых).

Кригинг. Предпосылкой развития геостатистических методов послужило расхождение между содержаниями многих металлов в разведочных пробах и в реально извлекаемых объемах руд. Точность оценки зависит от ряда факторов: количества проб и их значений, расположения проб (здесь важна равномерность их размещения), расстояния между пробами и точкой в середине оцениваемого блока, наличие пространственной непрерывности рассматриваемой переменной. Кригинг – метод интерполяции, который учитывает все эти факторы, был придуман южноафриканским горным инженером Д. Криге и потом усовершенствован Ж. Матероном.

В большинстве методов интерполяции сначала задается диаметр поискового круга (или эллипса). Все точки, попавшие в поисковый круг, используются для расчета взвешенного среднего, которое будет приписано середине элементарного блока. Веса, с которыми будут учитываться исходные точки, зависят (в той или иной мере) от расстояния от узла до этой точки. Разные методы интерполяции – это разные способы взвешивания исходных данных в зависимости от расстояния. В кригинге, как методе интерполяции, взвешивание производится сложнее, чем в других методах. Допустим, что в поисковый круг попали несколько проб. Расстояния между пробами и расстояния между серединой оцениваемого блока или его границами используется для снятия вариограммных значений с модельной вариограммы. Затем вариограммные значения заносятся в матрицы системы линейных уравнений; рассчитываются коэффициенты уравнений, которые и являются весами значений компонента в пробах. После рассчитывается оценка элементарного блока модели рудной залежи.

При решении способом, выбранным Ж. Матероном, появляется небольшое по величине число μ – множитель Лагранжа. Чем множитель меньше, тем более надежно решена система линейных уравнений.

Кригинговая оценка рассчитывается по формуле:

$$Z_k = \sum_{i=1}^n a_i Z_i,$$

где Z_k – кригинговая интерполяционная оценка изучаемой переменной; Z_i – значения переменной в n точках, попавших в круг поиска; a_i – веса. Обычно на практике в поисковый круг попадает несколько десятков или также сотен окружающих проб. Соответственно и матричное уравнение расширяется до сотен строк и столбцов. Считается, что кригинг – это интерполяционная процедура, дающая оценки с наименьшей дисперсией.

Другие методы интерполяции основаны на наличии заданной аналитической зависимости между значениями в пространстве, выраженной формулой. Наиболее часто используются линейные интерполяторы. К ним относится *метод обратных расстояний*

(IDW). При его использовании учитываются расстояния ячейки от близлежащих разведочных выработок. Чем дальше находится разведочная выработка от ячейки, тем слабее ее влияние. Значение параметра z в ячейке находят по формуле средневзвешенного:

$$z = \sum_{i=1}^n (z_i p_i / \sum p_i),$$

где z_i – значения параметра в разведочных выработках; p_i – весовые коэффициенты, зависящие от расстояния r ячейки от разведочных выработок; n – количество близлежащих разведочных выработок. Весовые коэффициенты определяют по формуле $p_i = 1/r_i^2$. В расчет параметра z включают разведочные выработки, расположенные не далее некоторого заранее заданного расстояния от ячейки. Если центр ячейки совпадает с какой-либо разведочной выработкой, значение z принимается таким же, как в разведочной выработке (Поротов, 2004).

В ГКЗ за последние два десятилетия накоплен достаточно большой опыт применения блочного моделирования при подготовке ТЭО и подсчете запасов. Примерами объектов, где блочное моделирование использовалось для решения сформулированных задач, являются золоторудные месторождения (Наталкинское, Тасеевское, Куранах, Дегдекан, Чертово Корыто, Верненское, участок Перевальный, Попутненское, Штурмовское и др.), урановорудные (Орловское, Березовское, Горное), медно-порфировые (Михеевское, Песчанка, Молмыж, Томинское и др.), редкометалльные (Зашихинское), а также ряд других. Запасы золоторудного месторождения Кючус утверждены ГКЗ по данным блочного моделирования (Рекомендации..., 2014).

Удовлетворительная сопоставимость результатов подсчета запасов для разных вариантов кондиций отмечается для месторождений с зональным типом пространственного размещения оруденения, например, на медно-порфировых объектах (Песчанка, Томинское, Михеевское, Молмыж). Для корректной геометризации запасов в них может быть применена методика локального анизотропного кригинга (ЛАК). Она позволяет определить ориентировку осей анизотропии в локальных участках объекта на основе минимизации дисперсии по пробам, попадающим в границы эллипсоида при разных вариантах его положения. Эта процедура наиболее эффективна при достаточно плотной сети наблюдений.

На месторождениях сложного строения с высокой изменчивостью геологоразведочных параметров расхождения в оценке запасов отмечают наиболее часто. Дополнительными факторами, осложняющими применение блочного моделирования, являются недостаточная плотность сети по отдельным участкам месторождения и высокие значения эффекта самородков. К объектам этого типа можно отнести жильные зоны, штокверки и штокверкоподобные золоторудные месторождения.

Основным приемом, позволяющим добиться удовлетворительной сопоставимости результатов для разных способов подсчета запасов, является построение каркасов, опирающихся на рудные интервалы, выделенных по соответствующим кондиционным показателям. Этот прием требует построения отдельных «жестких» каркасов для каждого варианта бортового содержания, но считается достаточно трудоемким.

Таким образом, информационные технологии являются *техническим*, а геостатистическое и блочное моделирование месторождений твердых полезных ископаемых – *методическим средством* подсчета запасов и технико-экономического

обоснования кондиций, удовлетворяющим требованиям международного аудита. Учет их необходим для рационального недропользования в Российской Федерации, а также привлечения иностранных инвестиций.

Контрольные вопросы по теме 4

1. Содержание и назначение промышленных кондиций
2. Основные кондиционные показатели
3. Применение и определение бортового содержания
4. Применение и определение минимального промышленного содержания
5. Виды контуров запасов полезных ископаемых
6. Последовательность оконтуривания запасов
7. Методические приемы оконтуривания запасов
8. Определение параметров подсчета запасов
9. Характеристика ведущих методов подсчета запасов
10. Особенности подсчета запасов попутных полезных ископаемых

Тема 5

Геолого-экономическая оценка месторождений

ОБЩИЕ ПОЛОЖЕНИЯ ГЭО

Геолого-экономическая оценка (ГЭО) месторождений заключается в определении количества и качества запасов полезного ископаемого в недрах, выявлении условий залегания и добычи, обосновании технико-экономических показателей разработки. ГЭО – важнейшая составная часть геологоразведочного процесса. Она призвана определить промышленную значимость объекта в наиболее эффективном варианте его возможного промышленного освоения.

Основными задачами ГЭО являются (Временное..., 1998):

- определение количества и качества балансовых и забалансовых запасов, а также обоснование кондиций для их подсчета;
- расчет технико-экономических показателей промышленной ценности месторождения;
- обоснование оптимального варианта освоения месторождения;
- расчет размера регулярных платежей за право пользования недрами и др.

ГЭО промышленного значения месторождений производится на всех без исключения стадиях геологоразведочных работ и разработки (см. раздел 5 «Стадийность ГРР»). Однако содержание этого вида исследования во многом зависит от фактического материала, позволяющего дать объективную оценку качества и количества выявленных запасов или прогнозных ресурсов. Только на стадии разведки, в меньшей степени на стадии оценочных работ, могут быть получены достаточно полные сведения о геологическом строении объекта, позволяющие объективно охарактеризовать качество и количество запасов полезного ископаемого, технологические свойства минерального сырья, горнотехнические, гидрогеологические, экологические условия отработки. На стадиях регионального геологического изучения недр и поисковых работ оцениваются лишь прогнозные ресурсы. Практическая значимость прогнозных ресурсов определяется по результатам их ГЭО, когда устанавливается вероятное промышленное значение прогнозируемых месторождений.

Геологическое обоснование прогнозных ресурсов осуществляется в соответствии с Методическим руководством (Методическое руководство по оценке..., Богданов и др., 1986) и с учетом современных представлений по геолого-промышленным типам месторождений (на основе принципиальных геолого-генетических моделей процессов рудообразования).

ГЕОЛОГИЧЕСКИЕ ПОКАЗАТЕЛИ ГЭО

Географо-экономическая характеристика района

Приводится географическое и административное положение месторождения, его удаленность от ближайшей железнодорожной станции, автомобильных дорог, населенных пунктов и возможного потребителя сырья; природно-климатические условия; освоенность района, население, его занятость, возможные источники энергоснабжения, обеспеченность стройматериалами.

Геологическое строение района

Приводятся краткие сведения об изученности и геологическом строении района, о закономерностях размещения месторождений всех видов минерального сырья.

Геологическое строение месторождения

Особенности геологического строения; структурные, литологические и иные факторы, определяющие условия залегания, морфологию рудных тел, вещественный состав руд, распределение основных и попутных компонентов, а также вредных примесей; наличие обогащенных участков и закономерности их размещения; сведения об изменчивости основных параметров рудных тел по простиранию и падению. Наличие промышленных (технологических) типов и сортов полезного ископаемого, подлежащих раздельной добыче и переработке; характеристика их качества. Наличие и закономерности распределения безрудных прослоев, характеристика слагающих их пород.

Для россыпных месторождений – характеристика особенностей формы, размеров и состава продуктивного «пласта», состава и мощности «торфов», строение плотика; содержание ценных компонентов; размер, форма и прочие особенности зерен полезных минералов, пробность золота.

Группа сложности месторождения в соответствии с классификацией запасов и прогнозных ресурсов.

Методика геологоразведочных работ

Сведения о проведенной топографической съемке, системе координат и привязке разведочных выработок.

Изученность поверхности месторождения – геологическая съемка, геохимические и геофизические исследования, проходка шурфов и канав.

Изученность глубоких горизонтов месторождения – система разведки; плотность разведочной сети; обоснование участка, разведанного по более высокой категории; сводная таблица видов и объемов геологоразведочных работ; объем выработок, участвующих в подсчете запасов.

Глубина, диаметры и конструкция разведочных скважин, способ и технология бурения, результаты замеров зенитных и азимутальных искривлений скважин. Выход керна линейный, по массе или объемный; интервалы с низким выходом керна, избирательное истирание керна, поправочные коэффициенты, выход шлама по массе или объемный при шарошечном или ударном бурении.

Методика и техника геофизических работ – основные результаты, случайные и систематические погрешности геофизических измерений.

Методика опробования буровых скважин и горных выработок, качество опробования, оценка достоверности результатов, наличие систематических погрешностей, поправочные коэффициенты, схема обработки проб. Групповые пробы, методика их составления.

Аналитические работы: объемы, методы проведения основных, контрольных и арбитражных анализов, соответствие их действующим стандартам или другим нормативным документам. Результаты обработки данных контроля, качество анализов,

оценка влияния низкого качества анализов на результаты подсчета запасов (определение мощности, площади рудных тел, содержания и т. п.). Обоснованность предполагаемых поправочных коэффициентов.

Методы и число определений объемной массы для разных типов и сортов полезных ископаемых. Обоснование значений объемной массы, принятых для подсчета запасов.

Гидрогеологические и инженерно-геологические условия. Основные водоносные горизонты, наиболее обводненные участки и зоны, их взаимосвязь с поверхностными водотоками, химический состав и бактериологическое состояние поверхностных и подземных вод; величина ожидаемых, а также максимально возможных водопритоков в горные выработки. Для россыпных месторождений, предназначенных для дражной отработки – возможность устройства плотин с целью подъема воды.

Источники питьевого и технического водоснабжения горного предприятия, оценка дальнейшего использования подземных вод месторождения для целей водоснабжения или извлечения ценных компонентов, а также их очистки при сбросе в поверхностные водотоки.

Инженерно-геологические особенности пород месторождения – состав, трещиноватость, тектоническая нарушенность, способность полезных ископаемых к самовозгоранию, радиационная характеристика полезного ископаемого и вмещающих горных пород, возможность возникновения оползней, селевых потоков и т. д. При наличии многолетней мерзлоты необходимо выявить глубины распространения и температурный режим.

ГОРНОТЕХНИЧЕСКИЕ ПОКАЗАТЕЛИ ОЦЕНКИ

Способ разработки месторождения

Выбор способа разработки месторождения зависит от глубины и условий залегания тел полезных ископаемых и производится с учетом экономико-географических и горно-технологических факторов. Оценке подлежат следующие варианты освоения месторождения:

- открытый способ,
- подземный,
- открытый и подземный (комбинированный),
- геотехнологический.

Применение открытого способа разработки устанавливается с помощью предельного коэффициента вскрыши ($K_B^п$), вычисляемого по формуле:

$$K_B^п = (C_п - C_о) / C_в,$$

где $C_п$ – себестоимость добычи 1 т руды при подземном способе разработки, руб.; $C_о$ – то же при открытых работах без учета затрат на выемку пустых пород; $C_в$ – себестоимость 1 т вскрыши, руб.

При комбинированном способе границу освоения месторождения открытым способом устанавливают исходя из равенства себестоимости добычи полезного ископаемого открытым и подземным способами.

Система разработки

Выбор системы разработки и ее основных элементов производится исходя из анализа геологических и горнотехнических условий месторождения.

Потери и разубоживание

Их величину следует устанавливать в значениях, характерных для принятой системы разработки с учетом горно-геологических условий месторождения.

Величина потерь обычно составляет:

- 3-7 % при системах отработки с креплением и закладкой очистного пространства;
- 8-20 % с открытым выработанным пространством и магазинированием руды;
- 15-20 % с массовым обрушением;
- 4-6 % при открытом способе разработки.

Величины разубоживания:

- 5-10 % при системах с магазинированием, креплением и закладкой выработанного пространства;
- 15-20 % при системах с массовым обрушением;
- 5-10 % при открытом способе разработки.

Производительность предприятия и продолжительность периода разработки являются важнейшими оценочными показателями, определяющими себестоимость добычи, капитальные вложения в промышленное строительство и сроки строительства предприятия. Устанавливаются в зависимости от запасов месторождения, особенностей геологического строения, горно-технических условий эксплуатации. Если существуют ограничения потребности в данном сырье, особые природоохранные и другие факторы, регламентирующие добычу, то ограничивается и производительность предприятия.

В зависимости от величины эксплуатационных запасов, горно-геологических особенностей месторождения и способа отработки, годовую производительность можно определить, руководствуясь горно-техническими условиями. Порядок ее расчета установлен в нормах технологического проектирования и осуществляется при оценке объекта по результатам разведки в базовых вариантах оконтуривания.

Для расчета годовой производительности по добыче руды при оценке по результатам поисковых и оценочных работ можно использовать метод аналогии или рекомендовать упрощенные методы, отражающие статистическую зависимость между величиной эксплуатационных запасов и средней продолжительностью работы рудника. В этих целях используются табличные материалы, подготовленные ВИЭМС и представленные в методических разработках для практических занятий.

Для расчета эксплуатационных запасов руд (Z_3) используется следующая формула:

$$Z_3 = Z \cdot (1 - p) / (1 - p),$$

где Z – запасы полезного ископаемого в недрах, тыс. т; p – потери при добыче, доли ед., p – разубоживание при добыче, доли ед.

Коэффициент изменения качества руды при добыче (P) можно рассчитать, допуская отсутствие полезного компонента в засоряющих породах, по формуле:

$$P = 1 - p.$$

Этот упрощенный метод, предложенный Тэйлором (Хилл, 1999), позволяет рассчитывать годовую производительность как частное от деления эксплуатационных запасов на срок эксплуатации.

Следует подчеркнуть, что рассчитанная тем или иным способом годовая производительность предприятия является проектной и ее достижение требует определенного срока. Применительно к оценочным расчетам в условиях рыночных отношений неучет фактора времени достижения проектной производительности приводит к существенному искажению результатов экономической эффективности освоения месторождения независимо от того, проводится ли оценка по результатам поисковых, оценочных или разведочных работ.

Нужно учитывать также опыт рационального обеспечения запасами горнорудных предприятий:

- на 20-25 лет обычно обеспечиваются запасами рудники и карьеры черной металлургии, а крупные горнодобывающие комбинаты – не менее чем на 40 лет;
- на 30-40 лет – крупные горнорудные предприятия алюминиевой, медной, свинцово-цинковой и никелевой промышленности;
- на 20-30 лет – крупные предприятия по добыче вольфрама, молибдена, олова и др.;
- на 15-20 лет – золоторудные предприятия;
- на 5-10 лет – небольшие предприятия, эксплуатирующие богатые месторождения цветных металлов, золота и ценных видов неметаллического сырья, а также россыпные месторождения благородных и редких металлов, горнодобывающие предприятия химической промышленности и промышленности строительных материалов.

При определении фактического коэффициента вскрыши отстраивают схему освоения месторождения открытым способом. Верхний контур карьера откладывают соответственно результирующему углу наклона бортов карьера. Эти углы зависят от крепости пород (по М. М. Протодяконову) и глубины карьера. Рекомендуемые значения также приводятся в специальных таблицах, представленных в методических разработках для практических занятий.

Для выполнения расчетов следует:

- вынести на план контуры верхнего и нижнего оснований карьера, а при необходимости и промежуточного контура (на уровне рыхлых отложений);
- определить объем карьера (V_k) по формулам:

$$V_k = [(S_b + S_n) / 2] \cdot H \text{ или } V_k = [(S_b + S_n + \sqrt{S_b \cdot S_n}) / 3] \cdot H,$$

где S_b и S_n – площади верхнего и нижнего оснований карьера, m^2 ; H – глубина карьера, m . Вторая формула применяется, если $S_b > S_n$ на 40 %;

- вычислить объемный коэффициент вскрыши (K_b):

$$K_b = (V_k - V_p) / V_p,$$

где V_k – объем карьера, m^3 ; V_p – объем руды, m^3 ;

- рассчитать (при необходимости) предельный коэффициент вскрыши (K_b^n):

$$K_b^n = (Z_n - Z_o) / Z_b,$$

где $Z_{\text{п}}$ – затраты (себестоимость) на добычу 1 т руды при подземном способе разработки, руб.; $Z_{\text{о}}$ – то же при открытых работах; $Z_{\text{в}}$ – затраты на выемку 1 т вскрышных пород при открытом способе, руб.

Если фактически коэффициент вскрыши меньше предельного ($K_{\text{в}} < K_{\text{в}}^{\text{п}}$), то целесообразен открытый способ разработки месторождения; если отмечена обратная зависимость ($K_{\text{в}} > K_{\text{в}}^{\text{п}}$), то подземный.

Расчет годовой производительности горнодобывающего предприятия во многом определяется горнотехническими условиями отработки и зависит, в первую очередь, от величины эксплуатационных запасов. Таблицы для упрощенного определения годовой производительности также приводятся в методических разработках для лабораторных занятий (Угрюмов, Дворник, 2004; Баранников, Макарова, 2002).

Годовая производительность по руде ($A_{\text{р}}$) может быть также определена по формуле:

$$A_{\text{р}} = Z / T,$$

где T – срок существования рудника, лет.

Производительность горнодобывающего предприятия по горной массе ($A_{\text{ГМ}}$) определяется по формуле:

$$A_{\text{ГМ}} = A_{\text{р}} \cdot (1 + K_{\text{в}}).$$

Для расчета производительности по горной массе также можно воспользоваться эмпирической зависимостью:

$$A_{\text{ГМ}} = 42S - 10^5 \cdot S^2,$$

где S – средняя по глубине горизонтальная площадь проектного карьера.

Расчет годовой производительности по нормам технологического проектирования осуществляется, как правило, в базовых вариантах оконтуривания. В промежуточных вариантах годовую производительность по руде ($A_{\text{р}}$) рассчитывают по формуле:

$$A_{\text{р}} = \sqrt[a+b]{Z_{\text{э}}},$$

где $Z_{\text{э}}$ – эксплуатационные запасы руды, тыс. т; a , b – числовые коэффициенты, определяемые путем решения системы уравнений:

$$\begin{cases} A_{\text{р}1} = \sqrt[a+b]{Z_{\text{э}2}} \\ A_{\text{р}2} = \sqrt[a+b]{Z_{\text{э}1}} \end{cases}$$

В соответствии с принятой системой разработки и выбранной производительностью в горнотехнической части также рассматриваются: условия воздухо- и водоснабжения, вентиляции, откатки и подъема полезного ископаемого при подземной разработке, транспортировки вскрыши в отвал, а полезного ископаемого на фабрику. С учетом этого выбирается основное оборудование, режим работы предприятия, определяются укрупнено объемы работ по электро-, тепло- и водоснабжению.

ТЕХНОЛОГИЧЕСКИЕ ПОКАЗАТЕЛИ ОЦЕНКИ

Обоснование технологии переработки минерального сырья. Базируется на данных изучения его вещественного состава, структурно-текстурных особенностей, физико-механических и других свойств, на результатах технологических испытаний, а также передового опыта переработки (обогащения) аналогичных видов минерального сырья. При

наличии на месторождении нескольких технологических типов руд, подлежащих раздельной переработке, технология переработки обосновывается для каждого из них.

Объемы и виды технологических исследований. Должны быть достаточны для выбора технологической схемы переработки минерального сырья и обоснования ее основных показателей. К ним относятся качество получаемой товарной продукции, ее выход от исходного минерального сырья, а для рудных месторождений – извлечение основных и попутных компонентов в товарную продукцию в процентах.

В соответствии с выбранной схемой обогащения составляется материальный баланс, согласно которому количество металла, поступившего на обогащение, равно количеству металла, просуммированного по продуктам обогащения. Связь основных показателей обогащения выражается в виде следующей формулы:

$$I_{об} = (V_k \cdot M_k) / M_p,$$

где $I_{об}$ – извлечение при обогащении, %; V_k – выход концентрата, %; M_k и M_p – содержание металла в концентрате и добытой руде, соответственно, %.

При упрощенных расчетах, когда широко используются технико-экономические показатели предприятий-аналогов, коэффициент извлечения металла в концентрат иногда принимают по аналогии. В этом случае может оказаться необходимым обосновать уже другой показатель – выход концентрата (V_k) в тоннах по формуле:

$$V_k = [I_{об} \cdot M_p \cdot (1 - p)] / M_k,$$

где p – показатель разубоживания, доли ед.

При этом расход руды на получение 1 т концентрата (q):

$$q = 1 / V_k.$$

Добытое полезное ископаемое может перерабатываться на вновь построенной на месторождении обогатительной фабрике или на действующих в регионе предприятиях, имеющих свободные мощности или требующих увеличения мощностей по переработке сырья. Выбор местонахождения обогатительной фабрики обосновывается экономическими расчетами.

Производительность обогатительной фабрики по руде в конкретных условиях зависит от масштаба производства снабжающих ее рудников. Как правило, при оценке месторождений она принимается равной годовой производительности предприятия по добыче руды.

При оценке рудных месторождений конечной товарной продукцией обычно является сам металл. Поэтому процесс переработки минерального сырья следует оценивать, включая металлургический передел. Для этого необходимы сведения о технологической схеме переработки концентратов, извлечении полезных компонентов в конечную товарную продукцию, а также перечень выпускаемой конечной товарной продукции по маркам. Эти показатели принимаются по фактическим данным металлургических предприятий, на которых предусматривается переработка концентратов и промпродуктов из руд оцениваемого месторождения.

Сквозное извлечение металла в конечный товарный продукт (I) с учетом металлургического передела:

$$I = I_{об} \cdot I_m,$$

где I_m – извлечение при металлургическом переделе, доли ед.

Изучение поведения попутных компонентов в процессе переработки. Изучается содержание попутных компонентов в продуктах обогащения, баланс распределения каждого попутного компонента по минералам и продуктам.

Определение состава и свойств отходов. Исследуется состав и свойства отходов, возможность их промышленного использования, целесообразность учета количества отдельных видов отходов или утверждение их запасов.

ВОПРОСЫ ОХРАНЫ ОКРУЖАЮЩЕЙ СРЕДЫ

Изучение и прогнозирование воздействия результатов геологоразведочных работ, а также разработки месторождений полезных ископаемых на окружающую среду, является обязательной составной частью ГЭО (Временное..., 1998). Полученные при этом данные должны способствовать ликвидации их негативных последствий, получению исходных данных, необходимых для комплексного промышленного освоения, а также разработке рационального комплекса природоохранных мероприятий, определению их стоимости на разных стадиях изучения и геолого-экономической оценке месторождений. Результаты отмеченных исследований проходят экологическую экспертизу.

Влияние геологоразведочных работ и промышленного освоения месторождений на окружающую среду многоаспектно. Оно может выражаться в нарушении природного ландшафта территории, изменении режима поверхностных и подземных вод, загрязнении воздушного и водного бассейнов, выводе из хозяйственного оборота или снижении продуктивности плодородных земель и других негативных воздействиях. Характер и степень этого влияния в значительной мере обусловлены способом ведения геологоразведочных работ и отработки месторождения, а также составом добываемых и перерабатываемых полезных ископаемых, технологией их обогащения, металлургического и химического передела, степенью очистки отходящих газов и сточных вод.

Предотвращение или нейтрализация отрицательного воздействия освоения месторождения на природную среду возможны только при наличии максимально полной информации о характере объекта и условиях его эксплуатации. Она должна быть получена в процессе разведочных работ и использована для выработки соответствующих проектных решений и природоохранных мероприятий.

Все эти вопросы, разобранные с той или иной степенью достоверности (в зависимости от собранного материала), находят отражение в разрабатываемых ТЭД и ТЭО.

ЭКОНОМИЧЕСКИЕ ПОКАЗАТЕЛИ ОЦЕНКИ

В данном разделе приводится обоснование величины инвестиций (капитальных вложений и оборотных средств) в освоение месторождения, а также эксплуатационных затрат, связанных с добычей и обогащением полезного ископаемого. Рассчитываются показатели эффективности освоения месторождений, выбирается оптимальный вариант их освоения.

В практике оценки месторождений полезных ископаемых существует два основных метода определения капитальных затрат и производственных (эксплуатационных)

расходов: 1 – прямой расчет и 2 – метод аналогии. *Прямые расчеты* более точны и надежны. Они позволяют учесть все специфические особенности проекта. Однако на ранних стадиях изучения объекта данных для прямого расчета недостаточно, и тогда для предварительной оценки необходимых вложений используется *метод аналогии*, который может применяться в двух модификациях. В первом случае выбирается непосредственный объект-аналог – месторождение того же геолого-промышленного типа, расположенное в том же регионе, близкое по геологическим, горнотехническим и горно-технологическим условиям. Техничко-экономические показатели объекта-аналога принимаются за основу для проведения расчетов. Вторая модификация предусматривает оценку необходимых затрат с помощью укрупненных показателей – удельных капиталовложений на разные виды работ. Удельные капиталовложения – это затраты, отнесенные на единицу объема работ – на 1 т руды, на 1 км строительства дороги, на 1 км проведения ЛЭП и т. д. Удельные показатели определяются отраслевыми институтами – ВИЭМС в Москве, ИГД в Екатеринбурге и др. на основе анализа деятельности профильных предприятий, и позиционируются как соответствующие нормативы.

Обоснование инвестиций в освоение месторождений

Инвестиции включают в себя капитальные вложения на фонды промышленного и непромышленного назначения, а также инвестиции в оборотный капитал.

К *фондам промышленного назначения* относятся рудник с комплексом горно-капитальных выработок, зданий, сооружений и оборудования; обогатительная фабрика с объектами хвостового хозяйства и оборотного водоснабжения; участок автомобильных дорог и железнодорожных путей от месторождения до существующих путей сообщения; службы энерго-, водо- и теплоснабжения, канализации и т. д. *Непромышленные фонды* – это объекты социального, жилищного и бытового назначения.

1. Капитальные вложения в строительство рудника.

Определяются в соответствии с намеченным способом разработки, исходя из годовой производительности и капитальных удельных вложений на горно-капитальные работы, оборудование, здания и сооружения в соответствии с глубиной разработки и с учетом территориального поправочного коэффициента. Учитываются также затраты на получение лицензий: права на пользование землей и недрами, на определенные виды деятельности; организационные расходы, включая регистрацию предприятия; затраты по компенсации потерь от изъятия земель и другие расходы, связанные со строительством объектов.

Капитальные вложения в строительство карьера, рудника могут быть определены по формуле:

$$K_p = K_{yp} \cdot A_p,$$

где K_{yp} – удельные капитальные затраты на 1 т годовой производительности по руде или горной массе, руб.; A_p – производительность рудника по руде или горной массе, т/год. Удельные показатели принимаются в соответствии с действующими нормативами, приведенными в методических разработках к лабораторным занятиям.

2. Капитальные вложения в строительство обогатительной фабрики.

Определяются с учетом ее производительности и удельных затрат на 1 т производственных мощностей по переработке минерального сырья, а также территориального поправочного коэффициента.

Для определения капитальных вложений в строительство обогатительной фабрики на основе удельных показателей используется формула:

$$K_{\phi} = K_{уд} \cdot A_{\phi},$$

где $K_{уд}$ – удельные капвложения на 1 т годовой производительности, руб.; A_{ϕ} – годовая производительность фабрики.

3. Капитальные вложения в строительство автомобильных и железных дорог, линий электропередач, водоснабжение и прочее также определяются в соответствии с нормативами удельных капитальных вложений на 1 км сооружений, их протяженностью и поправочными коэффициентами, учитывающими район строительства и рельеф местности.

4. Капитальные вложения на предстоящие геологоразведочные работы учитываются, исходя из запасов месторождения, а также из удельных затрат на разведку 1 т руды запасов категорий $A+B+C_1$, и относятся к первому году строительства горнорудного предприятия. Они определяются по данным объектов-аналогов или методом прямого расчета путем составления сметы на проведение геологоразведочных работ.

5. Прочие капитальные вложения в строительство объектов жилищного, коммунального и культурно-бытового назначения определяются исходя из числа трудящихся на горном предприятии и удельных затрат на одного человека при строительстве этих объектов.

6. Общие капитальные затраты ($K_{общ}$) определяются как сумма затрат на строительство рудника (карьера), обогатительной фабрики, затрат на транспорт, строительство линий электропередач, затрат на геологоразведочные работы и прочих.

Прочие капитальные вложения ориентировочно можно принять в размере 10-15 % для малых и средних объектов и 20-25 % для крупных от суммы капитальных затрат на строительство рудника (карьера) и обогатительной фабрики.

Эксплуатационные затраты

Эксплуатационные затраты, связанные с добычей и обогащением полезного ископаемого, состоят из цеховых, общекорбинатских и внепроизводственных расходов. Они определяют себестоимость продукции горно-обогатительного предприятия. Эксплуатационные затраты также устанавливаются прямым расчетом или с использованием показателей существующих предприятий, разрабатывающих аналогичные месторождения в сходных географо-экономических условиях.

1. Цеховые эксплуатационные затраты

При подземной добыче полезного ископаемого цеховые эксплуатационные затраты определяются с помощью укрупненных нормативных показателей себестоимости добычи руды в зависимости от годовой производительности рудника, глубины разработки, варианта вскрытия и системы добычи.

При открытой добыче цеховые затраты рассчитываются с помощью укрупненных нормативов в зависимости от годовой производительности, типов и размеров основного оборудования, транспортных средств, глубины карьера и коэффициента вскрыши.

Затраты на рекультивацию нарушенных земель, которые входят в цеховые эксплуатационные затраты, определяются исходя из площади нарушенных земель и удельных затрат на рекультивацию 1 га.

Затраты по обогащению полезного ископаемого определяются с помощью укрупненных нормативных показателей цеховой себестоимости в соответствии с намеченной производительностью фабрики, способом обогащения и составом руд.

2. *Общекорбинатские расходы* зависят от цеховой себестоимости добычи, обогащения и составляют обычно 8-10 % от цеховых расходов.

3. *Внепроизводственные расходы* складываются из цеховых погрузочно-разгрузочных работ и транспортировки концентрата до линии железной дороги общего пользования. Укрупненно они могут быть приняты в размере 3-5 % от цеховой себестоимости.

Затраты по охране окружающей среды зависят от характера производственной деятельности и местных условий, рассчитываются отдельно и включаются в эксплуатационные затраты.

Общая величина эксплуатационных затрат определяется как сумма цеховых, общекорбинатских и внепроизводственных расходов, а также затрат по охране среды.

Показатели эффективности освоения месторождения

При оценке эффективности освоения месторождения соизмерение разновременных затрат и показателей осуществляется путем приведения (дисконтирования) их к базисному моменту времени – началу строительства горнодобывающего предприятия. Это реализуется их умножением на коэффициент дисконтирования:

$$K_d = \frac{1}{(1+E)^t},$$

где t – номер расчетного года, начиная от начала строительства горнодобывающего предприятия; E – норма дисконтирования, которая принимается равной приемлемой для инвестора норме дохода или прибыли на капитал (процентная ставка). Эта норма устанавливается на таком уровне, который позволил бы инвестору не только компенсировать риск, но и получить требуемую прибыль. Обычно эта норма при постоянных ценах в горной промышленности колеблется в следующих пределах:

- от 10-12 % при разработке месторождений строительных материалов;
- 15-18 % при разработке месторождений черных и цветных металлов;
- до 20-25 % при разработке месторождений золота.

Кроме того, для учета фактора времени в экономических расчетах применяется коэффициент ежегодной ренты (аннуитета), который определяется по следующей формуле:

$$K_a = \frac{(1+E)^{T_3} - 1}{(1+E)^{T_3} \times E}$$

Коэффициенты дисконтирования и аннуитета, рассчитанные для разных значений E и t , приводятся в виде справочных таблиц в методических разработках по практике ГЭО.

Основными показателями экономической эффективности освоения месторождения являются:

- чистый дисконтированный доход (ЧДД);
- индекс доходности (ИД);
- срок окупаемости капитальных вложений (T_0);
- внутренняя норма доходности (ВНД);
- рентабельность предприятия по отношению к производственным фондам (Рф);
- рентабельность предприятия по отношению к эксплуатационным затратам (Рэ).

Чистый дисконтированный доход определяется как сумма чистых доходов за весь расчетный период:

$$\text{ЧДД} = \sum_{t=1}^T \left[(\text{Ц}_t - \text{З}_t) \cdot \frac{1}{(1+E)^t} \right] - \sum_{t=1}^T \left(K_t \cdot \frac{1}{(1+E)^t} \right),$$

где $t = 1, 2, 3 \dots T$ – количество лет от начала строительства до ликвидации предприятия; Ц_t – стоимость продукции (выручка) в t -м году, руб.; З_t – эксплуатационные затраты, произведенные в том же году без учета амортизационных отчислений, руб.; K_t – капитальные вложения (инвестиции) в t -м году, руб.; E – норма дисконтирования.

С использованием соответствующего коэффициента дисконтирования формула несколько упрощается:

$$\text{ЧДД} = \sum_{t=1}^T [(\text{Ц}_t - \text{З}_t) \cdot K_d] - \sum_{t=1}^T (K_t \cdot K_d).$$

Если ЧДД положителен, освоение месторождения эффективно; при отрицательном ЧДД освоение окажется неэффективным как не отвечающее установленной норме дохода.

На начальных стадиях изучения месторождения не представляется возможным определить величину выручки, эксплуатационных затрат и капитальных вложений по отдельным годам. Поэтому величины выручки и затрат принимаются постоянными за все время разработки, а величину капитальных вложений – постоянной за все время строительства. Средняя величина дохода определяется по формуле:

$$D_{\Gamma} = \text{Ц}_{\Gamma} - \text{З}_{\Gamma},$$

где D_{Γ} – среднегодовой доход; Ц_{Γ} – среднегодовая стоимость продукции (выручка) за год; З_{Γ} – среднегодовые эксплуатационные затраты, включая амортизационные отчисления.

Среднегодовой доход с амортизационными отчислениями (D_{Γ}^1) будет:

$$D_{\Gamma}^1 = D_{\Gamma} + A_0,$$

где A_0 – амортизационные отчисления.

В этом случае ЧДД определяется по формуле:

$$\text{ЧДД} = D_{\Gamma}^1 \cdot \frac{(1+E)^{T_3} - 1}{(1+E)^{T_3} \cdot E} - K_{\Gamma} \cdot \frac{(1+E)^{T_c} - 1}{(1+E)^{T_c} \cdot E},$$

где K_{Γ} – среднегодовая величина капитальных вложений; T_3 – срок эксплуатации месторождения; T_c – срок строительства предприятия.

Подставляя коэффициенты дисконтирования и аннуитета, формулу можно значительно упростить:

$$\text{ЧДД} = D_{\Gamma}^1 \cdot K_{\text{аэ}} \cdot K_{\text{дс}} - K_{\Gamma} \cdot K_{\text{ас}},$$

где $K_{\text{аэ}}$ – коэффициент аннуитета на срок эксплуатации, $K_{\text{дс}}$ – коэффициент дисконтирования на срок строительства, $K_{\text{ас}}$ – коэффициент аннуитета на срок строительства.

Индекс доходности (ИД) показывает, во сколько раз приведенные доходы превышают приведенные капитальные вложения:

$$\text{ИД} = \frac{\sum_{t=1}^T \left[(\text{Ц}_t - \text{З}_t) \cdot \frac{1}{(1+E)^t} \right]}{\sum_{t=1}^T \left(K_t \cdot \frac{1}{(1+E)^t} \right)}$$

Или на начальных этапах изучения месторождения:

$$\text{ИД} = \frac{D_{\Gamma}^1 \cdot \frac{(1+E)^{T_{\text{э}}}-1}{(1+E)^{T_{\text{э}} \cdot E} \cdot \frac{1}{(1+E)^{T_{\text{с}}}}}{K_{\Gamma} \cdot \frac{(1+E)^{T_{\text{с}}}-1}{(1+E)^{T_{\text{с}} \cdot E}}}$$

Или с использованием коэффициентов:

$$\text{ИД} = (D_{\Gamma}^1 \cdot K_{\text{аэ}} \cdot K_{\text{дс}}) / (K_{\Gamma} \cdot K_{\text{ас}}).$$

Разработка месторождения эффективна, если индекс доходности больше 1.

Срок окупаемости капитальных вложений (T_0) – временной интервал с момента начала разработки месторождения, за который приведенные доходы уравнивают приведенные капитальные вложения. Срок окупаемости определяется из условия:

$$\sum_{t=1}^{T_0} \left[(\text{Ц}_t - \text{З}_e) \cdot \frac{1}{(1+E)^t} \right] = \sum_{t=1}^{T_0} \left(K_t \cdot \frac{1}{(1+E)^t} \right)$$

или на начальных стадиях изучения месторождений

$$T_0 = - \frac{\log \left\{ 1 - \frac{K_{\Gamma}}{D_{\Gamma}^1} [(1+E)^{t_{\text{с}}} - 1] \right\}}{\log(1+E)}.$$

Логарифмирование производится по любому основанию, так что можно применять как натуральные логарифмы, так и десятичные.

Возможно определение T_0 и графическим способом (рис. 49).

Внутренняя норма доходности (ВНД) представляет собой ту норму дисконта, при которой величина приведенных доходов уравнивает приведенные капитальные вложения. ВНД определяется из условия (в неявной форме):

$$\sum_{t=1}^T \left[(\text{Ц}_t - \text{З}_e) \cdot \frac{1}{(1+\text{ВНД})^t} \right] = \sum_{t=1}^T \left(K_t \cdot \frac{1}{(1+\text{ВНД})^t} \right)$$

На начальных стадиях изучения месторождения ВНД определяется из условия:

$$D_{\Gamma}^1 \cdot \frac{(1+\text{ВНД})^{T_{\text{э}}}-1}{(1+\text{ВНД})^{T_{\text{э}} \cdot \text{ВНД}} = K_{\Gamma} \cdot \frac{(1+\text{ВНД})^{T_{\text{с}}}-1}{(1+\text{ВНД})^{T_{\text{с}} \cdot \text{ВНД}}$$

Ориентировочная величина ВНД определяется соотношением: $\text{ВНД} = 75 / T_0, \%$.

На практике часто применяется простой графический способ определения ВНД. Для этого рассчитывается 3 значения ЧДД при разной величине E и строится график, на котором в выбранном масштабе по вертикальной оси откладываются ЧДД, а по горизонтальной – E . По трем точкам проводится прямая, которая пересечет горизонтальную ось в точке, соответствующей значению ВНД (рис. 50).

Рентабельность разработки месторождения по отношению к основным производственным фондам (P_{Φ}) вычисляется по формуле:

$$P_{\Phi} = \text{П}_ч / \Phi \cdot 100 \%, \text{ или } P_{\Phi} = D_{\Gamma} / K \cdot 100 \%,$$

где $\text{П}_ч$ – среднегодовая прибыль после уплаты налогов; Φ – стоимость производственных фондов предприятия (основных и оборотных средств); D_{Γ} – среднегодовой доход; K – капитальные вложения в освоение месторождения.

Рентабельность предприятия по отношению к годовым эксплуатационным затратам (P_3) может быть определена по формулам:

$$P_3 = \Pi_{\text{ч}} / Z_{\text{Г}} \cdot 100 \% \text{ или } P_3 = D_{\text{Г}} / Z_{\text{Г}} \cdot 100 \%,$$

где $Z_{\text{Г}}$ – годовые затраты, руб.

С учетом, платежей, налогов и отчислений расчет показателей ГЭО осуществляется в следующем порядке.

Величина годовой прибыли ($\Pi_{\text{Г}}$) определяется по формуле:

$$\Pi_{\text{Г}} = \Pi_{\text{Г}} - (Z_{\text{Г}} + H_3),$$

где $\Pi_{\text{Г}}$ – среднегодовая стоимость продукции без налога на добавленную стоимость (выручка); $Z_{\text{Г}}$ – среднегодовые эксплуатационные затраты с учетом амортизационных отчислений; H_3 – величина налогов, платежей, отчислений, учитываемая в структуре эксплуатационных затрат. К ним относятся, в первую очередь, налог на добычу и дорожный налог.

Величина чистой годовой прибыли ($\Pi_{\text{ч}}$) определяется по формуле:

$$\Pi_{\text{ч}} = \Pi_{\text{Г}} - H_{\text{п}},$$

где $H_{\text{п}}$ – величина налогов, платежей, отчислений, изымаемая из прибыли. Основную их часть составляют налоги на прибыль и на имущество.

Величина чистой годовой прибыли с амортизационными отчислениями ($\Pi^1_{\text{ч}}$) определяется по формуле:

$$\Pi^1_{\text{ч}} = \Pi_{\text{ч}} + A_0,$$

где A_0 – амортизационные отчисления, определяемые в соответствии с действующими нормами амортизации.

При расчетах показателей эффективности используется чистая годовая прибыль с амортизационными отчислениями ($\Pi^1_{\text{ч}}$) за исключением расчета рентабельности ($P_{\text{ф}}$, P_3), где используется чистая годовая прибыль $\Pi_{\text{ч}}$.

Вычисление показателей экономической эффективности освоения месторождения с учетом существующих налогов, платежей и отчислений осуществляется по формулам:

$$\text{ЧДП} = \sum_{t=1}^T \left[\Pi_t^1 \cdot \frac{1}{(1+E)^t} \right] - \sum_{t=1}^T \left(K_t \cdot \frac{1}{(1+E)^t} \right),$$

$$\text{ИП} = \frac{\sum_{t=1}^T \left[\Pi_t^1 \cdot \frac{1}{(1+E)^t} \right]}{\sum_{t=1}^T \left(K_t \cdot \frac{1}{(1+E)^t} \right)}$$

T_0 определяется из условия:

$$\sum_{t=1}^{T_0} \left[\Pi_t^1 \cdot \frac{1}{(1+E)^t} \right] = \sum_{t=1}^{T_0} \left(K_t \cdot \frac{1}{(1+E)^t} \right)$$

ВНП определяется из условия:

$$\sum_{t=1}^T \left[\Pi_t^1 \cdot \frac{1}{(1+ВНД)^t} \right] = \sum_{t=1}^T \left(K_t \cdot \frac{1}{(1+ВНД)^t} \right)$$

На начальных стадиях изучения используются соответственно следующие формулы:

$$\text{ЧДП} = \Pi_{\text{ч}} \cdot \frac{(1+E)^{T_3} - 1}{(1+E)^{T_3} \cdot E} - K_{\text{Г}} \cdot \frac{(1+E)^{T_c} - 1}{(1+E)^{T_c} \cdot E} \text{ или}$$

$$\text{ЧДД} = \Pi_{\text{ч}} \cdot K_{\text{аэ}} - K_{\text{Г}} \cdot K_{\text{ас}},$$

$$\text{ИП} = \frac{\Pi_{\text{ч}}^1 \cdot \frac{(1+E)^{T_{\text{э}}-1}}{(1+E)^{T_{\text{э}}} \cdot E} \cdot \frac{1}{(1+E)^{T_{\text{с}}}}}{K_{\text{Г}} \cdot \frac{(1+E)^{T_{\text{с}}-1}}{(1+E)^{T_{\text{с}}} \cdot E}}, \text{ или } \text{ИП} = \Pi_{\text{ч}} \cdot K_{\text{аз}} / K_{\text{Г}} \cdot K_{\text{ас}},$$

$$T_0 = - \frac{\log\left\{1 - \frac{K_{\text{Г}}}{\Pi_{\text{ч}}^1} [(1+E)^{T_{\text{с}}-1}]\right\}}{\log(1+E)},$$

ВНП определяется из условия:

$$\Pi_{\text{ч}}^1 \cdot \frac{(1+\text{ВНД})^{T_{\text{э}}-1}}{(1+\text{ВНД})^{T_{\text{э}}} \cdot \text{ВНД}} = K_{\text{Г}} \cdot \frac{(1+\text{ВНД})^{T_{\text{с}}-1}}{(1+\text{ВНД})^{T_{\text{с}}} \cdot \text{ВНД}},$$

$$P_{\text{ф}} = \Pi_{\text{ц}} / \Phi \cdot 100 \%,$$

$$P_{\text{з}} = \Pi_{\text{ц}} / Z_{\text{Г}} \cdot 100 \%.$$

Денежный поток при разработке месторождения является дополнительным показателем эффективности освоения. Его составляющими являются приток и отток средств по годам с начала деятельности горного предприятия. Источниками притока средств являются выручка от реализации производственной продукции и реализации остаточных производственных фондов при ликвидации предприятия, сокращение величины оборотных средств. Основными составляющими оттока средств являются эксплуатационные расходы, налоговые выплаты, платежи и отчисления, которые не входят в структуру эксплуатационных затрат, увеличение оборотных средств, отчисления в развитие геологоразведочных работ и т. д. Суммарная разность между притоком и оттоком средств за весь период существования предприятия называется *чистым денежным потоком*. Если величины этого потока приводят к началу разработки месторождения, то суммарная величина этих значения является дисконтированным чистым денежным потоком. При определении денежного потока при разработке месторождения конкретным частным предприятием при оттоке средств, кроме того, учитывается погашение взятого кредита банка на строительство горного предприятия и выплата процентов по этому кредиту.

ОБОСНОВАНИЕ ОПТИМАЛЬНОГО ВАРИАНТА ОСВОЕНИЯ МЕСТОРОЖДЕНИЯ

Обоснование оптимального варианта освоения месторождения осуществляется на основе сопоставления его технико-экономических показателей при разных значениях бортового содержания, а именно: величины запасов полезных компонентов, размера капитальных вложений, эксплуатационных затрат, чистого дисконтированного дохода и т. д. Полный перечень этих показателей, а также пример повариантных технико-экономических расчетов для полиметаллического месторождения приводится в методических разработках для лабораторных занятий по дисциплине «Разведка и ГЭО МПИ».

Ни один из показателей не является достаточным для окончательного вывода о предпочтении того или иного варианта оконтуривания или подсчета запасов. Однако каждый из них должен отвечать заранее обусловленным требованиям инвестора: чистый дисконтированный доход и внутренняя норма доходности должны быть не меньше заранее установленной величины; срок окупаемости капитальных вложений – не более намеченного времени и т. п.

В целом, промышленное значение месторождения определяется экономической эффективностью его разработки. Наряду с этим необходимо учитывать потребность промышленности в данном виде минерального сырья, наличие трудовых ресурсов, а также социальное положение населения в районе расположения объекта, экологическую ситуацию и т. п. Неполное удовлетворение потребности конкретного района в минеральном сырье может служить основанием для предложения о снижении налогов и предоставлении льгот при разработке месторождения.

Контрольные вопросы к теме 5

1. Цели и задачи ГЭО МПИ
2. Геологические показатели ГЭО
3. Горнотехнические показатели ГЭО
4. Технологические показатели ГЭО
5. Обоснование инвестиций в освоение месторождения
6. Определение эксплуатационных затрат при разработке
7. Назначение и применение коэффициента дисконтирования, ставки дисконта, коэффициента аннуитета
8. Основные показатели эффективности освоения месторождения
9. Определение чистого дисконтированного дохода
10. Определение индекса доходности
11. Определение срока окупаемости инвестиций
12. Определение внутренней нормы доходности

ЗАКЛЮЧЕНИЕ

Становление учения о разведке недр прошло длинный исторический путь, постепенно накапливая опыт и знания при изучении и оценке различных типов месторождений полезных ископаемых. К настоящему времени *разведка* представляет *самостоятельную научную дисциплину*, имеющую объекты изучения, методологические подходы, геолого-экономическую основу оценки полученных результатов.

Накопленный опыт разведки и геолого-экономической оценки месторождений получил отражение в многочисленных литературных источниках: монографиях, учебниках и учебных пособиях, научных статьях, методических разработках и рекомендациях. Направления совершенствования геологоразведочных работ, обоснованные еще в 80-90-е годы XX столетия, во-многом актуальными и в настоящее время. К числу сформулированных при этом задач следует отнести (Комплексная..., 1990):

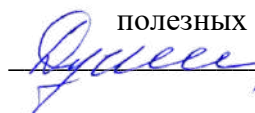
- повышение достоверности утверждаемых по результатам разведки запасов;
- обоснование комплексного использования минерального сырья на основе совершенствования рациональной технологии переработки полезных ископаемых;
- совершенствование методов опробования и способов обработки проб;
- повышение уровня изученности вещественного состава и технологических свойств полезного ископаемого;
- повышение роли геофизических и геохимических исследований при оконтуривании залежей полезных ископаемых, изучении их внутреннего строения;
- совершенствование методики разведки и геолого-экономической оценки месторождений на основе обобщения передового отечественного и зарубежного опыта.

В то же время нельзя оперировать только накопленным опытом. С течением времени меняются экономические условия хозяйствования, совершенствуются подходы к оценке промышленной значимости месторождений. В современных условиях необходимо внедрение в геологоразведочный процесс геоинформационных технологий. При этом возможны следующие направления сбора информации и её обобщения:

- перевод накапливаемой геологической информации по месторождениям с бумажных носителей на цифровые;
- создание банка цифровых данных по всем разведанным пересечениям, включающим результаты опробования, аналитических, инженерно-геологических и иных исследований;
- разработка цифровых моделей месторождений, позволяющих на базе 3D моделирования анализировать форму и условия залегания тел полезных ископаемых, пространственное распределение качественных показателей в объеме рудных тел, оценивать роль и значение рудоконтролирующих факторов на прилегающих к месторождению территориях (в пределах рудных районов и узлов);
- производить подсчет запасов и ГЭО, обосновывать кондиции на минеральное сырье, укреплять и стабилизировать добычу минерального сырья требуемого качества на горнорудных предприятиях и т. д.

Все изложенное определяет высокую актуальность подготовки квалифицированных кадров в рамках высшей школы, владеющих не только глубокими геологическими

знаниями, но и современными приемами сбора и обработки накопленной информации с использованием IT-технологий.

УТВЕРЖДАЮ
Заведующий кафедрой геологии,
поисков и разведки месторождений
полезных ископаемых
 В.А. Душин

**МЕТОДИЧЕСКИЕ УКАЗАНИЯ
К КУРСОВОМУ ПРОЕКТИРОВАНИЮ СТУДЕНТОВ
ПО ДИСЦИПЛИНЕ**

МЕТОДИКА ПОИСКОВ И РАЗВЕДКИ МПИ

Специальность
21.05.03 Технология геологической разведки

Автор: Козьмин В.С, доцент, к.г.-м.н.

Екатеринбург

СОДЕРЖАНИЕ

	Стр.
1. ЦЕЛИ И ЗАДАЧИ КУРСОВОГО ПРОЕКТА	3
2. СТРУКТУРА КУРСОВОГО ПРОЕКТА, ТРЕБОВАНИЯ К ЕГО ОФОРМЛЕНИЮ	6
3. СОДЕРЖАНИЕ КУРСОВОГО ПРОЕКТА	7
3.1. Введение	7
3.2. Общие сведения о районе работ	8
3.2.1. Географо-экономическая характеристика	8
3.2.2. Анализ результатов ранее выполненных работ	8
3.3. Геологическое строение района	9
3.4. Геологическая характеристика объекта проектируемых работ (перспективного участка, месторождения)	9
3.5. Методика и объемы проектируемых работ	10
3.5.1. Целевое геологическое задание	10
3.5.2. Методы и объемы проектируемых работ	11
3.5.3. Прочие виды работ	12
3.5.4. Опробование и аналитические работы	12
3.5.5. Подсчет прогнозных ресурсов и запасов и их геолого-экономическая оценка	13
3.6. Заключение	15
СПИСОК РЕКОМЕНДУЕМОЙ ЛИТЕРАТУРЫ	16
ПРИЛОЖЕНИЕ 1. Пример оформления титульного листа	18
ПРИЛОЖЕНИЕ 2. Образец оформления штампа на листах графики	19

1. ЦЕЛИ И ЗАДАЧИ КУРСОВОГО ПРОЕКТА

Целью курсового проекта по дисциплине «Разведка и геолого-экономическая оценка месторождений полезных ископаемых» является формирование у будущих специалистов системы знаний, раскрывающих методологию решения геологоразведочных задач и принципы геолого-экономической оценки месторождений.

Проектирование является сложным и ответственным видом работ. От качества проекта на производство геологоразведочных работ во многом зависит их конечный результат. Во время обучения в вузе основное внимание уделяется ознакомлению с новой информацией, большей частью теоретического характера. Молодой специалист, оказавшись на производстве, остро ощущает недостаток практического опыта. В первую очередь это касается необходимости принимать самостоятельные инженерные решения, направленные на выполнение геологического (технического) задания. Составляя курсовую работу, студенты приобретают определенные навыки в проектировании геологоразведочных работ, необходимые в дальнейшем для разработки выпускной квалификационной работы (дипломного проекта) и будущей профессиональной деятельности.

Курсовая работа выполняется студентами 5-го курса на базе материалов, собранных при прохождении преддипломной производственной практики. При отсутствии необходимых данных, требуемых для составления работы, сведения предоставляет кафедра. В том случае, если студент располагает достаточно представительным материалом, позволяющим произвести его углубленную обработку с использованием современных компьютерных технологий и на этой основе рассмотреть те или иные вопросы, составление проекта может быть заменено решением той или иной методической задачи геологоразведочной направленности.

Для подготовки курсовой работы студенты во время прохождения производственной практики должны собрать необходимые графические и текстовые материалы. Графические материалы включают: 1) геологическую

карту района работ в масштабе 1:50 000, 1:100 000 или 1:200 000 с разрезами, стратиграфической колонкой и условными обозначениями (легендой); 2) геологическую карту (план) месторождения (рудного поля) масштаба 1:25 000, 1:10 000 или крупнее; 3) геологические разрезы по месторождению или его части; 4) план подсчета запасов (продольная проекция). Графика сопровождается описанием геологии района и месторождения (участка), методики геологоразведочных работ, данными по подсчету запасов с результатами геолого-экономической оценки.

Для курсового проекта допускается отсутствие геологической карты района, однако для дипломного проекта она необходима. Исключения составляют проекты по нефтяным и газовым объектам, для которых вместо геологической карты района представляется, как правило, мелко-среднемасштабная тектоническая схема с указанием важнейших нефтегазоносных структур.

Главной задачей курсового проекта является обоснование методики геологоразведочных работ, отвечающих определенной стадии. В соответствии с Положением о порядке проведения геологоразведочных работ по этапам и стадиям (1999) темой курсового проекта оценочные работы, разведка, или эксплуатационная разведка, например:

- оценочные работы на проявлении Нырдовоменшорское на медноколчеданное оруденение (Полярный Урал);
- разведка Главной рудной зоны Сусанского месторождения золота (Свердловская область);
- разведка глубоких горизонтов Астафьевского месторождения бокситов (Южный Урал);
- разведка северного фланга Мансуровского месторождения гранитов (Южный Урал);
- эксплуатационная разведка южной части нижнего рудного уровня Узельгинского месторождения (Челябинская область).

Независимо от выбранной стадии при выполнении курсового проекта студент должен решить следующие инженерные задачи:

- осветить степень геологической изученности рассматриваемой площади;
- определить главные задачи проектируемых работ;
- сформулировать целевое геологическое задание;
- выбрать и обосновать комплекс методов для выполнения целевого задания, определить виды и объемы запроектированных работ;
- произвести проектный подсчет запасов по объекту изучения с их геолого-экономической оценкой.

Задание на составление курсового проекта оформляется на специальном бланке, которое выдается преподавателем. На бланке указывается тема (название) проекта и сроки его выполнения. Преподаватель помогает студенту составить план проекта, рекомендует необходимую литературу, оказывает индивидуальные консультации.

На выполненный проект преподавателем пишется рецензия. Окончательная оценка выставляется после публичной защиты.

При подготовке методических рекомендаций использованы учебно-методические разработки кафедры ГПР МПИ к составлению курсовых проектов по дисциплинам «Прогнозирование и поиски месторождений полезных ископаемых» (А. Г. Баранников, 2013) и «Разведка и геолого-экономическая оценка МПИ» (Балахонов В. С., 2005), с которыми студенты могут подробнее ознакомиться на кафедре.

2. СТРУКТУРА КУРСОВОГО ПРОЕКТА, ТРЕБОВАНИЯ К ЕГО ОФОРМЛЕНИЮ

Курсовой проект состоит из текстовой части и графических приложений. Текст работы не должен превышать по объему 25-35 страниц машинописного текста и включает следующие разделы (в скобках указан ориентировочный объем):

- титульный лист;
- оглавление;

- введение (1 стр.);
- общие сведения о районе работ (1-2 стр.);
- геологическое строение района (2-5 стр.);
- геологическая характеристика объекта (4-6 стр.);
- методика и объемы проектируемых работ (12-14 стр.);
- подсчет запасов, их геолого-экономическая оценка (2-3 стр.);
- заключение (1 стр.);
- список использованной литературы.

Текст работы представляется в распечатанном виде. Допускается также рукописный вариант. Страницы текста должны соответствовать формату А4 (297x210 мм). Поля по всему периметру – 20 мм. Перед текстовой частью помещается титульный лист (приложение 1), индивидуальное задание и оглавление.

Текст иллюстрируется схемами, фотографиями, зарисовками. Они должны иметь наименования, условные обозначения, масштаб и обозначаются как рисунок под соответствующим номером.

Графические приложения представляются на двух или трех листах. В правом нижнем углу помещается штамп установленного образца (приложение 2). Первым листом является геологическая карта района со стратиграфической колонкой, легендой, разрезом. Как отмечалось выше, в курсовой проект карта района может не включаться, но для дипломного проекта она необходима. На втором листе помещается геологическая карта месторождения или участка работ. Этот лист является основным и имеет методическое значение. На него наносятся известные месторождения, проявления и пункты минерализации, геохимические и геофизические аномалии, шлиховые ореолы. Здесь же указываются направления геологических маршрутов, проектные геофизические и геохимические профили, пройденные и проектные геологоразведочные выработки. Второй лист может представлять собой план подсчета запасов по месторождению, участку месторождения, эксплуатируемому этажу или уступу. Карта участка (месторождения) сопровождается одним или двумя типичными

разрезами, в том числе проектным, которые могут быть помещены на отдельном листе. При необходимости в графические приложения включается вертикальная продольная проекция рудного тела с блокировкой запасов и указанием пройденных и проектных выработок.

3. СОДЕРЖАНИЕ КУРСОВОГО ПРОЕКТА

3.1. Введение

Во введении обосновывается актуальность проекта и характеризуются исходные материалы, положенные в его основу. Оценивается потребность промышленности в данном виде минерального сырья, его конъюнктура на мировом и российском рынках. Рассматривается необходимость развития минерально-сырьевой базы региона в целом и данного вида полезных ископаемых в частности.

Указывается место и сроки прохождения производственной практики, организация, должность, выполнявшиеся работы. Приводятся основные фондовые и литературные источники, использованные при написании работы.

3.2. Общие сведения о районе работ

3.2.1. Географо-экономическая характеристика района

Указывается административное положение района работ, ближайшие населенные пункты, пути сообщения, возможности использования разных видов транспорта, ведущие промышленные объекты, источники энергообеспечения, наличие стройматериалов, возможности найма рабочих на месте. Описывается орографическая характеристика: характер рельефа, абсолютные и относительные превышения, климат, гидрографическая сеть, режимы рек, источники питьевого и технического водоснабжения, наличие карстовых явлений, многолетней мерзлоты. Характеризуется растительный и животный мир, распространение покровных образований, кор выветривания, их мощности. Особо отмечается обнаженность пород, дешифрируемость аэро-космоснимков.

Перечисленные данные позволяют произвести анализ природных условий ведения геологоразведочных работ, учитываются при геолого-экономической оценке рудных объектов.

Для иллюстрации раздела приводится мелкомасштабная обзорная карта (схема) района с указанием местоположения участка работ.

3.2.2. Анализ результатов ранее выполненных работ

Кратко освещаются основные результаты ранее выполненных на площади геологических, геофизических, геохимических и других видов работ. Обзор проводится в хронологическом порядке. Текст может сопровождаться схемами изученности.

Оценивается достоверность ранее выполненных исследований и обосновывается выбор участка проектируемых работ, обсуждается степень его разведанности, изученность вещественного состава с точки зрения комплексного использования полезных ископаемых, а также возможные перспективы продолжения оруденения на глубину или фланги месторождения, обнаружения слепых рудных тел.

3.3. Геологическое строение района

Приводятся данные о геолого-структурной позиции участка работ. Последовательно излагаются сведения по стратиграфии и литологии, магматизму, тектонике, гидрогеологии и полезным ископаемым. Для районов, перспективных на россыпное оруденение, дается геоморфологическая характеристика.

При описании полезных ископаемых кратко описываются все известные месторождения и рудопроявления, включая сведения о размерах залежей, их форме, минеральном составе, принадлежности к определенному рудно-формационному промышленному типу.

В дипломном проекте текст сопровождается геологической картой района со стратиграфической колонкой, условными обозначениями (легендой) и

разрезами. При подготовке раздела следует обратить внимание на совпадение текстовых и графических материалов. В тексте должны быть охарактеризованы свиты и комплексы, представленные на графике. Соответственно, геологическая карта, колонка, легенда и разрезы должны содержать одни и те же стратиграфические и интрузивные образования.

3.4. Геологическая характеристика объекта проектируемых работ (перспективного участка, месторождения)

В зависимости от проектируемой стадии ГРР объектом работ является перспективный район, участок, рудопоявление или месторождение.

В данной главе уточняются и детализируются сведения, представленные в предшествующем разделе. Рассматриваются структурно-вещественные комплексы, образующие геолого-структурную позицию участка или месторождения. К ним относятся вмещающие горные породы, магматические тела, разломы, складки, вулканические структуры, геологические контакты.

В целом, описание участка или месторождения обычно включает следующие позиции:

- горные породы, участвующие в его строении;
- структурный контроль в размещении оруденения или структура рудного поля;
- характеристика выявленной минерализации. Для поздних стадий ГРР обязательно описывается форма, размеры, условия залегания рудных тел, вещественный состав руд, их текстурно-структурные особенности, первичная и вторичная зональность, генезис месторождения, а также характеризуются горно-геологические, инженерно-геологические и гидрогеологические условия месторождения.

Раздел иллюстрируется крупномасштабной геологической картой месторождения, детальными геологическими разрезами, в том числе обязательно проектным. При необходимости представляется продольная проекция, построенная в плоскости падения, или вертикальная, на которой показано размещение запасов разных категорий.

3.5. Методика и объемы проектируемых работ

3.5.1. Целевое геологическое задание

С учетом представленного выше обоснования формулируется геологическое задание, которое должно отвечать определенной стадии геологоразведочного процесса:

- оценочные работы;
- разведка участка месторождения, флангов, глубоких горизонтов;
- эксплуатационная разведка.

При формулировке задания важно отметить, какой промышленный тип оруденения ожидается, оговорить границы участка проектируемых работ и их масштаб.

3.5.2. Методы и объемы проектируемых работ

При проектировании оценочных и разведочных работ методические вопросы решаются на основе анализа особенностей структуры участка, формы, размеров и условий залегания тел полезных ископаемых, изменчивости выявленных параметров оруденения (мощности, содержания полезных компонентов).

В соответствии с инструктивными материалами ГКЗ МПР РФ, определяется группа сложности месторождения, перечень основных видов работ, необходимых для решения задач данной стадии, плотность сети наблюдения для разных категорий запасов. Обосновывается система разведки и технические средства, расположение и порядок проходки технических средств.

Описание каждого вида работ завершается расчетом проектных объемов.

3.5.3. Прочие виды работ

Обязательным элементом геологоразведочных работ являются топо-геодезические или маркшейдерские исследования. Рассмотрение этого вопроса начинается с анализа имеющейся топоосновы. Предусматривается инструментальная привязка опорной сети геофизических наблюдений, буровых скважин и горных выработок, базисных линий на участках детализационных работ.

На стадии разведки обязательно должна быть описана методика гидрогеологических и инженерно-геологических наблюдений с определением объемов этих работ.

Обязательным элементом разрабатываемого проекта является рассмотрение экологических вопросов. Необходима оценка влияния геологоразведочных работ на окружающую среду. Это влияние может выражаться в нарушении природного ландшафта территории, изменении режима поверхностных и подземных вод, загрязнении воздушного и водного бассейнов, исключении из хозяйственного оборота плодородных земель и т.д. В проекте должны быть предусмотрены мероприятия, предотвращающие или уменьшающие вредное воздействие ГРР на экологию.

3.5.4. Опробование и аналитические работы

С учетом типа оруденения, особенностей вещественного состава, формы, предполагаемой мощности рудных залежей, а также планируемых объемов горноразведочных и буровых работ, предусматриваются необходимые виды опробования – химическое, минералогическое, техническое, технологическое. Обосновываются способы отбора проб, необходимые для решения поставленных задач (штуфное, бороздовое, точечное, керновое и т.д.). Обсуждаются возможности использования геофизических методов опробования. Дается схема обработки проб на отдельно вычерченном листе в текстовой части проекта.

Перечисляются планируемые виды лабораторных работ, определяются их объемы с учетом внутреннего и внешнего контроля (3-5% от общего объема проб). Аналитические исследования в зависимости от типа полезного ископаемого и целевого назначения проекта могут включать следующие виды испытаний проб: химический, минералогический, спектральный, пробирный, атомно-абсорбционный, рентгено-спектральный, рентгено-структурный и др. Для каждого вида аналитических исследований определяются цели и решаемые задачи.

3.5.5. Подсчет проектных запасов и их геолого-экономическая оценка

На стадиях оценочных и разведочных работ одним из завершающих этапов проектирования является оконтуривание тел полезных ископаемых на месторождении, его флангах, глубоких горизонтах с переводом прогнозных ресурсов и запасов в более высокие категории. Для этого необходимо дать характеристику как уже оцененных, так и ожидаемых ресурсов и запасов.

Указываются кондиции, принятые для оконтуривания залежей и выделения подсчетных блоков. Излагается методика подсчета запасов по результатам проектируемых работ. Выбирается и обосновывается способ подсчета запасов в зависимости от особенностей геологического строения месторождения (формы, состава, условий залегания). Излагаются принципы выделения категорий запасов по степени разведанности (плотности разведочной сети) и изученности (выхода керна, вещественного состава руд, технологических, горнотехнических и гидрогеологических условий) для месторождений разных групп по сложности геологического строения. Раскрываются принципы выделения подсчетных блоков и проведение их границ на выходах, флангах и по падению. Характеризуются параметры подсчета запасов, методика их обоснования (площади подсчетных блоков, мощности, среднее содержание, объемная масса). Приводится сводный формуляр подсчета общих ожидаемых запасов по категориям. Контуров категорий запасов, выделенных на основании проектируемых работ, рекомендуется закрасить следующими цветами: категория А – розовый, В – зеленый, С₁ – голубой, С₂ – желтый.

Методика геолого-экономической оценки на разных стадиях геологоразведочного процесса не одинакова.

Основной инструмент геолого-экономической оценки – обоснование кондиций. По материалам завершённых геологоразведочных работ (разведка, доразведка) для определения целесообразности и экономической эффективности освоения месторождения составляются постоянные кондиции.

ГЭО осуществляется поэтапно. На стадии оценочных работ – по укрупненным показателям, без учета налогов, отчислений и платежей, а позднее по результатам разведки – с их учетом.

В условиях рыночных отношений оценку эффективности освоения месторождений, а также сравнение различных инвестиционных проектов и выбор лучшего из них, производят с использованием следующих показателей.

1. Чистый дисконтированный доход, или чистая дисконтированная стоимость, интегральный стоимостной эффект (ЧДД) – это превышение интегральных денежных результатов над соответствующими интегральными затратами или сумму всех доходов от эксплуатации месторождения за весь расчетный период. Освоение месторождения считается эффективным при положительном значении величины чистого дисконтированного дохода. При отрицательном значении ЧДД рассматриваемый вариант инвестиционного проекта должен быть признан убыточным.

2. Индекс доходности (ИД) представляет собой отношение суммы приведенных доходов к величине приведенных инвестиций. В экономически эффективных проектах величина индекса доходности должна быть больше единицы.

3. Внутренняя норма доходности (ВНД), или внутренняя норма прибыли, рентабельность возврата инвестиций. ВНД означает норму дисконта, при которой величина приведенных доходов равна приведенным инвестициям, а чистый дисконтированный доход становится равным нулю. Освоение месторождения считается эффективным и приемлемым, если $ВНД > E$, где E – принятая в расчете норма дисконтирования прибыли.

4. Срок окупаемости капитальных вложений (T_0) с учетом дисконтирования стоимостных показателей определяет временной интервал с момента начала разработки месторождения, за который приведенные доходы равны приведенным инвестициям. Приемлемым считается срок окупаемости инвестиций, равный 5-7 годам. Предельное значение T_0 составляет 10 лет.

Процесс геолого-экономической оценки месторождения завершают выбором оптимального варианта освоения объекта, для которого определены кондиции и показатели экономической эффективности его освоения.

При геолого-экономических расчетах необходимо использовать рекомендуемые учебные пособия кафедры.

3.6. Заключение

В заключение работы приводятся краткие выводы по каждой главе и проекту в целом.

СПИСОК РЕКОМЕНДУЕМОЙ ЛИТЕРАТУРЫ

Баранников А. Г., Никулина И. А., Хасанова Г. Г. Разведка и геолого-экономическая оценка месторождений полезных ископаемых: учебное пособие / А. Г. Баранников, И. А. Никулина, Г. Г. Хасанова; Урал. Гос. горный ун-т. – Екатеринбург: Тзд-во УГГУ, 2018ю – 184 с.

Баранников А. Г., Макарова С. В. Геолого-экономическая оценка месторождений полезных ископаемых: Учебное пособие. – Екатеринбург: Изд-во УГГГА, 2002. – 95 с.

Дворник Г. П., Угрюмов А. Н. Геолого-экономическая оценка месторождений полезных ископаемых и техногенного сырья: Учебное пособие. Екатеринбург: Изд-во УГГГА, 2004. – 220 с.

Каждан А. Б. Поиски и разведка месторождений полезных ископаемых (Научные основы поисков и разведки). М.: Недра, 1984. – 285 с.

Каждан А. Б. Поиски и разведка месторождений полезных ископаемых (Производство геологоразведочных работ). М.: Недра, 1985. – 288 с.

Классификация запасов месторождений и прогнозных ресурсов твердых полезных ископаемых. Утверждена приказом МПР РФ от 07.03.1997. – 9 с.

Петруха Л. М. Разведка месторождений полезных ископаемых: Учебное пособие. Екатеринбург: Изд-во УГГГА, 2003. – 247 с.

Положение о порядке проведения геологоразведочных работ по этапам и стадиям (твердые полезные ископаемые). М.: ВИЭМС, 1999. – 28 с.

Рудничная геология / В. Ф. Мягков, А. М. Быбочкин, И. И. Бугаев и др. М.: Недра, 1986. – 199 с.

ПРИЛОЖЕНИЕ 1

Образец выполнения титульного листа

Министерство образования и науки РФ
ФГБОУ ВО
Уральский государственный горный университет
Факультет геологии и геофизики

КУРСОВОЙ ПРОЕКТ

на тему:

РАЗВЕДКА ГЛУБОКИХ ГОРИЗОНТОВ ОГАНЧИНСКОГО
МЕСТОРОЖДЕНИЯ ЗОЛОТА (КАМЧАТКА)

Руководитель

доц. Никулина И. А.

Студент

Попов С. М.

Группа

PM-15

Екатеринбург – 2018

ПРИЛОЖЕНИЕ 2

Образец заполнения штампа к чертежам

Министерство образования и науки РФ Уральский государственный горный университет		20		
30	Исполнитель: студент гр. РМ-15 С. М. Попов	Геологический план Оганчинского месторождения	20	
30	Руководитель: доцент И. А. Никулина	К курсовому проекту на тему: «Разведка глубоких горизонтов Оганчинского месторождения золота (Камчатка)»		20
		Масштаб 1:1000	Дата	Приложение № 2
50		30	35	35
150				

МИНОБРНАУКИ РОССИИ

ФГБОУ ВО «Уральский государственный горный университет»

Проректор по учебно-методическому
комплексу



**МЕТОДИЧЕСКИЕ УКАЗАНИЯ
К САМОСТОЯТЕЛЬНОЙ РАБОТЕ СТУДЕНТОВ
ПО ДИСЦИПЛИНЕ**

МЕТОДИКА ПОИСКОВ И РАЗВЕДКИ МПИ

Специальность

21.05.03 Технология геологической разведки

Автор: Козьмин В.С, доцент, к.г.-м.н.

Екатеринбург

СОДЕРЖАНИЕ

Тема	Название	Стр.
	Введение	3
1	Общие вопросы дисциплины. Основные понятия и определения	5
2	Геологические основы разведки	15
3	Методические основы разведки	40
4	Подсчет запасов полезных ископаемых	69
5	Геолого-экономическая оценка месторождений	88
	Заключение	104

Введение

Геологоразведочные работы являются важнейшим фактором устойчивого развития экономики страны. Сырьевую базу в настоящее время составляют *более ста видов твердых полезных ископаемых*. Усилиями многих поколений российских геологов найдены и введены в промышленное освоение тысячи месторождений полезных ископаемых. На этой основе создана уникальная минерально-сырьевая база страны.

Россия занимает места в *первой пятерке стран мира* по запасам и добыче железных и медных руд, золота, серебра, платиноидов, вольфрама, молибдена, кобальта, никеля. За счет этих руд государство обеспечивает внутренний рынок, эксплуатирует значительные объемы сырья и продукции его переработки. Бюджет государства во многом формируется за счет освоения минерально-сырьевых ресурсов. Экспорт продукции (по данным Федерального агентства по недропользованию РФ) составляет 50-70 % от объема добычи (по вольфраму, кобальту, никелю, меди, золоту, платиноидам. Существенна роль России как мирового производителя и экспортера алмазов, апатита, калийных солей, хризотил-асбеста, бора.

В то же время далеко не благополучным является состояние минерально-сырьевой базы по таким полезным ископаемым, как цинк, свинец, олово, сурьма, барий, графит и др. Внутреннее потребление этих видов сырья определяет необходимость их ввоза из-за рубежа. Многие районы с горнопромышленной направленностью испытывают в настоящее время острый недостаток в добываемом сырье (по железу, меди, свинцу, цинку, золоту). К остродефицитным полезным ископаемым также относятся бокситы, титан, цирконий, бентониты, каолины и др.

Итак, минерально-сырьевой комплекс был и остается *гарантом дальнейшего развития страны* на длительную перспективу, источником получения средств на реконструкцию и техническое перевооружение промышленности. Поэтому подготовка высококвалифицированных кадров в области «разведочного дела» в рамках специализации «Геологическая съемка, поиски и разведка твердых полезных ископаемых» (направления 25.05.02 «Прикладная геология») остается актуальной и востребованной задачей.

Содержание Учебного пособия во многом базируется на обобщении научного и учебно-методического материала, содержащего в учебниках, учебных пособиях, методических рекомендациях, подготовленных в разные годы. В первую очередь, необходимо упомянуть работу В. М. Крейтера (1940) по поискам и разведке месторождений полезных ископаемых, а также труды тех, кто продолжал развивать и углублять сформулированные В. М. Крейтером научные проблемы и направления (работы А. Б. Каждана, Е. О. Погребицкого, В. И. Тернового, Г. С. Поротова, Л. И. Четверикова, П. П. Ясковского, В. В. Шелелева, в том числе сотрудников кафедры поисков и разведки МПИ – В. Ф. Мягкова, А. С. Вершинина, И. И. Бугаева, Л. М. Петрухи, Ю. К. Панова и др.). Из публикаций этих авторов в Учебном пособии заимствована большая часть приведенных в пособии таблиц и иллюстраций.

Современная геологическая наука не может ограничиваться изучением лишь качественных сторон явлений и процессов. Она «должна выявлять их количественные

характеристики, обеспечив тем самым более высокий научный уровень исследования земных недр» (Каждан, Гуськов, 1990). Необходимость внедрения математических методов при решении геологоразведочных задач признается в настоящее время всеми геологами. Их применение обеспечивает возможность перехода от словесных, часто субъективных определений изучаемых объектов, к их более объективным количественным оценкам. Накопленный на кафедре опыт математической обработки собранной геологической информации отражен в 11, 13 и 15 главах пособия. Более подробно вопросы количественной обработки накопленной геологической информации рассматриваются в специальных дисциплинах: «Математические методы моделирования в геологии», «Основы компьютерных технологий решения геологических задач».

Студент должен:

А. знать:

- задачи, принципы, технические средства и системы разведки; классификацию запасов полезных ископаемых; требования промышленности к качеству минерального сырья на стадии разведки;
- методики комплексной оценки минерального сырья;
- подходы к сбору и обработке количественной геологической информации с использованием компьютерных технологий.

Б. уметь:

- составлять проекты на геологоразведочные работы, обосновывать рациональную разведочную сеть;
- оконтуривать запасы разных категорий, выполнять подсчет запасов разными методами;
- выполнять оценку географо-экономических, горнотехнических условий освоения месторождений, технологических свойств минерального сырья.

В. владеть:

- методикой обоснования видов и объемов проектируемых работ;
- приемами определения параметров при подсчете запасов полезных ископаемых;
- методикой определения величины инвестиций, показателей эффективности освоения месторождения в базовом и коммерческом вариантах.

Тема 1

Общие вопросы дисциплины. Основные понятия и определения

РАЗВЕДКА МЕСТОРОЖДЕНИЙ ПОЛЕЗНЫХ ИСКОПАЕМЫХ, ЕЕ ЦЕЛИ И ЗАДАЧИ

Разведка месторождений – это комплекс работ и связанных с ними исследований, направленных на выявление, оконтуривание и геолого-экономическую оценку запасов минерального сырья в недрах. Разведочные работы вносят определяющий вклад в геологическое изучение минерализованных участков недр на предпроектной стадии промышленного освоения объекта. По завершению разведки и получению положительных результатов геолого-экономической оценки изучаемое проявление полезного ископаемого приобретает *статус месторождения*.

Разведка начинается с момента составления проекта на производство геологоразведочных работ. Обычно эти работы включают: геологическое картирование площади рудного поля и месторождения; выявление и оценку выходов рудных тел; проходку горных выработок и скважин, их документацию и опробование; проведение комплекса геофизических, геохимических, гидрогеологических, инженерно-геологических исследований; геодезическую съёмку. По результатам геологоразведочных работ составляют геологические разрезы, планы, проекции. Они отражают размеры, условия залегания и строение тел полезных ископаемых. Дается характеристика полезного ископаемого, подсчитываются его запасы. На основе полученных данных проводится геолого-экономическая оценка (ГЭО) месторождения, обосновываются выводы о его промышленном значении. Все сказанное позволяет отметить, что разведка как прикладная геологическая наука находится на стыке областей знаний, включающих: накопленные сведения о геологическом строении месторождения, его сопоставление с определенным геолого-промышленным типом; вопросы горного дела (в связи с обоснованием способа разработки месторождения); определение потенциальной ценности объекта, рентабельности его разработки; обоснованность задействованных технических средств разведки, влияющих на надежность получаемых результатов; обработку полученных результатов с использованием современных компьютерных технологий (рис. 1).

Основной *целью* выполняемых геологоразведочных работ является *получение информации*, необходимой и достаточной для: проектирования предприятия по добыче полезного ископаемого и переработке минерального сырья, реконструкции действующего рудника, определения путей его дальнейшего развития, оценки перспектив выявления новых тел полезных ископаемых на площади рудного поля. Собранная и качественно обработанная информация должна обеспечить *решение основной задачи* разведочных работ – подготовку месторождения к промышленному освоению.

Успешному решению сформированных задач должно способствовать: построение цифровых моделей месторождений с использованием IT технологий; реализация разведочных систем, соответствующих природным особенностям объекта и обеспечивающим надежное локальное прогнозирование геолого-промышленных параметров.

Сущность разведки сводится к оконтуриванию, прослеживанию промышленно ценных участков природных скоплений полезного ископаемого путем выборочного пересечения минерализованного объема недр разведочными выработками (скважинами, горными выработками) с последующим геологическим и геофизическим их изучением (документацией) и опробованием. Таким образом, информацию, необходимую для принятия проектных решений по разработке и переработке добываемого минерального сырья, получают на весьма скудном материале. Разведка обычно не позволяет раскрыть все детали строения минерализованных пород. Отчасти эти задачи решаются при использовании геофизических методов (в том числе, зондирования межскважинного пространства), а также на стадии эксплуатационной разведки. Материалы разведки позволяют сконструировать *модель месторождения*, которая по своим параметрам должна быть максимально приближена к истинному объекту (рис. 2). Возможность разработки технических проектов на основе обобщения ограниченной разведочной информации подтверждена практикой разведки и освоения месторождений. Здесь работает известный в математической статистике выборочный метод исследования оцениваемых свойств (в разведке – геолого-промышленных параметров) на основе обобщения данных лишь части свойств, вошедших в изучаемую выборку (Петруха, 2003). На каждой последующей стадии геологоразведочных работ формируемая выборка свойств становится более представительной. На современном этапе изучения недр все недропользователи обязаны выполнить необходимые расчеты по геолого-экономической оценке (ГЭО) обосновываемых запасов и прогнозных ресурсов. Оценка является исследовательским процессом, связанным с выявлением возможных конкурентоспособных вариантов оконтуривания и промышленного освоения запасов месторождения и выбором среди них рационального с позиций максимальной доходности предприятия. Наиболее полная ГЭО осуществляется по результатам разведки месторождения. Оценка по результатам поисков базируется на тех же единых методологических принципах, но из-за ограниченности имеющихся материалов является малодостоверной (Шевелев, 2004).

При проведении ГЭО учитываются следующие положения:

1. Обоснование рационального и комплексного использования недр, включающее основные и попутные компоненты, отходы добычи и переработки сырья.
2. Определение показателей эффективности освоения месторождения (ЧДД – чистый дисконтированный доход, ИД – индекс доходности, ВНД – внутренняя норма доходности, Р – рентабельность разработки, Т – срок окупаемости капложений).
3. Учет обязательных платежей и налогов, плата за кредит (необходимый для организации работ по разработке месторождения).
4. Учет фактора времени и риска при оценке месторождения.
5. Оценка экологических и социальных последствий разработки месторождения.
6. Выбор оптимального варианта освоения месторождения.
7. Обоснование кондиций на минеральное сырье.

Важнейшие результирующие показатели ГЭО, установленные параметры кондиций, подсчитанные с их использованием балансовые и забалансовые запасы вносятся в Государственный кадастр месторождений полезных ископаемых. При этом необходимо

отражать в кадастре два подхода к оценке объекта – базовый и коммерческий, чтобы при необходимости оперативно осуществлять переоценку месторождения.

КРАТКИЕ СВЕДЕНИЯ ОБ ИСТОРИИ СТАНОВЛЕНИЯ УЧЕНИЯ О РАЗВЕДКЕ НЕДР

Учение о поисках и разведке месторождений полезных ископаемых пришло из потребностей горного дела. Долгие годы работы по поиску и добыче руд велись на основе опыта многих поколений рудознатцев. Разработки в этой области знаний методического и организационного характера появились значительно позже. Первые труды принадлежат Г. Агриколе (1530), И. А. Шлаттеру (1760), М. В. Ломоносову (1763). Целая эпоха в развитии горного промысла и геологии связана с именем Петра I. Им был организован «Приказ рудокопных дел», реорганизованный в 1719 г. в Берг-коллегию. Коллегия взяла на себя руководство горнозаводской промышленностью Российской империи.

В XIX веке разведка месторождений не проводилась. Открытые месторождения сразу же вовлекались в разработку. Разведочные методы начинают развиваться и совершенствоваться в конце XIX века и позднее. Первыми в этом направлении были работы проф. Войслова (1899), проф. Корзухина (1908), В. С. Реутовского, Б. И. Бокия (1914).

Методологические основы разведки складывались и совершенствовались по мере расширения сырьевой базы страны, развития горнорудной промышленности. Однако в начале XX века разведочное дело ещё не имело самостоятельного развития и рассматривалось как один из разделов учения о полезных ископаемых. Первая работа по экспертизе и оценке рудных месторождений была опубликована Н. И. Трушковым в 1922 г. В 1924 г. в Петроградском горном институте К. П. Марковым прочитан курс разведочного дела. Начиная с 1927 г. этот курс читал И. С. Васильев, впервые изложивший важнейшие методические положения разведки.

Основоположником учения о поисках и разведке полезных ископаемых по праву считается В. М. Крейтер. Им были организованы кафедры поисков и разведки МПИ в Московском геологоразведочном институте и Институте цветных металлов и золота. Его фундаментальный труд «Поиски и разведка полезных ископаемых», изданный в 1940 г., несколько раз переиздавался и стал настольной книгой геологов-разведчиков нескольких поколений.

В 1922 г. кафедра поисков и разведки МПИ была организована в Уральском (Свердловском) горном институте. Её первым заведующим был назначен руководитель геологической службы Урала Б. В. Дидковский. В последующие годы кафедру возглавляли А. П. Смолин, В. П. Любимов, П. И. Кутюхин, М. Н. Альбов, И. И. Бугаев, В. Ф. Мягков, А. Г. Баранников. В 1999 г. произошло объединение ряда кафедр геологического факультета. Объединенную кафедру геологии, поисков и разведки МПИ возглавил проф. В. А. Душин.

Большой вклад в развитие теории и практики разведочного дела, опробования и подсчета запасов полезных ископаемых внесли исследования М. Н. Альбова, Н. В. Барышева, И. Д. Когана, А. П. Прокофьева, В. И. Смирнова, Е. О. Погребницкого, Г. С. Поротова и др. Научные основы геометризации недр заложены исследованиями П. К. Соболевского (1926-1932). Он рассматривал тела полезных ископаемых как совокупность

взаимно связанных геохимических полей и на этой основе сформулировал принципы геометрического моделирования.

В середине XX века во все отрасли геологии, включая вопросы оценки месторождений, проникли математические методы обработки информации. Этому способствовало появление и развитие электронно-вычислительной техники, а позднее – IT технологий. Кроме теории вероятности и математической статистики случайных величин, в теорию и практику исследований стали проникать методы многомерного статистического анализа, теории случайных функций и гармонического анализа, теории множеств, линейной алгебры, распознавания образов и других разделов математики.

При рассмотрении теоретических вопросов методики разведки месторождений и опробования акцент был сделан на изучении изменчивости свойств полезных ископаемых. А. С. Власов, Д. А. Казаковский и др. исследователи предложили использовать первые и вторые последовательные разности значений исследуемых показателей изменчивости по смежным точкам. При обобщении результатов статистической обработки данных П. Л. Каллистов (1956) обратил внимание на то, что любой статистический показатель отражает лишь средний уровень изменчивости изучаемого свойства и не учитывает влияния пространственного расположения точек наблюдений. Им было предложено учитывать случайные и закономерные изменения наблюдаемых признаков. При этом дисперсию случайных отклонений следовало определять не от генеральной средней, а с учетом рассчитанной кривой регрессии, отстраиваемой с использованием процедуры сглаживания совокупности прилегающих к конкретной точке проб. Дальнейшее развитие этот подход при изучении изменчивости свойств залежей получил в работах В. Ф. Мягкова (1984). Он предложил исследовать закономерности распределения компонентов в рудных полях с использованием *геометро-статистической модели*. При отстройке одномерных графиков изменчивости геологических параметров по разным направлениям рудных залежей с использованием интерполяционного полинома удается выявлять уровненное строение геологических полей и на этой основе решать целый ряд практических вопросов разведки: оптимальный шаг опробования; зональность строения залежей, их анизотропию и др.

Начиная с шестидесятых годов XX века, появилось много публикаций по исследованию изменчивости оруденения с использованием *методов теории случайных функций* и *гармонического анализа* (работы А. Б. Каждана, З. Д. Низгурецкого, А. М. Марголина и др.). Изменчивость изучаемых признаков рассматривается как функция расстояния между смежными пунктами наблюдений. При этом необходим учет влияния формы и размера проб, отражающих неоднородность строения недр. В это же время при изучении изменчивости и оценке запасов руд зарубежными геологами (Ж. Матерон, М. Давид, Э. Карлье, Д. Криге и др.) было предложено задействовать *геостатистические модели*. В основе данной модели лежит предположение, что получаемые результаты зависят от расположения пунктов наблюдений. При смещении начального пункта наблюдения результаты измерений меняются, и поэтому их следует рассматривать как случайные величины. Рассчитанный средний квадрат разности измеренных значений при этом зависит от расстояния между пунктами. Важной характеристикой геостатистических

моделей служит вариограмма, отражающая функцию среднего квадрата разности от расстояния между пунктами наблюдений. Для отдельных объектов установлено присутствие нескольких типов вариограмм: с регулярной пространственной переменной, с эффектом самородков, сферической и др. На отстроенных вариограммах возможно определение порогового значения, отражающего зону влияния между соседними пробами.

На современном этапе при обобщении результатов геологоразведочных работ все чаще задействуют геостатистические методы с использованием IT технологий (программы “Micromine”, “Datamine”, “Surpac” и др.).

ОСНОВЫ ЗАКОНОДАТЕЛЬСТВА РОССИЙСКОЙ ФЕДЕРАЦИИ О НЕДРАХ

Основным законом, регламентирующим недропользование в РФ, является Федеральный закон «О недрах», принятый в 1992 г. Закон неоднократно дополнялся и редактировался, его последняя редакция принята в 2015 г. (Закон РФ «О недрах»).

Согласно тексту закона недра являются частью земной коры, расположенной ниже почвенного слоя, а при его отсутствии – ниже поверхности Земли и дна водоемов и водотоков, простирающейся до глубины, доступной для геологического изучения и освоения.

Основные положения горного права

К основным положениям Горного права относятся:

- право собственности на недра как один из элементов природной среды;
- право собственности на извлеченные из недр полезные ископаемые и используемые полезные свойства недр;
- право собственности на имущество и геологическую информацию, создаваемые в процессе пользования недрами.

Право собственности на недра в России действующими правовыми актами определяется следующим образом:

- недра находятся в государственной собственности;
- владение, пользование и распоряжение недрами в пределах государственной границы находится в совместном ведении Российской Федерации и ее субъектов (так называемое «правило двух ключей»), а за пределами границы (в морской экономической зоне и на континентальном шельфе) – в исключительном ведении Российской Федерации;
- владение, пользование и распоряжение недрами осуществляется в интересах всех народов, проживающих на соответствующей территории, и всех народов Российской Федерации.

Недра предоставляются в пользование субъектам предпринимательской деятельности для изучения, добычи полезных ископаемых, строительства подземных сооружений, организации особо охраняемых геологических объектов или сбора минералогических коллекций на определенный срок или без ограничения срока.

Участки недр с находящимися в них минеральными ресурсами не могут быть предметом купли-продажи, дарения, наследования, вклада, залога или отчуждения в иной форме. Права пользования недрами могут отчуждаться или переходить от одного лица к другому в той мере, в какой их оборот допускается федеральными законами.

Право собственности на минеральное сырье, добытое из недр, появляется в процессе добычи полезных ископаемых. Добытые из недр полезные ископаемые могут находиться в федеральной собственности, собственности субъектов Федерации, муниципальной, частной и иных формах собственности. Вопрос о форме собственности на добытое полезное ископаемое определяется условиями лицензионного соглашения.

Право собственности на горное имущество и геологическую информацию определяется принципом: объект является собственностью того, кто оплатил его создание или приобретение. Однако, геологическая информация, являющаяся собственностью пользователя, должна представляться им по установленной форме в федеральный и территориальный фонды геологической информации (ВГФ, ТГФ). Собственник может лишь оговорить условия конфиденциальности пользования этой информацией в фондах, с учетом собственных интересов.

Система пользования недрами

Недра Российской Федерации могут быть использованы недропользователями для следующих целей.

1. Регионального геологического изучения и иных общих геологических работ без нарушения целостности недр.
2. Геологического изучения, включая поиски и оценку месторождений полезных ископаемых, а также оценки пригодности недр для строительства подземных сооружений.
3. Разведки и добычи полезных ископаемых, в том числе отходов горных предприятий.
4. Строительства и эксплуатации подземных сооружений, не связанных с добычей полезных ископаемых.
5. Образования особо охраняемых геологических объектов.
6. Сбора минералогических, палеонтологических и других геологических коллекций. Недра могут предоставляться в пользование одновременно для геологического изучения (поиски, разведка) и добычи полезных ископаемых. В этом случае добыча может производиться как в процессе изучения, так и после его завершения.

Пользование недрами в Российской Федерации, за исключением работ по региональному геологическому изучению и созданию особо охраняемых объектов, является платным.

Недра предоставляются в пользование на определенный срок или без ограничения срока.

Порядок пользования недрами включает три самостоятельных подсистемы:

- предоставление участков недр в пользование;
- пользование недрами в соответствии с установленным видом пользования;
- контроль и надзор за соблюдением установленных требований и ограничений при пользовании недрами.

Предоставление недр в пользование осуществляется на основе лицензирования. Государство, осуществляющее суверенное право на недра, определяет программу освоения недр, участки недр, которые предполагаются предоставить в пользование, и выбор конкретного недропользователя.

Государство определяет условия, на которых предполагается передача недр в пользование. Недропользователь может вести переговоры об изменении этих условий. При достижении согласования, недропользователю оформляется лицензия на право пользования недрами. Лицензия предоставляется совместно органом исполнительной власти субъекта Российской Федерации и Федеральным органом управления фондом недр.

Работы по *региональному геологическому изучению недр*, выполняемые за счет средств госбюджета, осуществляются без оформления лицензий, но с обязательной регистрацией в территориальных геологических организациях Министерства природных ресурсов. Лицензия на *поиски и оценку* месторождений полезных ископаемых удостоверяет право проведения таких работ только на вид сырья, указанный в лицензии. Лицензия на *добычу* полезного ископаемого может выдаваться на всё месторождение или его часть. Допускается также одновременное предоставление одному пользователю нескольких лицензий на право добычи по группе близко расположенных месторождений, если экономически рентабельной является только совместная их разработка. Лицензия на *разведку* месторождения отдельно не предоставляется и право разведки предусматривается в лицензии на добычу.

Законодательством устанавливается два статуса участков недр, на которые выдается лицензия: геологический отвод и горный отвод. Статус *геологического отвода* предоставляется участкам, предоставляемым для геологического изучения недр без существенного нарушения их целостности. В пределах одного геологического отвода могут быть выданы несколько лицензий на разные виды деятельности, включая, например, поиски и оценку разных полезных ископаемых. В границах геологического отвода могут одновременно проводить работы несколько пользователей недр.

В пределах одного *горного отвода* может быть выдана только одна лицензия одному пользователю, получающему по ней исключительное право деятельности в этих пределах в соответствии с лицензией.

Предоставление недр в пользование осуществляется по результатам конкурсов или аукционов, либо в специальных случаях на основе согласованных решений федеральных органов государственной власти и органов государственной власти субъектов Федерации на бесконкурсной основе. Определение порядка проведения и условий конкурсов и аукционов по каждому объекту или группе объектов осуществляется органами, предоставляющими лицензии. Наименования объектов, выставляемых на конкурсы или аукционы, и их условия публикуются в печати.

Предприниматель, желающий принять участие в конкурсе, подает по установленной форме соответствующую заявку. После официального принятия заявки и уплаты соответствующих взносов заявитель может получить пакет геологической и технико-экономической информации по интересующему его участку недр. Проанализировав эту информацию, заявитель прежде всего решает для себя вопрос о продолжении участия в конкурсе (аукционе) и, при положительном решении, представляет приемлемый для него вариант технико-экономических показателей (ТЭП) ведения работ по намечаемому виду пользования недрами. Указанные ТЭП представляют собой комплекс материалов, обосновывающих принципиальные решения и ожидаемые технико-экономические

показатели по всем вопросам. После приобретения лицензии ее владелец имеет право получения в фондах полного объема геологической информации по предоставленному ему согласно лицензии участку недр (геологическому или горному отводу).

Условия **пользования недрами** определяются соглашением собственника недр (государства) в лице его уполномоченных органов и недропользователя. В практике недропользования известны три типа договорных отношений:

- недропользователь вносит плану за пользование недрами и уплачивает другие установленные налоги, но полностью распоряжается всей произведенной продукцией;
- недропользователь и собственник недр заключают соглашение о разделе производимой продукции;
- недропользователь заключает с собственником контракт на предоставление определенных услуг (субподрядные работы).

В первом случае недропользователь осуществляет все работы по реализации предоставленных лицензией прав за счет собственных средств, принимая на себя все риски. Добытая продукция полностью принадлежит ему, хотя условиями договора может определяться реализация части продукции на внутреннем рынке. Недропользователь вносит все установленные платежи, налоги, связанные с его деятельностью. Все сооружения и оборудование, используемые при работах, являются его собственностью.

Во втором случае недропользователь также несет все расходы и принимает на себя риски, связанные с ведением работ, а произведенная продукция делится между ним и собственником (государством) в виде трех частей: компенсационной продукции, предназначенной для возмещения затрат недропользователю, и двух долей прибыльной продукции, разделенных между государством и недропользователем в установленном соотношении. Реализация своих долей продукции осуществляется недропользователем и собственником самостоятельно. Сооружения и оборудование, связанные с недропользованием, переходят в собственность государства либо с момента их создания или приобретения, либо по мере амортизации. Привлекательной стороной соглашения о разделе продукции является иммунитет от новых изменений налогового законодательства, которые не должны ухудшать экономическое положение инвестора, имевшееся на момент составления соглашения.

В третьем случае, недропользователь, также неся все затраты, связанные с проведением работ, либо получает возможность их возмещения при коммерческом результате (например, открытии месторождения при поисках), либо получает заранее оговоренное вознаграждение (оплату) за произведенные работы, но не приобретает никаких прав на добытую продукцию, если таковая будет получена в течение срока действия лицензии или после его истечения.

Контроль и надзор за использованием недрами осуществляют органы государственного геологического контроля и Федерального горного и промышленного надзора России, а также другие контрольные органы, в соответствии с компетенцией (природоохранные органы, налоговая инспекция, таможенная служба и т. д.) и органы государственной власти.

Государственный геологический контроль включает контроль за геологическим изучением недр и их рациональным использованием и охраной. Органы госконтроля входят в структуру Министерства природных ресурсов и его территориальных подразделений.

Федеральный горный и промышленный надзор России (Госгортехнадзор) выполняет в качестве основной контрольной функции надзор за безопасным ведением работ, включая вопросы проектирования, строительства, эксплуатации и ликвидации горных предприятий.

Государственная экспертиза запасов полезных ископаемых производится для создания условий комплексного использования недр, определения платы за использование недр и уточнения границ горного отвода. Государственная экспертиза может проводиться на любой стадии геологического изучения недр, но предоставление участков недр для целей добычи разрешается только после их госэкспертизы.

Система платежей при пользовании недрами

Плата за пользование недрами включает разовые и регулярные платежи.

Минимальные (стартовые) разовые платежи за пользование недрами устанавливаются в размере не менее 10 % от величины суммы налога на добычу полезных ископаемых в расчете на среднегодовую проектную мощность добывающей организации. Размеры регулярных платежей определяются в зависимости от экономико-географических условий, размера участка недр, вида полезного ископаемого, продолжительности работ, степени геологической изученности и степени риска. Регулярный платеж взимается за площадь лицензионного участка, предоставленного недропользователю. Ставка регулярного платежа за 1 кв. км участка недр при поисковых и оценочных работах составляет от 27-90 рублей для неметаллических полезных ископаемых до 120-360 рублей для углеводородного сырья; при разведочных работах ставка меняется от 800-1650 рублей для подземных вод до 5000-20000 рублей для углеводородного сырья.

Регулярные платежи не взимаются с недропользователей, осуществляющих:

- пользование недрами для регионального геологического изучения;
- пользование недрами для образования особо охраняемых геологических объектов, имеющих научное, культурное, эстетическое, санитарно-оздоровительное и иное значение;
- пользование недрами для сбора минералогических, палеонтологических и других геологических коллекционных материалов;
- разведку полезных ископаемых на месторождениях, введенных в промышленную эксплуатацию, в границах горного отвода, предоставленного пользователю недр для добычи этих полезных ископаемых.

Кроме разовых и регулярных платежей, законодательством предусмотрены две группы налогов и отчислений. Первая группа учитывается в себестоимости товарной продукции, вторая относится на финансовый результат.

В себестоимость включается налог на добычу полезных ископаемых, дорожный налог, плата за воду, землю, загрязнение окружающей среды и др. Налог на добычу составляет основную часть налоговой суммы первой группы. Ставка налога меняется от 3,8 % для калийных солей до 16,5 % для углеводородного сырья. Налогоплательщики, осуществившие за счет собственных средств поиски и разведку разрабатываемых месторождений или полностью возместившие все расходы на поиски и разведку,

уплачивают налог на добычу с коэффициентом 0,7. При выполнении соглашений о разделе продукции налоговые ставки на добычу применяются с коэффициентом 0,5. Не облагаются налогом полезные ископаемые, остающиеся во вскрышных, вмещающих (разубоживающих) породах, в отвалах или отходах перерабатывающих производств. Дорожный налог взимается в размере 2,5 % от годовой стоимости товарной продукции.

На финансовый результат горного предприятия относят налог на прибыль, налог на имущество, целевые сборы на содержание милиции и благоустройство территории. Налог на прибыль составляет 24 % от годовой прибыли предприятия, налог на имущество – 2 % от его среднегодовой стоимости. Остальные платежи определяются прямыми расчетами.

Горные предприятия также облагаются косвенными налогами, вычисляемыми сверх цены предприятия – налогом на добавленную стоимость (НДС), создаваемую в процессе производства товарной продукции, и таможенными пошлинами, взимаемыми с товарной продукции, вывозимой за пределы Российской Федерации.

Контрольные вопросы к теме 1

1. Что является целью разведки? Какие задачи решает разведка?
2. С какими областями знаний и смежных дисциплин разведка связана?
3. С какими именами известных и выдающихся российских ученых следует связывать становление учения о разведке месторождений?
4. Кто из российских и зарубежных ученых внес значимый вклад в разработку проблем количественной обработки геологической информации (геолого-математического моделирования)?
5. В чем заключаются основные положения законодательства РФ о недрах?
6. В каких целях могут быть использованы недра в РФ?
7. Как осуществляется предоставление недр в пользование?
8. Что такое горный и геологический отводы? Чем они различаются?
9. Какие типы договорных отношений установлены между государством и недропользователем?
10. Как осуществляется контроль за использованием недрами?
11. Какая система платежей установлена за недропользование?

Тема 2

Геологические основы разведки

ФАКТОРЫ, ОПРЕДЕЛЯЮЩИЕ ПРОМЫШЛЕННУЮ ЗНАЧИМОСТЬ МЕСТОРОЖДЕНИЙ

Минеральные скопления в земной коре приобретают статус месторождения по результатам их разведки и при условии обоснования экономической целесообразности промышленного освоения. Основным критерием для промышленного освоения месторождения является размер прибыли, которую предприниматель собирается получить за весь период его эксплуатации.

На экономику промышленного освоения месторождения оказывает влияние совокупность факторов: количество запасов в месторождении (их масштаб), качество минерального сырья, технологические свойства, горно-геологические условия эксплуатации, географо-экономические условия района нахождения месторождения, экологические условия эксплуатации и др. (Каждан, 1977, 1984; Ясковский, 2001, 2010; Шевелев, 2004; Поротов, 2004).

Количество запасов в месторождении определяется величиной запасов, оцененных по результатам геологоразведочных работ. Достоверность подсчитанных запасов зависит от степени их изученности (разведанности).

Запасы твердых полезных ископаемых подсчитываются в единицах массы (тонн); сыпучих полезных ископаемых (песков, гравия), строительного и облицовочного камня – в единицах объема (кубические метры). Запасы золота измеряются в килограммах, тоннах, а в некоторых зарубежных странах используют тройную унцию (31,103 грамма). Запасы алмазов и драгоценных камней измеряют в каратах (0,200 грамма).

Запасы полезного ископаемого, ценность которого определяется содержанием химического элемента (оксида) или минерала (алмаз, слюда, асбест и др.), оцениваются с определением количества руды и количества металла (минерала). В России запасы твердых полезных ископаемых подсчитываются в недрах, а запасы нефти и газа оцениваются как извлекаемые, так и в недрах.

По величине запасов различают месторождения *уникальные* (их в мире единицы), *крупные* (их десятки), *средние* (их сотни) и *мелкие* (их тысячи). На базе уникальных месторождений создаются ведущие горнодобывающие предприятия. Они во многом определяют состояние минерально-сырьевой базы и сырьевого рынка страны, мира. Крупные месторождения определяют экономику отрасли или крупного региона страны. Средние месторождения имеют значение в пределах отдельных экономических районов, а мелкие – в отдельных случаях. Для каждого вида полезного ископаемого наблюдаются значительные (в десятки раз) изменения запасов при переходе от мелких месторождений к крупным и очень крупным, что обусловлено разнообразием геологических условий образования руд (табл....).

Следует отметить, что отраженные в таблице размеры запасов не являются общепризнанными. В литературных источниках приведены и другие цифры градации запасов, определяющие масштаб оцениваемых объектов. В. И. Краснико (1965) подметил

закономерность, получившую в литературе название «декадной». В 7 % месторождений сосредоточено ~ 65 % запасов, а запасы мелких, средних, крупных и уникальных месторождений отличаются друг от друга примерно на порядок. Мелкие месторождения встречаются часто, а очень крупные редко. Основные запасы сосредоточены в крупных и очень крупных месторождениях. Обобщение данных по России за 1994-1997 гг. свидетельствует, что среди девятнадцати видов полезных ископаемых общее количество мелких объектов составило 723, средних – 184, крупных – 107, очень крупных – 30 (Ясковский, 2001). Распределение суммарных запасов для коренных месторождений страны: на долю мелких объектов приходится 14 %, средних – 30 % и крупных 56 %.

От масштаба месторождений зависят ожидаемые показатели экономической эффективности вовлекаемых в эксплуатацию объектов. С учетом величины запасов можно определить ценность месторождения (потенциальную в недрах или товарную на сырьевом рынке). Полученные значения следует учитывать при определении инвестиционной привлекательности объектов. Другой расчетный экономический показатель – необходимый объем капитальных вложений. Чем больше запасы, тем больше затраты на строительство горнодобывающего предприятия. При этом появляется возможность определить производительность будущего рудника, срок его существования и ориентировочно подсчитать приведенные затраты на освоение месторождения.

Качество минерального сырья – это совокупность природных свойств, определяемых минеральным и химическим составом, структурными и текстурными особенностями сырья, технологическими и физическими свойствами. Высокое качество полезного ископаемого влияет на эффективность переработки руд, способствует улучшению готовой продукции. В геологоразведке и горной промышленности давно используются понятия – «богатые», «бедные», и «убогие» руды. С позиций оценки качества все твердые полезные ископаемые могут быть разделены на *три группы*. Ценность в них может представлять: химический элемент (или химическое соединение, чаще оксид); минерал, обладающий особыми свойствами; вся добываемая горная масса (Шевелев, 2004).

К *первой группе* относятся все руды металлов и горно-химическое сырье (фосфориты, бор, сера). Основным показателем качества сырья является содержание ценного компонента. Содержание оценивается в массовых процентах элемента (Fe, Mn, Pb, Zn, Cu, Ni, Co, S, V, As) или оксидов (Cr_2O_3 , TiO_2 , WO_3 , Nb_2O_5 , BeO , Be_2O_3 , P_2O_5).

В месторождениях комплексных руд (свинцово-цинковых, медно-молибденовых, медно-никелевых и др.) качество определяется с помощью условного содержания главного компонента. В расчетных формулах учитывается: содержание главного компонента, формирующего основную ценность руд; содержание второстепенных компонентов; переводные коэффициенты для перерасчета содержаний второстепенных компонентов в главный компонент.

Содержание в рудах благородных металлов (золота, серебра, платиноидов) из-за низких их концентраций выражается в граммах на тонну руды; в россыпных месторождениях – в г (мг) /м³. Чем большее значение элемента в рудах, тем выше качество полезного ископаемого.

В зависимости от содержания основного ценного компонента руды подразделяются на богатые, рядовые и бедные. Для разных полезных ископаемых конкретные сорта руд отличаются друг от друга (табл.).

При исследовании уровня концентраций полезных компонентов в объеме рудных тел может быть задействован *коэффициент богатства* – отношение среднего содержания к минимально промышленному (Бирюков, Денисов, 1978). Богатыми считаются руды, в которых содержание полезного компонента в 1,5-3,5 раза выше, чем минимальное промышленное; к бедным – менее 1,1-1,2. Какое значение при разведке имеет оконтуривание богатых руд? Во-первых, богатые и очень богатые руды используются при получении концентратов или в металлургии без предварительного обогащения. Во-вторых, высокое качество руд нередко отмечается в локальных участках месторождения. Эти участки называют рудными столбами, кустами, гнездами, карманами, бонанцами (для месторождений золота и серебра). На стадии разведки локальные участки должны быть оконтурены, а подсчет запасов выполнен без ограничения выявленных «ураганных проб».

Ко *второй группе* относятся алмазы, пьезооптическое сырье, слюда, тальк, асбест и др. Качество сырья регламентируется уровнем содержания ценного минерала, размерностью и особенностями кристаллосырья: для асбеста – прочность, гибкость, длина волокна, кислоторастворимость; для слюд – размер пластинок, их ровность, термостойкость; для пьезооптического сырья – масса кристалла, размер бездефектной области моноблока, выход моноблока, степень проявленности дефектов (газово-жидкие включения, трещины, двойники и др.); для алмаза – масса, форма, характер поверхности, цвет, дефектность, наличие сростков (Ясковский, 2001).

К *третьей группе* относятся стройматериалы, твердое топливо, керамическое сырье, огнеупоры, тальк, пиррофиллит, минеральные пигменты, цеолиты, бокситы и хромиты. Качество сырья оценивается соответствием его определенных свойств требованиям технических условий (ТУ), отраслевых стандартов (ОСТ), государственных стандартов (ГОСТ) и соглашений с потребителями (Шевелев, 2004). Иногда требуется подразделение сырья на ряд сортов и марок. С учетом целевого использования оцениваемое полезное ископаемое должно удовлетворять конкретным сортовым требованиям.

Итак, количество и качество минерального сырья являются важнейшими факторами оценки разведываемых объектов. Они являются определяющими показателями при геолого-экономической оценке месторождений.

Технологические свойства сырья определяют возможность и экономическую целесообразность переработки минерального сырья с целью получения товарного продукта. Основными показателями, определяющими технологические свойства руд, являются: величина извлечения полезного компонента, содержание полезного компонента в концентрате, выход концентрата.

Технологические свойства минерального сырья зависят от совокупности качественных показателей, из которых кроме содержания полезных ископаемых и вредных примесей первостепенное значение имеют (Каждан, 1977; Шевелев, 2004):

- минеральный состав полезного ископаемого и разубоживающей руды горной массы; распределение полезных компонентов и вредных примесей по отдельным минералам;

- форма и размеры полезных минералов, характер их сростаний, текстуры и структуры минеральных агрегатов;
- физические свойства минерального сырья и слагающих его полезных минералов, их твердость, хрупкость, удельная плотность;
- химический и минеральный состав вмещающих пород и жильной массы.

Технологические исследования, проводимые в процессе разведки, должны установить возможность извлечения ценных компонентов из руд и обеспечить выбор схемы передела руд, которая может быть использована в промышленных условиях с приемлемыми технико-экономическими показателями. Наличие в сырье попутных компонентов повышает экономическую значимость сырья. Однако ценность попутного компонента всегда следует соотносить с дополнительными расходами на его выделение и учитывать возможность реализации дополнительной продукции.

Рассмотрим примеры, раскрывающие технологические свойства руд и их влияние на переработку минерального сырья (Ясковский, 2001).

Минеральный состав руд определяется присутствием полезных и породообразующих минералов, их количественными соотношениями, формами нахождения, характером парагенетических ассоциаций. Проблемы возникают, когда для выделения основных минералов приходится использовать разные обогатительные процессы. Например: для руд олова основными минералами являются касситерит, станнин, варламовит, гидростаннаты. Эффективно по гравитационной схеме обогащаются касситеритовые руды (плотность 7,0 г/см³). Другие типы руд с минералами олова (плотность 3,8-4,7 г/см³) относятся к группе труднообогатимых. Они требуют кроме гравитационного обогащения и других методов: флотации, магнитного и электрического обогащения, пирометаллургии.

Минеральный состав оказывает большое влияние на эффективность флотационного процесса. Хорошо обогащаются сульфиды Pb, Zn, Cu, Mo и плохо – их окисленные формы. Для молибденовых руд основным гипогенным минералом является молибденит – MoS₂, обладающий природными гидрофобными свойствами; но окисленные руды, представленные повеллитом – CaMoO₄, ферримолибдитом – Fe₂O₃·3MoO₃·8H₂O и др., обогащаются с трудом. При этом получают концентраты невысокого качества из-за легкой шламуетности гипергенных молибденовых минералов в процессе измельчения руды, близости флотационных свойств молибденовых и породообразующих минералов.

Химический состав руд определяется наличием полезных, вредных, петрогенных элементов (оксидов), их содержанием и соотношением, присутствием особенно химически активных форм. Для ряда месторождений схемы и показатели обогащения определяются содержанием элементов и их соотношением. Например, при переработке бокситовых руд для получения глинозема важнейшим является гидрохимический метод Байера. Его использование эффективно для высококачественных руд с кремниевым модулем $M_{Si} = Al_2O_3 / SiO_2$ более 5-7. При низком значении M_{Si} (высоком содержании SiO₂) руды перерабатываются по более дорогостоящей технологии методом спекания.

При добыче урана методом подземного выщелачивания используют в качестве растворителя кислоты (H₂SO₄). Чем больше карбонатность среды, тем значительней расход

кислоты, сильнее проявляется явление кальматации, тем меньше извлечение урана в продуктивные растворы. Поэтому при существенной карбонатности пород (более 2,0-2,5 % CO₂) извлечение урана с помощью кислоты неэффективно. Нужно переходить на другие схемы.

При характеристике технологических свойств минерального сырья необходим учет *текстурных особенностей руд*. Эти особенности обусловлены размером, формой и характером сростаний минеральных агрегатов. По признаку влияния текстур на процессы переработки минерального сырья их можно подразделить на благоприятные и неблагоприятные. *Благоприятные текстуры* характеризуются крупными размерами скоплений, однородным строением, простыми границами между агрегатами. Для таких руд наиболее эффективны процессы рудоподготовки. Обогащение не вызывает больших затруднений и позволяет получать высококачественные концентраты. *Неблагоприятные для обогащения текстуры* имеют небольшие размеры минеральных скоплений, неоднородное строение агрегатов, сложные и постепенно изменяющиеся границы между ними. Подобные руды требуют сложных, многостадийных процессов рудоподготовки и обогащения.

При изучении технологических свойств полезного ископаемого возможно выделение природных и технологических типов руд. В результате специальных исследований анализируется пространственное распределение этих типов, их геометризация в рамках *геолого-технологического картирования*.

Горно-геологические условия эксплуатации определяют возможность и экономическую целесообразность отработки месторождения с учетом современного состояния горной техники. Каждый выбранный способ разработки месторождения предъявляет свои требования к условиям залегания полезного ископаемого, крепости и устойчивости пород и руд, гидрогеологическим и инженерно-геологическим условиям месторождения.

Среди *способов разработки* месторождений выделяют геотехнологии (Ясковский, 2001): физико-техническая открытая, физико-техническая подземная, физико-химическая скважинная, комбинированная. В процессе эксплуатационных работ из-за неоднородности горно-геологической среды (извилистость границ рудного поля, прерывистости внутреннего строения, изменчивости свойств вмещающих пород) возникают эффекты разубоживания и потерь.

Разубоживание связано с примешиванием пустых пород к извлекаемой рудной массе. В результате засорения среднее содержание в добываемой рудной массе становится ниже, чем содержание в балансовых запасах. Отмеченный процесс характеризуется коэффициентом разубоживания: $P = (C_n - C_d) / C_n \cdot 100 \%$, где C_n – содержание полезного компонента в балансовых рудах, C_d – содержание в добытой рудной массе.

Потери возникают в процессе разработки месторождения потому, что извлечь полезное ископаемое удастся не полностью. Часть запасов остается за контуром отработки. Величина потерь оценивается коэффициентом разубоживания: $\Pi = (Z_t - Z_d) / 100 \%$, где Z_t – запасы теряемые, Z_d – запасы добытые.

Каждый способ разработки имеет достоинства и недостатки. По данным П. П. Ясковского к ним относятся:

- открытая геотехнология – высокая производительность, но небольшие глубины отработки и существенный экономический ущерб;
- подземная геотехнология – отработка на больших глубинах, но значительные потери полезного ископаемого в недрах и тяжелые условия труда;
- скважинная геотехнология – возможность извлечения полезных компонентов в сложных горно-геологических условиях, но необходимы особые предпосылки для создания подвижных флюидов.

Достоинства и недостатки разных способов разработки тесно связаны с определенными горнотехническими условиями. К ним относятся:

а) *Глубина залегания* – один из важнейших горнотехнических показателей, определяющих способ добычи.

При малой глубине залегания применяется открытый способ добычи. Он позволяет развить большую производительность, обеспечить высокую эффективность, низкую себестоимость и более безопасные условия ведения горных работ. Экономическая эффективность добычи определяется коэффициентом вскрыши – отношением объемов (или масс) вскрыши и полезного ископаемого. Предельный коэффициент вскрыши и, соответственно, предельная глубина открытой разработки находится технико-экономическими расчетами. Максимально допустимый коэффициент вскрыши зависит от ценности полезного ископаемого и ориентировочно составляет: для строительных материалов $3 \text{ м}^3/\text{м}^3$, для углей $6 \text{ м}^3/\text{м}^3$, для черных металлов $10 \text{ м}^3/\text{м}^3$, для цветных металлов до $40 \text{ м}^3/\text{м}^3$. Глубина карьеров открытой добычи не превышает 500 м, но есть проекты глубиной до 700-800 м.

При глубоком залегании полезного ископаемого применяется подземный (шахтный) способ добычи. Он менее производительный и более дорогой по сравнению с открытым способом. Глубина работ колеблется от десятков метров до первых километров. К глубоким относятся шахты, обрабатывающие рудные тела на отметках от 600 (700) до 1000 (1200) м, к весьма глубоким – с глубиной от 1000 (1200) до 2500 м. С глубины 2500 м начинаются сверхглубокие шахты. Они достигнуты при эксплуатации золоторудных месторождений: Морроу-Велью (Бразилия, более 2500 м), Колар (Индия, более 3300 м), Витватерсранд (ЮАР, около 4000 м).

При проходке подземных горных выработок с глубиной увеличивается горное давление (в среднем 2,5 МПа на 100 м) и температура (в среднем $3 \text{ }^{\circ}\text{C}$ на 100 м). При подземной геотехнологии горное давление может проявляться в виде сдвижения, пучения, стреляния пород вплоть до горных ударов. С целью предотвращения горных ударов применяются специальные технологии выемки массива горных пород.

Условия залегания во многом определяют систему разработки месторождений (в первую очередь, подземной). По значению угла падения различают залегания горизонтальные и весьма пологие ($0-5^{\circ}$), пологие ($5-25^{\circ}$), наклонные ($25-45^{\circ}$), весьма крутые ($60-90^{\circ}$). Имеет значение и выдержанность угла падения в пределах блоков добычи

руды. Если угол падения устойчивый, то независимо от его значения ($0-90^0$) залежь считается выдержанной.

Высокая степень тектонической нарушенности усложняет ведение горных работ. Наибольшие неприятности доставляют малоамплитудные разрывные нарушения, которые не удастся надежно выявлять в процессе разведки. Они приводят к повышению потерь и разубоживания руды при добыче, служат причиной неустойчивости и обрушения кровли, прорывов воды и т. д.

Более надежно при разведке выявляются крупные разрывные нарушения с амплитудой в десятки-сотни метров. Они служат естественными границами шахтных полей, участков, блоков добычи.

Мощность залежей является параметром, определяющим технологию добычи. В горном деле выделяются пять классов залежей: 1) тонкие 1,0-1,5 м; 2) средние от 1,0-1,5 до 3-4 м; 3) мощные от 3-4 до 8-10 м; 4) весьма мощные 10-50 м; 5) сверхмощные более 50 м. При изменении класса мощности возможно изменение системы разработки. Поэтому при разведке необходимо выделение геологически однородных блоков (ГОБов), которые заслуживают применения единой технологии добычи. ГОБы при этом приобретают статус технологически однородных блоков (ТОБов).

Кондиционным требованием, предъявляемым к залежам полезных ископаемых, является минимальная промышленная мощность. Она представляет собой минимальную мощность тела полезного ископаемого, при которой его разработка экономически выгодна. Выше этого значения мощность считается рабочей (или кондиционной), ниже – нерабочей (некондиционной). Так как мощность залежей меняется в пространстве, то внутри них могут появляться некондиционные участки или блоки, создавая прерывистость оруденения.

Инженерно-геологические и гидрогеологические условия играют существенную роль при проектировании и ведении горных работ (Поротов, 2004).

Физические свойства (скальные или слабосвязанные грунты), трещиноватость, расслоенность, наличие зон дробления, проявленная анизотропия свойств определяют устойчивость горных пород и руд при добыче сырья, а также размеры эксплуатационных блоков, значение углов откоса бортов карьера и т. д.

Обводненность месторождения определяется насыщенностью горных пород и руд подземными водами и зависит от совокупности факторов. К гидрогеологическим факторам относятся: количество водоносных горизонтов, условия их питания, фильтрационные свойства пород, оценка возможного водопритока в эксплуатационные выработки, состав и агрессивность подземных вод.

Инженерно-геологические факторы включают: проницаемость, набухаемость, размокаемость, коэффициент размягчения и др.

На месторождениях, где развиты карстовые процессы, существенную роль играют глубина и интенсивность развития карста. Выявляются зоны обводнения и поглощения воды, рассматривается возможность обрушения горных пород в зоны карста.

По результатам выполненных исследований должен быть сделан прогноз *экологических последствий* ведения горных работ, решен вопрос о необходимости и объеме природоохранных мероприятий.

Необходимо учитывать, что при ведении горных работ значительную площадь занимают отвалы или отходы горного предприятия. При необходимости следует предусматривать комплекс работ по укреплению отвалов, их рекультивации, очистке рудничных вод от вредных примесей и создании водохранилищ для их накопления. Должны быть оценены последствия осушения окружающей территории вследствие понижения уровня подземных вод.

ФОРМЫ РУДНЫХ ТЕЛ

Форма рудных тел является одним из ведущих факторов, определяющих методику проектируемых разведочных работ.

По своей сути, форма рудных тел определяется соотношением трех параметров: длины по простиранию, длины по падению и мощности.

Обозначим длину по простиранию $D_{пр}$, длину по падению $D_{пад}$, мощность M . Тогда формы рудных тел при всем своем многообразии могут быть сведены к трем основным группам (рис. 6).

1. *Изометричные*, $D_{пр} \approx D_{пад} \approx M$. В эту группу относятся штоки и гнезда.

Штоки – рудные тела средних и мелких размеров, по форме близкие к цилиндру: изометричные или эллипсовидные в плане и столбообразные в разрезе.

Гнезда – небольшие изометричные тела, характерные для камнесамоцветного сырья, редких и благородных металлов.

2. *Плоские*, $D_{пр} \approx D_{пад} \gg M$. К плоским, или плитообразным телам относятся, в первую очередь, пласты и жилы.

Пласты – это согласные плитообразные тела. Залегают согласно, то есть параллельно вмещающим породам. Пласт соответствует осадочному слою. Выделяются также *пластообразные залежи*, которые отличаются от пластов меньшими размерами, а также меньшей выдержанностью.

Жилы – секущие плитообразные тела. Их границы пересекают контакты вмещающих пород. Жилы, как и магматические дайки, – тела выполнения трещин. Жилы могут быть простыми, а также сложными, ветвящимися и т. п.

3. *Линейные*, $D_{пр} \gg D_{пад} \approx M$ или $D_{пад} \gg D_{пр} \approx M$. Эта группа объединяет рудные тела, вытянутые в одном направлении. Если преобладающим размером является длина по простиранию, образуются *рудные ленты*, типичные для речных (аллювиальных) россыпей. Если наибольший размер отвечает длине по падению, то рудные тела имеют столбообразную или трубообразную форму. *Рудные столбы и трубы* приурочены обычно к пересечениям разломов или к вулканическим жерлам.

Широким распространением для обозначения формы рудных тел пользуются в геологии термины «штокверк» и «линза».

Штокверк представляет собой минерализованный объем горных пород. Обычно это массивы магматических пород или их части, насыщенные многочисленными разноориентированными прожилками и вкрапленностью рудных минералов. Такие рудные тела не имеют естественных природных границ и оконтуриваются по данным опробования. Обычно штокверки имеют форму, близкую к изометричной. Однако нередко

минерализованные зоны штокверкового типа, приуроченные к разрывным нарушениям (*линейный штокверк*; тогда их форма будет плоской или линейной).

Термин «*линза*» также не имеет однозначного морфологического содержания. Короткую и толстую линзу можно отождествить с гнездом. Плоские линзы соответствуют плоским рудным телам: согласным, если линза расположена параллельно контактам вмещающих пород, и секущим, если линза залегает косо. Наконец, линзы могут вытягиваться в одном направлении, образуя линейные рудные тела.

Кроме того, нередко встречаются рудные тела сложной, или комбинированной формы. Обычно они представляют собой сочетания или комбинации тел, принадлежащих к разным группам. Наиболее распространены крестообразные, грибообразные, седловидные и пр.

ГРУППИРОВКА МЕСТОРОЖДЕНИЙ ПО СЛОЖНОСТИ ГЕОЛОГИЧЕСКОГО СТРОЕНИЯ ДЛЯ ЦЕЛЕЙ РАЗВЕДКИ

Установление принадлежности изучаемого месторождения к конкретному промышленному типу способствует выбору системы его разведки. Уже на стадии оценочных работ эта задача должна решаться. В то же время месторождения одного и того же промышленного типа нередко характеризуются разными размерами, формой рудных тел, разной сложностью внутреннего строения (минеральным составом, текстурно-структурными особенностями, типами и сортами руд, содержанием полезных и вредных компонентов). Для обоснования системы разведки, технических средств и методических приемов большое значение приобретает *группировка месторождений* по сложности геологического строения для целей разведки, учитывающая накопленный опыт их разведки и разработки (Комплексная ..., 1990).

Впервые на необходимость группировки месторождений полезных ископаемых по сложности строения в зависимости от вычисленных значений коэффициентов вариации мощности и содержания полезных компонентов указано в работах В. М. Крейтера, Д. А. Зенкова, Н. В. Барышева, В. И. Красникова и др. В обобщенном виде группировка была предложена В. М. Крейтером в 1940 г. Все месторождения, исходя из учета формы и размеров рудных тел, разделены на пять групп (Крейтер, 1961): 1) пластовые и пластообразные тела, занимающие стратиграфический горизонт (или к нему приуроченные), и россыпи; 2) очень крупные залежи, неправильные тела и минерализованные массивы штокверкового и гнездового распределения, залегающие в разных крепких породах; 3) жило- и линзообразные тела в разных породах; 4) трубчатые и ветвящиеся залежи небольшого масштаба; 5) мелкие гнезда, штокверки, линзы, карманы и трубки в разных породах.

Разработанные В. М. Крейтером принципы группировки месторождений по факторам, определяющим методику их разведки, были положены в основу большинства последующих группировок и учитывались во всех поколениях инструкций ГКЗ СССР по применению классификации запасов. Они нашли отражение и в последнем опубликованном варианте группировок месторождений различных полезных ископаемых для целей разведки (Методические рекомендации..., 2007).

Многими авторами отмечалось, что принятые группировки базируются на качественных признаках, исходя из опыта разведки и разработки объектов. Например, геологическое строение простое, сложное, очень сложное; распределение полезных компонентов равномерное, неравномерное, крайне неравномерное. Поэтому установление группы сложности месторождения, основанное только на качественных критериях, во многих случаях оказывается спорным.

Группировку месторождений (или отдельных тел) полезных ископаемых по сложности геологического строения, основывающуюся на исследовании изменчивости их основных свойств, предложили В. И. Бирюков и М. Н. Денисов (1985). При этом рекомендуется использовать количественные показатели (табл.). Подобный подход отражен в последних вариантах группировки месторождений, предлагаемых ГКЗ в подготовленных Методических рекомендациях (2007). Так, при группировке месторождений железных руд рекомендуется использовать количественные характеристики основных свойств оруденения (табл.). Однако следует отметить, что значения таблиц характеризуют наибольшую степень разведанности месторождения или их частей перед началом эксплуатации. С уменьшением детальности изучения числовые значения признаков могут изменяться: q уменьшается с уменьшением числа наблюдений на прерывистых объектах; K_p и V меняются непредсказуемо: то в сторону увеличения, то в сторону уменьшения. В этом проявляется слабость классификационных числовых признаков. Совершенствование подобных группировок должно основываться на учете особенностей отдельных видов минерального сырья; внедрении геофизических методов исследований, учитывающих контрастность физических свойств рудных тел и вмещающих пород (Шевелев, 2004). Помимо этого, разрабатываемые группировки месторождений должны способствовать рациональному проведению всего геологоразведочного процесса – от проектирования работ до их завершения. Первый тип группировок – морфологический, его следует использовать при проектировании и производстве ранних стадий разведочного процесса. Второй тип, содержащийся в Методических рекомендациях ГКЗ, позволяет относить объект к определенной группе и определять необходимое соотношение разных категорий подсчитываемых запасов с учетом критерия предпринимательского риска.

На практике используется группировка месторождений по сложности геологического строения, предусмотренная Классификацией запасов... (2007). Согласно этому документу необходимая и достаточная степень разведанности запасов твердых полезных ископаемых определяется в зависимости от сложности геологического строения месторождений. По данному признаку месторождения подразделяются на следующие группы.

1-я группа. Месторождения (участки недр) простого геологического строения с крупными и весьма крупными, реже средними по размерам телами полезных ископаемых с ненарушенным или слабо нарушенным залеганием. Характеризуются устойчивой мощностью и внутренним строением, выдержанным качеством полезного ископаемого, равномерным распределением основных ценных компонентов. В процессе разведки возможно выделение запасов категорий A , B , C_1 и C_2 . Примеры месторождений:

Джезказганское и Коунрадское меднорудные; Талнахское медно-никелевое; Никопольское и Чиатурское марганцевых руд; Лисаковское и Аятское железорудные и др.

2-я группа. Месторождения (участки недр) сложного геологического строения с крупными и средними по размерам телами с нарушенным залеганием, неустойчивыми мощностью и внутренним строением, либо невыдержанным качеством полезного ископаемого и неравномерным распределением основных ценных компонентов. Ко 2-ой группе также относятся месторождения углей, ископаемых солей и других полезных ископаемых простого геологического строения, но со сложными горно-геологическими условиями разработки. В процессе разведки возможно выделение запасов категорий *B*, *C₁* и *C₂*. Примеры месторождений: Гайское, Сибайское, Учалинское меднорудные; Кальинское и Черемуховское бокситов; Гусевогорское и Качканарское титано-магнетитовых руд и др.

3-я группа. Месторождения (участки недр) очень сложного строения со средними и мелкими по размерам телами полезного ископаемого с интенсивно нарушенным залеганием, изменчивыми мощностью и внутренним строением, невыдержанным качеством и неравномерным распределением основных ценных компонентов. Запасы разведуются по категориям *C₁* и *C₂*. Примеры месторождений: Красногвардейское, Октябрьское, Тарньерское медных руд; Мугайское, Аятское бокситов; Садовское, Рубцовское свинцово-цинковых руд; Удерейское сурьмяное; большинство золоторудных месторождений.

4-я группа. Месторождения (участки недр) с мелкими, средними по размерам телами с чрезвычайно нарушенным залеганием и резкой изменчивостью мощности и внутреннего строения, крайне неравномерным качеством полезного ископаемого, прерывистым гнездовым распределением основных ценных компонентов. Запасы разведуются преимущественно по категории *C₂*. Примеры: месторождения пьезооптического кварца, оптического кальцита; камнесамоцветного сырья; Ховуаксинское кобальтовое; Актайское ртутное; Шахтаминское молибденовых руд, Чорух-Дайронское вольфрамовых руд и др.

Согласно утвержденной Классификации (2007) регламентированное соотношение запасов разных категорий на разведанных месторождениях полезных ископаемых в настоящее время не требуется: это соотношение определяет владелец лицензий самостоятельно с учетом планируемого предпринимательского риска.

По степени изученности месторождения подразделяются на разведанные и оцененные.

К разведанным относятся месторождения (участки недр), запасы которых, качество, технологические свойства, гидрогеологические и горнотехнические условия разработки изучены по скважинам и горным выработкам с полнотой, достаточной для технико-экономического обоснования их вовлечения в промышленное освоение в установленном порядке. Разведанные месторождения по степени изученности должны удовлетворять следующим требованиям:

- обеспечивается возможность квалификации запасов по категориям, соответствующим группе сложности геологического строения месторождения;
- вещественный состав и технологические свойства промышленных типов и сортов полезного ископаемого изучены с детальностью, достаточной для проектирования

рациональной технологии их переработки с комплексным извлечением полезных компонентов (имеющих промышленное значение) и определения направления использования отходов производства или оптимального варианта их складирования или захоронения;

- запасы других совместно залегающих полезных ископаемых (породы вскрыши, подземные воды, отнесенные на основании кондиций к балансовым), изучены и оценены в степени, достаточной для определения их количества и возможных направлений использования;

- гидрогеологические и инженерно-геологические, горно-геологические и другие природные условия изучены с детальностью, обеспечивающей получение исходных данных, необходимых для составления проекта разработки месторождения с учетом требований природоохранного законодательства и безопасности горных работ;

- достоверность данных о геологическом строении, условиях залегания и морфологии тел полезного ископаемого, качестве и количестве запасов подтверждены на представительных для месторождения участках детализации;

- подсчетные параметры кондиций установлены на основании ТЭР, позволяющих определить масштаб и промышленную значимость месторождения с необходимой степенью достоверности;

- рассмотрено возможное влияние разработки месторождения на окружающую среду; даны рекомендации по снижению прогнозируемого уровня отрицательных экологических последствий.

К оцененным относятся месторождения, запасы которых, их качество, технологические свойства, гидрогеологические и горнотехнические условия разработки изучены в степени, позволяющей обосновать целесообразность дальнейшей разведки и разработки. По степени изученности они должны удовлетворять следующим требованиям:

- обеспечивается возможность квалификации всех или большей части запасов по категории C_2 ;

- вещественный состав и технологические свойства полезного ископаемого оценены с полнотой, необходимой для выбора принципиальной технологической схемы переработки, обеспечивающей рациональное и комплексное использование полезного ископаемого;

- гидрогеологические, инженерно-геологические и другие природные условия изучены с полнотой, позволяющей предварительно охарактеризовать их основные показатели;

- достоверность данных о геологическом строении, условиях залегания и морфологии тел полезного ископаемого подтверждена на участках детализации; подсчетные параметры кондиций установлены на основании укрупненных ТЭР или приняты по аналогии с месторождениями, находящимися в сходных горно-геологических условиях;

- оценено возможное влияние отработки месторождения на окружающую среду.

НЕОДНОРОДНОСТЬ МИНЕРАЛИЗОВАННЫХ НЕДР, ИЗМЕНЧИВОСТЬ СВОЙСТВ ПОЛЕЗНЫХ ИСКОПАЕМЫХ И СПОСОБЫ ЕЁ ИЗУЧЕНИЯ

Исследование неоднородности скоплений полезных ископаемых

При изучении минерализованных участков недр как объектов разведки используется *концепция относительной элементарности*. В соответствии с этой концепцией объект исследования рассматривается в качестве сложной системы, состоящей из множества условно неделимых элементов и объединенных между собой совокупностью условно неделимых связей (Каждан, 1979). Выяснение взаимосвязи и пространственных взаимоотношений элементов неоднородности системы обеспечивает понимание ее структуры.

В изучаемой системе каждый элемент представляет условно неделимую структурную единицу. Однако абсолютно неделимых структурных элементов в действительности нет. Концепция относительной элементарности приводит к представлению о строении материального мира, в том числе, геологических объектов, как об иерархии структурных уровней материи с наличием множества дискретных, условно неделимых структурных единиц в пределах каждого из них.

При детализации наблюдений выявляется неоднородность ранее выделенных условно неделимых структурных элементов и появляется возможность расчленения их на более мелкие единицы. Они характеризуют неоднородность изучаемого объекта уже на более детальном структурном уровне.

При решении геологоразведочных проблем задача сводится к изучению неоднородности природных скоплений полезных ископаемых, их структуры и анизотропии строения как основы для выяснения *изменчивости важнейших свойств полезного ископаемого в недрах*. Познание изменчивости геологических, технологических и горнотехнических свойств определяет обоснование методики разведочных работ, влияет на их последовательность, геолого-экономическую оценку месторождений, эффективность технологии разработки и переработки минерального сырья.

А. Б. Каждан (1974) предлагает при изучении рудоносных территорий выделять шесть последовательных структурных уровней строения минерализованных недр:

- минерализованной зоны (толщи);
- тела полезного ископаемого;
- морфологически обособленного участка тела полезного ископаемого;
- локального обособления участка тела полезного ископаемого (рудного гнезда);
- минерального агрегата;
- минерального зерна или кристалла полезного минерала.

На рис. 7 показана модель одного из флюоритовых месторождений, где отражены разные природно-структурные уровни проявленной минерализации (Каждан, 1977).

Позднее при рассмотрении вопроса о *системном подходе к изучению недр* А. Б. Каждан (1984) предложил задействовать в практике прогнозно-металлогенических исследований развернутую иерархию структурных уровней минерализованных участков недр, включающую большее количество структурно-однородных единиц (от региональных к локальным). Эта систематика призвана обеспечить возможность создания геологических моделей развития рудообразующих процессов при любых масштабах исследования территорий. Выделены следующие уровни строения:

- металлогеническая провинция;

- металлогеническая область;
- рудный район;
- рудный узел;
- рудное поле;
- месторождение полезного ископаемого;
- продуктивная (минерализованная) зона (толща) полезного ископаемого;
- продуктивная залежь (тело) полезного ископаемого;
- морфологически обособленный участок (блок) залежи полезного ископаемого;
- локальное скопление полезного ископаемого (объем селекции или добычи);
- минеральный агрегат, состоящий из зерен полезного минерала;
- зерно, кристалл или обломок полезного минерала.

Отмечено, что количество выделяемых в процессе разведки последовательных уровней может быть изменено в зависимости от целей и задач исследований и от совокупности изучаемых свойств полезного ископаемого.

При обосновании шага опробования, размеров отбираемых проб и расстояний между пунктами наблюдений определяющее значение приобретает исследование соотношений линейных элементов неоднородности (Каждан, 1977; Четвериков, 1984; Шевелев, 2004). Смысл этого утверждения заключается в том, что строение одного и того же природного скопления полезного ископаемого может быть оценено как *однородное* при достаточно больших размерах проб и как *неоднородное* при размерах проб, уменьшенных до определенного предела (рис. 8). При изучении штокверка «длинными» пробами строение штокверка представляется как однородное. Если же уменьшить длину пробы, то строение штокверка следует признать неоднородным.

Учитывая соотношение размеров элементов неоднородности и линейных размеров проб предлагается выделять *три типа неоднородности*:

- неоднородность высшего порядка – линейные размеры элементов неоднородности во много раз меньше линейных размеров проб, а общее их число в каждой пробе очень велико;
- эффективную неоднородность – линейные размеры элементов неоднородности примерно на порядок меньше линейных размеров проб, а их число в объеме пробы сравнительно невелико (последние десятки – первые сотни);
- неоднородность низкого порядка – линейные размеры элементов неоднородности превосходят размеры проб.

Изменчивость свойств полезных ископаемых

Неоднородность природных скоплений полезных ископаемых проявляется в *изменчивости их свойств*. Под изменчивостью понимается непостоянство значений признаков в разных точках пространства. На основе количественных характеристик изменчивости свойств полезных ископаемых решаются основные методические вопросы поисков, разведки, опробования и геолого-экономической оценки месторождений полезных ископаемых (Каждан, 1977, 1984). Если бы изменчивость себя не проявляла, то одно единственное наблюдение в любой точке (например, разведочное пересечение) давало бы полное и точное представление обо всем изученном объекте.

При дискретной сети наблюдений геологическая неоднородность низшего порядка проявляется как случайная, так и как неслучайная пространственная изменчивость изучаемого свойства, но чаще всего – как сумма обеих составляющих изменчивости.

Для *случайной изменчивости* характерна независимость друг от друга значений признака, наблюдаемого в разных точках залежи (в том числе и смежных). Они не зависят от расстояния между пунктами наблюдений и имеют по всем направлениям характер случайных беспорядочных колебаний (рис. 9 б). Случайная изменчивость может быть количественно охарактеризована методами вариационной статистики случайных величин.

Под *неслучайной изменчивостью* (закономерной) понимают характеристику закономерностей пространственного размещения изучаемого свойства в некотором объеме недр. Определяющим свойством неслучайной изменчивости является наличие плавных колебаний значений признака и постоянство знака приращения на протяжении изучаемого отрезка недр. Поскольку закономерная изменчивость связана с пространственным положением пунктов наблюдения, то её называют *координированной* (рис. 9а).

В реальных условиях всегда наблюдается сочетание случайной и закономерной изменчивости в разных пропорциях. В зависимости от их сочетаний предложено выделять три градации изменчивости (Поротов, 2004): простая – преобладает закономерная изменчивость на фоне случайных колебаний; сложная – закономерная и случайная изменчивость присутствуют приблизительно в равных отношениях; весьма сложная – преобладает случайная изменчивость, а закономерная составляющая проявлена лишь в виде тенденции. Составляющая случайной изменчивости оказывает непосредственное влияние на статистическую оценку средних характеристик изучаемого свойства, определяя число наблюдений, необходимое для достижения желаемой достоверности средних оценок. Однако в практике разведки в первую очередь геологов интересует пространственная изменчивость важнейших свойств, которая может быть выражена только ее неслучайной составляющей. Неслучайная изменчивость позволяет оценить характер *анизотропии свойств* полезного ископаемого и выдержанность его строения по разным направлениям в пространстве. Направление, по которому устанавливается максимальная или минимальная скорость изменения изучаемых свойств, носит название *оси анизотропии*.

Анизотропия проявляется в результате упорядоченности пространственного размещения геолого-структурных элементов – зерен, минералов, минеральных агрегатов, располагающихся по слоистости, сланцеватости, зон трещиноватости и т. д. Характеристика анизотропии служит основой для ориентировки сети наблюдений и выбора расстояний между смежными точками по каждому из наблюдаемых направлений.

Мерой анизотропии I служит отношение среднего числа n элементов неоднородности, пересекаемых линиями, проведенными в заданном направлении, к длинам этих линий l в пределах изучаемого объема полезного ископаемого: $I = n/l$ (Каждан, 1984). Наиболее широко распространены скопления полезных ископаемых, имеющих три взаимно ортогональных направления анизотропии: жилы, россыпи, многие пластовые и пластообразные тела и залежи. В них направление максимальной изменчивости свойств совпадает с направлением мощности, а направление минимальной изменчивости – с их

вытянутостью. Промежуточное по значению направление изменчивости совпадает с шириной залежей.

Реже встречаются трубообразные и изометричные линзообразные скопления полезных ископаемых, имеющих два направления анизотропии. В них выделяется круговое сечение, перпендикулярное к длинной или к короткой оси. В плоскости кругового сечения изучаемые свойства близки к изотропным. Второе направление анизотропии совпадает с направлением оси.

Примерами изотропных скоплений полезных ископаемых являются изометрические штокверки цветных и редких металлов.

Таким образом, анизотропия и неоднородность строения природных объектов тесно взаимосвязаны и представляют собой разные формы проявления структуры изучаемых геологических образований. В то же время анизотропия любого порядка может быть выявлена в том случае, если совокупность элементов, создающих анизотропию, укладывается в размеры пробы. Большое значение имеет также учет пространственного расположения пунктов наблюдений. Чем выше природная неоднородность строения и изменчивость полезных ископаемых, тем более локальной должна быть система наблюдений при их разведке и более значительными размеры или объем отбираемых проб.

Природная изменчивость свойств полезных ископаемых представляет явление сложного и многопланового характера. Задача полного количественного описания ее практически невыполнима. Поэтому следует отличать понятие *природной изменчивости* свойств полезных ископаемых от понятия их *наблюдаемой изменчивости* по результатам геологоразведочных работ (Каждан, 1984).

Завершая обзор подходов к изучению изменчивости, приведем высказывание (Шевелев, 2004): «Как бы детально и технически качественно не производилась разведка, создаваемая на ее основе эмпирическая модель разведываемых объектов недр, является приближенным отражением действительности. Если методика разведки выбрана несоответствующей особенностям разведываемого объекта, то никакими формальными приемами и способами последующего анализа и обработки (включая применение математики и ЭВМ) нельзя исправить или уменьшить возникающие ошибки».

Способы изучения изменчивости

Способы анализа выявленной изменчивости разнообразны. Их условно можно объединить в две группы – геологические и математические. В основе каждой группы лежит выбранный тип моделей, используемых для отображения изменчивости параметров объекта.

Геологические способы.

Для отражения геологических представлений изучаемых объектов и наблюдаемых признаков используют разные виды графических (геометрических) моделей (Каждан, 1974, 1984; Поротов, 2004). Эти модели являются плоскостными графическими материалами или объемно-макетными (скульптурного, рельефного, скелетного и др. типов). Примерами плоскостных моделей являются планы в изолиниях (мощности, содержания, метропроцентов и др.), гипсометрические и погоризонтальные планы, разного вида графики по направлениям, проекции рудных скоплений на вертикальные или

горизонтальные плоскости и т. д. На графических материалах отображаются степень, характер и структура изменчивости параметров месторождения или их совокупность по определенным сочетаниям, площадям. Надежная геологическая обоснованность и наглядность моделей делают их незаменимыми при изучении и прогнозировании изменчивости геологических объектов. Они остаются ведущим способом обоснования системы разведки месторождений. Одной из разновидностей графических моделей являются блок-диаграммы, обеспечивающие наглядное пространственное представление о геологическом строении рудных полей, месторождений, участков (рис. 10).

Геологическое моделирование представляет сложную творческую задачу, допускающую порой несколько разных решений (Поротов, 2004). Причины этого – сложность геологических процессов, которые чаще всего остаются не познанными; дискретность сети наблюдений. Изученные объемы руд и горных пород малы по сравнению с объектами, на которые распространяются результаты наблюдений. Поэтому неизбежно возникают проблемы разработки более достоверных геологических моделей.

Графические модели обеспечивают лишь качественную оценку условий залегания, формы, строения природных скоплений полезных ископаемых и отражают упрощенное представление о характере и пространственной изменчивости свойств. Поэтому математическое обоснование геологических моделей, математический анализ изменчивости геолого-промышленных параметров выбранной модели становится необходимым. Приступить к математическому моделированию можно только создав удовлетворительную геологическую модель объекта. Геологическая модель должна отражать разделение объекта на блоки с разными типами изменчивости, тектонические смещения рудных тел, первичную и вторичную зональность и иные особенности. Игнорирование этих признаков объекта делает последующую математическую оценку изменчивости не корректной.

Математические способы

Математические методы, применяемые для изучения и прогноза изменчивости параметров геологических объектов, многочисленны и разнообразны. Задачей настоящего обзора является: дать общее представление об основных направлениях математического моделирования в рамках рассматриваемой проблемы; кратко охарактеризовать наиболее распространенные математические способы изучения изменчивости; указать области их применения и практическую значимость получаемых результатов (Поротов, 2004).

Вопросы математического моделирования широко освещены в многочисленных научных публикациях и учебной литературе. Эта информация отражена в учебниках и учебных пособиях (Каждан, 1974, 1984, 1990; Погребницкий и др., 1977; Поротов, 2004; Волков, 2006 др.). Более подробно проблемы изучения изменчивости параметров месторождений рассматриваются в специальных дисциплинах: «Математические методы моделирования в геологии», «Геометризация и анализ геологических полей», «Основы компьютерных технологий решения геологических задач».

Считается, что геологические объекты относятся к «плохо организованным природным системам». Они не поддаются точному количественному описанию и, как правило, взаимосвязь между их параметрами не может быть выражена строгими законами.

Приходится создавать модель, дающую лишь приближенное представление о строении объекта и протекавших в объеме залежей рудообразующих процессах. Чем более точные представления будут получены исследователями об изучаемом объекте, тем объективнее будет подобрана соответствующая его особенностям цифровая модель, более надежные и представительные результаты получены при анализе материалов.

На базе геологических моделей созданы разные математические модели. Кратко охарактеризуем лишь некоторых из них:

- статистическая модель;
- геостатистическая модель;
- модели на основе случайной функции;
- разностные модели;
- геометро-статистическая модель.

Статистические модели. Их использование целесообразно, если в наблюдаемой изменчивости признака практически отсутствует закономерная составляющая и, следовательно, геометризация признака в изучаемом объеме недр практически невозможна.

Применение одномерной статистической модели основано на предположении о независимости значений изучаемого признака. В общем случае можно лишь считать, что чем выше степень изменчивости признака, тем полученные результаты ближе к статистической совокупности. Опыт показывает, что формулы математической статистики дают достаточно достоверные результаты при изучении изменчивости месторождений золота, платины, алмазов, редких и отчасти цветных металлов, мусковита и др., но оказываются ненадежными при оценке изменчивости залежей многих осадочных полезных ископаемых.

В практике разведочных работ одномерные статистические модели используются, главным образом, для численной оценки степени изменчивости геолого-промышленных параметров тел полезных ископаемых и месторождений, а также оценки точности полученных результатов. Важнейшими характеристиками таких моделей являются среднее значение изучаемого параметра $x_{\text{ср}}$, дисперсия s^2 , среднеквадратичное отклонение s и коэффициент вариации V .

Поскольку у реальных геологических объектов обычно проявлено сочетание случайной и закономерной составляющих изменчивости, статистические модели, считающие все изменения случайными, показывают завышенную оценку. Во избежание этого необходимо выделять и исключать закономерную составляющую и рассчитывать коэффициент вариации только по данным выделенной случайной составляющей изменчивости.

При разведке месторождений выборки чаще всего характеризуются небольшими объемами. Поэтому оценку среднего значения оцениваемого параметра можно рассматривать как случайную величину, не соответствующую математическому ожиданию. Последнее и представляет собой истинное среднее значение этого параметра для генеральной совокупности – геологического объекта в целом. Поэтому одной из решаемых задач является выбор лучшего способа вычисления этой оценки и определение степени ее точности.

Статистические оценки могут быть точечными (выражены определенным числом) и интервальными (указывается интервал значений, в пределах которого находится истинное значение величины при заданной вероятности этого события) (Каждан, 1984).

При сравнении изменчивости параметров разной размерности наряду с абсолютной используют относительную величину (коэффициент вариации), обычно выражаемую в процентах:

$$V = \left(\frac{\sigma}{x_{\text{ср}}} \right) \cdot 100$$

Использование коэффициента вариации при оценке изменчивости имеет смысл в тех случаях, когда необходимо рассчитать средние значения геолого-промышленных параметров и погрешности их определения. Поэтому статистическая модель обычно применяется для изучения изменчивости содержания компонентов в рудах и мощностей тел полезных ископаемых, но она не эффективна при анализе условий залегания этих тел, их внутреннего строения и изменчивости качества нерудных полезных ископаемых (известняк, доломит, гипс и др.).

Геостатистическая модель. Предложена Ж. Матероном (Матерон, 1968) в шестидесятых годах прошлого столетия. Основана на предположении, что результаты наблюдений зависят от расположения пунктов наблюдений. При смещении начального пункта наблюдений результаты измерений меняются. По этой причине их рассматривают как случайные величины. При этом средний квадрат разности измеренных значений зависит только от расстояния между пунктами наблюдений.

Основной инструмент геостатистики – вариограмма – используется для анализа и описания пространственной корреляционной структуры между произвольно размещенными реальными данными наблюдений. Вариограмма измеряет степень корреляционной связи между пробами в пространстве. Она обычно характеризуется 3-мя главными параметрами (рис. 11).

- *Эффект самородка* – это случайная составляющая дисперсии проб, которая показывает насколько велико различие содержаний в очень близко расположенных образцах. Величина эффекта самородка зависит от сети опробования месторождения и степени ее изменчивости. Название этого параметра введено при оценке месторождений золота, где часто встречаются непредсказуемые «ураганные» содержания металла.

- *Порог вариограммы* – это величина дисперсии проб. Когда вариограмма достигает порога, она часто выполаживается и больше не растет.

- *Зона влияния* – это максимальное расстояние, на котором между пробами еще существует корреляция. На меньших расстояниях (с определенной долей вероятности) можно предсказать содержание в точке массива по данным опробования, а на больших дистанциях – не имеем права. Вариограмма достигает порога на расстоянии, равном зоне влияния. На графике – это расстояние по оси абсцисс от начала координат до точки пересечения теоретической вариограммы с линией порога.

Вариограмма рассчитывается как сумма квадратов разности содержаний между пробами, отстоящими друг от друга на расстоянии h , отнесенная к удвоенному числу пар проб. Функция экспериментальной вариограммы имеет следующий вид:

$$\gamma(h) = \frac{\sum (C_i - C_{(i+h)})^2}{2N},$$

где C_i – содержание элемента в точке i ,

$C_{(i+h)}$ – содержание элемента в точке, отстоящей на расстояние h от « i » пробы.

Анализ вариограмм необходим для изучения пространственной неоднородности минерализации и расчета исходных параметров для оценки содержаний с помощью кригинга. Выполнение подобных исследований оправдано в тех случаях, когда предполагается наличие на месторождении жильных тел или рудных зон, прослеженных на значительные расстояния, а также если месторождение характеризуется рассеянной минерализацией с неопределенным типом анизотропии. В прикладном плане знание параметров пространственной изменчивости рудной минерализации дает возможность существенно сэкономить средства на разведочные работы, так как наличие вариограмм позволяет уверенно рассчитывать уровень содержаний между буровыми скважинами без дополнительного сгущения буровой сети, а также обосновывать оптимальную густоту разведочной сети. Выявленные закономерности распределения полезных компонентов в пространстве позволяют более надежно интерполировать значения содержаний, оценивать достоверность запасов.

Расстояние, на котором достигается порог (зона влияния), может меняться в зависимости от направления, вдоль которого оценивалась вариограмма. Например, в случае пластовой залежи изменчивость содержаний по простиранию пласта будет меньше, нежели вкрест простирания. Этот феномен называется геометрической (или дирекционной) анизотропией минерализации (Поротов, 2004). В случае если в разных направлениях вариограммы имеют разный порог, анизотропия называется зональной.

При моделировании вариограммы необходимо выбрать соответствующий тип модели. Существуют следующие основные типы вариограммы: линейная, общая линейная (линейные графики), сферическая, экспоненциальная, гауссова, с дырочным эффектом (криволинейные графики). Чаще всего используют сферическую или экспоненциальную модели (рис. 12).

Исследование пространственной изменчивости содержаний полезного компонента с помощью геостатистической модели проведено на одном из золоторудных месторождений Казахстана. Работа выполнена студентом-дипломником М. А. Дресвянниковым (2017). При обобщении материала за основу взята концепция, что традиционными рудоконтролирующими для золотого оруденения считаются структуры северо-восточного направления. Поэтому все первичные геохимические ореолы привязывались к ним, в том числе и ореолы золота.

Для анализа пространственного распределения золота с помощью программы LeapFrogGeo построены 3D модели, отражающие пространственное распределение содержаний золота. В результате на месторождении выделено 6 зон по преобладающему направлению простирания минерализованных зон (рис. 13).

По каждой выделенной зоне рассчитывались экспериментальные вариограммы. Для более наглядного представления построены поверхности вариограмм, представляющие собой розы-диаграммы, на которых в зависимости от направления и расстояния вынесены

значения функции вариограммы (γ). На рис.14-16 интенсивность закрашки отражает изменение значений дисперсии, приведенные к шкале; стрелками показаны направления минимальной изменчивости золота. В первой зоне (рис. 13) северо-восточное направление минимальной изменчивости соответствует вытянутости рудоносной зоны. Зона 2, находящаяся в центральной части месторождения, уже имеет изотропное строение (рис. 15), которое может быть объяснено пересечением двух преобладающих на месторождении направлений распространения золоторудной минерализации (северо-западного и северо-восточного). В третьей зоне (рис. 16) направление изменчивости изменяется на противоположное, характерное для дисперсии первого участка. В целом, горизонтальные вариограммы подтверждают данные, полученные при моделировании рудной зоны. Зоны 1, 4 и 5 имеют минимальные значения дисперсии в северо-восточном направлении, зоны 3 и 6 – северо-западное, 2-ая зона – изотропна по значениям изменчивости.

Выявление в результате геостатистического моделирования «нового» структурного направления (северо-западного) (рис. 16) позволило запроектировать золотодобывающей компании в этой зоне продолжение геологоразведочных работ (в рамках доразведки северо-западного фланга месторождения).

Модели на основе случайных функций могут быть использованы для количественного описания изменчивости признака (пространственной переменной) в зависимости от местоположения пунктов наблюдений. В основе модели лежит гипотеза, что значение признака является случайной функцией координат.

$$\varphi(x) = m(x) + \delta(x).$$

Случайная функция состоит из двух частей: закономерной $m(x)$ и случайной $\delta(x)$ составляющих (рис. 17).

Закономерную часть называют математическим ожиданием случайной функции. Значения случайной функции, получаемые в результате эксперимента и заранее неизвестные, называются ее реализацией. Основными характеристиками случайной функции $j(x)$ являются ее математическое ожидание, дисперсия случайной составляющей, автоковариационная и автокорреляционная функции.

Математическое ожидание $m(x)$ представляет собой наиболее вероятное значение случайной функции в точках x . Дисперсия случайной составляющей D выражается формулой:

$$D = \frac{1}{n} \sum_{i=1}^n \delta(x_i)$$

Автоковариационная функция $K(h)$ представляет собой среднее произведение соседних отклонений на расстоянии h :

$$K(h) = \frac{1}{m} \sum_{i=1}^m [\delta(x_i + h)\delta(x_i)]^2,$$

где n – количество наблюдений; m – количество пар соседних отклонений.

Автокорреляционная функция $r(h)$ представляет собой отношение автоковариационной функции к дисперсии:

$$r(h) = K(h)/D.$$

Сложность применения случайных функций состоит в том, что результаты геологических наблюдений представляют собой, как правило, лишь одну ее реализацию. Характеристики случайной функции можно найти либо тогда, когда она является стационарной и эргодичной, либо при введении дополнительных гипотез.

Стационарной называют случайную функцию, у которой характеристики не меняются при сдвиге сети наблюдений. Она имеет постоянное математическое ожидание и дисперсию, а корреляционная функция ее зависит лишь от расстояния h между соседними пунктами наблюдения, т. е. по существу является функцией одного аргумента. *Эргодичной* именуют стационарную случайную функцию, одна реализация которой на большом интервале эквивалентна большому числу реализаций на малом интервале.

Модель на основе стационарной случайной функции предполагает, что математическое ожидание – величина постоянная, т. е. закономерные изменения признака в пространстве отсутствуют. Тогда математическое ожидание (оценка математического ожидания) равно среднему значению признака: $m(x) = j_{\text{ср}}$, а случайные отклонения находят по формуле $d(x) = j(x) - j_{\text{ср}}$. Дисперсия, автоковариационная и автокорреляционная функции вычисляются по формулам, приведенным выше.

Из перечисленных характеристик наибольший интерес представляет *автокорреляционная функция* $r(h)$, которая показывает степень связи соседних значений признака в зависимости от шага наблюдений h . При $h = 0$ корреляционная функция $r = 1$; с увеличением шага наблюдений значение r убывает и стремится к нулю. Предельный шаг наблюдений, при котором коэффициент автокорреляции становится неотличимым от нуля, называется радиусом автокорреляции R . Он соответствует максимальному расстоянию, на котором еще обнаруживается взаимосвязь соседних наблюдений (рис. 18).

На практике автокорреляционная функция вычисляется по дискретным данным и изображается ломаной линией. За радиус автокорреляции обычно принимают тот шаг, при котором линия автокорреляции первый раз пересекает линию абсцисс.

Автокорреляционная функция зависит от направлений изучения изменчивости параметров и поэтому дает представление об анизотропии залежей. Чем больше радиус автокорреляции в заданном направлении, тем медленнее меняется значение параметра и меньше его изменчивость. Если значение радиуса автокорреляции одинаково по всем направлениям, то геологический объект является изотропным.

Радиус автокорреляции характеризует средний размер области влияния одного наблюдения, что используется при обосновании плотности разведочной сети. Для надежного установления поведения параметра между пунктами наблюдений необходимо, чтобы расстояние между ними не превышало двух радиусов, т. е. области влияния соседних наблюдений перекрывались.

Отметим, что характеристики стационарной случайной функции отражают достоверную картину лишь при отсутствии периодичности в изменении признаков. Они должны быть согласованы с периодами, сопоставимыми с размерами изучаемого объекта. В противном случае (ритмичность разреза, периодичность появления рудных столбов или разрывных нарушений и т. д.) требуется выявление периодов и амплитуд периодической

изменчивости и вычитание ее из реализации случайной функции, чтобы значения параметра привести к стационарному виду.

Различия между геостатистической моделью и моделями типа случайных функций заключается в том, что предметом изучения геостатистики служит исследование расхождений между оцениваемой величиной Q и ее оценкой q . Сама пространственная переменная рассматривается как детерминированная функция, а вероятностный подход проявляется только при оценке расхождения $\varepsilon = Q - q$.

При использовании моделей типа случайных функций предметом исследования являются природные скопления полезных ископаемых и их свойства в недрах, а в качестве случайных величин рассматриваются не дисперсии оценок, а значения всех наблюдаемых свойств. В строении полезных ископаемых выявляются элементы их неоднородности, а характеристики изменчивости изучаемых свойств оцениваются не в заведомо заданных объемах недр, а на том структурном уровне, который выявляется принятой сетью наблюдений.

Разностные модели изменчивости основаны на изучении приращений значений признака между соседними точками наблюдения и имеют целью исключение влияния закономерной составляющей изменчивости для более правильной характеристики случайной изменчивости.

Модель со вторыми разностями впервые предложена Д. А. Казаковским (Казаковский, 1948) и нашла широкое практическое применение. Метод Д. А. Казаковского разработан для правильных квадратных сетей и позволяет оценивать изменчивость геолого-промышленных параметров, которые могут быть изображены в виде топографических поверхностей, главным образом для изучения изменчивости мощности тел полезных ископаемых. Сначала вычисляют первые разности значений признака по соседним точкам:

$$\Delta'_t = \varphi_{i+1} - \varphi_i$$

а затем находят вторые разности как приращения соседних первых разностей:

$$\Delta''_t = \Delta'_{i+1} - \Delta'_i = \varphi_{i+1} + \varphi_{i+2} .$$

Абсолютной мерой изменчивости является показатель сложности топографической поверхности μ_a , который представляет собой среднее значение абсолютной величины вторых разностей:

$$\mu_a = \frac{1}{k} \sum_{i=1}^k |\Delta''_t| ,$$

где k – количество вторых разностей.

Относительная изменчивость признака оценивается с помощью показателя изменчивости m , который представляет собой выраженное в долях единицы отношение показателя сложности поверхности m к среднему значению изучаемого параметра $j_{ср}$.

Геометро-статистическая модель. Основоположником горно-геометрического моделирования является П. К. Соболевский. В основе созданной им модели лежит представление о функциональных связях наблюдаемых свойств с пространственными координатами. Позже его идеи нашли отражение в геометро-статистической модели, разработанной В. Ф. Мягковым (Мягков и др., 1986).

Частные значения характеристик реального поля в точках пространства неоднородны по своему составу. Они представляют собой алгебраическую сумму двух величин, называемых регулярной и случайной составляющими (компонентами) поля $U_i = f(x_i) + \delta_i$ (одномерный вариант), где U_i – значение переменной в i -той точке пространства с координатами x_i ; $f(x_i)$ – значение регулярной (или закономерной) составляющей; δ_i – значение случайной составляющей (рис. 19).

Регулярной (или закономерной) составляющей поля называется детерминированная компонента, фиксирующая направленность изменения изучаемого свойства в пространстве геологического объекта. Например, закономерность выклинивания линзообразного рудного тела от центра к периферии залежи.

Случайной компонентной поля называется составляющая, обуславливающая флуктуацию ее значений относительно детерминированной переменной. Ее наличие определяется влиянием как геологических, так и технологических факторов. Например, флуктуация мощности относительно генеральной тенденции к выклиниванию линзовидного тела от центра к периферии в случае экзогенного месторождения обусловлена не только неровностями дна бассейна седиментации, но и погрешностями принятого способа измерений.

Количественное описание наблюдаемой изменчивости поля заключается в разделении ее на две составляющие, определении амплитуды каждой из них и уровней изменчивости. Закономерная изменчивость определяется построением аппроксимирующей функции, получаемой аппроксимацией исходных значений параметра, а случайная изменчивость оценивается среднеквадратичным отклонением исходных наблюдений от графика аппроксимирующей функции.

Построение начальной аппроксимирующей поле функции на каждом одномерном сечении осуществляется по данным регуляризации измерений в соответствии с формулой, выведенной при условии четырехкратного последовательного сглаживания по двум точкам (Мягков, 1984):

$$U_j = 0,0625 (U_i + 4U_{i+1} + 6U_{i+2} + 4U_{i+3} + U_{i+4}),$$

где U_j – значение регулярной составляющей поля, U_i – частные значения, полученные в результате измерений или опробования по совокупности пространственно сближенных точек. При этом координаты x_j определяются либо по аналогичной приведенной зависимости (вместо U_i в формулу подставляются значения x_i), либо по упрощенной формуле:

$x_j = x_i + (j + 1) \cdot \Delta x$, если шаг наблюдений принят в качестве постоянной величины ($j = i+2\dots$).

С помощью геометро-статистической модели можно выразить основные особенности пространственной изменчивости свойств геологических объектов, установить примерные числовые значения изучаемого свойства в любой точке исследуемого объекта, получить представление о его морфологии и внутреннем строении. В то же время геометро-статистические модели не обеспечивают объективную количественную оценку изменчивости изучаемых свойств. Если статистические методы не учитывают влияния

плавных, закономерных изменений, то методы геометризации игнорируют влияние многочисленных случайных отклонений по отдельным пунктам наблюдений.

Контрольные вопросы к теме 2

1. Перечислите и кратко охарактеризуйте факторы, определяющие промышленную значимость месторождений.
2. Как делятся месторождения по масштабу, качеству полезных ископаемых?
3. На что влияют глубина и условия залегания тел полезных ископаемых?
4. Зачем необходимо изучать инженерно-геологические и гидрогеологические условия месторождений?
5. Как можно подразделить месторождения по форме залежей? Как влияет форма рудных тел на разведку и разработку месторождений?
6. Какие факторы положены в основу группировки месторождений для целей разведки?
7. Какие группы месторождений фигурируют в Методических указаниях ГКЗ? Как их учитывают при разведке?
8. Неоднородность строения минерализованных недр. Как она учитывается при разведке?
9. Изменчивость свойств полезных ископаемых, виды ее проявления.
10. Какие геологические способы изучения изменчивости известны?
11. Какие математические способы исследования изменчивости используют в последнее время при разведке месторождений?
12. Какие основные характеристики фигурируют при использовании геостатистической модели изменчивости?

Тема 3

Методологические основы разведки недр

ПРИНЦИПЫ РАЗВЕДКИ НЕДР

Земные недра обычно недоступны для непосредственных наблюдений. Они познаются преимущественно выборочным методом по сети пространственно разобщенных искусственных или естественных обнажений (Каждан, 1984). При этом полнота и достоверность полученных представлений о строении и составе недр зависит от густоты сети наблюдений, характера и степени неоднородности изучаемых объектов, прерывистости изучаемых свойств. Это побудило исследователей (Крейтер В. М., Каждан А. Б., Четвериков Л. И. и др.) сформулировать принципы, определяющие методологические подходы к изучению и оценке недр.

Принцип последовательных приближений предусматривает необходимость соблюдения правила: «от общего к частному». Геологические исследования начинаются с выявления крупных потенциально рудоносных площадей и отбраковки заведомо неперспективных территорий. После этого целесообразно перейти к более детальному изучению потенциально рудоносных площадей с последовательной ее разбраковкой на перспективные и неперспективные участки. В рамках реализации принципа весь геологоразведочный процесс подразделяется на три этапа и пять стадий (см. главу 5). Предложенная стадийность отражает рациональную последовательность проведения геологоразведочных работ, когда изучение недр проводится с возрастающей детальностью. Сначала выделяются общие геологические закономерности, а затем исследуются детали строения. По мере накопления разведочных данных возрастает полнота и надежность оценки объекта. Появляется возможность пространственного обособления внутри ранее выделенных условно однородных элементов геологического строения ещё более мелких структурных элементов. Вследствие ограниченности выборочных данных для суждения о свойствах и степени изученности объекта необходимо привлечение дополнительной информации, которую можно получить по принципу аналогии.

Принцип аналогии основан на положении о том, что геологические структуры и заключенные в них полезные ископаемые формировались в близких условиях. Они обладают чертами сходства условий залегания, строения и состава. Именно это обстоятельство обеспечивает подобие свойств объекта-эталона и изучаемого объекта. Степень подобия минерализованных участков недр зависит от пространственной близости и масштабов сравниваемых объектов: чем меньше их размеры и меньше расстояния между ними, тем больше проявляется сходство.

На стадии разведки можно выделить два подхода при принятии решений по аналогии: а) внутриобъектная; б) межобъектная. *Первый подход* – параметры разведочной сети принимаются близкими к изученным (и даже уже освоенным) участкам недр. Подобный подход возможен при разведке (доразведке) глубоких горизонтов месторождения, его флангов. *Второй подход* – использование данных по другим детально изученным объектам, используется при обосновании параметров разведочной сети на вновь вовлекаемых в разведку месторождениях. Этот принцип, основанный на типизации

месторождений, изложен в «Методических указаниях...», подготовленных ГКЗ при МПР РФ для отдельных типов полезных ископаемых.

Принцип максимальной эффективности является объединяющим ранее сформулированные В. М. Крейтером принципы наименьших трудовых и материальных затрат и полноты исследования (Петруха, 2003). Сущность принципа заключается в том, что в каждый момент выполнения геологоразведочных работ затраты на получение дополнительной информации не должны превышать экономических потерь, вызванных возможными просчетами в работе будущего предприятия. Полнота информации, необходимой и достаточной для строительства горнодобывающего предприятия, определяет подготовленность месторождения для промышленного освоения. Эта информация должна обеспечить достоверную характеристику разведываемого месторождения.

Достижение полноты необходимой информации осложнено крайне ограниченным объемом получаемых геологоразведочных данных по сети редких разведочных пересечений. В то же время собранная информация должна быть достаточной для принятия проектных решений по разработке месторождения и переработке добываемого минерального сырья. Здесь работает известный в математической статистике метод изучения свойств объектов на основе ограниченной по объему выборки. На каждой последовательно сменяющейся стадии изучения объекта выборка становится более представительной. В то же время из-за ограниченности геологических наблюдений, их неполноты любое проектное решение по освоению месторождения сопровождается риском, обусловленным возможными просчетами из-за неполноты собранных данных. Задача разведки – минимизировать эти риски до экономически рациональных размеров. Это возможно за счет выборочной детализации сети наблюдений на отдельных локальных участках.

Принцип выборочной детализации заключается в том, что проведение геологоразведочных работ в пределах всего объекта изучения должно сочетаться с более детальными работами на отдельных его участках (Каждан, 1984). При этом необходимо определиться с позицией эталонного участка, определить оптимальную детальность наблюдений в его пределах. Эталон-аналоги детализационных работ должны быть представительными по отношению ко всему изучаемому объему недр. Чем типичнее окажутся эти участки, тем полнее будут критерии подобия и меньше погрешности распространения эталонных данных на весь оцениваемый объем. Рассмотрим примеры.

Согласно «Методическим рекомендациям по применению классификации запасов... (2007)» детализационные работы на стадии оценочных работ должны предусматривать обоснование в пределах локальных участков запасов категории C_1 . С учетом полученных данных на этих участках следует предусмотреть опытно-промышленную разработку (ОПР) минерального сырья. В условиях действующих горных предприятий в качестве эталон-аналогов следует использовать уже отработанные участки месторождения.

СТАДИЙНОСТЬ ГЕОЛОГОРАЗВЕДОЧНЫХ РАБОТ

Изучение недр с целью выявления и промышленной оценки месторождений полезных ископаемых осуществляется последовательно по стадиям, по мере отбраковки неперспективных площадей и более детальном исследовании заслуживающих внимания объектов. Стадийность охватывает все виды геологоразведочных работ и отражает рациональный порядок последовательности их проведения (Положение..., 1999). Выделяется три этапа и пять стадий геологоразведочных работ (табл. 1). Составители «Положения...» отмечают, что границы между стадиями условны и определяются масштабами ведущихся работ. Информация, получаемая на каждой стадии, по полноте и достоверности должна быть достаточной для геологического и технико-экономического обоснования геологоразведочных работ последующей стадии, либо освоения и проектирования разработки месторождения. «Положение...» носит рекомендательный характер и устанавливает общие для всех видов полезных ископаемых требования к содержанию и результатам геологоразведочных работ для отдельных стадий.

Этап I. Работы общегеологического и минерагенического назначения

Стадия 1. Региональное геологическое изучение недр и прогнозирование полезных ископаемых

Производится с целью получения комплексной геологической информации, составляющей основу геологического изучения территории и оценки ее минерагенического потенциала. Призвано обеспечить выявление закономерностей формирования и размещения полезных ископаемых. Основным результатом регионального геологического изучения недр является моделирование и ранжирование по экономической значимости структурно-вещественных и минерагенических комплексов, локальный прогноз и начальная геолого-экономическая оценка потенциальных объектов минерального сырья. Основными видами работ являются площадные геологические, гидрогеологические, инженерно-геологические съемки, наземные и аэрогеофизические работы, широкий комплекс специализированных исследований: космоструктурные, геолого-минерагенические, геохимическое картирование и другие виды изучения недр. Площадные картографические работы проводятся в масштабах: 1:15000000 и мельче – сводное и обзорное; 1:1000000 (1:500000) – мелкомасштабное; 1:200000 (1:100000) – среднемасштабное; 1:50000 (1:25000) – крупномасштабное. Для развития минерально-сырьевой базы главное значение имеют средне-крупномасштабные виды картографирования. По результатам выполненных работ выявляются и оконтуриваются прогнозные площади (минерагенические зоны, рудные районы, узлы и поля) с оценкой прогнозных ресурсов по категориям P_3 , P_2 , (P_1).

Этап II. Поиски и оценка месторождений

Стадия 2. Поисковые работы

Объектами исследований являются рудные районы, узлы и поля или их части, выявленные в процессе предшествующей стадии регионального геологического изучения недр, по которым имеются оцененные прогнозные ресурсы категорий P_2 и P_3 . Работы могут производиться и на ранее опосредованных площадях, если это обусловлено изменением представлений о геологическом строении перспективных площадей, изменением

конъюнктуры минерального сырья, увеличением глубинности исследования недр. Поиски могут проводиться в разных масштабах (обычно в пределах 1:50000-1:10000). Включают комплекс геолого-минерагенических, геофизических, геохимических и других видов и методов исследований с проходкой поисковых скважин и поверхностных горных выработок. Для поисков скрытых и погребенных объектов используется глубокое бурение в сочетании со скважинными геофизическими исследованиями. Рациональный комплекс методов формируется на основе особенностей геологического строения объекта, ландшафтно-геохимических условий проведения работ, накопленного в отрасли опыта. По совокупности полученной информации, ее комплексной интерпретации выделяются перспективные аномалии, участки. Проверка природы аномалий, вскрытие, опробование и изучение проявлений полезных ископаемых осуществляется поверхностными горными выработками и поисковыми скважинами. В отобранных пробах определяются основные и попутные компоненты, а в необходимых случаях – технологические свойства руд. На выявленных проявлениях полезных ископаемых оцениваются прогнозные ресурсы категорий P_2 и P_1 . На основе полученных данных выполняется геолого-экономическая оценка выявленных объектов по укрупненным показателям. Положительно оцененные проявления включаются в фонд объектов, рекомендуемых к постановке оценочных работ с выдачей соответствующих лицензий.

Стадия 3. Оценочные работы

Оценочные работы проводятся на выявленных и положительно оцененных проявлениях полезных ископаемых. Для оконтуривания площади, изучения геолого-структурных условий локализации оруденения проводится геологическая съемка в масштабе 1:25000-1:10000 и крупнее (для сложных и небольших объектов). Геологическая съемка сопровождается детальными минералого-петрографическими, геофизическими и геохимическими исследованиями, вскрытием и прослеживанием тел полезных ископаемых поверхностными горными выработками (канавы, шурфы, картировочные скважины). Все вскрытые выходы полезной минерализации подвергаются опробованию и анализу на основные и попутные компоненты.

Технологические свойства полезного ископаемого определяются по лабораторным пробам, а в необходимых случаях – по малым и большим технологическим пробам. По этим результатам намечается принципиальная схема переработки руд, обеспечивающая комплексное использование полезного ископаемого.

Во всех разведочных выработках осуществляется комплекс гидрогеологических, инженерно-геологических исследований, достаточных для обоснования вскрытия и разработки месторождения. Дается характеристика экологических условий производства добычных работ и оценка их влияния на природную среду.

Материалы, полученные при производстве оценочных работ, должны обеспечить оценку промышленного значения месторождения с подсчетом большей части запасов по категории C_2 . По менее детально изученной части месторождения количественно оцениваются прогнозные ресурсы категории P_1 . Достоверность данных о геологическом строении, условиям залегания и морфологии тел полезных ископаемых подтверждается на участках детализации с подсчетом разведанных запасов категории C_1 .

В соответствии с рекомендациями, содержащимися в Методических рекомендациях по применению классификации запасов... (2007), на завершающем этапе оценки целесообразно выполнение на участках детализации отдельных месторождений специализированных работ – «Опытно промышленной разработки» (ОПР) в пределах локального объема минерализованных недр.

Геолого-экономическая оценка объектов осуществляется в процессе проведения работ и по их завершению. В начальный период оценочных работ проводится *оперативная геолого-экономическая оценка* прямым расчетом по укрупненным показателям. По результатам ее принимаются решения о целесообразности продолжения работ или их прекращении. После завершения стадии «Оценочные работы» разрабатываются *временные кондиции* и составляется технико-экономический доклад (ТЭД), в котором дается экономически обоснованная предварительная оценка промышленной ценности месторождения, определяющая целесообразность передачи объекта в разведку с последующим его освоением. *Месторождения*, получившие положительную экономическую оценку на оценочной стадии, *называются оцененными*.

Отчет с результатами подсчета запасов, включая обоснование «временных» кондиций и ТЭД, представляются на государственную геологическую, экономическую и экологическую экспертизу. Заключение экспертизы является основанием для постановки запасов на государственный учет.

Этап III. Разведка и освоение месторождения

Стадия 4. Разведка месторождений

Объектом разведки является закрепленная лицензией в виде горного отвода часть недр, включающая полностью или частично месторождение полезного ископаемого. Разведочные работы осуществляются с целью получения информации для проектирования строительства горнодобывающего предприятия. В «Положении... (1999)» отмечается, что в *процессе освоения месторождения* с целью расширения и укрепления минерально-сырьевой базы действующего или реконструированного горного предприятия возможно проведение *доразведки месторождения*. Эти работы предусматривают в каждом отдельном случае решение конкретных геологических задач. Например, дополнительное изучение флангов или глубоких горизонтов месторождения, уточнение технологических свойств полезного ископаемого и т. д.

При разведке завершается изучение строения месторождения с поверхности с составлением геологической карты на инструментальной основе. В зависимости от размеров, сложности геологического строения, изменчивости тел полезных ископаемых съемка проводится в масштабе 1:10000-1:1000 с применением геохимических, геофизических методов, проходкой горных выработок (канавы, шурфы, траншеи), мелких скважин. Все выходы полезных ископаемых прослеживаются, опробуются с детальностью, позволяющей выявить форму, строение, условия залегания, интенсивность и глубину проявления зоны окисления.

Разведка на глубину проводится скважинами до горизонтов, разработка которых экономически целесообразна. Месторождения сложного строения разведываются скважинами в сочетании с подземными горными выработками. Расположение горных

выработок (в случае отработки объекта подземным способом) должно обеспечить максимально возможное их дальнейшее использование при эксплуатации.

Последовательность и объемы разведочных работ, соотношение горных и буровых выработок, форма и плотность разведочной сети, методы и способы отбора проб (рядовых, групповых, технологических) определяются, исходя из геологических особенностей разведываемого месторождения. Вещественный состав и технологические свойства промышленных типов и сортов полезного ископаемого изучаются с детальностью, достаточной для проектирования рациональной технологии их переработки.

Гидрогеологические, инженерно-геологические, горно-геологические условия изучаются с детальностью, обеспечивающей получение исходных данных для составления проекта разработки месторождения. В процессе разведки дается оценка возможных источников питьевого и технического водоснабжения, проводятся работы по выявлению местных строительных материалов, разрабатываются схемы размещения объектов промышленного и гражданского назначения, обеспечиваются природоохранные мероприятия.

Разведка завершается разработкой технико-экономического обоснования (ТЭО) *постоянных разведочных кондиций*. Производится подсчет запасов основных и попутных компонентов по категориям в соответствии с группой месторождений по сложности строения, дается детальная экономическая оценка промышленной ценности месторождения. Пространственное размещение запасов, их соотношение по категориям устанавливается недропользователем. По завершению работ *месторождение называется разведанным*.

Материалы подсчета запасов, результаты ТЭО и обоснование постоянных разведочных кондиций подлежат государственной экспертизе (геологической, экономической, экологической).

Стадия 5. Эксплуатационная разведка

Эксплуатационная разведка проводится регулярно на эксплуатируемых месторождениях с целью получения достоверных данных для безопасного ведения работ, оперативного планирования добычи, обеспечения наиболее полного извлечения из недр полезных ископаемых. Объектами изучения и оценки являются эксплуатационные этажи, блоки, уступы. Основными задачами при этом являются: уточнение контуров, вещественного состава, внутреннего строения тел полезного ископаемого, количества запасов по технологическим типам и сорта руд (с их геометризацией), уточнение гидрогеологических, горнотехнических и инженерно-геологических условий отработки по отдельным горизонтам, блокам и т. д. Подсчитываются запасы подготовленных к отработке блоков, запасы готовые к выемке.

Для обеспечения рационального использования недр ведется учет потерь и разубоживания полезного ископаемого. Определяются показатели извлечения количества полезного ископаемого и изменения его качества.

В процессе разработки месторождения при резком отклонении в отдельных его частях геологических, горнотехнических и иных условий разработки, а также при изменении экологической конъюнктуры, недропользователь имеет право разработать ТЭО

эксплуатационных кондиций. Они разрабатываются на ограниченный временной период и должны быть привязаны к конкретным участкам эксплуатации.

На протяжении разведки и эксплуатации месторождения ведется учет движения запасов в результате их прироста, добычи, переработки или списания с баланса горнодобывающего предприятия. Информация по движению запасов, добыче, потерях и обеспеченности предприятия разведанными запасами передается в федеральные и территориальные фонды геологической информации.

ПРИНЦИПЫ КЛАССИФИКАЦИИ ЗАПАСОВ ТВЕРДЫХ ПОЛЕЗНЫХ ИСКОПАЕМЫХ

Для сравнения запасов месторождений одного и того же ископаемого, учета минеральных ресурсов разной изученности в пределах страны и регионов необходимо располагать стандартизирующей системой. Такой системой является *классификация запасов*.

В нашей стране классификация месторождений полезных ископаемых утверждалась многократно (1933, 1941, 1953, 1984, 1997, 2007 гг.). Последняя классификация запасов месторождений и прогнозных ресурсов твердых полезных ископаемых устанавливает единые для Российской Федерации принципы их обоснования (Классификация..., 2007). Запасы полезных ископаемых подсчитываются по результатам геологоразведочных и эксплуатационных работ, выполненных в процессе изучения и промышленного освоения. Качество полезных ископаемых изучается с учетом необходимости их комплексного использования, технологии переработки на основе определенных требований к качеству полезных ископаемых и технических условий. При этом определяются содержания основных и попутных ценных, токсичных и вредных компонентов, формы их нахождения и особенности распределения в продуктах обогащения и переработки. Объектом подсчета запасов полезных ископаемых является месторождение (или часть месторождения) твердых полезных ископаемых.

Подсчет и учет запасов по месторождению производится в единицах массы или объема в соответствии с экономически обоснованными параметрами кондиций без учета потерь и разубоживания при добыче и переработке полезных ископаемых.

По экономическому значению запасы твердых полезных ископаемых и содержащихся в них попутных компонентов подразделяются на две группы: балансовые (экономические) и забалансовые (потенциально экономические); они подлежат раздельному подсчету и учету.

К *балансовым* относятся запасы, разработка которых на момент оценки согласно технико-экономическим расчетам (ТЭР) экономически эффективна в условиях конкурентного рынка при использовании техники, технологии добычи и переработки минерального сырья, обеспечивающих соблюдение требований по рациональному использованию недр и охране окружающей среды.

К *забалансовым* относятся запасы, разработка которых на момент оценки согласно ТЭР экономически не эффективна (убыточна) из-за низких технико-экономических показателей, но освоение которых становится экономически возможным при изменении цен на полезные ископаемые, появлении оптимальных рынков сбыта или новых технологий.

Забалансовые запасы подсчитываются и учитываются в случае, если ТЭР установлена возможность их последующего извлечения или складирования для использования в будущем.

Оценка балансовой принадлежности запасов полезных ископаемых производится на основании технико-экономического обоснования (ТЭО), подтвержденного государственной экспертизой. В рамках этой оценки должны быть предусмотрены наиболее эффективные способы разработки месторождений, предложены параметры кондиций, обеспечивающие максимально полное и комплексное использование запасов с учетом требований законодательства РФ.

Запасы полезных ископаемых по *степени геологической изученности* подразделяются на категории *A, B, C₁ и C₂*. Прогнозные ресурсы твердых полезных ископаемых категорий *P₁, P₂ и P₃* в настоящем учебном пособии не рассматриваются. Критерии их выделения в пределах минерализованных участков недр разобраны в учебных пособиях (Баранников, 2011, 2013; Коробейников, 2009; Поротов, 2012 и др.).

Запасы категории A выделяются на участках детализации разведываемых и разрабатываемых месторождений 1-й группы сложности геологического и должны удовлетворять требованиям: установлены размеры, форма и условия залегания тел полезных ископаемых; изучен характер и закономерности изменчивости их морфологии и внутреннего строения; выделены и оконтурены безрудные и некондиционные участки; установлено наличие разрывных нарушений; выделены и оконтурены промышленные (технологические) типы и сорта полезного ископаемого, установлен их состав, свойства, охарактеризовано качество сортов; изучены распределение и формы нахождения ценных и вредных компонентов в минералах и продуктах переработки; контур запасов определен в соответствии с требованиями кондиций по горным выработкам и скважинам на основе результатов их детального опробования.

Запасы категории B выделяются на участках детализации разведываемых и разрабатываемых месторождений 1-й и 2-й групп сложности строения и должны удовлетворять следующим требованиям: установлены размеры, основные особенности и изменчивость внутреннего строения, условия залегания тел полезного ископаемого, пространственное размещение безрудных и некондиционных участков; при наличии крупных разрывных нарушений установлено их положение и амплитуды смещения; определены природные разновидности, выделены и при возможности оконтурены промышленные (технологические) типы полезного ископаемого; при невозможности оконтуривания установлены закономерности пространственного распределения и количественное соотношение промышленных типов и сортов полезного ископаемого; определены минеральные формы нахождения полезных и вредных компонентов; контур запасов определен в соответствии с требованиями кондиций по результатам опробования скважин и горных выработок.

Запасы категории C₁ составляют основную часть запасов разведываемых и разрабатываемых месторождений 1-й, 2-й и 3-й групп сложности геологического строения. Также эти запасы могут выделяться на участках детализации месторождений 4-й группы. Они должны удовлетворять следующим требованиям: выяснены размеры и характерные

формы тел полезного ископаемого, основные особенности условий их залегания и внутреннего строения; оценены изменчивость и возможная прерывистость тел полезного ископаемого, наличие площадей развития мелко амплитудных нарушений; определены природные разновидности и промышленные (технологические) типы полезного ископаемого; установлены общие закономерности их пространственного распространения и количественные соотношения промышленных типов и сортов, минеральные формы нахождения полезных и вредных компонентов; контур запасов полезного ископаемого определен в соответствии с требованиями кондиций по результатам опробования скважин и горных выработок с учетом данных геофизических и геохимических исследований.

Запасы категории C₂ выделяются при разведке месторождений всех групп сложности, а на месторождениях 4-й группы сложности геологического строения составляют основную часть запасов, вовлекаемых в разработку. Они должны удовлетворять следующим требованиям: размеры, форма, внутреннее строение тел полезного ископаемого и условия их залегания оценены по геологическим, геофизическим и геохимическим данным и подтверждены вскрытием полезного ископаемого ограниченным количеством скважин и горных выработок; контур запасов определен в соответствии с требованиями кондиций на основании опробования ограниченного количества скважин, горных выработок, естественных обнажений с учетом данных геофизических и геохимических исследований, геологических построений.

Учитывая определенную «монотонность» в изложении вопроса категоризации запасов и, в известной степени, повторяемость предъявляемых требований к обоснованию отдельных категорий запасов, отразим этот материал в таблице 2, приведенной в учебном пособии (Шевелев, 2004). В ней наглядно *отражены особенности* требований к запасам разных категорий.

На разрабатываемых месторождениях *вскрытые, подготовленные и готовые к выемке запасы* полезных ископаемых, а также находящиеся в охранных целиках горно-капитальных и горно-подготовительных выработок, *подсчитываются отдельно* по категориям в соответствии со степенью их геологической изученностью.

При квалификации запасов полезных ископаемых по категориям в качестве дополнительного классифицированного показателя должны (или могут) использоваться количественные и вероятностные оценки *точности и достоверности* определения основных параметров. Однако конкретных количественных показателей для отдельных категорий запасов до сих пор не разработано. Свой подход в решении этого непростого вопроса рассмотрен А. Б. Кажданом (Каждан, 1977, 1984).

Нет сомнения в том (отмечает этот автор), что категория запасов определяется *густотой сети наблюдений*. В то же время *точность подсчета запасов зависит, прежде всего, от количества наблюдений в пределах разведанного участка* и в меньшей степени – от густоты сети наблюдений. При разной густоте сети, но при сопоставимом числе наблюдений в блоках различных размеров, *погрешности вычисления* среднечисленных оценок могут быть *примерно одинаковыми*, в то время как разведанность блоков будет резко различаться.

Понятия разведанность и точность подсчета запасов могли бы рассматриваться как взаимозависимые только при условии последовательной детализации разведочных данных в блоке установленного размера, когда с уменьшением расстояний между смежными точками наблюдений их количество в блоке закономерно возрастает. В практике разведки это условие обычно не выполняется. При детализации разведочных данных подсчетные блоки категории C_1 разделяются на более мелкие блоки категории B , а те в свою очередь на еще более мелкие блоки категории A . Поэтому связи между числом наблюдений и густотой разведочной сети не возникает.

Таким образом, при *оценке достоверности* результатов геологоразведочных работ необходимо различать степень разведанности запасов и точность их подсчета в заданных объемах недр (Каждан, 1977).

Степень разведанности запасов характеризуется детальностью выявления условий залегания, форм и строения полезного ископаемого, условий пространственного размещения в недрах. Количественно она может быть оценена *погрешностями геометризации* разведанных скоплений полезного ископаемого в недрах для заданной сети наблюдений.

Точность подсчета запасов может быть охарактеризована *погрешностями оценок их качества и количества* в оконтуренных объемах недр.

Из определения сформулированных понятий вытекает вывод, что при переводе запасов из более низких категорий в более высокие повышается не столько точность ранее подсчитанных запасов, сколько выявляются детали их пространственного размещения в пределах более мелких участков и блоков месторождения. Таким образом, точность подсчета запасов оценивается для категорий A , B и C_1 примерно одной и той же погрешностью. Но в зависимости от степени детальности наблюдений эта погрешность относится к разным по величине объемам недр.

На невозможность оценки степени изученности в виде цифровых показателей обращает внимание И. Д. Коган (Коган, 1974). Сказанное он мотивирует тем, что при подсчете запасов невозможно обеспечить заранее заданную величину погрешности для отдельных категорий, так как достоверность всех исходных данных остается практически неизменной для разных категорий запасов. Категория запасов может быть понижена в силу иных причин. Например, при низком выходе керна, незавершенности технологических исследований, при ошибках геологической интерпретации.

Специального рассмотрения заслуживают классификации запасов твердых полезных ископаемых, применяемые в основных горнодобывающих странах (Австралии, США, Великобритании, Канаде и др.). Сопоставление отечественной квалификации с зарубежными, описание признаков их сходства и различия необходимо при обосновании инвестиционной привлекательности выставляемых на конкурс отечественных месторождений, а также решения ряда иных вопросов.

Обычно в зарубежных классификациях используются не более трех категорий ресурсов (resources): измеренные (measured), исчисленные (indicated) и предполагаемые (inferred), а для оценки изученности запасов – даже двух: доказанные (proved) и вероятные (probable).

Несколько иной является классификация МАГАТЭ, используемая для отражения сырьевой обеспеченности атомной отрасли. Все учитываемые количества сырья квалифицируются как ресурсы (resources). Для характеристики их изученности (достоверности) используются две категории: достоверно установленные (Reasonably Assured Resources – RAR) и дополнительные (Inferred Resources). Сумма оценок по этим категориям рассматривается как установленные ресурсы (Identified). Для оценок ресурсов, связанных с ещё не открытыми месторождениями (Indiscovered), используются категории прогнозные (Prognosticated) и умозрительные, рискованные (Speculative).

Разное целевое назначение российских и зарубежных классификаций затрудняет их однозначное сопоставление. Точного сопоставления между отдельными категориями не может быть в принципе. В то же время при задействовании классификации МАГАТЭ условно можно считать, что категория RAR примерно соответствует категории C_1 , Inferred – C_2 , Prognosticated – P_1 , а Speculative – P_2+P_3 .

В 90-х годах ООН был разработан специальный документ, получивший название «рамочный» (frame word) классификатор ООН. Подготовленная основа классификации представляет универсальную трехмерную матрицу, являющуюся ключом-дешифратором. Она позволяет осуществлять переход от одной классификационной системы к другой (рис. 3). В представленной классификации запасы и ресурсы оцениваются с трех позиций:

- геологическая изученность, определяемая стадией выполнения работ – детальная разведка (разведка), предварительная разведка (оценка), поиски, рекогносцировочные геологические наблюдения;
- экономико-технологическая изученность, определяемая стадией технико-экономической оценки (ТЭО постоянных и временных кондиций, оценка по аналогии и т. д.);
- экономичность освоения запасов, определяемая как достаточная или низкая рентабельность.

Каждая из ячеек матрицы имеет цифровую кодировку. В системе этих координат запасы, отвечающие той или иной степени изученности, выделяются как трехмерные тела. Например, запасы, выявленные на стадии разведки ($A+B+C_1$ по отечественной классификации) и имеющие положительную экономическую оценку на уровне ТЭО постоянных кондиций, получают кодировку 1.1.1.

С 90-х годов XX века в промышленных странах разработан еще один путь согласованного подхода к оценке запасов, определяемый сводами правил («кодексами отчетности»). Одним из таких кодексов, принятых в 2006 г, в ЮАР, Канаде и США, является CRIRSCO (Committee for Mineral Reserves International Reporting Standards). Согласно стандарту CRIRSCO эксперты в заключениях должны руководствоваться определенной схемой классификации ресурсов (рис. 4). Стрелками на схеме показаны возможные переходы ресурсов в запасы при осуществлении экономической оценки объекта и обратно (например, при снижении цен), а также вероятные (probable) через измеренные, подсчитанные (measured) в доказанных (proven) при доразведке. Ресурсы предполагаемые (inferred) экономического значения не имеют.

Системы стандартов (CRIRSCO, YORK и др.) успешно задействованы за рубежом. Однако при попытках трансформировать оценки ресурсов в таксоны отечественной

классификации следует иметь в виду, что строго формальные соотношения здесь невозможны.

ТЕХНИЧЕСКИЕ СРЕДСТВА РАЗВЕДКИ

Обоснование оптимального комплекса технических средств – кардинальный вопрос разведки месторождений. На выбор технических средств разведки оказывают влияние геологические, горнотехнические и географо-экономические факторы. Их совокупным влиянием определяется пространственная ориентировка разведочных разрезов, расположение разведочных пересечений, техника проходки разведочных выработок (Каждан, 1977, 1985).

Геологические факторы отражают условия формирования, состав и строение полезных ископаемых, закономерности их локализации в геологических структурах, уровень эрозионного среза месторождений. Определяющее значение при этом имеют: характер связи полезных ископаемых с элементами геологического строения; условия залегания и морфология скоплений полезных ископаемых, их размеры; строение и состав залежей полезных ископаемых.

При анализе влияния *горнотехнических факторов* на выбор технических средств разведки должны быть учтены: предполагаемые способы вскрытия и разработки месторождения; гидрогеологические условия, горнотехнические свойства полезного ископаемого и вмещающих пород.

Геолого-экономические факторы также могут оказывать влияние. В зависимости от уровня экономической освоенности, климата, ландшафтных особенностей рельефа, энергообеспеченности территории, наличия трудовых ресурсов, дорог и т. д. приходится решать вопросы рационального соотношения горноразведочных, буровых работ и геофизических исследований.

Технические средства геологоразведочных работ различаются по своим возможностям, информативности, стоимости (Шевелев, 2004, Петруха, 2003). Они включают: горные разведочные выработки, буровые скважины, геофизические исследования.

А. Горные выработки подразделяются на поверхностные и подземные. К поверхностным относятся каналы и траншеи (магистральные и прослеживающие), мелкие шурфы и дудки, расчистки; к подземным – глубокие шурфы, штольни и шахты с комплексом развиваемых из них горизонтальных выработок (квершлагги, штреки, орты, рассечки), а также наклонных и вертикальных (восстающие, гезенки).

Поверхностные горные выработки используются для вскрытия полезного ископаемого и вмещающих пород в коренном залегании, изучения зоны окисления рудных тел. Проведение этих выработок не требует больших затрат и поэтому широко используется на ранних стадиях изучения месторождений. Ведущее значение имеет проходка *каналов*. Обычно их проходят на глубину 2-3 м, реже до 6 м уступами с высотой не более 2 м. При малом объеме работ и их рассредоточенности проходка каналов осуществляется вручную. В стадию разведки каналы проходят с применением буровзрывных работ (рыхление, на выброс) и экскаваторами, бульдозерами, канавокопателями, скреперными установками. Те же геологические задачи (вскрытие рудных тел, их документация, опробование) решает

проходка *траншей*. От канав они отличаются большим поперечным сечением и глубиной проходки (до 5 м). Используются современные технические средства – бульдозеры, скреперы, роторные установки. При изучении месторождений, представленных жильными зонами (в том числе, камнесамоцветного сырья) и для отбора технологических проб, возможна проходка *разведочных карьеров* (Петруха, 2003). Форма карьеров в плане, их размеры и глубина определяются целевым заданием. Используются карьеры для разведки полезных ископаемых, выходящих на дневную поверхность или находящихся на небольшой глубине. Глубина карьеров может достигать 50 м, а объем – десятков кубических метров. При проходке применяют разные технические средства.

Для прослеживания и оконтуривания залежей по простиранию при мощности рыхлых отложений более 5 м, а также вскрытия предполагаемых под наносами новых тел полезных ископаемых, предусматривается проходка разведочных *шурфов*. Они подразделяются на мелкие (до 10 м) и глубокие (до 40 м). Площадь сечения шурфов 1,25; 1,5; 2,0; 4,0 м². Глубокие шурфы проходят для изучения условий залегания рудных тел, отбора проб монолитов. При необходимости из шурфов проходят рассечки сечением 1,8, 2,7 или 3,6 м². Многие годы шурфы служили основным техническим средством при разведке россыпей и других приповерхностных месторождений. Неглубокие шурфы круглого сечения называются *дудками*. Шурфы, проходимые в неустойчивых и рыхлых породах, крепят, а глубиной более 10 м вентилируют.

Механизированная проходка шурфов осуществляется с использованием специализированных технических средств, предназначенных только для бурения (КШК-30А, УБСР-25), или комбинированных, используемых для проходки шурфов и скважин (ЛБУ-50, КБУ-15, УКС-22М).

Подземные горные выработки по целевому назначению подразделяются на подходные (вскрывающие) и собственно разведочные (Шевелев, 2004). К подходным относятся шахты, подходные штольни и квершлаг; к основным – штреки, орты, рассечки и восстающие.

Стволы *разведочных шахт* используются как вскрывающие выработки при разведке месторождений. Сечение разведочных стволов колеблется от 6 до 12 м², а глубина – до нескольких сотен метров. *Разведочные штольни* служат горизонтальными вскрывающими выработками при разведке месторождений, залегающих в условиях пересеченного рельефа. Поперечное сечение штолен колеблется в пределах от 6 до 9 м². *Квершлаг* также является горизонтальной вскрывающей подземной выработкой и проходится из ствола шахты. Разведочным квершлаг является только в той части, где выработка пересекает залежь полезного ископаемого. *Разведочные штреки* представляют горизонтальные горные выработки, пройденные по простиранию залежей. Их целью является прослеживание по простиранию строения рудных тел, сплошности оруденения. Штрек может быть пройден по полезному ископаемому (*рудный штрек*) или по вмещающим породам (*полевой штрек*). Если тела полезных ископаемых обладают значительной мощностью, то от полевого или рудного штрека через определенные интервалы проходят *орты* (рассечки) или *скважины* с выходом во вмещающие породы для вскрытия продуктивных зон на полную мощность. Эти выработки выполняют роль разведочных пересечений. *Разведочные гезенки* проходят из

квершлагов вверх или вниз, пересекая пологопадающие тела полезного ископаемого по их мощности. *Разведочные восстающие* проходят из штреков по восстанию залежей полезного ископаемого. Проходят восстающие с целью прослеживания залежей полезного ископаемого между основными горизонтами горных работ. При этом появляется возможность изучения сплошности оруденения по восстанию, изменчивости мощности и качества минерального сырья по вертикали.

Площади поперечного сечения в проходке квершлагов и штреков колеблется в пределах 3,6-5,8 м², ортов – 2,7-3,6 м², восстающих и гезенков – до 4 м².

При проходке разведочных выработок используются разнообразные технические средства, осуществляющие буровзрывные, погрузочные, откаточные, подъемные и иные виды работ.

Применение горных работ в качестве технического средства рекомендуется осуществлять с учетом следующих требований (Петруха, 2003):

- при заложении дорогостоящих горных выработок необходимо учитывать геологические особенности объекта (условия залегания, размеры, форма залежей), полученные во многих случаях путем разведочного бурения;
- преобладающая часть горных выработок должна приходиться на вскрытое полезное ископаемое с целью его изучения и опробования;
- горные выработки следует проходить с учетом их дальнейшего использования при эксплуатации месторождения; например: использования разведочных шахт в ранге вентиляционных.

Горные выработки позволяют детально изучить изменчивость параметров оцениваемых объектов (по форме, качеству сырья, сплошности оруденения и т. д.), учет которых крайне необходим при разведке месторождений 3-й и 4-й групп по сложности геологического строения. Примеры размещения горных выработок при вскрытии и разведке тел полезных ископаемых отражены на рисунках, приведенных в учебных пособиях (Петруха, 2003; Шевелев, 2004).

Б. *Буровые разведочные скважины* – наиболее широко применяемые технические средства разведки. Для большинства полезных ископаемых они являются главным и даже единственным техническим средством. Следует учитывать, что скважины дают менее полные сведения об оцениваемом полезном ископаемом, но буровые работы нашли широкое применение благодаря мобильности, скорости проходки скважин, относительной легкости оборудования, меньшим расходом средств на метр проходки (Шевелев, 2004). При всех очевидных преимуществах буровые скважины имеют и недостатки: они вскрывают небольшие участки недр; дают менее точные сведения о составе и строении полезного ископаемого по сравнению с горными выработками; повторное контрольное опробование и отбор проб разного назначения ограничен из-за малого количества получаемого каменного материала; при бурении скважин наблюдается их искривление, что усложняет геометризацию разведанных объемов недр; при бурении по рудоносным интервалам возникают осложнения и отмечается недостаточный выход каменного материала с ненарушенной структурой. Но буровые скважины незаменимы при разведке глубоко

залегающих месторождений. Месторождения 1-ой и 2-ой групп по сложности геологического строения в основном разведуются только бурением.

При разведке месторождений твердых полезных ископаемых скважины бурятся с поверхности и из подземных горных выработок. Для поверхностного бурения используются неглубокие ударно-вращательные, вибрационные скважины и более глубокие ударно-канатные, пневмоударные и гидроударные. При оценке глубоких горизонтов задействуют бурение колонковых скважин и бескерновых скважин вращательного бурения. Из подземных горных выработок бурятся колонковые, шарошечные и перфораторные скважины.

Приповерхностные скважины глубиной до нескольких десятков метров используются для геологического изучения рудовмещающих структур, прослеживания, опробования и оконтуривания приповерхностных участков месторождений (Шевелев, 2004). Возможно использование разного типа буровых установок: УПБ-25 и УБР-2, БУУ-2, УКБ 12/25, БУ-20-2УШ и др.

Колонковое бурение глубиной от десятков метров до 150-200 м осуществляется агрегатами, смонтированными на автомашинах (УКБ-2, БСК, КГК-100 и др.). Более глубокие скважины бурятся агрегатами УКБ-3, УКБ-4, УКБ-5 и станками ЗИФ-650, СБА-500, СБА-800, ЗИФ-1200 и др. В последнее время в практике геологоразведочных работ нашли применение станки, разработанные зарубежными фирмами. Наиболее широко применяются буровые установки компаний Boart Longyear, Atlas Copco, Sandvik, SCHRAMM и их аналогов, произведенных, как правило, в КНР. Известные в нашей стране установки алмазного бурения серии Boart Longyear включают станки LM30, LM45, LM55, LM75. Размещенные на них манипуляторы позволяют ориентировать направление бурения скважины в любую заданную сторону.

Создание новой техники направленного бурения позволило проводить разведку по более рациональным схемам при проходке многоствольных скважин и за счет этого – многократного увеличения массы опробуемого рудного материала (без бурения дополнительных скважин). При этом дополнительные стволы могут располагаться как в одной вертикальной плоскости, искривления в одну сторону, так и задаваться в разных азимутальных направлениях (рис. 5).

Скважины подземного бурения могут являться частью разведочной системы или решать частные задачи, возникающие при геологическом изучении месторождения (прослеживание локальных рудоконтролирующих структур, апофиз, поисков смещенных частей рудных тел и т. д.). Бурение колонковых горизонтальных, наклонных и вертикальных скважин до 100 м осуществляется станками БСК-2М-100, а бескерновое – станками НКР-100. Неглубокие подземные скважины могут буриться с помощью колонковых или телескопных перфораторов без отбора керна глубиной 15-20 м.

В. Геофизические исследования играют большую роль в изучении земных недр, в том числе, на стадии разведки месторождений. Несмотря на то, что непосредственной геологической информации эти исследования не дают, геофизика как метод во многих случаях позволяет сократить количество необходимых разведочных пересечений, получить дополнительную ценную информацию. При обосновании и своевременном проведении

комплекса геофизических исследований появляется возможность пересмотра рекомендуемых методик и технических средств разведки. Последние могут меняться в зависимости от конкретной геологической обстановки и разрешающей способности геофизических средств разведки (Шевелев, 2003).

Как основные технические средства, геофизические методы могут применяться для исследования недр в промежутке между разведочными сечениями и при задействовании операций геофизического опробования.

Комплекс геофизических методов для решения основных задач разведки выбирается на основе учета совокупности факторов, определяющих возможную эффективность раздельного и совместного их применения. К таким факторам относятся (Комплексная ..., 1990):

- степень дифференциации пород и руд по физическим свойствам, определяющая возможность использования данных каротажа для петрографической характеристики объектов;
- размеры, форма, элементы залегания, число рудных тел, текстурно-структурные особенности руд и их вещественный состав;
- присутствие в разрезе пород, близких по физическим свойствам к рудным образованиям;
- методика ведения горных и буровых работ, техническое состояние скважин.

При обосновании методики разведочных работ в рациональный комплекс необходимо включать минимальное и достаточное число геофизических методов, обеспечивающих получение достоверной информации с наименьшими затратами труда и времени. При задействовании нескольких методов следует предусмотреть последовательную их реализацию, скорректированную в зависимости от результатов каждого предыдущего метода.

Представления о возможностях геофизических методах формируются на основе *физико-геологической модели (ФГМ) объекта*. ФГМ включает геологическую модель, сведения о физических свойствах структурных элементов геологической модели, ожидаемые геофизические поля и аномалии на площади или по отдельным профилям (Сапожников, 2012).

В комплекс *наземных геофизических работ* при разведке месторождений входит широкий перечень методов: электроразведки, магниторазведки, радиометрии и др. Геофизические съемки в масштабе 1:2000-1:1000 позволяют более надежно оконтурить площади развития рудной минерализации, поля измененных околорудных пород, проследить выходы рудных тел, установить элементы их залегания, определить мощность рыхлых отложений и границу коры выветривания. Рассмотрим лишь ведущие из перечисленных методов.

Электроразведка включает группу методов, основанных на изучении естественных или искусственно возбужденных в земной коре электромагнитных полей. Электромагнитное поле зависит от свойств горных пород (удельного электрического сопротивления, диэлектрической проницаемости, поляризуемости, электрохимической активности). Это позволяет по изменению параметров поля изучать геологическое строение

площади и выявлять залежи полезных ископаемых. Используются следующие основные группы методов.

Электропрофилирование (ЭП) является одним из самых распространенных методов электроразведки и применяется для изучения крутопадающих слоистых толщ при некоторой постоянной глубинности изучения разреза по профилю (Сапожников, 2012). Геологическими предпосылками для применения метода является присутствие в рудах сульфидов, минералов железа и других, обуславливающих их низкое электросопротивление по сравнению с вмещающими породами. Распространенным является вариант ЭП, получивший название срединный градиент (СГ). В этом варианте токовые электроды разносятся на большое расстояние (1-3 км) и остаются неподвижными в процессе измерения удельного электрического сопротивления ρ_k при перемещении приемной установки *MN* постоянного тока и постоянного размера между электродами *AB*. В горизонтальной однородной среде градиент электрического поля ($\Delta U/MN$) практически постоянен и на его фоне заметны проявления неоднородности разреза в виде локальных тел, крутопадающих пластов с аномальными электрическими свойствами (например, зон окварцевания).

Вертикальное электрическое зондирование (ВЭЗ) – метод электроразведки, применяемый для изучения изменения удельного сопротивления по глубине для некоторой вертикальной трассы. Основан метод на постепенном увеличении размеров установки *AB* с общей центральной точкой (точкой зондирования), при котором увеличивается глубина проникновения тока и, соответственно, глубинность исследований. Метод ВЭЗ используется для изучения пространственного положения, морфологии и элементов залегания рудных тел в вертикальном разрезе. Широко задействуют его при геоморфологических исследованиях, для определения позиции и состава кор выветривания, мощности и строения рыхлого покрова, при гидрогеологических и инженерно-геологических изысканиях.

Метод вызванной поляризации (ВП) основан на изучении электрохимических процессов, возникающих на границе пород с ионной проводимостью (электронных проводников) и окружающей их жидкостью (электролитом) под воздействием пропускаемого тока. После выключения тока некоторое время в цепи возникает вторичная ЭДС – гальванический источник тока, создающий нестандартное поле вторичной поляризуемости. Метод ВП широко используется при разведке месторождений сульфидных, магнетитовых, редкометалльных и иных руд, при оценке ореолов с рассеянной рудной минерализацией.

Метод естественного поля (ЕП) основан на изучении естественных электрических полей, обусловленных разными электрохимическими процессами, самопроизвольно протекающими в земной коре. Метод эффективен при разведке рудных тел близповерхностного залегания, являющихся электронными проводниками. Используется при разведке сульфидных, магнетитовых, марганцевых и графитовых месторождений.

Метод переходных процессов (МПП) основан на изучении низкочастотного электромагнитного поля. В МПП изучается неустановившееся поле вихревых токов,

возникающих в породах и рудах при ступенеобразном изменении тока в контуре, который может быть расположен как на наземной поверхности, так и в воздухе (Горбунова, 1982).

Магниторазведка основана на изучении пространственных изменений геомагнитного поля, возникающих вследствие неодинаковой намагниченности горных пород и руд. Магнитное поле измеряют с помощью магнитометров, предназначенных для измерения полного вектора напряженности T и его вертикальной составляющей. Обычно выполняют относительные измерения, находя приращения значений поля между двумя пунктами наблюдений. Интерпретация магнитных аномалий начинается с анализа карт изолиний магнитного поля, по которым судят о морфологии, размерах и природе возмущающих объектов (Сапожников, 2012). Количественную интерпретацию аномалий осуществляют, используя графики по профилям, проходящим крест простирания геологических объектов. Магнитные съемки с высокой детальностью и точностью 1-2 нТл включаются в разведочный комплекс для решения широкого круга вопросов. В том числе: расчленения пород по литологическому составу; выявления локальных структурных элементов (даек, жил, жерловых построек и т. д.); обоснования зональности размещения разных типов метасоматических пород; выявления магнитных руд черных металлов и слабомагнитных – цветных, благородных, редкометалльных; изучения рудных тел в морфоструктурах месторождения; изучения инженерно-геологических условий и т. д.

Гравитационная разведка основана на изучении пространственного распределения плотности в земной коре с помощью измерения силы тяжести σ (в $г/см^3$). При интерпретации полей силы тяжести используется характеристика избыточной плотности $\Delta\sigma$, представляющая разность плотностей отдельного геологического тела σ_t и вмещающих пород $\sigma_{вм}$. Она может быть положительной или отрицательной. Единицей измерения силы тяжести является Галл ($см/с^2$). Но обычно пользуются более мелкой единицей – миллигалом ($1 мГал = 10^{-3}$ Гала). В разведочной геофизике относительные измерения гравитационного поля g выполняются с помощью гравиметров. Прибор позволяет измерять приращение g от точки к точке, т. е. Δg . На этой основе вычисляются аномальные поля Δg , по которым судят о неоднородностях по плотности в земной коре.

Гравиразведка применяется при структурно-геологическом изучении земной коры, разведке разных полезных ископаемых. Наиболее эффективно гравиметровой съемкой выявляются залежи железорудных и хромитовых месторождений, интенсивность аномалий силы тяжести над которыми может достигать 0,4-0,5 мГал. При увеличении детальности съемки возможно обнаружение рудных тел сульфидных месторождений размером 0,1-0,2 км², с интенсивностью аномалий 0,2-0,5 мГал (Шевелев, 2004).

Радиометрические методы основаны на изучении радиоактивности руд и горных пород с целью решения поисково-картировочных и разведочных задач, опробования. Наибольшее применение получила *гамма-съемка*, дающая положительные результаты для обнаружения радиоактивных руд и расчленения горных пород. Съемка проводится в аэро-, пешеходном, автомобильном вариантах. Радиоактивность выражается через мощность дозы излучения за единицу времени в А/кг (в системе СИ) или в микрорентгенах в час ($1 мкР/час = 10^{-12}$ А/кг). Изменения выполняют с использованием спектрометрической

аппаратуры, позволяющей выделять урановую и калиевую составляющую радиоактивного поля.

Повышенной радиоактивностью обладают породы, в которых в рассеянном состоянии находятся элементы урана, тория. Также повышенная радиоактивность свойственна породам, содержащим изотоп Калий-40. Он присутствует в кварц-серицитовых сланцах, нередко несущих золоторудную минерализацию, полевошпатовых породах, калийных солях.

Геофизические исследования скважин (ГИС) – это отрасль разведочной геофизики, отличающаяся от других методов только по методике исследований. Основные положения теории физических полей, измеряемых в скважинах, остаются теми же, что и в полевой геофизике (Сковородников, 2009, 2016). Роль и значение ГИС постоянно возрастает. В перспективе ГИС открывает путь к бескерновому изучению скважин. В настоящее время в скважинах регистрируется большое количество разных параметров (около 40). При этом стоимость ГИС составляет незначительную часть от общей стоимости сооружения и оборудования скважины.

В ГИС выделяют три больших раздела: каротаж, операции в скважинах и скважинную геофизику.

Каротаж – это геофизические методы изучения геологического строения разрезов скважин. В каротаже исследуются очень небольшие объемы горных пород, прилегающие к стенкам скважины. Отличительная особенность каротажа – высокая детальность и точность исследований. Результаты фиксируются в виде непрерывных диаграмм по стволу скважины или в виде числовых значений с шагом порядка 10-20 см. Каротаж позволяет выполнять литологическое расчленение разрезов скважин, выделять в них интервалы полезного ископаемого, определять физические свойства горных пород и полезных ископаемых *in situ*. Именно на основании данных каротажа производится интерпретация полевых геофизических методов: электроразведки – по данным об удельном электрическом сопротивлении (УЭС) пород; магниторазведки – по значениям магнитной восприимчивости пород; гравиразведки – по их плотности. Каротаж дает сведения, необходимые для подсчета запасов месторождения – данные о мощности залежей, содержанию полезного компонента и т. д. Изучение скважин подразделяется по природе изучаемых полей на методы электрического, радиоактивного каротажа и прочие методы (Сковородников, 2009, 2016).

Методы электрического каротажа включают:

- а) Группу методов кажущегося сопротивления (КС). В эту группу входят: метод КС – наиболее распространенный; резистометрия – метод определения удельного сопротивления жидкости; метод БКЗ (боковых каротажных зондирований) – скважинный аналог метода ВЭЗ; БК – боковой каротаж и др.
- б) Методы токового каротажа: метод скользящих контактов (МСК) – при исследовании рудных скважин; метод бокового токового каротажа (БТК) – для исследования углеразведочных скважин.
- в) Группа электромагнитных методов: ИК – индукционный каротаж, использующий поля низких частот; ВМП – высокочастотный волновой метод проводимости и др.

г) Группа методов электрохимической активности: ПС – метод потенциалов самопроизвольной поляризации (аналог метода естественного поля); метод электродных потенциалов (МЭП). Методы ПС и ПК стали применяться совместно, получив название стандартного электрического каротажа.

Методы радиоактивного каротажа (РК) включают: ГК – гамма каротаж – регистрация естественного гамма-излучения горных пород; ГГК – гамма-гамма каротаж, имеющий две разновидности – плотностной (ПГГК) и селективный (СГГК); РРК – рентгенорадиометрический каротаж; НГК – нейтронный гамма-каротаж и другие методы.

Скважинная геофизика – это геофизические методы изучения геологического строения межскважинного, околосокважинного и призабойного пространства. В отличие от каротажа, скважинная геофизика отличается большими объемами исследуемых горных пород. Это позволяет увеличить действующую зону влияния скважин, пройденных по разряженной сети, обеспечить получение дополнительной геологической информации о межскважинном пространстве.

Методы скважинной и полевой геофизики подразделяются по природе исследуемых физических полей. Широкое использование в практике разведочных работ получили методы скважинной разведки. Выделены методы, основанные на использовании тока разной природы.

На постоянном токе: метод ЕП-С (естественного поля, скважинный вариант), МЗТ – метод заряженного тела, МЭК – метод электрической корреляции разрезов, ЧИМ – метод частичного извлечения металла.

На переменном токе: метод радиоволнового просвечивания, ДЭМПС – дипольного электромагнитного профилирования скважин, ННП-С – наземной незаземленной петли, скважинный вариант.

На импульсном токе: СП-С – метод вызванной поляризации, скважинный вариант; МПП-С – метод переходных процессов, скважинный вариант.

Задачи геофизических исследований в *горных выработках* во многом близки к тем, что уже были сформулированы выше. В том числе: корреляция рудных подсечений; оконтуривание и оценка размеров рудных тел; поиски пропущенных при разведке рудных тел в межвыработанном, межскважинном и околосокважинном пространстве; оценка положения выработок относительно рудных тел; внедрение в практику геофизического опробования.

Геофизическое опробование дополняет геологическое и во многих случаях его заменяет. Оно осуществляется в скважинах и шурфах, на стенках горных выработок. Также опробуется отбитая рудная масса в вагонетках и на транспортерах. Особенности геометрии среды измерений и условий их проведения отражаются в специфичности аппаратуры, в конструкции датчиков.

При измерении в горных выработках основными методами электроразведки являются (Рудничная..., 1986): метод ПС, электропрофилирование, метод электрической корреляции (МЭК), методы грави- и магниторазведки. С их помощью решаются горнотехнические задачи: определяется плотность горных пород и руд, выявляются подземные полости и зоны обрушения, форма карстовых полостей, коэффициенты

фильтрации подземных вод и другие вопросы геологического обеспечения добычных работ.

СИСТЕМЫ РАЗВЕДОЧНЫХ РАБОТ

Метод локальных геологических наблюдений реализуется в разведке посредством *разведочной сети (РС)*. Разведочная сеть – это методическое обоснование разведки месторождений полезных ископаемых. Она непосредственно влияет на получаемую разведочную информацию об оцениваемом объекте. От влияния собранной при разведке информации позднее невозможно избавиться никакой последующей обработкой данных (включая математическое и иное моделирование). Обоснование рациональной РС, отвечающей геологическим особенностям оцениваемого объекта, является кардинальным вопросом разведки месторождений.

Обоснование РС опирается на ряд понятий.

Любая разведочная выработка, пересекающая природное скопление полезного ископаемого, представляет искусственное обнажение и в случае выполнения определенных условий может рассматриваться как *единичное разведочное пересечение*. Совокупность разведочных пересечений, расположенных в одной плоскости, образует *разведочное сечение*, а совокупность разведочных сечений в пространстве – *разведочную систему*. Таким образом, *под разведочной системой понимается совокупность разведочных сечений (разрезов), определенным образом ориентированных в пространстве по отношению к рудному телу, позволяющих решать стоящие перед разведкой задачи* (Каждан, 1977; Рудничная..., 1986; Шевелев, 2004). Прослеживание объектов разведки в заданном направлении осуществляется с помощью разведочных пересечений, в заданной плоскости – с помощью разведочных сечений (разрезов), в заданном объеме – с помощью разведочных систем.

Разведочное пересечение должно удовлетворять ряду требований. Главные из них (Шевелев, 2004):

а) должно быть ориентировано в направлении близком к направлению максимальной изменчивости важнейших свойств полезных ископаемых в недрах (чаще – по линии мощности);

б) вскрывать залежи полезных ископаемых на полную мощность с выходом во вмещающие породы.

Разведочное пересечение может быть выполнено с применением разных технических средств: скважин, шурфов, подземных горных выработок и др. Их выбор зависит от задач разведки, природных особенностей объекта, технико-экономических соображений. Чем сложнее строение полезного ископаемого, тем в большей степени должно быть вскрыто тело оцениваемой залежи. Оптимальным при этом является использование разведочных горных выработок.

Разведочное пересечение должно быть сплошным, что обеспечивает полную информацию по изучаемому направлению. Вычисленные по нему средние значения свойств наиболее близки к действительным. Они расходятся только на величину технических погрешностей экспериментальных наблюдений.

Разведочные сечения (разрезы) могут быть поперечными, продольными или косыми по отношению к телам полезных ископаемых, а также горизонтальными или вертикальными. Разведочные пересечения в пределах разрезов могут располагаться параллельно под разными углами или пересекая друг друга. Если сведения о строении и свойствах полезного ископаемого накапливаются по линиям на основе данных разведочных пересечений, то площади (объемы) между смежными разведочными разрезами остаются неосвещенными. Чтобы иметь сведения о свойствах полезного ископаемого в пределах этих площадей, необходимо располагать характеристикой изменчивости залежи и геологической информацией, которая может быть получена только по принципу аналогии.

Несколько иной смысл вкладывал в понятие разведочной системы основоположник учения о поисках и разведке МПИ В. М. Крейтер (1961). В основе предложенной им систематики предлагалось брать необходимый комплекс технических средств разведки. Под системой разведки он понимал «такое пространственное размещение разведочных средств, которое дает возможность построить намеченные разрезы и произвести необходимое опробование для подсчета промышленных запасов полезного ископаемого». Все разведочные системы В. М. Крейтер объединил в три группы, взяв за основу технические средства разведки: группы буровых, горных и горно-буровых систем. Позднее в развитие представлений о разведочных системах уже иными авторами были положены такие базовые понятия как характер изменчивости свойств полезных ископаемых, особенность анизотропии в строении залежей, возможности их изучения на основе комплекса технических средств. Так, А. Б. Каждан (1984) предложил классификацию разведочных систем, разделив их на три класса: системы вертикальных, горизонтальных и продольных разрезов, а также входящих в них ряда групп и видов (табл.).

РАЗВЕДОЧНАЯ СЕТЬ, ЕЁ ТИПЫ, ОБОСНОВАНИЕ ПАРАМЕТРОВ СЕТИ

Типы разведочных сетей

Обоснованность запланированной в проекте разведочной системы раскрывает выбранная разведочная сеть. Под *разведочной сетью* (РЗС) следует понимать взаиморасположение в объекте разведки локальных наблюдений и измерений разведочных параметров (Шевелев, 2004). Практика показала, что при одной и той же разведочной системе могут быть реализованы разные РЗС и, наоборот, разными разведочными системами могут быть созданы одинаковые разведочные сети.

Разведочную сеть характеризуют ряд показателей.

Анизотропия РЗС – это различие в размещении наблюдений и замеров по разным направлениям пространства. Анизотропия проявляется в форме и ориентировке ее ячеек. Если форма ячеек изометричная (квадратная, треугольная), то сеть изотропна. Если ячейка сети обладает удлиненной формой (прямоугольной, ромбической) с одинаковой ориентировкой, то сеть анизотропна.

Геометрия сети может быть разной. Выделяют правильные, неправильные и линейные сети.

Правильные сети – расположение разведочных пересечений подчиняется строгому геометрическому порядку (квадратная, прямоугольная, ромбическая).

Неправильные сети – отсутствует общая геометрическая упорядоченность в расположении разведочных пересечений.

В *линейных сетях* – разведочные пересечения располагаются в плоскости разведочных сечений и образуют отдельные линии на плоскости проекции; они могут быть параллельными или пересекающимися.

РЗС формирует представление об объекте разведки, соответствие которого в действительности можно проверить только в процессе отработки месторождения. Поэтому следует стремиться к обоснованию и реализации на практике «оптимальной» разведочной сети. По мнению В. В. Шевелева (2004) для этого необходимо выполнение ряда условий.

Первое: при ограниченных ассигнованиях на разведку оптимальная РЗС должна быть обеспечена лимитированным количеством разведочных пересечений, позволяющим выполнить разведку с наибольшей точностью и детальностью.

Второе (дополняющее первое): требования по точности и детальности разведки (категоризации запасов) следует реализовать наименьшим количеством разведочных пересечений.

Третье: у разведочной сети должна быть «оптимальная геометрия», отвечающая структурно-морфологическим особенностям объекта.

На примере четырех ведущих морфологических типов полезных ископаемых ниже рассмотрены условия выбора разведочных сетей (Волков, 2006).

1. Горизонтальные пластовые, пластообразные и линзообразные залежи, имеющие в плане изометричную или близкую к ней форму. Элементы анизотропии свойств не выражены. К этой группе следует отнести месторождения осадочного генезиса и кор выветривания: часть месторождений железных руд, марганца, никеля, бокситов, углей, фосфоритов. Если залежь должна быть изучена с одинаковой точностью по всей площади, то для достижения этой цели наиболее эффективна *квадратная сеть* разведочных пересечений (рис. 20). Она дает возможность получить серии взаимно пересекающихся разрезов. Подобная сеть позволяет на отдельных участках более сложного строения дальнейшее развитие РЗС путем проходки детализационных профилей (рис. 21).

При разведке рассматриваемого типа залежей возможны и другие варианты сетей, отвечающих тем же условиям равномерности расположения точек наблюдений. К ним можно отнести *треугольную сеть*, позволяющую построить равноточные разрезы по трем направлениям. При одинаковом расстоянии между точками пересечения у треугольной сети есть преимущество – расстояние до центра ячейки оказывается меньшим (рис. 22). Но треугольная сеть в практике разведок почти не используется (возможности ее дальнейшего развития отсутствуют).

2. Горизонтальные пластовые и пластообразные залежи, обладающие заметно выраженной в плане протяженностью в одном направлении – более распространенный в природе класс залежей по сравнению с предыдущим, шире охватывающий те же типы осадочных и экзогенных месторождений. Наличие у тел длины и ширины определяет анизотропию их строения. Поперек вытянутости залежей изменчивость выше, вдоль тел – меньше. Условию получения равномерной изученности залежей в данном случае наиболее соответствует *прямоугольная сеть*, стороны которой ориентированы по направлению

длины и ширины тела. Короткая сторона ячейки располагается по ширине, а длинная – вдоль вытянутости объекта (рис. 23). Прямоугольная сеть обладает возможностями ее развития – сгущение на отдельных участках, проходка детализационных профилей.

Примером рассматриваемой группы залежей служат сильно вытянутые извилистые в плане тела лентообразной формы с резко выраженной анизотропией свойств (рис. 24). Геометрически правильная прямоугольная сеть при этом нарушается, и она становится близкой к сети следующего типа.

3. Наклонные залежи с отчетливо выраженными элементами залегания являются наиболее распространенным типом объектов разведки. Их морфология соответствует пластам, пластообразным залежам. Залежи такого типа обладают анизотропией морфологии, условий залегания и внутреннего строения. Разведочная сеть подчинена этим признакам. Применяется система параллельных вертикальных сечений (при выдержанном простирании) или непараллельных (при изменчивом простирании), располагающихся на одинаковом расстоянии друг от друга (рис. 25). Способы развития сети точек наблюдений близки к описанным выше. Например, детализация имеющихся профилей, проходка промежуточных линий и выработок.

4. Для крутопадающих залежей, имеющих облик штоков, характерны сложные виды анизотропии (состава, свойств). В этом случае используется комбинированный способ разведки с применением горных выработок и буровых скважин. В одном из вариантов разведки крутопадающее рудное тело пересекается горными выработками по нескольким горизонтальным сечениям. В каждом сечении проходятся поперечные горные выработки и горизонтальные скважины с целью оконтуривания и изучения залежи (рис. 26).

В учебном пособии (Рудничная..., 1986) приведена более лаконичная систематика разведочных сетей. Выделены две системы разведки – по сетке и параллельным сечениям.

В системе разведки по сетке задействованы правильные разведочные сети – квадратная, прямоугольная, ромбическая. Эти РС применяются для крупных по размерам, простых по морфологии и внутреннему строению рудных тел, залегающих горизонтально или слабо наклонно – пластов, пластообразных тел, штокверков, плащеобразных залежей (рис. 27).

В системе разведки по параллельным сечениям следует выделять: а) горизонтальные сечения для крутопадающих тел сложной формы и строения (трубообразных, линейных оруденелых зон); б) вертикальные сечения для любых по форме тел с переменными углами падения, сложным внутренним строением и глубокозалегающим. Иногда системы горизонтальных и вертикальных сечений могут применяться на одной и той же залежи. Здесь верхняя часть разведывается горизонтальными сечениями (горными выработками в комбинации с подземными скважинами), а глубокие горизонты – скважинами с поверхности и подземным бурением, создающими вертикальные сечения.

Принципиальная схема разведки рудных тел линзообразной формы с использованием горноразведочных работ и буровых скважин отражена на рисунке 28.

Плотность разведочной сети, её обоснование

Обсуждение вопроса о плотности разведочной сети имеет высокую актуальность. С одной стороны, этот вопрос касается детальности изучения объекта, а с другой – связан с

затратами средств и времени. Выбор плотности сети ориентируется на изучение *наиболее изменчивых параметров залежей*. В одних случаях для надежной оценки объема и условий залегания полезных ископаемых используются характеристики изменчивости формы залежей; в других – для оценки качества минерального сырья результаты исследования изменчивости линейных запасов или содержаний.

Разведочная сеть создается в плоскости залежей. Плотность (густота) разведочной сети определяется площадью, приходящей на одно разведочное пересечение. Плотность разведочной сети (R) есть безразмерный показатель – отношение объема залежи (Q) к объему разведочной ячейки (q), т. е. $R=Q/q$. Однако в практике разведки практически всегда используют параметры, характеризующие расстояние между разведочными пересечениями, как в плоскости разведочных сечений, так и между ними.

Плотность разведочной сети зависит от размеров скоплений полезных ископаемых, сложности их геологического строения, целей разведочных работ, размеров оцениваемых (подсчетных) блоков. Чем гуще РЗС, чем меньше размер ее ячейки, тем большей разрешающей способностью она обладает и тем более глубокий уровень в строении оцениваемых объектов она вскрывает. По мере сгущения РЗС у наблюдаемой изменчивости разведочных параметров меняется соотношение между ее случайной и закономерной составляющими в сторону увеличения последней. Суммарная изменчивость остается постоянной, что выражается в постоянстве величины ее дисперсии при разной густоте РЗС (Шевелев, 2004).

Мерой, определяющей степень сгущения разведочной сети, служит выявляемая доля координированной изменчивости свойств залежей полезных ископаемых. Только при ее наличии правомерна геометризация параметров залежей. Составляющая неслучайной (координированной) изменчивости может быть выявлена и оценена горно-геометрическими и математическими методами.

В практике геологоразведочных работ при оптимизации РЗС задействуют следующие методы (способы):

- аналогии;
 - разрежения (сгущения) разведочной сети;
 - сравнения данных разведки с данными эксплуатации;
 - геометро-статистический;
 - совокупность математических методов
- и ряд других способов.

Способ аналогии применяется в соответствии с принципом аналогии. Первоначально разведочная сеть принимается по аналогии с другими близкими по геологическому строению объектами. Месторождения должны относиться к одному геолого-промышленному типу. В данном случае задействуется *межобъектная аналогия*. Наибольшее значение способ приобретает на стадии оценочных работ в связи с недостатком сведений о геологическом строении оцениваемого объекта.

Способ базируется на отнесении разведываемого объекта к определенной группе сложности строения и выборе плотности РЗС на основе обобщения данных разведки многочисленных месторождений, приведенных в «Методических указаниях по

применению классификации запасов...», МПР РФ, 2007. Накопленный опыт указывает на определенную условность отнесения объектов к той или иной группе. Индивидуальность объектов является основной причиной ошибок при использовании метода. Чем необычнее по строению, составу оцениваемые недра, тем ниже оказывается возможность использования способа аналогии.

В пределах месторождения возможно применение *внутриобъектной аналогии* – использование апробированных разведочных сетей на участках выборочной детализации или в пределах отработанных частей залежей. Способ аналогии является наиболее используемым. Однако в рекомендациях ГКЗ подчеркивается, что он является приближенным и обязательно требует заверки соответствующими экспериментами и расчетами.

Способ разрежения относится к категории экспериментальных. Основан на предположении, что достигнутая на объекте густота сети наблюдений заведомо обеспечивает требуемую точность результатов, что чаще не является бесспорным. Способ сводится к последовательному разрежению исходной разведочной сети в 2, 3, 4 и т. д. раз. По разреженной РС определяются средние параметры разведочного участка, сосредоточенные в них запасы, строятся геологические разрезы. Затем производится их сравнение с «истинными» характеристиками, полученными на основе всех разведочных данных по исходной сети. Обнаруживающиеся различия рассматриваются как погрешности, к которым приводит конкретное разрежение сети. Задавая допустимый уровень погрешности, можно установить минимальную густоту сети, при которой во всех вариантах пространственного расположения точек наблюдений погрешности оценки параметра не превысят допустимого значения. Изменение наблюдаемого облика залежи полезного ископаемого при последовательном разрежении сети точек наблюдений отражено на рисунке 29. В тоже время следует отметить, что способ разрежения, как метод сравнения, следует применять в качестве общетеоретического исследования, а не оперативного средства для оценки сети разведываемого объекта (Шевелев, 2004).

Способ сгущения разведочной сети – экспериментальный способ, имеющий конкретную прикладную направленность. Он применяется в тех случаях, когда имеющаяся сеть точек наблюдений признана недостаточно густой или необходим контроль правильности представлений о геологической модели объекта. При последовательном сгущении сети следует постоянно анализировать изменение представлений о морфологии рудных тел, условиях их залегания и иных геологоразведочных параметров. Одним из показателей достаточности РС является однозначная увязка геологических элементов и рудных тел на планах и разрезах.

Следует учитывать, что при каждом сгущении сети имеется только один вариант пространственного положения начального пункта сети. Для этого варианта определяется среднее значение исследуемого параметра и вероятная погрешность его оценки. Достаточной признается такая густота сети, которая обеспечивает погрешности ниже допустимой, а увязка данных по соседним разведочным выработкам становится однозначной.

Способ сравнения данных разведки с данными эксплуатации заключается в сравнении разведочной модели недр с наиболее достоверной, основанной на наиболее детальном изучении недр в процессе эксплуатационных работ. Различие, которое при этом фиксируется, рассматривается как показатель, оценивающий правильность и точность разведки (Комплексная ГЭО..., 1990; Сборник нормативно-методических документов..., 1998, Шевелев, 2004). Данные разведки и отработки сопоставляются в контурах запасов, ранее прошедших экспертизу в ГКЗ РФ, с учетом отработки запасов за пределами этих контуров

Сравнению подлежат запасы полезного ископаемого и их компонентов, все подсчетные параметры (мощность тел полезных ископаемых, содержание полезных и вредных компонентов, объемная масса, площадь тела полезного ископаемого, коэффициент рудоносности и т. д.).

При сопоставлении должны анализироваться не только параметры и общие цифры запасов, но и выявленные изменения в представлениях об особенностях геологического строения месторождения; анализируется их влияние на количество и качество запасов полезного ископаемого. Должны вскрываться причины расхождений сопоставляемых данных разведки и отработки. Должна быть доказана достоверность данных эксплуатационной разведки, эксплуатационного опробования очистных выработок, геолого-маркшейдерского и фабричного учета, достоверность учета потерь и разубоживания (рис. 2, 30, 31).

Необходимо отметить, что результаты эксплуатации месторождения нельзя рассматривать как безошибочные. При разработке месторождения не всегда полностью учитываются потери и разубоживание минерального сырья, а это искажает представление о морфологии и качестве тел полезных ископаемых. Подготовительные и очистные работы часто не проводятся в тектонически сложных зонах, на участках размыва залежей, их расщепления или выклинивания, что снижает достоверность собранных сведений. Поэтому на практике применение способа чаще ведется путем сравнения не с данными добычи, а с результатами эксплуатационного опробования.

В результате сопоставления данных разведки и разработки даются рекомендации, направленные на повышение достоверности исходных разведочных данных, методики разведки, оконтуривания и подсчета запасов.

Геометро-статистический способ имеет достаточно надежный и относительно простой математический аппарат, широкий диапазон применения. Возможности использования метода для решения комплекса горно-геологических задач рассмотрены ранее (см. раздел 11.3). Здесь приведена методика решения лишь одной задачи – определения рациональной плотности разведочной сети.

Для решения прикладных геологоразведочных задач обычно используют данные эксплуатационной разведки. Подбор данных проводится на профилях, ориентированных по простиранию и падению рудных тел. Размеры между точками наблюдений соответствуют расстояниям между точками отбора проб в горных выработках или скважинах. Длина профилей соответствует параметрам рудных тел по исследуемым направлениям. Обработка материалов заключается в построении одномерных графиков изменчивости геологических

параметров в системе координат: содержание полезного компонента (мощность залежи) – расстояние. Затем проводится выравнивание (сглаживание) исходных данных, оценка уровневнного строения, частотных и амплитудных характеристик изучаемых полей (геохимических, морфометрических).

Для обоснования плотности и геометрии разведочной сети применяется *способ геометрической автокорреляции*, соответствующий геометро-статистической модели (Рудничная..., 1986; Петруха, 2003). Способ позволяет вычислять значение радиуса геометрической автокорреляции (R_q , м) после выравнивания исходных данных по формуле: $R_q=L(1+2K_q)^{-1}$, где L – длина участка аппроксимации (исследуемого профиля), м; K_q – количество экстремальных значений аппроксимирующей поле функции на профиле; q – структурный уровень. Оптимальный шаг разведки принимается равным среднему значению радиуса геометрической автокорреляции, вычисленному по сечениям рудного тела (по простиранию и падению).

Геометро-статистическая модель используется для установления связи между уровнями частотной изменчивости параметра (R_q) и категориями разведанных запасов. Применение модели оправдано при преобладании закономерной составляющей изменчивости признака над случайной составляющей или при их равных соотношениях.

Обоснование оптимальной плотности разведочной сети для медноколчеданных месторождений Урала, выполненное Л. М. Петрухой (1991), позволило установить, что распределение меди, цинка, серы в рудных телах месторождений в основном изометрично. Оценка анизотропии (A) изменчивости геологоразведочных параметров, определенной как соотношение значений (R_q) по простиранию и падению рудных тел ($A=R_{q1}/R_{q2}$), показала, что среднее значение $A=1,1$, т. е. близко к единице. В связи с этим разведочная сеть на медноколчеданных месторождениях должна быть квадратной, а не прямоугольной (как это отражено в Методических рекомендациях ГКЗ).

Обоснование плотности разведочной сети с использованием аппарата стационарной случайной функции и геостатистической модели рассмотрены ранее (см. раздел 11.3).

Контрольные вопросы к теме 3

1. Принципы разведки. Для чего они разработаны?
2. В чем заключается принцип последовательных приближений?
3. Как реализуется принцип аналогии?
4. В чем заключается принцип максимальной эффективности?
5. На какие этапы и стадии подразделяется процесс геологического изучения недр?
6. На какой стадии геологоразведочных работ рудопоявление переходит в разряд месторождений?
7. Что такое – месторождение оценённое, месторождение разведанное?
8. Какой документ подготавливается по результатам разведки месторождения? Каково его содержание?
9. Какие виды горных выработок применяются при разведке? Охарактеризуйте условия их применения.
10. Перечислите преимущества и недостатки применения при разведке буровых скважин.

11. Какие геофизические методы применяются при изучении поверхности месторождений?
12. Какие задачи при разведке позволяет решать каротаж скважин?
13. Какие данные позволяют получить применение геофизических методов при изучении межскважинного пространства?
14. Что такое система разведки?
15. Типы разведочных сетей.
16. Плотность разведочной сети; какие факторы определяют ее обоснование?
17. В чем сущность способов аналогии и разрежения при обосновании плотности разведочной сети?
18. Как осуществляется сопоставление данных разведки и эксплуатации при обосновании плотности сети наблюдений?
19. Что лежит в основе математических методов обоснования плотности разведочной сети (статистического, геометро-статистического, геостатистического и др.)?

Тема 4

Подсчет запасов полезных ископаемых

КОНДИЦИИ ДЛЯ ПОДСЧЕТА ЗАПАСОВ ПОЛЕЗНЫХ ИСКОПАЕМЫХ

Кондиции на минеральное сырье представляют собой совокупность требований к качеству и количеству полезных ископаемых, горно-геологическим и иным условиям их разработки, обеспечивающим наиболее полное комплексное и безопасное использование недр на рациональной экономической основе с учетом экологических последствий эксплуатации месторождения (Методические рекомендации..., 2007; Временное руководство..., 1997). Кондиции – это основной инструмент геолого-экономической оценки месторождений. Они разрабатываются и уточняются в процессе геолого-экономической оценки месторождений по материалам их разведки и эксплуатации на основе специального технико-экономического обоснования (ТЭО).

Для подсчета запасов рудных месторождений, а также отдельных видов нерудного сырья (горно-химического, плавикового шпата, барита, графита, талька, асбеста, слюды), кондиции могут включать следующие параметры:

- бортовое содержание компонента в пробе или условия оконтуривания рудных тел в геологических границах;
- минимальное содержание компонента в краевой выработке;
- минимальное промышленное содержание компонента в подсчетном блоке, запасы которого относятся к балансовым;
- коэффициенты приведения содержания попутных компонентов к основному в комплексных рудах и минимальное их содержание, учитываемое при приведении;
- максимально допустимое содержание вредных примесей в краевой пробе, оконтуривающей выработку и по месторождению;
- минимальная мощность тел полезного ископаемого или минимальный метропроцент (метрограмм);
- максимально допустимая мощность прослоев пустых пород и некондиционных руд, включаемых в подсчетный контур полезного ископаемого;
- минимальный коэффициент рудоносности для месторождений с прерывистым и гнездовым распределением полезных компонентов;
- минимальные запасы изолированных тел полезных ископаемых, при которых они относятся к балансовым.

По остальным типам месторождений полезных ископаемых (карбонатные породы, магнезиты, дуниты, цементное сырье и другие) кондиции для подсчета запасов включают:

- требования к качеству полезного ископаемого (или получаемой из него продукции) в соответствии с действующими стандартами и техническими условиями или обусловленными результатами технологических испытаний;
- условия подсчета запасов по сортам (классам, маркам) конечной продукции;
- минимальную мощность тела полезного ископаемого;
- максимально допустимую мощность прослоев пустых пород и некондиционных руд, включаемых в подсчетный контур полезного ископаемого;

- минимальный выход конечной продукции.

Для каждого месторождения, в зависимости от геологического строения, горно-технических условий разработки и требований промышленности к качеству минерального сырья, учитывают только те их перечисленных параметров, которые необходимы для геолого-экономической оценки его промышленного назначения.

Рассмотрим важнейшие кондиционные показатели.

Бортовое содержание – это наименьшее содержание полезных компонентов в пробах, включенных в подсчет запасов, при оконтуривании по мощности тела полезного ископаемого в случае отсутствия четких геологических границ. Оно должно отвечать наибольшему экономическому эффекту разработки месторождения. В комплексных месторождениях бортовое содержание выражается суммой содержаний полезных компонентов, имеющих промышленное значение. Эта сумма должна быть приведена к содержанию условного основного компонента, имеющего максимальную извлекаемую стоимость. Примеры оконтуривания месторождений при различных вариантах бортового содержания приведены на рисунках (рис. 32, 33).

Бортовое содержание определяется на основе повариантных подсчетов запасов. В качестве исходного варианта целесообразно применять бортовое содержание месторождения, аналогичного оцениваемому (по типу оруденения, размерам, морфологии рудных тел, вещественному составу руд, условиям разработки). Варианты с более высокими или низкими бортовыми содержаниями следует подбирать таким образом, чтобы разница в запасах руды, подсчитываемых при снижении (повышении) бортовых содержаний, составляла, как правило, не менее 10 % от общих запасов ближайшего варианта. Количество вариантов обычно не превышает 5 и чаще всего ограничивается значением 3. В случаях, когда сведения о бортовом содержании на аналогичном месторождении отсутствуют, первоначальную ориентировочную величину этого параметра в качестве исходного варианта определяют аналитическим путем, исходя из цены полезного компонента, коэффициента сквозного извлечения, разубоживания при добыче, удельных затрат на добычу и переработку. Последние определяются, исходя из укрупненных показателей намеченных систем добычи и переработки полезных ископаемых и предполагаемого масштаба месторождения. Для аналитического выражения бортового содержания применяются следующие формулы:

а) при ценах на содержащийся в концентрате полезный компонент:

$$C_{\text{борт}} = [(Z_{\text{д}} + Z_{\text{о}}) / (C_{\text{к}} \cdot I_{\text{о}} \cdot (1-p))] \cdot 100 \%,$$

где $Z_{\text{д}}$ и $Z_{\text{о}}$ – эксплуатационные затраты на добычу и обогащение 1 т руды, руб.; $C_{\text{к}}$ – цена 1 т полезного компонента в концентрате без налога на добавленную стоимость (НДС), руб.; $I_{\text{о}}$ – коэффициент извлечения при обогащении, доли ед.; p – разубоживание при добыче, доли ед.;

б) при ценах на товарные концентраты ($C_{\text{к}}$) с установленным в них содержанием ($C_{\text{к}}$) полезного компонента:

$$C_{\text{борт}} = [((Z_{\text{д}} + Z_{\text{о}}) \cdot C_{\text{к}}) / (C_{\text{к}} \cdot I_{\text{о}} \cdot (1-p))] \cdot 100 \%.$$

Оконтуривание рудных тел в соответствии с вычисленной величиной бортового содержания и подсчет запасов позволяют установить, какова будет экономическая

эффективность разработки месторождения, а также наметить величину прочих вариантов бортового содержания. При этом верхний предел бортового содержания не должен быть выше минимального промышленного содержания, подсчитанного с учетом налогов, платежей и отчислений; нижний предел бортового содержания не должен быть ниже уровня содержаний, при которых полезный компонент не извлекается в товарную продукцию.

Минимальное содержание компонента в краевой выработке устанавливается в тех случаях, когда выявлено закономерное снижение содержаний полезных компонентов в краевых частях рудного тела. Оконтуривание рудных тел в соответствии с минимальным содержанием в краевых выработках должно соответствовать наибольшему экономическому эффекту разработки месторождения. Это минимальное содержание определяется вариантным способом.

Минимальное промышленное содержание полезного компонента в подсчетном блоке – это содержание, при котором извлекаемая ценность минерального сырья обеспечивает возмещение всех затрат и получение минимальной установленной прибыли.

Минимальное промышленное содержание без учета налогов, платежей и отчислений определяется по формулам:

а) при ценах на содержащийся в концентрате полезный компонент:

$$C_{\text{мин}} = [(Z_y + K_y \cdot E) / (C_k \cdot I_o \cdot (1-p))] \cdot 100 \%,$$

где Z_y – эксплуатационные затраты на добычу и обогащение 1 т руды, руб.; K_y – удельные капитальные вложения в строительство горнопромышленного предприятия, руб.; E – учетная ставка банка, доли ед.; при отсутствии инфляции принимается 5-6 %;

б) при ценах на товарные концентраты:

$$C_{\text{мин}} = [(Z_y + K_y \cdot E) \cdot C_k] / [(C_k \cdot I_o \cdot (1-p))] \cdot 100 \%.$$

Минимальное промышленное содержание с учетом налогов, платежей и отчислений определяется по формулам:

а) при ценах на содержащийся в концентрате полезный компонент

$$C_{\text{мин. н}} = [(Z_{\text{ун}} + K_y \cdot E + N_y) / (C_k \cdot I_o \cdot (1-p))] \cdot 100 \%,$$

где $Z_{\text{ун}}$ – эксплуатационные затраты на добычу и обогащение 1 т руды с учетом налогов, которые входят в структуру эксплуатационных затрат; N_y – налоги, платежи, отчисления на прибыль в расчете на 1 т годовой добычи руды;

б) при ценах на товарные концентраты

$$C_{\text{мин. н}} = [(Z_{\text{ун}} + K_y \cdot E + N_y) \cdot C_k / (C_k \cdot I_o \cdot (1-p))] \cdot 100 \%.$$

Приведенное содержание полезных компонентов комплексных руд к содержанию условного компонента осуществляется с использованием переводных коэффициентов. Эти коэффициенты определяются исходя из соотношения цен полезных компонентов и коэффициентов извлечения при обогащении руд. Минимальное содержание, учитываемое при приведении к содержанию условного компонента, принимается равным содержанию, при котором минеральное образование не извлекается при принятой технологии обогащения:

$$K_{\text{пр}} = (C_{\text{п}} \cdot I_{\text{п}}) / (C_o \cdot I_o),$$

где C_o и $C_{\text{п}}$ – цена 1 т основного и попутного компонента в концентрате, руб.; I_o и $I_{\text{п}}$ – соответственно их коэффициенты извлечения, доли ед.

Максимальные допустимые содержания вредных примесей у полезных ископаемых, используемых без обогащения, устанавливаются в пробе или в интервале разведочной выработки в соответствии с требованиями промышленности. Если при отработке месторождения предусматривается усреднение добытого минерального сырья, максимально допустимое содержание вредных примесей может быть установлено для подсчетного блока. При обогащении полезного ископаемого, когда вредные примеси полностью или частично переходят в концентрат и не извлекаются из него в дальнейшем, соответствующие ограничения вводятся для подсчетного блока. В случае, когда для удаления вредных примесей из концентрата требуется дополнительная переработка, их содержание в подсчетном блоке учитывается через величину минимального промышленного содержания полезного компонента.

Минимальная мощность полезного ископаемого и максимально допустимая мощность прослоев пустых пород и некондиционных полезных ископаемых устанавливается исходя из принятого способа и системы разработки месторождения. Целесообразность отработки рудных тел меньшей мощности, но с повышенным содержанием полезных компонентов, определяется по *метропроценту (метрограмму)* исходя из установленной минимальной мощности тела полезного ископаемого и бортового содержания.

В случае сложного строения рудных тел, когда рудные интервалы чередуются с безрудными, для уточнения величины максимально допустимой мощности прослоев пустых пород и некондиционных руд проводится подсчет запасов при разной мощности этих слоев по каждому из оцениваемых вариантов бортового содержания. Оценка влияния прослоев на размеры и форму рудных тел и последующую эффективность добычи и переработки полезного ископаемого позволяет установить оптимальную величину этого параметра кондиций.

Коэффициент рудоносности применяется в случае невозможности выделить и оконтурить в процессе геологоразведочных работ отдельные рудные тела. Минимальная величина коэффициента рудоносности устанавливается для подсчетного блока, исходя из минимально приемлемой рентабельности разработки месторождения, при определении которой наряду с общепринятыми затратами учитываются дополнительные, связанные с доразведкой и оконтуриванием рудных тел и их селективной выемкой.

Минимальные запасы изолированных тел полезных ископаемых, при которых они относятся к балансовым ($Q_{\text{мин}}$), устанавливаются исходя из дополнительных расходов, связанных с их вскрытием и отработкой, по формуле:

$$Q_{\text{мин}} = [K_{\text{д}} \cdot (1-p)] / [(C_{\text{из}} - Z_{\text{ун}} - N_{\text{у}} - K_{\text{д}} \cdot E) \cdot (1-p)],$$

где $K_{\text{д}}$ – капитальные вложения, необходимые на проходку дополнительных вскрышных выработок, руб.; $C_{\text{из}}$ – извлекаемая в концентрат ценность полезных компонентов из 1 т руды, руб.; p – потери при добыче, доли ед.

ОКОНТУРИВАНИЕ ЗАПАСОВ

Оконтуривание является одной из самых ответственных операций при подсчете запасов. Оно заключается в ограничении рудных тел или их разведанных участков на площади и в разрезе.

Оконтуривание запасов ведется по промышленным кондициям. Запасы оконтуриваются по трем направлениям: *мощности, простиранию и падению* рудной залежи. Исходными материалами для оконтуривания служат данные геологической документации и результаты опробования.

Контур может представлять собой: 1) естественные границы рудных тел; 2) линию с бортовым содержанием; 3) линию с нулевым содержанием полезного компонента; 4) линию с минимальной промышленной мощностью рудного тела; 5) линии разных типов и сортов руд; 6) линии, разграничивающие запасы разных категорий; 7) линии участков с разными условиями вскрытия и разработки; 8) линии предельного содержания вредных примесей. Некоторые типы контуров приведены на рисунках 34, 35.

Если тело не имеет естественных природных границ, его оконтуривают чаще всего по бортовому содержанию или по минимальной промышленной мощности.

При оконтуривании запасов различают внутренний и внешний контуры. *Внутренний контур* – линия, соединяющая крайние точки с кондиционными содержанием и мощностью; *внешний контур* – линия, проведенная за пределами этих точек по более низким (некондиционным) показателям. Площадь между внутренним и внешним контурами принято называть *межконтурной полосой* (рис. 36).

Оконтуривание начинается с определения *опорных точек*, через которые затем проводится линия контура. Положение опорных точек устанавливают методами интерполяции и экстраполяции. *Метод интерполяции* заключается в определении мощности или содержания между смежными выработками. *Метод экстраполяции* состоит в определении мощности или содержания за пределами выработок. Различают *ограниченную экстраполяцию*, когда внешняя контурная линия проводится между рудной и безрудной точками, и *неограниченную экстраполяцию*, когда эта линия проводится за пределами контура выработок, где данные о параметрах рудного тела отсутствуют.

Положение опорной точки между двумя пробами определяется с помощью интерполяции, если содержание полезного компонента изменяется закономерно, то есть переход между рудой и вмещающими породами постепенный. При незакономерном изменении содержания промышленный контур проводят обычно через середину расстояния между пробами с кондиционным и некондиционным содержанием или даже через крайнюю кондиционную пробу. Положение опорной точки при экстраполяции принимается на половине, трети или четверти расстояния между выработками или определяется по естественным формам выклинивания рудных тел.

Для полого залегающих плоских изометричных тел площадь оконтуривается в плане, для крутопадающих плоских тел – на продольных разрезах и вертикальных проекциях. Для крутопадающих тел с выдержанными углами падения оконтуривание площади иногда проводят на проекции, параллельной плоскости падения.

Как во внутренних, так и во внешних контурах, производится блокировка запасов по категориям, типам и сортам руд, условиям залегания, вскрытия, разработки и т. д.

Вначале оконтуривание выполняется по отдельным выработкам, затем по отдельным разведочным сечениям (вертикальным или горизонтальным) и только потом в целом по рудному телу.

Оконтуривание рудных тел в пределах отдельных разведочных выработок зависит от их ориентировки относительно рудного тела. В *секущих* выработках при наличии четких геологических контактов с вмещающими породами границы тела определяются по данным непосредственных наблюдений в забое горных выработок или по керну буровых скважин. При отсутствии четких геологических контактов границы тела полезного ископаемого определяются по результатам опробования и проводятся между породами, показавшими кондиционное и некондиционное содержание полезного компонента. При этом возможны 2 случая: а) если опробование выполнено сплошной бороздой, контур тела проводится по границе последней пробы, показавшей кондиционное содержание; б) если опробование проводится с интервалом между пробами, то границы промышленной части тела проводят между пробами способом интерполяции.

При незакономерном изменении содержания полезного компонента промышленный контур проводят обычно через середину расстояния между пробами, показавшими кондиционное и некондиционное содержание полезного компонента (рис. 37).

В *прослеживающих* выработках кроме распределения полезного компонента необходимо учитывать и характер выклинивания рудного тела. При резком выклинивании контур проводится по данным непосредственных наблюдений. При постепенном выклинивании учитывается характер изменения содержания и мощности.

Если содержание полезного компонента снижается постепенно, а мощность остается постоянной, то оконтуривание производится по содержанию. Здесь существуют те же два варианта, что и для секущих выработок: при опробовании сплошной бороздой контур проводят через границу последней кондиционной пробы, а при поинтервальном опробовании – методом интерполяции по приведенной выше формуле.

Если наблюдается постепенное уменьшение мощности тела, а содержание остается постоянным, то контур проводится либо по мощности, либо по метропроценту (метрограмму). Граница промышленной части тела определяется по следующим формулам:

$$X=L(M_{\text{мин}}-M_B)/(M_A-M_B),$$

где X – расстояние от точки B с некондиционной пробой до контура тела; L – расстояние между кондиционной (A) и некондиционной (B) пробами; M_A и M_B – мощности тела соответственно в точках A и B ; $M_{\text{мин}}$ – минимальная мощность, установленная условиями;

$$X=L(M\%_{\text{мин}} - M\%_B)/(M\%_A - M\%_B),$$

где $M\%_{\text{мин}}$ – минимальный метропроцент, установленный условиями; $M\%_A$ и $M\%_B$ – значение метропроцента соответственно в точках A и B .

Положение контура тела может быть намечено также по данным непосредственных замеров мощности в выработках.

Наконец, при одновременном уменьшении мощности тела и содержания полезного компонента оконтуривание производится по минимальному метропроценту (метрограмму).

Положение контура тела между двумя точками можно определять также графическим способом или специальной палеткой (транспарантом).

Учитывая, что расстояния между пробами обычно небольшие, особенно для руд цветных, редких металлов и золота, нередко поступают проще: проводят контур посередине между кондиционной и некондиционной пробами.

Оконтуривание тел полезных ископаемых по совокупности разведочных выработок производится на планах, разрезах или проекциях. При этом различают 3 случая проведения контура: 1) по опорным точкам, установленным непосредственно в выработках; 2) между двумя крайними выработками, одна из которых характеризуется кондиционными показателями, другая – некондиционными; 3) между двумя крайними выработками, одна из которых характеризуется кондиционными показателями, другая – отсутствием полезного ископаемого.

Проведение контура по опорным точкам, установленным непосредственно в выработках, выполняется двумя путями. При наличии четких геологических границ рудных тел опорные точки наносятся на планы, разрезы или проекции по данным непосредственных замеров в выработках (рис. 38). При отсутствии четких границ опорные точки определяются в пределах каждой выработки по данным химических анализов описанными выше способами. Оконтуривание состоит в соединении опорных точек.

Проведение контура тела полезного ископаемого между двумя крайними выработками, одна из которых характеризуется кондиционными показателями, другая – некондиционными, производится в зависимости от характера распределения полезного компонента. При равномерном распределении и постепенном изменении содержания полезного компонента опорные точки определяются рассмотренным выше способом интерполяции с использованием приведенных формул, графически или с помощью палетки. При неравномерном распределении полезного компонента или неравномерном изменении мощности контур обычно проводят через середину расстояния между выработкой с кондиционными и выработкой с некондиционными показателями. На месторождениях с крайне неравномерным распределением полезного компонента контур рудного тела часто проводят через крайние кондиционные выработки.

Проведение контура тела полезного ископаемого между двумя крайними выработками, одна из которых характеризуется кондиционными показателями, а другая фиксирует полное отсутствие тела полезного ископаемого, осуществляется в зависимости от характера выклинивания тела. При резком выклинивании промышленный контур проводят через середину расстояния между выработками, то есть способом ограниченной экстраполяции. Кондиционная мощность тела, вскрытая выработкой, распространяется до середины расстояния между выработками. При закономерном, постепенном выклинивании рудного тела нулевой контур также проводят через середину расстояния между выработками, а положение подсчетного контура определяется способом интерполяции между выработкой с промышленной концентрацией полезного ископаемого и принятым нулевым контуром (рис. 39).

Описанные приемы оконтуривания тел обычно применяются для определения положения контура не только между разведочными выработками (рис. 40), но и между разведочными разрезами (линиями).

Определение контуров тел полезных ископаемых за пределами разведочных выработок, или неограниченная экстраполяция, практикуется для запасов низких категорий C_1 и C_2 , подлежащих дальнейшей разведке. При оконтуривании используются разнообразные геологические, морфологические, геофизические, статистические и геометрические приемы.

ПАРАМЕТРЫ ПОДСЧЕТА ЗАПАСОВ

Подсчет запасов полезных ископаемых в общем случае осуществляется по следующей схеме:

- 1) определяется объем залежи V как произведение площади S на среднюю мощность M : $V = S \cdot M$;
- 2) определяется запас руды Q как произведение объема V на объемную массу D : $Q = V \cdot D$, при этом обязательно учитывается естественная влажность руд;
- 3) определяется запас металла P как произведение запаса руды Q на среднее содержание металла C : $P = Q \cdot C \cdot 10^{-2}$, если содержание выражено в %, или $P = Q \cdot C \cdot 10^{-6}$, если в г/т.

Для одних полезных ископаемых (многие виды строительных материалов, природный газ, а в западных странах и нефть) подсчет запасов останавливается на вычислении объема. Количество некоторых иных видов сырья (железные руды, хромиты и др.) подсчитываются в виде запасов руды. Для большинства рудных элементов требуется расчет запасов металла.

Из приведенной схемы видно, что основными параметрами, необходимыми для подсчета запасов, являются площадь, средняя мощность, объемная масса руды и среднее содержание в ней полезных компонентов. Кроме того, могут использоваться разные поправочные коэффициенты.

Площадь устанавливается в результате оконтуривания рудных тел на планах и проекциях. Простые по конфигурации площади измеряются как геометрические фигуры, сложные – с помощью палетки, планиметра или курвиметра. В современных условиях площадь определяется с помощью компьютерных программ.

При наклонном залегании тела полезного ископаемого необходимо привести полученный замер площади к истинному значению, для чего вводят поправку на угол падения залежи β для замеров на плане по формуле:

$$S_{\text{ист.}} = S_{\text{изм.}} / \cos\beta,$$

для замеров на вертикальной проекции по формуле:

$$S_{\text{ист.}} = S_{\text{изм.}} / \sin\beta.$$

Мощность тела полезного ископаемого в пределах контура подсчета запасов определяется по данным горных и буровых работ, а также каротажа скважин. Если рудные тела имеют четкие геологические границы с вмещающими породами, их мощность устанавливается непосредственно с помощью замеров. Если четких геологических контуров нет, мощность рассчитывают по результатам секционного опробования по бортовому или минимальному промышленному содержанию полезного компонента.

В горных выработках мощность определяют замером расстояния от кровли до подошвы залежи при их документации и опробовании. Мощность рудных тел по данным бурения устанавливают прямыми или косвенными способами. Прямой способ – это расчет

мощности по керну при колонковом бурении и по данным опробования шлама при ударном бурении, косвенные – по данным каротажа скважин или по наблюдениям в процессе бурения за изменением скорости углубки скважин, за цветом или составом шлама.

Разведочные выработки часто пересекают тело полезного ископаемого не по истинной мощности, а под некоторым углом. При пологом залегании замеряется вертикальная мощность M_v , при крутом падении – горизонтальная M_g . По керну или геофизическим данным мощность определяется длиной рудного интервала $M_{скв}$. Эти так называемые наблюдаемые мощности отличаются от истинной мощности $M_{ист}$ и приводятся к ней по геометрическим формулам (рис. 41):

$$M_{ист} = M_g \cdot \sin \alpha,$$

$$M_{ист} = M_v \cdot \cos \alpha;$$

$$M_{ист} = M_{скв} \cdot \cos(\alpha - \beta) \cdot \cos \gamma,$$

где α – угол падения залежи, β – зенитный угол наклона скважины в месте пересечения залежи; γ – угол между азимутальным направлением скважины и азимутом падения залежи.

Среднее значение мощности определяется среднеарифметическим или средневзвешенным способом. Метод среднего арифметического применяют при более или менее равномерном распределении пунктов замера мощностей. В этом случае средняя мощность M определяется по формуле:

$$M = \sum m / n,$$

где n – количество замеров мощности.

Способ средневзвешенного применяется при резко неравномерном распределении точек замера и установленном направлении закономерностей изменчивости мощности. Средневзвешенная мощность рассчитывается по формуле:

$$M = \sum m \cdot l / \sum l,$$

где l – расстояние, на которое распространяется влияние значения данного замера мощности.

Объемная масса руды должна быть установлена с учетом естественной пористости, трещиноватости и кавернозности полезного ископаемого. Она определяется лабораторным или полевым способами. При применении лабораторного способа объемная масса определяется путем взвешивания образцов, покрытых пленкой парафина, в воздухе и в воде или взвешиванием и определением их объема в мерном сосуде. При полевом способе проходится горная выработка и вся добытая горная масса взвешивается, а пройденное пространство замеряется. Соотношение массы полезного ископаемого и объема даст объемную массу. Считается, что для определения объемной массы этим способом достаточно 10 м^3 полезного ископаемого. Этот способ более точный.

Объемная масса должна определяться для каждого сорта и типа полезного ископаемого, запасы которых учитываются самостоятельно. Количество определений объемной массы должно быть достаточным для надежного обоснования средних величин. Считается, что для однообразных по сложению полезных ископаемых достаточно 10-20, а для более сложных 20-30 определений объемной массы типичного материала для каждого сорта полезного ископаемого.

При этом обязательно учитывается *естественная влажность руды*, которая может достигать у отдельных полезных ископаемых 30-40 % и более. Учет естественной влажности необходим в связи с тем, что анализы проводятся с сухими навесками после просушивания проб при 105-110 °С, а содержание полезных компонентов определяется для воздушно-сухой массы. Поэтому необходима поправка в содержание на влажность руды по формуле:

$$C_{\text{вл.}} = C_{\text{сух.}} \cdot (100 - B) / 100,$$

где $C_{\text{вл.}}$ – содержание полезного компонента по влажной руды, % или г/т; $C_{\text{сух.}}$ – то же в сухой руде; B – влажность, при которой определена объемная масса, %.

Чаще пересчитывают не содержание на сырую руду, а объемную массу сырой руды $D_{\text{вл.}}$ на сухую $D_{\text{сух.}}$ по формуле:

$$D_{\text{сух.}} = D_{\text{вл.}} \cdot (100 - B) / 100.$$

Естественная влажность определяется как отношение потери массы штафа в результате высушивания к массе влажного образца и вычисляется путем сравнения массы проб влажного минерального сырья $Q_{\text{вл.}}$ с массой тех же проб, просушенных до постоянной массы при 105-110 °С, $Q_{\text{сух.}}$, по формуле:

$$B = 100 \cdot (1 - Q_{\text{сух.}} / Q_{\text{вл.}}).$$

Необходимо учитывать, что влажность не является величиной постоянной и изменяется в зависимости от глубины залегания полезного ископаемого, времени года, уровня грунтовых вод и др.

Среднее содержание определяется как среднеарифметическое или средневзвешенное по скважине, выработке, горизонту, блоку, участку и месторождению в целом. Чаще всего применяют среднее содержание, взвешенное на длину проб, то есть на их мощность.

Поправочные коэффициенты вводятся для уменьшения запасов при прерывистом (дискретном) оруденении, разобщенности рудных тел, наличии безрудных даек, участков пустых пород, валунов и т. п. Коэффициенты для *увеличения запасов* применяются при избирательном выкрашивании рудных компонентов из керна, при намыве ценных компонентов при разработке россыпей. Могут вводиться поправочные коэффициенты на систематические погрешности химанализов, замеров мощностей в скважинах и др.

МЕТОДЫ ПОДСЧЕТА ЗАПАСОВ

Существует довольно много разных методов подсчета запасов. Все они основаны на определении объема подсчетных контуров, которые сравниваются с равновеликими геометрическими фигурами. Запасы подсчитываются по простейшим формулам:

$$V = S \cdot m, Q = V \cdot d, P = Q \cdot C / 100,$$

где V – объем тела полезных ископаемых, S – площадь тела на проекции, m – средняя мощность, Q – запасы руды, d – объемная масса руды, C – среднее содержание полезного компонента в %.

Наибольшим распространением пользуются методы геологических и эксплуатационных блоков, разрезов и статистический.

Метод геологических блоков является универсальным для подсчета запасов плоских тел. При этом методе выделяют блоки разной величины, отличающиеся по степени разведанности, мощности, содержанию полезных компонентов, типам и сортам руд, технологическим свойствам, гидрогеологическим и горнотехническим условиям (рис. 42).

Частным случаем этого метода является *метод среднего арифметического*, когда все тело рассматривается как один подсчетный блок.

Метод эксплуатационных блоков применяется также для подсчета запасов плоских тел, разделенных горными выработками и буровыми скважинами на эксплуатационные блоки. Оконтуривание и подсчет запасов по каждому блоку аналогично методу геологических блоков (рис. 43).

Метод разрезов применяют для подсчета запасов изометричных, трудообразных и сложных по форме тел (рис. 44, 45). Разрезы могут быть *вертикальными* или *горизонтальными*. Заключенная между смежными разрезами часть рудного тела рассматривается как призма, если площади смежных сечений близки, или как пирамида, если эти сечения существенно различаются по площади. Объем части рудного тела между двумя разрезами определяется соответственно по формуле для призмы или пирамиды. Объем крайних блоков, каждый из которых опирается на один разрез, определяется по формуле клина. При непараллельных разрезах вносятся соответствующие поправки к подсчету объемов. Среднее содержание определяют вначале для каждого разреза. В блоке, ограниченном двумя разрезами, оно вычисляется как среднеарифметическое или средневзвешенное на площадь сечения.

При крайне дискретном оруденении подсчет запасов проводят *статистическими методами*. Это относится в основном к месторождениям IV группы, когда совмещаются разведка и эксплуатация. По результатам этих работ оценивается средняя продуктивность исследуемого участка и распространяется на менее изученную потенциально рудоносную часть месторождения.

ПОДСЧЕТ ЗАПАСОВ СОПУТСТВУЮЩИХ ПОЛЕЗНЫХ ИСКОПАЕМЫХ

К попутным полезным ископаемым относятся минеральные комплексы (горные породы, руды, подземные воды, рассолы), добыча которых при разработке основного полезного ископаемого экономически целесообразна. *К попутным компонентам* относятся заключенные в полезных ископаемых минералы, металлы и другие химические элементы в их соединениях, которые не имеют определяющего значения для промышленной оценки месторождения, но при переработке полезных ископаемых могут быть рентабельно извлечены и реализованы на внутреннем или международном рынке.

Попутные полезные ископаемые и компоненты в зависимости от форм нахождения, связи с основными для данного месторождения полезными ископаемыми и компонентами и с учетом требований, предъявляемых промышленностью к условиям их разработки (извлечения), разделяются на три группы (Шевелев, 2004). *К первой группе* относятся попутные полезные ископаемые, образующие самостоятельные пласты, залежи или рудные тела в породах, вмещающих основные рудные тела:

- железные руды на марганцевых месторождениях;

- серный колчедан, барит-полиметаллические руды, золотосодержащие кварциты на медноколчеданных месторождениях;
- свинцовые и медно-свинцовые руды на месторождениях медистых песчаников;
- огнеупорные глины, каолины на месторождениях бокситов и угля и др.

К этой же группе относятся вскрышные породы, по составу и свойствам пригодные для производства строительных материалов или для других целей, а также торф и в некоторых случаях почвенно-растительный слой и породы, пригодные для использования в сельском хозяйстве.

К жидким попутным полезным ископаемым относятся подземные воды, участвующие в обводнении подземных горных выработок, если они пригодны для водоснабжения, извлечения из них ценных компонентов или бальнеологических целей.

Ко второй группе относятся попутные компоненты, образующие собственные минералы, которые при обогащении могут быть выделены в самостоятельные концентраты или промпродукты, а в отдельных случаях накапливающиеся в продуктах обогащения основных компонентов в количестве, допускающем их последующее извлечение на экономически рациональной основе.

В эту группу могут быть объединены:

- титановые, медные и ванадийсодержащие минералы, золото- и кобальтсодержащий пирит, иногда апатит, гатчеттолит, бадделеит в железных рудах;
- сера (пирит и другие сульфиды), минералы свинца, цинка, серебра, самородное золото, кобальтсодержащий пирит в медноколчеданных рудах;
- молибденит в меднопорфировых месторождениях в гранитоидах, ванадийсодержащие минералы, апатит, титаномагнетит – в габброидах;
- минералы кобальта и серебра в медно-никелевых месторождениях;
- минералы меди, висмута, серебра, барит, флюорит в полиметаллических рудах и др.

К третьей группе относятся разного рода примеси в минералах основных и попутных компонентов (изоморфные, механические, микровключения собственных минералов и др.), а также органические, металлические или металлоорганические соединения в углях и углистых породах. Преобладающую часть попутных компонентов третьей группы составляют рассеянные элементы, широко распространенных в разных твердых полезных ископаемых при весьма низком содержании. К этой же группе относятся примеси в рудных минералах золота, серебра, платиноидов, тантала, молибдена и др.

При обогащении полезных ископаемых эти компоненты накапливаются в концентратах основных компонентов, а при переработке концентратов или непосредственном использовании полезных ископаемых в металлургическом, химическом, энергетическом и других производствах концентрируются в товарных продуктах или отходах.

К этой же группе относятся попутные компоненты, присутствующие в нефти и газе и выделяемые лишь при их переработке, а также заключенные в подземных минерализованных водах или рассолах. Состав попутных компонентов третьей группы зависит от вида полезного ископаемого и типа руд.

В полиметаллических рудах присутствует сурьма, кадмий, теллур, таллий, галлий, иногда германий.

Медноколчеданные руды обычно содержат селен, кадмий, теллур, реже таллий, индий, иногда кобальт, висмут, галлий и германий. В медистых песчаниках присутствует рений, реже германий, селен и таллий. В медно-никелевых рудах содержатся платиноиды, кобальт, сера, селен, теллур, таллий, галлий, германий.

Для медно-молибденовых руд характерно присутствие рения, селена, теллура, в меньшей степени индия, германия и галлия. Высокими концентрациями рения и низкими селена, теллура, германия и галлия характеризуются молибденовые руды.

Сульфидно-касситеритовым рудам обычно свойственны повышенные концентрации индия, кварц-касситеритовым и вольфрамитовым – скандия, иногда тантала. В кварц-золоторудных месторождениях нередко присутствует теллур, а в золотосульфидных – индий, кадмий, селен, теллур и платина.

Бокситы содержат галлий, ванадий, скандий, алуниты и нефелины – галлий и ванадий. Иногда в алюминиевом сырье в небольшом количестве содержится германий. В месторождениях калийных солей присутствует бром и рубидий, иногда цезий, в некоторых месторождениях каменной соли – литий.

В апатит-нефелиновых рудах содержится титан, галлий, стронций, редкие земли.

Угли и углистые породы могут содержать повышенное содержание германия, урана, галлия, реже – ванадия и рения. В подземных водах наряду с йодом и бромом присутствуют соединения магния, калия, бора, иногда лития, рубидия, цезия, стронция, германия и другие компоненты.

Изучение и геолого-экономическая оценка попутных полезных ископаемых и компонентов производится на всех стадиях геологоразведочных работ и в процессе освоения месторождения.

Запасы попутных полезных ископаемых (компонентов руд) должны подсчитываться способом, отвечающим характеру их залегания в месторождении или распределения в рудах, также учитывающим особенности промышленного использования запасов, которые определяют уровень и показатели их оценки.

При подсчете запасов попутных полезных ископаемых первой группы, образующих самостоятельные рудные и нерудные залежи во вскрыше месторождений, используются способы, применяемые при подсчете запасов аналогичных видов сырья в самостоятельных месторождениях.

Подсчет запасов попутных компонентов второй группы осуществляется в контурах запасов основного полезного ископаемого в соответствии с существующими для них требованиями. Для их изучения и оценки проводятся специальные минералого-геохимические исследования руд и отбираются групповые пробы.

Запасы попутных компонентов третьей группы подсчитываются и учитываются в месторождениях, целесообразность промышленного освоения которых обеспечивается экономикой извлечения основного компонента. При этом подсчет запасов попутных компонентов данной группы выполняется исключительно в пределах контура подсчета балансовых и забалансовых запасов основного компонента.

Комплексное изучение полезных ископаемых должно сопровождаться статистической обработкой результатов опробования на основные и попутные компоненты для обоснования возможности подсчета попутных компонентов корреляционно-регрессионным способом. Статистической обработке должно предшествовать выявление по данным минералогических исследований геохимической связи между отдельными попутными и основными компонентами, выражающейся в преобладании приуроченности того или иного попутного компонента к минералам одного из основных компонентов.

Параметры кондиций для подсчета запасов должны содержать:

- для каждого технологического типа полезного ископаемого – перечень попутных компонентов, запасы которых подлежат подсчету как балансовые;
- минимальное содержание попутных компонентов, учитываемые при приведении к условному содержанию основного компонента; переводные коэффициенты;
- минимальные содержания попутных компонентов в подсчетных блоках и отдельных рудных телах (залежах, пластах), если отдельная выемка и переработка полезных ископаемых с целью извлечения этих компонентов технически возможна и экономически целесообразна;
- дополнительные условия подсчета валовых и извлекаемых запасов попутных компонентов: по содержанию в рядовых или групповых пробах, по содержанию в минералах или концентратах, в целом по месторождению, по отдельным рудным телам или в подсчетных блоках.

ПОГРЕШНОСТИ ПРИ ПОДСЧЕТЕ ЗАПАСОВ

Сопоставление данных разведки и эксплуатации показывает, что расхождения в определении контуров рудных тел, подсчетных параметров, количественных и качественных показателей неизбежны. Причины этого в том, что разведка осуществляется по прерывистой сети наблюдений, а за пределами разведочных выработок параметры оруденения определяются путем интерполяции и экстраполяции. С другой стороны, при эксплуатации имеют место потери и разубоживание руд, которые при проектировании эксплуатации учитываются приближенно, что тоже вносит свой вклад в расхождение данных разведки и эксплуатации.

Небольшие отклонения рассматриваются как погрешности подсчета запасов. Если ошибки значительны, то говорят о неподтверждении запасов или качества минерального сырья.

Погрешности, возникающие при подсчете, подразделяются на три основные группы: геологические, технические и методические.

Геологические погрешности, или ошибки аналогии, возникают в результате распространения фактических данных, полученных при разведке по отдельным выработкам и скважинам, на соседние участки. Эти погрешности подвержены резким колебаниям, величина их зависит от степени изменчивости параметров оруденения, а также от плотности и равномерности разведочной сети. Геологические погрешности приводят к наиболее крупным ошибкам подсчета запасов, достигающим для категорий А и В до 10-15 %, а в отдельных случаях и выше.

Наиболее типичными геологическими ошибками являются объединение разрозненных мелких рудных тел в крупные, включение в один блок разных по качеству, технологии переработки или условиям залегания руд.

Технические погрешности связаны с техникой замеров и определения исходных параметров для подсчета запасов. Эта группа включает точность замеров мощности, химических анализов, определения объемной массы, естественной влажности и т. д.

Технические ошибки могут быть случайными и систематическими. Неизбежные случайные погрешности обычно не оказывают существенного влияния на точность определения запасов, поскольку, обладая переменным знаком, они взаимно компенсируются.

Систематические погрешности значительно более опасны, так как искажают результаты подсчета запасов, регулярно завышая или занижая их. Если имеются данные о систематических погрешностях, то категории запасов должны быть снижены. Систематические погрешности и их величина устанавливаются специальными контрольными методами, которые позволяют определить соответствующие поправочные коэффициенты и откорректировать результаты подсчета. К ним относятся коэффициент рудоносности, поправочный коэффициент к результатам химических анализов, к объемной массе и др. Систематические погрешности считаются недопустимыми и требуют устранения, хотя это не всегда удается.

Методические погрешности связаны с применением разных методов подсчета запасов. В целом, применение того или иного метода не оказывает существенного влияния на результаты подсчета. Различия обычно составляют 1-5 %, что находится в пределах точности технических операций подсчета. Снизить методические погрешности до минимума позволяет выбор метода подсчета запасов, который наиболее полно соответствует методике разведки и особенностям геологического строения месторождения, дает возможность учитывать распределение качественных показателей (типов и сортов руд) и в то же время сократить затраты времени и средств на разведку.

Оценка погрешностей подсчета запасов в процессе разведки является довольно сложной операцией. В действующих нормативных документах рекомендуется осуществлять подсчет запасов несколькими методами (Шевелев, 2004; Авдонин 2007).

ИСПОЛЬЗОВАНИЕ КОМПЬЮТЕРНЫХ ТЕХНОЛОГИИ ПРИ ПОДСЧЕТЕ ЗАПАСОВ

В последнее время при подсчете запасов все в большей степени используют компьютерные технологии. В том числе, применяют приемы блочного моделирования, реализуемые на основе геоинформационных систем (Micromine, Surpak, Datamine и др.).

При обосновании методики моделирования необходимо учитывать особенности геологического строения месторождения, степень его изученности и последовательность проведения разведочных работ. Общая схема компьютерного моделирования и подсчета запасов включает:

- импорт базы геологоразведочных данных;
- проверку базы данных, ввод дополнительной информации;

- статистический анализ данных опробования и определение природных (естественных) бортовых содержаний компонентов;
- оконтуривание рудных тел с использованием кондиций и естественного бортового содержания;
- геометризацию месторождения – каркасное моделирование рудных тел, тектонических нарушений и т. д. (рис. 46);
- геостатистический анализ исследуемых компонентов;
- определение параметров интерполяции;
- блочное моделирование (рис.47);
- интерполяцию содержаний в блочную модель, используя альтернативные методы (обычный кригинг, индикаторный кригинг, метод обратных расстояний и др.);
- оценку запасов и их сравнение с более ранними оценками;
- классификацию запасов/ресурсов.

Схема построения блочной модели (БМ) показана на рисунке 48 (Рекомендации..., 2014).

Блочное моделирование основывается на разделении пространства месторождения на элементарные блоки (ячейки), в которых значения свойств объекта (в частности содержания полезного компонента) интерполируются из исходных данных опробования с учетом рассчитанных весовых коэффициентов. Для этого используются разные методы интерполяции, среди которых чаще применяются метод обратных расстояний (детерминистический способ) и кригинг (геостатистический метод).

Наиболее перспективным является *кригинг*, в основе которого лежат геостатистические исследования данных опробования. Геостатистика на сегодня является наиболее мощным инструментом для получения достоверной информации о запасах полезных ископаемых в недрах, оптимального планирования их отработки и проведения геологоразведочных работ. Геостатистический метод решает *две основные задачи*: нахождение наиболее вероятной оценки запасов руды и определение точности этой оценки.

Предварительной стадией геостатистического исследования является статистический анализ: расчет гистограммы распределений значений содержаний компонентов полезных ископаемых по классам, построение графика накопленных частот, подбор законов распределения данных и определение основных статистических параметров. Вид гистограммы позволяет фиксировать явные погрешности в исходных данных геологического опробования. Следующий этап – вариограммный анализ (вариография). Используется экспериментальная вариограмма, которая строится по результатам опробования (выборочным данным) и учитывает все пары проб, удаленных на некоторое расстояние. Вариограммный анализ начинается без учета направления вектора расстояния. Полученная функция отражает такие свойства случайной величины как: стационарность, наличие эффекта самородков, значение порога и зону влияния. Эти характеристики подбираются в интерактивном режиме с помощью моделирования теоретической функцией, аппроксимирующей дискретную экспериментальную вариограмму. Для дальнейшего исследования необходимо изучить характер корреляционных связей между пробами в различных направлениях, для чего следует

построить вариограммы по направлениям. Для каждого направления определяется зона влияния (см. раздел «11.3. Математические способы...»). Это необходимый шаг для выявления анизотропии залежи и взаимного влияния значений случайных величин.

Следующей стадией после вариограммного анализа залежи является ее моделирование и оценка запасов. Размеры блоков блочной модели выбираются с таким расчетом, чтобы получить наиболее детальную оценку запасов по всему объему месторождения. Заключительный этап анализа – кригинг (геостатистическая оценка содержаний полезных ископаемых).

Кригинг. Предпосылкой развития геостатистических методов послужило расхождение между содержаниями многих металлов в разведочных пробах и в реально извлекаемых объемах руд. Точность оценки зависит от ряда факторов: количества проб и их значений, расположения проб (здесь важна равномерность их размещения), расстояния между пробами и точкой в середине оцениваемого блока, наличие пространственной непрерывности рассматриваемой переменной. Кригинг – метод интерполяции, который учитывает все эти факторы, был придуман южноафриканским горным инженером Д. Криге и потом усовершенствован Ж. Матероном.

В большинстве методов интерполяции сначала задается диаметр поискового круга (или эллипса). Все точки, попавшие в поисковый круг, используются для расчета взвешенного среднего, которое будет приписано середине элементарного блока. Веса, с которыми будут учитываться исходные точки, зависят (в той или иной мере) от расстояния от узла до этой точки. Разные методы интерполяции – это разные способы взвешивания исходных данных в зависимости от расстояния. В кригинге, как методе интерполяции, взвешивание производится сложнее, чем в других методах. Допустим, что в поисковый круг попали несколько проб. Расстояния между пробами и расстояния между серединой оцениваемого блока или его границами используется для снятия вариограммных значений с модельной вариограммы. Затем вариограммные значения заносятся в матрицы системы линейных уравнений; рассчитываются коэффициенты уравнений, которые и являются весами значений компонента в пробах. После рассчитывается оценка элементарного блока модели рудной залежи.

При решении способом, выбранным Ж. Матероном, появляется небольшое по величине число μ – множитель Лагранжа. Чем множитель меньше, тем более надежно решена система линейных уравнений.

Кригинговая оценка рассчитывается по формуле:

$$Z_k = \sum_{i=1}^n a_i Z_i,$$

где Z_k – кригинговая интерполяционная оценка изучаемой переменной; Z_i – значения переменной в n точках, попавших в круг поиска; a_i – веса. Обычно на практике в поисковый круг попадает несколько десятков или также сотен окружающих проб. Соответственно и матричное уравнение расширяется до сотен строк и столбцов. Считается, что кригинг – это интерполяционная процедура, дающая оценки с наименьшей дисперсией.

Другие методы интерполяции основаны на наличии заданной аналитической зависимости между значениями в пространстве, выраженной формулой. Наиболее часто используются линейные интерполяторы. К ним относится *метод обратных расстояний*

(IDW). При его использовании учитываются расстояния ячейки от близлежащих разведочных выработок. Чем дальше находится разведочная выработка от ячейки, тем слабее ее влияние. Значение параметра z в ячейке находят по формуле средневзвешенного:

$$z = \sum_{i=1}^n (z_i p_i / \sum p_i),$$

где z_i – значения параметра в разведочных выработках; p_i – весовые коэффициенты, зависящие от расстояния r ячейки от разведочных выработок; n – количество близлежащих разведочных выработок. Весовые коэффициенты определяют по формуле $p_i = 1/r_i^2$. В расчет параметра z включают разведочные выработки, расположенные не далее некоторого заранее заданного расстояния от ячейки. Если центр ячейки совпадает с какой-либо разведочной выработкой, значение z принимается таким же, как в разведочной выработке (Поротов, 2004).

В ГКЗ за последние два десятилетия накоплен достаточно большой опыт применения блочного моделирования при подготовке ТЭО и подсчете запасов. Примерами объектов, где блочное моделирование использовалось для решения сформулированных задач, являются золоторудные месторождения (Наталкинское, Тасеевское, Куранах, Дегдекан, Чертово Корыто, Верненское, участок Перевальный, Попутненское, Штурмовское и др.), урановорудные (Орловское, Березовское, Горное), медно-порфировые (Михеевское, Песчанка, Молмыж, Томинское и др.), редкометалльные (Зашихинское), а также ряд других. Запасы золоторудного месторождения Кючус утверждены ГКЗ по данным блочного моделирования (Рекомендации..., 2014).

Удовлетворительная сопоставимость результатов подсчета запасов для разных вариантов кондиций отмечается для месторождений с зональным типом пространственного размещения оруденения, например, на медно-порфировых объектах (Песчанка, Томинское, Михеевское, Молмыж). Для корректной геометризации запасов в них может быть применена методика локального анизотропного кригинга (ЛАК). Она позволяет определить ориентировку осей анизотропии в локальных участках объекта на основе минимизации дисперсии по пробам, попадающим в границы эллипсоида при разных вариантах его положения. Эта процедура наиболее эффективна при достаточно плотной сети наблюдений.

На месторождениях сложного строения с высокой изменчивостью геологоразведочных параметров расхождения в оценке запасов отмечают наиболее часто. Дополнительными факторами, осложняющими применение блочного моделирования, являются недостаточная плотность сети по отдельным участкам месторождения и высокие значения эффекта самородков. К объектам этого типа можно отнести жильные зоны, штокверки и штокверкоподобные золоторудные месторождения.

Основным приемом, позволяющим добиться удовлетворительной сопоставимости результатов для разных способов подсчета запасов, является построение каркасов, опирающихся на рудные интервалы, выделенных по соответствующим кондиционным показателям. Этот прием требует построения отдельных «жестких» каркасов для каждого варианта бортового содержания, но считается достаточно трудоемким.

Таким образом, информационные технологии являются *техническим*, а геостатистическое и блочное моделирование месторождений твердых полезных ископаемых – *методическим средством* подсчета запасов и технико-экономического

обоснования кондиций, удовлетворяющим требованиям международного аудита. Учет их необходим для рационального недропользования в Российской Федерации, а также привлечения иностранных инвестиций.

Контрольные вопросы по теме 4

1. Содержание и назначение промышленных кондиций
2. Основные кондиционные показатели
3. Применение и определение бортового содержания
4. Применение и определение минимального промышленного содержания
5. Виды контуров запасов полезных ископаемых
6. Последовательность оконтуривания запасов
7. Методические приемы оконтуривания запасов
8. Определение параметров подсчета запасов
9. Характеристика ведущих методов подсчета запасов
10. Особенности подсчета запасов попутных полезных ископаемых

Тема 5

Геолого-экономическая оценка месторождений

ОБЩИЕ ПОЛОЖЕНИЯ ГЭО

Геолого-экономическая оценка (ГЭО) месторождений заключается в определении количества и качества запасов полезного ископаемого в недрах, выявлении условий залегания и добычи, обосновании технико-экономических показателей разработки. ГЭО – важнейшая составная часть геологоразведочного процесса. Она призвана определить промышленную значимость объекта в наиболее эффективном варианте его возможного промышленного освоения.

Основными задачами ГЭО являются (Временное..., 1998):

- определение количества и качества балансовых и забалансовых запасов, а также обоснование кондиций для их подсчета;
- расчет технико-экономических показателей промышленной ценности месторождения;
- обоснование оптимального варианта освоения месторождения;
- расчет размера регулярных платежей за право пользования недрами и др.

ГЭО промышленного значения месторождений производится на всех без исключения стадиях геологоразведочных работ и разработки (см. раздел 5 «Стадийность ГРР»). Однако содержание этого вида исследования во многом зависит от фактического материала, позволяющего дать объективную оценку качества и количества выявленных запасов или прогнозных ресурсов. Только на стадии разведки, в меньшей степени на стадии оценочных работ, могут быть получены достаточно полные сведения о геологическом строении объекта, позволяющие объективно охарактеризовать качество и количество запасов полезного ископаемого, технологические свойства минерального сырья, горнотехнические, гидрогеологические, экологические условия отработки. На стадиях регионального геологического изучения недр и поисковых работ оцениваются лишь прогнозные ресурсы. Практическая значимость прогнозных ресурсов определяется по результатам их ГЭО, когда устанавливается вероятное промышленное значение прогнозируемых месторождений.

Геологическое обоснование прогнозных ресурсов осуществляется в соответствии с Методическим руководством (Методическое руководство по оценке..., Богданов и др., 1986) и с учетом современных представлений по геолого-промышленным типам месторождений (на основе принципиальных геолого-генетических моделей процессов рудообразования).

ГЕОЛОГИЧЕСКИЕ ПОКАЗАТЕЛИ ГЭО

Географо-экономическая характеристика района

Приводится географическое и административное положение месторождения, его удаленность от ближайшей железнодорожной станции, автомобильных дорог, населенных пунктов и возможного потребителя сырья; природно-климатические условия; освоенность района, население, его занятость, возможные источники энергоснабжения, обеспеченность стройматериалами.

Геологическое строение района

Приводятся краткие сведения об изученности и геологическом строении района, о закономерностях размещения месторождений всех видов минерального сырья.

Геологическое строение месторождения

Особенности геологического строения; структурные, литологические и иные факторы, определяющие условия залегания, морфологию рудных тел, вещественный состав руд, распределение основных и попутных компонентов, а также вредных примесей; наличие обогащенных участков и закономерности их размещения; сведения об изменчивости основных параметров рудных тел по простиранию и падению. Наличие промышленных (технологических) типов и сортов полезного ископаемого, подлежащих раздельной добыче и переработке; характеристика их качества. Наличие и закономерности распределения безрудных прослоев, характеристика слагающих их пород.

Для россыпных месторождений – характеристика особенностей формы, размеров и состава продуктивного «пласта», состава и мощности «торфов», строение плотика; содержание ценных компонентов; размер, форма и прочие особенности зерен полезных минералов, пробность золота.

Группа сложности месторождения в соответствии с классификацией запасов и прогнозных ресурсов.

Методика геологоразведочных работ

Сведения о проведенной топографической съемке, системе координат и привязке разведочных выработок.

Изученность поверхности месторождения – геологическая съемка, геохимические и геофизические исследования, проходка шурфов и канав.

Изученность глубоких горизонтов месторождения – система разведки; плотность разведочной сети; обоснование участка, разведанного по более высокой категории; сводная таблица видов и объемов геологоразведочных работ; объем выработок, участвующих в подсчете запасов.

Глубина, диаметры и конструкция разведочных скважин, способ и технология бурения, результаты замеров зенитных и азимутальных искривлений скважин. Выход керна линейный, по массе или объемный; интервалы с низким выходом керна, избирательное истирание керна, поправочные коэффициенты, выход шлама по массе или объемный при шарошечном или ударном бурении.

Методика и техника геофизических работ – основные результаты, случайные и систематические погрешности геофизических измерений.

Методика опробования буровых скважин и горных выработок, качество опробования, оценка достоверности результатов, наличие систематических погрешностей, поправочные коэффициенты, схема обработки проб. Групповые пробы, методика их составления.

Аналитические работы: объемы, методы проведения основных, контрольных и арбитражных анализов, соответствие их действующим стандартам или другим нормативным документам. Результаты обработки данных контроля, качество анализов,

оценка влияния низкого качества анализов на результаты подсчета запасов (определение мощности, площади рудных тел, содержания и т. п.). Обоснованность предполагаемых поправочных коэффициентов.

Методы и число определений объемной массы для разных типов и сортов полезных ископаемых. Обоснование значений объемной массы, принятых для подсчета запасов.

Гидрогеологические и инженерно-геологические условия. Основные водоносные горизонты, наиболее обводненные участки и зоны, их взаимосвязь с поверхностными водотоками, химический состав и бактериологическое состояние поверхностных и подземных вод; величина ожидаемых, а также максимально возможных водопритоков в горные выработки. Для россыпных месторождений, предназначенных для дражной отработки – возможность устройства плотин с целью подъема воды.

Источники питьевого и технического водоснабжения горного предприятия, оценка дальнейшего использования подземных вод месторождения для целей водоснабжения или извлечения ценных компонентов, а также их очистки при сбросе в поверхностные водотоки.

Инженерно-геологические особенности пород месторождения – состав, трещиноватость, тектоническая нарушенность, способность полезных ископаемых к самовозгоранию, радиационная характеристика полезного ископаемого и вмещающих горных пород, возможность возникновения оползней, селевых потоков и т. д. При наличии многолетней мерзлоты необходимо выявить глубины распространения и температурный режим.

ГОРНОТЕХНИЧЕСКИЕ ПОКАЗАТЕЛИ ОЦЕНКИ

Способ разработки месторождения

Выбор способа разработки месторождения зависит от глубины и условий залегания тел полезных ископаемых и производится с учетом экономико-географических и горно-технологических факторов. Оценке подлежат следующие варианты освоения месторождения:

- открытый способ,
- подземный,
- открытый и подземный (комбинированный),
- геотехнологический.

Применение открытого способа разработки устанавливается с помощью предельного коэффициента вскрыши ($K_B^П$), вычисляемого по формуле:

$$K_B^П = (C_П - C_0) / C_В,$$

где $C_П$ – себестоимость добычи 1 т руды при подземном способе разработки, руб.; C_0 – то же при открытых работах без учета затрат на выемку пустых пород; $C_В$ – себестоимость 1 т вскрыши, руб.

При комбинированном способе границу освоения месторождения открытым способом устанавливают исходя из равенства себестоимости добычи полезного ископаемого открытым и подземным способами.

Система разработки

Выбор системы разработки и ее основных элементов производится исходя из анализа геологических и горнотехнических условий месторождения.

Потери и разубоживание

Их величину следует устанавливать в значениях, характерных для принятой системы разработки с учетом горно-геологических условий месторождения.

Величина потерь обычно составляет:

- 3-7 % при системах отработки с креплением и закладкой очистного пространства;
- 8-20 % с открытым выработанным пространством и магазинированием руды;
- 15-20 % с массовым обрушением;
- 4-6 % при открытом способе разработки.

Величины разубоживания:

- 5-10 % при системах с магазинированием, креплением и закладкой выработанного пространства;
- 15-20 % при системах с массовым обрушением;
- 5-10 % при открытом способе разработки.

Производительность предприятия и продолжительность периода разработки являются важнейшими оценочными показателями, определяющими себестоимость добычи, капитальные вложения в промышленное строительство и сроки строительства предприятия. Устанавливаются в зависимости от запасов месторождения, особенностей геологического строения, горно-технических условий эксплуатации. Если существуют ограничения потребности в данном сырье, особые природоохранные и другие факторы, регламентирующие добычу, то ограничивается и производительность предприятия.

В зависимости от величины эксплуатационных запасов, горно-геологических особенностей месторождения и способа отработки, годовую производительность можно определить, руководствуясь горно-техническими условиями. Порядок ее расчета установлен в нормах технологического проектирования и осуществляется при оценке объекта по результатам разведки в базовых вариантах оконтуривания.

Для расчета годовой производительности по добыче руды при оценке по результатам поисковых и оценочных работ можно использовать метод аналогии или рекомендовать упрощенные методы, отражающие статистическую зависимость между величиной эксплуатационных запасов и средней продолжительностью работы рудника. В этих целях используются табличные материалы, подготовленные ВИЭМС и представленные в методических разработках для практических занятий.

Для расчета эксплуатационных запасов руд (Z_3) используется следующая формула:

$$Z_3 = Z \cdot (1 - p) / (1 - p),$$

где Z – запасы полезного ископаемого в недрах, тыс. т; p – потери при добыче, доли ед., p – разубоживание при добыче, доли ед.

Коэффициент изменения качества руды при добыче (P) можно рассчитать, допуская отсутствие полезного компонента в засоряющих породах, по формуле:

$$P = 1 - p.$$

Этот упрощенный метод, предложенный Тэйлором (Хилл, 1999), позволяет рассчитывать годовую производительность как частное от деления эксплуатационных запасов на срок эксплуатации.

Следует подчеркнуть, что рассчитанная тем или иным способом годовая производительность предприятия является проектной и ее достижение требует определенного срока. Применительно к оценочным расчетам в условиях рыночных отношений неучет фактора времени достижения проектной производительности приводит к существенному искажению результатов экономической эффективности освоения месторождения независимо от того, проводится ли оценка по результатам поисковых, оценочных или разведочных работ.

Нужно учитывать также опыт рационального обеспечения запасами горнорудных предприятий:

- на 20-25 лет обычно обеспечиваются запасами рудники и карьеры черной металлургии, а крупные горнодобывающие комбинаты – не менее чем на 40 лет;
- на 30-40 лет – крупные горнорудные предприятия алюминиевой, медной, свинцово-цинковой и никелевой промышленности;
- на 20-30 лет – крупные предприятия по добыче вольфрама, молибдена, олова и др.;
- на 15-20 лет – золоторудные предприятия;
- на 5-10 лет – небольшие предприятия, эксплуатирующие богатые месторождения цветных металлов, золота и ценных видов неметаллического сырья, а также россыпные месторождения благородных и редких металлов, горнодобывающие предприятия химической промышленности и промышленности строительных материалов.

При определении фактического коэффициента вскрыши отстраивают схему освоения месторождения открытым способом. Верхний контур карьера откладывают соответственно результирующему углу наклона бортов карьера. Эти углы зависят от крепости пород (по М. М. Протодяконову) и глубины карьера. Рекомендуемые значения также приводятся в специальных таблицах, представленных в методических разработках для практических занятий.

Для выполнения расчетов следует:

- вынести на план контуры верхнего и нижнего оснований карьера, а при необходимости и промежуточного контура (на уровне рыхлых отложений);
- определить объем карьера (V_k) по формулам:

$$V_k = [(S_v + S_n) / 2] \cdot H \text{ или } V_k = [(S_v + S_n + \sqrt{S_v \cdot S_n}) / 3] \cdot H,$$

где S_v и S_n – площади верхнего и нижнего оснований карьера, m^2 ; H – глубина карьера, m . Вторая формула применяется, если $S_v > S_n$ на 40 %;

- вычислить объемный коэффициент вскрыши (K_v):

$$K_v = (V_k - V_p) / V_p,$$

где V_k – объем карьера, m^3 ; V_p – объем руды, m^3 ;

- рассчитать (при необходимости) предельный коэффициент вскрыши (K_v^n):

$$K_v^n = (Z_n - Z_o) / Z_v,$$

где $Z_{\text{п}}$ – затраты (себестоимость) на добычу 1 т руды при подземном способе разработки, руб.; Z_0 – то же при открытых работах; $Z_{\text{в}}$ – затраты на выемку 1 т вскрышных пород при открытом способе, руб.

Если фактически коэффициент вскрыши меньше предельного ($K_{\text{в}} < K_{\text{в}}^{\text{п}}$), то целесообразен открытый способ разработки месторождения; если отмечена обратная зависимость ($K_{\text{в}} > K_{\text{в}}^{\text{п}}$), то подземный.

Расчет годовой производительности горнодобывающего предприятия во многом определяется горнотехническими условиями отработки и зависит, в первую очередь, от величины эксплуатационных запасов. Таблицы для упрощенного определения годовой производительности также приводятся в методических разработках для лабораторных занятий (Угрюмов, Дворник, 2004; Баранников, Макарова, 2002).

Годовая производительность по руде ($A_{\text{р}}$) может быть также определена по формуле:

$$A_{\text{р}} = Z / T,$$

где T – срок существования рудника, лет.

Производительность горнодобывающего предприятия по горной массе ($A_{\text{ГМ}}$) определяется по формуле:

$$A_{\text{ГМ}} = A_{\text{р}} \cdot (1 + K_{\text{в}}).$$

Для расчета производительности по горной массе также можно воспользоваться эмпирической зависимостью:

$$A_{\text{ГМ}} = 42S - 10^5 \cdot S^2,$$

где S – средняя по глубине горизонтальная площадь проектного карьера.

Расчет годовой производительности по нормам технологического проектирования осуществляется, как правило, в базовых вариантах оконтуривания. В промежуточных вариантах годовую производительность по руде ($A_{\text{р}}$) рассчитывают по формуле:

$$A_{\text{р}} = \sqrt[a+b]{Z_{\text{э}}},$$

где $Z_{\text{э}}$ – эксплуатационные запасы руды, тыс. т; a , b – числовые коэффициенты, определяемые путем решения системы уравнений:

$$\begin{cases} A_{\text{р}1} = \sqrt[a+b]{Z_{\text{э}2}} \\ A_{\text{р}2} = \sqrt[a+b]{Z_{\text{э}1}} \end{cases}$$

В соответствии с принятой системой разработки и выбранной производительностью в горнотехнической части также рассматриваются: условия воздухо- и водоснабжения, вентиляции, откатки и подъема полезного ископаемого при подземной разработке, транспортировки вскрыши в отвал, а полезного ископаемого на фабрику. С учетом этого выбирается основное оборудование, режим работы предприятия, определяются укрупнено объемы работ по электро-, тепло- и водоснабжению.

ТЕХНОЛОГИЧЕСКИЕ ПОКАЗАТЕЛИ ОЦЕНКИ

Обоснование технологии переработки минерального сырья. Базируется на данных изучения его вещественного состава, структурно-текстурных особенностей, физико-механических и других свойств, на результатах технологических испытаний, а также передового опыта переработки (обогащения) аналогичных видов минерального сырья. При

наличии на месторождении нескольких технологических типов руд, подлежащих раздельной переработке, технология переработки обосновывается для каждого из них.

Объемы и виды технологических исследований. Должны быть достаточны для выбора технологической схемы переработки минерального сырья и обоснования ее основных показателей. К ним относятся качество получаемой товарной продукции, ее выход от исходного минерального сырья, а для рудных месторождений – извлечение основных и попутных компонентов в товарную продукцию в процентах.

В соответствии с выбранной схемой обогащения составляется материальный баланс, согласно которому количество металла, поступившего на обогащение, равно количеству металла, просуммированного по продуктам обогащения. Связь основных показателей обогащения выражается в виде следующей формулы:

$$I_{об} = (V_k \cdot M_k) / M_p,$$

где $I_{об}$ – извлечение при обогащении, %; V_k – выход концентрата, %; M_k и M_p – содержание металла в концентрате и добытой руде, соответственно, %.

При упрощенных расчетах, когда широко используются технико-экономические показатели предприятий-аналогов, коэффициент извлечения металла в концентрат иногда принимают по аналогии. В этом случае может оказаться необходимым обосновать уже другой показатель – выход концентрата (V_k) в тоннах по формуле:

$$V_k = [I_{об} \cdot M_p \cdot (1 - p)] / M_k,$$

где p – показатель разубоживания, доли ед.

При этом расход руды на получение 1 т концентрата (q):

$$q = 1 / V_k.$$

Добытое полезное ископаемое может перерабатываться на вновь построенной на месторождении обогатительной фабрике или на действующих в регионе предприятиях, имеющих свободные мощности или требующих увеличения мощностей по переработке сырья. Выбор местонахождения обогатительной фабрики обосновывается экономическими расчетами.

Производительность обогатительной фабрики по руде в конкретных условиях зависит от масштаба производства снабжающих ее рудников. Как правило, при оценке месторождений она принимается равной годовой производительности предприятия по добыче руды.

При оценке рудных месторождений конечной товарной продукцией обычно является сам металл. Поэтому процесс переработки минерального сырья следует оценивать, включая металлургический передел. Для этого необходимы сведения о технологической схеме переработки концентратов, извлечении полезных компонентов в конечную товарную продукцию, а также перечень выпускаемой конечной товарной продукции по маркам. Эти показатели принимаются по фактическим данным металлургических предприятий, на которых предусматривается переработка концентратов и промпродуктов из руд оцениваемого месторождения.

Сквозное извлечение металла в конечный товарный продукт (I) с учетом металлургического передела:

$$I = I_{об} \cdot I_m,$$

где I_m – извлечение при металлургическом переделе, доли ед.

Изучение поведения попутных компонентов в процессе переработки. Изучается содержание попутных компонентов в продуктах обогащения, баланс распределения каждого попутного компонента по минералам и продуктам.

Определение состава и свойств отходов. Исследуется состав и свойства отходов, возможность их промышленного использования, целесообразность учета количества отдельных видов отходов или утверждение их запасов.

ВОПРОСЫ ОХРАНЫ ОКРУЖАЮЩЕЙ СРЕДЫ

Изучение и прогнозирование воздействия результатов геологоразведочных работ, а также разработки месторождений полезных ископаемых на окружающую среду, является обязательной составной частью ГЭО (Временное..., 1998). Полученные при этом данные должны способствовать ликвидации их негативных последствий, получению исходных данных, необходимых для комплексного промышленного освоения, а также разработке рационального комплекса природоохранных мероприятий, определению их стоимости на разных стадиях изучения и геолого-экономической оценке месторождений. Результаты отмеченных исследований проходят экологическую экспертизу.

Влияние геологоразведочных работ и промышленного освоения месторождений на окружающую среду многоаспектно. Оно может выражаться в нарушении природного ландшафта территории, изменении режима поверхностных и подземных вод, загрязнении воздушного и водного бассейнов, выводе из хозяйственного оборота или снижении продуктивности плодородных земель и других негативных воздействиях. Характер и степень этого влияния в значительной мере обусловлены способом ведения геологоразведочных работ и отработки месторождения, а также составом добываемых и перерабатываемых полезных ископаемых, технологией их обогащения, металлургического и химического передела, степенью очистки отходящих газов и сточных вод.

Предотвращение или нейтрализация отрицательного воздействия освоения месторождения на природную среду возможны только при наличии максимально полной информации о характере объекта и условиях его эксплуатации. Она должна быть получена в процессе разведочных работ и использована для выработки соответствующих проектных решений и природоохранных мероприятий.

Все эти вопросы, разобранные с той или иной степенью достоверности (в зависимости от собранного материала), находят отражение в разрабатываемых ТЭД и ТЭО.

ЭКОНОМИЧЕСКИЕ ПОКАЗАТЕЛИ ОЦЕНКИ

В данном разделе приводится обоснование величины инвестиций (капитальных вложений и оборотных средств) в освоение месторождения, а также эксплуатационных затрат, связанных с добычей и обогащением полезного ископаемого. Рассчитываются показатели эффективности освоения месторождений, выбирается оптимальный вариант их освоения.

В практике оценки месторождений полезных ископаемых существует два основных метода определения капитальных затрат и производственных (эксплуатационных)

расходов: 1 – прямой расчет и 2 – метод аналогии. *Прямые расчеты* более точны и надежны. Они позволяют учесть все специфические особенности проекта. Однако на ранних стадиях изучения объекта данных для прямого расчета недостаточно, и тогда для предварительной оценки необходимых вложений используется *метод аналогии*, который может применяться в двух модификациях. В первом случае выбирается непосредственный объект-аналог – месторождение того же геолого-промышленного типа, расположенное в том же регионе, близкое по геологическим, горнотехническим и горно-технологическим условиям. Техничко-экономические показатели объекта-аналога принимаются за основу для проведения расчетов. Вторая модификация предусматривает оценку необходимых затрат с помощью укрупненных показателей – удельных капиталовложений на разные виды работ. Удельные капиталовложения – это затраты, отнесенные на единицу объема работ – на 1 т руды, на 1 км строительства дороги, на 1 км проведения ЛЭП и т. д. Удельные показатели определяются отраслевыми институтами – ВИЭМС в Москве, ИГД в Екатеринбурге и др. на основе анализа деятельности профильных предприятий, и позиционируются как соответствующие нормативы.

Обоснование инвестиций в освоение месторождений

Инвестиции включают в себя капитальные вложения на фонды промышленного и непромышленного назначения, а также инвестиции в оборотный капитал.

К *фондам промышленного назначения* относятся рудник с комплексом горно-капитальных выработок, зданий, сооружений и оборудования; обогатительная фабрика с объектами хвостового хозяйства и оборотного водоснабжения; участок автомобильных дорог и железнодорожных путей от месторождения до существующих путей сообщения; службы энерго-, водо- и теплоснабжения, канализации и т. д. *Непромышленные фонды* – это объекты социального, жилищного и бытового назначения.

1. Капитальные вложения в строительство рудника.

Определяются в соответствии с намеченным способом разработки, исходя из годовой производительности и капитальных удельных вложений на горно-капитальные работы, оборудование, здания и сооружения в соответствии с глубиной разработки и с учетом территориального поправочного коэффициента. Учитываются также затраты на получение лицензий: права на пользование землей и недрами, на определенные виды деятельности; организационные расходы, включая регистрацию предприятия; затраты по компенсации потерь от изъятия земель и другие расходы, связанные со строительством объектов.

Капитальные вложения в строительство карьера, рудника могут быть определены по формуле:

$$K_p = K_{yp} \cdot A_p,$$

где K_{yp} – удельные капитальные затраты на 1 т годовой производительности по руде или горной массе, руб.; A_p – производительность рудника по руде или горной массе, т/год. Удельные показатели принимаются в соответствии с действующими нормативами, приведенными в методических разработках к лабораторным занятиям.

2. Капитальные вложения в строительство обогатительной фабрики.

Определяются с учетом ее производительности и удельных затрат на 1 т производственных мощностей по переработке минерального сырья, а также территориального поправочного коэффициента.

Для определения капитальных вложений в строительство обогатительной фабрики на основе удельных показателей используется формула:

$$K_{\phi} = K_{уд} \cdot A_{\phi},$$

где $K_{уд}$ – удельные капвложения на 1 т годовой производительности, руб.; A_{ϕ} – годовая производительность фабрики.

3. Капитальные вложения в строительство автомобильных и железных дорог, линий электропередач, водоснабжение и прочее также определяются в соответствии с нормативами удельных капитальных вложений на 1 км сооружений, их протяженностью и поправочными коэффициентами, учитывающими район строительства и рельеф местности.

4. Капитальные вложения на предстоящие геологоразведочные работы учитываются, исходя из запасов месторождения, а также из удельных затрат на разведку 1 т руды запасов категорий $A+B+C_1$, и относятся к первому году строительства горнорудного предприятия. Они определяются по данным объектов-аналогов или методом прямого расчета путем составления сметы на проведение геологоразведочных работ.

5. Прочие капитальные вложения в строительство объектов жилищного, коммунального и культурно-бытового назначения определяются исходя из числа трудящихся на горном предприятии и удельных затрат на одного человека при строительстве этих объектов.

6. Общие капитальные затраты ($K_{общ}$) определяются как сумма затрат на строительство рудника (карьера), обогатительной фабрики, затрат на транспорт, строительство линий электропередач, затрат на геологоразведочные работы и прочих.

Прочие капитальные вложения ориентировочно можно принять в размере 10-15 % для малых и средних объектов и 20-25 % для крупных от суммы капитальных затрат на строительство рудника (карьера) и обогатительной фабрики.

Эксплуатационные затраты

Эксплуатационные затраты, связанные с добычей и обогащением полезного ископаемого, состоят из цеховых, общекорбинатских и внепроизводственных расходов. Они определяют себестоимость продукции горно-обогатительного предприятия. Эксплуатационные затраты также устанавливаются прямым расчетом или с использованием показателей существующих предприятий, разрабатывающих аналогичные месторождения в сходных географо-экономических условиях.

1. Цеховые эксплуатационные затраты

При подземной добыче полезного ископаемого цеховые эксплуатационные затраты определяются с помощью укрупненных нормативных показателей себестоимости добычи руды в зависимости от годовой производительности рудника, глубины разработки, варианта вскрытия и системы добычи.

При открытой добыче цеховые затраты рассчитываются с помощью укрупненных нормативов в зависимости от годовой производительности, типов и размеров основного оборудования, транспортных средств, глубины карьера и коэффициента вскрыши.

Затраты на рекультивацию нарушенных земель, которые входят в цеховые эксплуатационные затраты, определяются исходя из площади нарушенных земель и удельных затрат на рекультивацию 1 га.

Затраты по обогащению полезного ископаемого определяются с помощью укрупненных нормативных показателей цеховой себестоимости в соответствии с намеченной производительностью фабрики, способом обогащения и составом руд.

2. *Общекорбинатские расходы* зависят от цеховой себестоимости добычи, обогащения и составляют обычно 8-10 % от цеховых расходов.

3. *Внепроизводственные расходы* складываются из цеховых погрузочно-разгрузочных работ и транспортировки концентрата до линии железной дороги общего пользования. Укрупненно они могут быть приняты в размере 3-5 % от цеховой себестоимости.

Затраты по охране окружающей среды зависят от характера производственной деятельности и местных условий, рассчитываются отдельно и включаются в эксплуатационные затраты.

Общая величина эксплуатационных затрат определяется как сумма цеховых, общекорбинатских и внепроизводственных расходов, а также затрат по охране среды.

Показатели эффективности освоения месторождения

При оценке эффективности освоения месторождения соизмерение разновременных затрат и показателей осуществляется путем приведения (дисконтирования) их к базисному моменту времени – началу строительства горнодобывающего предприятия. Это реализуется их умножением на коэффициент дисконтирования:

$$K_d = \frac{1}{(1+E)^t},$$

где t – номер расчетного года, начиная от начала строительства горнодобывающего предприятия; E – норма дисконтирования, которая принимается равной приемлемой для инвестора норме дохода или прибыли на капитал (процентная ставка). Эта норма устанавливается на таком уровне, который позволил бы инвестору не только компенсировать риск, но и получить требуемую прибыль. Обычно эта норма при постоянных ценах в горной промышленности колеблется в следующих пределах:

- от 10-12 % при разработке месторождений строительных материалов;
- 15-18 % при разработке месторождений черных и цветных металлов;
- до 20-25 % при разработке месторождений золота.

Кроме того, для учета фактора времени в экономических расчетах применяется коэффициент ежегодной ренты (аннуитета), который определяется по следующей формуле:

$$K_a = \frac{(1+E)^{T_3} - 1}{(1+E)^{T_3} \times E}$$

Коэффициенты дисконтирования и аннуитета, рассчитанные для разных значений E и t , приводятся в виде справочных таблиц в методических разработках по практике ГЭО.

Основными показателями экономической эффективности освоения месторождения являются:

- чистый дисконтированный доход (ЧДД);
- индекс доходности (ИД);
- срок окупаемости капитальных вложений (T_0);
- внутренняя норма доходности (ВНД);
- рентабельность предприятия по отношению к производственным фондам (Рф);
- рентабельность предприятия по отношению к эксплуатационным затратам (Рэ).

Чистый дисконтированный доход определяется как сумма чистых доходов за весь расчетный период:

$$\text{ЧДД} = \sum_{t=1}^T \left[(\text{Ц}_t - \text{З}_t) \cdot \frac{1}{(1+E)^t} \right] - \sum_{t=1}^T \left(K_t \cdot \frac{1}{(1+E)^t} \right),$$

где $t = 1, 2, 3 \dots T$ – количество лет от начала строительства до ликвидации предприятия; Ц_t – стоимость продукции (выручка) в t -м году, руб.; З_t – эксплуатационные затраты, произведенные в том же году без учета амортизационных отчислений, руб.; K_t – капитальные вложения (инвестиции) в t -м году, руб.; E – норма дисконтирования.

С использованием соответствующего коэффициента дисконтирования формула несколько упрощается:

$$\text{ЧДД} = \sum_{t=1}^T [(\text{Ц}_t - \text{З}_t) \cdot K_d] - \sum_{t=1}^T (K_t \cdot K_d).$$

Если ЧДД положителен, освоение месторождения эффективно; при отрицательном ЧДД освоение окажется неэффективным как не отвечающее установленной норме дохода.

На начальных стадиях изучения месторождения не представляется возможным определить величину выручки, эксплуатационных затрат и капитальных вложений по отдельным годам. Поэтому величины выручки и затрат принимаются постоянными за все время разработки, а величину капитальных вложений – постоянной за все время строительства. Средняя величина дохода определяется по формуле:

$$D_{\Gamma} = \text{Ц}_{\Gamma} - \text{З}_{\Gamma},$$

где D_{Γ} – среднегодовой доход; Ц_{Γ} – среднегодовая стоимость продукции (выручка) за год; З_{Γ} – среднегодовые эксплуатационные затраты, включая амортизационные отчисления.

Среднегодовой доход с амортизационными отчислениями (D_{Γ}^1) будет:

$$D_{\Gamma}^1 = D_{\Gamma} + A_0,$$

где A_0 – амортизационные отчисления.

В этом случае ЧДД определяется по формуле:

$$\text{ЧДД} = D_{\Gamma}^1 \cdot \frac{(1+E)^{T_3} - 1}{(1+E)^{T_3} \cdot E} - K_{\Gamma} \cdot \frac{(1+E)^{T_c} - 1}{(1+E)^{T_c} \cdot E},$$

где K_{Γ} – среднегодовая величина капитальных вложений; T_3 – срок эксплуатации месторождения; T_c – срок строительства предприятия.

Подставляя коэффициенты дисконтирования и аннуитета, формулу можно значительно упростить:

$$\text{ЧДД} = D_{\Gamma}^1 \cdot K_{\text{ан}} \cdot K_{\text{дс}} - K_{\Gamma} \cdot K_{\text{ас}},$$

где $K_{\text{ан}}$ – коэффициент аннуитета на срок эксплуатации, $K_{\text{дс}}$ – коэффициент дисконтирования на срок строительства, $K_{\text{ас}}$ – коэффициент аннуитета на срок строительства.

Индекс доходности (ИД) показывает, во сколько раз приведенные доходы превышают приведенные капитальные вложения:

$$\text{ИД} = \frac{\sum_{t=1}^T \left[(\text{Ц}_t - \text{З}_t) \cdot \frac{1}{(1+E)^t} \right]}{\sum_{t=1}^T \left(K_t \cdot \frac{1}{(1+E)^t} \right)}$$

Или на начальных этапах изучения месторождения:

$$\text{ИД} = \frac{D_{\Gamma}^1 \cdot \frac{(1+E)^{T_{\text{э}}}-1}{(1+E)^{T_{\text{э}} \cdot E} \cdot \frac{1}{(1+E)^{T_{\text{с}}}}}{K_{\Gamma} \cdot \frac{(1+E)^{T_{\text{с}}}-1}{(1+E)^{T_{\text{с}} \cdot E}}}}$$

Или с использованием коэффициентов:

$$\text{ИД} = (D_{\Gamma}^1 \cdot K_{\text{аэ}} \cdot K_{\text{дс}}) / (K_{\Gamma} \cdot K_{\text{ас}}).$$

Разработка месторождения эффективна, если индекс доходности больше 1.

Срок окупаемости капитальных вложений (T_0) – временной интервал с момента начала разработки месторождения, за который приведенные доходы уравнивают приведенные капитальные вложения. Срок окупаемости определяется из условия:

$$\sum_{t=1}^{T_0} \left[(\text{Ц}_t - \text{З}_e) \cdot \frac{1}{(1+E)^t} \right] = \sum_{t=1}^{T_0} \left(K_t \cdot \frac{1}{(1+E)^t} \right)$$

или на начальных стадиях изучения месторождений

$$T_0 = - \frac{\log \left\{ 1 - \frac{K_{\Gamma}}{D_{\Gamma}^1} [(1+E)^{t_{\text{с}}} - 1] \right\}}{\log(1+E)}.$$

Логарифмирование производится по любому основанию, так что можно применять как натуральные логарифмы, так и десятичные.

Возможно определение T_0 и графическим способом (рис. 49).

Внутренняя норма доходности (ВНД) представляет собой ту норму дисконта, при которой величина приведенных доходов уравнивает приведенные капитальные вложения. ВНД определяется из условия (в неявной форме):

$$\sum_{t=1}^T \left[(\text{Ц}_t - \text{З}_e) \cdot \frac{1}{(1+\text{ВНД})^t} \right] = \sum_{t=1}^T \left(K_t \cdot \frac{1}{(1+\text{ВНД})^t} \right)$$

На начальных стадиях изучения месторождения ВНД определяется из условия:

$$D_{\Gamma}^1 \cdot \frac{(1+\text{ВНД})^{T_{\text{э}}}-1}{(1+\text{ВНД})^{T_{\text{э}} \cdot \text{ВНД}} = K_{\Gamma} \cdot \frac{(1+\text{ВНД})^{T_{\text{с}}}-1}{(1+\text{ВНД})^{T_{\text{с}} \cdot \text{ВНД}}$$

Ориентировочная величина ВНД определяется соотношением: $\text{ВНД} = 75 / T_0, \%$.

На практике часто применяется простой графический способ определения ВНД. Для этого рассчитывается 3 значения ЧДД при разной величине E и строится график, на котором в выбранном масштабе по вертикальной оси откладываются ЧДД, а по горизонтальной – E . По трем точкам проводится прямая, которая пересечет горизонтальную ось в точке, соответствующей значению ВНД (рис. 50).

Рентабельность разработки месторождения по отношению к основным производственным фондам (P_{Φ}) вычисляется по формуле:

$$P_{\Phi} = \text{П}_ч / \Phi \cdot 100 \%, \text{ или } P_{\Phi} = D_{\Gamma} / K \cdot 100 \%,$$

где $\text{П}_ч$ – среднегодовая прибыль после уплаты налогов; Φ – стоимость производственных фондов предприятия (основных и оборотных средств); D_{Γ} – среднегодовой доход; K – капитальные вложения в освоение месторождения.

Рентабельность предприятия по отношению к годовым эксплуатационным затратам (P_3) может быть определена по формулам:

$$P_3 = \Pi_{\text{ч}} / Z_{\text{г}} \cdot 100 \% \text{ или } P_3 = D_{\text{г}} / Z_{\text{г}} \cdot 100 \%,$$

где $Z_{\text{г}}$ – годовые затраты, руб.

С учетом, платежей, налогов и отчислений расчет показателей ГЭО осуществляется в следующем порядке.

Величина годовой прибыли ($\Pi_{\text{г}}$) определяется по формуле:

$$\Pi_{\text{г}} = \Pi_{\text{г}} - (Z_{\text{г}} + H_{\text{з}}),$$

где $\Pi_{\text{г}}$ – среднегодовая стоимость продукции без налога на добавленную стоимость (выручка); $Z_{\text{г}}$ – среднегодовые эксплуатационные затраты с учетом амортизационных отчислений; $H_{\text{з}}$ – величина налогов, платежей, отчислений, учитываемая в структуре эксплуатационных затрат. К ним относятся, в первую очередь, налог на добычу и дорожный налог.

Величина чистой годовой прибыли ($\Pi_{\text{ч}}$) определяется по формуле:

$$\Pi_{\text{ч}} = \Pi_{\text{г}} - H_{\text{п}},$$

где $H_{\text{п}}$ – величина налогов, платежей, отчислений, изымаемая из прибыли. Основную их часть составляют налоги на прибыль и на имущество.

Величина чистой годовой прибыли с амортизационными отчислениями ($\Pi_{\text{ч}}^1$) определяется по формуле:

$$\Pi_{\text{ч}}^1 = \Pi_{\text{ч}} + A_{\text{о}},$$

где $A_{\text{о}}$ – амортизационные отчисления, определяемые в соответствии с действующими нормами амортизации.

При расчетах показателей эффективности используется чистая годовая прибыль с амортизационными отчислениями ($\Pi_{\text{ч}}^1$) за исключением расчета рентабельности ($P_{\text{ф}}$, P_3), где используется чистая годовая прибыль $\Pi_{\text{ч}}$.

Вычисление показателей экономической эффективности освоения месторождения с учетом существующих налогов, платежей и отчислений осуществляется по формулам:

$$\text{ЧДП} = \sum_{t=1}^T \left[\Pi_t^1 \cdot \frac{1}{(1+E)^t} \right] - \sum_{t=1}^T \left(K_t \cdot \frac{1}{(1+E)^t} \right),$$

$$\text{ИП} = \frac{\sum_{t=1}^T \left[\Pi_t^1 \cdot \frac{1}{(1+E)^t} \right]}{\sum_{t=1}^T \left(K_t \cdot \frac{1}{(1+E)^t} \right)}$$

T_0 определяется из условия:

$$\sum_{t=1}^{T_0} \left[\Pi_t^1 \cdot \frac{1}{(1+E)^t} \right] = \sum_{t=1}^{T_0} \left(K_t \cdot \frac{1}{(1+E)^t} \right)$$

ВНП определяется из условия:

$$\sum_{t=1}^T \left[\Pi_t^1 \cdot \frac{1}{(1+ВНД)^t} \right] = \sum_{t=1}^T \left(K_t \cdot \frac{1}{(1+ВНД)^t} \right)$$

На начальных стадиях изучения используются соответственно следующие формулы:

$$\text{ЧДП} = \Pi_{\text{ч}} \cdot \frac{(1+E)^{T_0} - 1}{(1+E)^{T_0} \cdot E} - K_{\text{г}} \cdot \frac{(1+E)^{T_0} - 1}{(1+E)^{T_0} \cdot E} \text{ или}$$

$$\text{ЧДД} = \Pi_{\text{ч}} \cdot K_{\text{аэ}} - K_{\text{г}} \cdot K_{\text{ас}},$$

$$\text{ИП} = \frac{\Pi_{\text{ч}}^1 \cdot \frac{(1+E)^{T_{\text{э}}-1}}{(1+E)^{T_{\text{э}}} \cdot E} \cdot \frac{1}{(1+E)^{T_{\text{с}}}}}{K_{\text{Г}} \cdot \frac{(1+E)^{T_{\text{с}}-1}}{(1+E)^{T_{\text{с}}} \cdot E}}, \text{ или } \text{ИП} = \Pi_{\text{ч}} \cdot K_{\text{аз}} / K_{\text{Г}} \cdot K_{\text{ас}},$$

$$T_0 = - \frac{\log\left\{1 - \frac{K_{\text{Г}}}{\Pi_{\text{ч}}^1} [(1+E)^{T_{\text{с}}-1}]\right\}}{\log(1+E)},$$

ВНП определяется из условия:

$$\Pi_{\text{ч}}^1 \cdot \frac{(1+\text{ВНД})^{T_{\text{э}}-1}}{(1+\text{ВНД})^{T_{\text{э}}} \cdot \text{ВНД}} = K_{\text{Г}} \cdot \frac{(1+\text{ВНД})^{T_{\text{с}}-1}}{(1+\text{ВНД})^{T_{\text{с}}} \cdot \text{ВНД}},$$

$$P_{\text{ф}} = \Pi_{\text{ц}} / \Phi \cdot 100 \%,$$

$$P_{\text{з}} = \Pi_{\text{ц}} / Z_{\text{Г}} \cdot 100 \%.$$

Денежный поток при разработке месторождения является дополнительным показателем эффективности освоения. Его составляющими являются приток и отток средств по годам с начала деятельности горного предприятия. Источниками притока средств являются выручка от реализации производственной продукции и реализации остаточных производственных фондов при ликвидации предприятия, сокращение величины оборотных средств. Основными составляющими оттока средств являются эксплуатационные расходы, налоговые выплаты, платежи и отчисления, которые не входят в структуру эксплуатационных затрат, увеличение оборотных средств, отчисления в развитие геологоразведочных работ и т. д. Суммарная разность между притоком и оттоком средств за весь период существования предприятия называется *чистым денежным потоком*. Если величины этого потока приводят к началу разработки месторождения, то суммарная величина этих значения является дисконтированным чистым денежным потоком. При определении денежного потока при разработке месторождения конкретным частным предприятием при оттоке средств, кроме того, учитывается погашение взятого кредита банка на строительство горного предприятия и выплата процентов по этому кредиту.

ОБОСНОВАНИЕ ОПТИМАЛЬНОГО ВАРИАНТА ОСВОЕНИЯ МЕСТОРОЖДЕНИЯ

Обоснование оптимального варианта освоения месторождения осуществляется на основе сопоставления его технико-экономических показателей при разных значениях бортового содержания, а именно: величины запасов полезных компонентов, размера капитальных вложений, эксплуатационных затрат, чистого дисконтированного дохода и т. д. Полный перечень этих показателей, а также пример повариантных технико-экономических расчетов для полиметаллического месторождения приводится в методических разработках для лабораторных занятий по дисциплине «Разведка и ГЭО МПИ».

Ни один из показателей не является достаточным для окончательного вывода о предпочтении того или иного варианта оконтуривания или подсчета запасов. Однако каждый из них должен отвечать заранее обусловленным требованиям инвестора: чистый дисконтированный доход и внутренняя норма доходности должны быть не меньше заранее установленной величины; срок окупаемости капитальных вложений – не более намеченного времени и т. п.

В целом, промышленное значение месторождения определяется экономической эффективностью его разработки. Наряду с этим необходимо учитывать потребность промышленности в данном виде минерального сырья, наличие трудовых ресурсов, а также социальное положение населения в районе расположения объекта, экологическую ситуацию и т. п. Неполное удовлетворение потребности конкретного района в минеральном сырье может служить основанием для предложения о снижении налогов и предоставлении льгот при разработке месторождения.

Контрольные вопросы к теме 5

1. Цели и задачи ГЭО МПИ
2. Геологические показатели ГЭО
3. Горнотехнические показатели ГЭО
4. Технологические показатели ГЭО
5. Обоснование инвестиций в освоение месторождения
6. Определение эксплуатационных затрат при разработке
7. Назначение и применение коэффициента дисконтирования, ставки дисконта, коэффициента аннуитета
8. Основные показатели эффективности освоения месторождения
9. Определение чистого дисконтированного дохода
10. Определение индекса доходности
11. Определение срока окупаемости инвестиций
12. Определение внутренней нормы доходности

ЗАКЛЮЧЕНИЕ

Становление учения о разведке недр прошло длинный исторический путь, постепенно накапливая опыт и знания при изучении и оценке различных типов месторождений полезных ископаемых. К настоящему времени *разведка* представляет *самостоятельную научную дисциплину*, имеющую объекты изучения, методологические подходы, геолого-экономическую основу оценки полученных результатов.

Накопленный опыт разведки и геолого-экономической оценки месторождений получил отражение в многочисленных литературных источниках: монографиях, учебниках и учебных пособиях, научных статьях, методических разработках и рекомендациях. Направления совершенствования геологоразведочных работ, обоснованные еще в 80-90-е годы XX столетия, во-многом актуальными и в настоящее время. К числу сформулированных при этом задач следует отнести (Комплексная..., 1990):

- повышение достоверности утверждаемых по результатам разведки запасов;
- обоснование комплексного использования минерального сырья на основе совершенствования рациональной технологии переработки полезных ископаемых;
- совершенствование методов опробования и способов обработки проб;
- повышение уровня изученности вещественного состава и технологических свойств полезного ископаемого;
- повышение роли геофизических и геохимических исследований при оконтуривании залежей полезных ископаемых, изучении их внутреннего строения;
- совершенствование методики разведки и геолого-экономической оценки месторождений на основе обобщения передового отечественного и зарубежного опыта.

В то же время нельзя оперировать только накопленным опытом. С течением времени меняются экономические условия хозяйствования, совершенствуются подходы к оценке промышленной значимости месторождений. В современных условиях необходимо внедрение в геологоразведочный процесс геоинформационных технологий. При этом возможны следующие направления сбора информации и её обобщения:

- перевод накапливаемой геологической информации по месторождениям с бумажных носителей на цифровые;
- создание банка цифровых данных по всем разведанным пересечениям, включающим результаты опробования, аналитических, инженерно-геологических и иных исследований;
- разработка цифровых моделей месторождений, позволяющих на базе 3D моделирования анализировать форму и условия залегания тел полезных ископаемых, пространственное распределение качественных показателей в объеме рудных тел, оценивать роль и значение рудоконтролирующих факторов на прилегающих к месторождению территориях (в пределах рудных районов и узлов);
- производить подсчет запасов и ГЭО, обосновывать кондиции на минеральное сырье, укреплять и стабилизировать добычу минерального сырья требуемого качества на горнорудных предприятиях и т. д.

Все изложенное определяет высокую актуальность подготовки квалифицированных кадров в рамках высшей школы, владеющих не только глубокими геологическими

знаниями, но и современными приемами сбора и обработки накопленной информации с использованием IT-технологий.

МИНОБРНАУКИ РОССИИ

ФГБОУ ВО «Уральский государственный горный университет»

**МЕТОДИЧЕСКИЕ РЕКОМЕНДАЦИИ
К САМОСТОЯТЕЛЬНОЙ РАБОТЕ ПО ДИСЦИПЛИНЕ**

**К.М.01.ДВ.01.03 ГЕОЛОГО-ЭКОНОМИЧЕСКАЯ ОЦЕНКА
МЕСТОРОЖДЕНИЙ НЕФТИ ГАЗА**

Специальность

21.05.03 Технология геологической разведки

Специализация:

Сейсморазведка

Автор: Рыльков С.А., к.г.-м.н.

Екатеринбург

Введение

Самостоятельная работа студента является важнейшей составной частью образовательной программы подготовки дипломированного специалиста. По курсу «Геолого-экономическая оценка месторождений полезных ископаемых» обязательная самостоятельная работа студента осуществляется в следующих направлениях:

- ✓ выполнение домашних заданий;
- ✓ освоение материалов по отдельным темам, входящим в Рабочую программу дисциплины [4];
- ✓ подготовка к экзамену;

Самостоятельная работа студентов направлена на развитие интеллектуальных умений, повышение творческого потенциала студентов и заключается в:

- поиске, анализе, структурировании и презентации информации, анализе научных публикаций по вопросам геолого-экономической оценки месторождений нефти и газа;
- исследовательской работе и участии в научных студенческих конференциях, семинарах и олимпиадах.

Оценка результатов самостоятельной работы организуется как единство двух форм: самоконтроль и контроль со стороны преподавателей.

Данные методические указания предназначены для организации самостоятельной работы студентов при освоении отдельных тем дисциплины.

Методические указания к самостоятельной работе студента

В последующем разделе пособия приведена развернутая программа дисциплины «Геолого-экономическая оценка месторождений полезных ископаемых». Здесь указаны наименование и содержание лекционных тем в соответствии с рабочей программой дисциплины [4]. Каждая тема является основой вопросов в экзаменационном билете. При чтении лекций по курсу преподаватель указывает те темы дисциплины, которые выносятся на самостоятельную проработку студентами. Основной объем информации по каждой теме содержится в учебнике по курсу [1]. Для углубленного освоения темы рекомендуется дополнительная литература [2, 3, 4]. Для самоконтроля и приобретения навыков решения задач по отдельным разделам дисциплины в последнем разделе приведены контрольные вопросы и упражнения, которые являются основой подготовки к экзамену.

При освоении указанных ниже тем рекомендуется следующий порядок самостоятельной работы студента.

1. Ознакомьтесь со структурой темы.
2. По учебнику [1] освоите каждый структурный элемент темы. Во всех темах указаны разделы и страницы учебника, содержащие данный материал.
3. При необходимости используйте указанную дополнительную литературу. Консультацию по использованию дополнительной литературы Вы можете получить у преподавателя.
4. Ответьте на контрольные вопросы и выполните рекомендованные упражнения. При затруднениях в ответах на вопросы вернитесь к изучению рекомендованной литературы.
5. Законспектируйте материал. При этом конспект может быть написан в виде ответов на контрольные вопросы и упражнения.

При самостоятельной работе над указанными темами рекомендуется вести записи в конспектах, формируемых на лекционных занятиях по курсу, и в том порядке, в котором данные темы следуют по учебной программе.

Данное учебно-методическое пособие может быть использовано при подготовке ответов на вопросы во время экзамена.

Содержание курса

Тема 1: Топливо-энергетический баланс (ТЭБ) России и Мира. [1]

Топливо-энергетический баланс (ТЭБ) Мира и России: динамика, сегодняшнее состояние, перспективы. Циклы в экономике: длинные циклы Кондратьева, сырьевые суперциклы. ТЭБ в проекции нового экономического уклада.

Дополнительная литература: [2, 3].

Контрольные вопросы и упражнения:

1. Что такое «топливно-энергетический баланс»?
2. Длинные циклы Кондратьева – что это?

Тема 2: Основные энергоносители, их ресурсы, запасы, перспективы использования. [1]

Связь нефтегазоносных провинций и угленосных бассейнов. Влияние и роль представлений об угольных объектах на развитие нефтегазовых представлений.

Дополнительная литература: [2, 3].

Контрольные вопросы и упражнения:

1. В чем заключается общность формирования нефтегазоносных провинций и угленосных бассейнов?

Тема 3: Традиционные запасы и ресурсы, их оценка. Динамика изменения цен. [1]

Уголь как сырье для энергетики и металлургии. Динамика добычи угля. Торговля углем в Море и России. Нефтяные ресурсы, ОПЕК и торговля нефтью. Газовые ресурсы. Освоение шельфа.

Дополнительная литература: [2, 3].

Контрольные вопросы и упражнения:

1. Перспективы развития угольной отрасли России?
2. Перспективы освоения шельфа арктических и дальневосточных морей России?

Тема 4: Нетрадиционные виды ресурсов. Трудноизвлекаемые запасы. Потенциальные ресурсы). [1]

Сланцевый газ, сланцевая нефть. Новые подходы в добыче нефти и газа Пути освоения и перспективы трудноизвлекаемых ресурсов (ТРИЗ). Баженовская нефть Западной Сибири.

Дополнительная литература: [2, 3].

Контрольные вопросы и упражнения:

1. Какие типы трудноизвлекаемых ресурсов Вы знаете?
2. Добыча нефти из баженовской свиты Западной Сибири.

Тема 5: Вызовы XXI века. Газовые гидраты. Новые подходы в геолого-экономических оценках. [1]

Газоугольные месторождения, газогидраты («трехглавый метан»). Новые подходы в условиях окончания третьего сырьевого суперцикла (уголь – «легкая» нефть – нефть и газ).

Дополнительная литература: [2, 3].

Контрольные вопросы и упражнения:

1. Что такое газовые гидраты? Перспективы их освоения.

Тема 6: Экономическая динамика. Фьючерсы. Геология и экономика. [1]

Экономическая динамика в добыче и торговле горючими ископаемыми. Фьючерсная торговля энергетическими ресурсами. Динамика изменения цен на основные виды энергетических ресурсов, ее влияние на геополитические проблемы.

Дополнительная литература: [2, 3, 4].

Контрольные вопросы и упражнения:

1. Плюсы и минусы фьючерсной торговли энергетическими ресурсами.
2. Влияние энергетических ресурсов на геополитику.

Вопросы

к экзамену по курсу

«Геолого-экономическая оценка месторождений полезных ископаемых»

1. Структура топливно-энергетического баланса Мира, динамика его изменения в XX веке и на перспективу.
2. Структура топливно-энергетического баланса России, динамика его изменения в XX веке и на перспективу.
3. Горючие полезные ископаемые: ресурсы, добыча, роль в будущем.
4. Нефть и газ как энергоносители. Вклад в структуру ТЭБ. Перспективы первой половины XXI века.
5. Нефть и газ как продукт глубокой переработки.
6. Связь нефтегазовых объектов и угольных бассейнов. Влияние и роль изучения угленосных отложений на нефтегазовую литологию.
7. Уголь как металлургическое и энергетическое сырье. Динамика угледобычи, ее перспективы.
8. Уголь как сырье для производства синтетического жидкого топлива (СЖТ). История, состояние и перспективы СЖТ.
9. Метан в трех «лицах». Природный метан, угольный метан как источники опасности и как объект добычи. Газоугольные месторождения.
10. Сланцевый газ. Источники, технология добычи, перспективы.
11. Сланцевая нефть. Источники, технология добычи, перспективы.
12. Трудноизвлекаемые запасы углеводородов.
13. Газовые гидраты. Клатраты. Перспективы освоения.
14. Динамика в добыче и торговле горючими ископаемыми. Экономика и политика в торговых отношениях.
15. Фьючерсная торговля энергетическими ресурсами.

Рекомендуемая литература

1. Лощинин В.П. Поиски, разведка и геолого-экономическая оценка месторождений полезных ископаемых [Электронный ресурс]: учебное пособие / В.П. Лощинин, Г.А. Пономарева. — Электрон. текстовые данные. — Оренбург: Оренбургский государственный университет, ЭБС АСВ, 2013. — 102 с. — 2227-8397. — Режим доступа: <http://www.iprbookshop.ru/30074.html>

2. Гарипов В.З. Минерально-сырьевая база топливно-энергетического комплекса России (тезисный вариант) [Электронный ресурс] / В.З. Гарипов, Е.А. Козловский, В.С. Литвиненко. — Электрон. текстовые данные. — М. : Геоинформцентр, Институт геолого-

экономических проблем РАЕН, Геоинформ, 2003. — 150 с. — 2227-8397. — Режим доступа: <http://www.iprbookshop.ru/16855.html>

3. Трайзе, В.В. Экономическое обоснование программы геолого-технических мероприятий нефтегазодобывающего предприятия [Электронный ресурс] : монография / В.В. Трайзе, А.В. Шалахметова, М.С. Юмсунов ; под ред. Пленкина В.В.. — Электрон. дан. — Тюмень : ТюмГНГУ, 2013. — 148 с. — Режим доступа: <https://e.lanbook.com/book/55448>. — Загл. с экрана.

4. Геолого-экономическая оценка месторождений полезных ископаемых: рабочая программа дисциплины для студентов специальности 21.05.03 Технология геологической разведки, специализация Сейсморазведка.

МИНОБРНАУКИ РОССИИ

ФГБОУ ВО «Уральский государственный горный университет»

**МЕТОДИЧЕСКИЕ РЕКОМЕНДАЦИИ
ПО ВЫПОЛНЕНИЮ КУРСОВОЙ РАБОТЫ ПО ДИСЦИПЛИНЕ
К.М.01.ДВ.01.03 ГЕОЛОГО-ЭКОНОМИЧЕСКАЯ ОЦЕНКА
МЕСТОРОЖДЕНИЙ НЕФТИ ГАЗА**

Специальность

21.05.03 Технология геологической разведки

Специализация:

Сейсморазведка

Автор: Рыльков С.А., к.г.-м.н.

Екатеринбург

СОДЕРЖАНИЕ

1. Структура и примерный объем курсовой работы	3
2. Требования к оформлению курсовой работы (общие требования)	4
2.1 Правила оформления наименований и нумерации структурных элементов, глав и параграфов.....	4
2.2 Правила оформления сокращений и аббревиатур	5
2.3 Правила оформления перечислений	5
2.4 Правила оформления рисунков	5
2.5 Правила оформления таблиц	7
2.6 Правила оформления примечаний и ссылок	9
2.7 Правила оформления списка использованных источников.....	9
2.8 Правила оформления приложений	11
Приложение. Образец оформления титульного листа курсовой работы.....	13

Курсовая работа по дисциплине «Геолого-экономическая оценка месторождений нефти и газа» выполняется в рамках учебного плана специальности 21.05.03 Технология геологической разведки. Задание на выполнение курсовой работы предоставляется студенту преподавателем кафедры, читающим дисциплину.

Защита курсовой работы проходит в виде публичного выступления с презентацией. Презентация структурируется по раскрываемым вопросам и обязательно должна содержать иллюстративный материал.

Примерная тематика курсовой работы:

Экономическая оценка нефтегазового проекта на конкретном месторождении углеводородов.

Планирование и оценка затрат на геологоразведочные работы (сейсморазведочные работы).

Оценка риска нефтегазового проекта на конкретном месторождении.

1. Структура и примерный объем курсовой работы

Текст курсовой работы включает в себя:

- титульный лист;
- реферат (аннотацию);
- содержание;
- введение;
- собственно содержательную часть;
- заключение;
- список литературы.

При необходимости работа сопровождается графическими и табличными рисунками и(или)приложениями.

Реферат в кратком виде отражает основное содержание работы, и примерно выглядит следующим образом.

КР 30 с., 4 рис., 2 табл., 10 источников

ТАЛЬНИКОВОЕ МЕСТОРОЖДЕНИЕ, ТЮМЕНСКАЯ СВИТА,
ЭКОНОМИЧЕСКАЯ ОЦЕНКА ... (8-12 ключевых слов)

Объект исследования – ...

Цель работы – ...

На основании рассмотрения ... установлено ...

Сделано заключение о ...

Реферат содержит ключевые слова, краткое изложение существа проекта, характер и цель работы, методику проведения работ, конкретные результаты работы и выводы. Ключевые слова (5-15), представляющие собой имена существительные или словосочетания в именительном падеже и отражающие основное содержание реферируемой работы (проекта), печатаются строчными буквами, в строку, через запятые. Оптимальный объем реферата – 1200 знаков.

Собственно **содержательная часть**, как правило, имеет трехчленную структуру.

1. **Геологическая** характеристика объекта, выполненная в предельно сжатой форме в общепринятой последовательности: стратиграфия – тектоника – нефтегазоносность.

2. Собственно **рассматриваемый вопрос**, не регламентируемый в принципе. Можно лишь порекомендовать следующий порядок изложения сведений:

- состояние изученности вопроса (проблемы) – общее; для изучаемого объекта;
- результаты, полученные лично автором;
- обсуждение результатов.

3. **Резюме** (итоги) обычно оценивающее практическое значение полученных результатов.

В конце текста помещается список источников, которыми пользовался автор при составлении данной работы. Источники располагаются в алфавитном порядке. Ссылки в тексте на источники указывают порядковым номером по списку источников, выделенным двумя квадратными скобками – например, [2].

2. Требования к оформлению курсовой работы (общие требования)

Оформление курсовой работы осуществляется в соответствии с требованиями государственных стандартов и университета.

Курсовая работа выполняется печатным способом с использованием компьютера.

Каждая страница текста, включая иллюстрации и приложения, нумеруется арабскими цифрами, кроме титульного листа и содержания, по порядку без пропусков и повторений. Номера страниц проставляются, начиная с введения (третья страница), в центре нижней части листа без точки.

Текст работы следует печатать, соблюдая следующие размеры полей: правое – 10 мм, верхнее и нижнее – 20 мм, левое – 30 мм.

Рекомендуемым типом шрифта является TimesNewRoman, размер которого 14 pt (пунктов) (на рисунках и в таблицах допускается применение более мелкого размера шрифта, но не менее 10 pt).

Текст печатается через 1,5-ый интервал, красная строка – 1,25 см.

Цвет шрифта должен быть черным, необходимо соблюдать равномерную плотность, контрастность и четкость изображения по всей работе. Разрешается использовать компьютерные возможности акцентирования внимания на определенных терминах и формулах, применяя курсив, полужирный шрифт не применяется.

2.1 Правила оформления наименований и нумерации структурных элементов, глав и параграфов

Текст курсовой работы должен включать следующие структурные элементы: титульный лист, содержание, введение, основной текст, заключение, приложения (является дополнительным элементом). Основной текст может быть разделен на разделы и параграфы.

Каждый структурный элемент работы (титульный лист, содержание, введение, заключение, приложение) и разделы необходимо начинать с новой страницы. Следующий параграф внутри одного раздела начинается через 2 межстрочных интервала на том же листе, где закончился предыдущий.

Расстояние между заголовком структурного элемента и текстом, заголовками главы и параграфа, заголовком параграфа и текстом составляет 2 межстрочных интервала.

Наименования структурных элементов письменной работы («СОДЕРЖАНИЕ», «ВВЕДЕНИЕ», «ЗАКЛЮЧЕНИЕ», «ПРИЛОЖЕНИЕ») служат заголовками структурных элементов. Данные наименования пишутся по центру страницы без точки в конце прописными (заглавными) буквами, не подчеркивая.

Разделы, параграфы должны иметь заголовки. Их следует нумеровать арабскими цифрами и записывать по центру страницы прописными (заглавными) буквами без точки в конце, не подчеркивая. Номер раздела указывается цифрой (например, 1, 2, 3), номер параграфа включает номер раздела и порядковый номер параграфа, разделенные точкой (например, 1.1, 2.1, 3.3). После номера раздела и параграфа в тексте точку не ставят. Если заголовок состоит из двух предложений, их разделяют точкой. Переносы слов в заголовках не допускаются. Не допускается писать заголовок параграфа на одном листе, а его текст – на другом.

В содержании работы наименования структурных элементов указываются с левого края страницы, при этом первая буква наименования является прописной (заглавной), остальные буквы являются строчными, например:

Введение

1 Краткая характеристика организации – места прохождения практики

2 Практический раздел – выполненные работы

Заключение

Приложения

2.2 Правила оформления сокращений и аббревиатур

Сокращение русских слов и словосочетаний допускается при условии соблюдения требований ГОСТ 7.12–93 «Система стандартов по информации, библиотечному и издательскому делу. Библиографическая запись. Сокращение слов на русском языке. Общие требования и правила».

В тексте письменной работы допускаются общепринятые сокращения и аббревиатуры, установленные правилами орфографии и соответствующими нормативными документами, например: год – г., годы – гг., и так далее – и т. д., метр – м, тысяч – тыс., миллион – млн, миллиард – млрд, триллион – трлн, страница – с., Российская Федерация – РФ, общество с ограниченной ответственностью – ООО.

При использовании авторской аббревиатуры необходимо при первом ее упоминании дать полную расшифровку, например: «... Уральский государственный горный университет (далее – УГГУ)...».

Не допускается использование сокращений и аббревиатур в заголовках письменной работы, глав и параграфов.

2.3 Правила оформления перечислений

При необходимости в тексте работы могут быть приведены перечисления. Перед каждым элементом перечисления следует ставить дефис (иные маркеры не допустимы). Например:

«...заключение содержит:

- краткие выводы;
- оценку решений;
- разработку рекомендаций.»

При необходимости ссылки в тексте работы на один из элементов перечисления вместо дефиса ставятся строчные буквы в порядке русского алфавита, начиная с буквы а (за исключением букв ё, з, й, о, ч, ь, ы, ь). Для дальнейшей детализации перечислений необходимо использовать арабские цифры, после которых ставится скобка, а запись производится с абзацного отступа. Например:

- а) ...;
- б) ...;
- 1) ...;
- 2) ...;
- в) ...

2.4 Правила оформления рисунков

В письменной работе для наглядности, уменьшения физического объема сплошного текста следует использовать иллюстрации – графики, схемы, диаграммы, чертежи, рисунки и фотографии. Все иллюстрации именуется рисунками. Их количество зависит от содержания работы и должно быть достаточно для того, чтобы придать ей ясность и конкретность.

На все рисунки должны быть даны ссылки в тексте работы, например: «... в соответствии с рисунком 2 ...» или «... тенденцию к снижению (рисунок 2)».

Рисунки следует располагать в работе непосредственно после текста, в котором они упоминаются впервые (при наличии достаточного пространства для помещения рисунка со всеми поясняющими данными), или на следующей странице. Если рисунок достаточно велик, его можно размещать на отдельном листе. Допускается поворот рисунка по часовой стрелке (если он выполнен на отдельном листе). Рисунки, размеры которых больше формата А4, учитывают как одну страницу и помещают в приложении.

Рисунки, за исключением рисунков в приложениях, следует нумеровать арабскими цифрами сквозной нумерацией по всей работе. Каждый рисунок (схема, график, диаграмма) обозначается словом «Рисунок», должен иметь заголовок и подписываться следующим образом – посередине строки без абзачного отступа, например:



Рисунок 1 – Структура администрации организации

Если на рисунке отражены показатели, то после заголовка рисунка через запятую указывается единица измерения, например:

Рисунок 1 – Структура добычи, %

Рисунки каждого приложения обозначают отдельной нумерацией арабскими цифрами с добавлением перед цифрой обозначения приложения (например, рисунок А.3).

Если рисунок взят из первичного источника без авторской переработки, следует сделать ссылку, например:

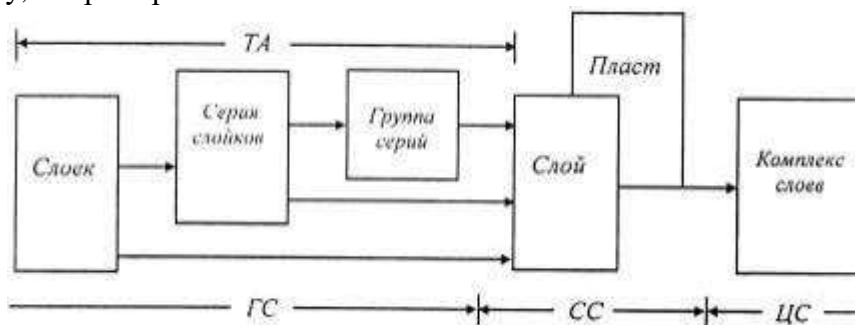


Рисунок 1 - Схема соотношения и соподчиненности слоевых элементов низших рангов в осадочных толщах[8, с. 46]

Если рисунок является авторской разработкой, необходимо после заголовка рисунка поставить знак сноски и указать в форме подстрочной сноски внизу страницы, на основании каких источников он составлен, например:

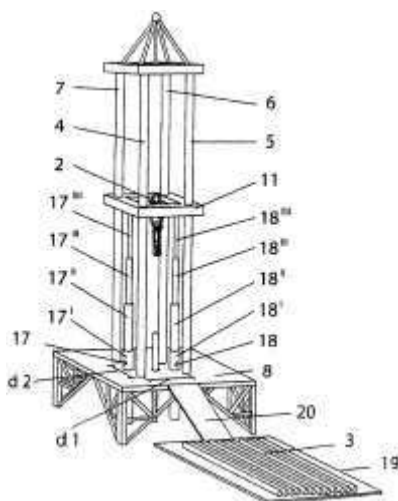


Рисунок 2 – Буровая установка,.....¹

При необходимости между рисунком и его заголовком помещаются поясняющие данные (подрисуночный текст), например, легенда.

2.5 Правила оформления таблиц

В письменной работе фактический материал в обобщенном и систематизированном виде может быть представлен в виде таблицы для наглядности и удобства сравнения показателей.

На все таблицы должны быть ссылки в работе. При ссылке следует писать слово «таблица» с указанием ее номера, например: «...в таблице 2 представлены ...» или «... характеризуется показателями (таблица 2)».

Таблицу следует располагать в работе непосредственно после текста, в котором она упоминается впервые, или на следующей странице.

Таблицы, за исключением таблиц в приложениях, следует нумеровать арабскими цифрами сквозной нумерацией по всей работе. Каждая таблица должна иметь заголовок, который должен отражать ее содержание, быть точным, кратким. Заголовок таблицы следует помещать над таблицей слева, без абзацного отступа в одну строку с ее номером через тире, например:

Таблица 3 – Количество тонн бокситов, добытого шахтами Свердловской области

Наименование организации	2017	2018
ПАО «Бокситы Севера»	58	59
Березниковская шахта	29	51

Если таблица взята из первичного источника без авторской переработки, следует сделать ссылку, например:

Таблица 2 – Динамика основных показателей развития шахтного строительства в России за 2015–2018 гг. [15, с. 35]

¹ Составлено автором по: [15, 23, 42].

	2015	2016	2017	2018
Объем строительства, млрд. руб.				
.....				

Если таблица является авторской разработкой, необходимо после заголовка таблицы поставить знак сноски и указать в форме подстрочной сноски внизу страницы, на основании каких источников она составлена, например:

Таблица 3 – Количество оборудования¹

Вид оборудования	2016	2017
Буровая машина	3	5
.....	3	7

Располагают таблицы на странице обычно вертикально. Помещенные на отдельной странице таблицы могут быть расположены горизонтально, причем графа с наименованиями показателей должна размещаться в левой части страницы. Слева, справа и снизу таблицы ограничивают линиями.

Таблицу с большим числом строк допускается переносить на другую страницу. При переносе части таблицы на другую страницу слово «Таблица» указывают один раз слева над первой частью таблицы. На странице, на которую перенесена часть таблицы, слева пишут «Продолжение таблицы» или «Окончание таблицы» с указанием номера таблицы и повторением шапки таблицы.

Если таблица переносится, то на странице, где помещена первая часть таблицы, нижняя ограничительная линия таблицы не проводится. Это же относится к странице (страницам), где помещено продолжение (продолжения) таблицы. Нижняя ограничительная линия таблицы проводится только на странице, где помещено окончание таблицы.

Заголовки граф и строк таблицы следует писать с прописной буквы в единственном числе, а подзаголовки граф – со строчной буквы, если они составляют одно предложение с заголовком, или с прописной буквы, если они имеют самостоятельное значение. В конце заголовков и подзаголовков таблиц точки не ставят. Заголовки граф, как правило, записывают параллельно строкам таблицы. При необходимости допускается перпендикулярное расположение заголовков граф.

Примечания к таблице (подтабличные примечания) размещают непосредственно под таблицей в виде: а) общего примечания; б) сноски; в) отдельной графы или табличной строки с заголовком. Выделять примечание в отдельную графу или строку целесообразно лишь тогда, когда примечание относится к большинству строк или граф. Примечания к отдельным заголовкам граф или строк следует связывать с ними знаком сноски. Общее примечание ко всей таблице не связывают с ней знаком сноски, а помещают после заголовка «Примечание» или «Примечания», оформляют как внутритекстовое примечание.

Допускается применять размер шрифта в таблице меньший, чем в тексте работы, но не менее 10 pt.

Если все показатели, приведенные в графах таблицы, выражены в одной и той же единице измерения, то ее обозначение необходимо помещать над таблицей справа. Если показатели таблицы выражены в разных единицах измерения, то обозначение единицы

¹ Составлено автором по: [2, 7, 10]

измерения указывается после наименования показателя через запятую. Допускается при необходимости выносить в отдельную графу обозначения единиц измерения.

Текст, повторяющийся в строках одной и той же графы и состоящий из одиночных слов, чередующихся с цифрами, заменяют кавычками. Если повторяющийся текст состоит из двух или более слов, то при первом повторении его заменяют словами «То же», а далее – кавычками. Если предыдущая фраза является частью последующей, то допускается заменить ее словами «То же» и добавить дополнительные сведения. При наличии горизонтальных линий текст необходимо повторять. Если в ячейке таблицы приведен текст из нескольких предложений, то в последнем предложении точка не ставится.

Заменять кавычками повторяющиеся в таблице цифры, математические знаки, знаки процента и номера, обозначения нормативных материалов, марок материалов не допускается.

При отсутствии отдельных данных в таблице следует ставить прочерк (тире). Цифры в графах таблиц должны проставляться так, чтобы разряды чисел во всей графе были расположены один под другим, если они относятся к одному показателю. В одной графе должно быть соблюдено, как правило, одинаковое количество десятичных знаков для всех значений величин.

Если таблицы размещены в приложении, их нумерация имеет определенные особенности. Таблицы каждого приложения нумеруют отдельной нумерацией арабскими цифрами. При этом перед цифрой, обозначающей номер таблицы в приложении, ставится буква соответствующего приложения, например:

Таблица В.1.– Динамика показателей за 2016–2017 гг.

Если в документе одна таблица, то она должна быть обозначена «Таблица 1» или «Таблица В.1», если она приведена в приложении (допустим, В).

2.6 Правила оформления примечаний и ссылок

При необходимости пояснить содержание текста, таблицы или иллюстрации в работе следует помещать примечания. Их размещают непосредственно в конце страницы, таблицы, иллюстрации, к которым они относятся, и печатают с прописной буквы с абзацного отступа после слова «Примечание» или «Примечания». Если примечание одно, то после слова «Примечание» ставится тире и примечание печатается с прописной буквы. Одно примечание не нумеруют. Если их несколько, то после слова «Примечания» ставят двоеточие и каждое примечание печатают с прописной буквы с новой строки с абзацного отступа, нумеруя их по порядку арабскими цифрами.

Цитаты, а также все заимствования из печати данные (нормативы, цифры и др.) должны иметь библиографическую ссылку на первичный источник. Ссылка ставится непосредственно после того слова, числа, предложения, по которому дается пояснение, в квадратных скобках. В квадратных скобках указывается порядковый номер источника в соответствии со списком использованных источников и номер страницы, с которой взята информация, например: [4, с. 32]. Это значит, использован четвертый источник из списка литературы со страницы 32. Если дается свободный пересказ принципиальных положений тех или иных авторов, то достаточно указать в скобках после изложения заимствованных положений номер источника по списку использованной литературы без указания номера страницы.

2.7 Правила оформления списка использованных источников

Оформлению списка использованных источников, прилагаемого к отчету, следует уделять самое серьезное внимание.

Сведения об источниках приводятся в следующем порядке:

1) **нормативные правовые акты:** Нормативные правовые акты включаются в список в порядке убывания юридической силы в следующей очередности: международные нормативные правовые акты, Конституция Российской Федерации, федеральные конституционные законы, федеральные законы, акты Конституционного Суда Российской Федерации, решения других высших судебных органов, указы Президента Российской Федерации, постановления Правительства Российской Федерации, нормативные правовые акты федеральных органов исполнительной власти, законы субъектов Российской Федерации, подзаконные акты субъектов Российской Федерации, муниципальные правовые акты, акты организаций.

Нормативные правовые акты одного уровня располагаются в хронологическом порядке, от принятых в более ранние периоды к принятым в более поздние периоды.

Примеры оформления нормативных правовых актов и судебной практики:

1. Об общих принципах организации законодательных (представительных) и исполнительных органов власти субъектов Российской Федерации [Текст]: Федеральный закон от 06.10.1999 г. № 184-ФЗ // Собрание законодательства РФ. - 1999. - № 43.

2. О порядке разработки и утверждения административных регламентов исполнения государственных функций (предоставления государственных услуг) [Электронный ресурс]: Постановление Правительства РФ от 11.11.2005 г. № 679. - Доступ из справочно-правовой системы «КонсультантПлюс». – Режим доступа: <http://www.consultant.ru>.

3. О практике применения судами Закона Российской Федерации «О средствах массовой информации» [Электронный ресурс]: Постановление Пленума Верховного Суда РФ от 15.06.2010 № 16. - Доступ из справочно-правовой системы «КонсультантПлюс». – Режим доступа: <http://www.consultant.ru>.

4. Определение судебной коллегии по гражданским делам Верховного Суда Российской Федерации по иску Цирихова // Бюллетень Верховного Суда Российской Федерации. -1994. -№9. - С. 1-3.

2) **книги, статьи, материалы конференций и семинаров.** Располагаются по алфавиту фамилии автора или названию, если книга печатается под редакцией. Например:

5. Абрамова, А.А. Трудовое законодательство и права женщин [Текст] / А.А.Абрамова // Вестн. Моск. ун-та. Сер. 11, Право. - 2001. - № 5. - С. 23–25.

6. Витрянский, В.В. Договор банковского счета [Текст] / В.В. Витрянский // Хозяйство и право.- 2006.- № 4.- С. 19 – 25.

7. Двигунинова, Г.С. Комплимент: Коммуникативный статус или стратегия в дискурсе [Текст] / Г.С. Двигунинова // Социальная власть языка: сб. науч. тр. / Воронеж.межрегион. ин-т обществ. наук, Воронеж. гос. ун-т, Фак. романо-герман. истории. - Воронеж, 2001. - С. 101–106.

8. История России [Текст]: учеб.пособие для студентов всех специальностей / В.Н. Быков [и др.]; отв. ред. В.Н. Сухов; М-во образования Рос. Федерации, С.-Петерб. гос. лесотехн. акад. - 2-е изд., перераб. и доп. / при участии Т.А. Суховой. - СПб.: СПбЛТА, 2001. - 231 с.

9. Трудовое право России [Текст]: учебник / Под ред. Л.А.Сыроватской. - М.: Юристъ, 2006. - 280 с.

10. Семенов, В.В. Философия: итог тысячелетий. Философская психология [Текст] / В.В. Семенов; Рос.акад. наук, Пушин. науч. центр, Ин-т биофизики клетки, Акад. проблем сохранения жизни. - Пушкино: ПНЦ РАН, 2000. - 64 с.

11. Черткова, Е.Л. Утопия как способ постижения социальной действительности [Электронный ресурс] / Е.Л. Черткова // Социемы: журнал Уральского гос. ун-та. - 2002. - N 8. – Режим доступа: <http://www2/usu.ru/philosoph/chertkova>.

12. Юридический советник [Электронный ресурс]. - 1 электрон.опт. диск (CD-ROM) : зв., цв. ; 12 см. - Прил.: Справочник пользователя [Текст] / сост. В.А. Быков. - 32 с.;

3) **статистические сборники, инструктивные материалы, методические рекомендации, реферативная информация, нормативно-справочные материалы.** Располагаются по алфавиту. Например:

13. Временные методические рекомендации по вопросам реструктуризации бюджетной сферы и повышения эффективности расходов региональных и местных бюджетов (Краткая концепция реструктуризации государственного и муниципального сектора и повышения эффективности бюджетных расходов на региональном и местном уровнях) [Текст]. - М.: ИЭПП, 2006. - 67 с.

14. Свердловская область в 1992-1996 годах [Текст]: Стат. сб. / Свердлов. обл. комитет гос. статистики Госкомстата РФ. - Екатеринбург, 1997. - 115 с.

15. Социальное положение и уровень жизни населения России в 2010 г. [Текст]: Стат. сб. / Росстат. - М., 2002. - 320 с.

16. Социально-экономическое положение федеральных округов в 2010 г. [Электронный ресурс]. – Режим доступа: <http://www.gks.ru>

4) **книги и статьи на иностранных языках** в алфавитном порядке. Например:

17. An Interview with Douglass C. North [Text] // The Newsletter of The Cliometric Society. - 1993. - Vol. 8. - N 3. - P. 23–28.

18. Burkhead, J. The Budget and Democratic Government [Text] / Lyden F.J., Miller E.G. (Eds.) / Planning, Programming, Budgeting. Markham : Chicago, 1972. 218 p.

19. Miller, D. Strategy Making and Structure: Analysis and Implications for Performance [Text] // Academy of Management Journal. - 1987. - Vol. 30. - N 1. - P. 45–51;

20. Marry S.E. Legal Pluralism. – Law and Society Review. Vol 22.- 1998.- №5.- p. 22-27

5) **интернет-сайты.** Например:

21. Министерство финансов Российской Федерации: [Электронный ресурс]. – Режим доступа: <http://www.minfin.ru>

22. Российская книжная палата: [Электронный ресурс]. - Режим доступа: <http://www.bookchamber.ru>

В списке использованных источников применяется сквозная нумерация с применением арабского алфавита. Все объекты печатаются единым списком, группы объектов не выделяются, источники печатаются с абзацного отступа.

Объекты описания списка должны быть обозначены терминами в квадратных скобках²:

- [Видеозапись];
- [Мультимедиа];
- [Текст];
- [Электронный ресурс].

При занесении источников в список литературы следует придерживаться установленных правил их библиографического описания.

2.8 Правила оформления приложений

В приложения рекомендовано включать материалы, которые по каким-либо причинам не могут быть включены в основную часть: материалы, дополняющие работу; таблицы вспомогательных цифровых данных; инструкции, методики, описания алгоритмов и программ задач, иллюстрации вспомогательного характера; нормативные

² Полный перечень см. в: Система стандартов по информации, библиотечному и издательскому делу. Библиографическая запись. Библиографическое описание. Общие требования и правила составления [Текст]: ГОСТ 7.1-2003.

правовые акты, например, должностные инструкции. В приложения также включают иллюстрации, таблицы и распечатки, выполненные на листах формата А3.

Приложения оформляют как продолжение данного документа на последующих его листах после списка использованных источников.

Приложения обозначают заглавными буквами русского алфавита, начиная с А, за исключением букв Ё, З, Й, О, Ч, Ъ, Ы, Ь (ПРИЛОЖЕНИЕ А, ПРИЛОЖЕНИЕ Б, ПРИЛОЖЕНИЕ В и т.д.). Допускается обозначение приложений буквами латинского алфавита, за исключением букв I и O. В случае полного использования букв русского и латинского алфавитов допускается обозначать приложения арабскими цифрами.

Само слово «ПРИЛОЖЕНИЕ» пишется прописными (заглавными) буквами.

Если в работе одно приложение, оно обозначается «ПРИЛОЖЕНИЕ А».

Каждое приложение следует начинать с новой страницы. При этом слово «ПРИЛОЖЕНИЕ» и его буквенное обозначение пишутся с абзацного отступа.

Приложение должно иметь заголовок, который записывают на следующей строке после слова «ПРИЛОЖЕНИЕ» с абзацного отступа. Заголовок пишется с прописной буквы.

В тексте работы на все приложения должны быть даны ссылки, например: «... в приложении Б...». Приложения располагают в порядке ссылок на них в тексте работы.

Текст каждого приложения, при необходимости, может быть разделен на разделы, подразделы, пункты, подпункты, которые нумеруют в пределах каждого приложения. Перед номером ставится обозначение этого приложения.

Приложения должны иметь общую с остальной частью документа сквозную нумерацию страниц.

ПРИЛОЖЕНИЕ

Образец оформления титульного листа курсовой работы



Федеральное государственное бюджетное образовательное учреждение
высшего образования
«Уральский государственный горный университет»
(ФГБОУ ВО «УГГУ»)
620144, г. Екатеринбург, ул. Куйбышева, 30

КУРСОВАЯ РАБОТА **по дисциплине «Геолого-экономическая оценка месторождений нефти и** **газа» на тему:**

Направление: 21.05.03
*ТЕХНОЛОГИЯ ГЕОЛОГИЧЕСКОЙ
РАЗВЕДКИ*

Специализация:
СЕЙСМОРАЗВЕДКА

Студент: Христофоров В.Б.
Группа: ГН-22

Руководитель курсовой работы:
Рыльков С.А..

Оценка _____

Подпись _____

МИНОБРНАУКИ РОССИИ

ФГБОУ ВО «Уральский государственный горный университет»

**МЕТОДИЧЕСКИЕ РЕКОМЕНДАЦИИ
К САМОСТОЯТЕЛЬНОЙ РАБОТЕ ПО ДИСЦИПЛИНЕ**

ГЕОЛОГИЯ НЕФТИ И ГАЗА

Специальность:

21.05.03 Технология геологической разведки

Екатеринбург

ОГЛАВЛЕНИЕ

ВВЕДЕНИЕ.....	4
Раздел 1. ПОЛЕВЫЕ НАБЛЮДЕНИЯ	5
1. Выделение слоев.....	5
2. Вещественный и генетический подходы к изучению осадочных комплексов	7
3. Терригенные и карбонатные породы.....	9
4. Текстуальный анализ	13
5. Ихнофоссилии, карбонатность и др. признаки.....	15
6. Комплексование диагностических признаков; контакты и перерывы	17
Раздел 2. ЛАБОРАТОРНЫЕ ИССЛЕДОВАНИЯ	19
7. Гранулометрический анализ	19
8. Минералогический анализ.....	23
9. Стадиальный анализ.....	26
Раздел 3. ФИЗИКО-ХИМИЧЕСКИЕ МЕТОДЫ	28
10. Химический анализ (литохимия).....	28
11. Геохимия микроэлементов	30
12. Термический, рентгеноструктурный, люминесцентный, электронно-микроскопический методы	32
13. Фильтрационно-емкостные свойства (ФЕС)	35
14. Комплексование методов	38
Раздел 4. ОБРАБОТКА РЕЗУЛЬТАТОВ ИССЛЕДОВАНИЙ И РЕШЕНИЕ ГЕОЛОГИЧЕСКИХ ЗАДАЧ.....	40
15. Отбор проб и обработка результатов исследований.....	40
16. Строение толщ и корреляция разрезов.....	42
17. Решение геологических задач	44
ЗАКЛЮЧЕНИЕ	46
СПИСОК ЛИТЕРАТУРЫ.....	47
Приложение. ГРАНУЛОМЕТРИЧЕСКИЙ АНАЛИЗ В ШЛИФАХ	50

ВВЕДЕНИЕ

Осадочные породы пользуются широким распространением, содержат более 90 % полезных ископаемых, используемых человеком, поэтому их всестороннему изучению уделяется пристальное внимание. Во второй половине XX столетия опубликован ряд руководств по исследованию осадочных пород, имеющих комплексный характер. Среди них особенно выделяется двухтомник «Методы изучения осадочных пород» (1957), изданный по инициативе и под редакцией выдающегося советского литолога, академика Николая Михайловича СТРАХОВА. По ряду позиций это издание сохраняет свою актуальность, хотя лабораторное оборудование за прошедшие полвека, естественно, неузнаваемо изменилось.

Вплоть до начала 90-х гг. XX в. в отечественной литературе публиковалось большое количество различных руководств по методам изучения осадочных пород широкого диапазона (какотносительно методов, так и самих пород). Однако, известные события последних двадцати лет показали существенную стагнацию в данном вопросе. В итоге получилось так, что издания прошлых лет либо стали труднодоступны, либо устарели по своей сути.

Создавшуюся лакуну частично заполнило учебное пособие А. В. Маслова «Осадочные породы: методы изучения и интерпретации полученных данных» (2005). В нем впервые в довольно исчерпывающем (хотя и сжатом) виде рассмотрены актуальные вопросы, касающиеся получения и обработки сведений, изложенных во многих работах иностранных исследователей, далеко продвинувшихся вперед за упомянутые выше двадцать лет стагнации российской геологии.

Представленное пособие не претендует на разрешение обозначенных выше проблем. В нем приводятся очень сжатые сведения по основным приемам и способам получения и обработки информации, касающейся свойств и параметров осадочных пород. Отличительной особенностью представленной сводки является ее предельно минимизированный объем, что достигнуто изложением сведений почти исключительно в графическом виде. На каждую из 17 тем отведено, как правило, два листа, каждый из которых содержит (в основном) по 3-5 рисунков. Если учесть известное положение о том, что грамотно выполненный рисунок адекватен двум-трем страницам машинописного текста (естественно, такое соотношение условно), то представленные 35 страниц основной части могут быть соотнесены с 250 – 300 страницами «обычного» учебного пособия. «Развернуть» же познание того или иного кратко обозначенного вопроса или метода можно с помощью литературы, которая приведена в конце пособия.

Основная часть пособия составлена В. П. Алексеевым. Н. С. Носовой написано Приложение (Гранулометрический анализ в шлифах).

Раздел 1. ПОЛЕВЫЕ НАБЛЮДЕНИЯ

1. Выделение слоев

Таблица 1.1

Ранговая шкала геологических тел в нефтегазовой литологии

Уровни организации		Объекты (геологические тела)	Инварианты седиментогенеза (СГ)	Коллекторы (уровни см. на рис. 1.3)	Эмерджентное свойство (свойствоцелого, не сводимое к сумме свойств слагающих элементов)
Группа	Ранг				
Структурно-формационная	6	Формационные комплексы; осадочные бассейны	-	-	-
	5	Формации			Единство геотектонических условий и палеогеографической обстановки
	4	Наборы пород: литоциклы (циклиты)	ЦиклоСГ		Направленность смены типов пород и их комплексов
Минерально-петрографическая	3	Породы; слои ≈ пласты; литоритмы (ритмиты)	СтратоСГ		Устойчивое сочетание минералов; простая повторяемость ограниченного набора слоев и слоев
			ГранулоСГ		
	2	Минералы	-		-
	1*	Молекулы	-	-	-

*Справочно, поскольку собственно геологическими телами они не являются

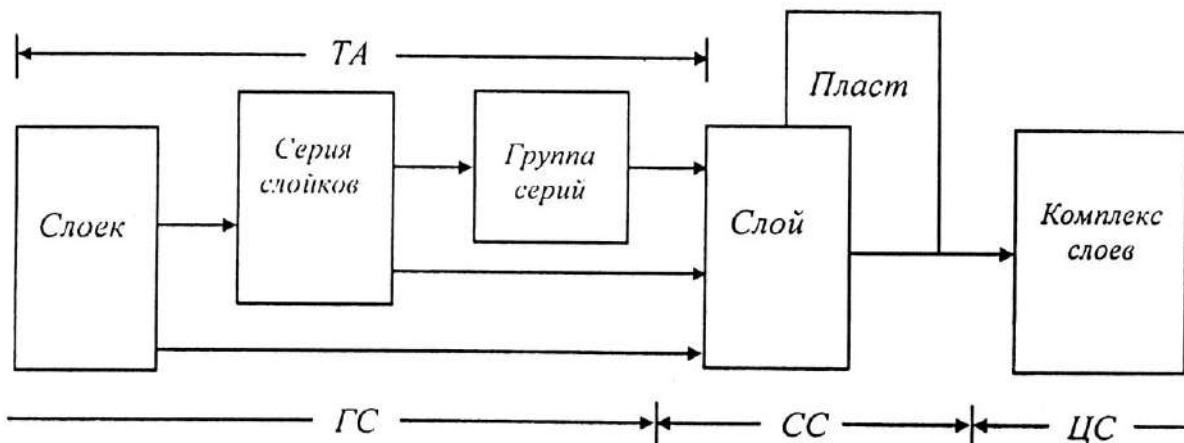


Рис. 1.1. Схема соотношения и соподчиненности слоевых элементов низших рангов в осадочных толщах (по Л. Н. Ботвинкиной, 1962; с дополнениями):

вверху: *ТА* – текстурный анализ; внизу: структурные инварианты седиментогенеза: *ГС* – гранулоседиментогенез, *СС* – стратоседиментогенез, *ЦС* – циклоседиментогенез (по С. И. Романовскому, 1985)

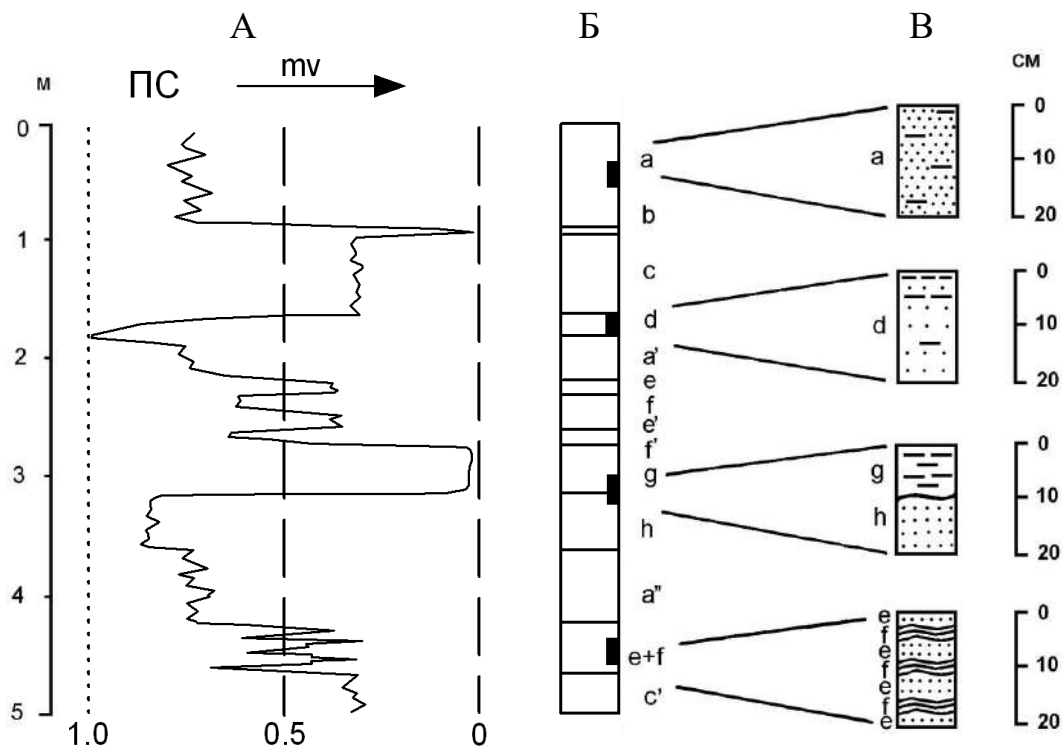


Рис. 1.2. Принципиальная схема выделения слоев:

А – кривая метода потенциалов собственной поляризации (ПС): точками обозначена линия «чистых песков»; штрихами справа – линия «чистых глин»; 0 – 1,0 – интенсивность аномалий в условных единицах; Б – выделяемые слои (*a, b, …, h*); при этом знаки ', ' показывают, что данные слои тождественны предыдущим, имеющим то же буквенное обозначение; зачернены интервалы, соответствующие образцам на колонке В; В – образцы (сверху вниз): из однородного слоя *a*; слоя с направленно изменяющимися признаками *d*; контакта слоев *g* и *h*; тонкого чередования слоев (слояков, серий слояков) *e* и *f*

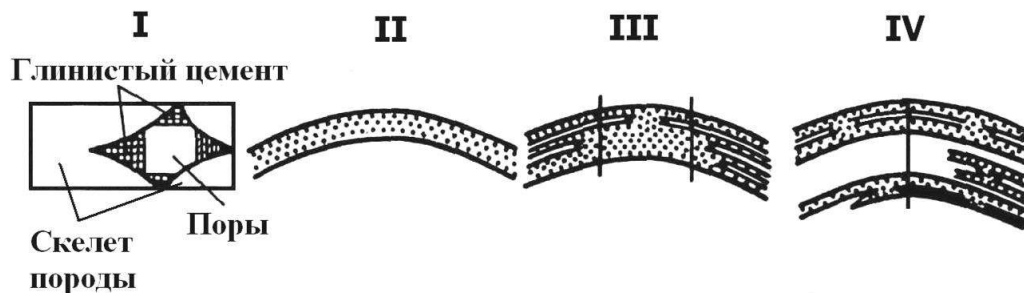


Рис. 1.3. Схема выделения структурных условий геологической неоднородности (В. Г. Каналини др., 2006). Уровни I и II соответствуют горно-породному уровню 3 в табл., а уровни III и IV – надгорнопородному, или циклическому уровню 4 в той же таблице:

- I – уровень элементарного объема породы с оценкой минерального состава скелета и количества цементирующего вещества;
- II – уровень геологических тел, сложенных единым литологическим типом пород, в данном случае уровень песчаных пропластков;
- III – уровень геологических тел, представляющих систему гидродинамически связанных пропластков;
- IV – уровень геологических тел, представляющих систему гидродинамически не связанных пластов, каждый из которых в общем случае представляет систему гидродинамически связанных пропластков

2. Вещественный и генетический подходы к изучению осадочных комплексов

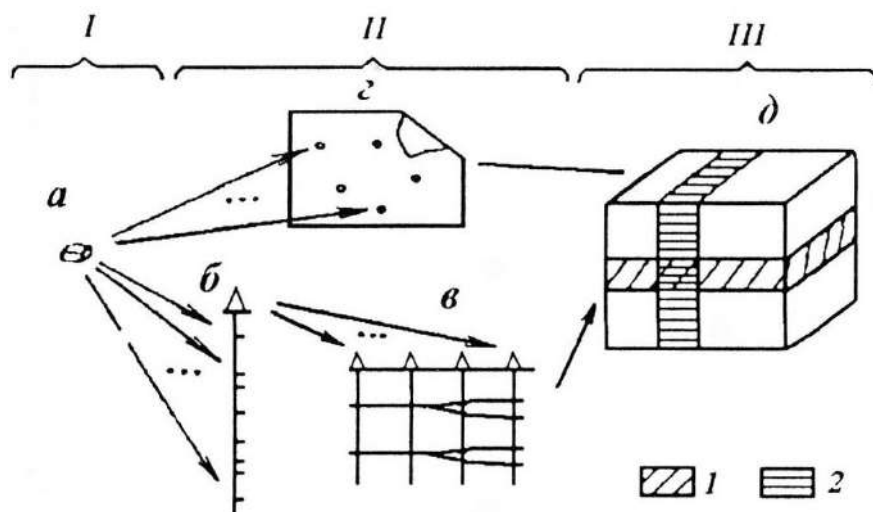
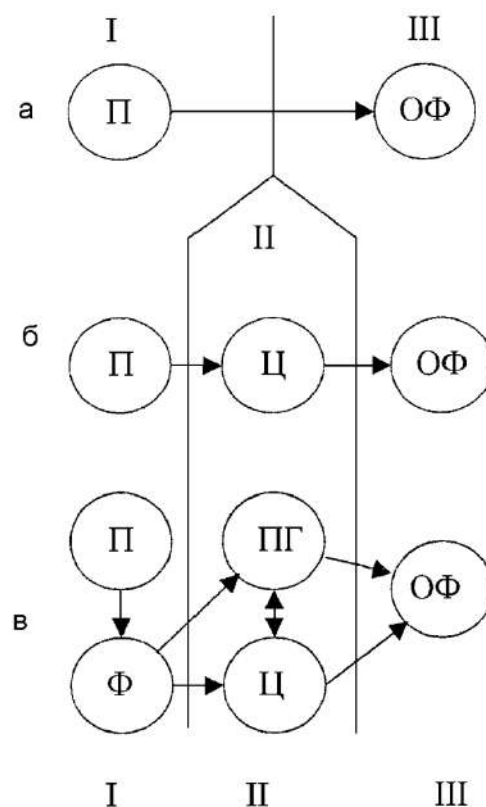


Рис. 2.1. Последовательность литолого-фациальных формационных исследований:
1 – подформации, 2 – градации

Рис. 2.2. Последовательность литологических работ:
Направления: П – структурное (породное, петрографическое); Ф – фациальное (генетическое); Ц – учение о цикличности; ПГ – палеогеография; ОФ – осадочные формации; а – выделение формаций как парагенезиса горных пород (по Н. С. Шатскому, Н. П. Хераскову), б – структурно-вещественный анализ (Шванов, 1992): вещество – первая субстанция, строение – вторая субстанция осадочных формаций, в – литолого-фациальный – фациально-циклический – формационный анализы в понимании Ю. А. Жемчужникова – П. П. Тимофеева



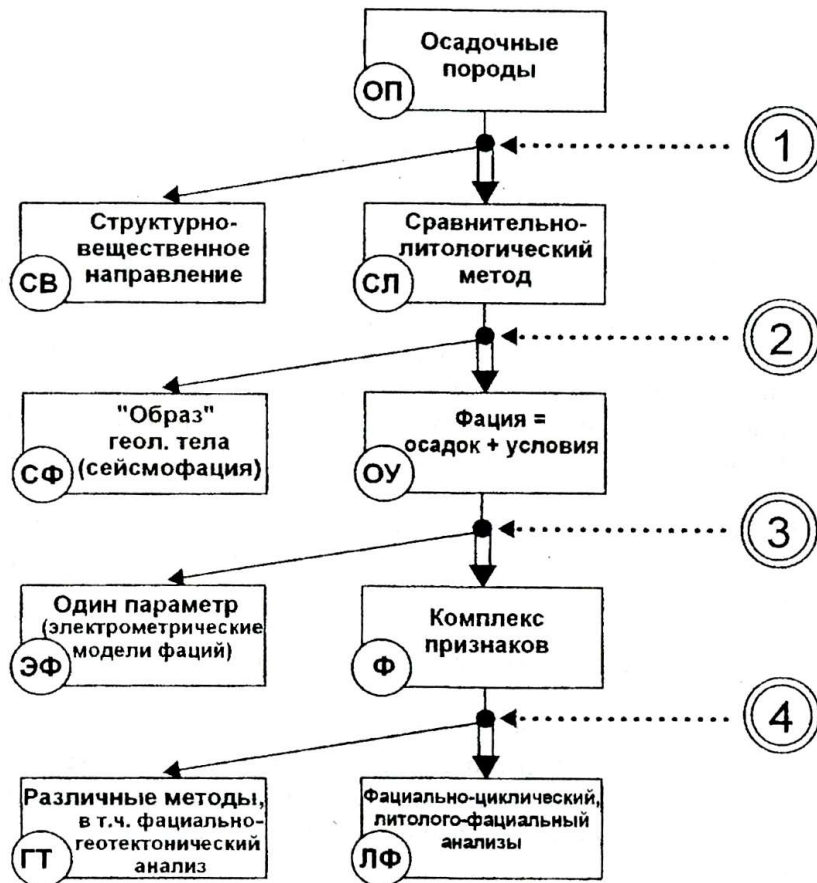


Рис.2.3. Последовательность выбора использованной методики исследований: цифры в двойных кружках – итерации (все пояснения в тексте)

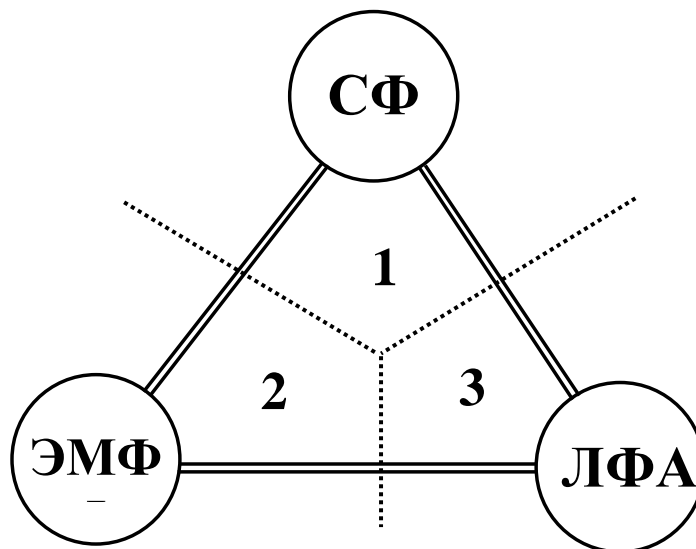


Рис. 2.4. Соотношение основных фациальных понятий, используемых в нефтегазовой геологии: СФ – сейсмофация; ЭМФ – электрометрическая модель фации; ЛФА – литолого-фациальный анализ; поля: 1 – «образ»; 2 – установление фации по одному параметру; 3 – то же, по комплексу признаков

3. Терригенные и карбонатные породы



Рис.3.1. Классификация песчано-алевритовых пород по их минерально-петрографическому составу (по В. Н. Шванову, 1987).

Стрелками показаны направления «созревания» обломочного материала в зоне седиментогенеза

Таблица 3.1

Типы пород по их гранулометрической размерности

Линейный размер частиц S, мм	Шкала ф («фи») $\Phi = -\log_2 S$		Породы	Названия в английской литературе		Преобладающий способ перемещения частиц			
	2	2,00		Granule	Gravel				
1,0	2	2,00	Гравий, гравелит	Granule	Gravel	Волочением, качением			
	1	1,00					0		
0,1	1/2	0,50	Пески, песчаники	грубозернистый	Very coarse	Sand			
	1/4	0,25					1	крупнозернистый	Coarse
	1/8	0,125					2	среднезернистый	Medium
	1/16	0,0625					3	мелкозернистый	Fine
	1/32	0,0312					4	тонкозернистый	Very fine
0,01	1/64	0,0156	Алевриты, алевриты	крупнозернистый	Coarse	Silt			
	1/128	0,0078					5	среднезернистый	Medium
	1/256	0,0039					6	мелкозернистый	Fine
					7	тонкозернистый	Very fine
...	Глина, аргиллит	Clay		Коллоидная суспензия			

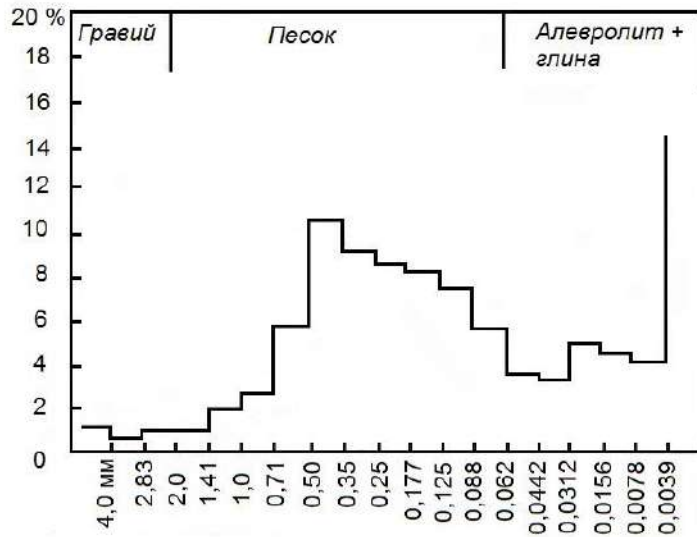


Рис. 3.2. Дефицит фракций (С. И. Романовский, 1977):
 гистограмма, составленная Р. Вольфом (1914) по данным 930 гранулометрических анализов.
 Устойчивый дефицит на рубеже ~ 0,05 мм

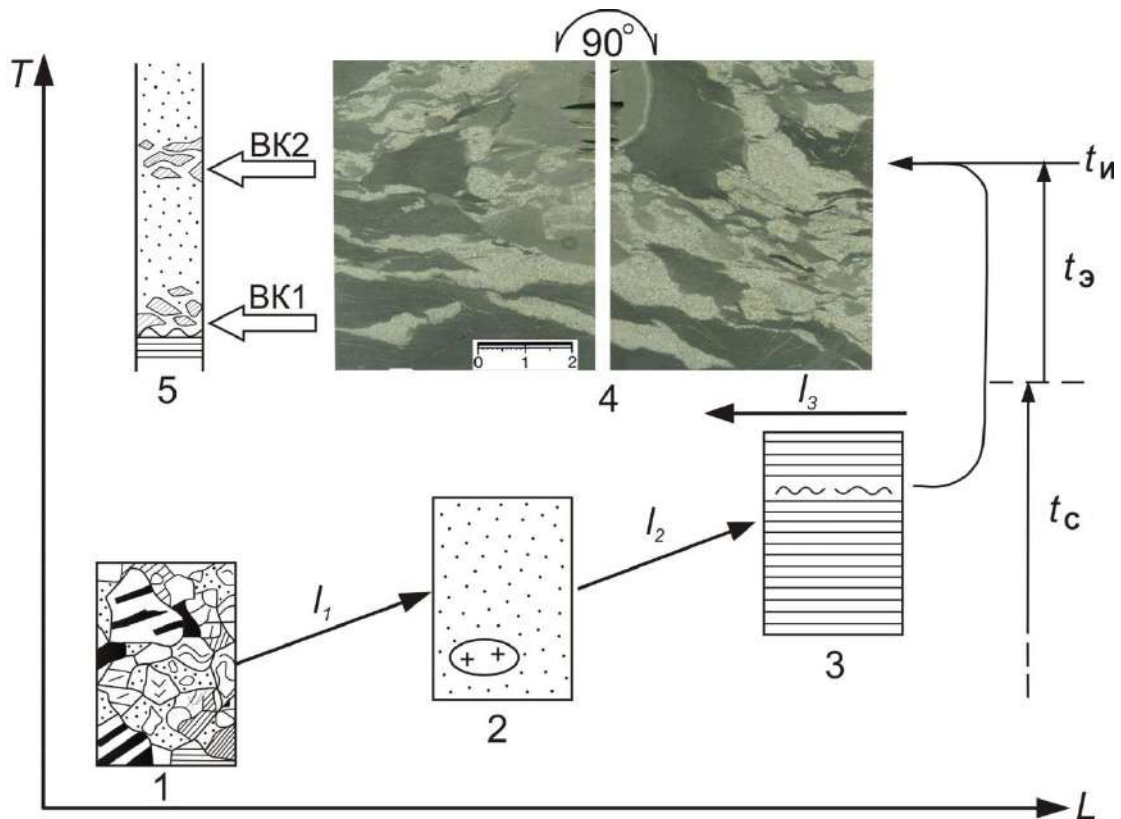


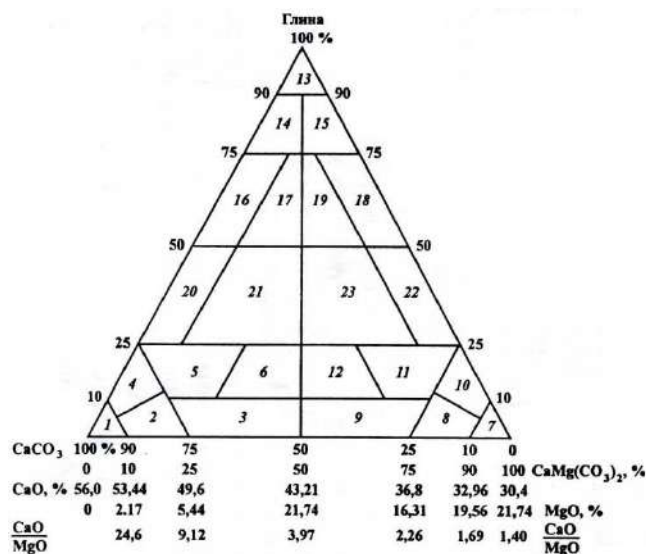
Рис. 3.3. Модель переноса и переотложения осадочного материала:
 L – расстояние транспортировки; T – геологическое время, ВК – внутриформационные конгломераты

Классификация известково-доломитовых пород по химико-минералогическому составу
(С. Г. Вишняков и др.)

Порода	Содержание, %		CaO/MgO
	CaCO ₃	CaMg(CO ₃) ₂	
Известняк	90 – 100	10 – 0	24,6 и более
Известняк доломитистый	75 – 90	25 – 10	9,1 – 24,6
Известняк доломитовый	50 – 75	50 – 25	4,0 – 9,1
Доломит известковый	25 – 50	75 – 50	2,3 – 4,0
Доломит известковистый	10 – 25	90 – 75	1,7 – 2,3
Доломит	0 – 10	100 – 90	1,4 – 1,7

Рис. 3.4. Схема классификации глинисто-карбонатных пород
(Систематика..., 1998):

Поля: 1–6 – известняки; 7–12 – доломиты; 13–75 – глины; 16–23 – мергели; 1 – известняк; 2 – известняк доломитистый; 3 – известняк доломитовый; 4 – известняк глинистый; 5 – известняк глинистый доломитистый; 6 – известняк глинистый доломитовый; 7 – доломит; 8 – доломит известковистый; 9 – доломит известковый; 10 – доломит глинистый; 11 – доломит глинистый известковистый; 12 – доломит глинистый известковый; 13 – глина; 14 – глина известковистая; 15 – глина доломитистая; 16 – мергель глинистый (глина известковая); 17 – мергель глинистый доломитистый (глина известковая доломитистая); 18 – мергель глинистый доломитовый (глина доломитовая или сильно доломитистая); 19 – мергель глинистый известковистый доломитовый (глина известковистая сильно доломитистая); 20 – мергель; 21 – мергель доломитистый; 22 – мергель доломитовый (домерит); 23 – мергель доломитовый известковистый (домерит известковистый)



по Р. Данхему	по Р. Фолку				Цемент	
Мадстоун зерен <10%	Микрит, известковый ил, кальцилютит, мел Дисмикрит				базальный микритовый с незнач. примесью спарита	
Вакстоун зерен >10%	Пеллеты	Биокласты	Оолиты	Интракласты		
Пакстоун зерен более 20-30%	Рудстоун >10% зерен крупнее 2 мм	Пелмикрит	Биомикрит	Оомикрит	Интрамикрит	Пороховый Спарит+микрит
Грейнстоун зерен более 20-30%	Рудстоун >10% зерен крупнее 2 мм	Пелмикспар.	Биомикспар.	Оомикспарит	Интрамиксп.	
Баундстоун (подраздел на бафлстоун, байндстоун, фреймстоун)	Рифовая порода, биолитит (в отечеств. литературе биогермный известняк, харкский известняк)				Спарит	

Рис. 3.5. Типизация известняков по Р. Фолку (1959) и Р. Данхему (1962) по (Мизенс, 2006)

Таблица 3.3

Принципиальная схема подразделения карбонатных пород по их структуре (Кузнецов В.Г., 2007)

Структуры	Биоморфные (состоящие из целых остатков организмов в положении роста)			Зернистые (граноморфные)		Кристаллические (кристалломорфные, кристаллитовые)		Обломочные (кlastоморфные, класто-литовые)
	Ветвистые	Пластинчатые (и чешуйчатые)	Обволакивающие (и цементирующие)	Цельнораковинные	Скелетные	Нескелетные (форменные)	Разнозернистые (равнокристаллические, гомеомерные, гомеометрические, гомеометрически-зернистые)	
Структуры	Коралловые, мшанковые, строматопоровые, эпифитовые, серпуловые и др.	Палеоаллидр., -зиновые и др.	Строматолитовые и др.	Ракушки: форамиферы, устричные, птероподовые, гастроподовые, тектакулитовые, сферовые и т.д.	Органогенно-обломочные (дегритовые): состоят из определенных обломков органических остатков размером обычно более 0,1 мм	Шламовые: состоят из неопределенных обломков органических остатков размером обычно менее 0,1 мм	Пелитоморфные < 0,005 мм Микрозернистые (кристаллические) 0,005 – 0,05 мм Тонкозернистые (кристаллические) 0,05 – 0,1 мм Мелкозернистые (кристаллические) 0,1 – 0,25 мм Среднезернистые (кристаллические) 0,25 – 0,5 мм Крупнозернистые (кристаллические) 0,5 – 1,0 мм Грубозернистые (кристаллические) 1,0 – 2,0 мм Гигантозернистые (кристаллические) > 2,0 мм	Включая туфы и травертины, имеющие крустификационную структуру (тоннее, текстура, так как она характеризуется взаимным расположением кристаллов в пространстве)
	Полибиогермные, полилитовые			Включая туфы и травертины, имеющие крустификационную структуру (тоннее, текстура, так как она характеризуется взаимным расположением кристаллов в пространстве)			Разнозернистые (разнокристаллические, гетероморфные, гетерометрические, гетерометрически-зернистые)	По размеру и частично по окатанности карбонатных обломков

4.Текстурный анализ

Текстура			Слоистость			
Тип	В и д	Схем. изображение	Тип	В и д	Схем. изображение	
Неслоистая	однородная (массивная)		Косая	параллельная		
	беспорядочная			слабосрезанная		
	пятнистая			сильносрезанная (в т. ч. перекрестная)		
	узловатая		Косо-волнистая	слабосрезанная		
	комковатая			сильносрезанная (мульдообразная)		
	гранулированная			флазерная		
Неяснослоистая	градационная		Линзовидная (линзовидно-волнистая)	слабосмещенная		
	слоеватость	редкими включениями			сильносмещенная	
		слойками			лингоидная	
		сплошная (наслоение)		Полого-волнистая	параллельная	
	скрытая (микрослоистость)		непараллельная слабосмещенная			
Нарушенная	оползанием		Полого-волнистая	непараллельная сильносмещенная		
	взмучиванием, в т.ч. фьямме			Горизонтальная	равномерная	
	следами жизнедеятельности (иллоеды, корневые и пр.)	частичное			направленно изменяющаяся (в т. ч. ритмичная)	
		полное		неравномерная (неоднородная)		

Рис. 4.1. Классификация текстур (по Л. Н. Ботвинкиной, 1962, 1965)

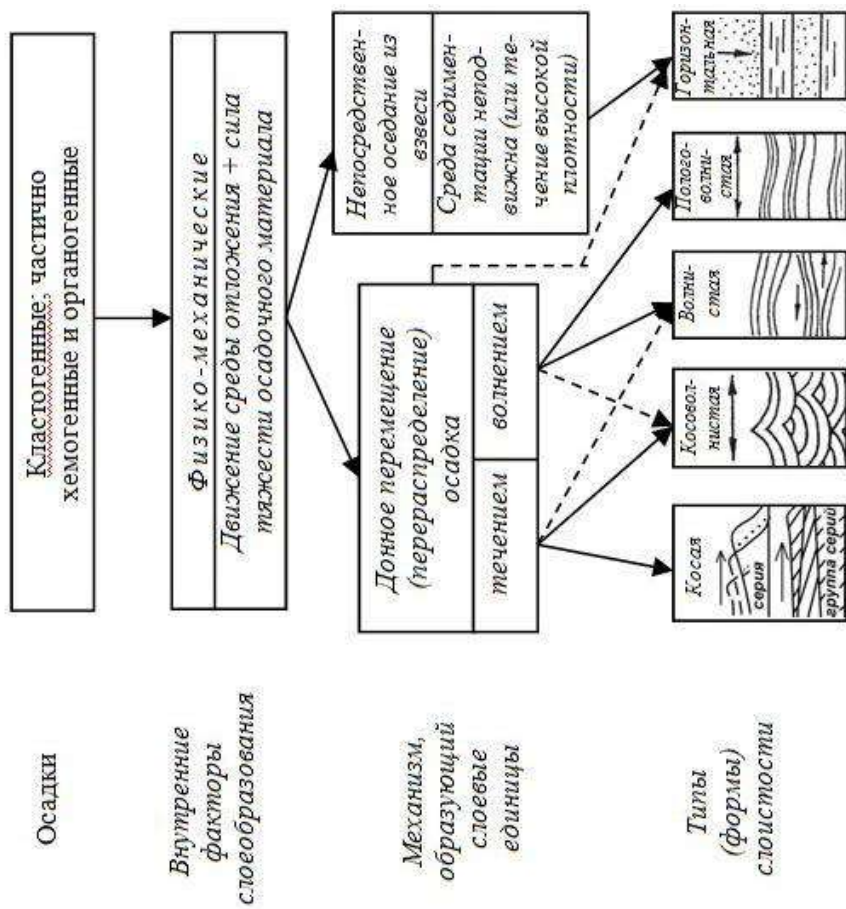


Рис. 4.2. Зависимость типа (формы) слоистости от факторов и механизма слообразования (по Л. Н. Ботвинкиной, 1962, с изменениями)

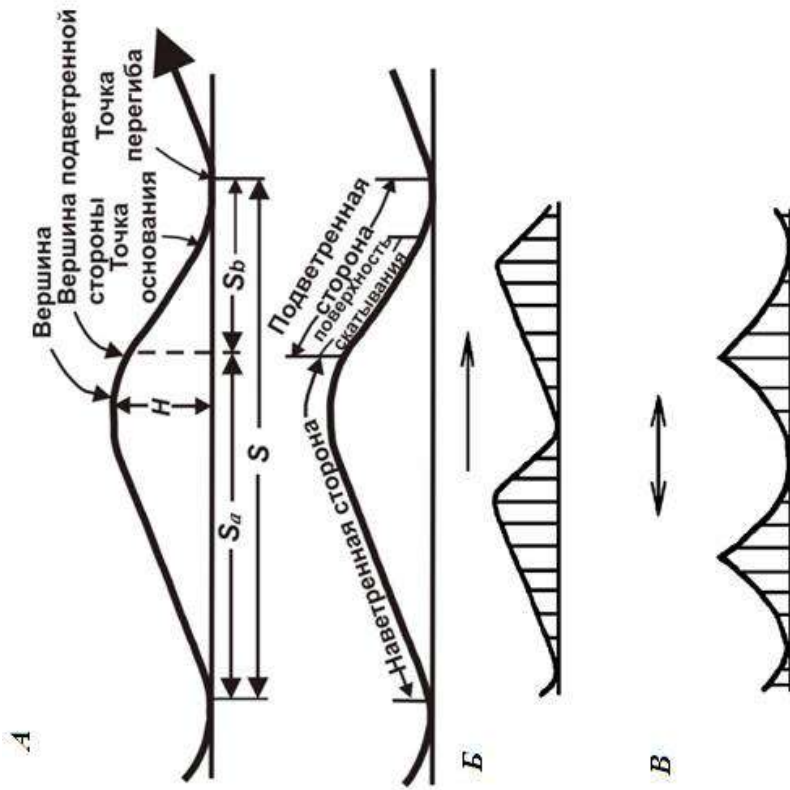


Рис. 4.3. Рябь в осадочных текстурах:

A – схематический разрез знака ряби: сверху – параллельный течение и внизу – перпендикулярный выпянутости гребней (S – длина или интервал между знаками, в т. ч. S_a – пологого склона и S_b – крутого склона; H – высота); B – рябь течения (стрелкой показано направление течения); B – рябь волнения (стрелкой показано меняющееся направление волн)

5. Ихнофоссилии, карбонатность и др. признаки

Рис. 5.1. Ихнофоссилии в дельтовом комплексе
(из: Чернова О. С., 2007):

A, B – современный аналог активной приливной дельты в Новом Южном Уэльсе, протока Nagawalle (Австралия). Поверхность затопления (FS), трансгрессивно перекрывающая поверхность эрозии (TSE) с Palaeorhynchus.

C – ихнофашии, характеризующие приливо-отливную дельту, представленные комплексами *Stuziana/Skolithos*, предпочитающими типичные жесткие воды, с изменчивым влиянием приливо-отливной энергии и морской среды: (1) следы бегства, (2) *Thalassinoides*, (3) *Diplocraterion*, (4) *Palaeorhynchus*, (5) *Planolites*.

F – линзовидно-слоистые аргиллиты – प्रदेशы с изолированными знаками ряби содержат редкие *Planolites* (P), *Chondrites* (Ch).

G – керн с дистальной части фронта дельты – аргиллиты полоччатые со знаками нагрузки и трещинами синерезиса (sy), средними *Planolites* (P).

H – волнисто- и линзовидно-слоистое переслаивание дистальной части фронта дельты (переход к продельте): *Diplocraterion* (D), *Planolites* (P), *Teichichnus* (Te), *Chondrites* (Ch).

I – волнистое переслаивание удаленных частей фронта дельты с запечатанными знаками ряби (*Planolites* (P) и *Chondrites* (Ch)).

J – отложение дистальной части фронта дельты в нижней части объема интенсивно биотурбированные, характеризующие медленную и непрерывную скорость седиментации. Содержатходы *Diplocraterion* (D), *Teichichnus* (Te), *Planolites* (P), and *Palaeorhynchus tubularis* (Pt). В верхней части образца видны запечатанные знаки ряби с илистыми драпировками, содержащие трещины синерезиса (sy) и *Planolites* (P);

K – отложения дистальных частей фронта дельты, характеризующие медленную скорость осадконакопления, на что указывают возросшая интенсивность биотурбаций и удлиненные норы *Diplocraterion* (D), с *Planolites* (P) и *Chondrites* (Ch). Обратите внимание на трещины синерезиса (sy) в верхней части керна;

L – отложения фронта дельты, волнисто-слоистые, с трещинами синерезиса (sy) и темными илистыми драпировками включают: *Chondrites* (Ch) и *Planolites* (P), по (Пембертон, 2004)

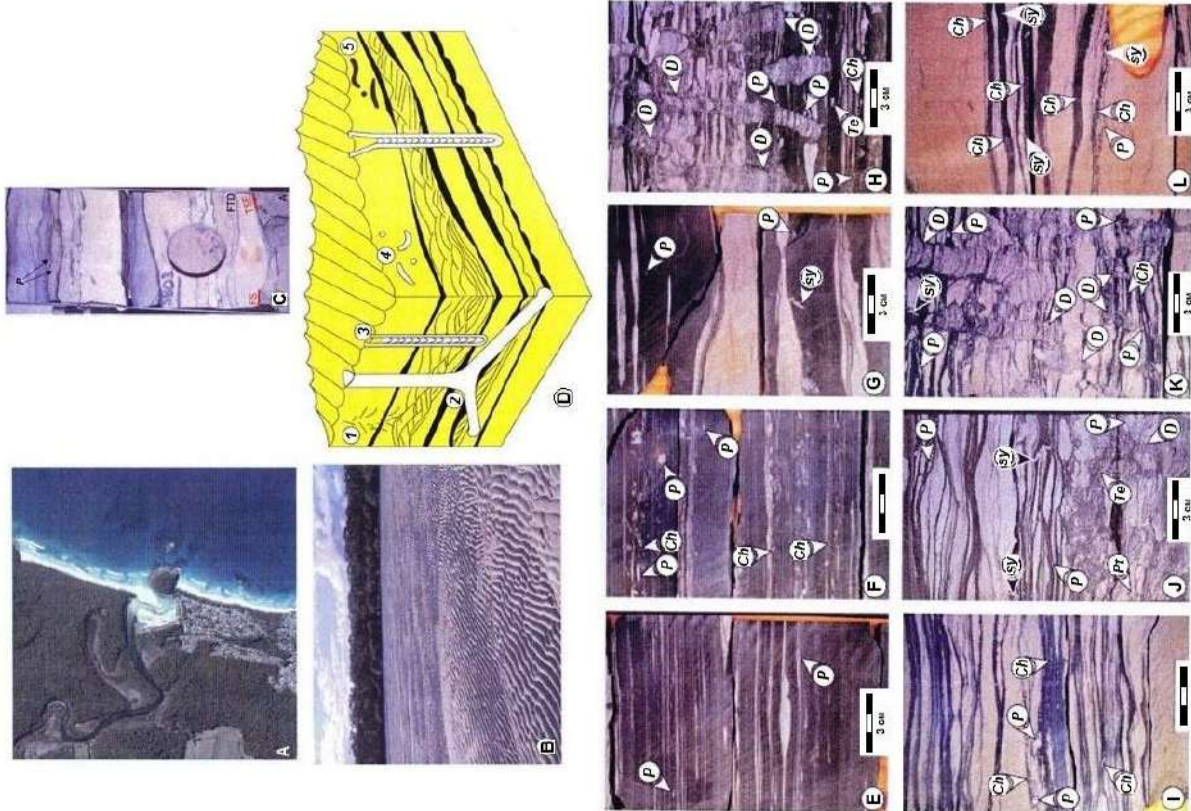


Рис. 5.2. Схемы образования конкреций в современных гумидных фациях и в некоторых древних водоемах (Атлас конкреций, 1988):

а – схема расположения озерных, болотных и почвенных конкреций лесной зоны и путей миграции конкрецобразователей; *б* – предполагаемая схема некоторых условий роста современных озерных железистых конкреций; *в* – схема одного из этапов образования конкреций в глинистых донных илах Воркутской лагуны; *г* – предполагаемая схема формирования песчано-анкеритовых конкреционных линз и конкреций в баровом песке Воркутской лагуны в фазу перерыва седиментации в опресненно-лагунном цикле; *1* – направления садки солей железа из наддонной воды; *2* – пути инфильтрации грунтовых вод, относительно богатых Fe, CO₂ и HCO₃; *3* – пути потоков поверхностных вод; *4* – господствующие направления диффузии конкрецобразователей (на *б* и *в* – Fe, на *г* – Ca, Mn, Fe); *5* – инфильтрация грунтовых болотных вод, богатых гумусом и CO₂, но бедных Fe; *6* – ортштейны; *7* – ортзанды; *8* – болотный сидерит; *9* – болотный бурый железняк; *10* – виванит; *11* – озерные железистые конкреции; *12* – сулгинки и супеси с еловым лесом; *13* – лес на песчаных, но слабодренируемых почвах; *14* – низинный торфяник; *15* – верховой торфяник; *16* – водопроницаемый песчаный грунт; *17* – водо непроницаемый или слабо водопроницаемый грунт; *18* – поверхность осадка; *19* – господствующее положение окислительно-восстановительной границы; *20* – направления инфильтрации грунтовых вод через водопроницаемое ложе; *21* – направление грунтового потока в иле по уклону ложа; *22* – инфильтрация наддонных вод; *23* – корневые системы в иле, облегчающие инфильтрацию; *24* – направление диффузии и движения грунтовых вод; *25* – направление движения CO₂ и H₂S (а) и боковая инфильтрация грунтовых вод с ионами Fe, Mg и Ca (б); *26* – концентрическая зона превращения бикарбоната в карбонат и осаждения карбоната; *27* – начало образования диагенетических трещин; *28* – наддонная вода (уровень); *29* – инфильтрация смешанных лагунных и морских вод; *30* – направления инфильтрации опресненно-лагунных вод в баровые пески и диффузии иона Fe; *31* – зона выпадения конкрецобразователя; *32* – погребенный торфяник; *33* – глинистые осадки; *34* – алевроито-глинистые осадки; *35* – контакты слоев. *Пак/л* – песчано-анкеритовая конкреционная линза (мегаконкреция)

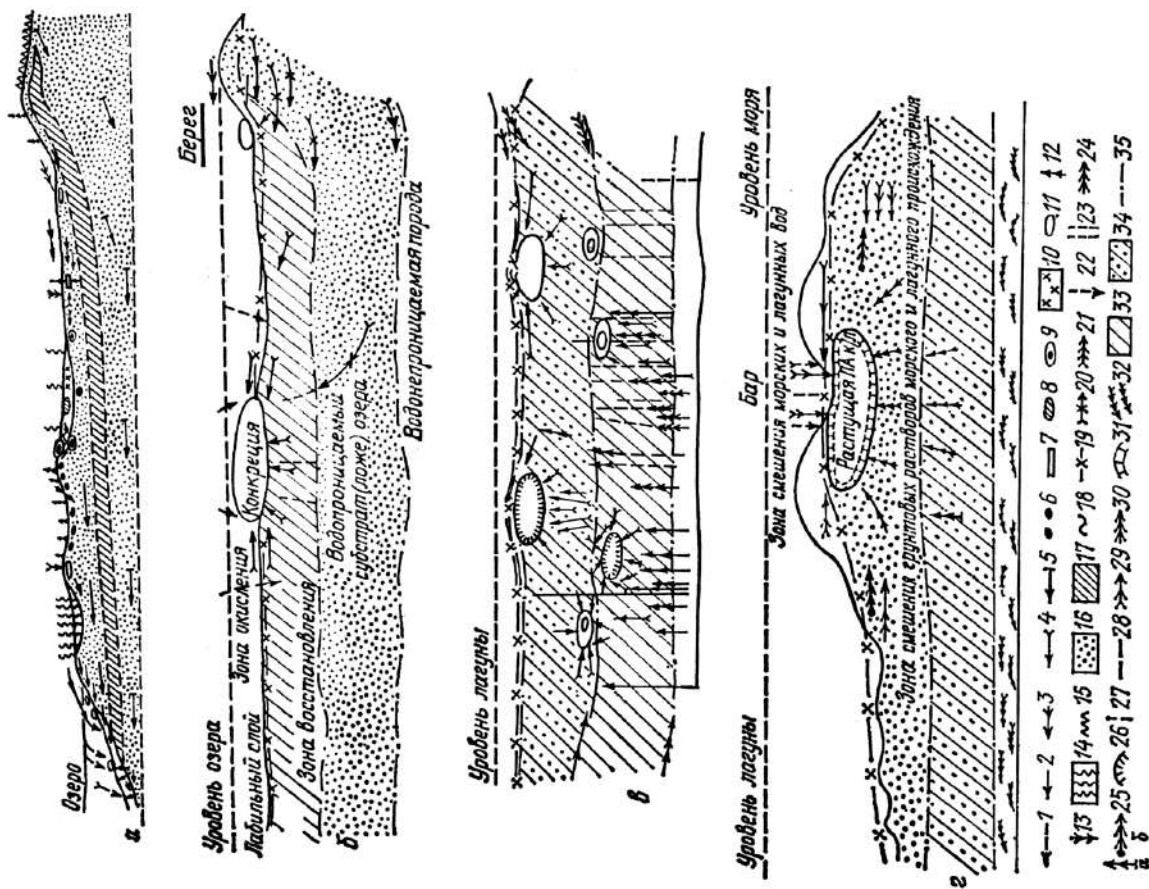


Таблица 6.1

Признаки пород

Группа	Признаки		Методы исследования*	
	название	характеристика	П	Л К
«Внутренние»	1. Состав	Минеральный, химический, количественное соотношение компонентов	+	++
	2. Цвет, внешний вид	Плотность, трещиноватость и пр.	++	+
	3. Структура	Составные структурные компоненты пород, их размер, форма, окатанность, сортировка, количественное соотношение, примеси, степень сохранности	++	+
	4. Текстура	Морфологическое определение вступившей породы (для слонистой – ее тип, подтип и т. д.; для ритмично построенной – характер строения ритма и слоя в целом)	++	+
5. Органические остатки (флора и фауна)		Состав, степень сохранности, характер остатков (стебли, листья, споры и т. д.), условия захоронения	++	Спец. исследования
	6. Неорганические включения	Различные, в первую очередь – конкреции	++	То же
«Внешние»	7. Контакты с соседними слоями	Характер верхнего и нижнего контактов (размытые, срезающие, резкая граница, отчетливая граница, постепенный переход и т. д.)	++	+
	8. Парагенезис	Соотношение с другими типами отложений	+	++
Общая геологическая характеристика тел	9. Объемная характеристика тел	Площадь, объем, мощность, форма тел, характер залегания	+	++
	10. Общая характеристика толщ	Строение толщ, соотношение в ней слоев пород, строение слоев, ритм, циклов, соотношение с соседними толщами		++

* П – полевые, Л – лабораторные, К – камеральные;

++ – решающее значение, + – предварительные или дополнительные сведения.

Таблица 6.2

Обработка сведений

а

Кодирование признаков

Признак	Индекс	Метризуемый параметр (по увеличению значений кодов)	Примеры
Гранулометрический состав	S ₁	Средний размер частиц (увеличение)	1 – уголь, 8 – мелкозернистый песчаник, ... 12 – гравелист
Сортированность	S ₂	Соотношение различных фракций (уменьшение дисперсии)	1 – очень плохая, ..., 5 – средняя, ..., 8 – очень хорошая
Текстура (слоистость)	S ₃	Интенсивность гидродинамичности (увеличение)	1 – массивная, ..., 8 – косо-волнистая, 13 – узловатая (беспорядочное наложение)
Органический (растительный) материал	S ₄	Степень сохранности (повышение)	1 – отсутствует (полностью дезинтегрирован), ..., 3 – детрит, ..., 6 – присутствуют все формы
Условия формирования	S ₅	Количество (увеличение)	1 – отсутствует, ..., 5 – среднее, ..., 8 – обилие (до угля)
	S ₆	Удаленность от области сноса (увеличение)	1 – аллювий горных рек, ..., 5 – застойные озерные водоемы, ..., 8 – открытое мелководье прибрежных водоемов

б

Факторный анализ

Признаки	А		Б	
	F1	F2	F1	F2
Гранулометрический состав	0,94*	0,13	0,84*	0,27
Сортированность частиц	0,75	0,50	0,61	0,34
Текстура (тип слоистости)	0,91*	0,14	0,82*	0,02
Растительный материал	0,48	0,61	0,22	0,89*
Факторный анализ	0,69	0,61	0,05	0,92*
Фациальный состав	0,45	0,50	0,55	0,09
Показатели, снимаемые с каротажных кривых	КС, Ом.м. ПК-П, имп./мин. ГК, мкр/ч	0,27 0,46 0,52	0,75* 0,39 0,24	0,66 0,54 0,61
Мощность слоя		0,23	0,14	0,34
Дисперсия		37,72	20,95	34,07
			20,75	

Примечание. А, Б – выборки; F1, F2 – факторы

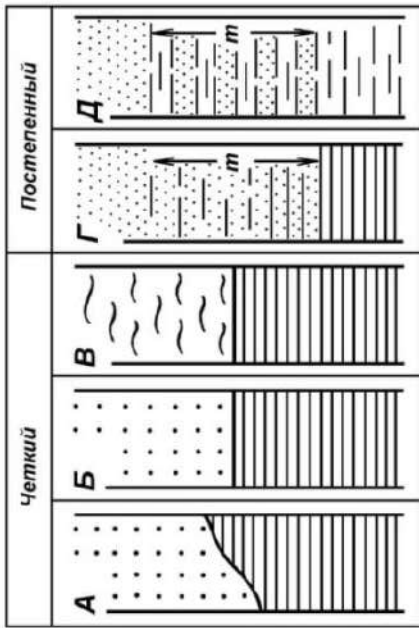


Рис. 6.3. Характеристика основных видов контактов, показанных разными знаками (условно: точки – песчаники, линии – алевролиты и аргиллиты) (см. также рис. 1.3): А – резкий, между совершенно разными типами пород (при налегании грубозернистых осадков на тонкозернистые фиксирует эрозию);

Б – резкий, между существенно отличающимися типами пород, но без явно выраженных следов перерыва; В – отчётливый, между близкими типами пород (часто по изменению текстуры в одном гранулометрическом типе); Г – постепенный, при плавном переходе близких типов в интервале m ; Д – через переслаивание разных типов в интервале m (для породы – ритмит)

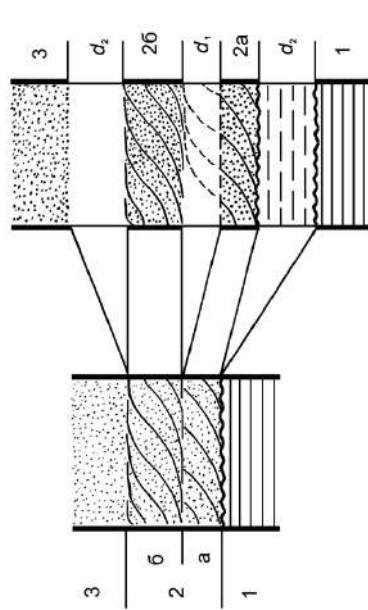


Рис. 6.4. Схематическое изображение соотношения слоев и разделяющих их перерывов (диаптем):

слева: чередование слоев: 1 – горизонтальнослоистый алевролит; 2 – косослоистый песчаник с двумя сериями слоев (а, б); 3 – массивный песчаник; справа: «развертка» во времени последовательности накопления осадков; d_1 – внутрислоевая диаптема, показанная посредством «реставрации» серии косых слоев 2а в конфигурацию, аналогичной серии 2б («подобривание голов», по выражению Ю. А. Жемчужникова); d_2 – межслоевые диаптемы, обусловленные размытием накопившихся перед этим слоев (контакт слоев 1 и 2; размытые слоики – штрихи на правой колонке) и отсутствием осадконакопления (контакт слоев 2 и 3)

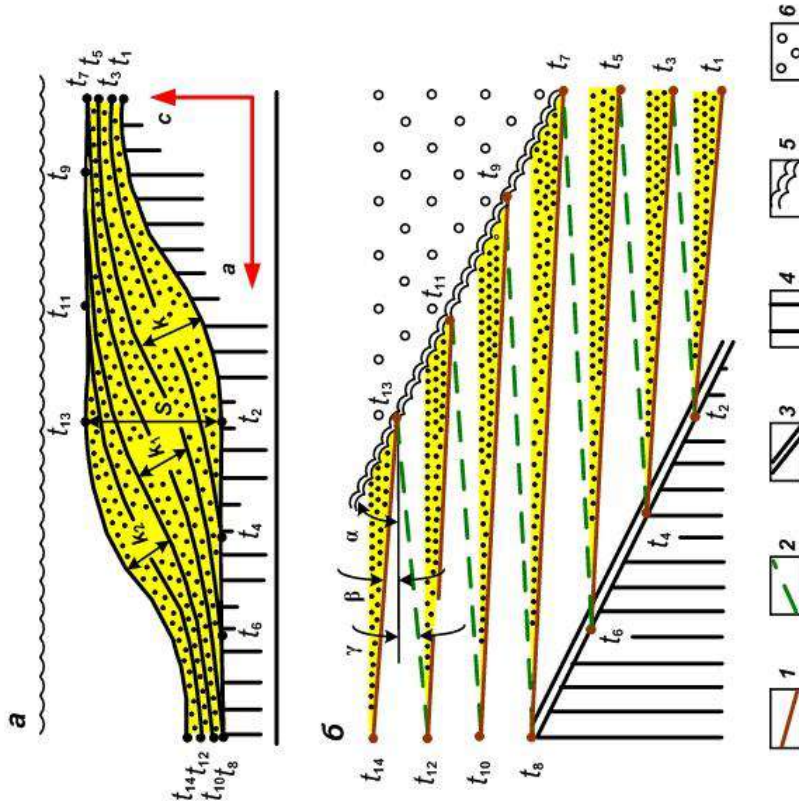


Рис. 6.4. Скольжение слоев:

а – схема соотношения между «геологической» или седиментологической ($k + k_1 + k_2$) и наблюдаемой или «видимой» мощностью (s) осадков: по Т. Чемберлену (Chamberlin, 1914); а – с – латеральное и временное смещение слоев;

б – временная развертка верхней части рисунка (а) по последовательным отсчетам времени $t_1 - t_{14}$:

1 – трансгрессивное налегание слоев; 2 – регрессивный возврат в исходную (на чертеже) точку; 3 – общее трансгрессивное (либо ингрессивное) налегание комплекса с перерывом или размытым ранее сформированных отложений (4); 5 – завершение накопления комплекса, с последующим перерывом или новым этапом осадконакопления (6); пояснения к показанным углам (α, β, γ) см. в тексте

Раздел 2. ЛАБОРАТОРНЫЕ ИССЛЕДОВАНИЯ

7. Гранулометрический анализ

Таблица 7.1

Сопоставление разных шкал размерностей частиц и выделяемых типов пород

Породы по «десятичной» шкале		Шкала Батурина		Φ -шкала: $\varphi = -\log_2 \frac{d}{d_0}$						
		$\gamma = -10 \log_{10} \frac{d}{d_0}$		мм	Φ	$\frac{1}{4} \Phi$	породы			
«простой»	с уточнением	мм	γ	мм						
Гравий (гравелит)		2,00	-	16 4	4	-4 -2	Галька (конгломерат)			
				3,36 2,83 2,38 2,00		-1,75 -1,5 -1,25 -1,0	Гравий (гравелит)			
			грубо-зернистый	1,6	-2	1,68 1,41	1	-0,75 -0,5	Грубозернистый песок (песчаник)	
				1,25	-1	1,19		0,25		
				1,000	0	1,00		0,0		
			крупно-зернистый	крупно-зернистый	0,800	1	0,84	1/2	0,25	Крупнозернистый песок (песчаник)
					0,630	2	0,71		0,5	
					0,500	3	0,59 0,50		0,75 1,0	
			средне-зернистый	средне-зернистый	0,400	4	0,42	1/4	1,25	Среднезернистый песок (песчаник)
					0,315	5	0,35		1,5	
0,250	6	0,30 0,25			1,75 2,0					
мелко-зернистый	мелко-зернистый	0,200	7	0,10 0,177	1/8	2,25	Мелкозернистый песок (песчаник)			
		0,160	8	0,149		2,5				
		0,125	9	0,125		2,75				
крупно-зернистый	тонко-зернистый	0,100	10	0,105 0,088	1/16	3,25	Тонкозернистый песок (песчаник)			
		0,080	11	0,074		3,5				
		0,063	12	0,0625		3,75				
мелко-зернистый	Алеврит (алевролит)	0,050	13	0,053	1/32	4,25	Крупнозернистый алеврит (алевролит)			
		0,040	14	0,044		4,5				
		0,031	15	0,037		4,75				
		0,025	16	0,031		5,0				
		0,020	17	0,0156		1/64		6,0	Среднезернистый алеврит (алевролит)	
		0,016	18	0,0078		1/128		7,0	Мелкозернистый алеврит (алевролит)	
0,012	19									
0,010	20									
Глина (аргиллит)		0,0008	21	0,0039	1/256	8,0	Тонкозернистый алеврит (алевролит)			
				0,0020			Глина (аргиллит)			
				0,00098						
				0,00049						
				0,00024						
				0,00012						
		0,00006								

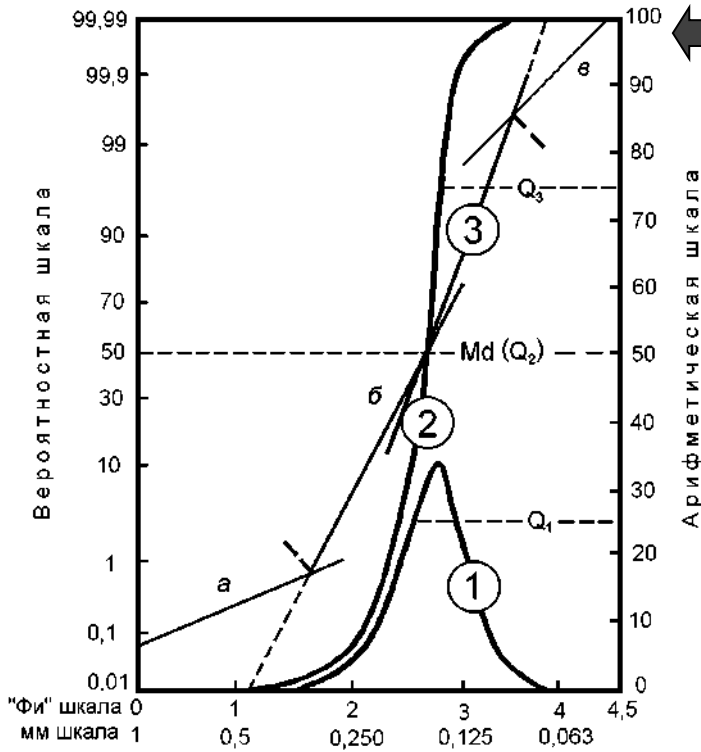


Рис. 7.1. Наиболее распространенные типы кривых распределения фракций, по Дж. Вишеру (Visher, 1969), с дополнениями:

- кривые: 1 – частотная, 2 – кумулятивная (наносится по арифметической шкале, 3 – логвероятностная (наносится по вероятностной шкале);
- отрезки логвероятностной кривой, соответствующие популяциям: а – волочения, б – сольтации, в – суспензии (взвеси); квартили: $Q_1 = 25\%$, $Q_2 = 50\%$ (медиана), $Q_3 = 75\%$



Популяции: I – II – сольтационная, III – суспензионная; IV – волочения

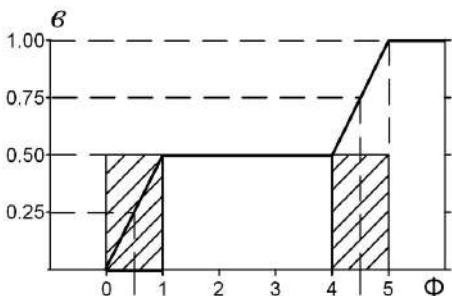
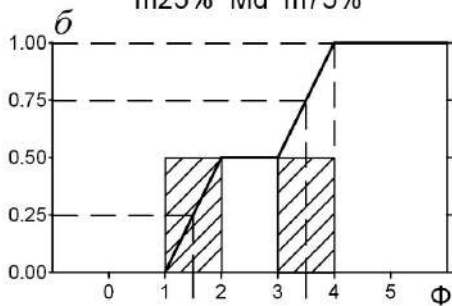
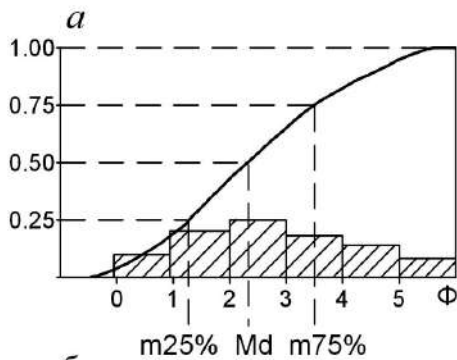


Рис. 7.2. Различное распределение частиц по фракциям, приводящее к неверной оценке сортировки осадка с помощью коэффициента Траска:
а – одномодальное распределение плохо сортированного песчаника ($\sigma = 3$);

б – наличие в породе двух, близких по размеру фракций разных популяций. При их идеальной сортировке по отдельности значение σ примерно соответствует случаю «а» ($\sigma \sim 3$);

в – то же, что и в случае «б», но с явно не оправданным завышением коэффициента Траска ($\sigma \sim 15$)

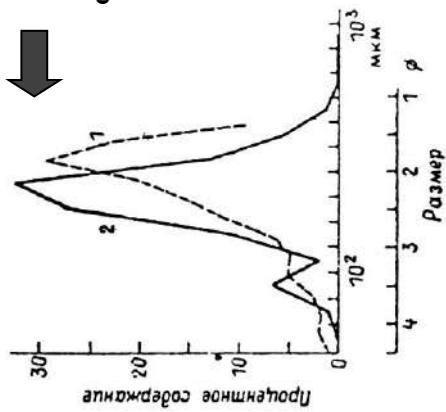


Рис. 7.3. Эмпирические полигоны распределения гранулометрического состава осадков (ЭПР) по Б.Н. Котельникову (1989): 1 – бескварцевый лититовый песок нижнего течения р. Муса, о. Новая Гвинея; 2 – полевошпато-кварцевый песок из террасы р. Лены (близ г. Олекминска)

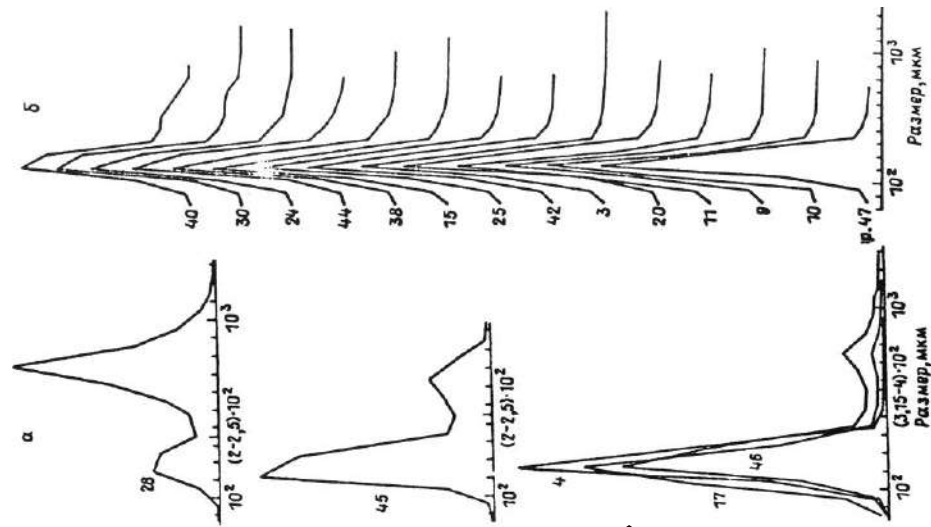


Рис. 7.4. ЭПР песков пляжа Нарвского залива: а – бимодальные распределения, отличающиеся размерностью грубозернистой моды; б – одновершинные распределения песков, чередующихся в разрезе канавы с бимодальными

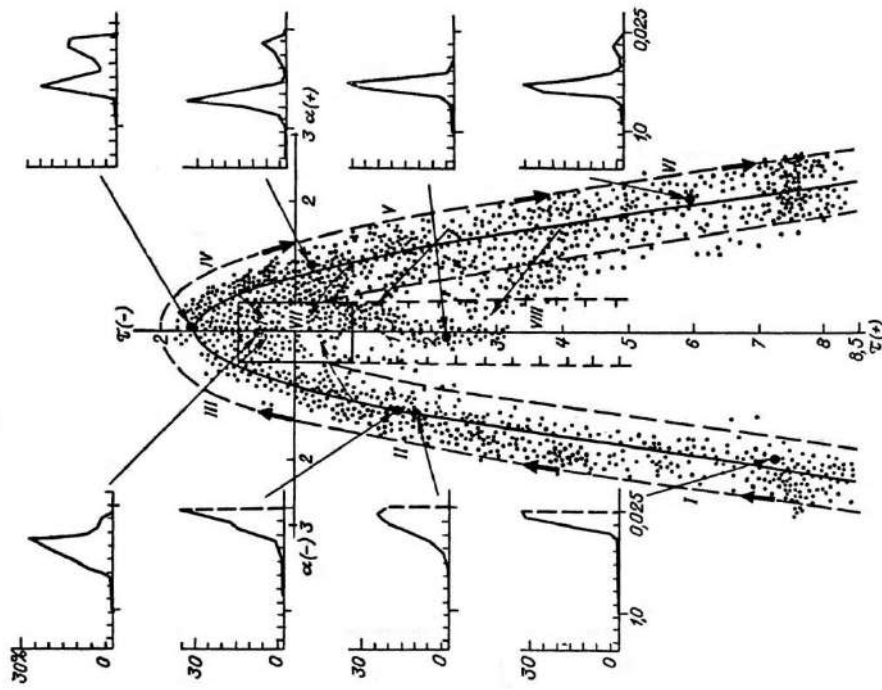


Рис. 7.5. Динамогенетическая диаграмма Г. Ф. Рожкова (1968, 1978): распределение точек-проб современных осадков различных фаций по значениям асимметрии и эксцесса по косвенному счету зерен: I – застойные донные участки; II – донные течения или мутьевые потоки; III – континентальные речные фации; IV – сильные речные или вдольбереговые течения; V – выход волн на мелководье, накат; VI – побережье, сильный накат; VII – эоловая переработка речных осадков; VIII – выход волн на мелководье; α – асимметрия; τ – эксцесс

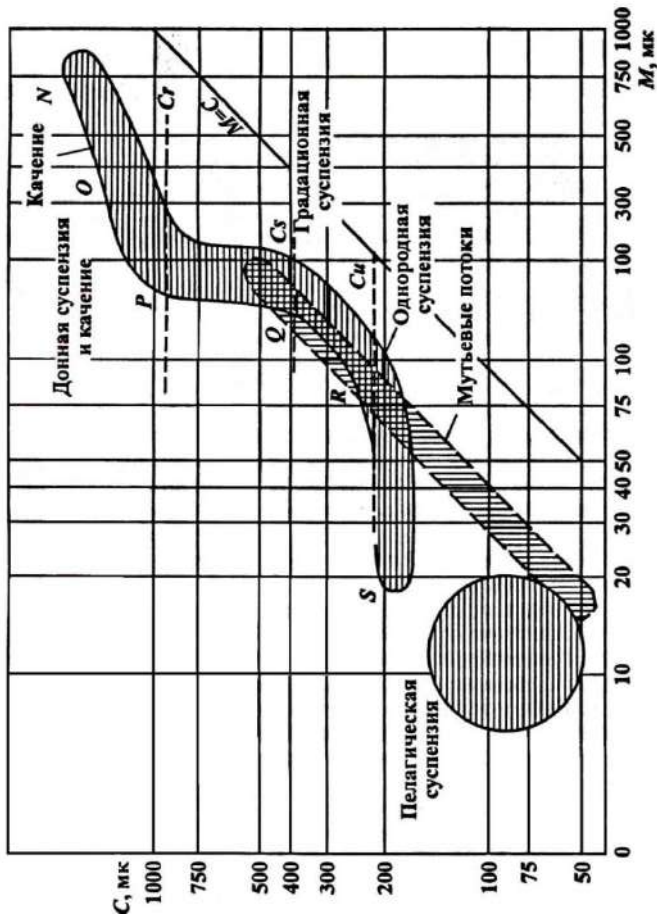


Диаграмма СМ Р. Пассега для определения способа переноса осадков в водной среде

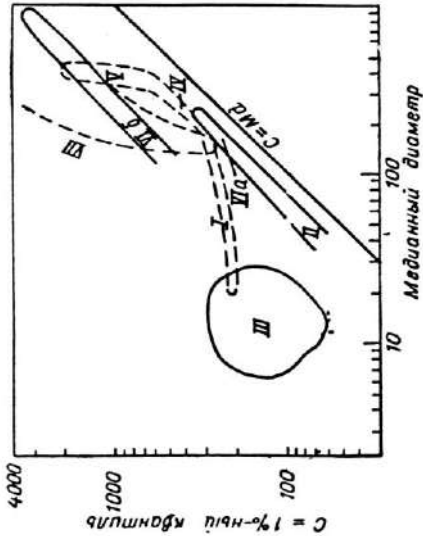


Рис. 7.6. Интерпретация режимов осадконакопления (Романовский, 1977): I, IV, V – реки, донные течения; II, VI – мутьевые потоки; III – осадки «спокойной» седиментации; VII – пляжи

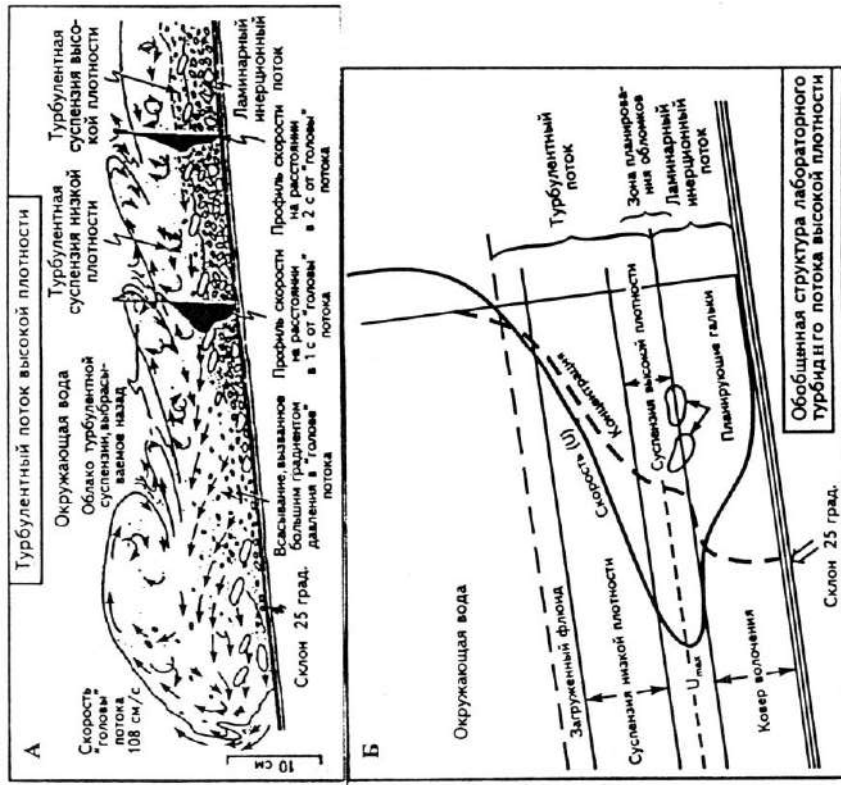


Рис. 7.7. Турбулентный поток высокой плотности:

А – диаграмма быстрого изображения экспериментального турбулентного течения высокой плотности, показывающая нижний нетурбулентный (инерционный поток) и верхний турбулентный слой; Б – обобщенная схема распределения скорости и концентрации частиц в элементарном турбулентном потоке высокой плотности (Постма Г. и др., 1988: из: Поляков, 2001)

8. Минералогический анализ

Рис. 8.1. Схема соотношения объемов понятий: терригенные минералы, тяжелые минералы и акцессорные минералы (М. Бергер, 2009):

минералы: *A* – терригенные; *B* – тяжелые, *C* – акцессорные; 1 – породообразующие терригенные минералы легкой фракции; 2 – породообразующие терригенные минералы тяжелой фракции; 3 – акцессорные терригенные минералы легкой фракции; 4 – акцессорные терригенные минералы тяжелой фракции; 5 – породообразующие аутигенные минералы тяжелой фракции; 6 – акцессорные аутигенные минералы тяжелой фракции; 7 – акцессорные аутигенные минералы легкой фракции

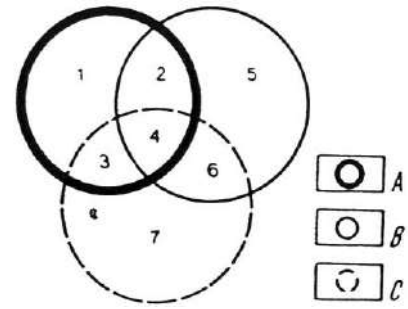


Таблица 8.1

Классификация терригенных минералов тяжелой фракции (М. Бергер, 2009)

Химическая устойчивость (в условиях поверхностного выветривания)	Гипоэрродинамическая устойчивость		
	высокая	средняя	низкая
Высокая	I группа Циркон Рутил Ильменит + + лейкоксен (частично) Хромит (хромшпинелиды) Монацит Ксенотим	II группа Лейкоксен (частично) Анализ Брукит Шпинель (алюмошпинели) Ставролит Кванит	III группа Турмалин Силлиманит Андалузит
Средняя	IV группа Альмандин	V группа Пироп Титанит (частично)	VI группа Титанит (частично) Эпидот Цоизит Клиноцоизит Апатит (?)
Низкая	VII группа Магнетит	VIII группа Гранаты-уграндиты Некоторые пироксены (существенно железистые ортопироксены и др.)	IX группа Биотит Амфиболы Большинство пироксенов (диопсид, авгит, энстатит и др.) Оливин (основная часть)

Таблица 8.2

Зависимость ассоциаций минералов в осадочных породах от состава пород в областях сноса (М. Бергер, 2009)

Породы питающих провинций	Характерные ассоциации минералов осадочных пород	
	Породообразующие минералы	Акцессорные минералы
Магматические кислого состава (граниты, градионориты)	Кварц, полевые шпаты (микроклин, ортоклаз, кислый плагиоклаз), мусковит	Циркон, турмалин, апатит, монацит, биотит
Магматические основного состава (габбро, диабазы, базальты)	Обломки пород, основные плагиоклазы	Ильменит, лейкоксен, сфен, рутил, пироксены, амфиболы, минералы группы эпидота
Магматические ультраосновные (пироксениты, перидотиты, дуниты)	То же	Ильменит, магнетит, лейкоксен, пироксены, амфиболы, сфен, пикротит, хромит
Метаморфические (гнейсы, кристаллические сланцы)	Кварц, значительная часть которого имеет волнистое погасание и мозаичное строение	Дистен, ставролит, силлиманит, андалузит, гранаты, хлорит
Осадочные (древние или формировавшиеся в обстановке интенсивного выветривания)	Преимущественно кварц, в основном хорошо окатанный	Циркон, турмалин, рутил (зерна в основном хорошо окатанные)

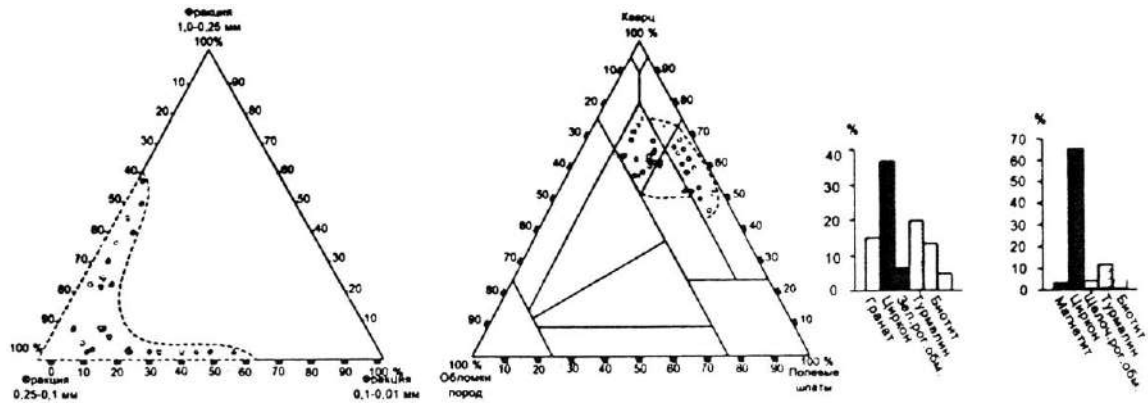


Рис. 8.1. Гранулометрический, вещественный и минералогический состав палеорусловых отложений пласта ЮС₁³. Парабельский мегавал (Л. С. Чернова и др., 2004)

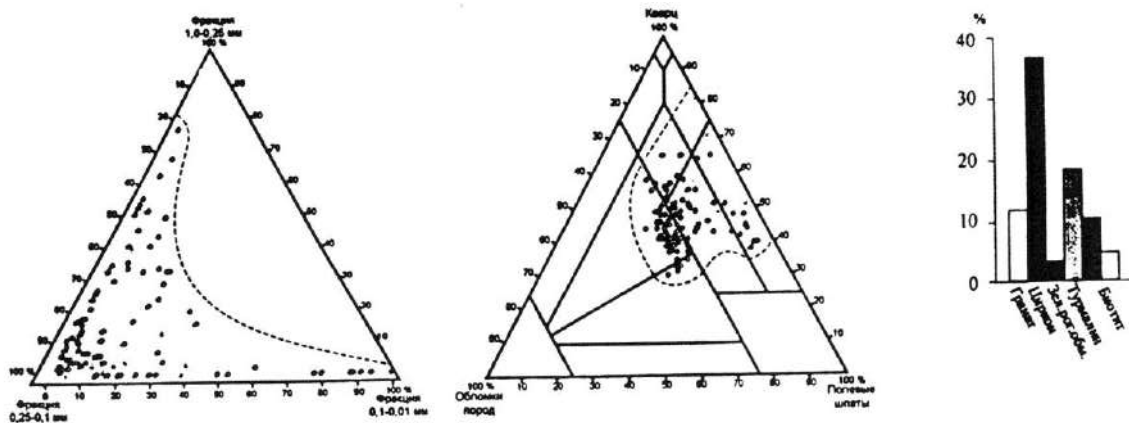


Рис. 8.2. Гранулометрический, вещественный и минералогический состав пород пласта ЮС₁³ аллювиально-дельтового комплекса. Средневазюганский мегавал (Л. С. Чернова и др., 2004)

При изучении минерального состава пород пярнуской серии Прибалтики мы использовали три группы коэффициентов. Во-первых, это *коэффициенты источников сноса* (петрофондовые по М. Г. Бергеру и др. [1979]), к которым были отнесены отношения циркон : рутил (1), циркон : гранаты (2), циркон : турмалин (3), турмалин : рутил (4), циркон : (дистен + ставролит) (5). Это отношения минералов, характерных для кристаллических пород разного происхождения: если циркон чаще связан с гранитоидными изверженными породами, то гранаты, дистен, ставролит имеют метаморфическое происхождение. Кроме того, в различных комплексах изверженных пород могут встречаться различные соотношения акцессорных минералов, которые отражаются в продуктах их разрушения. Коэффициенты источников сноса указывают на разные комплексы пород, размывавшихся в областях сноса. Поэтому коэффициенты 1 – 5 позволяют выделять минералогические комплексы, связанные с разными областями сноса.

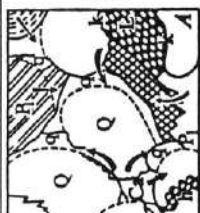
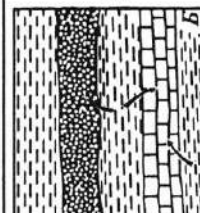
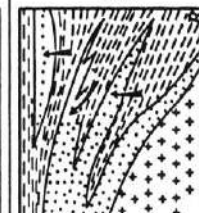
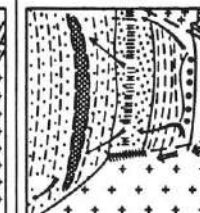

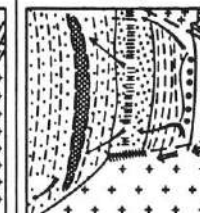

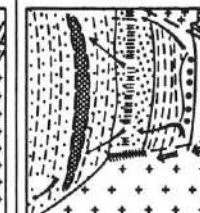

Вторая группа коэффициентов – тектонических – включает соотношения пар минералов с различной плотностью. Тектоническими они называются потому, что вследствие механической дифференциации, согласно данным Г. А. Каледы [1969], на вершинах конседиментационных структур концентрируются более тяжелые минералы, а на их склонах – более легкие. Поэтому изучение соотношений пар минералов с различной плотностью может дать указания на местоположение конседиментационных структур. К тектоническим коэффициентам можно отнести отношения таких пар минералов, как циркон : апатит (6), циркон : слюды (7), рудные минералы : турмалин (8), рудные минералы : слюды (9), кварц : слюды (10).

Третья группа коэффициентов – седиментационных – отражает условия отложения осадков, дальность их переноса и степень зрелости. Для этого сопоставляются пары устойчивых и неустойчивых в процессе химического выветривания, переноса и переотложения минералов. Такие коэффициенты представлены отношениями циркон : (пироксены + амфиболы + эпидот) (11), кварц : полевые шпаты (12). Чем выше зрелость и переработанность осадков, тем выше значения этих коэффициентов.

В распределении значений коэффициента циркон : гранаты в пярнуских отложениях Прибалтики наблюдается ярко выраженная закономерность: в западной части они всегда выше 1 и достигают 109, т. е. содержание циркона всегда выше, чем гранатов.

[Методы палеогеографических..., 1984]

9. Стадиальный анализ

	I	II	III
1 м			
1 км			
10 км			
10 км			
Унаследованные (тектонико-фоновые) преобразования	Внутрикомпонентное и межкомпонентное перераспределение вещества	Межслоевое перераспределение вещества	1. При литогенезе погружения (от стадии диагенеза до метаморфизма). 2. При литогенезе диамотермальной активизации (поздний ката- и метатенез)
Унаследованные (тектонико-фоновые) преобразования	Внутриформационное (мезоформационное) перераспределение вещества (альвионными флюидами)	Межформационное перераспределение вещества (и/или эндогенный поток-стимулятор процессов инфльтрационными флюидами)	То же, на стадии катагенеза (в основном на ранней или самом начале поздней подстадии)
Унаследованные (тектонико-фоновые) преобразования	Межформационное перераспределение вещества (и/или эндогенный поток-стимулятор процессов инфльтрационными флюидами)	Межформационное перераспределение вещества, стимулируемое инверсионно-тектоническими перестройками структуры осадочного бассейна	То же, на стадии катагенеза (в основном на ранней или самом начале поздней подстадии)
Унаследованные (тектонико-фоновые) преобразования	Межформационное перераспределение вещества (и/или эндогенный поток-стимулятор процессов инфльтрационными флюидами)	Межформационное перераспределение вещества, стимулируемое инверсионно-тектоническими перестройками структуры осадочного бассейна	Наложены на разные стадии литогенеза погружения (в основном катагенеза)
Унаследованные (тектонико-фоновые) преобразования	Межформационное перераспределение вещества (и/или эндогенный поток-стимулятор процессов инфльтрационными флюидами)	Межформационное перераспределение вещества, стимулируемое инверсионно-тектоническими перестройками структуры осадочного бассейна	Наложены на разные стадии литогенеза погружения (в основном катагенеза)

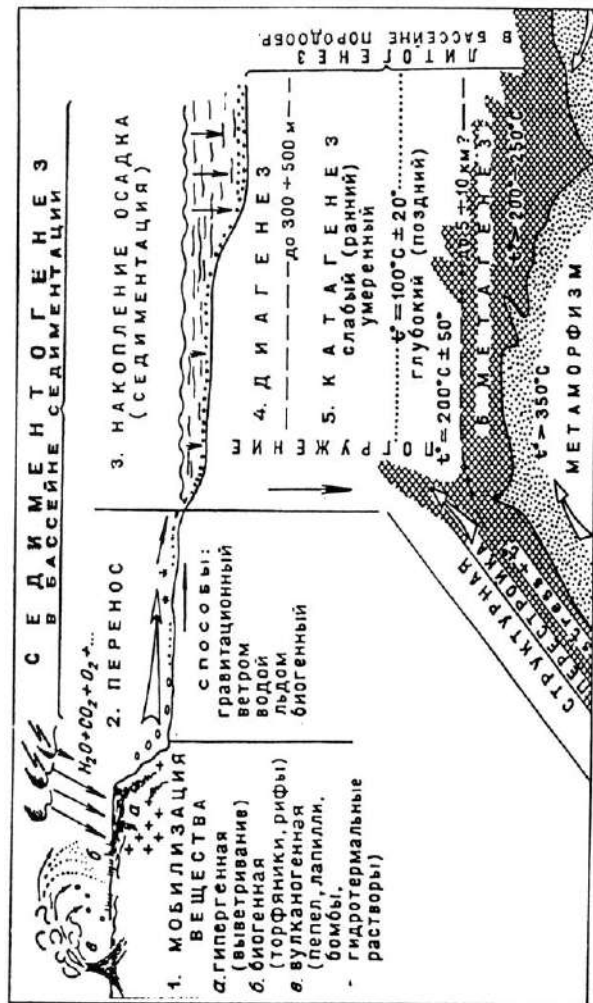


Рис. 9.1. Стадии осадочного процесса и их главные параметры (О. В. Янакурт, 2008):

схема ранжирования литогенетических преобразований и изменений осадочных пород и их комплексов: слева – схематические модели различных категорий преобразований, унаследованных от состава исходных осадков (А – В) и наложенных изменений (Г – Д).
 Справа: I – названия выделенных категорий; II – их масштабность применительно к способам перераспределения вещества; III – стадии и типы литогенеза, которые свойственны категории А-Д; I – фундамент ОБ; 2 – различные комплексы осадочных пород; 3 – зоны цементации и возникновения вторичной пористости; 4 – вторичная карбонатизация; 5 – вторичная каолинитизация, цеолитизация и др. новообразования; 6 – потоки флюидов и тепловой энергии (стрелки) вдоль разломов (пунктир); 7 – потоки флюидов, возникших вследствие трансформации осадочных минеральных и органических компонентов; 8 – различные литотипы; 9 – кластогенные компоненты в песчанике (состав обломков: кварц, плагиоклаз, биотит, литокласты; аутигенные образования: кварц, альбит, хлорит, кальцит, коррозийные микроструктуры)

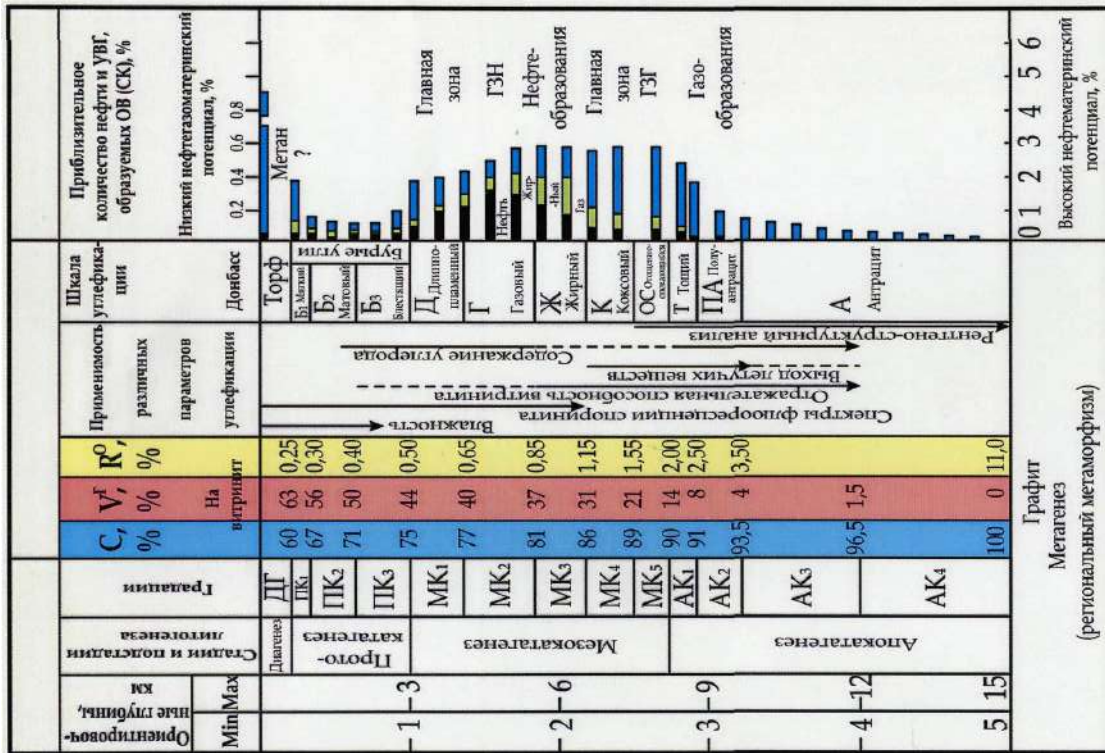


Рис. 9.2. Шкала метаморфизма

Исходный материал	Тип керогена	Vt%Ro → 0.5 0.7 0.9 1.1 1.3			
		Незрелое ОВ	Переходное ОВ	Зрелое ОВ (нефтяное окно)	
1. Витринит и инертинит преимущественно аллювиального, дельтового генезиса	III/IV	Биогенный газ		Газ	
2. Обогащенный резинитом (>10 %) аллювиальный, дельтовый	III/II	Биогенный газ		Конденсат / Газ	
3. Обогащенный литтинитом (>20 %) дельтовый, прибрежно-морской	II/III	Биогенный газ		Конденсат / Газ	
4. Обогащенный литтинитом, в условиях высокой бактериальной активности в озерах	I/II	Биогенный газ		Сухой газ	
5. Преимущественно алыгинит в условиях внутриконтинентальных водоемов, в т.ч. Морей	II	Биогенный газ		Сухой газ	
6. Преимущественно алыгинит - фотосинтезирующие бактерии, в т.ч. гиперсоленых морях и зонах апвеллинга	II/I	Биогенный газ	Тяжелая сернистая и сульфидная нефть	Сухой газ	

Рис. 9.3. Показатель отражения витринита: ключ к моделированию и установлению значений для газово-нефтяного окна

Раздел 3. ФИЗИКО-ХИМИЧЕСКИЕ МЕТОДЫ

10. Химический анализ (литохимия)

Система литохимических модулей (отношений петрогенных окислов)

Я. Э.Юдович, М. П. Кетрис, (2000 и др.)

Применение при исследовании терригенных пород системы литохимических модулей дает возможность более точно проводить их классификацию, реконструировать состав и особенности преобразования пород в источниках сноса, расшифровывать физико-химические и геодинамические особенности обстановок осадконакопления. Данный подход может быть использован как при исследовании рыхлых несцементированных осадков, так и метаморфизованных осадочных пород. Однако для изучения карбонатных и кремнистых отложений этот метод практически неэффективен, так как содержания большинства петрогенных окислов в названных типах осадочных образований невелики, а набор их ограничен.

Расчет литохимических модулей производится непосредственно по данным классического силикатного (так называемая «мокрая химия») или рентген-флуоресцентного анализов породы, выраженным в массовых процентах. Наиболее часто используемыми и, следовательно наиболее информативными модулями являются гидролизатный, алюмо-кремниевый, титановый, фемический, натриевый, калиевый, щелочной, модуль общей нормативной щелочности и железный.

Гидролизатный модуль $GM = (Al_2O_3 + TiO_2 + Fe_2O_3 + FeO + MnO)/SiO_2$

Гидролизатный модуль используется при изучении как обломочных, так и глинистых отложений и позволяет разделять породы, содержащие продукты гидролиза (каолинит, оксиды алюминия, железа, марганца) от пород, в которых преобладает кремнезем. Чем выше величина этих модулей в глинистых породах или песчаниках, тем более сильное выветривание претерпели исходные комплексы в областях размыва и тем выше зрелость осадочных пород. По величине GM терригенные и кремнистые породы могут быть разделены на: 1) силициты (кремни, фтанициты, яшмы, лидиты и пр.), мономиктовые кварцевые песчаники и кварциты, $GM < 0,10$; 2) слабоглинистые силициты (глинисто-кремнистые сланцы), олигомиктовые кварцевые песчаники и алевролиты, $GM = 0,10 - 0,20$; 3) глинистые силициты (кремнисто-глинистые сланцы), мезомиктовые и полимиктовые кварцевые песчаники и алевролиты, $GM = 0,20 - 0,30$; 4) глинистые породы, некоторые основные граувакки, $GM = 0,30 - 0,50$; 5) гидролизатные глинистые породы, содержащие каолинит либо свободные оксиды алюминия, железа и марганца, $GM > 0,50$.

Алюмокремниевый модуль $AM = Al_2O_3/SiO_2$

Алюмокремниевый модуль в значительной мере дублирует гидролизатный модуль и указывает на степень химического выветривания пород. Однако иногда такие типичные продукты гидролиза как некоторые железные руды, могут быть бедны Al_2O_3 , но обогащены железом. Из сказанного следует, что GM имеет более универсальное, нежели AM, значение при изучении алюмосиликокластических образований. В терригенных породах для модулей AM и GM обычно характерна хорошо выраженная положительная корреляция. Ее отсутствие иногда дает возможность установить присутствие в породах чуждых примесей. Так, низкие значения AM при высоких величинах GM могут являться индикатором присутствия в породах железистого вулканогенного материала.

Кварцевые песчаники и кремнистые породы имеют величину $AM < 0,10$. В «обычных» песчаниках значение AM находится, как правило, между 0,10 и 0,22. Для глинистых пород типичны значения AM, находящиеся в интервале 0,22 – 0,35. Наконец, при величине $AM > 0,35$ мы имеем дело с породами, испытавшими значительное влияние процессов гидролиза, т. е. сформированными за счет разрушения кор выветривания.

Фемический модуль $FM = (FeO + Fe_2O_3 + MgO)/SiO_2$

Рассматриваемый модуль обычно применяется при разделении граувакк и др. типов песчаников. Так как для граувакк характерно достаточно большое количество темноцветных минералов, они нередко весьма схожи по величине FM с собственно глинистыми породами. Модуль FM имеет важное значение, и при распознавании петро- и пирогенных (вулканогенных) отложений такие породы практически всегда характеризуются значениями $FM > 0,10$.

Фемический модуль нельзя применять при исследовании пород, в состав которых входит доломит.

Титановый модуль $TM = TiO_2/Al_2O_3$

На величину титанового модуля в осадочных породах влияют содержание TiO_2 в осадке и степень механической сортировки кластики. Исходя из этого, максимальные значения TM характерны для зрелых осадочных пород (кварциты и кварцевые песчаники из зон с максимальной подвижностью среды осадконакопления), а минимальные наблюдаются в аргиллитах флиша. Песчаные и глинистые породы, сформированные в различных фациальных и климатических обстановках, имеют различные значения TM.

Натриевый модуль $NM = Na_2O/Al_2O_3$

Натриевый модуль, как и ряд других модулей, характеризует особенности процессов химического выветривания и созревания поступающей в бассейн кластики. Чем меньше величина NM, тем меньше плагиоклазов поступило в область осадконакопления из питающей провинции и, тем самым, NM выступает в определенной мере показателем типа климата, доминирующего на палеоводосборах. Максимальные значения NM характерны для граувакковых песчаников. По величине NM терригенные и кремнистые породы подразделяются на гидролизатные отложения ($NM < 0,010$), собственно кремнистые породы ($NM = 0,010 - 0,050$) и граувакки ($NM > 0,20$). В обычных терригенных породах величина NM варьирует от 0,050 до 0,20 (в песчаниках NM, как правило, выше, чем в аргиллитах).

Щелочной модуль $\text{ЩМ} = \text{Na}_2\text{O}/\text{K}_2\text{O}$

Данный модуль при совместном использовании с НМ и калиевым модулем ($\text{KM} = \text{K}_2\text{O}/\text{Al}_2\text{O}_3$) позволяет оценить присутствие в породе Na-содержащих минералов (главным образом породообразующих – высокие значения ЩМ характерны для пород с доминированием кислых плагиоклазов, значительным количеством слюды и калиевых полевых шпатов).

Общая нормативная щелочность $\text{ОНЩ} = (\text{Na}_2\text{O} + \text{K}_2\text{O})/\text{Al}_2\text{O}_3$

Модуль общей нормативной щелочности (или иначе – «полевошпатовый индикатор») позволяет диагностировать присутствие в осадочных породах камуфлированной пирокластики даже в тех случаях, когда обычными петрографическими методами она не фиксируется. Повышенные значения модуля ОНЩ могут возникать при увеличении количества полевых шпатов в породе и присутствии низкоглиноземистых силикатов (щелочных амфиболов, железистых гидрослюд), в состав которых обычно входят щелочи. Как правило, высокие значения модуля ОНЩ характерны для пород, содержащих примесь вулканогенного материала основного состава.

По значениям модуля ОНЩ терригенные и кремнистые породы могут быть отнесены к следующим классам: 1) $< 0,20$ –низкощелочные; 2) $0,20 - 0,40$ – нормально-щелочные; 3) $0,40-0,70$ – повышеннощелочные; 4) $0,70 - 1,00$ –высокощелочные; и 5) $> 1,00$ – гиперщелочные.

Железный модуль $\text{ЖМ} = (\text{FeO} + \text{Fe}_2\text{O}_3 + \text{MnO})/(\text{Al}_2\text{O}_3 + \text{TiO}_2)$

Железный модуль чаще всего используют в паре с гидролизатным, что позволяет получить подробную информацию о тонкозернистых продуктах гидролиза. По величине ЖМ среди терригенных и кремнистых пород выделяются следующие классы: 1) $< 0,20$ –низкожелезистые; 2) $0,20-0,60$ – нормально-железистые; 3) $0,60 - 1,00$ –повышенно-железистые; 4) $> 1,00$ – высоко-железистые; и 5) $> 3,00$ –гипержелезистые. Большинство обломочных пород характеризуется величиной ЖМ, варьирующей от 0,20 до 0,60. Для Al-пелитов характерны значения ЖМ $< 0,20$, а ЖМ $> 0,60$ типичны для Fe-пелитов. Однако высокие значения ЖМ не всегда соответствуют первичной железистопелитового вещества, так как они подвержены влиянию диа- и эпигенетических процессов.

Диаграмма в координатах ТМ – TiO_2

Эта диаграмма позволяет провести достаточно дробное разделение и псаммитов, и пелитов. Кроме осадочных пород указанная диаграмма может быть использована и при анализе пород метаморфических, так как Ti при процессах регионального метаморфизма в большинстве случаев является инертным. Граувакки и туфы основного состава, характеризующиеся максимальными содержаниями TiO_2 и высокими значениями титанового модуля, занимают на диаграмме ТМ – TiO_2 принципиально иное поле, нежели аркозы и кварц-полевошпатовые песчаники, для которых типичны наименьшая титанистость и самые низкие значения ТМ (рис. 10.1). Особое место на данной диаграмме занимают кварцевые песчаники, в которых содержания TiO_2 сопоставимы с теми, что типичны для аркозов, тогда как величина титанового модуля существенно выше, что обусловлено разделением Al и Ti в процессе интенсивного химического выветривания, ведущего к формированию кварцевых аренинов.

Диаграмма ТМ- TiO_2 дает также возможность классифицировать по минеральному составу глинистые породы, так как наиболее высокие содержания TiO_2 и высокие значения ТМ характерны для каолиновых глин, минимальные значения указанных параметров типичны для монтмориллонитовых глин, а гидрослюдистые и гидрослюдисто-хлоритовые глины занимают промежуточное между ними положение (рис. 10.2).

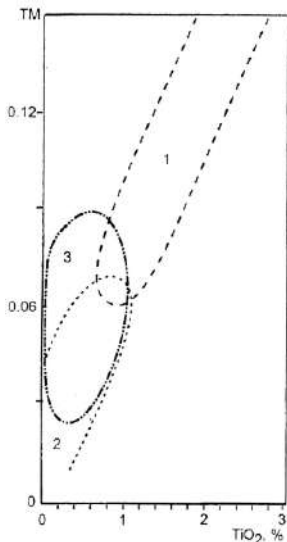


Рис. 10.1. Диаграмма ТМ- TiO_2 для песчаников: поля: 1 – граувакк; 2 – аркозов; 3 – кварцевых песчаников

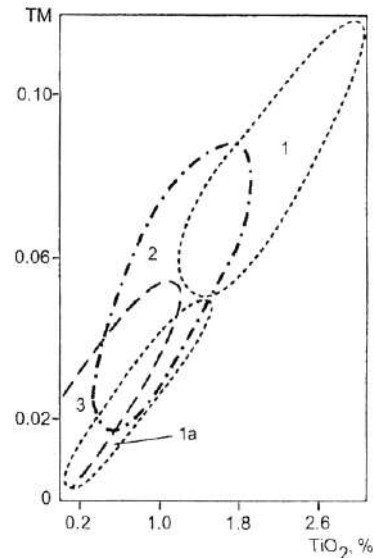


Рис. 10.2. Диаграмма ТМ- TiO_2 для глинистых пород: поля: 1 – каолиновых глин; 1а – низкомолекулярных каолиновых глин - продуктов катагенетических преобразований монтмориллонитового или каолинового субстрата; 2 – существенно гидрослюдистых глин; 3 – существенно монтмориллонитовых глин

11. Геохимия микроэлементов

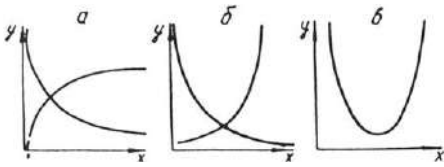


Рис. 11.1. Виды зависимостей:
а – логарифмическая, б – степенная, в – параболическая

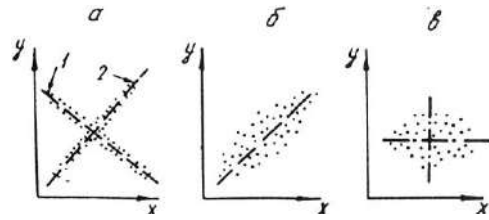


Рис. 11.2. Линейная зависимость:
а – тесная (1 – отрицательная, 2 – положительная),
б – слабая, в – отсутствует

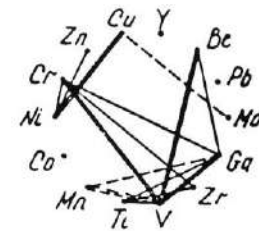
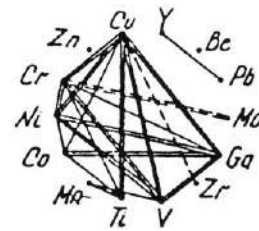
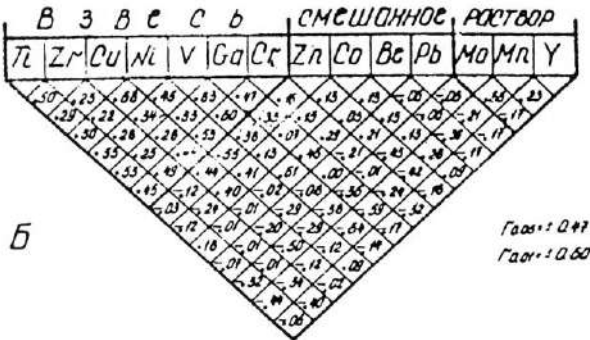
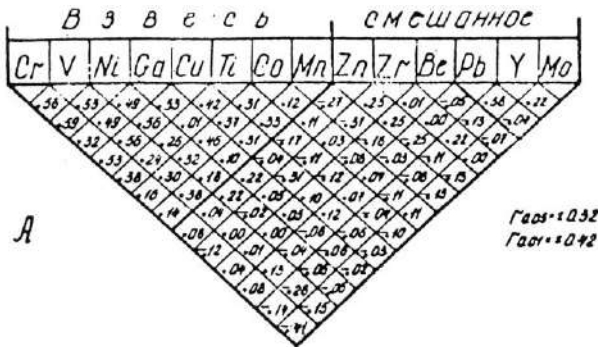


Рис. 11.3. Ряды подвижности (слева) и графы связей (справа) по русловым (А) и пойменным (Б) отложениям. Тольинская свита Северо-Сосьвинского района

Таблица. 11.1
Критические значения для выборочного коэффициента корреляции (принимать значения для $f = n - 2$)

f	α		f	α		f	α	
	0,05	0,01		0,05	0,01		0,05	0,01
1	0,997	1,000	16	0,468	0,590	110	0,186	0,242
2	0,950	0,990	17	0,456	0,575	120	0,178	0,232
3	0,878	0,959	18	0,444	0,561	130	0,171	0,223
4	0,811	0,917	19	0,433	0,549	140	0,165	0,215
5	0,754	0,875	20	0,423	0,537	150	0,160	0,210
6	0,707	0,834	25	0,381	0,487	200	0,139	0,182
7	0,666	0,798	30	0,349	0,449	300	0,113	0,148
8	0,632	0,765	35	0,325	0,418	400	0,098	0,129
9	0,602	0,735	40	0,304	0,393	500	0,088	0,115
10	0,576	0,708	50	0,273	0,354	600	0,080	0,105
11	0,553	0,684	60	0,250	0,325	700	0,074	0,097
12	0,532	0,661	70	0,232	0,302	800	0,069	0,091
13	0,514	0,641	80	0,217	0,283	900	0,065	0,086
14	0,497	0,623	90	0,205	0,267	1000	0,062	0,081
15	0,482	0,606	100	0,195	0,254			

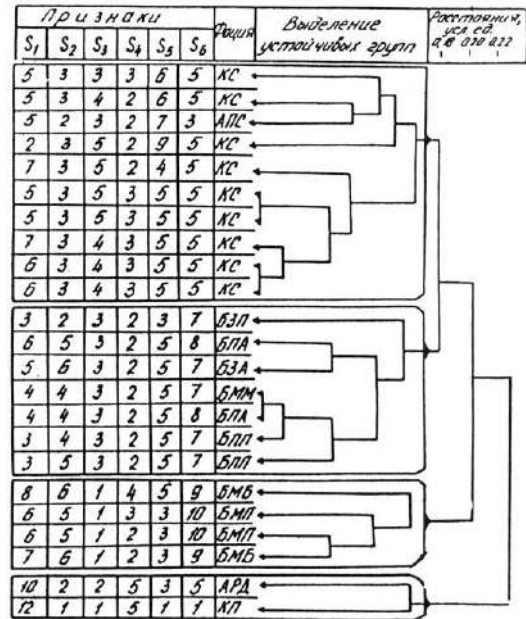


Рис. 11.4. Кластерная диаграмма объектов (слоев) по их диагностическим признакам

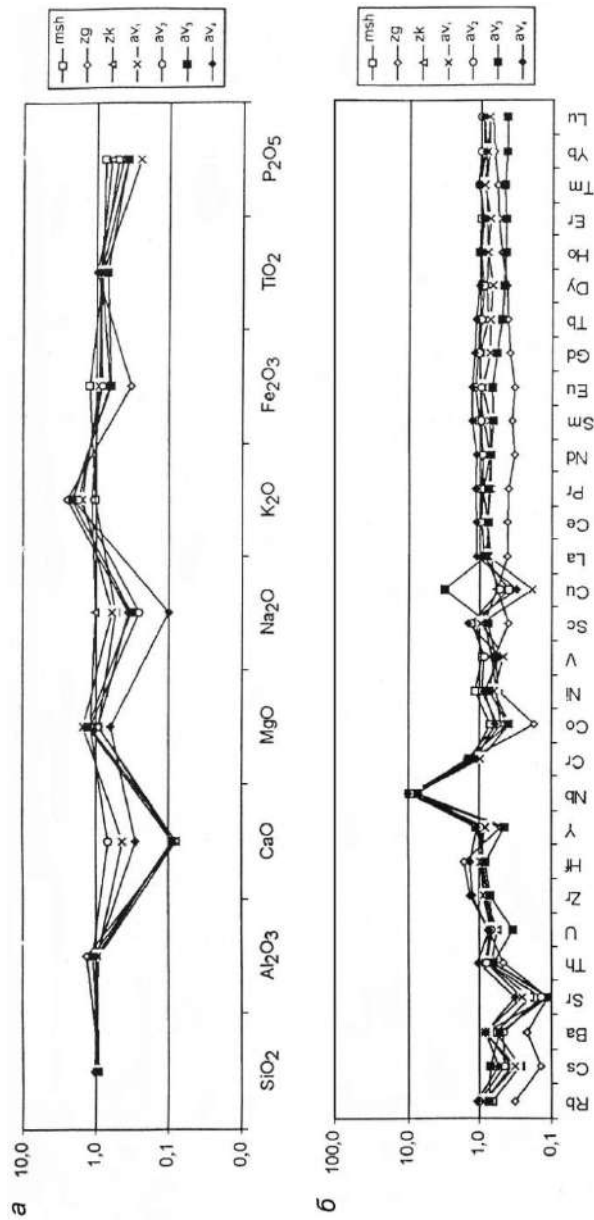


Рис. 11.5. Слайдер-диаграмма нормированных на $PAAS$ содержаний петрогенных оксидов (а) и малых элементов (б) в глинистых сланцах основных литостратиграфических подразделений юрматинской серии среднего рифея Башкирского мегантиклинория (Маслов и др., 2004): msh – машакская свита; zg – зигальгинская свита; zk – зигазино-комаровская свита; авянская свита; av_1 – катакская свита; av_2 – малоинзерская свита; av_3 – ушаковская свита; av_4 – куткурская свита

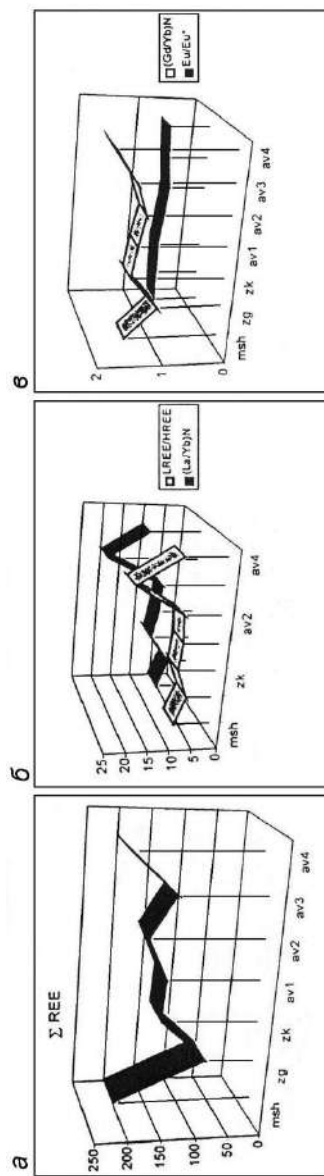


Рис. 11.6. Особенности изменения суммы РЗЭ (а), отношений La_N/Yb_N , La_N/Yb_N (б) и отношений Gd_N/Yb_N и Eu/Eu^* (в) в глинистых сланцах юрматинской серии среднего рифея Башкирского мегантиклинория (Маслов и др., 2004): msh – машакская свита; zg – зигальгинская свита; zk – зигазино-комаровская свита; авянская свита; av_1 – катакская свита; av_2 – малоинзерская свита; av_3 – ушаковская свита; av_4 – куткурская свита

12. Термический, рентгеноструктурный, люминисцентный, электронно-микроскопический методы



Рис. 12.1. Методы изучения глинистых пород (по М. Ф. Викуловой):

1 – полевое изучение; 2 – петрографическое изучение шлифа; 3 – гранулометрический анализ; 4 – химический анализ; 5 – термический анализ; 6 – спектральный анализ; 7 – изучение оптических свойств агрегатов ориентированных частиц глинистых минералов размером менее 0.001 мм; 8 – электронная микроскопия; 9 – электронографический анализ; 10 – рентгеновский; 11 – спектрофотометрический анализ; 12 – изучение инфракрасных спектров поглощения; 13 – минералогический анализ неглинистых минералов; 14 – изучение органического вещества; 15 – органические остатки - палеонтологические определения; 16 – изучение поглощенного комплекса катионов; 17 – определение водорастворимых солей; 18 – диализ и электродиализ; 19 – определение pH; 20 – определение Eh

Термический метод

В процессе нагревания в минералах происходят различные изменения: обезвоживание (потеря воды с разрушением решетки и без разрушения в зависимости от типа воды), диссоциация – распад с выделением газовой фазы, плавление, полиморфные превращения, окисление, раскристаллизация, перекристаллизация и т. д. Реакции обезвоживания, диссоциации, плавления и полиморфные превращения происходят с поглощением тепла, являются эндотермическими. Реакции окисления, кристаллизации и перекристаллизации протекают с выделением тепла и называются экзотермическими.



Рис.12.2. Типовые кривые нагревания глинистых и карбонатных минералов

Рентгеновский метод

Рентгеновский метод основан на анализе особенностей дифракции рентгеновских лучей при облучении кристаллов, что упрощенно можно рассматривать как отражение лучей от плоских сеток пространственной решетки. С помощью этого метода можно установить величину межплоскостного расстояния в кристаллах, определить симметрию, размеры элементарной ячейки и по этим данным определить минерал.

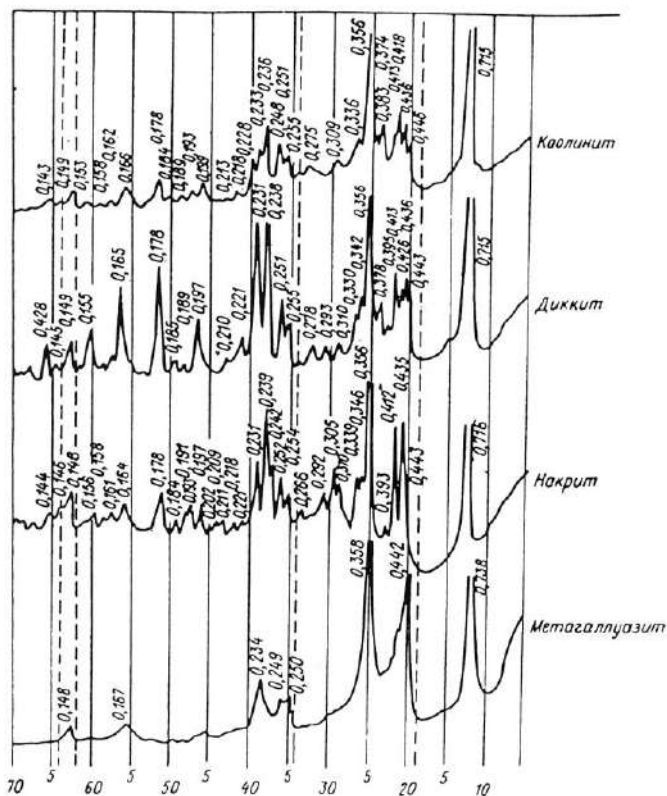


Рис. 12.3. Дифрактограмма каолинита и его производных (Котельникова Е. Н., 1984)

Люминесцентный метод

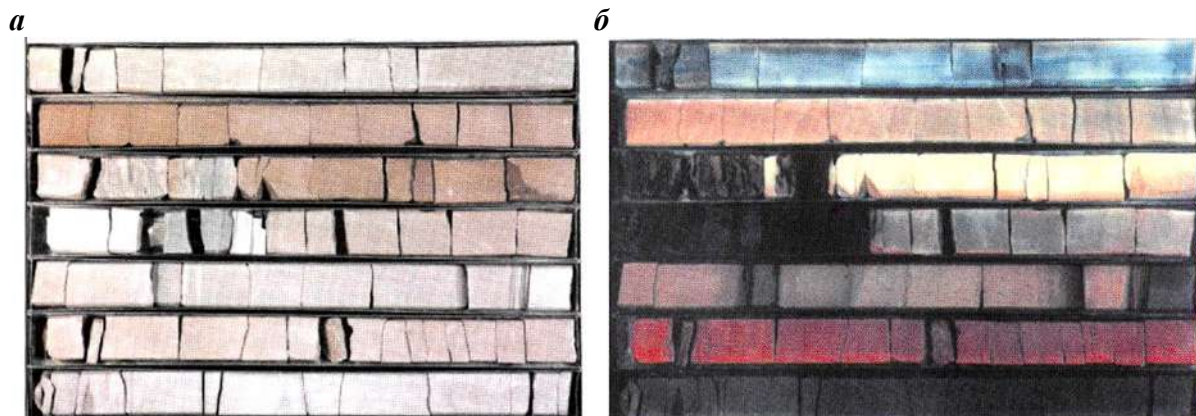


Рис. 12.4. Фотографии нефтенасыщенного ядра в дневном (а) и ультрафиолетовом (б) свете (Усманов И. Ш. и др., 2003):

1 – Назаргалеевское, скв.3219; 2 – Западно-Айпимское, скв.7058; 3 – Айпимское, скв.4042; 4 – Маслиховское, скв.3280; 5 – Посткарпаманская площадь, скв.7071; Ульяновское, скв.3306; 7 – Западно-Айпимское, скв.554

Электронная микроскопия

Единицы длины	м	мм	мкм (мк)	нм (ммк)
Метр, м	1	10^3	10^6	10^9
Миллиметр, мм	10^{-3}	1	10^3	10^6
Микрометр, мкм (устар. микрон, мк)	10^{-6}	10^{-3}	1	10^3
Нанометр, нм (устар. миллимикрон, ммк)	10^{-9}	10^{-6}	10^{-3}	1

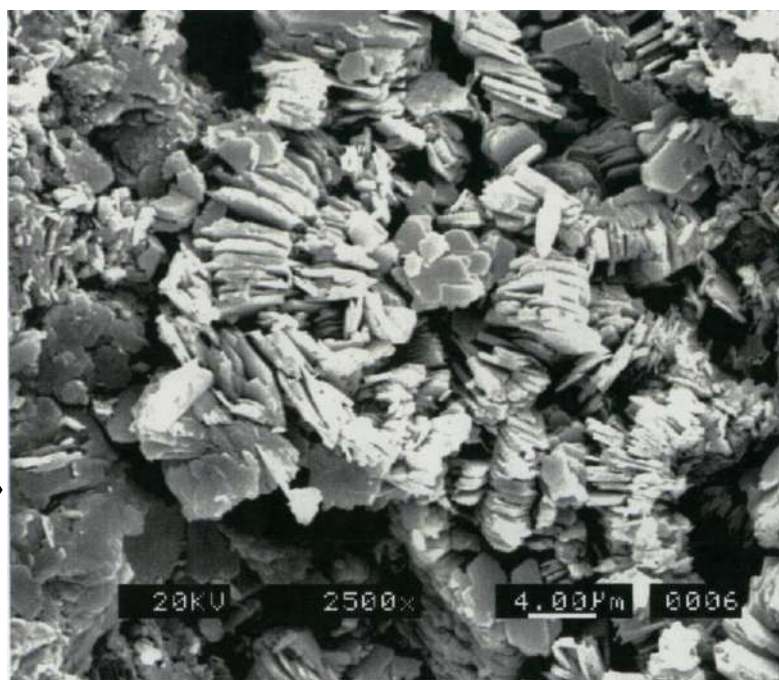


Рис. 12.5. Массивные и вермикулитообразные скопления хорошо образованных мелкотаблитчатых кристаллов каолинита, выполняющие межзерновое пространство с образованием микропор. Сечение кристаллов 2-4 мкм, пор - 4-6 мкм

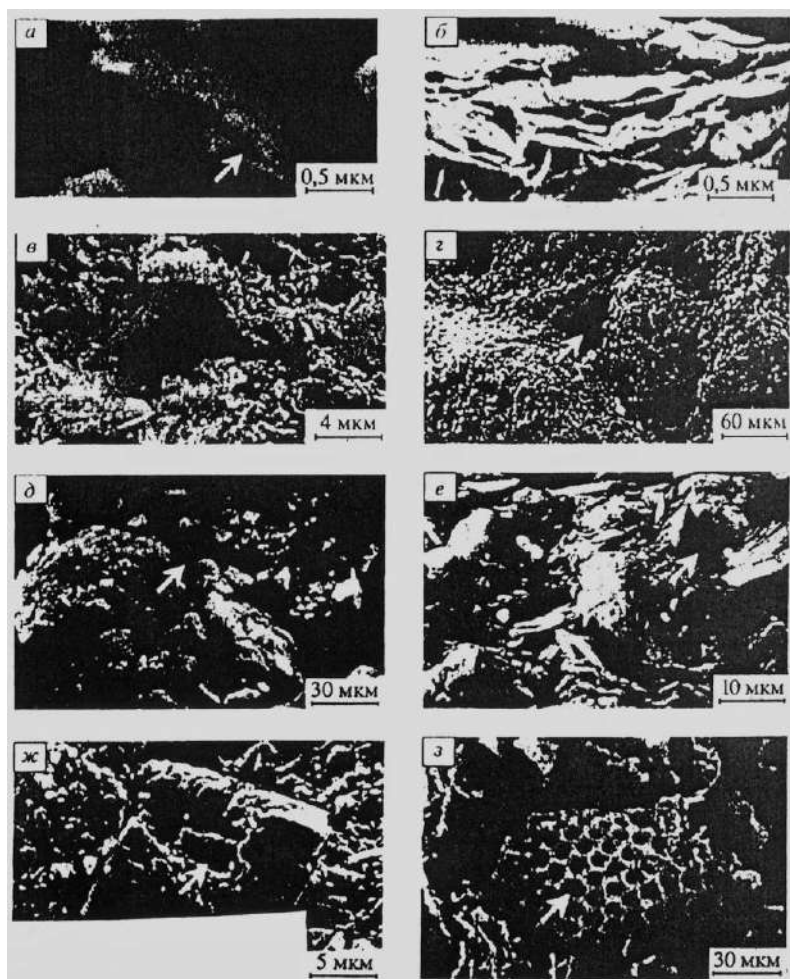


Рис. 12.6. Типы пор в глинистых породах (Осипов и др., 2001): а – межчастичные; б – межультра-микроагрегатные; в – межмикроагрегатные; г – межагрегатные; д – межзернистые; е – межмикроагрегатно-зернистые; ж – внутризерновые; з – поры биогенного происхождения

13. Фильтрационно-емкостные свойства (ФЕС)

Таблица 13.1

Физические свойства пород (Ломтадзе В. Д., 1990)

Параметр	Определение	Единица измерения	
		СГС	СИ
Плотность	Физическая характеристика тела, вещества, горных пород, численно равная массе единицы объема тела, т. е. отношение массы твердой, жидкой и газовой фаз к его объему	г/см ³	кг/м ³
Минеральная плотность	Отношение массы твердой фазы горной породы (минерала) к объему твердой фазы	г/см ³	кг/м ³
Вес удельный	Параметр, определяющий притяжение горных пород и характер создаваемого ими аномального гравитационного поля. Отношение веса горной породы (минерала) к объему породы (минерала)	дин/см ³	Н/м ³
Пористость общая	Совокупность всех сообщающихся и изолированных пустот в минеральном скелете породы	%	%
Пористость открытая	Совокупность пустот в минеральном скелете породы, сообщающихся между собой и с атмосферой	%	%
Пористость эффективная	Часть порового пространства, заполненного движущимся по нему флюидом	%	%
Коэффициент пористости	Отношение объема пор к объему породы	–	–
Остаточная вода	Содержание рыхло и крепко связанной воды, занимающей часть полезного объема открытой пористости	% к объему	%
Проницаемость	Способность пород пропускать через себя жидкости и газ. Физический смысл размерности (м ²) заключается в том, что проницаемость как бы характеризует величину площади сечения каналов пористой среды, по которым в основном происходит фильтрация	миллидарси	1,02·10 ⁻⁴ м ²

Проницаемость ранее измерялась в Дарси по имени Анри Дарси, предложившего в 1856 г. уравнение для определения фильтрации $Q = (KS/M) \cdot (dp/dx)$, где Q – объемный расход жидкости в единицу времени; K – постоянная проницаемости; S – площадь поперечного сечения; M – вязкость жидкости; dp/dx – гидравлический градиент, или разность в давлении в направлении течения x .

Это уравнение дано для ламинарного течения флюидов в пористых средах; при заданном значении K скорость фильтрации через породы прямо пропорциональна перепаду давления. 1 Ланси равно $1 \cdot 10^{-12} \text{ м}^2$.

Таблица 13.2

Оценочная классификация песчано-алевритовых коллекторов нефти и газа с межзерновой пористостью (по А. А. Ханину, 1956, 1969, 1973)

Класс коллектора	Название породы	Пористость эффективная (полезная емкость), %	Проницаемость по газу, миллидарси	Характеристика коллектора по проницаемости
I	Песчаник среднезернистый Песчаник мелкозернистый Алевролит крупнозернистый Алевролит мелкозернистый	$\geq 16,5$ ≥ 20 $\geq 23,5$ ≥ 29	≥ 1000	Очень высокая
II	Песчаник среднезернистый Песчаник мелкозернистый Алевролит крупнозернистый Алевролит мелкозернистый	15 – 16,5 18 – 20 21,5 – 23,5 26,5 – 29	500 – 1000	Высокая
III	Песчаник среднезернистый Песчаник мелкозернистый Алевролит крупнозернистый Алевролит мелкозернистый	11 – 15 14 – 18 16,8 – 21,5 20,5 – 26,5	100 – 500	Средняя
IV	Песчаник среднезернистый Песчаник мелкозернистый Алевролит крупнозернистый Алевролит мелкозернистый	5,8 – 11 8 – 14 10 – 16,8 12 – 20,5	10 – 100	Пониженная
V	Песчаник среднезернистый Песчаник мелкозернистый Алевролит крупнозернистый Алевролит мелкозернистый	0,5 – 5,8 2 – 8 3,3 – 10 3,6 – 12	1 – 10	Низкая
VI	Песчаник среднезернистый Песчаник мелкозернистый Алевролит крупнозернистый Алевролит мелкозернистый	< 0,5 < 2 < 3,3 < 3,6	< 1	Обычно не имеет промышленного значения

Примечание. Диаметр частиц, мм: песчаник среднезернистый, 0,50 – 0,25, песчаник мелкозернистый 0,25 – 0,10, алевролит крупнозернистый 0,10 – 0,05, алевролит мелкозернистый 0,05 – 0,01.

Оценочная шкала экранирующей способности глинистых пород (Ханин, 1969)

Группа	Максимальный диаметр пор, мкм	Абсолютная проницаемость по газу, мД	Давление прорыва газа, МПа	Экранирующая способность
А	≤ 0,01	10 ⁻⁶	≥ 12,0	Весьма высокая
В	0,05	10 ⁻⁵	8,0	Высокая
С	0,30	10 ⁻⁴	5,5	Средняя
Д	2,00	10 ⁻³	3,3	Пониженная
Е	10,00	10 ⁻²	< 0,5	Низкая

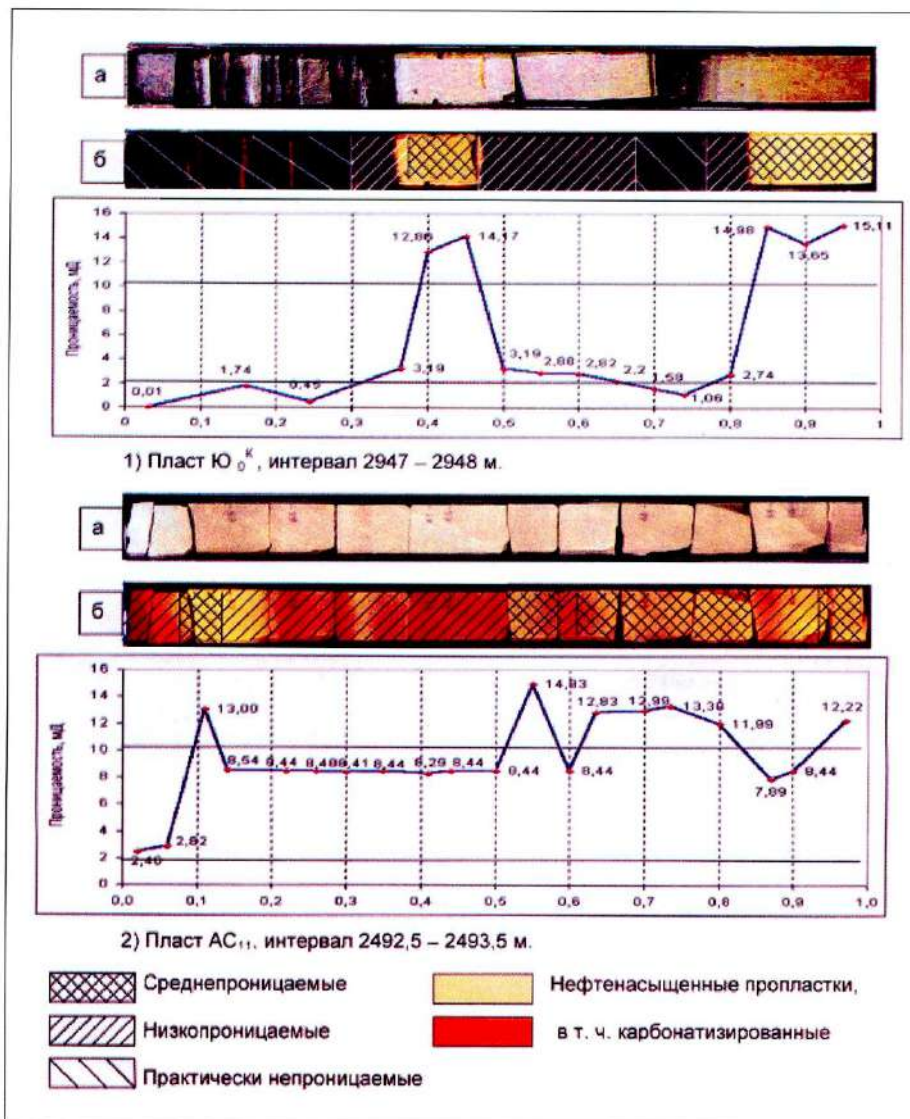


Рис.13.1. Изображение в дневном (а) и ультрафиолетовом (б) свете и проницаемость кернa скв. 4453 Восточно-Тромъганского (1) и 554 Западно-Айпимского (2) месторождений (Усманов И. Ш. и др., 2002)

FZI – индикатор гидравлического типа коллектора (FlowZoneIndicator), являющийся трансформантом из уравнения Кармена-Казени и вычисляемый по формуле $\frac{0,0314 \sqrt{k/\phi}}{\phi/(1-\phi)}$, где k – проницаемость (permeability), ϕ – пористость (porosity).

HFU или HU – гидравлическая единица потока (HydraulicFlowUnit), определяемая как «представительный элементарный объем породы, внутри которого геологические и петрофизические свойства, влияющие на течение жидкости, взаимно согласованы и предсказуемо отличимы от других пород».

RQI – индекс качества коллектора (ReservoirQualityIndex) = $0,0314 \sqrt{\frac{k}{\phi}}$.

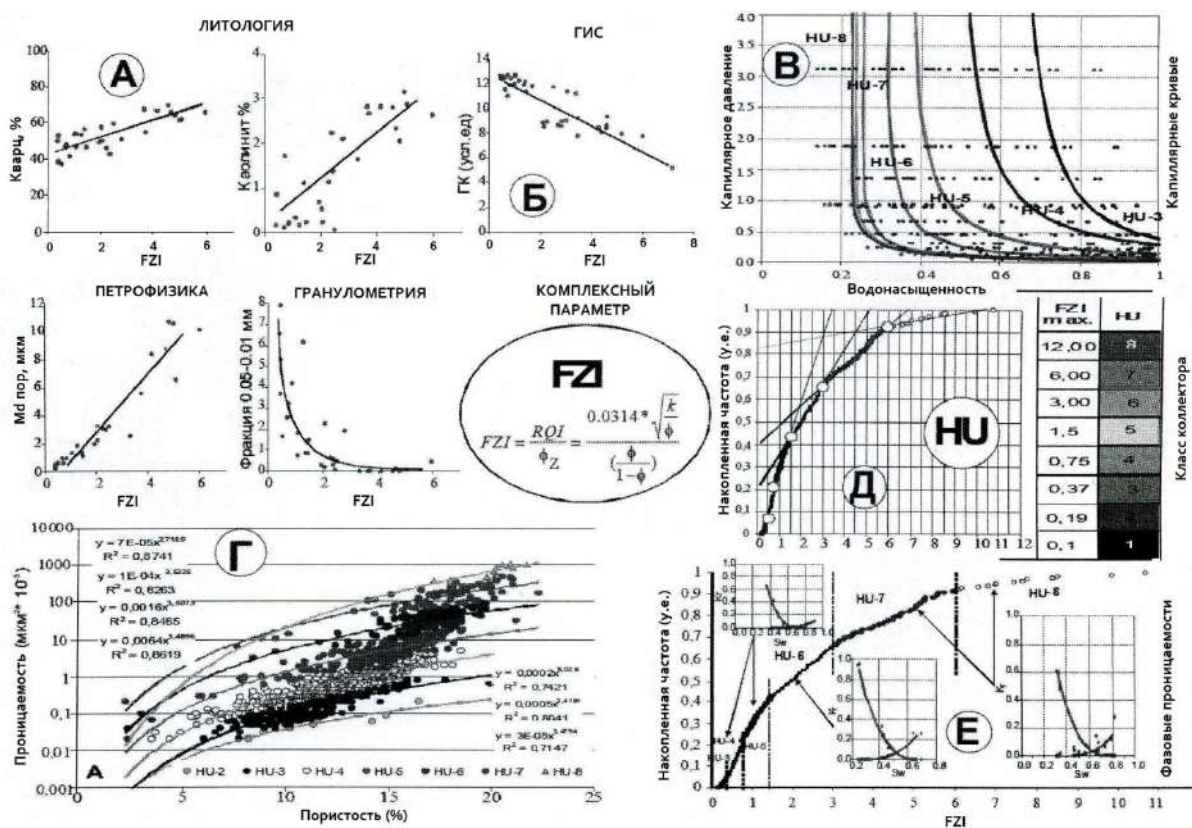
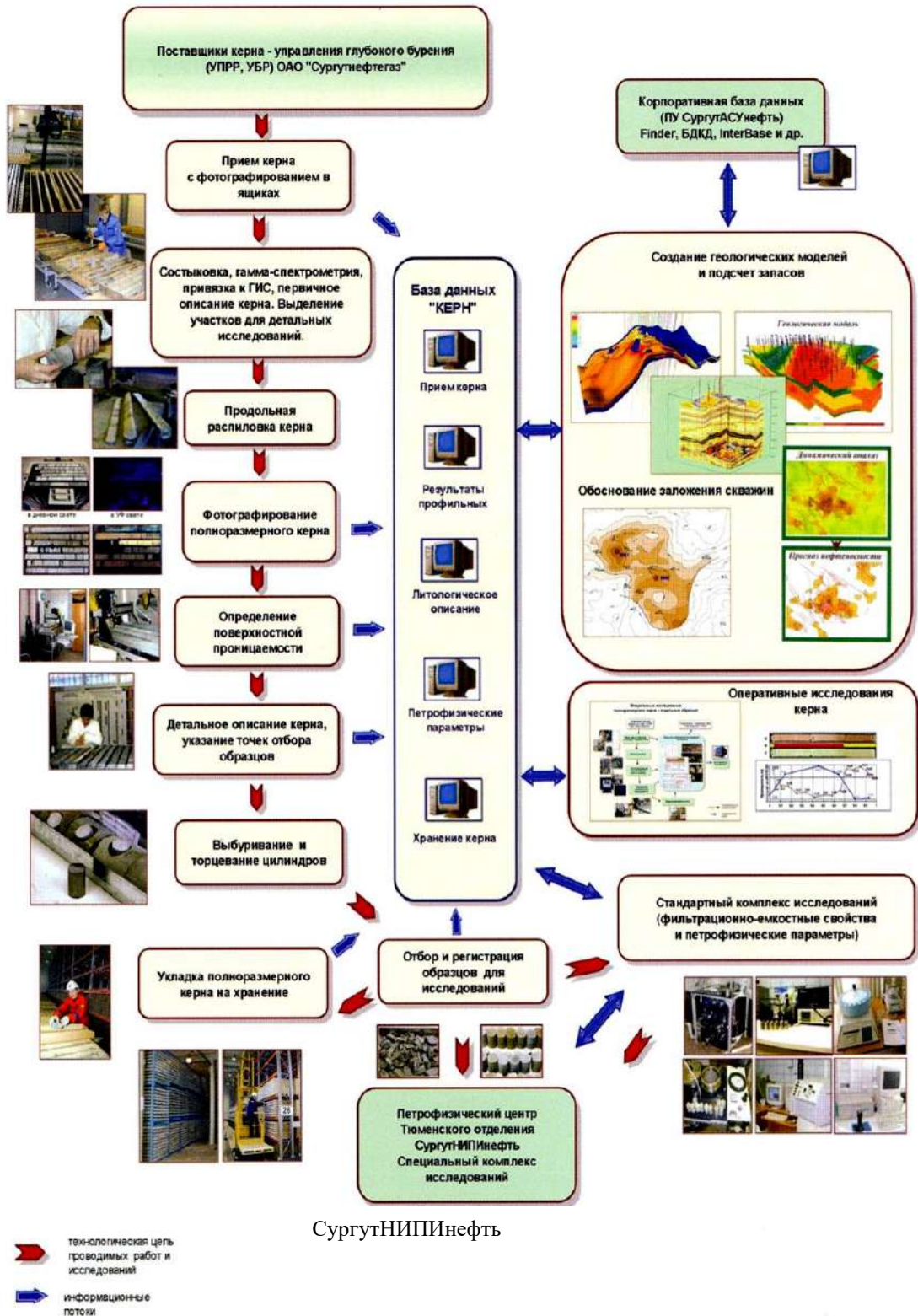


Рис. 13.2. Выделение классов коллектора на примере пласта Ю³ Крапивинского месторождения (Кошовкин, Белозеров, 2007):

- А, Б – корреляционные зависимости FZI с различными свойствами пород;
- В – классы коллекторов, выделяемые по гидродинамическим параметрам;
- Г – положение классов коллекторов в координатах «пористость – проницаемость»;
- Д – систематизация классов коллекторов в единицах FZI;
- Е – гидродинамические характеристики выделенных классов

14. Комплексирование методов



СургутНИПИнефть

Рис.14.1. Основные этапы базового комплекса исследования ядра

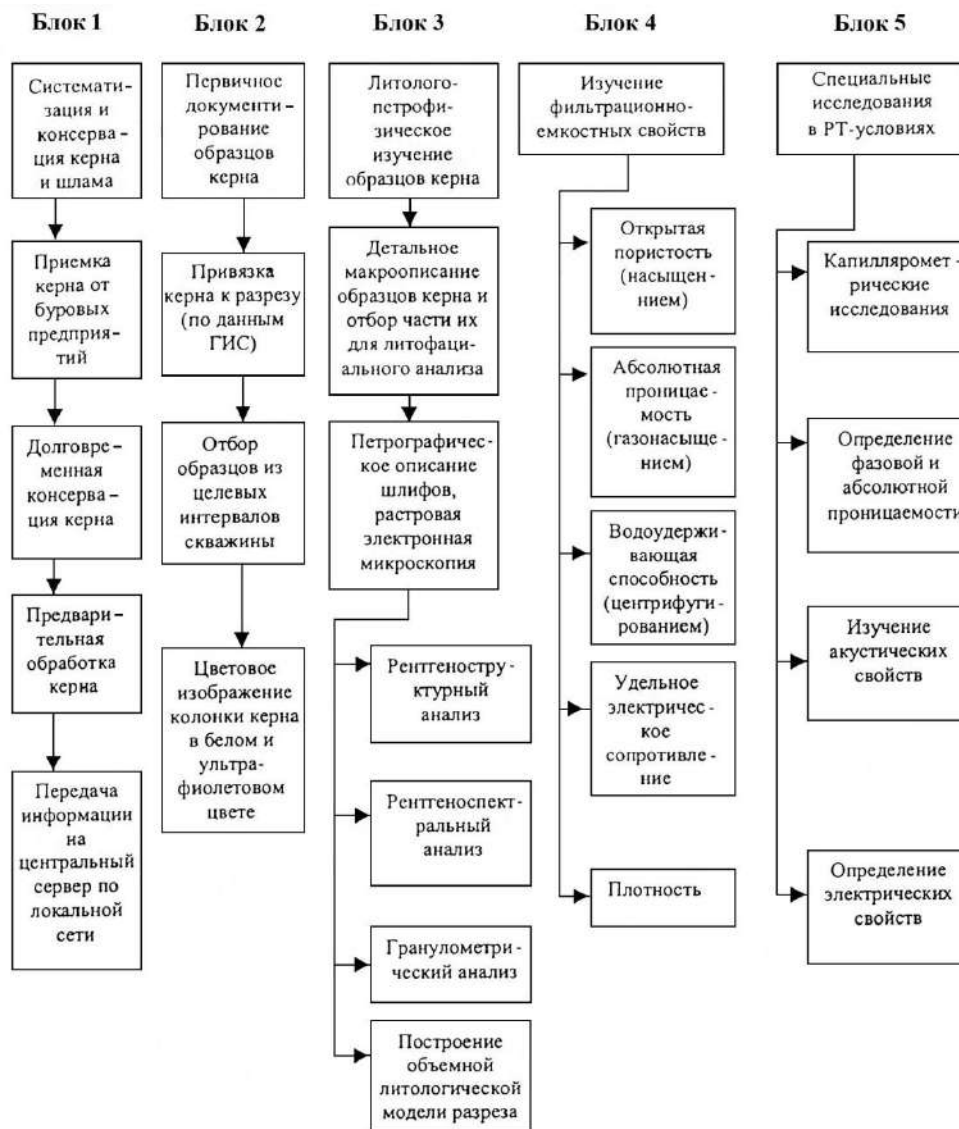


Рис.14.2. Схема обеспечения долговременного хранения и комплексного исследования образцов керна в «КогалымНИПИнефть»

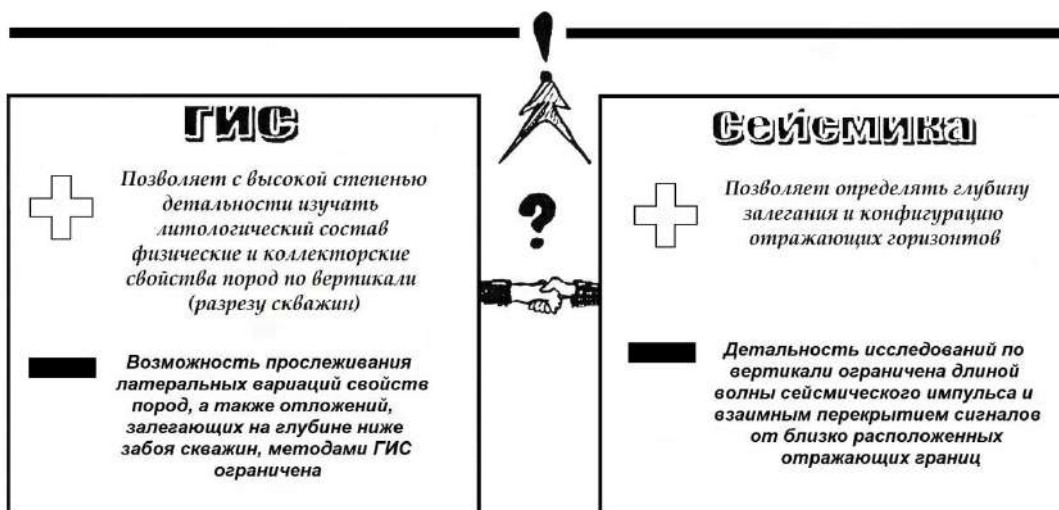


Рис.14.3. Соотношение дистанционных методов (по Е. О. Белякову)

Раздел 4. ОБРАБОТКА РЕЗУЛЬТАТОВ ИССЛЕДОВАНИЙ И РЕШЕНИЕ ГЕОЛОГИЧЕСКИХ ЗАДАЧ

15. Отбор проб и обработка результатов исследований

Рис. 15.1. Принципы отбора проб
(стрелками показаны места их взятия):

Вариант А – послойное опробование. При мощности слоя больше некоторого заданного граничного значения пробы отбираются также через заранее заданный интервал. Например, при мощности слоя более 2 м пробы берутся не реже чем через 2 м, и тогда из 7-метрового слоя нужно взять 3 пробы.

Вариант Б – равномерный отбор проб из одного типа пород по заданному интервалу между точками отбора. При этом необходимо стремиться к наиболее близким по значению промежуткам между пробами (что, скорее всего, никогда не будет достигнуто).

Вариант В – равномерное (желательно послойное) опробование уверенно увязанного горизонта по двум или более скважинам.

Вариант Г – отбор единичных проб из одного слоя или горизонта по некоторой, желательно равномерной, сети выработок.

Очевидно, что отбор проб по вариантам А и Б нацелен на выявление вопросов закономерностей в строении толщ (прежде всего повторяемости и направленности изменений показателей свойств); вариант В – на решение проблем корреляции и Г – для площадных (палеогеографических) реконструкций

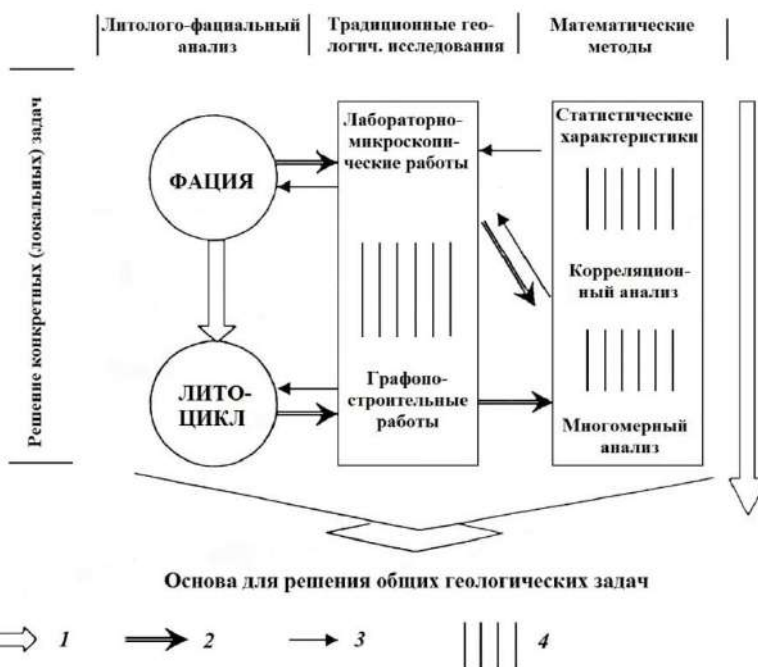
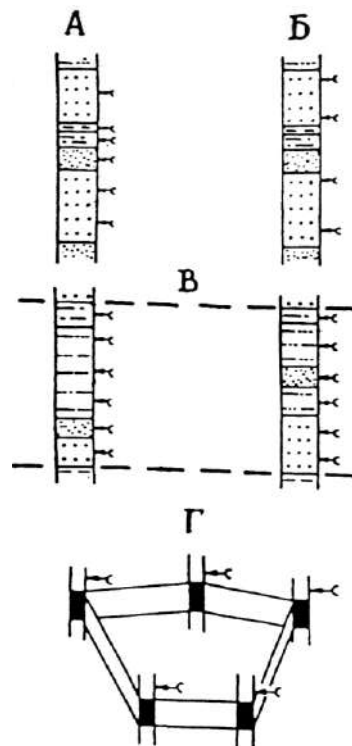


Рис. 15.2. Соотношение основных видов исследований (применительно к литолого-фациальному анализу):

1 – основное направление в выполнении работ (от частного – к общему); 2 – получение новой информации; 3 – «заверка» и (или) способ получения результатов; 4 – интервалы интенсивного взаимопроникновения и взаимосвязи методов и методик

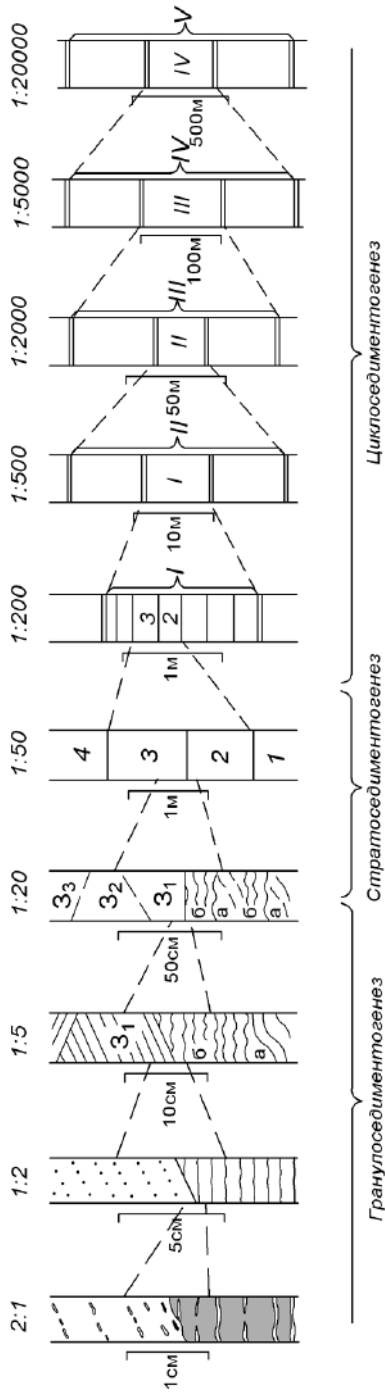
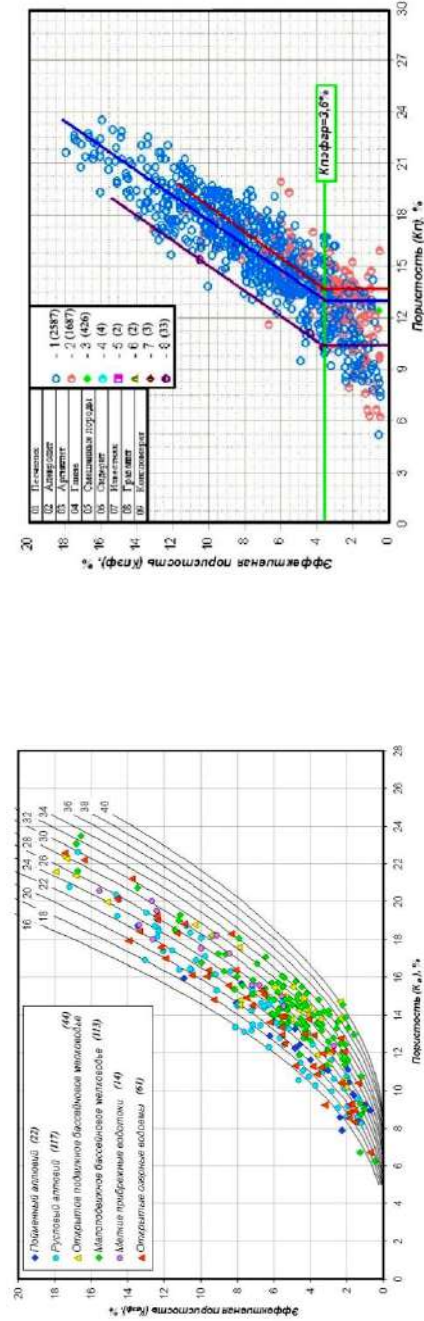


Рис. 15.3. Соподчиненность повторяемости единиц разреза (уровни седиментогенеза (по С. И. Романовскому, 1985, 1988): основной является колонка, на которой выделены слои (1, ..., 4), для терригенных толщ, имеющих среднюю толщину 1–2 м. Слева от нее показаны серии косої слоистости в слое 3 (3₁–3₃) и ритмичное чередование типов «а» и «б» в слое 2, вплоть до визуальной характеристики пород (крайняя слева колонка). Справа – литоциклы от 1-го (I) до 5-го (V) порядков



Сопоставление величин K_n и $K_{эф}$ между собой для различных типов отложений тюменской свиты Ловинского месторождения (в скобках – количество образцов)

Сопоставление петрофизической модели $K_{эф} = f(K_{пск}, K_n)$ с оценками фациальной принадлежности образцов керн (в скобках – количество определений)

Рис. 15.4. Пример обработки результатов ФЕС с учетом фациального состава отложений

16. Стреление толщ и корреляция разрезов

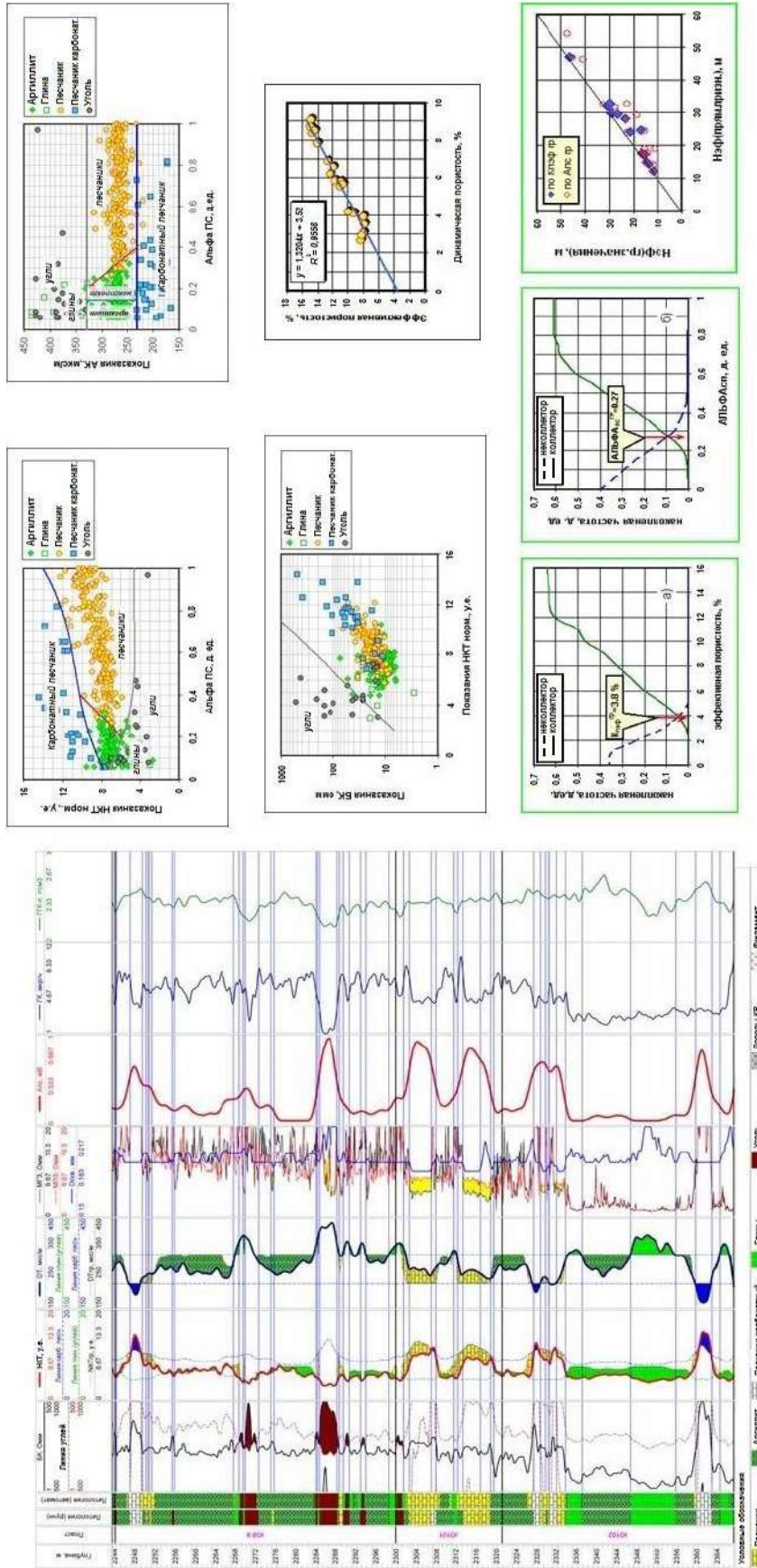


Рис. 16.1. Литологическое расчленение разреза и выделение коллекторов.

Особенности интеграции данных ГИС при сопровождении сейсмологического картирования (Департамент геофизического сопровождения сейсмогеологического моделирования текущих проектов ИЦ ТФ «КогалыниШинефт») Е. О. Беляков, Р. К. Пичугин

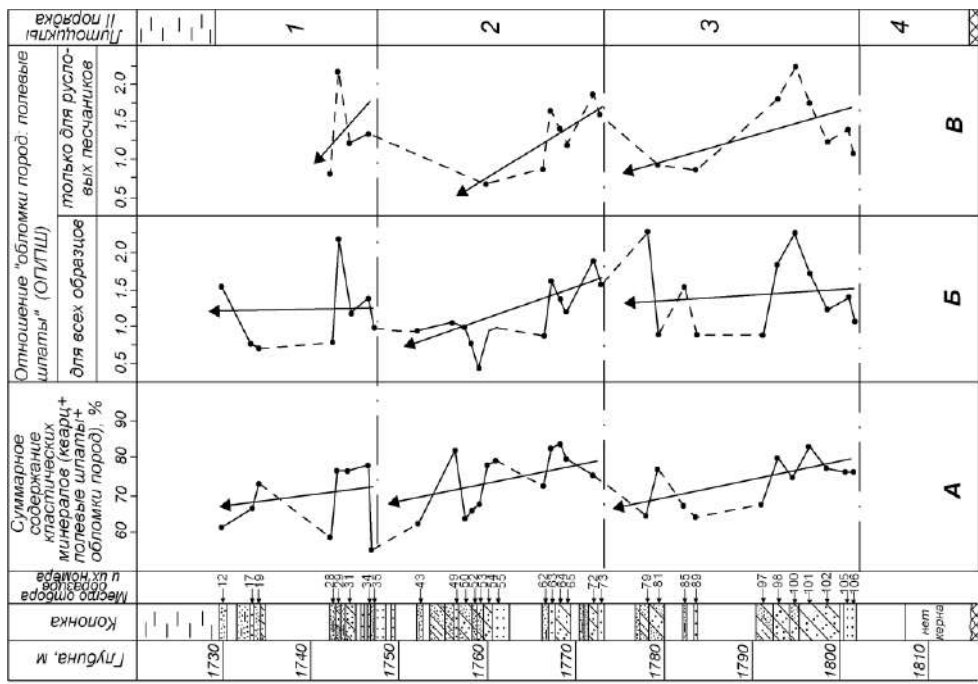


Рис. 16.2. Песчанники в разрезе тюменской свиты по скв.10320
Тальниковового месторождения:

1 – подстилающие породы фундамента; 2 – перекрывающие отложения абалакской свиты; 3 – мелко- и 4 – крупнозернистые алевролиты; 5 – тонко-, 6 – мелко-, 7 – средне- и 8 – крупнозернистые песчанники; 9 – переслаивание разных гранулометрических типов слоями менее 0,4 м

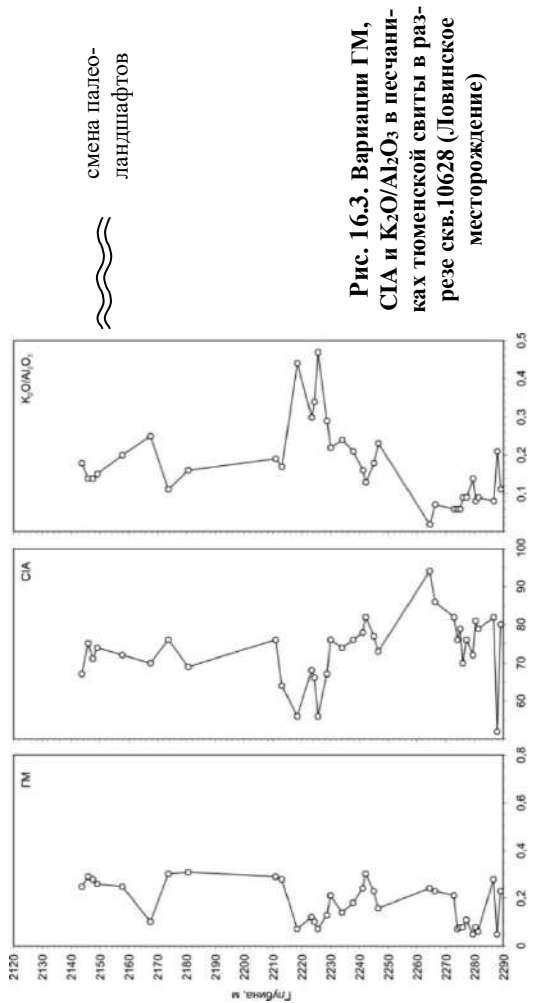


Рис. 16.3. Вариации GM, CIA и K₂O/Al₂O₃ в песчанниках тюменской свиты в разрезе скв.10628 (Ловинское месторождение)

Таблица 16.1
Применение различных методов корреляции и соответствующих признаков при изучении сложнопостроенных внутриконтинентальных терригенных толщ (Методы, 1968; с существенными изменениями)

Метод, группа методов	Признаки	Стадия изучения	
		поисковая	разведочная
Биостратиграфические	Фаунистические	Пря валичны	-
	Флористические	+++	-
	Палинологические	+++	-
Вещество-литостратиграфические	Минералого-петрографические	++	+
	Геохимические	++	+
	Специальные	Нуждается в конкретном обосновании	
Структурно-геометрические	Толщины слоев, горизонтов, анализ влопикт и др.	+	++
	Прослеживаемые индикаторы (реперы)	+	++
Геофизические (ташюнные)	Сейсморазведка	+++	+
	Геофизические исследования скважин (ГИС)	++	+++

Примечание. (-) – практической роли не играет; (+) – целесообразен к использованию как подсобный; (++) – наиболее пригодный к использованию; (+++) – ведущий, главный метод

17.Решение геологических задач

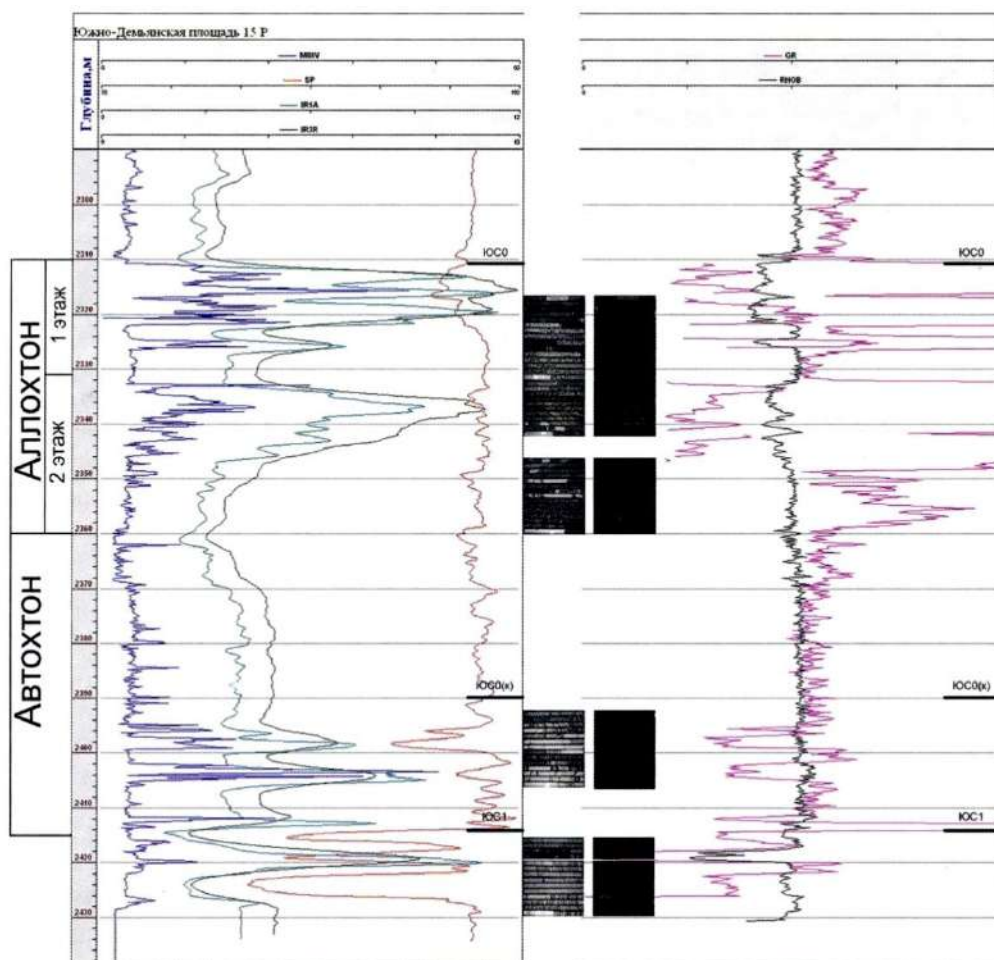
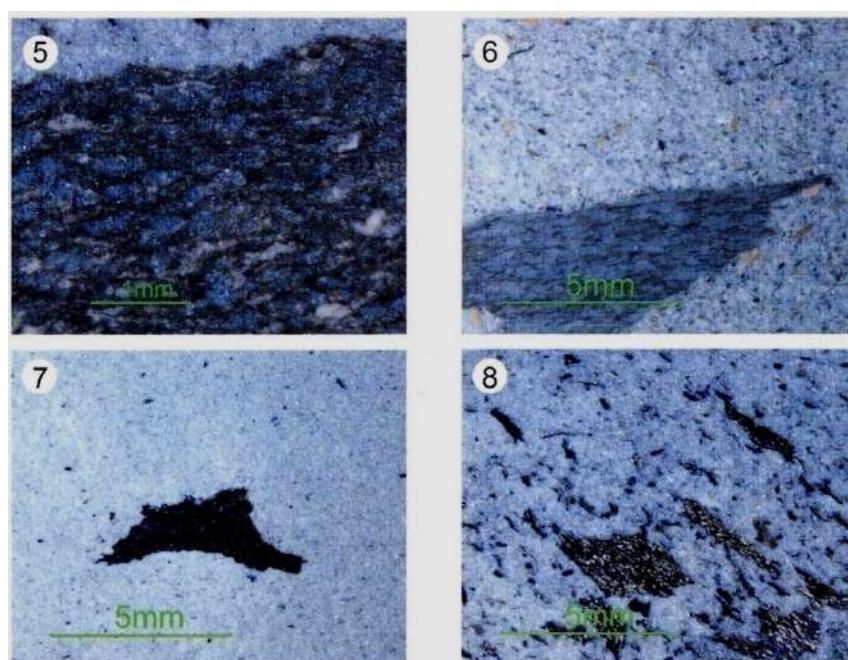


Рис. 17.1. Сводный геолого-геофизический фоторазрез нижнемеловых-верхнеюрских отложений.Южно-Демьянская площадь, скважина 15(по материалам «СургутНИПИнефть»)

Рис. 17.2. Микротекстурные особенности пород пласта ЮС₀ в фронтальной зоне надвига(Осипов В. С. и др., 2001):

5 –кливажная зона на контакте баженовита и инъекции песчаного материала; 6 – останец милонитизированногобаженовита в дилатационно«разжиженной» песчаной массе; 7 – останец и тонкодисперсная взвесь глинистого баженовита в массе милонита; 8 – останцы и тонкодисперсная взвесь глинистого баженовита в дилатационно «разжиженной» песчаной массе»



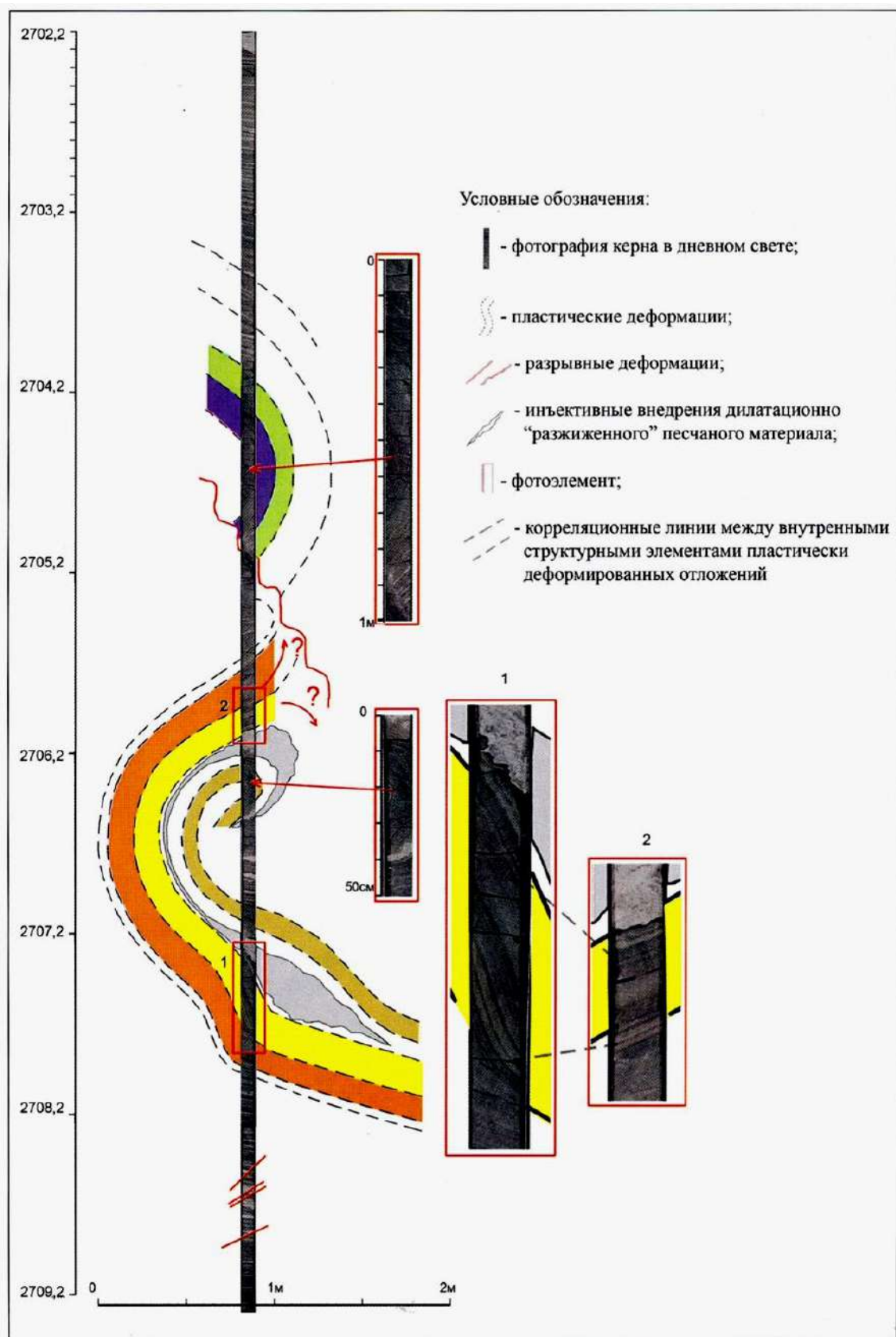


Рис. 17.3. Структурная реконструкция деформаций отложений.
Восточно-Мыгаяхинское месторождение, скважина 7538р, интервал 2702,2 – 2709,2 м.
Е. Т. Трофимова и др., 2008 («Сургутнефтегаз»)

ЗАКЛЮЧЕНИЕ

Практика изучения осадочных пород, особенно в нефтегазовой литологии, показывает особенную важность **комплексирования** различных методов и методик. При этом важны как апробированные и традиционные исследования (изучение пород в шлифах, определение физических свойств), так и новые методики (РЭМ, *ICP-MS*). Зачастую методы, ранее применявшиеся редко, становятся «рутинными», входя в обязательный комплекс исследований (люминесцентное просвечивание керн). Нередко известные традиционные методы получают новое звучание благодаря нетрадиционной обработке результатов (минералогический анализ → ТМК М. Г. Бергера; химический анализ → литохимия по Я. Э. Юдовичу). В какой-то степени это показано в предложенных методических указаниях.

Использовать представленную информацию можно в любом из трех направлений (векторов):

- как справочный материал, необходимый и достаточный для общего ознакомления с обозначенным предметом;
- как отправную точку в углубленном изучении осадочных пород – увлекательного объекта для глубокого и вдумчивого исследования;
- для выбора какого-то конкретного метода, который может быть положен в основу детальных исследований на конкретном объекте.

По-видимому, именно последний вектор наиболее продуктивен для конкретного студента, будучи положенным им в основу определения темы, сбора материалов и выполнения курсовой или выпускной квалификационной работы. Именно для этого каждая из тем и сопровождается кратким перечнем литературных источников. Поиски изданий более позднего времени целесообразно вести, пользуясь Internet-ресурсами, а также периодическими изданиями.

СПИСОК ЛИТЕРАТУРЫ

Основная

Кузнецов В. Г. Литология. Осадочные породы и их изучение: уч. пособие для вузов. М.: ООО «Недра-Бизнесцентр», 2007. 511 с.

Маслов А. В. Осадочные породы: методы изучения и интерпретации полученных данных. Екатеринбург: Изд-во УГГУ, 2005. 289 с.

Справочник по литологии. М.: Недра, 1983. 509 с.

Дополнительная

Общего характера

Логвиненко Н. В., Сергеева Э. И. Методы определения осадочных пород. М.: Недра, 1986. 240 с.

Методы изучения осадочных пород. М.: Геолтехиздат, 1957. Т. I. 612 с.

Справочное руководство по петрографии осадочных пород. Л.: Гостоптехиздат, 1958. Т. 1. 486 с. Т. 2. 520 с.

К теме 1 «Выделение слоев»

Алексеев В. П. Литолого-фациальный анализ. Екатеринбург: Изд-во УГГГА, 2002. 147 с.

Романовский С. И. Физическая седиментология. Л.: Недра, 1988. 240 с.

Шванов В. Н. Структурно-вещественный анализ осадочных формаций (начала литомографии). СПб.: Недра, 1992. 230 с.

К теме 2 «Вещественный и генетический подходы к изучению осадочных комплексов»

Алексеев В. П. Литологические этюды. Екатеринбург: Изд-во УГГУ, 2006. 149 с.

Казанский Ю. П. Введение в теорию осадконакопления. Новосибирск: Наука, 1983. 223 с.

Лидер М. Седиментология. Процессы и продукты / пер. с англ. М.: Мир, 1986. 439 с.

К теме 3 «Карбонатные и терригенные породы»

Погромская О. Э. Микропалеонтологические аспекты литологии. Екатеринбург: Изд-во УГГУ, 2004. 116 с.

Систематика и классификация осадочных пород и их аналогов. СПб.: Недра, 1998. 352 с.

Шванов В. Н. Песчаные породы и методы их изучения. Л.: Недра, 1969. 248 с.

К теме 4 «Текстурный анализ»

Ботвинкина Л. Н. Слоистость осадочных пород. М.: Изд-во АН СССР, 1962. 542 с. (Тр. ГИН АН СССР, вып. 59).

Осипов Ю. Б., Пономарев В. В., Соколов Б. А. Текстурный анализ глин. М.: Недра, 1989. 120 с.

Чернова О. С. Схема классификации текстур осадочных горных пород // Литология и геология горючих ископаемых. Екатеринбург: Изд-во УГГУ, 2012. Вып. VI (22). С. 27 – 45.

К теме 5 «Ихнофоссилии, карбонатность и другие признаки»

Атлас конкреций. Л.: Недра, 1988. 323 с. (Тр. ВСЕГЕИ, нов. сер., т. 340).

Ошуркова М. В. Детальное расчленение угленосных отложений пофитологическим данным: методические рекомендации. Л.: Изд-во ВСЕГЕИ, 1981. 40 с.

Чернова О. С. Литолого-фациальный и формационный анализ нефтегазоносных толщ. Томск: Изд-во ЦППС НД, 2007. 258 с.

К теме 6 «Комплексование диагностических признаков; контакты и перерывы»

Алексеев В. П. Атлас фаций юрских терригенных отложений (угленосные толщи Северной Евразии). Екатеринбург: Изд-во УГГУ, 2007. 209 с.

Атлас литогенетических типов угленосных отложений среднего карбона Донецкого бассейна. М.: Изд-во АН СССР, 1956. 368 с.

Изучение стратиграфических перерывов при производстве геологической съемки: методические рекомендации / Е. Ю. Барабошкин [и др.]. М.: Изд-во МГУ, 2002. 169 с.

К теме 7 «Гранулометрический анализ»

Гранулометрический анализ в геологии. М., 1978. 165 с.

Котельников Б. Н. Реконструкция генезиса песков. Л.: Изд-во ЛГУ, 1989.

Поляков А. С. Гранулированные среды и седиментогенез. М.: Геоинформмарк, 2001. 58 с.

К теме 8 «Минералогический анализ»

Бергер М. Г. Седиментологическая система минералов и фундаментальные основы терригенной минералогии. М.: ЛЕНАНД, 2009. 272 с.

Геологическое строение и нефтегазоносность нижней – средней юры Западно-Сибирской провинции / Ф. Г. Гурари [и др.]. Новосибирск: Наука, 2005. 156 с.

Петрова В. В. Низкотемпературные вторичные минералы и их роль в литогенезе (силикаты, алюмосиликаты, гидрослюда). М.: ГЕОС, 2005. 239 с. (Тр. ГИН РАН. Вып. 525).

К теме 9 «Стадиальный анализ»

Гаррелс Р., Маккензи Ф. Эволюция осадочных пород /пер. с. англ. М.: Мир, 1974. 272 с.

Петрология органических веществ в геологии горючих ископаемых / И. И. Аммосов [и др.]. М.: Наука, 1987. 333 с.

Япаскурт О. В. Генетическая минералогия и стадиальный анализ процессов осадочного пороодо- и рудообразования: уч. пособие. М.: ЭСЛАН, 2008. 356 с.

К теме 10 «Химический анализ (литохимия)»

Ефремова С. В., Стафеев К. Г. Петрохимические методы исследования горных пород. М.: Недра, 1985. 511 с.

Юдович Я. Э. Региональная геохимия осадочных толщ. Л.: Наука, 1981. 276 с.

Юдович Я. Э., Кетрис М. П. Основы литохимии. СПб.: Наука, 2000. 479 с.

К теме 11 «Геохимия микроэлементов»

Введение в металлогению горючих ископаемых и углесодержащих пород: уч. пособие / В. Н. Волков [и др.]. СПб: Изд-во СПбГУ, 1997. 248 с.

Металлы в осадочных толщах. М.: Наука. Ч. 1, 1964. 446 с. Ч. 2, 1965. 392 с. Ч. 3, 1966. 326 с.

Тейлор С. Р., МакЛеннан С. М. Континентальная кора: ее состав и эволюция: Пер. с. англ. М.: Мир, 1988. 384 с.

К теме 12 «Рентгеноструктурный, люминесцентный, электронно-микроскопический методы»

Котельников Д. Д., Конюхов А. И. Глинистые минералы осадочных пород. М.: Недра, 1986. 247 с.

Логвиненко Н. В., Орлова Л. В. Образование и изменение осадочных пород на континенте и в океане. Л.: Недра, 1987. 237 с.

Фор Г. Основы изотопной геологии /пер. с англ. М.: Мир, 1989. 590 с.

К теме 13 «Фильтрационно-емкостные свойства (ФЕС)»

Кошовкин И. Н., Белозеров В. Б. Отображение неоднородностей терригенных коллекторов при построении геологических моделей нефтяных месторождений // Известия ТПУ, 2007. Т. 310. № 2. С. 26-32.

Ломтадзе В. Д. Физико-механические свойства горных пород. Методы лабораторных исследований. Л.: Недра, 1990. 327 с.

Чернова О. С., Клименко А. В. Модерирование литолого-петрофизической зональности Двуреченско-Крапивинской зоны нефтегазоаккумуляции // Литология и геология горючих ископаемых. Екатеринбург: Изд-во УГГУ, 2009. Вып. III (19). С.99-110..

К теме 14 «Комплексирование методов»

Крашенинников Г. Ф., Волкова А. Н., Иванова Н. В. Учение о фациях с основами литологии. М.: Изд-во МГУ, 1988. 214 с.

Методика литолого-фациальных исследований угленосных отложений (на примере триас-юрских угленосных формаций азиатской части СССР): Препринт. Свердловск: УНЦ АН СССР, 1986. 63 с.

Петтиджон Ф., Поттер П., Сивер Р. Пески и песчаники /пер. с англ. М.: Мир, 1976. 536 с.

К теме 15 «Отбор проб и обработка результатов исследований»

Алексеев В. П., Печинина Е. Б. Обработка результатов полевых и лабораторных исследований (с использованием вероятностно-статистических методов). Свердловск: Издание СГИ, 1989. 76 с.

Гриффицс Дж. Научные методы исследования осадочных пород /пер. с англ. М.: Мир, 1971. 420 с.

Харбух Дж., Бонэм-Картер Г. Моделирование на ЭВМ в геологии /пер. с англ. М.: Мир, 1974. 246 с.

К теме 16 «Строение толщ и корреляция разрезов»

Методы корреляции угленосных толщ и синонимии угольных пластов. Л.: Наука, 1968. 381 с.

Периодические процессы в геологии. Л. Недра, 1976. 264 с.

Строение и корреляция отложений тюменской свиты Шаимского нефтегазоносного района (Западная Сибирь). Екатеринбург: Изд-во УГГУ, 2009. 227 с.

К теме 17 «Решение геологических задач»

Литогеодинамика и минерагения осадочных бассейнов. СПб.: Изд-во ВСЕГЕИ, 1998. 480 с.

Методы палеогеографических реконструкций при поисках залежей нефти и газа / В. А. Гроссгейм[и др.]. Л.: Недра, 1984. 271 с.

Состав и генезис отложений тюменской свиты Шаимского нефтегазоносного района (Западная Сибирь). Екатеринбург: Изд-во УГГУ, 2007. 209 с.

ГРАНУЛОМЕТРИЧЕСКИЙ АНАЛИЗ В ШЛИФАХ

Введение

Гранулометрический анализ – один из методов изучения обломочных пород путем разделения зерен по фракциям.

Он проводится:

- 1) в классификационных целях – для правильного определения и названия породы;
- 2) для выявления генетических признаков, необходимых при палеогеографических реконструкциях (способы и дальность переноса, пути миграции обломков, условия отложения и т. п.), для определения генетического типа отложений;
- 3) для оценки пород как коллекторов нефти, газа, воды, т. е. для решения прикладных задач геологии;
- 4) как подготовительная стадия для минералогического анализа.

В настоящее время существует несколько способов гранулометрического анализа терригенных отложений:

- 1) седиментометрические способы, основанные на различной скорости осаждения частиц разной крупности в воде;
- 2) ситовый анализ, заключающийся в просеивании зерен через набор сит с постепенно уменьшающимися отверстиями;
- 3) измерение размера зерен в шлифах;
- 4) использование лазерного дифракционного микроанализатора для автоматического гранулометрического экспресс-анализа материала в сухом состоянии или в суспензии на основе дифракции сходящегося лазерного луча.

В данном приложении описан метод гранулометрического анализа в шлифах, детально охарактеризованный в работах В. П. Батурина (1947), С. И. Романовского (1977), В. Н. Шванова (1969), а также многочисленных трудах российских и зарубежных исследователей.

Определение цены деления окуляр-микрометра

Для измерения величины обломков под микроскопом пользуются окуляром, снабженным линейной шкалой – линейным окуляр-микрометром. Его цена деления вычисляется с помощью объект-микрометра.

Объект-микрометр – это стеклянная пластина со шкалой длиной 1 мм, разделенной на 100 частей. Таким образом, цена одного деления объект-микрометра 0,01 мм (рис. П.1).



Рис. П.1. Объект-микрометр

Объект-микрометр помещается вместо шлифа на столик микроскопа. Фокусируют так, чтобы было ясно видно обе шкалы: окуляр-микрометра и объект-микрометра.

Располагают объект-микрометр на столике таким образом, чтобы обе шкалы находились горизонтально рядом, т. е. были параллельны друг другу.

При сильных и средних объективах в поле зрения попадает только часть шкалы объект-микрометра. В этом случае смотрят сколько ее делений (то есть сотых долей мм) соответствует всей шкале окуляр-микрометра (рис. П.2). Определенную таким образом длину делят на 100 (число делений окулярной шкалы) и получают цену одного деления окуляр-микрометра при данном объективе.

При небольших увеличениях вся шкала объект-микрометра помещается в поле зрения и оказывается короче окулярной шкалы. В этом случае смотрят сколько делений окулярной шкалы соответствует всей шкале объект-микрометра. Разделив длину шкалы объект-микрометра (1 мм) на отвечающее ей число окулярных делений, получают цену одного деления окуляр-микрометра.

В общем случае цену деления определяют по формуле (1):

$$n_{\text{ок}} = \frac{a \cdot 0,01}{b}, \quad (1)$$

где $n_{\text{ок}}$ – цена деления окуляр-микрометра;

a – количество делений объект-микрометра;

b – количество соответствующих делений окуляр-микрометра.

На рис. П.2 $n_{\text{ок}} = \frac{48 \cdot 0,01}{100} = 0,0048$ мм.

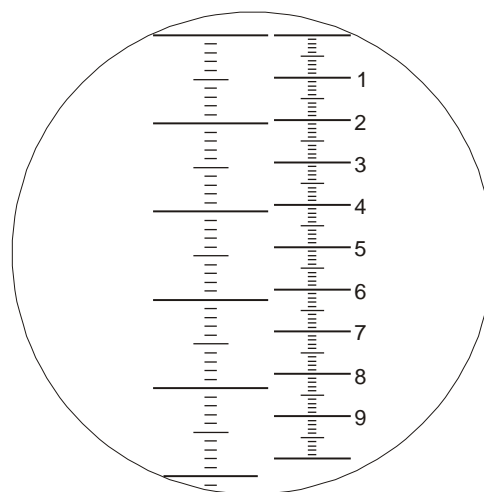


Рис. П.2. Определение цены деления окуляр-микрометра при помощи объект-микрометра

Выбор шкалы и подготовка формуляров для подсчета измеренных зерен

Прежде, чем начинать подсчет зерен в шлифах, необходимо выбрать размерную шкалу, в которой и будет производиться этот подсчет.

В настоящее время существует несколько шкал, сопоставление которых было приведено в табл. 7.1 основного текста.

Шкала ϕ , предложенная У. Адденом в 1898 г., преобразована в 1922 г. С. К. Уэнтвортом, а в 1934 г. в современном виде – У. Крамбейном.

Для перехода от метрической шкалы в ϕ используют формулу

$$\phi = -\log_2 \frac{S}{S_0}, \quad (2)$$

где S – размер зерен в мм; S_0 – размер частицы, равный 1 мм.

Обратный перевод из ϕ -единиц в метрическую шкалу:

$$S = 2^{-\phi}. \quad (3)$$

Единицы меш (mesh) – соответствуют числу отверстий сит на единицу длины (в США и Великобритании – 1 дюйм). Часто употребляемое значение 200 меш соответствует диаметру частиц, проходящих через отверстие 3,75φ или 0,074 мм.

В нефтяной геологии часто используется сокращенная десятичная шкала, где глинистая фракция считается < 0,01 мм, алеврит – от 0,01 до 0,1 мм, а песчаная фракция начинается с границы 0,05 или 0,1 мм и заканчивается 1 или 2 мм. Стоит отметить, что размеры интервалов десятичной шкалы неравномерны и зачастую слишком велики, что не позволяет выявить детали механического состава пород.

В. П. Батулин предложил в 1943 г. шкалу γ , которая не идет в разрез с десятичной классификацией, но лишена ее недостатков – неравномерности интервалов и недостаточной дробности.

Перевод из масштаба линейных единиц в ней реализуется по формуле (4)

$$\gamma = -10 \log_{10} S, \quad (4)$$

где S – размер зерен в мм.

Обратный перевод из γ -единиц в метрическую шкалу: $S=10^{\gamma/-10}$. На рис. П.3 приведена линейка для сравнения размерности в разных шкалах.

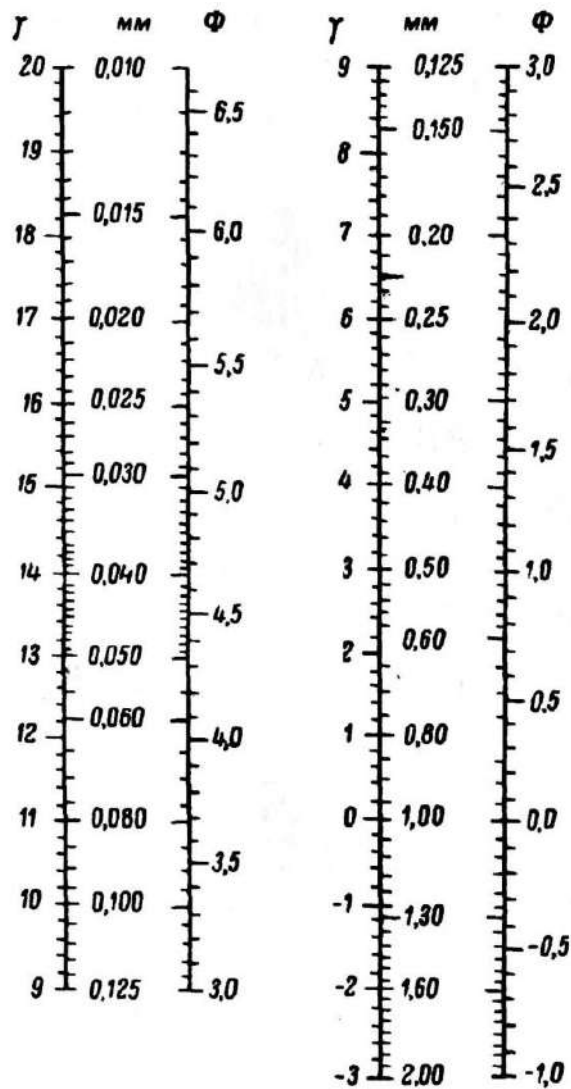


Рис. П.3. Линейка для перевода линейных размеров (в мм) в значения шкалы γ и ϕ (В. Н. Шванов, 1969)

Проведение гранулометрического анализа в шлифах

Гранулометрический анализ в шлифах производится путем непосредственного массового измерения поперечников зерен или площадей, занимаемых ими в поле зрения микроскопа, и посредством статистической обработки результатов измерений.

Для гранулометрического анализа изготавливаются шлифы, ориентированные параллельно слоистости. Они имеют толщину 0,02 мм, что по сути является минимальным граничным размером, которое возможно подсчитать.

Для измерения зерен в шлифах удобнее на столике микроскопа закрепить препаратодитель, с помощью которого шлиф можно перемещать лишь строго по одной линии. Передвигая шлиф вдоль линий, измеряют все зерна, попавшие на них (рис. П.4).

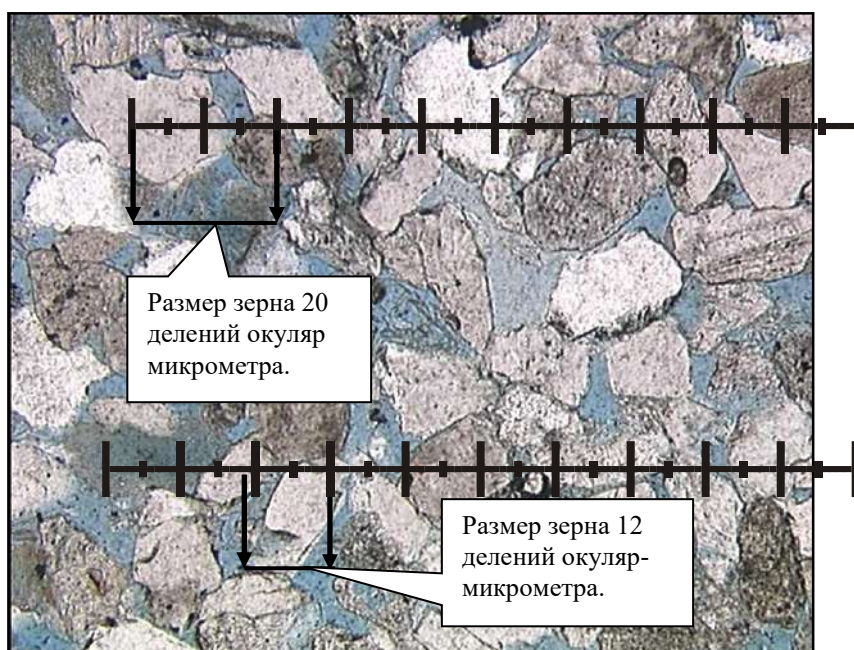


Рис. П.4. Песчаник мелкозернистый алевритистый аркозовый с глинистым цементом. Поры преимущественно остаются свободными. Вид в проходящем свете. Увеличение 100×

Измерив 300 – 500 зерен, распределяют их по отдельным фракциям и затем высчитывают процентное содержание этих фракций, допуская подобное распределение во всей породе. Для обработки измерений используется формуляр (см. табл. П. 1):

Недостатки метода:

1. Пересечение породы плоскостью шлифа приводит к появлению случайных сечений обломочных зерен, диаметры которых, в общем случае, меньше их максимальных поперечников. Поэтому содержание мелких фракций при измерении зерен в шлифах всегда преувеличено по сравнению с действительным, и для установления последнего необходимо ввести поправки, устраняющие эффект срезания.

2. Толщина шлифа позволяет исследовать только песчаную и алевритовую фракцию.

3. Низкая представительность пробы и трудоемкость анализа.

Эффект срезания зерен при подсчете гранулометрического состава в шлифах

Для решения проблемы эффекта срезания необходимо провести полный пересчет видимого гранулометрического состава на истинный.

Для шкалы с шагом $\sqrt[10]{10}$ методику полного пересчета применил А. А. Шантарв 1964 г. Поправочные коэффициенты равны соответственно 51; 21; 10; 7,5; 3,7; 2,8; 1,5;

1. Пересчет производится по формулам (6) – (9):

$$Q_1 = \frac{1}{0,51} F_1 = 1,96F_1, \quad (7)$$

$$Q_2 = 1,96(F_2 - Q_1 \cdot 0,21), \quad (6)$$

$$Q_3 = 1,96 \cdot (F_3 - (Q_2 \times 0,21 + Q_1 \cdot 0,10)). \quad (8)$$

$$Q_k = 1,96(F_k - (Q_{k-1} \cdot 0,21 + Q_{k-2} \cdot 0,10 + Q_{k-3} \cdot 0,075 + Q_{k-4} \cdot 0,037 + + Q_{k-5} \cdot 0,028 + Q_{k-6} \cdot 0,015 + Q_{k-7} \cdot 0,010)).$$

Более детально данная методика описана Л. Б. Рухиным. Обычно для упрощения расчетов применяется коэффициент 1,27.

Таким образом, для нахождения истинного размера зерна используем формулу (10):

$$x_{\text{ист}} = x_{\text{изм}} \cdot 1,27, \quad (10)$$

где $x_{\text{ист}}$ – истинное значение диаметра зерна; $x_{\text{изм}}$ – непосредственно измеренный диаметр зерна в шлифах.

Пример заполнения формуляра для обработки измерений приведен в табл. П.1.

Таблица П.1
Формуляр для обработки измерений

Классы	Размеры фракций, мм	Шкала γ	Размеры фракций, деления окуляр-микрометра	Количество зерен изм., m
Песчаник	2 – 1,6	-3 – -2		
	1,6 – 1,25	-2 – -1		
	1,25 – 1	-1 – 0		
	1 – 0,8	0 – 1		
	0,8 – 0,63	1 – 2		
	0,63 – 0,5	2 – 3		
	0,5 – 0,4	3 – 4		
	0,4 – 0,315	4 – 5		
	0,315 – 0,25	5 – 6		
	0,25 – 0,2	6 – 7		
	0,2 – 0,16	7 – 8		
	0,16 – 0,125	8 – 9		
Алевролит	0,125-0,1	9 – 10		
	0,1 – 0,08	10 – 11		
	0,08 – 0,063	11 – 12		
	0,063 – 0,05	12 – 13		
	0,05 – 0,04	13 – 14		
	0,04 – 0,031	14 – 15		
	0,031 – 0,025	15 – 16		
	0,025 – 0,02	16 – 17		
	0,02 – 0,016	17 – 18	Не определяются	Не определяются
	0,016 – 0,012	18 – 19	То же	То же
	0,012 – 0,01	19 - 20	- // -	- // -
	0,01 – 0,005	20 - 21	- // -	- // -
	<0,005		- // -	- // -

Изображение результатов

Наиболее простым и наглядным способом представления результатов гранулометрического анализа является гистограмма или график распределения массовых долей в процентах по фракциям, где по оси абсцисс откладываются средние значения размерности каждой фракции в миллиметрах (в логарифмической шкале), либо в единицах гамма (γ) или фи (ϕ) (т. е. в единицах, приведенных к логарифмической шкале); по оси ординат – процентное содержание каждой фракции. Обязательным условием репрезентативности данных анализа является равномерность шага границ фракций логарифмической шкалы. Как правило, оно выполняется при использовании шкал гамма или фи. Кумулятивная кривая представляет собой накопленные проценты по фракциям (рис.П.5).

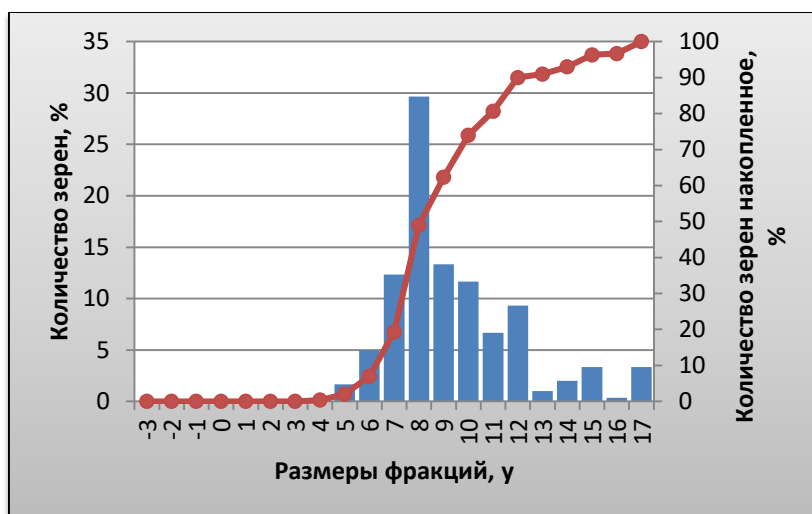


Рис. П.5. Гистограмма распределения зерен по фракциям и кумулятивная кривая

Базовые величины интерпретации

Основными определяемыми величинами являются следующие.

- x_{cp} – средний размер частиц, являющийся важнейшим гранулометрическим параметром. Он хорошо фиксирует положение эмпирического распределения состава на шкале размерностей и характеризует гидродинамический уровень среды седиментации. В качестве x_{cp} обычно выбирается медиана.

Md – медиана, делящая совокупность пополам;

Mo (мода) – это средняя точка наиболее распространенного гранулометрического класса.

- σ – коэффициент сортировки, характеризующий однородность материала (чем меньше значение σ , тем лучше сортированность породы).

Для оценки сортировки частиц по фракциям применяются также: стандартное отклонение, квантильные коэффициенты (S_o), коэффициент вариации (V) и относительная энтропия (H_r).

- A – коэффициент асимметрии.

Параметр асимметрии дает информацию о результатах взаимодействия процессов дифференциации и интеграции различных ассоциаций обломочных частиц песчано-алевритовой размерности.

Положительные значения асимметрии показывают, что модальный размер в эмпирическом распределении больше среднего размера гранулометрического состава. В таких распределениях преобладают классы с большой размерностью частиц, а тонкозернистые составляют так называемые «хвосты» распределений. В случае отрицательной асимметрии модальный размер меньше среднего размера гранулометрического состава. При таком распределении преобладают тонкозернистые классы, а более крупнозернистые составляют его «хвост». В симметричных распределениях модальный и средний размеры равны. Чем больше абсолютное значение отрицательной асимметрии, тем лучше отсортированы тонкозернистые классы по сравнению с более крупнозернистыми. Наоборот, чем больше абсолютное значение величины положительной асимметрии, тем лучше отсортирован крупнозернистый материал.

- E – эксцесс, мера остроконечности графика.

Мера эксцесса характеризуется степенью выпуклости кривой распределения. При эксцессе, равном нулю, кривая распределения совпадает с логнормальной кривой. Пикообразность кривой свидетельствует о том, что модальный и смежные классы характеризуются повышенным процентным содержанием материала. Положительные значения эксцесса указывают на стабильность переработки и пересортировки обломочного материала на относительном уровне, определяющимся средним размером диаметра зерен. Значительный по величине положительный эксцесс указывает, что либо в короткий период времени действовали эоловые или гидродинамические процессы, либо слабые процессы действовали в течение длительного периода. В любом случае, скорость динамической обработки (сортировки) привносимого обломочного материала превышала интенсивность его привноса.

Отрицательные значения эксцесса указывают на то, что привнос обломочного материала значительно превышает интенсивность его динамической переработки.

Если интенсивность привноса обломочного материала и скорость динамической переработки были в равновесном состоянии, то эксцесс характеризуется *нулевыми значениями*.

Сортировка частиц (с учетом дефицита некоторых размерных фракций)

На гистограммах, иллюстрирующих фракционный состав песчано-алевритовых пород, часто отмечаются локальные минимумы – обычно на границе частиц песчаной и алевритовой размерности ($\sim 0,05$ мм), а также на границе «песчаник-гравелит» (~ 2 мм) (см. рис. 3.3). Этот эффект, часто называемый дефицитом частиц, на рис. П.5 четко виден для класса 12 – 13 и намечается для класса 10 – 11. По поводу природы данных дефицитов существует две гипотезы:

1. Первично-магматическая – дефицит закладывается на стадии разрушения магматических пород и связан с особенностями дезинтеграции обломочного материала (Ф. Петтиджон, В. Г. Чистяков).

2. Вторая гипотеза – дефицит формируется на рубеже частиц, отграничивающих разные режимы перемещения кластического материала водными потоками: транспортировка во взвешанном состоянии и сальтация, сальтация и волочение и т. д. (Л. Б. Рухин, В. Н. Шванов, Л. С. Смирнов, О. В. Колобзаров, Г. Ф. Рожков, С. И. Романовский и др.).

Наличие подобного дефицита ставит под сомнение использование для оценки сортировки метода Траска, что было проиллюстрировано рис. 7.3.

Метод П. Траска, или метод квантилей

Метод квантилей разработан с целью приближенной графической оценки требуемых статистических характеристик.

Для получения квантилей предварительно строится кумулятивная кривая, а затем через ординаты, отвечающие 25, 50 и 75 %, проводят горизонтальные линии до пересечения их с кумулятивной кривой. Абсциссы полученных точек пересечения и являются исходными для расчета гранулометрических коэффициентов (рис. П.6).



Рис. П.6. Пример нахождения квантилей по графику распределения гранулометрического состава

Распределение по методу П. Траска оценивается тремя параметрами – медианой (Md), коэффициентом сортировки (S_o) и коэффициентом асимметрии (S_k).

Для вычисления данных параметров используются формулы (11) – (13):

$$S_o = \sqrt{\frac{Q_{25}}{Q_{75}}}, \quad (11)$$

где Q_{25} – 25 %-й квантиль, соответствующий зоне больших размеров, Q_{75} – 75%-й квантиль, лежащий в диапазоне частиц меньшей размерности.

Осадок считается идеально отсортированным, если $Q_{25} = Q_{75}$, что возможно только в том случае, когда все частицы имеют размер какой-то одной фракции, S_o при этом равняется 1, а во всех остальных случаях $S_o > 1$. Коэффициент Траска – это ненормированная величина, изменяющаяся в широком диапазоне – от первых единиц до первых десятков. По результатам расчета коэффициента сортировки Траска можно выделить хорошо отсортированные осадки ($S_o < 2$), среднеотсортированные ($S_o = 2 - 3$) и плохо отсортированные ($S_o > 3$).

$$S_k = \frac{Q_{25} \cdot Q_{75}}{Md^2} \quad (12)$$

где Md – медиана.

Этот коэффициент показывает положение максимальной ординаты, соответствующей преобладающей размерности, называемой модой (M_o) к среднему диаметру или медиане (Md). Если в осадке преобладает мелкая фракция, т. е. мода расположена в тонкозернистой части осадка, то $S_k > 0$. Если $S_k < 0$, то мода расположена в крупнозернистой части осадка и, следовательно, преобладает крупная фракция.

$$Md = Q_{50}, \quad (13)$$

где Q_{50} – квантиль, равный 50 %.

При методе квантилей можно не делать полный пересчет каждой фракции на ее истинное содержание, для этого вводят поправки в квантильные коэффициенты. Md умножается на 1,15, большая квантиль Q_{25} на 1,12, а меньшая Q_{75} на 1,18.

По графику (см. рис. П.6) находим значения квантилей и переводим их из шкалы γ в метрическую по формуле (14):

$$d = 10^{\gamma/-10}, \quad (14)$$

$$Q_{25} = 8,5 = 0,141 \cdot 1,12 = 0,158 \text{ мм}, \quad (15)$$

$$Q_{50} = Md = 9,9 = 0,102 \cdot 1,15 = 0,117 \text{ мм}, \quad (16)$$

$$Q_{75} = 11 = 0,079 \cdot 1,18 = 0,093 \text{ мм}. \quad (17)$$

Далее по выше приведенным формулам рассчитываем интересующие нас характеристики.

$$S_o = \sqrt{\frac{0,158}{0,093}} = 1,3, \quad (18)$$

– порода хорошо сортированная

$$S_k = \frac{0,158 \cdot 0,093}{0,117^2} = \frac{0,015}{0,014} = 1,071. \quad (19)$$

В осадке преобладает мелкая фракция, т. е. мода расположена в тонкозернистой части осадка ($S_k > 0$).

Метод моментов

Метод моментов базируется на строгой вероятностной теории оценивания статистических характеристик.

Для исходных данных, где границы фракций указаны в логарифмических единицах (гамма), используются следующие формулы вычисления среднего, асимметрии и эксцесса.

$$l_i = \frac{(x_i - x_0)}{c}, \quad (20)$$

где x_i – средний диаметр каждой фракции, в ед. γ ; x_0 – средний диаметр нулевой фракции, в ед. γ (обычно с наиболее высоким содержанием, выбирается произвольно); c – диапазон фракции (обычно равен 1).

$$M_1 = \frac{\sum m_i \cdot l_i}{\sum m_i} \quad (21)$$

$$M_2 = \frac{\sum m_i \cdot l_i^2}{\sum m_i}, \quad (22)$$

$$M_3 = \frac{\sum m_i \cdot l_i^3}{\sum m_i}, \quad (23)$$

$$M_4 = \frac{\sum m_i \cdot l_i^4}{\sum m_i}, \quad (24)$$

где M_1 – M_4 – первый, второй, третий и четвертый моменты соответственно; m_i – количество зерен i -й фракции; l_i – границы i -й фракции, указанные в логарифмических единицах (гамма).

Дисперсия составляет

$$D = M_2 - M_1^2. \quad (25)$$

Стандартное отклонение (коэффициент сортировки)

$$\sigma = \sqrt{D}. \quad (26)$$

A – коэффициент асимметрии

$$A = \frac{M_3 - 3 \cdot M_1 \cdot M_2 + 2 \cdot M_1^3}{\sigma^3}. \quad (27)$$

E – эксцесс

$$E = \frac{M_4 - 4 \cdot M_3 \cdot M_1 + 6 \cdot M_2 \cdot M_1^2 - 3 \cdot M_1^4}{\sigma^4} - 3. \quad (28)$$

$x_{\text{ср}}$ – средний размер частиц

$$x_{\text{ср}} = \bar{x}_0 + M_1, \quad (29)$$

где \bar{x}_0 – средней размер нулевой фракции (с наиболее высоким содержанием).

По данным, рассчитанным в таблице П. 2, находим коэффициенты по формулам (21) – (29):

$$M_1 = \frac{414}{300} = 1,38, \quad (30)$$

$$M_2 = \frac{2610}{300} = 8,7, \quad (31)$$

$$M_3 = \frac{15108}{300} = 50,36, \quad (32)$$

$$M_4 = \frac{113022}{300} = 376,74, \quad (33)$$

$$D = 8,7 - 1,38^2 = 6,7956, \quad (34)$$

$$\sigma = \sqrt{6,7956} = 2,61, \quad (35)$$

$$A = \frac{50,36 - 3 \cdot 1,38 \cdot 8,7 + 2 \cdot 1,38^3}{2,61^3} = 1,1, \quad (36)$$

$$E = \frac{376,74 - 4 \cdot 50,36 \cdot 1,38 + 6 \cdot 8,7 \cdot 1,38^2 - 3 \cdot 1,38^4}{2,61^4} - 3 = 1,0, \quad (37)$$

$$x_{\text{ср}} = 7,5 + 1,38 = 8,88\gamma, \quad (38)$$

$$x_{\text{ср}} = 10^{\gamma/-10} = 10^{\frac{8,88}{-10}} = 0,129 \text{ мм}. \quad (39)$$

Расчетная таблица

Классы	Шкала γ	Размеры фракций, мм (в десятичной шкале)	Количество зерен, m	l	ml	l^2	ml^2	l^3	ml^3	l^4	ml^4
Песчаник	-3	2,0	0	-11	0	121	0	-1331	0	14641	0
	-2	1,6	0	-10	0	100	0	-1000	0	10000	0
	-1	1,25	0	-9	0	81	0	-729	0	6561	0
	0	1,0	0	-8	0	64	0	-512	0	4096	0
	1	0,8	0	-7	0	49	0	-343	0	2401	0
	2	0,63	0	-6	0	36	0	-216	0	1296	0
	3	0,5	0	-5	0	25	0	-125	0	625	0
	4	0,4	1	-4	-4	16	16	-64	-64	256	256
	5	0,315	5	-3	-15	9	45	-27	-135	81	405
Песчаник	6	0,25	15	-2	-30	4	60	-8	-120	16	240
	7	0,2	37	-1	-37	1	37	-1	-37	1	37
	8	0,16	89	0	0	0	0	0	0	0	0
	9	0,125	40	1	40	1	40	1	40	1	40
	10	0,1	35	2	70	4	140	8	280	16	560
	11	0,08	20	3	60	9	180	27	540	81	1620
	12	0,063	28	4	112	16	448	64	1792	256	7168
	13	0,05	4	5	20	25	100	125	500	625	2500
Алевролит	14	0,04	5	6	30	36	180	216	1080	1296	6480
	15	0,031	10	7	70	49	490	343	3430	2401	24010
	16	0,025	1	8	8	64	64	512	512	4096	4096
	17	0,02	10	9	90	81	810	729	7290	6561	65610
Сумма:			300	-21	414	791	2610	-2331	15108	55307	113022

Нормированный энтропийный коэффициент сортировки

Квантильным и моментным мерам сортировки может быть придан «реальный» смысл только для унимодальных кривых, для которых определены статистические приемы оценки значимости стандартного отклонения от среднего. Для бимодальных, а тем более для полимодальных кривых, данные меры сортировки оказываются практически неприемлемыми. Коэффициентом, применимым для оценки би- и полимодальных распределений, является нормированная (или относительная) энтропия, зависящая только от дробности гранулометрического анализа и выбранной масштабной шкалы. Благодаря использованию нормированной энтропии, в этой классификации возможно выделение крайних членов – идеально сортированный осадок ($Hr=0$) и абсолютно несортированный осадок ($Hr=1$).

Остальные подразделения достаточно условны, поэтому для них принята равномерная шкала – классификация осадков по степени сортировки.

<i>Степень сортировки осадка</i>	– H_r
Идеально сортированный	– 0 – 0,1
Хорошо	– 0,1 – 0,25
Умеренно	– 0,25 – 0,5
Плохо	– 0,5 – 0,75
Несортированный	– 0,75 – 0,90
Абсолютно несортированный	– 0,9 – 1

Так как гранулометрический анализ выполнен в числе зерен, то дифференциальная энтропия этого распределения может быть вычислена по формуле (40):

$$h_r = \ln N - \frac{1}{N} \sum_{i=1}^n m_i \cdot \ln m_i, \quad (40)$$

где N – общее число зерен; m_i – число зерен, приходящееся на i -ю фракцию; n – число интервалов группирования (число фракций в анализе).

Для вычисления энтропийной меры сортировки справедлива формула 41:

$$H_r = \frac{h_r}{h_{r\max}}, \quad (41)$$

где h_r – дифференциальная энтропия; $h_{r\max}$ – максимально возможное значение дифференциальной энтропии:

$$h_{r\max} = \ln n. \quad (42)$$

Исходя из данных, приведенных в таблице и формул, мы можем рассчитать энтропийную меру сортировки:

$$\begin{aligned} h_r &= \ln N - \frac{1}{N} \sum_{i=1}^n m_i \cdot \ln m_i = \ln 300 - \frac{1}{300} \cdot 1067,07 = \\ &= 5,704 - 3,56 = 2,144, \end{aligned} \quad (43)$$

$$H_r = \frac{h_r}{h_{r\max}} = \frac{2,144}{2,996} = 0,72, \quad (44)$$

где n (в нашем случае) равно 20, тогда $\ln n = \ln 20 = 2,996$; $H_r = 0,72$ – плохо сортированный осадок.

Обработка данных гранулометрического анализа в программе EXCEL

Наиболее простым и доступным средством для работы с данными, полученными при проведении подсчета гранулометрического состава пород, выступает программа MicrosoftOfficeExcel. Он позволяет не только произвести необходимые расчеты, но и визуализировать полученные данные. Кратко осветить некоторые аспекты работы с этой программой.

Для начала создаем новый файл, присваиваем ему имя, создаем таблицу (пример см. на рисунке П. 7).

Для удобной работы с данными необходимо расставить размеры фракции как в шкале « γ », так и в метрической шкале. Занести количество зерен, которое попадает в определенную фракцию. Программа также позволяет производить расчеты, поэтому в столбцах E : L заносим необходимые формулы, как показано на рис. П.7. Таким образом, мы получаем набор промежуточных данных, которые нам пригодятся при определении базовых величин. Готовая таблица приведена на рис. П.8.

Расчет базовых величин производим согласно формулам, указанным выше в разделе «метод моментов». Пример вводимых формул приведен на рис. П.9, полученные цифровые результаты – на рис. П.10.

1	Расчетная таблица											
2	Классы	Шкала у	Размеры фракций, мм	Количество зерен, т	1	ml	l ²	ml ²	l ³	ml ³	l ⁴	ml ⁴
3												
4	Песчанки	-3	2	0	=B4*SBS15	=D4*E4	=E4^2	=D4*G4	=E4^3	=D4*E4^3	=E4^4	=D4*E4^4
5		-2	1,6	0	=B5*SBS15	=D5*E5						
6		-1	1,25	0								
7		0	1	0								
8		1	0,8	0								
9		2	0,63	0								
10		3	0,5	0								
11		4	0,4	1								
12		5	0,315	5								
13		6	0,25	15								
14		7	0,2	37								
15		8	0,16	89								
16		9	0,125	40								
17		10	0,1	35								
18		11	0,08	20								
19		12	0,063	28								
20		13	0,05	4								
21	14	0,04	5									
22	15	0,031	10									
23	16	0,025	1									
24	17	0,02	10									
25	Сумма			=СУММ(D4:D24)	=СУММ(E4:E24)	=СУММ(F4:F24)	=СУММ(G4:G24)	=СУММ(H4:H24)	=СУММ(I4:I24)	=СУММ(J4:J24)	=СУММ(K4:K24)	=СУММ(L4:L24)

Рис. П.7. Пример составления таблицы и написания формул, которые необходимы для определения расчетных параметров

1	Расчетная таблица											
2	Классы	Шкала у	Размеры фракций, мм	Количество зерен, т	1	ml	l ²	ml ²	l ³	ml ³	l ⁴	ml ⁴
3												
4	Песчанки	-3	2	0	-11	0	121	0	-1331	0	14641	0
5		-2	1,6	0	-10	0	100	0	-1000	0	10000	0
6		-1	1,25	0	-9	0	81	0	-729	0	6561	0
7		0	1	0	-8	0	64	0	-512	0	4096	0
8		1	0,8	0	-7	0	49	0	-343	0	2401	0
9		2	0,63	0	-6	0	36	0	-216	0	1296	0
10		3	0,5	0	-5	0	25	0	-125	0	625	0
11		4	0,4	1	-4	-4	16	16	-64	-64	256	256
12		5	0,315	5	-3	-15	9	45	-27	-135	81	405
13		6	0,25	15	-2	-30	4	60	-8	-120	16	240
14		7	0,2	37	-1	-37	1	37	-1	-37	1	37
15		8	0,16	89	0	0	0	0	0	0	0	0
16		9	0,125	40	1	40	1	40	1	40	1	40
17		10	0,1	35	2	70	4	140	8	280	16	560
18		11	0,08	20	3	60	9	180	27	540	81	1620
19		12	0,063	28	4	112	16	448	64	1792	256	7168
20		13	0,05	4	5	20	25	100	125	500	625	2500
21	14	0,04	5	6	30	36	180	216	1080	1296	6480	
22	15	0,031	10	7	70	49	490	343	3430	2401	24010	
23	16	0,025	1	8	8	64	64	512	512	4096	4096	
24	17	0,02	10	9	90	81	810	729	7290	6561	65610	
25	Сумма			300	-21	414	791	2610	-2331	15108	55307	113022

Рис. П.8. Пример готовой таблицы, в которой приведены все необходимые промежуточные значения

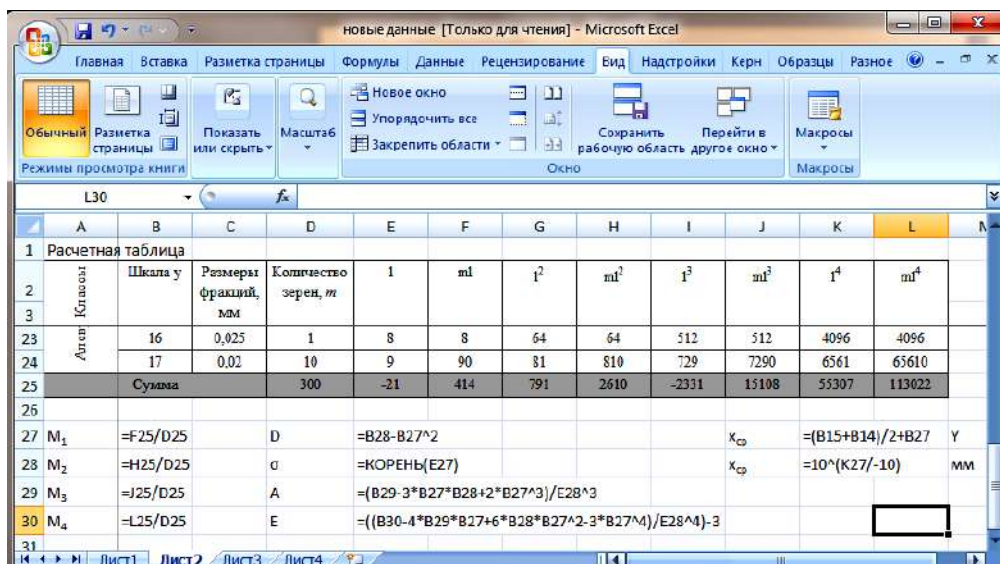


Рис. П.9. Пример расчетных формул для определения базовых величин

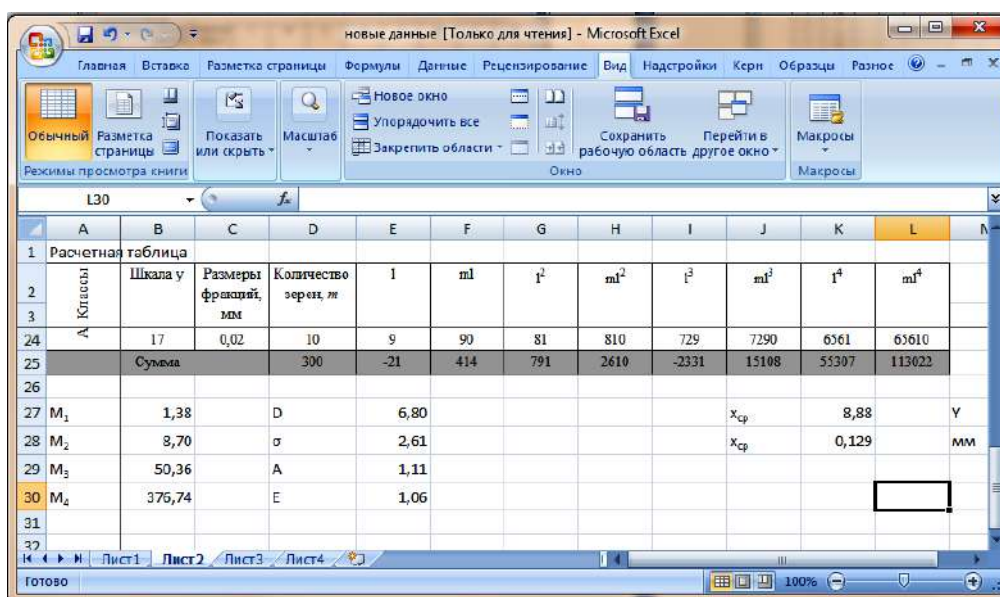


Рис. П.10. Числовые данные базовых величин

Для построения гистограммы и кумулятивной кривой необходимо добавить два столбца с % содержанием зерен и подсчитать накопленные проценты по фракциям, как показано на рис. П.11. Далее выполняем вставку «диаграмма»: тип диаграммы – гистограмма с группировкой; для кумулятивной кривой выбираем график с маркерами (рис. П.12).

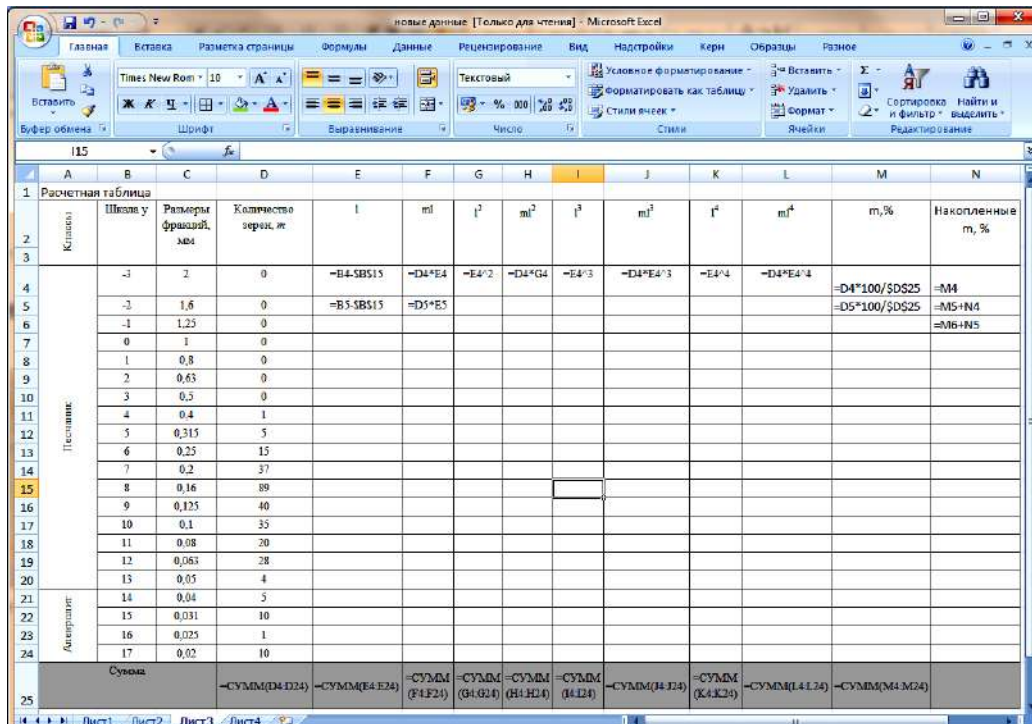


Рис. П.11. Формулы для расчета % содержания зерен и накопленных % по каждой фракции

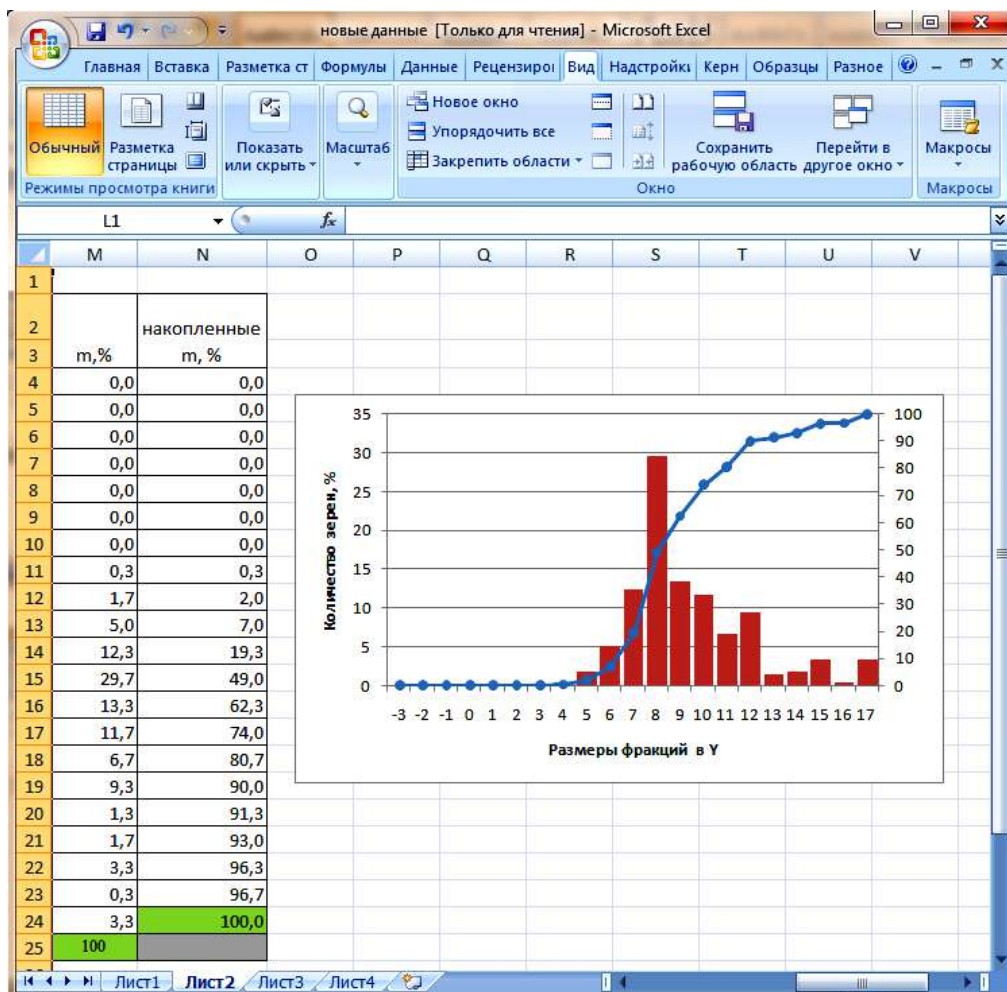


Рис. П.12. Пример построения гистограммы и кумулятивной кривой

Гранулометрический анализ цементированных обломочных пород лазерной дифракцией

Помимо подсчета зерен в шлифах довольно часто используется метод лазерной дифракции.

Суть этого метода определения размеров частиц основывается на том, что регистрируются не сами частицы, а рассеянный свет от этих частиц (или дифракционная картинка), и угол рассеяния света универсально пропорционален размеру частиц.

Рассеянное частицами излучение регистрируется под разными углами с помощью высокочувствительного многоэлементного кремниевго детектора – фотодиодной матрицы. Излучение полупроводниковых лазеров с помощью линзы фокусируются в плоскость детектора, проходя при этом через измерительную кювету, в которой осуществляется проток анализируемой суспензии, эмульсии или сухого порошкообразного материала и затем анализируется микрокомпьютером, который рассчитывает распределение частиц в потоке образца с образованием многоканальных гистограмм.

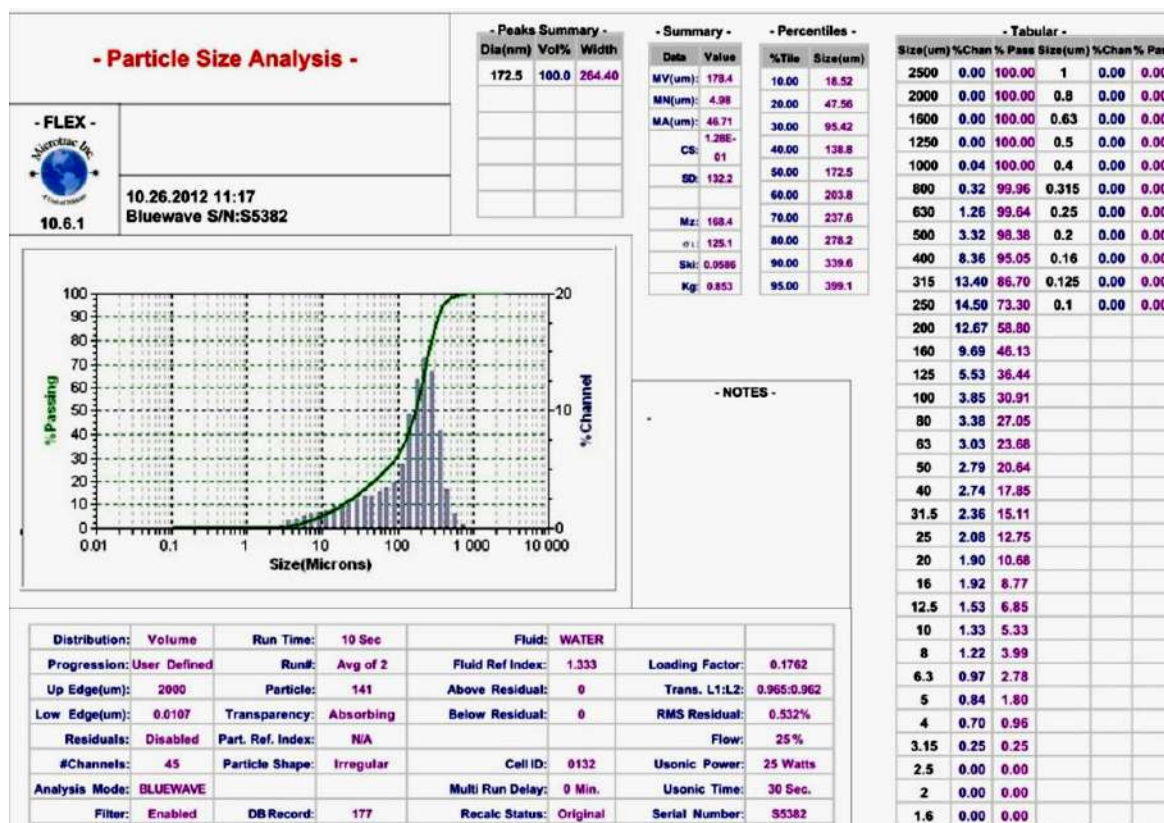


Рис. П.13. Пример протокола результатов Microtrac

Недостатки метода:

1. При расчете диаметра условно принимается, что все частицы имеют сферическую форму, т. е. диаметр усредняется при сканировании лазером под разными углами. В таком случае зерна, имеющие плоскую форму, оказываются больше, чем сферические того же объема. В частности, слюды имеют плоскую форму, они воспринимаются лазером, как крупные зерна.

2. Очень мелкие частицы дают очень большой угол преломления луча лазера, который может выйти за область, контролируемую датчиками.

3. Минералогия частиц (прозрачность, цвет) влияет на индекс преломления луча света, что сказывается на результатах расчета их диаметра.

4. Пробоподготовка образцов осуществляется способом, аналогичным подготовке к ситовому методу: сцементированные породы дезинтегрируются, подвергаются кислотной обработке и растираются в ступке. Вся эта процедура несет с собой и все недостатки, которые связаны с пробоподготовкой. Метод выигрывает большей частью тем, что размеры зерен возможно представить в виде любой размерной шкалы.

Прибор лазерной дифракции сопровождается представленным программным обеспечением, которое выдает протокол измерений, выглядящий следующим образом (рис. П.13).

Приведенные данные иллюстрируют высокую значимость данного метода. Совместное использование подсчета зерен в шлифах и метода лазерной дифракции дает исчерпывающую характеристику состава изученных пород.

МИНОБРНАУКИ РФ

ФГБОУ ВО «Уральский государственный горный университет»

**МЕТОДИЧЕСКИЕ УКАЗАНИЯ
ПО ОРГАНИЗАЦИИ ПРАКТИЧЕСКИХ ЗАНЯТИЙ И
САМОСТОЯТЕЛЬНОЙ РАБОТЕ
ПО ДИСЦИПЛИНЕ**

**ГЕОЛОГИЯ МЕСТОРОЖДЕНИЙ ПОЛЕЗНЫХ
ИСКОПАЕМЫХ**

для обучающихся по специальности:

21.05.03 Технология геологической разведки

Екатеринбург

Под промышленными типами понимаются такие естественные геолого-минералогические типы месторождений, при эксплуатации которых в сумме во всем мире извлекается несколько процентов данного вида полезного ископаемого.

Кроме этого, промышленными называются месторождения с балансовыми запасами, которые экономически целесообразно разрабатывать при современном состоянии техники обработки и технологии переработки руд. Промышленный тип месторождения определяется прежде всего геологическими условиями залегания и морфологией рудных тел, минеральным и вещественным составом руд, от которых зависят методы обработки месторождения и технология получения металлов.

По своему содержанию дисциплина «Промышленные типы месторождений полезных ископаемых» – это ветвь науки о геологии месторождений, главной задачей которой является изучение определенных геолого-промышленных типов месторождений в земной коре. Познание закономерностей размещения месторождений, строения слагающих их рудных тел, изучение масштабов объектов, их характерных особенностей, все это необходимо для организации и проведения геологоразведочных работ различного назначения и в совокупности составляет основные цели изучения дисциплины «Промышленные типы месторождений полезных ископаемых».

Целью освоения учебной дисциплины «Промышленные типы месторождений полезных ископаемых» является ознакомление студентов с главными и второстепенными типами месторождений полезных ископаемых по каждому виду минерального сырья. Приобретение студентами навыков на основе описания месторождения, по геологической карте или разрезу, и по предоставленной коллекции образцов отнесение месторождения к определенному геолого-промышленному типу.

Для достижения указанной цели необходимо (задачи курса):

- приобретение студентами знаний по минеральным типам руд, их структурно-текстурным особенностям, требованиям промышленности к рудам различных промышленных типов месторождений, их качеству и величине запасов.
- получение представлений по комплексному использованию руд для разработки рациональной системы их обогащения.

Обоснование затрат времени на самостоятельную работу обучающихся Суммарный объем часов на СРО очной формы обучения составляет 118 часов.

№ п/п	Виды самостоятельной работы	Единица измерения	Норма времени, час	Расчетная трудоемкость СРО по нормам, час.	Принятая трудоемкость СРО, час.
Самостоятельная работа, обеспечивающая подготовку к аудиторным занятиям					82
1	Повторение материала лекций	1 тема	0,1-4,0	2,0 x 13= 26	26
2	Самостоятельное изучение тем курса	1 тема	1,0-8,0	3,0 x 13 = 39	39
3	Ответы на вопросы для самопроверки (самоконтроля)	1 тема	0,3-0,5	0,4 x 13 = 4,2	4
4	Подготовка к практическим занятиям	1 занятие	0,3-2,0	0,35 x 37= 13	13
Другие виды самостоятельной работы					
5	Подготовка к экзамену	1 экзамен		27+9	27+9
Итого:					118

Содержание учебной дисциплины

Раздел 1. Общие сведения о дисциплине промышленные типы месторождений полезных ископаемых

Основные понятия, задачи и содержание дисциплины. Группировка промышленных месторождений по запасам. Понятие качества руд. Требования

промышленности к качеству полезного ископаемого (кондиции). Разделение руд по качеству. Промышленная классификация.

Раздел 2. Промышленные типы месторождений черных металлов

Главные и второстепенные промышленные типы месторождений железа. Кондиции, предъявляемые промышленностью к различным типам руд. Главные промышленные минералы железных руд. Ценные и вредные примеси. Масштабы месторождений. Примеры месторождений главных и второстепенных промышленных типов.

Промышленные типы месторождений марганца. Области применения марганцевых руд. Кондиции, предъявляемые промышленностью к различным типам марганцевых руд. Главные промышленные минералы руд марганца. Ценные и вредные примеси. Масштабы месторождений. Примеры месторождений.

Промышленные типы месторождений хрома. Области применения хромитовых руд. Кондиции, предъявляемые промышленностью к различным типам хромитовых руд. Главные промышленные минералы руд хрома. Ценные и вредные примеси. Масштабы месторождений. Примеры месторождений для каждого из промышленных типов.

Раздел 3. Промышленные типы месторождений легирующих металлов

Промышленные типы месторождений титана и ванадия; области применения этих металлов. Кондиции, предъявляемые промышленностью к различным типам руд титана и ванадия. Главные промышленные минералы руд титана и ванадия. Ценные и вредные примеси. Масштабы месторождений. Примеры для каждого из промышленных типов.

Промышленные типы месторождений никеля. Области применения этого металла. Кондиции, предъявляемые промышленностью к различным типам руд никеля. Главные промышленные минералы руд никеля. Ценные и вредные примеси. Масштабы месторождений. Примеры для каждого из промышленных типов.

Промышленные типы месторождений кобальта. Области применения этого металла. Кондиции, предъявляемые промышленностью к различным типам руд кобальта. Главные промышленные минералы руд кобальта. Ценные и вредные примеси. Форма рудных тел. Масштабы месторождений. Примеры для каждого из промышленных типов.

Промышленные типы месторождений вольфрама. Области его использования. Кондиции, предъявляемые промышленностью к рудам вольфрама. Главные промышленные минералы руд. Форма рудных тел. Масштабы месторождений. Примеры месторождений для каждого из промышленных типов.

Промышленные типы месторождений молибдена. Области использования этого металла. Кондиции, предъявляемые промышленностью к рудам молибдена. Главные промышленные минералы руд. Форма рудных тел. Масштабы месторождений. Примеры месторождений для каждого из промышленных типов.

Раздел 4. Промышленные типы месторождений цветных металлов

Главные промышленные типы месторождений алюминия. Области применения этого металла. Кондиции, предъявляемые промышленностью к различным типам руд алюминия. Минералы, ценные примеси. Форма рудных тел. Масштабы месторождений. Примеры для каждого из промышленных типов. Второстепенные промышленные типы и потенциальные источники получения алюминия (не из бокситов).

Главные промышленные типы месторождений меди. Области применения этого металла. Кондиции, предъявляемые промышленностью к различным типам руд меди. Главные промышленные минералы руд меди. Ценные и вредные примеси. Форма рудных тел. Масштабы месторождений. Примеры месторождений для каждого из промышленных типов.

Главные промышленные типы месторождений свинца и цинка. Области применения этих металлов. Кондиции, предъявляемые промышленностью к различным типам руд свинца и цинка. Главные промышленные минералы руд свинца и цинка.

Ценные и вредные примеси. Форма рудных тел. Масштабы месторождений. Примеры месторождений для каждого из промышленных типов.

Главные промышленные типы месторождений сурьмы и ртути. Области применения этих металлов. Кондиции, предъявляемые промышленностью к различным типам руд сурьмы и ртути. Главные промышленные минералы руд сурьмы и ртути. Форма рудных тел. Масштабы месторождений. Примеры месторождений для каждого из промышленных типов.

Раздел 5. Промышленные типы месторождений благородных металлов

Главные промышленные типы месторождений золота. Области использования золота и изделий из него. Кондиции, предъявляемые промышленностью к золоторудным месторождениям. Главные промышленные минералы руд золота. Форма рудных тел. Масштабы месторождений. Примеры месторождений для каждого из промышленных типов.

Главные промышленные типы месторождений платины и платиноидов. Области ее использования. Кондиции, предъявляемые промышленностью к рудам. Главные промышленные минералы руд. Форма рудных тел. Масштабы месторождений. Примеры месторождений для каждого из выделяемых промышленных типов.

Раздел 6. Промышленные типы месторождений редких и радиоактивных металлов

Промышленные типы месторождений лития. Области использования лития и его соединений. Кондиции, предъявляемые промышленностью к рудам лития. Главные промышленные минералы руд лития. Форма рудных тел. Масштабы месторождений. Примеры месторождений для каждого из промышленных типов.

Промышленные типы месторождений бериллия. Области его использования. Кондиции, предъявляемые промышленностью к рудам бериллия.

Главные промышленные минералы руд бериллия. Форма рудных тел. Масштабы месторождений. Примеры месторождений для каждого из промышленных типов. Промышленные типы экзогенных и метаморфогенных месторождений урана. Минералы урановых руд в этих типах месторождений. Примеры месторождений. Коэффициент радиоактивного равновесия.

Промышленные типы гидротермальных месторождений урана. Перечислите их и дайте характеристику их промышленной ценности. Минералы урановых руд в этих типах месторождений. Примеры месторождений. Промышленные типы месторождений ниобия и тантала. Области использования этих металлов. Кондиции, предъявляемые промышленностью к рудам ниобия и тантала.

Главные промышленные минералы руд. Подразделение месторождений по содержанию главных полезных элементов. Связь месторождений тантала и ниобия с различными породными комплексами. Форма рудных тел. Масштабы месторождений. Примеры месторождений для каждого из промышленных типов.

Промышленные типы месторождений циркония. Области использования этого металла. Кондиции, предъявляемые промышленностью к рудам циркония. Главные промышленные минералы руд. Форма рудных тел. Масштабы месторождений. Примеры месторождений для каждого из промышленных типов.

Раздел 7. Промышленные типы месторождений химического и агрохимического сырья

Промышленные типы месторождений минеральных солей. Области применения солей и их соединений. Минеральный состав главных промышленных руд. Масштабы месторождений различных типов. Промышленные типы месторождений фосфатного сырья. Области использования апатитов и фосфоритов. Кондиции для месторождений апатитового и фосфоритового сырья. Главные минеральные разновидности руд фосфоритов и апатитов. Форма рудных тел. Примеры для каждого промышленного типа.

Промышленные типы месторождений серы. Области использования серы и ее соединений. Кондиции, предъявляемые промышленностью к серным рудам. Форма рудных тел месторождений различных генетических типов. Примеры месторождений для каждого из геолого-промышленных типов. Промышленные типы месторождений бора. Области использования руд бора. Кондиции, предъявляемые промышленностью к борным рудам. Форма рудных тел. Примеры месторождений для каждого из геолого-промышленных типов.

Раздел 8. Промышленные типы месторождений индустриального сырья

Промышленные типы месторождений слюд. Области использования слюды. Минеральный состав главных промышленных руд. Кондиции, предъявляемые промышленностью к слюдяным рудам. Масштабы месторождений слюд. Примеры месторождений для каждого из выделяемых промышленных типов. Промышленные типы месторождений талька и пиррофиллита. Области их использования. Генетические типы месторождений. Формы и размеры промышленных тел в главных месторождениях. Примеры месторождений для каждого из выделяемых промышленных типов.

Промышленные типы месторождений графита. Области использования графита в промышленности. Кондиции, предъявляемые промышленностью к рудам графита. Форма рудных тел. Примеры месторождений для каждого из промышленных типов.

Промышленные типы месторождений магнезита и брусита. Области использования магнезита и брусита в промышленности. Кондиции, предъявляемые промышленностью к рудам магнезита и брусита. Примеры месторождений. Промышленные типы месторождений хризотил-асбеста. Области применения изделий из хризотил-асбеста. Основные типы руд и содержание в них асбестового волокна. Условия образования месторождений различных промышленных типов и их масштабы. Примеры месторождений ведущих геолого-промышленных типов.

Промышленные типы месторождений амфибол-асбеста. Области применения амфибол-асбеста. Основные минеральные разновидности руд. Условия образования месторождений различных промышленных типов и их масштабы. Примеры месторождений ведущих геолого-промышленных типов.

Промышленные типы месторождений цеолитов. Области использования цеолитового сырья. Условия образования и генетическая природа цеолитовых месторождений. Основные разновидности цеолитов. Промышленные типы месторождений барита и витерита. Области использования этих минералов и их руд. Кондиции, предъявляемые промышленностью к баритовым и витеритовым рудам. Форма рудных тел. Примеры месторождений для каждого из геолого-промышленных типов.

Раздел 9. Промышленные типы месторождений оптического сырья.

Основные промышленные типы месторождений кварца. Условия их образования и вмещающие породы главных промышленных типов месторождений. Примеры наиболее известных месторождений главных геолого-промышленных типов. Промышленные типы месторождений флюорита. Области использования флюоритового сырья. Кондиции, предъявляемые добывающей промышленностью к качеству флюоритовых руд. Форма рудных тел. Масштабы месторождений. Примеры месторождений для каждого из промышленных типов.

Раздел 10. Промышленные типы месторождений алмазов и камнесамоцветного сырья.

Промышленные типы месторождений алмазов с примерами для каждого из них. Области использования алмазов. Основные разновидности алмазов, в том числе по месту их использования. Кондиции для месторождений коренных руд и для россыпей. Разновидности месторождений ювелирных, ювелирно-поделочных и поделочных камней. Главные минералы, относящиеся к каждой из перечисленных групп. Месторождения, представленные ювелирными, ювелирно-поделочными и поделочными камнями. Условия

образования этих месторождений и вмещающих их пород. Примеры месторождений основных геолого-промышленных типов.

Раздел 11. Промышленные типы месторождений цементного сырья.

Промышленные типы месторождений строительных материалов. Применение. Деление на основные типы сырья по крупности материала и по использованию. Промышленные типы месторождений цементного сырья. Процесс производства портланд-цемента.

Раздел 12. Промышленные типы месторождений керамического сырья (каолина, глин, пегматитов, гранитов).

Промышленные типы месторождений керамического сырья. Области использования разнообразных керамических изделий. Кондиции, предъявляемые промышленностью к керамическому сырью. Форма рудных тел. Примеры месторождений для каждого из геолого-промышленных типов.

Раздел 13. Промышленные типы месторождений стекольного сырья

Промышленные типы месторождений стекольного сырья. Области использования стекла. Кондиции, предъявляемые промышленностью к стекольному сырью. Форма рудных тел. Примеры месторождений для каждого из геолого-промышленных типов.

План лабораторных занятий по дисциплине «Промышленные типы месторождений полезных ископаемых»

1. Знакомство с литературой по описанию конкретных месторождений полезных ископаемых;
2. Описание каждого месторождения в табличной форме;
3. Зарисовка плана или разреза месторождения;
4. Изучения коллекции образцов по каждому месторождению;
5. Коллоквиум по каменному материалу.

На лабораторные занятия преподавателем объявляется список месторождений подлежащих изучению студентами. Этот список, как правило, не превышает четырех-пяти объектов за занятие по одному или двум близким видам минерального сырья. Студентам дается время 40-50 минут от занятия, для изучения литературы и описания месторождений.

Описание месторождений производится в отдельной тетради, которая озаглавляется – «Каталог месторождений». На титульном листе каталога должна быть написана фамилия студента, группа, изучаемая дисциплина. Пример оформления титульного листа дается в приложении № 1.

Характеристика месторождения полезных ископаемых производится на развернутом листе тетради в табличной форме. На одном листе следует помещать не более двух месторождений. В таблице описания месторождений левый лист делится пополам и на правой его половине помещается разрез месторождения. Всего на странице помещаются следующие столбцы по порядку:

1. Номер по порядку;
2. Название месторождения;
3. Генетический класс месторождения;
4. Извлекаемые полезные ископаемые;
5. Масштаб месторождения;
6. Разрез месторождения с условными обозначениями.

Правый лист делится на три равных столбца:

1. Формы рудных тел;
2. Минеральный состав руд и вмещающие породы;
3. Структуры и текстуры руд.

Пример заполнения таблицы приводится на рисунке 1.

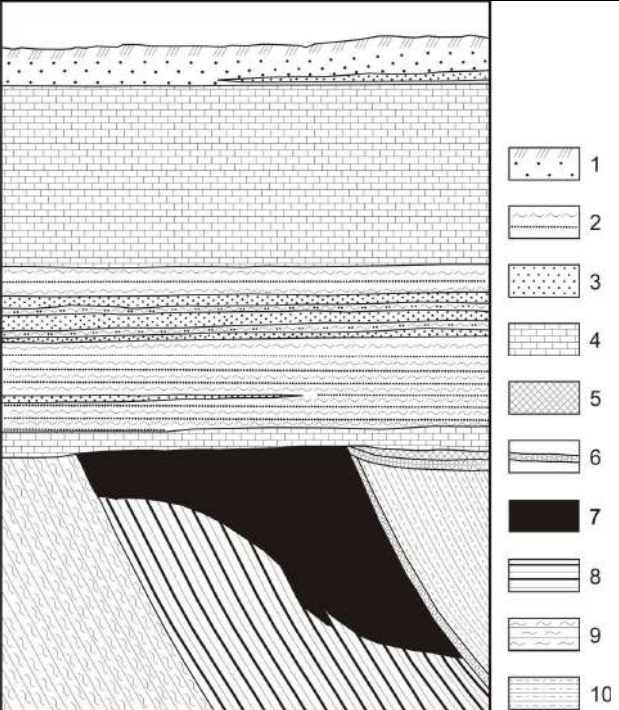
№ _{пп}	Название месторождения	Генетический класс	Извлекаемые ПИ	Масштаб месторождения	Разрез (план) месторождения	Форма рудных тел	Минеральный состав руд и вмещающих пород	Структуры и текстуры руд
1	КМА (Яковлевское)	Метаморфизованный	Fe	12 000 млн. т.	 <p>1 – ПРС и суглинки; 2 – пески и глины; 3 – песчаники; 4 – мел, мергели, известняки; 5 – руда переотложенная; 6 – бокситы; 7 – богатая руда; 8 – железистые кварциты; 9 – кварц-сланцевые микросланцы; 10 – кварц-графит-биотитовые микросланцы.</p>	Пластовая, смятая в складки, пластообразная, плащеобразная	Магнетит, гематит, мартит. Железистые кварциты	Структуры: Мелко- и скрытозернистые, Текстуры: массивные, полосчатые, плейчатые, слоистые.

Рис.1. Пример заполнения каталога месторождений

Зарисовка плана или разреза месторождения обязательно делается от руки, что позволяет, с одной стороны, научить студента делать геологические зарисовки с условными обозначениями и другими атрибутами геологической документации. С другой стороны рисунок от руки позволяет лучше запоминать особенности геологического строения каждого из месторождений, что понадобится студентам для правильного ответа на один из вопросов экзаменационного билета.

Вторая часть лабораторного занятия продолжительностью 40-50 минут отводится для изучения каменного материала по отдельным месторождениям полезных ископаемых. Каждая коллекция состоит из 15-20 образцов характеризующих минеральный состав основных полезных ископаемых месторождения, минералы-спутники полезного ископаемого, наиболее характерные их структуры и текстуры, а также вмещающие породы, содержащие полезные минералы.

Список месторождений необходимых для изучения на лабораторных занятиях по курсу «Промышленные типы месторождений полезных ископаемых»:

Железо

Яковлевское месторождение (КМА);
Керченская группа месторождений (Крым);
Соколовское месторождение (Южный Урал);
Качканарское месторождение (Средний Урал);
Кусинское месторождение (Средний Урал);
Западно-Каражальское (Казахстан);
Ковдорское месторождение (Кольский п-ов);

Марганец

Никопольское месторождение (Украина);

Хром

Кемпирсайская группа месторождений;
Центральное месторождение (Полярный Урал, массив Рай-Из);
Сарановское месторождение (Северный Урал);

Титан

Иршинская ильменитовая россыпь (Украина);

Никель

Талнахское месторождение (Сибирь);
Бурьктальское месторождение (Южный Урал);
Ховуаксинское месторождение (Тува);
Черемшанское месторождение (Средний Урал);

Молибден и вольфрам

Коунрадское месторождение (Казахстан);
Каджаранское месторождение (Армения);
Тырныаузское месторождение (Северный Кавказ);
Месторождение Восток-II (Дальний Восток);
Джидинское месторождение (Забайкалье);

Алюминий

Месторождение Красная шапочка СУБР (Северный Урал);
Тихвинское месторождение (Ленинградская обл.);

Медь

Гайское месторождение (Южный Урал);
Сафьяновское месторождение (Средний Урал);
Дегтярское месторождение (Средний Урал);
Джезказганское месторождение (Центральный Казахстан);
Удоканское месторождение (Забайкалье);

Свинец и цинк

Риддер-Сокольное месторождение (Рудный Алтай);
Садонское месторождение (Осетия);
Тетюхенское (Дальнегорское, Верхнее) месторождение (Дальний Восток);
Миргалимсайское месторождение (Южный Казахстан);

Олово

Депутатаское месторождение (Якутия);

Сурьма

Сарылахское месторождение (Якутия);
Кадамджайское месторождение (Рудный Алтай);

Ртуть

Хайдарканское месторождение (Киргизия);
Никитовское месторождение (Украина);

Золото

Месторождение Мурун-Тау (Узбекистан);
Кочкарское месторождение (Южный Урал, Челябинская обл.);
Березовское месторождение (Средний Урал);
Воронцовское месторождение (Средний Урал);
Балейское месторождение (Забайкалье);
Месторождение Сухой Лог (Иркутская область);

Уран

Далматовское месторождение (Курганская область)

Алмазы

Трубка «Мир»
Трубка «Аргайл»

Графит

Курейское (Ногинское)
Завальевское

Слюды

Мамско-Чуйская провинция
Слюдяногорское
Ковдорское

Асбест

Баженовское
Сысертское

Тальк
Шабровское
Киргитейское

Магнезит
Саткинское

Кварц
Кыштымское

Соли
Верхнекамское

Апатиты и фосфориты
Каратау
Егорьевское
Хибиногорское
Просьяновское-глины
Дальнегорское-бор
Гаудакское-сера
Вознесенское-флюорит

На заключительном этапе обучения дисциплины «Промышленные типы месторождений полезных ископаемых» на последнем в семестре лабораторном занятии проводится коллоквиум по каменному материалу. Студенту выдается пять образцов разных полезных ископаемых, которые необходимо охарактеризовать по следующему плану:

1. Структура полезного ископаемого;
2. Текстура руды;
3. Минеральный состав руды;
4. Извлекаемое полезное ископаемое;
5. Возможный генетический класс месторождения;

Также по возможности необходимо по выданной преподавателем коллекции образцов полезных ископаемых определить возможный геолого-промышленный тип месторождения полезных ископаемых, возможные типы руд, их минеральный состав, назвать промышленные кондиции и возможные масштабы месторождений.

Критерии оценивания: правильное определение структуры руды – 1 балл, правильное определение текстуры руды – 1 балл, правильное и подробное определение минерального состава руды – 1 балл, выявление полезного ископаемого – 1 балл, геолого-промышленный тип МПИ – 1 балл.

Кроме этого на коллоквиуме студентам выдаются разрезы или планы неизвестных им месторождений и по строению геологического разреза месторождения рудных или нерудных полезных ископаемых необходимо провести обоснование возможного геолого-промышленного типа месторождения – 2 баллов, представление графического материала – 1 балл, выводы по первоочередным промышленным типам минерального сырья – 2 балла.

Критерии оценки:

оценка «отлично» выставляется обучающемуся, если работа соответствует всем критериям, выполнена самостоятельно и без существенных замечаний (9-10 баллов)

оценка «хорошо» выставляется обучающемуся, если работа соответствует всем критериям, выполнена практически самостоятельно, а имеющиеся ошибки и неточности были сразу исправлены после указания на них преподавателем (7-8 баллов)

оценка «удовлетворительно» выставляется обучающемуся, если работа не совсем соответствует критериям, выполнена с большими ошибками и неточностями, а при исправлении имеющихся ошибок и неточностей, указанных преподавателем возникли трудности (5-6 баллов)

оценка «неудовлетворительно» выставляется обучающемуся, если работа не соответствует критериям, выполнена с существенными ошибками и неточностями, а ошибки и неточности, указанные преподавателем не были исправлены (0-4 балла)

Для изучения дисциплины самостоятельно рекомендуется пользоваться широким перечнем литературных и методических источников, имеющихся в библиотеке университета и выставленных на сайтах. Перечень последних приведен ниже.

Ниже приводятся контрольные вопросы по курсу «Промышленные типы месторождений полезных ископаемых», в экзаменационном билете содержится один теоретический вопрос по металлическим полезным ископаемым и одно практико-ориентированное задание в одном семестре (Часть 1), во втором семестре теоретический вопрос и практико-ориентированное задание посвящено неметаллическим полезным ископаемым

КОНТРОЛЬНЫЕ ВОПРОСЫ ДЛЯ ПРОВЕРКИ ЗНАНИЙ ПРИ ПОДГОТОВКЕ К ЭКЗАМЕНУ ПО ДИСЦИПЛИНЕ «ПРОМЫШЛЕННЫЕ ТИПЫ МПИ» Часть 1

1. Главные и второстепенные промышленные типы месторождений железа. Кондиции, минералы, ценные и вредные примеси. Масштабы месторождений. Примеры.
2. Промышленные типы месторождений марганца. Области применения таких руд. Кондиции, минералы, ценные примеси. Масштабы месторождений. Примеры.
3. Промышленные типы месторождений хрома. Области применения таких руд. Кондиции, минералы, ценные примеси. Масштабы месторождений. Примеры для каждого из промышленных типов.
4. Промышленные типы месторождений титана и ванадия. Области применения этих металлов. Кондиции, минералы, ценные примеси. Масштабы месторождений. Примеры для каждого из промышленных типов.
5. Промышленные типы месторождений никеля. Области применения этого металла. Кондиции, минералы, ценные примеси. Масштабы месторождений. Примеры для каждого из промышленных типов.
6. Промышленные типы месторождений кобальта. Области применения этого металла. Кондиции, минералы, ценные примеси. Форма рудных тел. Масштабы месторождений. Примеры для каждого из промышленных типов.
7. Главные промышленные типы месторождений алюминия. Области применения этого металла. Кондиции, минералы, ценные примеси. Форма рудных тел. Масштабы месторождений. Примеры для каждого из промышленных типов. Второстепенные промышленные типы и потенциальные источники получения алюминия (не из бокситов).
8. Главные промышленные типы месторождений меди. Области применения этого металла. Кондиции, минералы, ценные примеси. Форма рудных тел. Масштабы месторождений. Примеры месторождений для каждого из промышленных типов.
9. Главные промышленные типы месторождений свинца и цинка. Области применения этих металлов. Кондиции, минералы, ценные примеси. Форма рудных тел. Масштабы месторождений. Примеры месторождений для каждого из промышленных типов.

10. Главные промышленные типы месторождений сурьмы и ртути. Области применения этих металлов. Кондиции, минералы. Форма рудных тел. Масштабы месторождений. Примеры месторождений для каждого из промышленных типов.
11. Главные промышленные типы месторождений золота. Области его использования. Кондиции, минералы. Форма рудных тел. Масштабы месторождений. Примеры месторождений для каждого из промышленных типов.
12. Промышленные типы месторождений лития. Области его использования. Кондиции, минералы. Форма рудных тел. Масштабы месторождений. Примеры месторождений для каждого из промышленных типов.
13. Промышленные типы месторождений бериллия. Области его использования. Кондиции, минералы. Форма рудных тел. Масштабы месторождений. Примеры месторождений для каждого из промышленных типов.
14. Промышленные типы экзогенных и метаморфогенных месторождений урана. Перечислите их и дайте характеристику их промышленной ценности. Минералы урановых руд в этих типах месторождений. Примеры. Что такое коэффициент радиоактивного равновесия?
15. Промышленные типы гидротермальных месторождений урана. Перечислите их и дайте характеристику их промышленной ценности. Минералы урановых руд в этих типах месторождений. Примеры.
16. Промышленные типы месторождений ниобия и тантала. Области их использования. Кондиции, минералы. Форма рудных тел. Масштабы месторождений. Примеры месторождений для каждого из промышленных типов.
17. Промышленные типы месторождений вольфрама. Области его использования. Кондиции, минералы. Форма рудных тел. Масштабы месторождений. Примеры месторождений для каждого из промышленных типов.
18. Промышленные типы месторождений молибдена. Области его использования. Кондиции, минералы. Форма рудных тел. Масштабы месторождений. Примеры месторождений для каждого из промышленных типов.
19. Промышленные типы месторождений циркония. Области его использования. Кондиции, минералы. Форма рудных тел. Масштабы месторождений. Примеры месторождений для каждого из промышленных типов.
20. Главные промышленные типы месторождений платины и платиноидов. Области ее использования. Кондиции, минералы. Форма рудных тел. Масштабы месторождений. Примеры месторождений для каждого из выделяемых промышленных типов.

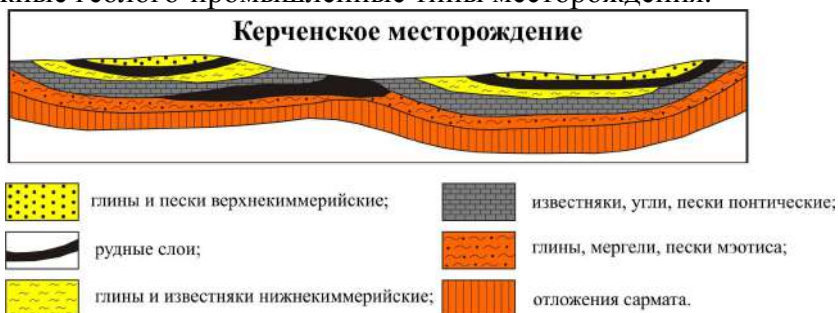
**КОНТРОЛЬНЫЕ ВОПРОСЫ ДЛЯ ПРОВЕРКИ ЗНАНИЙ
ПРИ ПОДГОТОВКЕ К ЭКЗАМЕНУ ПО ДИСЦИПЛИНЕ
«ПРОМЫШЛЕННЫЕ ТИПЫ МПИ» Часть 2**

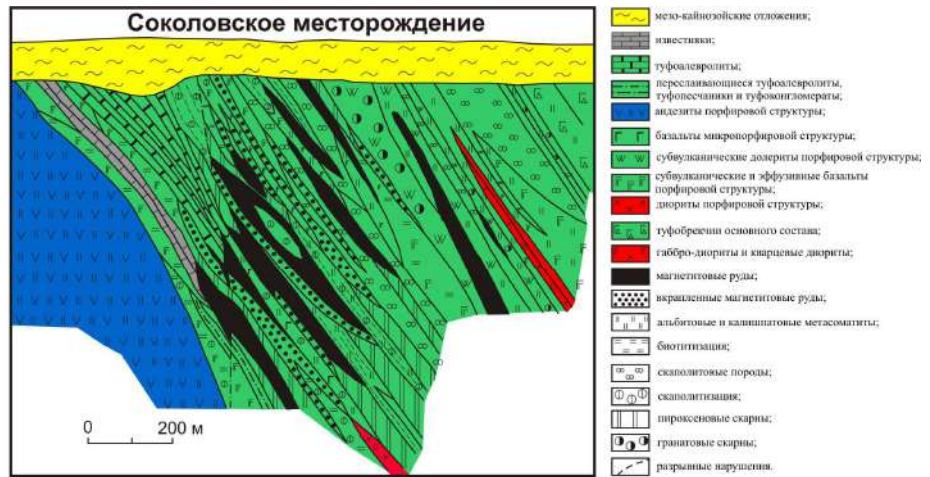
1. Промышленные типы месторождений строительных материалов. Применение. Деление на основные типы сырья по крупности материала и по использованию.
2. Промышленные типы месторождений слюды. Области использования. Минеральный состав, кондиции, масштабы месторождений. Примеры.
3. Промышленные типы месторождений алмазов. Где они используются. Перечислите их разновидности. Кондиции для коренных руд и для россыпей. Назовите главные промышленные типы месторождений с примерами для каждого из них.
4. Промышленные типы месторождений талька и пиррофиллита. Области их использования. Генетические типы. Форма и размеры промышленных тел. Примеры.
5. Промышленные типы месторождений графита. Области использования. Кондиции. Форма рудных тел. Примеры месторождений для каждого из промышленных типов.
6. Промышленные типы месторождений минеральных солей. Области применения. Минералы, масштабы месторождений различных типов.

7. Промышленные типы месторождений фосфатного сырья. Области использования. Кондиции, минералы. Форма рудных тел. Примеры для каждого промышленного типа.
8. Промышленные типы месторождений магнезита и брусита. Применение. Кондиции. Примеры.
9. Промышленные типы месторождений хризотил-асбеста. Применение. Основные типы руд и содержание в них асбестового волокна. Условия образования. Примеры.
10. Промышленные типы месторождений амфибол-асбеста. Области применения. Основные минеральные разновидности. Условия образования. Примеры.
11. Разновидности месторождений ювелирных, ювелирно-поделочных и поделочных камней. Какие из минералов относятся к каждой из перечисленных групп и какими месторождениями они представлены. Условия их образования и вмещающие породы. Примеры.
12. Основные промышленные типы месторождений кварца. Условия их образования и вмещающие породы. Примеры.
13. Промышленная классификация неметаллических полезных ископаемых. Деление различных видов сырья на основные группы по свойствам и главным направлениям применения в промышленности. Основные требования, предъявляемые к качеству неметаллического сырья.
14. Промышленные типы месторождений флюорита. Области его использования. Кондиции. Форма рудных тел. Масштабы месторождений. Примеры месторождений для каждого из промышленных типов.
15. Промышленные типы месторождений цеолитов. Области их использования, условия образования и генетическая природа. Охарактеризуйте основные их разновидности.
16. Промышленные типы месторождений цементного сырья. На базе каких пород производится цемент. Рассмотрите процесс производства портланд-цемента.
17. Промышленные типы месторождений серы. Области использования. Кондиции. Форма рудных тел. Примеры месторождений для каждого из промышленных типов.
18. Промышленные типы месторождений бора. Области использования. Кондиции. Форма рудных тел. Примеры месторождений для каждого из промышленных типов.
19. Промышленные типы месторождений барита и виверита. Области использования. Кондиции. Форма рудных тел. Примеры месторождений для каждого из промышленных типов.
20. Промышленные типы месторождений керамического сырья. Области использования. Кондиции. Форма рудных тел. Примеры месторождений для каждого из промышленных типов.
21. Промышленные типы месторождений стекольного сырья. Области использования. Кондиции. Форма рудных тел. Примеры месторождений для каждого из промышленных типов.

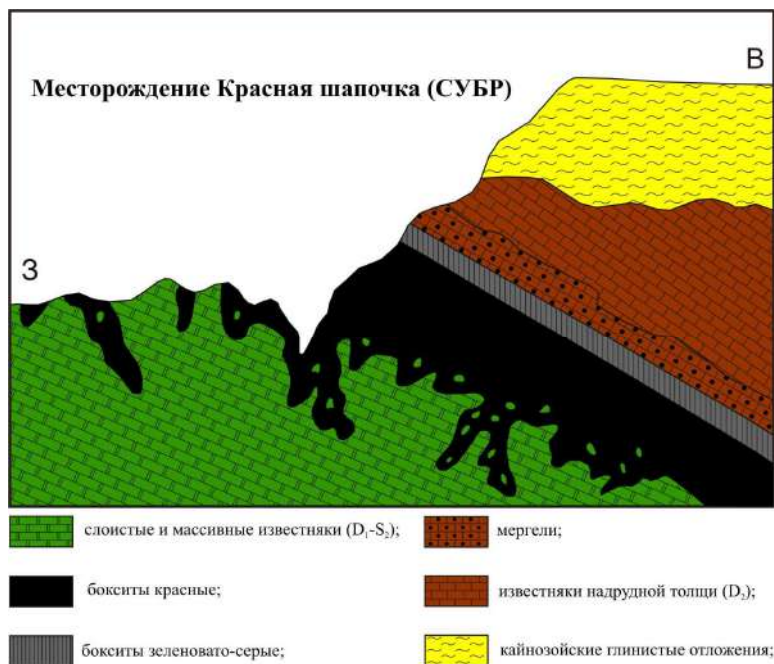
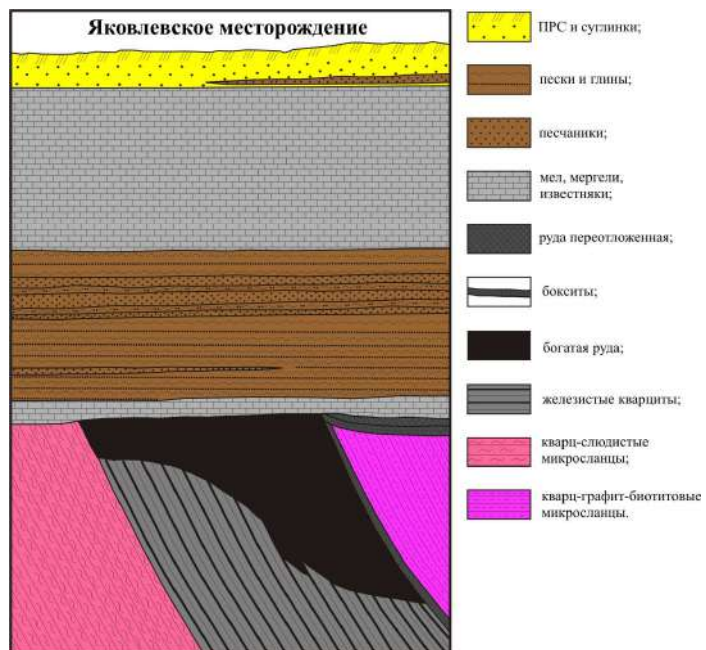
ПРАКТИКООРИЕНТИРОВАННЫЕ ЗАДАНИЯ

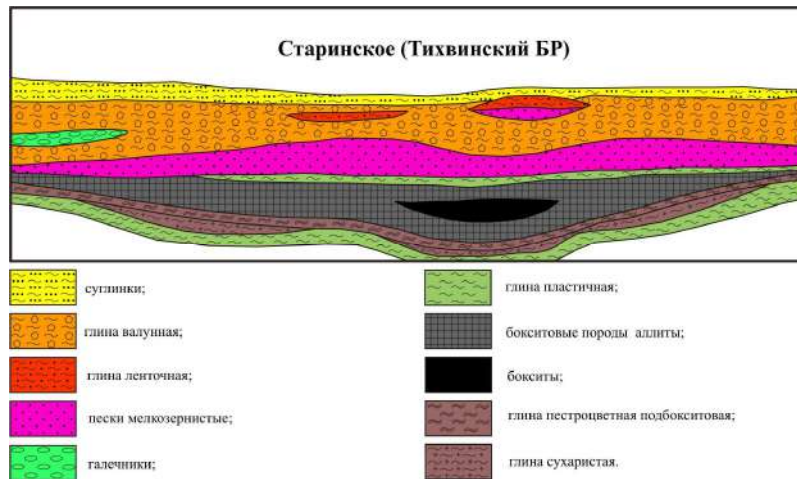
По строению геологического разреза месторождения полезных ископаемых определить возможные геолого-промышленные типы месторождения.





1 2 3 4 5 6





МЕТОДИЧЕСКИЕ МАТЕРИАЛЫ

1. Основная литература

1. Месторождения металлических полезных ископаемых / В.В. Авдониин [и др.]. — Электрон. текстовые данные. — М. : Академический Проект, Трикса, 2016. — 719 с. — 978-5-8291-2504-2. — Режим доступа: <http://www.iprbookshop.ru/60030.html>
2. Еремин Н.И. Неметаллические полезные ископаемые. Учебное пособие. 2-е изд. М.: Изд-во МГУ; ИКЦ «Академкнига», 2007.-459 с.
3. Промышленные типы месторождений металлических полезных ископаемых. Учебное пособие / Малахов И.А., Бурмако П.Л., Алексеев А.В .- Екатеринбург, Изд.УГГГУ, 2007. 208 с
4. Промышленные типы месторождений неметаллических полезных ископаемых. Учебное пособие / Малахов И.А., Алексеев А.В., Бурмако П.Л. - Екатеринбург, Изд.УГГГУ, 2010. 208 с.

2 Дополнительная литература

1. Курс рудных месторождений: учебник для вузов / Смирнов В.И., Гинзбург А.И., Григорьев В.М., Яковлев Г.Ф. М.: Недра, 1986.-360 с.
2. Курс рудных месторождений: учебник / Смирнов В.И., Гинзбург А.И., Яковлев Г.Ф. М.: Недра, 1981.-348 с
3. Яковлев П.Д. Промышленные типы рудных месторождений. Учебное пособие для вузов –М.: Недра, 1986. –358с
4. Промышленные типы месторождений неметаллических полезных ископаемых: Учебник для вузов /Карякин А.Е., Строна П.А.,Шаронов Б.Н. и др. М.: Недра, 1985.- 286с.
5. Геолого-промышленные типы месторождений урана: Учебное пособие / В.Е. Бойцов, А.А. Верчеба, 2008. -310 с.

Алгоритм работы студентов для качественного усвоения дисциплины включает в себя следующие действия:

1. Изучение рабочей программы дисциплины, что позволит правильно сориентироваться в системе требований, предъявляемых к студенту со стороны преподавателя.
2. Посещение и конспектирование лекций.
3. Обязательная подготовка к лабораторным занятиям.
4. Изучение основной и дополнительной литературы.
5. Выполнение всех видов самостоятельной работы, в т. ч. изучение каменного материала по ведущим месторождениям.

ФГБОУ ВО «УРАЛЬСКИЙ ГОСУДАРСТВЕННЫЙ ГОРНЫЙ УНИВЕРСИТЕТ

ФАКУЛЬТЕТ ГЕОЛОГИИ И ГЕОФИЗИКИ

Кафедра геологии, поисков и разведки месторождений полезных ископаемых

КАТАЛОГ МЕСТОРОЖДЕНИЙ

по дисциплине **ПРОМЫШЛЕННЫЕ ТИПЫ МЕСТОРОЖДЕНИЙ ПОЛЕЗНЫХ ИСКОПАЕМЫХ**

Студент: Иванов И.И.

Группа: РМ-18

Екатеринбург, 2019

МИНОБРНАУКИ РОССИИ

ФГБОУ ВО «Уральский государственный горный университет»



УТВЕРЖДАЮ

Профессор по учебно-методическому
комитету

С.А. Упоров

МЕТОДИЧЕСКИЕ УКАЗАНИЯ ПО ОРГАНИЗАЦИИ САМОСТОЯТЕЛЬНОЙ РАБОТЫ И ЗАДАНИЯ ДЛЯ ОБУЧАЮЩИХСЯ

ФТД.01 ТЕХНОЛОГИИ ИНТЕЛЛЕКТУАЛЬНОГО ТРУДА

Специальность

21.05.03 Технология геологической разведки

Екатеринбург

СОДЕРЖАНИЕ

ВВЕДЕНИЕ.....	3
ОСНОВНЫЕ КАТЕГОРИИ ДИСЦИПЛИНЫ.....	6
САМООРГАНИЗАЦИЯ РАБОТЫ С ЛИТЕРАТУРОЙ.....	8
ПОДГОТОВКА К ПРАКТИКО-ОРИЕНТИРОВАННЫМ ЗАДАНИЯМ.....	12
ПРАКТИКО-ОРИЕНТИРОВАННЫЕ ЗАДАНИЯ.....	13
ПОДГОТОВКА К ПРОМЕЖУТОЧНОЙ АТТЕСТАЦИИ.....	28

ВВЕДЕНИЕ

Самостоятельная работа в высшем учебном заведении - это часть учебного процесса, метод обучения, прием учебно-познавательной деятельности, комплексная целевая стандартизованная учебная деятельность с запланированными видом, типом, формами контроля.

Самостоятельная работа представляет собой плановую деятельность обучающихся по поручению и под методическим руководством преподавателя.

Целью самостоятельной работы студентов является закрепление тех знаний, которые они получили на аудиторных занятиях, а также способствование развитию у студентов творческих навыков, инициативы, умению организовать свое время.

Самостоятельная работа реализует следующие задачи:

- предполагает освоение курса дисциплины;
- помогает освоению навыков учебной и научной работы;
- способствует осознанию ответственности процесса познания;
- способствует углублению и пополнению знаний студентов, освоению ими навыков и умений;
- формирует интерес к познавательным действиям, освоению методов и приемов познавательного процесса,
- создает условия для творческой и научной деятельности обучающихся;
- способствует развитию у студентов таких личных качеств, как целеустремленность, заинтересованность, исследование нового.

Самостоятельная работа обучающегося выполняет следующие функции:

- развивающую (повышение культуры умственного труда, приобщение к творческим видам деятельности, обогащение интеллектуальных способностей студентов);
- информационно-обучающую (учебная деятельность студентов на аудиторных занятиях, неподкрепленная самостоятельной работой, становится мало результативной);
- ориентирующую и стимулирующую (процессу обучения придается ускорение и мотивация);
- воспитательную (формируются и развиваются профессиональные качества бакалавра и гражданина);
- исследовательскую (новый уровень профессионально-творческого мышления).

Организация самостоятельной работы студентов должна опираться на определенные требования, а, именно:

- сложность осваиваемых знаний должна соответствовать уровню развития студентов;
- стандартизация заданий в соответствии с логической системой курса дисциплины;
- объем задания должен соответствовать уровню студента;
- задания должны быть адаптированными к уровню студентов.

Содержание самостоятельной работы студентов представляет собой, с одной стороны, совокупность теоретических и практических учебных заданий, которые должен выполнить студент в процессе обучения, объект его деятельности; с другой стороны - это способ деятельности студента по выполнению соответствующего теоретического или практического учебного задания.

Свое внешнее выражение содержание самостоятельной работы студентов находит во всех организационных формах аудиторной и внеаудиторной деятельности, в ходе самостоятельного выполнения различных заданий.

Функциональное предназначение самостоятельной работы студентов в процессе лекций, практических занятий по овладению специальными знаниями заключается в самостоятельном прочтении, просмотре, прослушивании, наблюдении, конспектировании, осмыслении, запоминании и воспроизведении определенной информации. Цель и планирование самостоятельной работы студента определяет преподаватель. Вся информация осуществляется на основе ее воспроизведения.

Так как самостоятельная работа тесно связана с учебным процессом, ее необходимо рассматривать в двух аспектах:

1. аудиторная самостоятельная работа – практические занятия;
2. внеаудиторная самостоятельная работа – подготовка к практическим занятиям (в т.ч. подготовка к практико-ориентированным заданиям и др.).

Основные формы организации самостоятельной работы студентов определяются следующими параметрами:

- содержание учебной дисциплины;
- уровень образования и степень подготовленности студентов;
- необходимость упорядочения нагрузки студентов при самостоятельной работе.

Таким образом, самостоятельная работа студентов является важнейшей составной частью процесса обучения.

Методические указания по организации самостоятельной работы и задания для обучающихся по дисциплине «*Технологии интеллектуального труда*» обращают внимание студента на главное, существенное в изучаемой дисциплине, помогают выработать умение анализировать явления и факты, связывать теоретические положения с практикой, а также облегчают подготовку к сдаче *зачета*.

Настоящие методические указания позволят студентам самостоятельно овладеть фундаментальными знаниями, профессиональными умениями и навыками деятельности по профилю подготовки, опытом творческой и исследовательской деятельности, и направлены на формирование компетенций, предусмотренных учебным планом поданному профилю.

Видами самостоятельной работы обучающихся по дисциплине «*Технологии интеллектуального труда*» являются:

- самостоятельное изучение тем курса (в т.ч. рассмотрение основных категорий дисциплины, работа с литературой);

- подготовка к практическим (семинарским) занятиям (в т.ч. ответы на вопросы для самопроверки, подготовка к выполнению практико-ориентированных заданий);
- подготовка к зачету.

В методических указаниях представлены материалы для самостоятельной работы и рекомендации по организации отдельных её видов.

ОСНОВНЫЕ КАТЕГОРИИ ДИСЦИПЛИНЫ

Тема 1. Особенности информационных технологий для людей с ограниченными возможностями.

Информационные технологии
Универсальный дизайн
Адаптивные технологии

Тема 2. Тифлотехнические средства/ Сурдотехнические средства/ Адаптивная компьютерная техника (Материал изучается по подгруппам в зависимости от вида ограничений здоровья обучающихся)

Брайлевский дисплей
Брайлевский принтер
Телевизионное увеличивающее устройство
Читающая машина
Экранные лупы
Синтезаторы речи
Ассистивные тифлотехнические средства
Ассистивные сурдотехнические средства
Адаптированная компьютерная техника
Ассистивные технические средства

Тема 3. Дистанционные образовательные технологии

Дистанционные образовательные технологии
Информационные объекты

Тема 4. Интеллектуальный труд и его значение в жизни общества

Система образования
Образовательная среда вуза
Интеллектуальный труд
Интеллектуальный ресурс
Интеллектуальный продукт

Тема 5. Развитие интеллекта – основа эффективной познавательной деятельности

Личностный компонент
Мотивационно-потребностный компонент
Интеллектуальный компонент
Организационно-деятельностный компонент
Гигиенический компонент
Эстетический компонент
Общеучебные умения
Саморегуляция

Тема 6. Самообразование и самостоятельная работа студента – ведущая форма умственного труда.

Самообразование

Самостоятельная работа студентов

Технологии интеллектуальной работы

Технологии групповых обсуждений

Тема 7. Технологии работы с информацией студентов с ОВЗ и инвалидов

Традиционные источники информации

Технологии работы с текстами

Технологии поиска, фиксирования, переработки информации

Справочно-поисковый аппарат книги

Техника быстрого чтения

Реферирование

Редактирование

Технология конспектирования

Методы и приемы скоростного конспектирования

Тема 8. Организация научно-исследовательской работы

Доклад

Реферат

Курсовая работа

Выпускная квалификационная работа

Техника подготовки работы

Методика работы над содержанием Презентация

Тема 9. Тайм-менеджмент

Время

Планирования времени

Приемы оптимизации распределения времени

САМООРГАНИЗАЦИЯ РАБОТЫ С ЛИТЕРАТУРОЙ

Самостоятельное изучение тем курса осуществляется на основе списка рекомендуемой литературы к дисциплине. При работе с книгой необходимо научиться правильно ее читать, вести записи. Самостоятельная работа с учебными и научными изданиями профессиональной и общекультурной тематики – это важнейшее условие формирования научного способа познания.

Основные приемы работы с литературой можно свести к следующим:

- составить перечень книг, с которыми следует познакомиться;
- перечень должен быть систематизированным;
- обязательно выписывать все выходные данные по каждой книге (при написании курсовых и выпускных квалификационных работ это позволит экономить время);

- определить, какие книги (или какие главы книг) следует прочитать более внимательно, а какие – просто просмотреть;

- при составлении перечней литературы следует посоветоваться с преподавателями, которые помогут сориентироваться, на что стоит обратить большее внимание, а на что вообще не стоит тратить время;

- все прочитанные монографии, учебники и научные статьи следует конспектировать, но это не означает, что надо конспектировать «все подряд»: можно выписывать кратко основные идеи автора и иногда приводить наиболее яркие и показательные цитаты (с указанием страниц);

- если книга – собственная, то допускается делать на полях книги краткие пометки или же в конце книги, на пустых страницах просто сделать свой «предметный указатель», где отмечаются наиболее интересные мысли и обязательно указываются страницы в тексте автора;

- следует выработать способность «воспринимать» сложные тексты; для этого лучший прием – научиться «читать медленно», когда понятно каждое прочитанное слово (а если слово незнакомое, то либо с помощью словаря, либо с помощью преподавателя обязательно его узнать). Таким образом, чтение текста является частью познавательной деятельности. Ее цель – извлечение из текста необходимой информации.

От того, насколько осознанна читающим собственная внутренняя установка при обращении к печатному слову (найти нужные сведения, усвоить информацию полностью или частично, критически проанализировать материал и т.п.) во многом зависит эффективность осуществляемого действия. Грамотная работа с книгой, особенно если речь идет о научной литературе, предполагает соблюдение ряда правил, для овладения которыми необходимо настойчиво учиться. Это серьезный, кропотливый труд. Прежде всего, при такой работе невозможен формальный, поверхностный подход. Не механическое заучивание, не простое накопление цитат, выдержек, а сознательное усвоение прочитанного, осмысление его, стремление дойти до сути – вот главное правило. Другое правило – соблюдение при работе над книгой определенной последовательности. Вначале следует ознакомиться с оглавлением, содержанием предисловия или

введения. Это дает общую ориентировку, представление о структуре и вопросах, которые рассматриваются в книге.

Следующий этап – чтение. Первый раз целесообразно прочитать книгу с начала до конца, чтобы получить о ней цельное представление. При повторном чтении происходит постепенное глубокое осмысление каждой главы, критического материала и позитивного изложения; выделение основных идей, системы аргументов, наиболее ярких примеров и т.д. Непременным правилом чтения должно быть выяснение незнакомых слов, терминов, выражений, неизвестных имен, названий. Студентам с этой целью рекомендуется заводить специальные тетради или блокноты. Важная роль в связи с этим принадлежит библиографической подготовке студентов. Она включает в себя умение активно, быстро пользоваться научным аппаратом книги, справочными изданиями, каталогами, умение вести поиск необходимой информации, обрабатывать и систематизировать ее.

Выделяют четыре основные установки в чтении текста:

- информационно-поисковая (задача – найти, выделить искомую информацию);

- усваивающая (усилия читателя направлены на то, чтобы как можно полнее осознать и запомнить, как сами сведения, излагаемые автором, так и всю логику его рассуждений);

- аналитико-критическая (читатель стремится критически осмыслить материал, проанализировав его, определив свое отношение к нему);

- творческая (создает у читателя готовность в том или ином виде – как отправной пункт для своих рассуждений, как образ для действия по аналогии и т.п. – использовать суждения автора, ход его мыслей, результат наблюдения, разработанную методику, дополнить их, подвергнуть новой проверке).

С наличием различных установок обращения к тексту связано существование и нескольких видов чтения:

- библиографическое – просматривание карточек каталога, рекомендательных списков, сводных списков журналов и статей за год и т.п.;

- просмотровое – используется для поиска материалов, содержащих нужную информацию, обычно к нему прибегают сразу после работы со списками литературы и каталогами, в результате такого просмотра читатель устанавливает, какие из источников будут использованы в дальнейшей работе;

- ознакомительное – подразумевает сплошное, достаточно подробное прочтение отобранных статей, глав, отдельных страниц; цель – познакомиться с характером информации, узнать, какие вопросы вынесены автором на рассмотрение, провести сортировку материала;

- изучающее – предполагает доскональное освоение материала; в ходе такого чтения проявляется доверие читателя к автору, готовность принять изложенную информацию, реализуется установка на предельно полное понимание материала;

- аналитико-критическое и творческое чтение – два вида чтения близкие между собой тем, что участвуют в решении исследовательских задач.

Первый из них предполагает направленный критический анализ, как самой информации, так и способов ее получения и подачи автором; второе – поиск тех суждений, фактов, по которым, или, в связи с которыми, читатель считает нужным высказать собственные мысли.

Из всех рассмотренных видов чтения основным для студентов является изучающее – именно оно позволяет в работе с учебной и научной литературой накапливать знания в различных областях. Вот почему именно этот вид чтения в рамках образовательной деятельности должен быть освоен в первую очередь. Кроме того, при овладении данным видом чтения формируются основные приемы, повышающие эффективность работы с текстом. Научная методика работы с литературой предусматривает также ведение записи прочитанного. Это позволяет привести в систему знания, полученные при чтении, сосредоточить внимание на главных положениях, зафиксировать, закрепить их в памяти, а при необходимости вновь обратиться к ним.

Основные виды систематизированной записи прочитанного:

Аннотирование – предельно краткое связное описание просмотренной или прочитанной книги (статьи), ее содержания, источников, характера и назначения.

Планирование – краткая логическая организация текста, раскрывающая содержание и структуру изучаемого материала.

Тезирование – лаконичное воспроизведение основных утверждений автора без привлечения фактического материала.

Цитирование – дословное выписывание из текста выдержек, извлечений, наиболее существенно отражающих ту или иную мысль автора.

Конспектирование – краткое и последовательное изложение содержания прочитанного. Конспект – сложный способ изложения содержания книги или статьи в логической последовательности. Конспект аккумулирует в себе предыдущие виды записи, позволяет всесторонне охватить содержание книги, статьи. Поэтому умение составлять план, тезисы, делать выписки и другие записи определяет и технологию составления конспекта.

Как правильно составлять конспект? Внимательно прочитайте текст. Уточните в справочной литературе непонятные слова. При записи не забудьте вынести справочные данные на поля конспекта. Выделите главное, составьте план, представляющий собой перечень заголовков, подзаголовков, вопросов, последовательно раскрываемых затем в конспекте. Это первый элемент конспекта. Вторым элементом конспекта являются тезисы. Тезис - это кратко сформулированное положение. Для лучшего усвоения и запоминания материала следует записывать тезисы своими словами. Тезисы, выдвигаемые в конспекте, нужно доказывать. Поэтому третий элемент конспекта - основные доводы, доказывающие истинность рассматриваемого тезиса. В конспекте могут быть положения и примеры. Законспектируйте материал, четко следуя пунктам плана. При конспектировании старайтесь выразить мысль своими словами. Записи следует вести четко, ясно. Грамотно записывайте цитаты. Цитируя, учитывайте лаконичность, значимость мысли. При оформлении конспекта необходимо

стремиться к емкости каждого предложения. Мысли автора книги следует излагать кратко, заботясь о стиле и выразительности написанного. Число дополнительных элементов конспекта должно быть логически обоснованным, записи должны распределяться в определенной последовательности, отвечающей логической структуре произведения. Для уточнения и дополнения необходимо оставлять поля.

Конспектирование – наиболее сложный этап работы. Овладение навыками конспектирования требует от студента целеустремленности, повседневной самостоятельной работы. Конспект ускоряет повторение материала, экономит время при повторном, после определенного перерыва, обращении к уже знакомой работе. Учитывая индивидуальные особенности каждого студента, можно дать лишь некоторые, наиболее оправдавшие себя общие правила, с которыми преподаватель и обязан познакомить студентов:

1. Главное в конспекте не объем, а содержание. В нем должны быть отражены основные принципиальные положения источника, то новое, что внес его автор, основные методологические положения работы. Умение излагать мысли автора сжато, кратко и собственными словами приходит с опытом и знаниями. Но их накоплению помогает соблюдение одного важного правила – не торопиться записывать при первом же чтении, вносить в конспект лишь то, что стало ясным.

2. Форма ведения конспекта может быть самой разнообразной, она может изменяться, совершенствоваться. Но начинаться конспект всегда должен с указания полного наименования работы, фамилии автора, года и места издания; цитаты берутся в кавычки с обязательной ссылкой на страницу книги.

3. Конспект не должен быть «слепым», безликим, состоящим из сплошного текста. Особо важные места, яркие примеры выделяются цветным подчеркиванием, взятием в рамочку, оттенением, пометками на полях специальными знаками, чтобы можно было быстро найти нужное положение. Дополнительные материалы из других источников можно давать на полях, где записываются свои суждения, мысли, появившиеся уже после составления конспекта.

ПОДГОТОВКА К ПРАКТИКО-ОРИЕНТИРОВАННЫМ ЗАДАНИЯМ

Практико-ориентированные задания выступают средством формирования у студентов системы интегрированных умений и навыков, необходимых для освоения профессиональных компетенций. Это могут быть ситуации, требующие применения умений и навыков, специфичных для соответствующего профиля обучения (знания содержания предмета), ситуации, требующие организации деятельности, выбора её оптимальной структуры личностно-ориентированных ситуаций (нахождение нестандартного способа решения).

Кроме этого, они выступают средством формирования у студентов умений определять, разрабатывать и применять оптимальные методы решения профессиональных задач. Они строятся на основе ситуаций, возникающих на различных уровнях осуществления практики и формулируются в виде производственных поручений (заданий).

Под практико-ориентированными заданиями понимают задачи из окружающей действительности, связанные с формированием практических навыков, необходимых в повседневной жизни, в том числе с использованием элементов производственных процессов.

Цель практико-ориентированных заданий – приобретение умений и навыков практической деятельности по изучаемой дисциплине.

Задачи практико-ориентированных заданий:

- закрепление, углубление, расширение и детализация знаний студентов при решении конкретных задач;
- развитие познавательных способностей, самостоятельности мышления, творческой активности;
- овладение новыми методами и методиками изучения конкретной учебной дисциплины;
- обучение приемам решения практических задач;
- выработка способности логического осмысления полученных знаний для выполнения заданий;
- обеспечение рационального сочетания коллективной и индивидуальной форм обучения.

Важными отличительными особенностями практико-ориентированных задания от стандартных задач (предметных, межпредметных, прикладных) являются:

- значимость (познавательная, профессиональная, общекультурная, социальная) получаемого результата, что обеспечивает познавательную мотивацию обучающегося;
- условие задания сформулировано как сюжет, ситуация или проблема, для разрешения которой необходимо использовать знания из разных разделов основного предмета, из другого предмета или из жизни, на которые нет явного указания в тексте задания;

- информация и данные в задании могут быть представлены в различной форме (рисунок, таблица, схема, диаграмма, график и т.д.), что потребует распознавания объектов;

- указание (явное или неявное) области применения результата, полученного при решении задания.

Кроме выделенных четырех характеристик, практико-ориентированные задания имеют следующие:

1. по структуре эти задания – нестандартные, т.е. в структуре задания не все его компоненты полностью определены;

2. наличие избыточных, недостающих или противоречивых данных в условии задания, что приводит к объемной формулировке условия;

3. наличие нескольких способов решения (различная степень рациональности), причем данные способы могут быть неизвестны учащимся, и их потребуется сконструировать.

При выполнении практико-ориентированных заданий следует руководствоваться следующими общими рекомендациями:

- для выполнения практико-ориентированного задания необходимо внимательно прочитать задание, повторить лекционный материал по соответствующей теме, изучить рекомендуемую литературу, в т.ч. дополнительную;

- выполнение практико-ориентированного задания включает постановку задачи, выбор способа решения задания, разработку алгоритма практических действий, программы, рекомендаций, сценария и т. п.;

- если практико-ориентированное задание выдается по вариантам, то получить номер варианта исходных данных у преподавателя; если нет вариантов, то нужно подобрать исходные данные самостоятельно, используя различные источники информации;

- для выполнения практико-ориентированного задания может использоваться метод малых групп. Работа в малых группах предполагает решение определенных образовательных задач в рамках небольших групп с последующим обсуждением полученных результатов. Этот метод развивает навыки сотрудничества, достижения компромиссного решения, аналитические способности.

ПРАКТИКО-ОРИЕНТИРОВАННЫЕ ЗАДАНИЯ

1. В соответствии с опросником «Саморегуляция» (ОС) (модификация методики А.К. Осницкого) оцените свои качества, возможности, отношение к деятельности в протоколе (132 высказывания) по 4-х бальной шкале: 4 балла – да; 3 балла – пожалуй да; 2 балла – пожалуй нет; 1 балл – нет.

Текст опросника

1. Способен за дело приниматься без напоминаний.
2. Планирует, организует свои дела и работу.
3. Умеет выполнить порученное задание.
4. Хорошо анализирует условия.
5. Учитывает возможные трудности.
6. Умеет отделять главное от второстепенного.
7. Чаще всего избирает верный путь решения задачи.
8. Правильно планирует свои занятия и работу.
9. Пытается решить задачи разными способами.
10. Сам справляется с возникающими трудностями.
11. Редко ошибается, умеет оценить правильность действий.
12. Быстро обнаруживает свои ошибки.
13. Быстро находит новый способ решения.
14. Быстро исправляет ошибки.
15. Не повторяет ранее сделанных ошибок.
16. Продумывает свои дела и поступки.
17. Хорошо справляется и с трудными заданиям.
18. Справляется с заданиями без посторонней помощи.
19. Любит порядок.
20. Заранее знает, что будет делать.
21. Аккуратен и последователен.
22. Продумывает, все до мелочей.
23. Ошибается чаще из-за того, что смысл задания целом не понят, хотя все детали продуманы.
24. Старателен, хотя часто не выполняет заданий.
25. Долго готовится, прежде чем приступить к делу.
26. Избегает риска.
27. Сначала обдумывает, потом делает.
28. Решения принимает без колебаний.
29. Уверенный в себе.
30. Действует решительно, настойчив.
31. Предприимчивый, решительный.
32. Активный.
33. Ведущий.
34. Реализует почти все, что планирует.
35. Начатое дело доводит до конца.
36. Предпочитает действовать, а не обсуждать.

37. Обдумывает свои дела и поступки.
38. Анализирует свои ошибки и неудачи.
39. Планирует дела, рассчитывает свои силы.
40. Прислушивается к замечаниям.
41. Редко повторяет одну и ту же ошибку.
42. Знает о своих недостатках.
43. Сделает задание на совесть.
44. Как всегда сделает на отлично.
45. Для него важно качество, а не отметка.
46. Всегда проверяет правильность работы.
47. Старается довести дело до конца.
48. Стирается добиться лучших результатов.
49. Действует самостоятельно, мало советуясь с другими.
50. Предпочитает справляться с трудностями сам.
51. Может принять не зависимое от других решение.
52. Любит перемену в занятиях.
53. Легко переключается с одной работы на другую.
54. Хорошо ориентируется в новых условиях.
55. Аккуратен.
56. Внимателен.
57. Усидчив.
58. С неудачами и ошибками обычно справляется.
59. Неудачи активизируют его.
60. Старается разобраться в причинах неудач.
61. Умеет мобилизовать усилия.
62. Взвешивает все «за» и «против».
63. Старается придерживаться правил.
64. Всегда считается с мнением других.
65. Его нетрудно убедить в чем-то.
66. Прислушивается к замечаниям.
67. Нужно напоминать о том, что необходимо закончить дело.
68. Не планирует, мало организует свои дела, и работу.
69. Не выполняет заданий оттого, что отвлекается.
70. Условия анализирует плохо.
71. Не учитывает возможных трудностей.
72. Не умеет отделять главное от второстепенного.
73. Пути решения выбирает не лучшие.
74. Не умеет планировать работу и занятия.
75. Не пытается решать задачи разными способами.
76. Не может справиться с трудностями без помощи других.
77. Часто допускает ошибки в работе, часто их повторяет.
78. С трудом находит ошибки в своей работе.
79. С трудом находит новые способы решения.
80. С большим трудом и долго исправляет ошибки.

81. Повторяет одни и те же ошибки.
82. Часто поступает необдуманно, импульсивно.
83. С трудными заданиями справляется плохо.
84. Не справляется с заданием без напоминаний и помощи.
85. Не любит порядок.
86. Часто не знает заранее, что ему предстоит делать.
87. Непоследователен и неаккуратен.
88. Ограничивается лишь общими сведениями, общим впечатлением.
89. Ошибается чаще из-за того, что не продуманы мелочи, детали.
90. Не очень старателен, но задания выполняет.
91. Приступает к делу без подготовки.
92. Часто рискует, ищет приключений.
93. Сначала сделает, лотом подумает.
94. Решения принимает после раздумий и колебаний.
95. Часто сомневается в своих силах.
96. Нерешителен, небольшие помехи уже останавливают его.
97. Нерешительный.
98. Вялый, безучастный.
99. Ведомый.
100. Задумывает много, а делает мало.
101. Редко, когда начатое дело доводит до конца.
102. Предпочитает обсуждать, а не действовать.
103. Действует без раздумий, «с ходу».
104. Не анализирует ошибок.
105. Не планирует почти ничего, не рассчитывает своих сил.
106. Не прислушивается к замечаниям.
107. Часто повторяет одну и ту же ошибку.
108. Не хочет знать и исправлять свои недостатки.
109. Сделает «спустя рукава».
110. Сделает как получится.
111. Сделает из-за угрозы получения плохой оценки.
112. Не проверяет правильность результатов своих действий.
113. Часто бросает работу, не доделав ее.
114. Результат неважен – лишь бы поскорее закончить работу.
115. О его трудностях и делах знают почти все.
116. Всегда надеется на друзей, на их помощь.
117. Действует по принципу: как все, так и я!
118. Любит однообразные занятия.
119. С трудом переключается с одной работы на другую.
120. Плохо ориентируется в новых условиях.
121. Неаккуратен.
122. Невнимателен.
123. Неусидчив.
124. Ошибку может исправить, если его успокоить.

125. Неудачи быстро сбивают с толку.
126. Равнодушен к причинам неудач.
127. С трудом мобилизуется на выполнение задания.
128. Поступает необдуманно, импульсивно.
129. Не придерживается правил.
130. Не считается с мнением окружающих.
131. Его трудно убедить в чем-либо.
132. Не прислушивается к замечаниям.

Ключ для обработки и интерпретации данных

В тесте оценивается 132 характеристики саморегуляции. Они разбиты на тройки.

Всего 22 пары противоположных характеристик.

1. Целеполагание - 23. Неустойчивость целей.
2. Моделирование условий - 24. Отсутствие анализа условий.
3. Программирование действий - 25. Спонтанность действий.
4. Оценивание результатов - 26. Ошибки в работе.
5. Коррекции результатов и способ» действий - 27. Повторные ошибки.
6. Обеспеченность регуляции в целом - 28. Импульсивность.
7. Упорядоченность деятельности - 29. Непоследовательность, неаккуратность.
8. Детализация регуляции действий - 30. Поверхностность.
9. Осторожность в действиях - 31. Необдуманность, рискованность.
10. Уверенность в действиях - 32. Неуверенность в своих силах.
11. Инициативность в действиях - 33. Нерешительность.
12. Практическая реализуемость намерений - 34. Незавершенность дел.
13. Осознанность действий - 35. Действия наобум.
14. Критичность в делах и поступках -36. Равнодушие к недостаткам.
15. Ориентированность на оценочный балл -37. Попустительство.
16. Ответственность в делах и поступках - 38. Безответственность в делах.
17. Автономность - 39. Зависимость в действиях.
18. Гибкость, пластичность в действиях - 40. Инертность в работе.
19. Вовлечение полезных привычек в регуляцию действий - 41. «Плохиш».
20. Практичность, устойчивость в регуляции действий - 42. Равнодушие к ошибкам, неудачам.
21. Оптимальность (адекватность) регуляции усилий - 43. Отсутствие последовательности.
22. Податливость воспитательным воздействиям - 44. Самодостаточность.

Необходимо найти сумму в каждой из троек характеристик и сопоставить ее с их противоположностью.

4-6 баллов - слабое проявление характеристики.

7-9 баллов - ситуативное проявление.

10-12 баллов - выраженность характеристики.

Бланк для ответов

ФИ _____
 Пол _____ Возраст (дата рождения) _____ Гр. _____ Дата _____ № _____

Шкала ответов

4 – да; 3 – пожалуй да; 2 – пожалуй нет; 1 – нет.

№			S		№	
1	1			23	67	
	2				68	
	3				69	
2	4			24	70	
	5				71	
	6				72	
3	7			25	73	
	8				74	
	9				75	
4	10			26	76	
	11				77	
	12				78	
5	13			27	79	
	14				80	
	15				81	
6	16			28	82	
	17				83	
	18				84	
7	19			29	85	
	20				86	
	21				87	
8	22			30	88	
	23				89	
	24				90	
9	25			31	91	
	26				92	
	27				93	

S

10	28		32	94	
	29			95	
	30			96	
11	31		33	97	
	32			98	
	33			99	
12	34		34	100	
	35			101	
	36			102	
13	37		35	103	
	38			104	
	39			105	
14	40		36	106	
	41			107	
	42			108	
15	43		37	109	
	44			ΠΟ	
	45			111	
16	46		38	112	
	47			113	
	48			114	
17	49		39	115	
	50			116	
	51			117	
18	52		40	118	
	53			119	
	54			120	
19	55		41	121	
	56			122	
	57			123	
20	58		42	124	
	59			125	
	60			126	

21	61		43	127	
	62			128	
	63			129	
22	64		44	130	
	65			131	
	66			132	

Качественные характеристики саморегуляции

№	Качества саморегуляции	Содержательные характеристики саморегуляции	№	Качества саморегуляции	Содержательные характеристики саморегуляции
1	Целеполагание	За дело приниматься без напоминаний, планирует, организует свои дела и работу. Задания и поручения выполняет.	23	Неустойчивость целей	Не планирует, мало организует свою работу. Нужно напоминать о том, что необходимо закончить дело. Отвлекается.
2	Моделирование условий	Анализирует условия предстоящей деятельности, возможные трудности. Выделяет главное.	24	Отсутствие анализа условий	Не умеет отделять главное от второстепенного. Не предвидит ход дел, возможные трудности.
3	Программирование действий	Правильно планирует свои занятия и работу, избирает верный путь решения задачи.	25	Спонтанность действий	Не умеет планировать работу в занятия, затрудняется в выборе путей решения задач.
4	Оценивание результатов	Редко ошибается, умеет оценить правильность действий. Быстро обнаруживает свои ошибки.	26	Ошибки в работе	Часто допускает ошибки в работе, часто их повторяет. Не находит ошибок в своей работе.
5	Коррекция результатов и способов действий	Быстро находит новый способ решения. Быстро исправляет ошибки.	27	Повторные ошибки	С трудом находит новые способы решения. Повторяет одни и те же ошибки.
6	Обеспеченность регуляции в целом	Продумывает свои дела и поступки. Справляется с за-	28	Импульсивность	Часто поступает необдуманно, импульсивно. С трудными заданиями справляется плохо.

№	Качества саморегуляции	Содержательные характеристики саморегуляции	№	Качества саморегуляции	Содержательные характеристики саморегуляции
		даниями без посторонней помощи.			
7	Упорядоченность деятельности	Любит порядок. Аккуратен и последователен.	29	Непоследовательность	Часто не знает заранее, что ему предстоит делать, непоследователен и неаккуратен.
8	Детализация регуляции действий	Продумывает, все до мелочей. Ошибается чаще из-за того, что смысл задания целом не понят, хотя все детали продуманы.	30	Поверхностность	Ограничивается лишь общими сведениями, общим впечатлением. Ошибается чаще из-за того, что не продуманы мелочи, детали.
9	Осторожность в действиях	Долго обдумывает и готовится, прежде чем приступить к делу. Избегает риска.	31	Необдуманность, рискованность	Приступает к делу без подготовки. Сначала сделает, потом подумает.
10	Уверенность в действиях	Уверенный в себе. Решения принимает без колебаний. Решителен. Настойчив.	32	Неуверенность в своих силах	Решения принимает после колебаний. Сомневается в своих силах. Нерешителен.
11	Инициативен в действиях.	Предприимчивый, решительный. Активный. Ведущий.	33	Нерешительность	Нерешительный. Вялый, безучастный. Ведомый.
12	Практическая реализуемость намерений	Реализует почти все, что планирует. Начатое дело доводит до конца.	34	Незавершенность дел	Редко, когда начатое дело доводит до конца. Предпочитает обсуждать, а не действовать.
13	Осознанность действий	Обдумывает, планирует свои дела и поступки. Анализирует свои ошибки и неудачи.	35	Действия наобум	Действует без раздумий, «с ходу», не рассчитывает своих сил.
14	Критичность в делах и поступках	Знает о своих недостатках. Редко повторяет	36	Равнодушие к недостаткам	Часто повторяет одну и ту же ошибку. Не хочет

№	Качества саморегуляции	Содержательные характеристики саморегуляции	№	Качества саморегуляции	Содержательные характеристики саморегуляции
		ошибки. Прислушивается к замечаниям.			знать и исправлять свои недостатки.
15	Ориентированность на оценочный балл	Сделает задание на совесть. Для него важно качество, а не отметка.	37	Попустительство	Делает все «спустя рукава», как получится. Делает из-за угрозы плохой оценки.
16	Ответственность в делах и поступках	Гарантирует доведение дел до конца. Всегда проверяет правильность работы.	38	Безответственность в делах	Не проверяет результатов своих действий. Часто бросает работу, не доделав до конца.
17	Автономность	Действует и принимает самостоятельные решения. Предпочитает сам справляться с трудностями.	39	Зависимость в действиях	Всегда надеется на друзей, на их помощь.
18	Гибкость, пластичность в действиях	Легко переключается с одной работы на другую. Хорошо ориентируется в новых условиях.	40	Инертность в работе	Любит однообразные занятия. С трудом переключается с одной работы на другую.
19	Вовлечение полезных привычек в регуляцию действий	Аккуратен. Внимателен. Усидчив.	41	«Плохиш»	Неаккуратен. Невнимателен. Неусидчив.
20	Практичность, устойчивость в регуляции действий	Справляется с неудачами и ошибками. Неудачи активизируют его. Старается разобраться в их причинах.	42	Равнодушие к ошибкам, неудачам	Неудачи быстро сбивают с толку. Равнодушен к их причинам.
21	Оптимальность (адекватность) регуляции усилий	Взвешивает все «за» и «против». Умеет мобилизовать усилия.	43	Отсутствие последовательности	Поступает необдуманно. С трудом мобилизуется на выполнение задания.
22	Податливость воспитательным воздействиям	Всегда считается с мнением других. Прислушивается к замечаниям.	44	Самодостаточность	Не считается с мнением окружающих. Не прислушивается к замечаниям.

Задание: На основе самодиагностики саморегуляции сформулируйте рекомендации по саморегуляции.

2. Выберите научную статью по своей специальности и напишите к ней аннотацию, реферат, конспект, рецензию.

Методические указания

АННОТАЦИЯ (от лат. *annotatio* - замечание, пометка) – это краткая характеристика статьи, рукописи, книги, в которой обозначены тема, проблематика и назначение издания, а также содержатся сведения об авторе и элементы оценки книги.

Перед текстом аннотации даются выходные данные (автор, название, место и время издания). Эти данные можно включить в первую часть аннотации.

Аннотация обычно состоит из двух частей. В первой части формулируется основная тема книги, статьи; во второй части перечисляются (называются) основные положения. Говоря схематично, аннотация на книгу (прежде всего научную или учебную) отвечает на вопросы о чем? из каких частей? как? для кого? Это ее основные, стандартные смысловые элементы. Каждый из них имеет свои языковые средства выражения.

Аннотация на книгу помещается на оборотной стороне ее титульного листа и служит (наряду с ее названием и оглавлением) источником информации о содержании работы. Познакомившись с аннотацией, читатель решает, насколько книга может быть ему нужна. Кроме того, умение аннотировать прочитанную литературу помогает овладению навыками реферирования.

Языковые стереотипы, с помощью которых оформляется каждая смысловая часть аннотации:

1. Характеристика содержания текста:

В статье (книге) рассматривается...; Статья посвящена...; В статье даются...; Автор останавливается на следующих вопросах...; Автор затрагивает проблемы...; Цель автора – объяснить (раскрыть)...; Автор ставит своей целью проанализировать...;

2. Композиция работы:

Книга состоит из ... глав (частей)...; Статья делится на ... части; В книге выделяются ... главы.

3. Назначение текста:

Статья предназначена (для кого; рекомендуется кому)...; Сборник рассчитан...; Предназначается широкому кругу читателей...; Для студентов, аспирантов...; Книга заинтересует...

РЕФЕРАТ (от лат. *referre*- докладывать, сообщать) – это композиционно организованное, обобщенное изложение содержания источника информации (статьи, ряда статей, монографии и др.). Реферат отвечает на вопрос: «Какая информация содержится в первоисточнике, что излагается в нем?»

Реферат состоит из трех частей: общая характеристика текста (выходные данные, формулировка темы); описание основного содержания; выводы референта. Изложение одной работы обычно содержит указание на тему и композицию реферируемой работы, перечень ее основных положений с приведением аргументации, реже - описание методики и проведение эксперимента, результатов и выводов исследования. Такой реферат называется простым информационным.

Студенты в российских вузах пишут рефераты обычно на определенные темы. Для написания таких тематических рефератов может быть необходимо привлечение более чем одного источника, по крайней мере двух научных работ. В этом случае реферат является не только информационным, но и обзорным.

Реферирование представляет собой интеллектуальный творческий процесс, включающий осмысление текста, аналитико-синтетическое преобразование информации и создание нового текста. Реферат не должен превращаться в «ползанье» по тексту. Цель реферирования – создать «текст о тексте». Реферат – это не конспект, разбавленный «скрепами» типа *далее автор отмечает...* Обильное цитирование превращает реферат в конспект. При чтении научного труда важно понять его построение, выделить смысловые части (они будут основой для плана), обратить внимание на типичные языковые средства (словосочетания, вводные конструкции), характерные для каждой части. В реферате должны быть раскрыты проблемы и основные положения работы, приведены доказательства этих положений и указаны выводы, к которым пришел автор. Реферат может содержать оценочные элементы, например: *нельзя не согласиться, автор удачно иллюстрирует* и др. Обратите внимание, что в аннотации проблемы научного труда лишь обозначаются, а в реферате – раскрываются.

Список конструкций для реферативного изложения:

Предлагаемая вниманию читателей статья (книга, монография) представляет собой детальное (общее) изложение вопросов...; Рассматриваемая статья посвящена теме (проблеме, вопросу...);

Актуальность рассматриваемой проблемы, по словам автора, определяется тем, что...; Тема статьи (вопросы, рассматриваемые в статье) представляет большой интерес...; В начале статьи автор дает обоснование актуальности темы (проблемы, вопроса, идеи); Затем дается характеристика целей и задач исследования (статьи);

Рассматриваемая статья состоит из двух (трех) частей...; Автор дает определение (сравнительную характеристику, обзор, анализ)...; Затем автор останавливается на таких проблемах, как...; Автор подробно останавливается на истории возникновения (зарождения, появления, становления)...; Автор подробно (кратко) описывает (классифицирует, характеризует) факты...; Автор доказывает справедливость (опровергает что-либо)...; Автор приводит доказательства справедливости своей точки зрения...; В статье дается обобщение..., приводятся хорошо аргументированные доказательства...;

В заключение автор говорит о том, что...; Несомненный интерес представляют выводы автора о том, что...; Наиболее важными из выводов автора представляются следующие...; Изложенные (рассмотренные) в статье вопросы (проблемы) представляют интерес не только для..., но и для...

КОНСПЕКТИРОВАНИЕ – письменная фиксация основных положений читаемого или воспринимаемого на слух текста. При конспектировании происходит свертывание, компрессия первичного текста.

КОНСПЕКТ – это краткое, но связное и последовательное изложение значимого содержания статьи, лекции, главы книги, учебника, брошюры. Запись-

конспект позволяет восстановить, развернуть с необходимой полнотой исходную информацию, поэтому при конспектировании надо отбирать новый и важный материал и выстраивать его в соответствии с логикой изложения. В конспект заносят основные (существенные) положения, а также фактический материал (цифры, цитаты, примеры). В конспекте последующая мысль должна вытекать из предыдущей (как в плане и в тезисах). Части конспекта должны быть связаны внутренней логикой, поэтому важно отразить в конспекте главную мысль каждого абзаца. Содержание абзаца (главная мысль) может быть передано словами автора статьи (возможно сокращение высказывания) или может быть изложено своими словами более обобщенно. При конспектировании пользуются и тем и другим приемом, но важно передать самые главные положения автора без малейшего искажения смысла.

Различают несколько видов конспектов в зависимости от степени свернутости первичного текста, от формы представления основной информации:

1. конспект-план;
2. конспект-схема;
3. текстуальный конспект.

Подготовка конспекта включает следующие этапы:

1. Вся информация, относящаяся к одной теме, собирается в один блок – так выделяются смысловые части.

2. В каждой смысловой части формулируется тема в опоре на ключевые слова и фразы.

3. В каждой части выделяется главная и дополнительная по отношению к теме информация.

4. Главная информация фиксируется в конспекте в разных формах: в виде тезисов (кратко сформулированных основных положений статьи, доклада), выписок (текстуальный конспект), в виде вопросов, выявляющих суть проблемы, в виде назывных предложений (конспект-план и конспект-схема).

5. Дополнительная информация приводится при необходимости.

РЕЦЕНЗИЯ - это письменный критический разбор какого-либо произведения, предполагающий, во-первых, комментирование основных положений (толкование авторской мысли; собственное дополнение к мысли, высказанной автором; выражение своего отношения к постановке проблемы и т.п.); во-вторых, обобщенную аргументированную оценку, в третьих, выводы о значимости работы.

В отличие от рецензии **ОТЗЫВ** дает самую общую характеристику работы без подробного анализа, но содержит практические рекомендации: анализируемый текст может быть принят к работе в издательстве или на соискание ученой степени.

Типовой план для написания рецензии и отзывов:

1. Предмет анализа: *В работе автора...; В рецензируемой работе...; В предмете анализа...*

2. Актуальность темы: Работа посвящена актуальной теме...; Актуальность темы обусловлена...; Актуальность темы не вызывает сомнений (вполне очевидна)...

3. Формулировка основного тезиса: Центральным вопросом работы, где автор добился наиболее существенных (заметных, ощутимых) результатов, является...; В работе обоснованно на первый план выдвигается вопрос о...

4. Краткое содержание работы.

5. Общая оценка: Оценивая работу в целом...; Таким образом, рассматриваемая работа...; Автор проявил умение разбираться в...; систематизировал материал и обобщил его...; Безусловной заслугой автора является новый методический подход (предложенная классификация, некоторые уточнения существующих понятий); Автор, безусловно, углубляет наше представление об исследуемом явлении, вскрывает новые его черты...

6. Недостатки, недочеты: Вместе с тем вызывает сомнение тезис о том...; К недостаткам (недочетам) работы следует отнести допущенные автором длинноты в изложении (недостаточную ясность при изложении)...; Работа построена нерационально, следовало бы сократить...; Существенным недостатком работы является...; Отмеченные недостатки носят чисто локальный характер и не влияют на конечные результаты работы...; Отмеченные недочеты работы не снижают ее высокого уровня, их скорее можно считать пожеланиями к дальнейшей работе автора...; Упомянутые недостатки связаны не столько с..., сколько с...

7. Выводы: Представляется, что в целом работа... имеет важное значение...; Работа может быть оценена положительно, а ее автор заслуживает...; Работа заслуживает высокой (положительной, отличной) оценки...; Работа удовлетворяет всем требованиям..., а ее автор, безусловно, имеет (определенное, законное, заслуженное, безусловное) право...

Задание

а) Выберите научную статью по своей специальности и напишите к ней аннотацию, реферат, конспект, рецензию.

3. Проанализируйте отрывок из студенческой курсовой работы, посвященной проблеме связи заголовка и текста. Соответствует ли язык сочинения нормам научного стиля? На основании анализа проведите правку текста:

Заголовок, будучи неотъемлемой частью газетных публикаций, определяет лицо всей газеты. Сталкиваясь с тем или иным периодическим изданием, читатель получает первую информацию о нем именно из заголовков. На примере газеты «Спорт – экспресс» за апрель – май 1994 г. я рассмотрю связь: заголовок – текст, ведь, как говорится в народной мудрости «встречают по одежке, а провожают – по уму». Но даже при наличии прекрасной одежды (заглавий) и величайшего ума (самих материалов) стилистическая концепция газеты будет не полной, если будет отсутствовать продуманная и логичная связь между содержанием и заголовком. Итак, стараясь выбрать наиболее продуманные заглавия, я попытаюсь проследить за тем, по какому принципу строится связь между содержанием

и заголовком самой популярной спортивной газеты России «Спорт – экспресс». А к тому же я остановлюсь и на классификации заголовков по типу их связей с газетным текстом вообще.

ПОДГОТОВКА К ПРОМЕЖУТОЧНОЙ АТТЕСТАЦИИ

При подготовке к *зачету* по дисциплине «*Технологии интеллектуального труда*» обучающемуся рекомендуется:

1. повторить пройденный материал и ответить на вопросы, используя конспект и материалы лекций. Если по каким-либо вопросам у студента недостаточно информации в лекционных материалах, то необходимо получить информацию из раздаточных материалов и/или учебников (литературы), рекомендованных для изучения дисциплины «*Технологии интеллектуального труда*».

Целесообразно также дополнить конспект лекций наиболее существенными и важными тезисами для рассматриваемого вопроса;

2. при изучении основных и дополнительных источников информации в рамках выполнения заданий на *зачете* особое внимание необходимо уделять схемам, рисункам, графикам и другим иллюстрациям, так как подобные графические материалы, как правило, в наглядной форме отражают главное содержание изучаемого вопроса;

3. при изучении основных и дополнительных источников информации в рамках выполнения заданий на *зачете* (в случаях, когда отсутствует иллюстративный материал) особое внимание необходимо обращать на наличие в тексте словосочетаний вида «во-первых», «во-вторых» и т.д., а также дефисов и перечислений (цифровых или буквенных), так как эти признаки, как правило, позволяют структурировать ответ на предложенное задание.

Подобную текстовую структуризацию материала слушатель может трансформировать в рисунки, схемы и т. п. для более краткого, наглядного и удобного восприятия (иллюстрации целесообразно отразить в конспекте лекций – это позволит оперативно и быстро найти, в случае необходимости, соответствующую информацию);

4. следует также обращать внимание при изучении материала для подготовки к *зачету* на словосочетания вида «таким образом», «подводя итог сказанному» и т.п., так как это признаки выражения главных мыслей и выводов по изучаемому вопросу (пункту, разделу). В отдельных случаях выводы по теме (разделу, главе) позволяют полностью построить (восстановить, воссоздать) ответ на поставленный вопрос (задание), так как содержат в себе основные мысли и тезисы для ответа.

МИНОБРНАУКИ РОССИИ

ФГБОУ ВО «Уральский государственный горный университет»



**МЕТОДИЧЕСКИЕ УКАЗАНИЯ
ПО ОРГАНИЗАЦИИ
САМОСТОЯТЕЛЬНОЙ РАБОТЫ
И ЗАДАНИЯ ДЛЯ ОБУЧАЮЩИХСЯ**

**ФТД.02 СРЕДСТВА КОММУНИКАЦИИ В УЧЕБНОЙ И
ПРОФЕССИОНАЛЬНОЙ ДЕЯТЕЛЬНОСТИ**

Специальность

21.05.03 Технология геологической разведки

Екатеринбург

СОДЕРЖАНИЕ

ВВЕДЕНИЕ.....	3
ОСНОВНЫЕ КАТЕГОРИИ ДИСЦИПЛИНЫ.....	6
САМООРГАНИЗАЦИЯ РАБОТЫ С ЛИТЕРАТУРОЙ.....	8
ПОДГОТОВКА К ПРАКТИКО-ОРИЕНТИРОВАННЫМ ЗАДАНИЯМ.....	12
ПРАКТИКО-ОРИЕНТИРОВАННЫЕ ЗАДАНИЯ.....	14
ПОДГОТОВКА РЕФЕРАТА.....	36
ПОДГОТОВКА К ПРОМЕЖУТОЧНОЙ АТТЕСТАЦИИ.....	45

ВВЕДЕНИЕ

Самостоятельная работа в высшем учебном заведении - это часть учебного процесса, метод обучения, прием учебно-познавательной деятельности, комплексная целевая стандартизованная учебная деятельность с запланированными видом, типом, формами контроля.

Самостоятельная работа представляет собой плановую деятельность обучающихся по поручению и под методическим руководством преподавателя.

Целью самостоятельной работы студентов является закрепление тех знаний, которые они получили на аудиторных занятиях, а также способствование развитию у студентов творческих навыков, инициативы, умению организовать свое время.

Самостоятельная работа реализует следующие задачи:

- предполагает освоение курса дисциплины;
- помогает освоению навыков учебной и научной работы;
- способствует осознанию ответственности процесса познания;
- способствует углублению и пополнению знаний студентов, освоению ими навыков и умений;
- формирует интерес к познавательным действиям, освоению методов и приемов познавательного процесса,
- создает условия для творческой и научной деятельности обучающихся;
- способствует развитию у студентов таких личных качеств, как целеустремленность, заинтересованность, исследование нового.

Самостоятельная работа обучающегося выполняет следующие функции:

- развивающую (повышение культуры умственного труда, приобщение к творческим видам деятельности, обогащение интеллектуальных способностей студентов);
- информационно-обучающую (учебная деятельность студентов на аудиторных занятиях, неподкреплённая самостоятельной работой, становится мало результативной);
- ориентирующую и стимулирующую (процессу обучения придается ускорение и мотивация);
- воспитательную (формируются и развиваются профессиональные качества бакалавра и гражданина);
- исследовательскую (новый уровень профессионально-творческого мышления).

Организация самостоятельной работы студентов должна опираться на определенные требования, а, именно:

- сложность осваиваемых знаний должна соответствовать уровню развития студентов;
- стандартизация заданий в соответствии с логической системой курса дисциплины;
- объем задания должен соответствовать уровню студента;
- задания должны быть адаптированными к уровню студентов.

Содержание самостоятельной работы студентов представляет собой, с одной стороны, совокупность теоретических и практических учебных заданий, которые должен выполнить студент в процессе обучения, объект его деятельности; с другой стороны - это способ деятельности студента по выполнению соответствующего теоретического или практического учебного задания.

Свое внешнее выражение содержание самостоятельной работы студентов находит во всех организационных формах аудиторной и внеаудиторной деятельности, в ходе самостоятельного выполнения различных заданий.

Функциональное предназначение самостоятельной работы студентов в процессе лекций, практических занятий по овладению специальными знаниями заключается в самостоятельном прочтении, просмотре, прослушивании, наблюдении, конспектировании, осмыслении, запоминании и воспроизведении определенной информации. Цель и планирование самостоятельной работы студента определяет преподаватель. Вся информация осуществляется на основе ее воспроизведения.

Так как самостоятельная работа тесно связана с учебным процессом, ее необходимо рассматривать в двух аспектах:

1. аудиторная самостоятельная работа – практические занятия;
2. внеаудиторная самостоятельная работа – подготовка к практическим занятиям (в т.ч. подготовка к практико-ориентированным заданиям и др.).

Основные формы организации самостоятельной работы студентов определяются следующими параметрами:

- содержание учебной дисциплины;
- уровень образования и степень подготовленности студентов;
- необходимость упорядочения нагрузки студентов при самостоятельной работе.

Таким образом, самостоятельная работа студентов является важнейшей составной частью процесса обучения.

Методические указания по организации самостоятельной работы и задания для обучающихся по дисциплине *«Средства коммуникации в учебной и профессиональной деятельности»* обращают внимание студента на главное, существенное в изучаемой дисциплине, помогают выработать умение анализировать явления и факты, связывать теоретические положения с практикой, а также облегчают подготовку к сдаче *зачета*.

Настоящие методические указания позволят студентам самостоятельно овладеть фундаментальными знаниями, профессиональными умениями и навыками деятельности по профилю подготовки, опытом творческой и исследовательской деятельности, и направлены на формирование компетенций, предусмотренных учебным планом поданному профилю.

Видами самостоятельной работы обучающихся по дисциплине *«Средства коммуникации в учебной и профессиональной деятельности»* являются:

- самостоятельное изучение тем курса (в т.ч. рассмотрение основных категорий дисциплины, работа с литературой);

- подготовка к практическим (семинарским) занятиям (в т.ч. подготовка к выполнению практико-ориентированных заданий, подготовка реферата);
- подготовка к зачету.

В методических указаниях представлены материалы для самостоятельной работы и рекомендации по организации отдельных её видов.

ОСНОВНЫЕ КАТЕГОРИИ ДИСЦИПЛИНЫ

Тема 1. Сущность коммуникации в разных социальных сферах. Основные функции и виды коммуникации

Коммуникации
Межличностное общение
Речевые способности
Профессиональное общение

Тема 2. Специфика вербальной и невербальной коммуникации

Вербальная коммуникация
Невербальная коммуникация

Тема 3. Эффективное общение

Эффективное общение
Обратная связь
Стиль слушания

Тема 4. Основные коммуникативные барьеры и пути их преодоления в межличностном общении. Стили поведения в конфликтной ситуации

Конфликт
Барьер речи

Тема 5. Виды и формы взаимодействия студентов в условиях образовательной организации

Группа
Коллектив
Групповое давление
Феномен группомыслия
Феномен подчинения авторитету
Обособление
Диктат
Подчинение
Вызов
Выгода
Соперничество
Сотрудничество
Взаимодействие
Взаимопонимание

Тема 6. Формы, методы, технологии самопрезентации

Самопрезентация
Публичное выступление

САМООРГАНИЗАЦИЯ РАБОТЫ С ЛИТЕРАТУРОЙ

Самостоятельное изучение тем курса осуществляется на основе списка рекомендуемой литературы к дисциплине. При работе с книгой необходимо научиться правильно ее читать, вести записи. Самостоятельная работа с учебными и научными изданиями профессиональной и общекультурной тематики – это важнейшее условие формирования научного способа познания.

Основные приемы работы с литературой можно свести к следующим:

- составить перечень книг, с которыми следует познакомиться;
- перечень должен быть систематизированным;
- обязательно выписывать все выходные данные по каждой книге (при написании курсовых и выпускных квалификационных работ это позволит экономить время);

- определить, какие книги (или какие главы книг) следует прочитать более внимательно, а какие – просто просмотреть;

- при составлении перечней литературы следует посоветоваться с преподавателями, которые помогут сориентироваться, на что стоит обратить большее внимание, а на что вообще не стоит тратить время;

- все прочитанные монографии, учебники и научные статьи следует конспектировать, но это не означает, что надо конспектировать «все подряд»: можно выписывать кратко основные идеи автора и иногда приводить наиболее яркие и показательные цитаты (с указанием страниц);

- если книга – собственная, то допускается делать на полях книги краткие пометки или же в конце книги, на пустых страницах просто сделать свой «предметный указатель», где отмечаются наиболее интересные мысли и обязательно указываются страницы в тексте автора;

- следует выработать способность «воспринимать» сложные тексты; для этого лучший прием – научиться «читать медленно», когда понятно каждое прочитанное слово (а если слово незнакомое, то либо с помощью словаря, либо с помощью преподавателя обязательно его узнать). Таким образом, чтение текста является частью познавательной деятельности. Ее цель – извлечение из текста необходимой информации.

От того, насколько осознанна читающим собственная внутренняя установка при обращении к печатному слову (найти нужные сведения, усвоить информацию полностью или частично, критически проанализировать материал и т.п.) во многом зависит эффективность осуществляемого действия. Грамотная работа с книгой, особенно если речь идет о научной литературе, предполагает соблюдение ряда правил, для овладения которыми необходимо настойчиво учиться. Это серьезный, кропотливый труд. Прежде всего, при такой работе невозможен формальный, поверхностный подход. Не механическое заучивание, не простое накопление цитат, выдержек, а сознательное усвоение прочитанного, осмысление его, стремление дойти до сути – вот главное правило. Другое правило – соблюдение при работе над книгой определенной последовательности. Вначале следует ознакомиться с оглавлением, содержанием предисловия или

введения. Это дает общую ориентировку, представление о структуре и вопросах, которые рассматриваются в книге.

Следующий этап – чтение. Первый раз целесообразно прочитать книгу с начала до конца, чтобы получить о ней цельное представление. При повторном чтении происходит постепенное глубокое осмысление каждой главы, критического материала и позитивного изложения; выделение основных идей, системы аргументов, наиболее ярких примеров и т.д. Непременным правилом чтения должно быть выяснение незнакомых слов, терминов, выражений, неизвестных имен, названий. Студентам с этой целью рекомендуется заводить специальные тетради или блокноты. Важная роль в связи с этим принадлежит библиографической подготовке студентов. Она включает в себя умение активно, быстро пользоваться научным аппаратом книги, справочными изданиями, каталогами, умение вести поиск необходимой информации, обрабатывать и систематизировать ее.

Выделяют четыре основные установки в чтении текста:

- информационно-поисковая (задача – найти, выделить искомую информацию);

- усваивающая (усилия читателя направлены на то, чтобы как можно полнее осознать и запомнить, как сами сведения, излагаемые автором, так и всю логику его рассуждений);

- аналитико-критическая (читатель стремится критически осмыслить материал, проанализировав его, определив свое отношение к нему);

- творческая (создает у читателя готовность в том или ином виде – как отправной пункт для своих рассуждений, как образ для действия по аналогии и т.п. – использовать суждения автора, ход его мыслей, результат наблюдения, разработанную методику, дополнить их, подвергнуть новой проверке).

С наличием различных установок обращения к тексту связано существование и нескольких видов чтения:

- библиографическое – просматривание карточек каталога, рекомендательных списков, сводных списков журналов и статей за год и т.п.;

- просмотровое – используется для поиска материалов, содержащих нужную информацию, обычно к нему прибегают сразу после работы со списками литературы и каталогами, в результате такого просмотра читатель устанавливает, какие из источников будут использованы в дальнейшей работе;

- ознакомительное – подразумевает сплошное, достаточно подробное прочтение отобранных статей, глав, отдельных страниц; цель – познакомиться с характером информации, узнать, какие вопросы вынесены автором на рассмотрение, провести сортировку материала;

- изучающее – предполагает доскональное освоение материала; в ходе такого чтения проявляется доверие читателя к автору, готовность принять изложенную информацию, реализуется установка на предельно полное понимание материала;

- аналитико-критическое и творческое чтение – два вида чтения близкие между собой тем, что участвуют в решении исследовательских задач.

Первый из них предполагает направленный критический анализ, как самой информации, так и способов ее получения и подачи автором; второе – поиск тех суждений, фактов, по которым, или, в связи с которыми, читатель считает нужным высказать собственные мысли.

Из всех рассмотренных видов чтения основным для студентов является изучающее – именно оно позволяет в работе с учебной и научной литературой накапливать знания в различных областях. Вот почему именно этот вид чтения в рамках образовательной деятельности должен быть освоен в первую очередь. Кроме того, при овладении данным видом чтения формируются основные приемы, повышающие эффективность работы с текстом. Научная методика работы с литературой предусматривает также ведение записи прочитанного. Это позволяет привести в систему знания, полученные при чтении, сосредоточить внимание на главных положениях, зафиксировать, закрепить их в памяти, а при необходимости вновь обратиться к ним.

Основные виды систематизированной записи прочитанного:

Аннотирование – предельно краткое связное описание просмотренной или прочитанной книги (статьи), ее содержания, источников, характера и назначения.

Планирование – краткая логическая организация текста, раскрывающая содержание и структуру изучаемого материала.

Тезирование – лаконичное воспроизведение основных утверждений автора без привлечения фактического материала.

Цитирование – дословное выписывание из текста выдержек, извлечений, наиболее существенно отражающих ту или иную мысль автора.

Конспектирование – краткое и последовательное изложение содержания прочитанного. Конспект – сложный способ изложения содержания книги или статьи в логической последовательности. Конспект аккумулирует в себе предыдущие виды записи, позволяет всесторонне охватить содержание книги, статьи. Поэтому умение составлять план, тезисы, делать выписки и другие записи определяет и технологию составления конспекта.

Как правильно составлять конспект? Внимательно прочитайте текст. Уточните в справочной литературе непонятные слова. При записи не забудьте вынести справочные данные на поля конспекта. Выделите главное, составьте план, представляющий собой перечень заголовков, подзаголовков, вопросов, последовательно раскрываемых затем в конспекте. Это первый элемент конспекта. Вторым элементом конспекта являются тезисы. Тезис - это кратко сформулированное положение. Для лучшего усвоения и запоминания материала следует записывать тезисы своими словами. Тезисы, выдвигаемые в конспекте, нужно доказывать. Поэтому третий элемент конспекта - основные доводы, доказывающие истинность рассматриваемого тезиса. В конспекте могут быть положения и примеры. Законспектируйте материал, четко следуя пунктам плана. При конспектировании старайтесь выразить мысль своими словами. Записи следует вести четко, ясно. Грамотно записывайте цитаты. Цитируя, учитывайте лаконичность, значимость мысли. При оформлении конспекта необходимо стремиться к емкости каждого предложения. Мысли автора книги следует

излагать кратко, заботясь о стиле и выразительности написанного. Число дополнительных элементов конспекта должно быть логически обоснованным, записи должны распределяться в определенной последовательности, отвечающей логической структуре произведения. Для уточнения и дополнения необходимо оставлять поля.

Конспектирование –наиболее сложный этап работы. Овладение навыками конспектирования требует от студента целеустремленности, повседневной самостоятельной работы. Конспект ускоряет повторение материала, экономит время при повторном, после определенного перерыва, обращении к уже знакомой работе. Учитывая индивидуальные особенности каждого студента, можно дать лишь некоторые, наиболее оправдавшие себя общие правила, с которыми преподаватель и обязан познакомить студентов:

1. Главное в конспекте не объем, а содержание. В нем должны быть отражены основные принципиальные положения источника, то новое, что внес его автор, основные методологические положения работы. Умение излагать мысли автора сжато, кратко и собственными словами приходит с опытом и знаниями. Но их накоплению помогает соблюдение одного важного правила – не торопиться записывать при первом же чтении, вносить в конспект лишь то, что стало ясным.

2. Форма ведения конспекта может быть самой разнообразной, она может изменяться, совершенствоваться. Но начинаться конспект всегда должен с указания полного наименования работы, фамилии автора, года и места издания; цитаты берутся в кавычки с обязательной ссылкой на страницу книги.

3. Конспект не должен быть «слепым», безликим, состоящим из сплошного текста. Особо важные места, яркие примеры выделяются цветным подчеркиванием, взятием в рамочку, оттенением, пометками на полях специальными знаками, чтобы можно было быстро найти нужное положение. Дополнительные материалы из других источников можно давать на полях, где записываются свои суждения, мысли, появившиеся уже после составления конспекта.

ПОДГОТОВКА К ПРАКТИКО-ОРИЕНТИРОВАННЫМ ЗАДАНИЯМ

Практико-ориентированные задания выступают средством формирования у студентов системы интегрированных умений и навыков, необходимых для освоения профессиональных компетенций. Это могут быть ситуации, требующие применения умений и навыков, специфичных для соответствующего профиля обучения (знания содержания предмета), ситуации, требующие организации деятельности, выбора её оптимальной структуры личностно-ориентированных ситуаций (нахождение нестандартного способа решения).

Кроме этого, они выступают средством формирования у студентов умений определять, разрабатывать и применять оптимальные методы решения профессиональных задач. Они строятся на основе ситуаций, возникающих на различных уровнях осуществления практики и формулируются в виде производственных поручений (заданий).

Под практико-ориентированными заданиями понимают задачи из окружающей действительности, связанные с формированием практических навыков, необходимых в повседневной жизни, в том числе с использованием элементов производственных процессов.

Цель практико-ориентированных заданий – приобретение умений и навыков практической деятельности по изучаемой дисциплине.

Задачи практико-ориентированных заданий:

- закрепление, углубление, расширение и детализация знаний студентов при решении конкретных задач;
- развитие познавательных способностей, самостоятельности мышления, творческой активности;
- овладение новыми методами и методиками изучения конкретной учебной дисциплины;
- обучение приемам решения практических задач;
- выработка способности логического осмысления полученных знаний для выполнения заданий;
- обеспечение рационального сочетания коллективной и индивидуальной форм обучения.

Важными отличительными особенностями практико-ориентированных задания от стандартных задач (предметных, межпредметных, прикладных) являются:

- значимость (познавательная, профессиональная, общекультурная, социальная) получаемого результата, что обеспечивает познавательную мотивацию обучающегося;
- условие задания сформулировано как сюжет, ситуация или проблема, для разрешения которой необходимо использовать знания из разных разделов основного предмета, из другого предмета или из жизни, на которые нет явного указания в тексте задания;
- информация и данные в задании могут быть представлены в различной форме (рисунок, таблица, схема, диаграмма, график и т.д.), что потребует распознавания объектов;

- указание (явное или неявное) области применения результата, полученного при решении задания.

Кроме выделенных четырех характеристик, практико-ориентированные задания имеют следующие:

1. по структуре эти задания – нестандартные, т.е. в структуре задания не все его компоненты полностью определены;

2. наличие избыточных, недостающих или противоречивых данных в условии задания, что приводит к объемной формулировке условия;

3. наличие нескольких способов решения (различная степень рациональности), причем данные способы могут быть неизвестны учащимся, и их потребуется сконструировать.

При выполнении практико-ориентированных заданий следует руководствоваться следующими общими рекомендациями:

- для выполнения практико-ориентированного задания необходимо внимательно прочитать задание, повторить лекционный материал по соответствующей теме, изучить рекомендуемую литературу, в т.ч. дополнительную;

- выполнение практико-ориентированного задания включает постановку задачи, выбор способа решения задания, разработку алгоритма практических действий, программы, рекомендаций, сценария и т. п.;

- если практико-ориентированное задание выдается по вариантам, то получить номер варианта исходных данных у преподавателя; если нет вариантов, то нужно подобрать исходные данные самостоятельно, используя различные источники информации;

- для выполнения практико-ориентированного задания может использоваться метод малых групп. Работа в малых группах предполагает решение определенных образовательных задач в рамках небольших групп с последующим обсуждением полученных результатов. Этот метод развивает навыки сотрудничества, достижения компромиссного решения, аналитические способности.

ПРАКТИКО-ОРИЕНТИРОВАННЫЕ ЗАДАНИЯ

1. Организуйте коллективную сетевую деятельность.

Методические указания:

Под организацией **коллективной сетевой деятельности** понимают совместные действия нескольких пользователей в сети электронных коммуникаций, направленные на получение информации. Участники совместной сетевой деятельности могут быть объединены общими целями, интересами, что позволяет им обмениваться мнениями, суждениями, а также совершать действия с различными объектами, такими как фотографии, программы, записи, статьи, представленными в цифровом виде.

Подобное взаимодействие может заключаться в различных его видах, таких как:

- - общение;
- - обмен данными;
- - организация трудовой деятельности;
- - совместное времяпрепровождение за сетевыми развлечениями.

Рассмотрим каждый из них. Одним из примеров организации **общения** в сети Интернет могут служить популярные на сегодняшний день сообщества **Livejournal** (www.livejournal.ru), **Facebook** (www.facebook.com), **Twitter** (<http://twitter.com>) и др.

По своей сути это социальные сети, которые работают в режиме реального времени, позволяя участникам взаимодействовать друг с другом. Так, социальная сеть Livejournal (Живой журнал) предоставляет возможность публиковать свои и комментировать чужие записи, вести коллективные блоги («сообщества»), получать оперативную информацию, хранить фотографии и видеоролики, добавлять в друзья других пользователей и следить за их записями в «ленте друзей» и др.

Facebook позволяет создать профиль с фотографией и информацией о себе, приглашать друзей, обмениваться с ними сообщениями, изменять свой статус, оставлять сообщения на своей и чужой «стенах», загружать фотографии и видеозаписи, создавать группы (сообщества по интересам).

Система Twitter позволяет пользователям отправлять короткие текстовые заметки, используя web-интерфейс, sms-сообщения, средства мгновенного обмена сообщениями (например, Windows Live Messenger), сторонние программы-клиенты. Отличительной особенностью Твиттера является публичная доступность размещенных сообщений, что роднит его с **блогами** (онлайн-дневник, содержимое которого, представляет собой регулярно обновляемые записи — **посты**).

Другим способом общения, безусловно, является **электронная почта**. Принципы создания ящика электронной почты подробно рассматривались в практикуме параграфа 2.12. При всех своих плюсах электронная почта не позволяет организовать двусторонний оперативный диалог, максимально приближенный к обычному разговору. Отправив письмо, человек уверен, что оно оперативно будет доставлено в ящик адресата, но будет ли получен быстрый ответ? Кроме того, переписка может растянуться, что сводит к минимуму решение возможных актуальных проблем человека в настоящий момент времени.

Именно поэтому возникла необходимость в самостоятельном классе программ, которые выполняли бы две основные задачи:

1. Показать, находится ли собеседник в данный момент в сети Интернет, готов ли он общаться.
2. Отправить собеседнику короткое сообщение и тут же получить от него ответ.

Такие программы получили название IMS (англ. Instant Messengers Service — служба мгновенных сообщений). Часто такие программы называют **интернет-пейджерами**. В качестве примера подобных программ можно привести Windows Live Messenger, Yahoo!Messenger, ICQ.

Так, программа Windows Live Messenger является одним из компонентов Windows Live — набора сетевых служб от компании Microsoft. Ранее мы познакомились с такими его модулями, как Семейная безопасность и Киностудия. Доступ к Messenger можно получить по адресу <http://download.ru.msn.com/wl/messenger>, либо через кнопку **Пуск** на своем персональном компьютере (предварительно установив основные компоненты службы Windows Live).

В настоящее время произошла интеграция Messenger и программы Skype, функции которой будут рассмотрены позже.

Чтобы начать «разговор», достаточно выполнить двойной щелчок мыши на имени собеседника и ввести сообщение в соответствующее окно. Если друга нет на месте, можно оставить ему сообщение, и он увидит его, когда снова войдет в программу.

Коммуникацию в реальном масштабе времени возможно осуществить с помощью **чатов** (англ. Chatter — болтать). Если ваш компьютер оснащен видеокамерой, вы сможете начать видеочат. Одной из наиболее интересных особенностей видео-чата в Messenger является то, что он позволяет делать через Интернет все, что ранее можно было делать только при личном общении. Например, можно легко обмениваться фотографиями и видеть, как собеседник реагирует на них.

Теперь рассмотрим, каким образом можно организовать коллективную сетевую деятельность, связанную с **обменом данными**. Сразу отметим, что для передачи или открытия доступа к файлам в локальной сети используются стандартные возможности операционной системы компьютера. Для этого достаточно в настройках определенной директории открыть общий доступ на чтение или запись другими пользователями сети.

В настоящее время популярнейшим способом обмена данными является размещение файлов на различных видеохостингах и в социальных сетях. **Хостинг** — это услуга по предоставлению вычислительных мощностей для размещения информации на сервере, постоянно находящемся в сети Интернет. Для размещения видеофайлов, как правило, используются такие крупные видеохостинги, как YouTube (www.youtube.com), Rutube (<http://mtube.ru>). Социальные сети, например Одноклассники (www.odnoklassniki.ru), ВКонтакте (<http://vk.com>) и др., также можно использовать для размещения видеоматериалов.

Хранение, обмен файлов возможно организовать и с помощью облачных сервисов, таких как Яндекс.Диск, SkyDrive, iCloud и т.д. Перечислим ряд достоинств подобного способа организации работы:

- не требуется денежных вложений - сервисы бесплатны;
- возможность резервного хранения данных;
- доступность информации из любой точки мира с разных устройств, подключенных к Интернету;
- пользователь самостоятельно определяет доступность к файлам другим людям;
- большой размер облачного хранилища (7-10 Гб);
- информация не привязана к одному компьютеру;
- доступ к файлам, хранящимся на устройствах с разными аппаратными платформами (Windows, Android, iOS).

В качестве примера рассмотрим работу с программой Яндекс.Диск, которую предварительно следует установить на свой компьютер с адреса <http://disk.yandex.ru/download>. После инсталляции программы на вашем устройстве создается папка Яндекс.Диск, в которой будет находиться ряд папок, таких как Документы, Музыка, Корзина. Теперь, после того как мы добавим, изменим или удалим файл в папке Яндекс.Диск на своем компьютере, то же самое автоматически произойдет на серверах Яндекс, т. е. происходит процесс синхронизации.

Поделиться файлом с друзьями через web-интерфейс можно, выполнив следующие действия:

1. Зайти в свой почтовый ящик на сервисе Яндекс.

2. Выполнив команду **Файлы/Документы**, выделить нужный файл из списка.
3. Установить переключатель на панели предпросмотра в положение **Публичный** и нажать на одну из кнопок, расположенных ниже, что гарантирует публикацию ссылки на файл в одной из социальных сетей (ВКонтакте, Facebook и т.д.) либо отправку по электронной почте (рис. 1).



Рис. 1. Ссылка на файл

Другой возможностью публикации ссылки на файл - получение ее через ОС Windows. В этом случае порядок действий следующий:

1. Открыть папку Яндекс.Диск.
2. Выполнить щелчок правой кнопкой мыши на нужном файле.
3. В контекстном меню выбрать пункт **Яндекс.Диск: Скопировать публичную ссылку**.

Теперь в буфере обмена находится ссылка на файл, например, <http://yadi.Sk/d/91nV8FjiOYnX>, с которой вы можете поделиться со своими друзьями.

Перейдем к описанию организации **трудовой деятельности** как способа совместного сетевого взаимодействия. Она может выглядеть самой разной, от простого общения в видеоконференциях, заканчивая использованием серьезных корпоративных решений для управления рабочим процессом в компании. Примерами таких решений являются:

1. 1С-Битрикс: Корпоративный Портал (<http://www.lc-bitrix.ru/products/intranet/>) — система управления внутренним информационным ресурсом компании для коллективной работы над задачами, проектами и документами.
2. Меглапн (www.megaplan.ru) — онлайн-сервис для управления бизнесом.
3. TeamLab (www.teamlab.com/ru) — многофункциональный онлайн-сервис для совместной работы, управления документами и проектами.
4. BaseCamp (<http://basecamp.com>) — онлайн-инструмент для управления проектами, совместной работы и постановки задач по проектам.

Рассмотрим эти решения на примере облачного сервиса **Меглапн**, который относится к модели **SaaS** (англ. Software as a service — программное обеспечение как услуга). В рамках модели SaaS заказчики платят не за владение программным обеспечением как таковым, а за его аренду (т. е. за его использование через web-интерфейс). Таким образом, в отличие от классической схемы лицензирования программного обеспечения заказчик несет сравнительно небольшие периодические затраты (от 150 до 400 руб./мес.), и ему не требуется инвестировать значительные средства в приобретение ПО и аппаратной платформы для его развертывания, а затем поддерживать его работоспособность.

Используя на предприятии Меглапн, можно получить множество современных эффективных средств управления персоналом компании, в частности:

- выстроить иерархическую структуру предприятия, прояснить уровни подчинения, сделать связи сотрудников внутри предприятия логичными и понятными каждому;
- система управления персоналом на предприятии позволит каждому руководителю контролировать деятельность своих подчиненных в режиме реального времени. Кроме того,

можно получать актуальную информацию, даже не находясь в офисе — для этого достаточно иметь доступ в Интернет;

- получить возможность обмениваться документами, выкладывать в общий доступ бизнес-планы, презентации, проекты и распоряжения, ускоряя обмен информацией внутри предприятия;

- системы обмена сообщениями и корпоративный форум делают общение, как деловое, так и личное, более живым и эффективным. Кроме того, выходящая по ходу исполнения задачи, зафиксированные в Мегаплане, позволяют анализировать ход работы над проектом.

Зарегистрировавшись на вышеуказанном сайте, вы получите бесплатный доступ для знакомства с сервисом Мегаплан. Из трех решений предлагаемых компанией, а именно Совместная работа, Учет клиентов и Бизнес-менеджер, выберите первое — **Совместная работа**. Такой выбор дает возможность эффективно управлять проектами, задачами и людьми. Выбрав модуль **Сотрудники**, добавьте несколько сотрудников, заполнив их личные карточки. Много информации в карточки заносить необязательно, их всегда можно отредактировать, при этом не забывая нажимать на кнопку **Сохранить**. Заполненный модуль **Сотрудники** представлен на рис. 2.



Рис. 2. Модуль Сотрудники

Заполнив базу сотрудников, отметив все необходимые сведения в картотеке, вы получаете автоматизированную систему управления персоналом компании, которая более оперативно, чем любой менеджер по кадрам, будет оповещать вас обо всех изменениях, напоминать о днях рождения, давать доступ к картотеке и персональным сообщениям.

Теперь создайте отделы своей виртуальной организации. Для этого, находясь в модуле **Сотрудники**, выберите блок **Структура**, а в нем ссылку **Добавить отдел**. Чтобы добавить сотрудника в отдел, его надо перетащить мышью из списка **Нераспределенные**. После этого следует установить связь «Начальник-Подчиненный», используя ссылки **Начальники**, **Подчиненные**. Подобная ситуация представлена на рис. 3.

Красные стрелки на схеме обозначают вашу подчиненность, а зеленые — сотрудники подчиняются вам.

Для того чтобы организовать взаимодействие в команде, выберите модуль **Задачи** и поставьте перед каждым сотрудником задачу, указав сроки ее выполнения. Сотрудник может принять или отклонить задачу, делегировать ее своему подчиненному, комментировать задачу, оперировать списком своих задач (распечатывать, сортировать по признакам). Он может даже провалить задачу — и это немедленно станет известно всем, кто с ней связан.

Используя модуль **Документы**, попробуйте создать несколько текстовых документов (их объем не может превышать 300 Мб). Также имеется возможность импортировать имеющиеся документы, которые Мегаплан будет сортировать по типам: текстовые документы, презентации, PDF-файлы, таблицы, изображения и др. Таким образом, можно хранить общие для всей компании договоры, банки, анкеты и другие важные файлы.



Рис. 3 Организационная структура предприятия

Модуль **Обсуждение** представляет собой корпоративный форум, в рамках которого можно рассматривать любые вопросы. Обсуждение тем может происходить в нескольких уже созданных разделах, а именно Новости, Отдых, Работа. Подобная ситуация представлена на рис. 4.

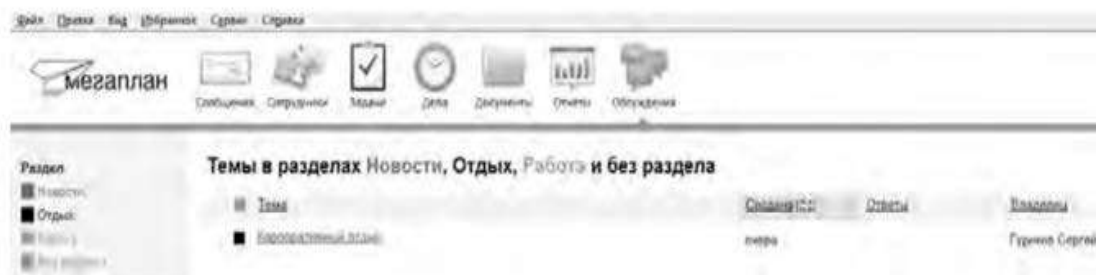


Рис. 4.Создание темы в модуле Обсуждение

Создайте несколько тем, воспользовавшись кнопкой **Добавить**. Обратите внимание на то, что вы можете ограничить просмотр обсуждаемых тем отдельным сотрудникам и группам. Корпоративный форум делает общение внутри компании более открытым. Возможность общения онлайн между сотрудниками, встреча которых могла бы и не произойти в реальной жизни, развивает неформальные отношения, вследствие которых совместная работа над проектами становится более комфортной. Работа над проектом, созданным в виртуальной среде, существенно упрощается за счет системы обмена сообщениями (модуль **Сообщения**), совместной работы, обработки файлов, находящихся в общем доступе.

Итак, освоение базовых функциональных операций в процессе работы с Мегапланом происходит очень быстро. С учетом того, что бесплатная версия продукта позволяет зарегистрировать трех пользователей, можно организовать сетевое взаимодействие, создав учебное предприятие и тем самым, усовершенствовать навыки взаимодействия исполнителей и руководителей в рабочем процессе.

Совместное времяпрепровождение за сетевыми развлечениями — последний вид сетевого взаимодействия, рассматриваемого нами. Сетевыми развлечениями в основном являются компьютерные игры. Вид взаимодействия в играх может быть различным: игроки могут соперничать друг с другом, могут быть в команде, а в некоторых играх возможны оба вида взаимодействия. Соперничество может выражаться как напрямую, например игра в шахматы, так и в таблице рейтингов в какой-нибудь браузерной игре.

Существует особый жанр игр MMORPG (англ. Massive Multiplayer Online Role-playing Game, массовая многопользовательская онлайн ролевая игра) — разновидность онлайн-игр

ролевых игр, позволяющая тысячам людей одновременно играть в изменяющемся виртуальном мире через Интернет. Сообщество любителей игр в жанре MMORPG зарегистрировано в сети Интернет по адресу www.mmorpg.su.

Подобные игры, как правило, построены на технологии «клиент-сервер», но есть разновидности, где в качестве клиента выступает обычный браузер. Игрок в такой игре представляется своим **аватаром** — виртуальным представлением его игрового персонажа. Создатели игры поддерживают существование игрового мира, в котором происходит действие игры и который населен ее персонажами.

Когда геймеры попадают в игровой мир, они могут в нем выполнять различные действия вместе с другими игроками со всего мира. Разработчики MMORPG поддерживают и постоянно развивают свои миры, добавляя новые возможности и доступные действия для того, чтобы «гарантировать» интерес игроков. Яркими представителями подобного рода игр на сегодняшний день являются EverQuest, World of Warcraft, Anarchy Online, Asheron's Call, Everquest II, Guild Wars, Ragnarok Online, Silkroad Online, The Matrix Online, City of Heroes.

Задания:

а)Создайте свой аккаунт (если вы его не имеете) в одной из социальных сетей, например Livejournal или Facebook. Выполните скриншоты своего блога. Результат отправьте на электронную почту преподавателя.

б)Используя программу Windows Live Messenger, добавьте в друзья (по предварительной договоренности) своего преподавателя и свяжитесь с ним в режиме реального времени либо оставьте ему сообщение.

в)Установите на свой компьютер программу Яндекс.Диск. Предоставьте доступ к нескольким файлам своему преподавателю.

г)Создайте учебное предприятие, используя облачный сервис Мегатлан. Заполните информацией все имеющиеся в программе модули. Установите связи между отделами. Пригласите нескольких своих друзей в проект. Продемонстрируйте результат преподавателю, открыв ему доступ.

д)Напишите краткий отчет о результатах своей работы по созданию виртуального предприятия, указав в нем этапы его создания, результаты совместной сетевой деятельности.

е)Являетесь ли вы участником какой-либо игры в жанре MMORPG? Если да, расскажите об основных правилах той игры, в которой вы участвуете. Каким образом происходит ваше взаимодействие в ней с друзьями?

3. Организация форумов

Методические указания

В настоящее время перед каждым образовательным учреждением стоит задача формирования открытой информационной образовательной среды. Эффективным механизмом является использование коммуникационных возможностей сети Интернет. В частности, организация на сайтах или в информационных системах образовательных учреждений форумов (дискуссий).

Форум — это web-страница, созданная на основе клиент-серверной технологии для организации общения пользователей сети Интернет. Концепция форума основана на создании разделов, внутри которых происходит обсуждение различных тем в форме сообщений. От чата форум отличается тем, что общение может происходить не в реальном времени. Таким образом, человек имеет возможность подумать над своим ответом или над создаваемой темой.

По методу формирования набора тем форумы бывают:

- **тематические.** В рамках таких форумов пользователи обсуждают предварительно опубликованную статью, новость СМИ и т.д. Обсуждение происходит в одной или нескольких темах;

- **проблемные.** Для обсуждения предлагается ряд проблемных вопросов (тем). Обсуждение каждой проблемы происходит в своей ветке. Чаще всего в подобных типах форумов пользователь не имеет права создавать новую тему;

- **постоянно действующие форумы.** Форумы поддержки (помощи). По такому принципу строятся форумы технической поддержки, различные консультации и пр. Чаще всего это форумы с динамическим списком тем, где простые участники могут создавать новую тему в рамках тематики форума.

Форумы функционируют согласно определенным правилам, которые определяют администраторы и модераторы. **Администратор форума** следит за порядком во всех разделах, контролирует общение на ресурсе и соблюдение правил сайта. **Модератор форума** чаще всего следит за порядком в конкретном разделе, имеет более узкие права, чем администратор. Его основная задача — увеличивать популярность форума, количество участников и число интересных обсуждений. Дополнительные задачи:

- стимулировать появление новых интересных тем;
- стимулировать общение на форуме;
- не допускать конфликтных ситуаций на форуме, а в случае их возникновения — уметь найти выход из сложной ситуации;
- при появлении в темах **спама** (рассылка коммерческой и иной рекламы или иных видов сообщений (информации) лицам, не выразившим желания их получать) немедленно сообщать об этом администратору сайта;
- следить за культурой сетевого общения.

Для каждого конкретного форума администратором могут быть созданы свои правила, но в целом их можно свести к следующим:

1. На форумах приветствуется поддержание дискуссии, обмен опытом, предоставление интересной информации, полезных ссылок.

2. Не нужно вести разговор на «вольные» темы и размещать бессодержательные (малосодержательные) или повторяющиеся сообщения. Под бессодержательными (малосодержательными) понимаются, в частности, сообщения, содержащие исключительно или преимущественно эмоции (одобрение, возмущение и т. д.).

3. Желательно проверять грамотность сообщений (например, редактором Microsoft Word) — ошибки затрудняют понимание вопроса или ответа и могут раздражать участников обсуждения.

4. Длинные сообщения желательно разбивать на абзацы пустыми строчками, чтобы их было удобно читать.

5. Запрещается размещать заведомо ложную информацию.

6. Не рекомендуется публиковать сообщения, не соответствующие обсуждаемой теме, в том числе личные разговоры в ветках форума.

7. Не следует писать сообщения сплошными заглавными буквами, так как это эквивалентно повышению тона, а также латинскими буквами. При этом сообщение считается нарушающим данное правило, если такого рода текстом набрано более трети всего сообщения.

8. Участники форума не должны нарушать общепринятые нормы и правила поведения. Исключено употребление грубых слов и ненормативной лексики, выражение расистских, непристойных, оскорбительных или угрожающих высказываний, нарушений законодательства в области авторского права или сохранности конфиденциальной информации.

9. Запрещено публично обсуждать нелегальное использование (в том числе взлом) программного обеспечения, систем безопасности, а также публикацию паролей, серийных номеров и адреса (ссылки), по которым можно найти что-либо из вышеназванного.

10. Не следует размещать в форумах, а также рассылать через личные сообщения коммерческую рекламу и спам.

Для создания форумов используется ряд программных решений, написанных на языке PHP (англ. Hypertext Preprocessor — предпроцессор гипертекста) и используемых для ведения своей базы данных сервер MySQL. К их числу относятся **Invision Power Board** (www.invisionpower.com), **vBulletin** (www.vbulletin.com), **PHP Bulletin Board** (www.phpbb.com), **Simple Machines Forum** (www.simplemachines.org) и ряд других.

Однако создать «движок форума» с помощью перечисленного программного обеспечения начинающему пользователю будет весьма непросто, поскольку и сами программы, и документация к ним написаны на английском языке.

Попробовать свои силы для создания тематического форума можно с использованием российских web-сервисов, предлагающих свои услуги в этом направлении. Остановим свой выбор на сервисе Forum2x2 (www.forum2x2.ru), который предлагает создание и хостинг форумов. Forum2x2 позволяет создать форум бесплатно, всего за несколько секунд и без всяких технических знаний, а после — мгновенно начать общение. Интерфейс форума является наглядным, простым в использовании и легко настраивается.

Определим следующую задачу — создать форум своего учебного заведения. Находясь на сайте сервиса Forum2x2, выберем кнопку **Создать бесплатный форум**. Пользователю будет предложено выбрать одну из четырех версий создания форумов: Phpbb3, Phpbb2, IPB и Punbb. Их краткая характеристика будет представлена в соответствующих вкладках. Воспользуемся самым простым из них - **Punbb**, который предоставляет только базовые опции web-форума, а следовательно, является оптимальным по скорости и простоте использования. Далее нам предстоит выполнить три простых шага:

1. Выбрать графический стиль форума.
2. Ввести название форума, его интернет-адрес, свой адрес электронной почты, пароль.
3. Прочитать информацию о недопустимом содержании создаваемого форума.

На этом создание форума можно считать завершенным. На рис. 5 представлен один из возможных примеров созданного форума.



Рис. 5 Внешний вид созданного форума

В своем электронном почтовом ящике вы обнаружите письмо от администрации сервиса Forum2x2, в котором будут даны несколько полезных советов для успешного начала работы форума, в частности:

- - поместить в форум несколько сообщений, чтобы задать тон обсуждения;
- - внести личный аспект в стиль оформления форума, подобрав цвета и шрифты;
- - сообщить по электронной почте друзьям о новом форуме и пригласить их поучаствовать в форуме;
- - поместить ссылки на форум на других сайтах, форумах и в поисковых системах.

Для администрирования вновь созданного форума необходимо ввести имя пользователя (Admin) и пароль, который вы выбрали при создании форума. После этого вы получаете доступ к ссылке **Панель администратора**, расположенной внизу страницы, которая имеет несколько вкладок (рис. 6).



Рис. 6. Вкладки Панели администратора

Вкладка **Главная** отображает информацию по статистике созданных сообщений, количестве пользователей и тем. Здесь же можно воспользоваться практическими советами по повышению посещаемости созданного форума. Попробуйте пригласить на созданный форум своих друзей, знакомых, с помощью ссылки **Адреса Email**, вводя в соответствующее поле их электронные адреса. Максимальное число приглашений, отправляемых за один раз, — десять.

Вкладка **Общие настройки** позволяет сконфигурировать форум в соответствии с личными целями администратора. В частности, можно изменить название сайта, его описание, определить конфигурацию защиты форума, определить E-mail администратора.

С помощью раздела **Категории и форумы** создайте свои форумы, определите порядок их вывода с помощью соответствующих кнопок (**Сдвинуть вверх**, **Сдвинуть вниз**). **Категория** представляет собой совокупность форумов, объединенных общей тематикой. Один из возможных примеров создания форумов приведен на рис. 7.

Сделанные изменения доступны для просмотра после нажатия на кнопку **Просмотр форума**. Находясь на вкладке **Общие настройки**, перейдите в раздел **Раскрутка форума** и выберите пункт **Поисковые системы**. Введите информацию для ваших мета-тегов, чтобы улучшить позицию вашего форума в поисковых системах. **Мета-теги** — это невидимые коды, используемые поисковиками для индексации и позиционирования вашего форума. Зарегистрируйте ваш форум в основных поисковых системах: Yandex, Google, Rambler.



Рис. 7. Структура форумов

Используя вкладку **Оформление**, поэкспериментируйте с различными стилями для того, чтобы повысить привлекательность форума. Здесь же можно поменять версию «движка» форума.

Будучи администратором вашего форума, вы являетесь его единственным полноправным хозяином и полностью контролируете его. С помощью вкладки **Пользователи**

& Группы создайте группу модераторов, ответственных за соблюдение установленных вами правил (правил орфографии, правил поведения на форуме и т.д.).

Перейдите на вкладку **Модули**. Здесь вы можете добавить к вашему форуму такие модули, как портал, календарь, галерея, чат или листы персонажей. Выберите ссылку **Портал**. Появится информация о том, что портал не установлен. Нажмите ссылку — установить. Внешний вид созданного портала представлен на рис. 8.



Рис. 8. Созданный портал

На вкладке **Модули** попробуйте поработать с виджетами (гаджетами) форума, из которых и состоит портал. **Виджет** — это элемент интерфейса, предназначенный для облегчения доступа к информации.

Добавьте/удалите стандартные виджеты форума (Поиск, Календарь, Новости, Последние темы, Самые активные пользователи и др.), отслеживая изменения нажатием кнопки **Просмотр портала**. Оставьте наиболее удачный, с вашей точки зрения, вариант.

Итак, мы приобрели первоначальные практические навыки создания собственного форума и выполнили действия, направленные на увеличение его посещаемости. Кроме того, необходимо создать ссылку на форум с главной страницы сайта учебного заведения. Следует отметить, что, для того чтобы созданный форум не оставался в статичном виде, необходима большая работа администратора, модераторов по его поддержанию.

Альтернативным способом организации форумов является их развертывание в информационной системе учебного заведения. На современном отечественном рынке автоматизированных информационных систем управления учебным процессом представлено достаточно большое количество решений. Свой выбор остановим на ИС ModEUS (<http://modeus.krf.ane.ru/index.php>), которая разработана с учетом специфики российского образования и обеспечивает автоматизацию учебного процесса, в том числе и дистантного (учет учебного процесса, его планирование и публикация, подготовка отчетной документации).

После регистрации в системе ModEUS, нужно выбрать ссылку **Дискуссии**. Вы можете организовать дискуссию (форум) по любому из находящихся в системе курсов, щелкнув мышью по его названию.

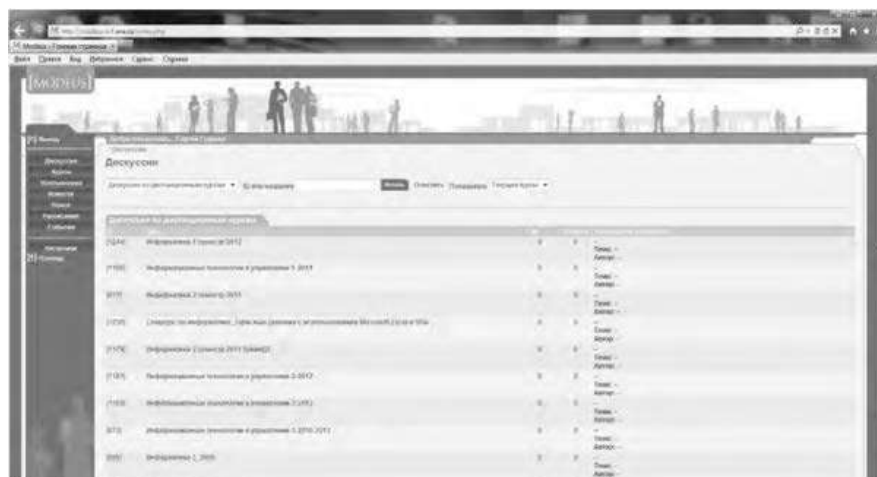


Рис. 9. Страница Дискуссии в ИС ModEUS

Создадим новую тему, нажав одноименную кнопку. Впишем в соответствующие поля название темы и вопрос, предлагаемый для обсуждения. Подобная ситуация представлена на рис. 437. Кроме того, мы имеем возможность прикрепить текстовый файл объемом не более 16 Мб, например список вопросов к экзамену.

После нажатия на кнопку **Создать** тема дискуссии отображается в системе (рис. 10), и любой из студентов может принять участие в ее обсуждении.

Таким образом, можно определить преимущества создания форума в информационной системе учебного заведения:

- - отсутствует необходимость иметь практические навыки работы по созданию web-страниц;
- - нет необходимости заботиться о раскрутке форума - студенты и преподаватели постоянно работают в системе.

В то же время есть и ряд недостатков, в частности:

- - форум доступен исключительно для студентов и преподавателей учебного заведения, в котором функционирует информационная система;
- - стандартизированный типовой интерфейс для всех выполняемых функций;
- - нет возможности организовать дискуссию на вольную тему.



Рис. 10 Создание новой темы



Рис. 11. Создана тема для дискуссии

Использование тестирующих систем в локальной сети образовательного учреждения

Теперь познакомимся с возможностями ИС ModEUS для **организации тестирования студентов в локальной сети образовательного учреждения**. Использование тестирования как наиболее объективного метода оценки качества образования широко используется в учебных заведениях России. Полнота охвата проверкой требований к уровню подготовки студентов предполагает методику конструирования тестовых заданий закрытого и открытого типа. К тестовым заданиям **закрытого типа** относятся задания, предполагающие выбор верного ответа из предложенных вопросов. Тестовые задания **открытого типа** требуют конструирования ответов с кратким и развернутым ответом. И тот, и другой тип заданий успешно реализуются в ИС ModEUS.

Прежде чем создать тестовое задание, необходимо зайти в один из учебных курсов, находящихся в репозитории (хранилище данных), нажав кнопку **Курсы** в главном меню. Под «курсом» в ИС ModEUS понимается дисциплина, находящаяся в учебном плане.

Найдем в списке **Занятия курса** требуемое занятие и нажмем ссылку **Список заданий**, находящуюся справа от поля **Тип**. Для того чтобы добавить задание в занятие, нажмем кнопку **Добавить**. Подобная ситуация представлена на рис. 11.

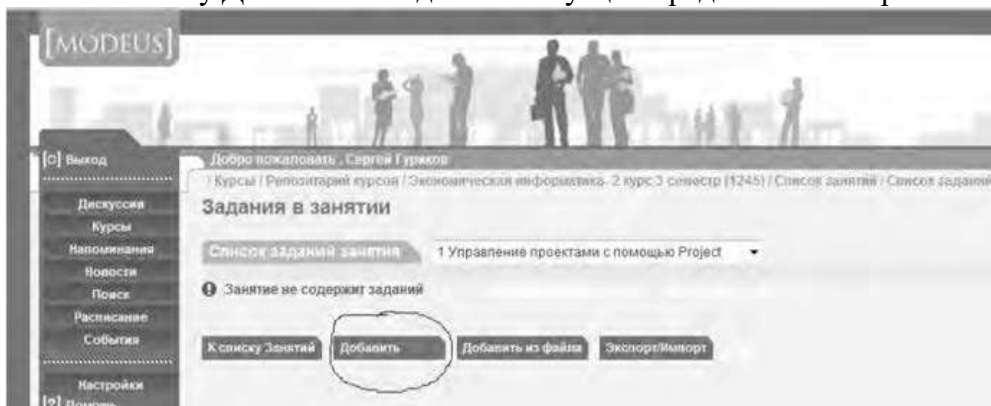


Рис.12. Добавление задания

Тип задания можно выбрать из раскрывающегося списка (рис. 12), кроме того, можно дать название новому заданию, установить балл и выбрать количество попыток сдачи.

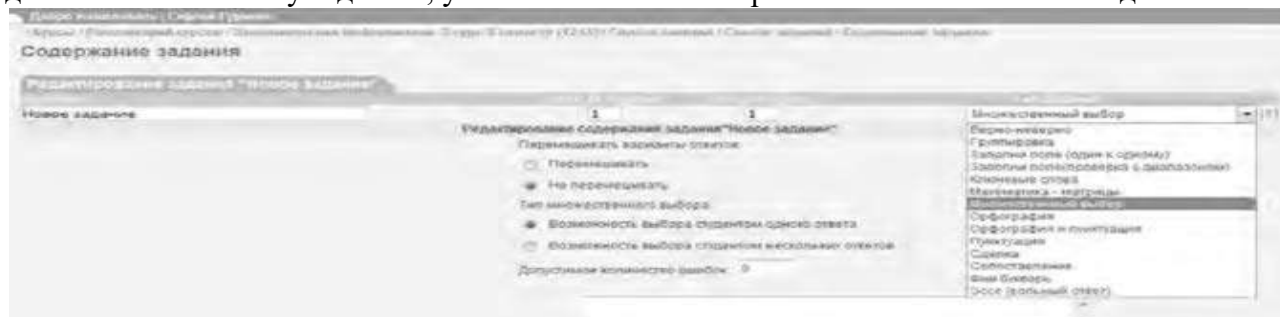
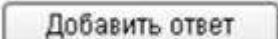


Рис.13. Выбор типа задания


Рассмотрим несколько примеров формирования вопросов закрытого и открытого типа в ИС ModEUS.

Тестовое задание со множественным выбором верных ответов (закрытый тип). Данный тип задания дает вам возможность задать вопрос и варианты ответов на него, из которых обучающийся должен выбрать верный (рис. 14). Правильным может быть один или несколько вариантов. Для того чтобы наполнить задание, выполните следующие действия:

- - в опции **Перемешивать варианты ответов** поставьте метку в поле **Перемешивать**, если вы хотите, чтобы указанные вами варианты ответов выводились на экран в различном порядке, поставьте метку в поле **Не перемешивать**, если варианты ответов должны выводиться всегда в одинаковом порядке;
- - в опции **Тип множественного выбора** поставьте метку в поле **Возможность выбора студентом одного ответа**, если обучающийся из предложенных вариантов ответов может выбрать только один верный, поставьте метку в поле **Возможность выбора студентом нескольких ответов**, если обучающийся может выбрать несколько верных ответов;
- - введите текст задания в поле **Текст задания**;
- - в случае если в задании присутствует приложение, укажите путь к этому приложению, нажав на кнопку **Обзор...** и указав путь к файлу на жестком или сетевом диске. Приложением может быть документ любого формата, например изображение;
- - введите тексты вариантов ответов в соответствующие поля;
- - для добавления нового поля под вариант ответа нажмите на кнопку

 :

- каждый вариант ответа может быть дополнен приложением. Для добавления к варианту ответа приложения укажите путь к нему в поле **Добавить приложение**, нажав на

кнопку  и указав путь к файлу на жестком или сетевом диске;

- установите флажки напротив одного или нескольких правильных вариантов ответа;

- нажмите на кнопку  для сохранения задания в базе данных;

- нажмите на кнопку ; чтобы сохранить задание и сразу

перейти к составлению нового задания.

Название	Балл за задание	Попыток сдачи	Тип задания
Задание б	1	1	Множественный выбор

Редактирование содержания задания "Задание б"

Перемешивать варианты ответов:

Перемешивать

Не перемешивать



Тип множественного выбора:

Возможность выбора студентом одного ответа

Возможность выбора студентом нескольких ответов



Текст задания:

На каком уровне семиуровневой модели ISO происходит передача кадра данных между узлами. В качестве адресов используются MAC-адреса

Добавить приложение: Обзор...  

Варианты ответов:

1 физический уровень

Добавить приложение: Обзор...  

2 канальный уровень

Добавить приложение: Обзор...

3 сетевой уровень

Добавить приложение: Обзор...

4 транспортный уровень

Добавить приложение: Обзор...

5 сеансовый уровень

Добавить приложение: Обзор...

6 уровень представления

Добавить приложение: Обзор...

7 прикладной уровень


Добавить приложение: Обзор...

Добавить ответ

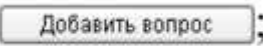
Рис. 14. Создание задания со множественным выбором верных ответов

Тестовое задание с добавлением слова (открытый тип). Данный тип задания (рис. 15) дает вам возможность задать вопрос, на который обучающийся должен ответить, введя ответ с клавиатуры в виде текста, цифры, слова, математической формулы и т.д. Для того чтобы наполнить задание, выполните следующие действия:

- - введите текст задания в поле **Текст задания**;
- - текст задания может представлять собой текст или текст в сочетании с приложением. Чтобы добавить приложение (изображение или документ), нажмите на

кнопку  , находящуюся под полем **Текст задания**, и укажите путь к файлу на жестком или сетевом диске;

- - в поле **Вопрос** введите вопрос, на который должен ответить обучающийся;
 - - в поле **Ответ** укажите правильный ответ;
- в пределах одного задания вы можете задать обучающемуся несколько вопросов. Для

добавления вопроса нажмите на кнопку  ;

- нажмите на кнопку  для сохранения задания в базе данных;

- нажмите на кнопку  , чтобы сохранить задание и сразу

перейти к составлению нового задания.

Рис. 15 Создание задания с добавлением слова

Кроме рассмотренных типов заданий, в ИС ModEUS существует и ряд других, в частности:

Верно - неверно. Данный тип задания предоставляет возможность обучающемуся выбрать один из вариантов ответа («верно» или «неверно») на поставленный вопрос.

Группировка. В данном типе задания обучающемуся необходимо распределить заданный список понятий по группам.

Заполни поле (проверка с диапазоном). Данный тип задания дает возможность задать вопрос, на который обучающийся должен ответить, введя с клавиатуры числовой ответ.

Сопоставление. Проверяется способность обучающихся сопоставить понятия по указанному принципу.

Эссе. Обучающийся отвечает в свободной форме на поставленный преподавателем вопрос. Вопрос может быть представлен в виде текста или любого другого документа.

Следует отметить, что в ИС ModEUS можно задать количество вопросов, время на проведение тестовых заданий, а также **мощность теста**. Мощность определяет количество заданий, которые будут предложены студенту для выполнения. Например, если в группе заданий десять вариантов заданий, а мощность группы равна пяти, то студенту будут предложены для выполнения пять заданий из десяти. После проведения тестирования в информационной системе происходит автоматическое формирование оценок на основании выполненных студентами заданий.

Итак, мы завершили рассмотрение возможностей информационной системы, работающей в локальной сети учебного заведения для организации форумов и проведения тестирования студентов.

Настройка видео web-сессий

В настоящее время миллионы пользователей во всем мире используют видеосвязь с помощью сети Интернет для общения друг с другом. Достоинства такого способа общения очевидны: есть возможность слышать и визуально наблюдать собеседника, находящегося, возможно, за тысячи километров. Для обеспечения полноценной видеосвязи для захвата и воспроизведения видео и звука могут использоваться как встроенные в компьютер камера, микрофон или динамик, так и внешние устройства, такие как web-камера, головная гарнитура, а также следует обеспечить высокоскоростной доступ к Интернету.

Взаимодействие собеседников при организации видео web-сессий возможно в нескольких направлениях: видеоконференция и видеотелефония.

1. **Видеоконференция** — это технология интерактивного взаимодействия двух и более человек, при которой между ними происходит обмен информацией в режиме реального времени. Существует нескольких видов видеоконференций:

- **симметричная (групповая)** видеоконференция позволяет проводить сеансы показа презентаций или рабочего стола;
- **асимметричная** видеоконференция используется для дистанционного образования. Позволяет собрать в конференции множество участников таким образом, что все они будут видеть и слышать одного ведущего, он, в свою очередь, всех участников одновременно;
- **селекторное видеосовещание** — рассчитано на взаимодействие большой группы участников, при котором пользователи имеют возможность активно обсуждать действия при чрезвычайных ситуациях, оперативно решать текущие вопросы.

Для эффективной организации проведения web-конференций, маркетинговых презентаций, онлайн-обучения, совещаний и любых других видов онлайн-встреч существует ряд программных решений. В качестве примера можно привести программы Mirapolis Virtual Room (<http://virtualroom.ru/>), ВидеоМост (www.videomost.com), TrueConf Online (<http://trueconf.ru/>) и др.

2. **Видеотелефония** — реализуется посредством сеанса видеосвязи между двумя пользователями, во время которого они могут видеть и слышать друг друга, обмениваться сообщениями и файлами, вместе работать над документами и при этом находиться в разных местах в комфортной для себя обстановке.

Для того чтобы общаться с близкими и друзьями, можно бесплатно совершать видеозвонки с помощью таких программ, как Skype (<http://www.Skype.com/intl/ru/get-skype>), Mail.ru Агент (<http://agent.mail.ru>) и ряд других.

Для того чтобы проверить наличие встроенной web-камеры на компьютере, достаточно войти в меню **Пуск**, выбрать **Компьютер**, щелкнуть на нем правой кнопкой мыши и в контекстно-зависимом меню нажать пункт **Свойства**. Далее следует выбрать пункт меню **Диспетчер устройств**, а в нем пункт **Устройства обработки изображений**. Наличие в нем устройства, например, USB 2.0 Camera свидетельствует о наличии web-камеры.

Кроме того, в документации к компьютеру (Руководство пользователя) или другому устройству должны быть приведены сведения об установленных в систему устройствах и, в частности, инструкция по использованию встроенной камеры и программному обеспечению, отвечающему за данное устройство.

Одной из таких популярных утилит является ArcSoft WebCam Companion — пакет приложений для взаимодействия с web-камерой, который позволяет захватывать, редактировать изображения и записывать видео. Самостоятельно проведите ее установку, воспользовавшись web-адресом <http://arcsoft-webcam-companion.en.softonic.com>. После установки данной программы на компьютер ее можно запустить на выполнение командой **Пуск/Все программы/ArcSoft WebCam Companion/WebCam Companion**. Интерфейс программы представлен несколькими разделами: **Захват**, **Маска**, **Забавная рамка**, **Правка**, **Монитор**, **Другие приложения** (рис. 16).



Рис. 16. Пункты меню программы ArcSoft WebCam Companion

Выберем значок **Захват**, а в нем пункт меню **Параметры web-камеры**. Откроется окно, представленное на рис. 17.

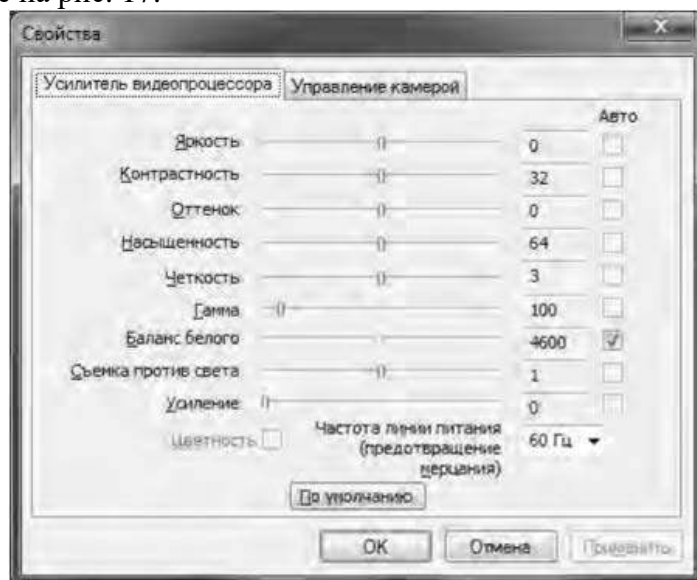


Рис. 17. Окно Свойства web-камеры

Как видно из рис. 17, в данном окне можно изменить основные параметры настройки web-камеры, одновременно наблюдая за результатом на экране. При желании настройки можно вернуть в исходное состояние, нажав на кнопку **По умолчанию**.

Теперь поговорим о том, как организовать web-сессию в такой популярной программе, как Skype. Ее большим преимуществом является такой факт, что звонки между абонентами являются бесплатными. Однако, если вы делаете звонок на мобильный или стационарный телефон, вам потребуется позаботиться о том, чтобы на вашем счете были деньги. Положить деньги на оплату разговоров в Skype вы можете с использованием такого сервиса, как Яндекс.Деньги (<https://money.yandex.ru/>).

Установите программу Skype, воспользовавшись ее адресом в сети Интернет <http://www.skype.com/intl/ru/get-skype>. После установки программа становится доступной после выполнения команды **Пуск/Все программы/Skype/Skype**. В окне регистрации введите свой логин и пароль. Обратите внимание на то, что если вы установите флажок в пункте **Автоматическая авторизация при запуске Skype**, то вам не придется каждый раз вводить свои данные.

Добавьте своих друзей, родственников в список контактов, воспользовавшись командой **Контакты/Добавить контакт**. Вам нужно ввести фамилию, имя знакомого, его контактный телефон, адрес электронной почты. В результате ваши контакты будут располагаться в группе **Контакты** и будут видны при каждом запуске программы.

Выполним настройку web-камеры. Последовательно нажмем **Инструменты/Настройки/Настройки видео**. Появится окно, представленное на рис. 18.



Рис.18. Окно Настройки

Если вы видите изображение - камера настроена и готова к работе. В противном случае, Skype выведет об этом текстовое сообщение. Теперь перейдем в меню **Настройка звука**. Проверьте, что поставлен флажок в опции **Разрешить автоматическую настройку микрофона**. Скажите несколько слов вслух, уровень громкости звука в опции **Громкость** должен изменяться. Окончательно проверить сделанные настройки можно с помощью контрольного звонка. Для этого, находясь в меню **Настройка звука**, выберите пункт **Сделать контрольный звонок в Skype**. В ходе контрольного звонка вы сможете сделать запись своего голоса в течение десяти секунд, а затем прослушать его. Если этот эксперимент окончится удачно, значит, все настройки выполнены правильно и программа готова к работе.

Теперь, когда мы завершили работу с настройками программы, можно попробовать сделать видеозвонок. Для этого необходимо совершить следующие действия:

1. Войти в программу Skype.
2. В группе **Контакты** щелчком мыши выбрать абонента. Во время звонка он должен быть в сети, о чем будет свидетельствовать соответствующий значок в программе Skype.
3. Нажать кнопку **Видеозвонок**.

Через несколько секунд соединение будет установлено и вы можете начать разговор, в процессе которого вы будете видеть и слышать своего собеседника. Подобная ситуация представлена на рис. 19.



Рис. 19 Сеанс связи установлен

Если во время разговоров у вас возникают неполадки со звуком, такие как сильный фоновый шум, эхо, задержка звука, «механический» звук или пропадание слов, следует убедиться в следующем:

1. Использует ли собеседник последнюю версию программы Skype? Информацию о версии программы можно получить, выполнив команду **По- мощь/О Skype**.
2. Нет ли рядом с микрофоном источников шума?
3. Не расположен ли микрофон рядом с динамиками?
4. Достаточно ли высокая скорость соединения?

Кроме того, когда программа Skype обнаруживает неполадки во время звонка, на экране появляется сообщение с рекомендациями, которые помогут вам повысить качество связи. Необходимо выполнить эти рекомендации.

Итак, вы получили теоретические сведения и практические навыки работы с организацией видео web-сессий, которые, несомненно, будут востребованы в вашей повседневной жизни.

Задания:

а) Зарегистрируйтесь на сервисе Forum2x2. Создайте форум своего учебного заведения, выбрав одну из четырех версий создания форумов. Выполните советы для успешного начала работы своего форума, приведенные в параграфе 5.4. После завершения работы отправьте на электронную почту преподавателя ссылку на созданный вами форум.

б) Установите на свой компьютер программу Skype. Сделайте видеозвонок вашему преподавателю (по предварительной договоренности).

2. Проведите диагностику стиля делового общения.

Инструкция. С помощью этого теста вы можете оценить свой стиль делового общения. Вам предложено 80 утверждений. Из каждой пары выберите одно — то, которое, как вы считаете, наиболее соответствует вашему поведению. Обратите внимание па то, что ни одна пара не должна быть пропущена. Тест построен таким образом, что ни одно из приведенных ниже утверждений не является ошибочным.

1. Я люблю действовать.
2. Я работаю над решением проблем систематическим образом.
3. Я считаю, что работа в командах более эффективна, чем на индивидуальной основе.
4. Мне очень нравятся различные нововведения.
5. Я больше интересуюсь будущим, чем прошлым.
6. Я очень люблю работать с людьми.
7. Я люблю принимать участие в хорошо организованных встречах.
8. Для меня очень важными являются окончательные сроки.

9. Я против откладываний и проволочек.
10. Я считаю, что новые идеи должны быть проверены прежде, чем они будут применяться на практике.
11. Я очень люблю взаимодействовать с другими людьми. Это меня стимулирует и вдохновляет.
12. Я всегда стараюсь искать новые возможности.
13. Я сам люблю устанавливать цели, планы и т.п.
14. Если я что-либо начинаю, то доделываю это до конца.
15. Обычно и стараюсь понять эмоциональные реакции других.
16. Я создаю проблемы другим людям.
17. Я надеюсь получить реакцию других на свое поведение.
18. Я нахожу, что действия, основанные на принципе «шаг за шагом», являются очень эффективными.
19. Я думаю, что хорошо могу понимать поведение и мысли других.
20. Я люблю творческое решение проблем.
21. Я все время строю планы на будущее.
22. Я восприимчив к нуждам других.
23. Хорошее планирование — ключ к успеху.
24. Меня раздражает слишком подробный анализ.
25. Я остаюсь невозмутимым, если на меня оказывают давление.
26. Я очень ценю опыт.
27. Я прислушиваюсь к мнению других.
28. Говорят, что я быстро соображаю.
29. Сотрудничество является для меня ключевым словом.
30. Я использую логические методы для анализа альтернатив.
31. Я люблю, когда одновременно у меня идут разные проекты.
32. Я постоянно задаю себе вопросы.
33. Делая что-либо, я тем самым учусь.
34. Полагаю, что я руководствуюсь рассудком, а не эмоциями.
35. Я могу предсказать, как другие будут вести себя в той или иной ситуации.
36. Я не люблю вдаваться в детали.
37. Анализ всегда должен предшествовать действиям.
38. Я способен оценить климат в группе.
39. У меня есть склонность не заканчивать начатые дела.
40. Я воспринимаю себя как решительного человека.
41. Я ищу такие дела, которые бросают мне вызов.
42. Я основываю свои действия на наблюдениях и фактах.
43. Я могу открыто выразить свои чувства.
44. Я люблю формулировать и определять контуры новых проектов.
45. Я очень люблю читать.
46. Я воспринимаю себя как человека, способного интенсифицировать, организовать деятельность других.
47. Я не люблю заниматься одновременно несколькими вопросами.
48. Я люблю достигать поставленных целей.
49. Мне нравится узнавать что-либо о других людях.
50. Я люблю разнообразие.
51. Факты говорят сами за себя.
52. Я использую свое воображение, насколько это возможно.
53. Меня раздражает длительная, кропотливая работа.
54. Мой мозг никогда не перестает работать.
55. Важному решению предшествует подготовительная работа.
56. Я глубоко уверен в том, что люди нуждаются друг в друге, чтобы завершить работу.

57. Я обычно принимаю решение, особо не задумываясь.
58. Эмоции только создают проблемы.
59. Я люблю быть таким же, как другие.
60. Я не могу быстро прибавить пятнадцать к семнадцати.
61. Я примеряю свои новые идеи к людям.
62. Я верю в научный подход.
63. Я люблю, когда дело сделано.
64. Хорошие отношения необходимы.
65. Я импульсивен.
66. Я нормально воспринимаю различия в людях.
67. Общение с другими людьми значимо само по себе.
68. Люблю, когда меня интеллектуально стимулируют.
69. Я люблю организовывать что-либо.
70. Я часто перескакиваю с одного дела на другое.
71. Общение и работа совместно с другими людьми являются творческим процессом.
72. Самоактуализация является крайне важной для меня.
73. Мне очень нравится играть идеями.
74. Я не люблю попусту терять время.
75. Я люблю делать то, что у меня получается.
76. Взаимодействуя с другими, я учусь.
77. Абстракции интересны для меня.
78. Мне нравятся детали.
79. Я люблю кратко подвести итоги, прежде чем прийти к какому-либо умозаключению.
80. Я достаточно уверен в себе.

Обработка результатов.

Обведите те номера, на которые вы ответили положительно, и отметьте их в приведенной ниже таблице. Посчитайте количество баллов по каждому стилю (один положительный ответ равен 1 баллу). Тот стиль, по которому вы набрали наибольшее количество баллов (по одному стилю не может быть более 20 баллов), наиболее предпочтителен для вас. Если вы набрали одинаковое количество баллов по двум стилям, значит, они оба присущи вам.

Ключ

Стиль 1: 1, 8, 9, 13, 17, 24, 26, 31, 33, 40, 41, 48, 50, 53, 57, 63, 65, 70, 74, 79.

Стиль 2: 2, 7, 10, 14, 18, 23, 25, 30, 34, 37, 42, 47, 51, 55, 58, 62, 66, 69, 75, 78.

Стиль 3: 3, 6, 11, 15, 19, 22, 27, 29, 35, 38, 43, 46, 49, 56, 59, 64, 67, 71, 76, 80.

Стиль 4: 4, 5, 12, 16, 20, 21, 28, 32, 36, 39, 44, 45, 52, 54, 60, 61, 68, 72, 73, 77.

Интерпретация результатов

Стиль 1 — ориентация на действие. Характерно обсуждение результатов, конкретных вопросов, поведения, ответственности, опыта, достижений, решений. Люди, владеющие этим стилем, прагматичны, прямолинейны, решительны, легко переключаются с одного вопроса на другой.

Стиль 2 — ориентация на процесс. Характерно обсуждение фактов, процедурных вопросов, планирования, организации, контролирования, деталей. Человек, владеющий этим стилем, ориентирован на систематичность, последовательность, тщательность. Он честен, многословен и мало эмоционален.

Стиль 3 ориентация на людей. Характерно обсуждение человеческих нужд, мотивов, чувств, «духа работы в команде», понимания, сотрудничества. Люди этого стиля эмоциональны, чувствительны, умеют сопереживать окружающим.

Стиль 4 — ориентация на перспективу, на будущее. Людям этого стиля присуще обсуждение концепций, больших планов, нововведений, различных вопросов, новых методов, альтернатив. Они обладают хорошим воображением, полны идей, но мало реалистичны и порой их сложно понять.

Задания:

- а) На основе самодиагностики определите стиль делового общения
- б) Дайте обоснование рекомендаций по совершенствованию делового общения.

ПОДГОТОВКА РЕФЕРАТА

Общая характеристика реферата

Написание реферата практикуется в учебном процессе в целях приобретения магистрантом необходимой профессиональной подготовки, развития умения и навыков самостоятельного научного поиска: изучения литературы по выбранной теме, анализа различных источников и точек зрения, обобщения материала, выделения главного, формулирования выводов и т. п. С помощью реферата магистрант может глубже постигать наиболее сложные проблемы дисциплины, учиться лаконично излагать свои мысли, правильно оформлять работу, докладывать результаты своего труда.

Реферат является первой ступенью на пути освоения навыков проведения научно-исследовательской работы. В «Толковом словаре русского языка» дается следующее определение: «**реферат** – краткое изложение содержания книги, статьи, исследования, а также доклад с таким изложением».

Различают два вида реферата:

- *репродуктивный* – воспроизводит содержание первичного текста в форме реферата-конспекта или реферата-резюме. В реферате-конспекте содержится фактическая информация в обобщённом виде, иллюстрированный материал, различные сведения о методах исследования, результатах исследования и возможностях их применения. В реферате-резюме содержатся только основные положения данной темы;

- *продуктивный* – содержит творческое или критическое осмысление реферируемого источника и оформляются в форме реферата-доклада или реферата-обзора. В реферате-докладе, наряду с анализом информации первоисточника, дается объективная оценка проблемы, и он имеет развёрнутый характер. Реферат-обзор составляется на основе нескольких источников и в нем сопоставляются различные точки зрения по исследуемой проблеме.

Магистрант для изложения материала должен выбрать продуктивный вид реферата.

Выбор темы реферата

Магистранту предоставляется право выбора темы реферата из рекомендованного преподавателем дисциплины списка. Выбор темы должен быть осознанным и обоснованным с точки зрения познавательных интересов автора, а также полноты освещения темы в имеющейся научной литературе.

Если интересующая тема отсутствует в рекомендованном списке, то по согласованию с преподавателем магистранту предоставляется право самостоятельно предложить тему реферата, раскрывающую содержание изучаемой дисциплины. Тема не должна быть слишком общей и глобальной, так как небольшой объем работы (до 20-25 страниц без учёта приложений) не позволит раскрыть ее.

Начинать знакомство с избранной темой лучше всего с чтения обобщающих работ по данной проблеме, постепенно переходя к узкоспециальной литературе. При этом следует сразу же составлять

библиографические выходные данные используемых источников (автор, название, место и год издания, издательство, страницы).

На основе анализа прочитанного и просмотренного материала по данной теме следует составить тезисы по основным смысловым блокам, с пометками, собственными суждениями и оценками. Предварительно подобранный в литературных источниках материал может превышать необходимый объем реферата.

Формулирование цели и составление плана реферата

Выбрав тему реферата и изучив литературу, необходимо сформулировать цель работы и составить план реферата.

Цель – это осознаваемый образ предвосхищаемого результата. Возможно, формулировка цели в ходе работы будет меняться, но изначально следует ее обозначить, чтобы ориентироваться на нее в ходе исследования. Формулирование цели реферата рекомендуется осуществлять при помощи глаголов: исследовать, изучить, проанализировать, систематизировать, осветить, изложить (представления, сведения), создать, рассмотреть, обобщить и т. д.

Определяясь с целью дальнейшей работы, параллельно необходимо думать над составлением плана, при этом четко соотносить цель и план работы. Правильно построенный план помогает систематизировать материал и обеспечить последовательность его изложения.

Наиболее традиционной является следующая **структура реферата**:

Титульный лист.

Оглавление (план, содержание).

Введение.

1. (полное наименование главы).

1.1. (полное название параграфа, пункта);

1.2. (полное название параграфа, пункта). Основная часть

2. (полное наименование главы).

2.1. (полное название параграфа, пункта);

2.2. (полное название параграфа, пункта).

Заключение (выводы).

Библиография (список использованной литературы).

Приложения (по усмотрению автора).

Титульный лист оформляется в соответствии с Приложением.

Оглавление (план, содержание) включает названия всех глав и параграфов (пунктов плана) реферата и номера страниц, указывающие их начало в тексте реферата.

Введение. В этой части реферата обосновывается актуальность выбранной темы, формулируются цель и задачи работы, указываются используемые материалы и дается их краткая характеристика с точки зрения полноты освещения избранной темы. Объем введения не должен превышать 1-1,5 страницы.

Основная часть реферата может быть представлена двумя или тремя главами, которые могут включать 2-3 параграфа (пункта).

Здесь достаточно полно и логично излагаются главные положения в используемых источниках, раскрываются все пункты плана с сохранением связи между ними и последовательности перехода от одного к другому.

Автор должен следить за тем, чтобы изложение материала точно соответствовало цели и названию главы (параграфа). Материал в реферате рекомендуется излагать своими словами, не допуская дословного переписывания из литературных источников. В тексте обязательны ссылки на первоисточники, т. е. на тех авторов, у которых взят данный материал в виде мысли, идеи, вывода, числовых данных, таблиц, графиков, иллюстраций и пр.

Работа должна быть написана грамотным литературным языком. Сокращение слов в тексте не допускается, кроме общеизвестных сокращений и аббревиатуры. Каждый раздел рекомендуется заканчивать кратким выводом.

Заключение (выводы). В этой части обобщается изложенный в основной части материал, формулируются общие выводы, указывается, что нового лично для себя вынес автор реферата из работы над ним. Выводы делаются с учетом опубликованных в литературе различных точек зрения по проблеме рассматриваемой в реферате, сопоставления их и личного мнения автора реферата. Заключение по объему не должно превышать 1,5-2 страниц.

Библиография (список использованной литературы) – здесь указывается реально использованная для написания реферата литература, периодические издания и электронные источники информации. Список составляется согласно правилам библиографического описания.

Приложения могут включать графики, таблицы, расчеты.

ТРЕБОВАНИЯ К ОФОРМЛЕНИЮ РЕФЕРАТА

Общие требования к оформлению реферата

Рефераты по дисциплинам магистратуры направления подготовки 38.04.02 – «Менеджмент», как правило, требуют изучения и анализа значительного объема статистического материала, формул, графиков и т. п. В силу этого особое значение приобретает правильное оформление результатов проделанной работы.

Текст реферата должен быть подготовлен в печатном виде. Исправления и поправки не допускаются. Текст работы оформляется на листах формата А4, на одной стороне листа, с полями: левое – 25 мм, верхнее – 20 мм, правое – 15 мм и нижнее – 25 мм. При компьютерном наборе шрифт должен быть таким: тип шрифта Times New Roman, кегль 14, междустрочный интервал 1,5.

Рекомендуемый объем реферата – не менее 20 страниц. Титульный лист реферата оформляется магистрантом по образцу, данному в приложении 1.

Текст реферата должен быть разбит на разделы: главы, параграфы и т. д. Очередной раздел нужно начинать с нового листа.

Все страницы реферата должны быть пронумерованы. Номер страницы ставится снизу страницы, по центру. Первой страницей является титульный лист, но на ней номер страницы не ставится.

Таблицы

Таблицы по содержанию делятся на аналитические и неаналитические. Аналитические таблицы являются результатом обработки и анализа цифровых показателей. Как правило, после таких таблиц делается обобщение, которое вводится в текст словами: «таблица позволяет сделать вывод о том, что...», «таблица позволяет заключить, что...» и т. п.

В неаналитических таблицах обычно помещаются необработанные статистические данные, необходимые лишь для информации и констатации фактов.

Таблицы размещают после первого упоминания о них в тексте таким образом, чтобы их можно было читать без поворота работы или с поворотом по часовой стрелке.

Каждая таблица должна иметь нумерационный и тематический заголовок. Тематический заголовок располагается по центру таблицы, после нумерационного, размещённого в правой стороне листа и включающего надпись «Таблица» с указанием арабскими цифрами номера таблицы. Нумерация таблиц сквозная в пределах каждой главы. Номер таблицы состоит из двух цифр: первая указывает на номер главы, вторая – на номер таблицы в главе по порядку (например: «Таблица 2.2» – это значит, что представленная таблица вторая во второй главе).

Цифры в графах таблиц должны проставляться так, чтобы разряды чисел во всей графе были расположены один под другим. В одной графе количество десятичных знаков должно быть одинаковым. Если данные отсутствуют, то в графах ставят знак тире. Округление числовых значений величин до первого, второго и т. д. десятичного знака для различных значений одного и того же наименования показателя должно быть одинаковым.

Таблицу с большим количеством строк допускается переносить на другую страницу, при этом заголовок таблицы помещают только над ее первой частью, а над переносимой частью пишут «Продолжение таблицы» или «Окончание таблицы». Если в работе несколько таблиц, то после слов «Продолжение» или «Окончание» указывают номер таблицы, а само слово «таблица» пишут сокращенно, например: «Продолжение табл. 1.1», «Окончание табл. 1.1».

На все таблицы в тексте курсовой работы должны быть даны ссылки с указанием их порядкового номера, например: «...в табл. 2.2».

Формулы

Формулы – это комбинации математических знаков, выражающие какие-либо предложения.

Формулы, приводимые в реферате, должны быть наглядными, а обозначения, применяемые в них, соответствовать стандартам.

Пояснения значений символов и числовых коэффициентов следует приводить непосредственно под формулой, в той последовательности, в какой они даны в формуле. Значение каждого символа и числового коэффициента дается с новой строки. Первую строку объяснения начинают со слова «где» без двоеточия после него.

Формулы и уравнения следует выделять из текста свободными строками. Если уравнение не умещается в одну строку, оно должно быть перенесено после знака равенства (=) или после знака (+), минуса (-), умножения (x) и деления (:).

Формулы нумеруют арабскими цифрами в пределах всей курсовой работы (реферата) или главы. В пределах реферата используют нумерацию формул одинарную, в пределах главы – двойную. Номер указывают с правой стороны листа на уровне формулы в круглых скобках.

В тексте ссылки на формулы приводятся с указанием их порядковых номеров, например: «...в формуле (2.2)» (второй формуле второй главы).

Иллюстрации

Иллюстрации позволяют наглядно представить явление или предмет такими, какими мы их зрительно воспринимаем, но без лишних деталей и подробностей.

Основными видами иллюстраций являются схемы, диаграммы и графики.

Схема – это изображение, передающее обычно с помощью условных обозначений и без соблюдения масштаба основную идею какого-либо устройства, предмета, сооружения или процесса и показывающее взаимосвязь их главных элементов.

Диаграмма – один из способов изображения зависимости между величинами. Наибольшее распространение получили линейные, столбиковые и секторные диаграммы.

Для построения линейных диаграмм используется координатное поле. По горизонтальной оси в изображенном масштабе откладывается время или факториальные признаки, на вертикальной – показатели на определенный момент (период) времени или размеры результативного независимого признака. Вершины ординат соединяются отрезками – в результате получается ломаная линия.

На столбиковых диаграммах данные изображаются в виде прямоугольников (столбиков) одинаковой ширины, расположенных вертикально или горизонтально. Длина (высота) прямоугольников пропорциональна изображенным ими величинам.

Секторная диаграмма представляет собой круг, разделенный на секторы, величины которых пропорциональны величинам частей изображаемого явления.

График – это результат обработки числовых данных. Он представляет собой условные изображения величин и их соотношений через геометрические фигуры, точки и линии.

Количество иллюстраций в работе должно быть достаточным для пояснения излагаемого текста.

Иллюстрации обозначаются словом «Рис.» и располагаются после первой ссылки на них в тексте так, чтобы их было удобно рассматривать без поворота работы или с поворотом по часовой стрелке. Иллюстрации должны иметь номер и наименование, расположенные по центру, под ней. Иллюстрации нумеруются в пределах главы арабскими цифрами, например: «Рис. 1.1» (первый рисунок первой главы). Ссылки на иллюстрации в тексте реферата приводят с указанием их порядкового номера, например: «...на рис. 1.1».

При необходимости иллюстрации снабжаются поясняющими данными (подрисовочный текст).

Приложения

Приложение – это часть основного текста, которая имеет дополнительное (обычно справочное) значение, но, тем не менее, необходима для более полного освещения темы. По форме они могут представлять собой текст, таблицы, графики, карты. В приложении помещают вспомогательные материалы по рассматриваемой теме: инструкции, методики, положения, результаты промежуточных расчетов, типовые проекты, имеющие значительный объем, затрудняющий чтение и целостное восприятие текста. В этом случае в тексте приводятся основные выводы (результаты) и делается ссылка на приложение, содержащее соответствующую информацию. Каждое приложение должно начинаться с новой страницы. В правом верхнем углу листа пишут слово «Приложение» и указывают номер приложения. Если в реферате больше одного приложения, их нумеруют последовательно арабскими цифрами, например: «Приложение 1», «Приложение 2» и т. д.

Каждое приложение должно иметь заголовок, который помещают ниже слова «Приложение» над текстом приложения, по центру.

При ссылке на приложение в тексте реферата пишут сокращенно строчными буквами «прил.» и указывают номер приложения, например: «...в прил. 1».

Приложения оформляются как продолжение текстовой части реферата со сквозной нумерацией листов. Число страниц в приложении не лимитируется и не включается в общий объем страниц реферата.

Библиографический список

Библиографический список должен содержать перечень и описание только тех источников, которые были использованы при написании реферата.

В библиографическом списке должны быть представлены монографические издания отечественных и зарубежных авторов, материалы профессиональной периодической печати (экономических журналов, газет и еженедельников), законодательные и др. нормативно-правовые акты. При составлении списка необходимо обратить внимание на достижение оптимального соотношения между монографическими изданиями, характеризующими глубину теоретической подготовки автора, и периодикой, демонстрирующей владение современными экономическими данными.

Наиболее распространенным способом расположения наименований литературных источников является алфавитный. Работы одного автора перечисляются в алфавитном порядке их названий. Исследования на иностранных языках помещаются в порядке латинского алфавита после исследований на русском языке.

Ниже приводятся примеры библиографических описаний использованных источников.

Статья одного, двух или трех авторов из журнала

Зотова Л. А., Еременко О. В. Инновации как объект государственного регулирования // *Экономист*. 2010. № 7. С. 17–19.

Статья из журнала, написанная более чем тремя авторами

Валютный курс и экономический рост / С. Ф. Алексашенко, А. А. Клепач, О. Ю. Осипова [и др.] // *Вопросы экономики*. 2010. № 8. С. 18–22.

Книга, написанная одним, двумя или тремя авторами

Иохин В. Я. Экономическая теория: учебник. М.: Юристъ, 2009. 178 с.

Книга, написанная более чем тремя авторами

Экономическая теория: учебник / В. Д. Камаев [и др.]. М.: ВЛАДОС, 2011. 143 с.

Сборники

Актуальные проблемы экономики и управления: сборник научных статей. Екатеринбург: УГГУ, 2010. Вып. 9. 146 с.

Статья из сборника

Данилов А. Г. Система ценообразования промышленного предприятия // *Актуальные проблемы экономики и управления: сб. научных статей.* Екатеринбург: УГГУ, 2010. Вып. 9. С. 107–113.

Статья из газеты

Крашаков А. С. Будет ли обвал рубля // *Аргументы и факты*. 2011. № 9. С. 3.

Библиографические ссылки

Библиографические ссылки требуется приводить при цитировании, заимствовании материалов из других источников, упоминании или анализе работ того или иного автора, а также при необходимости адресовать читателя к трудам, в которых рассматривался данный вопрос.

Ссылки должны быть затекстовыми, с указанием номера соответствующего источника (на который автор ссылается в работе) в соответствии с библиографическим списком и соответствующей страницы.

Пример оформления затекстовой ссылки

Ссылка в тексте: «При оценке стоимости земли необходимо учесть все возможности ее производственного использования» [17, С. 191].

В списке использованных источников:

17. *Борисов Е. Ф.* Основы экономики. М.: Юристъ, 2008. 308 с.

ОРГАНИЗАЦИЯ ЗАЩИТЫ РЕФЕРАТА

Необходимо заранее подготовить тезисы выступления (план-конспект).

Порядок защиты реферата.

1. Краткое сообщение, характеризующее цель и задачи работы, ее актуальность, полученные результаты, вывод и предложения.

2. Ответы магистранта на вопросы преподавателя.

3. Отзыв руководителя-консультанта о ходе выполнения работы.

Советы магистранту:

•Готовясь к защите реферата, вы должны вспомнить материал максимально подробно, и это должно найти отражение в схеме вашего ответа. Но тут же необходимо выделить главное, что наиболее важно для понимания материала в целом, иначе вы сможете проговорить все 15-20 минут и не раскрыть существа вопроса. Особенно строго следует отбирать примеры и иллюстрации.

•Вступление должно быть очень кратким – 1-2 фразы (если вы хотите подчеркнуть при этом важность и сложность данного вопроса, то не говорите, что он сложен и важен, а покажите его сложность и важность).

•Целесообразнее вначале показать свою схему раскрытия вопроса, а уж потом ее детализировать.

•Рассказывать будет легче, если вы представите себе, что объясняете материал очень способному и хорошо подготовленному человеку, который не знает именно этого раздела, и что при этом вам обязательно нужно доказать важность данного раздела и заинтересовать в его освоении.

•Строго следите за точностью своих выражений и правильностью употребления терминов.

•Не пытайтесь рассказать побольше за счет ускорения темпа, но и не мямлите.

•Не демонстрируйте излишнего волнения и не напрашивайтесь на сочувствие.

•Будьте особенно внимательны ко всем вопросам преподавателя, к малейшим его замечаниям. И уж ни в коем случае его не перебивайте!

•Не бойтесь дополнительных вопросов – чаще всего преподаватель использует их как один из способов помочь вам или сэкономить время. Если вас прервали, а при оценке ставят в вину пропуск важной части материала, не возмущайтесь, а покажите план своего ответа, где эта часть стоит несколько позже того, на чем вы были прерваны.

•Прежде чем отвечать на дополнительный вопрос, необходимо сначала правильно его понять. Для этого нужно хотя бы немного подумать, иногда переспросить, уточнить: правильно ли вы поняли поставленный вопрос. И при ответе следует соблюдать тот же принцип экономности мышления, а не высказывать без разбора все, что вы можете сказать.

•Будьте доброжелательны и тактичны, даже если к ответу вы не готовы (это вина не преподавателя, а ваша).

ТЕМЫ РЕФЕРАТА

1. Общение как социально-психологическая категория.
2. Коммуникативная культура в деловом общении.
3. Условия общения и причины коммуникативных неудач.
4. Роль невербальных компонентов в речевом общении.
5. Речевой этикет, его основные функции и правила.
6. Причины отступлений от норм в речи, типы речевых ошибок, пути их устранения и предупреждения.
7. Деловая беседа (цели, задачи, виды, структура).
8. Особенности телефонного разговора.
9. Новые тенденции в практике русского делового письма.
10. Культура дискусивно-полемиической речи. Виды споров, приемы и уловки в споре
11. Основные правила эффективного общения.
12. Личность как субъект общения. Коммуникативная компетентность личности.
13. Конфликтное поведение и причины его возникновения в деструктивном взаимодействии.
14. Деловое общение и управление им.
15. Отношения сотрудничества и конфликта в представлениях российских работников.
16. Реформы в России и проблемы общения молодого поколения и работодателей.
17. Культура речи в деловом общении.
18. Содержание закона конгруэнтности и его роль в деловом общении.
19. Этика использования средств выразительности деловой речи.
20. Особенности речевого поведения.
21. Культура устной и письменной речи делового человека в современной России.
22. Вербальные конфликтогены в практике современного российского общества.
23. Этические нормы телефонного разговора.
24. Основные тенденции развития Российской деловой культуры.
25. Характеристика манипуляций в общении.
26. Приемы, стимулирующие общение и создание доверительных отношений.
27. Правила подготовки публичного выступления.
28. Правила подготовки и проведения деловой беседы.
29. Типология конфликтных личностей и способы общения с ними.
30. Этикет и имидж делового человека.

ПОДГОТОВКА К ПРОМЕЖУТОЧНОЙ АТТЕСТАЦИИ

При подготовке к зачету по дисциплине «Средства коммуникации в учебной и профессиональной деятельности» обучающемуся рекомендуется:

1. повторить пройденный материал и ответить на вопросы, используя конспект и материалы лекций. Если по каким-либо вопросам у студента недостаточно информации в лекционных материалах, то необходимо получить информацию из раздаточных материалов и/или учебников (литературы), рекомендованных для изучения дисциплины «Средства коммуникации в учебной и профессиональной деятельности».

Целесообразно также дополнить конспект лекций наиболее существенными и важными тезисами для рассматриваемого вопроса;

2. при изучении основных и дополнительных источников информации в рамках выполнения заданий на зачете особое внимание необходимо уделять схемам, рисункам, графикам и другим иллюстрациям, так как подобные графические материалы, как правило, в наглядной форме отражают главное содержание изучаемого вопроса;

3. при изучении основных и дополнительных источников информации в рамках выполнения заданий на зачете (в случаях, когда отсутствует иллюстративный материал) особое внимание необходимо обращать на наличие в тексте словосочетаний вида «во-первых», «во-вторых» и т.д., а также дефисов и перечислений (цифровых или буквенных), так как эти признаки, как правило, позволяют структурировать ответ на предложенное задание.

Подобную текстовую структуризацию материала слушатель может трансформировать в рисунки, схемы и т. п. для более краткого, наглядного и удобного восприятия (иллюстрации целесообразно отразить в конспекте лекций – это позволит оперативно и быстро найти, в случае необходимости, соответствующую информацию);

4. следует также обращать внимание при изучении материала для подготовки к зачету на словосочетания вида «таким образом», «подводя итог сказанному» и т.п., так как это признаки выражения главных мыслей и выводов по изучаемому вопросу (пункту, разделу). В отдельных случаях выводы по теме (разделу, главе) позволяют полностью построить (восстановить, воссоздать) ответ на поставленный вопрос (задание), так как содержат в себе основные мысли и тезисы для ответа.

МИНОБРНАУКИ РОССИИ

ФГБОУ ВО «Уральский государственный горный университет»

УТВЕРЖДАЮ
Проректор по учебно-методическому
комплексу С.А. Упоров



МЕТОДИЧЕСКИЕ УКАЗАНИЯ ПО САМОСТОЯТЕЛЬНОЙ РАБОТЕ СТУДЕНТОВ

ФТД.03 ОСНОВЫ СОЦИАЛЬНОЙ АДАПТАЦИИ И ПРАВОВЫХ ЗНАНИЙ

Специальность

21.05.03 Технология геологической разведки

Екатеринбург

СОДЕРЖАНИЕ

Введение	3
1 Методические рекомендации по решению практико-ориентированных заданий	5
2 Методические указания по подготовке к опросу	9
3 Методические рекомендации по подготовке к практическим занятиям	11
4 Методические рекомендации по подготовке семинарским занятиям	13
5 Методические рекомендации по подготовке к сдаче экзаменов и зачетов	14
Заключение	17
Список использованных источников	18

ВВЕДЕНИЕ

Самостоятельная работа студентов может рассматриваться как организационная форма обучения - система педагогических условий, обеспечивающих управление учебной деятельностью студентов по освоению знаний и умений в области учебной и научной деятельности без посторонней помощи.

Самостоятельная работа студентов проводится с целью:

- систематизации и закрепления полученных теоретических знаний и практических умений студентов;
- углубления и расширения теоретических знаний;
- формирования умений использовать нормативную, правовую, справочную документацию и специальную литературу;
- развития познавательных способностей и активности студентов: творческой инициативы, самостоятельности, ответственности и организованности;
- формирования самостоятельности мышления, способностей к саморазвитию, самосовершенствованию и самореализации;
- формирования практических (общеучебных и профессиональных) умений и навыков;
- развития исследовательских умений;
- получения навыков эффективной самостоятельной профессиональной (практической и научно-теоретической) деятельности.

В учебном процессе выделяют два вида самостоятельной работы:

- аудиторная;
- внеаудиторная.

Аудиторная самостоятельная работа по дисциплине выполняется на учебных занятиях под непосредственным руководством преподавателя и по его заданию.

Внеаудиторная самостоятельная работа - планируемая учебная, учебно-исследовательская, научно-исследовательская работа студентов, выполняемая во внеаудиторное время по заданию и при методическом руководстве преподавателя, но без его непосредственного участия.

Самостоятельная работа, не предусмотренная образовательной программой, учебным планом и учебно-методическими материалами, раскрывающими и конкретизирующими их содержание, осуществляется студентами инициативно, с целью реализации собственных учебных и научных интересов.

Для более эффективного выполнения самостоятельной работы по дисциплине преподаватель рекомендует студентам источники и учебно-методические пособия для работы, характеризует наиболее рациональную методику самостоятельной работы, демонстрирует ранее выполненные студентами работы и т. п.

Подразумевается несколько категорий видов самостоятельной работы студентов, значительная часть которых нашла отражения в данных методических рекомендациях:

- работа с источниками литературы и официальными документами (*использование библиотечно-информационной системы*);
- выполнение заданий для самостоятельной работы в рамках учебных дисциплин (*рефераты, эссе, домашние задания, решения практико-ориентированных заданий*);

- реализация элементов научно-педагогической практики (*разработка методических материалов, тестов, тематических портфолио*);
- реализация элементов научно-исследовательской практики (*подготовка текстов докладов, участие в исследованиях*).

Особенностью организации самостоятельной работы студентов является необходимость не только подготовиться к сдаче зачета, но и собрать, обобщить, систематизировать, проанализировать информацию по темам дисциплины.

Технология организации самостоятельной работы студентов включает использование информационных и материально-технических ресурсов образовательного учреждения.

Самостоятельная работа может осуществляться индивидуально или группами студентов online и на занятиях в зависимости от цели, объема, конкретной тематики самостоятельной работы, уровня сложности, уровня умений студентов.

В качестве форм и методов контроля внеаудиторной самостоятельной работы студентов могут быть использованы обмен информационными файлами, семинарские занятия, тестирование, опрос, доклад, реферат, самоотчеты, контрольные работы, защита творческих работ и электронных презентаций и др.

Контроль результатов внеаудиторной самостоятельной работы студентов осуществляется в пределах времени, отведенного на обязательные учебные занятия по дисциплине.

1. Методические рекомендации по решению практико-ориентированных заданий

Практико-ориентированные задания - метод анализа ситуаций. Суть его заключается в том, что студентам предлагают осмыслить реальную жизненную ситуацию, описание которой одновременно отражает не только какую-либо практическую проблему, но и актуализирует определенный комплекс знаний, который необходимо усвоить при разрешении данной проблемы. При этом сама проблема не имеет однозначных решений.

Использование метода практико-ориентированного задания как образовательной технологии профессионально-ориентированного обучения представляет собой сложный процесс, плохо поддающийся алгоритмизации¹. Формально можно выделить следующие этапы:

- ознакомление студентов с текстом;
- анализ практико-ориентированного задания;
- организация обсуждения практико-ориентированного задания, дискуссии, презентации;
- оценивание участников дискуссии;
- подведение итогов дискуссии.

Ознакомление студентов с текстом практико-ориентированного задания и последующий анализ практико-ориентированного задания чаще всего осуществляются за несколько дней до его обсуждения и реализуются как самостоятельная работа студентов; при этом время, отводимое на подготовку, определяется видом практико-ориентированного задания, его объемом и сложностью.

Общая схема работы с практико-ориентированным заданием на данном этапе может быть представлена следующим образом: в первую очередь следует выявить ключевые проблемы практико-ориентированного задания и понять, какие именно из представленных данных важны для решения; войти в ситуационный контекст практико-ориентированного задания, определить, кто его главные действующие лица, отобрать факты и понятия, необходимые для анализа, понять, какие трудности могут возникнуть при решении задачи; следующим этапом является выбор метода исследования.

Знакомство с небольшими практико-ориентированными заданиями и их обсуждение может быть организовано непосредственно на занятиях. Принципиально важным в этом случае является то, чтобы часть теоретического курса, на которой базируется практико-ориентированное задание, была бы прочитана и проработана студентами.

Максимальная польза из работы над практико-ориентированными заданиями будет извлечена в том случае, если аспиранты при предварительном знакомстве с ними будут придерживаться систематического подхода к их анализу, основные шаги которого представлены ниже:

1. Выпишите из соответствующих разделов учебной дисциплины ключевые идеи, для того, чтобы освежить в памяти теоретические концепции и подходы, которые Вам предстоит использовать при анализе практико-ориентированного задания.
2. Бегло прочтите практико-ориентированное задание, чтобы составить о нем общее представление.
3. Внимательно прочтите вопросы к практико-ориентированному заданию и убедитесь в том, что Вы хорошо поняли, что Вас просят сделать.
4. Вновь прочтите текст практико-ориентированного задания, внимательно фиксируя все факторы или проблемы, имеющие отношение к поставленным вопросам.
5. Прикиньте, какие идеи и концепции соотносятся с проблемами, которые Вам предлагается рассмотреть при работе с практико-ориентированным заданием.

¹ Долгоруков А. Метод case-study как современная технология профессионально-ориентированного обучения [Электронный ресурс]. Режим доступа: <http://evolkov.net/case/case.study.html/>

Организация обсуждения практико-ориентированного задания предполагает формулирование перед студентами вопросов, включение их в дискуссию. Вопросы обычно подготавливаются заранее и предлагают студентам вместе с текстом практико-ориентированного задания. При разборе учебной ситуации преподаватель может занимать активную или пассивную позицию, иногда он «дирижирует» разбором, а иногда ограничивается подведением итогов дискуссии.

Организация обсуждения практико-ориентированных заданий обычно основывается на двух методах. Первый из них носит название традиционного Гарвардского метода - открытая дискуссия. Альтернативным методом является метод, связанный с индивидуальным или групповым опросом, в ходе которого аспиранты делают формальную устную оценку ситуации и предлагают анализ представленного практико-ориентированного задания, свои решения и рекомендации, т.е. делают презентацию. Этот метод позволяет некоторым студентам минимизировать их учебные усилия, поскольку каждый аспирант опрашивается один-два раза за занятие. Метод развивает у студентов коммуникативные навыки, учит их четко выражать свои мысли. Однако, этот метод менее динамичен, чем Гарвардский метод. В открытой дискуссии организация и контроль участников более сложен.

Дискуссия занимает центральное место в методе. Ее целесообразно использовать в том случае, когда аспиранты обладают значительной степенью зрелости и самостоятельности мышления, умеют аргументировать, доказывать и обосновывать свою точку зрения. Важнейшей характеристикой дискуссии является уровень ее компетентности, который складывается из компетентности ее участников. Неподготовленность студентов к дискуссии делает ее формальной, превращает в процесс вытаскивания ими информации у преподавателя, а не самостоятельное ее добывание.

Особое место в организации дискуссии при обсуждении и анализе практико-ориентированного задания принадлежит использованию метода генерации идей, получившего название «мозговой атаки» или «мозгового штурма».

Метод «мозговой атаки» или «мозгового штурма» был предложен в 30-х годах прошлого столетия А. Осборном как групповой метод решения проблем. К концу XX столетия этот метод приобрел особую популярность в практике управления и обучения не только как самостоятельный метод, но и как использование в процессе деятельности с целью усиления ее продуктивности. В процессе обучения «мозговая атака» выступает в качестве важнейшего средства развития творческой активности студентов. «Мозговая атака» включает в себя три фазы.

Первая фаза представляет собой вхождение в психологическую раскованность, отказ от стереотипности, страха показаться смешным и неудачником; достигается созданием благоприятной психологической обстановки и взаимного доверия, когда идеи теряют авторство, становятся общими. Основная задача этой фазы - успокоиться и расковаться.

Вторая фаза - это собственно атака; задача этой фазы - породить поток, лавину идей. «Мозговая атака» в этой фазе осуществляется по следующим принципам:

- есть идея, - говорю, нет идеи, - не молчу;
- поощряется самое необузданное ассоциирование, чем более дикой покажется идея, тем лучше;
- количество предложенных идей должно быть как можно большим;
- высказанные идеи разрешается заимствовать и как угодно комбинировать, а также видоизменять и улучшать;
- исключается критика, можно высказывать любые мысли без боязни, что их признают плохими, критикующих лишают слова;
- не имеют никакого значения социальные статусы участников; это абсолютная демократия и одновременно авторитаризм сумасшедшей идеи;
- все идеи записываются в протокольный список идей;

- время высказываний - не более 1-2 минут.

Третья фаза представляет собой творческий анализ идей с целью поиска конструктивного решения проблемы по следующим правилам:

- анализировать все идеи без дискриминации какой-либо из них;
- найти место идее в системе и найти систему под идею;
- не умножать сущностей без надобности;
- не должна нарушаться красота и изящество полученного результата;
- должно быть принципиально новое видение;
- ищи «жемчужину в навозе».

В методе мозговая атака применяется при возникновении у группы реальных затруднений в осмыслении ситуации, является средством повышения активности студентов. В этом смысле мозговая атака представляется не как инструмент поиска новых решений, хотя и такая ее роль не исключена, а как своеобразное «подталкивание» к познавательной активности.

Презентация, или представление результатов анализа практико-ориентированного задания, выступает очень важным аспектом метода *case-study*. Умение публично представить интеллектуальный продукт, хорошо его рекламировать, показать его достоинства и возможные направления эффективного использования, а также выстоять под шквалом критики, является очень ценным интегральным качеством современного специалиста. Презентация оттачивает многие глубинные качества личности: волю, убежденность, целенаправленность, достоинство и т.п.; она вырабатывает навыки публичного общения, формирования своего собственного имиджа.

Публичная (устная) презентация предполагает представление решений практико-ориентированного задания группе, она максимально вырабатывает навыки публичной деятельности и участия в дискуссии. Устная презентация обладает свойством кратковременного воздействия на студентов и, поэтому, трудна для восприятия и запоминания. Степень подготовленности выступающего проявляется в спровоцированной им дискуссии: для этого необязательно делать все заявления очевидными и неопровержимыми. Такая подача материала при анализе практико-ориентированного задания может послужить началом дискуссии. При устной презентации необходимо учитывать эмоциональный настрой выступающего: отношение и эмоции говорящего вносят существенный вклад в сообщение. Одним из преимуществ публичной (устной) презентации является ее гибкость. Оратор может откликаться на изменения окружающей обстановки, адаптировать свой стиль и материал, чувствуя настроение аудитории.

Непубличная презентация менее эффективна, но обучающая роль ее весьма велика. Чаще всего непубличная презентация выступает в виде подготовки отчета по выполнению задания, при этом стимулируются такие качества, как умение подготовить текст, точно и аккуратно составить отчет, не допустить ошибки в расчетах и т.д. Подготовка письменного анализа практико-ориентированного задания аналогична подготовке устного, с той разницей, что письменные отчеты-презентации обычно более структурированы и детализированы. Основное правило письменного анализа практико-ориентированного задания заключается в том, чтобы избегать простого повторения информации из текста, информация должна быть представлена в переработанном виде. Самым важным при этом является собственный анализ представленного материала, его соответствующая интерпретация и сделанные предложения. Письменный отчет - презентация может сдаваться по истечении некоторого времени после устной презентации, что позволяет студентам более тщательно проанализировать всю информацию, полученную в ходе дискуссии.

Как письменная, так и устная презентация результатов анализа практико-ориентированного задания может быть групповой и индивидуальной. Отчет может быть индивидуальным или групповым в зависимости от сложности и объема задания.

Индивидуальная презентация формирует ответственность, собранность, волю; групповая - аналитические способности, умение обобщать материал, системно видеть проект.

Оценивание участников дискуссии является важнейшей проблемой обучения посредством метода практико-ориентированного задания. При этом выделяются следующие требования к оцениванию:

- объективность - создание условий, в которых бы максимально точно выявлялись знания обучаемых, предъявление к ним единых требований, справедливое отношение к каждому;
- обоснованность оценок - их аргументация;
- систематичность - важнейший психологический фактор, организующий и дисциплинирующий студентов, формирующий настойчивость и устремленность в достижении цели;
- всесторонность и оптимальность.

Оценивание участников дискуссии предполагает оценивание не столько набора определенных знаний, сколько умения студентов анализировать конкретную ситуацию, принимать решение, логически мыслить.

Следует отметить, что оценивается содержательная активность студента в дискуссии или публичной (устной) презентации, которая включает в себя следующие составляющие:

- выступление, которое характеризует попытку серьезного предварительного анализа (правильность предложений, подготовленность, аргументированность и т.д.);
- обращение внимания на определенный круг вопросов, которые требуют углубленного обсуждения;
- владение категориальным аппаратом, стремление давать определения, выявлять содержание понятий;
- демонстрация умения логически мыслить, если точки зрения, высказанные раньше, подытоживаются и приводят к логическим выводам;
- предложение альтернатив, которые раньше оставались без внимания;
- предложение определенного плана действий или плана воплощения решения;
- определение существенных элементов, которые должны учитываться при анализе практико-ориентированного задания;
- заметное участие в обработке количественных данных, проведении расчетов;
- подведение итогов обсуждения.

При оценивании анализа практико-ориентированного задания, данного студентами при непубличной (письменной) презентации учитывается:

- формулировка и анализ большинства проблем, имеющих в практико-ориентированное задание;
- формулировка собственных выводов на основании информации о практико-ориентированное задание, которые отличаются от выводов других студентов;
- демонстрация адекватных аналитических методов для обработки информации;
- соответствие приведенных в итоге анализа аргументов ранее выявленным проблемам, сделанным выводам, оценкам и использованным аналитическим методам.

2. Методические указания по подготовке к опросу

Самостоятельная работа обучающихся включает подготовку к устному или письменному опросу на семинарских занятиях. Для этого обучающийся изучает лекции, основную и дополнительную литературу, публикации, информацию из Интернет-ресурсов. Темы и вопросы к семинарским занятиям, вопросы для самоконтроля приведены в методических указаниях по разделам и доводятся до обучающихся заранее.

Письменный опрос

В соответствии с технологической картой письменный опрос является одной из форм текущего контроля успеваемости студента по данной дисциплине. При подготовке к письменному опросу студент должен внимательно изучать лекции, основную и дополнительную литературу, публикации, информацию из Интернет-ресурсов. Темы и вопросы к семинарским занятиям, вопросы для самоконтроля приведены в методических указаниях по разделам и доводятся до обучающихся заранее.

При изучении материала студент должен убедиться, что хорошо понимает основную терминологию темы, умеет ее использовать в нужном контексте. Желательно составить краткий конспект ответа на предполагаемые вопросы письменной работы, чтобы убедиться в том, что студент владеет материалом и может аргументировано, логично и грамотно письменно изложить ответ на вопрос. Следует обратить особое внимание на написание профессиональных терминов, чтобы избежать грамматических ошибок в работе. При изучении новой для студента терминологии рекомендуется изготовить карточки, которые содержат новый термин и его расшифровку, что значительно облегчит работу над материалом.

Устный опрос

Целью устного собеседования являются обобщение и закрепление изученного курса. Студентам предлагаются для освещения сквозные концептуальные проблемы. При подготовке следует использовать лекционный материал и учебную литературу. Для более глубокого постижения курса и более основательной подготовки рекомендуется познакомиться с указанной дополнительной литературой. Готовясь к семинару, студент должен, прежде всего, ознакомиться с общим планом семинарского занятия. Следует внимательно прочесть свой конспект лекции по изучаемой теме и рекомендуемую к теме семинара литературу. С незнакомыми терминами и понятиями следует ознакомиться в предлагаемом глоссарии, словаре или энциклопедии².

Критерии качества устного ответа.

1. Правильность ответа по содержанию.
2. Полнота и глубина ответа.
3. Сознательность ответа (учитывается понимание излагаемого материала).
4. Логика изложения материала (учитывается умение строить целостный, последовательный рассказ, грамотно пользоваться профессиональной терминологией).
5. Рациональность использованных приемов и способов решения поставленной учебной задачи (учитывается умение использовать наиболее прогрессивные и эффективные способы достижения цели).
6. Своевременности и эффективность использования наглядных пособий и технических средств при ответе (учитывается грамотно и с пользой применять наглядность и демонстрационный опыт при устном ответе).
7. Использование дополнительного материала (приветствуется, но не обязательно для всех студентов).

²Методические рекомендации для студентов [Электронный ресурс]: Режим доступа: http://lesgaft.spb.ru/sites/default/files/u57/metod.rekomendacii_dlya_studentov_21.pdf

8. Рациональность использования времени, отведенного на задание (не одобряется затянутость выполнения задания, устного ответа во времени, с учетом индивидуальных особенностей студентов)³.

Ответ на каждый вопрос из плана семинарского занятия должен быть содержательным и аргументированным. Для этого следует использовать документы, монографическую, учебную и справочную литературу.

Для успешной подготовки к устному опросу, студент должен законспектировать рекомендуемую литературу, внимательно осмыслить лекционный материал и сделать выводы. В среднем, подготовка к устному опросу по одному семинарскому занятию занимает от 2 до 4 часов в зависимости от сложности темы и особенностей организации обучающимся своей самостоятельной работы.

³Методические рекомендации для студентов [Электронный ресурс]:
http://priab.ru/images/metod_agro/Metod_Inostran_yazyk_35.03.04_Agro_15.01.2016.pdf

3. Методические рекомендации по подготовке к практическим занятиям

На практических занятиях необходимо стремиться к самостоятельному решению задач, находя для этого более эффективные методы. При этом студентам надо приучить себя доводить решения задач до конечного «идеального» ответа. Это очень важно для будущих специалистов. Практические занятия вырабатывают навыки самостоятельной творческой работы, развивают мыслительные способности.

Практическое занятие – активная форма учебного процесса, дополняющая теоретический курс или лекционную часть учебной дисциплины и призванная помочь обучающимся освоиться в «пространстве» (тематике) дисциплины, самостоятельно прооперировать теоретическими знаниями на конкретном учебном материале.

Продолжительность одного практического занятия – от 2 до 4 академических часов. Общая доля практических занятий в учебном времени на дисциплину – от 10 до 20 процентов (при условии, что все активные формы займут в учебном времени на дисциплину от 40 до 60 процентов).

Для практического занятия в качестве темы выбирается обычно такая учебная задача, которая предполагает не существенные эвристические и аналитические напряжения и продвижения, а потребность обучающегося «потрогать» материал, опознать в конкретном то общее, о чем говорилось в лекции. Например, при рассмотрении вопросов оплаты труда, мотивации труда и проблем безработицы в России имеет смысл провести практические занятия со следующими сюжетами заданий: «Расчет заработной платы работников предприятия». «Разработка механизма мотивации труда на предприятии N». «В чем причины и особенности безработицы в России?». Последняя тема предполагает уже некоторую аналитическую составляющую. Основная задача первой из этих тем – самим посчитать заработную плату для различных групп работников на примере заданных параметров для конкретного предприятия, т. е. сделать расчеты «как на практике»; второй – дать собственный вариант мотивационной политики для предприятия, учитывая особенности данного объекта, отрасли и т.д.; третьей – опираясь на теоретические знания в области проблем занятости и безработицы, а также статистические материалы, сделать авторские выводы о видах безработицы, характерных для России, и их причинах, а также предложить меры по минимизации безработицы.

Перед проведением занятия должен быть подготовлен специальный материал – тот объект, которым обучающиеся станут оперировать, активизируя свои теоретические (общие) знания и тем самым, приобретая навыки выработки уверенных суждений и осуществления конкретных действий.

Дополнительный материал для практического занятия лучше получить у преподавателя заранее, чтобы у студентов была возможность просмотреть его и подготовить вопросы.

Условия должны быть такими, чтобы каждый мог работать самостоятельно от начала до конца. В аудитории должны быть «под рукой» необходимые справочники и тексты законов и нормативных актов по тематике занятия. Чтобы сделать практическое занятие максимально эффективным, надо заранее подготовить и изучить материал по наиболее интересным и практически важным темам.

Особенности практического занятия с использованием компьютера

Для того чтобы повысить эффективность проведения практического занятия, может использоваться компьютер по следующим направлениям:

- поиск информации в Интернете по поставленной проблеме: в этом случае преподаватель представляет обучающимся перечень рекомендуемых для посещения Интернет-сайтов;
- использование прикладных обучающих программ;
- выполнение заданий с использованием обучающимися заранее установленных преподавателем программ;

- использование программного обеспечения при проведении занятий, связанных с моделированием социально-экономических процессов.

4. Методические рекомендации по подготовке семинарским занятиям

Семинар представляет собой комплексную форму и завершающее звено в изучении определенных тем, предусмотренных программой учебной дисциплины. Комплексность данной формы занятий определяется тем, что в ходе её проведения сочетаются выступления обучающихся и преподавателя: рассмотрение обсуждаемой проблемы и анализ различных, часто дискуссионных позиций; обсуждение мнений обучающихся и разъяснение (консультация) преподавателя; углубленное изучение теории и приобретение навыков умения ее использовать в практической работе.

По своему назначению семинар, в процессе которого обсуждается та или иная научная проблема, способствует:

- углубленному изучению определенного раздела учебной дисциплины, закреплению знаний;
- отработке методологии и методических приемов познания;
- выработке аналитических способностей, умения обобщения и формулирования выводов;
- приобретению навыков использования научных знаний в практической деятельности;
- выработке умения кратко, аргументированно и ясно излагать обсуждаемые вопросы;
- осуществлению контроля преподавателя за ходом обучения.

Семинары представляет собой дискуссию в пределах обсуждаемой темы (проблемы). Дискуссия помогает участникам семинара приобрести более совершенные знания, проникнуть в суть изучаемых проблем. Выработать методологию, овладеть методами анализа социально-экономических процессов. Обсуждение должно носить творческий характер с четкой и убедительной аргументацией.

По своей структуре семинар начинается со вступительного слова преподавателя, в котором кратко излагаются место и значение обсуждаемой темы (проблемы) в данной дисциплине, напоминаются порядок и направления ее обсуждения. Конкретизируется ранее известный обучающимся план проведения занятия. После этого начинается процесс обсуждения вопросов обучающимися. Завершается занятие заключительным словом преподавателя.

Проведение семинарских занятий в рамках учебной группы (20 - 25 человек) позволяет обеспечить активное участие в обсуждении проблемы всех присутствующих.

По ходу обсуждения темы помните, что изучение теории должно быть связано с определением (выработкой) средств, путей применения теоретических положений в практической деятельности, например, при выполнении функций государственного служащего. В то же время важно не свести обсуждение научной проблемы только к пересказу случаев из практики работы, к критике имеющих место недостатков. Дискуссии имеют важное значение: учат дисциплине ума, умению выступать по существу, мыслить логически, выделяя главное, критически оценивать выступления участников семинара.

В процессе проведения семинара обучающиеся могут использовать разнообразные по своей форме и характеру пособия (от доски смелом до самых современных технических средств), демонстрируя фактический, в том числе статистический материал, убедительно подтверждающий теоретические выводы и положения. В завершение обсудите результаты работы семинара и сделайте выводы, что хорошо усвоено, а над чем следует дополнительно поработать.

В целях эффективности семинарских занятий необходима обстоятельная подготовка к их проведению. В начале семестра (учебного года) возьмите в библиотеке необходимые методические материалы для своевременной подготовки к семинарам. Во время лекций, связанных с темой семинарского занятия, следует обращать внимание на то, что необходимо дополнительно изучить при подготовке к семинару (новые официальные документы, статьи в периодических журналах, вновь вышедшие монографии и т.д.).

5. Методические рекомендации по подготовке к сдаче экзаменов и зачетов

Экзамен - одна из важнейших частей учебного процесса, имеющая огромное значение.

Во-первых, готовясь к экзамену, студент приводит в систему знания, полученные на лекциях, семинарах, практических и лабораторных занятиях, разбирается в том, что осталось непонятым, и тогда изучаемая им дисциплина может быть воспринята в полном объеме с присущей ей строгостью и логичностью, ее практической направленностью. А это чрезвычайно важно для будущего специалиста.

Во-вторых, каждый хочет быть волевым и сообразительным, выдержанным и целеустремленным, иметь хорошую память, научиться быстро находить наиболее рациональное решение в трудных ситуациях. Очевидно, что все эти качества не только украшают человека, но и делают его наиболее действенным членом коллектива. Подготовка и сдача экзамена помогают студенту глубже усвоить изучаемые дисциплины, приобрести навыки и качества, необходимые хорошему специалисту.

Конечно, успех на экзамене во многом обусловлен тем, насколько систематически и глубоко работал студент в течение семестра. Совершенно очевидно, что серьезно продумать и усвоить содержание изучаемых дисциплин за несколько дней подготовки к экзамену просто невозможно даже для очень способного студента. И, кроме того, хорошо известно, что быстро выученные на память разделы учебной дисциплины так же быстро забываются после сдачи экзамена.

При подготовке к экзамену студенты не только повторяют и дорабатывают материал дисциплины, которую они изучали в течение семестра, они обобщают полученные знания, осмысливают методологию предмета, его систему, выделяют в нем основное и главное, воспроизводят общую картину с тем, чтобы яснее понять связь между отдельными элементами дисциплины. Вся эта обобщающая работа проходит в условиях напряжения воли и сознания, при значительном отвлечении от повседневной жизни, т. е. в условиях, благоприятствующих пониманию и запоминанию.

Подготовка к экзаменам состоит в приведении в порядок своих знаний. Даже самые способные студенты не в состоянии в короткий период зачетно-экзаменационной сессии усвоить материал целого семестра, если они над ним не работали в свое время. Для тех, кто мало занимался в семестре, экзамены принесут мало пользы: что быстро пройдено, то быстро и забудется. И хотя в некоторых случаях студент может «проскочить» через экзаменационный барьер, в его подготовке останется серьезный пробел, трудно восполняемый впоследствии.

Определив назначение и роль экзаменов в процессе обучения, попытаемся на этой основе пояснить, как лучше готовиться к ним.

Экзаменам, как правило, предшествует защита курсовых работ (проектов) и сдача зачетов. К экзаменам допускаются только студенты, защитившие все курсовые работы (проекты) и сдавшие все зачеты. В вузе сдача зачетов организована так, что при систематической работе в течение семестра, своевременной и успешной сдаче всех текущих работ, предусмотренных графиком учебного процесса, большая часть зачетов не вызывает повышенной трудности у студента. Студенты, работавшие в семестре по плану, подходят к экзаменационной сессии без напряжения, без излишней затраты сил в последнюю, «зачетную» неделю.

Подготовку к экзамену следует начинать с первого дня изучения дисциплины. Как правило, на лекциях подчеркиваются наиболее важные и трудные вопросы или разделы дисциплины, требующие внимательного изучения и обдумывания. Нужно эти вопросы выделить и обязательно постараться разобраться в них, не дожидаясь экзамена, проработать их, готовясь к семинарам, практическим или лабораторным занятиям, попробовать самостоятельно решить несколько типовых задач. И если, несмотря на это, часть материала осталась неувоенной, ни в коем случае нельзя успокаиваться, надеясь на то, что это не

попадется на экзамене. Факты говорят об обратном; если те или другие вопросы учебной дисциплины не вошли в экзаменационный билет, преподаватель может их задать (и часто задает) в виде дополнительных вопросов.

Точно такое же отношение должно быть выработано к вопросам и задачам, перечисленным в программе учебной дисциплины, выдаваемой студентам в начале семестра. Обычно эти же вопросы и аналогичные задачи содержатся в экзаменационных билетах. Не следует оставлять без внимания ни одного раздела дисциплины: если не удалось в чем-то разобраться самому, нужно обратиться к товарищам; если и это не помогло выяснить какой-либо вопрос до конца, нужно обязательно задать этот вопрос преподавателю на предэкзаменационной консультации. Чрезвычайно важно приучить себя к умению самостоятельно мыслить, учиться думать, понимать суть дела. Очень полезно после проработки каждого раздела восстановить в памяти содержание изученного материала, кратко записав это на листе бумаги, создать карту памяти (умственную карту), изобразить необходимые схемы и чертежи (логико-графические схемы), например, отобразить последовательность вывода теоремы или формулы. Если этого не сделать, то большая часть материала останется не понятой, а лишь формально заученной, и при первом же вопросе экзаменатора студент убедится в том, насколько поверхностно он усвоил материал.

В период экзаменационной сессии происходит резкое изменение режима работы, отсутствует посещение занятий по расписанию. При всяком изменении режима работы очень важно скорее приспособиться к новым условиям. Поэтому нужно сразу выбрать такой режим работы, который сохранился бы в течение всей сессии, т. е. почти на месяц. Необходимо составить для себя новый распорядок дня, чередуя занятия с отдыхом. Для того чтобы сократить потерю времени на включение в работу, рабочие периоды целесообразно делать длительными, разделив день примерно на три части: с утра до обеда, с обеда до ужина и от ужина до сна.

Каждый рабочий период дня надо заканчивать отдыхом. Наилучший отдых в период экзаменационной сессии - прогулка, кратковременная пробежка или какой-либо неустойчивый физический труд.

При подготовке к экзаменам основное направление дают программа учебной дисциплины и студенческий конспект, которые указывают, что наиболее важно знать и уметь делать. Основной материал должен прорабатываться по учебнику (если такой имеется) и учебным пособиям, так как конспекта далеко недостаточно для изучения дисциплины. Учебник должен быть изучен в течение семестра, а перед экзаменом сосредоточьте внимание на основных, наиболее сложных разделах. Подготовку по каждому разделу следует заканчивать восстановлением по памяти его краткого содержания в логической последовательности.

За один - два дня до экзамена назначается консультация. Если ее правильно использовать, она принесет большую пользу. Во время консультации студент имеет полную возможность получить ответ на нее и ясные ему вопросы. А для этого он должен проработать до консультации все темы дисциплины. Кроме того, преподаватель будет отвечать на вопросы других студентов, что будет для вас повторением и закреплением знаний. И еще очень важное обстоятельство: преподаватель на консультации, как правило, обращает внимание на те вопросы, по которым на предыдущих экзаменах ответы были неудовлетворительными, а также фиксирует внимание на наиболее трудных темах дисциплины. Некоторые студенты не приходят на консультации либо потому, что считают, что у них нет вопросов к преподавателю, либо полагают, что у них и так мало времени и лучше самому прочитать материал в конспекте или в учебнике. Это глубокое заблуждение. Никакая другая работа не сможет принести столь значительного эффекта накануне экзамена, как консультация преподавателя.

Но консультация не может возместить отсутствия длительной работы в течение семестра и помочь за несколько часов освоить материал, требующийся к экзамену. На консультации студент получает ответы на трудные или оставшиеся неясными вопросы и, следовательно, дорабатывается материал. Консультации рекомендуется посещать,

подготовив к ним все вопросы, вызывающие сомнения. Если студент придет на консультацию, не проработав всего материала, польза от такой консультации будет невелика.

Очень важным условием для правильного режима работы в период экзаменационной сессии является нормальный сон. Подготовка к экзамену не должна идти в ущерб сну, иначе в день экзамена не будет чувства свежести и бодрости, необходимых для хороших ответов. Вечер накануне экзамена рекомендуем закончить небольшой прогулкой.

Итак, *основные советы* для подготовки к сдаче зачетов и экзаменов состоят в следующем:

- лучшая подготовка к зачетам и экзаменам - равномерная работа в течение всего семестра;
- используйте программы учебных дисциплин - это организует вашу подготовку к зачетам и экзаменам;
- учитывайте, что для полноценного изучения учебной дисциплины необходимо время;
- составляйте планы работы во времени;
- работайте равномерно и ритмично;
- курсовые работы (проекты) желательно защищать за одну - две недели до начала зачетно-экзаменационной сессии;
- все зачеты необходимо сдавать до начала экзаменационной сессии;
- помните, что конспект не заменяет учебник и учебные пособия, а помогает выбрать из него основные вопросы и ответы;
- при подготовке наибольшее внимание и время уделяйте трудным и непонятным вопросам учебной дисциплины;
- грамотно используйте консультации;
- соблюдайте правильный режим труда и отдыха во время сессии, это сохранит работоспособность и даст хорошие результаты;
- учитесь владеть собой на зачете и экзамене;
- учитесь точно и кратко передавать свои мысли, поясняя их, если нужно, логико-графическими схемами.

ЗАКЛЮЧЕНИЕ

Методические указания по выполнению самостоятельной работы обучающихся являются неотъемлемой частью процесса обучения в вузе. Правильная организация самостоятельной работы позволяет обучающимся развивать умения и навыки в усвоении и систематизации приобретаемых знаний, обеспечивает высокий уровень успеваемости в период обучения, способствует формированию навыков совершенствования профессионального мастерства. Также внеаудиторное время включает в себя подготовку к аудиторным занятиям и изучение отдельных тем, расширяющих и углубляющих представления обучающихся по разделам изучаемой дисциплины.

Таким образом, обучающийся используя методические указания может в достаточном объеме усвоить и успешно реализовать конкретные знания, умения, навыки и получить опыт при выполнении следующих условий:

- 1) систематическая самостоятельная работа по закреплению полученных знаний и навыков;
- 2) добросовестное выполнение заданий;
- 3) выяснение и уточнение отдельных предпосылок, умозаключений и выводов, содержащихся в учебном курсе;
- 4) сопоставление точек зрения различных авторов по затрагиваемым в учебном курсе проблемам; выявление неточностей и некорректного изложения материала в периодической и специальной литературе;
- 5) периодическое ознакомление с последними теоретическими и практическими достижениями в области управления персоналом;
- 6) проведение собственных научных и практических исследований по одной или нескольким актуальным проблемам для *HR*;
- 7) подготовка научных статей для опубликования в периодической печати, выступление на научно-практических конференциях, участие в работе студенческих научных обществ, круглых столах и диспутах по проблемам управления персоналом.

СПИСОК ЛИТЕРАТУРЫ

1. Брандес М. П. Немецкий язык. Переводческое реферирование: практикум. М.: КДУ, 2008. – 368с.
2. Долгоруков А. Метод case-study как современная технология профессионально - ориентированного обучения [Электронный ресурс]. Режим доступа: [//http://evolkov.net/case/case.study.html/](http://evolkov.net/case/case.study.html)
3. Методические рекомендации по написанию реферата. [Электронный ресурс]. Режим доступа: <http://www.hse.spb.ru/edu/recommendations/method-referat-2005.phtml>
4. Фролова Н. А. Реферирование и аннотирование текстов по специальности: Учеб. пособие / ВолгГТУ, Волгоград, 2006. - С.5.
5. Методические рекомендации для студентов [Электронный ресурс]: Режим доступа: http://lesgaft.spb.ru/sites/default/files/u57/metod.rekomendacii_dlya_studentov_21.pdf